# CONTRATO DE CONSULTORÍA Y ASISTENCIA PARA LA REALIZACIÓN DE PRUEBAS DE CARGA PARA LA RECEPCIÓN DE PUENTES DE LA LINEA DE ALTA VELOCIDAD MADRID - ZARAGOZA - BARCELONA - FRONTERA FRANCESA. TRAMO: LLEIDA-VILAFRANCA DEL PENEDES.

# INFORME DE PRUEBA DE CARGA

## TRAMO: LLEIDA-VILAFRANCA DEL PENEDES
## VIADUCTO DE VINAIXA
## 35VI02

**P.K.Obra: 305+793 Línea: 477+722**

**JULIO de 2007**

NORMALIZADO POR

## INDICE

**1.- INTRODUCCIÓN ..... 3**

1.1.- INTRODUCCIÓN. ..... 3
1.2.- ANTECEDENTES ..... 3

**2.- OBJETO ..... 4**

**3.- DESCRIPCIÓN DE LA OBRA ..... 5**

**4.- INSPECCIÓN PRELIMINAR ..... 6**

**5.- ANÁLISIS DEL PROYECTO DE LA ESTRUCTURA ..... 6**

5.1.- DEFINICIÓN COMPLETA DE ELEMENTOS. ..... 6
5.2.- ACCIONES CONSIDERADAS. ..... 7
5.3.- MODELIZACIÓN EMPLEADA. ..... 8
5.4.- MATERIALES Y COEFICIENTES DE CÁLCULO. ..... 9
5.5.- EVALUACIÓN DE LA SITUACIÓN ESTRUCTURAL. ..... 9

**6.- PLAN DE PRUEBAS ..... 10**

6.1.- ACCIONES REPRODUCIDAS. ..... 10
6.2.- PUNTOS DE MEDIDA. ..... 10
6.3.- EQUIPOS UTILIZADOS. ..... 11
6.4.- RESULTADOS PREVISTOS. ..... 19

**7.- PRUEBA DE CARGA. ..... 40**

7.1.- DESCRIPCIÓN. ..... 40
7.2.- RESULTADOS OBTENIDOS. ..... 45

**8.- ANÁLISIS DE LOS RESULTADOS. ..... 68**

8.1.- PRUEBA ESTÁTICA. ..... 69
8.2.- PRUEBAS DINÁMICAS ..... 72

**9.- CONCLUSIONES Y RECOMENDACIONES. ..... 75**

**ANEJO 1.- DOCUMENTACIÓN FACILITADA POR EL ADIF**

**ANEJO 2.- PROYECTO DE PRUEBA DE CARGA**

**ANEJO 3.- ESQUEMA DE INSTRUMENTACIÓN TREN DE CARGA**

**ANEJO 4.- REGISTRO DE MEDIDAS**

**ANEJO 5.- REPORTAJE FOTOGRÁFICO**

**ANEJO 6.- ACTA DE LA PRUEBA DE CARGA**

**ANEJO 7.- FICHA DE SEGUIMIENTO**

**ANEJO 8.- PLANIMETRÍA Y NIVELACIÓN DE LA ESTRUCTURA**

# 1.- INTRODUCCIÓN

## *1.1.- INTRODUCCIÓN.*

A instancias del ente público Administrador de Infraestructuras Ferroviarias (ADIF) se redacta el presente informe, que forma parte del conjunto de los trabajos relativos a la prestación de los servicios de **"CONSULTORÍA Y ASISTENCIA PARA LA REALIZACIÓN DE PRUEBAS DE CARGA PARA LA RECEPCIÓN DE PUENTES DE LA LÍNEA DE ALTA VELOCIDAD MADRID-ZARAGOZA-BARCELONA-FRONTERA FRANCESA. TRAMO: LLEIDA – VILLAFRANCA DEL PENEDÉS"**, de la línea de Alta Velocidad Madrid - Zaragoza - Barcelona - Frontera Francesa, previas a la recepción y puesta en servicio de los mismos, cuyos términos se incluyen en el contrato suscrito por **UTE-PC-GIF-MARTORELL**. La UTE se constituye con este objeto exclusivo.

Este informe en concreto se refiere al Viaducto de Vinaixa (35VI02) perteneciente al **Subtramo III-a**.

Para la redacción de los trabajos objeto del contrato se han tenido en cuenta todas las normas, instrucciones y recomendaciones que estableció el ente público Administrador de Infraestructuras Ferroviarias (ADIF)

## *1.2.- ANTECEDENTES*

La "Instrucción relativa a las acciones a considerar en el proyecto de puentes de ferrocarril" de fecha 25 de junio de 1975, reglamenta en su apartado 6, la metodología a realizar en las pruebas de carga de puentes, haciendo distinción entre las diferentes tipologías, metálicos y de fábrica, y teniendo en cuenta sus luces.

En dicho apartado se indica la necesidad de realizar pruebas de cargas estáticas y dinámicas en la recepción de obra nueva y se prescriben las condiciones para las pruebas de carga de obra en servicio. Siguiendo la instrucción actual, se contempla la obligatoriedad de la realización de pruebas estáticas y dinámicas en puentes de nueva construcción, como el que se corresponde con el presente informe, para comprobar su comportamiento ante las cargas previstas y poder efectuar su recepción. Recientemente

se ha elaborado un documento conjunto “Monografía M-9 de ache – Prueba de Carga de Estructuras” entre las empresas más especializadas en pruebas de carga en España (Grupo de Trabajo 4/3) el que se recoge de forma detallada el proceso de preparación, realización e interpretación de las Pruebas de Carga. En dicho grupo participan las empresas que conforman la UTE-PC-GIF-MARTORELL.

## 2.- OBJETO

El objeto del informe es presentar las actividades de prueba de carga desarrolladas en la obra de referencia, exponiendo los resultados obtenidos en la misma, al ser solicitada la estructura por un tren de cargas conocido circulando a distintas velocidades (pruebas dinámicas), así como en varias posiciones conocidas de velocidad nula (pruebas estáticas), realizando su análisis, con el fin de emitir las conclusiones y recomendaciones oportunas, al contrastar los valores con los resultantes del cálculo teórico efectuado.

Las actividades desarrolladas consistieron en:

- Inspección preliminar de la estructura. Se realizó el día 24 de septiembre de 2004 con el objeto de analizar el estado actual de la estructura, y de los elementos de apoyo, en función de sus posibles defectos; así como determinar aquellas anomalías que puedan afectar al funcionamiento, durabilidad o estética de la estructura.

- Redacción del plan de pruebas. Con el objeto de definir el tren de cargas empleado y la instrumentación utilizada, así como efectuar una previsión de los resultados a obtener.

- Realización de la Prueba de Carga. Tuvo lugar los días 14, 15, 21, 22 de Diciembre de 2005 y los días 18 y 19 de Enero 2006.

- Análisis de Resultados y Recomendaciones. Donde se estudia la relación entre las deformaciones obtenidas y las previstas, las frecuencias de

vibración, el porcentaje y rapidez de deformación; y finalmente se establece un juicio sobre el comportamiento de la obra durante la prueba.

## 3.- DESCRIPCIÓN DE LA OBRA

La estructura objeto de la Prueba de Carga forma parte de las obras de construcción del Subtramo IIIa pertenecientes al tramo Lleida-Vilafranca del Penedés de la Línea de Alta Velocidad Madrid-Zaragoza-Barcelona-Frontera Francesa.

Se trata de una estructura continua de veintidós vanos con unas luces de 39+2×48+2×51+16×48+39 m. La longitud total de la obra es de 1044,00 m.

La solución adoptada consiste en un tablero constituido por un cajón de hormigón pretensado de canto constante e igual a 4,00 m, 14 m de ancho de plataforma con sendos voladizos de 4,00 a ambos lados. Los estribos son uno cerrado y hueco y el otro abierto. El estribo cerrado (Estribo 1) está ligado de forma fija al tablero y está diseñado para recoger los esfuerzos de frenado del tren. Al estar hueco permite dar una gran rigidez sin tener que ir a grandes espesores y de esta forma conseguir encajarlo con tensiones admisibles sobre el terreno que debido a su gran altura de otra forma sería difícil. El estribo abierto (Estribo 2) permite al tablero deslizar en su extremo, este estribo está relleno según proyecto con suelo cemento estabilizado para evitar futuros asientos en el terraplén.

Todas las pilas excepto las próximas al cruce con la A-2 y con el Ferrocarril de la actual línea Lleida Martorell tiene un fuste hueco de sección rectangular con paredes de 0.35 m de espesor. La sección de coronación es maciza de 6,00 m de ancho y 2,00 m de canto que van aumentando con la inclinación de paredes del 2%. Las pilas 3, 4 y 5 junto a la A-2 tiene el fuste y la zapata esviada respecto al eje del viaducto de forma que los gálibos a los arcenes de la A-2 sean superiores. Las pilas 11 y 12 que se sitúan junto a la actual vía Lleida Martorell son pilas arco que permiten el paso de la actual vía y de una futura ampliación de la misma a doble vía.

En la cabeza de las pilas y en los estribos se ponen aparatos de apoyo tipo “POT”.

La documentación facilitada es del Proyecto Construido del Subtramo IIIa de la línea de Alta Velocidad Madrid-Zaragoza-Barcelona-Frontera Francesa. En el caso del Viaducto Vinaixa que nos ocupa, se dispone de los planos del proyecto construido correspondiente y del anejo de cálculo del tablero.

En el Anejo 2A contenido dentro del ANEJO 2 - Proyecto de Prueba de Carga, se incluye copia de algunos de los planos facilitados.

## 4.- INSPECCIÓN PRELIMINAR

Durante los trabajos de Inspección Preliminar llevados a cabo el día 24 de septiembre de 2004, en el Viaducto de Vinaixa, previos a la ejecución de la Prueba de Carga se comprobaron los distintos elementos estructurales del Viaducto que nos ocupa.

En el ANEJO 7 - Ficha de Seguimiento (Revisión 0), del presente informe pueden seguirse las fichas detalladas con indicación de los distintos defectos e incidencias observadas durante la inspección. Es preciso reseñar que el estado de la estructura antes y después de la prueba de carga sigue siendo el mismo, es decir, que no ha aparecido ningún defecto adicional.

## 5.- ANÁLISIS DEL PROYECTO DE LA ESTRUCTURA

La documentación facilitada es el Proyecto Construido, disponiéndose tanto de Planos como del Anejo de Cálculo correspondiente.

### *5.1.- DEFINICIÓN COMPLETA DE ELEMENTOS.*

Se trata de una estructura continua de veintidós vanos con unas luces de 39+2×48+2×51+16×48+39 m. La longitud total de la obra es de 1044,00 m.

La solución adoptada consiste en un tablero constituido por un cajón de hormigón pretensado de canto constante e igual a 4,00 m, 14 m de ancho de plataforma con sendos voladizos de 4,00 a ambos lados. Los estribos son uno cerrado y hueco y el otro abierto. El estribo cerrado (Estribo 1) está ligado de forma fija al tablero y está

diseñado para recoger los esfuerzos de frenado del tren. Al estar hueco permite dar una gran rigidez sin tener que ir a grandes espesores y de esta forma conseguir encajarlo con tensiones admisibles sobre el terreno que debido a su gran altura de otra forma sería difícil. El estribo abierto (Estribo 2) permite al tablero deslizar en su extremo, este estribo está relleno según proyecto con suelo cemento estabilizado para evitar futuros asientos en el terraplén.

Todas las pilas excepto las próximas al cruce con la A-2 y con el Ferrocarril de la actual línea Lleida Martorell tiene un fuste hueco de sección rectangular con paredes de 0.35 m de espesor. La sección de coronación es maciza de 6,00 m de ancho y 2,00 m de canto que van aumentando con la inclinación de paredes del 2%. Las pilas 3, 4 y 5 junto a la A-2 tiene el fuste y la zapata esviada respecto al eje del viaducto de forma que los gálibos a los arcenes de la A-2 sean superiores. Las pilas 11 y 12 que se sitúan junto a la actual vía Lleida Martorell son pilas arco que permiten el paso de la actual vía y de una futura ampliación de la misma a doble vía.

En la cabeza de las pilas y en los estribos se ponen aparatos de apoyo tipo “POT”.

### *5.2.- ACCIONES CONSIDERADAS.*

Para el cálculo se ha empleado la siguiente normativa:

- ***Directivas de la UIC***
- ***IAPF-75***
- ***EHE***
- ***IAP***

Las cargas aplicadas para el cálculo del tablero en los modelos de cálculo empleados son las siguientes:

- ***Cargas permanentes***

- *Peso propio*.
- *Cargas muertas*.
- *Cargas horizontales* producidas por el *rozamiento* en los apoyos deslizantes.

- ***Sobrecargas***

  - *Sobrecargas de uso*: sobrecarga en paseos y sobrecarga ferroviaria. Dentro de ésta última están incluida las acciones horizontales producidas por el frenado, arranque, ripado, fuerza centrífuga y lazo.
  - *Acciones térmicas*: variación uniforme de la temperatura y gradiente térmico.
  - *Interacción longitudinal carril-tablero*.
  - *Descensos diferenciales*.
  - *Viento.*
  - *Nieve.*
  - *Rozamiento de teflones.*
  - *Empuje de tierras.*

### *5.3.- MODELIZACIÓN EMPLEADA.*

Para realizar el cálculo del tablero se ha procedido a realizar diversos modelos de cálculo que permitan la obtención de los esfuerzos existentes en la estructura de una forma que refleje lo más aproximadamente posible la realidad.

Para el dimensionamiento de esta estructura se han considerado dos fases de cálculos distintas:

- ***Fase de lanzamiento.*** En esta fase se han utilzado 21 modelos, simulando el avance del tablero, incluyendo el pescante de lanzamiento.

- ***Fase de servicio.*** En esta fase se utiliza un solo modelo de cálculo, en el que se modeliza cada vano del tablero mediante diez barras, con sus correspondientes características mecánicas, y las pilas se modelizan mediante dos barras.

El cálculo del tablero se ha realizado utilizando los programas informáticos de elementos finitos SAP2000 Y SAP90.

### *5.4.- MATERIALES Y COEFICIENTES DE CÁLCULO.*

La combinación de las distintas acciones se ha realizado siguiendo las recomendaciones de la IAP y EHE para las comprobaciones a Estado Límite de Servicio y Estado Límite Ultimo. Los hormigones y aceros empleados en la obra así como los coeficientes de minoración de las resistencias de los materiales son las siguientes:

Los hormigones empleados en el tablero son los siguientes:

- Zapatas y encepados: HA-25 $\gamma$=1,50 (nivel de control NORMAL)
- Alzado estribo 1: HA-30 $\gamma$=1,50 (nivel de control NORMAL)
- Alzado estribo 2: HA-25 $\gamma$=1,50 (nivel de control NORMAL)
- Pilas: HA-30 $\gamma$=1,50 (nivel de control NORMAL)
- Tablero: HP-40 $\gamma$=1,50 (nivel de control NORMAL)

En cuanto a los aceros, se han empleado los siguientes tipos:

- Pasivo: B-500S $\gamma$=1,15 (nivel de control es normal)
- Activo: Acero 18,925 kp/cm$^2$ $\gamma$=1,10 (nivel de control es intenso)

### *5.5.- EVALUACIÓN DE LA SITUACIÓN ESTRUCTURAL.*

El cálculo estático de la estructura es correcto y acorde a la normativa vigente en el momento de su cálculo.

## 6.- PLAN DE PRUEBAS

La prueba de carga se realiza con acciones reproducidas por trenes de pruebas y tolvas para este propósito, las mismas con las que se realizarán los ensayos en el resto del tramo.

### *6.1.- ACCIONES REPRODUCIDAS.*

La prueba de carga contempla tanto acciones estáticas como dinámicas, con el fin de reproducir en la misma todo el abanico de posibles solicitaciones a las que pueda estar sometido el puente a lo largo del tiempo.

Se emplearon diversos trenes de carga para las diversas pruebas, combinando una locomotora ADIF (con un peso total de 120 t repartidos entre sus seis ejes según 20 ton/eje), y diversas tolvas RENFE (con un peso total de 80 t repartidos entre sus cuatro ejes según 20 ton/eje).

El tren de cargas empleado consistió en una locomotora ADIF y cinco tolvas RENFE por una vía y una locomotora ADIF y cuatro tolvas RENFE por la otra. El peso total es 960 t, repartido uniformemente entre sus respectivos ejes.

Las acciones que se pretende reproducir, como se ha indicado anteriormente, son aquellas propias de la utilización de la obra y consisten en 21 posiciones de carga estática y 5 pruebas dinámicas a 5 km/h, 30 km/h y 80 km/h y una de frenado a 80 km/h por una vía. Además se realiza una pasada a 5 km/h por ambas vías.

### *6.2.- PUNTOS DE MEDIDA.*

El programa de instrumentación que se define recoge todas aquellas secciones en las que se ha considerado necesario conocer las tensiones y deformaciones producidas por las cargas actuantes.

Los puntos de medida se sitúan en los elementos y secciones fundamentales del tablero que compone la obra. En el ANEJO 3 - Esquema de Instrumentación y Tren de Cargas, se señalan todos los puntos instrumentados, diferenciándolos según se trate de transductores de desplazamiento, galgas extensométricas o acelerómetros.

Con esta instrumentación se han buscado las medidas siguientes:

- Descensos verticales en los vanos extremos del tablero en secciones situadas a una distancia de los estribos de 0,45 veces la luz de los tramos.
- Descensos verticales en el vano central en la sección a la mitad de la luz de dicho tramo.
- Descensos verticales de apoyos.
- Deformaciones en la cara inferior del tablero en las mismas secciones comentadas para la medida de flechas.
- Aceleraciones del tablero al paso del tren de carga.

Por lo tanto, como resumen, cabe señalar que se han dispuesto: 40 medidas de descenso de apoyos, 45 medidas de flechas a L/2, L/4 ó 0,45L (según corresponda), 38 bandas extensométricas y 22 acelerómetros. El número total de puntos instrumentados en el puente es de 145. La instrumentación realizada coincide con respecto a la indicada en el proyecto de prueba de carga.

### *6.3.- EQUIPOS UTILIZADOS.*

Para la realización de pruebas de carga, el conjunto de los equipos de campo embarcados en furgonetas laboratorio, utilizados por TIFSA para la toma de datos experimentales en cada puente ó estructura, está constituido por los elementos que se relacionan a continuación, pudiéndose ver detalle de los equipos utilizados en campo, así como de los medios auxiliares empleados en la instrumentación en las fotografías finales que se presentan.

Debemos indicar que todos los equipos que se relacionan se encuentran en periodo vigente de verificación y/o calibración.

Comenzando por los elementos sensores, se utilizan galgas extensométricas para medida de deformaciones unitarias, transductores de desplazamiento para flechas y

corrimientos en apoyos y acelerómetros para obtención de acelerogramas, con las siguientes características:

- GALGAS EXTENSOMÉTRICAS (TML). Resistencia nominal 120 ohmios y factor de galga 2,13. Longitud activa de 3 y 6 mm en estructuras metálicas y de 30 a 120 mm en estructuras de hormigón, para medida de deformaciones unitarias y, por lo tanto, de tensiones.

- TRANSDUCTORES DE DESPLAZAMIENTO (RDP Electronics, ACT2000/C – TIPO inductivo): Recorrido 100 mm. Resolución virtualmente infinita. Linealidad +/- 0,1%.

- TRANSDUCTORES DE DESPLAZAMIENTO (Penny & Giles L C P U – TIPO potenciométrico): Recorrido 50 y 100 mm. Resolución virtualmente infinita. Linealidad +/- 0,5%.

- TRANSDUCTORES DE DESPLAZAMIENTO (Penny & Giles HLP190 - TIPO potenciométrico): Recorridos 100 mm (SA1100/4k); 50 mm (SA150/2k) y 25 mm (SA125/1k). Resolución virtualmente infinita. Linealidad de 0.05 % para los de 100 y +/- 0,075% para el resto.

- TRANSDUCTORES DE DESPLAZAMIENTO (SAN-EI E08-D3-30 Y E08-D3-50 - TIPO extensométrico). Recorridos de 30 y 50 mm. Resolución virtualmente infinita. Linealidad +/- 0,2%.

- TRANSDUCTORES DE DESPLAZAMIENTO (APEK HLS 10 - TIPO extensométrico): Recorrido de 10 mm. Resolución virtualmente infinita. Linealidad +/- 0,05%.

- ACELEROMETROS PIEZORRESISTIVOS (SENSOTEC JTF-AG111): Rango 10/50 g, sensibilidad 10 mV/g, linealidad +/- 1% de F.S. Respuesta en frecuencia desde DC a 250 Hz. Alimentación a 2,5 V. (rms).

- ACELEROMETROS CAPACITIVOS (PCB PIEZOTRONICS 3701): Rango 20 g, sensibilidad 100 mV/g, linealidad +/- 1% de F.S. Respuesta en frecuencia DC a 500 Hz. Alimentación 5 A 30 VDC.

El sistema de medida continúa con los acondicionadores de señal, que realizan el tratamiento y amplificación de las señales obtenidas en los diferentes sensores, generando salidas normalizadas para su registro posterior. El equipamiento utilizado es el siguiente:

- ACONDICIONADORES DE SEÑAL (SAN-EI 6 M 47-8): Excitación del puente 2,5 V., 5 K Hz. Salida $\pm$ 2V. Balanceo automático de puente. Relación señal ruido 50 dB (rms). Filtro pasabajos de tres polos. Corriente de alimentación 12 V. DC. Frecuencia de respuesta desde DC a 2 KHz. Realizan el acondicionamiento preciso para galgas extensométricas y transductores basados en extensometría.

- ACONDICIONADORES DE SEÑAL (SAN-EI AH 1108): Excitación del puente 2 V (rms), 5 K Hz. Salida +/- 5 V. Balanceo automático de puente. Relación señal ruido 58 dB (rms). Filtro pasabajos de tres polos. Alimentación AC/DC. Frecuencia de respuesta desde DC a 2 KHz. Acondicionamiento extensométrico.

- ACONDICIONADORES DE SEÑAL (KINOSSEL KI5000): Linealidad 0,1%. Estabilidad mayor que 0,05 % º $C^{-1}$. Filtros 10, 100 y 1000 Hz. Balanceo automático. Salida +/- 5 V. Alimentación en AC/DC. Acondicionamiento potenciométrico.

- ACONDICIONADORES DE SEÑAL (RDP Electronics, modular 600): Rack multicanal con, 12 tarjetas bicanal. Alimentación en AC, excitación configurable hasta 15 V DC. Display 5 dígitos, selector individual de los 24 canales, exactitud 0.1% F.S., linealidad +\- 0.05% F.S. Implementación de 11 tarjetas 611, STRAIN GAUGE & DC/DC (transductores potenciométricos y de tipo general con electrónica incorporada y extensométricos, mediante doble electrónica): 10 Rangos de señal de entrada 5mV a 10V; Salida +/- 10 V.; Ganancia x0.5 a x2000; Balanceo manual; Frecuencia de respuesta desde DC a 200 Hz. Se complementa con 1 tarjeta 621, LVDT & INDUCTIVE TANSDUCER (Transductores de tipo general LVDT): 8 rangos de señal 12 mV a 4 V; salida +/- 10 V; Ganancia x1 a x2000; Balanceo manual;

Frecuencia de respuesta desde DC a 500 Hz. Flat. Temperatura de compensación en todos los canales inferior a 0.005 % FS/ºC.

Una vez realizado el tratamiento y amplificación de las señales obtenidas en los diferentes sensores, se realiza su control y registro mediante el siguiente equipamiento:

- ORDENADORES DE CONTROL:
    - Microprocesadores Pentium II/III a distintas velocidades. Bus PCI (5 Zoc. PCI, 3 ISA, Green PC)
    - Memoria RAM mínima de 64 Mb.
    - Unidad de disco flexible de 3 ½
    - Discos duro fijo primario superior 2 Gb. Controladora PCI-IDE.
    - Unidad CD-ROM 24X (Mín). Controladora PCI-IDE.
    - Monitor Super VGA COLOR. Tarjeta 2 Mb. PCI (1280-1024).
    - Disco secundario removible superior a 2,01 Gb. (PCI-IDE).
    - Tarjeta de red.

- TARJETAS DE ADQUISICIÓN DE DATOS (National Instruments):
    - Multifunción de alta velocidad AT-MIO-64 F-5 (2 Ud), con 64 canales de entrada analógica simple o 32 diferenciales.
    - Velocidad máxima de muestreo de 200.000 muestras/seg.
    - 8 líneas digitales I/O y tres relojes contadores.
    - 2 canales de transferencia DMA.
    - Ganancia programable: 0.5, 1, 2, 5,10, 20, 50,100.
    - Convertidor A/D de 12 bits.
    - Ocupación de un Slot ISA en ordenador de control.

- TARJETAS DE ADQUISICIÓN DE DATOS (National Instruments):
    - Multifunción de alta velocidad AT-MIO-64 E-3 (1 Ud), con 64 canales de entrada analógica simple o 32 diferenciales.
    - Resto de características igual que las anteriores pero con una Velocidad máxima de muestreo de 300.000 muestras/seg.

RACK PRINCIPAL, DEFINIDO COMO SISTEMA DE ADQUISICIÓN MODELO CRONOS-PL-16 DE IMC CON LAS SIGUIENTES CARACTERÍSTICAS TÉCNICAS (2 UNIDADES):

-Contiene 16 slots libres para módulos de acondicionamiento.

-Sincronización de tiempo entre todos los canales analógicos y digitales.

-UPS con un buffer de 30 segundos (hasta 5 minutos como opción)

-El mainframe dispone de conexión mediante Ethernet TCP/IP

-Dispone de un controlador HD para memoria tipo flash card.

-Alimentación: 10-36 VDC ó 230 VAC.

-Condiciones de funcionamiento: 5 a 40ºC; 5 a 95% de humedad relativa

-Manual de operación en inglés y certificado de calibración.

-Incluye IMC device software. Este software sólo permite realizar el set-up de los sistemas de medida IMC basados en Ethernet (habilitación de canales, rango de muestreo, duración de la medida, trigger, configuración del almacenamiento...)

MÓDULOS PARA EXTENSOMETRÍA (10 UDS – 40 CANALES), MODELO CRPL/BR-4 MARCA IMC CON LAS SIGUIENTES CARACTERÍSTICAS TÉCNICAS:

-4 canales de entrada con muestreo simultáneo para conexión de señales de puente extensométrico.

-Alimentación del puente en DC/CF.

-Máxima frecuencia de muestreo por canal: 20KS/s

-Ancho de banda: 2,5 Khz en modo CF (10 Khz en operación CF)

-Puente completo, medio puente, cuarto puente a través de

-Rango de medida para puente: ±1mV/V a ±1000mV/V

-Rango de medida para tensión DC: ±5mV a ± 5V

-Filtro anti-aliasing, paso bajo, Butterworth de sexto orden, ancho de banda de 2Hz a 5Khz ajustable

-Conector: CRON/DSUB-BR-4-BR (2 x 15 pines en grupos de 2 canales)

MÓDULO PARA VOLTAJE (2 UDS – 16 CANALES), MODELO CRPL/LV-8 MARCA IMC CON LAS SIGUIENTES CARACTERÍSTICAS TÉCNICAS:

-8 canales de entrada con muestreo simultáneo.

-Frecuencia de muestreo: 20 Khz

-Ancho de banda:10Khz

-Rango de entrada de tensión:

1.Tensión: ±250 mV a ±50V

2.Corriente:±5mA a ±50mA

-Filtro anti-aliasing, paso bajo, Butterworth de sexto orden, ancho de banda de 10Hz a 5Khz ajustable.

-Conector: CRON/DSUB-Voltage/Current (2x 15 pines en grupos de 4 canales).

TARJETAS EXTRAÍBLES PCMCIA, PARA REGISTRO DE DATOS

-Flash Cards 1,0 GB y 256 MB.

SOFTWARE ONLINE-FAMOS PARA PROCESAMIENTO DE DATOS ONLINE (1 UD MULTILICENCIA).

-Procesador de señal para generación /visualización/almacenamiento matemático de canales en tiempo real.

-Cálculo de hasta 100 funciones on-line.

SOFTWARE IMC-FAMOS PARA ANÁLISIS DE SEÑAL (2 UD CON UNA LICENCIA CADA UNA).

Como síntesis del sistema conjunto se puede presentar el siguiente esquema funcional explicativo:

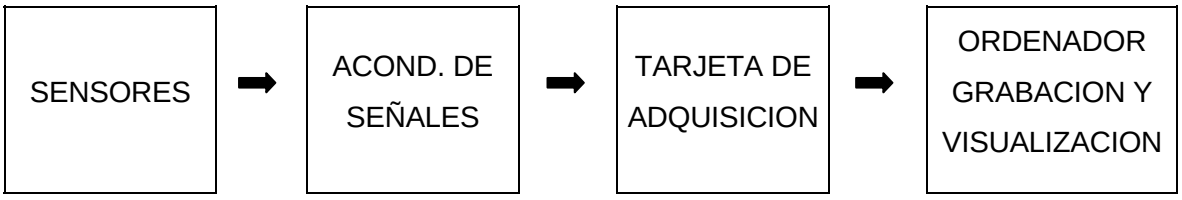


La señal producida en cada punto instrumentado, galga extensométrica, transductor de desplazamiento o acelerómetro, es filtrada y amplificada por los acondicionadores de señal.

La estabilidad de las medidas con galgas extensométricas a largo plazo está asegurada por la disposición de puentes de Wheatstone completos en cada punto de medida, evitando así la aparición de todo problema de deriva.

Las señales amplificadas, analógicas, son captadas por las tarjetas de adquisición de datos e introducidas en el ordenador de control, que realiza registro de las mismas, así como el tratamiento y presentación de datos para la visualización y seguimiento de las pruebas realizadas.

Comentar por último que durante las pruebas se efectúa el control continuo de las condiciones de temperatura y humedad ambientales.

El software de presentación de datos en campo permite la visualización de las medidas netas correspondientes a cada punto de medida en unidades físicas escaladas, numérica y gráficamente, siendo en tiempo real para las pruebas estáticas e inmediatamente tras su finalización en las de carácter dinámico.

En gabinete, una vez recopilados los registros de calidad de los ensayos, se recomprueban sobre los formularios todos los datos, identificando los puntos de medida, los traductores empleados, las calibraciones, los parámetros de adquisición (frecuencia de muestreo y filtro), etc. Una vez realizado esto, en primer lugar las señales obtenidas mediante grabación digital en el ordenador de control son traducidas a magnitudes físicas y tiempos, y se previsualizan debidamente escaladas.

Posteriormente se hace el tratamiento y procesado completo hasta permitir dibujar en papel los registros escalados en coordenadas tiempo-magnitud para posibilitar su análisis e incorporación a los informes correspondientes.

Hay que señalar que se dispone de software específico para dicho tratamiento así como hojas de cálculo gráficas, tales como DADISP, o más generales como MATLAB.

Para tablas de presentación y como soporte informático de transmisión de resultados se utiliza un programa convencional con formato estándar de hoja de cálculo, por ejemplo como EXCEL.

En el caso de las medidas de aceleraciones se realiza además su estudio en frecuencias para la obtención de los modos fundamentales de vibración de la estructura, analizando los espectros obtenidos en cada prueba mediante la aplicación anterior.

Como equipos auxiliares se encuentran grupos electrógenos portátiles, 6.500 m de línea en bobinas de 25, 50 y 100 m de longitud, maquinaria portátil de limpieza, pulido y soldadura y pequeño herramental.

Hay que comentar que en el momento actual TIFSA dispone de la capacidad de hacer funcionar simultáneamente tres equipos de grabación (incluido personal técnico) con las tarjetas de adquisición anteriormente mencionadas, junto con un total de canales de 96, distribuidos entre 56 extensométricos, 16 potenciométricos y 22 mixtos.

El número total de transductores disponibles es de 78, de los cuales 64 son de desplazamiento (10, 25, 30, 50 y 100 mm), y 14 de aceleración (10, 20 y 50 Gs). Con ello la posibilidad de acometer pruebas de carga “especiales” por elevado número de puntos, o pruebas habituales simultáneas, vendrá en general limitada por la disponibilidad de trenes de ensayo en lugar de por el equipamiento disponible.

En las diversas fotografías incluidas en el ANEJO 5 - Reportaje Fotográfico, del presente informe pueden observarse los equipos utilizados en campo y la disposición de bandas extensométricas y transductores de desplazamiento en distintos puntos del viaducto ensayado.

### *6.4.- RESULTADOS PREVISTOS.*

En el ANEJO 2 - Proyecto de Prueba de Carga, figura la relación de las flechas y deformaciones que cabe esperar durante los ensayos estáticos, así como la estimación de la frecuencia fundamental de oscilación de la estructura. Estos valores se reproducen a continuación:

***ESTÁTICA Nº1. Una Locomotora ADIF y una Tolva Renfe por vía I y una Locomotora ADIF y dos Tolvas Renfe por vía II en vano 1. Tres Tolvas Renfe en vano 3 por cada vía.***

| PUNTO | TRAMO | POSICION | UD. | PRUEBA | VALOR ESPERADO |
|---|---|---|---|---|---|
| P-011 | 1 | 0,45 L (vía Derecha, en línea de apoyos) | mm | E-1 | -4.52 |
| P-012 | 1 | 0,45 L (vía Izquierda, en línea de apoyos) | mm | E-1 | -4.54 |
| P-013 | 1 | Apoyo en estribo Lleida, en línea de apoyos de vía Izquierda | mm | E-1 | - |
| P-014 | 1 | Apoyo en pila 1, en línea de apoyos de vía Derecha | mm | E-1 | - |
| G-011 | 1 | 0,45 L (vía Derecha, en línea de apoyos) | με | E-1 | 64 |
| G-012 | 1 | 0,45 L (vía Izquierda, en línea de apoyos) | με | E-1 | 64 |
| P-021 | 2 | L/2 (vía Derecha, en línea de apoyos) | mm | E-1 | -3.21 |
| P-022 | 2 | L/2 (vía Izquierda, en línea de apoyos) | mm | E-1 | -3.17 |
| P-023 | 2 | Apoyo en pila 1, en línea de apoyos de vía Izquierda | mm | E-1 | - |
| P-024 | 2 | Apoyo en pila 2, en línea de apoyos de vía Derecha | mm | E-1 | - |
| G-021 | 2 | L/2 (vía Derecha, en línea de apoyos) | με | E-1 | -28 |
| G-022 | 2 | L/2 (vía Izquierda, en línea de apoyos) | με | E-1 | -28 |
| P-031 | 3 | L/2 (vía Derecha, en línea de apoyos) | mm | E-1 | -6.56 |
| P-032 | 3 | L/2 (vía Izquierda, en línea de apoyos) | mm | E-1 | -6.56 |
| P-033 | 3 | Apoyo en pila 2, en línea de apoyos de vía Izquierda | mm | E-1 | - |
| P-034 | 3 | Apoyo en pila 3, en línea de apoyos de vía Derecha | mm | E-1 | - |
| G-031 | 3 | L/2 (vía Derecha, en línea de apoyos) | με | E-1 | 64 |
| G-032 | 3 | L/2 (vía Izquierda, en línea de apoyos) | με | E-1 | 64 |

***ESTÁTICA Nº2. Una Locomotora ADIF y una Tolva Renfe por vía I y una Locomotora ADIF y dos Tolvas Renfe por vía II en vano 2. Tres Tolvas Renfe en vano 4 por cada vía.***

| PUNTO | TRAMO | POSICION | UD. | PRUEBA | VALOR ESPERADO |
|---|---|---|---|---|---|
| P-011 | 1 | 0,45 L (vía Derecha, en línea de apoyos) | mm | E-2 | 1.76 |
| P-012 | 1 | 0,45 L (vía Izquierda, en línea de apoyos) | mm | E-2 | 1.76 |
| P-013 | 1 | Apoyo en estribo Lleida, en línea de apoyos de vía Izquierda | mm | E-2 | - |
| P-014 | 1 | Apoyo en pila 1, en línea de apoyos de vía Derecha | mm | E-2 | - |
| G-011 | 1 | 0,45 L (vía Derecha, en línea de apoyos) | μE | E-2 | -22 |
| G-012 | 1 | 0,45 L (vía Izquierda, en línea de apoyos) | μE | E-2 | -22 |
| P-021 | 2 | L/2 (vía Derecha, en línea de apoyos) | mm | E-2 | -6.82 |
| P-022 | 2 | L/2 (vía Izquierda, en línea de apoyos) | mm | E-2 | -6.85 |
| P-023 | 2 | Apoyo en pila 1, en línea de apoyos de vía Izquierda | mm | E-2 | - |
| P-024 | 2 | Apoyo en pila 2, en línea de apoyos de vía Derecha | mm | E-2 | - |
| G-021 | 2 | L/2 (vía Derecha, en línea de apoyos) | μE | E-2 | 71 |
| G-022 | 2 | L/2 (vía Izquierda, en línea de apoyos) | μE | E-2 | 70 |
| P-031 | 3 | L/2 (vía Derecha, en línea de apoyos) | mm | E-2 | 4.06 |
| P-032 | 3 | L/2 (vía Izquierda, en línea de apoyos) | mm | E-2 | 4.05 |
| P-033 | 3 | Apoyo en pila 2, en línea de apoyos de vía Izquierda | mm | E-2 | - |
| P-034 | 3 | Apoyo en pila 3, en línea de apoyos de vía Derecha | mm | E-2 | - |
| G-031 | 3 | L/2 (vía Derecha, en línea de apoyos) | μE | E-2 | -35 |
| G-032 | 3 | L/2 (vía Izquierda, en línea de apoyos) | μE | E-2 | -35 |
| M-041 | 4 | L/2 (vía Izquierda, en línea de apoyos) | mm | E-2 | -8.05 |
| P-042 | 4 | L/4 Lleida(vía Izquierda, en línea de apoyos) | mm | E-2 | -5.72 |
| P-043 | 4 | Apoyo en pila 3, en línea de apoyos de vía Izquierda | mm | E-2 | - |

***ESTÁTICA Nº3. Una Locomotora ADIF y una Tolva Renfe por vía I y una Locomotora ADIF y dos Tolvas Renfe por vía II en vano 4. Tres Tolvas Renfe en vano 6 por cada vía.***

| PUNTO | TRAMO | POSICION | UD. | PRUEBA | VALOR ESPERADO |
|---|---|---|---|---|---|
| M-051 | 5 | L/2 (vía Derecha, en línea de apoyos) | mm | E-3 | 4.44 |
| P-051 | 5 | L/4 Barcelona (vía Derecha, en línea de apoyos) | mm | E-3 | 3.31 |
| P-054 | 5 | Apoyo en pila 5, en línea de apoyos de vía Izquierda | mm | E-3 | - |
| P-061 | 6 | L/2 (vía Derecha, en línea de apoyos) | mm | E-3 | -6.77 |
| P-062 | 6 | L/2 (vía Izquierda, en línea de apoyos) | mm | E-3 | -6.77 |
| P-063 | 6 | Apoyo en pila 5, en línea de apoyos de vía Izquierda | mm | E-3 | - |
| P-064 | 6 | Apoyo en pila 6, en línea de apoyos de vía Derecha | mm | E-3 | - |
| G-061 | 6 | L/2 (vía Derecha, en línea de apoyos) | με | E-3 | 66 |
| G-062 | 6 | L/2 (vía Izquierda, en línea de apoyos) | με | E-3 | 66 |

***ESTÁTICA Nº4. Una Locomotora ADIF y una Tolva Renfe por vía I y una Locomotora ADIF y dos Tolvas Renfe por vía II en vano 5. Tres Tolvas Renfe en vano 7 por cada vía.***

| PUNTO | TRAMO | POSICION | UD. | PRUEBA | VALOR ESPERADO |
|---|---|---|---|---|---|
| M-051 | 5 | L/2 (vía Derecha, en línea de apoyos) | mm | E-4 | -8.22 |
| P-051 | 5 | L/4 Barcelona (vía Derecha, en línea de apoyos) | mm | E-4 | -5.78 |
| P-054 | 5 | Apoyo en pila 5, en línea de apoyos de vía Izquierda | mm | E-4 | - |
| P-061 | 6 | L/2 (vía Derecha, en línea de apoyos) | mm | E-4 | 4.10 |
| P-062 | 6 | L/2 (vía Izquierda, en línea de apoyos) | mm | E-4 | 4.09 |
| P-063 | 6 | Apoyo en pila 5, en línea de apoyos de vía Izquierda | mm | E-4 | - |
| P-064 | 6 | Apoyo en pila 6, en línea de apoyos de vía Derecha | mm | E-4 | - |
| G-061 | 6 | L/2 (vía Derecha, en línea de apoyos) | με | E-4 | -36 |
| G-062 | 6 | L/2 (vía Izquierda, en línea de apoyos) | με | E-4 | -36 |

***ESTÁTICA Nº5. Una Locomotora ADIF y una Tolva Renfe por vía I y una Locomotora ADIF y dos Tolvas Renfe por vía II en vano 6. Tres Tolvas Renfe en vano 8 por cada vía.***

| PUNTO | TRAMO | POSICION | UD. | PRUEBA | VALOR ESPERADO |
|---|---|---|---|---|---|
| P-071 | 7 | L/2 (vía Derecha, en línea de apoyos) | mm | E-5 | 3.81 |
| P-072 | 7 | L/2 (vía Izquierda, en línea de apoyos) | mm | E-5 | 3.80 |
| P-073 | 7 | Apoyo en pila 6, en línea de apoyos de vía Izquierda | mm | E-5 | - |
| P-074 | 7 | Apoyo en pila 7, en línea de apoyos de vía Derecha | mm | E-5 | - |
| G-071 | 7 | L/2 (vía Derecha, en línea de apoyos) | με | E-5 | -33 |
| G-072 | 7 | L/2 (vía Izquierda, en línea de apoyos) | με | E-5 | -33 |
| P-081 | 8 | L/2 (vía Derecha, en línea de apoyos) | mm | E-5 | -6.65 |
| P-082 | 8 | L/2 (vía Izquierda, en línea de apoyos) | mm | E-5 | -6.65 |
| P-083 | 8 | Apoyo en pila 7, en línea de apoyos de vía Izquierda | mm | E-5 | - |
| P-084 | 8 | Apoyo en pila 8, en línea de apoyos de vía Derecha | mm | E-5 | - |
| G-081 | 8 | L/2 (vía Derecha, en línea de apoyos) | με | E-5 | 65 |
| G-082 | 8 | L/2 (vía Izquierda, en línea de apoyos) | με | E-5 | 65 |
| P-091 | 9 | L/2 (vía Derecha, en línea de apoyos) | mm | E-5 | 2.01 |
| P-092 | 9 | L/2 (vía Izquierda, en línea de apoyos) | mm | E-5 | 2.01 |
| P-093 | 9 | Apoyo en pila 8, en línea de apoyos de vía Izquierda | mm | E-5 | - |
| P-094 | 9 | Apoyo en pila 9, en línea de apoyos de vía Derecha | mm | E-5 | - |
| G-091 | 9 | L/2 (vía Derecha, en línea de apoyos) | με | E-5 | -18 |
| G-092 | 9 | L/2 (vía Izquierda, en línea de apoyos) | με | E-5 | -18 |

***ESTÁTICA Nº6. Una Locomotora ADIF y una Tolva Renfe por vía I y una Locomotora ADIF y dos Tolvas Renfe por vía II en vano 7. Tres Tolvas Renfe en vano 9 por cada vía.***

| PUNTO | TRAMO | POSICION | UD. | PRUEBA | VALOR ESPERADO |
|---|---|---|---|---|---|
| P-071 | 7 | L/2 (vía Derecha, en línea de apoyos) | mm | E-6 | -6.84 |
| P-072 | 7 | L/2 (vía Izquierda, en línea de apoyos) | mm | E-6 | -6.87 |
| P-073 | 7 | Apoyo en pila 6, en línea de apoyos de vía Izquierda | mm | E-6 | - |
| P-074 | 7 | Apoyo en pila 7, en línea de apoyos de vía Derecha | mm | E-6 | - |
| G-071 | 7 | L/2 (vía Derecha, en línea de apoyos) | με | E-6 | 71 |
| G-072 | 7 | L/2 (vía Izquierda, en línea de apoyos) | με | E-6 | 70 |
| P-081 | 8 | L/2 (vía Derecha, en línea de apoyos) | mm | E-6 | 3.80 |
| P-082 | 8 | L/2 (vía Izquierda, en línea de apoyos) | mm | E-6 | 3.79 |
| P-083 | 8 | Apoyo en pila 7, en línea de apoyos de vía Izquierda | mm | E-6 | - |
| P-084 | 8 | Apoyo en pila 8, en línea de apoyos de vía Derecha | mm | E-6 | - |
| G-081 | 8 | L/2 (vía Derecha, en línea de apoyos) | με | E-6 | -33 |
| G-082 | 8 | L/2 (vía Izquierda, en línea de apoyos) | με | E-6 | -33 |
| P-091 | 9 | L/2 (vía Derecha, en línea de apoyos) | mm | E-6 | -6.65 |
| P-092 | 9 | L/2 (vía Izquierda, en línea de apoyos) | mm | E-6 | -6.65 |
| P-093 | 9 | Apoyo en pila 8, en línea de apoyos de vía Izquierda | mm | E-6 | - |
| P-094 | 9 | Apoyo en pila 9, en línea de apoyos de vía Derecha | mm | E-6 | - |
| G-091 | 9 | L/2 (vía Derecha, en línea de apoyos) | με | E-6 | 65 |
| G-092 | 9 | L/2 (vía Izquierda, en línea de apoyos) | με | E-6 | 65 |

***ESTÁTICA Nº7. Una Locomotora ADIF y una Tolva Renfe por vía I y una Locomotora ADIF y dos Tolvas Renfe por vía II en vano 9. Tres Tolvas Renfe en vano 11 por cada vía.***

| PUNTO | TRAMO | POSICION | UD. | PRUEBA | VALOR ESPERADO |
|---|---|---|---|---|---|
| P-101 | 10 | L/2 (vía Derecha, en línea de apoyos) | mm | E-7 | 3.80 |
| P-102 | 10 | L/2 (vía Izquierda, en línea de apoyos) | mm | E-7 | 3.79 |
| P-103 | 10 | Apoyo en pila 9, en línea de apoyos de vía Izquierda | mm | E-7 | - |
| P-104 | 10 | Apoyo en pila 10, en línea de apoyos de vía Derecha | mm | E-7 | - |
| G-101 | 10 | L/2 (vía Derecha, en línea de apoyos) | με | E-7 | -33 |
| G-102 | 10 | L/2 (vía Izquierda, en línea de apoyos) | με | E-7 | -33 |
| P-111 | 11 | L/2 (vía Derecha, en línea de apoyos) | mm | E-7 | -6.65 |
| P-112 | 11 | L/2 (vía Derecha, en línea de apoyos) | mm | E-7 | -6.65 |
| P-113 | 11 | L/4 Lleida (vía Derecha, en línea de apoyos) | mm | E-7 | - |
| P-114 | 11 | Apoyo en pila 10, en línea de apoyos de vía Derecha | mm | E-7 | - |
| G-111 | 11 | L/4 Lleida (vía Derecha, en línea de apoyos) | με | E-7 | 42 |
| G-112 | 11 | L/2 (vía Derecha, en línea de apoyos) | με | E-7 | 65 |
| P-121 | 12 | L/2 (vía Derecha, en línea de apoyos) | mm | E-7 | 2.01 |
| P-122 | 12 | L/2 (vía Izquierda, en línea de apoyos) | mm | E-7 | 2.01 |
| P-123 | 12 | Apoyo en pila 11, en línea de apoyos de vía Derecha | mm | E-7 | - |
| P-124 | 12 | L/4 Lleida (vía Derecha, en línea de apoyos) | mm | E-7 | 1.91 |

***ESTÁTICA Nº8. Una Locomotora ADIF y una Tolva Renfe por vía I y una Locomotora ADIF y dos Tolvas Renfe por vía II en vano 10. Tres Tolvas Renfe en vano 12 por cada vía.***

| PUNTO | TRAMO | POSICION | UD. | PRUEBA | VALOR ESPERADO |
|---|---|---|---|---|---|
| P-101 | 10 | L/2 (vía Derecha, en línea de apoyos) | mm | E-8 | -6.83 |
| P-102 | 10 | L/2 (vía Izquierda, en línea de apoyos) | mm | E-8 | -6.86 |
| P-103 | 10 | Apoyo en pila 9, en línea de apoyos de vía Izquierda | mm | E-8 | - |
| P-104 | 10 | Apoyo en pila 10, en línea de apoyos de vía Derecha | mm | E-8 | - |
| G-101 | 10 | L/2 (vía Derecha, en línea de apoyos) | με | E-8 | 71 |
| G-102 | 10 | L/2 (vía Izquierda, en línea de apoyos) | με | E-8 | 70 |
| P-111 | 11 | L/2 (vía Derecha, en línea de apoyos) | mm | E-8 | 3.80 |
| P-112 | 11 | L/2 (vía Derecha, en línea de apoyos) | mm | E-8 | 3.79 |
| P-113 | 11 | L/4 Lleida (vía Derecha, en línea de apoyos) | mm | E-8 | - |
| P-114 | 11 | Apoyo en pila 10, en línea de apoyos de vía Derecha | mm | E-8 | - |
| G-111 | 11 | L/4 Lleida (vía Derecha, en línea de apoyos) | με | E-8 | -33 |
| G-112 | 11 | L/2 (vía Derecha, en línea de apoyos) | με | E-8 | -33 |
| P-121 | 12 | L/2 (vía Derecha, en línea de apoyos) | mm | E-8 | -6.65 |
| P-122 | 12 | L/2 (vía Izquierda, en línea de apoyos) | mm | E-8 | -6.65 |
| P-123 | 12 | Apoyo en pila 11, en línea de apoyos de vía Derecha | mm | E-8 | - |
| P-124 | 12 | L/4 Lleida (vía Derecha, en línea de apoyos) | mm | E-8 | -4.69 |

***ESTÁTICA Nº9. Una Locomotora ADIF y una Tolva Renfe por vía I y una Locomotora ADIF y dos Tolvas Renfe por vía II en vano 12. Tres Tolvas Renfe en vano 14 por cada vía.***

| PUNTO | TRAMO | POSICION | UD. | PRUEBA | VALOR ESPERADO |
|---|---|---|---|---|---|
| P-131 | 13 | L/2 (vía Derecha, en línea de apoyos) | mm | E-9 | 3.80 |
| P-132 | 13 | L/2 (vía Izquierda, en línea de apoyos) | mm | E-9 | 3.79 |
| P-133 | 13 | Apoyo en pila 12, en línea de apoyos de vía Izquierda | mm | E-9 | - |
| P-134 | 13 | Apoyo en pila 13, en línea de apoyos de vía Derecha | mm | E-9 | - |
| G-131 | 13 | L/2 (vía Derecha, en línea de apoyos) | με | E-9 | -33 |
| G-132 | 13 | L/2 (vía Izquierda, en línea de apoyos) | με | E-9 | -33 |
| P-141 | 14 | L/2 (vía Derecha, en línea de apoyos) | mm | E-9 | -6.65 |
| P-142 | 14 | L/2 (vía Izquierda, en línea de apoyos) | mm | E-9 | -6.65 |
| P-143 | 14 | Apoyo en pila 13, en línea de apoyos de vía Izquierda | mm | E-9 | - |
| P-144 | 14 | Apoyo en pila 14, en línea de apoyos de vía Derecha | mm | E-9 | - |
| G-141 | 14 | L/2 (vía Derecha, en línea de apoyos) | με | E-9 | 65 |
| G-142 | 14 | L/2 (vía Izquierda, en línea de apoyos) | με | E-9 | 65 |
| P-151 | 15 | L/2 (vía Derecha, en línea de apoyos) | mm | E-9 | 2.01 |
| P-152 | 15 | L/2 (vía Izquierda, en línea de apoyos) | mm | E-9 | 2.01 |
| P-153 | 15 | Apoyo en pila 14, en línea de apoyos de vía Izquierda | mm | E-9 | - |
| P-154 | 15 | Apoyo en pila 15, en línea de apoyos de vía Derecha | mm | E-9 | - |
| G-151 | 15 | L/2 (vía Derecha, en línea de apoyos) | με | E-9 | -18 |
| G-152 | 15 | L/2 (vía Izquierda, en línea de apoyos) | με | E-9 | -18 |

***ESTÁTICA Nº10. Una Locomotora ADIF y una Tolva Renfe por vía I y una Locomotora ADIF y dos Tolvas Renfe por vía II en vano 13. Tres Tolvas Renfe en vano 15 por cada vía.***

| PUNTO | TRAMO | POSICION | UD. | PRUEBA | VALOR ESPERADO |
|---|---|---|---|---|---|
| P-131 | 13 | L/2 (vía Derecha, en línea de apoyos) | mm | E-10 | -6.83 |
| P-132 | 13 | L/2 (vía Izquierda, en línea de apoyos) | mm | E-10 | -6.86 |
| P-133 | 13 | Apoyo en pila 12, en línea de apoyos de vía Izquierda | mm | E-10 | - |
| P-134 | 13 | Apoyo en pila 13, en línea de apoyos de vía Derecha | mm | E-10 | - |
| G-131 | 13 | L/2 (vía Derecha, en línea de apoyos) | με | E-10 | 71 |
| G-132 | 13 | L/2 (vía Izquierda, en línea de apoyos) | με | E-10 | 70 |
| P-141 | 14 | L/2 (vía Derecha, en línea de apoyos) | mm | E-10 | 3.80 |
| P-142 | 14 | L/2 (vía Izquierda, en línea de apoyos) | mm | E-10 | 3.79 |
| P-143 | 14 | Apoyo en pila 13, en línea de apoyos de vía Izquierda | mm | E-10 | - |
| P-144 | 14 | Apoyo en pila 14, en línea de apoyos de vía Derecha | mm | E-10 | - |
| G-141 | 14 | L/2 (vía Derecha, en línea de apoyos) | με | E-10 | -33 |
| G-142 | 14 | L/2 (vía Izquierda, en línea de apoyos) | με | E-10 | -33 |
| P-151 | 15 | L/2 (vía Derecha, en línea de apoyos) | mm | E-10 | -6.65 |
| P-152 | 15 | L/2 (vía Izquierda, en línea de apoyos) | mm | E-10 | -6.65 |
| P-153 | 15 | Apoyo en pila 14, en línea de apoyos de vía Izquierda | mm | E-10 | - |
| P-154 | 15 | Apoyo en pila 15, en línea de apoyos de vía Derecha | mm | E-10 | - |
| G-151 | 15 | L/2 (vía Derecha, en línea de apoyos) | με | E-10 | 65 |
| G-152 | 15 | L/2 (vía Izquierda, en línea de apoyos) | με | E-10 | 65 |

## ***ESTÁTICA Nº11. Una Locomotora ADIF y una Tolva Renfe por vía I y una Locomotora ADIF y dos Tolvas Renfe por vía II en vano 15. Tres Tolvas Renfe en vano 17 por cada vía.***

| PUNTO | TRAMO | POSICION | UD. | PRUEBA | VALOR ESPERADO |
|---|---|---|---|---|---|
| P-161 | 16 | L/2 (vía Derecha, en línea de apoyos) | mm | E-11 | 3.80 |
| P-162 | 16 | L/2 (vía Izquierda, en línea de apoyos) | mm | E-11 | 3.79 |
| P-163 | 16 | Apoyo en pila 15, en línea de apoyos de vía Izquierda | mm | E-11 | - |
| P-164 | 16 | Apoyo en pila 16, en línea de apoyos de vía Derecha | mm | E-11 | - |
| G-161 | 16 | L/2 (vía Derecha, en línea de apoyos) | με | E-11 | -33 |
| G-162 | 16 | L/2 (vía Izquierda, en línea de apoyos) | με | E-11 | -33 |
| P-171 | 17 | L/2 (vía Derecha, en línea de apoyos) | mm | E-11 | -6.65 |
| P-172 | 17 | L/2 (vía Izquierda, en línea de apoyos) | mm | E-11 | -6.65 |
| P-173 | 17 | Apoyo en pila 16, en línea de apoyos de vía Izquierda | mm | E-11 | - |
| P-174 | 17 | Apoyo en pila 17, en línea de apoyos de vía Derecha | mm | E-11 | - |
| G-171 | 17 | L/2 (vía Derecha, en línea de apoyos) | με | E-11 | 65 |
| G-172 | 17 | L/2 (vía Izquierda, en línea de apoyos) | με | E-11 | 65 |
| P-181 | 18 | L/2 (vía Derecha, en línea de apoyos) | mm | E-11 | 2.01 |
| P-182 | 18 | L/2 (vía Izquierda, en línea de apoyos) | mm | E-11 | 2.01 |
| P-183 | 18 | Apoyo en pila 17, en línea de apoyos de vía Izquierda | mm | E-11 | - |
| P-184 | 18 | Apoyo en pila 18, en línea de apoyos de vía Derecha | mm | E-11 | - |
| G-181 | 18 | L/2 (vía Derecha, en línea de apoyos) | με | E-11 | -18 |
| G-182 | 18 | L/2 (vía Izquierda, en línea de apoyos) | με | E-11 | -18 |

***ESTÁTICA Nº12. Una Locomotora ADIF y una Tolva Renfe por vía I y una Locomotora ADIF y dos Tolvas Renfe por vía II en vano 16. Tres Tolvas Renfe en vano 18 por cada vía.***

| PUNTO | TRAMO | POSICION | UD. | PRUEBA | VALOR ESPERADO |
|---|---|---|---|---|---|
| P-161 | 16 | L/2 (vía Derecha, en línea de apoyos) | mm | E-12 | -6.83 |
| P-162 | 16 | L/2 (vía Izquierda, en línea de apoyos) | mm | E-12 | -6.86 |
| P-163 | 16 | Apoyo en pila 15, en línea de apoyos de vía Izquierda | mm | E-12 | - |
| P-164 | 16 | Apoyo en pila 16, en línea de apoyos de vía Derecha | mm | E-12 | - |
| G-161 | 16 | L/2 (vía Derecha, en línea de apoyos) | με | E-12 | 71 |
| G-162 | 16 | L/2 (vía Izquierda, en línea de apoyos) | με | E-12 | 70 |
| P-171 | 17 | L/2 (vía Derecha, en línea de apoyos) | mm | E-12 | 3.80 |
| P-172 | 17 | L/2 (vía Izquierda, en línea de apoyos) | mm | E-12 | 3.79 |
| P-173 | 17 | Apoyo en pila 16, en línea de apoyos de vía Izquierda | mm | E-12 | - |
| P-174 | 17 | Apoyo en pila 17, en línea de apoyos de vía Derecha | mm | E-12 | - |
| G-171 | 17 | L/2 (vía Derecha, en línea de apoyos) | με | E-12 | -33 |
| G-172 | 17 | L/2 (vía Izquierda, en línea de apoyos) | με | E-12 | -33 |
| P-181 | 18 | L/2 (vía Derecha, en línea de apoyos) | mm | E-12 | -6.65 |
| P-182 | 18 | L/2 (vía Izquierda, en línea de apoyos) | mm | E-12 | -6.65 |
| P-183 | 18 | Apoyo en pila 17, en línea de apoyos de vía Izquierda | mm | E-12 | - |
| P-184 | 18 | Apoyo en pila 18, en línea de apoyos de vía Derecha | mm | E-12 | - |
| G-181 | 18 | L/2 (vía Derecha, en línea de apoyos) | με | E-12 | 65 |
| G-182 | 18 | L/2 (vía Izquierda, en línea de apoyos) | με | E-12 | 65 |

## ***ESTÁTICA Nº13. Una Locomotora ADIF y una Tolva Renfe por vía I y una Locomotora ADIF y dos Tolvas Renfe por vía II en vano 19. Tres Tolvas Renfe en vano 21 por cada vía.***

| PUNTO | TRAMO | POSICION | UD. | PRUEBA | VALOR ESPERADO |
|---|---|---|---|---|---|
| P-191 | 19 | L/2 (vía Derecha, en línea de apoyos) | mm | E-13 | -6.83 |
| P-192 | 19 | L/2 (vía Izquierda, en línea de apoyos) | mm | E-13 | -6.86 |
| P-193 | 19 | Apoyo en pila 18, en línea de apoyos de vía Izquierda | mm | E-13 | - |
| P-194 | 19 | Apoyo en pila 19, en línea de apoyos de vía Derecha | mm | E-13 | - |
| G-191 | 19 | L/2 (vía Derecha, en línea de apoyos) | με | E-13 | 71 |
| G-192 | 19 | L/2 (vía Izquierda, en línea de apoyos) | με | E-13 | 70 |
| P-201 | 20 | L/2 (vía Derecha, en línea de apoyos) | mm | E-13 | 3.78 |
| P-202 | 20 | L/2 (vía Izquierda, en línea de apoyos) | mm | E-13 | 3.77 |
| P-203 | 20 | Apoyo en pila 19, en línea de apoyos de vía Izquierda | mm | E-13 | - |
| P-204 | 20 | Apoyo en pila 20, en línea de apoyos de vía Derecha | mm | E-13 | - |
| G-201 | 20 | L/2 (vía Derecha, en línea de apoyos) | με | E-13 | -33 |
| G-202 | 20 | L/2 (vía Izquierda, en línea de apoyos) | με | E-13 | -33 |
| P-211 | 21 | L/2 (vía Derecha, en línea de apoyos) | mm | E-13 | -6.57 |
| P-212 | 21 | L/2 (vía Izquierda, en línea de apoyos) | mm | E-13 | -6.57 |
| P-213 | 21 | Apoyo en pila 20, en línea de apoyos de vía Izquierda | mm | E-13 | - |
| P-214 | 21 | Apoyo en pila 21, en línea de apoyos de vía Derecha | mm | E-13 | - |
| G-211 | 21 | L/2 (vía Derecha, en línea de apoyos) | με | E-13 | 64 |
| G-212 | 21 | L/2 (vía Izquierda, en línea de apoyos) | με | E-13 | 64 |
| P-221 | 22 | 0,45 L (vía Derecha, en línea de apoyos) | mm | E-13 | 1.73 |
| P-222 | 22 | 0,45 L (vía Izquierda, en línea de apoyos) | mm | E-13 | 1.73 |
| P-223 | 22 | Apoyo en estribo Barcelona, en línea de apoyos de vía Izquierda | mm | E-13 | - |
| P-224 | 22 | Apoyo en estribo Barcelona, en línea de apoyos de vía Derecha | mm | E-13 | - |
| G-221 | 22 | 0,45 L (vía Derecha, en línea de apoyos) | με | E-13 | -21 |
| G-222 | 22 | 0,45 L (vía Izquierda, en línea de apoyos) | με | E-13 | -21 |

## ***ESTÁTICA Nº14. Una Locomotora ADIF y una Tolva Renfe por vía I y una Locomotora ADIF y dos Tolvas Renfe por vía II en vano 20. Tres Tolvas Renfe en vano 22 por cada vía.***

| PUNTO | TRAMO | POSICION | UD. | PRUEBA | VALOR ESPERADO |
|---|---|---|---|---|---|
| P-191 | 19 | L/2 (vía Derecha, en línea de apoyos) | mm | E-14 | 2.00 |
| P-192 | 19 | L/2 (vía Izquierda, en línea de apoyos) | mm | E-14 | 1.99 |
| P-193 | 19 | Apoyo en pila 18, en línea de apoyos de vía Izquierda | mm | E-14 | - |
| P-194 | 19 | Apoyo en pila 19, en línea de apoyos de vía Derecha | mm | E-14 | - |
| G-191 | 19 | L/2 (vía Derecha, en línea de apoyos) | με | E-14 | -17 |
| G-192 | 19 | L/2 (vía Izquierda, en línea de apoyos) | με | E-14 | -17 |
| P-201 | 20 | L/2 (vía Derecha, en línea de apoyos) | mm | E-14 | -6.70 |
| P-202 | 20 | L/2 (vía Izquierda, en línea de apoyos) | mm | E-14 | -6.74 |
| P-203 | 20 | Apoyo en pila 19, en línea de apoyos de vía Izquierda | mm | E-14 | - |
| P-204 | 20 | Apoyo en pila 20, en línea de apoyos de vía Derecha | mm | E-14 | - |
| G-201 | 20 | L/2 (vía Derecha, en línea de apoyos) | με | E-14 | 70 |
| G-202 | 20 | L/2 (vía Izquierda, en línea de apoyos) | με | E-14 | 69 |
| P-211 | 21 | L/2 (vía Derecha, en línea de apoyos) | mm | E-14 | 3.25 |
| P-212 | 21 | L/2 (vía Izquierda, en línea de apoyos) | mm | E-14 | 3.25 |
| P-213 | 21 | Apoyo en pila 20, en línea de apoyos de vía Izquierda | mm | E-14 | - |
| P-214 | 21 | Apoyo en pila 21, en línea de apoyos de vía Derecha | mm | E-14 | - |
| G-211 | 21 | L/2 (vía Derecha, en línea de apoyos) | με | E-14 | -28 |
| G-212 | 21 | L/2 (vía Izquierda, en línea de apoyos) | με | E-14 | -28 |
| P-221 | 22 | 0,45 L (vía Derecha, en línea de apoyos) | mm | E-14 | -4.30 |
| P-222 | 22 | 0,45 L (vía Izquierda, en línea de apoyos) | mm | E-14 | -4.30 |
| P-223 | 22 | Apoyo en estribo Barcelona, en línea de apoyos de vía Izquierda | mm | E-14 | - |
| P-224 | 22 | Apoyo en estribo Barcelona, en línea de apoyos de vía Derecha | mm | E-14 | - |
| G-221 | 22 | 0,45 L (vía Derecha, en línea de apoyos) | με | E-14 | 59 |
| G-222 | 22 | 0,45 L (vía Izquierda, en línea de apoyos) | με | E-14 | 59 |

***ESTÁTICA Nº15. Una Locomotora ADIF y una Tolva Renfe por vía I y una Locomotora ADIF y dos Tolvas Renfe por vía II en vano 2. Tres Tolvas Renfe en vano 3 por cada vía.***

| PUNTO | TRAMO | POSICION | UD. | PRUEBA | VALOR ESPERADO |
|---|---|---|---|---|---|
| P-011 | 1 | 0,45 L (vía Derecha, en línea de apoyos) | mm | E-15 | 1.15 |
| P-012 | 1 | 0,45 L (vía Izquierda, en línea de apoyos) | mm | E-15 | 1.14 |
| P-013 | 1 | Apoyo en estribo Lleida, en línea de apoyos de vía Izquierda | mm | E-15 | - |
| P-014 | 1 | Apoyo en pila 1, en línea de apoyos de vía Derecha | mm | E-15 | - |
| G-011 | 1 | 0,45 L (vía Derecha, en línea de apoyos) | με | E-15 | -15 |
| G-012 | 1 | 0,45 L (vía Izquierda, en línea de apoyos) | με | E-15 | -15 |
| P-021 | 2 | L/2 (vía Derecha, en línea de apoyos) | mm | E-15 | -4.08 |
| P-022 | 2 | L/2 (vía Izquierda, en línea de apoyos) | mm | E-15 | -4.16 |
| P-023 | 2 | Apoyo en pila 1, en línea de apoyos de vía Izquierda | mm | E-15 | - |
| P-024 | 2 | Apoyo en pila 2, en línea de apoyos de vía Derecha | mm | E-15 | - |
| G-021 | 2 | L/2 (vía Derecha, en línea de apoyos) | με | E-15 | 44 |
| G-022 | 2 | L/2 (vía Izquierda, en línea de apoyos) | με | E-15 | 44 |
| P-031 | 3 | L/2 (vía Derecha, en línea de apoyos) | mm | E-15 | -4.30 |
| P-032 | 3 | L/2 (vía Izquierda, en línea de apoyos) | mm | E-15 | -4.31 |
| P-033 | 3 | Apoyo en pila 2, en línea de apoyos de vía Izquierda | mm | E-15 | - |
| P-034 | 3 | Apoyo en pila 3, en línea de apoyos de vía Derecha | mm | E-15 | - |
| G-031 | 3 | L/2 (vía Derecha, en línea de apoyos) | με | E-15 | 45 |
| G-032 | 3 | L/2 (vía Izquierda, en línea de apoyos) | με | E-15 | 45 |
| M-041 | 4 | L/2 (vía Izquierda, en línea de apoyos) | mm | E-15 | 1.52 |
| P-042 | 4 | L/4 Lleida(vía Izquierda, en línea de apoyos) | mm | E-15 | 1.48 |
| P-043 | 4 | Apoyo en pila 3, en línea de apoyos de vía Izquierda | mm | E-15 | - |

## ***ESTÁTICA Nº16. Una Locomotora ADIF y una Tolva Renfe por vía I y una Locomotora ADIF y dos Tolvas Renfe por vía II en vano 5. Tres Tolvas Renfe en vano 6 por cada vía.***

| PUNTO | TRAMO | POSICION | UD. | PRUEBA | VALOR ESPERADO |
|---|---|---|---|---|---|
| M-051 | 5 | L/2 (vía Derecha, en línea de apoyos) | mm | E-16 | -5.16 |
| P-051 | 5 | L/4 Barcelona (vía Derecha, en línea de apoyos) | mm | E-16 | -3.19 |
| P-054 | 5 | Apoyo en pila 5, en línea de apoyos de vía Izquierda | mm | E-16 | - |
| P-061 | 6 | L/2 (vía Derecha, en línea de apoyos) | mm | E-16 | -4.05 |
| P-062 | 6 | L/2 (vía Izquierda, en línea de apoyos) | mm | E-16 | -4.05 |
| P-063 | 6 | Apoyo en pila 5, en línea de apoyos de vía Izquierda | mm | E-16 | - |
| P-064 | 6 | Apoyo en pila 6, en línea de apoyos de vía Derecha | mm | E-16 | - |
| G-061 | 6 | L/2 (vía Derecha, en línea de apoyos) | με | E-16 | 43 |
| G-062 | 6 | L/2 (vía Izquierda, en línea de apoyos) | με | E-16 | 43 |

***ESTÁTICA Nº17. Una Locomotora ADIF y una Tolva Renfe por vía I y una Locomotora ADIF y dos Tolvas Renfe por vía II en vano 7. Tres Tolvas Renfe en vano 8 por cada vía.***

| PUNTO | TRAMO | POSICION | UD. | PRUEBA | VALOR ESPERADO |
|---|---|---|---|---|---|
| P-071 | 7 | L/2 (vía Derecha, en línea de apoyos) | mm | E-17 | -4.15 |
| P-072 | 7 | L/2 (vía Izquierda, en línea de apoyos) | mm | E-17 | -4.22 |
| P-073 | 7 | Apoyo en pila 6, en línea de apoyos de vía Izquierda | mm | E-17 | - |
| P-074 | 7 | Apoyo en pila 7, en línea de apoyos de vía Derecha | mm | E-17 | - |
| G-071 | 7 | L/2 (vía Derecha, en línea de apoyos) | με | E-17 | 44 |
| G-072 | 7 | L/2 (vía Izquierda, en línea de apoyos) | με | E-17 | 44 |
| P-081 | 8 | L/2 (vía Derecha, en línea de apoyos) | mm | E-17 | -4.25 |
| P-082 | 8 | L/2 (vía Izquierda, en línea de apoyos) | mm | E-17 | -4.26 |
| P-083 | 8 | Apoyo en pila 7, en línea de apoyos de vía Izquierda | mm | E-17 | - |
| P-084 | 8 | Apoyo en pila 8, en línea de apoyos de vía Derecha | mm | E-17 | - |
| G-081 | 8 | L/2 (vía Derecha, en línea de apoyos) | με | E-17 | 45 |
| G-082 | 8 | L/2 (vía Izquierda, en línea de apoyos) | με | E-17 | 45 |
| P-091 | 9 | L/2 (vía Derecha, en línea de apoyos) | mm | E-17 | 1.40 |
| P-092 | 9 | L/2 (vía Izquierda, en línea de apoyos) | mm | E-17 | 1.40 |
| P-093 | 9 | Apoyo en pila 8, en línea de apoyos de vía Izquierda | mm | E-17 | - |
| P-094 | 9 | Apoyo en pila 9, en línea de apoyos de vía Derecha | mm | E-17 | - |
| G-091 | 9 | L/2 (vía Derecha, en línea de apoyos) | με | E-17 | -12 |
| G-092 | 9 | L/2 (vía Izquierda, en línea de apoyos) | με | E-17 | -12 |

***ESTÁTICA Nº18. Una Locomotora ADIF y una Tolva Renfe por vía I y una Locomotora ADIF y dos Tolvas Renfe por vía II en vano 11. Tres Tolvas Renfe en vano 12 por cada vía.***

| PUNTO | TRAMO | POSICION | UD. | PRUEBA | VALOR ESPERADO |
|---|---|---|---|---|---|
| P-101 | 10 | L/2 (vía Derecha, en línea de apoyos) | mm | E-18 | 1.34 |
| P-102 | 10 | L/2 (vía Izquierda, en línea de apoyos) | mm | E-18 | 1.33 |
| P-103 | 10 | Apoyo en pila 9, en línea de apoyos de vía Izquierda | mm | E-18 | - |
| P-104 | 10 | Apoyo en pila 10, en línea de apoyos de vía Derecha | mm | E-18 | - |
| G-101 | 10 | L/2 (vía Derecha, en línea de apoyos) | με | E-18 | 44 |
| G-102 | 10 | L/2 (vía Izquierda, en línea de apoyos) | με | E-18 | 44 |
| P-111 | 11 | L/2 (vía Derecha, en línea de apoyos) | mm | E-18 | -4.14 |
| P-112 | 11 | L/2 (vía Derecha, en línea de apoyos) | mm | E-18 | -4.22 |
| P-113 | 11 | L/4 Lleida (vía Derecha, en línea de apoyos) | mm | E-18 | - |
| P-114 | 11 | Apoyo en pila 10, en línea de apoyos de vía Derecha | mm | E-18 | - |
| G-111 | 11 | L/4 Lleida (vía Derecha, en línea de apoyos) | με | E-18 | 26 |
| G-112 | 11 | L/2 (vía Derecha, en línea de apoyos) | με | E-18 | 44 |
| P-121 | 12 | L/2 (vía Derecha, en línea de apoyos) | mm | E-18 | -4.25 |
| P-122 | 12 | L/2 (vía Izquierda, en línea de apoyos) | mm | E-18 | -4.26 |
| P-123 | 12 | Apoyo en pila 11, en línea de apoyos de vía Derecha | mm | E-18 | - |
| P-124 | 12 | L/4 Lleida (vía Derecha, en línea de apoyos) | mm | E-18 | -2.46 |

***ESTÁTICA Nº19. Una Locomotora ADIF y una Tolva Renfe por vía I y una Locomotora ADIF y dos Tolvas Renfe por vía II en vano 14. Tres Tolvas Renfe en vano 15 por cada vía.***

| PUNTO | TRAMO | POSICION | UD. | PRUEBA | VALOR ESPERADO |
|---|---|---|---|---|---|
| P-131 | 13 | L/2 (vía Derecha, en línea de apoyos) | mm | E-19 | 1.34 |
| P-132 | 13 | L/2 (vía Izquierda, en línea de apoyos) | mm | E-19 | 1.33 |
| P-133 | 13 | Apoyo en pila 12, en línea de apoyos de vía Izquierda | mm | E-19 | - |
| P-134 | 13 | Apoyo en pila 13, en línea de apoyos de vía Derecha | mm | E-19 | - |
| G-131 | 13 | L/2 (vía Derecha, en línea de apoyos) | με | E-19 | -12 |
| G-132 | 13 | L/2 (vía Izquierda, en línea de apoyos) | με | E-19 | -12 |
| P-141 | 14 | L/2 (vía Derecha, en línea de apoyos) | mm | E-19 | -4.14 |
| P-142 | 14 | L/2 (vía Izquierda, en línea de apoyos) | mm | E-19 | -4.22 |
| P-143 | 14 | Apoyo en pila 13, en línea de apoyos de vía Izquierda | mm | E-19 | - |
| P-144 | 14 | Apoyo en pila 14, en línea de apoyos de vía Derecha | mm | E-19 | - |
| G-141 | 14 | L/2 (vía Derecha, en línea de apoyos) | με | E-19 | 44 |
| G-142 | 14 | L/2 (vía Izquierda, en línea de apoyos) | με | E-19 | 44 |
| P-151 | 15 | L/2 (vía Derecha, en línea de apoyos) | mm | E-19 | -4.25 |
| P-152 | 15 | L/2 (vía Izquierda, en línea de apoyos) | mm | E-19 | -4.26 |
| P-153 | 15 | Apoyo en pila 14, en línea de apoyos de vía Izquierda | mm | E-19 | - |
| P-154 | 15 | Apoyo en pila 15, en línea de apoyos de vía Derecha | mm | E-19 | - |
| G-151 | 15 | L/2 (vía Derecha, en línea de apoyos) | με | E-19 | 45 |
| G-152 | 15 | L/2 (vía Izquierda, en línea de apoyos) | με | E-19 | 45 |

***ESTÁTICA Nº20. Una Locomotora ADIF y una Tolva Renfe por vía I y una Locomotora ADIF y dos Tolvas Renfe por vía II en vano 17. Tres Tolvas Renfe en vano 18 por cada vía.***

| PUNTO | TRAMO | POSICION | UD. | PRUEBA | VALOR ESPERADO |
|---|---|---|---|---|---|
| P-161 | 16 | L/2 (vía Derecha, en línea de apoyos) | mm | E-20 | 1.34 |
| P-162 | 16 | L/2 (vía Izquierda, en línea de apoyos) | mm | E-20 | 1.33 |
| P-163 | 16 | Apoyo en pila 15, en línea de apoyos de vía Izquierda | mm | E-20 | - |
| P-164 | 16 | Apoyo en pila 16, en línea de apoyos de vía Derecha | mm | E-20 | - |
| G-161 | 16 | L/2 (vía Derecha, en línea de apoyos) | με | E-20 | -12 |
| G-162 | 16 | L/2 (vía Izquierda, en línea de apoyos) | με | E-20 | -12 |
| P-171 | 17 | L/2 (vía Derecha, en línea de apoyos) | mm | E-20 | -4.14 |
| P-172 | 17 | L/2 (vía Izquierda, en línea de apoyos) | mm | E-20 | -4.22 |
| P-173 | 17 | Apoyo en pila 16, en línea de apoyos de vía Izquierda | mm | E-20 | - |
| P-174 | 17 | Apoyo en pila 17, en línea de apoyos de vía Derecha | mm | E-20 | - |
| G-171 | 17 | L/2 (vía Derecha, en línea de apoyos) | με | E-20 | 44 |
| G-172 | 17 | L/2 (vía Izquierda, en línea de apoyos) | με | E-20 | 44 |
| P-181 | 18 | L/2 (vía Derecha, en línea de apoyos) | mm | E-20 | -4.25 |
| P-182 | 18 | L/2 (vía Izquierda, en línea de apoyos) | mm | E-20 | -4.26 |
| P-183 | 18 | Apoyo en pila 17, en línea de apoyos de vía Izquierda | mm | E-20 | - |
| P-184 | 18 | Apoyo en pila 18, en línea de apoyos de vía Derecha | mm | E-20 | - |
| G-181 | 18 | L/2 (vía Derecha, en línea de apoyos) | με | E-20 | 45 |
| G-182 | 18 | L/2 (vía Izquierda, en línea de apoyos) | με | E-20 | 45 |

***ESTÁTICA Nº21. Una Locomotora ADIF y una Tolva Renfe por vía I y una Locomotora ADIF y dos Tolvas Renfe por vía II en vano 20. Tres Tolvas Renfe en vano 21 por cada vía.***

| PUNTO | TRAMO | POSICION | UD. | PRUEBA | VALOR ESPERADO |
|---|---|---|---|---|---|
| P-191 | 19 | L/2 (vía Derecha, en línea de apoyos) | mm | E-21 | 1.34 |
| P-192 | 19 | L/2 (vía Izquierda, en línea de apoyos) | mm | E-21 | 1.33 |
| P-193 | 19 | Apoyo en pila 18, en línea de apoyos de vía Izquierda | mm | E-21 | - |
| P-194 | 19 | Apoyo en pila 19, en línea de apoyos de vía Derecha | mm | E-21 | - |
| G-191 | 19 | L/2 (vía Derecha, en línea de apoyos) | με | E-21 | -12 |
| G-192 | 19 | L/2 (vía Izquierda, en línea de apoyos) | με | E-21 | -12 |
| P-201 | 20 | L/2 (vía Derecha, en línea de apoyos) | mm | E-21 | -4.16 |
| P-202 | 20 | L/2 (vía Izquierda, en línea de apoyos) | mm | E-21 | -4.23 |
| P-203 | 20 | Apoyo en pila 19, en línea de apoyos de vía Izquierda | mm | E-21 | - |
| P-204 | 20 | Apoyo en pila 20, en línea de apoyos de vía Derecha | mm | E-21 | - |
| G-201 | 20 | L/2 (vía Derecha, en línea de apoyos) | με | E-21 | 44 |
| G-202 | 20 | L/2 (vía Izquierda, en línea de apoyos) | με | E-21 | 44 |
| P-211 | 21 | L/2 (vía Derecha, en línea de apoyos) | mm | E-21 | -4.20 |
| P-212 | 21 | L/2 (vía Izquierda, en línea de apoyos) | mm | E-21 | -4.20 |
| P-213 | 21 | Apoyo en pila 20, en línea de apoyos de vía Izquierda | mm | E-21 | - |
| P-214 | 21 | Apoyo en pila 21, en línea de apoyos de vía Derecha | mm | E-21 | - |
| G-211 | 21 | L/2 (vía Derecha, en línea de apoyos) | με | E-21 | 45 |
| G-212 | 21 | L/2 (vía Izquierda, en línea de apoyos) | με | E-21 | 45 |
| P-221 | 22 | 0,45 L (vía Derecha, en línea de apoyos) | mm | E-21 | 1.17 |
| P-222 | 22 | 0,45 L (vía Izquierda, en línea de apoyos) | mm | E-21 | 1.17 |
| P-223 | 22 | Apoyo en estribo Barcelona, en línea de apoyos de vía Izquierda | mm | E-21 | - |
| P-224 | 22 | Apoyo en estribo Barcelona, en línea de apoyos de vía Derecha | mm | E-21 | - |
| G-221 | 22 | 0,45 L (vía Derecha, en línea de apoyos) | με | E-21 | -15 |
| G-222 | 22 | 0,45 L (vía Izquierda, en línea de apoyos) | με | E-21 | -15 |

El valor estimado para la frecuencia fundamental de flexión del tablero es de 2,78 Hz.

## 7.- PRUEBA DE CARGA.

Previamente a la ejecución de la prueba de carga, se realizaron los trabajos previos de instrumentación del puente de acuerdo con el programa ya fijado al que nos hemos referido en apartados anteriores.

Finalizada la instrumentación se procedió a la verificación de todas las conexiones, comprobación del perfecto funcionamiento de los equipos de amplificación y registro y, por último, prueba del conjunto completo de instrumentos mediante la grabación de las señales producidas por la calibración automática de los equipos.

### *7.1.- DESCRIPCIÓN.*

La prueba de carga de la estructura se realizó los días 14, 15, 21, 22 de Diciembre de 2005 y los días 18 y 19 de Enero 2006, bajo la supervisión de Pablo Sánchez Gareta y Gregorio Torres Escobar de TIFSA, Ingenieros encargados de la misma.

El tren de cargas empleado consistió en una locomotora ADIF (120 t, 6 ejes de 20 t) y cinco tolvas RENFE (80 t, 4 ejes de 20 t) por una vía y una locomotora ADIF y cuatro tolvas RENFE por la otra. El peso total es 960 t, repartido uniformemente entre sus respectivos ejes. El plan de pruebas se desarrolló según el siguiente esquema:

Pruebas estáticas posiciones definidas por el croquis de cargas.

Prueba dinámica a 5 km/h, también denominada cuasi-estática, con el tren de cargas tipo circulando simultáneamente por ambas vías en paralelo (**DIN01**). Sentido Lérida – Barcelona.

Prueba dinámica a 5 km/h, también denominada cuasi-estática, con el tren de cargas tipo circulando sólo por la Vía 1 (**DIN11**) ó Vía 2 (**DIN21**). Sentido Lérida – Barcelona.

Prueba dinámica a 30 km/h, efectuada con el tren de cargas circulando sólo por la Vía 1 (**DIN12**) ó Vía 2 (**DIN22**). Sentido Lérida – Barcelona.

Prueba dinámica a 80 km/h, efectuada con el tren de cargas circulando sólo por la Vía 1 (**DIN13**) ó Vía 2 (**DIN23**). Sentido Barcelona – Lérida.

Prueba de frenado a 80 km/h, efectuada con el tren de cargas circulando sólo por la Vía 1 (**DIN14**) ó Vía 2 (**DIN24**). Sentido Barcelona – Lérida.

Después de cada prueba dinámica se dejaba un tiempo mínimo de dos minutos para asegurar la recuperación total de la estructura y aprovechar para realizar un chequeo rápido de las medidas obtenidas, procediéndose antes y después a calibrar los aparatos de medida para obtener una perfecta correlación entre la señal producida y el fenómeno físico que la origina.

En las pruebas estáticas, el tiempo aproximado de puesta en carga de los tableros es de 10 minutos y el tiempo de grabación de la recuperación en torno a los 2 minutos. El tiempo total de grabación es del orden de 19 minutos de media.

Comentar, por último, que con las pruebas realizadas se ponen a prueba todos los vanos para sus máximos esfuerzos (Momentos negativos y positivos).

A continuación se muestran unos esquemas de las posiciones estáticas empleadas.

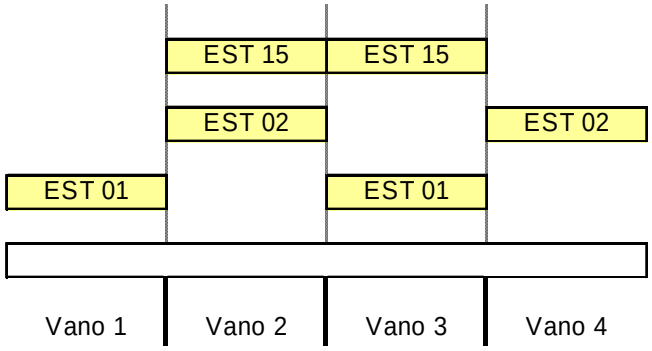

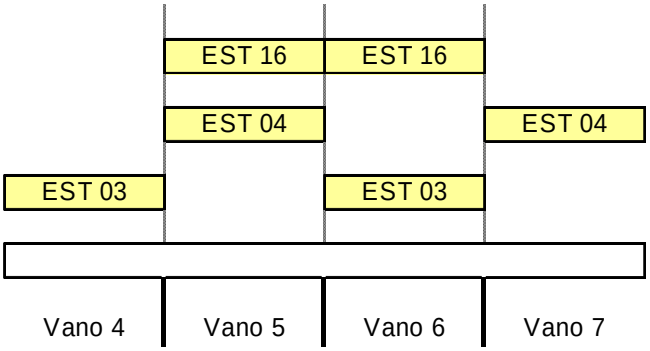
EST 16
EST 16
EST 04
EST 04
EST 03
EST 03
Vano 4
Vano 5
Vano 6
Vano 7

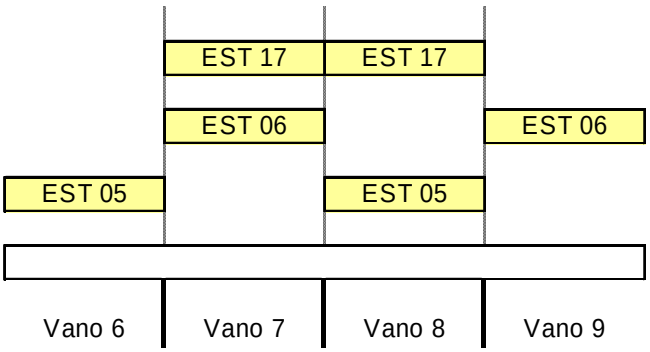
EST 17
EST 17
EST 06
EST 06
EST 05
EST 05
Vano 6
Vano 7
Vano 8
Vano 9

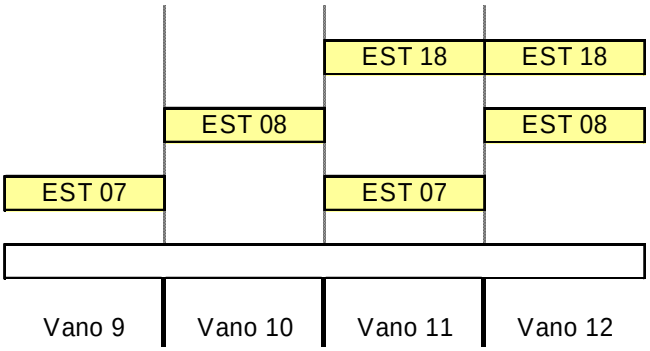
EST 18
EST 18
EST 08
EST 08
EST 07
EST 07
Vano 9
Vano 10
Vano 11
Vano 12

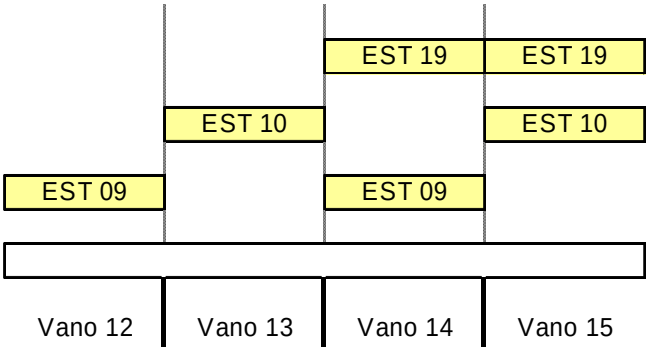


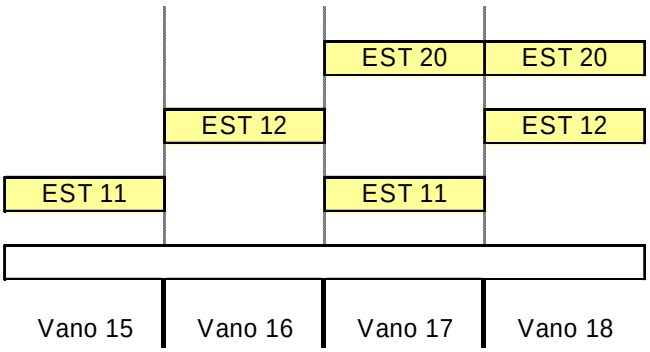


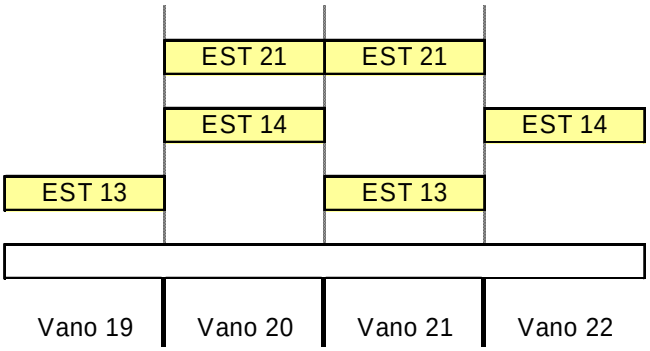


Las pruebas, llevadas a cabo durante el día 14 de Diciembre de 2005 por la mañana, comenzaron a las 11 h 56 min, finalizando a las 13 h 47 min, con una duración

aproximada de 1 hora y 45 minutos. La temperatura media registrado durante la prueba fue de 7 ºC, mientras que la humedad fue del 70%.

Las pruebas, llevadas a cabo durante el día 14 de Diciembre de 2005 por la tarde, comenzaron a las 17 h 03 min, finalizando a las 18 h 45 min, con una duración aproximada de 1 hora y 45 minutos. La temperatura media registrado durante la prueba fue de 4 ºC, mientras que la humedad fue del 78%.

Las pruebas, llevadas a cabo durante el día 15 de Diciembre de 2005, comenzaron a las 12 h 23 min, finalizando a las 13 h 51 min, con una duración aproximada de 1 hora y 30 minutos. La temperatura media registrado durante la prueba fue de 4 ºC, mientras que la humedad fue del 78%.

Las pruebas, llevadas a cabo durante el día 21 de Diciembre de 2005, comenzaron a las 15 h 43 min, finalizando a las 17 h 31 min, con una duración aproximada de 1 hora y 45 minutos. La temperatura media registrado durante la prueba fue de 8 ºC, mientras que la humedad fue del 64%.

Las pruebas, llevadas a cabo durante el día 22 de Diciembre de 2005, comenzaron a las 12 h 37 min, finalizando a las 13 h 52 min, con una duración aproximada de 1 hora y 30 minutos. La temperatura media registrado durante la prueba fue de 7 ºC, mientras que la humedad fue del 75%.

Las pruebas, llevadas a cabo durante el día 18 de Enero de 2006, comenzaron a las 12 h 19 min, finalizando a las 13 h 42 min, con una duración aproximada de 1 hora y 30 minutos. La temperatura media registrado durante la prueba fue de 14 ºC, mientras que la humedad fue del 65%.

Las pruebas, llevadas a cabo durante el día 19 de Enero de 2006, comenzaron a las 9 h 52 min, finalizando a las 11 h 25 min, con una duración aproximada de 1 hora y 30 minutos. La temperatura media registrado durante la prueba fue de 10 ºC, mientras que la humedad fue del 83%.

Por último, cabe señalar que al finalizar las pruebas se procedió a visualizar gráficamente los resultados para garantizar su correcta ejecución y comprobar si existía alguna anomalía en el funcionamiento resistente de la estructura.

### *7.2.- RESULTADOS OBTENIDOS.*

En el ANEJO 4 - Registro de Medidas, se adjuntan los gráficos correspondientes a todos los puntos de medida definidos de acuerdo con la numeración establecida en los planos de instrumentación.

Los resultados correspondientes a las pruebas estáticas se agrupan en una primera hoja junto a la prueba cuasiestática con los trenes circulando por ambas vías. Las cuatro pruebas dinámicas efectuadas con el tren de cargas circulando sólo por la Vía 1 o por la Vía 2 se agrupan a continuación en la segunda hoja. Todo esto se realiza de este modo para cada punto, habiéndose elegido este sistema de representación, al objeto de poder comparar mejor las medidas en cada una de las pruebas, facilitándose de esta forma la comprensión y el análisis comparativo entre los valores de cada una.

En cuanto a los registros de los acelerómetros se ha optado, también para su mejor comprensión, por agrupar en una primera página los resultados de las pruebas cuasi-estáticas, y en una segunda, los cuatro ensayos dinámicos correspondientes al paso del tren sólo por la Vía 1 o por la Vía 2 colocando tras ellas el espectro de frecuencias que se obtiene en gabinete, como representativo del tablero, seleccionado de la prueba en la que se consigue mejor excitación, una vez estudiados el conjunto de registros mediante el análisis individual de cada uno de sus espectros de frecuencias. Las señales son grabadas en soporte digital e introducidas en un ordenador y una vez procesadas, se dibujan en coordenadas de tiempo y unidades del fenómeno físico medido.

Para las flechas dinámicas se recogen los valores máximos absolutos y en las pruebas estáticas aparecen los valores estabilizados. Los registros pueden consultarse en el ANEJO 4 - Registros de Medidas; mientras que en el ANEJO 3 - Esquema de Instrumentación y Tren de Cargas, se recoge un croquis con todos los puntos instrumentados.

### A) Resultados de las pruebas estáticas

**ESTÁTICA 01**

| Punto | Sección | Ud | Valor Esper | Valor Obten | Valor Neto | % Valor Alcanz | Valor Reman | % Valor Recup |
|---|---|---|---|---|---|---|---|---|
| **P011** | 1 | mm | -4.52 | -2.64 | -2.39 | **53%** | -0.01 | **0%** |
| **P012** | 1 | mm | -4.54 | -2.92 | -2.32 | **51%** | 0.00 | **0%** |
| **P013** | 1 | mm | - | -0.61 | -0.61 | **-** | 0.00 | **0%** |
| **P014** | 1 | mm | - | -0.25 | -0.25 | **-** | 0.00 | **0%** |
| **P021** | 2 | mm | 3.21 | 1.84 | 1.83 | **57%** | 0.00 | **0%** |
| **P022** | 2 | mm | 3.17 | 1.79 | 1.88 | **59%** | 0.02 | **1%** |
| **P023** | 2 | mm | - | -0.08 | -0.08 | **-** | 0.00 | **5%** |
| **P024** | 2 | mm | - | 0.01 | 0.01 | **-** | 0.00 | **1%** |
| **P031** | 3 | mm | -6.56 | -3.96 | -3.54 | **54%** | 0.00 | **0%** |
| **P032** | 3 | mm | -6.56 | -4.03 | -3.72 | **57%** | -0.01 | **0%** |
| **P033** | 3 | mm | - | -0.31 | -0.31 | **-** | -0.01 | **4%** |
| **P034** | 3 | mm | - | -0.42 | -0.42 | **-** | 0.00 | **1%** |
| **G011** | 1 | µE | 64 | 36.77 | 36.77 | **58%** | 0.85 | **2%** |
| **G012** | 1 | µE | 64 | 36.41 | 36.41 | **57%** | 0.65 | **2%** |
| **G021** | 2 | µE | -28 | -20.51 | -20.51 | **73%** | -0.15 | **1%** |
| **G022** | 2 | µE | -28 | -20.71 | -20.71 | **74%** | 0.46 | **2%** |
| **G031** | 3 | µE | 64 | 34.52 | 34.52 | **54%** | -0.77 | **2%** |
| **G032** | 3 | µE | 64 | 35.64 | 35.64 | **56%** | -0.16 | **0%** |

## ESTÁTICA 02

| Punto | Sección | Ud | Valor Esper | Valor Obten | Valor Neto | % Valor Alcanz | Valor Reman | % Valor Recup |
|---|---|---|---|---|---|---|---|---|
| **P011** | 1 | mm | 1.76 | 0.92 | 0.95 | **54%** | 0.00 | **0%** |
| **P012** | 1 | mm | 1.76 | 0.90 | 0.81 | **46%** | -0.01 | **1%** |
| **P013** | 1 | mm | - | 0.09 | 0.09 | **-** | 0.00 | **4%** |
| **P014** | 1 | mm | - | -0.03 | -0.03 | **-** | 0.00 | **0%** |
| **P021** | 2 | mm | -6.82 | -4.37 | -4.03 | **59%** | 0.00 | **0%** |
| **P022** | 2 | mm | -6.85 | -4.45 | -3.98 | **58%** | 0.02 | **0%** |
| **P023** | 2 | mm | - | -0.47 | -0.47 | **-** | -0.02 | **4%** |
| **P024** | 2 | mm | - | -0.34 | -0.34 | **-** | 0.00 | **1%** |
| **P031** | 3 | mm | 4.06 | 2.54 | 2.54 | **63%** | -0.03 | **1%** |
| **P032** | 3 | mm | 4.05 | 2.20 | 2.28 | **56%** | 0.00 | **0%** |
| **P033** | 3 | mm | - | -0.08 | -0.08 | **-** | 0.00 | **3%** |
| **P034** | 3 | mm | - | 0.00 | 0.00 | **-** | 0.00 | **2%** |
| **G011** | 1 | µE | -22 | -14.97 | -14.97 | **69%** | -0.72 | **5%** |
| **G012** | 1 | µE | -22 | -12.72 | -12.72 | **58%** | -0.06 | **0%** |
| **G021** | 2 | µE | 71 | 47.04 | 47.04 | **67%** | 0.14 | **0%** |
| **G022** | 2 | µE | 70 | 50.26 | 50.26 | **71%** | 0.35 | **1%** |
| **G031** | 3 | µE | -35 | -21.60 | -21.60 | **61%** | 0.66 | **3%** |
| **G032** | 3 | µE | -35 | -20.99 | -20.99 | **59%** | 0.03 | **0%** |
| **P042** | 4 | mm | -5.72 | -3.70 | -2.75 | **48%** | 0.02 | **1%** |
| **M041** | 4 | mm | -8.05 | -4.45 | -3.50 | **43%** | 0.01 | **0%** |
| **P043** | 4 | mm | - | -0.95 | -0.95 | **-** | -0.01 | **2%** |

## ESTÁTICA 03

| Punto | Sección | Ud | Valor Esper | Valor Obten | Valor Neto | % Valor Alcanz | Valor Reman | % Valor Recup |
|---|---|---|---|---|---|---|---|---|
| **P051** | 5 | mm | 3.31 | 2.45 | 2.38 | **72%** | 0.04 | **1%** |
| **P054** | 5 | mm | - | 0.07 | 0.07 | **-** | 0.00 | **2%** |
| **P061** | 6 | mm | -6.77 | -4.32 | -3.91 | **58%** | 0.02 | **0%** |
| **P062** | 6 | mm | -6.77 | -4.56 | -4.26 | **63%** | -0.03 | **1%** |
| **P063** | 6 | mm | - | -0.30 | -0.30 | **-** | 0.01 | **5%** |
| **P064** | 6 | mm | - | -0.41 | -0.41 | **-** | 0.01 | **3%** |
| **G061** | 6 | µE | 65.9 | 39.40 | 39.40 | **60%** | 0.09 | **0%** |
| **G062** | 6 | µE | 65.9 | 22.39 | 22.39 | **34%** | 0.15 | **1%** |
| **M051** | 5 | mm | 4.44 | 3.20 | 3.13 | **70%** | 0.10 | **3%** |

## ESTÁTICA 04

| Punto | Sección | Ud | Valor Esper | Valor Obten | Valor Neto | % Valor Alcanz | Valor Reman | % Valor Recup |
|---|---|---|---|---|---|---|---|---|
| **P051** | 5 | mm | -5.78 | -3.33 | -2.80 | **49%** | 0.03 | **1%** |
| **P054** | 5 | mm | - | -0.53 | -0.53 | **-** | -0.03 | **5%** |
| **P061** | 6 | mm | 4.10 | 2.57 | 2.57 | **63%** | 0.05 | **2%** |
| **P062** | 6 | mm | 4.09 | 2.38 | 2.21 | **54%** | -0.02 | **1%** |
| **P063** | 6 | mm | - | 0.17 | 0.17 | **-** | 0.01 | **7%** |
| **P064** | 6 | mm | - | 0.00 | 0.00 | **-** | 0.00 | **3%** |
| **G061** | 6 | µE | -36 | -22.28 | -22.28 | **62%** | 0.02 | **0%** |
| **G062** | 6 | µE | -36 | -11.85 | -11.85 | **33%** | 0.27 | **2%** |
| **M051** | 5 | mm | -8.22 | -3.47 | -2.94 | **36%** | 0.01 | **0%** |

## ESTÁTICA 05

| Punto | Sección | Ud | Valor Esper | Valor Obten | Valor Neto | % Valor Alcanz | Valor Reman | % Valor Recup |
|---|---|---|---|---|---|---|---|---|
| **P071** | 7 | mm | 3.81 | 2.26 | 2.31 | **61%** | 0.00 | **0%** |
| **P072** | 7 | mm | 3.80 | 2.21 | 2.27 | **60%** | 0.00 | **0%** |
| **P073** | 7 | mm | - | -0.06 | -0.06 | **-** | 0.00 | **3%** |
| **P074** | 7 | mm | - | -0.06 | -0.06 | **-** | 0.00 | **6%** |
| **P081** | 8 | mm | -6.65 | -4.26 | -3.75 | **56%** | 0.01 | **0%** |
| **P082** | 8 | mm | -6.65 | -4.41 | -3.88 | **58%** | 0.00 | **0%** |
| **P083** | 8 | mm | - | -0.54 | -0.54 | **-** | 0.01 | **1%** |
| **P084** | 8 | mm | - | -0.50 | -0.50 | **-** | 0.01 | **3%** |
| **P091** | 9 | mm | 2.01 | 1.10 | 1.03 | **51%** | -0.03 | **3%** |
| **P092** | 9 | mm | 2.01 | 1.03 | 1.23 | **61%** | -0.02 | **2%** |
| **P093** | 9 | mm | - | -0.19 | -0.19 | **-** | 0.01 | **3%** |
| **P094** | 9 | mm | - | 0.06 | 0.06 | **-** | 0.00 | **1%** |
| **G071** | 7 | µE | -33 | -21.96 | -21.96 | **66%** | 0.24 | **1%** |
| **G072** | 7 | µE | -33 | -20.20 | -20.20 | **61%** | 0.98 | **5%** |
| **G081** | 8 | µE | 65 | 40.68 | 40.68 | **63%** | 0.02 | **0%** |
| **G082** | 8 | µE | 65 | 36.75 | 36.75 | **57%** | -0.09 | **0%** |
| **G091** | 9 | µE | -18 | -6.08 | -6.08 | **35%** | -0.32 | **5%** |
| **G092** | 9 | µE | -18 | -11.95 | -11.95 | **68%** | 0.31 | **3%** |

## ESTÁTICA 06

| Punto | Sección | Ud | Valor Esper | Valor Obten | Valor Neto | % Valor Alcanz | Valor Reman | % Valor Recup |
|---|---|---|---|---|---|---|---|---|
| **P071** | 7 | mm | -6.84 | -4.82 | -4.27 | **62%** | 0.00 | **0%** |
| **P072** | 7 | mm | -6.87 | -4.67 | -4.12 | **60%** | -0.01 | **0%** |
| **P073** | 7 | mm | - | -0.55 | -0.55 | **-** | 0.00 | **0%** |
| **P074** | 7 | mm | - | -0.55 | -0.55 | **-** | 0.01 | **2%** |
| **P081** | 8 | mm | 3.80 | 2.04 | 2.14 | **56%** | 0.02 | **1%** |
| **P082** | 8 | mm | 3.79 | 2.08 | 2.17 | **57%** | 0.02 | **1%** |
| **P083** | 8 | mm | - | -0.09 | -0.09 | **-** | 0.00 | **1%** |
| **P084** | 8 | mm | - | -0.10 | -0.10 | **-** | 0.00 | **1%** |
| **P091** | 9 | mm | -6.65 | -4.19 | -3.79 | **57%** | -0.01 | **0%** |
| **P092** | 9 | mm | -6.65 | -4.42 | -3.95 | **59%** | -0.04 | **1%** |
| **P093** | 9 | mm | - | -0.47 | -0.47 | **-** | 0.01 | **3%** |
| **P094** | 9 | mm | - | -0.40 | -0.40 | **-** | 0.00 | **1%** |
| **G071** | 7 | µE | 71 | 49.41 | 49.41 | **70%** | -0.62 | **1%** |
| **G072** | 7 | µE | 70 | 44.91 | 44.91 | **64%** | -0.20 | **0%** |
| **G081** | 8 | µE | -33 | -19.49 | -19.49 | **59%** | 0.23 | **1%** |
| **G082** | 8 | µE | -33 | -16.45 | -16.45 | **50%** | -0.09 | **1%** |
| **G091** | 9 | µE | 65 | 21.91 | 21.91 | **34%** | 0.45 | **2%** |
| **G092** | 9 | µE | 65 | 41.87 | 41.87 | **65%** | 0.57 | **1%** |

## ESTÁTICA 07

| Punto | Sección | Ud | Valor Esper | Valor Obten | Valor Neto | % Valor Alcanz | Valor Reman | % Valor Recup |
|---|---|---|---|---|---|---|---|---|
| **P101** | 10 | mm | 3.80 | 2.35 | 2.37 | **62%** | -0.03 | **1%** |
| **P102** | 10 | mm | 3.79 | 2.31 | 2.25 | **59%** | -0.03 | **1%** |
| **P103** | 10 | mm | - | 0.06 | 0.06 | **-** | 0.00 | **3%** |
| **P104** | 10 | mm | - | -0.01 | -0.01 | **-** | 0.00 | **5%** |
| **P111** | 11 | mm | -6.65 | -3.83 | -3.38 | **51%** | 0.00 | **0%** |
| **P112** | 11 | mm | -6.65 | -4.40 | -3.95 | **59%** | 0.00 | **0%** |
| **P114** | 11 | mm | - | -0.44 | -0.44 | **-** | 0.00 | **1%** |
| **P113** | 11 | mm | -4.69 | -2.72 | -2.27 | **48%** | 0.01 | **0%** |
| **P121** | 12 | mm | 2.01 | 0.53 | 1.45 | **72%** | 0.02 | **3%** |
| **P124** | 12 | mm | 1.91 | 0.28 | 1.19 | **63%** | 0.00 | **1%** |
| **P123** | 12 | mm | - | -0.91 | -0.91 | **-** | 0.00 | **0%** |
| **P122** | 12 | mm | 2.01 | 0.42 | 1.33 | **66%** | -0.01 | **2%** |
| **G101** | 10 | µE | -33 | -14.68 | -14.68 | **44%** | 0.08 | **1%** |
| **G102** | 10 | µE | -33 | -23.78 | -23.78 | **72%** | -0.63 | **3%** |
| **G111** | 11 | µE | 42 | 15.45 | 15.45 | **37%** | 0.21 | **1%** |
| **G112** | 11 | µE | 65 | 38.25 | 38.25 | **59%** | 1.06 | **3%** |

## ESTÁTICA 08

| Punto | Sección | Ud | Valor Esper | Valor Obten | Valor Neto | % Valor Alcanz | Valor Reman | % Valor Recup |
|---|---|---|---|---|---|---|---|---|
| **P101** | 10 | mm | -6.83 | -4.63 | -4.21 | **62%** | 0.06 | **1%** |
| **P102** | 10 | mm | -6.86 | -4.57 | -3.99 | **58%** | 0.05 | **1%** |
| **P103** | 10 | mm | - | -0.58 | -0.58 | **-** | 0.00 | **0%** |
| **P104** | 10 | mm | - | -0.42 | -0.42 | **-** | -0.01 | **2%** |
| **P111** | 11 | mm | 3.80 | 1.41 | 1.49 | **39%** | 0.06 | **5%** |
| **P112** | 11 | mm | 3.79 | 1.63 | 1.72 | **45%** | 0.00 | **0%** |
| **P114** | 11 | mm | - | -0.09 | -0.09 | **-** | 0.00 | **3%** |
| **P113** | 11 | mm | 2.85 | 1.21 | 1.30 | **46%** | 0.06 | **5%** |
| **P121** | 12 | mm | -6.65 | -3.74 | -2.48 | **37%** | 0.06 | **2%** |
| **P124** | 12 | mm | -4.69 | -1.81 | -0.55 | **12%** | -0.01 | **0%** |
| **P123** | 12 | mm | - | -1.26 | -1.26 | **-** | 0.00 | **0%** |
| **P122** | 12 | mm | -6.65 | -3.30 | -2.04 | **31%** | 0.05 | **2%** |
| **G101** | 10 | µE | 71 | 22.49 | 22.49 | **32%** | -0.56 | **2%** |
| **G102** | 10 | µE | 70 | 40.06 | 40.06 | **57%** | -0.37 | **1%** |
| **G111** | 11 | µE | -33 | -19.58 | -19.58 | **59%** | -0.18 | **1%** |
| **G112** | 11 | µE | -33 | -23.19 | -23.19 | **70%** | -0.43 | **2%** |

## ESTÁTICA 09

| Punto | Sección | Ud | Valor Esper | Valor Obten | Valor Neto | % Valor Alcanz | Valor Reman | % Valor Recup |
|---|---|---|---|---|---|---|---|---|
| **P131** | 13 | mm | 3.80 | 1.93 | 1.91 | **50%** | 0.11 | **6%** |
| **P132** | 13 | mm | 3.79 | 1.83 | 2.59 | **68%** | 0.11 | **6%** |
| **P133** | 13 | mm | - | -0.77 | -0.77 | **-** | -0.03 | **4%** |
| **P134** | 13 | mm | - | 0.01 | 0.01 | **-** | 0.00 | **1%** |
| **P141** | 14 | mm | -6.65 | -3.77 | -3.40 | **51%** | -0.07 | **2%** |
| **P142** | 14 | mm | -6.65 | -3.73 | -3.30 | **50%** | -0.03 | **1%** |
| **P143** | 14 | mm | - | -0.43 | -0.43 | **-** | -0.03 | **7%** |
| **P144** | 14 | mm | - | -0.37 | -0.37 | **-** | 0.00 | **1%** |
| **P151** | 15 | mm | 2.01 | 1.21 | 1.15 | **57%** | 0.00 | **0%** |
| **P152** | 15 | mm | 2.01 | 1.05 | 1.16 | **58%** | -0.02 | **1%** |
| **P153** | 15 | mm | - | -0.11 | -0.11 | **-** | 0.00 | **1%** |
| **P154** | 15 | mm | - | 0.06 | 0.06 | **-** | 0.00 | **1%** |
| **G131** | 13 | µE | -33 | -24.36 | -24.36 | **73%** | -0.81 | **3%** |
| **G132** | 13 | µE | -33 | -20.05 | -20.05 | **60%** | -0.42 | **2%** |
| **G141** | 14 | µE | 65 | 40.61 | 40.61 | **63%** | 0.02 | **0%** |
| **G142** | 14 | µE | 65 | 34.98 | 34.98 | **54%** | 0.01 | **0%** |
| **G151** | 15 | µE | -18 | -11.33 | -11.33 | **65%** | 0.02 | **0%** |
| **G152** | 15 | µE | -18 | -6.25 | -6.25 | **36%** | 0.02 | **0%** |

## ESTÁTICA 10

| Punto | Sección | Ud | Valor Esper | Valor Obten | Valor Neto | % Valor Alcanz | Valor Reman | % Valor Recup |
|---|---|---|---|---|---|---|---|---|
| **P131** | 13 | mm | -6.83 | -4.72 | -4.35 | **64%** | 0.11 | **2%** |
| **P132** | 13 | mm | -6.86 | -4.78 | -3.56 | **52%** | 0.11 | **2%** |
| **P133** | 13 | mm | - | -1.22 | -1.22 | **-** | -0.03 | **3%** |
| **P134** | 13 | mm | - | -0.36 | -0.36 | **-** | -0.01 | **1%** |
| **P141** | 14 | mm | 3.80 | 2.25 | 2.05 | **54%** | -0.07 | **3%** |
| **P142** | 14 | mm | 3.79 | 2.09 | 1.98 | **52%** | -0.03 | **1%** |
| **P143** | 14 | mm | - | 0.10 | 0.10 | **-** | 0.00 | **4%** |
| **P144** | 14 | mm | - | 0.19 | 0.19 | **-** | 0.00 | **1%** |
| **P151** | 15 | mm | -6.65 | -4.01 | -3.69 | **55%** | 0.13 | **3%** |
| **P152** | 15 | mm | -6.65 | -4.13 | -3.72 | **56%** | -0.02 | **0%** |
| **P153** | 15 | mm | - | -0.40 | -0.40 | **-** | 0.00 | **0%** |
| **P154** | 15 | mm | - | -0.33 | -0.33 | **-** | 0.01 | **3%** |
| **G131** | 13 | µE | 71 | 43.82 | 43.82 | **62%** | -0.81 | **2%** |
| **G132** | 13 | µE | 70 | 38.15 | 38.15 | **54%** | -0.42 | **1%** |
| **G141** | 14 | µE | -33 | -25.22 | -25.22 | **76%** | 0.02 | **0%** |
| **G142** | 14 | µE | -33 | -21.85 | -21.85 | **66%** | 0.01 | **0%** |
| **G151** | 15 | µE | 65 | 41.38 | 41.38 | **64%** | 0.02 | **0%** |
| **G152** | 15 | µE | 65 | 20.15 | 20.15 | **31%** | 0.02 | **0%** |

## ESTÁTICA 11

| Punto | Sección | Ud | Valor Esper | Valor Obten | Valor Neto | % Valor Alcanz | Valor Reman | % Valor Recup |
|---|---|---|---|---|---|---|---|---|
| **P161** | 16 | mm | 3.80 | 2.17 | 2.40 | **63%** | -0.02 | **1%** |
| **P162** | 16 | mm | 3.79 | 2.01 | 2.15 | **57%** | -0.01 | **1%** |
| **P163** | 16 | mm | - | -0.13 | -0.13 | **-** | 0.00 | **2%** |
| **P164** | 16 | mm | - | -0.23 | -0.23 | **-** | 0.00 | **0%** |
| **P171** | 17 | mm | -6.65 | -4.04 | -3.50 | **53%** | 0.00 | **0%** |
| **P172** | 17 | mm | -6.65 | -4.17 | -3.75 | **56%** | 0.00 | **0%** |
| **P173** | 17 | mm | - | -0.43 | -0.43 | **-** | 0.00 | **1%** |
| **P174** | 17 | mm | - | -0.54 | -0.54 | **-** | -0.01 | **2%** |
| **P181** | 18 | mm | 2.01 | 1.10 | 0.92 | **46%** | -0.02 | **2%** |
| **P182** | 18 | mm | 2.01 | 1.07 | 1.26 | **63%** | -0.02 | **2%** |
| **P183** | 18 | mm | - | -0.18 | -0.18 | **-** | 0.00 | **0%** |
| **P184** | 18 | mm | - | 0.18 | 0.18 | **-** | -0.01 | **3%** |
| **G161** | 16 | µE | -33 | -20.08 | -20.08 | **61%** | 0.36 | **2%** |
| **G162** | 16 | µE | -33 | -21.55 | -21.55 | **65%** | -0.86 | **4%** |
| **G171** | 17 | µE | 65 | 35.32 | 35.32 | **54%** | 0.21 | **1%** |
| **G172** | 17 | µE | 65 | 42.66 | 42.66 | **66%** | -0.39 | **1%** |
| **G181** | 18 | µE | -18 | -9.15 | -9.15 | **52%** | 0.44 | **5%** |
| **G182** | 18 | µE | -18 | -10.08 | -10.08 | **58%** | 0.55 | **6%** |

## ESTÁTICA 12

| Punto | Sección | Ud | Valor Esper | Valor Obten | Valor Neto | % Valor Alcanz | Valor Reman | % Valor Recup |
|---|---|---|---|---|---|---|---|---|
| **P161** | 16 | mm | -6.83 | -4.60 | -4.02 | **59%** | 0.01 | **0%** |
| **P162** | 16 | mm | -6.86 | -4.61 | -4.03 | **59%** | -0.01 | **0%** |
| **P163** | 16 | mm | - | -0.58 | -0.58 | **-** | -0.01 | **1%** |
| **P164** | 16 | mm | - | -0.58 | -0.58 | **-** | 0.00 | **0%** |
| **P171** | 17 | mm | 3.80 | 2.05 | 2.05 | **54%** | -0.02 | **1%** |
| **P172** | 17 | mm | 3.79 | 1.94 | 2.06 | **54%** | -0.01 | **1%** |
| **P173** | 17 | mm | - | -0.13 | -0.13 | **-** | 0.00 | **1%** |
| **P174** | 17 | mm | - | 0.00 | 0.00 | **-** | 0.00 | **0%** |
| **P181** | 18 | mm | -6.65 | -4.12 | -3.69 | **56%** | -0.02 | **0%** |
| **P182** | 18 | mm | -6.65 | -4.40 | -3.84 | **58%** | -0.02 | **1%** |
| **P183** | 18 | mm | - | -0.56 | -0.56 | **-** | 0.00 | **1%** |
| **P184** | 18 | mm | - | -0.42 | -0.42 | **-** | 0.00 | **1%** |
| **G161** | 16 | µE | 71 | 44.82 | 44.82 | **63%** | -1.06 | **2%** |
| **G162** | 16 | µE | 70 | 46.34 | 46.34 | **66%** | -0.20 | **0%** |
| **G171** | 17 | µE | -33 | -17.87 | -17.87 | **54%** | -0.20 | **1%** |
| **G172** | 17 | µE | -33 | -21.72 | -21.72 | **66%** | -0.01 | **0%** |
| **G181** | 18 | µE | 65 | 36.09 | 36.09 | **56%** | -0.17 | **0%** |
| **G182** | 18 | µE | 65 | 39.79 | 39.79 | **61%** | -0.21 | **1%** |

## ESTÁTICA 13

| Punto | Sección | Ud | Valor Esper | Valor Obten | Valor Neto | % Valor Alcanz | Valor Reman | % Valor Recup |
|---|---|---|---|---|---|---|---|---|
| **P191** | 19 | mm | -6.83 | -4.44 | -3.90 | **57%** | 0.08 | **2%** |
| **P192** | 19 | mm | -6.86 | -4.62 | -4.03 | **59%** | 0.00 | **0%** |
| **P193** | 19 | mm | - | -0.59 | -0.59 | **-** | -0.01 | **1%** |
| **P194** | 19 | mm | - | -0.54 | -0.54 | **-** | -0.01 | **1%** |
| **P201** | 20 | mm | 3.78 | 2.11 | 2.01 | **53%** | 0.00 | **0%** |
| **P202** | 20 | mm | 3.77 | 1.91 | 2.10 | **56%** | 0.01 | **0%** |
| **P203** | 20 | mm | - | -0.19 | -0.19 | **-** | 0.00 | **2%** |
| **P204** | 20 | mm | - | 0.10 | 0.10 | **-** | 0.00 | **0%** |
| **P211** | 21 | mm | -6.57 | -4.09 | -3.70 | **56%** | -0.01 | **0%** |
| **P212** | 21 | mm | -6.57 | -4.28 | -3.77 | **57%** | -0.05 | **1%** |
| **P213** | 21 | mm | - | -0.52 | -0.52 | **-** | 0.00 | **1%** |
| **P214** | 21 | mm | - | -0.39 | -0.39 | **-** | -0.01 | **2%** |
| **G191** | 19 | µE | 71 | 42.67 | 42.67 | **60%** | -0.51 | **1%** |
| **G192** | 19 | µE | 70 | 23.68 | 23.68 | **34%** | -0.11 | **0%** |
| **G201** | 20 | µE | -33 | -21.67 | -21.67 | **66%** | -0.06 | **0%** |
| **G202** | 20 | µE | -33 | -19.78 | -19.78 | **60%** | -0.04 | **0%** |
| **G211** | 21 | µE | 64 | 17.36 | 17.36 | **27%** | 0.21 | **1%** |
| **G212** | 21 | µE | 64 | 41.32 | 41.32 | **64%** | 0.34 | **1%** |
| **G221** | 22 | µE | -21 | -14.76 | -14.76 | **69%** | 0.03 | **0%** |
| **G222** | 22 | µE | -21 | -13.31 | -13.31 | **62%** | 0.04 | **0%** |
| **P221** | 22 | mm | 1.73 | 0.92 | 0.77 | **44%** | -0.01 | **1%** |
| **P222** | 22 | mm | 1.73 | 0.84 | 0.74 | **43%** | -0.01 | **1%** |
| **P223** | 22 | mm | - | 0.10 | 0.10 | **-** | 0.00 | **0%** |
| **P224** | 22 | mm | - | 0.15 | 0.15 | **-** | 0.00 | **0%** |

## ESTÁTICA 14

| Punto | Sección | Ud | Valor Esper | Valor Obten | Valor Neto | % Valor Alcanz | Valor Reman | % Valor Recup |
|---|---|---|---|---|---|---|---|---|
| **P191** | 19 | mm | 2.00 | 1.20 | 1.23 | **62%** | 0.00 | **0%** |
| **P192** | 19 | mm | 1.99 | 1.07 | 1.11 | **56%** | 0.00 | **0%** |
| **P193** | 19 | mm | - | -0.04 | -0.04 | **-** | 0.00 | **0%** |
| **P194** | 19 | mm | - | -0.04 | -0.04 | **-** | 0.00 | **4%** |
| **P201** | 20 | mm | -6.70 | -4.27 | -3.83 | **57%** | -0.04 | **1%** |
| **P202** | 20 | mm | -6.74 | -4.52 | -3.93 | **58%** | -0.04 | **1%** |
| **P203** | 20 | mm | - | -0.59 | -0.59 | **-** | -0.01 | **1%** |
| **P204** | 20 | mm | - | -0.44 | -0.44 | **-** | -0.01 | **1%** |
| **P211** | 21 | mm | 3.25 | 2.05 | 1.81 | **56%** | -0.02 | **1%** |
| **P212** | 21 | mm | 3.25 | 1.98 | 2.14 | **66%** | -0.04 | **2%** |
| **P213** | 21 | mm | - | -0.16 | -0.16 | **-** | -0.01 | **4%** |
| **P214** | 21 | mm | - | 0.24 | 0.24 | **-** | -0.01 | **2%** |
| **G191** | 19 | µE | -17 | -10.85 | -10.85 | **62%** | -0.31 | **3%** |
| **G192** | 19 | µE | -17 | -6.49 | -6.49 | **37%** | -0.21 | **3%** |
| **G201** | 20 | µE | 70 | 44.31 | 44.31 | **64%** | 0.55 | **1%** |
| **G202** | 20 | µE | 69 | 40.74 | 40.74 | **59%** | 1.24 | **3%** |
| **G211** | 21 | µE | -28 | -9.08 | -9.08 | **32%** | 0.12 | **1%** |
| **G212** | 21 | µE | -28 | -21.54 | -21.54 | **76%** | 0.67 | **3%** |
| **G221** | 22 | µE | 59 | 35.36 | 35.36 | **60%** | 0.17 | **0%** |
| **G222** | 22 | µE | 59 | 31.85 | 31.85 | **54%** | -0.17 | **1%** |
| **P221** | 22 | mm | -4.30 | -2.36 | -1.96 | **46%** | 0.00 | **0%** |
| **P222** | 22 | mm | -4.30 | -2.55 | -2.16 | **50%** | -0.02 | **1%** |
| **P223** | 22 | mm | - | -0.38 | -0.38 | **-** | 0.00 | **1%** |
| **P224** | 22 | mm | - | -0.40 | -0.40 | **-** | -0.02 | **5%** |

## ESTÁTICA 15

| Punto | Sección | Ud | Valor Esper | Valor Obten | Valor Neto | % Valor Alcanz | Valor Reman | % Valor Recup |
|---|---|---|---|---|---|---|---|---|
| **P011** | 1 | mm | 1.15 | 0.63 | 0.64 | **56%** | 0.00 | **0%** |
| **P012** | 1 | mm | 1.14 | 0.61 | 0.56 | **49%** | 0.00 | **0%** |
| **P013** | 1 | mm | - | 0.04 | 0.04 | **-** | 0.00 | **3%** |
| **P014** | 1 | mm | - | -0.01 | -0.01 | **-** | 0.00 | **6%** |
| **P021** | 2 | mm | -4.08 | -2.86 | -2.38 | **58%** | 0.00 | **0%** |
| **P022** | 2 | mm | -4.16 | -3.05 | -2.68 | **64%** | -0.04 | **1%** |
| **P023** | 2 | mm | - | -0.38 | -0.38 | **-** | -0.02 | **6%** |
| **P024** | 2 | mm | - | -0.48 | -0.48 | **-** | 0.01 | **2%** |
| **P031** | 3 | mm | -4.30 | -2.79 | -2.48 | **58%** | 0.04 | **1%** |
| **P032** | 3 | mm | -4.31 | -2.71 | -2.17 | **50%** | 0.00 | **0%** |
| **P033** | 3 | mm | - | -0.53 | -0.53 | **-** | 0.00 | **1%** |
| **P034** | 3 | mm | - | -0.31 | -0.31 | **-** | -0.01 | **4%** |
| **G011** | 1 | µE | -15 | -8.38 | -8.38 | **58%** | -0.05 | **1%** |
| **G012** | 1 | µE | -15 | -7.49 | -7.49 | **51%** | 0.00 | **0%** |
| **G021** | 2 | µE | 44 | 29.37 | 29.37 | **67%** | 0.08 | **0%** |
| **G022** | 2 | µE | 44 | 32.97 | 32.97 | **75%** | 0.03 | **0%** |
| **G031** | 3 | µE | 45 | 26.37 | 26.37 | **58%** | 0.00 | **0%** |
| **G032** | 3 | µE | 45 | 26.65 | 26.65 | **59%** | 0.00 | **0%** |
| **P042** | 4 | mm | 1.48 | 0.99 | 0.77 | **52%** | -0.02 | **2%** |
| **M041** | 4 | mm | 1.52 | 1.04 | 0.82 | **54%** | 0.04 | **4%** |
| **P043** | 4 | mm | - | 0.22 | 0.22 | **-** | 0.00 | **0%** |

## ESTÁTICA 16

| Punto | Sección | Ud | Valor Esper | Valor Obten | Valor Neto | % Valor Alcanz | Valor Reman | % Valor Recup |
|---|---|---|---|---|---|---|---|---|
| **P051** | 5 | mm | -3.19 | -1.97 | -1.40 | **44%** | 0.02 | **1%** |
| **P054** | 5 | mm | - | -0.57 | -0.57 | **-** | -0.01 | **2%** |
| **P061** | 6 | mm | -4.05 | -2.67 | -2.32 | **57%** | -0.02 | **1%** |
| **P062** | 6 | mm | -4.05 | -2.93 | -2.58 | **64%** | -0.05 | **2%** |
| **P063** | 6 | mm | - | -0.35 | -0.35 | **-** | 0.00 | **0%** |
| **P064** | 6 | mm | - | -0.35 | -0.35 | **-** | 0.01 | **2%** |
| **G061** | 6 | µE | 43.2 | 27.39 | 27.39 | **63%** | 0.49 | **2%** |
| **G062** | 6 | µE | 43.2 | 14.49 | 14.49 | **34%** | -0.16 | **1%** |
| **M051** | 5 | mm | -5.16 | -2.91 | -2.34 | **45%** | 0.02 | **1%** |

## ESTÁTICA 17

| Punto | Sección | Ud | Valor Esper | Valor Obten | Valor Neto | % Valor Alcanz | Valor Reman | % Valor Recup |
|---|---|---|---|---|---|---|---|---|
| **P071** | 7 | mm | -4.15 | -3.31 | -2.58 | **62%** | 0.01 | **0%** |
| **P072** | 7 | mm | -4.22 | -3.20 | -2.47 | **59%** | 0.00 | **0%** |
| **P073** | 7 | mm | - | -0.73 | -0.73 | **-** | 0.00 | **0%** |
| **P074** | 7 | mm | - | -0.73 | -0.73 | **-** | 0.01 | **1%** |
| **P081** | 8 | mm | -4.25 | -2.98 | -2.94 | **69%** | 0.01 | **0%** |
| **P082** | 8 | mm | -4.26 | -3.17 | -2.38 | **56%** | 0.00 | **0%** |
| **P083** | 8 | mm | - | -0.79 | -0.79 | **-** | 0.01 | **1%** |
| **P084** | 8 | mm | - | -0.04 | -0.04 | **-** | 0.00 | **1%** |
| **P091** | 9 | mm | 1.40 | 0.80 | 0.75 | **54%** | 0.00 | **0%** |
| **P092** | 9 | mm | 1.40 | 0.74 | 0.96 | **69%** | -0.02 | **3%** |
| **P093** | 9 | mm | - | -0.22 | -0.22 | **-** | 0.01 | **3%** |
| **P094** | 9 | mm | - | 0.05 | 0.05 | **-** | 0.00 | **3%** |
| **G071** | 7 | µE | 44 | 36.09 | 36.09 | **82%** | -0.35 | **1%** |
| **G072** | 7 | µE | 44 | 31.08 | 31.08 | **70%** | -0.04 | **0%** |
| **G081** | 8 | µE | 45 | 30.94 | 30.94 | **69%** | 0.41 | **1%** |
| **G082** | 8 | µE | 45 | 25.41 | 25.41 | **56%** | -0.69 | **3%** |
| **G091** | 9 | µE | -12 | -3.08 | -3.08 | **25%** | -0.12 | **4%** |
| **G092** | 9 | µE | -12 | -6.72 | -6.72 | **55%** | 0.16 | **2%** |

## ESTÁTICA 18

| Punto | Sección | Ud | Valor Esper | Valor Obten | Valor Neto | % Valor Alcanz | Valor Reman | % Valor Recup |
|---|---|---|---|---|---|---|---|---|
| **P101** | 10 | mm | 1.34 | 1.00 | 1.06 | **79%** | 0.00 | **0%** |
| **P102** | 10 | mm | 1.33 | 0.91 | 0.87 | **65%** | 0.00 | **0%** |
| **P103** | 10 | mm | - | 0.05 | 0.05 | **-** | 0.00 | **2%** |
| **P104** | 10 | mm | - | -0.07 | -0.07 | **-** | 0.00 | **0%** |
| **P111** | 11 | mm | -4.14 | -3.59 | -3.03 | **73%** | 0.00 | **0%** |
| **P112** | 11 | mm | -4.22 | -3.96 | -3.39 | **80%** | -0.01 | **0%** |
| **P114** | 11 | mm | - | -0.57 | -0.57 | **-** | 0.00 | **0%** |
| **P113** | 11 | mm | -2.94 | -2.53 | -1.96 | **67%** | 0.00 | **0%** |
| **P121** | 12 | mm | -4.25 | -2.92 | -0.42 | **10%** | 0.02 | **1%** |
| **P123** | 12 | mm | - | -2.50 | -2.50 | **-** | 0.00 | **0%** |
| **P122** | 12 | mm | -4.25 | -2.92 | -0.42 | **10%** | -0.02 | **1%** |
| **G101** | 10 | µE | -12 | -4.94 | -4.94 | **41%** | 0.01 | **0%** |
| **G102** | 10 | µE | -12 | -10.15 | -10.15 | **85%** | -0.51 | **5%** |
| **G111** | 11 | µE | 26 | 14.66 | 14.66 | **56%** | -0.82 | **6%** |
| **G112** | 11 | µE | 44 | 32.34 | 32.34 | **73%** | -0.37 | **1%** |

## ESTÁTICA 19

| Punto | Sección | Ud | Valor Esper | Valor Obten | Valor Neto | % Valor Alcanz | Valor Reman | % Valor Recup |
|---|---|---|---|---|---|---|---|---|
| **P131** | 13 | mm | 1.34 | 1.00 | 1.06 | **79%** | 0.01 | **1%** |
| **P132** | 13 | mm | 1.33 | 0.99 | 0.87 | **65%** | 0.02 | **2%** |
| **P133** | 13 | mm | - | 0.12 | 0.12 | **-** | 0.00 | **4%** |
| **P134** | 13 | mm | - | -0.07 | -0.07 | **-** | 0.00 | **5%** |
| **P141** | 14 | mm | -4.14 | -2.83 | -2.33 | **56%** | 0.01 | **0%** |
| **P142** | 14 | mm | -4.22 | -3.05 | -2.71 | **64%** | 0.00 | **0%** |
| **P143** | 14 | mm | - | -0.33 | -0.33 | **-** | -0.01 | **4%** |
| **P144** | 14 | mm | - | -0.50 | -0.50 | **-** | 0.03 | **5%** |
| **P151** | 15 | mm | -4.25 | -2.51 | -2.18 | **51%** | 0.00 | **0%** |
| **P152** | 15 | mm | -4.26 | -2.70 | -2.16 | **51%** | -0.02 | **1%** |
| **P153** | 15 | mm | - | -0.55 | -0.55 | **-** | -0.01 | **2%** |
| **P154** | 15 | mm | - | -0.33 | -0.33 | **-** | 0.00 | **0%** |
| **G131** | 13 | µE | -12 | -7.89 | -7.89 | **68%** | -0.20 | **3%** |
| **G132** | 13 | µE | -12 | -7.44 | -7.44 | **64%** | -0.02 | **0%** |
| **G141** | 14 | µE | 44 | 31.31 | 31.31 | **71%** | -0.35 | **1%** |
| **G142** | 14 | µE | 44 | 27.38 | 27.38 | **62%** | -0.50 | **2%** |
| **G151** | 15 | µE | 45 | 28.46 | 28.46 | **63%** | 0.13 | **0%** |
| **G152** | 15 | µE | 45 | 13.10 | 13.10 | **29%** | -0.20 | **1%** |

## ESTÁTICA 20

| Punto | Sección | Ud | Valor Esper | Valor Obten | Valor Neto | % Valor Alcanz | Valor Reman | % Valor Recup |
|---|---|---|---|---|---|---|---|---|
| **P161** | 16 | mm | 1.34 | 0.87 | 0.91 | **68%** | -0.01 | **1%** |
| **P162** | 16 | mm | 1.33 | 0.75 | 0.71 | **53%** | -0.01 | **1%** |
| **P163** | 16 | mm | - | 0.04 | 0.04 | **-** | 0.00 | **1%** |
| **P164** | 16 | mm | - | -0.04 | -0.04 | **-** | 0.00 | **5%** |
| **P171** | 17 | mm | -4.14 | -2.90 | -2.22 | **54%** | 0.13 | **5%** |
| **P172** | 17 | mm | -4.22 | -3.07 | -2.86 | **68%** | -0.01 | **0%** |
| **P173** | 17 | mm | - | -0.21 | -0.21 | **-** | 0.00 | **1%** |
| **P174** | 17 | mm | - | -0.68 | -0.68 | **-** | 0.00 | **1%** |
| **P181** | 18 | mm | -4.25 | -2.70 | -2.37 | **56%** | -0.02 | **1%** |
| **P182** | 18 | mm | -4.26 | -2.89 | -2.12 | **50%** | -0.02 | **1%** |
| **P183** | 18 | mm | - | -0.78 | -0.78 | **-** | -0.01 | **1%** |
| **P184** | 18 | mm | - | -0.33 | -0.33 | **-** | 0.00 | **1%** |
| **G161** | 16 | µE | -12 | -8.24 | -8.24 | **71%** | 0.09 | **1%** |
| **G162** | 16 | µE | -12 | -8.28 | -8.28 | **71%** | 0.00 | **0%** |
| **G171** | 17 | µE | 44 | 26.51 | 26.51 | **60%** | 0.19 | **1%** |
| **G172** | 17 | µE | 44 | 31.90 | 31.90 | **72%** | -0.01 | **0%** |
| **G181** | 18 | µE | 45 | 23.96 | 23.96 | **53%** | 0.13 | **1%** |
| **G182** | 18 | µE | 45 | 26.60 | 26.60 | **59%** | 0.13 | **0%** |

**ESTÁTICA 21**

| Punto | Sección | Ud | Valor Esper | Valor Obten | Valor Neto | % Valor Alcanz | Valor Reman | % Valor Recup |
|---|---|---|---|---|---|---|---|---|
| **P191** | 19 | mm | 1.34 | 0.86 | 1.17 | **88%** | -0.01 | **1%** |
| **P192** | 19 | mm | 1.33 | 0.71 | 1.03 | **78%** | 0.01 | **1%** |
| **P193** | 19 | mm | - | -0.32 | -0.32 | **-** | 0.00 | **0%** |
| **P194** | 19 | mm | - | -0.32 | -0.32 | **-** | 0.00 | **1%** |
| **P201** | 20 | mm | -4.16 | -2.92 | -2.29 | **55%** | 0.00 | **0%** |
| **P202** | 20 | mm | -4.23 | -3.24 | -2.75 | **65%** | 0.00 | **0%** |
| **P203** | 20 | mm | - | -0.49 | -0.49 | **-** | 0.00 | **1%** |
| **P204** | 20 | mm | - | -0.63 | -0.63 | **-** | 0.00 | **1%** |
| **P211** | 21 | mm | -4.20 | -2.96 | -2.34 | **56%** | 0.01 | **0%** |
| **P212** | 21 | mm | -4.20 | -3.18 | -2.45 | **58%** | 0.01 | **0%** |
| **P213** | 21 | mm | - | -0.73 | -0.73 | **-** | -0.01 | **1%** |
| **P214** | 21 | mm | - | -0.63 | -0.63 | **-** | 0.00 | **0%** |
| **G191** | 19 | µE | -12 | -4.88 | -4.88 | **42%** | 0.07 | **1%** |
| **G192** | 19 | µE | -12 | -2.64 | -2.64 | **23%** | -0.09 | **4%** |
| **G201** | 20 | µE | 44 | 31.27 | 31.27 | **71%** | 0.35 | **1%** |
| **G202** | 20 | µE | 44 | 29.75 | 29.75 | **67%** | 0.57 | **2%** |
| **G211** | 21 | µE | 45 | 13.64 | 13.64 | **31%** | 0.20 | **1%** |
| **G212** | 21 | µE | 45 | 32.26 | 32.26 | **72%** | 0.35 | **1%** |
| **G221** | 22 | µE | -15 | -6.40 | -6.40 | **43%** | 0.35 | **5%** |
| **G222** | 22 | µE | -15 | -6.36 | -6.36 | **42%** | 0.13 | **2%** |
| **P221** | 22 | mm | 1.17 | 0.71 | 0.63 | **54%** | 0.01 | **1%** |
| **P222** | 22 | mm | 1.17 | 0.81 | 0.75 | **64%** | 0.00 | **0%** |
| **P223** | 22 | mm | - | 0.06 | 0.06 | **-** | 0.00 | **4%** |
| **P224** | 22 | mm | - | 0.08 | 0.08 | **-** | 0.00 | **2%** |

Dentro de la columna de los valores esperados, se incluyen aquellos obtenidos del cálculo teórico, teniendo en cuenta el módulo de elasticidad estático. La columna de valores netos refleja las medidas obtenidas en la prueba de carga estática descontando los descensos de apoyos. La tabla presenta una serie de columnas complementarias donde se anotan los valores no recuperados tras la descarga del puente (valores remanentes) además de los porcentajes de recuperación respecto de los valores netos.

En el Proyecto de prueba de carga se obtuvieron valores esperados para las posiciones con cargas en vanos alternos. Dado que la prueba de carga se tuvo que realizar en varios días, se realizaron las pruebas que se indican en las tablas anteriores, por considerarse las suficientes y perder sentido el resto por no poder obtener valores de contraflechas y flechas de los vanos contiguos no instrumentados. Con las pruebas realizadas, se consigue obtener valores importantes de flecha y contraflecha de todos los vanos.

### B) Resultados de las pruebas dinámicas

En los siguientes cuadros se recogen los valores obtenidos durante las pruebas dinámicas, para los que se han tenido en cuenta, como se ha citado anteriormente los valores máximos.

| Punto | Tramo | UD | DIN 01 | DIN 21 | DIN 22 | DIN 23 | DIN 24 |
|---|---|---|---|---|---|---|---|
| **P011** | 1 | mm | -2.18 | -0.84 | -0.85 | -0.90 | -0.90 |
| **P012** | 1 | mm | -2.41 | -1.45 | -1.44 | -1.46 | -1.48 |
| **P013** | 1 | mm | -0.50 | -0.44 | -0.41 | -0.36 | -0.37 |
| **P014** | 1 | mm | -0.42 | -0.08 | -0.07 | 0.07 | -0.07 |
| **P021** | 2 | mm | -3.33 | -1.25 | -1.26 | -1.26 | -1.28 |
| **P022** | 2 | mm | -3.41 | -2.02 | -2.05 | -1.99 | -2.01 |
| **P023** | 2 | mm | -0.58 | -0.42 | -0.45 | -0.42 | -0.40 |
| **P024** | 2 | mm | -0.48 | 0.10 | 0.10 | 0.11 | 0.10 |
| **P031** | 3 | mm | -3.28 | -1.11 | -1.13 | -1.12 | -1.12 |
| **P032** | 3 | mm | -3.31 | -2.05 | -2.02 | -2.05 | -2.02 |
| **P033** | 3 | mm | -0.50 | -0.42 | -0.45 | -0.43 | -0.40 |
| **P034** | 3 | mm | -0.58 | -0.57 | -0.61 | -0.58 | -0.60 |
| **P042** | 4 | mm | -1.64 | 0.46 | 0.43 | 0.50 | 0.53 |
| **M041** | 4 | mm | -3.37 | -2.77 | -3.22 | -3.25 | -2.12 |
| **P043** | 4 | mm | -0.81 | -0.78 | -0.77 | -0.77 | -0.76 |
| **G011** | 1 | µE | 31 | 15 | 14 | 15 | 14 |
| **G012** | 1 | µE | 30 | 14 | 14 | 14 | 15 |
| **G021** | 2 | µE | 35 | 18 | 17 | 18 | 17 |
| **G022** | 2 | µE | 39 | 19 | 18 | 18 | 18 |
| **G031** | 3 | µE | 34 | 17 | 16 | 17 | 16 |
| **G032** | 3 | µE | 32 | 17 | 16 | 16 | 16 |

| Punto | Tramo | UD | DIN 01 | DIN 21 | DIN 22 | DIN 23 | DIN 24 |
|---|---|---|---|---|---|---|---|
| **P051** | 5 | mm | -2.49 | 1.32 | 1.36 | 1.35 | 1.39 |
| **M051** | 5 | mm | -4.05 | 1.50 | 1.13 | 1.43 | 1.58 |
| **P054** | 5 | mm | -0.61 | -0.52 | -0.53 | -0.52 | -0.54 |
| **P061** | 6 | mm | -3.44 | -1.26 | -1.24 | -1.32 | -1.33 |
| **P062** | 6 | mm | -3.64 | -2.37 | -2.36 | -2.41 | -2.40 |
| **P063** | 6 | mm | -0.35 | 0.22 | 0.21 | 0.22 | 0.23 |
| **P064** | 6 | mm | -0.42 | -0.08 | -0.07 | -0.07 | -0.08 |
| **G061** | 6 | µE | 34 | 17 | 18 | 18 | 18 |
| **G062** | 6 | µE | 19 | 10 | 10 | 10 | 9 |

| Punto | Tramo | UD | DIN 01 | DIN 11 | DIN 12 | DIN 13 | DIN 14 |
|---|---|---|---|---|---|---|---|
| **P071** | 7 | mm | -3.67 | -2.34 | -2.32 | -2.32 | -2.30 |
| **P072** | 7 | mm | -3.69 | -1.40 | -1.40 | -1.39 | -1.38 |
| **P073** | 7 | mm | -0.39 | 0.06 | -0.05 | 0.00 | 0.02 |
| **P074** | 7 | mm | -0.71 | -0.57 | -0.56 | -0.58 | -0.58 |
| **P081** | 8 | mm | -3.58 | -2.25 | -2.18 | -2.22 | -2.18 |
| **P082** | 8 | mm | -3.79 | -1.46 | -1.43 | -1.45 | -1.45 |
| **P083** | 8 | mm | -0.74 | -0.12 | -0.14 | -0.13 | -0.14 |
| **P084** | 8 | mm | -0.29 | -0.30 | -0.28 | -0.28 | -0.28 |
| **P091** | 9 | mm | -3.61 | -2.17 | -2.28 | -2.30 | -2.29 |
| **P092** | 9 | mm | -3.80 | -1.34 | -1.35 | -1.34 | -1.37 |
| **P093** | 9 | mm | -0.76 | -0.16 | -0.18 | -0.16 | -0.17 |
| **P094** | 9 | mm | -0.63 | -0.46 | -0.49 | -0.48 | -0.48 |
| **G071** | 7 | µE | 37 | 20 | 19 | 18 | 18 |
| **G072** | 7 | µE | 34 | 18 | 18 | 17 | 17 |
| **G081** | 8 | µE | 37 | 21 | 17 | 18 | 17 |
| **G082** | 8 | µE | 32 | 17 | 16 | 16 | 15 |
| **G091** | 9 | µE | 18 | 10 | 10 | 10 | 9 |
| **G092** | 9 | µE | 36 | 18 | 19 | 18 | 18 |

| Punto | Tramo | UD | DIN 01 | DIN 11 | DIN 12 | DIN 13 | DIN 14 |
|---|---|---|---|---|---|---|---|
| **P101** | 10 | mm | -3.42 | -2.20 | -2.23 | -2.15 | -2.14 |
| **P102** | 10 | mm | -3.55 | -1.40 | -1.42 | -1.29 | -1.34 |
| **P103** | 10 | mm | -0.68 | -0.04 | -0.07 | 0.02 | -0.09 |
| **P104** | 10 | mm | -0.56 | -0.40 | -0.43 | -0.47 | -0.42 |
| **P111** | 11 | mm | -4.00 | -2.93 | -3.00 | -3.08 | -3.04 |
| **P112** | 11 | mm | -4.38 | -2.56 | -2.56 | -2.58 | -2.56 |
| **P114** | 11 | mm | -0.68 | -0.51 | -0.53 | -0.57 | -0.48 |
| **P113** | 11 | mm | -2.92 | -1.91 | -1.76 | -1.78 | -1.79 |
| **P121** | 12 | mm | -3.64 | -2.88 | -2.72 | -2.87 | -2.77 |
| **P124** | 12 | mm | -2.50 | -0.76 | -0.81 | -0.72 | -0.74 |
| **P123** | 12 | mm | -2.51 | -1.62 | -1.66 | -1.65 | -1.67 |
| **P122** | 12 | mm | -3.50 | -2.81 | -2.74 | -2.75 | -2.77 |
| **G101** | 10 | µE | 18 | 12 | 10 | 9 | 10 |
| **G102** | 10 | µE | 31 | 20 | 17 | 15 | 16 |
| **G111** | 11 | µE | 18 | 15 | 13 | 14 | 13 |
| **G112** | 11 | µE | 39 | 21 | 19 | 19 | 19 |

| Punto | Tramo | UD | DIN 01 | DIN 21 | DIN 22 | DIN 23 | DIN 24 |
|---|---|---|---|---|---|---|---|
| **P131** | 13 | mm | -3.85 | -1.47 | -1.68 | -1.64 | -1.59 |
| **P132** | 13 | mm | -4.05 | -2.38 | -2.60 | -2.47 | -2.43 |
| **P134** | 13 | mm | -2.13 | -1.29 | -1.37 | -1.37 | -1.32 |
| **P133** | 13 | mm | -0.57 | -0.14 | -0.11 | -0.13 | -0.12 |
| **P141** | 14 | mm | -3.37 | -1.26 | -1.34 | -1.31 | -1.27 |
| **P142** | 14 | mm | -3.41 | -2.07 | -2.12 | -2.06 | -2.20 |
| **P143** | 14 | mm | -0.47 | -0.34 | -0.37 | -0.36 | -0.28 |
| **P144** | 14 | mm | -0.50 | -0.10 | -0.11 | -0.08 | -0.09 |
| **P151** | 15 | mm | -3.50 | -1.27 | -1.29 | -1.30 | -1.35 |
| **P152** | 15 | mm | -3.54 | -2.04 | -2.17 | -2.09 | -2.08 |
| **P153** | 15 | mm | -0.61 | -0.41 | -0.42 | -0.41 | -0.43 |
| **P154** | 15 | mm | -0.56 | -0.16 | -0.12 | -0.14 | -0.14 |
| **G131** | 13 | µE | 35 | 18 | 19 | 19 | 19 |
| **G132** | 13 | µE | 31 | 14 | 16 | 15 | 15 |
| **G141** | 14 | µE | 37 | 17 | 19 | 19 | 18 |
| **G142** | 14 | µE | 34 | 16 | 17 | 17 | 16 |
| **G151** | 15 | µE | 38 | 19 | 19 | 19 | 19 |
| **G152** | 15 | µE | 18 | 9 | 9 | 9 | 9 |

| Punto | Tramo | UD | DIN 01 | DIN 21 | DIN 22 | DIN 23 | DIN 24 |
|---|---|---|---|---|---|---|---|
| **P161** | 16 | mm | -3.61 | -1.38 | -1.34 | -1.36 | -1.41 |
| **P162** | 16 | mm | -3.62 | -2.17 | -2.18 | -2.17 | -2.22 |
| **P163** | 16 | mm | -0.73 | -0.55 | -0.57 | -0.58 | -0.56 |
| **P164** | 16 | mm | -0.20 | -0.12 | -0.01 | -0.01 | 0.00 |
| **P171** | 17 | mm | -3.45 | -1.34 | -1.41 | -1.30 | -1.36 |
| **P172** | 17 | mm | -3.68 | -2.30 | -2.44 | -2.11 | -2.21 |
| **P173** | 17 | mm | -0.51 | -0.33 | -0.33 | -0.34 | -0.33 |
| **P174** | 17 | mm | -0.73 | -0.12 | -0.12 | -0.15 | -0.15 |
| **P181** | 18 | mm | -3.50 | -1.25 | -1.31 | -1.34 | -1.42 |
| **P182** | 18 | mm | -3.79 | -2.27 | -2.28 | -2.25 | -2.29 |
| **P183** | 18 | mm | -0.79 | -0.56 | -0.56 | -0.59 | -0.59 |
| **P184** | 18 | mm | -0.56 | -0.10 | -0.08 | 0.07 | -0.09 |
| **G161** | 16 | µE | 35 | 17 | 17 | 17 | 17 |
| **G162** | 16 | µE | 34 | 19 | 17 | 18 | 18 |
| **G171** | 17 | µE | 32 | 16 | 16 | 15 | 16 |
| **G172** | 17 | µE | 37 | 19 | 20 | 18 | 18 |
| **G181** | 18 | µE | 32 | 17 | 16 | 15 | 16 |
| **G182** | 18 | µE | 35 | 17 | 16 | 16 | 16 |

| Punto | Tramo | UD | DIN 01 | DIN 21 | DIN 22 | DIN 23 | DIN 24 |
|---|---|---|---|---|---|---|---|
| **P191** | 19 | mm | -3.58 | -1.23 | -1.27 | -1.47 | -1.34 |
| **P192** | 19 | mm | -3.69 | -2.24 | -2.25 | -2.30 | -2.17 |
| **P193** | 19 | mm | -0.47 | -0.12 | -0.22 | -0.30 | -0.39 |
| **P194** | 19 | mm | -0.78 | -0.15 | -0.13 | -0.14 | -0.17 |
| **P201** | 20 | mm | -3.52 | -1.32 | -1.29 | -1.36 | -1.22 |
| **P202** | 20 | mm | -3.81 | -2.22 | -2.14 | -2.20 | -2.07 |
| **P203** | 20 | mm | -0.83 | -0.61 | -0.62 | -0.62 | -0.65 |
| **P204** | 20 | mm | -0.63 | -0.12 | -0.12 | -0.12 | -0.14 |
| **P211** | 21 | mm | -3.71 | -1.39 | -1.54 | -1.55 | -1.46 |
| **P212** | 21 | mm | -4.03 | -2.34 | -2.38 | -2.49 | -2.44 |
| **P213** | 21 | mm | -0.72 | -0.52 | -0.54 | -0.57 | -0.57 |
| **P214** | 21 | mm | -0.67 | 0.18 | -0.15 | -0.16 | -0.17 |
| **P221** | 22 | mm | -2.52 | -0.96 | -0.97 | -1.03 | -1.02 |
| **P222** | 22 | mm | -2.58 | -1.55 | -1.57 | -1.53 | -1.52 |
| **P223** | 22 | mm | -0.42 | -0.31 | -0.31 | -0.30 | -0.31 |
| **P224** | 22 | mm | -0.36 | -0.09 | -0.11 | 0.07 | -0.10 |
| **G191** | 19 | µE | 34 | 16 | 17 | 17 | 17 |
| **G192** | 19 | µE | 20 | 10 | 9 | 10 | 10 |
| **G201** | 20 | µE | 37 | 18 | 17 | 18 | 18 |
| **G202** | 20 | µE | 35 | 16 | 15 | 16 | 16 |
| **G211** | 21 | µE | 30 | 13 | 14 | 14 | 16 |
| **G212** | 21 | µE | 42 | 19 | 20 | 21 | 21 |
| **G221** | 22 | µE | 43 | 20 | 20 | 20 | 20 |
| **G222** | 22 | µE | 39 | 19 | 20 | 20 | 20 |

Tomando como referencia la prueba cuasiestática con el tren de cargas circulando por la vía 1 (DIN11) ó la vía 2 (DIN21), según el caso, se obtienen los coeficientes de impacto a las distintas velocidades ensayadas.

| COEFICIENTES DE IMPACTO | | | |
|---|---|---|---|
| Punto | 40 km/h | 80 km/h | F80 km/h |
| **P011** | 1.02 | 1.08 | 1.07 |
| **P012** | 1.00 | 1.01 | 1.02 |
| **P021** | 1.01 | 1.01 | 0.84 |
| **P022** | 1.01 | 0.99 | 0.99 |
| **P031** | 1.01 | 0.99 | 1.01 |
| **P032** | 0.99 | 1.00 | 0.99 |
| **P042** | 0.95 | 1.15 | 1.16 |
| **M041** | 1.17 | 1.17 | 0.77 |
| MEDIO | 1.02 | 1.05 | 0.98 |
| **G011** | 0.99 | 0.99 | 0.97 |
| **G012** | 1.00 | 1.00 | 1.05 |
| **G021** | 0.94 | 0.98 | 0.96 |
| **G022** | 0.95 | 1.03 | 0.95 |
| **G031** | 0.94 | 0.97 | 0.96 |
| **G032** | 0.96 | 1.00 | 0.95 |
| MEDIO | 0.96 | 1.00 | 0.97 |

| COEFICIENTES DE IMPACTO | | | |
|---|---|---|---|
| Punto | 30 km/h | 80 km/h | F80 km/h |
| **P051** | 1.03 | 1.03 | 1.05 |
| **M051** | 0.76 | 0.96 | 1.06 |
| **P061** | 0.98 | 1.05 | 1.05 |
| **P062** | 1.00 | 1.02 | 1.01 |
| MEDIO | 0.94 | 1.01 | 1.04 |
| **G061** | 1.03 | 1.04 | 1.02 |
| **G062** | 1.02 | 0.99 | 0.98 |
| MEDIO | 1.02 | 1.02 | 1.00 |

| COEFICIENTES DE IMPACTO | | | |
|---|---|---|---|
| Punto | 30 km/h | 80 km/h | F80 km/h |
| **P071** | 0.99 | 0.99 | 0.98 |
| **P072** | 1.00 | 0.99 | 0.98 |
| **P081** | 0.97 | 0.99 | 0.97 |
| **P082** | 0.98 | 0.99 | 0.99 |
| **P091** | 1.05 | 1.06 | 1.06 |
| **P092** | 1.01 | 0.99 | 1.02 |
| MEDIO | 1.00 | 1.00 | 1.00 |
| **G071** | 0.94 | 0.89 | 0.88 |
| **G072** | 0.99 | 0.95 | 0.94 |
| **G081** | 0.81 | 0.88 | 0.80 |
| **G082** | 0.95 | 0.96 | 0.92 |
| **G091** | 0.99 | 0.98 | 0.91 |
| **G092** | 1.05 | 1.03 | 0.99 |
| MEDIO | 0.95 | 0.95 | 0.91 |

| COEFICIENTES DE IMPACTO | | | |
|---|---|---|---|
| Punto | 30 km/h | 80 km/h | F80 km/h |
| **P101** | 1.01 | 0.98 | 0.97 |
| **P102** | 1.01 | 0.93 | 0.96 |
| **P111** | 1.02 | 1.05 | 1.04 |
| **P112** | 1.00 | 1.01 | 1.00 |
| **P121** | 0.94 | 1.00 | 0.96 |
| **P122** | 0.98 | 0.98 | 0.98 |
| MEDIO | 0.99 | 0.99 | 0.99 |
| **G101** | 0.85 | 0.75 | 0.79 |
| **G102** | 0.86 | 0.76 | 0.79 |
| **G111** | 0.84 | 0.90 | 0.83 |
| **G112** | 0.92 | 0.93 | 0.91 |
| MEDIO | 0.87 | 0.84 | 0.83 |

| COEFICIENTES DE IMPACTO | | | |
|---|---|---|---|
| Punto | 30 km/h | 80 km/h | F80 km/h |
| **P131** | 1.14 | 1.11 | 1.08 |
| **P132** | 1.09 | 1.04 | 1.02 |
| **P141** | 1.06 | 1.04 | 1.01 |
| **P142** | 1.03 | 1.00 | 1.06 |
| **P151** | 1.01 | 1.02 | 1.06 |
| **P152** | 1.06 | 1.02 | 1.02 |
| MEDIO | 1.07 | 1.04 | 1.04 |
| **G131** | 1.05 | 1.08 | 1.07 |
| **G132** | 1.12 | 1.04 | 1.06 |
| **G141** | 1.08 | 1.07 | 1.05 |
| **G142** | 1.08 | 1.04 | 0.99 |
| **G151** | 1.02 | 1.01 | 1.00 |
| **G152** | 0.93 | 0.94 | 0.94 |
| MEDIO | 1.05 | 1.03 | 1.02 |

| COEFICIENTES DE IMPACTO | | | |
|---|---|---|---|
| Punto | 30 km/h | 80 km/h | F80 km/h |
| **P161** | 0.97 | 0.98 | 1.02 |
| **P162** | 1.01 | 1.00 | 1.02 |
| **P171** | 1.05 | 0.96 | 1.01 |
| **P172** | 1.06 | 0.92 | 0.96 |
| **P181** | 1.05 | 1.07 | 1.14 |
| **P182** | 1.00 | 0.99 | 1.00 |
| MEDIO | 1.02 | 0.99 | 1.03 |
| **G161** | 0.98 | 1.01 | 1.00 |
| **G162** | 0.93 | 0.95 | 0.98 |
| **G171** | 0.97 | 0.95 | 0.99 |
| **G172** | 1.03 | 0.96 | 0.96 |
| **G181** | 0.96 | 0.92 | 0.95 |
| **G182** | 0.98 | 0.95 | 0.99 |
| MEDIO | 0.97 | 0.96 | 0.98 |

| COEFICIENTES DE IMPACTO | | | |
|---|---|---|---|
| Punto | 30 km/h | 80 km/h | F80 km/h |
| **P191** | 1.03 | 1.19 | 1.09 |
| **P192** | 1.00 | 1.03 | 0.97 |
| **P201** | 0.98 | 1.03 | 0.92 |
| **P202** | 0.96 | 0.99 | 0.93 |
| **P211** | 1.11 | 1.11 | 1.05 |
| **P212** | 1.02 | 1.06 | 1.04 |
| **P221** | 1.01 | 1.07 | 1.06 |
| **P222** | 1.02 | 0.99 | 0.98 |
| MEDIO | 1.02 | 1.06 | 1.01 |
| **G191** | 1.02 | 1.07 | 1.04 |
| **G192** | 0.98 | 1.03 | 0.99 |
| **G201** | 0.97 | 1.04 | 1.04 |
| **G202** | 0.95 | 1.00 | 1.02 |
| **G211** | 1.01 | 1.06 | 1.16 |
| **G212** | 1.06 | 1.12 | 1.12 |
| **G221** | 0.99 | 0.98 | 1.01 |
| **G222** | 1.04 | 1.05 | 1.06 |
| MEDIO | 1.00 | 1.04 | 1.06 |

### C) Frecuencia propia de vibración

Los valores estimados para las frecuencias de oscilación correspondientes a los tres primeros modos de oscilación son:

| | **PERIODO** | **FRECUENCIA** |
|---|---|---|
| **MODO 1** | 0.360133 s | 2.78 Hz |
| **MODO 2** | 0.344986 s | 2.90 Hz |
| **MODO 3** | 0.337274 s | 2.97 Hz |

Las frecuencias obtenidas durante la prueba de carga corresponden a los siguientes valores:

| | |
|---|---|
| Vano 1 = 5,06 Hz | Vano 12 = 4,24 Hz |
| Vano 2 = 5,06 Hz | Vano 13 = 4,42 Hz |
| Vano 3 = 5,55 Hz | Vano 14 = 3,93 Hz |
| Vano 4 = 4,89 Hz | Vano 15 = 4,79 Hz |
| Vano 5 = 5,39 Hz | Vano 16 = 4,47 Hz |
| Vano 6 = 4,47 Hz | Vano 17 = 4,88 Hz |
| Vano 7 = 4,70 Hz | Vano 18 = 4,43 Hz |
| Vano 8 = 4,20 Hz | Vano 19 = 5,16 Hz |
| Vano 9 = 4,70 Hz | Vano 20 = 5,16 Hz |
| Vano 10 = 3,79 Hz | Vano 21 = 5,16 Hz |
| Vano 11 = 4,38 Hz | Vano 22 = 5,17 Hz |

En la estructura que estamos analizando los valores obtenidos en frecuencia para la vibración de la estructura son superiores al primer modo fundamental. Durante la prueba se han obtenido unos valores que están en ese intervalo de frecuencias y están en el orden esperado para este tipo de estructura hiperestática.

La zona temporal de análisis se corresponde con la de vibración residual libre de la estructura, una vez abandonada ésta por el tren de cargas y tomando siempre la parte final de la señal del acelerómetro.

En cuanto al decremento logarítmico y la amortiguación en % se obtienen los siguientes valores:

Vano 1 = 0,20 (3,16%)
Vano 2 = 0,09 (1,45%)
Vano 3 = 0,10 (1,51%)
Vano 4 = 0,05 (0,79%)
Vano 5 = 0,13 (1,99%)
Vano 6 = 0,16 (2,60%)
Vano 7 = 0,13 (2,08%)
Vano 8 = 0,06 (1,02%)
Vano 9 = 0,19 (3,00%)
Vano 10 = 0,14 (2,18%)
Vano 11 = 0,14 (2,20%)
Vano 12 = 0,04 (0,63%)
Vano 13 = 0,04 (0,56%)
Vano 14 = 0,08 (1,35%)
Vano 15 = 0,06 (0,91%)
Vano 16 = 0,06 (0,95%)
Vano 17 = 0,13 (2,05%)
Vano 18 = 0,12 (1,94%)
Vano 19 = 0,05 (0,83%)
Vano 20 = 0,02 (0,40%)
Vano 21 = 0,03 (0,49%)
Vano 22 = 0,03 (0,43%)

Respecto al amortiguamiento de la estructura, señalar que se calculan en el mismo periodo temporal en el que se obtienen los espectros ya comentados para cálculo de las frecuencias. Se calculan directamente por el software utilizado para cálculo del espectro utilizando el método del ancho de banda.

Indicamos que los valores de amplitud que aparecen en los gráficos de los espectros, no tienen un significado físico o ingenieril, ya que corresponden solamente a los coeficientes de peso de los términos del desarrollo en serie de Fourier (FFT).

## 8.- ANÁLISIS DE LOS RESULTADOS.

A la vista de los resultados obtenidos en la prueba de carga llevada a cabo, podemos realizar el siguiente análisis.

### *8.1.- PRUEBA ESTÁTICA.*

Los valores obtenidos durante la prueba están, por lo general, por debajo de los esperados. Habitualmente estos valores suelen estar por debajo del 80 % de los de la modelización, pues se modeliza considerando una sección homogénea de hormigón con un módulo de elasticidad con una resistencia media de fcm=fck+8, según se recomienda cuando haya que estimar una resistencia media del hormigón a 28 días (Art. 39.6 EHE) y es habitual que el hormigón utilizado en este tipo de estructuras pretensadas supere los valores de resistencia marcados en proyecto. Además, la sección pretensada se encuentra con una cuantía de armadura (activa y pasiva) importante en algunas zonas que rigidizan la sección y aumentan el módulo de elasticidad de la misma.

En el Viaducto de Vinaixa, que nos ocupa, los valores medios de deformaciones unitarias y flechas se encuentran en torno al 60% con respecto a los valores teóricos, confirmando lo comentado anteriormente. Esto nos deja del lado de la seguridad, pero encontramos la justificación en lo siguiente:

Los porcentajes de recuperación de flechas en los vanos directamente cargados, donde se obtienen valores más fiables de esta magnitud, son siempre superiores al 90 % en el valor bruto y se ajustan más, si descontamos los valores remantes en los apoyos.

Las máximas flechas netas, esto es, descontando los desplazamientos verticales de los apoyos, alcanzadas durante los ensayos estáticos han sido:

**FLECHAS** (Valores netos máximos estáticas)

| | PUNTOS DE MEDIDA | FLECHA mm | PUNTOS DE MEDIDA | CONTRA-FLECHA mm |
|---|---|---|---|---|
| **VANO 1-3** | P032 | -3.72 | P022 | 1.88 |
| **VANO 2-4** | P021 | -4.03 | P031 | 2.54 |
| **PILA 2-3** | P022 | -2.68 | M041 | 0.82 |
| **VANO 4-6** | P062 | -4.26 | M051 | 3.13 |
| **VANO 5-7** | M051 | -2.94 | P061 | 2.57 |
| **PILA 5-6** | P062 | -2.58 | - | - |
| **VANO 6-8** | P082 | -3.88 | P071 | 2.31 |
| **VANO 7-9** | P071 | -4.27 | P082 | 2.17 |
| **PILA 7-8** | P081 | -2.94 | P092 | 0.96 |
| **VANO 9-11** | P112 | -3.95 | P101 | 2.37 |
| **VANO 10-12** | P101 | -4.21 | P112 | 1.72 |
| **PILA 11-12** | P112 | -3.39 | P101 | 1.06 |
| **VANO 12-14** | P141 | -3.40 | P132 | 2.59 |
| **VANO 13-15** | P131 | -4.35 | P141 | 2.05 |
| **PILA 14-15** | P142 | -2.71 | P131 | 1.06 |
| **VANO 15-17** | P172 | -3.75 | P161 | 2.40 |
| **VANO 16-18** | P162 | -4.03 | P172 | 2.06 |
| **PILA 17-18** | P172 | -2.86 | P161 | 0.91 |
| **VANO 19-21** | P192 | -4.03 | P202 | 2.10 |
| **VANO 20-22** | P202 | -3.93 | P212 | 2.14 |
| **PILA 20-21** | P202 | -2.75 | P191 | 1.17 |

Las máximas deformaciones unitarias alcanzadas durante los ensayos estáticos han sido:

**DEFORMACIONES UNITARIAS** (Valores máximos estáticas)

| | PUNTOS DE MEDIDA | MOMENTOS (+) με | PUNTOS DE MEDIDA | MOMENTOS (-) με |
|---|---|---|---|---|
| **VANO 1-3** | G011 | 37 | G022 | -21 |
| **VANO 2-4** | G022 | 50 | G031 | -22 |
| **PILA 2-3** | G022 | 33 | G011 | -8 |
| **VANO 4-6** | G061 | 39 | - | - |
| **VANO 5-7** | - | - | G061 | -22 |
| **PILA 5-6** | G061 | 27 | - | - |
| **VANO 6-8** | G081 | 41 | G071 | -22 |
| **VANO 7-9** | G071 | 49 | G081 | -19 |
| **PILA 7-8** | G071 | 36 | G092 | -7 |
| **VANO 9-11** | G112 | 38 | G102 | -24 |
| **VANO 10-12** | G102 | 40 | G112 | -23 |
| **PILA 11-12** | G112 | 32 | G102 | -10 |
| **VANO 12-14** | G141 | 41 | G131 | -24 |
| **VANO 13-15** | G131 | 44 | G141 | -25 |
| **PILA 14-15** | G141 | 31 | G131 | -8 |
| **VANO 15-17** | G172 | 43 | G162 | -22 |
| **VANO 16-18** | G162 | 46 | G172 | -22 |
| **PILA 17-18** | G172 | 32 | G162 | -8 |
| **VANO 19-21** | G191 | 43 | G201 | -22 |
| **VANO 20-22** | G201 | 44 | G212 | -22 |
| **PILA 20-21** | G212 | 32 | G221 | -6 |

Los máximos descensos en los apoyos alcanzados durante los ensayos estáticos han sido:

**APOYOS** (Valores máximos estáticas)

| | PUNTOS DE MEDIDA | DESCENSOS mm |
|---|---|---|
| **VANO 1-3** | P013 | -0.61 |
| **VANO 2-4** | P043 | -0.95 |
| **PILA 2-3** | P033 | -0.53 |
| **VANO 4-6** | P064 | -0.41 |
| **VANO 5-7** | P054 | -0.57 |
| **PILA 5-6** | P054 | -0.57 |
| **VANO 6-8** | P083 | -0.54 |
| **VANO 7-9** | P073 | -0.55 |
| **PILA 7-8** | P083 | -0.79 |
| **VANO 9-11** | P114 | -0.44 |
| **VANO 10-12** | P123 | -1.26 |
| **PILA 11-12** | P123 | -2.50 |
| **VANO 12-14** | P143 | -0.43 |
| **VANO 13-15** | P133 | -1.22 |
| **PILA 14-15** | P153 | -0.55 |
| **VANO 15-17** | P174 | -0.54 |
| **VANO 16-18** | P164 | -0.58 |
| **PILA 17-18** | P183 | -0.78 |
| **VANO 19-21** | P193 | -0.59 |
| **VANO 20-22** | P203 | -0.59 |
| **PILA 20-21** | P213 | -0.73 |

Las medidas obtenidas muestran un comportamiento de la estructura más rígido que la obtenida en nuestra modelización. Desde el punto de vista de la seguridad, nos deja muy tranquilos ver que la estructura se comporte de forma muy elástica y los valores son homogéneos en todos sus vanos.

### *8.2.- PRUEBAS DINÁMICAS*

Los valores máximos obtenidos durante las pruebas dinámicas mostrados en una tabla en el apartado de valores esperados, son valores brutos y no son comparables con los valores netos de las estáticas, pues tiene corregido el descenso por apoyo. Pero si es importante, ver que coeficientes de impacto a las diferentes velocidades obtenemos. El

coeficiente de impacto medio obtenido en flechas para la prueba de máxima velocidad es de 1.02 y en el caso de deformaciones de 0.98. Estos valores son correctos.

Si conviene comparar los valores brutos de la prueba estática los obtenidos durante la prueba cuasiestática al paso de una composición por cada vía.

| | MÁXIMOS CUASIESTÁTICA VÍA I Y II | MÁXIMOS ESTÁTICAS |
|---|---|---|
| **P11** | -2.77 | -3.57 |
| **P12** | -2.88 | -3.72 |
| **P21** | -4.50 | -6.79 |
| **P22** | -4.72 | -6.44 |
| **P31** | -4.86 | -4.75 |
| **P32** | -4.85 | -4.53 |
| **P41** | -5.86 | -5.55 |
| **P42** | -5.58 | -6.11 |
| **P51** | -3.28 | -3.25 |
| **P52** | -3.58 | -3.52 |

La tabla anterior nos indica que los valores brutos obtenidos durante la prueba estática son mayores (en la mayoría de los casos) que cuando pasan las dos composiciones a velocidad paso hombre por cada una de las vías. Esto se explica porque las posiciones estáticas empleadas son más pésimas, pues se descompone cada una de las composiciones para poder cargar vanos alternos y obtener los máximos momentos negativos y positivos en cada uno de los vanos. Estos valores se asemejan más cuando se trata de un puente isostático, pero no en nuestro caso.

Posteriormente, como resultado del análisis del espectro de frecuencia por el método del ancho eficaz de banda, se estiman los siguientes valores de decremento logarítmico y amortiguación. Asimismo se aplica de forma automatizada por el programa de dibujo de espectros, utilizando el método del Ancho de Banda, donde se sustituye la

excitación armónica de la estructura por la originada por el tren de cargas en la prueba analizada.

Analizando las vibraciones residuales libres en el viaducto una vez abandonado éste por el tren de cargas, se han obtenido los siguientes valores del decremento logarítmico y del amortiguamiento crítico:

| Frecuencia | Amort. y Decrem. Logarit. |
|---|---|
| Vano 1 = 5,06 Hz | Vano 1 = 0,20 (3,16%) |
| Vano 2 = 5,06 Hz | Vano 2 = 0,09 (1,45%) |
| Vano 3 = 5,55 Hz | Vano 3 = 0,10 (1,51%) |
| Vano 4 = 4,89 Hz | Vano 4 = 0,05 (0,79%) |
| Vano 5 = 5,39 Hz | Vano 5 = 0,13 (1,99%) |
| Vano 6 = 4,47 Hz | Vano 6 = 0,16 (2,60%) |
| Vano 7 = 4,70 Hz | Vano 7 = 0,13 (2,08%) |
| Vano 8 = 4,20 Hz | Vano 8 = 0,06 (1,02%) |
| Vano 9 = 4,70 Hz | Vano 9 = 0,19 (3,00%) |
| Vano 10 = 3,79 Hz | Vano 10 = 0,14 (2,18%) |
| Vano 11 = 4,38 Hz | Vano 11 = 0,14 (2,20%) |
| Vano 12 = 4,24 Hz | Vano 12 = 0,04 (0,63%) |
| Vano 13 = 4,42 Hz | Vano 13 = 0,04 (0,56%) |
| Vano 14 = 3,93 Hz | Vano 14 = 0,08 (1,35%) |
| Vano 15 = 4,79 Hz | Vano 15 = 0,06 (0,91%) |
| Vano 16 = 4,47 Hz | Vano 16 = 0,06 (0,95%) |
| Vano 17 = 4,88 Hz | Vano 17 = 0,13 (2,05%) |
| Vano 18 = 4,43 Hz | Vano 18 = 0,12 (1,94%) |
| Vano 19 = 5,16 Hz | Vano 19 = 0,05 (0,83%) |
| Vano 20 = 5,16 Hz | Vano 20 = 0,02 (0,40%) |
| Vano 21 = 5,16 Hz | Vano 21 = 0,03 (0,49%) |
| Vano 22 = 5,17 Hz | Vano 22 = 0,03 (0,43%) |

La frecuencia esperada para el primer modo de vibración de la estructura es de 2.78 Hz. y la frecuencia media registrada es de 4.73 Hz. Como podemos observar, los valores obtenidos durante la prueba son superiores a la frecuencia teórica, esto demuestra que efectivamente, la estructura se comporta con algo más de rigidez a la del modelo empleado. No deben de diferir las flechas de la calculada teóricamente en mayor medida de lo que haya hecho la frecuencia, teniendo en cuenta que las flechas son proporcionales a la rigidez del tablero y la frecuencia, es en primera aproximación a la raíz cuadrada de la misma.

Por otro lado, el amortiguamiento que obtenemos de las aceleraciones está dentro de los valores habituales para este tipo de estructuras.

En los registros no se observa ningún comportamiento que pueda considerarse anormal desde el punto de vista de los fenómenos de amplificación dinámica.

## 9.- CONCLUSIONES Y RECOMENDACIONES.

De acuerdo con lo expuesto en los apartados precedentes, podemos llegar a las siguientes conclusiones:

a) Los valores de las flechas alcanzadas en el Viaducto de Vinaixa, tanto en las pruebas dinámicas como en las estáticas han sido en todos los casos admisibles. Las recuperaciones son siempre superiores al 90 % en los puntos situados bajo las zonas directamente cargadas.

b) Las medidas de deformaciones unitarias han sido inferiores a las esperadas como norma general. Asimismo, las recuperaciones también resultan correctas.

c) Los registros para los descensos de apoyos han sido igualmente aceptables en todos los casos y las recuperaciones siempre correctas.

d) Las recuperaciones obtenidas en los tres puntos anteriores, se han realizado de forma prácticamente instantánea. El comportamiento de la estructura puede considerarse, por ello, elástico.

e) El coeficiente de impacto medio obtenido en flechas para la prueba de máxima velocidad es de 1.02 y en el caso de deformaciones de 0.98. Estos valores son correctos, mostrando que la estructura se comporta de forma adecuada ante las acciones dinámicas de la prueba.

f) Las frecuencias propias de vibración obtenidas en las pruebas dinámicas son superiores a las esperadas en el modelo, resultados que son coherentes con los menores valores obtenidos en flechas, y que por tanto detectan una mayor rigidez de los tableros respecto de la teórica contemplada en los cálculos.

g) El amortiguamiento de la estructura después de ser excitada con el tren a las velocidades de la prueba, está dentro de los valores habituales para este tipo de estructura.

h) Durante la inspección preliminar y la inspección en la fecha de los ensayos no se detectaron daños que pudieran afectar a la capacidad portante de la estructura.

Por todos estos motivos puede considerarse que el comportamiento de la obra durante la realización de los ensayos de carga ha sido correcto.

Madrid, Julio de 2007

EL JEFE DE PROYECTOS DE INSTRUMENTACIÓN

Fdo.: Justo Carretero Pérez

INGENIERO AUTOR DEL INFORME

Fdo.: Jorge Benito García

EL DIRECTOR DE ESTRUCTURAS Y EDIFICACIÓN

Fdo.: Javier Cortezo García

# ANEJO 1: DOCUMENTACIÓN FACILITADA POR EL ADIF

**Madrid, Julio de 2007**

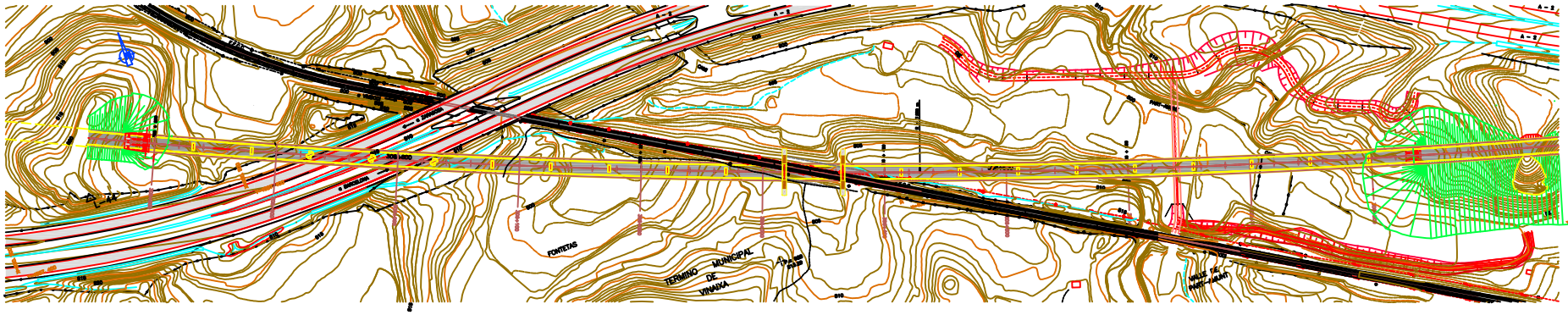


PLANTA
ESCALA 1:2000

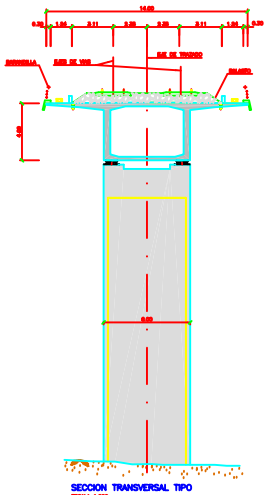


NOTA: DISTANCIA ENTRE PAVIMENTO DE PILA 2 Y PILA 3 A BORDE DE ANDEN = 1.65 m Y 1.67 m.

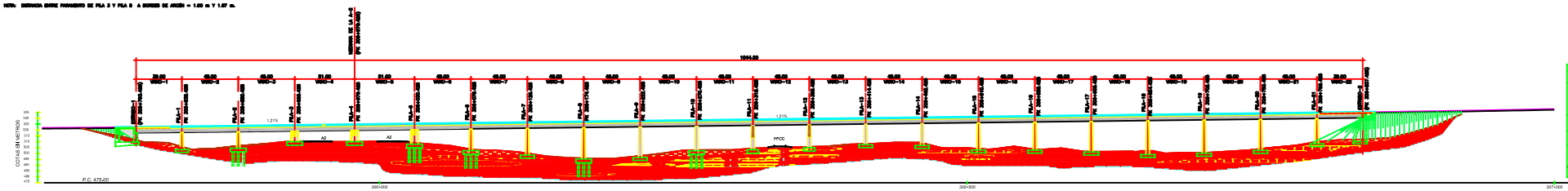


PERFIL LONGITUDINAL
ESCALA 1:2000

LEYENDA

CUATERNARIO
ALUVIAL
COLUVIAL
TERCIARIO

| ELEMENTOS | LOCALIZACION | TIPO DE HORMIGON | NIVEL DE CONTROL | CANTIDAD |
|---|---|---|---|---|
| HORMIGON | ESTRIBO 1 | | | |
| | PILA 1 | | | |
| | PILA 2 | | | |
| | PILA 3 | | | |
| | PILA 4 | | | |
| | PILA 5 | | | |
| | PILA 6 | | | |
| | PILA 7 | | | |
| | PILA 8 | | | |
| | PILA 9 | | | |
| | PILA 10 | | | |
| | PILA 11 | | | |
| | PILA 12 | | | |
| | PILA 13 | | | |
| | PILA 14 | | | |
| | PILA 15 | | | |
| | PILA 16 | | | |
| | PILA 17 | | | |
| | PILA 18 | | | |
| | PILA 19 | | | |
| | PILA 20 | | | |
| | PILA 21 | | | |
| | ESTRIBO 2 | | | |
| ACERO PASIVO | TODOS | | | |
| ACERO ACTIVO | TODOS | | | |
| ACCIONES | PERMANENTE | | | |
| | VARIABLE | | | |

INDICE DE PLANOS

0.1-01 - PLANO GENERAL
0.1-02 - ESTRIBOS, DEFINICION GEOMETRICA Y ARMADURAS
0.1-03 - PILAS, DEFINICION GEOMETRICA Y ARMADURAS
0.1-04 - APOYOS DE PILAS
0.1-05 - TABLERO, DEFINICION GEOMETRICA
0.1-06 - TABLERO, DEFINICION PRETENSADO
0.1-07 - TABLERO, DEFINICION ARMADURAS
0.1-08 - PERCANTE DE LANZAMIENTO
0.1-09 - DETALLES CONSTRUCTIVOS
0.1-10 - PROCESO CONSTRUCTIVO


GIF Grupo de Ingeniería Ferroviaria

L.A.V. MADRID–ZARAGOZA–BARCELONA–FRONTERA FRANCESA
TRAMO: LLEIDA–MARTORELL
SUBTRAMO: B–A PLATAFORMA

INDICADAS

JULIO 2003

VIADUCTO DE VINAIXA
PLANO GENERAL

2.0.13_01.01

hoja 1 de 1

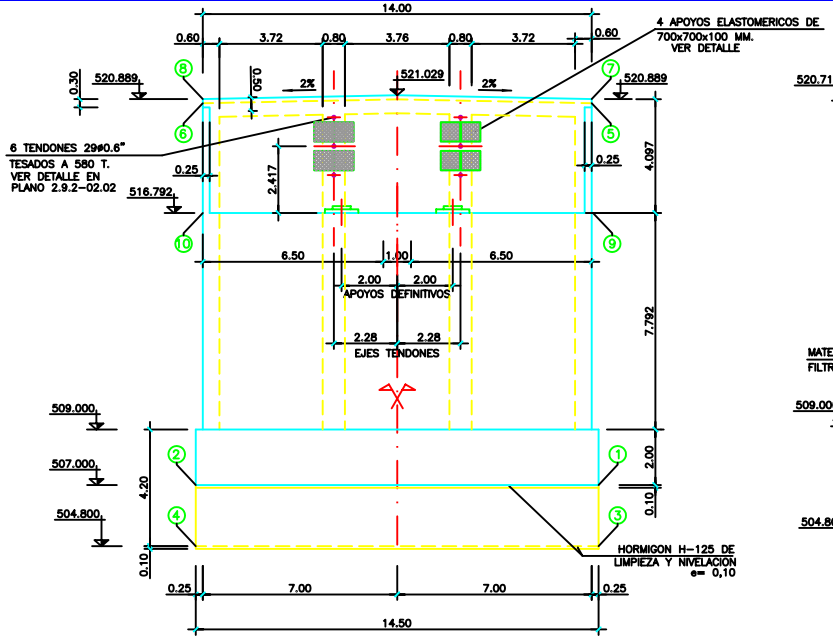


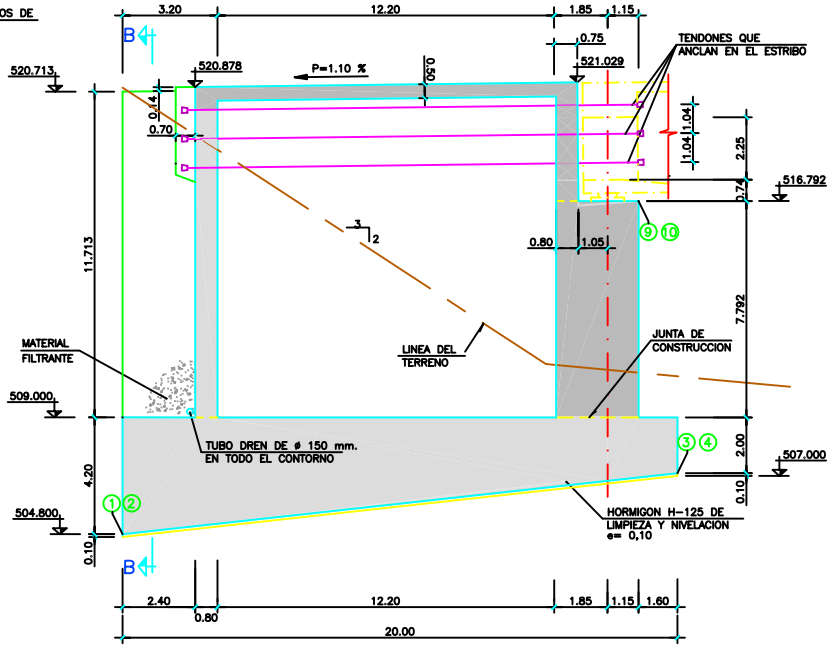


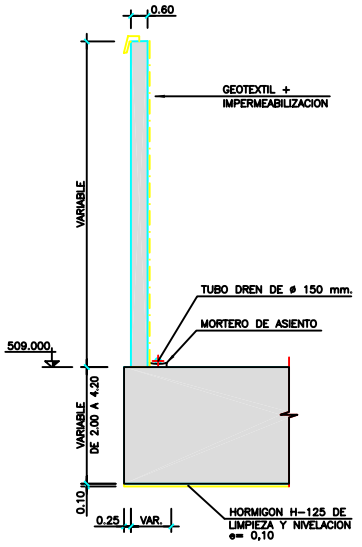


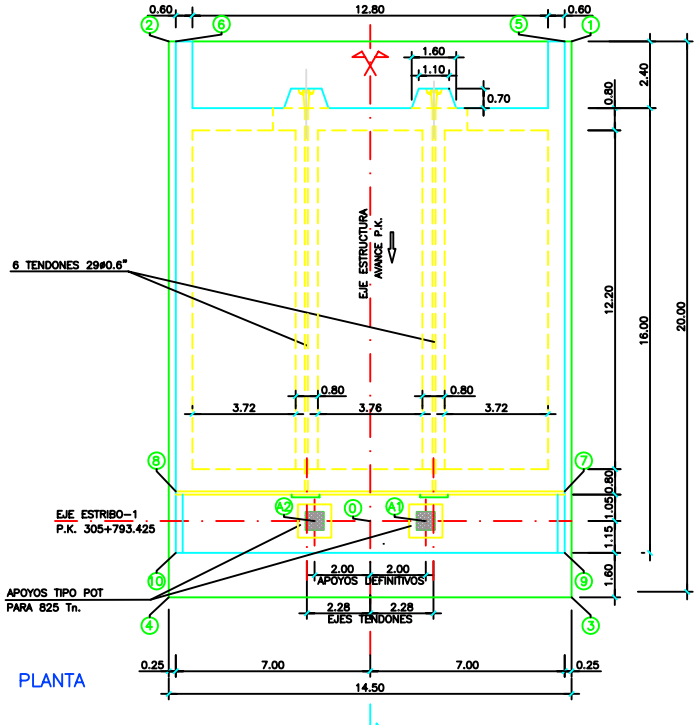


NOTA:
LA ZONA HUECA DEL ESTRIBO SE RELLENARA CON TIERRAS SIN COMPACTAR EN UNA ALTURA DE 8.50 M.

### EJE DEL ESTRIBO

| PUNTO | P.K. | X | Y | AZIMUT |
|---|---|---|---|---|
| 0 | 305793.425 | 330436.194 | 4587469.293 | 127.9445 |

### REPLANTEO DE LA ZAPATA

| PUNTO | X | Y | C.c. |
|---|---|---|---|
| 1 | 330423.685 | 4587483.198 | 504.800 |
| 2 | 330417.492 | 4587470.088 | |
| 3 | 330441.763 | 4587474.689 | 507.000 |
| 4 | 330435.605 | 4587461.561 | |

### REPLANTEO DEL ALZADO

| PUNTO | X | Y | Cota |
|---|---|---|---|
| 5 | 330423.578 | 4587482.972 | 520.713 |
| 6 | 330417.598 | 4587470.314 | 520.713 |
| 7 | 330438.175 | 4587476.097 | 520.889 |
| 8 | 330432.223 | 4587463.425 | 520.889 |
| 9 | 330440.209 | 4587475.142 | 516.792 |
| 10 | 330434.261 | 4587462.468 | 516.792 |

### REPLANTEO DE APOYOS DEFINITIVOS

| APOYO | X | Y | AZIMUT | Cota Sup Apoyo |
|---|---|---|---|---|
| A1 | 330437.044 | 4587471.104 | —— | 517.042 |
| A2 | 330435.344 | 4587467.483 | 127.9445 | 517.042 |

La Cota Sup Apoyo es la cota inferior del tablero en ese punto

NOTAS:
- LA CIMENTACION HA SIDO PROYECTADA PARA UNA TENSION ADMISIBLE DEL TERRENO DE 6.00 Kp/cm2.
- SE IMPERMEABILIZARAN TODOS LOS PARAMENTOS EN CONTACTO CON LAS TIERRAS EXCEPTO LAS ZAPATAS.
- LA ZONA HUECA DEL ESTRIBO SE RELLENARA CON TIERRAS SIN COMPACTAR EN UNA ALTURA DE 8.50 m.

### CONDICIONES DE DURABILIDAD

COLOCACION DE ARMADURAS:
- LA DISTANCIA ENTRE CUALQUIER ARMADURA PASIVA Y EL PARAMENTO MAS PROXIMO NO SERA MENOR DE 3 cm. EN TODOS LOS CASOS, SALVO EN LOS PARAMENTOS DE CONTACTO CON LAS TIERRAS EN LOS QUE SERA DE 5 cm.
- PARA ASEGURAR ESTOS RECUBRIMIENTOS SE USARAN SEPARADORES DE MORTERO DE CEMENTO U OTRO SISTEMA ADECUADO.

DOSIFICACION DE HORMIGONES:
- INDEPENDIENTEMENTE DE LA RESISTENCIA CARACTERISTICA DE PROYECTO EL HORMIGON DEBERA ASIMISMO CUMPLIR CON LOS REQUISITOS DE LIMITACION DEL CONTENIDO DE AGUA Y CEMENTO INDICADOS EN EL CUADRO 37.3.2.a DE LA EHE.
- EN EL CASO PARTICULAR DE ESTA ESTRUCTURA TENEMOS:
  - EN LOS ALZADOS SITUADOS EN AMBIENTE TIPO IIa, LA RELACION AGUA-CEMENTO MAXIMA UTILIZADA SERA a/c=0,60 Y EL CONTENIDO MINIMO DE CEMENTO SERA 275 kg/m3.
  - EN LAS CIMENTACIONES SITUADAS EN AMBIENTE TIPO IIa LA RELACION AGUA-CEMENTO MAXIMA UTILIZADA SERA a/c=0,60 Y EL CONTENIDO DE CEMENTO SERA 275 Kg/m3.

### CUADRO DE ESPECIFICACIONES SEGUN EHE

| ELEMENTOS | LOCALIZACION | ESPECIFICACIONES | NIVEL DE CONTROL | COEFICIENTES | RECUBRIMIENTO mm |
|---|---|---|---|---|---|
| HORMIGON | LIMPIEZA | HM-15/F/20/IIa | - | - | - |
| | ZAPATAS, ENCEPADOS | HA-25/B/20/IIa | INTENSO | $\gamma_c$ = 1.50 | 80 |
| | PILOTES | HA-25/F/20/IIa | INTENSO | $\gamma_c$ = 1.50 | 80 |
| | ALZADO ESTRIBO 1 | HA-30/B/20/IIa | INTENSO | $\gamma$ = 1.50 | 30 |
| | ALZADO ESTRIBO 2 | HA-25/B/20/IIa | INTENSO | $\gamma_c$ = 1.50 | 30 |
| | ALZADOS PILAS | HA-30/B/20/IIa | INTENSO | $\gamma_c$ = 1.50 | 30 |
| | TABLERO (DOVELAS) | HP-40/B/20/IIa | INTENSO | $\gamma_c$ = 1.50 | 30 |
| ACERO PARA ARMAR | PASIVO | B-500 S | INTENSO | $\gamma_s$ = 1.15 | - |
| ACERO PRETENSAR | TABLERO | Y 1860 S7 | INTENSO | $\gamma_s$ = 1.15 | - |
| EJECUCION | SEGUN EHE | | INTENSO | - | - |

GIF Gestor de Infraestructuras Ferroviarias

PROYECTO CONSTRUIDO : L.A.V. MADRID-ZARAGOZA-BARCELONA-FRONTERA FRANCESA
TRAMO : LLEIDA-MARTORELL
SUBTRAMO: III-A PLATAFORMA

EL DIRECTOR DEL PROYECTO CONSTRUIDO : JAIME GARCIA-GERMAN LOPEZ-BELMONTE

EL AUTOR DEL PROYECTO CONSTRUIDO : ferrovial AGROMAN

CONSULTOR (ASISTENCIA AL CONTROL DE OBRAS) : U.T.E. Intecsa Industrial S.A. / euroconsult Ingeniería, s.l.

ESCALAS : 1:200 NUMERICA ; 0 5 METROS GRAFICA

FECHA : JULIO 2003

TITULO DEL PLANO : VIADUCTO DE VINAIXA
ESTRIBO 1. DEFINICION GEOMETRICA (1)

Nº DE PLANO 2.9.13.2_01.12

HOJA 1 DE 12

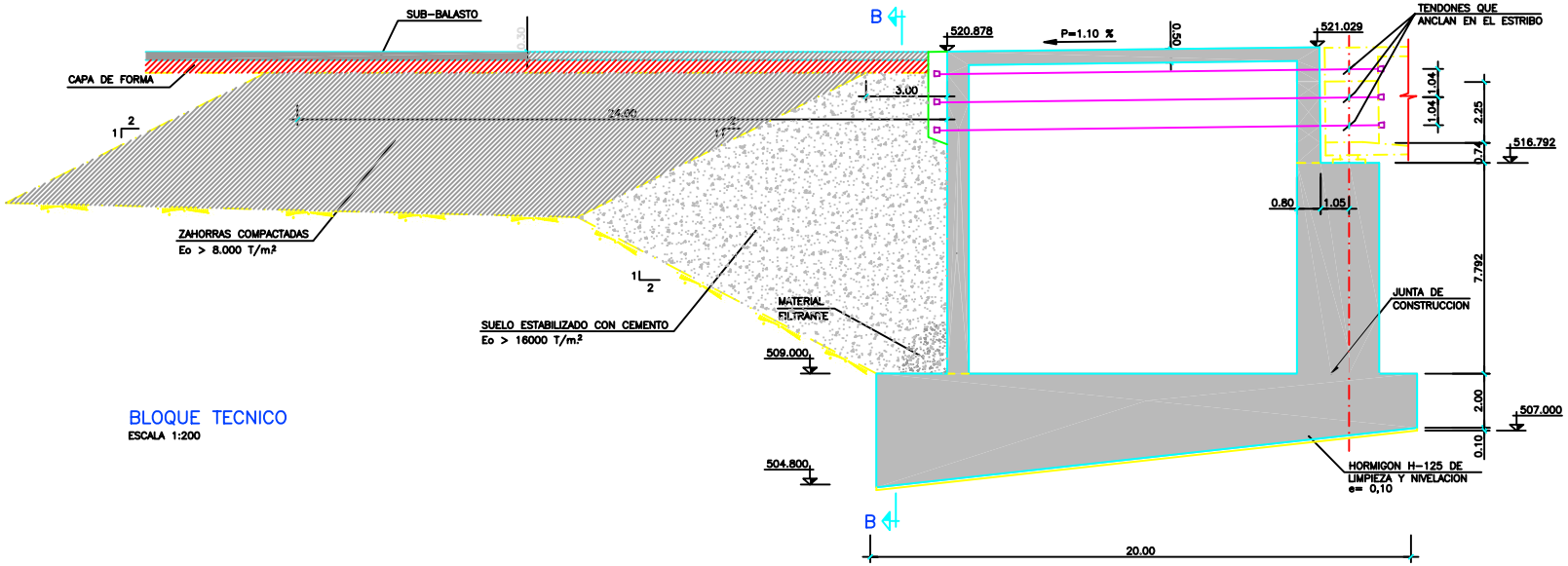


BLOQUE TECNICO
ESCALA 1:200

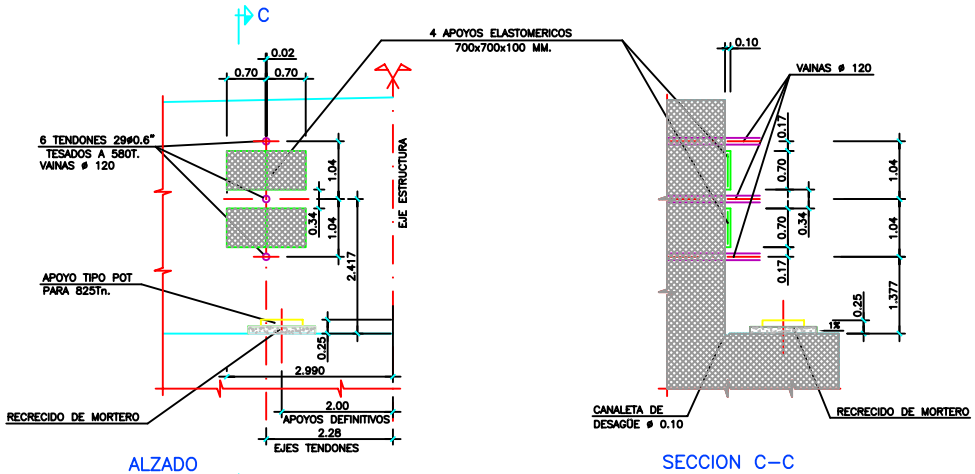


ALZADO
ESCALA 1:100




SECCION C-C
ESCALA 1:100

NOTA: VER DISPOSICION Y CARACTERISTICAS DE LOS APOYOS EN PLANOS Nº. 2.9.2-04.01 A 2.9.2-04.03

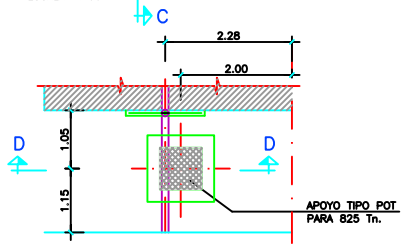


PLANTA
ESCALA 1:100

DISPOSICION DE APOYOS

| | | | | | | | |
|---|---|---|---|---|---|---|---|
| GIF Gestor de Infraestructuras Ferroviarias | PROYECTO CONSTRUIDO : L.A.V. MADRID-ZARAGOZA-BARCELONA-FRONTERA FRANCESA<br>TRAMO : LLEIDA-MARTORELL<br>SUBTRAMO: III-A PLATAFORMA | EL DIRECTOR DEL PROYECTO CONSTRUIDO : JAIME GARCIA-GERMAN LOPEZ-BELMONTE | EL AUTOR DEL PROYECTO CONSTRUIDO : ferrovial AGROMAN | CONSULTOR (ASISTENCIA AL CONTROL DE OBRAS) : U.T.E. Intecsa europroject ingeniería, s.l. | ESCALAS : INDICADAS<br>NUMÉRICA GRÁFICA : METROS | FECHA : JULIO 2003 | TITULO DEL PLANO : VIADUCTO DE VINAIXA<br>ESTRIBO 1. DEFINICION GEOMETRICA (2) | Nº DE PLANO 2.9.13.2_02.12<br>HOJA 2 DE 12 |

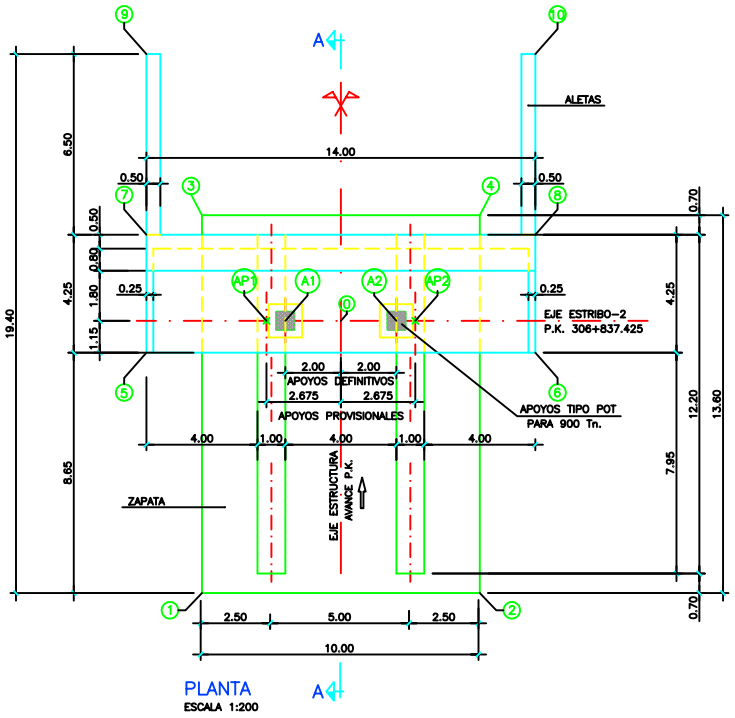


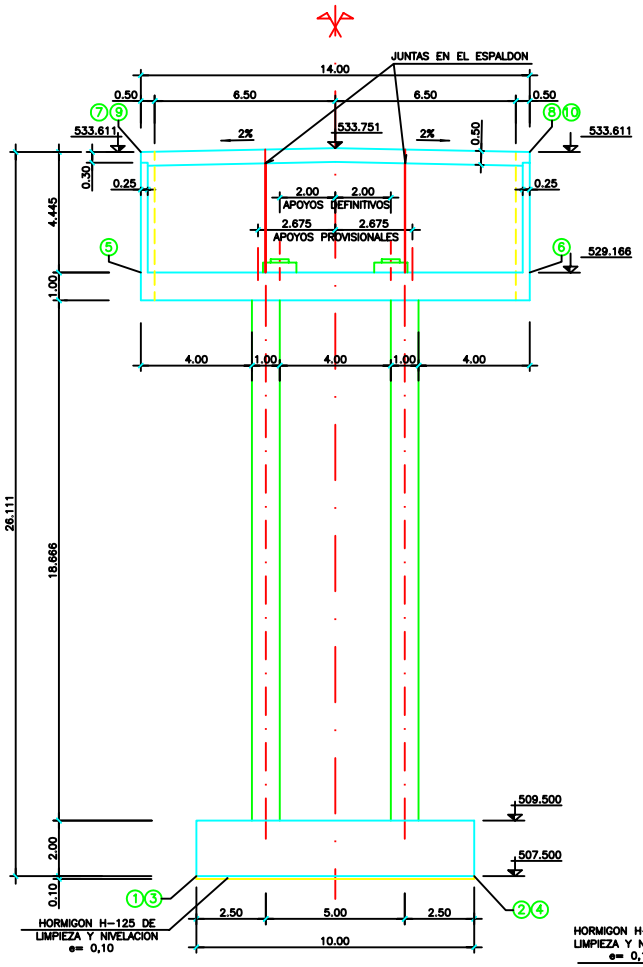


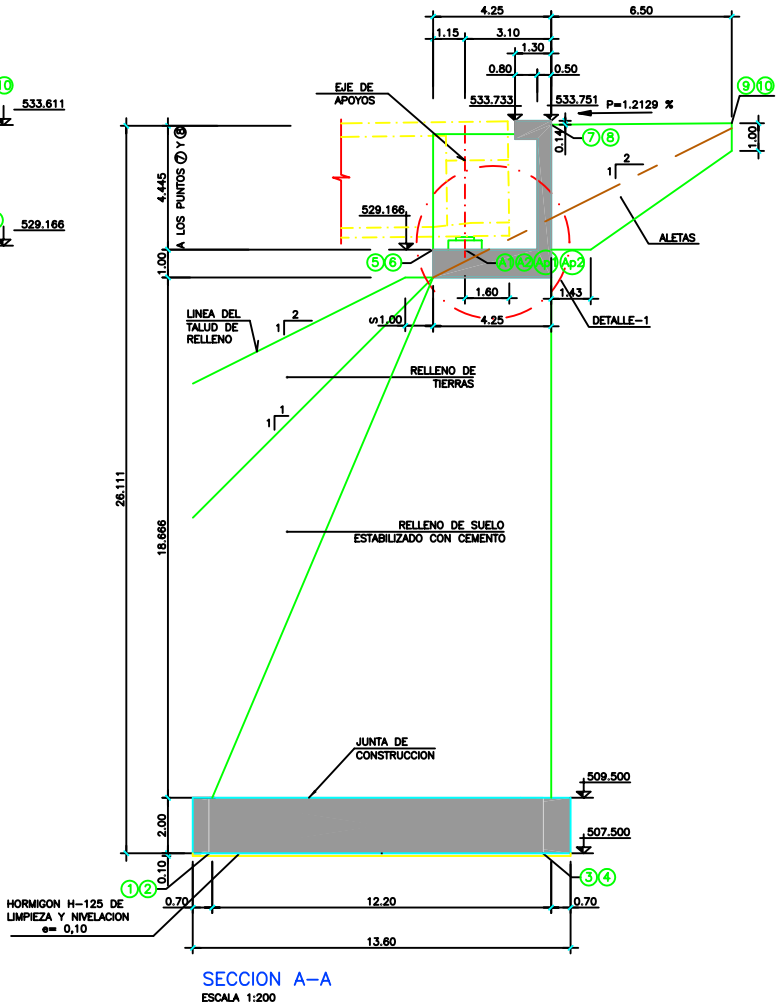


## EJE DEL ESTRIBO

| PUNTO | P.K. | X | Y | AZIMUT |
|---|---|---|---|---|
| 0 | 306837.425 | 331409.849 | 4587095.060 | 118.7772 |

## REPLANTEO DE LA ZAPATA

| PUNTO | X | Y | C.c. |
|---|---|---|---|
| 1 | 331401.934 | 4587102.697 | 507.500 |
| 2 | 331399.014 | 4587093.133 | |
| 3 | 331414.936 | 4587098.741 | |
| 4 | 331412.034 | 4587089.171 | |

## REPLANTEO DEL ALZADO

| PUNTO | X | Y | Cota |
|---|---|---|---|
| 5 | 331410.784 | 4587102.091 | 529.166 |
| 6 | 331406.713 | 4587088.697 | 529.166 |
| 7 | 331414.847 | 4587100.858 | 533.611 |
| 8 | 331410.783 | 4587087.461 | 533.611 |
| 9 | 331421.062 | 4587098.976 | 533.698 |
| 10 | 331417.010 | 4587085.575 | 533.698 |

## REPLANTEO DE APOYOS DEFINITIVOS

| APOYO | X | Y | AZIMUT | Cota Sup Apoyo |
|---|---|---|---|---|
| A1 | 331410.430 | 4587096.973 | —— | 529.710 |
| A2 | 331409.267 | 4587093.146 | 123.3608 | 529.710 |

La Cota Sup Apoyo es la cota inferior del tablero en ese punto

## REPLANTEO DE APOYOS PROVISIONALES

| APOYO | X | Y | AZIMUT | Cota Sup Apoyo |
|---|---|---|---|---|
| AP1 | 331410.626 | 4587097.619 | —— | 529.711 |
| AP2 | 331409.071 | 4587092.500 | —— | 529.711 |

La Cota Sup Apoyo es la cota inferior del tablero en ese punto

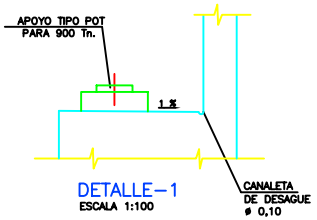


NOTAS:

- LA CIMENTACION HA SIDO PROYECTADA PARA UNA TENSION ADMISIBLE DEL TERRENO DE 6.00 Kp/cm2.
- SE IMPERMEABILIZARAN TODOS LOS PARAMENTOS EN CONTACTO CON LAS TIERRAS EXCEPTO LAS ZAPATAS.

CONDICIONES DE DURABILIDAD

COLOCACION DE ARMADURAS:

- LA DISTANCIA ENTRE CUALQUIER ARMADURA PASIVA Y EL PARAMENTO MAS PROXIMO NO SERA MENOR DE 3 cm. EN TODOS LOS CASOS, SALVO EN LOS PARAMENTOS DE CONTACTO CON LAS TIERRAS EN LOS QUE SERA DE 5 cm.
- PARA ASEGURAR ESTOS RECUBRIMIENTOS SE USARAN SEPARADORES DE MORTERO DE CEMENTO U OTRO SISTEMA ADECUADO.

DOSIFICACION DE HORMIGONES:

- INDEPENDIENTEMENTE DE LA RESISTENCIA CARACTERISTICA DE PROYECTO EL HORMIGON DEBERA ASIMISMO CUMPLIR CON LOS REQUISITOS DE LIMITACION DEL CONTENIDO DE AGUA Y CEMENTO INDICADOS EN EL CUADRO 37.3.2.a DE LA EHE.
- EN EL CASO PARTICULAR DE ESTA ESTRUCTURA TENEMOS:
  - EN LOS ALZADOS SITUADOS EN AMBIENTE TIPO IIa, LA RELACION AGUA-CEMENTO MAXIMA UTILIZADA SERA a/c=0,60 Y EL CONTENIDO MINIMO DE CEMENTO SERA 275 kg/m3.
  - EN LAS CIMENTACIONES SITUADAS EN AMBIENTE TIPO IIa LA RELACION AGUA-CEMENTO MAXIMA UTILIZADA SERA a/c=0,60 Y EL CONTENIDO DE CEMENTO SERA 275 Kg/m3.

## CUADRO DE ESPECIFICACIONES SEGUN EHE

| ELEMENTOS | LOCALIZACION | ESPECIFICACIONES | NIVEL DE CONTROL | COEFICIENTES | RECUBRIMIENTO mm |
|---|---|---|---|---|---|
| HORMIGON | LIMPIEZA | HM-15/F/20/IIa | - | - | - |
| | ZAPATAS, ENCEPADOS | HA-25/B/20/IIa | INTENSO | $\gamma_c$ = 1.50 | 80 |
| | PILOTES | HA-25/F/20/IIa | INTENSO | $\gamma_c$ = 1.50 | 80 |
| | ALZADO ESTRIBO 1 | HA-30/B/20/IIa | INTENSO | $\gamma_c$ = 1.50 | 30 |
| | ALZADO ESTRIBO 2 | HA-25/B/20/IIa | INTENSO | $\gamma_c$ = 1.50 | 30 |
| | ALZADOS PILAS | HA-30/B/20/IIa | INTENSO | $\gamma_c$ = 1.50 | 30 |
| | TABLERO (DOVELAS) | HP-40/B/20/IIa | INTENSO | $\gamma_c$ = 1.50 | 30 |
| ACERO PARA ARMAR | PASIVO | B-500 S | INTENSO | $\gamma_s$ = 1.15 | - |
| ACERO PRETENSAR | TABLERO | Y 1860 S7 | INTENSO | $\gamma_s$ = 1.15 | - |
| EJECUCION | SEGUN EHE | | INTENSO | - | - |

GIF Gestor de Infraestructuras Ferroviarias

PROYECTO CONSTRUIDO :
L.A.V. MADRID-ZARAGOZA-BARCELONA-FRONTERA FRANCESA
TRAMO : LLEIDA-MARTORELL
SUBTRAMO: III-A PLATAFORMA

EL DIRECTOR DEL PROYECTO CONSTRUIDO : JAIME GARCIA-GERMAN LOPEZ-BELMONTE
Fdo.:

EL AUTOR DEL PROYECTO CONSTRUIDO : ferrovial AGROMAN
Fdo.:

CONSULTOR (ASISTENCIA AL CONTROL DE OBRAS) : U.T.E. Intecsa Industrial S.A. europroject Ingeniería, s.l.

ESCALAS : INDICADAS
NUMERICA GRAFICA : METROS

FECHA : JULIO 2003

TITULO DEL PLANO : VIADUCTO DE VINAIXA
ESTRIBO 2. DEFINICION GEOMETRICA (1)

Nº DE PLANO 2.9.13.2_07.12

HOJA 7 DE 12

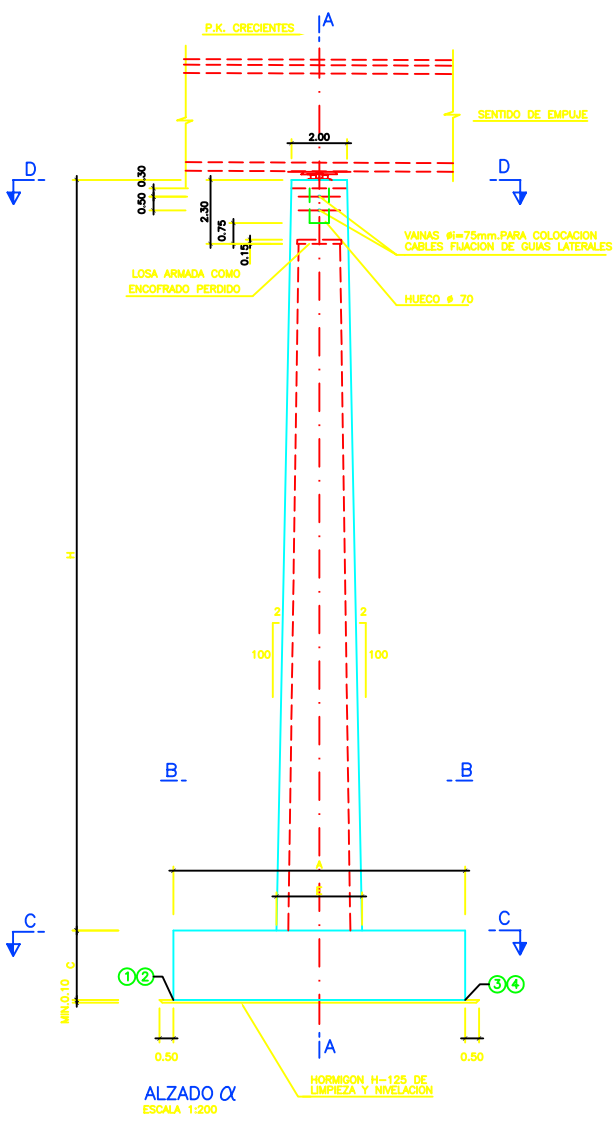


ALZADO α

ESCALA 1:200

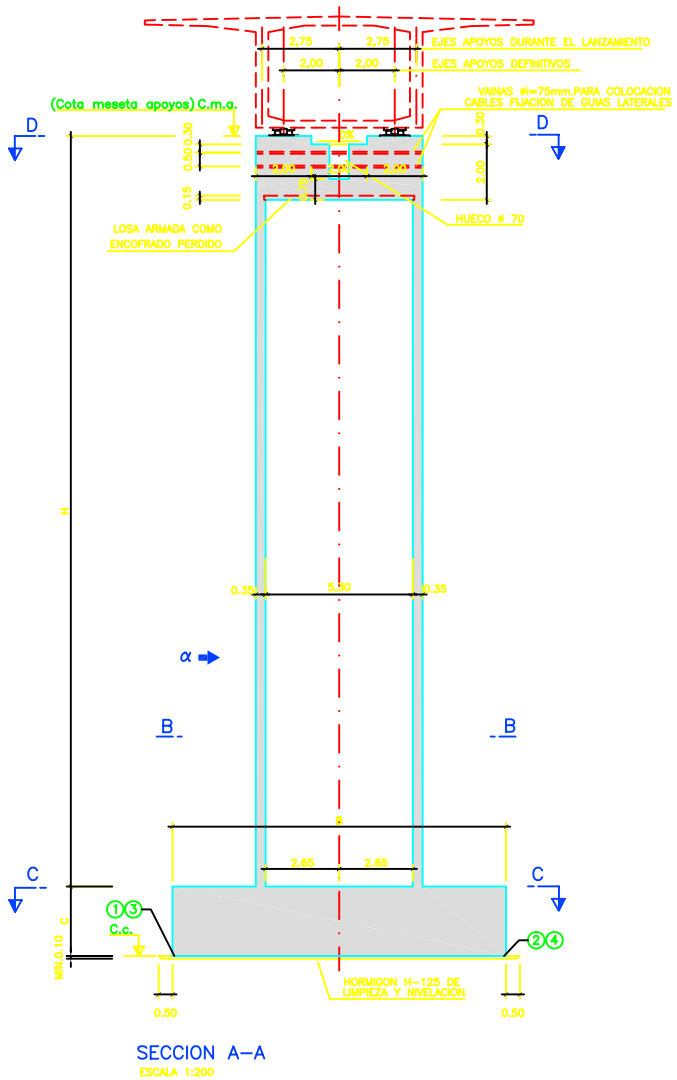


SECCION A–A

ESCALA 1:200

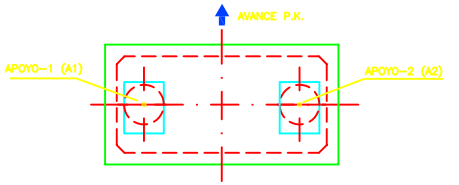


PLANTA DISPOSICION APOYOS : SECCION D–D

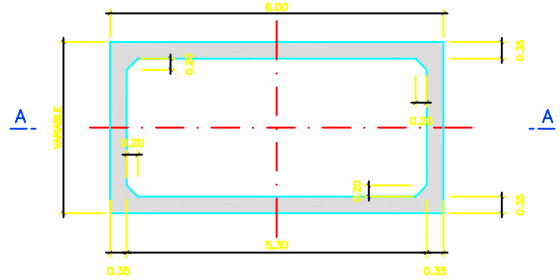


SECCION B–B

ESCALA 1:100

NOTA: VER DISPOSICION Y CARACTERISTICAS DE APOYOS PROVISIONALES Y DEFINITIVOS EN PLANOS Nº. 2.9.13–04.01 A 2.9.13–04.03

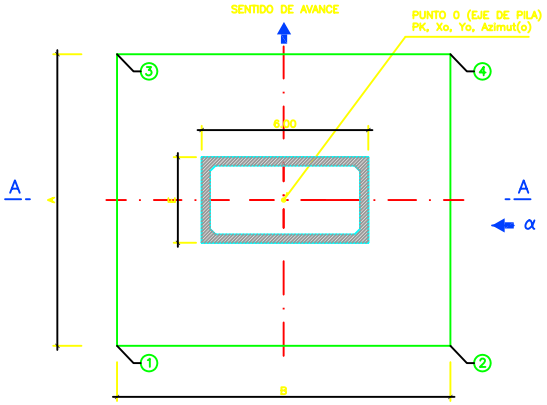


SECCION C–C

ESCALA 1:200

## REPLANTEO DE ZAPATAS

| PUNTO ORIGEN DE PILA | | | | | PUNTO 1 (ZAPATA) | | PUNTO 2 (ZAPATA) | | PUNTO 3 (ZAPATA) | | PUNTO 4 (ZAPATA) | | A1 (APOYO LIBRE) | | A2 (APOYO GUIADO) | | | |
|---|---|---|---|---|---|---|---|---|---|---|---|---|---|---|---|---|---|---|
| PILA | PK | Xo | Yo | AZIMUT(o) | X | Y | X | Y | X | Y | X | Y | X | Y | X | Y | AZIMUT GUÍA |
| 1 | 305 832.425 | 330 471.541 | 4 587 452.814 | 127.6021 | 330 469.873 | 4 587 459.922 | 330 465.042 | 4 587 449.487 | 330 478.040 | 4 587 456.141 | 330 473.209 | 4 587 445.706 | 330 472.381 | 4 587 454.629 | 330 470.701 | 4 587 450.999 | 127.7724 |
| 6 | 306 078.425 | 330 696.490 | 4 587 353.272 | 125.4419 | 330694.219 | 4587360,745 | 330689,549 | 4587349,690 | 330703,431 | 4587356,854 | 330698,761 | 4587345,799 | 330 697.268 | 4 587 355.114 | 330 695.712 | 4 587 351.430 | 126.6931 |
| 7 | 306 126.425 | 330 740.769 | 4 587 334.743 | 125.0204 | 330 738.448 | 4 587 342.200 | 330 733,852 | 4 587 331.115 | 330 747.686 | 4 587 338.371 | 330 743.090 | 4 587 327.286 | 330 741.535 | 4 587 336.591 | 330 740.003 | 4 587 332.895 | 126.4822 |
| 9 | 306 222.425 | 330 829.690 | 4 587 298.565 | 124.1775 | 330 827.271 | 4 587 305.991 | 330 822,822 | 4 587 294.846 | 330 836.558 | 4 587 302.284 | 330 832.109 | 4 587 291.139 | 330 830.431 | 4 587 300.422 | 330 828.949 | 4 587 296.708 | 126.0608 |
| 13 | 306 414.425 | 331 008.931 | 4 587 229.757 | 122.4915 | 331 006.698 | 4 587 236.709 | 331 002,719 | 4 587 225.919 | 331 015.143 | 4 587 233.595 | 331 011.164 | 4 587 222.805 | 331 009.623 | 4 587 231.633 | 331 008.239 | 4 587 227.881 | 125.2179 |
| 14 | 306 462.425 | 331 054.021 | 4 587 213.298 | 122.0700 | 331 051.357 | 4 587 220.640 | 331 047.280 | 4 587 209.354 | 331 060.762 | 4 587 217.242 | 331 056.685 | 4 587 205.956 | 331 054.701 | 4 587 215.179 | 331 053.341 | 4 587 211.417 | 125.0072 |
| 15 | 306 510.425 | 331 099.219 | 4 587 197.139 | 121.6486 | 331 096.507 | 4 587 204.463 | 331 092.504 | 4 587 193.150 | 331 105.934 | 4 587 201.128 | 331 101.931 | 4 587 189.815 | 331 099.886 | 4 587 199.024 | 331 098.552 | 4 587 195.254 | 124.7964 |
| 16 | 306 558.425 | 331 144.523 | 4 587 181.279 | 121.2271 | 331 141.608 | 4 587 188.903 | 331 137,517 | 4 587 177.092 | 331 151.529 | 4 587 185.466 | 331 147.438 | 4 587 173.655 | 331 145.178 | 4 587 183.169 | 331 143.868 | 4 587 179.389 | 124.5857 |
| 17 | 306 606.425 | 331 189.931 | 4 587 165.719 | 120.8056 | 331 186.965 | 4 587 173.324 | 331 182,952 | 4 587 161.485 | 331 196.910 | 4 587 169.953 | 331 192.897 | 4 587 158.114 | 331 190.573 | 4 587 167.613 | 331 189.289 | 4 587 163.825 | 124.3750 |
| 18 | 306 654.425 | 331 235.441 | 4 587 150.461 | 120.3841 | 331 232.425 | 4 587 158.046 | 331 228,491 | 4 587 146.181 | 331 242.391 | 4 587 154.741 | 331 238.457 | 4 587 142.876 | 331 236.071 | 4 587 152.359 | 331 234.811 | 4 587 148.563 | 124.1642 |
| 19 | 306 702.425 | 331 281.051 | 4 587 135.504 | 119.9626 | 331 277.985 | 4 587 143.069 | 331 274,129 | 4 587 131.178 | 331 287.973 | 4 587 139.830 | 331 284.117 | 4 587 127.939 | 331 281.668 | 4 587 137.406 | 331 280.434 | 4 587 133.602 | 123.9534 |
| 20 | 306 750.425 | 331 326.760 | 4 587 120.849 | 119.5411 | 331 323.644 | 4 587 128.393 | 331 319,867 | 4 587 116.477 | 331 333.653 | 4 587 125.221 | 331 329.876 | 4 587 113.305 | 331 327.364 | 4 587 122.756 | 331 326.156 | 4 587 118.942 | 123.7427 |
| 21 | 306 798.425 | 331 372.564 | 4 587 106.497 | 119.1196 | 331 369.563 | 4 587 113.708 | 331 366,013 | 4 587 102.245 | 331 379.115 | 4 587 110.749 | 331 375.565 | 4 587 099.286 | 331 373.156 | 4 587 108.407 | 331 371.972 | 4 587 104.587 | 123.5320 |

## CUADRO DE DEFINICION DE PILAS

| DIMENSIONES Y GEOMETRÍA DE PILAS CON CIMENTACIÓN DIRECTA | | | | | | | |
|---|---|---|---|---|---|---|---|
| PILA | H | E | A(BL) | B(BT) | C | C.c | C.m.a |
| 1 | 13,256 | 2,530 | 9,00 | 11,50 | 2,50 | 501,500 | 517,256 |
| 6 | 22,390 | 2,896 | 10,00 | 12,00 | 2,75 | 495,100 | 520,240 |
| 7 | 23,572 | 2,943 | 10,00 | 12,00 | 2,75 | 494,500 | 520,822 |
| 9 | 24,987 | 2,999 | 10,00 | 12,00 | 2,75 | 494,250 | 521,987 |
| 13 | 18,315 | 2,733 | 9,00 | 11,50 | 2,50 | 503,500 | 524,315 |
| 14 | 21,948 | 2,878 | 10,00 | 12,00 | 2,75 | 500,200 | 524,898 |
| 15 | 23,580 | 2,943 | 10,00 | 12,00 | 2,75 | 499,150 | 525,480 |
| 16 | 24,262 | 2,970 | 10,50 | 12,50 | 3,00 | 498,800 | 526,062 |
| 17 | 25,844 | 3,034 | 10,50 | 12,50 | 3,00 | 497,800 | 526,644 |
| 18 | 26,976 | 3,079 | 10,50 | 12,50 | 3,00 | 497,250 | 527,226 |
| 19 | 28,808 | 3,152 | 10,50 | 12,50 | 3,00 | 496,000 | 527,808 |
| 20 | 24,191 | 2,968 | 10,00 | 12,50 | 3,00 | 501,200 | 528,391 |
| 21 | 21,973 | 2,879 | 10,00 | 12,00 | 2,75 | 504,250 | 528,973 |

GIF Gestor de Infraestructuras Ferroviarias

PROYECTO CONSTRUIDO :
L.A.V. MADRID–ZARAGOZA–BARCELONA–FRONTERA FRANCESA
TRAMO : LLEIDA–MARTORELL
SUBTRAMO: III–A PLATAFORMA

EL DIRECTOR DEL PROYECTO CONSTRUIDO :
Fdo.: JAIME GARCIA–GERMAN LOPEZ–BELMONTE

EL AUTOR DEL PROYECTO CONSTRUIDO :
Fdo.: ferrovial AGROMAN

CONSULTOR (ASISTENCIA AL CONTROL DE OBRAS) :
U.T.E. Intecsa Industrial S.A. / euroconsult Ingeniería, s.l.

ESCALAS :
INDICADAS
NUMÉRICA GRÁFICA : METROS

FECHA :
JULIO 2003

TITULO DEL PLANO :
VIADUCTO DE VINAIXA
PILAS 1, 6, 7, 9 Y 13 A 21
DEFINICION GEOMETRICA

Nº DE PLANO
2.9.13.3_01.36

HOJA 1 DE 36

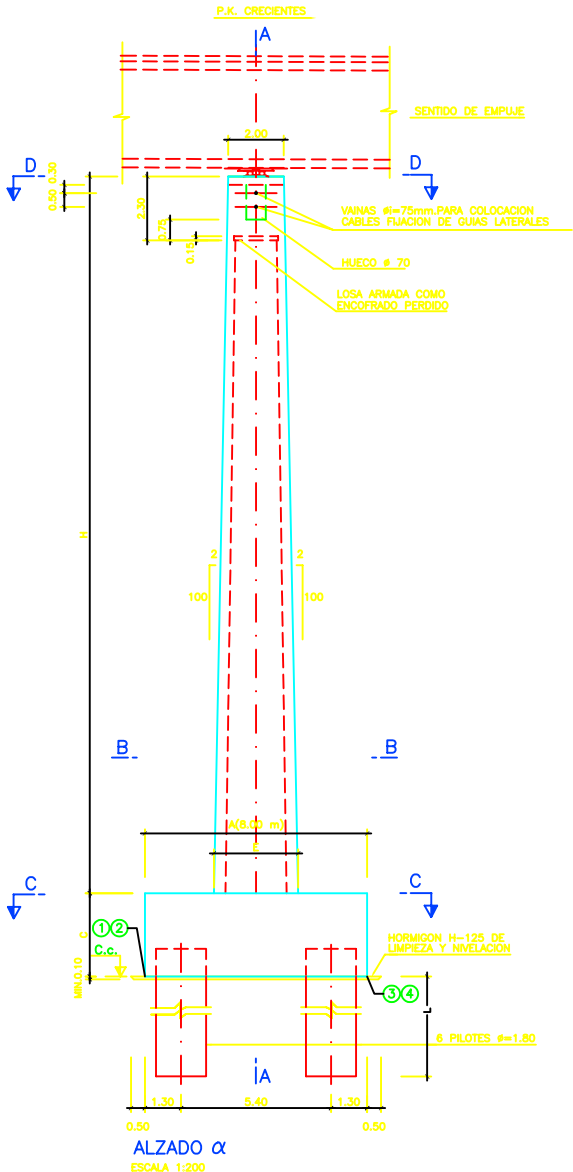


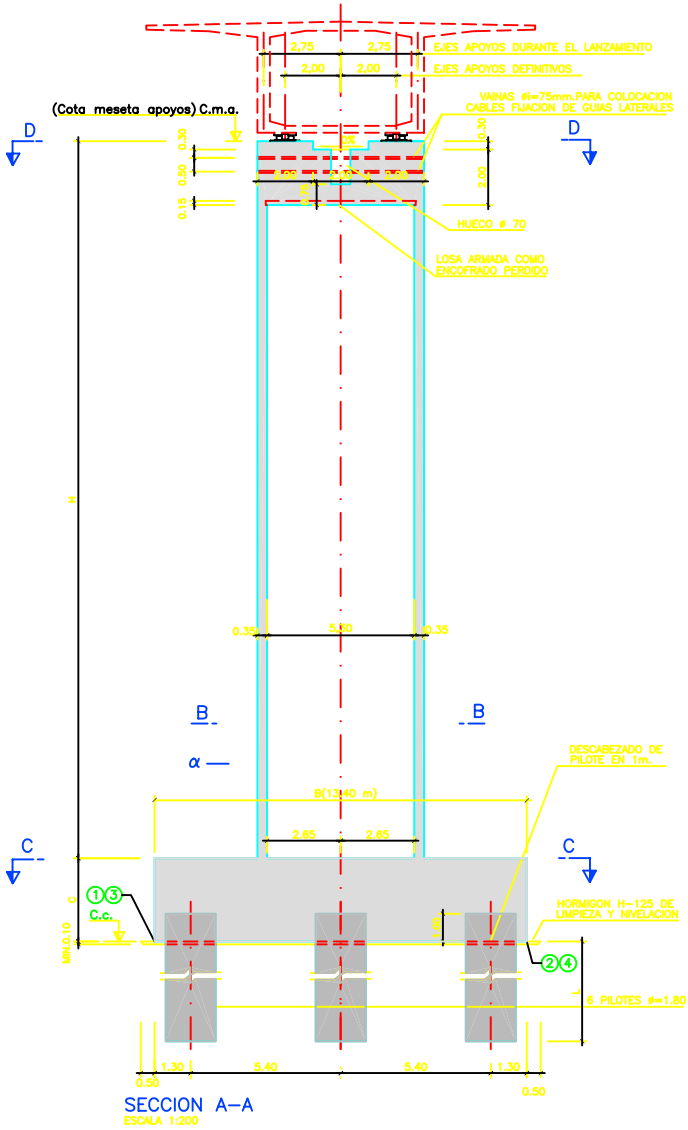


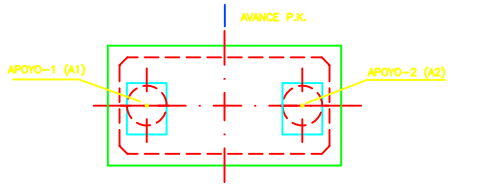


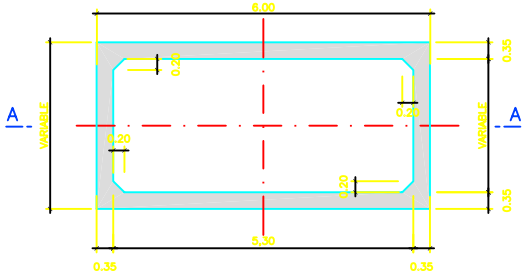


**NOTA:** VER DISPOSICION Y CARACTERISTICAS DE APOYOS PROVISIONALES Y DEFINITIVOS EN PLANOS Nº. 2.9.13-04.01 A 2.9.13-04.03

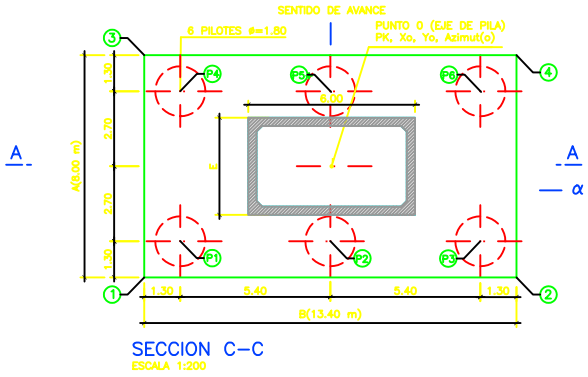


## REPLANTEO ENCEPADOS

| PILA | PUNTO 0 (EJE DE PILA) PK | Xo | Yo | AZIMUT | PUNTO 1 (ENCEPADO) X | Y | PUNTO 2 (ENCEPADO) X | Y | PUNTO 3 (ENCEPADO) X | Y | PUNTO 4 (ENCEPADO) X | Y | A1 (APOYO LIBRE) X | Y | A2 (APOYO GUIADO) X | Y | AZIMUT GUÍA |
|---|---|---|---|---|---|---|---|---|---|---|---|---|---|---|---|---|---|
| 2 | 305 880.425 | 330 515.167 | 4 587 432.793 | 127.1805 | 330 514.301 | 4 587 440.548 | 330 508.752 | 4 587 428.351 | 330 521.582 | 4 587 437.235 | 330 516.033 | 4 587 425.038 | 330 515.995 | 4 587 434.613 | 330 514.339 | 4 587 430.973 | 127.5617 |
| 8 | 306 174.425 | 330 785.170 | 4 587 316.506 | 124.5989 | 330 783.990 | 4 587 324.219 | 330 778.940 | 4 587 311.807 | 330 791.400 | 4 587 321.205 | 330 786.350 | 4 587 308.793 | 330 785.924 | 4 587 318.359 | 330 784.416 | 4 587 314.653 | 126.2716 |
| 10 | 306 270.425 | 330 874.329 | 4 587 280.918 | 123.7560 | 330 873.047 | 4 587 288.615 | 330 868.162 | 4 587 276.137 | 330 880.496 | 4 587 285.699 | 330 875.611 | 4 587 273.221 | 330 875.058 | 4 587 282.780 | 330 873.600 | 4 587 279.056 | 125.8501 |

**NOTAS:**
- LOS PILOTES TENDRÁN UN EMPOTRAMIENTO MÍNIMO DE UN DIAMETRO Y MEDIO EN ROCA CALIZA SANA
- LA LONGITUD DE PILOTE NO DISMINUIRÁ AUNQUE SE SUPERE LA LONGITUD MÍNIMA DE EMPOTRAMIENTO.

## REPLANTEO PILOTES

| PILA | PUNTO P1 (PILOTE 1) X | Y | PUNTO P2 (PILOTE 2) X | Y | PUNTO P3 (PILOTE 3) X | Y | PUNTO P4 (PILOTE 4) X | Y | PUNTO P5 (PILOTE 5) X | Y | PUNTO P6 (PILOTE 6) X | Y | PROPIEDADES PILOTES DIÁMETRO | LONGITUD | Descabezado | Cota punta | Cota cabeza |
|---|---|---|---|---|---|---|---|---|---|---|---|---|---|---|---|---|---|
| 2 | 330 514.946 | 4 587 438.826 | 330 512.709 | 4 587 433.911 | 330 510.473 | 4 587 428.996 | 330 519.861 | 4 587 436.590 | 330 517.625 | 4 587 431.675 | 330 515.388 | 4 587 426.760 | 1,80 m | 8,00 m | 1,00 m | 492.500 | 501.500 |
| 8 | 330 784.704 | 4 587 322.525 | 330 782.669 | 4 587 317.524 | 330 780.634 | 4 587 312.522 | 330 789.706 | 4 587 320.490 | 330 787.671 | 4 587 315.488 | 330 785.636 | 4 587 310.487 | 1,80 m | 8,00 m | 1,00 m | 484.000 | 493.000 |
| 10 | 330 873.783 | 4 587 286.931 | 330 871.815 | 4 587 281.902 | 330 869.846 | 4 587 276.874 | 330 878.812 | 4 587 284.962 | 330 876.843 | 4 587 279.934 | 330 874.875 | 4 587 274.905 | 1,80 m | 8,00 m | 1,00 m | 492.000 | 501.000 |

## CUADRO DE DEFINICION DE PILAS

| DIMENSIONES Y GEOMETRÍA DE PILAS CON CIMENTACIÓN PROFUNDA PILA | H | E | A(BL) | B(BT) | C | C.c | C.m.a |
|---|---|---|---|---|---|---|---|
| 2 | 14.338 | 2.574 | 8.00 | 13.40 | 3.00 | 500.500 | 517.838 |
| 8 | 25.904 | 3.036 | 8.00 | 13.40 | 3.50 | 492.000 | 521.404 |
| 10 | 19.569 | 2.783 | 8.00 | 13.40 | 3.00 | 500.000 | 522.569 |

GIF Gestor de Infraestructuras Ferroviarias

PROYECTO CONSTRUIDO :
L.A.V. MADRID-ZARAGOZA-BARCELONA-FRONTERA FRANCESA
TRAMO : LLEIDA-MARTORELL
SUBTRAMO: III-A PLATAFORMA

EL DIRECTOR DEL PROYECTO CONSTRUIDO : JAIME GARCIA-GERMAN LOPEZ-BELMONTE

EL AUTOR DEL PROYECTO CONSTRUIDO : ferrovial AGROMAN

CONSULTOR (ASISTENCIA AL CONTROL DE OBRAS) : U.T.E. Intecsa Industrial S.A. euroconsult Ingeniería, s.l.

ESCALAS : INDICADAS (NUMÉRICA / GRÁFICA : METROS)

FECHA : JULIO 2003

TITULO DEL PLANO : VIADUCTO DE VINAIXA PILAS 2, 8 Y 10 DEFINICION GEOMETRICA

Nº DE PLANO 2.9.13.3_02.36

HOJA 2 DE 36

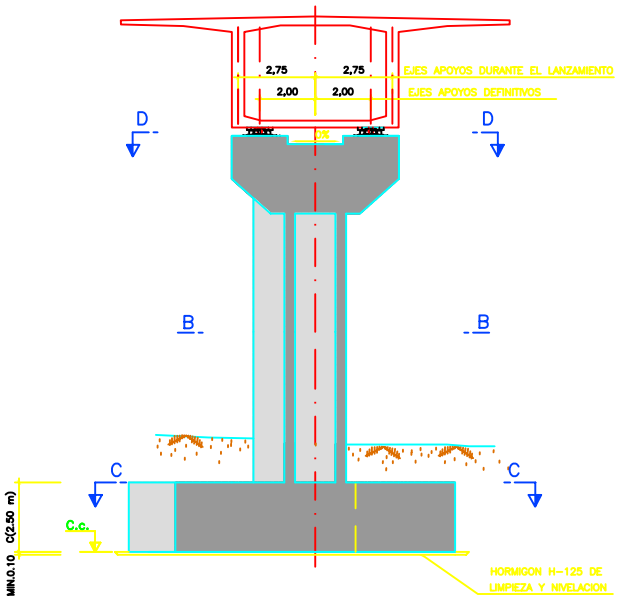


SECCION TRANSVERSAL A TABLERO E-E

ESCALA 1:200

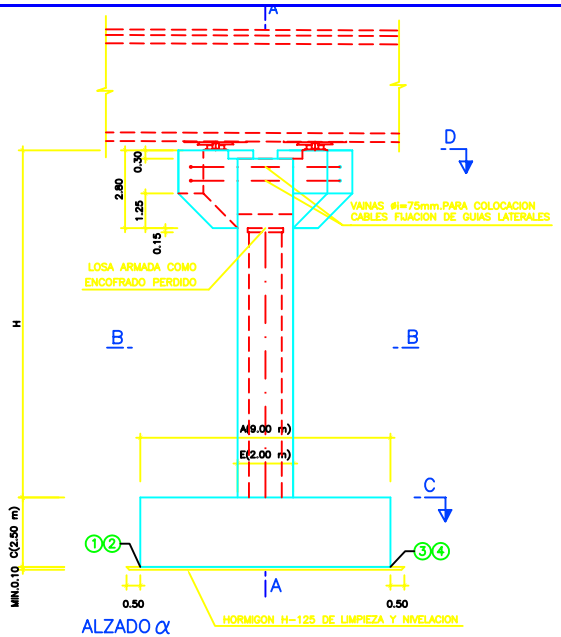


ALZADO α

ESCALA 1:200

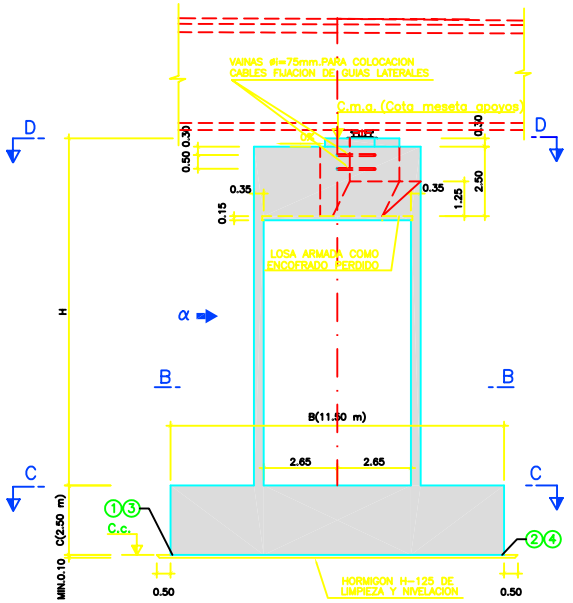


SECCION A-A

ESCALA 1:200

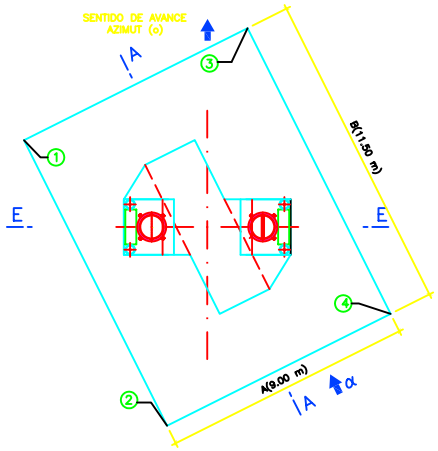


PLANTA.

ESCALA 1:200

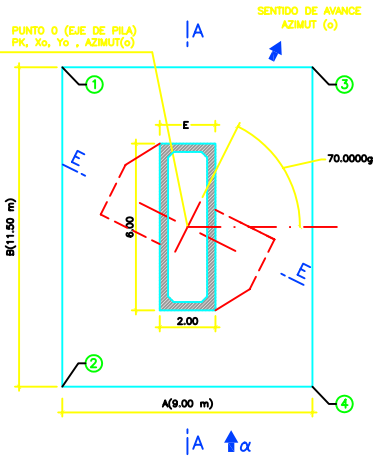


SECCIÓN C-C

ESCALA 1:200

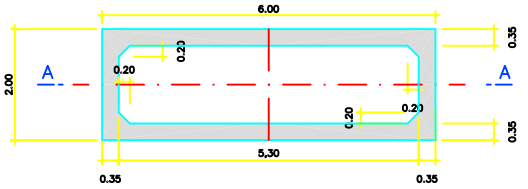


SECCION B-B

ESCALA 1:100

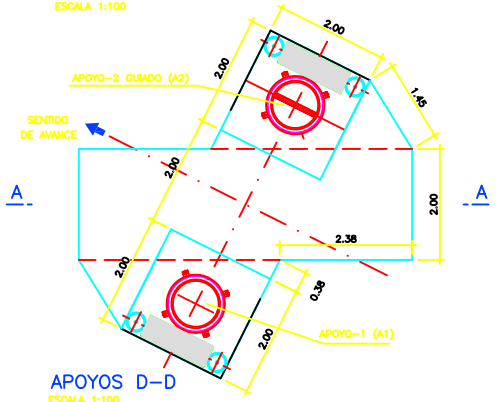


APOYOS D-D

ESCALA 1:100

NOTA: VER DISPOSICION Y CARACTERISTICAS DE APOYOS PROVISIONALES Y DEFINITIVOS EN PLANOS Nº. 2.9.13-04.01 A 2.9.13-04.03

## REPLANTEO DE ZAPATAS

| | PUNTO 0 (EJE DE PILA) | | | | PUNTO 1 (ZAPATA) | | PUNTO 2 (ZAPATA) | | PUNTO 3 (ZAPATA) | | PUNTO 4 (ZAPATA) | | A1 (APOYO LIBRE) | | A2 (APOYO GUIADO) | | |
|---|---|---|---|---|---|---|---|---|---|---|---|---|---|---|---|---|---|
| PILA | PK | Xo | Yo | AZIMUT(o) | X | Y | X | Y | X | Y | X | Y | X | Y | X | Y | AZIMUT(A2) |
| 3 | 305 928.425 | 330 558.923 | 4 587 413.061 | 126.7591 | 330 564.437 | 4 587 417.848 | 330 552.951 | 4 587 417.263 | 330 564.895 | 4 587 408.859 | 330 553.409 | 4 587 408.274 | 330 559.739 | 4 587 414.887 | 330 558.107 | 4 587 411.235 | 127.3514 |
| 4 | 305 979.425 | 330 605.557 | 4 587 392.413 | 126.3112 | 330 611.037 | 4 587 397.238 | 330 599.556 | 4 587 396.573 | 330 611.558 | 4 587 388.253 | 330 600.077 | 4 587 387.588 | 330 606.360 | 4 587 394.245 | 330 604.754 | 4 587 390.581 | 127.1277 |

## CUADRO DE DEFINICION DE PILAS

| DIMENSIONES Y GEOMETRÍA DE PILAS CON CIMENTACIÓN DIRECTA | | | | | | | |
|---|---|---|---|---|---|---|---|
| PILA | H | E | A(BL) | B(BT) | C | C.c | C.m.a |
| 3 | 8.921 | 2.000 | 9.00 | 11.50 | 2.50 | 507.000 | 518.421 |
| 4 | 10.039 | 2.000 | 9.00 | 11.50 | 2.50 | 506.500 | 519.039 |

GIF Gestor de Infraestructuras Ferroviarias

PROYECTO CONSTRUIDO :
L.A.V. MADRID-ZARAGOZA-BARCELONA-FRONTERA FRANCESA
TRAMO : LLEIDA-MARTORELL
SUBTRAMO: III-A PLATAFORMA

EL DIRECTOR DEL PROYECTO CONSTRUIDO :
Fdo.: JAIME GARCIA-GERMAN LOPEZ-BELMONTE

EL AUTOR DEL PROYECTO CONSTRUIDO :
Fdo.: ferrovial AGROMAN

CONSULTOR (ASISTENCIA AL CONTROL DE OBRAS) :
U.T.E. Intecsa Industrial S.A. / euroconsult Ingeniería, s.l.

ESCALAS :
INDICADAS
NUMÉRICA GRÁFICA : METROS

FECHA :
JULIO 2003

TITULO DEL PLANO :
VIADUCTO DE VINAIXA
PILAS 3 Y 4
DEFINICION GEOMETRICA

Nº DE PLANO
2.9.13.3_03.36

HOJA 3 DE 36

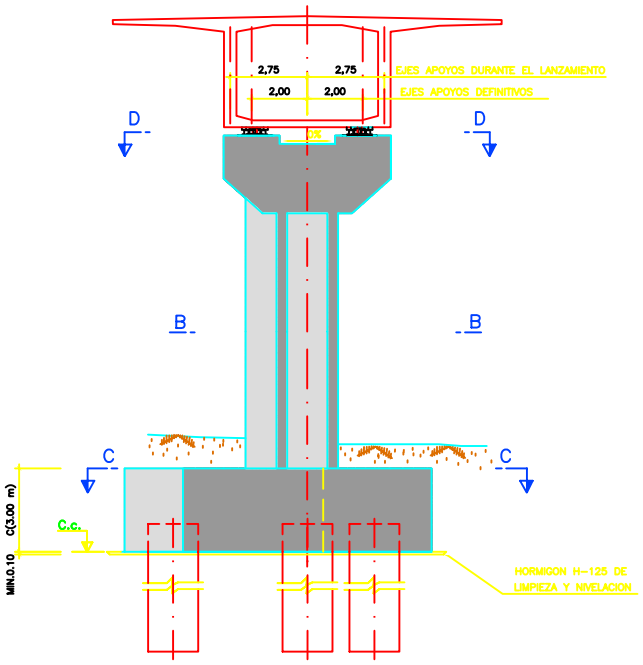


SECCION TRANSVERSAL A TABLERO E-E

ESCALA 1:200

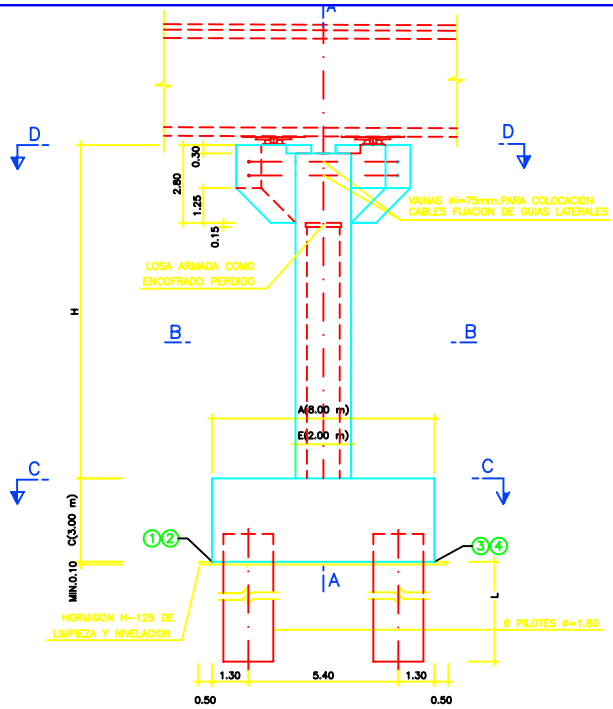


ALZADO α

ESCALA 1:200

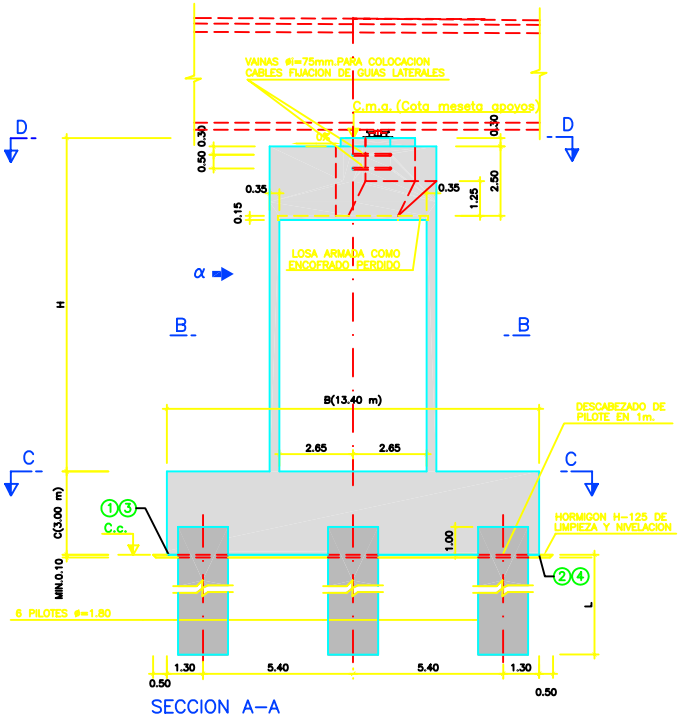


SECCION A-A

ESCALA 1:200

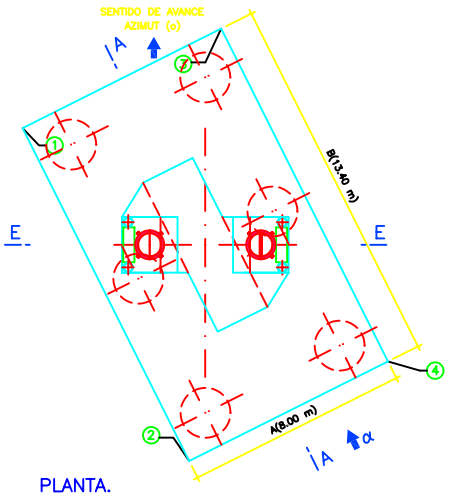


PLANTA.

ESCALA 1:200

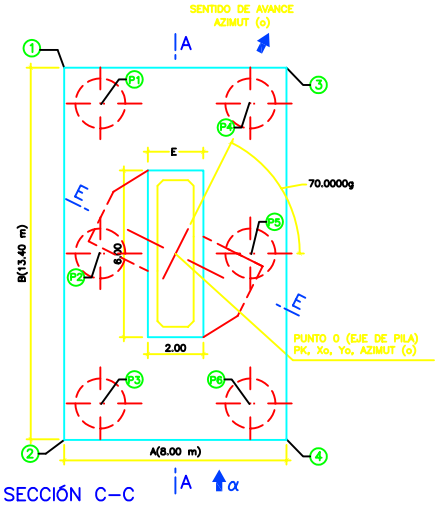


SECCIÓN C-C

ESCALA 1:200

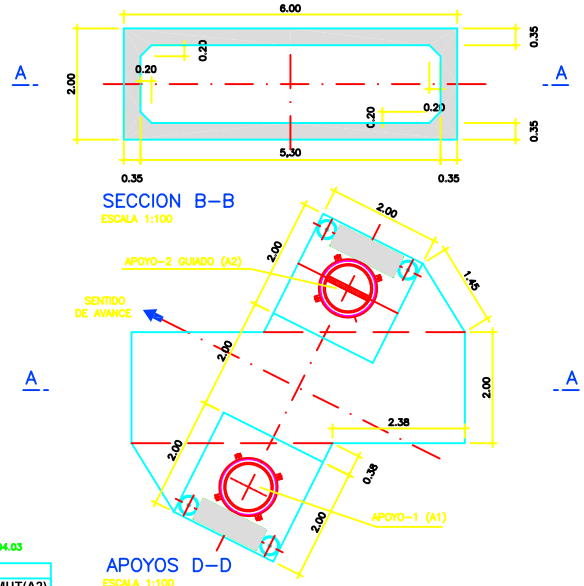


SECCION B-B

ESCALA 1:100

APOYOS D-D

ESCALA 1:100

NOTAS:
- LOS PILOTES TENDRÁN UN EMPOTRAMIENTO MÍNIMO DE UN DIAMETRO Y MEDIO EN ROCA CALIZA SANA.
- LA LONGITUD DE PILOTE NO DISMINUIRÁ AUNQUE SE SUPERE LA LONGITUD MÍNIMA DE EMPOTRAMIENTO.
- VER DISPOSICION Y CARACTERISTICAS DE APOYOS PROVISIONALES Y DEFINITIVOS EN PLANOS Nº. 2.9.13-04.01 A 2.9.13-04.03

## REPLANTEO DE ENCEPADOS

| | PUNTO 0 (EJE DE PILA) | | | | PUNTO 1 (ENCEPADO) | | PUNTO 2 (ENCEPADO) | | PUNTO 3 (ENCEPADO) | | PUNTO 4 (ENCEPADO) | | A1 (APOYO LIBRE) | | A2 (APOYO GUIADO) | | |
|---|---|---|---|---|---|---|---|---|---|---|---|---|---|---|---|---|---|
| PILA | PK | Xo | Yo | AZIMUT(o) | X | Y | X | Y | X | Y | X | Y | X | Y | X | Y | AZIMUT(A2) |
| 5 | 306 030.425 | 330 652.334 | 4 587 372.095 | 125.8634 | 330 658.760 | 4 587 376.522 | 330 645.388 | 4 587 375.652 | 330 659.280 | 4 587 368.538 | 330 645.908 | 4 587 367.668 | 330 653.124 | 4 587 373.932 | 330 651.544 | 4 587 370.258 | 126.9037 |

## REPLANTEO DE PILOTES

| | PUNTO P1 (PILOTE 1) | | PUNTO P2 (PILOTE 2) | | PUNTO P3 (PILOTE 3) | | PUNTO P4 (PILOTE 4) | | PUNTO P5 (PILOTE 5) | | PUNTO P6 (PILOTE 6) | | PROPIEDADES PILOTES | | | | |
|---|---|---|---|---|---|---|---|---|---|---|---|---|---|---|---|---|---|
| PILA | X | Y | X | Y | X | Y | X | Y | X | Y | X | Y | DIÁMETRO | LONGITUD | Descabezado | Cota punta | Cota cabeza |
| 5 | 330 657.547 | 4 587 375.140 | 330 652.159 | 4 587 374.789 | 330 646.770 | 4 587 374.439 | 330 657.898 | 4 587 369.751 | 330 652.509 | 4 587 369.401 | 330 647.121 | 4 587 369.050 | 1,80 m | 8,00 m | 1,00 m | 498.500 | 507.500 |

| DIMENSIONES Y GEOMETRÍA DE PILAS CON CIMENTACIÓN PROFUNDA | | | | | | | |
|---|---|---|---|---|---|---|---|
| PILA | H | E | A(BL) | B(BT) | C | C.c | C.m.a |
| 5 | 10.158 | 2.000 | 8.00 | 13.40 | 3.00 | 506.500 | 519.658 |

GIF Gestor de Infraestructuras Ferroviarias

PROYECTO CONSTRUIDO :
L.A.V. MADRID-ZARAGOZA-BARCELONA-FRONTERA FRANCESA
TRAMO : LLEIDA-MARTORELL
SUBTRAMO: III-A PLATAFORMA

EL DIRECTOR DEL PROYECTO CONSTRUIDO :
Fdo.: JAIME GARCIA-GERMAN LOPEZ-BELMONTE

EL AUTOR DEL PROYECTO CONSTRUIDO :
Fdo.: ferrovial AGROMAN

CONSULTOR (ASISTENCIA AL CONTROL DE OBRAS) :
U.T.E. Intecsa Industrial S.A. / euroconsult Ingeniería, s.l.

ESCALAS :
INDICADAS
NUMÉRICA GRÁFICA : METROS

FECHA :
JULIO 2003

TITULO DEL PLANO :
VIADUCTO DE VINAIXA
PILA 5
DEFINICION GEOMETRICA

Nº DE PLANO
2.9.13.3_04.36

HOJA 4 DE 36

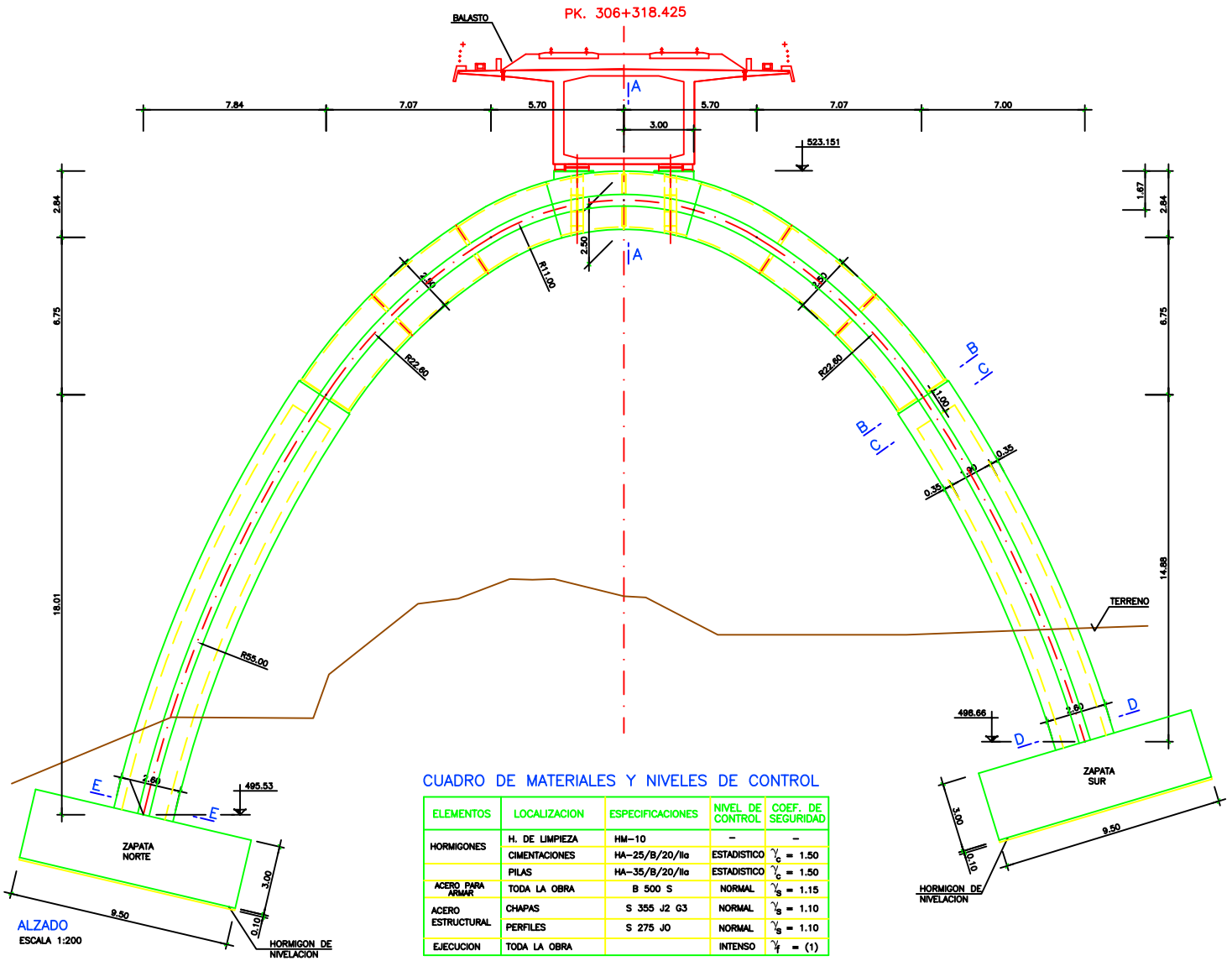


ALZADO
ESCALA 1:200

## CUADRO DE MATERIALES Y NIVELES DE CONTROL

| ELEMENTOS | LOCALIZACION | ESPECIFICACIONES | NIVEL DE CONTROL | COEF. DE SEGURIDAD |
|---|---|---|---|---|
| HORMIGONES | H. DE LIMPIEZA | HM–10 | – | – |
| | CIMENTACIONES | HA–25/B/20/IIa | ESTADISTICO | $\gamma_c$ = 1.50 |
| | PILAS | HA–35/B/20/IIa | ESTADISTICO | $\gamma_c$ = 1.50 |
| ACERO PARA ARMAR | TODA LA OBRA | B 500 S | NORMAL | $\gamma_s$ = 1.15 |
| ACERO ESTRUCTURAL | CHAPAS | S 355 J2 G3 | NORMAL | $\gamma_s$ = 1.10 |
| | PERFILES | S 275 JO | NORMAL | $\gamma_s$ = 1.10 |
| EJECUCION | TODA LA OBRA | | INTENSO | $\gamma_f$ = (1) |

(1) SEGUN I.A.P.F.

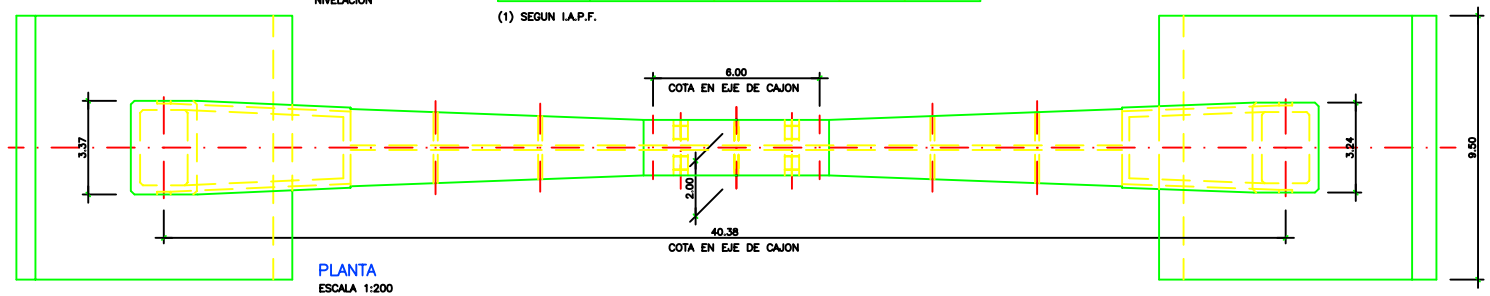


PLANTA
ESCALA 1:200

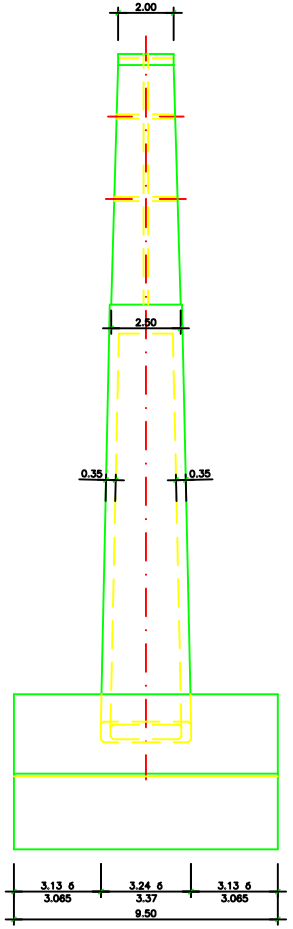


ALZADO LATERAL
ESCALA 1:200

NOTA:
– SE HA CONSIDERADO UNA TENSION ADMISIBLE EN EL TERRENO DE 6 Kp/cm²

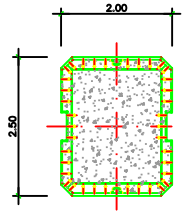


SECCION A–A
ESCALA 1:100

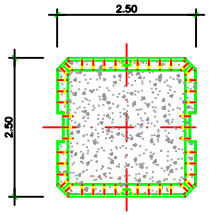


SECCION B–B
ESCALA 1:100

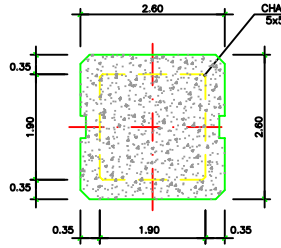


SECCION C–C
ESCALA 1:100

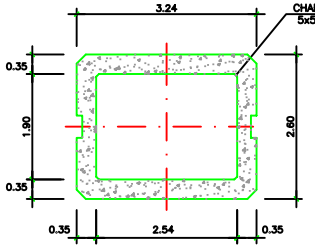


SECCION D–D
ESCALA 1:100

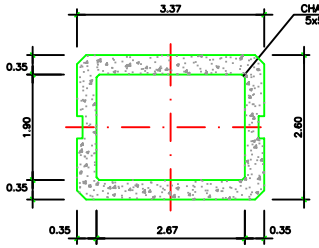


SECCION E–E
ESCALA 1:100

GIF Gestor de Infraestructuras Ferroviarias

PROYECTO CONSTRUIDO : L.A.V. MADRID–ZARAGOZA–BARCELONA–FRONTERA FRANCESA
TRAMO : LLEIDA–MARTORELL
SUBTRAMO: III–A PLATAFORMA

EL DIRECTOR DEL PROYECTO CONSTRUIDO : JAIME GARCIA–GERMAN LOPEZ–BELMONTE
Fdo.:

EL AUTOR DEL PROYECTO CONSTRUIDO : ferrovial AGROMAN
Fdo.:

CONSULTOR (ASISTENCIA AL CONTROL DE OBRAS) : U.T.E. Intecsa Industrial S.A. europroject Ingeniería, s.l.

ESCALAS : INDICADAS
NUMÉRICA GRÁFICA : METROS

FECHA : JULIO 2003

TITULO DEL PLANO : VIADUCTO DE VINAIXA
PILA 11 Y 12
PILA 11. DEFINICION GEOMETRICA

Nº DE PLANO 2.9.13.3_25.36
HOJA 25 DE 36

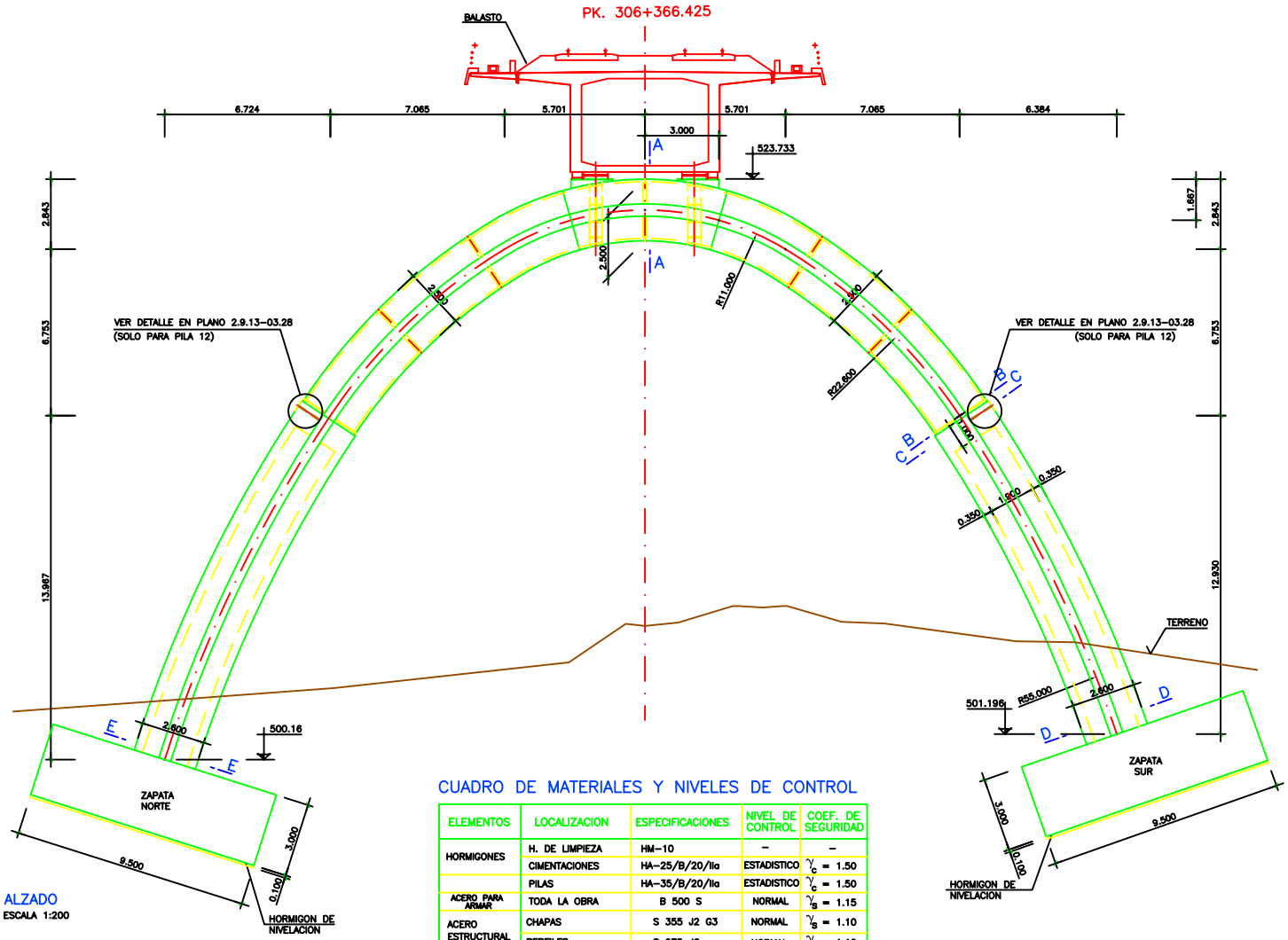


ALZADO
ESCALA 1:200

## CUADRO DE MATERIALES Y NIVELES DE CONTROL

| ELEMENTOS | LOCALIZACION | ESPECIFICACIONES | NIVEL DE CONTROL | COEF. DE SEGURIDAD |
|---|---|---|---|---|
| HORMIGONES | H. DE LIMPIEZA | HM-10 | - | - |
| | CIMENTACIONES | HA-25/B/20/IIa | ESTADISTICO | $\gamma_c$ = 1.50 |
| | PILAS | HA-35/B/20/IIa | ESTADISTICO | $\gamma_c$ = 1.50 |
| ACERO PARA ARMAR | TODA LA OBRA | B 500 S | NORMAL | $\gamma_s$ = 1.15 |
| ACERO ESTRUCTURAL | CHAPAS | S 355 J2 G3 | NORMAL | $\gamma_s$ = 1.10 |
| | PERFILES | S 275 JO | NORMAL | $\gamma_s$ = 1.10 |
| EJECUCION | TODA LA OBRA | | INTENSO | $\gamma_f$ = (1) |

(1) SEGUN I.A.P.F.

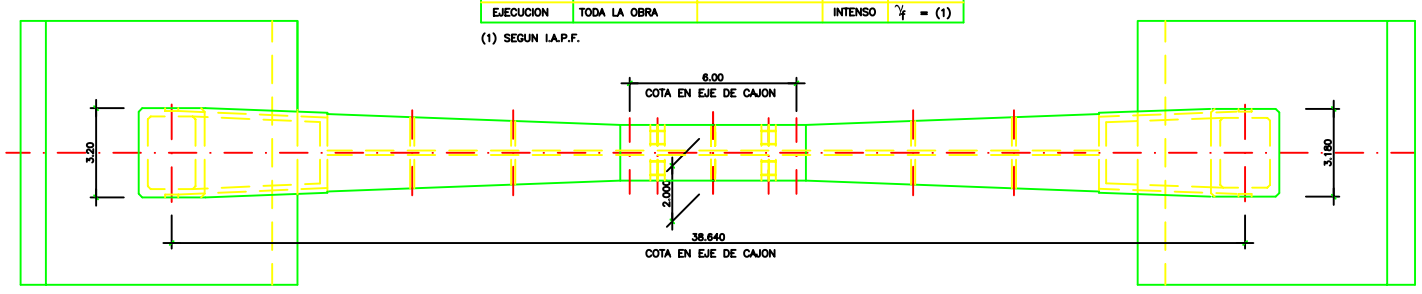


PLANTA
ESCALA 1:200

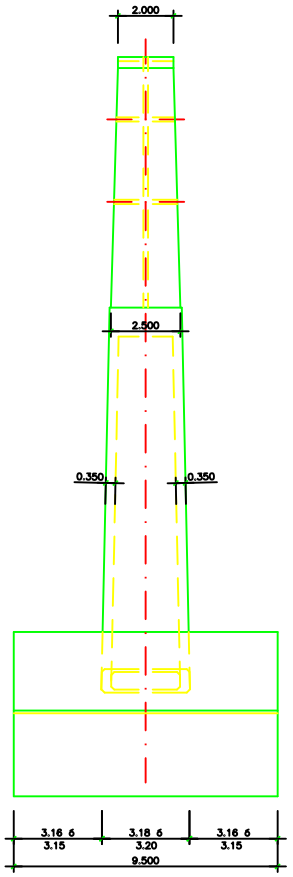


ALZADO LATERAL
ESCALA 1:200

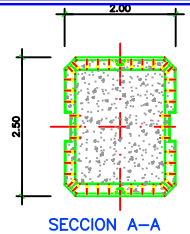


SECCION A-A
ESCALA 1:100

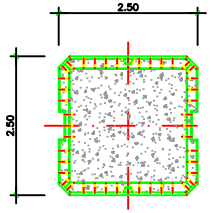


SECCION B-B
ESCALA 1:100

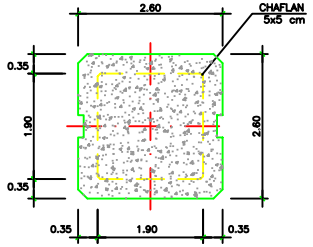


SECCION C-C
ESCALA 1:100

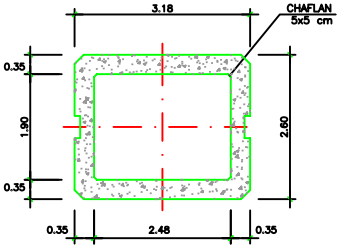


SECCION D-D
ESCALA 1:100

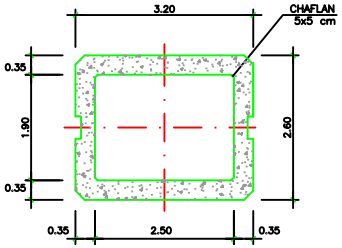


SECCION E-E
ESCALA 1:100

NOTA:
- SE HA CONSIDERADO UNA TENSION ADMISIBLE EN EL TERRENO DE 6 Kp/cm$^2$

GIF Gestor de Infraestructuras Ferroviarias

PROYECTO CONSTRUIDO :
L.A.V. MADRID-ZARAGOZA-BARCELONA-FRONTERA FRANCESA
TRAMO : LLEIDA-MARTORELL
SUBTRAMO: III-A PLATAFORMA

EL DIRECTOR DEL PROYECTO CONSTRUIDO :
JAIME GARCIA-GERMAN LOPEZ-BELMONTE
Fdo.:

EL AUTOR DEL PROYECTO CONSTRUIDO :
ferrovial AGROMAN
Fdo.:

CONSULTOR (ASISTENCIA AL CONTROL DE OBRAS) :
U.T.E. Intecsa Industrial S.A. europroject Ingeniería, s.l.

ESCALAS :
INDICADAS
NUMÉRICA GRÁFICA : METROS

FECHA :
JULIO 2003

TITULO DEL PLANO :
VIADUCTO DE VINAIXA
PILA 11 Y 12
PILA 12. DEFINICION GEOMETRICA

Nº DE PLANO
2.9.13.3_26.36

HOJA 26 DE 36

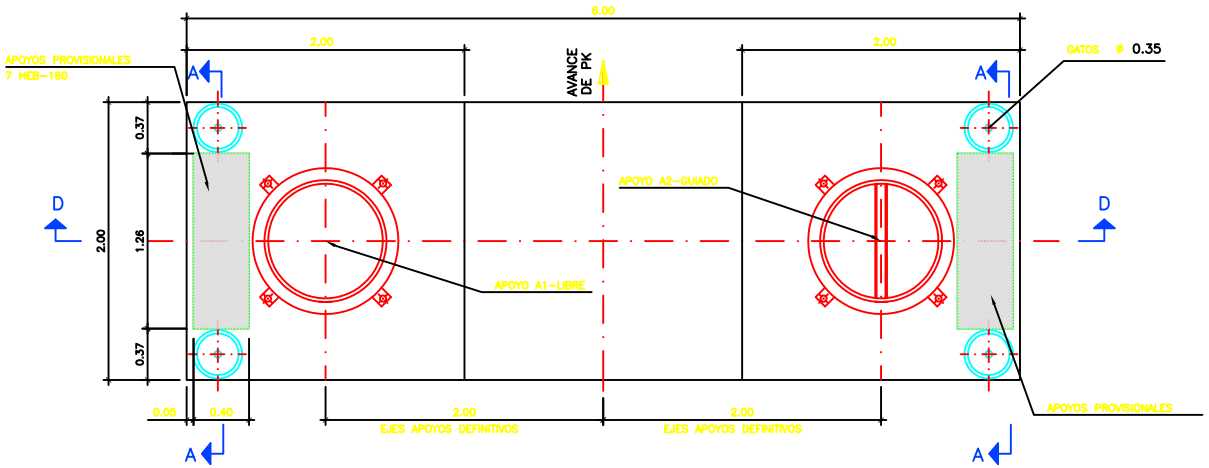


APOYOS PILAS 1 A 21

ESCALA 1:40

| PILA | Nº Y TIPO DE PERFILES | e (mm.) | PENDIENTE % |
|---|---|---|---|
| 1 | 7 HEB-180 | 57,50 | 1,2129 |
| 2 | 7 HEB-180 | 57,50 | 1,2129 |
| 3 | 7 HEB-180 | 57,50 | 1,2129 |
| 4 | 7 HEB-180 | 57,50 | 1,2129 |
| 5 | 7 HEB-180 | 57,50 | 1,2129 |
| 6 | 7 HEB-180 | 57,50 | 1,2129 |
| 7 | 7 HEB-180 | 57,50 | 1,2129 |
| 8 | 7 HEB-180 | 57,50 | 1,2129 |
| 9 | 7 HEB-180 | 57,50 | 1,2129 |
| 10 | 7 HEB-180 | 57,50 | 1,2129 |
| 11 | 7 HEB-180 | 57,50 | 1,2129 |
| 12 | 7 HEB-180 | 57,50 | 1,2129 |
| 13 | 7 HEB-180 | 57,50 | 1,2129 |
| 14 | 7 HEB-180 | 57,50 | 1,2129 |
| 15 | 7 HEB-180 | 57,50 | 1,2129 |
| 16 | 7 HEB-180 | 57,50 | 1,2129 |
| 17 | 7 HEB-180 | 57,50 | 1,2129 |
| 18 | 7 HEB-180 | 57,50 | 1,2129 |
| 19 | 7 HEB-180 | 57,50 | 1,2129 |
| 20 | 7 HEB-180 | 57,50 | 1,2129 |
| 21 | 7 HEB-180 | 57,50 | 1,2129 |

NOTA: EL VALOR DEL ESPESOR DE MORTERO $e_i$ SE REFIERE AL CENTRO DEL APOYO PROVISIONAL, DEBIENDOSE DAR AL MISMO LA PENDIENTE INDICADA i.

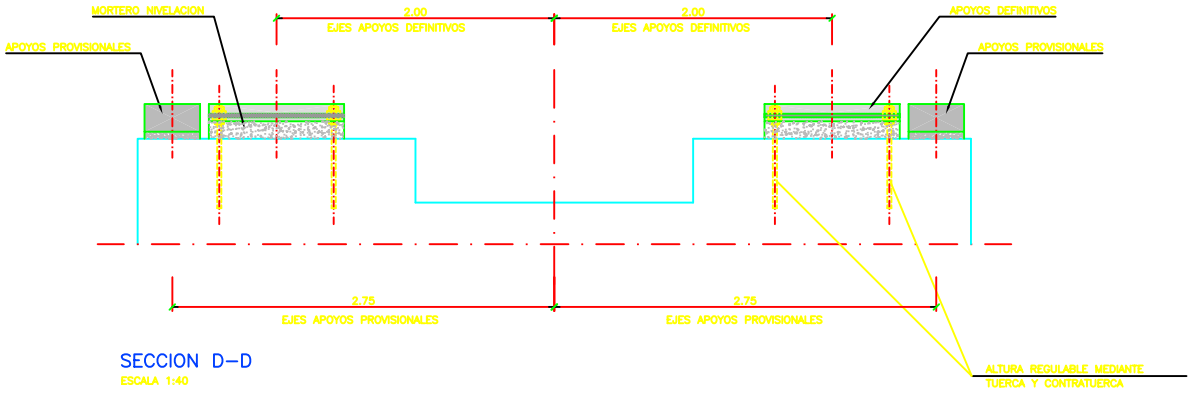


SECCION D-D

ESCALA 1:40

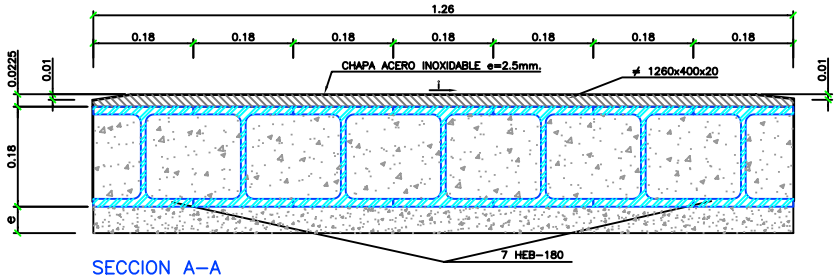


SECCION A-A

ESCALA 1:10

NOTA:

- LAS ALMOADILLAS DE NEOPRENO-TEFLON QUE DESLIZAN SOBRE LA CHAPA DE ACERO INOXIDABLE TENDRAN UN ESPESOR DE 15 mm.

| | | | | | | | | |
|---|---|---|---|---|---|---|---|---|
| GIF Gestor de Infraestructuras Ferroviarias | PROYECTO CONSTRUIDO : L.A.V. MADRID-ZARAGOZA-BARCELONA-FRONTERA FRANCESA TRAMO : LLEIDA-MARTORELL SUBTRAMO: III-A PLATAFORMA | EL DIRECTOR DEL PROYECTO CONSTRUIDO : Fdo.: JAIME GARCIA-GERMAN LOPEZ-BELMONTE | EL AUTOR DEL PROYECTO CONSTRUIDO : Fdo.: ferrovial AGROMAN | CONSULTOR (ASISTENCIA AL CONTROL DE OBRAS) : U.T.E. Intecsa europroject Ingeniería, s.l. | ESCALAS : INDICADAS NUMÉRICA GRÁFICA : METROS | FECHA : JULIO 2003 | TITULO DEL PLANO : VIADUCTO DE VINAIXA DISPOSICION APOYOS PILAS | Nº DE PLANO 2.9.13.4_01.03 HOJA 1 DE 3 |

# DETALLE APOYOS POT TIPO PL-1850 Y PL-1950 EN PILAS.
# DETALLE APOYOS POT TIPO PL-825 Y PL-900 EN ESTRIBOS.

SIN ESCALA.
COTAS EN mm.

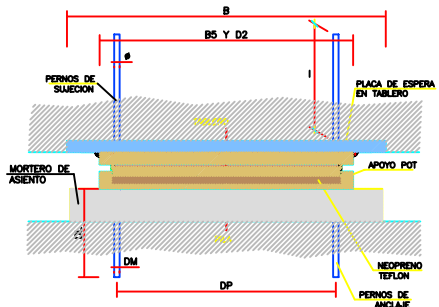


SECCION A-A

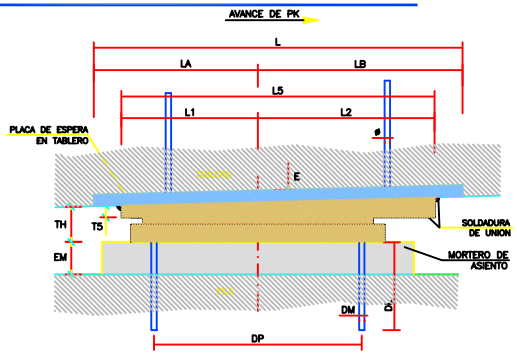


VISTA POR "B"

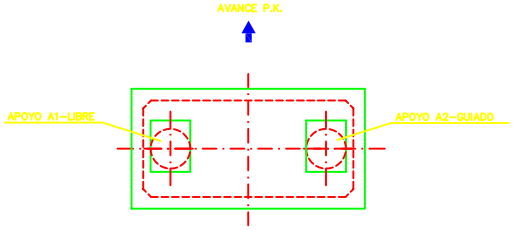


PLANTA DISPOSICION APOYOS
SIN ESCALA

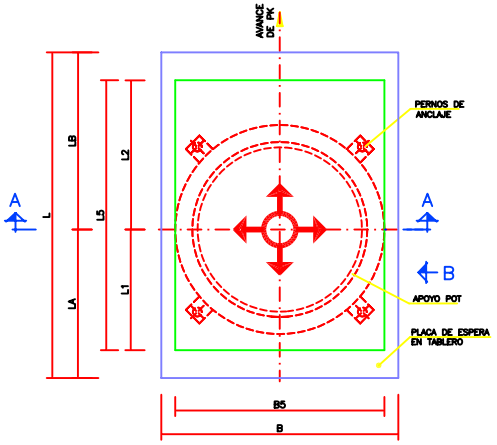


PLANTA

## NOMENCLATURA

En la dirección longitudinal del puente, el eje del apoyo (eje de la cazoleta inferior), coincide con el eje de la pila.

EM : Espesor de mortero bajo apoyo
L5 : Longitud de la placa superior del apoyo en la direccion longitudinal del puente ; L5 = L1 + L2
L1 : Distancia, en la dirección longitudinal del puente, del eje del apoyo al extremo de la placa superior en sentido de disminución del P.K.
L2 : Distancia, en la dirección longitudinal del puente, del eje del apoyo al extremo de la placa superior en sentido de avance del P.K.
TH : Espesor mínimo del apoyo
T5 : Espesor mínimo de la placa superior
B5 : Anchura de la placa superior del apoyo en la dirección normal al puente
D2 : Diámetro de la cazoleta inferior del apoyo
DP : Distancia entre los pernos de anclaje
DL : Longitud de los pernos de anclaje
DM : Diámetro de los pernos de anclaje
L : Longitud de la placa en la dirección longitudinal del puente
LA : Distancia, en la dirección longitudinal del puente, del eje del apoyo al extremo de la placa en sentido de disminución del P.K.
LB : Distancia, en la dirección longitudinal del puente, del eje del apoyo al extremo de la placa en sentido de avance del P.K.
B: Anchura de la placa en la dirección normal al puente
E: Espesor de la placa
N: Número de pernos
ø: Diámetro de los pernos
l: Longitud de los pernos
a: Espesor del cordón de soldadura
L: Longitud total del cordón de soldadura

Todos los valores del cuadro estan expresados en milímetros

## LONGITUD DE TABLERO EJECUTADA TRAS EL HORMIGONADO DE CADA DOVELA

| DOVELA HORMIGONADA | LONGITUD DE TABLERO |
|---|---|
| 0 | 3,950 |
| 1 | 27,950 |
| 2 | 51,950 |
| 3 | 75,950 |
| 4 | 99,950 |
| 5 | 123,950 |
| 6 | 147,950 |
| 7 | 171,950 |
| 8 | 174,950 |
| 9 | 198,950 |
| 10 | 223,073 |
| 11 | 226,073 |
| 12 | 250,073 |
| 13 | 274,073 |
| 14 | 298,073 |
| 15 | 322,073 |
| 16 | 346,073 |
| 17 | 370,073 |
| 18 | 394,073 |
| 19 | 418,153 |
| 20 | 442,153 |
| 21 | 466,153 |
| 22 | 490,153 |
| 23 | 514,153 |
| 24 | 538,153 |
| 25 | 562,153 |
| 26 | 586,153 |
| 27 | 610,225 |
| 28 | 634,225 |
| 29 | 658,225 |
| 30 | 682,225 |
| 31 | 706,225 |
| 32 | 730,225 |
| 33 | 754,225 |
| 34 | 778,225 |
| 35 | 802,290 |
| 36 | 826,290 |
| 37 | 850,290 |
| 38 | 874,290 |
| 39 | 898,290 |
| 40 | 922,290 |
| 41 | 946,290 |
| 42 | 970,290 |
| 43 | 994,351 |
| 44 | 1018,351 |
| 45 | 1042,066 |
| 46 | 1046,666 |

## CUADRO DE APOYOS

| | | | | DEFINICION APOYO | | | | | | | | PERNOS DE ANCLAJE | | | PLACA ESPERA EN TABLERO | | | | | PERNOS DE SUJECION | | | SOLDADURA DE UNION | |
|---|---|---|---|---|---|---|---|---|---|---|---|---|---|---|---|---|---|---|---|---|---|---|---|---|
| LOCALIZACION | APOYO | DENOMINACION | TIPO | EM | L5 | L1 | L2 | TH | T5 | B5 | D2 | DP | DL | DM | L | LA | LB | B | E | N | ø | l | a | L |
| ESTRIBO 1 | A1 | PL-825 | LIBRE | 157 | 796 | 398 | 398 | 88,5 | 29 | 796 | 796 | 605 | 357 | 40 | 1100 | 550 | 550 | 900 | 20 | 4 | 25 | 200 | 7 | 300 |
| PILA 1 | A1 | PL-1850 | LIBRE | 132 | 1134 | 556 | 578 | 111,5 | 34 | 1086 | 1086 | 810 | 332 | 40 | 1500 | 739 | 761 | 1200 | 20 | 4 | 25 | 400 | 7 | 700 |
| PILA 2 | A1 | PL-1850 | LIBRE | 132 | 1134 | 543 | 591 | 111,5 | 34 | 1086 | 1086 | 810 | 332 | 40 | 1500 | 726 | 774 | 1200 | 20 | 4 | 25 | 400 | 7 | 700 |
| PILA 3 | A1 | PL-1950 | LIBRE | 129 | 1245 | 585 | 660 | 113,5 | 36 | 1115 | 1115 | 831 | 329 | 40 | 1600 | 763 | 837 | 1300 | 20 | 4 | 25 | 400 | 7 | 700 |
| PILA 4 | A1 | PL-1950 | LIBRE | 130 | 1245 | 571 | 674 | 113,5 | 36 | 1115 | 1115 | 831 | 330 | 40 | 1600 | 749 | 851 | 1300 | 20 | 4 | 25 | 400 | 7 | 700 |
| PILA 5 | A1 | PL-1950 | LIBRE | 130 | 1245 | 557 | 688 | 113,5 | 36 | 1115 | 1115 | 831 | 330 | 40 | 1600 | 794 | 806 | 1300 | 20 | 4 | 25 | 400 | 7 | 700 |
| PILA 6 | A1 | PL-1850 | LIBRE | 130 | 1490 | 667 | 823 | 111,5 | 34 | 1086 | 1086 | 810 | 330 | 40 | 1800 | 881 | 919 | 1200 | 20 | 4 | 25 | 400 | 7 | 700 |
| PILA 7 | A1 | PL-1850 | LIBRE | 131 | 1490 | 653 | 837 | 111,5 | 34 | 1086 | 1086 | 810 | 331 | 40 | 1800 | 868 | 932 | 1200 | 20 | 4 | 25 | 400 | 7 | 700 |
| PILA 8 | A1 | PL-1850 | LIBRE | 131 | 1490 | 640 | 850 | 111,5 | 34 | 1086 | 1086 | 810 | 331 | 40 | 1800 | 855 | 945 | 1200 | 20 | 4 | 25 | 400 | 7 | 700 |
| PILA 9 | A1 | PL-1850 | LIBRE | 131 | 1490 | 627 | 863 | 111,5 | 34 | 1086 | 1086 | 810 | 331 | 40 | 1800 | 899 | 901 | 1200 | 20 | 4 | 25 | 400 | 7 | 700 |
| PILA 10 | A1 | PL-1850 | LIBRE | 131 | 1490 | 614 | 876 | 111,5 | 34 | 1086 | 1086 | 810 | 331 | 40 | 1800 | 886 | 914 | 1200 | 20 | 4 | 25 | 400 | 7 | 700 |
| PILA 11 | A1 | PL-1850 | LIBRE | 130 | 1766 | 739 | 1027 | 111,5 | 34 | 1086 | 1086 | 810 | 330 | 40 | 2100 | 1023 | 1077 | 1200 | 20 | 4 | 25 | 400 | 7 | 700 |
| PILA 12 | A1 | PL-1850 | LIBRE | 130 | 1766 | 725 | 1041 | 111,5 | 34 | 1086 | 1086 | 810 | 330 | 40 | 2100 | 1009 | 1091 | 1200 | 20 | 4 | 25 | 400 | 7 | 700 |
| PILA 13 | A1 | PL-1850 | LIBRE | 130 | 1766 | 712 | 1054 | 111,5 | 34 | 1086 | 1086 | 810 | 330 | 40 | 2100 | 1053 | 1047 | 1200 | 20 | 4 | 25 | 400 | 7 | 700 |
| PILA 14 | A1 | PL-1850 | LIBRE | 130 | 1766 | 699 | 1067 | 111,5 | 34 | 1086 | 1086 | 810 | 330 | 40 | 2100 | 1040 | 1060 | 1200 | 20 | 4 | 25 | 400 | 7 | 700 |
| PILA 15 | A1 | PL-1850 | LIBRE | 130 | 1766 | 686 | 1080 | 111,5 | 34 | 1086 | 1086 | 810 | 330 | 40 | 2100 | 1027 | 1073 | 1200 | 20 | 4 | 25 | 400 | 7 | 700 |
| PILA 16 | A1 | PL-1850 | LIBRE | 129 | 1932 | 756 | 1176 | 111,5 | 34 | 1086 | 1086 | 810 | 329 | 40 | 2300 | 1114 | 1186 | 1200 | 20 | 4 | 25 | 400 | 7 | 700 |
| PILA 17 | A1 | PL-1850 | LIBRE | 129 | 1932 | 742 | 1190 | 111,5 | 34 | 1086 | 1086 | 810 | 329 | 40 | 2300 | 1157 | 1143 | 1200 | 20 | 4 | 25 | 400 | 7 | 700 |
| PILA 18 | A1 | PL-1850 | LIBRE | 130 | 1932 | 729 | 1203 | 111,5 | 34 | 1086 | 1086 | 810 | 330 | 40 | 2300 | 1144 | 1156 | 1200 | 20 | 4 | 25 | 400 | 7 | 700 |
| PILA 19 | A1 | PL-1850 | LIBRE | 129 | 2098 | 799 | 1299 | 111,5 | 34 | 1086 | 1086 | 810 | 329 | 40 | 2400 | 1180 | 1220 | 1200 | 20 | 4 | 25 | 400 | 7 | 700 |
| PILA 20 | A1 | PL-1850 | LIBRE | 129 | 2098 | 786 | 1312 | 111,5 | 34 | 1086 | 1086 | 810 | 329 | 40 | 2400 | 1167 | 1233 | 1200 | 20 | 4 | 25 | 400 | 7 | 700 |
| PILA 21 | A1 | PL-1850 | LIBRE | 129 | 2098 | 773 | 1325 | 111,5 | 34 | 1086 | 1086 | 810 | 329 | 40 | 2400 | 1211 | 1189 | 1200 | 20 | 4 | 25 | 400 | 7 | 700 |
| ESTRIBO 2 | A1 | PL-900 | LIBRE | 432 | 1857 | 641 | 1216 | 103,5 | 40 | 831 | 831 | 630 | 632 | 40 | 2200 | 813 | 1387 | 1000 | 20 | 4 | 25 | 200 | 7 | 300 |

## COTA INFERIOR Y PENDIENTE DE LOS APOYOS DEFINITIVOS

| LOCALIZACION | APOYO | COTA PLATAFORMA DE APOYO | COTA INFERIOR APOYO | I % |
|---|---|---|---|---|
| ESTRIBO 1 | A1 | 516,792 | 516,949 | 1,1312 |
| PILA 1 | A1 | 517,256 | 517,388 | 1,2129 |
| PILA 2 | A1 | 517,839 | 517,971 | 1,2129 |
| PILA 3 | A1 | 518,421 | 518,550 | 1,2129 |
| PILA 4 | A1 | 519,039 | 519,169 | 1,2129 |
| PILA 5 | A1 | 519,658 | 519,788 | 1,2129 |
| PILA 6 | A1 | 520,240 | 520,370 | 1,2129 |
| PILA 7 | A1 | 520,822 | 520,953 | 1,2129 |
| PILA 8 | A1 | 521,404 | 521,535 | 1,2129 |
| PILA 9 | A1 | 521,987 | 522,118 | 1,2129 |
| PILA 10 | A1 | 522,569 | 522,700 | 1,2129 |
| PILA 11 | A1 | 523,151 | 523,281 | 1,2129 |
| PILA 12 | A1 | 523,733 | 523,863 | 1,2129 |
| PILA 13 | A1 | 524,315 | 524,445 | 1,2129 |
| PILA 14 | A1 | 524,898 | 525,028 | 1,2129 |
| PILA 15 | A1 | 525,480 | 525,610 | 1,2129 |
| PILA 16 | A1 | 526,062 | 526,191 | 1,2129 |
| PILA 17 | A1 | 526,644 | 526,773 | 1,2129 |
| PILA 18 | A1 | 527,226 | 527,356 | 1,2129 |
| PILA 19 | A1 | 527,808 | 527,937 | 1,2129 |
| PILA 20 | A1 | 528,391 | 528,520 | 1,2129 |
| PILA 21 | A1 | 528,973 | 529,102 | 1,2129 |
| ESTRIBO 2 | A1 | 529,166 | 529,598 | 1,3181 |

GIF Gestor de Infraestructuras Ferroviarias

PROYECTO CONSTRUIDO :
L.A.V. MADRID-ZARAGOZA-BARCELONA-FRONTERA FRANCESA
TRAMO : LLEIDA-MARTORELL
SUBTRAMO: III-A PLATAFORMA

EL DIRECTOR DEL PROYECTO CONSTRUIDO :
Fdo.: JAIME GARCIA-GERMAN LOPEZ-BELMONTE

EL AUTOR DEL PROYECTO CONSTRUIDO :
Fdo.: ferrovial AGROMAN

CONSULTOR (ASISTENCIA AL CONTROL DE OBRAS) :
U.T.E. Intecsa Industrial S.A. europroject Ingeniería, s.l.

ESCALAS :
INDICADAS
NUMÉRICA GRÁFICA : METROS

FECHA :
JULIO 2003

TITULO DEL PLANO :
VIADUCTO DE VINAIXA
APOYOS DEFINITIVOS (1)

Nº DE PLANO
2.9.13.4_02.03

HOJA 2 DE 3

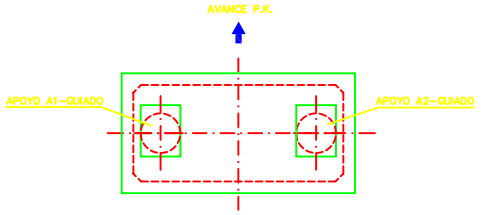


PLANTA DISPOSICION APOYOS

S/E

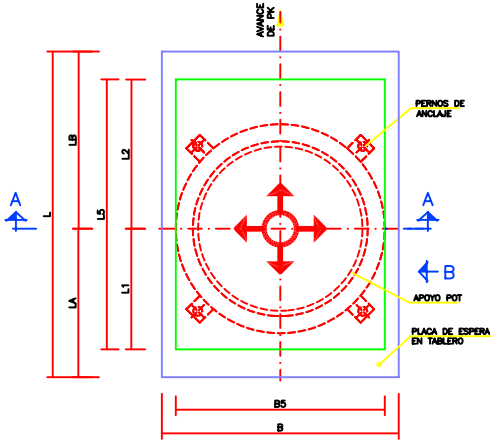


PLANTA

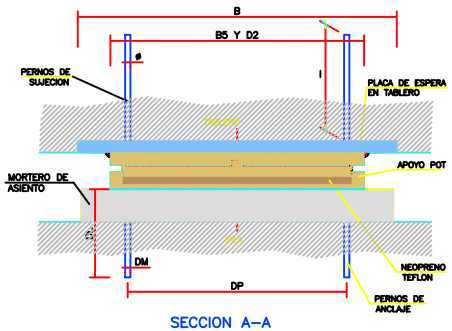


SECCION A–A

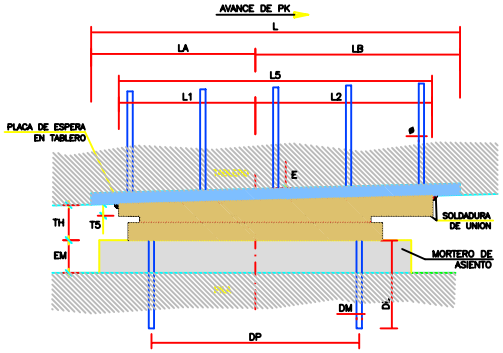


VISTA POR "B"

## NOMENCLATURA

En la dirección longitudinal del puente, el eje del apoyo (eje de la cazoleta inferior), coincide con el eje de la pila.

EM : Espesor de mortero bajo apoyo
L5 : Longitud de la placa superior del apoyo en la direccion longitudinal del puente ; L5 = L1 + L2
L1 : Distancia, en la dirección longitudinal del puente, del eje del apoyo al extremo de la placa superior en sentido de disminución del P.K.
L2 : Distancia, en la dirección longitudinal del puente, del eje del apoyo al extremo de la placa superior en sentido de avance del P.K.
TH : Espesor mínimo del apoyo
T5 : Espesor mínimo de la placa superior
B5 : Anchura de la placa superior del apoyo en la dirección normal al puente
D2 : Diámetro de la cazoleta inferior del apoyo
DP : Distancia entre los pernos de anclaje
DL : Longitud de los pernos de anclaje
DM : Diámetro de los pernos de anclaje
L: Longitud de la placa en la dirección longitudinal del puente
LA: Distancia, en la dirección longitudinal del puente, del eje del apoyo al extremo de la placa en sentido de disminución del P.K.
LB: Distancia, en la dirección longitudinal del puente, del eje del apoyo al extremo de la placa en sentido de avance del P.K.
B: Anchura de la placa en la dirección normal al puente
E: Espesor de la placa
N: Número de pernos
ø: Diámetro de los pernos
l: Longitud de los pernos
a: Espesor del cordón de soldadura
L: Longitud total del cordón de soldadura

Todos los valores del cuadro estan expresados en milímetros

# DETALLE APOYOS POT TIPO PU–1850 Y PU–1950 EN PILAS.
# DETALLE APOYOS POT TIPO PU–825 Y PU–900 EN ESTRIBOS.

SIN ESCALA.
COTAS EN mm.

## CUADRO DE APOYOS

| | | | | DEFINICION APOYO | | | | | | | | PERNOS DE ANCLAJE | | | PLACA ESPERA EN TABLERO | | | | | PERNOS DE SUJECION | | | SOLDADURA DE UNION | |
|---|---|---|---|---|---|---|---|---|---|---|---|---|---|---|---|---|---|---|---|---|---|---|---|---|
| LOCALIZACION | APOYO | DENOMINACION | TIPO | EM | L5 | L1 | L2 | TH | T5 | B5 | D2 | DP | DL | DM | L | LA | LB | B | E | N | ø | l | a | L |
| ESTRIBO 1 | A2 | PU-825 | GUIADO | 143 | 796 | 398 | 398 | 102,5 | 43 | 796 | 796 | 619 | 443 | 60 | 1100 | 550 | 550 | 900 | 20 | 4 | 25 | 450 | 7 | 800 |
| PILA 1 | A2 | PU-1850 | GUIADO | 98 | 1134 | 556 | 578 | 145,5 | 58 | 1086 | 1086 | 810 | 298 | 40 | 1500 | 739 | 761 | 1200 | 20 | 10 | 25 | 450 | 7 | 1800 |
| PILA 2 | A2 | PU-1850 | GUIADO | 98 | 1134 | 543 | 591 | 145,5 | 58 | 1086 | 1086 | 810 | 298 | 40 | 1500 | 726 | 774 | 1200 | 20 | 10 | 25 | 450 | 7 | 1800 |
| PILA 3 | A2 | PU-1950 | GUIADO | 97 | 1245 | 585 | 660 | 145,5 | 58 | 1115 | 1115 | 831 | 297 | 40 | 1600 | 763 | 837 | 1300 | 20 | 10 | 25 | 450 | 7 | 1800 |
| PILA 4 | A2 | PU-1950 | GUIADO | 98 | 1245 | 571 | 674 | 145,5 | 58 | 1115 | 1115 | 831 | 298 | 40 | 1600 | 749 | 851 | 1300 | 20 | 10 | 25 | 450 | 7 | 1800 |
| PILA 5 | A2 | PU-1950 | GUIADO | 98 | 1245 | 557 | 688 | 145,5 | 58 | 1115 | 1115 | 831 | 298 | 40 | 1600 | 794 | 806 | 1300 | 20 | 10 | 25 | 450 | 7 | 1800 |
| PILA 6 | A2 | PU-1850 | GUIADO | 96 | 1490 | 667 | 823 | 145,5 | 58 | 1086 | 1086 | 810 | 296 | 40 | 1800 | 881 | 919 | 1200 | 20 | 10 | 25 | 450 | 7 | 1800 |
| PILA 7 | A2 | PU-1850 | GUIADO | 97 | 1490 | 653 | 837 | 145,5 | 58 | 1086 | 1086 | 810 | 297 | 40 | 1800 | 868 | 932 | 1200 | 20 | 10 | 25 | 450 | 7 | 1800 |
| PILA 8 | A2 | PU-1850 | GUIADO | 97 | 1490 | 640 | 850 | 145,5 | 58 | 1086 | 1086 | 810 | 297 | 40 | 1800 | 855 | 945 | 1200 | 20 | 10 | 25 | 450 | 7 | 1800 |
| PILA 9 | A2 | PU-1850 | GUIADO | 97 | 1490 | 627 | 863 | 145,5 | 58 | 1086 | 1086 | 810 | 297 | 40 | 1800 | 899 | 901 | 1200 | 20 | 10 | 25 | 450 | 7 | 1800 |
| PILA 10 | A2 | PU-1850 | GUIADO | 97 | 1490 | 614 | 876 | 145,5 | 58 | 1086 | 1086 | 810 | 297 | 40 | 1800 | 886 | 914 | 1200 | 20 | 10 | 25 | 450 | 7 | 1800 |
| PILA 11 | A2 | PU-1850 | GUIADO | 96 | 1766 | 739 | 1027 | 145,5 | 58 | 1086 | 1086 | 810 | 296 | 40 | 2100 | 1023 | 1077 | 1200 | 20 | 10 | 25 | 450 | 7 | 1800 |
| PILA 12 | A2 | PU-1850 | GUIADO | 96 | 1766 | 725 | 1041 | 145,5 | 58 | 1086 | 1086 | 810 | 296 | 40 | 2100 | 1009 | 1091 | 1200 | 20 | 10 | 25 | 450 | 7 | 1800 |
| PILA 13 | A2 | PU-1850 | GUIADO | 96 | 1766 | 712 | 1054 | 145,5 | 58 | 1086 | 1086 | 810 | 296 | 40 | 2100 | 1053 | 1047 | 1200 | 20 | 10 | 25 | 450 | 7 | 1800 |
| PILA 14 | A2 | PU-1850 | GUIADO | 96 | 1766 | 699 | 1067 | 145,5 | 58 | 1086 | 1086 | 810 | 296 | 40 | 2100 | 1040 | 1060 | 1200 | 20 | 10 | 25 | 450 | 7 | 1800 |
| PILA 15 | A2 | PU-1850 | GUIADO | 96 | 1766 | 686 | 1080 | 145,5 | 58 | 1086 | 1086 | 810 | 296 | 40 | 2100 | 1027 | 1073 | 1200 | 20 | 10 | 25 | 450 | 7 | 1800 |
| PILA 16 | A2 | PU-1850 | GUIADO | 95 | 1932 | 756 | 1176 | 145,5 | 58 | 1086 | 1086 | 810 | 295 | 40 | 2300 | 1114 | 1186 | 1200 | 20 | 10 | 25 | 450 | 7 | 1800 |
| PILA 17 | A2 | PU-1850 | GUIADO | 95 | 1932 | 742 | 1190 | 145,5 | 58 | 1086 | 1086 | 810 | 295 | 40 | 2300 | 1157 | 1143 | 1200 | 20 | 10 | 25 | 450 | 7 | 1800 |
| PILA 18 | A2 | PU-1850 | GUIADO | 96 | 1932 | 729 | 1203 | 145,5 | 58 | 1086 | 1086 | 810 | 296 | 40 | 2300 | 1144 | 1156 | 1200 | 20 | 10 | 25 | 450 | 7 | 1800 |
| PILA 19 | A2 | PU-1850 | GUIADO | 95 | 2098 | 799 | 1299 | 145,5 | 58 | 1086 | 1086 | 810 | 295 | 40 | 2400 | 1180 | 1220 | 1200 | 20 | 10 | 25 | 450 | 7 | 1800 |
| PILA 20 | A2 | PU-1850 | GUIADO | 95 | 2098 | 786 | 1312 | 145,5 | 58 | 1086 | 1086 | 810 | 295 | 40 | 2400 | 1167 | 1233 | 1200 | 20 | 10 | 25 | 450 | 7 | 1800 |
| PILA 21 | A2 | PU-1850 | GUIADO | 95 | 2098 | 773 | 1325 | 145,5 | 58 | 1086 | 1086 | 810 | 295 | 40 | 2400 | 1211 | 1189 | 1200 | 20 | 10 | 25 | 450 | 7 | 1800 |
| ESTRIBO 2 | A2 | PU-900 | GUIADO | 430 | 1857 | 641 | 1216 | 105,5 | 42 | 831 | 831 | 644 | 730 | 60 | 2200 | 813 | 1387 | 1000 | 20 | 4 | 25 | 450 | 7 | 800 |

## COTA INFERIOR Y PENDIENTE DE LOS APOYOS DEFINITIVOS

| LOCALIZACION | APOYO | COTA PLATAFORMA DE APOYO | COTA INFERIOR APOYO | i % |
|---|---|---|---|---|
| ESTRIBO 1 | A2 | 516,792 | 516,935 | 1,1312 |
| PILA 1 | A2 | 517,256 | 517,354 | 1,2129 |
| PILA 2 | A2 | 517,839 | 517,937 | 1,2129 |
| PILA 3 | A2 | 518,421 | 518,518 | 1,2129 |
| PILA 4 | A2 | 519,039 | 519,137 | 1,2129 |
| PILA 5 | A2 | 519,658 | 519,756 | 1,2129 |
| PILA 6 | A2 | 520,240 | 520,336 | 1,2129 |
| PILA 7 | A2 | 520,822 | 520,919 | 1,2129 |
| PILA 8 | A2 | 521,404 | 521,501 | 1,2129 |
| PILA 9 | A2 | 521,987 | 522,084 | 1,2129 |
| PILA 10 | A2 | 522,569 | 522,666 | 1,2129 |
| PILA 11 | A2 | 523,151 | 523,247 | 1,2129 |
| PILA 12 | A2 | 523,733 | 523,829 | 1,2129 |
| PILA 13 | A2 | 524,315 | 524,411 | 1,2129 |
| PILA 14 | A2 | 524,898 | 524,994 | 1,2129 |
| PILA 15 | A2 | 525,480 | 525,576 | 1,2129 |
| PILA 16 | A2 | 526,062 | 526,157 | 1,2129 |
| PILA 17 | A2 | 526,644 | 526,739 | 1,2129 |
| PILA 18 | A2 | 527,226 | 527,322 | 1,2129 |
| PILA 19 | A2 | 527,808 | 527,903 | 1,2129 |
| PILA 20 | A2 | 528,391 | 528,486 | 1,2129 |
| PILA 21 | A2 | 528,973 | 529,068 | 1,2129 |
| ESTRIBO 2 | A2 | 529,166 | 529,596 | 1,3181 |

GIF Gestor de Infraestructuras Ferroviarias

PROYECTO CONSTRUIDO :
L.A.V. MADRID–ZARAGOZA–BARCELONA–FRONTERA FRANCESA
TRAMO : LLEIDA–MARTORELL
SUBTRAMO: III–A PLATAFORMA

EL DIRECTOR DEL PROYECTO CONSTRUIDO :
JAIME GARCIA–GERMAN LOPEZ–BELMONTE
Fdo.:

EL AUTOR DEL PROYECTO CONSTRUIDO :
ferrovial AGROMAN
Fdo.:

CONSULTOR (ASISTENCIA AL CONTROL DE OBRAS) :
U.T.E. Intecsa Industrial S.A. / europroject Ingeniería, s.l.

ESCALAS :
INDICADAS
NUMÉRICA GRÁFICA : METROS

FECHA :
JULIO 2003

TITULO DEL PLANO :
VIADUCTO DE VINAIXA
APOYOS DEFINITIVOS (2)

Nº DE PLANO
2.9.13.4_03.03

HOJA 3 DE 3

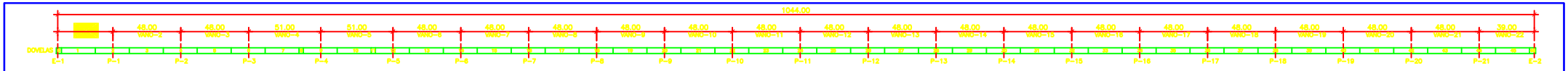


ESQUEMA DISTRIBUCION DOVELAS

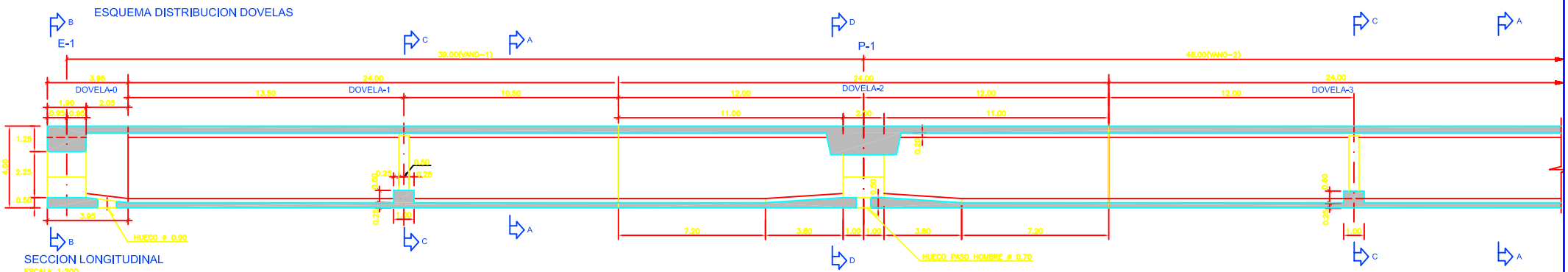


SECCION LONGITUDINAL
ESCALA 1:200

NOTA:
-. EN EL PLANO Nº 2.9.13-04.02 FIGURA UN CUADRO CON LA LONGITUD DE TABLERO EJECUTADA TRAS EL HORMIGONADO DE CADA DOVELA.

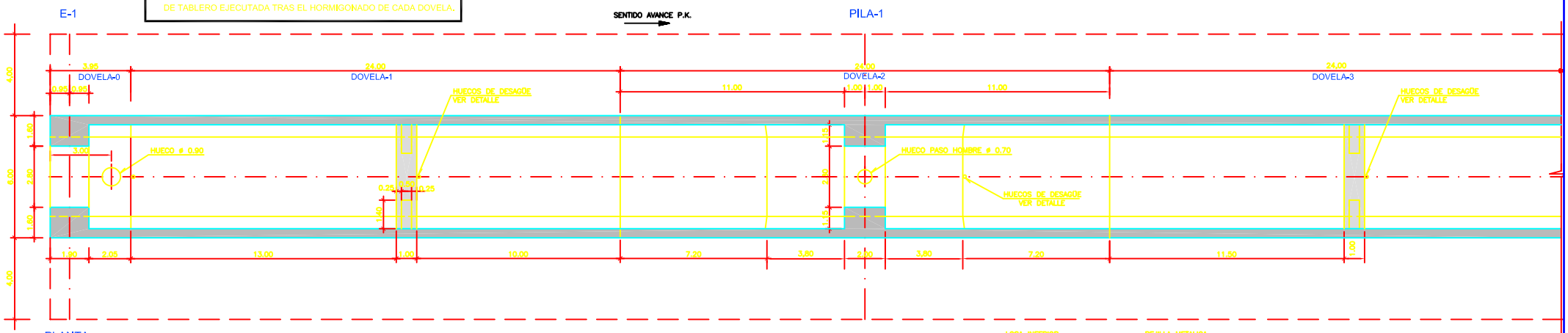


PLANTA
ESCALA 1:200

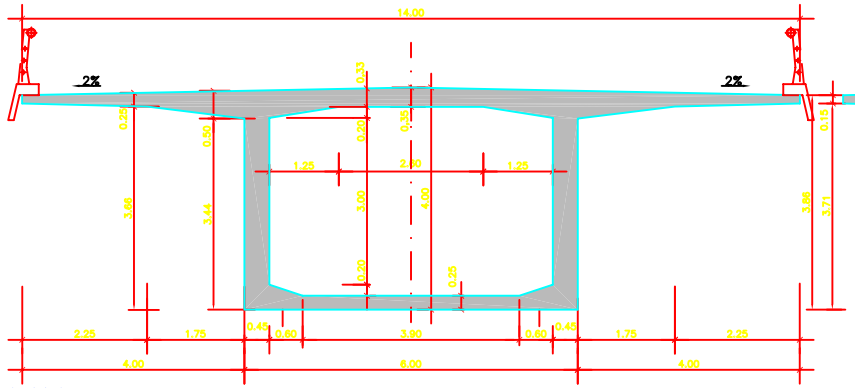


SECCION A-A
ESCALA 1:100

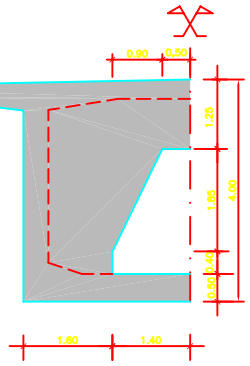


SECCION B-B
ESCALA 1:100

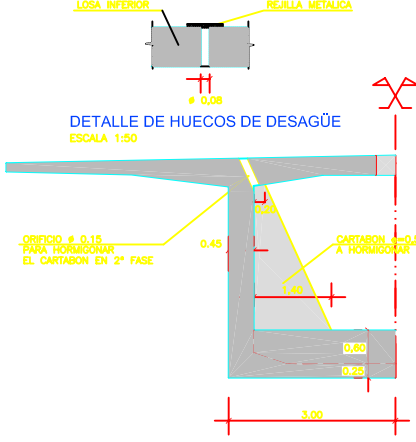


SECCION C-C
ESCALA 1:100

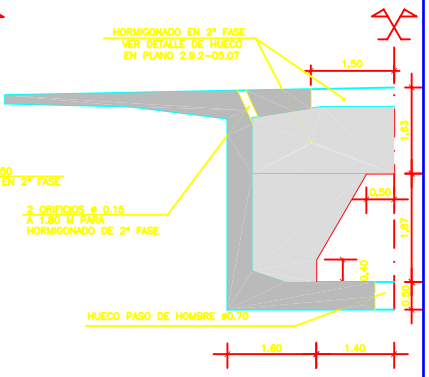


SECCION D-D
ESCALA 1:100

| | | | | | | | |
|---|---|---|---|---|---|---|---|
| GIF Gestor de Infraestructuras Ferroviarias | PROYECTO CONSTRUIDO : L.A.V. MADRID–ZARAGOZA–BARCELONA–FRONTERA FRANCESA<br>TRAMO : LLEIDA–MARTORELL<br>SUBTRAMO: III–A PLATAFORMA | EL DIRECTOR DEL PROYECTO CONSTRUIDO : JAIME GARCIA–GERMAN LOPEZ–BELMONTE<br>Fdo.: | EL AUTOR DEL PROYECTO CONSTRUIDO : ferrovial AGROMAN<br>Fdo.: | CONSULTOR (ASISTENCIA AL CONTROL DE OBRAS) : U.T.E. Intecsa Industrial S.A. / eurosprojekt Ingeniería, s.l. | ESCALAS : INDICADAS<br>NUMÉRICA GRÁFICA : METROS | FECHA : JULIO 2003 | TITULO DEL PLANO : VIADUCTO DE VINAIXA<br>TABLERO<br>VANO 1. DEFINICION GEOMETRICA | Nº DE PLANO 2.9.13.5_01–09<br>HOJA 1 DE 9 |

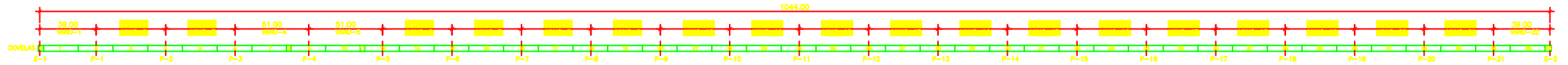


ESQUEMA DISTRIBUCION DOVELAS

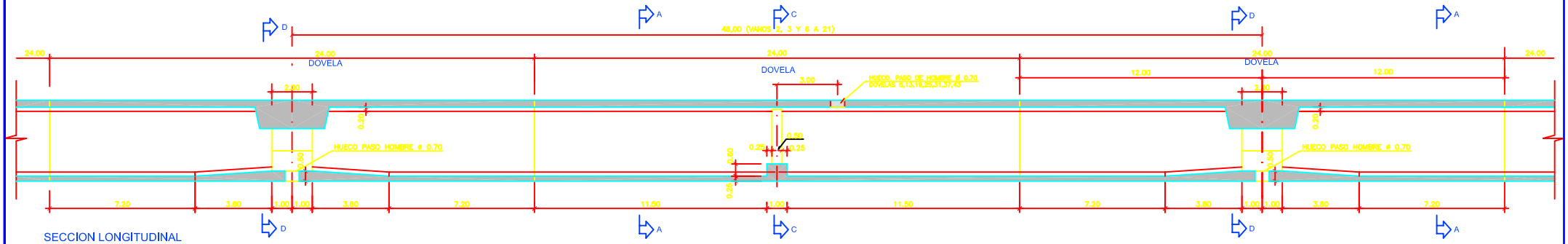


SECCION LONGITUDINAL
ESCALA 1:200

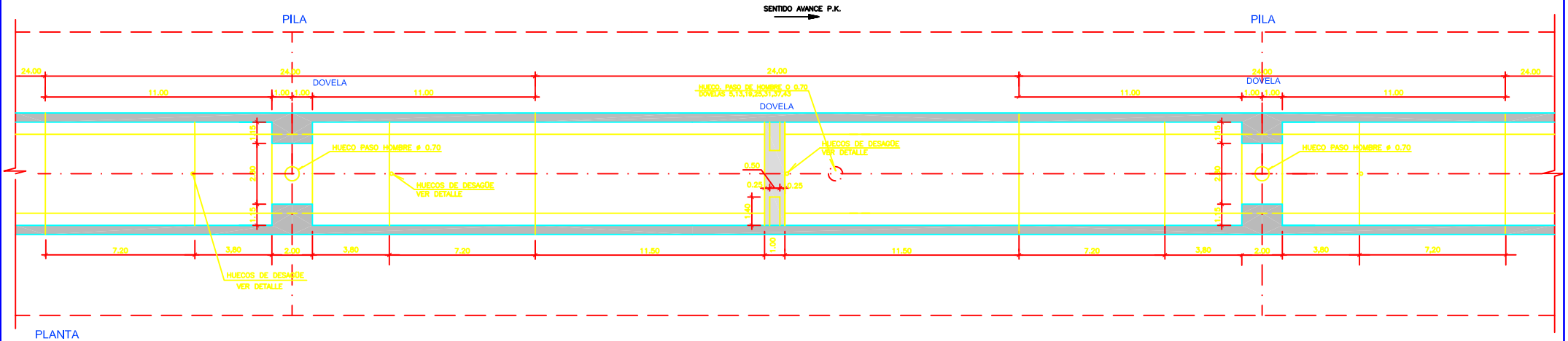


PLANTA
ESCALA 1:200

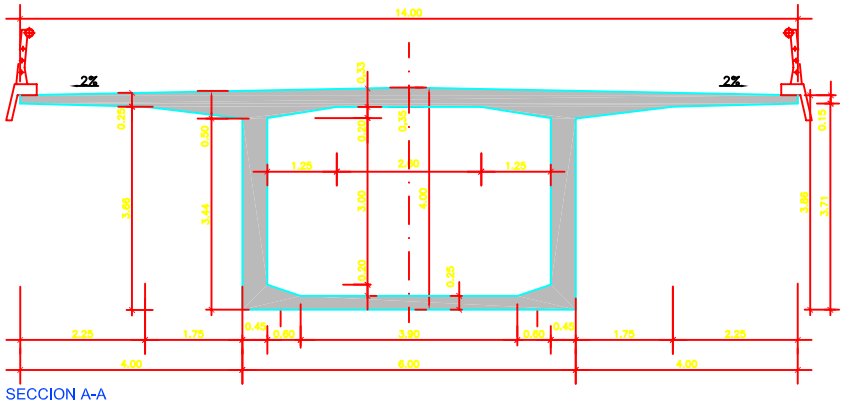


SECCION A-A
ESCALA 1:100

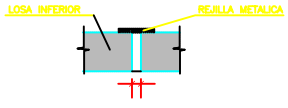


DETALLE DE HUECOS DE DESAGÜE
ESCALA 1:50

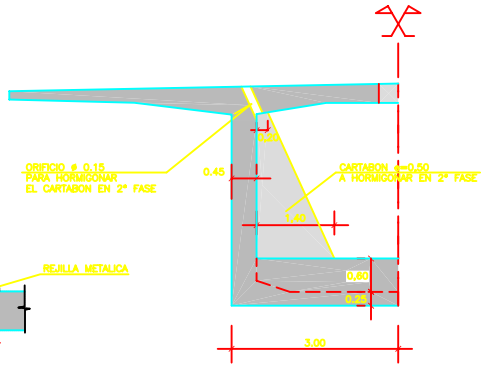


SECCION C-C
ESCALA 1:100

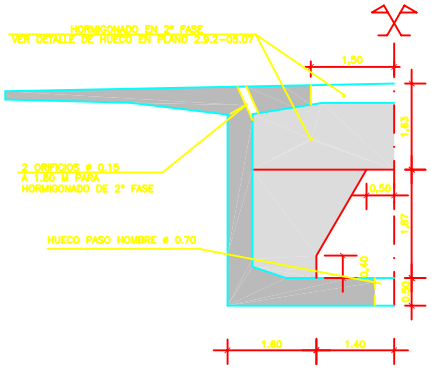


SECCION D-D
ESCALA 1:100

| | | | | | | | |
|---|---|---|---|---|---|---|---|
| GIF Gestor de Infraestructuras Ferroviarias | PROYECTO CONSTRUIDO : L.A.V. MADRID–ZARAGOZA–BARCELONA–FRONTERA FRANCESA<br>TRAMO : LLEIDA–MARTORELL<br>SUBTRAMO: III–A PLATAFORMA | EL DIRECTOR DEL PROYECTO CONSTRUIDO : JAIME GARCIA–GERMAN LOPEZ–BELMONTE | EL AUTOR DEL PROYECTO CONSTRUIDO : ferrovial AGROMAN | CONSULTOR (ASISTENCIA AL CONTROL DE OBRAS) : U.T.E. Intecsa / europroject ingeniería, s.l. | ESCALAS : INDICADAS<br>NUMÉRICA / GRÁFICA : METROS | FECHA : JULIO 2003 | TITULO DEL PLANO : VIADUCTO DE VINAIXA<br>TABLERO<br>VANO 2, 3 Y 6 A 21. DEFINICION GEOMETRICA | Nº DE PLANO 2.9.13.5_02–09<br>HOJA 2 DE 9 |

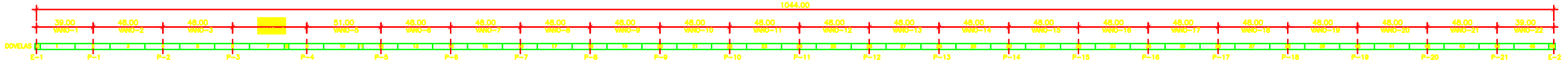


ESQUEMA DISTRIBUCION DOVELAS

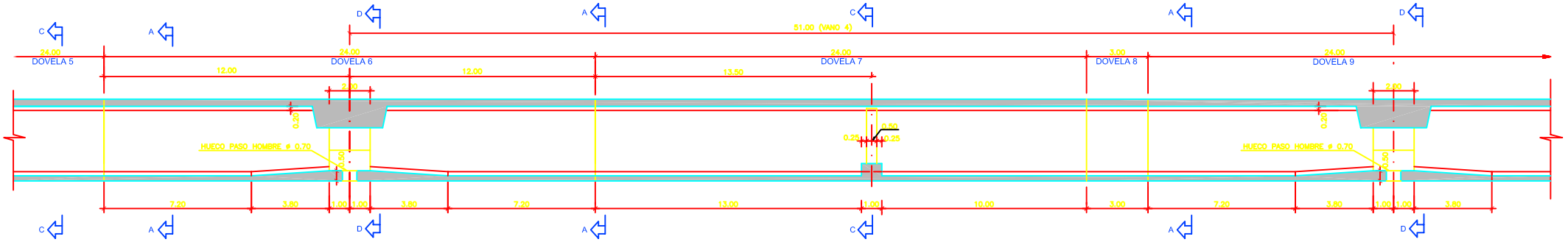


SECCION LONGITUDINAL

ESCALA 1:200

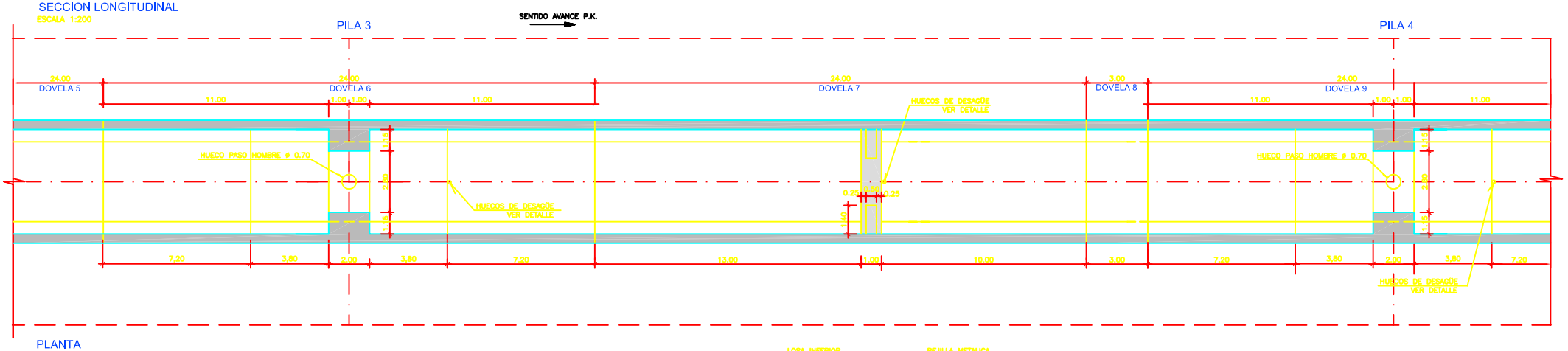


PLANTA

ESCALA 1:200

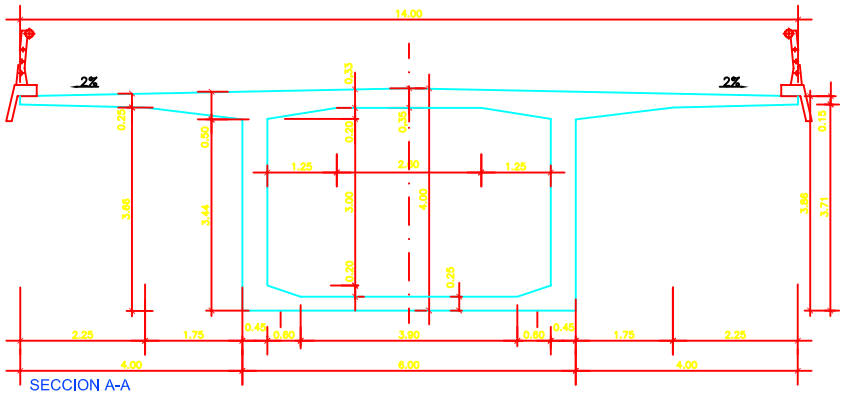


SECCION A-A

ESCALA 1:100

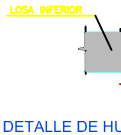


DETALLE DE HUECOS DE DESAGÜE

ESCALA 1:50

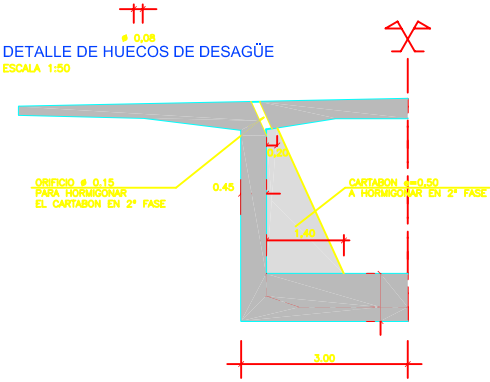


SECCION C-C

ESCALA 1:100

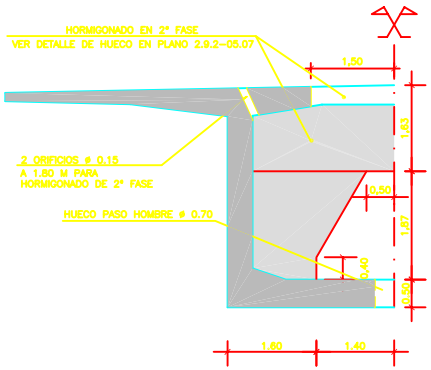


SECCION D-D

ESCALA 1:100

| | | | | | | | |
|---|---|---|---|---|---|---|---|
| GIF Gestor de Infraestructuras Ferroviarias | PROYECTO CONSTRUIDO : L.A.V. MADRID–ZARAGOZA–BARCELONA–FRONTERA FRANCESA<br>TRAMO : LLEIDA–MARTORELL<br>SUBTRAMO: III–A PLATAFORMA | EL DIRECTOR DEL PROYECTO CONSTRUIDO : JAIME GARCIA–GERMAN LOPEZ–BELMONTE<br>Fdo.: | EL AUTOR DEL PROYECTO CONSTRUIDO : ferrovial AGROMAN<br>Fdo.: | CONSULTOR (ASISTENCIA AL CONTROL DE OBRAS) : U.T.E. Intecsa europroject Ingeniería, s.l. | ESCALAS : INDICADAS<br>NUMÉRICA GRÁFICA : METROS | FECHA : JULIO 2003 | TITULO DEL PLANO : VIADUCTO DE VINAIXA<br>TABLERO<br>VANO 4. DEFINICION GEOMETRICA | Nº DE PLANO 2.9.13.5_03–09<br>HOJA 3 DE 9 |

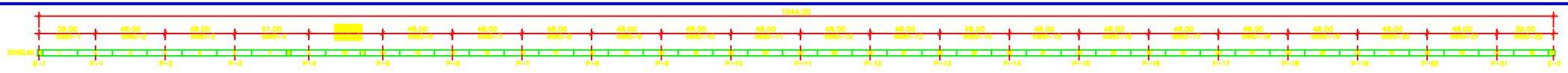


ESQUEMA DISTRIBUCION DOVELAS

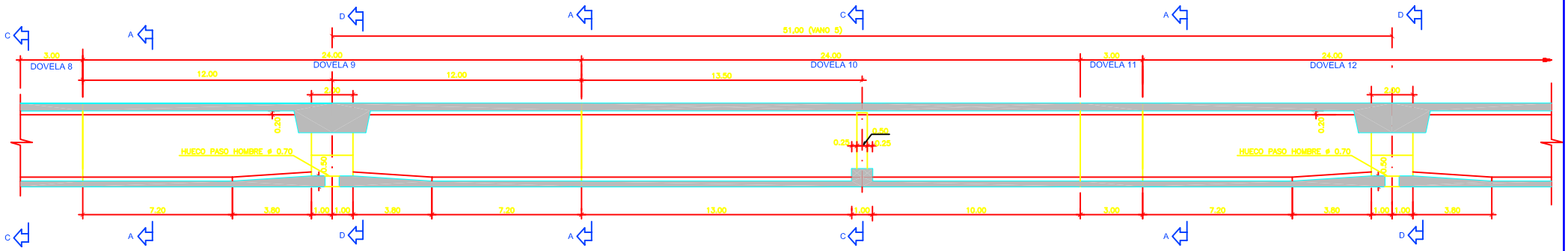


SECCION LONGITUDINAL
ESCALA 1:200

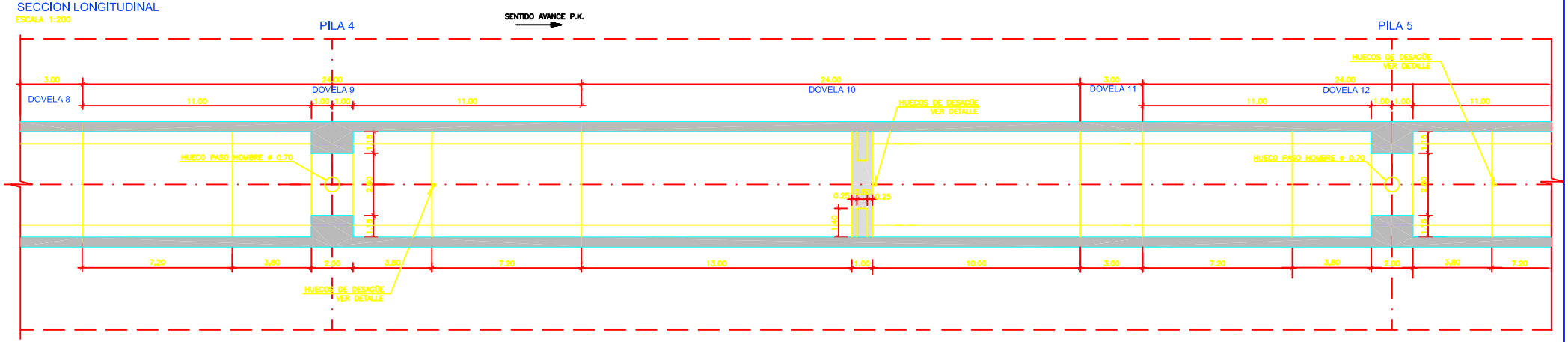


PLANTA
ESCALA 1:200

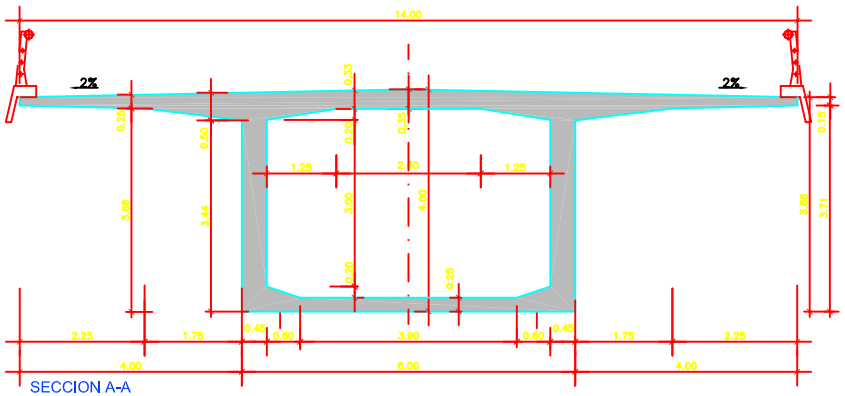


SECCION A-A
ESCALA 1:100

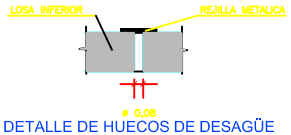


DETALLE DE HUECOS DE DESAGÜE
ESCALA 1:50

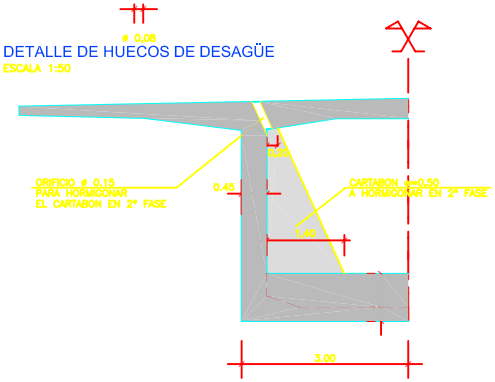


SECCION C-C
ESCALA 1:100

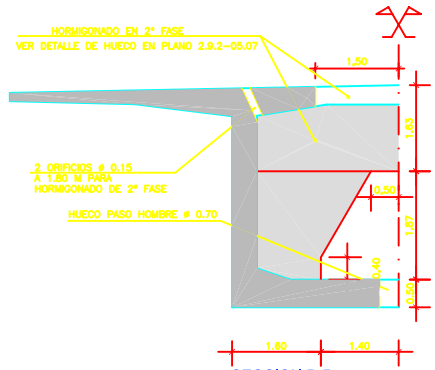


SECCION D-D
ESCALA 1:100

| | | | | | | | |
|---|---|---|---|---|---|---|---|
| GIF Gestor de Infraestructuras Ferroviarias | PROYECTO CONSTRUIDO : L.A.V. MADRID–ZARAGOZA–BARCELONA–FRONTERA FRANCESA<br>TRAMO : LLEIDA–MARTORELL<br>SUBTRAMO: III–A PLATAFORMA | EL DIRECTOR DEL PROYECTO CONSTRUIDO : JAIME GARCIA–GERMAN LOPEZ–BELMONTE | EL AUTOR DEL PROYECTO CONSTRUIDO : ferrovial AGROMAN | CONSULTOR (ASISTENCIA AL CONTROL DE OBRAS) : U.T.E. Intecsa Industrial S.A. europroject Ingeniería, s.l. | ESCALAS : INDICADAS<br>NUMÉRICA GRÁFICA : METROS | FECHA : JULIO 2003 | TITULO DEL PLANO : VIADUCTO DE VINAIXA<br>TABLERO<br>VANO 5. DEFINICION GEOMETRICA | Nº DE PLANO 2.9.13.5_04–09<br>HOJA 4 DE 9 |

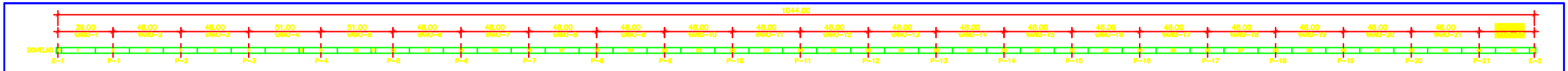


ESQUEMA DISTRIBUCION DOVELAS

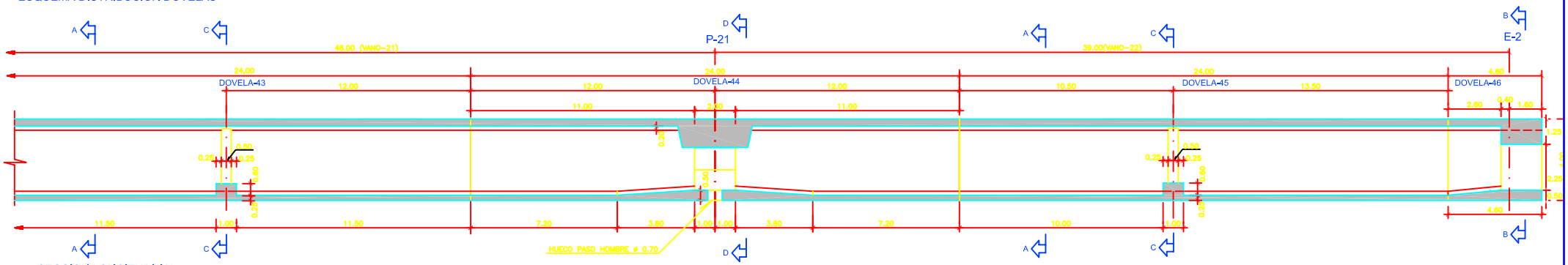


SECCION LONGITUDINAL
ESCALA 1:200

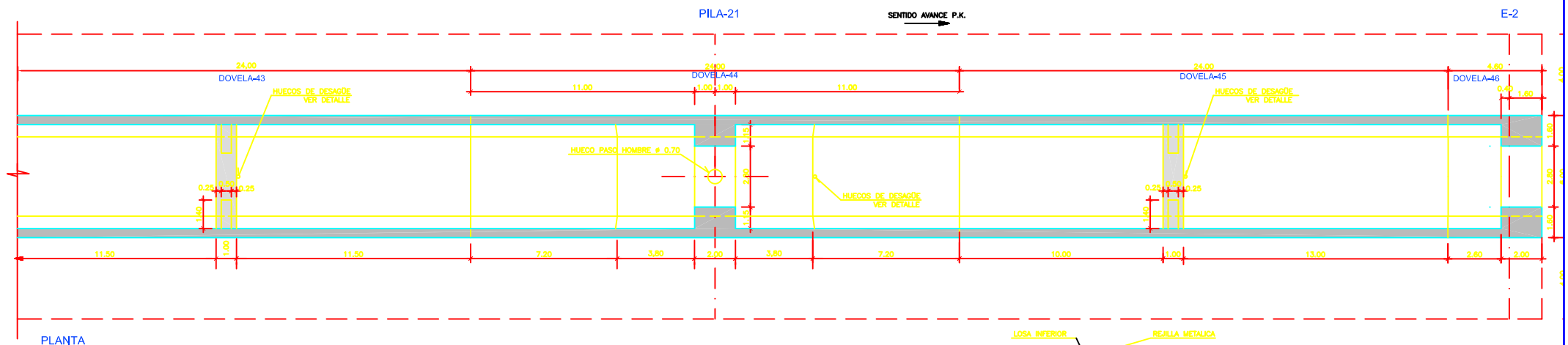


PLANTA
ESCALA 1:200

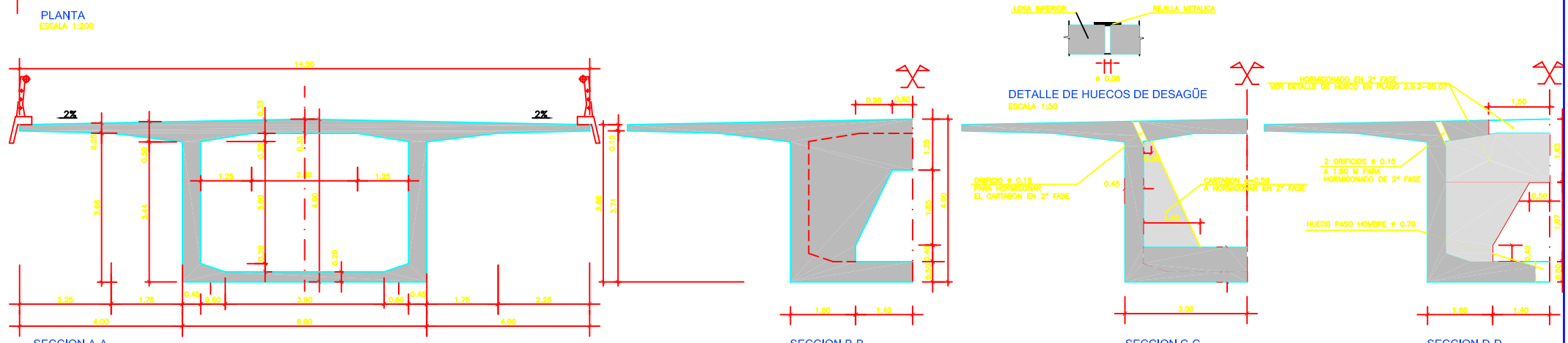


SECCION A-A
ESCALA 1:100

SECCION B-B
ESCALA 1:100

DETALLE DE HUECOS DE DESAGÜE
ESCALA 1:50

SECCION C-C
ESCALA 1:100

SECCION D-D
ESCALA 1:100

GIF Gestor de Infraestructuras Ferroviarias

PROYECTO CONSTRUIDO :
L.A.V. MADRID–ZARAGOZA–BARCELONA–FRONTERA FRANCESA
TRAMO : LLEIDA–MARTORELL
SUBTRAMO: III–A PLATAFORMA

EL DIRECTOR DEL PROYECTO CONSTRUIDO :
Fdo.: JAIME GARCIA–GERMAN LOPEZ–BELMONTE

EL AUTOR DEL PROYECTO CONSTRUIDO :
Fdo.: ferrovial AGROMAN

CONSULTOR (ASISTENCIA AL CONTROL DE OBRAS) :
U.T.E. Intecsa Inarsa S.A. europroiect ingeniería, s.l.

ESCALAS :
INDICADAS
NUMÉRICA GRÁFICA : METROS

FECHA :
JULIO 2003

TITULO DEL PLANO :
VIADUCTO DE VINAIXA
TABLERO
VANO 22. DEFINICION GEOMETRICA

Nº DE PLANO
2.9.13.5_05–09

HOJA 5 DE 9

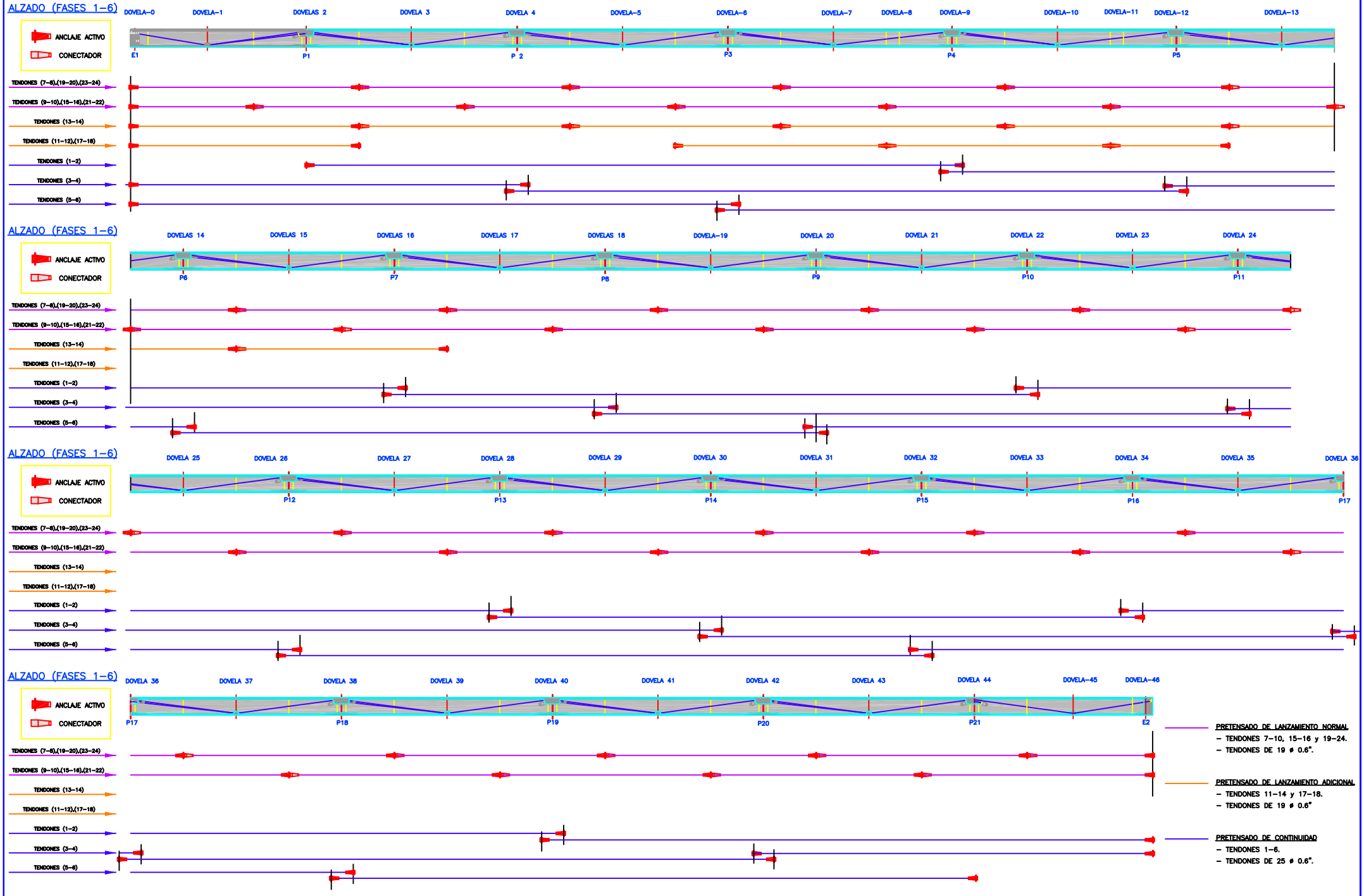


GIF Gestor de Infraestructuras Ferroviarias

PROYECTO CONSTRUIDO :
L.A.V. MADRID-ZARAGOZA-BARCELONA-FRONTERA FRANCESA
TRAMO : LLEIDA-MARTORELL
SUBTRAMO: III-A PLATAFORMA

EL DIRECTOR DEL PROYECTO CONSTRUIDO :
JAIME GARCIA-GERMAN LOPEZ-BELMONTE
Fdo.:

EL AUTOR DEL PROYECTO CONSTRUIDO :
ferrovial AGROMAN
Fdo.:

CONSULTOR (ASISTENCIA AL CONTROL DE OBRAS) :
U.T.E. Intecsa Industrial S.A. europroject Ingeniería, s.l.

ESCALAS :
SIN ESCALA
NUMÉRICA GRÁFICA : METROS

FECHA :
JULIO 2003

TITULO DEL PLANO :
VIADUCTO DE VINAIXA
TABLERO
PRETENSADO. ESQUEMA GENERAL

Nº DE PLANO
2.9.13.6_01-17

HOJA 1 DE 17

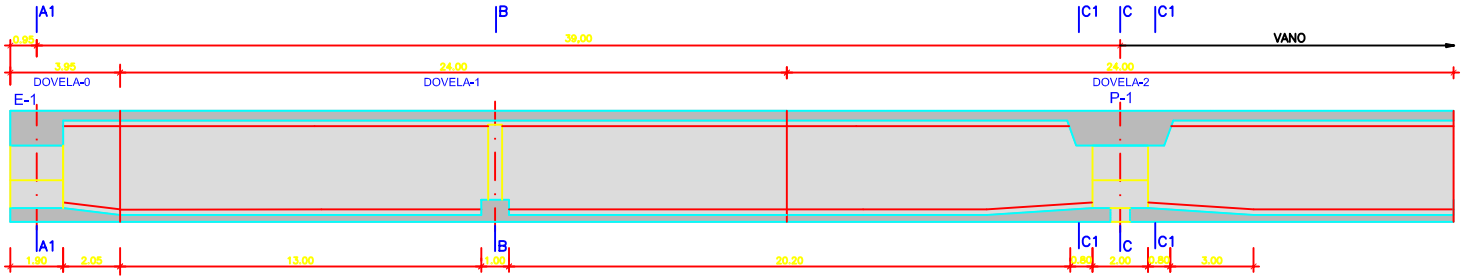


ALZADO ESQUEMATICO
ESCALA 1:200

NOTA:
EN LAS ZONAS DONDE LAS ARMADURAS TIPO Ⓗ y Ⓙ TROPIECEN CON LOS TENDONES DE PRETENSADO SE MODIFICARÁ SU FORMA DE ACUERDO AL SIGUIENTE ESQUEMA.

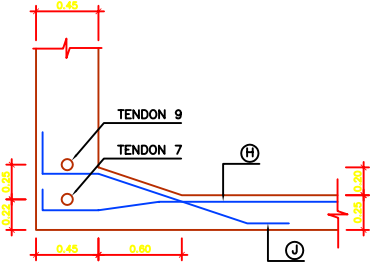


FORMA ARMADURAS TIPO Ⓗ y Ⓙ
ESCALA 1:40

| ARMADURAS TIPO | | | | | | | | | |
|---|---|---|---|---|---|---|---|---|---|
| Ⓐ | VER ARMADO DE ZONA SOBRE ESTRIBO-1 | | ø 20 a 20 | VER ARMADO DE ZONA DE DESVIADORES | ø 20 a 20 | | VER ARMADO DE ZONA SOBRE PILAS | | |
| Ⓑ | | | ø 12 a 20 | | ø 12 a 20 | | | | |
| Ⓒ | | | ø 20 a 20 | | ø 20 a 20 | | | | |
| Ⓓ | | ø16 a 20 | ø 12 a 20 | | ø 12 a 20 | ø 16 a 20 | | | |
| Ⓔ | | ø16 a 20 | ø 12 a 20 | | ø 12 a 20 | ø 16 a 20 | | | |
| Ⓕ | | | ø 12 a 20 | | ø 12 a 20 | | | | |
| Ⓖ | | | ø 20 a 20 | | ø 20 a 20 | ø 25 a 20 | | | |
| Ⓗ | | | ø 20 a 20 | | ø 20 a 20 | ø 25 a 20 | | | |
| Ⓘ | | | ø 20 a 20 | | ø 20 a 20 | | | | |
| Ⓙ | | | ø 12 a 20 | | ø 12 a 20 | | | | |

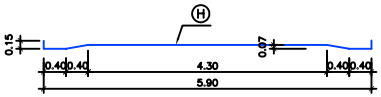


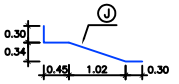


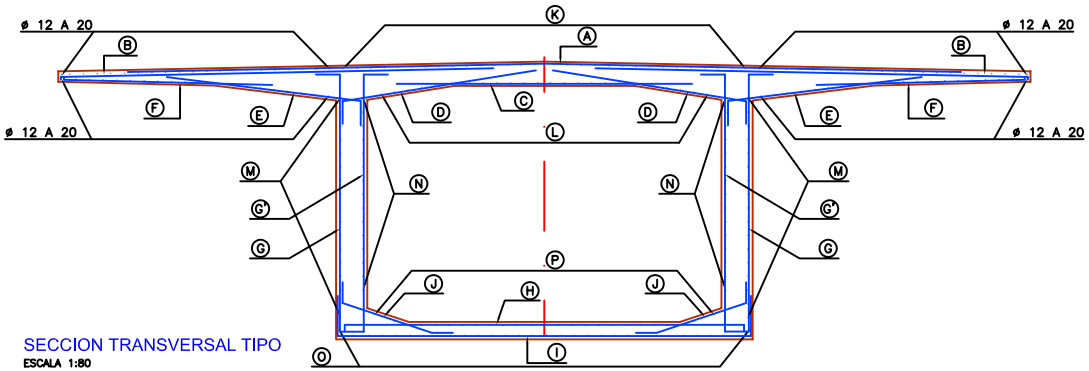


SECCION TRANSVERSAL TIPO
ESCALA 1:80

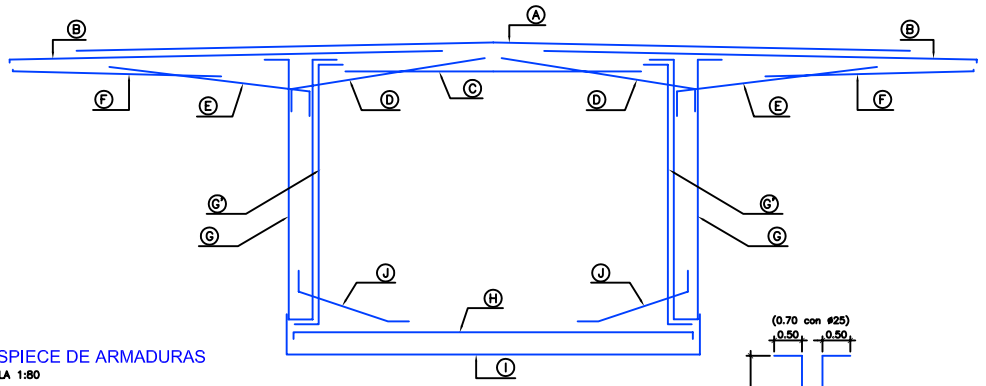


DESPIECE DE ARMADURAS
ESCALA 1:80

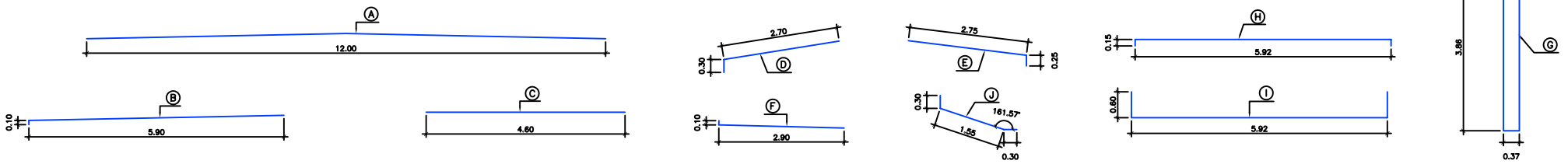


| | | | | | | | |
|---|---|---|---|---|---|---|---|
| GIF Gestor de Infraestructuras Ferroviarias | PROYECTO CONSTRUIDO : L.A.V. MADRID–ZARAGOZA–BARCELONA–FRONTERA FRANCESA<br>TRAMO : LLEIDA–MARTORELL<br>SUBTRAMO: III–A PLATAFORMA | EL DIRECTOR DEL PROYECTO CONSTRUIDO : JAIME GARCIA–GERMAN LOPEZ–BELMONTE | EL AUTOR DEL PROYECTO CONSTRUIDO : ferrovial AGROMAN | CONSULTOR (ASISTENCIA AL CONTROL DE OBRAS) : U.T.E. Intecsa europroject Ingeniería, s.l. | ESCALAS : INDICADAS<br>NUMÉRICA GRÁFICA : METROS | FECHA : JULIO 2003 | TITULO DEL PLANO : VIADUCTO DE VINAIXA<br>TABLERO<br>ARMADURAS TRANSVERSALES VANO 1 | Nº DE PLANO 2.9.13.7_01–13<br>HOJA 1 DE 13 |

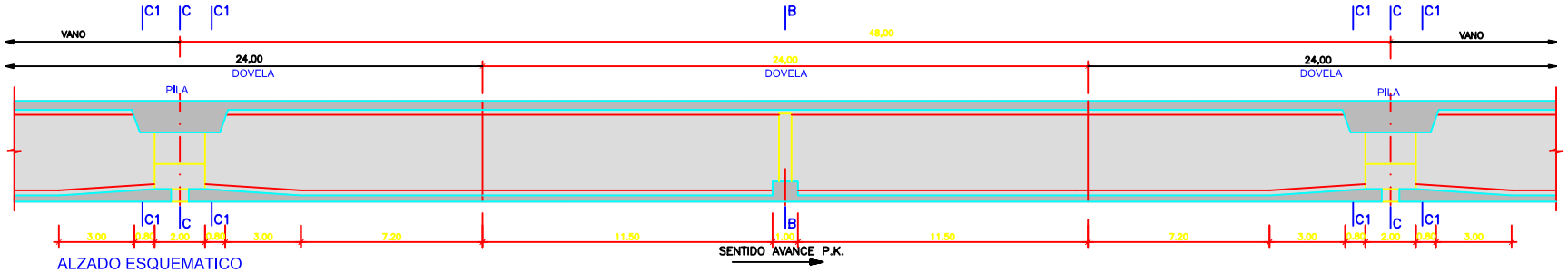


ALZADO ESQUEMATICO
ESCALA 1:200

| ARMADURAS TIPO | | | | | | | | | | | |
|---|---|---|---|---|---|---|---|---|---|---|---|
| A | | VER ARMADO DE ZONA SOBRE PILAS | ø 20 a 20 | | | ø 20 a 20 | | | VER ARMADO DE ZONA SOBRE PILAS | | |
| B | | | ø 12 a 20 | | | ø 12 a 20 | | | | | |
| C | | | ø 20 a 20 | | | ø 20 a 20 | | | | | |
| D | | | ø 20 a 20 | ø 16 a 20 | ø 12 a 20 | ø 12 a 20 | ø 16 a 20 | ø 20 a 20 | | | |
| E | | | ø 20 a 20 | ø 16 a 20 | ø 12 a 20 | ø 12 a 20 | ø 16 a 20 | ø 20 a 20 | | | |
| F | | | ø 12 a 20 | | | ø 12 a 20 | | | | | |
| G | | | ø 25 a 20 | ø 20 a 20 | | ø 20 a 20 | | ø 25 a 20 | | | |
| H | | | ø 25 a 20 | ø 20 a 20 | | ø 20 a 20 | | ø 25 a 20 | | | |
| I | | | ø 20 a 20 | | | ø 20 a 20 | | | | | |
| J | | | ø 12 a 20 | | | ø 12 a 20 | | | | | |

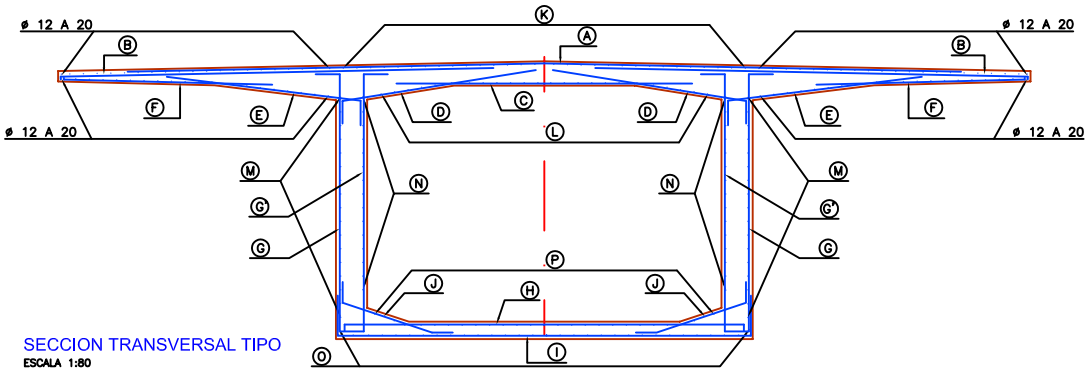


SECCION TRANSVERSAL TIPO
ESCALA 1:80

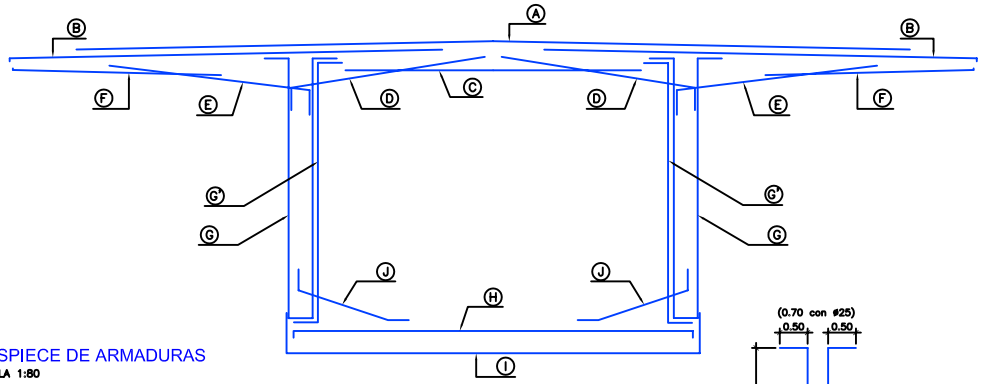

DESPIECE DE ARMADURAS
ESCALA 1:80

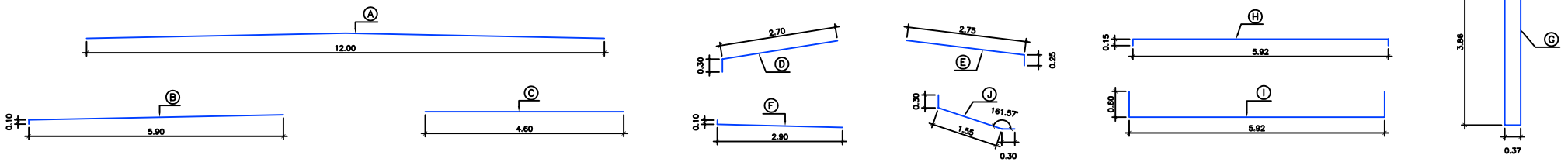


NOTA: EN LAS ZONAS DONDE LAS ARMADURAS TIPO (H) y (J) TROPIECEN CON LOS TENDONES DE PRETENSADO, SE MODIFICARA SU FORMA DE ACUERDO AL ESQUEMA QUE FIGURA EN EL PLANO 2.9.13-07.01

| | | | | | | | |
|---|---|---|---|---|---|---|---|
| GIF Gestor de Infraestructuras Ferroviarias | PROYECTO CONSTRUIDO : L.A.V. MADRID–ZARAGOZA–BARCELONA–FRONTERA FRANCESA<br>TRAMO : LLEIDA–MARTORELL<br>SUBTRAMO: III–A PLATAFORMA | EL DIRECTOR DEL PROYECTO CONSTRUIDO : JAIME GARCIA–GERMAN LOPEZ–BELMONTE | EL AUTOR DEL PROYECTO CONSTRUIDO : ferrovial AGROMAN | CONSULTOR (ASISTENCIA AL CONTROL DE OBRAS) : U.T.E. Intecsa europroject Ingeniería, s.l. | ESCALAS : INDICADAS<br>NUMÉRICA GRÁFICA : METROS | FECHA : JULIO 2003 | TITULO DEL PLANO : VIADUCTO DE VINAIXA<br>TABLERO<br>ARMADURA TRANSVERSAL VANOS 2, 3 Y 6 A 21 | Nº DE PLANO 2.9.13.7_02–13<br>HOJA 2 DE 13 |

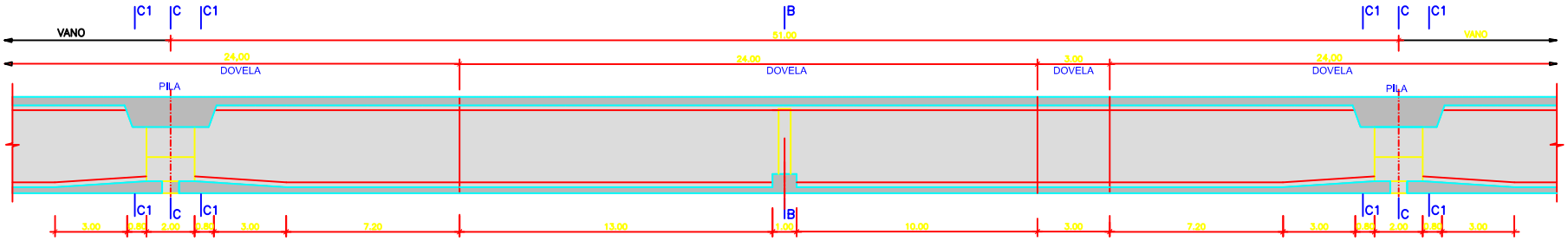


ALZADO ESQUEMATICO
ESCALA 1:200

| ARMADURAS TIPO | | | | | | | | | | | | |
|---|---|---|---|---|---|---|---|---|---|---|---|---|
| A | | VER ARMADO DE ZONA SOBRE PILAS | | | ø 20 a 20 | VER ARMADO DE ZONA DE DESVIADORES | ø 20 a 20 | | | VER ARMADO DE ZONA SOBRE PILAS | | |
| B | | | | | ø 12 a 20 | | ø 12 a 20 | | | | | |
| C | | | | | ø 20 a 20 | | ø 20 a 20 | | | | | |
| D | | | ø 20 a 20 | ø 16 a 20 | ø 12 a 20 | | ø 12 a 20 | ø 16 a 20 | ø 20 a 20 | | | |
| E | | | ø 20 a 20 | ø 16 a 20 | ø 12 a 20 | | ø 12 a 20 | ø 16 a 20 | ø 20 a 20 | | | |
| F | | | | | ø 12 a 20 | | ø 12 a 20 | | | | | |
| G | | | ø 25 a 20 | | ø 20 a 20 | | ø 20 a 20 | | ø 25 a 20 | | | |
| H | | | ø 25 a 20 | | ø 20 a 20 | | ø 20 a 20 | | ø 25 a 20 | | | |
| I | | | | | ø 20 a 20 | | ø 20 a 20 | | | | | |
| J | | | ø 20 a 20 | ø 16 a 20 | ø 12 a 20 | | ø 12 a 20 | ø 16 a 20 | ø 20 a 20 | | | |

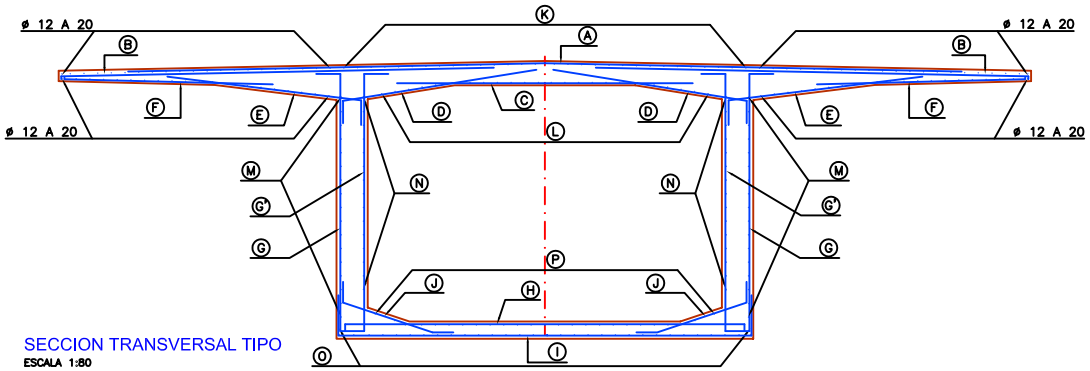


SECCION TRANSVERSAL TIPO
ESCALA 1:80

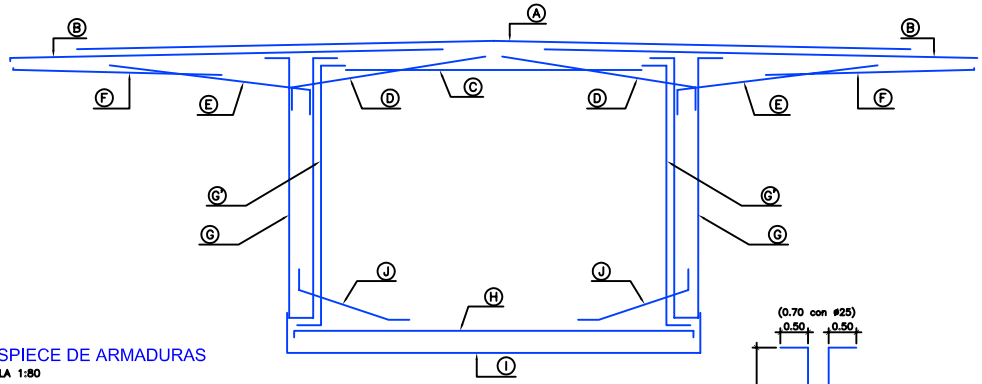


DESPIECE DE ARMADURAS
ESCALA 1:80

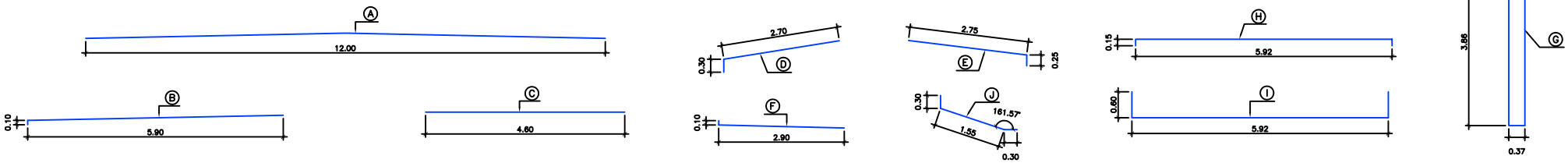


NOTA: EN LAS ZONAS DONDE LAS ARMADURAS TIPO (H) y (J) TROPIECEN CON LOS TENDONES DE PRETENSADO, SE MODIFICARA SU FORMA DE ACUERDO AL ESQUEMA QUE FIGURA EN EL PLANO 2.9.13-07.01

| | | | | | | | |
|---|---|---|---|---|---|---|---|
| GIF Gestor de Infraestructuras Ferroviarias | PROYECTO CONSTRUIDO : L.A.V. MADRID–ZARAGOZA–BARCELONA–FRONTERA FRANCESA<br>TRAMO : LLEIDA–MARTORELL<br>SUBTRAMO: III–A PLATAFORMA | EL DIRECTOR DEL PROYECTO CONSTRUIDO : Fdo.: JAIME GARCIA–GERMAN LOPEZ–BELMONTE | EL AUTOR DEL PROYECTO CONSTRUIDO : Fdo.: ferrovial AGROMAN | CONSULTOR (ASISTENCIA AL CONTROL DE OBRAS) : U.T.E. Intecsa / europroject Ingeniería, s.l. | ESCALAS : INDICADAS<br>NUMÉRICA GRÁFICA : METROS | FECHA : JULIO 2003 | TITULO DEL PLANO : VIADUCTO DE VINAIXA<br>TABLERO<br>ARMADURAS TRANSVERSALES VANOS 4 Y 5 | Nº DE PLANO 2.9.13.7_03–13<br>HOJA 3 DE 13 |

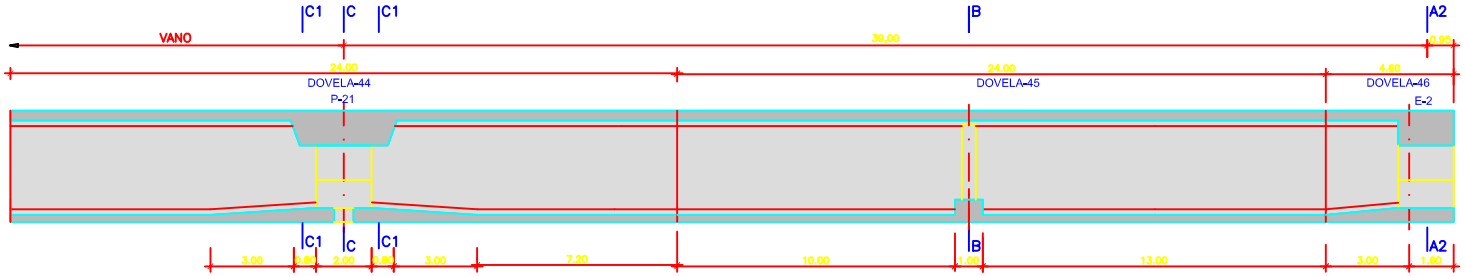


ALZADO ESQUEMATICO
ESCALA 1:200

| ARMADURAS TIPO | VER ARMADO DE ZONA SOBRE PILAS | | | VER ARMADO DE ZONA DE DESVIADORES | | | VER ARMADO DE ZONA SOBRE ESTRIBO-2 | ARMADURAS TIPO |
|---|---|---|---|---|---|---|---|---|
| A | | | ø 20 a 20 | | ø 20 a 20 | | | A |
| B | | | ø 12 a 20 | | ø 12 a 20 | | | B |
| C | | | ø 20 a 20 | | ø 20 a 20 | | | C |
| D | | ø 16 a 20 | ø 12 a 20 | | ø 12 a 20 | ø16 a 20 | | D |
| E | | ø 16 a 20 | ø 12 a 20 | | ø 12 a 20 | ø16 a 20 | | E |
| F | | | ø 12 a 20 | | ø 12 a 20 | | | F |
| G | | ø 25 a 20 | ø 20 a 20 | | ø 20 a 20 | | | G |
| H | | ø 25 a 20 | ø 20 a 20 | | ø 20 a 20 | | | H |
| I | | | ø 20 a 20 | | ø 20 a 20 | | | I |
| J | | | ø 12 a 20 | | ø 12 a 20 | | | J |

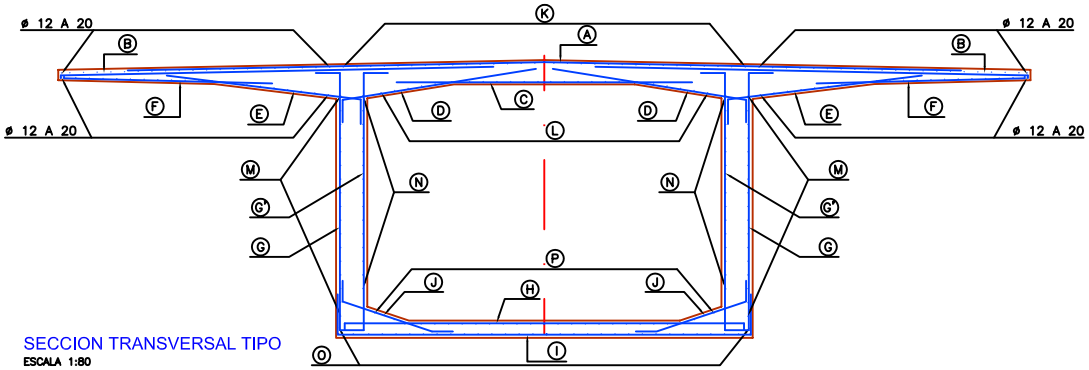


SECCION TRANSVERSAL TIPO
ESCALA 1:80

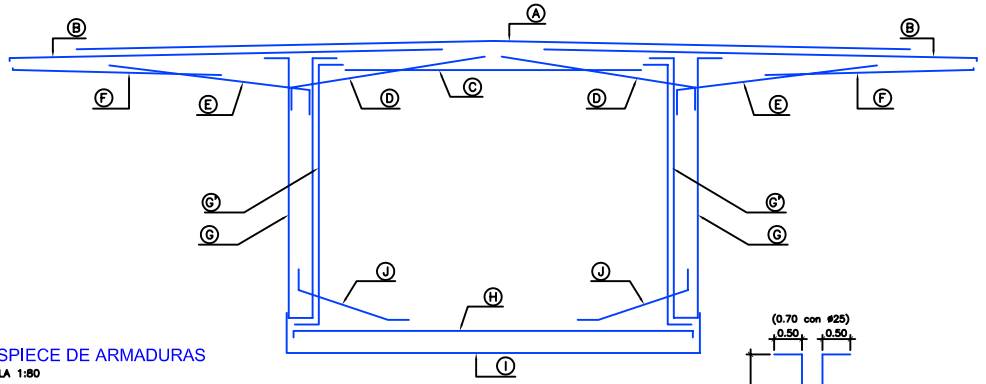

DESPIECE DE ARMADURAS
ESCALA 1:80

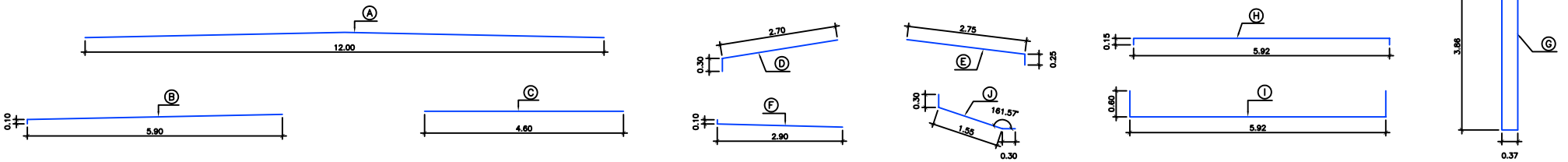


NOTA: EN LAS ZONAS DONDE LAS ARMADURAS TIPO (H) y (J) TROPIECEN CON LOS TENDONES DE PRETENSADO, SE MODIFICARA SU FORMA DE ACUERDO AL ESQUEMA QUE FIGURA EN EL PLANO 2.9.13-07.01

| | | | | | | | |
|---|---|---|---|---|---|---|---|
| GIF Gestor de Infraestructuras Ferroviarias | PROYECTO CONSTRUIDO : L.A.V. MADRID-ZARAGOZA-BARCELONA-FRONTERA FRANCESA<br>TRAMO : LLEIDA-MARTORELL<br>SUBTRAMO: III-A PLATAFORMA | EL DIRECTOR DEL PROYECTO CONSTRUIDO : JAIME GARCIA-GERMAN LOPEZ-BELMONTE | EL AUTOR DEL PROYECTO CONSTRUIDO : ferrovial AGROMAN | CONSULTOR (ASISTENCIA AL CONTROL DE OBRAS) : U.T.E. Intecsa Industrial S.A. europroject Ingeniería, s.l. | ESCALAS : INDICADAS<br>NUMÉRICA GRÁFICA : METROS | FECHA : JULIO 2003 | TITULO DEL PLANO : VIADUCTO DE VINAIXA<br>TABLERO<br>ARMADURAS TRANSVERSALES VANO 22 | Nº DE PLANO 2.9.13.7_04-13<br>HOJA 4 DE 13 |

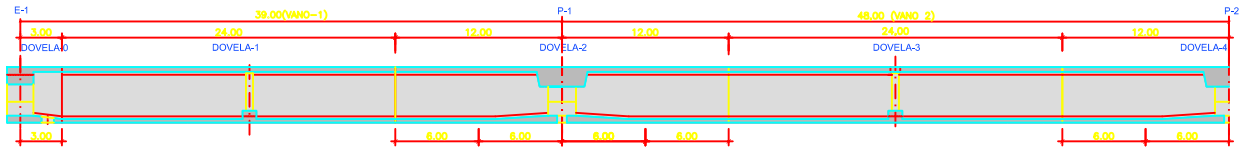


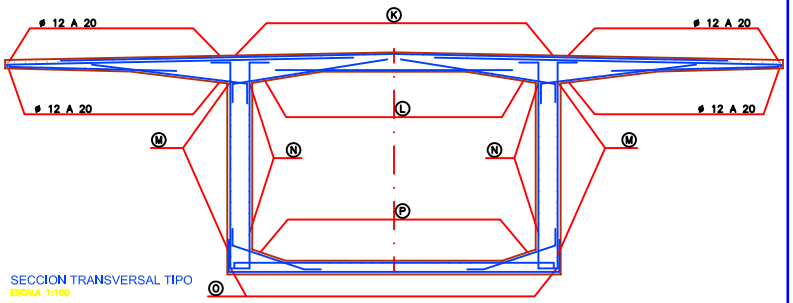


SECCION TRANSVERSAL TIPO
ESCALA 1:100

| FAMILIA | | | | | | | | | | | | | |
|---|---|---|---|---|---|---|---|---|---|---|---|---|---|
| K y L | ARMADO ZONA SOBRE PILAS | ø12a20 | ø 12 a 20 | | ø12a20 | ø16a20 | VER ARMADO DE ZONA SOBRE PILAS | ø16a20 | ø12a20 | ø 12 a 20 | | ø12a20 | ø16a20 | ARMADO ZONA SOBRE PILAS |
| M y N | | | ø 12 a 20 | | | | | | | ø 12 a 20 | | | | |
| O y P | | ø16a20 | ø 20 a 20 | | ø16a20 | ø12a20 | | ø12a20 | ø16a20 | ø 20 a 20 | | ø16a20 | ø12a20 | |

NOTA: LAS BARRAS DEL TIPO (K) Y (L) SITUADAS SOBRE PILA SERAN DE 12.00 m. Y ESTARAN CENTRADAS CON EL EJE DE PILA . EL SOLAPE NECESARIO SERA EFECTUADO CON LAS BARRAS ADYACENTES.

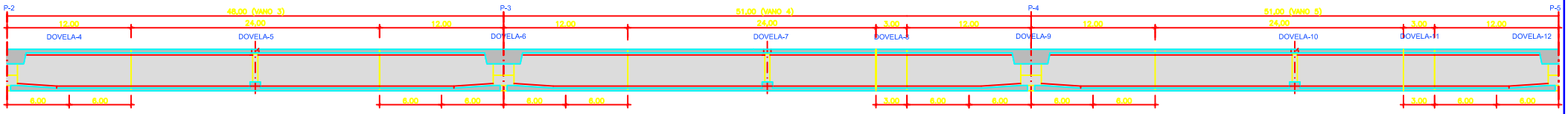


| FAMILIA | | | | | | | | | | | | | | | | |
|---|---|---|---|---|---|---|---|---|---|---|---|---|---|---|---|---|
| K y L | ø16a20 | ø12a20 | ø 12 a 20 | | ø12a20 | ø16a20 | VER ARMADO DE ZONA SOBRE PILAS | ø16a20 | ø12a20 | ø 12 a 20 | | ø12a20 | ø16a20 | VER ARMADO DE ZONA SOBRE PILAS | ø16a20 | ø12a20 | ø 12 a 20 | | ø12a20 | ø16a20 | ARMADO ZONA SOBRE PILAS |
| M y N | | | ø 12 a 20 | | | | | | | ø 12 a 20 | | | | | | | ø 12 a 20 | | | |
| O y P | ø12a20 | ø16a20 | ø 20 a 20 | | ø16a20 | ø12a20 | | ø12a20 | ø16a20 | ø 20 a 20 | | ø16a20 | ø12a20 | | ø12a20 | ø16a20 | ø 20 a 20 | | ø16a20 | ø12a20 | |

NOTA: LAS BARRAS DEL TIPO (K) Y (L) SITUADAS SOBRE PILA SERAN DE 12.00 m. Y ESTARAN CENTRADAS CON EL EJE DE PILA . EL SOLAPE NECESARIO SERA EFECTUADO CON LAS BARRAS ADYACENTES.

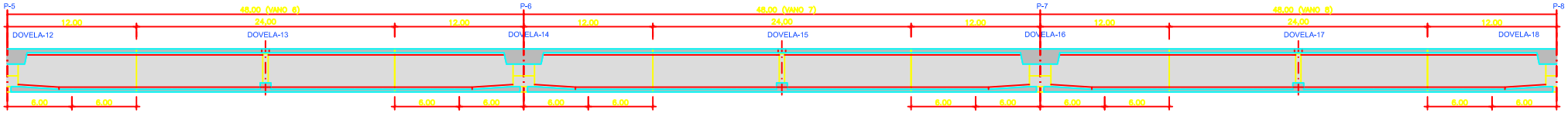


| FAMILIA | | | | | | | | | | | | | | | | | | | | | |
|---|---|---|---|---|---|---|---|---|---|---|---|---|---|---|---|---|---|---|---|---|---|
| K y L | ARMADO ZONA SOBRE PILAS | ø16a20 | ø 12 a 20 | | ø 12 a 20 | ø 12 a 20 | ø 16 a 20 | VER ARMADO DE ZONA SOBRE PILAS | ø 16 a 20 | ø 12 a 20 | | ø 12 a 20 | ø 20 a 20 | VER ARMADO DE ZONA SOBRE PILAS | ø 20 a 20 | ø 12 a 20 | | ø 12 a 20 | ø12a20 | ø20a20 | ARMADO ZONA SOBRE PILAS |
| M y N | | | ø 12 a 20 | | | | | | | ø 12 a 20 | | | | | | | ø 12 a 20 | | | |
| O y P | | ø12a20 | ø 16 a 20 | | ø 20 a 20 | ø 16 a 20 | ø 12 a 20 | | ø 12 a 20 | ø 16 a 20 | | ø 20 a 20 | ø 16 a 20 | ø 12 a 20 | | ø 12 a 20 | ø 20 a 20 | | ø20a20 | ø12a20 | |

NOTA: LAS BARRAS DEL TIPO (K) Y (L) SITUADAS SOBRE PILA SERAN DE 12.00 m. Y ESTARAN CENTRADAS CON EL EJE DE PILA . EL SOLAPE NECESARIO SERA EFECTUADO CON LAS BARRAS ADYACENTES.

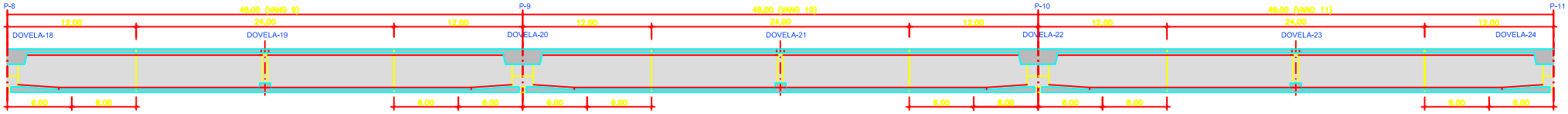


| FAMILIA | | | | | | | | | | | | | | | | | | | | | |
|---|---|---|---|---|---|---|---|---|---|---|---|---|---|---|---|---|---|---|---|---|---|
| K y L | ARMADO ZONA SOBRE PILAS | ø20a20 | ø12a20 | ø 12 a 20 | | ø12a20 | ø20a20 | VER ARMADO DE ZONA SOBRE PILAS | ø20a20 | ø12a20 | ø 12 a 20 | | ø12a20 | ø16a20 | VER ARMADO DE ZONA SOBRE PILAS | ø16a20 | ø12a20 | ø 12 a 20 | | ø12a20 | ø16a20 | ARMADO ZONA SOBRE PILAS |
| M y N | | | | ø 12 a 20 | | | | | | | ø 12 a 20 | | | | | | | ø 12 a 20 | | | |
| O y P | | ø12a20 | ø20a20 | ø 20 a 20 | | ø20a20 | ø12a20 | | ø12a20 | ø20a20 | ø 20 a 20 | | ø20a20 | ø12a20 | | ø12a20 | ø20a20 | ø 20 a 20 | | ø20a20 | ø12a20 | |

NOTA: LAS BARRAS DEL TIPO (K) Y (L) SITUADAS SOBRE PILA SERAN DE 12.00 m. Y ESTARAN CENTRADAS CON EL EJE DE PILA . EL SOLAPE NECESARIO SERA EFECTUADO CON LAS BARRAS ADYACENTES.

SECCION LONGITUDINAL
ESCALA 1:400

GIF Gestor de Infraestructuras Ferroviarias

PROYECTO CONSTRUIDO :
L.A.V. MADRID–ZARAGOZA–BARCELONA–FRONTERA FRANCESA
TRAMO : LLEIDA–MARTORELL
SUBTRAMO: III–A PLATAFORMA

EL DIRECTOR DEL PROYECTO CONSTRUIDO :
Fdo.: JAIME GARCIA–GERMAN LOPEZ–BELMONTE

EL AUTOR DEL PROYECTO CONSTRUIDO :
Fdo.: ferrovial AGROMAN

CONSULTOR (ASISTENCIA AL CONTROL DE OBRAS) :
U.T.E. Intecsa Inarsa S.A. europroject ingenieria, s.l.

ESCALAS :
INDICADAS
NUMÉRICA GRÁFICA : METROS

FECHA :
JULIO 2003

TITULO DEL PLANO :
VIADUCTO DE VINAIXA
TABLERO
ARMADURAS LONGITUDINALES. VANOS 1 – 11

Nº DE PLANO
2.9.13.7_05–13

HOJA 5 DE 13

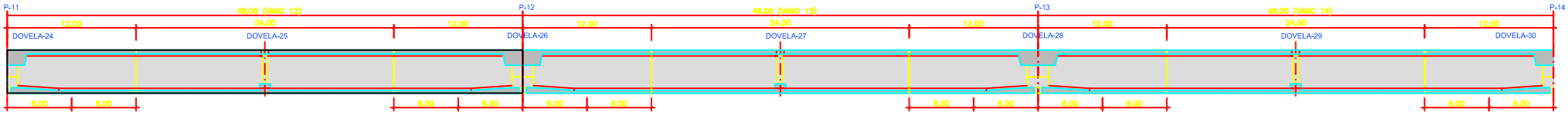


| FAMILIA | | | | | | | | | | | | | | | | | |
|---|---|---|---|---|---|---|---|---|---|---|---|---|---|---|---|---|---|
| K y L | ARMADO ZONA SOBRE PILAS | ø16a20 | ø12a20 | ø 12 a 20 | ø12a20 | ø16a20 | VER ARMADO DE ZONA SOBRE PILAS | ø16a20 | ø12a20 | ø 12 a 20 | ø12a20 | ø16a20 | VER ARMADO DE ZONA SOBRE PILAS | ø16a20 | ø12a20 | ø 12 a 20 | ø12a20 | ø12a20 | ARMADO ZONA SOBRE PILAS |
| M y N | | | | ø 12 a 20 | | | | | | ø 12 a 20 | | | | | | ø 12 a 20 | | | |
| O y P | | ø12a20 | ø20a20 | ø 20 a 20 | ø20a20 | ø12a20 | | ø12a20 | ø20a20 | ø 20 a 20 | ø20a20 | ø12a20 | | ø12a20 | ø16a20 | ø 16 a 20 | ø16a20 | ø12a20 | |

**NOTA:** LAS BARRAS DEL TIPO (K) Y (L) SITUADAS SOBRE PILA SERAN DE 12.00 m. Y ESTARAN CENTRADAS CON EL EJE DE PILA . EL SOLAPE NECESARIO SERA EFECTUADO CON LAS BARRAS ADYACENTES.

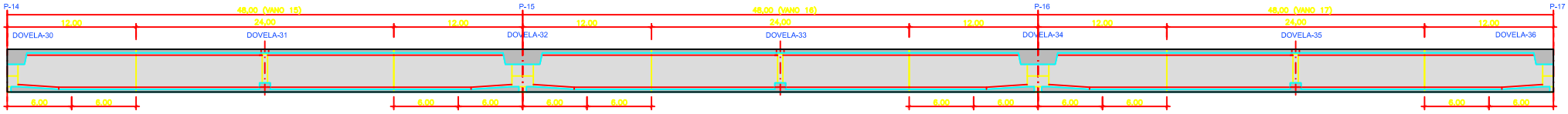


| FAMILIA | | | | | | | | | | | | | | | | | |
|---|---|---|---|---|---|---|---|---|---|---|---|---|---|---|---|---|---|
| K y L | ARMADO ZONA SOBRE PILAS | ø12a20 | ø12a20 | ø 12 a 20 | ø12a20 | ø12a20 | VER ARMADO DE ZONA SOBRE PILAS | ø12a20 | ø12a20 | ø 12 a 20 | ø12a20 | ø12a20 | VER ARMADO DE ZONA SOBRE PILAS | ø12a20 | ø12a20 | ø 12 a 20 | ø12a20 | ø12a20 | ARMADO ZONA SOBRE PILAS |
| M y N | | | | ø 12 a 20 | | | | | | ø 12 a 20 | | | | | | ø 12 a 20 | | | |
| O y P | | ø12a20 | ø16a20 | ø 16 a 20 | ø16a20 | ø12a20 | | ø12a20 | ø16a20 | ø 16 a 20 | ø16a20 | ø12a20 | | ø12a20 | ø16a20 | ø 16 a 20 | ø16a20 | ø12a20 | |

**NOTA:** LAS BARRAS DEL TIPO (K) Y (L) SITUADAS SOBRE PILA SERAN DE 12.00 m. Y ESTARAN CENTRADAS CON EL EJE DE PILA . EL SOLAPE NECESARIO SERA EFECTUADO CON LAS BARRAS ADYACENTES.

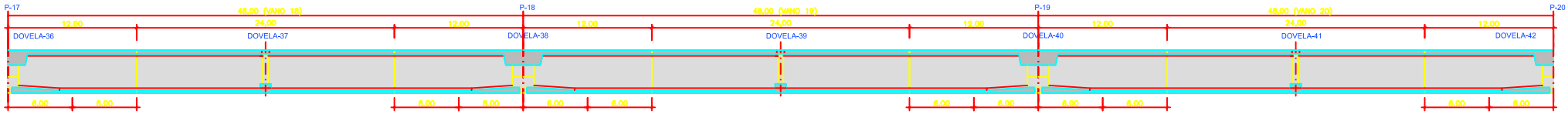


| FAMILIA | | | | | | | | | | | | | | | | | |
|---|---|---|---|---|---|---|---|---|---|---|---|---|---|---|---|---|---|
| K y L | ARMADO ZONA SOBRE PILAS | ø12a20 | ø12a20 | ø 12 a 20 | ø12a20 | ø12a20 | VER ARMADO DE ZONA SOBRE PILAS | ø12a20 | ø12a20 | ø 12 a 20 | ø12a20 | ø12a20 | VER ARMADO DE ZONA SOBRE PILAS | ø12a20 | ø12a20 | ø 12 a 20 | ø12a20 | ø12a20 | ARMADO ZONA SOBRE PILAS |
| M y N | | | | ø 12 a 20 | | | | | | ø 12 a 20 | | | | | | ø 12 a 20 | | | |
| O y P | | ø12a20 | ø12a20 | ø 16 a 20 | ø12a20 | ø12a20 | | ø12a20 | ø12a20 | ø 16 a 20 | ø12a20 | ø12a20 | | ø12a20 | ø12a20 | ø 16 a 20 | ø12a20 | ø12a20 | |

**NOTA:** LAS BARRAS DEL TIPO (K) Y (L) SITUADAS SOBRE PILA SERAN DE 12.00 m. Y ESTARAN CENTRADAS CON EL EJE DE PILA . EL SOLAPE NECESARIO SERA EFECTUADO CON LAS BARRAS ADYACENTES.

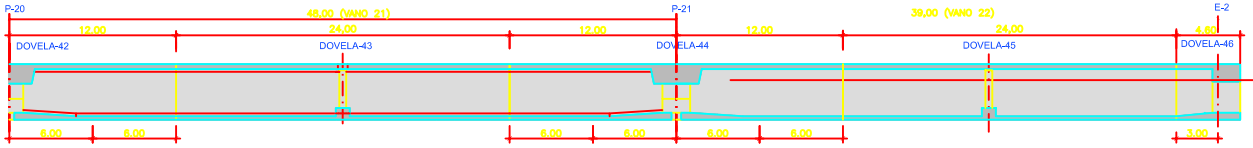


| FAMILIA | | | | | | | | | | | |
|---|---|---|---|---|---|---|---|---|---|---|---|
| K y L | ARMADO ZONA SOBRE PILAS | ø12a20 | ø12a20 | ø 12 a 20 | ø12a20 | ø12a20 | VER ARMADO DE ZONA SOBRE PILAS | ø12a20 | ø12a20 | ø 12 a 20 | ø12a20 | ARMADO ZONA SOBRE ESTRIBO |
| M y N | | | | ø 12 a 20 | | | | | | ø 12 a 20 | | |
| O y P | | ø12a20 | ø12a20 | ø 16 a 20 | ø12a20 | ø12a20 | | ø12a20 | ø12a20 | ø 16 a 20 | ø12a20 | |

**NOTA:** LAS BARRAS DEL TIPO (K) Y (L) SITUADAS SOBRE PILA SERAN DE 12.00 m. Y ESTARAN CENTRADAS CON EL EJE DE PILA . EL SOLAPE NECESARIO SERA EFECTUADO CON LAS BARRAS ADYACENTES.

SECCION LONGITUDINAL
ESCALA 1:400

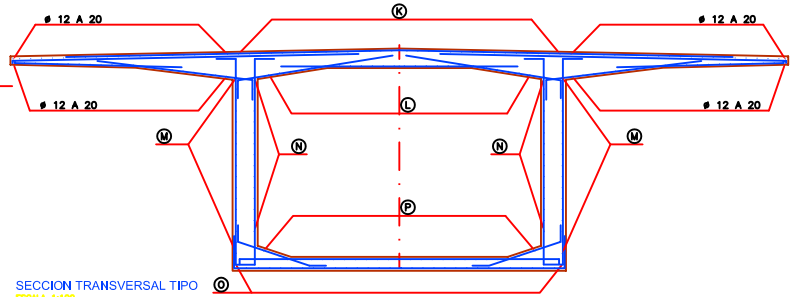


SECCION TRANSVERSAL TIPO
ESCALA 1:100

| | | | | | | |
|---|---|---|---|---|---|---|
| GIF Gestor de Infraestructuras Ferroviarias | PROYECTO CONSTRUIDO : L.A.V. MADRID–ZARAGOZA–BARCELONA–FRONTERA FRANCESA<br>TRAMO : LLEIDA–MARTORELL<br>SUBTRAMO: III–A PLATAFORMA | EL DIRECTOR DEL PROYECTO CONSTRUIDO : JAIME GARCIA–GERMAN LOPEZ–BELMONTE<br>Fdo.: | EL AUTOR DEL PROYECTO CONSTRUIDO : ferrovial AGROMAN<br>Fdo.: | CONSULTOR (ASISTENCIA AL CONTROL DE OBRAS) : U.T.E. Intecsa Industrial S.A. europroject Ingeniería, s.l. | ESCALAS : INDICADAS<br>NUMÉRICA GRÁFICA : METROS | FECHA : JULIO 2003 | TITULO DEL PLANO : VIADUCTO DE VINAIXA<br>TABLERO<br>ARMADURAS LONGITUDINALES. VANOS 12 – 22 | Nº DE PLANO 2.9.13.7_06–13<br>HOJA 6 DE 13 |

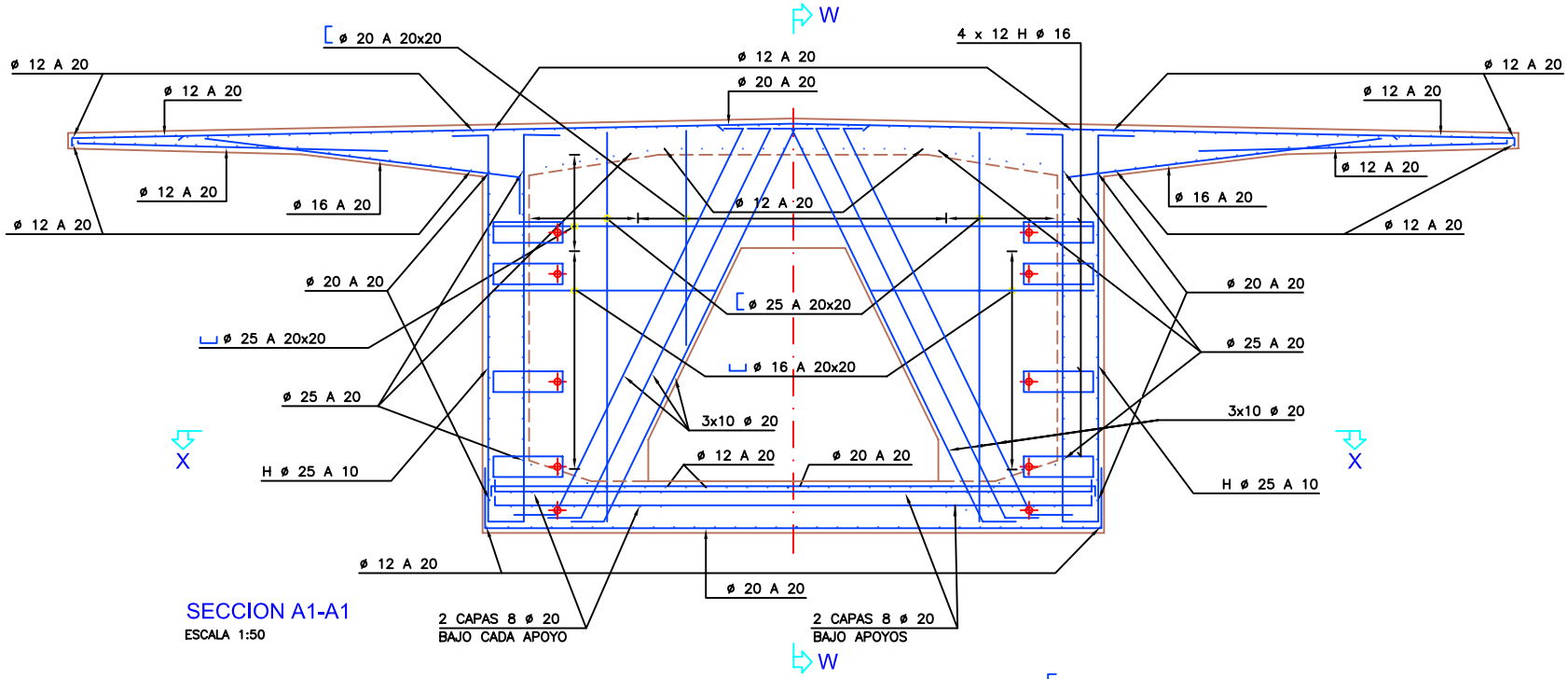


SECCION A1-A1
ESCALA 1:50

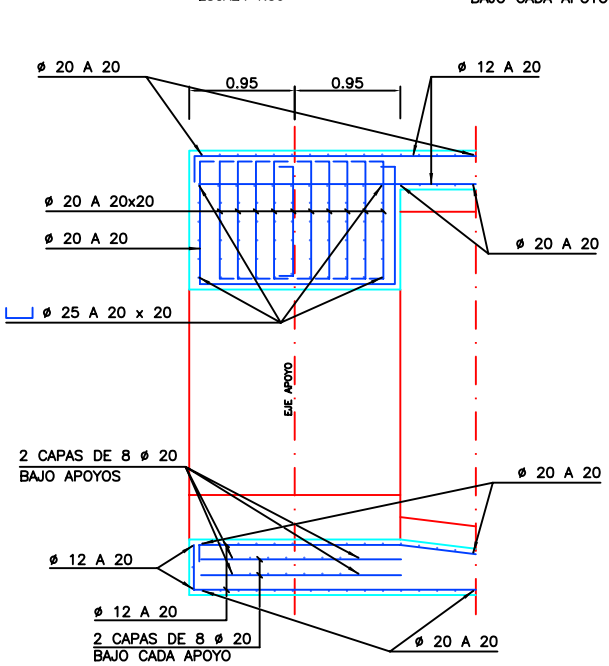


SECCION W-W
ESCALA 1:50

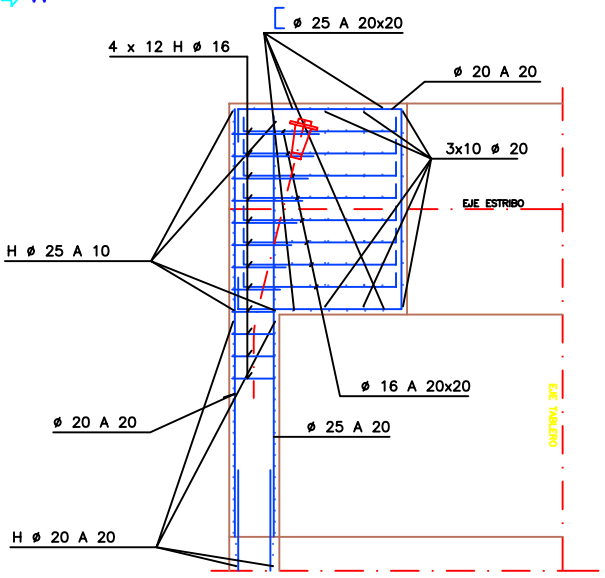


SEMI-SECCION X-X
ESCALA 1:50

NOTA:

- EL HORMIGÓN SERÁ HP-40
- EL ACERO SERÁ B-500-S
- EL NIVEL DE CONTROL DE EJECUCIÓN SERÁ INTENSO
- PARA ANCLAJES Y SOLAPES SE SEGUIRÁN LAS PRESCRIPCIONES CONTENIDAS EN LA INSTRUCCIÓN EHE
- EL RECUBRIMIENTO SERÁ DE 2,5 cm. DESDE LA CARA MAS EXTERIOR DE LA BARRA A PARAMENTOS
- ANTES DE EJECUTAR LAS OBRAS, LA OFICINA TÉCNICA DE OBRA REALIZARÁ A PARTIR DE ESTE PLANO LAS OPORTUNAS LISTAS DE HIERROS EN LA QUE FIGURE CADA BARRA CON LA FORMA Y DIMENSIONES EXACTAS
- MANGUITOS ROSCADOS

GIF Gestor de Infraestructuras Ferroviarias

PROYECTO CONSTRUIDO :
L.A.V. MADRID-ZARAGOZA-BARCELONA-FRONTERA FRANCESA
TRAMO : LLEIDA-MARTORELL
SUBTRAMO: III-A PLATAFORMA

EL DIRECTOR DEL PROYECTO CONSTRUIDO :
JAIME GARCIA-GERMAN LOPEZ-BELMONTE
Fdo.:

EL AUTOR DEL PROYECTO CONSTRUIDO :
ferrovial AGROMAN
Fdo.:

CONSULTOR (ASISTENCIA AL CONTROL DE OBRAS) :
U.T.E. Intecsa europroject Ingeniería, s.l.

ESCALAS :
INDICADAS
NUMÉRICA GRÁFICA : METROS

FECHA :
JULIO 2003

TITULO DEL PLANO :
VIADUCTO DE VINAIXA
TABLERO
ARMADO DE ZONA SOBRE ESTRIBO 1

Nº DE PLANO
2.9.13.7_07-13

HOJA 7 DE 13

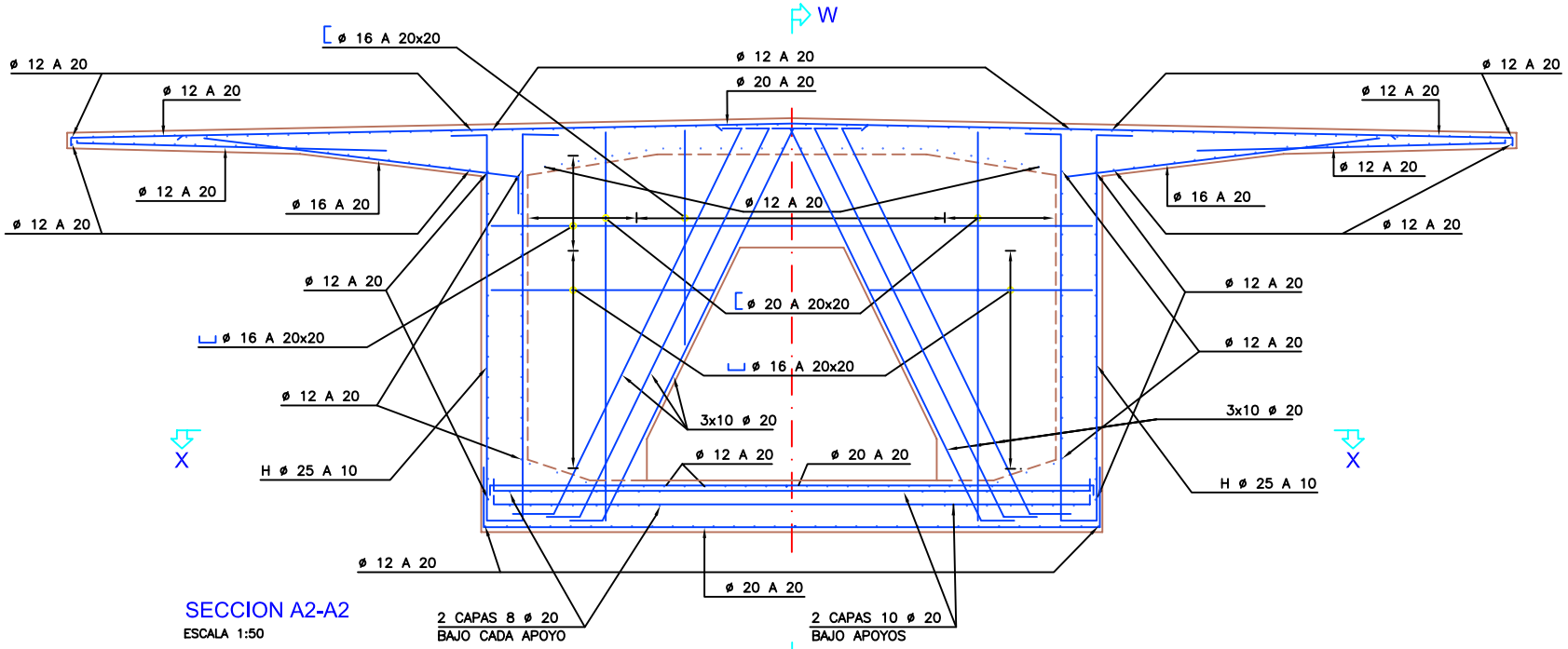


SECCION A2-A2

ESCALA 1:50

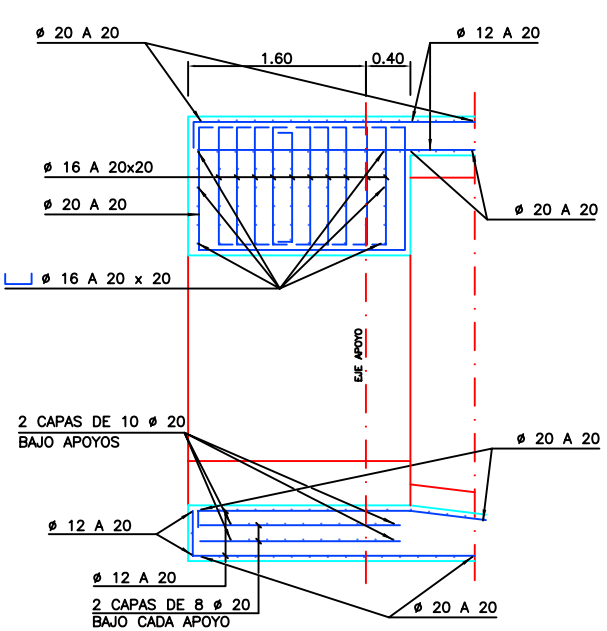


SECCION W-W

ESCALA 1:50

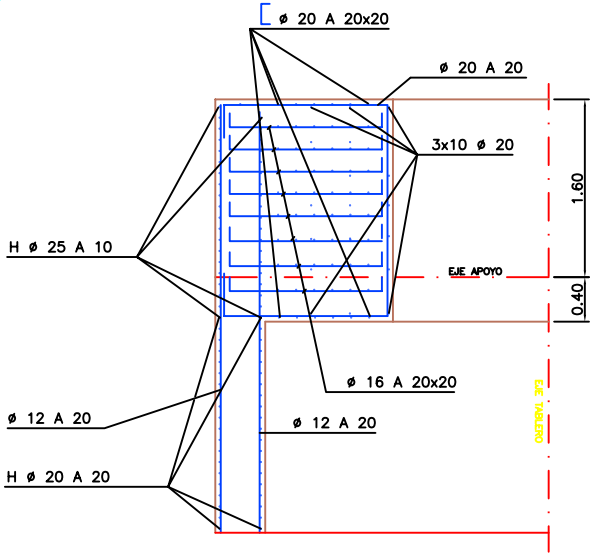


SEMI-SECCION X-X

ESCALA 1:50

NOTA:

- EL HORMIGÓN SERÁ HP-40
- EL ACERO SERÁ B-500-S
- EL NIVEL DE CONTROL DE EJECUCIÓN SERÁ INTENSO
- PARA ANCLAJES Y SOLAPES SE SEGUIRÁN LAS PRESCRIPCIONES CONTENIDAS EN LA INSTRUCCIÓN EHE
- EL RECUBRIMIENTO SERÁ DE 2,5 cm. DESDE LA CARA MAS EXTERIOR DE LA BARRA A PARAMENTOS
- ANTES DE EJECUTAR LAS OBRAS, LA OFICINA TÉCNICA DE OBRA REALIZARÁ A PARTIR DE ESTE PLANO LAS OPORTUNAS LISTAS DE HIERROS EN LA QUE FIGURE CADA BARRA CON LA FORMA Y DIMENSIONES EXACTAS
- MANGUITOS ROSCADOS

GIF Gestor de Infraestructuras Ferroviarias

PROYECTO CONSTRUIDO :
L.A.V. MADRID-ZARAGOZA-BARCELONA-FRONTERA FRANCESA
TRAMO : LLEIDA-MARTORELL
SUBTRAMO: III-A PLATAFORMA

EL DIRECTOR DEL PROYECTO CONSTRUIDO :
JAIME GARCIA-GERMAN LOPEZ-BELMONTE
Fdo.:

EL AUTOR DEL PROYECTO CONSTRUIDO :
ferrovial AGROMAN
Fdo.:

CONSULTOR (ASISTENCIA AL CONTROL DE OBRAS) :
U.T.E. Intecsa europroject Ingeniería, s.l.

ESCALAS :
INDICADAS
NUMÉRICA GRÁFICA : METROS

FECHA :
JULIO 2003

TITULO DEL PLANO :
VIADUCTO DE VINAIXA
TABLERO
ARMADO DE ZONA SOBRE ESTRIBO 2

Nº DE PLANO
2.9.13.7_08-13

HOJA 8 DE 13

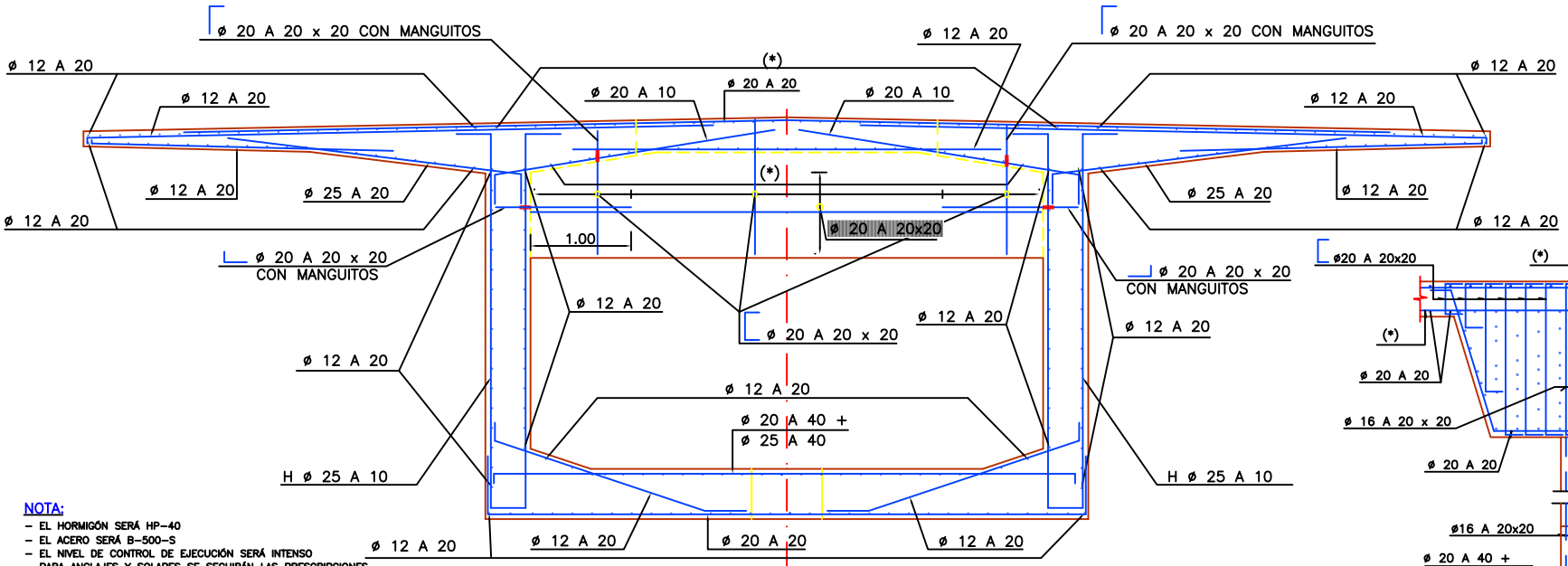


NOTA:

- EL HORMIGÓN SERÁ HP-40
- EL ACERO SERÁ B-500-S
- EL NIVEL DE CONTROL DE EJECUCIÓN SERÁ INTENSO
- PARA ANCLAJES Y SOLAPES SE SEGUIRÁN LAS PRESCRIPCIONES CONTENIDAS EN LA INSTRUCCIÓN EHE
- EL RECUBRIMIENTO SERÁ DE 2,5 cm. DESDE LA CARA MAS EXTERIOR DE LA BARRA A PARAMENTOS
- ANTES DE EJECUTAR LAS OBRAS, LA OFICINA TÉCNICA DE OBRA REALIZARÁ A PARTIR DE ESTE PLANO LAS OPORTUNAS LISTAS DE HIERROS EN LA QUE FIGURE CADA BARRA CON LA FORMA Y DIMENSIONES EXACTAS
- MANGUITOS ROSCADOS

## SECCION C1-C1

ESCALA 1:50

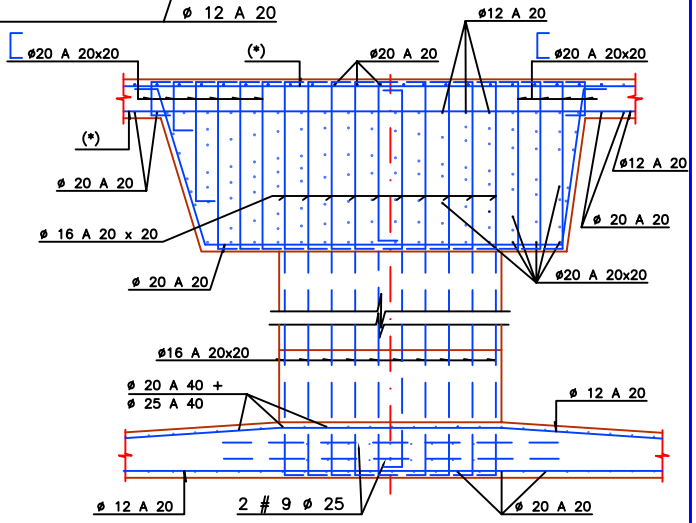


## SECCION Y-Y

ESCALA 1:50

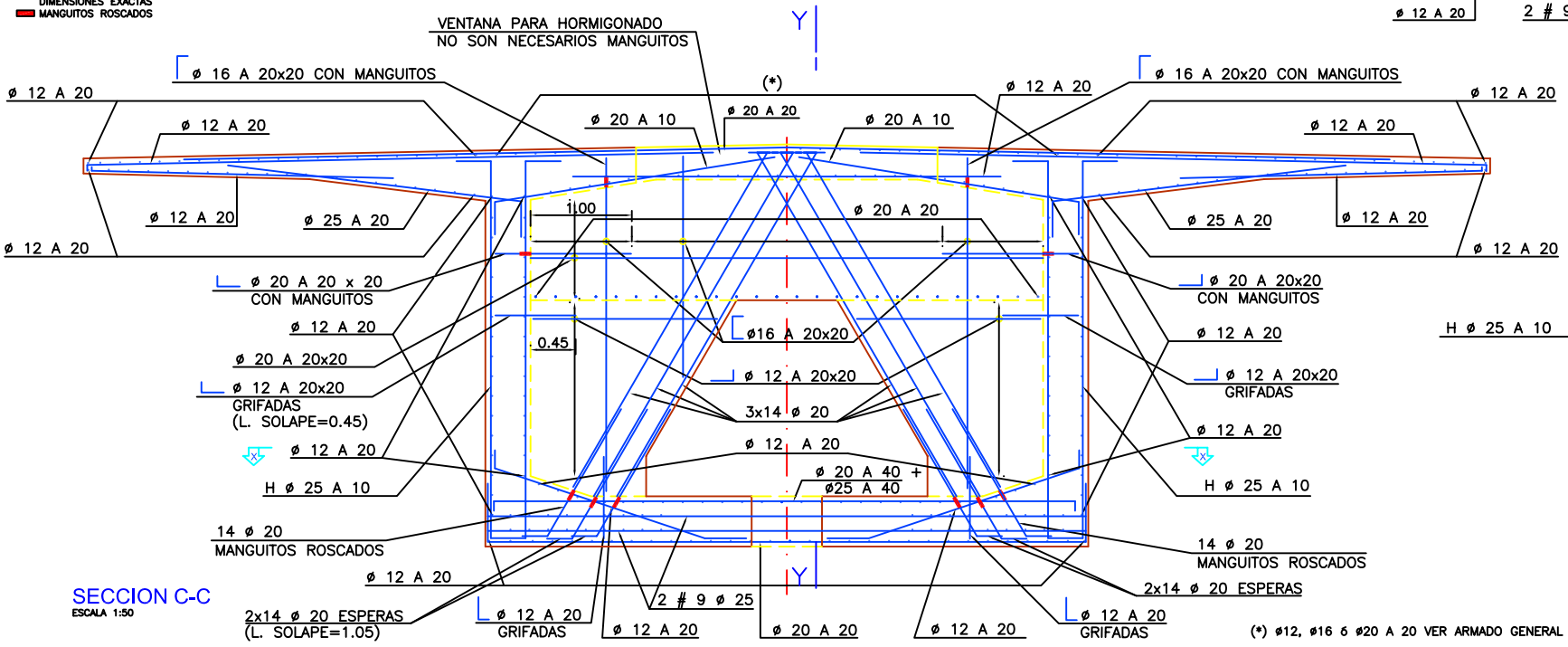


## SECCION C-C

ESCALA 1:50

(*) ø12, ø16 ó ø20 A 20 VER ARMADO GENERAL

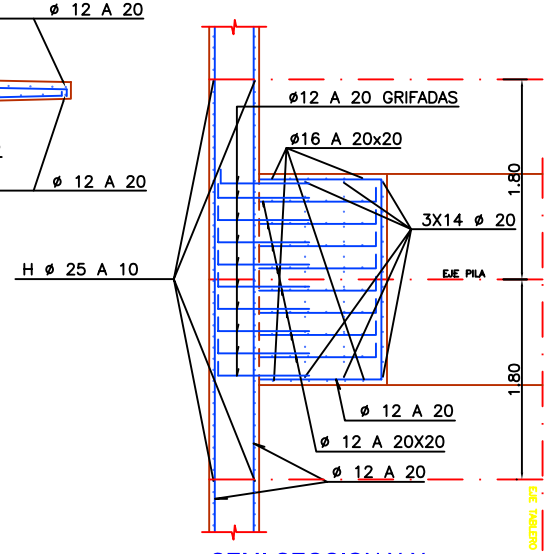


## SEMI-SECCION X-X

ESCALA 1:50

| | | | | | | | |
|---|---|---|---|---|---|---|---|
| GIF Gestor de Infraestructuras Ferroviarias | PROYECTO CONSTRUIDO : L.A.V. MADRID-ZARAGOZA-BARCELONA-FRONTERA FRANCESA<br>TRAMO : LLEIDA-MARTORELL<br>SUBTRAMO: III-A PLATAFORMA | EL DIRECTOR DEL PROYECTO CONSTRUIDO : JAIME GARCIA-GERMAN LOPEZ-BELMONTE | EL AUTOR DEL PROYECTO CONSTRUIDO : ferrovial AGROMAN | CONSULTOR (ASISTENCIA AL CONTROL DE OBRAS) : U.T.E. Intecsa europroject Ingeniería, s.l. | ESCALAS : INDICADAS<br>NUMÉRICA GRÁFICA : METROS | FECHA : JULIO 2003 | TITULO DEL PLANO : VIADUCTO DE VINAIXA<br>TABLERO<br>ARMADO DE ZONAS SOBRE PILAS | Nº DE PLANO 2.9.13.7_09-13<br>HOJA 9 DE 13 |

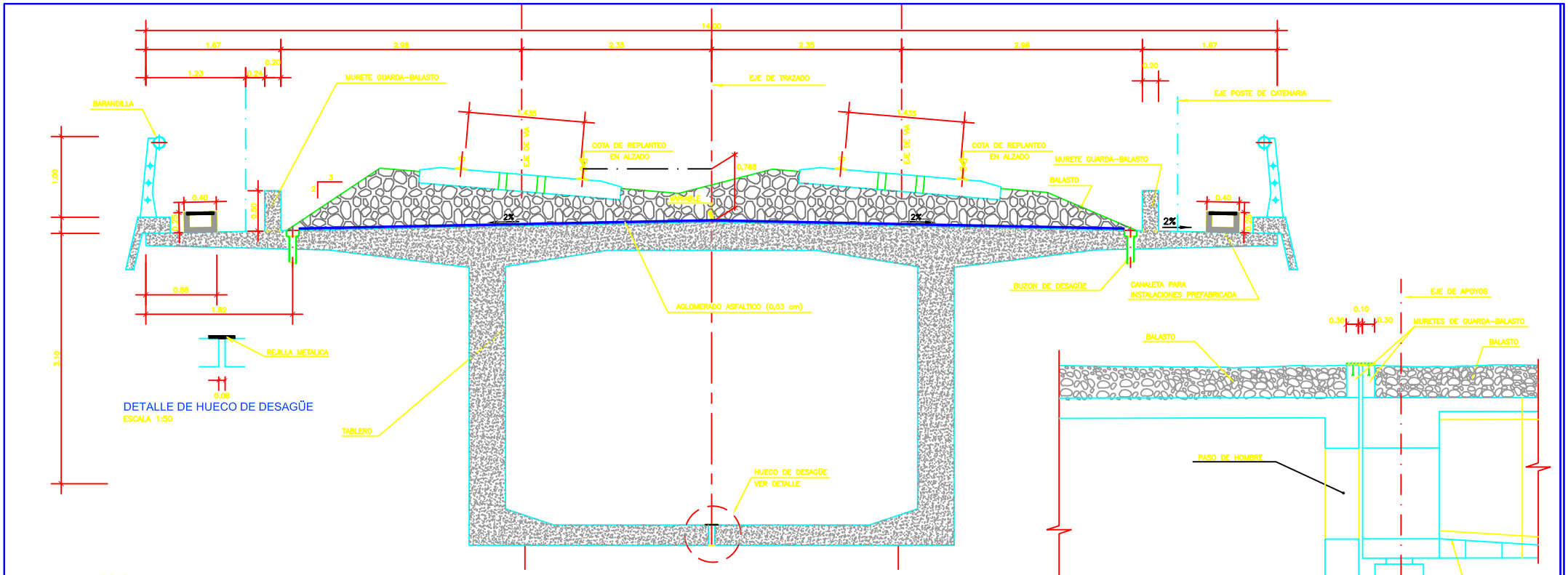


DETALLE DE HUECO DE DESAGÜE
ESCALA 1:50

SECCION TRANSVERSAL TIPO
ESCALA 1:50

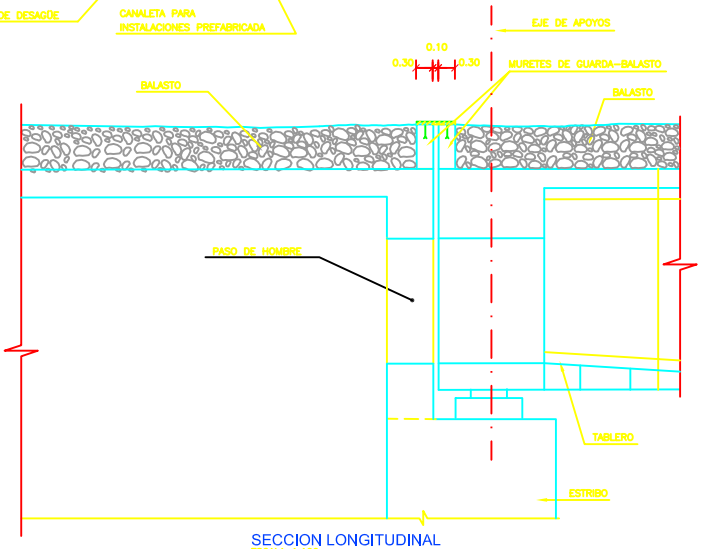


SECCION LONGITUDINAL
ESCALA 1:100

DETALLE DE JUNTA DE TABLERO Y ESTRIBO

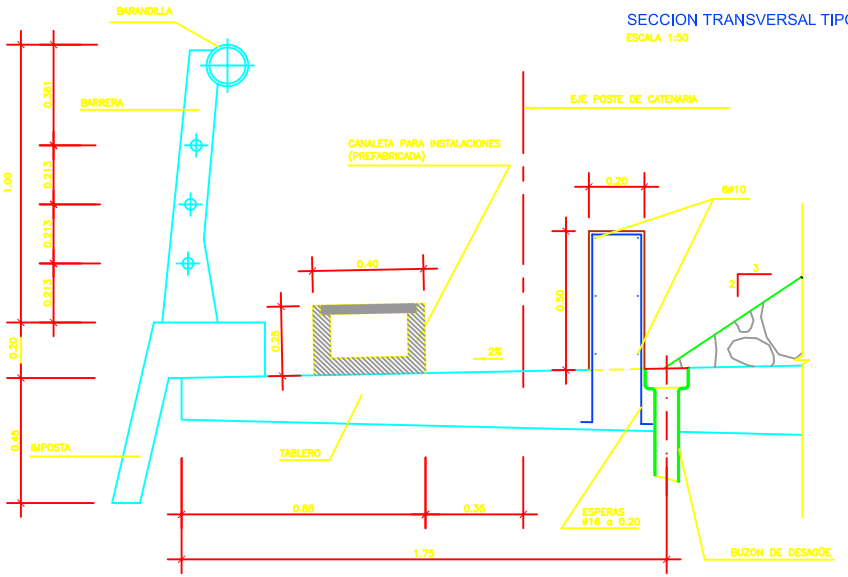


DETALLE DE BORDE CON CANALETA Y BUZON DE DESAGÜE
ESCALA 1:20

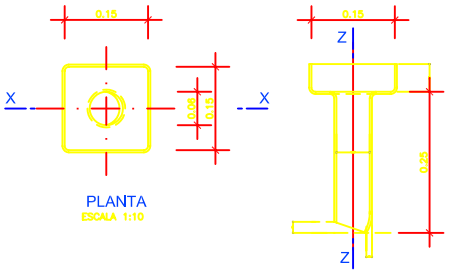


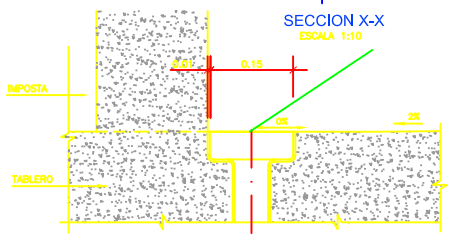


SECCION Z-Z
ESCALA 1:10

DESAGUES DE PASEOS

NOTA: SE DISPONEN SUMIDEROS EN CADA PASEO PEATONAL TANTO EN LAS SECCIONES DE PILA COMO EN LAS DE CENTRO DE VANO.

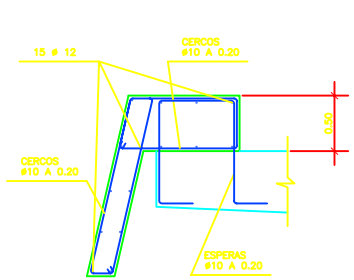


DETALLE DE ANCLAJE AL TABLERO
ESCALA 1:20

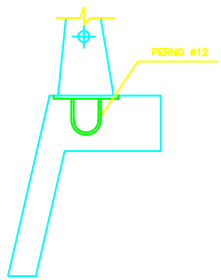


DETALLE DE ANCLAJE DE BARANDILLA
ESCALA 1:20

DETALLE DE ARMADURA EN IMPOSTA Y ANCLAJE EN BARANDILLA

| | | | | | | | |
|---|---|---|---|---|---|---|---|
| GIF Gestor de Infraestructuras Ferroviarias | PROYECTO CONSTRUIDO : L.A.V. MADRID-ZARAGOZA-BARCELONA-FRONTERA FRANCESA<br>TRAMO : LLEIDA-MARTORELL<br>SUBTRAMO: III-A PLATAFORMA | EL DIRECTOR DEL PROYECTO CONSTRUIDO : JAIME GARCIA-GERMAN LOPEZ-BELMONTE<br>Fdo.: | EL AUTOR DEL PROYECTO CONSTRUIDO : ferrovial AGROMAN<br>Fdo.: | CONSULTOR (ASISTENCIA AL CONTROL DE OBRAS) : U.T.E. Intecsa Industrial S.A. / euroconsult Ingeniería, s.l. | ESCALAS : INDICADAS<br>NUMÉRICA / GRÁFICA : METROS | FECHA : JULIO 2003 | TITULO DEL PLANO : VIADUCTO DE VINAIXA<br>TABLERO<br>DETALLES CONSTRUCTIVOS (1) | Nº DE PLANO 2.9.13.9_01.02<br>HOJA 1 DE 2 |

# ANEJO 2: PROYECTO DE PRUEBA DE CARGA

**Madrid, Julio de 2007**

# CONTRATO DE CONSULTORÍA Y ASISTENCIA PARA LA REALIZACIÓN DE PRUEBAS DE CARGA PARA LA RECEPCIÓN DE PUENTES DE LA LINEA DE ALTA VELOCIDAD MADRID - ZARAGOZA - BARCELONA - FRONTERA FRANCESA. TRAMO: LLEIDA - VILAFRANCA DEL PENEDÉS

# PROYECTO DE PRUEBA DE CARGA

## TRAMO: LLEIDA - VILAFRANCA DEL PENEDES. SUBTRAMO III-a
## Viaducto de Vinaixa
## 35VI02

NORMALIZADO POR INECO

Enero de 2005

**ÍNDICE**

1.- INTRODUCCIÓN..... 2
2.- DATOS SOBRE LA ESTRUCTURA ..... 2
3.- JUSTIFICACIÓN DE LA CARGA DE PRUEBA ..... 3
4.- MEDIDAS A REALIZAR ..... 4
5.- PLAN DE CARGA Y PROGRAMACIÓN DEL ENSAYO ..... 5
6.- PREVISIÓN DE RESULTADOS ..... 7
ANEJO 2A: DOCUMENTACIÓN GRÁFICA UTILIZADA
ANEJO 2B: EVALUACIÓN DE FLECHAS
ANEJO 2C: TREN DE CARGAS Y SITUACIÓN DE APARATOS DE MEDIDA

## *1.- INTRODUCCIÓN*

El presente documento tiene por objeto la especificación de la prueba de carga del **"VIADUCTO VINAIXA PERTENECIENTE AL SUBTRAMO IIIa DEL TRAMO LLEIDA-VILAFRANCA DEL PENEDÉS DE LA LÍNEA DE ALTA VELOCIDAD MADRID-ZARAGOZA-BARCELONA-FRONTERA FRANCESA".**

Dicha prueba se efectúa con objeto de analizar la respuesta de la estructura frente a acciones estáticas y dinámicas, y previamente a su puesta en servicio, de acuerdo con la "Instrucción relativa a las acciones a considerar en el Proyecto de Puentes de Ferrocarril".

## *2.- DATOS SOBRE LA ESTRUCTURA*

La estructura objeto de la Prueba de Carga forma parte de las obras de construcción del Subtramo IIIa pertenecientes al tramo Lleida-Vilafranca del Penedés de la Línea de Alta Velocidad Madrid-Zaragoza-Barcelona-Frontera Francesa.

Se trata de una estructura continua de veintidós vanos con unas luces de 39+2×48+2×51+16×48+39 m. La longitud total de la obra es de 1044,00 m.

La solución adoptada consiste en un tablero constituido por un cajón de hormigón pretensado de canto constante e igual a 4,00 m, 14 m de ancho de plataforma con sendos voladizos de 4,00 a ambos lados. Los estribos son uno cerrado y hueco y el otro abierto. El estribo cerrado (Estribo 1) está ligado de forma fija al tablero y está diseñado para recoger los esfuerzos de frenado del tren. Al estar hueco permite dar una gran rigidez sin tener que ir a grandes espesores y de esta forma conseguir encajarlo con tensiones admisibles sobre el terreno que debido a su gran altura de otra forma sería difícil. El estribo abierto (Estribo 2) permite al tablero deslizar en su extremo, este estribo está relleno según proyecto con suelo cemento estabilizado para evitar futuros asientos en el terraplén.

Todas las pilas excepto las próximas al cruce con la A-2 y con el Ferrocarril de la actual línea Lleida Martorell tiene un fuste hueco de sección rectangular con paredes de 0.35 m de espesor. La sección de coronación es maciza de 6,00 m de ancho y 2,00 m de canto que van aumentando con la inclinación de paredes del 2%. Las pilas 3,4 y 5 junto a la A-2 tiene el fuste y la zapata esviada respecto al eje del viaducto de forma que los gálibos a los arcenes de la A-2 sean superiores. Las pilas 11 y 12 que se sitúan junto a la actual vía Lleida  Martorell son pilas arco que permiten el paso de la actual vía y de una futura ampliación de la misma a doble vía.

En la cabeza de las pilas y en los estribos se ponen aparatos de apoyo tipo “POT”.

La documentación facilitada es del Proyecto Construido del Subtramo IIIa de la línea de Alta Velocidad Madrid-Zaragoza-Barcelona-Frontera Francesa. En el caso del Viaducto Vinaixa que nos ocupa, se dispone de los planos del proyecto construido correspondiente y del anejo de cálculo del tablero.

## *3.- JUSTIFICACIÓN DE LA CARGA DE PRUEBA*

Para la realización de la Prueba de Carga se ha solicitado al Peticionario la prestación de dos “locomotoras ADIF”, y diez “tolvas Renfe”. En la prueba sólo se pudo disponer de 9 tolvas. El peso total de las cargas situadas sobre el tablero durante las pruebas estáticas será de 240t +720 t.

Las características de los trenes de carga en lo que a geometría y peso por eje se refiere vienen expresadas en el Anejo 2C, donde se acompañan además los croquis con la disposición de cargas sobre la estructura durante las pruebas estáticas.

Durante la Pruebas de Carga se alcanzarán con respecto a las cargas de proyecto los porcentajes incluidos en la siguiente tabla, estos porcentajes corresponden a la hipótesis más pésima del ensayo:

| PARÁMETRO DE COMPARACIÓN | SOBRECARGA | PRUEBA | PRUEBA / SOBRECARGA |
|---|---|---|---|
| M. FLECTOR POSITIVO | 2223 mt | 1137 mt | 51,2 % |
| M. FLECTOR NEGATIVO | -2528 mt | -1357 mt | 53,7 % |

El cálculo de los valores se encuentra en el Anejo 2B del presente documento.

## *4.- MEDIDAS A REALIZAR*

A continuación se exponen las medidas que se realizarán durante los ensayos de prueba de carga, mediante la instrumentación que se detalla en el croquis del Anejo 2C del presente documento.

### 4.1. FLECHAS

Los desplazamientos medidos serán los verticales, en las posiciones definidas en el Anejo 2C del presente documento.

La medida de las flechas será realizada mediante transductores de desplazamientos para la medida de desplazamientos, registrándose dichas medidas, tanto durante las pruebas estáticas como durante las dinámicas.

### 4.2. DEFORMACIONES UNITARIAS

La medida de las deformaciones unitarias se realizará mediante la colocación de galgas extensométricas, en las posiciones definidas en el Anejo 2C del presente documento.

Se dispondrán galgas extensométricas en la fibra inferior del tablero pudiendo tener además del dato del valor obtenidos en cada punto, un completo análisis del comportamiento transversal de la estructura.

### 4.3. ACELERACIONES

Durante las pruebas dinámicas, se procederá a un registro de las aceleraciones verticales con objeto de evaluar la frecuencia fundamental de oscilación de la estructura.

La medida de las aceleraciones verticales se realizará mediante un acelerómetro piezoeléctrico o piezorresistivo integrado en la cadena de medida.

### 4.4. OTRAS MEDIDAS

Se procederá a un registro continuo de temperatura y humedad relativa ambiente, durante la realización de los ensayos.

## *5.- PLAN DE CARGA Y PROGRAMACIÓN DEL ENSAYO*

### 5.1. PRUEBAS ESTÁTICAS

Para cada prueba estática se posicionarán los trenes de cargas según las disposiciones indicadas en los croquis del Anejo 2C del presente documento. Dado que es un puente continuo, se realizan pruebas en vanos alternos con el fin de obtener los máximos momentos tanto positivo como negativo.

Las medidas serán realizadas de acuerdo con los escalones siguientes:

- ESCALÓN 0: Puesta a cero de los aparatos.
- ESCALÓN 1: Situación de la carga.
- ESCALÓN 2: Estabilización de las medidas. Se realizarán medidas continuas hasta comprobar la estabilización de las mismas.

- ESCALÓN 3: Descarga total y medida de la recuperación. Las lecturas se realizarán de una forma continua hasta alcanzar una recuperación del 80% en un intervalo de tiempo no superior al de mantenimiento de la carga.

### 5.2. PRUEBAS DINÁMICAS

Para las pruebas dinámicas se hará uso del tren de carga tipo formado por una locomotora Adif y cinco tolvas Renfe circulando por el puente a distintas velocidades:

- Ensayo Cuasiestático: Paso de la composición por la estructura circulando a la velocidad de 5 km/h (paso de hombre). Esta prueba se realizará dos veces, una con dos trenes de carga, uno por cada vía y otra por una sola vía con un único tren de carga.

- Ensayo Dinámico Lento: Paso de la composición del ensayo anterior circulando en el mismo sentido y a una velocidad intermedia entre 5 km/h y la máxima compatible con la seguridad del tren de cargas y de la estructura.

- Ensayo Dinámico Rápido: Paso de la composición circulando en el mismo sentido que en la prueba cuasi-estática y a la máxima velocidad compatible con la seguridad del tren de cargas y de la estructura.

- Ensayo de Frenado: Paso de la composición circulando a la máxima velocidad posible y frenado justo sobre la estructura.

Las pruebas se realizarán normalmente en el siguiente orden:

- ESTÁTICA
- CUASIESTÁTICA
- DINÁMICA LENTA
- DINÁMICA RÁPIDA
- FRENADO

## *6.- PREVISIÓN DE RESULTADOS*

En el Anejo 2B del presente documento figura la relación de las flechas y deformaciones esperadas durante los ensayos estáticos, así como la estimación de la frecuencia fundamental de oscilación.

A continuación se expone el resumen de los valores calculados para las características de los materiales definidos en proyecto. Los cálculos se han realizado mediante el programa informático de elementos finitos SAP 2000.

Como criterio de signo se adopta que los descensos verticales son negativos y las deformaciones de tracción son positivas.

## ***SENTIDO DE CIRCULACIÓN DEL TREN BARCELONA-LLEIDA***

## ***ESTÁTICA Nº1. Una Locomotora ADIF y una Tolva Renfe por vía I y una Locomotora ADIF y dos Tolvas Renfe por vía II en vano 1. Tres Tolvas Renfe en vano 3 por cada vía.***

| PUNTO | TRAMO | POSICION | UD. | PRUEBA | VALOR ESPERADO |
|---|---|---|---|---|---|
| P-011 | 1 | 0,45 L (vía Derecha, en línea de apoyos) | mm | E-1 | -4.52 |
| P-012 | 1 | 0,45 L (vía Izquierda, en línea de apoyos) | mm | E-1 | -4.54 |
| P-013 | 1 | Apoyo en estribo Lleida, en línea de apoyos de vía Izquierda | mm | E-1 | - |
| P-014 | 1 | Apoyo en pila 1, en línea de apoyos de vía Derecha | mm | E-1 | - |
| G-011 | 1 | 0,45 L (vía Derecha, en línea de apoyos) | με | E-1 | 64 |
| G-012 | 1 | 0,45 L (vía Izquierda, en línea de apoyos) | με | E-1 | 64 |
| P-021 | 2 | L/2 (vía Derecha, en línea de apoyos) | mm | E-1 | 3.21 |
| P-022 | 2 | L/2 (vía Izquierda, en línea de apoyos) | mm | E-1 | 3.17 |
| P-023 | 2 | Apoyo en pila 1, en línea de apoyos de vía Izquierda | mm | E-1 | - |
| P-024 | 2 | Apoyo en pila 2, en línea de apoyos de vía Derecha | mm | E-1 | - |
| G-021 | 2 | L/2 (vía Derecha, en línea de apoyos) | με | E-1 | -28 |
| G-022 | 2 | L/2 (vía Izquierda, en línea de apoyos) | με | E-1 | -28 |
| P-031 | 3 | L/2 (vía Derecha, en línea de apoyos) | mm | E-1 | -6.56 |
| P-032 | 3 | L/2 (vía Izquierda, en línea de apoyos) | mm | E-1 | -6.56 |
| P-033 | 3 | Apoyo en pila 2, en línea de apoyos de vía Izquierda | mm | E-1 | - |
| P-034 | 3 | Apoyo en pila 3, en línea de apoyos de vía Derecha | mm | E-1 | - |
| G-031 | 3 | L/2 (vía Derecha, en línea de apoyos) | με | E-1 | 64 |
| G-032 | 3 | L/2 (vía Izquierda, en línea de apoyos) | με | E-1 | 64 |

## ***SENTIDO DE CIRCULACIÓN DEL TREN BARCELONA-LLEIDA***

## ***ESTÁTICA Nº2. Una Locomotora ADIF y una Tolva Renfe por vía I y una Locomotora ADIF y dos Tolvas Renfe por vía II en vano 2. Tres Tolvas Renfe en vano 4 por cada vía.***

| PUNTO | TRAMO | POSICION | UD. | PRUEBA | VALOR ESPERADO |
|---|---|---|---|---|---|
| P-011 | 1 | 0,45 L (vía Derecha, en línea de apoyos) | mm | E-2 | 1.76 |
| P-012 | 1 | 0,45 L (vía Izquierda, en línea de apoyos) | mm | E-2 | 1.76 |
| P-013 | 1 | Apoyo en estribo Lleida, en línea de apoyos de vía Izquierda | mm | E-2 | - |
| P-014 | 1 | Apoyo en pila 1, en línea de apoyos de vía Derecha | mm | E-2 | - |
| G-011 | 1 | 0,45 L (vía Derecha, en línea de apoyos) | με | E-2 | -22 |
| G-012 | 1 | 0,45 L (vía Izquierda, en línea de apoyos) | με | E-2 | -22 |
| P-021 | 2 | L/2 (vía Derecha, en línea de apoyos) | mm | E-2 | -6.82 |
| P-022 | 2 | L/2 (vía Izquierda, en línea de apoyos) | mm | E-2 | -6.85 |
| P-023 | 2 | Apoyo en pila 1, en línea de apoyos de vía Izquierda | mm | E-2 | - |
| P-024 | 2 | Apoyo en pila 2, en línea de apoyos de vía Derecha | mm | E-2 | - |
| G-021 | 2 | L/2 (vía Derecha, en línea de apoyos) | με | E-2 | 71 |
| G-022 | 2 | L/2 (vía Izquierda, en línea de apoyos) | με | E-2 | 70 |
| P-031 | 3 | L/2 (vía Derecha, en línea de apoyos) | mm | E-2 | 4.06 |
| P-032 | 3 | L/2 (vía Izquierda, en línea de apoyos) | mm | E-2 | 4.05 |
| P-033 | 3 | Apoyo en pila 2, en línea de apoyos de vía Izquierda | mm | E-2 | - |
| P-034 | 3 | Apoyo en pila 3, en línea de apoyos de vía Derecha | mm | E-2 | - |
| G-031 | 3 | L/2 (vía Derecha, en línea de apoyos) | με | E-2 | -35 |
| G-032 | 3 | L/2 (vía Izquierda, en línea de apoyos) | με | E-2 | -35 |
| M-041 | 4 | L/2 (vía Izquierda, en línea de apoyos) | mm | E-2 | -8.05 |
| P-042 | 4 | L/4 Lleida(vía Izquierda, en línea de apoyos) | mm | E-2 | -5.72 |
| P-043 | 4 | Apoyo en pila 3, en línea de apoyos de vía Izquierda | mm | E-2 | - |

## ***SENTIDO DE CIRCULACIÓN DEL TREN BARCELONA-LLEIDA***

## ***ESTÁTICA Nº3. Una Locomotora ADIF y una Tolva Renfe por vía I y una Locomotora ADIF y dos Tolvas Renfe por vía II en vano 4. Tres Tolvas Renfe en vano 6 por cada vía.***

| PUNTO | TRAMO | POSICION | UD. | PRUEBA | VALOR ESPERADO |
|---|---|---|---|---|---|
| M-051 | 5 | L/2 (vía Derecha, en línea de apoyos) | mm | E-3 | 4.44 |
| P-051 | 5 | L/4 Barcelona (vía Derecha, en línea de apoyos) | mm | E-3 | 3.31 |
| P-054 | 5 | Apoyo en pila 5, en línea de apoyos de vía Izquierda | mm | E-3 | - |
| P-061 | 6 | L/2 (vía Derecha, en línea de apoyos) | mm | E-3 | -6.77 |
| P-062 | 6 | L/2 (vía Izquierda, en línea de apoyos) | mm | E-3 | -6.77 |
| P-063 | 6 | Apoyo en pila 5, en línea de apoyos de vía Izquierda | mm | E-3 | - |
| P-064 | 6 | Apoyo en pila 6, en línea de apoyos de vía Derecha | mm | E-3 | - |
| G-061 | 6 | L/2 (vía Derecha, en línea de apoyos) | με | E-3 | 66 |
| G-062 | 6 | L/2 (vía Izquierda, en línea de apoyos) | με | E-3 | 66 |

## ***SENTIDO DE CIRCULACIÓN DEL TREN BARCELONA-LLEIDA***

## ***ESTÁTICA Nº4. Una Locomotora ADIF y una Tolva Renfe por vía I y una Locomotora ADIF y dos Tolvas Renfe por vía II en vano 5. Tres Tolvas Renfe en vano 7 por cada vía.***

| PUNTO | TRAMO | POSICION | UD. | PRUEBA | VALOR ESPERADO |
|---|---|---|---|---|---|
| M-051 | 5 | L/2 (vía Derecha, en línea de apoyos) | mm | E-4 | -8.22 |
| P-051 | 5 | L/4 Barcelona (vía Derecha, en línea de apoyos) | mm | E-4 | -5.78 |
| P-054 | 5 | Apoyo en pila 5, en línea de apoyos de vía Izquierda | mm | E-4 | - |
| P-061 | 6 | L/2 (vía Derecha, en línea de apoyos) | mm | E-4 | 4.10 |
| P-062 | 6 | L/2 (vía Izquierda, en línea de apoyos) | mm | E-4 | 4.09 |
| P-063 | 6 | Apoyo en pila 5, en línea de apoyos de vía Izquierda | mm | E-4 | - |
| P-064 | 6 | Apoyo en pila 6, en línea de apoyos de vía Derecha | mm | E-4 | - |
| G-061 | 6 | L/2 (vía Derecha, en línea de apoyos) | με | E-4 | -36 |
| G-062 | 6 | L/2 (vía Izquierda, en línea de apoyos) | με | E-4 | -36 |

## ***SENTIDO DE CIRCULACIÓN DEL TREN BARCELONA-LLEIDA***

## ***ESTÁTICA Nº5. Una Locomotora ADIF y una Tolva Renfe por vía I y una Locomotora ADIF y dos Tolvas Renfe por vía II en vano 6. Tres Tolvas Renfe en vano 8 por cada vía.***

| PUNTO | TRAMO | POSICION | UD. | PRUEBA | VALOR ESPERADO |
|---|---|---|---|---|---|
| P-071 | 7 | L/2 (vía Derecha, en línea de apoyos) | mm | E-5 | 3.81 |
| P-072 | 7 | L/2 (vía Izquierda, en línea de apoyos) | mm | E-5 | 3.80 |
| P-073 | 7 | Apoyo en pila 6, en línea de apoyos de vía Izquierda | mm | E-5 | - |
| P-074 | 7 | Apoyo en pila 7, en línea de apoyos de vía Derecha | mm | E-5 | - |
| G-071 | 7 | L/2 (vía Derecha, en línea de apoyos) | με | E-5 | -33 |
| G-072 | 7 | L/2 (vía Izquierda, en línea de apoyos) | με | E-5 | -33 |
| P-081 | 8 | L/2 (vía Derecha, en línea de apoyos) | mm | E-5 | -6.65 |
| P-082 | 8 | L/2 (vía Izquierda, en línea de apoyos) | mm | E-5 | -6.65 |
| P-083 | 8 | Apoyo en pila 7, en línea de apoyos de vía Izquierda | mm | E-5 | - |
| P-084 | 8 | Apoyo en pila 8, en línea de apoyos de vía Derecha | mm | E-5 | - |
| G-081 | 8 | L/2 (vía Derecha, en línea de apoyos) | με | E-5 | 65 |
| G-082 | 8 | L/2 (vía Izquierda, en línea de apoyos) | με | E-5 | 65 |
| P-091 | 9 | L/2 (vía Derecha, en línea de apoyos) | mm | E-5 | 2.01 |
| P-092 | 9 | L/2 (vía Izquierda, en línea de apoyos) | mm | E-5 | 2.01 |
| P-093 | 9 | Apoyo en pila 8, en línea de apoyos de vía Izquierda | mm | E-5 | - |
| P-094 | 9 | Apoyo en pila 9, en línea de apoyos de vía Derecha | mm | E-5 | - |
| G-091 | 9 | L/2 (vía Derecha, en línea de apoyos) | με | E-5 | -18 |
| G-092 | 9 | L/2 (vía Izquierda, en línea de apoyos) | με | E-5 | -18 |

## ***SENTIDO DE CIRCULACIÓN DEL TREN BARCELONA-LLEIDA***

## ***ESTÁTICA Nº6. Una Locomotora ADIF y una Tolva Renfe por vía I y una Locomotora ADIF y dos Tolvas Renfe por vía II en vano 7. Tres Tolvas Renfe en vano 9 por cada vía.***

| PUNTO | TRAMO | POSICION | UD. | PRUEBA | VALOR ESPERADO |
|---|---|---|---|---|---|
| P-071 | 7 | L/2 (vía Derecha, en línea de apoyos) | mm | E-6 | -6.84 |
| P-072 | 7 | L/2 (vía Izquierda, en línea de apoyos) | mm | E-6 | -6.87 |
| P-073 | 7 | Apoyo en pila 6, en línea de apoyos de vía Izquierda | mm | E-6 | - |
| P-074 | 7 | Apoyo en pila 7, en línea de apoyos de vía Derecha | mm | E-6 | - |
| G-071 | 7 | L/2 (vía Derecha, en línea de apoyos) | με | E-6 | 71 |
| G-072 | 7 | L/2 (vía Izquierda, en línea de apoyos) | με | E-6 | 70 |
| P-081 | 8 | L/2 (vía Derecha, en línea de apoyos) | mm | E-6 | 3.80 |
| P-082 | 8 | L/2 (vía Izquierda, en línea de apoyos) | mm | E-6 | 3.79 |
| P-083 | 8 | Apoyo en pila 7, en línea de apoyos de vía Izquierda | mm | E-6 | - |
| P-084 | 8 | Apoyo en pila 8, en línea de apoyos de vía Derecha | mm | E-6 | - |
| G-081 | 8 | L/2 (vía Derecha, en línea de apoyos) | με | E-6 | -33 |
| G-082 | 8 | L/2 (vía Izquierda, en línea de apoyos) | με | E-6 | -33 |
| P-091 | 9 | L/2 (vía Derecha, en línea de apoyos) | mm | E-6 | -6.65 |
| P-092 | 9 | L/2 (vía Izquierda, en línea de apoyos) | mm | E-6 | -6.65 |
| P-093 | 9 | Apoyo en pila 8, en línea de apoyos de vía Izquierda | mm | E-6 | - |
| P-094 | 9 | Apoyo en pila 9, en línea de apoyos de vía Derecha | mm | E-6 | - |
| G-091 | 9 | L/2 (vía Derecha, en línea de apoyos) | με | E-6 | 65 |
| G-092 | 9 | L/2 (vía Izquierda, en línea de apoyos) | με | E-6 | 65 |

## ***SENTIDO DE CIRCULACIÓN DEL TREN BARCELONA-LLEIDA***

## ***ESTÁTICA Nº7. Una Locomotora ADIF y una Tolva Renfe por vía I y una Locomotora ADIF y dos Tolvas Renfe por vía II en vano 9. Tres Tolvas Renfe en vano 11 por cada vía.***

| PUNTO | TRAMO | POSICION | UD. | PRUEBA | VALOR ESPERADO |
|---|---|---|---|---|---|
| P-101 | 10 | L/2 (vía Derecha, en línea de apoyos) | mm | E-7 | 3.80 |
| P-102 | 10 | L/2 (vía Izquierda, en línea de apoyos) | mm | E-7 | 3.79 |
| P-103 | 10 | Apoyo en pila 9, en línea de apoyos de vía Izquierda | mm | E-7 | - |
| P-104 | 10 | Apoyo en pila 10, en línea de apoyos de vía Derecha | mm | E-7 | - |
| G-101 | 10 | L/2 (vía Derecha, en línea de apoyos) | με | E-7 | -33 |
| G-102 | 10 | L/2 (vía Izquierda, en línea de apoyos) | με | E-7 | -33 |
| P-111 | 11 | L/2 (vía Derecha, en línea de apoyos) | mm | E-7 | -6.65 |
| P-112 | 11 | L/2 (vía Derecha, en línea de apoyos) | mm | E-7 | -6.65 |
| P-113 | 11 | L/4 Lleida (vía Derecha, en línea de apoyos) | mm | E-7 | -4.69 |
| P-114 | 11 | Apoyo en pila 10, en línea de apoyos de vía Derecha | mm | E-7 | - |
| G-111 | 11 | L/4 Lleida (vía Derecha, en línea de apoyos) | με | E-7 | 42 |
| G-112 | 11 | L/2 (vía Derecha, en línea de apoyos) | με | E-7 | 65 |
| P-121 | 12 | L/2 (vía Derecha, en línea de apoyos) | mm | E-7 | 2.01 |
| P-122 | 12 | L/2 (vía Izquierda, en línea de apoyos) | mm | E-7 | 2.01 |
| P-123 | 12 | Apoyo en pila 11, en línea de apoyos de vía Derecha | mm | E-7 | - |
| P-124 | 12 | L/4 Lleida (vía Derecha, en línea de apoyos) | mm | E-7 | 1.91 |

## ***SENTIDO DE CIRCULACIÓN DEL TREN BARCELONA-LLEIDA***

## ***ESTÁTICA Nº8. Una Locomotora ADIF y una Tolva Renfe por vía I y una Locomotora ADIF y dos Tolvas Renfe por vía II en vano 10. Tres Tolvas Renfe en vano 12 por cada vía.***

| PUNTO | TRAMO | POSICION | UD. | PRUEBA | VALOR ESPERADO |
|---|---|---|---|---|---|
| P-101 | 10 | L/2 (vía Derecha, en línea de apoyos) | mm | E-8 | -6.83 |
| P-102 | 10 | L/2 (vía Izquierda, en línea de apoyos) | mm | E-8 | -6.86 |
| P-103 | 10 | Apoyo en pila 9, en línea de apoyos de vía Izquierda | mm | E-8 | - |
| P-104 | 10 | Apoyo en pila 10, en línea de apoyos de vía Derecha | mm | E-8 | - |
| G-101 | 10 | L/2 (vía Derecha, en línea de apoyos) | με | E-8 | 71 |
| G-102 | 10 | L/2 (vía Izquierda, en línea de apoyos) | με | E-8 | 70 |
| P-111 | 11 | L/2 (vía Derecha, en línea de apoyos) | mm | E-8 | 3.80 |
| P-112 | 11 | L/2 (vía Derecha, en línea de apoyos) | mm | E-8 | 3.79 |
| P-113 | 11 | L/4 Lleida (vía Derecha, en línea de apoyos) | mm | E-8 | - |
| P-114 | 11 | Apoyo en pila 10, en línea de apoyos de vía Derecha | mm | E-8 | - |
| G-111 | 11 | L/4 Lleida (vía Derecha, en línea de apoyos) | με | E-8 | -33 |
| G-112 | 11 | L/2 (vía Derecha, en línea de apoyos) | με | E-8 | -33 |
| P-121 | 12 | L/2 (vía Derecha, en línea de apoyos) | mm | E-8 | -6.65 |
| P-122 | 12 | L/2 (vía Izquierda, en línea de apoyos) | mm | E-8 | -6.65 |
| P-123 | 12 | Apoyo en pila 11, en línea de apoyos de vía Derecha | mm | E-8 | - |
| P-124 | 12 | L/4 Lleida (vía Derecha, en línea de apoyos) | mm | E-8 | -4.69 |

## ***SENTIDO DE CIRCULACIÓN DEL TREN BARCELONA-LLEIDA***

## ***ESTÁTICA Nº9. Una Locomotora ADIF y una Tolva Renfe por vía I y una Locomotora ADIF y dos Tolvas Renfe por vía II en vano 12. Tres Tolvas Renfe en vano 14 por cada vía.***

| PUNTO | TRAMO | POSICION | UD. | PRUEBA | VALOR ESPERADO |
|---|---|---|---|---|---|
| P-131 | 13 | L/2 (vía Derecha, en línea de apoyos) | mm | E-9 | 3.80 |
| P-132 | 13 | L/2 (vía Izquierda, en línea de apoyos) | mm | E-9 | 3.79 |
| P-133 | 13 | Apoyo en pila 12, en línea de apoyos de vía Izquierda | mm | E-9 | - |
| P-134 | 13 | Apoyo en pila 13, en línea de apoyos de vía Derecha | mm | E-9 | - |
| G-131 | 13 | L/2 (vía Derecha, en línea de apoyos) | με | E-9 | -33 |
| G-132 | 13 | L/2 (vía Izquierda, en línea de apoyos) | με | E-9 | -33 |
| P-141 | 14 | L/2 (vía Derecha, en línea de apoyos) | mm | E-9 | -6.65 |
| P-142 | 14 | L/2 (vía Izquierda, en línea de apoyos) | mm | E-9 | -6.65 |
| P-143 | 14 | Apoyo en pila 13, en línea de apoyos de vía Izquierda | mm | E-9 | - |
| P-144 | 14 | Apoyo en pila 14, en línea de apoyos de vía Derecha | mm | E-9 | - |
| G-141 | 14 | L/2 (vía Derecha, en línea de apoyos) | με | E-9 | 65 |
| G-142 | 14 | L/2 (vía Izquierda, en línea de apoyos) | με | E-9 | 65 |
| P-151 | 15 | L/2 (vía Derecha, en línea de apoyos) | mm | E-9 | 2.01 |
| P-152 | 15 | L/2 (vía Izquierda, en línea de apoyos) | mm | E-9 | 2.01 |
| P-153 | 15 | Apoyo en pila 14, en línea de apoyos de vía Izquierda | mm | E-9 | - |
| P-154 | 15 | Apoyo en pila 15, en línea de apoyos de vía Derecha | mm | E-9 | - |
| G-151 | 15 | L/2 (vía Derecha, en línea de apoyos) | με | E-9 | -18 |
| G-152 | 15 | L/2 (vía Izquierda, en línea de apoyos) | με | E-9 | -18 |

## ***SENTIDO DE CIRCULACIÓN DEL TREN BARCELONA-LLEIDA***

## ***ESTÁTICA Nº10. Una Locomotora ADIF y una Tolva Renfe por vía I y una Locomotora ADIF y dos Tolvas Renfe por vía II en vano 13. Tres Tolvas Renfe en vano 15 por cada vía.***

| PUNTO | TRAMO | POSICION | UD. | PRUEBA | VALOR ESPERADO |
|---|---|---|---|---|---|
| P-131 | 13 | L/2 (vía Derecha, en línea de apoyos) | mm | E-10 | -6.83 |
| P-132 | 13 | L/2 (vía Izquierda, en línea de apoyos) | mm | E-10 | -6.86 |
| P-133 | 13 | Apoyo en pila 12, en línea de apoyos de vía Izquierda | mm | E-10 | - |
| P-134 | 13 | Apoyo en pila 13, en línea de apoyos de vía Derecha | mm | E-10 | - |
| G-131 | 13 | L/2 (vía Derecha, en línea de apoyos) | με | E-10 | 71 |
| G-132 | 13 | L/2 (vía Izquierda, en línea de apoyos) | με | E-10 | 70 |
| P-141 | 14 | L/2 (vía Derecha, en línea de apoyos) | mm | E-10 | 3.80 |
| P-142 | 14 | L/2 (vía Izquierda, en línea de apoyos) | mm | E-10 | 3.79 |
| P-143 | 14 | Apoyo en pila 13, en línea de apoyos de vía Izquierda | mm | E-10 | - |
| P-144 | 14 | Apoyo en pila 14, en línea de apoyos de vía Derecha | mm | E-10 | - |
| G-141 | 14 | L/2 (vía Derecha, en línea de apoyos) | με | E-10 | -33 |
| G-142 | 14 | L/2 (vía Izquierda, en línea de apoyos) | με | E-10 | -33 |
| P-151 | 15 | L/2 (vía Derecha, en línea de apoyos) | mm | E-10 | -6.65 |
| P-152 | 15 | L/2 (vía Izquierda, en línea de apoyos) | mm | E-10 | -6.65 |
| P-153 | 15 | Apoyo en pila 14, en línea de apoyos de vía Izquierda | mm | E-10 | - |
| P-154 | 15 | Apoyo en pila 15, en línea de apoyos de vía Derecha | mm | E-10 | - |
| G-151 | 15 | L/2 (vía Derecha, en línea de apoyos) | με | E-10 | 65 |
| G-152 | 15 | L/2 (vía Izquierda, en línea de apoyos) | με | E-10 | 65 |

## ***SENTIDO DE CIRCULACIÓN DEL TREN BARCELONA-LLEIDA***

## ***ESTÁTICA Nº11. Una Locomotora ADIF y una Tolva Renfe por vía I y una Locomotora ADIF y dos Tolvas Renfe por vía II en vano 15. Tres Tolvas Renfe en vano 17 por cada vía.***

| PUNTO | TRAMO | POSICION | UD. | PRUEBA | VALOR ESPERADO |
|---|---|---|---|---|---|
| P-161 | 16 | L/2 (vía Derecha, en línea de apoyos) | mm | E-11 | 3.80 |
| P-162 | 16 | L/2 (vía Izquierda, en línea de apoyos) | mm | E-11 | 3.79 |
| P-163 | 16 | Apoyo en pila 15, en línea de apoyos de vía Izquierda | mm | E-11 | - |
| P-164 | 16 | Apoyo en pila 16, en línea de apoyos de vía Derecha | mm | E-11 | - |
| G-161 | 16 | L/2 (vía Derecha, en línea de apoyos) | με | E-11 | -33 |
| G-162 | 16 | L/2 (vía Izquierda, en línea de apoyos) | με | E-11 | -33 |
| P-171 | 17 | L/2 (vía Derecha, en línea de apoyos) | mm | E-11 | -6.65 |
| P-172 | 17 | L/2 (vía Izquierda, en línea de apoyos) | mm | E-11 | -6.65 |
| P-173 | 17 | Apoyo en pila 16, en línea de apoyos de vía Izquierda | mm | E-11 | - |
| P-174 | 17 | Apoyo en pila 17, en línea de apoyos de vía Derecha | mm | E-11 | - |
| G-171 | 17 | L/2 (vía Derecha, en línea de apoyos) | με | E-11 | 65 |
| G-172 | 17 | L/2 (vía Izquierda, en línea de apoyos) | με | E-11 | 65 |
| P-181 | 18 | L/2 (vía Derecha, en línea de apoyos) | mm | E-11 | 2.01 |
| P-182 | 18 | L/2 (vía Izquierda, en línea de apoyos) | mm | E-11 | 2.01 |
| P-183 | 18 | Apoyo en pila 17, en línea de apoyos de vía Izquierda | mm | E-11 | - |
| P-184 | 18 | Apoyo en pila 18, en línea de apoyos de vía Derecha | mm | E-11 | - |
| G-181 | 18 | L/2 (vía Derecha, en línea de apoyos) | με | E-11 | -18 |
| G-182 | 18 | L/2 (vía Izquierda, en línea de apoyos) | με | E-11 | -18 |

## ***SENTIDO DE CIRCULACIÓN DEL TREN BARCELONA-LLEIDA***

## ***ESTÁTICA Nº12. Una Locomotora ADIF y una Tolva Renfe por vía I y una Locomotora ADIF y dos Tolvas Renfe por vía II en vano 16. Tres Tolvas Renfe en vano 18 por cada vía.***

| PUNTO | TRAMO | POSICION | UD. | PRUEBA | VALOR ESPERADO |
|---|---|---|---|---|---|
| P-161 | 16 | L/2 (vía Derecha, en línea de apoyos) | mm | E-12 | -6.83 |
| P-162 | 16 | L/2 (vía Izquierda, en línea de apoyos) | mm | E-12 | -6.86 |
| P-163 | 16 | Apoyo en pila 15, en línea de apoyos de vía Izquierda | mm | E-12 | - |
| P-164 | 16 | Apoyo en pila 16, en línea de apoyos de vía Derecha | mm | E-12 | - |
| G-161 | 16 | L/2 (vía Derecha, en línea de apoyos) | με | E-12 | 71 |
| G-162 | 16 | L/2 (vía Izquierda, en línea de apoyos) | με | E-12 | 70 |
| P-171 | 17 | L/2 (vía Derecha, en línea de apoyos) | mm | E-12 | 3.80 |
| P-172 | 17 | L/2 (vía Izquierda, en línea de apoyos) | mm | E-12 | 3.79 |
| P-173 | 17 | Apoyo en pila 16, en línea de apoyos de vía Izquierda | mm | E-12 | - |
| P-174 | 17 | Apoyo en pila 17, en línea de apoyos de vía Derecha | mm | E-12 | - |
| G-171 | 17 | L/2 (vía Derecha, en línea de apoyos) | με | E-12 | -33 |
| G-172 | 17 | L/2 (vía Izquierda, en línea de apoyos) | με | E-12 | -33 |
| P-181 | 18 | L/2 (vía Derecha, en línea de apoyos) | mm | E-12 | -6.65 |
| P-182 | 18 | L/2 (vía Izquierda, en línea de apoyos) | mm | E-12 | -6.65 |
| P-183 | 18 | Apoyo en pila 17, en línea de apoyos de vía Izquierda | mm | E-12 | - |
| P-184 | 18 | Apoyo en pila 18, en línea de apoyos de vía Derecha | mm | E-12 | - |
| G-181 | 18 | L/2 (vía Derecha, en línea de apoyos) | με | E-12 | 65 |
| G-182 | 18 | L/2 (vía Izquierda, en línea de apoyos) | με | E-12 | 65 |

## ***SENTIDO DE CIRCULACIÓN DEL TREN BARCELONA-LLEIDA***

## ***ESTÁTICA Nº13. Una Locomotora ADIF y una Tolva Renfe por vía I y una Locomotora ADIF y dos Tolvas Renfe por vía II en vano 19. Tres Tolvas Renfe en vano 21 por cada vía.***

| PUNTO | TRAMO | POSICION | UD. | PRUEBA | VALOR ESPERADO |
|---|---|---|---|---|---|
| P-191 | 19 | L/2 (vía Derecha, en línea de apoyos) | mm | E-13 | -6.83 |
| P-192 | 19 | L/2 (vía Izquierda, en línea de apoyos) | mm | E-13 | -6.86 |
| P-193 | 19 | Apoyo en pila 18, en línea de apoyos de vía Izquierda | mm | E-13 | - |
| P-194 | 19 | Apoyo en pila 19, en línea de apoyos de vía Derecha | mm | E-13 | - |
| G-191 | 19 | L/2 (vía Derecha, en línea de apoyos) | με | E-13 | 71 |
| G-192 | 19 | L/2 (vía Izquierda, en línea de apoyos) | με | E-13 | 70 |
| P-201 | 20 | L/2 (vía Derecha, en línea de apoyos) | mm | E-13 | 3.78 |
| P-202 | 20 | L/2 (vía Izquierda, en línea de apoyos) | mm | E-13 | 3.77 |
| P-203 | 20 | Apoyo en pila 19, en línea de apoyos de vía Izquierda | mm | E-13 | - |
| P-204 | 20 | Apoyo en pila 20, en línea de apoyos de vía Derecha | mm | E-13 | - |
| G-201 | 20 | L/2 (vía Derecha, en línea de apoyos) | με | E-13 | -33 |
| G-202 | 20 | L/2 (vía Izquierda, en línea de apoyos) | με | E-13 | -33 |
| P-211 | 21 | L/2 (vía Derecha, en línea de apoyos) | mm | E-13 | -6.57 |
| P-212 | 21 | L/2 (vía Izquierda, en línea de apoyos) | mm | E-13 | -6.57 |
| P-213 | 21 | Apoyo en pila 20, en línea de apoyos de vía Izquierda | mm | E-13 | - |
| P-214 | 21 | Apoyo en pila 21, en línea de apoyos de vía Derecha | mm | E-13 | - |
| G-211 | 21 | L/2 (vía Derecha, en línea de apoyos) | με | E-13 | 64 |
| G-212 | 21 | L/2 (vía Izquierda, en línea de apoyos) | με | E-13 | 64 |
| P-221 | 22 | 0,45 L (vía Derecha, en línea de apoyos) | mm | E-13 | 1.73 |
| P-222 | 22 | 0,45 L (vía Izquierda, en línea de apoyos) | mm | E-13 | 1.73 |
| P-223 | 22 | Apoyo en estribo Barcelona, en línea de apoyos de vía Izquierda | mm | E-13 | - |
| P-224 | 22 | Apoyo en estribo Barcelona, en línea de apoyos de vía Derecha | mm | E-13 | - |
| G-221 | 22 | 0,45 L (vía Derecha, en línea de apoyos) | με | E-13 | -21 |
| G-222 | 22 | 0,45 L (vía Izquierda, en línea de apoyos) | με | E-13 | -21 |

## ***SENTIDO DE CIRCULACIÓN DEL TREN BARCELONA-LLEIDA***

## ***ESTÁTICA Nº14. Una Locomotora ADIF y una Tolva Renfe por vía I y una Locomotora ADIF y dos Tolvas Renfe por vía II en vano 20. Tres Tolvas Renfe en vano 22 por cada vía.***

| PUNTO | TRAMO | POSICION | UD. | PRUEBA | VALOR ESPERADO |
|---|---|---|---|---|---|
| P-191 | 19 | L/2 (vía Derecha, en línea de apoyos) | mm | E-14 | 2.00 |
| P-192 | 19 | L/2 (vía Izquierda, en línea de apoyos) | mm | E-14 | 1.99 |
| P-193 | 19 | Apoyo en pila 18, en línea de apoyos de vía Izquierda | mm | E-14 | - |
| P-194 | 19 | Apoyo en pila 19, en línea de apoyos de vía Derecha | mm | E-14 | - |
| G-191 | 19 | L/2 (vía Derecha, en línea de apoyos) | με | E-14 | -17 |
| G-192 | 19 | L/2 (vía Izquierda, en línea de apoyos) | με | E-14 | -17 |
| P-201 | 20 | L/2 (vía Derecha, en línea de apoyos) | mm | E-14 | -6.70 |
| P-202 | 20 | L/2 (vía Izquierda, en línea de apoyos) | mm | E-14 | -6.74 |
| P-203 | 20 | Apoyo en pila 19, en línea de apoyos de vía Izquierda | mm | E-14 | - |
| P-204 | 20 | Apoyo en pila 20, en línea de apoyos de vía Derecha | mm | E-14 | - |
| G-201 | 20 | L/2 (vía Derecha, en línea de apoyos) | με | E-14 | 70 |
| G-202 | 20 | L/2 (vía Izquierda, en línea de apoyos) | με | E-14 | 69 |
| P-211 | 21 | L/2 (vía Derecha, en línea de apoyos) | mm | E-14 | 3.25 |
| P-212 | 21 | L/2 (vía Izquierda, en línea de apoyos) | mm | E-14 | 3.25 |
| P-213 | 21 | Apoyo en pila 20, en línea de apoyos de vía Izquierda | mm | E-14 | - |
| P-214 | 21 | Apoyo en pila 21, en línea de apoyos de vía Derecha | mm | E-14 | - |
| G-211 | 21 | L/2 (vía Derecha, en línea de apoyos) | με | E-14 | -28 |
| G-212 | 21 | L/2 (vía Izquierda, en línea de apoyos) | με | E-14 | -28 |
| P-221 | 22 | 0,45 L (vía Derecha, en línea de apoyos) | mm | E-14 | -4.30 |
| P-222 | 22 | 0,45 L (vía Izquierda, en línea de apoyos) | mm | E-14 | -4.30 |
| P-223 | 22 | Apoyo en estribo Barcelona, en línea de apoyos de vía Izquierda | mm | E-14 | - |
| P-224 | 22 | Apoyo en estribo Barcelona, en línea de apoyos de vía Derecha | mm | E-14 | - |
| G-221 | 22 | 0,45 L (vía Derecha, en línea de apoyos) | με | E-14 | 59 |
| G-222 | 22 | 0,45 L (vía Izquierda, en línea de apoyos) | με | E-14 | 59 |

## ***SENTIDO DE CIRCULACIÓN DEL TREN BARCELONA-LLEIDA***

## ***ESTÁTICA Nº15. Una Locomotora ADIF y una Tolva Renfe por vía I y una Locomotora ADIF y dos Tolvas Renfe por vía II en vano 2. Tres Tolvas Renfe en vano 3 por cada vía.***

| PUNTO | TRAMO | POSICION | UD. | PRUEBA | VALOR ESPERADO |
|---|---|---|---|---|---|
| P-011 | 1 | 0,45 L (vía Derecha, en línea de apoyos) | mm | E-15 | 1.15 |
| P-012 | 1 | 0,45 L (vía Izquierda, en línea de apoyos) | mm | E-15 | 1.14 |
| P-013 | 1 | Apoyo en estribo Lleida, en línea de apoyos de vía Izquierda | mm | E-15 | - |
| P-014 | 1 | Apoyo en pila 1, en línea de apoyos de vía Derecha | mm | E-15 | - |
| G-011 | 1 | 0,45 L (vía Derecha, en línea de apoyos) | με | E-15 | -15 |
| G-012 | 1 | 0,45 L (vía Izquierda, en línea de apoyos) | με | E-15 | -15 |
| P-021 | 2 | L/2 (vía Derecha, en línea de apoyos) | mm | E-15 | -4.08 |
| P-022 | 2 | L/2 (vía Izquierda, en línea de apoyos) | mm | E-15 | -4.16 |
| P-023 | 2 | Apoyo en pila 1, en línea de apoyos de vía Izquierda | mm | E-15 | - |
| P-024 | 2 | Apoyo en pila 2, en línea de apoyos de vía Derecha | mm | E-15 | - |
| G-021 | 2 | L/2 (vía Derecha, en línea de apoyos) | με | E-15 | 44 |
| G-022 | 2 | L/2 (vía Izquierda, en línea de apoyos) | με | E-15 | 44 |
| P-031 | 3 | L/2 (vía Derecha, en línea de apoyos) | mm | E-15 | -4.30 |
| P-032 | 3 | L/2 (vía Izquierda, en línea de apoyos) | mm | E-15 | -4.31 |
| P-033 | 3 | Apoyo en pila 2, en línea de apoyos de vía Izquierda | mm | E-15 | - |
| P-034 | 3 | Apoyo en pila 3, en línea de apoyos de vía Derecha | mm | E-15 | - |
| G-031 | 3 | L/2 (vía Derecha, en línea de apoyos) | με | E-15 | 45 |
| G-032 | 3 | L/2 (vía Izquierda, en línea de apoyos) | με | E-15 | 45 |
| M-041 | 4 | L/2 (vía Izquierda, en línea de apoyos) | mm | E-15 | 1.52 |
| P-042 | 4 | L/4 Lleida(vía Izquierda, en línea de apoyos) | mm | E-15 | 1.48 |
| P-043 | 4 | Apoyo en pila 3, en línea de apoyos de vía Izquierda | mm | E-15 | - |

## ***SENTIDO DE CIRCULACIÓN DEL TREN BARCELONA-LLEIDA***

## ***ESTÁTICA Nº16. Una Locomotora ADIF y una Tolva Renfe por vía I y una Locomotora ADIF y dos Tolvas Renfe por vía II en vano 5. Tres Tolvas Renfe en vano 6 por cada vía.***

| PUNTO | TRAMO | POSICION | UD. | PRUEBA | VALOR ESPERADO |
|---|---|---|---|---|---|
| M-051 | 5 | L/2 (vía Derecha, en línea de apoyos) | mm | E-16 | -5.16 |
| P-051 | 5 | L/4 Barcelona (vía Derecha, en línea de apoyos) | mm | E-16 | -3.19 |
| P-054 | 5 | Apoyo en pila 5, en línea de apoyos de vía Izquierda | mm | E-16 | - |
| P-061 | 6 | L/2 (vía Derecha, en línea de apoyos) | mm | E-16 | -4.05 |
| P-062 | 6 | L/2 (vía Izquierda, en línea de apoyos) | mm | E-16 | -4.05 |
| P-063 | 6 | Apoyo en pila 5, en línea de apoyos de vía Izquierda | mm | E-16 | - |
| P-064 | 6 | Apoyo en pila 6, en línea de apoyos de vía Derecha | mm | E-16 | - |
| G-061 | 6 | L/2 (vía Derecha, en línea de apoyos) | με | E-16 | 43 |
| G-062 | 6 | L/2 (vía Izquierda, en línea de apoyos) | με | E-16 | 43 |

## ***SENTIDO DE CIRCULACIÓN DEL TREN BARCELONA-LLEIDA***

## ***ESTÁTICA Nº17. Una Locomotora ADIF y una Tolva Renfe por vía I y una Locomotora ADIF y dos Tolvas Renfe por vía II en vano 7. Tres Tolvas Renfe en vano 8 por cada vía.***

| PUNTO | TRAMO | POSICION | UD. | PRUEBA | VALOR ESPERADO |
|---|---|---|---|---|---|
| P-071 | 7 | L/2 (vía Derecha, en línea de apoyos) | mm | E-17 | -4.15 |
| P-072 | 7 | L/2 (vía Izquierda, en línea de apoyos) | mm | E-17 | -4.22 |
| P-073 | 7 | Apoyo en pila 6, en línea de apoyos de vía Izquierda | mm | E-17 | - |
| P-074 | 7 | Apoyo en pila 7, en línea de apoyos de vía Derecha | mm | E-17 | - |
| G-071 | 7 | L/2 (vía Derecha, en línea de apoyos) | με | E-17 | 44 |
| G-072 | 7 | L/2 (vía Izquierda, en línea de apoyos) | με | E-17 | 44 |
| P-081 | 8 | L/2 (vía Derecha, en línea de apoyos) | mm | E-17 | -4.25 |
| P-082 | 8 | L/2 (vía Izquierda, en línea de apoyos) | mm | E-17 | -4.26 |
| P-083 | 8 | Apoyo en pila 7, en línea de apoyos de vía Izquierda | mm | E-17 | - |
| P-084 | 8 | Apoyo en pila 8, en línea de apoyos de vía Derecha | mm | E-17 | - |
| G-081 | 8 | L/2 (vía Derecha, en línea de apoyos) | με | E-17 | 45 |
| G-082 | 8 | L/2 (vía Izquierda, en línea de apoyos) | με | E-17 | 45 |
| P-091 | 9 | L/2 (vía Derecha, en línea de apoyos) | mm | E-17 | 1.40 |
| P-092 | 9 | L/2 (vía Izquierda, en línea de apoyos) | mm | E-17 | 1.40 |
| P-093 | 9 | Apoyo en pila 8, en línea de apoyos de vía Izquierda | mm | E-17 | - |
| P-094 | 9 | Apoyo en pila 9, en línea de apoyos de vía Derecha | mm | E-17 | - |
| G-091 | 9 | L/2 (vía Derecha, en línea de apoyos) | με | E-17 | -12 |
| G-092 | 9 | L/2 (vía Izquierda, en línea de apoyos) | με | E-17 | -12 |

## ***SENTIDO DE CIRCULACIÓN DEL TREN BARCELONA-LLEIDA***

## ***ESTÁTICA Nº18. Una Locomotora ADIF y una Tolva Renfe por vía I y una Locomotora ADIF y dos Tolvas Renfe por vía II en vano 11. Tres Tolvas Renfe en vano 12 por cada vía.***

| PUNTO | TRAMO | POSICION | UD. | PRUEBA | VALOR ESPERADO |
|---|---|---|---|---|---|
| P-101 | 10 | L/2 (vía Derecha, en línea de apoyos) | mm | E-18 | 1.34 |
| P-102 | 10 | L/2 (vía Izquierda, en línea de apoyos) | mm | E-18 | 1.33 |
| P-103 | 10 | Apoyo en pila 9, en línea de apoyos de vía Izquierda | mm | E-18 | - |
| P-104 | 10 | Apoyo en pila 10, en línea de apoyos de vía Derecha | mm | E-18 | - |
| G-101 | 10 | L/2 (vía Derecha, en línea de apoyos) | με | E-18 | -12 |
| G-102 | 10 | L/2 (vía Izquierda, en línea de apoyos) | με | E-18 | -12 |
| P-111 | 11 | L/2 (vía Derecha, en línea de apoyos) | mm | E-18 | -4.14 |
| P-112 | 11 | L/2 (vía Derecha, en línea de apoyos) | mm | E-18 | -4.22 |
| P-113 | 11 | L/4 Lleida (vía Derecha, en línea de apoyos) | mm | E-18 | - |
| P-114 | 11 | Apoyo en pila 10, en línea de apoyos de vía Derecha | mm | E-18 | - |
| G-111 | 11 | L/4 Lleida (vía Derecha, en línea de apoyos) | με | E-18 | 26 |
| G-112 | 11 | L/2 (vía Derecha, en línea de apoyos) | με | E-18 | 44 |
| P-121 | 12 | L/2 (vía Derecha, en línea de apoyos) | mm | E-18 | -4.25 |
| P-122 | 12 | L/2 (vía Izquierda, en línea de apoyos) | mm | E-18 | -4.26 |
| P-123 | 12 | Apoyo en pila 11, en línea de apoyos de vía Derecha | mm | E-18 | - |
| P-124 | 12 | L/4 Lleida (vía Derecha, en línea de apoyos) | mm | E-18 | -2.46 |

## ***SENTIDO DE CIRCULACIÓN DEL TREN BARCELONA-LLEIDA***

## ***ESTÁTICA Nº19. Una Locomotora ADIF y una Tolva Renfe por vía I y una Locomotora ADIF y dos Tolvas Renfe por vía II en vano 14. Tres Tolvas Renfe en vano 15 por cada vía.***

| PUNTO | TRAMO | POSICION | UD. | PRUEBA | VALOR ESPERADO |
|---|---|---|---|---|---|
| P-131 | 13 | L/2 (vía Derecha, en línea de apoyos) | mm | E-19 | 1.34 |
| P-132 | 13 | L/2 (vía Izquierda, en línea de apoyos) | mm | E-19 | 1.33 |
| P-133 | 13 | Apoyo en pila 12, en línea de apoyos de vía Izquierda | mm | E-19 | - |
| P-134 | 13 | Apoyo en pila 13, en línea de apoyos de vía Derecha | mm | E-19 | - |
| G-131 | 13 | L/2 (vía Derecha, en línea de apoyos) | με | E-19 | -12 |
| G-132 | 13 | L/2 (vía Izquierda, en línea de apoyos) | με | E-19 | -12 |
| P-141 | 14 | L/2 (vía Derecha, en línea de apoyos) | mm | E-19 | -4.14 |
| P-142 | 14 | L/2 (vía Izquierda, en línea de apoyos) | mm | E-19 | -4.22 |
| P-143 | 14 | Apoyo en pila 13, en línea de apoyos de vía Izquierda | mm | E-19 | - |
| P-144 | 14 | Apoyo en pila 14, en línea de apoyos de vía Derecha | mm | E-19 | - |
| G-141 | 14 | L/2 (vía Derecha, en línea de apoyos) | με | E-19 | 44 |
| G-142 | 14 | L/2 (vía Izquierda, en línea de apoyos) | με | E-19 | 44 |
| P-151 | 15 | L/2 (vía Derecha, en línea de apoyos) | mm | E-19 | -4.25 |
| P-152 | 15 | L/2 (vía Izquierda, en línea de apoyos) | mm | E-19 | -4.26 |
| P-153 | 15 | Apoyo en pila 14, en línea de apoyos de vía Izquierda | mm | E-19 | - |
| P-154 | 15 | Apoyo en pila 15, en línea de apoyos de vía Derecha | mm | E-19 | - |
| G-151 | 15 | L/2 (vía Derecha, en línea de apoyos) | με | E-19 | 45 |
| G-152 | 15 | L/2 (vía Izquierda, en línea de apoyos) | με | E-19 | 45 |

## ***SENTIDO DE CIRCULACIÓN DEL TREN BARCELONA-LLEIDA***

## ***ESTÁTICA Nº20. Una Locomotora ADIF y una Tolva Renfe por vía I y una Locomotora ADIF y dos Tolvas Renfe por vía II en vano 17. Tres Tolvas Renfe en vano 18 por cada vía.***

| PUNTO | TRAMO | POSICION | UD. | PRUEBA | VALOR ESPERADO |
|---|---|---|---|---|---|
| P-161 | 16 | L/2 (vía Derecha, en línea de apoyos) | mm | E-20 | 1.34 |
| P-162 | 16 | L/2 (vía Izquierda, en línea de apoyos) | mm | E-20 | 1.33 |
| P-163 | 16 | Apoyo en pila 15, en línea de apoyos de vía Izquierda | mm | E-20 | - |
| P-164 | 16 | Apoyo en pila 16, en línea de apoyos de vía Derecha | mm | E-20 | - |
| G-161 | 16 | L/2 (vía Derecha, en línea de apoyos) | με | E-20 | -12 |
| G-162 | 16 | L/2 (vía Izquierda, en línea de apoyos) | με | E-20 | -12 |
| P-171 | 17 | L/2 (vía Derecha, en línea de apoyos) | mm | E-20 | -4.14 |
| P-172 | 17 | L/2 (vía Izquierda, en línea de apoyos) | mm | E-20 | -4.22 |
| P-173 | 17 | Apoyo en pila 16, en línea de apoyos de vía Izquierda | mm | E-20 | - |
| P-174 | 17 | Apoyo en pila 17, en línea de apoyos de vía Derecha | mm | E-20 | - |
| G-171 | 17 | L/2 (vía Derecha, en línea de apoyos) | με | E-20 | 44 |
| G-172 | 17 | L/2 (vía Izquierda, en línea de apoyos) | με | E-20 | 44 |
| P-181 | 18 | L/2 (vía Derecha, en línea de apoyos) | mm | E-20 | -4.25 |
| P-182 | 18 | L/2 (vía Izquierda, en línea de apoyos) | mm | E-20 | -4.26 |
| P-183 | 18 | Apoyo en pila 17, en línea de apoyos de vía Izquierda | mm | E-20 | - |
| P-184 | 18 | Apoyo en pila 18, en línea de apoyos de vía Derecha | mm | E-20 | - |
| G-181 | 18 | L/2 (vía Derecha, en línea de apoyos) | με | E-20 | 45 |
| G-182 | 18 | L/2 (vía Izquierda, en línea de apoyos) | με | E-20 | 45 |

## ***SENTIDO DE CIRCULACIÓN DEL TREN BARCELONA-LLEIDA***

## ***ESTÁTICA Nº21. Una Locomotora ADIF y una Tolva Renfe por vía I y una Locomotora ADIF y dos Tolvas Renfe por vía II en vano 20. Tres Tolvas Renfe en vano 21 por cada vía.***

| PUNTO | TRAMO | POSICION | UD. | PRUEBA | VALOR ESPERADO |
|---|---|---|---|---|---|
| P-191 | 19 | L/2 (vía Derecha, en línea de apoyos) | mm | E-21 | 1.34 |
| P-192 | 19 | L/2 (vía Izquierda, en línea de apoyos) | mm | E-21 | 1.33 |
| P-193 | 19 | Apoyo en pila 18, en línea de apoyos de vía Izquierda | mm | E-21 | - |
| P-194 | 19 | Apoyo en pila 19, en línea de apoyos de vía Derecha | mm | E-21 | - |
| G-191 | 19 | L/2 (vía Derecha, en línea de apoyos) | με | E-21 | -12 |
| G-192 | 19 | L/2 (vía Izquierda, en línea de apoyos) | με | E-21 | -12 |
| P-201 | 20 | L/2 (vía Derecha, en línea de apoyos) | mm | E-21 | -4.16 |
| P-202 | 20 | L/2 (vía Izquierda, en línea de apoyos) | mm | E-21 | -4.23 |
| P-203 | 20 | Apoyo en pila 19, en línea de apoyos de vía Izquierda | mm | E-21 | - |
| P-204 | 20 | Apoyo en pila 20, en línea de apoyos de vía Derecha | mm | E-21 | - |
| G-201 | 20 | L/2 (vía Derecha, en línea de apoyos) | με | E-21 | 44 |
| G-202 | 20 | L/2 (vía Izquierda, en línea de apoyos) | με | E-21 | 44 |
| P-211 | 21 | L/2 (vía Derecha, en línea de apoyos) | mm | E-21 | -4.20 |
| P-212 | 21 | L/2 (vía Izquierda, en línea de apoyos) | mm | E-21 | -4.20 |
| P-213 | 21 | Apoyo en pila 20, en línea de apoyos de vía Izquierda | mm | E-21 | - |
| P-214 | 21 | Apoyo en pila 21, en línea de apoyos de vía Derecha | mm | E-21 | - |
| G-211 | 21 | L/2 (vía Derecha, en línea de apoyos) | με | E-21 | 45 |
| G-212 | 21 | L/2 (vía Izquierda, en línea de apoyos) | με | E-21 | 45 |
| P-221 | 22 | 0,45 L (vía Derecha, en línea de apoyos) | mm | E-21 | 1.17 |
| P-222 | 22 | 0,45 L (vía Izquierda, en línea de apoyos) | mm | E-21 | 1.17 |
| P-223 | 22 | Apoyo en estribo Barcelona, en línea de apoyos de vía Izquierda | mm | E-21 | - |
| P-224 | 22 | Apoyo en estribo Barcelona, en línea de apoyos de vía Derecha | mm | E-21 | - |
| G-221 | 22 | 0,45 L (vía Derecha, en línea de apoyos) | με | E-21 | -15 |
| G-222 | 22 | 0,45 L (vía Izquierda, en línea de apoyos) | με | E-21 | -15 |

El valor estimado para la frecuencia fundamental de flexión del tablero es de **2,78** Hz.

El proyecto consta de veintiocho páginas numeradas y ha sido realizado y visado por el personal técnico de la UNE de Estructuras de TIFSA.

Madrid, enero de 2005

EL JEFE DE INSTRUMENTACIÓN

Fdo.: Justo Carretero Pérez

INGENIERO AUTOR DEL PROYECTO

Fdo.: Jorge Benito García

EL DIRECTOR DE LA UNE DE ESTRUCTURAS

Fdo.: Javier Cortezo García

# *ANEJO 2A: DOCUMENTACIÓN GRÁFICA UTILIZADA*

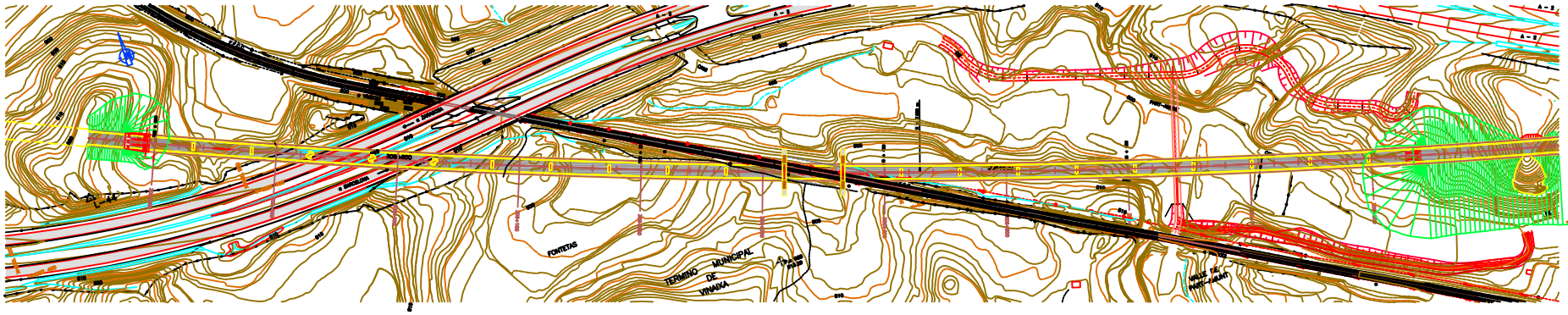


PLANTA
ESCALA 1:2000

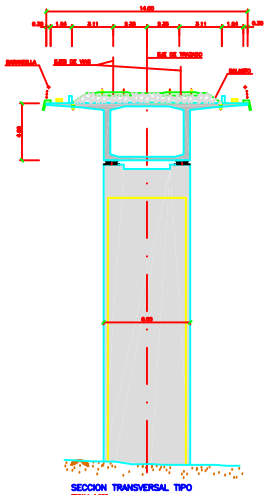


NOTA: DISTANCIA ENTRE PAVIMENTO DE PILA 2 Y PILA 3 A BORDE DE ANDEN = 1.65 m Y 1.67 m.

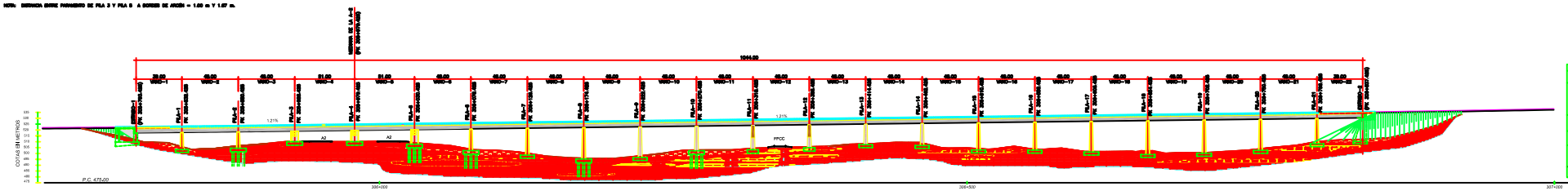


PERFIL LONGITUDINAL
ESCALA 1:2000

LEYENDA

CUATERNARIO
ALUVIAL
COLUVIAL
TERCIARIO

| ELEMENTOS | LOCALIZACION | TIPO DE HORMIGON | NIVEL DE CONTROL | CANTIDAD |
|---|---|---|---|---|
| HORMIGON | ESTRIBO 1 | | | |
| | PILA 1 | | | |
| | PILA 2 | | | |
| | PILA 3 | | | |
| | PILA 4 | | | |
| | PILA 5 | | | |
| | PILA 6 | | | |
| | PILA 7 | | | |
| | PILA 8 | | | |
| | PILA 9 | | | |
| | PILA 10 | | | |
| | PILA 11 | | | |
| | PILA 12 | | | |
| | PILA 13 | | | |
| | PILA 14 | | | |
| | PILA 15 | | | |
| | PILA 16 | | | |
| | PILA 17 | | | |
| | PILA 18 | | | |
| | PILA 19 | | | |
| | PILA 20 | | | |
| | PILA 21 | | | |
| | ESTRIBO 2 | | | |
| ACERO PASIVO | TODOS | | | |
| ACERO ACTIVO | TODOS | | | |
| ACCIONES | PERMANENTE | | | |
| | VARIABLE | | | |

INDICE DE PLANOS

0.1-01 - PLANO GENERAL
0.1-02 - ESTRIBOS, DEFINICION GEOMETRICA Y ARMADURAS
0.1-03 - PILAS, DEFINICION GEOMETRICA Y ARMADURAS
0.1-04 - APOYOS DE PILAS
0.1-05 - TABLERO, DEFINICION GEOMETRICA
0.1-06 - TABLERO, DEFINICION PRETENSADO
0.1-07 - TABLERO, DEFINICION ARMADURAS
0.1-08 - PERCANTE DE LANZAMIENTO
0.1-09 - DETALLES CONSTRUCTIVOS
0.1-10 - PROCESO CONSTRUCTIVO


GIF Grupo de Ingeniería Ferroviaria

L.A.V. MADRID–ZARAGOZA–BARCELONA–FRONTERA FRANCESA
TRAMO: LLEIDA–MARTORELL
SUBTRAMO: B–A PLATAFORMA

INDICADAS

JULIO 2003

VIADUCTO DE VINAIXA
PLANO GENERAL

2.0.13_01.01

hoja 1 de 1

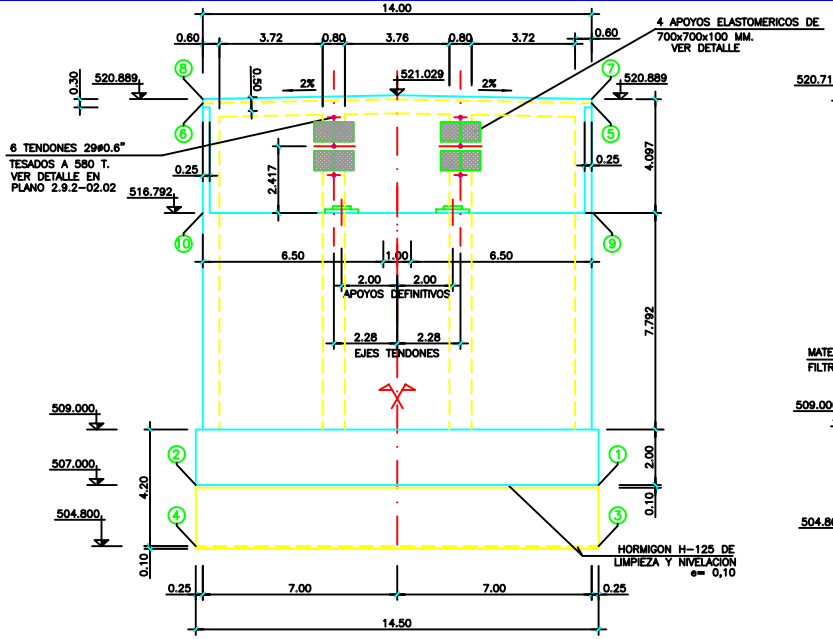


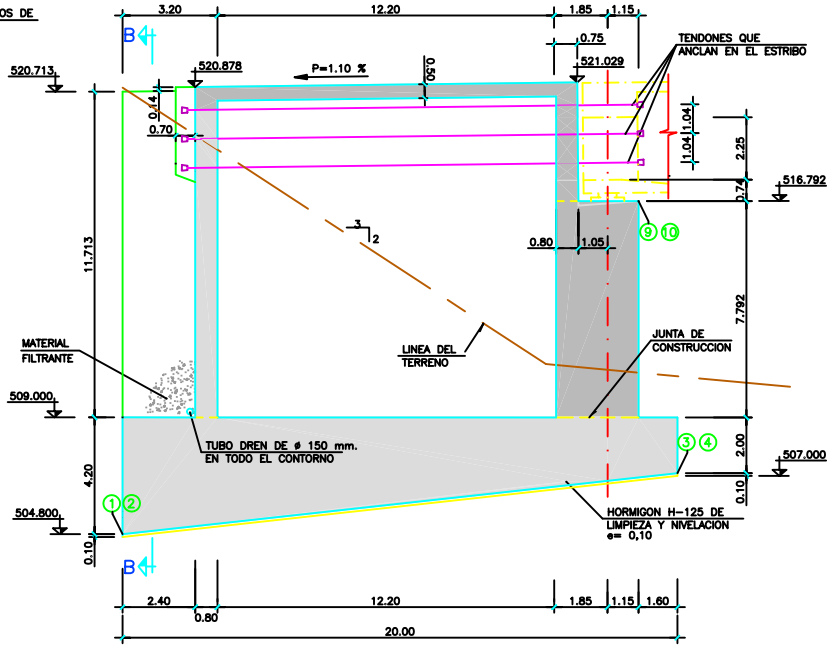


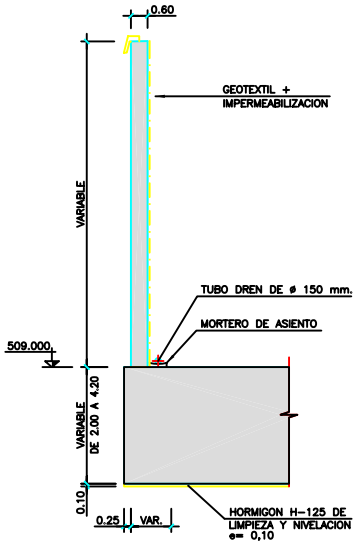


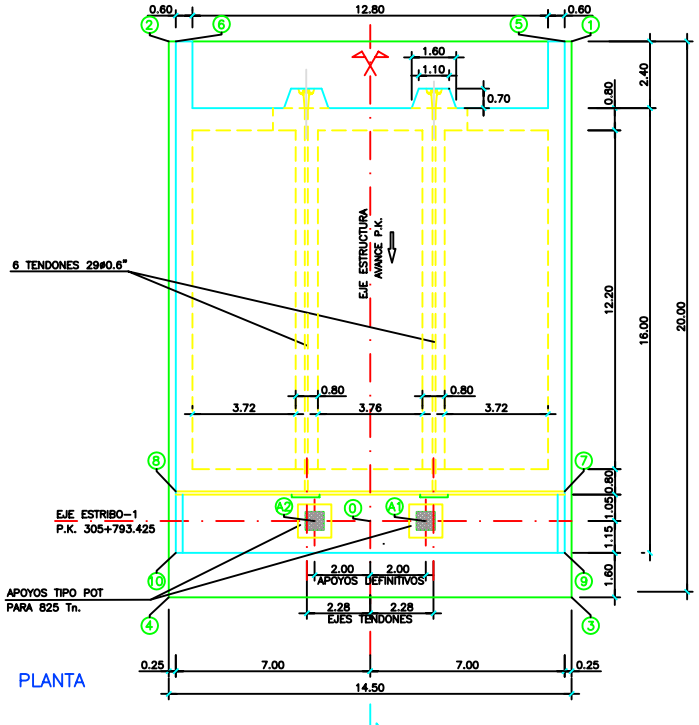


NOTA:
LA ZONA HUECA DEL ESTRIBO SE RELLENARA CON TIERRAS SIN COMPACTAR EN UNA ALTURA DE 8.50 M.

### EJE DEL ESTRIBO

| PUNTO | P.K. | X | Y | AZIMUT |
|---|---|---|---|---|
| 0 | 305793.425 | 330436.194 | 4587469.293 | 127.9445 |

### REPLANTEO DE LA ZAPATA

| PUNTO | X | Y | C.c. |
|---|---|---|---|
| 1 | 330423.685 | 4587483.198 | 504.800 |
| 2 | 330417.492 | 4587470.088 | |
| 3 | 330441.763 | 4587474.689 | 507.000 |
| 4 | 330435.605 | 4587461.561 | |

### REPLANTEO DEL ALZADO

| PUNTO | X | Y | Cota |
|---|---|---|---|
| 5 | 330423.578 | 4587482.972 | 520.713 |
| 6 | 330417.598 | 4587470.314 | 520.713 |
| 7 | 330438.175 | 4587476.097 | 520.889 |
| 8 | 330432.223 | 4587463.425 | 520.889 |
| 9 | 330440.209 | 4587475.142 | 516.792 |
| 10 | 330434.261 | 4587462.468 | 516.792 |

### REPLANTEO DE APOYOS DEFINITIVOS

| APOYO | X | Y | AZIMUT | Cota Sup Apoyo |
|---|---|---|---|---|
| A1 | 330437.044 | 4587471.104 | —— | 517.042 |
| A2 | 330435.344 | 4587467.483 | 127.9445 | 517.042 |

La Cota Sup Apoyo es la cota inferior del tablero en ese punto

NOTAS:
- LA CIMENTACION HA SIDO PROYECTADA PARA UNA TENSION ADMISIBLE DEL TERRENO DE 6.00 Kp/cm2.
- SE IMPERMEABILIZARAN TODOS LOS PARAMENTOS EN CONTACTO CON LAS TIERRAS EXCEPTO LAS ZAPATAS.
- LA ZONA HUECA DEL ESTRIBO SE RELLENARA CON TIERRAS SIN COMPACTAR EN UNA ALTURA DE 8.50 m.

### CONDICIONES DE DURABILIDAD

COLOCACION DE ARMADURAS:
- LA DISTANCIA ENTRE CUALQUIER ARMADURA PASIVA Y EL PARAMENTO MAS PROXIMO NO SERA MENOR DE 3 cm. EN TODOS LOS CASOS, SALVO EN LOS PARAMENTOS DE CONTACTO CON LAS TIERRAS EN LOS QUE SERA DE 5 cm.
- PARA ASEGURAR ESTOS RECUBRIMIENTOS SE USARAN SEPARADORES DE MORTERO DE CEMENTO U OTRO SISTEMA ADECUADO.

DOSIFICACION DE HORMIGONES:
- INDEPENDIENTEMENTE DE LA RESISTENCIA CARACTERISTICA DE PROYECTO EL HORMIGON DEBERA ASIMISMO CUMPLIR CON LOS REQUISITOS DE LIMITACION DEL CONTENIDO DE AGUA Y CEMENTO INDICADOS EN EL CUADRO 37.3.2.a DE LA EHE.
- EN EL CASO PARTICULAR DE ESTA ESTRUCTURA TENEMOS:
  - EN LOS ALZADOS SITUADOS EN AMBIENTE TIPO IIa, LA RELACION AGUA-CEMENTO MAXIMA UTILIZADA SERA a/c=0,60 Y EL CONTENIDO MINIMO DE CEMENTO SERA 275 kg/m3.
  - EN LAS CIMENTACIONES SITUADAS EN AMBIENTE TIPO IIa LA RELACION AGUA-CEMENTO MAXIMA UTILIZADA SERA a/c=0,60 Y EL CONTENIDO DE CEMENTO SERA 275 Kg/m3.

### CUADRO DE ESPECIFICACIONES SEGUN EHE

| ELEMENTOS | LOCALIZACION | ESPECIFICACIONES | NIVEL DE CONTROL | COEFICIENTES | RECUBRIMIENTO mm |
|---|---|---|---|---|---|
| HORMIGON | LIMPIEZA | HM-15/F/20/IIa | - | - | - |
| | ZAPATAS, ENCEPADOS | HA-25/B/20/IIa | INTENSO | $\gamma_c$ = 1.50 | 80 |
| | PILOTES | HA-25/F/20/IIa | INTENSO | $\gamma_c$ = 1.50 | 80 |
| | ALZADO ESTRIBO 1 | HA-30/B/20/IIa | INTENSO | $\gamma$ = 1.50 | 30 |
| | ALZADO ESTRIBO 2 | HA-25/B/20/IIa | INTENSO | $\gamma_c$ = 1.50 | 30 |
| | ALZADOS PILAS | HA-30/B/20/IIa | INTENSO | $\gamma_c$ = 1.50 | 30 |
| | TABLERO (DOVELAS) | HP-40/B/20/IIa | INTENSO | $\gamma_c$ = 1.50 | 30 |
| ACERO PARA ARMAR | PASIVO | B-500 S | INTENSO | $\gamma_s$ = 1.15 | - |
| ACERO PRETENSAR | TABLERO | Y 1860 S7 | INTENSO | $\gamma_s$ = 1.15 | - |
| EJECUCION | SEGUN EHE | | INTENSO | - | - |

GIF Gestor de Infraestructuras Ferroviarias

PROYECTO CONSTRUIDO : L.A.V. MADRID-ZARAGOZA-BARCELONA-FRONTERA FRANCESA
TRAMO : LLEIDA-MARTORELL
SUBTRAMO: III-A PLATAFORMA

EL DIRECTOR DEL PROYECTO CONSTRUIDO : JAIME GARCIA-GERMAN LOPEZ-BELMONTE

EL AUTOR DEL PROYECTO CONSTRUIDO : ferrovial AGROMAN

CONSULTOR (ASISTENCIA AL CONTROL DE OBRAS) : U.T.E. Intecsa Industrial S.A. / euroconsult Ingeniería, s.l.

ESCALAS : 1:200 NUMERICA ; 0 5 METROS GRAFICA

FECHA : JULIO 2003

TITULO DEL PLANO : VIADUCTO DE VINAIXA
ESTRIBO 1. DEFINICION GEOMETRICA (1)

Nº DE PLANO 2.9.13.2_01.12

HOJA 1 DE 12

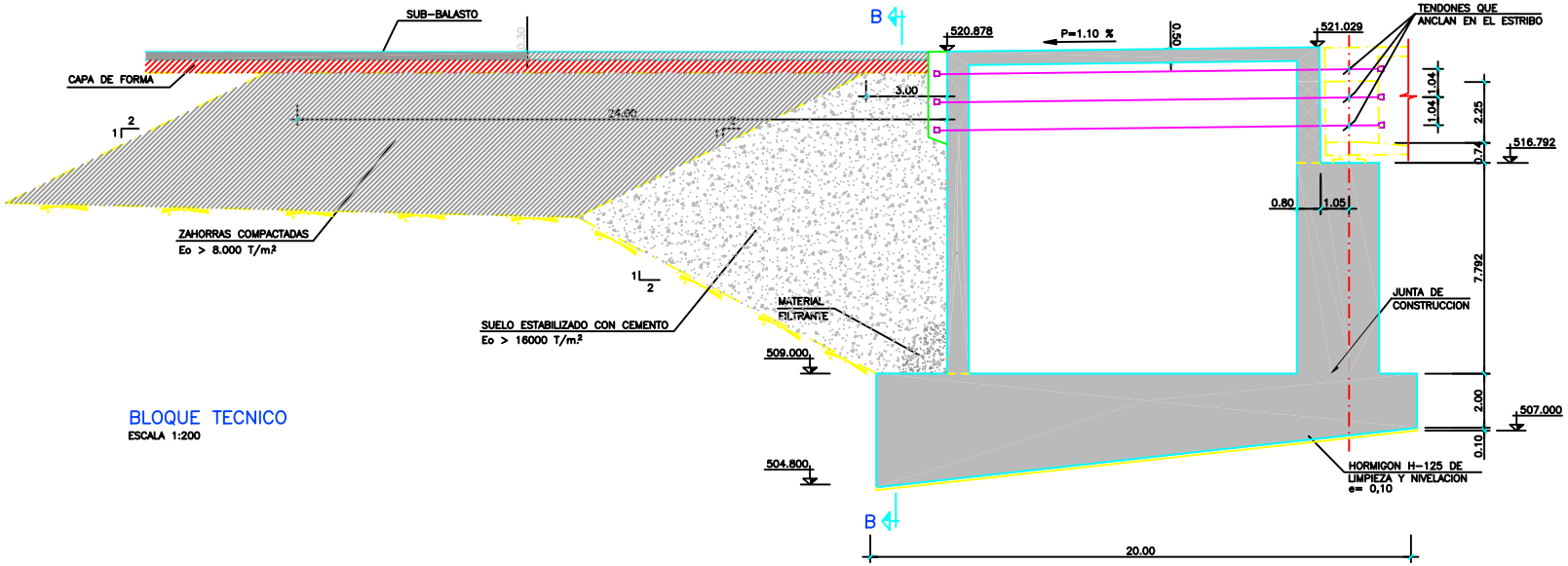


BLOQUE TECNICO
ESCALA 1:200

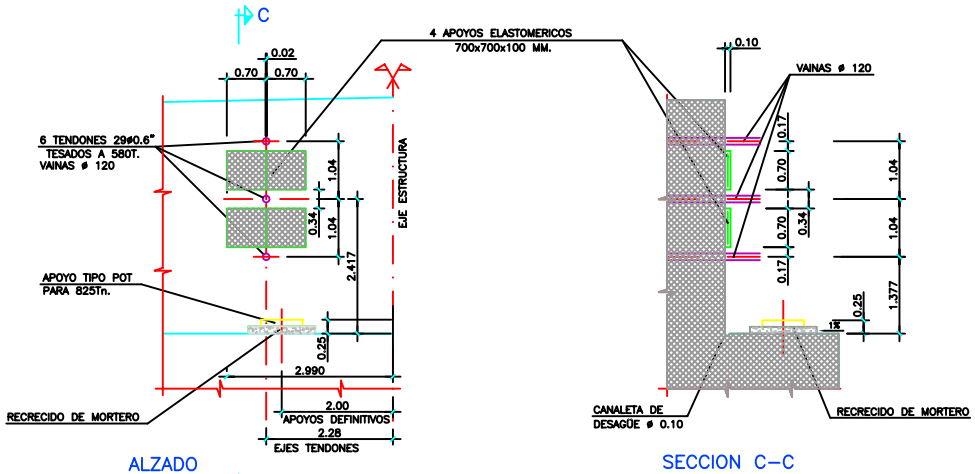


ALZADO
ESCALA 1:100




SECCION C-C
ESCALA 1:100

NOTA: VER DISPOSICION Y CARACTERISTICAS DE LOS APOYOS EN PLANOS Nº. 2.9.2-04.01 A 2.9.2-04.03

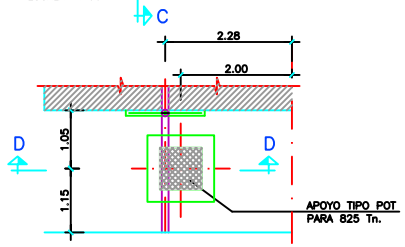


PLANTA
ESCALA 1:100

DISPOSICION DE APOYOS

| | | | | | | | |
|---|---|---|---|---|---|---|---|
| GIF Gestor de Infraestructuras Ferroviarias | PROYECTO CONSTRUIDO : L.A.V. MADRID-ZARAGOZA-BARCELONA-FRONTERA FRANCESA<br>TRAMO : LLEIDA-MARTORELL<br>SUBTRAMO: III-A PLATAFORMA | EL DIRECTOR DEL PROYECTO CONSTRUIDO : JAIME GARCIA-GERMAN LOPEZ-BELMONTE | EL AUTOR DEL PROYECTO CONSTRUIDO : ferrovial AGROMAN | CONSULTOR (ASISTENCIA AL CONTROL DE OBRAS) : U.T.E. Intecsa europroject ingeniería, s.l. | ESCALAS : INDICADAS<br>NUMÉRICA GRÁFICA : METROS | FECHA : JULIO 2003 | TITULO DEL PLANO : VIADUCTO DE VINAIXA<br>ESTRIBO 1. DEFINICION GEOMETRICA (2) | Nº DE PLANO 2.9.13.2_02.12<br>HOJA 2 DE 12 |

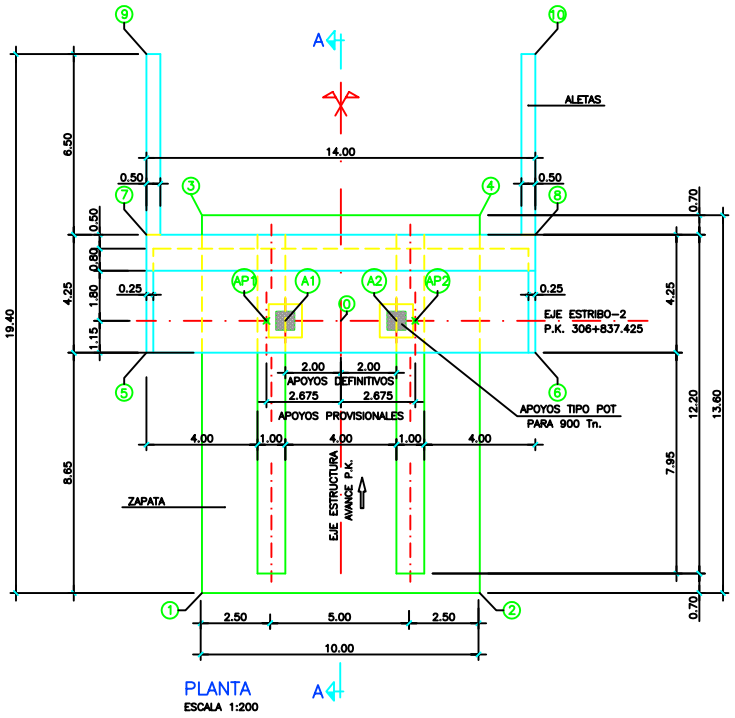


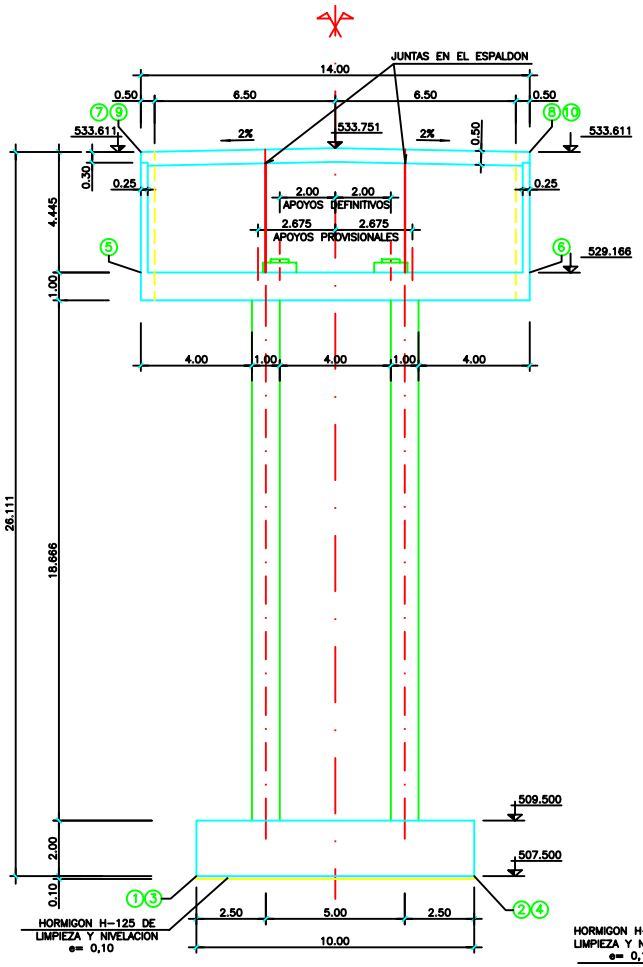


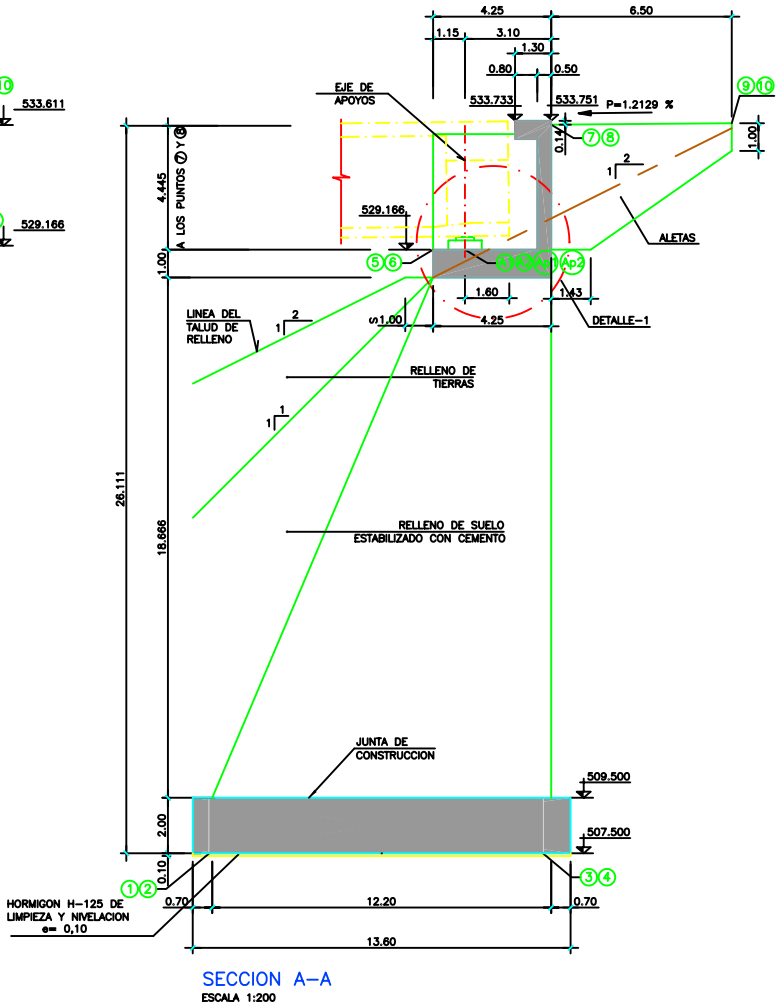


## EJE DEL ESTRIBO

| PUNTO | P.K. | X | Y | AZIMUT |
|---|---|---|---|---|
| 0 | 306837.425 | 331409.849 | 4587095.060 | 118.7772 |

## REPLANTEO DE LA ZAPATA

| PUNTO | X | Y | C.c. |
|---|---|---|---|
| 1 | 331401.934 | 4587102.697 | 507.500 |
| 2 | 331399.014 | 4587093.133 | |
| 3 | 331414.936 | 4587098.741 | |
| 4 | 331412.034 | 4587089.171 | |

## REPLANTEO DEL ALZADO

| PUNTO | X | Y | Cota |
|---|---|---|---|
| 5 | 331410.784 | 4587102.091 | 529.166 |
| 6 | 331406.713 | 4587088.697 | 529.166 |
| 7 | 331414.847 | 4587100.858 | 533.611 |
| 8 | 331410.783 | 4587087.461 | 533.611 |
| 9 | 331421.062 | 4587098.976 | 533.698 |
| 10 | 331417.010 | 4587085.575 | 533.698 |

## REPLANTEO DE APOYOS DEFINITIVOS

| APOYO | X | Y | AZIMUT | Cota Sup Apoyo |
|---|---|---|---|---|
| A1 | 331410.430 | 4587096.973 | —— | 529.710 |
| A2 | 331409.267 | 4587093.146 | 123.3608 | 529.710 |

La Cota Sup Apoyo es la cota inferior del tablero en ese punto

## REPLANTEO DE APOYOS PROVISIONALES

| APOYO | X | Y | AZIMUT | Cota Sup Apoyo |
|---|---|---|---|---|
| AP1 | 331410.626 | 4587097.619 | —— | 529.711 |
| AP2 | 331409.071 | 4587092.500 | —— | 529.711 |

La Cota Sup Apoyo es la cota inferior del tablero en ese punto

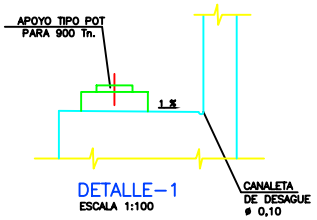


NOTAS:

- LA CIMENTACION HA SIDO PROYECTADA PARA UNA TENSION ADMISIBLE DEL TERRENO DE 6.00 Kp/cm2.
- SE IMPERMEABILIZARAN TODOS LOS PARAMENTOS EN CONTACTO CON LAS TIERRAS EXCEPTO LAS ZAPATAS.

CONDICIONES DE DURABILIDAD

COLOCACION DE ARMADURAS:

- LA DISTANCIA ENTRE CUALQUIER ARMADURA PASIVA Y EL PARAMENTO MAS PROXIMO NO SERA MENOR DE 3 cm. EN TODOS LOS CASOS, SALVO EN LOS PARAMENTOS DE CONTACTO CON LAS TIERRAS EN LOS QUE SERA DE 5 cm.
- PARA ASEGURAR ESTOS RECUBRIMIENTOS SE USARAN SEPARADORES DE MORTERO DE CEMENTO U OTRO SISTEMA ADECUADO.

DOSIFICACION DE HORMIGONES:

- INDEPENDIENTEMENTE DE LA RESISTENCIA CARACTERISTICA DE PROYECTO EL HORMIGON DEBERA ASIMISMO CUMPLIR CON LOS REQUISITOS DE LIMITACION DEL CONTENIDO DE AGUA Y CEMENTO INDICADOS EN EL CUADRO 37.3.2.a DE LA EHE.
- EN EL CASO PARTICULAR DE ESTA ESTRUCTURA TENEMOS:
  - EN LOS ALZADOS SITUADOS EN AMBIENTE TIPO IIa, LA RELACION AGUA-CEMENTO MAXIMA UTILIZADA SERA a/c=0,60 Y EL CONTENIDO MINIMO DE CEMENTO SERA 275 kg/m3.
  - EN LAS CIMENTACIONES SITUADAS EN AMBIENTE TIPO IIa LA RELACION AGUA-CEMENTO MAXIMA UTILIZADA SERA a/c=0,60 Y EL CONTENIDO DE CEMENTO SERA 275 Kg/m3.

## CUADRO DE ESPECIFICACIONES SEGUN EHE

| ELEMENTOS | LOCALIZACION | ESPECIFICACIONES | NIVEL DE CONTROL | COEFICIENTES | RECUBRIMIENTO mm |
|---|---|---|---|---|---|
| HORMIGON | LIMPIEZA | HM-15/F/20/IIa | - | - | - |
| | ZAPATAS, ENCEPADOS | HA-25/B/20/IIa | INTENSO | $\gamma_c$ = 1.50 | 80 |
| | PILOTES | HA-25/F/20/IIa | INTENSO | $\gamma_c$ = 1.50 | 80 |
| | ALZADO ESTRIBO 1 | HA-30/B/20/IIa | INTENSO | $\gamma_c$ = 1.50 | 30 |
| | ALZADO ESTRIBO 2 | HA-25/B/20/IIa | INTENSO | $\gamma_c$ = 1.50 | 30 |
| | ALZADOS PILAS | HA-30/B/20/IIa | INTENSO | $\gamma_c$ = 1.50 | 30 |
| | TABLERO (DOVELAS) | HP-40/B/20/IIa | INTENSO | $\gamma_c$ = 1.50 | 30 |
| ACERO PARA ARMAR | PASIVO | B-500 S | INTENSO | $\gamma_s$ = 1.15 | - |
| ACERO PRETENSAR | TABLERO | Y 1860 S7 | INTENSO | $\gamma_s$ = 1.15 | - |
| EJECUCION | SEGUN EHE | | INTENSO | - | - |

GIF Gestor de Infraestructuras Ferroviarias

PROYECTO CONSTRUIDO :
L.A.V. MADRID-ZARAGOZA-BARCELONA-FRONTERA FRANCESA
TRAMO : LLEIDA-MARTORELL
SUBTRAMO: III-A PLATAFORMA

EL DIRECTOR DEL PROYECTO CONSTRUIDO : JAIME GARCIA-GERMAN LOPEZ-BELMONTE
Fdo.:

EL AUTOR DEL PROYECTO CONSTRUIDO : ferrovial AGROMAN
Fdo.:

CONSULTOR (ASISTENCIA AL CONTROL DE OBRAS) : U.T.E. Intecsa Industrial S.A. europroject Ingeniería, s.l.

ESCALAS : INDICADAS
NUMERICA GRAFICA : METROS

FECHA : JULIO 2003

TITULO DEL PLANO : VIADUCTO DE VINAIXA
ESTRIBO 2. DEFINICION GEOMETRICA (1)

Nº DE PLANO 2.9.13.2_07.12

HOJA 7 DE 12

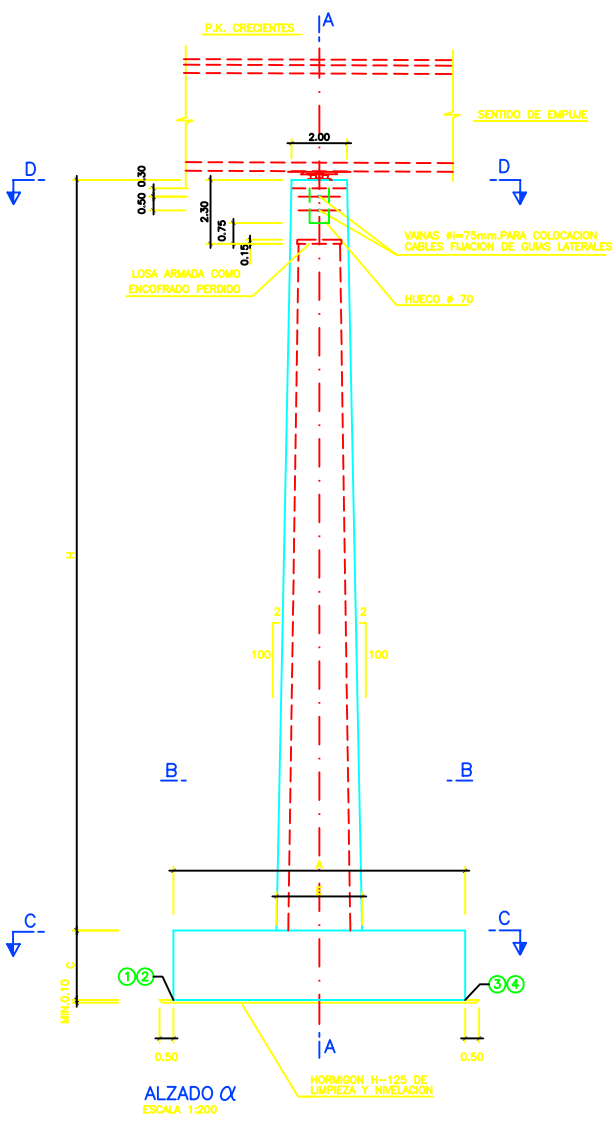


ALZADO α

ESCALA 1:200

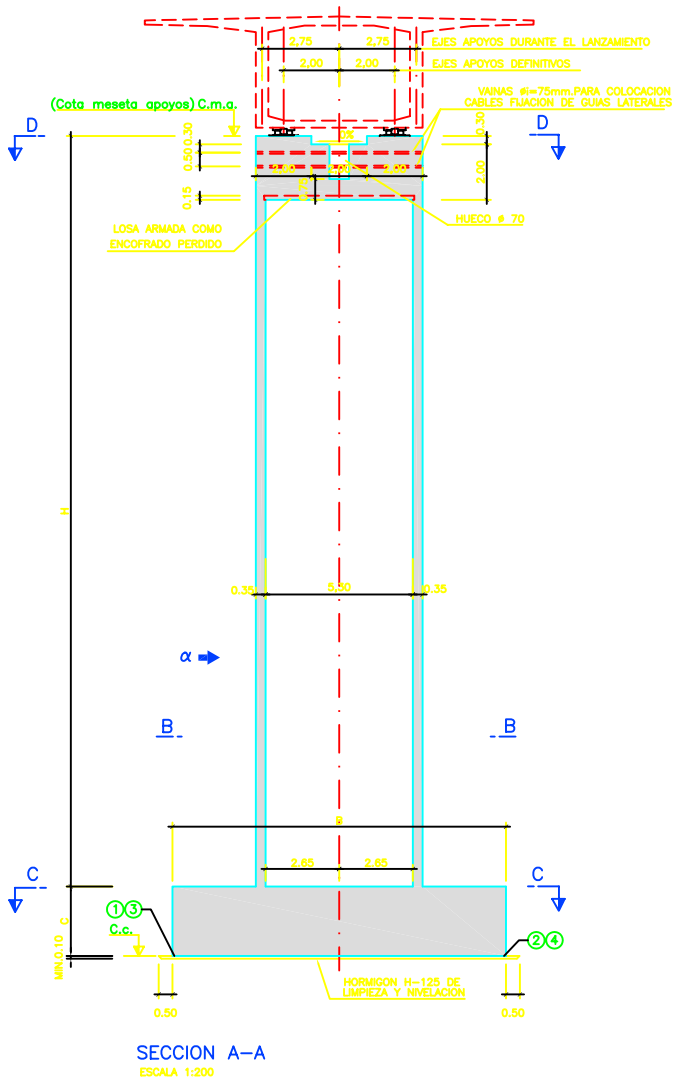


SECCION A–A

ESCALA 1:200

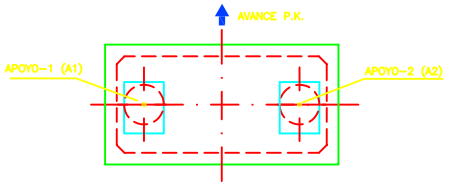


PLANTA DISPOSICION APOYOS : SECCION D–D

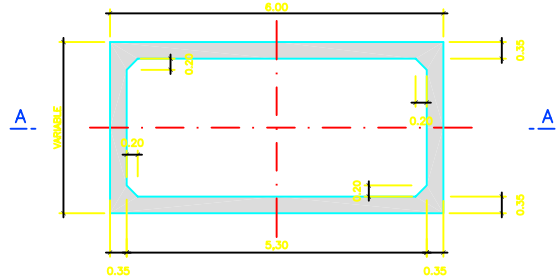


SECCION B–B

ESCALA 1:100

NOTA: VER DISPOSICION Y CARACTERISTICAS DE APOYOS PROVISIONALES Y DEFINITIVOS EN PLANOS Nº. 2.9.13–04.01 A 2.9.13–04.03

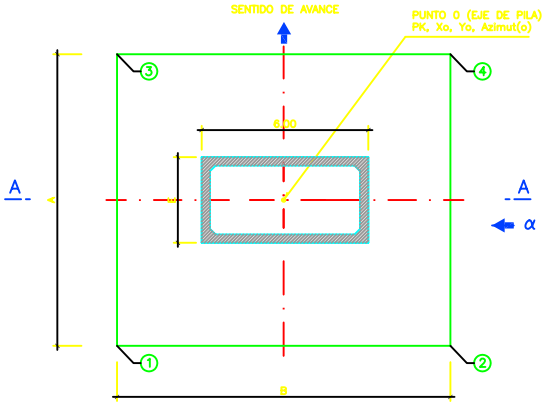


SECCION C–C

ESCALA 1:200

## REPLANTEO DE ZAPATAS

| PUNTO ORIGEN DE PILA | | | | | PUNTO 1 (ZAPATA) | | PUNTO 2 (ZAPATA) | | PUNTO 3 (ZAPATA) | | PUNTO 4 (ZAPATA) | | A1 (APOYO LIBRE) | | A2 (APOYO GUIADO) | | | |
|---|---|---|---|---|---|---|---|---|---|---|---|---|---|---|---|---|---|---|
| PILA | PK | Xo | Yo | AZIMUT(o) | X | Y | X | Y | X | Y | X | Y | X | Y | X | Y | AZIMUT GUÍA |
| 1 | 305 832.425 | 330 471.541 | 4 587 452.814 | 127.6021 | 330 469.873 | 4 587 459.922 | 330 465.042 | 4 587 449.487 | 330 478.040 | 4 587 456.141 | 330 473.209 | 4 587 445.706 | 330 472.381 | 4 587 454.629 | 330 470.701 | 4 587 450.999 | 127.7724 |
| 6 | 306 078.425 | 330 696.490 | 4 587 353.272 | 125.4419 | 330694.219 | 4587360,745 | 330689,549 | 4587349,690 | 330703,431 | 4587356,854 | 330698,761 | 4587345,799 | 330 697.268 | 4 587 355.114 | 330 695.712 | 4 587 351.430 | 126.6931 |
| 7 | 306 126.425 | 330 740.769 | 4 587 334.743 | 125.0204 | 330 738.448 | 4 587 342.200 | 330 733,852 | 4 587 331.115 | 330 747.686 | 4 587 338.371 | 330 743.090 | 4 587 327.286 | 330 741.535 | 4 587 336.591 | 330 740.003 | 4 587 332.895 | 126.4822 |
| 9 | 306 222.425 | 330 829.690 | 4 587 298.565 | 124.1775 | 330 827.271 | 4 587 305.991 | 330 822,822 | 4 587 294.846 | 330 836.558 | 4 587 302.284 | 330 832.109 | 4 587 291.139 | 330 830.431 | 4 587 300.422 | 330 828.949 | 4 587 296.708 | 126.0608 |
| 13 | 306 414.425 | 331 008.931 | 4 587 229.757 | 122.4915 | 331 006.698 | 4 587 236.709 | 331 002,719 | 4 587 225.919 | 331 015.143 | 4 587 233.595 | 331 011.164 | 4 587 222.805 | 331 009.623 | 4 587 231.633 | 331 008.239 | 4 587 227.881 | 125.2179 |
| 14 | 306 462.425 | 331 054.021 | 4 587 213.298 | 122.0700 | 331 051.357 | 4 587 220.640 | 331 047.280 | 4 587 209.354 | 331 060.762 | 4 587 217.242 | 331 056.685 | 4 587 205.956 | 331 054.701 | 4 587 215.179 | 331 053.341 | 4 587 211.417 | 125.0072 |
| 15 | 306 510.425 | 331 099.219 | 4 587 197.139 | 121.6486 | 331 096.507 | 4 587 204.463 | 331 092.504 | 4 587 193.150 | 331 105.934 | 4 587 201.128 | 331 101.931 | 4 587 189.815 | 331 099.886 | 4 587 199.024 | 331 098.552 | 4 587 195.254 | 124.7964 |
| 16 | 306 558.425 | 331 144.523 | 4 587 181.279 | 121.2271 | 331 141.608 | 4 587 188.903 | 331 137,517 | 4 587 177.092 | 331 151.529 | 4 587 185.466 | 331 147.438 | 4 587 173.655 | 331 145.178 | 4 587 183.169 | 331 143.868 | 4 587 179.389 | 124.5857 |
| 17 | 306 606.425 | 331 189.931 | 4 587 165.719 | 120.8056 | 331 186.965 | 4 587 173.324 | 331 182,952 | 4 587 161.485 | 331 196.910 | 4 587 169.953 | 331 192.897 | 4 587 158.114 | 331 190.573 | 4 587 167.613 | 331 189.289 | 4 587 163.825 | 124.3750 |
| 18 | 306 654.425 | 331 235.441 | 4 587 150.461 | 120.3841 | 331 232.425 | 4 587 158.046 | 331 228,491 | 4 587 146.181 | 331 242.391 | 4 587 154.741 | 331 238.457 | 4 587 142.876 | 331 236.071 | 4 587 152.359 | 331 234.811 | 4 587 148.563 | 124.1642 |
| 19 | 306 702.425 | 331 281.051 | 4 587 135.504 | 119.9626 | 331 277.985 | 4 587 143.069 | 331 274,129 | 4 587 131.178 | 331 287.973 | 4 587 139.830 | 331 284.117 | 4 587 127.939 | 331 281.668 | 4 587 137.406 | 331 280.434 | 4 587 133.602 | 123.9534 |
| 20 | 306 750.425 | 331 326.760 | 4 587 120.849 | 119.5411 | 331 323.644 | 4 587 128.393 | 331 319,867 | 4 587 116.477 | 331 333.653 | 4 587 125.221 | 331 329.876 | 4 587 113.305 | 331 327.364 | 4 587 122.756 | 331 326.156 | 4 587 118.942 | 123.7427 |
| 21 | 306 798.425 | 331 372.564 | 4 587 106.497 | 119.1196 | 331 369.563 | 4 587 113.708 | 331 366,013 | 4 587 102.245 | 331 379.115 | 4 587 110.749 | 331 375.565 | 4 587 099.286 | 331 373.156 | 4 587 108.407 | 331 371.972 | 4 587 104.587 | 123.5320 |

## CUADRO DE DEFINICION DE PILAS

| DIMENSIONES Y GEOMETRÍA DE PILAS CON CIMENTACIÓN DIRECTA | | | | | | | |
|---|---|---|---|---|---|---|---|
| PILA | H | E | A(BL) | B(BT) | C | C.c | C.m.a |
| 1 | 13,256 | 2,530 | 9,00 | 11,50 | 2,50 | 501,500 | 517,256 |
| 6 | 22,390 | 2,896 | 10,00 | 12,00 | 2,75 | 495,100 | 520,240 |
| 7 | 23,572 | 2,943 | 10,00 | 12,00 | 2,75 | 494,500 | 520,822 |
| 9 | 24,987 | 2,999 | 10,00 | 12,00 | 2,75 | 494,250 | 521,987 |
| 13 | 18,315 | 2,733 | 9,00 | 11,50 | 2,50 | 503,500 | 524,315 |
| 14 | 21,948 | 2,878 | 10,00 | 12,00 | 2,75 | 500,200 | 524,898 |
| 15 | 23,580 | 2,943 | 10,00 | 12,00 | 2,75 | 499,150 | 525,480 |
| 16 | 24,262 | 2,970 | 10,50 | 12,50 | 3,00 | 498,800 | 526,062 |
| 17 | 25,844 | 3,034 | 10,50 | 12,50 | 3,00 | 497,800 | 526,644 |
| 18 | 26,976 | 3,079 | 10,50 | 12,50 | 3,00 | 497,250 | 527,226 |
| 19 | 28,808 | 3,152 | 10,50 | 12,50 | 3,00 | 496,000 | 527,808 |
| 20 | 24,191 | 2,968 | 10,00 | 12,50 | 3,00 | 501,200 | 528,391 |
| 21 | 21,973 | 2,879 | 10,00 | 12,00 | 2,75 | 504,250 | 528,973 |

GIF Gestor de Infraestructuras Ferroviarias

PROYECTO CONSTRUIDO :
L.A.V. MADRID–ZARAGOZA–BARCELONA–FRONTERA FRANCESA
TRAMO : LLEIDA–MARTORELL
SUBTRAMO: III–A PLATAFORMA

EL DIRECTOR DEL PROYECTO CONSTRUIDO :
Fdo.: JAIME GARCIA–GERMAN LOPEZ–BELMONTE

EL AUTOR DEL PROYECTO CONSTRUIDO :
Fdo.: ferrovial AGROMAN

CONSULTOR (ASISTENCIA AL CONTROL DE OBRAS) :
U.T.E. Intecsa Industrial S.A. / euroconsult Ingeniería, s.l.

ESCALAS :
INDICADAS
NUMÉRICA GRÁFICA : METROS

FECHA :
JULIO 2003

TITULO DEL PLANO :
VIADUCTO DE VINAIXA
PILAS 1, 6, 7, 9 Y 13 A 21
DEFINICION GEOMETRICA

Nº DE PLANO
2.9.13.3_01.36

HOJA 1 DE 36

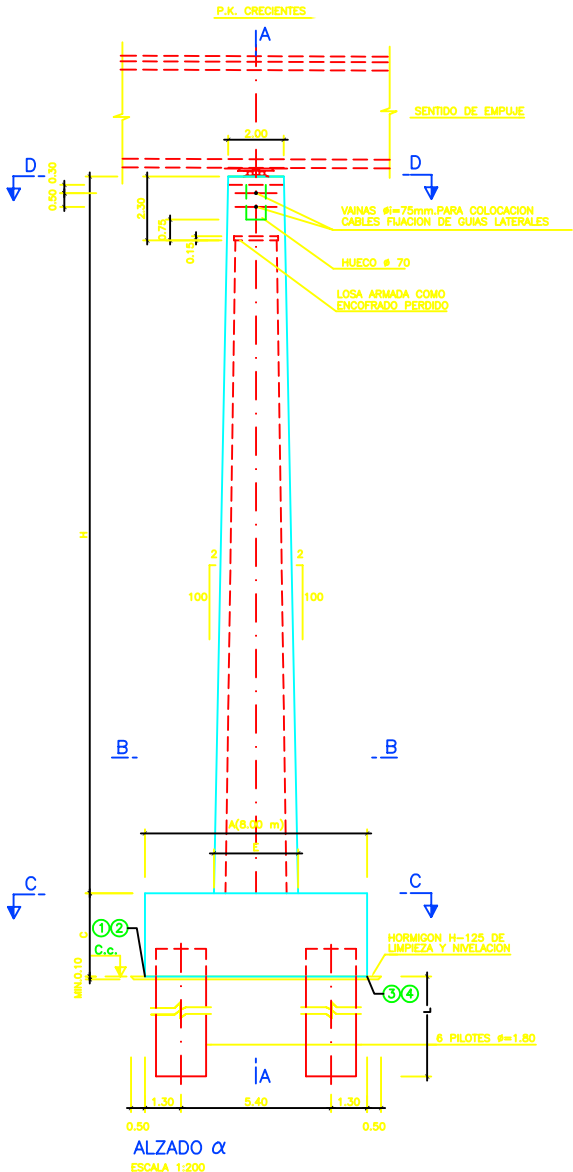


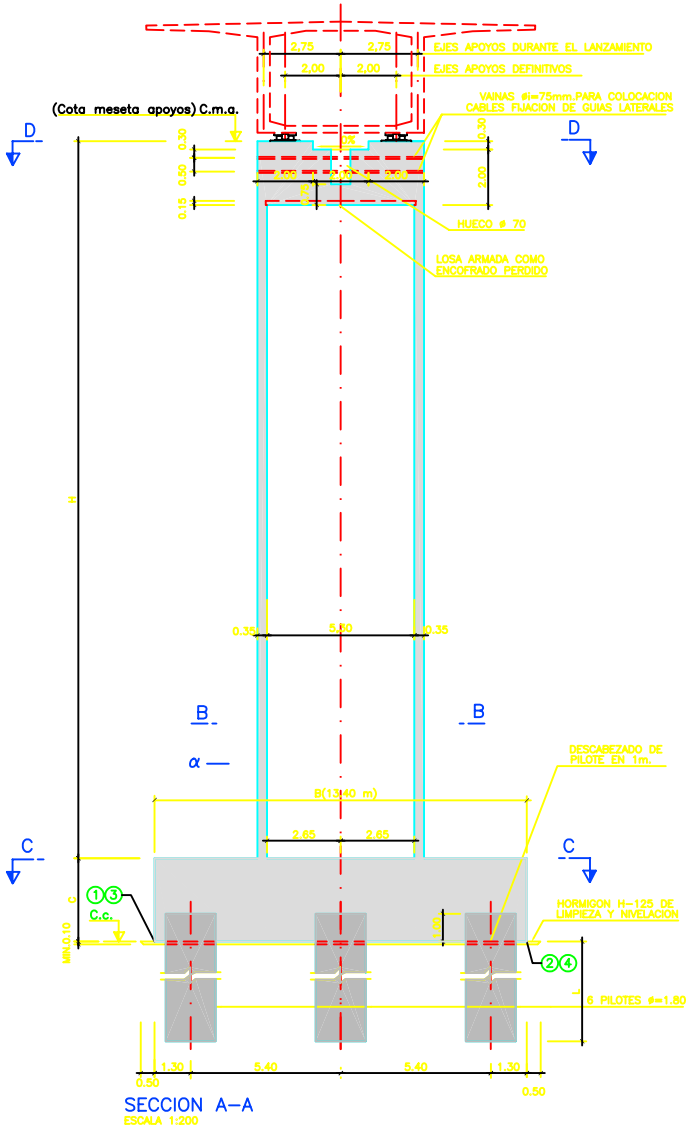


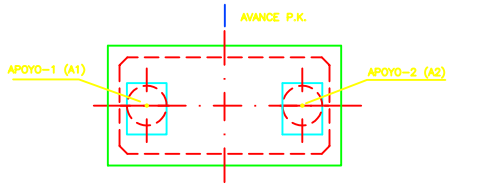


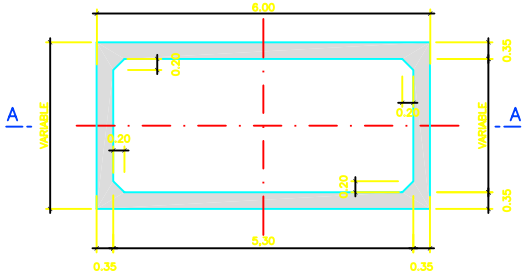


**NOTA:** VER DISPOSICION Y CARACTERISTICAS DE APOYOS PROVISIONALES Y DEFINITIVOS EN PLANOS Nº. 2.9.13-04.01 A 2.9.13-04.03

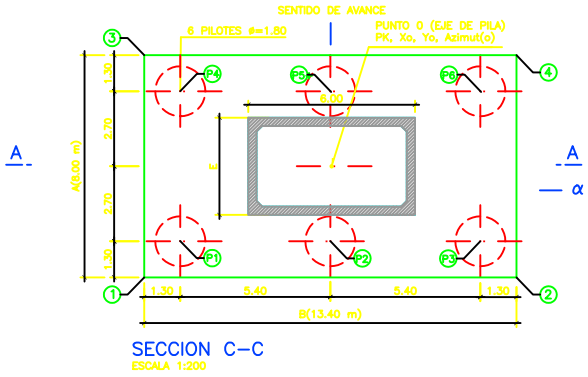


## REPLANTEO ENCEPADOS

| PILA | PUNTO 0 (EJE DE PILA) PK | Xo | Yo | AZIMUT | PUNTO 1 (ENCEPADO) X | Y | PUNTO 2 (ENCEPADO) X | Y | PUNTO 3 (ENCEPADO) X | Y | PUNTO 4 (ENCEPADO) X | Y | A1 (APOYO LIBRE) X | Y | A2 (APOYO GUIADO) X | Y | AZIMUT GUÍA |
|---|---|---|---|---|---|---|---|---|---|---|---|---|---|---|---|---|---|
| 2 | 305 880.425 | 330 515.167 | 4 587 432.793 | 127.1805 | 330 514.301 | 4 587 440.548 | 330 508.752 | 4 587 428.351 | 330 521.582 | 4 587 437.235 | 330 516.033 | 4 587 425.038 | 330 515.995 | 4 587 434.613 | 330 514.339 | 4 587 430.973 | 127.5617 |
| 8 | 306 174.425 | 330 785.170 | 4 587 316.506 | 124.5989 | 330 783.990 | 4 587 324.219 | 330 778.940 | 4 587 311.807 | 330 791.400 | 4 587 321.205 | 330 786.350 | 4 587 308.793 | 330 785.924 | 4 587 318.359 | 330 784.416 | 4 587 314.653 | 126.2716 |
| 10 | 306 270.425 | 330 874.329 | 4 587 280.918 | 123.7560 | 330 873.047 | 4 587 288.615 | 330 868.162 | 4 587 276.137 | 330 880.496 | 4 587 285.699 | 330 875.611 | 4 587 273.221 | 330 875.058 | 4 587 282.780 | 330 873.600 | 4 587 279.056 | 125.8501 |

**NOTAS:**
- LOS PILOTES TENDRÁN UN EMPOTRAMIENTO MÍNIMO DE UN DIAMETRO Y MEDIO EN ROCA CALIZA SANA
- LA LONGITUD DE PILOTE NO DISMINUIRÁ AUNQUE SE SUPERE LA LONGITUD MÍNIMA DE EMPOTRAMIENTO.

## REPLANTEO PILOTES

| PILA | PUNTO P1 (PILOTE 1) X | Y | PUNTO P2 (PILOTE 2) X | Y | PUNTO P3 (PILOTE 3) X | Y | PUNTO P4 (PILOTE 4) X | Y | PUNTO P5 (PILOTE 5) X | Y | PUNTO P6 (PILOTE 6) X | Y | PROPIEDADES PILOTES DIÁMETRO | LONGITUD | Descabezado | Cota punta | Cota cabeza |
|---|---|---|---|---|---|---|---|---|---|---|---|---|---|---|---|---|---|
| 2 | 330 514.946 | 4 587 438.826 | 330 512.709 | 4 587 433.911 | 330 510.473 | 4 587 428.996 | 330 519.861 | 4 587 436.590 | 330 517.625 | 4 587 431.675 | 330 515.388 | 4 587 426.760 | 1,80 m | 8,00 m | 1,00 m | 492.500 | 501.500 |
| 8 | 330 784.704 | 4 587 322.525 | 330 782.669 | 4 587 317.524 | 330 780.634 | 4 587 312.522 | 330 789.706 | 4 587 320.490 | 330 787.671 | 4 587 315.488 | 330 785.636 | 4 587 310.487 | 1,80 m | 8,00 m | 1,00 m | 484.000 | 493.000 |
| 10 | 330 873.783 | 4 587 286.931 | 330 871.815 | 4 587 281.902 | 330 869.846 | 4 587 276.874 | 330 878.812 | 4 587 284.962 | 330 876.843 | 4 587 279.934 | 330 874.875 | 4 587 274.905 | 1,80 m | 8,00 m | 1,00 m | 492.000 | 501.000 |

## CUADRO DE DEFINICION DE PILAS

| DIMENSIONES Y GEOMETRÍA DE PILAS CON CIMENTACIÓN PROFUNDA PILA | H | E | A(BL) | B(BT) | C | C.c | C.m.a |
|---|---|---|---|---|---|---|---|
| 2 | 14.338 | 2.574 | 8.00 | 13.40 | 3.00 | 500.500 | 517.838 |
| 8 | 25.904 | 3.036 | 8.00 | 13.40 | 3.50 | 492.000 | 521.404 |
| 10 | 19.569 | 2.783 | 8.00 | 13.40 | 3.00 | 500.000 | 522.569 |

GIF Gestor de Infraestructuras Ferroviarias

PROYECTO CONSTRUIDO :
L.A.V. MADRID-ZARAGOZA-BARCELONA-FRONTERA FRANCESA
TRAMO : LLEIDA-MARTORELL
SUBTRAMO: III-A PLATAFORMA

EL DIRECTOR DEL PROYECTO CONSTRUIDO : JAIME GARCIA-GERMAN LOPEZ-BELMONTE

EL AUTOR DEL PROYECTO CONSTRUIDO : ferrovial AGROMAN

CONSULTOR (ASISTENCIA AL CONTROL DE OBRAS) : U.T.E. Intecsa Industrial S.A. euroconsult Ingeniería, s.l.

ESCALAS : INDICADAS (NUMÉRICA / GRÁFICA : METROS)

FECHA : JULIO 2003

TITULO DEL PLANO : VIADUCTO DE VINAIXA PILAS 2, 8 Y 10 DEFINICION GEOMETRICA

Nº DE PLANO 2.9.13.3_02.36

HOJA 2 DE 36

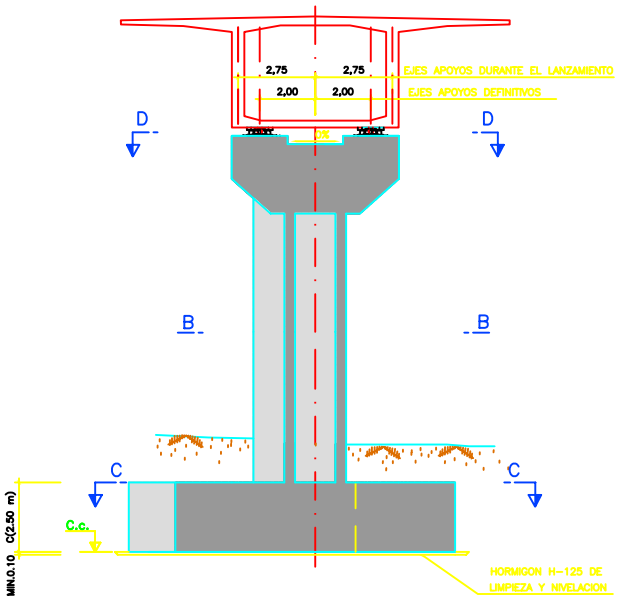


SECCION TRANSVERSAL A TABLERO E-E

ESCALA 1:200

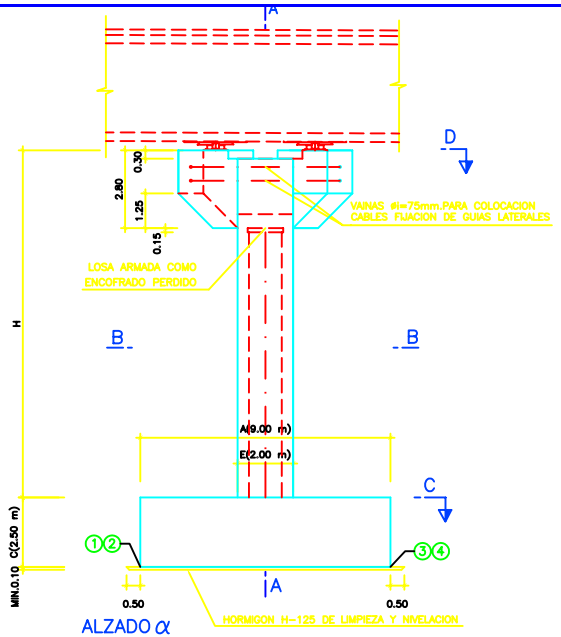


ALZADO α

ESCALA 1:200

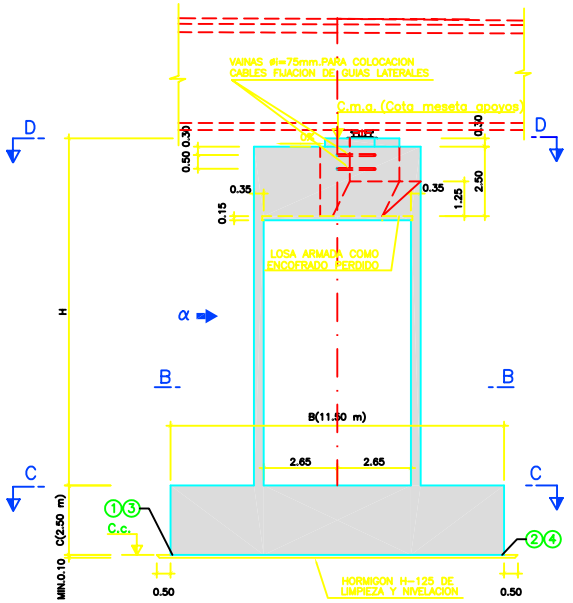


SECCION A-A

ESCALA 1:200

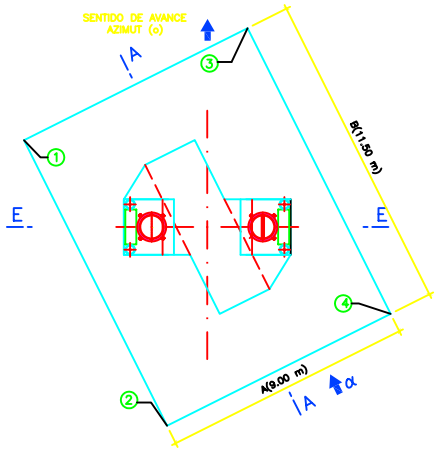


PLANTA.

ESCALA 1:200

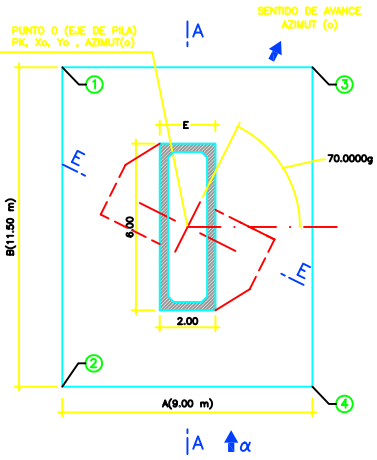


SECCIÓN C-C

ESCALA 1:200

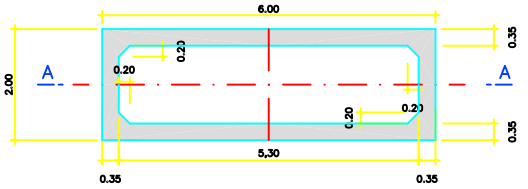


SECCION B-B

ESCALA 1:100

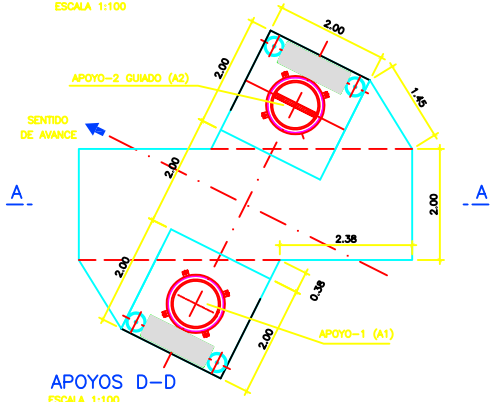


APOYOS D-D

ESCALA 1:100

NOTA: VER DISPOSICION Y CARACTERISTICAS DE APOYOS PROVISIONALES Y DEFINITIVOS EN PLANOS Nº. 2.9.13-04.01 A 2.9.13-04.03

## REPLANTEO DE ZAPATAS

| | PUNTO 0 (EJE DE PILA) | | | | PUNTO 1 (ZAPATA) | | PUNTO 2 (ZAPATA) | | PUNTO 3 (ZAPATA) | | PUNTO 4 (ZAPATA) | | A1 (APOYO LIBRE) | | A2 (APOYO GUIADO) | | |
|---|---|---|---|---|---|---|---|---|---|---|---|---|---|---|---|---|---|
| PILA | PK | Xo | Yo | AZIMUT(o) | X | Y | X | Y | X | Y | X | Y | X | Y | X | Y | AZIMUT(A2) |
| 3 | 305 928.425 | 330 558.923 | 4 587 413.061 | 126.7591 | 330 564.437 | 4 587 417.848 | 330 552.951 | 4 587 417.263 | 330 564.895 | 4 587 408.859 | 330 553.409 | 4 587 408.274 | 330 559.739 | 4 587 414.887 | 330 558.107 | 4 587 411.235 | 127.3514 |
| 4 | 305 979.425 | 330 605.557 | 4 587 392.413 | 126.3112 | 330 611.037 | 4 587 397.238 | 330 599.556 | 4 587 396.573 | 330 611.558 | 4 587 388.253 | 330 600.077 | 4 587 387.588 | 330 606.360 | 4 587 394.245 | 330 604.754 | 4 587 390.581 | 127.1277 |

## CUADRO DE DEFINICION DE PILAS

| DIMENSIONES Y GEOMETRÍA DE PILAS CON CIMENTACIÓN DIRECTA | | | | | | | |
|---|---|---|---|---|---|---|---|
| PILA | H | E | A(BL) | B(BT) | C | C.c | C.m.a |
| 3 | 8.921 | 2.000 | 9.00 | 11.50 | 2.50 | 507.000 | 518.421 |
| 4 | 10.039 | 2.000 | 9.00 | 11.50 | 2.50 | 506.500 | 519.039 |

GIF Gestor de Infraestructuras Ferroviarias

PROYECTO CONSTRUIDO :
L.A.V. MADRID-ZARAGOZA-BARCELONA-FRONTERA FRANCESA
TRAMO : LLEIDA-MARTORELL
SUBTRAMO: III-A PLATAFORMA

EL DIRECTOR DEL PROYECTO CONSTRUIDO :
Fdo.: JAIME GARCIA-GERMAN LOPEZ-BELMONTE

EL AUTOR DEL PROYECTO CONSTRUIDO :
Fdo.: ferrovial AGROMAN

CONSULTOR (ASISTENCIA AL CONTROL DE OBRAS) :
U.T.E. Intecsa Industrial S.A. / euroconsult Ingeniería, s.l.

ESCALAS :
INDICADAS
NUMÉRICA GRÁFICA : METROS

FECHA :
JULIO 2003

TITULO DEL PLANO :
VIADUCTO DE VINAIXA
PILAS 3 Y 4
DEFINICION GEOMETRICA

Nº DE PLANO
2.9.13.3_03.36

HOJA 3 DE 36

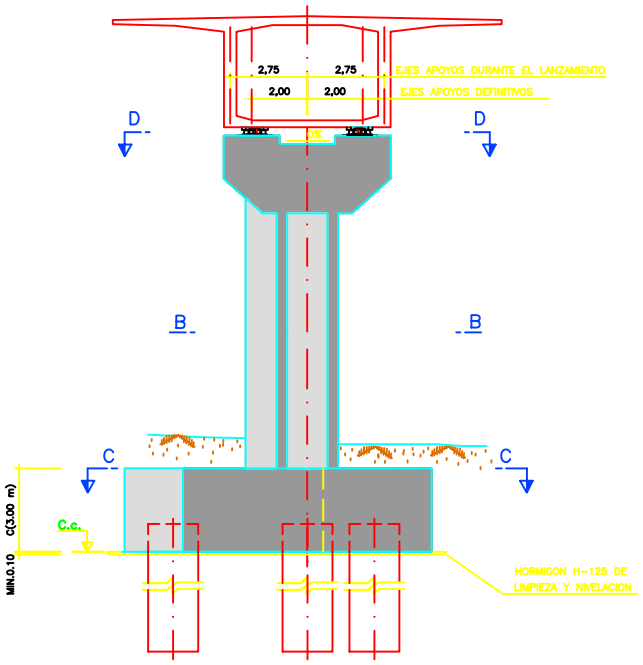


SECCION TRANSVERSAL A TABLERO E-E

ESCALA 1:200

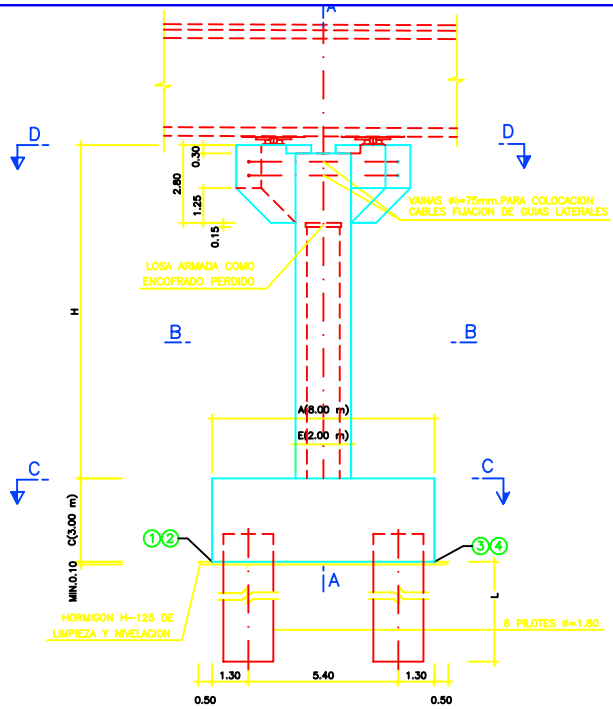


ALZADO α

ESCALA 1:200

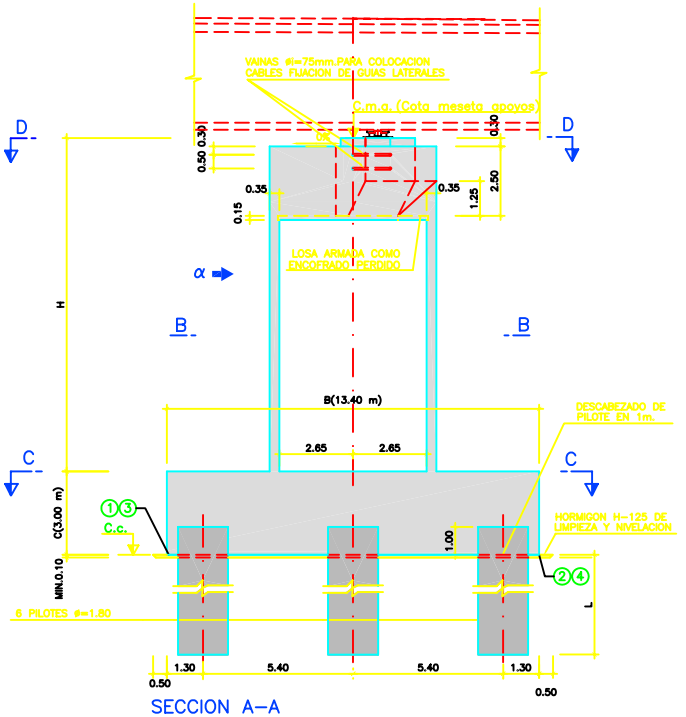


SECCION A-A

ESCALA 1:200

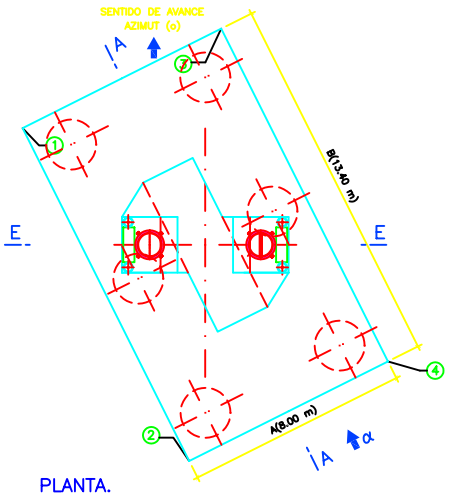


PLANTA.

ESCALA 1:200

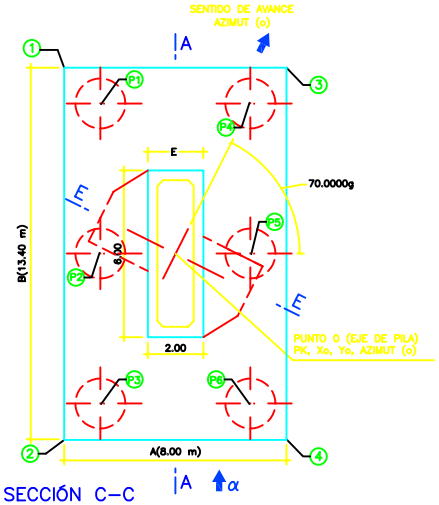


SECCIÓN C-C

ESCALA 1:200

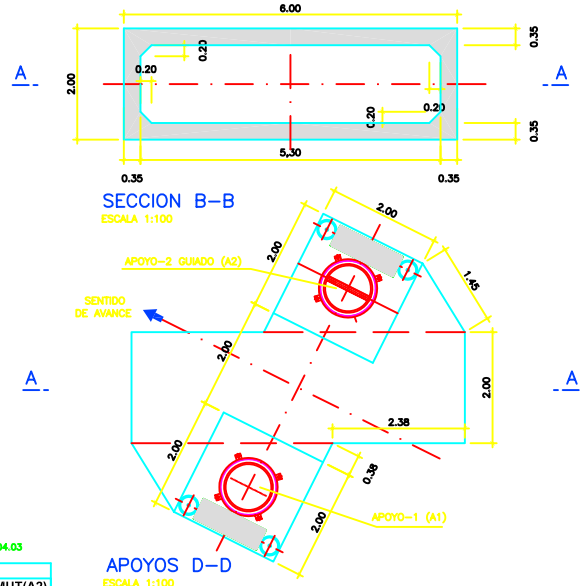


SECCION B-B

ESCALA 1:100

APOYOS D-D

ESCALA 1:100

NOTAS:
- LOS PILOTES TENDRÁN UN EMPOTRAMIENTO MÍNIMO DE UN DIAMETRO Y MEDIO EN ROCA CALIZA SANA.
- LA LONGITUD DE PILOTE NO DISMINUIRÁ AUNQUE SE SUPERE LA LONGITUD MÍNIMA DE EMPOTRAMIENTO.
- VER DISPOSICION Y CARACTERISTICAS DE APOYOS PROVISIONALES Y DEFINITIVOS EN PLANOS Nº. 2.9.13-04.01 A 2.9.13-04.03

## REPLANTEO DE ENCEPADOS

| | PUNTO 0 (EJE DE PILA) | | | | PUNTO 1 (ENCEPADO) | | PUNTO 2 (ENCEPADO) | | PUNTO 3 (ENCEPADO) | | PUNTO 4 (ENCEPADO) | | A1 (APOYO LIBRE) | | A2 (APOYO GUIADO) | | |
|---|---|---|---|---|---|---|---|---|---|---|---|---|---|---|---|---|---|
| PILA | PK | Xo | Yo | AZIMUT(o) | X | Y | X | Y | X | Y | X | Y | X | Y | X | Y | AZIMUT(A2) |
| 5 | 306 030.425 | 330 652.334 | 4 587 372.095 | 125.8634 | 330 658.760 | 4 587 376.522 | 330 645.388 | 4 587 375.652 | 330 659.280 | 4 587 368.538 | 330 645.908 | 4 587 367.668 | 330 653.124 | 4 587 373.932 | 330 651.544 | 4 587 370.258 | 126.9037 |

## REPLANTEO DE PILOTES

| | PUNTO P1 (PILOTE 1) | | PUNTO P2 (PILOTE 2) | | PUNTO P3 (PILOTE 3) | | PUNTO P4 (PILOTE 4) | | PUNTO P5 (PILOTE 5) | | PUNTO P6 (PILOTE 6) | | PROPIEDADES PILOTES | | | | |
|---|---|---|---|---|---|---|---|---|---|---|---|---|---|---|---|---|---|
| PILA | X | Y | X | Y | X | Y | X | Y | X | Y | X | Y | DIÁMETRO | LONGITUD | Descabezado | Cota punta | Cota cabeza |
| 5 | 330 657.547 | 4 587 375.140 | 330 652.159 | 4 587 374.789 | 330 646.770 | 4 587 374.439 | 330 657.898 | 4 587 369.751 | 330 652.509 | 4 587 369.401 | 330 647.121 | 4 587 369.050 | 1,80 m | 8,00 m | 1,00 m | 498.500 | 507.500 |

| DIMENSIONES Y GEOMETRÍA DE PILAS CON CIMENTACIÓN PROFUNDA | | | | | | | |
|---|---|---|---|---|---|---|---|
| PILA | H | E | A(BL) | B(BT) | C | C.c | C.m.a |
| 5 | 10.158 | 2.000 | 8.00 | 13.40 | 3.00 | 506.500 | 519.658 |

GIF Gestor de Infraestructuras Ferroviarias

PROYECTO CONSTRUIDO :
L.A.V. MADRID-ZARAGOZA-BARCELONA-FRONTERA FRANCESA
TRAMO : LLEIDA-MARTORELL
SUBTRAMO: III-A PLATAFORMA

EL DIRECTOR DEL PROYECTO CONSTRUIDO :
Fdo.: JAIME GARCIA-GERMAN LOPEZ-BELMONTE

EL AUTOR DEL PROYECTO CONSTRUIDO :
Fdo.: ferrovial AGROMAN

CONSULTOR (ASISTENCIA AL CONTROL DE OBRAS) :
U.T.E. Intecsa Industrial S.A. / euroconsult Ingeniería, s.l.

ESCALAS :
INDICADAS
NUMÉRICA GRÁFICA : METROS

FECHA :
JULIO 2003

TITULO DEL PLANO :
VIADUCTO DE VINAIXA
PILA 5
DEFINICION GEOMETRICA

Nº DE PLANO
2.9.13.3_04.36

HOJA 4 DE 36

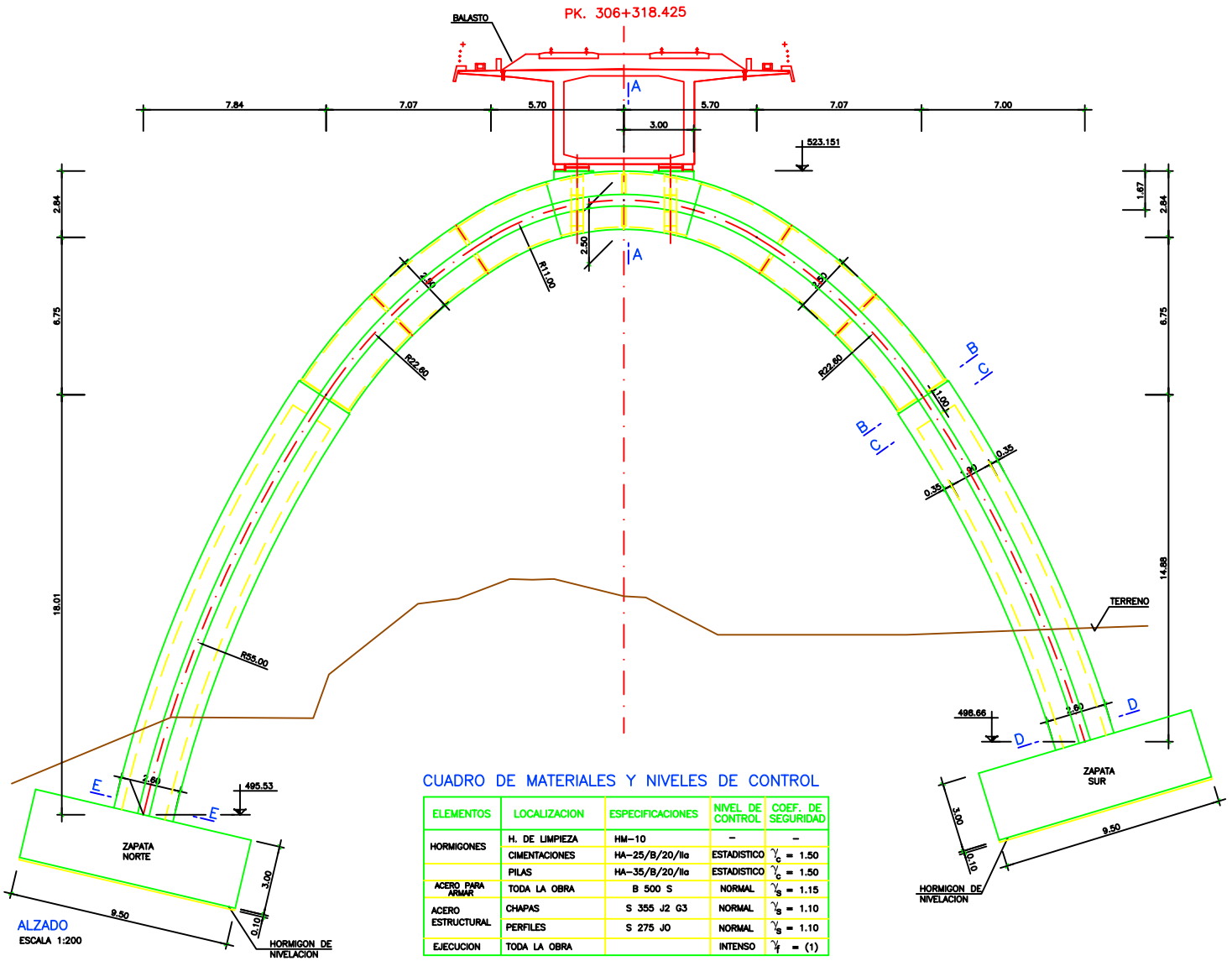


ALZADO
ESCALA 1:200

## CUADRO DE MATERIALES Y NIVELES DE CONTROL

| ELEMENTOS | LOCALIZACION | ESPECIFICACIONES | NIVEL DE CONTROL | COEF. DE SEGURIDAD |
|---|---|---|---|---|
| HORMIGONES | H. DE LIMPIEZA | HM–10 | – | – |
| | CIMENTACIONES | HA–25/B/20/IIa | ESTADISTICO | $\gamma_c$ = 1.50 |
| | PILAS | HA–35/B/20/IIa | ESTADISTICO | $\gamma_c$ = 1.50 |
| ACERO PARA ARMAR | TODA LA OBRA | B 500 S | NORMAL | $\gamma_s$ = 1.15 |
| ACERO ESTRUCTURAL | CHAPAS | S 355 J2 G3 | NORMAL | $\gamma_s$ = 1.10 |
| | PERFILES | S 275 JO | NORMAL | $\gamma_s$ = 1.10 |
| EJECUCION | TODA LA OBRA | | INTENSO | $\gamma_f$ = (1) |

(1) SEGUN I.A.P.F.

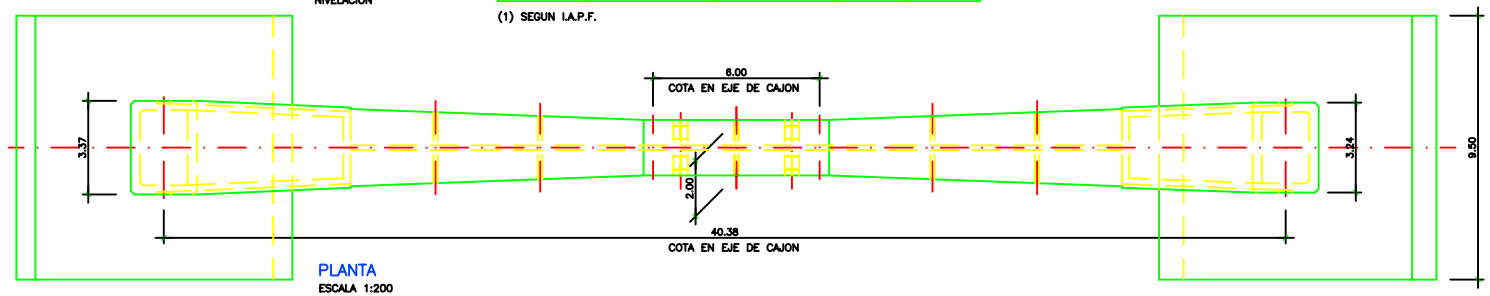


PLANTA
ESCALA 1:200

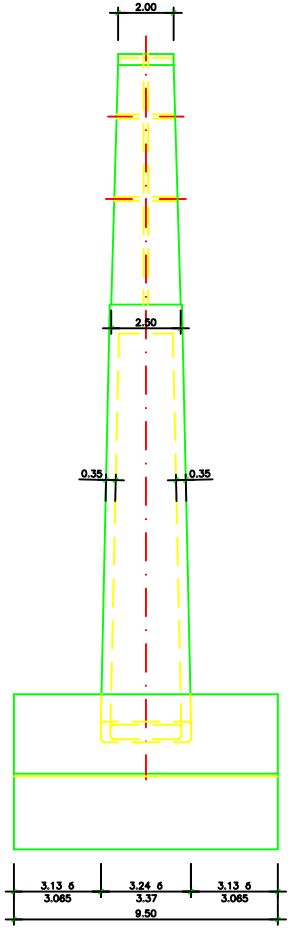


ALZADO LATERAL
ESCALA 1:200

NOTA:
– SE HA CONSIDERADO UNA TENSION ADMISIBLE EN EL TERRENO DE 6 Kp/cm²

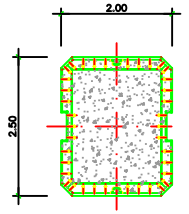


SECCION A–A
ESCALA 1:100

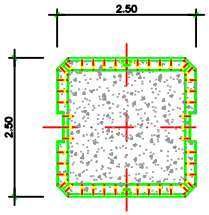


SECCION B–B
ESCALA 1:100

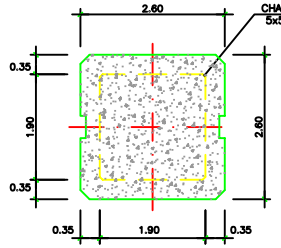


SECCION C–C
ESCALA 1:100

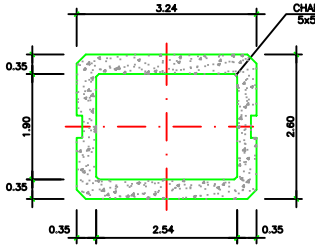


SECCION D–D
ESCALA 1:100

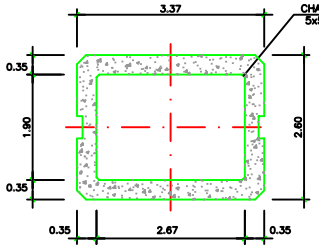


SECCION E–E
ESCALA 1:100

GIF Gestor de Infraestructuras Ferroviarias

PROYECTO CONSTRUIDO : L.A.V. MADRID–ZARAGOZA–BARCELONA–FRONTERA FRANCESA
TRAMO : LLEIDA–MARTORELL
SUBTRAMO: III–A PLATAFORMA

EL DIRECTOR DEL PROYECTO CONSTRUIDO : JAIME GARCIA–GERMAN LOPEZ–BELMONTE
Fdo.:

EL AUTOR DEL PROYECTO CONSTRUIDO : ferrovial AGROMAN
Fdo.:

CONSULTOR (ASISTENCIA AL CONTROL DE OBRAS) : U.T.E. Intecsa Industrial S.A. europroject Ingeniería, s.l.

ESCALAS : INDICADAS
NUMÉRICA GRÁFICA : METROS

FECHA : JULIO 2003

TITULO DEL PLANO : VIADUCTO DE VINAIXA
PILA 11 Y 12
PILA 11. DEFINICION GEOMETRICA

Nº DE PLANO 2.9.13.3_25.36
HOJA 25 DE 36

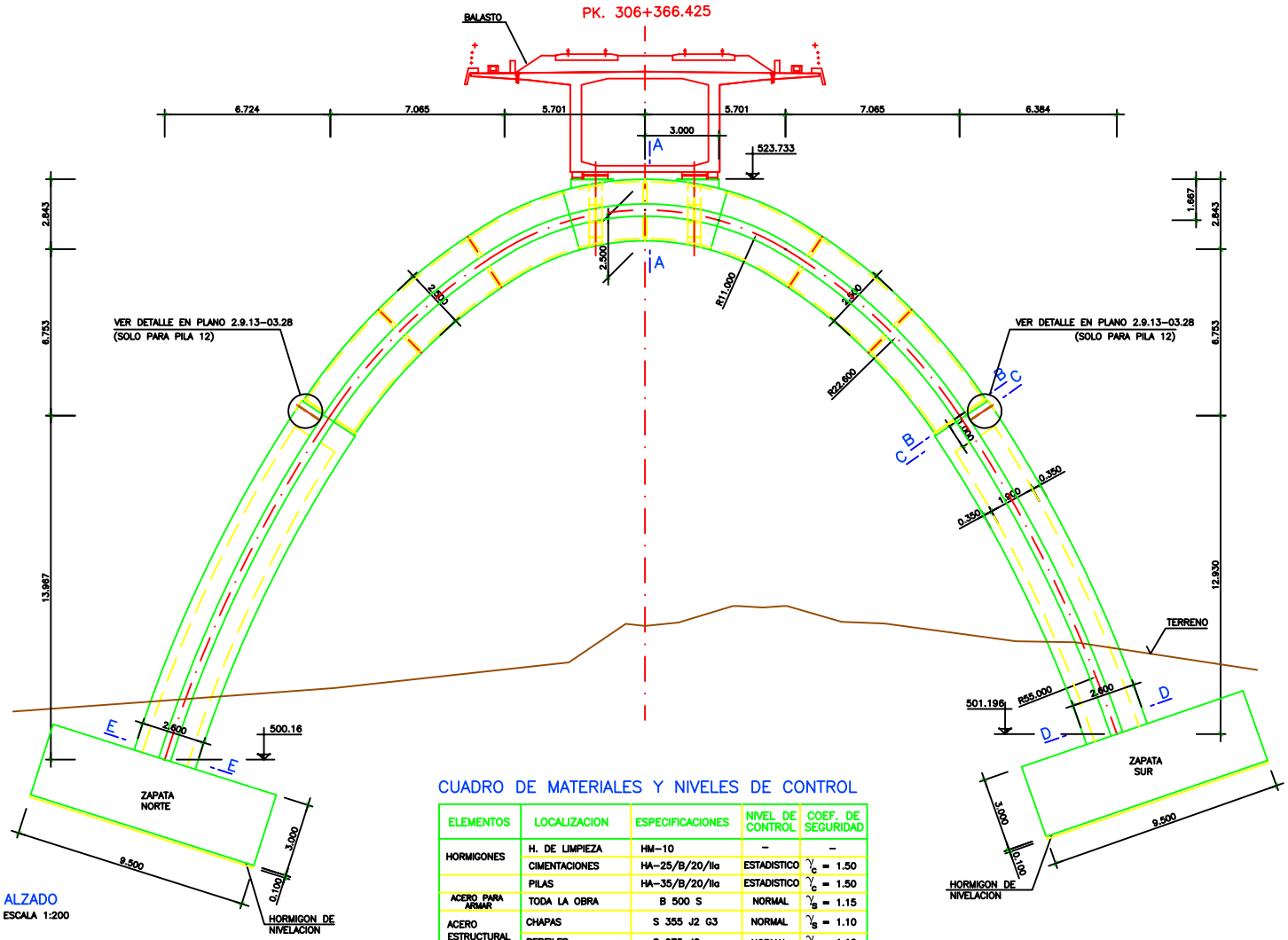


ALZADO
ESCALA 1:200

## CUADRO DE MATERIALES Y NIVELES DE CONTROL

| ELEMENTOS | LOCALIZACION | ESPECIFICACIONES | NIVEL DE CONTROL | COEF. DE SEGURIDAD |
|---|---|---|---|---|
| HORMIGONES | H. DE LIMPIEZA | HM-10 | - | - |
| | CIMENTACIONES | HA-25/B/20/IIa | ESTADISTICO | $\gamma_c$ = 1.50 |
| | PILAS | HA-35/B/20/IIa | ESTADISTICO | $\gamma_c$ = 1.50 |
| ACERO PARA ARMAR | TODA LA OBRA | B 500 S | NORMAL | $\gamma_s$ = 1.15 |
| ACERO ESTRUCTURAL | CHAPAS | S 355 J2 G3 | NORMAL | $\gamma_s$ = 1.10 |
| | PERFILES | S 275 JO | NORMAL | $\gamma_s$ = 1.10 |
| EJECUCION | TODA LA OBRA | | INTENSO | $\gamma_f$ = (1) |

(1) SEGUN I.A.P.F.

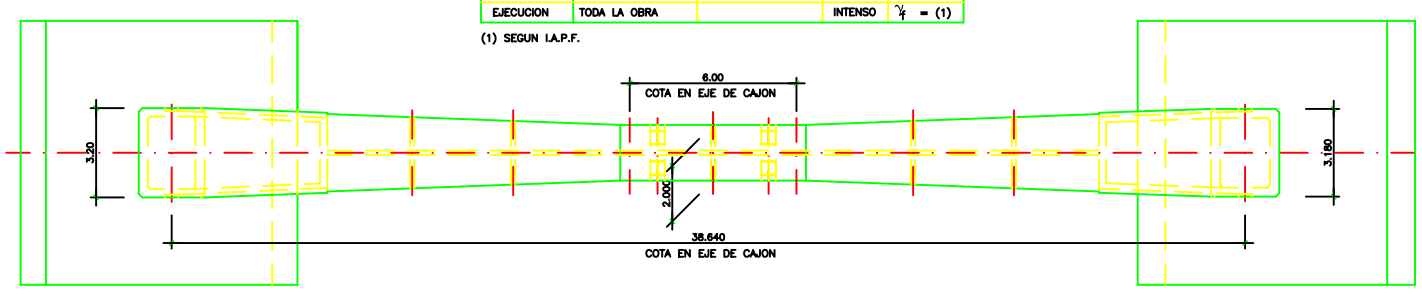


PLANTA
ESCALA 1:200

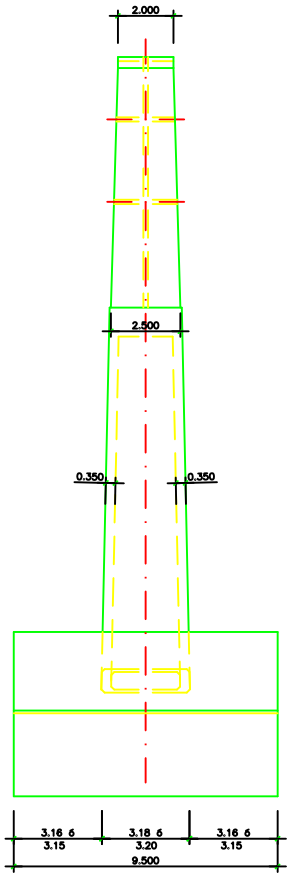


ALZADO LATERAL
ESCALA 1:200

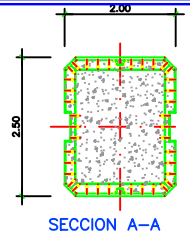


SECCION A-A
ESCALA 1:100

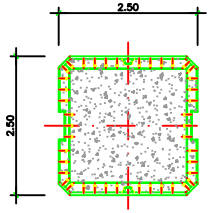


SECCION B-B
ESCALA 1:100

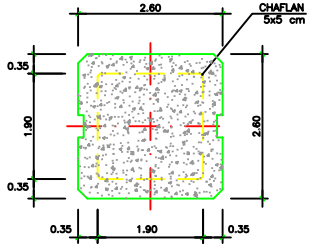


SECCION C-C
ESCALA 1:100

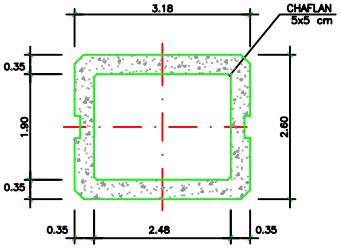


SECCION D-D
ESCALA 1:100

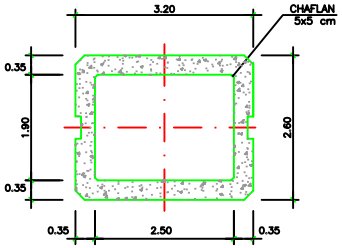


SECCION E-E
ESCALA 1:100

NOTA:
- SE HA CONSIDERADO UNA TENSION ADMISIBLE EN EL TERRENO DE 6 Kp/cm$^2$

GIF Gestor de Infraestructuras Ferroviarias

PROYECTO CONSTRUIDO :
L.A.V. MADRID-ZARAGOZA-BARCELONA-FRONTERA FRANCESA
TRAMO : LLEIDA-MARTORELL
SUBTRAMO: III-A PLATAFORMA

EL DIRECTOR DEL PROYECTO CONSTRUIDO :
JAIME GARCIA-GERMAN LOPEZ-BELMONTE
Fdo.:

EL AUTOR DEL PROYECTO CONSTRUIDO :
ferrovial AGROMAN
Fdo.:

CONSULTOR (ASISTENCIA AL CONTROL DE OBRAS) :
U.T.E. Intecsa Industrial S.A. europroject Ingeniería, s.l.

ESCALAS :
INDICADAS
NUMÉRICA GRÁFICA : METROS

FECHA :
JULIO 2003

TITULO DEL PLANO :
VIADUCTO DE VINAIXA
PILA 11 Y 12
PILA 12. DEFINICION GEOMETRICA

Nº DE PLANO
2.9.13.3_26.36

HOJA 26 DE 36

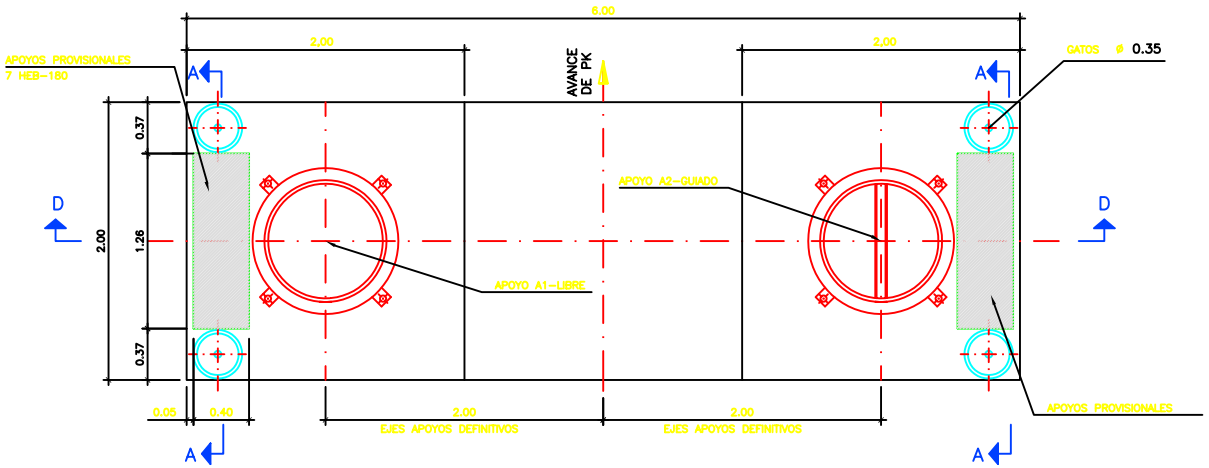


APOYOS PILAS 1 A 21

ESCALA 1:40

| PILA | Nº Y TIPO DE PERFILES | e (mm.) | PENDIENTE % |
|---|---|---|---|
| 1 | 7 HEB-180 | 57,50 | 1,2129 |
| 2 | 7 HEB-180 | 57,50 | 1,2129 |
| 3 | 7 HEB-180 | 57,50 | 1,2129 |
| 4 | 7 HEB-180 | 57,50 | 1,2129 |
| 5 | 7 HEB-180 | 57,50 | 1,2129 |
| 6 | 7 HEB-180 | 57,50 | 1,2129 |
| 7 | 7 HEB-180 | 57,50 | 1,2129 |
| 8 | 7 HEB-180 | 57,50 | 1,2129 |
| 9 | 7 HEB-180 | 57,50 | 1,2129 |
| 10 | 7 HEB-180 | 57,50 | 1,2129 |
| 11 | 7 HEB-180 | 57,50 | 1,2129 |
| 12 | 7 HEB-180 | 57,50 | 1,2129 |
| 13 | 7 HEB-180 | 57,50 | 1,2129 |
| 14 | 7 HEB-180 | 57,50 | 1,2129 |
| 15 | 7 HEB-180 | 57,50 | 1,2129 |
| 16 | 7 HEB-180 | 57,50 | 1,2129 |
| 17 | 7 HEB-180 | 57,50 | 1,2129 |
| 18 | 7 HEB-180 | 57,50 | 1,2129 |
| 19 | 7 HEB-180 | 57,50 | 1,2129 |
| 20 | 7 HEB-180 | 57,50 | 1,2129 |
| 21 | 7 HEB-180 | 57,50 | 1,2129 |

NOTA: EL VALOR DEL ESPESOR DE MORTERO $e_i$ SE REFIERE AL CENTRO DEL APOYO PROVISIONAL, DEBIENDOSE DAR AL MISMO LA PENDIENTE INDICADA i.

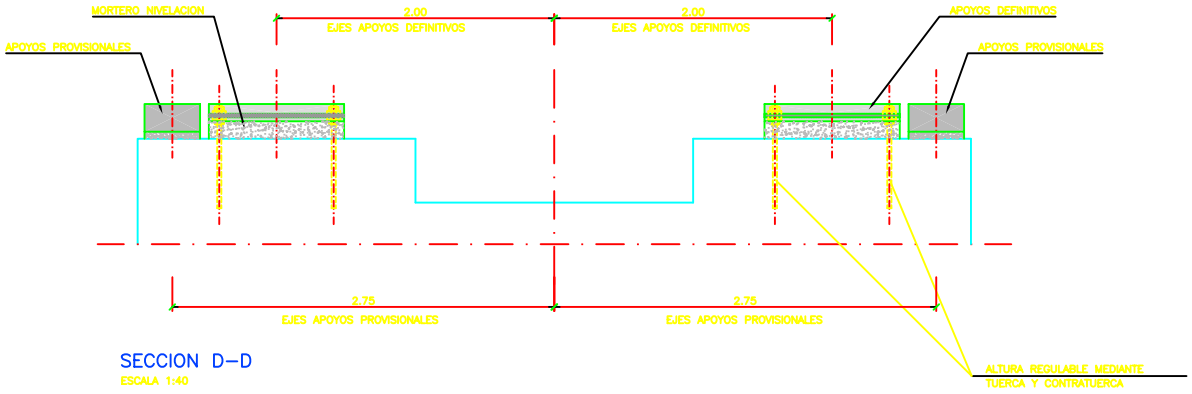


SECCION D-D

ESCALA 1:40

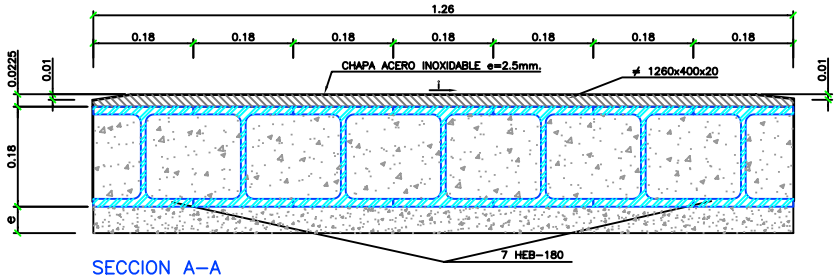


SECCION A-A

ESCALA 1:10

NOTA:

- LAS ALMOADILLAS DE NEOPRENO-TEFLON QUE DESLIZAN SOBRE LA CHAPA DE ACERO INOXIDABLE TENDRAN UN ESPESOR DE 15 mm.

| | | | | | | | | |
|---|---|---|---|---|---|---|---|---|
| GIF Gestor de Infraestructuras Ferroviarias | PROYECTO CONSTRUIDO : L.A.V. MADRID-ZARAGOZA-BARCELONA-FRONTERA FRANCESA TRAMO : LLEIDA-MARTORELL SUBTRAMO: III-A PLATAFORMA | EL DIRECTOR DEL PROYECTO CONSTRUIDO : Fdo.: JAIME GARCIA-GERMAN LOPEZ-BELMONTE | EL AUTOR DEL PROYECTO CONSTRUIDO : Fdo.: ferrovial AGROMAN | CONSULTOR (ASISTENCIA AL CONTROL DE OBRAS) : U.T.E. Intecsa europroject Ingeniería, s.l. | ESCALAS : INDICADAS NUMÉRICA GRÁFICA : METROS | FECHA : JULIO 2003 | TITULO DEL PLANO : VIADUCTO DE VINAIXA DISPOSICION APOYOS PILAS | Nº DE PLANO 2.9.13.4_01.03 HOJA 1 DE 3 |

# DETALLE APOYOS POT TIPO PL-1850 Y PL-1950 EN PILAS.
# DETALLE APOYOS POT TIPO PL-825 Y PL-900 EN ESTRIBOS.

SIN ESCALA.
COTAS EN mm.

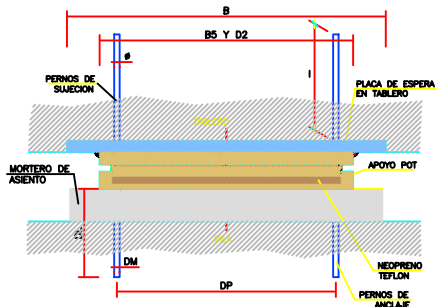


SECCION A-A

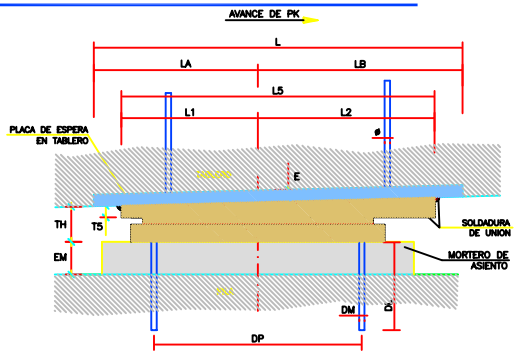


VISTA POR "B"

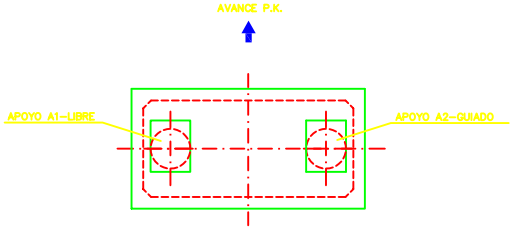


PLANTA DISPOSICION APOYOS
SIN ESCALA

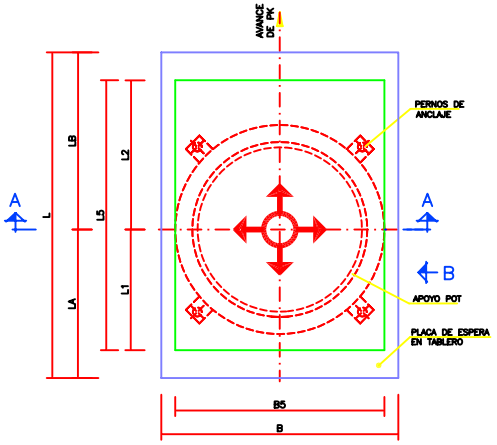


PLANTA

## NOMENCLATURA

En la dirección longitudinal del puente, el eje del apoyo (eje de la cazoleta inferior), coincide con el eje de la pila.

EM : Espesor de mortero bajo apoyo
L5 : Longitud de la placa superior del apoyo en la direccion longitudinal del puente ; L5 = L1 + L2
L1 : Distancia, en la dirección longitudinal del puente, del eje del apoyo al extremo de la placa superior en sentido de disminución del P.K.
L2 : Distancia, en la dirección longitudinal del puente, del eje del apoyo al extremo de la placa superior en sentido de avance del P.K.
TH : Espesor mínimo del apoyo
T5 : Espesor mínimo de la placa superior
B5 : Anchura de la placa superior del apoyo en la dirección normal al puente
D2 : Diámetro de la cazoleta inferior del apoyo
DP : Distancia entre los pernos de anclaje
DL : Longitud de los pernos de anclaje
DM : Diámetro de los pernos de anclaje
L : Longitud de la placa en la dirección longitudinal del puente
LA : Distancia, en la dirección longitudinal del puente, del eje del apoyo al extremo de la placa en sentido de disminución del P.K.
LB : Distancia, en la dirección longitudinal del puente, del eje del apoyo al extremo de la placa en sentido de avance del P.K.
B: Anchura de la placa en la dirección normal al puente
E: Espesor de la placa
N: Número de pernos
ø: Diámetro de los pernos
l: Longitud de los pernos
a: Espesor del cordón de soldadura
L: Longitud total del cordón de soldadura

Todos los valores del cuadro estan expresados en milímetros

## LONGITUD DE TABLERO EJECUTADA TRAS EL HORMIGONADO DE CADA DOVELA

| DOVELA HORMIGONADA | LONGITUD DE TABLERO |
|---|---|
| 0 | 3,950 |
| 1 | 27,950 |
| 2 | 51,950 |
| 3 | 75,950 |
| 4 | 99,950 |
| 5 | 123,950 |
| 6 | 147,950 |
| 7 | 171,950 |
| 8 | 174,950 |
| 9 | 198,950 |
| 10 | 223,073 |
| 11 | 226,073 |
| 12 | 250,073 |
| 13 | 274,073 |
| 14 | 298,073 |
| 15 | 322,073 |
| 16 | 346,073 |
| 17 | 370,073 |
| 18 | 394,073 |
| 19 | 418,153 |
| 20 | 442,153 |
| 21 | 466,153 |
| 22 | 490,153 |
| 23 | 514,153 |
| 24 | 538,153 |
| 25 | 562,153 |
| 26 | 586,153 |
| 27 | 610,225 |
| 28 | 634,225 |
| 29 | 658,225 |
| 30 | 682,225 |
| 31 | 706,225 |
| 32 | 730,225 |
| 33 | 754,225 |
| 34 | 778,225 |
| 35 | 802,290 |
| 36 | 826,290 |
| 37 | 850,290 |
| 38 | 874,290 |
| 39 | 898,290 |
| 40 | 922,290 |
| 41 | 946,290 |
| 42 | 970,290 |
| 43 | 994,351 |
| 44 | 1018,351 |
| 45 | 1042,066 |
| 46 | 1046,666 |

## CUADRO DE APOYOS

| | | | | DEFINICION APOYO | | | | | | | | PERNOS DE ANCLAJE | | | PLACA ESPERA EN TABLERO | | | | | PERNOS DE SUJECION | | | SOLDADURA DE UNION | |
|---|---|---|---|---|---|---|---|---|---|---|---|---|---|---|---|---|---|---|---|---|---|---|---|---|
| LOCALIZACION | APOYO | DENOMINACION | TIPO | EM | L5 | L1 | L2 | TH | T5 | B5 | D2 | DP | DL | DM | L | LA | LB | B | E | N | ø | l | a | L |
| ESTRIBO 1 | A1 | PL-825 | LIBRE | 157 | 796 | 398 | 398 | 88,5 | 29 | 796 | 796 | 605 | 357 | 40 | 1100 | 550 | 550 | 900 | 20 | 4 | 25 | 200 | 7 | 300 |
| PILA 1 | A1 | PL-1850 | LIBRE | 132 | 1134 | 556 | 578 | 111,5 | 34 | 1086 | 1086 | 810 | 332 | 40 | 1500 | 739 | 761 | 1200 | 20 | 4 | 25 | 400 | 7 | 700 |
| PILA 2 | A1 | PL-1850 | LIBRE | 132 | 1134 | 543 | 591 | 111,5 | 34 | 1086 | 1086 | 810 | 332 | 40 | 1500 | 726 | 774 | 1200 | 20 | 4 | 25 | 400 | 7 | 700 |
| PILA 3 | A1 | PL-1950 | LIBRE | 129 | 1245 | 585 | 660 | 113,5 | 36 | 1115 | 1115 | 831 | 329 | 40 | 1600 | 763 | 837 | 1300 | 20 | 4 | 25 | 400 | 7 | 700 |
| PILA 4 | A1 | PL-1950 | LIBRE | 130 | 1245 | 571 | 674 | 113,5 | 36 | 1115 | 1115 | 831 | 330 | 40 | 1600 | 749 | 851 | 1300 | 20 | 4 | 25 | 400 | 7 | 700 |
| PILA 5 | A1 | PL-1950 | LIBRE | 130 | 1245 | 557 | 688 | 113,5 | 36 | 1115 | 1115 | 831 | 330 | 40 | 1600 | 794 | 806 | 1300 | 20 | 4 | 25 | 400 | 7 | 700 |
| PILA 6 | A1 | PL-1850 | LIBRE | 130 | 1490 | 667 | 823 | 111,5 | 34 | 1086 | 1086 | 810 | 330 | 40 | 1800 | 881 | 919 | 1200 | 20 | 4 | 25 | 400 | 7 | 700 |
| PILA 7 | A1 | PL-1850 | LIBRE | 131 | 1490 | 653 | 837 | 111,5 | 34 | 1086 | 1086 | 810 | 331 | 40 | 1800 | 868 | 932 | 1200 | 20 | 4 | 25 | 400 | 7 | 700 |
| PILA 8 | A1 | PL-1850 | LIBRE | 131 | 1490 | 640 | 850 | 111,5 | 34 | 1086 | 1086 | 810 | 331 | 40 | 1800 | 855 | 945 | 1200 | 20 | 4 | 25 | 400 | 7 | 700 |
| PILA 9 | A1 | PL-1850 | LIBRE | 131 | 1490 | 627 | 863 | 111,5 | 34 | 1086 | 1086 | 810 | 331 | 40 | 1800 | 899 | 901 | 1200 | 20 | 4 | 25 | 400 | 7 | 700 |
| PILA 10 | A1 | PL-1850 | LIBRE | 131 | 1490 | 614 | 876 | 111,5 | 34 | 1086 | 1086 | 810 | 331 | 40 | 1800 | 886 | 914 | 1200 | 20 | 4 | 25 | 400 | 7 | 700 |
| PILA 11 | A1 | PL-1850 | LIBRE | 130 | 1766 | 739 | 1027 | 111,5 | 34 | 1086 | 1086 | 810 | 330 | 40 | 2100 | 1023 | 1077 | 1200 | 20 | 4 | 25 | 400 | 7 | 700 |
| PILA 12 | A1 | PL-1850 | LIBRE | 130 | 1766 | 725 | 1041 | 111,5 | 34 | 1086 | 1086 | 810 | 330 | 40 | 2100 | 1009 | 1091 | 1200 | 20 | 4 | 25 | 400 | 7 | 700 |
| PILA 13 | A1 | PL-1850 | LIBRE | 130 | 1766 | 712 | 1054 | 111,5 | 34 | 1086 | 1086 | 810 | 330 | 40 | 2100 | 1053 | 1047 | 1200 | 20 | 4 | 25 | 400 | 7 | 700 |
| PILA 14 | A1 | PL-1850 | LIBRE | 130 | 1766 | 699 | 1067 | 111,5 | 34 | 1086 | 1086 | 810 | 330 | 40 | 2100 | 1040 | 1060 | 1200 | 20 | 4 | 25 | 400 | 7 | 700 |
| PILA 15 | A1 | PL-1850 | LIBRE | 130 | 1766 | 686 | 1080 | 111,5 | 34 | 1086 | 1086 | 810 | 330 | 40 | 2100 | 1027 | 1073 | 1200 | 20 | 4 | 25 | 400 | 7 | 700 |
| PILA 16 | A1 | PL-1850 | LIBRE | 129 | 1932 | 756 | 1176 | 111,5 | 34 | 1086 | 1086 | 810 | 329 | 40 | 2300 | 1114 | 1186 | 1200 | 20 | 4 | 25 | 400 | 7 | 700 |
| PILA 17 | A1 | PL-1850 | LIBRE | 129 | 1932 | 742 | 1190 | 111,5 | 34 | 1086 | 1086 | 810 | 329 | 40 | 2300 | 1157 | 1143 | 1200 | 20 | 4 | 25 | 400 | 7 | 700 |
| PILA 18 | A1 | PL-1850 | LIBRE | 130 | 1932 | 729 | 1203 | 111,5 | 34 | 1086 | 1086 | 810 | 330 | 40 | 2300 | 1144 | 1156 | 1200 | 20 | 4 | 25 | 400 | 7 | 700 |
| PILA 19 | A1 | PL-1850 | LIBRE | 129 | 2098 | 799 | 1299 | 111,5 | 34 | 1086 | 1086 | 810 | 329 | 40 | 2400 | 1180 | 1220 | 1200 | 20 | 4 | 25 | 400 | 7 | 700 |
| PILA 20 | A1 | PL-1850 | LIBRE | 129 | 2098 | 786 | 1312 | 111,5 | 34 | 1086 | 1086 | 810 | 329 | 40 | 2400 | 1167 | 1233 | 1200 | 20 | 4 | 25 | 400 | 7 | 700 |
| PILA 21 | A1 | PL-1850 | LIBRE | 129 | 2098 | 773 | 1325 | 111,5 | 34 | 1086 | 1086 | 810 | 329 | 40 | 2400 | 1211 | 1189 | 1200 | 20 | 4 | 25 | 400 | 7 | 700 |
| ESTRIBO 2 | A1 | PL-900 | LIBRE | 432 | 1857 | 641 | 1216 | 103,5 | 40 | 831 | 831 | 630 | 632 | 40 | 2200 | 813 | 1387 | 1000 | 20 | 4 | 25 | 200 | 7 | 300 |

## COTA INFERIOR Y PENDIENTE DE LOS APOYOS DEFINITIVOS

| LOCALIZACION | APOYO | COTA PLATAFORMA DE APOYO | COTA INFERIOR APOYO | I % |
|---|---|---|---|---|
| ESTRIBO 1 | A1 | 516,792 | 516,949 | 1,1312 |
| PILA 1 | A1 | 517,256 | 517,388 | 1,2129 |
| PILA 2 | A1 | 517,839 | 517,971 | 1,2129 |
| PILA 3 | A1 | 518,421 | 518,550 | 1,2129 |
| PILA 4 | A1 | 519,039 | 519,169 | 1,2129 |
| PILA 5 | A1 | 519,658 | 519,788 | 1,2129 |
| PILA 6 | A1 | 520,240 | 520,370 | 1,2129 |
| PILA 7 | A1 | 520,822 | 520,953 | 1,2129 |
| PILA 8 | A1 | 521,404 | 521,535 | 1,2129 |
| PILA 9 | A1 | 521,987 | 522,118 | 1,2129 |
| PILA 10 | A1 | 522,569 | 522,700 | 1,2129 |
| PILA 11 | A1 | 523,151 | 523,281 | 1,2129 |
| PILA 12 | A1 | 523,733 | 523,863 | 1,2129 |
| PILA 13 | A1 | 524,315 | 524,445 | 1,2129 |
| PILA 14 | A1 | 524,898 | 525,028 | 1,2129 |
| PILA 15 | A1 | 525,480 | 525,610 | 1,2129 |
| PILA 16 | A1 | 526,062 | 526,191 | 1,2129 |
| PILA 17 | A1 | 526,644 | 526,773 | 1,2129 |
| PILA 18 | A1 | 527,226 | 527,356 | 1,2129 |
| PILA 19 | A1 | 527,808 | 527,937 | 1,2129 |
| PILA 20 | A1 | 528,391 | 528,520 | 1,2129 |
| PILA 21 | A1 | 528,973 | 529,102 | 1,2129 |
| ESTRIBO 2 | A1 | 529,166 | 529,598 | 1,3181 |

GIF Gestor de Infraestructuras Ferroviarias

PROYECTO CONSTRUIDO :
L.A.V. MADRID-ZARAGOZA-BARCELONA-FRONTERA FRANCESA
TRAMO : LLEIDA-MARTORELL
SUBTRAMO: III-A PLATAFORMA

EL DIRECTOR DEL PROYECTO CONSTRUIDO :
Fdo.: JAIME GARCIA-GERMAN LOPEZ-BELMONTE

EL AUTOR DEL PROYECTO CONSTRUIDO :
Fdo.: ferrovial AGROMAN

CONSULTOR (ASISTENCIA AL CONTROL DE OBRAS) :
U.T.E. Intecsa Industrial S.A. europroject Ingeniería, s.l.

ESCALAS :
INDICADAS
NUMÉRICA GRÁFICA : METROS

FECHA :
JULIO 2003

TITULO DEL PLANO :
VIADUCTO DE VINAIXA
APOYOS DEFINITIVOS (1)

Nº DE PLANO
2.9.13.4_02.03

HOJA 2 DE 3

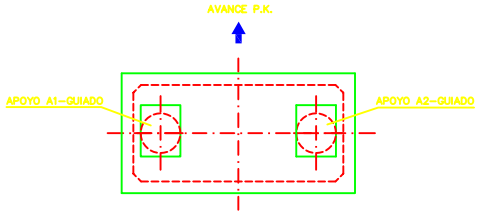


PLANTA DISPOSICION APOYOS

S/E

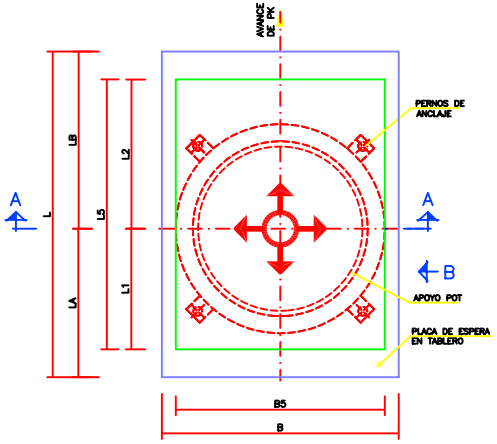


PLANTA

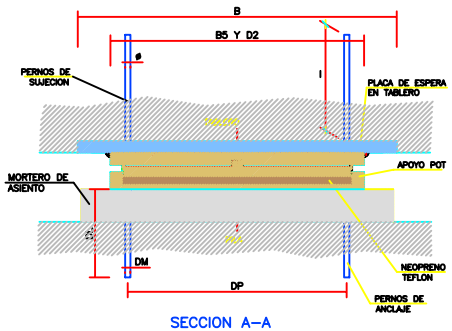


SECCION A–A

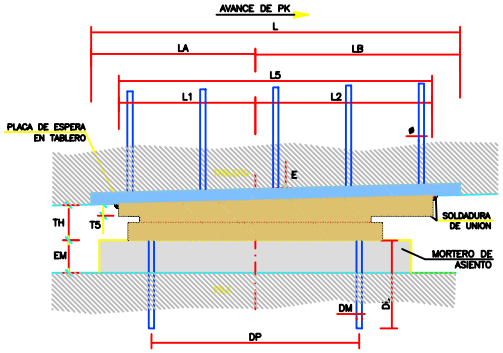


VISTA POR "B"

## NOMENCLATURA

En la dirección longitudinal del puente, el eje del apoyo (eje de la cazoleta inferior), coincide con el eje de la pila.

EM : Espesor de mortero bajo apoyo
L5 : Longitud de la placa superior del apoyo en la direccion longitudinal del puente ; L5 = L1 + L2
L1 : Distancia, en la dirección longitudinal del puente, del eje del apoyo al extremo de la placa superior en sentido de disminución del P.K.
L2 : Distancia, en la dirección longitudinal del puente, del eje del apoyo al extremo de la placa superior en sentido de avance del P.K.
TH : Espesor mínimo del apoyo
T5 : Espesor mínimo de la placa superior
B5 : Anchura de la placa superior del apoyo en la dirección normal al puente
D2 : Diámetro de la cazoleta inferior del apoyo
DP : Distancia entre los pernos de anclaje
DL : Longitud de los pernos de anclaje
DM : Diámetro de los pernos de anclaje
L: Longitud de la placa en la dirección longitudinal del puente
LA: Distancia, en la dirección longitudinal del puente, del eje del apoyo al extremo de la placa en sentido de disminución del P.K.
LB: Distancia, en la dirección longitudinal del puente, del eje del apoyo al extremo de la placa en sentido de avance del P.K.
B: Anchura de la placa en la dirección normal al puente
E: Espesor de la placa
N: Número de pernos
ø: Diámetro de los pernos
l: Longitud de los pernos
a: Espesor del cordón de soldadura
L: Longitud total del cordón de soldadura

Todos los valores del cuadro estan expresados en milímetros

# DETALLE APOYOS POT TIPO PU–1850 Y PU–1950 EN PILAS.
# DETALLE APOYOS POT TIPO PU–825 Y PU–900 EN ESTRIBOS.

SIN ESCALA.
COTAS EN mm.

## CUADRO DE APOYOS

| | | | | DEFINICION APOYO | | | | | | | | PERNOS DE ANCLAJE | | | PLACA ESPERA EN TABLERO | | | | | PERNOS DE SUJECION | | | SOLDADURA DE UNION | |
|---|---|---|---|---|---|---|---|---|---|---|---|---|---|---|---|---|---|---|---|---|---|---|---|---|
| LOCALIZACION | APOYO | DENOMINACION | TIPO | EM | L5 | L1 | L2 | TH | T5 | B5 | D2 | DP | DL | DM | L | LA | LB | B | E | N | ø | l | a | L |
| ESTRIBO 1 | A2 | PU-825 | GUIADO | 143 | 796 | 398 | 398 | 102,5 | 43 | 796 | 796 | 619 | 443 | 60 | 1100 | 550 | 550 | 900 | 20 | 4 | 25 | 450 | 7 | 800 |
| PILA 1 | A2 | PU-1850 | GUIADO | 98 | 1134 | 556 | 578 | 145,5 | 58 | 1086 | 1086 | 810 | 298 | 40 | 1500 | 739 | 761 | 1200 | 20 | 10 | 25 | 450 | 7 | 1800 |
| PILA 2 | A2 | PU-1850 | GUIADO | 98 | 1134 | 543 | 591 | 145,5 | 58 | 1086 | 1086 | 810 | 298 | 40 | 1500 | 726 | 774 | 1200 | 20 | 10 | 25 | 450 | 7 | 1800 |
| PILA 3 | A2 | PU-1950 | GUIADO | 97 | 1245 | 585 | 660 | 145,5 | 58 | 1115 | 1115 | 831 | 297 | 40 | 1600 | 763 | 837 | 1300 | 20 | 10 | 25 | 450 | 7 | 1800 |
| PILA 4 | A2 | PU-1950 | GUIADO | 98 | 1245 | 571 | 674 | 145,5 | 58 | 1115 | 1115 | 831 | 298 | 40 | 1600 | 749 | 851 | 1300 | 20 | 10 | 25 | 450 | 7 | 1800 |
| PILA 5 | A2 | PU-1950 | GUIADO | 98 | 1245 | 557 | 688 | 145,5 | 58 | 1115 | 1115 | 831 | 298 | 40 | 1600 | 794 | 806 | 1300 | 20 | 10 | 25 | 450 | 7 | 1800 |
| PILA 6 | A2 | PU-1850 | GUIADO | 96 | 1490 | 667 | 823 | 145,5 | 58 | 1086 | 1086 | 810 | 296 | 40 | 1800 | 881 | 919 | 1200 | 20 | 10 | 25 | 450 | 7 | 1800 |
| PILA 7 | A2 | PU-1850 | GUIADO | 97 | 1490 | 653 | 837 | 145,5 | 58 | 1086 | 1086 | 810 | 297 | 40 | 1800 | 868 | 932 | 1200 | 20 | 10 | 25 | 450 | 7 | 1800 |
| PILA 8 | A2 | PU-1850 | GUIADO | 97 | 1490 | 640 | 850 | 145,5 | 58 | 1086 | 1086 | 810 | 297 | 40 | 1800 | 855 | 945 | 1200 | 20 | 10 | 25 | 450 | 7 | 1800 |
| PILA 9 | A2 | PU-1850 | GUIADO | 97 | 1490 | 627 | 863 | 145,5 | 58 | 1086 | 1086 | 810 | 297 | 40 | 1800 | 899 | 901 | 1200 | 20 | 10 | 25 | 450 | 7 | 1800 |
| PILA 10 | A2 | PU-1850 | GUIADO | 97 | 1490 | 614 | 876 | 145,5 | 58 | 1086 | 1086 | 810 | 297 | 40 | 1800 | 886 | 914 | 1200 | 20 | 10 | 25 | 450 | 7 | 1800 |
| PILA 11 | A2 | PU-1850 | GUIADO | 96 | 1766 | 739 | 1027 | 145,5 | 58 | 1086 | 1086 | 810 | 296 | 40 | 2100 | 1023 | 1077 | 1200 | 20 | 10 | 25 | 450 | 7 | 1800 |
| PILA 12 | A2 | PU-1850 | GUIADO | 96 | 1766 | 725 | 1041 | 145,5 | 58 | 1086 | 1086 | 810 | 296 | 40 | 2100 | 1009 | 1091 | 1200 | 20 | 10 | 25 | 450 | 7 | 1800 |
| PILA 13 | A2 | PU-1850 | GUIADO | 96 | 1766 | 712 | 1054 | 145,5 | 58 | 1086 | 1086 | 810 | 296 | 40 | 2100 | 1053 | 1047 | 1200 | 20 | 10 | 25 | 450 | 7 | 1800 |
| PILA 14 | A2 | PU-1850 | GUIADO | 96 | 1766 | 699 | 1067 | 145,5 | 58 | 1086 | 1086 | 810 | 296 | 40 | 2100 | 1040 | 1060 | 1200 | 20 | 10 | 25 | 450 | 7 | 1800 |
| PILA 15 | A2 | PU-1850 | GUIADO | 96 | 1766 | 686 | 1080 | 145,5 | 58 | 1086 | 1086 | 810 | 296 | 40 | 2100 | 1027 | 1073 | 1200 | 20 | 10 | 25 | 450 | 7 | 1800 |
| PILA 16 | A2 | PU-1850 | GUIADO | 95 | 1932 | 756 | 1176 | 145,5 | 58 | 1086 | 1086 | 810 | 295 | 40 | 2300 | 1114 | 1186 | 1200 | 20 | 10 | 25 | 450 | 7 | 1800 |
| PILA 17 | A2 | PU-1850 | GUIADO | 95 | 1932 | 742 | 1190 | 145,5 | 58 | 1086 | 1086 | 810 | 295 | 40 | 2300 | 1157 | 1143 | 1200 | 20 | 10 | 25 | 450 | 7 | 1800 |
| PILA 18 | A2 | PU-1850 | GUIADO | 96 | 1932 | 729 | 1203 | 145,5 | 58 | 1086 | 1086 | 810 | 296 | 40 | 2300 | 1144 | 1156 | 1200 | 20 | 10 | 25 | 450 | 7 | 1800 |
| PILA 19 | A2 | PU-1850 | GUIADO | 95 | 2098 | 799 | 1299 | 145,5 | 58 | 1086 | 1086 | 810 | 295 | 40 | 2400 | 1180 | 1220 | 1200 | 20 | 10 | 25 | 450 | 7 | 1800 |
| PILA 20 | A2 | PU-1850 | GUIADO | 95 | 2098 | 786 | 1312 | 145,5 | 58 | 1086 | 1086 | 810 | 295 | 40 | 2400 | 1167 | 1233 | 1200 | 20 | 10 | 25 | 450 | 7 | 1800 |
| PILA 21 | A2 | PU-1850 | GUIADO | 95 | 2098 | 773 | 1325 | 145,5 | 58 | 1086 | 1086 | 810 | 295 | 40 | 2400 | 1211 | 1189 | 1200 | 20 | 10 | 25 | 450 | 7 | 1800 |
| ESTRIBO 2 | A2 | PU-900 | GUIADO | 430 | 1857 | 641 | 1216 | 105,5 | 42 | 831 | 831 | 644 | 730 | 60 | 2200 | 813 | 1387 | 1000 | 20 | 4 | 25 | 450 | 7 | 800 |

## COTA INFERIOR Y PENDIENTE DE LOS APOYOS DEFINITIVOS

| LOCALIZACION | APOYO | COTA PLATAFORMA DE APOYO | COTA INFERIOR APOYO | i % |
|---|---|---|---|---|
| ESTRIBO 1 | A2 | 516,792 | 516,935 | 1,1312 |
| PILA 1 | A2 | 517,256 | 517,354 | 1,2129 |
| PILA 2 | A2 | 517,839 | 517,937 | 1,2129 |
| PILA 3 | A2 | 518,421 | 518,518 | 1,2129 |
| PILA 4 | A2 | 519,039 | 519,137 | 1,2129 |
| PILA 5 | A2 | 519,658 | 519,756 | 1,2129 |
| PILA 6 | A2 | 520,240 | 520,336 | 1,2129 |
| PILA 7 | A2 | 520,822 | 520,919 | 1,2129 |
| PILA 8 | A2 | 521,404 | 521,501 | 1,2129 |
| PILA 9 | A2 | 521,987 | 522,084 | 1,2129 |
| PILA 10 | A2 | 522,569 | 522,666 | 1,2129 |
| PILA 11 | A2 | 523,151 | 523,247 | 1,2129 |
| PILA 12 | A2 | 523,733 | 523,829 | 1,2129 |
| PILA 13 | A2 | 524,315 | 524,411 | 1,2129 |
| PILA 14 | A2 | 524,898 | 524,994 | 1,2129 |
| PILA 15 | A2 | 525,480 | 525,576 | 1,2129 |
| PILA 16 | A2 | 526,062 | 526,157 | 1,2129 |
| PILA 17 | A2 | 526,644 | 526,739 | 1,2129 |
| PILA 18 | A2 | 527,226 | 527,322 | 1,2129 |
| PILA 19 | A2 | 527,808 | 527,903 | 1,2129 |
| PILA 20 | A2 | 528,391 | 528,486 | 1,2129 |
| PILA 21 | A2 | 528,973 | 529,068 | 1,2129 |
| ESTRIBO 2 | A2 | 529,166 | 529,596 | 1,3181 |

GIF Gestor de Infraestructuras Ferroviarias

PROYECTO CONSTRUIDO :
L.A.V. MADRID–ZARAGOZA–BARCELONA–FRONTERA FRANCESA
TRAMO : LLEIDA–MARTORELL
SUBTRAMO: III–A PLATAFORMA

EL DIRECTOR DEL PROYECTO CONSTRUIDO :
JAIME GARCIA–GERMAN LOPEZ–BELMONTE
Fdo.:

EL AUTOR DEL PROYECTO CONSTRUIDO :
ferrovial AGROMAN
Fdo.:

CONSULTOR (ASISTENCIA AL CONTROL DE OBRAS) :
U.T.E. Intecsa Industrial S.A. / europroject Ingeniería, s.l.

ESCALAS :
INDICADAS
NUMÉRICA GRÁFICA : METROS

FECHA :
JULIO 2003

TITULO DEL PLANO :
VIADUCTO DE VINAIXA
APOYOS DEFINITIVOS (2)

Nº DE PLANO
2.9.13.4_03.03

HOJA 3 DE 3

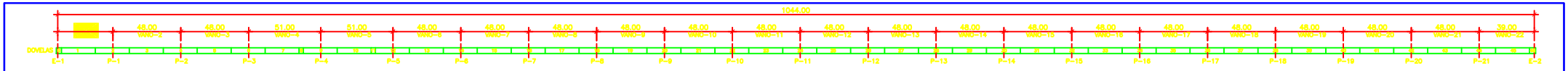


ESQUEMA DISTRIBUCION DOVELAS

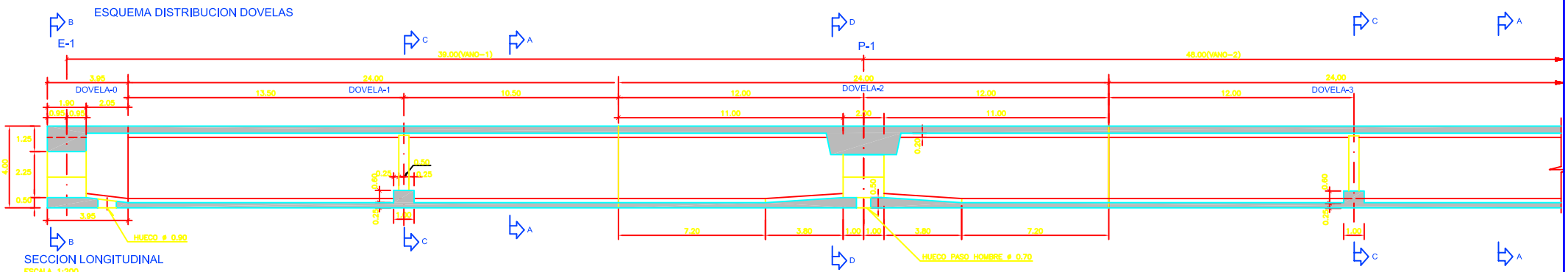


SECCION LONGITUDINAL
ESCALA 1:200

NOTA:
-. EN EL PLANO Nº 2.9.13-04.02 FIGURA UN CUADRO CON LA LONGITUD DE TABLERO EJECUTADA TRAS EL HORMIGONADO DE CADA DOVELA.

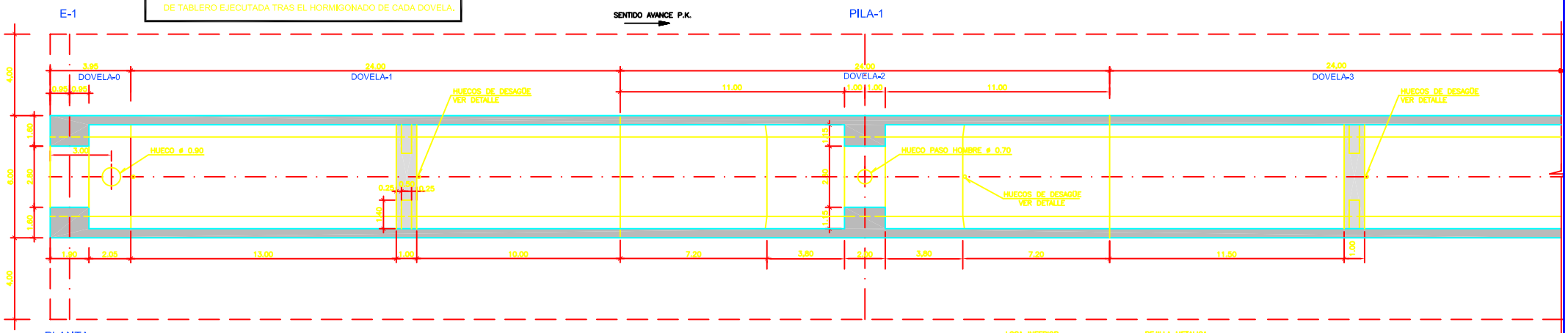


PLANTA
ESCALA 1:200

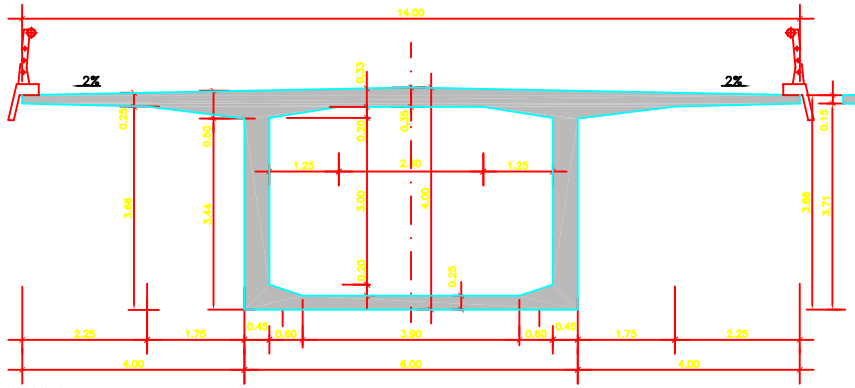


SECCION A-A
ESCALA 1:100

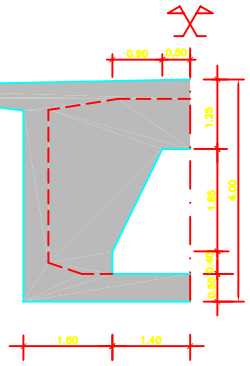


SECCION B-B
ESCALA 1:100

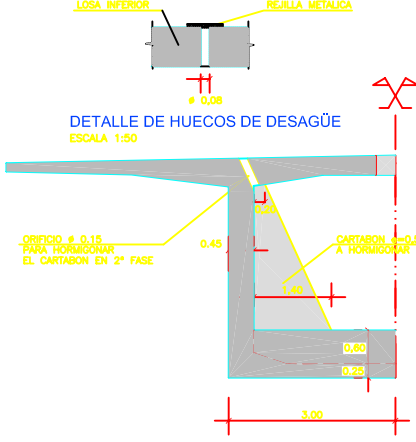


SECCION C-C
ESCALA 1:100

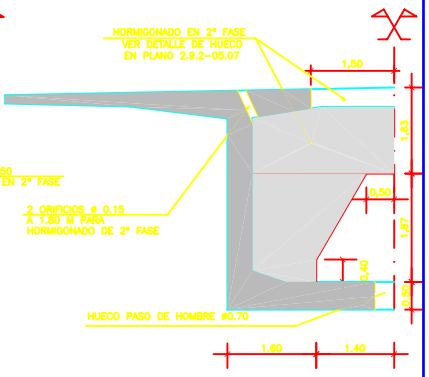


SECCION D-D
ESCALA 1:100

| | | | | | | | |
|---|---|---|---|---|---|---|---|
| GIF Gestor de Infraestructuras Ferroviarias | PROYECTO CONSTRUIDO : L.A.V. MADRID–ZARAGOZA–BARCELONA–FRONTERA FRANCESA<br>TRAMO : LLEIDA–MARTORELL<br>SUBTRAMO: III–A PLATAFORMA | EL DIRECTOR DEL PROYECTO CONSTRUIDO : JAIME GARCIA–GERMAN LOPEZ–BELMONTE<br>Fdo.: | EL AUTOR DEL PROYECTO CONSTRUIDO : ferrovial AGROMAN<br>Fdo.: | CONSULTOR (ASISTENCIA AL CONTROL DE OBRAS) : U.T.E. Intecsa Industrial S.A. / eurosprojekt Ingeniería, s.l. | ESCALAS : INDICADAS<br>NUMÉRICA GRÁFICA : METROS | FECHA : JULIO 2003 | TITULO DEL PLANO : VIADUCTO DE VINAIXA<br>TABLERO<br>VANO 1. DEFINICION GEOMETRICA | Nº DE PLANO 2.9.13.5_01–09<br>HOJA 1 DE 9 |

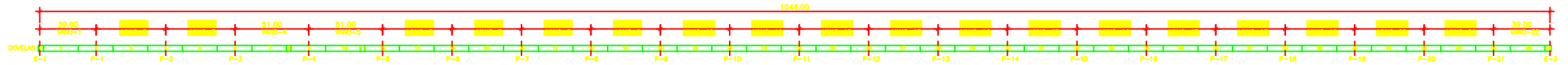


ESQUEMA DISTRIBUCION DOVELAS

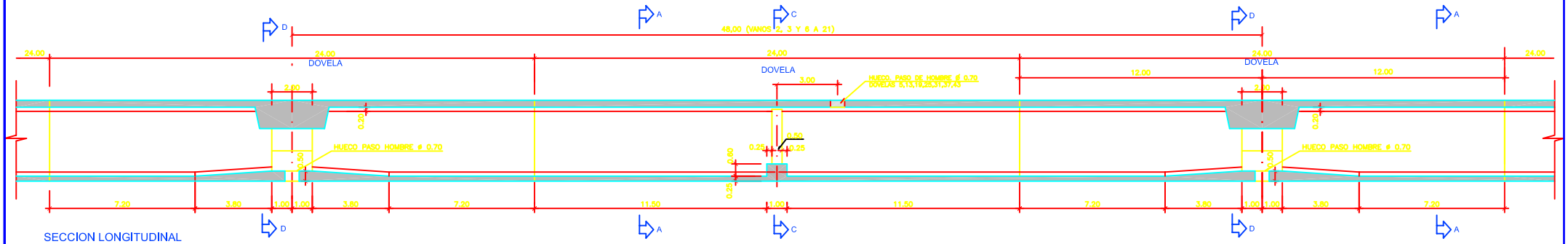


SECCION LONGITUDINAL
ESCALA 1:200

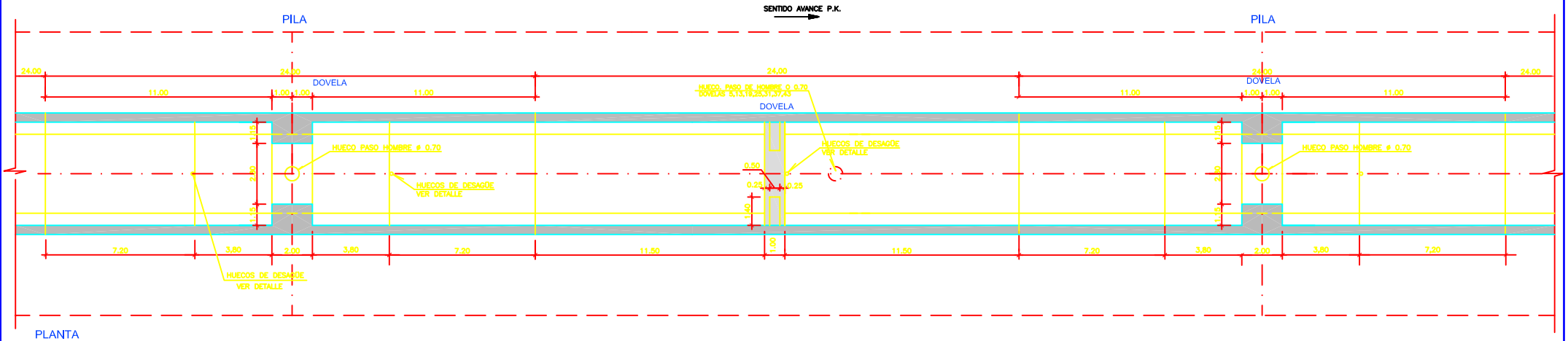


PLANTA
ESCALA 1:200

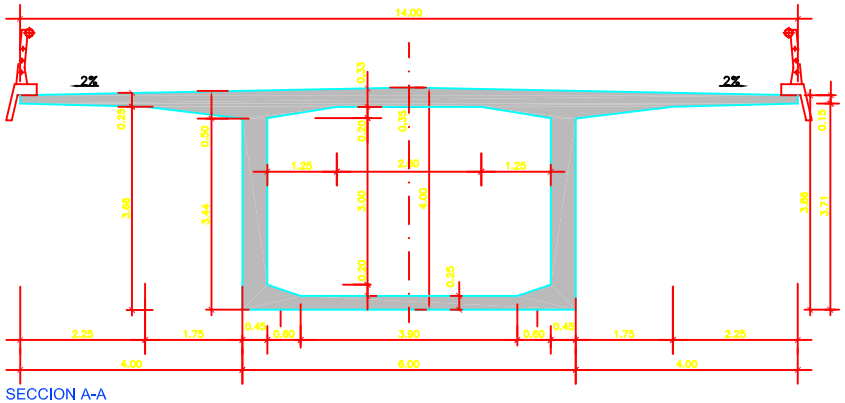


SECCION A-A
ESCALA 1:100

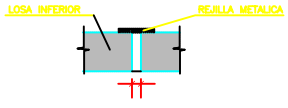


DETALLE DE HUECOS DE DESAGÜE
ESCALA 1:50

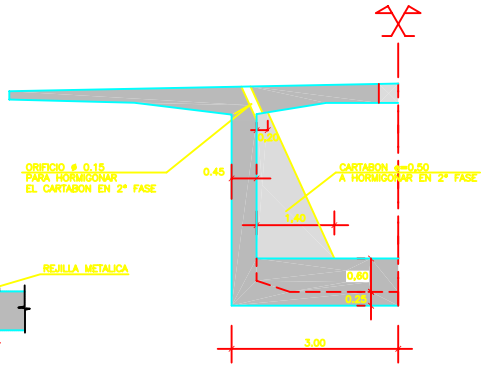


SECCION C-C
ESCALA 1:100

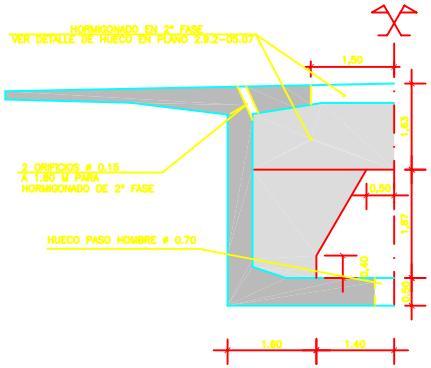


SECCION D-D
ESCALA 1:100

| | | | | | | | |
|---|---|---|---|---|---|---|---|
| GIF Gestor de Infraestructuras Ferroviarias | PROYECTO CONSTRUIDO : L.A.V. MADRID–ZARAGOZA–BARCELONA–FRONTERA FRANCESA<br>TRAMO : LLEIDA–MARTORELL<br>SUBTRAMO: III–A PLATAFORMA | EL DIRECTOR DEL PROYECTO CONSTRUIDO : JAIME GARCIA–GERMAN LOPEZ–BELMONTE | EL AUTOR DEL PROYECTO CONSTRUIDO : ferrovial AGROMAN | CONSULTOR (ASISTENCIA AL CONTROL DE OBRAS) : U.T.E. Intecsa / europroject ingeniería, s.l. | ESCALAS : INDICADAS<br>NUMÉRICA / GRÁFICA : METROS | FECHA : JULIO 2003 | TITULO DEL PLANO : VIADUCTO DE VINAIXA<br>TABLERO<br>VANO 2, 3 Y 6 A 21. DEFINICION GEOMETRICA | Nº DE PLANO 2.9.13.5_02–09<br>HOJA 2 DE 9 |

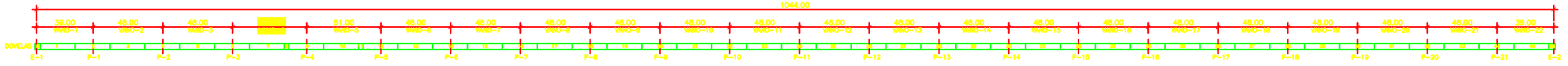


ESQUEMA DISTRIBUCION DOVELAS

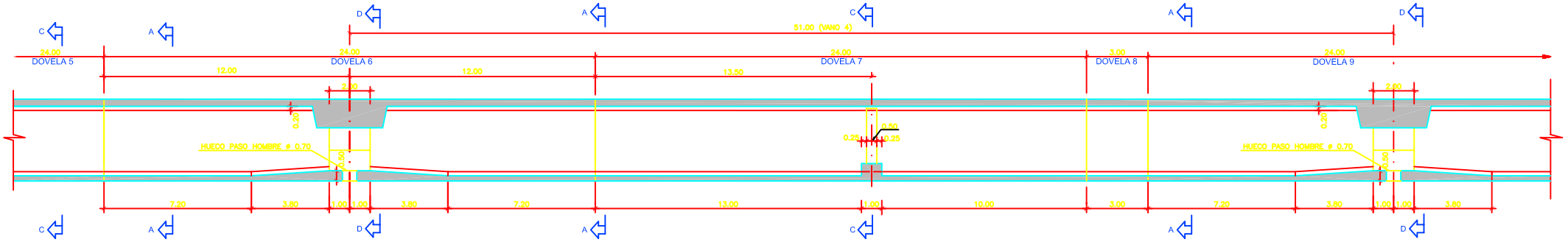


SECCION LONGITUDINAL

ESCALA 1:200

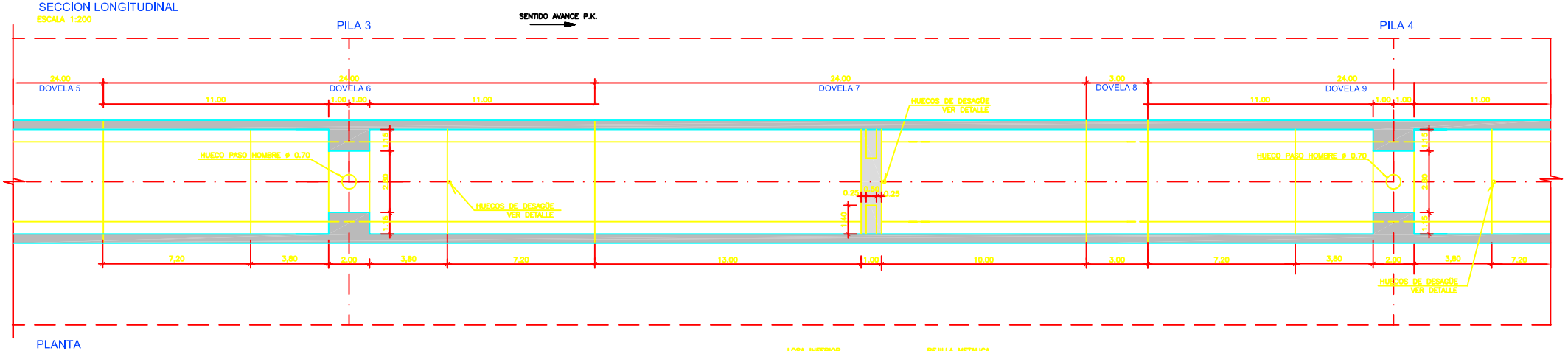


PLANTA

ESCALA 1:200

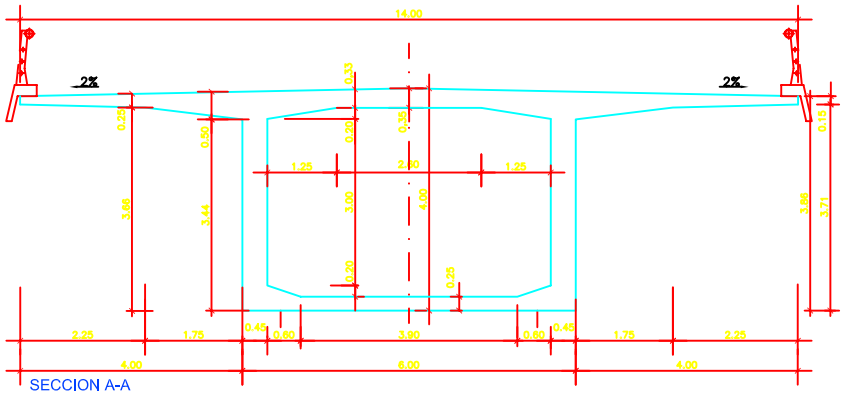


SECCION A-A

ESCALA 1:100

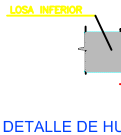


DETALLE DE HUECOS DE DESAGÜE

ESCALA 1:50

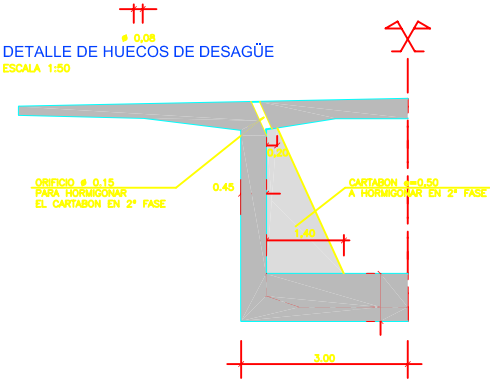


SECCION C-C

ESCALA 1:100

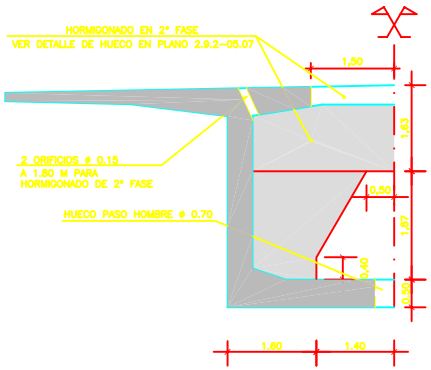


SECCION D-D

ESCALA 1:100

| | | | | | | | |
|---|---|---|---|---|---|---|---|
| GIF Gestor de Infraestructuras Ferroviarias | PROYECTO CONSTRUIDO : L.A.V. MADRID–ZARAGOZA–BARCELONA–FRONTERA FRANCESA<br>TRAMO : LLEIDA–MARTORELL<br>SUBTRAMO: III–A PLATAFORMA | EL DIRECTOR DEL PROYECTO CONSTRUIDO : JAIME GARCIA–GERMAN LOPEZ–BELMONTE<br>Fdo.: | EL AUTOR DEL PROYECTO CONSTRUIDO : ferrovial AGROMAN<br>Fdo.: | CONSULTOR (ASISTENCIA AL CONTROL DE OBRAS) : U.T.E. Intecsa europroject Ingeniería, s.l. | ESCALAS : INDICADAS<br>NUMÉRICA GRÁFICA : METROS | FECHA : JULIO 2003 | TITULO DEL PLANO : VIADUCTO DE VINAIXA<br>TABLERO<br>VANO 4. DEFINICION GEOMETRICA | Nº DE PLANO 2.9.13.5_03–09<br>HOJA 3 DE 9 |

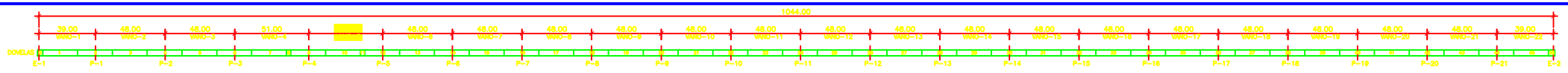


ESQUEMA DISTRIBUCION DOVELAS

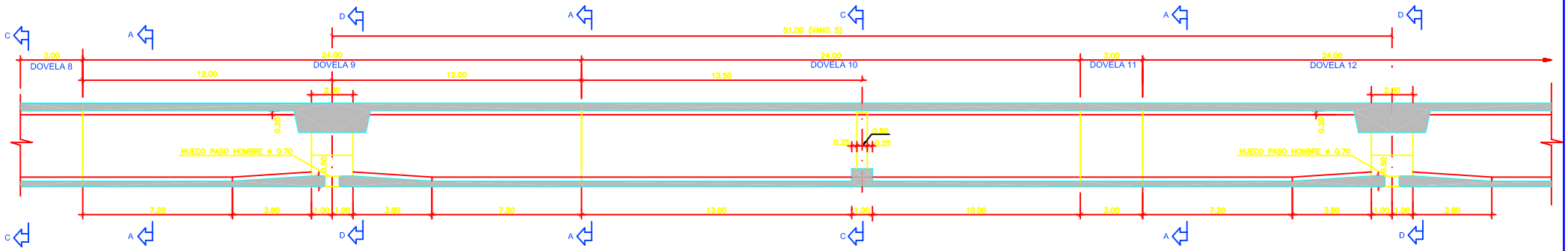


SECCION LONGITUDINAL
ESCALA 1:200

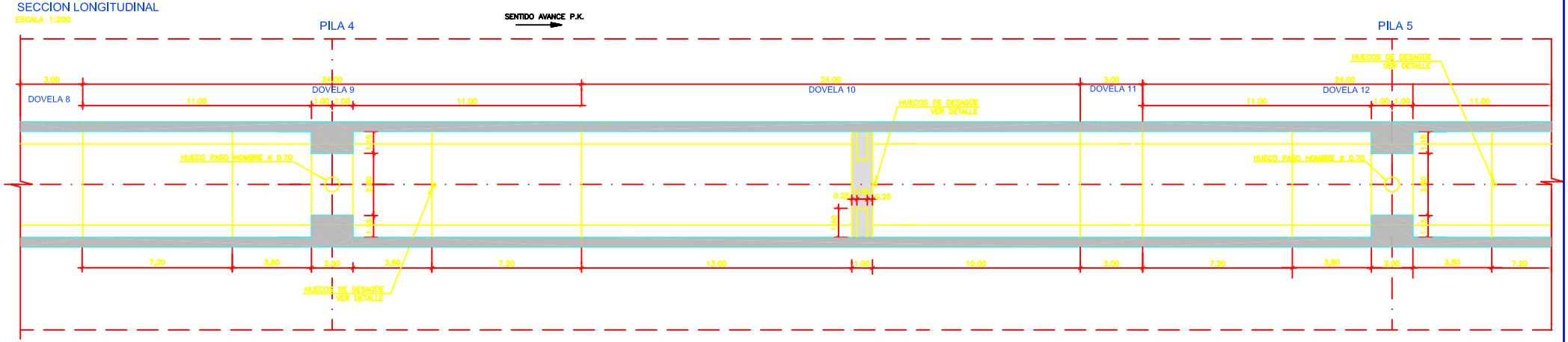


PLANTA
ESCALA 1:200

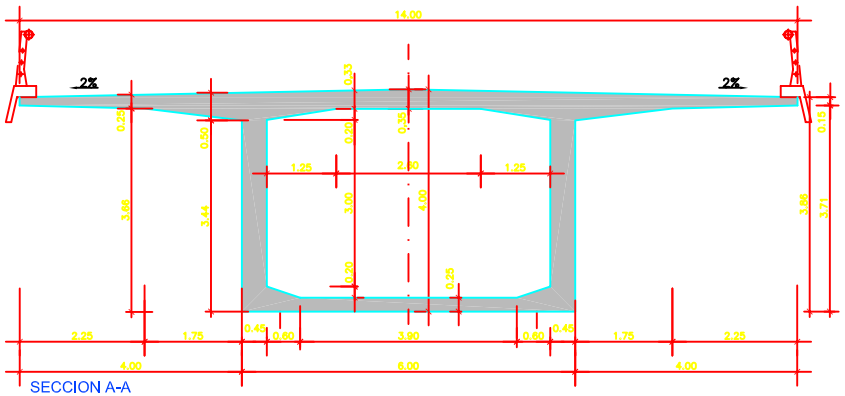


SECCION A-A
ESCALA 1:100

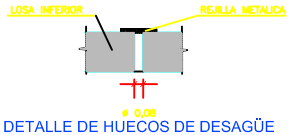


DETALLE DE HUECOS DE DESAGÜE
ESCALA 1:50

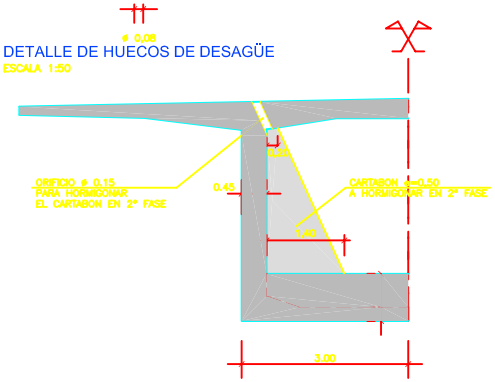


SECCION C-C
ESCALA 1:100

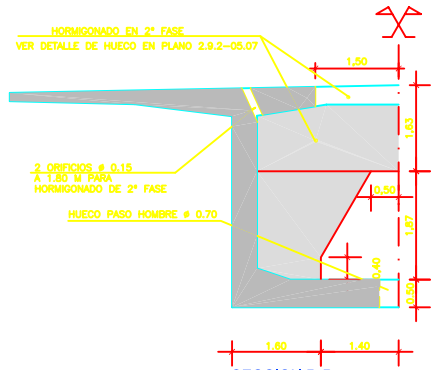


SECCION D-D
ESCALA 1:100

| | | | | | | | |
|---|---|---|---|---|---|---|---|
| GIF Gestor de Infraestructuras Ferroviarias | PROYECTO CONSTRUIDO : L.A.V. MADRID–ZARAGOZA–BARCELONA–FRONTERA FRANCESA<br>TRAMO : LLEIDA–MARTORELL<br>SUBTRAMO: III–A PLATAFORMA | EL DIRECTOR DEL PROYECTO CONSTRUIDO : JAIME GARCIA–GERMAN LOPEZ–BELMONTE | EL AUTOR DEL PROYECTO CONSTRUIDO : ferrovial AGROMAN | CONSULTOR (ASISTENCIA AL CONTROL DE OBRAS) : U.T.E. Intecsa Industrial S.A. europroject Ingeniería, s.l. | ESCALAS : INDICADAS<br>NUMÉRICA GRÁFICA : METROS | FECHA : JULIO 2003 | TITULO DEL PLANO : VIADUCTO DE VINAIXA<br>TABLERO<br>VANO 5. DEFINICION GEOMETRICA | Nº DE PLANO 2.9.13.5_04–09<br>HOJA 4 DE 9 |

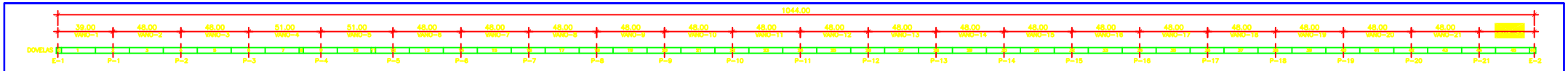


ESQUEMA DISTRIBUCION DOVELAS

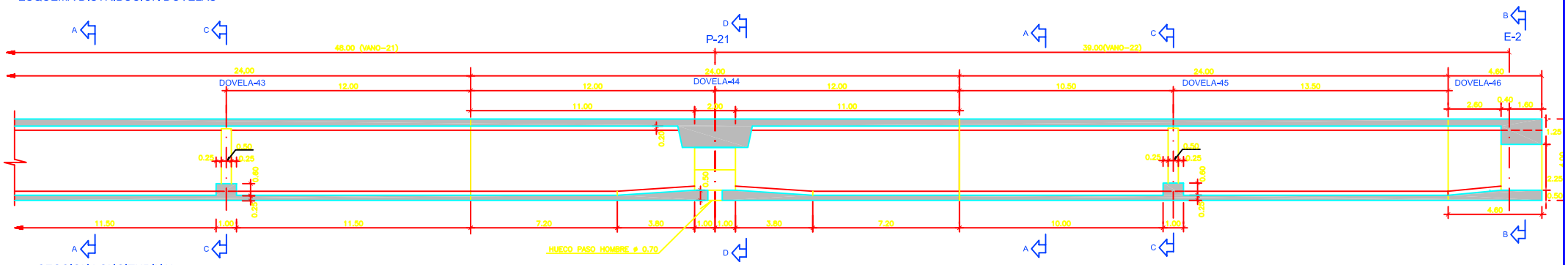


SECCION LONGITUDINAL
ESCALA 1:200

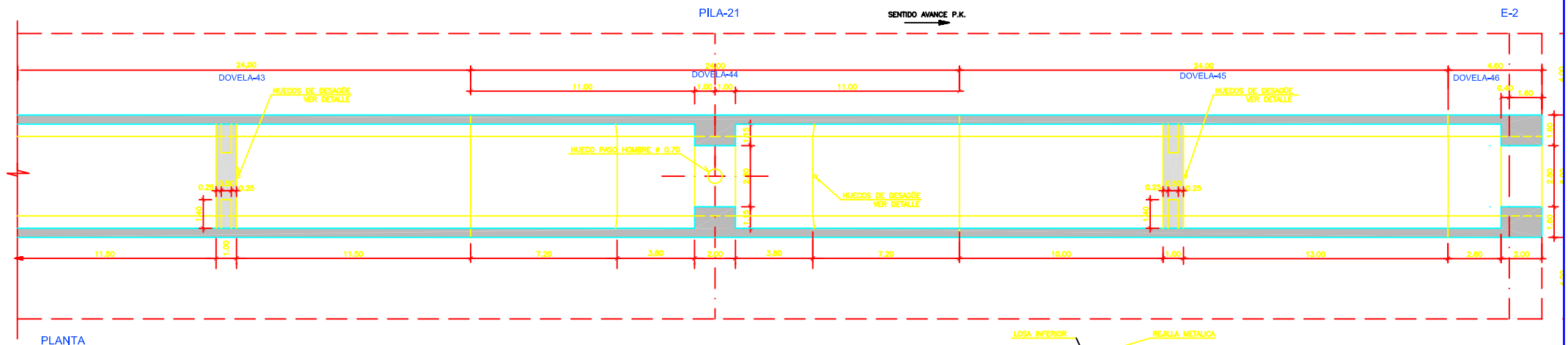


PLANTA
ESCALA 1:200

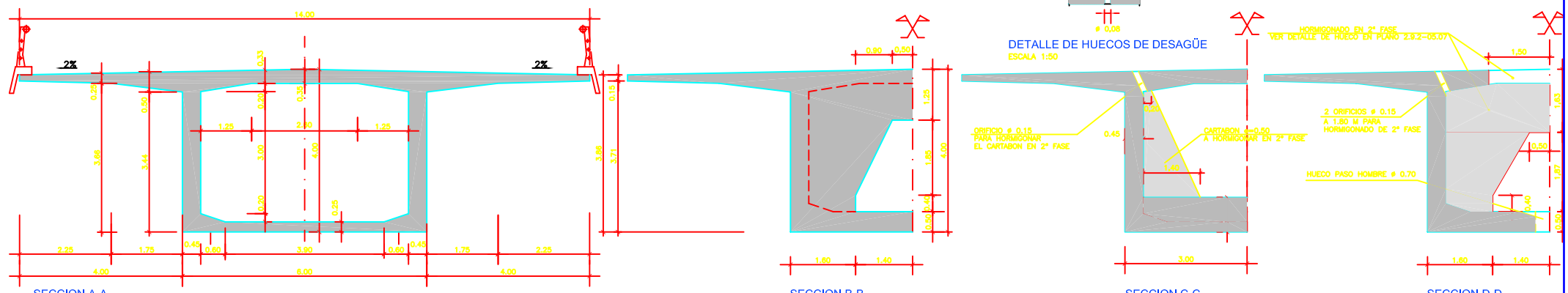


SECCION A-A
ESCALA 1:100

SECCION B-B
ESCALA 1:100

DETALLE DE HUECOS DE DESAGÜE
ESCALA 1:50

SECCION C-C
ESCALA 1:100

SECCION D-D
ESCALA 1:100

GIF Gestor de Infraestructuras Ferroviarias

PROYECTO CONSTRUIDO :
L.A.V. MADRID–ZARAGOZA–BARCELONA–FRONTERA FRANCESA
TRAMO : LLEIDA–MARTORELL
SUBTRAMO: III–A PLATAFORMA

EL DIRECTOR DEL PROYECTO CONSTRUIDO :
Fdo.: JAIME GARCIA–GERMAN LOPEZ–BELMONTE

EL AUTOR DEL PROYECTO CONSTRUIDO :
Fdo.: ferrovial AGROMAN

CONSULTOR (ASISTENCIA AL CONTROL DE OBRAS) :
U.T.E. Intecsa Inarsa S.A. europroiect ingeniería, s.l.

ESCALAS :
INDICADAS
NUMÉRICA GRÁFICA : METROS

FECHA :
JULIO 2003

TITULO DEL PLANO :
VIADUCTO DE VINAIXA
TABLERO
VANO 22. DEFINICION GEOMETRICA

Nº DE PLANO
2.9.13.5_05–09

HOJA 5 DE 9

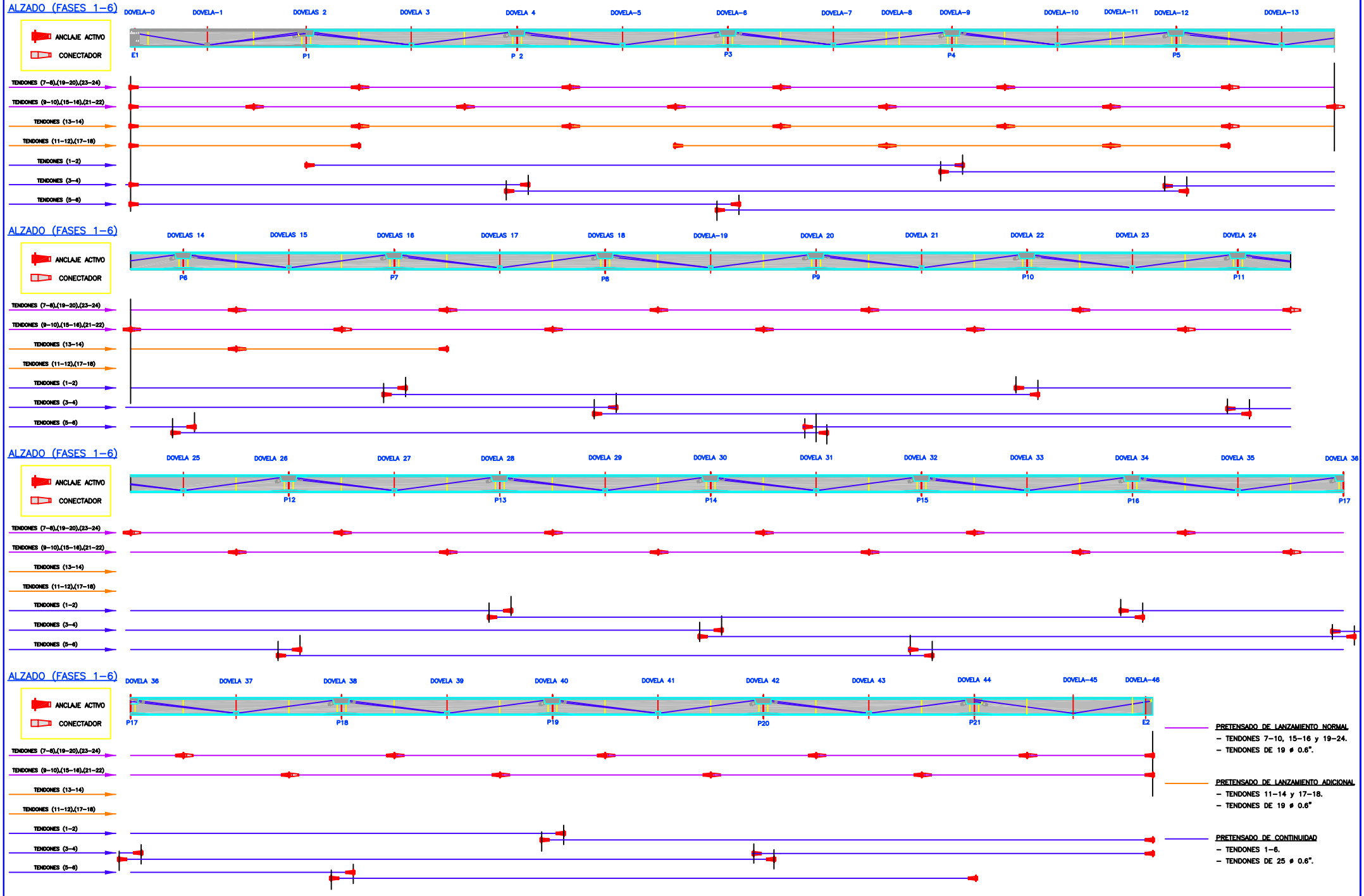


GIF Gestor de Infraestructuras Ferroviarias

PROYECTO CONSTRUIDO :
L.A.V. MADRID-ZARAGOZA-BARCELONA-FRONTERA FRANCESA
TRAMO : LLEIDA-MARTORELL
SUBTRAMO: III-A PLATAFORMA

EL DIRECTOR DEL PROYECTO CONSTRUIDO :
JAIME GARCIA-GERMAN LOPEZ-BELMONTE
Fdo.:

EL AUTOR DEL PROYECTO CONSTRUIDO :
ferrovial AGROMAN
Fdo.:

CONSULTOR (ASISTENCIA AL CONTROL DE OBRAS) :
U.T.E. Intecsa Industrial S.A. europroject Ingeniería, s.l.

ESCALAS :
SIN ESCALA
NUMÉRICA GRÁFICA : METROS

FECHA :
JULIO 2003

TITULO DEL PLANO :
VIADUCTO DE VINAIXA
TABLERO
PRETENSADO. ESQUEMA GENERAL

Nº DE PLANO
2.9.13.6_01-17

HOJA 1 DE 17

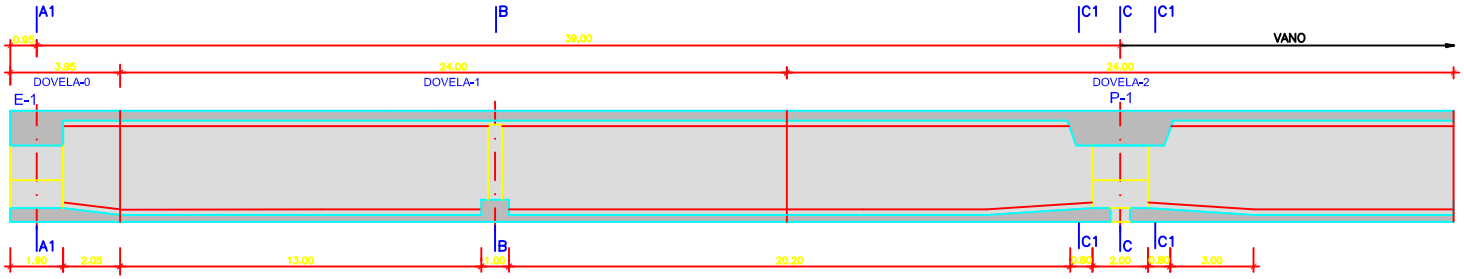


ALZADO ESQUEMATICO
ESCALA 1:200

NOTA:
EN LAS ZONAS DONDE LAS ARMADURAS TIPO Ⓗ y Ⓙ TROPIECEN CON LOS TENDONES DE PRETENSADO SE MODIFICARÁ SU FORMA DE ACUERDO AL SIGUIENTE ESQUEMA.

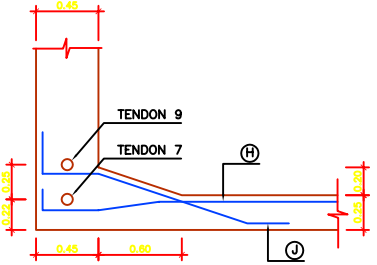


FORMA ARMADURAS TIPO Ⓗ y Ⓙ
ESCALA 1:40

| ARMADURAS TIPO | | | | | | | | | |
|---|---|---|---|---|---|---|---|---|---|
| Ⓐ | VER ARMADO DE ZONA SOBRE ESTRIBO-1 | | ø 20 a 20 | VER ARMADO DE ZONA DE DESVIADORES | ø 20 a 20 | | VER ARMADO DE ZONA SOBRE PILAS | | |
| Ⓑ | | | ø 12 a 20 | | ø 12 a 20 | | | | |
| Ⓒ | | | ø 20 a 20 | | ø 20 a 20 | | | | |
| Ⓓ | | ø16 a 20 | ø 12 a 20 | | ø 12 a 20 | ø 16 a 20 | | | |
| Ⓔ | | ø16 a 20 | ø 12 a 20 | | ø 12 a 20 | ø 16 a 20 | | | |
| Ⓕ | | | ø 12 a 20 | | ø 12 a 20 | | | | |
| Ⓖ | | | ø 20 a 20 | | ø 20 a 20 | ø 25 a 20 | | | |
| Ⓗ | | | ø 20 a 20 | | ø 20 a 20 | ø 25 a 20 | | | |
| Ⓘ | | | ø 20 a 20 | | ø 20 a 20 | | | | |
| Ⓙ | | | ø 12 a 20 | | ø 12 a 20 | | | | |

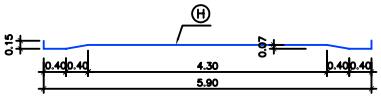


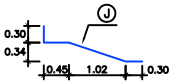


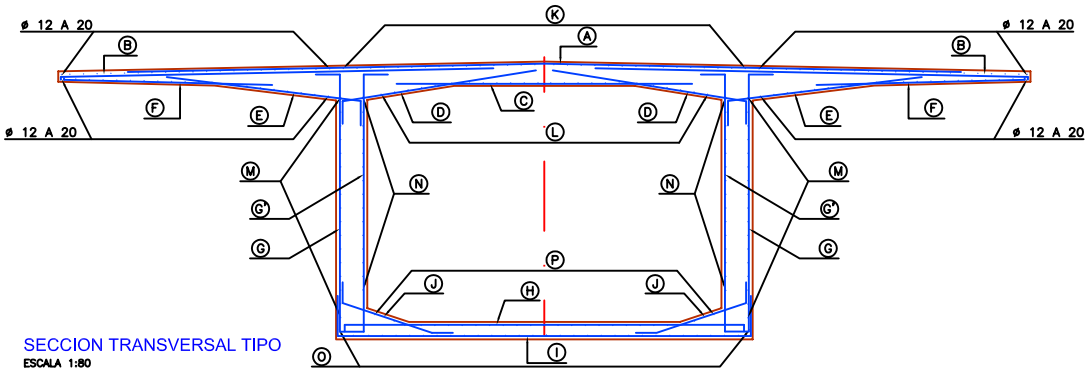


SECCION TRANSVERSAL TIPO
ESCALA 1:80

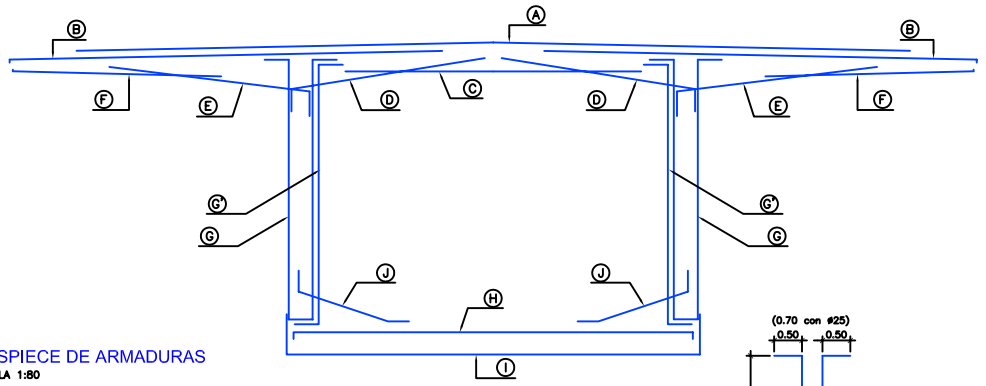


DESPIECE DE ARMADURAS
ESCALA 1:80

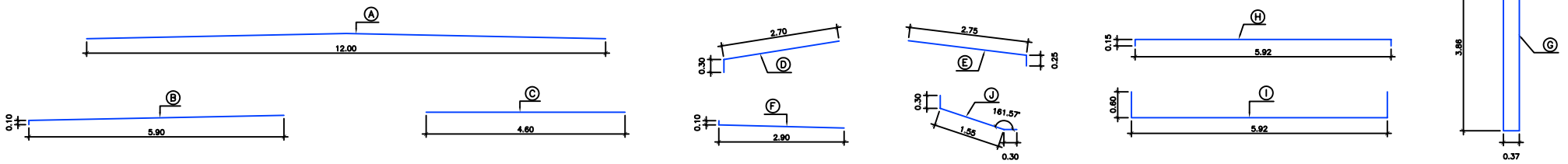


| | | | | | | | |
|---|---|---|---|---|---|---|---|
| GIF Gestor de Infraestructuras Ferroviarias | PROYECTO CONSTRUIDO : L.A.V. MADRID–ZARAGOZA–BARCELONA–FRONTERA FRANCESA<br>TRAMO : LLEIDA–MARTORELL<br>SUBTRAMO: III–A PLATAFORMA | EL DIRECTOR DEL PROYECTO CONSTRUIDO : JAIME GARCIA–GERMAN LOPEZ–BELMONTE | EL AUTOR DEL PROYECTO CONSTRUIDO : ferrovial AGROMAN | CONSULTOR (ASISTENCIA AL CONTROL DE OBRAS) : U.T.E. Intecsa europroject Ingeniería, s.l. | ESCALAS : INDICADAS<br>NUMÉRICA GRÁFICA : METROS | FECHA : JULIO 2003 | TITULO DEL PLANO : VIADUCTO DE VINAIXA<br>TABLERO<br>ARMADURAS TRANSVERSALES VANO 1 | Nº DE PLANO 2.9.13.7_01–13<br>HOJA 1 DE 13 |

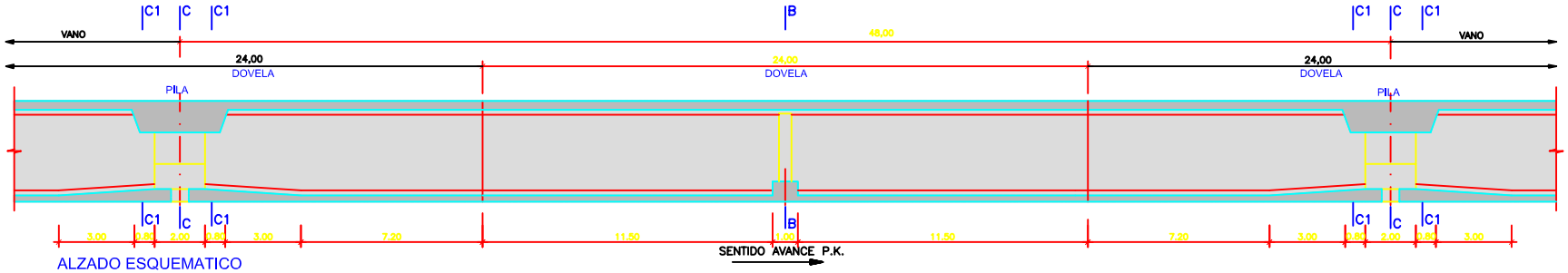


ALZADO ESQUEMATICO
ESCALA 1:200

| ARMADURAS TIPO | | | | | | | | | | | |
|---|---|---|---|---|---|---|---|---|---|---|---|
| A | | VER ARMADO DE ZONA SOBRE PILAS | ø 20 a 20 | | | ø 20 a 20 | | | VER ARMADO DE ZONA SOBRE PILAS | | |
| B | | | ø 12 a 20 | | | ø 12 a 20 | | | | | |
| C | | | ø 20 a 20 | | | ø 20 a 20 | | | | | |
| D | | | ø 20 a 20 | ø 16 a 20 | ø 12 a 20 | ø 12 a 20 | ø 16 a 20 | ø 20 a 20 | | | |
| E | | | ø 20 a 20 | ø 16 a 20 | ø 12 a 20 | ø 12 a 20 | ø 16 a 20 | ø 20 a 20 | | | |
| F | | | ø 12 a 20 | | | ø 12 a 20 | | | | | |
| G | | | ø 25 a 20 | ø 20 a 20 | | ø 20 a 20 | | ø 25 a 20 | | | |
| H | | | ø 25 a 20 | ø 20 a 20 | | ø 20 a 20 | | ø 25 a 20 | | | |
| I | | | ø 20 a 20 | | | ø 20 a 20 | | | | | |
| J | | | ø 12 a 20 | | | ø 12 a 20 | | | | | |

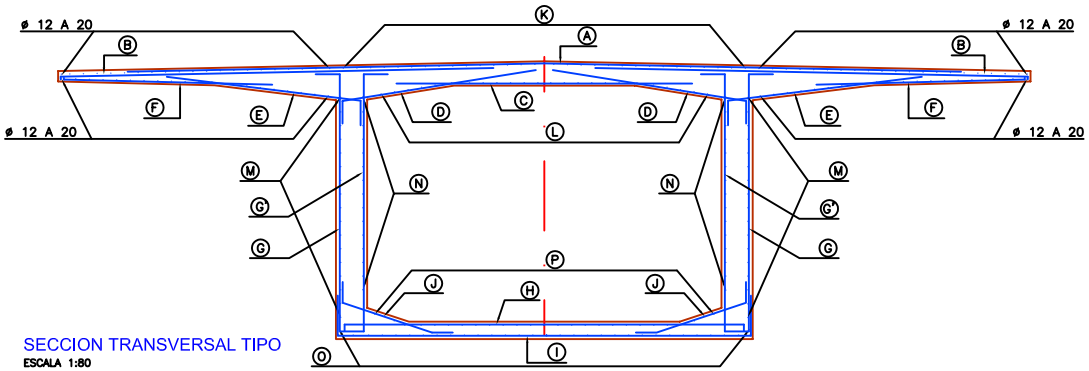


SECCION TRANSVERSAL TIPO
ESCALA 1:80

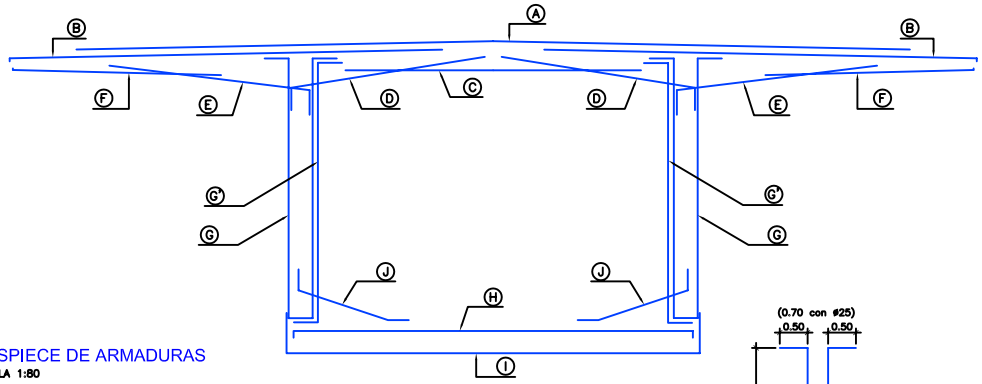

DESPIECE DE ARMADURAS
ESCALA 1:80

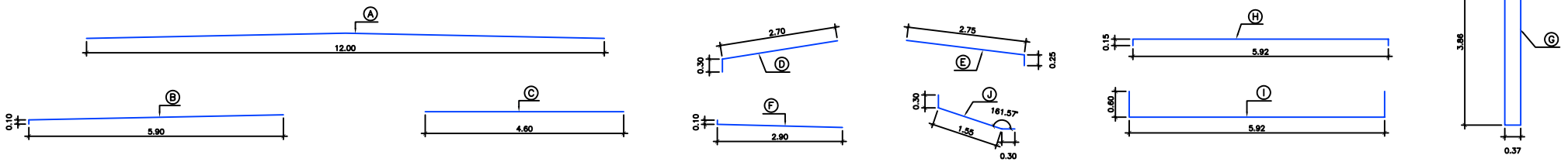


NOTA: EN LAS ZONAS DONDE LAS ARMADURAS TIPO (H) y (J) TROPIECEN CON LOS TENDONES DE PRETENSADO, SE MODIFICARA SU FORMA DE ACUERDO AL ESQUEMA QUE FIGURA EN EL PLANO 2.9.13-07.01

| | | | | | | | |
|---|---|---|---|---|---|---|---|
| GIF Gestor de Infraestructuras Ferroviarias | PROYECTO CONSTRUIDO : L.A.V. MADRID–ZARAGOZA–BARCELONA–FRONTERA FRANCESA<br>TRAMO : LLEIDA–MARTORELL<br>SUBTRAMO: III–A PLATAFORMA | EL DIRECTOR DEL PROYECTO CONSTRUIDO : JAIME GARCIA–GERMAN LOPEZ–BELMONTE | EL AUTOR DEL PROYECTO CONSTRUIDO : ferrovial AGROMAN | CONSULTOR (ASISTENCIA AL CONTROL DE OBRAS) : U.T.E. Intecsa europroject Ingeniería, s.l. | ESCALAS : INDICADAS<br>NUMÉRICA GRÁFICA : METROS | FECHA : JULIO 2003 | TITULO DEL PLANO : VIADUCTO DE VINAIXA<br>TABLERO<br>ARMADURA TRANSVERSAL VANOS 2, 3 Y 6 A 21 | Nº DE PLANO 2.9.13.7_02–13<br>HOJA 2 DE 13 |

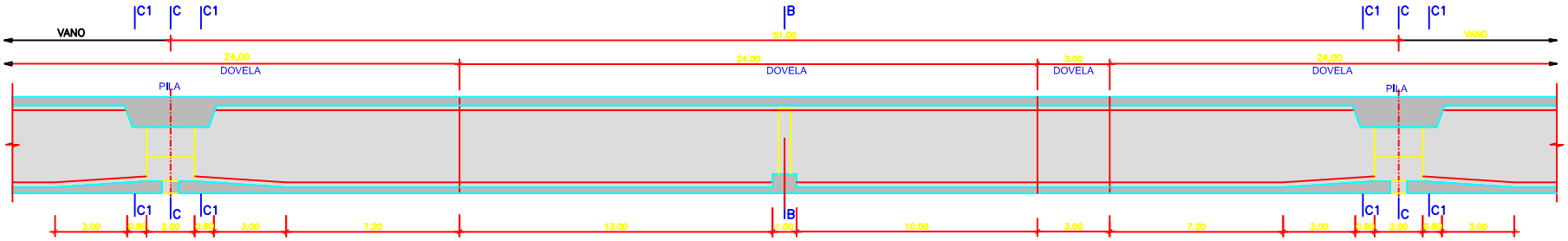


ALZADO ESQUEMATICO
ESCALA 1:200

| ARMADURAS TIPO | | | | | | | | | | | | |
|---|---|---|---|---|---|---|---|---|---|---|---|---|
| A | | VER ARMADO DE ZONA SOBRE PILAS | | | ø 20 a 20 | VER ARMADO DE ZONA DE DESVIADORES | ø 20 a 20 | | | VER ARMADO DE ZONA SOBRE PILAS | | |
| B | | | | | ø 12 a 20 | | ø 12 a 20 | | | | | |
| C | | | | | ø 20 a 20 | | ø 20 a 20 | | | | | |
| D | | | ø 20 a 20 | ø 16 a 20 | ø 12 a 20 | | ø 12 a 20 | ø 16 a 20 | ø 20 a 20 | | | |
| E | | | ø 20 a 20 | ø 16 a 20 | ø 12 a 20 | | ø 12 a 20 | ø 16 a 20 | ø 20 a 20 | | | |
| F | | | | | ø 12 a 20 | | ø 12 a 20 | | | | | |
| G | | | ø 25 a 20 | | ø 20 a 20 | | ø 20 a 20 | | ø 25 a 20 | | | |
| H | | | ø 25 a 20 | | ø 20 a 20 | | ø 20 a 20 | | ø 25 a 20 | | | |
| I | | | | | ø 20 a 20 | | ø 20 a 20 | | | | | |
| J | | | ø 20 a 20 | ø 16 a 20 | ø 12 a 20 | | ø 12 a 20 | ø 16 a 20 | ø 20 a 20 | | | |

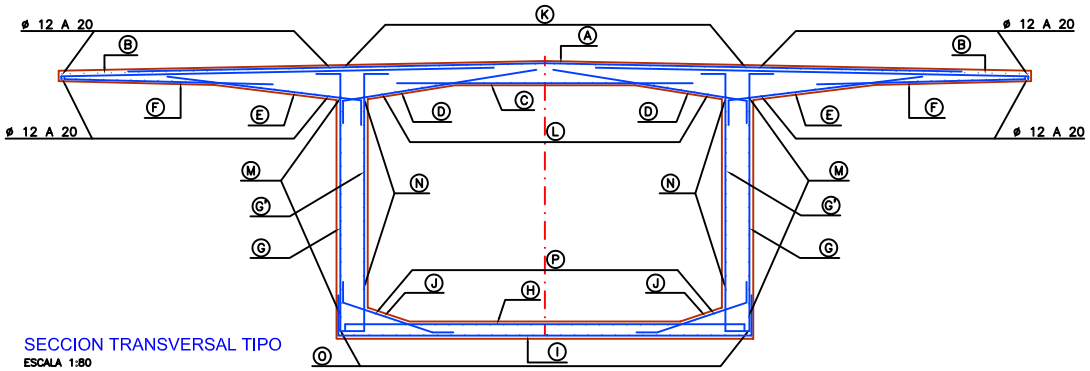


SECCION TRANSVERSAL TIPO
ESCALA 1:80

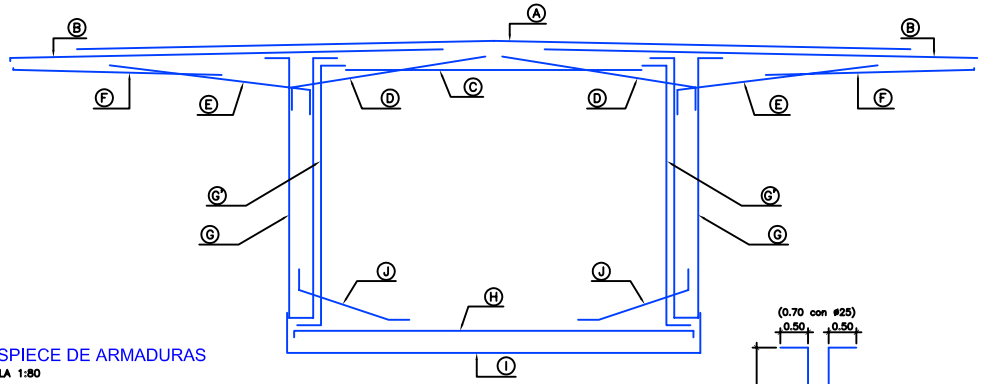


DESPIECE DE ARMADURAS
ESCALA 1:80

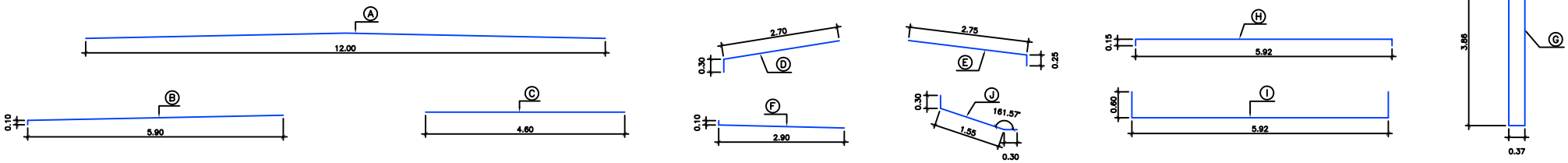


NOTA: EN LAS ZONAS DONDE LAS ARMADURAS TIPO (H) y (J) TROPIECEN CON LOS TENDONES DE PRETENSADO, SE MODIFICARA SU FORMA DE ACUERDO AL ESQUEMA QUE FIGURA EN EL PLANO 2.9.13-07.01

| | | | | | | | |
|---|---|---|---|---|---|---|---|
| GIF Gestor de Infraestructuras Ferroviarias | PROYECTO CONSTRUIDO : L.A.V. MADRID–ZARAGOZA–BARCELONA–FRONTERA FRANCESA<br>TRAMO : LLEIDA–MARTORELL<br>SUBTRAMO: III–A PLATAFORMA | EL DIRECTOR DEL PROYECTO CONSTRUIDO : Fdo.: JAIME GARCIA–GERMAN LOPEZ–BELMONTE | EL AUTOR DEL PROYECTO CONSTRUIDO : Fdo.: ferrovial AGROMAN | CONSULTOR (ASISTENCIA AL CONTROL DE OBRAS) : U.T.E. Intecsa / europroject Ingeniería, s.l. | ESCALAS : INDICADAS<br>NUMÉRICA GRÁFICA : METROS | FECHA : JULIO 2003 | TITULO DEL PLANO : VIADUCTO DE VINAIXA<br>TABLERO<br>ARMADURAS TRANSVERSALES VANOS 4 Y 5 | Nº DE PLANO 2.9.13.7_03–13<br>HOJA 3 DE 13 |

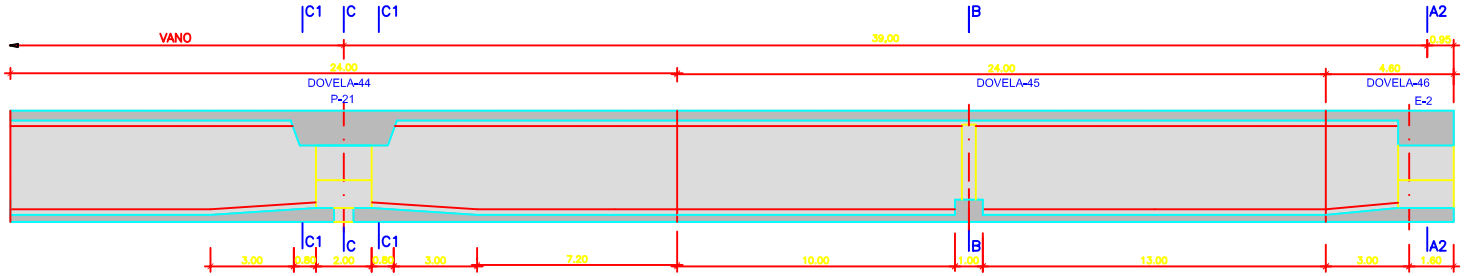


ALZADO ESQUEMATICO
ESCALA 1:200

| ARMADURAS TIPO | VER ARMADO DE ZONA SOBRE PILAS | | | VER ARMADO DE ZONA DE DESVIADORES | | | VER ARMADO DE ZONA SOBRE ESTRIBO-2 | ARMADURAS TIPO |
|---|---|---|---|---|---|---|---|---|
| A | | | ø 20 a 20 | | ø 20 a 20 | | | A |
| B | | | ø 12 a 20 | | ø 12 a 20 | | | B |
| C | | | ø 20 a 20 | | ø 20 a 20 | | | C |
| D | | ø 16 a 20 | ø 12 a 20 | | ø 12 a 20 | ø16 a 20 | | D |
| E | | ø 16 a 20 | ø 12 a 20 | | ø 12 a 20 | ø16 a 20 | | E |
| F | | | ø 12 a 20 | | ø 12 a 20 | | | F |
| G | | ø 25 a 20 | ø 20 a 20 | | ø 20 a 20 | | | G |
| H | | ø 25 a 20 | ø 20 a 20 | | ø 20 a 20 | | | H |
| I | | | ø 20 a 20 | | ø 20 a 20 | | | I |
| J | | | ø 12 a 20 | | ø 12 a 20 | | | J |

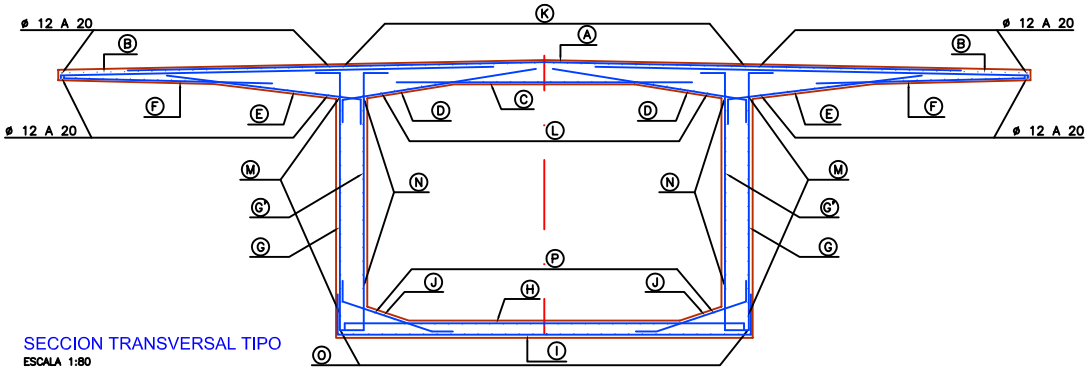


SECCION TRANSVERSAL TIPO
ESCALA 1:80

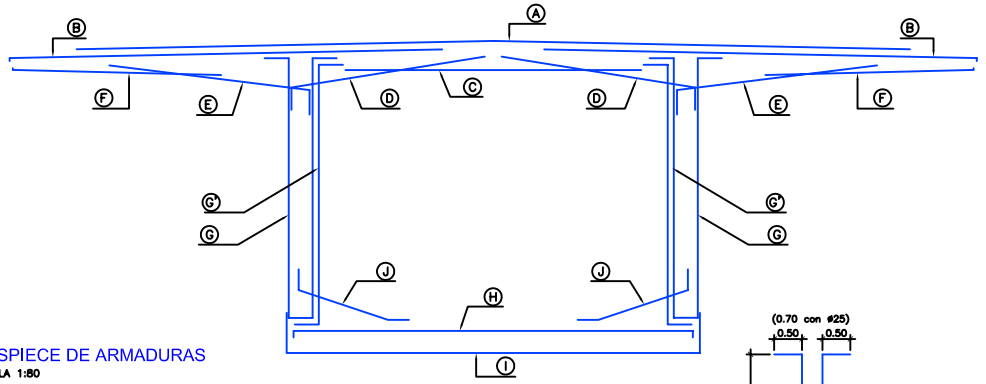

DESPIECE DE ARMADURAS
ESCALA 1:80

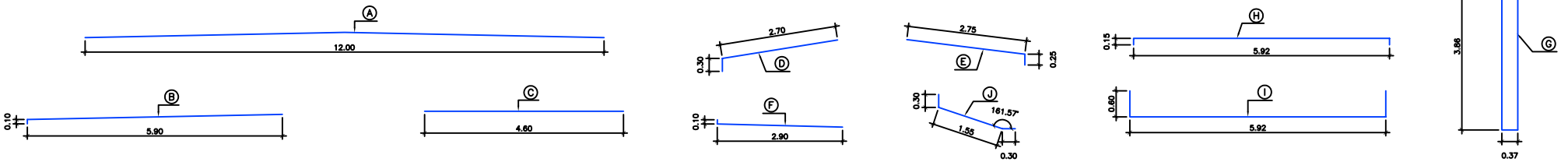


NOTA: EN LAS ZONAS DONDE LAS ARMADURAS TIPO (H) y (J) TROPIECEN CON LOS TENDONES DE PRETENSADO, SE MODIFICARA SU FORMA DE ACUERDO AL ESQUEMA QUE FIGURA EN EL PLANO 2.9.13-07.01

| | | | | | | | |
|---|---|---|---|---|---|---|---|
| GIF Gestor de Infraestructuras Ferroviarias | PROYECTO CONSTRUIDO : L.A.V. MADRID-ZARAGOZA-BARCELONA-FRONTERA FRANCESA<br>TRAMO : LLEIDA-MARTORELL<br>SUBTRAMO: III-A PLATAFORMA | EL DIRECTOR DEL PROYECTO CONSTRUIDO : JAIME GARCIA-GERMAN LOPEZ-BELMONTE | EL AUTOR DEL PROYECTO CONSTRUIDO : ferrovial AGROMAN | CONSULTOR (ASISTENCIA AL CONTROL DE OBRAS) : U.T.E. Intecsa Industrial S.A. europroject Ingeniería, s.l. | ESCALAS : INDICADAS<br>NUMÉRICA GRÁFICA : METROS | FECHA : JULIO 2003 | TITULO DEL PLANO : VIADUCTO DE VINAIXA<br>TABLERO<br>ARMADURAS TRANSVERSALES VANO 22 | Nº DE PLANO 2.9.13.7_04-13<br>HOJA 4 DE 13 |

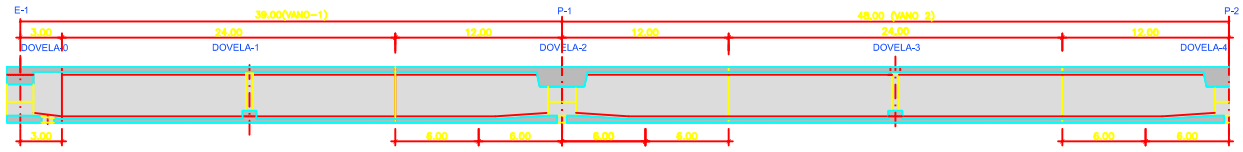


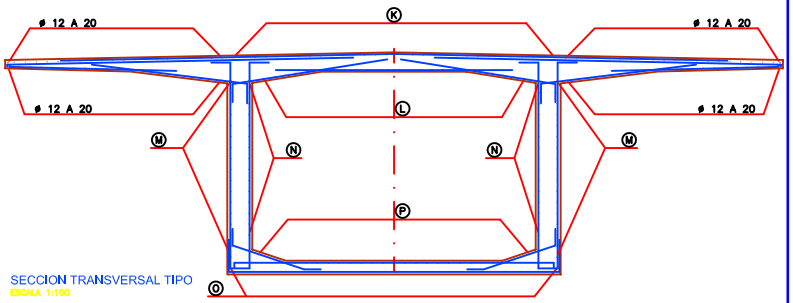


SECCION TRANSVERSAL TIPO
ESCALA 1:100

| FAMILIA | | | | | | | | | | | | | |
|---|---|---|---|---|---|---|---|---|---|---|---|---|---|
| K y L | ARMADO ZONA SOBRE PILAS | ø12a20 | ø 12 a 20 | | ø12a20 | ø16a20 | VER ARMADO DE ZONA SOBRE PILAS | ø16a20 | ø12a20 | ø 12 a 20 | | ø12a20 | ø16a20 | ARMADO ZONA SOBRE PILAS |
| M y N | | | ø 12 a 20 | | | | | | | ø 12 a 20 | | | | |
| O y P | | ø16a20 | ø 20 a 20 | | ø16a20 | ø12a20 | | ø12a20 | ø16a20 | ø 20 a 20 | | ø16a20 | ø12a20 | |

NOTA: LAS BARRAS DEL TIPO (K) Y (L) SITUADAS SOBRE PILA SERAN DE 12.00 m. Y ESTARAN CENTRADAS CON EL EJE DE PILA . EL SOLAPE NECESARIO SERA EFECTUADO CON LAS BARRAS ADYACENTES.

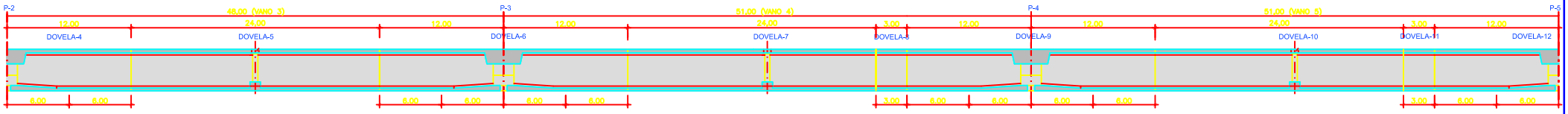


| FAMILIA | | | | | | | | | | | | | | | | |
|---|---|---|---|---|---|---|---|---|---|---|---|---|---|---|---|---|
| K y L | ø16a20 | ø12a20 | ø 12 a 20 | | ø12a20 | ø16a20 | VER ARMADO DE ZONA SOBRE PILAS | ø16a20 | ø12a20 | ø 12 a 20 | | ø12a20 | ø16a20 | VER ARMADO DE ZONA SOBRE PILAS | ø16a20 | ø12a20 | ø 12 a 20 | | ø12a20 | ø16a20 | ARMADO ZONA SOBRE PILAS |
| M y N | | | ø 12 a 20 | | | | | | | ø 12 a 20 | | | | | | | ø 12 a 20 | | | |
| O y P | ø12a20 | ø16a20 | ø 20 a 20 | | ø16a20 | ø12a20 | | ø12a20 | ø16a20 | ø 20 a 20 | | ø16a20 | ø12a20 | | ø12a20 | ø16a20 | ø 20 a 20 | | ø16a20 | ø12a20 | |

NOTA: LAS BARRAS DEL TIPO (K) Y (L) SITUADAS SOBRE PILA SERAN DE 12.00 m. Y ESTARAN CENTRADAS CON EL EJE DE PILA . EL SOLAPE NECESARIO SERA EFECTUADO CON LAS BARRAS ADYACENTES.

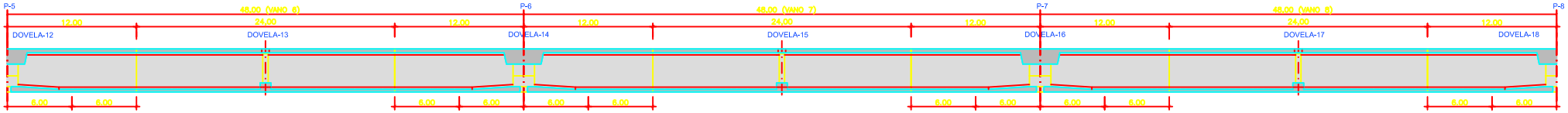


| FAMILIA | | | | | | | | | | | | | | | | | | | | | |
|---|---|---|---|---|---|---|---|---|---|---|---|---|---|---|---|---|---|---|---|---|---|
| K y L | ARMADO ZONA SOBRE PILAS | ø16a20 | ø 12 a 20 | | ø 12 a 20 | ø 12 a 20 | ø 16 a 20 | VER ARMADO DE ZONA SOBRE PILAS | ø 16 a 20 | ø 12 a 20 | | ø 12 a 20 | ø 20 a 20 | VER ARMADO DE ZONA SOBRE PILAS | ø 20 a 20 | ø 12 a 20 | | ø 12 a 20 | ø12a20 | ø20a20 | ARMADO ZONA SOBRE PILAS |
| M y N | | | ø 12 a 20 | | | | | | | ø 12 a 20 | | | | | | | ø 12 a 20 | | | |
| O y P | | ø12a20 | ø 16 a 20 | | ø 20 a 20 | ø 16 a 20 | ø 12 a 20 | | ø 12 a 20 | ø 16 a 20 | | ø 20 a 20 | ø 16 a 20 | ø 12 a 20 | | ø 12 a 20 | ø 20 a 20 | | ø20a20 | ø12a20 | |

NOTA: LAS BARRAS DEL TIPO (K) Y (L) SITUADAS SOBRE PILA SERAN DE 12.00 m. Y ESTARAN CENTRADAS CON EL EJE DE PILA . EL SOLAPE NECESARIO SERA EFECTUADO CON LAS BARRAS ADYACENTES.

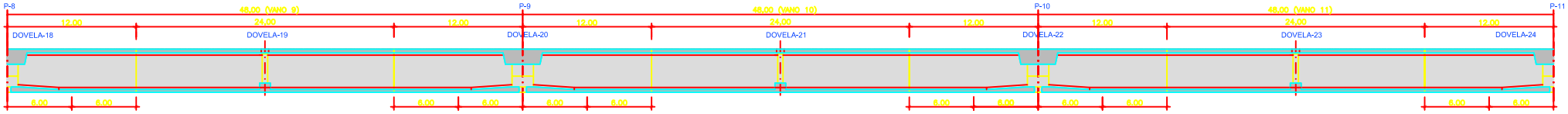


| FAMILIA | | | | | | | | | | | | | | | | | | | | | |
|---|---|---|---|---|---|---|---|---|---|---|---|---|---|---|---|---|---|---|---|---|---|
| K y L | ARMADO ZONA SOBRE PILAS | ø20a20 | ø12a20 | ø 12 a 20 | | ø12a20 | ø20a20 | VER ARMADO DE ZONA SOBRE PILAS | ø20a20 | ø12a20 | ø 12 a 20 | | ø12a20 | ø16a20 | VER ARMADO DE ZONA SOBRE PILAS | ø16a20 | ø12a20 | ø 12 a 20 | | ø12a20 | ø16a20 | ARMADO ZONA SOBRE PILAS |
| M y N | | | | ø 12 a 20 | | | | | | | ø 12 a 20 | | | | | | | ø 12 a 20 | | | |
| O y P | | ø12a20 | ø20a20 | ø 20 a 20 | | ø20a20 | ø12a20 | | ø12a20 | ø20a20 | ø 20 a 20 | | ø20a20 | ø12a20 | | ø12a20 | ø20a20 | ø 20 a 20 | | ø20a20 | ø12a20 | |

NOTA: LAS BARRAS DEL TIPO (K) Y (L) SITUADAS SOBRE PILA SERAN DE 12.00 m. Y ESTARAN CENTRADAS CON EL EJE DE PILA . EL SOLAPE NECESARIO SERA EFECTUADO CON LAS BARRAS ADYACENTES.

SECCION LONGITUDINAL
ESCALA 1:400

GIF Gestor de Infraestructuras Ferroviarias

PROYECTO CONSTRUIDO :
L.A.V. MADRID–ZARAGOZA–BARCELONA–FRONTERA FRANCESA
TRAMO : LLEIDA–MARTORELL
SUBTRAMO: III–A PLATAFORMA

EL DIRECTOR DEL PROYECTO CONSTRUIDO :
Fdo.: JAIME GARCIA–GERMAN LOPEZ–BELMONTE

EL AUTOR DEL PROYECTO CONSTRUIDO :
Fdo.: ferrovial AGROMAN

CONSULTOR (ASISTENCIA AL CONTROL DE OBRAS) :
U.T.E. Intecsa Inarsa S.A. europroject ingenieria, s.l.

ESCALAS :
INDICADAS
NUMÉRICA GRÁFICA : METROS

FECHA :
JULIO 2003

TITULO DEL PLANO :
VIADUCTO DE VINAIXA
TABLERO
ARMADURAS LONGITUDINALES. VANOS 1 – 11

Nº DE PLANO
2.9.13.7_05–13

HOJA 5 DE 13

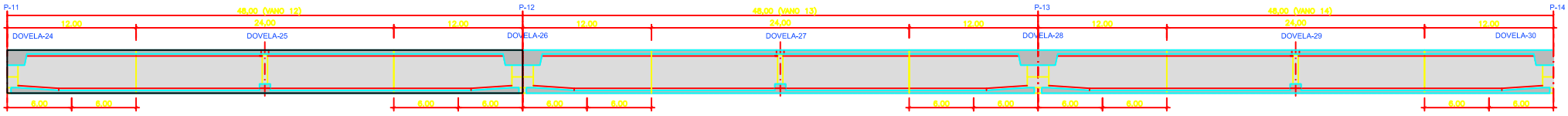


| FAMILIA | | | | | | | | | | | | | | | | | |
|---|---|---|---|---|---|---|---|---|---|---|---|---|---|---|---|---|---|
| K y L | ARMADO ZONA SOBRE PILAS | ø16a20 | ø12a20 | ø 12 a 20 | ø12a20 | ø16a20 | VER ARMADO DE ZONA SOBRE PILAS | ø16a20 | ø12a20 | ø 12 a 20 | ø12a20 | ø16a20 | VER ARMADO DE ZONA SOBRE PILAS | ø16a20 | ø12a20 | ø 12 a 20 | ø12a20 | ø12a20 | ARMADO ZONA SOBRE PILAS |
| M y N | | | | ø 12 a 20 | | | | | | ø 12 a 20 | | | | | | ø 12 a 20 | | | |
| O y P | | ø12a20 | ø20a20 | ø 20 a 20 | ø20a20 | ø12a20 | | ø12a20 | ø20a20 | ø 20 a 20 | ø20a20 | ø12a20 | | ø12a20 | ø16a20 | ø 16 a 20 | ø16a20 | ø12a20 | |

**NOTA:** LAS BARRAS DEL TIPO (K) Y (L) SITUADAS SOBRE PILA SERAN DE 12.00 m. Y ESTARAN CENTRADAS CON EL EJE DE PILA . EL SOLAPE NECESARIO SERA EFECTUADO CON LAS BARRAS ADYACENTES.

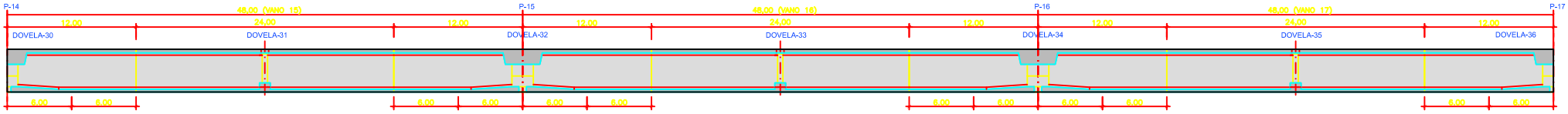


| FAMILIA | | | | | | | | | | | | | | | | | |
|---|---|---|---|---|---|---|---|---|---|---|---|---|---|---|---|---|---|
| K y L | ARMADO ZONA SOBRE PILAS | ø12a20 | ø12a20 | ø 12 a 20 | ø12a20 | ø12a20 | VER ARMADO DE ZONA SOBRE PILAS | ø12a20 | ø12a20 | ø 12 a 20 | ø12a20 | ø12a20 | VER ARMADO DE ZONA SOBRE PILAS | ø12a20 | ø12a20 | ø 12 a 20 | ø12a20 | ø12a20 | ARMADO ZONA SOBRE PILAS |
| M y N | | | | ø 12 a 20 | | | | | | ø 12 a 20 | | | | | | ø 12 a 20 | | | |
| O y P | | ø12a20 | ø16a20 | ø 16 a 20 | ø16a20 | ø12a20 | | ø12a20 | ø16a20 | ø 16 a 20 | ø16a20 | ø12a20 | | ø12a20 | ø16a20 | ø 16 a 20 | ø16a20 | ø12a20 | |

**NOTA:** LAS BARRAS DEL TIPO (K) Y (L) SITUADAS SOBRE PILA SERAN DE 12.00 m. Y ESTARAN CENTRADAS CON EL EJE DE PILA . EL SOLAPE NECESARIO SERA EFECTUADO CON LAS BARRAS ADYACENTES.

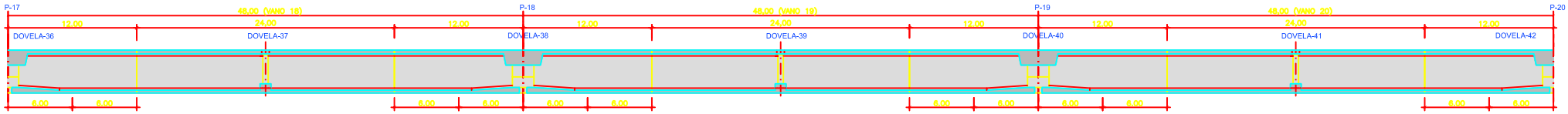


| FAMILIA | | | | | | | | | | | | | | | | | |
|---|---|---|---|---|---|---|---|---|---|---|---|---|---|---|---|---|---|
| K y L | ARMADO ZONA SOBRE PILAS | ø12a20 | ø12a20 | ø 12 a 20 | ø12a20 | ø12a20 | VER ARMADO DE ZONA SOBRE PILAS | ø12a20 | ø12a20 | ø 12 a 20 | ø12a20 | ø12a20 | VER ARMADO DE ZONA SOBRE PILAS | ø12a20 | ø12a20 | ø 12 a 20 | ø12a20 | ø12a20 | ARMADO ZONA SOBRE PILAS |
| M y N | | | | ø 12 a 20 | | | | | | ø 12 a 20 | | | | | | ø 12 a 20 | | | |
| O y P | | ø12a20 | ø12a20 | ø 16 a 20 | ø12a20 | ø12a20 | | ø12a20 | ø12a20 | ø 16 a 20 | ø12a20 | ø12a20 | | ø12a20 | ø12a20 | ø 16 a 20 | ø12a20 | ø12a20 | |

**NOTA:** LAS BARRAS DEL TIPO (K) Y (L) SITUADAS SOBRE PILA SERAN DE 12.00 m. Y ESTARAN CENTRADAS CON EL EJE DE PILA . EL SOLAPE NECESARIO SERA EFECTUADO CON LAS BARRAS ADYACENTES.

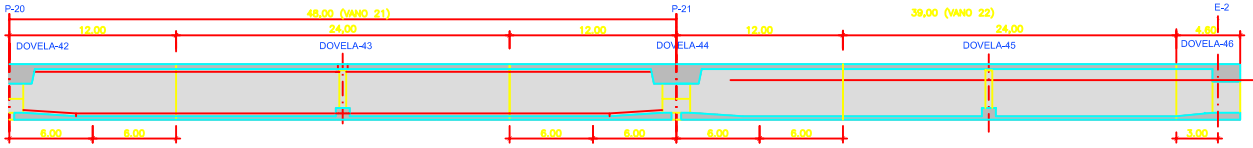


| FAMILIA | | | | | | | | | | | |
|---|---|---|---|---|---|---|---|---|---|---|---|
| K y L | ARMADO ZONA SOBRE PILAS | ø12a20 | ø12a20 | ø 12 a 20 | ø12a20 | ø12a20 | VER ARMADO DE ZONA SOBRE PILAS | ø12a20 | ø12a20 | ø 12 a 20 | ø12a20 | ARMADO ZONA SOBRE ESTRIBO |
| M y N | | | | ø 12 a 20 | | | | | | ø 12 a 20 | | |
| O y P | | ø12a20 | ø12a20 | ø 16 a 20 | ø12a20 | ø12a20 | | ø12a20 | ø12a20 | ø 16 a 20 | ø12a20 | |

**NOTA:** LAS BARRAS DEL TIPO (K) Y (L) SITUADAS SOBRE PILA SERAN DE 12.00 m. Y ESTARAN CENTRADAS CON EL EJE DE PILA . EL SOLAPE NECESARIO SERA EFECTUADO CON LAS BARRAS ADYACENTES.

SECCION LONGITUDINAL
ESCALA 1:400

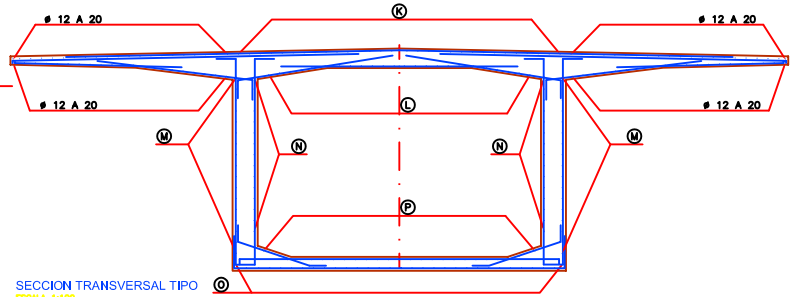


SECCION TRANSVERSAL TIPO
ESCALA 1:100

| | | | | | | |
|---|---|---|---|---|---|---|
| GIF Gestor de Infraestructuras Ferroviarias | PROYECTO CONSTRUIDO : L.A.V. MADRID–ZARAGOZA–BARCELONA–FRONTERA FRANCESA<br>TRAMO : LLEIDA–MARTORELL<br>SUBTRAMO: III–A PLATAFORMA | EL DIRECTOR DEL PROYECTO CONSTRUIDO : JAIME GARCIA–GERMAN LOPEZ–BELMONTE<br>Fdo.: | EL AUTOR DEL PROYECTO CONSTRUIDO : ferrovial AGROMAN<br>Fdo.: | CONSULTOR (ASISTENCIA AL CONTROL DE OBRAS) : U.T.E. Intecsa Industrial S.A. europroject Ingeniería, s.l. | ESCALAS : INDICADAS<br>NUMÉRICA GRÁFICA : METROS | FECHA : JULIO 2003 | TITULO DEL PLANO : VIADUCTO DE VINAIXA<br>TABLERO<br>ARMADURAS LONGITUDINALES. VANOS 12 – 22 | Nº DE PLANO 2.9.13.7_06–13<br>HOJA 6 DE 13 |

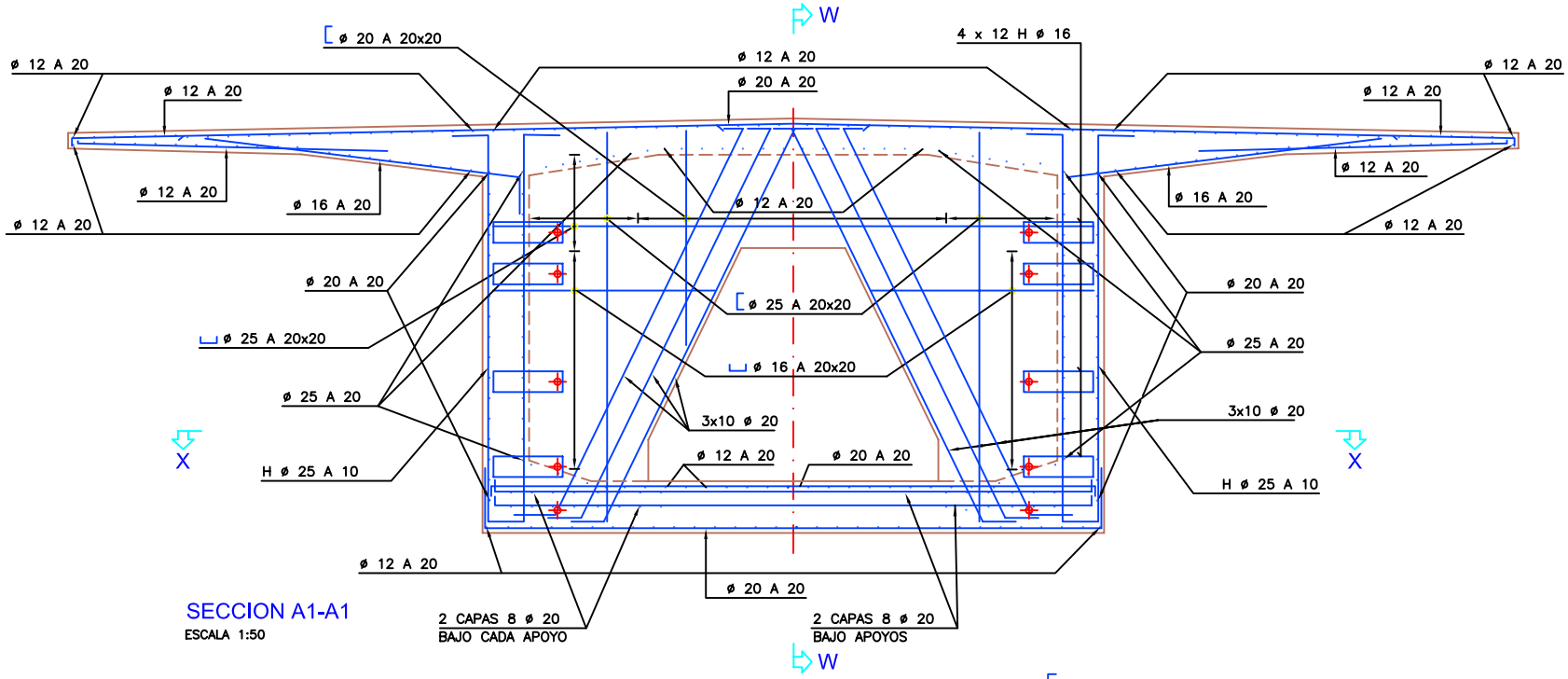


SECCION A1-A1
ESCALA 1:50

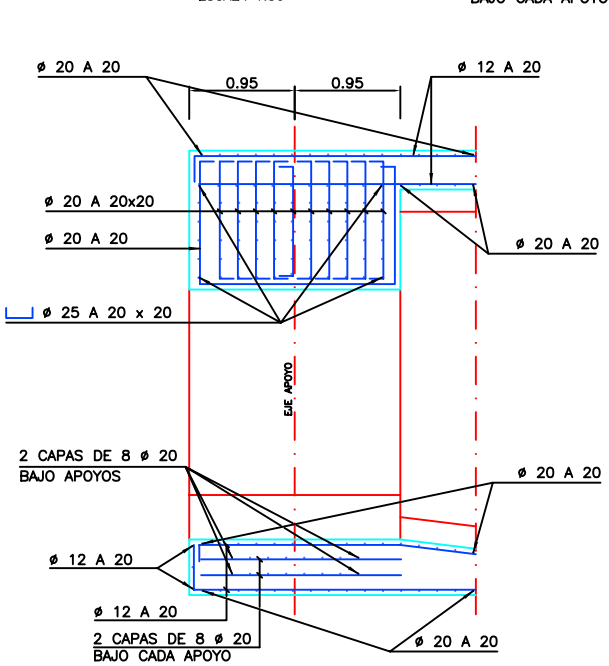


SECCION W-W
ESCALA 1:50

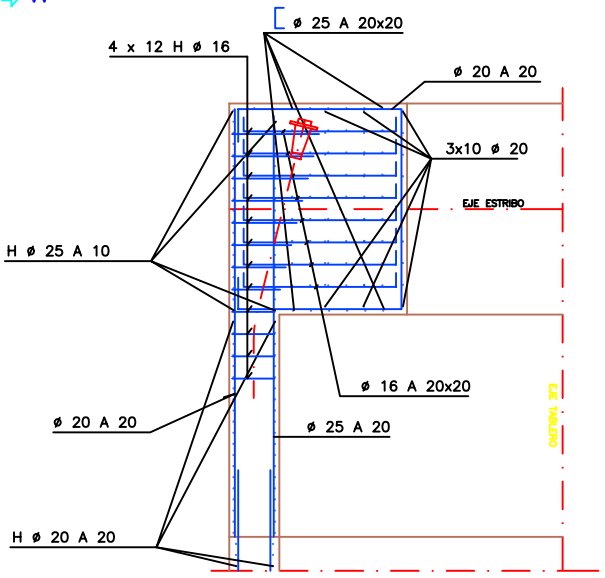


SEMI-SECCION X-X
ESCALA 1:50

NOTA:

- EL HORMIGÓN SERÁ HP-40
- EL ACERO SERÁ B-500-S
- EL NIVEL DE CONTROL DE EJECUCIÓN SERÁ INTENSO
- PARA ANCLAJES Y SOLAPES SE SEGUIRÁN LAS PRESCRIPCIONES CONTENIDAS EN LA INSTRUCCIÓN EHE
- EL RECUBRIMIENTO SERÁ DE 2,5 cm. DESDE LA CARA MAS EXTERIOR DE LA BARRA A PARAMENTOS
- ANTES DE EJECUTAR LAS OBRAS, LA OFICINA TÉCNICA DE OBRA REALIZARÁ A PARTIR DE ESTE PLANO LAS OPORTUNAS LISTAS DE HIERROS EN LA QUE FIGURE CADA BARRA CON LA FORMA Y DIMENSIONES EXACTAS
- MANGUITOS ROSCADOS

GIF Gestor de Infraestructuras Ferroviarias

PROYECTO CONSTRUIDO :
L.A.V. MADRID-ZARAGOZA-BARCELONA-FRONTERA FRANCESA
TRAMO : LLEIDA-MARTORELL
SUBTRAMO: III-A PLATAFORMA

EL DIRECTOR DEL PROYECTO CONSTRUIDO :
JAIME GARCIA-GERMAN LOPEZ-BELMONTE
Fdo.:

EL AUTOR DEL PROYECTO CONSTRUIDO :
ferrovial AGROMAN
Fdo.:

CONSULTOR (ASISTENCIA AL CONTROL DE OBRAS) :
U.T.E. Intecsa europroject Ingeniería, s.l.

ESCALAS :
INDICADAS
NUMÉRICA GRÁFICA : METROS

FECHA :
JULIO 2003

TITULO DEL PLANO :
VIADUCTO DE VINAIXA
TABLERO
ARMADO DE ZONA SOBRE ESTRIBO 1

Nº DE PLANO
2.9.13.7_07-13

HOJA 7 DE 13

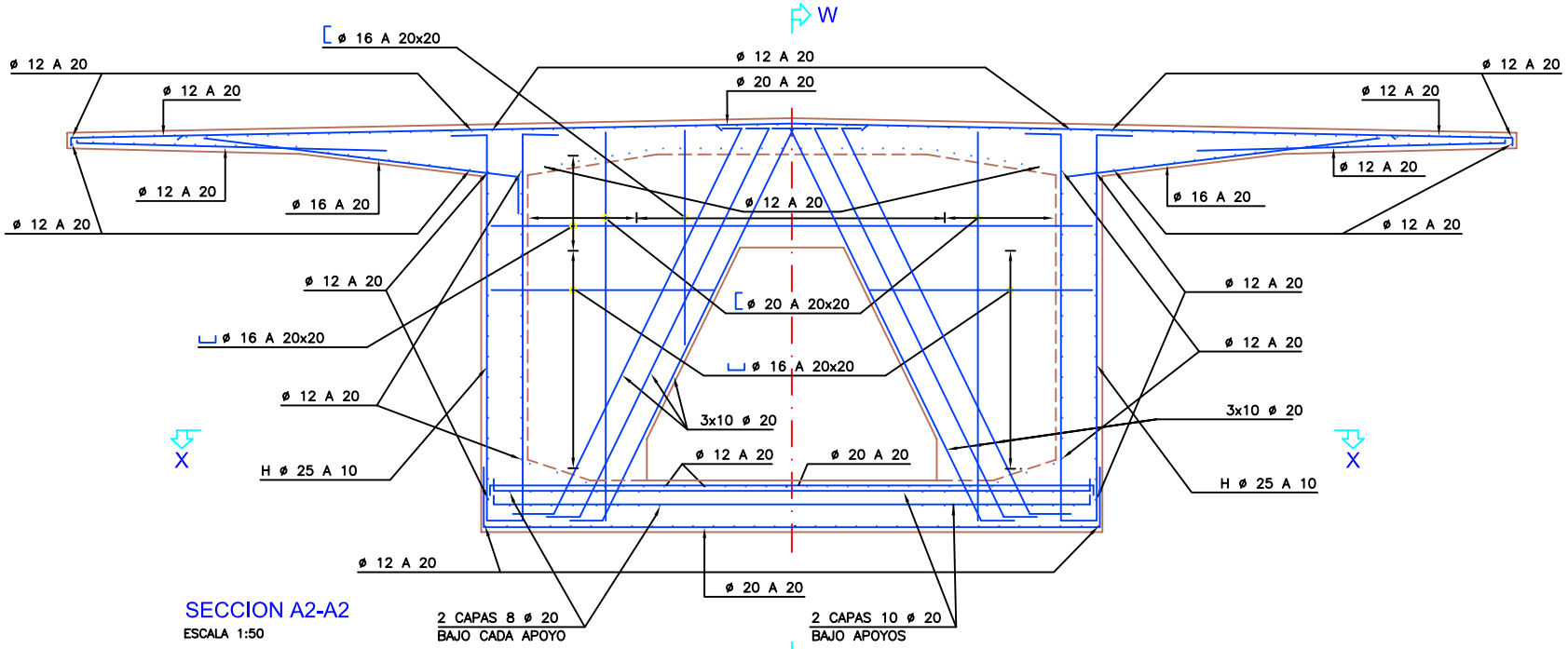


SECCION A2-A2

ESCALA 1:50

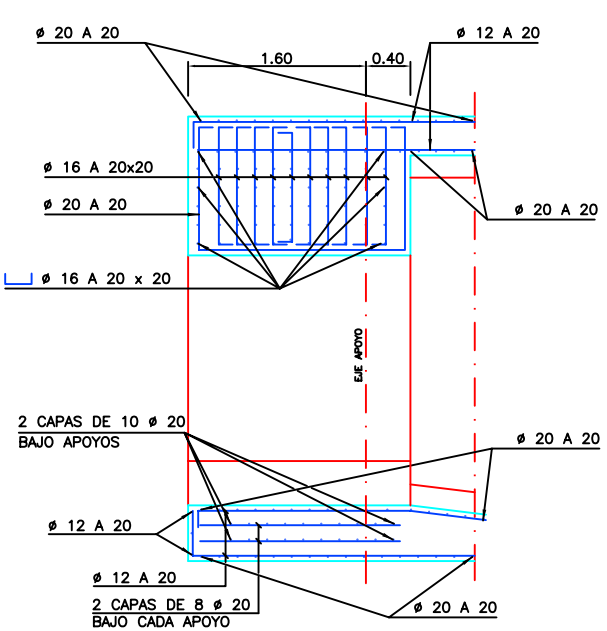


SECCION W-W

ESCALA 1:50

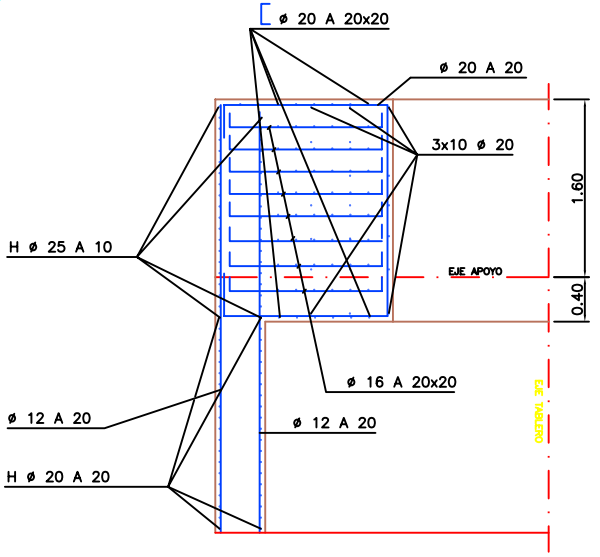


SEMI-SECCION X-X

ESCALA 1:50

NOTA:

- EL HORMIGÓN SERÁ HP-40
- EL ACERO SERÁ B-500-S
- EL NIVEL DE CONTROL DE EJECUCIÓN SERÁ INTENSO
- PARA ANCLAJES Y SOLAPES SE SEGUIRÁN LAS PRESCRIPCIONES CONTENIDAS EN LA INSTRUCCIÓN EHE
- EL RECUBRIMIENTO SERÁ DE 2,5 cm. DESDE LA CARA MAS EXTERIOR DE LA BARRA A PARAMENTOS
- ANTES DE EJECUTAR LAS OBRAS, LA OFICINA TÉCNICA DE OBRA REALIZARÁ A PARTIR DE ESTE PLANO LAS OPORTUNAS LISTAS DE HIERROS EN LA QUE FIGURE CADA BARRA CON LA FORMA Y DIMENSIONES EXACTAS
- MANGUITOS ROSCADOS

GIF Gestor de Infraestructuras Ferroviarias

PROYECTO CONSTRUIDO :
L.A.V. MADRID-ZARAGOZA-BARCELONA-FRONTERA FRANCESA
TRAMO : LLEIDA-MARTORELL
SUBTRAMO: III-A PLATAFORMA

EL DIRECTOR DEL PROYECTO CONSTRUIDO :
JAIME GARCIA-GERMAN LOPEZ-BELMONTE
Fdo.:

EL AUTOR DEL PROYECTO CONSTRUIDO :
ferrovial AGROMAN
Fdo.:

CONSULTOR (ASISTENCIA AL CONTROL DE OBRAS) :
U.T.E. Intecsa europroject Ingeniería, s.l.

ESCALAS :
INDICADAS
NUMÉRICA GRÁFICA : METROS

FECHA :
JULIO 2003

TITULO DEL PLANO :
VIADUCTO DE VINAIXA
TABLERO
ARMADO DE ZONA SOBRE ESTRIBO 2

Nº DE PLANO
2.9.13.7_08-13

HOJA 8 DE 13

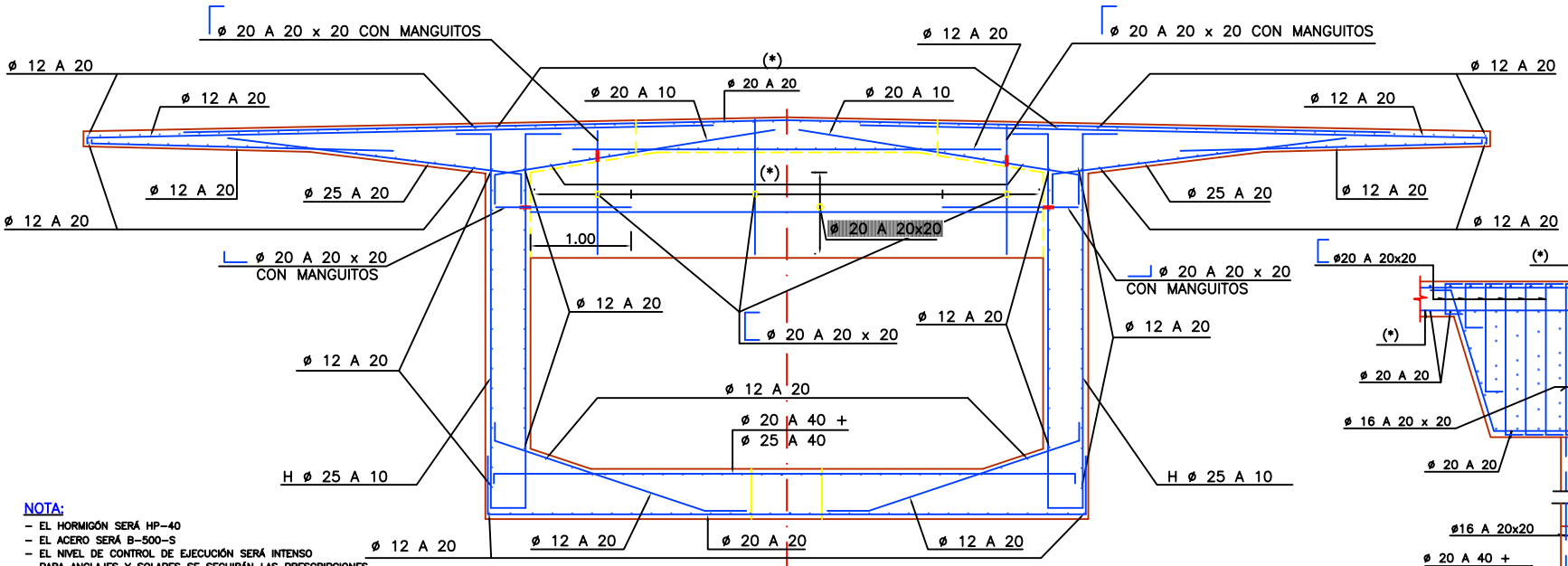


NOTA:

- EL HORMIGÓN SERÁ HP-40
- EL ACERO SERÁ B-500-S
- EL NIVEL DE CONTROL DE EJECUCIÓN SERÁ INTENSO
- PARA ANCLAJES Y SOLAPES SE SEGUIRÁN LAS PRESCRIPCIONES CONTENIDAS EN LA INSTRUCCIÓN EHE
- EL RECUBRIMIENTO SERÁ DE 2,5 cm. DESDE LA CARA MAS EXTERIOR DE LA BARRA A PARAMENTOS
- ANTES DE EJECUTAR LAS OBRAS, LA OFICINA TÉCNICA DE OBRA REALIZARÁ A PARTIR DE ESTE PLANO LAS OPORTUNAS LISTAS DE HIERROS EN LA QUE FIGURE CADA BARRA CON LA FORMA Y DIMENSIONES EXACTAS
- MANGUITOS ROSCADOS

## SECCION C1-C1

ESCALA 1:50

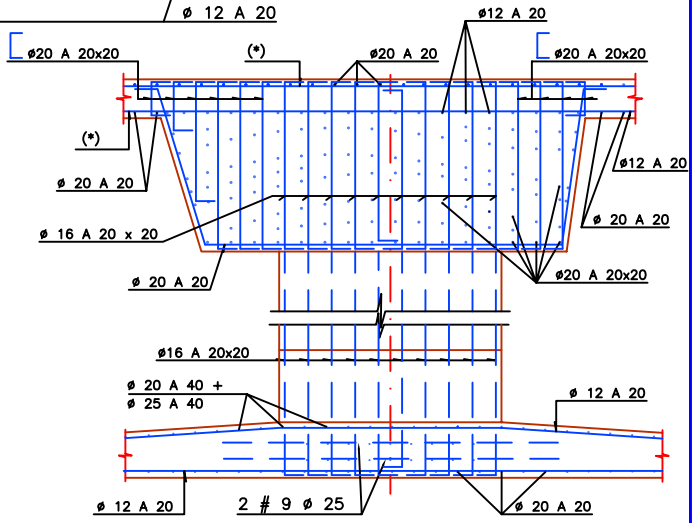


## SECCION Y-Y

ESCALA 1:50

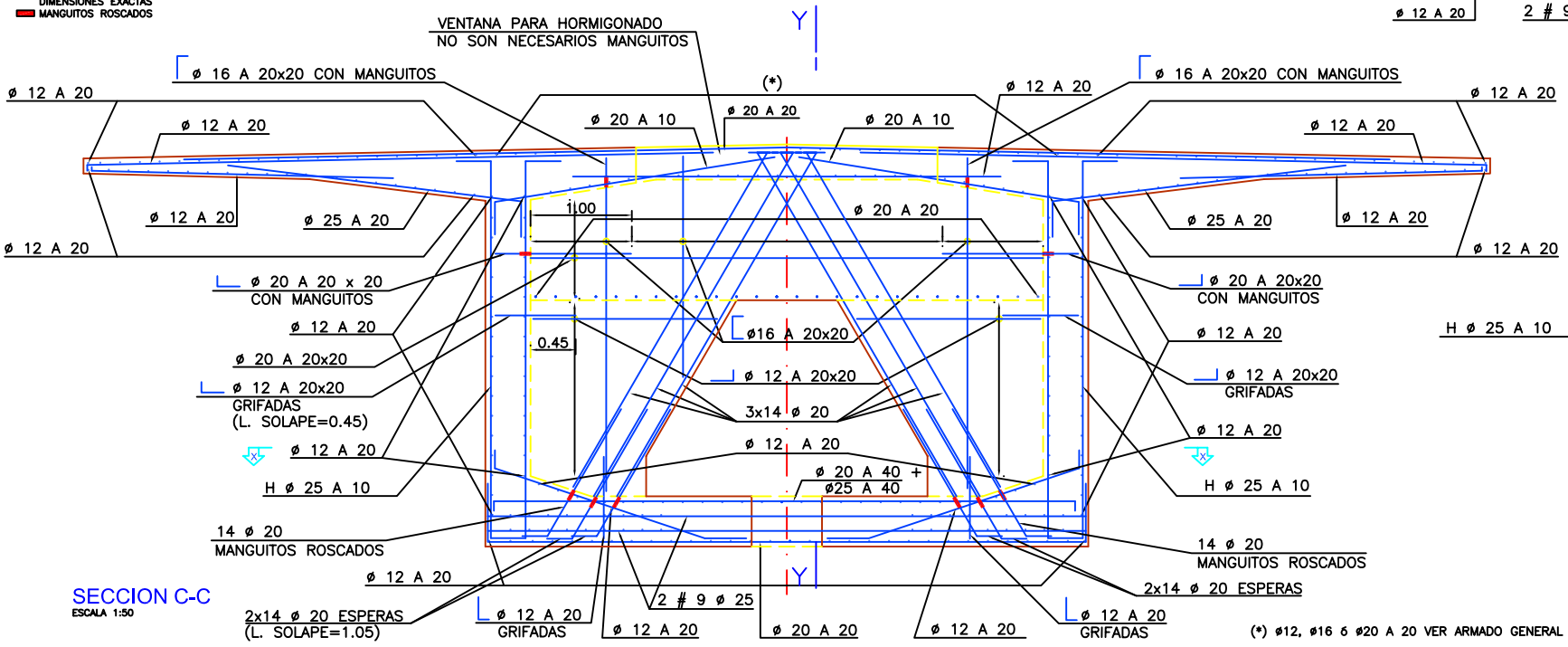


## SECCION C-C

ESCALA 1:50

(*) ø12, ø16 ó ø20 A 20 VER ARMADO GENERAL

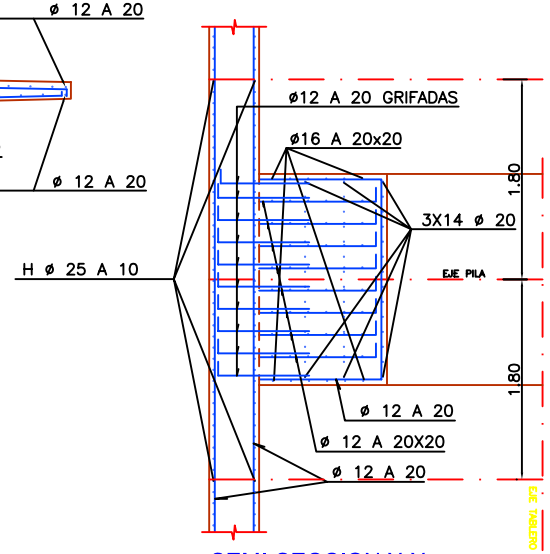


## SEMI-SECCION X-X

ESCALA 1:50

| | | | | | | | |
|---|---|---|---|---|---|---|---|
| GIF Gestor de Infraestructuras Ferroviarias | PROYECTO CONSTRUIDO : L.A.V. MADRID-ZARAGOZA-BARCELONA-FRONTERA FRANCESA<br>TRAMO : LLEIDA-MARTORELL<br>SUBTRAMO: III-A PLATAFORMA | EL DIRECTOR DEL PROYECTO CONSTRUIDO : JAIME GARCIA-GERMAN LOPEZ-BELMONTE | EL AUTOR DEL PROYECTO CONSTRUIDO : ferrovial AGROMAN | CONSULTOR (ASISTENCIA AL CONTROL DE OBRAS) : U.T.E. Intecsa europroject Ingeniería, s.l. | ESCALAS : INDICADAS<br>NUMÉRICA GRÁFICA : METROS | FECHA : JULIO 2003 | TITULO DEL PLANO : VIADUCTO DE VINAIXA<br>TABLERO<br>ARMADO DE ZONAS SOBRE PILAS | Nº DE PLANO 2.9.13.7_09-13<br>HOJA 9 DE 13 |

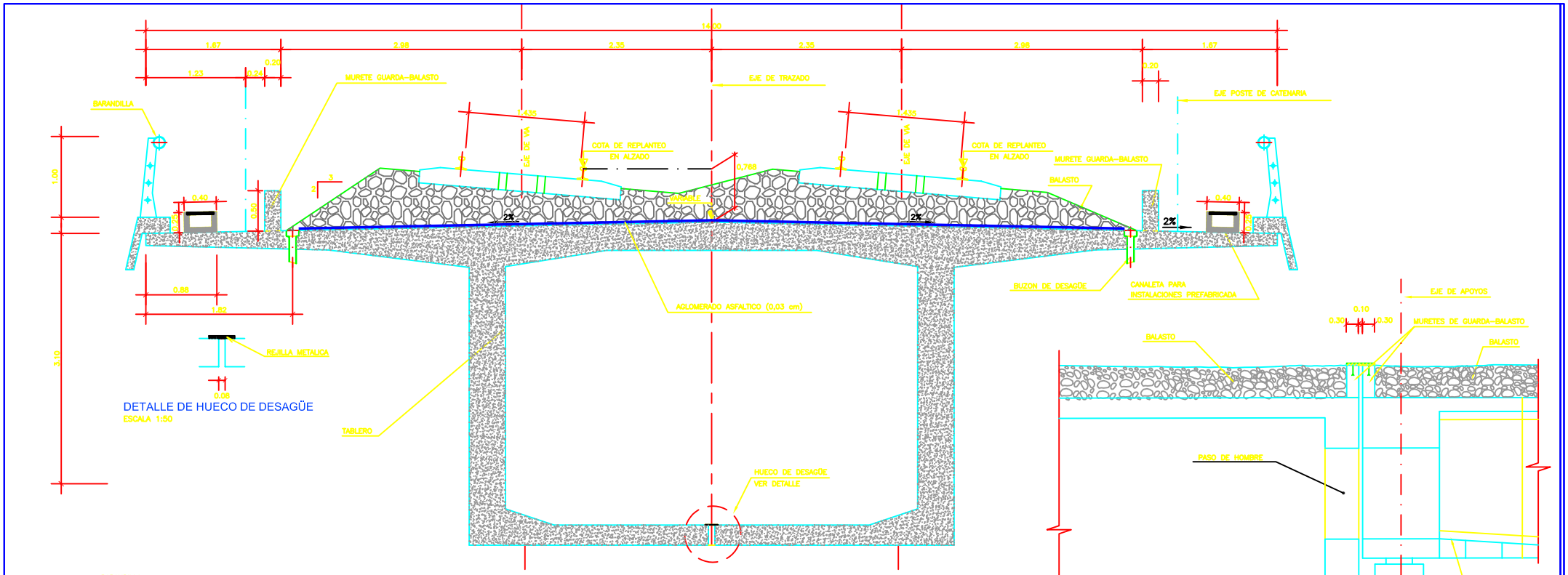


DETALLE DE HUECO DE DESAGÜE
ESCALA 1:50

SECCION TRANSVERSAL TIPO
ESCALA 1:50

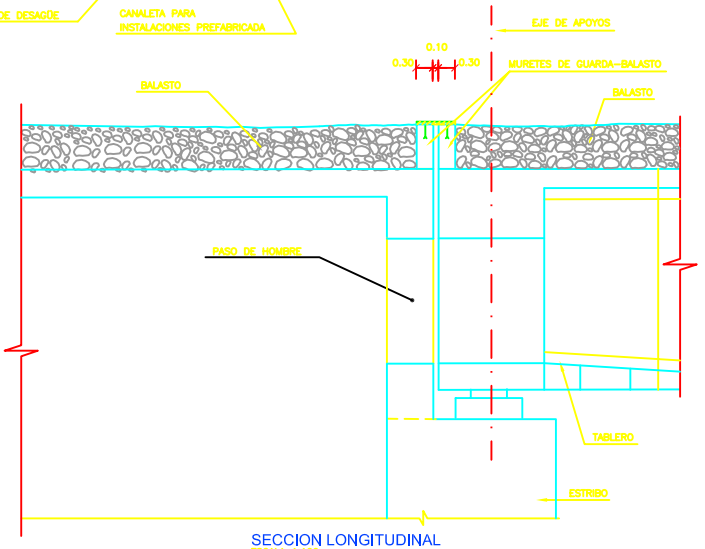


SECCION LONGITUDINAL
ESCALA 1:100

DETALLE DE JUNTA DE TABLERO Y ESTRIBO

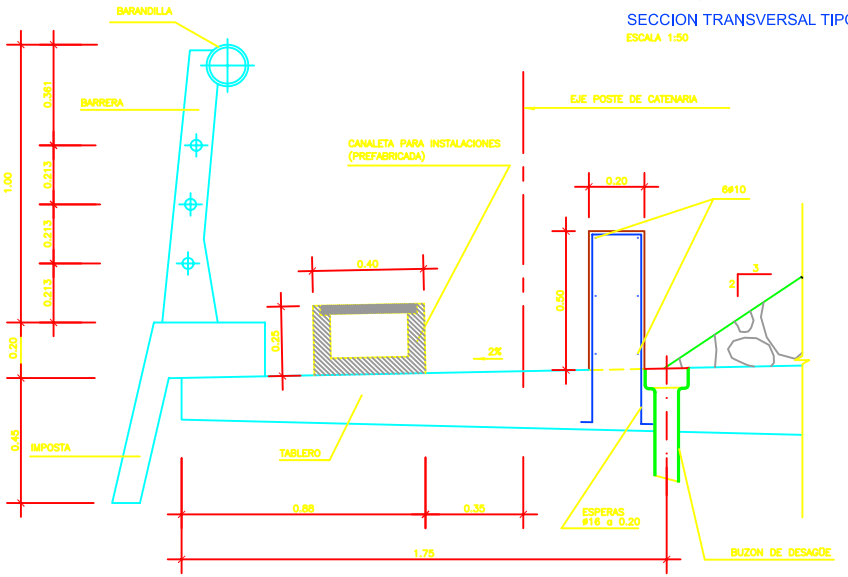


DETALLE DE BORDE CON CANALETA Y BUZON DE DESAGÜE
ESCALA 1:20

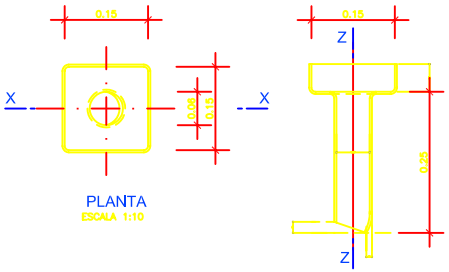


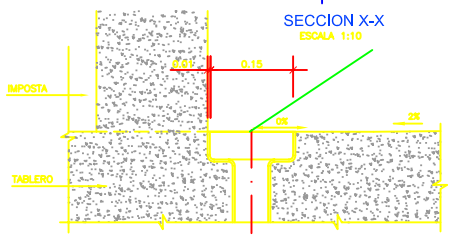


SECCION Z-Z
ESCALA 1:10

DESAGUES DE PASEOS

NOTA: SE DISPONEN SUMIDEROS EN CADA PASEO PEATONAL TANTO EN LAS SECCIONES DE PILA COMO EN LAS DE CENTRO DE VANO.

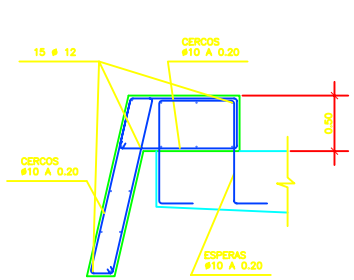


DETALLE DE ANCLAJE AL TABLERO
ESCALA 1:20

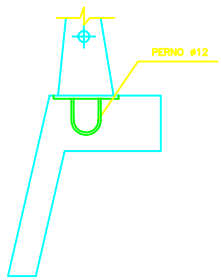


DETALLE DE ANCLAJE DE BARANDILLA
ESCALA 1:20

DETALLE DE ARMADURA EN IMPOSTA Y ANCLAJE EN BARANDILLA

| | | | | | | | |
|---|---|---|---|---|---|---|---|
| GIF Gestor de Infraestructuras Ferroviarias | PROYECTO CONSTRUIDO : L.A.V. MADRID-ZARAGOZA-BARCELONA-FRONTERA FRANCESA<br>TRAMO : LLEIDA-MARTORELL<br>SUBTRAMO: III-A PLATAFORMA | EL DIRECTOR DEL PROYECTO CONSTRUIDO : JAIME GARCIA-GERMAN LOPEZ-BELMONTE<br>Fdo.: | EL AUTOR DEL PROYECTO CONSTRUIDO : ferrovial AGROMAN<br>Fdo.: | CONSULTOR (ASISTENCIA AL CONTROL DE OBRAS) : U.T.E. Intecsa Industrial S.A. / euroconsult Ingeniería, s.l. | ESCALAS : INDICADAS<br>NUMÉRICA / GRÁFICA : METROS | FECHA : JULIO 2003 | TITULO DEL PLANO : VIADUCTO DE VINAIXA<br>TABLERO<br>DETALLES CONSTRUCTIVOS (1) | Nº DE PLANO 2.9.13.9_01.02<br>HOJA 1 DE 2 |

# *ANEJO 2B: EVALUACIÓN DE FLECHAS*

# SAP2000

**SAP2000**

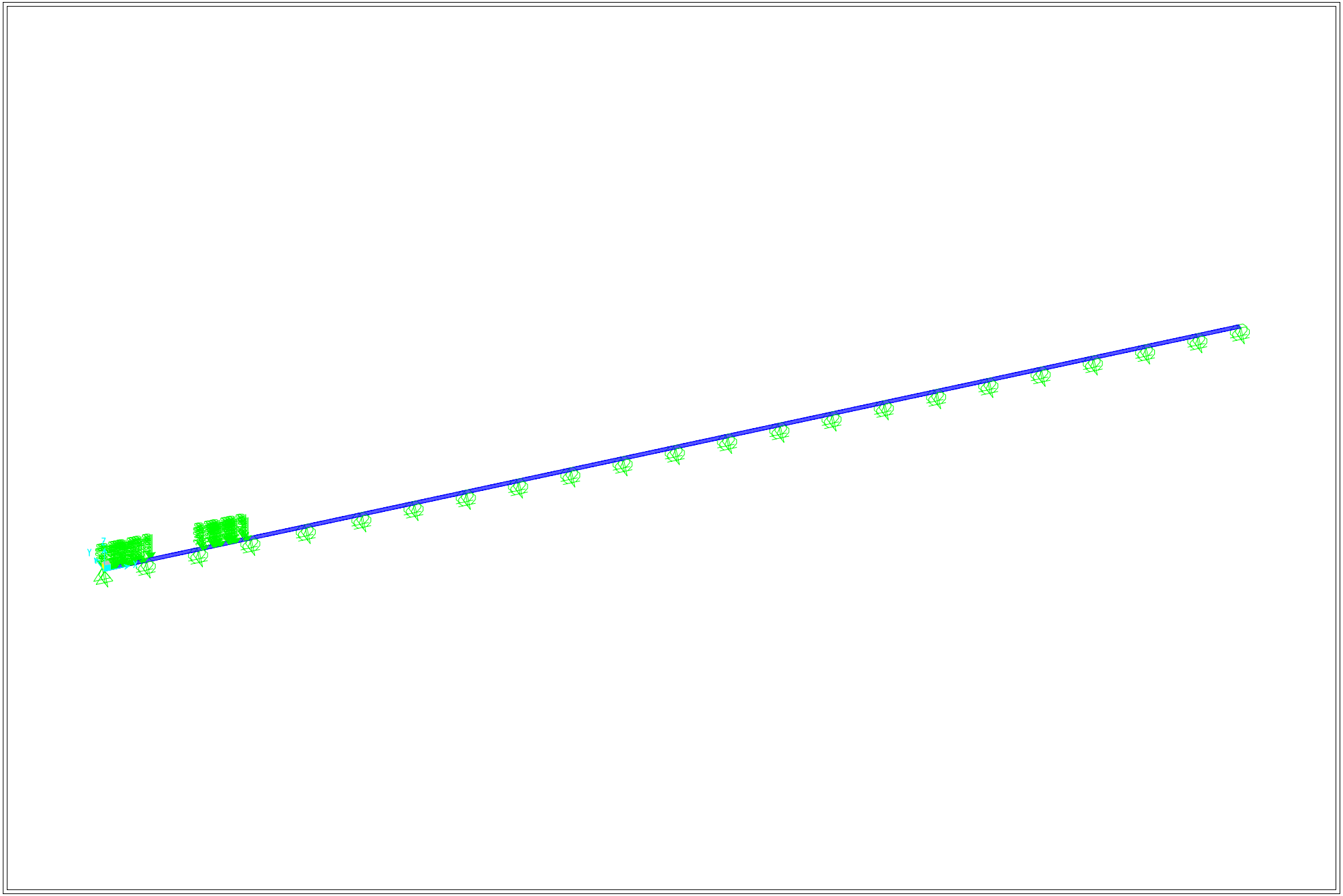

SAP2000 - File:VINX - Joint Loads (V01V03) (As Defined) - Ton, m, C Units

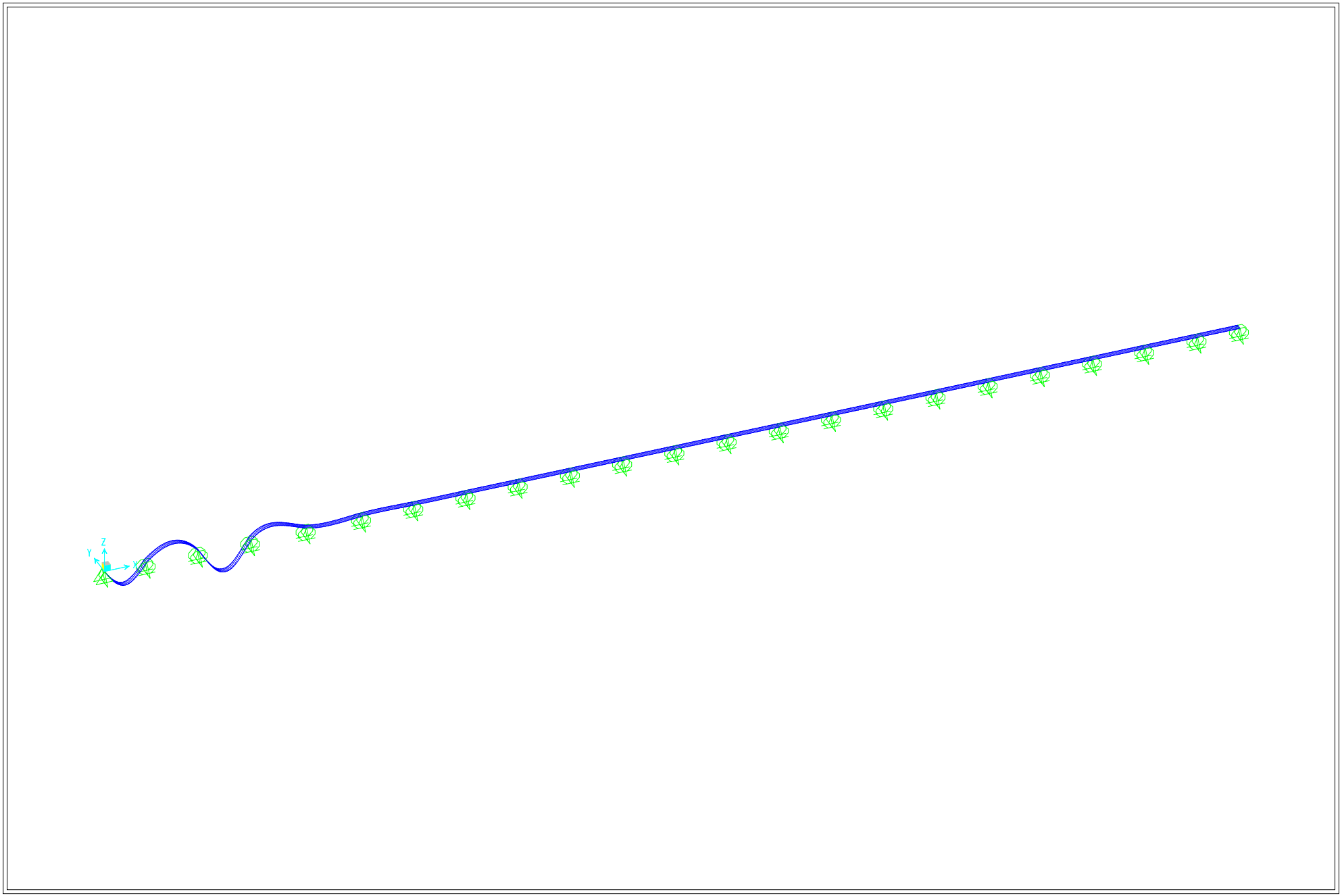
Z
Y
X

**SAP2000**

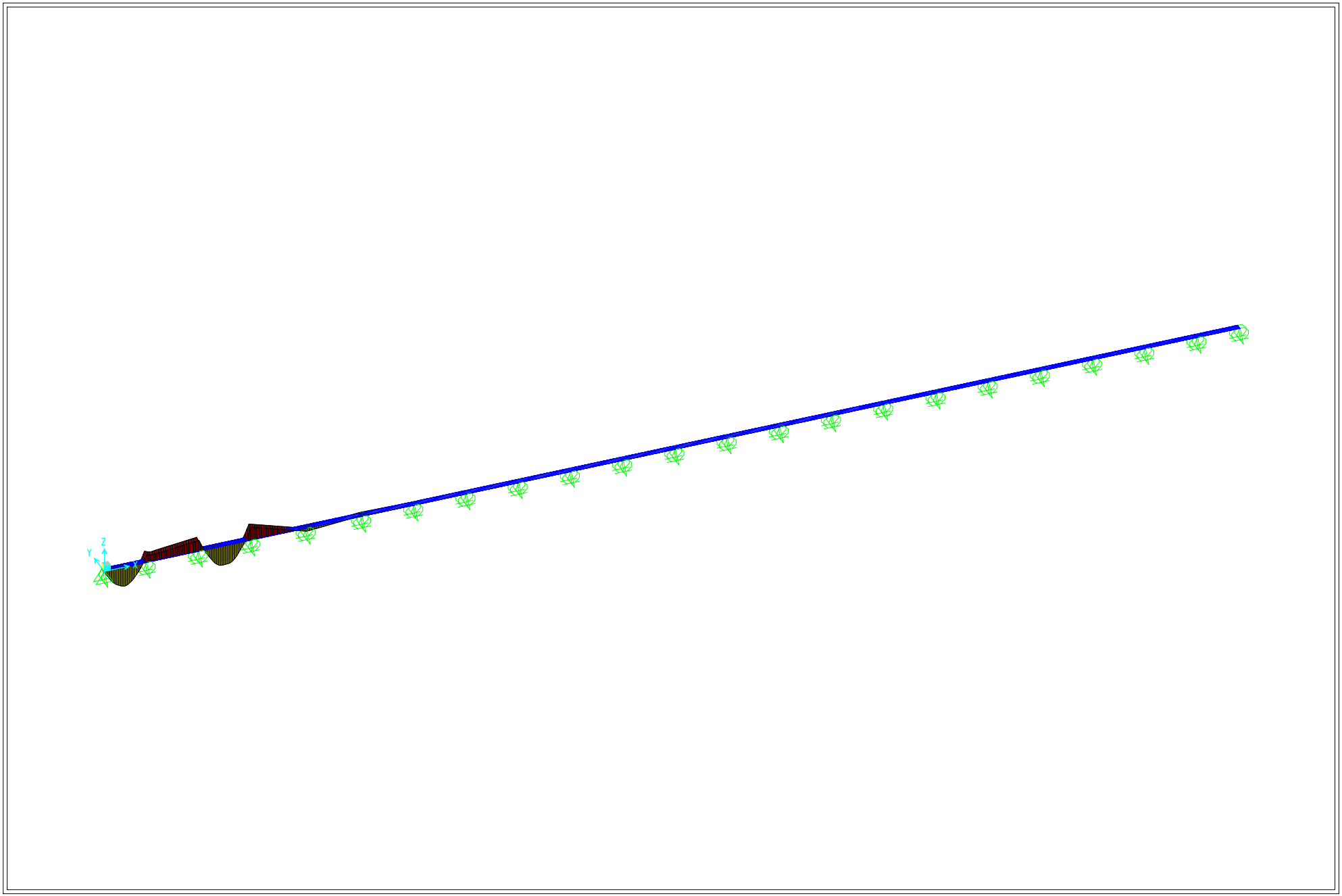


SAP2000 - File:VINX - Moment 3-3 Diagram (V01V03) - Ton, m, C Units

# SAP2000

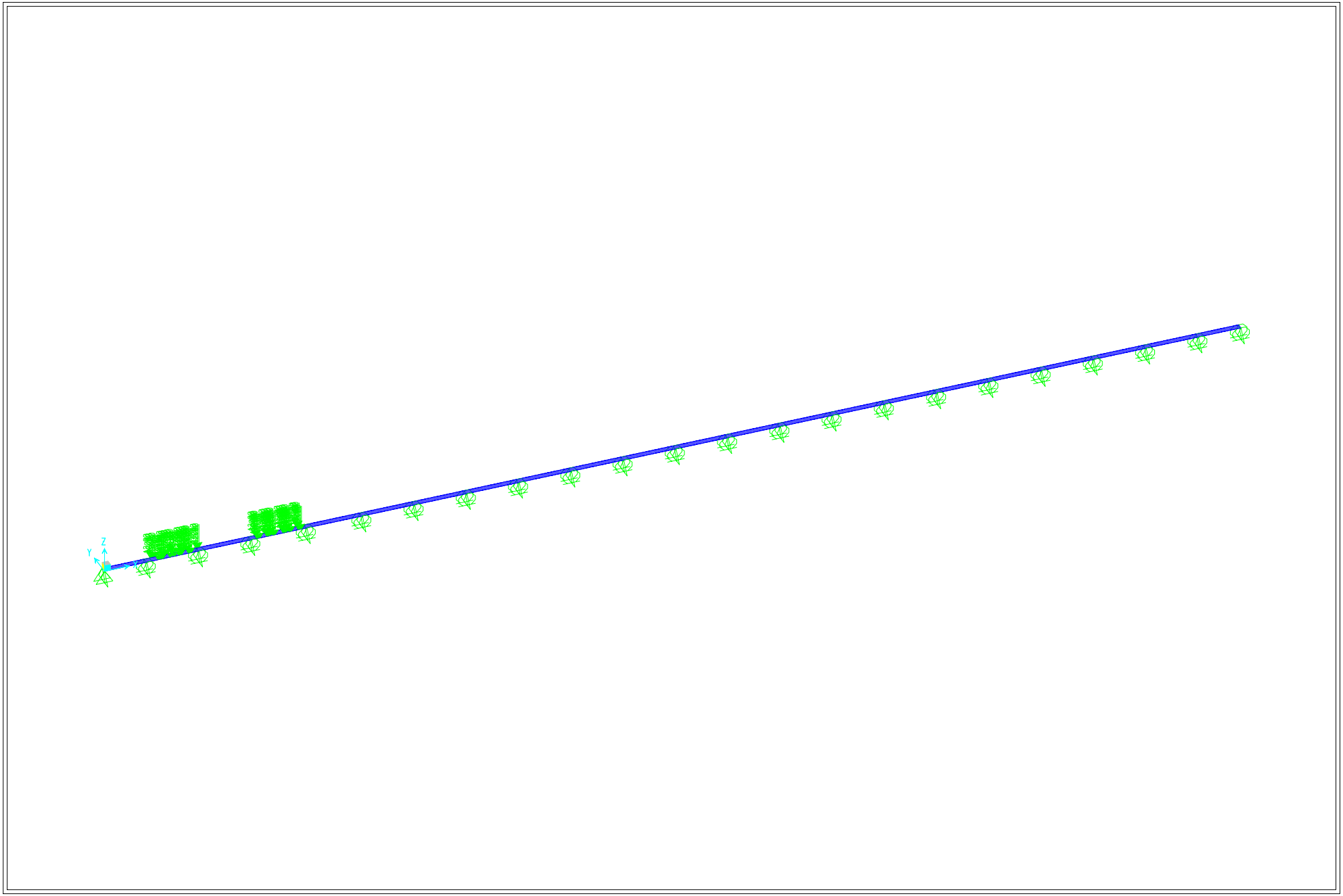


SAP2000 - File:VINX - Joint Loads (V02V04) (As Defined) - Ton, m, C Units

# SAP2000

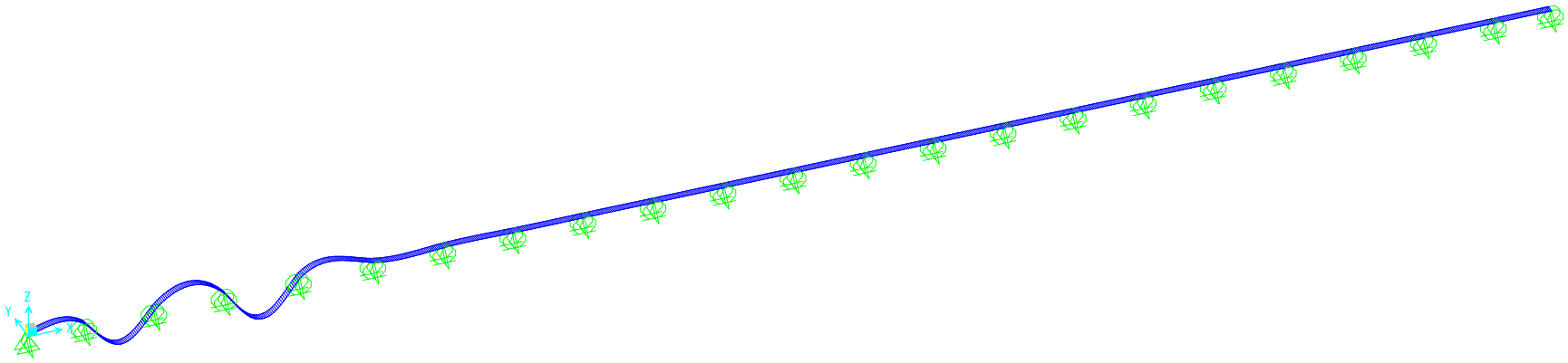


SAP2000 - File:VINX - Deformed Shape (V02V04) - Ton, m, C Units

# SAP2000

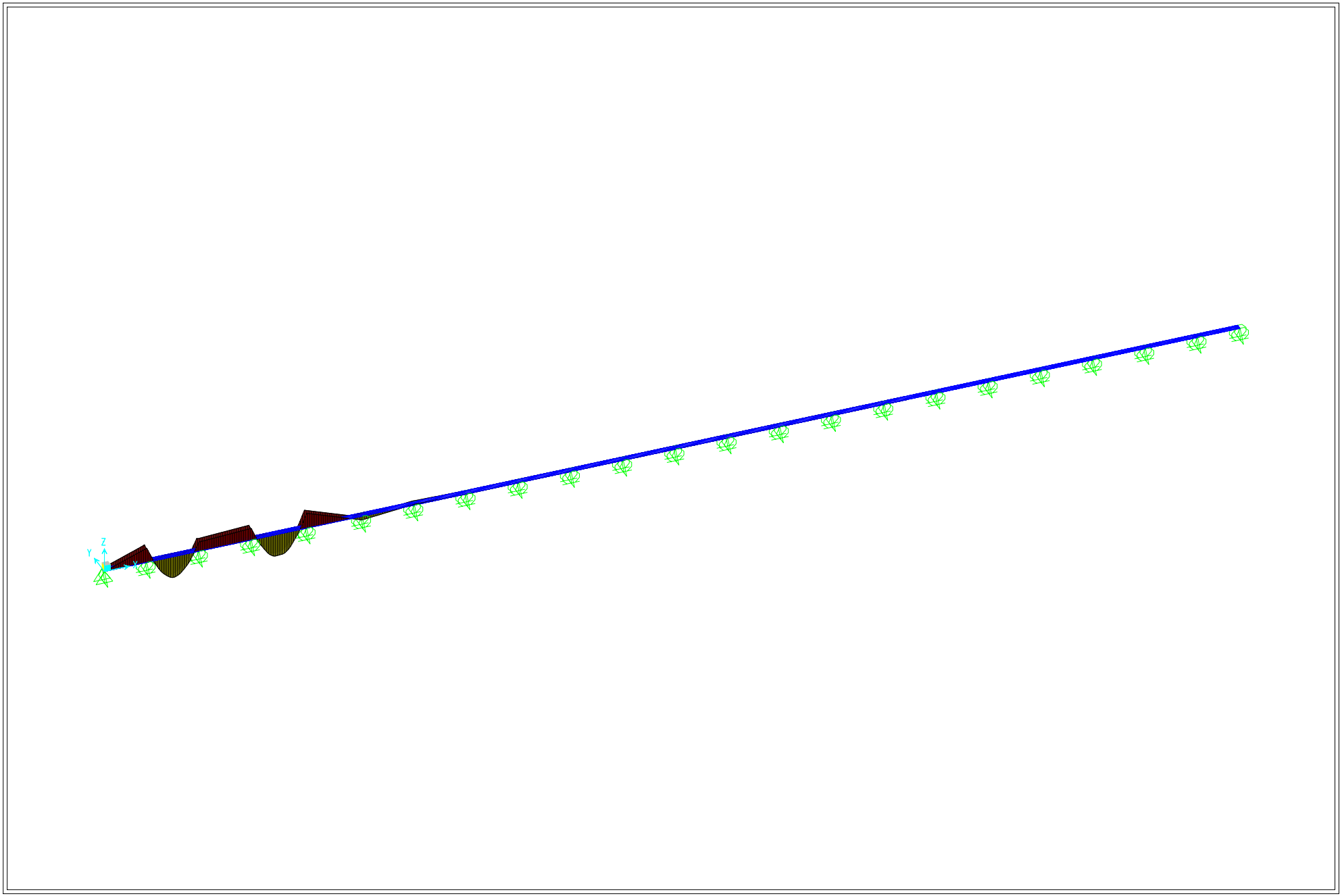


SAP2000 - File:VINX - Moment 3-3 Diagram (V02V04) - Ton, m, C Units

# SAP2000

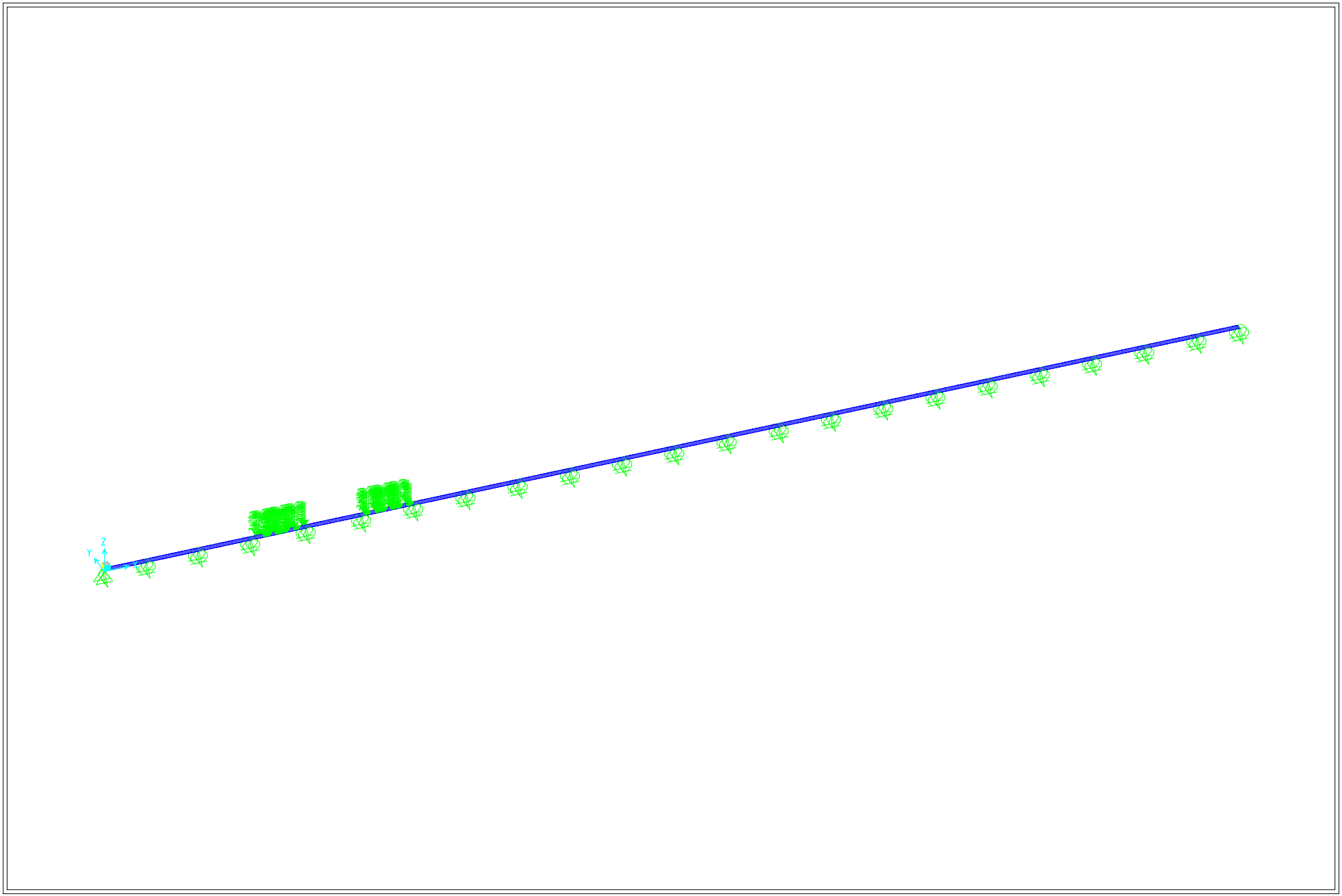


SAP2000 - File:VINX - Joint Loads (V04V06) (As Defined) - Ton, m, C Units

# SAP2000

**SAP2000**

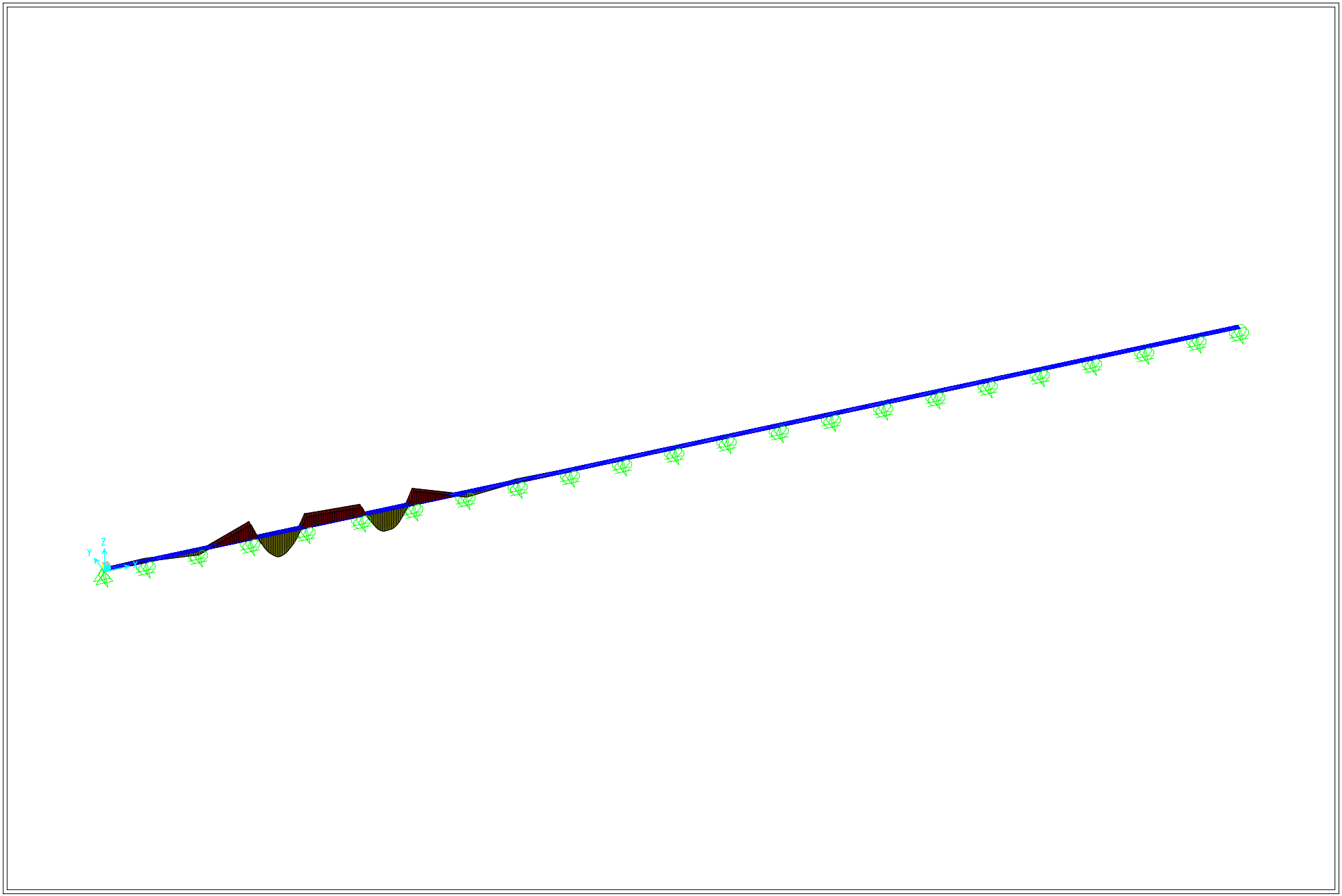


SAP2000 - File:VINX - Moment 3-3 Diagram (V04V06) - Ton, m, C Units

# SAP2000

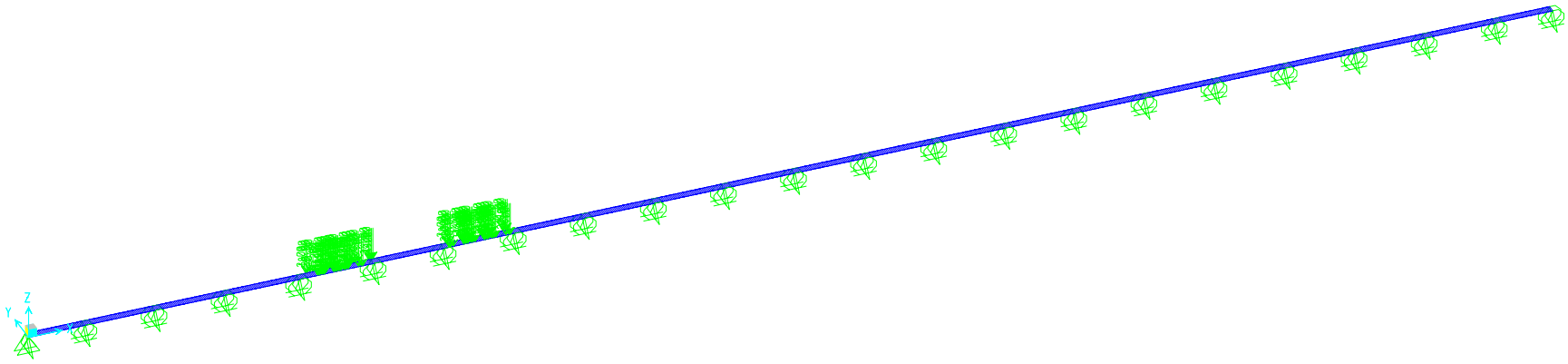


SAP2000 - File:VINX - Joint Loads (V05V07) (As Defined) - Ton, m, C Units

# SAP2000

SAP2000 - File:VINX - Deformed Shape (V05V07) - Ton, m, C Units

**SAP2000**

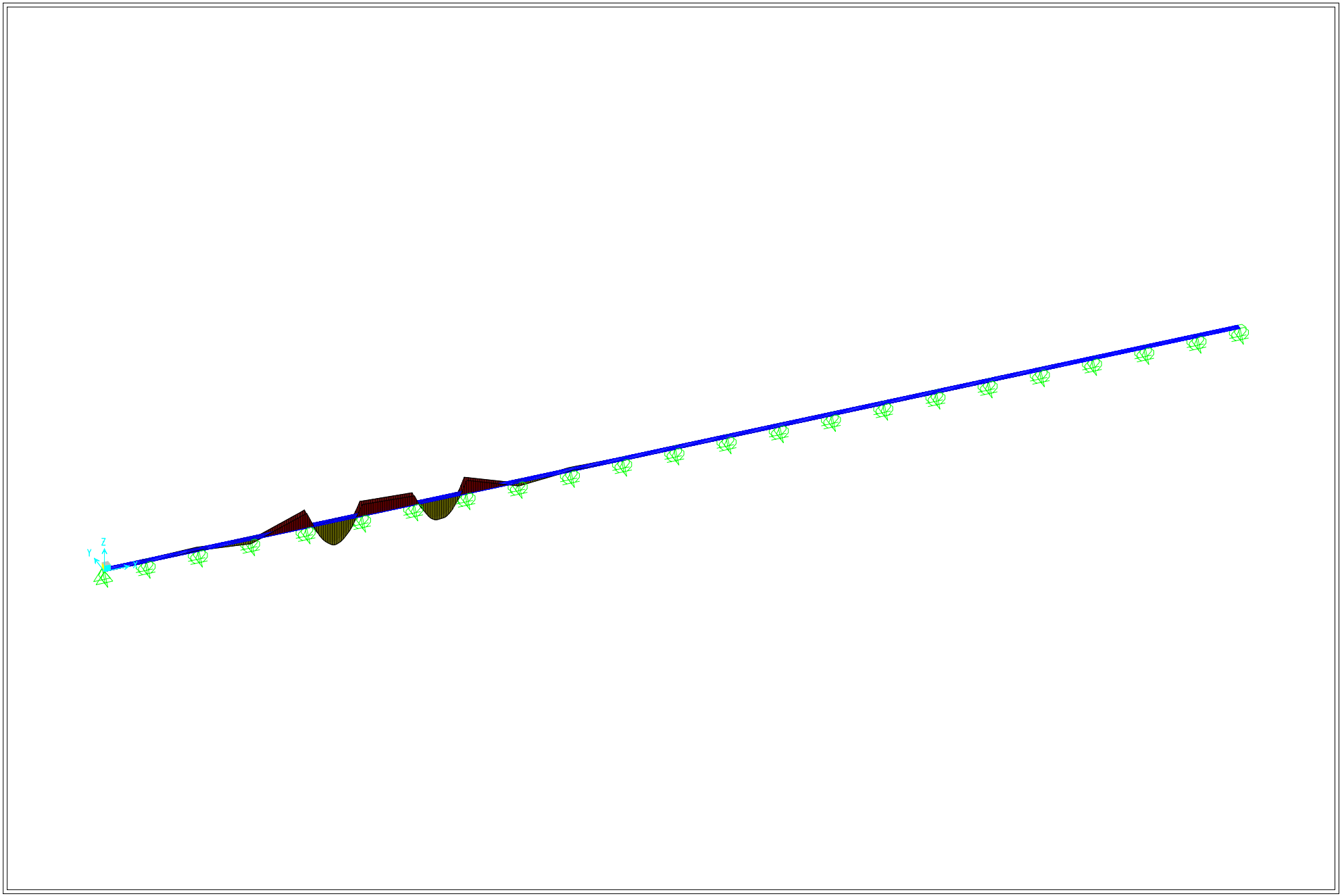


SAP2000 - File:VINX - Moment 3-3 Diagram (V05V07) - Ton, m, C Units

# SAP2000

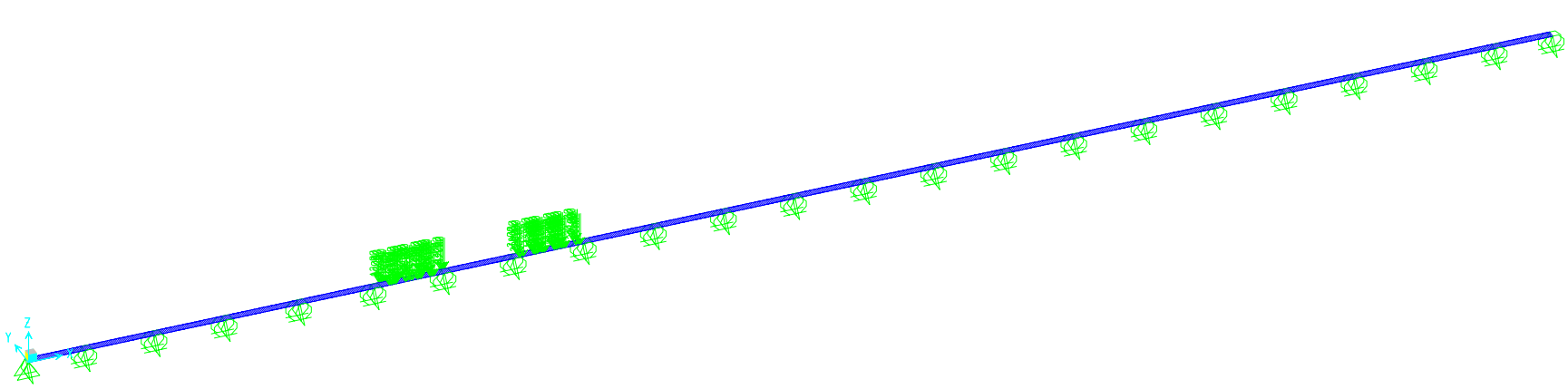

**SAP2000**

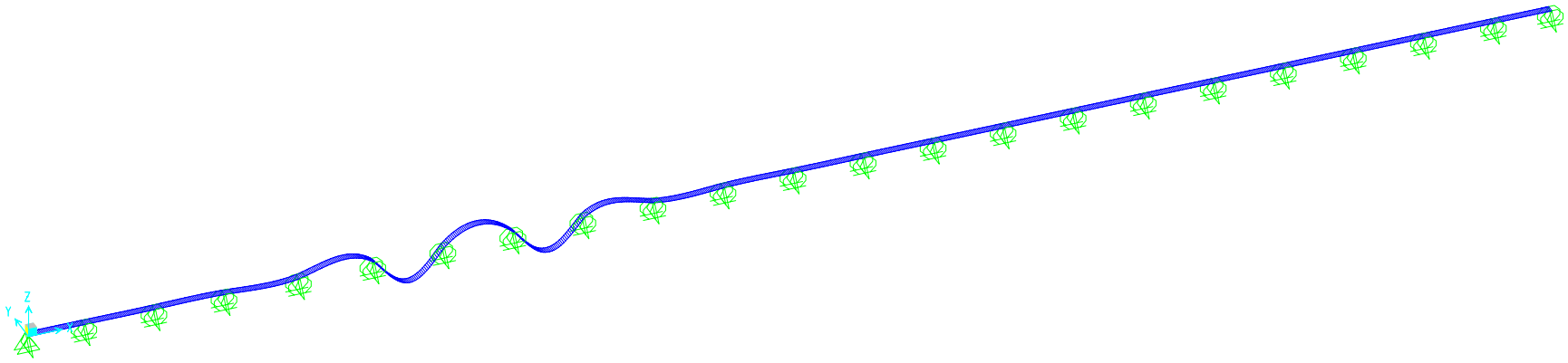


SAP2000 - File:VINX - Deformed Shape (V06V08) - Ton, m, C Units

**SAP2000**

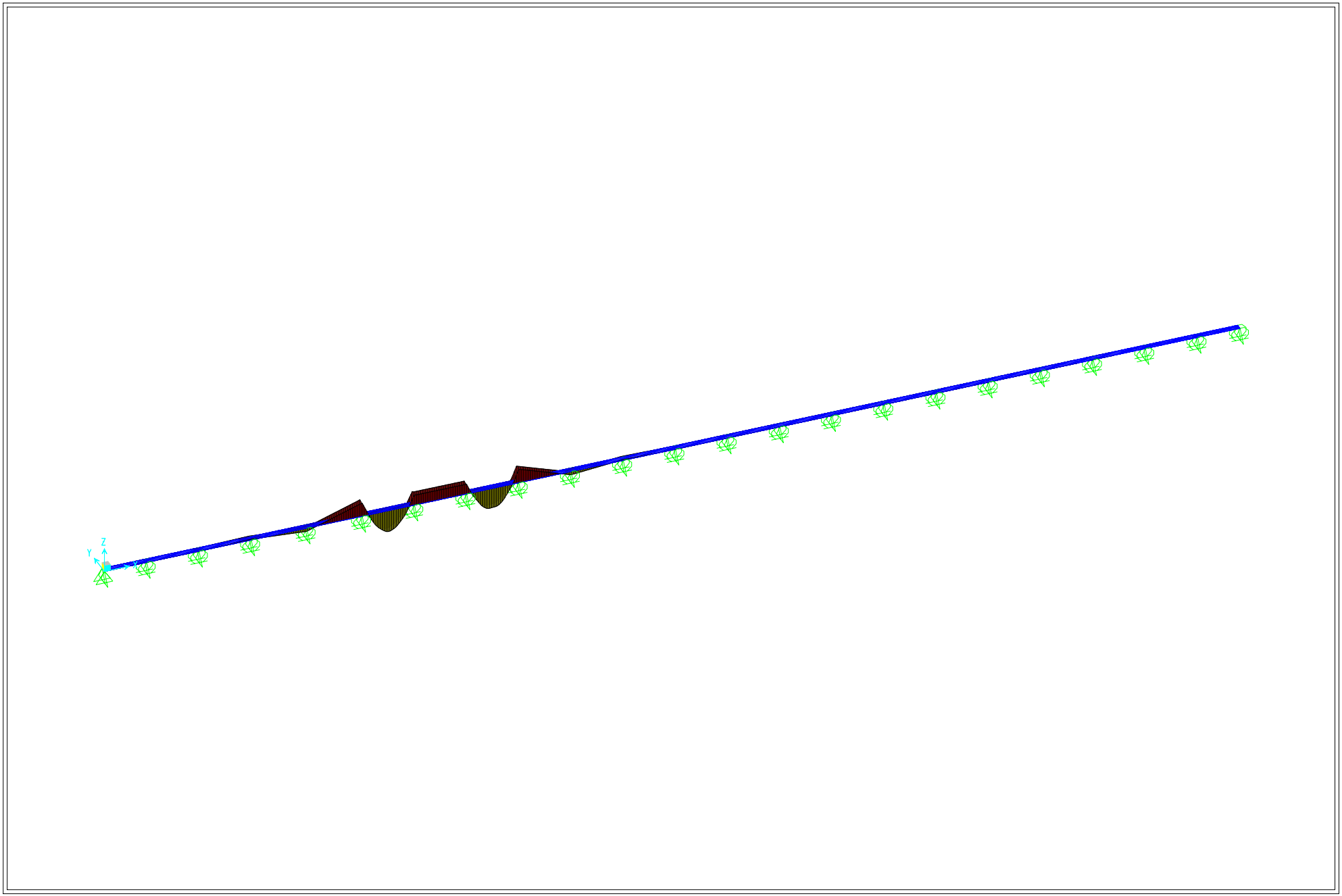


SAP2000 - File:VINX - Moment 3-3 Diagram (V06V08) - Ton, m, C Units

# SAP2000

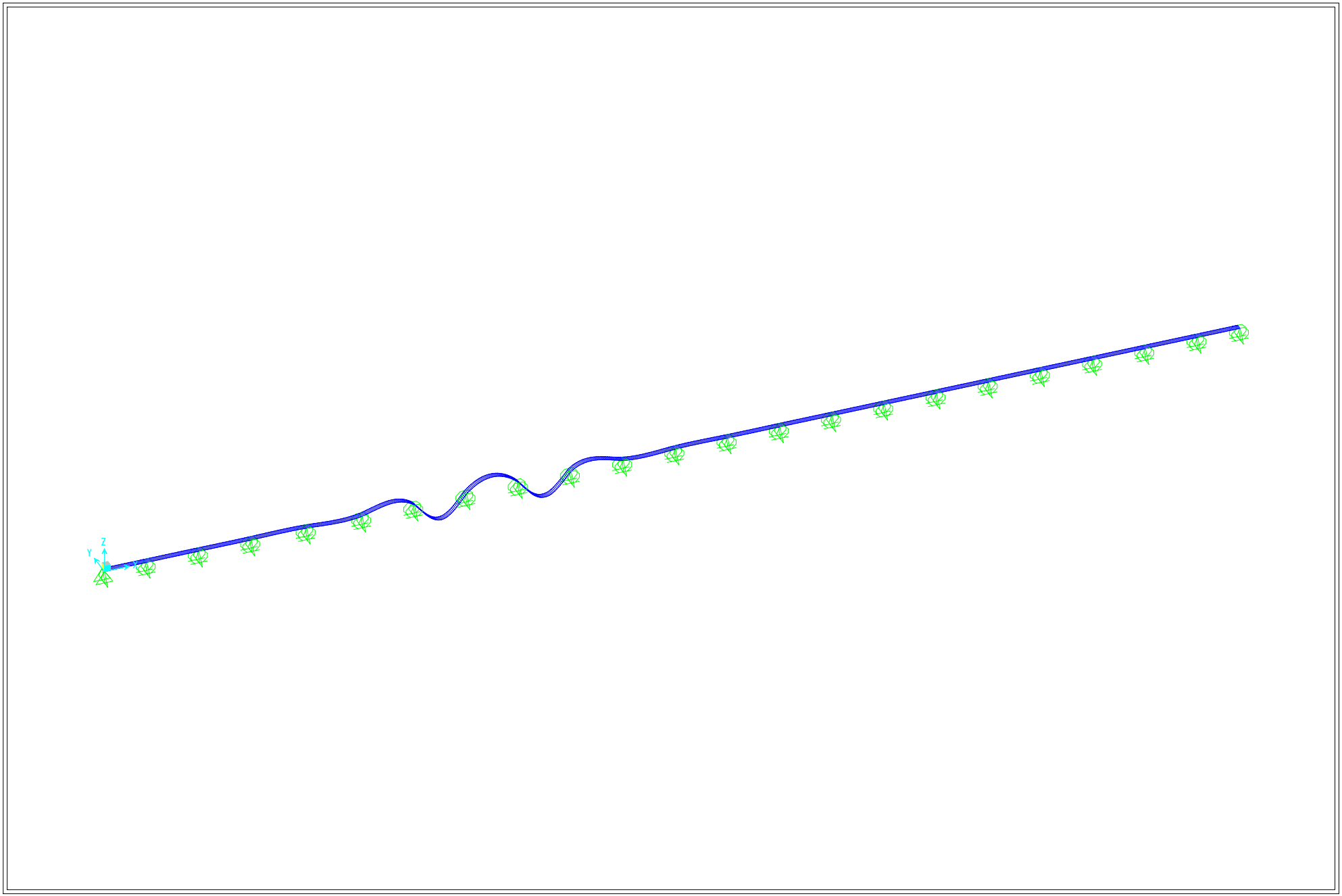


SAP2000 - File:VINX - Deformed Shape (V07V09) - Ton, m, C Units

# SAP2000

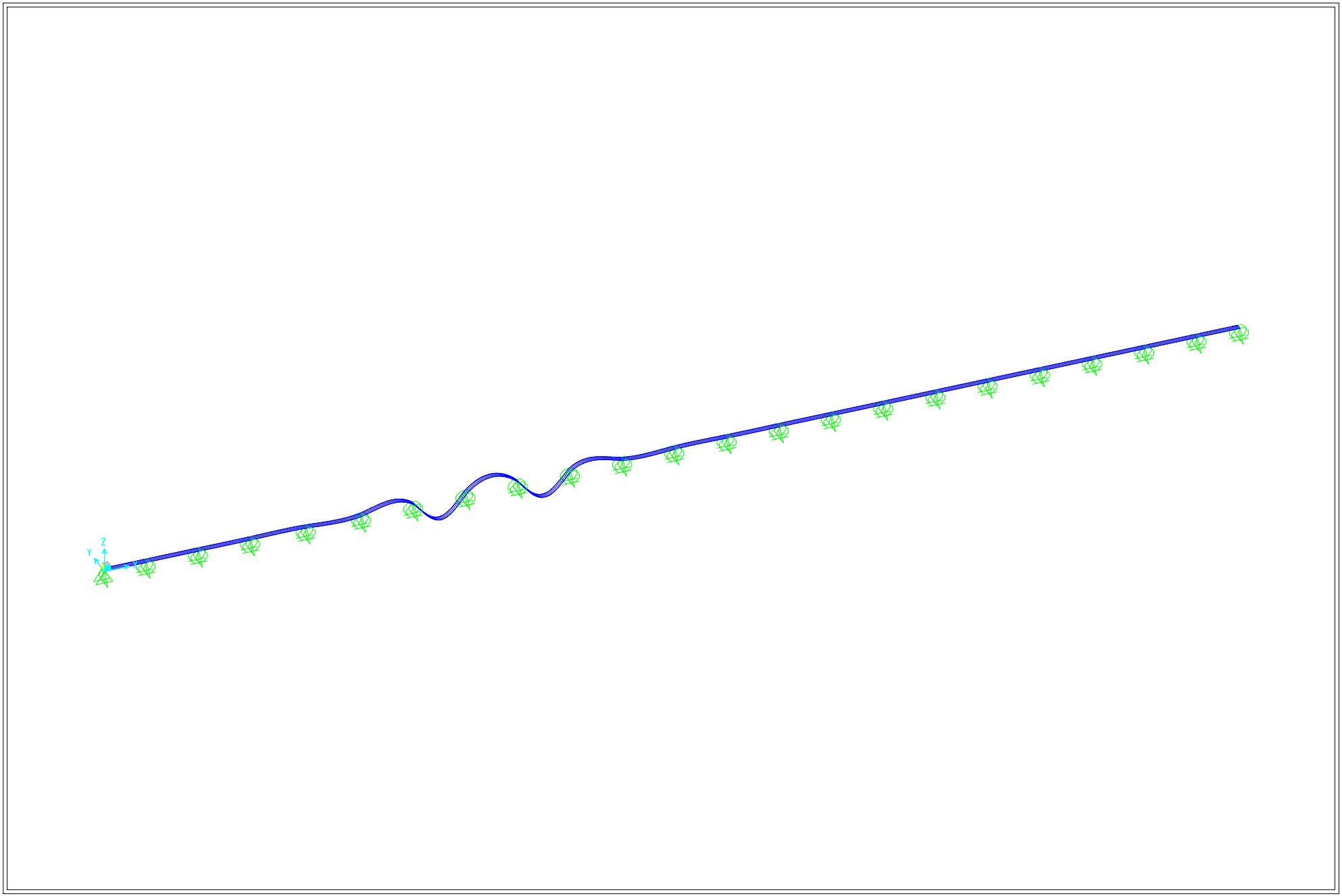


SAP2000 - File:VINX - Deformed Shape (V07V09) - Ton, m, C Units

**SAP2000**

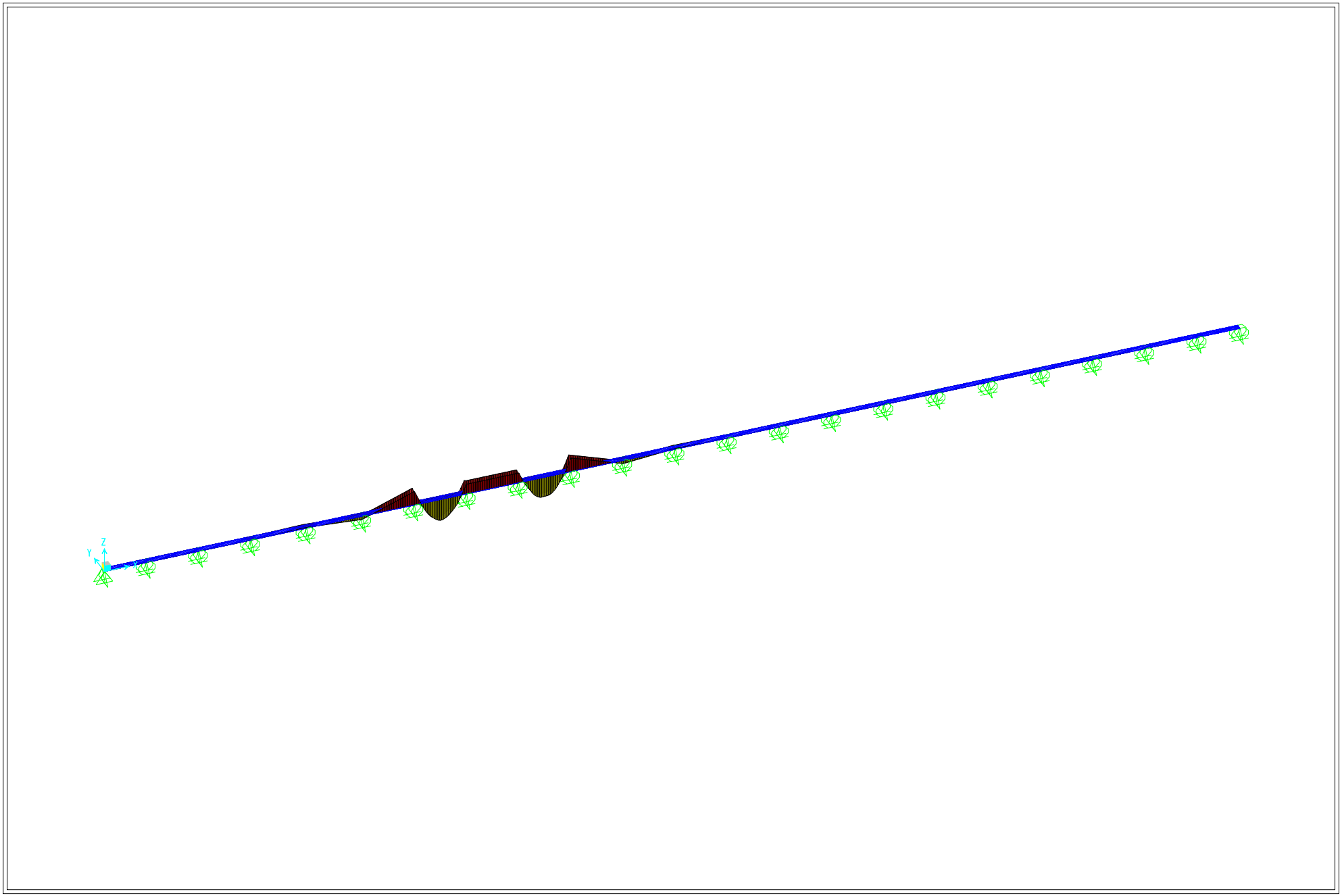


SAP2000 - File:VINX - Moment 3-3 Diagram (V07V09) - Ton, m, C Units

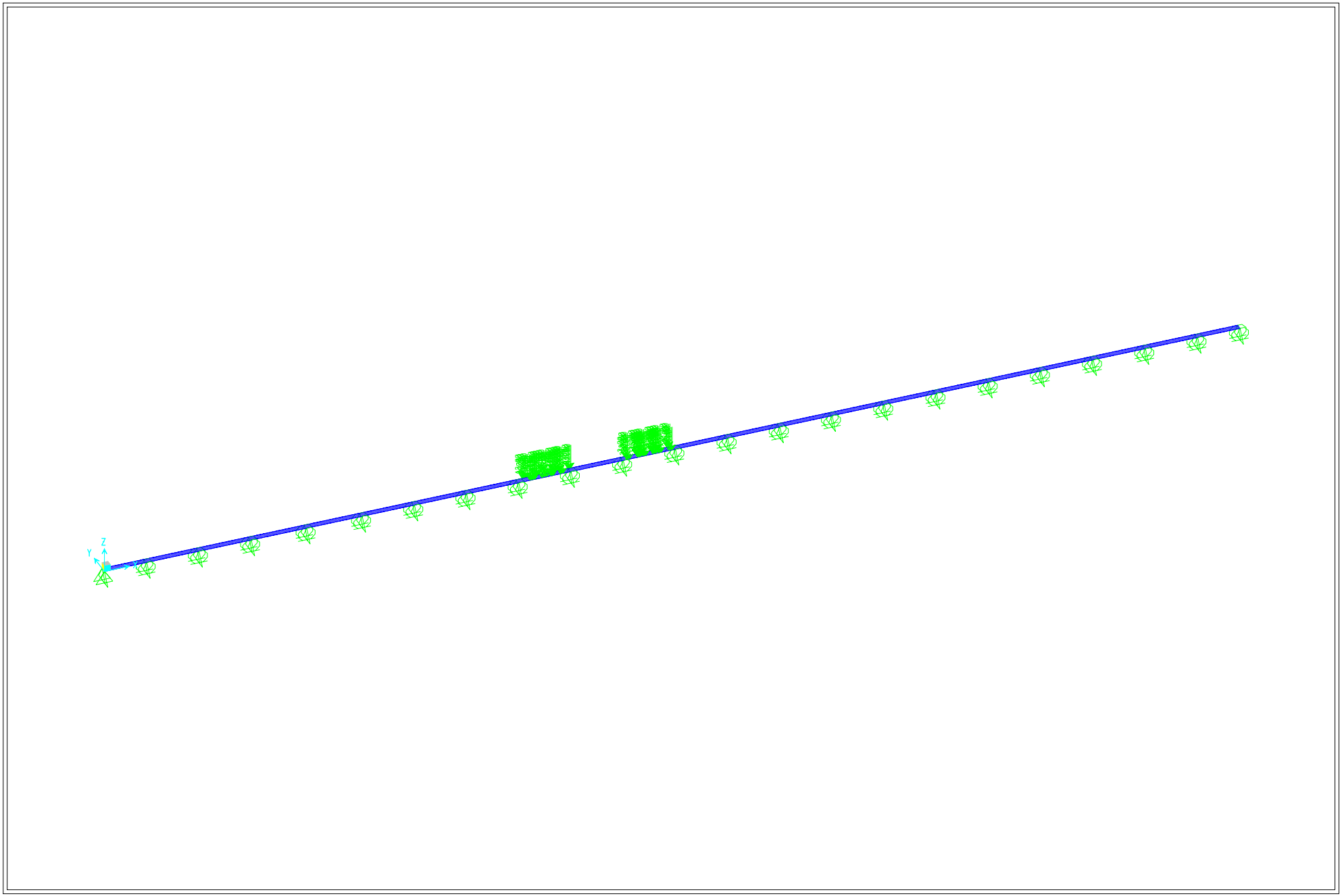
Z
Y

# SAP2000

**SAP2000**

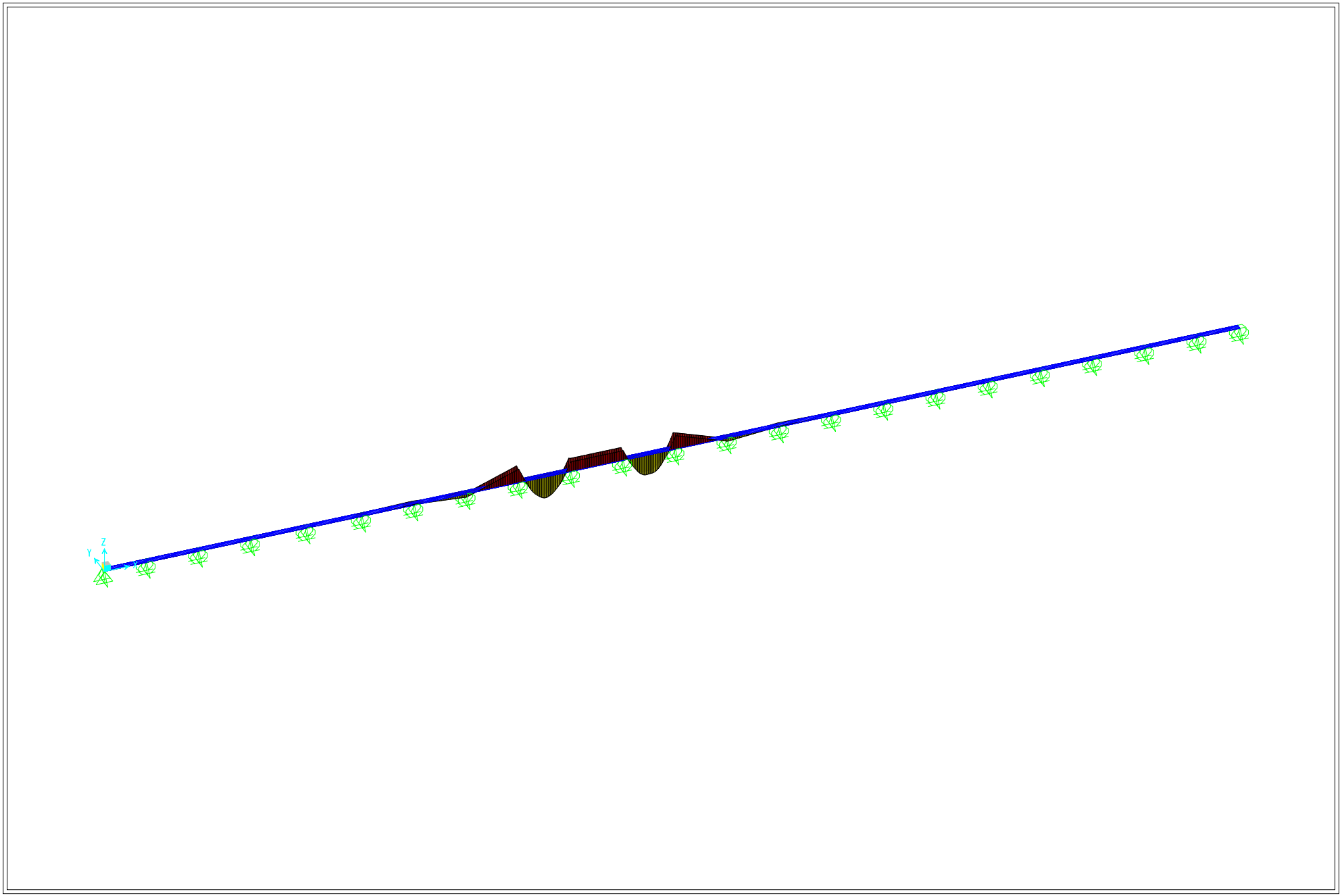


SAP2000 - File:VINX - Moment 3-3 Diagram (V09V11) - Ton, m, C Units

# SAP2000

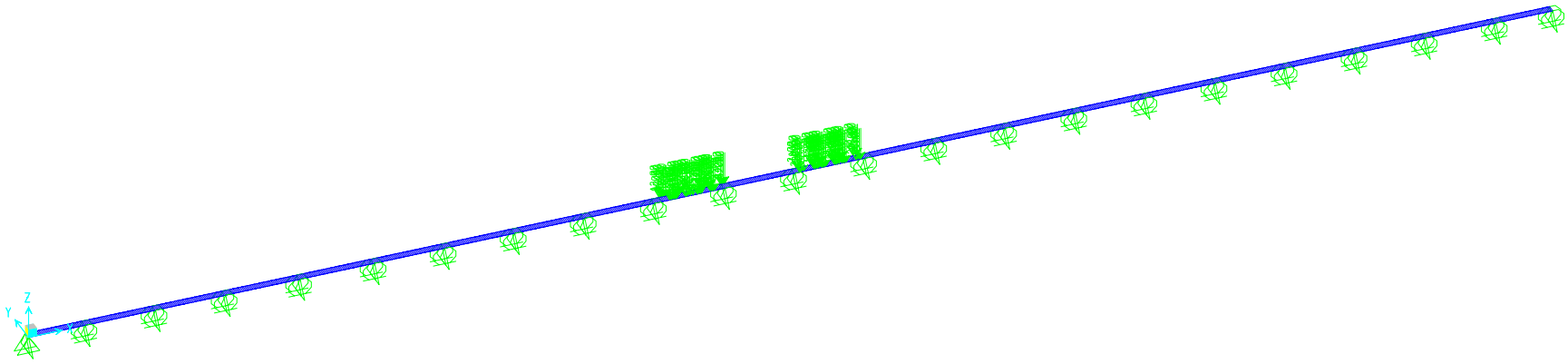

# SAP2000

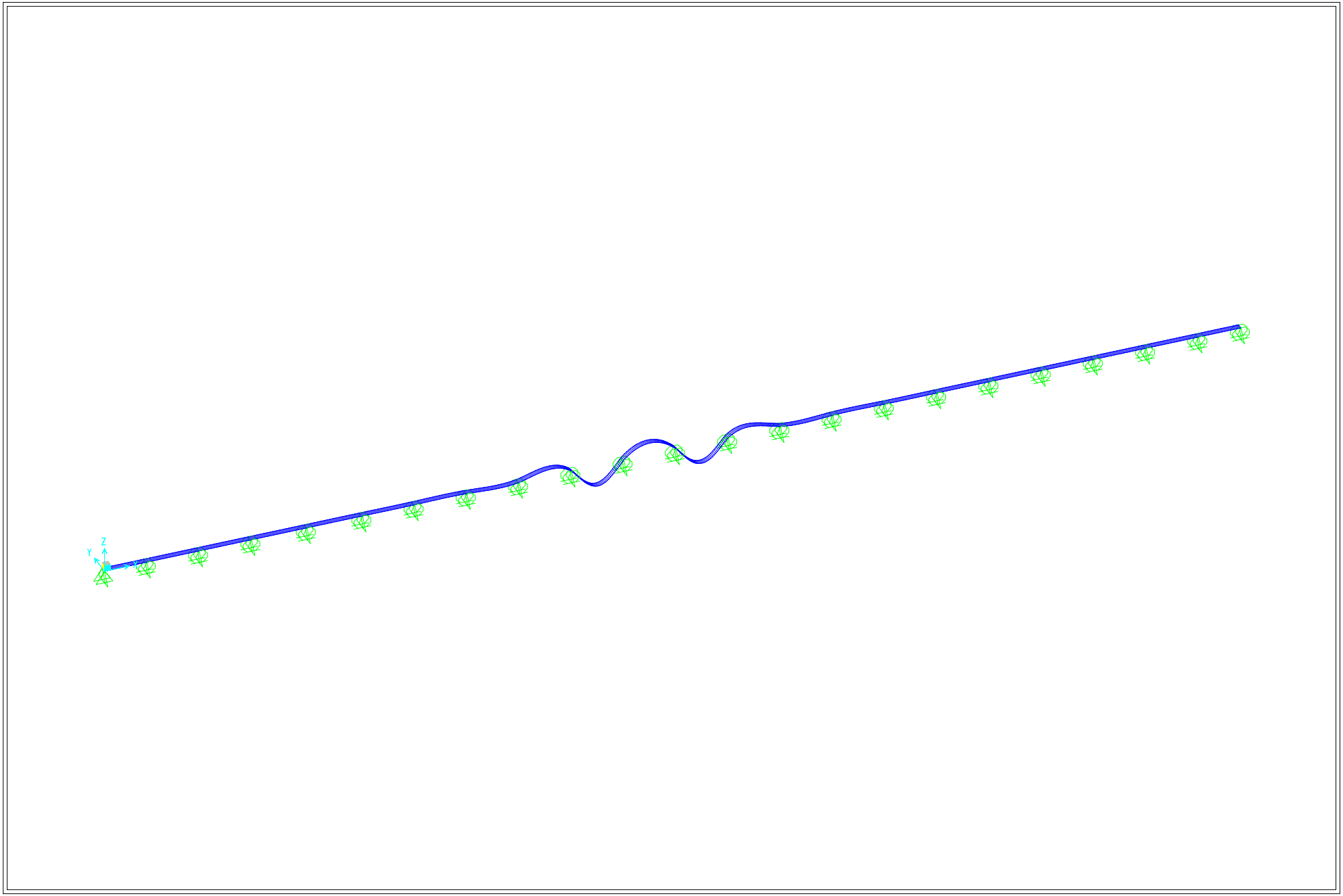

**SAP2000**

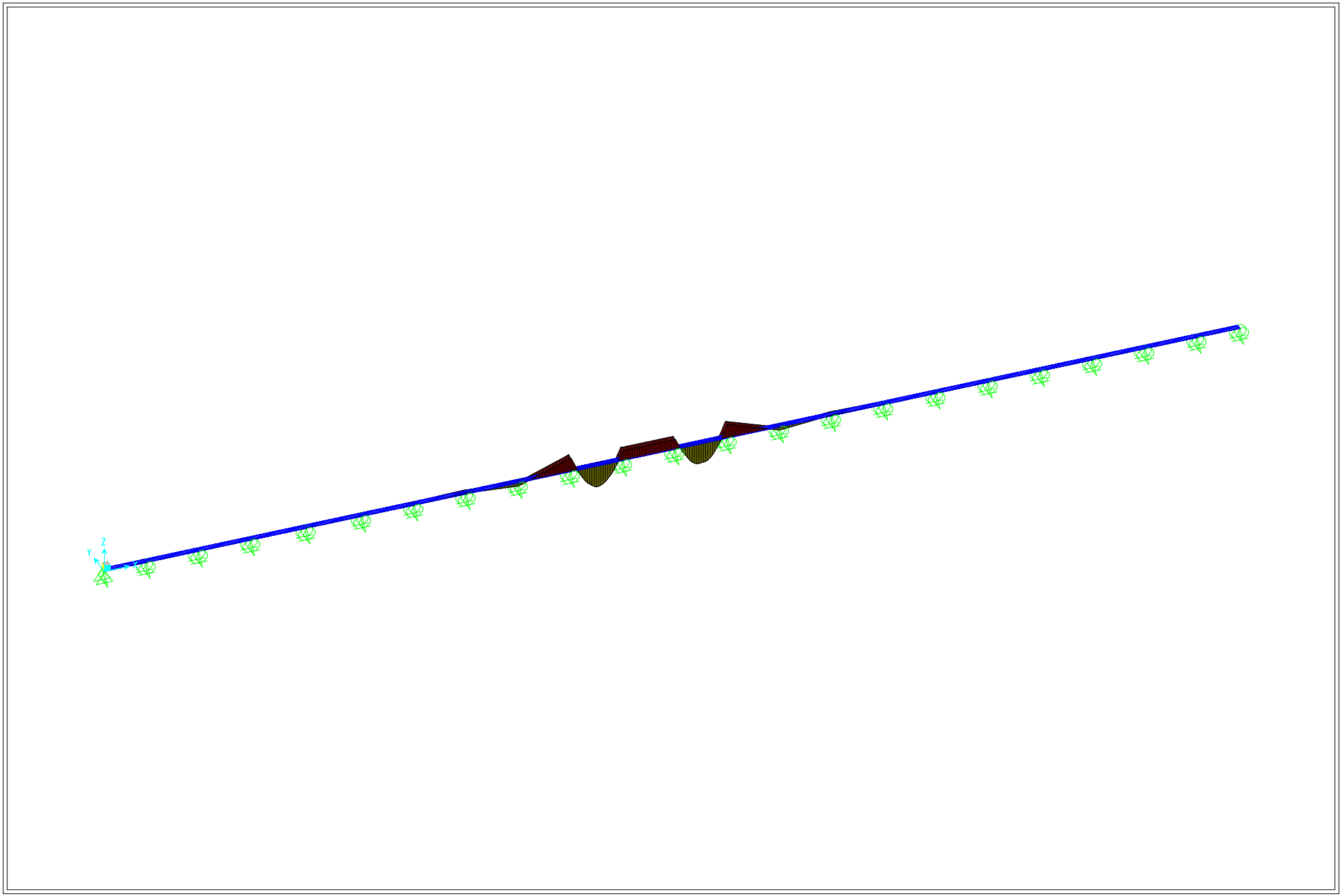


SAP2000 - File:VINX - Moment 3-3 Diagram (V10V12) - Ton, m, C Units

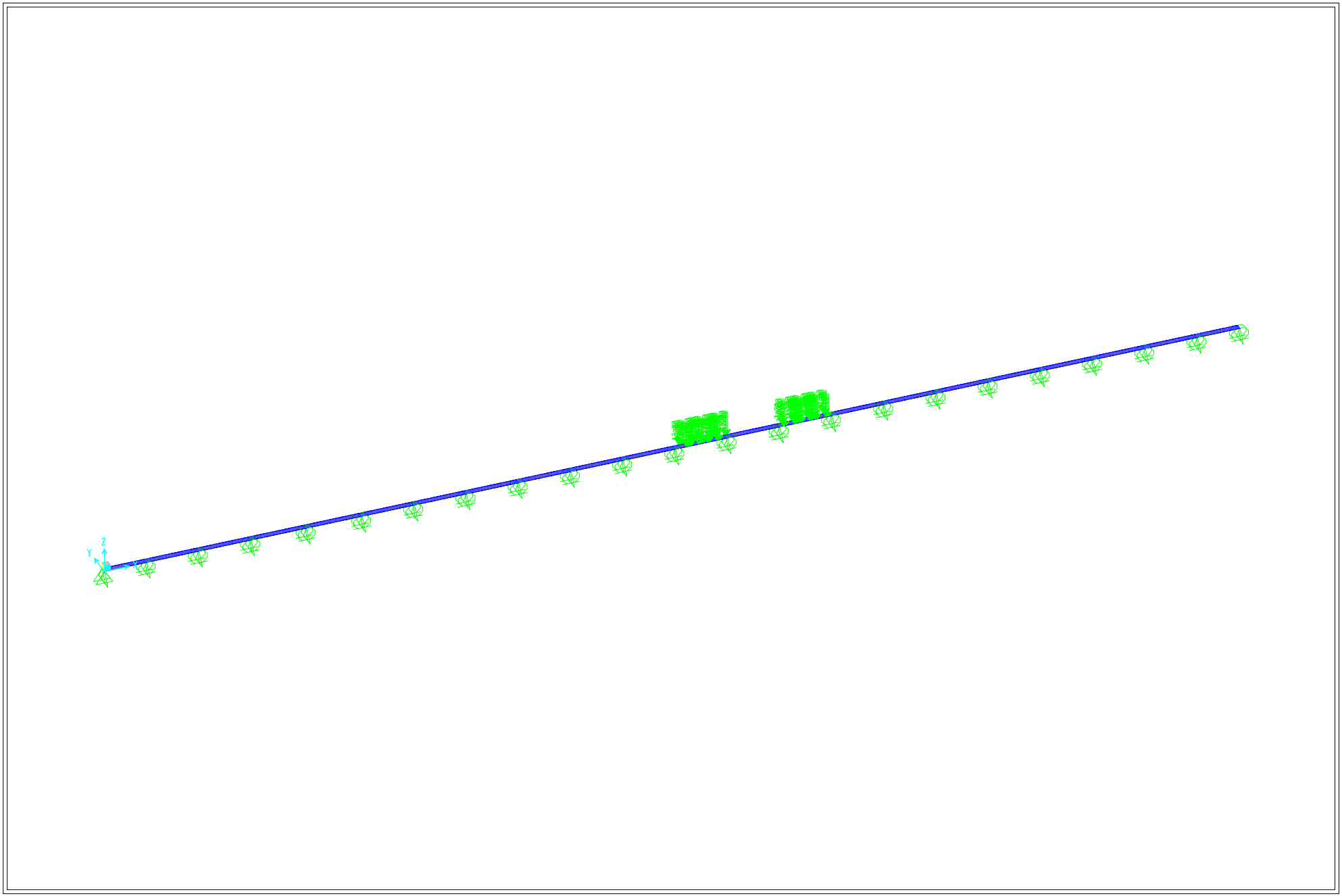
Z
Y

# SAP2000

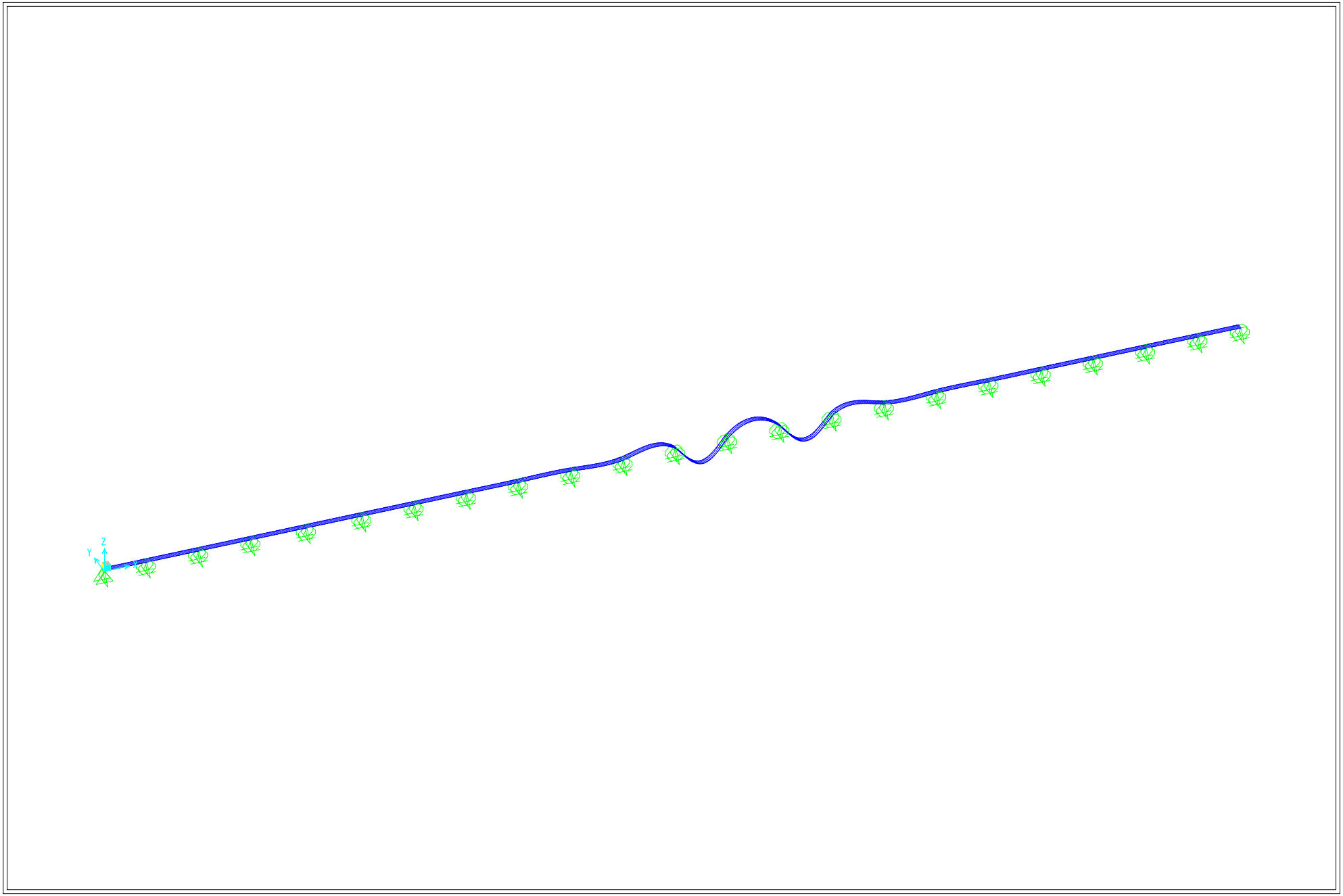


SAP2000 - File:VINX - Deformed Shape (V12V14) - Ton, m, C Units

**SAP2000**

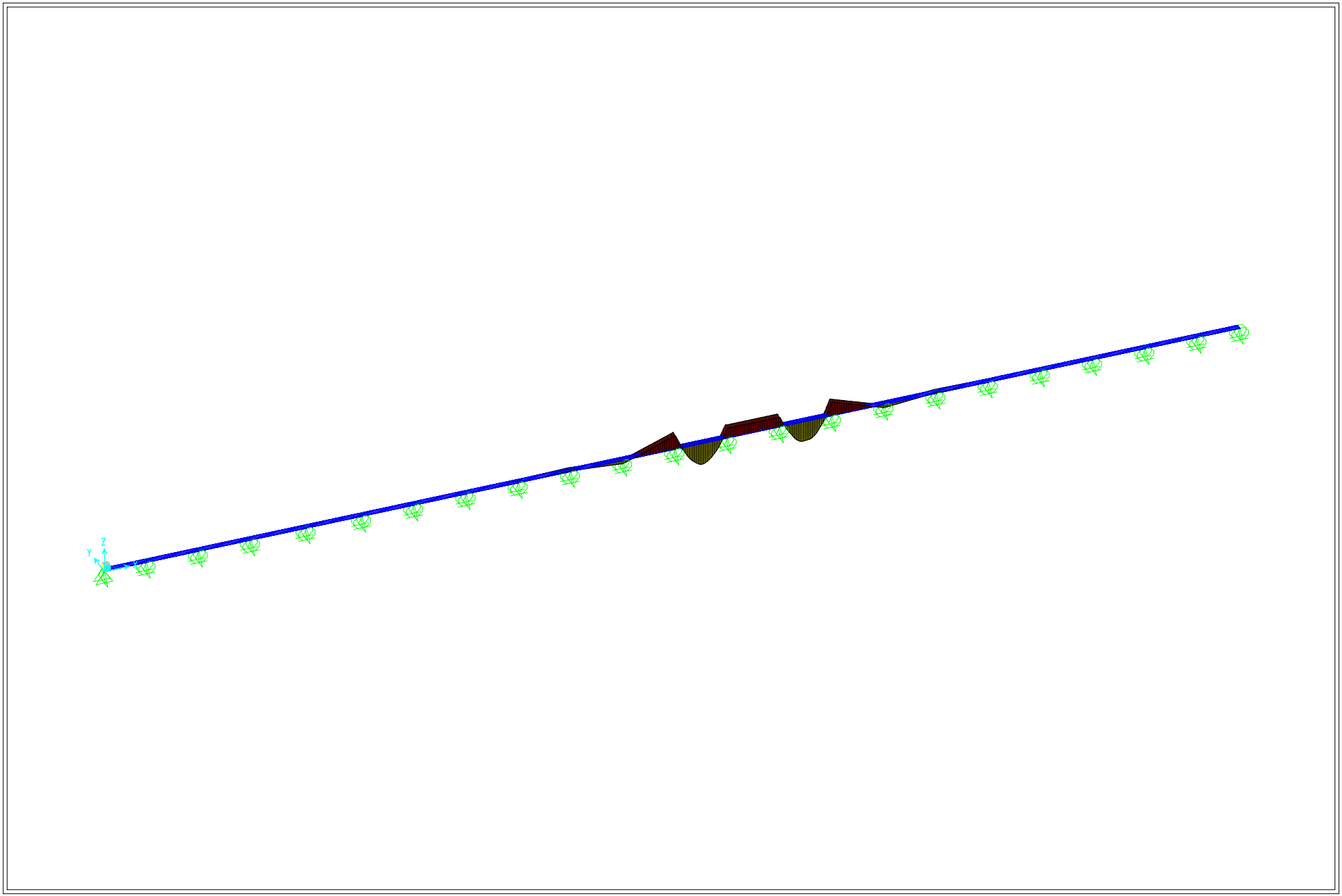


SAP2000 - File:VINX - Moment 3-3 Diagram (V12V14) - Ton, m, C Units

# SAP2000

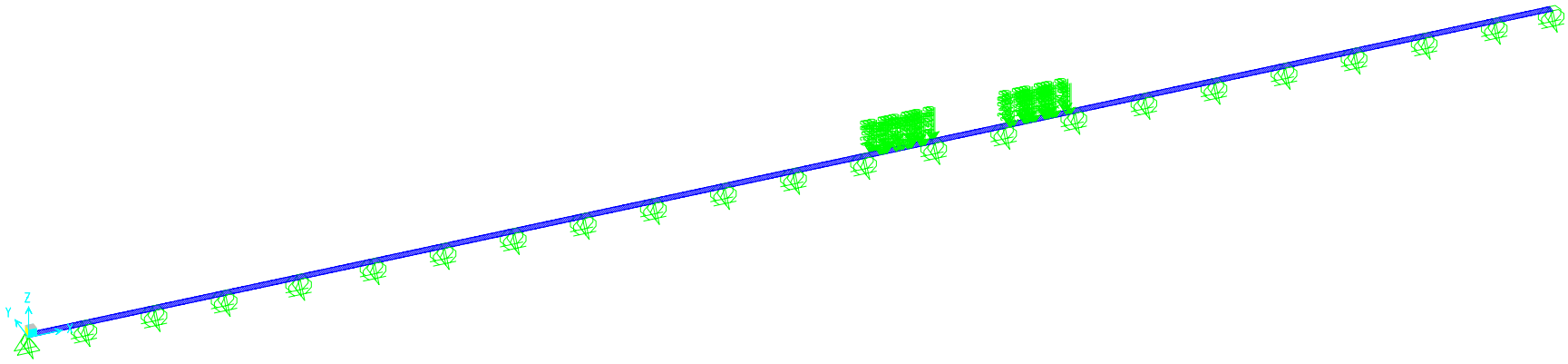

SAP2000

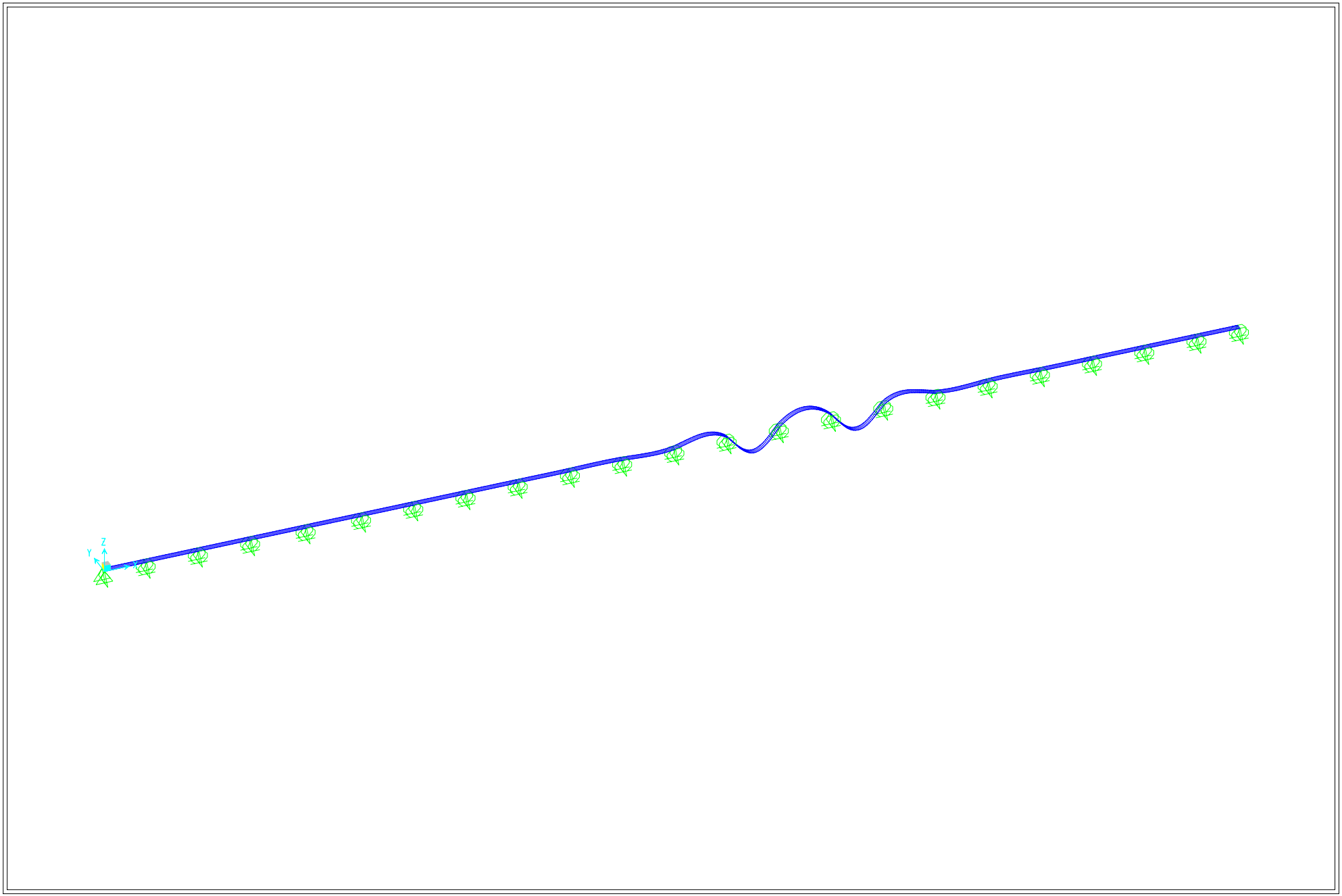


SAP2000 - File:VINX - Deformed Shape (V13V15) - Ton, m, C Units

**SAP2000**

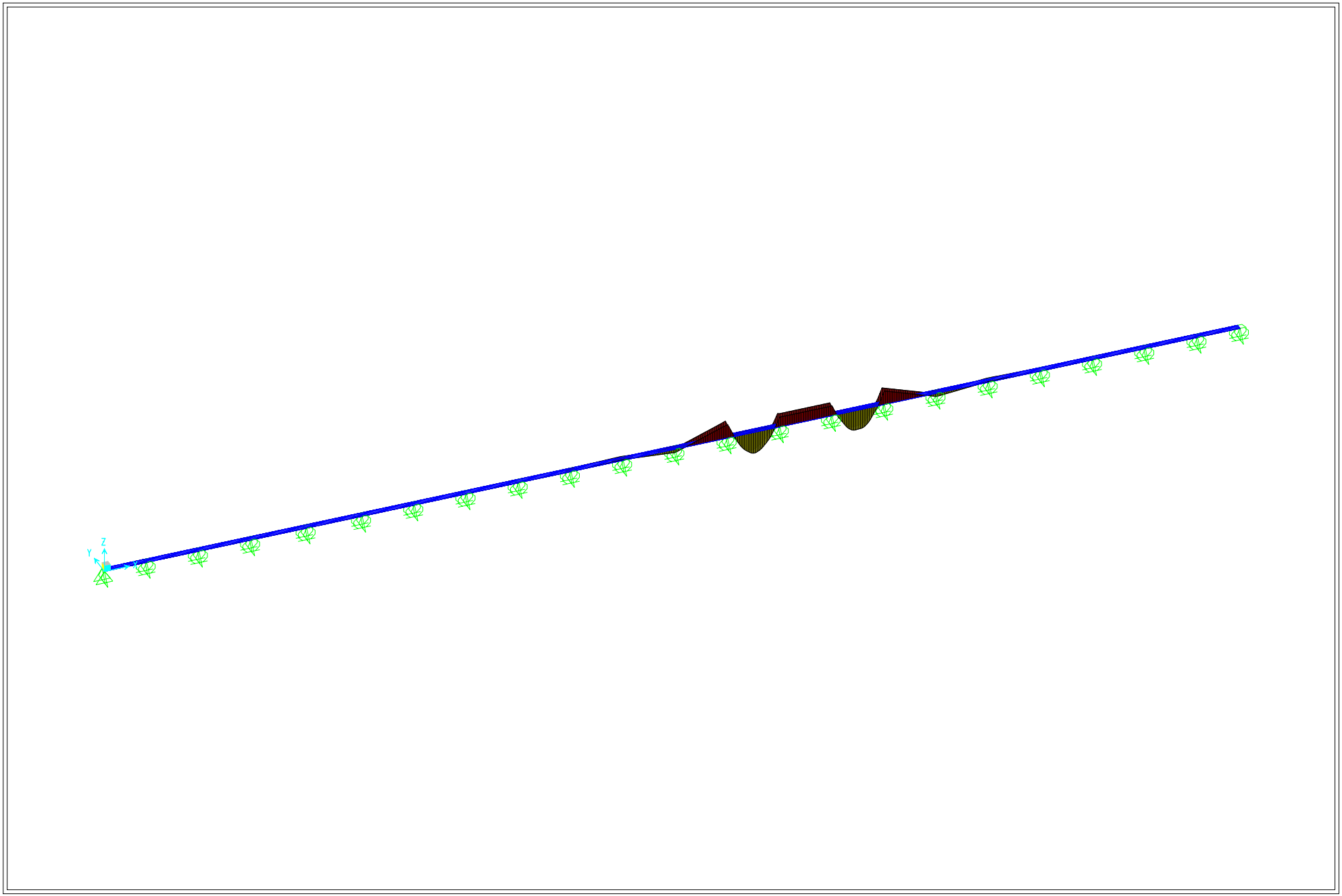


SAP2000 - File:VINX - Moment 3-3 Diagram (V13V15) - Ton, m, C Units

# SAP2000

SAP2000

**SAP2000**

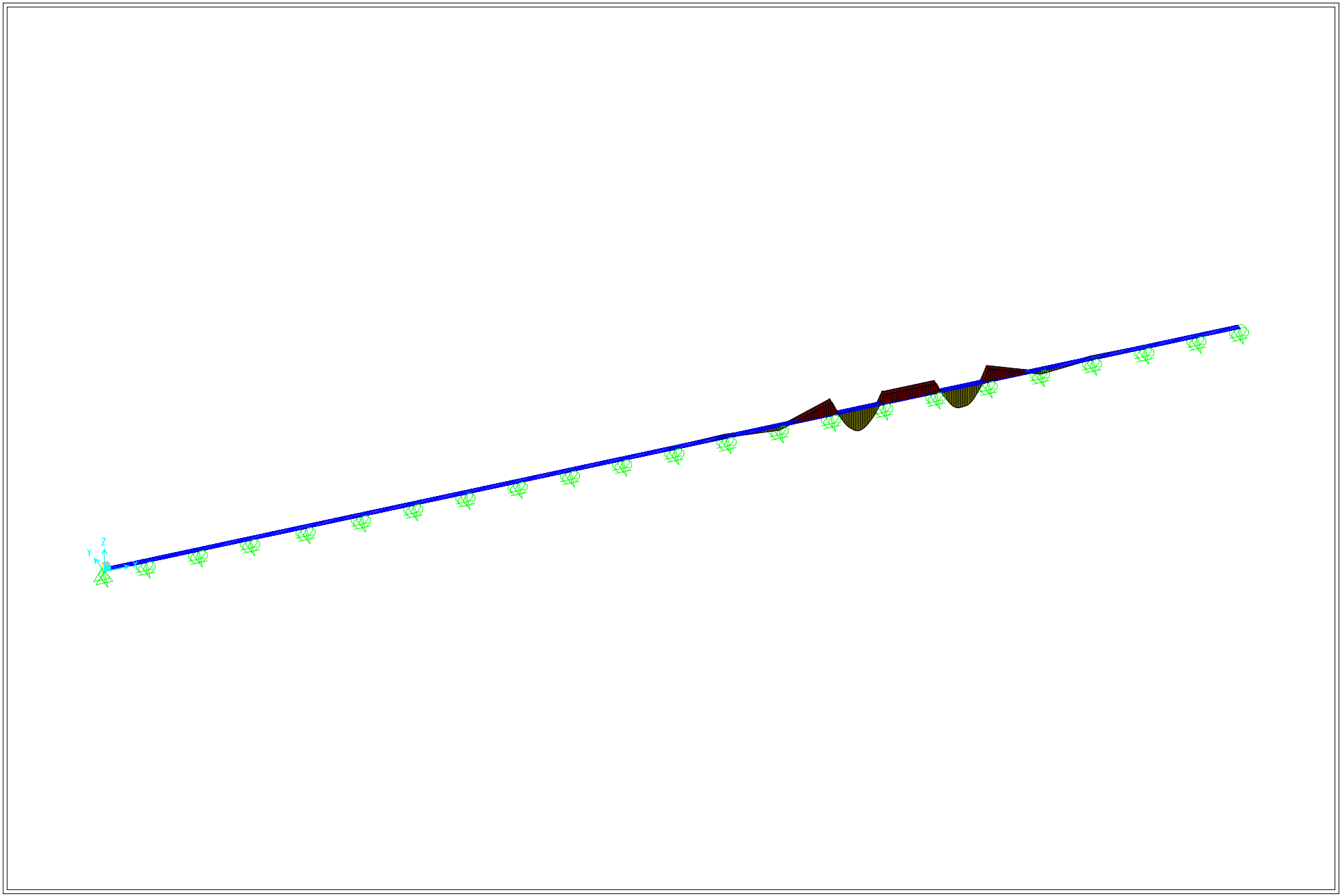


SAP2000 - File:VINX - Moment 3-3 Diagram (V15V17) - Ton, m, C Units

# SAP2000

SAP2000 - File:VINX - Joint Loads (V16V18) (As Defined) - Ton, m, C Units

# SAP2000

**SAP2000**

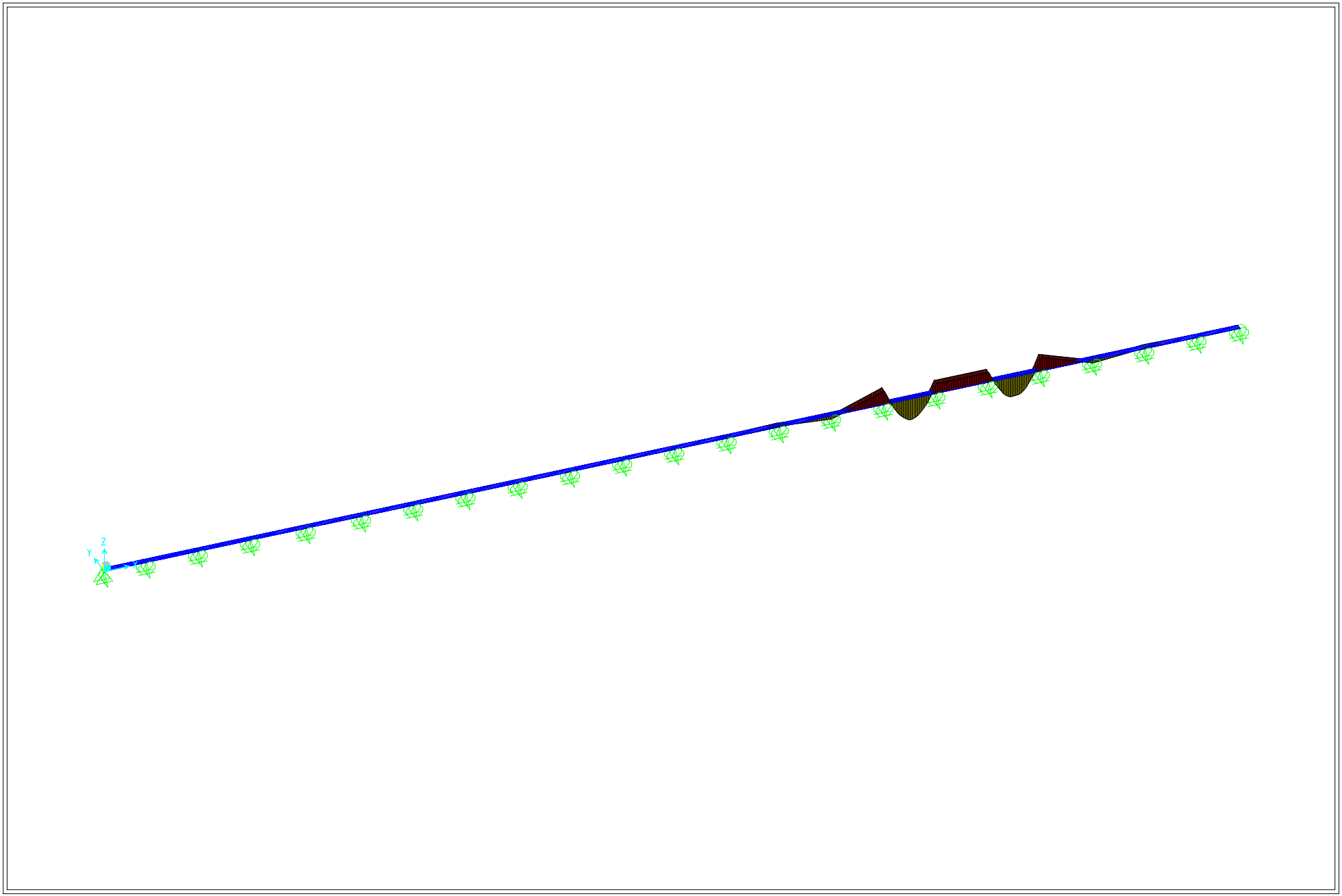


SAP2000 - File:VINX - Moment 3-3 Diagram (V16V18) - Ton, m, C Units

# SAP2000

SAP2000

SAP2000 - File:VINX - Deformed Shape (V19V21) - Ton, m, C Units

SAP2000

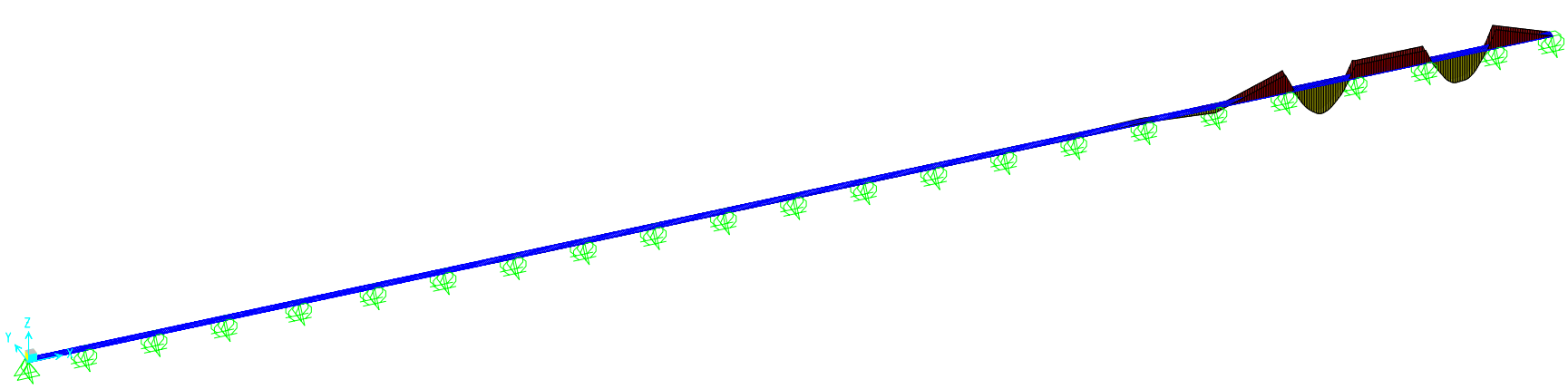


SAP2000 - File:VINX - Moment 3-3 Diagram (V19V21) - Ton, m, C Units

# SAP2000

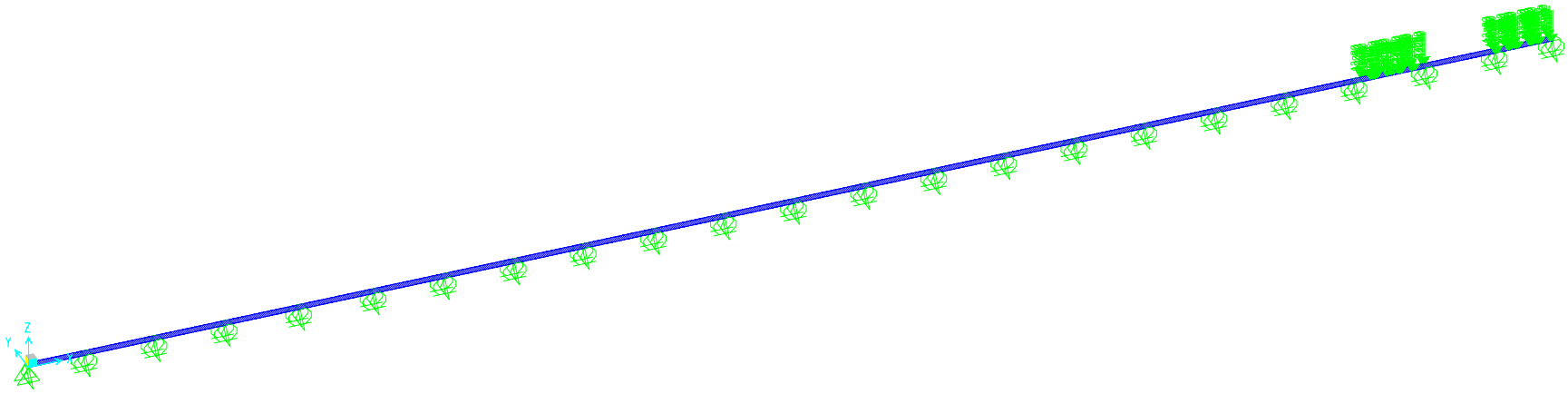

SAP2000

**SAP2000**

SAP2000 - File:VINX - Moment 3-3 Diagram (V20V22) - Ton, m, C Units

# SAP2000

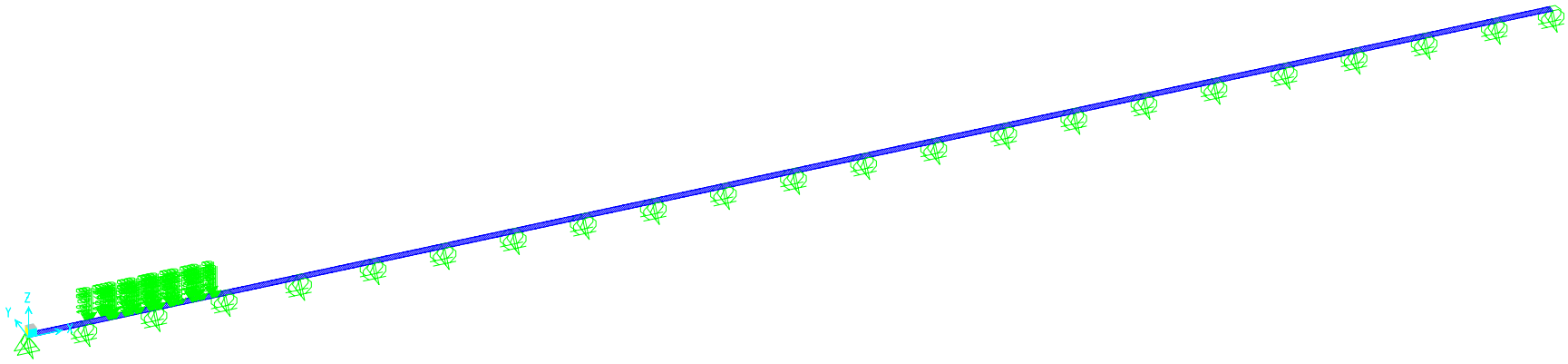


SAP2000 - File:VINX - Joint Loads (P0203) (As Defined) - Ton, m, C Units

# SAP2000

**SAP2000**

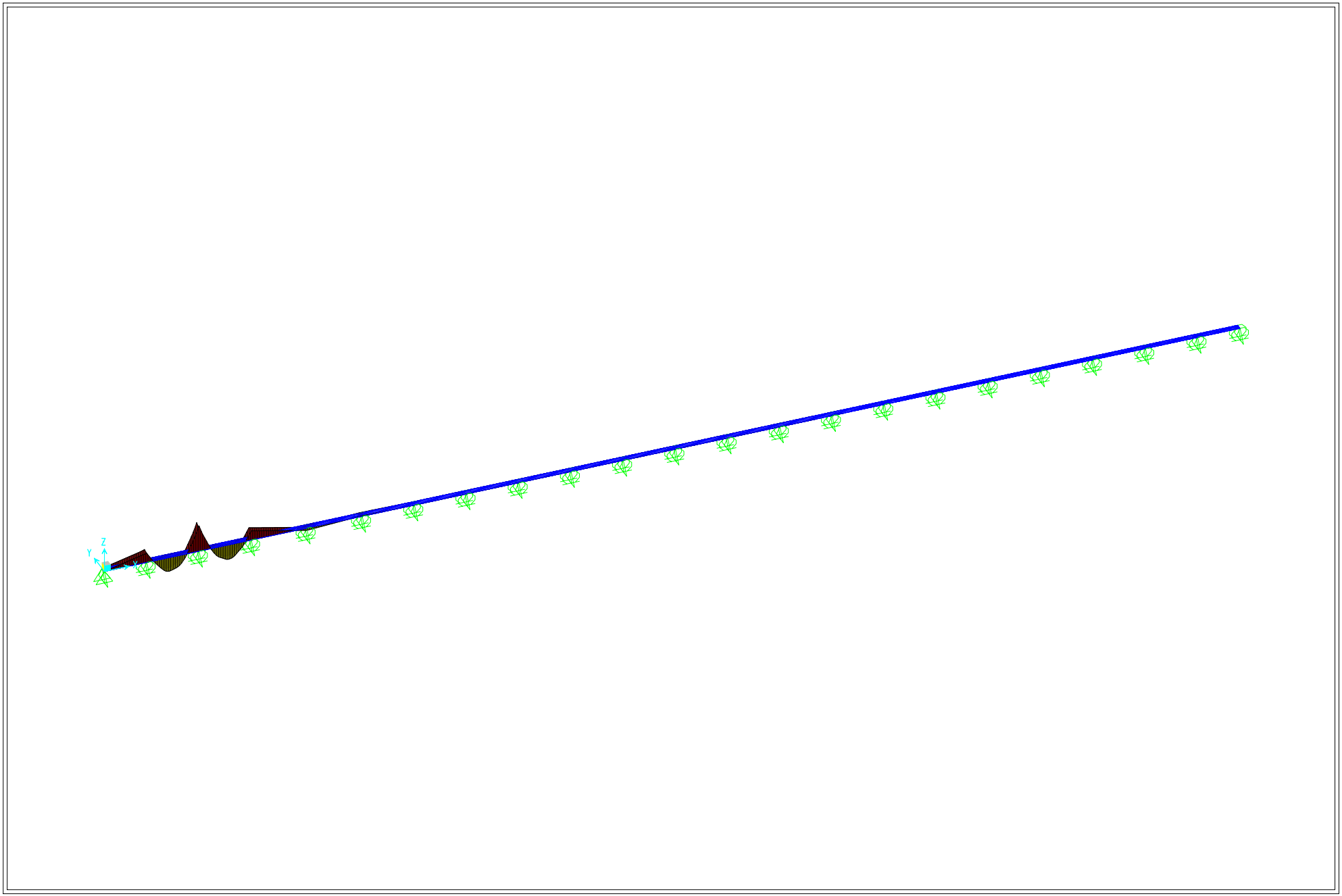


SAP2000 - File:VINX - Moment 3-3 Diagram (P0203) - Ton, m, C Units

# SAP2000

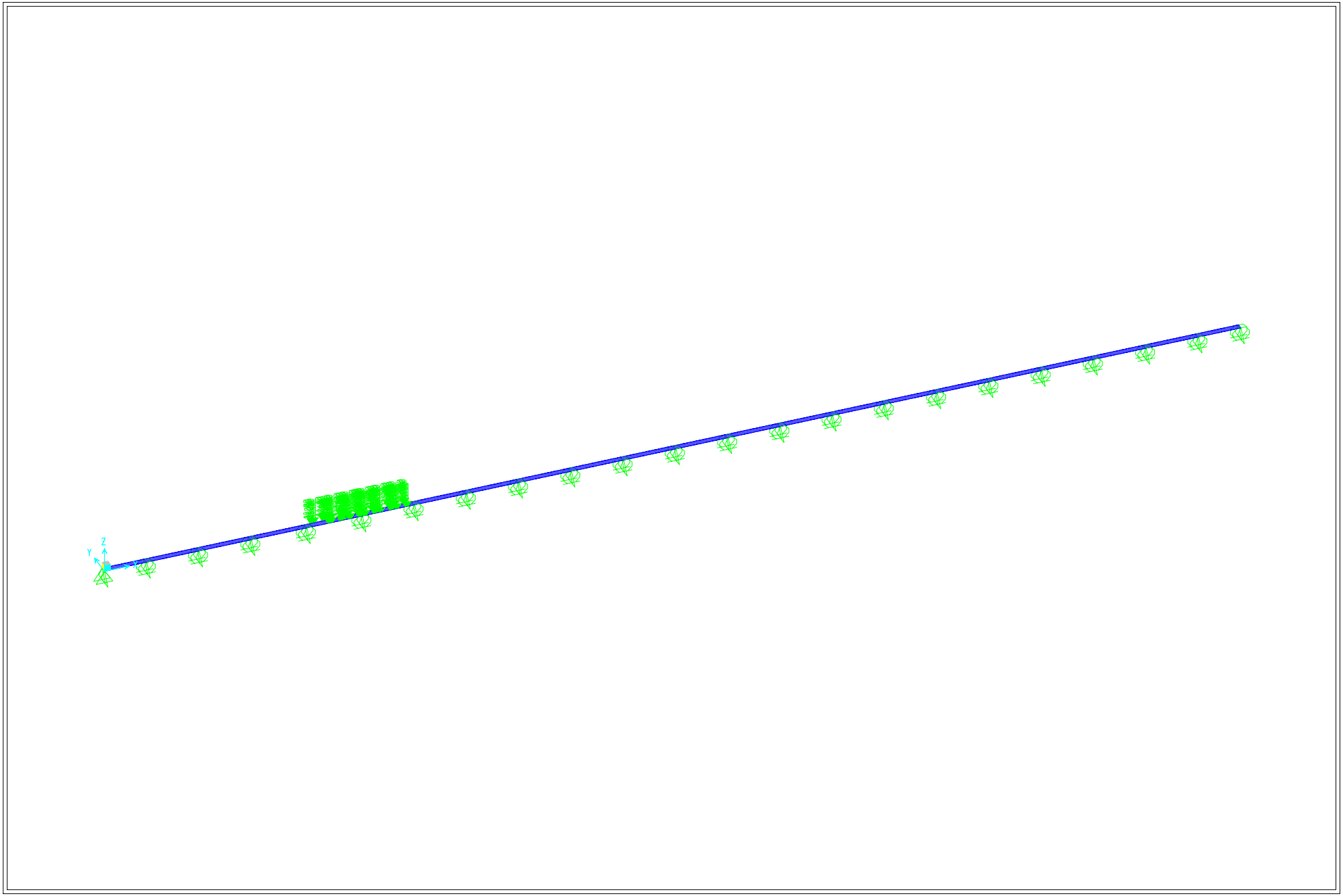


SAP2000 - File:VINX - Joint Loads (P0506) (As Defined) - Ton, m, C Units

**SAP2000**

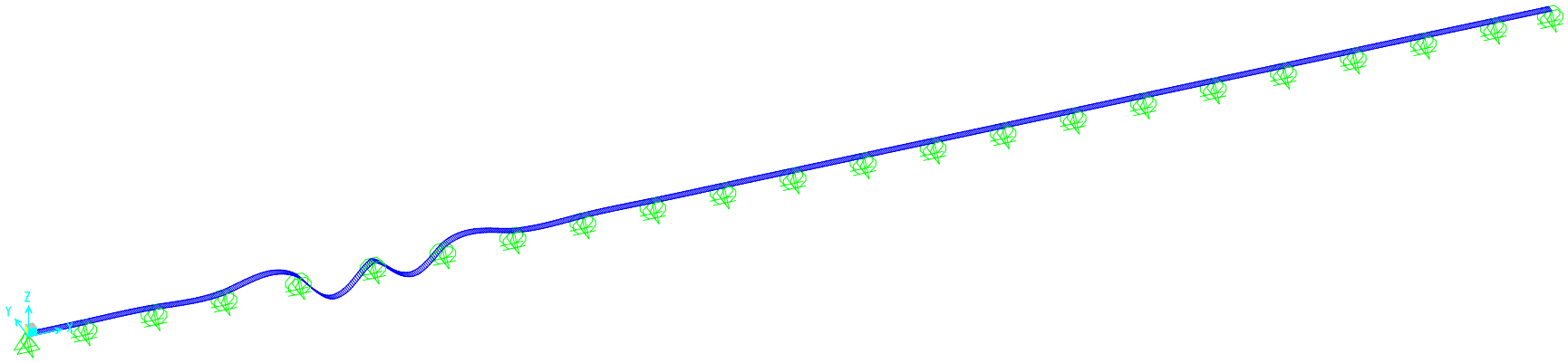


SAP2000 - File:VINX - Deformed Shape (P0506) - Ton, m, C Units

**SAP2000**

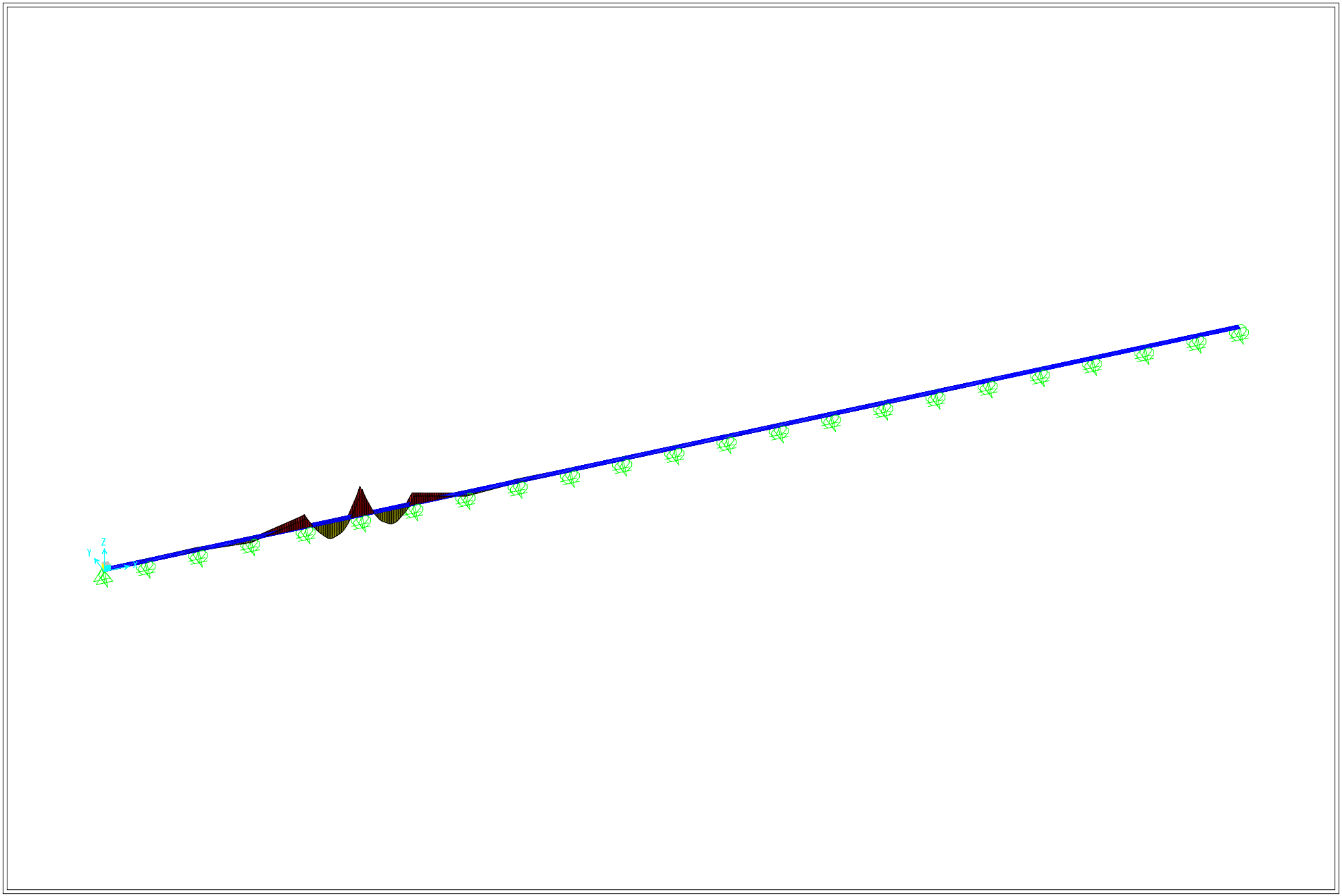


SAP2000 - File:VINX - Moment 3-3 Diagram (P0506) - Ton, m, C Units

# SAP2000

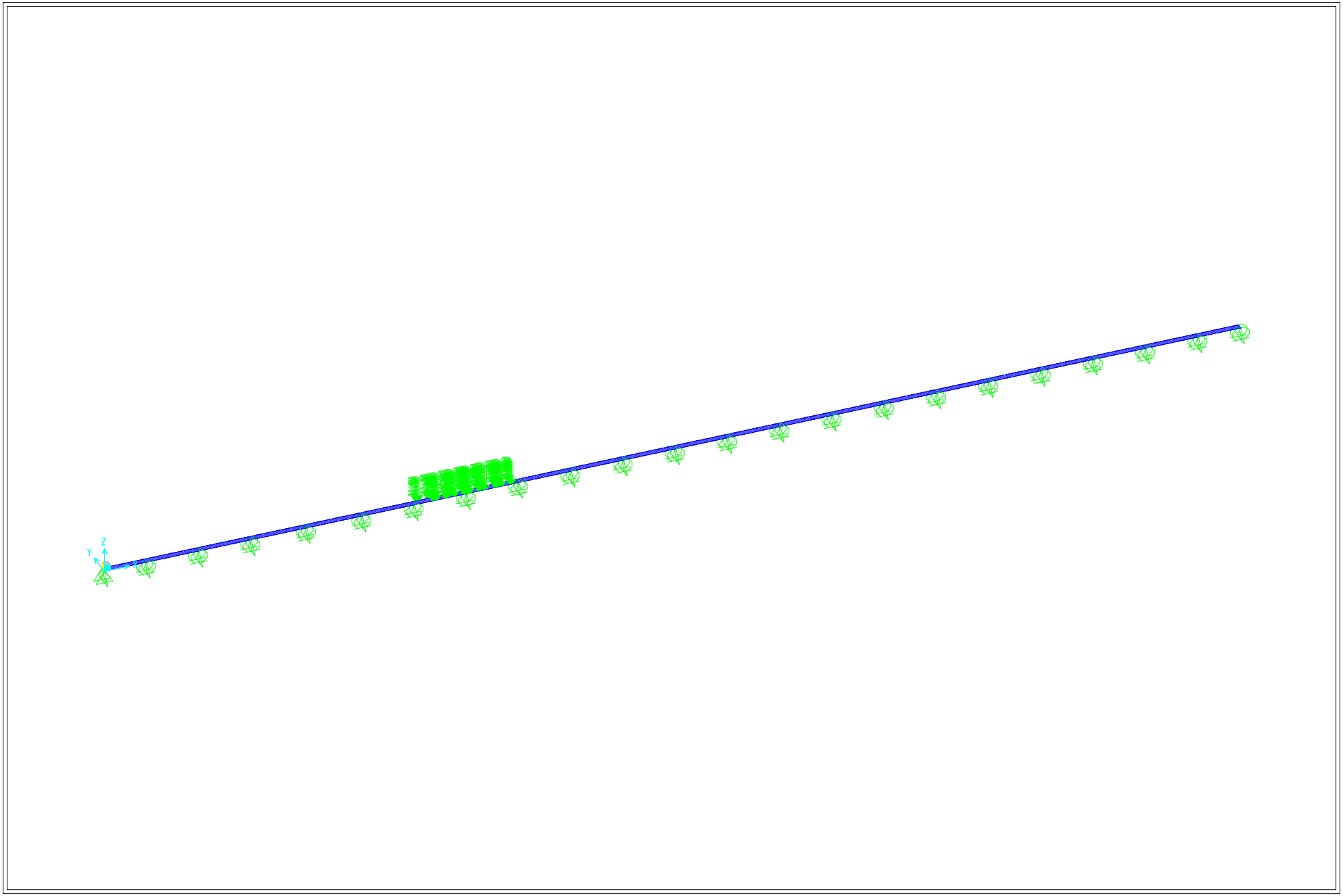


SAP2000 - File:VINX - Joint Loads (P0708) (As Defined) - Ton, m, C Units

SAP2000

SAP2000 - File:VINX - Deformed Shape (P0708) - Ton, m, C Units

**SAP2000**

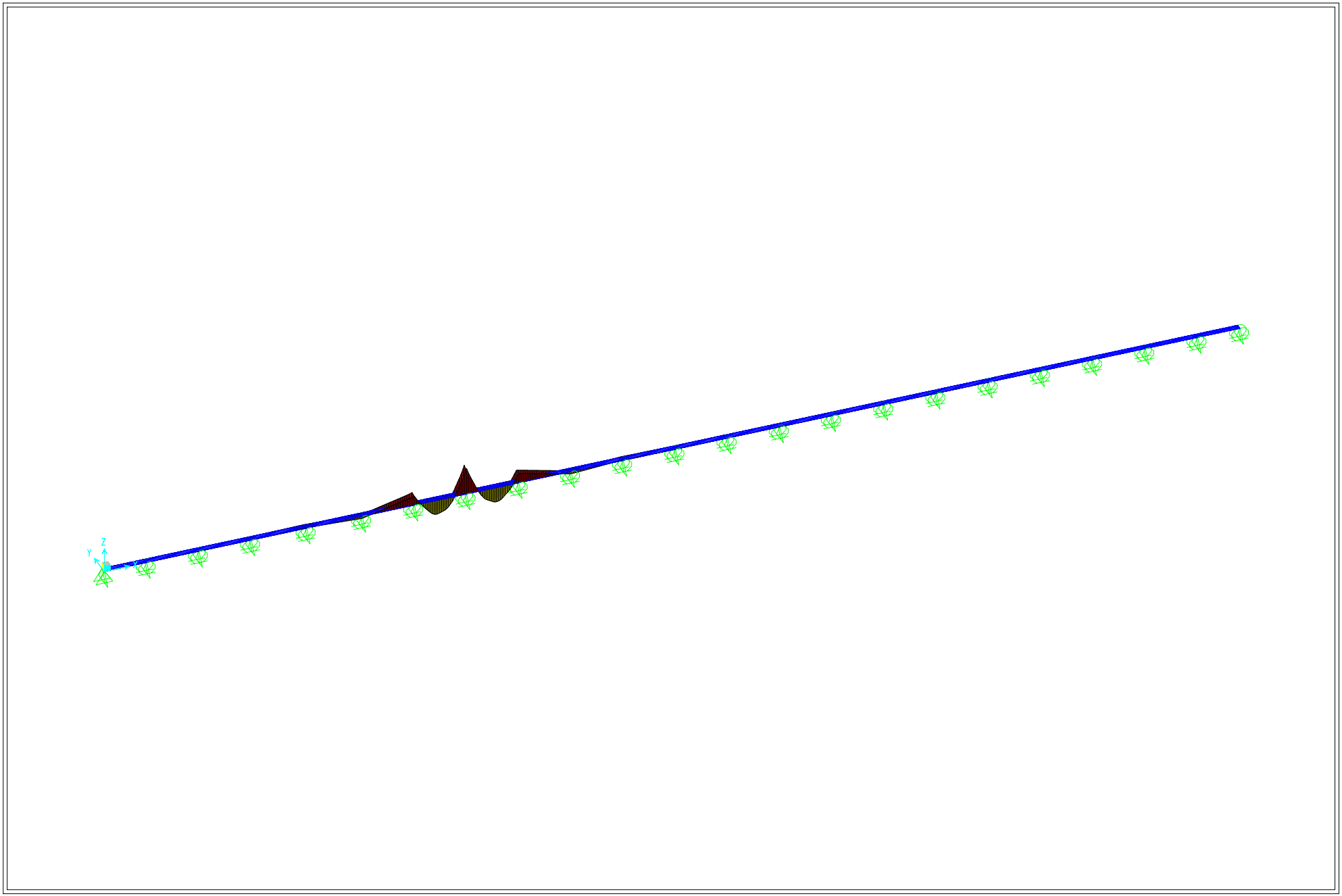


SAP2000 - File:VINX - Moment 3-3 Diagram (P0708) - Ton, m, C Units

# SAP2000

SAP2000 - File:VINX - Joint Loads (P1112) (As Defined) - Ton, m, C Units

**SAP2000**

SAP2000 - File:VINX - Deformed Shape (P1112) - Ton, m, C Units

**SAP2000**

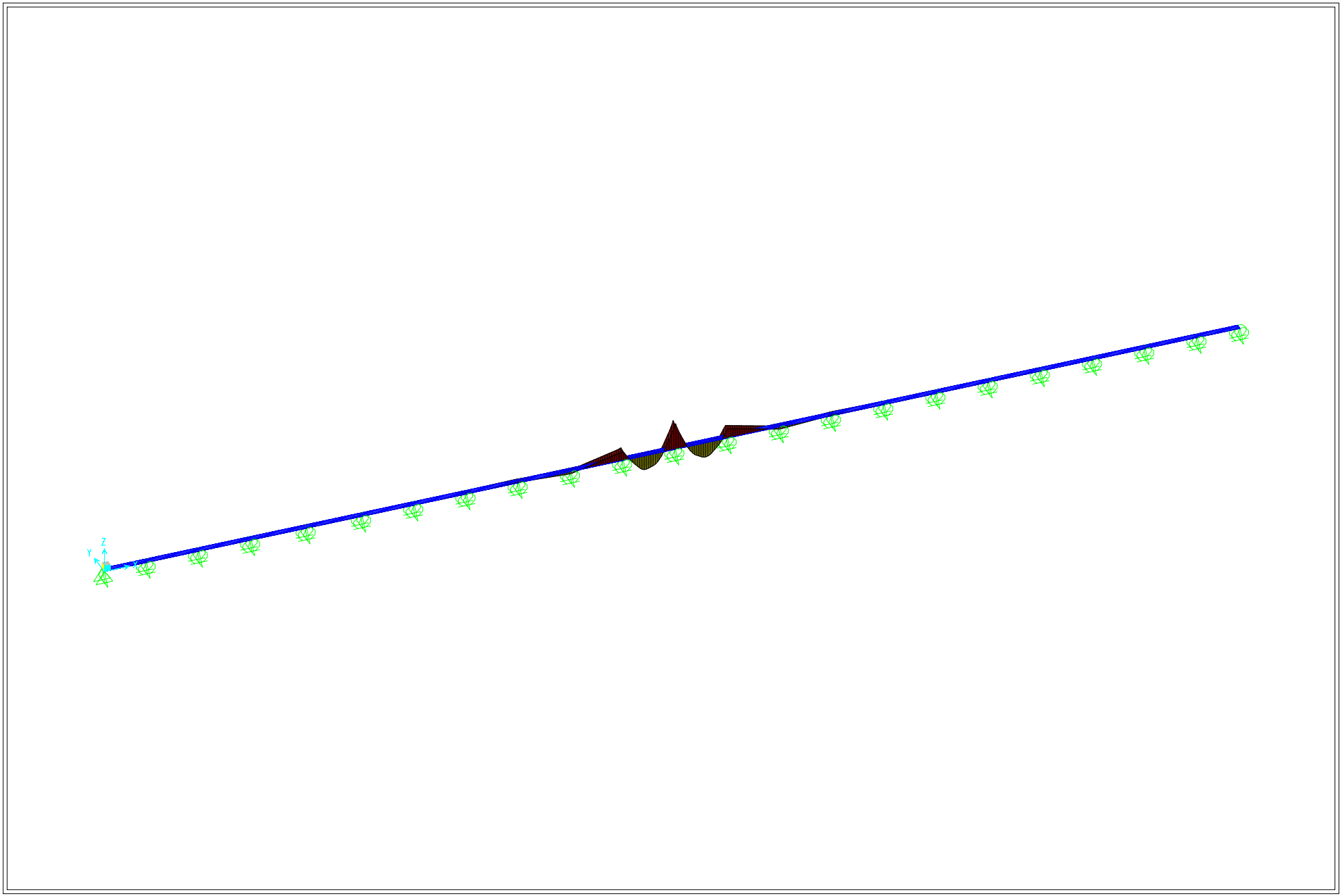


SAP2000 - File:VINX - Moment 3-3 Diagram (P1112) - Ton, m, C Units

**SAP2000**

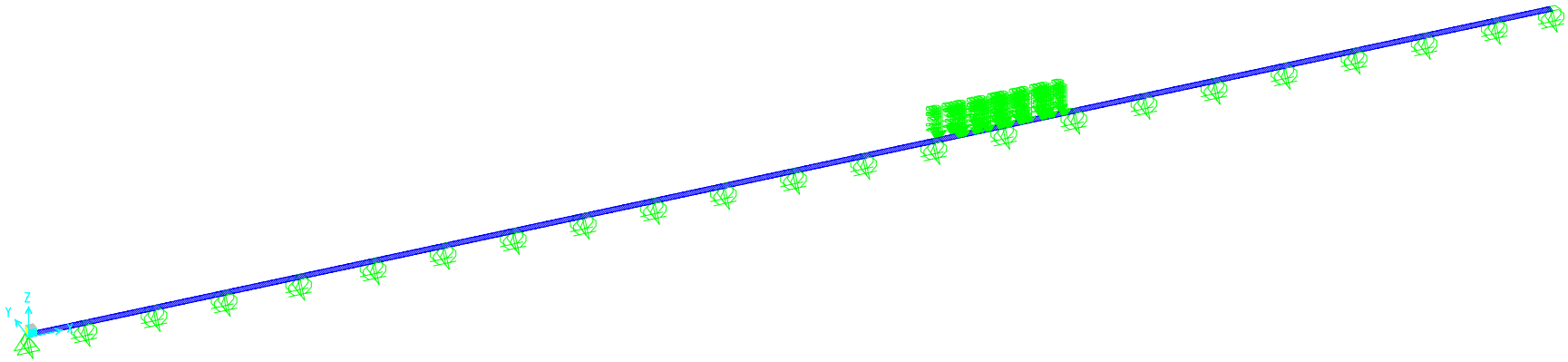


SAP2000 - File:VINX - Joint Loads (P1415) (As Defined) - Ton, m, C Units

# SAP2000

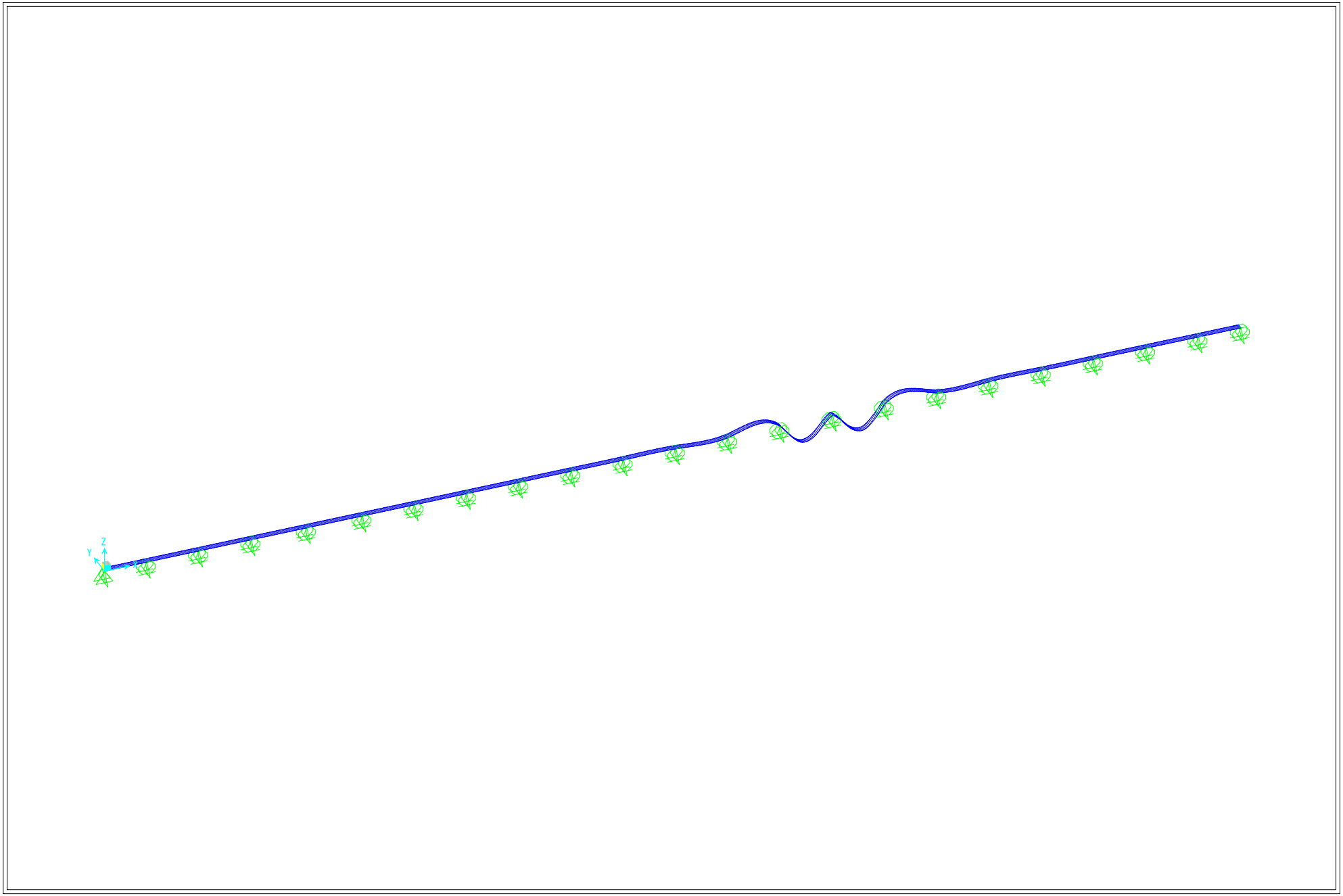


SAP2000 - File:VINX - Deformed Shape (P1415) - Ton, m, C Units

SAP2000

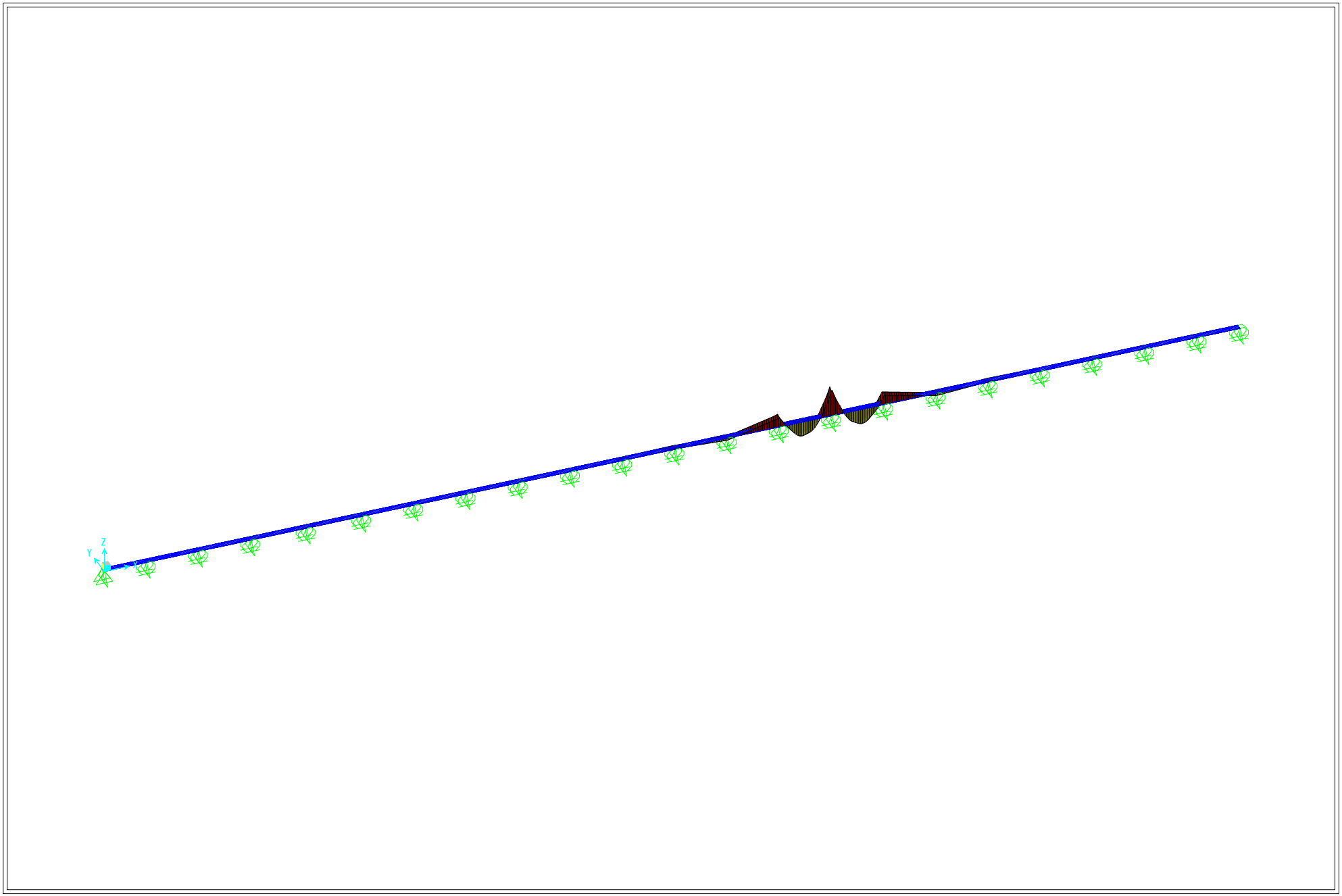


SAP2000 - File:VINX - Moment 3-3 Diagram (P1415) - Ton, m, C Units

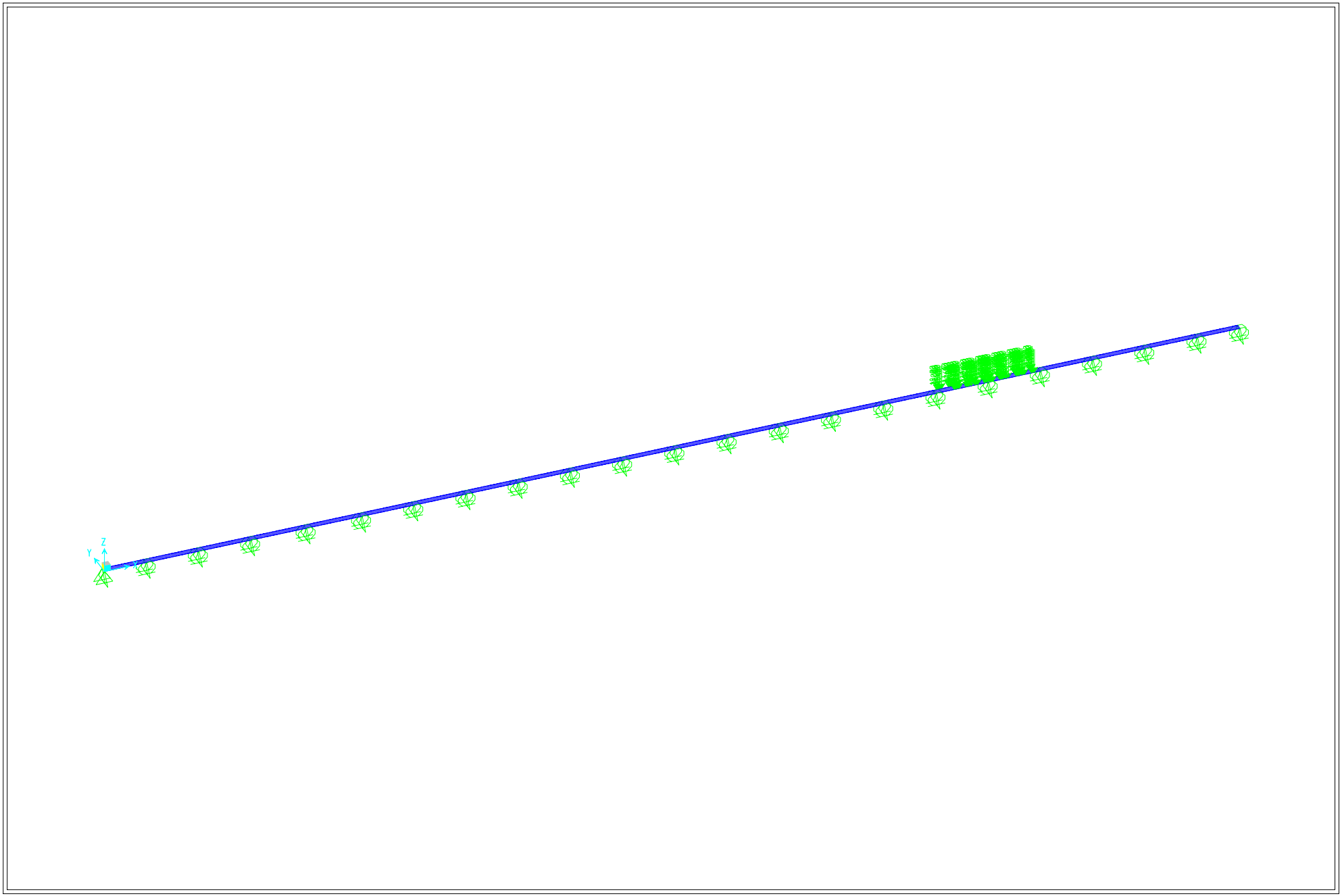
Z
Y

SAP2000

SAP2000

SAP2000 - File:VINX - Moment 3-3 Diagram (P1718) - Ton, m, C Units

# SAP2000

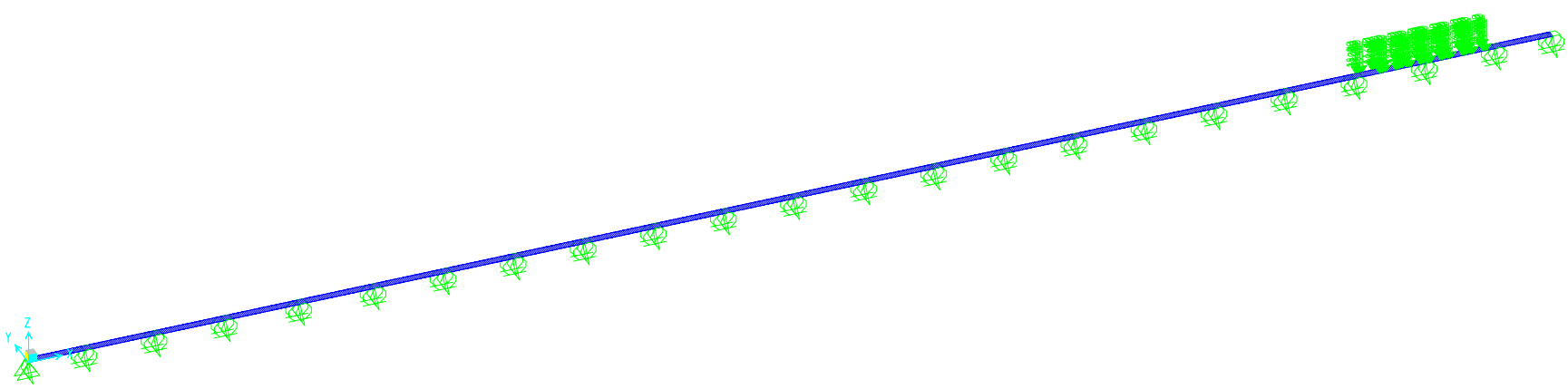

SAP2000

**SAP2000**

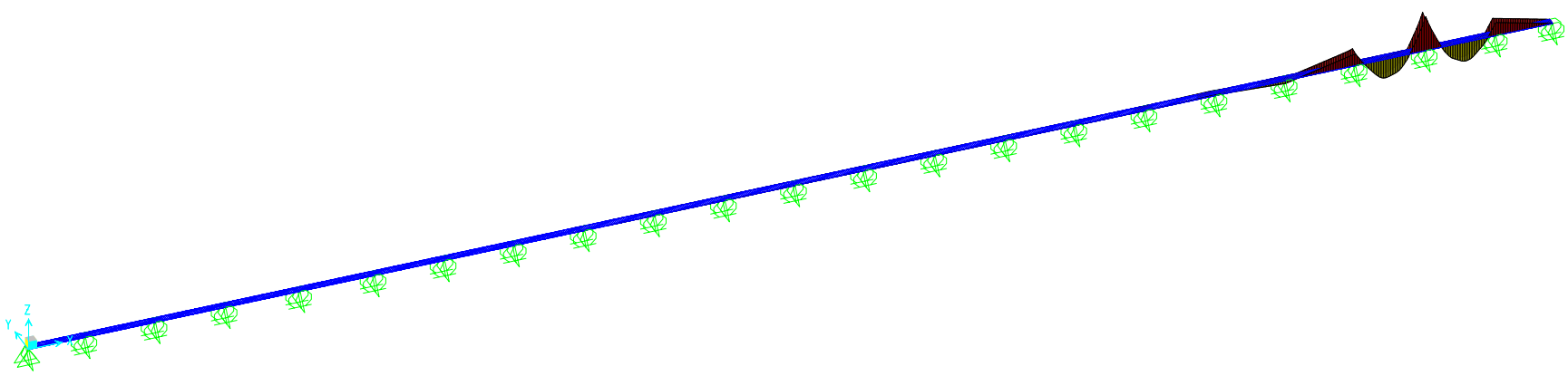


SAP2000 - File:VINX - Moment 3-3 Diagram (P2021) - Ton, m, C Units

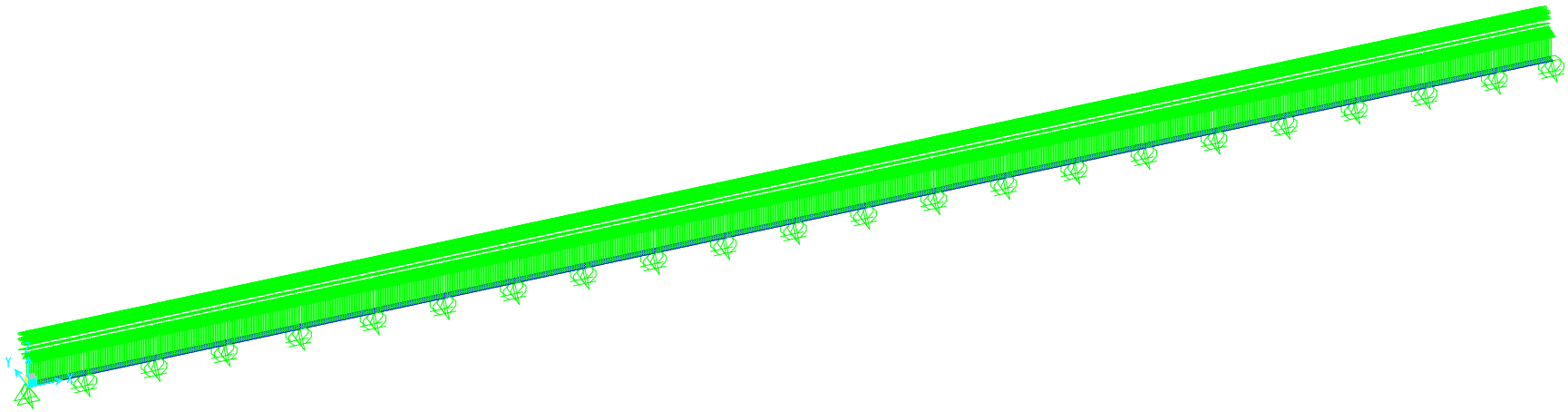

**SAP2000**

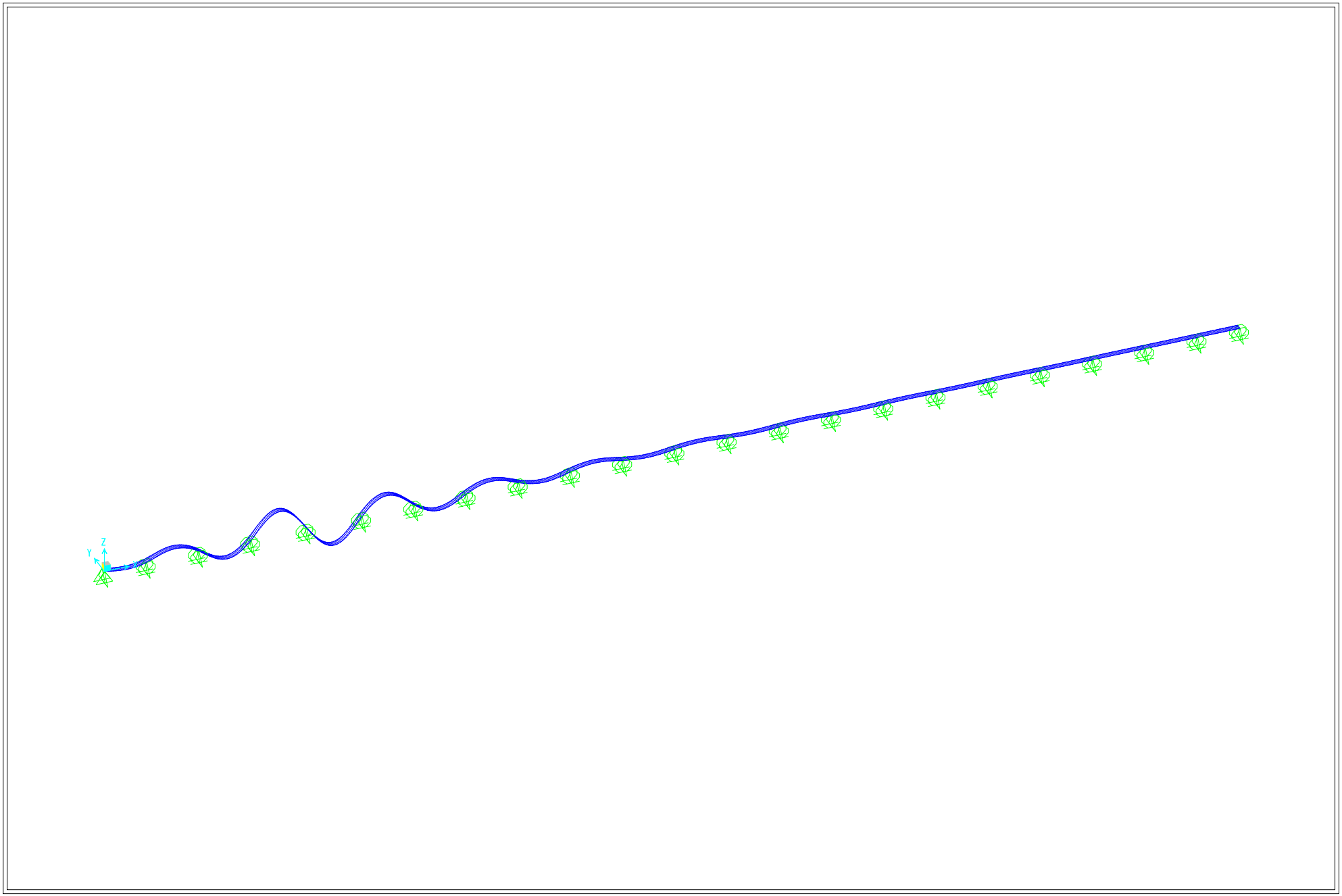


SAP2000 - File:VINX - Deformed Shape (MODAL) - Mode 1 - Period 0.36013 - Ton, m, C Units

SAP2000

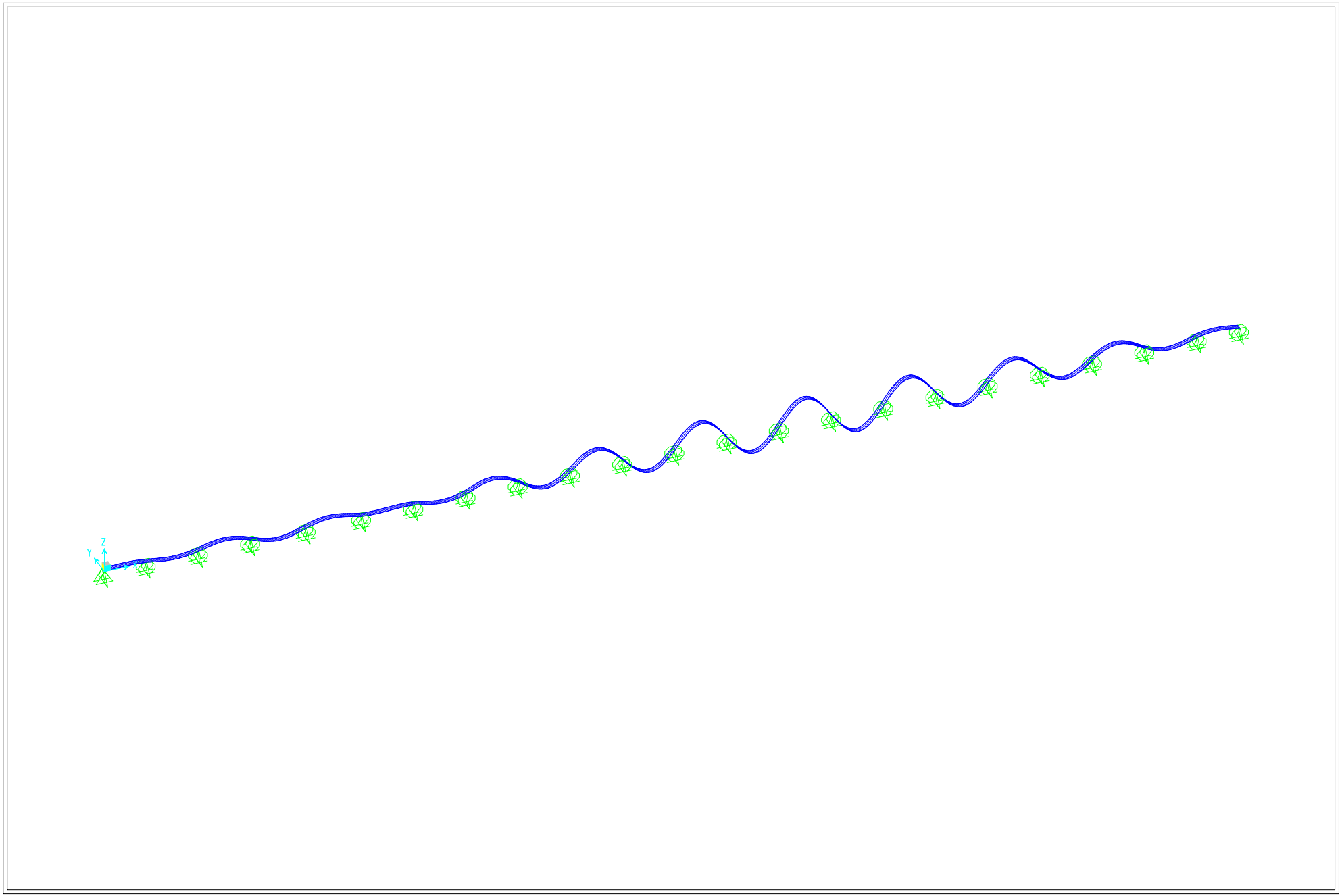


SAP2000 - File:VINX - Deformed Shape (MODAL) - Mode 2 - Period 0.34499 - Ton, m, C Units

SAP2000

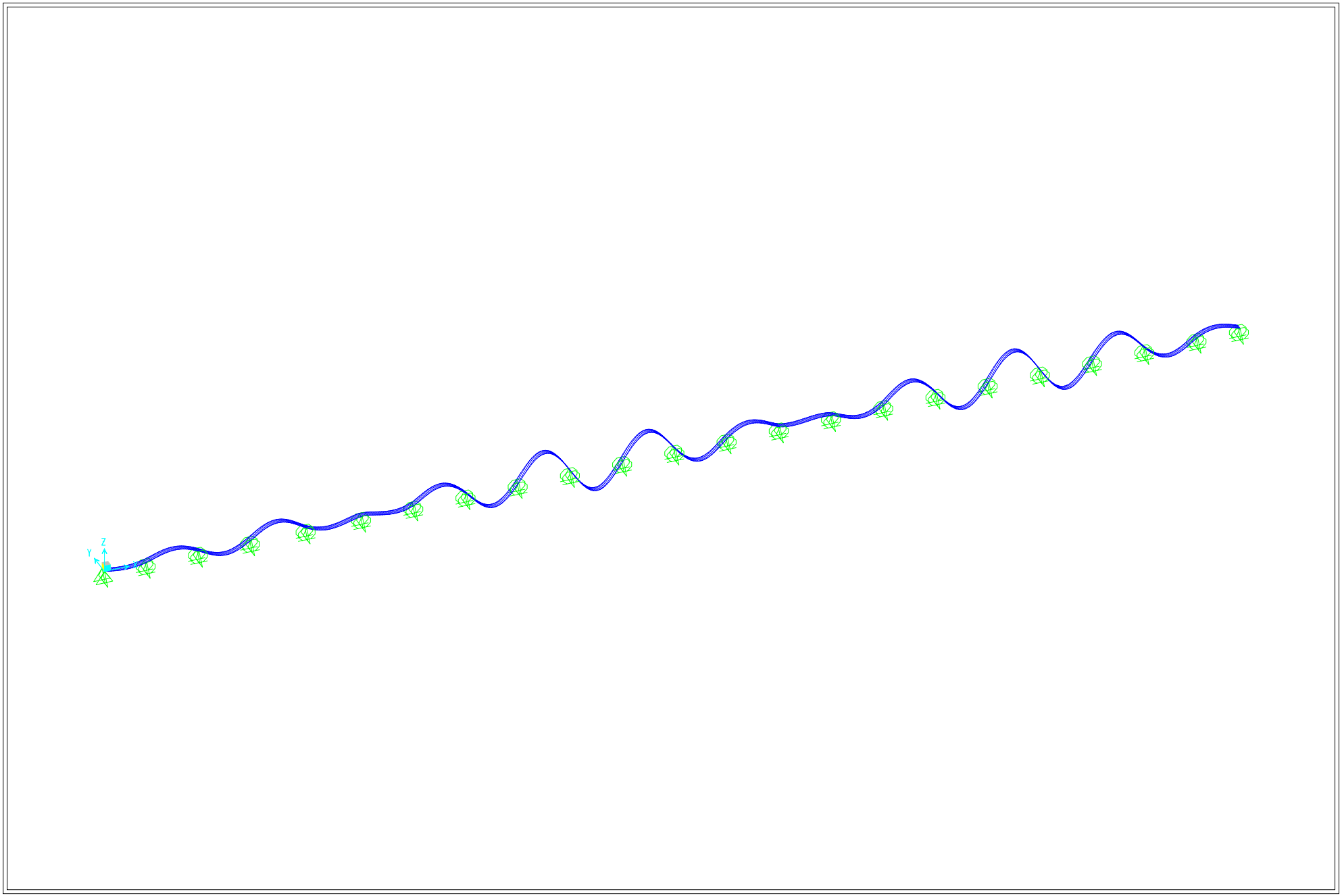


SAP2000 - File:VINX - Deformed Shape (MODAL) - Mode 3 - Period 0.33727 - Ton, m, C Units

### Table: Analysis Case Definitions

| Case | Type | InitialCond | ModalCase |
|---|---|---|---|
| Text | Text | Text | Text |
| DEAD | LinStatic | Zero | |
| MODAL | LinModal | Zero | |
| V01V03 | LinStatic | Zero | |
| V02V04 | LinStatic | Zero | |
| V04V06 | LinStatic | Zero | |
| V05V07 | LinStatic | Zero | |
| V06V08 | LinStatic | Zero | |
| V07V09 | LinStatic | Zero | |
| V09V11 | LinStatic | Zero | |
| V10V12 | LinStatic | Zero | |
| V12V14 | LinStatic | Zero | |
| V13V15 | LinStatic | Zero | |
| V15V17 | LinStatic | Zero | |
| V16V18 | LinStatic | Zero | |
| V19V21 | LinStatic | Zero | |
| V20V22 | LinStatic | Zero | |
| P0203 | LinStatic | Zero | |
| P0506 | LinStatic | Zero | |
| P0708 | LinStatic | Zero | |
| P1112 | LinStatic | Zero | |
| P1415 | LinStatic | Zero | |
| P1718 | LinStatic | Zero | |
| P2021 | LinStatic | Zero | |

### Table: Case - Modal 1 - General

| Case | ModeType | MaxNumModes | MinNumModes | EigenShift | EigenCutoff | EigenTol |
|---|---|---|---|---|---|---|
| Text | Text | Unitless | Unitless | Cyc/sec | Cyc/sec | Unitless |
| MODAL | Eigen | 12 | 1 | 0.0000E+00 | 0.0000E+00 | 1.0000E-07 |

### Table: Case - Static 1 - Load Assignments

| Case | LoadType | LoadName | LoadSF |
|---|---|---|---|
| Text | Text | Text | Unitless |
| DEAD | Load case | DEAD | 1.000000 |
| V01V03 | Load case | V01V03 | 1.000000 |
| V02V04 | Load case | V02V04 | 1.000000 |
| V04V06 | Load case | V04V06 | 1.000000 |
| V05V07 | Load case | V05V07 | 1.000000 |
| V06V08 | Load case | V06V08 | 1.000000 |
| V07V09 | Load case | V07V09 | 1.000000 |
| V09V11 | Load case | V09V11 | 1.000000 |
| V10V12 | Load case | V10V12 | 1.000000 |
| V12V14 | Load case | V12V14 | 1.000000 |
| V13V15 | Load case | V13V15 | 1.000000 |
| V15V17 | Load case | V15V17 | 1.000000 |
| V16V18 | Load case | V16V18 | 1.000000 |
| V19V21 | Load case | V19V21 | 1.000000 |
| V20V22 | Load case | V20V22 | 1.000000 |
| P0203 | Load case | P0203 | 1.000000 |
| P0506 | Load case | P0506 | 1.000000 |
| P0708 | Load case | P0708 | 1.000000 |
| P1112 | Load case | P1112 | 1.000000 |
| P1415 | Load case | P1415 | 1.000000 |
| P1718 | Load case | P1718 | 1.000000 |
| P2021 | Load case | P2021 | 1.000000 |

### Table: Connectivity - Frame/Cable

| Frame | JointI | JointJ | Length |
|---|---|---|---|
| Text | Text | Text | m |
| 1 | 1 | 2 | 5.40000 |
| 2 | 3 | 4 | 5.40000 |
| 3 | 5 | 6 | 5.40000 |
| 4 | 7 | 8 | 5.40000 |
| 5 | 9 | 10 | 5.40000 |
| 6 | 11 | 12 | 5.40000 |
| 7 | 13 | 14 | 5.40000 |
| 8 | 15 | 16 | 5.40000 |
| 9 | 17 | 18 | 5.40000 |
| 10 | 19 | 20 | 5.40000 |
| 11 | 21 | 22 | 5.40000 |
| 12 | 23 | 24 | 5.40000 |
| 13 | 25 | 26 | 5.40000 |
| 14 | 27 | 28 | 5.40000 |
| 15 | 29 | 30 | 5.40000 |
| 16 | 31 | 32 | 5.40000 |
| 17 | 33 | 34 | 5.40000 |
| 18 | 35 | 36 | 5.40000 |
| 19 | 37 | 38 | 5.40000 |
| 20 | 39 | 40 | 5.40000 |
| 21 | 41 | 42 | 5.40000 |
| 22 | 43 | 44 | 5.40000 |
| 23 | 45 | 46 | 5.40000 |





| Frame | JointI | JointJ | Length |
|---|---|---|---|
| Text | Text | Text | m |
| 24 | 47 | 48 | 5.40000 |
| 25 | 49 | 50 | 5.40000 |
| 26 | 51 | 52 | 5.40000 |
| 27 | 53 | 54 | 5.40000 |
| 28 | 55 | 56 | 5.40000 |
| 29 | 57 | 58 | 5.40000 |
| 30 | 59 | 60 | 5.40000 |
| 31 | 61 | 62 | 5.40000 |
| 32 | 63 | 64 | 5.40000 |
| 33 | 65 | 66 | 5.40000 |
| 34 | 67 | 68 | 5.40000 |
| 35 | 69 | 70 | 5.40000 |
| 36 | 71 | 72 | 5.40000 |
| 37 | 73 | 74 | 5.40000 |
| 38 | 75 | 76 | 5.40000 |
| 39 | 77 | 78 | 5.40000 |
| 40 | 79 | 80 | 5.40000 |
| 41 | 81 | 82 | 5.40000 |
| 42 | 83 | 84 | 5.40000 |
| 43 | 85 | 86 | 5.40000 |
| 44 | 87 | 88 | 5.40000 |
| 45 | 89 | 90 | 5.40000 |
| 46 | 91 | 92 | 5.40000 |
| 47 | 93 | 94 | 5.40000 |
| 48 | 95 | 96 | 5.40000 |
| 49 | 97 | 98 | 5.40000 |
| 50 | 99 | 100 | 5.40000 |
| 51 | 101 | 102 | 5.40000 |
| 52 | 103 | 104 | 5.40000 |
| 53 | 105 | 106 | 5.40000 |
| 54 | 107 | 108 | 5.40000 |
| 55 | 109 | 110 | 5.40000 |
| 56 | 111 | 112 | 5.40000 |
| 57 | 113 | 114 | 5.40000 |
| 58 | 115 | 116 | 5.40000 |
| 59 | 117 | 118 | 5.40000 |
| 60 | 119 | 120 | 5.40000 |
| 61 | 121 | 122 | 5.40000 |
| 62 | 123 | 124 | 5.40000 |
| 63 | 125 | 126 | 5.40000 |
| 64 | 127 | 128 | 5.40000 |
| 65 | 129 | 130 | 5.40000 |
| 66 | 131 | 132 | 5.40000 |
| 67 | 133 | 134 | 5.40000 |
| 68 | 135 | 136 | 5.40000 |
| 69 | 137 | 138 | 5.40000 |
| 70 | 139 | 140 | 5.40000 |
| 71 | 141 | 142 | 5.40000 |
| 72 | 143 | 144 | 5.40000 |
| 73 | 145 | 146 | 5.40000 |
| 74 | 147 | 148 | 5.40000 |
| 75 | 149 | 150 | 5.40000 |
| 76 | 151 | 152 | 5.40000 |
| 77 | 153 | 154 | 5.40000 |
| 78 | 155 | 156 | 5.40000 |
| 79 | 157 | 158 | 5.40000 |
| 80 | 159 | 160 | 5.40000 |
| 81 | 161 | 162 | 5.40000 |
| 82 | 163 | 164 | 5.40000 |
| 83 | 165 | 166 | 5.40000 |
| 84 | 167 | 168 | 5.40000 |
| 85 | 169 | 170 | 5.40000 |
| 86 | 171 | 172 | 5.40000 |
| 87 | 173 | 174 | 5.40000 |
| 88 | 175 | 176 | 5.40000 |
| 89 | 177 | 178 | 5.40000 |
| 90 | 179 | 180 | 5.40000 |
| 91 | 181 | 182 | 5.40000 |
| 92 | 183 | 184 | 5.40000 |
| 93 | 185 | 186 | 5.40000 |
| 94 | 187 | 188 | 5.40000 |
| 95 | 189 | 190 | 5.40000 |
| 96 | 191 | 192 | 5.40000 |
| 97 | 193 | 194 | 5.40000 |
| 98 | 195 | 196 | 5.40000 |
| 99 | 197 | 198 | 5.40000 |
| 100 | 199 | 200 | 5.40000 |
| 101 | 201 | 202 | 5.40000 |
| 102 | 203 | 204 | 5.40000 |
| 103 | 205 | 206 | 5.40000 |
| 104 | 207 | 208 | 5.40000 |
| 105 | 209 | 210 | 5.40000 |
| 106 | 211 | 212 | 5.40000 |
| 107 | 213 | 214 | 5.40000 |
| 108 | 215 | 216 | 5.40000 |
| 109 | 217 | 218 | 5.40000 |
| 110 | 219 | 220 | 5.40000 |
| 111 | 221 | 222 | 5.40000 |
| 112 | 223 | 224 | 5.40000 |
| 113 | 225 | 226 | 5.40000 |
| 114 | 227 | 228 | 5.40000 |

| Frame | JointI | JointJ | Length |
|---|---|---|---|
| Text | Text | Text | m |
| 115 | 229 | 230 | 5.40000 |
| 116 | 231 | 232 | 5.40000 |
| 117 | 233 | 234 | 5.40000 |
| 118 | 235 | 236 | 5.40000 |
| 119 | 237 | 238 | 5.40000 |
| 120 | 239 | 240 | 5.40000 |
| 121 | 241 | 242 | 5.40000 |
| 122 | 243 | 244 | 5.40000 |
| 123 | 245 | 246 | 5.40000 |
| 124 | 247 | 248 | 5.40000 |
| 125 | 249 | 250 | 5.40000 |
| 126 | 251 | 252 | 5.40000 |
| 127 | 253 | 254 | 5.40000 |
| 128 | 255 | 256 | 5.40000 |
| 129 | 257 | 258 | 5.40000 |
| 130 | 259 | 260 | 5.40000 |
| 131 | 261 | 262 | 5.40000 |
| 132 | 263 | 264 | 5.40000 |
| 133 | 265 | 266 | 5.40000 |
| 134 | 267 | 268 | 5.40000 |
| 135 | 269 | 270 | 5.40000 |
| 136 | 271 | 272 | 5.40000 |
| 137 | 273 | 274 | 5.40000 |
| 138 | 275 | 276 | 5.40000 |
| 139 | 277 | 278 | 5.40000 |
| 140 | 279 | 280 | 5.40000 |
| 141 | 281 | 282 | 5.40000 |
| 142 | 283 | 284 | 5.40000 |
| 143 | 285 | 286 | 5.40000 |
| 144 | 287 | 288 | 5.40000 |
| 145 | 289 | 290 | 5.40000 |
| 146 | 291 | 292 | 5.40000 |
| 147 | 293 | 294 | 5.40000 |
| 148 | 295 | 296 | 5.40000 |
| 149 | 297 | 298 | 5.40000 |
| 150 | 299 | 300 | 5.40000 |
| 151 | 301 | 302 | 5.40000 |
| 152 | 303 | 304 | 5.40000 |
| 153 | 305 | 306 | 5.40000 |
| 154 | 307 | 308 | 5.40000 |
| 155 | 309 | 310 | 5.40000 |
| 156 | 311 | 312 | 5.40000 |
| 157 | 313 | 314 | 5.40000 |
| 158 | 315 | 316 | 5.40000 |
| 159 | 317 | 318 | 5.40000 |
| 160 | 319 | 320 | 5.40000 |
| 161 | 321 | 322 | 5.40000 |
| 162 | 323 | 324 | 5.40000 |
| 163 | 325 | 326 | 5.40000 |
| 164 | 327 | 328 | 5.40000 |
| 165 | 329 | 330 | 5.40000 |
| 166 | 331 | 332 | 5.40000 |
| 167 | 333 | 334 | 5.40000 |
| 168 | 335 | 336 | 5.40000 |
| 169 | 337 | 338 | 5.40000 |
| 170 | 339 | 340 | 5.40000 |
| 171 | 341 | 342 | 5.40000 |
| 172 | 343 | 344 | 5.40000 |
| 173 | 345 | 346 | 5.40000 |
| 174 | 347 | 348 | 5.40000 |
| 175 | 349 | 350 | 5.40000 |
| 176 | 351 | 352 | 5.40000 |
| 177 | 353 | 354 | 5.40000 |
| 178 | 355 | 356 | 5.40000 |
| 179 | 357 | 358 | 5.40000 |
| 180 | 359 | 360 | 5.40000 |
| 181 | 361 | 362 | 5.40000 |
| 182 | 363 | 364 | 5.40000 |
| 183 | 365 | 366 | 5.40000 |
| 184 | 367 | 368 | 5.40000 |
| 185 | 369 | 370 | 5.40000 |
| 186 | 371 | 372 | 5.40000 |
| 187 | 373 | 374 | 5.40000 |
| 188 | 375 | 376 | 5.40000 |
| 189 | 377 | 378 | 5.40000 |
| 190 | 379 | 380 | 5.40000 |
| 191 | 381 | 382 | 5.40000 |
| 192 | 383 | 384 | 5.40000 |
| 193 | 385 | 386 | 5.40000 |
| 194 | 387 | 388 | 5.40000 |
| 195 | 389 | 390 | 5.40000 |
| 196 | 391 | 392 | 5.40000 |
| 197 | 393 | 394 | 5.40000 |
| 198 | 395 | 396 | 5.40000 |
| 199 | 397 | 398 | 5.40000 |
| 200 | 399 | 400 | 5.40000 |
| 201 | 401 | 402 | 5.40000 |
| 202 | 403 | 404 | 5.40000 |
| 203 | 405 | 406 | 5.40000 |
| 204 | 407 | 408 | 5.40000 |
| 205 | 409 | 410 | 5.40000 |





| Frame | JointI | JointJ | Length |
|---|---|---|---|
| Text | Text | Text | m |
| 206 | 411 | 412 | 5.40000 |
| 207 | 413 | 414 | 5.40000 |
| 208 | 415 | 416 | 5.40000 |
| 209 | 417 | 418 | 5.40000 |
| 210 | 419 | 420 | 5.40000 |
| 211 | 421 | 422 | 5.40000 |
| 212 | 423 | 424 | 5.40000 |
| 213 | 425 | 426 | 5.40000 |
| 214 | 427 | 428 | 5.40000 |
| 215 | 429 | 430 | 5.40000 |
| 216 | 431 | 432 | 5.40000 |
| 217 | 433 | 434 | 5.40000 |
| 218 | 435 | 436 | 5.40000 |
| 219 | 437 | 438 | 5.40000 |
| 220 | 439 | 440 | 5.40000 |
| 221 | 441 | 442 | 5.40000 |
| 222 | 443 | 444 | 5.40000 |
| 223 | 445 | 446 | 5.40000 |
| 224 | 447 | 448 | 5.40000 |
| 225 | 449 | 450 | 5.40000 |
| 226 | 451 | 452 | 5.40000 |
| 227 | 453 | 454 | 5.40000 |
| 228 | 455 | 456 | 5.40000 |
| 229 | 457 | 458 | 5.40000 |
| 230 | 459 | 460 | 5.40000 |
| 231 | 461 | 462 | 5.40000 |
| 232 | 463 | 464 | 5.40000 |
| 233 | 465 | 466 | 5.40000 |
| 234 | 467 | 468 | 5.40000 |
| 235 | 469 | 470 | 5.40000 |
| 236 | 471 | 472 | 5.40000 |
| 237 | 473 | 474 | 5.40000 |
| 238 | 475 | 476 | 5.40000 |
| 239 | 477 | 478 | 5.40000 |
| 240 | 479 | 480 | 5.40000 |
| 241 | 481 | 482 | 5.40000 |
| 242 | 483 | 484 | 5.40000 |
| 243 | 485 | 486 | 5.40000 |
| 244 | 487 | 488 | 5.40000 |
| 245 | 489 | 490 | 5.40000 |
| 246 | 491 | 492 | 5.40000 |
| 247 | 493 | 494 | 5.40000 |
| 248 | 495 | 496 | 5.40000 |
| 249 | 497 | 498 | 5.40000 |
| 250 | 499 | 500 | 5.40000 |
| 251 | 501 | 502 | 5.40000 |
| 252 | 503 | 504 | 5.40000 |
| 253 | 505 | 506 | 5.40000 |
| 254 | 507 | 508 | 5.40000 |
| 255 | 509 | 510 | 5.40000 |
| 256 | 511 | 512 | 5.40000 |
| 257 | 513 | 514 | 5.40000 |
| 258 | 515 | 516 | 5.40000 |
| 259 | 517 | 518 | 5.40000 |
| 260 | 519 | 520 | 5.40000 |
| 261 | 521 | 522 | 5.40000 |
| 262 | 523 | 524 | 5.40000 |
| 263 | 525 | 526 | 5.40000 |
| 264 | 527 | 528 | 5.40000 |
| 265 | 529 | 530 | 5.40000 |
| 266 | 531 | 532 | 5.40000 |
| 267 | 533 | 534 | 5.40000 |
| 268 | 535 | 536 | 5.40000 |
| 269 | 537 | 538 | 5.40000 |
| 270 | 539 | 540 | 5.40000 |
| 271 | 541 | 542 | 5.40000 |
| 272 | 543 | 544 | 5.40000 |
| 273 | 545 | 546 | 5.40000 |
| 274 | 547 | 548 | 5.40000 |
| 275 | 549 | 550 | 5.40000 |
| 276 | 551 | 552 | 5.40000 |
| 277 | 553 | 554 | 5.40000 |
| 278 | 555 | 556 | 5.40000 |
| 279 | 557 | 558 | 5.40000 |
| 280 | 559 | 560 | 5.40000 |
| 281 | 561 | 562 | 5.40000 |
| 282 | 563 | 564 | 5.40000 |
| 283 | 565 | 566 | 5.40000 |
| 284 | 567 | 568 | 5.40000 |
| 285 | 569 | 570 | 5.40000 |
| 286 | 571 | 572 | 5.40000 |
| 287 | 573 | 574 | 5.40000 |
| 288 | 575 | 576 | 5.40000 |
| 289 | 577 | 578 | 5.40000 |
| 290 | 579 | 580 | 5.40000 |
| 291 | 581 | 582 | 5.40000 |
| 292 | 583 | 584 | 5.40000 |
| 293 | 585 | 586 | 5.40000 |
| 294 | 587 | 588 | 5.40000 |
| 295 | 589 | 590 | 5.40000 |
| 296 | 591 | 592 | 5.40000 |

| Frame | JointI | JointJ | Length |
|---|---|---|---|
| Text | Text | Text | m |
| 297 | 593 | 594 | 5.40000 |
| 298 | 595 | 596 | 5.40000 |
| 299 | 597 | 598 | 5.40000 |
| 300 | 599 | 600 | 5.40000 |
| 301 | 601 | 602 | 5.40000 |
| 302 | 603 | 604 | 5.40000 |
| 303 | 605 | 606 | 5.40000 |
| 304 | 607 | 608 | 5.40000 |
| 305 | 609 | 610 | 5.40000 |
| 306 | 611 | 612 | 5.40000 |
| 307 | 613 | 614 | 5.40000 |
| 308 | 615 | 616 | 5.40000 |
| 309 | 617 | 618 | 5.40000 |
| 310 | 619 | 620 | 5.40000 |
| 311 | 621 | 622 | 5.40000 |
| 312 | 623 | 624 | 5.40000 |
| 313 | 625 | 626 | 5.40000 |
| 314 | 627 | 628 | 5.40000 |
| 315 | 629 | 630 | 5.40000 |
| 316 | 631 | 632 | 5.40000 |
| 317 | 633 | 634 | 5.40000 |
| 318 | 635 | 636 | 5.40000 |
| 319 | 637 | 638 | 5.40000 |
| 320 | 639 | 640 | 5.40000 |
| 321 | 641 | 642 | 5.40000 |
| 322 | 643 | 644 | 5.40000 |
| 323 | 645 | 646 | 5.40000 |
| 324 | 647 | 648 | 5.40000 |
| 325 | 649 | 650 | 5.40000 |
| 326 | 651 | 652 | 5.40000 |
| 327 | 653 | 654 | 5.40000 |
| 328 | 655 | 656 | 5.40000 |
| 329 | 657 | 658 | 5.40000 |
| 330 | 659 | 660 | 5.40000 |
| 331 | 661 | 662 | 5.40000 |
| 332 | 663 | 664 | 5.40000 |
| 333 | 665 | 666 | 5.40000 |
| 334 | 667 | 668 | 5.40000 |
| 335 | 669 | 670 | 5.40000 |
| 336 | 671 | 672 | 5.40000 |
| 337 | 673 | 674 | 5.40000 |
| 338 | 675 | 676 | 5.40000 |
| 339 | 677 | 678 | 5.40000 |
| 340 | 679 | 680 | 5.40000 |
| 341 | 681 | 682 | 5.40000 |
| 342 | 683 | 684 | 5.40000 |
| 343 | 685 | 686 | 5.40000 |
| 344 | 687 | 688 | 5.40000 |
| 345 | 689 | 690 | 5.40000 |
| 346 | 691 | 692 | 5.40000 |
| 347 | 693 | 694 | 5.40000 |
| 348 | 695 | 696 | 5.40000 |
| 349 | 697 | 698 | 5.40000 |
| 350 | 699 | 700 | 5.40000 |
| 351 | 701 | 702 | 5.40000 |
| 352 | 703 | 704 | 5.40000 |
| 353 | 705 | 706 | 5.40000 |
| 354 | 707 | 708 | 5.40000 |
| 355 | 709 | 710 | 5.40000 |
| 356 | 711 | 712 | 5.40000 |
| 357 | 713 | 714 | 5.40000 |
| 358 | 715 | 716 | 5.40000 |
| 359 | 717 | 718 | 5.40000 |
| 360 | 719 | 720 | 5.40000 |
| 361 | 721 | 722 | 5.40000 |
| 362 | 723 | 724 | 5.40000 |
| 363 | 725 | 726 | 5.40000 |
| 364 | 727 | 728 | 5.40000 |
| 365 | 729 | 730 | 5.40000 |
| 366 | 731 | 732 | 5.40000 |
| 367 | 733 | 734 | 5.40000 |
| 368 | 735 | 736 | 5.40000 |
| 369 | 737 | 738 | 5.40000 |
| 370 | 739 | 740 | 5.40000 |
| 371 | 741 | 742 | 5.40000 |
| 372 | 743 | 744 | 5.40000 |
| 373 | 745 | 746 | 5.40000 |
| 374 | 747 | 748 | 5.40000 |
| 375 | 749 | 750 | 5.40000 |
| 376 | 751 | 752 | 5.40000 |
| 377 | 753 | 754 | 5.40000 |
| 378 | 755 | 756 | 5.40000 |
| 379 | 757 | 758 | 5.40000 |
| 380 | 759 | 760 | 5.40000 |
| 381 | 761 | 762 | 5.40000 |
| 382 | 763 | 764 | 5.40000 |
| 383 | 765 | 766 | 5.40000 |
| 384 | 767 | 768 | 5.40000 |
| 385 | 769 | 770 | 5.40000 |
| 386 | 771 | 772 | 5.40000 |
| 387 | 773 | 774 | 5.40000 |





| Frame | JointI | JointJ | Length |
|---|---|---|---|
| Text | Text | Text | m |
| 388 | 775 | 776 | 5.40000 |
| 389 | 777 | 778 | 5.40000 |
| 390 | 779 | 780 | 5.40000 |
| 391 | 781 | 782 | 5.40000 |
| 392 | 783 | 784 | 5.40000 |
| 393 | 785 | 786 | 5.40000 |
| 394 | 787 | 788 | 5.40000 |
| 395 | 789 | 790 | 5.40000 |
| 396 | 791 | 792 | 5.40000 |
| 397 | 793 | 794 | 5.40000 |
| 398 | 795 | 796 | 5.40000 |
| 399 | 797 | 798 | 5.40000 |
| 400 | 799 | 800 | 5.40000 |
| 401 | 801 | 802 | 5.40000 |
| 402 | 803 | 804 | 5.40000 |
| 403 | 805 | 806 | 5.40000 |
| 404 | 807 | 808 | 5.40000 |
| 405 | 809 | 810 | 5.40000 |
| 406 | 811 | 812 | 5.40000 |
| 407 | 813 | 814 | 5.40000 |
| 408 | 815 | 816 | 5.40000 |
| 409 | 817 | 818 | 5.40000 |
| 410 | 819 | 820 | 5.40000 |
| 411 | 821 | 822 | 5.40000 |
| 412 | 823 | 824 | 5.40000 |
| 413 | 825 | 826 | 5.40000 |
| 414 | 827 | 828 | 5.40000 |
| 415 | 829 | 830 | 5.40000 |
| 416 | 831 | 832 | 5.40000 |
| 417 | 833 | 834 | 5.40000 |
| 418 | 835 | 836 | 5.40000 |
| 419 | 837 | 838 | 5.40000 |
| 420 | 839 | 840 | 5.40000 |
| 421 | 841 | 842 | 5.40000 |
| 422 | 843 | 844 | 5.40000 |
| 423 | 845 | 846 | 5.40000 |
| 424 | 847 | 848 | 5.40000 |
| 425 | 849 | 850 | 5.40000 |
| 426 | 851 | 852 | 5.40000 |
| 427 | 853 | 854 | 5.40000 |
| 428 | 855 | 856 | 5.40000 |
| 429 | 857 | 858 | 5.40000 |
| 430 | 859 | 860 | 5.40000 |
| 431 | 861 | 862 | 5.40000 |
| 432 | 863 | 864 | 5.40000 |
| 433 | 865 | 866 | 5.40000 |
| 434 | 867 | 868 | 5.40000 |
| 435 | 869 | 870 | 5.40000 |
| 436 | 871 | 872 | 5.40000 |
| 437 | 873 | 874 | 5.40000 |
| 438 | 875 | 876 | 5.40000 |
| 439 | 877 | 878 | 5.40000 |
| 440 | 879 | 880 | 5.40000 |
| 441 | 881 | 882 | 5.40000 |
| 442 | 883 | 884 | 5.40000 |
| 443 | 885 | 886 | 5.40000 |
| 444 | 887 | 888 | 5.40000 |
| 445 | 889 | 890 | 5.40000 |
| 446 | 891 | 892 | 5.40000 |
| 447 | 893 | 894 | 5.40000 |
| 448 | 895 | 896 | 5.40000 |
| 449 | 897 | 898 | 5.40000 |
| 450 | 899 | 900 | 5.40000 |
| 451 | 901 | 902 | 5.40000 |
| 452 | 903 | 904 | 5.40000 |
| 453 | 905 | 906 | 5.40000 |
| 454 | 907 | 908 | 5.40000 |
| 455 | 909 | 910 | 5.40000 |
| 456 | 911 | 912 | 5.40000 |
| 457 | 913 | 914 | 5.40000 |
| 458 | 915 | 916 | 5.40000 |
| 459 | 917 | 918 | 5.40000 |
| 460 | 919 | 920 | 5.40000 |
| 461 | 921 | 922 | 5.40000 |
| 462 | 923 | 924 | 5.40000 |
| 463 | 925 | 926 | 5.40000 |
| 464 | 927 | 928 | 5.40000 |
| 465 | 929 | 930 | 5.40000 |
| 466 | 931 | 932 | 5.40000 |
| 467 | 933 | 934 | 5.40000 |
| 468 | 935 | 936 | 5.40000 |
| 469 | 937 | 938 | 5.40000 |
| 470 | 939 | 940 | 5.40000 |
| 471 | 941 | 942 | 5.40000 |
| 472 | 943 | 944 | 5.40000 |
| 473 | 945 | 946 | 5.40000 |
| 474 | 947 | 948 | 5.40000 |
| 475 | 949 | 950 | 5.40000 |
| 476 | 951 | 952 | 5.40000 |
| 477 | 953 | 954 | 5.40000 |
| 478 | 955 | 956 | 5.40000 |

| Frame | JointI | JointJ | Length |
|---|---|---|---|
| Text | Text | Text | m |
| 479 | 957 | 958 | 5.40000 |
| 480 | 959 | 960 | 5.40000 |
| 481 | 961 | 962 | 5.40000 |
| 482 | 963 | 964 | 5.40000 |
| 483 | 965 | 966 | 5.40000 |
| 484 | 967 | 968 | 5.40000 |
| 485 | 969 | 970 | 5.40000 |
| 486 | 971 | 972 | 5.40000 |
| 487 | 973 | 974 | 5.40000 |
| 488 | 975 | 976 | 5.40000 |
| 489 | 977 | 978 | 5.40000 |
| 490 | 979 | 980 | 5.40000 |
| 491 | 981 | 982 | 5.40000 |
| 492 | 983 | 984 | 5.40000 |
| 493 | 985 | 986 | 5.40000 |
| 494 | 987 | 988 | 5.40000 |
| 495 | 989 | 990 | 5.40000 |
| 496 | 991 | 992 | 5.40000 |
| 497 | 993 | 994 | 5.40000 |
| 498 | 995 | 996 | 5.40000 |
| 499 | 997 | 998 | 5.40000 |
| 500 | 999 | 1000 | 5.40000 |
| 501 | 1001 | 1002 | 5.40000 |
| 502 | 1003 | 1004 | 5.40000 |
| 503 | 1005 | 1006 | 5.40000 |
| 504 | 1007 | 1008 | 5.40000 |
| 505 | 1009 | 1010 | 5.40000 |
| 506 | 1011 | 1012 | 5.40000 |
| 507 | 1013 | 1014 | 5.40000 |
| 508 | 1015 | 1016 | 5.40000 |
| 509 | 1017 | 1018 | 5.40000 |
| 510 | 1019 | 1020 | 5.40000 |
| 511 | 1021 | 1022 | 5.40000 |
| 512 | 1023 | 1024 | 5.40000 |
| 513 | 1025 | 1026 | 5.40000 |
| 514 | 1027 | 1028 | 5.40000 |
| 515 | 1029 | 1030 | 5.40000 |
| 516 | 1031 | 1032 | 5.40000 |
| 517 | 1033 | 1034 | 5.40000 |
| 518 | 1035 | 1036 | 5.40000 |
| 519 | 1037 | 1038 | 5.40000 |
| 520 | 1039 | 1040 | 5.40000 |
| 521 | 1041 | 1042 | 5.40000 |
| 522 | 1043 | 1044 | 5.40000 |
| 523 | 1045 | 1046 | 5.40000 |
| 524 | 1047 | 1048 | 5.40000 |
| 525 | 1049 | 1050 | 5.40000 |
| 526 | 1051 | 1052 | 5.40000 |
| 527 | 1053 | 1054 | 5.40000 |
| 528 | 1055 | 1056 | 5.40000 |
| 529 | 1057 | 1058 | 5.40000 |
| 530 | 1059 | 1060 | 5.40000 |
| 531 | 1061 | 1062 | 5.40000 |
| 532 | 1063 | 1064 | 5.40000 |
| 533 | 1065 | 1066 | 5.40000 |
| 534 | 1067 | 1068 | 5.40000 |
| 535 | 1069 | 1070 | 5.40000 |
| 536 | 1071 | 1072 | 5.40000 |
| 537 | 1073 | 1074 | 5.40000 |
| 538 | 1075 | 1076 | 5.40000 |
| 539 | 1077 | 1078 | 5.40000 |
| 540 | 1079 | 1080 | 5.40000 |
| 541 | 1081 | 1082 | 5.40000 |
| 542 | 1083 | 1084 | 5.40000 |
| 543 | 1085 | 1086 | 5.40000 |
| 544 | 1087 | 1088 | 5.40000 |
| 545 | 1089 | 1090 | 5.40000 |
| 546 | 1091 | 1092 | 5.40000 |
| 547 | 1093 | 1094 | 5.40000 |
| 548 | 1095 | 1096 | 5.40000 |
| 549 | 1097 | 1098 | 5.40000 |
| 550 | 1099 | 1100 | 5.40000 |
| 551 | 1101 | 1102 | 5.40000 |
| 552 | 1103 | 1104 | 5.40000 |
| 553 | 1105 | 1106 | 5.40000 |
| 554 | 1107 | 1108 | 5.40000 |
| 555 | 1109 | 1110 | 5.40000 |
| 556 | 1111 | 1112 | 5.40000 |
| 557 | 1113 | 1114 | 5.40000 |
| 558 | 1115 | 1116 | 5.40000 |
| 559 | 1117 | 1118 | 5.40000 |
| 560 | 1119 | 1120 | 5.40000 |
| 561 | 1121 | 1122 | 5.40000 |
| 562 | 1123 | 1124 | 5.40000 |
| 563 | 1125 | 1126 | 5.40000 |
| 564 | 1127 | 1128 | 5.40000 |
| 565 | 1129 | 1130 | 5.40000 |
| 566 | 1131 | 1132 | 5.40000 |
| 567 | 1133 | 1134 | 5.40000 |
| 568 | 1135 | 1136 | 5.40000 |
| 569 | 1137 | 1138 | 5.40000 |





| Frame | JointI | JointJ | Length |
|---|---|---|---|
| Text | Text | Text | m |
| 570 | 1139 | 1140 | 5.40000 |
| 571 | 1141 | 1142 | 5.40000 |
| 572 | 1143 | 1144 | 5.40000 |
| 573 | 1145 | 1146 | 5.40000 |
| 574 | 1147 | 1148 | 5.40000 |
| 575 | 1149 | 1150 | 5.40000 |
| 576 | 1151 | 1152 | 5.40000 |
| 577 | 1153 | 1154 | 5.40000 |
| 578 | 1155 | 1156 | 5.40000 |
| 579 | 1157 | 1158 | 5.40000 |
| 580 | 1159 | 1160 | 5.40000 |
| 581 | 1161 | 1162 | 5.40000 |
| 582 | 1163 | 1164 | 5.40000 |
| 583 | 1165 | 1166 | 5.40000 |
| 584 | 1167 | 1168 | 5.40000 |
| 585 | 1169 | 1170 | 5.40000 |
| 586 | 1171 | 1172 | 5.40000 |
| 587 | 1173 | 1174 | 5.40000 |
| 588 | 1175 | 1176 | 5.40000 |
| 589 | 1177 | 1178 | 5.40000 |
| 590 | 1179 | 1180 | 5.40000 |
| 591 | 1181 | 1182 | 5.40000 |
| 592 | 1183 | 1184 | 5.40000 |
| 593 | 1185 | 1186 | 5.40000 |
| 594 | 1187 | 1188 | 5.40000 |
| 595 | 1189 | 1190 | 5.40000 |
| 596 | 1191 | 1192 | 5.40000 |
| 597 | 1193 | 1194 | 5.40000 |
| 598 | 1195 | 1196 | 5.40000 |
| 599 | 1197 | 1198 | 5.40000 |
| 600 | 1199 | 1200 | 5.40000 |
| 601 | 1201 | 1202 | 5.40000 |
| 602 | 1203 | 1204 | 5.40000 |
| 603 | 1205 | 1206 | 5.40000 |
| 604 | 1207 | 1208 | 5.40000 |
| 605 | 1209 | 1210 | 5.40000 |
| 606 | 1211 | 1212 | 5.40000 |
| 607 | 1213 | 1214 | 5.40000 |
| 608 | 1215 | 1216 | 5.40000 |
| 609 | 1217 | 1218 | 5.40000 |
| 610 | 1219 | 1220 | 5.40000 |
| 611 | 1221 | 1222 | 5.40000 |
| 612 | 1223 | 1224 | 5.40000 |
| 613 | 1225 | 1226 | 5.40000 |
| 614 | 1227 | 1228 | 5.40000 |
| 615 | 1229 | 1230 | 5.40000 |
| 616 | 1231 | 1232 | 5.40000 |
| 617 | 1233 | 1234 | 5.40000 |
| 618 | 1235 | 1236 | 5.40000 |
| 619 | 1237 | 1238 | 5.40000 |
| 620 | 1239 | 1240 | 5.40000 |
| 621 | 1241 | 1242 | 5.40000 |
| 622 | 1243 | 1244 | 5.40000 |
| 623 | 1245 | 1246 | 5.40000 |
| 624 | 1247 | 1248 | 5.40000 |
| 625 | 1249 | 1250 | 5.40000 |
| 626 | 1251 | 1252 | 5.40000 |
| 627 | 1253 | 1254 | 5.40000 |
| 628 | 1255 | 1256 | 5.40000 |
| 629 | 1257 | 1258 | 5.40000 |
| 630 | 1259 | 1260 | 5.40000 |
| 631 | 1261 | 1262 | 5.40000 |
| 632 | 1263 | 1264 | 5.40000 |
| 633 | 1265 | 1266 | 5.40000 |
| 634 | 1267 | 1268 | 5.40000 |
| 635 | 1269 | 1270 | 5.40000 |
| 636 | 1271 | 1272 | 5.40000 |
| 637 | 1273 | 1274 | 5.40000 |
| 638 | 1275 | 1276 | 5.40000 |
| 639 | 1277 | 1278 | 5.40000 |
| 640 | 1279 | 1280 | 5.40000 |
| 641 | 1281 | 1282 | 5.40000 |
| 642 | 1283 | 1284 | 5.40000 |
| 643 | 1285 | 1286 | 5.40000 |
| 644 | 1287 | 1288 | 5.40000 |
| 645 | 1289 | 1290 | 5.40000 |
| 646 | 1291 | 1292 | 5.40000 |
| 647 | 1293 | 1294 | 5.40000 |
| 648 | 1295 | 1296 | 5.40000 |
| 649 | 1297 | 1298 | 5.40000 |
| 650 | 1299 | 1300 | 5.40000 |
| 651 | 1301 | 1302 | 5.40000 |
| 652 | 1303 | 1304 | 5.40000 |
| 653 | 1305 | 1306 | 5.40000 |
| 654 | 1307 | 1308 | 5.40000 |
| 655 | 1309 | 1310 | 5.40000 |
| 656 | 1311 | 1312 | 5.40000 |
| 657 | 1313 | 1314 | 5.40000 |
| 658 | 1315 | 1316 | 5.40000 |
| 659 | 1317 | 1318 | 5.40000 |
| 660 | 1319 | 1320 | 5.40000 |

| Frame | JointI | JointJ | Length |
|---|---|---|---|
| Text | Text | Text | m |
| 661 | 1321 | 1322 | 5.40000 |
| 662 | 1323 | 1324 | 5.40000 |
| 663 | 1325 | 1326 | 5.40000 |
| 664 | 1327 | 1328 | 5.40000 |
| 665 | 1329 | 1330 | 5.40000 |
| 666 | 1331 | 1332 | 5.40000 |
| 667 | 1333 | 1334 | 5.40000 |
| 668 | 1335 | 1336 | 5.40000 |
| 669 | 1337 | 1338 | 5.40000 |
| 670 | 1339 | 1340 | 5.40000 |
| 671 | 1341 | 1342 | 5.40000 |
| 672 | 1343 | 1344 | 5.40000 |
| 673 | 1345 | 1346 | 5.40000 |
| 674 | 1347 | 1348 | 5.40000 |
| 675 | 1349 | 1350 | 5.40000 |
| 676 | 1351 | 1352 | 5.40000 |
| 677 | 1353 | 1354 | 5.40000 |
| 678 | 1355 | 1356 | 5.40000 |
| 679 | 1357 | 1358 | 5.40000 |
| 680 | 1359 | 1360 | 5.40000 |
| 681 | 1361 | 1362 | 5.40000 |
| 682 | 1363 | 1364 | 5.40000 |
| 683 | 1365 | 1366 | 5.40000 |
| 684 | 1367 | 1368 | 5.40000 |
| 685 | 1369 | 1370 | 5.40000 |
| 686 | 1371 | 1372 | 5.40000 |
| 687 | 1373 | 1374 | 5.40000 |
| 688 | 1375 | 1376 | 5.40000 |
| 689 | 1377 | 1378 | 5.40000 |
| 690 | 1379 | 1380 | 5.40000 |
| 691 | 1381 | 1382 | 5.40000 |
| 692 | 1383 | 1384 | 5.40000 |
| 693 | 1385 | 1386 | 5.40000 |
| 694 | 1387 | 1388 | 5.40000 |
| 695 | 1389 | 1390 | 5.40000 |
| 696 | 1391 | 1392 | 5.40000 |
| 697 | 1393 | 1394 | 5.40000 |
| 698 | 1395 | 1396 | 5.40000 |
| 699 | 1397 | 1398 | 5.40000 |
| 700 | 1399 | 1400 | 5.40000 |
| 701 | 1401 | 1402 | 5.40000 |
| 702 | 1403 | 1404 | 5.40000 |
| 703 | 1405 | 1406 | 5.40000 |
| 704 | 1407 | 1408 | 5.40000 |
| 705 | 1409 | 1410 | 5.40000 |
| 706 | 1411 | 1412 | 5.40000 |
| 707 | 1413 | 1414 | 5.40000 |
| 708 | 1415 | 1416 | 5.40000 |
| 709 | 1417 | 1418 | 5.40000 |
| 710 | 1419 | 1420 | 5.40000 |
| 711 | 1421 | 1422 | 5.40000 |
| 712 | 1423 | 1424 | 5.40000 |
| 713 | 1425 | 1426 | 5.40000 |
| 714 | 1427 | 1428 | 5.40000 |
| 715 | 1429 | 1430 | 5.40000 |
| 716 | 1431 | 1432 | 5.40000 |
| 717 | 1433 | 1434 | 5.40000 |
| 718 | 1435 | 1436 | 5.40000 |
| 719 | 1437 | 1438 | 5.40000 |
| 720 | 1439 | 1440 | 5.40000 |
| 721 | 1441 | 1442 | 5.40000 |
| 722 | 1443 | 1444 | 5.40000 |
| 723 | 1445 | 1446 | 5.40000 |
| 724 | 1447 | 1448 | 5.40000 |
| 725 | 1449 | 1450 | 5.40000 |
| 726 | 1451 | 1452 | 5.40000 |
| 727 | 1453 | 1454 | 5.40000 |
| 728 | 1455 | 1456 | 5.40000 |
| 729 | 1457 | 1458 | 5.40000 |
| 730 | 1459 | 1460 | 5.40000 |
| 731 | 1461 | 1462 | 5.40000 |
| 732 | 1463 | 1464 | 5.40000 |
| 733 | 1465 | 1466 | 5.40000 |
| 734 | 1467 | 1468 | 5.40000 |
| 735 | 1469 | 1470 | 5.40000 |
| 736 | 1471 | 1472 | 5.40000 |
| 737 | 1473 | 1474 | 5.40000 |
| 738 | 1475 | 1476 | 5.40000 |
| 739 | 1477 | 1478 | 5.40000 |
| 740 | 1479 | 1480 | 5.40000 |
| 741 | 1481 | 1482 | 5.40000 |
| 742 | 1483 | 1484 | 5.40000 |
| 743 | 1485 | 1486 | 5.40000 |
| 744 | 1487 | 1488 | 5.40000 |
| 745 | 1489 | 1490 | 5.40000 |
| 746 | 1491 | 1492 | 5.40000 |
| 747 | 1493 | 1494 | 5.40000 |
| 748 | 1495 | 1496 | 5.40000 |
| 749 | 1497 | 1498 | 5.40000 |
| 750 | 1499 | 1500 | 5.40000 |
| 751 | 1501 | 1502 | 5.40000 |





| Frame | JointI | JointJ | Length |
|---|---|---|---|
| Text | Text | Text | m |
| 752 | 1503 | 1504 | 5.40000 |
| 753 | 1505 | 1506 | 5.40000 |
| 754 | 1507 | 1508 | 5.40000 |
| 755 | 1509 | 1510 | 5.40000 |
| 756 | 1511 | 1512 | 5.40000 |
| 757 | 1513 | 1514 | 5.40000 |
| 758 | 1515 | 1516 | 5.40000 |
| 759 | 1517 | 1518 | 5.40000 |
| 760 | 1519 | 1520 | 5.40000 |
| 761 | 1521 | 1522 | 5.40000 |
| 762 | 1523 | 1524 | 5.40000 |
| 763 | 1525 | 1526 | 5.40000 |
| 764 | 1527 | 1528 | 5.40000 |
| 765 | 1529 | 1530 | 5.40000 |
| 766 | 1531 | 1532 | 5.40000 |
| 767 | 1533 | 1534 | 5.40000 |
| 768 | 1535 | 1536 | 5.40000 |
| 769 | 1537 | 1538 | 5.40000 |
| 770 | 1539 | 1540 | 5.40000 |
| 771 | 1541 | 1542 | 5.40000 |
| 772 | 1543 | 1544 | 5.40000 |
| 773 | 1545 | 1546 | 5.40000 |
| 774 | 1547 | 1548 | 5.40000 |
| 775 | 1549 | 1550 | 5.40000 |
| 776 | 1551 | 1552 | 5.40000 |
| 777 | 1553 | 1554 | 5.40000 |
| 778 | 1555 | 1556 | 5.40000 |
| 779 | 1557 | 1558 | 5.40000 |
| 780 | 1559 | 1560 | 5.40000 |
| 781 | 1561 | 1562 | 5.40000 |
| 782 | 1563 | 1564 | 5.40000 |
| 783 | 1565 | 1566 | 5.40000 |
| 784 | 1567 | 1568 | 5.40000 |
| 785 | 1569 | 1570 | 5.40000 |
| 786 | 1571 | 1572 | 5.40000 |
| 787 | 1573 | 1574 | 5.40000 |
| 788 | 1575 | 1576 | 5.40000 |
| 789 | 1577 | 1578 | 5.40000 |
| 790 | 1579 | 1580 | 5.40000 |
| 791 | 1581 | 1582 | 5.40000 |
| 792 | 1583 | 1584 | 5.40000 |
| 793 | 1585 | 1586 | 5.40000 |
| 794 | 1587 | 1588 | 5.40000 |
| 795 | 1589 | 1590 | 5.40000 |
| 796 | 1591 | 1592 | 5.40000 |
| 797 | 1593 | 1594 | 5.40000 |
| 798 | 1595 | 1596 | 5.40000 |
| 799 | 1597 | 1598 | 5.40000 |
| 800 | 1599 | 1600 | 5.40000 |
| 801 | 1601 | 1602 | 5.40000 |
| 802 | 1603 | 1604 | 5.40000 |
| 803 | 1605 | 1606 | 5.40000 |
| 804 | 1607 | 1608 | 5.40000 |
| 805 | 1609 | 1610 | 5.40000 |
| 806 | 1611 | 1612 | 5.40000 |
| 807 | 1613 | 1614 | 5.40000 |
| 808 | 1615 | 1616 | 5.40000 |
| 809 | 1617 | 1618 | 5.40000 |
| 810 | 1619 | 1620 | 5.40000 |
| 811 | 1621 | 1622 | 5.40000 |
| 812 | 1623 | 1624 | 5.40000 |
| 813 | 1625 | 1626 | 5.40000 |
| 814 | 1627 | 1628 | 5.40000 |
| 815 | 1629 | 1630 | 5.40000 |
| 816 | 1631 | 1632 | 5.40000 |
| 817 | 1633 | 1634 | 5.40000 |
| 818 | 1635 | 1636 | 5.40000 |
| 819 | 1637 | 1638 | 5.40000 |
| 820 | 1639 | 1640 | 5.40000 |
| 821 | 1641 | 1642 | 5.40000 |
| 822 | 1643 | 1644 | 5.40000 |
| 823 | 1645 | 1646 | 5.40000 |
| 824 | 1647 | 1648 | 5.40000 |
| 825 | 1649 | 1650 | 5.40000 |
| 826 | 1651 | 1652 | 5.40000 |
| 827 | 1653 | 1654 | 5.40000 |
| 828 | 1655 | 1656 | 5.40000 |
| 829 | 1657 | 1658 | 5.40000 |
| 830 | 1659 | 1660 | 5.40000 |
| 831 | 1661 | 1662 | 5.40000 |
| 832 | 1663 | 1664 | 5.40000 |
| 833 | 1665 | 1666 | 5.40000 |
| 834 | 1667 | 1668 | 5.40000 |
| 835 | 1669 | 1670 | 5.40000 |
| 836 | 1671 | 1672 | 5.40000 |
| 837 | 1673 | 1674 | 5.40000 |
| 838 | 1675 | 1676 | 5.40000 |
| 839 | 1677 | 1678 | 5.40000 |
| 840 | 1679 | 1680 | 5.40000 |
| 841 | 1681 | 1682 | 5.40000 |
| 842 | 1683 | 1684 | 5.40000 |

| Frame | JointI | JointJ | Length |
|---|---|---|---|
| Text | Text | Text | m |
| 843 | 1685 | 1686 | 5.40000 |
| 844 | 1687 | 1688 | 5.40000 |
| 845 | 1689 | 1690 | 5.40000 |
| 846 | 1691 | 1692 | 5.40000 |
| 847 | 1693 | 1694 | 5.40000 |
| 848 | 1695 | 1696 | 5.40000 |
| 849 | 1697 | 1698 | 5.40000 |
| 850 | 1699 | 1700 | 5.40000 |
| 851 | 1701 | 1702 | 5.40000 |
| 852 | 1703 | 1704 | 5.40000 |
| 853 | 1705 | 1706 | 5.40000 |
| 854 | 1707 | 1708 | 5.40000 |
| 855 | 1709 | 1710 | 5.40000 |
| 856 | 1711 | 1712 | 5.40000 |
| 857 | 1713 | 1714 | 5.40000 |
| 858 | 1715 | 1716 | 5.40000 |
| 859 | 1717 | 1718 | 5.40000 |
| 860 | 1719 | 1720 | 5.40000 |
| 861 | 1721 | 1722 | 5.40000 |
| 862 | 1723 | 1724 | 5.40000 |
| 863 | 1725 | 1726 | 5.40000 |
| 864 | 1727 | 1728 | 5.40000 |
| 865 | 1729 | 1730 | 5.40000 |
| 866 | 1731 | 1732 | 5.40000 |
| 867 | 1733 | 1734 | 5.40000 |
| 868 | 1735 | 1736 | 5.40000 |
| 869 | 1737 | 1738 | 5.40000 |
| 870 | 1739 | 1740 | 5.40000 |
| 871 | 1741 | 1742 | 5.40000 |
| 872 | 1743 | 1744 | 5.40000 |
| 873 | 1745 | 1746 | 5.40000 |
| 874 | 1747 | 1748 | 5.40000 |
| 875 | 1749 | 1750 | 5.40000 |
| 876 | 1751 | 1752 | 5.40000 |
| 877 | 1753 | 1754 | 5.40000 |
| 878 | 1755 | 1756 | 5.40000 |
| 879 | 1757 | 1758 | 5.40000 |
| 880 | 1759 | 1760 | 5.40000 |
| 881 | 1761 | 1762 | 5.40000 |
| 882 | 1763 | 1764 | 5.40000 |
| 883 | 1765 | 1766 | 5.40000 |
| 884 | 1767 | 1768 | 5.40000 |
| 885 | 1769 | 1770 | 5.40000 |
| 886 | 1771 | 1772 | 5.40000 |
| 887 | 1773 | 1774 | 5.40000 |
| 888 | 1775 | 1776 | 5.40000 |
| 889 | 1777 | 1778 | 5.40000 |
| 890 | 1779 | 1780 | 5.40000 |
| 891 | 1781 | 1782 | 5.40000 |
| 892 | 1783 | 1784 | 5.40000 |
| 893 | 1785 | 1786 | 5.40000 |
| 894 | 1787 | 1788 | 5.40000 |
| 895 | 1789 | 1790 | 5.40000 |
| 896 | 1791 | 1792 | 5.40000 |
| 897 | 1793 | 1794 | 5.40000 |
| 898 | 1795 | 1796 | 5.40000 |
| 899 | 1797 | 1798 | 5.40000 |
| 900 | 1799 | 1800 | 5.40000 |
| 901 | 1801 | 1802 | 5.40000 |
| 902 | 1803 | 1804 | 5.40000 |
| 903 | 1805 | 1806 | 5.40000 |
| 904 | 1807 | 1808 | 5.40000 |
| 905 | 1809 | 1810 | 5.40000 |
| 906 | 1811 | 1812 | 5.40000 |
| 907 | 1813 | 1814 | 5.40000 |
| 908 | 1815 | 1816 | 5.40000 |
| 909 | 1817 | 1818 | 5.40000 |
| 910 | 1819 | 1820 | 5.40000 |
| 911 | 1821 | 1822 | 5.40000 |
| 912 | 1823 | 1824 | 5.40000 |
| 913 | 1825 | 1826 | 5.40000 |
| 914 | 1827 | 1828 | 5.40000 |
| 915 | 1829 | 1830 | 5.40000 |
| 916 | 1831 | 1832 | 5.40000 |
| 917 | 1833 | 1834 | 5.40000 |
| 918 | 1835 | 1836 | 5.40000 |
| 919 | 1837 | 1838 | 5.40000 |
| 920 | 1839 | 1840 | 5.40000 |
| 921 | 1841 | 1842 | 5.40000 |
| 922 | 1843 | 1844 | 5.40000 |
| 923 | 1845 | 1846 | 5.40000 |
| 924 | 1847 | 1848 | 5.40000 |
| 925 | 1849 | 1850 | 5.40000 |
| 926 | 1851 | 1852 | 5.40000 |
| 927 | 1853 | 1854 | 5.40000 |
| 928 | 1855 | 1856 | 5.40000 |
| 929 | 1857 | 1858 | 5.40000 |
| 930 | 1859 | 1860 | 5.40000 |
| 931 | 1861 | 1862 | 5.40000 |
| 932 | 1863 | 1864 | 5.40000 |
| 933 | 1865 | 1866 | 5.40000 |





| Frame | JointI | JointJ | Length |
|---|---|---|---|
| Text | Text | Text | m |
| 934 | 1867 | 1868 | 5.40000 |
| 935 | 1869 | 1870 | 5.40000 |
| 936 | 1871 | 1872 | 5.40000 |
| 937 | 1873 | 1874 | 5.40000 |
| 938 | 1875 | 1876 | 5.40000 |
| 939 | 1877 | 1878 | 5.40000 |
| 940 | 1879 | 1880 | 5.40000 |
| 941 | 1881 | 1882 | 5.40000 |
| 942 | 1883 | 1884 | 5.40000 |
| 943 | 1885 | 1886 | 5.40000 |
| 944 | 1887 | 1888 | 5.40000 |
| 945 | 1889 | 1890 | 5.40000 |
| 946 | 1891 | 1892 | 5.40000 |
| 947 | 1893 | 1894 | 5.40000 |
| 948 | 1895 | 1896 | 5.40000 |
| 949 | 1897 | 1898 | 5.40000 |
| 950 | 1899 | 1900 | 5.40000 |
| 951 | 1901 | 1902 | 5.40000 |
| 952 | 1903 | 1904 | 5.40000 |
| 953 | 1905 | 1906 | 5.40000 |
| 954 | 1907 | 1908 | 5.40000 |
| 955 | 1909 | 1910 | 5.40000 |
| 956 | 1911 | 1912 | 5.40000 |
| 957 | 1913 | 1914 | 5.40000 |
| 958 | 1915 | 1916 | 5.40000 |
| 959 | 1917 | 1918 | 5.40000 |
| 960 | 1919 | 1920 | 5.40000 |
| 961 | 1921 | 1922 | 5.40000 |
| 962 | 1923 | 1924 | 5.40000 |
| 963 | 1925 | 1926 | 5.40000 |
| 964 | 1927 | 1928 | 5.40000 |
| 965 | 1929 | 1930 | 5.40000 |
| 966 | 1931 | 1932 | 5.40000 |
| 967 | 1933 | 1934 | 5.40000 |
| 968 | 1935 | 1936 | 5.40000 |
| 969 | 1937 | 1938 | 5.40000 |
| 970 | 1939 | 1940 | 5.40000 |
| 971 | 1941 | 1942 | 5.40000 |
| 972 | 1943 | 1944 | 5.40000 |
| 973 | 1945 | 1946 | 5.40000 |
| 974 | 1947 | 1948 | 5.40000 |
| 975 | 1949 | 1950 | 5.40000 |
| 976 | 1951 | 1952 | 5.40000 |
| 977 | 1953 | 1954 | 5.40000 |
| 978 | 1955 | 1956 | 5.40000 |
| 979 | 1957 | 1958 | 5.40000 |
| 980 | 1959 | 1960 | 5.40000 |
| 981 | 1961 | 1962 | 5.40000 |
| 982 | 1963 | 1964 | 5.40000 |
| 983 | 1965 | 1966 | 5.40000 |
| 984 | 1967 | 1968 | 5.40000 |
| 985 | 1969 | 1970 | 5.40000 |
| 986 | 1971 | 1972 | 5.40000 |
| 987 | 1973 | 1974 | 5.40000 |
| 988 | 1975 | 1976 | 5.40000 |
| 989 | 1977 | 1978 | 5.40000 |
| 990 | 1979 | 1980 | 5.40000 |
| 991 | 1981 | 1982 | 5.40000 |
| 992 | 1983 | 1984 | 5.40000 |
| 993 | 1985 | 1986 | 5.40000 |
| 994 | 1987 | 1988 | 5.40000 |
| 995 | 1989 | 1990 | 5.40000 |
| 996 | 1991 | 1992 | 5.40000 |
| 997 | 1993 | 1994 | 5.40000 |
| 998 | 1995 | 1996 | 5.40000 |
| 999 | 1997 | 1998 | 5.40000 |
| 1000 | 1999 | 2000 | 5.40000 |
| 1001 | 2001 | 2002 | 5.40000 |
| 1002 | 2003 | 2004 | 5.40000 |
| 1003 | 2005 | 2006 | 5.40000 |
| 1004 | 2007 | 2008 | 5.40000 |
| 1005 | 2009 | 2010 | 5.40000 |
| 1006 | 2011 | 2012 | 5.40000 |
| 1007 | 2013 | 2014 | 5.40000 |
| 1008 | 2015 | 2016 | 5.40000 |
| 1009 | 2017 | 2018 | 5.40000 |
| 1010 | 2019 | 2020 | 5.40000 |
| 1011 | 2021 | 2022 | 5.40000 |
| 1012 | 2023 | 2024 | 5.40000 |
| 1013 | 2025 | 2026 | 5.40000 |
| 1014 | 2027 | 2028 | 5.40000 |
| 1015 | 2029 | 2030 | 5.40000 |
| 1016 | 2031 | 2032 | 5.40000 |
| 1017 | 2033 | 2034 | 5.40000 |
| 1018 | 2035 | 2036 | 5.40000 |
| 1019 | 2037 | 2038 | 5.40000 |
| 1020 | 2039 | 2040 | 5.40000 |
| 1021 | 2041 | 2042 | 5.40000 |
| 1022 | 2043 | 2044 | 5.40000 |
| 1023 | 2045 | 2046 | 5.40000 |
| 1024 | 2047 | 2048 | 5.40000 |

| Frame | JointI | JointJ | Length |
|---|---|---|---|
| Text | Text | Text | m |
| 1025 | 2049 | 2050 | 5.40000 |
| 1026 | 2051 | 2052 | 5.40000 |
| 1027 | 2053 | 2054 | 5.40000 |
| 1028 | 2055 | 2056 | 5.40000 |
| 1029 | 2057 | 2058 | 5.40000 |
| 1030 | 2059 | 2060 | 5.40000 |
| 1031 | 2061 | 2062 | 5.40000 |
| 1032 | 2063 | 2064 | 5.40000 |
| 1033 | 2065 | 2066 | 5.40000 |
| 1034 | 2067 | 2068 | 5.40000 |
| 1035 | 2069 | 2070 | 5.40000 |
| 1036 | 2071 | 2072 | 5.40000 |
| 1037 | 2073 | 2074 | 5.40000 |
| 1038 | 2075 | 2076 | 5.40000 |
| 1039 | 2077 | 2078 | 5.40000 |
| 1040 | 2079 | 2080 | 5.40000 |
| 1041 | 2081 | 2082 | 5.40000 |
| 1042 | 2083 | 2084 | 5.40000 |
| 1043 | 2085 | 2086 | 5.40000 |
| 1044 | 2087 | 2088 | 5.40000 |
| 1045 | 2089 | 2090 | 5.40000 |
| 1046 | 1 | 3 | 1.00000 |
| 1047 | 3 | 5 | 1.00000 |
| 1048 | 5 | 7 | 1.00000 |
| 1049 | 7 | 9 | 1.00000 |
| 1050 | 9 | 11 | 1.00000 |
| 1051 | 11 | 13 | 1.00000 |
| 1052 | 13 | 15 | 1.00000 |
| 1053 | 15 | 17 | 1.00000 |
| 1054 | 17 | 19 | 1.00000 |
| 1055 | 19 | 21 | 1.00000 |
| 1056 | 21 | 23 | 1.00000 |
| 1057 | 23 | 25 | 1.00000 |
| 1058 | 25 | 27 | 1.00000 |
| 1059 | 27 | 29 | 1.00000 |
| 1060 | 29 | 31 | 1.00000 |
| 1061 | 31 | 33 | 1.00000 |
| 1062 | 33 | 35 | 1.00000 |
| 1063 | 35 | 37 | 1.00000 |
| 1064 | 37 | 39 | 1.00000 |
| 1065 | 39 | 41 | 1.00000 |
| 1066 | 41 | 43 | 1.00000 |
| 1067 | 43 | 45 | 1.00000 |
| 1068 | 45 | 47 | 1.00000 |
| 1069 | 47 | 49 | 1.00000 |
| 1070 | 49 | 51 | 1.00000 |
| 1071 | 51 | 53 | 1.00000 |
| 1072 | 53 | 55 | 1.00000 |
| 1073 | 55 | 57 | 1.00000 |
| 1074 | 57 | 59 | 1.00000 |
| 1075 | 59 | 61 | 1.00000 |
| 1076 | 61 | 63 | 1.00000 |
| 1077 | 63 | 65 | 1.00000 |
| 1078 | 65 | 67 | 1.00000 |
| 1079 | 67 | 69 | 1.00000 |
| 1080 | 69 | 71 | 1.00000 |
| 1081 | 71 | 73 | 1.00000 |
| 1082 | 73 | 75 | 1.00000 |
| 1083 | 75 | 77 | 1.00000 |
| 1084 | 77 | 79 | 1.00000 |
| 1085 | 79 | 81 | 1.00000 |
| 1086 | 81 | 83 | 1.00000 |
| 1087 | 83 | 85 | 1.00000 |
| 1088 | 85 | 87 | 1.00000 |
| 1089 | 87 | 89 | 1.00000 |
| 1090 | 89 | 91 | 1.00000 |
| 1091 | 91 | 93 | 1.00000 |
| 1092 | 93 | 95 | 1.00000 |
| 1093 | 95 | 97 | 1.00000 |
| 1094 | 97 | 99 | 1.00000 |
| 1095 | 99 | 101 | 1.00000 |
| 1096 | 101 | 103 | 1.00000 |
| 1097 | 103 | 105 | 1.00000 |
| 1098 | 105 | 107 | 1.00000 |
| 1099 | 107 | 109 | 1.00000 |
| 1100 | 109 | 111 | 1.00000 |
| 1101 | 111 | 113 | 1.00000 |
| 1102 | 113 | 115 | 1.00000 |
| 1103 | 115 | 117 | 1.00000 |
| 1104 | 117 | 119 | 1.00000 |
| 1105 | 119 | 121 | 1.00000 |
| 1106 | 121 | 123 | 1.00000 |
| 1107 | 123 | 125 | 1.00000 |
| 1108 | 125 | 127 | 1.00000 |
| 1109 | 127 | 129 | 1.00000 |
| 1110 | 129 | 131 | 1.00000 |
| 1111 | 131 | 133 | 1.00000 |
| 1112 | 133 | 135 | 1.00000 |
| 1113 | 135 | 137 | 1.00000 |
| 1114 | 137 | 139 | 1.00000 |
| 1115 | 139 | 141 | 1.00000 |





| Frame | JointI | JointJ | Length |
|---|---|---|---|
| Text | Text | Text | m |
| 1116 | 141 | 143 | 1.00000 |
| 1117 | 143 | 145 | 1.00000 |
| 1118 | 145 | 147 | 1.00000 |
| 1119 | 147 | 149 | 1.00000 |
| 1120 | 149 | 151 | 1.00000 |
| 1121 | 151 | 153 | 1.00000 |
| 1122 | 153 | 155 | 1.00000 |
| 1123 | 155 | 157 | 1.00000 |
| 1124 | 157 | 159 | 1.00000 |
| 1125 | 159 | 161 | 1.00000 |
| 1126 | 161 | 163 | 1.00000 |
| 1127 | 163 | 165 | 1.00000 |
| 1128 | 165 | 167 | 1.00000 |
| 1129 | 167 | 169 | 1.00000 |
| 1130 | 169 | 171 | 1.00000 |
| 1131 | 171 | 173 | 1.00000 |
| 1132 | 173 | 175 | 1.00000 |
| 1133 | 175 | 177 | 1.00000 |
| 1134 | 177 | 179 | 1.00000 |
| 1135 | 179 | 181 | 1.00000 |
| 1136 | 181 | 183 | 1.00000 |
| 1137 | 183 | 185 | 1.00000 |
| 1138 | 185 | 187 | 1.00000 |
| 1139 | 187 | 189 | 1.00000 |
| 1140 | 189 | 191 | 1.00000 |
| 1141 | 191 | 193 | 1.00000 |
| 1142 | 193 | 195 | 1.00000 |
| 1143 | 195 | 197 | 1.00000 |
| 1144 | 197 | 199 | 1.00000 |
| 1145 | 199 | 201 | 1.00000 |
| 1146 | 201 | 203 | 1.00000 |
| 1147 | 203 | 205 | 1.00000 |
| 1148 | 205 | 207 | 1.00000 |
| 1149 | 207 | 209 | 1.00000 |
| 1150 | 209 | 211 | 1.00000 |
| 1151 | 211 | 213 | 1.00000 |
| 1152 | 213 | 215 | 1.00000 |
| 1153 | 215 | 217 | 1.00000 |
| 1154 | 217 | 219 | 1.00000 |
| 1155 | 219 | 221 | 1.00000 |
| 1156 | 221 | 223 | 1.00000 |
| 1157 | 223 | 225 | 1.00000 |
| 1158 | 225 | 227 | 1.00000 |
| 1159 | 227 | 229 | 1.00000 |
| 1160 | 229 | 231 | 1.00000 |
| 1161 | 231 | 233 | 1.00000 |
| 1162 | 233 | 235 | 1.00000 |
| 1163 | 235 | 237 | 1.00000 |
| 1164 | 237 | 239 | 1.00000 |
| 1165 | 239 | 241 | 1.00000 |
| 1166 | 241 | 243 | 1.00000 |
| 1167 | 243 | 245 | 1.00000 |
| 1168 | 245 | 247 | 1.00000 |
| 1169 | 247 | 249 | 1.00000 |
| 1170 | 249 | 251 | 1.00000 |
| 1171 | 251 | 253 | 1.00000 |
| 1172 | 253 | 255 | 1.00000 |
| 1173 | 255 | 257 | 1.00000 |
| 1174 | 257 | 259 | 1.00000 |
| 1175 | 259 | 261 | 1.00000 |
| 1176 | 261 | 263 | 1.00000 |
| 1177 | 263 | 265 | 1.00000 |
| 1178 | 265 | 267 | 1.00000 |
| 1179 | 267 | 269 | 1.00000 |
| 1180 | 269 | 271 | 1.00000 |
| 1181 | 271 | 273 | 1.00000 |
| 1182 | 273 | 275 | 1.00000 |
| 1183 | 275 | 277 | 1.00000 |
| 1184 | 277 | 279 | 1.00000 |
| 1185 | 279 | 281 | 1.00000 |
| 1186 | 281 | 283 | 1.00000 |
| 1187 | 283 | 285 | 1.00000 |
| 1188 | 285 | 287 | 1.00000 |
| 1189 | 287 | 289 | 1.00000 |
| 1190 | 289 | 291 | 1.00000 |
| 1191 | 291 | 293 | 1.00000 |
| 1192 | 293 | 295 | 1.00000 |
| 1193 | 295 | 297 | 1.00000 |
| 1194 | 297 | 299 | 1.00000 |
| 1195 | 299 | 301 | 1.00000 |
| 1196 | 301 | 303 | 1.00000 |
| 1197 | 303 | 305 | 1.00000 |
| 1198 | 305 | 307 | 1.00000 |
| 1199 | 307 | 309 | 1.00000 |
| 1200 | 309 | 311 | 1.00000 |
| 1201 | 311 | 313 | 1.00000 |
| 1202 | 313 | 315 | 1.00000 |
| 1203 | 315 | 317 | 1.00000 |
| 1204 | 317 | 319 | 1.00000 |
| 1205 | 319 | 321 | 1.00000 |
| 1206 | 321 | 323 | 1.00000 |

| Frame | JointI | JointJ | Length |
|---|---|---|---|
| Text | Text | Text | m |
| 1207 | 323 | 325 | 1.00000 |
| 1208 | 325 | 327 | 1.00000 |
| 1209 | 327 | 329 | 1.00000 |
| 1210 | 329 | 331 | 1.00000 |
| 1211 | 331 | 333 | 1.00000 |
| 1212 | 333 | 335 | 1.00000 |
| 1213 | 335 | 337 | 1.00000 |
| 1214 | 337 | 339 | 1.00000 |
| 1215 | 339 | 341 | 1.00000 |
| 1216 | 341 | 343 | 1.00000 |
| 1217 | 343 | 345 | 1.00000 |
| 1218 | 345 | 347 | 1.00000 |
| 1219 | 347 | 349 | 1.00000 |
| 1220 | 349 | 351 | 1.00000 |
| 1221 | 351 | 353 | 1.00000 |
| 1222 | 353 | 355 | 1.00000 |
| 1223 | 355 | 357 | 1.00000 |
| 1224 | 357 | 359 | 1.00000 |
| 1225 | 359 | 361 | 1.00000 |
| 1226 | 361 | 363 | 1.00000 |
| 1227 | 363 | 365 | 1.00000 |
| 1228 | 365 | 367 | 1.00000 |
| 1229 | 367 | 369 | 1.00000 |
| 1230 | 369 | 371 | 1.00000 |
| 1231 | 371 | 373 | 1.00000 |
| 1232 | 373 | 375 | 1.00000 |
| 1233 | 375 | 377 | 1.00000 |
| 1234 | 377 | 379 | 1.00000 |
| 1235 | 379 | 381 | 1.00000 |
| 1236 | 381 | 383 | 1.00000 |
| 1237 | 383 | 385 | 1.00000 |
| 1238 | 385 | 387 | 1.00000 |
| 1239 | 387 | 389 | 1.00000 |
| 1240 | 389 | 391 | 1.00000 |
| 1241 | 391 | 393 | 1.00000 |
| 1242 | 393 | 395 | 1.00000 |
| 1243 | 395 | 397 | 1.00000 |
| 1244 | 397 | 399 | 1.00000 |
| 1245 | 399 | 401 | 1.00000 |
| 1246 | 401 | 403 | 1.00000 |
| 1247 | 403 | 405 | 1.00000 |
| 1248 | 405 | 407 | 1.00000 |
| 1249 | 407 | 409 | 1.00000 |
| 1250 | 409 | 411 | 1.00000 |
| 1251 | 411 | 413 | 1.00000 |
| 1252 | 413 | 415 | 1.00000 |
| 1253 | 415 | 417 | 1.00000 |
| 1254 | 417 | 419 | 1.00000 |
| 1255 | 419 | 421 | 1.00000 |
| 1256 | 421 | 423 | 1.00000 |
| 1257 | 423 | 425 | 1.00000 |
| 1258 | 425 | 427 | 1.00000 |
| 1259 | 427 | 429 | 1.00000 |
| 1260 | 429 | 431 | 1.00000 |
| 1261 | 431 | 433 | 1.00000 |
| 1262 | 433 | 435 | 1.00000 |
| 1263 | 435 | 437 | 1.00000 |
| 1264 | 437 | 439 | 1.00000 |
| 1265 | 439 | 441 | 1.00000 |
| 1266 | 441 | 443 | 1.00000 |
| 1267 | 443 | 445 | 1.00000 |
| 1268 | 445 | 447 | 1.00000 |
| 1269 | 447 | 449 | 1.00000 |
| 1270 | 449 | 451 | 1.00000 |
| 1271 | 451 | 453 | 1.00000 |
| 1272 | 453 | 455 | 1.00000 |
| 1273 | 455 | 457 | 1.00000 |
| 1274 | 457 | 459 | 1.00000 |
| 1275 | 459 | 461 | 1.00000 |
| 1276 | 461 | 463 | 1.00000 |
| 1277 | 463 | 465 | 1.00000 |
| 1278 | 465 | 467 | 1.00000 |
| 1279 | 467 | 469 | 1.00000 |
| 1280 | 469 | 471 | 1.00000 |
| 1281 | 471 | 473 | 1.00000 |
| 1282 | 473 | 475 | 1.00000 |
| 1283 | 475 | 477 | 1.00000 |
| 1284 | 477 | 479 | 1.00000 |
| 1285 | 479 | 481 | 1.00000 |
| 1286 | 481 | 483 | 1.00000 |
| 1287 | 483 | 485 | 1.00000 |
| 1288 | 485 | 487 | 1.00000 |
| 1289 | 487 | 489 | 1.00000 |
| 1290 | 489 | 491 | 1.00000 |
| 1291 | 491 | 493 | 1.00000 |
| 1292 | 493 | 495 | 1.00000 |
| 1293 | 495 | 497 | 1.00000 |
| 1294 | 497 | 499 | 1.00000 |
| 1295 | 499 | 501 | 1.00000 |
| 1296 | 501 | 503 | 1.00000 |
| 1297 | 503 | 505 | 1.00000 |





| Frame | JointI | JointJ | Length |
|---|---|---|---|
| Text | Text | Text | m |
| 1298 | 505 | 507 | 1.00000 |
| 1299 | 507 | 509 | 1.00000 |
| 1300 | 509 | 511 | 1.00000 |
| 1301 | 511 | 513 | 1.00000 |
| 1302 | 513 | 515 | 1.00000 |
| 1303 | 515 | 517 | 1.00000 |
| 1304 | 517 | 519 | 1.00000 |
| 1305 | 519 | 521 | 1.00000 |
| 1306 | 521 | 523 | 1.00000 |
| 1307 | 523 | 525 | 1.00000 |
| 1308 | 525 | 527 | 1.00000 |
| 1309 | 527 | 529 | 1.00000 |
| 1310 | 529 | 531 | 1.00000 |
| 1311 | 531 | 533 | 1.00000 |
| 1312 | 533 | 535 | 1.00000 |
| 1313 | 535 | 537 | 1.00000 |
| 1314 | 537 | 539 | 1.00000 |
| 1315 | 539 | 541 | 1.00000 |
| 1316 | 541 | 543 | 1.00000 |
| 1317 | 543 | 545 | 1.00000 |
| 1318 | 545 | 547 | 1.00000 |
| 1319 | 547 | 549 | 1.00000 |
| 1320 | 549 | 551 | 1.00000 |
| 1321 | 551 | 553 | 1.00000 |
| 1322 | 553 | 555 | 1.00000 |
| 1323 | 555 | 557 | 1.00000 |
| 1324 | 557 | 559 | 1.00000 |
| 1325 | 559 | 561 | 1.00000 |
| 1326 | 561 | 563 | 1.00000 |
| 1327 | 563 | 565 | 1.00000 |
| 1328 | 565 | 567 | 1.00000 |
| 1329 | 567 | 569 | 1.00000 |
| 1330 | 569 | 571 | 1.00000 |
| 1331 | 571 | 573 | 1.00000 |
| 1332 | 573 | 575 | 1.00000 |
| 1333 | 575 | 577 | 1.00000 |
| 1334 | 577 | 579 | 1.00000 |
| 1335 | 579 | 581 | 1.00000 |
| 1336 | 581 | 583 | 1.00000 |
| 1337 | 583 | 585 | 1.00000 |
| 1338 | 585 | 587 | 1.00000 |
| 1339 | 587 | 589 | 1.00000 |
| 1340 | 589 | 591 | 1.00000 |
| 1341 | 591 | 593 | 1.00000 |
| 1342 | 593 | 595 | 1.00000 |
| 1343 | 595 | 597 | 1.00000 |
| 1344 | 597 | 599 | 1.00000 |
| 1345 | 599 | 601 | 1.00000 |
| 1346 | 601 | 603 | 1.00000 |
| 1347 | 603 | 605 | 1.00000 |
| 1348 | 605 | 607 | 1.00000 |
| 1349 | 607 | 609 | 1.00000 |
| 1350 | 609 | 611 | 1.00000 |
| 1351 | 611 | 613 | 1.00000 |
| 1352 | 613 | 615 | 1.00000 |
| 1353 | 615 | 617 | 1.00000 |
| 1354 | 617 | 619 | 1.00000 |
| 1355 | 619 | 621 | 1.00000 |
| 1356 | 621 | 623 | 1.00000 |
| 1357 | 623 | 625 | 1.00000 |
| 1358 | 625 | 627 | 1.00000 |
| 1359 | 627 | 629 | 1.00000 |
| 1360 | 629 | 631 | 1.00000 |
| 1361 | 631 | 633 | 1.00000 |
| 1362 | 633 | 635 | 1.00000 |
| 1363 | 635 | 637 | 1.00000 |
| 1364 | 637 | 639 | 1.00000 |
| 1365 | 639 | 641 | 1.00000 |
| 1366 | 641 | 643 | 1.00000 |
| 1367 | 643 | 645 | 1.00000 |
| 1368 | 645 | 647 | 1.00000 |
| 1369 | 647 | 649 | 1.00000 |
| 1370 | 649 | 651 | 1.00000 |
| 1371 | 651 | 653 | 1.00000 |
| 1372 | 653 | 655 | 1.00000 |
| 1373 | 655 | 657 | 1.00000 |
| 1374 | 657 | 659 | 1.00000 |
| 1375 | 659 | 661 | 1.00000 |
| 1376 | 661 | 663 | 1.00000 |
| 1377 | 663 | 665 | 1.00000 |
| 1378 | 665 | 667 | 1.00000 |
| 1379 | 667 | 669 | 1.00000 |
| 1380 | 669 | 671 | 1.00000 |
| 1381 | 671 | 673 | 1.00000 |
| 1382 | 673 | 675 | 1.00000 |
| 1383 | 675 | 677 | 1.00000 |
| 1384 | 677 | 679 | 1.00000 |
| 1385 | 679 | 681 | 1.00000 |
| 1386 | 681 | 683 | 1.00000 |
| 1387 | 683 | 685 | 1.00000 |
| 1388 | 685 | 687 | 1.00000 |

| Frame | JointI | JointJ | Length |
|---|---|---|---|
| Text | Text | Text | m |
| 1389 | 687 | 689 | 1.00000 |
| 1390 | 689 | 691 | 1.00000 |
| 1391 | 691 | 693 | 1.00000 |
| 1392 | 693 | 695 | 1.00000 |
| 1393 | 695 | 697 | 1.00000 |
| 1394 | 697 | 699 | 1.00000 |
| 1395 | 699 | 701 | 1.00000 |
| 1396 | 701 | 703 | 1.00000 |
| 1397 | 703 | 705 | 1.00000 |
| 1398 | 705 | 707 | 1.00000 |
| 1399 | 707 | 709 | 1.00000 |
| 1400 | 709 | 711 | 1.00000 |
| 1401 | 711 | 713 | 1.00000 |
| 1402 | 713 | 715 | 1.00000 |
| 1403 | 715 | 717 | 1.00000 |
| 1404 | 717 | 719 | 1.00000 |
| 1405 | 719 | 721 | 1.00000 |
| 1406 | 721 | 723 | 1.00000 |
| 1407 | 723 | 725 | 1.00000 |
| 1408 | 725 | 727 | 1.00000 |
| 1409 | 727 | 729 | 1.00000 |
| 1410 | 729 | 731 | 1.00000 |
| 1411 | 731 | 733 | 1.00000 |
| 1412 | 733 | 735 | 1.00000 |
| 1413 | 735 | 737 | 1.00000 |
| 1414 | 737 | 739 | 1.00000 |
| 1415 | 739 | 741 | 1.00000 |
| 1416 | 741 | 743 | 1.00000 |
| 1417 | 743 | 745 | 1.00000 |
| 1418 | 745 | 747 | 1.00000 |
| 1419 | 747 | 749 | 1.00000 |
| 1420 | 749 | 751 | 1.00000 |
| 1421 | 751 | 753 | 1.00000 |
| 1422 | 753 | 755 | 1.00000 |
| 1423 | 755 | 757 | 1.00000 |
| 1424 | 757 | 759 | 1.00000 |
| 1425 | 759 | 761 | 1.00000 |
| 1426 | 761 | 763 | 1.00000 |
| 1427 | 763 | 765 | 1.00000 |
| 1428 | 765 | 767 | 1.00000 |
| 1429 | 767 | 769 | 1.00000 |
| 1430 | 769 | 771 | 1.00000 |
| 1431 | 771 | 773 | 1.00000 |
| 1432 | 773 | 775 | 1.00000 |
| 1433 | 775 | 777 | 1.00000 |
| 1434 | 777 | 779 | 1.00000 |
| 1435 | 779 | 781 | 1.00000 |
| 1436 | 781 | 783 | 1.00000 |
| 1437 | 783 | 785 | 1.00000 |
| 1438 | 785 | 787 | 1.00000 |
| 1439 | 787 | 789 | 1.00000 |
| 1440 | 789 | 791 | 1.00000 |
| 1441 | 791 | 793 | 1.00000 |
| 1442 | 793 | 795 | 1.00000 |
| 1443 | 795 | 797 | 1.00000 |
| 1444 | 797 | 799 | 1.00000 |
| 1445 | 799 | 801 | 1.00000 |
| 1446 | 801 | 803 | 1.00000 |
| 1447 | 803 | 805 | 1.00000 |
| 1448 | 805 | 807 | 1.00000 |
| 1449 | 807 | 809 | 1.00000 |
| 1450 | 809 | 811 | 1.00000 |
| 1451 | 811 | 813 | 1.00000 |
| 1452 | 813 | 815 | 1.00000 |
| 1453 | 815 | 817 | 1.00000 |
| 1454 | 817 | 819 | 1.00000 |
| 1455 | 819 | 821 | 1.00000 |
| 1456 | 821 | 823 | 1.00000 |
| 1457 | 823 | 825 | 1.00000 |
| 1458 | 825 | 827 | 1.00000 |
| 1459 | 827 | 829 | 1.00000 |
| 1460 | 829 | 831 | 1.00000 |
| 1461 | 831 | 833 | 1.00000 |
| 1462 | 833 | 835 | 1.00000 |
| 1463 | 835 | 837 | 1.00000 |
| 1464 | 837 | 839 | 1.00000 |
| 1465 | 839 | 841 | 1.00000 |
| 1466 | 841 | 843 | 1.00000 |
| 1467 | 843 | 845 | 1.00000 |
| 1468 | 845 | 847 | 1.00000 |
| 1469 | 847 | 849 | 1.00000 |
| 1470 | 849 | 851 | 1.00000 |
| 1471 | 851 | 853 | 1.00000 |
| 1472 | 853 | 855 | 1.00000 |
| 1473 | 855 | 857 | 1.00000 |
| 1474 | 857 | 859 | 1.00000 |
| 1475 | 859 | 861 | 1.00000 |
| 1476 | 861 | 863 | 1.00000 |
| 1477 | 863 | 865 | 1.00000 |
| 1478 | 865 | 867 | 1.00000 |
| 1479 | 867 | 869 | 1.00000 |





| Frame | JointI | JointJ | Length |
|---|---|---|---|
| Text | Text | Text | m |
| 1480 | 869 | 871 | 1.00000 |
| 1481 | 871 | 873 | 1.00000 |
| 1482 | 873 | 875 | 1.00000 |
| 1483 | 875 | 877 | 1.00000 |
| 1484 | 877 | 879 | 1.00000 |
| 1485 | 879 | 881 | 1.00000 |
| 1486 | 881 | 883 | 1.00000 |
| 1487 | 883 | 885 | 1.00000 |
| 1488 | 885 | 887 | 1.00000 |
| 1489 | 887 | 889 | 1.00000 |
| 1490 | 889 | 891 | 1.00000 |
| 1491 | 891 | 893 | 1.00000 |
| 1492 | 893 | 895 | 1.00000 |
| 1493 | 895 | 897 | 1.00000 |
| 1494 | 897 | 899 | 1.00000 |
| 1495 | 899 | 901 | 1.00000 |
| 1496 | 901 | 903 | 1.00000 |
| 1497 | 903 | 905 | 1.00000 |
| 1498 | 905 | 907 | 1.00000 |
| 1499 | 907 | 909 | 1.00000 |
| 1500 | 909 | 911 | 1.00000 |
| 1501 | 911 | 913 | 1.00000 |
| 1502 | 913 | 915 | 1.00000 |
| 1503 | 915 | 917 | 1.00000 |
| 1504 | 917 | 919 | 1.00000 |
| 1505 | 919 | 921 | 1.00000 |
| 1506 | 921 | 923 | 1.00000 |
| 1507 | 923 | 925 | 1.00000 |
| 1508 | 925 | 927 | 1.00000 |
| 1509 | 927 | 929 | 1.00000 |
| 1510 | 929 | 931 | 1.00000 |
| 1511 | 931 | 933 | 1.00000 |
| 1512 | 933 | 935 | 1.00000 |
| 1513 | 935 | 937 | 1.00000 |
| 1514 | 937 | 939 | 1.00000 |
| 1515 | 939 | 941 | 1.00000 |
| 1516 | 941 | 943 | 1.00000 |
| 1517 | 943 | 945 | 1.00000 |
| 1518 | 945 | 947 | 1.00000 |
| 1519 | 947 | 949 | 1.00000 |
| 1520 | 949 | 951 | 1.00000 |
| 1521 | 951 | 953 | 1.00000 |
| 1522 | 953 | 955 | 1.00000 |
| 1523 | 955 | 957 | 1.00000 |
| 1524 | 957 | 959 | 1.00000 |
| 1525 | 959 | 961 | 1.00000 |
| 1526 | 961 | 963 | 1.00000 |
| 1527 | 963 | 965 | 1.00000 |
| 1528 | 965 | 967 | 1.00000 |
| 1529 | 967 | 969 | 1.00000 |
| 1530 | 969 | 971 | 1.00000 |
| 1531 | 971 | 973 | 1.00000 |
| 1532 | 973 | 975 | 1.00000 |
| 1533 | 975 | 977 | 1.00000 |
| 1534 | 977 | 979 | 1.00000 |
| 1535 | 979 | 981 | 1.00000 |
| 1536 | 981 | 983 | 1.00000 |
| 1537 | 983 | 985 | 1.00000 |
| 1538 | 985 | 987 | 1.00000 |
| 1539 | 987 | 989 | 1.00000 |
| 1540 | 989 | 991 | 1.00000 |
| 1541 | 991 | 993 | 1.00000 |
| 1542 | 993 | 995 | 1.00000 |
| 1543 | 995 | 997 | 1.00000 |
| 1544 | 997 | 999 | 1.00000 |
| 1545 | 999 | 1001 | 1.00000 |
| 1546 | 1001 | 1003 | 1.00000 |
| 1547 | 1003 | 1005 | 1.00000 |
| 1548 | 1005 | 1007 | 1.00000 |
| 1549 | 1007 | 1009 | 1.00000 |
| 1550 | 1009 | 1011 | 1.00000 |
| 1551 | 1011 | 1013 | 1.00000 |
| 1552 | 1013 | 1015 | 1.00000 |
| 1553 | 1015 | 1017 | 1.00000 |
| 1554 | 1017 | 1019 | 1.00000 |
| 1555 | 1019 | 1021 | 1.00000 |
| 1556 | 1021 | 1023 | 1.00000 |
| 1557 | 1023 | 1025 | 1.00000 |
| 1558 | 1025 | 1027 | 1.00000 |
| 1559 | 1027 | 1029 | 1.00000 |
| 1560 | 1029 | 1031 | 1.00000 |
| 1561 | 1031 | 1033 | 1.00000 |
| 1562 | 1033 | 1035 | 1.00000 |
| 1563 | 1035 | 1037 | 1.00000 |
| 1564 | 1037 | 1039 | 1.00000 |
| 1565 | 1039 | 1041 | 1.00000 |
| 1566 | 1041 | 1043 | 1.00000 |
| 1567 | 1043 | 1045 | 1.00000 |
| 1568 | 1045 | 1047 | 1.00000 |
| 1569 | 1047 | 1049 | 1.00000 |
| 1570 | 1049 | 1051 | 1.00000 |

| Frame | JointI | JointJ | Length |
|---|---|---|---|
| Text | Text | Text | m |
| 1571 | 1051 | 1053 | 1.00000 |
| 1572 | 1053 | 1055 | 1.00000 |
| 1573 | 1055 | 1057 | 1.00000 |
| 1574 | 1057 | 1059 | 1.00000 |
| 1575 | 1059 | 1061 | 1.00000 |
| 1576 | 1061 | 1063 | 1.00000 |
| 1577 | 1063 | 1065 | 1.00000 |
| 1578 | 1065 | 1067 | 1.00000 |
| 1579 | 1067 | 1069 | 1.00000 |
| 1580 | 1069 | 1071 | 1.00000 |
| 1581 | 1071 | 1073 | 1.00000 |
| 1582 | 1073 | 1075 | 1.00000 |
| 1583 | 1075 | 1077 | 1.00000 |
| 1584 | 1077 | 1079 | 1.00000 |
| 1585 | 1079 | 1081 | 1.00000 |
| 1586 | 1081 | 1083 | 1.00000 |
| 1587 | 1083 | 1085 | 1.00000 |
| 1588 | 1085 | 1087 | 1.00000 |
| 1589 | 1087 | 1089 | 1.00000 |
| 1590 | 1089 | 1091 | 1.00000 |
| 1591 | 1091 | 1093 | 1.00000 |
| 1592 | 1093 | 1095 | 1.00000 |
| 1593 | 1095 | 1097 | 1.00000 |
| 1594 | 1097 | 1099 | 1.00000 |
| 1595 | 1099 | 1101 | 1.00000 |
| 1596 | 1101 | 1103 | 1.00000 |
| 1597 | 1103 | 1105 | 1.00000 |
| 1598 | 1105 | 1107 | 1.00000 |
| 1599 | 1107 | 1109 | 1.00000 |
| 1600 | 1109 | 1111 | 1.00000 |
| 1601 | 1111 | 1113 | 1.00000 |
| 1602 | 1113 | 1115 | 1.00000 |
| 1603 | 1115 | 1117 | 1.00000 |
| 1604 | 1117 | 1119 | 1.00000 |
| 1605 | 1119 | 1121 | 1.00000 |
| 1606 | 1121 | 1123 | 1.00000 |
| 1607 | 1123 | 1125 | 1.00000 |
| 1608 | 1125 | 1127 | 1.00000 |
| 1609 | 1127 | 1129 | 1.00000 |
| 1610 | 1129 | 1131 | 1.00000 |
| 1611 | 1131 | 1133 | 1.00000 |
| 1612 | 1133 | 1135 | 1.00000 |
| 1613 | 1135 | 1137 | 1.00000 |
| 1614 | 1137 | 1139 | 1.00000 |
| 1615 | 1139 | 1141 | 1.00000 |
| 1616 | 1141 | 1143 | 1.00000 |
| 1617 | 1143 | 1145 | 1.00000 |
| 1618 | 1145 | 1147 | 1.00000 |
| 1619 | 1147 | 1149 | 1.00000 |
| 1620 | 1149 | 1151 | 1.00000 |
| 1621 | 1151 | 1153 | 1.00000 |
| 1622 | 1153 | 1155 | 1.00000 |
| 1623 | 1155 | 1157 | 1.00000 |
| 1624 | 1157 | 1159 | 1.00000 |
| 1625 | 1159 | 1161 | 1.00000 |
| 1626 | 1161 | 1163 | 1.00000 |
| 1627 | 1163 | 1165 | 1.00000 |
| 1628 | 1165 | 1167 | 1.00000 |
| 1629 | 1167 | 1169 | 1.00000 |
| 1630 | 1169 | 1171 | 1.00000 |
| 1631 | 1171 | 1173 | 1.00000 |
| 1632 | 1173 | 1175 | 1.00000 |
| 1633 | 1175 | 1177 | 1.00000 |
| 1634 | 1177 | 1179 | 1.00000 |
| 1635 | 1179 | 1181 | 1.00000 |
| 1636 | 1181 | 1183 | 1.00000 |
| 1637 | 1183 | 1185 | 1.00000 |
| 1638 | 1185 | 1187 | 1.00000 |
| 1639 | 1187 | 1189 | 1.00000 |
| 1640 | 1189 | 1191 | 1.00000 |
| 1641 | 1191 | 1193 | 1.00000 |
| 1642 | 1193 | 1195 | 1.00000 |
| 1643 | 1195 | 1197 | 1.00000 |
| 1644 | 1197 | 1199 | 1.00000 |
| 1645 | 1199 | 1201 | 1.00000 |
| 1646 | 1201 | 1203 | 1.00000 |
| 1647 | 1203 | 1205 | 1.00000 |
| 1648 | 1205 | 1207 | 1.00000 |
| 1649 | 1207 | 1209 | 1.00000 |
| 1650 | 1209 | 1211 | 1.00000 |
| 1651 | 1211 | 1213 | 1.00000 |
| 1652 | 1213 | 1215 | 1.00000 |
| 1653 | 1215 | 1217 | 1.00000 |
| 1654 | 1217 | 1219 | 1.00000 |
| 1655 | 1219 | 1221 | 1.00000 |
| 1656 | 1221 | 1223 | 1.00000 |
| 1657 | 1223 | 1225 | 1.00000 |
| 1658 | 1225 | 1227 | 1.00000 |
| 1659 | 1227 | 1229 | 1.00000 |
| 1660 | 1229 | 1231 | 1.00000 |
| 1661 | 1231 | 1233 | 1.00000 |





| Frame | JointI | JointJ | Length |
|---|---|---|---|
| Text | Text | Text | m |
| 1662 | 1233 | 1235 | 1.00000 |
| 1663 | 1235 | 1237 | 1.00000 |
| 1664 | 1237 | 1239 | 1.00000 |
| 1665 | 1239 | 1241 | 1.00000 |
| 1666 | 1241 | 1243 | 1.00000 |
| 1667 | 1243 | 1245 | 1.00000 |
| 1668 | 1245 | 1247 | 1.00000 |
| 1669 | 1247 | 1249 | 1.00000 |
| 1670 | 1249 | 1251 | 1.00000 |
| 1671 | 1251 | 1253 | 1.00000 |
| 1672 | 1253 | 1255 | 1.00000 |
| 1673 | 1255 | 1257 | 1.00000 |
| 1674 | 1257 | 1259 | 1.00000 |
| 1675 | 1259 | 1261 | 1.00000 |
| 1676 | 1261 | 1263 | 1.00000 |
| 1677 | 1263 | 1265 | 1.00000 |
| 1678 | 1265 | 1267 | 1.00000 |
| 1679 | 1267 | 1269 | 1.00000 |
| 1680 | 1269 | 1271 | 1.00000 |
| 1681 | 1271 | 1273 | 1.00000 |
| 1682 | 1273 | 1275 | 1.00000 |
| 1683 | 1275 | 1277 | 1.00000 |
| 1684 | 1277 | 1279 | 1.00000 |
| 1685 | 1279 | 1281 | 1.00000 |
| 1686 | 1281 | 1283 | 1.00000 |
| 1687 | 1283 | 1285 | 1.00000 |
| 1688 | 1285 | 1287 | 1.00000 |
| 1689 | 1287 | 1289 | 1.00000 |
| 1690 | 1289 | 1291 | 1.00000 |
| 1691 | 1291 | 1293 | 1.00000 |
| 1692 | 1293 | 1295 | 1.00000 |
| 1693 | 1295 | 1297 | 1.00000 |
| 1694 | 1297 | 1299 | 1.00000 |
| 1695 | 1299 | 1301 | 1.00000 |
| 1696 | 1301 | 1303 | 1.00000 |
| 1697 | 1303 | 1305 | 1.00000 |
| 1698 | 1305 | 1307 | 1.00000 |
| 1699 | 1307 | 1309 | 1.00000 |
| 1700 | 1309 | 1311 | 1.00000 |
| 1701 | 1311 | 1313 | 1.00000 |
| 1702 | 1313 | 1315 | 1.00000 |
| 1703 | 1315 | 1317 | 1.00000 |
| 1704 | 1317 | 1319 | 1.00000 |
| 1705 | 1319 | 1321 | 1.00000 |
| 1706 | 1321 | 1323 | 1.00000 |
| 1707 | 1323 | 1325 | 1.00000 |
| 1708 | 1325 | 1327 | 1.00000 |
| 1709 | 1327 | 1329 | 1.00000 |
| 1710 | 1329 | 1331 | 1.00000 |
| 1711 | 1331 | 1333 | 1.00000 |
| 1712 | 1333 | 1335 | 1.00000 |
| 1713 | 1335 | 1337 | 1.00000 |
| 1714 | 1337 | 1339 | 1.00000 |
| 1715 | 1339 | 1341 | 1.00000 |
| 1716 | 1341 | 1343 | 1.00000 |
| 1717 | 1343 | 1345 | 1.00000 |
| 1718 | 1345 | 1347 | 1.00000 |
| 1719 | 1347 | 1349 | 1.00000 |
| 1720 | 1349 | 1351 | 1.00000 |
| 1721 | 1351 | 1353 | 1.00000 |
| 1722 | 1353 | 1355 | 1.00000 |
| 1723 | 1355 | 1357 | 1.00000 |
| 1724 | 1357 | 1359 | 1.00000 |
| 1725 | 1359 | 1361 | 1.00000 |
| 1726 | 1361 | 1363 | 1.00000 |
| 1727 | 1363 | 1365 | 1.00000 |
| 1728 | 1365 | 1367 | 1.00000 |
| 1729 | 1367 | 1369 | 1.00000 |
| 1730 | 1369 | 1371 | 1.00000 |
| 1731 | 1371 | 1373 | 1.00000 |
| 1732 | 1373 | 1375 | 1.00000 |
| 1733 | 1375 | 1377 | 1.00000 |
| 1734 | 1377 | 1379 | 1.00000 |
| 1735 | 1379 | 1381 | 1.00000 |
| 1736 | 1381 | 1383 | 1.00000 |
| 1737 | 1383 | 1385 | 1.00000 |
| 1738 | 1385 | 1387 | 1.00000 |
| 1739 | 1387 | 1389 | 1.00000 |
| 1740 | 1389 | 1391 | 1.00000 |
| 1741 | 1391 | 1393 | 1.00000 |
| 1742 | 1393 | 1395 | 1.00000 |
| 1743 | 1395 | 1397 | 1.00000 |
| 1744 | 1397 | 1399 | 1.00000 |
| 1745 | 1399 | 1401 | 1.00000 |
| 1746 | 1401 | 1403 | 1.00000 |
| 1747 | 1403 | 1405 | 1.00000 |
| 1748 | 1405 | 1407 | 1.00000 |
| 1749 | 1407 | 1409 | 1.00000 |
| 1750 | 1409 | 1411 | 1.00000 |
| 1751 | 1411 | 1413 | 1.00000 |
| 1752 | 1413 | 1415 | 1.00000 |

| Frame | JointI | JointJ | Length |
|---|---|---|---|
| Text | Text | Text | m |
| 1753 | 1415 | 1417 | 1.00000 |
| 1754 | 1417 | 1419 | 1.00000 |
| 1755 | 1419 | 1421 | 1.00000 |
| 1756 | 1421 | 1423 | 1.00000 |
| 1757 | 1423 | 1425 | 1.00000 |
| 1758 | 1425 | 1427 | 1.00000 |
| 1759 | 1427 | 1429 | 1.00000 |
| 1760 | 1429 | 1431 | 1.00000 |
| 1761 | 1431 | 1433 | 1.00000 |
| 1762 | 1433 | 1435 | 1.00000 |
| 1763 | 1435 | 1437 | 1.00000 |
| 1764 | 1437 | 1439 | 1.00000 |
| 1765 | 1439 | 1441 | 1.00000 |
| 1766 | 1441 | 1443 | 1.00000 |
| 1767 | 1443 | 1445 | 1.00000 |
| 1768 | 1445 | 1447 | 1.00000 |
| 1769 | 1447 | 1449 | 1.00000 |
| 1770 | 1449 | 1451 | 1.00000 |
| 1771 | 1451 | 1453 | 1.00000 |
| 1772 | 1453 | 1455 | 1.00000 |
| 1773 | 1455 | 1457 | 1.00000 |
| 1774 | 1457 | 1459 | 1.00000 |
| 1775 | 1459 | 1461 | 1.00000 |
| 1776 | 1461 | 1463 | 1.00000 |
| 1777 | 1463 | 1465 | 1.00000 |
| 1778 | 1465 | 1467 | 1.00000 |
| 1779 | 1467 | 1469 | 1.00000 |
| 1780 | 1469 | 1471 | 1.00000 |
| 1781 | 1471 | 1473 | 1.00000 |
| 1782 | 1473 | 1475 | 1.00000 |
| 1783 | 1475 | 1477 | 1.00000 |
| 1784 | 1477 | 1479 | 1.00000 |
| 1785 | 1479 | 1481 | 1.00000 |
| 1786 | 1481 | 1483 | 1.00000 |
| 1787 | 1483 | 1485 | 1.00000 |
| 1788 | 1485 | 1487 | 1.00000 |
| 1789 | 1487 | 1489 | 1.00000 |
| 1790 | 1489 | 1491 | 1.00000 |
| 1791 | 1491 | 1493 | 1.00000 |
| 1792 | 1493 | 1495 | 1.00000 |
| 1793 | 1495 | 1497 | 1.00000 |
| 1794 | 1497 | 1499 | 1.00000 |
| 1795 | 1499 | 1501 | 1.00000 |
| 1796 | 1501 | 1503 | 1.00000 |
| 1797 | 1503 | 1505 | 1.00000 |
| 1798 | 1505 | 1507 | 1.00000 |
| 1799 | 1507 | 1509 | 1.00000 |
| 1800 | 1509 | 1511 | 1.00000 |
| 1801 | 1511 | 1513 | 1.00000 |
| 1802 | 1513 | 1515 | 1.00000 |
| 1803 | 1515 | 1517 | 1.00000 |
| 1804 | 1517 | 1519 | 1.00000 |
| 1805 | 1519 | 1521 | 1.00000 |
| 1806 | 1521 | 1523 | 1.00000 |
| 1807 | 1523 | 1525 | 1.00000 |
| 1808 | 1525 | 1527 | 1.00000 |
| 1809 | 1527 | 1529 | 1.00000 |
| 1810 | 1529 | 1531 | 1.00000 |
| 1811 | 1531 | 1533 | 1.00000 |
| 1812 | 1533 | 1535 | 1.00000 |
| 1813 | 1535 | 1537 | 1.00000 |
| 1814 | 1537 | 1539 | 1.00000 |
| 1815 | 1539 | 1541 | 1.00000 |
| 1816 | 1541 | 1543 | 1.00000 |
| 1817 | 1543 | 1545 | 1.00000 |
| 1818 | 1545 | 1547 | 1.00000 |
| 1819 | 1547 | 1549 | 1.00000 |
| 1820 | 1549 | 1551 | 1.00000 |
| 1821 | 1551 | 1553 | 1.00000 |
| 1822 | 1553 | 1555 | 1.00000 |
| 1823 | 1555 | 1557 | 1.00000 |
| 1824 | 1557 | 1559 | 1.00000 |
| 1825 | 1559 | 1561 | 1.00000 |
| 1826 | 1561 | 1563 | 1.00000 |
| 1827 | 1563 | 1565 | 1.00000 |
| 1828 | 1565 | 1567 | 1.00000 |
| 1829 | 1567 | 1569 | 1.00000 |
| 1830 | 1569 | 1571 | 1.00000 |
| 1831 | 1571 | 1573 | 1.00000 |
| 1832 | 1573 | 1575 | 1.00000 |
| 1833 | 1575 | 1577 | 1.00000 |
| 1834 | 1577 | 1579 | 1.00000 |
| 1835 | 1579 | 1581 | 1.00000 |
| 1836 | 1581 | 1583 | 1.00000 |
| 1837 | 1583 | 1585 | 1.00000 |
| 1838 | 1585 | 1587 | 1.00000 |
| 1839 | 1587 | 1589 | 1.00000 |
| 1840 | 1589 | 1591 | 1.00000 |
| 1841 | 1591 | 1593 | 1.00000 |
| 1842 | 1593 | 1595 | 1.00000 |
| 1843 | 1595 | 1597 | 1.00000 |





| Frame | JointI | JointJ | Length |
|---|---|---|---|
| Text | Text | Text | m |
| 1844 | 1597 | 1599 | 1.00000 |
| 1845 | 1599 | 1601 | 1.00000 |
| 1846 | 1601 | 1603 | 1.00000 |
| 1847 | 1603 | 1605 | 1.00000 |
| 1848 | 1605 | 1607 | 1.00000 |
| 1849 | 1607 | 1609 | 1.00000 |
| 1850 | 1609 | 1611 | 1.00000 |
| 1851 | 1611 | 1613 | 1.00000 |
| 1852 | 1613 | 1615 | 1.00000 |
| 1853 | 1615 | 1617 | 1.00000 |
| 1854 | 1617 | 1619 | 1.00000 |
| 1855 | 1619 | 1621 | 1.00000 |
| 1856 | 1621 | 1623 | 1.00000 |
| 1857 | 1623 | 1625 | 1.00000 |
| 1858 | 1625 | 1627 | 1.00000 |
| 1859 | 1627 | 1629 | 1.00000 |
| 1860 | 1629 | 1631 | 1.00000 |
| 1861 | 1631 | 1633 | 1.00000 |
| 1862 | 1633 | 1635 | 1.00000 |
| 1863 | 1635 | 1637 | 1.00000 |
| 1864 | 1637 | 1639 | 1.00000 |
| 1865 | 1639 | 1641 | 1.00000 |
| 1866 | 1641 | 1643 | 1.00000 |
| 1867 | 1643 | 1645 | 1.00000 |
| 1868 | 1645 | 1647 | 1.00000 |
| 1869 | 1647 | 1649 | 1.00000 |
| 1870 | 1649 | 1651 | 1.00000 |
| 1871 | 1651 | 1653 | 1.00000 |
| 1872 | 1653 | 1655 | 1.00000 |
| 1873 | 1655 | 1657 | 1.00000 |
| 1874 | 1657 | 1659 | 1.00000 |
| 1875 | 1659 | 1661 | 1.00000 |
| 1876 | 1661 | 1663 | 1.00000 |
| 1877 | 1663 | 1665 | 1.00000 |
| 1878 | 1665 | 1667 | 1.00000 |
| 1879 | 1667 | 1669 | 1.00000 |
| 1880 | 1669 | 1671 | 1.00000 |
| 1881 | 1671 | 1673 | 1.00000 |
| 1882 | 1673 | 1675 | 1.00000 |
| 1883 | 1675 | 1677 | 1.00000 |
| 1884 | 1677 | 1679 | 1.00000 |
| 1885 | 1679 | 1681 | 1.00000 |
| 1886 | 1681 | 1683 | 1.00000 |
| 1887 | 1683 | 1685 | 1.00000 |
| 1888 | 1685 | 1687 | 1.00000 |
| 1889 | 1687 | 1689 | 1.00000 |
| 1890 | 1689 | 1691 | 1.00000 |
| 1891 | 1691 | 1693 | 1.00000 |
| 1892 | 1693 | 1695 | 1.00000 |
| 1893 | 1695 | 1697 | 1.00000 |
| 1894 | 1697 | 1699 | 1.00000 |
| 1895 | 1699 | 1701 | 1.00000 |
| 1896 | 1701 | 1703 | 1.00000 |
| 1897 | 1703 | 1705 | 1.00000 |
| 1898 | 1705 | 1707 | 1.00000 |
| 1899 | 1707 | 1709 | 1.00000 |
| 1900 | 1709 | 1711 | 1.00000 |
| 1901 | 1711 | 1713 | 1.00000 |
| 1902 | 1713 | 1715 | 1.00000 |
| 1903 | 1715 | 1717 | 1.00000 |
| 1904 | 1717 | 1719 | 1.00000 |
| 1905 | 1719 | 1721 | 1.00000 |
| 1906 | 1721 | 1723 | 1.00000 |
| 1907 | 1723 | 1725 | 1.00000 |
| 1908 | 1725 | 1727 | 1.00000 |
| 1909 | 1727 | 1729 | 1.00000 |
| 1910 | 1729 | 1731 | 1.00000 |
| 1911 | 1731 | 1733 | 1.00000 |
| 1912 | 1733 | 1735 | 1.00000 |
| 1913 | 1735 | 1737 | 1.00000 |
| 1914 | 1737 | 1739 | 1.00000 |
| 1915 | 1739 | 1741 | 1.00000 |
| 1916 | 1741 | 1743 | 1.00000 |
| 1917 | 1743 | 1745 | 1.00000 |
| 1918 | 1745 | 1747 | 1.00000 |
| 1919 | 1747 | 1749 | 1.00000 |
| 1920 | 1749 | 1751 | 1.00000 |
| 1921 | 1751 | 1753 | 1.00000 |
| 1922 | 1753 | 1755 | 1.00000 |
| 1923 | 1755 | 1757 | 1.00000 |
| 1924 | 1757 | 1759 | 1.00000 |
| 1925 | 1759 | 1761 | 1.00000 |
| 1926 | 1761 | 1763 | 1.00000 |
| 1927 | 1763 | 1765 | 1.00000 |
| 1928 | 1765 | 1767 | 1.00000 |
| 1929 | 1767 | 1769 | 1.00000 |
| 1930 | 1769 | 1771 | 1.00000 |
| 1931 | 1771 | 1773 | 1.00000 |
| 1932 | 1773 | 1775 | 1.00000 |
| 1933 | 1775 | 1777 | 1.00000 |
| 1934 | 1777 | 1779 | 1.00000 |

| Frame | JointI | JointJ | Length |
|---|---|---|---|
| Text | Text | Text | m |
| 1935 | 1779 | 1781 | 1.00000 |
| 1936 | 1781 | 1783 | 1.00000 |
| 1937 | 1783 | 1785 | 1.00000 |
| 1938 | 1785 | 1787 | 1.00000 |
| 1939 | 1787 | 1789 | 1.00000 |
| 1940 | 1789 | 1791 | 1.00000 |
| 1941 | 1791 | 1793 | 1.00000 |
| 1942 | 1793 | 1795 | 1.00000 |
| 1943 | 1795 | 1797 | 1.00000 |
| 1944 | 1797 | 1799 | 1.00000 |
| 1945 | 1799 | 1801 | 1.00000 |
| 1946 | 1801 | 1803 | 1.00000 |
| 1947 | 1803 | 1805 | 1.00000 |
| 1948 | 1805 | 1807 | 1.00000 |
| 1949 | 1807 | 1809 | 1.00000 |
| 1950 | 1809 | 1811 | 1.00000 |
| 1951 | 1811 | 1813 | 1.00000 |
| 1952 | 1813 | 1815 | 1.00000 |
| 1953 | 1815 | 1817 | 1.00000 |
| 1954 | 1817 | 1819 | 1.00000 |
| 1955 | 1819 | 1821 | 1.00000 |
| 1956 | 1821 | 1823 | 1.00000 |
| 1957 | 1823 | 1825 | 1.00000 |
| 1958 | 1825 | 1827 | 1.00000 |
| 1959 | 1827 | 1829 | 1.00000 |
| 1960 | 1829 | 1831 | 1.00000 |
| 1961 | 1831 | 1833 | 1.00000 |
| 1962 | 1833 | 1835 | 1.00000 |
| 1963 | 1835 | 1837 | 1.00000 |
| 1964 | 1837 | 1839 | 1.00000 |
| 1965 | 1839 | 1841 | 1.00000 |
| 1966 | 1841 | 1843 | 1.00000 |
| 1967 | 1843 | 1845 | 1.00000 |
| 1968 | 1845 | 1847 | 1.00000 |
| 1969 | 1847 | 1849 | 1.00000 |
| 1970 | 1849 | 1851 | 1.00000 |
| 1971 | 1851 | 1853 | 1.00000 |
| 1972 | 1853 | 1855 | 1.00000 |
| 1973 | 1855 | 1857 | 1.00000 |
| 1974 | 1857 | 1859 | 1.00000 |
| 1975 | 1859 | 1861 | 1.00000 |
| 1976 | 1861 | 1863 | 1.00000 |
| 1977 | 1863 | 1865 | 1.00000 |
| 1978 | 1865 | 1867 | 1.00000 |
| 1979 | 1867 | 1869 | 1.00000 |
| 1980 | 1869 | 1871 | 1.00000 |
| 1981 | 1871 | 1873 | 1.00000 |
| 1982 | 1873 | 1875 | 1.00000 |
| 1983 | 1875 | 1877 | 1.00000 |
| 1984 | 1877 | 1879 | 1.00000 |
| 1985 | 1879 | 1881 | 1.00000 |
| 1986 | 1881 | 1883 | 1.00000 |
| 1987 | 1883 | 1885 | 1.00000 |
| 1988 | 1885 | 1887 | 1.00000 |
| 1989 | 1887 | 1889 | 1.00000 |
| 1990 | 1889 | 1891 | 1.00000 |
| 1991 | 1891 | 1893 | 1.00000 |
| 1992 | 1893 | 1895 | 1.00000 |
| 1993 | 1895 | 1897 | 1.00000 |
| 1994 | 1897 | 1899 | 1.00000 |
| 1995 | 1899 | 1901 | 1.00000 |
| 1996 | 1901 | 1903 | 1.00000 |
| 1997 | 1903 | 1905 | 1.00000 |
| 1998 | 1905 | 1907 | 1.00000 |
| 1999 | 1907 | 1909 | 1.00000 |
| 2000 | 1909 | 1911 | 1.00000 |
| 2001 | 1911 | 1913 | 1.00000 |
| 2002 | 1913 | 1915 | 1.00000 |
| 2003 | 1915 | 1917 | 1.00000 |
| 2004 | 1917 | 1919 | 1.00000 |
| 2005 | 1919 | 1921 | 1.00000 |
| 2006 | 1921 | 1923 | 1.00000 |
| 2007 | 1923 | 1925 | 1.00000 |
| 2008 | 1925 | 1927 | 1.00000 |
| 2009 | 1927 | 1929 | 1.00000 |
| 2010 | 1929 | 1931 | 1.00000 |
| 2011 | 1931 | 1933 | 1.00000 |
| 2012 | 1933 | 1935 | 1.00000 |
| 2013 | 1935 | 1937 | 1.00000 |
| 2014 | 1937 | 1939 | 1.00000 |
| 2015 | 1939 | 1941 | 1.00000 |
| 2016 | 1941 | 1943 | 1.00000 |
| 2017 | 1943 | 1945 | 1.00000 |
| 2018 | 1945 | 1947 | 1.00000 |
| 2019 | 1947 | 1949 | 1.00000 |
| 2020 | 1949 | 1951 | 1.00000 |
| 2021 | 1951 | 1953 | 1.00000 |
| 2022 | 1953 | 1955 | 1.00000 |
| 2023 | 1955 | 1957 | 1.00000 |
| 2024 | 1957 | 1959 | 1.00000 |
| 2025 | 1959 | 1961 | 1.00000 |





| Frame | JointI | JointJ | Length |
|---|---|---|---|
| Text | Text | Text | m |
| 2026 | 1961 | 1963 | 1.00000 |
| 2027 | 1963 | 1965 | 1.00000 |
| 2028 | 1965 | 1967 | 1.00000 |
| 2029 | 1967 | 1969 | 1.00000 |
| 2030 | 1969 | 1971 | 1.00000 |
| 2031 | 1971 | 1973 | 1.00000 |
| 2032 | 1973 | 1975 | 1.00000 |
| 2033 | 1975 | 1977 | 1.00000 |
| 2034 | 1977 | 1979 | 1.00000 |
| 2035 | 1979 | 1981 | 1.00000 |
| 2036 | 1981 | 1983 | 1.00000 |
| 2037 | 1983 | 1985 | 1.00000 |
| 2038 | 1985 | 1987 | 1.00000 |
| 2039 | 1987 | 1989 | 1.00000 |
| 2040 | 1989 | 1991 | 1.00000 |
| 2041 | 1991 | 1993 | 1.00000 |
| 2042 | 1993 | 1995 | 1.00000 |
| 2043 | 1995 | 1997 | 1.00000 |
| 2044 | 1997 | 1999 | 1.00000 |
| 2045 | 1999 | 2001 | 1.00000 |
| 2046 | 2001 | 2003 | 1.00000 |
| 2047 | 2003 | 2005 | 1.00000 |
| 2048 | 2005 | 2007 | 1.00000 |
| 2049 | 2007 | 2009 | 1.00000 |
| 2050 | 2009 | 2011 | 1.00000 |
| 2051 | 2011 | 2013 | 1.00000 |
| 2052 | 2013 | 2015 | 1.00000 |
| 2053 | 2015 | 2017 | 1.00000 |
| 2054 | 2017 | 2019 | 1.00000 |
| 2055 | 2019 | 2021 | 1.00000 |
| 2056 | 2021 | 2023 | 1.00000 |
| 2057 | 2023 | 2025 | 1.00000 |
| 2058 | 2025 | 2027 | 1.00000 |
| 2059 | 2027 | 2029 | 1.00000 |
| 2060 | 2029 | 2031 | 1.00000 |
| 2061 | 2031 | 2033 | 1.00000 |
| 2062 | 2033 | 2035 | 1.00000 |
| 2063 | 2035 | 2037 | 1.00000 |
| 2064 | 2037 | 2039 | 1.00000 |
| 2065 | 2039 | 2041 | 1.00000 |
| 2066 | 2041 | 2043 | 1.00000 |
| 2067 | 2043 | 2045 | 1.00000 |
| 2068 | 2045 | 2047 | 1.00000 |
| 2069 | 2047 | 2049 | 1.00000 |
| 2070 | 2049 | 2051 | 1.00000 |
| 2071 | 2051 | 2053 | 1.00000 |
| 2072 | 2053 | 2055 | 1.00000 |
| 2073 | 2055 | 2057 | 1.00000 |
| 2074 | 2057 | 2059 | 1.00000 |
| 2075 | 2059 | 2061 | 1.00000 |
| 2076 | 2061 | 2063 | 1.00000 |
| 2077 | 2063 | 2065 | 1.00000 |
| 2078 | 2065 | 2067 | 1.00000 |
| 2079 | 2067 | 2069 | 1.00000 |
| 2080 | 2069 | 2071 | 1.00000 |
| 2081 | 2071 | 2073 | 1.00000 |
| 2082 | 2073 | 2075 | 1.00000 |
| 2083 | 2075 | 2077 | 1.00000 |
| 2084 | 2077 | 2079 | 1.00000 |
| 2085 | 2079 | 2081 | 1.00000 |
| 2086 | 2081 | 2083 | 1.00000 |
| 2087 | 2083 | 2085 | 1.00000 |
| 2088 | 2085 | 2087 | 1.00000 |
| 2089 | 2087 | 2089 | 1.00000 |
| 2090 | 2 | 4 | 1.00000 |
| 2091 | 4 | 6 | 1.00000 |
| 2092 | 6 | 8 | 1.00000 |
| 2093 | 8 | 10 | 1.00000 |
| 2094 | 10 | 12 | 1.00000 |
| 2095 | 12 | 14 | 1.00000 |
| 2096 | 14 | 16 | 1.00000 |
| 2097 | 16 | 18 | 1.00000 |
| 2098 | 18 | 20 | 1.00000 |
| 2099 | 20 | 22 | 1.00000 |
| 2100 | 22 | 24 | 1.00000 |
| 2101 | 24 | 26 | 1.00000 |
| 2102 | 26 | 28 | 1.00000 |
| 2103 | 28 | 30 | 1.00000 |
| 2104 | 30 | 32 | 1.00000 |
| 2105 | 32 | 34 | 1.00000 |
| 2106 | 34 | 36 | 1.00000 |
| 2107 | 36 | 38 | 1.00000 |
| 2108 | 38 | 40 | 1.00000 |
| 2109 | 40 | 42 | 1.00000 |
| 2110 | 42 | 44 | 1.00000 |
| 2111 | 44 | 46 | 1.00000 |
| 2112 | 46 | 48 | 1.00000 |
| 2113 | 48 | 50 | 1.00000 |
| 2114 | 50 | 52 | 1.00000 |
| 2115 | 52 | 54 | 1.00000 |
| 2116 | 54 | 56 | 1.00000 |

| Frame | JointI | JointJ | Length |
|---|---|---|---|
| Text | Text | Text | m |
| 2117 | 56 | 58 | 1.00000 |
| 2118 | 58 | 60 | 1.00000 |
| 2119 | 60 | 62 | 1.00000 |
| 2120 | 62 | 64 | 1.00000 |
| 2121 | 64 | 66 | 1.00000 |
| 2122 | 66 | 68 | 1.00000 |
| 2123 | 68 | 70 | 1.00000 |
| 2124 | 70 | 72 | 1.00000 |
| 2125 | 72 | 74 | 1.00000 |
| 2126 | 74 | 76 | 1.00000 |
| 2127 | 76 | 78 | 1.00000 |
| 2128 | 78 | 80 | 1.00000 |
| 2129 | 80 | 82 | 1.00000 |
| 2130 | 82 | 84 | 1.00000 |
| 2131 | 84 | 86 | 1.00000 |
| 2132 | 86 | 88 | 1.00000 |
| 2133 | 88 | 90 | 1.00000 |
| 2134 | 90 | 92 | 1.00000 |
| 2135 | 92 | 94 | 1.00000 |
| 2136 | 94 | 96 | 1.00000 |
| 2137 | 96 | 98 | 1.00000 |
| 2138 | 98 | 100 | 1.00000 |
| 2139 | 100 | 102 | 1.00000 |
| 2140 | 102 | 104 | 1.00000 |
| 2141 | 104 | 106 | 1.00000 |
| 2142 | 106 | 108 | 1.00000 |
| 2143 | 108 | 110 | 1.00000 |
| 2144 | 110 | 112 | 1.00000 |
| 2145 | 112 | 114 | 1.00000 |
| 2146 | 114 | 116 | 1.00000 |
| 2147 | 116 | 118 | 1.00000 |
| 2148 | 118 | 120 | 1.00000 |
| 2149 | 120 | 122 | 1.00000 |
| 2150 | 122 | 124 | 1.00000 |
| 2151 | 124 | 126 | 1.00000 |
| 2152 | 126 | 128 | 1.00000 |
| 2153 | 128 | 130 | 1.00000 |
| 2154 | 130 | 132 | 1.00000 |
| 2155 | 132 | 134 | 1.00000 |
| 2156 | 134 | 136 | 1.00000 |
| 2157 | 136 | 138 | 1.00000 |
| 2158 | 138 | 140 | 1.00000 |
| 2159 | 140 | 142 | 1.00000 |
| 2160 | 142 | 144 | 1.00000 |
| 2161 | 144 | 146 | 1.00000 |
| 2162 | 146 | 148 | 1.00000 |
| 2163 | 148 | 150 | 1.00000 |
| 2164 | 150 | 152 | 1.00000 |
| 2165 | 152 | 154 | 1.00000 |
| 2166 | 154 | 156 | 1.00000 |
| 2167 | 156 | 158 | 1.00000 |
| 2168 | 158 | 160 | 1.00000 |
| 2169 | 160 | 162 | 1.00000 |
| 2170 | 162 | 164 | 1.00000 |
| 2171 | 164 | 166 | 1.00000 |
| 2172 | 166 | 168 | 1.00000 |
| 2173 | 168 | 170 | 1.00000 |
| 2174 | 170 | 172 | 1.00000 |
| 2175 | 172 | 174 | 1.00000 |
| 2176 | 174 | 176 | 1.00000 |
| 2177 | 176 | 178 | 1.00000 |
| 2178 | 178 | 180 | 1.00000 |
| 2179 | 180 | 182 | 1.00000 |
| 2180 | 182 | 184 | 1.00000 |
| 2181 | 184 | 186 | 1.00000 |
| 2182 | 186 | 188 | 1.00000 |
| 2183 | 188 | 190 | 1.00000 |
| 2184 | 190 | 192 | 1.00000 |
| 2185 | 192 | 194 | 1.00000 |
| 2186 | 194 | 196 | 1.00000 |
| 2187 | 196 | 198 | 1.00000 |
| 2188 | 198 | 200 | 1.00000 |
| 2189 | 200 | 202 | 1.00000 |
| 2190 | 202 | 204 | 1.00000 |
| 2191 | 204 | 206 | 1.00000 |
| 2192 | 206 | 208 | 1.00000 |
| 2193 | 208 | 210 | 1.00000 |
| 2194 | 210 | 212 | 1.00000 |
| 2195 | 212 | 214 | 1.00000 |
| 2196 | 214 | 216 | 1.00000 |
| 2197 | 216 | 218 | 1.00000 |
| 2198 | 218 | 220 | 1.00000 |
| 2199 | 220 | 222 | 1.00000 |
| 2200 | 222 | 224 | 1.00000 |
| 2201 | 224 | 226 | 1.00000 |
| 2202 | 226 | 228 | 1.00000 |
| 2203 | 228 | 230 | 1.00000 |
| 2204 | 230 | 232 | 1.00000 |
| 2205 | 232 | 234 | 1.00000 |
| 2206 | 234 | 236 | 1.00000 |
| 2207 | 236 | 238 | 1.00000 |





| Frame | JointI | JointJ | Length |
|---|---|---|---|
| Text | Text | Text | m |
| 2208 | 238 | 240 | 1.00000 |
| 2209 | 240 | 242 | 1.00000 |
| 2210 | 242 | 244 | 1.00000 |
| 2211 | 244 | 246 | 1.00000 |
| 2212 | 246 | 248 | 1.00000 |
| 2213 | 248 | 250 | 1.00000 |
| 2214 | 250 | 252 | 1.00000 |
| 2215 | 252 | 254 | 1.00000 |
| 2216 | 254 | 256 | 1.00000 |
| 2217 | 256 | 258 | 1.00000 |
| 2218 | 258 | 260 | 1.00000 |
| 2219 | 260 | 262 | 1.00000 |
| 2220 | 262 | 264 | 1.00000 |
| 2221 | 264 | 266 | 1.00000 |
| 2222 | 266 | 268 | 1.00000 |
| 2223 | 268 | 270 | 1.00000 |
| 2224 | 270 | 272 | 1.00000 |
| 2225 | 272 | 274 | 1.00000 |
| 2226 | 274 | 276 | 1.00000 |
| 2227 | 276 | 278 | 1.00000 |
| 2228 | 278 | 280 | 1.00000 |
| 2229 | 280 | 282 | 1.00000 |
| 2230 | 282 | 284 | 1.00000 |
| 2231 | 284 | 286 | 1.00000 |
| 2232 | 286 | 288 | 1.00000 |
| 2233 | 288 | 290 | 1.00000 |
| 2234 | 290 | 292 | 1.00000 |
| 2235 | 292 | 294 | 1.00000 |
| 2236 | 294 | 296 | 1.00000 |
| 2237 | 296 | 298 | 1.00000 |
| 2238 | 298 | 300 | 1.00000 |
| 2239 | 300 | 302 | 1.00000 |
| 2240 | 302 | 304 | 1.00000 |
| 2241 | 304 | 306 | 1.00000 |
| 2242 | 306 | 308 | 1.00000 |
| 2243 | 308 | 310 | 1.00000 |
| 2244 | 310 | 312 | 1.00000 |
| 2245 | 312 | 314 | 1.00000 |
| 2246 | 314 | 316 | 1.00000 |
| 2247 | 316 | 318 | 1.00000 |
| 2248 | 318 | 320 | 1.00000 |
| 2249 | 320 | 322 | 1.00000 |
| 2250 | 322 | 324 | 1.00000 |
| 2251 | 324 | 326 | 1.00000 |
| 2252 | 326 | 328 | 1.00000 |
| 2253 | 328 | 330 | 1.00000 |
| 2254 | 330 | 332 | 1.00000 |
| 2255 | 332 | 334 | 1.00000 |
| 2256 | 334 | 336 | 1.00000 |
| 2257 | 336 | 338 | 1.00000 |
| 2258 | 338 | 340 | 1.00000 |
| 2259 | 340 | 342 | 1.00000 |
| 2260 | 342 | 344 | 1.00000 |
| 2261 | 344 | 346 | 1.00000 |
| 2262 | 346 | 348 | 1.00000 |
| 2263 | 348 | 350 | 1.00000 |
| 2264 | 350 | 352 | 1.00000 |
| 2265 | 352 | 354 | 1.00000 |
| 2266 | 354 | 356 | 1.00000 |
| 2267 | 356 | 358 | 1.00000 |
| 2268 | 358 | 360 | 1.00000 |
| 2269 | 360 | 362 | 1.00000 |
| 2270 | 362 | 364 | 1.00000 |
| 2271 | 364 | 366 | 1.00000 |
| 2272 | 366 | 368 | 1.00000 |
| 2273 | 368 | 370 | 1.00000 |
| 2274 | 370 | 372 | 1.00000 |
| 2275 | 372 | 374 | 1.00000 |
| 2276 | 374 | 376 | 1.00000 |
| 2277 | 376 | 378 | 1.00000 |
| 2278 | 378 | 380 | 1.00000 |
| 2279 | 380 | 382 | 1.00000 |
| 2280 | 382 | 384 | 1.00000 |
| 2281 | 384 | 386 | 1.00000 |
| 2282 | 386 | 388 | 1.00000 |
| 2283 | 388 | 390 | 1.00000 |
| 2284 | 390 | 392 | 1.00000 |
| 2285 | 392 | 394 | 1.00000 |
| 2286 | 394 | 396 | 1.00000 |
| 2287 | 396 | 398 | 1.00000 |
| 2288 | 398 | 400 | 1.00000 |
| 2289 | 400 | 402 | 1.00000 |
| 2290 | 402 | 404 | 1.00000 |
| 2291 | 404 | 406 | 1.00000 |
| 2292 | 406 | 408 | 1.00000 |
| 2293 | 408 | 410 | 1.00000 |
| 2294 | 410 | 412 | 1.00000 |
| 2295 | 412 | 414 | 1.00000 |
| 2296 | 414 | 416 | 1.00000 |
| 2297 | 416 | 418 | 1.00000 |
| 2298 | 418 | 420 | 1.00000 |

| Frame | JointI | JointJ | Length |
|---|---|---|---|
| Text | Text | Text | m |
| 2299 | 420 | 422 | 1.00000 |
| 2300 | 422 | 424 | 1.00000 |
| 2301 | 424 | 426 | 1.00000 |
| 2302 | 426 | 428 | 1.00000 |
| 2303 | 428 | 430 | 1.00000 |
| 2304 | 430 | 432 | 1.00000 |
| 2305 | 432 | 434 | 1.00000 |
| 2306 | 434 | 436 | 1.00000 |
| 2307 | 436 | 438 | 1.00000 |
| 2308 | 438 | 440 | 1.00000 |
| 2309 | 440 | 442 | 1.00000 |
| 2310 | 442 | 444 | 1.00000 |
| 2311 | 444 | 446 | 1.00000 |
| 2312 | 446 | 448 | 1.00000 |
| 2313 | 448 | 450 | 1.00000 |
| 2314 | 450 | 452 | 1.00000 |
| 2315 | 452 | 454 | 1.00000 |
| 2316 | 454 | 456 | 1.00000 |
| 2317 | 456 | 458 | 1.00000 |
| 2318 | 458 | 460 | 1.00000 |
| 2319 | 460 | 462 | 1.00000 |
| 2320 | 462 | 464 | 1.00000 |
| 2321 | 464 | 466 | 1.00000 |
| 2322 | 466 | 468 | 1.00000 |
| 2323 | 468 | 470 | 1.00000 |
| 2324 | 470 | 472 | 1.00000 |
| 2325 | 472 | 474 | 1.00000 |
| 2326 | 474 | 476 | 1.00000 |
| 2327 | 476 | 478 | 1.00000 |
| 2328 | 478 | 480 | 1.00000 |
| 2329 | 480 | 482 | 1.00000 |
| 2330 | 482 | 484 | 1.00000 |
| 2331 | 484 | 486 | 1.00000 |
| 2332 | 486 | 488 | 1.00000 |
| 2333 | 488 | 490 | 1.00000 |
| 2334 | 490 | 492 | 1.00000 |
| 2335 | 492 | 494 | 1.00000 |
| 2336 | 494 | 496 | 1.00000 |
| 2337 | 496 | 498 | 1.00000 |
| 2338 | 498 | 500 | 1.00000 |
| 2339 | 500 | 502 | 1.00000 |
| 2340 | 502 | 504 | 1.00000 |
| 2341 | 504 | 506 | 1.00000 |
| 2342 | 506 | 508 | 1.00000 |
| 2343 | 508 | 510 | 1.00000 |
| 2344 | 510 | 512 | 1.00000 |
| 2345 | 512 | 514 | 1.00000 |
| 2346 | 514 | 516 | 1.00000 |
| 2347 | 516 | 518 | 1.00000 |
| 2348 | 518 | 520 | 1.00000 |
| 2349 | 520 | 522 | 1.00000 |
| 2350 | 522 | 524 | 1.00000 |
| 2351 | 524 | 526 | 1.00000 |
| 2352 | 526 | 528 | 1.00000 |
| 2353 | 528 | 530 | 1.00000 |
| 2354 | 530 | 532 | 1.00000 |
| 2355 | 532 | 534 | 1.00000 |
| 2356 | 534 | 536 | 1.00000 |
| 2357 | 536 | 538 | 1.00000 |
| 2358 | 538 | 540 | 1.00000 |
| 2359 | 540 | 542 | 1.00000 |
| 2360 | 542 | 544 | 1.00000 |
| 2361 | 544 | 546 | 1.00000 |
| 2362 | 546 | 548 | 1.00000 |
| 2363 | 548 | 550 | 1.00000 |
| 2364 | 550 | 552 | 1.00000 |
| 2365 | 552 | 554 | 1.00000 |
| 2366 | 554 | 556 | 1.00000 |
| 2367 | 556 | 558 | 1.00000 |
| 2368 | 558 | 560 | 1.00000 |
| 2369 | 560 | 562 | 1.00000 |
| 2370 | 562 | 564 | 1.00000 |
| 2371 | 564 | 566 | 1.00000 |
| 2372 | 566 | 568 | 1.00000 |
| 2373 | 568 | 570 | 1.00000 |
| 2374 | 570 | 572 | 1.00000 |
| 2375 | 572 | 574 | 1.00000 |
| 2376 | 574 | 576 | 1.00000 |
| 2377 | 576 | 578 | 1.00000 |
| 2378 | 578 | 580 | 1.00000 |
| 2379 | 580 | 582 | 1.00000 |
| 2380 | 582 | 584 | 1.00000 |
| 2381 | 584 | 586 | 1.00000 |
| 2382 | 586 | 588 | 1.00000 |
| 2383 | 588 | 590 | 1.00000 |
| 2384 | 590 | 592 | 1.00000 |
| 2385 | 592 | 594 | 1.00000 |
| 2386 | 594 | 596 | 1.00000 |
| 2387 | 596 | 598 | 1.00000 |
| 2388 | 598 | 600 | 1.00000 |
| 2389 | 600 | 602 | 1.00000 |





| Frame | JointI | JointJ | Length |
|---|---|---|---|
| Text | Text | Text | m |
| 2390 | 602 | 604 | 1.00000 |
| 2391 | 604 | 606 | 1.00000 |
| 2392 | 606 | 608 | 1.00000 |
| 2393 | 608 | 610 | 1.00000 |
| 2394 | 610 | 612 | 1.00000 |
| 2395 | 612 | 614 | 1.00000 |
| 2396 | 614 | 616 | 1.00000 |
| 2397 | 616 | 618 | 1.00000 |
| 2398 | 618 | 620 | 1.00000 |
| 2399 | 620 | 622 | 1.00000 |
| 2400 | 622 | 624 | 1.00000 |
| 2401 | 624 | 626 | 1.00000 |
| 2402 | 626 | 628 | 1.00000 |
| 2403 | 628 | 630 | 1.00000 |
| 2404 | 630 | 632 | 1.00000 |
| 2405 | 632 | 634 | 1.00000 |
| 2406 | 634 | 636 | 1.00000 |
| 2407 | 636 | 638 | 1.00000 |
| 2408 | 638 | 640 | 1.00000 |
| 2409 | 640 | 642 | 1.00000 |
| 2410 | 642 | 644 | 1.00000 |
| 2411 | 644 | 646 | 1.00000 |
| 2412 | 646 | 648 | 1.00000 |
| 2413 | 648 | 650 | 1.00000 |
| 2414 | 650 | 652 | 1.00000 |
| 2415 | 652 | 654 | 1.00000 |
| 2416 | 654 | 656 | 1.00000 |
| 2417 | 656 | 658 | 1.00000 |
| 2418 | 658 | 660 | 1.00000 |
| 2419 | 660 | 662 | 1.00000 |
| 2420 | 662 | 664 | 1.00000 |
| 2421 | 664 | 666 | 1.00000 |
| 2422 | 666 | 668 | 1.00000 |
| 2423 | 668 | 670 | 1.00000 |
| 2424 | 670 | 672 | 1.00000 |
| 2425 | 672 | 674 | 1.00000 |
| 2426 | 674 | 676 | 1.00000 |
| 2427 | 676 | 678 | 1.00000 |
| 2428 | 678 | 680 | 1.00000 |
| 2429 | 680 | 682 | 1.00000 |
| 2430 | 682 | 684 | 1.00000 |
| 2431 | 684 | 686 | 1.00000 |
| 2432 | 686 | 688 | 1.00000 |
| 2433 | 688 | 690 | 1.00000 |
| 2434 | 690 | 692 | 1.00000 |
| 2435 | 692 | 694 | 1.00000 |
| 2436 | 694 | 696 | 1.00000 |
| 2437 | 696 | 698 | 1.00000 |
| 2438 | 698 | 700 | 1.00000 |
| 2439 | 700 | 702 | 1.00000 |
| 2440 | 702 | 704 | 1.00000 |
| 2441 | 704 | 706 | 1.00000 |
| 2442 | 706 | 708 | 1.00000 |
| 2443 | 708 | 710 | 1.00000 |
| 2444 | 710 | 712 | 1.00000 |
| 2445 | 712 | 714 | 1.00000 |
| 2446 | 714 | 716 | 1.00000 |
| 2447 | 716 | 718 | 1.00000 |
| 2448 | 718 | 720 | 1.00000 |
| 2449 | 720 | 722 | 1.00000 |
| 2450 | 722 | 724 | 1.00000 |
| 2451 | 724 | 726 | 1.00000 |
| 2452 | 726 | 728 | 1.00000 |
| 2453 | 728 | 730 | 1.00000 |
| 2454 | 730 | 732 | 1.00000 |
| 2455 | 732 | 734 | 1.00000 |
| 2456 | 734 | 736 | 1.00000 |
| 2457 | 736 | 738 | 1.00000 |
| 2458 | 738 | 740 | 1.00000 |
| 2459 | 740 | 742 | 1.00000 |
| 2460 | 742 | 744 | 1.00000 |
| 2461 | 744 | 746 | 1.00000 |
| 2462 | 746 | 748 | 1.00000 |
| 2463 | 748 | 750 | 1.00000 |
| 2464 | 750 | 752 | 1.00000 |
| 2465 | 752 | 754 | 1.00000 |
| 2466 | 754 | 756 | 1.00000 |
| 2467 | 756 | 758 | 1.00000 |
| 2468 | 758 | 760 | 1.00000 |
| 2469 | 760 | 762 | 1.00000 |
| 2470 | 762 | 764 | 1.00000 |
| 2471 | 764 | 766 | 1.00000 |
| 2472 | 766 | 768 | 1.00000 |
| 2473 | 768 | 770 | 1.00000 |
| 2474 | 770 | 772 | 1.00000 |
| 2475 | 772 | 774 | 1.00000 |
| 2476 | 774 | 776 | 1.00000 |
| 2477 | 776 | 778 | 1.00000 |
| 2478 | 778 | 780 | 1.00000 |
| 2479 | 780 | 782 | 1.00000 |
| 2480 | 782 | 784 | 1.00000 |

| Frame | JointI | JointJ | Length |
|---|---|---|---|
| Text | Text | Text | m |
| 2481 | 784 | 786 | 1.00000 |
| 2482 | 786 | 788 | 1.00000 |
| 2483 | 788 | 790 | 1.00000 |
| 2484 | 790 | 792 | 1.00000 |
| 2485 | 792 | 794 | 1.00000 |
| 2486 | 794 | 796 | 1.00000 |
| 2487 | 796 | 798 | 1.00000 |
| 2488 | 798 | 800 | 1.00000 |
| 2489 | 800 | 802 | 1.00000 |
| 2490 | 802 | 804 | 1.00000 |
| 2491 | 804 | 806 | 1.00000 |
| 2492 | 806 | 808 | 1.00000 |
| 2493 | 808 | 810 | 1.00000 |
| 2494 | 810 | 812 | 1.00000 |
| 2495 | 812 | 814 | 1.00000 |
| 2496 | 814 | 816 | 1.00000 |
| 2497 | 816 | 818 | 1.00000 |
| 2498 | 818 | 820 | 1.00000 |
| 2499 | 820 | 822 | 1.00000 |
| 2500 | 822 | 824 | 1.00000 |
| 2501 | 824 | 826 | 1.00000 |
| 2502 | 826 | 828 | 1.00000 |
| 2503 | 828 | 830 | 1.00000 |
| 2504 | 830 | 832 | 1.00000 |
| 2505 | 832 | 834 | 1.00000 |
| 2506 | 834 | 836 | 1.00000 |
| 2507 | 836 | 838 | 1.00000 |
| 2508 | 838 | 840 | 1.00000 |
| 2509 | 840 | 842 | 1.00000 |
| 2510 | 842 | 844 | 1.00000 |
| 2511 | 844 | 846 | 1.00000 |
| 2512 | 846 | 848 | 1.00000 |
| 2513 | 848 | 850 | 1.00000 |
| 2514 | 850 | 852 | 1.00000 |
| 2515 | 852 | 854 | 1.00000 |
| 2516 | 854 | 856 | 1.00000 |
| 2517 | 856 | 858 | 1.00000 |
| 2518 | 858 | 860 | 1.00000 |
| 2519 | 860 | 862 | 1.00000 |
| 2520 | 862 | 864 | 1.00000 |
| 2521 | 864 | 866 | 1.00000 |
| 2522 | 866 | 868 | 1.00000 |
| 2523 | 868 | 870 | 1.00000 |
| 2524 | 870 | 872 | 1.00000 |
| 2525 | 872 | 874 | 1.00000 |
| 2526 | 874 | 876 | 1.00000 |
| 2527 | 876 | 878 | 1.00000 |
| 2528 | 878 | 880 | 1.00000 |
| 2529 | 880 | 882 | 1.00000 |
| 2530 | 882 | 884 | 1.00000 |
| 2531 | 884 | 886 | 1.00000 |
| 2532 | 886 | 888 | 1.00000 |
| 2533 | 888 | 890 | 1.00000 |
| 2534 | 890 | 892 | 1.00000 |
| 2535 | 892 | 894 | 1.00000 |
| 2536 | 894 | 896 | 1.00000 |
| 2537 | 896 | 898 | 1.00000 |
| 2538 | 898 | 900 | 1.00000 |
| 2539 | 900 | 902 | 1.00000 |
| 2540 | 902 | 904 | 1.00000 |
| 2541 | 904 | 906 | 1.00000 |
| 2542 | 906 | 908 | 1.00000 |
| 2543 | 908 | 910 | 1.00000 |
| 2544 | 910 | 912 | 1.00000 |
| 2545 | 912 | 914 | 1.00000 |
| 2546 | 914 | 916 | 1.00000 |
| 2547 | 916 | 918 | 1.00000 |
| 2548 | 918 | 920 | 1.00000 |
| 2549 | 920 | 922 | 1.00000 |
| 2550 | 922 | 924 | 1.00000 |
| 2551 | 924 | 926 | 1.00000 |
| 2552 | 926 | 928 | 1.00000 |
| 2553 | 928 | 930 | 1.00000 |
| 2554 | 930 | 932 | 1.00000 |
| 2555 | 932 | 934 | 1.00000 |
| 2556 | 934 | 936 | 1.00000 |
| 2557 | 936 | 938 | 1.00000 |
| 2558 | 938 | 940 | 1.00000 |
| 2559 | 940 | 942 | 1.00000 |
| 2560 | 942 | 944 | 1.00000 |
| 2561 | 944 | 946 | 1.00000 |
| 2562 | 946 | 948 | 1.00000 |
| 2563 | 948 | 950 | 1.00000 |
| 2564 | 950 | 952 | 1.00000 |
| 2565 | 952 | 954 | 1.00000 |
| 2566 | 954 | 956 | 1.00000 |
| 2567 | 956 | 958 | 1.00000 |
| 2568 | 958 | 960 | 1.00000 |
| 2569 | 960 | 962 | 1.00000 |
| 2570 | 962 | 964 | 1.00000 |
| 2571 | 964 | 966 | 1.00000 |





| Frame | JointI | JointJ | Length |
|---|---|---|---|
| Text | Text | Text | m |
| 2572 | 966 | 968 | 1.00000 |
| 2573 | 968 | 970 | 1.00000 |
| 2574 | 970 | 972 | 1.00000 |
| 2575 | 972 | 974 | 1.00000 |
| 2576 | 974 | 976 | 1.00000 |
| 2577 | 976 | 978 | 1.00000 |
| 2578 | 978 | 980 | 1.00000 |
| 2579 | 980 | 982 | 1.00000 |
| 2580 | 982 | 984 | 1.00000 |
| 2581 | 984 | 986 | 1.00000 |
| 2582 | 986 | 988 | 1.00000 |
| 2583 | 988 | 990 | 1.00000 |
| 2584 | 990 | 992 | 1.00000 |
| 2585 | 992 | 994 | 1.00000 |
| 2586 | 994 | 996 | 1.00000 |
| 2587 | 996 | 998 | 1.00000 |
| 2588 | 998 | 1000 | 1.00000 |
| 2589 | 1000 | 1002 | 1.00000 |
| 2590 | 1002 | 1004 | 1.00000 |
| 2591 | 1004 | 1006 | 1.00000 |
| 2592 | 1006 | 1008 | 1.00000 |
| 2593 | 1008 | 1010 | 1.00000 |
| 2594 | 1010 | 1012 | 1.00000 |
| 2595 | 1012 | 1014 | 1.00000 |
| 2596 | 1014 | 1016 | 1.00000 |
| 2597 | 1016 | 1018 | 1.00000 |
| 2598 | 1018 | 1020 | 1.00000 |
| 2599 | 1020 | 1022 | 1.00000 |
| 2600 | 1022 | 1024 | 1.00000 |
| 2601 | 1024 | 1026 | 1.00000 |
| 2602 | 1026 | 1028 | 1.00000 |
| 2603 | 1028 | 1030 | 1.00000 |
| 2604 | 1030 | 1032 | 1.00000 |
| 2605 | 1032 | 1034 | 1.00000 |
| 2606 | 1034 | 1036 | 1.00000 |
| 2607 | 1036 | 1038 | 1.00000 |
| 2608 | 1038 | 1040 | 1.00000 |
| 2609 | 1040 | 1042 | 1.00000 |
| 2610 | 1042 | 1044 | 1.00000 |
| 2611 | 1044 | 1046 | 1.00000 |
| 2612 | 1046 | 1048 | 1.00000 |
| 2613 | 1048 | 1050 | 1.00000 |
| 2614 | 1050 | 1052 | 1.00000 |
| 2615 | 1052 | 1054 | 1.00000 |
| 2616 | 1054 | 1056 | 1.00000 |
| 2617 | 1056 | 1058 | 1.00000 |
| 2618 | 1058 | 1060 | 1.00000 |
| 2619 | 1060 | 1062 | 1.00000 |
| 2620 | 1062 | 1064 | 1.00000 |
| 2621 | 1064 | 1066 | 1.00000 |
| 2622 | 1066 | 1068 | 1.00000 |
| 2623 | 1068 | 1070 | 1.00000 |
| 2624 | 1070 | 1072 | 1.00000 |
| 2625 | 1072 | 1074 | 1.00000 |
| 2626 | 1074 | 1076 | 1.00000 |
| 2627 | 1076 | 1078 | 1.00000 |
| 2628 | 1078 | 1080 | 1.00000 |
| 2629 | 1080 | 1082 | 1.00000 |
| 2630 | 1082 | 1084 | 1.00000 |
| 2631 | 1084 | 1086 | 1.00000 |
| 2632 | 1086 | 1088 | 1.00000 |
| 2633 | 1088 | 1090 | 1.00000 |
| 2634 | 1090 | 1092 | 1.00000 |
| 2635 | 1092 | 1094 | 1.00000 |
| 2636 | 1094 | 1096 | 1.00000 |
| 2637 | 1096 | 1098 | 1.00000 |
| 2638 | 1098 | 1100 | 1.00000 |
| 2639 | 1100 | 1102 | 1.00000 |
| 2640 | 1102 | 1104 | 1.00000 |
| 2641 | 1104 | 1106 | 1.00000 |
| 2642 | 1106 | 1108 | 1.00000 |
| 2643 | 1108 | 1110 | 1.00000 |
| 2644 | 1110 | 1112 | 1.00000 |
| 2645 | 1112 | 1114 | 1.00000 |
| 2646 | 1114 | 1116 | 1.00000 |
| 2647 | 1116 | 1118 | 1.00000 |
| 2648 | 1118 | 1120 | 1.00000 |
| 2649 | 1120 | 1122 | 1.00000 |
| 2650 | 1122 | 1124 | 1.00000 |
| 2651 | 1124 | 1126 | 1.00000 |
| 2652 | 1126 | 1128 | 1.00000 |
| 2653 | 1128 | 1130 | 1.00000 |
| 2654 | 1130 | 1132 | 1.00000 |
| 2655 | 1132 | 1134 | 1.00000 |
| 2656 | 1134 | 1136 | 1.00000 |
| 2657 | 1136 | 1138 | 1.00000 |
| 2658 | 1138 | 1140 | 1.00000 |
| 2659 | 1140 | 1142 | 1.00000 |
| 2660 | 1142 | 1144 | 1.00000 |
| 2661 | 1144 | 1146 | 1.00000 |
| 2662 | 1146 | 1148 | 1.00000 |

| Frame | JointI | JointJ | Length |
|---|---|---|---|
| Text | Text | Text | m |
| 2663 | 1148 | 1150 | 1.00000 |
| 2664 | 1150 | 1152 | 1.00000 |
| 2665 | 1152 | 1154 | 1.00000 |
| 2666 | 1154 | 1156 | 1.00000 |
| 2667 | 1156 | 1158 | 1.00000 |
| 2668 | 1158 | 1160 | 1.00000 |
| 2669 | 1160 | 1162 | 1.00000 |
| 2670 | 1162 | 1164 | 1.00000 |
| 2671 | 1164 | 1166 | 1.00000 |
| 2672 | 1166 | 1168 | 1.00000 |
| 2673 | 1168 | 1170 | 1.00000 |
| 2674 | 1170 | 1172 | 1.00000 |
| 2675 | 1172 | 1174 | 1.00000 |
| 2676 | 1174 | 1176 | 1.00000 |
| 2677 | 1176 | 1178 | 1.00000 |
| 2678 | 1178 | 1180 | 1.00000 |
| 2679 | 1180 | 1182 | 1.00000 |
| 2680 | 1182 | 1184 | 1.00000 |
| 2681 | 1184 | 1186 | 1.00000 |
| 2682 | 1186 | 1188 | 1.00000 |
| 2683 | 1188 | 1190 | 1.00000 |
| 2684 | 1190 | 1192 | 1.00000 |
| 2685 | 1192 | 1194 | 1.00000 |
| 2686 | 1194 | 1196 | 1.00000 |
| 2687 | 1196 | 1198 | 1.00000 |
| 2688 | 1198 | 1200 | 1.00000 |
| 2689 | 1200 | 1202 | 1.00000 |
| 2690 | 1202 | 1204 | 1.00000 |
| 2691 | 1204 | 1206 | 1.00000 |
| 2692 | 1206 | 1208 | 1.00000 |
| 2693 | 1208 | 1210 | 1.00000 |
| 2694 | 1210 | 1212 | 1.00000 |
| 2695 | 1212 | 1214 | 1.00000 |
| 2696 | 1214 | 1216 | 1.00000 |
| 2697 | 1216 | 1218 | 1.00000 |
| 2698 | 1218 | 1220 | 1.00000 |
| 2699 | 1220 | 1222 | 1.00000 |
| 2700 | 1222 | 1224 | 1.00000 |
| 2701 | 1224 | 1226 | 1.00000 |
| 2702 | 1226 | 1228 | 1.00000 |
| 2703 | 1228 | 1230 | 1.00000 |
| 2704 | 1230 | 1232 | 1.00000 |
| 2705 | 1232 | 1234 | 1.00000 |
| 2706 | 1234 | 1236 | 1.00000 |
| 2707 | 1236 | 1238 | 1.00000 |
| 2708 | 1238 | 1240 | 1.00000 |
| 2709 | 1240 | 1242 | 1.00000 |
| 2710 | 1242 | 1244 | 1.00000 |
| 2711 | 1244 | 1246 | 1.00000 |
| 2712 | 1246 | 1248 | 1.00000 |
| 2713 | 1248 | 1250 | 1.00000 |
| 2714 | 1250 | 1252 | 1.00000 |
| 2715 | 1252 | 1254 | 1.00000 |
| 2716 | 1254 | 1256 | 1.00000 |
| 2717 | 1256 | 1258 | 1.00000 |
| 2718 | 1258 | 1260 | 1.00000 |
| 2719 | 1260 | 1262 | 1.00000 |
| 2720 | 1262 | 1264 | 1.00000 |
| 2721 | 1264 | 1266 | 1.00000 |
| 2722 | 1266 | 1268 | 1.00000 |
| 2723 | 1268 | 1270 | 1.00000 |
| 2724 | 1270 | 1272 | 1.00000 |
| 2725 | 1272 | 1274 | 1.00000 |
| 2726 | 1274 | 1276 | 1.00000 |
| 2727 | 1276 | 1278 | 1.00000 |
| 2728 | 1278 | 1280 | 1.00000 |
| 2729 | 1280 | 1282 | 1.00000 |
| 2730 | 1282 | 1284 | 1.00000 |
| 2731 | 1284 | 1286 | 1.00000 |
| 2732 | 1286 | 1288 | 1.00000 |
| 2733 | 1288 | 1290 | 1.00000 |
| 2734 | 1290 | 1292 | 1.00000 |
| 2735 | 1292 | 1294 | 1.00000 |
| 2736 | 1294 | 1296 | 1.00000 |
| 2737 | 1296 | 1298 | 1.00000 |
| 2738 | 1298 | 1300 | 1.00000 |
| 2739 | 1300 | 1302 | 1.00000 |
| 2740 | 1302 | 1304 | 1.00000 |
| 2741 | 1304 | 1306 | 1.00000 |
| 2742 | 1306 | 1308 | 1.00000 |
| 2743 | 1308 | 1310 | 1.00000 |
| 2744 | 1310 | 1312 | 1.00000 |
| 2745 | 1312 | 1314 | 1.00000 |
| 2746 | 1314 | 1316 | 1.00000 |
| 2747 | 1316 | 1318 | 1.00000 |
| 2748 | 1318 | 1320 | 1.00000 |
| 2749 | 1320 | 1322 | 1.00000 |
| 2750 | 1322 | 1324 | 1.00000 |
| 2751 | 1324 | 1326 | 1.00000 |
| 2752 | 1326 | 1328 | 1.00000 |
| 2753 | 1328 | 1330 | 1.00000 |





| Frame | JointI | JointJ | Length |
|---|---|---|---|
| Text | Text | Text | m |
| 2754 | 1330 | 1332 | 1.00000 |
| 2755 | 1332 | 1334 | 1.00000 |
| 2756 | 1334 | 1336 | 1.00000 |
| 2757 | 1336 | 1338 | 1.00000 |
| 2758 | 1338 | 1340 | 1.00000 |
| 2759 | 1340 | 1342 | 1.00000 |
| 2760 | 1342 | 1344 | 1.00000 |
| 2761 | 1344 | 1346 | 1.00000 |
| 2762 | 1346 | 1348 | 1.00000 |
| 2763 | 1348 | 1350 | 1.00000 |
| 2764 | 1350 | 1352 | 1.00000 |
| 2765 | 1352 | 1354 | 1.00000 |
| 2766 | 1354 | 1356 | 1.00000 |
| 2767 | 1356 | 1358 | 1.00000 |
| 2768 | 1358 | 1360 | 1.00000 |
| 2769 | 1360 | 1362 | 1.00000 |
| 2770 | 1362 | 1364 | 1.00000 |
| 2771 | 1364 | 1366 | 1.00000 |
| 2772 | 1366 | 1368 | 1.00000 |
| 2773 | 1368 | 1370 | 1.00000 |
| 2774 | 1370 | 1372 | 1.00000 |
| 2775 | 1372 | 1374 | 1.00000 |
| 2776 | 1374 | 1376 | 1.00000 |
| 2777 | 1376 | 1378 | 1.00000 |
| 2778 | 1378 | 1380 | 1.00000 |
| 2779 | 1380 | 1382 | 1.00000 |
| 2780 | 1382 | 1384 | 1.00000 |
| 2781 | 1384 | 1386 | 1.00000 |
| 2782 | 1386 | 1388 | 1.00000 |
| 2783 | 1388 | 1390 | 1.00000 |
| 2784 | 1390 | 1392 | 1.00000 |
| 2785 | 1392 | 1394 | 1.00000 |
| 2786 | 1394 | 1396 | 1.00000 |
| 2787 | 1396 | 1398 | 1.00000 |
| 2788 | 1398 | 1400 | 1.00000 |
| 2789 | 1400 | 1402 | 1.00000 |
| 2790 | 1402 | 1404 | 1.00000 |
| 2791 | 1404 | 1406 | 1.00000 |
| 2792 | 1406 | 1408 | 1.00000 |
| 2793 | 1408 | 1410 | 1.00000 |
| 2794 | 1410 | 1412 | 1.00000 |
| 2795 | 1412 | 1414 | 1.00000 |
| 2796 | 1414 | 1416 | 1.00000 |
| 2797 | 1416 | 1418 | 1.00000 |
| 2798 | 1418 | 1420 | 1.00000 |
| 2799 | 1420 | 1422 | 1.00000 |
| 2800 | 1422 | 1424 | 1.00000 |
| 2801 | 1424 | 1426 | 1.00000 |
| 2802 | 1426 | 1428 | 1.00000 |
| 2803 | 1428 | 1430 | 1.00000 |
| 2804 | 1430 | 1432 | 1.00000 |
| 2805 | 1432 | 1434 | 1.00000 |
| 2806 | 1434 | 1436 | 1.00000 |
| 2807 | 1436 | 1438 | 1.00000 |
| 2808 | 1438 | 1440 | 1.00000 |
| 2809 | 1440 | 1442 | 1.00000 |
| 2810 | 1442 | 1444 | 1.00000 |
| 2811 | 1444 | 1446 | 1.00000 |
| 2812 | 1446 | 1448 | 1.00000 |
| 2813 | 1448 | 1450 | 1.00000 |
| 2814 | 1450 | 1452 | 1.00000 |
| 2815 | 1452 | 1454 | 1.00000 |
| 2816 | 1454 | 1456 | 1.00000 |
| 2817 | 1456 | 1458 | 1.00000 |
| 2818 | 1458 | 1460 | 1.00000 |
| 2819 | 1460 | 1462 | 1.00000 |
| 2820 | 1462 | 1464 | 1.00000 |
| 2821 | 1464 | 1466 | 1.00000 |
| 2822 | 1466 | 1468 | 1.00000 |
| 2823 | 1468 | 1470 | 1.00000 |
| 2824 | 1470 | 1472 | 1.00000 |
| 2825 | 1472 | 1474 | 1.00000 |
| 2826 | 1474 | 1476 | 1.00000 |
| 2827 | 1476 | 1478 | 1.00000 |
| 2828 | 1478 | 1480 | 1.00000 |
| 2829 | 1480 | 1482 | 1.00000 |
| 2830 | 1482 | 1484 | 1.00000 |
| 2831 | 1484 | 1486 | 1.00000 |
| 2832 | 1486 | 1488 | 1.00000 |
| 2833 | 1488 | 1490 | 1.00000 |
| 2834 | 1490 | 1492 | 1.00000 |
| 2835 | 1492 | 1494 | 1.00000 |
| 2836 | 1494 | 1496 | 1.00000 |
| 2837 | 1496 | 1498 | 1.00000 |
| 2838 | 1498 | 1500 | 1.00000 |
| 2839 | 1500 | 1502 | 1.00000 |
| 2840 | 1502 | 1504 | 1.00000 |
| 2841 | 1504 | 1506 | 1.00000 |
| 2842 | 1506 | 1508 | 1.00000 |
| 2843 | 1508 | 1510 | 1.00000 |
| 2844 | 1510 | 1512 | 1.00000 |

| Frame | JointI | JointJ | Length |
|---|---|---|---|
| Text | Text | Text | m |
| 2845 | 1512 | 1514 | 1.00000 |
| 2846 | 1514 | 1516 | 1.00000 |
| 2847 | 1516 | 1518 | 1.00000 |
| 2848 | 1518 | 1520 | 1.00000 |
| 2849 | 1520 | 1522 | 1.00000 |
| 2850 | 1522 | 1524 | 1.00000 |
| 2851 | 1524 | 1526 | 1.00000 |
| 2852 | 1526 | 1528 | 1.00000 |
| 2853 | 1528 | 1530 | 1.00000 |
| 2854 | 1530 | 1532 | 1.00000 |
| 2855 | 1532 | 1534 | 1.00000 |
| 2856 | 1534 | 1536 | 1.00000 |
| 2857 | 1536 | 1538 | 1.00000 |
| 2858 | 1538 | 1540 | 1.00000 |
| 2859 | 1540 | 1542 | 1.00000 |
| 2860 | 1542 | 1544 | 1.00000 |
| 2861 | 1544 | 1546 | 1.00000 |
| 2862 | 1546 | 1548 | 1.00000 |
| 2863 | 1548 | 1550 | 1.00000 |
| 2864 | 1550 | 1552 | 1.00000 |
| 2865 | 1552 | 1554 | 1.00000 |
| 2866 | 1554 | 1556 | 1.00000 |
| 2867 | 1556 | 1558 | 1.00000 |
| 2868 | 1558 | 1560 | 1.00000 |
| 2869 | 1560 | 1562 | 1.00000 |
| 2870 | 1562 | 1564 | 1.00000 |
| 2871 | 1564 | 1566 | 1.00000 |
| 2872 | 1566 | 1568 | 1.00000 |
| 2873 | 1568 | 1570 | 1.00000 |
| 2874 | 1570 | 1572 | 1.00000 |
| 2875 | 1572 | 1574 | 1.00000 |
| 2876 | 1574 | 1576 | 1.00000 |
| 2877 | 1576 | 1578 | 1.00000 |
| 2878 | 1578 | 1580 | 1.00000 |
| 2879 | 1580 | 1582 | 1.00000 |
| 2880 | 1582 | 1584 | 1.00000 |
| 2881 | 1584 | 1586 | 1.00000 |
| 2882 | 1586 | 1588 | 1.00000 |
| 2883 | 1588 | 1590 | 1.00000 |
| 2884 | 1590 | 1592 | 1.00000 |
| 2885 | 1592 | 1594 | 1.00000 |
| 2886 | 1594 | 1596 | 1.00000 |
| 2887 | 1596 | 1598 | 1.00000 |
| 2888 | 1598 | 1600 | 1.00000 |
| 2889 | 1600 | 1602 | 1.00000 |
| 2890 | 1602 | 1604 | 1.00000 |
| 2891 | 1604 | 1606 | 1.00000 |
| 2892 | 1606 | 1608 | 1.00000 |
| 2893 | 1608 | 1610 | 1.00000 |
| 2894 | 1610 | 1612 | 1.00000 |
| 2895 | 1612 | 1614 | 1.00000 |
| 2896 | 1614 | 1616 | 1.00000 |
| 2897 | 1616 | 1618 | 1.00000 |
| 2898 | 1618 | 1620 | 1.00000 |
| 2899 | 1620 | 1622 | 1.00000 |
| 2900 | 1622 | 1624 | 1.00000 |
| 2901 | 1624 | 1626 | 1.00000 |
| 2902 | 1626 | 1628 | 1.00000 |
| 2903 | 1628 | 1630 | 1.00000 |
| 2904 | 1630 | 1632 | 1.00000 |
| 2905 | 1632 | 1634 | 1.00000 |
| 2906 | 1634 | 1636 | 1.00000 |
| 2907 | 1636 | 1638 | 1.00000 |
| 2908 | 1638 | 1640 | 1.00000 |
| 2909 | 1640 | 1642 | 1.00000 |
| 2910 | 1642 | 1644 | 1.00000 |
| 2911 | 1644 | 1646 | 1.00000 |
| 2912 | 1646 | 1648 | 1.00000 |
| 2913 | 1648 | 1650 | 1.00000 |
| 2914 | 1650 | 1652 | 1.00000 |
| 2915 | 1652 | 1654 | 1.00000 |
| 2916 | 1654 | 1656 | 1.00000 |
| 2917 | 1656 | 1658 | 1.00000 |
| 2918 | 1658 | 1660 | 1.00000 |
| 2919 | 1660 | 1662 | 1.00000 |
| 2920 | 1662 | 1664 | 1.00000 |
| 2921 | 1664 | 1666 | 1.00000 |
| 2922 | 1666 | 1668 | 1.00000 |
| 2923 | 1668 | 1670 | 1.00000 |
| 2924 | 1670 | 1672 | 1.00000 |
| 2925 | 1672 | 1674 | 1.00000 |
| 2926 | 1674 | 1676 | 1.00000 |
| 2927 | 1676 | 1678 | 1.00000 |
| 2928 | 1678 | 1680 | 1.00000 |
| 2929 | 1680 | 1682 | 1.00000 |
| 2930 | 1682 | 1684 | 1.00000 |
| 2931 | 1684 | 1686 | 1.00000 |
| 2932 | 1686 | 1688 | 1.00000 |
| 2933 | 1688 | 1690 | 1.00000 |
| 2934 | 1690 | 1692 | 1.00000 |
| 2935 | 1692 | 1694 | 1.00000 |





| Frame | JointI | JointJ | Length |
|---|---|---|---|
| Text | Text | Text | m |
| 2936 | 1694 | 1696 | 1.00000 |
| 2937 | 1696 | 1698 | 1.00000 |
| 2938 | 1698 | 1700 | 1.00000 |
| 2939 | 1700 | 1702 | 1.00000 |
| 2940 | 1702 | 1704 | 1.00000 |
| 2941 | 1704 | 1706 | 1.00000 |
| 2942 | 1706 | 1708 | 1.00000 |
| 2943 | 1708 | 1710 | 1.00000 |
| 2944 | 1710 | 1712 | 1.00000 |
| 2945 | 1712 | 1714 | 1.00000 |
| 2946 | 1714 | 1716 | 1.00000 |
| 2947 | 1716 | 1718 | 1.00000 |
| 2948 | 1718 | 1720 | 1.00000 |
| 2949 | 1720 | 1722 | 1.00000 |
| 2950 | 1722 | 1724 | 1.00000 |
| 2951 | 1724 | 1726 | 1.00000 |
| 2952 | 1726 | 1728 | 1.00000 |
| 2953 | 1728 | 1730 | 1.00000 |
| 2954 | 1730 | 1732 | 1.00000 |
| 2955 | 1732 | 1734 | 1.00000 |
| 2956 | 1734 | 1736 | 1.00000 |
| 2957 | 1736 | 1738 | 1.00000 |
| 2958 | 1738 | 1740 | 1.00000 |
| 2959 | 1740 | 1742 | 1.00000 |
| 2960 | 1742 | 1744 | 1.00000 |
| 2961 | 1744 | 1746 | 1.00000 |
| 2962 | 1746 | 1748 | 1.00000 |
| 2963 | 1748 | 1750 | 1.00000 |
| 2964 | 1750 | 1752 | 1.00000 |
| 2965 | 1752 | 1754 | 1.00000 |
| 2966 | 1754 | 1756 | 1.00000 |
| 2967 | 1756 | 1758 | 1.00000 |
| 2968 | 1758 | 1760 | 1.00000 |
| 2969 | 1760 | 1762 | 1.00000 |
| 2970 | 1762 | 1764 | 1.00000 |
| 2971 | 1764 | 1766 | 1.00000 |
| 2972 | 1766 | 1768 | 1.00000 |
| 2973 | 1768 | 1770 | 1.00000 |
| 2974 | 1770 | 1772 | 1.00000 |
| 2975 | 1772 | 1774 | 1.00000 |
| 2976 | 1774 | 1776 | 1.00000 |
| 2977 | 1776 | 1778 | 1.00000 |
| 2978 | 1778 | 1780 | 1.00000 |
| 2979 | 1780 | 1782 | 1.00000 |
| 2980 | 1782 | 1784 | 1.00000 |
| 2981 | 1784 | 1786 | 1.00000 |
| 2982 | 1786 | 1788 | 1.00000 |
| 2983 | 1788 | 1790 | 1.00000 |
| 2984 | 1790 | 1792 | 1.00000 |
| 2985 | 1792 | 1794 | 1.00000 |
| 2986 | 1794 | 1796 | 1.00000 |
| 2987 | 1796 | 1798 | 1.00000 |
| 2988 | 1798 | 1800 | 1.00000 |
| 2989 | 1800 | 1802 | 1.00000 |
| 2990 | 1802 | 1804 | 1.00000 |
| 2991 | 1804 | 1806 | 1.00000 |
| 2992 | 1806 | 1808 | 1.00000 |
| 2993 | 1808 | 1810 | 1.00000 |
| 2994 | 1810 | 1812 | 1.00000 |
| 2995 | 1812 | 1814 | 1.00000 |
| 2996 | 1814 | 1816 | 1.00000 |
| 2997 | 1816 | 1818 | 1.00000 |
| 2998 | 1818 | 1820 | 1.00000 |
| 2999 | 1820 | 1822 | 1.00000 |
| 3000 | 1822 | 1824 | 1.00000 |
| 3001 | 1824 | 1826 | 1.00000 |
| 3002 | 1826 | 1828 | 1.00000 |
| 3003 | 1828 | 1830 | 1.00000 |
| 3004 | 1830 | 1832 | 1.00000 |
| 3005 | 1832 | 1834 | 1.00000 |
| 3006 | 1834 | 1836 | 1.00000 |
| 3007 | 1836 | 1838 | 1.00000 |
| 3008 | 1838 | 1840 | 1.00000 |
| 3009 | 1840 | 1842 | 1.00000 |
| 3010 | 1842 | 1844 | 1.00000 |
| 3011 | 1844 | 1846 | 1.00000 |
| 3012 | 1846 | 1848 | 1.00000 |
| 3013 | 1848 | 1850 | 1.00000 |
| 3014 | 1850 | 1852 | 1.00000 |
| 3015 | 1852 | 1854 | 1.00000 |
| 3016 | 1854 | 1856 | 1.00000 |
| 3017 | 1856 | 1858 | 1.00000 |
| 3018 | 1858 | 1860 | 1.00000 |
| 3019 | 1860 | 1862 | 1.00000 |
| 3020 | 1862 | 1864 | 1.00000 |
| 3021 | 1864 | 1866 | 1.00000 |
| 3022 | 1866 | 1868 | 1.00000 |
| 3023 | 1868 | 1870 | 1.00000 |
| 3024 | 1870 | 1872 | 1.00000 |
| 3025 | 1872 | 1874 | 1.00000 |
| 3026 | 1874 | 1876 | 1.00000 |

| Frame | JointI | JointJ | Length |
|---|---|---|---|
| Text | Text | Text | m |
| 3027 | 1876 | 1878 | 1.00000 |
| 3028 | 1878 | 1880 | 1.00000 |
| 3029 | 1880 | 1882 | 1.00000 |
| 3030 | 1882 | 1884 | 1.00000 |
| 3031 | 1884 | 1886 | 1.00000 |
| 3032 | 1886 | 1888 | 1.00000 |
| 3033 | 1888 | 1890 | 1.00000 |
| 3034 | 1890 | 1892 | 1.00000 |
| 3035 | 1892 | 1894 | 1.00000 |
| 3036 | 1894 | 1896 | 1.00000 |
| 3037 | 1896 | 1898 | 1.00000 |
| 3038 | 1898 | 1900 | 1.00000 |
| 3039 | 1900 | 1902 | 1.00000 |
| 3040 | 1902 | 1904 | 1.00000 |
| 3041 | 1904 | 1906 | 1.00000 |
| 3042 | 1906 | 1908 | 1.00000 |
| 3043 | 1908 | 1910 | 1.00000 |
| 3044 | 1910 | 1912 | 1.00000 |
| 3045 | 1912 | 1914 | 1.00000 |
| 3046 | 1914 | 1916 | 1.00000 |
| 3047 | 1916 | 1918 | 1.00000 |
| 3048 | 1918 | 1920 | 1.00000 |
| 3049 | 1920 | 1922 | 1.00000 |
| 3050 | 1922 | 1924 | 1.00000 |
| 3051 | 1924 | 1926 | 1.00000 |
| 3052 | 1926 | 1928 | 1.00000 |
| 3053 | 1928 | 1930 | 1.00000 |
| 3054 | 1930 | 1932 | 1.00000 |
| 3055 | 1932 | 1934 | 1.00000 |
| 3056 | 1934 | 1936 | 1.00000 |
| 3057 | 1936 | 1938 | 1.00000 |
| 3058 | 1938 | 1940 | 1.00000 |
| 3059 | 1940 | 1942 | 1.00000 |
| 3060 | 1942 | 1944 | 1.00000 |
| 3061 | 1944 | 1946 | 1.00000 |
| 3062 | 1946 | 1948 | 1.00000 |
| 3063 | 1948 | 1950 | 1.00000 |
| 3064 | 1950 | 1952 | 1.00000 |
| 3065 | 1952 | 1954 | 1.00000 |
| 3066 | 1954 | 1956 | 1.00000 |
| 3067 | 1956 | 1958 | 1.00000 |
| 3068 | 1958 | 1960 | 1.00000 |
| 3069 | 1960 | 1962 | 1.00000 |
| 3070 | 1962 | 1964 | 1.00000 |
| 3071 | 1964 | 1966 | 1.00000 |
| 3072 | 1966 | 1968 | 1.00000 |
| 3073 | 1968 | 1970 | 1.00000 |
| 3074 | 1970 | 1972 | 1.00000 |
| 3075 | 1972 | 1974 | 1.00000 |
| 3076 | 1974 | 1976 | 1.00000 |
| 3077 | 1976 | 1978 | 1.00000 |
| 3078 | 1978 | 1980 | 1.00000 |
| 3079 | 1980 | 1982 | 1.00000 |
| 3080 | 1982 | 1984 | 1.00000 |
| 3081 | 1984 | 1986 | 1.00000 |
| 3082 | 1986 | 1988 | 1.00000 |
| 3083 | 1988 | 1990 | 1.00000 |
| 3084 | 1990 | 1992 | 1.00000 |
| 3085 | 1992 | 1994 | 1.00000 |
| 3086 | 1994 | 1996 | 1.00000 |
| 3087 | 1996 | 1998 | 1.00000 |
| 3088 | 1998 | 2000 | 1.00000 |
| 3089 | 2000 | 2002 | 1.00000 |
| 3090 | 2002 | 2004 | 1.00000 |
| 3091 | 2004 | 2006 | 1.00000 |
| 3092 | 2006 | 2008 | 1.00000 |
| 3093 | 2008 | 2010 | 1.00000 |
| 3094 | 2010 | 2012 | 1.00000 |
| 3095 | 2012 | 2014 | 1.00000 |
| 3096 | 2014 | 2016 | 1.00000 |
| 3097 | 2016 | 2018 | 1.00000 |
| 3098 | 2018 | 2020 | 1.00000 |
| 3099 | 2020 | 2022 | 1.00000 |
| 3100 | 2022 | 2024 | 1.00000 |
| 3101 | 2024 | 2026 | 1.00000 |
| 3102 | 2026 | 2028 | 1.00000 |
| 3103 | 2028 | 2030 | 1.00000 |
| 3104 | 2030 | 2032 | 1.00000 |
| 3105 | 2032 | 2034 | 1.00000 |
| 3106 | 2034 | 2036 | 1.00000 |
| 3107 | 2036 | 2038 | 1.00000 |
| 3108 | 2038 | 2040 | 1.00000 |
| 3109 | 2040 | 2042 | 1.00000 |
| 3110 | 2042 | 2044 | 1.00000 |
| 3111 | 2044 | 2046 | 1.00000 |
| 3112 | 2046 | 2048 | 1.00000 |
| 3113 | 2048 | 2050 | 1.00000 |
| 3114 | 2050 | 2052 | 1.00000 |
| 3115 | 2052 | 2054 | 1.00000 |
| 3116 | 2054 | 2056 | 1.00000 |
| 3117 | 2056 | 2058 | 1.00000 |





| Frame | JointI | JointJ | Length |
|---|---|---|---|
| Text | Text | Text | m |
| 3118 | 2058 | 2060 | 1.00000 |
| 3119 | 2060 | 2062 | 1.00000 |
| 3120 | 2062 | 2064 | 1.00000 |
| 3121 | 2064 | 2066 | 1.00000 |
| 3122 | 2066 | 2068 | 1.00000 |
| 3123 | 2068 | 2070 | 1.00000 |
| 3124 | 2070 | 2072 | 1.00000 |
| 3125 | 2072 | 2074 | 1.00000 |
| 3126 | 2074 | 2076 | 1.00000 |
| 3127 | 2076 | 2078 | 1.00000 |
| 3128 | 2078 | 2080 | 1.00000 |
| 3129 | 2080 | 2082 | 1.00000 |
| 3130 | 2082 | 2084 | 1.00000 |
| 3131 | 2084 | 2086 | 1.00000 |
| 3132 | 2086 | 2088 | 1.00000 |
| 3133 | 2088 | 2090 | 1.00000 |

### Table: Frame Section Assignments

| Frame | SectionType | AutoSelect | AnalSect | DesignSect | MatProp |
|---|---|---|---|---|---|
| Text | Text | Text | Text | Text | Text |
| 1 | General | N.A. | T | T | Default |
| 2 | General | N.A. | T | T | Default |
| 3 | General | N.A. | T | T | Default |
| 4 | General | N.A. | T | T | Default |
| 5 | General | N.A. | T | T | Default |
| 6 | General | N.A. | T | T | Default |
| 7 | General | N.A. | T | T | Default |
| 8 | General | N.A. | T | T | Default |
| 9 | General | N.A. | T | T | Default |
| 10 | General | N.A. | T | T | Default |
| 11 | General | N.A. | T | T | Default |
| 12 | General | N.A. | T | T | Default |
| 13 | General | N.A. | T | T | Default |
| 14 | General | N.A. | T | T | Default |
| 15 | General | N.A. | T | T | Default |
| 16 | General | N.A. | T | T | Default |
| 17 | General | N.A. | T | T | Default |
| 18 | General | N.A. | T | T | Default |
| 19 | General | N.A. | T | T | Default |
| 20 | General | N.A. | T | T | Default |
| 21 | General | N.A. | T | T | Default |
| 22 | General | N.A. | T | T | Default |
| 23 | General | N.A. | T | T | Default |
| 24 | General | N.A. | T | T | Default |
| 25 | General | N.A. | T | T | Default |
| 26 | General | N.A. | T | T | Default |
| 27 | General | N.A. | T | T | Default |
| 28 | General | N.A. | T | T | Default |
| 29 | General | N.A. | T | T | Default |
| 30 | General | N.A. | T | T | Default |
| 31 | General | N.A. | T | T | Default |
| 32 | General | N.A. | T | T | Default |
| 33 | General | N.A. | T | T | Default |
| 34 | General | N.A. | T | T | Default |
| 35 | General | N.A. | T | T | Default |
| 36 | General | N.A. | T | T | Default |
| 37 | General | N.A. | T | T | Default |
| 38 | General | N.A. | T | T | Default |
| 39 | General | N.A. | T | T | Default |
| 40 | General | N.A. | T | T | Default |
| 41 | General | N.A. | T | T | Default |
| 42 | General | N.A. | T | T | Default |
| 43 | General | N.A. | T | T | Default |
| 44 | General | N.A. | T | T | Default |
| 45 | General | N.A. | T | T | Default |
| 46 | General | N.A. | T | T | Default |
| 47 | General | N.A. | T | T | Default |
| 48 | General | N.A. | T | T | Default |
| 49 | General | N.A. | T | T | Default |
| 50 | General | N.A. | T | T | Default |
| 51 | General | N.A. | T | T | Default |
| 52 | General | N.A. | T | T | Default |
| 53 | General | N.A. | T | T | Default |
| 54 | General | N.A. | T | T | Default |
| 55 | General | N.A. | T | T | Default |
| 56 | General | N.A. | T | T | Default |
| 57 | General | N.A. | T | T | Default |
| 58 | General | N.A. | T | T | Default |
| 59 | General | N.A. | T | T | Default |
| 60 | General | N.A. | T | T | Default |
| 61 | General | N.A. | T | T | Default |
| 62 | General | N.A. | T | T | Default |
| 63 | General | N.A. | T | T | Default |
| 64 | General | N.A. | T | T | Default |
| 65 | General | N.A. | T | T | Default |
| 66 | General | N.A. | T | T | Default |
| 67 | General | N.A. | T | T | Default |
| 68 | General | N.A. | T | T | Default |
| 69 | General | N.A. | T | T | Default |

| Frame | SectionType | AutoSelect | AnalSect | DesignSect | MatProp |
|---|---|---|---|---|---|
| Text | Text | Text | Text | Text | Text |
| 70 | General | N.A. | T | T | Default |
| 71 | General | N.A. | T | T | Default |
| 72 | General | N.A. | T | T | Default |
| 73 | General | N.A. | T | T | Default |
| 74 | General | N.A. | T | T | Default |
| 75 | General | N.A. | T | T | Default |
| 76 | General | N.A. | T | T | Default |
| 77 | General | N.A. | T | T | Default |
| 78 | General | N.A. | T | T | Default |
| 79 | General | N.A. | T | T | Default |
| 80 | General | N.A. | T | T | Default |
| 81 | General | N.A. | T | T | Default |
| 82 | General | N.A. | T | T | Default |
| 83 | General | N.A. | T | T | Default |
| 84 | General | N.A. | T | T | Default |
| 85 | General | N.A. | T | T | Default |
| 86 | General | N.A. | T | T | Default |
| 87 | General | N.A. | T | T | Default |
| 88 | General | N.A. | T | T | Default |
| 89 | General | N.A. | T | T | Default |
| 90 | General | N.A. | T | T | Default |
| 91 | General | N.A. | T | T | Default |
| 92 | General | N.A. | T | T | Default |
| 93 | General | N.A. | T | T | Default |
| 94 | General | N.A. | T | T | Default |
| 95 | General | N.A. | T | T | Default |
| 96 | General | N.A. | T | T | Default |
| 97 | General | N.A. | T | T | Default |
| 98 | General | N.A. | T | T | Default |
| 99 | General | N.A. | T | T | Default |
| 100 | General | N.A. | T | T | Default |
| 101 | General | N.A. | T | T | Default |
| 102 | General | N.A. | T | T | Default |
| 103 | General | N.A. | T | T | Default |
| 104 | General | N.A. | T | T | Default |
| 105 | General | N.A. | T | T | Default |
| 106 | General | N.A. | T | T | Default |
| 107 | General | N.A. | T | T | Default |
| 108 | General | N.A. | T | T | Default |
| 109 | General | N.A. | T | T | Default |
| 110 | General | N.A. | T | T | Default |
| 111 | General | N.A. | T | T | Default |
| 112 | General | N.A. | T | T | Default |
| 113 | General | N.A. | T | T | Default |
| 114 | General | N.A. | T | T | Default |
| 115 | General | N.A. | T | T | Default |
| 116 | General | N.A. | T | T | Default |
| 117 | General | N.A. | T | T | Default |
| 118 | General | N.A. | T | T | Default |
| 119 | General | N.A. | T | T | Default |
| 120 | General | N.A. | T | T | Default |
| 121 | General | N.A. | T | T | Default |
| 122 | General | N.A. | T | T | Default |
| 123 | General | N.A. | T | T | Default |
| 124 | General | N.A. | T | T | Default |
| 125 | General | N.A. | T | T | Default |
| 126 | General | N.A. | T | T | Default |
| 127 | General | N.A. | T | T | Default |
| 128 | General | N.A. | T | T | Default |
| 129 | General | N.A. | T | T | Default |
| 130 | General | N.A. | T | T | Default |
| 131 | General | N.A. | T | T | Default |
| 132 | General | N.A. | T | T | Default |
| 133 | General | N.A. | T | T | Default |
| 134 | General | N.A. | T | T | Default |
| 135 | General | N.A. | T | T | Default |
| 136 | General | N.A. | T | T | Default |
| 137 | General | N.A. | T | T | Default |
| 138 | General | N.A. | T | T | Default |
| 139 | General | N.A. | T | T | Default |
| 140 | General | N.A. | T | T | Default |
| 141 | General | N.A. | T | T | Default |
| 142 | General | N.A. | T | T | Default |
| 143 | General | N.A. | T | T | Default |
| 144 | General | N.A. | T | T | Default |
| 145 | General | N.A. | T | T | Default |
| 146 | General | N.A. | T | T | Default |
| 147 | General | N.A. | T | T | Default |
| 148 | General | N.A. | T | T | Default |
| 149 | General | N.A. | T | T | Default |
| 150 | General | N.A. | T | T | Default |
| 151 | General | N.A. | T | T | Default |
| 152 | General | N.A. | T | T | Default |
| 153 | General | N.A. | T | T | Default |
| 154 | General | N.A. | T | T | Default |
| 155 | General | N.A. | T | T | Default |
| 156 | General | N.A. | T | T | Default |
| 157 | General | N.A. | T | T | Default |
| 158 | General | N.A. | T | T | Default |
| 159 | General | N.A. | T | T | Default |
| 160 | General | N.A. | T | T | Default |





| Frame | SectionType | AutoSelect | AnalSect | DesignSect | MatProp |
|---|---|---|---|---|---|
| Text | Text | Text | Text | Text | Text |
| 161 | General | N.A. | T | T | Default |
| 162 | General | N.A. | T | T | Default |
| 163 | General | N.A. | T | T | Default |
| 164 | General | N.A. | T | T | Default |
| 165 | General | N.A. | T | T | Default |
| 166 | General | N.A. | T | T | Default |
| 167 | General | N.A. | T | T | Default |
| 168 | General | N.A. | T | T | Default |
| 169 | General | N.A. | T | T | Default |
| 170 | General | N.A. | T | T | Default |
| 171 | General | N.A. | T | T | Default |
| 172 | General | N.A. | T | T | Default |
| 173 | General | N.A. | T | T | Default |
| 174 | General | N.A. | T | T | Default |
| 175 | General | N.A. | T | T | Default |
| 176 | General | N.A. | T | T | Default |
| 177 | General | N.A. | T | T | Default |
| 178 | General | N.A. | T | T | Default |
| 179 | General | N.A. | T | T | Default |
| 180 | General | N.A. | T | T | Default |
| 181 | General | N.A. | T | T | Default |
| 182 | General | N.A. | T | T | Default |
| 183 | General | N.A. | T | T | Default |
| 184 | General | N.A. | T | T | Default |
| 185 | General | N.A. | T | T | Default |
| 186 | General | N.A. | T | T | Default |
| 187 | General | N.A. | T | T | Default |
| 188 | General | N.A. | T | T | Default |
| 189 | General | N.A. | T | T | Default |
| 190 | General | N.A. | T | T | Default |
| 191 | General | N.A. | T | T | Default |
| 192 | General | N.A. | T | T | Default |
| 193 | General | N.A. | T | T | Default |
| 194 | General | N.A. | T | T | Default |
| 195 | General | N.A. | T | T | Default |
| 196 | General | N.A. | T | T | Default |
| 197 | General | N.A. | T | T | Default |
| 198 | General | N.A. | T | T | Default |
| 199 | General | N.A. | T | T | Default |
| 200 | General | N.A. | T | T | Default |
| 201 | General | N.A. | T | T | Default |
| 202 | General | N.A. | T | T | Default |
| 203 | General | N.A. | T | T | Default |
| 204 | General | N.A. | T | T | Default |
| 205 | General | N.A. | T | T | Default |
| 206 | General | N.A. | T | T | Default |
| 207 | General | N.A. | T | T | Default |
| 208 | General | N.A. | T | T | Default |
| 209 | General | N.A. | T | T | Default |
| 210 | General | N.A. | T | T | Default |
| 211 | General | N.A. | T | T | Default |
| 212 | General | N.A. | T | T | Default |
| 213 | General | N.A. | T | T | Default |
| 214 | General | N.A. | T | T | Default |
| 215 | General | N.A. | T | T | Default |
| 216 | General | N.A. | T | T | Default |
| 217 | General | N.A. | T | T | Default |
| 218 | General | N.A. | T | T | Default |
| 219 | General | N.A. | T | T | Default |
| 220 | General | N.A. | T | T | Default |
| 221 | General | N.A. | T | T | Default |
| 222 | General | N.A. | T | T | Default |
| 223 | General | N.A. | T | T | Default |
| 224 | General | N.A. | T | T | Default |
| 225 | General | N.A. | T | T | Default |
| 226 | General | N.A. | T | T | Default |
| 227 | General | N.A. | T | T | Default |
| 228 | General | N.A. | T | T | Default |
| 229 | General | N.A. | T | T | Default |
| 230 | General | N.A. | T | T | Default |
| 231 | General | N.A. | T | T | Default |
| 232 | General | N.A. | T | T | Default |
| 233 | General | N.A. | T | T | Default |
| 234 | General | N.A. | T | T | Default |
| 235 | General | N.A. | T | T | Default |
| 236 | General | N.A. | T | T | Default |
| 237 | General | N.A. | T | T | Default |
| 238 | General | N.A. | T | T | Default |
| 239 | General | N.A. | T | T | Default |
| 240 | General | N.A. | T | T | Default |
| 241 | General | N.A. | T | T | Default |
| 242 | General | N.A. | T | T | Default |
| 243 | General | N.A. | T | T | Default |
| 244 | General | N.A. | T | T | Default |
| 245 | General | N.A. | T | T | Default |
| 246 | General | N.A. | T | T | Default |
| 247 | General | N.A. | T | T | Default |
| 248 | General | N.A. | T | T | Default |
| 249 | General | N.A. | T | T | Default |
| 250 | General | N.A. | T | T | Default |
| 251 | General | N.A. | T | T | Default |

| Frame | SectionType | AutoSelect | AnalSect | DesignSect | MatProp |
|---|---|---|---|---|---|
| Text | Text | Text | Text | Text | Text |
| 252 | General | N.A. | T | T | Default |
| 253 | General | N.A. | T | T | Default |
| 254 | General | N.A. | T | T | Default |
| 255 | General | N.A. | T | T | Default |
| 256 | General | N.A. | T | T | Default |
| 257 | General | N.A. | T | T | Default |
| 258 | General | N.A. | T | T | Default |
| 259 | General | N.A. | T | T | Default |
| 260 | General | N.A. | T | T | Default |
| 261 | General | N.A. | T | T | Default |
| 262 | General | N.A. | T | T | Default |
| 263 | General | N.A. | T | T | Default |
| 264 | General | N.A. | T | T | Default |
| 265 | General | N.A. | T | T | Default |
| 266 | General | N.A. | T | T | Default |
| 267 | General | N.A. | T | T | Default |
| 268 | General | N.A. | T | T | Default |
| 269 | General | N.A. | T | T | Default |
| 270 | General | N.A. | T | T | Default |
| 271 | General | N.A. | T | T | Default |
| 272 | General | N.A. | T | T | Default |
| 273 | General | N.A. | T | T | Default |
| 274 | General | N.A. | T | T | Default |
| 275 | General | N.A. | T | T | Default |
| 276 | General | N.A. | T | T | Default |
| 277 | General | N.A. | T | T | Default |
| 278 | General | N.A. | T | T | Default |
| 279 | General | N.A. | T | T | Default |
| 280 | General | N.A. | T | T | Default |
| 281 | General | N.A. | T | T | Default |
| 282 | General | N.A. | T | T | Default |
| 283 | General | N.A. | T | T | Default |
| 284 | General | N.A. | T | T | Default |
| 285 | General | N.A. | T | T | Default |
| 286 | General | N.A. | T | T | Default |
| 287 | General | N.A. | T | T | Default |
| 288 | General | N.A. | T | T | Default |
| 289 | General | N.A. | T | T | Default |
| 290 | General | N.A. | T | T | Default |
| 291 | General | N.A. | T | T | Default |
| 292 | General | N.A. | T | T | Default |
| 293 | General | N.A. | T | T | Default |
| 294 | General | N.A. | T | T | Default |
| 295 | General | N.A. | T | T | Default |
| 296 | General | N.A. | T | T | Default |
| 297 | General | N.A. | T | T | Default |
| 298 | General | N.A. | T | T | Default |
| 299 | General | N.A. | T | T | Default |
| 300 | General | N.A. | T | T | Default |
| 301 | General | N.A. | T | T | Default |
| 302 | General | N.A. | T | T | Default |
| 303 | General | N.A. | T | T | Default |
| 304 | General | N.A. | T | T | Default |
| 305 | General | N.A. | T | T | Default |
| 306 | General | N.A. | T | T | Default |
| 307 | General | N.A. | T | T | Default |
| 308 | General | N.A. | T | T | Default |
| 309 | General | N.A. | T | T | Default |
| 310 | General | N.A. | T | T | Default |
| 311 | General | N.A. | T | T | Default |
| 312 | General | N.A. | T | T | Default |
| 313 | General | N.A. | T | T | Default |
| 314 | General | N.A. | T | T | Default |
| 315 | General | N.A. | T | T | Default |
| 316 | General | N.A. | T | T | Default |
| 317 | General | N.A. | T | T | Default |
| 318 | General | N.A. | T | T | Default |
| 319 | General | N.A. | T | T | Default |
| 320 | General | N.A. | T | T | Default |
| 321 | General | N.A. | T | T | Default |
| 322 | General | N.A. | T | T | Default |
| 323 | General | N.A. | T | T | Default |
| 324 | General | N.A. | T | T | Default |
| 325 | General | N.A. | T | T | Default |
| 326 | General | N.A. | T | T | Default |
| 327 | General | N.A. | T | T | Default |
| 328 | General | N.A. | T | T | Default |
| 329 | General | N.A. | T | T | Default |
| 330 | General | N.A. | T | T | Default |
| 331 | General | N.A. | T | T | Default |
| 332 | General | N.A. | T | T | Default |
| 333 | General | N.A. | T | T | Default |
| 334 | General | N.A. | T | T | Default |
| 335 | General | N.A. | T | T | Default |
| 336 | General | N.A. | T | T | Default |
| 337 | General | N.A. | T | T | Default |
| 338 | General | N.A. | T | T | Default |
| 339 | General | N.A. | T | T | Default |
| 340 | General | N.A. | T | T | Default |
| 341 | General | N.A. | T | T | Default |
| 342 | General | N.A. | T | T | Default |





| Frame | SectionType | AutoSelect | AnalSect | DesignSect | MatProp |
|---|---|---|---|---|---|
| Text | Text | Text | Text | Text | Text |
| 343 | General | N.A. | T | T | Default |
| 344 | General | N.A. | T | T | Default |
| 345 | General | N.A. | T | T | Default |
| 346 | General | N.A. | T | T | Default |
| 347 | General | N.A. | T | T | Default |
| 348 | General | N.A. | T | T | Default |
| 349 | General | N.A. | T | T | Default |
| 350 | General | N.A. | T | T | Default |
| 351 | General | N.A. | T | T | Default |
| 352 | General | N.A. | T | T | Default |
| 353 | General | N.A. | T | T | Default |
| 354 | General | N.A. | T | T | Default |
| 355 | General | N.A. | T | T | Default |
| 356 | General | N.A. | T | T | Default |
| 357 | General | N.A. | T | T | Default |
| 358 | General | N.A. | T | T | Default |
| 359 | General | N.A. | T | T | Default |
| 360 | General | N.A. | T | T | Default |
| 361 | General | N.A. | T | T | Default |
| 362 | General | N.A. | T | T | Default |
| 363 | General | N.A. | T | T | Default |
| 364 | General | N.A. | T | T | Default |
| 365 | General | N.A. | T | T | Default |
| 366 | General | N.A. | T | T | Default |
| 367 | General | N.A. | T | T | Default |
| 368 | General | N.A. | T | T | Default |
| 369 | General | N.A. | T | T | Default |
| 370 | General | N.A. | T | T | Default |
| 371 | General | N.A. | T | T | Default |
| 372 | General | N.A. | T | T | Default |
| 373 | General | N.A. | T | T | Default |
| 374 | General | N.A. | T | T | Default |
| 375 | General | N.A. | T | T | Default |
| 376 | General | N.A. | T | T | Default |
| 377 | General | N.A. | T | T | Default |
| 378 | General | N.A. | T | T | Default |
| 379 | General | N.A. | T | T | Default |
| 380 | General | N.A. | T | T | Default |
| 381 | General | N.A. | T | T | Default |
| 382 | General | N.A. | T | T | Default |
| 383 | General | N.A. | T | T | Default |
| 384 | General | N.A. | T | T | Default |
| 385 | General | N.A. | T | T | Default |
| 386 | General | N.A. | T | T | Default |
| 387 | General | N.A. | T | T | Default |
| 388 | General | N.A. | T | T | Default |
| 389 | General | N.A. | T | T | Default |
| 390 | General | N.A. | T | T | Default |
| 391 | General | N.A. | T | T | Default |
| 392 | General | N.A. | T | T | Default |
| 393 | General | N.A. | T | T | Default |
| 394 | General | N.A. | T | T | Default |
| 395 | General | N.A. | T | T | Default |
| 396 | General | N.A. | T | T | Default |
| 397 | General | N.A. | T | T | Default |
| 398 | General | N.A. | T | T | Default |
| 399 | General | N.A. | T | T | Default |
| 400 | General | N.A. | T | T | Default |
| 401 | General | N.A. | T | T | Default |
| 402 | General | N.A. | T | T | Default |
| 403 | General | N.A. | T | T | Default |
| 404 | General | N.A. | T | T | Default |
| 405 | General | N.A. | T | T | Default |
| 406 | General | N.A. | T | T | Default |
| 407 | General | N.A. | T | T | Default |
| 408 | General | N.A. | T | T | Default |
| 409 | General | N.A. | T | T | Default |
| 410 | General | N.A. | T | T | Default |
| 411 | General | N.A. | T | T | Default |
| 412 | General | N.A. | T | T | Default |
| 413 | General | N.A. | T | T | Default |
| 414 | General | N.A. | T | T | Default |
| 415 | General | N.A. | T | T | Default |
| 416 | General | N.A. | T | T | Default |
| 417 | General | N.A. | T | T | Default |
| 418 | General | N.A. | T | T | Default |
| 419 | General | N.A. | T | T | Default |
| 420 | General | N.A. | T | T | Default |
| 421 | General | N.A. | T | T | Default |
| 422 | General | N.A. | T | T | Default |
| 423 | General | N.A. | T | T | Default |
| 424 | General | N.A. | T | T | Default |
| 425 | General | N.A. | T | T | Default |
| 426 | General | N.A. | T | T | Default |
| 427 | General | N.A. | T | T | Default |
| 428 | General | N.A. | T | T | Default |
| 429 | General | N.A. | T | T | Default |
| 430 | General | N.A. | T | T | Default |
| 431 | General | N.A. | T | T | Default |
| 432 | General | N.A. | T | T | Default |
| 433 | General | N.A. | T | T | Default |

| Frame | SectionType | AutoSelect | AnalSect | DesignSect | MatProp |
|---|---|---|---|---|---|
| Text | Text | Text | Text | Text | Text |
| 434 | General | N.A. | T | T | Default |
| 435 | General | N.A. | T | T | Default |
| 436 | General | N.A. | T | T | Default |
| 437 | General | N.A. | T | T | Default |
| 438 | General | N.A. | T | T | Default |
| 439 | General | N.A. | T | T | Default |
| 440 | General | N.A. | T | T | Default |
| 441 | General | N.A. | T | T | Default |
| 442 | General | N.A. | T | T | Default |
| 443 | General | N.A. | T | T | Default |
| 444 | General | N.A. | T | T | Default |
| 445 | General | N.A. | T | T | Default |
| 446 | General | N.A. | T | T | Default |
| 447 | General | N.A. | T | T | Default |
| 448 | General | N.A. | T | T | Default |
| 449 | General | N.A. | T | T | Default |
| 450 | General | N.A. | T | T | Default |
| 451 | General | N.A. | T | T | Default |
| 452 | General | N.A. | T | T | Default |
| 453 | General | N.A. | T | T | Default |
| 454 | General | N.A. | T | T | Default |
| 455 | General | N.A. | T | T | Default |
| 456 | General | N.A. | T | T | Default |
| 457 | General | N.A. | T | T | Default |
| 458 | General | N.A. | T | T | Default |
| 459 | General | N.A. | T | T | Default |
| 460 | General | N.A. | T | T | Default |
| 461 | General | N.A. | T | T | Default |
| 462 | General | N.A. | T | T | Default |
| 463 | General | N.A. | T | T | Default |
| 464 | General | N.A. | T | T | Default |
| 465 | General | N.A. | T | T | Default |
| 466 | General | N.A. | T | T | Default |
| 467 | General | N.A. | T | T | Default |
| 468 | General | N.A. | T | T | Default |
| 469 | General | N.A. | T | T | Default |
| 470 | General | N.A. | T | T | Default |
| 471 | General | N.A. | T | T | Default |
| 472 | General | N.A. | T | T | Default |
| 473 | General | N.A. | T | T | Default |
| 474 | General | N.A. | T | T | Default |
| 475 | General | N.A. | T | T | Default |
| 476 | General | N.A. | T | T | Default |
| 477 | General | N.A. | T | T | Default |
| 478 | General | N.A. | T | T | Default |
| 479 | General | N.A. | T | T | Default |
| 480 | General | N.A. | T | T | Default |
| 481 | General | N.A. | T | T | Default |
| 482 | General | N.A. | T | T | Default |
| 483 | General | N.A. | T | T | Default |
| 484 | General | N.A. | T | T | Default |
| 485 | General | N.A. | T | T | Default |
| 486 | General | N.A. | T | T | Default |
| 487 | General | N.A. | T | T | Default |
| 488 | General | N.A. | T | T | Default |
| 489 | General | N.A. | T | T | Default |
| 490 | General | N.A. | T | T | Default |
| 491 | General | N.A. | T | T | Default |
| 492 | General | N.A. | T | T | Default |
| 493 | General | N.A. | T | T | Default |
| 494 | General | N.A. | T | T | Default |
| 495 | General | N.A. | T | T | Default |
| 496 | General | N.A. | T | T | Default |
| 497 | General | N.A. | T | T | Default |
| 498 | General | N.A. | T | T | Default |
| 499 | General | N.A. | T | T | Default |
| 500 | General | N.A. | T | T | Default |
| 501 | General | N.A. | T | T | Default |
| 502 | General | N.A. | T | T | Default |
| 503 | General | N.A. | T | T | Default |
| 504 | General | N.A. | T | T | Default |
| 505 | General | N.A. | T | T | Default |
| 506 | General | N.A. | T | T | Default |
| 507 | General | N.A. | T | T | Default |
| 508 | General | N.A. | T | T | Default |
| 509 | General | N.A. | T | T | Default |
| 510 | General | N.A. | T | T | Default |
| 511 | General | N.A. | T | T | Default |
| 512 | General | N.A. | T | T | Default |
| 513 | General | N.A. | T | T | Default |
| 514 | General | N.A. | T | T | Default |
| 515 | General | N.A. | T | T | Default |
| 516 | General | N.A. | T | T | Default |
| 517 | General | N.A. | T | T | Default |
| 518 | General | N.A. | T | T | Default |
| 519 | General | N.A. | T | T | Default |
| 520 | General | N.A. | T | T | Default |
| 521 | General | N.A. | T | T | Default |
| 522 | General | N.A. | T | T | Default |
| 523 | General | N.A. | T | T | Default |
| 524 | General | N.A. | T | T | Default |





| Frame | SectionType | AutoSelect | AnalSect | DesignSect | MatProp |
|---|---|---|---|---|---|
| Text | Text | Text | Text | Text | Text |
| 525 | General | N.A. | T | T | Default |
| 526 | General | N.A. | T | T | Default |
| 527 | General | N.A. | T | T | Default |
| 528 | General | N.A. | T | T | Default |
| 529 | General | N.A. | T | T | Default |
| 530 | General | N.A. | T | T | Default |
| 531 | General | N.A. | T | T | Default |
| 532 | General | N.A. | T | T | Default |
| 533 | General | N.A. | T | T | Default |
| 534 | General | N.A. | T | T | Default |
| 535 | General | N.A. | T | T | Default |
| 536 | General | N.A. | T | T | Default |
| 537 | General | N.A. | T | T | Default |
| 538 | General | N.A. | T | T | Default |
| 539 | General | N.A. | T | T | Default |
| 540 | General | N.A. | T | T | Default |
| 541 | General | N.A. | T | T | Default |
| 542 | General | N.A. | T | T | Default |
| 543 | General | N.A. | T | T | Default |
| 544 | General | N.A. | T | T | Default |
| 545 | General | N.A. | T | T | Default |
| 546 | General | N.A. | T | T | Default |
| 547 | General | N.A. | T | T | Default |
| 548 | General | N.A. | T | T | Default |
| 549 | General | N.A. | T | T | Default |
| 550 | General | N.A. | T | T | Default |
| 551 | General | N.A. | T | T | Default |
| 552 | General | N.A. | T | T | Default |
| 553 | General | N.A. | T | T | Default |
| 554 | General | N.A. | T | T | Default |
| 555 | General | N.A. | T | T | Default |
| 556 | General | N.A. | T | T | Default |
| 557 | General | N.A. | T | T | Default |
| 558 | General | N.A. | T | T | Default |
| 559 | General | N.A. | T | T | Default |
| 560 | General | N.A. | T | T | Default |
| 561 | General | N.A. | T | T | Default |
| 562 | General | N.A. | T | T | Default |
| 563 | General | N.A. | T | T | Default |
| 564 | General | N.A. | T | T | Default |
| 565 | General | N.A. | T | T | Default |
| 566 | General | N.A. | T | T | Default |
| 567 | General | N.A. | T | T | Default |
| 568 | General | N.A. | T | T | Default |
| 569 | General | N.A. | T | T | Default |
| 570 | General | N.A. | T | T | Default |
| 571 | General | N.A. | T | T | Default |
| 572 | General | N.A. | T | T | Default |
| 573 | General | N.A. | T | T | Default |
| 574 | General | N.A. | T | T | Default |
| 575 | General | N.A. | T | T | Default |
| 576 | General | N.A. | T | T | Default |
| 577 | General | N.A. | T | T | Default |
| 578 | General | N.A. | T | T | Default |
| 579 | General | N.A. | T | T | Default |
| 580 | General | N.A. | T | T | Default |
| 581 | General | N.A. | T | T | Default |
| 582 | General | N.A. | T | T | Default |
| 583 | General | N.A. | T | T | Default |
| 584 | General | N.A. | T | T | Default |
| 585 | General | N.A. | T | T | Default |
| 586 | General | N.A. | T | T | Default |
| 587 | General | N.A. | T | T | Default |
| 588 | General | N.A. | T | T | Default |
| 589 | General | N.A. | T | T | Default |
| 590 | General | N.A. | T | T | Default |
| 591 | General | N.A. | T | T | Default |
| 592 | General | N.A. | T | T | Default |
| 593 | General | N.A. | T | T | Default |
| 594 | General | N.A. | T | T | Default |
| 595 | General | N.A. | T | T | Default |
| 596 | General | N.A. | T | T | Default |
| 597 | General | N.A. | T | T | Default |
| 598 | General | N.A. | T | T | Default |
| 599 | General | N.A. | T | T | Default |
| 600 | General | N.A. | T | T | Default |
| 601 | General | N.A. | T | T | Default |
| 602 | General | N.A. | T | T | Default |
| 603 | General | N.A. | T | T | Default |
| 604 | General | N.A. | T | T | Default |
| 605 | General | N.A. | T | T | Default |
| 606 | General | N.A. | T | T | Default |
| 607 | General | N.A. | T | T | Default |
| 608 | General | N.A. | T | T | Default |
| 609 | General | N.A. | T | T | Default |
| 610 | General | N.A. | T | T | Default |
| 611 | General | N.A. | T | T | Default |
| 612 | General | N.A. | T | T | Default |
| 613 | General | N.A. | T | T | Default |
| 614 | General | N.A. | T | T | Default |
| 615 | General | N.A. | T | T | Default |

| Frame | SectionType | AutoSelect | AnalSect | DesignSect | MatProp |
|---|---|---|---|---|---|
| Text | Text | Text | Text | Text | Text |
| 616 | General | N.A. | T | T | Default |
| 617 | General | N.A. | T | T | Default |
| 618 | General | N.A. | T | T | Default |
| 619 | General | N.A. | T | T | Default |
| 620 | General | N.A. | T | T | Default |
| 621 | General | N.A. | T | T | Default |
| 622 | General | N.A. | T | T | Default |
| 623 | General | N.A. | T | T | Default |
| 624 | General | N.A. | T | T | Default |
| 625 | General | N.A. | T | T | Default |
| 626 | General | N.A. | T | T | Default |
| 627 | General | N.A. | T | T | Default |
| 628 | General | N.A. | T | T | Default |
| 629 | General | N.A. | T | T | Default |
| 630 | General | N.A. | T | T | Default |
| 631 | General | N.A. | T | T | Default |
| 632 | General | N.A. | T | T | Default |
| 633 | General | N.A. | T | T | Default |
| 634 | General | N.A. | T | T | Default |
| 635 | General | N.A. | T | T | Default |
| 636 | General | N.A. | T | T | Default |
| 637 | General | N.A. | T | T | Default |
| 638 | General | N.A. | T | T | Default |
| 639 | General | N.A. | T | T | Default |
| 640 | General | N.A. | T | T | Default |
| 641 | General | N.A. | T | T | Default |
| 642 | General | N.A. | T | T | Default |
| 643 | General | N.A. | T | T | Default |
| 644 | General | N.A. | T | T | Default |
| 645 | General | N.A. | T | T | Default |
| 646 | General | N.A. | T | T | Default |
| 647 | General | N.A. | T | T | Default |
| 648 | General | N.A. | T | T | Default |
| 649 | General | N.A. | T | T | Default |
| 650 | General | N.A. | T | T | Default |
| 651 | General | N.A. | T | T | Default |
| 652 | General | N.A. | T | T | Default |
| 653 | General | N.A. | T | T | Default |
| 654 | General | N.A. | T | T | Default |
| 655 | General | N.A. | T | T | Default |
| 656 | General | N.A. | T | T | Default |
| 657 | General | N.A. | T | T | Default |
| 658 | General | N.A. | T | T | Default |
| 659 | General | N.A. | T | T | Default |
| 660 | General | N.A. | T | T | Default |
| 661 | General | N.A. | T | T | Default |
| 662 | General | N.A. | T | T | Default |
| 663 | General | N.A. | T | T | Default |
| 664 | General | N.A. | T | T | Default |
| 665 | General | N.A. | T | T | Default |
| 666 | General | N.A. | T | T | Default |
| 667 | General | N.A. | T | T | Default |
| 668 | General | N.A. | T | T | Default |
| 669 | General | N.A. | T | T | Default |
| 670 | General | N.A. | T | T | Default |
| 671 | General | N.A. | T | T | Default |
| 672 | General | N.A. | T | T | Default |
| 673 | General | N.A. | T | T | Default |
| 674 | General | N.A. | T | T | Default |
| 675 | General | N.A. | T | T | Default |
| 676 | General | N.A. | T | T | Default |
| 677 | General | N.A. | T | T | Default |
| 678 | General | N.A. | T | T | Default |
| 679 | General | N.A. | T | T | Default |
| 680 | General | N.A. | T | T | Default |
| 681 | General | N.A. | T | T | Default |
| 682 | General | N.A. | T | T | Default |
| 683 | General | N.A. | T | T | Default |
| 684 | General | N.A. | T | T | Default |
| 685 | General | N.A. | T | T | Default |
| 686 | General | N.A. | T | T | Default |
| 687 | General | N.A. | T | T | Default |
| 688 | General | N.A. | T | T | Default |
| 689 | General | N.A. | T | T | Default |
| 690 | General | N.A. | T | T | Default |
| 691 | General | N.A. | T | T | Default |
| 692 | General | N.A. | T | T | Default |
| 693 | General | N.A. | T | T | Default |
| 694 | General | N.A. | T | T | Default |
| 695 | General | N.A. | T | T | Default |
| 696 | General | N.A. | T | T | Default |
| 697 | General | N.A. | T | T | Default |
| 698 | General | N.A. | T | T | Default |
| 699 | General | N.A. | T | T | Default |
| 700 | General | N.A. | T | T | Default |
| 701 | General | N.A. | T | T | Default |
| 702 | General | N.A. | T | T | Default |
| 703 | General | N.A. | T | T | Default |
| 704 | General | N.A. | T | T | Default |
| 705 | General | N.A. | T | T | Default |
| 706 | General | N.A. | T | T | Default |





| Frame | SectionType | AutoSelect | AnalSect | DesignSect | MatProp |
|---|---|---|---|---|---|
| Text | Text | Text | Text | Text | Text |
| 707 | General | N.A. | T | T | Default |
| 708 | General | N.A. | T | T | Default |
| 709 | General | N.A. | T | T | Default |
| 710 | General | N.A. | T | T | Default |
| 711 | General | N.A. | T | T | Default |
| 712 | General | N.A. | T | T | Default |
| 713 | General | N.A. | T | T | Default |
| 714 | General | N.A. | T | T | Default |
| 715 | General | N.A. | T | T | Default |
| 716 | General | N.A. | T | T | Default |
| 717 | General | N.A. | T | T | Default |
| 718 | General | N.A. | T | T | Default |
| 719 | General | N.A. | T | T | Default |
| 720 | General | N.A. | T | T | Default |
| 721 | General | N.A. | T | T | Default |
| 722 | General | N.A. | T | T | Default |
| 723 | General | N.A. | T | T | Default |
| 724 | General | N.A. | T | T | Default |
| 725 | General | N.A. | T | T | Default |
| 726 | General | N.A. | T | T | Default |
| 727 | General | N.A. | T | T | Default |
| 728 | General | N.A. | T | T | Default |
| 729 | General | N.A. | T | T | Default |
| 730 | General | N.A. | T | T | Default |
| 731 | General | N.A. | T | T | Default |
| 732 | General | N.A. | T | T | Default |
| 733 | General | N.A. | T | T | Default |
| 734 | General | N.A. | T | T | Default |
| 735 | General | N.A. | T | T | Default |
| 736 | General | N.A. | T | T | Default |
| 737 | General | N.A. | T | T | Default |
| 738 | General | N.A. | T | T | Default |
| 739 | General | N.A. | T | T | Default |
| 740 | General | N.A. | T | T | Default |
| 741 | General | N.A. | T | T | Default |
| 742 | General | N.A. | T | T | Default |
| 743 | General | N.A. | T | T | Default |
| 744 | General | N.A. | T | T | Default |
| 745 | General | N.A. | T | T | Default |
| 746 | General | N.A. | T | T | Default |
| 747 | General | N.A. | T | T | Default |
| 748 | General | N.A. | T | T | Default |
| 749 | General | N.A. | T | T | Default |
| 750 | General | N.A. | T | T | Default |
| 751 | General | N.A. | T | T | Default |
| 752 | General | N.A. | T | T | Default |
| 753 | General | N.A. | T | T | Default |
| 754 | General | N.A. | T | T | Default |
| 755 | General | N.A. | T | T | Default |
| 756 | General | N.A. | T | T | Default |
| 757 | General | N.A. | T | T | Default |
| 758 | General | N.A. | T | T | Default |
| 759 | General | N.A. | T | T | Default |
| 760 | General | N.A. | T | T | Default |
| 761 | General | N.A. | T | T | Default |
| 762 | General | N.A. | T | T | Default |
| 763 | General | N.A. | T | T | Default |
| 764 | General | N.A. | T | T | Default |
| 765 | General | N.A. | T | T | Default |
| 766 | General | N.A. | T | T | Default |
| 767 | General | N.A. | T | T | Default |
| 768 | General | N.A. | T | T | Default |
| 769 | General | N.A. | T | T | Default |
| 770 | General | N.A. | T | T | Default |
| 771 | General | N.A. | T | T | Default |
| 772 | General | N.A. | T | T | Default |
| 773 | General | N.A. | T | T | Default |
| 774 | General | N.A. | T | T | Default |
| 775 | General | N.A. | T | T | Default |
| 776 | General | N.A. | T | T | Default |
| 777 | General | N.A. | T | T | Default |
| 778 | General | N.A. | T | T | Default |
| 779 | General | N.A. | T | T | Default |
| 780 | General | N.A. | T | T | Default |
| 781 | General | N.A. | T | T | Default |
| 782 | General | N.A. | T | T | Default |
| 783 | General | N.A. | T | T | Default |
| 784 | General | N.A. | T | T | Default |
| 785 | General | N.A. | T | T | Default |
| 786 | General | N.A. | T | T | Default |
| 787 | General | N.A. | T | T | Default |
| 788 | General | N.A. | T | T | Default |
| 789 | General | N.A. | T | T | Default |
| 790 | General | N.A. | T | T | Default |
| 791 | General | N.A. | T | T | Default |
| 792 | General | N.A. | T | T | Default |
| 793 | General | N.A. | T | T | Default |
| 794 | General | N.A. | T | T | Default |
| 795 | General | N.A. | T | T | Default |
| 796 | General | N.A. | T | T | Default |
| 797 | General | N.A. | T | T | Default |

| Frame | SectionType | AutoSelect | AnalSect | DesignSect | MatProp |
|---|---|---|---|---|---|
| Text | Text | Text | Text | Text | Text |
| 798 | General | N.A. | T | T | Default |
| 799 | General | N.A. | T | T | Default |
| 800 | General | N.A. | T | T | Default |
| 801 | General | N.A. | T | T | Default |
| 802 | General | N.A. | T | T | Default |
| 803 | General | N.A. | T | T | Default |
| 804 | General | N.A. | T | T | Default |
| 805 | General | N.A. | T | T | Default |
| 806 | General | N.A. | T | T | Default |
| 807 | General | N.A. | T | T | Default |
| 808 | General | N.A. | T | T | Default |
| 809 | General | N.A. | T | T | Default |
| 810 | General | N.A. | T | T | Default |
| 811 | General | N.A. | T | T | Default |
| 812 | General | N.A. | T | T | Default |
| 813 | General | N.A. | T | T | Default |
| 814 | General | N.A. | T | T | Default |
| 815 | General | N.A. | T | T | Default |
| 816 | General | N.A. | T | T | Default |
| 817 | General | N.A. | T | T | Default |
| 818 | General | N.A. | T | T | Default |
| 819 | General | N.A. | T | T | Default |
| 820 | General | N.A. | T | T | Default |
| 821 | General | N.A. | T | T | Default |
| 822 | General | N.A. | T | T | Default |
| 823 | General | N.A. | T | T | Default |
| 824 | General | N.A. | T | T | Default |
| 825 | General | N.A. | T | T | Default |
| 826 | General | N.A. | T | T | Default |
| 827 | General | N.A. | T | T | Default |
| 828 | General | N.A. | T | T | Default |
| 829 | General | N.A. | T | T | Default |
| 830 | General | N.A. | T | T | Default |
| 831 | General | N.A. | T | T | Default |
| 832 | General | N.A. | T | T | Default |
| 833 | General | N.A. | T | T | Default |
| 834 | General | N.A. | T | T | Default |
| 835 | General | N.A. | T | T | Default |
| 836 | General | N.A. | T | T | Default |
| 837 | General | N.A. | T | T | Default |
| 838 | General | N.A. | T | T | Default |
| 839 | General | N.A. | T | T | Default |
| 840 | General | N.A. | T | T | Default |
| 841 | General | N.A. | T | T | Default |
| 842 | General | N.A. | T | T | Default |
| 843 | General | N.A. | T | T | Default |
| 844 | General | N.A. | T | T | Default |
| 845 | General | N.A. | T | T | Default |
| 846 | General | N.A. | T | T | Default |
| 847 | General | N.A. | T | T | Default |
| 848 | General | N.A. | T | T | Default |
| 849 | General | N.A. | T | T | Default |
| 850 | General | N.A. | T | T | Default |
| 851 | General | N.A. | T | T | Default |
| 852 | General | N.A. | T | T | Default |
| 853 | General | N.A. | T | T | Default |
| 854 | General | N.A. | T | T | Default |
| 855 | General | N.A. | T | T | Default |
| 856 | General | N.A. | T | T | Default |
| 857 | General | N.A. | T | T | Default |
| 858 | General | N.A. | T | T | Default |
| 859 | General | N.A. | T | T | Default |
| 860 | General | N.A. | T | T | Default |
| 861 | General | N.A. | T | T | Default |
| 862 | General | N.A. | T | T | Default |
| 863 | General | N.A. | T | T | Default |
| 864 | General | N.A. | T | T | Default |
| 865 | General | N.A. | T | T | Default |
| 866 | General | N.A. | T | T | Default |
| 867 | General | N.A. | T | T | Default |
| 868 | General | N.A. | T | T | Default |
| 869 | General | N.A. | T | T | Default |
| 870 | General | N.A. | T | T | Default |
| 871 | General | N.A. | T | T | Default |
| 872 | General | N.A. | T | T | Default |
| 873 | General | N.A. | T | T | Default |
| 874 | General | N.A. | T | T | Default |
| 875 | General | N.A. | T | T | Default |
| 876 | General | N.A. | T | T | Default |
| 877 | General | N.A. | T | T | Default |
| 878 | General | N.A. | T | T | Default |
| 879 | General | N.A. | T | T | Default |
| 880 | General | N.A. | T | T | Default |
| 881 | General | N.A. | T | T | Default |
| 882 | General | N.A. | T | T | Default |
| 883 | General | N.A. | T | T | Default |
| 884 | General | N.A. | T | T | Default |
| 885 | General | N.A. | T | T | Default |
| 886 | General | N.A. | T | T | Default |
| 887 | General | N.A. | T | T | Default |
| 888 | General | N.A. | T | T | Default |





| Frame | SectionType | AutoSelect | AnalSect | DesignSect | MatProp |
|---|---|---|---|---|---|
| Text | Text | Text | Text | Text | Text |
| 889 | General | N.A. | T | T | Default |
| 890 | General | N.A. | T | T | Default |
| 891 | General | N.A. | T | T | Default |
| 892 | General | N.A. | T | T | Default |
| 893 | General | N.A. | T | T | Default |
| 894 | General | N.A. | T | T | Default |
| 895 | General | N.A. | T | T | Default |
| 896 | General | N.A. | T | T | Default |
| 897 | General | N.A. | T | T | Default |
| 898 | General | N.A. | T | T | Default |
| 899 | General | N.A. | T | T | Default |
| 900 | General | N.A. | T | T | Default |
| 901 | General | N.A. | T | T | Default |
| 902 | General | N.A. | T | T | Default |
| 903 | General | N.A. | T | T | Default |
| 904 | General | N.A. | T | T | Default |
| 905 | General | N.A. | T | T | Default |
| 906 | General | N.A. | T | T | Default |
| 907 | General | N.A. | T | T | Default |
| 908 | General | N.A. | T | T | Default |
| 909 | General | N.A. | T | T | Default |
| 910 | General | N.A. | T | T | Default |
| 911 | General | N.A. | T | T | Default |
| 912 | General | N.A. | T | T | Default |
| 913 | General | N.A. | T | T | Default |
| 914 | General | N.A. | T | T | Default |
| 915 | General | N.A. | T | T | Default |
| 916 | General | N.A. | T | T | Default |
| 917 | General | N.A. | T | T | Default |
| 918 | General | N.A. | T | T | Default |
| 919 | General | N.A. | T | T | Default |
| 920 | General | N.A. | T | T | Default |
| 921 | General | N.A. | T | T | Default |
| 922 | General | N.A. | T | T | Default |
| 923 | General | N.A. | T | T | Default |
| 924 | General | N.A. | T | T | Default |
| 925 | General | N.A. | T | T | Default |
| 926 | General | N.A. | T | T | Default |
| 927 | General | N.A. | T | T | Default |
| 928 | General | N.A. | T | T | Default |
| 929 | General | N.A. | T | T | Default |
| 930 | General | N.A. | T | T | Default |
| 931 | General | N.A. | T | T | Default |
| 932 | General | N.A. | T | T | Default |
| 933 | General | N.A. | T | T | Default |
| 934 | General | N.A. | T | T | Default |
| 935 | General | N.A. | T | T | Default |
| 936 | General | N.A. | T | T | Default |
| 937 | General | N.A. | T | T | Default |
| 938 | General | N.A. | T | T | Default |
| 939 | General | N.A. | T | T | Default |
| 940 | General | N.A. | T | T | Default |
| 941 | General | N.A. | T | T | Default |
| 942 | General | N.A. | T | T | Default |
| 943 | General | N.A. | T | T | Default |
| 944 | General | N.A. | T | T | Default |
| 945 | General | N.A. | T | T | Default |
| 946 | General | N.A. | T | T | Default |
| 947 | General | N.A. | T | T | Default |
| 948 | General | N.A. | T | T | Default |
| 949 | General | N.A. | T | T | Default |
| 950 | General | N.A. | T | T | Default |
| 951 | General | N.A. | T | T | Default |
| 952 | General | N.A. | T | T | Default |
| 953 | General | N.A. | T | T | Default |
| 954 | General | N.A. | T | T | Default |
| 955 | General | N.A. | T | T | Default |
| 956 | General | N.A. | T | T | Default |
| 957 | General | N.A. | T | T | Default |
| 958 | General | N.A. | T | T | Default |
| 959 | General | N.A. | T | T | Default |
| 960 | General | N.A. | T | T | Default |
| 961 | General | N.A. | T | T | Default |
| 962 | General | N.A. | T | T | Default |
| 963 | General | N.A. | T | T | Default |
| 964 | General | N.A. | T | T | Default |
| 965 | General | N.A. | T | T | Default |
| 966 | General | N.A. | T | T | Default |
| 967 | General | N.A. | T | T | Default |
| 968 | General | N.A. | T | T | Default |
| 969 | General | N.A. | T | T | Default |
| 970 | General | N.A. | T | T | Default |
| 971 | General | N.A. | T | T | Default |
| 972 | General | N.A. | T | T | Default |
| 973 | General | N.A. | T | T | Default |
| 974 | General | N.A. | T | T | Default |
| 975 | General | N.A. | T | T | Default |
| 976 | General | N.A. | T | T | Default |
| 977 | General | N.A. | T | T | Default |
| 978 | General | N.A. | T | T | Default |
| 979 | General | N.A. | T | T | Default |

| Frame | SectionType | AutoSelect | AnalSect | DesignSect | MatProp |
|---|---|---|---|---|---|
| Text | Text | Text | Text | Text | Text |
| 980 | General | N.A. | T | T | Default |
| 981 | General | N.A. | T | T | Default |
| 982 | General | N.A. | T | T | Default |
| 983 | General | N.A. | T | T | Default |
| 984 | General | N.A. | T | T | Default |
| 985 | General | N.A. | T | T | Default |
| 986 | General | N.A. | T | T | Default |
| 987 | General | N.A. | T | T | Default |
| 988 | General | N.A. | T | T | Default |
| 989 | General | N.A. | T | T | Default |
| 990 | General | N.A. | T | T | Default |
| 991 | General | N.A. | T | T | Default |
| 992 | General | N.A. | T | T | Default |
| 993 | General | N.A. | T | T | Default |
| 994 | General | N.A. | T | T | Default |
| 995 | General | N.A. | T | T | Default |
| 996 | General | N.A. | T | T | Default |
| 997 | General | N.A. | T | T | Default |
| 998 | General | N.A. | T | T | Default |
| 999 | General | N.A. | T | T | Default |
| 1000 | General | N.A. | T | T | Default |
| 1001 | General | N.A. | T | T | Default |
| 1002 | General | N.A. | T | T | Default |
| 1003 | General | N.A. | T | T | Default |
| 1004 | General | N.A. | T | T | Default |
| 1005 | General | N.A. | T | T | Default |
| 1006 | General | N.A. | T | T | Default |
| 1007 | General | N.A. | T | T | Default |
| 1008 | General | N.A. | T | T | Default |
| 1009 | General | N.A. | T | T | Default |
| 1010 | General | N.A. | T | T | Default |
| 1011 | General | N.A. | T | T | Default |
| 1012 | General | N.A. | T | T | Default |
| 1013 | General | N.A. | T | T | Default |
| 1014 | General | N.A. | T | T | Default |
| 1015 | General | N.A. | T | T | Default |
| 1016 | General | N.A. | T | T | Default |
| 1017 | General | N.A. | T | T | Default |
| 1018 | General | N.A. | T | T | Default |
| 1019 | General | N.A. | T | T | Default |
| 1020 | General | N.A. | T | T | Default |
| 1021 | General | N.A. | T | T | Default |
| 1022 | General | N.A. | T | T | Default |
| 1023 | General | N.A. | T | T | Default |
| 1024 | General | N.A. | T | T | Default |
| 1025 | General | N.A. | T | T | Default |
| 1026 | General | N.A. | T | T | Default |
| 1027 | General | N.A. | T | T | Default |
| 1028 | General | N.A. | T | T | Default |
| 1029 | General | N.A. | T | T | Default |
| 1030 | General | N.A. | T | T | Default |
| 1031 | General | N.A. | T | T | Default |
| 1032 | General | N.A. | T | T | Default |
| 1033 | General | N.A. | T | T | Default |
| 1034 | General | N.A. | T | T | Default |
| 1035 | General | N.A. | T | T | Default |
| 1036 | General | N.A. | T | T | Default |
| 1037 | General | N.A. | T | T | Default |
| 1038 | General | N.A. | T | T | Default |
| 1039 | General | N.A. | T | T | Default |
| 1040 | General | N.A. | T | T | Default |
| 1041 | General | N.A. | T | T | Default |
| 1042 | General | N.A. | T | T | Default |
| 1043 | General | N.A. | T | T | Default |
| 1044 | General | N.A. | T | T | Default |
| 1045 | General | N.A. | T | T | Default |
| 1046 | General | N.A. | L | L | Default |
| 1047 | General | N.A. | L | L | Default |
| 1048 | General | N.A. | L | L | Default |
| 1049 | General | N.A. | L | L | Default |
| 1050 | General | N.A. | L | L | Default |
| 1051 | General | N.A. | L | L | Default |
| 1052 | General | N.A. | L | L | Default |
| 1053 | General | N.A. | L | L | Default |
| 1054 | General | N.A. | L | L | Default |
| 1055 | General | N.A. | L | L | Default |
| 1056 | General | N.A. | L | L | Default |
| 1057 | General | N.A. | L | L | Default |
| 1058 | General | N.A. | L | L | Default |
| 1059 | General | N.A. | L | L | Default |
| 1060 | General | N.A. | L | L | Default |
| 1061 | General | N.A. | L | L | Default |
| 1062 | General | N.A. | L | L | Default |
| 1063 | General | N.A. | L | L | Default |
| 1064 | General | N.A. | L | L | Default |
| 1065 | General | N.A. | L | L | Default |
| 1066 | General | N.A. | L | L | Default |
| 1067 | General | N.A. | L | L | Default |
| 1068 | General | N.A. | L | L | Default |
| 1069 | General | N.A. | L | L | Default |
| 1070 | General | N.A. | L | L | Default |





| Frame | SectionType | AutoSelect | AnalSect | DesignSect | MatProp |
|---|---|---|---|---|---|
| Text | Text | Text | Text | Text | Text |
| 1071 | General | N.A. | L | L | Default |
| 1072 | General | N.A. | L | L | Default |
| 1073 | General | N.A. | L | L | Default |
| 1074 | General | N.A. | L | L | Default |
| 1075 | General | N.A. | L | L | Default |
| 1076 | General | N.A. | L | L | Default |
| 1077 | General | N.A. | L | L | Default |
| 1078 | General | N.A. | L | L | Default |
| 1079 | General | N.A. | L | L | Default |
| 1080 | General | N.A. | L | L | Default |
| 1081 | General | N.A. | L | L | Default |
| 1082 | General | N.A. | L | L | Default |
| 1083 | General | N.A. | L | L | Default |
| 1084 | General | N.A. | L | L | Default |
| 1085 | General | N.A. | L | L | Default |
| 1086 | General | N.A. | L | L | Default |
| 1087 | General | N.A. | L | L | Default |
| 1088 | General | N.A. | L | L | Default |
| 1089 | General | N.A. | L | L | Default |
| 1090 | General | N.A. | L | L | Default |
| 1091 | General | N.A. | L | L | Default |
| 1092 | General | N.A. | L | L | Default |
| 1093 | General | N.A. | L | L | Default |
| 1094 | General | N.A. | L | L | Default |
| 1095 | General | N.A. | L | L | Default |
| 1096 | General | N.A. | L | L | Default |
| 1097 | General | N.A. | L | L | Default |
| 1098 | General | N.A. | L | L | Default |
| 1099 | General | N.A. | L | L | Default |
| 1100 | General | N.A. | L | L | Default |
| 1101 | General | N.A. | L | L | Default |
| 1102 | General | N.A. | L | L | Default |
| 1103 | General | N.A. | L | L | Default |
| 1104 | General | N.A. | L | L | Default |
| 1105 | General | N.A. | L | L | Default |
| 1106 | General | N.A. | L | L | Default |
| 1107 | General | N.A. | L | L | Default |
| 1108 | General | N.A. | L | L | Default |
| 1109 | General | N.A. | L | L | Default |
| 1110 | General | N.A. | L | L | Default |
| 1111 | General | N.A. | L | L | Default |
| 1112 | General | N.A. | L | L | Default |
| 1113 | General | N.A. | L | L | Default |
| 1114 | General | N.A. | L | L | Default |
| 1115 | General | N.A. | L | L | Default |
| 1116 | General | N.A. | L | L | Default |
| 1117 | General | N.A. | L | L | Default |
| 1118 | General | N.A. | L | L | Default |
| 1119 | General | N.A. | L | L | Default |
| 1120 | General | N.A. | L | L | Default |
| 1121 | General | N.A. | L | L | Default |
| 1122 | General | N.A. | L | L | Default |
| 1123 | General | N.A. | L | L | Default |
| 1124 | General | N.A. | L | L | Default |
| 1125 | General | N.A. | L | L | Default |
| 1126 | General | N.A. | L | L | Default |
| 1127 | General | N.A. | L | L | Default |
| 1128 | General | N.A. | L | L | Default |
| 1129 | General | N.A. | L | L | Default |
| 1130 | General | N.A. | L | L | Default |
| 1131 | General | N.A. | L | L | Default |
| 1132 | General | N.A. | L | L | Default |
| 1133 | General | N.A. | L | L | Default |
| 1134 | General | N.A. | L | L | Default |
| 1135 | General | N.A. | L | L | Default |
| 1136 | General | N.A. | L | L | Default |
| 1137 | General | N.A. | L | L | Default |
| 1138 | General | N.A. | L | L | Default |
| 1139 | General | N.A. | L | L | Default |
| 1140 | General | N.A. | L | L | Default |
| 1141 | General | N.A. | L | L | Default |
| 1142 | General | N.A. | L | L | Default |
| 1143 | General | N.A. | L | L | Default |
| 1144 | General | N.A. | L | L | Default |
| 1145 | General | N.A. | L | L | Default |
| 1146 | General | N.A. | L | L | Default |
| 1147 | General | N.A. | L | L | Default |
| 1148 | General | N.A. | L | L | Default |
| 1149 | General | N.A. | L | L | Default |
| 1150 | General | N.A. | L | L | Default |
| 1151 | General | N.A. | L | L | Default |
| 1152 | General | N.A. | L | L | Default |
| 1153 | General | N.A. | L | L | Default |
| 1154 | General | N.A. | L | L | Default |
| 1155 | General | N.A. | L | L | Default |
| 1156 | General | N.A. | L | L | Default |
| 1157 | General | N.A. | L | L | Default |
| 1158 | General | N.A. | L | L | Default |
| 1159 | General | N.A. | L | L | Default |
| 1160 | General | N.A. | L | L | Default |
| 1161 | General | N.A. | L | L | Default |

| Frame | SectionType | AutoSelect | AnalSect | DesignSect | MatProp |
|---|---|---|---|---|---|
| Text | Text | Text | Text | Text | Text |
| 1162 | General | N.A. | L | L | Default |
| 1163 | General | N.A. | L | L | Default |
| 1164 | General | N.A. | L | L | Default |
| 1165 | General | N.A. | L | L | Default |
| 1166 | General | N.A. | L | L | Default |
| 1167 | General | N.A. | L | L | Default |
| 1168 | General | N.A. | L | L | Default |
| 1169 | General | N.A. | L | L | Default |
| 1170 | General | N.A. | L | L | Default |
| 1171 | General | N.A. | L | L | Default |
| 1172 | General | N.A. | L | L | Default |
| 1173 | General | N.A. | L | L | Default |
| 1174 | General | N.A. | L | L | Default |
| 1175 | General | N.A. | L | L | Default |
| 1176 | General | N.A. | L | L | Default |
| 1177 | General | N.A. | L | L | Default |
| 1178 | General | N.A. | L | L | Default |
| 1179 | General | N.A. | L | L | Default |
| 1180 | General | N.A. | L | L | Default |
| 1181 | General | N.A. | L | L | Default |
| 1182 | General | N.A. | L | L | Default |
| 1183 | General | N.A. | L | L | Default |
| 1184 | General | N.A. | L | L | Default |
| 1185 | General | N.A. | L | L | Default |
| 1186 | General | N.A. | L | L | Default |
| 1187 | General | N.A. | L | L | Default |
| 1188 | General | N.A. | L | L | Default |
| 1189 | General | N.A. | L | L | Default |
| 1190 | General | N.A. | L | L | Default |
| 1191 | General | N.A. | L | L | Default |
| 1192 | General | N.A. | L | L | Default |
| 1193 | General | N.A. | L | L | Default |
| 1194 | General | N.A. | L | L | Default |
| 1195 | General | N.A. | L | L | Default |
| 1196 | General | N.A. | L | L | Default |
| 1197 | General | N.A. | L | L | Default |
| 1198 | General | N.A. | L | L | Default |
| 1199 | General | N.A. | L | L | Default |
| 1200 | General | N.A. | L | L | Default |
| 1201 | General | N.A. | L | L | Default |
| 1202 | General | N.A. | L | L | Default |
| 1203 | General | N.A. | L | L | Default |
| 1204 | General | N.A. | L | L | Default |
| 1205 | General | N.A. | L | L | Default |
| 1206 | General | N.A. | L | L | Default |
| 1207 | General | N.A. | L | L | Default |
| 1208 | General | N.A. | L | L | Default |
| 1209 | General | N.A. | L | L | Default |
| 1210 | General | N.A. | L | L | Default |
| 1211 | General | N.A. | L | L | Default |
| 1212 | General | N.A. | L | L | Default |
| 1213 | General | N.A. | L | L | Default |
| 1214 | General | N.A. | L | L | Default |
| 1215 | General | N.A. | L | L | Default |
| 1216 | General | N.A. | L | L | Default |
| 1217 | General | N.A. | L | L | Default |
| 1218 | General | N.A. | L | L | Default |
| 1219 | General | N.A. | L | L | Default |
| 1220 | General | N.A. | L | L | Default |
| 1221 | General | N.A. | L | L | Default |
| 1222 | General | N.A. | L | L | Default |
| 1223 | General | N.A. | L | L | Default |
| 1224 | General | N.A. | L | L | Default |
| 1225 | General | N.A. | L | L | Default |
| 1226 | General | N.A. | L | L | Default |
| 1227 | General | N.A. | L | L | Default |
| 1228 | General | N.A. | L | L | Default |
| 1229 | General | N.A. | L | L | Default |
| 1230 | General | N.A. | L | L | Default |
| 1231 | General | N.A. | L | L | Default |
| 1232 | General | N.A. | L | L | Default |
| 1233 | General | N.A. | L | L | Default |
| 1234 | General | N.A. | L | L | Default |
| 1235 | General | N.A. | L | L | Default |
| 1236 | General | N.A. | L | L | Default |
| 1237 | General | N.A. | L | L | Default |
| 1238 | General | N.A. | L | L | Default |
| 1239 | General | N.A. | L | L | Default |
| 1240 | General | N.A. | L | L | Default |
| 1241 | General | N.A. | L | L | Default |
| 1242 | General | N.A. | L | L | Default |
| 1243 | General | N.A. | L | L | Default |
| 1244 | General | N.A. | L | L | Default |
| 1245 | General | N.A. | L | L | Default |
| 1246 | General | N.A. | L | L | Default |
| 1247 | General | N.A. | L | L | Default |
| 1248 | General | N.A. | L | L | Default |
| 1249 | General | N.A. | L | L | Default |
| 1250 | General | N.A. | L | L | Default |
| 1251 | General | N.A. | L | L | Default |
| 1252 | General | N.A. | L | L | Default |





| Frame | SectionType | AutoSelect | AnalSect | DesignSect | MatProp |
|---|---|---|---|---|---|
| Text | Text | Text | Text | Text | Text |
| 1253 | General | N.A. | L | L | Default |
| 1254 | General | N.A. | L | L | Default |
| 1255 | General | N.A. | L | L | Default |
| 1256 | General | N.A. | L | L | Default |
| 1257 | General | N.A. | L | L | Default |
| 1258 | General | N.A. | L | L | Default |
| 1259 | General | N.A. | L | L | Default |
| 1260 | General | N.A. | L | L | Default |
| 1261 | General | N.A. | L | L | Default |
| 1262 | General | N.A. | L | L | Default |
| 1263 | General | N.A. | L | L | Default |
| 1264 | General | N.A. | L | L | Default |
| 1265 | General | N.A. | L | L | Default |
| 1266 | General | N.A. | L | L | Default |
| 1267 | General | N.A. | L | L | Default |
| 1268 | General | N.A. | L | L | Default |
| 1269 | General | N.A. | L | L | Default |
| 1270 | General | N.A. | L | L | Default |
| 1271 | General | N.A. | L | L | Default |
| 1272 | General | N.A. | L | L | Default |
| 1273 | General | N.A. | L | L | Default |
| 1274 | General | N.A. | L | L | Default |
| 1275 | General | N.A. | L | L | Default |
| 1276 | General | N.A. | L | L | Default |
| 1277 | General | N.A. | L | L | Default |
| 1278 | General | N.A. | L | L | Default |
| 1279 | General | N.A. | L | L | Default |
| 1280 | General | N.A. | L | L | Default |
| 1281 | General | N.A. | L | L | Default |
| 1282 | General | N.A. | L | L | Default |
| 1283 | General | N.A. | L | L | Default |
| 1284 | General | N.A. | L | L | Default |
| 1285 | General | N.A. | L | L | Default |
| 1286 | General | N.A. | L | L | Default |
| 1287 | General | N.A. | L | L | Default |
| 1288 | General | N.A. | L | L | Default |
| 1289 | General | N.A. | L | L | Default |
| 1290 | General | N.A. | L | L | Default |
| 1291 | General | N.A. | L | L | Default |
| 1292 | General | N.A. | L | L | Default |
| 1293 | General | N.A. | L | L | Default |
| 1294 | General | N.A. | L | L | Default |
| 1295 | General | N.A. | L | L | Default |
| 1296 | General | N.A. | L | L | Default |
| 1297 | General | N.A. | L | L | Default |
| 1298 | General | N.A. | L | L | Default |
| 1299 | General | N.A. | L | L | Default |
| 1300 | General | N.A. | L | L | Default |
| 1301 | General | N.A. | L | L | Default |
| 1302 | General | N.A. | L | L | Default |
| 1303 | General | N.A. | L | L | Default |
| 1304 | General | N.A. | L | L | Default |
| 1305 | General | N.A. | L | L | Default |
| 1306 | General | N.A. | L | L | Default |
| 1307 | General | N.A. | L | L | Default |
| 1308 | General | N.A. | L | L | Default |
| 1309 | General | N.A. | L | L | Default |
| 1310 | General | N.A. | L | L | Default |
| 1311 | General | N.A. | L | L | Default |
| 1312 | General | N.A. | L | L | Default |
| 1313 | General | N.A. | L | L | Default |
| 1314 | General | N.A. | L | L | Default |
| 1315 | General | N.A. | L | L | Default |
| 1316 | General | N.A. | L | L | Default |
| 1317 | General | N.A. | L | L | Default |
| 1318 | General | N.A. | L | L | Default |
| 1319 | General | N.A. | L | L | Default |
| 1320 | General | N.A. | L | L | Default |
| 1321 | General | N.A. | L | L | Default |
| 1322 | General | N.A. | L | L | Default |
| 1323 | General | N.A. | L | L | Default |
| 1324 | General | N.A. | L | L | Default |
| 1325 | General | N.A. | L | L | Default |
| 1326 | General | N.A. | L | L | Default |
| 1327 | General | N.A. | L | L | Default |
| 1328 | General | N.A. | L | L | Default |
| 1329 | General | N.A. | L | L | Default |
| 1330 | General | N.A. | L | L | Default |
| 1331 | General | N.A. | L | L | Default |
| 1332 | General | N.A. | L | L | Default |
| 1333 | General | N.A. | L | L | Default |
| 1334 | General | N.A. | L | L | Default |
| 1335 | General | N.A. | L | L | Default |
| 1336 | General | N.A. | L | L | Default |
| 1337 | General | N.A. | L | L | Default |
| 1338 | General | N.A. | L | L | Default |
| 1339 | General | N.A. | L | L | Default |
| 1340 | General | N.A. | L | L | Default |
| 1341 | General | N.A. | L | L | Default |
| 1342 | General | N.A. | L | L | Default |
| 1343 | General | N.A. | L | L | Default |

| Frame | SectionType | AutoSelect | AnalSect | DesignSect | MatProp |
|---|---|---|---|---|---|
| Text | Text | Text | Text | Text | Text |
| 1344 | General | N.A. | L | L | Default |
| 1345 | General | N.A. | L | L | Default |
| 1346 | General | N.A. | L | L | Default |
| 1347 | General | N.A. | L | L | Default |
| 1348 | General | N.A. | L | L | Default |
| 1349 | General | N.A. | L | L | Default |
| 1350 | General | N.A. | L | L | Default |
| 1351 | General | N.A. | L | L | Default |
| 1352 | General | N.A. | L | L | Default |
| 1353 | General | N.A. | L | L | Default |
| 1354 | General | N.A. | L | L | Default |
| 1355 | General | N.A. | L | L | Default |
| 1356 | General | N.A. | L | L | Default |
| 1357 | General | N.A. | L | L | Default |
| 1358 | General | N.A. | L | L | Default |
| 1359 | General | N.A. | L | L | Default |
| 1360 | General | N.A. | L | L | Default |
| 1361 | General | N.A. | L | L | Default |
| 1362 | General | N.A. | L | L | Default |
| 1363 | General | N.A. | L | L | Default |
| 1364 | General | N.A. | L | L | Default |
| 1365 | General | N.A. | L | L | Default |
| 1366 | General | N.A. | L | L | Default |
| 1367 | General | N.A. | L | L | Default |
| 1368 | General | N.A. | L | L | Default |
| 1369 | General | N.A. | L | L | Default |
| 1370 | General | N.A. | L | L | Default |
| 1371 | General | N.A. | L | L | Default |
| 1372 | General | N.A. | L | L | Default |
| 1373 | General | N.A. | L | L | Default |
| 1374 | General | N.A. | L | L | Default |
| 1375 | General | N.A. | L | L | Default |
| 1376 | General | N.A. | L | L | Default |
| 1377 | General | N.A. | L | L | Default |
| 1378 | General | N.A. | L | L | Default |
| 1379 | General | N.A. | L | L | Default |
| 1380 | General | N.A. | L | L | Default |
| 1381 | General | N.A. | L | L | Default |
| 1382 | General | N.A. | L | L | Default |
| 1383 | General | N.A. | L | L | Default |
| 1384 | General | N.A. | L | L | Default |
| 1385 | General | N.A. | L | L | Default |
| 1386 | General | N.A. | L | L | Default |
| 1387 | General | N.A. | L | L | Default |
| 1388 | General | N.A. | L | L | Default |
| 1389 | General | N.A. | L | L | Default |
| 1390 | General | N.A. | L | L | Default |
| 1391 | General | N.A. | L | L | Default |
| 1392 | General | N.A. | L | L | Default |
| 1393 | General | N.A. | L | L | Default |
| 1394 | General | N.A. | L | L | Default |
| 1395 | General | N.A. | L | L | Default |
| 1396 | General | N.A. | L | L | Default |
| 1397 | General | N.A. | L | L | Default |
| 1398 | General | N.A. | L | L | Default |
| 1399 | General | N.A. | L | L | Default |
| 1400 | General | N.A. | L | L | Default |
| 1401 | General | N.A. | L | L | Default |
| 1402 | General | N.A. | L | L | Default |
| 1403 | General | N.A. | L | L | Default |
| 1404 | General | N.A. | L | L | Default |
| 1405 | General | N.A. | L | L | Default |
| 1406 | General | N.A. | L | L | Default |
| 1407 | General | N.A. | L | L | Default |
| 1408 | General | N.A. | L | L | Default |
| 1409 | General | N.A. | L | L | Default |
| 1410 | General | N.A. | L | L | Default |
| 1411 | General | N.A. | L | L | Default |
| 1412 | General | N.A. | L | L | Default |
| 1413 | General | N.A. | L | L | Default |
| 1414 | General | N.A. | L | L | Default |
| 1415 | General | N.A. | L | L | Default |
| 1416 | General | N.A. | L | L | Default |
| 1417 | General | N.A. | L | L | Default |
| 1418 | General | N.A. | L | L | Default |
| 1419 | General | N.A. | L | L | Default |
| 1420 | General | N.A. | L | L | Default |
| 1421 | General | N.A. | L | L | Default |
| 1422 | General | N.A. | L | L | Default |
| 1423 | General | N.A. | L | L | Default |
| 1424 | General | N.A. | L | L | Default |
| 1425 | General | N.A. | L | L | Default |
| 1426 | General | N.A. | L | L | Default |
| 1427 | General | N.A. | L | L | Default |
| 1428 | General | N.A. | L | L | Default |
| 1429 | General | N.A. | L | L | Default |
| 1430 | General | N.A. | L | L | Default |
| 1431 | General | N.A. | L | L | Default |
| 1432 | General | N.A. | L | L | Default |
| 1433 | General | N.A. | L | L | Default |
| 1434 | General | N.A. | L | L | Default |





| Frame | SectionType | AutoSelect | AnalSect | DesignSect | MatProp |
|---|---|---|---|---|---|
| Text | Text | Text | Text | Text | Text |
| 1435 | General | N.A. | L | L | Default |
| 1436 | General | N.A. | L | L | Default |
| 1437 | General | N.A. | L | L | Default |
| 1438 | General | N.A. | L | L | Default |
| 1439 | General | N.A. | L | L | Default |
| 1440 | General | N.A. | L | L | Default |
| 1441 | General | N.A. | L | L | Default |
| 1442 | General | N.A. | L | L | Default |
| 1443 | General | N.A. | L | L | Default |
| 1444 | General | N.A. | L | L | Default |
| 1445 | General | N.A. | L | L | Default |
| 1446 | General | N.A. | L | L | Default |
| 1447 | General | N.A. | L | L | Default |
| 1448 | General | N.A. | L | L | Default |
| 1449 | General | N.A. | L | L | Default |
| 1450 | General | N.A. | L | L | Default |
| 1451 | General | N.A. | L | L | Default |
| 1452 | General | N.A. | L | L | Default |
| 1453 | General | N.A. | L | L | Default |
| 1454 | General | N.A. | L | L | Default |
| 1455 | General | N.A. | L | L | Default |
| 1456 | General | N.A. | L | L | Default |
| 1457 | General | N.A. | L | L | Default |
| 1458 | General | N.A. | L | L | Default |
| 1459 | General | N.A. | L | L | Default |
| 1460 | General | N.A. | L | L | Default |
| 1461 | General | N.A. | L | L | Default |
| 1462 | General | N.A. | L | L | Default |
| 1463 | General | N.A. | L | L | Default |
| 1464 | General | N.A. | L | L | Default |
| 1465 | General | N.A. | L | L | Default |
| 1466 | General | N.A. | L | L | Default |
| 1467 | General | N.A. | L | L | Default |
| 1468 | General | N.A. | L | L | Default |
| 1469 | General | N.A. | L | L | Default |
| 1470 | General | N.A. | L | L | Default |
| 1471 | General | N.A. | L | L | Default |
| 1472 | General | N.A. | L | L | Default |
| 1473 | General | N.A. | L | L | Default |
| 1474 | General | N.A. | L | L | Default |
| 1475 | General | N.A. | L | L | Default |
| 1476 | General | N.A. | L | L | Default |
| 1477 | General | N.A. | L | L | Default |
| 1478 | General | N.A. | L | L | Default |
| 1479 | General | N.A. | L | L | Default |
| 1480 | General | N.A. | L | L | Default |
| 1481 | General | N.A. | L | L | Default |
| 1482 | General | N.A. | L | L | Default |
| 1483 | General | N.A. | L | L | Default |
| 1484 | General | N.A. | L | L | Default |
| 1485 | General | N.A. | L | L | Default |
| 1486 | General | N.A. | L | L | Default |
| 1487 | General | N.A. | L | L | Default |
| 1488 | General | N.A. | L | L | Default |
| 1489 | General | N.A. | L | L | Default |
| 1490 | General | N.A. | L | L | Default |
| 1491 | General | N.A. | L | L | Default |
| 1492 | General | N.A. | L | L | Default |
| 1493 | General | N.A. | L | L | Default |
| 1494 | General | N.A. | L | L | Default |
| 1495 | General | N.A. | L | L | Default |
| 1496 | General | N.A. | L | L | Default |
| 1497 | General | N.A. | L | L | Default |
| 1498 | General | N.A. | L | L | Default |
| 1499 | General | N.A. | L | L | Default |
| 1500 | General | N.A. | L | L | Default |
| 1501 | General | N.A. | L | L | Default |
| 1502 | General | N.A. | L | L | Default |
| 1503 | General | N.A. | L | L | Default |
| 1504 | General | N.A. | L | L | Default |
| 1505 | General | N.A. | L | L | Default |
| 1506 | General | N.A. | L | L | Default |
| 1507 | General | N.A. | L | L | Default |
| 1508 | General | N.A. | L | L | Default |
| 1509 | General | N.A. | L | L | Default |
| 1510 | General | N.A. | L | L | Default |
| 1511 | General | N.A. | L | L | Default |
| 1512 | General | N.A. | L | L | Default |
| 1513 | General | N.A. | L | L | Default |
| 1514 | General | N.A. | L | L | Default |
| 1515 | General | N.A. | L | L | Default |
| 1516 | General | N.A. | L | L | Default |
| 1517 | General | N.A. | L | L | Default |
| 1518 | General | N.A. | L | L | Default |
| 1519 | General | N.A. | L | L | Default |
| 1520 | General | N.A. | L | L | Default |
| 1521 | General | N.A. | L | L | Default |
| 1522 | General | N.A. | L | L | Default |
| 1523 | General | N.A. | L | L | Default |
| 1524 | General | N.A. | L | L | Default |
| 1525 | General | N.A. | L | L | Default |

| Frame | SectionType | AutoSelect | AnalSect | DesignSect | MatProp |
|---|---|---|---|---|---|
| Text | Text | Text | Text | Text | Text |
| 1526 | General | N.A. | L | L | Default |
| 1527 | General | N.A. | L | L | Default |
| 1528 | General | N.A. | L | L | Default |
| 1529 | General | N.A. | L | L | Default |
| 1530 | General | N.A. | L | L | Default |
| 1531 | General | N.A. | L | L | Default |
| 1532 | General | N.A. | L | L | Default |
| 1533 | General | N.A. | L | L | Default |
| 1534 | General | N.A. | L | L | Default |
| 1535 | General | N.A. | L | L | Default |
| 1536 | General | N.A. | L | L | Default |
| 1537 | General | N.A. | L | L | Default |
| 1538 | General | N.A. | L | L | Default |
| 1539 | General | N.A. | L | L | Default |
| 1540 | General | N.A. | L | L | Default |
| 1541 | General | N.A. | L | L | Default |
| 1542 | General | N.A. | L | L | Default |
| 1543 | General | N.A. | L | L | Default |
| 1544 | General | N.A. | L | L | Default |
| 1545 | General | N.A. | L | L | Default |
| 1546 | General | N.A. | L | L | Default |
| 1547 | General | N.A. | L | L | Default |
| 1548 | General | N.A. | L | L | Default |
| 1549 | General | N.A. | L | L | Default |
| 1550 | General | N.A. | L | L | Default |
| 1551 | General | N.A. | L | L | Default |
| 1552 | General | N.A. | L | L | Default |
| 1553 | General | N.A. | L | L | Default |
| 1554 | General | N.A. | L | L | Default |
| 1555 | General | N.A. | L | L | Default |
| 1556 | General | N.A. | L | L | Default |
| 1557 | General | N.A. | L | L | Default |
| 1558 | General | N.A. | L | L | Default |
| 1559 | General | N.A. | L | L | Default |
| 1560 | General | N.A. | L | L | Default |
| 1561 | General | N.A. | L | L | Default |
| 1562 | General | N.A. | L | L | Default |
| 1563 | General | N.A. | L | L | Default |
| 1564 | General | N.A. | L | L | Default |
| 1565 | General | N.A. | L | L | Default |
| 1566 | General | N.A. | L | L | Default |
| 1567 | General | N.A. | L | L | Default |
| 1568 | General | N.A. | L | L | Default |
| 1569 | General | N.A. | L | L | Default |
| 1570 | General | N.A. | L | L | Default |
| 1571 | General | N.A. | L | L | Default |
| 1572 | General | N.A. | L | L | Default |
| 1573 | General | N.A. | L | L | Default |
| 1574 | General | N.A. | L | L | Default |
| 1575 | General | N.A. | L | L | Default |
| 1576 | General | N.A. | L | L | Default |
| 1577 | General | N.A. | L | L | Default |
| 1578 | General | N.A. | L | L | Default |
| 1579 | General | N.A. | L | L | Default |
| 1580 | General | N.A. | L | L | Default |
| 1581 | General | N.A. | L | L | Default |
| 1582 | General | N.A. | L | L | Default |
| 1583 | General | N.A. | L | L | Default |
| 1584 | General | N.A. | L | L | Default |
| 1585 | General | N.A. | L | L | Default |
| 1586 | General | N.A. | L | L | Default |
| 1587 | General | N.A. | L | L | Default |
| 1588 | General | N.A. | L | L | Default |
| 1589 | General | N.A. | L | L | Default |
| 1590 | General | N.A. | L | L | Default |
| 1591 | General | N.A. | L | L | Default |
| 1592 | General | N.A. | L | L | Default |
| 1593 | General | N.A. | L | L | Default |
| 1594 | General | N.A. | L | L | Default |
| 1595 | General | N.A. | L | L | Default |
| 1596 | General | N.A. | L | L | Default |
| 1597 | General | N.A. | L | L | Default |
| 1598 | General | N.A. | L | L | Default |
| 1599 | General | N.A. | L | L | Default |
| 1600 | General | N.A. | L | L | Default |
| 1601 | General | N.A. | L | L | Default |
| 1602 | General | N.A. | L | L | Default |
| 1603 | General | N.A. | L | L | Default |
| 1604 | General | N.A. | L | L | Default |
| 1605 | General | N.A. | L | L | Default |
| 1606 | General | N.A. | L | L | Default |
| 1607 | General | N.A. | L | L | Default |
| 1608 | General | N.A. | L | L | Default |
| 1609 | General | N.A. | L | L | Default |
| 1610 | General | N.A. | L | L | Default |
| 1611 | General | N.A. | L | L | Default |
| 1612 | General | N.A. | L | L | Default |
| 1613 | General | N.A. | L | L | Default |
| 1614 | General | N.A. | L | L | Default |
| 1615 | General | N.A. | L | L | Default |
| 1616 | General | N.A. | L | L | Default |





| Frame | SectionType | AutoSelect | AnalSect | DesignSect | MatProp |
|---|---|---|---|---|---|
| Text | Text | Text | Text | Text | Text |
| 1617 | General | N.A. | L | L | Default |
| 1618 | General | N.A. | L | L | Default |
| 1619 | General | N.A. | L | L | Default |
| 1620 | General | N.A. | L | L | Default |
| 1621 | General | N.A. | L | L | Default |
| 1622 | General | N.A. | L | L | Default |
| 1623 | General | N.A. | L | L | Default |
| 1624 | General | N.A. | L | L | Default |
| 1625 | General | N.A. | L | L | Default |
| 1626 | General | N.A. | L | L | Default |
| 1627 | General | N.A. | L | L | Default |
| 1628 | General | N.A. | L | L | Default |
| 1629 | General | N.A. | L | L | Default |
| 1630 | General | N.A. | L | L | Default |
| 1631 | General | N.A. | L | L | Default |
| 1632 | General | N.A. | L | L | Default |
| 1633 | General | N.A. | L | L | Default |
| 1634 | General | N.A. | L | L | Default |
| 1635 | General | N.A. | L | L | Default |
| 1636 | General | N.A. | L | L | Default |
| 1637 | General | N.A. | L | L | Default |
| 1638 | General | N.A. | L | L | Default |
| 1639 | General | N.A. | L | L | Default |
| 1640 | General | N.A. | L | L | Default |
| 1641 | General | N.A. | L | L | Default |
| 1642 | General | N.A. | L | L | Default |
| 1643 | General | N.A. | L | L | Default |
| 1644 | General | N.A. | L | L | Default |
| 1645 | General | N.A. | L | L | Default |
| 1646 | General | N.A. | L | L | Default |
| 1647 | General | N.A. | L | L | Default |
| 1648 | General | N.A. | L | L | Default |
| 1649 | General | N.A. | L | L | Default |
| 1650 | General | N.A. | L | L | Default |
| 1651 | General | N.A. | L | L | Default |
| 1652 | General | N.A. | L | L | Default |
| 1653 | General | N.A. | L | L | Default |
| 1654 | General | N.A. | L | L | Default |
| 1655 | General | N.A. | L | L | Default |
| 1656 | General | N.A. | L | L | Default |
| 1657 | General | N.A. | L | L | Default |
| 1658 | General | N.A. | L | L | Default |
| 1659 | General | N.A. | L | L | Default |
| 1660 | General | N.A. | L | L | Default |
| 1661 | General | N.A. | L | L | Default |
| 1662 | General | N.A. | L | L | Default |
| 1663 | General | N.A. | L | L | Default |
| 1664 | General | N.A. | L | L | Default |
| 1665 | General | N.A. | L | L | Default |
| 1666 | General | N.A. | L | L | Default |
| 1667 | General | N.A. | L | L | Default |
| 1668 | General | N.A. | L | L | Default |
| 1669 | General | N.A. | L | L | Default |
| 1670 | General | N.A. | L | L | Default |
| 1671 | General | N.A. | L | L | Default |
| 1672 | General | N.A. | L | L | Default |
| 1673 | General | N.A. | L | L | Default |
| 1674 | General | N.A. | L | L | Default |
| 1675 | General | N.A. | L | L | Default |
| 1676 | General | N.A. | L | L | Default |
| 1677 | General | N.A. | L | L | Default |
| 1678 | General | N.A. | L | L | Default |
| 1679 | General | N.A. | L | L | Default |
| 1680 | General | N.A. | L | L | Default |
| 1681 | General | N.A. | L | L | Default |
| 1682 | General | N.A. | L | L | Default |
| 1683 | General | N.A. | L | L | Default |
| 1684 | General | N.A. | L | L | Default |
| 1685 | General | N.A. | L | L | Default |
| 1686 | General | N.A. | L | L | Default |
| 1687 | General | N.A. | L | L | Default |
| 1688 | General | N.A. | L | L | Default |
| 1689 | General | N.A. | L | L | Default |
| 1690 | General | N.A. | L | L | Default |
| 1691 | General | N.A. | L | L | Default |
| 1692 | General | N.A. | L | L | Default |
| 1693 | General | N.A. | L | L | Default |
| 1694 | General | N.A. | L | L | Default |
| 1695 | General | N.A. | L | L | Default |
| 1696 | General | N.A. | L | L | Default |
| 1697 | General | N.A. | L | L | Default |
| 1698 | General | N.A. | L | L | Default |
| 1699 | General | N.A. | L | L | Default |
| 1700 | General | N.A. | L | L | Default |
| 1701 | General | N.A. | L | L | Default |
| 1702 | General | N.A. | L | L | Default |
| 1703 | General | N.A. | L | L | Default |
| 1704 | General | N.A. | L | L | Default |
| 1705 | General | N.A. | L | L | Default |
| 1706 | General | N.A. | L | L | Default |
| 1707 | General | N.A. | L | L | Default |

| Frame | SectionType | AutoSelect | AnalSect | DesignSect | MatProp |
|---|---|---|---|---|---|
| Text | Text | Text | Text | Text | Text |
| 1708 | General | N.A. | L | L | Default |
| 1709 | General | N.A. | L | L | Default |
| 1710 | General | N.A. | L | L | Default |
| 1711 | General | N.A. | L | L | Default |
| 1712 | General | N.A. | L | L | Default |
| 1713 | General | N.A. | L | L | Default |
| 1714 | General | N.A. | L | L | Default |
| 1715 | General | N.A. | L | L | Default |
| 1716 | General | N.A. | L | L | Default |
| 1717 | General | N.A. | L | L | Default |
| 1718 | General | N.A. | L | L | Default |
| 1719 | General | N.A. | L | L | Default |
| 1720 | General | N.A. | L | L | Default |
| 1721 | General | N.A. | L | L | Default |
| 1722 | General | N.A. | L | L | Default |
| 1723 | General | N.A. | L | L | Default |
| 1724 | General | N.A. | L | L | Default |
| 1725 | General | N.A. | L | L | Default |
| 1726 | General | N.A. | L | L | Default |
| 1727 | General | N.A. | L | L | Default |
| 1728 | General | N.A. | L | L | Default |
| 1729 | General | N.A. | L | L | Default |
| 1730 | General | N.A. | L | L | Default |
| 1731 | General | N.A. | L | L | Default |
| 1732 | General | N.A. | L | L | Default |
| 1733 | General | N.A. | L | L | Default |
| 1734 | General | N.A. | L | L | Default |
| 1735 | General | N.A. | L | L | Default |
| 1736 | General | N.A. | L | L | Default |
| 1737 | General | N.A. | L | L | Default |
| 1738 | General | N.A. | L | L | Default |
| 1739 | General | N.A. | L | L | Default |
| 1740 | General | N.A. | L | L | Default |
| 1741 | General | N.A. | L | L | Default |
| 1742 | General | N.A. | L | L | Default |
| 1743 | General | N.A. | L | L | Default |
| 1744 | General | N.A. | L | L | Default |
| 1745 | General | N.A. | L | L | Default |
| 1746 | General | N.A. | L | L | Default |
| 1747 | General | N.A. | L | L | Default |
| 1748 | General | N.A. | L | L | Default |
| 1749 | General | N.A. | L | L | Default |
| 1750 | General | N.A. | L | L | Default |
| 1751 | General | N.A. | L | L | Default |
| 1752 | General | N.A. | L | L | Default |
| 1753 | General | N.A. | L | L | Default |
| 1754 | General | N.A. | L | L | Default |
| 1755 | General | N.A. | L | L | Default |
| 1756 | General | N.A. | L | L | Default |
| 1757 | General | N.A. | L | L | Default |
| 1758 | General | N.A. | L | L | Default |
| 1759 | General | N.A. | L | L | Default |
| 1760 | General | N.A. | L | L | Default |
| 1761 | General | N.A. | L | L | Default |
| 1762 | General | N.A. | L | L | Default |
| 1763 | General | N.A. | L | L | Default |
| 1764 | General | N.A. | L | L | Default |
| 1765 | General | N.A. | L | L | Default |
| 1766 | General | N.A. | L | L | Default |
| 1767 | General | N.A. | L | L | Default |
| 1768 | General | N.A. | L | L | Default |
| 1769 | General | N.A. | L | L | Default |
| 1770 | General | N.A. | L | L | Default |
| 1771 | General | N.A. | L | L | Default |
| 1772 | General | N.A. | L | L | Default |
| 1773 | General | N.A. | L | L | Default |
| 1774 | General | N.A. | L | L | Default |
| 1775 | General | N.A. | L | L | Default |
| 1776 | General | N.A. | L | L | Default |
| 1777 | General | N.A. | L | L | Default |
| 1778 | General | N.A. | L | L | Default |
| 1779 | General | N.A. | L | L | Default |
| 1780 | General | N.A. | L | L | Default |
| 1781 | General | N.A. | L | L | Default |
| 1782 | General | N.A. | L | L | Default |
| 1783 | General | N.A. | L | L | Default |
| 1784 | General | N.A. | L | L | Default |
| 1785 | General | N.A. | L | L | Default |
| 1786 | General | N.A. | L | L | Default |
| 1787 | General | N.A. | L | L | Default |
| 1788 | General | N.A. | L | L | Default |
| 1789 | General | N.A. | L | L | Default |
| 1790 | General | N.A. | L | L | Default |
| 1791 | General | N.A. | L | L | Default |
| 1792 | General | N.A. | L | L | Default |
| 1793 | General | N.A. | L | L | Default |
| 1794 | General | N.A. | L | L | Default |
| 1795 | General | N.A. | L | L | Default |
| 1796 | General | N.A. | L | L | Default |
| 1797 | General | N.A. | L | L | Default |
| 1798 | General | N.A. | L | L | Default |





| Frame | SectionType | AutoSelect | AnalSect | DesignSect | MatProp |
|---|---|---|---|---|---|
| Text | Text | Text | Text | Text | Text |
| 1799 | General | N.A. | L | L | Default |
| 1800 | General | N.A. | L | L | Default |
| 1801 | General | N.A. | L | L | Default |
| 1802 | General | N.A. | L | L | Default |
| 1803 | General | N.A. | L | L | Default |
| 1804 | General | N.A. | L | L | Default |
| 1805 | General | N.A. | L | L | Default |
| 1806 | General | N.A. | L | L | Default |
| 1807 | General | N.A. | L | L | Default |
| 1808 | General | N.A. | L | L | Default |
| 1809 | General | N.A. | L | L | Default |
| 1810 | General | N.A. | L | L | Default |
| 1811 | General | N.A. | L | L | Default |
| 1812 | General | N.A. | L | L | Default |
| 1813 | General | N.A. | L | L | Default |
| 1814 | General | N.A. | L | L | Default |
| 1815 | General | N.A. | L | L | Default |
| 1816 | General | N.A. | L | L | Default |
| 1817 | General | N.A. | L | L | Default |
| 1818 | General | N.A. | L | L | Default |
| 1819 | General | N.A. | L | L | Default |
| 1820 | General | N.A. | L | L | Default |
| 1821 | General | N.A. | L | L | Default |
| 1822 | General | N.A. | L | L | Default |
| 1823 | General | N.A. | L | L | Default |
| 1824 | General | N.A. | L | L | Default |
| 1825 | General | N.A. | L | L | Default |
| 1826 | General | N.A. | L | L | Default |
| 1827 | General | N.A. | L | L | Default |
| 1828 | General | N.A. | L | L | Default |
| 1829 | General | N.A. | L | L | Default |
| 1830 | General | N.A. | L | L | Default |
| 1831 | General | N.A. | L | L | Default |
| 1832 | General | N.A. | L | L | Default |
| 1833 | General | N.A. | L | L | Default |
| 1834 | General | N.A. | L | L | Default |
| 1835 | General | N.A. | L | L | Default |
| 1836 | General | N.A. | L | L | Default |
| 1837 | General | N.A. | L | L | Default |
| 1838 | General | N.A. | L | L | Default |
| 1839 | General | N.A. | L | L | Default |
| 1840 | General | N.A. | L | L | Default |
| 1841 | General | N.A. | L | L | Default |
| 1842 | General | N.A. | L | L | Default |
| 1843 | General | N.A. | L | L | Default |
| 1844 | General | N.A. | L | L | Default |
| 1845 | General | N.A. | L | L | Default |
| 1846 | General | N.A. | L | L | Default |
| 1847 | General | N.A. | L | L | Default |
| 1848 | General | N.A. | L | L | Default |
| 1849 | General | N.A. | L | L | Default |
| 1850 | General | N.A. | L | L | Default |
| 1851 | General | N.A. | L | L | Default |
| 1852 | General | N.A. | L | L | Default |
| 1853 | General | N.A. | L | L | Default |
| 1854 | General | N.A. | L | L | Default |
| 1855 | General | N.A. | L | L | Default |
| 1856 | General | N.A. | L | L | Default |
| 1857 | General | N.A. | L | L | Default |
| 1858 | General | N.A. | L | L | Default |
| 1859 | General | N.A. | L | L | Default |
| 1860 | General | N.A. | L | L | Default |
| 1861 | General | N.A. | L | L | Default |
| 1862 | General | N.A. | L | L | Default |
| 1863 | General | N.A. | L | L | Default |
| 1864 | General | N.A. | L | L | Default |
| 1865 | General | N.A. | L | L | Default |
| 1866 | General | N.A. | L | L | Default |
| 1867 | General | N.A. | L | L | Default |
| 1868 | General | N.A. | L | L | Default |
| 1869 | General | N.A. | L | L | Default |
| 1870 | General | N.A. | L | L | Default |
| 1871 | General | N.A. | L | L | Default |
| 1872 | General | N.A. | L | L | Default |
| 1873 | General | N.A. | L | L | Default |
| 1874 | General | N.A. | L | L | Default |
| 1875 | General | N.A. | L | L | Default |
| 1876 | General | N.A. | L | L | Default |
| 1877 | General | N.A. | L | L | Default |
| 1878 | General | N.A. | L | L | Default |
| 1879 | General | N.A. | L | L | Default |
| 1880 | General | N.A. | L | L | Default |
| 1881 | General | N.A. | L | L | Default |
| 1882 | General | N.A. | L | L | Default |
| 1883 | General | N.A. | L | L | Default |
| 1884 | General | N.A. | L | L | Default |
| 1885 | General | N.A. | L | L | Default |
| 1886 | General | N.A. | L | L | Default |
| 1887 | General | N.A. | L | L | Default |
| 1888 | General | N.A. | L | L | Default |
| 1889 | General | N.A. | L | L | Default |

| Frame | SectionType | AutoSelect | AnalSect | DesignSect | MatProp |
|---|---|---|---|---|---|
| Text | Text | Text | Text | Text | Text |
| 1890 | General | N.A. | L | L | Default |
| 1891 | General | N.A. | L | L | Default |
| 1892 | General | N.A. | L | L | Default |
| 1893 | General | N.A. | L | L | Default |
| 1894 | General | N.A. | L | L | Default |
| 1895 | General | N.A. | L | L | Default |
| 1896 | General | N.A. | L | L | Default |
| 1897 | General | N.A. | L | L | Default |
| 1898 | General | N.A. | L | L | Default |
| 1899 | General | N.A. | L | L | Default |
| 1900 | General | N.A. | L | L | Default |
| 1901 | General | N.A. | L | L | Default |
| 1902 | General | N.A. | L | L | Default |
| 1903 | General | N.A. | L | L | Default |
| 1904 | General | N.A. | L | L | Default |
| 1905 | General | N.A. | L | L | Default |
| 1906 | General | N.A. | L | L | Default |
| 1907 | General | N.A. | L | L | Default |
| 1908 | General | N.A. | L | L | Default |
| 1909 | General | N.A. | L | L | Default |
| 1910 | General | N.A. | L | L | Default |
| 1911 | General | N.A. | L | L | Default |
| 1912 | General | N.A. | L | L | Default |
| 1913 | General | N.A. | L | L | Default |
| 1914 | General | N.A. | L | L | Default |
| 1915 | General | N.A. | L | L | Default |
| 1916 | General | N.A. | L | L | Default |
| 1917 | General | N.A. | L | L | Default |
| 1918 | General | N.A. | L | L | Default |
| 1919 | General | N.A. | L | L | Default |
| 1920 | General | N.A. | L | L | Default |
| 1921 | General | N.A. | L | L | Default |
| 1922 | General | N.A. | L | L | Default |
| 1923 | General | N.A. | L | L | Default |
| 1924 | General | N.A. | L | L | Default |
| 1925 | General | N.A. | L | L | Default |
| 1926 | General | N.A. | L | L | Default |
| 1927 | General | N.A. | L | L | Default |
| 1928 | General | N.A. | L | L | Default |
| 1929 | General | N.A. | L | L | Default |
| 1930 | General | N.A. | L | L | Default |
| 1931 | General | N.A. | L | L | Default |
| 1932 | General | N.A. | L | L | Default |
| 1933 | General | N.A. | L | L | Default |
| 1934 | General | N.A. | L | L | Default |
| 1935 | General | N.A. | L | L | Default |
| 1936 | General | N.A. | L | L | Default |
| 1937 | General | N.A. | L | L | Default |
| 1938 | General | N.A. | L | L | Default |
| 1939 | General | N.A. | L | L | Default |
| 1940 | General | N.A. | L | L | Default |
| 1941 | General | N.A. | L | L | Default |
| 1942 | General | N.A. | L | L | Default |
| 1943 | General | N.A. | L | L | Default |
| 1944 | General | N.A. | L | L | Default |
| 1945 | General | N.A. | L | L | Default |
| 1946 | General | N.A. | L | L | Default |
| 1947 | General | N.A. | L | L | Default |
| 1948 | General | N.A. | L | L | Default |
| 1949 | General | N.A. | L | L | Default |
| 1950 | General | N.A. | L | L | Default |
| 1951 | General | N.A. | L | L | Default |
| 1952 | General | N.A. | L | L | Default |
| 1953 | General | N.A. | L | L | Default |
| 1954 | General | N.A. | L | L | Default |
| 1955 | General | N.A. | L | L | Default |
| 1956 | General | N.A. | L | L | Default |
| 1957 | General | N.A. | L | L | Default |
| 1958 | General | N.A. | L | L | Default |
| 1959 | General | N.A. | L | L | Default |
| 1960 | General | N.A. | L | L | Default |
| 1961 | General | N.A. | L | L | Default |
| 1962 | General | N.A. | L | L | Default |
| 1963 | General | N.A. | L | L | Default |
| 1964 | General | N.A. | L | L | Default |
| 1965 | General | N.A. | L | L | Default |
| 1966 | General | N.A. | L | L | Default |
| 1967 | General | N.A. | L | L | Default |
| 1968 | General | N.A. | L | L | Default |
| 1969 | General | N.A. | L | L | Default |
| 1970 | General | N.A. | L | L | Default |
| 1971 | General | N.A. | L | L | Default |
| 1972 | General | N.A. | L | L | Default |
| 1973 | General | N.A. | L | L | Default |
| 1974 | General | N.A. | L | L | Default |
| 1975 | General | N.A. | L | L | Default |
| 1976 | General | N.A. | L | L | Default |
| 1977 | General | N.A. | L | L | Default |
| 1978 | General | N.A. | L | L | Default |
| 1979 | General | N.A. | L | L | Default |
| 1980 | General | N.A. | L | L | Default |





| Frame | SectionType | AutoSelect | AnalSect | DesignSect | MatProp |
|---|---|---|---|---|---|
| Text | Text | Text | Text | Text | Text |
| 1981 | General | N.A. | L | L | Default |
| 1982 | General | N.A. | L | L | Default |
| 1983 | General | N.A. | L | L | Default |
| 1984 | General | N.A. | L | L | Default |
| 1985 | General | N.A. | L | L | Default |
| 1986 | General | N.A. | L | L | Default |
| 1987 | General | N.A. | L | L | Default |
| 1988 | General | N.A. | L | L | Default |
| 1989 | General | N.A. | L | L | Default |
| 1990 | General | N.A. | L | L | Default |
| 1991 | General | N.A. | L | L | Default |
| 1992 | General | N.A. | L | L | Default |
| 1993 | General | N.A. | L | L | Default |
| 1994 | General | N.A. | L | L | Default |
| 1995 | General | N.A. | L | L | Default |
| 1996 | General | N.A. | L | L | Default |
| 1997 | General | N.A. | L | L | Default |
| 1998 | General | N.A. | L | L | Default |
| 1999 | General | N.A. | L | L | Default |
| 2000 | General | N.A. | L | L | Default |
| 2001 | General | N.A. | L | L | Default |
| 2002 | General | N.A. | L | L | Default |
| 2003 | General | N.A. | L | L | Default |
| 2004 | General | N.A. | L | L | Default |
| 2005 | General | N.A. | L | L | Default |
| 2006 | General | N.A. | L | L | Default |
| 2007 | General | N.A. | L | L | Default |
| 2008 | General | N.A. | L | L | Default |
| 2009 | General | N.A. | L | L | Default |
| 2010 | General | N.A. | L | L | Default |
| 2011 | General | N.A. | L | L | Default |
| 2012 | General | N.A. | L | L | Default |
| 2013 | General | N.A. | L | L | Default |
| 2014 | General | N.A. | L | L | Default |
| 2015 | General | N.A. | L | L | Default |
| 2016 | General | N.A. | L | L | Default |
| 2017 | General | N.A. | L | L | Default |
| 2018 | General | N.A. | L | L | Default |
| 2019 | General | N.A. | L | L | Default |
| 2020 | General | N.A. | L | L | Default |
| 2021 | General | N.A. | L | L | Default |
| 2022 | General | N.A. | L | L | Default |
| 2023 | General | N.A. | L | L | Default |
| 2024 | General | N.A. | L | L | Default |
| 2025 | General | N.A. | L | L | Default |
| 2026 | General | N.A. | L | L | Default |
| 2027 | General | N.A. | L | L | Default |
| 2028 | General | N.A. | L | L | Default |
| 2029 | General | N.A. | L | L | Default |
| 2030 | General | N.A. | L | L | Default |
| 2031 | General | N.A. | L | L | Default |
| 2032 | General | N.A. | L | L | Default |
| 2033 | General | N.A. | L | L | Default |
| 2034 | General | N.A. | L | L | Default |
| 2035 | General | N.A. | L | L | Default |
| 2036 | General | N.A. | L | L | Default |
| 2037 | General | N.A. | L | L | Default |
| 2038 | General | N.A. | L | L | Default |
| 2039 | General | N.A. | L | L | Default |
| 2040 | General | N.A. | L | L | Default |
| 2041 | General | N.A. | L | L | Default |
| 2042 | General | N.A. | L | L | Default |
| 2043 | General | N.A. | L | L | Default |
| 2044 | General | N.A. | L | L | Default |
| 2045 | General | N.A. | L | L | Default |
| 2046 | General | N.A. | L | L | Default |
| 2047 | General | N.A. | L | L | Default |
| 2048 | General | N.A. | L | L | Default |
| 2049 | General | N.A. | L | L | Default |
| 2050 | General | N.A. | L | L | Default |
| 2051 | General | N.A. | L | L | Default |
| 2052 | General | N.A. | L | L | Default |
| 2053 | General | N.A. | L | L | Default |
| 2054 | General | N.A. | L | L | Default |
| 2055 | General | N.A. | L | L | Default |
| 2056 | General | N.A. | L | L | Default |
| 2057 | General | N.A. | L | L | Default |
| 2058 | General | N.A. | L | L | Default |
| 2059 | General | N.A. | L | L | Default |
| 2060 | General | N.A. | L | L | Default |
| 2061 | General | N.A. | L | L | Default |
| 2062 | General | N.A. | L | L | Default |
| 2063 | General | N.A. | L | L | Default |
| 2064 | General | N.A. | L | L | Default |
| 2065 | General | N.A. | L | L | Default |
| 2066 | General | N.A. | L | L | Default |
| 2067 | General | N.A. | L | L | Default |
| 2068 | General | N.A. | L | L | Default |
| 2069 | General | N.A. | L | L | Default |
| 2070 | General | N.A. | L | L | Default |
| 2071 | General | N.A. | L | L | Default |

| Frame | SectionType | AutoSelect | AnalSect | DesignSect | MatProp |
|---|---|---|---|---|---|
| Text | Text | Text | Text | Text | Text |
| 2072 | General | N.A. | L | L | Default |
| 2073 | General | N.A. | L | L | Default |
| 2074 | General | N.A. | L | L | Default |
| 2075 | General | N.A. | L | L | Default |
| 2076 | General | N.A. | L | L | Default |
| 2077 | General | N.A. | L | L | Default |
| 2078 | General | N.A. | L | L | Default |
| 2079 | General | N.A. | L | L | Default |
| 2080 | General | N.A. | L | L | Default |
| 2081 | General | N.A. | L | L | Default |
| 2082 | General | N.A. | L | L | Default |
| 2083 | General | N.A. | L | L | Default |
| 2084 | General | N.A. | L | L | Default |
| 2085 | General | N.A. | L | L | Default |
| 2086 | General | N.A. | L | L | Default |
| 2087 | General | N.A. | L | L | Default |
| 2088 | General | N.A. | L | L | Default |
| 2089 | General | N.A. | L | L | Default |
| 2090 | General | N.A. | L | L | Default |
| 2091 | General | N.A. | L | L | Default |
| 2092 | General | N.A. | L | L | Default |
| 2093 | General | N.A. | L | L | Default |
| 2094 | General | N.A. | L | L | Default |
| 2095 | General | N.A. | L | L | Default |
| 2096 | General | N.A. | L | L | Default |
| 2097 | General | N.A. | L | L | Default |
| 2098 | General | N.A. | L | L | Default |
| 2099 | General | N.A. | L | L | Default |
| 2100 | General | N.A. | L | L | Default |
| 2101 | General | N.A. | L | L | Default |
| 2102 | General | N.A. | L | L | Default |
| 2103 | General | N.A. | L | L | Default |
| 2104 | General | N.A. | L | L | Default |
| 2105 | General | N.A. | L | L | Default |
| 2106 | General | N.A. | L | L | Default |
| 2107 | General | N.A. | L | L | Default |
| 2108 | General | N.A. | L | L | Default |
| 2109 | General | N.A. | L | L | Default |
| 2110 | General | N.A. | L | L | Default |
| 2111 | General | N.A. | L | L | Default |
| 2112 | General | N.A. | L | L | Default |
| 2113 | General | N.A. | L | L | Default |
| 2114 | General | N.A. | L | L | Default |
| 2115 | General | N.A. | L | L | Default |
| 2116 | General | N.A. | L | L | Default |
| 2117 | General | N.A. | L | L | Default |
| 2118 | General | N.A. | L | L | Default |
| 2119 | General | N.A. | L | L | Default |
| 2120 | General | N.A. | L | L | Default |
| 2121 | General | N.A. | L | L | Default |
| 2122 | General | N.A. | L | L | Default |
| 2123 | General | N.A. | L | L | Default |
| 2124 | General | N.A. | L | L | Default |
| 2125 | General | N.A. | L | L | Default |
| 2126 | General | N.A. | L | L | Default |
| 2127 | General | N.A. | L | L | Default |
| 2128 | General | N.A. | L | L | Default |
| 2129 | General | N.A. | L | L | Default |
| 2130 | General | N.A. | L | L | Default |
| 2131 | General | N.A. | L | L | Default |
| 2132 | General | N.A. | L | L | Default |
| 2133 | General | N.A. | L | L | Default |
| 2134 | General | N.A. | L | L | Default |
| 2135 | General | N.A. | L | L | Default |
| 2136 | General | N.A. | L | L | Default |
| 2137 | General | N.A. | L | L | Default |
| 2138 | General | N.A. | L | L | Default |
| 2139 | General | N.A. | L | L | Default |
| 2140 | General | N.A. | L | L | Default |
| 2141 | General | N.A. | L | L | Default |
| 2142 | General | N.A. | L | L | Default |
| 2143 | General | N.A. | L | L | Default |
| 2144 | General | N.A. | L | L | Default |
| 2145 | General | N.A. | L | L | Default |
| 2146 | General | N.A. | L | L | Default |
| 2147 | General | N.A. | L | L | Default |
| 2148 | General | N.A. | L | L | Default |
| 2149 | General | N.A. | L | L | Default |
| 2150 | General | N.A. | L | L | Default |
| 2151 | General | N.A. | L | L | Default |
| 2152 | General | N.A. | L | L | Default |
| 2153 | General | N.A. | L | L | Default |
| 2154 | General | N.A. | L | L | Default |
| 2155 | General | N.A. | L | L | Default |
| 2156 | General | N.A. | L | L | Default |
| 2157 | General | N.A. | L | L | Default |
| 2158 | General | N.A. | L | L | Default |
| 2159 | General | N.A. | L | L | Default |
| 2160 | General | N.A. | L | L | Default |
| 2161 | General | N.A. | L | L | Default |
| 2162 | General | N.A. | L | L | Default |





| Frame | SectionType | AutoSelect | AnalSect | DesignSect | MatProp |
|---|---|---|---|---|---|
| Text | Text | Text | Text | Text | Text |
| 2163 | General | N.A. | L | L | Default |
| 2164 | General | N.A. | L | L | Default |
| 2165 | General | N.A. | L | L | Default |
| 2166 | General | N.A. | L | L | Default |
| 2167 | General | N.A. | L | L | Default |
| 2168 | General | N.A. | L | L | Default |
| 2169 | General | N.A. | L | L | Default |
| 2170 | General | N.A. | L | L | Default |
| 2171 | General | N.A. | L | L | Default |
| 2172 | General | N.A. | L | L | Default |
| 2173 | General | N.A. | L | L | Default |
| 2174 | General | N.A. | L | L | Default |
| 2175 | General | N.A. | L | L | Default |
| 2176 | General | N.A. | L | L | Default |
| 2177 | General | N.A. | L | L | Default |
| 2178 | General | N.A. | L | L | Default |
| 2179 | General | N.A. | L | L | Default |
| 2180 | General | N.A. | L | L | Default |
| 2181 | General | N.A. | L | L | Default |
| 2182 | General | N.A. | L | L | Default |
| 2183 | General | N.A. | L | L | Default |
| 2184 | General | N.A. | L | L | Default |
| 2185 | General | N.A. | L | L | Default |
| 2186 | General | N.A. | L | L | Default |
| 2187 | General | N.A. | L | L | Default |
| 2188 | General | N.A. | L | L | Default |
| 2189 | General | N.A. | L | L | Default |
| 2190 | General | N.A. | L | L | Default |
| 2191 | General | N.A. | L | L | Default |
| 2192 | General | N.A. | L | L | Default |
| 2193 | General | N.A. | L | L | Default |
| 2194 | General | N.A. | L | L | Default |
| 2195 | General | N.A. | L | L | Default |
| 2196 | General | N.A. | L | L | Default |
| 2197 | General | N.A. | L | L | Default |
| 2198 | General | N.A. | L | L | Default |
| 2199 | General | N.A. | L | L | Default |
| 2200 | General | N.A. | L | L | Default |
| 2201 | General | N.A. | L | L | Default |
| 2202 | General | N.A. | L | L | Default |
| 2203 | General | N.A. | L | L | Default |
| 2204 | General | N.A. | L | L | Default |
| 2205 | General | N.A. | L | L | Default |
| 2206 | General | N.A. | L | L | Default |
| 2207 | General | N.A. | L | L | Default |
| 2208 | General | N.A. | L | L | Default |
| 2209 | General | N.A. | L | L | Default |
| 2210 | General | N.A. | L | L | Default |
| 2211 | General | N.A. | L | L | Default |
| 2212 | General | N.A. | L | L | Default |
| 2213 | General | N.A. | L | L | Default |
| 2214 | General | N.A. | L | L | Default |
| 2215 | General | N.A. | L | L | Default |
| 2216 | General | N.A. | L | L | Default |
| 2217 | General | N.A. | L | L | Default |
| 2218 | General | N.A. | L | L | Default |
| 2219 | General | N.A. | L | L | Default |
| 2220 | General | N.A. | L | L | Default |
| 2221 | General | N.A. | L | L | Default |
| 2222 | General | N.A. | L | L | Default |
| 2223 | General | N.A. | L | L | Default |
| 2224 | General | N.A. | L | L | Default |
| 2225 | General | N.A. | L | L | Default |
| 2226 | General | N.A. | L | L | Default |
| 2227 | General | N.A. | L | L | Default |
| 2228 | General | N.A. | L | L | Default |
| 2229 | General | N.A. | L | L | Default |
| 2230 | General | N.A. | L | L | Default |
| 2231 | General | N.A. | L | L | Default |
| 2232 | General | N.A. | L | L | Default |
| 2233 | General | N.A. | L | L | Default |
| 2234 | General | N.A. | L | L | Default |
| 2235 | General | N.A. | L | L | Default |
| 2236 | General | N.A. | L | L | Default |
| 2237 | General | N.A. | L | L | Default |
| 2238 | General | N.A. | L | L | Default |
| 2239 | General | N.A. | L | L | Default |
| 2240 | General | N.A. | L | L | Default |
| 2241 | General | N.A. | L | L | Default |
| 2242 | General | N.A. | L | L | Default |
| 2243 | General | N.A. | L | L | Default |
| 2244 | General | N.A. | L | L | Default |
| 2245 | General | N.A. | L | L | Default |
| 2246 | General | N.A. | L | L | Default |
| 2247 | General | N.A. | L | L | Default |
| 2248 | General | N.A. | L | L | Default |
| 2249 | General | N.A. | L | L | Default |
| 2250 | General | N.A. | L | L | Default |
| 2251 | General | N.A. | L | L | Default |
| 2252 | General | N.A. | L | L | Default |
| 2253 | General | N.A. | L | L | Default |

| Frame | SectionType | AutoSelect | AnalSect | DesignSect | MatProp |
|---|---|---|---|---|---|
| Text | Text | Text | Text | Text | Text |
| 2254 | General | N.A. | L | L | Default |
| 2255 | General | N.A. | L | L | Default |
| 2256 | General | N.A. | L | L | Default |
| 2257 | General | N.A. | L | L | Default |
| 2258 | General | N.A. | L | L | Default |
| 2259 | General | N.A. | L | L | Default |
| 2260 | General | N.A. | L | L | Default |
| 2261 | General | N.A. | L | L | Default |
| 2262 | General | N.A. | L | L | Default |
| 2263 | General | N.A. | L | L | Default |
| 2264 | General | N.A. | L | L | Default |
| 2265 | General | N.A. | L | L | Default |
| 2266 | General | N.A. | L | L | Default |
| 2267 | General | N.A. | L | L | Default |
| 2268 | General | N.A. | L | L | Default |
| 2269 | General | N.A. | L | L | Default |
| 2270 | General | N.A. | L | L | Default |
| 2271 | General | N.A. | L | L | Default |
| 2272 | General | N.A. | L | L | Default |
| 2273 | General | N.A. | L | L | Default |
| 2274 | General | N.A. | L | L | Default |
| 2275 | General | N.A. | L | L | Default |
| 2276 | General | N.A. | L | L | Default |
| 2277 | General | N.A. | L | L | Default |
| 2278 | General | N.A. | L | L | Default |
| 2279 | General | N.A. | L | L | Default |
| 2280 | General | N.A. | L | L | Default |
| 2281 | General | N.A. | L | L | Default |
| 2282 | General | N.A. | L | L | Default |
| 2283 | General | N.A. | L | L | Default |
| 2284 | General | N.A. | L | L | Default |
| 2285 | General | N.A. | L | L | Default |
| 2286 | General | N.A. | L | L | Default |
| 2287 | General | N.A. | L | L | Default |
| 2288 | General | N.A. | L | L | Default |
| 2289 | General | N.A. | L | L | Default |
| 2290 | General | N.A. | L | L | Default |
| 2291 | General | N.A. | L | L | Default |
| 2292 | General | N.A. | L | L | Default |
| 2293 | General | N.A. | L | L | Default |
| 2294 | General | N.A. | L | L | Default |
| 2295 | General | N.A. | L | L | Default |
| 2296 | General | N.A. | L | L | Default |
| 2297 | General | N.A. | L | L | Default |
| 2298 | General | N.A. | L | L | Default |
| 2299 | General | N.A. | L | L | Default |
| 2300 | General | N.A. | L | L | Default |
| 2301 | General | N.A. | L | L | Default |
| 2302 | General | N.A. | L | L | Default |
| 2303 | General | N.A. | L | L | Default |
| 2304 | General | N.A. | L | L | Default |
| 2305 | General | N.A. | L | L | Default |
| 2306 | General | N.A. | L | L | Default |
| 2307 | General | N.A. | L | L | Default |
| 2308 | General | N.A. | L | L | Default |
| 2309 | General | N.A. | L | L | Default |
| 2310 | General | N.A. | L | L | Default |
| 2311 | General | N.A. | L | L | Default |
| 2312 | General | N.A. | L | L | Default |
| 2313 | General | N.A. | L | L | Default |
| 2314 | General | N.A. | L | L | Default |
| 2315 | General | N.A. | L | L | Default |
| 2316 | General | N.A. | L | L | Default |
| 2317 | General | N.A. | L | L | Default |
| 2318 | General | N.A. | L | L | Default |
| 2319 | General | N.A. | L | L | Default |
| 2320 | General | N.A. | L | L | Default |
| 2321 | General | N.A. | L | L | Default |
| 2322 | General | N.A. | L | L | Default |
| 2323 | General | N.A. | L | L | Default |
| 2324 | General | N.A. | L | L | Default |
| 2325 | General | N.A. | L | L | Default |
| 2326 | General | N.A. | L | L | Default |
| 2327 | General | N.A. | L | L | Default |
| 2328 | General | N.A. | L | L | Default |
| 2329 | General | N.A. | L | L | Default |
| 2330 | General | N.A. | L | L | Default |
| 2331 | General | N.A. | L | L | Default |
| 2332 | General | N.A. | L | L | Default |
| 2333 | General | N.A. | L | L | Default |
| 2334 | General | N.A. | L | L | Default |
| 2335 | General | N.A. | L | L | Default |
| 2336 | General | N.A. | L | L | Default |
| 2337 | General | N.A. | L | L | Default |
| 2338 | General | N.A. | L | L | Default |
| 2339 | General | N.A. | L | L | Default |
| 2340 | General | N.A. | L | L | Default |
| 2341 | General | N.A. | L | L | Default |
| 2342 | General | N.A. | L | L | Default |
| 2343 | General | N.A. | L | L | Default |
| 2344 | General | N.A. | L | L | Default |





| Frame | SectionType | AutoSelect | AnalSect | DesignSect | MatProp |
|---|---|---|---|---|---|
| Text | Text | Text | Text | Text | Text |
| 2345 | General | N.A. | L | L | Default |
| 2346 | General | N.A. | L | L | Default |
| 2347 | General | N.A. | L | L | Default |
| 2348 | General | N.A. | L | L | Default |
| 2349 | General | N.A. | L | L | Default |
| 2350 | General | N.A. | L | L | Default |
| 2351 | General | N.A. | L | L | Default |
| 2352 | General | N.A. | L | L | Default |
| 2353 | General | N.A. | L | L | Default |
| 2354 | General | N.A. | L | L | Default |
| 2355 | General | N.A. | L | L | Default |
| 2356 | General | N.A. | L | L | Default |
| 2357 | General | N.A. | L | L | Default |
| 2358 | General | N.A. | L | L | Default |
| 2359 | General | N.A. | L | L | Default |
| 2360 | General | N.A. | L | L | Default |
| 2361 | General | N.A. | L | L | Default |
| 2362 | General | N.A. | L | L | Default |
| 2363 | General | N.A. | L | L | Default |
| 2364 | General | N.A. | L | L | Default |
| 2365 | General | N.A. | L | L | Default |
| 2366 | General | N.A. | L | L | Default |
| 2367 | General | N.A. | L | L | Default |
| 2368 | General | N.A. | L | L | Default |
| 2369 | General | N.A. | L | L | Default |
| 2370 | General | N.A. | L | L | Default |
| 2371 | General | N.A. | L | L | Default |
| 2372 | General | N.A. | L | L | Default |
| 2373 | General | N.A. | L | L | Default |
| 2374 | General | N.A. | L | L | Default |
| 2375 | General | N.A. | L | L | Default |
| 2376 | General | N.A. | L | L | Default |
| 2377 | General | N.A. | L | L | Default |
| 2378 | General | N.A. | L | L | Default |
| 2379 | General | N.A. | L | L | Default |
| 2380 | General | N.A. | L | L | Default |
| 2381 | General | N.A. | L | L | Default |
| 2382 | General | N.A. | L | L | Default |
| 2383 | General | N.A. | L | L | Default |
| 2384 | General | N.A. | L | L | Default |
| 2385 | General | N.A. | L | L | Default |
| 2386 | General | N.A. | L | L | Default |
| 2387 | General | N.A. | L | L | Default |
| 2388 | General | N.A. | L | L | Default |
| 2389 | General | N.A. | L | L | Default |
| 2390 | General | N.A. | L | L | Default |
| 2391 | General | N.A. | L | L | Default |
| 2392 | General | N.A. | L | L | Default |
| 2393 | General | N.A. | L | L | Default |
| 2394 | General | N.A. | L | L | Default |
| 2395 | General | N.A. | L | L | Default |
| 2396 | General | N.A. | L | L | Default |
| 2397 | General | N.A. | L | L | Default |
| 2398 | General | N.A. | L | L | Default |
| 2399 | General | N.A. | L | L | Default |
| 2400 | General | N.A. | L | L | Default |
| 2401 | General | N.A. | L | L | Default |
| 2402 | General | N.A. | L | L | Default |
| 2403 | General | N.A. | L | L | Default |
| 2404 | General | N.A. | L | L | Default |
| 2405 | General | N.A. | L | L | Default |
| 2406 | General | N.A. | L | L | Default |
| 2407 | General | N.A. | L | L | Default |
| 2408 | General | N.A. | L | L | Default |
| 2409 | General | N.A. | L | L | Default |
| 2410 | General | N.A. | L | L | Default |
| 2411 | General | N.A. | L | L | Default |
| 2412 | General | N.A. | L | L | Default |
| 2413 | General | N.A. | L | L | Default |
| 2414 | General | N.A. | L | L | Default |
| 2415 | General | N.A. | L | L | Default |
| 2416 | General | N.A. | L | L | Default |
| 2417 | General | N.A. | L | L | Default |
| 2418 | General | N.A. | L | L | Default |
| 2419 | General | N.A. | L | L | Default |
| 2420 | General | N.A. | L | L | Default |
| 2421 | General | N.A. | L | L | Default |
| 2422 | General | N.A. | L | L | Default |
| 2423 | General | N.A. | L | L | Default |
| 2424 | General | N.A. | L | L | Default |
| 2425 | General | N.A. | L | L | Default |
| 2426 | General | N.A. | L | L | Default |
| 2427 | General | N.A. | L | L | Default |
| 2428 | General | N.A. | L | L | Default |
| 2429 | General | N.A. | L | L | Default |
| 2430 | General | N.A. | L | L | Default |
| 2431 | General | N.A. | L | L | Default |
| 2432 | General | N.A. | L | L | Default |
| 2433 | General | N.A. | L | L | Default |
| 2434 | General | N.A. | L | L | Default |
| 2435 | General | N.A. | L | L | Default |

| Frame | SectionType | AutoSelect | AnalSect | DesignSect | MatProp |
|---|---|---|---|---|---|
| Text | Text | Text | Text | Text | Text |
| 2436 | General | N.A. | L | L | Default |
| 2437 | General | N.A. | L | L | Default |
| 2438 | General | N.A. | L | L | Default |
| 2439 | General | N.A. | L | L | Default |
| 2440 | General | N.A. | L | L | Default |
| 2441 | General | N.A. | L | L | Default |
| 2442 | General | N.A. | L | L | Default |
| 2443 | General | N.A. | L | L | Default |
| 2444 | General | N.A. | L | L | Default |
| 2445 | General | N.A. | L | L | Default |
| 2446 | General | N.A. | L | L | Default |
| 2447 | General | N.A. | L | L | Default |
| 2448 | General | N.A. | L | L | Default |
| 2449 | General | N.A. | L | L | Default |
| 2450 | General | N.A. | L | L | Default |
| 2451 | General | N.A. | L | L | Default |
| 2452 | General | N.A. | L | L | Default |
| 2453 | General | N.A. | L | L | Default |
| 2454 | General | N.A. | L | L | Default |
| 2455 | General | N.A. | L | L | Default |
| 2456 | General | N.A. | L | L | Default |
| 2457 | General | N.A. | L | L | Default |
| 2458 | General | N.A. | L | L | Default |
| 2459 | General | N.A. | L | L | Default |
| 2460 | General | N.A. | L | L | Default |
| 2461 | General | N.A. | L | L | Default |
| 2462 | General | N.A. | L | L | Default |
| 2463 | General | N.A. | L | L | Default |
| 2464 | General | N.A. | L | L | Default |
| 2465 | General | N.A. | L | L | Default |
| 2466 | General | N.A. | L | L | Default |
| 2467 | General | N.A. | L | L | Default |
| 2468 | General | N.A. | L | L | Default |
| 2469 | General | N.A. | L | L | Default |
| 2470 | General | N.A. | L | L | Default |
| 2471 | General | N.A. | L | L | Default |
| 2472 | General | N.A. | L | L | Default |
| 2473 | General | N.A. | L | L | Default |
| 2474 | General | N.A. | L | L | Default |
| 2475 | General | N.A. | L | L | Default |
| 2476 | General | N.A. | L | L | Default |
| 2477 | General | N.A. | L | L | Default |
| 2478 | General | N.A. | L | L | Default |
| 2479 | General | N.A. | L | L | Default |
| 2480 | General | N.A. | L | L | Default |
| 2481 | General | N.A. | L | L | Default |
| 2482 | General | N.A. | L | L | Default |
| 2483 | General | N.A. | L | L | Default |
| 2484 | General | N.A. | L | L | Default |
| 2485 | General | N.A. | L | L | Default |
| 2486 | General | N.A. | L | L | Default |
| 2487 | General | N.A. | L | L | Default |
| 2488 | General | N.A. | L | L | Default |
| 2489 | General | N.A. | L | L | Default |
| 2490 | General | N.A. | L | L | Default |
| 2491 | General | N.A. | L | L | Default |
| 2492 | General | N.A. | L | L | Default |
| 2493 | General | N.A. | L | L | Default |
| 2494 | General | N.A. | L | L | Default |
| 2495 | General | N.A. | L | L | Default |
| 2496 | General | N.A. | L | L | Default |
| 2497 | General | N.A. | L | L | Default |
| 2498 | General | N.A. | L | L | Default |
| 2499 | General | N.A. | L | L | Default |
| 2500 | General | N.A. | L | L | Default |
| 2501 | General | N.A. | L | L | Default |
| 2502 | General | N.A. | L | L | Default |
| 2503 | General | N.A. | L | L | Default |
| 2504 | General | N.A. | L | L | Default |
| 2505 | General | N.A. | L | L | Default |
| 2506 | General | N.A. | L | L | Default |
| 2507 | General | N.A. | L | L | Default |
| 2508 | General | N.A. | L | L | Default |
| 2509 | General | N.A. | L | L | Default |
| 2510 | General | N.A. | L | L | Default |
| 2511 | General | N.A. | L | L | Default |
| 2512 | General | N.A. | L | L | Default |
| 2513 | General | N.A. | L | L | Default |
| 2514 | General | N.A. | L | L | Default |
| 2515 | General | N.A. | L | L | Default |
| 2516 | General | N.A. | L | L | Default |
| 2517 | General | N.A. | L | L | Default |
| 2518 | General | N.A. | L | L | Default |
| 2519 | General | N.A. | L | L | Default |
| 2520 | General | N.A. | L | L | Default |
| 2521 | General | N.A. | L | L | Default |
| 2522 | General | N.A. | L | L | Default |
| 2523 | General | N.A. | L | L | Default |
| 2524 | General | N.A. | L | L | Default |
| 2525 | General | N.A. | L | L | Default |
| 2526 | General | N.A. | L | L | Default |





| Frame | SectionType | AutoSelect | AnalSect | DesignSect | MatProp |
|---|---|---|---|---|---|
| Text | Text | Text | Text | Text | Text |
| 2527 | General | N.A. | L | L | Default |
| 2528 | General | N.A. | L | L | Default |
| 2529 | General | N.A. | L | L | Default |
| 2530 | General | N.A. | L | L | Default |
| 2531 | General | N.A. | L | L | Default |
| 2532 | General | N.A. | L | L | Default |
| 2533 | General | N.A. | L | L | Default |
| 2534 | General | N.A. | L | L | Default |
| 2535 | General | N.A. | L | L | Default |
| 2536 | General | N.A. | L | L | Default |
| 2537 | General | N.A. | L | L | Default |
| 2538 | General | N.A. | L | L | Default |
| 2539 | General | N.A. | L | L | Default |
| 2540 | General | N.A. | L | L | Default |
| 2541 | General | N.A. | L | L | Default |
| 2542 | General | N.A. | L | L | Default |
| 2543 | General | N.A. | L | L | Default |
| 2544 | General | N.A. | L | L | Default |
| 2545 | General | N.A. | L | L | Default |
| 2546 | General | N.A. | L | L | Default |
| 2547 | General | N.A. | L | L | Default |
| 2548 | General | N.A. | L | L | Default |
| 2549 | General | N.A. | L | L | Default |
| 2550 | General | N.A. | L | L | Default |
| 2551 | General | N.A. | L | L | Default |
| 2552 | General | N.A. | L | L | Default |
| 2553 | General | N.A. | L | L | Default |
| 2554 | General | N.A. | L | L | Default |
| 2555 | General | N.A. | L | L | Default |
| 2556 | General | N.A. | L | L | Default |
| 2557 | General | N.A. | L | L | Default |
| 2558 | General | N.A. | L | L | Default |
| 2559 | General | N.A. | L | L | Default |
| 2560 | General | N.A. | L | L | Default |
| 2561 | General | N.A. | L | L | Default |
| 2562 | General | N.A. | L | L | Default |
| 2563 | General | N.A. | L | L | Default |
| 2564 | General | N.A. | L | L | Default |
| 2565 | General | N.A. | L | L | Default |
| 2566 | General | N.A. | L | L | Default |
| 2567 | General | N.A. | L | L | Default |
| 2568 | General | N.A. | L | L | Default |
| 2569 | General | N.A. | L | L | Default |
| 2570 | General | N.A. | L | L | Default |
| 2571 | General | N.A. | L | L | Default |
| 2572 | General | N.A. | L | L | Default |
| 2573 | General | N.A. | L | L | Default |
| 2574 | General | N.A. | L | L | Default |
| 2575 | General | N.A. | L | L | Default |
| 2576 | General | N.A. | L | L | Default |
| 2577 | General | N.A. | L | L | Default |
| 2578 | General | N.A. | L | L | Default |
| 2579 | General | N.A. | L | L | Default |
| 2580 | General | N.A. | L | L | Default |
| 2581 | General | N.A. | L | L | Default |
| 2582 | General | N.A. | L | L | Default |
| 2583 | General | N.A. | L | L | Default |
| 2584 | General | N.A. | L | L | Default |
| 2585 | General | N.A. | L | L | Default |
| 2586 | General | N.A. | L | L | Default |
| 2587 | General | N.A. | L | L | Default |
| 2588 | General | N.A. | L | L | Default |
| 2589 | General | N.A. | L | L | Default |
| 2590 | General | N.A. | L | L | Default |
| 2591 | General | N.A. | L | L | Default |
| 2592 | General | N.A. | L | L | Default |
| 2593 | General | N.A. | L | L | Default |
| 2594 | General | N.A. | L | L | Default |
| 2595 | General | N.A. | L | L | Default |
| 2596 | General | N.A. | L | L | Default |
| 2597 | General | N.A. | L | L | Default |
| 2598 | General | N.A. | L | L | Default |
| 2599 | General | N.A. | L | L | Default |
| 2600 | General | N.A. | L | L | Default |
| 2601 | General | N.A. | L | L | Default |
| 2602 | General | N.A. | L | L | Default |
| 2603 | General | N.A. | L | L | Default |
| 2604 | General | N.A. | L | L | Default |
| 2605 | General | N.A. | L | L | Default |
| 2606 | General | N.A. | L | L | Default |
| 2607 | General | N.A. | L | L | Default |
| 2608 | General | N.A. | L | L | Default |
| 2609 | General | N.A. | L | L | Default |
| 2610 | General | N.A. | L | L | Default |
| 2611 | General | N.A. | L | L | Default |
| 2612 | General | N.A. | L | L | Default |
| 2613 | General | N.A. | L | L | Default |
| 2614 | General | N.A. | L | L | Default |
| 2615 | General | N.A. | L | L | Default |
| 2616 | General | N.A. | L | L | Default |
| 2617 | General | N.A. | L | L | Default |

| Frame | SectionType | AutoSelect | AnalSect | DesignSect | MatProp |
|---|---|---|---|---|---|
| Text | Text | Text | Text | Text | Text |
| 2618 | General | N.A. | L | L | Default |
| 2619 | General | N.A. | L | L | Default |
| 2620 | General | N.A. | L | L | Default |
| 2621 | General | N.A. | L | L | Default |
| 2622 | General | N.A. | L | L | Default |
| 2623 | General | N.A. | L | L | Default |
| 2624 | General | N.A. | L | L | Default |
| 2625 | General | N.A. | L | L | Default |
| 2626 | General | N.A. | L | L | Default |
| 2627 | General | N.A. | L | L | Default |
| 2628 | General | N.A. | L | L | Default |
| 2629 | General | N.A. | L | L | Default |
| 2630 | General | N.A. | L | L | Default |
| 2631 | General | N.A. | L | L | Default |
| 2632 | General | N.A. | L | L | Default |
| 2633 | General | N.A. | L | L | Default |
| 2634 | General | N.A. | L | L | Default |
| 2635 | General | N.A. | L | L | Default |
| 2636 | General | N.A. | L | L | Default |
| 2637 | General | N.A. | L | L | Default |
| 2638 | General | N.A. | L | L | Default |
| 2639 | General | N.A. | L | L | Default |
| 2640 | General | N.A. | L | L | Default |
| 2641 | General | N.A. | L | L | Default |
| 2642 | General | N.A. | L | L | Default |
| 2643 | General | N.A. | L | L | Default |
| 2644 | General | N.A. | L | L | Default |
| 2645 | General | N.A. | L | L | Default |
| 2646 | General | N.A. | L | L | Default |
| 2647 | General | N.A. | L | L | Default |
| 2648 | General | N.A. | L | L | Default |
| 2649 | General | N.A. | L | L | Default |
| 2650 | General | N.A. | L | L | Default |
| 2651 | General | N.A. | L | L | Default |
| 2652 | General | N.A. | L | L | Default |
| 2653 | General | N.A. | L | L | Default |
| 2654 | General | N.A. | L | L | Default |
| 2655 | General | N.A. | L | L | Default |
| 2656 | General | N.A. | L | L | Default |
| 2657 | General | N.A. | L | L | Default |
| 2658 | General | N.A. | L | L | Default |
| 2659 | General | N.A. | L | L | Default |
| 2660 | General | N.A. | L | L | Default |
| 2661 | General | N.A. | L | L | Default |
| 2662 | General | N.A. | L | L | Default |
| 2663 | General | N.A. | L | L | Default |
| 2664 | General | N.A. | L | L | Default |
| 2665 | General | N.A. | L | L | Default |
| 2666 | General | N.A. | L | L | Default |
| 2667 | General | N.A. | L | L | Default |
| 2668 | General | N.A. | L | L | Default |
| 2669 | General | N.A. | L | L | Default |
| 2670 | General | N.A. | L | L | Default |
| 2671 | General | N.A. | L | L | Default |
| 2672 | General | N.A. | L | L | Default |
| 2673 | General | N.A. | L | L | Default |
| 2674 | General | N.A. | L | L | Default |
| 2675 | General | N.A. | L | L | Default |
| 2676 | General | N.A. | L | L | Default |
| 2677 | General | N.A. | L | L | Default |
| 2678 | General | N.A. | L | L | Default |
| 2679 | General | N.A. | L | L | Default |
| 2680 | General | N.A. | L | L | Default |
| 2681 | General | N.A. | L | L | Default |
| 2682 | General | N.A. | L | L | Default |
| 2683 | General | N.A. | L | L | Default |
| 2684 | General | N.A. | L | L | Default |
| 2685 | General | N.A. | L | L | Default |
| 2686 | General | N.A. | L | L | Default |
| 2687 | General | N.A. | L | L | Default |
| 2688 | General | N.A. | L | L | Default |
| 2689 | General | N.A. | L | L | Default |
| 2690 | General | N.A. | L | L | Default |
| 2691 | General | N.A. | L | L | Default |
| 2692 | General | N.A. | L | L | Default |
| 2693 | General | N.A. | L | L | Default |
| 2694 | General | N.A. | L | L | Default |
| 2695 | General | N.A. | L | L | Default |
| 2696 | General | N.A. | L | L | Default |
| 2697 | General | N.A. | L | L | Default |
| 2698 | General | N.A. | L | L | Default |
| 2699 | General | N.A. | L | L | Default |
| 2700 | General | N.A. | L | L | Default |
| 2701 | General | N.A. | L | L | Default |
| 2702 | General | N.A. | L | L | Default |
| 2703 | General | N.A. | L | L | Default |
| 2704 | General | N.A. | L | L | Default |
| 2705 | General | N.A. | L | L | Default |
| 2706 | General | N.A. | L | L | Default |
| 2707 | General | N.A. | L | L | Default |
| 2708 | General | N.A. | L | L | Default |





| Frame | SectionType | AutoSelect | AnalSect | DesignSect | MatProp |
|---|---|---|---|---|---|
| Text | Text | Text | Text | Text | Text |
| 2709 | General | N.A. | L | L | Default |
| 2710 | General | N.A. | L | L | Default |
| 2711 | General | N.A. | L | L | Default |
| 2712 | General | N.A. | L | L | Default |
| 2713 | General | N.A. | L | L | Default |
| 2714 | General | N.A. | L | L | Default |
| 2715 | General | N.A. | L | L | Default |
| 2716 | General | N.A. | L | L | Default |
| 2717 | General | N.A. | L | L | Default |
| 2718 | General | N.A. | L | L | Default |
| 2719 | General | N.A. | L | L | Default |
| 2720 | General | N.A. | L | L | Default |
| 2721 | General | N.A. | L | L | Default |
| 2722 | General | N.A. | L | L | Default |
| 2723 | General | N.A. | L | L | Default |
| 2724 | General | N.A. | L | L | Default |
| 2725 | General | N.A. | L | L | Default |
| 2726 | General | N.A. | L | L | Default |
| 2727 | General | N.A. | L | L | Default |
| 2728 | General | N.A. | L | L | Default |
| 2729 | General | N.A. | L | L | Default |
| 2730 | General | N.A. | L | L | Default |
| 2731 | General | N.A. | L | L | Default |
| 2732 | General | N.A. | L | L | Default |
| 2733 | General | N.A. | L | L | Default |
| 2734 | General | N.A. | L | L | Default |
| 2735 | General | N.A. | L | L | Default |
| 2736 | General | N.A. | L | L | Default |
| 2737 | General | N.A. | L | L | Default |
| 2738 | General | N.A. | L | L | Default |
| 2739 | General | N.A. | L | L | Default |
| 2740 | General | N.A. | L | L | Default |
| 2741 | General | N.A. | L | L | Default |
| 2742 | General | N.A. | L | L | Default |
| 2743 | General | N.A. | L | L | Default |
| 2744 | General | N.A. | L | L | Default |
| 2745 | General | N.A. | L | L | Default |
| 2746 | General | N.A. | L | L | Default |
| 2747 | General | N.A. | L | L | Default |
| 2748 | General | N.A. | L | L | Default |
| 2749 | General | N.A. | L | L | Default |
| 2750 | General | N.A. | L | L | Default |
| 2751 | General | N.A. | L | L | Default |
| 2752 | General | N.A. | L | L | Default |
| 2753 | General | N.A. | L | L | Default |
| 2754 | General | N.A. | L | L | Default |
| 2755 | General | N.A. | L | L | Default |
| 2756 | General | N.A. | L | L | Default |
| 2757 | General | N.A. | L | L | Default |
| 2758 | General | N.A. | L | L | Default |
| 2759 | General | N.A. | L | L | Default |
| 2760 | General | N.A. | L | L | Default |
| 2761 | General | N.A. | L | L | Default |
| 2762 | General | N.A. | L | L | Default |
| 2763 | General | N.A. | L | L | Default |
| 2764 | General | N.A. | L | L | Default |
| 2765 | General | N.A. | L | L | Default |
| 2766 | General | N.A. | L | L | Default |
| 2767 | General | N.A. | L | L | Default |
| 2768 | General | N.A. | L | L | Default |
| 2769 | General | N.A. | L | L | Default |
| 2770 | General | N.A. | L | L | Default |
| 2771 | General | N.A. | L | L | Default |
| 2772 | General | N.A. | L | L | Default |
| 2773 | General | N.A. | L | L | Default |
| 2774 | General | N.A. | L | L | Default |
| 2775 | General | N.A. | L | L | Default |
| 2776 | General | N.A. | L | L | Default |
| 2777 | General | N.A. | L | L | Default |
| 2778 | General | N.A. | L | L | Default |
| 2779 | General | N.A. | L | L | Default |
| 2780 | General | N.A. | L | L | Default |
| 2781 | General | N.A. | L | L | Default |
| 2782 | General | N.A. | L | L | Default |
| 2783 | General | N.A. | L | L | Default |
| 2784 | General | N.A. | L | L | Default |
| 2785 | General | N.A. | L | L | Default |
| 2786 | General | N.A. | L | L | Default |
| 2787 | General | N.A. | L | L | Default |
| 2788 | General | N.A. | L | L | Default |
| 2789 | General | N.A. | L | L | Default |
| 2790 | General | N.A. | L | L | Default |
| 2791 | General | N.A. | L | L | Default |
| 2792 | General | N.A. | L | L | Default |
| 2793 | General | N.A. | L | L | Default |
| 2794 | General | N.A. | L | L | Default |
| 2795 | General | N.A. | L | L | Default |
| 2796 | General | N.A. | L | L | Default |
| 2797 | General | N.A. | L | L | Default |
| 2798 | General | N.A. | L | L | Default |
| 2799 | General | N.A. | L | L | Default |

| Frame | SectionType | AutoSelect | AnalSect | DesignSect | MatProp |
|---|---|---|---|---|---|
| Text | Text | Text | Text | Text | Text |
| 2800 | General | N.A. | L | L | Default |
| 2801 | General | N.A. | L | L | Default |
| 2802 | General | N.A. | L | L | Default |
| 2803 | General | N.A. | L | L | Default |
| 2804 | General | N.A. | L | L | Default |
| 2805 | General | N.A. | L | L | Default |
| 2806 | General | N.A. | L | L | Default |
| 2807 | General | N.A. | L | L | Default |
| 2808 | General | N.A. | L | L | Default |
| 2809 | General | N.A. | L | L | Default |
| 2810 | General | N.A. | L | L | Default |
| 2811 | General | N.A. | L | L | Default |
| 2812 | General | N.A. | L | L | Default |
| 2813 | General | N.A. | L | L | Default |
| 2814 | General | N.A. | L | L | Default |
| 2815 | General | N.A. | L | L | Default |
| 2816 | General | N.A. | L | L | Default |
| 2817 | General | N.A. | L | L | Default |
| 2818 | General | N.A. | L | L | Default |
| 2819 | General | N.A. | L | L | Default |
| 2820 | General | N.A. | L | L | Default |
| 2821 | General | N.A. | L | L | Default |
| 2822 | General | N.A. | L | L | Default |
| 2823 | General | N.A. | L | L | Default |
| 2824 | General | N.A. | L | L | Default |
| 2825 | General | N.A. | L | L | Default |
| 2826 | General | N.A. | L | L | Default |
| 2827 | General | N.A. | L | L | Default |
| 2828 | General | N.A. | L | L | Default |
| 2829 | General | N.A. | L | L | Default |
| 2830 | General | N.A. | L | L | Default |
| 2831 | General | N.A. | L | L | Default |
| 2832 | General | N.A. | L | L | Default |
| 2833 | General | N.A. | L | L | Default |
| 2834 | General | N.A. | L | L | Default |
| 2835 | General | N.A. | L | L | Default |
| 2836 | General | N.A. | L | L | Default |
| 2837 | General | N.A. | L | L | Default |
| 2838 | General | N.A. | L | L | Default |
| 2839 | General | N.A. | L | L | Default |
| 2840 | General | N.A. | L | L | Default |
| 2841 | General | N.A. | L | L | Default |
| 2842 | General | N.A. | L | L | Default |
| 2843 | General | N.A. | L | L | Default |
| 2844 | General | N.A. | L | L | Default |
| 2845 | General | N.A. | L | L | Default |
| 2846 | General | N.A. | L | L | Default |
| 2847 | General | N.A. | L | L | Default |
| 2848 | General | N.A. | L | L | Default |
| 2849 | General | N.A. | L | L | Default |
| 2850 | General | N.A. | L | L | Default |
| 2851 | General | N.A. | L | L | Default |
| 2852 | General | N.A. | L | L | Default |
| 2853 | General | N.A. | L | L | Default |
| 2854 | General | N.A. | L | L | Default |
| 2855 | General | N.A. | L | L | Default |
| 2856 | General | N.A. | L | L | Default |
| 2857 | General | N.A. | L | L | Default |
| 2858 | General | N.A. | L | L | Default |
| 2859 | General | N.A. | L | L | Default |
| 2860 | General | N.A. | L | L | Default |
| 2861 | General | N.A. | L | L | Default |
| 2862 | General | N.A. | L | L | Default |
| 2863 | General | N.A. | L | L | Default |
| 2864 | General | N.A. | L | L | Default |
| 2865 | General | N.A. | L | L | Default |
| 2866 | General | N.A. | L | L | Default |
| 2867 | General | N.A. | L | L | Default |
| 2868 | General | N.A. | L | L | Default |
| 2869 | General | N.A. | L | L | Default |
| 2870 | General | N.A. | L | L | Default |
| 2871 | General | N.A. | L | L | Default |
| 2872 | General | N.A. | L | L | Default |
| 2873 | General | N.A. | L | L | Default |
| 2874 | General | N.A. | L | L | Default |
| 2875 | General | N.A. | L | L | Default |
| 2876 | General | N.A. | L | L | Default |
| 2877 | General | N.A. | L | L | Default |
| 2878 | General | N.A. | L | L | Default |
| 2879 | General | N.A. | L | L | Default |
| 2880 | General | N.A. | L | L | Default |
| 2881 | General | N.A. | L | L | Default |
| 2882 | General | N.A. | L | L | Default |
| 2883 | General | N.A. | L | L | Default |
| 2884 | General | N.A. | L | L | Default |
| 2885 | General | N.A. | L | L | Default |
| 2886 | General | N.A. | L | L | Default |
| 2887 | General | N.A. | L | L | Default |
| 2888 | General | N.A. | L | L | Default |
| 2889 | General | N.A. | L | L | Default |
| 2890 | General | N.A. | L | L | Default |





| Frame | SectionType | AutoSelect | AnalSect | DesignSect | MatProp |
|---|---|---|---|---|---|
| Text | Text | Text | Text | Text | Text |
| 2891 | General | N.A. | L | L | Default |
| 2892 | General | N.A. | L | L | Default |
| 2893 | General | N.A. | L | L | Default |
| 2894 | General | N.A. | L | L | Default |
| 2895 | General | N.A. | L | L | Default |
| 2896 | General | N.A. | L | L | Default |
| 2897 | General | N.A. | L | L | Default |
| 2898 | General | N.A. | L | L | Default |
| 2899 | General | N.A. | L | L | Default |
| 2900 | General | N.A. | L | L | Default |
| 2901 | General | N.A. | L | L | Default |
| 2902 | General | N.A. | L | L | Default |
| 2903 | General | N.A. | L | L | Default |
| 2904 | General | N.A. | L | L | Default |
| 2905 | General | N.A. | L | L | Default |
| 2906 | General | N.A. | L | L | Default |
| 2907 | General | N.A. | L | L | Default |
| 2908 | General | N.A. | L | L | Default |
| 2909 | General | N.A. | L | L | Default |
| 2910 | General | N.A. | L | L | Default |
| 2911 | General | N.A. | L | L | Default |
| 2912 | General | N.A. | L | L | Default |
| 2913 | General | N.A. | L | L | Default |
| 2914 | General | N.A. | L | L | Default |
| 2915 | General | N.A. | L | L | Default |
| 2916 | General | N.A. | L | L | Default |
| 2917 | General | N.A. | L | L | Default |
| 2918 | General | N.A. | L | L | Default |
| 2919 | General | N.A. | L | L | Default |
| 2920 | General | N.A. | L | L | Default |
| 2921 | General | N.A. | L | L | Default |
| 2922 | General | N.A. | L | L | Default |
| 2923 | General | N.A. | L | L | Default |
| 2924 | General | N.A. | L | L | Default |
| 2925 | General | N.A. | L | L | Default |
| 2926 | General | N.A. | L | L | Default |
| 2927 | General | N.A. | L | L | Default |
| 2928 | General | N.A. | L | L | Default |
| 2929 | General | N.A. | L | L | Default |
| 2930 | General | N.A. | L | L | Default |
| 2931 | General | N.A. | L | L | Default |
| 2932 | General | N.A. | L | L | Default |
| 2933 | General | N.A. | L | L | Default |
| 2934 | General | N.A. | L | L | Default |
| 2935 | General | N.A. | L | L | Default |
| 2936 | General | N.A. | L | L | Default |
| 2937 | General | N.A. | L | L | Default |
| 2938 | General | N.A. | L | L | Default |
| 2939 | General | N.A. | L | L | Default |
| 2940 | General | N.A. | L | L | Default |
| 2941 | General | N.A. | L | L | Default |
| 2942 | General | N.A. | L | L | Default |
| 2943 | General | N.A. | L | L | Default |
| 2944 | General | N.A. | L | L | Default |
| 2945 | General | N.A. | L | L | Default |
| 2946 | General | N.A. | L | L | Default |
| 2947 | General | N.A. | L | L | Default |
| 2948 | General | N.A. | L | L | Default |
| 2949 | General | N.A. | L | L | Default |
| 2950 | General | N.A. | L | L | Default |
| 2951 | General | N.A. | L | L | Default |
| 2952 | General | N.A. | L | L | Default |
| 2953 | General | N.A. | L | L | Default |
| 2954 | General | N.A. | L | L | Default |
| 2955 | General | N.A. | L | L | Default |
| 2956 | General | N.A. | L | L | Default |
| 2957 | General | N.A. | L | L | Default |
| 2958 | General | N.A. | L | L | Default |
| 2959 | General | N.A. | L | L | Default |
| 2960 | General | N.A. | L | L | Default |
| 2961 | General | N.A. | L | L | Default |
| 2962 | General | N.A. | L | L | Default |
| 2963 | General | N.A. | L | L | Default |
| 2964 | General | N.A. | L | L | Default |
| 2965 | General | N.A. | L | L | Default |
| 2966 | General | N.A. | L | L | Default |
| 2967 | General | N.A. | L | L | Default |
| 2968 | General | N.A. | L | L | Default |
| 2969 | General | N.A. | L | L | Default |
| 2970 | General | N.A. | L | L | Default |
| 2971 | General | N.A. | L | L | Default |
| 2972 | General | N.A. | L | L | Default |
| 2973 | General | N.A. | L | L | Default |
| 2974 | General | N.A. | L | L | Default |
| 2975 | General | N.A. | L | L | Default |
| 2976 | General | N.A. | L | L | Default |
| 2977 | General | N.A. | L | L | Default |
| 2978 | General | N.A. | L | L | Default |
| 2979 | General | N.A. | L | L | Default |
| 2980 | General | N.A. | L | L | Default |
| 2981 | General | N.A. | L | L | Default |

| Frame | SectionType | AutoSelect | AnalSect | DesignSect | MatProp |
|---|---|---|---|---|---|
| Text | Text | Text | Text | Text | Text |
| 2982 | General | N.A. | L | L | Default |
| 2983 | General | N.A. | L | L | Default |
| 2984 | General | N.A. | L | L | Default |
| 2985 | General | N.A. | L | L | Default |
| 2986 | General | N.A. | L | L | Default |
| 2987 | General | N.A. | L | L | Default |
| 2988 | General | N.A. | L | L | Default |
| 2989 | General | N.A. | L | L | Default |
| 2990 | General | N.A. | L | L | Default |
| 2991 | General | N.A. | L | L | Default |
| 2992 | General | N.A. | L | L | Default |
| 2993 | General | N.A. | L | L | Default |
| 2994 | General | N.A. | L | L | Default |
| 2995 | General | N.A. | L | L | Default |
| 2996 | General | N.A. | L | L | Default |
| 2997 | General | N.A. | L | L | Default |
| 2998 | General | N.A. | L | L | Default |
| 2999 | General | N.A. | L | L | Default |
| 3000 | General | N.A. | L | L | Default |
| 3001 | General | N.A. | L | L | Default |
| 3002 | General | N.A. | L | L | Default |
| 3003 | General | N.A. | L | L | Default |
| 3004 | General | N.A. | L | L | Default |
| 3005 | General | N.A. | L | L | Default |
| 3006 | General | N.A. | L | L | Default |
| 3007 | General | N.A. | L | L | Default |
| 3008 | General | N.A. | L | L | Default |
| 3009 | General | N.A. | L | L | Default |
| 3010 | General | N.A. | L | L | Default |
| 3011 | General | N.A. | L | L | Default |
| 3012 | General | N.A. | L | L | Default |
| 3013 | General | N.A. | L | L | Default |
| 3014 | General | N.A. | L | L | Default |
| 3015 | General | N.A. | L | L | Default |
| 3016 | General | N.A. | L | L | Default |
| 3017 | General | N.A. | L | L | Default |
| 3018 | General | N.A. | L | L | Default |
| 3019 | General | N.A. | L | L | Default |
| 3020 | General | N.A. | L | L | Default |
| 3021 | General | N.A. | L | L | Default |
| 3022 | General | N.A. | L | L | Default |
| 3023 | General | N.A. | L | L | Default |
| 3024 | General | N.A. | L | L | Default |
| 3025 | General | N.A. | L | L | Default |
| 3026 | General | N.A. | L | L | Default |
| 3027 | General | N.A. | L | L | Default |
| 3028 | General | N.A. | L | L | Default |
| 3029 | General | N.A. | L | L | Default |
| 3030 | General | N.A. | L | L | Default |
| 3031 | General | N.A. | L | L | Default |
| 3032 | General | N.A. | L | L | Default |
| 3033 | General | N.A. | L | L | Default |
| 3034 | General | N.A. | L | L | Default |
| 3035 | General | N.A. | L | L | Default |
| 3036 | General | N.A. | L | L | Default |
| 3037 | General | N.A. | L | L | Default |
| 3038 | General | N.A. | L | L | Default |
| 3039 | General | N.A. | L | L | Default |
| 3040 | General | N.A. | L | L | Default |
| 3041 | General | N.A. | L | L | Default |
| 3042 | General | N.A. | L | L | Default |
| 3043 | General | N.A. | L | L | Default |
| 3044 | General | N.A. | L | L | Default |
| 3045 | General | N.A. | L | L | Default |
| 3046 | General | N.A. | L | L | Default |
| 3047 | General | N.A. | L | L | Default |
| 3048 | General | N.A. | L | L | Default |
| 3049 | General | N.A. | L | L | Default |
| 3050 | General | N.A. | L | L | Default |
| 3051 | General | N.A. | L | L | Default |
| 3052 | General | N.A. | L | L | Default |
| 3053 | General | N.A. | L | L | Default |
| 3054 | General | N.A. | L | L | Default |
| 3055 | General | N.A. | L | L | Default |
| 3056 | General | N.A. | L | L | Default |
| 3057 | General | N.A. | L | L | Default |
| 3058 | General | N.A. | L | L | Default |
| 3059 | General | N.A. | L | L | Default |
| 3060 | General | N.A. | L | L | Default |
| 3061 | General | N.A. | L | L | Default |
| 3062 | General | N.A. | L | L | Default |
| 3063 | General | N.A. | L | L | Default |
| 3064 | General | N.A. | L | L | Default |
| 3065 | General | N.A. | L | L | Default |
| 3066 | General | N.A. | L | L | Default |
| 3067 | General | N.A. | L | L | Default |
| 3068 | General | N.A. | L | L | Default |
| 3069 | General | N.A. | L | L | Default |
| 3070 | General | N.A. | L | L | Default |
| 3071 | General | N.A. | L | L | Default |
| 3072 | General | N.A. | L | L | Default |





| Frame | SectionType | AutoSelect | AnalSect | DesignSect | MatProp |
|---|---|---|---|---|---|
| Text | Text | Text | Text | Text | Text |
| 3073 | General | N.A. | L | L | Default |
| 3074 | General | N.A. | L | L | Default |
| 3075 | General | N.A. | L | L | Default |
| 3076 | General | N.A. | L | L | Default |
| 3077 | General | N.A. | L | L | Default |
| 3078 | General | N.A. | L | L | Default |
| 3079 | General | N.A. | L | L | Default |
| 3080 | General | N.A. | L | L | Default |
| 3081 | General | N.A. | L | L | Default |
| 3082 | General | N.A. | L | L | Default |
| 3083 | General | N.A. | L | L | Default |
| 3084 | General | N.A. | L | L | Default |
| 3085 | General | N.A. | L | L | Default |
| 3086 | General | N.A. | L | L | Default |
| 3087 | General | N.A. | L | L | Default |
| 3088 | General | N.A. | L | L | Default |
| 3089 | General | N.A. | L | L | Default |
| 3090 | General | N.A. | L | L | Default |
| 3091 | General | N.A. | L | L | Default |
| 3092 | General | N.A. | L | L | Default |
| 3093 | General | N.A. | L | L | Default |
| 3094 | General | N.A. | L | L | Default |
| 3095 | General | N.A. | L | L | Default |
| 3096 | General | N.A. | L | L | Default |
| 3097 | General | N.A. | L | L | Default |
| 3098 | General | N.A. | L | L | Default |
| 3099 | General | N.A. | L | L | Default |
| 3100 | General | N.A. | L | L | Default |
| 3101 | General | N.A. | L | L | Default |
| 3102 | General | N.A. | L | L | Default |
| 3103 | General | N.A. | L | L | Default |
| 3104 | General | N.A. | L | L | Default |
| 3105 | General | N.A. | L | L | Default |
| 3106 | General | N.A. | L | L | Default |
| 3107 | General | N.A. | L | L | Default |
| 3108 | General | N.A. | L | L | Default |
| 3109 | General | N.A. | L | L | Default |
| 3110 | General | N.A. | L | L | Default |
| 3111 | General | N.A. | L | L | Default |
| 3112 | General | N.A. | L | L | Default |
| 3113 | General | N.A. | L | L | Default |
| 3114 | General | N.A. | L | L | Default |
| 3115 | General | N.A. | L | L | Default |
| 3116 | General | N.A. | L | L | Default |
| 3117 | General | N.A. | L | L | Default |
| 3118 | General | N.A. | L | L | Default |
| 3119 | General | N.A. | L | L | Default |
| 3120 | General | N.A. | L | L | Default |
| 3121 | General | N.A. | L | L | Default |
| 3122 | General | N.A. | L | L | Default |
| 3123 | General | N.A. | L | L | Default |
| 3124 | General | N.A. | L | L | Default |
| 3125 | General | N.A. | L | L | Default |
| 3126 | General | N.A. | L | L | Default |
| 3127 | General | N.A. | L | L | Default |
| 3128 | General | N.A. | L | L | Default |
| 3129 | General | N.A. | L | L | Default |
| 3130 | General | N.A. | L | L | Default |
| 3131 | General | N.A. | L | L | Default |
| 3132 | General | N.A. | L | L | Default |
| 3133 | General | N.A. | L | L | Default |

### Table: Frame Section Properties 1 - General, Part 1 of 4

| SectionName | Material | Shape | t3 | t2 | tf | tw | t2b | tfb | Area | TorsConst |
|---|---|---|---|---|---|---|---|---|---|---|
| Text | Text | Text | m | m | m | m | m | m | m2 | m4 |
| L | H40 | General | 0.457200 | 0.254000 | | | | | 4.531300 | 20.000000 |
| T | H40 | General | 0.457200 | 0.254000 | | | | | 0.600000 | 4.000000 |

### Table: Frame Section Properties 1 - General, Part 2 of 4

| SectionName | I33 | I22 | AS2 | AS3 | S33 | S22 | Z33 | Z22 | R33 | R22 | ConcCol |
|---|---|---|---|---|---|---|---|---|---|---|---|
| Text | m4 | m4 | m2 | m2 | m3 | m3 | m3 | m3 | m | m | Yes/No |
| L | 10.004500 | 1.000000 | 1.000000 | 1.000000 | 1.000000 | 1.000000 | 1.000000 | 1.000000 | 1.000000 | 1.000000 | No |
| T | 2.001300 | 1.000000 | 1.000000 | 1.000000 | 1.000000 | 1.000000 | 1.000000 | 1.000000 | 1.000000 | 1.000000 | No |

### Table: Frame Section Properties 1 - General, Part 3 of 4

| SectionName | ConcBeam | Color | TotalWt | TotalMass | FromFile | AMod | A2Mod | A3Mod | JMod | I2Mod | I3Mod |
|---|---|---|---|---|---|---|---|---|---|---|---|
| Text | Yes/No | Text | Ton | Ton-s2/m | Yes/No | Unitless | Unitless | Unitless | Unitless | Unitless | Unitless |
| L | No | Red | 0.0000 | 0.00 | No | 1.000000 | 1.000000 | 1.000000 | 1.000000 | 1.000000 | 1.000000 |
| T | No | 16744448 | 0.0000 | 0.00 | No | 1.000000 | 1.000000 | 1.000000 | 1.000000 | 1.000000 | 1.000000 |

### Table: Frame Section Properties 1 - General, Part 4 of 4

| SectionName | MMod | WMod | SectInFile | FileName |
|---|---|---|---|---|
| Text | Unitless | Unitless | Text | Text |
| L | 1.000000 | 1.000000 | | |
| T | 1.000000 | 1.000000 | | |

### Table: Joint Added Mass Assignments

| Joint | CoordSys | Mass1 | Mass2 | Mass3 | MMI1 | MMI2 | MMI3 |
|---|---|---|---|---|---|---|---|
| Text | Text | Ton-s2/m | Ton-s2/m | Ton-s2/m | Ton-m-s2 | Ton-m-s2 | Ton-m-s2 |
| 3 | Global | 0.00 | 0.00 | 1.88 | 0.00000 | 0.00000 | 0.00000 |
| 4 | Global | 0.00 | 0.00 | 1.88 | 0.00000 | 0.00000 | 0.00000 |
| 5 | Global | 0.00 | 0.00 | 1.88 | 0.00000 | 0.00000 | 0.00000 |
| 6 | Global | 0.00 | 0.00 | 1.88 | 0.00000 | 0.00000 | 0.00000 |
| 7 | Global | 0.00 | 0.00 | 1.88 | 0.00000 | 0.00000 | 0.00000 |
| 8 | Global | 0.00 | 0.00 | 1.88 | 0.00000 | 0.00000 | 0.00000 |
| 9 | Global | 0.00 | 0.00 | 1.88 | 0.00000 | 0.00000 | 0.00000 |
| 10 | Global | 0.00 | 0.00 | 1.88 | 0.00000 | 0.00000 | 0.00000 |
| 11 | Global | 0.00 | 0.00 | 1.88 | 0.00000 | 0.00000 | 0.00000 |
| 12 | Global | 0.00 | 0.00 | 1.88 | 0.00000 | 0.00000 | 0.00000 |
| 13 | Global | 0.00 | 0.00 | 1.88 | 0.00000 | 0.00000 | 0.00000 |
| 14 | Global | 0.00 | 0.00 | 1.88 | 0.00000 | 0.00000 | 0.00000 |
| 15 | Global | 0.00 | 0.00 | 1.88 | 0.00000 | 0.00000 | 0.00000 |
| 16 | Global | 0.00 | 0.00 | 1.88 | 0.00000 | 0.00000 | 0.00000 |
| 17 | Global | 0.00 | 0.00 | 1.88 | 0.00000 | 0.00000 | 0.00000 |
| 18 | Global | 0.00 | 0.00 | 1.88 | 0.00000 | 0.00000 | 0.00000 |
| 19 | Global | 0.00 | 0.00 | 1.88 | 0.00000 | 0.00000 | 0.00000 |
| 20 | Global | 0.00 | 0.00 | 1.88 | 0.00000 | 0.00000 | 0.00000 |
| 21 | Global | 0.00 | 0.00 | 1.88 | 0.00000 | 0.00000 | 0.00000 |
| 22 | Global | 0.00 | 0.00 | 1.88 | 0.00000 | 0.00000 | 0.00000 |
| 23 | Global | 0.00 | 0.00 | 1.88 | 0.00000 | 0.00000 | 0.00000 |
| 24 | Global | 0.00 | 0.00 | 1.88 | 0.00000 | 0.00000 | 0.00000 |
| 25 | Global | 0.00 | 0.00 | 1.88 | 0.00000 | 0.00000 | 0.00000 |
| 26 | Global | 0.00 | 0.00 | 1.88 | 0.00000 | 0.00000 | 0.00000 |
| 27 | Global | 0.00 | 0.00 | 1.88 | 0.00000 | 0.00000 | 0.00000 |
| 28 | Global | 0.00 | 0.00 | 1.88 | 0.00000 | 0.00000 | 0.00000 |
| 29 | Global | 0.00 | 0.00 | 1.88 | 0.00000 | 0.00000 | 0.00000 |
| 30 | Global | 0.00 | 0.00 | 1.88 | 0.00000 | 0.00000 | 0.00000 |
| 31 | Global | 0.00 | 0.00 | 1.88 | 0.00000 | 0.00000 | 0.00000 |
| 32 | Global | 0.00 | 0.00 | 1.88 | 0.00000 | 0.00000 | 0.00000 |
| 33 | Global | 0.00 | 0.00 | 1.88 | 0.00000 | 0.00000 | 0.00000 |
| 34 | Global | 0.00 | 0.00 | 1.88 | 0.00000 | 0.00000 | 0.00000 |
| 35 | Global | 0.00 | 0.00 | 1.88 | 0.00000 | 0.00000 | 0.00000 |
| 36 | Global | 0.00 | 0.00 | 1.88 | 0.00000 | 0.00000 | 0.00000 |
| 37 | Global | 0.00 | 0.00 | 1.88 | 0.00000 | 0.00000 | 0.00000 |
| 38 | Global | 0.00 | 0.00 | 1.88 | 0.00000 | 0.00000 | 0.00000 |
| 39 | Global | 0.00 | 0.00 | 1.88 | 0.00000 | 0.00000 | 0.00000 |
| 40 | Global | 0.00 | 0.00 | 1.88 | 0.00000 | 0.00000 | 0.00000 |
| 41 | Global | 0.00 | 0.00 | 1.88 | 0.00000 | 0.00000 | 0.00000 |
| 42 | Global | 0.00 | 0.00 | 1.88 | 0.00000 | 0.00000 | 0.00000 |
| 43 | Global | 0.00 | 0.00 | 1.88 | 0.00000 | 0.00000 | 0.00000 |
| 44 | Global | 0.00 | 0.00 | 1.88 | 0.00000 | 0.00000 | 0.00000 |
| 45 | Global | 0.00 | 0.00 | 1.88 | 0.00000 | 0.00000 | 0.00000 |
| 46 | Global | 0.00 | 0.00 | 1.88 | 0.00000 | 0.00000 | 0.00000 |
| 47 | Global | 0.00 | 0.00 | 1.88 | 0.00000 | 0.00000 | 0.00000 |
| 48 | Global | 0.00 | 0.00 | 1.88 | 0.00000 | 0.00000 | 0.00000 |
| 49 | Global | 0.00 | 0.00 | 1.88 | 0.00000 | 0.00000 | 0.00000 |
| 50 | Global | 0.00 | 0.00 | 1.88 | 0.00000 | 0.00000 | 0.00000 |
| 51 | Global | 0.00 | 0.00 | 1.88 | 0.00000 | 0.00000 | 0.00000 |
| 52 | Global | 0.00 | 0.00 | 1.88 | 0.00000 | 0.00000 | 0.00000 |
| 53 | Global | 0.00 | 0.00 | 1.88 | 0.00000 | 0.00000 | 0.00000 |
| 54 | Global | 0.00 | 0.00 | 1.88 | 0.00000 | 0.00000 | 0.00000 |
| 55 | Global | 0.00 | 0.00 | 1.88 | 0.00000 | 0.00000 | 0.00000 |
| 56 | Global | 0.00 | 0.00 | 1.88 | 0.00000 | 0.00000 | 0.00000 |
| 57 | Global | 0.00 | 0.00 | 1.88 | 0.00000 | 0.00000 | 0.00000 |
| 58 | Global | 0.00 | 0.00 | 1.88 | 0.00000 | 0.00000 | 0.00000 |
| 59 | Global | 0.00 | 0.00 | 1.88 | 0.00000 | 0.00000 | 0.00000 |
| 60 | Global | 0.00 | 0.00 | 1.88 | 0.00000 | 0.00000 | 0.00000 |
| 61 | Global | 0.00 | 0.00 | 1.88 | 0.00000 | 0.00000 | 0.00000 |
| 62 | Global | 0.00 | 0.00 | 1.88 | 0.00000 | 0.00000 | 0.00000 |
| 63 | Global | 0.00 | 0.00 | 1.88 | 0.00000 | 0.00000 | 0.00000 |
| 64 | Global | 0.00 | 0.00 | 1.88 | 0.00000 | 0.00000 | 0.00000 |
| 65 | Global | 0.00 | 0.00 | 1.88 | 0.00000 | 0.00000 | 0.00000 |
| 66 | Global | 0.00 | 0.00 | 1.88 | 0.00000 | 0.00000 | 0.00000 |
| 67 | Global | 0.00 | 0.00 | 1.88 | 0.00000 | 0.00000 | 0.00000 |
| 68 | Global | 0.00 | 0.00 | 1.88 | 0.00000 | 0.00000 | 0.00000 |
| 69 | Global | 0.00 | 0.00 | 1.88 | 0.00000 | 0.00000 | 0.00000 |
| 70 | Global | 0.00 | 0.00 | 1.88 | 0.00000 | 0.00000 | 0.00000 |
| 71 | Global | 0.00 | 0.00 | 1.88 | 0.00000 | 0.00000 | 0.00000 |
| 72 | Global | 0.00 | 0.00 | 1.88 | 0.00000 | 0.00000 | 0.00000 |
| 73 | Global | 0.00 | 0.00 | 1.88 | 0.00000 | 0.00000 | 0.00000 |
| 74 | Global | 0.00 | 0.00 | 1.88 | 0.00000 | 0.00000 | 0.00000 |
| 75 | Global | 0.00 | 0.00 | 1.88 | 0.00000 | 0.00000 | 0.00000 |
| 76 | Global | 0.00 | 0.00 | 1.88 | 0.00000 | 0.00000 | 0.00000 |
| 77 | Global | 0.00 | 0.00 | 1.88 | 0.00000 | 0.00000 | 0.00000 |
| 78 | Global | 0.00 | 0.00 | 1.88 | 0.00000 | 0.00000 | 0.00000 |
| 81 | Global | 0.00 | 0.00 | 1.88 | 0.00000 | 0.00000 | 0.00000 |
| 82 | Global | 0.00 | 0.00 | 1.88 | 0.00000 | 0.00000 | 0.00000 |
| 83 | Global | 0.00 | 0.00 | 1.88 | 0.00000 | 0.00000 | 0.00000 |
| 84 | Global | 0.00 | 0.00 | 1.88 | 0.00000 | 0.00000 | 0.00000 |
| 85 | Global | 0.00 | 0.00 | 1.88 | 0.00000 | 0.00000 | 0.00000 |





| Joint | CoordSys | Mass1 | Mass2 | Mass3 | MMI1 | MMI2 | MMI3 |
|---|---|---|---|---|---|---|---|
| Text | Text | Ton-s2/m | Ton-s2/m | Ton-s2/m | Ton-m-s2 | Ton-m-s2 | Ton-m-s2 |
| 86 | Global | 0.00 | 0.00 | 1.88 | 0.00000 | 0.00000 | 0.00000 |
| 87 | Global | 0.00 | 0.00 | 1.88 | 0.00000 | 0.00000 | 0.00000 |
| 88 | Global | 0.00 | 0.00 | 1.88 | 0.00000 | 0.00000 | 0.00000 |
| 89 | Global | 0.00 | 0.00 | 1.88 | 0.00000 | 0.00000 | 0.00000 |
| 90 | Global | 0.00 | 0.00 | 1.88 | 0.00000 | 0.00000 | 0.00000 |
| 91 | Global | 0.00 | 0.00 | 1.88 | 0.00000 | 0.00000 | 0.00000 |
| 92 | Global | 0.00 | 0.00 | 1.88 | 0.00000 | 0.00000 | 0.00000 |
| 93 | Global | 0.00 | 0.00 | 1.88 | 0.00000 | 0.00000 | 0.00000 |
| 94 | Global | 0.00 | 0.00 | 1.88 | 0.00000 | 0.00000 | 0.00000 |
| 95 | Global | 0.00 | 0.00 | 1.88 | 0.00000 | 0.00000 | 0.00000 |
| 96 | Global | 0.00 | 0.00 | 1.88 | 0.00000 | 0.00000 | 0.00000 |
| 97 | Global | 0.00 | 0.00 | 1.88 | 0.00000 | 0.00000 | 0.00000 |
| 98 | Global | 0.00 | 0.00 | 1.88 | 0.00000 | 0.00000 | 0.00000 |
| 99 | Global | 0.00 | 0.00 | 1.88 | 0.00000 | 0.00000 | 0.00000 |
| 100 | Global | 0.00 | 0.00 | 1.88 | 0.00000 | 0.00000 | 0.00000 |
| 101 | Global | 0.00 | 0.00 | 1.88 | 0.00000 | 0.00000 | 0.00000 |
| 102 | Global | 0.00 | 0.00 | 1.88 | 0.00000 | 0.00000 | 0.00000 |
| 103 | Global | 0.00 | 0.00 | 1.88 | 0.00000 | 0.00000 | 0.00000 |
| 104 | Global | 0.00 | 0.00 | 1.88 | 0.00000 | 0.00000 | 0.00000 |
| 105 | Global | 0.00 | 0.00 | 1.88 | 0.00000 | 0.00000 | 0.00000 |
| 106 | Global | 0.00 | 0.00 | 1.88 | 0.00000 | 0.00000 | 0.00000 |
| 107 | Global | 0.00 | 0.00 | 1.88 | 0.00000 | 0.00000 | 0.00000 |
| 108 | Global | 0.00 | 0.00 | 1.88 | 0.00000 | 0.00000 | 0.00000 |
| 109 | Global | 0.00 | 0.00 | 1.88 | 0.00000 | 0.00000 | 0.00000 |
| 110 | Global | 0.00 | 0.00 | 1.88 | 0.00000 | 0.00000 | 0.00000 |
| 111 | Global | 0.00 | 0.00 | 1.88 | 0.00000 | 0.00000 | 0.00000 |
| 112 | Global | 0.00 | 0.00 | 1.88 | 0.00000 | 0.00000 | 0.00000 |
| 113 | Global | 0.00 | 0.00 | 1.88 | 0.00000 | 0.00000 | 0.00000 |
| 114 | Global | 0.00 | 0.00 | 1.88 | 0.00000 | 0.00000 | 0.00000 |
| 115 | Global | 0.00 | 0.00 | 1.88 | 0.00000 | 0.00000 | 0.00000 |
| 116 | Global | 0.00 | 0.00 | 1.88 | 0.00000 | 0.00000 | 0.00000 |
| 117 | Global | 0.00 | 0.00 | 1.88 | 0.00000 | 0.00000 | 0.00000 |
| 118 | Global | 0.00 | 0.00 | 1.88 | 0.00000 | 0.00000 | 0.00000 |
| 119 | Global | 0.00 | 0.00 | 1.88 | 0.00000 | 0.00000 | 0.00000 |
| 120 | Global | 0.00 | 0.00 | 1.88 | 0.00000 | 0.00000 | 0.00000 |
| 121 | Global | 0.00 | 0.00 | 1.88 | 0.00000 | 0.00000 | 0.00000 |
| 122 | Global | 0.00 | 0.00 | 1.88 | 0.00000 | 0.00000 | 0.00000 |
| 123 | Global | 0.00 | 0.00 | 1.88 | 0.00000 | 0.00000 | 0.00000 |
| 124 | Global | 0.00 | 0.00 | 1.88 | 0.00000 | 0.00000 | 0.00000 |
| 125 | Global | 0.00 | 0.00 | 1.88 | 0.00000 | 0.00000 | 0.00000 |
| 126 | Global | 0.00 | 0.00 | 1.88 | 0.00000 | 0.00000 | 0.00000 |
| 127 | Global | 0.00 | 0.00 | 1.88 | 0.00000 | 0.00000 | 0.00000 |
| 128 | Global | 0.00 | 0.00 | 1.88 | 0.00000 | 0.00000 | 0.00000 |
| 129 | Global | 0.00 | 0.00 | 1.88 | 0.00000 | 0.00000 | 0.00000 |
| 130 | Global | 0.00 | 0.00 | 1.88 | 0.00000 | 0.00000 | 0.00000 |
| 131 | Global | 0.00 | 0.00 | 1.88 | 0.00000 | 0.00000 | 0.00000 |
| 132 | Global | 0.00 | 0.00 | 1.88 | 0.00000 | 0.00000 | 0.00000 |
| 133 | Global | 0.00 | 0.00 | 1.88 | 0.00000 | 0.00000 | 0.00000 |
| 134 | Global | 0.00 | 0.00 | 1.88 | 0.00000 | 0.00000 | 0.00000 |
| 135 | Global | 0.00 | 0.00 | 1.88 | 0.00000 | 0.00000 | 0.00000 |
| 136 | Global | 0.00 | 0.00 | 1.88 | 0.00000 | 0.00000 | 0.00000 |
| 137 | Global | 0.00 | 0.00 | 1.88 | 0.00000 | 0.00000 | 0.00000 |
| 138 | Global | 0.00 | 0.00 | 1.88 | 0.00000 | 0.00000 | 0.00000 |
| 139 | Global | 0.00 | 0.00 | 1.88 | 0.00000 | 0.00000 | 0.00000 |
| 140 | Global | 0.00 | 0.00 | 1.88 | 0.00000 | 0.00000 | 0.00000 |
| 141 | Global | 0.00 | 0.00 | 1.88 | 0.00000 | 0.00000 | 0.00000 |
| 142 | Global | 0.00 | 0.00 | 1.88 | 0.00000 | 0.00000 | 0.00000 |
| 143 | Global | 0.00 | 0.00 | 1.88 | 0.00000 | 0.00000 | 0.00000 |
| 144 | Global | 0.00 | 0.00 | 1.88 | 0.00000 | 0.00000 | 0.00000 |
| 145 | Global | 0.00 | 0.00 | 1.88 | 0.00000 | 0.00000 | 0.00000 |
| 146 | Global | 0.00 | 0.00 | 1.88 | 0.00000 | 0.00000 | 0.00000 |
| 147 | Global | 0.00 | 0.00 | 1.88 | 0.00000 | 0.00000 | 0.00000 |
| 148 | Global | 0.00 | 0.00 | 1.88 | 0.00000 | 0.00000 | 0.00000 |
| 149 | Global | 0.00 | 0.00 | 1.88 | 0.00000 | 0.00000 | 0.00000 |
| 150 | Global | 0.00 | 0.00 | 1.88 | 0.00000 | 0.00000 | 0.00000 |
| 151 | Global | 0.00 | 0.00 | 1.88 | 0.00000 | 0.00000 | 0.00000 |
| 152 | Global | 0.00 | 0.00 | 1.88 | 0.00000 | 0.00000 | 0.00000 |
| 153 | Global | 0.00 | 0.00 | 1.88 | 0.00000 | 0.00000 | 0.00000 |
| 154 | Global | 0.00 | 0.00 | 1.88 | 0.00000 | 0.00000 | 0.00000 |
| 155 | Global | 0.00 | 0.00 | 1.88 | 0.00000 | 0.00000 | 0.00000 |
| 156 | Global | 0.00 | 0.00 | 1.88 | 0.00000 | 0.00000 | 0.00000 |
| 157 | Global | 0.00 | 0.00 | 1.88 | 0.00000 | 0.00000 | 0.00000 |
| 158 | Global | 0.00 | 0.00 | 1.88 | 0.00000 | 0.00000 | 0.00000 |
| 159 | Global | 0.00 | 0.00 | 1.88 | 0.00000 | 0.00000 | 0.00000 |
| 160 | Global | 0.00 | 0.00 | 1.88 | 0.00000 | 0.00000 | 0.00000 |
| 161 | Global | 0.00 | 0.00 | 1.88 | 0.00000 | 0.00000 | 0.00000 |
| 162 | Global | 0.00 | 0.00 | 1.88 | 0.00000 | 0.00000 | 0.00000 |
| 163 | Global | 0.00 | 0.00 | 1.88 | 0.00000 | 0.00000 | 0.00000 |
| 164 | Global | 0.00 | 0.00 | 1.88 | 0.00000 | 0.00000 | 0.00000 |
| 165 | Global | 0.00 | 0.00 | 1.88 | 0.00000 | 0.00000 | 0.00000 |
| 166 | Global | 0.00 | 0.00 | 1.88 | 0.00000 | 0.00000 | 0.00000 |
| 167 | Global | 0.00 | 0.00 | 1.88 | 0.00000 | 0.00000 | 0.00000 |
| 168 | Global | 0.00 | 0.00 | 1.88 | 0.00000 | 0.00000 | 0.00000 |
| 169 | Global | 0.00 | 0.00 | 1.88 | 0.00000 | 0.00000 | 0.00000 |
| 170 | Global | 0.00 | 0.00 | 1.88 | 0.00000 | 0.00000 | 0.00000 |
| 171 | Global | 0.00 | 0.00 | 1.88 | 0.00000 | 0.00000 | 0.00000 |
| 172 | Global | 0.00 | 0.00 | 1.88 | 0.00000 | 0.00000 | 0.00000 |
| 173 | Global | 0.00 | 0.00 | 1.88 | 0.00000 | 0.00000 | 0.00000 |
| 174 | Global | 0.00 | 0.00 | 1.88 | 0.00000 | 0.00000 | 0.00000 |
| 177 | Global | 0.00 | 0.00 | 1.88 | 0.00000 | 0.00000 | 0.00000 |
| 178 | Global | 0.00 | 0.00 | 1.88 | 0.00000 | 0.00000 | 0.00000 |

| Joint | CoordSys | Mass1 | Mass2 | Mass3 | MMI1 | MMI2 | MMI3 |
|---|---|---|---|---|---|---|---|
| Text | Text | Ton-s2/m | Ton-s2/m | Ton-s2/m | Ton-m-s2 | Ton-m-s2 | Ton-m-s2 |
| 179 | Global | 0.00 | 0.00 | 1.88 | 0.00000 | 0.00000 | 0.00000 |
| 180 | Global | 0.00 | 0.00 | 1.88 | 0.00000 | 0.00000 | 0.00000 |
| 181 | Global | 0.00 | 0.00 | 1.88 | 0.00000 | 0.00000 | 0.00000 |
| 182 | Global | 0.00 | 0.00 | 1.88 | 0.00000 | 0.00000 | 0.00000 |
| 183 | Global | 0.00 | 0.00 | 1.88 | 0.00000 | 0.00000 | 0.00000 |
| 184 | Global | 0.00 | 0.00 | 1.88 | 0.00000 | 0.00000 | 0.00000 |
| 185 | Global | 0.00 | 0.00 | 1.88 | 0.00000 | 0.00000 | 0.00000 |
| 186 | Global | 0.00 | 0.00 | 1.88 | 0.00000 | 0.00000 | 0.00000 |
| 187 | Global | 0.00 | 0.00 | 1.88 | 0.00000 | 0.00000 | 0.00000 |
| 188 | Global | 0.00 | 0.00 | 1.88 | 0.00000 | 0.00000 | 0.00000 |
| 189 | Global | 0.00 | 0.00 | 1.88 | 0.00000 | 0.00000 | 0.00000 |
| 190 | Global | 0.00 | 0.00 | 1.88 | 0.00000 | 0.00000 | 0.00000 |
| 191 | Global | 0.00 | 0.00 | 1.88 | 0.00000 | 0.00000 | 0.00000 |
| 192 | Global | 0.00 | 0.00 | 1.88 | 0.00000 | 0.00000 | 0.00000 |
| 193 | Global | 0.00 | 0.00 | 1.88 | 0.00000 | 0.00000 | 0.00000 |
| 194 | Global | 0.00 | 0.00 | 1.88 | 0.00000 | 0.00000 | 0.00000 |
| 195 | Global | 0.00 | 0.00 | 1.88 | 0.00000 | 0.00000 | 0.00000 |
| 196 | Global | 0.00 | 0.00 | 1.88 | 0.00000 | 0.00000 | 0.00000 |
| 197 | Global | 0.00 | 0.00 | 1.88 | 0.00000 | 0.00000 | 0.00000 |
| 198 | Global | 0.00 | 0.00 | 1.88 | 0.00000 | 0.00000 | 0.00000 |
| 199 | Global | 0.00 | 0.00 | 1.88 | 0.00000 | 0.00000 | 0.00000 |
| 200 | Global | 0.00 | 0.00 | 1.88 | 0.00000 | 0.00000 | 0.00000 |
| 201 | Global | 0.00 | 0.00 | 1.88 | 0.00000 | 0.00000 | 0.00000 |
| 202 | Global | 0.00 | 0.00 | 1.88 | 0.00000 | 0.00000 | 0.00000 |
| 203 | Global | 0.00 | 0.00 | 1.88 | 0.00000 | 0.00000 | 0.00000 |
| 204 | Global | 0.00 | 0.00 | 1.88 | 0.00000 | 0.00000 | 0.00000 |
| 205 | Global | 0.00 | 0.00 | 1.88 | 0.00000 | 0.00000 | 0.00000 |
| 206 | Global | 0.00 | 0.00 | 1.88 | 0.00000 | 0.00000 | 0.00000 |
| 207 | Global | 0.00 | 0.00 | 1.88 | 0.00000 | 0.00000 | 0.00000 |
| 208 | Global | 0.00 | 0.00 | 1.88 | 0.00000 | 0.00000 | 0.00000 |
| 209 | Global | 0.00 | 0.00 | 1.88 | 0.00000 | 0.00000 | 0.00000 |
| 210 | Global | 0.00 | 0.00 | 1.88 | 0.00000 | 0.00000 | 0.00000 |
| 211 | Global | 0.00 | 0.00 | 1.88 | 0.00000 | 0.00000 | 0.00000 |
| 212 | Global | 0.00 | 0.00 | 1.88 | 0.00000 | 0.00000 | 0.00000 |
| 213 | Global | 0.00 | 0.00 | 1.88 | 0.00000 | 0.00000 | 0.00000 |
| 214 | Global | 0.00 | 0.00 | 1.88 | 0.00000 | 0.00000 | 0.00000 |
| 215 | Global | 0.00 | 0.00 | 1.88 | 0.00000 | 0.00000 | 0.00000 |
| 216 | Global | 0.00 | 0.00 | 1.88 | 0.00000 | 0.00000 | 0.00000 |
| 217 | Global | 0.00 | 0.00 | 1.88 | 0.00000 | 0.00000 | 0.00000 |
| 218 | Global | 0.00 | 0.00 | 1.88 | 0.00000 | 0.00000 | 0.00000 |
| 219 | Global | 0.00 | 0.00 | 1.88 | 0.00000 | 0.00000 | 0.00000 |
| 220 | Global | 0.00 | 0.00 | 1.88 | 0.00000 | 0.00000 | 0.00000 |
| 221 | Global | 0.00 | 0.00 | 1.88 | 0.00000 | 0.00000 | 0.00000 |
| 222 | Global | 0.00 | 0.00 | 1.88 | 0.00000 | 0.00000 | 0.00000 |
| 223 | Global | 0.00 | 0.00 | 1.88 | 0.00000 | 0.00000 | 0.00000 |
| 224 | Global | 0.00 | 0.00 | 1.88 | 0.00000 | 0.00000 | 0.00000 |
| 225 | Global | 0.00 | 0.00 | 1.88 | 0.00000 | 0.00000 | 0.00000 |
| 226 | Global | 0.00 | 0.00 | 1.88 | 0.00000 | 0.00000 | 0.00000 |
| 227 | Global | 0.00 | 0.00 | 1.88 | 0.00000 | 0.00000 | 0.00000 |
| 228 | Global | 0.00 | 0.00 | 1.88 | 0.00000 | 0.00000 | 0.00000 |
| 229 | Global | 0.00 | 0.00 | 1.88 | 0.00000 | 0.00000 | 0.00000 |
| 230 | Global | 0.00 | 0.00 | 1.88 | 0.00000 | 0.00000 | 0.00000 |
| 231 | Global | 0.00 | 0.00 | 1.88 | 0.00000 | 0.00000 | 0.00000 |
| 232 | Global | 0.00 | 0.00 | 1.88 | 0.00000 | 0.00000 | 0.00000 |
| 233 | Global | 0.00 | 0.00 | 1.88 | 0.00000 | 0.00000 | 0.00000 |
| 234 | Global | 0.00 | 0.00 | 1.88 | 0.00000 | 0.00000 | 0.00000 |
| 235 | Global | 0.00 | 0.00 | 1.88 | 0.00000 | 0.00000 | 0.00000 |
| 236 | Global | 0.00 | 0.00 | 1.88 | 0.00000 | 0.00000 | 0.00000 |
| 237 | Global | 0.00 | 0.00 | 1.88 | 0.00000 | 0.00000 | 0.00000 |
| 238 | Global | 0.00 | 0.00 | 1.88 | 0.00000 | 0.00000 | 0.00000 |
| 239 | Global | 0.00 | 0.00 | 1.88 | 0.00000 | 0.00000 | 0.00000 |
| 240 | Global | 0.00 | 0.00 | 1.88 | 0.00000 | 0.00000 | 0.00000 |
| 241 | Global | 0.00 | 0.00 | 1.88 | 0.00000 | 0.00000 | 0.00000 |
| 242 | Global | 0.00 | 0.00 | 1.88 | 0.00000 | 0.00000 | 0.00000 |
| 243 | Global | 0.00 | 0.00 | 1.88 | 0.00000 | 0.00000 | 0.00000 |
| 244 | Global | 0.00 | 0.00 | 1.88 | 0.00000 | 0.00000 | 0.00000 |
| 245 | Global | 0.00 | 0.00 | 1.88 | 0.00000 | 0.00000 | 0.00000 |
| 246 | Global | 0.00 | 0.00 | 1.88 | 0.00000 | 0.00000 | 0.00000 |
| 247 | Global | 0.00 | 0.00 | 1.88 | 0.00000 | 0.00000 | 0.00000 |
| 248 | Global | 0.00 | 0.00 | 1.88 | 0.00000 | 0.00000 | 0.00000 |
| 249 | Global | 0.00 | 0.00 | 1.88 | 0.00000 | 0.00000 | 0.00000 |
| 250 | Global | 0.00 | 0.00 | 1.88 | 0.00000 | 0.00000 | 0.00000 |
| 251 | Global | 0.00 | 0.00 | 1.88 | 0.00000 | 0.00000 | 0.00000 |
| 252 | Global | 0.00 | 0.00 | 1.88 | 0.00000 | 0.00000 | 0.00000 |
| 253 | Global | 0.00 | 0.00 | 1.88 | 0.00000 | 0.00000 | 0.00000 |
| 254 | Global | 0.00 | 0.00 | 1.88 | 0.00000 | 0.00000 | 0.00000 |
| 255 | Global | 0.00 | 0.00 | 1.88 | 0.00000 | 0.00000 | 0.00000 |
| 256 | Global | 0.00 | 0.00 | 1.88 | 0.00000 | 0.00000 | 0.00000 |
| 257 | Global | 0.00 | 0.00 | 1.88 | 0.00000 | 0.00000 | 0.00000 |
| 258 | Global | 0.00 | 0.00 | 1.88 | 0.00000 | 0.00000 | 0.00000 |
| 259 | Global | 0.00 | 0.00 | 1.88 | 0.00000 | 0.00000 | 0.00000 |
| 260 | Global | 0.00 | 0.00 | 1.88 | 0.00000 | 0.00000 | 0.00000 |
| 261 | Global | 0.00 | 0.00 | 1.88 | 0.00000 | 0.00000 | 0.00000 |
| 262 | Global | 0.00 | 0.00 | 1.88 | 0.00000 | 0.00000 | 0.00000 |
| 263 | Global | 0.00 | 0.00 | 1.88 | 0.00000 | 0.00000 | 0.00000 |
| 264 | Global | 0.00 | 0.00 | 1.88 | 0.00000 | 0.00000 | 0.00000 |
| 265 | Global | 0.00 | 0.00 | 1.88 | 0.00000 | 0.00000 | 0.00000 |
| 266 | Global | 0.00 | 0.00 | 1.88 | 0.00000 | 0.00000 | 0.00000 |
| 267 | Global | 0.00 | 0.00 | 1.88 | 0.00000 | 0.00000 | 0.00000 |
| 268 | Global | 0.00 | 0.00 | 1.88 | 0.00000 | 0.00000 | 0.00000 |
| 269 | Global | 0.00 | 0.00 | 1.88 | 0.00000 | 0.00000 | 0.00000 |





| Joint | CoordSys | Mass1 | Mass2 | Mass3 | MMI1 | MMI2 | MMI3 |
|---|---|---|---|---|---|---|---|
| Text | Text | Ton-s2/m | Ton-s2/m | Ton-s2/m | Ton-m-s2 | Ton-m-s2 | Ton-m-s2 |
| 270 | Global | 0.00 | 0.00 | 1.88 | 0.00000 | 0.00000 | 0.00000 |
| 273 | Global | 0.00 | 0.00 | 1.88 | 0.00000 | 0.00000 | 0.00000 |
| 274 | Global | 0.00 | 0.00 | 1.88 | 0.00000 | 0.00000 | 0.00000 |
| 275 | Global | 0.00 | 0.00 | 1.88 | 0.00000 | 0.00000 | 0.00000 |
| 276 | Global | 0.00 | 0.00 | 1.88 | 0.00000 | 0.00000 | 0.00000 |
| 277 | Global | 0.00 | 0.00 | 1.88 | 0.00000 | 0.00000 | 0.00000 |
| 278 | Global | 0.00 | 0.00 | 1.88 | 0.00000 | 0.00000 | 0.00000 |
| 279 | Global | 0.00 | 0.00 | 1.88 | 0.00000 | 0.00000 | 0.00000 |
| 280 | Global | 0.00 | 0.00 | 1.88 | 0.00000 | 0.00000 | 0.00000 |
| 281 | Global | 0.00 | 0.00 | 1.88 | 0.00000 | 0.00000 | 0.00000 |
| 282 | Global | 0.00 | 0.00 | 1.88 | 0.00000 | 0.00000 | 0.00000 |
| 283 | Global | 0.00 | 0.00 | 1.88 | 0.00000 | 0.00000 | 0.00000 |
| 284 | Global | 0.00 | 0.00 | 1.88 | 0.00000 | 0.00000 | 0.00000 |
| 285 | Global | 0.00 | 0.00 | 1.88 | 0.00000 | 0.00000 | 0.00000 |
| 286 | Global | 0.00 | 0.00 | 1.88 | 0.00000 | 0.00000 | 0.00000 |
| 287 | Global | 0.00 | 0.00 | 1.88 | 0.00000 | 0.00000 | 0.00000 |
| 288 | Global | 0.00 | 0.00 | 1.88 | 0.00000 | 0.00000 | 0.00000 |
| 289 | Global | 0.00 | 0.00 | 1.88 | 0.00000 | 0.00000 | 0.00000 |
| 290 | Global | 0.00 | 0.00 | 1.88 | 0.00000 | 0.00000 | 0.00000 |
| 291 | Global | 0.00 | 0.00 | 1.88 | 0.00000 | 0.00000 | 0.00000 |
| 292 | Global | 0.00 | 0.00 | 1.88 | 0.00000 | 0.00000 | 0.00000 |
| 293 | Global | 0.00 | 0.00 | 1.88 | 0.00000 | 0.00000 | 0.00000 |
| 294 | Global | 0.00 | 0.00 | 1.88 | 0.00000 | 0.00000 | 0.00000 |
| 295 | Global | 0.00 | 0.00 | 1.88 | 0.00000 | 0.00000 | 0.00000 |
| 296 | Global | 0.00 | 0.00 | 1.88 | 0.00000 | 0.00000 | 0.00000 |
| 297 | Global | 0.00 | 0.00 | 1.88 | 0.00000 | 0.00000 | 0.00000 |
| 298 | Global | 0.00 | 0.00 | 1.88 | 0.00000 | 0.00000 | 0.00000 |
| 299 | Global | 0.00 | 0.00 | 1.88 | 0.00000 | 0.00000 | 0.00000 |
| 300 | Global | 0.00 | 0.00 | 1.88 | 0.00000 | 0.00000 | 0.00000 |
| 301 | Global | 0.00 | 0.00 | 1.88 | 0.00000 | 0.00000 | 0.00000 |
| 302 | Global | 0.00 | 0.00 | 1.88 | 0.00000 | 0.00000 | 0.00000 |
| 303 | Global | 0.00 | 0.00 | 1.88 | 0.00000 | 0.00000 | 0.00000 |
| 304 | Global | 0.00 | 0.00 | 1.88 | 0.00000 | 0.00000 | 0.00000 |
| 305 | Global | 0.00 | 0.00 | 1.88 | 0.00000 | 0.00000 | 0.00000 |
| 306 | Global | 0.00 | 0.00 | 1.88 | 0.00000 | 0.00000 | 0.00000 |
| 307 | Global | 0.00 | 0.00 | 1.88 | 0.00000 | 0.00000 | 0.00000 |
| 308 | Global | 0.00 | 0.00 | 1.88 | 0.00000 | 0.00000 | 0.00000 |
| 309 | Global | 0.00 | 0.00 | 1.88 | 0.00000 | 0.00000 | 0.00000 |
| 310 | Global | 0.00 | 0.00 | 1.88 | 0.00000 | 0.00000 | 0.00000 |
| 311 | Global | 0.00 | 0.00 | 1.88 | 0.00000 | 0.00000 | 0.00000 |
| 312 | Global | 0.00 | 0.00 | 1.88 | 0.00000 | 0.00000 | 0.00000 |
| 313 | Global | 0.00 | 0.00 | 1.88 | 0.00000 | 0.00000 | 0.00000 |
| 314 | Global | 0.00 | 0.00 | 1.88 | 0.00000 | 0.00000 | 0.00000 |
| 315 | Global | 0.00 | 0.00 | 1.88 | 0.00000 | 0.00000 | 0.00000 |
| 316 | Global | 0.00 | 0.00 | 1.88 | 0.00000 | 0.00000 | 0.00000 |
| 317 | Global | 0.00 | 0.00 | 1.88 | 0.00000 | 0.00000 | 0.00000 |
| 318 | Global | 0.00 | 0.00 | 1.88 | 0.00000 | 0.00000 | 0.00000 |
| 319 | Global | 0.00 | 0.00 | 1.88 | 0.00000 | 0.00000 | 0.00000 |
| 320 | Global | 0.00 | 0.00 | 1.88 | 0.00000 | 0.00000 | 0.00000 |
| 321 | Global | 0.00 | 0.00 | 1.88 | 0.00000 | 0.00000 | 0.00000 |
| 322 | Global | 0.00 | 0.00 | 1.88 | 0.00000 | 0.00000 | 0.00000 |
| 323 | Global | 0.00 | 0.00 | 1.88 | 0.00000 | 0.00000 | 0.00000 |
| 324 | Global | 0.00 | 0.00 | 1.88 | 0.00000 | 0.00000 | 0.00000 |
| 325 | Global | 0.00 | 0.00 | 1.88 | 0.00000 | 0.00000 | 0.00000 |
| 326 | Global | 0.00 | 0.00 | 1.88 | 0.00000 | 0.00000 | 0.00000 |
| 327 | Global | 0.00 | 0.00 | 1.88 | 0.00000 | 0.00000 | 0.00000 |
| 328 | Global | 0.00 | 0.00 | 1.88 | 0.00000 | 0.00000 | 0.00000 |
| 329 | Global | 0.00 | 0.00 | 1.88 | 0.00000 | 0.00000 | 0.00000 |
| 330 | Global | 0.00 | 0.00 | 1.88 | 0.00000 | 0.00000 | 0.00000 |
| 331 | Global | 0.00 | 0.00 | 1.88 | 0.00000 | 0.00000 | 0.00000 |
| 332 | Global | 0.00 | 0.00 | 1.88 | 0.00000 | 0.00000 | 0.00000 |
| 333 | Global | 0.00 | 0.00 | 1.88 | 0.00000 | 0.00000 | 0.00000 |
| 334 | Global | 0.00 | 0.00 | 1.88 | 0.00000 | 0.00000 | 0.00000 |
| 335 | Global | 0.00 | 0.00 | 1.88 | 0.00000 | 0.00000 | 0.00000 |
| 336 | Global | 0.00 | 0.00 | 1.88 | 0.00000 | 0.00000 | 0.00000 |
| 337 | Global | 0.00 | 0.00 | 1.88 | 0.00000 | 0.00000 | 0.00000 |
| 338 | Global | 0.00 | 0.00 | 1.88 | 0.00000 | 0.00000 | 0.00000 |
| 339 | Global | 0.00 | 0.00 | 1.88 | 0.00000 | 0.00000 | 0.00000 |
| 340 | Global | 0.00 | 0.00 | 1.88 | 0.00000 | 0.00000 | 0.00000 |
| 341 | Global | 0.00 | 0.00 | 1.88 | 0.00000 | 0.00000 | 0.00000 |
| 342 | Global | 0.00 | 0.00 | 1.88 | 0.00000 | 0.00000 | 0.00000 |
| 343 | Global | 0.00 | 0.00 | 1.88 | 0.00000 | 0.00000 | 0.00000 |
| 344 | Global | 0.00 | 0.00 | 1.88 | 0.00000 | 0.00000 | 0.00000 |
| 345 | Global | 0.00 | 0.00 | 1.88 | 0.00000 | 0.00000 | 0.00000 |
| 346 | Global | 0.00 | 0.00 | 1.88 | 0.00000 | 0.00000 | 0.00000 |
| 347 | Global | 0.00 | 0.00 | 1.88 | 0.00000 | 0.00000 | 0.00000 |
| 348 | Global | 0.00 | 0.00 | 1.88 | 0.00000 | 0.00000 | 0.00000 |
| 349 | Global | 0.00 | 0.00 | 1.88 | 0.00000 | 0.00000 | 0.00000 |
| 350 | Global | 0.00 | 0.00 | 1.88 | 0.00000 | 0.00000 | 0.00000 |
| 351 | Global | 0.00 | 0.00 | 1.88 | 0.00000 | 0.00000 | 0.00000 |
| 352 | Global | 0.00 | 0.00 | 1.88 | 0.00000 | 0.00000 | 0.00000 |
| 353 | Global | 0.00 | 0.00 | 1.88 | 0.00000 | 0.00000 | 0.00000 |
| 354 | Global | 0.00 | 0.00 | 1.88 | 0.00000 | 0.00000 | 0.00000 |
| 355 | Global | 0.00 | 0.00 | 1.88 | 0.00000 | 0.00000 | 0.00000 |
| 356 | Global | 0.00 | 0.00 | 1.88 | 0.00000 | 0.00000 | 0.00000 |
| 357 | Global | 0.00 | 0.00 | 1.88 | 0.00000 | 0.00000 | 0.00000 |
| 358 | Global | 0.00 | 0.00 | 1.88 | 0.00000 | 0.00000 | 0.00000 |
| 359 | Global | 0.00 | 0.00 | 1.88 | 0.00000 | 0.00000 | 0.00000 |
| 360 | Global | 0.00 | 0.00 | 1.88 | 0.00000 | 0.00000 | 0.00000 |
| 361 | Global | 0.00 | 0.00 | 1.88 | 0.00000 | 0.00000 | 0.00000 |
| 362 | Global | 0.00 | 0.00 | 1.88 | 0.00000 | 0.00000 | 0.00000 |

| Joint | CoordSys | Mass1 | Mass2 | Mass3 | MMI1 | MMI2 | MMI3 |
|---|---|---|---|---|---|---|---|
| Text | Text | Ton-s2/m | Ton-s2/m | Ton-s2/m | Ton-m-s2 | Ton-m-s2 | Ton-m-s2 |
| 363 | Global | 0.00 | 0.00 | 1.88 | 0.00000 | 0.00000 | 0.00000 |
| 364 | Global | 0.00 | 0.00 | 1.88 | 0.00000 | 0.00000 | 0.00000 |
| 365 | Global | 0.00 | 0.00 | 1.88 | 0.00000 | 0.00000 | 0.00000 |
| 366 | Global | 0.00 | 0.00 | 1.88 | 0.00000 | 0.00000 | 0.00000 |
| 367 | Global | 0.00 | 0.00 | 1.88 | 0.00000 | 0.00000 | 0.00000 |
| 368 | Global | 0.00 | 0.00 | 1.88 | 0.00000 | 0.00000 | 0.00000 |
| 369 | Global | 0.00 | 0.00 | 1.88 | 0.00000 | 0.00000 | 0.00000 |
| 370 | Global | 0.00 | 0.00 | 1.88 | 0.00000 | 0.00000 | 0.00000 |
| 371 | Global | 0.00 | 0.00 | 1.88 | 0.00000 | 0.00000 | 0.00000 |
| 372 | Global | 0.00 | 0.00 | 1.88 | 0.00000 | 0.00000 | 0.00000 |
| 375 | Global | 0.00 | 0.00 | 1.88 | 0.00000 | 0.00000 | 0.00000 |
| 376 | Global | 0.00 | 0.00 | 1.88 | 0.00000 | 0.00000 | 0.00000 |
| 377 | Global | 0.00 | 0.00 | 1.88 | 0.00000 | 0.00000 | 0.00000 |
| 378 | Global | 0.00 | 0.00 | 1.88 | 0.00000 | 0.00000 | 0.00000 |
| 379 | Global | 0.00 | 0.00 | 1.88 | 0.00000 | 0.00000 | 0.00000 |
| 380 | Global | 0.00 | 0.00 | 1.88 | 0.00000 | 0.00000 | 0.00000 |
| 381 | Global | 0.00 | 0.00 | 1.88 | 0.00000 | 0.00000 | 0.00000 |
| 382 | Global | 0.00 | 0.00 | 1.88 | 0.00000 | 0.00000 | 0.00000 |
| 383 | Global | 0.00 | 0.00 | 1.88 | 0.00000 | 0.00000 | 0.00000 |
| 384 | Global | 0.00 | 0.00 | 1.88 | 0.00000 | 0.00000 | 0.00000 |
| 385 | Global | 0.00 | 0.00 | 1.88 | 0.00000 | 0.00000 | 0.00000 |
| 386 | Global | 0.00 | 0.00 | 1.88 | 0.00000 | 0.00000 | 0.00000 |
| 387 | Global | 0.00 | 0.00 | 1.88 | 0.00000 | 0.00000 | 0.00000 |
| 388 | Global | 0.00 | 0.00 | 1.88 | 0.00000 | 0.00000 | 0.00000 |
| 389 | Global | 0.00 | 0.00 | 1.88 | 0.00000 | 0.00000 | 0.00000 |
| 390 | Global | 0.00 | 0.00 | 1.88 | 0.00000 | 0.00000 | 0.00000 |
| 391 | Global | 0.00 | 0.00 | 1.88 | 0.00000 | 0.00000 | 0.00000 |
| 392 | Global | 0.00 | 0.00 | 1.88 | 0.00000 | 0.00000 | 0.00000 |
| 393 | Global | 0.00 | 0.00 | 1.88 | 0.00000 | 0.00000 | 0.00000 |
| 394 | Global | 0.00 | 0.00 | 1.88 | 0.00000 | 0.00000 | 0.00000 |
| 395 | Global | 0.00 | 0.00 | 1.88 | 0.00000 | 0.00000 | 0.00000 |
| 396 | Global | 0.00 | 0.00 | 1.88 | 0.00000 | 0.00000 | 0.00000 |
| 397 | Global | 0.00 | 0.00 | 1.88 | 0.00000 | 0.00000 | 0.00000 |
| 398 | Global | 0.00 | 0.00 | 1.88 | 0.00000 | 0.00000 | 0.00000 |
| 399 | Global | 0.00 | 0.00 | 1.88 | 0.00000 | 0.00000 | 0.00000 |
| 400 | Global | 0.00 | 0.00 | 1.88 | 0.00000 | 0.00000 | 0.00000 |
| 401 | Global | 0.00 | 0.00 | 1.88 | 0.00000 | 0.00000 | 0.00000 |
| 402 | Global | 0.00 | 0.00 | 1.88 | 0.00000 | 0.00000 | 0.00000 |
| 403 | Global | 0.00 | 0.00 | 1.88 | 0.00000 | 0.00000 | 0.00000 |
| 404 | Global | 0.00 | 0.00 | 1.88 | 0.00000 | 0.00000 | 0.00000 |
| 405 | Global | 0.00 | 0.00 | 1.88 | 0.00000 | 0.00000 | 0.00000 |
| 406 | Global | 0.00 | 0.00 | 1.88 | 0.00000 | 0.00000 | 0.00000 |
| 407 | Global | 0.00 | 0.00 | 1.88 | 0.00000 | 0.00000 | 0.00000 |
| 408 | Global | 0.00 | 0.00 | 1.88 | 0.00000 | 0.00000 | 0.00000 |
| 409 | Global | 0.00 | 0.00 | 1.88 | 0.00000 | 0.00000 | 0.00000 |
| 410 | Global | 0.00 | 0.00 | 1.88 | 0.00000 | 0.00000 | 0.00000 |
| 411 | Global | 0.00 | 0.00 | 1.88 | 0.00000 | 0.00000 | 0.00000 |
| 412 | Global | 0.00 | 0.00 | 1.88 | 0.00000 | 0.00000 | 0.00000 |
| 413 | Global | 0.00 | 0.00 | 1.88 | 0.00000 | 0.00000 | 0.00000 |
| 414 | Global | 0.00 | 0.00 | 1.88 | 0.00000 | 0.00000 | 0.00000 |
| 415 | Global | 0.00 | 0.00 | 1.88 | 0.00000 | 0.00000 | 0.00000 |
| 416 | Global | 0.00 | 0.00 | 1.88 | 0.00000 | 0.00000 | 0.00000 |
| 417 | Global | 0.00 | 0.00 | 1.88 | 0.00000 | 0.00000 | 0.00000 |
| 418 | Global | 0.00 | 0.00 | 1.88 | 0.00000 | 0.00000 | 0.00000 |
| 419 | Global | 0.00 | 0.00 | 1.88 | 0.00000 | 0.00000 | 0.00000 |
| 420 | Global | 0.00 | 0.00 | 1.88 | 0.00000 | 0.00000 | 0.00000 |
| 421 | Global | 0.00 | 0.00 | 1.88 | 0.00000 | 0.00000 | 0.00000 |
| 422 | Global | 0.00 | 0.00 | 1.88 | 0.00000 | 0.00000 | 0.00000 |
| 423 | Global | 0.00 | 0.00 | 1.88 | 0.00000 | 0.00000 | 0.00000 |
| 424 | Global | 0.00 | 0.00 | 1.88 | 0.00000 | 0.00000 | 0.00000 |
| 425 | Global | 0.00 | 0.00 | 1.88 | 0.00000 | 0.00000 | 0.00000 |
| 426 | Global | 0.00 | 0.00 | 1.88 | 0.00000 | 0.00000 | 0.00000 |
| 427 | Global | 0.00 | 0.00 | 1.88 | 0.00000 | 0.00000 | 0.00000 |
| 428 | Global | 0.00 | 0.00 | 1.88 | 0.00000 | 0.00000 | 0.00000 |
| 429 | Global | 0.00 | 0.00 | 1.88 | 0.00000 | 0.00000 | 0.00000 |
| 430 | Global | 0.00 | 0.00 | 1.88 | 0.00000 | 0.00000 | 0.00000 |
| 431 | Global | 0.00 | 0.00 | 1.88 | 0.00000 | 0.00000 | 0.00000 |
| 432 | Global | 0.00 | 0.00 | 1.88 | 0.00000 | 0.00000 | 0.00000 |
| 433 | Global | 0.00 | 0.00 | 1.88 | 0.00000 | 0.00000 | 0.00000 |
| 434 | Global | 0.00 | 0.00 | 1.88 | 0.00000 | 0.00000 | 0.00000 |
| 435 | Global | 0.00 | 0.00 | 1.88 | 0.00000 | 0.00000 | 0.00000 |
| 436 | Global | 0.00 | 0.00 | 1.88 | 0.00000 | 0.00000 | 0.00000 |
| 437 | Global | 0.00 | 0.00 | 1.88 | 0.00000 | 0.00000 | 0.00000 |
| 438 | Global | 0.00 | 0.00 | 1.88 | 0.00000 | 0.00000 | 0.00000 |
| 439 | Global | 0.00 | 0.00 | 1.88 | 0.00000 | 0.00000 | 0.00000 |
| 440 | Global | 0.00 | 0.00 | 1.88 | 0.00000 | 0.00000 | 0.00000 |
| 441 | Global | 0.00 | 0.00 | 1.88 | 0.00000 | 0.00000 | 0.00000 |
| 442 | Global | 0.00 | 0.00 | 1.88 | 0.00000 | 0.00000 | 0.00000 |
| 443 | Global | 0.00 | 0.00 | 1.88 | 0.00000 | 0.00000 | 0.00000 |
| 444 | Global | 0.00 | 0.00 | 1.88 | 0.00000 | 0.00000 | 0.00000 |
| 445 | Global | 0.00 | 0.00 | 1.88 | 0.00000 | 0.00000 | 0.00000 |
| 446 | Global | 0.00 | 0.00 | 1.88 | 0.00000 | 0.00000 | 0.00000 |
| 447 | Global | 0.00 | 0.00 | 1.88 | 0.00000 | 0.00000 | 0.00000 |
| 448 | Global | 0.00 | 0.00 | 1.88 | 0.00000 | 0.00000 | 0.00000 |
| 449 | Global | 0.00 | 0.00 | 1.88 | 0.00000 | 0.00000 | 0.00000 |
| 450 | Global | 0.00 | 0.00 | 1.88 | 0.00000 | 0.00000 | 0.00000 |
| 451 | Global | 0.00 | 0.00 | 1.88 | 0.00000 | 0.00000 | 0.00000 |
| 452 | Global | 0.00 | 0.00 | 1.88 | 0.00000 | 0.00000 | 0.00000 |
| 453 | Global | 0.00 | 0.00 | 1.88 | 0.00000 | 0.00000 | 0.00000 |
| 454 | Global | 0.00 | 0.00 | 1.88 | 0.00000 | 0.00000 | 0.00000 |
| 455 | Global | 0.00 | 0.00 | 1.88 | 0.00000 | 0.00000 | 0.00000 |





| Joint | CoordSys | Mass1 | Mass2 | Mass3 | MMI1 | MMI2 | MMI3 |
|---|---|---|---|---|---|---|---|
| Text | Text | Ton-s2/m | Ton-s2/m | Ton-s2/m | Ton-m-s2 | Ton-m-s2 | Ton-m-s2 |
| 456 | Global | 0.00 | 0.00 | 1.88 | 0.00000 | 0.00000 | 0.00000 |
| 457 | Global | 0.00 | 0.00 | 1.88 | 0.00000 | 0.00000 | 0.00000 |
| 458 | Global | 0.00 | 0.00 | 1.88 | 0.00000 | 0.00000 | 0.00000 |
| 459 | Global | 0.00 | 0.00 | 1.88 | 0.00000 | 0.00000 | 0.00000 |
| 460 | Global | 0.00 | 0.00 | 1.88 | 0.00000 | 0.00000 | 0.00000 |
| 461 | Global | 0.00 | 0.00 | 1.88 | 0.00000 | 0.00000 | 0.00000 |
| 462 | Global | 0.00 | 0.00 | 1.88 | 0.00000 | 0.00000 | 0.00000 |
| 463 | Global | 0.00 | 0.00 | 1.88 | 0.00000 | 0.00000 | 0.00000 |
| 464 | Global | 0.00 | 0.00 | 1.88 | 0.00000 | 0.00000 | 0.00000 |
| 465 | Global | 0.00 | 0.00 | 1.88 | 0.00000 | 0.00000 | 0.00000 |
| 466 | Global | 0.00 | 0.00 | 1.88 | 0.00000 | 0.00000 | 0.00000 |
| 467 | Global | 0.00 | 0.00 | 1.88 | 0.00000 | 0.00000 | 0.00000 |
| 468 | Global | 0.00 | 0.00 | 1.88 | 0.00000 | 0.00000 | 0.00000 |
| 469 | Global | 0.00 | 0.00 | 1.88 | 0.00000 | 0.00000 | 0.00000 |
| 470 | Global | 0.00 | 0.00 | 1.88 | 0.00000 | 0.00000 | 0.00000 |
| 471 | Global | 0.00 | 0.00 | 1.88 | 0.00000 | 0.00000 | 0.00000 |
| 472 | Global | 0.00 | 0.00 | 1.88 | 0.00000 | 0.00000 | 0.00000 |
| 473 | Global | 0.00 | 0.00 | 1.88 | 0.00000 | 0.00000 | 0.00000 |
| 474 | Global | 0.00 | 0.00 | 1.88 | 0.00000 | 0.00000 | 0.00000 |
| 477 | Global | 0.00 | 0.00 | 1.88 | 0.00000 | 0.00000 | 0.00000 |
| 478 | Global | 0.00 | 0.00 | 1.88 | 0.00000 | 0.00000 | 0.00000 |
| 479 | Global | 0.00 | 0.00 | 1.88 | 0.00000 | 0.00000 | 0.00000 |
| 480 | Global | 0.00 | 0.00 | 1.88 | 0.00000 | 0.00000 | 0.00000 |
| 481 | Global | 0.00 | 0.00 | 1.88 | 0.00000 | 0.00000 | 0.00000 |
| 482 | Global | 0.00 | 0.00 | 1.88 | 0.00000 | 0.00000 | 0.00000 |
| 483 | Global | 0.00 | 0.00 | 1.88 | 0.00000 | 0.00000 | 0.00000 |
| 484 | Global | 0.00 | 0.00 | 1.88 | 0.00000 | 0.00000 | 0.00000 |
| 485 | Global | 0.00 | 0.00 | 1.88 | 0.00000 | 0.00000 | 0.00000 |
| 486 | Global | 0.00 | 0.00 | 1.88 | 0.00000 | 0.00000 | 0.00000 |
| 487 | Global | 0.00 | 0.00 | 1.88 | 0.00000 | 0.00000 | 0.00000 |
| 488 | Global | 0.00 | 0.00 | 1.88 | 0.00000 | 0.00000 | 0.00000 |
| 489 | Global | 0.00 | 0.00 | 1.88 | 0.00000 | 0.00000 | 0.00000 |
| 490 | Global | 0.00 | 0.00 | 1.88 | 0.00000 | 0.00000 | 0.00000 |
| 491 | Global | 0.00 | 0.00 | 1.88 | 0.00000 | 0.00000 | 0.00000 |
| 492 | Global | 0.00 | 0.00 | 1.88 | 0.00000 | 0.00000 | 0.00000 |
| 493 | Global | 0.00 | 0.00 | 1.88 | 0.00000 | 0.00000 | 0.00000 |
| 494 | Global | 0.00 | 0.00 | 1.88 | 0.00000 | 0.00000 | 0.00000 |
| 495 | Global | 0.00 | 0.00 | 1.88 | 0.00000 | 0.00000 | 0.00000 |
| 496 | Global | 0.00 | 0.00 | 1.88 | 0.00000 | 0.00000 | 0.00000 |
| 497 | Global | 0.00 | 0.00 | 1.88 | 0.00000 | 0.00000 | 0.00000 |
| 498 | Global | 0.00 | 0.00 | 1.88 | 0.00000 | 0.00000 | 0.00000 |
| 499 | Global | 0.00 | 0.00 | 1.88 | 0.00000 | 0.00000 | 0.00000 |
| 500 | Global | 0.00 | 0.00 | 1.88 | 0.00000 | 0.00000 | 0.00000 |
| 501 | Global | 0.00 | 0.00 | 1.88 | 0.00000 | 0.00000 | 0.00000 |
| 502 | Global | 0.00 | 0.00 | 1.88 | 0.00000 | 0.00000 | 0.00000 |
| 503 | Global | 0.00 | 0.00 | 1.88 | 0.00000 | 0.00000 | 0.00000 |
| 504 | Global | 0.00 | 0.00 | 1.88 | 0.00000 | 0.00000 | 0.00000 |
| 505 | Global | 0.00 | 0.00 | 1.88 | 0.00000 | 0.00000 | 0.00000 |
| 506 | Global | 0.00 | 0.00 | 1.88 | 0.00000 | 0.00000 | 0.00000 |
| 507 | Global | 0.00 | 0.00 | 1.88 | 0.00000 | 0.00000 | 0.00000 |
| 508 | Global | 0.00 | 0.00 | 1.88 | 0.00000 | 0.00000 | 0.00000 |
| 509 | Global | 0.00 | 0.00 | 1.88 | 0.00000 | 0.00000 | 0.00000 |
| 510 | Global | 0.00 | 0.00 | 1.88 | 0.00000 | 0.00000 | 0.00000 |
| 511 | Global | 0.00 | 0.00 | 1.88 | 0.00000 | 0.00000 | 0.00000 |
| 512 | Global | 0.00 | 0.00 | 1.88 | 0.00000 | 0.00000 | 0.00000 |
| 513 | Global | 0.00 | 0.00 | 1.88 | 0.00000 | 0.00000 | 0.00000 |
| 514 | Global | 0.00 | 0.00 | 1.88 | 0.00000 | 0.00000 | 0.00000 |
| 515 | Global | 0.00 | 0.00 | 1.88 | 0.00000 | 0.00000 | 0.00000 |
| 516 | Global | 0.00 | 0.00 | 1.88 | 0.00000 | 0.00000 | 0.00000 |
| 517 | Global | 0.00 | 0.00 | 1.88 | 0.00000 | 0.00000 | 0.00000 |
| 518 | Global | 0.00 | 0.00 | 1.88 | 0.00000 | 0.00000 | 0.00000 |
| 519 | Global | 0.00 | 0.00 | 1.88 | 0.00000 | 0.00000 | 0.00000 |
| 520 | Global | 0.00 | 0.00 | 1.88 | 0.00000 | 0.00000 | 0.00000 |
| 521 | Global | 0.00 | 0.00 | 1.88 | 0.00000 | 0.00000 | 0.00000 |
| 522 | Global | 0.00 | 0.00 | 1.88 | 0.00000 | 0.00000 | 0.00000 |
| 523 | Global | 0.00 | 0.00 | 1.88 | 0.00000 | 0.00000 | 0.00000 |
| 524 | Global | 0.00 | 0.00 | 1.88 | 0.00000 | 0.00000 | 0.00000 |
| 525 | Global | 0.00 | 0.00 | 1.88 | 0.00000 | 0.00000 | 0.00000 |
| 526 | Global | 0.00 | 0.00 | 1.88 | 0.00000 | 0.00000 | 0.00000 |
| 527 | Global | 0.00 | 0.00 | 1.88 | 0.00000 | 0.00000 | 0.00000 |
| 528 | Global | 0.00 | 0.00 | 1.88 | 0.00000 | 0.00000 | 0.00000 |
| 529 | Global | 0.00 | 0.00 | 1.88 | 0.00000 | 0.00000 | 0.00000 |
| 530 | Global | 0.00 | 0.00 | 1.88 | 0.00000 | 0.00000 | 0.00000 |
| 531 | Global | 0.00 | 0.00 | 1.88 | 0.00000 | 0.00000 | 0.00000 |
| 532 | Global | 0.00 | 0.00 | 1.88 | 0.00000 | 0.00000 | 0.00000 |
| 533 | Global | 0.00 | 0.00 | 1.88 | 0.00000 | 0.00000 | 0.00000 |
| 534 | Global | 0.00 | 0.00 | 1.88 | 0.00000 | 0.00000 | 0.00000 |
| 535 | Global | 0.00 | 0.00 | 1.88 | 0.00000 | 0.00000 | 0.00000 |
| 536 | Global | 0.00 | 0.00 | 1.88 | 0.00000 | 0.00000 | 0.00000 |
| 537 | Global | 0.00 | 0.00 | 1.88 | 0.00000 | 0.00000 | 0.00000 |
| 538 | Global | 0.00 | 0.00 | 1.88 | 0.00000 | 0.00000 | 0.00000 |
| 539 | Global | 0.00 | 0.00 | 1.88 | 0.00000 | 0.00000 | 0.00000 |
| 540 | Global | 0.00 | 0.00 | 1.88 | 0.00000 | 0.00000 | 0.00000 |
| 541 | Global | 0.00 | 0.00 | 1.88 | 0.00000 | 0.00000 | 0.00000 |
| 542 | Global | 0.00 | 0.00 | 1.88 | 0.00000 | 0.00000 | 0.00000 |
| 543 | Global | 0.00 | 0.00 | 1.88 | 0.00000 | 0.00000 | 0.00000 |
| 544 | Global | 0.00 | 0.00 | 1.88 | 0.00000 | 0.00000 | 0.00000 |
| 545 | Global | 0.00 | 0.00 | 1.88 | 0.00000 | 0.00000 | 0.00000 |
| 546 | Global | 0.00 | 0.00 | 1.88 | 0.00000 | 0.00000 | 0.00000 |
| 547 | Global | 0.00 | 0.00 | 1.88 | 0.00000 | 0.00000 | 0.00000 |
| 548 | Global | 0.00 | 0.00 | 1.88 | 0.00000 | 0.00000 | 0.00000 |

| Joint | CoordSys | Mass1 | Mass2 | Mass3 | MMI1 | MMI2 | MMI3 |
|---|---|---|---|---|---|---|---|
| Text | Text | Ton-s2/m | Ton-s2/m | Ton-s2/m | Ton-m-s2 | Ton-m-s2 | Ton-m-s2 |
| 549 | Global | 0.00 | 0.00 | 1.88 | 0.00000 | 0.00000 | 0.00000 |
| 550 | Global | 0.00 | 0.00 | 1.88 | 0.00000 | 0.00000 | 0.00000 |
| 551 | Global | 0.00 | 0.00 | 1.88 | 0.00000 | 0.00000 | 0.00000 |
| 552 | Global | 0.00 | 0.00 | 1.88 | 0.00000 | 0.00000 | 0.00000 |
| 553 | Global | 0.00 | 0.00 | 1.88 | 0.00000 | 0.00000 | 0.00000 |
| 554 | Global | 0.00 | 0.00 | 1.88 | 0.00000 | 0.00000 | 0.00000 |
| 555 | Global | 0.00 | 0.00 | 1.88 | 0.00000 | 0.00000 | 0.00000 |
| 556 | Global | 0.00 | 0.00 | 1.88 | 0.00000 | 0.00000 | 0.00000 |
| 557 | Global | 0.00 | 0.00 | 1.88 | 0.00000 | 0.00000 | 0.00000 |
| 558 | Global | 0.00 | 0.00 | 1.88 | 0.00000 | 0.00000 | 0.00000 |
| 559 | Global | 0.00 | 0.00 | 1.88 | 0.00000 | 0.00000 | 0.00000 |
| 560 | Global | 0.00 | 0.00 | 1.88 | 0.00000 | 0.00000 | 0.00000 |
| 561 | Global | 0.00 | 0.00 | 1.88 | 0.00000 | 0.00000 | 0.00000 |
| 562 | Global | 0.00 | 0.00 | 1.88 | 0.00000 | 0.00000 | 0.00000 |
| 563 | Global | 0.00 | 0.00 | 1.88 | 0.00000 | 0.00000 | 0.00000 |
| 564 | Global | 0.00 | 0.00 | 1.88 | 0.00000 | 0.00000 | 0.00000 |
| 565 | Global | 0.00 | 0.00 | 1.88 | 0.00000 | 0.00000 | 0.00000 |
| 566 | Global | 0.00 | 0.00 | 1.88 | 0.00000 | 0.00000 | 0.00000 |
| 567 | Global | 0.00 | 0.00 | 1.88 | 0.00000 | 0.00000 | 0.00000 |
| 568 | Global | 0.00 | 0.00 | 1.88 | 0.00000 | 0.00000 | 0.00000 |
| 569 | Global | 0.00 | 0.00 | 1.88 | 0.00000 | 0.00000 | 0.00000 |
| 570 | Global | 0.00 | 0.00 | 1.88 | 0.00000 | 0.00000 | 0.00000 |
| 573 | Global | 0.00 | 0.00 | 1.88 | 0.00000 | 0.00000 | 0.00000 |
| 574 | Global | 0.00 | 0.00 | 1.88 | 0.00000 | 0.00000 | 0.00000 |
| 575 | Global | 0.00 | 0.00 | 1.88 | 0.00000 | 0.00000 | 0.00000 |
| 576 | Global | 0.00 | 0.00 | 1.88 | 0.00000 | 0.00000 | 0.00000 |
| 577 | Global | 0.00 | 0.00 | 1.88 | 0.00000 | 0.00000 | 0.00000 |
| 578 | Global | 0.00 | 0.00 | 1.88 | 0.00000 | 0.00000 | 0.00000 |
| 579 | Global | 0.00 | 0.00 | 1.88 | 0.00000 | 0.00000 | 0.00000 |
| 580 | Global | 0.00 | 0.00 | 1.88 | 0.00000 | 0.00000 | 0.00000 |
| 581 | Global | 0.00 | 0.00 | 1.88 | 0.00000 | 0.00000 | 0.00000 |
| 582 | Global | 0.00 | 0.00 | 1.88 | 0.00000 | 0.00000 | 0.00000 |
| 583 | Global | 0.00 | 0.00 | 1.88 | 0.00000 | 0.00000 | 0.00000 |
| 584 | Global | 0.00 | 0.00 | 1.88 | 0.00000 | 0.00000 | 0.00000 |
| 585 | Global | 0.00 | 0.00 | 1.88 | 0.00000 | 0.00000 | 0.00000 |
| 586 | Global | 0.00 | 0.00 | 1.88 | 0.00000 | 0.00000 | 0.00000 |
| 587 | Global | 0.00 | 0.00 | 1.88 | 0.00000 | 0.00000 | 0.00000 |
| 588 | Global | 0.00 | 0.00 | 1.88 | 0.00000 | 0.00000 | 0.00000 |
| 589 | Global | 0.00 | 0.00 | 1.88 | 0.00000 | 0.00000 | 0.00000 |
| 590 | Global | 0.00 | 0.00 | 1.88 | 0.00000 | 0.00000 | 0.00000 |
| 591 | Global | 0.00 | 0.00 | 1.88 | 0.00000 | 0.00000 | 0.00000 |
| 592 | Global | 0.00 | 0.00 | 1.88 | 0.00000 | 0.00000 | 0.00000 |
| 593 | Global | 0.00 | 0.00 | 1.88 | 0.00000 | 0.00000 | 0.00000 |
| 594 | Global | 0.00 | 0.00 | 1.88 | 0.00000 | 0.00000 | 0.00000 |
| 595 | Global | 0.00 | 0.00 | 1.88 | 0.00000 | 0.00000 | 0.00000 |
| 596 | Global | 0.00 | 0.00 | 1.88 | 0.00000 | 0.00000 | 0.00000 |
| 597 | Global | 0.00 | 0.00 | 1.88 | 0.00000 | 0.00000 | 0.00000 |
| 598 | Global | 0.00 | 0.00 | 1.88 | 0.00000 | 0.00000 | 0.00000 |
| 599 | Global | 0.00 | 0.00 | 1.88 | 0.00000 | 0.00000 | 0.00000 |
| 600 | Global | 0.00 | 0.00 | 1.88 | 0.00000 | 0.00000 | 0.00000 |
| 601 | Global | 0.00 | 0.00 | 1.88 | 0.00000 | 0.00000 | 0.00000 |
| 602 | Global | 0.00 | 0.00 | 1.88 | 0.00000 | 0.00000 | 0.00000 |
| 603 | Global | 0.00 | 0.00 | 1.88 | 0.00000 | 0.00000 | 0.00000 |
| 604 | Global | 0.00 | 0.00 | 1.88 | 0.00000 | 0.00000 | 0.00000 |
| 605 | Global | 0.00 | 0.00 | 1.88 | 0.00000 | 0.00000 | 0.00000 |
| 606 | Global | 0.00 | 0.00 | 1.88 | 0.00000 | 0.00000 | 0.00000 |
| 607 | Global | 0.00 | 0.00 | 1.88 | 0.00000 | 0.00000 | 0.00000 |
| 608 | Global | 0.00 | 0.00 | 1.88 | 0.00000 | 0.00000 | 0.00000 |
| 609 | Global | 0.00 | 0.00 | 1.88 | 0.00000 | 0.00000 | 0.00000 |
| 610 | Global | 0.00 | 0.00 | 1.88 | 0.00000 | 0.00000 | 0.00000 |
| 611 | Global | 0.00 | 0.00 | 1.88 | 0.00000 | 0.00000 | 0.00000 |
| 612 | Global | 0.00 | 0.00 | 1.88 | 0.00000 | 0.00000 | 0.00000 |
| 613 | Global | 0.00 | 0.00 | 1.88 | 0.00000 | 0.00000 | 0.00000 |
| 614 | Global | 0.00 | 0.00 | 1.88 | 0.00000 | 0.00000 | 0.00000 |
| 615 | Global | 0.00 | 0.00 | 1.88 | 0.00000 | 0.00000 | 0.00000 |
| 616 | Global | 0.00 | 0.00 | 1.88 | 0.00000 | 0.00000 | 0.00000 |
| 617 | Global | 0.00 | 0.00 | 1.88 | 0.00000 | 0.00000 | 0.00000 |
| 618 | Global | 0.00 | 0.00 | 1.88 | 0.00000 | 0.00000 | 0.00000 |
| 619 | Global | 0.00 | 0.00 | 1.88 | 0.00000 | 0.00000 | 0.00000 |
| 620 | Global | 0.00 | 0.00 | 1.88 | 0.00000 | 0.00000 | 0.00000 |
| 621 | Global | 0.00 | 0.00 | 1.88 | 0.00000 | 0.00000 | 0.00000 |
| 622 | Global | 0.00 | 0.00 | 1.88 | 0.00000 | 0.00000 | 0.00000 |
| 623 | Global | 0.00 | 0.00 | 1.88 | 0.00000 | 0.00000 | 0.00000 |
| 624 | Global | 0.00 | 0.00 | 1.88 | 0.00000 | 0.00000 | 0.00000 |
| 625 | Global | 0.00 | 0.00 | 1.88 | 0.00000 | 0.00000 | 0.00000 |
| 626 | Global | 0.00 | 0.00 | 1.88 | 0.00000 | 0.00000 | 0.00000 |
| 627 | Global | 0.00 | 0.00 | 1.88 | 0.00000 | 0.00000 | 0.00000 |
| 628 | Global | 0.00 | 0.00 | 1.88 | 0.00000 | 0.00000 | 0.00000 |
| 629 | Global | 0.00 | 0.00 | 1.88 | 0.00000 | 0.00000 | 0.00000 |
| 630 | Global | 0.00 | 0.00 | 1.88 | 0.00000 | 0.00000 | 0.00000 |
| 631 | Global | 0.00 | 0.00 | 1.88 | 0.00000 | 0.00000 | 0.00000 |
| 632 | Global | 0.00 | 0.00 | 1.88 | 0.00000 | 0.00000 | 0.00000 |
| 633 | Global | 0.00 | 0.00 | 1.88 | 0.00000 | 0.00000 | 0.00000 |
| 634 | Global | 0.00 | 0.00 | 1.88 | 0.00000 | 0.00000 | 0.00000 |
| 635 | Global | 0.00 | 0.00 | 1.88 | 0.00000 | 0.00000 | 0.00000 |
| 636 | Global | 0.00 | 0.00 | 1.88 | 0.00000 | 0.00000 | 0.00000 |
| 637 | Global | 0.00 | 0.00 | 1.88 | 0.00000 | 0.00000 | 0.00000 |
| 638 | Global | 0.00 | 0.00 | 1.88 | 0.00000 | 0.00000 | 0.00000 |
| 639 | Global | 0.00 | 0.00 | 1.88 | 0.00000 | 0.00000 | 0.00000 |
| 640 | Global | 0.00 | 0.00 | 1.88 | 0.00000 | 0.00000 | 0.00000 |
| 641 | Global | 0.00 | 0.00 | 1.88 | 0.00000 | 0.00000 | 0.00000 |





| Joint | CoordSys | Mass1 | Mass2 | Mass3 | MMI1 | MMI2 | MMI3 |
|---|---|---|---|---|---|---|---|
| Text | Text | Ton-s2/m | Ton-s2/m | Ton-s2/m | Ton-m-s2 | Ton-m-s2 | Ton-m-s2 |
| 642 | Global | 0.00 | 0.00 | 1.88 | 0.00000 | 0.00000 | 0.00000 |
| 643 | Global | 0.00 | 0.00 | 1.88 | 0.00000 | 0.00000 | 0.00000 |
| 644 | Global | 0.00 | 0.00 | 1.88 | 0.00000 | 0.00000 | 0.00000 |
| 645 | Global | 0.00 | 0.00 | 1.88 | 0.00000 | 0.00000 | 0.00000 |
| 646 | Global | 0.00 | 0.00 | 1.88 | 0.00000 | 0.00000 | 0.00000 |
| 647 | Global | 0.00 | 0.00 | 1.88 | 0.00000 | 0.00000 | 0.00000 |
| 648 | Global | 0.00 | 0.00 | 1.88 | 0.00000 | 0.00000 | 0.00000 |
| 649 | Global | 0.00 | 0.00 | 1.88 | 0.00000 | 0.00000 | 0.00000 |
| 650 | Global | 0.00 | 0.00 | 1.88 | 0.00000 | 0.00000 | 0.00000 |
| 651 | Global | 0.00 | 0.00 | 1.88 | 0.00000 | 0.00000 | 0.00000 |
| 652 | Global | 0.00 | 0.00 | 1.88 | 0.00000 | 0.00000 | 0.00000 |
| 653 | Global | 0.00 | 0.00 | 1.88 | 0.00000 | 0.00000 | 0.00000 |
| 654 | Global | 0.00 | 0.00 | 1.88 | 0.00000 | 0.00000 | 0.00000 |
| 655 | Global | 0.00 | 0.00 | 1.88 | 0.00000 | 0.00000 | 0.00000 |
| 656 | Global | 0.00 | 0.00 | 1.88 | 0.00000 | 0.00000 | 0.00000 |
| 657 | Global | 0.00 | 0.00 | 1.88 | 0.00000 | 0.00000 | 0.00000 |
| 658 | Global | 0.00 | 0.00 | 1.88 | 0.00000 | 0.00000 | 0.00000 |
| 659 | Global | 0.00 | 0.00 | 1.88 | 0.00000 | 0.00000 | 0.00000 |
| 660 | Global | 0.00 | 0.00 | 1.88 | 0.00000 | 0.00000 | 0.00000 |
| 661 | Global | 0.00 | 0.00 | 1.88 | 0.00000 | 0.00000 | 0.00000 |
| 662 | Global | 0.00 | 0.00 | 1.88 | 0.00000 | 0.00000 | 0.00000 |
| 663 | Global | 0.00 | 0.00 | 1.88 | 0.00000 | 0.00000 | 0.00000 |
| 664 | Global | 0.00 | 0.00 | 1.88 | 0.00000 | 0.00000 | 0.00000 |
| 665 | Global | 0.00 | 0.00 | 1.88 | 0.00000 | 0.00000 | 0.00000 |
| 666 | Global | 0.00 | 0.00 | 1.88 | 0.00000 | 0.00000 | 0.00000 |
| 669 | Global | 0.00 | 0.00 | 1.88 | 0.00000 | 0.00000 | 0.00000 |
| 670 | Global | 0.00 | 0.00 | 1.88 | 0.00000 | 0.00000 | 0.00000 |
| 671 | Global | 0.00 | 0.00 | 1.88 | 0.00000 | 0.00000 | 0.00000 |
| 672 | Global | 0.00 | 0.00 | 1.88 | 0.00000 | 0.00000 | 0.00000 |
| 673 | Global | 0.00 | 0.00 | 1.88 | 0.00000 | 0.00000 | 0.00000 |
| 674 | Global | 0.00 | 0.00 | 1.88 | 0.00000 | 0.00000 | 0.00000 |
| 675 | Global | 0.00 | 0.00 | 1.88 | 0.00000 | 0.00000 | 0.00000 |
| 676 | Global | 0.00 | 0.00 | 1.88 | 0.00000 | 0.00000 | 0.00000 |
| 677 | Global | 0.00 | 0.00 | 1.88 | 0.00000 | 0.00000 | 0.00000 |
| 678 | Global | 0.00 | 0.00 | 1.88 | 0.00000 | 0.00000 | 0.00000 |
| 679 | Global | 0.00 | 0.00 | 1.88 | 0.00000 | 0.00000 | 0.00000 |
| 680 | Global | 0.00 | 0.00 | 1.88 | 0.00000 | 0.00000 | 0.00000 |
| 681 | Global | 0.00 | 0.00 | 1.88 | 0.00000 | 0.00000 | 0.00000 |
| 682 | Global | 0.00 | 0.00 | 1.88 | 0.00000 | 0.00000 | 0.00000 |
| 683 | Global | 0.00 | 0.00 | 1.88 | 0.00000 | 0.00000 | 0.00000 |
| 684 | Global | 0.00 | 0.00 | 1.88 | 0.00000 | 0.00000 | 0.00000 |
| 685 | Global | 0.00 | 0.00 | 1.88 | 0.00000 | 0.00000 | 0.00000 |
| 686 | Global | 0.00 | 0.00 | 1.88 | 0.00000 | 0.00000 | 0.00000 |
| 687 | Global | 0.00 | 0.00 | 1.88 | 0.00000 | 0.00000 | 0.00000 |
| 688 | Global | 0.00 | 0.00 | 1.88 | 0.00000 | 0.00000 | 0.00000 |
| 689 | Global | 0.00 | 0.00 | 1.88 | 0.00000 | 0.00000 | 0.00000 |
| 690 | Global | 0.00 | 0.00 | 1.88 | 0.00000 | 0.00000 | 0.00000 |
| 691 | Global | 0.00 | 0.00 | 1.88 | 0.00000 | 0.00000 | 0.00000 |
| 692 | Global | 0.00 | 0.00 | 1.88 | 0.00000 | 0.00000 | 0.00000 |
| 693 | Global | 0.00 | 0.00 | 1.88 | 0.00000 | 0.00000 | 0.00000 |
| 694 | Global | 0.00 | 0.00 | 1.88 | 0.00000 | 0.00000 | 0.00000 |
| 695 | Global | 0.00 | 0.00 | 1.88 | 0.00000 | 0.00000 | 0.00000 |
| 696 | Global | 0.00 | 0.00 | 1.88 | 0.00000 | 0.00000 | 0.00000 |
| 697 | Global | 0.00 | 0.00 | 1.88 | 0.00000 | 0.00000 | 0.00000 |
| 698 | Global | 0.00 | 0.00 | 1.88 | 0.00000 | 0.00000 | 0.00000 |
| 699 | Global | 0.00 | 0.00 | 1.88 | 0.00000 | 0.00000 | 0.00000 |
| 700 | Global | 0.00 | 0.00 | 1.88 | 0.00000 | 0.00000 | 0.00000 |
| 701 | Global | 0.00 | 0.00 | 1.88 | 0.00000 | 0.00000 | 0.00000 |
| 702 | Global | 0.00 | 0.00 | 1.88 | 0.00000 | 0.00000 | 0.00000 |
| 703 | Global | 0.00 | 0.00 | 1.88 | 0.00000 | 0.00000 | 0.00000 |
| 704 | Global | 0.00 | 0.00 | 1.88 | 0.00000 | 0.00000 | 0.00000 |
| 705 | Global | 0.00 | 0.00 | 1.88 | 0.00000 | 0.00000 | 0.00000 |
| 706 | Global | 0.00 | 0.00 | 1.88 | 0.00000 | 0.00000 | 0.00000 |
| 707 | Global | 0.00 | 0.00 | 1.88 | 0.00000 | 0.00000 | 0.00000 |
| 708 | Global | 0.00 | 0.00 | 1.88 | 0.00000 | 0.00000 | 0.00000 |
| 709 | Global | 0.00 | 0.00 | 1.88 | 0.00000 | 0.00000 | 0.00000 |
| 710 | Global | 0.00 | 0.00 | 1.88 | 0.00000 | 0.00000 | 0.00000 |
| 711 | Global | 0.00 | 0.00 | 1.88 | 0.00000 | 0.00000 | 0.00000 |
| 712 | Global | 0.00 | 0.00 | 1.88 | 0.00000 | 0.00000 | 0.00000 |
| 713 | Global | 0.00 | 0.00 | 1.88 | 0.00000 | 0.00000 | 0.00000 |
| 714 | Global | 0.00 | 0.00 | 1.88 | 0.00000 | 0.00000 | 0.00000 |
| 715 | Global | 0.00 | 0.00 | 1.88 | 0.00000 | 0.00000 | 0.00000 |
| 716 | Global | 0.00 | 0.00 | 1.88 | 0.00000 | 0.00000 | 0.00000 |
| 717 | Global | 0.00 | 0.00 | 1.88 | 0.00000 | 0.00000 | 0.00000 |
| 718 | Global | 0.00 | 0.00 | 1.88 | 0.00000 | 0.00000 | 0.00000 |
| 719 | Global | 0.00 | 0.00 | 1.88 | 0.00000 | 0.00000 | 0.00000 |
| 720 | Global | 0.00 | 0.00 | 1.88 | 0.00000 | 0.00000 | 0.00000 |
| 721 | Global | 0.00 | 0.00 | 1.88 | 0.00000 | 0.00000 | 0.00000 |
| 722 | Global | 0.00 | 0.00 | 1.88 | 0.00000 | 0.00000 | 0.00000 |
| 723 | Global | 0.00 | 0.00 | 1.88 | 0.00000 | 0.00000 | 0.00000 |
| 724 | Global | 0.00 | 0.00 | 1.88 | 0.00000 | 0.00000 | 0.00000 |
| 725 | Global | 0.00 | 0.00 | 1.88 | 0.00000 | 0.00000 | 0.00000 |
| 726 | Global | 0.00 | 0.00 | 1.88 | 0.00000 | 0.00000 | 0.00000 |
| 727 | Global | 0.00 | 0.00 | 1.88 | 0.00000 | 0.00000 | 0.00000 |
| 728 | Global | 0.00 | 0.00 | 1.88 | 0.00000 | 0.00000 | 0.00000 |
| 729 | Global | 0.00 | 0.00 | 1.88 | 0.00000 | 0.00000 | 0.00000 |
| 730 | Global | 0.00 | 0.00 | 1.88 | 0.00000 | 0.00000 | 0.00000 |
| 731 | Global | 0.00 | 0.00 | 1.88 | 0.00000 | 0.00000 | 0.00000 |
| 732 | Global | 0.00 | 0.00 | 1.88 | 0.00000 | 0.00000 | 0.00000 |
| 733 | Global | 0.00 | 0.00 | 1.88 | 0.00000 | 0.00000 | 0.00000 |
| 734 | Global | 0.00 | 0.00 | 1.88 | 0.00000 | 0.00000 | 0.00000 |

| Joint | CoordSys | Mass1 | Mass2 | Mass3 | MMI1 | MMI2 | MMI3 |
|---|---|---|---|---|---|---|---|
| Text | Text | Ton-s2/m | Ton-s2/m | Ton-s2/m | Ton-m-s2 | Ton-m-s2 | Ton-m-s2 |
| 735 | Global | 0.00 | 0.00 | 1.88 | 0.00000 | 0.00000 | 0.00000 |
| 736 | Global | 0.00 | 0.00 | 1.88 | 0.00000 | 0.00000 | 0.00000 |
| 737 | Global | 0.00 | 0.00 | 1.88 | 0.00000 | 0.00000 | 0.00000 |
| 738 | Global | 0.00 | 0.00 | 1.88 | 0.00000 | 0.00000 | 0.00000 |
| 739 | Global | 0.00 | 0.00 | 1.88 | 0.00000 | 0.00000 | 0.00000 |
| 740 | Global | 0.00 | 0.00 | 1.88 | 0.00000 | 0.00000 | 0.00000 |
| 741 | Global | 0.00 | 0.00 | 1.88 | 0.00000 | 0.00000 | 0.00000 |
| 742 | Global | 0.00 | 0.00 | 1.88 | 0.00000 | 0.00000 | 0.00000 |
| 743 | Global | 0.00 | 0.00 | 1.88 | 0.00000 | 0.00000 | 0.00000 |
| 744 | Global | 0.00 | 0.00 | 1.88 | 0.00000 | 0.00000 | 0.00000 |
| 745 | Global | 0.00 | 0.00 | 1.88 | 0.00000 | 0.00000 | 0.00000 |
| 746 | Global | 0.00 | 0.00 | 1.88 | 0.00000 | 0.00000 | 0.00000 |
| 747 | Global | 0.00 | 0.00 | 1.88 | 0.00000 | 0.00000 | 0.00000 |
| 748 | Global | 0.00 | 0.00 | 1.88 | 0.00000 | 0.00000 | 0.00000 |
| 749 | Global | 0.00 | 0.00 | 1.88 | 0.00000 | 0.00000 | 0.00000 |
| 750 | Global | 0.00 | 0.00 | 1.88 | 0.00000 | 0.00000 | 0.00000 |
| 751 | Global | 0.00 | 0.00 | 1.88 | 0.00000 | 0.00000 | 0.00000 |
| 752 | Global | 0.00 | 0.00 | 1.88 | 0.00000 | 0.00000 | 0.00000 |
| 753 | Global | 0.00 | 0.00 | 1.88 | 0.00000 | 0.00000 | 0.00000 |
| 754 | Global | 0.00 | 0.00 | 1.88 | 0.00000 | 0.00000 | 0.00000 |
| 755 | Global | 0.00 | 0.00 | 1.88 | 0.00000 | 0.00000 | 0.00000 |
| 756 | Global | 0.00 | 0.00 | 1.88 | 0.00000 | 0.00000 | 0.00000 |
| 757 | Global | 0.00 | 0.00 | 1.88 | 0.00000 | 0.00000 | 0.00000 |
| 758 | Global | 0.00 | 0.00 | 1.88 | 0.00000 | 0.00000 | 0.00000 |
| 759 | Global | 0.00 | 0.00 | 1.88 | 0.00000 | 0.00000 | 0.00000 |
| 760 | Global | 0.00 | 0.00 | 1.88 | 0.00000 | 0.00000 | 0.00000 |
| 761 | Global | 0.00 | 0.00 | 1.88 | 0.00000 | 0.00000 | 0.00000 |
| 762 | Global | 0.00 | 0.00 | 1.88 | 0.00000 | 0.00000 | 0.00000 |
| 765 | Global | 0.00 | 0.00 | 1.88 | 0.00000 | 0.00000 | 0.00000 |
| 766 | Global | 0.00 | 0.00 | 1.88 | 0.00000 | 0.00000 | 0.00000 |
| 767 | Global | 0.00 | 0.00 | 1.88 | 0.00000 | 0.00000 | 0.00000 |
| 768 | Global | 0.00 | 0.00 | 1.88 | 0.00000 | 0.00000 | 0.00000 |
| 769 | Global | 0.00 | 0.00 | 1.88 | 0.00000 | 0.00000 | 0.00000 |
| 770 | Global | 0.00 | 0.00 | 1.88 | 0.00000 | 0.00000 | 0.00000 |
| 771 | Global | 0.00 | 0.00 | 1.88 | 0.00000 | 0.00000 | 0.00000 |
| 772 | Global | 0.00 | 0.00 | 1.88 | 0.00000 | 0.00000 | 0.00000 |
| 773 | Global | 0.00 | 0.00 | 1.88 | 0.00000 | 0.00000 | 0.00000 |
| 774 | Global | 0.00 | 0.00 | 1.88 | 0.00000 | 0.00000 | 0.00000 |
| 775 | Global | 0.00 | 0.00 | 1.88 | 0.00000 | 0.00000 | 0.00000 |
| 776 | Global | 0.00 | 0.00 | 1.88 | 0.00000 | 0.00000 | 0.00000 |
| 777 | Global | 0.00 | 0.00 | 1.88 | 0.00000 | 0.00000 | 0.00000 |
| 778 | Global | 0.00 | 0.00 | 1.88 | 0.00000 | 0.00000 | 0.00000 |
| 779 | Global | 0.00 | 0.00 | 1.88 | 0.00000 | 0.00000 | 0.00000 |
| 780 | Global | 0.00 | 0.00 | 1.88 | 0.00000 | 0.00000 | 0.00000 |
| 781 | Global | 0.00 | 0.00 | 1.88 | 0.00000 | 0.00000 | 0.00000 |
| 782 | Global | 0.00 | 0.00 | 1.88 | 0.00000 | 0.00000 | 0.00000 |
| 783 | Global | 0.00 | 0.00 | 1.88 | 0.00000 | 0.00000 | 0.00000 |
| 784 | Global | 0.00 | 0.00 | 1.88 | 0.00000 | 0.00000 | 0.00000 |
| 785 | Global | 0.00 | 0.00 | 1.88 | 0.00000 | 0.00000 | 0.00000 |
| 786 | Global | 0.00 | 0.00 | 1.88 | 0.00000 | 0.00000 | 0.00000 |
| 787 | Global | 0.00 | 0.00 | 1.88 | 0.00000 | 0.00000 | 0.00000 |
| 788 | Global | 0.00 | 0.00 | 1.88 | 0.00000 | 0.00000 | 0.00000 |
| 789 | Global | 0.00 | 0.00 | 1.88 | 0.00000 | 0.00000 | 0.00000 |
| 790 | Global | 0.00 | 0.00 | 1.88 | 0.00000 | 0.00000 | 0.00000 |
| 791 | Global | 0.00 | 0.00 | 1.88 | 0.00000 | 0.00000 | 0.00000 |
| 792 | Global | 0.00 | 0.00 | 1.88 | 0.00000 | 0.00000 | 0.00000 |
| 793 | Global | 0.00 | 0.00 | 1.88 | 0.00000 | 0.00000 | 0.00000 |
| 794 | Global | 0.00 | 0.00 | 1.88 | 0.00000 | 0.00000 | 0.00000 |
| 795 | Global | 0.00 | 0.00 | 1.88 | 0.00000 | 0.00000 | 0.00000 |
| 796 | Global | 0.00 | 0.00 | 1.88 | 0.00000 | 0.00000 | 0.00000 |
| 797 | Global | 0.00 | 0.00 | 1.88 | 0.00000 | 0.00000 | 0.00000 |
| 798 | Global | 0.00 | 0.00 | 1.88 | 0.00000 | 0.00000 | 0.00000 |
| 799 | Global | 0.00 | 0.00 | 1.88 | 0.00000 | 0.00000 | 0.00000 |
| 800 | Global | 0.00 | 0.00 | 1.88 | 0.00000 | 0.00000 | 0.00000 |
| 801 | Global | 0.00 | 0.00 | 1.88 | 0.00000 | 0.00000 | 0.00000 |
| 802 | Global | 0.00 | 0.00 | 1.88 | 0.00000 | 0.00000 | 0.00000 |
| 803 | Global | 0.00 | 0.00 | 1.88 | 0.00000 | 0.00000 | 0.00000 |
| 804 | Global | 0.00 | 0.00 | 1.88 | 0.00000 | 0.00000 | 0.00000 |
| 805 | Global | 0.00 | 0.00 | 1.88 | 0.00000 | 0.00000 | 0.00000 |
| 806 | Global | 0.00 | 0.00 | 1.88 | 0.00000 | 0.00000 | 0.00000 |
| 807 | Global | 0.00 | 0.00 | 1.88 | 0.00000 | 0.00000 | 0.00000 |
| 808 | Global | 0.00 | 0.00 | 1.88 | 0.00000 | 0.00000 | 0.00000 |
| 809 | Global | 0.00 | 0.00 | 1.88 | 0.00000 | 0.00000 | 0.00000 |
| 810 | Global | 0.00 | 0.00 | 1.88 | 0.00000 | 0.00000 | 0.00000 |
| 811 | Global | 0.00 | 0.00 | 1.88 | 0.00000 | 0.00000 | 0.00000 |
| 812 | Global | 0.00 | 0.00 | 1.88 | 0.00000 | 0.00000 | 0.00000 |
| 813 | Global | 0.00 | 0.00 | 1.88 | 0.00000 | 0.00000 | 0.00000 |
| 814 | Global | 0.00 | 0.00 | 1.88 | 0.00000 | 0.00000 | 0.00000 |
| 815 | Global | 0.00 | 0.00 | 1.88 | 0.00000 | 0.00000 | 0.00000 |
| 816 | Global | 0.00 | 0.00 | 1.88 | 0.00000 | 0.00000 | 0.00000 |
| 817 | Global | 0.00 | 0.00 | 1.88 | 0.00000 | 0.00000 | 0.00000 |
| 818 | Global | 0.00 | 0.00 | 1.88 | 0.00000 | 0.00000 | 0.00000 |
| 819 | Global | 0.00 | 0.00 | 1.88 | 0.00000 | 0.00000 | 0.00000 |
| 820 | Global | 0.00 | 0.00 | 1.88 | 0.00000 | 0.00000 | 0.00000 |
| 821 | Global | 0.00 | 0.00 | 1.88 | 0.00000 | 0.00000 | 0.00000 |
| 822 | Global | 0.00 | 0.00 | 1.88 | 0.00000 | 0.00000 | 0.00000 |
| 823 | Global | 0.00 | 0.00 | 1.88 | 0.00000 | 0.00000 | 0.00000 |
| 824 | Global | 0.00 | 0.00 | 1.88 | 0.00000 | 0.00000 | 0.00000 |
| 825 | Global | 0.00 | 0.00 | 1.88 | 0.00000 | 0.00000 | 0.00000 |
| 826 | Global | 0.00 | 0.00 | 1.88 | 0.00000 | 0.00000 | 0.00000 |
| 827 | Global | 0.00 | 0.00 | 1.88 | 0.00000 | 0.00000 | 0.00000 |





| Joint | CoordSys | Mass1 | Mass2 | Mass3 | MMI1 | MMI2 | MMI3 |
|---|---|---|---|---|---|---|---|
| Text | Text | Ton-s2/m | Ton-s2/m | Ton-s2/m | Ton-m-s2 | Ton-m-s2 | Ton-m-s2 |
| 828 | Global | 0.00 | 0.00 | 1.88 | 0.00000 | 0.00000 | 0.00000 |
| 829 | Global | 0.00 | 0.00 | 1.88 | 0.00000 | 0.00000 | 0.00000 |
| 830 | Global | 0.00 | 0.00 | 1.88 | 0.00000 | 0.00000 | 0.00000 |
| 831 | Global | 0.00 | 0.00 | 1.88 | 0.00000 | 0.00000 | 0.00000 |
| 832 | Global | 0.00 | 0.00 | 1.88 | 0.00000 | 0.00000 | 0.00000 |
| 833 | Global | 0.00 | 0.00 | 1.88 | 0.00000 | 0.00000 | 0.00000 |
| 834 | Global | 0.00 | 0.00 | 1.88 | 0.00000 | 0.00000 | 0.00000 |
| 835 | Global | 0.00 | 0.00 | 1.88 | 0.00000 | 0.00000 | 0.00000 |
| 836 | Global | 0.00 | 0.00 | 1.88 | 0.00000 | 0.00000 | 0.00000 |
| 837 | Global | 0.00 | 0.00 | 1.88 | 0.00000 | 0.00000 | 0.00000 |
| 838 | Global | 0.00 | 0.00 | 1.88 | 0.00000 | 0.00000 | 0.00000 |
| 839 | Global | 0.00 | 0.00 | 1.88 | 0.00000 | 0.00000 | 0.00000 |
| 840 | Global | 0.00 | 0.00 | 1.88 | 0.00000 | 0.00000 | 0.00000 |
| 841 | Global | 0.00 | 0.00 | 1.88 | 0.00000 | 0.00000 | 0.00000 |
| 842 | Global | 0.00 | 0.00 | 1.88 | 0.00000 | 0.00000 | 0.00000 |
| 843 | Global | 0.00 | 0.00 | 1.88 | 0.00000 | 0.00000 | 0.00000 |
| 844 | Global | 0.00 | 0.00 | 1.88 | 0.00000 | 0.00000 | 0.00000 |
| 845 | Global | 0.00 | 0.00 | 1.88 | 0.00000 | 0.00000 | 0.00000 |
| 846 | Global | 0.00 | 0.00 | 1.88 | 0.00000 | 0.00000 | 0.00000 |
| 847 | Global | 0.00 | 0.00 | 1.88 | 0.00000 | 0.00000 | 0.00000 |
| 848 | Global | 0.00 | 0.00 | 1.88 | 0.00000 | 0.00000 | 0.00000 |
| 849 | Global | 0.00 | 0.00 | 1.88 | 0.00000 | 0.00000 | 0.00000 |
| 850 | Global | 0.00 | 0.00 | 1.88 | 0.00000 | 0.00000 | 0.00000 |
| 851 | Global | 0.00 | 0.00 | 1.88 | 0.00000 | 0.00000 | 0.00000 |
| 852 | Global | 0.00 | 0.00 | 1.88 | 0.00000 | 0.00000 | 0.00000 |
| 853 | Global | 0.00 | 0.00 | 1.88 | 0.00000 | 0.00000 | 0.00000 |
| 854 | Global | 0.00 | 0.00 | 1.88 | 0.00000 | 0.00000 | 0.00000 |
| 855 | Global | 0.00 | 0.00 | 1.88 | 0.00000 | 0.00000 | 0.00000 |
| 856 | Global | 0.00 | 0.00 | 1.88 | 0.00000 | 0.00000 | 0.00000 |
| 857 | Global | 0.00 | 0.00 | 1.88 | 0.00000 | 0.00000 | 0.00000 |
| 858 | Global | 0.00 | 0.00 | 1.88 | 0.00000 | 0.00000 | 0.00000 |
| 861 | Global | 0.00 | 0.00 | 1.88 | 0.00000 | 0.00000 | 0.00000 |
| 862 | Global | 0.00 | 0.00 | 1.88 | 0.00000 | 0.00000 | 0.00000 |
| 863 | Global | 0.00 | 0.00 | 1.88 | 0.00000 | 0.00000 | 0.00000 |
| 864 | Global | 0.00 | 0.00 | 1.88 | 0.00000 | 0.00000 | 0.00000 |
| 865 | Global | 0.00 | 0.00 | 1.88 | 0.00000 | 0.00000 | 0.00000 |
| 866 | Global | 0.00 | 0.00 | 1.88 | 0.00000 | 0.00000 | 0.00000 |
| 867 | Global | 0.00 | 0.00 | 1.88 | 0.00000 | 0.00000 | 0.00000 |
| 868 | Global | 0.00 | 0.00 | 1.88 | 0.00000 | 0.00000 | 0.00000 |
| 869 | Global | 0.00 | 0.00 | 1.88 | 0.00000 | 0.00000 | 0.00000 |
| 870 | Global | 0.00 | 0.00 | 1.88 | 0.00000 | 0.00000 | 0.00000 |
| 871 | Global | 0.00 | 0.00 | 1.88 | 0.00000 | 0.00000 | 0.00000 |
| 872 | Global | 0.00 | 0.00 | 1.88 | 0.00000 | 0.00000 | 0.00000 |
| 873 | Global | 0.00 | 0.00 | 1.88 | 0.00000 | 0.00000 | 0.00000 |
| 874 | Global | 0.00 | 0.00 | 1.88 | 0.00000 | 0.00000 | 0.00000 |
| 875 | Global | 0.00 | 0.00 | 1.88 | 0.00000 | 0.00000 | 0.00000 |
| 876 | Global | 0.00 | 0.00 | 1.88 | 0.00000 | 0.00000 | 0.00000 |
| 877 | Global | 0.00 | 0.00 | 1.88 | 0.00000 | 0.00000 | 0.00000 |
| 878 | Global | 0.00 | 0.00 | 1.88 | 0.00000 | 0.00000 | 0.00000 |
| 879 | Global | 0.00 | 0.00 | 1.88 | 0.00000 | 0.00000 | 0.00000 |
| 880 | Global | 0.00 | 0.00 | 1.88 | 0.00000 | 0.00000 | 0.00000 |
| 881 | Global | 0.00 | 0.00 | 1.88 | 0.00000 | 0.00000 | 0.00000 |
| 882 | Global | 0.00 | 0.00 | 1.88 | 0.00000 | 0.00000 | 0.00000 |
| 883 | Global | 0.00 | 0.00 | 1.88 | 0.00000 | 0.00000 | 0.00000 |
| 884 | Global | 0.00 | 0.00 | 1.88 | 0.00000 | 0.00000 | 0.00000 |
| 885 | Global | 0.00 | 0.00 | 1.88 | 0.00000 | 0.00000 | 0.00000 |
| 886 | Global | 0.00 | 0.00 | 1.88 | 0.00000 | 0.00000 | 0.00000 |
| 887 | Global | 0.00 | 0.00 | 1.88 | 0.00000 | 0.00000 | 0.00000 |
| 888 | Global | 0.00 | 0.00 | 1.88 | 0.00000 | 0.00000 | 0.00000 |
| 889 | Global | 0.00 | 0.00 | 1.88 | 0.00000 | 0.00000 | 0.00000 |
| 890 | Global | 0.00 | 0.00 | 1.88 | 0.00000 | 0.00000 | 0.00000 |
| 891 | Global | 0.00 | 0.00 | 1.88 | 0.00000 | 0.00000 | 0.00000 |
| 892 | Global | 0.00 | 0.00 | 1.88 | 0.00000 | 0.00000 | 0.00000 |
| 893 | Global | 0.00 | 0.00 | 1.88 | 0.00000 | 0.00000 | 0.00000 |
| 894 | Global | 0.00 | 0.00 | 1.88 | 0.00000 | 0.00000 | 0.00000 |
| 895 | Global | 0.00 | 0.00 | 1.88 | 0.00000 | 0.00000 | 0.00000 |
| 896 | Global | 0.00 | 0.00 | 1.88 | 0.00000 | 0.00000 | 0.00000 |
| 897 | Global | 0.00 | 0.00 | 1.88 | 0.00000 | 0.00000 | 0.00000 |
| 898 | Global | 0.00 | 0.00 | 1.88 | 0.00000 | 0.00000 | 0.00000 |
| 899 | Global | 0.00 | 0.00 | 1.88 | 0.00000 | 0.00000 | 0.00000 |
| 900 | Global | 0.00 | 0.00 | 1.88 | 0.00000 | 0.00000 | 0.00000 |
| 901 | Global | 0.00 | 0.00 | 1.88 | 0.00000 | 0.00000 | 0.00000 |
| 902 | Global | 0.00 | 0.00 | 1.88 | 0.00000 | 0.00000 | 0.00000 |
| 903 | Global | 0.00 | 0.00 | 1.88 | 0.00000 | 0.00000 | 0.00000 |
| 904 | Global | 0.00 | 0.00 | 1.88 | 0.00000 | 0.00000 | 0.00000 |
| 905 | Global | 0.00 | 0.00 | 1.88 | 0.00000 | 0.00000 | 0.00000 |
| 906 | Global | 0.00 | 0.00 | 1.88 | 0.00000 | 0.00000 | 0.00000 |
| 907 | Global | 0.00 | 0.00 | 1.88 | 0.00000 | 0.00000 | 0.00000 |
| 908 | Global | 0.00 | 0.00 | 1.88 | 0.00000 | 0.00000 | 0.00000 |
| 909 | Global | 0.00 | 0.00 | 1.88 | 0.00000 | 0.00000 | 0.00000 |
| 910 | Global | 0.00 | 0.00 | 1.88 | 0.00000 | 0.00000 | 0.00000 |
| 911 | Global | 0.00 | 0.00 | 1.88 | 0.00000 | 0.00000 | 0.00000 |
| 912 | Global | 0.00 | 0.00 | 1.88 | 0.00000 | 0.00000 | 0.00000 |
| 913 | Global | 0.00 | 0.00 | 1.88 | 0.00000 | 0.00000 | 0.00000 |
| 914 | Global | 0.00 | 0.00 | 1.88 | 0.00000 | 0.00000 | 0.00000 |
| 915 | Global | 0.00 | 0.00 | 1.88 | 0.00000 | 0.00000 | 0.00000 |
| 916 | Global | 0.00 | 0.00 | 1.88 | 0.00000 | 0.00000 | 0.00000 |
| 917 | Global | 0.00 | 0.00 | 1.88 | 0.00000 | 0.00000 | 0.00000 |
| 918 | Global | 0.00 | 0.00 | 1.88 | 0.00000 | 0.00000 | 0.00000 |
| 919 | Global | 0.00 | 0.00 | 1.88 | 0.00000 | 0.00000 | 0.00000 |
| 920 | Global | 0.00 | 0.00 | 1.88 | 0.00000 | 0.00000 | 0.00000 |

| Joint | CoordSys | Mass1 | Mass2 | Mass3 | MMI1 | MMI2 | MMI3 |
|---|---|---|---|---|---|---|---|
| Text | Text | Ton-s2/m | Ton-s2/m | Ton-s2/m | Ton-m-s2 | Ton-m-s2 | Ton-m-s2 |
| 921 | Global | 0.00 | 0.00 | 1.88 | 0.00000 | 0.00000 | 0.00000 |
| 922 | Global | 0.00 | 0.00 | 1.88 | 0.00000 | 0.00000 | 0.00000 |
| 923 | Global | 0.00 | 0.00 | 1.88 | 0.00000 | 0.00000 | 0.00000 |
| 924 | Global | 0.00 | 0.00 | 1.88 | 0.00000 | 0.00000 | 0.00000 |
| 925 | Global | 0.00 | 0.00 | 1.88 | 0.00000 | 0.00000 | 0.00000 |
| 926 | Global | 0.00 | 0.00 | 1.88 | 0.00000 | 0.00000 | 0.00000 |
| 927 | Global | 0.00 | 0.00 | 1.88 | 0.00000 | 0.00000 | 0.00000 |
| 928 | Global | 0.00 | 0.00 | 1.88 | 0.00000 | 0.00000 | 0.00000 |
| 929 | Global | 0.00 | 0.00 | 1.88 | 0.00000 | 0.00000 | 0.00000 |
| 930 | Global | 0.00 | 0.00 | 1.88 | 0.00000 | 0.00000 | 0.00000 |
| 931 | Global | 0.00 | 0.00 | 1.88 | 0.00000 | 0.00000 | 0.00000 |
| 932 | Global | 0.00 | 0.00 | 1.88 | 0.00000 | 0.00000 | 0.00000 |
| 933 | Global | 0.00 | 0.00 | 1.88 | 0.00000 | 0.00000 | 0.00000 |
| 934 | Global | 0.00 | 0.00 | 1.88 | 0.00000 | 0.00000 | 0.00000 |
| 935 | Global | 0.00 | 0.00 | 1.88 | 0.00000 | 0.00000 | 0.00000 |
| 936 | Global | 0.00 | 0.00 | 1.88 | 0.00000 | 0.00000 | 0.00000 |
| 937 | Global | 0.00 | 0.00 | 1.88 | 0.00000 | 0.00000 | 0.00000 |
| 938 | Global | 0.00 | 0.00 | 1.88 | 0.00000 | 0.00000 | 0.00000 |
| 939 | Global | 0.00 | 0.00 | 1.88 | 0.00000 | 0.00000 | 0.00000 |
| 940 | Global | 0.00 | 0.00 | 1.88 | 0.00000 | 0.00000 | 0.00000 |
| 941 | Global | 0.00 | 0.00 | 1.88 | 0.00000 | 0.00000 | 0.00000 |
| 942 | Global | 0.00 | 0.00 | 1.88 | 0.00000 | 0.00000 | 0.00000 |
| 943 | Global | 0.00 | 0.00 | 1.88 | 0.00000 | 0.00000 | 0.00000 |
| 944 | Global | 0.00 | 0.00 | 1.88 | 0.00000 | 0.00000 | 0.00000 |
| 945 | Global | 0.00 | 0.00 | 1.88 | 0.00000 | 0.00000 | 0.00000 |
| 946 | Global | 0.00 | 0.00 | 1.88 | 0.00000 | 0.00000 | 0.00000 |
| 947 | Global | 0.00 | 0.00 | 1.88 | 0.00000 | 0.00000 | 0.00000 |
| 948 | Global | 0.00 | 0.00 | 1.88 | 0.00000 | 0.00000 | 0.00000 |
| 949 | Global | 0.00 | 0.00 | 1.88 | 0.00000 | 0.00000 | 0.00000 |
| 950 | Global | 0.00 | 0.00 | 1.88 | 0.00000 | 0.00000 | 0.00000 |
| 951 | Global | 0.00 | 0.00 | 1.88 | 0.00000 | 0.00000 | 0.00000 |
| 952 | Global | 0.00 | 0.00 | 1.88 | 0.00000 | 0.00000 | 0.00000 |
| 953 | Global | 0.00 | 0.00 | 1.88 | 0.00000 | 0.00000 | 0.00000 |
| 954 | Global | 0.00 | 0.00 | 1.88 | 0.00000 | 0.00000 | 0.00000 |
| 957 | Global | 0.00 | 0.00 | 1.88 | 0.00000 | 0.00000 | 0.00000 |
| 958 | Global | 0.00 | 0.00 | 1.88 | 0.00000 | 0.00000 | 0.00000 |
| 959 | Global | 0.00 | 0.00 | 1.88 | 0.00000 | 0.00000 | 0.00000 |
| 960 | Global | 0.00 | 0.00 | 1.88 | 0.00000 | 0.00000 | 0.00000 |
| 961 | Global | 0.00 | 0.00 | 1.88 | 0.00000 | 0.00000 | 0.00000 |
| 962 | Global | 0.00 | 0.00 | 1.88 | 0.00000 | 0.00000 | 0.00000 |
| 963 | Global | 0.00 | 0.00 | 1.88 | 0.00000 | 0.00000 | 0.00000 |
| 964 | Global | 0.00 | 0.00 | 1.88 | 0.00000 | 0.00000 | 0.00000 |
| 965 | Global | 0.00 | 0.00 | 1.88 | 0.00000 | 0.00000 | 0.00000 |
| 966 | Global | 0.00 | 0.00 | 1.88 | 0.00000 | 0.00000 | 0.00000 |
| 967 | Global | 0.00 | 0.00 | 1.88 | 0.00000 | 0.00000 | 0.00000 |
| 968 | Global | 0.00 | 0.00 | 1.88 | 0.00000 | 0.00000 | 0.00000 |
| 969 | Global | 0.00 | 0.00 | 1.88 | 0.00000 | 0.00000 | 0.00000 |
| 970 | Global | 0.00 | 0.00 | 1.88 | 0.00000 | 0.00000 | 0.00000 |
| 971 | Global | 0.00 | 0.00 | 1.88 | 0.00000 | 0.00000 | 0.00000 |
| 972 | Global | 0.00 | 0.00 | 1.88 | 0.00000 | 0.00000 | 0.00000 |
| 973 | Global | 0.00 | 0.00 | 1.88 | 0.00000 | 0.00000 | 0.00000 |
| 974 | Global | 0.00 | 0.00 | 1.88 | 0.00000 | 0.00000 | 0.00000 |
| 975 | Global | 0.00 | 0.00 | 1.88 | 0.00000 | 0.00000 | 0.00000 |
| 976 | Global | 0.00 | 0.00 | 1.88 | 0.00000 | 0.00000 | 0.00000 |
| 977 | Global | 0.00 | 0.00 | 1.88 | 0.00000 | 0.00000 | 0.00000 |
| 978 | Global | 0.00 | 0.00 | 1.88 | 0.00000 | 0.00000 | 0.00000 |
| 979 | Global | 0.00 | 0.00 | 1.88 | 0.00000 | 0.00000 | 0.00000 |
| 980 | Global | 0.00 | 0.00 | 1.88 | 0.00000 | 0.00000 | 0.00000 |
| 981 | Global | 0.00 | 0.00 | 1.88 | 0.00000 | 0.00000 | 0.00000 |
| 982 | Global | 0.00 | 0.00 | 1.88 | 0.00000 | 0.00000 | 0.00000 |
| 983 | Global | 0.00 | 0.00 | 1.88 | 0.00000 | 0.00000 | 0.00000 |
| 984 | Global | 0.00 | 0.00 | 1.88 | 0.00000 | 0.00000 | 0.00000 |
| 985 | Global | 0.00 | 0.00 | 1.88 | 0.00000 | 0.00000 | 0.00000 |
| 986 | Global | 0.00 | 0.00 | 1.88 | 0.00000 | 0.00000 | 0.00000 |
| 987 | Global | 0.00 | 0.00 | 1.88 | 0.00000 | 0.00000 | 0.00000 |
| 988 | Global | 0.00 | 0.00 | 1.88 | 0.00000 | 0.00000 | 0.00000 |
| 989 | Global | 0.00 | 0.00 | 1.88 | 0.00000 | 0.00000 | 0.00000 |
| 990 | Global | 0.00 | 0.00 | 1.88 | 0.00000 | 0.00000 | 0.00000 |
| 991 | Global | 0.00 | 0.00 | 1.88 | 0.00000 | 0.00000 | 0.00000 |
| 992 | Global | 0.00 | 0.00 | 1.88 | 0.00000 | 0.00000 | 0.00000 |
| 993 | Global | 0.00 | 0.00 | 1.88 | 0.00000 | 0.00000 | 0.00000 |
| 994 | Global | 0.00 | 0.00 | 1.88 | 0.00000 | 0.00000 | 0.00000 |
| 995 | Global | 0.00 | 0.00 | 1.88 | 0.00000 | 0.00000 | 0.00000 |
| 996 | Global | 0.00 | 0.00 | 1.88 | 0.00000 | 0.00000 | 0.00000 |
| 997 | Global | 0.00 | 0.00 | 1.88 | 0.00000 | 0.00000 | 0.00000 |
| 998 | Global | 0.00 | 0.00 | 1.88 | 0.00000 | 0.00000 | 0.00000 |
| 999 | Global | 0.00 | 0.00 | 1.88 | 0.00000 | 0.00000 | 0.00000 |
| 1000 | Global | 0.00 | 0.00 | 1.88 | 0.00000 | 0.00000 | 0.00000 |
| 1001 | Global | 0.00 | 0.00 | 1.88 | 0.00000 | 0.00000 | 0.00000 |
| 1002 | Global | 0.00 | 0.00 | 1.88 | 0.00000 | 0.00000 | 0.00000 |
| 1003 | Global | 0.00 | 0.00 | 1.88 | 0.00000 | 0.00000 | 0.00000 |
| 1004 | Global | 0.00 | 0.00 | 1.88 | 0.00000 | 0.00000 | 0.00000 |
| 1005 | Global | 0.00 | 0.00 | 1.88 | 0.00000 | 0.00000 | 0.00000 |
| 1006 | Global | 0.00 | 0.00 | 1.88 | 0.00000 | 0.00000 | 0.00000 |
| 1007 | Global | 0.00 | 0.00 | 1.88 | 0.00000 | 0.00000 | 0.00000 |
| 1008 | Global | 0.00 | 0.00 | 1.88 | 0.00000 | 0.00000 | 0.00000 |
| 1009 | Global | 0.00 | 0.00 | 1.88 | 0.00000 | 0.00000 | 0.00000 |
| 1010 | Global | 0.00 | 0.00 | 1.88 | 0.00000 | 0.00000 | 0.00000 |
| 1011 | Global | 0.00 | 0.00 | 1.88 | 0.00000 | 0.00000 | 0.00000 |
| 1012 | Global | 0.00 | 0.00 | 1.88 | 0.00000 | 0.00000 | 0.00000 |
| 1013 | Global | 0.00 | 0.00 | 1.88 | 0.00000 | 0.00000 | 0.00000 |





| Joint | CoordSys | Mass1 | Mass2 | Mass3 | MMI1 | MMI2 | MMI3 |
|---|---|---|---|---|---|---|---|
| Text | Text | Ton-s2/m | Ton-s2/m | Ton-s2/m | Ton-m-s2 | Ton-m-s2 | Ton-m-s2 |
| 1014 | Global | 0.00 | 0.00 | 1.88 | 0.00000 | 0.00000 | 0.00000 |
| 1015 | Global | 0.00 | 0.00 | 1.88 | 0.00000 | 0.00000 | 0.00000 |
| 1016 | Global | 0.00 | 0.00 | 1.88 | 0.00000 | 0.00000 | 0.00000 |
| 1017 | Global | 0.00 | 0.00 | 1.88 | 0.00000 | 0.00000 | 0.00000 |
| 1018 | Global | 0.00 | 0.00 | 1.88 | 0.00000 | 0.00000 | 0.00000 |
| 1019 | Global | 0.00 | 0.00 | 1.88 | 0.00000 | 0.00000 | 0.00000 |
| 1020 | Global | 0.00 | 0.00 | 1.88 | 0.00000 | 0.00000 | 0.00000 |
| 1021 | Global | 0.00 | 0.00 | 1.88 | 0.00000 | 0.00000 | 0.00000 |
| 1022 | Global | 0.00 | 0.00 | 1.88 | 0.00000 | 0.00000 | 0.00000 |
| 1023 | Global | 0.00 | 0.00 | 1.88 | 0.00000 | 0.00000 | 0.00000 |
| 1024 | Global | 0.00 | 0.00 | 1.88 | 0.00000 | 0.00000 | 0.00000 |
| 1025 | Global | 0.00 | 0.00 | 1.88 | 0.00000 | 0.00000 | 0.00000 |
| 1026 | Global | 0.00 | 0.00 | 1.88 | 0.00000 | 0.00000 | 0.00000 |
| 1027 | Global | 0.00 | 0.00 | 1.88 | 0.00000 | 0.00000 | 0.00000 |
| 1028 | Global | 0.00 | 0.00 | 1.88 | 0.00000 | 0.00000 | 0.00000 |
| 1029 | Global | 0.00 | 0.00 | 1.88 | 0.00000 | 0.00000 | 0.00000 |
| 1030 | Global | 0.00 | 0.00 | 1.88 | 0.00000 | 0.00000 | 0.00000 |
| 1031 | Global | 0.00 | 0.00 | 1.88 | 0.00000 | 0.00000 | 0.00000 |
| 1032 | Global | 0.00 | 0.00 | 1.88 | 0.00000 | 0.00000 | 0.00000 |
| 1033 | Global | 0.00 | 0.00 | 1.88 | 0.00000 | 0.00000 | 0.00000 |
| 1034 | Global | 0.00 | 0.00 | 1.88 | 0.00000 | 0.00000 | 0.00000 |
| 1035 | Global | 0.00 | 0.00 | 1.88 | 0.00000 | 0.00000 | 0.00000 |
| 1036 | Global | 0.00 | 0.00 | 1.88 | 0.00000 | 0.00000 | 0.00000 |
| 1037 | Global | 0.00 | 0.00 | 1.88 | 0.00000 | 0.00000 | 0.00000 |
| 1038 | Global | 0.00 | 0.00 | 1.88 | 0.00000 | 0.00000 | 0.00000 |
| 1039 | Global | 0.00 | 0.00 | 1.88 | 0.00000 | 0.00000 | 0.00000 |
| 1040 | Global | 0.00 | 0.00 | 1.88 | 0.00000 | 0.00000 | 0.00000 |
| 1041 | Global | 0.00 | 0.00 | 1.88 | 0.00000 | 0.00000 | 0.00000 |
| 1042 | Global | 0.00 | 0.00 | 1.88 | 0.00000 | 0.00000 | 0.00000 |
| 1043 | Global | 0.00 | 0.00 | 1.88 | 0.00000 | 0.00000 | 0.00000 |
| 1044 | Global | 0.00 | 0.00 | 1.88 | 0.00000 | 0.00000 | 0.00000 |
| 1045 | Global | 0.00 | 0.00 | 1.88 | 0.00000 | 0.00000 | 0.00000 |
| 1046 | Global | 0.00 | 0.00 | 1.88 | 0.00000 | 0.00000 | 0.00000 |
| 1047 | Global | 0.00 | 0.00 | 1.88 | 0.00000 | 0.00000 | 0.00000 |
| 1048 | Global | 0.00 | 0.00 | 1.88 | 0.00000 | 0.00000 | 0.00000 |
| 1049 | Global | 0.00 | 0.00 | 1.88 | 0.00000 | 0.00000 | 0.00000 |
| 1050 | Global | 0.00 | 0.00 | 1.88 | 0.00000 | 0.00000 | 0.00000 |
| 1053 | Global | 0.00 | 0.00 | 1.88 | 0.00000 | 0.00000 | 0.00000 |
| 1054 | Global | 0.00 | 0.00 | 1.88 | 0.00000 | 0.00000 | 0.00000 |
| 1055 | Global | 0.00 | 0.00 | 1.88 | 0.00000 | 0.00000 | 0.00000 |
| 1056 | Global | 0.00 | 0.00 | 1.88 | 0.00000 | 0.00000 | 0.00000 |
| 1057 | Global | 0.00 | 0.00 | 1.88 | 0.00000 | 0.00000 | 0.00000 |
| 1058 | Global | 0.00 | 0.00 | 1.88 | 0.00000 | 0.00000 | 0.00000 |
| 1059 | Global | 0.00 | 0.00 | 1.88 | 0.00000 | 0.00000 | 0.00000 |
| 1060 | Global | 0.00 | 0.00 | 1.88 | 0.00000 | 0.00000 | 0.00000 |
| 1061 | Global | 0.00 | 0.00 | 1.88 | 0.00000 | 0.00000 | 0.00000 |
| 1062 | Global | 0.00 | 0.00 | 1.88 | 0.00000 | 0.00000 | 0.00000 |
| 1063 | Global | 0.00 | 0.00 | 1.88 | 0.00000 | 0.00000 | 0.00000 |
| 1064 | Global | 0.00 | 0.00 | 1.88 | 0.00000 | 0.00000 | 0.00000 |
| 1065 | Global | 0.00 | 0.00 | 1.88 | 0.00000 | 0.00000 | 0.00000 |
| 1066 | Global | 0.00 | 0.00 | 1.88 | 0.00000 | 0.00000 | 0.00000 |
| 1067 | Global | 0.00 | 0.00 | 1.88 | 0.00000 | 0.00000 | 0.00000 |
| 1068 | Global | 0.00 | 0.00 | 1.88 | 0.00000 | 0.00000 | 0.00000 |
| 1069 | Global | 0.00 | 0.00 | 1.88 | 0.00000 | 0.00000 | 0.00000 |
| 1070 | Global | 0.00 | 0.00 | 1.88 | 0.00000 | 0.00000 | 0.00000 |
| 1071 | Global | 0.00 | 0.00 | 1.88 | 0.00000 | 0.00000 | 0.00000 |
| 1072 | Global | 0.00 | 0.00 | 1.88 | 0.00000 | 0.00000 | 0.00000 |
| 1073 | Global | 0.00 | 0.00 | 1.88 | 0.00000 | 0.00000 | 0.00000 |
| 1074 | Global | 0.00 | 0.00 | 1.88 | 0.00000 | 0.00000 | 0.00000 |
| 1075 | Global | 0.00 | 0.00 | 1.88 | 0.00000 | 0.00000 | 0.00000 |
| 1076 | Global | 0.00 | 0.00 | 1.88 | 0.00000 | 0.00000 | 0.00000 |
| 1077 | Global | 0.00 | 0.00 | 1.88 | 0.00000 | 0.00000 | 0.00000 |
| 1078 | Global | 0.00 | 0.00 | 1.88 | 0.00000 | 0.00000 | 0.00000 |
| 1079 | Global | 0.00 | 0.00 | 1.88 | 0.00000 | 0.00000 | 0.00000 |
| 1080 | Global | 0.00 | 0.00 | 1.88 | 0.00000 | 0.00000 | 0.00000 |
| 1081 | Global | 0.00 | 0.00 | 1.88 | 0.00000 | 0.00000 | 0.00000 |
| 1082 | Global | 0.00 | 0.00 | 1.88 | 0.00000 | 0.00000 | 0.00000 |
| 1083 | Global | 0.00 | 0.00 | 1.88 | 0.00000 | 0.00000 | 0.00000 |
| 1084 | Global | 0.00 | 0.00 | 1.88 | 0.00000 | 0.00000 | 0.00000 |
| 1085 | Global | 0.00 | 0.00 | 1.88 | 0.00000 | 0.00000 | 0.00000 |
| 1086 | Global | 0.00 | 0.00 | 1.88 | 0.00000 | 0.00000 | 0.00000 |
| 1087 | Global | 0.00 | 0.00 | 1.88 | 0.00000 | 0.00000 | 0.00000 |
| 1088 | Global | 0.00 | 0.00 | 1.88 | 0.00000 | 0.00000 | 0.00000 |
| 1089 | Global | 0.00 | 0.00 | 1.88 | 0.00000 | 0.00000 | 0.00000 |
| 1090 | Global | 0.00 | 0.00 | 1.88 | 0.00000 | 0.00000 | 0.00000 |
| 1091 | Global | 0.00 | 0.00 | 1.88 | 0.00000 | 0.00000 | 0.00000 |
| 1092 | Global | 0.00 | 0.00 | 1.88 | 0.00000 | 0.00000 | 0.00000 |
| 1093 | Global | 0.00 | 0.00 | 1.88 | 0.00000 | 0.00000 | 0.00000 |
| 1094 | Global | 0.00 | 0.00 | 1.88 | 0.00000 | 0.00000 | 0.00000 |
| 1095 | Global | 0.00 | 0.00 | 1.88 | 0.00000 | 0.00000 | 0.00000 |
| 1096 | Global | 0.00 | 0.00 | 1.88 | 0.00000 | 0.00000 | 0.00000 |
| 1097 | Global | 0.00 | 0.00 | 1.88 | 0.00000 | 0.00000 | 0.00000 |
| 1098 | Global | 0.00 | 0.00 | 1.88 | 0.00000 | 0.00000 | 0.00000 |
| 1099 | Global | 0.00 | 0.00 | 1.88 | 0.00000 | 0.00000 | 0.00000 |
| 1100 | Global | 0.00 | 0.00 | 1.88 | 0.00000 | 0.00000 | 0.00000 |
| 1101 | Global | 0.00 | 0.00 | 1.88 | 0.00000 | 0.00000 | 0.00000 |
| 1102 | Global | 0.00 | 0.00 | 1.88 | 0.00000 | 0.00000 | 0.00000 |
| 1103 | Global | 0.00 | 0.00 | 1.88 | 0.00000 | 0.00000 | 0.00000 |
| 1104 | Global | 0.00 | 0.00 | 1.88 | 0.00000 | 0.00000 | 0.00000 |
| 1105 | Global | 0.00 | 0.00 | 1.88 | 0.00000 | 0.00000 | 0.00000 |
| 1106 | Global | 0.00 | 0.00 | 1.88 | 0.00000 | 0.00000 | 0.00000 |

| Joint | CoordSys | Mass1 | Mass2 | Mass3 | MMI1 | MMI2 | MMI3 |
|---|---|---|---|---|---|---|---|
| Text | Text | Ton-s2/m | Ton-s2/m | Ton-s2/m | Ton-m-s2 | Ton-m-s2 | Ton-m-s2 |
| 1107 | Global | 0.00 | 0.00 | 1.88 | 0.00000 | 0.00000 | 0.00000 |
| 1108 | Global | 0.00 | 0.00 | 1.88 | 0.00000 | 0.00000 | 0.00000 |
| 1109 | Global | 0.00 | 0.00 | 1.88 | 0.00000 | 0.00000 | 0.00000 |
| 1110 | Global | 0.00 | 0.00 | 1.88 | 0.00000 | 0.00000 | 0.00000 |
| 1111 | Global | 0.00 | 0.00 | 1.88 | 0.00000 | 0.00000 | 0.00000 |
| 1112 | Global | 0.00 | 0.00 | 1.88 | 0.00000 | 0.00000 | 0.00000 |
| 1113 | Global | 0.00 | 0.00 | 1.88 | 0.00000 | 0.00000 | 0.00000 |
| 1114 | Global | 0.00 | 0.00 | 1.88 | 0.00000 | 0.00000 | 0.00000 |
| 1115 | Global | 0.00 | 0.00 | 1.88 | 0.00000 | 0.00000 | 0.00000 |
| 1116 | Global | 0.00 | 0.00 | 1.88 | 0.00000 | 0.00000 | 0.00000 |
| 1117 | Global | 0.00 | 0.00 | 1.88 | 0.00000 | 0.00000 | 0.00000 |
| 1118 | Global | 0.00 | 0.00 | 1.88 | 0.00000 | 0.00000 | 0.00000 |
| 1119 | Global | 0.00 | 0.00 | 1.88 | 0.00000 | 0.00000 | 0.00000 |
| 1120 | Global | 0.00 | 0.00 | 1.88 | 0.00000 | 0.00000 | 0.00000 |
| 1121 | Global | 0.00 | 0.00 | 1.88 | 0.00000 | 0.00000 | 0.00000 |
| 1122 | Global | 0.00 | 0.00 | 1.88 | 0.00000 | 0.00000 | 0.00000 |
| 1123 | Global | 0.00 | 0.00 | 1.88 | 0.00000 | 0.00000 | 0.00000 |
| 1124 | Global | 0.00 | 0.00 | 1.88 | 0.00000 | 0.00000 | 0.00000 |
| 1125 | Global | 0.00 | 0.00 | 1.88 | 0.00000 | 0.00000 | 0.00000 |
| 1126 | Global | 0.00 | 0.00 | 1.88 | 0.00000 | 0.00000 | 0.00000 |
| 1127 | Global | 0.00 | 0.00 | 1.88 | 0.00000 | 0.00000 | 0.00000 |
| 1128 | Global | 0.00 | 0.00 | 1.88 | 0.00000 | 0.00000 | 0.00000 |
| 1129 | Global | 0.00 | 0.00 | 1.88 | 0.00000 | 0.00000 | 0.00000 |
| 1130 | Global | 0.00 | 0.00 | 1.88 | 0.00000 | 0.00000 | 0.00000 |
| 1131 | Global | 0.00 | 0.00 | 1.88 | 0.00000 | 0.00000 | 0.00000 |
| 1132 | Global | 0.00 | 0.00 | 1.88 | 0.00000 | 0.00000 | 0.00000 |
| 1133 | Global | 0.00 | 0.00 | 1.88 | 0.00000 | 0.00000 | 0.00000 |
| 1134 | Global | 0.00 | 0.00 | 1.88 | 0.00000 | 0.00000 | 0.00000 |
| 1135 | Global | 0.00 | 0.00 | 1.88 | 0.00000 | 0.00000 | 0.00000 |
| 1136 | Global | 0.00 | 0.00 | 1.88 | 0.00000 | 0.00000 | 0.00000 |
| 1137 | Global | 0.00 | 0.00 | 1.88 | 0.00000 | 0.00000 | 0.00000 |
| 1138 | Global | 0.00 | 0.00 | 1.88 | 0.00000 | 0.00000 | 0.00000 |
| 1139 | Global | 0.00 | 0.00 | 1.88 | 0.00000 | 0.00000 | 0.00000 |
| 1140 | Global | 0.00 | 0.00 | 1.88 | 0.00000 | 0.00000 | 0.00000 |
| 1141 | Global | 0.00 | 0.00 | 1.88 | 0.00000 | 0.00000 | 0.00000 |
| 1142 | Global | 0.00 | 0.00 | 1.88 | 0.00000 | 0.00000 | 0.00000 |
| 1143 | Global | 0.00 | 0.00 | 1.88 | 0.00000 | 0.00000 | 0.00000 |
| 1144 | Global | 0.00 | 0.00 | 1.88 | 0.00000 | 0.00000 | 0.00000 |
| 1145 | Global | 0.00 | 0.00 | 1.88 | 0.00000 | 0.00000 | 0.00000 |
| 1146 | Global | 0.00 | 0.00 | 1.88 | 0.00000 | 0.00000 | 0.00000 |
| 1149 | Global | 0.00 | 0.00 | 1.88 | 0.00000 | 0.00000 | 0.00000 |
| 1150 | Global | 0.00 | 0.00 | 1.88 | 0.00000 | 0.00000 | 0.00000 |
| 1151 | Global | 0.00 | 0.00 | 1.88 | 0.00000 | 0.00000 | 0.00000 |
| 1152 | Global | 0.00 | 0.00 | 1.88 | 0.00000 | 0.00000 | 0.00000 |
| 1153 | Global | 0.00 | 0.00 | 1.88 | 0.00000 | 0.00000 | 0.00000 |
| 1154 | Global | 0.00 | 0.00 | 1.88 | 0.00000 | 0.00000 | 0.00000 |
| 1155 | Global | 0.00 | 0.00 | 1.88 | 0.00000 | 0.00000 | 0.00000 |
| 1156 | Global | 0.00 | 0.00 | 1.88 | 0.00000 | 0.00000 | 0.00000 |
| 1157 | Global | 0.00 | 0.00 | 1.88 | 0.00000 | 0.00000 | 0.00000 |
| 1158 | Global | 0.00 | 0.00 | 1.88 | 0.00000 | 0.00000 | 0.00000 |
| 1159 | Global | 0.00 | 0.00 | 1.88 | 0.00000 | 0.00000 | 0.00000 |
| 1160 | Global | 0.00 | 0.00 | 1.88 | 0.00000 | 0.00000 | 0.00000 |
| 1161 | Global | 0.00 | 0.00 | 1.88 | 0.00000 | 0.00000 | 0.00000 |
| 1162 | Global | 0.00 | 0.00 | 1.88 | 0.00000 | 0.00000 | 0.00000 |
| 1163 | Global | 0.00 | 0.00 | 1.88 | 0.00000 | 0.00000 | 0.00000 |
| 1164 | Global | 0.00 | 0.00 | 1.88 | 0.00000 | 0.00000 | 0.00000 |
| 1165 | Global | 0.00 | 0.00 | 1.88 | 0.00000 | 0.00000 | 0.00000 |
| 1166 | Global | 0.00 | 0.00 | 1.88 | 0.00000 | 0.00000 | 0.00000 |
| 1167 | Global | 0.00 | 0.00 | 1.88 | 0.00000 | 0.00000 | 0.00000 |
| 1168 | Global | 0.00 | 0.00 | 1.88 | 0.00000 | 0.00000 | 0.00000 |
| 1169 | Global | 0.00 | 0.00 | 1.88 | 0.00000 | 0.00000 | 0.00000 |
| 1170 | Global | 0.00 | 0.00 | 1.88 | 0.00000 | 0.00000 | 0.00000 |
| 1171 | Global | 0.00 | 0.00 | 1.88 | 0.00000 | 0.00000 | 0.00000 |
| 1172 | Global | 0.00 | 0.00 | 1.88 | 0.00000 | 0.00000 | 0.00000 |
| 1173 | Global | 0.00 | 0.00 | 1.88 | 0.00000 | 0.00000 | 0.00000 |
| 1174 | Global | 0.00 | 0.00 | 1.88 | 0.00000 | 0.00000 | 0.00000 |
| 1175 | Global | 0.00 | 0.00 | 1.88 | 0.00000 | 0.00000 | 0.00000 |
| 1176 | Global | 0.00 | 0.00 | 1.88 | 0.00000 | 0.00000 | 0.00000 |
| 1177 | Global | 0.00 | 0.00 | 1.88 | 0.00000 | 0.00000 | 0.00000 |
| 1178 | Global | 0.00 | 0.00 | 1.88 | 0.00000 | 0.00000 | 0.00000 |
| 1179 | Global | 0.00 | 0.00 | 1.88 | 0.00000 | 0.00000 | 0.00000 |
| 1180 | Global | 0.00 | 0.00 | 1.88 | 0.00000 | 0.00000 | 0.00000 |
| 1181 | Global | 0.00 | 0.00 | 1.88 | 0.00000 | 0.00000 | 0.00000 |
| 1182 | Global | 0.00 | 0.00 | 1.88 | 0.00000 | 0.00000 | 0.00000 |
| 1183 | Global | 0.00 | 0.00 | 1.88 | 0.00000 | 0.00000 | 0.00000 |
| 1184 | Global | 0.00 | 0.00 | 1.88 | 0.00000 | 0.00000 | 0.00000 |
| 1185 | Global | 0.00 | 0.00 | 1.88 | 0.00000 | 0.00000 | 0.00000 |
| 1186 | Global | 0.00 | 0.00 | 1.88 | 0.00000 | 0.00000 | 0.00000 |
| 1187 | Global | 0.00 | 0.00 | 1.88 | 0.00000 | 0.00000 | 0.00000 |
| 1188 | Global | 0.00 | 0.00 | 1.88 | 0.00000 | 0.00000 | 0.00000 |
| 1189 | Global | 0.00 | 0.00 | 1.88 | 0.00000 | 0.00000 | 0.00000 |
| 1190 | Global | 0.00 | 0.00 | 1.88 | 0.00000 | 0.00000 | 0.00000 |
| 1191 | Global | 0.00 | 0.00 | 1.88 | 0.00000 | 0.00000 | 0.00000 |
| 1192 | Global | 0.00 | 0.00 | 1.88 | 0.00000 | 0.00000 | 0.00000 |
| 1193 | Global | 0.00 | 0.00 | 1.88 | 0.00000 | 0.00000 | 0.00000 |
| 1194 | Global | 0.00 | 0.00 | 1.88 | 0.00000 | 0.00000 | 0.00000 |
| 1195 | Global | 0.00 | 0.00 | 1.88 | 0.00000 | 0.00000 | 0.00000 |
| 1196 | Global | 0.00 | 0.00 | 1.88 | 0.00000 | 0.00000 | 0.00000 |
| 1197 | Global | 0.00 | 0.00 | 1.88 | 0.00000 | 0.00000 | 0.00000 |
| 1198 | Global | 0.00 | 0.00 | 1.88 | 0.00000 | 0.00000 | 0.00000 |
| 1199 | Global | 0.00 | 0.00 | 1.88 | 0.00000 | 0.00000 | 0.00000 |





| Joint | CoordSys | Mass1 | Mass2 | Mass3 | MMI1 | MMI2 | MMI3 |
|---|---|---|---|---|---|---|---|
| Text | Text | Ton-s2/m | Ton-s2/m | Ton-s2/m | Ton-m-s2 | Ton-m-s2 | Ton-m-s2 |
| 1200 | Global | 0.00 | 0.00 | 1.88 | 0.00000 | 0.00000 | 0.00000 |
| 1201 | Global | 0.00 | 0.00 | 1.88 | 0.00000 | 0.00000 | 0.00000 |
| 1202 | Global | 0.00 | 0.00 | 1.88 | 0.00000 | 0.00000 | 0.00000 |
| 1203 | Global | 0.00 | 0.00 | 1.88 | 0.00000 | 0.00000 | 0.00000 |
| 1204 | Global | 0.00 | 0.00 | 1.88 | 0.00000 | 0.00000 | 0.00000 |
| 1205 | Global | 0.00 | 0.00 | 1.88 | 0.00000 | 0.00000 | 0.00000 |
| 1206 | Global | 0.00 | 0.00 | 1.88 | 0.00000 | 0.00000 | 0.00000 |
| 1207 | Global | 0.00 | 0.00 | 1.88 | 0.00000 | 0.00000 | 0.00000 |
| 1208 | Global | 0.00 | 0.00 | 1.88 | 0.00000 | 0.00000 | 0.00000 |
| 1209 | Global | 0.00 | 0.00 | 1.88 | 0.00000 | 0.00000 | 0.00000 |
| 1210 | Global | 0.00 | 0.00 | 1.88 | 0.00000 | 0.00000 | 0.00000 |
| 1211 | Global | 0.00 | 0.00 | 1.88 | 0.00000 | 0.00000 | 0.00000 |
| 1212 | Global | 0.00 | 0.00 | 1.88 | 0.00000 | 0.00000 | 0.00000 |
| 1213 | Global | 0.00 | 0.00 | 1.88 | 0.00000 | 0.00000 | 0.00000 |
| 1214 | Global | 0.00 | 0.00 | 1.88 | 0.00000 | 0.00000 | 0.00000 |
| 1215 | Global | 0.00 | 0.00 | 1.88 | 0.00000 | 0.00000 | 0.00000 |
| 1216 | Global | 0.00 | 0.00 | 1.88 | 0.00000 | 0.00000 | 0.00000 |
| 1217 | Global | 0.00 | 0.00 | 1.88 | 0.00000 | 0.00000 | 0.00000 |
| 1218 | Global | 0.00 | 0.00 | 1.88 | 0.00000 | 0.00000 | 0.00000 |
| 1219 | Global | 0.00 | 0.00 | 1.88 | 0.00000 | 0.00000 | 0.00000 |
| 1220 | Global | 0.00 | 0.00 | 1.88 | 0.00000 | 0.00000 | 0.00000 |
| 1221 | Global | 0.00 | 0.00 | 1.88 | 0.00000 | 0.00000 | 0.00000 |
| 1222 | Global | 0.00 | 0.00 | 1.88 | 0.00000 | 0.00000 | 0.00000 |
| 1223 | Global | 0.00 | 0.00 | 1.88 | 0.00000 | 0.00000 | 0.00000 |
| 1224 | Global | 0.00 | 0.00 | 1.88 | 0.00000 | 0.00000 | 0.00000 |
| 1225 | Global | 0.00 | 0.00 | 1.88 | 0.00000 | 0.00000 | 0.00000 |
| 1226 | Global | 0.00 | 0.00 | 1.88 | 0.00000 | 0.00000 | 0.00000 |
| 1227 | Global | 0.00 | 0.00 | 1.88 | 0.00000 | 0.00000 | 0.00000 |
| 1228 | Global | 0.00 | 0.00 | 1.88 | 0.00000 | 0.00000 | 0.00000 |
| 1229 | Global | 0.00 | 0.00 | 1.88 | 0.00000 | 0.00000 | 0.00000 |
| 1230 | Global | 0.00 | 0.00 | 1.88 | 0.00000 | 0.00000 | 0.00000 |
| 1231 | Global | 0.00 | 0.00 | 1.88 | 0.00000 | 0.00000 | 0.00000 |
| 1232 | Global | 0.00 | 0.00 | 1.88 | 0.00000 | 0.00000 | 0.00000 |
| 1233 | Global | 0.00 | 0.00 | 1.88 | 0.00000 | 0.00000 | 0.00000 |
| 1234 | Global | 0.00 | 0.00 | 1.88 | 0.00000 | 0.00000 | 0.00000 |
| 1235 | Global | 0.00 | 0.00 | 1.88 | 0.00000 | 0.00000 | 0.00000 |
| 1236 | Global | 0.00 | 0.00 | 1.88 | 0.00000 | 0.00000 | 0.00000 |
| 1237 | Global | 0.00 | 0.00 | 1.88 | 0.00000 | 0.00000 | 0.00000 |
| 1238 | Global | 0.00 | 0.00 | 1.88 | 0.00000 | 0.00000 | 0.00000 |
| 1239 | Global | 0.00 | 0.00 | 1.88 | 0.00000 | 0.00000 | 0.00000 |
| 1240 | Global | 0.00 | 0.00 | 1.88 | 0.00000 | 0.00000 | 0.00000 |
| 1241 | Global | 0.00 | 0.00 | 1.88 | 0.00000 | 0.00000 | 0.00000 |
| 1242 | Global | 0.00 | 0.00 | 1.88 | 0.00000 | 0.00000 | 0.00000 |
| 1245 | Global | 0.00 | 0.00 | 1.88 | 0.00000 | 0.00000 | 0.00000 |
| 1246 | Global | 0.00 | 0.00 | 1.88 | 0.00000 | 0.00000 | 0.00000 |
| 1247 | Global | 0.00 | 0.00 | 1.88 | 0.00000 | 0.00000 | 0.00000 |
| 1248 | Global | 0.00 | 0.00 | 1.88 | 0.00000 | 0.00000 | 0.00000 |
| 1249 | Global | 0.00 | 0.00 | 1.88 | 0.00000 | 0.00000 | 0.00000 |
| 1250 | Global | 0.00 | 0.00 | 1.88 | 0.00000 | 0.00000 | 0.00000 |
| 1251 | Global | 0.00 | 0.00 | 1.88 | 0.00000 | 0.00000 | 0.00000 |
| 1252 | Global | 0.00 | 0.00 | 1.88 | 0.00000 | 0.00000 | 0.00000 |
| 1253 | Global | 0.00 | 0.00 | 1.88 | 0.00000 | 0.00000 | 0.00000 |
| 1254 | Global | 0.00 | 0.00 | 1.88 | 0.00000 | 0.00000 | 0.00000 |
| 1255 | Global | 0.00 | 0.00 | 1.88 | 0.00000 | 0.00000 | 0.00000 |
| 1256 | Global | 0.00 | 0.00 | 1.88 | 0.00000 | 0.00000 | 0.00000 |
| 1257 | Global | 0.00 | 0.00 | 1.88 | 0.00000 | 0.00000 | 0.00000 |
| 1258 | Global | 0.00 | 0.00 | 1.88 | 0.00000 | 0.00000 | 0.00000 |
| 1259 | Global | 0.00 | 0.00 | 1.88 | 0.00000 | 0.00000 | 0.00000 |
| 1260 | Global | 0.00 | 0.00 | 1.88 | 0.00000 | 0.00000 | 0.00000 |
| 1261 | Global | 0.00 | 0.00 | 1.88 | 0.00000 | 0.00000 | 0.00000 |
| 1262 | Global | 0.00 | 0.00 | 1.88 | 0.00000 | 0.00000 | 0.00000 |
| 1263 | Global | 0.00 | 0.00 | 1.88 | 0.00000 | 0.00000 | 0.00000 |
| 1264 | Global | 0.00 | 0.00 | 1.88 | 0.00000 | 0.00000 | 0.00000 |
| 1265 | Global | 0.00 | 0.00 | 1.88 | 0.00000 | 0.00000 | 0.00000 |
| 1266 | Global | 0.00 | 0.00 | 1.88 | 0.00000 | 0.00000 | 0.00000 |
| 1267 | Global | 0.00 | 0.00 | 1.88 | 0.00000 | 0.00000 | 0.00000 |
| 1268 | Global | 0.00 | 0.00 | 1.88 | 0.00000 | 0.00000 | 0.00000 |
| 1269 | Global | 0.00 | 0.00 | 1.88 | 0.00000 | 0.00000 | 0.00000 |
| 1270 | Global | 0.00 | 0.00 | 1.88 | 0.00000 | 0.00000 | 0.00000 |
| 1271 | Global | 0.00 | 0.00 | 1.88 | 0.00000 | 0.00000 | 0.00000 |
| 1272 | Global | 0.00 | 0.00 | 1.88 | 0.00000 | 0.00000 | 0.00000 |
| 1273 | Global | 0.00 | 0.00 | 1.88 | 0.00000 | 0.00000 | 0.00000 |
| 1274 | Global | 0.00 | 0.00 | 1.88 | 0.00000 | 0.00000 | 0.00000 |
| 1275 | Global | 0.00 | 0.00 | 1.88 | 0.00000 | 0.00000 | 0.00000 |
| 1276 | Global | 0.00 | 0.00 | 1.88 | 0.00000 | 0.00000 | 0.00000 |
| 1277 | Global | 0.00 | 0.00 | 1.88 | 0.00000 | 0.00000 | 0.00000 |
| 1278 | Global | 0.00 | 0.00 | 1.88 | 0.00000 | 0.00000 | 0.00000 |
| 1279 | Global | 0.00 | 0.00 | 1.88 | 0.00000 | 0.00000 | 0.00000 |
| 1280 | Global | 0.00 | 0.00 | 1.88 | 0.00000 | 0.00000 | 0.00000 |
| 1281 | Global | 0.00 | 0.00 | 1.88 | 0.00000 | 0.00000 | 0.00000 |
| 1282 | Global | 0.00 | 0.00 | 1.88 | 0.00000 | 0.00000 | 0.00000 |
| 1283 | Global | 0.00 | 0.00 | 1.88 | 0.00000 | 0.00000 | 0.00000 |
| 1284 | Global | 0.00 | 0.00 | 1.88 | 0.00000 | 0.00000 | 0.00000 |
| 1285 | Global | 0.00 | 0.00 | 1.88 | 0.00000 | 0.00000 | 0.00000 |
| 1286 | Global | 0.00 | 0.00 | 1.88 | 0.00000 | 0.00000 | 0.00000 |
| 1287 | Global | 0.00 | 0.00 | 1.88 | 0.00000 | 0.00000 | 0.00000 |
| 1288 | Global | 0.00 | 0.00 | 1.88 | 0.00000 | 0.00000 | 0.00000 |
| 1289 | Global | 0.00 | 0.00 | 1.88 | 0.00000 | 0.00000 | 0.00000 |
| 1290 | Global | 0.00 | 0.00 | 1.88 | 0.00000 | 0.00000 | 0.00000 |
| 1291 | Global | 0.00 | 0.00 | 1.88 | 0.00000 | 0.00000 | 0.00000 |
| 1292 | Global | 0.00 | 0.00 | 1.88 | 0.00000 | 0.00000 | 0.00000 |

| Joint | CoordSys | Mass1 | Mass2 | Mass3 | MMI1 | MMI2 | MMI3 |
|---|---|---|---|---|---|---|---|
| Text | Text | Ton-s2/m | Ton-s2/m | Ton-s2/m | Ton-m-s2 | Ton-m-s2 | Ton-m-s2 |
| 1293 | Global | 0.00 | 0.00 | 1.88 | 0.00000 | 0.00000 | 0.00000 |
| 1294 | Global | 0.00 | 0.00 | 1.88 | 0.00000 | 0.00000 | 0.00000 |
| 1295 | Global | 0.00 | 0.00 | 1.88 | 0.00000 | 0.00000 | 0.00000 |
| 1296 | Global | 0.00 | 0.00 | 1.88 | 0.00000 | 0.00000 | 0.00000 |
| 1297 | Global | 0.00 | 0.00 | 1.88 | 0.00000 | 0.00000 | 0.00000 |
| 1298 | Global | 0.00 | 0.00 | 1.88 | 0.00000 | 0.00000 | 0.00000 |
| 1299 | Global | 0.00 | 0.00 | 1.88 | 0.00000 | 0.00000 | 0.00000 |
| 1300 | Global | 0.00 | 0.00 | 1.88 | 0.00000 | 0.00000 | 0.00000 |
| 1301 | Global | 0.00 | 0.00 | 1.88 | 0.00000 | 0.00000 | 0.00000 |
| 1302 | Global | 0.00 | 0.00 | 1.88 | 0.00000 | 0.00000 | 0.00000 |
| 1303 | Global | 0.00 | 0.00 | 1.88 | 0.00000 | 0.00000 | 0.00000 |
| 1304 | Global | 0.00 | 0.00 | 1.88 | 0.00000 | 0.00000 | 0.00000 |
| 1305 | Global | 0.00 | 0.00 | 1.88 | 0.00000 | 0.00000 | 0.00000 |
| 1306 | Global | 0.00 | 0.00 | 1.88 | 0.00000 | 0.00000 | 0.00000 |
| 1307 | Global | 0.00 | 0.00 | 1.88 | 0.00000 | 0.00000 | 0.00000 |
| 1308 | Global | 0.00 | 0.00 | 1.88 | 0.00000 | 0.00000 | 0.00000 |
| 1309 | Global | 0.00 | 0.00 | 1.88 | 0.00000 | 0.00000 | 0.00000 |
| 1310 | Global | 0.00 | 0.00 | 1.88 | 0.00000 | 0.00000 | 0.00000 |
| 1311 | Global | 0.00 | 0.00 | 1.88 | 0.00000 | 0.00000 | 0.00000 |
| 1312 | Global | 0.00 | 0.00 | 1.88 | 0.00000 | 0.00000 | 0.00000 |
| 1313 | Global | 0.00 | 0.00 | 1.88 | 0.00000 | 0.00000 | 0.00000 |
| 1314 | Global | 0.00 | 0.00 | 1.88 | 0.00000 | 0.00000 | 0.00000 |
| 1315 | Global | 0.00 | 0.00 | 1.88 | 0.00000 | 0.00000 | 0.00000 |
| 1316 | Global | 0.00 | 0.00 | 1.88 | 0.00000 | 0.00000 | 0.00000 |
| 1317 | Global | 0.00 | 0.00 | 1.88 | 0.00000 | 0.00000 | 0.00000 |
| 1318 | Global | 0.00 | 0.00 | 1.88 | 0.00000 | 0.00000 | 0.00000 |
| 1319 | Global | 0.00 | 0.00 | 1.88 | 0.00000 | 0.00000 | 0.00000 |
| 1320 | Global | 0.00 | 0.00 | 1.88 | 0.00000 | 0.00000 | 0.00000 |
| 1321 | Global | 0.00 | 0.00 | 1.88 | 0.00000 | 0.00000 | 0.00000 |
| 1322 | Global | 0.00 | 0.00 | 1.88 | 0.00000 | 0.00000 | 0.00000 |
| 1323 | Global | 0.00 | 0.00 | 1.88 | 0.00000 | 0.00000 | 0.00000 |
| 1324 | Global | 0.00 | 0.00 | 1.88 | 0.00000 | 0.00000 | 0.00000 |
| 1325 | Global | 0.00 | 0.00 | 1.88 | 0.00000 | 0.00000 | 0.00000 |
| 1326 | Global | 0.00 | 0.00 | 1.88 | 0.00000 | 0.00000 | 0.00000 |
| 1327 | Global | 0.00 | 0.00 | 1.88 | 0.00000 | 0.00000 | 0.00000 |
| 1328 | Global | 0.00 | 0.00 | 1.88 | 0.00000 | 0.00000 | 0.00000 |
| 1329 | Global | 0.00 | 0.00 | 1.88 | 0.00000 | 0.00000 | 0.00000 |
| 1330 | Global | 0.00 | 0.00 | 1.88 | 0.00000 | 0.00000 | 0.00000 |
| 1331 | Global | 0.00 | 0.00 | 1.88 | 0.00000 | 0.00000 | 0.00000 |
| 1332 | Global | 0.00 | 0.00 | 1.88 | 0.00000 | 0.00000 | 0.00000 |
| 1333 | Global | 0.00 | 0.00 | 1.88 | 0.00000 | 0.00000 | 0.00000 |
| 1334 | Global | 0.00 | 0.00 | 1.88 | 0.00000 | 0.00000 | 0.00000 |
| 1335 | Global | 0.00 | 0.00 | 1.88 | 0.00000 | 0.00000 | 0.00000 |
| 1336 | Global | 0.00 | 0.00 | 1.88 | 0.00000 | 0.00000 | 0.00000 |
| 1337 | Global | 0.00 | 0.00 | 1.88 | 0.00000 | 0.00000 | 0.00000 |
| 1338 | Global | 0.00 | 0.00 | 1.88 | 0.00000 | 0.00000 | 0.00000 |
| 1341 | Global | 0.00 | 0.00 | 1.88 | 0.00000 | 0.00000 | 0.00000 |
| 1342 | Global | 0.00 | 0.00 | 1.88 | 0.00000 | 0.00000 | 0.00000 |
| 1343 | Global | 0.00 | 0.00 | 1.88 | 0.00000 | 0.00000 | 0.00000 |
| 1344 | Global | 0.00 | 0.00 | 1.88 | 0.00000 | 0.00000 | 0.00000 |
| 1345 | Global | 0.00 | 0.00 | 1.88 | 0.00000 | 0.00000 | 0.00000 |
| 1346 | Global | 0.00 | 0.00 | 1.88 | 0.00000 | 0.00000 | 0.00000 |
| 1347 | Global | 0.00 | 0.00 | 1.88 | 0.00000 | 0.00000 | 0.00000 |
| 1348 | Global | 0.00 | 0.00 | 1.88 | 0.00000 | 0.00000 | 0.00000 |
| 1349 | Global | 0.00 | 0.00 | 1.88 | 0.00000 | 0.00000 | 0.00000 |
| 1350 | Global | 0.00 | 0.00 | 1.88 | 0.00000 | 0.00000 | 0.00000 |
| 1351 | Global | 0.00 | 0.00 | 1.88 | 0.00000 | 0.00000 | 0.00000 |
| 1352 | Global | 0.00 | 0.00 | 1.88 | 0.00000 | 0.00000 | 0.00000 |
| 1353 | Global | 0.00 | 0.00 | 1.88 | 0.00000 | 0.00000 | 0.00000 |
| 1354 | Global | 0.00 | 0.00 | 1.88 | 0.00000 | 0.00000 | 0.00000 |
| 1355 | Global | 0.00 | 0.00 | 1.88 | 0.00000 | 0.00000 | 0.00000 |
| 1356 | Global | 0.00 | 0.00 | 1.88 | 0.00000 | 0.00000 | 0.00000 |
| 1357 | Global | 0.00 | 0.00 | 1.88 | 0.00000 | 0.00000 | 0.00000 |
| 1358 | Global | 0.00 | 0.00 | 1.88 | 0.00000 | 0.00000 | 0.00000 |
| 1359 | Global | 0.00 | 0.00 | 1.88 | 0.00000 | 0.00000 | 0.00000 |
| 1360 | Global | 0.00 | 0.00 | 1.88 | 0.00000 | 0.00000 | 0.00000 |
| 1361 | Global | 0.00 | 0.00 | 1.88 | 0.00000 | 0.00000 | 0.00000 |
| 1362 | Global | 0.00 | 0.00 | 1.88 | 0.00000 | 0.00000 | 0.00000 |
| 1363 | Global | 0.00 | 0.00 | 1.88 | 0.00000 | 0.00000 | 0.00000 |
| 1364 | Global | 0.00 | 0.00 | 1.88 | 0.00000 | 0.00000 | 0.00000 |
| 1365 | Global | 0.00 | 0.00 | 1.88 | 0.00000 | 0.00000 | 0.00000 |
| 1366 | Global | 0.00 | 0.00 | 1.88 | 0.00000 | 0.00000 | 0.00000 |
| 1367 | Global | 0.00 | 0.00 | 1.88 | 0.00000 | 0.00000 | 0.00000 |
| 1368 | Global | 0.00 | 0.00 | 1.88 | 0.00000 | 0.00000 | 0.00000 |
| 1369 | Global | 0.00 | 0.00 | 1.88 | 0.00000 | 0.00000 | 0.00000 |
| 1370 | Global | 0.00 | 0.00 | 1.88 | 0.00000 | 0.00000 | 0.00000 |
| 1371 | Global | 0.00 | 0.00 | 1.88 | 0.00000 | 0.00000 | 0.00000 |
| 1372 | Global | 0.00 | 0.00 | 1.88 | 0.00000 | 0.00000 | 0.00000 |
| 1373 | Global | 0.00 | 0.00 | 1.88 | 0.00000 | 0.00000 | 0.00000 |
| 1374 | Global | 0.00 | 0.00 | 1.88 | 0.00000 | 0.00000 | 0.00000 |
| 1375 | Global | 0.00 | 0.00 | 1.88 | 0.00000 | 0.00000 | 0.00000 |
| 1376 | Global | 0.00 | 0.00 | 1.88 | 0.00000 | 0.00000 | 0.00000 |
| 1377 | Global | 0.00 | 0.00 | 1.88 | 0.00000 | 0.00000 | 0.00000 |
| 1378 | Global | 0.00 | 0.00 | 1.88 | 0.00000 | 0.00000 | 0.00000 |
| 1379 | Global | 0.00 | 0.00 | 1.88 | 0.00000 | 0.00000 | 0.00000 |
| 1380 | Global | 0.00 | 0.00 | 1.88 | 0.00000 | 0.00000 | 0.00000 |
| 1381 | Global | 0.00 | 0.00 | 1.88 | 0.00000 | 0.00000 | 0.00000 |
| 1382 | Global | 0.00 | 0.00 | 1.88 | 0.00000 | 0.00000 | 0.00000 |
| 1383 | Global | 0.00 | 0.00 | 1.88 | 0.00000 | 0.00000 | 0.00000 |
| 1384 | Global | 0.00 | 0.00 | 1.88 | 0.00000 | 0.00000 | 0.00000 |
| 1385 | Global | 0.00 | 0.00 | 1.88 | 0.00000 | 0.00000 | 0.00000 |





| Joint | CoordSys | Mass1 | Mass2 | Mass3 | MMI1 | MMI2 | MMI3 |
|---|---|---|---|---|---|---|---|
| Text | Text | Ton-s2/m | Ton-s2/m | Ton-s2/m | Ton-m-s2 | Ton-m-s2 | Ton-m-s2 |
| 1386 | Global | 0.00 | 0.00 | 1.88 | 0.00000 | 0.00000 | 0.00000 |
| 1387 | Global | 0.00 | 0.00 | 1.88 | 0.00000 | 0.00000 | 0.00000 |
| 1388 | Global | 0.00 | 0.00 | 1.88 | 0.00000 | 0.00000 | 0.00000 |
| 1389 | Global | 0.00 | 0.00 | 1.88 | 0.00000 | 0.00000 | 0.00000 |
| 1390 | Global | 0.00 | 0.00 | 1.88 | 0.00000 | 0.00000 | 0.00000 |
| 1391 | Global | 0.00 | 0.00 | 1.88 | 0.00000 | 0.00000 | 0.00000 |
| 1392 | Global | 0.00 | 0.00 | 1.88 | 0.00000 | 0.00000 | 0.00000 |
| 1393 | Global | 0.00 | 0.00 | 1.88 | 0.00000 | 0.00000 | 0.00000 |
| 1394 | Global | 0.00 | 0.00 | 1.88 | 0.00000 | 0.00000 | 0.00000 |
| 1395 | Global | 0.00 | 0.00 | 1.88 | 0.00000 | 0.00000 | 0.00000 |
| 1396 | Global | 0.00 | 0.00 | 1.88 | 0.00000 | 0.00000 | 0.00000 |
| 1397 | Global | 0.00 | 0.00 | 1.88 | 0.00000 | 0.00000 | 0.00000 |
| 1398 | Global | 0.00 | 0.00 | 1.88 | 0.00000 | 0.00000 | 0.00000 |
| 1399 | Global | 0.00 | 0.00 | 1.88 | 0.00000 | 0.00000 | 0.00000 |
| 1400 | Global | 0.00 | 0.00 | 1.88 | 0.00000 | 0.00000 | 0.00000 |
| 1401 | Global | 0.00 | 0.00 | 1.88 | 0.00000 | 0.00000 | 0.00000 |
| 1402 | Global | 0.00 | 0.00 | 1.88 | 0.00000 | 0.00000 | 0.00000 |
| 1403 | Global | 0.00 | 0.00 | 1.88 | 0.00000 | 0.00000 | 0.00000 |
| 1404 | Global | 0.00 | 0.00 | 1.88 | 0.00000 | 0.00000 | 0.00000 |
| 1405 | Global | 0.00 | 0.00 | 1.88 | 0.00000 | 0.00000 | 0.00000 |
| 1406 | Global | 0.00 | 0.00 | 1.88 | 0.00000 | 0.00000 | 0.00000 |
| 1407 | Global | 0.00 | 0.00 | 1.88 | 0.00000 | 0.00000 | 0.00000 |
| 1408 | Global | 0.00 | 0.00 | 1.88 | 0.00000 | 0.00000 | 0.00000 |
| 1409 | Global | 0.00 | 0.00 | 1.88 | 0.00000 | 0.00000 | 0.00000 |
| 1410 | Global | 0.00 | 0.00 | 1.88 | 0.00000 | 0.00000 | 0.00000 |
| 1411 | Global | 0.00 | 0.00 | 1.88 | 0.00000 | 0.00000 | 0.00000 |
| 1412 | Global | 0.00 | 0.00 | 1.88 | 0.00000 | 0.00000 | 0.00000 |
| 1413 | Global | 0.00 | 0.00 | 1.88 | 0.00000 | 0.00000 | 0.00000 |
| 1414 | Global | 0.00 | 0.00 | 1.88 | 0.00000 | 0.00000 | 0.00000 |
| 1415 | Global | 0.00 | 0.00 | 1.88 | 0.00000 | 0.00000 | 0.00000 |
| 1416 | Global | 0.00 | 0.00 | 1.88 | 0.00000 | 0.00000 | 0.00000 |
| 1417 | Global | 0.00 | 0.00 | 1.88 | 0.00000 | 0.00000 | 0.00000 |
| 1418 | Global | 0.00 | 0.00 | 1.88 | 0.00000 | 0.00000 | 0.00000 |
| 1419 | Global | 0.00 | 0.00 | 1.88 | 0.00000 | 0.00000 | 0.00000 |
| 1420 | Global | 0.00 | 0.00 | 1.88 | 0.00000 | 0.00000 | 0.00000 |
| 1421 | Global | 0.00 | 0.00 | 1.88 | 0.00000 | 0.00000 | 0.00000 |
| 1422 | Global | 0.00 | 0.00 | 1.88 | 0.00000 | 0.00000 | 0.00000 |
| 1423 | Global | 0.00 | 0.00 | 1.88 | 0.00000 | 0.00000 | 0.00000 |
| 1424 | Global | 0.00 | 0.00 | 1.88 | 0.00000 | 0.00000 | 0.00000 |
| 1425 | Global | 0.00 | 0.00 | 1.88 | 0.00000 | 0.00000 | 0.00000 |
| 1426 | Global | 0.00 | 0.00 | 1.88 | 0.00000 | 0.00000 | 0.00000 |
| 1427 | Global | 0.00 | 0.00 | 1.88 | 0.00000 | 0.00000 | 0.00000 |
| 1428 | Global | 0.00 | 0.00 | 1.88 | 0.00000 | 0.00000 | 0.00000 |
| 1429 | Global | 0.00 | 0.00 | 1.88 | 0.00000 | 0.00000 | 0.00000 |
| 1430 | Global | 0.00 | 0.00 | 1.88 | 0.00000 | 0.00000 | 0.00000 |
| 1431 | Global | 0.00 | 0.00 | 1.88 | 0.00000 | 0.00000 | 0.00000 |
| 1432 | Global | 0.00 | 0.00 | 1.88 | 0.00000 | 0.00000 | 0.00000 |
| 1433 | Global | 0.00 | 0.00 | 1.88 | 0.00000 | 0.00000 | 0.00000 |
| 1434 | Global | 0.00 | 0.00 | 1.88 | 0.00000 | 0.00000 | 0.00000 |
| 1437 | Global | 0.00 | 0.00 | 1.88 | 0.00000 | 0.00000 | 0.00000 |
| 1438 | Global | 0.00 | 0.00 | 1.88 | 0.00000 | 0.00000 | 0.00000 |
| 1439 | Global | 0.00 | 0.00 | 1.88 | 0.00000 | 0.00000 | 0.00000 |
| 1440 | Global | 0.00 | 0.00 | 1.88 | 0.00000 | 0.00000 | 0.00000 |
| 1441 | Global | 0.00 | 0.00 | 1.88 | 0.00000 | 0.00000 | 0.00000 |
| 1442 | Global | 0.00 | 0.00 | 1.88 | 0.00000 | 0.00000 | 0.00000 |
| 1443 | Global | 0.00 | 0.00 | 1.88 | 0.00000 | 0.00000 | 0.00000 |
| 1444 | Global | 0.00 | 0.00 | 1.88 | 0.00000 | 0.00000 | 0.00000 |
| 1445 | Global | 0.00 | 0.00 | 1.88 | 0.00000 | 0.00000 | 0.00000 |
| 1446 | Global | 0.00 | 0.00 | 1.88 | 0.00000 | 0.00000 | 0.00000 |
| 1447 | Global | 0.00 | 0.00 | 1.88 | 0.00000 | 0.00000 | 0.00000 |
| 1448 | Global | 0.00 | 0.00 | 1.88 | 0.00000 | 0.00000 | 0.00000 |
| 1449 | Global | 0.00 | 0.00 | 1.88 | 0.00000 | 0.00000 | 0.00000 |
| 1450 | Global | 0.00 | 0.00 | 1.88 | 0.00000 | 0.00000 | 0.00000 |
| 1451 | Global | 0.00 | 0.00 | 1.88 | 0.00000 | 0.00000 | 0.00000 |
| 1452 | Global | 0.00 | 0.00 | 1.88 | 0.00000 | 0.00000 | 0.00000 |
| 1453 | Global | 0.00 | 0.00 | 1.88 | 0.00000 | 0.00000 | 0.00000 |
| 1454 | Global | 0.00 | 0.00 | 1.88 | 0.00000 | 0.00000 | 0.00000 |
| 1455 | Global | 0.00 | 0.00 | 1.88 | 0.00000 | 0.00000 | 0.00000 |
| 1456 | Global | 0.00 | 0.00 | 1.88 | 0.00000 | 0.00000 | 0.00000 |
| 1457 | Global | 0.00 | 0.00 | 1.88 | 0.00000 | 0.00000 | 0.00000 |
| 1458 | Global | 0.00 | 0.00 | 1.88 | 0.00000 | 0.00000 | 0.00000 |
| 1459 | Global | 0.00 | 0.00 | 1.88 | 0.00000 | 0.00000 | 0.00000 |
| 1460 | Global | 0.00 | 0.00 | 1.88 | 0.00000 | 0.00000 | 0.00000 |
| 1461 | Global | 0.00 | 0.00 | 1.88 | 0.00000 | 0.00000 | 0.00000 |
| 1462 | Global | 0.00 | 0.00 | 1.88 | 0.00000 | 0.00000 | 0.00000 |
| 1463 | Global | 0.00 | 0.00 | 1.88 | 0.00000 | 0.00000 | 0.00000 |
| 1464 | Global | 0.00 | 0.00 | 1.88 | 0.00000 | 0.00000 | 0.00000 |
| 1465 | Global | 0.00 | 0.00 | 1.88 | 0.00000 | 0.00000 | 0.00000 |
| 1466 | Global | 0.00 | 0.00 | 1.88 | 0.00000 | 0.00000 | 0.00000 |
| 1467 | Global | 0.00 | 0.00 | 1.88 | 0.00000 | 0.00000 | 0.00000 |
| 1468 | Global | 0.00 | 0.00 | 1.88 | 0.00000 | 0.00000 | 0.00000 |
| 1469 | Global | 0.00 | 0.00 | 1.88 | 0.00000 | 0.00000 | 0.00000 |
| 1470 | Global | 0.00 | 0.00 | 1.88 | 0.00000 | 0.00000 | 0.00000 |
| 1471 | Global | 0.00 | 0.00 | 1.88 | 0.00000 | 0.00000 | 0.00000 |
| 1472 | Global | 0.00 | 0.00 | 1.88 | 0.00000 | 0.00000 | 0.00000 |
| 1473 | Global | 0.00 | 0.00 | 1.88 | 0.00000 | 0.00000 | 0.00000 |
| 1474 | Global | 0.00 | 0.00 | 1.88 | 0.00000 | 0.00000 | 0.00000 |
| 1475 | Global | 0.00 | 0.00 | 1.88 | 0.00000 | 0.00000 | 0.00000 |
| 1476 | Global | 0.00 | 0.00 | 1.88 | 0.00000 | 0.00000 | 0.00000 |
| 1477 | Global | 0.00 | 0.00 | 1.88 | 0.00000 | 0.00000 | 0.00000 |
| 1478 | Global | 0.00 | 0.00 | 1.88 | 0.00000 | 0.00000 | 0.00000 |

| Joint | CoordSys | Mass1 | Mass2 | Mass3 | MMI1 | MMI2 | MMI3 |
|---|---|---|---|---|---|---|---|
| Text | Text | Ton-s2/m | Ton-s2/m | Ton-s2/m | Ton-m-s2 | Ton-m-s2 | Ton-m-s2 |
| 1479 | Global | 0.00 | 0.00 | 1.88 | 0.00000 | 0.00000 | 0.00000 |
| 1480 | Global | 0.00 | 0.00 | 1.88 | 0.00000 | 0.00000 | 0.00000 |
| 1481 | Global | 0.00 | 0.00 | 1.88 | 0.00000 | 0.00000 | 0.00000 |
| 1482 | Global | 0.00 | 0.00 | 1.88 | 0.00000 | 0.00000 | 0.00000 |
| 1483 | Global | 0.00 | 0.00 | 1.88 | 0.00000 | 0.00000 | 0.00000 |
| 1484 | Global | 0.00 | 0.00 | 1.88 | 0.00000 | 0.00000 | 0.00000 |
| 1485 | Global | 0.00 | 0.00 | 1.88 | 0.00000 | 0.00000 | 0.00000 |
| 1486 | Global | 0.00 | 0.00 | 1.88 | 0.00000 | 0.00000 | 0.00000 |
| 1487 | Global | 0.00 | 0.00 | 1.88 | 0.00000 | 0.00000 | 0.00000 |
| 1488 | Global | 0.00 | 0.00 | 1.88 | 0.00000 | 0.00000 | 0.00000 |
| 1489 | Global | 0.00 | 0.00 | 1.88 | 0.00000 | 0.00000 | 0.00000 |
| 1490 | Global | 0.00 | 0.00 | 1.88 | 0.00000 | 0.00000 | 0.00000 |
| 1491 | Global | 0.00 | 0.00 | 1.88 | 0.00000 | 0.00000 | 0.00000 |
| 1492 | Global | 0.00 | 0.00 | 1.88 | 0.00000 | 0.00000 | 0.00000 |
| 1493 | Global | 0.00 | 0.00 | 1.88 | 0.00000 | 0.00000 | 0.00000 |
| 1494 | Global | 0.00 | 0.00 | 1.88 | 0.00000 | 0.00000 | 0.00000 |
| 1495 | Global | 0.00 | 0.00 | 1.88 | 0.00000 | 0.00000 | 0.00000 |
| 1496 | Global | 0.00 | 0.00 | 1.88 | 0.00000 | 0.00000 | 0.00000 |
| 1497 | Global | 0.00 | 0.00 | 1.88 | 0.00000 | 0.00000 | 0.00000 |
| 1498 | Global | 0.00 | 0.00 | 1.88 | 0.00000 | 0.00000 | 0.00000 |
| 1499 | Global | 0.00 | 0.00 | 1.88 | 0.00000 | 0.00000 | 0.00000 |
| 1500 | Global | 0.00 | 0.00 | 1.88 | 0.00000 | 0.00000 | 0.00000 |
| 1501 | Global | 0.00 | 0.00 | 1.88 | 0.00000 | 0.00000 | 0.00000 |
| 1502 | Global | 0.00 | 0.00 | 1.88 | 0.00000 | 0.00000 | 0.00000 |
| 1503 | Global | 0.00 | 0.00 | 1.88 | 0.00000 | 0.00000 | 0.00000 |
| 1504 | Global | 0.00 | 0.00 | 1.88 | 0.00000 | 0.00000 | 0.00000 |
| 1505 | Global | 0.00 | 0.00 | 1.88 | 0.00000 | 0.00000 | 0.00000 |
| 1506 | Global | 0.00 | 0.00 | 1.88 | 0.00000 | 0.00000 | 0.00000 |
| 1507 | Global | 0.00 | 0.00 | 1.88 | 0.00000 | 0.00000 | 0.00000 |
| 1508 | Global | 0.00 | 0.00 | 1.88 | 0.00000 | 0.00000 | 0.00000 |
| 1509 | Global | 0.00 | 0.00 | 1.88 | 0.00000 | 0.00000 | 0.00000 |
| 1510 | Global | 0.00 | 0.00 | 1.88 | 0.00000 | 0.00000 | 0.00000 |
| 1511 | Global | 0.00 | 0.00 | 1.88 | 0.00000 | 0.00000 | 0.00000 |
| 1512 | Global | 0.00 | 0.00 | 1.88 | 0.00000 | 0.00000 | 0.00000 |
| 1513 | Global | 0.00 | 0.00 | 1.88 | 0.00000 | 0.00000 | 0.00000 |
| 1514 | Global | 0.00 | 0.00 | 1.88 | 0.00000 | 0.00000 | 0.00000 |
| 1515 | Global | 0.00 | 0.00 | 1.88 | 0.00000 | 0.00000 | 0.00000 |
| 1516 | Global | 0.00 | 0.00 | 1.88 | 0.00000 | 0.00000 | 0.00000 |
| 1517 | Global | 0.00 | 0.00 | 1.88 | 0.00000 | 0.00000 | 0.00000 |
| 1518 | Global | 0.00 | 0.00 | 1.88 | 0.00000 | 0.00000 | 0.00000 |
| 1519 | Global | 0.00 | 0.00 | 1.88 | 0.00000 | 0.00000 | 0.00000 |
| 1520 | Global | 0.00 | 0.00 | 1.88 | 0.00000 | 0.00000 | 0.00000 |
| 1521 | Global | 0.00 | 0.00 | 1.88 | 0.00000 | 0.00000 | 0.00000 |
| 1522 | Global | 0.00 | 0.00 | 1.88 | 0.00000 | 0.00000 | 0.00000 |
| 1523 | Global | 0.00 | 0.00 | 1.88 | 0.00000 | 0.00000 | 0.00000 |
| 1524 | Global | 0.00 | 0.00 | 1.88 | 0.00000 | 0.00000 | 0.00000 |
| 1525 | Global | 0.00 | 0.00 | 1.88 | 0.00000 | 0.00000 | 0.00000 |
| 1526 | Global | 0.00 | 0.00 | 1.88 | 0.00000 | 0.00000 | 0.00000 |
| 1527 | Global | 0.00 | 0.00 | 1.88 | 0.00000 | 0.00000 | 0.00000 |
| 1528 | Global | 0.00 | 0.00 | 1.88 | 0.00000 | 0.00000 | 0.00000 |
| 1529 | Global | 0.00 | 0.00 | 1.88 | 0.00000 | 0.00000 | 0.00000 |
| 1530 | Global | 0.00 | 0.00 | 1.88 | 0.00000 | 0.00000 | 0.00000 |
| 1533 | Global | 0.00 | 0.00 | 1.88 | 0.00000 | 0.00000 | 0.00000 |
| 1534 | Global | 0.00 | 0.00 | 1.88 | 0.00000 | 0.00000 | 0.00000 |
| 1535 | Global | 0.00 | 0.00 | 1.88 | 0.00000 | 0.00000 | 0.00000 |
| 1536 | Global | 0.00 | 0.00 | 1.88 | 0.00000 | 0.00000 | 0.00000 |
| 1537 | Global | 0.00 | 0.00 | 1.88 | 0.00000 | 0.00000 | 0.00000 |
| 1538 | Global | 0.00 | 0.00 | 1.88 | 0.00000 | 0.00000 | 0.00000 |
| 1539 | Global | 0.00 | 0.00 | 1.88 | 0.00000 | 0.00000 | 0.00000 |
| 1540 | Global | 0.00 | 0.00 | 1.88 | 0.00000 | 0.00000 | 0.00000 |
| 1541 | Global | 0.00 | 0.00 | 1.88 | 0.00000 | 0.00000 | 0.00000 |
| 1542 | Global | 0.00 | 0.00 | 1.88 | 0.00000 | 0.00000 | 0.00000 |
| 1543 | Global | 0.00 | 0.00 | 1.88 | 0.00000 | 0.00000 | 0.00000 |
| 1544 | Global | 0.00 | 0.00 | 1.88 | 0.00000 | 0.00000 | 0.00000 |
| 1545 | Global | 0.00 | 0.00 | 1.88 | 0.00000 | 0.00000 | 0.00000 |
| 1546 | Global | 0.00 | 0.00 | 1.88 | 0.00000 | 0.00000 | 0.00000 |
| 1547 | Global | 0.00 | 0.00 | 1.88 | 0.00000 | 0.00000 | 0.00000 |
| 1548 | Global | 0.00 | 0.00 | 1.88 | 0.00000 | 0.00000 | 0.00000 |
| 1549 | Global | 0.00 | 0.00 | 1.88 | 0.00000 | 0.00000 | 0.00000 |
| 1550 | Global | 0.00 | 0.00 | 1.88 | 0.00000 | 0.00000 | 0.00000 |
| 1551 | Global | 0.00 | 0.00 | 1.88 | 0.00000 | 0.00000 | 0.00000 |
| 1552 | Global | 0.00 | 0.00 | 1.88 | 0.00000 | 0.00000 | 0.00000 |
| 1553 | Global | 0.00 | 0.00 | 1.88 | 0.00000 | 0.00000 | 0.00000 |
| 1554 | Global | 0.00 | 0.00 | 1.88 | 0.00000 | 0.00000 | 0.00000 |
| 1555 | Global | 0.00 | 0.00 | 1.88 | 0.00000 | 0.00000 | 0.00000 |
| 1556 | Global | 0.00 | 0.00 | 1.88 | 0.00000 | 0.00000 | 0.00000 |
| 1557 | Global | 0.00 | 0.00 | 1.88 | 0.00000 | 0.00000 | 0.00000 |
| 1558 | Global | 0.00 | 0.00 | 1.88 | 0.00000 | 0.00000 | 0.00000 |
| 1559 | Global | 0.00 | 0.00 | 1.88 | 0.00000 | 0.00000 | 0.00000 |
| 1560 | Global | 0.00 | 0.00 | 1.88 | 0.00000 | 0.00000 | 0.00000 |
| 1561 | Global | 0.00 | 0.00 | 1.88 | 0.00000 | 0.00000 | 0.00000 |
| 1562 | Global | 0.00 | 0.00 | 1.88 | 0.00000 | 0.00000 | 0.00000 |
| 1563 | Global | 0.00 | 0.00 | 1.88 | 0.00000 | 0.00000 | 0.00000 |
| 1564 | Global | 0.00 | 0.00 | 1.88 | 0.00000 | 0.00000 | 0.00000 |
| 1565 | Global | 0.00 | 0.00 | 1.88 | 0.00000 | 0.00000 | 0.00000 |
| 1566 | Global | 0.00 | 0.00 | 1.88 | 0.00000 | 0.00000 | 0.00000 |
| 1567 | Global | 0.00 | 0.00 | 1.88 | 0.00000 | 0.00000 | 0.00000 |
| 1568 | Global | 0.00 | 0.00 | 1.88 | 0.00000 | 0.00000 | 0.00000 |
| 1569 | Global | 0.00 | 0.00 | 1.88 | 0.00000 | 0.00000 | 0.00000 |
| 1570 | Global | 0.00 | 0.00 | 1.88 | 0.00000 | 0.00000 | 0.00000 |
| 1571 | Global | 0.00 | 0.00 | 1.88 | 0.00000 | 0.00000 | 0.00000 |





| Joint | CoordSys | Mass1 | Mass2 | Mass3 | MMI1 | MMI2 | MMI3 |
|---|---|---|---|---|---|---|---|
| Text | Text | Ton-s2/m | Ton-s2/m | Ton-s2/m | Ton-m-s2 | Ton-m-s2 | Ton-m-s2 |
| 1572 | Global | 0.00 | 0.00 | 1.88 | 0.00000 | 0.00000 | 0.00000 |
| 1573 | Global | 0.00 | 0.00 | 1.88 | 0.00000 | 0.00000 | 0.00000 |
| 1574 | Global | 0.00 | 0.00 | 1.88 | 0.00000 | 0.00000 | 0.00000 |
| 1575 | Global | 0.00 | 0.00 | 1.88 | 0.00000 | 0.00000 | 0.00000 |
| 1576 | Global | 0.00 | 0.00 | 1.88 | 0.00000 | 0.00000 | 0.00000 |
| 1577 | Global | 0.00 | 0.00 | 1.88 | 0.00000 | 0.00000 | 0.00000 |
| 1578 | Global | 0.00 | 0.00 | 1.88 | 0.00000 | 0.00000 | 0.00000 |
| 1579 | Global | 0.00 | 0.00 | 1.88 | 0.00000 | 0.00000 | 0.00000 |
| 1580 | Global | 0.00 | 0.00 | 1.88 | 0.00000 | 0.00000 | 0.00000 |
| 1581 | Global | 0.00 | 0.00 | 1.88 | 0.00000 | 0.00000 | 0.00000 |
| 1582 | Global | 0.00 | 0.00 | 1.88 | 0.00000 | 0.00000 | 0.00000 |
| 1583 | Global | 0.00 | 0.00 | 1.88 | 0.00000 | 0.00000 | 0.00000 |
| 1584 | Global | 0.00 | 0.00 | 1.88 | 0.00000 | 0.00000 | 0.00000 |
| 1585 | Global | 0.00 | 0.00 | 1.88 | 0.00000 | 0.00000 | 0.00000 |
| 1586 | Global | 0.00 | 0.00 | 1.88 | 0.00000 | 0.00000 | 0.00000 |
| 1587 | Global | 0.00 | 0.00 | 1.88 | 0.00000 | 0.00000 | 0.00000 |
| 1588 | Global | 0.00 | 0.00 | 1.88 | 0.00000 | 0.00000 | 0.00000 |
| 1589 | Global | 0.00 | 0.00 | 1.88 | 0.00000 | 0.00000 | 0.00000 |
| 1590 | Global | 0.00 | 0.00 | 1.88 | 0.00000 | 0.00000 | 0.00000 |
| 1591 | Global | 0.00 | 0.00 | 1.88 | 0.00000 | 0.00000 | 0.00000 |
| 1592 | Global | 0.00 | 0.00 | 1.88 | 0.00000 | 0.00000 | 0.00000 |
| 1593 | Global | 0.00 | 0.00 | 1.88 | 0.00000 | 0.00000 | 0.00000 |
| 1594 | Global | 0.00 | 0.00 | 1.88 | 0.00000 | 0.00000 | 0.00000 |
| 1595 | Global | 0.00 | 0.00 | 1.88 | 0.00000 | 0.00000 | 0.00000 |
| 1596 | Global | 0.00 | 0.00 | 1.88 | 0.00000 | 0.00000 | 0.00000 |
| 1597 | Global | 0.00 | 0.00 | 1.88 | 0.00000 | 0.00000 | 0.00000 |
| 1598 | Global | 0.00 | 0.00 | 1.88 | 0.00000 | 0.00000 | 0.00000 |
| 1599 | Global | 0.00 | 0.00 | 1.88 | 0.00000 | 0.00000 | 0.00000 |
| 1600 | Global | 0.00 | 0.00 | 1.88 | 0.00000 | 0.00000 | 0.00000 |
| 1601 | Global | 0.00 | 0.00 | 1.88 | 0.00000 | 0.00000 | 0.00000 |
| 1602 | Global | 0.00 | 0.00 | 1.88 | 0.00000 | 0.00000 | 0.00000 |
| 1603 | Global | 0.00 | 0.00 | 1.88 | 0.00000 | 0.00000 | 0.00000 |
| 1604 | Global | 0.00 | 0.00 | 1.88 | 0.00000 | 0.00000 | 0.00000 |
| 1605 | Global | 0.00 | 0.00 | 1.88 | 0.00000 | 0.00000 | 0.00000 |
| 1606 | Global | 0.00 | 0.00 | 1.88 | 0.00000 | 0.00000 | 0.00000 |
| 1607 | Global | 0.00 | 0.00 | 1.88 | 0.00000 | 0.00000 | 0.00000 |
| 1608 | Global | 0.00 | 0.00 | 1.88 | 0.00000 | 0.00000 | 0.00000 |
| 1609 | Global | 0.00 | 0.00 | 1.88 | 0.00000 | 0.00000 | 0.00000 |
| 1610 | Global | 0.00 | 0.00 | 1.88 | 0.00000 | 0.00000 | 0.00000 |
| 1611 | Global | 0.00 | 0.00 | 1.88 | 0.00000 | 0.00000 | 0.00000 |
| 1612 | Global | 0.00 | 0.00 | 1.88 | 0.00000 | 0.00000 | 0.00000 |
| 1613 | Global | 0.00 | 0.00 | 1.88 | 0.00000 | 0.00000 | 0.00000 |
| 1614 | Global | 0.00 | 0.00 | 1.88 | 0.00000 | 0.00000 | 0.00000 |
| 1615 | Global | 0.00 | 0.00 | 1.88 | 0.00000 | 0.00000 | 0.00000 |
| 1616 | Global | 0.00 | 0.00 | 1.88 | 0.00000 | 0.00000 | 0.00000 |
| 1617 | Global | 0.00 | 0.00 | 1.88 | 0.00000 | 0.00000 | 0.00000 |
| 1618 | Global | 0.00 | 0.00 | 1.88 | 0.00000 | 0.00000 | 0.00000 |
| 1619 | Global | 0.00 | 0.00 | 1.88 | 0.00000 | 0.00000 | 0.00000 |
| 1620 | Global | 0.00 | 0.00 | 1.88 | 0.00000 | 0.00000 | 0.00000 |
| 1621 | Global | 0.00 | 0.00 | 1.88 | 0.00000 | 0.00000 | 0.00000 |
| 1622 | Global | 0.00 | 0.00 | 1.88 | 0.00000 | 0.00000 | 0.00000 |
| 1623 | Global | 0.00 | 0.00 | 1.88 | 0.00000 | 0.00000 | 0.00000 |
| 1624 | Global | 0.00 | 0.00 | 1.88 | 0.00000 | 0.00000 | 0.00000 |
| 1625 | Global | 0.00 | 0.00 | 1.88 | 0.00000 | 0.00000 | 0.00000 |
| 1626 | Global | 0.00 | 0.00 | 1.88 | 0.00000 | 0.00000 | 0.00000 |
| 1629 | Global | 0.00 | 0.00 | 1.88 | 0.00000 | 0.00000 | 0.00000 |
| 1630 | Global | 0.00 | 0.00 | 1.88 | 0.00000 | 0.00000 | 0.00000 |
| 1631 | Global | 0.00 | 0.00 | 1.88 | 0.00000 | 0.00000 | 0.00000 |
| 1632 | Global | 0.00 | 0.00 | 1.88 | 0.00000 | 0.00000 | 0.00000 |
| 1633 | Global | 0.00 | 0.00 | 1.88 | 0.00000 | 0.00000 | 0.00000 |
| 1634 | Global | 0.00 | 0.00 | 1.88 | 0.00000 | 0.00000 | 0.00000 |
| 1635 | Global | 0.00 | 0.00 | 1.88 | 0.00000 | 0.00000 | 0.00000 |
| 1636 | Global | 0.00 | 0.00 | 1.88 | 0.00000 | 0.00000 | 0.00000 |
| 1637 | Global | 0.00 | 0.00 | 1.88 | 0.00000 | 0.00000 | 0.00000 |
| 1638 | Global | 0.00 | 0.00 | 1.88 | 0.00000 | 0.00000 | 0.00000 |
| 1639 | Global | 0.00 | 0.00 | 1.88 | 0.00000 | 0.00000 | 0.00000 |
| 1640 | Global | 0.00 | 0.00 | 1.88 | 0.00000 | 0.00000 | 0.00000 |
| 1641 | Global | 0.00 | 0.00 | 1.88 | 0.00000 | 0.00000 | 0.00000 |
| 1642 | Global | 0.00 | 0.00 | 1.88 | 0.00000 | 0.00000 | 0.00000 |
| 1643 | Global | 0.00 | 0.00 | 1.88 | 0.00000 | 0.00000 | 0.00000 |
| 1644 | Global | 0.00 | 0.00 | 1.88 | 0.00000 | 0.00000 | 0.00000 |
| 1645 | Global | 0.00 | 0.00 | 1.88 | 0.00000 | 0.00000 | 0.00000 |
| 1646 | Global | 0.00 | 0.00 | 1.88 | 0.00000 | 0.00000 | 0.00000 |
| 1647 | Global | 0.00 | 0.00 | 1.88 | 0.00000 | 0.00000 | 0.00000 |
| 1648 | Global | 0.00 | 0.00 | 1.88 | 0.00000 | 0.00000 | 0.00000 |
| 1649 | Global | 0.00 | 0.00 | 1.88 | 0.00000 | 0.00000 | 0.00000 |
| 1650 | Global | 0.00 | 0.00 | 1.88 | 0.00000 | 0.00000 | 0.00000 |
| 1651 | Global | 0.00 | 0.00 | 1.88 | 0.00000 | 0.00000 | 0.00000 |
| 1652 | Global | 0.00 | 0.00 | 1.88 | 0.00000 | 0.00000 | 0.00000 |
| 1653 | Global | 0.00 | 0.00 | 1.88 | 0.00000 | 0.00000 | 0.00000 |
| 1654 | Global | 0.00 | 0.00 | 1.88 | 0.00000 | 0.00000 | 0.00000 |
| 1655 | Global | 0.00 | 0.00 | 1.88 | 0.00000 | 0.00000 | 0.00000 |
| 1656 | Global | 0.00 | 0.00 | 1.88 | 0.00000 | 0.00000 | 0.00000 |
| 1657 | Global | 0.00 | 0.00 | 1.88 | 0.00000 | 0.00000 | 0.00000 |
| 1658 | Global | 0.00 | 0.00 | 1.88 | 0.00000 | 0.00000 | 0.00000 |
| 1659 | Global | 0.00 | 0.00 | 1.88 | 0.00000 | 0.00000 | 0.00000 |
| 1660 | Global | 0.00 | 0.00 | 1.88 | 0.00000 | 0.00000 | 0.00000 |
| 1661 | Global | 0.00 | 0.00 | 1.88 | 0.00000 | 0.00000 | 0.00000 |
| 1662 | Global | 0.00 | 0.00 | 1.88 | 0.00000 | 0.00000 | 0.00000 |
| 1663 | Global | 0.00 | 0.00 | 1.88 | 0.00000 | 0.00000 | 0.00000 |
| 1664 | Global | 0.00 | 0.00 | 1.88 | 0.00000 | 0.00000 | 0.00000 |

| Joint | CoordSys | Mass1 | Mass2 | Mass3 | MMI1 | MMI2 | MMI3 |
|---|---|---|---|---|---|---|---|
| Text | Text | Ton-s2/m | Ton-s2/m | Ton-s2/m | Ton-m-s2 | Ton-m-s2 | Ton-m-s2 |
| 1665 | Global | 0.00 | 0.00 | 1.88 | 0.00000 | 0.00000 | 0.00000 |
| 1666 | Global | 0.00 | 0.00 | 1.88 | 0.00000 | 0.00000 | 0.00000 |
| 1667 | Global | 0.00 | 0.00 | 1.88 | 0.00000 | 0.00000 | 0.00000 |
| 1668 | Global | 0.00 | 0.00 | 1.88 | 0.00000 | 0.00000 | 0.00000 |
| 1669 | Global | 0.00 | 0.00 | 1.88 | 0.00000 | 0.00000 | 0.00000 |
| 1670 | Global | 0.00 | 0.00 | 1.88 | 0.00000 | 0.00000 | 0.00000 |
| 1671 | Global | 0.00 | 0.00 | 1.88 | 0.00000 | 0.00000 | 0.00000 |
| 1672 | Global | 0.00 | 0.00 | 1.88 | 0.00000 | 0.00000 | 0.00000 |
| 1673 | Global | 0.00 | 0.00 | 1.88 | 0.00000 | 0.00000 | 0.00000 |
| 1674 | Global | 0.00 | 0.00 | 1.88 | 0.00000 | 0.00000 | 0.00000 |
| 1675 | Global | 0.00 | 0.00 | 1.88 | 0.00000 | 0.00000 | 0.00000 |
| 1676 | Global | 0.00 | 0.00 | 1.88 | 0.00000 | 0.00000 | 0.00000 |
| 1677 | Global | 0.00 | 0.00 | 1.88 | 0.00000 | 0.00000 | 0.00000 |
| 1678 | Global | 0.00 | 0.00 | 1.88 | 0.00000 | 0.00000 | 0.00000 |
| 1679 | Global | 0.00 | 0.00 | 1.88 | 0.00000 | 0.00000 | 0.00000 |
| 1680 | Global | 0.00 | 0.00 | 1.88 | 0.00000 | 0.00000 | 0.00000 |
| 1681 | Global | 0.00 | 0.00 | 1.88 | 0.00000 | 0.00000 | 0.00000 |
| 1682 | Global | 0.00 | 0.00 | 1.88 | 0.00000 | 0.00000 | 0.00000 |
| 1683 | Global | 0.00 | 0.00 | 1.88 | 0.00000 | 0.00000 | 0.00000 |
| 1684 | Global | 0.00 | 0.00 | 1.88 | 0.00000 | 0.00000 | 0.00000 |
| 1685 | Global | 0.00 | 0.00 | 1.88 | 0.00000 | 0.00000 | 0.00000 |
| 1686 | Global | 0.00 | 0.00 | 1.88 | 0.00000 | 0.00000 | 0.00000 |
| 1687 | Global | 0.00 | 0.00 | 1.88 | 0.00000 | 0.00000 | 0.00000 |
| 1688 | Global | 0.00 | 0.00 | 1.88 | 0.00000 | 0.00000 | 0.00000 |
| 1689 | Global | 0.00 | 0.00 | 1.88 | 0.00000 | 0.00000 | 0.00000 |
| 1690 | Global | 0.00 | 0.00 | 1.88 | 0.00000 | 0.00000 | 0.00000 |
| 1691 | Global | 0.00 | 0.00 | 1.88 | 0.00000 | 0.00000 | 0.00000 |
| 1692 | Global | 0.00 | 0.00 | 1.88 | 0.00000 | 0.00000 | 0.00000 |
| 1693 | Global | 0.00 | 0.00 | 1.88 | 0.00000 | 0.00000 | 0.00000 |
| 1694 | Global | 0.00 | 0.00 | 1.88 | 0.00000 | 0.00000 | 0.00000 |
| 1695 | Global | 0.00 | 0.00 | 1.88 | 0.00000 | 0.00000 | 0.00000 |
| 1696 | Global | 0.00 | 0.00 | 1.88 | 0.00000 | 0.00000 | 0.00000 |
| 1697 | Global | 0.00 | 0.00 | 1.88 | 0.00000 | 0.00000 | 0.00000 |
| 1698 | Global | 0.00 | 0.00 | 1.88 | 0.00000 | 0.00000 | 0.00000 |
| 1699 | Global | 0.00 | 0.00 | 1.88 | 0.00000 | 0.00000 | 0.00000 |
| 1700 | Global | 0.00 | 0.00 | 1.88 | 0.00000 | 0.00000 | 0.00000 |
| 1701 | Global | 0.00 | 0.00 | 1.88 | 0.00000 | 0.00000 | 0.00000 |
| 1702 | Global | 0.00 | 0.00 | 1.88 | 0.00000 | 0.00000 | 0.00000 |
| 1703 | Global | 0.00 | 0.00 | 1.88 | 0.00000 | 0.00000 | 0.00000 |
| 1704 | Global | 0.00 | 0.00 | 1.88 | 0.00000 | 0.00000 | 0.00000 |
| 1705 | Global | 0.00 | 0.00 | 1.88 | 0.00000 | 0.00000 | 0.00000 |
| 1706 | Global | 0.00 | 0.00 | 1.88 | 0.00000 | 0.00000 | 0.00000 |
| 1707 | Global | 0.00 | 0.00 | 1.88 | 0.00000 | 0.00000 | 0.00000 |
| 1708 | Global | 0.00 | 0.00 | 1.88 | 0.00000 | 0.00000 | 0.00000 |
| 1709 | Global | 0.00 | 0.00 | 1.88 | 0.00000 | 0.00000 | 0.00000 |
| 1710 | Global | 0.00 | 0.00 | 1.88 | 0.00000 | 0.00000 | 0.00000 |
| 1711 | Global | 0.00 | 0.00 | 1.88 | 0.00000 | 0.00000 | 0.00000 |
| 1712 | Global | 0.00 | 0.00 | 1.88 | 0.00000 | 0.00000 | 0.00000 |
| 1713 | Global | 0.00 | 0.00 | 1.88 | 0.00000 | 0.00000 | 0.00000 |
| 1714 | Global | 0.00 | 0.00 | 1.88 | 0.00000 | 0.00000 | 0.00000 |
| 1715 | Global | 0.00 | 0.00 | 1.88 | 0.00000 | 0.00000 | 0.00000 |
| 1716 | Global | 0.00 | 0.00 | 1.88 | 0.00000 | 0.00000 | 0.00000 |
| 1717 | Global | 0.00 | 0.00 | 1.88 | 0.00000 | 0.00000 | 0.00000 |
| 1718 | Global | 0.00 | 0.00 | 1.88 | 0.00000 | 0.00000 | 0.00000 |
| 1719 | Global | 0.00 | 0.00 | 1.88 | 0.00000 | 0.00000 | 0.00000 |
| 1720 | Global | 0.00 | 0.00 | 1.88 | 0.00000 | 0.00000 | 0.00000 |
| 1721 | Global | 0.00 | 0.00 | 1.88 | 0.00000 | 0.00000 | 0.00000 |
| 1722 | Global | 0.00 | 0.00 | 1.88 | 0.00000 | 0.00000 | 0.00000 |
| 1725 | Global | 0.00 | 0.00 | 1.88 | 0.00000 | 0.00000 | 0.00000 |
| 1726 | Global | 0.00 | 0.00 | 1.88 | 0.00000 | 0.00000 | 0.00000 |
| 1727 | Global | 0.00 | 0.00 | 1.88 | 0.00000 | 0.00000 | 0.00000 |
| 1728 | Global | 0.00 | 0.00 | 1.88 | 0.00000 | 0.00000 | 0.00000 |
| 1729 | Global | 0.00 | 0.00 | 1.88 | 0.00000 | 0.00000 | 0.00000 |
| 1730 | Global | 0.00 | 0.00 | 1.88 | 0.00000 | 0.00000 | 0.00000 |
| 1731 | Global | 0.00 | 0.00 | 1.88 | 0.00000 | 0.00000 | 0.00000 |
| 1732 | Global | 0.00 | 0.00 | 1.88 | 0.00000 | 0.00000 | 0.00000 |
| 1733 | Global | 0.00 | 0.00 | 1.88 | 0.00000 | 0.00000 | 0.00000 |
| 1734 | Global | 0.00 | 0.00 | 1.88 | 0.00000 | 0.00000 | 0.00000 |
| 1735 | Global | 0.00 | 0.00 | 1.88 | 0.00000 | 0.00000 | 0.00000 |
| 1736 | Global | 0.00 | 0.00 | 1.88 | 0.00000 | 0.00000 | 0.00000 |
| 1737 | Global | 0.00 | 0.00 | 1.88 | 0.00000 | 0.00000 | 0.00000 |
| 1738 | Global | 0.00 | 0.00 | 1.88 | 0.00000 | 0.00000 | 0.00000 |
| 1739 | Global | 0.00 | 0.00 | 1.88 | 0.00000 | 0.00000 | 0.00000 |
| 1740 | Global | 0.00 | 0.00 | 1.88 | 0.00000 | 0.00000 | 0.00000 |
| 1741 | Global | 0.00 | 0.00 | 1.88 | 0.00000 | 0.00000 | 0.00000 |
| 1742 | Global | 0.00 | 0.00 | 1.88 | 0.00000 | 0.00000 | 0.00000 |
| 1743 | Global | 0.00 | 0.00 | 1.88 | 0.00000 | 0.00000 | 0.00000 |
| 1744 | Global | 0.00 | 0.00 | 1.88 | 0.00000 | 0.00000 | 0.00000 |
| 1745 | Global | 0.00 | 0.00 | 1.88 | 0.00000 | 0.00000 | 0.00000 |
| 1746 | Global | 0.00 | 0.00 | 1.88 | 0.00000 | 0.00000 | 0.00000 |
| 1747 | Global | 0.00 | 0.00 | 1.88 | 0.00000 | 0.00000 | 0.00000 |
| 1748 | Global | 0.00 | 0.00 | 1.88 | 0.00000 | 0.00000 | 0.00000 |
| 1749 | Global | 0.00 | 0.00 | 1.88 | 0.00000 | 0.00000 | 0.00000 |
| 1750 | Global | 0.00 | 0.00 | 1.88 | 0.00000 | 0.00000 | 0.00000 |
| 1751 | Global | 0.00 | 0.00 | 1.88 | 0.00000 | 0.00000 | 0.00000 |
| 1752 | Global | 0.00 | 0.00 | 1.88 | 0.00000 | 0.00000 | 0.00000 |
| 1753 | Global | 0.00 | 0.00 | 1.88 | 0.00000 | 0.00000 | 0.00000 |
| 1754 | Global | 0.00 | 0.00 | 1.88 | 0.00000 | 0.00000 | 0.00000 |
| 1755 | Global | 0.00 | 0.00 | 1.88 | 0.00000 | 0.00000 | 0.00000 |
| 1756 | Global | 0.00 | 0.00 | 1.88 | 0.00000 | 0.00000 | 0.00000 |
| 1757 | Global | 0.00 | 0.00 | 1.88 | 0.00000 | 0.00000 | 0.00000 |





| Joint | CoordSys | Mass1 | Mass2 | Mass3 | MMI1 | MMI2 | MMI3 |
|---|---|---|---|---|---|---|---|
| Text | Text | Ton-s2/m | Ton-s2/m | Ton-s2/m | Ton-m-s2 | Ton-m-s2 | Ton-m-s2 |
| 1758 | Global | 0.00 | 0.00 | 1.88 | 0.00000 | 0.00000 | 0.00000 |
| 1759 | Global | 0.00 | 0.00 | 1.88 | 0.00000 | 0.00000 | 0.00000 |
| 1760 | Global | 0.00 | 0.00 | 1.88 | 0.00000 | 0.00000 | 0.00000 |
| 1761 | Global | 0.00 | 0.00 | 1.88 | 0.00000 | 0.00000 | 0.00000 |
| 1762 | Global | 0.00 | 0.00 | 1.88 | 0.00000 | 0.00000 | 0.00000 |
| 1763 | Global | 0.00 | 0.00 | 1.88 | 0.00000 | 0.00000 | 0.00000 |
| 1764 | Global | 0.00 | 0.00 | 1.88 | 0.00000 | 0.00000 | 0.00000 |
| 1765 | Global | 0.00 | 0.00 | 1.88 | 0.00000 | 0.00000 | 0.00000 |
| 1766 | Global | 0.00 | 0.00 | 1.88 | 0.00000 | 0.00000 | 0.00000 |
| 1767 | Global | 0.00 | 0.00 | 1.88 | 0.00000 | 0.00000 | 0.00000 |
| 1768 | Global | 0.00 | 0.00 | 1.88 | 0.00000 | 0.00000 | 0.00000 |
| 1769 | Global | 0.00 | 0.00 | 1.88 | 0.00000 | 0.00000 | 0.00000 |
| 1770 | Global | 0.00 | 0.00 | 1.88 | 0.00000 | 0.00000 | 0.00000 |
| 1771 | Global | 0.00 | 0.00 | 1.88 | 0.00000 | 0.00000 | 0.00000 |
| 1772 | Global | 0.00 | 0.00 | 1.88 | 0.00000 | 0.00000 | 0.00000 |
| 1773 | Global | 0.00 | 0.00 | 1.88 | 0.00000 | 0.00000 | 0.00000 |
| 1774 | Global | 0.00 | 0.00 | 1.88 | 0.00000 | 0.00000 | 0.00000 |
| 1775 | Global | 0.00 | 0.00 | 1.88 | 0.00000 | 0.00000 | 0.00000 |
| 1776 | Global | 0.00 | 0.00 | 1.88 | 0.00000 | 0.00000 | 0.00000 |
| 1777 | Global | 0.00 | 0.00 | 1.88 | 0.00000 | 0.00000 | 0.00000 |
| 1778 | Global | 0.00 | 0.00 | 1.88 | 0.00000 | 0.00000 | 0.00000 |
| 1779 | Global | 0.00 | 0.00 | 1.88 | 0.00000 | 0.00000 | 0.00000 |
| 1780 | Global | 0.00 | 0.00 | 1.88 | 0.00000 | 0.00000 | 0.00000 |
| 1781 | Global | 0.00 | 0.00 | 1.88 | 0.00000 | 0.00000 | 0.00000 |
| 1782 | Global | 0.00 | 0.00 | 1.88 | 0.00000 | 0.00000 | 0.00000 |
| 1783 | Global | 0.00 | 0.00 | 1.88 | 0.00000 | 0.00000 | 0.00000 |
| 1784 | Global | 0.00 | 0.00 | 1.88 | 0.00000 | 0.00000 | 0.00000 |
| 1785 | Global | 0.00 | 0.00 | 1.88 | 0.00000 | 0.00000 | 0.00000 |
| 1786 | Global | 0.00 | 0.00 | 1.88 | 0.00000 | 0.00000 | 0.00000 |
| 1787 | Global | 0.00 | 0.00 | 1.88 | 0.00000 | 0.00000 | 0.00000 |
| 1788 | Global | 0.00 | 0.00 | 1.88 | 0.00000 | 0.00000 | 0.00000 |
| 1789 | Global | 0.00 | 0.00 | 1.88 | 0.00000 | 0.00000 | 0.00000 |
| 1790 | Global | 0.00 | 0.00 | 1.88 | 0.00000 | 0.00000 | 0.00000 |
| 1791 | Global | 0.00 | 0.00 | 1.88 | 0.00000 | 0.00000 | 0.00000 |
| 1792 | Global | 0.00 | 0.00 | 1.88 | 0.00000 | 0.00000 | 0.00000 |
| 1793 | Global | 0.00 | 0.00 | 1.88 | 0.00000 | 0.00000 | 0.00000 |
| 1794 | Global | 0.00 | 0.00 | 1.88 | 0.00000 | 0.00000 | 0.00000 |
| 1795 | Global | 0.00 | 0.00 | 1.88 | 0.00000 | 0.00000 | 0.00000 |
| 1796 | Global | 0.00 | 0.00 | 1.88 | 0.00000 | 0.00000 | 0.00000 |
| 1797 | Global | 0.00 | 0.00 | 1.88 | 0.00000 | 0.00000 | 0.00000 |
| 1798 | Global | 0.00 | 0.00 | 1.88 | 0.00000 | 0.00000 | 0.00000 |
| 1799 | Global | 0.00 | 0.00 | 1.88 | 0.00000 | 0.00000 | 0.00000 |
| 1800 | Global | 0.00 | 0.00 | 1.88 | 0.00000 | 0.00000 | 0.00000 |
| 1801 | Global | 0.00 | 0.00 | 1.88 | 0.00000 | 0.00000 | 0.00000 |
| 1802 | Global | 0.00 | 0.00 | 1.88 | 0.00000 | 0.00000 | 0.00000 |
| 1803 | Global | 0.00 | 0.00 | 1.88 | 0.00000 | 0.00000 | 0.00000 |
| 1804 | Global | 0.00 | 0.00 | 1.88 | 0.00000 | 0.00000 | 0.00000 |
| 1805 | Global | 0.00 | 0.00 | 1.88 | 0.00000 | 0.00000 | 0.00000 |
| 1806 | Global | 0.00 | 0.00 | 1.88 | 0.00000 | 0.00000 | 0.00000 |
| 1807 | Global | 0.00 | 0.00 | 1.88 | 0.00000 | 0.00000 | 0.00000 |
| 1808 | Global | 0.00 | 0.00 | 1.88 | 0.00000 | 0.00000 | 0.00000 |
| 1809 | Global | 0.00 | 0.00 | 1.88 | 0.00000 | 0.00000 | 0.00000 |
| 1810 | Global | 0.00 | 0.00 | 1.88 | 0.00000 | 0.00000 | 0.00000 |
| 1811 | Global | 0.00 | 0.00 | 1.88 | 0.00000 | 0.00000 | 0.00000 |
| 1812 | Global | 0.00 | 0.00 | 1.88 | 0.00000 | 0.00000 | 0.00000 |
| 1813 | Global | 0.00 | 0.00 | 1.88 | 0.00000 | 0.00000 | 0.00000 |
| 1814 | Global | 0.00 | 0.00 | 1.88 | 0.00000 | 0.00000 | 0.00000 |
| 1815 | Global | 0.00 | 0.00 | 1.88 | 0.00000 | 0.00000 | 0.00000 |
| 1816 | Global | 0.00 | 0.00 | 1.88 | 0.00000 | 0.00000 | 0.00000 |
| 1817 | Global | 0.00 | 0.00 | 1.88 | 0.00000 | 0.00000 | 0.00000 |
| 1818 | Global | 0.00 | 0.00 | 1.88 | 0.00000 | 0.00000 | 0.00000 |
| 1821 | Global | 0.00 | 0.00 | 1.88 | 0.00000 | 0.00000 | 0.00000 |
| 1822 | Global | 0.00 | 0.00 | 1.88 | 0.00000 | 0.00000 | 0.00000 |
| 1823 | Global | 0.00 | 0.00 | 1.88 | 0.00000 | 0.00000 | 0.00000 |
| 1824 | Global | 0.00 | 0.00 | 1.88 | 0.00000 | 0.00000 | 0.00000 |
| 1825 | Global | 0.00 | 0.00 | 1.88 | 0.00000 | 0.00000 | 0.00000 |
| 1826 | Global | 0.00 | 0.00 | 1.88 | 0.00000 | 0.00000 | 0.00000 |
| 1827 | Global | 0.00 | 0.00 | 1.88 | 0.00000 | 0.00000 | 0.00000 |
| 1828 | Global | 0.00 | 0.00 | 1.88 | 0.00000 | 0.00000 | 0.00000 |
| 1829 | Global | 0.00 | 0.00 | 1.88 | 0.00000 | 0.00000 | 0.00000 |
| 1830 | Global | 0.00 | 0.00 | 1.88 | 0.00000 | 0.00000 | 0.00000 |
| 1831 | Global | 0.00 | 0.00 | 1.88 | 0.00000 | 0.00000 | 0.00000 |
| 1832 | Global | 0.00 | 0.00 | 1.88 | 0.00000 | 0.00000 | 0.00000 |
| 1833 | Global | 0.00 | 0.00 | 1.88 | 0.00000 | 0.00000 | 0.00000 |
| 1834 | Global | 0.00 | 0.00 | 1.88 | 0.00000 | 0.00000 | 0.00000 |
| 1835 | Global | 0.00 | 0.00 | 1.88 | 0.00000 | 0.00000 | 0.00000 |
| 1836 | Global | 0.00 | 0.00 | 1.88 | 0.00000 | 0.00000 | 0.00000 |
| 1837 | Global | 0.00 | 0.00 | 1.88 | 0.00000 | 0.00000 | 0.00000 |
| 1838 | Global | 0.00 | 0.00 | 1.88 | 0.00000 | 0.00000 | 0.00000 |
| 1839 | Global | 0.00 | 0.00 | 1.88 | 0.00000 | 0.00000 | 0.00000 |
| 1840 | Global | 0.00 | 0.00 | 1.88 | 0.00000 | 0.00000 | 0.00000 |
| 1841 | Global | 0.00 | 0.00 | 1.88 | 0.00000 | 0.00000 | 0.00000 |
| 1842 | Global | 0.00 | 0.00 | 1.88 | 0.00000 | 0.00000 | 0.00000 |
| 1843 | Global | 0.00 | 0.00 | 1.88 | 0.00000 | 0.00000 | 0.00000 |
| 1844 | Global | 0.00 | 0.00 | 1.88 | 0.00000 | 0.00000 | 0.00000 |
| 1845 | Global | 0.00 | 0.00 | 1.88 | 0.00000 | 0.00000 | 0.00000 |
| 1846 | Global | 0.00 | 0.00 | 1.88 | 0.00000 | 0.00000 | 0.00000 |
| 1847 | Global | 0.00 | 0.00 | 1.88 | 0.00000 | 0.00000 | 0.00000 |
| 1848 | Global | 0.00 | 0.00 | 1.88 | 0.00000 | 0.00000 | 0.00000 |
| 1849 | Global | 0.00 | 0.00 | 1.88 | 0.00000 | 0.00000 | 0.00000 |
| 1850 | Global | 0.00 | 0.00 | 1.88 | 0.00000 | 0.00000 | 0.00000 |

| Joint | CoordSys | Mass1 | Mass2 | Mass3 | MMI1 | MMI2 | MMI3 |
|---|---|---|---|---|---|---|---|
| Text | Text | Ton-s2/m | Ton-s2/m | Ton-s2/m | Ton-m-s2 | Ton-m-s2 | Ton-m-s2 |
| 1851 | Global | 0.00 | 0.00 | 1.88 | 0.00000 | 0.00000 | 0.00000 |
| 1852 | Global | 0.00 | 0.00 | 1.88 | 0.00000 | 0.00000 | 0.00000 |
| 1853 | Global | 0.00 | 0.00 | 1.88 | 0.00000 | 0.00000 | 0.00000 |
| 1854 | Global | 0.00 | 0.00 | 1.88 | 0.00000 | 0.00000 | 0.00000 |
| 1855 | Global | 0.00 | 0.00 | 1.88 | 0.00000 | 0.00000 | 0.00000 |
| 1856 | Global | 0.00 | 0.00 | 1.88 | 0.00000 | 0.00000 | 0.00000 |
| 1857 | Global | 0.00 | 0.00 | 1.88 | 0.00000 | 0.00000 | 0.00000 |
| 1858 | Global | 0.00 | 0.00 | 1.88 | 0.00000 | 0.00000 | 0.00000 |
| 1859 | Global | 0.00 | 0.00 | 1.88 | 0.00000 | 0.00000 | 0.00000 |
| 1860 | Global | 0.00 | 0.00 | 1.88 | 0.00000 | 0.00000 | 0.00000 |
| 1861 | Global | 0.00 | 0.00 | 1.88 | 0.00000 | 0.00000 | 0.00000 |
| 1862 | Global | 0.00 | 0.00 | 1.88 | 0.00000 | 0.00000 | 0.00000 |
| 1863 | Global | 0.00 | 0.00 | 1.88 | 0.00000 | 0.00000 | 0.00000 |
| 1864 | Global | 0.00 | 0.00 | 1.88 | 0.00000 | 0.00000 | 0.00000 |
| 1865 | Global | 0.00 | 0.00 | 1.88 | 0.00000 | 0.00000 | 0.00000 |
| 1866 | Global | 0.00 | 0.00 | 1.88 | 0.00000 | 0.00000 | 0.00000 |
| 1867 | Global | 0.00 | 0.00 | 1.88 | 0.00000 | 0.00000 | 0.00000 |
| 1868 | Global | 0.00 | 0.00 | 1.88 | 0.00000 | 0.00000 | 0.00000 |
| 1869 | Global | 0.00 | 0.00 | 1.88 | 0.00000 | 0.00000 | 0.00000 |
| 1870 | Global | 0.00 | 0.00 | 1.88 | 0.00000 | 0.00000 | 0.00000 |
| 1871 | Global | 0.00 | 0.00 | 1.88 | 0.00000 | 0.00000 | 0.00000 |
| 1872 | Global | 0.00 | 0.00 | 1.88 | 0.00000 | 0.00000 | 0.00000 |
| 1873 | Global | 0.00 | 0.00 | 1.88 | 0.00000 | 0.00000 | 0.00000 |
| 1874 | Global | 0.00 | 0.00 | 1.88 | 0.00000 | 0.00000 | 0.00000 |
| 1875 | Global | 0.00 | 0.00 | 1.88 | 0.00000 | 0.00000 | 0.00000 |
| 1876 | Global | 0.00 | 0.00 | 1.88 | 0.00000 | 0.00000 | 0.00000 |
| 1877 | Global | 0.00 | 0.00 | 1.88 | 0.00000 | 0.00000 | 0.00000 |
| 1878 | Global | 0.00 | 0.00 | 1.88 | 0.00000 | 0.00000 | 0.00000 |
| 1879 | Global | 0.00 | 0.00 | 1.88 | 0.00000 | 0.00000 | 0.00000 |
| 1880 | Global | 0.00 | 0.00 | 1.88 | 0.00000 | 0.00000 | 0.00000 |
| 1881 | Global | 0.00 | 0.00 | 1.88 | 0.00000 | 0.00000 | 0.00000 |
| 1882 | Global | 0.00 | 0.00 | 1.88 | 0.00000 | 0.00000 | 0.00000 |
| 1883 | Global | 0.00 | 0.00 | 1.88 | 0.00000 | 0.00000 | 0.00000 |
| 1884 | Global | 0.00 | 0.00 | 1.88 | 0.00000 | 0.00000 | 0.00000 |
| 1885 | Global | 0.00 | 0.00 | 1.88 | 0.00000 | 0.00000 | 0.00000 |
| 1886 | Global | 0.00 | 0.00 | 1.88 | 0.00000 | 0.00000 | 0.00000 |
| 1887 | Global | 0.00 | 0.00 | 1.88 | 0.00000 | 0.00000 | 0.00000 |
| 1888 | Global | 0.00 | 0.00 | 1.88 | 0.00000 | 0.00000 | 0.00000 |
| 1889 | Global | 0.00 | 0.00 | 1.88 | 0.00000 | 0.00000 | 0.00000 |
| 1890 | Global | 0.00 | 0.00 | 1.88 | 0.00000 | 0.00000 | 0.00000 |
| 1891 | Global | 0.00 | 0.00 | 1.88 | 0.00000 | 0.00000 | 0.00000 |
| 1892 | Global | 0.00 | 0.00 | 1.88 | 0.00000 | 0.00000 | 0.00000 |
| 1893 | Global | 0.00 | 0.00 | 1.88 | 0.00000 | 0.00000 | 0.00000 |
| 1894 | Global | 0.00 | 0.00 | 1.88 | 0.00000 | 0.00000 | 0.00000 |
| 1895 | Global | 0.00 | 0.00 | 1.88 | 0.00000 | 0.00000 | 0.00000 |
| 1896 | Global | 0.00 | 0.00 | 1.88 | 0.00000 | 0.00000 | 0.00000 |
| 1897 | Global | 0.00 | 0.00 | 1.88 | 0.00000 | 0.00000 | 0.00000 |
| 1898 | Global | 0.00 | 0.00 | 1.88 | 0.00000 | 0.00000 | 0.00000 |
| 1899 | Global | 0.00 | 0.00 | 1.88 | 0.00000 | 0.00000 | 0.00000 |
| 1900 | Global | 0.00 | 0.00 | 1.88 | 0.00000 | 0.00000 | 0.00000 |
| 1901 | Global | 0.00 | 0.00 | 1.88 | 0.00000 | 0.00000 | 0.00000 |
| 1902 | Global | 0.00 | 0.00 | 1.88 | 0.00000 | 0.00000 | 0.00000 |
| 1903 | Global | 0.00 | 0.00 | 1.88 | 0.00000 | 0.00000 | 0.00000 |
| 1904 | Global | 0.00 | 0.00 | 1.88 | 0.00000 | 0.00000 | 0.00000 |
| 1905 | Global | 0.00 | 0.00 | 1.88 | 0.00000 | 0.00000 | 0.00000 |
| 1906 | Global | 0.00 | 0.00 | 1.88 | 0.00000 | 0.00000 | 0.00000 |
| 1907 | Global | 0.00 | 0.00 | 1.88 | 0.00000 | 0.00000 | 0.00000 |
| 1908 | Global | 0.00 | 0.00 | 1.88 | 0.00000 | 0.00000 | 0.00000 |
| 1909 | Global | 0.00 | 0.00 | 1.88 | 0.00000 | 0.00000 | 0.00000 |
| 1910 | Global | 0.00 | 0.00 | 1.88 | 0.00000 | 0.00000 | 0.00000 |
| 1911 | Global | 0.00 | 0.00 | 1.88 | 0.00000 | 0.00000 | 0.00000 |
| 1912 | Global | 0.00 | 0.00 | 1.88 | 0.00000 | 0.00000 | 0.00000 |
| 1913 | Global | 0.00 | 0.00 | 1.88 | 0.00000 | 0.00000 | 0.00000 |
| 1914 | Global | 0.00 | 0.00 | 1.88 | 0.00000 | 0.00000 | 0.00000 |
| 1917 | Global | 0.00 | 0.00 | 1.88 | 0.00000 | 0.00000 | 0.00000 |
| 1918 | Global | 0.00 | 0.00 | 1.88 | 0.00000 | 0.00000 | 0.00000 |
| 1919 | Global | 0.00 | 0.00 | 1.88 | 0.00000 | 0.00000 | 0.00000 |
| 1920 | Global | 0.00 | 0.00 | 1.88 | 0.00000 | 0.00000 | 0.00000 |
| 1921 | Global | 0.00 | 0.00 | 1.88 | 0.00000 | 0.00000 | 0.00000 |
| 1922 | Global | 0.00 | 0.00 | 1.88 | 0.00000 | 0.00000 | 0.00000 |
| 1923 | Global | 0.00 | 0.00 | 1.88 | 0.00000 | 0.00000 | 0.00000 |
| 1924 | Global | 0.00 | 0.00 | 1.88 | 0.00000 | 0.00000 | 0.00000 |
| 1925 | Global | 0.00 | 0.00 | 1.88 | 0.00000 | 0.00000 | 0.00000 |
| 1926 | Global | 0.00 | 0.00 | 1.88 | 0.00000 | 0.00000 | 0.00000 |
| 1927 | Global | 0.00 | 0.00 | 1.88 | 0.00000 | 0.00000 | 0.00000 |
| 1928 | Global | 0.00 | 0.00 | 1.88 | 0.00000 | 0.00000 | 0.00000 |
| 1929 | Global | 0.00 | 0.00 | 1.88 | 0.00000 | 0.00000 | 0.00000 |
| 1930 | Global | 0.00 | 0.00 | 1.88 | 0.00000 | 0.00000 | 0.00000 |
| 1931 | Global | 0.00 | 0.00 | 1.88 | 0.00000 | 0.00000 | 0.00000 |
| 1932 | Global | 0.00 | 0.00 | 1.88 | 0.00000 | 0.00000 | 0.00000 |
| 1933 | Global | 0.00 | 0.00 | 1.88 | 0.00000 | 0.00000 | 0.00000 |
| 1934 | Global | 0.00 | 0.00 | 1.88 | 0.00000 | 0.00000 | 0.00000 |
| 1935 | Global | 0.00 | 0.00 | 1.88 | 0.00000 | 0.00000 | 0.00000 |
| 1936 | Global | 0.00 | 0.00 | 1.88 | 0.00000 | 0.00000 | 0.00000 |
| 1937 | Global | 0.00 | 0.00 | 1.88 | 0.00000 | 0.00000 | 0.00000 |
| 1938 | Global | 0.00 | 0.00 | 1.88 | 0.00000 | 0.00000 | 0.00000 |
| 1939 | Global | 0.00 | 0.00 | 1.88 | 0.00000 | 0.00000 | 0.00000 |
| 1940 | Global | 0.00 | 0.00 | 1.88 | 0.00000 | 0.00000 | 0.00000 |
| 1941 | Global | 0.00 | 0.00 | 1.88 | 0.00000 | 0.00000 | 0.00000 |
| 1942 | Global | 0.00 | 0.00 | 1.88 | 0.00000 | 0.00000 | 0.00000 |
| 1943 | Global | 0.00 | 0.00 | 1.88 | 0.00000 | 0.00000 | 0.00000 |





| Joint | CoordSys | Mass1 | Mass2 | Mass3 | MMI1 | MMI2 | MMI3 |
|---|---|---|---|---|---|---|---|
| Text | Text | Ton-s2/m | Ton-s2/m | Ton-s2/m | Ton-m-s2 | Ton-m-s2 | Ton-m-s2 |
| 1944 | Global | 0.00 | 0.00 | 1.88 | 0.00000 | 0.00000 | 0.00000 |
| 1945 | Global | 0.00 | 0.00 | 1.88 | 0.00000 | 0.00000 | 0.00000 |
| 1946 | Global | 0.00 | 0.00 | 1.88 | 0.00000 | 0.00000 | 0.00000 |
| 1947 | Global | 0.00 | 0.00 | 1.88 | 0.00000 | 0.00000 | 0.00000 |
| 1948 | Global | 0.00 | 0.00 | 1.88 | 0.00000 | 0.00000 | 0.00000 |
| 1949 | Global | 0.00 | 0.00 | 1.88 | 0.00000 | 0.00000 | 0.00000 |
| 1950 | Global | 0.00 | 0.00 | 1.88 | 0.00000 | 0.00000 | 0.00000 |
| 1951 | Global | 0.00 | 0.00 | 1.88 | 0.00000 | 0.00000 | 0.00000 |
| 1952 | Global | 0.00 | 0.00 | 1.88 | 0.00000 | 0.00000 | 0.00000 |
| 1953 | Global | 0.00 | 0.00 | 1.88 | 0.00000 | 0.00000 | 0.00000 |
| 1954 | Global | 0.00 | 0.00 | 1.88 | 0.00000 | 0.00000 | 0.00000 |
| 1955 | Global | 0.00 | 0.00 | 1.88 | 0.00000 | 0.00000 | 0.00000 |
| 1956 | Global | 0.00 | 0.00 | 1.88 | 0.00000 | 0.00000 | 0.00000 |
| 1957 | Global | 0.00 | 0.00 | 1.88 | 0.00000 | 0.00000 | 0.00000 |
| 1958 | Global | 0.00 | 0.00 | 1.88 | 0.00000 | 0.00000 | 0.00000 |
| 1959 | Global | 0.00 | 0.00 | 1.88 | 0.00000 | 0.00000 | 0.00000 |
| 1960 | Global | 0.00 | 0.00 | 1.88 | 0.00000 | 0.00000 | 0.00000 |
| 1961 | Global | 0.00 | 0.00 | 1.88 | 0.00000 | 0.00000 | 0.00000 |
| 1962 | Global | 0.00 | 0.00 | 1.88 | 0.00000 | 0.00000 | 0.00000 |
| 1963 | Global | 0.00 | 0.00 | 1.88 | 0.00000 | 0.00000 | 0.00000 |
| 1964 | Global | 0.00 | 0.00 | 1.88 | 0.00000 | 0.00000 | 0.00000 |
| 1965 | Global | 0.00 | 0.00 | 1.88 | 0.00000 | 0.00000 | 0.00000 |
| 1966 | Global | 0.00 | 0.00 | 1.88 | 0.00000 | 0.00000 | 0.00000 |
| 1967 | Global | 0.00 | 0.00 | 1.88 | 0.00000 | 0.00000 | 0.00000 |
| 1968 | Global | 0.00 | 0.00 | 1.88 | 0.00000 | 0.00000 | 0.00000 |
| 1969 | Global | 0.00 | 0.00 | 1.88 | 0.00000 | 0.00000 | 0.00000 |
| 1970 | Global | 0.00 | 0.00 | 1.88 | 0.00000 | 0.00000 | 0.00000 |
| 1971 | Global | 0.00 | 0.00 | 1.88 | 0.00000 | 0.00000 | 0.00000 |
| 1972 | Global | 0.00 | 0.00 | 1.88 | 0.00000 | 0.00000 | 0.00000 |
| 1973 | Global | 0.00 | 0.00 | 1.88 | 0.00000 | 0.00000 | 0.00000 |
| 1974 | Global | 0.00 | 0.00 | 1.88 | 0.00000 | 0.00000 | 0.00000 |
| 1975 | Global | 0.00 | 0.00 | 1.88 | 0.00000 | 0.00000 | 0.00000 |
| 1976 | Global | 0.00 | 0.00 | 1.88 | 0.00000 | 0.00000 | 0.00000 |
| 1977 | Global | 0.00 | 0.00 | 1.88 | 0.00000 | 0.00000 | 0.00000 |
| 1978 | Global | 0.00 | 0.00 | 1.88 | 0.00000 | 0.00000 | 0.00000 |
| 1979 | Global | 0.00 | 0.00 | 1.88 | 0.00000 | 0.00000 | 0.00000 |
| 1980 | Global | 0.00 | 0.00 | 1.88 | 0.00000 | 0.00000 | 0.00000 |
| 1981 | Global | 0.00 | 0.00 | 1.88 | 0.00000 | 0.00000 | 0.00000 |
| 1982 | Global | 0.00 | 0.00 | 1.88 | 0.00000 | 0.00000 | 0.00000 |
| 1983 | Global | 0.00 | 0.00 | 1.88 | 0.00000 | 0.00000 | 0.00000 |
| 1984 | Global | 0.00 | 0.00 | 1.88 | 0.00000 | 0.00000 | 0.00000 |
| 1985 | Global | 0.00 | 0.00 | 1.88 | 0.00000 | 0.00000 | 0.00000 |
| 1986 | Global | 0.00 | 0.00 | 1.88 | 0.00000 | 0.00000 | 0.00000 |
| 1987 | Global | 0.00 | 0.00 | 1.88 | 0.00000 | 0.00000 | 0.00000 |
| 1988 | Global | 0.00 | 0.00 | 1.88 | 0.00000 | 0.00000 | 0.00000 |
| 1989 | Global | 0.00 | 0.00 | 1.88 | 0.00000 | 0.00000 | 0.00000 |
| 1990 | Global | 0.00 | 0.00 | 1.88 | 0.00000 | 0.00000 | 0.00000 |
| 1991 | Global | 0.00 | 0.00 | 1.88 | 0.00000 | 0.00000 | 0.00000 |
| 1992 | Global | 0.00 | 0.00 | 1.88 | 0.00000 | 0.00000 | 0.00000 |
| 1993 | Global | 0.00 | 0.00 | 1.88 | 0.00000 | 0.00000 | 0.00000 |
| 1994 | Global | 0.00 | 0.00 | 1.88 | 0.00000 | 0.00000 | 0.00000 |
| 1995 | Global | 0.00 | 0.00 | 1.88 | 0.00000 | 0.00000 | 0.00000 |
| 1996 | Global | 0.00 | 0.00 | 1.88 | 0.00000 | 0.00000 | 0.00000 |
| 1997 | Global | 0.00 | 0.00 | 1.88 | 0.00000 | 0.00000 | 0.00000 |
| 1998 | Global | 0.00 | 0.00 | 1.88 | 0.00000 | 0.00000 | 0.00000 |
| 1999 | Global | 0.00 | 0.00 | 1.88 | 0.00000 | 0.00000 | 0.00000 |
| 2000 | Global | 0.00 | 0.00 | 1.88 | 0.00000 | 0.00000 | 0.00000 |
| 2001 | Global | 0.00 | 0.00 | 1.88 | 0.00000 | 0.00000 | 0.00000 |
| 2002 | Global | 0.00 | 0.00 | 1.88 | 0.00000 | 0.00000 | 0.00000 |
| 2003 | Global | 0.00 | 0.00 | 1.88 | 0.00000 | 0.00000 | 0.00000 |
| 2004 | Global | 0.00 | 0.00 | 1.88 | 0.00000 | 0.00000 | 0.00000 |
| 2005 | Global | 0.00 | 0.00 | 1.88 | 0.00000 | 0.00000 | 0.00000 |
| 2006 | Global | 0.00 | 0.00 | 1.88 | 0.00000 | 0.00000 | 0.00000 |
| 2007 | Global | 0.00 | 0.00 | 1.88 | 0.00000 | 0.00000 | 0.00000 |
| 2008 | Global | 0.00 | 0.00 | 1.88 | 0.00000 | 0.00000 | 0.00000 |
| 2009 | Global | 0.00 | 0.00 | 1.88 | 0.00000 | 0.00000 | 0.00000 |
| 2010 | Global | 0.00 | 0.00 | 1.88 | 0.00000 | 0.00000 | 0.00000 |
| 2013 | Global | 0.00 | 0.00 | 1.88 | 0.00000 | 0.00000 | 0.00000 |
| 2014 | Global | 0.00 | 0.00 | 1.88 | 0.00000 | 0.00000 | 0.00000 |
| 2015 | Global | 0.00 | 0.00 | 1.88 | 0.00000 | 0.00000 | 0.00000 |
| 2016 | Global | 0.00 | 0.00 | 1.88 | 0.00000 | 0.00000 | 0.00000 |
| 2017 | Global | 0.00 | 0.00 | 1.88 | 0.00000 | 0.00000 | 0.00000 |
| 2018 | Global | 0.00 | 0.00 | 1.88 | 0.00000 | 0.00000 | 0.00000 |
| 2019 | Global | 0.00 | 0.00 | 1.88 | 0.00000 | 0.00000 | 0.00000 |
| 2020 | Global | 0.00 | 0.00 | 1.88 | 0.00000 | 0.00000 | 0.00000 |
| 2021 | Global | 0.00 | 0.00 | 1.88 | 0.00000 | 0.00000 | 0.00000 |
| 2022 | Global | 0.00 | 0.00 | 1.88 | 0.00000 | 0.00000 | 0.00000 |
| 2023 | Global | 0.00 | 0.00 | 1.88 | 0.00000 | 0.00000 | 0.00000 |
| 2024 | Global | 0.00 | 0.00 | 1.88 | 0.00000 | 0.00000 | 0.00000 |
| 2025 | Global | 0.00 | 0.00 | 1.88 | 0.00000 | 0.00000 | 0.00000 |
| 2026 | Global | 0.00 | 0.00 | 1.88 | 0.00000 | 0.00000 | 0.00000 |
| 2027 | Global | 0.00 | 0.00 | 1.88 | 0.00000 | 0.00000 | 0.00000 |
| 2028 | Global | 0.00 | 0.00 | 1.88 | 0.00000 | 0.00000 | 0.00000 |
| 2029 | Global | 0.00 | 0.00 | 1.88 | 0.00000 | 0.00000 | 0.00000 |
| 2030 | Global | 0.00 | 0.00 | 1.88 | 0.00000 | 0.00000 | 0.00000 |
| 2031 | Global | 0.00 | 0.00 | 1.88 | 0.00000 | 0.00000 | 0.00000 |
| 2032 | Global | 0.00 | 0.00 | 1.88 | 0.00000 | 0.00000 | 0.00000 |
| 2033 | Global | 0.00 | 0.00 | 1.88 | 0.00000 | 0.00000 | 0.00000 |
| 2034 | Global | 0.00 | 0.00 | 1.88 | 0.00000 | 0.00000 | 0.00000 |
| 2035 | Global | 0.00 | 0.00 | 1.88 | 0.00000 | 0.00000 | 0.00000 |
| 2036 | Global | 0.00 | 0.00 | 1.88 | 0.00000 | 0.00000 | 0.00000 |

| Joint | CoordSys | Mass1 | Mass2 | Mass3 | MMI1 | MMI2 | MMI3 |
|---|---|---|---|---|---|---|---|
| Text | Text | Ton-s2/m | Ton-s2/m | Ton-s2/m | Ton-m-s2 | Ton-m-s2 | Ton-m-s2 |
| 2037 | Global | 0.00 | 0.00 | 1.88 | 0.00000 | 0.00000 | 0.00000 |
| 2038 | Global | 0.00 | 0.00 | 1.88 | 0.00000 | 0.00000 | 0.00000 |
| 2039 | Global | 0.00 | 0.00 | 1.88 | 0.00000 | 0.00000 | 0.00000 |
| 2040 | Global | 0.00 | 0.00 | 1.88 | 0.00000 | 0.00000 | 0.00000 |
| 2041 | Global | 0.00 | 0.00 | 1.88 | 0.00000 | 0.00000 | 0.00000 |
| 2042 | Global | 0.00 | 0.00 | 1.88 | 0.00000 | 0.00000 | 0.00000 |
| 2043 | Global | 0.00 | 0.00 | 1.88 | 0.00000 | 0.00000 | 0.00000 |
| 2044 | Global | 0.00 | 0.00 | 1.88 | 0.00000 | 0.00000 | 0.00000 |
| 2045 | Global | 0.00 | 0.00 | 1.88 | 0.00000 | 0.00000 | 0.00000 |
| 2046 | Global | 0.00 | 0.00 | 1.88 | 0.00000 | 0.00000 | 0.00000 |
| 2047 | Global | 0.00 | 0.00 | 1.88 | 0.00000 | 0.00000 | 0.00000 |
| 2048 | Global | 0.00 | 0.00 | 1.88 | 0.00000 | 0.00000 | 0.00000 |
| 2049 | Global | 0.00 | 0.00 | 1.88 | 0.00000 | 0.00000 | 0.00000 |
| 2050 | Global | 0.00 | 0.00 | 1.88 | 0.00000 | 0.00000 | 0.00000 |
| 2051 | Global | 0.00 | 0.00 | 1.88 | 0.00000 | 0.00000 | 0.00000 |
| 2052 | Global | 0.00 | 0.00 | 1.88 | 0.00000 | 0.00000 | 0.00000 |
| 2053 | Global | 0.00 | 0.00 | 1.88 | 0.00000 | 0.00000 | 0.00000 |
| 2054 | Global | 0.00 | 0.00 | 1.88 | 0.00000 | 0.00000 | 0.00000 |
| 2055 | Global | 0.00 | 0.00 | 1.88 | 0.00000 | 0.00000 | 0.00000 |
| 2056 | Global | 0.00 | 0.00 | 1.88 | 0.00000 | 0.00000 | 0.00000 |
| 2057 | Global | 0.00 | 0.00 | 1.88 | 0.00000 | 0.00000 | 0.00000 |
| 2058 | Global | 0.00 | 0.00 | 1.88 | 0.00000 | 0.00000 | 0.00000 |
| 2059 | Global | 0.00 | 0.00 | 1.88 | 0.00000 | 0.00000 | 0.00000 |
| 2060 | Global | 0.00 | 0.00 | 1.88 | 0.00000 | 0.00000 | 0.00000 |
| 2061 | Global | 0.00 | 0.00 | 1.88 | 0.00000 | 0.00000 | 0.00000 |
| 2062 | Global | 0.00 | 0.00 | 1.88 | 0.00000 | 0.00000 | 0.00000 |
| 2063 | Global | 0.00 | 0.00 | 1.88 | 0.00000 | 0.00000 | 0.00000 |
| 2064 | Global | 0.00 | 0.00 | 1.88 | 0.00000 | 0.00000 | 0.00000 |
| 2065 | Global | 0.00 | 0.00 | 1.88 | 0.00000 | 0.00000 | 0.00000 |
| 2066 | Global | 0.00 | 0.00 | 1.88 | 0.00000 | 0.00000 | 0.00000 |
| 2067 | Global | 0.00 | 0.00 | 1.88 | 0.00000 | 0.00000 | 0.00000 |
| 2068 | Global | 0.00 | 0.00 | 1.88 | 0.00000 | 0.00000 | 0.00000 |
| 2069 | Global | 0.00 | 0.00 | 1.88 | 0.00000 | 0.00000 | 0.00000 |
| 2070 | Global | 0.00 | 0.00 | 1.88 | 0.00000 | 0.00000 | 0.00000 |
| 2071 | Global | 0.00 | 0.00 | 1.88 | 0.00000 | 0.00000 | 0.00000 |
| 2072 | Global | 0.00 | 0.00 | 1.88 | 0.00000 | 0.00000 | 0.00000 |
| 2073 | Global | 0.00 | 0.00 | 1.88 | 0.00000 | 0.00000 | 0.00000 |
| 2074 | Global | 0.00 | 0.00 | 1.88 | 0.00000 | 0.00000 | 0.00000 |
| 2075 | Global | 0.00 | 0.00 | 1.88 | 0.00000 | 0.00000 | 0.00000 |
| 2076 | Global | 0.00 | 0.00 | 1.88 | 0.00000 | 0.00000 | 0.00000 |
| 2077 | Global | 0.00 | 0.00 | 1.88 | 0.00000 | 0.00000 | 0.00000 |
| 2078 | Global | 0.00 | 0.00 | 1.88 | 0.00000 | 0.00000 | 0.00000 |
| 2079 | Global | 0.00 | 0.00 | 1.88 | 0.00000 | 0.00000 | 0.00000 |
| 2080 | Global | 0.00 | 0.00 | 1.88 | 0.00000 | 0.00000 | 0.00000 |
| 2081 | Global | 0.00 | 0.00 | 1.88 | 0.00000 | 0.00000 | 0.00000 |
| 2082 | Global | 0.00 | 0.00 | 1.88 | 0.00000 | 0.00000 | 0.00000 |
| 2083 | Global | 0.00 | 0.00 | 1.88 | 0.00000 | 0.00000 | 0.00000 |
| 2084 | Global | 0.00 | 0.00 | 1.88 | 0.00000 | 0.00000 | 0.00000 |
| 2085 | Global | 0.00 | 0.00 | 1.88 | 0.00000 | 0.00000 | 0.00000 |
| 2086 | Global | 0.00 | 0.00 | 1.88 | 0.00000 | 0.00000 | 0.00000 |
| 2087 | Global | 0.00 | 0.00 | 1.88 | 0.00000 | 0.00000 | 0.00000 |
| 2088 | Global | 0.00 | 0.00 | 1.88 | 0.00000 | 0.00000 | 0.00000 |

## Table: Joint Coordinates

| Joint | CoordSys | CoordType | XorR | Y | Z | SpecialJt | GlobalX | GlobalY | GlobalZ |
|---|---|---|---|---|---|---|---|---|---|
| Text | Text | Text | m | m | m | Yes/No | m | m | m |
| 1 | GLOBAL | Cartesian | 0.00000 | 0.00000 | 0.00000 | No | 0.00000 | 0.00000 | 0.00000 |
| 2 | GLOBAL | Cartesian | 0.00000 | 5.40000 | 0.00000 | No | 0.00000 | 5.40000 | 0.00000 |
| 3 | GLOBAL | Cartesian | 1.00000 | 0.00000 | 0.00000 | No | 1.00000 | 0.00000 | 0.00000 |
| 4 | GLOBAL | Cartesian | 1.00000 | 5.40000 | 0.00000 | No | 1.00000 | 5.40000 | 0.00000 |
| 5 | GLOBAL | Cartesian | 2.00000 | 0.00000 | 0.00000 | No | 2.00000 | 0.00000 | 0.00000 |
| 6 | GLOBAL | Cartesian | 2.00000 | 5.40000 | 0.00000 | No | 2.00000 | 5.40000 | 0.00000 |
| 7 | GLOBAL | Cartesian | 3.00000 | 0.00000 | 0.00000 | No | 3.00000 | 0.00000 | 0.00000 |
| 8 | GLOBAL | Cartesian | 3.00000 | 5.40000 | 0.00000 | No | 3.00000 | 5.40000 | 0.00000 |
| 9 | GLOBAL | Cartesian | 4.00000 | 0.00000 | 0.00000 | No | 4.00000 | 0.00000 | 0.00000 |
| 10 | GLOBAL | Cartesian | 4.00000 | 5.40000 | 0.00000 | No | 4.00000 | 5.40000 | 0.00000 |
| 11 | GLOBAL | Cartesian | 5.00000 | 0.00000 | 0.00000 | No | 5.00000 | 0.00000 | 0.00000 |
| 12 | GLOBAL | Cartesian | 5.00000 | 5.40000 | 0.00000 | No | 5.00000 | 5.40000 | 0.00000 |
| 13 | GLOBAL | Cartesian | 6.00000 | 0.00000 | 0.00000 | No | 6.00000 | 0.00000 | 0.00000 |
| 14 | GLOBAL | Cartesian | 6.00000 | 5.40000 | 0.00000 | No | 6.00000 | 5.40000 | 0.00000 |
| 15 | GLOBAL | Cartesian | 7.00000 | 0.00000 | 0.00000 | No | 7.00000 | 0.00000 | 0.00000 |
| 16 | GLOBAL | Cartesian | 7.00000 | 5.40000 | 0.00000 | No | 7.00000 | 5.40000 | 0.00000 |
| 17 | GLOBAL | Cartesian | 8.00000 | 0.00000 | 0.00000 | No | 8.00000 | 0.00000 | 0.00000 |
| 18 | GLOBAL | Cartesian | 8.00000 | 5.40000 | 0.00000 | No | 8.00000 | 5.40000 | 0.00000 |
| 19 | GLOBAL | Cartesian | 9.00000 | 0.00000 | 0.00000 | No | 9.00000 | 0.00000 | 0.00000 |
| 20 | GLOBAL | Cartesian | 9.00000 | 5.40000 | 0.00000 | No | 9.00000 | 5.40000 | 0.00000 |
| 21 | GLOBAL | Cartesian | 10.00000 | 0.00000 | 0.00000 | No | 10.00000 | 0.00000 | 0.00000 |
| 22 | GLOBAL | Cartesian | 10.00000 | 5.40000 | 0.00000 | No | 10.00000 | 5.40000 | 0.00000 |
| 23 | GLOBAL | Cartesian | 11.00000 | 0.00000 | 0.00000 | No | 11.00000 | 0.00000 | 0.00000 |
| 24 | GLOBAL | Cartesian | 11.00000 | 5.40000 | 0.00000 | No | 11.00000 | 5.40000 | 0.00000 |
| 25 | GLOBAL | Cartesian | 12.00000 | 0.00000 | 0.00000 | No | 12.00000 | 0.00000 | 0.00000 |
| 26 | GLOBAL | Cartesian | 12.00000 | 5.40000 | 0.00000 | No | 12.00000 | 5.40000 | 0.00000 |
| 27 | GLOBAL | Cartesian | 13.00000 | 0.00000 | 0.00000 | No | 13.00000 | 0.00000 | 0.00000 |
| 28 | GLOBAL | Cartesian | 13.00000 | 5.40000 | 0.00000 | No | 13.00000 | 5.40000 | 0.00000 |
| 29 | GLOBAL | Cartesian | 14.00000 | 0.00000 | 0.00000 | No | 14.00000 | 0.00000 | 0.00000 |
| 30 | GLOBAL | Cartesian | 14.00000 | 5.40000 | 0.00000 | No | 14.00000 | 5.40000 | 0.00000 |
| 31 | GLOBAL | Cartesian | 15.00000 | 0.00000 | 0.00000 | No | 15.00000 | 0.00000 | 0.00000 |
| 32 | GLOBAL | Cartesian | 15.00000 | 5.40000 | 0.00000 | No | 15.00000 | 5.40000 | 0.00000 |
| 33 | GLOBAL | Cartesian | 16.00000 | 0.00000 | 0.00000 | No | 16.00000 | 0.00000 | 0.00000 |





| Joint | CoordSys | CoordType | XorR | Y | Z | SpecialJt | GlobalX | GlobalY | GlobalZ |
|---|---|---|---|---|---|---|---|---|---|
| Text | Text | Text | m | m | m | Yes/No | m | m | m |
| 34 | GLOBAL | Cartesian | 16.00000 | 5.40000 | 0.00000 | No | 16.00000 | 5.40000 | 0.00000 |
| 35 | GLOBAL | Cartesian | 17.00000 | 0.00000 | 0.00000 | No | 17.00000 | 0.00000 | 0.00000 |
| 36 | GLOBAL | Cartesian | 17.00000 | 5.40000 | 0.00000 | No | 17.00000 | 5.40000 | 0.00000 |
| 37 | GLOBAL | Cartesian | 18.00000 | 0.00000 | 0.00000 | No | 18.00000 | 0.00000 | 0.00000 |
| 38 | GLOBAL | Cartesian | 18.00000 | 5.40000 | 0.00000 | No | 18.00000 | 5.40000 | 0.00000 |
| 39 | GLOBAL | Cartesian | 19.00000 | 0.00000 | 0.00000 | No | 19.00000 | 0.00000 | 0.00000 |
| 40 | GLOBAL | Cartesian | 19.00000 | 5.40000 | 0.00000 | No | 19.00000 | 5.40000 | 0.00000 |
| 41 | GLOBAL | Cartesian | 20.00000 | 0.00000 | 0.00000 | No | 20.00000 | 0.00000 | 0.00000 |
| 42 | GLOBAL | Cartesian | 20.00000 | 5.40000 | 0.00000 | No | 20.00000 | 5.40000 | 0.00000 |
| 43 | GLOBAL | Cartesian | 21.00000 | 0.00000 | 0.00000 | No | 21.00000 | 0.00000 | 0.00000 |
| 44 | GLOBAL | Cartesian | 21.00000 | 5.40000 | 0.00000 | No | 21.00000 | 5.40000 | 0.00000 |
| 45 | GLOBAL | Cartesian | 22.00000 | 0.00000 | 0.00000 | No | 22.00000 | 0.00000 | 0.00000 |
| 46 | GLOBAL | Cartesian | 22.00000 | 5.40000 | 0.00000 | No | 22.00000 | 5.40000 | 0.00000 |
| 47 | GLOBAL | Cartesian | 23.00000 | 0.00000 | 0.00000 | No | 23.00000 | 0.00000 | 0.00000 |
| 48 | GLOBAL | Cartesian | 23.00000 | 5.40000 | 0.00000 | No | 23.00000 | 5.40000 | 0.00000 |
| 49 | GLOBAL | Cartesian | 24.00000 | 0.00000 | 0.00000 | No | 24.00000 | 0.00000 | 0.00000 |
| 50 | GLOBAL | Cartesian | 24.00000 | 5.40000 | 0.00000 | No | 24.00000 | 5.40000 | 0.00000 |
| 51 | GLOBAL | Cartesian | 25.00000 | 0.00000 | 0.00000 | No | 25.00000 | 0.00000 | 0.00000 |
| 52 | GLOBAL | Cartesian | 25.00000 | 5.40000 | 0.00000 | No | 25.00000 | 5.40000 | 0.00000 |
| 53 | GLOBAL | Cartesian | 26.00000 | 0.00000 | 0.00000 | No | 26.00000 | 0.00000 | 0.00000 |
| 54 | GLOBAL | Cartesian | 26.00000 | 5.40000 | 0.00000 | No | 26.00000 | 5.40000 | 0.00000 |
| 55 | GLOBAL | Cartesian | 27.00000 | 0.00000 | 0.00000 | No | 27.00000 | 0.00000 | 0.00000 |
| 56 | GLOBAL | Cartesian | 27.00000 | 5.40000 | 0.00000 | No | 27.00000 | 5.40000 | 0.00000 |
| 57 | GLOBAL | Cartesian | 28.00000 | 0.00000 | 0.00000 | No | 28.00000 | 0.00000 | 0.00000 |
| 58 | GLOBAL | Cartesian | 28.00000 | 5.40000 | 0.00000 | No | 28.00000 | 5.40000 | 0.00000 |
| 59 | GLOBAL | Cartesian | 29.00000 | 0.00000 | 0.00000 | No | 29.00000 | 0.00000 | 0.00000 |
| 60 | GLOBAL | Cartesian | 29.00000 | 5.40000 | 0.00000 | No | 29.00000 | 5.40000 | 0.00000 |
| 61 | GLOBAL | Cartesian | 30.00000 | 0.00000 | 0.00000 | No | 30.00000 | 0.00000 | 0.00000 |
| 62 | GLOBAL | Cartesian | 30.00000 | 5.40000 | 0.00000 | No | 30.00000 | 5.40000 | 0.00000 |
| 63 | GLOBAL | Cartesian | 31.00000 | 0.00000 | 0.00000 | No | 31.00000 | 0.00000 | 0.00000 |
| 64 | GLOBAL | Cartesian | 31.00000 | 5.40000 | 0.00000 | No | 31.00000 | 5.40000 | 0.00000 |
| 65 | GLOBAL | Cartesian | 32.00000 | 0.00000 | 0.00000 | No | 32.00000 | 0.00000 | 0.00000 |
| 66 | GLOBAL | Cartesian | 32.00000 | 5.40000 | 0.00000 | No | 32.00000 | 5.40000 | 0.00000 |
| 67 | GLOBAL | Cartesian | 33.00000 | 0.00000 | 0.00000 | No | 33.00000 | 0.00000 | 0.00000 |
| 68 | GLOBAL | Cartesian | 33.00000 | 5.40000 | 0.00000 | No | 33.00000 | 5.40000 | 0.00000 |
| 69 | GLOBAL | Cartesian | 34.00000 | 0.00000 | 0.00000 | No | 34.00000 | 0.00000 | 0.00000 |
| 70 | GLOBAL | Cartesian | 34.00000 | 5.40000 | 0.00000 | No | 34.00000 | 5.40000 | 0.00000 |
| 71 | GLOBAL | Cartesian | 35.00000 | 0.00000 | 0.00000 | No | 35.00000 | 0.00000 | 0.00000 |
| 72 | GLOBAL | Cartesian | 35.00000 | 5.40000 | 0.00000 | No | 35.00000 | 5.40000 | 0.00000 |
| 73 | GLOBAL | Cartesian | 36.00000 | 0.00000 | 0.00000 | No | 36.00000 | 0.00000 | 0.00000 |
| 74 | GLOBAL | Cartesian | 36.00000 | 5.40000 | 0.00000 | No | 36.00000 | 5.40000 | 0.00000 |
| 75 | GLOBAL | Cartesian | 37.00000 | 0.00000 | 0.00000 | No | 37.00000 | 0.00000 | 0.00000 |
| 76 | GLOBAL | Cartesian | 37.00000 | 5.40000 | 0.00000 | No | 37.00000 | 5.40000 | 0.00000 |
| 77 | GLOBAL | Cartesian | 38.00000 | 0.00000 | 0.00000 | No | 38.00000 | 0.00000 | 0.00000 |
| 78 | GLOBAL | Cartesian | 38.00000 | 5.40000 | 0.00000 | No | 38.00000 | 5.40000 | 0.00000 |
| 79 | GLOBAL | Cartesian | 39.00000 | 0.00000 | 0.00000 | No | 39.00000 | 0.00000 | 0.00000 |
| 80 | GLOBAL | Cartesian | 39.00000 | 5.40000 | 0.00000 | No | 39.00000 | 5.40000 | 0.00000 |
| 81 | GLOBAL | Cartesian | 40.00000 | 0.00000 | 0.00000 | No | 40.00000 | 0.00000 | 0.00000 |
| 82 | GLOBAL | Cartesian | 40.00000 | 5.40000 | 0.00000 | No | 40.00000 | 5.40000 | 0.00000 |
| 83 | GLOBAL | Cartesian | 41.00000 | 0.00000 | 0.00000 | No | 41.00000 | 0.00000 | 0.00000 |
| 84 | GLOBAL | Cartesian | 41.00000 | 5.40000 | 0.00000 | No | 41.00000 | 5.40000 | 0.00000 |
| 85 | GLOBAL | Cartesian | 42.00000 | 0.00000 | 0.00000 | No | 42.00000 | 0.00000 | 0.00000 |
| 86 | GLOBAL | Cartesian | 42.00000 | 5.40000 | 0.00000 | No | 42.00000 | 5.40000 | 0.00000 |
| 87 | GLOBAL | Cartesian | 43.00000 | 0.00000 | 0.00000 | No | 43.00000 | 0.00000 | 0.00000 |
| 88 | GLOBAL | Cartesian | 43.00000 | 5.40000 | 0.00000 | No | 43.00000 | 5.40000 | 0.00000 |
| 89 | GLOBAL | Cartesian | 44.00000 | 0.00000 | 0.00000 | No | 44.00000 | 0.00000 | 0.00000 |
| 90 | GLOBAL | Cartesian | 44.00000 | 5.40000 | 0.00000 | No | 44.00000 | 5.40000 | 0.00000 |
| 91 | GLOBAL | Cartesian | 45.00000 | 0.00000 | 0.00000 | No | 45.00000 | 0.00000 | 0.00000 |
| 92 | GLOBAL | Cartesian | 45.00000 | 5.40000 | 0.00000 | No | 45.00000 | 5.40000 | 0.00000 |
| 93 | GLOBAL | Cartesian | 46.00000 | 0.00000 | 0.00000 | No | 46.00000 | 0.00000 | 0.00000 |
| 94 | GLOBAL | Cartesian | 46.00000 | 5.40000 | 0.00000 | No | 46.00000 | 5.40000 | 0.00000 |
| 95 | GLOBAL | Cartesian | 47.00000 | 0.00000 | 0.00000 | No | 47.00000 | 0.00000 | 0.00000 |
| 96 | GLOBAL | Cartesian | 47.00000 | 5.40000 | 0.00000 | No | 47.00000 | 5.40000 | 0.00000 |
| 97 | GLOBAL | Cartesian | 48.00000 | 0.00000 | 0.00000 | No | 48.00000 | 0.00000 | 0.00000 |
| 98 | GLOBAL | Cartesian | 48.00000 | 5.40000 | 0.00000 | No | 48.00000 | 5.40000 | 0.00000 |
| 99 | GLOBAL | Cartesian | 49.00000 | 0.00000 | 0.00000 | No | 49.00000 | 0.00000 | 0.00000 |
| 100 | GLOBAL | Cartesian | 49.00000 | 5.40000 | 0.00000 | No | 49.00000 | 5.40000 | 0.00000 |
| 101 | GLOBAL | Cartesian | 50.00000 | 0.00000 | 0.00000 | No | 50.00000 | 0.00000 | 0.00000 |
| 102 | GLOBAL | Cartesian | 50.00000 | 5.40000 | 0.00000 | No | 50.00000 | 5.40000 | 0.00000 |
| 103 | GLOBAL | Cartesian | 51.00000 | 0.00000 | 0.00000 | No | 51.00000 | 0.00000 | 0.00000 |
| 104 | GLOBAL | Cartesian | 51.00000 | 5.40000 | 0.00000 | No | 51.00000 | 5.40000 | 0.00000 |
| 105 | GLOBAL | Cartesian | 52.00000 | 0.00000 | 0.00000 | No | 52.00000 | 0.00000 | 0.00000 |
| 106 | GLOBAL | Cartesian | 52.00000 | 5.40000 | 0.00000 | No | 52.00000 | 5.40000 | 0.00000 |
| 107 | GLOBAL | Cartesian | 53.00000 | 0.00000 | 0.00000 | No | 53.00000 | 0.00000 | 0.00000 |
| 108 | GLOBAL | Cartesian | 53.00000 | 5.40000 | 0.00000 | No | 53.00000 | 5.40000 | 0.00000 |
| 109 | GLOBAL | Cartesian | 54.00000 | 0.00000 | 0.00000 | No | 54.00000 | 0.00000 | 0.00000 |
| 110 | GLOBAL | Cartesian | 54.00000 | 5.40000 | 0.00000 | No | 54.00000 | 5.40000 | 0.00000 |
| 111 | GLOBAL | Cartesian | 55.00000 | 0.00000 | 0.00000 | No | 55.00000 | 0.00000 | 0.00000 |
| 112 | GLOBAL | Cartesian | 55.00000 | 5.40000 | 0.00000 | No | 55.00000 | 5.40000 | 0.00000 |
| 113 | GLOBAL | Cartesian | 56.00000 | 0.00000 | 0.00000 | No | 56.00000 | 0.00000 | 0.00000 |
| 114 | GLOBAL | Cartesian | 56.00000 | 5.40000 | 0.00000 | No | 56.00000 | 5.40000 | 0.00000 |
| 115 | GLOBAL | Cartesian | 57.00000 | 0.00000 | 0.00000 | No | 57.00000 | 0.00000 | 0.00000 |
| 116 | GLOBAL | Cartesian | 57.00000 | 5.40000 | 0.00000 | No | 57.00000 | 5.40000 | 0.00000 |
| 117 | GLOBAL | Cartesian | 58.00000 | 0.00000 | 0.00000 | No | 58.00000 | 0.00000 | 0.00000 |
| 118 | GLOBAL | Cartesian | 58.00000 | 5.40000 | 0.00000 | No | 58.00000 | 5.40000 | 0.00000 |
| 119 | GLOBAL | Cartesian | 59.00000 | 0.00000 | 0.00000 | No | 59.00000 | 0.00000 | 0.00000 |
| 120 | GLOBAL | Cartesian | 59.00000 | 5.40000 | 0.00000 | No | 59.00000 | 5.40000 | 0.00000 |
| 121 | GLOBAL | Cartesian | 60.00000 | 0.00000 | 0.00000 | No | 60.00000 | 0.00000 | 0.00000 |
| 122 | GLOBAL | Cartesian | 60.00000 | 5.40000 | 0.00000 | No | 60.00000 | 5.40000 | 0.00000 |
| 123 | GLOBAL | Cartesian | 61.00000 | 0.00000 | 0.00000 | No | 61.00000 | 0.00000 | 0.00000 |
| 124 | GLOBAL | Cartesian | 61.00000 | 5.40000 | 0.00000 | No | 61.00000 | 5.40000 | 0.00000 |

| Joint | CoordSys | CoordType | XorR | Y | Z | SpecialJt | GlobalX | GlobalY | GlobalZ |
|---|---|---|---|---|---|---|---|---|---|
| Text | Text | Text | m | m | m | Yes/No | m | m | m |
| 125 | GLOBAL | Cartesian | 62.00000 | 0.00000 | 0.00000 | No | 62.00000 | 0.00000 | 0.00000 |
| 126 | GLOBAL | Cartesian | 62.00000 | 5.40000 | 0.00000 | No | 62.00000 | 5.40000 | 0.00000 |
| 127 | GLOBAL | Cartesian | 63.00000 | 0.00000 | 0.00000 | No | 63.00000 | 0.00000 | 0.00000 |
| 128 | GLOBAL | Cartesian | 63.00000 | 5.40000 | 0.00000 | No | 63.00000 | 5.40000 | 0.00000 |
| 129 | GLOBAL | Cartesian | 64.00000 | 0.00000 | 0.00000 | No | 64.00000 | 0.00000 | 0.00000 |
| 130 | GLOBAL | Cartesian | 64.00000 | 5.40000 | 0.00000 | No | 64.00000 | 5.40000 | 0.00000 |
| 131 | GLOBAL | Cartesian | 65.00000 | 0.00000 | 0.00000 | No | 65.00000 | 0.00000 | 0.00000 |
| 132 | GLOBAL | Cartesian | 65.00000 | 5.40000 | 0.00000 | No | 65.00000 | 5.40000 | 0.00000 |
| 133 | GLOBAL | Cartesian | 66.00000 | 0.00000 | 0.00000 | No | 66.00000 | 0.00000 | 0.00000 |
| 134 | GLOBAL | Cartesian | 66.00000 | 5.40000 | 0.00000 | No | 66.00000 | 5.40000 | 0.00000 |
| 135 | GLOBAL | Cartesian | 67.00000 | 0.00000 | 0.00000 | No | 67.00000 | 0.00000 | 0.00000 |
| 136 | GLOBAL | Cartesian | 67.00000 | 5.40000 | 0.00000 | No | 67.00000 | 5.40000 | 0.00000 |
| 137 | GLOBAL | Cartesian | 68.00000 | 0.00000 | 0.00000 | No | 68.00000 | 0.00000 | 0.00000 |
| 138 | GLOBAL | Cartesian | 68.00000 | 5.40000 | 0.00000 | No | 68.00000 | 5.40000 | 0.00000 |
| 139 | GLOBAL | Cartesian | 69.00000 | 0.00000 | 0.00000 | No | 69.00000 | 0.00000 | 0.00000 |
| 140 | GLOBAL | Cartesian | 69.00000 | 5.40000 | 0.00000 | No | 69.00000 | 5.40000 | 0.00000 |
| 141 | GLOBAL | Cartesian | 70.00000 | 0.00000 | 0.00000 | No | 70.00000 | 0.00000 | 0.00000 |
| 142 | GLOBAL | Cartesian | 70.00000 | 5.40000 | 0.00000 | No | 70.00000 | 5.40000 | 0.00000 |
| 143 | GLOBAL | Cartesian | 71.00000 | 0.00000 | 0.00000 | No | 71.00000 | 0.00000 | 0.00000 |
| 144 | GLOBAL | Cartesian | 71.00000 | 5.40000 | 0.00000 | No | 71.00000 | 5.40000 | 0.00000 |
| 145 | GLOBAL | Cartesian | 72.00000 | 0.00000 | 0.00000 | No | 72.00000 | 0.00000 | 0.00000 |
| 146 | GLOBAL | Cartesian | 72.00000 | 5.40000 | 0.00000 | No | 72.00000 | 5.40000 | 0.00000 |
| 147 | GLOBAL | Cartesian | 73.00000 | 0.00000 | 0.00000 | No | 73.00000 | 0.00000 | 0.00000 |
| 148 | GLOBAL | Cartesian | 73.00000 | 5.40000 | 0.00000 | No | 73.00000 | 5.40000 | 0.00000 |
| 149 | GLOBAL | Cartesian | 74.00000 | 0.00000 | 0.00000 | No | 74.00000 | 0.00000 | 0.00000 |
| 150 | GLOBAL | Cartesian | 74.00000 | 5.40000 | 0.00000 | No | 74.00000 | 5.40000 | 0.00000 |
| 151 | GLOBAL | Cartesian | 75.00000 | 0.00000 | 0.00000 | No | 75.00000 | 0.00000 | 0.00000 |
| 152 | GLOBAL | Cartesian | 75.00000 | 5.40000 | 0.00000 | No | 75.00000 | 5.40000 | 0.00000 |
| 153 | GLOBAL | Cartesian | 76.00000 | 0.00000 | 0.00000 | No | 76.00000 | 0.00000 | 0.00000 |
| 154 | GLOBAL | Cartesian | 76.00000 | 5.40000 | 0.00000 | No | 76.00000 | 5.40000 | 0.00000 |
| 155 | GLOBAL | Cartesian | 77.00000 | 0.00000 | 0.00000 | No | 77.00000 | 0.00000 | 0.00000 |
| 156 | GLOBAL | Cartesian | 77.00000 | 5.40000 | 0.00000 | No | 77.00000 | 5.40000 | 0.00000 |
| 157 | GLOBAL | Cartesian | 78.00000 | 0.00000 | 0.00000 | No | 78.00000 | 0.00000 | 0.00000 |
| 158 | GLOBAL | Cartesian | 78.00000 | 5.40000 | 0.00000 | No | 78.00000 | 5.40000 | 0.00000 |
| 159 | GLOBAL | Cartesian | 79.00000 | 0.00000 | 0.00000 | No | 79.00000 | 0.00000 | 0.00000 |
| 160 | GLOBAL | Cartesian | 79.00000 | 5.40000 | 0.00000 | No | 79.00000 | 5.40000 | 0.00000 |
| 161 | GLOBAL | Cartesian | 80.00000 | 0.00000 | 0.00000 | No | 80.00000 | 0.00000 | 0.00000 |
| 162 | GLOBAL | Cartesian | 80.00000 | 5.40000 | 0.00000 | No | 80.00000 | 5.40000 | 0.00000 |
| 163 | GLOBAL | Cartesian | 81.00000 | 0.00000 | 0.00000 | No | 81.00000 | 0.00000 | 0.00000 |
| 164 | GLOBAL | Cartesian | 81.00000 | 5.40000 | 0.00000 | No | 81.00000 | 5.40000 | 0.00000 |
| 165 | GLOBAL | Cartesian | 82.00000 | 0.00000 | 0.00000 | No | 82.00000 | 0.00000 | 0.00000 |
| 166 | GLOBAL | Cartesian | 82.00000 | 5.40000 | 0.00000 | No | 82.00000 | 5.40000 | 0.00000 |
| 167 | GLOBAL | Cartesian | 83.00000 | 0.00000 | 0.00000 | No | 83.00000 | 0.00000 | 0.00000 |
| 168 | GLOBAL | Cartesian | 83.00000 | 5.40000 | 0.00000 | No | 83.00000 | 5.40000 | 0.00000 |
| 169 | GLOBAL | Cartesian | 84.00000 | 0.00000 | 0.00000 | No | 84.00000 | 0.00000 | 0.00000 |
| 170 | GLOBAL | Cartesian | 84.00000 | 5.40000 | 0.00000 | No | 84.00000 | 5.40000 | 0.00000 |
| 171 | GLOBAL | Cartesian | 85.00000 | 0.00000 | 0.00000 | No | 85.00000 | 0.00000 | 0.00000 |
| 172 | GLOBAL | Cartesian | 85.00000 | 5.40000 | 0.00000 | No | 85.00000 | 5.40000 | 0.00000 |
| 173 | GLOBAL | Cartesian | 86.00000 | 0.00000 | 0.00000 | No | 86.00000 | 0.00000 | 0.00000 |
| 174 | GLOBAL | Cartesian | 86.00000 | 5.40000 | 0.00000 | No | 86.00000 | 5.40000 | 0.00000 |
| 175 | GLOBAL | Cartesian | 87.00000 | 0.00000 | 0.00000 | No | 87.00000 | 0.00000 | 0.00000 |
| 176 | GLOBAL | Cartesian | 87.00000 | 5.40000 | 0.00000 | No | 87.00000 | 5.40000 | 0.00000 |
| 177 | GLOBAL | Cartesian | 88.00000 | 0.00000 | 0.00000 | No | 88.00000 | 0.00000 | 0.00000 |
| 178 | GLOBAL | Cartesian | 88.00000 | 5.40000 | 0.00000 | No | 88.00000 | 5.40000 | 0.00000 |
| 179 | GLOBAL | Cartesian | 89.00000 | 0.00000 | 0.00000 | No | 89.00000 | 0.00000 | 0.00000 |
| 180 | GLOBAL | Cartesian | 89.00000 | 5.40000 | 0.00000 | No | 89.00000 | 5.40000 | 0.00000 |
| 181 | GLOBAL | Cartesian | 90.00000 | 0.00000 | 0.00000 | No | 90.00000 | 0.00000 | 0.00000 |
| 182 | GLOBAL | Cartesian | 90.00000 | 5.40000 | 0.00000 | No | 90.00000 | 5.40000 | 0.00000 |
| 183 | GLOBAL | Cartesian | 91.00000 | 0.00000 | 0.00000 | No | 91.00000 | 0.00000 | 0.00000 |
| 184 | GLOBAL | Cartesian | 91.00000 | 5.40000 | 0.00000 | No | 91.00000 | 5.40000 | 0.00000 |
| 185 | GLOBAL | Cartesian | 92.00000 | 0.00000 | 0.00000 | No | 92.00000 | 0.00000 | 0.00000 |
| 186 | GLOBAL | Cartesian | 92.00000 | 5.40000 | 0.00000 | No | 92.00000 | 5.40000 | 0.00000 |
| 187 | GLOBAL | Cartesian | 93.00000 | 0.00000 | 0.00000 | No | 93.00000 | 0.00000 | 0.00000 |
| 188 | GLOBAL | Cartesian | 93.00000 | 5.40000 | 0.00000 | No | 93.00000 | 5.40000 | 0.00000 |
| 189 | GLOBAL | Cartesian | 94.00000 | 0.00000 | 0.00000 | No | 94.00000 | 0.00000 | 0.00000 |
| 190 | GLOBAL | Cartesian | 94.00000 | 5.40000 | 0.00000 | No | 94.00000 | 5.40000 | 0.00000 |
| 191 | GLOBAL | Cartesian | 95.00000 | 0.00000 | 0.00000 | No | 95.00000 | 0.00000 | 0.00000 |
| 192 | GLOBAL | Cartesian | 95.00000 | 5.40000 | 0.00000 | No | 95.00000 | 5.40000 | 0.00000 |
| 193 | GLOBAL | Cartesian | 96.00000 | 0.00000 | 0.00000 | No | 96.00000 | 0.00000 | 0.00000 |
| 194 | GLOBAL | Cartesian | 96.00000 | 5.40000 | 0.00000 | No | 96.00000 | 5.40000 | 0.00000 |
| 195 | GLOBAL | Cartesian | 97.00000 | 0.00000 | 0.00000 | No | 97.00000 | 0.00000 | 0.00000 |
| 196 | GLOBAL | Cartesian | 97.00000 | 5.40000 | 0.00000 | No | 97.00000 | 5.40000 | 0.00000 |
| 197 | GLOBAL | Cartesian | 98.00000 | 0.00000 | 0.00000 | No | 98.00000 | 0.00000 | 0.00000 |
| 198 | GLOBAL | Cartesian | 98.00000 | 5.40000 | 0.00000 | No | 98.00000 | 5.40000 | 0.00000 |
| 199 | GLOBAL | Cartesian | 99.00000 | 0.00000 | 0.00000 | No | 99.00000 | 0.00000 | 0.00000 |
| 200 | GLOBAL | Cartesian | 99.00000 | 5.40000 | 0.00000 | No | 99.00000 | 5.40000 | 0.00000 |
| 201 | GLOBAL | Cartesian | 100.00000 | 0.00000 | 0.00000 | No | 100.00000 | 0.00000 | 0.00000 |
| 202 | GLOBAL | Cartesian | 100.00000 | 5.40000 | 0.00000 | No | 100.00000 | 5.40000 | 0.00000 |
| 203 | GLOBAL | Cartesian | 101.00000 | 0.00000 | 0.00000 | No | 101.00000 | 0.00000 | 0.00000 |
| 204 | GLOBAL | Cartesian | 101.00000 | 5.40000 | 0.00000 | No | 101.00000 | 5.40000 | 0.00000 |
| 205 | GLOBAL | Cartesian | 102.00000 | 0.00000 | 0.00000 | No | 102.00000 | 0.00000 | 0.00000 |
| 206 | GLOBAL | Cartesian | 102.00000 | 5.40000 | 0.00000 | No | 102.00000 | 5.40000 | 0.00000 |
| 207 | GLOBAL | Cartesian | 103.00000 | 0.00000 | 0.00000 | No | 103.00000 | 0.00000 | 0.00000 |
| 208 | GLOBAL | Cartesian | 103.00000 | 5.40000 | 0.00000 | No | 103.00000 | 5.40000 | 0.00000 |
| 209 | GLOBAL | Cartesian | 104.00000 | 0.00000 | 0.00000 | No | 104.00000 | 0.00000 | 0.00000 |
| 210 | GLOBAL | Cartesian | 104.00000 | 5.40000 | 0.00000 | No | 104.00000 | 5.40000 | 0.00000 |
| 211 | GLOBAL | Cartesian | 105.00000 | 0.00000 | 0.00000 | No | 105.00000 | 0.00000 | 0.00000 |
| 212 | GLOBAL | Cartesian | 105.00000 | 5.40000 | 0.00000 | No | 105.00000 | 5.40000 | 0.00000 |
| 213 | GLOBAL | Cartesian | 106.00000 | 0.00000 | 0.00000 | No | 106.00000 | 0.00000 | 0.00000 |
| 214 | GLOBAL | Cartesian | 106.00000 | 5.40000 | 0.00000 | No | 106.00000 | 5.40000 | 0.00000 |
| 215 | GLOBAL | Cartesian | 107.00000 | 0.00000 | 0.00000 | No | 107.00000 | 0.00000 | 0.00000 |





| Joint | CoordSys | CoordType | XorR | Y | Z | SpecialJt | GlobalX | GlobalY | GlobalZ |
|---|---|---|---|---|---|---|---|---|---|
| Text | Text | Text | m | m | m | Yes/No | m | m | m |
| 216 | GLOBAL | Cartesian | 107.00000 | 5.40000 | 0.00000 | No | 107.00000 | 5.40000 | 0.00000 |
| 217 | GLOBAL | Cartesian | 108.00000 | 0.00000 | 0.00000 | No | 108.00000 | 0.00000 | 0.00000 |
| 218 | GLOBAL | Cartesian | 108.00000 | 5.40000 | 0.00000 | No | 108.00000 | 5.40000 | 0.00000 |
| 219 | GLOBAL | Cartesian | 109.00000 | 0.00000 | 0.00000 | No | 109.00000 | 0.00000 | 0.00000 |
| 220 | GLOBAL | Cartesian | 109.00000 | 5.40000 | 0.00000 | No | 109.00000 | 5.40000 | 0.00000 |
| 221 | GLOBAL | Cartesian | 110.00000 | 0.00000 | 0.00000 | No | 110.00000 | 0.00000 | 0.00000 |
| 222 | GLOBAL | Cartesian | 110.00000 | 5.40000 | 0.00000 | No | 110.00000 | 5.40000 | 0.00000 |
| 223 | GLOBAL | Cartesian | 111.00000 | 0.00000 | 0.00000 | No | 111.00000 | 0.00000 | 0.00000 |
| 224 | GLOBAL | Cartesian | 111.00000 | 5.40000 | 0.00000 | No | 111.00000 | 5.40000 | 0.00000 |
| 225 | GLOBAL | Cartesian | 112.00000 | 0.00000 | 0.00000 | No | 112.00000 | 0.00000 | 0.00000 |
| 226 | GLOBAL | Cartesian | 112.00000 | 5.40000 | 0.00000 | No | 112.00000 | 5.40000 | 0.00000 |
| 227 | GLOBAL | Cartesian | 113.00000 | 0.00000 | 0.00000 | No | 113.00000 | 0.00000 | 0.00000 |
| 228 | GLOBAL | Cartesian | 113.00000 | 5.40000 | 0.00000 | No | 113.00000 | 5.40000 | 0.00000 |
| 229 | GLOBAL | Cartesian | 114.00000 | 0.00000 | 0.00000 | No | 114.00000 | 0.00000 | 0.00000 |
| 230 | GLOBAL | Cartesian | 114.00000 | 5.40000 | 0.00000 | No | 114.00000 | 5.40000 | 0.00000 |
| 231 | GLOBAL | Cartesian | 115.00000 | 0.00000 | 0.00000 | No | 115.00000 | 0.00000 | 0.00000 |
| 232 | GLOBAL | Cartesian | 115.00000 | 5.40000 | 0.00000 | No | 115.00000 | 5.40000 | 0.00000 |
| 233 | GLOBAL | Cartesian | 116.00000 | 0.00000 | 0.00000 | No | 116.00000 | 0.00000 | 0.00000 |
| 234 | GLOBAL | Cartesian | 116.00000 | 5.40000 | 0.00000 | No | 116.00000 | 5.40000 | 0.00000 |
| 235 | GLOBAL | Cartesian | 117.00000 | 0.00000 | 0.00000 | No | 117.00000 | 0.00000 | 0.00000 |
| 236 | GLOBAL | Cartesian | 117.00000 | 5.40000 | 0.00000 | No | 117.00000 | 5.40000 | 0.00000 |
| 237 | GLOBAL | Cartesian | 118.00000 | 0.00000 | 0.00000 | No | 118.00000 | 0.00000 | 0.00000 |
| 238 | GLOBAL | Cartesian | 118.00000 | 5.40000 | 0.00000 | No | 118.00000 | 5.40000 | 0.00000 |
| 239 | GLOBAL | Cartesian | 119.00000 | 0.00000 | 0.00000 | No | 119.00000 | 0.00000 | 0.00000 |
| 240 | GLOBAL | Cartesian | 119.00000 | 5.40000 | 0.00000 | No | 119.00000 | 5.40000 | 0.00000 |
| 241 | GLOBAL | Cartesian | 120.00000 | 0.00000 | 0.00000 | No | 120.00000 | 0.00000 | 0.00000 |
| 242 | GLOBAL | Cartesian | 120.00000 | 5.40000 | 0.00000 | No | 120.00000 | 5.40000 | 0.00000 |
| 243 | GLOBAL | Cartesian | 121.00000 | 0.00000 | 0.00000 | No | 121.00000 | 0.00000 | 0.00000 |
| 244 | GLOBAL | Cartesian | 121.00000 | 5.40000 | 0.00000 | No | 121.00000 | 5.40000 | 0.00000 |
| 245 | GLOBAL | Cartesian | 122.00000 | 0.00000 | 0.00000 | No | 122.00000 | 0.00000 | 0.00000 |
| 246 | GLOBAL | Cartesian | 122.00000 | 5.40000 | 0.00000 | No | 122.00000 | 5.40000 | 0.00000 |
| 247 | GLOBAL | Cartesian | 123.00000 | 0.00000 | 0.00000 | No | 123.00000 | 0.00000 | 0.00000 |
| 248 | GLOBAL | Cartesian | 123.00000 | 5.40000 | 0.00000 | No | 123.00000 | 5.40000 | 0.00000 |
| 249 | GLOBAL | Cartesian | 124.00000 | 0.00000 | 0.00000 | No | 124.00000 | 0.00000 | 0.00000 |
| 250 | GLOBAL | Cartesian | 124.00000 | 5.40000 | 0.00000 | No | 124.00000 | 5.40000 | 0.00000 |
| 251 | GLOBAL | Cartesian | 125.00000 | 0.00000 | 0.00000 | No | 125.00000 | 0.00000 | 0.00000 |
| 252 | GLOBAL | Cartesian | 125.00000 | 5.40000 | 0.00000 | No | 125.00000 | 5.40000 | 0.00000 |
| 253 | GLOBAL | Cartesian | 126.00000 | 0.00000 | 0.00000 | No | 126.00000 | 0.00000 | 0.00000 |
| 254 | GLOBAL | Cartesian | 126.00000 | 5.40000 | 0.00000 | No | 126.00000 | 5.40000 | 0.00000 |
| 255 | GLOBAL | Cartesian | 127.00000 | 0.00000 | 0.00000 | No | 127.00000 | 0.00000 | 0.00000 |
| 256 | GLOBAL | Cartesian | 127.00000 | 5.40000 | 0.00000 | No | 127.00000 | 5.40000 | 0.00000 |
| 257 | GLOBAL | Cartesian | 128.00000 | 0.00000 | 0.00000 | No | 128.00000 | 0.00000 | 0.00000 |
| 258 | GLOBAL | Cartesian | 128.00000 | 5.40000 | 0.00000 | No | 128.00000 | 5.40000 | 0.00000 |
| 259 | GLOBAL | Cartesian | 129.00000 | 0.00000 | 0.00000 | No | 129.00000 | 0.00000 | 0.00000 |
| 260 | GLOBAL | Cartesian | 129.00000 | 5.40000 | 0.00000 | No | 129.00000 | 5.40000 | 0.00000 |
| 261 | GLOBAL | Cartesian | 130.00000 | 0.00000 | 0.00000 | No | 130.00000 | 0.00000 | 0.00000 |
| 262 | GLOBAL | Cartesian | 130.00000 | 5.40000 | 0.00000 | No | 130.00000 | 5.40000 | 0.00000 |
| 263 | GLOBAL | Cartesian | 131.00000 | 0.00000 | 0.00000 | No | 131.00000 | 0.00000 | 0.00000 |
| 264 | GLOBAL | Cartesian | 131.00000 | 5.40000 | 0.00000 | No | 131.00000 | 5.40000 | 0.00000 |
| 265 | GLOBAL | Cartesian | 132.00000 | 0.00000 | 0.00000 | No | 132.00000 | 0.00000 | 0.00000 |
| 266 | GLOBAL | Cartesian | 132.00000 | 5.40000 | 0.00000 | No | 132.00000 | 5.40000 | 0.00000 |
| 267 | GLOBAL | Cartesian | 133.00000 | 0.00000 | 0.00000 | No | 133.00000 | 0.00000 | 0.00000 |
| 268 | GLOBAL | Cartesian | 133.00000 | 5.40000 | 0.00000 | No | 133.00000 | 5.40000 | 0.00000 |
| 269 | GLOBAL | Cartesian | 134.00000 | 0.00000 | 0.00000 | No | 134.00000 | 0.00000 | 0.00000 |
| 270 | GLOBAL | Cartesian | 134.00000 | 5.40000 | 0.00000 | No | 134.00000 | 5.40000 | 0.00000 |
| 271 | GLOBAL | Cartesian | 135.00000 | 0.00000 | 0.00000 | No | 135.00000 | 0.00000 | 0.00000 |
| 272 | GLOBAL | Cartesian | 135.00000 | 5.40000 | 0.00000 | No | 135.00000 | 5.40000 | 0.00000 |
| 273 | GLOBAL | Cartesian | 136.00000 | 0.00000 | 0.00000 | No | 136.00000 | 0.00000 | 0.00000 |
| 274 | GLOBAL | Cartesian | 136.00000 | 5.40000 | 0.00000 | No | 136.00000 | 5.40000 | 0.00000 |
| 275 | GLOBAL | Cartesian | 137.00000 | 0.00000 | 0.00000 | No | 137.00000 | 0.00000 | 0.00000 |
| 276 | GLOBAL | Cartesian | 137.00000 | 5.40000 | 0.00000 | No | 137.00000 | 5.40000 | 0.00000 |
| 277 | GLOBAL | Cartesian | 138.00000 | 0.00000 | 0.00000 | No | 138.00000 | 0.00000 | 0.00000 |
| 278 | GLOBAL | Cartesian | 138.00000 | 5.40000 | 0.00000 | No | 138.00000 | 5.40000 | 0.00000 |
| 279 | GLOBAL | Cartesian | 139.00000 | 0.00000 | 0.00000 | No | 139.00000 | 0.00000 | 0.00000 |
| 280 | GLOBAL | Cartesian | 139.00000 | 5.40000 | 0.00000 | No | 139.00000 | 5.40000 | 0.00000 |
| 281 | GLOBAL | Cartesian | 140.00000 | 0.00000 | 0.00000 | No | 140.00000 | 0.00000 | 0.00000 |
| 282 | GLOBAL | Cartesian | 140.00000 | 5.40000 | 0.00000 | No | 140.00000 | 5.40000 | 0.00000 |
| 283 | GLOBAL | Cartesian | 141.00000 | 0.00000 | 0.00000 | No | 141.00000 | 0.00000 | 0.00000 |
| 284 | GLOBAL | Cartesian | 141.00000 | 5.40000 | 0.00000 | No | 141.00000 | 5.40000 | 0.00000 |
| 285 | GLOBAL | Cartesian | 142.00000 | 0.00000 | 0.00000 | No | 142.00000 | 0.00000 | 0.00000 |
| 286 | GLOBAL | Cartesian | 142.00000 | 5.40000 | 0.00000 | No | 142.00000 | 5.40000 | 0.00000 |
| 287 | GLOBAL | Cartesian | 143.00000 | 0.00000 | 0.00000 | No | 143.00000 | 0.00000 | 0.00000 |
| 288 | GLOBAL | Cartesian | 143.00000 | 5.40000 | 0.00000 | No | 143.00000 | 5.40000 | 0.00000 |
| 289 | GLOBAL | Cartesian | 144.00000 | 0.00000 | 0.00000 | No | 144.00000 | 0.00000 | 0.00000 |
| 290 | GLOBAL | Cartesian | 144.00000 | 5.40000 | 0.00000 | No | 144.00000 | 5.40000 | 0.00000 |
| 291 | GLOBAL | Cartesian | 145.00000 | 0.00000 | 0.00000 | No | 145.00000 | 0.00000 | 0.00000 |
| 292 | GLOBAL | Cartesian | 145.00000 | 5.40000 | 0.00000 | No | 145.00000 | 5.40000 | 0.00000 |
| 293 | GLOBAL | Cartesian | 146.00000 | 0.00000 | 0.00000 | No | 146.00000 | 0.00000 | 0.00000 |
| 294 | GLOBAL | Cartesian | 146.00000 | 5.40000 | 0.00000 | No | 146.00000 | 5.40000 | 0.00000 |
| 295 | GLOBAL | Cartesian | 147.00000 | 0.00000 | 0.00000 | No | 147.00000 | 0.00000 | 0.00000 |
| 296 | GLOBAL | Cartesian | 147.00000 | 5.40000 | 0.00000 | No | 147.00000 | 5.40000 | 0.00000 |
| 297 | GLOBAL | Cartesian | 148.00000 | 0.00000 | 0.00000 | No | 148.00000 | 0.00000 | 0.00000 |
| 298 | GLOBAL | Cartesian | 148.00000 | 5.40000 | 0.00000 | No | 148.00000 | 5.40000 | 0.00000 |
| 299 | GLOBAL | Cartesian | 149.00000 | 0.00000 | 0.00000 | No | 149.00000 | 0.00000 | 0.00000 |
| 300 | GLOBAL | Cartesian | 149.00000 | 5.40000 | 0.00000 | No | 149.00000 | 5.40000 | 0.00000 |
| 301 | GLOBAL | Cartesian | 150.00000 | 0.00000 | 0.00000 | No | 150.00000 | 0.00000 | 0.00000 |
| 302 | GLOBAL | Cartesian | 150.00000 | 5.40000 | 0.00000 | No | 150.00000 | 5.40000 | 0.00000 |
| 303 | GLOBAL | Cartesian | 151.00000 | 0.00000 | 0.00000 | No | 151.00000 | 0.00000 | 0.00000 |
| 304 | GLOBAL | Cartesian | 151.00000 | 5.40000 | 0.00000 | No | 151.00000 | 5.40000 | 0.00000 |
| 305 | GLOBAL | Cartesian | 152.00000 | 0.00000 | 0.00000 | No | 152.00000 | 0.00000 | 0.00000 |
| 306 | GLOBAL | Cartesian | 152.00000 | 5.40000 | 0.00000 | No | 152.00000 | 5.40000 | 0.00000 |

| Joint | CoordSys | CoordType | XorR | Y | Z | SpecialJt | GlobalX | GlobalY | GlobalZ |
|---|---|---|---|---|---|---|---|---|---|
| Text | Text | Text | m | m | m | Yes/No | m | m | m |
| 307 | GLOBAL | Cartesian | 153.00000 | 0.00000 | 0.00000 | No | 153.00000 | 0.00000 | 0.00000 |
| 308 | GLOBAL | Cartesian | 153.00000 | 5.40000 | 0.00000 | No | 153.00000 | 5.40000 | 0.00000 |
| 309 | GLOBAL | Cartesian | 154.00000 | 0.00000 | 0.00000 | No | 154.00000 | 0.00000 | 0.00000 |
| 310 | GLOBAL | Cartesian | 154.00000 | 5.40000 | 0.00000 | No | 154.00000 | 5.40000 | 0.00000 |
| 311 | GLOBAL | Cartesian | 155.00000 | 0.00000 | 0.00000 | No | 155.00000 | 0.00000 | 0.00000 |
| 312 | GLOBAL | Cartesian | 155.00000 | 5.40000 | 0.00000 | No | 155.00000 | 5.40000 | 0.00000 |
| 313 | GLOBAL | Cartesian | 156.00000 | 0.00000 | 0.00000 | No | 156.00000 | 0.00000 | 0.00000 |
| 314 | GLOBAL | Cartesian | 156.00000 | 5.40000 | 0.00000 | No | 156.00000 | 5.40000 | 0.00000 |
| 315 | GLOBAL | Cartesian | 157.00000 | 0.00000 | 0.00000 | No | 157.00000 | 0.00000 | 0.00000 |
| 316 | GLOBAL | Cartesian | 157.00000 | 5.40000 | 0.00000 | No | 157.00000 | 5.40000 | 0.00000 |
| 317 | GLOBAL | Cartesian | 158.00000 | 0.00000 | 0.00000 | No | 158.00000 | 0.00000 | 0.00000 |
| 318 | GLOBAL | Cartesian | 158.00000 | 5.40000 | 0.00000 | No | 158.00000 | 5.40000 | 0.00000 |
| 319 | GLOBAL | Cartesian | 159.00000 | 0.00000 | 0.00000 | No | 159.00000 | 0.00000 | 0.00000 |
| 320 | GLOBAL | Cartesian | 159.00000 | 5.40000 | 0.00000 | No | 159.00000 | 5.40000 | 0.00000 |
| 321 | GLOBAL | Cartesian | 160.00000 | 0.00000 | 0.00000 | No | 160.00000 | 0.00000 | 0.00000 |
| 322 | GLOBAL | Cartesian | 160.00000 | 5.40000 | 0.00000 | No | 160.00000 | 5.40000 | 0.00000 |
| 323 | GLOBAL | Cartesian | 161.00000 | 0.00000 | 0.00000 | No | 161.00000 | 0.00000 | 0.00000 |
| 324 | GLOBAL | Cartesian | 161.00000 | 5.40000 | 0.00000 | No | 161.00000 | 5.40000 | 0.00000 |
| 325 | GLOBAL | Cartesian | 162.00000 | 0.00000 | 0.00000 | No | 162.00000 | 0.00000 | 0.00000 |
| 326 | GLOBAL | Cartesian | 162.00000 | 5.40000 | 0.00000 | No | 162.00000 | 5.40000 | 0.00000 |
| 327 | GLOBAL | Cartesian | 163.00000 | 0.00000 | 0.00000 | No | 163.00000 | 0.00000 | 0.00000 |
| 328 | GLOBAL | Cartesian | 163.00000 | 5.40000 | 0.00000 | No | 163.00000 | 5.40000 | 0.00000 |
| 329 | GLOBAL | Cartesian | 164.00000 | 0.00000 | 0.00000 | No | 164.00000 | 0.00000 | 0.00000 |
| 330 | GLOBAL | Cartesian | 164.00000 | 5.40000 | 0.00000 | No | 164.00000 | 5.40000 | 0.00000 |
| 331 | GLOBAL | Cartesian | 165.00000 | 0.00000 | 0.00000 | No | 165.00000 | 0.00000 | 0.00000 |
| 332 | GLOBAL | Cartesian | 165.00000 | 5.40000 | 0.00000 | No | 165.00000 | 5.40000 | 0.00000 |
| 333 | GLOBAL | Cartesian | 166.00000 | 0.00000 | 0.00000 | No | 166.00000 | 0.00000 | 0.00000 |
| 334 | GLOBAL | Cartesian | 166.00000 | 5.40000 | 0.00000 | No | 166.00000 | 5.40000 | 0.00000 |
| 335 | GLOBAL | Cartesian | 167.00000 | 0.00000 | 0.00000 | No | 167.00000 | 0.00000 | 0.00000 |
| 336 | GLOBAL | Cartesian | 167.00000 | 5.40000 | 0.00000 | No | 167.00000 | 5.40000 | 0.00000 |
| 337 | GLOBAL | Cartesian | 168.00000 | 0.00000 | 0.00000 | No | 168.00000 | 0.00000 | 0.00000 |
| 338 | GLOBAL | Cartesian | 168.00000 | 5.40000 | 0.00000 | No | 168.00000 | 5.40000 | 0.00000 |
| 339 | GLOBAL | Cartesian | 169.00000 | 0.00000 | 0.00000 | No | 169.00000 | 0.00000 | 0.00000 |
| 340 | GLOBAL | Cartesian | 169.00000 | 5.40000 | 0.00000 | No | 169.00000 | 5.40000 | 0.00000 |
| 341 | GLOBAL | Cartesian | 170.00000 | 0.00000 | 0.00000 | No | 170.00000 | 0.00000 | 0.00000 |
| 342 | GLOBAL | Cartesian | 170.00000 | 5.40000 | 0.00000 | No | 170.00000 | 5.40000 | 0.00000 |
| 343 | GLOBAL | Cartesian | 171.00000 | 0.00000 | 0.00000 | No | 171.00000 | 0.00000 | 0.00000 |
| 344 | GLOBAL | Cartesian | 171.00000 | 5.40000 | 0.00000 | No | 171.00000 | 5.40000 | 0.00000 |
| 345 | GLOBAL | Cartesian | 172.00000 | 0.00000 | 0.00000 | No | 172.00000 | 0.00000 | 0.00000 |
| 346 | GLOBAL | Cartesian | 172.00000 | 5.40000 | 0.00000 | No | 172.00000 | 5.40000 | 0.00000 |
| 347 | GLOBAL | Cartesian | 173.00000 | 0.00000 | 0.00000 | No | 173.00000 | 0.00000 | 0.00000 |
| 348 | GLOBAL | Cartesian | 173.00000 | 5.40000 | 0.00000 | No | 173.00000 | 5.40000 | 0.00000 |
| 349 | GLOBAL | Cartesian | 174.00000 | 0.00000 | 0.00000 | No | 174.00000 | 0.00000 | 0.00000 |
| 350 | GLOBAL | Cartesian | 174.00000 | 5.40000 | 0.00000 | No | 174.00000 | 5.40000 | 0.00000 |
| 351 | GLOBAL | Cartesian | 175.00000 | 0.00000 | 0.00000 | No | 175.00000 | 0.00000 | 0.00000 |
| 352 | GLOBAL | Cartesian | 175.00000 | 5.40000 | 0.00000 | No | 175.00000 | 5.40000 | 0.00000 |
| 353 | GLOBAL | Cartesian | 176.00000 | 0.00000 | 0.00000 | No | 176.00000 | 0.00000 | 0.00000 |
| 354 | GLOBAL | Cartesian | 176.00000 | 5.40000 | 0.00000 | No | 176.00000 | 5.40000 | 0.00000 |
| 355 | GLOBAL | Cartesian | 177.00000 | 0.00000 | 0.00000 | No | 177.00000 | 0.00000 | 0.00000 |
| 356 | GLOBAL | Cartesian | 177.00000 | 5.40000 | 0.00000 | No | 177.00000 | 5.40000 | 0.00000 |
| 357 | GLOBAL | Cartesian | 178.00000 | 0.00000 | 0.00000 | No | 178.00000 | 0.00000 | 0.00000 |
| 358 | GLOBAL | Cartesian | 178.00000 | 5.40000 | 0.00000 | No | 178.00000 | 5.40000 | 0.00000 |
| 359 | GLOBAL | Cartesian | 179.00000 | 0.00000 | 0.00000 | No | 179.00000 | 0.00000 | 0.00000 |
| 360 | GLOBAL | Cartesian | 179.00000 | 5.40000 | 0.00000 | No | 179.00000 | 5.40000 | 0.00000 |
| 361 | GLOBAL | Cartesian | 180.00000 | 0.00000 | 0.00000 | No | 180.00000 | 0.00000 | 0.00000 |
| 362 | GLOBAL | Cartesian | 180.00000 | 5.40000 | 0.00000 | No | 180.00000 | 5.40000 | 0.00000 |
| 363 | GLOBAL | Cartesian | 181.00000 | 0.00000 | 0.00000 | No | 181.00000 | 0.00000 | 0.00000 |
| 364 | GLOBAL | Cartesian | 181.00000 | 5.40000 | 0.00000 | No | 181.00000 | 5.40000 | 0.00000 |
| 365 | GLOBAL | Cartesian | 182.00000 | 0.00000 | 0.00000 | No | 182.00000 | 0.00000 | 0.00000 |
| 366 | GLOBAL | Cartesian | 182.00000 | 5.40000 | 0.00000 | No | 182.00000 | 5.40000 | 0.00000 |
| 367 | GLOBAL | Cartesian | 183.00000 | 0.00000 | 0.00000 | No | 183.00000 | 0.00000 | 0.00000 |
| 368 | GLOBAL | Cartesian | 183.00000 | 5.40000 | 0.00000 | No | 183.00000 | 5.40000 | 0.00000 |
| 369 | GLOBAL | Cartesian | 184.00000 | 0.00000 | 0.00000 | No | 184.00000 | 0.00000 | 0.00000 |
| 370 | GLOBAL | Cartesian | 184.00000 | 5.40000 | 0.00000 | No | 184.00000 | 5.40000 | 0.00000 |
| 371 | GLOBAL | Cartesian | 185.00000 | 0.00000 | 0.00000 | No | 185.00000 | 0.00000 | 0.00000 |
| 372 | GLOBAL | Cartesian | 185.00000 | 5.40000 | 0.00000 | No | 185.00000 | 5.40000 | 0.00000 |
| 373 | GLOBAL | Cartesian | 186.00000 | 0.00000 | 0.00000 | No | 186.00000 | 0.00000 | 0.00000 |
| 374 | GLOBAL | Cartesian | 186.00000 | 5.40000 | 0.00000 | No | 186.00000 | 5.40000 | 0.00000 |
| 375 | GLOBAL | Cartesian | 187.00000 | 0.00000 | 0.00000 | No | 187.00000 | 0.00000 | 0.00000 |
| 376 | GLOBAL | Cartesian | 187.00000 | 5.40000 | 0.00000 | No | 187.00000 | 5.40000 | 0.00000 |
| 377 | GLOBAL | Cartesian | 188.00000 | 0.00000 | 0.00000 | No | 188.00000 | 0.00000 | 0.00000 |
| 378 | GLOBAL | Cartesian | 188.00000 | 5.40000 | 0.00000 | No | 188.00000 | 5.40000 | 0.00000 |
| 379 | GLOBAL | Cartesian | 189.00000 | 0.00000 | 0.00000 | No | 189.00000 | 0.00000 | 0.00000 |
| 380 | GLOBAL | Cartesian | 189.00000 | 5.40000 | 0.00000 | No | 189.00000 | 5.40000 | 0.00000 |
| 381 | GLOBAL | Cartesian | 190.00000 | 0.00000 | 0.00000 | No | 190.00000 | 0.00000 | 0.00000 |
| 382 | GLOBAL | Cartesian | 190.00000 | 5.40000 | 0.00000 | No | 190.00000 | 5.40000 | 0.00000 |
| 383 | GLOBAL | Cartesian | 191.00000 | 0.00000 | 0.00000 | No | 191.00000 | 0.00000 | 0.00000 |
| 384 | GLOBAL | Cartesian | 191.00000 | 5.40000 | 0.00000 | No | 191.00000 | 5.40000 | 0.00000 |
| 385 | GLOBAL | Cartesian | 192.00000 | 0.00000 | 0.00000 | No | 192.00000 | 0.00000 | 0.00000 |
| 386 | GLOBAL | Cartesian | 192.00000 | 5.40000 | 0.00000 | No | 192.00000 | 5.40000 | 0.00000 |
| 387 | GLOBAL | Cartesian | 193.00000 | 0.00000 | 0.00000 | No | 193.00000 | 0.00000 | 0.00000 |
| 388 | GLOBAL | Cartesian | 193.00000 | 5.40000 | 0.00000 | No | 193.00000 | 5.40000 | 0.00000 |
| 389 | GLOBAL | Cartesian | 194.00000 | 0.00000 | 0.00000 | No | 194.00000 | 0.00000 | 0.00000 |
| 390 | GLOBAL | Cartesian | 194.00000 | 5.40000 | 0.00000 | No | 194.00000 | 5.40000 | 0.00000 |
| 391 | GLOBAL | Cartesian | 195.00000 | 0.00000 | 0.00000 | No | 195.00000 | 0.00000 | 0.00000 |
| 392 | GLOBAL | Cartesian | 195.00000 | 5.40000 | 0.00000 | No | 195.00000 | 5.40000 | 0.00000 |
| 393 | GLOBAL | Cartesian | 196.00000 | 0.00000 | 0.00000 | No | 196.00000 | 0.00000 | 0.00000 |
| 394 | GLOBAL | Cartesian | 196.00000 | 5.40000 | 0.00000 | No | 196.00000 | 5.40000 | 0.00000 |
| 395 | GLOBAL | Cartesian | 197.00000 | 0.00000 | 0.00000 | No | 197.00000 | 0.00000 | 0.00000 |
| 396 | GLOBAL | Cartesian | 197.00000 | 5.40000 | 0.00000 | No | 197.00000 | 5.40000 | 0.00000 |
| 397 | GLOBAL | Cartesian | 198.00000 | 0.00000 | 0.00000 | No | 198.00000 | 0.00000 | 0.00000 |





| Joint | CoordSys | CoordType | XorR | Y | Z | SpecialJt | GlobalX | GlobalY | GlobalZ |
|---|---|---|---|---|---|---|---|---|---|
| Text | Text | Text | m | m | m | Yes/No | m | m | m |
| 398 | GLOBAL | Cartesian | 198.00000 | 5.40000 | 0.00000 | No | 198.00000 | 5.40000 | 0.00000 |
| 399 | GLOBAL | Cartesian | 199.00000 | 0.00000 | 0.00000 | No | 199.00000 | 0.00000 | 0.00000 |
| 400 | GLOBAL | Cartesian | 199.00000 | 5.40000 | 0.00000 | No | 199.00000 | 5.40000 | 0.00000 |
| 401 | GLOBAL | Cartesian | 200.00000 | 0.00000 | 0.00000 | No | 200.00000 | 0.00000 | 0.00000 |
| 402 | GLOBAL | Cartesian | 200.00000 | 5.40000 | 0.00000 | No | 200.00000 | 5.40000 | 0.00000 |
| 403 | GLOBAL | Cartesian | 201.00000 | 0.00000 | 0.00000 | No | 201.00000 | 0.00000 | 0.00000 |
| 404 | GLOBAL | Cartesian | 201.00000 | 5.40000 | 0.00000 | No | 201.00000 | 5.40000 | 0.00000 |
| 405 | GLOBAL | Cartesian | 202.00000 | 0.00000 | 0.00000 | No | 202.00000 | 0.00000 | 0.00000 |
| 406 | GLOBAL | Cartesian | 202.00000 | 5.40000 | 0.00000 | No | 202.00000 | 5.40000 | 0.00000 |
| 407 | GLOBAL | Cartesian | 203.00000 | 0.00000 | 0.00000 | No | 203.00000 | 0.00000 | 0.00000 |
| 408 | GLOBAL | Cartesian | 203.00000 | 5.40000 | 0.00000 | No | 203.00000 | 5.40000 | 0.00000 |
| 409 | GLOBAL | Cartesian | 204.00000 | 0.00000 | 0.00000 | No | 204.00000 | 0.00000 | 0.00000 |
| 410 | GLOBAL | Cartesian | 204.00000 | 5.40000 | 0.00000 | No | 204.00000 | 5.40000 | 0.00000 |
| 411 | GLOBAL | Cartesian | 205.00000 | 0.00000 | 0.00000 | No | 205.00000 | 0.00000 | 0.00000 |
| 412 | GLOBAL | Cartesian | 205.00000 | 5.40000 | 0.00000 | No | 205.00000 | 5.40000 | 0.00000 |
| 413 | GLOBAL | Cartesian | 206.00000 | 0.00000 | 0.00000 | No | 206.00000 | 0.00000 | 0.00000 |
| 414 | GLOBAL | Cartesian | 206.00000 | 5.40000 | 0.00000 | No | 206.00000 | 5.40000 | 0.00000 |
| 415 | GLOBAL | Cartesian | 207.00000 | 0.00000 | 0.00000 | No | 207.00000 | 0.00000 | 0.00000 |
| 416 | GLOBAL | Cartesian | 207.00000 | 5.40000 | 0.00000 | No | 207.00000 | 5.40000 | 0.00000 |
| 417 | GLOBAL | Cartesian | 208.00000 | 0.00000 | 0.00000 | No | 208.00000 | 0.00000 | 0.00000 |
| 418 | GLOBAL | Cartesian | 208.00000 | 5.40000 | 0.00000 | No | 208.00000 | 5.40000 | 0.00000 |
| 419 | GLOBAL | Cartesian | 209.00000 | 0.00000 | 0.00000 | No | 209.00000 | 0.00000 | 0.00000 |
| 420 | GLOBAL | Cartesian | 209.00000 | 5.40000 | 0.00000 | No | 209.00000 | 5.40000 | 0.00000 |
| 421 | GLOBAL | Cartesian | 210.00000 | 0.00000 | 0.00000 | No | 210.00000 | 0.00000 | 0.00000 |
| 422 | GLOBAL | Cartesian | 210.00000 | 5.40000 | 0.00000 | No | 210.00000 | 5.40000 | 0.00000 |
| 423 | GLOBAL | Cartesian | 211.00000 | 0.00000 | 0.00000 | No | 211.00000 | 0.00000 | 0.00000 |
| 424 | GLOBAL | Cartesian | 211.00000 | 5.40000 | 0.00000 | No | 211.00000 | 5.40000 | 0.00000 |
| 425 | GLOBAL | Cartesian | 212.00000 | 0.00000 | 0.00000 | No | 212.00000 | 0.00000 | 0.00000 |
| 426 | GLOBAL | Cartesian | 212.00000 | 5.40000 | 0.00000 | No | 212.00000 | 5.40000 | 0.00000 |
| 427 | GLOBAL | Cartesian | 213.00000 | 0.00000 | 0.00000 | No | 213.00000 | 0.00000 | 0.00000 |
| 428 | GLOBAL | Cartesian | 213.00000 | 5.40000 | 0.00000 | No | 213.00000 | 5.40000 | 0.00000 |
| 429 | GLOBAL | Cartesian | 214.00000 | 0.00000 | 0.00000 | No | 214.00000 | 0.00000 | 0.00000 |
| 430 | GLOBAL | Cartesian | 214.00000 | 5.40000 | 0.00000 | No | 214.00000 | 5.40000 | 0.00000 |
| 431 | GLOBAL | Cartesian | 215.00000 | 0.00000 | 0.00000 | No | 215.00000 | 0.00000 | 0.00000 |
| 432 | GLOBAL | Cartesian | 215.00000 | 5.40000 | 0.00000 | No | 215.00000 | 5.40000 | 0.00000 |
| 433 | GLOBAL | Cartesian | 216.00000 | 0.00000 | 0.00000 | No | 216.00000 | 0.00000 | 0.00000 |
| 434 | GLOBAL | Cartesian | 216.00000 | 5.40000 | 0.00000 | No | 216.00000 | 5.40000 | 0.00000 |
| 435 | GLOBAL | Cartesian | 217.00000 | 0.00000 | 0.00000 | No | 217.00000 | 0.00000 | 0.00000 |
| 436 | GLOBAL | Cartesian | 217.00000 | 5.40000 | 0.00000 | No | 217.00000 | 5.40000 | 0.00000 |
| 437 | GLOBAL | Cartesian | 218.00000 | 0.00000 | 0.00000 | No | 218.00000 | 0.00000 | 0.00000 |
| 438 | GLOBAL | Cartesian | 218.00000 | 5.40000 | 0.00000 | No | 218.00000 | 5.40000 | 0.00000 |
| 439 | GLOBAL | Cartesian | 219.00000 | 0.00000 | 0.00000 | No | 219.00000 | 0.00000 | 0.00000 |
| 440 | GLOBAL | Cartesian | 219.00000 | 5.40000 | 0.00000 | No | 219.00000 | 5.40000 | 0.00000 |
| 441 | GLOBAL | Cartesian | 220.00000 | 0.00000 | 0.00000 | No | 220.00000 | 0.00000 | 0.00000 |
| 442 | GLOBAL | Cartesian | 220.00000 | 5.40000 | 0.00000 | No | 220.00000 | 5.40000 | 0.00000 |
| 443 | GLOBAL | Cartesian | 221.00000 | 0.00000 | 0.00000 | No | 221.00000 | 0.00000 | 0.00000 |
| 444 | GLOBAL | Cartesian | 221.00000 | 5.40000 | 0.00000 | No | 221.00000 | 5.40000 | 0.00000 |
| 445 | GLOBAL | Cartesian | 222.00000 | 0.00000 | 0.00000 | No | 222.00000 | 0.00000 | 0.00000 |
| 446 | GLOBAL | Cartesian | 222.00000 | 5.40000 | 0.00000 | No | 222.00000 | 5.40000 | 0.00000 |
| 447 | GLOBAL | Cartesian | 223.00000 | 0.00000 | 0.00000 | No | 223.00000 | 0.00000 | 0.00000 |
| 448 | GLOBAL | Cartesian | 223.00000 | 5.40000 | 0.00000 | No | 223.00000 | 5.40000 | 0.00000 |
| 449 | GLOBAL | Cartesian | 224.00000 | 0.00000 | 0.00000 | No | 224.00000 | 0.00000 | 0.00000 |
| 450 | GLOBAL | Cartesian | 224.00000 | 5.40000 | 0.00000 | No | 224.00000 | 5.40000 | 0.00000 |
| 451 | GLOBAL | Cartesian | 225.00000 | 0.00000 | 0.00000 | No | 225.00000 | 0.00000 | 0.00000 |
| 452 | GLOBAL | Cartesian | 225.00000 | 5.40000 | 0.00000 | No | 225.00000 | 5.40000 | 0.00000 |
| 453 | GLOBAL | Cartesian | 226.00000 | 0.00000 | 0.00000 | No | 226.00000 | 0.00000 | 0.00000 |
| 454 | GLOBAL | Cartesian | 226.00000 | 5.40000 | 0.00000 | No | 226.00000 | 5.40000 | 0.00000 |
| 455 | GLOBAL | Cartesian | 227.00000 | 0.00000 | 0.00000 | No | 227.00000 | 0.00000 | 0.00000 |
| 456 | GLOBAL | Cartesian | 227.00000 | 5.40000 | 0.00000 | No | 227.00000 | 5.40000 | 0.00000 |
| 457 | GLOBAL | Cartesian | 228.00000 | 0.00000 | 0.00000 | No | 228.00000 | 0.00000 | 0.00000 |
| 458 | GLOBAL | Cartesian | 228.00000 | 5.40000 | 0.00000 | No | 228.00000 | 5.40000 | 0.00000 |
| 459 | GLOBAL | Cartesian | 229.00000 | 0.00000 | 0.00000 | No | 229.00000 | 0.00000 | 0.00000 |
| 460 | GLOBAL | Cartesian | 229.00000 | 5.40000 | 0.00000 | No | 229.00000 | 5.40000 | 0.00000 |
| 461 | GLOBAL | Cartesian | 230.00000 | 0.00000 | 0.00000 | No | 230.00000 | 0.00000 | 0.00000 |
| 462 | GLOBAL | Cartesian | 230.00000 | 5.40000 | 0.00000 | No | 230.00000 | 5.40000 | 0.00000 |
| 463 | GLOBAL | Cartesian | 231.00000 | 0.00000 | 0.00000 | No | 231.00000 | 0.00000 | 0.00000 |
| 464 | GLOBAL | Cartesian | 231.00000 | 5.40000 | 0.00000 | No | 231.00000 | 5.40000 | 0.00000 |
| 465 | GLOBAL | Cartesian | 232.00000 | 0.00000 | 0.00000 | No | 232.00000 | 0.00000 | 0.00000 |
| 466 | GLOBAL | Cartesian | 232.00000 | 5.40000 | 0.00000 | No | 232.00000 | 5.40000 | 0.00000 |
| 467 | GLOBAL | Cartesian | 233.00000 | 0.00000 | 0.00000 | No | 233.00000 | 0.00000 | 0.00000 |
| 468 | GLOBAL | Cartesian | 233.00000 | 5.40000 | 0.00000 | No | 233.00000 | 5.40000 | 0.00000 |
| 469 | GLOBAL | Cartesian | 234.00000 | 0.00000 | 0.00000 | No | 234.00000 | 0.00000 | 0.00000 |
| 470 | GLOBAL | Cartesian | 234.00000 | 5.40000 | 0.00000 | No | 234.00000 | 5.40000 | 0.00000 |
| 471 | GLOBAL | Cartesian | 235.00000 | 0.00000 | 0.00000 | No | 235.00000 | 0.00000 | 0.00000 |
| 472 | GLOBAL | Cartesian | 235.00000 | 5.40000 | 0.00000 | No | 235.00000 | 5.40000 | 0.00000 |
| 473 | GLOBAL | Cartesian | 236.00000 | 0.00000 | 0.00000 | No | 236.00000 | 0.00000 | 0.00000 |
| 474 | GLOBAL | Cartesian | 236.00000 | 5.40000 | 0.00000 | No | 236.00000 | 5.40000 | 0.00000 |
| 475 | GLOBAL | Cartesian | 237.00000 | 0.00000 | 0.00000 | No | 237.00000 | 0.00000 | 0.00000 |
| 476 | GLOBAL | Cartesian | 237.00000 | 5.40000 | 0.00000 | No | 237.00000 | 5.40000 | 0.00000 |
| 477 | GLOBAL | Cartesian | 238.00000 | 0.00000 | 0.00000 | No | 238.00000 | 0.00000 | 0.00000 |
| 478 | GLOBAL | Cartesian | 238.00000 | 5.40000 | 0.00000 | No | 238.00000 | 5.40000 | 0.00000 |
| 479 | GLOBAL | Cartesian | 239.00000 | 0.00000 | 0.00000 | No | 239.00000 | 0.00000 | 0.00000 |
| 480 | GLOBAL | Cartesian | 239.00000 | 5.40000 | 0.00000 | No | 239.00000 | 5.40000 | 0.00000 |
| 481 | GLOBAL | Cartesian | 240.00000 | 0.00000 | 0.00000 | No | 240.00000 | 0.00000 | 0.00000 |
| 482 | GLOBAL | Cartesian | 240.00000 | 5.40000 | 0.00000 | No | 240.00000 | 5.40000 | 0.00000 |
| 483 | GLOBAL | Cartesian | 241.00000 | 0.00000 | 0.00000 | No | 241.00000 | 0.00000 | 0.00000 |
| 484 | GLOBAL | Cartesian | 241.00000 | 5.40000 | 0.00000 | No | 241.00000 | 5.40000 | 0.00000 |
| 485 | GLOBAL | Cartesian | 242.00000 | 0.00000 | 0.00000 | No | 242.00000 | 0.00000 | 0.00000 |
| 486 | GLOBAL | Cartesian | 242.00000 | 5.40000 | 0.00000 | No | 242.00000 | 5.40000 | 0.00000 |
| 487 | GLOBAL | Cartesian | 243.00000 | 0.00000 | 0.00000 | No | 243.00000 | 0.00000 | 0.00000 |
| 488 | GLOBAL | Cartesian | 243.00000 | 5.40000 | 0.00000 | No | 243.00000 | 5.40000 | 0.00000 |

| Joint | CoordSys | CoordType | XorR | Y | Z | SpecialJt | GlobalX | GlobalY | GlobalZ |
|---|---|---|---|---|---|---|---|---|---|
| Text | Text | Text | m | m | m | Yes/No | m | m | m |
| 489 | GLOBAL | Cartesian | 244.00000 | 0.00000 | 0.00000 | No | 244.00000 | 0.00000 | 0.00000 |
| 490 | GLOBAL | Cartesian | 244.00000 | 5.40000 | 0.00000 | No | 244.00000 | 5.40000 | 0.00000 |
| 491 | GLOBAL | Cartesian | 245.00000 | 0.00000 | 0.00000 | No | 245.00000 | 0.00000 | 0.00000 |
| 492 | GLOBAL | Cartesian | 245.00000 | 5.40000 | 0.00000 | No | 245.00000 | 5.40000 | 0.00000 |
| 493 | GLOBAL | Cartesian | 246.00000 | 0.00000 | 0.00000 | No | 246.00000 | 0.00000 | 0.00000 |
| 494 | GLOBAL | Cartesian | 246.00000 | 5.40000 | 0.00000 | No | 246.00000 | 5.40000 | 0.00000 |
| 495 | GLOBAL | Cartesian | 247.00000 | 0.00000 | 0.00000 | No | 247.00000 | 0.00000 | 0.00000 |
| 496 | GLOBAL | Cartesian | 247.00000 | 5.40000 | 0.00000 | No | 247.00000 | 5.40000 | 0.00000 |
| 497 | GLOBAL | Cartesian | 248.00000 | 0.00000 | 0.00000 | No | 248.00000 | 0.00000 | 0.00000 |
| 498 | GLOBAL | Cartesian | 248.00000 | 5.40000 | 0.00000 | No | 248.00000 | 5.40000 | 0.00000 |
| 499 | GLOBAL | Cartesian | 249.00000 | 0.00000 | 0.00000 | No | 249.00000 | 0.00000 | 0.00000 |
| 500 | GLOBAL | Cartesian | 249.00000 | 5.40000 | 0.00000 | No | 249.00000 | 5.40000 | 0.00000 |
| 501 | GLOBAL | Cartesian | 250.00000 | 0.00000 | 0.00000 | No | 250.00000 | 0.00000 | 0.00000 |
| 502 | GLOBAL | Cartesian | 250.00000 | 5.40000 | 0.00000 | No | 250.00000 | 5.40000 | 0.00000 |
| 503 | GLOBAL | Cartesian | 251.00000 | 0.00000 | 0.00000 | No | 251.00000 | 0.00000 | 0.00000 |
| 504 | GLOBAL | Cartesian | 251.00000 | 5.40000 | 0.00000 | No | 251.00000 | 5.40000 | 0.00000 |
| 505 | GLOBAL | Cartesian | 252.00000 | 0.00000 | 0.00000 | No | 252.00000 | 0.00000 | 0.00000 |
| 506 | GLOBAL | Cartesian | 252.00000 | 5.40000 | 0.00000 | No | 252.00000 | 5.40000 | 0.00000 |
| 507 | GLOBAL | Cartesian | 253.00000 | 0.00000 | 0.00000 | No | 253.00000 | 0.00000 | 0.00000 |
| 508 | GLOBAL | Cartesian | 253.00000 | 5.40000 | 0.00000 | No | 253.00000 | 5.40000 | 0.00000 |
| 509 | GLOBAL | Cartesian | 254.00000 | 0.00000 | 0.00000 | No | 254.00000 | 0.00000 | 0.00000 |
| 510 | GLOBAL | Cartesian | 254.00000 | 5.40000 | 0.00000 | No | 254.00000 | 5.40000 | 0.00000 |
| 511 | GLOBAL | Cartesian | 255.00000 | 0.00000 | 0.00000 | No | 255.00000 | 0.00000 | 0.00000 |
| 512 | GLOBAL | Cartesian | 255.00000 | 5.40000 | 0.00000 | No | 255.00000 | 5.40000 | 0.00000 |
| 513 | GLOBAL | Cartesian | 256.00000 | 0.00000 | 0.00000 | No | 256.00000 | 0.00000 | 0.00000 |
| 514 | GLOBAL | Cartesian | 256.00000 | 5.40000 | 0.00000 | No | 256.00000 | 5.40000 | 0.00000 |
| 515 | GLOBAL | Cartesian | 257.00000 | 0.00000 | 0.00000 | No | 257.00000 | 0.00000 | 0.00000 |
| 516 | GLOBAL | Cartesian | 257.00000 | 5.40000 | 0.00000 | No | 257.00000 | 5.40000 | 0.00000 |
| 517 | GLOBAL | Cartesian | 258.00000 | 0.00000 | 0.00000 | No | 258.00000 | 0.00000 | 0.00000 |
| 518 | GLOBAL | Cartesian | 258.00000 | 5.40000 | 0.00000 | No | 258.00000 | 5.40000 | 0.00000 |
| 519 | GLOBAL | Cartesian | 259.00000 | 0.00000 | 0.00000 | No | 259.00000 | 0.00000 | 0.00000 |
| 520 | GLOBAL | Cartesian | 259.00000 | 5.40000 | 0.00000 | No | 259.00000 | 5.40000 | 0.00000 |
| 521 | GLOBAL | Cartesian | 260.00000 | 0.00000 | 0.00000 | No | 260.00000 | 0.00000 | 0.00000 |
| 522 | GLOBAL | Cartesian | 260.00000 | 5.40000 | 0.00000 | No | 260.00000 | 5.40000 | 0.00000 |
| 523 | GLOBAL | Cartesian | 261.00000 | 0.00000 | 0.00000 | No | 261.00000 | 0.00000 | 0.00000 |
| 524 | GLOBAL | Cartesian | 261.00000 | 5.40000 | 0.00000 | No | 261.00000 | 5.40000 | 0.00000 |
| 525 | GLOBAL | Cartesian | 262.00000 | 0.00000 | 0.00000 | No | 262.00000 | 0.00000 | 0.00000 |
| 526 | GLOBAL | Cartesian | 262.00000 | 5.40000 | 0.00000 | No | 262.00000 | 5.40000 | 0.00000 |
| 527 | GLOBAL | Cartesian | 263.00000 | 0.00000 | 0.00000 | No | 263.00000 | 0.00000 | 0.00000 |
| 528 | GLOBAL | Cartesian | 263.00000 | 5.40000 | 0.00000 | No | 263.00000 | 5.40000 | 0.00000 |
| 529 | GLOBAL | Cartesian | 264.00000 | 0.00000 | 0.00000 | No | 264.00000 | 0.00000 | 0.00000 |
| 530 | GLOBAL | Cartesian | 264.00000 | 5.40000 | 0.00000 | No | 264.00000 | 5.40000 | 0.00000 |
| 531 | GLOBAL | Cartesian | 265.00000 | 0.00000 | 0.00000 | No | 265.00000 | 0.00000 | 0.00000 |
| 532 | GLOBAL | Cartesian | 265.00000 | 5.40000 | 0.00000 | No | 265.00000 | 5.40000 | 0.00000 |
| 533 | GLOBAL | Cartesian | 266.00000 | 0.00000 | 0.00000 | No | 266.00000 | 0.00000 | 0.00000 |
| 534 | GLOBAL | Cartesian | 266.00000 | 5.40000 | 0.00000 | No | 266.00000 | 5.40000 | 0.00000 |
| 535 | GLOBAL | Cartesian | 267.00000 | 0.00000 | 0.00000 | No | 267.00000 | 0.00000 | 0.00000 |
| 536 | GLOBAL | Cartesian | 267.00000 | 5.40000 | 0.00000 | No | 267.00000 | 5.40000 | 0.00000 |
| 537 | GLOBAL | Cartesian | 268.00000 | 0.00000 | 0.00000 | No | 268.00000 | 0.00000 | 0.00000 |
| 538 | GLOBAL | Cartesian | 268.00000 | 5.40000 | 0.00000 | No | 268.00000 | 5.40000 | 0.00000 |
| 539 | GLOBAL | Cartesian | 269.00000 | 0.00000 | 0.00000 | No | 269.00000 | 0.00000 | 0.00000 |
| 540 | GLOBAL | Cartesian | 269.00000 | 5.40000 | 0.00000 | No | 269.00000 | 5.40000 | 0.00000 |
| 541 | GLOBAL | Cartesian | 270.00000 | 0.00000 | 0.00000 | No | 270.00000 | 0.00000 | 0.00000 |
| 542 | GLOBAL | Cartesian | 270.00000 | 5.40000 | 0.00000 | No | 270.00000 | 5.40000 | 0.00000 |
| 543 | GLOBAL | Cartesian | 271.00000 | 0.00000 | 0.00000 | No | 271.00000 | 0.00000 | 0.00000 |
| 544 | GLOBAL | Cartesian | 271.00000 | 5.40000 | 0.00000 | No | 271.00000 | 5.40000 | 0.00000 |
| 545 | GLOBAL | Cartesian | 272.00000 | 0.00000 | 0.00000 | No | 272.00000 | 0.00000 | 0.00000 |
| 546 | GLOBAL | Cartesian | 272.00000 | 5.40000 | 0.00000 | No | 272.00000 | 5.40000 | 0.00000 |
| 547 | GLOBAL | Cartesian | 273.00000 | 0.00000 | 0.00000 | No | 273.00000 | 0.00000 | 0.00000 |
| 548 | GLOBAL | Cartesian | 273.00000 | 5.40000 | 0.00000 | No | 273.00000 | 5.40000 | 0.00000 |
| 549 | GLOBAL | Cartesian | 274.00000 | 0.00000 | 0.00000 | No | 274.00000 | 0.00000 | 0.00000 |
| 550 | GLOBAL | Cartesian | 274.00000 | 5.40000 | 0.00000 | No | 274.00000 | 5.40000 | 0.00000 |
| 551 | GLOBAL | Cartesian | 275.00000 | 0.00000 | 0.00000 | No | 275.00000 | 0.00000 | 0.00000 |
| 552 | GLOBAL | Cartesian | 275.00000 | 5.40000 | 0.00000 | No | 275.00000 | 5.40000 | 0.00000 |
| 553 | GLOBAL | Cartesian | 276.00000 | 0.00000 | 0.00000 | No | 276.00000 | 0.00000 | 0.00000 |
| 554 | GLOBAL | Cartesian | 276.00000 | 5.40000 | 0.00000 | No | 276.00000 | 5.40000 | 0.00000 |
| 555 | GLOBAL | Cartesian | 277.00000 | 0.00000 | 0.00000 | No | 277.00000 | 0.00000 | 0.00000 |
| 556 | GLOBAL | Cartesian | 277.00000 | 5.40000 | 0.00000 | No | 277.00000 | 5.40000 | 0.00000 |
| 557 | GLOBAL | Cartesian | 278.00000 | 0.00000 | 0.00000 | No | 278.00000 | 0.00000 | 0.00000 |
| 558 | GLOBAL | Cartesian | 278.00000 | 5.40000 | 0.00000 | No | 278.00000 | 5.40000 | 0.00000 |
| 559 | GLOBAL | Cartesian | 279.00000 | 0.00000 | 0.00000 | No | 279.00000 | 0.00000 | 0.00000 |
| 560 | GLOBAL | Cartesian | 279.00000 | 5.40000 | 0.00000 | No | 279.00000 | 5.40000 | 0.00000 |
| 561 | GLOBAL | Cartesian | 280.00000 | 0.00000 | 0.00000 | No | 280.00000 | 0.00000 | 0.00000 |
| 562 | GLOBAL | Cartesian | 280.00000 | 5.40000 | 0.00000 | No | 280.00000 | 5.40000 | 0.00000 |
| 563 | GLOBAL | Cartesian | 281.00000 | 0.00000 | 0.00000 | No | 281.00000 | 0.00000 | 0.00000 |
| 564 | GLOBAL | Cartesian | 281.00000 | 5.40000 | 0.00000 | No | 281.00000 | 5.40000 | 0.00000 |
| 565 | GLOBAL | Cartesian | 282.00000 | 0.00000 | 0.00000 | No | 282.00000 | 0.00000 | 0.00000 |
| 566 | GLOBAL | Cartesian | 282.00000 | 5.40000 | 0.00000 | No | 282.00000 | 5.40000 | 0.00000 |
| 567 | GLOBAL | Cartesian | 283.00000 | 0.00000 | 0.00000 | No | 283.00000 | 0.00000 | 0.00000 |
| 568 | GLOBAL | Cartesian | 283.00000 | 5.40000 | 0.00000 | No | 283.00000 | 5.40000 | 0.00000 |
| 569 | GLOBAL | Cartesian | 284.00000 | 0.00000 | 0.00000 | No | 284.00000 | 0.00000 | 0.00000 |
| 570 | GLOBAL | Cartesian | 284.00000 | 5.40000 | 0.00000 | No | 284.00000 | 5.40000 | 0.00000 |
| 571 | GLOBAL | Cartesian | 285.00000 | 0.00000 | 0.00000 | No | 285.00000 | 0.00000 | 0.00000 |
| 572 | GLOBAL | Cartesian | 285.00000 | 5.40000 | 0.00000 | No | 285.00000 | 5.40000 | 0.00000 |
| 573 | GLOBAL | Cartesian | 286.00000 | 0.00000 | 0.00000 | No | 286.00000 | 0.00000 | 0.00000 |
| 574 | GLOBAL | Cartesian | 286.00000 | 5.40000 | 0.00000 | No | 286.00000 | 5.40000 | 0.00000 |
| 575 | GLOBAL | Cartesian | 287.00000 | 0.00000 | 0.00000 | No | 287.00000 | 0.00000 | 0.00000 |
| 576 | GLOBAL | Cartesian | 287.00000 | 5.40000 | 0.00000 | No | 287.00000 | 5.40000 | 0.00000 |
| 577 | GLOBAL | Cartesian | 288.00000 | 0.00000 | 0.00000 | No | 288.00000 | 0.00000 | 0.00000 |
| 578 | GLOBAL | Cartesian | 288.00000 | 5.40000 | 0.00000 | No | 288.00000 | 5.40000 | 0.00000 |
| 579 | GLOBAL | Cartesian | 289.00000 | 0.00000 | 0.00000 | No | 289.00000 | 0.00000 | 0.00000 |





| Joint | CoordSys | CoordType | XorR | Y | Z | SpecialJt | GlobalX | GlobalY | GlobalZ |
|---|---|---|---|---|---|---|---|---|---|
| Text | Text | Text | m | m | m | Yes/No | m | m | m |
| 580 | GLOBAL | Cartesian | 289.00000 | 5.40000 | 0.00000 | No | 289.00000 | 5.40000 | 0.00000 |
| 581 | GLOBAL | Cartesian | 290.00000 | 0.00000 | 0.00000 | No | 290.00000 | 0.00000 | 0.00000 |
| 582 | GLOBAL | Cartesian | 290.00000 | 5.40000 | 0.00000 | No | 290.00000 | 5.40000 | 0.00000 |
| 583 | GLOBAL | Cartesian | 291.00000 | 0.00000 | 0.00000 | No | 291.00000 | 0.00000 | 0.00000 |
| 584 | GLOBAL | Cartesian | 291.00000 | 5.40000 | 0.00000 | No | 291.00000 | 5.40000 | 0.00000 |
| 585 | GLOBAL | Cartesian | 292.00000 | 0.00000 | 0.00000 | No | 292.00000 | 0.00000 | 0.00000 |
| 586 | GLOBAL | Cartesian | 292.00000 | 5.40000 | 0.00000 | No | 292.00000 | 5.40000 | 0.00000 |
| 587 | GLOBAL | Cartesian | 293.00000 | 0.00000 | 0.00000 | No | 293.00000 | 0.00000 | 0.00000 |
| 588 | GLOBAL | Cartesian | 293.00000 | 5.40000 | 0.00000 | No | 293.00000 | 5.40000 | 0.00000 |
| 589 | GLOBAL | Cartesian | 294.00000 | 0.00000 | 0.00000 | No | 294.00000 | 0.00000 | 0.00000 |
| 590 | GLOBAL | Cartesian | 294.00000 | 5.40000 | 0.00000 | No | 294.00000 | 5.40000 | 0.00000 |
| 591 | GLOBAL | Cartesian | 295.00000 | 0.00000 | 0.00000 | No | 295.00000 | 0.00000 | 0.00000 |
| 592 | GLOBAL | Cartesian | 295.00000 | 5.40000 | 0.00000 | No | 295.00000 | 5.40000 | 0.00000 |
| 593 | GLOBAL | Cartesian | 296.00000 | 0.00000 | 0.00000 | No | 296.00000 | 0.00000 | 0.00000 |
| 594 | GLOBAL | Cartesian | 296.00000 | 5.40000 | 0.00000 | No | 296.00000 | 5.40000 | 0.00000 |
| 595 | GLOBAL | Cartesian | 297.00000 | 0.00000 | 0.00000 | No | 297.00000 | 0.00000 | 0.00000 |
| 596 | GLOBAL | Cartesian | 297.00000 | 5.40000 | 0.00000 | No | 297.00000 | 5.40000 | 0.00000 |
| 597 | GLOBAL | Cartesian | 298.00000 | 0.00000 | 0.00000 | No | 298.00000 | 0.00000 | 0.00000 |
| 598 | GLOBAL | Cartesian | 298.00000 | 5.40000 | 0.00000 | No | 298.00000 | 5.40000 | 0.00000 |
| 599 | GLOBAL | Cartesian | 299.00000 | 0.00000 | 0.00000 | No | 299.00000 | 0.00000 | 0.00000 |
| 600 | GLOBAL | Cartesian | 299.00000 | 5.40000 | 0.00000 | No | 299.00000 | 5.40000 | 0.00000 |
| 601 | GLOBAL | Cartesian | 300.00000 | 0.00000 | 0.00000 | No | 300.00000 | 0.00000 | 0.00000 |
| 602 | GLOBAL | Cartesian | 300.00000 | 5.40000 | 0.00000 | No | 300.00000 | 5.40000 | 0.00000 |
| 603 | GLOBAL | Cartesian | 301.00000 | 0.00000 | 0.00000 | No | 301.00000 | 0.00000 | 0.00000 |
| 604 | GLOBAL | Cartesian | 301.00000 | 5.40000 | 0.00000 | No | 301.00000 | 5.40000 | 0.00000 |
| 605 | GLOBAL | Cartesian | 302.00000 | 0.00000 | 0.00000 | No | 302.00000 | 0.00000 | 0.00000 |
| 606 | GLOBAL | Cartesian | 302.00000 | 5.40000 | 0.00000 | No | 302.00000 | 5.40000 | 0.00000 |
| 607 | GLOBAL | Cartesian | 303.00000 | 0.00000 | 0.00000 | No | 303.00000 | 0.00000 | 0.00000 |
| 608 | GLOBAL | Cartesian | 303.00000 | 5.40000 | 0.00000 | No | 303.00000 | 5.40000 | 0.00000 |
| 609 | GLOBAL | Cartesian | 304.00000 | 0.00000 | 0.00000 | No | 304.00000 | 0.00000 | 0.00000 |
| 610 | GLOBAL | Cartesian | 304.00000 | 5.40000 | 0.00000 | No | 304.00000 | 5.40000 | 0.00000 |
| 611 | GLOBAL | Cartesian | 305.00000 | 0.00000 | 0.00000 | No | 305.00000 | 0.00000 | 0.00000 |
| 612 | GLOBAL | Cartesian | 305.00000 | 5.40000 | 0.00000 | No | 305.00000 | 5.40000 | 0.00000 |
| 613 | GLOBAL | Cartesian | 306.00000 | 0.00000 | 0.00000 | No | 306.00000 | 0.00000 | 0.00000 |
| 614 | GLOBAL | Cartesian | 306.00000 | 5.40000 | 0.00000 | No | 306.00000 | 5.40000 | 0.00000 |
| 615 | GLOBAL | Cartesian | 307.00000 | 0.00000 | 0.00000 | No | 307.00000 | 0.00000 | 0.00000 |
| 616 | GLOBAL | Cartesian | 307.00000 | 5.40000 | 0.00000 | No | 307.00000 | 5.40000 | 0.00000 |
| 617 | GLOBAL | Cartesian | 308.00000 | 0.00000 | 0.00000 | No | 308.00000 | 0.00000 | 0.00000 |
| 618 | GLOBAL | Cartesian | 308.00000 | 5.40000 | 0.00000 | No | 308.00000 | 5.40000 | 0.00000 |
| 619 | GLOBAL | Cartesian | 309.00000 | 0.00000 | 0.00000 | No | 309.00000 | 0.00000 | 0.00000 |
| 620 | GLOBAL | Cartesian | 309.00000 | 5.40000 | 0.00000 | No | 309.00000 | 5.40000 | 0.00000 |
| 621 | GLOBAL | Cartesian | 310.00000 | 0.00000 | 0.00000 | No | 310.00000 | 0.00000 | 0.00000 |
| 622 | GLOBAL | Cartesian | 310.00000 | 5.40000 | 0.00000 | No | 310.00000 | 5.40000 | 0.00000 |
| 623 | GLOBAL | Cartesian | 311.00000 | 0.00000 | 0.00000 | No | 311.00000 | 0.00000 | 0.00000 |
| 624 | GLOBAL | Cartesian | 311.00000 | 5.40000 | 0.00000 | No | 311.00000 | 5.40000 | 0.00000 |
| 625 | GLOBAL | Cartesian | 312.00000 | 0.00000 | 0.00000 | No | 312.00000 | 0.00000 | 0.00000 |
| 626 | GLOBAL | Cartesian | 312.00000 | 5.40000 | 0.00000 | No | 312.00000 | 5.40000 | 0.00000 |
| 627 | GLOBAL | Cartesian | 313.00000 | 0.00000 | 0.00000 | No | 313.00000 | 0.00000 | 0.00000 |
| 628 | GLOBAL | Cartesian | 313.00000 | 5.40000 | 0.00000 | No | 313.00000 | 5.40000 | 0.00000 |
| 629 | GLOBAL | Cartesian | 314.00000 | 0.00000 | 0.00000 | No | 314.00000 | 0.00000 | 0.00000 |
| 630 | GLOBAL | Cartesian | 314.00000 | 5.40000 | 0.00000 | No | 314.00000 | 5.40000 | 0.00000 |
| 631 | GLOBAL | Cartesian | 315.00000 | 0.00000 | 0.00000 | No | 315.00000 | 0.00000 | 0.00000 |
| 632 | GLOBAL | Cartesian | 315.00000 | 5.40000 | 0.00000 | No | 315.00000 | 5.40000 | 0.00000 |
| 633 | GLOBAL | Cartesian | 316.00000 | 0.00000 | 0.00000 | No | 316.00000 | 0.00000 | 0.00000 |
| 634 | GLOBAL | Cartesian | 316.00000 | 5.40000 | 0.00000 | No | 316.00000 | 5.40000 | 0.00000 |
| 635 | GLOBAL | Cartesian | 317.00000 | 0.00000 | 0.00000 | No | 317.00000 | 0.00000 | 0.00000 |
| 636 | GLOBAL | Cartesian | 317.00000 | 5.40000 | 0.00000 | No | 317.00000 | 5.40000 | 0.00000 |
| 637 | GLOBAL | Cartesian | 318.00000 | 0.00000 | 0.00000 | No | 318.00000 | 0.00000 | 0.00000 |
| 638 | GLOBAL | Cartesian | 318.00000 | 5.40000 | 0.00000 | No | 318.00000 | 5.40000 | 0.00000 |
| 639 | GLOBAL | Cartesian | 319.00000 | 0.00000 | 0.00000 | No | 319.00000 | 0.00000 | 0.00000 |
| 640 | GLOBAL | Cartesian | 319.00000 | 5.40000 | 0.00000 | No | 319.00000 | 5.40000 | 0.00000 |
| 641 | GLOBAL | Cartesian | 320.00000 | 0.00000 | 0.00000 | No | 320.00000 | 0.00000 | 0.00000 |
| 642 | GLOBAL | Cartesian | 320.00000 | 5.40000 | 0.00000 | No | 320.00000 | 5.40000 | 0.00000 |
| 643 | GLOBAL | Cartesian | 321.00000 | 0.00000 | 0.00000 | No | 321.00000 | 0.00000 | 0.00000 |
| 644 | GLOBAL | Cartesian | 321.00000 | 5.40000 | 0.00000 | No | 321.00000 | 5.40000 | 0.00000 |
| 645 | GLOBAL | Cartesian | 322.00000 | 0.00000 | 0.00000 | No | 322.00000 | 0.00000 | 0.00000 |
| 646 | GLOBAL | Cartesian | 322.00000 | 5.40000 | 0.00000 | No | 322.00000 | 5.40000 | 0.00000 |
| 647 | GLOBAL | Cartesian | 323.00000 | 0.00000 | 0.00000 | No | 323.00000 | 0.00000 | 0.00000 |
| 648 | GLOBAL | Cartesian | 323.00000 | 5.40000 | 0.00000 | No | 323.00000 | 5.40000 | 0.00000 |
| 649 | GLOBAL | Cartesian | 324.00000 | 0.00000 | 0.00000 | No | 324.00000 | 0.00000 | 0.00000 |
| 650 | GLOBAL | Cartesian | 324.00000 | 5.40000 | 0.00000 | No | 324.00000 | 5.40000 | 0.00000 |
| 651 | GLOBAL | Cartesian | 325.00000 | 0.00000 | 0.00000 | No | 325.00000 | 0.00000 | 0.00000 |
| 652 | GLOBAL | Cartesian | 325.00000 | 5.40000 | 0.00000 | No | 325.00000 | 5.40000 | 0.00000 |
| 653 | GLOBAL | Cartesian | 326.00000 | 0.00000 | 0.00000 | No | 326.00000 | 0.00000 | 0.00000 |
| 654 | GLOBAL | Cartesian | 326.00000 | 5.40000 | 0.00000 | No | 326.00000 | 5.40000 | 0.00000 |
| 655 | GLOBAL | Cartesian | 327.00000 | 0.00000 | 0.00000 | No | 327.00000 | 0.00000 | 0.00000 |
| 656 | GLOBAL | Cartesian | 327.00000 | 5.40000 | 0.00000 | No | 327.00000 | 5.40000 | 0.00000 |
| 657 | GLOBAL | Cartesian | 328.00000 | 0.00000 | 0.00000 | No | 328.00000 | 0.00000 | 0.00000 |
| 658 | GLOBAL | Cartesian | 328.00000 | 5.40000 | 0.00000 | No | 328.00000 | 5.40000 | 0.00000 |
| 659 | GLOBAL | Cartesian | 329.00000 | 0.00000 | 0.00000 | No | 329.00000 | 0.00000 | 0.00000 |
| 660 | GLOBAL | Cartesian | 329.00000 | 5.40000 | 0.00000 | No | 329.00000 | 5.40000 | 0.00000 |
| 661 | GLOBAL | Cartesian | 330.00000 | 0.00000 | 0.00000 | No | 330.00000 | 0.00000 | 0.00000 |
| 662 | GLOBAL | Cartesian | 330.00000 | 5.40000 | 0.00000 | No | 330.00000 | 5.40000 | 0.00000 |
| 663 | GLOBAL | Cartesian | 331.00000 | 0.00000 | 0.00000 | No | 331.00000 | 0.00000 | 0.00000 |
| 664 | GLOBAL | Cartesian | 331.00000 | 5.40000 | 0.00000 | No | 331.00000 | 5.40000 | 0.00000 |
| 665 | GLOBAL | Cartesian | 332.00000 | 0.00000 | 0.00000 | No | 332.00000 | 0.00000 | 0.00000 |
| 666 | GLOBAL | Cartesian | 332.00000 | 5.40000 | 0.00000 | No | 332.00000 | 5.40000 | 0.00000 |
| 667 | GLOBAL | Cartesian | 333.00000 | 0.00000 | 0.00000 | No | 333.00000 | 0.00000 | 0.00000 |
| 668 | GLOBAL | Cartesian | 333.00000 | 5.40000 | 0.00000 | No | 333.00000 | 5.40000 | 0.00000 |
| 669 | GLOBAL | Cartesian | 334.00000 | 0.00000 | 0.00000 | No | 334.00000 | 0.00000 | 0.00000 |
| 670 | GLOBAL | Cartesian | 334.00000 | 5.40000 | 0.00000 | No | 334.00000 | 5.40000 | 0.00000 |

| Joint | CoordSys | CoordType | XorR | Y | Z | SpecialJt | GlobalX | GlobalY | GlobalZ |
|---|---|---|---|---|---|---|---|---|---|
| Text | Text | Text | m | m | m | Yes/No | m | m | m |
| 671 | GLOBAL | Cartesian | 335.00000 | 0.00000 | 0.00000 | No | 335.00000 | 0.00000 | 0.00000 |
| 672 | GLOBAL | Cartesian | 335.00000 | 5.40000 | 0.00000 | No | 335.00000 | 5.40000 | 0.00000 |
| 673 | GLOBAL | Cartesian | 336.00000 | 0.00000 | 0.00000 | No | 336.00000 | 0.00000 | 0.00000 |
| 674 | GLOBAL | Cartesian | 336.00000 | 5.40000 | 0.00000 | No | 336.00000 | 5.40000 | 0.00000 |
| 675 | GLOBAL | Cartesian | 337.00000 | 0.00000 | 0.00000 | No | 337.00000 | 0.00000 | 0.00000 |
| 676 | GLOBAL | Cartesian | 337.00000 | 5.40000 | 0.00000 | No | 337.00000 | 5.40000 | 0.00000 |
| 677 | GLOBAL | Cartesian | 338.00000 | 0.00000 | 0.00000 | No | 338.00000 | 0.00000 | 0.00000 |
| 678 | GLOBAL | Cartesian | 338.00000 | 5.40000 | 0.00000 | No | 338.00000 | 5.40000 | 0.00000 |
| 679 | GLOBAL | Cartesian | 339.00000 | 0.00000 | 0.00000 | No | 339.00000 | 0.00000 | 0.00000 |
| 680 | GLOBAL | Cartesian | 339.00000 | 5.40000 | 0.00000 | No | 339.00000 | 5.40000 | 0.00000 |
| 681 | GLOBAL | Cartesian | 340.00000 | 0.00000 | 0.00000 | No | 340.00000 | 0.00000 | 0.00000 |
| 682 | GLOBAL | Cartesian | 340.00000 | 5.40000 | 0.00000 | No | 340.00000 | 5.40000 | 0.00000 |
| 683 | GLOBAL | Cartesian | 341.00000 | 0.00000 | 0.00000 | No | 341.00000 | 0.00000 | 0.00000 |
| 684 | GLOBAL | Cartesian | 341.00000 | 5.40000 | 0.00000 | No | 341.00000 | 5.40000 | 0.00000 |
| 685 | GLOBAL | Cartesian | 342.00000 | 0.00000 | 0.00000 | No | 342.00000 | 0.00000 | 0.00000 |
| 686 | GLOBAL | Cartesian | 342.00000 | 5.40000 | 0.00000 | No | 342.00000 | 5.40000 | 0.00000 |
| 687 | GLOBAL | Cartesian | 343.00000 | 0.00000 | 0.00000 | No | 343.00000 | 0.00000 | 0.00000 |
| 688 | GLOBAL | Cartesian | 343.00000 | 5.40000 | 0.00000 | No | 343.00000 | 5.40000 | 0.00000 |
| 689 | GLOBAL | Cartesian | 344.00000 | 0.00000 | 0.00000 | No | 344.00000 | 0.00000 | 0.00000 |
| 690 | GLOBAL | Cartesian | 344.00000 | 5.40000 | 0.00000 | No | 344.00000 | 5.40000 | 0.00000 |
| 691 | GLOBAL | Cartesian | 345.00000 | 0.00000 | 0.00000 | No | 345.00000 | 0.00000 | 0.00000 |
| 692 | GLOBAL | Cartesian | 345.00000 | 5.40000 | 0.00000 | No | 345.00000 | 5.40000 | 0.00000 |
| 693 | GLOBAL | Cartesian | 346.00000 | 0.00000 | 0.00000 | No | 346.00000 | 0.00000 | 0.00000 |
| 694 | GLOBAL | Cartesian | 346.00000 | 5.40000 | 0.00000 | No | 346.00000 | 5.40000 | 0.00000 |
| 695 | GLOBAL | Cartesian | 347.00000 | 0.00000 | 0.00000 | No | 347.00000 | 0.00000 | 0.00000 |
| 696 | GLOBAL | Cartesian | 347.00000 | 5.40000 | 0.00000 | No | 347.00000 | 5.40000 | 0.00000 |
| 697 | GLOBAL | Cartesian | 348.00000 | 0.00000 | 0.00000 | No | 348.00000 | 0.00000 | 0.00000 |
| 698 | GLOBAL | Cartesian | 348.00000 | 5.40000 | 0.00000 | No | 348.00000 | 5.40000 | 0.00000 |
| 699 | GLOBAL | Cartesian | 349.00000 | 0.00000 | 0.00000 | No | 349.00000 | 0.00000 | 0.00000 |
| 700 | GLOBAL | Cartesian | 349.00000 | 5.40000 | 0.00000 | No | 349.00000 | 5.40000 | 0.00000 |
| 701 | GLOBAL | Cartesian | 350.00000 | 0.00000 | 0.00000 | No | 350.00000 | 0.00000 | 0.00000 |
| 702 | GLOBAL | Cartesian | 350.00000 | 5.40000 | 0.00000 | No | 350.00000 | 5.40000 | 0.00000 |
| 703 | GLOBAL | Cartesian | 351.00000 | 0.00000 | 0.00000 | No | 351.00000 | 0.00000 | 0.00000 |
| 704 | GLOBAL | Cartesian | 351.00000 | 5.40000 | 0.00000 | No | 351.00000 | 5.40000 | 0.00000 |
| 705 | GLOBAL | Cartesian | 352.00000 | 0.00000 | 0.00000 | No | 352.00000 | 0.00000 | 0.00000 |
| 706 | GLOBAL | Cartesian | 352.00000 | 5.40000 | 0.00000 | No | 352.00000 | 5.40000 | 0.00000 |
| 707 | GLOBAL | Cartesian | 353.00000 | 0.00000 | 0.00000 | No | 353.00000 | 0.00000 | 0.00000 |
| 708 | GLOBAL | Cartesian | 353.00000 | 5.40000 | 0.00000 | No | 353.00000 | 5.40000 | 0.00000 |
| 709 | GLOBAL | Cartesian | 354.00000 | 0.00000 | 0.00000 | No | 354.00000 | 0.00000 | 0.00000 |
| 710 | GLOBAL | Cartesian | 354.00000 | 5.40000 | 0.00000 | No | 354.00000 | 5.40000 | 0.00000 |
| 711 | GLOBAL | Cartesian | 355.00000 | 0.00000 | 0.00000 | No | 355.00000 | 0.00000 | 0.00000 |
| 712 | GLOBAL | Cartesian | 355.00000 | 5.40000 | 0.00000 | No | 355.00000 | 5.40000 | 0.00000 |
| 713 | GLOBAL | Cartesian | 356.00000 | 0.00000 | 0.00000 | No | 356.00000 | 0.00000 | 0.00000 |
| 714 | GLOBAL | Cartesian | 356.00000 | 5.40000 | 0.00000 | No | 356.00000 | 5.40000 | 0.00000 |
| 715 | GLOBAL | Cartesian | 357.00000 | 0.00000 | 0.00000 | No | 357.00000 | 0.00000 | 0.00000 |
| 716 | GLOBAL | Cartesian | 357.00000 | 5.40000 | 0.00000 | No | 357.00000 | 5.40000 | 0.00000 |
| 717 | GLOBAL | Cartesian | 358.00000 | 0.00000 | 0.00000 | No | 358.00000 | 0.00000 | 0.00000 |
| 718 | GLOBAL | Cartesian | 358.00000 | 5.40000 | 0.00000 | No | 358.00000 | 5.40000 | 0.00000 |
| 719 | GLOBAL | Cartesian | 359.00000 | 0.00000 | 0.00000 | No | 359.00000 | 0.00000 | 0.00000 |
| 720 | GLOBAL | Cartesian | 359.00000 | 5.40000 | 0.00000 | No | 359.00000 | 5.40000 | 0.00000 |
| 721 | GLOBAL | Cartesian | 360.00000 | 0.00000 | 0.00000 | No | 360.00000 | 0.00000 | 0.00000 |
| 722 | GLOBAL | Cartesian | 360.00000 | 5.40000 | 0.00000 | No | 360.00000 | 5.40000 | 0.00000 |
| 723 | GLOBAL | Cartesian | 361.00000 | 0.00000 | 0.00000 | No | 361.00000 | 0.00000 | 0.00000 |
| 724 | GLOBAL | Cartesian | 361.00000 | 5.40000 | 0.00000 | No | 361.00000 | 5.40000 | 0.00000 |
| 725 | GLOBAL | Cartesian | 362.00000 | 0.00000 | 0.00000 | No | 362.00000 | 0.00000 | 0.00000 |
| 726 | GLOBAL | Cartesian | 362.00000 | 5.40000 | 0.00000 | No | 362.00000 | 5.40000 | 0.00000 |
| 727 | GLOBAL | Cartesian | 363.00000 | 0.00000 | 0.00000 | No | 363.00000 | 0.00000 | 0.00000 |
| 728 | GLOBAL | Cartesian | 363.00000 | 5.40000 | 0.00000 | No | 363.00000 | 5.40000 | 0.00000 |
| 729 | GLOBAL | Cartesian | 364.00000 | 0.00000 | 0.00000 | No | 364.00000 | 0.00000 | 0.00000 |
| 730 | GLOBAL | Cartesian | 364.00000 | 5.40000 | 0.00000 | No | 364.00000 | 5.40000 | 0.00000 |
| 731 | GLOBAL | Cartesian | 365.00000 | 0.00000 | 0.00000 | No | 365.00000 | 0.00000 | 0.00000 |
| 732 | GLOBAL | Cartesian | 365.00000 | 5.40000 | 0.00000 | No | 365.00000 | 5.40000 | 0.00000 |
| 733 | GLOBAL | Cartesian | 366.00000 | 0.00000 | 0.00000 | No | 366.00000 | 0.00000 | 0.00000 |
| 734 | GLOBAL | Cartesian | 366.00000 | 5.40000 | 0.00000 | No | 366.00000 | 5.40000 | 0.00000 |
| 735 | GLOBAL | Cartesian | 367.00000 | 0.00000 | 0.00000 | No | 367.00000 | 0.00000 | 0.00000 |
| 736 | GLOBAL | Cartesian | 367.00000 | 5.40000 | 0.00000 | No | 367.00000 | 5.40000 | 0.00000 |
| 737 | GLOBAL | Cartesian | 368.00000 | 0.00000 | 0.00000 | No | 368.00000 | 0.00000 | 0.00000 |
| 738 | GLOBAL | Cartesian | 368.00000 | 5.40000 | 0.00000 | No | 368.00000 | 5.40000 | 0.00000 |
| 739 | GLOBAL | Cartesian | 369.00000 | 0.00000 | 0.00000 | No | 369.00000 | 0.00000 | 0.00000 |
| 740 | GLOBAL | Cartesian | 369.00000 | 5.40000 | 0.00000 | No | 369.00000 | 5.40000 | 0.00000 |
| 741 | GLOBAL | Cartesian | 370.00000 | 0.00000 | 0.00000 | No | 370.00000 | 0.00000 | 0.00000 |
| 742 | GLOBAL | Cartesian | 370.00000 | 5.40000 | 0.00000 | No | 370.00000 | 5.40000 | 0.00000 |
| 743 | GLOBAL | Cartesian | 371.00000 | 0.00000 | 0.00000 | No | 371.00000 | 0.00000 | 0.00000 |
| 744 | GLOBAL | Cartesian | 371.00000 | 5.40000 | 0.00000 | No | 371.00000 | 5.40000 | 0.00000 |
| 745 | GLOBAL | Cartesian | 372.00000 | 0.00000 | 0.00000 | No | 372.00000 | 0.00000 | 0.00000 |
| 746 | GLOBAL | Cartesian | 372.00000 | 5.40000 | 0.00000 | No | 372.00000 | 5.40000 | 0.00000 |
| 747 | GLOBAL | Cartesian | 373.00000 | 0.00000 | 0.00000 | No | 373.00000 | 0.00000 | 0.00000 |
| 748 | GLOBAL | Cartesian | 373.00000 | 5.40000 | 0.00000 | No | 373.00000 | 5.40000 | 0.00000 |
| 749 | GLOBAL | Cartesian | 374.00000 | 0.00000 | 0.00000 | No | 374.00000 | 0.00000 | 0.00000 |
| 750 | GLOBAL | Cartesian | 374.00000 | 5.40000 | 0.00000 | No | 374.00000 | 5.40000 | 0.00000 |
| 751 | GLOBAL | Cartesian | 375.00000 | 0.00000 | 0.00000 | No | 375.00000 | 0.00000 | 0.00000 |
| 752 | GLOBAL | Cartesian | 375.00000 | 5.40000 | 0.00000 | No | 375.00000 | 5.40000 | 0.00000 |
| 753 | GLOBAL | Cartesian | 376.00000 | 0.00000 | 0.00000 | No | 376.00000 | 0.00000 | 0.00000 |
| 754 | GLOBAL | Cartesian | 376.00000 | 5.40000 | 0.00000 | No | 376.00000 | 5.40000 | 0.00000 |
| 755 | GLOBAL | Cartesian | 377.00000 | 0.00000 | 0.00000 | No | 377.00000 | 0.00000 | 0.00000 |
| 756 | GLOBAL | Cartesian | 377.00000 | 5.40000 | 0.00000 | No | 377.00000 | 5.40000 | 0.00000 |
| 757 | GLOBAL | Cartesian | 378.00000 | 0.00000 | 0.00000 | No | 378.00000 | 0.00000 | 0.00000 |
| 758 | GLOBAL | Cartesian | 378.00000 | 5.40000 | 0.00000 | No | 378.00000 | 5.40000 | 0.00000 |
| 759 | GLOBAL | Cartesian | 379.00000 | 0.00000 | 0.00000 | No | 379.00000 | 0.00000 | 0.00000 |
| 760 | GLOBAL | Cartesian | 379.00000 | 5.40000 | 0.00000 | No | 379.00000 | 5.40000 | 0.00000 |
| 761 | GLOBAL | Cartesian | 380.00000 | 0.00000 | 0.00000 | No | 380.00000 | 0.00000 | 0.00000 |





| Joint | CoordSys | CoordType | XorR | Y | Z | SpecialJt | GlobalX | GlobalY | GlobalZ |
|---|---|---|---|---|---|---|---|---|---|
| Text | Text | Text | m | m | m | Yes/No | m | m | m |
| 762 | GLOBAL | Cartesian | 380.00000 | 5.40000 | 0.00000 | No | 380.00000 | 5.40000 | 0.00000 |
| 763 | GLOBAL | Cartesian | 381.00000 | 0.00000 | 0.00000 | No | 381.00000 | 0.00000 | 0.00000 |
| 764 | GLOBAL | Cartesian | 381.00000 | 5.40000 | 0.00000 | No | 381.00000 | 5.40000 | 0.00000 |
| 765 | GLOBAL | Cartesian | 382.00000 | 0.00000 | 0.00000 | No | 382.00000 | 0.00000 | 0.00000 |
| 766 | GLOBAL | Cartesian | 382.00000 | 5.40000 | 0.00000 | No | 382.00000 | 5.40000 | 0.00000 |
| 767 | GLOBAL | Cartesian | 383.00000 | 0.00000 | 0.00000 | No | 383.00000 | 0.00000 | 0.00000 |
| 768 | GLOBAL | Cartesian | 383.00000 | 5.40000 | 0.00000 | No | 383.00000 | 5.40000 | 0.00000 |
| 769 | GLOBAL | Cartesian | 384.00000 | 0.00000 | 0.00000 | No | 384.00000 | 0.00000 | 0.00000 |
| 770 | GLOBAL | Cartesian | 384.00000 | 5.40000 | 0.00000 | No | 384.00000 | 5.40000 | 0.00000 |
| 771 | GLOBAL | Cartesian | 385.00000 | 0.00000 | 0.00000 | No | 385.00000 | 0.00000 | 0.00000 |
| 772 | GLOBAL | Cartesian | 385.00000 | 5.40000 | 0.00000 | No | 385.00000 | 5.40000 | 0.00000 |
| 773 | GLOBAL | Cartesian | 386.00000 | 0.00000 | 0.00000 | No | 386.00000 | 0.00000 | 0.00000 |
| 774 | GLOBAL | Cartesian | 386.00000 | 5.40000 | 0.00000 | No | 386.00000 | 5.40000 | 0.00000 |
| 775 | GLOBAL | Cartesian | 387.00000 | 0.00000 | 0.00000 | No | 387.00000 | 0.00000 | 0.00000 |
| 776 | GLOBAL | Cartesian | 387.00000 | 5.40000 | 0.00000 | No | 387.00000 | 5.40000 | 0.00000 |
| 777 | GLOBAL | Cartesian | 388.00000 | 0.00000 | 0.00000 | No | 388.00000 | 0.00000 | 0.00000 |
| 778 | GLOBAL | Cartesian | 388.00000 | 5.40000 | 0.00000 | No | 388.00000 | 5.40000 | 0.00000 |
| 779 | GLOBAL | Cartesian | 389.00000 | 0.00000 | 0.00000 | No | 389.00000 | 0.00000 | 0.00000 |
| 780 | GLOBAL | Cartesian | 389.00000 | 5.40000 | 0.00000 | No | 389.00000 | 5.40000 | 0.00000 |
| 781 | GLOBAL | Cartesian | 390.00000 | 0.00000 | 0.00000 | No | 390.00000 | 0.00000 | 0.00000 |
| 782 | GLOBAL | Cartesian | 390.00000 | 5.40000 | 0.00000 | No | 390.00000 | 5.40000 | 0.00000 |
| 783 | GLOBAL | Cartesian | 391.00000 | 0.00000 | 0.00000 | No | 391.00000 | 0.00000 | 0.00000 |
| 784 | GLOBAL | Cartesian | 391.00000 | 5.40000 | 0.00000 | No | 391.00000 | 5.40000 | 0.00000 |
| 785 | GLOBAL | Cartesian | 392.00000 | 0.00000 | 0.00000 | No | 392.00000 | 0.00000 | 0.00000 |
| 786 | GLOBAL | Cartesian | 392.00000 | 5.40000 | 0.00000 | No | 392.00000 | 5.40000 | 0.00000 |
| 787 | GLOBAL | Cartesian | 393.00000 | 0.00000 | 0.00000 | No | 393.00000 | 0.00000 | 0.00000 |
| 788 | GLOBAL | Cartesian | 393.00000 | 5.40000 | 0.00000 | No | 393.00000 | 5.40000 | 0.00000 |
| 789 | GLOBAL | Cartesian | 394.00000 | 0.00000 | 0.00000 | No | 394.00000 | 0.00000 | 0.00000 |
| 790 | GLOBAL | Cartesian | 394.00000 | 5.40000 | 0.00000 | No | 394.00000 | 5.40000 | 0.00000 |
| 791 | GLOBAL | Cartesian | 395.00000 | 0.00000 | 0.00000 | No | 395.00000 | 0.00000 | 0.00000 |
| 792 | GLOBAL | Cartesian | 395.00000 | 5.40000 | 0.00000 | No | 395.00000 | 5.40000 | 0.00000 |
| 793 | GLOBAL | Cartesian | 396.00000 | 0.00000 | 0.00000 | No | 396.00000 | 0.00000 | 0.00000 |
| 794 | GLOBAL | Cartesian | 396.00000 | 5.40000 | 0.00000 | No | 396.00000 | 5.40000 | 0.00000 |
| 795 | GLOBAL | Cartesian | 397.00000 | 0.00000 | 0.00000 | No | 397.00000 | 0.00000 | 0.00000 |
| 796 | GLOBAL | Cartesian | 397.00000 | 5.40000 | 0.00000 | No | 397.00000 | 5.40000 | 0.00000 |
| 797 | GLOBAL | Cartesian | 398.00000 | 0.00000 | 0.00000 | No | 398.00000 | 0.00000 | 0.00000 |
| 798 | GLOBAL | Cartesian | 398.00000 | 5.40000 | 0.00000 | No | 398.00000 | 5.40000 | 0.00000 |
| 799 | GLOBAL | Cartesian | 399.00000 | 0.00000 | 0.00000 | No | 399.00000 | 0.00000 | 0.00000 |
| 800 | GLOBAL | Cartesian | 399.00000 | 5.40000 | 0.00000 | No | 399.00000 | 5.40000 | 0.00000 |
| 801 | GLOBAL | Cartesian | 400.00000 | 0.00000 | 0.00000 | No | 400.00000 | 0.00000 | 0.00000 |
| 802 | GLOBAL | Cartesian | 400.00000 | 5.40000 | 0.00000 | No | 400.00000 | 5.40000 | 0.00000 |
| 803 | GLOBAL | Cartesian | 401.00000 | 0.00000 | 0.00000 | No | 401.00000 | 0.00000 | 0.00000 |
| 804 | GLOBAL | Cartesian | 401.00000 | 5.40000 | 0.00000 | No | 401.00000 | 5.40000 | 0.00000 |
| 805 | GLOBAL | Cartesian | 402.00000 | 0.00000 | 0.00000 | No | 402.00000 | 0.00000 | 0.00000 |
| 806 | GLOBAL | Cartesian | 402.00000 | 5.40000 | 0.00000 | No | 402.00000 | 5.40000 | 0.00000 |
| 807 | GLOBAL | Cartesian | 403.00000 | 0.00000 | 0.00000 | No | 403.00000 | 0.00000 | 0.00000 |
| 808 | GLOBAL | Cartesian | 403.00000 | 5.40000 | 0.00000 | No | 403.00000 | 5.40000 | 0.00000 |
| 809 | GLOBAL | Cartesian | 404.00000 | 0.00000 | 0.00000 | No | 404.00000 | 0.00000 | 0.00000 |
| 810 | GLOBAL | Cartesian | 404.00000 | 5.40000 | 0.00000 | No | 404.00000 | 5.40000 | 0.00000 |
| 811 | GLOBAL | Cartesian | 405.00000 | 0.00000 | 0.00000 | No | 405.00000 | 0.00000 | 0.00000 |
| 812 | GLOBAL | Cartesian | 405.00000 | 5.40000 | 0.00000 | No | 405.00000 | 5.40000 | 0.00000 |
| 813 | GLOBAL | Cartesian | 406.00000 | 0.00000 | 0.00000 | No | 406.00000 | 0.00000 | 0.00000 |
| 814 | GLOBAL | Cartesian | 406.00000 | 5.40000 | 0.00000 | No | 406.00000 | 5.40000 | 0.00000 |
| 815 | GLOBAL | Cartesian | 407.00000 | 0.00000 | 0.00000 | No | 407.00000 | 0.00000 | 0.00000 |
| 816 | GLOBAL | Cartesian | 407.00000 | 5.40000 | 0.00000 | No | 407.00000 | 5.40000 | 0.00000 |
| 817 | GLOBAL | Cartesian | 408.00000 | 0.00000 | 0.00000 | No | 408.00000 | 0.00000 | 0.00000 |
| 818 | GLOBAL | Cartesian | 408.00000 | 5.40000 | 0.00000 | No | 408.00000 | 5.40000 | 0.00000 |
| 819 | GLOBAL | Cartesian | 409.00000 | 0.00000 | 0.00000 | No | 409.00000 | 0.00000 | 0.00000 |
| 820 | GLOBAL | Cartesian | 409.00000 | 5.40000 | 0.00000 | No | 409.00000 | 5.40000 | 0.00000 |
| 821 | GLOBAL | Cartesian | 410.00000 | 0.00000 | 0.00000 | No | 410.00000 | 0.00000 | 0.00000 |
| 822 | GLOBAL | Cartesian | 410.00000 | 5.40000 | 0.00000 | No | 410.00000 | 5.40000 | 0.00000 |
| 823 | GLOBAL | Cartesian | 411.00000 | 0.00000 | 0.00000 | No | 411.00000 | 0.00000 | 0.00000 |
| 824 | GLOBAL | Cartesian | 411.00000 | 5.40000 | 0.00000 | No | 411.00000 | 5.40000 | 0.00000 |
| 825 | GLOBAL | Cartesian | 412.00000 | 0.00000 | 0.00000 | No | 412.00000 | 0.00000 | 0.00000 |
| 826 | GLOBAL | Cartesian | 412.00000 | 5.40000 | 0.00000 | No | 412.00000 | 5.40000 | 0.00000 |
| 827 | GLOBAL | Cartesian | 413.00000 | 0.00000 | 0.00000 | No | 413.00000 | 0.00000 | 0.00000 |
| 828 | GLOBAL | Cartesian | 413.00000 | 5.40000 | 0.00000 | No | 413.00000 | 5.40000 | 0.00000 |
| 829 | GLOBAL | Cartesian | 414.00000 | 0.00000 | 0.00000 | No | 414.00000 | 0.00000 | 0.00000 |
| 830 | GLOBAL | Cartesian | 414.00000 | 5.40000 | 0.00000 | No | 414.00000 | 5.40000 | 0.00000 |
| 831 | GLOBAL | Cartesian | 415.00000 | 0.00000 | 0.00000 | No | 415.00000 | 0.00000 | 0.00000 |
| 832 | GLOBAL | Cartesian | 415.00000 | 5.40000 | 0.00000 | No | 415.00000 | 5.40000 | 0.00000 |
| 833 | GLOBAL | Cartesian | 416.00000 | 0.00000 | 0.00000 | No | 416.00000 | 0.00000 | 0.00000 |
| 834 | GLOBAL | Cartesian | 416.00000 | 5.40000 | 0.00000 | No | 416.00000 | 5.40000 | 0.00000 |
| 835 | GLOBAL | Cartesian | 417.00000 | 0.00000 | 0.00000 | No | 417.00000 | 0.00000 | 0.00000 |
| 836 | GLOBAL | Cartesian | 417.00000 | 5.40000 | 0.00000 | No | 417.00000 | 5.40000 | 0.00000 |
| 837 | GLOBAL | Cartesian | 418.00000 | 0.00000 | 0.00000 | No | 418.00000 | 0.00000 | 0.00000 |
| 838 | GLOBAL | Cartesian | 418.00000 | 5.40000 | 0.00000 | No | 418.00000 | 5.40000 | 0.00000 |
| 839 | GLOBAL | Cartesian | 419.00000 | 0.00000 | 0.00000 | No | 419.00000 | 0.00000 | 0.00000 |
| 840 | GLOBAL | Cartesian | 419.00000 | 5.40000 | 0.00000 | No | 419.00000 | 5.40000 | 0.00000 |
| 841 | GLOBAL | Cartesian | 420.00000 | 0.00000 | 0.00000 | No | 420.00000 | 0.00000 | 0.00000 |
| 842 | GLOBAL | Cartesian | 420.00000 | 5.40000 | 0.00000 | No | 420.00000 | 5.40000 | 0.00000 |
| 843 | GLOBAL | Cartesian | 421.00000 | 0.00000 | 0.00000 | No | 421.00000 | 0.00000 | 0.00000 |
| 844 | GLOBAL | Cartesian | 421.00000 | 5.40000 | 0.00000 | No | 421.00000 | 5.40000 | 0.00000 |
| 845 | GLOBAL | Cartesian | 422.00000 | 0.00000 | 0.00000 | No | 422.00000 | 0.00000 | 0.00000 |
| 846 | GLOBAL | Cartesian | 422.00000 | 5.40000 | 0.00000 | No | 422.00000 | 5.40000 | 0.00000 |
| 847 | GLOBAL | Cartesian | 423.00000 | 0.00000 | 0.00000 | No | 423.00000 | 0.00000 | 0.00000 |
| 848 | GLOBAL | Cartesian | 423.00000 | 5.40000 | 0.00000 | No | 423.00000 | 5.40000 | 0.00000 |
| 849 | GLOBAL | Cartesian | 424.00000 | 0.00000 | 0.00000 | No | 424.00000 | 0.00000 | 0.00000 |
| 850 | GLOBAL | Cartesian | 424.00000 | 5.40000 | 0.00000 | No | 424.00000 | 5.40000 | 0.00000 |
| 851 | GLOBAL | Cartesian | 425.00000 | 0.00000 | 0.00000 | No | 425.00000 | 0.00000 | 0.00000 |
| 852 | GLOBAL | Cartesian | 425.00000 | 5.40000 | 0.00000 | No | 425.00000 | 5.40000 | 0.00000 |

| Joint | CoordSys | CoordType | XorR | Y | Z | SpecialJt | GlobalX | GlobalY | GlobalZ |
|---|---|---|---|---|---|---|---|---|---|
| Text | Text | Text | m | m | m | Yes/No | m | m | m |
| 853 | GLOBAL | Cartesian | 426.00000 | 0.00000 | 0.00000 | No | 426.00000 | 0.00000 | 0.00000 |
| 854 | GLOBAL | Cartesian | 426.00000 | 5.40000 | 0.00000 | No | 426.00000 | 5.40000 | 0.00000 |
| 855 | GLOBAL | Cartesian | 427.00000 | 0.00000 | 0.00000 | No | 427.00000 | 0.00000 | 0.00000 |
| 856 | GLOBAL | Cartesian | 427.00000 | 5.40000 | 0.00000 | No | 427.00000 | 5.40000 | 0.00000 |
| 857 | GLOBAL | Cartesian | 428.00000 | 0.00000 | 0.00000 | No | 428.00000 | 0.00000 | 0.00000 |
| 858 | GLOBAL | Cartesian | 428.00000 | 5.40000 | 0.00000 | No | 428.00000 | 5.40000 | 0.00000 |
| 859 | GLOBAL | Cartesian | 429.00000 | 0.00000 | 0.00000 | No | 429.00000 | 0.00000 | 0.00000 |
| 860 | GLOBAL | Cartesian | 429.00000 | 5.40000 | 0.00000 | No | 429.00000 | 5.40000 | 0.00000 |
| 861 | GLOBAL | Cartesian | 430.00000 | 0.00000 | 0.00000 | No | 430.00000 | 0.00000 | 0.00000 |
| 862 | GLOBAL | Cartesian | 430.00000 | 5.40000 | 0.00000 | No | 430.00000 | 5.40000 | 0.00000 |
| 863 | GLOBAL | Cartesian | 431.00000 | 0.00000 | 0.00000 | No | 431.00000 | 0.00000 | 0.00000 |
| 864 | GLOBAL | Cartesian | 431.00000 | 5.40000 | 0.00000 | No | 431.00000 | 5.40000 | 0.00000 |
| 865 | GLOBAL | Cartesian | 432.00000 | 0.00000 | 0.00000 | No | 432.00000 | 0.00000 | 0.00000 |
| 866 | GLOBAL | Cartesian | 432.00000 | 5.40000 | 0.00000 | No | 432.00000 | 5.40000 | 0.00000 |
| 867 | GLOBAL | Cartesian | 433.00000 | 0.00000 | 0.00000 | No | 433.00000 | 0.00000 | 0.00000 |
| 868 | GLOBAL | Cartesian | 433.00000 | 5.40000 | 0.00000 | No | 433.00000 | 5.40000 | 0.00000 |
| 869 | GLOBAL | Cartesian | 434.00000 | 0.00000 | 0.00000 | No | 434.00000 | 0.00000 | 0.00000 |
| 870 | GLOBAL | Cartesian | 434.00000 | 5.40000 | 0.00000 | No | 434.00000 | 5.40000 | 0.00000 |
| 871 | GLOBAL | Cartesian | 435.00000 | 0.00000 | 0.00000 | No | 435.00000 | 0.00000 | 0.00000 |
| 872 | GLOBAL | Cartesian | 435.00000 | 5.40000 | 0.00000 | No | 435.00000 | 5.40000 | 0.00000 |
| 873 | GLOBAL | Cartesian | 436.00000 | 0.00000 | 0.00000 | No | 436.00000 | 0.00000 | 0.00000 |
| 874 | GLOBAL | Cartesian | 436.00000 | 5.40000 | 0.00000 | No | 436.00000 | 5.40000 | 0.00000 |
| 875 | GLOBAL | Cartesian | 437.00000 | 0.00000 | 0.00000 | No | 437.00000 | 0.00000 | 0.00000 |
| 876 | GLOBAL | Cartesian | 437.00000 | 5.40000 | 0.00000 | No | 437.00000 | 5.40000 | 0.00000 |
| 877 | GLOBAL | Cartesian | 438.00000 | 0.00000 | 0.00000 | No | 438.00000 | 0.00000 | 0.00000 |
| 878 | GLOBAL | Cartesian | 438.00000 | 5.40000 | 0.00000 | No | 438.00000 | 5.40000 | 0.00000 |
| 879 | GLOBAL | Cartesian | 439.00000 | 0.00000 | 0.00000 | No | 439.00000 | 0.00000 | 0.00000 |
| 880 | GLOBAL | Cartesian | 439.00000 | 5.40000 | 0.00000 | No | 439.00000 | 5.40000 | 0.00000 |
| 881 | GLOBAL | Cartesian | 440.00000 | 0.00000 | 0.00000 | No | 440.00000 | 0.00000 | 0.00000 |
| 882 | GLOBAL | Cartesian | 440.00000 | 5.40000 | 0.00000 | No | 440.00000 | 5.40000 | 0.00000 |
| 883 | GLOBAL | Cartesian | 441.00000 | 0.00000 | 0.00000 | No | 441.00000 | 0.00000 | 0.00000 |
| 884 | GLOBAL | Cartesian | 441.00000 | 5.40000 | 0.00000 | No | 441.00000 | 5.40000 | 0.00000 |
| 885 | GLOBAL | Cartesian | 442.00000 | 0.00000 | 0.00000 | No | 442.00000 | 0.00000 | 0.00000 |
| 886 | GLOBAL | Cartesian | 442.00000 | 5.40000 | 0.00000 | No | 442.00000 | 5.40000 | 0.00000 |
| 887 | GLOBAL | Cartesian | 443.00000 | 0.00000 | 0.00000 | No | 443.00000 | 0.00000 | 0.00000 |
| 888 | GLOBAL | Cartesian | 443.00000 | 5.40000 | 0.00000 | No | 443.00000 | 5.40000 | 0.00000 |
| 889 | GLOBAL | Cartesian | 444.00000 | 0.00000 | 0.00000 | No | 444.00000 | 0.00000 | 0.00000 |
| 890 | GLOBAL | Cartesian | 444.00000 | 5.40000 | 0.00000 | No | 444.00000 | 5.40000 | 0.00000 |
| 891 | GLOBAL | Cartesian | 445.00000 | 0.00000 | 0.00000 | No | 445.00000 | 0.00000 | 0.00000 |
| 892 | GLOBAL | Cartesian | 445.00000 | 5.40000 | 0.00000 | No | 445.00000 | 5.40000 | 0.00000 |
| 893 | GLOBAL | Cartesian | 446.00000 | 0.00000 | 0.00000 | No | 446.00000 | 0.00000 | 0.00000 |
| 894 | GLOBAL | Cartesian | 446.00000 | 5.40000 | 0.00000 | No | 446.00000 | 5.40000 | 0.00000 |
| 895 | GLOBAL | Cartesian | 447.00000 | 0.00000 | 0.00000 | No | 447.00000 | 0.00000 | 0.00000 |
| 896 | GLOBAL | Cartesian | 447.00000 | 5.40000 | 0.00000 | No | 447.00000 | 5.40000 | 0.00000 |
| 897 | GLOBAL | Cartesian | 448.00000 | 0.00000 | 0.00000 | No | 448.00000 | 0.00000 | 0.00000 |
| 898 | GLOBAL | Cartesian | 448.00000 | 5.40000 | 0.00000 | No | 448.00000 | 5.40000 | 0.00000 |
| 899 | GLOBAL | Cartesian | 449.00000 | 0.00000 | 0.00000 | No | 449.00000 | 0.00000 | 0.00000 |
| 900 | GLOBAL | Cartesian | 449.00000 | 5.40000 | 0.00000 | No | 449.00000 | 5.40000 | 0.00000 |
| 901 | GLOBAL | Cartesian | 450.00000 | 0.00000 | 0.00000 | No | 450.00000 | 0.00000 | 0.00000 |
| 902 | GLOBAL | Cartesian | 450.00000 | 5.40000 | 0.00000 | No | 450.00000 | 5.40000 | 0.00000 |
| 903 | GLOBAL | Cartesian | 451.00000 | 0.00000 | 0.00000 | No | 451.00000 | 0.00000 | 0.00000 |
| 904 | GLOBAL | Cartesian | 451.00000 | 5.40000 | 0.00000 | No | 451.00000 | 5.40000 | 0.00000 |
| 905 | GLOBAL | Cartesian | 452.00000 | 0.00000 | 0.00000 | No | 452.00000 | 0.00000 | 0.00000 |
| 906 | GLOBAL | Cartesian | 452.00000 | 5.40000 | 0.00000 | No | 452.00000 | 5.40000 | 0.00000 |
| 907 | GLOBAL | Cartesian | 453.00000 | 0.00000 | 0.00000 | No | 453.00000 | 0.00000 | 0.00000 |
| 908 | GLOBAL | Cartesian | 453.00000 | 5.40000 | 0.00000 | No | 453.00000 | 5.40000 | 0.00000 |
| 909 | GLOBAL | Cartesian | 454.00000 | 0.00000 | 0.00000 | No | 454.00000 | 0.00000 | 0.00000 |
| 910 | GLOBAL | Cartesian | 454.00000 | 5.40000 | 0.00000 | No | 454.00000 | 5.40000 | 0.00000 |
| 911 | GLOBAL | Cartesian | 455.00000 | 0.00000 | 0.00000 | No | 455.00000 | 0.00000 | 0.00000 |
| 912 | GLOBAL | Cartesian | 455.00000 | 5.40000 | 0.00000 | No | 455.00000 | 5.40000 | 0.00000 |
| 913 | GLOBAL | Cartesian | 456.00000 | 0.00000 | 0.00000 | No | 456.00000 | 0.00000 | 0.00000 |
| 914 | GLOBAL | Cartesian | 456.00000 | 5.40000 | 0.00000 | No | 456.00000 | 5.40000 | 0.00000 |
| 915 | GLOBAL | Cartesian | 457.00000 | 0.00000 | 0.00000 | No | 457.00000 | 0.00000 | 0.00000 |
| 916 | GLOBAL | Cartesian | 457.00000 | 5.40000 | 0.00000 | No | 457.00000 | 5.40000 | 0.00000 |
| 917 | GLOBAL | Cartesian | 458.00000 | 0.00000 | 0.00000 | No | 458.00000 | 0.00000 | 0.00000 |
| 918 | GLOBAL | Cartesian | 458.00000 | 5.40000 | 0.00000 | No | 458.00000 | 5.40000 | 0.00000 |
| 919 | GLOBAL | Cartesian | 459.00000 | 0.00000 | 0.00000 | No | 459.00000 | 0.00000 | 0.00000 |
| 920 | GLOBAL | Cartesian | 459.00000 | 5.40000 | 0.00000 | No | 459.00000 | 5.40000 | 0.00000 |
| 921 | GLOBAL | Cartesian | 460.00000 | 0.00000 | 0.00000 | No | 460.00000 | 0.00000 | 0.00000 |
| 922 | GLOBAL | Cartesian | 460.00000 | 5.40000 | 0.00000 | No | 460.00000 | 5.40000 | 0.00000 |
| 923 | GLOBAL | Cartesian | 461.00000 | 0.00000 | 0.00000 | No | 461.00000 | 0.00000 | 0.00000 |
| 924 | GLOBAL | Cartesian | 461.00000 | 5.40000 | 0.00000 | No | 461.00000 | 5.40000 | 0.00000 |
| 925 | GLOBAL | Cartesian | 462.00000 | 0.00000 | 0.00000 | No | 462.00000 | 0.00000 | 0.00000 |
| 926 | GLOBAL | Cartesian | 462.00000 | 5.40000 | 0.00000 | No | 462.00000 | 5.40000 | 0.00000 |
| 927 | GLOBAL | Cartesian | 463.00000 | 0.00000 | 0.00000 | No | 463.00000 | 0.00000 | 0.00000 |
| 928 | GLOBAL | Cartesian | 463.00000 | 5.40000 | 0.00000 | No | 463.00000 | 5.40000 | 0.00000 |
| 929 | GLOBAL | Cartesian | 464.00000 | 0.00000 | 0.00000 | No | 464.00000 | 0.00000 | 0.00000 |
| 930 | GLOBAL | Cartesian | 464.00000 | 5.40000 | 0.00000 | No | 464.00000 | 5.40000 | 0.00000 |
| 931 | GLOBAL | Cartesian | 465.00000 | 0.00000 | 0.00000 | No | 465.00000 | 0.00000 | 0.00000 |
| 932 | GLOBAL | Cartesian | 465.00000 | 5.40000 | 0.00000 | No | 465.00000 | 5.40000 | 0.00000 |
| 933 | GLOBAL | Cartesian | 466.00000 | 0.00000 | 0.00000 | No | 466.00000 | 0.00000 | 0.00000 |
| 934 | GLOBAL | Cartesian | 466.00000 | 5.40000 | 0.00000 | No | 466.00000 | 5.40000 | 0.00000 |
| 935 | GLOBAL | Cartesian | 467.00000 | 0.00000 | 0.00000 | No | 467.00000 | 0.00000 | 0.00000 |
| 936 | GLOBAL | Cartesian | 467.00000 | 5.40000 | 0.00000 | No | 467.00000 | 5.40000 | 0.00000 |
| 937 | GLOBAL | Cartesian | 468.00000 | 0.00000 | 0.00000 | No | 468.00000 | 0.00000 | 0.00000 |
| 938 | GLOBAL | Cartesian | 468.00000 | 5.40000 | 0.00000 | No | 468.00000 | 5.40000 | 0.00000 |
| 939 | GLOBAL | Cartesian | 469.00000 | 0.00000 | 0.00000 | No | 469.00000 | 0.00000 | 0.00000 |
| 940 | GLOBAL | Cartesian | 469.00000 | 5.40000 | 0.00000 | No | 469.00000 | 5.40000 | 0.00000 |
| 941 | GLOBAL | Cartesian | 470.00000 | 0.00000 | 0.00000 | No | 470.00000 | 0.00000 | 0.00000 |
| 942 | GLOBAL | Cartesian | 470.00000 | 5.40000 | 0.00000 | No | 470.00000 | 5.40000 | 0.00000 |
| 943 | GLOBAL | Cartesian | 471.00000 | 0.00000 | 0.00000 | No | 471.00000 | 0.00000 | 0.00000 |





| Joint | CoordSys | CoordType | XorR | Y | Z | SpecialJt | GlobalX | GlobalY | GlobalZ |
|---|---|---|---|---|---|---|---|---|---|
| Text | Text | Text | m | m | m | Yes/No | m | m | m |
| 944 | GLOBAL | Cartesian | 471.00000 | 5.40000 | 0.00000 | No | 471.00000 | 5.40000 | 0.00000 |
| 945 | GLOBAL | Cartesian | 472.00000 | 0.00000 | 0.00000 | No | 472.00000 | 0.00000 | 0.00000 |
| 946 | GLOBAL | Cartesian | 472.00000 | 5.40000 | 0.00000 | No | 472.00000 | 5.40000 | 0.00000 |
| 947 | GLOBAL | Cartesian | 473.00000 | 0.00000 | 0.00000 | No | 473.00000 | 0.00000 | 0.00000 |
| 948 | GLOBAL | Cartesian | 473.00000 | 5.40000 | 0.00000 | No | 473.00000 | 5.40000 | 0.00000 |
| 949 | GLOBAL | Cartesian | 474.00000 | 0.00000 | 0.00000 | No | 474.00000 | 0.00000 | 0.00000 |
| 950 | GLOBAL | Cartesian | 474.00000 | 5.40000 | 0.00000 | No | 474.00000 | 5.40000 | 0.00000 |
| 951 | GLOBAL | Cartesian | 475.00000 | 0.00000 | 0.00000 | No | 475.00000 | 0.00000 | 0.00000 |
| 952 | GLOBAL | Cartesian | 475.00000 | 5.40000 | 0.00000 | No | 475.00000 | 5.40000 | 0.00000 |
| 953 | GLOBAL | Cartesian | 476.00000 | 0.00000 | 0.00000 | No | 476.00000 | 0.00000 | 0.00000 |
| 954 | GLOBAL | Cartesian | 476.00000 | 5.40000 | 0.00000 | No | 476.00000 | 5.40000 | 0.00000 |
| 955 | GLOBAL | Cartesian | 477.00000 | 0.00000 | 0.00000 | No | 477.00000 | 0.00000 | 0.00000 |
| 956 | GLOBAL | Cartesian | 477.00000 | 5.40000 | 0.00000 | No | 477.00000 | 5.40000 | 0.00000 |
| 957 | GLOBAL | Cartesian | 478.00000 | 0.00000 | 0.00000 | No | 478.00000 | 0.00000 | 0.00000 |
| 958 | GLOBAL | Cartesian | 478.00000 | 5.40000 | 0.00000 | No | 478.00000 | 5.40000 | 0.00000 |
| 959 | GLOBAL | Cartesian | 479.00000 | 0.00000 | 0.00000 | No | 479.00000 | 0.00000 | 0.00000 |
| 960 | GLOBAL | Cartesian | 479.00000 | 5.40000 | 0.00000 | No | 479.00000 | 5.40000 | 0.00000 |
| 961 | GLOBAL | Cartesian | 480.00000 | 0.00000 | 0.00000 | No | 480.00000 | 0.00000 | 0.00000 |
| 962 | GLOBAL | Cartesian | 480.00000 | 5.40000 | 0.00000 | No | 480.00000 | 5.40000 | 0.00000 |
| 963 | GLOBAL | Cartesian | 481.00000 | 0.00000 | 0.00000 | No | 481.00000 | 0.00000 | 0.00000 |
| 964 | GLOBAL | Cartesian | 481.00000 | 5.40000 | 0.00000 | No | 481.00000 | 5.40000 | 0.00000 |
| 965 | GLOBAL | Cartesian | 482.00000 | 0.00000 | 0.00000 | No | 482.00000 | 0.00000 | 0.00000 |
| 966 | GLOBAL | Cartesian | 482.00000 | 5.40000 | 0.00000 | No | 482.00000 | 5.40000 | 0.00000 |
| 967 | GLOBAL | Cartesian | 483.00000 | 0.00000 | 0.00000 | No | 483.00000 | 0.00000 | 0.00000 |
| 968 | GLOBAL | Cartesian | 483.00000 | 5.40000 | 0.00000 | No | 483.00000 | 5.40000 | 0.00000 |
| 969 | GLOBAL | Cartesian | 484.00000 | 0.00000 | 0.00000 | No | 484.00000 | 0.00000 | 0.00000 |
| 970 | GLOBAL | Cartesian | 484.00000 | 5.40000 | 0.00000 | No | 484.00000 | 5.40000 | 0.00000 |
| 971 | GLOBAL | Cartesian | 485.00000 | 0.00000 | 0.00000 | No | 485.00000 | 0.00000 | 0.00000 |
| 972 | GLOBAL | Cartesian | 485.00000 | 5.40000 | 0.00000 | No | 485.00000 | 5.40000 | 0.00000 |
| 973 | GLOBAL | Cartesian | 486.00000 | 0.00000 | 0.00000 | No | 486.00000 | 0.00000 | 0.00000 |
| 974 | GLOBAL | Cartesian | 486.00000 | 5.40000 | 0.00000 | No | 486.00000 | 5.40000 | 0.00000 |
| 975 | GLOBAL | Cartesian | 487.00000 | 0.00000 | 0.00000 | No | 487.00000 | 0.00000 | 0.00000 |
| 976 | GLOBAL | Cartesian | 487.00000 | 5.40000 | 0.00000 | No | 487.00000 | 5.40000 | 0.00000 |
| 977 | GLOBAL | Cartesian | 488.00000 | 0.00000 | 0.00000 | No | 488.00000 | 0.00000 | 0.00000 |
| 978 | GLOBAL | Cartesian | 488.00000 | 5.40000 | 0.00000 | No | 488.00000 | 5.40000 | 0.00000 |
| 979 | GLOBAL | Cartesian | 489.00000 | 0.00000 | 0.00000 | No | 489.00000 | 0.00000 | 0.00000 |
| 980 | GLOBAL | Cartesian | 489.00000 | 5.40000 | 0.00000 | No | 489.00000 | 5.40000 | 0.00000 |
| 981 | GLOBAL | Cartesian | 490.00000 | 0.00000 | 0.00000 | No | 490.00000 | 0.00000 | 0.00000 |
| 982 | GLOBAL | Cartesian | 490.00000 | 5.40000 | 0.00000 | No | 490.00000 | 5.40000 | 0.00000 |
| 983 | GLOBAL | Cartesian | 491.00000 | 0.00000 | 0.00000 | No | 491.00000 | 0.00000 | 0.00000 |
| 984 | GLOBAL | Cartesian | 491.00000 | 5.40000 | 0.00000 | No | 491.00000 | 5.40000 | 0.00000 |
| 985 | GLOBAL | Cartesian | 492.00000 | 0.00000 | 0.00000 | No | 492.00000 | 0.00000 | 0.00000 |
| 986 | GLOBAL | Cartesian | 492.00000 | 5.40000 | 0.00000 | No | 492.00000 | 5.40000 | 0.00000 |
| 987 | GLOBAL | Cartesian | 493.00000 | 0.00000 | 0.00000 | No | 493.00000 | 0.00000 | 0.00000 |
| 988 | GLOBAL | Cartesian | 493.00000 | 5.40000 | 0.00000 | No | 493.00000 | 5.40000 | 0.00000 |
| 989 | GLOBAL | Cartesian | 494.00000 | 0.00000 | 0.00000 | No | 494.00000 | 0.00000 | 0.00000 |
| 990 | GLOBAL | Cartesian | 494.00000 | 5.40000 | 0.00000 | No | 494.00000 | 5.40000 | 0.00000 |
| 991 | GLOBAL | Cartesian | 495.00000 | 0.00000 | 0.00000 | No | 495.00000 | 0.00000 | 0.00000 |
| 992 | GLOBAL | Cartesian | 495.00000 | 5.40000 | 0.00000 | No | 495.00000 | 5.40000 | 0.00000 |
| 993 | GLOBAL | Cartesian | 496.00000 | 0.00000 | 0.00000 | No | 496.00000 | 0.00000 | 0.00000 |
| 994 | GLOBAL | Cartesian | 496.00000 | 5.40000 | 0.00000 | No | 496.00000 | 5.40000 | 0.00000 |
| 995 | GLOBAL | Cartesian | 497.00000 | 0.00000 | 0.00000 | No | 497.00000 | 0.00000 | 0.00000 |
| 996 | GLOBAL | Cartesian | 497.00000 | 5.40000 | 0.00000 | No | 497.00000 | 5.40000 | 0.00000 |
| 997 | GLOBAL | Cartesian | 498.00000 | 0.00000 | 0.00000 | No | 498.00000 | 0.00000 | 0.00000 |
| 998 | GLOBAL | Cartesian | 498.00000 | 5.40000 | 0.00000 | No | 498.00000 | 5.40000 | 0.00000 |
| 999 | GLOBAL | Cartesian | 499.00000 | 0.00000 | 0.00000 | No | 499.00000 | 0.00000 | 0.00000 |
| 1000 | GLOBAL | Cartesian | 499.00000 | 5.40000 | 0.00000 | No | 499.00000 | 5.40000 | 0.00000 |
| 1001 | GLOBAL | Cartesian | 500.00000 | 0.00000 | 0.00000 | No | 500.00000 | 0.00000 | 0.00000 |
| 1002 | GLOBAL | Cartesian | 500.00000 | 5.40000 | 0.00000 | No | 500.00000 | 5.40000 | 0.00000 |
| 1003 | GLOBAL | Cartesian | 501.00000 | 0.00000 | 0.00000 | No | 501.00000 | 0.00000 | 0.00000 |
| 1004 | GLOBAL | Cartesian | 501.00000 | 5.40000 | 0.00000 | No | 501.00000 | 5.40000 | 0.00000 |
| 1005 | GLOBAL | Cartesian | 502.00000 | 0.00000 | 0.00000 | No | 502.00000 | 0.00000 | 0.00000 |
| 1006 | GLOBAL | Cartesian | 502.00000 | 5.40000 | 0.00000 | No | 502.00000 | 5.40000 | 0.00000 |
| 1007 | GLOBAL | Cartesian | 503.00000 | 0.00000 | 0.00000 | No | 503.00000 | 0.00000 | 0.00000 |
| 1008 | GLOBAL | Cartesian | 503.00000 | 5.40000 | 0.00000 | No | 503.00000 | 5.40000 | 0.00000 |
| 1009 | GLOBAL | Cartesian | 504.00000 | 0.00000 | 0.00000 | No | 504.00000 | 0.00000 | 0.00000 |
| 1010 | GLOBAL | Cartesian | 504.00000 | 5.40000 | 0.00000 | No | 504.00000 | 5.40000 | 0.00000 |
| 1011 | GLOBAL | Cartesian | 505.00000 | 0.00000 | 0.00000 | No | 505.00000 | 0.00000 | 0.00000 |
| 1012 | GLOBAL | Cartesian | 505.00000 | 5.40000 | 0.00000 | No | 505.00000 | 5.40000 | 0.00000 |
| 1013 | GLOBAL | Cartesian | 506.00000 | 0.00000 | 0.00000 | No | 506.00000 | 0.00000 | 0.00000 |
| 1014 | GLOBAL | Cartesian | 506.00000 | 5.40000 | 0.00000 | No | 506.00000 | 5.40000 | 0.00000 |
| 1015 | GLOBAL | Cartesian | 507.00000 | 0.00000 | 0.00000 | No | 507.00000 | 0.00000 | 0.00000 |
| 1016 | GLOBAL | Cartesian | 507.00000 | 5.40000 | 0.00000 | No | 507.00000 | 5.40000 | 0.00000 |
| 1017 | GLOBAL | Cartesian | 508.00000 | 0.00000 | 0.00000 | No | 508.00000 | 0.00000 | 0.00000 |
| 1018 | GLOBAL | Cartesian | 508.00000 | 5.40000 | 0.00000 | No | 508.00000 | 5.40000 | 0.00000 |
| 1019 | GLOBAL | Cartesian | 509.00000 | 0.00000 | 0.00000 | No | 509.00000 | 0.00000 | 0.00000 |
| 1020 | GLOBAL | Cartesian | 509.00000 | 5.40000 | 0.00000 | No | 509.00000 | 5.40000 | 0.00000 |
| 1021 | GLOBAL | Cartesian | 510.00000 | 0.00000 | 0.00000 | No | 510.00000 | 0.00000 | 0.00000 |
| 1022 | GLOBAL | Cartesian | 510.00000 | 5.40000 | 0.00000 | No | 510.00000 | 5.40000 | 0.00000 |
| 1023 | GLOBAL | Cartesian | 511.00000 | 0.00000 | 0.00000 | No | 511.00000 | 0.00000 | 0.00000 |
| 1024 | GLOBAL | Cartesian | 511.00000 | 5.40000 | 0.00000 | No | 511.00000 | 5.40000 | 0.00000 |
| 1025 | GLOBAL | Cartesian | 512.00000 | 0.00000 | 0.00000 | No | 512.00000 | 0.00000 | 0.00000 |
| 1026 | GLOBAL | Cartesian | 512.00000 | 5.40000 | 0.00000 | No | 512.00000 | 5.40000 | 0.00000 |
| 1027 | GLOBAL | Cartesian | 513.00000 | 0.00000 | 0.00000 | No | 513.00000 | 0.00000 | 0.00000 |
| 1028 | GLOBAL | Cartesian | 513.00000 | 5.40000 | 0.00000 | No | 513.00000 | 5.40000 | 0.00000 |
| 1029 | GLOBAL | Cartesian | 514.00000 | 0.00000 | 0.00000 | No | 514.00000 | 0.00000 | 0.00000 |
| 1030 | GLOBAL | Cartesian | 514.00000 | 5.40000 | 0.00000 | No | 514.00000 | 5.40000 | 0.00000 |
| 1031 | GLOBAL | Cartesian | 515.00000 | 0.00000 | 0.00000 | No | 515.00000 | 0.00000 | 0.00000 |
| 1032 | GLOBAL | Cartesian | 515.00000 | 5.40000 | 0.00000 | No | 515.00000 | 5.40000 | 0.00000 |
| 1033 | GLOBAL | Cartesian | 516.00000 | 0.00000 | 0.00000 | No | 516.00000 | 0.00000 | 0.00000 |
| 1034 | GLOBAL | Cartesian | 516.00000 | 5.40000 | 0.00000 | No | 516.00000 | 5.40000 | 0.00000 |

| Joint | CoordSys | CoordType | XorR | Y | Z | SpecialJt | GlobalX | GlobalY | GlobalZ |
|---|---|---|---|---|---|---|---|---|---|
| Text | Text | Text | m | m | m | Yes/No | m | m | m |
| 1035 | GLOBAL | Cartesian | 517.00000 | 0.00000 | 0.00000 | No | 517.00000 | 0.00000 | 0.00000 |
| 1036 | GLOBAL | Cartesian | 517.00000 | 5.40000 | 0.00000 | No | 517.00000 | 5.40000 | 0.00000 |
| 1037 | GLOBAL | Cartesian | 518.00000 | 0.00000 | 0.00000 | No | 518.00000 | 0.00000 | 0.00000 |
| 1038 | GLOBAL | Cartesian | 518.00000 | 5.40000 | 0.00000 | No | 518.00000 | 5.40000 | 0.00000 |
| 1039 | GLOBAL | Cartesian | 519.00000 | 0.00000 | 0.00000 | No | 519.00000 | 0.00000 | 0.00000 |
| 1040 | GLOBAL | Cartesian | 519.00000 | 5.40000 | 0.00000 | No | 519.00000 | 5.40000 | 0.00000 |
| 1041 | GLOBAL | Cartesian | 520.00000 | 0.00000 | 0.00000 | No | 520.00000 | 0.00000 | 0.00000 |
| 1042 | GLOBAL | Cartesian | 520.00000 | 5.40000 | 0.00000 | No | 520.00000 | 5.40000 | 0.00000 |
| 1043 | GLOBAL | Cartesian | 521.00000 | 0.00000 | 0.00000 | No | 521.00000 | 0.00000 | 0.00000 |
| 1044 | GLOBAL | Cartesian | 521.00000 | 5.40000 | 0.00000 | No | 521.00000 | 5.40000 | 0.00000 |
| 1045 | GLOBAL | Cartesian | 522.00000 | 0.00000 | 0.00000 | No | 522.00000 | 0.00000 | 0.00000 |
| 1046 | GLOBAL | Cartesian | 522.00000 | 5.40000 | 0.00000 | No | 522.00000 | 5.40000 | 0.00000 |
| 1047 | GLOBAL | Cartesian | 523.00000 | 0.00000 | 0.00000 | No | 523.00000 | 0.00000 | 0.00000 |
| 1048 | GLOBAL | Cartesian | 523.00000 | 5.40000 | 0.00000 | No | 523.00000 | 5.40000 | 0.00000 |
| 1049 | GLOBAL | Cartesian | 524.00000 | 0.00000 | 0.00000 | No | 524.00000 | 0.00000 | 0.00000 |
| 1050 | GLOBAL | Cartesian | 524.00000 | 5.40000 | 0.00000 | No | 524.00000 | 5.40000 | 0.00000 |
| 1051 | GLOBAL | Cartesian | 525.00000 | 0.00000 | 0.00000 | No | 525.00000 | 0.00000 | 0.00000 |
| 1052 | GLOBAL | Cartesian | 525.00000 | 5.40000 | 0.00000 | No | 525.00000 | 5.40000 | 0.00000 |
| 1053 | GLOBAL | Cartesian | 526.00000 | 0.00000 | 0.00000 | No | 526.00000 | 0.00000 | 0.00000 |
| 1054 | GLOBAL | Cartesian | 526.00000 | 5.40000 | 0.00000 | No | 526.00000 | 5.40000 | 0.00000 |
| 1055 | GLOBAL | Cartesian | 527.00000 | 0.00000 | 0.00000 | No | 527.00000 | 0.00000 | 0.00000 |
| 1056 | GLOBAL | Cartesian | 527.00000 | 5.40000 | 0.00000 | No | 527.00000 | 5.40000 | 0.00000 |
| 1057 | GLOBAL | Cartesian | 528.00000 | 0.00000 | 0.00000 | No | 528.00000 | 0.00000 | 0.00000 |
| 1058 | GLOBAL | Cartesian | 528.00000 | 5.40000 | 0.00000 | No | 528.00000 | 5.40000 | 0.00000 |
| 1059 | GLOBAL | Cartesian | 529.00000 | 0.00000 | 0.00000 | No | 529.00000 | 0.00000 | 0.00000 |
| 1060 | GLOBAL | Cartesian | 529.00000 | 5.40000 | 0.00000 | No | 529.00000 | 5.40000 | 0.00000 |
| 1061 | GLOBAL | Cartesian | 530.00000 | 0.00000 | 0.00000 | No | 530.00000 | 0.00000 | 0.00000 |
| 1062 | GLOBAL | Cartesian | 530.00000 | 5.40000 | 0.00000 | No | 530.00000 | 5.40000 | 0.00000 |
| 1063 | GLOBAL | Cartesian | 531.00000 | 0.00000 | 0.00000 | No | 531.00000 | 0.00000 | 0.00000 |
| 1064 | GLOBAL | Cartesian | 531.00000 | 5.40000 | 0.00000 | No | 531.00000 | 5.40000 | 0.00000 |
| 1065 | GLOBAL | Cartesian | 532.00000 | 0.00000 | 0.00000 | No | 532.00000 | 0.00000 | 0.00000 |
| 1066 | GLOBAL | Cartesian | 532.00000 | 5.40000 | 0.00000 | No | 532.00000 | 5.40000 | 0.00000 |
| 1067 | GLOBAL | Cartesian | 533.00000 | 0.00000 | 0.00000 | No | 533.00000 | 0.00000 | 0.00000 |
| 1068 | GLOBAL | Cartesian | 533.00000 | 5.40000 | 0.00000 | No | 533.00000 | 5.40000 | 0.00000 |
| 1069 | GLOBAL | Cartesian | 534.00000 | 0.00000 | 0.00000 | No | 534.00000 | 0.00000 | 0.00000 |
| 1070 | GLOBAL | Cartesian | 534.00000 | 5.40000 | 0.00000 | No | 534.00000 | 5.40000 | 0.00000 |
| 1071 | GLOBAL | Cartesian | 535.00000 | 0.00000 | 0.00000 | No | 535.00000 | 0.00000 | 0.00000 |
| 1072 | GLOBAL | Cartesian | 535.00000 | 5.40000 | 0.00000 | No | 535.00000 | 5.40000 | 0.00000 |
| 1073 | GLOBAL | Cartesian | 536.00000 | 0.00000 | 0.00000 | No | 536.00000 | 0.00000 | 0.00000 |
| 1074 | GLOBAL | Cartesian | 536.00000 | 5.40000 | 0.00000 | No | 536.00000 | 5.40000 | 0.00000 |
| 1075 | GLOBAL | Cartesian | 537.00000 | 0.00000 | 0.00000 | No | 537.00000 | 0.00000 | 0.00000 |
| 1076 | GLOBAL | Cartesian | 537.00000 | 5.40000 | 0.00000 | No | 537.00000 | 5.40000 | 0.00000 |
| 1077 | GLOBAL | Cartesian | 538.00000 | 0.00000 | 0.00000 | No | 538.00000 | 0.00000 | 0.00000 |
| 1078 | GLOBAL | Cartesian | 538.00000 | 5.40000 | 0.00000 | No | 538.00000 | 5.40000 | 0.00000 |
| 1079 | GLOBAL | Cartesian | 539.00000 | 0.00000 | 0.00000 | No | 539.00000 | 0.00000 | 0.00000 |
| 1080 | GLOBAL | Cartesian | 539.00000 | 5.40000 | 0.00000 | No | 539.00000 | 5.40000 | 0.00000 |
| 1081 | GLOBAL | Cartesian | 540.00000 | 0.00000 | 0.00000 | No | 540.00000 | 0.00000 | 0.00000 |
| 1082 | GLOBAL | Cartesian | 540.00000 | 5.40000 | 0.00000 | No | 540.00000 | 5.40000 | 0.00000 |
| 1083 | GLOBAL | Cartesian | 541.00000 | 0.00000 | 0.00000 | No | 541.00000 | 0.00000 | 0.00000 |
| 1084 | GLOBAL | Cartesian | 541.00000 | 5.40000 | 0.00000 | No | 541.00000 | 5.40000 | 0.00000 |
| 1085 | GLOBAL | Cartesian | 542.00000 | 0.00000 | 0.00000 | No | 542.00000 | 0.00000 | 0.00000 |
| 1086 | GLOBAL | Cartesian | 542.00000 | 5.40000 | 0.00000 | No | 542.00000 | 5.40000 | 0.00000 |
| 1087 | GLOBAL | Cartesian | 543.00000 | 0.00000 | 0.00000 | No | 543.00000 | 0.00000 | 0.00000 |
| 1088 | GLOBAL | Cartesian | 543.00000 | 5.40000 | 0.00000 | No | 543.00000 | 5.40000 | 0.00000 |
| 1089 | GLOBAL | Cartesian | 544.00000 | 0.00000 | 0.00000 | No | 544.00000 | 0.00000 | 0.00000 |
| 1090 | GLOBAL | Cartesian | 544.00000 | 5.40000 | 0.00000 | No | 544.00000 | 5.40000 | 0.00000 |
| 1091 | GLOBAL | Cartesian | 545.00000 | 0.00000 | 0.00000 | No | 545.00000 | 0.00000 | 0.00000 |
| 1092 | GLOBAL | Cartesian | 545.00000 | 5.40000 | 0.00000 | No | 545.00000 | 5.40000 | 0.00000 |
| 1093 | GLOBAL | Cartesian | 546.00000 | 0.00000 | 0.00000 | No | 546.00000 | 0.00000 | 0.00000 |
| 1094 | GLOBAL | Cartesian | 546.00000 | 5.40000 | 0.00000 | No | 546.00000 | 5.40000 | 0.00000 |
| 1095 | GLOBAL | Cartesian | 547.00000 | 0.00000 | 0.00000 | No | 547.00000 | 0.00000 | 0.00000 |
| 1096 | GLOBAL | Cartesian | 547.00000 | 5.40000 | 0.00000 | No | 547.00000 | 5.40000 | 0.00000 |
| 1097 | GLOBAL | Cartesian | 548.00000 | 0.00000 | 0.00000 | No | 548.00000 | 0.00000 | 0.00000 |
| 1098 | GLOBAL | Cartesian | 548.00000 | 5.40000 | 0.00000 | No | 548.00000 | 5.40000 | 0.00000 |
| 1099 | GLOBAL | Cartesian | 549.00000 | 0.00000 | 0.00000 | No | 549.00000 | 0.00000 | 0.00000 |
| 1100 | GLOBAL | Cartesian | 549.00000 | 5.40000 | 0.00000 | No | 549.00000 | 5.40000 | 0.00000 |
| 1101 | GLOBAL | Cartesian | 550.00000 | 0.00000 | 0.00000 | No | 550.00000 | 0.00000 | 0.00000 |
| 1102 | GLOBAL | Cartesian | 550.00000 | 5.40000 | 0.00000 | No | 550.00000 | 5.40000 | 0.00000 |
| 1103 | GLOBAL | Cartesian | 551.00000 | 0.00000 | 0.00000 | No | 551.00000 | 0.00000 | 0.00000 |
| 1104 | GLOBAL | Cartesian | 551.00000 | 5.40000 | 0.00000 | No | 551.00000 | 5.40000 | 0.00000 |
| 1105 | GLOBAL | Cartesian | 552.00000 | 0.00000 | 0.00000 | No | 552.00000 | 0.00000 | 0.00000 |
| 1106 | GLOBAL | Cartesian | 552.00000 | 5.40000 | 0.00000 | No | 552.00000 | 5.40000 | 0.00000 |
| 1107 | GLOBAL | Cartesian | 553.00000 | 0.00000 | 0.00000 | No | 553.00000 | 0.00000 | 0.00000 |
| 1108 | GLOBAL | Cartesian | 553.00000 | 5.40000 | 0.00000 | No | 553.00000 | 5.40000 | 0.00000 |
| 1109 | GLOBAL | Cartesian | 554.00000 | 0.00000 | 0.00000 | No | 554.00000 | 0.00000 | 0.00000 |
| 1110 | GLOBAL | Cartesian | 554.00000 | 5.40000 | 0.00000 | No | 554.00000 | 5.40000 | 0.00000 |
| 1111 | GLOBAL | Cartesian | 555.00000 | 0.00000 | 0.00000 | No | 555.00000 | 0.00000 | 0.00000 |
| 1112 | GLOBAL | Cartesian | 555.00000 | 5.40000 | 0.00000 | No | 555.00000 | 5.40000 | 0.00000 |
| 1113 | GLOBAL | Cartesian | 556.00000 | 0.00000 | 0.00000 | No | 556.00000 | 0.00000 | 0.00000 |
| 1114 | GLOBAL | Cartesian | 556.00000 | 5.40000 | 0.00000 | No | 556.00000 | 5.40000 | 0.00000 |
| 1115 | GLOBAL | Cartesian | 557.00000 | 0.00000 | 0.00000 | No | 557.00000 | 0.00000 | 0.00000 |
| 1116 | GLOBAL | Cartesian | 557.00000 | 5.40000 | 0.00000 | No | 557.00000 | 5.40000 | 0.00000 |
| 1117 | GLOBAL | Cartesian | 558.00000 | 0.00000 | 0.00000 | No | 558.00000 | 0.00000 | 0.00000 |
| 1118 | GLOBAL | Cartesian | 558.00000 | 5.40000 | 0.00000 | No | 558.00000 | 5.40000 | 0.00000 |
| 1119 | GLOBAL | Cartesian | 559.00000 | 0.00000 | 0.00000 | No | 559.00000 | 0.00000 | 0.00000 |
| 1120 | GLOBAL | Cartesian | 559.00000 | 5.40000 | 0.00000 | No | 559.00000 | 5.40000 | 0.00000 |
| 1121 | GLOBAL | Cartesian | 560.00000 | 0.00000 | 0.00000 | No | 560.00000 | 0.00000 | 0.00000 |
| 1122 | GLOBAL | Cartesian | 560.00000 | 5.40000 | 0.00000 | No | 560.00000 | 5.40000 | 0.00000 |
| 1123 | GLOBAL | Cartesian | 561.00000 | 0.00000 | 0.00000 | No | 561.00000 | 0.00000 | 0.00000 |
| 1124 | GLOBAL | Cartesian | 561.00000 | 5.40000 | 0.00000 | No | 561.00000 | 5.40000 | 0.00000 |
| 1125 | GLOBAL | Cartesian | 562.00000 | 0.00000 | 0.00000 | No | 562.00000 | 0.00000 | 0.00000 |





| Joint | CoordSys | CoordType | XorR | Y | Z | SpecialJt | GlobalX | GlobalY | GlobalZ |
|---|---|---|---|---|---|---|---|---|---|
| Text | Text | Text | m | m | m | Yes/No | m | m | m |
| 1126 | GLOBAL | Cartesian | 562.00000 | 5.40000 | 0.00000 | No | 562.00000 | 5.40000 | 0.00000 |
| 1127 | GLOBAL | Cartesian | 563.00000 | 0.00000 | 0.00000 | No | 563.00000 | 0.00000 | 0.00000 |
| 1128 | GLOBAL | Cartesian | 563.00000 | 5.40000 | 0.00000 | No | 563.00000 | 5.40000 | 0.00000 |
| 1129 | GLOBAL | Cartesian | 564.00000 | 0.00000 | 0.00000 | No | 564.00000 | 0.00000 | 0.00000 |
| 1130 | GLOBAL | Cartesian | 564.00000 | 5.40000 | 0.00000 | No | 564.00000 | 5.40000 | 0.00000 |
| 1131 | GLOBAL | Cartesian | 565.00000 | 0.00000 | 0.00000 | No | 565.00000 | 0.00000 | 0.00000 |
| 1132 | GLOBAL | Cartesian | 565.00000 | 5.40000 | 0.00000 | No | 565.00000 | 5.40000 | 0.00000 |
| 1133 | GLOBAL | Cartesian | 566.00000 | 0.00000 | 0.00000 | No | 566.00000 | 0.00000 | 0.00000 |
| 1134 | GLOBAL | Cartesian | 566.00000 | 5.40000 | 0.00000 | No | 566.00000 | 5.40000 | 0.00000 |
| 1135 | GLOBAL | Cartesian | 567.00000 | 0.00000 | 0.00000 | No | 567.00000 | 0.00000 | 0.00000 |
| 1136 | GLOBAL | Cartesian | 567.00000 | 5.40000 | 0.00000 | No | 567.00000 | 5.40000 | 0.00000 |
| 1137 | GLOBAL | Cartesian | 568.00000 | 0.00000 | 0.00000 | No | 568.00000 | 0.00000 | 0.00000 |
| 1138 | GLOBAL | Cartesian | 568.00000 | 5.40000 | 0.00000 | No | 568.00000 | 5.40000 | 0.00000 |
| 1139 | GLOBAL | Cartesian | 569.00000 | 0.00000 | 0.00000 | No | 569.00000 | 0.00000 | 0.00000 |
| 1140 | GLOBAL | Cartesian | 569.00000 | 5.40000 | 0.00000 | No | 569.00000 | 5.40000 | 0.00000 |
| 1141 | GLOBAL | Cartesian | 570.00000 | 0.00000 | 0.00000 | No | 570.00000 | 0.00000 | 0.00000 |
| 1142 | GLOBAL | Cartesian | 570.00000 | 5.40000 | 0.00000 | No | 570.00000 | 5.40000 | 0.00000 |
| 1143 | GLOBAL | Cartesian | 571.00000 | 0.00000 | 0.00000 | No | 571.00000 | 0.00000 | 0.00000 |
| 1144 | GLOBAL | Cartesian | 571.00000 | 5.40000 | 0.00000 | No | 571.00000 | 5.40000 | 0.00000 |
| 1145 | GLOBAL | Cartesian | 572.00000 | 0.00000 | 0.00000 | No | 572.00000 | 0.00000 | 0.00000 |
| 1146 | GLOBAL | Cartesian | 572.00000 | 5.40000 | 0.00000 | No | 572.00000 | 5.40000 | 0.00000 |
| 1147 | GLOBAL | Cartesian | 573.00000 | 0.00000 | 0.00000 | No | 573.00000 | 0.00000 | 0.00000 |
| 1148 | GLOBAL | Cartesian | 573.00000 | 5.40000 | 0.00000 | No | 573.00000 | 5.40000 | 0.00000 |
| 1149 | GLOBAL | Cartesian | 574.00000 | 0.00000 | 0.00000 | No | 574.00000 | 0.00000 | 0.00000 |
| 1150 | GLOBAL | Cartesian | 574.00000 | 5.40000 | 0.00000 | No | 574.00000 | 5.40000 | 0.00000 |
| 1151 | GLOBAL | Cartesian | 575.00000 | 0.00000 | 0.00000 | No | 575.00000 | 0.00000 | 0.00000 |
| 1152 | GLOBAL | Cartesian | 575.00000 | 5.40000 | 0.00000 | No | 575.00000 | 5.40000 | 0.00000 |
| 1153 | GLOBAL | Cartesian | 576.00000 | 0.00000 | 0.00000 | No | 576.00000 | 0.00000 | 0.00000 |
| 1154 | GLOBAL | Cartesian | 576.00000 | 5.40000 | 0.00000 | No | 576.00000 | 5.40000 | 0.00000 |
| 1155 | GLOBAL | Cartesian | 577.00000 | 0.00000 | 0.00000 | No | 577.00000 | 0.00000 | 0.00000 |
| 1156 | GLOBAL | Cartesian | 577.00000 | 5.40000 | 0.00000 | No | 577.00000 | 5.40000 | 0.00000 |
| 1157 | GLOBAL | Cartesian | 578.00000 | 0.00000 | 0.00000 | No | 578.00000 | 0.00000 | 0.00000 |
| 1158 | GLOBAL | Cartesian | 578.00000 | 5.40000 | 0.00000 | No | 578.00000 | 5.40000 | 0.00000 |
| 1159 | GLOBAL | Cartesian | 579.00000 | 0.00000 | 0.00000 | No | 579.00000 | 0.00000 | 0.00000 |
| 1160 | GLOBAL | Cartesian | 579.00000 | 5.40000 | 0.00000 | No | 579.00000 | 5.40000 | 0.00000 |
| 1161 | GLOBAL | Cartesian | 580.00000 | 0.00000 | 0.00000 | No | 580.00000 | 0.00000 | 0.00000 |
| 1162 | GLOBAL | Cartesian | 580.00000 | 5.40000 | 0.00000 | No | 580.00000 | 5.40000 | 0.00000 |
| 1163 | GLOBAL | Cartesian | 581.00000 | 0.00000 | 0.00000 | No | 581.00000 | 0.00000 | 0.00000 |
| 1164 | GLOBAL | Cartesian | 581.00000 | 5.40000 | 0.00000 | No | 581.00000 | 5.40000 | 0.00000 |
| 1165 | GLOBAL | Cartesian | 582.00000 | 0.00000 | 0.00000 | No | 582.00000 | 0.00000 | 0.00000 |
| 1166 | GLOBAL | Cartesian | 582.00000 | 5.40000 | 0.00000 | No | 582.00000 | 5.40000 | 0.00000 |
| 1167 | GLOBAL | Cartesian | 583.00000 | 0.00000 | 0.00000 | No | 583.00000 | 0.00000 | 0.00000 |
| 1168 | GLOBAL | Cartesian | 583.00000 | 5.40000 | 0.00000 | No | 583.00000 | 5.40000 | 0.00000 |
| 1169 | GLOBAL | Cartesian | 584.00000 | 0.00000 | 0.00000 | No | 584.00000 | 0.00000 | 0.00000 |
| 1170 | GLOBAL | Cartesian | 584.00000 | 5.40000 | 0.00000 | No | 584.00000 | 5.40000 | 0.00000 |
| 1171 | GLOBAL | Cartesian | 585.00000 | 0.00000 | 0.00000 | No | 585.00000 | 0.00000 | 0.00000 |
| 1172 | GLOBAL | Cartesian | 585.00000 | 5.40000 | 0.00000 | No | 585.00000 | 5.40000 | 0.00000 |
| 1173 | GLOBAL | Cartesian | 586.00000 | 0.00000 | 0.00000 | No | 586.00000 | 0.00000 | 0.00000 |
| 1174 | GLOBAL | Cartesian | 586.00000 | 5.40000 | 0.00000 | No | 586.00000 | 5.40000 | 0.00000 |
| 1175 | GLOBAL | Cartesian | 587.00000 | 0.00000 | 0.00000 | No | 587.00000 | 0.00000 | 0.00000 |
| 1176 | GLOBAL | Cartesian | 587.00000 | 5.40000 | 0.00000 | No | 587.00000 | 5.40000 | 0.00000 |
| 1177 | GLOBAL | Cartesian | 588.00000 | 0.00000 | 0.00000 | No | 588.00000 | 0.00000 | 0.00000 |
| 1178 | GLOBAL | Cartesian | 588.00000 | 5.40000 | 0.00000 | No | 588.00000 | 5.40000 | 0.00000 |
| 1179 | GLOBAL | Cartesian | 589.00000 | 0.00000 | 0.00000 | No | 589.00000 | 0.00000 | 0.00000 |
| 1180 | GLOBAL | Cartesian | 589.00000 | 5.40000 | 0.00000 | No | 589.00000 | 5.40000 | 0.00000 |
| 1181 | GLOBAL | Cartesian | 590.00000 | 0.00000 | 0.00000 | No | 590.00000 | 0.00000 | 0.00000 |
| 1182 | GLOBAL | Cartesian | 590.00000 | 5.40000 | 0.00000 | No | 590.00000 | 5.40000 | 0.00000 |
| 1183 | GLOBAL | Cartesian | 591.00000 | 0.00000 | 0.00000 | No | 591.00000 | 0.00000 | 0.00000 |
| 1184 | GLOBAL | Cartesian | 591.00000 | 5.40000 | 0.00000 | No | 591.00000 | 5.40000 | 0.00000 |
| 1185 | GLOBAL | Cartesian | 592.00000 | 0.00000 | 0.00000 | No | 592.00000 | 0.00000 | 0.00000 |
| 1186 | GLOBAL | Cartesian | 592.00000 | 5.40000 | 0.00000 | No | 592.00000 | 5.40000 | 0.00000 |
| 1187 | GLOBAL | Cartesian | 593.00000 | 0.00000 | 0.00000 | No | 593.00000 | 0.00000 | 0.00000 |
| 1188 | GLOBAL | Cartesian | 593.00000 | 5.40000 | 0.00000 | No | 593.00000 | 5.40000 | 0.00000 |
| 1189 | GLOBAL | Cartesian | 594.00000 | 0.00000 | 0.00000 | No | 594.00000 | 0.00000 | 0.00000 |
| 1190 | GLOBAL | Cartesian | 594.00000 | 5.40000 | 0.00000 | No | 594.00000 | 5.40000 | 0.00000 |
| 1191 | GLOBAL | Cartesian | 595.00000 | 0.00000 | 0.00000 | No | 595.00000 | 0.00000 | 0.00000 |
| 1192 | GLOBAL | Cartesian | 595.00000 | 5.40000 | 0.00000 | No | 595.00000 | 5.40000 | 0.00000 |
| 1193 | GLOBAL | Cartesian | 596.00000 | 0.00000 | 0.00000 | No | 596.00000 | 0.00000 | 0.00000 |
| 1194 | GLOBAL | Cartesian | 596.00000 | 5.40000 | 0.00000 | No | 596.00000 | 5.40000 | 0.00000 |
| 1195 | GLOBAL | Cartesian | 597.00000 | 0.00000 | 0.00000 | No | 597.00000 | 0.00000 | 0.00000 |
| 1196 | GLOBAL | Cartesian | 597.00000 | 5.40000 | 0.00000 | No | 597.00000 | 5.40000 | 0.00000 |
| 1197 | GLOBAL | Cartesian | 598.00000 | 0.00000 | 0.00000 | No | 598.00000 | 0.00000 | 0.00000 |
| 1198 | GLOBAL | Cartesian | 598.00000 | 5.40000 | 0.00000 | No | 598.00000 | 5.40000 | 0.00000 |
| 1199 | GLOBAL | Cartesian | 599.00000 | 0.00000 | 0.00000 | No | 599.00000 | 0.00000 | 0.00000 |
| 1200 | GLOBAL | Cartesian | 599.00000 | 5.40000 | 0.00000 | No | 599.00000 | 5.40000 | 0.00000 |
| 1201 | GLOBAL | Cartesian | 600.00000 | 0.00000 | 0.00000 | No | 600.00000 | 0.00000 | 0.00000 |
| 1202 | GLOBAL | Cartesian | 600.00000 | 5.40000 | 0.00000 | No | 600.00000 | 5.40000 | 0.00000 |
| 1203 | GLOBAL | Cartesian | 601.00000 | 0.00000 | 0.00000 | No | 601.00000 | 0.00000 | 0.00000 |
| 1204 | GLOBAL | Cartesian | 601.00000 | 5.40000 | 0.00000 | No | 601.00000 | 5.40000 | 0.00000 |
| 1205 | GLOBAL | Cartesian | 602.00000 | 0.00000 | 0.00000 | No | 602.00000 | 0.00000 | 0.00000 |
| 1206 | GLOBAL | Cartesian | 602.00000 | 5.40000 | 0.00000 | No | 602.00000 | 5.40000 | 0.00000 |
| 1207 | GLOBAL | Cartesian | 603.00000 | 0.00000 | 0.00000 | No | 603.00000 | 0.00000 | 0.00000 |
| 1208 | GLOBAL | Cartesian | 603.00000 | 5.40000 | 0.00000 | No | 603.00000 | 5.40000 | 0.00000 |
| 1209 | GLOBAL | Cartesian | 604.00000 | 0.00000 | 0.00000 | No | 604.00000 | 0.00000 | 0.00000 |
| 1210 | GLOBAL | Cartesian | 604.00000 | 5.40000 | 0.00000 | No | 604.00000 | 5.40000 | 0.00000 |
| 1211 | GLOBAL | Cartesian | 605.00000 | 0.00000 | 0.00000 | No | 605.00000 | 0.00000 | 0.00000 |
| 1212 | GLOBAL | Cartesian | 605.00000 | 5.40000 | 0.00000 | No | 605.00000 | 5.40000 | 0.00000 |
| 1213 | GLOBAL | Cartesian | 606.00000 | 0.00000 | 0.00000 | No | 606.00000 | 0.00000 | 0.00000 |
| 1214 | GLOBAL | Cartesian | 606.00000 | 5.40000 | 0.00000 | No | 606.00000 | 5.40000 | 0.00000 |
| 1215 | GLOBAL | Cartesian | 607.00000 | 0.00000 | 0.00000 | No | 607.00000 | 0.00000 | 0.00000 |
| 1216 | GLOBAL | Cartesian | 607.00000 | 5.40000 | 0.00000 | No | 607.00000 | 5.40000 | 0.00000 |

| Joint | CoordSys | CoordType | XorR | Y | Z | SpecialJt | GlobalX | GlobalY | GlobalZ |
|---|---|---|---|---|---|---|---|---|---|
| Text | Text | Text | m | m | m | Yes/No | m | m | m |
| 1217 | GLOBAL | Cartesian | 608.00000 | 0.00000 | 0.00000 | No | 608.00000 | 0.00000 | 0.00000 |
| 1218 | GLOBAL | Cartesian | 608.00000 | 5.40000 | 0.00000 | No | 608.00000 | 5.40000 | 0.00000 |
| 1219 | GLOBAL | Cartesian | 609.00000 | 0.00000 | 0.00000 | No | 609.00000 | 0.00000 | 0.00000 |
| 1220 | GLOBAL | Cartesian | 609.00000 | 5.40000 | 0.00000 | No | 609.00000 | 5.40000 | 0.00000 |
| 1221 | GLOBAL | Cartesian | 610.00000 | 0.00000 | 0.00000 | No | 610.00000 | 0.00000 | 0.00000 |
| 1222 | GLOBAL | Cartesian | 610.00000 | 5.40000 | 0.00000 | No | 610.00000 | 5.40000 | 0.00000 |
| 1223 | GLOBAL | Cartesian | 611.00000 | 0.00000 | 0.00000 | No | 611.00000 | 0.00000 | 0.00000 |
| 1224 | GLOBAL | Cartesian | 611.00000 | 5.40000 | 0.00000 | No | 611.00000 | 5.40000 | 0.00000 |
| 1225 | GLOBAL | Cartesian | 612.00000 | 0.00000 | 0.00000 | No | 612.00000 | 0.00000 | 0.00000 |
| 1226 | GLOBAL | Cartesian | 612.00000 | 5.40000 | 0.00000 | No | 612.00000 | 5.40000 | 0.00000 |
| 1227 | GLOBAL | Cartesian | 613.00000 | 0.00000 | 0.00000 | No | 613.00000 | 0.00000 | 0.00000 |
| 1228 | GLOBAL | Cartesian | 613.00000 | 5.40000 | 0.00000 | No | 613.00000 | 5.40000 | 0.00000 |
| 1229 | GLOBAL | Cartesian | 614.00000 | 0.00000 | 0.00000 | No | 614.00000 | 0.00000 | 0.00000 |
| 1230 | GLOBAL | Cartesian | 614.00000 | 5.40000 | 0.00000 | No | 614.00000 | 5.40000 | 0.00000 |
| 1231 | GLOBAL | Cartesian | 615.00000 | 0.00000 | 0.00000 | No | 615.00000 | 0.00000 | 0.00000 |
| 1232 | GLOBAL | Cartesian | 615.00000 | 5.40000 | 0.00000 | No | 615.00000 | 5.40000 | 0.00000 |
| 1233 | GLOBAL | Cartesian | 616.00000 | 0.00000 | 0.00000 | No | 616.00000 | 0.00000 | 0.00000 |
| 1234 | GLOBAL | Cartesian | 616.00000 | 5.40000 | 0.00000 | No | 616.00000 | 5.40000 | 0.00000 |
| 1235 | GLOBAL | Cartesian | 617.00000 | 0.00000 | 0.00000 | No | 617.00000 | 0.00000 | 0.00000 |
| 1236 | GLOBAL | Cartesian | 617.00000 | 5.40000 | 0.00000 | No | 617.00000 | 5.40000 | 0.00000 |
| 1237 | GLOBAL | Cartesian | 618.00000 | 0.00000 | 0.00000 | No | 618.00000 | 0.00000 | 0.00000 |
| 1238 | GLOBAL | Cartesian | 618.00000 | 5.40000 | 0.00000 | No | 618.00000 | 5.40000 | 0.00000 |
| 1239 | GLOBAL | Cartesian | 619.00000 | 0.00000 | 0.00000 | No | 619.00000 | 0.00000 | 0.00000 |
| 1240 | GLOBAL | Cartesian | 619.00000 | 5.40000 | 0.00000 | No | 619.00000 | 5.40000 | 0.00000 |
| 1241 | GLOBAL | Cartesian | 620.00000 | 0.00000 | 0.00000 | No | 620.00000 | 0.00000 | 0.00000 |
| 1242 | GLOBAL | Cartesian | 620.00000 | 5.40000 | 0.00000 | No | 620.00000 | 5.40000 | 0.00000 |
| 1243 | GLOBAL | Cartesian | 621.00000 | 0.00000 | 0.00000 | No | 621.00000 | 0.00000 | 0.00000 |
| 1244 | GLOBAL | Cartesian | 621.00000 | 5.40000 | 0.00000 | No | 621.00000 | 5.40000 | 0.00000 |
| 1245 | GLOBAL | Cartesian | 622.00000 | 0.00000 | 0.00000 | No | 622.00000 | 0.00000 | 0.00000 |
| 1246 | GLOBAL | Cartesian | 622.00000 | 5.40000 | 0.00000 | No | 622.00000 | 5.40000 | 0.00000 |
| 1247 | GLOBAL | Cartesian | 623.00000 | 0.00000 | 0.00000 | No | 623.00000 | 0.00000 | 0.00000 |
| 1248 | GLOBAL | Cartesian | 623.00000 | 5.40000 | 0.00000 | No | 623.00000 | 5.40000 | 0.00000 |
| 1249 | GLOBAL | Cartesian | 624.00000 | 0.00000 | 0.00000 | No | 624.00000 | 0.00000 | 0.00000 |
| 1250 | GLOBAL | Cartesian | 624.00000 | 5.40000 | 0.00000 | No | 624.00000 | 5.40000 | 0.00000 |
| 1251 | GLOBAL | Cartesian | 625.00000 | 0.00000 | 0.00000 | No | 625.00000 | 0.00000 | 0.00000 |
| 1252 | GLOBAL | Cartesian | 625.00000 | 5.40000 | 0.00000 | No | 625.00000 | 5.40000 | 0.00000 |
| 1253 | GLOBAL | Cartesian | 626.00000 | 0.00000 | 0.00000 | No | 626.00000 | 0.00000 | 0.00000 |
| 1254 | GLOBAL | Cartesian | 626.00000 | 5.40000 | 0.00000 | No | 626.00000 | 5.40000 | 0.00000 |
| 1255 | GLOBAL | Cartesian | 627.00000 | 0.00000 | 0.00000 | No | 627.00000 | 0.00000 | 0.00000 |
| 1256 | GLOBAL | Cartesian | 627.00000 | 5.40000 | 0.00000 | No | 627.00000 | 5.40000 | 0.00000 |
| 1257 | GLOBAL | Cartesian | 628.00000 | 0.00000 | 0.00000 | No | 628.00000 | 0.00000 | 0.00000 |
| 1258 | GLOBAL | Cartesian | 628.00000 | 5.40000 | 0.00000 | No | 628.00000 | 5.40000 | 0.00000 |
| 1259 | GLOBAL | Cartesian | 629.00000 | 0.00000 | 0.00000 | No | 629.00000 | 0.00000 | 0.00000 |
| 1260 | GLOBAL | Cartesian | 629.00000 | 5.40000 | 0.00000 | No | 629.00000 | 5.40000 | 0.00000 |
| 1261 | GLOBAL | Cartesian | 630.00000 | 0.00000 | 0.00000 | No | 630.00000 | 0.00000 | 0.00000 |
| 1262 | GLOBAL | Cartesian | 630.00000 | 5.40000 | 0.00000 | No | 630.00000 | 5.40000 | 0.00000 |
| 1263 | GLOBAL | Cartesian | 631.00000 | 0.00000 | 0.00000 | No | 631.00000 | 0.00000 | 0.00000 |
| 1264 | GLOBAL | Cartesian | 631.00000 | 5.40000 | 0.00000 | No | 631.00000 | 5.40000 | 0.00000 |
| 1265 | GLOBAL | Cartesian | 632.00000 | 0.00000 | 0.00000 | No | 632.00000 | 0.00000 | 0.00000 |
| 1266 | GLOBAL | Cartesian | 632.00000 | 5.40000 | 0.00000 | No | 632.00000 | 5.40000 | 0.00000 |
| 1267 | GLOBAL | Cartesian | 633.00000 | 0.00000 | 0.00000 | No | 633.00000 | 0.00000 | 0.00000 |
| 1268 | GLOBAL | Cartesian | 633.00000 | 5.40000 | 0.00000 | No | 633.00000 | 5.40000 | 0.00000 |
| 1269 | GLOBAL | Cartesian | 634.00000 | 0.00000 | 0.00000 | No | 634.00000 | 0.00000 | 0.00000 |
| 1270 | GLOBAL | Cartesian | 634.00000 | 5.40000 | 0.00000 | No | 634.00000 | 5.40000 | 0.00000 |
| 1271 | GLOBAL | Cartesian | 635.00000 | 0.00000 | 0.00000 | No | 635.00000 | 0.00000 | 0.00000 |
| 1272 | GLOBAL | Cartesian | 635.00000 | 5.40000 | 0.00000 | No | 635.00000 | 5.40000 | 0.00000 |
| 1273 | GLOBAL | Cartesian | 636.00000 | 0.00000 | 0.00000 | No | 636.00000 | 0.00000 | 0.00000 |
| 1274 | GLOBAL | Cartesian | 636.00000 | 5.40000 | 0.00000 | No | 636.00000 | 5.40000 | 0.00000 |
| 1275 | GLOBAL | Cartesian | 637.00000 | 0.00000 | 0.00000 | No | 637.00000 | 0.00000 | 0.00000 |
| 1276 | GLOBAL | Cartesian | 637.00000 | 5.40000 | 0.00000 | No | 637.00000 | 5.40000 | 0.00000 |
| 1277 | GLOBAL | Cartesian | 638.00000 | 0.00000 | 0.00000 | No | 638.00000 | 0.00000 | 0.00000 |
| 1278 | GLOBAL | Cartesian | 638.00000 | 5.40000 | 0.00000 | No | 638.00000 | 5.40000 | 0.00000 |
| 1279 | GLOBAL | Cartesian | 639.00000 | 0.00000 | 0.00000 | No | 639.00000 | 0.00000 | 0.00000 |
| 1280 | GLOBAL | Cartesian | 639.00000 | 5.40000 | 0.00000 | No | 639.00000 | 5.40000 | 0.00000 |
| 1281 | GLOBAL | Cartesian | 640.00000 | 0.00000 | 0.00000 | No | 640.00000 | 0.00000 | 0.00000 |
| 1282 | GLOBAL | Cartesian | 640.00000 | 5.40000 | 0.00000 | No | 640.00000 | 5.40000 | 0.00000 |
| 1283 | GLOBAL | Cartesian | 641.00000 | 0.00000 | 0.00000 | No | 641.00000 | 0.00000 | 0.00000 |
| 1284 | GLOBAL | Cartesian | 641.00000 | 5.40000 | 0.00000 | No | 641.00000 | 5.40000 | 0.00000 |
| 1285 | GLOBAL | Cartesian | 642.00000 | 0.00000 | 0.00000 | No | 642.00000 | 0.00000 | 0.00000 |
| 1286 | GLOBAL | Cartesian | 642.00000 | 5.40000 | 0.00000 | No | 642.00000 | 5.40000 | 0.00000 |
| 1287 | GLOBAL | Cartesian | 643.00000 | 0.00000 | 0.00000 | No | 643.00000 | 0.00000 | 0.00000 |
| 1288 | GLOBAL | Cartesian | 643.00000 | 5.40000 | 0.00000 | No | 643.00000 | 5.40000 | 0.00000 |
| 1289 | GLOBAL | Cartesian | 644.00000 | 0.00000 | 0.00000 | No | 644.00000 | 0.00000 | 0.00000 |
| 1290 | GLOBAL | Cartesian | 644.00000 | 5.40000 | 0.00000 | No | 644.00000 | 5.40000 | 0.00000 |
| 1291 | GLOBAL | Cartesian | 645.00000 | 0.00000 | 0.00000 | No | 645.00000 | 0.00000 | 0.00000 |
| 1292 | GLOBAL | Cartesian | 645.00000 | 5.40000 | 0.00000 | No | 645.00000 | 5.40000 | 0.00000 |
| 1293 | GLOBAL | Cartesian | 646.00000 | 0.00000 | 0.00000 | No | 646.00000 | 0.00000 | 0.00000 |
| 1294 | GLOBAL | Cartesian | 646.00000 | 5.40000 | 0.00000 | No | 646.00000 | 5.40000 | 0.00000 |
| 1295 | GLOBAL | Cartesian | 647.00000 | 0.00000 | 0.00000 | No | 647.00000 | 0.00000 | 0.00000 |
| 1296 | GLOBAL | Cartesian | 647.00000 | 5.40000 | 0.00000 | No | 647.00000 | 5.40000 | 0.00000 |
| 1297 | GLOBAL | Cartesian | 648.00000 | 0.00000 | 0.00000 | No | 648.00000 | 0.00000 | 0.00000 |
| 1298 | GLOBAL | Cartesian | 648.00000 | 5.40000 | 0.00000 | No | 648.00000 | 5.40000 | 0.00000 |
| 1299 | GLOBAL | Cartesian | 649.00000 | 0.00000 | 0.00000 | No | 649.00000 | 0.00000 | 0.00000 |
| 1300 | GLOBAL | Cartesian | 649.00000 | 5.40000 | 0.00000 | No | 649.00000 | 5.40000 | 0.00000 |
| 1301 | GLOBAL | Cartesian | 650.00000 | 0.00000 | 0.00000 | No | 650.00000 | 0.00000 | 0.00000 |
| 1302 | GLOBAL | Cartesian | 650.00000 | 5.40000 | 0.00000 | No | 650.00000 | 5.40000 | 0.00000 |
| 1303 | GLOBAL | Cartesian | 651.00000 | 0.00000 | 0.00000 | No | 651.00000 | 0.00000 | 0.00000 |
| 1304 | GLOBAL | Cartesian | 651.00000 | 5.40000 | 0.00000 | No | 651.00000 | 5.40000 | 0.00000 |
| 1305 | GLOBAL | Cartesian | 652.00000 | 0.00000 | 0.00000 | No | 652.00000 | 0.00000 | 0.00000 |
| 1306 | GLOBAL | Cartesian | 652.00000 | 5.40000 | 0.00000 | No | 652.00000 | 5.40000 | 0.00000 |
| 1307 | GLOBAL | Cartesian | 653.00000 | 0.00000 | 0.00000 | No | 653.00000 | 0.00000 | 0.00000 |





| Joint | CoordSys | CoordType | XorR | Y | Z | SpecialJt | GlobalX | GlobalY | GlobalZ |
|---|---|---|---|---|---|---|---|---|---|
| Text | Text | Text | m | m | m | Yes/No | m | m | m |
| 1308 | GLOBAL | Cartesian | 653.00000 | 5.40000 | 0.00000 | No | 653.00000 | 5.40000 | 0.00000 |
| 1309 | GLOBAL | Cartesian | 654.00000 | 0.00000 | 0.00000 | No | 654.00000 | 0.00000 | 0.00000 |
| 1310 | GLOBAL | Cartesian | 654.00000 | 5.40000 | 0.00000 | No | 654.00000 | 5.40000 | 0.00000 |
| 1311 | GLOBAL | Cartesian | 655.00000 | 0.00000 | 0.00000 | No | 655.00000 | 0.00000 | 0.00000 |
| 1312 | GLOBAL | Cartesian | 655.00000 | 5.40000 | 0.00000 | No | 655.00000 | 5.40000 | 0.00000 |
| 1313 | GLOBAL | Cartesian | 656.00000 | 0.00000 | 0.00000 | No | 656.00000 | 0.00000 | 0.00000 |
| 1314 | GLOBAL | Cartesian | 656.00000 | 5.40000 | 0.00000 | No | 656.00000 | 5.40000 | 0.00000 |
| 1315 | GLOBAL | Cartesian | 657.00000 | 0.00000 | 0.00000 | No | 657.00000 | 0.00000 | 0.00000 |
| 1316 | GLOBAL | Cartesian | 657.00000 | 5.40000 | 0.00000 | No | 657.00000 | 5.40000 | 0.00000 |
| 1317 | GLOBAL | Cartesian | 658.00000 | 0.00000 | 0.00000 | No | 658.00000 | 0.00000 | 0.00000 |
| 1318 | GLOBAL | Cartesian | 658.00000 | 5.40000 | 0.00000 | No | 658.00000 | 5.40000 | 0.00000 |
| 1319 | GLOBAL | Cartesian | 659.00000 | 0.00000 | 0.00000 | No | 659.00000 | 0.00000 | 0.00000 |
| 1320 | GLOBAL | Cartesian | 659.00000 | 5.40000 | 0.00000 | No | 659.00000 | 5.40000 | 0.00000 |
| 1321 | GLOBAL | Cartesian | 660.00000 | 0.00000 | 0.00000 | No | 660.00000 | 0.00000 | 0.00000 |
| 1322 | GLOBAL | Cartesian | 660.00000 | 5.40000 | 0.00000 | No | 660.00000 | 5.40000 | 0.00000 |
| 1323 | GLOBAL | Cartesian | 661.00000 | 0.00000 | 0.00000 | No | 661.00000 | 0.00000 | 0.00000 |
| 1324 | GLOBAL | Cartesian | 661.00000 | 5.40000 | 0.00000 | No | 661.00000 | 5.40000 | 0.00000 |
| 1325 | GLOBAL | Cartesian | 662.00000 | 0.00000 | 0.00000 | No | 662.00000 | 0.00000 | 0.00000 |
| 1326 | GLOBAL | Cartesian | 662.00000 | 5.40000 | 0.00000 | No | 662.00000 | 5.40000 | 0.00000 |
| 1327 | GLOBAL | Cartesian | 663.00000 | 0.00000 | 0.00000 | No | 663.00000 | 0.00000 | 0.00000 |
| 1328 | GLOBAL | Cartesian | 663.00000 | 5.40000 | 0.00000 | No | 663.00000 | 5.40000 | 0.00000 |
| 1329 | GLOBAL | Cartesian | 664.00000 | 0.00000 | 0.00000 | No | 664.00000 | 0.00000 | 0.00000 |
| 1330 | GLOBAL | Cartesian | 664.00000 | 5.40000 | 0.00000 | No | 664.00000 | 5.40000 | 0.00000 |
| 1331 | GLOBAL | Cartesian | 665.00000 | 0.00000 | 0.00000 | No | 665.00000 | 0.00000 | 0.00000 |
| 1332 | GLOBAL | Cartesian | 665.00000 | 5.40000 | 0.00000 | No | 665.00000 | 5.40000 | 0.00000 |
| 1333 | GLOBAL | Cartesian | 666.00000 | 0.00000 | 0.00000 | No | 666.00000 | 0.00000 | 0.00000 |
| 1334 | GLOBAL | Cartesian | 666.00000 | 5.40000 | 0.00000 | No | 666.00000 | 5.40000 | 0.00000 |
| 1335 | GLOBAL | Cartesian | 667.00000 | 0.00000 | 0.00000 | No | 667.00000 | 0.00000 | 0.00000 |
| 1336 | GLOBAL | Cartesian | 667.00000 | 5.40000 | 0.00000 | No | 667.00000 | 5.40000 | 0.00000 |
| 1337 | GLOBAL | Cartesian | 668.00000 | 0.00000 | 0.00000 | No | 668.00000 | 0.00000 | 0.00000 |
| 1338 | GLOBAL | Cartesian | 668.00000 | 5.40000 | 0.00000 | No | 668.00000 | 5.40000 | 0.00000 |
| 1339 | GLOBAL | Cartesian | 669.00000 | 0.00000 | 0.00000 | No | 669.00000 | 0.00000 | 0.00000 |
| 1340 | GLOBAL | Cartesian | 669.00000 | 5.40000 | 0.00000 | No | 669.00000 | 5.40000 | 0.00000 |
| 1341 | GLOBAL | Cartesian | 670.00000 | 0.00000 | 0.00000 | No | 670.00000 | 0.00000 | 0.00000 |
| 1342 | GLOBAL | Cartesian | 670.00000 | 5.40000 | 0.00000 | No | 670.00000 | 5.40000 | 0.00000 |
| 1343 | GLOBAL | Cartesian | 671.00000 | 0.00000 | 0.00000 | No | 671.00000 | 0.00000 | 0.00000 |
| 1344 | GLOBAL | Cartesian | 671.00000 | 5.40000 | 0.00000 | No | 671.00000 | 5.40000 | 0.00000 |
| 1345 | GLOBAL | Cartesian | 672.00000 | 0.00000 | 0.00000 | No | 672.00000 | 0.00000 | 0.00000 |
| 1346 | GLOBAL | Cartesian | 672.00000 | 5.40000 | 0.00000 | No | 672.00000 | 5.40000 | 0.00000 |
| 1347 | GLOBAL | Cartesian | 673.00000 | 0.00000 | 0.00000 | No | 673.00000 | 0.00000 | 0.00000 |
| 1348 | GLOBAL | Cartesian | 673.00000 | 5.40000 | 0.00000 | No | 673.00000 | 5.40000 | 0.00000 |
| 1349 | GLOBAL | Cartesian | 674.00000 | 0.00000 | 0.00000 | No | 674.00000 | 0.00000 | 0.00000 |
| 1350 | GLOBAL | Cartesian | 674.00000 | 5.40000 | 0.00000 | No | 674.00000 | 5.40000 | 0.00000 |
| 1351 | GLOBAL | Cartesian | 675.00000 | 0.00000 | 0.00000 | No | 675.00000 | 0.00000 | 0.00000 |
| 1352 | GLOBAL | Cartesian | 675.00000 | 5.40000 | 0.00000 | No | 675.00000 | 5.40000 | 0.00000 |
| 1353 | GLOBAL | Cartesian | 676.00000 | 0.00000 | 0.00000 | No | 676.00000 | 0.00000 | 0.00000 |
| 1354 | GLOBAL | Cartesian | 676.00000 | 5.40000 | 0.00000 | No | 676.00000 | 5.40000 | 0.00000 |
| 1355 | GLOBAL | Cartesian | 677.00000 | 0.00000 | 0.00000 | No | 677.00000 | 0.00000 | 0.00000 |
| 1356 | GLOBAL | Cartesian | 677.00000 | 5.40000 | 0.00000 | No | 677.00000 | 5.40000 | 0.00000 |
| 1357 | GLOBAL | Cartesian | 678.00000 | 0.00000 | 0.00000 | No | 678.00000 | 0.00000 | 0.00000 |
| 1358 | GLOBAL | Cartesian | 678.00000 | 5.40000 | 0.00000 | No | 678.00000 | 5.40000 | 0.00000 |
| 1359 | GLOBAL | Cartesian | 679.00000 | 0.00000 | 0.00000 | No | 679.00000 | 0.00000 | 0.00000 |
| 1360 | GLOBAL | Cartesian | 679.00000 | 5.40000 | 0.00000 | No | 679.00000 | 5.40000 | 0.00000 |
| 1361 | GLOBAL | Cartesian | 680.00000 | 0.00000 | 0.00000 | No | 680.00000 | 0.00000 | 0.00000 |
| 1362 | GLOBAL | Cartesian | 680.00000 | 5.40000 | 0.00000 | No | 680.00000 | 5.40000 | 0.00000 |
| 1363 | GLOBAL | Cartesian | 681.00000 | 0.00000 | 0.00000 | No | 681.00000 | 0.00000 | 0.00000 |
| 1364 | GLOBAL | Cartesian | 681.00000 | 5.40000 | 0.00000 | No | 681.00000 | 5.40000 | 0.00000 |
| 1365 | GLOBAL | Cartesian | 682.00000 | 0.00000 | 0.00000 | No | 682.00000 | 0.00000 | 0.00000 |
| 1366 | GLOBAL | Cartesian | 682.00000 | 5.40000 | 0.00000 | No | 682.00000 | 5.40000 | 0.00000 |
| 1367 | GLOBAL | Cartesian | 683.00000 | 0.00000 | 0.00000 | No | 683.00000 | 0.00000 | 0.00000 |
| 1368 | GLOBAL | Cartesian | 683.00000 | 5.40000 | 0.00000 | No | 683.00000 | 5.40000 | 0.00000 |
| 1369 | GLOBAL | Cartesian | 684.00000 | 0.00000 | 0.00000 | No | 684.00000 | 0.00000 | 0.00000 |
| 1370 | GLOBAL | Cartesian | 684.00000 | 5.40000 | 0.00000 | No | 684.00000 | 5.40000 | 0.00000 |
| 1371 | GLOBAL | Cartesian | 685.00000 | 0.00000 | 0.00000 | No | 685.00000 | 0.00000 | 0.00000 |
| 1372 | GLOBAL | Cartesian | 685.00000 | 5.40000 | 0.00000 | No | 685.00000 | 5.40000 | 0.00000 |
| 1373 | GLOBAL | Cartesian | 686.00000 | 0.00000 | 0.00000 | No | 686.00000 | 0.00000 | 0.00000 |
| 1374 | GLOBAL | Cartesian | 686.00000 | 5.40000 | 0.00000 | No | 686.00000 | 5.40000 | 0.00000 |
| 1375 | GLOBAL | Cartesian | 687.00000 | 0.00000 | 0.00000 | No | 687.00000 | 0.00000 | 0.00000 |
| 1376 | GLOBAL | Cartesian | 687.00000 | 5.40000 | 0.00000 | No | 687.00000 | 5.40000 | 0.00000 |
| 1377 | GLOBAL | Cartesian | 688.00000 | 0.00000 | 0.00000 | No | 688.00000 | 0.00000 | 0.00000 |
| 1378 | GLOBAL | Cartesian | 688.00000 | 5.40000 | 0.00000 | No | 688.00000 | 5.40000 | 0.00000 |
| 1379 | GLOBAL | Cartesian | 689.00000 | 0.00000 | 0.00000 | No | 689.00000 | 0.00000 | 0.00000 |
| 1380 | GLOBAL | Cartesian | 689.00000 | 5.40000 | 0.00000 | No | 689.00000 | 5.40000 | 0.00000 |
| 1381 | GLOBAL | Cartesian | 690.00000 | 0.00000 | 0.00000 | No | 690.00000 | 0.00000 | 0.00000 |
| 1382 | GLOBAL | Cartesian | 690.00000 | 5.40000 | 0.00000 | No | 690.00000 | 5.40000 | 0.00000 |
| 1383 | GLOBAL | Cartesian | 691.00000 | 0.00000 | 0.00000 | No | 691.00000 | 0.00000 | 0.00000 |
| 1384 | GLOBAL | Cartesian | 691.00000 | 5.40000 | 0.00000 | No | 691.00000 | 5.40000 | 0.00000 |
| 1385 | GLOBAL | Cartesian | 692.00000 | 0.00000 | 0.00000 | No | 692.00000 | 0.00000 | 0.00000 |
| 1386 | GLOBAL | Cartesian | 692.00000 | 5.40000 | 0.00000 | No | 692.00000 | 5.40000 | 0.00000 |
| 1387 | GLOBAL | Cartesian | 693.00000 | 0.00000 | 0.00000 | No | 693.00000 | 0.00000 | 0.00000 |
| 1388 | GLOBAL | Cartesian | 693.00000 | 5.40000 | 0.00000 | No | 693.00000 | 5.40000 | 0.00000 |
| 1389 | GLOBAL | Cartesian | 694.00000 | 0.00000 | 0.00000 | No | 694.00000 | 0.00000 | 0.00000 |
| 1390 | GLOBAL | Cartesian | 694.00000 | 5.40000 | 0.00000 | No | 694.00000 | 5.40000 | 0.00000 |
| 1391 | GLOBAL | Cartesian | 695.00000 | 0.00000 | 0.00000 | No | 695.00000 | 0.00000 | 0.00000 |
| 1392 | GLOBAL | Cartesian | 695.00000 | 5.40000 | 0.00000 | No | 695.00000 | 5.40000 | 0.00000 |
| 1393 | GLOBAL | Cartesian | 696.00000 | 0.00000 | 0.00000 | No | 696.00000 | 0.00000 | 0.00000 |
| 1394 | GLOBAL | Cartesian | 696.00000 | 5.40000 | 0.00000 | No | 696.00000 | 5.40000 | 0.00000 |
| 1395 | GLOBAL | Cartesian | 697.00000 | 0.00000 | 0.00000 | No | 697.00000 | 0.00000 | 0.00000 |
| 1396 | GLOBAL | Cartesian | 697.00000 | 5.40000 | 0.00000 | No | 697.00000 | 5.40000 | 0.00000 |
| 1397 | GLOBAL | Cartesian | 698.00000 | 0.00000 | 0.00000 | No | 698.00000 | 0.00000 | 0.00000 |
| 1398 | GLOBAL | Cartesian | 698.00000 | 5.40000 | 0.00000 | No | 698.00000 | 5.40000 | 0.00000 |

| Joint | CoordSys | CoordType | XorR | Y | Z | SpecialJt | GlobalX | GlobalY | GlobalZ |
|---|---|---|---|---|---|---|---|---|---|
| Text | Text | Text | m | m | m | Yes/No | m | m | m |
| 1399 | GLOBAL | Cartesian | 699.00000 | 0.00000 | 0.00000 | No | 699.00000 | 0.00000 | 0.00000 |
| 1400 | GLOBAL | Cartesian | 699.00000 | 5.40000 | 0.00000 | No | 699.00000 | 5.40000 | 0.00000 |
| 1401 | GLOBAL | Cartesian | 700.00000 | 0.00000 | 0.00000 | No | 700.00000 | 0.00000 | 0.00000 |
| 1402 | GLOBAL | Cartesian | 700.00000 | 5.40000 | 0.00000 | No | 700.00000 | 5.40000 | 0.00000 |
| 1403 | GLOBAL | Cartesian | 701.00000 | 0.00000 | 0.00000 | No | 701.00000 | 0.00000 | 0.00000 |
| 1404 | GLOBAL | Cartesian | 701.00000 | 5.40000 | 0.00000 | No | 701.00000 | 5.40000 | 0.00000 |
| 1405 | GLOBAL | Cartesian | 702.00000 | 0.00000 | 0.00000 | No | 702.00000 | 0.00000 | 0.00000 |
| 1406 | GLOBAL | Cartesian | 702.00000 | 5.40000 | 0.00000 | No | 702.00000 | 5.40000 | 0.00000 |
| 1407 | GLOBAL | Cartesian | 703.00000 | 0.00000 | 0.00000 | No | 703.00000 | 0.00000 | 0.00000 |
| 1408 | GLOBAL | Cartesian | 703.00000 | 5.40000 | 0.00000 | No | 703.00000 | 5.40000 | 0.00000 |
| 1409 | GLOBAL | Cartesian | 704.00000 | 0.00000 | 0.00000 | No | 704.00000 | 0.00000 | 0.00000 |
| 1410 | GLOBAL | Cartesian | 704.00000 | 5.40000 | 0.00000 | No | 704.00000 | 5.40000 | 0.00000 |
| 1411 | GLOBAL | Cartesian | 705.00000 | 0.00000 | 0.00000 | No | 705.00000 | 0.00000 | 0.00000 |
| 1412 | GLOBAL | Cartesian | 705.00000 | 5.40000 | 0.00000 | No | 705.00000 | 5.40000 | 0.00000 |
| 1413 | GLOBAL | Cartesian | 706.00000 | 0.00000 | 0.00000 | No | 706.00000 | 0.00000 | 0.00000 |
| 1414 | GLOBAL | Cartesian | 706.00000 | 5.40000 | 0.00000 | No | 706.00000 | 5.40000 | 0.00000 |
| 1415 | GLOBAL | Cartesian | 707.00000 | 0.00000 | 0.00000 | No | 707.00000 | 0.00000 | 0.00000 |
| 1416 | GLOBAL | Cartesian | 707.00000 | 5.40000 | 0.00000 | No | 707.00000 | 5.40000 | 0.00000 |
| 1417 | GLOBAL | Cartesian | 708.00000 | 0.00000 | 0.00000 | No | 708.00000 | 0.00000 | 0.00000 |
| 1418 | GLOBAL | Cartesian | 708.00000 | 5.40000 | 0.00000 | No | 708.00000 | 5.40000 | 0.00000 |
| 1419 | GLOBAL | Cartesian | 709.00000 | 0.00000 | 0.00000 | No | 709.00000 | 0.00000 | 0.00000 |
| 1420 | GLOBAL | Cartesian | 709.00000 | 5.40000 | 0.00000 | No | 709.00000 | 5.40000 | 0.00000 |
| 1421 | GLOBAL | Cartesian | 710.00000 | 0.00000 | 0.00000 | No | 710.00000 | 0.00000 | 0.00000 |
| 1422 | GLOBAL | Cartesian | 710.00000 | 5.40000 | 0.00000 | No | 710.00000 | 5.40000 | 0.00000 |
| 1423 | GLOBAL | Cartesian | 711.00000 | 0.00000 | 0.00000 | No | 711.00000 | 0.00000 | 0.00000 |
| 1424 | GLOBAL | Cartesian | 711.00000 | 5.40000 | 0.00000 | No | 711.00000 | 5.40000 | 0.00000 |
| 1425 | GLOBAL | Cartesian | 712.00000 | 0.00000 | 0.00000 | No | 712.00000 | 0.00000 | 0.00000 |
| 1426 | GLOBAL | Cartesian | 712.00000 | 5.40000 | 0.00000 | No | 712.00000 | 5.40000 | 0.00000 |
| 1427 | GLOBAL | Cartesian | 713.00000 | 0.00000 | 0.00000 | No | 713.00000 | 0.00000 | 0.00000 |
| 1428 | GLOBAL | Cartesian | 713.00000 | 5.40000 | 0.00000 | No | 713.00000 | 5.40000 | 0.00000 |
| 1429 | GLOBAL | Cartesian | 714.00000 | 0.00000 | 0.00000 | No | 714.00000 | 0.00000 | 0.00000 |
| 1430 | GLOBAL | Cartesian | 714.00000 | 5.40000 | 0.00000 | No | 714.00000 | 5.40000 | 0.00000 |
| 1431 | GLOBAL | Cartesian | 715.00000 | 0.00000 | 0.00000 | No | 715.00000 | 0.00000 | 0.00000 |
| 1432 | GLOBAL | Cartesian | 715.00000 | 5.40000 | 0.00000 | No | 715.00000 | 5.40000 | 0.00000 |
| 1433 | GLOBAL | Cartesian | 716.00000 | 0.00000 | 0.00000 | No | 716.00000 | 0.00000 | 0.00000 |
| 1434 | GLOBAL | Cartesian | 716.00000 | 5.40000 | 0.00000 | No | 716.00000 | 5.40000 | 0.00000 |
| 1435 | GLOBAL | Cartesian | 717.00000 | 0.00000 | 0.00000 | No | 717.00000 | 0.00000 | 0.00000 |
| 1436 | GLOBAL | Cartesian | 717.00000 | 5.40000 | 0.00000 | No | 717.00000 | 5.40000 | 0.00000 |
| 1437 | GLOBAL | Cartesian | 718.00000 | 0.00000 | 0.00000 | No | 718.00000 | 0.00000 | 0.00000 |
| 1438 | GLOBAL | Cartesian | 718.00000 | 5.40000 | 0.00000 | No | 718.00000 | 5.40000 | 0.00000 |
| 1439 | GLOBAL | Cartesian | 719.00000 | 0.00000 | 0.00000 | No | 719.00000 | 0.00000 | 0.00000 |
| 1440 | GLOBAL | Cartesian | 719.00000 | 5.40000 | 0.00000 | No | 719.00000 | 5.40000 | 0.00000 |
| 1441 | GLOBAL | Cartesian | 720.00000 | 0.00000 | 0.00000 | No | 720.00000 | 0.00000 | 0.00000 |
| 1442 | GLOBAL | Cartesian | 720.00000 | 5.40000 | 0.00000 | No | 720.00000 | 5.40000 | 0.00000 |
| 1443 | GLOBAL | Cartesian | 721.00000 | 0.00000 | 0.00000 | No | 721.00000 | 0.00000 | 0.00000 |
| 1444 | GLOBAL | Cartesian | 721.00000 | 5.40000 | 0.00000 | No | 721.00000 | 5.40000 | 0.00000 |
| 1445 | GLOBAL | Cartesian | 722.00000 | 0.00000 | 0.00000 | No | 722.00000 | 0.00000 | 0.00000 |
| 1446 | GLOBAL | Cartesian | 722.00000 | 5.40000 | 0.00000 | No | 722.00000 | 5.40000 | 0.00000 |
| 1447 | GLOBAL | Cartesian | 723.00000 | 0.00000 | 0.00000 | No | 723.00000 | 0.00000 | 0.00000 |
| 1448 | GLOBAL | Cartesian | 723.00000 | 5.40000 | 0.00000 | No | 723.00000 | 5.40000 | 0.00000 |
| 1449 | GLOBAL | Cartesian | 724.00000 | 0.00000 | 0.00000 | No | 724.00000 | 0.00000 | 0.00000 |
| 1450 | GLOBAL | Cartesian | 724.00000 | 5.40000 | 0.00000 | No | 724.00000 | 5.40000 | 0.00000 |
| 1451 | GLOBAL | Cartesian | 725.00000 | 0.00000 | 0.00000 | No | 725.00000 | 0.00000 | 0.00000 |
| 1452 | GLOBAL | Cartesian | 725.00000 | 5.40000 | 0.00000 | No | 725.00000 | 5.40000 | 0.00000 |
| 1453 | GLOBAL | Cartesian | 726.00000 | 0.00000 | 0.00000 | No | 726.00000 | 0.00000 | 0.00000 |
| 1454 | GLOBAL | Cartesian | 726.00000 | 5.40000 | 0.00000 | No | 726.00000 | 5.40000 | 0.00000 |
| 1455 | GLOBAL | Cartesian | 727.00000 | 0.00000 | 0.00000 | No | 727.00000 | 0.00000 | 0.00000 |
| 1456 | GLOBAL | Cartesian | 727.00000 | 5.40000 | 0.00000 | No | 727.00000 | 5.40000 | 0.00000 |
| 1457 | GLOBAL | Cartesian | 728.00000 | 0.00000 | 0.00000 | No | 728.00000 | 0.00000 | 0.00000 |
| 1458 | GLOBAL | Cartesian | 728.00000 | 5.40000 | 0.00000 | No | 728.00000 | 5.40000 | 0.00000 |
| 1459 | GLOBAL | Cartesian | 729.00000 | 0.00000 | 0.00000 | No | 729.00000 | 0.00000 | 0.00000 |
| 1460 | GLOBAL | Cartesian | 729.00000 | 5.40000 | 0.00000 | No | 729.00000 | 5.40000 | 0.00000 |
| 1461 | GLOBAL | Cartesian | 730.00000 | 0.00000 | 0.00000 | No | 730.00000 | 0.00000 | 0.00000 |
| 1462 | GLOBAL | Cartesian | 730.00000 | 5.40000 | 0.00000 | No | 730.00000 | 5.40000 | 0.00000 |
| 1463 | GLOBAL | Cartesian | 731.00000 | 0.00000 | 0.00000 | No | 731.00000 | 0.00000 | 0.00000 |
| 1464 | GLOBAL | Cartesian | 731.00000 | 5.40000 | 0.00000 | No | 731.00000 | 5.40000 | 0.00000 |
| 1465 | GLOBAL | Cartesian | 732.00000 | 0.00000 | 0.00000 | No | 732.00000 | 0.00000 | 0.00000 |
| 1466 | GLOBAL | Cartesian | 732.00000 | 5.40000 | 0.00000 | No | 732.00000 | 5.40000 | 0.00000 |
| 1467 | GLOBAL | Cartesian | 733.00000 | 0.00000 | 0.00000 | No | 733.00000 | 0.00000 | 0.00000 |
| 1468 | GLOBAL | Cartesian | 733.00000 | 5.40000 | 0.00000 | No | 733.00000 | 5.40000 | 0.00000 |
| 1469 | GLOBAL | Cartesian | 734.00000 | 0.00000 | 0.00000 | No | 734.00000 | 0.00000 | 0.00000 |
| 1470 | GLOBAL | Cartesian | 734.00000 | 5.40000 | 0.00000 | No | 734.00000 | 5.40000 | 0.00000 |
| 1471 | GLOBAL | Cartesian | 735.00000 | 0.00000 | 0.00000 | No | 735.00000 | 0.00000 | 0.00000 |
| 1472 | GLOBAL | Cartesian | 735.00000 | 5.40000 | 0.00000 | No | 735.00000 | 5.40000 | 0.00000 |
| 1473 | GLOBAL | Cartesian | 736.00000 | 0.00000 | 0.00000 | No | 736.00000 | 0.00000 | 0.00000 |
| 1474 | GLOBAL | Cartesian | 736.00000 | 5.40000 | 0.00000 | No | 736.00000 | 5.40000 | 0.00000 |
| 1475 | GLOBAL | Cartesian | 737.00000 | 0.00000 | 0.00000 | No | 737.00000 | 0.00000 | 0.00000 |
| 1476 | GLOBAL | Cartesian | 737.00000 | 5.40000 | 0.00000 | No | 737.00000 | 5.40000 | 0.00000 |
| 1477 | GLOBAL | Cartesian | 738.00000 | 0.00000 | 0.00000 | No | 738.00000 | 0.00000 | 0.00000 |
| 1478 | GLOBAL | Cartesian | 738.00000 | 5.40000 | 0.00000 | No | 738.00000 | 5.40000 | 0.00000 |
| 1479 | GLOBAL | Cartesian | 739.00000 | 0.00000 | 0.00000 | No | 739.00000 | 0.00000 | 0.00000 |
| 1480 | GLOBAL | Cartesian | 739.00000 | 5.40000 | 0.00000 | No | 739.00000 | 5.40000 | 0.00000 |
| 1481 | GLOBAL | Cartesian | 740.00000 | 0.00000 | 0.00000 | No | 740.00000 | 0.00000 | 0.00000 |
| 1482 | GLOBAL | Cartesian | 740.00000 | 5.40000 | 0.00000 | No | 740.00000 | 5.40000 | 0.00000 |
| 1483 | GLOBAL | Cartesian | 741.00000 | 0.00000 | 0.00000 | No | 741.00000 | 0.00000 | 0.00000 |
| 1484 | GLOBAL | Cartesian | 741.00000 | 5.40000 | 0.00000 | No | 741.00000 | 5.40000 | 0.00000 |
| 1485 | GLOBAL | Cartesian | 742.00000 | 0.00000 | 0.00000 | No | 742.00000 | 0.00000 | 0.00000 |
| 1486 | GLOBAL | Cartesian | 742.00000 | 5.40000 | 0.00000 | No | 742.00000 | 5.40000 | 0.00000 |
| 1487 | GLOBAL | Cartesian | 743.00000 | 0.00000 | 0.00000 | No | 743.00000 | 0.00000 | 0.00000 |
| 1488 | GLOBAL | Cartesian | 743.00000 | 5.40000 | 0.00000 | No | 743.00000 | 5.40000 | 0.00000 |
| 1489 | GLOBAL | Cartesian | 744.00000 | 0.00000 | 0.00000 | No | 744.00000 | 0.00000 | 0.00000 |





| Joint | CoordSys | CoordType | XorR | Y | Z | SpecialJt | GlobalX | GlobalY | GlobalZ |
|---|---|---|---|---|---|---|---|---|---|
| Text | Text | Text | m | m | m | Yes/No | m | m | m |
| 1490 | GLOBAL | Cartesian | 744.00000 | 5.40000 | 0.00000 | No | 744.00000 | 5.40000 | 0.00000 |
| 1491 | GLOBAL | Cartesian | 745.00000 | 0.00000 | 0.00000 | No | 745.00000 | 0.00000 | 0.00000 |
| 1492 | GLOBAL | Cartesian | 745.00000 | 5.40000 | 0.00000 | No | 745.00000 | 5.40000 | 0.00000 |
| 1493 | GLOBAL | Cartesian | 746.00000 | 0.00000 | 0.00000 | No | 746.00000 | 0.00000 | 0.00000 |
| 1494 | GLOBAL | Cartesian | 746.00000 | 5.40000 | 0.00000 | No | 746.00000 | 5.40000 | 0.00000 |
| 1495 | GLOBAL | Cartesian | 747.00000 | 0.00000 | 0.00000 | No | 747.00000 | 0.00000 | 0.00000 |
| 1496 | GLOBAL | Cartesian | 747.00000 | 5.40000 | 0.00000 | No | 747.00000 | 5.40000 | 0.00000 |
| 1497 | GLOBAL | Cartesian | 748.00000 | 0.00000 | 0.00000 | No | 748.00000 | 0.00000 | 0.00000 |
| 1498 | GLOBAL | Cartesian | 748.00000 | 5.40000 | 0.00000 | No | 748.00000 | 5.40000 | 0.00000 |
| 1499 | GLOBAL | Cartesian | 749.00000 | 0.00000 | 0.00000 | No | 749.00000 | 0.00000 | 0.00000 |
| 1500 | GLOBAL | Cartesian | 749.00000 | 5.40000 | 0.00000 | No | 749.00000 | 5.40000 | 0.00000 |
| 1501 | GLOBAL | Cartesian | 750.00000 | 0.00000 | 0.00000 | No | 750.00000 | 0.00000 | 0.00000 |
| 1502 | GLOBAL | Cartesian | 750.00000 | 5.40000 | 0.00000 | No | 750.00000 | 5.40000 | 0.00000 |
| 1503 | GLOBAL | Cartesian | 751.00000 | 0.00000 | 0.00000 | No | 751.00000 | 0.00000 | 0.00000 |
| 1504 | GLOBAL | Cartesian | 751.00000 | 5.40000 | 0.00000 | No | 751.00000 | 5.40000 | 0.00000 |
| 1505 | GLOBAL | Cartesian | 752.00000 | 0.00000 | 0.00000 | No | 752.00000 | 0.00000 | 0.00000 |
| 1506 | GLOBAL | Cartesian | 752.00000 | 5.40000 | 0.00000 | No | 752.00000 | 5.40000 | 0.00000 |
| 1507 | GLOBAL | Cartesian | 753.00000 | 0.00000 | 0.00000 | No | 753.00000 | 0.00000 | 0.00000 |
| 1508 | GLOBAL | Cartesian | 753.00000 | 5.40000 | 0.00000 | No | 753.00000 | 5.40000 | 0.00000 |
| 1509 | GLOBAL | Cartesian | 754.00000 | 0.00000 | 0.00000 | No | 754.00000 | 0.00000 | 0.00000 |
| 1510 | GLOBAL | Cartesian | 754.00000 | 5.40000 | 0.00000 | No | 754.00000 | 5.40000 | 0.00000 |
| 1511 | GLOBAL | Cartesian | 755.00000 | 0.00000 | 0.00000 | No | 755.00000 | 0.00000 | 0.00000 |
| 1512 | GLOBAL | Cartesian | 755.00000 | 5.40000 | 0.00000 | No | 755.00000 | 5.40000 | 0.00000 |
| 1513 | GLOBAL | Cartesian | 756.00000 | 0.00000 | 0.00000 | No | 756.00000 | 0.00000 | 0.00000 |
| 1514 | GLOBAL | Cartesian | 756.00000 | 5.40000 | 0.00000 | No | 756.00000 | 5.40000 | 0.00000 |
| 1515 | GLOBAL | Cartesian | 757.00000 | 0.00000 | 0.00000 | No | 757.00000 | 0.00000 | 0.00000 |
| 1516 | GLOBAL | Cartesian | 757.00000 | 5.40000 | 0.00000 | No | 757.00000 | 5.40000 | 0.00000 |
| 1517 | GLOBAL | Cartesian | 758.00000 | 0.00000 | 0.00000 | No | 758.00000 | 0.00000 | 0.00000 |
| 1518 | GLOBAL | Cartesian | 758.00000 | 5.40000 | 0.00000 | No | 758.00000 | 5.40000 | 0.00000 |
| 1519 | GLOBAL | Cartesian | 759.00000 | 0.00000 | 0.00000 | No | 759.00000 | 0.00000 | 0.00000 |
| 1520 | GLOBAL | Cartesian | 759.00000 | 5.40000 | 0.00000 | No | 759.00000 | 5.40000 | 0.00000 |
| 1521 | GLOBAL | Cartesian | 760.00000 | 0.00000 | 0.00000 | No | 760.00000 | 0.00000 | 0.00000 |
| 1522 | GLOBAL | Cartesian | 760.00000 | 5.40000 | 0.00000 | No | 760.00000 | 5.40000 | 0.00000 |
| 1523 | GLOBAL | Cartesian | 761.00000 | 0.00000 | 0.00000 | No | 761.00000 | 0.00000 | 0.00000 |
| 1524 | GLOBAL | Cartesian | 761.00000 | 5.40000 | 0.00000 | No | 761.00000 | 5.40000 | 0.00000 |
| 1525 | GLOBAL | Cartesian | 762.00000 | 0.00000 | 0.00000 | No | 762.00000 | 0.00000 | 0.00000 |
| 1526 | GLOBAL | Cartesian | 762.00000 | 5.40000 | 0.00000 | No | 762.00000 | 5.40000 | 0.00000 |
| 1527 | GLOBAL | Cartesian | 763.00000 | 0.00000 | 0.00000 | No | 763.00000 | 0.00000 | 0.00000 |
| 1528 | GLOBAL | Cartesian | 763.00000 | 5.40000 | 0.00000 | No | 763.00000 | 5.40000 | 0.00000 |
| 1529 | GLOBAL | Cartesian | 764.00000 | 0.00000 | 0.00000 | No | 764.00000 | 0.00000 | 0.00000 |
| 1530 | GLOBAL | Cartesian | 764.00000 | 5.40000 | 0.00000 | No | 764.00000 | 5.40000 | 0.00000 |
| 1531 | GLOBAL | Cartesian | 765.00000 | 0.00000 | 0.00000 | No | 765.00000 | 0.00000 | 0.00000 |
| 1532 | GLOBAL | Cartesian | 765.00000 | 5.40000 | 0.00000 | No | 765.00000 | 5.40000 | 0.00000 |
| 1533 | GLOBAL | Cartesian | 766.00000 | 0.00000 | 0.00000 | No | 766.00000 | 0.00000 | 0.00000 |
| 1534 | GLOBAL | Cartesian | 766.00000 | 5.40000 | 0.00000 | No | 766.00000 | 5.40000 | 0.00000 |
| 1535 | GLOBAL | Cartesian | 767.00000 | 0.00000 | 0.00000 | No | 767.00000 | 0.00000 | 0.00000 |
| 1536 | GLOBAL | Cartesian | 767.00000 | 5.40000 | 0.00000 | No | 767.00000 | 5.40000 | 0.00000 |
| 1537 | GLOBAL | Cartesian | 768.00000 | 0.00000 | 0.00000 | No | 768.00000 | 0.00000 | 0.00000 |
| 1538 | GLOBAL | Cartesian | 768.00000 | 5.40000 | 0.00000 | No | 768.00000 | 5.40000 | 0.00000 |
| 1539 | GLOBAL | Cartesian | 769.00000 | 0.00000 | 0.00000 | No | 769.00000 | 0.00000 | 0.00000 |
| 1540 | GLOBAL | Cartesian | 769.00000 | 5.40000 | 0.00000 | No | 769.00000 | 5.40000 | 0.00000 |
| 1541 | GLOBAL | Cartesian | 770.00000 | 0.00000 | 0.00000 | No | 770.00000 | 0.00000 | 0.00000 |
| 1542 | GLOBAL | Cartesian | 770.00000 | 5.40000 | 0.00000 | No | 770.00000 | 5.40000 | 0.00000 |
| 1543 | GLOBAL | Cartesian | 771.00000 | 0.00000 | 0.00000 | No | 771.00000 | 0.00000 | 0.00000 |
| 1544 | GLOBAL | Cartesian | 771.00000 | 5.40000 | 0.00000 | No | 771.00000 | 5.40000 | 0.00000 |
| 1545 | GLOBAL | Cartesian | 772.00000 | 0.00000 | 0.00000 | No | 772.00000 | 0.00000 | 0.00000 |
| 1546 | GLOBAL | Cartesian | 772.00000 | 5.40000 | 0.00000 | No | 772.00000 | 5.40000 | 0.00000 |
| 1547 | GLOBAL | Cartesian | 773.00000 | 0.00000 | 0.00000 | No | 773.00000 | 0.00000 | 0.00000 |
| 1548 | GLOBAL | Cartesian | 773.00000 | 5.40000 | 0.00000 | No | 773.00000 | 5.40000 | 0.00000 |
| 1549 | GLOBAL | Cartesian | 774.00000 | 0.00000 | 0.00000 | No | 774.00000 | 0.00000 | 0.00000 |
| 1550 | GLOBAL | Cartesian | 774.00000 | 5.40000 | 0.00000 | No | 774.00000 | 5.40000 | 0.00000 |
| 1551 | GLOBAL | Cartesian | 775.00000 | 0.00000 | 0.00000 | No | 775.00000 | 0.00000 | 0.00000 |
| 1552 | GLOBAL | Cartesian | 775.00000 | 5.40000 | 0.00000 | No | 775.00000 | 5.40000 | 0.00000 |
| 1553 | GLOBAL | Cartesian | 776.00000 | 0.00000 | 0.00000 | No | 776.00000 | 0.00000 | 0.00000 |
| 1554 | GLOBAL | Cartesian | 776.00000 | 5.40000 | 0.00000 | No | 776.00000 | 5.40000 | 0.00000 |
| 1555 | GLOBAL | Cartesian | 777.00000 | 0.00000 | 0.00000 | No | 777.00000 | 0.00000 | 0.00000 |
| 1556 | GLOBAL | Cartesian | 777.00000 | 5.40000 | 0.00000 | No | 777.00000 | 5.40000 | 0.00000 |
| 1557 | GLOBAL | Cartesian | 778.00000 | 0.00000 | 0.00000 | No | 778.00000 | 0.00000 | 0.00000 |
| 1558 | GLOBAL | Cartesian | 778.00000 | 5.40000 | 0.00000 | No | 778.00000 | 5.40000 | 0.00000 |
| 1559 | GLOBAL | Cartesian | 779.00000 | 0.00000 | 0.00000 | No | 779.00000 | 0.00000 | 0.00000 |
| 1560 | GLOBAL | Cartesian | 779.00000 | 5.40000 | 0.00000 | No | 779.00000 | 5.40000 | 0.00000 |
| 1561 | GLOBAL | Cartesian | 780.00000 | 0.00000 | 0.00000 | No | 780.00000 | 0.00000 | 0.00000 |
| 1562 | GLOBAL | Cartesian | 780.00000 | 5.40000 | 0.00000 | No | 780.00000 | 5.40000 | 0.00000 |
| 1563 | GLOBAL | Cartesian | 781.00000 | 0.00000 | 0.00000 | No | 781.00000 | 0.00000 | 0.00000 |
| 1564 | GLOBAL | Cartesian | 781.00000 | 5.40000 | 0.00000 | No | 781.00000 | 5.40000 | 0.00000 |
| 1565 | GLOBAL | Cartesian | 782.00000 | 0.00000 | 0.00000 | No | 782.00000 | 0.00000 | 0.00000 |
| 1566 | GLOBAL | Cartesian | 782.00000 | 5.40000 | 0.00000 | No | 782.00000 | 5.40000 | 0.00000 |
| 1567 | GLOBAL | Cartesian | 783.00000 | 0.00000 | 0.00000 | No | 783.00000 | 0.00000 | 0.00000 |
| 1568 | GLOBAL | Cartesian | 783.00000 | 5.40000 | 0.00000 | No | 783.00000 | 5.40000 | 0.00000 |
| 1569 | GLOBAL | Cartesian | 784.00000 | 0.00000 | 0.00000 | No | 784.00000 | 0.00000 | 0.00000 |
| 1570 | GLOBAL | Cartesian | 784.00000 | 5.40000 | 0.00000 | No | 784.00000 | 5.40000 | 0.00000 |
| 1571 | GLOBAL | Cartesian | 785.00000 | 0.00000 | 0.00000 | No | 785.00000 | 0.00000 | 0.00000 |
| 1572 | GLOBAL | Cartesian | 785.00000 | 5.40000 | 0.00000 | No | 785.00000 | 5.40000 | 0.00000 |
| 1573 | GLOBAL | Cartesian | 786.00000 | 0.00000 | 0.00000 | No | 786.00000 | 0.00000 | 0.00000 |
| 1574 | GLOBAL | Cartesian | 786.00000 | 5.40000 | 0.00000 | No | 786.00000 | 5.40000 | 0.00000 |
| 1575 | GLOBAL | Cartesian | 787.00000 | 0.00000 | 0.00000 | No | 787.00000 | 0.00000 | 0.00000 |
| 1576 | GLOBAL | Cartesian | 787.00000 | 5.40000 | 0.00000 | No | 787.00000 | 5.40000 | 0.00000 |
| 1577 | GLOBAL | Cartesian | 788.00000 | 0.00000 | 0.00000 | No | 788.00000 | 0.00000 | 0.00000 |
| 1578 | GLOBAL | Cartesian | 788.00000 | 5.40000 | 0.00000 | No | 788.00000 | 5.40000 | 0.00000 |
| 1579 | GLOBAL | Cartesian | 789.00000 | 0.00000 | 0.00000 | No | 789.00000 | 0.00000 | 0.00000 |
| 1580 | GLOBAL | Cartesian | 789.00000 | 5.40000 | 0.00000 | No | 789.00000 | 5.40000 | 0.00000 |

| Joint | CoordSys | CoordType | XorR | Y | Z | SpecialJt | GlobalX | GlobalY | GlobalZ |
|---|---|---|---|---|---|---|---|---|---|
| Text | Text | Text | m | m | m | Yes/No | m | m | m |
| 1581 | GLOBAL | Cartesian | 790.00000 | 0.00000 | 0.00000 | No | 790.00000 | 0.00000 | 0.00000 |
| 1582 | GLOBAL | Cartesian | 790.00000 | 5.40000 | 0.00000 | No | 790.00000 | 5.40000 | 0.00000 |
| 1583 | GLOBAL | Cartesian | 791.00000 | 0.00000 | 0.00000 | No | 791.00000 | 0.00000 | 0.00000 |
| 1584 | GLOBAL | Cartesian | 791.00000 | 5.40000 | 0.00000 | No | 791.00000 | 5.40000 | 0.00000 |
| 1585 | GLOBAL | Cartesian | 792.00000 | 0.00000 | 0.00000 | No | 792.00000 | 0.00000 | 0.00000 |
| 1586 | GLOBAL | Cartesian | 792.00000 | 5.40000 | 0.00000 | No | 792.00000 | 5.40000 | 0.00000 |
| 1587 | GLOBAL | Cartesian | 793.00000 | 0.00000 | 0.00000 | No | 793.00000 | 0.00000 | 0.00000 |
| 1588 | GLOBAL | Cartesian | 793.00000 | 5.40000 | 0.00000 | No | 793.00000 | 5.40000 | 0.00000 |
| 1589 | GLOBAL | Cartesian | 794.00000 | 0.00000 | 0.00000 | No | 794.00000 | 0.00000 | 0.00000 |
| 1590 | GLOBAL | Cartesian | 794.00000 | 5.40000 | 0.00000 | No | 794.00000 | 5.40000 | 0.00000 |
| 1591 | GLOBAL | Cartesian | 795.00000 | 0.00000 | 0.00000 | No | 795.00000 | 0.00000 | 0.00000 |
| 1592 | GLOBAL | Cartesian | 795.00000 | 5.40000 | 0.00000 | No | 795.00000 | 5.40000 | 0.00000 |
| 1593 | GLOBAL | Cartesian | 796.00000 | 0.00000 | 0.00000 | No | 796.00000 | 0.00000 | 0.00000 |
| 1594 | GLOBAL | Cartesian | 796.00000 | 5.40000 | 0.00000 | No | 796.00000 | 5.40000 | 0.00000 |
| 1595 | GLOBAL | Cartesian | 797.00000 | 0.00000 | 0.00000 | No | 797.00000 | 0.00000 | 0.00000 |
| 1596 | GLOBAL | Cartesian | 797.00000 | 5.40000 | 0.00000 | No | 797.00000 | 5.40000 | 0.00000 |
| 1597 | GLOBAL | Cartesian | 798.00000 | 0.00000 | 0.00000 | No | 798.00000 | 0.00000 | 0.00000 |
| 1598 | GLOBAL | Cartesian | 798.00000 | 5.40000 | 0.00000 | No | 798.00000 | 5.40000 | 0.00000 |
| 1599 | GLOBAL | Cartesian | 799.00000 | 0.00000 | 0.00000 | No | 799.00000 | 0.00000 | 0.00000 |
| 1600 | GLOBAL | Cartesian | 799.00000 | 5.40000 | 0.00000 | No | 799.00000 | 5.40000 | 0.00000 |
| 1601 | GLOBAL | Cartesian | 800.00000 | 0.00000 | 0.00000 | No | 800.00000 | 0.00000 | 0.00000 |
| 1602 | GLOBAL | Cartesian | 800.00000 | 5.40000 | 0.00000 | No | 800.00000 | 5.40000 | 0.00000 |
| 1603 | GLOBAL | Cartesian | 801.00000 | 0.00000 | 0.00000 | No | 801.00000 | 0.00000 | 0.00000 |
| 1604 | GLOBAL | Cartesian | 801.00000 | 5.40000 | 0.00000 | No | 801.00000 | 5.40000 | 0.00000 |
| 1605 | GLOBAL | Cartesian | 802.00000 | 0.00000 | 0.00000 | No | 802.00000 | 0.00000 | 0.00000 |
| 1606 | GLOBAL | Cartesian | 802.00000 | 5.40000 | 0.00000 | No | 802.00000 | 5.40000 | 0.00000 |
| 1607 | GLOBAL | Cartesian | 803.00000 | 0.00000 | 0.00000 | No | 803.00000 | 0.00000 | 0.00000 |
| 1608 | GLOBAL | Cartesian | 803.00000 | 5.40000 | 0.00000 | No | 803.00000 | 5.40000 | 0.00000 |
| 1609 | GLOBAL | Cartesian | 804.00000 | 0.00000 | 0.00000 | No | 804.00000 | 0.00000 | 0.00000 |
| 1610 | GLOBAL | Cartesian | 804.00000 | 5.40000 | 0.00000 | No | 804.00000 | 5.40000 | 0.00000 |
| 1611 | GLOBAL | Cartesian | 805.00000 | 0.00000 | 0.00000 | No | 805.00000 | 0.00000 | 0.00000 |
| 1612 | GLOBAL | Cartesian | 805.00000 | 5.40000 | 0.00000 | No | 805.00000 | 5.40000 | 0.00000 |
| 1613 | GLOBAL | Cartesian | 806.00000 | 0.00000 | 0.00000 | No | 806.00000 | 0.00000 | 0.00000 |
| 1614 | GLOBAL | Cartesian | 806.00000 | 5.40000 | 0.00000 | No | 806.00000 | 5.40000 | 0.00000 |
| 1615 | GLOBAL | Cartesian | 807.00000 | 0.00000 | 0.00000 | No | 807.00000 | 0.00000 | 0.00000 |
| 1616 | GLOBAL | Cartesian | 807.00000 | 5.40000 | 0.00000 | No | 807.00000 | 5.40000 | 0.00000 |
| 1617 | GLOBAL | Cartesian | 808.00000 | 0.00000 | 0.00000 | No | 808.00000 | 0.00000 | 0.00000 |
| 1618 | GLOBAL | Cartesian | 808.00000 | 5.40000 | 0.00000 | No | 808.00000 | 5.40000 | 0.00000 |
| 1619 | GLOBAL | Cartesian | 809.00000 | 0.00000 | 0.00000 | No | 809.00000 | 0.00000 | 0.00000 |
| 1620 | GLOBAL | Cartesian | 809.00000 | 5.40000 | 0.00000 | No | 809.00000 | 5.40000 | 0.00000 |
| 1621 | GLOBAL | Cartesian | 810.00000 | 0.00000 | 0.00000 | No | 810.00000 | 0.00000 | 0.00000 |
| 1622 | GLOBAL | Cartesian | 810.00000 | 5.40000 | 0.00000 | No | 810.00000 | 5.40000 | 0.00000 |
| 1623 | GLOBAL | Cartesian | 811.00000 | 0.00000 | 0.00000 | No | 811.00000 | 0.00000 | 0.00000 |
| 1624 | GLOBAL | Cartesian | 811.00000 | 5.40000 | 0.00000 | No | 811.00000 | 5.40000 | 0.00000 |
| 1625 | GLOBAL | Cartesian | 812.00000 | 0.00000 | 0.00000 | No | 812.00000 | 0.00000 | 0.00000 |
| 1626 | GLOBAL | Cartesian | 812.00000 | 5.40000 | 0.00000 | No | 812.00000 | 5.40000 | 0.00000 |
| 1627 | GLOBAL | Cartesian | 813.00000 | 0.00000 | 0.00000 | No | 813.00000 | 0.00000 | 0.00000 |
| 1628 | GLOBAL | Cartesian | 813.00000 | 5.40000 | 0.00000 | No | 813.00000 | 5.40000 | 0.00000 |
| 1629 | GLOBAL | Cartesian | 814.00000 | 0.00000 | 0.00000 | No | 814.00000 | 0.00000 | 0.00000 |
| 1630 | GLOBAL | Cartesian | 814.00000 | 5.40000 | 0.00000 | No | 814.00000 | 5.40000 | 0.00000 |
| 1631 | GLOBAL | Cartesian | 815.00000 | 0.00000 | 0.00000 | No | 815.00000 | 0.00000 | 0.00000 |
| 1632 | GLOBAL | Cartesian | 815.00000 | 5.40000 | 0.00000 | No | 815.00000 | 5.40000 | 0.00000 |
| 1633 | GLOBAL | Cartesian | 816.00000 | 0.00000 | 0.00000 | No | 816.00000 | 0.00000 | 0.00000 |
| 1634 | GLOBAL | Cartesian | 816.00000 | 5.40000 | 0.00000 | No | 816.00000 | 5.40000 | 0.00000 |
| 1635 | GLOBAL | Cartesian | 817.00000 | 0.00000 | 0.00000 | No | 817.00000 | 0.00000 | 0.00000 |
| 1636 | GLOBAL | Cartesian | 817.00000 | 5.40000 | 0.00000 | No | 817.00000 | 5.40000 | 0.00000 |
| 1637 | GLOBAL | Cartesian | 818.00000 | 0.00000 | 0.00000 | No | 818.00000 | 0.00000 | 0.00000 |
| 1638 | GLOBAL | Cartesian | 818.00000 | 5.40000 | 0.00000 | No | 818.00000 | 5.40000 | 0.00000 |
| 1639 | GLOBAL | Cartesian | 819.00000 | 0.00000 | 0.00000 | No | 819.00000 | 0.00000 | 0.00000 |
| 1640 | GLOBAL | Cartesian | 819.00000 | 5.40000 | 0.00000 | No | 819.00000 | 5.40000 | 0.00000 |
| 1641 | GLOBAL | Cartesian | 820.00000 | 0.00000 | 0.00000 | No | 820.00000 | 0.00000 | 0.00000 |
| 1642 | GLOBAL | Cartesian | 820.00000 | 5.40000 | 0.00000 | No | 820.00000 | 5.40000 | 0.00000 |
| 1643 | GLOBAL | Cartesian | 821.00000 | 0.00000 | 0.00000 | No | 821.00000 | 0.00000 | 0.00000 |
| 1644 | GLOBAL | Cartesian | 821.00000 | 5.40000 | 0.00000 | No | 821.00000 | 5.40000 | 0.00000 |
| 1645 | GLOBAL | Cartesian | 822.00000 | 0.00000 | 0.00000 | No | 822.00000 | 0.00000 | 0.00000 |
| 1646 | GLOBAL | Cartesian | 822.00000 | 5.40000 | 0.00000 | No | 822.00000 | 5.40000 | 0.00000 |
| 1647 | GLOBAL | Cartesian | 823.00000 | 0.00000 | 0.00000 | No | 823.00000 | 0.00000 | 0.00000 |
| 1648 | GLOBAL | Cartesian | 823.00000 | 5.40000 | 0.00000 | No | 823.00000 | 5.40000 | 0.00000 |
| 1649 | GLOBAL | Cartesian | 824.00000 | 0.00000 | 0.00000 | No | 824.00000 | 0.00000 | 0.00000 |
| 1650 | GLOBAL | Cartesian | 824.00000 | 5.40000 | 0.00000 | No | 824.00000 | 5.40000 | 0.00000 |
| 1651 | GLOBAL | Cartesian | 825.00000 | 0.00000 | 0.00000 | No | 825.00000 | 0.00000 | 0.00000 |
| 1652 | GLOBAL | Cartesian | 825.00000 | 5.40000 | 0.00000 | No | 825.00000 | 5.40000 | 0.00000 |
| 1653 | GLOBAL | Cartesian | 826.00000 | 0.00000 | 0.00000 | No | 826.00000 | 0.00000 | 0.00000 |
| 1654 | GLOBAL | Cartesian | 826.00000 | 5.40000 | 0.00000 | No | 826.00000 | 5.40000 | 0.00000 |
| 1655 | GLOBAL | Cartesian | 827.00000 | 0.00000 | 0.00000 | No | 827.00000 | 0.00000 | 0.00000 |
| 1656 | GLOBAL | Cartesian | 827.00000 | 5.40000 | 0.00000 | No | 827.00000 | 5.40000 | 0.00000 |
| 1657 | GLOBAL | Cartesian | 828.00000 | 0.00000 | 0.00000 | No | 828.00000 | 0.00000 | 0.00000 |
| 1658 | GLOBAL | Cartesian | 828.00000 | 5.40000 | 0.00000 | No | 828.00000 | 5.40000 | 0.00000 |
| 1659 | GLOBAL | Cartesian | 829.00000 | 0.00000 | 0.00000 | No | 829.00000 | 0.00000 | 0.00000 |
| 1660 | GLOBAL | Cartesian | 829.00000 | 5.40000 | 0.00000 | No | 829.00000 | 5.40000 | 0.00000 |
| 1661 | GLOBAL | Cartesian | 830.00000 | 0.00000 | 0.00000 | No | 830.00000 | 0.00000 | 0.00000 |
| 1662 | GLOBAL | Cartesian | 830.00000 | 5.40000 | 0.00000 | No | 830.00000 | 5.40000 | 0.00000 |
| 1663 | GLOBAL | Cartesian | 831.00000 | 0.00000 | 0.00000 | No | 831.00000 | 0.00000 | 0.00000 |
| 1664 | GLOBAL | Cartesian | 831.00000 | 5.40000 | 0.00000 | No | 831.00000 | 5.40000 | 0.00000 |
| 1665 | GLOBAL | Cartesian | 832.00000 | 0.00000 | 0.00000 | No | 832.00000 | 0.00000 | 0.00000 |
| 1666 | GLOBAL | Cartesian | 832.00000 | 5.40000 | 0.00000 | No | 832.00000 | 5.40000 | 0.00000 |
| 1667 | GLOBAL | Cartesian | 833.00000 | 0.00000 | 0.00000 | No | 833.00000 | 0.00000 | 0.00000 |
| 1668 | GLOBAL | Cartesian | 833.00000 | 5.40000 | 0.00000 | No | 833.00000 | 5.40000 | 0.00000 |
| 1669 | GLOBAL | Cartesian | 834.00000 | 0.00000 | 0.00000 | No | 834.00000 | 0.00000 | 0.00000 |
| 1670 | GLOBAL | Cartesian | 834.00000 | 5.40000 | 0.00000 | No | 834.00000 | 5.40000 | 0.00000 |
| 1671 | GLOBAL | Cartesian | 835.00000 | 0.00000 | 0.00000 | No | 835.00000 | 0.00000 | 0.00000 |





| Joint | CoordSys | CoordType | XorR | Y | Z | SpecialJt | GlobalX | GlobalY | GlobalZ |
|---|---|---|---|---|---|---|---|---|---|
| Text | Text | Text | m | m | m | Yes/No | m | m | m |
| 1672 | GLOBAL | Cartesian | 835.00000 | 5.40000 | 0.00000 | No | 835.00000 | 5.40000 | 0.00000 |
| 1673 | GLOBAL | Cartesian | 836.00000 | 0.00000 | 0.00000 | No | 836.00000 | 0.00000 | 0.00000 |
| 1674 | GLOBAL | Cartesian | 836.00000 | 5.40000 | 0.00000 | No | 836.00000 | 5.40000 | 0.00000 |
| 1675 | GLOBAL | Cartesian | 837.00000 | 0.00000 | 0.00000 | No | 837.00000 | 0.00000 | 0.00000 |
| 1676 | GLOBAL | Cartesian | 837.00000 | 5.40000 | 0.00000 | No | 837.00000 | 5.40000 | 0.00000 |
| 1677 | GLOBAL | Cartesian | 838.00000 | 0.00000 | 0.00000 | No | 838.00000 | 0.00000 | 0.00000 |
| 1678 | GLOBAL | Cartesian | 838.00000 | 5.40000 | 0.00000 | No | 838.00000 | 5.40000 | 0.00000 |
| 1679 | GLOBAL | Cartesian | 839.00000 | 0.00000 | 0.00000 | No | 839.00000 | 0.00000 | 0.00000 |
| 1680 | GLOBAL | Cartesian | 839.00000 | 5.40000 | 0.00000 | No | 839.00000 | 5.40000 | 0.00000 |
| 1681 | GLOBAL | Cartesian | 840.00000 | 0.00000 | 0.00000 | No | 840.00000 | 0.00000 | 0.00000 |
| 1682 | GLOBAL | Cartesian | 840.00000 | 5.40000 | 0.00000 | No | 840.00000 | 5.40000 | 0.00000 |
| 1683 | GLOBAL | Cartesian | 841.00000 | 0.00000 | 0.00000 | No | 841.00000 | 0.00000 | 0.00000 |
| 1684 | GLOBAL | Cartesian | 841.00000 | 5.40000 | 0.00000 | No | 841.00000 | 5.40000 | 0.00000 |
| 1685 | GLOBAL | Cartesian | 842.00000 | 0.00000 | 0.00000 | No | 842.00000 | 0.00000 | 0.00000 |
| 1686 | GLOBAL | Cartesian | 842.00000 | 5.40000 | 0.00000 | No | 842.00000 | 5.40000 | 0.00000 |
| 1687 | GLOBAL | Cartesian | 843.00000 | 0.00000 | 0.00000 | No | 843.00000 | 0.00000 | 0.00000 |
| 1688 | GLOBAL | Cartesian | 843.00000 | 5.40000 | 0.00000 | No | 843.00000 | 5.40000 | 0.00000 |
| 1689 | GLOBAL | Cartesian | 844.00000 | 0.00000 | 0.00000 | No | 844.00000 | 0.00000 | 0.00000 |
| 1690 | GLOBAL | Cartesian | 844.00000 | 5.40000 | 0.00000 | No | 844.00000 | 5.40000 | 0.00000 |
| 1691 | GLOBAL | Cartesian | 845.00000 | 0.00000 | 0.00000 | No | 845.00000 | 0.00000 | 0.00000 |
| 1692 | GLOBAL | Cartesian | 845.00000 | 5.40000 | 0.00000 | No | 845.00000 | 5.40000 | 0.00000 |
| 1693 | GLOBAL | Cartesian | 846.00000 | 0.00000 | 0.00000 | No | 846.00000 | 0.00000 | 0.00000 |
| 1694 | GLOBAL | Cartesian | 846.00000 | 5.40000 | 0.00000 | No | 846.00000 | 5.40000 | 0.00000 |
| 1695 | GLOBAL | Cartesian | 847.00000 | 0.00000 | 0.00000 | No | 847.00000 | 0.00000 | 0.00000 |
| 1696 | GLOBAL | Cartesian | 847.00000 | 5.40000 | 0.00000 | No | 847.00000 | 5.40000 | 0.00000 |
| 1697 | GLOBAL | Cartesian | 848.00000 | 0.00000 | 0.00000 | No | 848.00000 | 0.00000 | 0.00000 |
| 1698 | GLOBAL | Cartesian | 848.00000 | 5.40000 | 0.00000 | No | 848.00000 | 5.40000 | 0.00000 |
| 1699 | GLOBAL | Cartesian | 849.00000 | 0.00000 | 0.00000 | No | 849.00000 | 0.00000 | 0.00000 |
| 1700 | GLOBAL | Cartesian | 849.00000 | 5.40000 | 0.00000 | No | 849.00000 | 5.40000 | 0.00000 |
| 1701 | GLOBAL | Cartesian | 850.00000 | 0.00000 | 0.00000 | No | 850.00000 | 0.00000 | 0.00000 |
| 1702 | GLOBAL | Cartesian | 850.00000 | 5.40000 | 0.00000 | No | 850.00000 | 5.40000 | 0.00000 |
| 1703 | GLOBAL | Cartesian | 851.00000 | 0.00000 | 0.00000 | No | 851.00000 | 0.00000 | 0.00000 |
| 1704 | GLOBAL | Cartesian | 851.00000 | 5.40000 | 0.00000 | No | 851.00000 | 5.40000 | 0.00000 |
| 1705 | GLOBAL | Cartesian | 852.00000 | 0.00000 | 0.00000 | No | 852.00000 | 0.00000 | 0.00000 |
| 1706 | GLOBAL | Cartesian | 852.00000 | 5.40000 | 0.00000 | No | 852.00000 | 5.40000 | 0.00000 |
| 1707 | GLOBAL | Cartesian | 853.00000 | 0.00000 | 0.00000 | No | 853.00000 | 0.00000 | 0.00000 |
| 1708 | GLOBAL | Cartesian | 853.00000 | 5.40000 | 0.00000 | No | 853.00000 | 5.40000 | 0.00000 |
| 1709 | GLOBAL | Cartesian | 854.00000 | 0.00000 | 0.00000 | No | 854.00000 | 0.00000 | 0.00000 |
| 1710 | GLOBAL | Cartesian | 854.00000 | 5.40000 | 0.00000 | No | 854.00000 | 5.40000 | 0.00000 |
| 1711 | GLOBAL | Cartesian | 855.00000 | 0.00000 | 0.00000 | No | 855.00000 | 0.00000 | 0.00000 |
| 1712 | GLOBAL | Cartesian | 855.00000 | 5.40000 | 0.00000 | No | 855.00000 | 5.40000 | 0.00000 |
| 1713 | GLOBAL | Cartesian | 856.00000 | 0.00000 | 0.00000 | No | 856.00000 | 0.00000 | 0.00000 |
| 1714 | GLOBAL | Cartesian | 856.00000 | 5.40000 | 0.00000 | No | 856.00000 | 5.40000 | 0.00000 |
| 1715 | GLOBAL | Cartesian | 857.00000 | 0.00000 | 0.00000 | No | 857.00000 | 0.00000 | 0.00000 |
| 1716 | GLOBAL | Cartesian | 857.00000 | 5.40000 | 0.00000 | No | 857.00000 | 5.40000 | 0.00000 |
| 1717 | GLOBAL | Cartesian | 858.00000 | 0.00000 | 0.00000 | No | 858.00000 | 0.00000 | 0.00000 |
| 1718 | GLOBAL | Cartesian | 858.00000 | 5.40000 | 0.00000 | No | 858.00000 | 5.40000 | 0.00000 |
| 1719 | GLOBAL | Cartesian | 859.00000 | 0.00000 | 0.00000 | No | 859.00000 | 0.00000 | 0.00000 |
| 1720 | GLOBAL | Cartesian | 859.00000 | 5.40000 | 0.00000 | No | 859.00000 | 5.40000 | 0.00000 |
| 1721 | GLOBAL | Cartesian | 860.00000 | 0.00000 | 0.00000 | No | 860.00000 | 0.00000 | 0.00000 |
| 1722 | GLOBAL | Cartesian | 860.00000 | 5.40000 | 0.00000 | No | 860.00000 | 5.40000 | 0.00000 |
| 1723 | GLOBAL | Cartesian | 861.00000 | 0.00000 | 0.00000 | No | 861.00000 | 0.00000 | 0.00000 |
| 1724 | GLOBAL | Cartesian | 861.00000 | 5.40000 | 0.00000 | No | 861.00000 | 5.40000 | 0.00000 |
| 1725 | GLOBAL | Cartesian | 862.00000 | 0.00000 | 0.00000 | No | 862.00000 | 0.00000 | 0.00000 |
| 1726 | GLOBAL | Cartesian | 862.00000 | 5.40000 | 0.00000 | No | 862.00000 | 5.40000 | 0.00000 |
| 1727 | GLOBAL | Cartesian | 863.00000 | 0.00000 | 0.00000 | No | 863.00000 | 0.00000 | 0.00000 |
| 1728 | GLOBAL | Cartesian | 863.00000 | 5.40000 | 0.00000 | No | 863.00000 | 5.40000 | 0.00000 |
| 1729 | GLOBAL | Cartesian | 864.00000 | 0.00000 | 0.00000 | No | 864.00000 | 0.00000 | 0.00000 |
| 1730 | GLOBAL | Cartesian | 864.00000 | 5.40000 | 0.00000 | No | 864.00000 | 5.40000 | 0.00000 |
| 1731 | GLOBAL | Cartesian | 865.00000 | 0.00000 | 0.00000 | No | 865.00000 | 0.00000 | 0.00000 |
| 1732 | GLOBAL | Cartesian | 865.00000 | 5.40000 | 0.00000 | No | 865.00000 | 5.40000 | 0.00000 |
| 1733 | GLOBAL | Cartesian | 866.00000 | 0.00000 | 0.00000 | No | 866.00000 | 0.00000 | 0.00000 |
| 1734 | GLOBAL | Cartesian | 866.00000 | 5.40000 | 0.00000 | No | 866.00000 | 5.40000 | 0.00000 |
| 1735 | GLOBAL | Cartesian | 867.00000 | 0.00000 | 0.00000 | No | 867.00000 | 0.00000 | 0.00000 |
| 1736 | GLOBAL | Cartesian | 867.00000 | 5.40000 | 0.00000 | No | 867.00000 | 5.40000 | 0.00000 |
| 1737 | GLOBAL | Cartesian | 868.00000 | 0.00000 | 0.00000 | No | 868.00000 | 0.00000 | 0.00000 |
| 1738 | GLOBAL | Cartesian | 868.00000 | 5.40000 | 0.00000 | No | 868.00000 | 5.40000 | 0.00000 |
| 1739 | GLOBAL | Cartesian | 869.00000 | 0.00000 | 0.00000 | No | 869.00000 | 0.00000 | 0.00000 |
| 1740 | GLOBAL | Cartesian | 869.00000 | 5.40000 | 0.00000 | No | 869.00000 | 5.40000 | 0.00000 |
| 1741 | GLOBAL | Cartesian | 870.00000 | 0.00000 | 0.00000 | No | 870.00000 | 0.00000 | 0.00000 |
| 1742 | GLOBAL | Cartesian | 870.00000 | 5.40000 | 0.00000 | No | 870.00000 | 5.40000 | 0.00000 |
| 1743 | GLOBAL | Cartesian | 871.00000 | 0.00000 | 0.00000 | No | 871.00000 | 0.00000 | 0.00000 |
| 1744 | GLOBAL | Cartesian | 871.00000 | 5.40000 | 0.00000 | No | 871.00000 | 5.40000 | 0.00000 |
| 1745 | GLOBAL | Cartesian | 872.00000 | 0.00000 | 0.00000 | No | 872.00000 | 0.00000 | 0.00000 |
| 1746 | GLOBAL | Cartesian | 872.00000 | 5.40000 | 0.00000 | No | 872.00000 | 5.40000 | 0.00000 |
| 1747 | GLOBAL | Cartesian | 873.00000 | 0.00000 | 0.00000 | No | 873.00000 | 0.00000 | 0.00000 |
| 1748 | GLOBAL | Cartesian | 873.00000 | 5.40000 | 0.00000 | No | 873.00000 | 5.40000 | 0.00000 |
| 1749 | GLOBAL | Cartesian | 874.00000 | 0.00000 | 0.00000 | No | 874.00000 | 0.00000 | 0.00000 |
| 1750 | GLOBAL | Cartesian | 874.00000 | 5.40000 | 0.00000 | No | 874.00000 | 5.40000 | 0.00000 |
| 1751 | GLOBAL | Cartesian | 875.00000 | 0.00000 | 0.00000 | No | 875.00000 | 0.00000 | 0.00000 |
| 1752 | GLOBAL | Cartesian | 875.00000 | 5.40000 | 0.00000 | No | 875.00000 | 5.40000 | 0.00000 |
| 1753 | GLOBAL | Cartesian | 876.00000 | 0.00000 | 0.00000 | No | 876.00000 | 0.00000 | 0.00000 |
| 1754 | GLOBAL | Cartesian | 876.00000 | 5.40000 | 0.00000 | No | 876.00000 | 5.40000 | 0.00000 |
| 1755 | GLOBAL | Cartesian | 877.00000 | 0.00000 | 0.00000 | No | 877.00000 | 0.00000 | 0.00000 |
| 1756 | GLOBAL | Cartesian | 877.00000 | 5.40000 | 0.00000 | No | 877.00000 | 5.40000 | 0.00000 |
| 1757 | GLOBAL | Cartesian | 878.00000 | 0.00000 | 0.00000 | No | 878.00000 | 0.00000 | 0.00000 |
| 1758 | GLOBAL | Cartesian | 878.00000 | 5.40000 | 0.00000 | No | 878.00000 | 5.40000 | 0.00000 |
| 1759 | GLOBAL | Cartesian | 879.00000 | 0.00000 | 0.00000 | No | 879.00000 | 0.00000 | 0.00000 |
| 1760 | GLOBAL | Cartesian | 879.00000 | 5.40000 | 0.00000 | No | 879.00000 | 5.40000 | 0.00000 |
| 1761 | GLOBAL | Cartesian | 880.00000 | 0.00000 | 0.00000 | No | 880.00000 | 0.00000 | 0.00000 |
| 1762 | GLOBAL | Cartesian | 880.00000 | 5.40000 | 0.00000 | No | 880.00000 | 5.40000 | 0.00000 |

| Joint | CoordSys | CoordType | XorR | Y | Z | SpecialJt | GlobalX | GlobalY | GlobalZ |
|---|---|---|---|---|---|---|---|---|---|
| Text | Text | Text | m | m | m | Yes/No | m | m | m |
| 1763 | GLOBAL | Cartesian | 881.00000 | 0.00000 | 0.00000 | No | 881.00000 | 0.00000 | 0.00000 |
| 1764 | GLOBAL | Cartesian | 881.00000 | 5.40000 | 0.00000 | No | 881.00000 | 5.40000 | 0.00000 |
| 1765 | GLOBAL | Cartesian | 882.00000 | 0.00000 | 0.00000 | No | 882.00000 | 0.00000 | 0.00000 |
| 1766 | GLOBAL | Cartesian | 882.00000 | 5.40000 | 0.00000 | No | 882.00000 | 5.40000 | 0.00000 |
| 1767 | GLOBAL | Cartesian | 883.00000 | 0.00000 | 0.00000 | No | 883.00000 | 0.00000 | 0.00000 |
| 1768 | GLOBAL | Cartesian | 883.00000 | 5.40000 | 0.00000 | No | 883.00000 | 5.40000 | 0.00000 |
| 1769 | GLOBAL | Cartesian | 884.00000 | 0.00000 | 0.00000 | No | 884.00000 | 0.00000 | 0.00000 |
| 1770 | GLOBAL | Cartesian | 884.00000 | 5.40000 | 0.00000 | No | 884.00000 | 5.40000 | 0.00000 |
| 1771 | GLOBAL | Cartesian | 885.00000 | 0.00000 | 0.00000 | No | 885.00000 | 0.00000 | 0.00000 |
| 1772 | GLOBAL | Cartesian | 885.00000 | 5.40000 | 0.00000 | No | 885.00000 | 5.40000 | 0.00000 |
| 1773 | GLOBAL | Cartesian | 886.00000 | 0.00000 | 0.00000 | No | 886.00000 | 0.00000 | 0.00000 |
| 1774 | GLOBAL | Cartesian | 886.00000 | 5.40000 | 0.00000 | No | 886.00000 | 5.40000 | 0.00000 |
| 1775 | GLOBAL | Cartesian | 887.00000 | 0.00000 | 0.00000 | No | 887.00000 | 0.00000 | 0.00000 |
| 1776 | GLOBAL | Cartesian | 887.00000 | 5.40000 | 0.00000 | No | 887.00000 | 5.40000 | 0.00000 |
| 1777 | GLOBAL | Cartesian | 888.00000 | 0.00000 | 0.00000 | No | 888.00000 | 0.00000 | 0.00000 |
| 1778 | GLOBAL | Cartesian | 888.00000 | 5.40000 | 0.00000 | No | 888.00000 | 5.40000 | 0.00000 |
| 1779 | GLOBAL | Cartesian | 889.00000 | 0.00000 | 0.00000 | No | 889.00000 | 0.00000 | 0.00000 |
| 1780 | GLOBAL | Cartesian | 889.00000 | 5.40000 | 0.00000 | No | 889.00000 | 5.40000 | 0.00000 |
| 1781 | GLOBAL | Cartesian | 890.00000 | 0.00000 | 0.00000 | No | 890.00000 | 0.00000 | 0.00000 |
| 1782 | GLOBAL | Cartesian | 890.00000 | 5.40000 | 0.00000 | No | 890.00000 | 5.40000 | 0.00000 |
| 1783 | GLOBAL | Cartesian | 891.00000 | 0.00000 | 0.00000 | No | 891.00000 | 0.00000 | 0.00000 |
| 1784 | GLOBAL | Cartesian | 891.00000 | 5.40000 | 0.00000 | No | 891.00000 | 5.40000 | 0.00000 |
| 1785 | GLOBAL | Cartesian | 892.00000 | 0.00000 | 0.00000 | No | 892.00000 | 0.00000 | 0.00000 |
| 1786 | GLOBAL | Cartesian | 892.00000 | 5.40000 | 0.00000 | No | 892.00000 | 5.40000 | 0.00000 |
| 1787 | GLOBAL | Cartesian | 893.00000 | 0.00000 | 0.00000 | No | 893.00000 | 0.00000 | 0.00000 |
| 1788 | GLOBAL | Cartesian | 893.00000 | 5.40000 | 0.00000 | No | 893.00000 | 5.40000 | 0.00000 |
| 1789 | GLOBAL | Cartesian | 894.00000 | 0.00000 | 0.00000 | No | 894.00000 | 0.00000 | 0.00000 |
| 1790 | GLOBAL | Cartesian | 894.00000 | 5.40000 | 0.00000 | No | 894.00000 | 5.40000 | 0.00000 |
| 1791 | GLOBAL | Cartesian | 895.00000 | 0.00000 | 0.00000 | No | 895.00000 | 0.00000 | 0.00000 |
| 1792 | GLOBAL | Cartesian | 895.00000 | 5.40000 | 0.00000 | No | 895.00000 | 5.40000 | 0.00000 |
| 1793 | GLOBAL | Cartesian | 896.00000 | 0.00000 | 0.00000 | No | 896.00000 | 0.00000 | 0.00000 |
| 1794 | GLOBAL | Cartesian | 896.00000 | 5.40000 | 0.00000 | No | 896.00000 | 5.40000 | 0.00000 |
| 1795 | GLOBAL | Cartesian | 897.00000 | 0.00000 | 0.00000 | No | 897.00000 | 0.00000 | 0.00000 |
| 1796 | GLOBAL | Cartesian | 897.00000 | 5.40000 | 0.00000 | No | 897.00000 | 5.40000 | 0.00000 |
| 1797 | GLOBAL | Cartesian | 898.00000 | 0.00000 | 0.00000 | No | 898.00000 | 0.00000 | 0.00000 |
| 1798 | GLOBAL | Cartesian | 898.00000 | 5.40000 | 0.00000 | No | 898.00000 | 5.40000 | 0.00000 |
| 1799 | GLOBAL | Cartesian | 899.00000 | 0.00000 | 0.00000 | No | 899.00000 | 0.00000 | 0.00000 |
| 1800 | GLOBAL | Cartesian | 899.00000 | 5.40000 | 0.00000 | No | 899.00000 | 5.40000 | 0.00000 |
| 1801 | GLOBAL | Cartesian | 900.00000 | 0.00000 | 0.00000 | No | 900.00000 | 0.00000 | 0.00000 |
| 1802 | GLOBAL | Cartesian | 900.00000 | 5.40000 | 0.00000 | No | 900.00000 | 5.40000 | 0.00000 |
| 1803 | GLOBAL | Cartesian | 901.00000 | 0.00000 | 0.00000 | No | 901.00000 | 0.00000 | 0.00000 |
| 1804 | GLOBAL | Cartesian | 901.00000 | 5.40000 | 0.00000 | No | 901.00000 | 5.40000 | 0.00000 |
| 1805 | GLOBAL | Cartesian | 902.00000 | 0.00000 | 0.00000 | No | 902.00000 | 0.00000 | 0.00000 |
| 1806 | GLOBAL | Cartesian | 902.00000 | 5.40000 | 0.00000 | No | 902.00000 | 5.40000 | 0.00000 |
| 1807 | GLOBAL | Cartesian | 903.00000 | 0.00000 | 0.00000 | No | 903.00000 | 0.00000 | 0.00000 |
| 1808 | GLOBAL | Cartesian | 903.00000 | 5.40000 | 0.00000 | No | 903.00000 | 5.40000 | 0.00000 |
| 1809 | GLOBAL | Cartesian | 904.00000 | 0.00000 | 0.00000 | No | 904.00000 | 0.00000 | 0.00000 |
| 1810 | GLOBAL | Cartesian | 904.00000 | 5.40000 | 0.00000 | No | 904.00000 | 5.40000 | 0.00000 |
| 1811 | GLOBAL | Cartesian | 905.00000 | 0.00000 | 0.00000 | No | 905.00000 | 0.00000 | 0.00000 |
| 1812 | GLOBAL | Cartesian | 905.00000 | 5.40000 | 0.00000 | No | 905.00000 | 5.40000 | 0.00000 |
| 1813 | GLOBAL | Cartesian | 906.00000 | 0.00000 | 0.00000 | No | 906.00000 | 0.00000 | 0.00000 |
| 1814 | GLOBAL | Cartesian | 906.00000 | 5.40000 | 0.00000 | No | 906.00000 | 5.40000 | 0.00000 |
| 1815 | GLOBAL | Cartesian | 907.00000 | 0.00000 | 0.00000 | No | 907.00000 | 0.00000 | 0.00000 |
| 1816 | GLOBAL | Cartesian | 907.00000 | 5.40000 | 0.00000 | No | 907.00000 | 5.40000 | 0.00000 |
| 1817 | GLOBAL | Cartesian | 908.00000 | 0.00000 | 0.00000 | No | 908.00000 | 0.00000 | 0.00000 |
| 1818 | GLOBAL | Cartesian | 908.00000 | 5.40000 | 0.00000 | No | 908.00000 | 5.40000 | 0.00000 |
| 1819 | GLOBAL | Cartesian | 909.00000 | 0.00000 | 0.00000 | No | 909.00000 | 0.00000 | 0.00000 |
| 1820 | GLOBAL | Cartesian | 909.00000 | 5.40000 | 0.00000 | No | 909.00000 | 5.40000 | 0.00000 |
| 1821 | GLOBAL | Cartesian | 910.00000 | 0.00000 | 0.00000 | No | 910.00000 | 0.00000 | 0.00000 |
| 1822 | GLOBAL | Cartesian | 910.00000 | 5.40000 | 0.00000 | No | 910.00000 | 5.40000 | 0.00000 |
| 1823 | GLOBAL | Cartesian | 911.00000 | 0.00000 | 0.00000 | No | 911.00000 | 0.00000 | 0.00000 |
| 1824 | GLOBAL | Cartesian | 911.00000 | 5.40000 | 0.00000 | No | 911.00000 | 5.40000 | 0.00000 |
| 1825 | GLOBAL | Cartesian | 912.00000 | 0.00000 | 0.00000 | No | 912.00000 | 0.00000 | 0.00000 |
| 1826 | GLOBAL | Cartesian | 912.00000 | 5.40000 | 0.00000 | No | 912.00000 | 5.40000 | 0.00000 |
| 1827 | GLOBAL | Cartesian | 913.00000 | 0.00000 | 0.00000 | No | 913.00000 | 0.00000 | 0.00000 |
| 1828 | GLOBAL | Cartesian | 913.00000 | 5.40000 | 0.00000 | No | 913.00000 | 5.40000 | 0.00000 |
| 1829 | GLOBAL | Cartesian | 914.00000 | 0.00000 | 0.00000 | No | 914.00000 | 0.00000 | 0.00000 |
| 1830 | GLOBAL | Cartesian | 914.00000 | 5.40000 | 0.00000 | No | 914.00000 | 5.40000 | 0.00000 |
| 1831 | GLOBAL | Cartesian | 915.00000 | 0.00000 | 0.00000 | No | 915.00000 | 0.00000 | 0.00000 |
| 1832 | GLOBAL | Cartesian | 915.00000 | 5.40000 | 0.00000 | No | 915.00000 | 5.40000 | 0.00000 |
| 1833 | GLOBAL | Cartesian | 916.00000 | 0.00000 | 0.00000 | No | 916.00000 | 0.00000 | 0.00000 |
| 1834 | GLOBAL | Cartesian | 916.00000 | 5.40000 | 0.00000 | No | 916.00000 | 5.40000 | 0.00000 |
| 1835 | GLOBAL | Cartesian | 917.00000 | 0.00000 | 0.00000 | No | 917.00000 | 0.00000 | 0.00000 |
| 1836 | GLOBAL | Cartesian | 917.00000 | 5.40000 | 0.00000 | No | 917.00000 | 5.40000 | 0.00000 |
| 1837 | GLOBAL | Cartesian | 918.00000 | 0.00000 | 0.00000 | No | 918.00000 | 0.00000 | 0.00000 |
| 1838 | GLOBAL | Cartesian | 918.00000 | 5.40000 | 0.00000 | No | 918.00000 | 5.40000 | 0.00000 |
| 1839 | GLOBAL | Cartesian | 919.00000 | 0.00000 | 0.00000 | No | 919.00000 | 0.00000 | 0.00000 |
| 1840 | GLOBAL | Cartesian | 919.00000 | 5.40000 | 0.00000 | No | 919.00000 | 5.40000 | 0.00000 |
| 1841 | GLOBAL | Cartesian | 920.00000 | 0.00000 | 0.00000 | No | 920.00000 | 0.00000 | 0.00000 |
| 1842 | GLOBAL | Cartesian | 920.00000 | 5.40000 | 0.00000 | No | 920.00000 | 5.40000 | 0.00000 |
| 1843 | GLOBAL | Cartesian | 921.00000 | 0.00000 | 0.00000 | No | 921.00000 | 0.00000 | 0.00000 |
| 1844 | GLOBAL | Cartesian | 921.00000 | 5.40000 | 0.00000 | No | 921.00000 | 5.40000 | 0.00000 |
| 1845 | GLOBAL | Cartesian | 922.00000 | 0.00000 | 0.00000 | No | 922.00000 | 0.00000 | 0.00000 |
| 1846 | GLOBAL | Cartesian | 922.00000 | 5.40000 | 0.00000 | No | 922.00000 | 5.40000 | 0.00000 |
| 1847 | GLOBAL | Cartesian | 923.00000 | 0.00000 | 0.00000 | No | 923.00000 | 0.00000 | 0.00000 |
| 1848 | GLOBAL | Cartesian | 923.00000 | 5.40000 | 0.00000 | No | 923.00000 | 5.40000 | 0.00000 |
| 1849 | GLOBAL | Cartesian | 924.00000 | 0.00000 | 0.00000 | No | 924.00000 | 0.00000 | 0.00000 |
| 1850 | GLOBAL | Cartesian | 924.00000 | 5.40000 | 0.00000 | No | 924.00000 | 5.40000 | 0.00000 |
| 1851 | GLOBAL | Cartesian | 925.00000 | 0.00000 | 0.00000 | No | 925.00000 | 0.00000 | 0.00000 |
| 1852 | GLOBAL | Cartesian | 925.00000 | 5.40000 | 0.00000 | No | 925.00000 | 5.40000 | 0.00000 |
| 1853 | GLOBAL | Cartesian | 926.00000 | 0.00000 | 0.00000 | No | 926.00000 | 0.00000 | 0.00000 |





| Joint | CoordSys | CoordType | XorR | Y | Z | SpecialJt | GlobalX | GlobalY | GlobalZ |
|---|---|---|---|---|---|---|---|---|---|
| Text | Text | Text | m | m | m | Yes/No | m | m | m |
| 1854 | GLOBAL | Cartesian | 926.00000 | 5.40000 | 0.00000 | No | 926.00000 | 5.40000 | 0.00000 |
| 1855 | GLOBAL | Cartesian | 927.00000 | 0.00000 | 0.00000 | No | 927.00000 | 0.00000 | 0.00000 |
| 1856 | GLOBAL | Cartesian | 927.00000 | 5.40000 | 0.00000 | No | 927.00000 | 5.40000 | 0.00000 |
| 1857 | GLOBAL | Cartesian | 928.00000 | 0.00000 | 0.00000 | No | 928.00000 | 0.00000 | 0.00000 |
| 1858 | GLOBAL | Cartesian | 928.00000 | 5.40000 | 0.00000 | No | 928.00000 | 5.40000 | 0.00000 |
| 1859 | GLOBAL | Cartesian | 929.00000 | 0.00000 | 0.00000 | No | 929.00000 | 0.00000 | 0.00000 |
| 1860 | GLOBAL | Cartesian | 929.00000 | 5.40000 | 0.00000 | No | 929.00000 | 5.40000 | 0.00000 |
| 1861 | GLOBAL | Cartesian | 930.00000 | 0.00000 | 0.00000 | No | 930.00000 | 0.00000 | 0.00000 |
| 1862 | GLOBAL | Cartesian | 930.00000 | 5.40000 | 0.00000 | No | 930.00000 | 5.40000 | 0.00000 |
| 1863 | GLOBAL | Cartesian | 931.00000 | 0.00000 | 0.00000 | No | 931.00000 | 0.00000 | 0.00000 |
| 1864 | GLOBAL | Cartesian | 931.00000 | 5.40000 | 0.00000 | No | 931.00000 | 5.40000 | 0.00000 |
| 1865 | GLOBAL | Cartesian | 932.00000 | 0.00000 | 0.00000 | No | 932.00000 | 0.00000 | 0.00000 |
| 1866 | GLOBAL | Cartesian | 932.00000 | 5.40000 | 0.00000 | No | 932.00000 | 5.40000 | 0.00000 |
| 1867 | GLOBAL | Cartesian | 933.00000 | 0.00000 | 0.00000 | No | 933.00000 | 0.00000 | 0.00000 |
| 1868 | GLOBAL | Cartesian | 933.00000 | 5.40000 | 0.00000 | No | 933.00000 | 5.40000 | 0.00000 |
| 1869 | GLOBAL | Cartesian | 934.00000 | 0.00000 | 0.00000 | No | 934.00000 | 0.00000 | 0.00000 |
| 1870 | GLOBAL | Cartesian | 934.00000 | 5.40000 | 0.00000 | No | 934.00000 | 5.40000 | 0.00000 |
| 1871 | GLOBAL | Cartesian | 935.00000 | 0.00000 | 0.00000 | No | 935.00000 | 0.00000 | 0.00000 |
| 1872 | GLOBAL | Cartesian | 935.00000 | 5.40000 | 0.00000 | No | 935.00000 | 5.40000 | 0.00000 |
| 1873 | GLOBAL | Cartesian | 936.00000 | 0.00000 | 0.00000 | No | 936.00000 | 0.00000 | 0.00000 |
| 1874 | GLOBAL | Cartesian | 936.00000 | 5.40000 | 0.00000 | No | 936.00000 | 5.40000 | 0.00000 |
| 1875 | GLOBAL | Cartesian | 937.00000 | 0.00000 | 0.00000 | No | 937.00000 | 0.00000 | 0.00000 |
| 1876 | GLOBAL | Cartesian | 937.00000 | 5.40000 | 0.00000 | No | 937.00000 | 5.40000 | 0.00000 |
| 1877 | GLOBAL | Cartesian | 938.00000 | 0.00000 | 0.00000 | No | 938.00000 | 0.00000 | 0.00000 |
| 1878 | GLOBAL | Cartesian | 938.00000 | 5.40000 | 0.00000 | No | 938.00000 | 5.40000 | 0.00000 |
| 1879 | GLOBAL | Cartesian | 939.00000 | 0.00000 | 0.00000 | No | 939.00000 | 0.00000 | 0.00000 |
| 1880 | GLOBAL | Cartesian | 939.00000 | 5.40000 | 0.00000 | No | 939.00000 | 5.40000 | 0.00000 |
| 1881 | GLOBAL | Cartesian | 940.00000 | 0.00000 | 0.00000 | No | 940.00000 | 0.00000 | 0.00000 |
| 1882 | GLOBAL | Cartesian | 940.00000 | 5.40000 | 0.00000 | No | 940.00000 | 5.40000 | 0.00000 |
| 1883 | GLOBAL | Cartesian | 941.00000 | 0.00000 | 0.00000 | No | 941.00000 | 0.00000 | 0.00000 |
| 1884 | GLOBAL | Cartesian | 941.00000 | 5.40000 | 0.00000 | No | 941.00000 | 5.40000 | 0.00000 |
| 1885 | GLOBAL | Cartesian | 942.00000 | 0.00000 | 0.00000 | No | 942.00000 | 0.00000 | 0.00000 |
| 1886 | GLOBAL | Cartesian | 942.00000 | 5.40000 | 0.00000 | No | 942.00000 | 5.40000 | 0.00000 |
| 1887 | GLOBAL | Cartesian | 943.00000 | 0.00000 | 0.00000 | No | 943.00000 | 0.00000 | 0.00000 |
| 1888 | GLOBAL | Cartesian | 943.00000 | 5.40000 | 0.00000 | No | 943.00000 | 5.40000 | 0.00000 |
| 1889 | GLOBAL | Cartesian | 944.00000 | 0.00000 | 0.00000 | No | 944.00000 | 0.00000 | 0.00000 |
| 1890 | GLOBAL | Cartesian | 944.00000 | 5.40000 | 0.00000 | No | 944.00000 | 5.40000 | 0.00000 |
| 1891 | GLOBAL | Cartesian | 945.00000 | 0.00000 | 0.00000 | No | 945.00000 | 0.00000 | 0.00000 |
| 1892 | GLOBAL | Cartesian | 945.00000 | 5.40000 | 0.00000 | No | 945.00000 | 5.40000 | 0.00000 |
| 1893 | GLOBAL | Cartesian | 946.00000 | 0.00000 | 0.00000 | No | 946.00000 | 0.00000 | 0.00000 |
| 1894 | GLOBAL | Cartesian | 946.00000 | 5.40000 | 0.00000 | No | 946.00000 | 5.40000 | 0.00000 |
| 1895 | GLOBAL | Cartesian | 947.00000 | 0.00000 | 0.00000 | No | 947.00000 | 0.00000 | 0.00000 |
| 1896 | GLOBAL | Cartesian | 947.00000 | 5.40000 | 0.00000 | No | 947.00000 | 5.40000 | 0.00000 |
| 1897 | GLOBAL | Cartesian | 948.00000 | 0.00000 | 0.00000 | No | 948.00000 | 0.00000 | 0.00000 |
| 1898 | GLOBAL | Cartesian | 948.00000 | 5.40000 | 0.00000 | No | 948.00000 | 5.40000 | 0.00000 |
| 1899 | GLOBAL | Cartesian | 949.00000 | 0.00000 | 0.00000 | No | 949.00000 | 0.00000 | 0.00000 |
| 1900 | GLOBAL | Cartesian | 949.00000 | 5.40000 | 0.00000 | No | 949.00000 | 5.40000 | 0.00000 |
| 1901 | GLOBAL | Cartesian | 950.00000 | 0.00000 | 0.00000 | No | 950.00000 | 0.00000 | 0.00000 |
| 1902 | GLOBAL | Cartesian | 950.00000 | 5.40000 | 0.00000 | No | 950.00000 | 5.40000 | 0.00000 |
| 1903 | GLOBAL | Cartesian | 951.00000 | 0.00000 | 0.00000 | No | 951.00000 | 0.00000 | 0.00000 |
| 1904 | GLOBAL | Cartesian | 951.00000 | 5.40000 | 0.00000 | No | 951.00000 | 5.40000 | 0.00000 |
| 1905 | GLOBAL | Cartesian | 952.00000 | 0.00000 | 0.00000 | No | 952.00000 | 0.00000 | 0.00000 |
| 1906 | GLOBAL | Cartesian | 952.00000 | 5.40000 | 0.00000 | No | 952.00000 | 5.40000 | 0.00000 |
| 1907 | GLOBAL | Cartesian | 953.00000 | 0.00000 | 0.00000 | No | 953.00000 | 0.00000 | 0.00000 |
| 1908 | GLOBAL | Cartesian | 953.00000 | 5.40000 | 0.00000 | No | 953.00000 | 5.40000 | 0.00000 |
| 1909 | GLOBAL | Cartesian | 954.00000 | 0.00000 | 0.00000 | No | 954.00000 | 0.00000 | 0.00000 |
| 1910 | GLOBAL | Cartesian | 954.00000 | 5.40000 | 0.00000 | No | 954.00000 | 5.40000 | 0.00000 |
| 1911 | GLOBAL | Cartesian | 955.00000 | 0.00000 | 0.00000 | No | 955.00000 | 0.00000 | 0.00000 |
| 1912 | GLOBAL | Cartesian | 955.00000 | 5.40000 | 0.00000 | No | 955.00000 | 5.40000 | 0.00000 |
| 1913 | GLOBAL | Cartesian | 956.00000 | 0.00000 | 0.00000 | No | 956.00000 | 0.00000 | 0.00000 |
| 1914 | GLOBAL | Cartesian | 956.00000 | 5.40000 | 0.00000 | No | 956.00000 | 5.40000 | 0.00000 |
| 1915 | GLOBAL | Cartesian | 957.00000 | 0.00000 | 0.00000 | No | 957.00000 | 0.00000 | 0.00000 |
| 1916 | GLOBAL | Cartesian | 957.00000 | 5.40000 | 0.00000 | No | 957.00000 | 5.40000 | 0.00000 |
| 1917 | GLOBAL | Cartesian | 958.00000 | 0.00000 | 0.00000 | No | 958.00000 | 0.00000 | 0.00000 |
| 1918 | GLOBAL | Cartesian | 958.00000 | 5.40000 | 0.00000 | No | 958.00000 | 5.40000 | 0.00000 |
| 1919 | GLOBAL | Cartesian | 959.00000 | 0.00000 | 0.00000 | No | 959.00000 | 0.00000 | 0.00000 |
| 1920 | GLOBAL | Cartesian | 959.00000 | 5.40000 | 0.00000 | No | 959.00000 | 5.40000 | 0.00000 |
| 1921 | GLOBAL | Cartesian | 960.00000 | 0.00000 | 0.00000 | No | 960.00000 | 0.00000 | 0.00000 |
| 1922 | GLOBAL | Cartesian | 960.00000 | 5.40000 | 0.00000 | No | 960.00000 | 5.40000 | 0.00000 |
| 1923 | GLOBAL | Cartesian | 961.00000 | 0.00000 | 0.00000 | No | 961.00000 | 0.00000 | 0.00000 |
| 1924 | GLOBAL | Cartesian | 961.00000 | 5.40000 | 0.00000 | No | 961.00000 | 5.40000 | 0.00000 |
| 1925 | GLOBAL | Cartesian | 962.00000 | 0.00000 | 0.00000 | No | 962.00000 | 0.00000 | 0.00000 |
| 1926 | GLOBAL | Cartesian | 962.00000 | 5.40000 | 0.00000 | No | 962.00000 | 5.40000 | 0.00000 |
| 1927 | GLOBAL | Cartesian | 963.00000 | 0.00000 | 0.00000 | No | 963.00000 | 0.00000 | 0.00000 |
| 1928 | GLOBAL | Cartesian | 963.00000 | 5.40000 | 0.00000 | No | 963.00000 | 5.40000 | 0.00000 |
| 1929 | GLOBAL | Cartesian | 964.00000 | 0.00000 | 0.00000 | No | 964.00000 | 0.00000 | 0.00000 |
| 1930 | GLOBAL | Cartesian | 964.00000 | 5.40000 | 0.00000 | No | 964.00000 | 5.40000 | 0.00000 |
| 1931 | GLOBAL | Cartesian | 965.00000 | 0.00000 | 0.00000 | No | 965.00000 | 0.00000 | 0.00000 |
| 1932 | GLOBAL | Cartesian | 965.00000 | 5.40000 | 0.00000 | No | 965.00000 | 5.40000 | 0.00000 |
| 1933 | GLOBAL | Cartesian | 966.00000 | 0.00000 | 0.00000 | No | 966.00000 | 0.00000 | 0.00000 |
| 1934 | GLOBAL | Cartesian | 966.00000 | 5.40000 | 0.00000 | No | 966.00000 | 5.40000 | 0.00000 |
| 1935 | GLOBAL | Cartesian | 967.00000 | 0.00000 | 0.00000 | No | 967.00000 | 0.00000 | 0.00000 |
| 1936 | GLOBAL | Cartesian | 967.00000 | 5.40000 | 0.00000 | No | 967.00000 | 5.40000 | 0.00000 |
| 1937 | GLOBAL | Cartesian | 968.00000 | 0.00000 | 0.00000 | No | 968.00000 | 0.00000 | 0.00000 |
| 1938 | GLOBAL | Cartesian | 968.00000 | 5.40000 | 0.00000 | No | 968.00000 | 5.40000 | 0.00000 |
| 1939 | GLOBAL | Cartesian | 969.00000 | 0.00000 | 0.00000 | No | 969.00000 | 0.00000 | 0.00000 |
| 1940 | GLOBAL | Cartesian | 969.00000 | 5.40000 | 0.00000 | No | 969.00000 | 5.40000 | 0.00000 |
| 1941 | GLOBAL | Cartesian | 970.00000 | 0.00000 | 0.00000 | No | 970.00000 | 0.00000 | 0.00000 |
| 1942 | GLOBAL | Cartesian | 970.00000 | 5.40000 | 0.00000 | No | 970.00000 | 5.40000 | 0.00000 |
| 1943 | GLOBAL | Cartesian | 971.00000 | 0.00000 | 0.00000 | No | 971.00000 | 0.00000 | 0.00000 |
| 1944 | GLOBAL | Cartesian | 971.00000 | 5.40000 | 0.00000 | No | 971.00000 | 5.40000 | 0.00000 |

| Joint | CoordSys | CoordType | XorR | Y | Z | SpecialJt | GlobalX | GlobalY | GlobalZ |
|---|---|---|---|---|---|---|---|---|---|
| Text | Text | Text | m | m | m | Yes/No | m | m | m |
| 1945 | GLOBAL | Cartesian | 972.00000 | 0.00000 | 0.00000 | No | 972.00000 | 0.00000 | 0.00000 |
| 1946 | GLOBAL | Cartesian | 972.00000 | 5.40000 | 0.00000 | No | 972.00000 | 5.40000 | 0.00000 |
| 1947 | GLOBAL | Cartesian | 973.00000 | 0.00000 | 0.00000 | No | 973.00000 | 0.00000 | 0.00000 |
| 1948 | GLOBAL | Cartesian | 973.00000 | 5.40000 | 0.00000 | No | 973.00000 | 5.40000 | 0.00000 |
| 1949 | GLOBAL | Cartesian | 974.00000 | 0.00000 | 0.00000 | No | 974.00000 | 0.00000 | 0.00000 |
| 1950 | GLOBAL | Cartesian | 974.00000 | 5.40000 | 0.00000 | No | 974.00000 | 5.40000 | 0.00000 |
| 1951 | GLOBAL | Cartesian | 975.00000 | 0.00000 | 0.00000 | No | 975.00000 | 0.00000 | 0.00000 |
| 1952 | GLOBAL | Cartesian | 975.00000 | 5.40000 | 0.00000 | No | 975.00000 | 5.40000 | 0.00000 |
| 1953 | GLOBAL | Cartesian | 976.00000 | 0.00000 | 0.00000 | No | 976.00000 | 0.00000 | 0.00000 |
| 1954 | GLOBAL | Cartesian | 976.00000 | 5.40000 | 0.00000 | No | 976.00000 | 5.40000 | 0.00000 |
| 1955 | GLOBAL | Cartesian | 977.00000 | 0.00000 | 0.00000 | No | 977.00000 | 0.00000 | 0.00000 |
| 1956 | GLOBAL | Cartesian | 977.00000 | 5.40000 | 0.00000 | No | 977.00000 | 5.40000 | 0.00000 |
| 1957 | GLOBAL | Cartesian | 978.00000 | 0.00000 | 0.00000 | No | 978.00000 | 0.00000 | 0.00000 |
| 1958 | GLOBAL | Cartesian | 978.00000 | 5.40000 | 0.00000 | No | 978.00000 | 5.40000 | 0.00000 |
| 1959 | GLOBAL | Cartesian | 979.00000 | 0.00000 | 0.00000 | No | 979.00000 | 0.00000 | 0.00000 |
| 1960 | GLOBAL | Cartesian | 979.00000 | 5.40000 | 0.00000 | No | 979.00000 | 5.40000 | 0.00000 |
| 1961 | GLOBAL | Cartesian | 980.00000 | 0.00000 | 0.00000 | No | 980.00000 | 0.00000 | 0.00000 |
| 1962 | GLOBAL | Cartesian | 980.00000 | 5.40000 | 0.00000 | No | 980.00000 | 5.40000 | 0.00000 |
| 1963 | GLOBAL | Cartesian | 981.00000 | 0.00000 | 0.00000 | No | 981.00000 | 0.00000 | 0.00000 |
| 1964 | GLOBAL | Cartesian | 981.00000 | 5.40000 | 0.00000 | No | 981.00000 | 5.40000 | 0.00000 |
| 1965 | GLOBAL | Cartesian | 982.00000 | 0.00000 | 0.00000 | No | 982.00000 | 0.00000 | 0.00000 |
| 1966 | GLOBAL | Cartesian | 982.00000 | 5.40000 | 0.00000 | No | 982.00000 | 5.40000 | 0.00000 |
| 1967 | GLOBAL | Cartesian | 983.00000 | 0.00000 | 0.00000 | No | 983.00000 | 0.00000 | 0.00000 |
| 1968 | GLOBAL | Cartesian | 983.00000 | 5.40000 | 0.00000 | No | 983.00000 | 5.40000 | 0.00000 |
| 1969 | GLOBAL | Cartesian | 984.00000 | 0.00000 | 0.00000 | No | 984.00000 | 0.00000 | 0.00000 |
| 1970 | GLOBAL | Cartesian | 984.00000 | 5.40000 | 0.00000 | No | 984.00000 | 5.40000 | 0.00000 |
| 1971 | GLOBAL | Cartesian | 985.00000 | 0.00000 | 0.00000 | No | 985.00000 | 0.00000 | 0.00000 |
| 1972 | GLOBAL | Cartesian | 985.00000 | 5.40000 | 0.00000 | No | 985.00000 | 5.40000 | 0.00000 |
| 1973 | GLOBAL | Cartesian | 986.00000 | 0.00000 | 0.00000 | No | 986.00000 | 0.00000 | 0.00000 |
| 1974 | GLOBAL | Cartesian | 986.00000 | 5.40000 | 0.00000 | No | 986.00000 | 5.40000 | 0.00000 |
| 1975 | GLOBAL | Cartesian | 987.00000 | 0.00000 | 0.00000 | No | 987.00000 | 0.00000 | 0.00000 |
| 1976 | GLOBAL | Cartesian | 987.00000 | 5.40000 | 0.00000 | No | 987.00000 | 5.40000 | 0.00000 |
| 1977 | GLOBAL | Cartesian | 988.00000 | 0.00000 | 0.00000 | No | 988.00000 | 0.00000 | 0.00000 |
| 1978 | GLOBAL | Cartesian | 988.00000 | 5.40000 | 0.00000 | No | 988.00000 | 5.40000 | 0.00000 |
| 1979 | GLOBAL | Cartesian | 989.00000 | 0.00000 | 0.00000 | No | 989.00000 | 0.00000 | 0.00000 |
| 1980 | GLOBAL | Cartesian | 989.00000 | 5.40000 | 0.00000 | No | 989.00000 | 5.40000 | 0.00000 |
| 1981 | GLOBAL | Cartesian | 990.00000 | 0.00000 | 0.00000 | No | 990.00000 | 0.00000 | 0.00000 |
| 1982 | GLOBAL | Cartesian | 990.00000 | 5.40000 | 0.00000 | No | 990.00000 | 5.40000 | 0.00000 |
| 1983 | GLOBAL | Cartesian | 991.00000 | 0.00000 | 0.00000 | No | 991.00000 | 0.00000 | 0.00000 |
| 1984 | GLOBAL | Cartesian | 991.00000 | 5.40000 | 0.00000 | No | 991.00000 | 5.40000 | 0.00000 |
| 1985 | GLOBAL | Cartesian | 992.00000 | 0.00000 | 0.00000 | No | 992.00000 | 0.00000 | 0.00000 |
| 1986 | GLOBAL | Cartesian | 992.00000 | 5.40000 | 0.00000 | No | 992.00000 | 5.40000 | 0.00000 |
| 1987 | GLOBAL | Cartesian | 993.00000 | 0.00000 | 0.00000 | No | 993.00000 | 0.00000 | 0.00000 |
| 1988 | GLOBAL | Cartesian | 993.00000 | 5.40000 | 0.00000 | No | 993.00000 | 5.40000 | 0.00000 |
| 1989 | GLOBAL | Cartesian | 994.00000 | 0.00000 | 0.00000 | No | 994.00000 | 0.00000 | 0.00000 |
| 1990 | GLOBAL | Cartesian | 994.00000 | 5.40000 | 0.00000 | No | 994.00000 | 5.40000 | 0.00000 |
| 1991 | GLOBAL | Cartesian | 995.00000 | 0.00000 | 0.00000 | No | 995.00000 | 0.00000 | 0.00000 |
| 1992 | GLOBAL | Cartesian | 995.00000 | 5.40000 | 0.00000 | No | 995.00000 | 5.40000 | 0.00000 |
| 1993 | GLOBAL | Cartesian | 996.00000 | 0.00000 | 0.00000 | No | 996.00000 | 0.00000 | 0.00000 |
| 1994 | GLOBAL | Cartesian | 996.00000 | 5.40000 | 0.00000 | No | 996.00000 | 5.40000 | 0.00000 |
| 1995 | GLOBAL | Cartesian | 997.00000 | 0.00000 | 0.00000 | No | 997.00000 | 0.00000 | 0.00000 |
| 1996 | GLOBAL | Cartesian | 997.00000 | 5.40000 | 0.00000 | No | 997.00000 | 5.40000 | 0.00000 |
| 1997 | GLOBAL | Cartesian | 998.00000 | 0.00000 | 0.00000 | No | 998.00000 | 0.00000 | 0.00000 |
| 1998 | GLOBAL | Cartesian | 998.00000 | 5.40000 | 0.00000 | No | 998.00000 | 5.40000 | 0.00000 |
| 1999 | GLOBAL | Cartesian | 999.00000 | 0.00000 | 0.00000 | No | 999.00000 | 0.00000 | 0.00000 |
| 2000 | GLOBAL | Cartesian | 999.00000 | 5.40000 | 0.00000 | No | 999.00000 | 5.40000 | 0.00000 |
| 2001 | GLOBAL | Cartesian | 1000.00000 | 0.00000 | 0.00000 | No | 1000.00000 | 0.00000 | 0.00000 |
| 2002 | GLOBAL | Cartesian | 1000.00000 | 5.40000 | 0.00000 | No | 1000.00000 | 5.40000 | 0.00000 |
| 2003 | GLOBAL | Cartesian | 1001.00000 | 0.00000 | 0.00000 | No | 1001.00000 | 0.00000 | 0.00000 |
| 2004 | GLOBAL | Cartesian | 1001.00000 | 5.40000 | 0.00000 | No | 1001.00000 | 5.40000 | 0.00000 |
| 2005 | GLOBAL | Cartesian | 1002.00000 | 0.00000 | 0.00000 | No | 1002.00000 | 0.00000 | 0.00000 |
| 2006 | GLOBAL | Cartesian | 1002.00000 | 5.40000 | 0.00000 | No | 1002.00000 | 5.40000 | 0.00000 |
| 2007 | GLOBAL | Cartesian | 1003.00000 | 0.00000 | 0.00000 | No | 1003.00000 | 0.00000 | 0.00000 |
| 2008 | GLOBAL | Cartesian | 1003.00000 | 5.40000 | 0.00000 | No | 1003.00000 | 5.40000 | 0.00000 |
| 2009 | GLOBAL | Cartesian | 1004.00000 | 0.00000 | 0.00000 | No | 1004.00000 | 0.00000 | 0.00000 |
| 2010 | GLOBAL | Cartesian | 1004.00000 | 5.40000 | 0.00000 | No | 1004.00000 | 5.40000 | 0.00000 |
| 2011 | GLOBAL | Cartesian | 1005.00000 | 0.00000 | 0.00000 | No | 1005.00000 | 0.00000 | 0.00000 |
| 2012 | GLOBAL | Cartesian | 1005.00000 | 5.40000 | 0.00000 | No | 1005.00000 | 5.40000 | 0.00000 |
| 2013 | GLOBAL | Cartesian | 1006.00000 | 0.00000 | 0.00000 | No | 1006.00000 | 0.00000 | 0.00000 |
| 2014 | GLOBAL | Cartesian | 1006.00000 | 5.40000 | 0.00000 | No | 1006.00000 | 5.40000 | 0.00000 |
| 2015 | GLOBAL | Cartesian | 1007.00000 | 0.00000 | 0.00000 | No | 1007.00000 | 0.00000 | 0.00000 |
| 2016 | GLOBAL | Cartesian | 1007.00000 | 5.40000 | 0.00000 | No | 1007.00000 | 5.40000 | 0.00000 |
| 2017 | GLOBAL | Cartesian | 1008.00000 | 0.00000 | 0.00000 | No | 1008.00000 | 0.00000 | 0.00000 |
| 2018 | GLOBAL | Cartesian | 1008.00000 | 5.40000 | 0.00000 | No | 1008.00000 | 5.40000 | 0.00000 |
| 2019 | GLOBAL | Cartesian | 1009.00000 | 0.00000 | 0.00000 | No | 1009.00000 | 0.00000 | 0.00000 |
| 2020 | GLOBAL | Cartesian | 1009.00000 | 5.40000 | 0.00000 | No | 1009.00000 | 5.40000 | 0.00000 |
| 2021 | GLOBAL | Cartesian | 1010.00000 | 0.00000 | 0.00000 | No | 1010.00000 | 0.00000 | 0.00000 |
| 2022 | GLOBAL | Cartesian | 1010.00000 | 5.40000 | 0.00000 | No | 1010.00000 | 5.40000 | 0.00000 |
| 2023 | GLOBAL | Cartesian | 1011.00000 | 0.00000 | 0.00000 | No | 1011.00000 | 0.00000 | 0.00000 |
| 2024 | GLOBAL | Cartesian | 1011.00000 | 5.40000 | 0.00000 | No | 1011.00000 | 5.40000 | 0.00000 |
| 2025 | GLOBAL | Cartesian | 1012.00000 | 0.00000 | 0.00000 | No | 1012.00000 | 0.00000 | 0.00000 |
| 2026 | GLOBAL | Cartesian | 1012.00000 | 5.40000 | 0.00000 | No | 1012.00000 | 5.40000 | 0.00000 |
| 2027 | GLOBAL | Cartesian | 1013.00000 | 0.00000 | 0.00000 | No | 1013.00000 | 0.00000 | 0.00000 |
| 2028 | GLOBAL | Cartesian | 1013.00000 | 5.40000 | 0.00000 | No | 1013.00000 | 5.40000 | 0.00000 |
| 2029 | GLOBAL | Cartesian | 1014.00000 | 0.00000 | 0.00000 | No | 1014.00000 | 0.00000 | 0.00000 |
| 2030 | GLOBAL | Cartesian | 1014.00000 | 5.40000 | 0.00000 | No | 1014.00000 | 5.40000 | 0.00000 |
| 2031 | GLOBAL | Cartesian | 1015.00000 | 0.00000 | 0.00000 | No | 1015.00000 | 0.00000 | 0.00000 |
| 2032 | GLOBAL | Cartesian | 1015.00000 | 5.40000 | 0.00000 | No | 1015.00000 | 5.40000 | 0.00000 |
| 2033 | GLOBAL | Cartesian | 1016.00000 | 0.00000 | 0.00000 | No | 1016.00000 | 0.00000 | 0.00000 |
| 2034 | GLOBAL | Cartesian | 1016.00000 | 5.40000 | 0.00000 | No | 1016.00000 | 5.40000 | 0.00000 |
| 2035 | GLOBAL | Cartesian | 1017.00000 | 0.00000 | 0.00000 | No | 1017.00000 | 0.00000 | 0.00000 |





| Joint | CoordSys | CoordType | XorR | Y | Z | SpecialJt | GlobalX | GlobalY | GlobalZ |
|---|---|---|---|---|---|---|---|---|---|
| Text | Text | Text | m | m | m | Yes/No | m | m | m |
| 2036 | GLOBAL | Cartesian | 1017.00000 | 5.40000 | 0.00000 | No | 1017.00000 | 5.40000 | 0.00000 |
| 2037 | GLOBAL | Cartesian | 1018.00000 | 0.00000 | 0.00000 | No | 1018.00000 | 0.00000 | 0.00000 |
| 2038 | GLOBAL | Cartesian | 1018.00000 | 5.40000 | 0.00000 | No | 1018.00000 | 5.40000 | 0.00000 |
| 2039 | GLOBAL | Cartesian | 1019.00000 | 0.00000 | 0.00000 | No | 1019.00000 | 0.00000 | 0.00000 |
| 2040 | GLOBAL | Cartesian | 1019.00000 | 5.40000 | 0.00000 | No | 1019.00000 | 5.40000 | 0.00000 |
| 2041 | GLOBAL | Cartesian | 1020.00000 | 0.00000 | 0.00000 | No | 1020.00000 | 0.00000 | 0.00000 |
| 2042 | GLOBAL | Cartesian | 1020.00000 | 5.40000 | 0.00000 | No | 1020.00000 | 5.40000 | 0.00000 |
| 2043 | GLOBAL | Cartesian | 1021.00000 | 0.00000 | 0.00000 | No | 1021.00000 | 0.00000 | 0.00000 |
| 2044 | GLOBAL | Cartesian | 1021.00000 | 5.40000 | 0.00000 | No | 1021.00000 | 5.40000 | 0.00000 |
| 2045 | GLOBAL | Cartesian | 1022.00000 | 0.00000 | 0.00000 | No | 1022.00000 | 0.00000 | 0.00000 |
| 2046 | GLOBAL | Cartesian | 1022.00000 | 5.40000 | 0.00000 | No | 1022.00000 | 5.40000 | 0.00000 |
| 2047 | GLOBAL | Cartesian | 1023.00000 | 0.00000 | 0.00000 | No | 1023.00000 | 0.00000 | 0.00000 |
| 2048 | GLOBAL | Cartesian | 1023.00000 | 5.40000 | 0.00000 | No | 1023.00000 | 5.40000 | 0.00000 |
| 2049 | GLOBAL | Cartesian | 1024.00000 | 0.00000 | 0.00000 | No | 1024.00000 | 0.00000 | 0.00000 |
| 2050 | GLOBAL | Cartesian | 1024.00000 | 5.40000 | 0.00000 | No | 1024.00000 | 5.40000 | 0.00000 |
| 2051 | GLOBAL | Cartesian | 1025.00000 | 0.00000 | 0.00000 | No | 1025.00000 | 0.00000 | 0.00000 |
| 2052 | GLOBAL | Cartesian | 1025.00000 | 5.40000 | 0.00000 | No | 1025.00000 | 5.40000 | 0.00000 |
| 2053 | GLOBAL | Cartesian | 1026.00000 | 0.00000 | 0.00000 | No | 1026.00000 | 0.00000 | 0.00000 |
| 2054 | GLOBAL | Cartesian | 1026.00000 | 5.40000 | 0.00000 | No | 1026.00000 | 5.40000 | 0.00000 |
| 2055 | GLOBAL | Cartesian | 1027.00000 | 0.00000 | 0.00000 | No | 1027.00000 | 0.00000 | 0.00000 |
| 2056 | GLOBAL | Cartesian | 1027.00000 | 5.40000 | 0.00000 | No | 1027.00000 | 5.40000 | 0.00000 |
| 2057 | GLOBAL | Cartesian | 1028.00000 | 0.00000 | 0.00000 | No | 1028.00000 | 0.00000 | 0.00000 |
| 2058 | GLOBAL | Cartesian | 1028.00000 | 5.40000 | 0.00000 | No | 1028.00000 | 5.40000 | 0.00000 |
| 2059 | GLOBAL | Cartesian | 1029.00000 | 0.00000 | 0.00000 | No | 1029.00000 | 0.00000 | 0.00000 |
| 2060 | GLOBAL | Cartesian | 1029.00000 | 5.40000 | 0.00000 | No | 1029.00000 | 5.40000 | 0.00000 |
| 2061 | GLOBAL | Cartesian | 1030.00000 | 0.00000 | 0.00000 | No | 1030.00000 | 0.00000 | 0.00000 |
| 2062 | GLOBAL | Cartesian | 1030.00000 | 5.40000 | 0.00000 | No | 1030.00000 | 5.40000 | 0.00000 |
| 2063 | GLOBAL | Cartesian | 1031.00000 | 0.00000 | 0.00000 | No | 1031.00000 | 0.00000 | 0.00000 |
| 2064 | GLOBAL | Cartesian | 1031.00000 | 5.40000 | 0.00000 | No | 1031.00000 | 5.40000 | 0.00000 |
| 2065 | GLOBAL | Cartesian | 1032.00000 | 0.00000 | 0.00000 | No | 1032.00000 | 0.00000 | 0.00000 |
| 2066 | GLOBAL | Cartesian | 1032.00000 | 5.40000 | 0.00000 | No | 1032.00000 | 5.40000 | 0.00000 |
| 2067 | GLOBAL | Cartesian | 1033.00000 | 0.00000 | 0.00000 | No | 1033.00000 | 0.00000 | 0.00000 |
| 2068 | GLOBAL | Cartesian | 1033.00000 | 5.40000 | 0.00000 | No | 1033.00000 | 5.40000 | 0.00000 |
| 2069 | GLOBAL | Cartesian | 1034.00000 | 0.00000 | 0.00000 | No | 1034.00000 | 0.00000 | 0.00000 |
| 2070 | GLOBAL | Cartesian | 1034.00000 | 5.40000 | 0.00000 | No | 1034.00000 | 5.40000 | 0.00000 |
| 2071 | GLOBAL | Cartesian | 1035.00000 | 0.00000 | 0.00000 | No | 1035.00000 | 0.00000 | 0.00000 |
| 2072 | GLOBAL | Cartesian | 1035.00000 | 5.40000 | 0.00000 | No | 1035.00000 | 5.40000 | 0.00000 |
| 2073 | GLOBAL | Cartesian | 1036.00000 | 0.00000 | 0.00000 | No | 1036.00000 | 0.00000 | 0.00000 |
| 2074 | GLOBAL | Cartesian | 1036.00000 | 5.40000 | 0.00000 | No | 1036.00000 | 5.40000 | 0.00000 |
| 2075 | GLOBAL | Cartesian | 1037.00000 | 0.00000 | 0.00000 | No | 1037.00000 | 0.00000 | 0.00000 |
| 2076 | GLOBAL | Cartesian | 1037.00000 | 5.40000 | 0.00000 | No | 1037.00000 | 5.40000 | 0.00000 |
| 2077 | GLOBAL | Cartesian | 1038.00000 | 0.00000 | 0.00000 | No | 1038.00000 | 0.00000 | 0.00000 |
| 2078 | GLOBAL | Cartesian | 1038.00000 | 5.40000 | 0.00000 | No | 1038.00000 | 5.40000 | 0.00000 |
| 2079 | GLOBAL | Cartesian | 1039.00000 | 0.00000 | 0.00000 | No | 1039.00000 | 0.00000 | 0.00000 |
| 2080 | GLOBAL | Cartesian | 1039.00000 | 5.40000 | 0.00000 | No | 1039.00000 | 5.40000 | 0.00000 |
| 2081 | GLOBAL | Cartesian | 1040.00000 | 0.00000 | 0.00000 | No | 1040.00000 | 0.00000 | 0.00000 |
| 2082 | GLOBAL | Cartesian | 1040.00000 | 5.40000 | 0.00000 | No | 1040.00000 | 5.40000 | 0.00000 |
| 2083 | GLOBAL | Cartesian | 1041.00000 | 0.00000 | 0.00000 | No | 1041.00000 | 0.00000 | 0.00000 |
| 2084 | GLOBAL | Cartesian | 1041.00000 | 5.40000 | 0.00000 | No | 1041.00000 | 5.40000 | 0.00000 |
| 2085 | GLOBAL | Cartesian | 1042.00000 | 0.00000 | 0.00000 | No | 1042.00000 | 0.00000 | 0.00000 |
| 2086 | GLOBAL | Cartesian | 1042.00000 | 5.40000 | 0.00000 | No | 1042.00000 | 5.40000 | 0.00000 |
| 2087 | GLOBAL | Cartesian | 1043.00000 | 0.00000 | 0.00000 | No | 1043.00000 | 0.00000 | 0.00000 |
| 2088 | GLOBAL | Cartesian | 1043.00000 | 5.40000 | 0.00000 | No | 1043.00000 | 5.40000 | 0.00000 |
| 2089 | GLOBAL | Cartesian | 1044.00000 | 0.00000 | 0.00000 | No | 1044.00000 | 0.00000 | 0.00000 |
| 2090 | GLOBAL | Cartesian | 1044.00000 | 5.40000 | 0.00000 | No | 1044.00000 | 5.40000 | 0.00000 |

## Table: Joint Loads - Force

| Joint | LoadCase | CoordSys | F1 | F2 | F3 | M1 | M2 | M3 |
|---|---|---|---|---|---|---|---|---|
| Text | Text | Text | Ton | Ton | Ton | Ton-m | Ton-m | Ton-m |
| 2 | V01V03 | GLOBAL | 0.0000 | 0.0000 | -2.0000 | 0.00000 | 0.00000 | 0.00000 |
| 4 | V01V03 | GLOBAL | 0.0000 | 0.0000 | -18.0000 | 0.00000 | 0.00000 | 0.00000 |
| 8 | V01V03 | GLOBAL | 0.0000 | 0.0000 | -20.0000 | 0.00000 | 0.00000 | 0.00000 |
| 12 | V01V03 | GLOBAL | 0.0000 | 0.0000 | -20.0000 | 0.00000 | 0.00000 | 0.00000 |
| 13 | V01V03 | GLOBAL | 0.0000 | 0.0000 | -17.8000 | 0.00000 | 0.00000 | 0.00000 |
| 15 | V01V03 | GLOBAL | 0.0000 | 0.0000 | -2.2000 | 0.00000 | 0.00000 | 0.00000 |
| 17 | V01V03 | GLOBAL | 0.0000 | 0.0000 | -16.6000 | 0.00000 | 0.00000 | 0.00000 |
| 19 | V01V03 | GLOBAL | 0.0000 | 0.0000 | -3.4000 | 0.00000 | 0.00000 | 0.00000 |
| 21 | V01V03 | GLOBAL | 0.0000 | 0.0000 | -15.4000 | 0.00000 | 0.00000 | 0.00000 |
| 23 | V01V03 | GLOBAL | 0.0000 | 0.0000 | -4.6000 | 0.00000 | 0.00000 | 0.00000 |
| 26 | V01V03 | GLOBAL | 0.0000 | 0.0000 | -15.4000 | 0.00000 | 0.00000 | 0.00000 |
| 28 | V01V03 | GLOBAL | 0.0000 | 0.0000 | -4.6000 | 0.00000 | 0.00000 | 0.00000 |
| 30 | V01V03 | GLOBAL | 0.0000 | 0.0000 | -14.2000 | 0.00000 | 0.00000 | 0.00000 |
| 32 | V01V03 | GLOBAL | 0.0000 | 0.0000 | -5.8000 | 0.00000 | 0.00000 | 0.00000 |
| 34 | V01V03 | GLOBAL | 0.0000 | 0.0000 | -13.0000 | 0.00000 | 0.00000 | 0.00000 |
| 35 | V01V03 | GLOBAL | 0.0000 | 0.0000 | -11.2000 | 0.00000 | 0.00000 | 0.00000 |
| 36 | V01V03 | GLOBAL | 0.0000 | 0.0000 | -7.0000 | 0.00000 | 0.00000 | 0.00000 |
| 37 | V01V03 | GLOBAL | 0.0000 | 0.0000 | -8.8000 | 0.00000 | 0.00000 | 0.00000 |
| 39 | V01V03 | GLOBAL | 0.0000 | 0.0000 | -10.0000 | 0.00000 | 0.00000 | 0.00000 |
| 40 | V01V03 | GLOBAL | 0.0000 | 0.0000 | -10.0000 | 0.00000 | 0.00000 | 0.00000 |
| 41 | V01V03 | GLOBAL | 0.0000 | 0.0000 | -10.0000 | 0.00000 | 0.00000 | 0.00000 |
| 42 | V01V03 | GLOBAL | 0.0000 | 0.0000 | -10.0000 | 0.00000 | 0.00000 | 0.00000 |
| 43 | V01V03 | GLOBAL | 0.0000 | 0.0000 | -8.8000 | 0.00000 | 0.00000 | 0.00000 |
| 44 | V01V03 | GLOBAL | 0.0000 | 0.0000 | -12.0000 | 0.00000 | 0.00000 | 0.00000 |
| 45 | V01V03 | GLOBAL | 0.0000 | 0.0000 | -11.2000 | 0.00000 | 0.00000 | 0.00000 |
| 46 | V01V03 | GLOBAL | 0.0000 | 0.0000 | -8.0000 | 0.00000 | 0.00000 | 0.00000 |
| 49 | V01V03 | GLOBAL | 0.0000 | 0.0000 | -5.8000 | 0.00000 | 0.00000 | 0.00000 |
| 51 | V01V03 | GLOBAL | 0.0000 | 0.0000 | -14.2000 | 0.00000 | 0.00000 | 0.00000 |
| 53 | V01V03 | GLOBAL | 0.0000 | 0.0000 | -3.8000 | 0.00000 | 0.00000 | 0.00000 |
| 55 | V01V03 | GLOBAL | 0.0000 | 0.0000 | -16.2000 | 0.00000 | 0.00000 | 0.00000 |

| Joint | LoadCase | CoordSys | F1 | F2 | F3 | M1 | M2 | M3 |
|---|---|---|---|---|---|---|---|---|
| Text | Text | Text | Ton | Ton | Ton | Ton-m | Ton-m | Ton-m |
| 58 | V01V03 | GLOBAL | 0.0000 | 0.0000 | -4.0000 | 0.00000 | 0.00000 | 0.00000 |
| 60 | V01V03 | GLOBAL | 0.0000 | 0.0000 | -16.0000 | 0.00000 | 0.00000 | 0.00000 |
| 62 | V01V03 | GLOBAL | 0.0000 | 0.0000 | -2.0000 | 0.00000 | 0.00000 | 0.00000 |
| 64 | V01V03 | GLOBAL | 0.0000 | 0.0000 | -18.0000 | 0.00000 | 0.00000 | 0.00000 |
| 68 | V01V03 | GLOBAL | 0.0000 | 0.0000 | -2.0000 | 0.00000 | 0.00000 | 0.00000 |
| 69 | V01V03 | GLOBAL | 0.0000 | 0.0000 | -20.0000 | 0.00000 | 0.00000 | 0.00000 |
| 70 | V01V03 | GLOBAL | 0.0000 | 0.0000 | -18.0000 | 0.00000 | 0.00000 | 0.00000 |
| 73 | V01V03 | GLOBAL | 0.0000 | 0.0000 | -17.8000 | 0.00000 | 0.00000 | 0.00000 |
| 74 | V01V03 | GLOBAL | 0.0000 | 0.0000 | -20.0000 | 0.00000 | 0.00000 | 0.00000 |
| 75 | V01V03 | GLOBAL | 0.0000 | 0.0000 | -2.2000 | 0.00000 | 0.00000 | 0.00000 |
| 84 | P0203 | GLOBAL | 0.0000 | 0.0000 | -18.0000 | 0.00000 | 0.00000 | 0.00000 |
| 86 | P0203 | GLOBAL | 0.0000 | 0.0000 | -2.0000 | 0.00000 | 0.00000 | 0.00000 |
| 88 | V01V03 | GLOBAL | 0.0000 | 0.0000 | -16.0000 | 0.00000 | 0.00000 | 0.00000 |
| 88 | P0203 | GLOBAL | 0.0000 | 0.0000 | -16.8000 | 0.00000 | 0.00000 | 0.00000 |
| 90 | V01V03 | GLOBAL | 0.0000 | 0.0000 | -4.0000 | 0.00000 | 0.00000 | 0.00000 |
| 90 | V02V04 | GLOBAL | 0.0000 | 0.0000 | -12.0000 | 0.00000 | 0.00000 | 0.00000 |
| 90 | P0203 | GLOBAL | 0.0000 | 0.0000 | -3.2000 | 0.00000 | 0.00000 | 0.00000 |
| 92 | V01V03 | GLOBAL | 0.0000 | 0.0000 | -14.0000 | 0.00000 | 0.00000 | 0.00000 |
| 92 | V02V04 | GLOBAL | 0.0000 | 0.0000 | -8.0000 | 0.00000 | 0.00000 | 0.00000 |
| 92 | P0203 | GLOBAL | 0.0000 | 0.0000 | -15.6000 | 0.00000 | 0.00000 | 0.00000 |
| 94 | V01V03 | GLOBAL | 0.0000 | 0.0000 | -6.0000 | 0.00000 | 0.00000 | 0.00000 |
| 94 | V02V04 | GLOBAL | 0.0000 | 0.0000 | -10.8000 | 0.00000 | 0.00000 | 0.00000 |
| 94 | P0203 | GLOBAL | 0.0000 | 0.0000 | -4.4000 | 0.00000 | 0.00000 | 0.00000 |
| 96 | V02V04 | GLOBAL | 0.0000 | 0.0000 | -9.2000 | 0.00000 | 0.00000 | 0.00000 |
| 98 | V02V04 | GLOBAL | 0.0000 | 0.0000 | -9.6000 | 0.00000 | 0.00000 | 0.00000 |
| 99 | V02V04 | GLOBAL | 0.0000 | 0.0000 | -7.8000 | 0.00000 | 0.00000 | 0.00000 |
| 100 | V02V04 | GLOBAL | 0.0000 | 0.0000 | -10.4000 | 0.00000 | 0.00000 | 0.00000 |
| 101 | V02V04 | GLOBAL | 0.0000 | 0.0000 | -12.2000 | 0.00000 | 0.00000 | 0.00000 |
| 103 | V02V04 | GLOBAL | 0.0000 | 0.0000 | -6.6000 | 0.00000 | 0.00000 | 0.00000 |
| 105 | V02V04 | GLOBAL | 0.0000 | 0.0000 | -13.4000 | 0.00000 | 0.00000 | 0.00000 |
| 106 | P0203 | GLOBAL | 0.0000 | 0.0000 | -11.4000 | 0.00000 | 0.00000 | 0.00000 |
| 107 | V02V04 | GLOBAL | 0.0000 | 0.0000 | -5.4000 | 0.00000 | 0.00000 | 0.00000 |
| 108 | P0203 | GLOBAL | 0.0000 | 0.0000 | -8.6000 | 0.00000 | 0.00000 | 0.00000 |
| 109 | V02V04 | GLOBAL | 0.0000 | 0.0000 | -14.6000 | 0.00000 | 0.00000 | 0.00000 |
| 110 | P0203 | GLOBAL | 0.0000 | 0.0000 | -10.2000 | 0.00000 | 0.00000 | 0.00000 |
| 111 | P0203 | GLOBAL | 0.0000 | 0.0000 | -10.0000 | 0.00000 | 0.00000 | 0.00000 |
| 112 | V02V04 | GLOBAL | 0.0000 | 0.0000 | -5.4000 | 0.00000 | 0.00000 | 0.00000 |
| 112 | P0203 | GLOBAL | 0.0000 | 0.0000 | -9.8000 | 0.00000 | 0.00000 | 0.00000 |
| 113 | P0203 | GLOBAL | 0.0000 | 0.0000 | -10.0000 | 0.00000 | 0.00000 | 0.00000 |
| 114 | V02V04 | GLOBAL | 0.0000 | 0.0000 | -14.6000 | 0.00000 | 0.00000 | 0.00000 |
| 114 | P0203 | GLOBAL | 0.0000 | 0.0000 | -9.0000 | 0.00000 | 0.00000 | 0.00000 |
| 115 | P0203 | GLOBAL | 0.0000 | 0.0000 | -8.8000 | 0.00000 | 0.00000 | 0.00000 |
| 116 | V02V04 | GLOBAL | 0.0000 | 0.0000 | -4.2000 | 0.00000 | 0.00000 | 0.00000 |
| 116 | P0203 | GLOBAL | 0.0000 | 0.0000 | -11.0000 | 0.00000 | 0.00000 | 0.00000 |
| 117 | P0203 | GLOBAL | 0.0000 | 0.0000 | -11.2000 | 0.00000 | 0.00000 | 0.00000 |
| 118 | V02V04 | GLOBAL | 0.0000 | 0.0000 | -15.8000 | 0.00000 | 0.00000 | 0.00000 |
| 119 | P0203 | GLOBAL | 0.0000 | 0.0000 | -7.6000 | 0.00000 | 0.00000 | 0.00000 |
| 120 | V02V04 | GLOBAL | 0.0000 | 0.0000 | -3.0000 | 0.00000 | 0.00000 | 0.00000 |
| 120 | P0203 | GLOBAL | 0.0000 | 0.0000 | -6.0000 | 0.00000 | 0.00000 | 0.00000 |
| 121 | V02V04 | GLOBAL | 0.0000 | 0.0000 | -1.2000 | 0.00000 | 0.00000 | 0.00000 |
| 121 | P0203 | GLOBAL | 0.0000 | 0.0000 | -12.4000 | 0.00000 | 0.00000 | 0.00000 |
| 122 | V02V04 | GLOBAL | 0.0000 | 0.0000 | -17.0000 | 0.00000 | 0.00000 | 0.00000 |
| 122 | P0203 | GLOBAL | 0.0000 | 0.0000 | -14.0000 | 0.00000 | 0.00000 | 0.00000 |
| 123 | V02V04 | GLOBAL | 0.0000 | 0.0000 | -18.8000 | 0.00000 | 0.00000 | 0.00000 |
| 124 | P0203 | GLOBAL | 0.0000 | 0.0000 | -4.0000 | 0.00000 | 0.00000 | 0.00000 |
| 126 | P0203 | GLOBAL | 0.0000 | 0.0000 | -16.0000 | 0.00000 | 0.00000 | 0.00000 |
| 127 | V02V04 | GLOBAL | 0.0000 | 0.0000 | -20.0000 | 0.00000 | 0.00000 | 0.00000 |
| 128 | V02V04 | GLOBAL | 0.0000 | 0.0000 | -20.0000 | 0.00000 | 0.00000 | 0.00000 |
| 131 | V02V04 | GLOBAL | 0.0000 | 0.0000 | -20.0000 | 0.00000 | 0.00000 | 0.00000 |
| 132 | V02V04 | GLOBAL | 0.0000 | 0.0000 | -18.0000 | 0.00000 | 0.00000 | 0.00000 |
| 133 | P0203 | GLOBAL | 0.0000 | 0.0000 | -3.4000 | 0.00000 | 0.00000 | 0.00000 |
| 134 | V02V04 | GLOBAL | 0.0000 | 0.0000 | -2.0000 | 0.00000 | 0.00000 | 0.00000 |
| 135 | P0203 | GLOBAL | 0.0000 | 0.0000 | -16.6000 | 0.00000 | 0.00000 | 0.00000 |
| 137 | V02V04 | GLOBAL | 0.0000 | 0.0000 | -15.8000 | 0.00000 | 0.00000 | 0.00000 |
| 137 | P0203 | GLOBAL | 0.0000 | 0.0000 | -2.2000 | 0.00000 | 0.00000 | 0.00000 |
| 139 | V02V04 | GLOBAL | 0.0000 | 0.0000 | -4.2000 | 0.00000 | 0.00000 | 0.00000 |
| 139 | P0203 | GLOBAL | 0.0000 | 0.0000 | -17.8000 | 0.00000 | 0.00000 | 0.00000 |
| 140 | P0203 | GLOBAL | 0.0000 | 0.0000 | -20.0000 | 0.00000 | 0.00000 | 0.00000 |
| 141 | V02V04 | GLOBAL | 0.0000 | 0.0000 | -13.8000 | 0.00000 | 0.00000 | 0.00000 |
| 143 | V02V04 | GLOBAL | 0.0000 | 0.0000 | -6.2000 | 0.00000 | 0.00000 | 0.00000 |
| 143 | P0203 | GLOBAL | 0.0000 | 0.0000 | -20.0000 | 0.00000 | 0.00000 | 0.00000 |
| 144 | P0203 | GLOBAL | 0.0000 | 0.0000 | -18.0000 | 0.00000 | 0.00000 | 0.00000 |
| 146 | V02V04 | GLOBAL | 0.0000 | 0.0000 | -14.0000 | 0.00000 | 0.00000 | 0.00000 |
| 146 | P0203 | GLOBAL | 0.0000 | 0.0000 | -2.0000 | 0.00000 | 0.00000 | 0.00000 |
| 148 | V02V04 | GLOBAL | 0.0000 | 0.0000 | -6.0000 | 0.00000 | 0.00000 | 0.00000 |
| 149 | P0203 | GLOBAL | 0.0000 | 0.0000 | -18.0000 | 0.00000 | 0.00000 | 0.00000 |
| 150 | V02V04 | GLOBAL | 0.0000 | 0.0000 | -12.0000 | 0.00000 | 0.00000 | 0.00000 |
| 150 | P0203 | GLOBAL | 0.0000 | 0.0000 | -18.0000 | 0.00000 | 0.00000 | 0.00000 |
| 151 | P0203 | GLOBAL | 0.0000 | 0.0000 | -2.0000 | 0.00000 | 0.00000 | 0.00000 |
| 152 | V02V04 | GLOBAL | 0.0000 | 0.0000 | -8.0000 | 0.00000 | 0.00000 | 0.00000 |
| 152 | P0203 | GLOBAL | 0.0000 | 0.0000 | -2.0000 | 0.00000 | 0.00000 | 0.00000 |
| 153 | P0203 | GLOBAL | 0.0000 | 0.0000 | -16.0000 | 0.00000 | 0.00000 | 0.00000 |
| 154 | P0203 | GLOBAL | 0.0000 | 0.0000 | -16.0000 | 0.00000 | 0.00000 | 0.00000 |
| 155 | V02V04 | GLOBAL | 0.0000 | 0.0000 | -9.8000 | 0.00000 | 0.00000 | 0.00000 |
| 155 | P0203 | GLOBAL | 0.0000 | 0.0000 | -4.0000 | 0.00000 | 0.00000 | 0.00000 |
| 156 | V02V04 | GLOBAL | 0.0000 | 0.0000 | -12.0000 | 0.00000 | 0.00000 | 0.00000 |
| 156 | P0203 | GLOBAL | 0.0000 | 0.0000 | -4.0000 | 0.00000 | 0.00000 | 0.00000 |
| 157 | V02V04 | GLOBAL | 0.0000 | 0.0000 | -10.2000 | 0.00000 | 0.00000 | 0.00000 |
| 158 | V02V04 | GLOBAL | 0.0000 | 0.0000 | -8.0000 | 0.00000 | 0.00000 | 0.00000 |
| 159 | V02V04 | GLOBAL | 0.0000 | 0.0000 | -7.8000 | 0.00000 | 0.00000 | 0.00000 |
| 160 | V02V04 | GLOBAL | 0.0000 | 0.0000 | -10.0000 | 0.00000 | 0.00000 | 0.00000 |





| Joint | LoadCase | CoordSys | F1 | F2 | F3 | M1 | M2 | M3 |
|---|---|---|---|---|---|---|---|---|
| Text | Text | Text | Ton | Ton | Ton | Ton-m | Ton-m | Ton-m |
| 161 | V02V04 | GLOBAL | 0.0000 | 0.0000 | -12.2000 | 0.00000 | 0.00000 | 0.00000 |
| 162 | V02V04 | GLOBAL | 0.0000 | 0.0000 | -10.0000 | 0.00000 | 0.00000 | 0.00000 |
| 167 | P0203 | GLOBAL | 0.0000 | 0.0000 | -12.0000 | 0.00000 | 0.00000 | 0.00000 |
| 168 | P0203 | GLOBAL | 0.0000 | 0.0000 | -12.0000 | 0.00000 | 0.00000 | 0.00000 |
| 169 | P0203 | GLOBAL | 0.0000 | 0.0000 | -8.0000 | 0.00000 | 0.00000 | 0.00000 |
| 170 | P0203 | GLOBAL | 0.0000 | 0.0000 | -8.0000 | 0.00000 | 0.00000 | 0.00000 |
| 171 | P0203 | GLOBAL | 0.0000 | 0.0000 | -10.0000 | 0.00000 | 0.00000 | 0.00000 |
| 172 | P0203 | GLOBAL | 0.0000 | 0.0000 | -10.0000 | 0.00000 | 0.00000 | 0.00000 |
| 173 | P0203 | GLOBAL | 0.0000 | 0.0000 | -10.0000 | 0.00000 | 0.00000 | 0.00000 |
| 174 | V02V04 | GLOBAL | 0.0000 | 0.0000 | -6.0000 | 0.00000 | 0.00000 | 0.00000 |
| 174 | P0203 | GLOBAL | 0.0000 | 0.0000 | -10.0000 | 0.00000 | 0.00000 | 0.00000 |
| 176 | V02V04 | GLOBAL | 0.0000 | 0.0000 | -14.0000 | 0.00000 | 0.00000 | 0.00000 |
| 177 | P0203 | GLOBAL | 0.0000 | 0.0000 | -10.0000 | 0.00000 | 0.00000 | 0.00000 |
| 178 | V02V04 | GLOBAL | 0.0000 | 0.0000 | -8.0000 | 0.00000 | 0.00000 | 0.00000 |
| 178 | P0203 | GLOBAL | 0.0000 | 0.0000 | -10.0000 | 0.00000 | 0.00000 | 0.00000 |
| 179 | P0203 | GLOBAL | 0.0000 | 0.0000 | -10.0000 | 0.00000 | 0.00000 | 0.00000 |
| 180 | V02V04 | GLOBAL | 0.0000 | 0.0000 | -12.0000 | 0.00000 | 0.00000 | 0.00000 |
| 180 | P0203 | GLOBAL | 0.0000 | 0.0000 | -10.0000 | 0.00000 | 0.00000 | 0.00000 |
| 181 | V01V03 | GLOBAL | 0.0000 | 0.0000 | -2.0000 | 0.00000 | 0.00000 | 0.00000 |
| 181 | P0203 | GLOBAL | 0.0000 | 0.0000 | -8.0000 | 0.00000 | 0.00000 | 0.00000 |
| 182 | V01V03 | GLOBAL | 0.0000 | 0.0000 | -2.0000 | 0.00000 | 0.00000 | 0.00000 |
| 182 | P0203 | GLOBAL | 0.0000 | 0.0000 | -8.0000 | 0.00000 | 0.00000 | 0.00000 |
| 183 | V01V03 | GLOBAL | 0.0000 | 0.0000 | -18.0000 | 0.00000 | 0.00000 | 0.00000 |
| 183 | P0203 | GLOBAL | 0.0000 | 0.0000 | -12.0000 | 0.00000 | 0.00000 | 0.00000 |
| 184 | V01V03 | GLOBAL | 0.0000 | 0.0000 | -18.0000 | 0.00000 | 0.00000 | 0.00000 |
| 184 | P0203 | GLOBAL | 0.0000 | 0.0000 | -12.0000 | 0.00000 | 0.00000 | 0.00000 |
| 187 | V01V03 | GLOBAL | 0.0000 | 0.0000 | -20.0000 | 0.00000 | 0.00000 | 0.00000 |
| 188 | V01V03 | GLOBAL | 0.0000 | 0.0000 | -20.0000 | 0.00000 | 0.00000 | 0.00000 |
| 195 | P0203 | GLOBAL | 0.0000 | 0.0000 | -4.0000 | 0.00000 | 0.00000 | 0.00000 |
| 196 | P0203 | GLOBAL | 0.0000 | 0.0000 | -4.0000 | 0.00000 | 0.00000 | 0.00000 |
| 197 | P0203 | GLOBAL | 0.0000 | 0.0000 | -16.0000 | 0.00000 | 0.00000 | 0.00000 |
| 198 | P0203 | GLOBAL | 0.0000 | 0.0000 | -16.0000 | 0.00000 | 0.00000 | 0.00000 |
| 199 | P0203 | GLOBAL | 0.0000 | 0.0000 | -2.0000 | 0.00000 | 0.00000 | 0.00000 |
| 200 | P0203 | GLOBAL | 0.0000 | 0.0000 | -2.0000 | 0.00000 | 0.00000 | 0.00000 |
| 201 | V01V03 | GLOBAL | 0.0000 | 0.0000 | -16.0000 | 0.00000 | 0.00000 | 0.00000 |
| 201 | P0203 | GLOBAL | 0.0000 | 0.0000 | -18.0000 | 0.00000 | 0.00000 | 0.00000 |
| 202 | V01V03 | GLOBAL | 0.0000 | 0.0000 | -16.0000 | 0.00000 | 0.00000 | 0.00000 |
| 202 | P0203 | GLOBAL | 0.0000 | 0.0000 | -18.0000 | 0.00000 | 0.00000 | 0.00000 |
| 203 | V01V03 | GLOBAL | 0.0000 | 0.0000 | -4.0000 | 0.00000 | 0.00000 | 0.00000 |
| 204 | V01V03 | GLOBAL | 0.0000 | 0.0000 | -4.0000 | 0.00000 | 0.00000 | 0.00000 |
| 205 | V01V03 | GLOBAL | 0.0000 | 0.0000 | -14.0000 | 0.00000 | 0.00000 | 0.00000 |
| 205 | P0203 | GLOBAL | 0.0000 | 0.0000 | -2.0000 | 0.00000 | 0.00000 | 0.00000 |
| 206 | V01V03 | GLOBAL | 0.0000 | 0.0000 | -14.0000 | 0.00000 | 0.00000 | 0.00000 |
| 206 | P0203 | GLOBAL | 0.0000 | 0.0000 | -2.0000 | 0.00000 | 0.00000 | 0.00000 |
| 207 | V01V03 | GLOBAL | 0.0000 | 0.0000 | -6.0000 | 0.00000 | 0.00000 | 0.00000 |
| 207 | P0203 | GLOBAL | 0.0000 | 0.0000 | -18.0000 | 0.00000 | 0.00000 | 0.00000 |
| 208 | V01V03 | GLOBAL | 0.0000 | 0.0000 | -6.0000 | 0.00000 | 0.00000 | 0.00000 |
| 208 | P0203 | GLOBAL | 0.0000 | 0.0000 | -18.0000 | 0.00000 | 0.00000 | 0.00000 |
| 211 | V01V03 | GLOBAL | 0.0000 | 0.0000 | -14.0000 | 0.00000 | 0.00000 | 0.00000 |
| 211 | P0203 | GLOBAL | 0.0000 | 0.0000 | -20.0000 | 0.00000 | 0.00000 | 0.00000 |
| 212 | V01V03 | GLOBAL | 0.0000 | 0.0000 | -14.0000 | 0.00000 | 0.00000 | 0.00000 |
| 212 | P0203 | GLOBAL | 0.0000 | 0.0000 | -20.0000 | 0.00000 | 0.00000 | 0.00000 |
| 213 | V01V03 | GLOBAL | 0.0000 | 0.0000 | -6.0000 | 0.00000 | 0.00000 | 0.00000 |
| 214 | V01V03 | GLOBAL | 0.0000 | 0.0000 | -6.0000 | 0.00000 | 0.00000 | 0.00000 |
| 215 | V01V03 | GLOBAL | 0.0000 | 0.0000 | -12.0000 | 0.00000 | 0.00000 | 0.00000 |
| 216 | V01V03 | GLOBAL | 0.0000 | 0.0000 | -12.0000 | 0.00000 | 0.00000 | 0.00000 |
| 217 | V01V03 | GLOBAL | 0.0000 | 0.0000 | -8.0000 | 0.00000 | 0.00000 | 0.00000 |
| 218 | V01V03 | GLOBAL | 0.0000 | 0.0000 | -8.0000 | 0.00000 | 0.00000 | 0.00000 |
| 225 | P0203 | GLOBAL | 0.0000 | 0.0000 | -16.0000 | 0.00000 | 0.00000 | 0.00000 |
| 226 | P0203 | GLOBAL | 0.0000 | 0.0000 | -16.0000 | 0.00000 | 0.00000 | 0.00000 |
| 227 | P0203 | GLOBAL | 0.0000 | 0.0000 | -4.0000 | 0.00000 | 0.00000 | 0.00000 |
| 228 | P0203 | GLOBAL | 0.0000 | 0.0000 | -4.0000 | 0.00000 | 0.00000 | 0.00000 |
| 229 | V01V03 | GLOBAL | 0.0000 | 0.0000 | -8.0000 | 0.00000 | 0.00000 | 0.00000 |
| 229 | P0203 | GLOBAL | 0.0000 | 0.0000 | -14.0000 | 0.00000 | 0.00000 | 0.00000 |
| 230 | V01V03 | GLOBAL | 0.0000 | 0.0000 | -8.0000 | 0.00000 | 0.00000 | 0.00000 |
| 230 | P0203 | GLOBAL | 0.0000 | 0.0000 | -14.0000 | 0.00000 | 0.00000 | 0.00000 |
| 231 | V01V03 | GLOBAL | 0.0000 | 0.0000 | -12.0000 | 0.00000 | 0.00000 | 0.00000 |
| 231 | P0203 | GLOBAL | 0.0000 | 0.0000 | -6.0000 | 0.00000 | 0.00000 | 0.00000 |
| 232 | V01V03 | GLOBAL | 0.0000 | 0.0000 | -12.0000 | 0.00000 | 0.00000 | 0.00000 |
| 232 | P0203 | GLOBAL | 0.0000 | 0.0000 | -6.0000 | 0.00000 | 0.00000 | 0.00000 |
| 233 | V01V03 | GLOBAL | 0.0000 | 0.0000 | -6.0000 | 0.00000 | 0.00000 | 0.00000 |
| 234 | V01V03 | GLOBAL | 0.0000 | 0.0000 | -6.0000 | 0.00000 | 0.00000 | 0.00000 |
| 235 | V01V03 | GLOBAL | 0.0000 | 0.0000 | -14.0000 | 0.00000 | 0.00000 | 0.00000 |
| 235 | P0203 | GLOBAL | 0.0000 | 0.0000 | -14.0000 | 0.00000 | 0.00000 | 0.00000 |
| 236 | V01V03 | GLOBAL | 0.0000 | 0.0000 | -14.0000 | 0.00000 | 0.00000 | 0.00000 |
| 236 | P0203 | GLOBAL | 0.0000 | 0.0000 | -14.0000 | 0.00000 | 0.00000 | 0.00000 |
| 237 | P0203 | GLOBAL | 0.0000 | 0.0000 | -6.0000 | 0.00000 | 0.00000 | 0.00000 |
| 238 | P0203 | GLOBAL | 0.0000 | 0.0000 | -6.0000 | 0.00000 | 0.00000 | 0.00000 |
| 239 | V01V03 | GLOBAL | 0.0000 | 0.0000 | -6.0000 | 0.00000 | 0.00000 | 0.00000 |
| 239 | P0203 | GLOBAL | 0.0000 | 0.0000 | -12.0000 | 0.00000 | 0.00000 | 0.00000 |
| 240 | V01V03 | GLOBAL | 0.0000 | 0.0000 | -6.0000 | 0.00000 | 0.00000 | 0.00000 |
| 240 | P0203 | GLOBAL | 0.0000 | 0.0000 | -12.0000 | 0.00000 | 0.00000 | 0.00000 |
| 241 | V01V03 | GLOBAL | 0.0000 | 0.0000 | -14.0000 | 0.00000 | 0.00000 | 0.00000 |
| 241 | P0203 | GLOBAL | 0.0000 | 0.0000 | -8.0000 | 0.00000 | 0.00000 | 0.00000 |
| 242 | V01V03 | GLOBAL | 0.0000 | 0.0000 | -14.0000 | 0.00000 | 0.00000 | 0.00000 |
| 242 | P0203 | GLOBAL | 0.0000 | 0.0000 | -8.0000 | 0.00000 | 0.00000 | 0.00000 |
| 243 | V01V03 | GLOBAL | 0.0000 | 0.0000 | -4.0000 | 0.00000 | 0.00000 | 0.00000 |
| 244 | V01V03 | GLOBAL | 0.0000 | 0.0000 | -4.0000 | 0.00000 | 0.00000 | 0.00000 |
| 245 | V01V03 | GLOBAL | 0.0000 | 0.0000 | -16.0000 | 0.00000 | 0.00000 | 0.00000 |
| 246 | V01V03 | GLOBAL | 0.0000 | 0.0000 | -16.0000 | 0.00000 | 0.00000 | 0.00000 |
| 253 | P0203 | GLOBAL | 0.0000 | 0.0000 | -8.0000 | 0.00000 | 0.00000 | 0.00000 |

| Joint | LoadCase | CoordSys | F1 | F2 | F3 | M1 | M2 | M3 |
|---|---|---|---|---|---|---|---|---|
| Text | Text | Text | Ton | Ton | Ton | Ton-m | Ton-m | Ton-m |
| 254 | P0203 | GLOBAL | 0.0000 | 0.0000 | -8.0000 | 0.00000 | 0.00000 | 0.00000 |
| 255 | P0203 | GLOBAL | 0.0000 | 0.0000 | -12.0000 | 0.00000 | 0.00000 | 0.00000 |
| 256 | P0203 | GLOBAL | 0.0000 | 0.0000 | -12.0000 | 0.00000 | 0.00000 | 0.00000 |
| 257 | P0203 | GLOBAL | 0.0000 | 0.0000 | -6.0000 | 0.00000 | 0.00000 | 0.00000 |
| 258 | P0203 | GLOBAL | 0.0000 | 0.0000 | -6.0000 | 0.00000 | 0.00000 | 0.00000 |
| 259 | V01V03 | GLOBAL | 0.0000 | 0.0000 | -20.0000 | 0.00000 | 0.00000 | 0.00000 |
| 259 | P0203 | GLOBAL | 0.0000 | 0.0000 | -14.0000 | 0.00000 | 0.00000 | 0.00000 |
| 260 | V01V03 | GLOBAL | 0.0000 | 0.0000 | -20.0000 | 0.00000 | 0.00000 | 0.00000 |
| 260 | P0203 | GLOBAL | 0.0000 | 0.0000 | -14.0000 | 0.00000 | 0.00000 | 0.00000 |
| 263 | V01V03 | GLOBAL | 0.0000 | 0.0000 | -18.0000 | 0.00000 | 0.00000 | 0.00000 |
| 264 | V01V03 | GLOBAL | 0.0000 | 0.0000 | -18.0000 | 0.00000 | 0.00000 | 0.00000 |
| 265 | V01V03 | GLOBAL | 0.0000 | 0.0000 | -2.0000 | 0.00000 | 0.00000 | 0.00000 |
| 266 | V01V03 | GLOBAL | 0.0000 | 0.0000 | -2.0000 | 0.00000 | 0.00000 | 0.00000 |
| 281 | V02V04 | GLOBAL | 0.0000 | 0.0000 | -12.0000 | 0.00000 | 0.00000 | 0.00000 |
| 282 | V02V04 | GLOBAL | 0.0000 | 0.0000 | -12.0000 | 0.00000 | 0.00000 | 0.00000 |
| 283 | V02V04 | GLOBAL | 0.0000 | 0.0000 | -8.0000 | 0.00000 | 0.00000 | 0.00000 |
| 284 | V02V04 | GLOBAL | 0.0000 | 0.0000 | -8.0000 | 0.00000 | 0.00000 | 0.00000 |
| 284 | V04V06 | GLOBAL | 0.0000 | 0.0000 | -2.0000 | 0.00000 | 0.00000 | 0.00000 |
| 285 | V02V04 | GLOBAL | 0.0000 | 0.0000 | -10.0000 | 0.00000 | 0.00000 | 0.00000 |
| 286 | V02V04 | GLOBAL | 0.0000 | 0.0000 | -10.0000 | 0.00000 | 0.00000 | 0.00000 |
| 286 | V04V06 | GLOBAL | 0.0000 | 0.0000 | -18.0000 | 0.00000 | 0.00000 | 0.00000 |
| 287 | V02V04 | GLOBAL | 0.0000 | 0.0000 | -10.0000 | 0.00000 | 0.00000 | 0.00000 |
| 288 | V02V04 | GLOBAL | 0.0000 | 0.0000 | -10.0000 | 0.00000 | 0.00000 | 0.00000 |
| 290 | V04V06 | GLOBAL | 0.0000 | 0.0000 | -20.0000 | 0.00000 | 0.00000 | 0.00000 |
| 294 | V04V06 | GLOBAL | 0.0000 | 0.0000 | -20.0000 | 0.00000 | 0.00000 | 0.00000 |
| 295 | V04V06 | GLOBAL | 0.0000 | 0.0000 | -17.8000 | 0.00000 | 0.00000 | 0.00000 |
| 297 | V04V06 | GLOBAL | 0.0000 | 0.0000 | -2.2000 | 0.00000 | 0.00000 | 0.00000 |
| 299 | V02V04 | GLOBAL | 0.0000 | 0.0000 | -6.0000 | 0.00000 | 0.00000 | 0.00000 |
| 299 | V04V06 | GLOBAL | 0.0000 | 0.0000 | -16.6000 | 0.00000 | 0.00000 | 0.00000 |
| 300 | V02V04 | GLOBAL | 0.0000 | 0.0000 | -6.0000 | 0.00000 | 0.00000 | 0.00000 |
| 301 | V02V04 | GLOBAL | 0.0000 | 0.0000 | -14.0000 | 0.00000 | 0.00000 | 0.00000 |
| 301 | V04V06 | GLOBAL | 0.0000 | 0.0000 | -3.4000 | 0.00000 | 0.00000 | 0.00000 |
| 302 | V02V04 | GLOBAL | 0.0000 | 0.0000 | -14.0000 | 0.00000 | 0.00000 | 0.00000 |
| 303 | V02V04 | GLOBAL | 0.0000 | 0.0000 | -4.0000 | 0.00000 | 0.00000 | 0.00000 |
| 303 | V04V06 | GLOBAL | 0.0000 | 0.0000 | -15.4000 | 0.00000 | 0.00000 | 0.00000 |
| 304 | V02V04 | GLOBAL | 0.0000 | 0.0000 | -4.0000 | 0.00000 | 0.00000 | 0.00000 |
| 305 | V02V04 | GLOBAL | 0.0000 | 0.0000 | -16.0000 | 0.00000 | 0.00000 | 0.00000 |
| 305 | V04V06 | GLOBAL | 0.0000 | 0.0000 | -4.6000 | 0.00000 | 0.00000 | 0.00000 |
| 306 | V02V04 | GLOBAL | 0.0000 | 0.0000 | -16.0000 | 0.00000 | 0.00000 | 0.00000 |
| 308 | V04V06 | GLOBAL | 0.0000 | 0.0000 | -15.4000 | 0.00000 | 0.00000 | 0.00000 |
| 309 | V02V04 | GLOBAL | 0.0000 | 0.0000 | -4.0000 | 0.00000 | 0.00000 | 0.00000 |
| 310 | V02V04 | GLOBAL | 0.0000 | 0.0000 | -4.0000 | 0.00000 | 0.00000 | 0.00000 |
| 310 | V04V06 | GLOBAL | 0.0000 | 0.0000 | -4.6000 | 0.00000 | 0.00000 | 0.00000 |
| 311 | V02V04 | GLOBAL | 0.0000 | 0.0000 | -16.0000 | 0.00000 | 0.00000 | 0.00000 |
| 312 | V02V04 | GLOBAL | 0.0000 | 0.0000 | -16.0000 | 0.00000 | 0.00000 | 0.00000 |
| 312 | V04V06 | GLOBAL | 0.0000 | 0.0000 | -14.2000 | 0.00000 | 0.00000 | 0.00000 |
| 313 | V02V04 | GLOBAL | 0.0000 | 0.0000 | -2.0000 | 0.00000 | 0.00000 | 0.00000 |
| 314 | V02V04 | GLOBAL | 0.0000 | 0.0000 | -2.0000 | 0.00000 | 0.00000 | 0.00000 |
| 314 | V04V06 | GLOBAL | 0.0000 | 0.0000 | -5.8000 | 0.00000 | 0.00000 | 0.00000 |
| 315 | V02V04 | GLOBAL | 0.0000 | 0.0000 | -18.0000 | 0.00000 | 0.00000 | 0.00000 |
| 316 | V02V04 | GLOBAL | 0.0000 | 0.0000 | -18.0000 | 0.00000 | 0.00000 | 0.00000 |
| 316 | V04V06 | GLOBAL | 0.0000 | 0.0000 | -13.0000 | 0.00000 | 0.00000 | 0.00000 |
| 317 | V04V06 | GLOBAL | 0.0000 | 0.0000 | -11.2000 | 0.00000 | 0.00000 | 0.00000 |
| 318 | V04V06 | GLOBAL | 0.0000 | 0.0000 | -7.0000 | 0.00000 | 0.00000 | 0.00000 |
| 319 | V04V06 | GLOBAL | 0.0000 | 0.0000 | -8.8000 | 0.00000 | 0.00000 | 0.00000 |
| 321 | V04V06 | GLOBAL | 0.0000 | 0.0000 | -10.0000 | 0.00000 | 0.00000 | 0.00000 |
| 322 | V04V06 | GLOBAL | 0.0000 | 0.0000 | -10.0000 | 0.00000 | 0.00000 | 0.00000 |
| 323 | V04V06 | GLOBAL | 0.0000 | 0.0000 | -10.0000 | 0.00000 | 0.00000 | 0.00000 |
| 324 | V04V06 | GLOBAL | 0.0000 | 0.0000 | -10.0000 | 0.00000 | 0.00000 | 0.00000 |
| 325 | V04V06 | GLOBAL | 0.0000 | 0.0000 | -8.8000 | 0.00000 | 0.00000 | 0.00000 |
| 326 | V04V06 | GLOBAL | 0.0000 | 0.0000 | -8.0000 | 0.00000 | 0.00000 | 0.00000 |
| 327 | V04V06 | GLOBAL | 0.0000 | 0.0000 | -11.2000 | 0.00000 | 0.00000 | 0.00000 |
| 328 | V04V06 | GLOBAL | 0.0000 | 0.0000 | -12.0000 | 0.00000 | 0.00000 | 0.00000 |
| 329 | V02V04 | GLOBAL | 0.0000 | 0.0000 | -18.0000 | 0.00000 | 0.00000 | 0.00000 |
| 330 | V02V04 | GLOBAL | 0.0000 | 0.0000 | -18.0000 | 0.00000 | 0.00000 | 0.00000 |
| 331 | V02V04 | GLOBAL | 0.0000 | 0.0000 | -2.0000 | 0.00000 | 0.00000 | 0.00000 |
| 331 | V04V06 | GLOBAL | 0.0000 | 0.0000 | -5.8000 | 0.00000 | 0.00000 | 0.00000 |
| 332 | V02V04 | GLOBAL | 0.0000 | 0.0000 | -2.0000 | 0.00000 | 0.00000 | 0.00000 |
| 333 | V02V04 | GLOBAL | 0.0000 | 0.0000 | -16.0000 | 0.00000 | 0.00000 | 0.00000 |
| 333 | V04V06 | GLOBAL | 0.0000 | 0.0000 | -14.2000 | 0.00000 | 0.00000 | 0.00000 |
| 334 | V02V04 | GLOBAL | 0.0000 | 0.0000 | -16.0000 | 0.00000 | 0.00000 | 0.00000 |
| 335 | V02V04 | GLOBAL | 0.0000 | 0.0000 | -4.0000 | 0.00000 | 0.00000 | 0.00000 |
| 335 | V04V06 | GLOBAL | 0.0000 | 0.0000 | -3.8000 | 0.00000 | 0.00000 | 0.00000 |
| 336 | V02V04 | GLOBAL | 0.0000 | 0.0000 | -4.0000 | 0.00000 | 0.00000 | 0.00000 |
| 337 | V04V06 | GLOBAL | 0.0000 | 0.0000 | -16.2000 | 0.00000 | 0.00000 | 0.00000 |
| 339 | V02V04 | GLOBAL | 0.0000 | 0.0000 | -16.0000 | 0.00000 | 0.00000 | 0.00000 |
| 340 | V02V04 | GLOBAL | 0.0000 | 0.0000 | -16.0000 | 0.00000 | 0.00000 | 0.00000 |
| 340 | V04V06 | GLOBAL | 0.0000 | 0.0000 | -4.0000 | 0.00000 | 0.00000 | 0.00000 |
| 341 | V02V04 | GLOBAL | 0.0000 | 0.0000 | -4.0000 | 0.00000 | 0.00000 | 0.00000 |
| 342 | V02V04 | GLOBAL | 0.0000 | 0.0000 | -4.0000 | 0.00000 | 0.00000 | 0.00000 |
| 342 | V04V06 | GLOBAL | 0.0000 | 0.0000 | -16.0000 | 0.00000 | 0.00000 | 0.00000 |
| 343 | V02V04 | GLOBAL | 0.0000 | 0.0000 | -14.0000 | 0.00000 | 0.00000 | 0.00000 |
| 344 | V02V04 | GLOBAL | 0.0000 | 0.0000 | -14.0000 | 0.00000 | 0.00000 | 0.00000 |
| 344 | V04V06 | GLOBAL | 0.0000 | 0.0000 | -2.0000 | 0.00000 | 0.00000 | 0.00000 |
| 345 | V02V04 | GLOBAL | 0.0000 | 0.0000 | -6.0000 | 0.00000 | 0.00000 | 0.00000 |
| 346 | V02V04 | GLOBAL | 0.0000 | 0.0000 | -6.0000 | 0.00000 | 0.00000 | 0.00000 |
| 346 | V04V06 | GLOBAL | 0.0000 | 0.0000 | -18.0000 | 0.00000 | 0.00000 | 0.00000 |
| 350 | V04V06 | GLOBAL | 0.0000 | 0.0000 | -2.0000 | 0.00000 | 0.00000 | 0.00000 |
| 351 | V04V06 | GLOBAL | 0.0000 | 0.0000 | -20.0000 | 0.00000 | 0.00000 | 0.00000 |
| 352 | V04V06 | GLOBAL | 0.0000 | 0.0000 | -18.0000 | 0.00000 | 0.00000 | 0.00000 |
| 355 | V04V06 | GLOBAL | 0.0000 | 0.0000 | -17.8000 | 0.00000 | 0.00000 | 0.00000 |





| Joint | LoadCase | CoordSys | F1 | F2 | F3 | M1 | M2 | M3 |
|---|---|---|---|---|---|---|---|---|
| Text | Text | Text | Ton | Ton | Ton | Ton-m | Ton-m | Ton-m |
| 356 | V04V06 | GLOBAL | 0.0000 | 0.0000 | -20.0000 | 0.00000 | 0.00000 | 0.00000 |
| 357 | V02V04 | GLOBAL | 0.0000 | 0.0000 | -10.0000 | 0.00000 | 0.00000 | 0.00000 |
| 357 | V04V06 | GLOBAL | 0.0000 | 0.0000 | -2.2000 | 0.00000 | 0.00000 | 0.00000 |
| 358 | V02V04 | GLOBAL | 0.0000 | 0.0000 | -10.0000 | 0.00000 | 0.00000 | 0.00000 |
| 359 | V02V04 | GLOBAL | 0.0000 | 0.0000 | -10.0000 | 0.00000 | 0.00000 | 0.00000 |
| 360 | V02V04 | GLOBAL | 0.0000 | 0.0000 | -10.0000 | 0.00000 | 0.00000 | 0.00000 |
| 361 | V02V04 | GLOBAL | 0.0000 | 0.0000 | -8.0000 | 0.00000 | 0.00000 | 0.00000 |
| 362 | V02V04 | GLOBAL | 0.0000 | 0.0000 | -8.0000 | 0.00000 | 0.00000 | 0.00000 |
| 363 | V02V04 | GLOBAL | 0.0000 | 0.0000 | -12.0000 | 0.00000 | 0.00000 | 0.00000 |
| 364 | V02V04 | GLOBAL | 0.0000 | 0.0000 | -12.0000 | 0.00000 | 0.00000 | 0.00000 |
| 370 | V04V06 | GLOBAL | 0.0000 | 0.0000 | -16.0000 | 0.00000 | 0.00000 | 0.00000 |
| 372 | V04V06 | GLOBAL | 0.0000 | 0.0000 | -4.0000 | 0.00000 | 0.00000 | 0.00000 |
| 374 | V04V06 | GLOBAL | 0.0000 | 0.0000 | -14.0000 | 0.00000 | 0.00000 | 0.00000 |
| 376 | V04V06 | GLOBAL | 0.0000 | 0.0000 | -6.0000 | 0.00000 | 0.00000 | 0.00000 |
| 384 | P0506 | GLOBAL | 0.0000 | 0.0000 | -18.0000 | 0.00000 | 0.00000 | 0.00000 |
| 386 | V05V07 | GLOBAL | 0.0000 | 0.0000 | -2.0000 | 0.00000 | 0.00000 | 0.00000 |
| 386 | P0506 | GLOBAL | 0.0000 | 0.0000 | -2.0000 | 0.00000 | 0.00000 | 0.00000 |
| 388 | V05V07 | GLOBAL | 0.0000 | 0.0000 | -18.0000 | 0.00000 | 0.00000 | 0.00000 |
| 388 | P0506 | GLOBAL | 0.0000 | 0.0000 | -16.8000 | 0.00000 | 0.00000 | 0.00000 |
| 390 | P0506 | GLOBAL | 0.0000 | 0.0000 | -3.2000 | 0.00000 | 0.00000 | 0.00000 |
| 392 | V05V07 | GLOBAL | 0.0000 | 0.0000 | -20.0000 | 0.00000 | 0.00000 | 0.00000 |
| 392 | P0506 | GLOBAL | 0.0000 | 0.0000 | -15.6000 | 0.00000 | 0.00000 | 0.00000 |
| 394 | P0506 | GLOBAL | 0.0000 | 0.0000 | -4.4000 | 0.00000 | 0.00000 | 0.00000 |
| 396 | V05V07 | GLOBAL | 0.0000 | 0.0000 | -20.0000 | 0.00000 | 0.00000 | 0.00000 |
| 397 | V05V07 | GLOBAL | 0.0000 | 0.0000 | -17.8000 | 0.00000 | 0.00000 | 0.00000 |
| 399 | V05V07 | GLOBAL | 0.0000 | 0.0000 | -2.2000 | 0.00000 | 0.00000 | 0.00000 |
| 401 | V05V07 | GLOBAL | 0.0000 | 0.0000 | -16.6000 | 0.00000 | 0.00000 | 0.00000 |
| 403 | V05V07 | GLOBAL | 0.0000 | 0.0000 | -3.4000 | 0.00000 | 0.00000 | 0.00000 |
| 405 | V05V07 | GLOBAL | 0.0000 | 0.0000 | -15.4000 | 0.00000 | 0.00000 | 0.00000 |
| 406 | P0506 | GLOBAL | 0.0000 | 0.0000 | -11.4000 | 0.00000 | 0.00000 | 0.00000 |
| 407 | V05V07 | GLOBAL | 0.0000 | 0.0000 | -4.6000 | 0.00000 | 0.00000 | 0.00000 |
| 408 | P0506 | GLOBAL | 0.0000 | 0.0000 | -8.6000 | 0.00000 | 0.00000 | 0.00000 |
| 410 | V05V07 | GLOBAL | 0.0000 | 0.0000 | -15.4000 | 0.00000 | 0.00000 | 0.00000 |
| 410 | P0506 | GLOBAL | 0.0000 | 0.0000 | -10.2000 | 0.00000 | 0.00000 | 0.00000 |
| 411 | P0506 | GLOBAL | 0.0000 | 0.0000 | -10.0000 | 0.00000 | 0.00000 | 0.00000 |
| 412 | V05V07 | GLOBAL | 0.0000 | 0.0000 | -4.6000 | 0.00000 | 0.00000 | 0.00000 |
| 412 | P0506 | GLOBAL | 0.0000 | 0.0000 | -9.8000 | 0.00000 | 0.00000 | 0.00000 |
| 413 | P0506 | GLOBAL | 0.0000 | 0.0000 | -10.0000 | 0.00000 | 0.00000 | 0.00000 |
| 414 | V05V07 | GLOBAL | 0.0000 | 0.0000 | -14.2000 | 0.00000 | 0.00000 | 0.00000 |
| 414 | P0506 | GLOBAL | 0.0000 | 0.0000 | -9.0000 | 0.00000 | 0.00000 | 0.00000 |
| 415 | P0506 | GLOBAL | 0.0000 | 0.0000 | -8.8000 | 0.00000 | 0.00000 | 0.00000 |
| 416 | V05V07 | GLOBAL | 0.0000 | 0.0000 | -5.8000 | 0.00000 | 0.00000 | 0.00000 |
| 416 | P0506 | GLOBAL | 0.0000 | 0.0000 | -11.0000 | 0.00000 | 0.00000 | 0.00000 |
| 417 | P0506 | GLOBAL | 0.0000 | 0.0000 | -11.2000 | 0.00000 | 0.00000 | 0.00000 |
| 418 | V05V07 | GLOBAL | 0.0000 | 0.0000 | -13.0000 | 0.00000 | 0.00000 | 0.00000 |
| 419 | V05V07 | GLOBAL | 0.0000 | 0.0000 | -11.2000 | 0.00000 | 0.00000 | 0.00000 |
| 419 | P0506 | GLOBAL | 0.0000 | 0.0000 | -7.6000 | 0.00000 | 0.00000 | 0.00000 |
| 420 | V05V07 | GLOBAL | 0.0000 | 0.0000 | -7.0000 | 0.00000 | 0.00000 | 0.00000 |
| 420 | P0506 | GLOBAL | 0.0000 | 0.0000 | -6.0000 | 0.00000 | 0.00000 | 0.00000 |
| 421 | V05V07 | GLOBAL | 0.0000 | 0.0000 | -8.8000 | 0.00000 | 0.00000 | 0.00000 |
| 421 | P0506 | GLOBAL | 0.0000 | 0.0000 | -12.4000 | 0.00000 | 0.00000 | 0.00000 |
| 422 | P0506 | GLOBAL | 0.0000 | 0.0000 | -14.0000 | 0.00000 | 0.00000 | 0.00000 |
| 423 | V05V07 | GLOBAL | 0.0000 | 0.0000 | -10.0000 | 0.00000 | 0.00000 | 0.00000 |
| 424 | V05V07 | GLOBAL | 0.0000 | 0.0000 | -10.0000 | 0.00000 | 0.00000 | 0.00000 |
| 424 | P0506 | GLOBAL | 0.0000 | 0.0000 | -4.0000 | 0.00000 | 0.00000 | 0.00000 |
| 425 | V05V07 | GLOBAL | 0.0000 | 0.0000 | -10.0000 | 0.00000 | 0.00000 | 0.00000 |
| 426 | V05V07 | GLOBAL | 0.0000 | 0.0000 | -10.0000 | 0.00000 | 0.00000 | 0.00000 |
| 426 | P0506 | GLOBAL | 0.0000 | 0.0000 | -16.0000 | 0.00000 | 0.00000 | 0.00000 |
| 427 | V05V07 | GLOBAL | 0.0000 | 0.0000 | -8.8000 | 0.00000 | 0.00000 | 0.00000 |
| 428 | V05V07 | GLOBAL | 0.0000 | 0.0000 | -8.0000 | 0.00000 | 0.00000 | 0.00000 |
| 429 | V05V07 | GLOBAL | 0.0000 | 0.0000 | -11.2000 | 0.00000 | 0.00000 | 0.00000 |
| 430 | V05V07 | GLOBAL | 0.0000 | 0.0000 | -12.0000 | 0.00000 | 0.00000 | 0.00000 |
| 433 | V05V07 | GLOBAL | 0.0000 | 0.0000 | -5.8000 | 0.00000 | 0.00000 | 0.00000 |
| 433 | P0506 | GLOBAL | 0.0000 | 0.0000 | -3.4000 | 0.00000 | 0.00000 | 0.00000 |
| 435 | V05V07 | GLOBAL | 0.0000 | 0.0000 | -14.2000 | 0.00000 | 0.00000 | 0.00000 |
| 435 | P0506 | GLOBAL | 0.0000 | 0.0000 | -16.6000 | 0.00000 | 0.00000 | 0.00000 |
| 437 | V05V07 | GLOBAL | 0.0000 | 0.0000 | -3.8000 | 0.00000 | 0.00000 | 0.00000 |
| 437 | P0506 | GLOBAL | 0.0000 | 0.0000 | -2.2000 | 0.00000 | 0.00000 | 0.00000 |
| 439 | V05V07 | GLOBAL | 0.0000 | 0.0000 | -16.2000 | 0.00000 | 0.00000 | 0.00000 |
| 439 | P0506 | GLOBAL | 0.0000 | 0.0000 | -17.8000 | 0.00000 | 0.00000 | 0.00000 |
| 440 | P0506 | GLOBAL | 0.0000 | 0.0000 | -20.0000 | 0.00000 | 0.00000 | 0.00000 |
| 442 | V05V07 | GLOBAL | 0.0000 | 0.0000 | -4.0000 | 0.00000 | 0.00000 | 0.00000 |
| 443 | P0506 | GLOBAL | 0.0000 | 0.0000 | -20.0000 | 0.00000 | 0.00000 | 0.00000 |
| 444 | V05V07 | GLOBAL | 0.0000 | 0.0000 | -16.0000 | 0.00000 | 0.00000 | 0.00000 |
| 444 | P0506 | GLOBAL | 0.0000 | 0.0000 | -18.0000 | 0.00000 | 0.00000 | 0.00000 |
| 446 | V05V07 | GLOBAL | 0.0000 | 0.0000 | -2.0000 | 0.00000 | 0.00000 | 0.00000 |
| 446 | P0506 | GLOBAL | 0.0000 | 0.0000 | -2.0000 | 0.00000 | 0.00000 | 0.00000 |
| 448 | V05V07 | GLOBAL | 0.0000 | 0.0000 | -18.0000 | 0.00000 | 0.00000 | 0.00000 |
| 449 | P0506 | GLOBAL | 0.0000 | 0.0000 | -18.0000 | 0.00000 | 0.00000 | 0.00000 |
| 450 | P0506 | GLOBAL | 0.0000 | 0.0000 | -18.0000 | 0.00000 | 0.00000 | 0.00000 |
| 451 | P0506 | GLOBAL | 0.0000 | 0.0000 | -2.0000 | 0.00000 | 0.00000 | 0.00000 |
| 452 | V05V07 | GLOBAL | 0.0000 | 0.0000 | -2.0000 | 0.00000 | 0.00000 | 0.00000 |
| 452 | P0506 | GLOBAL | 0.0000 | 0.0000 | -2.0000 | 0.00000 | 0.00000 | 0.00000 |
| 453 | V05V07 | GLOBAL | 0.0000 | 0.0000 | -20.0000 | 0.00000 | 0.00000 | 0.00000 |
| 453 | P0506 | GLOBAL | 0.0000 | 0.0000 | -16.0000 | 0.00000 | 0.00000 | 0.00000 |
| 454 | V05V07 | GLOBAL | 0.0000 | 0.0000 | -18.0000 | 0.00000 | 0.00000 | 0.00000 |
| 454 | P0506 | GLOBAL | 0.0000 | 0.0000 | -16.0000 | 0.00000 | 0.00000 | 0.00000 |
| 455 | P0506 | GLOBAL | 0.0000 | 0.0000 | -4.0000 | 0.00000 | 0.00000 | 0.00000 |
| 456 | P0506 | GLOBAL | 0.0000 | 0.0000 | -4.0000 | 0.00000 | 0.00000 | 0.00000 |
| 457 | V05V07 | GLOBAL | 0.0000 | 0.0000 | -17.8000 | 0.00000 | 0.00000 | 0.00000 |
| 458 | V05V07 | GLOBAL | 0.0000 | 0.0000 | -20.0000 | 0.00000 | 0.00000 | 0.00000 |

| Joint | LoadCase | CoordSys | F1 | F2 | F3 | M1 | M2 | M3 |
|---|---|---|---|---|---|---|---|---|
| Text | Text | Text | Ton | Ton | Ton | Ton-m | Ton-m | Ton-m |
| 459 | V05V07 | GLOBAL | 0.0000 | 0.0000 | -2.2000 | 0.00000 | 0.00000 | 0.00000 |
| 467 | P0506 | GLOBAL | 0.0000 | 0.0000 | -12.0000 | 0.00000 | 0.00000 | 0.00000 |
| 468 | P0506 | GLOBAL | 0.0000 | 0.0000 | -12.0000 | 0.00000 | 0.00000 | 0.00000 |
| 469 | P0506 | GLOBAL | 0.0000 | 0.0000 | -8.0000 | 0.00000 | 0.00000 | 0.00000 |
| 470 | P0506 | GLOBAL | 0.0000 | 0.0000 | -8.0000 | 0.00000 | 0.00000 | 0.00000 |
| 471 | P0506 | GLOBAL | 0.0000 | 0.0000 | -10.0000 | 0.00000 | 0.00000 | 0.00000 |
| 472 | V05V07 | GLOBAL | 0.0000 | 0.0000 | -16.0000 | 0.00000 | 0.00000 | 0.00000 |
| 472 | P0506 | GLOBAL | 0.0000 | 0.0000 | -10.0000 | 0.00000 | 0.00000 | 0.00000 |
| 473 | P0506 | GLOBAL | 0.0000 | 0.0000 | -10.0000 | 0.00000 | 0.00000 | 0.00000 |
| 474 | V05V07 | GLOBAL | 0.0000 | 0.0000 | -4.0000 | 0.00000 | 0.00000 | 0.00000 |
| 474 | P0506 | GLOBAL | 0.0000 | 0.0000 | -10.0000 | 0.00000 | 0.00000 | 0.00000 |
| 476 | V05V07 | GLOBAL | 0.0000 | 0.0000 | -14.0000 | 0.00000 | 0.00000 | 0.00000 |
| 477 | P0506 | GLOBAL | 0.0000 | 0.0000 | -10.0000 | 0.00000 | 0.00000 | 0.00000 |
| 478 | V05V07 | GLOBAL | 0.0000 | 0.0000 | -6.0000 | 0.00000 | 0.00000 | 0.00000 |
| 478 | P0506 | GLOBAL | 0.0000 | 0.0000 | -10.0000 | 0.00000 | 0.00000 | 0.00000 |
| 479 | P0506 | GLOBAL | 0.0000 | 0.0000 | -10.0000 | 0.00000 | 0.00000 | 0.00000 |
| 480 | P0506 | GLOBAL | 0.0000 | 0.0000 | -10.0000 | 0.00000 | 0.00000 | 0.00000 |
| 481 | V04V06 | GLOBAL | 0.0000 | 0.0000 | -2.0000 | 0.00000 | 0.00000 | 0.00000 |
| 481 | P0506 | GLOBAL | 0.0000 | 0.0000 | -8.0000 | 0.00000 | 0.00000 | 0.00000 |
| 482 | V04V06 | GLOBAL | 0.0000 | 0.0000 | -2.0000 | 0.00000 | 0.00000 | 0.00000 |
| 482 | P0506 | GLOBAL | 0.0000 | 0.0000 | -8.0000 | 0.00000 | 0.00000 | 0.00000 |
| 483 | V04V06 | GLOBAL | 0.0000 | 0.0000 | -18.0000 | 0.00000 | 0.00000 | 0.00000 |
| 483 | P0506 | GLOBAL | 0.0000 | 0.0000 | -12.0000 | 0.00000 | 0.00000 | 0.00000 |
| 484 | V04V06 | GLOBAL | 0.0000 | 0.0000 | -18.0000 | 0.00000 | 0.00000 | 0.00000 |
| 484 | P0506 | GLOBAL | 0.0000 | 0.0000 | -12.0000 | 0.00000 | 0.00000 | 0.00000 |
| 486 | V06V08 | GLOBAL | 0.0000 | 0.0000 | -12.0000 | 0.00000 | 0.00000 | 0.00000 |
| 487 | V04V06 | GLOBAL | 0.0000 | 0.0000 | -20.0000 | 0.00000 | 0.00000 | 0.00000 |
| 488 | V04V06 | GLOBAL | 0.0000 | 0.0000 | -20.0000 | 0.00000 | 0.00000 | 0.00000 |
| 488 | V06V08 | GLOBAL | 0.0000 | 0.0000 | -8.0000 | 0.00000 | 0.00000 | 0.00000 |
| 490 | V06V08 | GLOBAL | 0.0000 | 0.0000 | -10.8000 | 0.00000 | 0.00000 | 0.00000 |
| 492 | V06V08 | GLOBAL | 0.0000 | 0.0000 | -9.2000 | 0.00000 | 0.00000 | 0.00000 |
| 494 | V06V08 | GLOBAL | 0.0000 | 0.0000 | -9.6000 | 0.00000 | 0.00000 | 0.00000 |
| 495 | P0506 | GLOBAL | 0.0000 | 0.0000 | -4.0000 | 0.00000 | 0.00000 | 0.00000 |
| 495 | V06V08 | GLOBAL | 0.0000 | 0.0000 | -7.8000 | 0.00000 | 0.00000 | 0.00000 |
| 496 | P0506 | GLOBAL | 0.0000 | 0.0000 | -4.0000 | 0.00000 | 0.00000 | 0.00000 |
| 496 | V06V08 | GLOBAL | 0.0000 | 0.0000 | -10.4000 | 0.00000 | 0.00000 | 0.00000 |
| 497 | P0506 | GLOBAL | 0.0000 | 0.0000 | -16.0000 | 0.00000 | 0.00000 | 0.00000 |
| 497 | V06V08 | GLOBAL | 0.0000 | 0.0000 | -12.2000 | 0.00000 | 0.00000 | 0.00000 |
| 498 | P0506 | GLOBAL | 0.0000 | 0.0000 | -16.0000 | 0.00000 | 0.00000 | 0.00000 |
| 499 | P0506 | GLOBAL | 0.0000 | 0.0000 | -2.0000 | 0.00000 | 0.00000 | 0.00000 |
| 499 | V06V08 | GLOBAL | 0.0000 | 0.0000 | -6.6000 | 0.00000 | 0.00000 | 0.00000 |
| 500 | P0506 | GLOBAL | 0.0000 | 0.0000 | -2.0000 | 0.00000 | 0.00000 | 0.00000 |
| 501 | V04V06 | GLOBAL | 0.0000 | 0.0000 | -16.0000 | 0.00000 | 0.00000 | 0.00000 |
| 501 | P0506 | GLOBAL | 0.0000 | 0.0000 | -18.0000 | 0.00000 | 0.00000 | 0.00000 |
| 501 | V06V08 | GLOBAL | 0.0000 | 0.0000 | -13.4000 | 0.00000 | 0.00000 | 0.00000 |
| 502 | V04V06 | GLOBAL | 0.0000 | 0.0000 | -16.0000 | 0.00000 | 0.00000 | 0.00000 |
| 502 | P0506 | GLOBAL | 0.0000 | 0.0000 | -18.0000 | 0.00000 | 0.00000 | 0.00000 |
| 503 | V04V06 | GLOBAL | 0.0000 | 0.0000 | -4.0000 | 0.00000 | 0.00000 | 0.00000 |
| 503 | V06V08 | GLOBAL | 0.0000 | 0.0000 | -5.4000 | 0.00000 | 0.00000 | 0.00000 |
| 504 | V04V06 | GLOBAL | 0.0000 | 0.0000 | -4.0000 | 0.00000 | 0.00000 | 0.00000 |
| 505 | V04V06 | GLOBAL | 0.0000 | 0.0000 | -14.0000 | 0.00000 | 0.00000 | 0.00000 |
| 505 | P0506 | GLOBAL | 0.0000 | 0.0000 | -2.0000 | 0.00000 | 0.00000 | 0.00000 |
| 505 | V06V08 | GLOBAL | 0.0000 | 0.0000 | -14.6000 | 0.00000 | 0.00000 | 0.00000 |
| 506 | V04V06 | GLOBAL | 0.0000 | 0.0000 | -14.0000 | 0.00000 | 0.00000 | 0.00000 |
| 506 | P0506 | GLOBAL | 0.0000 | 0.0000 | -2.0000 | 0.00000 | 0.00000 | 0.00000 |
| 507 | V04V06 | GLOBAL | 0.0000 | 0.0000 | -6.0000 | 0.00000 | 0.00000 | 0.00000 |
| 507 | P0506 | GLOBAL | 0.0000 | 0.0000 | -18.0000 | 0.00000 | 0.00000 | 0.00000 |
| 508 | V04V06 | GLOBAL | 0.0000 | 0.0000 | -6.0000 | 0.00000 | 0.00000 | 0.00000 |
| 508 | P0506 | GLOBAL | 0.0000 | 0.0000 | -18.0000 | 0.00000 | 0.00000 | 0.00000 |
| 508 | V06V08 | GLOBAL | 0.0000 | 0.0000 | -5.4000 | 0.00000 | 0.00000 | 0.00000 |
| 510 | V06V08 | GLOBAL | 0.0000 | 0.0000 | -14.6000 | 0.00000 | 0.00000 | 0.00000 |
| 511 | V04V06 | GLOBAL | 0.0000 | 0.0000 | -14.0000 | 0.00000 | 0.00000 | 0.00000 |
| 511 | P0506 | GLOBAL | 0.0000 | 0.0000 | -20.0000 | 0.00000 | 0.00000 | 0.00000 |
| 512 | V04V06 | GLOBAL | 0.0000 | 0.0000 | -14.0000 | 0.00000 | 0.00000 | 0.00000 |
| 512 | P0506 | GLOBAL | 0.0000 | 0.0000 | -20.0000 | 0.00000 | 0.00000 | 0.00000 |
| 512 | V06V08 | GLOBAL | 0.0000 | 0.0000 | -4.2000 | 0.00000 | 0.00000 | 0.00000 |
| 513 | V04V06 | GLOBAL | 0.0000 | 0.0000 | -6.0000 | 0.00000 | 0.00000 | 0.00000 |
| 514 | V04V06 | GLOBAL | 0.0000 | 0.0000 | -6.0000 | 0.00000 | 0.00000 | 0.00000 |
| 514 | V06V08 | GLOBAL | 0.0000 | 0.0000 | -15.8000 | 0.00000 | 0.00000 | 0.00000 |
| 515 | V04V06 | GLOBAL | 0.0000 | 0.0000 | -12.0000 | 0.00000 | 0.00000 | 0.00000 |
| 516 | V04V06 | GLOBAL | 0.0000 | 0.0000 | -12.0000 | 0.00000 | 0.00000 | 0.00000 |
| 516 | V06V08 | GLOBAL | 0.0000 | 0.0000 | -3.0000 | 0.00000 | 0.00000 | 0.00000 |
| 517 | V04V06 | GLOBAL | 0.0000 | 0.0000 | -8.0000 | 0.00000 | 0.00000 | 0.00000 |
| 517 | V06V08 | GLOBAL | 0.0000 | 0.0000 | -1.2000 | 0.00000 | 0.00000 | 0.00000 |
| 518 | V04V06 | GLOBAL | 0.0000 | 0.0000 | -8.0000 | 0.00000 | 0.00000 | 0.00000 |
| 518 | V06V08 | GLOBAL | 0.0000 | 0.0000 | -17.0000 | 0.00000 | 0.00000 | 0.00000 |
| 519 | V06V08 | GLOBAL | 0.0000 | 0.0000 | -18.8000 | 0.00000 | 0.00000 | 0.00000 |
| 523 | V06V08 | GLOBAL | 0.0000 | 0.0000 | -20.0000 | 0.00000 | 0.00000 | 0.00000 |
| 524 | V06V08 | GLOBAL | 0.0000 | 0.0000 | -20.0000 | 0.00000 | 0.00000 | 0.00000 |
| 525 | P0506 | GLOBAL | 0.0000 | 0.0000 | -16.0000 | 0.00000 | 0.00000 | 0.00000 |
| 526 | P0506 | GLOBAL | 0.0000 | 0.0000 | -16.0000 | 0.00000 | 0.00000 | 0.00000 |
| 527 | P0506 | GLOBAL | 0.0000 | 0.0000 | -4.0000 | 0.00000 | 0.00000 | 0.00000 |
| 527 | V06V08 | GLOBAL | 0.0000 | 0.0000 | -20.0000 | 0.00000 | 0.00000 | 0.00000 |
| 528 | P0506 | GLOBAL | 0.0000 | 0.0000 | -4.0000 | 0.00000 | 0.00000 | 0.00000 |
| 528 | V06V08 | GLOBAL | 0.0000 | 0.0000 | -18.0000 | 0.00000 | 0.00000 | 0.00000 |
| 529 | V04V06 | GLOBAL | 0.0000 | 0.0000 | -8.0000 | 0.00000 | 0.00000 | 0.00000 |
| 529 | P0506 | GLOBAL | 0.0000 | 0.0000 | -14.0000 | 0.00000 | 0.00000 | 0.00000 |
| 530 | V04V06 | GLOBAL | 0.0000 | 0.0000 | -8.0000 | 0.00000 | 0.00000 | 0.00000 |
| 530 | P0506 | GLOBAL | 0.0000 | 0.0000 | -14.0000 | 0.00000 | 0.00000 | 0.00000 |
| 530 | V06V08 | GLOBAL | 0.0000 | 0.0000 | -2.0000 | 0.00000 | 0.00000 | 0.00000 |
| 531 | V04V06 | GLOBAL | 0.0000 | 0.0000 | -12.0000 | 0.00000 | 0.00000 | 0.00000 |





| Joint | LoadCase | CoordSys | F1 | F2 | F3 | M1 | M2 | M3 |
|---|---|---|---|---|---|---|---|---|
| Text | Text | Text | Ton | Ton | Ton | Ton-m | Ton-m | Ton-m |
| 531 | P0506 | GLOBAL | 0.0000 | 0.0000 | -6.0000 | 0.00000 | 0.00000 | 0.00000 |
| 532 | V04V06 | GLOBAL | 0.0000 | 0.0000 | -12.0000 | 0.00000 | 0.00000 | 0.00000 |
| 532 | P0506 | GLOBAL | 0.0000 | 0.0000 | -6.0000 | 0.00000 | 0.00000 | 0.00000 |
| 533 | V04V06 | GLOBAL | 0.0000 | 0.0000 | -6.0000 | 0.00000 | 0.00000 | 0.00000 |
| 533 | V06V08 | GLOBAL | 0.0000 | 0.0000 | -15.8000 | 0.00000 | 0.00000 | 0.00000 |
| 534 | V04V06 | GLOBAL | 0.0000 | 0.0000 | -6.0000 | 0.00000 | 0.00000 | 0.00000 |
| 535 | V04V06 | GLOBAL | 0.0000 | 0.0000 | -14.0000 | 0.00000 | 0.00000 | 0.00000 |
| 535 | P0506 | GLOBAL | 0.0000 | 0.0000 | -14.0000 | 0.00000 | 0.00000 | 0.00000 |
| 535 | V06V08 | GLOBAL | 0.0000 | 0.0000 | -4.2000 | 0.00000 | 0.00000 | 0.00000 |
| 536 | V04V06 | GLOBAL | 0.0000 | 0.0000 | -14.0000 | 0.00000 | 0.00000 | 0.00000 |
| 536 | P0506 | GLOBAL | 0.0000 | 0.0000 | -14.0000 | 0.00000 | 0.00000 | 0.00000 |
| 537 | P0506 | GLOBAL | 0.0000 | 0.0000 | -6.0000 | 0.00000 | 0.00000 | 0.00000 |
| 537 | V06V08 | GLOBAL | 0.0000 | 0.0000 | -13.8000 | 0.00000 | 0.00000 | 0.00000 |
| 538 | P0506 | GLOBAL | 0.0000 | 0.0000 | -6.0000 | 0.00000 | 0.00000 | 0.00000 |
| 539 | V04V06 | GLOBAL | 0.0000 | 0.0000 | -6.0000 | 0.00000 | 0.00000 | 0.00000 |
| 539 | P0506 | GLOBAL | 0.0000 | 0.0000 | -12.0000 | 0.00000 | 0.00000 | 0.00000 |
| 539 | V06V08 | GLOBAL | 0.0000 | 0.0000 | -6.2000 | 0.00000 | 0.00000 | 0.00000 |
| 540 | V04V06 | GLOBAL | 0.0000 | 0.0000 | -6.0000 | 0.00000 | 0.00000 | 0.00000 |
| 540 | P0506 | GLOBAL | 0.0000 | 0.0000 | -12.0000 | 0.00000 | 0.00000 | 0.00000 |
| 541 | V04V06 | GLOBAL | 0.0000 | 0.0000 | -14.0000 | 0.00000 | 0.00000 | 0.00000 |
| 541 | P0506 | GLOBAL | 0.0000 | 0.0000 | -8.0000 | 0.00000 | 0.00000 | 0.00000 |
| 542 | V04V06 | GLOBAL | 0.0000 | 0.0000 | -14.0000 | 0.00000 | 0.00000 | 0.00000 |
| 542 | P0506 | GLOBAL | 0.0000 | 0.0000 | -8.0000 | 0.00000 | 0.00000 | 0.00000 |
| 542 | V06V08 | GLOBAL | 0.0000 | 0.0000 | -14.0000 | 0.00000 | 0.00000 | 0.00000 |
| 543 | V04V06 | GLOBAL | 0.0000 | 0.0000 | -4.0000 | 0.00000 | 0.00000 | 0.00000 |
| 544 | V04V06 | GLOBAL | 0.0000 | 0.0000 | -4.0000 | 0.00000 | 0.00000 | 0.00000 |
| 544 | V06V08 | GLOBAL | 0.0000 | 0.0000 | -6.0000 | 0.00000 | 0.00000 | 0.00000 |
| 545 | V04V06 | GLOBAL | 0.0000 | 0.0000 | -16.0000 | 0.00000 | 0.00000 | 0.00000 |
| 546 | V04V06 | GLOBAL | 0.0000 | 0.0000 | -16.0000 | 0.00000 | 0.00000 | 0.00000 |
| 546 | V06V08 | GLOBAL | 0.0000 | 0.0000 | -12.0000 | 0.00000 | 0.00000 | 0.00000 |
| 548 | V06V08 | GLOBAL | 0.0000 | 0.0000 | -8.0000 | 0.00000 | 0.00000 | 0.00000 |
| 551 | V06V08 | GLOBAL | 0.0000 | 0.0000 | -9.8000 | 0.00000 | 0.00000 | 0.00000 |
| 552 | V06V08 | GLOBAL | 0.0000 | 0.0000 | -12.0000 | 0.00000 | 0.00000 | 0.00000 |
| 553 | P0506 | GLOBAL | 0.0000 | 0.0000 | -8.0000 | 0.00000 | 0.00000 | 0.00000 |
| 553 | V06V08 | GLOBAL | 0.0000 | 0.0000 | -10.2000 | 0.00000 | 0.00000 | 0.00000 |
| 554 | P0506 | GLOBAL | 0.0000 | 0.0000 | -8.0000 | 0.00000 | 0.00000 | 0.00000 |
| 554 | V06V08 | GLOBAL | 0.0000 | 0.0000 | -8.0000 | 0.00000 | 0.00000 | 0.00000 |
| 555 | P0506 | GLOBAL | 0.0000 | 0.0000 | -12.0000 | 0.00000 | 0.00000 | 0.00000 |
| 555 | V06V08 | GLOBAL | 0.0000 | 0.0000 | -7.8000 | 0.00000 | 0.00000 | 0.00000 |
| 556 | P0506 | GLOBAL | 0.0000 | 0.0000 | -12.0000 | 0.00000 | 0.00000 | 0.00000 |
| 556 | V06V08 | GLOBAL | 0.0000 | 0.0000 | -10.0000 | 0.00000 | 0.00000 | 0.00000 |
| 557 | P0506 | GLOBAL | 0.0000 | 0.0000 | -6.0000 | 0.00000 | 0.00000 | 0.00000 |
| 557 | V06V08 | GLOBAL | 0.0000 | 0.0000 | -12.2000 | 0.00000 | 0.00000 | 0.00000 |
| 558 | P0506 | GLOBAL | 0.0000 | 0.0000 | -6.0000 | 0.00000 | 0.00000 | 0.00000 |
| 558 | V06V08 | GLOBAL | 0.0000 | 0.0000 | -10.0000 | 0.00000 | 0.00000 | 0.00000 |
| 559 | V04V06 | GLOBAL | 0.0000 | 0.0000 | -20.0000 | 0.00000 | 0.00000 | 0.00000 |
| 559 | P0506 | GLOBAL | 0.0000 | 0.0000 | -14.0000 | 0.00000 | 0.00000 | 0.00000 |
| 560 | V04V06 | GLOBAL | 0.0000 | 0.0000 | -20.0000 | 0.00000 | 0.00000 | 0.00000 |
| 560 | P0506 | GLOBAL | 0.0000 | 0.0000 | -14.0000 | 0.00000 | 0.00000 | 0.00000 |
| 563 | V04V06 | GLOBAL | 0.0000 | 0.0000 | -18.0000 | 0.00000 | 0.00000 | 0.00000 |
| 564 | V04V06 | GLOBAL | 0.0000 | 0.0000 | -18.0000 | 0.00000 | 0.00000 | 0.00000 |
| 565 | V04V06 | GLOBAL | 0.0000 | 0.0000 | -2.0000 | 0.00000 | 0.00000 | 0.00000 |
| 566 | V04V06 | GLOBAL | 0.0000 | 0.0000 | -2.0000 | 0.00000 | 0.00000 | 0.00000 |
| 570 | V06V08 | GLOBAL | 0.0000 | 0.0000 | -6.0000 | 0.00000 | 0.00000 | 0.00000 |
| 572 | V06V08 | GLOBAL | 0.0000 | 0.0000 | -14.0000 | 0.00000 | 0.00000 | 0.00000 |
| 574 | V06V08 | GLOBAL | 0.0000 | 0.0000 | -8.0000 | 0.00000 | 0.00000 | 0.00000 |
| 576 | V06V08 | GLOBAL | 0.0000 | 0.0000 | -12.0000 | 0.00000 | 0.00000 | 0.00000 |
| 576 | P0708 | GLOBAL | 0.0000 | 0.0000 | -18.0000 | 0.00000 | 0.00000 | 0.00000 |
| 577 | V05V07 | GLOBAL | 0.0000 | 0.0000 | -2.0000 | 0.00000 | 0.00000 | 0.00000 |
| 578 | V05V07 | GLOBAL | 0.0000 | 0.0000 | -2.0000 | 0.00000 | 0.00000 | 0.00000 |
| 578 | P0708 | GLOBAL | 0.0000 | 0.0000 | -2.0000 | 0.00000 | 0.00000 | 0.00000 |
| 579 | V05V07 | GLOBAL | 0.0000 | 0.0000 | -18.0000 | 0.00000 | 0.00000 | 0.00000 |
| 580 | V05V07 | GLOBAL | 0.0000 | 0.0000 | -18.0000 | 0.00000 | 0.00000 | 0.00000 |
| 580 | P0708 | GLOBAL | 0.0000 | 0.0000 | -16.8000 | 0.00000 | 0.00000 | 0.00000 |
| 582 | V07V09 | GLOBAL | 0.0000 | 0.0000 | -12.0000 | 0.00000 | 0.00000 | 0.00000 |
| 582 | P0708 | GLOBAL | 0.0000 | 0.0000 | -3.2000 | 0.00000 | 0.00000 | 0.00000 |
| 583 | V05V07 | GLOBAL | 0.0000 | 0.0000 | -20.0000 | 0.00000 | 0.00000 | 0.00000 |
| 584 | V05V07 | GLOBAL | 0.0000 | 0.0000 | -20.0000 | 0.00000 | 0.00000 | 0.00000 |
| 584 | V07V09 | GLOBAL | 0.0000 | 0.0000 | -8.0000 | 0.00000 | 0.00000 | 0.00000 |
| 584 | P0708 | GLOBAL | 0.0000 | 0.0000 | -15.6000 | 0.00000 | 0.00000 | 0.00000 |
| 586 | V07V09 | GLOBAL | 0.0000 | 0.0000 | -10.8000 | 0.00000 | 0.00000 | 0.00000 |
| 586 | P0708 | GLOBAL | 0.0000 | 0.0000 | -4.4000 | 0.00000 | 0.00000 | 0.00000 |
| 588 | V07V09 | GLOBAL | 0.0000 | 0.0000 | -9.2000 | 0.00000 | 0.00000 | 0.00000 |
| 590 | V07V09 | GLOBAL | 0.0000 | 0.0000 | -9.6000 | 0.00000 | 0.00000 | 0.00000 |
| 591 | V07V09 | GLOBAL | 0.0000 | 0.0000 | -7.8000 | 0.00000 | 0.00000 | 0.00000 |
| 592 | V07V09 | GLOBAL | 0.0000 | 0.0000 | -10.4000 | 0.00000 | 0.00000 | 0.00000 |
| 593 | V07V09 | GLOBAL | 0.0000 | 0.0000 | -12.2000 | 0.00000 | 0.00000 | 0.00000 |
| 595 | V07V09 | GLOBAL | 0.0000 | 0.0000 | -6.6000 | 0.00000 | 0.00000 | 0.00000 |
| 597 | V05V07 | GLOBAL | 0.0000 | 0.0000 | -16.0000 | 0.00000 | 0.00000 | 0.00000 |
| 597 | V07V09 | GLOBAL | 0.0000 | 0.0000 | -13.4000 | 0.00000 | 0.00000 | 0.00000 |
| 598 | V05V07 | GLOBAL | 0.0000 | 0.0000 | -16.0000 | 0.00000 | 0.00000 | 0.00000 |
| 598 | P0708 | GLOBAL | 0.0000 | 0.0000 | -11.4000 | 0.00000 | 0.00000 | 0.00000 |
| 599 | V05V07 | GLOBAL | 0.0000 | 0.0000 | -4.0000 | 0.00000 | 0.00000 | 0.00000 |
| 599 | V07V09 | GLOBAL | 0.0000 | 0.0000 | -5.4000 | 0.00000 | 0.00000 | 0.00000 |
| 600 | V05V07 | GLOBAL | 0.0000 | 0.0000 | -4.0000 | 0.00000 | 0.00000 | 0.00000 |
| 600 | P0708 | GLOBAL | 0.0000 | 0.0000 | -8.6000 | 0.00000 | 0.00000 | 0.00000 |
| 601 | V05V07 | GLOBAL | 0.0000 | 0.0000 | -14.0000 | 0.00000 | 0.00000 | 0.00000 |
| 601 | V07V09 | GLOBAL | 0.0000 | 0.0000 | -14.6000 | 0.00000 | 0.00000 | 0.00000 |
| 602 | V05V07 | GLOBAL | 0.0000 | 0.0000 | -14.0000 | 0.00000 | 0.00000 | 0.00000 |
| 602 | P0708 | GLOBAL | 0.0000 | 0.0000 | -10.2000 | 0.00000 | 0.00000 | 0.00000 |
| 603 | V05V07 | GLOBAL | 0.0000 | 0.0000 | -6.0000 | 0.00000 | 0.00000 | 0.00000 |

| Joint | LoadCase | CoordSys | F1 | F2 | F3 | M1 | M2 | M3 |
|---|---|---|---|---|---|---|---|---|
| Text | Text | Text | Ton | Ton | Ton | Ton-m | Ton-m | Ton-m |
| 603 | P0708 | GLOBAL | 0.0000 | 0.0000 | -10.0000 | 0.00000 | 0.00000 | 0.00000 |
| 604 | V05V07 | GLOBAL | 0.0000 | 0.0000 | -6.0000 | 0.00000 | 0.00000 | 0.00000 |
| 604 | V07V09 | GLOBAL | 0.0000 | 0.0000 | -5.4000 | 0.00000 | 0.00000 | 0.00000 |
| 604 | P0708 | GLOBAL | 0.0000 | 0.0000 | -9.8000 | 0.00000 | 0.00000 | 0.00000 |
| 605 | P0708 | GLOBAL | 0.0000 | 0.0000 | -10.0000 | 0.00000 | 0.00000 | 0.00000 |
| 606 | V07V09 | GLOBAL | 0.0000 | 0.0000 | -14.6000 | 0.00000 | 0.00000 | 0.00000 |
| 606 | P0708 | GLOBAL | 0.0000 | 0.0000 | -9.0000 | 0.00000 | 0.00000 | 0.00000 |
| 607 | V05V07 | GLOBAL | 0.0000 | 0.0000 | -14.0000 | 0.00000 | 0.00000 | 0.00000 |
| 607 | P0708 | GLOBAL | 0.0000 | 0.0000 | -8.8000 | 0.00000 | 0.00000 | 0.00000 |
| 608 | V05V07 | GLOBAL | 0.0000 | 0.0000 | -14.0000 | 0.00000 | 0.00000 | 0.00000 |
| 608 | V07V09 | GLOBAL | 0.0000 | 0.0000 | -4.2000 | 0.00000 | 0.00000 | 0.00000 |
| 608 | P0708 | GLOBAL | 0.0000 | 0.0000 | -11.0000 | 0.00000 | 0.00000 | 0.00000 |
| 609 | V05V07 | GLOBAL | 0.0000 | 0.0000 | -6.0000 | 0.00000 | 0.00000 | 0.00000 |
| 609 | P0708 | GLOBAL | 0.0000 | 0.0000 | -11.2000 | 0.00000 | 0.00000 | 0.00000 |
| 610 | V05V07 | GLOBAL | 0.0000 | 0.0000 | -6.0000 | 0.00000 | 0.00000 | 0.00000 |
| 610 | V07V09 | GLOBAL | 0.0000 | 0.0000 | -15.8000 | 0.00000 | 0.00000 | 0.00000 |
| 611 | V05V07 | GLOBAL | 0.0000 | 0.0000 | -12.0000 | 0.00000 | 0.00000 | 0.00000 |
| 611 | P0708 | GLOBAL | 0.0000 | 0.0000 | -7.6000 | 0.00000 | 0.00000 | 0.00000 |
| 612 | V05V07 | GLOBAL | 0.0000 | 0.0000 | -12.0000 | 0.00000 | 0.00000 | 0.00000 |
| 612 | V07V09 | GLOBAL | 0.0000 | 0.0000 | -3.0000 | 0.00000 | 0.00000 | 0.00000 |
| 612 | P0708 | GLOBAL | 0.0000 | 0.0000 | -6.0000 | 0.00000 | 0.00000 | 0.00000 |
| 613 | V05V07 | GLOBAL | 0.0000 | 0.0000 | -8.0000 | 0.00000 | 0.00000 | 0.00000 |
| 613 | V07V09 | GLOBAL | 0.0000 | 0.0000 | -1.2000 | 0.00000 | 0.00000 | 0.00000 |
| 613 | P0708 | GLOBAL | 0.0000 | 0.0000 | -12.4000 | 0.00000 | 0.00000 | 0.00000 |
| 614 | V05V07 | GLOBAL | 0.0000 | 0.0000 | -8.0000 | 0.00000 | 0.00000 | 0.00000 |
| 614 | V07V09 | GLOBAL | 0.0000 | 0.0000 | -17.0000 | 0.00000 | 0.00000 | 0.00000 |
| 614 | P0708 | GLOBAL | 0.0000 | 0.0000 | -14.0000 | 0.00000 | 0.00000 | 0.00000 |
| 615 | V07V09 | GLOBAL | 0.0000 | 0.0000 | -18.8000 | 0.00000 | 0.00000 | 0.00000 |
| 616 | P0708 | GLOBAL | 0.0000 | 0.0000 | -4.0000 | 0.00000 | 0.00000 | 0.00000 |
| 618 | P0708 | GLOBAL | 0.0000 | 0.0000 | -16.0000 | 0.00000 | 0.00000 | 0.00000 |
| 619 | V07V09 | GLOBAL | 0.0000 | 0.0000 | -20.0000 | 0.00000 | 0.00000 | 0.00000 |
| 620 | V07V09 | GLOBAL | 0.0000 | 0.0000 | -20.0000 | 0.00000 | 0.00000 | 0.00000 |
| 623 | V07V09 | GLOBAL | 0.0000 | 0.0000 | -20.0000 | 0.00000 | 0.00000 | 0.00000 |
| 624 | V07V09 | GLOBAL | 0.0000 | 0.0000 | -18.0000 | 0.00000 | 0.00000 | 0.00000 |
| 625 | V05V07 | GLOBAL | 0.0000 | 0.0000 | -8.0000 | 0.00000 | 0.00000 | 0.00000 |
| 625 | P0708 | GLOBAL | 0.0000 | 0.0000 | -3.4000 | 0.00000 | 0.00000 | 0.00000 |
| 626 | V05V07 | GLOBAL | 0.0000 | 0.0000 | -8.0000 | 0.00000 | 0.00000 | 0.00000 |
| 626 | V07V09 | GLOBAL | 0.0000 | 0.0000 | -2.0000 | 0.00000 | 0.00000 | 0.00000 |
| 627 | V05V07 | GLOBAL | 0.0000 | 0.0000 | -12.0000 | 0.00000 | 0.00000 | 0.00000 |
| 627 | P0708 | GLOBAL | 0.0000 | 0.0000 | -16.6000 | 0.00000 | 0.00000 | 0.00000 |
| 628 | V05V07 | GLOBAL | 0.0000 | 0.0000 | -12.0000 | 0.00000 | 0.00000 | 0.00000 |
| 629 | V05V07 | GLOBAL | 0.0000 | 0.0000 | -6.0000 | 0.00000 | 0.00000 | 0.00000 |
| 629 | V07V09 | GLOBAL | 0.0000 | 0.0000 | -15.8000 | 0.00000 | 0.00000 | 0.00000 |
| 629 | P0708 | GLOBAL | 0.0000 | 0.0000 | -2.2000 | 0.00000 | 0.00000 | 0.00000 |
| 630 | V05V07 | GLOBAL | 0.0000 | 0.0000 | -6.0000 | 0.00000 | 0.00000 | 0.00000 |
| 631 | V05V07 | GLOBAL | 0.0000 | 0.0000 | -14.0000 | 0.00000 | 0.00000 | 0.00000 |
| 631 | V07V09 | GLOBAL | 0.0000 | 0.0000 | -4.2000 | 0.00000 | 0.00000 | 0.00000 |
| 631 | P0708 | GLOBAL | 0.0000 | 0.0000 | -17.8000 | 0.00000 | 0.00000 | 0.00000 |
| 632 | V05V07 | GLOBAL | 0.0000 | 0.0000 | -14.0000 | 0.00000 | 0.00000 | 0.00000 |
| 632 | P0708 | GLOBAL | 0.0000 | 0.0000 | -20.0000 | 0.00000 | 0.00000 | 0.00000 |
| 633 | V07V09 | GLOBAL | 0.0000 | 0.0000 | -13.8000 | 0.00000 | 0.00000 | 0.00000 |
| 635 | V05V07 | GLOBAL | 0.0000 | 0.0000 | -6.0000 | 0.00000 | 0.00000 | 0.00000 |
| 635 | V07V09 | GLOBAL | 0.0000 | 0.0000 | -6.2000 | 0.00000 | 0.00000 | 0.00000 |
| 635 | P0708 | GLOBAL | 0.0000 | 0.0000 | -20.0000 | 0.00000 | 0.00000 | 0.00000 |
| 636 | V05V07 | GLOBAL | 0.0000 | 0.0000 | -6.0000 | 0.00000 | 0.00000 | 0.00000 |
| 636 | P0708 | GLOBAL | 0.0000 | 0.0000 | -18.0000 | 0.00000 | 0.00000 | 0.00000 |
| 637 | V05V07 | GLOBAL | 0.0000 | 0.0000 | -14.0000 | 0.00000 | 0.00000 | 0.00000 |
| 638 | V05V07 | GLOBAL | 0.0000 | 0.0000 | -14.0000 | 0.00000 | 0.00000 | 0.00000 |
| 638 | V07V09 | GLOBAL | 0.0000 | 0.0000 | -14.0000 | 0.00000 | 0.00000 | 0.00000 |
| 638 | P0708 | GLOBAL | 0.0000 | 0.0000 | -2.0000 | 0.00000 | 0.00000 | 0.00000 |
| 639 | V05V07 | GLOBAL | 0.0000 | 0.0000 | -4.0000 | 0.00000 | 0.00000 | 0.00000 |
| 640 | V05V07 | GLOBAL | 0.0000 | 0.0000 | -4.0000 | 0.00000 | 0.00000 | 0.00000 |
| 640 | V07V09 | GLOBAL | 0.0000 | 0.0000 | -6.0000 | 0.00000 | 0.00000 | 0.00000 |
| 641 | V05V07 | GLOBAL | 0.0000 | 0.0000 | -16.0000 | 0.00000 | 0.00000 | 0.00000 |
| 641 | P0708 | GLOBAL | 0.0000 | 0.0000 | -18.0000 | 0.00000 | 0.00000 | 0.00000 |
| 642 | V05V07 | GLOBAL | 0.0000 | 0.0000 | -16.0000 | 0.00000 | 0.00000 | 0.00000 |
| 642 | V07V09 | GLOBAL | 0.0000 | 0.0000 | -12.0000 | 0.00000 | 0.00000 | 0.00000 |
| 642 | P0708 | GLOBAL | 0.0000 | 0.0000 | -18.0000 | 0.00000 | 0.00000 | 0.00000 |
| 643 | P0708 | GLOBAL | 0.0000 | 0.0000 | -2.0000 | 0.00000 | 0.00000 | 0.00000 |
| 644 | V07V09 | GLOBAL | 0.0000 | 0.0000 | -8.0000 | 0.00000 | 0.00000 | 0.00000 |
| 644 | P0708 | GLOBAL | 0.0000 | 0.0000 | -2.0000 | 0.00000 | 0.00000 | 0.00000 |
| 645 | P0708 | GLOBAL | 0.0000 | 0.0000 | -16.0000 | 0.00000 | 0.00000 | 0.00000 |
| 646 | P0708 | GLOBAL | 0.0000 | 0.0000 | -16.0000 | 0.00000 | 0.00000 | 0.00000 |
| 647 | V07V09 | GLOBAL | 0.0000 | 0.0000 | -9.8000 | 0.00000 | 0.00000 | 0.00000 |
| 647 | P0708 | GLOBAL | 0.0000 | 0.0000 | -4.0000 | 0.00000 | 0.00000 | 0.00000 |
| 648 | V07V09 | GLOBAL | 0.0000 | 0.0000 | -12.0000 | 0.00000 | 0.00000 | 0.00000 |
| 648 | P0708 | GLOBAL | 0.0000 | 0.0000 | -4.0000 | 0.00000 | 0.00000 | 0.00000 |
| 649 | V07V09 | GLOBAL | 0.0000 | 0.0000 | -10.2000 | 0.00000 | 0.00000 | 0.00000 |
| 650 | V07V09 | GLOBAL | 0.0000 | 0.0000 | -8.0000 | 0.00000 | 0.00000 | 0.00000 |
| 651 | V07V09 | GLOBAL | 0.0000 | 0.0000 | -7.8000 | 0.00000 | 0.00000 | 0.00000 |
| 652 | V07V09 | GLOBAL | 0.0000 | 0.0000 | -10.0000 | 0.00000 | 0.00000 | 0.00000 |
| 653 | V07V09 | GLOBAL | 0.0000 | 0.0000 | -12.2000 | 0.00000 | 0.00000 | 0.00000 |
| 654 | V07V09 | GLOBAL | 0.0000 | 0.0000 | -10.0000 | 0.00000 | 0.00000 | 0.00000 |
| 655 | V05V07 | GLOBAL | 0.0000 | 0.0000 | -20.0000 | 0.00000 | 0.00000 | 0.00000 |
| 656 | V05V07 | GLOBAL | 0.0000 | 0.0000 | -20.0000 | 0.00000 | 0.00000 | 0.00000 |
| 659 | V05V07 | GLOBAL | 0.0000 | 0.0000 | -18.0000 | 0.00000 | 0.00000 | 0.00000 |
| 659 | P0708 | GLOBAL | 0.0000 | 0.0000 | -12.0000 | 0.00000 | 0.00000 | 0.00000 |
| 660 | V05V07 | GLOBAL | 0.0000 | 0.0000 | -18.0000 | 0.00000 | 0.00000 | 0.00000 |
| 660 | P0708 | GLOBAL | 0.0000 | 0.0000 | -12.0000 | 0.00000 | 0.00000 | 0.00000 |
| 661 | V05V07 | GLOBAL | 0.0000 | 0.0000 | -2.0000 | 0.00000 | 0.00000 | 0.00000 |
| 661 | P0708 | GLOBAL | 0.0000 | 0.0000 | -8.0000 | 0.00000 | 0.00000 | 0.00000 |





| Joint | LoadCase | CoordSys | F1 | F2 | F3 | M1 | M2 | M3 |
|---|---|---|---|---|---|---|---|---|
| Text | Text | Text | Ton | Ton | Ton | Ton-m | Ton-m | Ton-m |
| 662 | V05V07 | GLOBAL | 0.0000 | 0.0000 | -2.0000 | 0.00000 | 0.00000 | 0.00000 |
| 662 | P0708 | GLOBAL | 0.0000 | 0.0000 | -8.0000 | 0.00000 | 0.00000 | 0.00000 |
| 663 | P0708 | GLOBAL | 0.0000 | 0.0000 | -10.0000 | 0.00000 | 0.00000 | 0.00000 |
| 664 | P0708 | GLOBAL | 0.0000 | 0.0000 | -10.0000 | 0.00000 | 0.00000 | 0.00000 |
| 665 | P0708 | GLOBAL | 0.0000 | 0.0000 | -10.0000 | 0.00000 | 0.00000 | 0.00000 |
| 666 | V07V09 | GLOBAL | 0.0000 | 0.0000 | -6.0000 | 0.00000 | 0.00000 | 0.00000 |
| 666 | P0708 | GLOBAL | 0.0000 | 0.0000 | -10.0000 | 0.00000 | 0.00000 | 0.00000 |
| 668 | V07V09 | GLOBAL | 0.0000 | 0.0000 | -14.0000 | 0.00000 | 0.00000 | 0.00000 |
| 669 | P0708 | GLOBAL | 0.0000 | 0.0000 | -10.0000 | 0.00000 | 0.00000 | 0.00000 |
| 670 | V07V09 | GLOBAL | 0.0000 | 0.0000 | -8.0000 | 0.00000 | 0.00000 | 0.00000 |
| 670 | P0708 | GLOBAL | 0.0000 | 0.0000 | -10.0000 | 0.00000 | 0.00000 | 0.00000 |
| 671 | P0708 | GLOBAL | 0.0000 | 0.0000 | -10.0000 | 0.00000 | 0.00000 | 0.00000 |
| 672 | V07V09 | GLOBAL | 0.0000 | 0.0000 | -12.0000 | 0.00000 | 0.00000 | 0.00000 |
| 672 | P0708 | GLOBAL | 0.0000 | 0.0000 | -10.0000 | 0.00000 | 0.00000 | 0.00000 |
| 673 | V06V08 | GLOBAL | 0.0000 | 0.0000 | -2.0000 | 0.00000 | 0.00000 | 0.00000 |
| 673 | P0708 | GLOBAL | 0.0000 | 0.0000 | -8.0000 | 0.00000 | 0.00000 | 0.00000 |
| 674 | V06V08 | GLOBAL | 0.0000 | 0.0000 | -2.0000 | 0.00000 | 0.00000 | 0.00000 |
| 674 | P0708 | GLOBAL | 0.0000 | 0.0000 | -8.0000 | 0.00000 | 0.00000 | 0.00000 |
| 675 | V06V08 | GLOBAL | 0.0000 | 0.0000 | -18.0000 | 0.00000 | 0.00000 | 0.00000 |
| 675 | P0708 | GLOBAL | 0.0000 | 0.0000 | -12.0000 | 0.00000 | 0.00000 | 0.00000 |
| 676 | V06V08 | GLOBAL | 0.0000 | 0.0000 | -18.0000 | 0.00000 | 0.00000 | 0.00000 |
| 676 | P0708 | GLOBAL | 0.0000 | 0.0000 | -12.0000 | 0.00000 | 0.00000 | 0.00000 |
| 679 | V06V08 | GLOBAL | 0.0000 | 0.0000 | -20.0000 | 0.00000 | 0.00000 | 0.00000 |
| 680 | V06V08 | GLOBAL | 0.0000 | 0.0000 | -20.0000 | 0.00000 | 0.00000 | 0.00000 |
| 687 | P0708 | GLOBAL | 0.0000 | 0.0000 | -4.0000 | 0.00000 | 0.00000 | 0.00000 |
| 688 | P0708 | GLOBAL | 0.0000 | 0.0000 | -4.0000 | 0.00000 | 0.00000 | 0.00000 |
| 689 | P0708 | GLOBAL | 0.0000 | 0.0000 | -16.0000 | 0.00000 | 0.00000 | 0.00000 |
| 690 | P0708 | GLOBAL | 0.0000 | 0.0000 | -16.0000 | 0.00000 | 0.00000 | 0.00000 |
| 691 | P0708 | GLOBAL | 0.0000 | 0.0000 | -2.0000 | 0.00000 | 0.00000 | 0.00000 |
| 692 | P0708 | GLOBAL | 0.0000 | 0.0000 | -2.0000 | 0.00000 | 0.00000 | 0.00000 |
| 693 | V06V08 | GLOBAL | 0.0000 | 0.0000 | -16.0000 | 0.00000 | 0.00000 | 0.00000 |
| 693 | P0708 | GLOBAL | 0.0000 | 0.0000 | -18.0000 | 0.00000 | 0.00000 | 0.00000 |
| 694 | V06V08 | GLOBAL | 0.0000 | 0.0000 | -16.0000 | 0.00000 | 0.00000 | 0.00000 |
| 694 | P0708 | GLOBAL | 0.0000 | 0.0000 | -18.0000 | 0.00000 | 0.00000 | 0.00000 |
| 695 | V06V08 | GLOBAL | 0.0000 | 0.0000 | -4.0000 | 0.00000 | 0.00000 | 0.00000 |
| 696 | V06V08 | GLOBAL | 0.0000 | 0.0000 | -4.0000 | 0.00000 | 0.00000 | 0.00000 |
| 697 | V06V08 | GLOBAL | 0.0000 | 0.0000 | -14.0000 | 0.00000 | 0.00000 | 0.00000 |
| 697 | P0708 | GLOBAL | 0.0000 | 0.0000 | -2.0000 | 0.00000 | 0.00000 | 0.00000 |
| 698 | V06V08 | GLOBAL | 0.0000 | 0.0000 | -14.0000 | 0.00000 | 0.00000 | 0.00000 |
| 698 | P0708 | GLOBAL | 0.0000 | 0.0000 | -2.0000 | 0.00000 | 0.00000 | 0.00000 |
| 699 | V06V08 | GLOBAL | 0.0000 | 0.0000 | -6.0000 | 0.00000 | 0.00000 | 0.00000 |
| 699 | P0708 | GLOBAL | 0.0000 | 0.0000 | -18.0000 | 0.00000 | 0.00000 | 0.00000 |
| 700 | V06V08 | GLOBAL | 0.0000 | 0.0000 | -6.0000 | 0.00000 | 0.00000 | 0.00000 |
| 700 | P0708 | GLOBAL | 0.0000 | 0.0000 | -18.0000 | 0.00000 | 0.00000 | 0.00000 |
| 703 | V06V08 | GLOBAL | 0.0000 | 0.0000 | -14.0000 | 0.00000 | 0.00000 | 0.00000 |
| 703 | P0708 | GLOBAL | 0.0000 | 0.0000 | -20.0000 | 0.00000 | 0.00000 | 0.00000 |
| 704 | V06V08 | GLOBAL | 0.0000 | 0.0000 | -14.0000 | 0.00000 | 0.00000 | 0.00000 |
| 704 | P0708 | GLOBAL | 0.0000 | 0.0000 | -20.0000 | 0.00000 | 0.00000 | 0.00000 |
| 705 | V06V08 | GLOBAL | 0.0000 | 0.0000 | -6.0000 | 0.00000 | 0.00000 | 0.00000 |
| 706 | V06V08 | GLOBAL | 0.0000 | 0.0000 | -6.0000 | 0.00000 | 0.00000 | 0.00000 |
| 707 | V06V08 | GLOBAL | 0.0000 | 0.0000 | -12.0000 | 0.00000 | 0.00000 | 0.00000 |
| 708 | V06V08 | GLOBAL | 0.0000 | 0.0000 | -12.0000 | 0.00000 | 0.00000 | 0.00000 |
| 709 | V06V08 | GLOBAL | 0.0000 | 0.0000 | -8.0000 | 0.00000 | 0.00000 | 0.00000 |
| 710 | V06V08 | GLOBAL | 0.0000 | 0.0000 | -8.0000 | 0.00000 | 0.00000 | 0.00000 |
| 717 | P0708 | GLOBAL | 0.0000 | 0.0000 | -16.0000 | 0.00000 | 0.00000 | 0.00000 |
| 718 | P0708 | GLOBAL | 0.0000 | 0.0000 | -16.0000 | 0.00000 | 0.00000 | 0.00000 |
| 719 | P0708 | GLOBAL | 0.0000 | 0.0000 | -4.0000 | 0.00000 | 0.00000 | 0.00000 |
| 720 | P0708 | GLOBAL | 0.0000 | 0.0000 | -4.0000 | 0.00000 | 0.00000 | 0.00000 |
| 721 | V06V08 | GLOBAL | 0.0000 | 0.0000 | -8.0000 | 0.00000 | 0.00000 | 0.00000 |
| 721 | P0708 | GLOBAL | 0.0000 | 0.0000 | -14.0000 | 0.00000 | 0.00000 | 0.00000 |
| 722 | V06V08 | GLOBAL | 0.0000 | 0.0000 | -8.0000 | 0.00000 | 0.00000 | 0.00000 |
| 722 | P0708 | GLOBAL | 0.0000 | 0.0000 | -14.0000 | 0.00000 | 0.00000 | 0.00000 |
| 723 | V06V08 | GLOBAL | 0.0000 | 0.0000 | -12.0000 | 0.00000 | 0.00000 | 0.00000 |
| 723 | P0708 | GLOBAL | 0.0000 | 0.0000 | -6.0000 | 0.00000 | 0.00000 | 0.00000 |
| 724 | V06V08 | GLOBAL | 0.0000 | 0.0000 | -12.0000 | 0.00000 | 0.00000 | 0.00000 |
| 724 | P0708 | GLOBAL | 0.0000 | 0.0000 | -6.0000 | 0.00000 | 0.00000 | 0.00000 |
| 725 | V06V08 | GLOBAL | 0.0000 | 0.0000 | -6.0000 | 0.00000 | 0.00000 | 0.00000 |
| 726 | V06V08 | GLOBAL | 0.0000 | 0.0000 | -6.0000 | 0.00000 | 0.00000 | 0.00000 |
| 727 | V06V08 | GLOBAL | 0.0000 | 0.0000 | -14.0000 | 0.00000 | 0.00000 | 0.00000 |
| 727 | P0708 | GLOBAL | 0.0000 | 0.0000 | -14.0000 | 0.00000 | 0.00000 | 0.00000 |
| 728 | V06V08 | GLOBAL | 0.0000 | 0.0000 | -14.0000 | 0.00000 | 0.00000 | 0.00000 |
| 728 | P0708 | GLOBAL | 0.0000 | 0.0000 | -14.0000 | 0.00000 | 0.00000 | 0.00000 |
| 729 | P0708 | GLOBAL | 0.0000 | 0.0000 | -6.0000 | 0.00000 | 0.00000 | 0.00000 |
| 730 | P0708 | GLOBAL | 0.0000 | 0.0000 | -6.0000 | 0.00000 | 0.00000 | 0.00000 |
| 731 | V06V08 | GLOBAL | 0.0000 | 0.0000 | -6.0000 | 0.00000 | 0.00000 | 0.00000 |
| 731 | P0708 | GLOBAL | 0.0000 | 0.0000 | -12.0000 | 0.00000 | 0.00000 | 0.00000 |
| 732 | V06V08 | GLOBAL | 0.0000 | 0.0000 | -6.0000 | 0.00000 | 0.00000 | 0.00000 |
| 732 | P0708 | GLOBAL | 0.0000 | 0.0000 | -12.0000 | 0.00000 | 0.00000 | 0.00000 |
| 733 | V06V08 | GLOBAL | 0.0000 | 0.0000 | -14.0000 | 0.00000 | 0.00000 | 0.00000 |
| 733 | P0708 | GLOBAL | 0.0000 | 0.0000 | -8.0000 | 0.00000 | 0.00000 | 0.00000 |
| 734 | V06V08 | GLOBAL | 0.0000 | 0.0000 | -14.0000 | 0.00000 | 0.00000 | 0.00000 |
| 734 | P0708 | GLOBAL | 0.0000 | 0.0000 | -8.0000 | 0.00000 | 0.00000 | 0.00000 |
| 735 | V06V08 | GLOBAL | 0.0000 | 0.0000 | -4.0000 | 0.00000 | 0.00000 | 0.00000 |
| 736 | V06V08 | GLOBAL | 0.0000 | 0.0000 | -4.0000 | 0.00000 | 0.00000 | 0.00000 |
| 737 | V06V08 | GLOBAL | 0.0000 | 0.0000 | -16.0000 | 0.00000 | 0.00000 | 0.00000 |
| 738 | V06V08 | GLOBAL | 0.0000 | 0.0000 | -16.0000 | 0.00000 | 0.00000 | 0.00000 |
| 745 | P0708 | GLOBAL | 0.0000 | 0.0000 | -8.0000 | 0.00000 | 0.00000 | 0.00000 |
| 746 | P0708 | GLOBAL | 0.0000 | 0.0000 | -8.0000 | 0.00000 | 0.00000 | 0.00000 |
| 747 | P0708 | GLOBAL | 0.0000 | 0.0000 | -12.0000 | 0.00000 | 0.00000 | 0.00000 |
| 748 | P0708 | GLOBAL | 0.0000 | 0.0000 | -12.0000 | 0.00000 | 0.00000 | 0.00000 |
| 749 | P0708 | GLOBAL | 0.0000 | 0.0000 | -6.0000 | 0.00000 | 0.00000 | 0.00000 |

| Joint | LoadCase | CoordSys | F1 | F2 | F3 | M1 | M2 | M3 |
|---|---|---|---|---|---|---|---|---|
| Text | Text | Text | Ton | Ton | Ton | Ton-m | Ton-m | Ton-m |
| 750 | P0708 | GLOBAL | 0.0000 | 0.0000 | -6.0000 | 0.00000 | 0.00000 | 0.00000 |
| 751 | V06V08 | GLOBAL | 0.0000 | 0.0000 | -20.0000 | 0.00000 | 0.00000 | 0.00000 |
| 751 | P0708 | GLOBAL | 0.0000 | 0.0000 | -14.0000 | 0.00000 | 0.00000 | 0.00000 |
| 752 | V06V08 | GLOBAL | 0.0000 | 0.0000 | -20.0000 | 0.00000 | 0.00000 | 0.00000 |
| 752 | P0708 | GLOBAL | 0.0000 | 0.0000 | -14.0000 | 0.00000 | 0.00000 | 0.00000 |
| 755 | V06V08 | GLOBAL | 0.0000 | 0.0000 | -18.0000 | 0.00000 | 0.00000 | 0.00000 |
| 756 | V06V08 | GLOBAL | 0.0000 | 0.0000 | -18.0000 | 0.00000 | 0.00000 | 0.00000 |
| 757 | V06V08 | GLOBAL | 0.0000 | 0.0000 | -2.0000 | 0.00000 | 0.00000 | 0.00000 |
| 758 | V06V08 | GLOBAL | 0.0000 | 0.0000 | -2.0000 | 0.00000 | 0.00000 | 0.00000 |
| 769 | V07V09 | GLOBAL | 0.0000 | 0.0000 | -2.0000 | 0.00000 | 0.00000 | 0.00000 |
| 770 | V07V09 | GLOBAL | 0.0000 | 0.0000 | -2.0000 | 0.00000 | 0.00000 | 0.00000 |
| 771 | V07V09 | GLOBAL | 0.0000 | 0.0000 | -18.0000 | 0.00000 | 0.00000 | 0.00000 |
| 772 | V07V09 | GLOBAL | 0.0000 | 0.0000 | -18.0000 | 0.00000 | 0.00000 | 0.00000 |
| 774 | V09V11 | GLOBAL | 0.0000 | 0.0000 | -12.0000 | 0.00000 | 0.00000 | 0.00000 |
| 775 | V07V09 | GLOBAL | 0.0000 | 0.0000 | -20.0000 | 0.00000 | 0.00000 | 0.00000 |
| 776 | V07V09 | GLOBAL | 0.0000 | 0.0000 | -20.0000 | 0.00000 | 0.00000 | 0.00000 |
| 776 | V09V11 | GLOBAL | 0.0000 | 0.0000 | -8.0000 | 0.00000 | 0.00000 | 0.00000 |
| 778 | V09V11 | GLOBAL | 0.0000 | 0.0000 | -10.8000 | 0.00000 | 0.00000 | 0.00000 |
| 780 | V09V11 | GLOBAL | 0.0000 | 0.0000 | -9.2000 | 0.00000 | 0.00000 | 0.00000 |
| 782 | V09V11 | GLOBAL | 0.0000 | 0.0000 | -9.6000 | 0.00000 | 0.00000 | 0.00000 |
| 783 | V09V11 | GLOBAL | 0.0000 | 0.0000 | -7.8000 | 0.00000 | 0.00000 | 0.00000 |
| 784 | V09V11 | GLOBAL | 0.0000 | 0.0000 | -10.4000 | 0.00000 | 0.00000 | 0.00000 |
| 785 | V09V11 | GLOBAL | 0.0000 | 0.0000 | -12.2000 | 0.00000 | 0.00000 | 0.00000 |
| 787 | V09V11 | GLOBAL | 0.0000 | 0.0000 | -6.6000 | 0.00000 | 0.00000 | 0.00000 |
| 789 | V07V09 | GLOBAL | 0.0000 | 0.0000 | -16.0000 | 0.00000 | 0.00000 | 0.00000 |
| 789 | V09V11 | GLOBAL | 0.0000 | 0.0000 | -13.4000 | 0.00000 | 0.00000 | 0.00000 |
| 790 | V07V09 | GLOBAL | 0.0000 | 0.0000 | -16.0000 | 0.00000 | 0.00000 | 0.00000 |
| 791 | V07V09 | GLOBAL | 0.0000 | 0.0000 | -4.0000 | 0.00000 | 0.00000 | 0.00000 |
| 791 | V09V11 | GLOBAL | 0.0000 | 0.0000 | -5.4000 | 0.00000 | 0.00000 | 0.00000 |
| 792 | V07V09 | GLOBAL | 0.0000 | 0.0000 | -4.0000 | 0.00000 | 0.00000 | 0.00000 |
| 793 | V07V09 | GLOBAL | 0.0000 | 0.0000 | -14.0000 | 0.00000 | 0.00000 | 0.00000 |
| 793 | V09V11 | GLOBAL | 0.0000 | 0.0000 | -14.6000 | 0.00000 | 0.00000 | 0.00000 |
| 794 | V07V09 | GLOBAL | 0.0000 | 0.0000 | -14.0000 | 0.00000 | 0.00000 | 0.00000 |
| 795 | V07V09 | GLOBAL | 0.0000 | 0.0000 | -6.0000 | 0.00000 | 0.00000 | 0.00000 |
| 796 | V07V09 | GLOBAL | 0.0000 | 0.0000 | -6.0000 | 0.00000 | 0.00000 | 0.00000 |
| 796 | V09V11 | GLOBAL | 0.0000 | 0.0000 | -5.4000 | 0.00000 | 0.00000 | 0.00000 |
| 798 | V09V11 | GLOBAL | 0.0000 | 0.0000 | -14.6000 | 0.00000 | 0.00000 | 0.00000 |
| 799 | V07V09 | GLOBAL | 0.0000 | 0.0000 | -14.0000 | 0.00000 | 0.00000 | 0.00000 |
| 800 | V07V09 | GLOBAL | 0.0000 | 0.0000 | -14.0000 | 0.00000 | 0.00000 | 0.00000 |
| 800 | V09V11 | GLOBAL | 0.0000 | 0.0000 | -4.2000 | 0.00000 | 0.00000 | 0.00000 |
| 801 | V07V09 | GLOBAL | 0.0000 | 0.0000 | -6.0000 | 0.00000 | 0.00000 | 0.00000 |
| 802 | V07V09 | GLOBAL | 0.0000 | 0.0000 | -6.0000 | 0.00000 | 0.00000 | 0.00000 |
| 802 | V09V11 | GLOBAL | 0.0000 | 0.0000 | -15.8000 | 0.00000 | 0.00000 | 0.00000 |
| 803 | V07V09 | GLOBAL | 0.0000 | 0.0000 | -12.0000 | 0.00000 | 0.00000 | 0.00000 |
| 804 | V07V09 | GLOBAL | 0.0000 | 0.0000 | -12.0000 | 0.00000 | 0.00000 | 0.00000 |
| 804 | V09V11 | GLOBAL | 0.0000 | 0.0000 | -3.0000 | 0.00000 | 0.00000 | 0.00000 |
| 805 | V07V09 | GLOBAL | 0.0000 | 0.0000 | -8.0000 | 0.00000 | 0.00000 | 0.00000 |
| 805 | V09V11 | GLOBAL | 0.0000 | 0.0000 | -1.2000 | 0.00000 | 0.00000 | 0.00000 |
| 806 | V07V09 | GLOBAL | 0.0000 | 0.0000 | -8.0000 | 0.00000 | 0.00000 | 0.00000 |
| 806 | V09V11 | GLOBAL | 0.0000 | 0.0000 | -17.0000 | 0.00000 | 0.00000 | 0.00000 |
| 807 | V09V11 | GLOBAL | 0.0000 | 0.0000 | -18.8000 | 0.00000 | 0.00000 | 0.00000 |
| 811 | V09V11 | GLOBAL | 0.0000 | 0.0000 | -20.0000 | 0.00000 | 0.00000 | 0.00000 |
| 812 | V09V11 | GLOBAL | 0.0000 | 0.0000 | -20.0000 | 0.00000 | 0.00000 | 0.00000 |
| 815 | V09V11 | GLOBAL | 0.0000 | 0.0000 | -20.0000 | 0.00000 | 0.00000 | 0.00000 |
| 816 | V09V11 | GLOBAL | 0.0000 | 0.0000 | -18.0000 | 0.00000 | 0.00000 | 0.00000 |
| 817 | V07V09 | GLOBAL | 0.0000 | 0.0000 | -8.0000 | 0.00000 | 0.00000 | 0.00000 |
| 818 | V07V09 | GLOBAL | 0.0000 | 0.0000 | -8.0000 | 0.00000 | 0.00000 | 0.00000 |
| 818 | V09V11 | GLOBAL | 0.0000 | 0.0000 | -2.0000 | 0.00000 | 0.00000 | 0.00000 |
| 819 | V07V09 | GLOBAL | 0.0000 | 0.0000 | -12.0000 | 0.00000 | 0.00000 | 0.00000 |
| 820 | V07V09 | GLOBAL | 0.0000 | 0.0000 | -12.0000 | 0.00000 | 0.00000 | 0.00000 |
| 821 | V07V09 | GLOBAL | 0.0000 | 0.0000 | -6.0000 | 0.00000 | 0.00000 | 0.00000 |
| 821 | V09V11 | GLOBAL | 0.0000 | 0.0000 | -15.8000 | 0.00000 | 0.00000 | 0.00000 |
| 822 | V07V09 | GLOBAL | 0.0000 | 0.0000 | -6.0000 | 0.00000 | 0.00000 | 0.00000 |
| 823 | V07V09 | GLOBAL | 0.0000 | 0.0000 | -14.0000 | 0.00000 | 0.00000 | 0.00000 |
| 823 | V09V11 | GLOBAL | 0.0000 | 0.0000 | -4.2000 | 0.00000 | 0.00000 | 0.00000 |
| 824 | V07V09 | GLOBAL | 0.0000 | 0.0000 | -14.0000 | 0.00000 | 0.00000 | 0.00000 |
| 825 | V09V11 | GLOBAL | 0.0000 | 0.0000 | -13.8000 | 0.00000 | 0.00000 | 0.00000 |
| 827 | V07V09 | GLOBAL | 0.0000 | 0.0000 | -6.0000 | 0.00000 | 0.00000 | 0.00000 |
| 827 | V09V11 | GLOBAL | 0.0000 | 0.0000 | -6.2000 | 0.00000 | 0.00000 | 0.00000 |
| 828 | V07V09 | GLOBAL | 0.0000 | 0.0000 | -6.0000 | 0.00000 | 0.00000 | 0.00000 |
| 829 | V07V09 | GLOBAL | 0.0000 | 0.0000 | -14.0000 | 0.00000 | 0.00000 | 0.00000 |
| 830 | V07V09 | GLOBAL | 0.0000 | 0.0000 | -14.0000 | 0.00000 | 0.00000 | 0.00000 |
| 830 | V09V11 | GLOBAL | 0.0000 | 0.0000 | -14.0000 | 0.00000 | 0.00000 | 0.00000 |
| 831 | V07V09 | GLOBAL | 0.0000 | 0.0000 | -4.0000 | 0.00000 | 0.00000 | 0.00000 |
| 832 | V07V09 | GLOBAL | 0.0000 | 0.0000 | -4.0000 | 0.00000 | 0.00000 | 0.00000 |
| 832 | V09V11 | GLOBAL | 0.0000 | 0.0000 | -6.0000 | 0.00000 | 0.00000 | 0.00000 |
| 833 | V07V09 | GLOBAL | 0.0000 | 0.0000 | -16.0000 | 0.00000 | 0.00000 | 0.00000 |
| 834 | V07V09 | GLOBAL | 0.0000 | 0.0000 | -16.0000 | 0.00000 | 0.00000 | 0.00000 |
| 834 | V09V11 | GLOBAL | 0.0000 | 0.0000 | -12.0000 | 0.00000 | 0.00000 | 0.00000 |
| 836 | V09V11 | GLOBAL | 0.0000 | 0.0000 | -8.0000 | 0.00000 | 0.00000 | 0.00000 |
| 839 | V09V11 | GLOBAL | 0.0000 | 0.0000 | -9.8000 | 0.00000 | 0.00000 | 0.00000 |
| 840 | V09V11 | GLOBAL | 0.0000 | 0.0000 | -12.0000 | 0.00000 | 0.00000 | 0.00000 |
| 841 | V09V11 | GLOBAL | 0.0000 | 0.0000 | -10.2000 | 0.00000 | 0.00000 | 0.00000 |
| 842 | V09V11 | GLOBAL | 0.0000 | 0.0000 | -8.0000 | 0.00000 | 0.00000 | 0.00000 |
| 843 | V09V11 | GLOBAL | 0.0000 | 0.0000 | -7.8000 | 0.00000 | 0.00000 | 0.00000 |
| 844 | V09V11 | GLOBAL | 0.0000 | 0.0000 | -10.0000 | 0.00000 | 0.00000 | 0.00000 |
| 845 | V09V11 | GLOBAL | 0.0000 | 0.0000 | -12.2000 | 0.00000 | 0.00000 | 0.00000 |
| 846 | V09V11 | GLOBAL | 0.0000 | 0.0000 | -10.0000 | 0.00000 | 0.00000 | 0.00000 |
| 847 | V07V09 | GLOBAL | 0.0000 | 0.0000 | -20.0000 | 0.00000 | 0.00000 | 0.00000 |
| 848 | V07V09 | GLOBAL | 0.0000 | 0.0000 | -20.0000 | 0.00000 | 0.00000 | 0.00000 |
| 851 | V07V09 | GLOBAL | 0.0000 | 0.0000 | -18.0000 | 0.00000 | 0.00000 | 0.00000 |





| Joint | LoadCase | CoordSys | F1 | F2 | F3 | M1 | M2 | M3 |
|---|---|---|---|---|---|---|---|---|
| Text | Text | Text | Ton | Ton | Ton | Ton-m | Ton-m | Ton-m |
| 852 | V07V09 | GLOBAL | 0.0000 | 0.0000 | -18.0000 | 0.00000 | 0.00000 | 0.00000 |
| 853 | V07V09 | GLOBAL | 0.0000 | 0.0000 | -2.0000 | 0.00000 | 0.00000 | 0.00000 |
| 854 | V07V09 | GLOBAL | 0.0000 | 0.0000 | -2.0000 | 0.00000 | 0.00000 | 0.00000 |
| 858 | V09V11 | GLOBAL | 0.0000 | 0.0000 | -6.0000 | 0.00000 | 0.00000 | 0.00000 |
| 860 | V09V11 | GLOBAL | 0.0000 | 0.0000 | -14.0000 | 0.00000 | 0.00000 | 0.00000 |
| 862 | V09V11 | GLOBAL | 0.0000 | 0.0000 | -8.0000 | 0.00000 | 0.00000 | 0.00000 |
| 864 | V09V11 | GLOBAL | 0.0000 | 0.0000 | -12.0000 | 0.00000 | 0.00000 | 0.00000 |
| 870 | V10V12 | GLOBAL | 0.0000 | 0.0000 | -12.0000 | 0.00000 | 0.00000 | 0.00000 |
| 872 | V10V12 | GLOBAL | 0.0000 | 0.0000 | -8.0000 | 0.00000 | 0.00000 | 0.00000 |
| 874 | V10V12 | GLOBAL | 0.0000 | 0.0000 | -10.8000 | 0.00000 | 0.00000 | 0.00000 |
| 876 | V10V12 | GLOBAL | 0.0000 | 0.0000 | -9.2000 | 0.00000 | 0.00000 | 0.00000 |
| 878 | V10V12 | GLOBAL | 0.0000 | 0.0000 | -9.6000 | 0.00000 | 0.00000 | 0.00000 |
| 879 | V10V12 | GLOBAL | 0.0000 | 0.0000 | -7.8000 | 0.00000 | 0.00000 | 0.00000 |
| 880 | V10V12 | GLOBAL | 0.0000 | 0.0000 | -10.4000 | 0.00000 | 0.00000 | 0.00000 |
| 881 | V10V12 | GLOBAL | 0.0000 | 0.0000 | -12.2000 | 0.00000 | 0.00000 | 0.00000 |
| 883 | V10V12 | GLOBAL | 0.0000 | 0.0000 | -6.6000 | 0.00000 | 0.00000 | 0.00000 |
| 885 | V10V12 | GLOBAL | 0.0000 | 0.0000 | -13.4000 | 0.00000 | 0.00000 | 0.00000 |
| 887 | V10V12 | GLOBAL | 0.0000 | 0.0000 | -5.4000 | 0.00000 | 0.00000 | 0.00000 |
| 889 | V10V12 | GLOBAL | 0.0000 | 0.0000 | -14.6000 | 0.00000 | 0.00000 | 0.00000 |
| 892 | V10V12 | GLOBAL | 0.0000 | 0.0000 | -5.4000 | 0.00000 | 0.00000 | 0.00000 |
| 894 | V10V12 | GLOBAL | 0.0000 | 0.0000 | -14.6000 | 0.00000 | 0.00000 | 0.00000 |
| 896 | V10V12 | GLOBAL | 0.0000 | 0.0000 | -4.2000 | 0.00000 | 0.00000 | 0.00000 |
| 898 | V10V12 | GLOBAL | 0.0000 | 0.0000 | -15.8000 | 0.00000 | 0.00000 | 0.00000 |
| 900 | V10V12 | GLOBAL | 0.0000 | 0.0000 | -3.0000 | 0.00000 | 0.00000 | 0.00000 |
| 901 | V10V12 | GLOBAL | 0.0000 | 0.0000 | -1.2000 | 0.00000 | 0.00000 | 0.00000 |
| 902 | V10V12 | GLOBAL | 0.0000 | 0.0000 | -17.0000 | 0.00000 | 0.00000 | 0.00000 |
| 903 | V10V12 | GLOBAL | 0.0000 | 0.0000 | -18.8000 | 0.00000 | 0.00000 | 0.00000 |
| 907 | V10V12 | GLOBAL | 0.0000 | 0.0000 | -20.0000 | 0.00000 | 0.00000 | 0.00000 |
| 908 | V10V12 | GLOBAL | 0.0000 | 0.0000 | -20.0000 | 0.00000 | 0.00000 | 0.00000 |
| 911 | V10V12 | GLOBAL | 0.0000 | 0.0000 | -20.0000 | 0.00000 | 0.00000 | 0.00000 |
| 912 | V10V12 | GLOBAL | 0.0000 | 0.0000 | -18.0000 | 0.00000 | 0.00000 | 0.00000 |
| 914 | V10V12 | GLOBAL | 0.0000 | 0.0000 | -2.0000 | 0.00000 | 0.00000 | 0.00000 |
| 917 | V10V12 | GLOBAL | 0.0000 | 0.0000 | -15.8000 | 0.00000 | 0.00000 | 0.00000 |
| 919 | V10V12 | GLOBAL | 0.0000 | 0.0000 | -4.2000 | 0.00000 | 0.00000 | 0.00000 |
| 921 | V10V12 | GLOBAL | 0.0000 | 0.0000 | -13.8000 | 0.00000 | 0.00000 | 0.00000 |
| 923 | V10V12 | GLOBAL | 0.0000 | 0.0000 | -6.2000 | 0.00000 | 0.00000 | 0.00000 |
| 926 | V10V12 | GLOBAL | 0.0000 | 0.0000 | -14.0000 | 0.00000 | 0.00000 | 0.00000 |
| 928 | V10V12 | GLOBAL | 0.0000 | 0.0000 | -6.0000 | 0.00000 | 0.00000 | 0.00000 |
| 930 | V10V12 | GLOBAL | 0.0000 | 0.0000 | -12.0000 | 0.00000 | 0.00000 | 0.00000 |
| 932 | V10V12 | GLOBAL | 0.0000 | 0.0000 | -8.0000 | 0.00000 | 0.00000 | 0.00000 |
| 935 | V10V12 | GLOBAL | 0.0000 | 0.0000 | -9.8000 | 0.00000 | 0.00000 | 0.00000 |
| 936 | V10V12 | GLOBAL | 0.0000 | 0.0000 | -12.0000 | 0.00000 | 0.00000 | 0.00000 |
| 937 | V10V12 | GLOBAL | 0.0000 | 0.0000 | -10.2000 | 0.00000 | 0.00000 | 0.00000 |
| 938 | V10V12 | GLOBAL | 0.0000 | 0.0000 | -8.0000 | 0.00000 | 0.00000 | 0.00000 |
| 939 | V10V12 | GLOBAL | 0.0000 | 0.0000 | -7.8000 | 0.00000 | 0.00000 | 0.00000 |
| 940 | V10V12 | GLOBAL | 0.0000 | 0.0000 | -10.0000 | 0.00000 | 0.00000 | 0.00000 |
| 941 | V10V12 | GLOBAL | 0.0000 | 0.0000 | -12.2000 | 0.00000 | 0.00000 | 0.00000 |
| 942 | V10V12 | GLOBAL | 0.0000 | 0.0000 | -10.0000 | 0.00000 | 0.00000 | 0.00000 |
| 954 | V10V12 | GLOBAL | 0.0000 | 0.0000 | -6.0000 | 0.00000 | 0.00000 | 0.00000 |
| 956 | V10V12 | GLOBAL | 0.0000 | 0.0000 | -14.0000 | 0.00000 | 0.00000 | 0.00000 |
| 958 | V10V12 | GLOBAL | 0.0000 | 0.0000 | -8.0000 | 0.00000 | 0.00000 | 0.00000 |
| 960 | V10V12 | GLOBAL | 0.0000 | 0.0000 | -12.0000 | 0.00000 | 0.00000 | 0.00000 |
| 960 | P1112 | GLOBAL | 0.0000 | 0.0000 | -18.0000 | 0.00000 | 0.00000 | 0.00000 |
| 961 | V09V11 | GLOBAL | 0.0000 | 0.0000 | -2.0000 | 0.00000 | 0.00000 | 0.00000 |
| 962 | V09V11 | GLOBAL | 0.0000 | 0.0000 | -2.0000 | 0.00000 | 0.00000 | 0.00000 |
| 962 | P1112 | GLOBAL | 0.0000 | 0.0000 | -2.0000 | 0.00000 | 0.00000 | 0.00000 |
| 963 | V09V11 | GLOBAL | 0.0000 | 0.0000 | -18.0000 | 0.00000 | 0.00000 | 0.00000 |
| 964 | V09V11 | GLOBAL | 0.0000 | 0.0000 | -18.0000 | 0.00000 | 0.00000 | 0.00000 |
| 964 | P1112 | GLOBAL | 0.0000 | 0.0000 | -16.8000 | 0.00000 | 0.00000 | 0.00000 |
| 966 | P1112 | GLOBAL | 0.0000 | 0.0000 | -3.2000 | 0.00000 | 0.00000 | 0.00000 |
| 967 | V09V11 | GLOBAL | 0.0000 | 0.0000 | -20.0000 | 0.00000 | 0.00000 | 0.00000 |
| 968 | V09V11 | GLOBAL | 0.0000 | 0.0000 | -20.0000 | 0.00000 | 0.00000 | 0.00000 |
| 968 | P1112 | GLOBAL | 0.0000 | 0.0000 | -15.6000 | 0.00000 | 0.00000 | 0.00000 |
| 970 | P1112 | GLOBAL | 0.0000 | 0.0000 | -4.4000 | 0.00000 | 0.00000 | 0.00000 |
| 981 | V09V11 | GLOBAL | 0.0000 | 0.0000 | -16.0000 | 0.00000 | 0.00000 | 0.00000 |
| 982 | V09V11 | GLOBAL | 0.0000 | 0.0000 | -16.0000 | 0.00000 | 0.00000 | 0.00000 |
| 982 | P1112 | GLOBAL | 0.0000 | 0.0000 | -11.4000 | 0.00000 | 0.00000 | 0.00000 |
| 983 | V09V11 | GLOBAL | 0.0000 | 0.0000 | -4.0000 | 0.00000 | 0.00000 | 0.00000 |
| 984 | V09V11 | GLOBAL | 0.0000 | 0.0000 | -4.0000 | 0.00000 | 0.00000 | 0.00000 |
| 984 | P1112 | GLOBAL | 0.0000 | 0.0000 | -8.6000 | 0.00000 | 0.00000 | 0.00000 |
| 985 | V09V11 | GLOBAL | 0.0000 | 0.0000 | -14.0000 | 0.00000 | 0.00000 | 0.00000 |
| 986 | V09V11 | GLOBAL | 0.0000 | 0.0000 | -14.0000 | 0.00000 | 0.00000 | 0.00000 |
| 986 | P1112 | GLOBAL | 0.0000 | 0.0000 | -10.2000 | 0.00000 | 0.00000 | 0.00000 |
| 987 | V09V11 | GLOBAL | 0.0000 | 0.0000 | -6.0000 | 0.00000 | 0.00000 | 0.00000 |
| 987 | P1112 | GLOBAL | 0.0000 | 0.0000 | -10.0000 | 0.00000 | 0.00000 | 0.00000 |
| 988 | V09V11 | GLOBAL | 0.0000 | 0.0000 | -6.0000 | 0.00000 | 0.00000 | 0.00000 |
| 988 | P1112 | GLOBAL | 0.0000 | 0.0000 | -9.8000 | 0.00000 | 0.00000 | 0.00000 |
| 989 | P1112 | GLOBAL | 0.0000 | 0.0000 | -10.0000 | 0.00000 | 0.00000 | 0.00000 |
| 990 | P1112 | GLOBAL | 0.0000 | 0.0000 | -9.0000 | 0.00000 | 0.00000 | 0.00000 |
| 991 | V09V11 | GLOBAL | 0.0000 | 0.0000 | -14.0000 | 0.00000 | 0.00000 | 0.00000 |
| 991 | P1112 | GLOBAL | 0.0000 | 0.0000 | -8.8000 | 0.00000 | 0.00000 | 0.00000 |
| 992 | V09V11 | GLOBAL | 0.0000 | 0.0000 | -14.0000 | 0.00000 | 0.00000 | 0.00000 |
| 992 | P1112 | GLOBAL | 0.0000 | 0.0000 | -11.0000 | 0.00000 | 0.00000 | 0.00000 |
| 993 | V09V11 | GLOBAL | 0.0000 | 0.0000 | -6.0000 | 0.00000 | 0.00000 | 0.00000 |
| 993 | P1112 | GLOBAL | 0.0000 | 0.0000 | -11.2000 | 0.00000 | 0.00000 | 0.00000 |
| 994 | V09V11 | GLOBAL | 0.0000 | 0.0000 | -6.0000 | 0.00000 | 0.00000 | 0.00000 |
| 995 | V09V11 | GLOBAL | 0.0000 | 0.0000 | -12.0000 | 0.00000 | 0.00000 | 0.00000 |
| 995 | P1112 | GLOBAL | 0.0000 | 0.0000 | -7.6000 | 0.00000 | 0.00000 | 0.00000 |
| 996 | V09V11 | GLOBAL | 0.0000 | 0.0000 | -12.0000 | 0.00000 | 0.00000 | 0.00000 |
| 996 | P1112 | GLOBAL | 0.0000 | 0.0000 | -6.0000 | 0.00000 | 0.00000 | 0.00000 |
| 997 | V09V11 | GLOBAL | 0.0000 | 0.0000 | -8.0000 | 0.00000 | 0.00000 | 0.00000 |

| Joint | LoadCase | CoordSys | F1 | F2 | F3 | M1 | M2 | M3 |
|---|---|---|---|---|---|---|---|---|
| Text | Text | Text | Ton | Ton | Ton | Ton-m | Ton-m | Ton-m |
| 997 | P1112 | GLOBAL | 0.0000 | 0.0000 | -12.4000 | 0.00000 | 0.00000 | 0.00000 |
| 998 | V09V11 | GLOBAL | 0.0000 | 0.0000 | -8.0000 | 0.00000 | 0.00000 | 0.00000 |
| 998 | P1112 | GLOBAL | 0.0000 | 0.0000 | -14.0000 | 0.00000 | 0.00000 | 0.00000 |
| 1000 | P1112 | GLOBAL | 0.0000 | 0.0000 | -4.0000 | 0.00000 | 0.00000 | 0.00000 |
| 1002 | P1112 | GLOBAL | 0.0000 | 0.0000 | -16.0000 | 0.00000 | 0.00000 | 0.00000 |
| 1009 | V09V11 | GLOBAL | 0.0000 | 0.0000 | -8.0000 | 0.00000 | 0.00000 | 0.00000 |
| 1009 | P1112 | GLOBAL | 0.0000 | 0.0000 | -3.4000 | 0.00000 | 0.00000 | 0.00000 |
| 1010 | V09V11 | GLOBAL | 0.0000 | 0.0000 | -8.0000 | 0.00000 | 0.00000 | 0.00000 |
| 1011 | V09V11 | GLOBAL | 0.0000 | 0.0000 | -12.0000 | 0.00000 | 0.00000 | 0.00000 |
| 1011 | P1112 | GLOBAL | 0.0000 | 0.0000 | -16.6000 | 0.00000 | 0.00000 | 0.00000 |
| 1012 | V09V11 | GLOBAL | 0.0000 | 0.0000 | -12.0000 | 0.00000 | 0.00000 | 0.00000 |
| 1013 | V09V11 | GLOBAL | 0.0000 | 0.0000 | -6.0000 | 0.00000 | 0.00000 | 0.00000 |
| 1013 | P1112 | GLOBAL | 0.0000 | 0.0000 | -2.2000 | 0.00000 | 0.00000 | 0.00000 |
| 1014 | V09V11 | GLOBAL | 0.0000 | 0.0000 | -6.0000 | 0.00000 | 0.00000 | 0.00000 |
| 1015 | V09V11 | GLOBAL | 0.0000 | 0.0000 | -14.0000 | 0.00000 | 0.00000 | 0.00000 |
| 1015 | P1112 | GLOBAL | 0.0000 | 0.0000 | -17.8000 | 0.00000 | 0.00000 | 0.00000 |
| 1016 | V09V11 | GLOBAL | 0.0000 | 0.0000 | -14.0000 | 0.00000 | 0.00000 | 0.00000 |
| 1016 | P1112 | GLOBAL | 0.0000 | 0.0000 | -20.0000 | 0.00000 | 0.00000 | 0.00000 |
| 1019 | V09V11 | GLOBAL | 0.0000 | 0.0000 | -6.0000 | 0.00000 | 0.00000 | 0.00000 |
| 1019 | P1112 | GLOBAL | 0.0000 | 0.0000 | -20.0000 | 0.00000 | 0.00000 | 0.00000 |
| 1020 | V09V11 | GLOBAL | 0.0000 | 0.0000 | -6.0000 | 0.00000 | 0.00000 | 0.00000 |
| 1020 | P1112 | GLOBAL | 0.0000 | 0.0000 | -18.0000 | 0.00000 | 0.00000 | 0.00000 |
| 1021 | V09V11 | GLOBAL | 0.0000 | 0.0000 | -14.0000 | 0.00000 | 0.00000 | 0.00000 |
| 1022 | V09V11 | GLOBAL | 0.0000 | 0.0000 | -14.0000 | 0.00000 | 0.00000 | 0.00000 |
| 1022 | P1112 | GLOBAL | 0.0000 | 0.0000 | -2.0000 | 0.00000 | 0.00000 | 0.00000 |
| 1023 | V09V11 | GLOBAL | 0.0000 | 0.0000 | -4.0000 | 0.00000 | 0.00000 | 0.00000 |
| 1024 | V09V11 | GLOBAL | 0.0000 | 0.0000 | -4.0000 | 0.00000 | 0.00000 | 0.00000 |
| 1025 | V09V11 | GLOBAL | 0.0000 | 0.0000 | -16.0000 | 0.00000 | 0.00000 | 0.00000 |
| 1025 | P1112 | GLOBAL | 0.0000 | 0.0000 | -18.0000 | 0.00000 | 0.00000 | 0.00000 |
| 1026 | V09V11 | GLOBAL | 0.0000 | 0.0000 | -16.0000 | 0.00000 | 0.00000 | 0.00000 |
| 1026 | P1112 | GLOBAL | 0.0000 | 0.0000 | -18.0000 | 0.00000 | 0.00000 | 0.00000 |
| 1027 | P1112 | GLOBAL | 0.0000 | 0.0000 | -2.0000 | 0.00000 | 0.00000 | 0.00000 |
| 1028 | P1112 | GLOBAL | 0.0000 | 0.0000 | -2.0000 | 0.00000 | 0.00000 | 0.00000 |
| 1029 | P1112 | GLOBAL | 0.0000 | 0.0000 | -16.0000 | 0.00000 | 0.00000 | 0.00000 |
| 1030 | P1112 | GLOBAL | 0.0000 | 0.0000 | -16.0000 | 0.00000 | 0.00000 | 0.00000 |
| 1031 | P1112 | GLOBAL | 0.0000 | 0.0000 | -4.0000 | 0.00000 | 0.00000 | 0.00000 |
| 1032 | P1112 | GLOBAL | 0.0000 | 0.0000 | -4.0000 | 0.00000 | 0.00000 | 0.00000 |
| 1039 | V09V11 | GLOBAL | 0.0000 | 0.0000 | -20.0000 | 0.00000 | 0.00000 | 0.00000 |
| 1040 | V09V11 | GLOBAL | 0.0000 | 0.0000 | -20.0000 | 0.00000 | 0.00000 | 0.00000 |
| 1043 | V09V11 | GLOBAL | 0.0000 | 0.0000 | -18.0000 | 0.00000 | 0.00000 | 0.00000 |
| 1043 | P1112 | GLOBAL | 0.0000 | 0.0000 | -12.0000 | 0.00000 | 0.00000 | 0.00000 |
| 1044 | V09V11 | GLOBAL | 0.0000 | 0.0000 | -18.0000 | 0.00000 | 0.00000 | 0.00000 |
| 1044 | P1112 | GLOBAL | 0.0000 | 0.0000 | -12.0000 | 0.00000 | 0.00000 | 0.00000 |
| 1045 | V09V11 | GLOBAL | 0.0000 | 0.0000 | -2.0000 | 0.00000 | 0.00000 | 0.00000 |
| 1045 | P1112 | GLOBAL | 0.0000 | 0.0000 | -8.0000 | 0.00000 | 0.00000 | 0.00000 |
| 1046 | V09V11 | GLOBAL | 0.0000 | 0.0000 | -2.0000 | 0.00000 | 0.00000 | 0.00000 |
| 1046 | P1112 | GLOBAL | 0.0000 | 0.0000 | -8.0000 | 0.00000 | 0.00000 | 0.00000 |
| 1047 | P1112 | GLOBAL | 0.0000 | 0.0000 | -10.0000 | 0.00000 | 0.00000 | 0.00000 |
| 1048 | P1112 | GLOBAL | 0.0000 | 0.0000 | -10.0000 | 0.00000 | 0.00000 | 0.00000 |
| 1049 | P1112 | GLOBAL | 0.0000 | 0.0000 | -10.0000 | 0.00000 | 0.00000 | 0.00000 |
| 1050 | P1112 | GLOBAL | 0.0000 | 0.0000 | -10.0000 | 0.00000 | 0.00000 | 0.00000 |
| 1053 | P1112 | GLOBAL | 0.0000 | 0.0000 | -10.0000 | 0.00000 | 0.00000 | 0.00000 |
| 1054 | P1112 | GLOBAL | 0.0000 | 0.0000 | -10.0000 | 0.00000 | 0.00000 | 0.00000 |
| 1055 | P1112 | GLOBAL | 0.0000 | 0.0000 | -10.0000 | 0.00000 | 0.00000 | 0.00000 |
| 1056 | P1112 | GLOBAL | 0.0000 | 0.0000 | -10.0000 | 0.00000 | 0.00000 | 0.00000 |
| 1057 | V10V12 | GLOBAL | 0.0000 | 0.0000 | -2.0000 | 0.00000 | 0.00000 | 0.00000 |
| 1057 | P1112 | GLOBAL | 0.0000 | 0.0000 | -8.0000 | 0.00000 | 0.00000 | 0.00000 |
| 1058 | V10V12 | GLOBAL | 0.0000 | 0.0000 | -2.0000 | 0.00000 | 0.00000 | 0.00000 |
| 1058 | P1112 | GLOBAL | 0.0000 | 0.0000 | -8.0000 | 0.00000 | 0.00000 | 0.00000 |
| 1059 | V10V12 | GLOBAL | 0.0000 | 0.0000 | -18.0000 | 0.00000 | 0.00000 | 0.00000 |
| 1059 | P1112 | GLOBAL | 0.0000 | 0.0000 | -12.0000 | 0.00000 | 0.00000 | 0.00000 |
| 1060 | V10V12 | GLOBAL | 0.0000 | 0.0000 | -18.0000 | 0.00000 | 0.00000 | 0.00000 |
| 1060 | P1112 | GLOBAL | 0.0000 | 0.0000 | -12.0000 | 0.00000 | 0.00000 | 0.00000 |
| 1062 | V12V14 | GLOBAL | 0.0000 | 0.0000 | -12.0000 | 0.00000 | 0.00000 | 0.00000 |
| 1063 | V10V12 | GLOBAL | 0.0000 | 0.0000 | -20.0000 | 0.00000 | 0.00000 | 0.00000 |
| 1064 | V10V12 | GLOBAL | 0.0000 | 0.0000 | -20.0000 | 0.00000 | 0.00000 | 0.00000 |
| 1064 | V12V14 | GLOBAL | 0.0000 | 0.0000 | -8.0000 | 0.00000 | 0.00000 | 0.00000 |
| 1066 | V12V14 | GLOBAL | 0.0000 | 0.0000 | -10.8000 | 0.00000 | 0.00000 | 0.00000 |
| 1068 | V12V14 | GLOBAL | 0.0000 | 0.0000 | -9.2000 | 0.00000 | 0.00000 | 0.00000 |
| 1070 | V12V14 | GLOBAL | 0.0000 | 0.0000 | -9.6000 | 0.00000 | 0.00000 | 0.00000 |
| 1071 | P1112 | GLOBAL | 0.0000 | 0.0000 | -4.0000 | 0.00000 | 0.00000 | 0.00000 |
| 1071 | V12V14 | GLOBAL | 0.0000 | 0.0000 | -7.8000 | 0.00000 | 0.00000 | 0.00000 |
| 1072 | P1112 | GLOBAL | 0.0000 | 0.0000 | -4.0000 | 0.00000 | 0.00000 | 0.00000 |
| 1072 | V12V14 | GLOBAL | 0.0000 | 0.0000 | -10.4000 | 0.00000 | 0.00000 | 0.00000 |
| 1073 | P1112 | GLOBAL | 0.0000 | 0.0000 | -16.0000 | 0.00000 | 0.00000 | 0.00000 |
| 1073 | V12V14 | GLOBAL | 0.0000 | 0.0000 | -12.2000 | 0.00000 | 0.00000 | 0.00000 |
| 1074 | P1112 | GLOBAL | 0.0000 | 0.0000 | -16.0000 | 0.00000 | 0.00000 | 0.00000 |
| 1075 | P1112 | GLOBAL | 0.0000 | 0.0000 | -2.0000 | 0.00000 | 0.00000 | 0.00000 |
| 1075 | V12V14 | GLOBAL | 0.0000 | 0.0000 | -6.6000 | 0.00000 | 0.00000 | 0.00000 |
| 1076 | P1112 | GLOBAL | 0.0000 | 0.0000 | -2.0000 | 0.00000 | 0.00000 | 0.00000 |
| 1077 | V10V12 | GLOBAL | 0.0000 | 0.0000 | -16.0000 | 0.00000 | 0.00000 | 0.00000 |
| 1077 | P1112 | GLOBAL | 0.0000 | 0.0000 | -18.0000 | 0.00000 | 0.00000 | 0.00000 |
| 1077 | V12V14 | GLOBAL | 0.0000 | 0.0000 | -13.4000 | 0.00000 | 0.00000 | 0.00000 |
| 1078 | V10V12 | GLOBAL | 0.0000 | 0.0000 | -16.0000 | 0.00000 | 0.00000 | 0.00000 |
| 1078 | P1112 | GLOBAL | 0.0000 | 0.0000 | -18.0000 | 0.00000 | 0.00000 | 0.00000 |
| 1079 | V10V12 | GLOBAL | 0.0000 | 0.0000 | -4.0000 | 0.00000 | 0.00000 | 0.00000 |
| 1079 | V12V14 | GLOBAL | 0.0000 | 0.0000 | -5.4000 | 0.00000 | 0.00000 | 0.00000 |
| 1080 | V10V12 | GLOBAL | 0.0000 | 0.0000 | -4.0000 | 0.00000 | 0.00000 | 0.00000 |
| 1081 | V10V12 | GLOBAL | 0.0000 | 0.0000 | -14.0000 | 0.00000 | 0.00000 | 0.00000 |
| 1081 | P1112 | GLOBAL | 0.0000 | 0.0000 | -2.0000 | 0.00000 | 0.00000 | 0.00000 |
| 1081 | V12V14 | GLOBAL | 0.0000 | 0.0000 | -14.6000 | 0.00000 | 0.00000 | 0.00000 |





| Joint | LoadCase | CoordSys | F1 | F2 | F3 | M1 | M2 | M3 |
|---|---|---|---|---|---|---|---|---|
| Text | Text | Text | Ton | Ton | Ton | Ton-m | Ton-m | Ton-m |
| 1082 | V10V12 | GLOBAL | 0.0000 | 0.0000 | -14.0000 | 0.00000 | 0.00000 | 0.00000 |
| 1082 | P1112 | GLOBAL | 0.0000 | 0.0000 | -2.0000 | 0.00000 | 0.00000 | 0.00000 |
| 1083 | V10V12 | GLOBAL | 0.0000 | 0.0000 | -6.0000 | 0.00000 | 0.00000 | 0.00000 |
| 1083 | P1112 | GLOBAL | 0.0000 | 0.0000 | -18.0000 | 0.00000 | 0.00000 | 0.00000 |
| 1084 | V10V12 | GLOBAL | 0.0000 | 0.0000 | -6.0000 | 0.00000 | 0.00000 | 0.00000 |
| 1084 | P1112 | GLOBAL | 0.0000 | 0.0000 | -18.0000 | 0.00000 | 0.00000 | 0.00000 |
| 1084 | V12V14 | GLOBAL | 0.0000 | 0.0000 | -5.4000 | 0.00000 | 0.00000 | 0.00000 |
| 1086 | V12V14 | GLOBAL | 0.0000 | 0.0000 | -14.6000 | 0.00000 | 0.00000 | 0.00000 |
| 1087 | V10V12 | GLOBAL | 0.0000 | 0.0000 | -14.0000 | 0.00000 | 0.00000 | 0.00000 |
| 1087 | P1112 | GLOBAL | 0.0000 | 0.0000 | -20.0000 | 0.00000 | 0.00000 | 0.00000 |
| 1088 | V10V12 | GLOBAL | 0.0000 | 0.0000 | -14.0000 | 0.00000 | 0.00000 | 0.00000 |
| 1088 | P1112 | GLOBAL | 0.0000 | 0.0000 | -20.0000 | 0.00000 | 0.00000 | 0.00000 |
| 1088 | V12V14 | GLOBAL | 0.0000 | 0.0000 | -4.2000 | 0.00000 | 0.00000 | 0.00000 |
| 1089 | V10V12 | GLOBAL | 0.0000 | 0.0000 | -6.0000 | 0.00000 | 0.00000 | 0.00000 |
| 1090 | V10V12 | GLOBAL | 0.0000 | 0.0000 | -6.0000 | 0.00000 | 0.00000 | 0.00000 |
| 1090 | V12V14 | GLOBAL | 0.0000 | 0.0000 | -15.8000 | 0.00000 | 0.00000 | 0.00000 |
| 1091 | V10V12 | GLOBAL | 0.0000 | 0.0000 | -12.0000 | 0.00000 | 0.00000 | 0.00000 |
| 1092 | V10V12 | GLOBAL | 0.0000 | 0.0000 | -12.0000 | 0.00000 | 0.00000 | 0.00000 |
| 1092 | V12V14 | GLOBAL | 0.0000 | 0.0000 | -3.0000 | 0.00000 | 0.00000 | 0.00000 |
| 1093 | V10V12 | GLOBAL | 0.0000 | 0.0000 | -8.0000 | 0.00000 | 0.00000 | 0.00000 |
| 1093 | V12V14 | GLOBAL | 0.0000 | 0.0000 | -1.2000 | 0.00000 | 0.00000 | 0.00000 |
| 1094 | V10V12 | GLOBAL | 0.0000 | 0.0000 | -8.0000 | 0.00000 | 0.00000 | 0.00000 |
| 1094 | V12V14 | GLOBAL | 0.0000 | 0.0000 | -17.0000 | 0.00000 | 0.00000 | 0.00000 |
| 1095 | V12V14 | GLOBAL | 0.0000 | 0.0000 | -18.8000 | 0.00000 | 0.00000 | 0.00000 |
| 1099 | V12V14 | GLOBAL | 0.0000 | 0.0000 | -20.0000 | 0.00000 | 0.00000 | 0.00000 |
| 1100 | V12V14 | GLOBAL | 0.0000 | 0.0000 | -20.0000 | 0.00000 | 0.00000 | 0.00000 |
| 1101 | P1112 | GLOBAL | 0.0000 | 0.0000 | -16.0000 | 0.00000 | 0.00000 | 0.00000 |
| 1102 | P1112 | GLOBAL | 0.0000 | 0.0000 | -16.0000 | 0.00000 | 0.00000 | 0.00000 |
| 1103 | P1112 | GLOBAL | 0.0000 | 0.0000 | -4.0000 | 0.00000 | 0.00000 | 0.00000 |
| 1103 | V12V14 | GLOBAL | 0.0000 | 0.0000 | -20.0000 | 0.00000 | 0.00000 | 0.00000 |
| 1104 | P1112 | GLOBAL | 0.0000 | 0.0000 | -4.0000 | 0.00000 | 0.00000 | 0.00000 |
| 1104 | V12V14 | GLOBAL | 0.0000 | 0.0000 | -18.0000 | 0.00000 | 0.00000 | 0.00000 |
| 1105 | V10V12 | GLOBAL | 0.0000 | 0.0000 | -8.0000 | 0.00000 | 0.00000 | 0.00000 |
| 1105 | P1112 | GLOBAL | 0.0000 | 0.0000 | -14.0000 | 0.00000 | 0.00000 | 0.00000 |
| 1106 | V10V12 | GLOBAL | 0.0000 | 0.0000 | -8.0000 | 0.00000 | 0.00000 | 0.00000 |
| 1106 | P1112 | GLOBAL | 0.0000 | 0.0000 | -14.0000 | 0.00000 | 0.00000 | 0.00000 |
| 1106 | V12V14 | GLOBAL | 0.0000 | 0.0000 | -2.0000 | 0.00000 | 0.00000 | 0.00000 |
| 1107 | V10V12 | GLOBAL | 0.0000 | 0.0000 | -12.0000 | 0.00000 | 0.00000 | 0.00000 |
| 1107 | P1112 | GLOBAL | 0.0000 | 0.0000 | -6.0000 | 0.00000 | 0.00000 | 0.00000 |
| 1108 | V10V12 | GLOBAL | 0.0000 | 0.0000 | -12.0000 | 0.00000 | 0.00000 | 0.00000 |
| 1108 | P1112 | GLOBAL | 0.0000 | 0.0000 | -6.0000 | 0.00000 | 0.00000 | 0.00000 |
| 1109 | V10V12 | GLOBAL | 0.0000 | 0.0000 | -6.0000 | 0.00000 | 0.00000 | 0.00000 |
| 1109 | V12V14 | GLOBAL | 0.0000 | 0.0000 | -15.8000 | 0.00000 | 0.00000 | 0.00000 |
| 1110 | V10V12 | GLOBAL | 0.0000 | 0.0000 | -6.0000 | 0.00000 | 0.00000 | 0.00000 |
| 1111 | V10V12 | GLOBAL | 0.0000 | 0.0000 | -14.0000 | 0.00000 | 0.00000 | 0.00000 |
| 1111 | P1112 | GLOBAL | 0.0000 | 0.0000 | -14.0000 | 0.00000 | 0.00000 | 0.00000 |
| 1111 | V12V14 | GLOBAL | 0.0000 | 0.0000 | -4.2000 | 0.00000 | 0.00000 | 0.00000 |
| 1112 | V10V12 | GLOBAL | 0.0000 | 0.0000 | -14.0000 | 0.00000 | 0.00000 | 0.00000 |
| 1112 | P1112 | GLOBAL | 0.0000 | 0.0000 | -14.0000 | 0.00000 | 0.00000 | 0.00000 |
| 1113 | P1112 | GLOBAL | 0.0000 | 0.0000 | -6.0000 | 0.00000 | 0.00000 | 0.00000 |
| 1113 | V12V14 | GLOBAL | 0.0000 | 0.0000 | -13.8000 | 0.00000 | 0.00000 | 0.00000 |
| 1114 | P1112 | GLOBAL | 0.0000 | 0.0000 | -6.0000 | 0.00000 | 0.00000 | 0.00000 |
| 1115 | V10V12 | GLOBAL | 0.0000 | 0.0000 | -6.0000 | 0.00000 | 0.00000 | 0.00000 |
| 1115 | P1112 | GLOBAL | 0.0000 | 0.0000 | -12.0000 | 0.00000 | 0.00000 | 0.00000 |
| 1115 | V12V14 | GLOBAL | 0.0000 | 0.0000 | -6.2000 | 0.00000 | 0.00000 | 0.00000 |
| 1116 | V10V12 | GLOBAL | 0.0000 | 0.0000 | -6.0000 | 0.00000 | 0.00000 | 0.00000 |
| 1116 | P1112 | GLOBAL | 0.0000 | 0.0000 | -12.0000 | 0.00000 | 0.00000 | 0.00000 |
| 1117 | V10V12 | GLOBAL | 0.0000 | 0.0000 | -14.0000 | 0.00000 | 0.00000 | 0.00000 |
| 1117 | P1112 | GLOBAL | 0.0000 | 0.0000 | -8.0000 | 0.00000 | 0.00000 | 0.00000 |
| 1118 | V10V12 | GLOBAL | 0.0000 | 0.0000 | -14.0000 | 0.00000 | 0.00000 | 0.00000 |
| 1118 | P1112 | GLOBAL | 0.0000 | 0.0000 | -8.0000 | 0.00000 | 0.00000 | 0.00000 |
| 1118 | V12V14 | GLOBAL | 0.0000 | 0.0000 | -14.0000 | 0.00000 | 0.00000 | 0.00000 |
| 1119 | V10V12 | GLOBAL | 0.0000 | 0.0000 | -4.0000 | 0.00000 | 0.00000 | 0.00000 |
| 1120 | V10V12 | GLOBAL | 0.0000 | 0.0000 | -4.0000 | 0.00000 | 0.00000 | 0.00000 |
| 1120 | V12V14 | GLOBAL | 0.0000 | 0.0000 | -6.0000 | 0.00000 | 0.00000 | 0.00000 |
| 1121 | V10V12 | GLOBAL | 0.0000 | 0.0000 | -16.0000 | 0.00000 | 0.00000 | 0.00000 |
| 1122 | V10V12 | GLOBAL | 0.0000 | 0.0000 | -16.0000 | 0.00000 | 0.00000 | 0.00000 |
| 1122 | V12V14 | GLOBAL | 0.0000 | 0.0000 | -12.0000 | 0.00000 | 0.00000 | 0.00000 |
| 1124 | V12V14 | GLOBAL | 0.0000 | 0.0000 | -8.0000 | 0.00000 | 0.00000 | 0.00000 |
| 1127 | V12V14 | GLOBAL | 0.0000 | 0.0000 | -9.8000 | 0.00000 | 0.00000 | 0.00000 |
| 1128 | V12V14 | GLOBAL | 0.0000 | 0.0000 | -12.0000 | 0.00000 | 0.00000 | 0.00000 |
| 1129 | P1112 | GLOBAL | 0.0000 | 0.0000 | -8.0000 | 0.00000 | 0.00000 | 0.00000 |
| 1129 | V12V14 | GLOBAL | 0.0000 | 0.0000 | -10.2000 | 0.00000 | 0.00000 | 0.00000 |
| 1130 | P1112 | GLOBAL | 0.0000 | 0.0000 | -8.0000 | 0.00000 | 0.00000 | 0.00000 |
| 1130 | V12V14 | GLOBAL | 0.0000 | 0.0000 | -8.0000 | 0.00000 | 0.00000 | 0.00000 |
| 1131 | P1112 | GLOBAL | 0.0000 | 0.0000 | -12.0000 | 0.00000 | 0.00000 | 0.00000 |
| 1131 | V12V14 | GLOBAL | 0.0000 | 0.0000 | -7.8000 | 0.00000 | 0.00000 | 0.00000 |
| 1132 | P1112 | GLOBAL | 0.0000 | 0.0000 | -12.0000 | 0.00000 | 0.00000 | 0.00000 |
| 1132 | V12V14 | GLOBAL | 0.0000 | 0.0000 | -10.0000 | 0.00000 | 0.00000 | 0.00000 |
| 1133 | P1112 | GLOBAL | 0.0000 | 0.0000 | -6.0000 | 0.00000 | 0.00000 | 0.00000 |
| 1133 | V12V14 | GLOBAL | 0.0000 | 0.0000 | -12.2000 | 0.00000 | 0.00000 | 0.00000 |
| 1134 | P1112 | GLOBAL | 0.0000 | 0.0000 | -6.0000 | 0.00000 | 0.00000 | 0.00000 |
| 1134 | V12V14 | GLOBAL | 0.0000 | 0.0000 | -10.0000 | 0.00000 | 0.00000 | 0.00000 |
| 1135 | V10V12 | GLOBAL | 0.0000 | 0.0000 | -20.0000 | 0.00000 | 0.00000 | 0.00000 |
| 1135 | P1112 | GLOBAL | 0.0000 | 0.0000 | -14.0000 | 0.00000 | 0.00000 | 0.00000 |
| 1136 | V10V12 | GLOBAL | 0.0000 | 0.0000 | -20.0000 | 0.00000 | 0.00000 | 0.00000 |
| 1136 | P1112 | GLOBAL | 0.0000 | 0.0000 | -14.0000 | 0.00000 | 0.00000 | 0.00000 |
| 1139 | V10V12 | GLOBAL | 0.0000 | 0.0000 | -18.0000 | 0.00000 | 0.00000 | 0.00000 |
| 1140 | V10V12 | GLOBAL | 0.0000 | 0.0000 | -18.0000 | 0.00000 | 0.00000 | 0.00000 |
| 1141 | V10V12 | GLOBAL | 0.0000 | 0.0000 | -2.0000 | 0.00000 | 0.00000 | 0.00000 |
| 1142 | V10V12 | GLOBAL | 0.0000 | 0.0000 | -2.0000 | 0.00000 | 0.00000 | 0.00000 |

| Joint | LoadCase | CoordSys | F1 | F2 | F3 | M1 | M2 | M3 |
|---|---|---|---|---|---|---|---|---|
| Text | Text | Text | Ton | Ton | Ton | Ton-m | Ton-m | Ton-m |
| 1146 | V12V14 | GLOBAL | 0.0000 | 0.0000 | -6.0000 | 0.00000 | 0.00000 | 0.00000 |
| 1148 | V12V14 | GLOBAL | 0.0000 | 0.0000 | -14.0000 | 0.00000 | 0.00000 | 0.00000 |
| 1150 | V12V14 | GLOBAL | 0.0000 | 0.0000 | -8.0000 | 0.00000 | 0.00000 | 0.00000 |
| 1152 | V12V14 | GLOBAL | 0.0000 | 0.0000 | -12.0000 | 0.00000 | 0.00000 | 0.00000 |
| 1158 | V13V15 | GLOBAL | 0.0000 | 0.0000 | -12.0000 | 0.00000 | 0.00000 | 0.00000 |
| 1160 | V13V15 | GLOBAL | 0.0000 | 0.0000 | -8.0000 | 0.00000 | 0.00000 | 0.00000 |
| 1162 | V13V15 | GLOBAL | 0.0000 | 0.0000 | -10.8000 | 0.00000 | 0.00000 | 0.00000 |
| 1164 | V13V15 | GLOBAL | 0.0000 | 0.0000 | -9.2000 | 0.00000 | 0.00000 | 0.00000 |
| 1166 | V13V15 | GLOBAL | 0.0000 | 0.0000 | -9.6000 | 0.00000 | 0.00000 | 0.00000 |
| 1167 | V13V15 | GLOBAL | 0.0000 | 0.0000 | -7.8000 | 0.00000 | 0.00000 | 0.00000 |
| 1168 | V13V15 | GLOBAL | 0.0000 | 0.0000 | -10.4000 | 0.00000 | 0.00000 | 0.00000 |
| 1169 | V13V15 | GLOBAL | 0.0000 | 0.0000 | -12.2000 | 0.00000 | 0.00000 | 0.00000 |
| 1171 | V13V15 | GLOBAL | 0.0000 | 0.0000 | -6.6000 | 0.00000 | 0.00000 | 0.00000 |
| 1173 | V13V15 | GLOBAL | 0.0000 | 0.0000 | -13.4000 | 0.00000 | 0.00000 | 0.00000 |
| 1175 | V13V15 | GLOBAL | 0.0000 | 0.0000 | -5.4000 | 0.00000 | 0.00000 | 0.00000 |
| 1177 | V13V15 | GLOBAL | 0.0000 | 0.0000 | -14.6000 | 0.00000 | 0.00000 | 0.00000 |
| 1180 | V13V15 | GLOBAL | 0.0000 | 0.0000 | -5.4000 | 0.00000 | 0.00000 | 0.00000 |
| 1182 | V13V15 | GLOBAL | 0.0000 | 0.0000 | -14.6000 | 0.00000 | 0.00000 | 0.00000 |
| 1184 | V13V15 | GLOBAL | 0.0000 | 0.0000 | -4.2000 | 0.00000 | 0.00000 | 0.00000 |
| 1186 | V13V15 | GLOBAL | 0.0000 | 0.0000 | -15.8000 | 0.00000 | 0.00000 | 0.00000 |
| 1188 | V13V15 | GLOBAL | 0.0000 | 0.0000 | -3.0000 | 0.00000 | 0.00000 | 0.00000 |
| 1189 | V13V15 | GLOBAL | 0.0000 | 0.0000 | -1.2000 | 0.00000 | 0.00000 | 0.00000 |
| 1190 | V13V15 | GLOBAL | 0.0000 | 0.0000 | -17.0000 | 0.00000 | 0.00000 | 0.00000 |
| 1191 | V13V15 | GLOBAL | 0.0000 | 0.0000 | -18.8000 | 0.00000 | 0.00000 | 0.00000 |
| 1195 | V13V15 | GLOBAL | 0.0000 | 0.0000 | -20.0000 | 0.00000 | 0.00000 | 0.00000 |
| 1196 | V13V15 | GLOBAL | 0.0000 | 0.0000 | -20.0000 | 0.00000 | 0.00000 | 0.00000 |
| 1199 | V13V15 | GLOBAL | 0.0000 | 0.0000 | -20.0000 | 0.00000 | 0.00000 | 0.00000 |
| 1200 | V13V15 | GLOBAL | 0.0000 | 0.0000 | -18.0000 | 0.00000 | 0.00000 | 0.00000 |
| 1202 | V13V15 | GLOBAL | 0.0000 | 0.0000 | -2.0000 | 0.00000 | 0.00000 | 0.00000 |
| 1205 | V13V15 | GLOBAL | 0.0000 | 0.0000 | -15.8000 | 0.00000 | 0.00000 | 0.00000 |
| 1207 | V13V15 | GLOBAL | 0.0000 | 0.0000 | -4.2000 | 0.00000 | 0.00000 | 0.00000 |
| 1209 | V13V15 | GLOBAL | 0.0000 | 0.0000 | -13.8000 | 0.00000 | 0.00000 | 0.00000 |
| 1211 | V13V15 | GLOBAL | 0.0000 | 0.0000 | -6.2000 | 0.00000 | 0.00000 | 0.00000 |
| 1214 | V13V15 | GLOBAL | 0.0000 | 0.0000 | -14.0000 | 0.00000 | 0.00000 | 0.00000 |
| 1216 | V13V15 | GLOBAL | 0.0000 | 0.0000 | -6.0000 | 0.00000 | 0.00000 | 0.00000 |
| 1218 | V13V15 | GLOBAL | 0.0000 | 0.0000 | -12.0000 | 0.00000 | 0.00000 | 0.00000 |
| 1220 | V13V15 | GLOBAL | 0.0000 | 0.0000 | -8.0000 | 0.00000 | 0.00000 | 0.00000 |
| 1223 | V13V15 | GLOBAL | 0.0000 | 0.0000 | -9.8000 | 0.00000 | 0.00000 | 0.00000 |
| 1224 | V13V15 | GLOBAL | 0.0000 | 0.0000 | -12.0000 | 0.00000 | 0.00000 | 0.00000 |
| 1225 | V13V15 | GLOBAL | 0.0000 | 0.0000 | -10.2000 | 0.00000 | 0.00000 | 0.00000 |
| 1226 | V13V15 | GLOBAL | 0.0000 | 0.0000 | -8.0000 | 0.00000 | 0.00000 | 0.00000 |
| 1227 | V13V15 | GLOBAL | 0.0000 | 0.0000 | -7.8000 | 0.00000 | 0.00000 | 0.00000 |
| 1228 | V13V15 | GLOBAL | 0.0000 | 0.0000 | -10.0000 | 0.00000 | 0.00000 | 0.00000 |
| 1229 | V13V15 | GLOBAL | 0.0000 | 0.0000 | -12.2000 | 0.00000 | 0.00000 | 0.00000 |
| 1230 | V13V15 | GLOBAL | 0.0000 | 0.0000 | -10.0000 | 0.00000 | 0.00000 | 0.00000 |
| 1242 | V13V15 | GLOBAL | 0.0000 | 0.0000 | -6.0000 | 0.00000 | 0.00000 | 0.00000 |
| 1244 | V13V15 | GLOBAL | 0.0000 | 0.0000 | -14.0000 | 0.00000 | 0.00000 | 0.00000 |
| 1246 | V13V15 | GLOBAL | 0.0000 | 0.0000 | -8.0000 | 0.00000 | 0.00000 | 0.00000 |
| 1248 | V13V15 | GLOBAL | 0.0000 | 0.0000 | -12.0000 | 0.00000 | 0.00000 | 0.00000 |
| 1248 | P1415 | GLOBAL | 0.0000 | 0.0000 | -18.0000 | 0.00000 | 0.00000 | 0.00000 |
| 1249 | V12V14 | GLOBAL | 0.0000 | 0.0000 | -2.0000 | 0.00000 | 0.00000 | 0.00000 |
| 1250 | V12V14 | GLOBAL | 0.0000 | 0.0000 | -2.0000 | 0.00000 | 0.00000 | 0.00000 |
| 1250 | P1415 | GLOBAL | 0.0000 | 0.0000 | -2.0000 | 0.00000 | 0.00000 | 0.00000 |
| 1251 | V12V14 | GLOBAL | 0.0000 | 0.0000 | -18.0000 | 0.00000 | 0.00000 | 0.00000 |
| 1252 | V12V14 | GLOBAL | 0.0000 | 0.0000 | -18.0000 | 0.00000 | 0.00000 | 0.00000 |
| 1252 | P1415 | GLOBAL | 0.0000 | 0.0000 | -16.8000 | 0.00000 | 0.00000 | 0.00000 |
| 1254 | P1415 | GLOBAL | 0.0000 | 0.0000 | -3.2000 | 0.00000 | 0.00000 | 0.00000 |
| 1255 | V12V14 | GLOBAL | 0.0000 | 0.0000 | -20.0000 | 0.00000 | 0.00000 | 0.00000 |
| 1256 | V12V14 | GLOBAL | 0.0000 | 0.0000 | -20.0000 | 0.00000 | 0.00000 | 0.00000 |
| 1256 | P1415 | GLOBAL | 0.0000 | 0.0000 | -15.6000 | 0.00000 | 0.00000 | 0.00000 |
| 1258 | P1415 | GLOBAL | 0.0000 | 0.0000 | -4.4000 | 0.00000 | 0.00000 | 0.00000 |
| 1269 | V12V14 | GLOBAL | 0.0000 | 0.0000 | -16.0000 | 0.00000 | 0.00000 | 0.00000 |
| 1270 | V12V14 | GLOBAL | 0.0000 | 0.0000 | -16.0000 | 0.00000 | 0.00000 | 0.00000 |
| 1270 | P1415 | GLOBAL | 0.0000 | 0.0000 | -11.4000 | 0.00000 | 0.00000 | 0.00000 |
| 1271 | V12V14 | GLOBAL | 0.0000 | 0.0000 | -4.0000 | 0.00000 | 0.00000 | 0.00000 |
| 1272 | V12V14 | GLOBAL | 0.0000 | 0.0000 | -4.0000 | 0.00000 | 0.00000 | 0.00000 |
| 1272 | P1415 | GLOBAL | 0.0000 | 0.0000 | -8.6000 | 0.00000 | 0.00000 | 0.00000 |
| 1273 | V12V14 | GLOBAL | 0.0000 | 0.0000 | -14.0000 | 0.00000 | 0.00000 | 0.00000 |
| 1274 | V12V14 | GLOBAL | 0.0000 | 0.0000 | -14.0000 | 0.00000 | 0.00000 | 0.00000 |
| 1274 | P1415 | GLOBAL | 0.0000 | 0.0000 | -10.2000 | 0.00000 | 0.00000 | 0.00000 |
| 1275 | V12V14 | GLOBAL | 0.0000 | 0.0000 | -6.0000 | 0.00000 | 0.00000 | 0.00000 |
| 1275 | P1415 | GLOBAL | 0.0000 | 0.0000 | -10.0000 | 0.00000 | 0.00000 | 0.00000 |
| 1276 | V12V14 | GLOBAL | 0.0000 | 0.0000 | -6.0000 | 0.00000 | 0.00000 | 0.00000 |
| 1276 | P1415 | GLOBAL | 0.0000 | 0.0000 | -9.8000 | 0.00000 | 0.00000 | 0.00000 |
| 1277 | P1415 | GLOBAL | 0.0000 | 0.0000 | -10.0000 | 0.00000 | 0.00000 | 0.00000 |
| 1278 | P1415 | GLOBAL | 0.0000 | 0.0000 | -9.0000 | 0.00000 | 0.00000 | 0.00000 |
| 1279 | V12V14 | GLOBAL | 0.0000 | 0.0000 | -14.0000 | 0.00000 | 0.00000 | 0.00000 |
| 1279 | P1415 | GLOBAL | 0.0000 | 0.0000 | -8.8000 | 0.00000 | 0.00000 | 0.00000 |
| 1280 | V12V14 | GLOBAL | 0.0000 | 0.0000 | -14.0000 | 0.00000 | 0.00000 | 0.00000 |
| 1280 | P1415 | GLOBAL | 0.0000 | 0.0000 | -11.0000 | 0.00000 | 0.00000 | 0.00000 |
| 1281 | V12V14 | GLOBAL | 0.0000 | 0.0000 | -6.0000 | 0.00000 | 0.00000 | 0.00000 |
| 1281 | P1415 | GLOBAL | 0.0000 | 0.0000 | -11.2000 | 0.00000 | 0.00000 | 0.00000 |
| 1282 | V12V14 | GLOBAL | 0.0000 | 0.0000 | -6.0000 | 0.00000 | 0.00000 | 0.00000 |
| 1283 | V12V14 | GLOBAL | 0.0000 | 0.0000 | -12.0000 | 0.00000 | 0.00000 | 0.00000 |
| 1283 | P1415 | GLOBAL | 0.0000 | 0.0000 | -7.6000 | 0.00000 | 0.00000 | 0.00000 |
| 1284 | V12V14 | GLOBAL | 0.0000 | 0.0000 | -12.0000 | 0.00000 | 0.00000 | 0.00000 |
| 1284 | P1415 | GLOBAL | 0.0000 | 0.0000 | -6.0000 | 0.00000 | 0.00000 | 0.00000 |
| 1285 | V12V14 | GLOBAL | 0.0000 | 0.0000 | -8.0000 | 0.00000 | 0.00000 | 0.00000 |
| 1285 | P1415 | GLOBAL | 0.0000 | 0.0000 | -12.4000 | 0.00000 | 0.00000 | 0.00000 |
| 1286 | V12V14 | GLOBAL | 0.0000 | 0.0000 | -8.0000 | 0.00000 | 0.00000 | 0.00000 |
| 1286 | P1415 | GLOBAL | 0.0000 | 0.0000 | -14.0000 | 0.00000 | 0.00000 | 0.00000 |





| Joint | LoadCase | CoordSys | F1 | F2 | F3 | M1 | M2 | M3 |
|---|---|---|---|---|---|---|---|---|
| Text | Text | Text | Ton | Ton | Ton | Ton-m | Ton-m | Ton-m |
| 1288 | P1415 | GLOBAL | 0.0000 | 0.0000 | -4.0000 | 0.00000 | 0.00000 | 0.00000 |
| 1290 | P1415 | GLOBAL | 0.0000 | 0.0000 | -16.0000 | 0.00000 | 0.00000 | 0.00000 |
| 1297 | V12V14 | GLOBAL | 0.0000 | 0.0000 | -8.0000 | 0.00000 | 0.00000 | 0.00000 |
| 1297 | P1415 | GLOBAL | 0.0000 | 0.0000 | -3.4000 | 0.00000 | 0.00000 | 0.00000 |
| 1298 | V12V14 | GLOBAL | 0.0000 | 0.0000 | -8.0000 | 0.00000 | 0.00000 | 0.00000 |
| 1299 | V12V14 | GLOBAL | 0.0000 | 0.0000 | -12.0000 | 0.00000 | 0.00000 | 0.00000 |
| 1299 | P1415 | GLOBAL | 0.0000 | 0.0000 | -16.6000 | 0.00000 | 0.00000 | 0.00000 |
| 1300 | V12V14 | GLOBAL | 0.0000 | 0.0000 | -12.0000 | 0.00000 | 0.00000 | 0.00000 |
| 1301 | V12V14 | GLOBAL | 0.0000 | 0.0000 | -6.0000 | 0.00000 | 0.00000 | 0.00000 |
| 1301 | P1415 | GLOBAL | 0.0000 | 0.0000 | -2.2000 | 0.00000 | 0.00000 | 0.00000 |
| 1302 | V12V14 | GLOBAL | 0.0000 | 0.0000 | -6.0000 | 0.00000 | 0.00000 | 0.00000 |
| 1303 | V12V14 | GLOBAL | 0.0000 | 0.0000 | -14.0000 | 0.00000 | 0.00000 | 0.00000 |
| 1303 | P1415 | GLOBAL | 0.0000 | 0.0000 | -17.8000 | 0.00000 | 0.00000 | 0.00000 |
| 1304 | V12V14 | GLOBAL | 0.0000 | 0.0000 | -14.0000 | 0.00000 | 0.00000 | 0.00000 |
| 1304 | P1415 | GLOBAL | 0.0000 | 0.0000 | -20.0000 | 0.00000 | 0.00000 | 0.00000 |
| 1307 | V12V14 | GLOBAL | 0.0000 | 0.0000 | -6.0000 | 0.00000 | 0.00000 | 0.00000 |
| 1307 | P1415 | GLOBAL | 0.0000 | 0.0000 | -20.0000 | 0.00000 | 0.00000 | 0.00000 |
| 1308 | V12V14 | GLOBAL | 0.0000 | 0.0000 | -6.0000 | 0.00000 | 0.00000 | 0.00000 |
| 1308 | P1415 | GLOBAL | 0.0000 | 0.0000 | -18.0000 | 0.00000 | 0.00000 | 0.00000 |
| 1309 | V12V14 | GLOBAL | 0.0000 | 0.0000 | -14.0000 | 0.00000 | 0.00000 | 0.00000 |
| 1310 | V12V14 | GLOBAL | 0.0000 | 0.0000 | -14.0000 | 0.00000 | 0.00000 | 0.00000 |
| 1310 | P1415 | GLOBAL | 0.0000 | 0.0000 | -2.0000 | 0.00000 | 0.00000 | 0.00000 |
| 1311 | V12V14 | GLOBAL | 0.0000 | 0.0000 | -4.0000 | 0.00000 | 0.00000 | 0.00000 |
| 1312 | V12V14 | GLOBAL | 0.0000 | 0.0000 | -4.0000 | 0.00000 | 0.00000 | 0.00000 |
| 1313 | V12V14 | GLOBAL | 0.0000 | 0.0000 | -16.0000 | 0.00000 | 0.00000 | 0.00000 |
| 1313 | P1415 | GLOBAL | 0.0000 | 0.0000 | -18.0000 | 0.00000 | 0.00000 | 0.00000 |
| 1314 | V12V14 | GLOBAL | 0.0000 | 0.0000 | -16.0000 | 0.00000 | 0.00000 | 0.00000 |
| 1314 | P1415 | GLOBAL | 0.0000 | 0.0000 | -18.0000 | 0.00000 | 0.00000 | 0.00000 |
| 1315 | P1415 | GLOBAL | 0.0000 | 0.0000 | -2.0000 | 0.00000 | 0.00000 | 0.00000 |
| 1316 | P1415 | GLOBAL | 0.0000 | 0.0000 | -2.0000 | 0.00000 | 0.00000 | 0.00000 |
| 1317 | P1415 | GLOBAL | 0.0000 | 0.0000 | -16.0000 | 0.00000 | 0.00000 | 0.00000 |
| 1318 | P1415 | GLOBAL | 0.0000 | 0.0000 | -16.0000 | 0.00000 | 0.00000 | 0.00000 |
| 1319 | P1415 | GLOBAL | 0.0000 | 0.0000 | -4.0000 | 0.00000 | 0.00000 | 0.00000 |
| 1320 | P1415 | GLOBAL | 0.0000 | 0.0000 | -4.0000 | 0.00000 | 0.00000 | 0.00000 |
| 1327 | V12V14 | GLOBAL | 0.0000 | 0.0000 | -20.0000 | 0.00000 | 0.00000 | 0.00000 |
| 1328 | V12V14 | GLOBAL | 0.0000 | 0.0000 | -20.0000 | 0.00000 | 0.00000 | 0.00000 |
| 1331 | V12V14 | GLOBAL | 0.0000 | 0.0000 | -18.0000 | 0.00000 | 0.00000 | 0.00000 |
| 1331 | P1415 | GLOBAL | 0.0000 | 0.0000 | -12.0000 | 0.00000 | 0.00000 | 0.00000 |
| 1332 | V12V14 | GLOBAL | 0.0000 | 0.0000 | -18.0000 | 0.00000 | 0.00000 | 0.00000 |
| 1332 | P1415 | GLOBAL | 0.0000 | 0.0000 | -12.0000 | 0.00000 | 0.00000 | 0.00000 |
| 1333 | V12V14 | GLOBAL | 0.0000 | 0.0000 | -2.0000 | 0.00000 | 0.00000 | 0.00000 |
| 1333 | P1415 | GLOBAL | 0.0000 | 0.0000 | -8.0000 | 0.00000 | 0.00000 | 0.00000 |
| 1334 | V12V14 | GLOBAL | 0.0000 | 0.0000 | -2.0000 | 0.00000 | 0.00000 | 0.00000 |
| 1334 | P1415 | GLOBAL | 0.0000 | 0.0000 | -8.0000 | 0.00000 | 0.00000 | 0.00000 |
| 1335 | P1415 | GLOBAL | 0.0000 | 0.0000 | -10.0000 | 0.00000 | 0.00000 | 0.00000 |
| 1336 | P1415 | GLOBAL | 0.0000 | 0.0000 | -10.0000 | 0.00000 | 0.00000 | 0.00000 |
| 1337 | P1415 | GLOBAL | 0.0000 | 0.0000 | -10.0000 | 0.00000 | 0.00000 | 0.00000 |
| 1338 | P1415 | GLOBAL | 0.0000 | 0.0000 | -10.0000 | 0.00000 | 0.00000 | 0.00000 |
| 1341 | P1415 | GLOBAL | 0.0000 | 0.0000 | -10.0000 | 0.00000 | 0.00000 | 0.00000 |
| 1342 | P1415 | GLOBAL | 0.0000 | 0.0000 | -10.0000 | 0.00000 | 0.00000 | 0.00000 |
| 1343 | P1415 | GLOBAL | 0.0000 | 0.0000 | -10.0000 | 0.00000 | 0.00000 | 0.00000 |
| 1344 | P1415 | GLOBAL | 0.0000 | 0.0000 | -10.0000 | 0.00000 | 0.00000 | 0.00000 |
| 1345 | V13V15 | GLOBAL | 0.0000 | 0.0000 | -2.0000 | 0.00000 | 0.00000 | 0.00000 |
| 1345 | P1415 | GLOBAL | 0.0000 | 0.0000 | -8.0000 | 0.00000 | 0.00000 | 0.00000 |
| 1346 | V13V15 | GLOBAL | 0.0000 | 0.0000 | -2.0000 | 0.00000 | 0.00000 | 0.00000 |
| 1346 | P1415 | GLOBAL | 0.0000 | 0.0000 | -8.0000 | 0.00000 | 0.00000 | 0.00000 |
| 1347 | V13V15 | GLOBAL | 0.0000 | 0.0000 | -18.0000 | 0.00000 | 0.00000 | 0.00000 |
| 1347 | P1415 | GLOBAL | 0.0000 | 0.0000 | -12.0000 | 0.00000 | 0.00000 | 0.00000 |
| 1348 | V13V15 | GLOBAL | 0.0000 | 0.0000 | -18.0000 | 0.00000 | 0.00000 | 0.00000 |
| 1348 | P1415 | GLOBAL | 0.0000 | 0.0000 | -12.0000 | 0.00000 | 0.00000 | 0.00000 |
| 1350 | V15V17 | GLOBAL | 0.0000 | 0.0000 | -12.0000 | 0.00000 | 0.00000 | 0.00000 |
| 1351 | V13V15 | GLOBAL | 0.0000 | 0.0000 | -20.0000 | 0.00000 | 0.00000 | 0.00000 |
| 1352 | V13V15 | GLOBAL | 0.0000 | 0.0000 | -20.0000 | 0.00000 | 0.00000 | 0.00000 |
| 1352 | V15V17 | GLOBAL | 0.0000 | 0.0000 | -8.0000 | 0.00000 | 0.00000 | 0.00000 |
| 1354 | V15V17 | GLOBAL | 0.0000 | 0.0000 | -10.8000 | 0.00000 | 0.00000 | 0.00000 |
| 1356 | V15V17 | GLOBAL | 0.0000 | 0.0000 | -9.2000 | 0.00000 | 0.00000 | 0.00000 |
| 1358 | V15V17 | GLOBAL | 0.0000 | 0.0000 | -9.6000 | 0.00000 | 0.00000 | 0.00000 |
| 1359 | P1415 | GLOBAL | 0.0000 | 0.0000 | -4.0000 | 0.00000 | 0.00000 | 0.00000 |
| 1359 | V15V17 | GLOBAL | 0.0000 | 0.0000 | -7.8000 | 0.00000 | 0.00000 | 0.00000 |
| 1360 | P1415 | GLOBAL | 0.0000 | 0.0000 | -4.0000 | 0.00000 | 0.00000 | 0.00000 |
| 1360 | V15V17 | GLOBAL | 0.0000 | 0.0000 | -10.4000 | 0.00000 | 0.00000 | 0.00000 |
| 1361 | P1415 | GLOBAL | 0.0000 | 0.0000 | -16.0000 | 0.00000 | 0.00000 | 0.00000 |
| 1361 | V15V17 | GLOBAL | 0.0000 | 0.0000 | -12.2000 | 0.00000 | 0.00000 | 0.00000 |
| 1362 | P1415 | GLOBAL | 0.0000 | 0.0000 | -16.0000 | 0.00000 | 0.00000 | 0.00000 |
| 1363 | P1415 | GLOBAL | 0.0000 | 0.0000 | -2.0000 | 0.00000 | 0.00000 | 0.00000 |
| 1363 | V15V17 | GLOBAL | 0.0000 | 0.0000 | -6.6000 | 0.00000 | 0.00000 | 0.00000 |
| 1364 | P1415 | GLOBAL | 0.0000 | 0.0000 | -2.0000 | 0.00000 | 0.00000 | 0.00000 |
| 1365 | V13V15 | GLOBAL | 0.0000 | 0.0000 | -16.0000 | 0.00000 | 0.00000 | 0.00000 |
| 1365 | P1415 | GLOBAL | 0.0000 | 0.0000 | -18.0000 | 0.00000 | 0.00000 | 0.00000 |
| 1365 | V15V17 | GLOBAL | 0.0000 | 0.0000 | -13.4000 | 0.00000 | 0.00000 | 0.00000 |
| 1366 | V13V15 | GLOBAL | 0.0000 | 0.0000 | -16.0000 | 0.00000 | 0.00000 | 0.00000 |
| 1366 | P1415 | GLOBAL | 0.0000 | 0.0000 | -18.0000 | 0.00000 | 0.00000 | 0.00000 |
| 1367 | V13V15 | GLOBAL | 0.0000 | 0.0000 | -4.0000 | 0.00000 | 0.00000 | 0.00000 |
| 1367 | V15V17 | GLOBAL | 0.0000 | 0.0000 | -5.4000 | 0.00000 | 0.00000 | 0.00000 |
| 1368 | V13V15 | GLOBAL | 0.0000 | 0.0000 | -4.0000 | 0.00000 | 0.00000 | 0.00000 |
| 1369 | V13V15 | GLOBAL | 0.0000 | 0.0000 | -14.0000 | 0.00000 | 0.00000 | 0.00000 |
| 1369 | P1415 | GLOBAL | 0.0000 | 0.0000 | -2.0000 | 0.00000 | 0.00000 | 0.00000 |
| 1369 | V15V17 | GLOBAL | 0.0000 | 0.0000 | -14.6000 | 0.00000 | 0.00000 | 0.00000 |
| 1370 | V13V15 | GLOBAL | 0.0000 | 0.0000 | -14.0000 | 0.00000 | 0.00000 | 0.00000 |
| 1370 | P1415 | GLOBAL | 0.0000 | 0.0000 | -2.0000 | 0.00000 | 0.00000 | 0.00000 |
| 1371 | V13V15 | GLOBAL | 0.0000 | 0.0000 | -6.0000 | 0.00000 | 0.00000 | 0.00000 |

| Joint | LoadCase | CoordSys | F1 | F2 | F3 | M1 | M2 | M3 |
|---|---|---|---|---|---|---|---|---|
| Text | Text | Text | Ton | Ton | Ton | Ton-m | Ton-m | Ton-m |
| 1371 | P1415 | GLOBAL | 0.0000 | 0.0000 | -18.0000 | 0.00000 | 0.00000 | 0.00000 |
| 1372 | V13V15 | GLOBAL | 0.0000 | 0.0000 | -6.0000 | 0.00000 | 0.00000 | 0.00000 |
| 1372 | P1415 | GLOBAL | 0.0000 | 0.0000 | -18.0000 | 0.00000 | 0.00000 | 0.00000 |
| 1372 | V15V17 | GLOBAL | 0.0000 | 0.0000 | -5.4000 | 0.00000 | 0.00000 | 0.00000 |
| 1374 | V15V17 | GLOBAL | 0.0000 | 0.0000 | -14.6000 | 0.00000 | 0.00000 | 0.00000 |
| 1375 | V13V15 | GLOBAL | 0.0000 | 0.0000 | -14.0000 | 0.00000 | 0.00000 | 0.00000 |
| 1375 | P1415 | GLOBAL | 0.0000 | 0.0000 | -20.0000 | 0.00000 | 0.00000 | 0.00000 |
| 1376 | V13V15 | GLOBAL | 0.0000 | 0.0000 | -14.0000 | 0.00000 | 0.00000 | 0.00000 |
| 1376 | P1415 | GLOBAL | 0.0000 | 0.0000 | -20.0000 | 0.00000 | 0.00000 | 0.00000 |
| 1376 | V15V17 | GLOBAL | 0.0000 | 0.0000 | -4.2000 | 0.00000 | 0.00000 | 0.00000 |
| 1377 | V13V15 | GLOBAL | 0.0000 | 0.0000 | -6.0000 | 0.00000 | 0.00000 | 0.00000 |
| 1378 | V13V15 | GLOBAL | 0.0000 | 0.0000 | -6.0000 | 0.00000 | 0.00000 | 0.00000 |
| 1378 | V15V17 | GLOBAL | 0.0000 | 0.0000 | -15.8000 | 0.00000 | 0.00000 | 0.00000 |
| 1379 | V13V15 | GLOBAL | 0.0000 | 0.0000 | -12.0000 | 0.00000 | 0.00000 | 0.00000 |
| 1380 | V13V15 | GLOBAL | 0.0000 | 0.0000 | -12.0000 | 0.00000 | 0.00000 | 0.00000 |
| 1380 | V15V17 | GLOBAL | 0.0000 | 0.0000 | -3.0000 | 0.00000 | 0.00000 | 0.00000 |
| 1381 | V13V15 | GLOBAL | 0.0000 | 0.0000 | -8.0000 | 0.00000 | 0.00000 | 0.00000 |
| 1381 | V15V17 | GLOBAL | 0.0000 | 0.0000 | -1.2000 | 0.00000 | 0.00000 | 0.00000 |
| 1382 | V13V15 | GLOBAL | 0.0000 | 0.0000 | -8.0000 | 0.00000 | 0.00000 | 0.00000 |
| 1382 | V15V17 | GLOBAL | 0.0000 | 0.0000 | -17.0000 | 0.00000 | 0.00000 | 0.00000 |
| 1383 | V15V17 | GLOBAL | 0.0000 | 0.0000 | -18.8000 | 0.00000 | 0.00000 | 0.00000 |
| 1387 | V15V17 | GLOBAL | 0.0000 | 0.0000 | -20.0000 | 0.00000 | 0.00000 | 0.00000 |
| 1388 | V15V17 | GLOBAL | 0.0000 | 0.0000 | -20.0000 | 0.00000 | 0.00000 | 0.00000 |
| 1389 | P1415 | GLOBAL | 0.0000 | 0.0000 | -16.0000 | 0.00000 | 0.00000 | 0.00000 |
| 1390 | P1415 | GLOBAL | 0.0000 | 0.0000 | -16.0000 | 0.00000 | 0.00000 | 0.00000 |
| 1391 | P1415 | GLOBAL | 0.0000 | 0.0000 | -4.0000 | 0.00000 | 0.00000 | 0.00000 |
| 1391 | V15V17 | GLOBAL | 0.0000 | 0.0000 | -20.0000 | 0.00000 | 0.00000 | 0.00000 |
| 1392 | P1415 | GLOBAL | 0.0000 | 0.0000 | -4.0000 | 0.00000 | 0.00000 | 0.00000 |
| 1392 | V15V17 | GLOBAL | 0.0000 | 0.0000 | -18.0000 | 0.00000 | 0.00000 | 0.00000 |
| 1393 | V13V15 | GLOBAL | 0.0000 | 0.0000 | -8.0000 | 0.00000 | 0.00000 | 0.00000 |
| 1393 | P1415 | GLOBAL | 0.0000 | 0.0000 | -14.0000 | 0.00000 | 0.00000 | 0.00000 |
| 1394 | V13V15 | GLOBAL | 0.0000 | 0.0000 | -8.0000 | 0.00000 | 0.00000 | 0.00000 |
| 1394 | P1415 | GLOBAL | 0.0000 | 0.0000 | -14.0000 | 0.00000 | 0.00000 | 0.00000 |
| 1394 | V15V17 | GLOBAL | 0.0000 | 0.0000 | -2.0000 | 0.00000 | 0.00000 | 0.00000 |
| 1395 | V13V15 | GLOBAL | 0.0000 | 0.0000 | -12.0000 | 0.00000 | 0.00000 | 0.00000 |
| 1395 | P1415 | GLOBAL | 0.0000 | 0.0000 | -6.0000 | 0.00000 | 0.00000 | 0.00000 |
| 1396 | V13V15 | GLOBAL | 0.0000 | 0.0000 | -12.0000 | 0.00000 | 0.00000 | 0.00000 |
| 1396 | P1415 | GLOBAL | 0.0000 | 0.0000 | -6.0000 | 0.00000 | 0.00000 | 0.00000 |
| 1397 | V13V15 | GLOBAL | 0.0000 | 0.0000 | -6.0000 | 0.00000 | 0.00000 | 0.00000 |
| 1397 | V15V17 | GLOBAL | 0.0000 | 0.0000 | -15.8000 | 0.00000 | 0.00000 | 0.00000 |
| 1398 | V13V15 | GLOBAL | 0.0000 | 0.0000 | -6.0000 | 0.00000 | 0.00000 | 0.00000 |
| 1399 | V13V15 | GLOBAL | 0.0000 | 0.0000 | -14.0000 | 0.00000 | 0.00000 | 0.00000 |
| 1399 | P1415 | GLOBAL | 0.0000 | 0.0000 | -14.0000 | 0.00000 | 0.00000 | 0.00000 |
| 1399 | V15V17 | GLOBAL | 0.0000 | 0.0000 | -4.2000 | 0.00000 | 0.00000 | 0.00000 |
| 1400 | V13V15 | GLOBAL | 0.0000 | 0.0000 | -14.0000 | 0.00000 | 0.00000 | 0.00000 |
| 1400 | P1415 | GLOBAL | 0.0000 | 0.0000 | -14.0000 | 0.00000 | 0.00000 | 0.00000 |
| 1401 | P1415 | GLOBAL | 0.0000 | 0.0000 | -6.0000 | 0.00000 | 0.00000 | 0.00000 |
| 1401 | V15V17 | GLOBAL | 0.0000 | 0.0000 | -13.8000 | 0.00000 | 0.00000 | 0.00000 |
| 1402 | P1415 | GLOBAL | 0.0000 | 0.0000 | -6.0000 | 0.00000 | 0.00000 | 0.00000 |
| 1403 | V13V15 | GLOBAL | 0.0000 | 0.0000 | -6.0000 | 0.00000 | 0.00000 | 0.00000 |
| 1403 | P1415 | GLOBAL | 0.0000 | 0.0000 | -12.0000 | 0.00000 | 0.00000 | 0.00000 |
| 1403 | V15V17 | GLOBAL | 0.0000 | 0.0000 | -6.2000 | 0.00000 | 0.00000 | 0.00000 |
| 1404 | V13V15 | GLOBAL | 0.0000 | 0.0000 | -6.0000 | 0.00000 | 0.00000 | 0.00000 |
| 1404 | P1415 | GLOBAL | 0.0000 | 0.0000 | -12.0000 | 0.00000 | 0.00000 | 0.00000 |
| 1405 | V13V15 | GLOBAL | 0.0000 | 0.0000 | -14.0000 | 0.00000 | 0.00000 | 0.00000 |
| 1405 | P1415 | GLOBAL | 0.0000 | 0.0000 | -8.0000 | 0.00000 | 0.00000 | 0.00000 |
| 1406 | V13V15 | GLOBAL | 0.0000 | 0.0000 | -14.0000 | 0.00000 | 0.00000 | 0.00000 |
| 1406 | P1415 | GLOBAL | 0.0000 | 0.0000 | -8.0000 | 0.00000 | 0.00000 | 0.00000 |
| 1406 | V15V17 | GLOBAL | 0.0000 | 0.0000 | -14.0000 | 0.00000 | 0.00000 | 0.00000 |
| 1407 | V13V15 | GLOBAL | 0.0000 | 0.0000 | -4.0000 | 0.00000 | 0.00000 | 0.00000 |
| 1408 | V13V15 | GLOBAL | 0.0000 | 0.0000 | -4.0000 | 0.00000 | 0.00000 | 0.00000 |
| 1408 | V15V17 | GLOBAL | 0.0000 | 0.0000 | -6.0000 | 0.00000 | 0.00000 | 0.00000 |
| 1409 | V13V15 | GLOBAL | 0.0000 | 0.0000 | -16.0000 | 0.00000 | 0.00000 | 0.00000 |
| 1410 | V13V15 | GLOBAL | 0.0000 | 0.0000 | -16.0000 | 0.00000 | 0.00000 | 0.00000 |
| 1410 | V15V17 | GLOBAL | 0.0000 | 0.0000 | -12.0000 | 0.00000 | 0.00000 | 0.00000 |
| 1412 | V15V17 | GLOBAL | 0.0000 | 0.0000 | -8.0000 | 0.00000 | 0.00000 | 0.00000 |
| 1415 | V15V17 | GLOBAL | 0.0000 | 0.0000 | -9.8000 | 0.00000 | 0.00000 | 0.00000 |
| 1416 | V15V17 | GLOBAL | 0.0000 | 0.0000 | -12.0000 | 0.00000 | 0.00000 | 0.00000 |
| 1417 | P1415 | GLOBAL | 0.0000 | 0.0000 | -8.0000 | 0.00000 | 0.00000 | 0.00000 |
| 1417 | V15V17 | GLOBAL | 0.0000 | 0.0000 | -10.2000 | 0.00000 | 0.00000 | 0.00000 |
| 1418 | P1415 | GLOBAL | 0.0000 | 0.0000 | -8.0000 | 0.00000 | 0.00000 | 0.00000 |
| 1418 | V15V17 | GLOBAL | 0.0000 | 0.0000 | -8.0000 | 0.00000 | 0.00000 | 0.00000 |
| 1419 | P1415 | GLOBAL | 0.0000 | 0.0000 | -12.0000 | 0.00000 | 0.00000 | 0.00000 |
| 1419 | V15V17 | GLOBAL | 0.0000 | 0.0000 | -7.8000 | 0.00000 | 0.00000 | 0.00000 |
| 1420 | P1415 | GLOBAL | 0.0000 | 0.0000 | -12.0000 | 0.00000 | 0.00000 | 0.00000 |
| 1420 | V15V17 | GLOBAL | 0.0000 | 0.0000 | -10.0000 | 0.00000 | 0.00000 | 0.00000 |
| 1421 | P1415 | GLOBAL | 0.0000 | 0.0000 | -6.0000 | 0.00000 | 0.00000 | 0.00000 |
| 1421 | V15V17 | GLOBAL | 0.0000 | 0.0000 | -12.2000 | 0.00000 | 0.00000 | 0.00000 |
| 1422 | P1415 | GLOBAL | 0.0000 | 0.0000 | -6.0000 | 0.00000 | 0.00000 | 0.00000 |
| 1422 | V15V17 | GLOBAL | 0.0000 | 0.0000 | -10.0000 | 0.00000 | 0.00000 | 0.00000 |
| 1423 | V13V15 | GLOBAL | 0.0000 | 0.0000 | -20.0000 | 0.00000 | 0.00000 | 0.00000 |
| 1423 | P1415 | GLOBAL | 0.0000 | 0.0000 | -14.0000 | 0.00000 | 0.00000 | 0.00000 |
| 1424 | V13V15 | GLOBAL | 0.0000 | 0.0000 | -20.0000 | 0.00000 | 0.00000 | 0.00000 |
| 1424 | P1415 | GLOBAL | 0.0000 | 0.0000 | -14.0000 | 0.00000 | 0.00000 | 0.00000 |
| 1427 | V13V15 | GLOBAL | 0.0000 | 0.0000 | -18.0000 | 0.00000 | 0.00000 | 0.00000 |
| 1428 | V13V15 | GLOBAL | 0.0000 | 0.0000 | -18.0000 | 0.00000 | 0.00000 | 0.00000 |
| 1429 | V13V15 | GLOBAL | 0.0000 | 0.0000 | -2.0000 | 0.00000 | 0.00000 | 0.00000 |
| 1430 | V13V15 | GLOBAL | 0.0000 | 0.0000 | -2.0000 | 0.00000 | 0.00000 | 0.00000 |
| 1434 | V15V17 | GLOBAL | 0.0000 | 0.0000 | -6.0000 | 0.00000 | 0.00000 | 0.00000 |
| 1436 | V15V17 | GLOBAL | 0.0000 | 0.0000 | -14.0000 | 0.00000 | 0.00000 | 0.00000 |
| 1438 | V15V17 | GLOBAL | 0.0000 | 0.0000 | -8.0000 | 0.00000 | 0.00000 | 0.00000 |





| Joint | LoadCase | CoordSys | F1 | F2 | F3 | M1 | M2 | M3 |
|---|---|---|---|---|---|---|---|---|
| Text | Text | Text | Ton | Ton | Ton | Ton-m | Ton-m | Ton-m |
| 1440 | V15V17 | GLOBAL | 0.0000 | 0.0000 | -12.0000 | 0.00000 | 0.00000 | 0.00000 |
| 1446 | V16V18 | GLOBAL | 0.0000 | 0.0000 | -12.0000 | 0.00000 | 0.00000 | 0.00000 |
| 1448 | V16V18 | GLOBAL | 0.0000 | 0.0000 | -8.0000 | 0.00000 | 0.00000 | 0.00000 |
| 1450 | V16V18 | GLOBAL | 0.0000 | 0.0000 | -10.8000 | 0.00000 | 0.00000 | 0.00000 |
| 1452 | V16V18 | GLOBAL | 0.0000 | 0.0000 | -9.2000 | 0.00000 | 0.00000 | 0.00000 |
| 1454 | V16V18 | GLOBAL | 0.0000 | 0.0000 | -9.6000 | 0.00000 | 0.00000 | 0.00000 |
| 1455 | V16V18 | GLOBAL | 0.0000 | 0.0000 | -7.8000 | 0.00000 | 0.00000 | 0.00000 |
| 1456 | V16V18 | GLOBAL | 0.0000 | 0.0000 | -10.4000 | 0.00000 | 0.00000 | 0.00000 |
| 1457 | V16V18 | GLOBAL | 0.0000 | 0.0000 | -12.2000 | 0.00000 | 0.00000 | 0.00000 |
| 1459 | V16V18 | GLOBAL | 0.0000 | 0.0000 | -6.6000 | 0.00000 | 0.00000 | 0.00000 |
| 1461 | V16V18 | GLOBAL | 0.0000 | 0.0000 | -13.4000 | 0.00000 | 0.00000 | 0.00000 |
| 1463 | V16V18 | GLOBAL | 0.0000 | 0.0000 | -5.4000 | 0.00000 | 0.00000 | 0.00000 |
| 1465 | V16V18 | GLOBAL | 0.0000 | 0.0000 | -14.6000 | 0.00000 | 0.00000 | 0.00000 |
| 1468 | V16V18 | GLOBAL | 0.0000 | 0.0000 | -5.4000 | 0.00000 | 0.00000 | 0.00000 |
| 1470 | V16V18 | GLOBAL | 0.0000 | 0.0000 | -14.6000 | 0.00000 | 0.00000 | 0.00000 |
| 1472 | V16V18 | GLOBAL | 0.0000 | 0.0000 | -4.2000 | 0.00000 | 0.00000 | 0.00000 |
| 1474 | V16V18 | GLOBAL | 0.0000 | 0.0000 | -15.8000 | 0.00000 | 0.00000 | 0.00000 |
| 1476 | V16V18 | GLOBAL | 0.0000 | 0.0000 | -3.0000 | 0.00000 | 0.00000 | 0.00000 |
| 1477 | V16V18 | GLOBAL | 0.0000 | 0.0000 | -1.2000 | 0.00000 | 0.00000 | 0.00000 |
| 1478 | V16V18 | GLOBAL | 0.0000 | 0.0000 | -17.0000 | 0.00000 | 0.00000 | 0.00000 |
| 1479 | V16V18 | GLOBAL | 0.0000 | 0.0000 | -18.8000 | 0.00000 | 0.00000 | 0.00000 |
| 1483 | V16V18 | GLOBAL | 0.0000 | 0.0000 | -20.0000 | 0.00000 | 0.00000 | 0.00000 |
| 1484 | V16V18 | GLOBAL | 0.0000 | 0.0000 | -20.0000 | 0.00000 | 0.00000 | 0.00000 |
| 1487 | V16V18 | GLOBAL | 0.0000 | 0.0000 | -20.0000 | 0.00000 | 0.00000 | 0.00000 |
| 1488 | V16V18 | GLOBAL | 0.0000 | 0.0000 | -18.0000 | 0.00000 | 0.00000 | 0.00000 |
| 1490 | V16V18 | GLOBAL | 0.0000 | 0.0000 | -2.0000 | 0.00000 | 0.00000 | 0.00000 |
| 1493 | V16V18 | GLOBAL | 0.0000 | 0.0000 | -15.8000 | 0.00000 | 0.00000 | 0.00000 |
| 1495 | V16V18 | GLOBAL | 0.0000 | 0.0000 | -4.2000 | 0.00000 | 0.00000 | 0.00000 |
| 1497 | V16V18 | GLOBAL | 0.0000 | 0.0000 | -13.8000 | 0.00000 | 0.00000 | 0.00000 |
| 1499 | V16V18 | GLOBAL | 0.0000 | 0.0000 | -6.2000 | 0.00000 | 0.00000 | 0.00000 |
| 1502 | V16V18 | GLOBAL | 0.0000 | 0.0000 | -14.0000 | 0.00000 | 0.00000 | 0.00000 |
| 1504 | V16V18 | GLOBAL | 0.0000 | 0.0000 | -6.0000 | 0.00000 | 0.00000 | 0.00000 |
| 1506 | V16V18 | GLOBAL | 0.0000 | 0.0000 | -12.0000 | 0.00000 | 0.00000 | 0.00000 |
| 1508 | V16V18 | GLOBAL | 0.0000 | 0.0000 | -8.0000 | 0.00000 | 0.00000 | 0.00000 |
| 1511 | V16V18 | GLOBAL | 0.0000 | 0.0000 | -9.8000 | 0.00000 | 0.00000 | 0.00000 |
| 1512 | V16V18 | GLOBAL | 0.0000 | 0.0000 | -12.0000 | 0.00000 | 0.00000 | 0.00000 |
| 1513 | V16V18 | GLOBAL | 0.0000 | 0.0000 | -10.2000 | 0.00000 | 0.00000 | 0.00000 |
| 1514 | V16V18 | GLOBAL | 0.0000 | 0.0000 | -8.0000 | 0.00000 | 0.00000 | 0.00000 |
| 1515 | V16V18 | GLOBAL | 0.0000 | 0.0000 | -7.8000 | 0.00000 | 0.00000 | 0.00000 |
| 1516 | V16V18 | GLOBAL | 0.0000 | 0.0000 | -10.0000 | 0.00000 | 0.00000 | 0.00000 |
| 1517 | V16V18 | GLOBAL | 0.0000 | 0.0000 | -12.2000 | 0.00000 | 0.00000 | 0.00000 |
| 1518 | V16V18 | GLOBAL | 0.0000 | 0.0000 | -10.0000 | 0.00000 | 0.00000 | 0.00000 |
| 1530 | V16V18 | GLOBAL | 0.0000 | 0.0000 | -6.0000 | 0.00000 | 0.00000 | 0.00000 |
| 1532 | V16V18 | GLOBAL | 0.0000 | 0.0000 | -14.0000 | 0.00000 | 0.00000 | 0.00000 |
| 1534 | V16V18 | GLOBAL | 0.0000 | 0.0000 | -8.0000 | 0.00000 | 0.00000 | 0.00000 |
| 1536 | V16V18 | GLOBAL | 0.0000 | 0.0000 | -12.0000 | 0.00000 | 0.00000 | 0.00000 |
| 1536 | P1718 | GLOBAL | 0.0000 | 0.0000 | -18.0000 | 0.00000 | 0.00000 | 0.00000 |
| 1537 | V15V17 | GLOBAL | 0.0000 | 0.0000 | -2.0000 | 0.00000 | 0.00000 | 0.00000 |
| 1538 | V15V17 | GLOBAL | 0.0000 | 0.0000 | -2.0000 | 0.00000 | 0.00000 | 0.00000 |
| 1538 | P1718 | GLOBAL | 0.0000 | 0.0000 | -2.0000 | 0.00000 | 0.00000 | 0.00000 |
| 1539 | V15V17 | GLOBAL | 0.0000 | 0.0000 | -18.0000 | 0.00000 | 0.00000 | 0.00000 |
| 1540 | V15V17 | GLOBAL | 0.0000 | 0.0000 | -18.0000 | 0.00000 | 0.00000 | 0.00000 |
| 1540 | P1718 | GLOBAL | 0.0000 | 0.0000 | -16.8000 | 0.00000 | 0.00000 | 0.00000 |
| 1542 | P1718 | GLOBAL | 0.0000 | 0.0000 | -3.2000 | 0.00000 | 0.00000 | 0.00000 |
| 1543 | V15V17 | GLOBAL | 0.0000 | 0.0000 | -20.0000 | 0.00000 | 0.00000 | 0.00000 |
| 1544 | V15V17 | GLOBAL | 0.0000 | 0.0000 | -20.0000 | 0.00000 | 0.00000 | 0.00000 |
| 1544 | P1718 | GLOBAL | 0.0000 | 0.0000 | -15.6000 | 0.00000 | 0.00000 | 0.00000 |
| 1546 | P1718 | GLOBAL | 0.0000 | 0.0000 | -4.4000 | 0.00000 | 0.00000 | 0.00000 |
| 1557 | V15V17 | GLOBAL | 0.0000 | 0.0000 | -16.0000 | 0.00000 | 0.00000 | 0.00000 |
| 1558 | V15V17 | GLOBAL | 0.0000 | 0.0000 | -16.0000 | 0.00000 | 0.00000 | 0.00000 |
| 1558 | P1718 | GLOBAL | 0.0000 | 0.0000 | -11.4000 | 0.00000 | 0.00000 | 0.00000 |
| 1559 | V15V17 | GLOBAL | 0.0000 | 0.0000 | -4.0000 | 0.00000 | 0.00000 | 0.00000 |
| 1560 | V15V17 | GLOBAL | 0.0000 | 0.0000 | -4.0000 | 0.00000 | 0.00000 | 0.00000 |
| 1560 | P1718 | GLOBAL | 0.0000 | 0.0000 | -8.6000 | 0.00000 | 0.00000 | 0.00000 |
| 1561 | V15V17 | GLOBAL | 0.0000 | 0.0000 | -14.0000 | 0.00000 | 0.00000 | 0.00000 |
| 1562 | V15V17 | GLOBAL | 0.0000 | 0.0000 | -14.0000 | 0.00000 | 0.00000 | 0.00000 |
| 1562 | P1718 | GLOBAL | 0.0000 | 0.0000 | -10.2000 | 0.00000 | 0.00000 | 0.00000 |
| 1563 | V15V17 | GLOBAL | 0.0000 | 0.0000 | -6.0000 | 0.00000 | 0.00000 | 0.00000 |
| 1563 | P1718 | GLOBAL | 0.0000 | 0.0000 | -10.0000 | 0.00000 | 0.00000 | 0.00000 |
| 1564 | V15V17 | GLOBAL | 0.0000 | 0.0000 | -6.0000 | 0.00000 | 0.00000 | 0.00000 |
| 1564 | P1718 | GLOBAL | 0.0000 | 0.0000 | -9.8000 | 0.00000 | 0.00000 | 0.00000 |
| 1565 | P1718 | GLOBAL | 0.0000 | 0.0000 | -10.0000 | 0.00000 | 0.00000 | 0.00000 |
| 1566 | P1718 | GLOBAL | 0.0000 | 0.0000 | -9.0000 | 0.00000 | 0.00000 | 0.00000 |
| 1567 | V15V17 | GLOBAL | 0.0000 | 0.0000 | -14.0000 | 0.00000 | 0.00000 | 0.00000 |
| 1567 | P1718 | GLOBAL | 0.0000 | 0.0000 | -8.8000 | 0.00000 | 0.00000 | 0.00000 |
| 1568 | V15V17 | GLOBAL | 0.0000 | 0.0000 | -14.0000 | 0.00000 | 0.00000 | 0.00000 |
| 1568 | P1718 | GLOBAL | 0.0000 | 0.0000 | -11.0000 | 0.00000 | 0.00000 | 0.00000 |
| 1569 | V15V17 | GLOBAL | 0.0000 | 0.0000 | -6.0000 | 0.00000 | 0.00000 | 0.00000 |
| 1569 | P1718 | GLOBAL | 0.0000 | 0.0000 | -11.2000 | 0.00000 | 0.00000 | 0.00000 |
| 1570 | V15V17 | GLOBAL | 0.0000 | 0.0000 | -6.0000 | 0.00000 | 0.00000 | 0.00000 |
| 1571 | V15V17 | GLOBAL | 0.0000 | 0.0000 | -12.0000 | 0.00000 | 0.00000 | 0.00000 |
| 1571 | P1718 | GLOBAL | 0.0000 | 0.0000 | -7.6000 | 0.00000 | 0.00000 | 0.00000 |
| 1572 | V15V17 | GLOBAL | 0.0000 | 0.0000 | -12.0000 | 0.00000 | 0.00000 | 0.00000 |
| 1572 | P1718 | GLOBAL | 0.0000 | 0.0000 | -6.0000 | 0.00000 | 0.00000 | 0.00000 |
| 1573 | V15V17 | GLOBAL | 0.0000 | 0.0000 | -8.0000 | 0.00000 | 0.00000 | 0.00000 |
| 1573 | P1718 | GLOBAL | 0.0000 | 0.0000 | -12.4000 | 0.00000 | 0.00000 | 0.00000 |
| 1574 | V15V17 | GLOBAL | 0.0000 | 0.0000 | -8.0000 | 0.00000 | 0.00000 | 0.00000 |
| 1574 | P1718 | GLOBAL | 0.0000 | 0.0000 | -14.0000 | 0.00000 | 0.00000 | 0.00000 |
| 1576 | P1718 | GLOBAL | 0.0000 | 0.0000 | -4.0000 | 0.00000 | 0.00000 | 0.00000 |
| 1578 | P1718 | GLOBAL | 0.0000 | 0.0000 | -16.0000 | 0.00000 | 0.00000 | 0.00000 |
| 1585 | V15V17 | GLOBAL | 0.0000 | 0.0000 | -8.0000 | 0.00000 | 0.00000 | 0.00000 |

| Joint | LoadCase | CoordSys | F1 | F2 | F3 | M1 | M2 | M3 |
|---|---|---|---|---|---|---|---|---|
| Text | Text | Text | Ton | Ton | Ton | Ton-m | Ton-m | Ton-m |
| 1585 | P1718 | GLOBAL | 0.0000 | 0.0000 | -3.4000 | 0.00000 | 0.00000 | 0.00000 |
| 1586 | V15V17 | GLOBAL | 0.0000 | 0.0000 | -8.0000 | 0.00000 | 0.00000 | 0.00000 |
| 1587 | V15V17 | GLOBAL | 0.0000 | 0.0000 | -12.0000 | 0.00000 | 0.00000 | 0.00000 |
| 1587 | P1718 | GLOBAL | 0.0000 | 0.0000 | -16.6000 | 0.00000 | 0.00000 | 0.00000 |
| 1588 | V15V17 | GLOBAL | 0.0000 | 0.0000 | -12.0000 | 0.00000 | 0.00000 | 0.00000 |
| 1589 | V15V17 | GLOBAL | 0.0000 | 0.0000 | -6.0000 | 0.00000 | 0.00000 | 0.00000 |
| 1589 | P1718 | GLOBAL | 0.0000 | 0.0000 | -2.2000 | 0.00000 | 0.00000 | 0.00000 |
| 1590 | V15V17 | GLOBAL | 0.0000 | 0.0000 | -6.0000 | 0.00000 | 0.00000 | 0.00000 |
| 1591 | V15V17 | GLOBAL | 0.0000 | 0.0000 | -14.0000 | 0.00000 | 0.00000 | 0.00000 |
| 1591 | P1718 | GLOBAL | 0.0000 | 0.0000 | -17.8000 | 0.00000 | 0.00000 | 0.00000 |
| 1592 | V15V17 | GLOBAL | 0.0000 | 0.0000 | -14.0000 | 0.00000 | 0.00000 | 0.00000 |
| 1592 | P1718 | GLOBAL | 0.0000 | 0.0000 | -20.0000 | 0.00000 | 0.00000 | 0.00000 |
| 1595 | V15V17 | GLOBAL | 0.0000 | 0.0000 | -6.0000 | 0.00000 | 0.00000 | 0.00000 |
| 1595 | P1718 | GLOBAL | 0.0000 | 0.0000 | -20.0000 | 0.00000 | 0.00000 | 0.00000 |
| 1596 | V15V17 | GLOBAL | 0.0000 | 0.0000 | -6.0000 | 0.00000 | 0.00000 | 0.00000 |
| 1596 | P1718 | GLOBAL | 0.0000 | 0.0000 | -18.0000 | 0.00000 | 0.00000 | 0.00000 |
| 1597 | V15V17 | GLOBAL | 0.0000 | 0.0000 | -14.0000 | 0.00000 | 0.00000 | 0.00000 |
| 1598 | V15V17 | GLOBAL | 0.0000 | 0.0000 | -14.0000 | 0.00000 | 0.00000 | 0.00000 |
| 1598 | P1718 | GLOBAL | 0.0000 | 0.0000 | -2.0000 | 0.00000 | 0.00000 | 0.00000 |
| 1599 | V15V17 | GLOBAL | 0.0000 | 0.0000 | -4.0000 | 0.00000 | 0.00000 | 0.00000 |
| 1600 | V15V17 | GLOBAL | 0.0000 | 0.0000 | -4.0000 | 0.00000 | 0.00000 | 0.00000 |
| 1601 | V15V17 | GLOBAL | 0.0000 | 0.0000 | -16.0000 | 0.00000 | 0.00000 | 0.00000 |
| 1601 | P1718 | GLOBAL | 0.0000 | 0.0000 | -18.0000 | 0.00000 | 0.00000 | 0.00000 |
| 1602 | V15V17 | GLOBAL | 0.0000 | 0.0000 | -16.0000 | 0.00000 | 0.00000 | 0.00000 |
| 1602 | P1718 | GLOBAL | 0.0000 | 0.0000 | -18.0000 | 0.00000 | 0.00000 | 0.00000 |
| 1603 | P1718 | GLOBAL | 0.0000 | 0.0000 | -2.0000 | 0.00000 | 0.00000 | 0.00000 |
| 1604 | P1718 | GLOBAL | 0.0000 | 0.0000 | -2.0000 | 0.00000 | 0.00000 | 0.00000 |
| 1605 | P1718 | GLOBAL | 0.0000 | 0.0000 | -16.0000 | 0.00000 | 0.00000 | 0.00000 |
| 1606 | P1718 | GLOBAL | 0.0000 | 0.0000 | -16.0000 | 0.00000 | 0.00000 | 0.00000 |
| 1607 | P1718 | GLOBAL | 0.0000 | 0.0000 | -4.0000 | 0.00000 | 0.00000 | 0.00000 |
| 1608 | P1718 | GLOBAL | 0.0000 | 0.0000 | -4.0000 | 0.00000 | 0.00000 | 0.00000 |
| 1615 | V15V17 | GLOBAL | 0.0000 | 0.0000 | -20.0000 | 0.00000 | 0.00000 | 0.00000 |
| 1616 | V15V17 | GLOBAL | 0.0000 | 0.0000 | -20.0000 | 0.00000 | 0.00000 | 0.00000 |
| 1619 | V15V17 | GLOBAL | 0.0000 | 0.0000 | -18.0000 | 0.00000 | 0.00000 | 0.00000 |
| 1619 | P1718 | GLOBAL | 0.0000 | 0.0000 | -12.0000 | 0.00000 | 0.00000 | 0.00000 |
| 1620 | V15V17 | GLOBAL | 0.0000 | 0.0000 | -18.0000 | 0.00000 | 0.00000 | 0.00000 |
| 1620 | P1718 | GLOBAL | 0.0000 | 0.0000 | -12.0000 | 0.00000 | 0.00000 | 0.00000 |
| 1621 | V15V17 | GLOBAL | 0.0000 | 0.0000 | -2.0000 | 0.00000 | 0.00000 | 0.00000 |
| 1621 | P1718 | GLOBAL | 0.0000 | 0.0000 | -8.0000 | 0.00000 | 0.00000 | 0.00000 |
| 1622 | V15V17 | GLOBAL | 0.0000 | 0.0000 | -2.0000 | 0.00000 | 0.00000 | 0.00000 |
| 1622 | P1718 | GLOBAL | 0.0000 | 0.0000 | -8.0000 | 0.00000 | 0.00000 | 0.00000 |
| 1623 | P1718 | GLOBAL | 0.0000 | 0.0000 | -10.0000 | 0.00000 | 0.00000 | 0.00000 |
| 1624 | P1718 | GLOBAL | 0.0000 | 0.0000 | -10.0000 | 0.00000 | 0.00000 | 0.00000 |
| 1625 | P1718 | GLOBAL | 0.0000 | 0.0000 | -10.0000 | 0.00000 | 0.00000 | 0.00000 |
| 1626 | P1718 | GLOBAL | 0.0000 | 0.0000 | -10.0000 | 0.00000 | 0.00000 | 0.00000 |
| 1629 | P1718 | GLOBAL | 0.0000 | 0.0000 | -10.0000 | 0.00000 | 0.00000 | 0.00000 |
| 1630 | P1718 | GLOBAL | 0.0000 | 0.0000 | -10.0000 | 0.00000 | 0.00000 | 0.00000 |
| 1631 | P1718 | GLOBAL | 0.0000 | 0.0000 | -10.0000 | 0.00000 | 0.00000 | 0.00000 |
| 1632 | P1718 | GLOBAL | 0.0000 | 0.0000 | -10.0000 | 0.00000 | 0.00000 | 0.00000 |
| 1633 | V16V18 | GLOBAL | 0.0000 | 0.0000 | -2.0000 | 0.00000 | 0.00000 | 0.00000 |
| 1633 | P1718 | GLOBAL | 0.0000 | 0.0000 | -8.0000 | 0.00000 | 0.00000 | 0.00000 |
| 1634 | V16V18 | GLOBAL | 0.0000 | 0.0000 | -2.0000 | 0.00000 | 0.00000 | 0.00000 |
| 1634 | P1718 | GLOBAL | 0.0000 | 0.0000 | -8.0000 | 0.00000 | 0.00000 | 0.00000 |
| 1635 | V16V18 | GLOBAL | 0.0000 | 0.0000 | -18.0000 | 0.00000 | 0.00000 | 0.00000 |
| 1635 | P1718 | GLOBAL | 0.0000 | 0.0000 | -12.0000 | 0.00000 | 0.00000 | 0.00000 |
| 1636 | V16V18 | GLOBAL | 0.0000 | 0.0000 | -18.0000 | 0.00000 | 0.00000 | 0.00000 |
| 1636 | P1718 | GLOBAL | 0.0000 | 0.0000 | -12.0000 | 0.00000 | 0.00000 | 0.00000 |
| 1639 | V16V18 | GLOBAL | 0.0000 | 0.0000 | -20.0000 | 0.00000 | 0.00000 | 0.00000 |
| 1640 | V16V18 | GLOBAL | 0.0000 | 0.0000 | -20.0000 | 0.00000 | 0.00000 | 0.00000 |
| 1647 | P1718 | GLOBAL | 0.0000 | 0.0000 | -4.0000 | 0.00000 | 0.00000 | 0.00000 |
| 1648 | P1718 | GLOBAL | 0.0000 | 0.0000 | -4.0000 | 0.00000 | 0.00000 | 0.00000 |
| 1649 | P1718 | GLOBAL | 0.0000 | 0.0000 | -16.0000 | 0.00000 | 0.00000 | 0.00000 |
| 1650 | P1718 | GLOBAL | 0.0000 | 0.0000 | -16.0000 | 0.00000 | 0.00000 | 0.00000 |
| 1651 | P1718 | GLOBAL | 0.0000 | 0.0000 | -2.0000 | 0.00000 | 0.00000 | 0.00000 |
| 1652 | P1718 | GLOBAL | 0.0000 | 0.0000 | -2.0000 | 0.00000 | 0.00000 | 0.00000 |
| 1653 | V16V18 | GLOBAL | 0.0000 | 0.0000 | -16.0000 | 0.00000 | 0.00000 | 0.00000 |
| 1653 | P1718 | GLOBAL | 0.0000 | 0.0000 | -18.0000 | 0.00000 | 0.00000 | 0.00000 |
| 1654 | V16V18 | GLOBAL | 0.0000 | 0.0000 | -16.0000 | 0.00000 | 0.00000 | 0.00000 |
| 1654 | P1718 | GLOBAL | 0.0000 | 0.0000 | -18.0000 | 0.00000 | 0.00000 | 0.00000 |
| 1655 | V16V18 | GLOBAL | 0.0000 | 0.0000 | -4.0000 | 0.00000 | 0.00000 | 0.00000 |
| 1656 | V16V18 | GLOBAL | 0.0000 | 0.0000 | -4.0000 | 0.00000 | 0.00000 | 0.00000 |
| 1657 | V16V18 | GLOBAL | 0.0000 | 0.0000 | -14.0000 | 0.00000 | 0.00000 | 0.00000 |
| 1657 | P1718 | GLOBAL | 0.0000 | 0.0000 | -2.0000 | 0.00000 | 0.00000 | 0.00000 |
| 1658 | V16V18 | GLOBAL | 0.0000 | 0.0000 | -14.0000 | 0.00000 | 0.00000 | 0.00000 |
| 1658 | P1718 | GLOBAL | 0.0000 | 0.0000 | -2.0000 | 0.00000 | 0.00000 | 0.00000 |
| 1659 | V16V18 | GLOBAL | 0.0000 | 0.0000 | -6.0000 | 0.00000 | 0.00000 | 0.00000 |
| 1659 | P1718 | GLOBAL | 0.0000 | 0.0000 | -18.0000 | 0.00000 | 0.00000 | 0.00000 |
| 1660 | V16V18 | GLOBAL | 0.0000 | 0.0000 | -6.0000 | 0.00000 | 0.00000 | 0.00000 |
| 1660 | P1718 | GLOBAL | 0.0000 | 0.0000 | -18.0000 | 0.00000 | 0.00000 | 0.00000 |
| 1663 | V16V18 | GLOBAL | 0.0000 | 0.0000 | -14.0000 | 0.00000 | 0.00000 | 0.00000 |
| 1663 | P1718 | GLOBAL | 0.0000 | 0.0000 | -20.0000 | 0.00000 | 0.00000 | 0.00000 |
| 1664 | V16V18 | GLOBAL | 0.0000 | 0.0000 | -14.0000 | 0.00000 | 0.00000 | 0.00000 |
| 1664 | P1718 | GLOBAL | 0.0000 | 0.0000 | -20.0000 | 0.00000 | 0.00000 | 0.00000 |
| 1665 | V16V18 | GLOBAL | 0.0000 | 0.0000 | -6.0000 | 0.00000 | 0.00000 | 0.00000 |
| 1666 | V16V18 | GLOBAL | 0.0000 | 0.0000 | -6.0000 | 0.00000 | 0.00000 | 0.00000 |
| 1667 | V16V18 | GLOBAL | 0.0000 | 0.0000 | -12.0000 | 0.00000 | 0.00000 | 0.00000 |
| 1668 | V16V18 | GLOBAL | 0.0000 | 0.0000 | -12.0000 | 0.00000 | 0.00000 | 0.00000 |
| 1669 | V16V18 | GLOBAL | 0.0000 | 0.0000 | -8.0000 | 0.00000 | 0.00000 | 0.00000 |
| 1670 | V16V18 | GLOBAL | 0.0000 | 0.0000 | -8.0000 | 0.00000 | 0.00000 | 0.00000 |
| 1677 | P1718 | GLOBAL | 0.0000 | 0.0000 | -16.0000 | 0.00000 | 0.00000 | 0.00000 |
| 1678 | P1718 | GLOBAL | 0.0000 | 0.0000 | -16.0000 | 0.00000 | 0.00000 | 0.00000 |





| Joint | LoadCase | CoordSys | F1 | F2 | F3 | M1 | M2 | M3 |
|---|---|---|---|---|---|---|---|---|
| Text | Text | Text | Ton | Ton | Ton | Ton-m | Ton-m | Ton-m |
| 1679 | P1718 | GLOBAL | 0.0000 | 0.0000 | -4.0000 | 0.00000 | 0.00000 | 0.00000 |
| 1680 | P1718 | GLOBAL | 0.0000 | 0.0000 | -4.0000 | 0.00000 | 0.00000 | 0.00000 |
| 1681 | V16V18 | GLOBAL | 0.0000 | 0.0000 | -8.0000 | 0.00000 | 0.00000 | 0.00000 |
| 1681 | P1718 | GLOBAL | 0.0000 | 0.0000 | -14.0000 | 0.00000 | 0.00000 | 0.00000 |
| 1682 | V16V18 | GLOBAL | 0.0000 | 0.0000 | -8.0000 | 0.00000 | 0.00000 | 0.00000 |
| 1682 | P1718 | GLOBAL | 0.0000 | 0.0000 | -14.0000 | 0.00000 | 0.00000 | 0.00000 |
| 1683 | V16V18 | GLOBAL | 0.0000 | 0.0000 | -12.0000 | 0.00000 | 0.00000 | 0.00000 |
| 1683 | P1718 | GLOBAL | 0.0000 | 0.0000 | -6.0000 | 0.00000 | 0.00000 | 0.00000 |
| 1684 | V16V18 | GLOBAL | 0.0000 | 0.0000 | -12.0000 | 0.00000 | 0.00000 | 0.00000 |
| 1684 | P1718 | GLOBAL | 0.0000 | 0.0000 | -6.0000 | 0.00000 | 0.00000 | 0.00000 |
| 1685 | V16V18 | GLOBAL | 0.0000 | 0.0000 | -6.0000 | 0.00000 | 0.00000 | 0.00000 |
| 1686 | V16V18 | GLOBAL | 0.0000 | 0.0000 | -6.0000 | 0.00000 | 0.00000 | 0.00000 |
| 1687 | V16V18 | GLOBAL | 0.0000 | 0.0000 | -14.0000 | 0.00000 | 0.00000 | 0.00000 |
| 1687 | P1718 | GLOBAL | 0.0000 | 0.0000 | -14.0000 | 0.00000 | 0.00000 | 0.00000 |
| 1688 | V16V18 | GLOBAL | 0.0000 | 0.0000 | -14.0000 | 0.00000 | 0.00000 | 0.00000 |
| 1688 | P1718 | GLOBAL | 0.0000 | 0.0000 | -14.0000 | 0.00000 | 0.00000 | 0.00000 |
| 1689 | P1718 | GLOBAL | 0.0000 | 0.0000 | -6.0000 | 0.00000 | 0.00000 | 0.00000 |
| 1690 | P1718 | GLOBAL | 0.0000 | 0.0000 | -6.0000 | 0.00000 | 0.00000 | 0.00000 |
| 1691 | V16V18 | GLOBAL | 0.0000 | 0.0000 | -6.0000 | 0.00000 | 0.00000 | 0.00000 |
| 1691 | P1718 | GLOBAL | 0.0000 | 0.0000 | -12.0000 | 0.00000 | 0.00000 | 0.00000 |
| 1692 | V16V18 | GLOBAL | 0.0000 | 0.0000 | -6.0000 | 0.00000 | 0.00000 | 0.00000 |
| 1692 | P1718 | GLOBAL | 0.0000 | 0.0000 | -12.0000 | 0.00000 | 0.00000 | 0.00000 |
| 1693 | V16V18 | GLOBAL | 0.0000 | 0.0000 | -14.0000 | 0.00000 | 0.00000 | 0.00000 |
| 1693 | P1718 | GLOBAL | 0.0000 | 0.0000 | -8.0000 | 0.00000 | 0.00000 | 0.00000 |
| 1694 | V16V18 | GLOBAL | 0.0000 | 0.0000 | -14.0000 | 0.00000 | 0.00000 | 0.00000 |
| 1694 | P1718 | GLOBAL | 0.0000 | 0.0000 | -8.0000 | 0.00000 | 0.00000 | 0.00000 |
| 1695 | V16V18 | GLOBAL | 0.0000 | 0.0000 | -4.0000 | 0.00000 | 0.00000 | 0.00000 |
| 1696 | V16V18 | GLOBAL | 0.0000 | 0.0000 | -4.0000 | 0.00000 | 0.00000 | 0.00000 |
| 1697 | V16V18 | GLOBAL | 0.0000 | 0.0000 | -16.0000 | 0.00000 | 0.00000 | 0.00000 |
| 1698 | V16V18 | GLOBAL | 0.0000 | 0.0000 | -16.0000 | 0.00000 | 0.00000 | 0.00000 |
| 1705 | P1718 | GLOBAL | 0.0000 | 0.0000 | -8.0000 | 0.00000 | 0.00000 | 0.00000 |
| 1706 | P1718 | GLOBAL | 0.0000 | 0.0000 | -8.0000 | 0.00000 | 0.00000 | 0.00000 |
| 1707 | P1718 | GLOBAL | 0.0000 | 0.0000 | -12.0000 | 0.00000 | 0.00000 | 0.00000 |
| 1708 | P1718 | GLOBAL | 0.0000 | 0.0000 | -12.0000 | 0.00000 | 0.00000 | 0.00000 |
| 1709 | P1718 | GLOBAL | 0.0000 | 0.0000 | -6.0000 | 0.00000 | 0.00000 | 0.00000 |
| 1710 | P1718 | GLOBAL | 0.0000 | 0.0000 | -6.0000 | 0.00000 | 0.00000 | 0.00000 |
| 1711 | V16V18 | GLOBAL | 0.0000 | 0.0000 | -20.0000 | 0.00000 | 0.00000 | 0.00000 |
| 1711 | P1718 | GLOBAL | 0.0000 | 0.0000 | -14.0000 | 0.00000 | 0.00000 | 0.00000 |
| 1712 | V16V18 | GLOBAL | 0.0000 | 0.0000 | -20.0000 | 0.00000 | 0.00000 | 0.00000 |
| 1712 | P1718 | GLOBAL | 0.0000 | 0.0000 | -14.0000 | 0.00000 | 0.00000 | 0.00000 |
| 1715 | V16V18 | GLOBAL | 0.0000 | 0.0000 | -18.0000 | 0.00000 | 0.00000 | 0.00000 |
| 1716 | V16V18 | GLOBAL | 0.0000 | 0.0000 | -18.0000 | 0.00000 | 0.00000 | 0.00000 |
| 1717 | V16V18 | GLOBAL | 0.0000 | 0.0000 | -2.0000 | 0.00000 | 0.00000 | 0.00000 |
| 1718 | V16V18 | GLOBAL | 0.0000 | 0.0000 | -2.0000 | 0.00000 | 0.00000 | 0.00000 |
| 1734 | V19V21 | GLOBAL | 0.0000 | 0.0000 | -12.0000 | 0.00000 | 0.00000 | 0.00000 |
| 1736 | V19V21 | GLOBAL | 0.0000 | 0.0000 | -8.0000 | 0.00000 | 0.00000 | 0.00000 |
| 1738 | V19V21 | GLOBAL | 0.0000 | 0.0000 | -10.8000 | 0.00000 | 0.00000 | 0.00000 |
| 1740 | V19V21 | GLOBAL | 0.0000 | 0.0000 | -9.2000 | 0.00000 | 0.00000 | 0.00000 |
| 1742 | V19V21 | GLOBAL | 0.0000 | 0.0000 | -9.6000 | 0.00000 | 0.00000 | 0.00000 |
| 1743 | V19V21 | GLOBAL | 0.0000 | 0.0000 | -7.8000 | 0.00000 | 0.00000 | 0.00000 |
| 1744 | V19V21 | GLOBAL | 0.0000 | 0.0000 | -10.4000 | 0.00000 | 0.00000 | 0.00000 |
| 1745 | V19V21 | GLOBAL | 0.0000 | 0.0000 | -12.2000 | 0.00000 | 0.00000 | 0.00000 |
| 1747 | V19V21 | GLOBAL | 0.0000 | 0.0000 | -6.6000 | 0.00000 | 0.00000 | 0.00000 |
| 1749 | V19V21 | GLOBAL | 0.0000 | 0.0000 | -13.4000 | 0.00000 | 0.00000 | 0.00000 |
| 1751 | V19V21 | GLOBAL | 0.0000 | 0.0000 | -5.4000 | 0.00000 | 0.00000 | 0.00000 |
| 1753 | V19V21 | GLOBAL | 0.0000 | 0.0000 | -14.6000 | 0.00000 | 0.00000 | 0.00000 |
| 1756 | V19V21 | GLOBAL | 0.0000 | 0.0000 | -5.4000 | 0.00000 | 0.00000 | 0.00000 |
| 1758 | V19V21 | GLOBAL | 0.0000 | 0.0000 | -14.6000 | 0.00000 | 0.00000 | 0.00000 |
| 1760 | V19V21 | GLOBAL | 0.0000 | 0.0000 | -4.2000 | 0.00000 | 0.00000 | 0.00000 |
| 1762 | V19V21 | GLOBAL | 0.0000 | 0.0000 | -15.8000 | 0.00000 | 0.00000 | 0.00000 |
| 1764 | V19V21 | GLOBAL | 0.0000 | 0.0000 | -3.0000 | 0.00000 | 0.00000 | 0.00000 |
| 1765 | V19V21 | GLOBAL | 0.0000 | 0.0000 | -1.2000 | 0.00000 | 0.00000 | 0.00000 |
| 1766 | V19V21 | GLOBAL | 0.0000 | 0.0000 | -17.0000 | 0.00000 | 0.00000 | 0.00000 |
| 1767 | V19V21 | GLOBAL | 0.0000 | 0.0000 | -18.8000 | 0.00000 | 0.00000 | 0.00000 |
| 1771 | V19V21 | GLOBAL | 0.0000 | 0.0000 | -20.0000 | 0.00000 | 0.00000 | 0.00000 |
| 1772 | V19V21 | GLOBAL | 0.0000 | 0.0000 | -20.0000 | 0.00000 | 0.00000 | 0.00000 |
| 1775 | V19V21 | GLOBAL | 0.0000 | 0.0000 | -20.0000 | 0.00000 | 0.00000 | 0.00000 |
| 1776 | V19V21 | GLOBAL | 0.0000 | 0.0000 | -18.0000 | 0.00000 | 0.00000 | 0.00000 |
| 1778 | V19V21 | GLOBAL | 0.0000 | 0.0000 | -2.0000 | 0.00000 | 0.00000 | 0.00000 |
| 1781 | V19V21 | GLOBAL | 0.0000 | 0.0000 | -15.8000 | 0.00000 | 0.00000 | 0.00000 |
| 1783 | V19V21 | GLOBAL | 0.0000 | 0.0000 | -4.2000 | 0.00000 | 0.00000 | 0.00000 |
| 1785 | V19V21 | GLOBAL | 0.0000 | 0.0000 | -13.8000 | 0.00000 | 0.00000 | 0.00000 |
| 1787 | V19V21 | GLOBAL | 0.0000 | 0.0000 | -6.2000 | 0.00000 | 0.00000 | 0.00000 |
| 1790 | V19V21 | GLOBAL | 0.0000 | 0.0000 | -14.0000 | 0.00000 | 0.00000 | 0.00000 |
| 1792 | V19V21 | GLOBAL | 0.0000 | 0.0000 | -6.0000 | 0.00000 | 0.00000 | 0.00000 |
| 1794 | V19V21 | GLOBAL | 0.0000 | 0.0000 | -12.0000 | 0.00000 | 0.00000 | 0.00000 |
| 1796 | V19V21 | GLOBAL | 0.0000 | 0.0000 | -8.0000 | 0.00000 | 0.00000 | 0.00000 |
| 1799 | V19V21 | GLOBAL | 0.0000 | 0.0000 | -9.8000 | 0.00000 | 0.00000 | 0.00000 |
| 1800 | V19V21 | GLOBAL | 0.0000 | 0.0000 | -12.0000 | 0.00000 | 0.00000 | 0.00000 |
| 1801 | V19V21 | GLOBAL | 0.0000 | 0.0000 | -10.2000 | 0.00000 | 0.00000 | 0.00000 |
| 1802 | V19V21 | GLOBAL | 0.0000 | 0.0000 | -8.0000 | 0.00000 | 0.00000 | 0.00000 |
| 1803 | V19V21 | GLOBAL | 0.0000 | 0.0000 | -7.8000 | 0.00000 | 0.00000 | 0.00000 |
| 1804 | V19V21 | GLOBAL | 0.0000 | 0.0000 | -10.0000 | 0.00000 | 0.00000 | 0.00000 |
| 1805 | V19V21 | GLOBAL | 0.0000 | 0.0000 | -12.2000 | 0.00000 | 0.00000 | 0.00000 |
| 1806 | V19V21 | GLOBAL | 0.0000 | 0.0000 | -10.0000 | 0.00000 | 0.00000 | 0.00000 |
| 1818 | V19V21 | GLOBAL | 0.0000 | 0.0000 | -6.0000 | 0.00000 | 0.00000 | 0.00000 |
| 1820 | V19V21 | GLOBAL | 0.0000 | 0.0000 | -14.0000 | 0.00000 | 0.00000 | 0.00000 |
| 1822 | V19V21 | GLOBAL | 0.0000 | 0.0000 | -8.0000 | 0.00000 | 0.00000 | 0.00000 |
| 1824 | V19V21 | GLOBAL | 0.0000 | 0.0000 | -12.0000 | 0.00000 | 0.00000 | 0.00000 |
| 1824 | P2021 | GLOBAL | 0.0000 | 0.0000 | -18.0000 | 0.00000 | 0.00000 | 0.00000 |
| 1826 | P2021 | GLOBAL | 0.0000 | 0.0000 | -2.0000 | 0.00000 | 0.00000 | 0.00000 |

| Joint | LoadCase | CoordSys | F1 | F2 | F3 | M1 | M2 | M3 |
|---|---|---|---|---|---|---|---|---|
| Text | Text | Text | Ton | Ton | Ton | Ton-m | Ton-m | Ton-m |
| 1828 | P2021 | GLOBAL | 0.0000 | 0.0000 | -16.8000 | 0.00000 | 0.00000 | 0.00000 |
| 1830 | V20V22 | GLOBAL | 0.0000 | 0.0000 | -12.0000 | 0.00000 | 0.00000 | 0.00000 |
| 1830 | P2021 | GLOBAL | 0.0000 | 0.0000 | -3.2000 | 0.00000 | 0.00000 | 0.00000 |
| 1832 | V20V22 | GLOBAL | 0.0000 | 0.0000 | -8.0000 | 0.00000 | 0.00000 | 0.00000 |
| 1832 | P2021 | GLOBAL | 0.0000 | 0.0000 | -15.6000 | 0.00000 | 0.00000 | 0.00000 |
| 1834 | V20V22 | GLOBAL | 0.0000 | 0.0000 | -10.8000 | 0.00000 | 0.00000 | 0.00000 |
| 1834 | P2021 | GLOBAL | 0.0000 | 0.0000 | -4.4000 | 0.00000 | 0.00000 | 0.00000 |
| 1836 | V20V22 | GLOBAL | 0.0000 | 0.0000 | -9.2000 | 0.00000 | 0.00000 | 0.00000 |
| 1838 | V20V22 | GLOBAL | 0.0000 | 0.0000 | -9.6000 | 0.00000 | 0.00000 | 0.00000 |
| 1839 | V20V22 | GLOBAL | 0.0000 | 0.0000 | -7.8000 | 0.00000 | 0.00000 | 0.00000 |
| 1840 | V20V22 | GLOBAL | 0.0000 | 0.0000 | -10.4000 | 0.00000 | 0.00000 | 0.00000 |
| 1841 | V20V22 | GLOBAL | 0.0000 | 0.0000 | -12.2000 | 0.00000 | 0.00000 | 0.00000 |
| 1843 | V20V22 | GLOBAL | 0.0000 | 0.0000 | -6.6000 | 0.00000 | 0.00000 | 0.00000 |
| 1845 | V20V22 | GLOBAL | 0.0000 | 0.0000 | -13.4000 | 0.00000 | 0.00000 | 0.00000 |
| 1846 | P2021 | GLOBAL | 0.0000 | 0.0000 | -11.4000 | 0.00000 | 0.00000 | 0.00000 |
| 1847 | V20V22 | GLOBAL | 0.0000 | 0.0000 | -5.4000 | 0.00000 | 0.00000 | 0.00000 |
| 1848 | P2021 | GLOBAL | 0.0000 | 0.0000 | -8.6000 | 0.00000 | 0.00000 | 0.00000 |
| 1849 | V20V22 | GLOBAL | 0.0000 | 0.0000 | -14.6000 | 0.00000 | 0.00000 | 0.00000 |
| 1850 | P2021 | GLOBAL | 0.0000 | 0.0000 | -10.2000 | 0.00000 | 0.00000 | 0.00000 |
| 1851 | P2021 | GLOBAL | 0.0000 | 0.0000 | -10.0000 | 0.00000 | 0.00000 | 0.00000 |
| 1852 | V20V22 | GLOBAL | 0.0000 | 0.0000 | -5.4000 | 0.00000 | 0.00000 | 0.00000 |
| 1852 | P2021 | GLOBAL | 0.0000 | 0.0000 | -9.8000 | 0.00000 | 0.00000 | 0.00000 |
| 1853 | P2021 | GLOBAL | 0.0000 | 0.0000 | -10.0000 | 0.00000 | 0.00000 | 0.00000 |
| 1854 | V20V22 | GLOBAL | 0.0000 | 0.0000 | -14.6000 | 0.00000 | 0.00000 | 0.00000 |
| 1854 | P2021 | GLOBAL | 0.0000 | 0.0000 | -9.0000 | 0.00000 | 0.00000 | 0.00000 |
| 1855 | P2021 | GLOBAL | 0.0000 | 0.0000 | -8.8000 | 0.00000 | 0.00000 | 0.00000 |
| 1856 | V20V22 | GLOBAL | 0.0000 | 0.0000 | -4.2000 | 0.00000 | 0.00000 | 0.00000 |
| 1856 | P2021 | GLOBAL | 0.0000 | 0.0000 | -11.0000 | 0.00000 | 0.00000 | 0.00000 |
| 1857 | P2021 | GLOBAL | 0.0000 | 0.0000 | -11.2000 | 0.00000 | 0.00000 | 0.00000 |
| 1858 | V20V22 | GLOBAL | 0.0000 | 0.0000 | -15.8000 | 0.00000 | 0.00000 | 0.00000 |
| 1859 | P2021 | GLOBAL | 0.0000 | 0.0000 | -7.6000 | 0.00000 | 0.00000 | 0.00000 |
| 1860 | V20V22 | GLOBAL | 0.0000 | 0.0000 | -3.0000 | 0.00000 | 0.00000 | 0.00000 |
| 1860 | P2021 | GLOBAL | 0.0000 | 0.0000 | -6.0000 | 0.00000 | 0.00000 | 0.00000 |
| 1861 | V20V22 | GLOBAL | 0.0000 | 0.0000 | -1.2000 | 0.00000 | 0.00000 | 0.00000 |
| 1861 | P2021 | GLOBAL | 0.0000 | 0.0000 | -12.4000 | 0.00000 | 0.00000 | 0.00000 |
| 1862 | V20V22 | GLOBAL | 0.0000 | 0.0000 | -17.0000 | 0.00000 | 0.00000 | 0.00000 |
| 1862 | P2021 | GLOBAL | 0.0000 | 0.0000 | -14.0000 | 0.00000 | 0.00000 | 0.00000 |
| 1863 | V20V22 | GLOBAL | 0.0000 | 0.0000 | -18.8000 | 0.00000 | 0.00000 | 0.00000 |
| 1864 | P2021 | GLOBAL | 0.0000 | 0.0000 | -4.0000 | 0.00000 | 0.00000 | 0.00000 |
| 1866 | P2021 | GLOBAL | 0.0000 | 0.0000 | -16.0000 | 0.00000 | 0.00000 | 0.00000 |
| 1867 | V20V22 | GLOBAL | 0.0000 | 0.0000 | -20.0000 | 0.00000 | 0.00000 | 0.00000 |
| 1868 | V20V22 | GLOBAL | 0.0000 | 0.0000 | -20.0000 | 0.00000 | 0.00000 | 0.00000 |
| 1871 | V20V22 | GLOBAL | 0.0000 | 0.0000 | -20.0000 | 0.00000 | 0.00000 | 0.00000 |
| 1872 | V20V22 | GLOBAL | 0.0000 | 0.0000 | -18.0000 | 0.00000 | 0.00000 | 0.00000 |
| 1873 | P2021 | GLOBAL | 0.0000 | 0.0000 | -3.4000 | 0.00000 | 0.00000 | 0.00000 |
| 1874 | V20V22 | GLOBAL | 0.0000 | 0.0000 | -2.0000 | 0.00000 | 0.00000 | 0.00000 |
| 1875 | P2021 | GLOBAL | 0.0000 | 0.0000 | -16.6000 | 0.00000 | 0.00000 | 0.00000 |
| 1877 | V20V22 | GLOBAL | 0.0000 | 0.0000 | -15.8000 | 0.00000 | 0.00000 | 0.00000 |
| 1877 | P2021 | GLOBAL | 0.0000 | 0.0000 | -2.2000 | 0.00000 | 0.00000 | 0.00000 |
| 1879 | V20V22 | GLOBAL | 0.0000 | 0.0000 | -4.2000 | 0.00000 | 0.00000 | 0.00000 |
| 1879 | P2021 | GLOBAL | 0.0000 | 0.0000 | -17.8000 | 0.00000 | 0.00000 | 0.00000 |
| 1880 | P2021 | GLOBAL | 0.0000 | 0.0000 | -20.0000 | 0.00000 | 0.00000 | 0.00000 |
| 1881 | V20V22 | GLOBAL | 0.0000 | 0.0000 | -13.8000 | 0.00000 | 0.00000 | 0.00000 |
| 1883 | V20V22 | GLOBAL | 0.0000 | 0.0000 | -6.2000 | 0.00000 | 0.00000 | 0.00000 |
| 1883 | P2021 | GLOBAL | 0.0000 | 0.0000 | -20.0000 | 0.00000 | 0.00000 | 0.00000 |
| 1884 | P2021 | GLOBAL | 0.0000 | 0.0000 | -18.0000 | 0.00000 | 0.00000 | 0.00000 |
| 1886 | V20V22 | GLOBAL | 0.0000 | 0.0000 | -14.0000 | 0.00000 | 0.00000 | 0.00000 |
| 1886 | P2021 | GLOBAL | 0.0000 | 0.0000 | -2.0000 | 0.00000 | 0.00000 | 0.00000 |
| 1888 | V20V22 | GLOBAL | 0.0000 | 0.0000 | -6.0000 | 0.00000 | 0.00000 | 0.00000 |
| 1889 | P2021 | GLOBAL | 0.0000 | 0.0000 | -18.0000 | 0.00000 | 0.00000 | 0.00000 |
| 1890 | V20V22 | GLOBAL | 0.0000 | 0.0000 | -12.0000 | 0.00000 | 0.00000 | 0.00000 |
| 1890 | P2021 | GLOBAL | 0.0000 | 0.0000 | -18.0000 | 0.00000 | 0.00000 | 0.00000 |
| 1891 | P2021 | GLOBAL | 0.0000 | 0.0000 | -2.0000 | 0.00000 | 0.00000 | 0.00000 |
| 1892 | V20V22 | GLOBAL | 0.0000 | 0.0000 | -8.0000 | 0.00000 | 0.00000 | 0.00000 |
| 1892 | P2021 | GLOBAL | 0.0000 | 0.0000 | -2.0000 | 0.00000 | 0.00000 | 0.00000 |
| 1893 | P2021 | GLOBAL | 0.0000 | 0.0000 | -16.0000 | 0.00000 | 0.00000 | 0.00000 |
| 1894 | P2021 | GLOBAL | 0.0000 | 0.0000 | -16.0000 | 0.00000 | 0.00000 | 0.00000 |
| 1895 | V20V22 | GLOBAL | 0.0000 | 0.0000 | -9.8000 | 0.00000 | 0.00000 | 0.00000 |
| 1895 | P2021 | GLOBAL | 0.0000 | 0.0000 | -4.0000 | 0.00000 | 0.00000 | 0.00000 |
| 1896 | V20V22 | GLOBAL | 0.0000 | 0.0000 | -12.0000 | 0.00000 | 0.00000 | 0.00000 |
| 1896 | P2021 | GLOBAL | 0.0000 | 0.0000 | -4.0000 | 0.00000 | 0.00000 | 0.00000 |
| 1897 | V20V22 | GLOBAL | 0.0000 | 0.0000 | -10.2000 | 0.00000 | 0.00000 | 0.00000 |
| 1898 | V20V22 | GLOBAL | 0.0000 | 0.0000 | -8.0000 | 0.00000 | 0.00000 | 0.00000 |
| 1899 | V20V22 | GLOBAL | 0.0000 | 0.0000 | -7.8000 | 0.00000 | 0.00000 | 0.00000 |
| 1900 | V20V22 | GLOBAL | 0.0000 | 0.0000 | -10.0000 | 0.00000 | 0.00000 | 0.00000 |
| 1901 | V20V22 | GLOBAL | 0.0000 | 0.0000 | -12.2000 | 0.00000 | 0.00000 | 0.00000 |
| 1902 | V20V22 | GLOBAL | 0.0000 | 0.0000 | -10.0000 | 0.00000 | 0.00000 | 0.00000 |
| 1907 | P2021 | GLOBAL | 0.0000 | 0.0000 | -12.0000 | 0.00000 | 0.00000 | 0.00000 |
| 1908 | P2021 | GLOBAL | 0.0000 | 0.0000 | -12.0000 | 0.00000 | 0.00000 | 0.00000 |
| 1909 | P2021 | GLOBAL | 0.0000 | 0.0000 | -8.0000 | 0.00000 | 0.00000 | 0.00000 |
| 1910 | P2021 | GLOBAL | 0.0000 | 0.0000 | -8.0000 | 0.00000 | 0.00000 | 0.00000 |
| 1911 | P2021 | GLOBAL | 0.0000 | 0.0000 | -10.0000 | 0.00000 | 0.00000 | 0.00000 |
| 1912 | P2021 | GLOBAL | 0.0000 | 0.0000 | -10.0000 | 0.00000 | 0.00000 | 0.00000 |
| 1913 | P2021 | GLOBAL | 0.0000 | 0.0000 | -10.0000 | 0.00000 | 0.00000 | 0.00000 |
| 1914 | V20V22 | GLOBAL | 0.0000 | 0.0000 | -6.0000 | 0.00000 | 0.00000 | 0.00000 |
| 1914 | P2021 | GLOBAL | 0.0000 | 0.0000 | -10.0000 | 0.00000 | 0.00000 | 0.00000 |
| 1916 | V20V22 | GLOBAL | 0.0000 | 0.0000 | -14.0000 | 0.00000 | 0.00000 | 0.00000 |
| 1917 | P2021 | GLOBAL | 0.0000 | 0.0000 | -10.0000 | 0.00000 | 0.00000 | 0.00000 |
| 1918 | V20V22 | GLOBAL | 0.0000 | 0.0000 | -8.0000 | 0.00000 | 0.00000 | 0.00000 |
| 1918 | P2021 | GLOBAL | 0.0000 | 0.0000 | -10.0000 | 0.00000 | 0.00000 | 0.00000 |
| 1919 | P2021 | GLOBAL | 0.0000 | 0.0000 | -10.0000 | 0.00000 | 0.00000 | 0.00000 |





| Joint | LoadCase | CoordSys | F1 | F2 | F3 | M1 | M2 | M3 |
|---|---|---|---|---|---|---|---|---|
| Text | Text | Text | Ton | Ton | Ton | Ton-m | Ton-m | Ton-m |
| 1920 | V20V22 | GLOBAL | 0.0000 | 0.0000 | -12.0000 | 0.00000 | 0.00000 | 0.00000 |
| 1920 | P2021 | GLOBAL | 0.0000 | 0.0000 | -10.0000 | 0.00000 | 0.00000 | 0.00000 |
| 1921 | V19V21 | GLOBAL | 0.0000 | 0.0000 | -2.0000 | 0.00000 | 0.00000 | 0.00000 |
| 1921 | P2021 | GLOBAL | 0.0000 | 0.0000 | -8.0000 | 0.00000 | 0.00000 | 0.00000 |
| 1922 | V19V21 | GLOBAL | 0.0000 | 0.0000 | -2.0000 | 0.00000 | 0.00000 | 0.00000 |
| 1922 | P2021 | GLOBAL | 0.0000 | 0.0000 | -8.0000 | 0.00000 | 0.00000 | 0.00000 |
| 1923 | V19V21 | GLOBAL | 0.0000 | 0.0000 | -18.0000 | 0.00000 | 0.00000 | 0.00000 |
| 1923 | P2021 | GLOBAL | 0.0000 | 0.0000 | -12.0000 | 0.00000 | 0.00000 | 0.00000 |
| 1924 | V19V21 | GLOBAL | 0.0000 | 0.0000 | -18.0000 | 0.00000 | 0.00000 | 0.00000 |
| 1924 | P2021 | GLOBAL | 0.0000 | 0.0000 | -12.0000 | 0.00000 | 0.00000 | 0.00000 |
| 1927 | V19V21 | GLOBAL | 0.0000 | 0.0000 | -20.0000 | 0.00000 | 0.00000 | 0.00000 |
| 1928 | V19V21 | GLOBAL | 0.0000 | 0.0000 | -20.0000 | 0.00000 | 0.00000 | 0.00000 |
| 1935 | P2021 | GLOBAL | 0.0000 | 0.0000 | -4.0000 | 0.00000 | 0.00000 | 0.00000 |
| 1936 | P2021 | GLOBAL | 0.0000 | 0.0000 | -4.0000 | 0.00000 | 0.00000 | 0.00000 |
| 1937 | P2021 | GLOBAL | 0.0000 | 0.0000 | -16.0000 | 0.00000 | 0.00000 | 0.00000 |
| 1938 | P2021 | GLOBAL | 0.0000 | 0.0000 | -16.0000 | 0.00000 | 0.00000 | 0.00000 |
| 1939 | P2021 | GLOBAL | 0.0000 | 0.0000 | -2.0000 | 0.00000 | 0.00000 | 0.00000 |
| 1940 | P2021 | GLOBAL | 0.0000 | 0.0000 | -2.0000 | 0.00000 | 0.00000 | 0.00000 |
| 1941 | V19V21 | GLOBAL | 0.0000 | 0.0000 | -16.0000 | 0.00000 | 0.00000 | 0.00000 |
| 1941 | P2021 | GLOBAL | 0.0000 | 0.0000 | -18.0000 | 0.00000 | 0.00000 | 0.00000 |
| 1942 | V19V21 | GLOBAL | 0.0000 | 0.0000 | -16.0000 | 0.00000 | 0.00000 | 0.00000 |
| 1942 | P2021 | GLOBAL | 0.0000 | 0.0000 | -18.0000 | 0.00000 | 0.00000 | 0.00000 |
| 1943 | V19V21 | GLOBAL | 0.0000 | 0.0000 | -4.0000 | 0.00000 | 0.00000 | 0.00000 |
| 1944 | V19V21 | GLOBAL | 0.0000 | 0.0000 | -4.0000 | 0.00000 | 0.00000 | 0.00000 |
| 1945 | V19V21 | GLOBAL | 0.0000 | 0.0000 | -14.0000 | 0.00000 | 0.00000 | 0.00000 |
| 1945 | P2021 | GLOBAL | 0.0000 | 0.0000 | -2.0000 | 0.00000 | 0.00000 | 0.00000 |
| 1946 | V19V21 | GLOBAL | 0.0000 | 0.0000 | -14.0000 | 0.00000 | 0.00000 | 0.00000 |
| 1946 | P2021 | GLOBAL | 0.0000 | 0.0000 | -2.0000 | 0.00000 | 0.00000 | 0.00000 |
| 1947 | V19V21 | GLOBAL | 0.0000 | 0.0000 | -6.0000 | 0.00000 | 0.00000 | 0.00000 |
| 1947 | P2021 | GLOBAL | 0.0000 | 0.0000 | -18.0000 | 0.00000 | 0.00000 | 0.00000 |
| 1948 | V19V21 | GLOBAL | 0.0000 | 0.0000 | -6.0000 | 0.00000 | 0.00000 | 0.00000 |
| 1948 | P2021 | GLOBAL | 0.0000 | 0.0000 | -18.0000 | 0.00000 | 0.00000 | 0.00000 |
| 1951 | V19V21 | GLOBAL | 0.0000 | 0.0000 | -14.0000 | 0.00000 | 0.00000 | 0.00000 |
| 1951 | P2021 | GLOBAL | 0.0000 | 0.0000 | -20.0000 | 0.00000 | 0.00000 | 0.00000 |
| 1952 | V19V21 | GLOBAL | 0.0000 | 0.0000 | -14.0000 | 0.00000 | 0.00000 | 0.00000 |
| 1952 | P2021 | GLOBAL | 0.0000 | 0.0000 | -20.0000 | 0.00000 | 0.00000 | 0.00000 |
| 1953 | V19V21 | GLOBAL | 0.0000 | 0.0000 | -6.0000 | 0.00000 | 0.00000 | 0.00000 |
| 1954 | V19V21 | GLOBAL | 0.0000 | 0.0000 | -6.0000 | 0.00000 | 0.00000 | 0.00000 |
| 1955 | V19V21 | GLOBAL | 0.0000 | 0.0000 | -12.0000 | 0.00000 | 0.00000 | 0.00000 |
| 1956 | V19V21 | GLOBAL | 0.0000 | 0.0000 | -12.0000 | 0.00000 | 0.00000 | 0.00000 |
| 1957 | V19V21 | GLOBAL | 0.0000 | 0.0000 | -8.0000 | 0.00000 | 0.00000 | 0.00000 |
| 1958 | V19V21 | GLOBAL | 0.0000 | 0.0000 | -8.0000 | 0.00000 | 0.00000 | 0.00000 |
| 1965 | P2021 | GLOBAL | 0.0000 | 0.0000 | -16.0000 | 0.00000 | 0.00000 | 0.00000 |
| 1966 | P2021 | GLOBAL | 0.0000 | 0.0000 | -16.0000 | 0.00000 | 0.00000 | 0.00000 |
| 1967 | P2021 | GLOBAL | 0.0000 | 0.0000 | -4.0000 | 0.00000 | 0.00000 | 0.00000 |
| 1968 | P2021 | GLOBAL | 0.0000 | 0.0000 | -4.0000 | 0.00000 | 0.00000 | 0.00000 |
| 1969 | V19V21 | GLOBAL | 0.0000 | 0.0000 | -8.0000 | 0.00000 | 0.00000 | 0.00000 |
| 1969 | P2021 | GLOBAL | 0.0000 | 0.0000 | -14.0000 | 0.00000 | 0.00000 | 0.00000 |
| 1970 | V19V21 | GLOBAL | 0.0000 | 0.0000 | -8.0000 | 0.00000 | 0.00000 | 0.00000 |
| 1970 | P2021 | GLOBAL | 0.0000 | 0.0000 | -14.0000 | 0.00000 | 0.00000 | 0.00000 |
| 1971 | V19V21 | GLOBAL | 0.0000 | 0.0000 | -12.0000 | 0.00000 | 0.00000 | 0.00000 |
| 1971 | P2021 | GLOBAL | 0.0000 | 0.0000 | -6.0000 | 0.00000 | 0.00000 | 0.00000 |
| 1972 | V19V21 | GLOBAL | 0.0000 | 0.0000 | -12.0000 | 0.00000 | 0.00000 | 0.00000 |
| 1972 | P2021 | GLOBAL | 0.0000 | 0.0000 | -6.0000 | 0.00000 | 0.00000 | 0.00000 |
| 1973 | V19V21 | GLOBAL | 0.0000 | 0.0000 | -6.0000 | 0.00000 | 0.00000 | 0.00000 |
| 1974 | V19V21 | GLOBAL | 0.0000 | 0.0000 | -6.0000 | 0.00000 | 0.00000 | 0.00000 |
| 1975 | V19V21 | GLOBAL | 0.0000 | 0.0000 | -14.0000 | 0.00000 | 0.00000 | 0.00000 |
| 1975 | P2021 | GLOBAL | 0.0000 | 0.0000 | -14.0000 | 0.00000 | 0.00000 | 0.00000 |
| 1976 | V19V21 | GLOBAL | 0.0000 | 0.0000 | -14.0000 | 0.00000 | 0.00000 | 0.00000 |
| 1976 | P2021 | GLOBAL | 0.0000 | 0.0000 | -14.0000 | 0.00000 | 0.00000 | 0.00000 |
| 1977 | P2021 | GLOBAL | 0.0000 | 0.0000 | -6.0000 | 0.00000 | 0.00000 | 0.00000 |
| 1978 | P2021 | GLOBAL | 0.0000 | 0.0000 | -6.0000 | 0.00000 | 0.00000 | 0.00000 |
| 1979 | V19V21 | GLOBAL | 0.0000 | 0.0000 | -6.0000 | 0.00000 | 0.00000 | 0.00000 |
| 1979 | P2021 | GLOBAL | 0.0000 | 0.0000 | -12.0000 | 0.00000 | 0.00000 | 0.00000 |
| 1980 | V19V21 | GLOBAL | 0.0000 | 0.0000 | -6.0000 | 0.00000 | 0.00000 | 0.00000 |
| 1980 | P2021 | GLOBAL | 0.0000 | 0.0000 | -12.0000 | 0.00000 | 0.00000 | 0.00000 |
| 1981 | V19V21 | GLOBAL | 0.0000 | 0.0000 | -14.0000 | 0.00000 | 0.00000 | 0.00000 |
| 1981 | P2021 | GLOBAL | 0.0000 | 0.0000 | -8.0000 | 0.00000 | 0.00000 | 0.00000 |
| 1982 | V19V21 | GLOBAL | 0.0000 | 0.0000 | -14.0000 | 0.00000 | 0.00000 | 0.00000 |
| 1982 | P2021 | GLOBAL | 0.0000 | 0.0000 | -8.0000 | 0.00000 | 0.00000 | 0.00000 |
| 1983 | V19V21 | GLOBAL | 0.0000 | 0.0000 | -4.0000 | 0.00000 | 0.00000 | 0.00000 |
| 1984 | V19V21 | GLOBAL | 0.0000 | 0.0000 | -4.0000 | 0.00000 | 0.00000 | 0.00000 |
| 1985 | V19V21 | GLOBAL | 0.0000 | 0.0000 | -16.0000 | 0.00000 | 0.00000 | 0.00000 |
| 1986 | V19V21 | GLOBAL | 0.0000 | 0.0000 | -16.0000 | 0.00000 | 0.00000 | 0.00000 |
| 1993 | P2021 | GLOBAL | 0.0000 | 0.0000 | -8.0000 | 0.00000 | 0.00000 | 0.00000 |
| 1994 | P2021 | GLOBAL | 0.0000 | 0.0000 | -8.0000 | 0.00000 | 0.00000 | 0.00000 |
| 1995 | P2021 | GLOBAL | 0.0000 | 0.0000 | -12.0000 | 0.00000 | 0.00000 | 0.00000 |
| 1996 | P2021 | GLOBAL | 0.0000 | 0.0000 | -12.0000 | 0.00000 | 0.00000 | 0.00000 |
| 1997 | P2021 | GLOBAL | 0.0000 | 0.0000 | -6.0000 | 0.00000 | 0.00000 | 0.00000 |
| 1998 | P2021 | GLOBAL | 0.0000 | 0.0000 | -6.0000 | 0.00000 | 0.00000 | 0.00000 |
| 1999 | V19V21 | GLOBAL | 0.0000 | 0.0000 | -20.0000 | 0.00000 | 0.00000 | 0.00000 |
| 1999 | P2021 | GLOBAL | 0.0000 | 0.0000 | -14.0000 | 0.00000 | 0.00000 | 0.00000 |
| 2000 | V19V21 | GLOBAL | 0.0000 | 0.0000 | -20.0000 | 0.00000 | 0.00000 | 0.00000 |
| 2000 | P2021 | GLOBAL | 0.0000 | 0.0000 | -14.0000 | 0.00000 | 0.00000 | 0.00000 |
| 2003 | V19V21 | GLOBAL | 0.0000 | 0.0000 | -18.0000 | 0.00000 | 0.00000 | 0.00000 |
| 2004 | V19V21 | GLOBAL | 0.0000 | 0.0000 | -18.0000 | 0.00000 | 0.00000 | 0.00000 |
| 2005 | V19V21 | GLOBAL | 0.0000 | 0.0000 | -2.0000 | 0.00000 | 0.00000 | 0.00000 |
| 2006 | V19V21 | GLOBAL | 0.0000 | 0.0000 | -2.0000 | 0.00000 | 0.00000 | 0.00000 |
| 2009 | V20V22 | GLOBAL | 0.0000 | 0.0000 | -12.0000 | 0.00000 | 0.00000 | 0.00000 |
| 2010 | V20V22 | GLOBAL | 0.0000 | 0.0000 | -12.0000 | 0.00000 | 0.00000 | 0.00000 |
| 2011 | V20V22 | GLOBAL | 0.0000 | 0.0000 | -8.0000 | 0.00000 | 0.00000 | 0.00000 |

| Joint | LoadCase | CoordSys | F1 | F2 | F3 | M1 | M2 | M3 |
|---|---|---|---|---|---|---|---|---|
| Text | Text | Text | Ton | Ton | Ton | Ton-m | Ton-m | Ton-m |
| 2012 | V20V22 | GLOBAL | 0.0000 | 0.0000 | -8.0000 | 0.00000 | 0.00000 | 0.00000 |
| 2013 | V20V22 | GLOBAL | 0.0000 | 0.0000 | -10.0000 | 0.00000 | 0.00000 | 0.00000 |
| 2014 | V20V22 | GLOBAL | 0.0000 | 0.0000 | -10.0000 | 0.00000 | 0.00000 | 0.00000 |
| 2015 | V20V22 | GLOBAL | 0.0000 | 0.0000 | -10.0000 | 0.00000 | 0.00000 | 0.00000 |
| 2016 | V20V22 | GLOBAL | 0.0000 | 0.0000 | -10.0000 | 0.00000 | 0.00000 | 0.00000 |
| 2027 | V20V22 | GLOBAL | 0.0000 | 0.0000 | -6.0000 | 0.00000 | 0.00000 | 0.00000 |
| 2028 | V20V22 | GLOBAL | 0.0000 | 0.0000 | -6.0000 | 0.00000 | 0.00000 | 0.00000 |
| 2029 | V20V22 | GLOBAL | 0.0000 | 0.0000 | -14.0000 | 0.00000 | 0.00000 | 0.00000 |
| 2030 | V20V22 | GLOBAL | 0.0000 | 0.0000 | -14.0000 | 0.00000 | 0.00000 | 0.00000 |
| 2031 | V20V22 | GLOBAL | 0.0000 | 0.0000 | -4.0000 | 0.00000 | 0.00000 | 0.00000 |
| 2032 | V20V22 | GLOBAL | 0.0000 | 0.0000 | -4.0000 | 0.00000 | 0.00000 | 0.00000 |
| 2033 | V20V22 | GLOBAL | 0.0000 | 0.0000 | -16.0000 | 0.00000 | 0.00000 | 0.00000 |
| 2034 | V20V22 | GLOBAL | 0.0000 | 0.0000 | -16.0000 | 0.00000 | 0.00000 | 0.00000 |
| 2037 | V20V22 | GLOBAL | 0.0000 | 0.0000 | -4.0000 | 0.00000 | 0.00000 | 0.00000 |
| 2038 | V20V22 | GLOBAL | 0.0000 | 0.0000 | -4.0000 | 0.00000 | 0.00000 | 0.00000 |
| 2039 | V20V22 | GLOBAL | 0.0000 | 0.0000 | -16.0000 | 0.00000 | 0.00000 | 0.00000 |
| 2040 | V20V22 | GLOBAL | 0.0000 | 0.0000 | -16.0000 | 0.00000 | 0.00000 | 0.00000 |
| 2041 | V20V22 | GLOBAL | 0.0000 | 0.0000 | -2.0000 | 0.00000 | 0.00000 | 0.00000 |
| 2042 | V20V22 | GLOBAL | 0.0000 | 0.0000 | -2.0000 | 0.00000 | 0.00000 | 0.00000 |
| 2043 | V20V22 | GLOBAL | 0.0000 | 0.0000 | -18.0000 | 0.00000 | 0.00000 | 0.00000 |
| 2044 | V20V22 | GLOBAL | 0.0000 | 0.0000 | -18.0000 | 0.00000 | 0.00000 | 0.00000 |
| 2057 | V20V22 | GLOBAL | 0.0000 | 0.0000 | -18.0000 | 0.00000 | 0.00000 | 0.00000 |
| 2058 | V20V22 | GLOBAL | 0.0000 | 0.0000 | -18.0000 | 0.00000 | 0.00000 | 0.00000 |
| 2059 | V20V22 | GLOBAL | 0.0000 | 0.0000 | -2.0000 | 0.00000 | 0.00000 | 0.00000 |
| 2060 | V20V22 | GLOBAL | 0.0000 | 0.0000 | -2.0000 | 0.00000 | 0.00000 | 0.00000 |
| 2061 | V20V22 | GLOBAL | 0.0000 | 0.0000 | -16.0000 | 0.00000 | 0.00000 | 0.00000 |
| 2062 | V20V22 | GLOBAL | 0.0000 | 0.0000 | -16.0000 | 0.00000 | 0.00000 | 0.00000 |
| 2063 | V20V22 | GLOBAL | 0.0000 | 0.0000 | -4.0000 | 0.00000 | 0.00000 | 0.00000 |
| 2064 | V20V22 | GLOBAL | 0.0000 | 0.0000 | -4.0000 | 0.00000 | 0.00000 | 0.00000 |
| 2067 | V20V22 | GLOBAL | 0.0000 | 0.0000 | -16.0000 | 0.00000 | 0.00000 | 0.00000 |
| 2068 | V20V22 | GLOBAL | 0.0000 | 0.0000 | -16.0000 | 0.00000 | 0.00000 | 0.00000 |
| 2069 | V20V22 | GLOBAL | 0.0000 | 0.0000 | -4.0000 | 0.00000 | 0.00000 | 0.00000 |
| 2070 | V20V22 | GLOBAL | 0.0000 | 0.0000 | -4.0000 | 0.00000 | 0.00000 | 0.00000 |
| 2071 | V20V22 | GLOBAL | 0.0000 | 0.0000 | -14.0000 | 0.00000 | 0.00000 | 0.00000 |
| 2072 | V20V22 | GLOBAL | 0.0000 | 0.0000 | -14.0000 | 0.00000 | 0.00000 | 0.00000 |
| 2073 | V20V22 | GLOBAL | 0.0000 | 0.0000 | -6.0000 | 0.00000 | 0.00000 | 0.00000 |
| 2074 | V20V22 | GLOBAL | 0.0000 | 0.0000 | -6.0000 | 0.00000 | 0.00000 | 0.00000 |
| 2085 | V20V22 | GLOBAL | 0.0000 | 0.0000 | -10.0000 | 0.00000 | 0.00000 | 0.00000 |
| 2086 | V20V22 | GLOBAL | 0.0000 | 0.0000 | -10.0000 | 0.00000 | 0.00000 | 0.00000 |
| 2087 | V20V22 | GLOBAL | 0.0000 | 0.0000 | -10.0000 | 0.00000 | 0.00000 | 0.00000 |
| 2088 | V20V22 | GLOBAL | 0.0000 | 0.0000 | -10.0000 | 0.00000 | 0.00000 | 0.00000 |
| 2089 | V20V22 | GLOBAL | 0.0000 | 0.0000 | -8.0000 | 0.00000 | 0.00000 | 0.00000 |
| 2090 | V20V22 | GLOBAL | 0.0000 | 0.0000 | -8.0000 | 0.00000 | 0.00000 | 0.00000 |

### Table: Joint Restraint Assignments

| Joint | U1 | U2 | U3 | R1 | R2 | R3 |
|---|---|---|---|---|---|---|
| Text | Yes/No | Yes/No | Yes/No | Yes/No | Yes/No | Yes/No |
| 1 | Yes | Yes | Yes | No | No | No |
| 2 | Yes | Yes | Yes | No | No | No |
| 79 | No | Yes | Yes | No | No | No |
| 80 | No | Yes | Yes | No | No | No |
| 175 | No | Yes | Yes | No | No | No |
| 176 | No | Yes | Yes | No | No | No |
| 271 | No | Yes | Yes | No | No | No |
| 272 | No | Yes | Yes | No | No | No |
| 373 | No | Yes | Yes | No | No | No |
| 374 | No | Yes | Yes | No | No | No |
| 475 | No | Yes | Yes | No | No | No |
| 476 | No | Yes | Yes | No | No | No |
| 571 | No | Yes | Yes | No | No | No |
| 572 | No | Yes | Yes | No | No | No |
| 667 | No | Yes | Yes | No | No | No |
| 668 | No | Yes | Yes | No | No | No |
| 763 | No | Yes | Yes | No | No | No |
| 764 | No | Yes | Yes | No | No | No |
| 859 | No | Yes | Yes | No | No | No |
| 860 | No | Yes | Yes | No | No | No |
| 955 | No | Yes | Yes | No | No | No |
| 956 | No | Yes | Yes | No | No | No |
| 1051 | No | Yes | Yes | No | No | No |
| 1052 | No | Yes | Yes | No | No | No |
| 1147 | No | Yes | Yes | No | No | No |
| 1148 | No | Yes | Yes | No | No | No |
| 1243 | No | Yes | Yes | No | No | No |
| 1244 | No | Yes | Yes | No | No | No |
| 1339 | No | Yes | Yes | No | No | No |
| 1340 | No | Yes | Yes | No | No | No |
| 1435 | No | Yes | Yes | No | No | No |
| 1436 | No | Yes | Yes | No | No | No |
| 1531 | No | Yes | Yes | No | No | No |
| 1532 | No | Yes | Yes | No | No | No |
| 1627 | No | Yes | Yes | No | No | No |
| 1628 | No | Yes | Yes | No | No | No |
| 1723 | No | Yes | Yes | No | No | No |
| 1724 | No | Yes | Yes | No | No | No |
| 1819 | No | Yes | Yes | No | No | No |
| 1820 | No | Yes | Yes | No | No | No |
| 1915 | No | Yes | Yes | No | No | No |
| 1916 | No | Yes | Yes | No | No | No |





| Joint | U1 | U2 | U3 | R1 | R2 | R3 |
|---|---|---|---|---|---|---|
| Text | Yes/No | Yes/No | Yes/No | Yes/No | Yes/No | Yes/No |
| 2011 | No | Yes | Yes | No | No | No |
| 2012 | No | Yes | Yes | No | No | No |
| 2089 | No | Yes | Yes | No | No | No |
| 2090 | No | Yes | Yes | No | No | No |

### Table: Load Case Definitions

| LoadCase | DesignType | SelfWtMult | AutoLoad |
|---|---|---|---|
| Text | Text | Unitless | Text |
| DEAD | DEAD | 1.000000 | |
| V01V03 | LIVE | 0.000000 | |
| V02V04 | LIVE | 0.000000 | |
| V10V12 | LIVE | 0.000000 | |
| V04V06 | LIVE | 0.000000 | |
| V05V07 | LIVE | 0.000000 | |
| V06V08 | LIVE | 0.000000 | |
| V07V09 | LIVE | 0.000000 | |
| V09V11 | LIVE | 0.000000 | |
| V12V14 | LIVE | 0.000000 | |
| V13V15 | LIVE | 0.000000 | |
| V15V17 | LIVE | 0.000000 | |
| V16V18 | LIVE | 0.000000 | |
| V19V21 | LIVE | 0.000000 | |
| V20V22 | LIVE | 0.000000 | |
| P0203 | LIVE | 0.000000 | |
| P0506 | LIVE | 0.000000 | |
| P0708 | LIVE | 0.000000 | |
| P1112 | LIVE | 0.000000 | |
| P1415 | LIVE | 0.000000 | |
| P1718 | LIVE | 0.000000 | |
| P2021 | LIVE | 0.000000 | |

### Table: Material Properties 1 - General, Part 1 of 2

| Material | Type | DesignType | UnitMass | UnitWeight | E | U | A | MDampRatio | VDampMass | VDampStiff | HDampMass |
|---|---|---|---|---|---|---|---|---|---|---|---|
| Text | Text | Text | Ton-s2/m4 | Ton/m3 | Ton/m2 | Unitless | 1/C | Unitless | 1/Sec | Sec | 1/Sec2 |
| ALUM | Isotropic | Aluminum | 7.9814E-01 | 7.8334E+00 | 7663458.92 | 0.300000 | 1.1700E-05 | 0.0000 | 0.0000 | 0.0000 | 0.0000 |
| CONC | Isotropic | Concrete | 2.4501E-01 | 2.4028E+00 | 2531050.65 | 0.200000 | 9.9000E-06 | 0.0000 | 0.0000 | 0.0000 | 0.0000 |
| H40 | Isotropic | Concrete | 0.0000E+00 | 0.0000E+00 | 3706926.00 | 0.300000 | 1.1700E-05 | 0.0000 | 0.0000 | 0.0000 | 0.0000 |
| OTHER | Isotropic | None | 2.4480E-01 | 2.4026E+00 | 2531050.65 | 0.200000 | 9.9000E-06 | 0.0000 | 0.0000 | 0.0000 | 0.0000 |
| STEEL | Isotropic | Steel | 8.0038E-01 | 7.8490E+00 | 20389019.16 | 0.300000 | 1.1700E-05 | 0.0000 | 0.0000 | 0.0000 | 0.0000 |

### Table: Material Properties 1 - General, Part 2 of 2

| Material | HDampStiff | NumAdvance | Color |
|---|---|---|---|
| Text | Unitless | Unitless | Text |
| ALUM | 0.000000 | 0 | Red |
| CONC | 0.000000 | 0 | Cyan |
| H40 | 0.000000 | 0 | Gray4 |
| OTHER | 0.000000 | 0 | Magenta |
| STEEL | 0.000000 | 0 | Green |

### Table: Material Properties 3 - Design Steel

| Material | Fy | Fu |
|---|---|---|
| Text | Ton/m2 | Ton/m2 |
| STEEL | 25310.51 | 40778.04 |

### Table: Material Properties 4 - Design Concrete

| Material | Fc | RebarFy | RebarFys | LtWtConc | LtWtFact |
|---|---|---|---|---|---|
| Text | Ton/m2 | Ton/m2 | Ton/m2 | Yes/No | Unitless |
| CONC | 2812.28 | 42184.18 | 28122.79 | No | 1.000000 |
| H40 | 2812.28 | 42184.18 | 28122.79 | No | 1.000000 |

### Table: Material Properties 5 - Design Aluminum

| Material | AlumType | Alloy | Ftu | Fty | Fcy | Fsu | Fsy |
|---|---|---|---|---|---|---|---|
| Text | Text | Text | Ton/m2 | Ton/m2 | Ton/m2 | Ton/m2 | Ton/m2 |
| ALUM | Wrought | 2014-T6 | 66.00 | 58.00 | 59.00 | 40.00 | 33.00 |

**TABLE: Element Forces - Frames**

| Frame | Station | OutputCase | CaseType | P | V2 | V3 | T | M2 | M3 |
|---|---|---|---|---|---|---|---|---|---|
| Text | m | Text | Text | Ton | Ton | Ton | Ton-m | Ton-m | Ton-m |
| 1063 | 0 | V01V03 | LinStatic | 0 | -9.1708 | 0 | 11.88332 | 0 | 939.44422 |
| 1063 | 0.5 | V01V03 | LinStatic | 0 | -9.1708 | 0 | 11.88332 | 0 | 944.02964 |
| 1063 | 1 | V01V03 | LinStatic | 0 | -9.1708 | 0 | 11.88332 | 0 | 948.61506 |
| 1108 | 0 | V01V03 | LinStatic | 0 | 4.8349 | 0 | 6.4663 | 0 | -409.41779 |
| 1108 | 0.5 | V01V03 | LinStatic | 0 | 4.8349 | 0 | 6.4663 | 0 | -411.83526 |
| 1108 | 1 | V01V03 | LinStatic | 0 | 4.8349 | 0 | 6.4663 | 0 | -414.25272 |
| 1109 | 0 | V01V03 | LinStatic | 0 | 4.8351 | 0 | 6.4666 | 0 | -414.77322 |
| 1109 | 0.5 | V01V03 | LinStatic | 0 | 4.8351 | 0 | 6.4666 | 0 | -417.19074 |
| 1109 | 1 | V01V03 | LinStatic | 0 | 4.8351 | 0 | 6.4666 | 0 | -419.60827 |
| 1156 | 0 | V01V03 | LinStatic | 0 | 2.1853 | 0 | 0.25252 | 0 | 948.21918 |
| 1156 | 0.5 | V01V03 | LinStatic | 0 | 2.1853 | 0 | 0.25252 | 0 | 947.12653 |
| 1156 | 1 | V01V03 | LinStatic | 0 | 2.1853 | 0 | 0.25252 | 0 | 946.03387 |
| 1157 | 0 | V01V03 | LinStatic | 0 | 2.1853 | 0 | 0.25253 | 0 | 946.01357 |
| 1157 | 0.5 | V01V03 | LinStatic | 0 | 2.1853 | 0 | 0.25253 | 0 | 944.92091 |
| 1157 | 1 | V01V03 | LinStatic | 0 | 2.1853 | 0 | 0.25253 | 0 | 943.82826 |
| 1205 | 0 | V01V03 | LinStatic | 0 | -15.8013 | 0 | 0.00932 | 0 | -269.69959 |
| 1205 | 0.5 | V01V03 | LinStatic | 0 | -15.8013 | 0 | 0.00932 | 0 | -261.79897 |
| 1205 | 1 | V01V03 | LinStatic | 0 | -15.8013 | 0 | 0.00932 | 0 | -253.89834 |
| 1257 | 0 | V01V03 | LinStatic | 0 | 3.8384 | 0 | 0.00034 | 0 | 60.95376 |
| 1257 | 0.5 | V01V03 | LinStatic | 0 | 3.8384 | 0 | 0.00034 | 0 | 59.03456 |
| 1257 | 1 | V01V03 | LinStatic | 0 | 3.8384 | 0 | 0.00034 | 0 | 57.11536 |
| 1306 | 0 | V01V03 | LinStatic | 0 | -1.0021 | 0 | 0.00001345 | 0 | -15.79777 |
| 1306 | 0.5 | V01V03 | LinStatic | 0 | -1.0021 | 0 | 0.00001345 | 0 | -15.29674 |
| 1306 | 1 | V01V03 | LinStatic | 0 | -1.0021 | 0 | 0.00001345 | 0 | -14.79571 |
| 1307 | 0 | V01V03 | LinStatic | 0 | -1.0021 | 0 | 0.00001345 | 0 | -14.79571 |
| 1307 | 0.5 | V01V03 | LinStatic | 0 | -1.0021 | 0 | 0.00001345 | 0 | -14.29467 |
| 1307 | 1 | V01V03 | LinStatic | 0 | -1.0021 | 0 | 0.00001345 | 0 | -13.79364 |
| 1354 | 0 | V01V03 | LinStatic | 0 | 0.2387 | 0 | 5.251E-07 | 0 | 3.7634 |
| 1354 | 0.5 | V01V03 | LinStatic | 0 | 0.2387 | 0 | 5.251E-07 | 0 | 3.64404 |
| 1354 | 1 | V01V03 | LinStatic | 0 | 0.2387 | 0 | 5.251E-07 | 0 | 3.52468 |
| 1355 | 0 | V01V03 | LinStatic | 0 | 0.2387 | 0 | 5.251E-07 | 0 | 3.52468 |
| 1355 | 0.5 | V01V03 | LinStatic | 0 | 0.2387 | 0 | 5.251E-07 | 0 | 3.40533 |
| 1355 | 1 | V01V03 | LinStatic | 0 | 0.2387 | 0 | 5.251E-07 | 0 | 3.28597 |
| 1402 | 0 | V01V03 | LinStatic | 0 | -0.0569 | 0 | 2.051E-08 | 0 | -0.89653 |
| 1402 | 0.5 | V01V03 | LinStatic | 0 | -0.0569 | 0 | 2.051E-08 | 0 | -0.8681 |
| 1402 | 1 | V01V03 | LinStatic | 0 | -0.0569 | 0 | 2.051E-08 | 0 | -0.83966 |
| 1403 | 0 | V01V03 | LinStatic | 0 | -0.0569 | 0 | 2.051E-08 | 0 | -0.83966 |
| 1403 | 0.5 | V01V03 | LinStatic | 0 | -0.0569 | 0 | 2.051E-08 | 0 | -0.81123 |
| 1403 | 1 | V01V03 | LinStatic | 0 | -0.0569 | 0 | 2.051E-08 | 0 | -0.78279 |
| 1450 | 0 | V01V03 | LinStatic | 0 | 0.0135 | 0 | 8.01E-10 | 0 | 0.21357 |
| 1450 | 0.5 | V01V03 | LinStatic | 0 | 0.0135 | 0 | 8.01E-10 | 0 | 0.2068 |
| 1450 | 1 | V01V03 | LinStatic | 0 | 0.0135 | 0 | 8.01E-10 | 0 | 0.20003 |
| 1451 | 0 | V01V03 | LinStatic | 0 | 0.0135 | 0 | 8.01E-10 | 0 | 0.20003 |
| 1451 | 0.5 | V01V03 | LinStatic | 0 | 0.0135 | 0 | 8.01E-10 | 0 | 0.19325 |
| 1451 | 1 | V01V03 | LinStatic | 0 | 0.0135 | 0 | 8.01E-10 | 0 | 0.18648 |
| 1498 | 0 | V01V03 | LinStatic | 0 | -0.0032 | 0 | 3.128E-11 | 0 | -0.05088 |
| 1498 | 0.5 | V01V03 | LinStatic | 0 | -0.0032 | 0 | 3.128E-11 | 0 | -0.04926 |
| 1498 | 1 | V01V03 | LinStatic | 0 | -0.0032 | 0 | 3.128E-11 | 0 | -0.04765 |
| 1499 | 0 | V01V03 | LinStatic | 0 | -0.0032 | 0 | 3.128E-11 | 0 | -0.04765 |
| 1499 | 0.5 | V01V03 | LinStatic | 0 | -0.0032 | 0 | 3.128E-11 | 0 | -0.04604 |
| 1499 | 1 | V01V03 | LinStatic | 0 | -0.0032 | 0 | 3.128E-11 | 0 | -0.04442 |
| 1546 | 0 | V01V03 | LinStatic | 0 | 0.0007688 | 0 | 1.222E-12 | 0 | 0.01212 |
| 1546 | 0.5 | V01V03 | LinStatic | 0 | 0.0007688 | 0 | 1.222E-12 | 0 | 0.01174 |
| 1546 | 1 | V01V03 | LinStatic | 0 | 0.0007688 | 0 | 1.222E-12 | 0 | 0.01135 |
| 1547 | 0 | V01V03 | LinStatic | 0 | 0.0007688 | 0 | 1.222E-12 | 0 | 0.01135 |
| 1547 | 0.5 | V01V03 | LinStatic | 0 | 0.0007688 | 0 | 1.222E-12 | 0 | 0.01097 |
| 1547 | 1 | V01V03 | LinStatic | 0 | 0.0007688 | 0 | 1.222E-12 | 0 | 0.01058 |
| 1594 | 0 | V01V03 | LinStatic | 0 | -0.0001831 | 0 | 4.773E-14 | 0 | -0.00289 |
| 1594 | 0.5 | V01V03 | LinStatic | 0 | -0.0001831 | 0 | 4.773E-14 | 0 | -0.0028 |
| 1594 | 1 | V01V03 | LinStatic | 0 | -0.0001831 | 0 | 4.773E-14 | 0 | -0.0027 |
| 1595 | 0 | V01V03 | LinStatic | 0 | -0.0001831 | 0 | 4.773E-14 | 0 | -0.0027 |
| 1595 | 0.5 | V01V03 | LinStatic | 0 | -0.0001831 | 0 | 4.773E-14 | 0 | -0.00261 |
| 1595 | 1 | V01V03 | LinStatic | 0 | -0.0001831 | 0 | 4.773E-14 | 0 | -0.00252 |
| 1642 | 0 | V01V03 | LinStatic | 0 | 0.00004363 | 0 | 1.864E-15 | 0 | 0.00069 |
| 1642 | 0.5 | V01V03 | LinStatic | 0 | 0.00004363 | 0 | 1.864E-15 | 0 | 0.00067 |
| 1642 | 1 | V01V03 | LinStatic | 0 | 0.00004363 | 0 | 1.864E-15 | 0 | 0.00064 |
| 1643 | 0 | V01V03 | LinStatic | 0 | 0.00004363 | 0 | 1.865E-15 | 0 | 0.00064 |
| 1643 | 0.5 | V01V03 | LinStatic | 0 | 0.00004363 | 0 | 1.865E-15 | 0 | 0.00062 |
| 1643 | 1 | V01V03 | LinStatic | 0 | 0.00004363 | 0 | 1.865E-15 | 0 | 0.0006 |
| 1690 | 0 | V01V03 | LinStatic | 0 | -0.00001039 | 0 | 7.301E-17 | 0 | -0.00016 |
| 1690 | 0.5 | V01V03 | LinStatic | 0 | -0.00001039 | 0 | 7.301E-17 | 0 | -0.00016 |
| 1690 | 1 | V01V03 | LinStatic | 0 | -0.00001039 | 0 | 7.301E-17 | 0 | -0.00015 |
| 1691 | 0 | V01V03 | LinStatic | 0 | -0.00001039 | 0 | 7.275E-17 | 0 | -0.00015 |
| 1691 | 0.5 | V01V03 | LinStatic | 0 | -0.00001039 | 0 | 7.275E-17 | 0 | -0.00015 |
| 1691 | 1 | V01V03 | LinStatic | 0 | -0.00001039 | 0 | 7.275E-17 | 0 | -0.00014 |
| 1738 | 0 | V01V03 | LinStatic | 0 | 0.000002476 | 0 | 2.991E-18 | 0 | 0.00003904 |
| 1738 | 0.5 | V01V03 | LinStatic | 0 | 0.000002476 | 0 | 2.991E-18 | 0 | 0.0000378 |
| 1738 | 1 | V01V03 | LinStatic | 0 | 0.000002476 | 0 | 2.991E-18 | 0 | 0.00003656 |
| 1739 | 0 | V01V03 | LinStatic | 0 | 0.000002476 | 0 | 2.965E-18 | 0 | 0.00003656 |
| 1739 | 0.5 | V01V03 | LinStatic | 0 | 0.000002476 | 0 | 2.965E-18 | 0 | 0.00003532 |
| 1739 | 1 | V01V03 | LinStatic | 0 | 0.000002476 | 0 | 2.965E-18 | 0 | 0.00003408 |
| 1786 | 0 | V01V03 | LinStatic | 0 | -5.898E-07 | 0 | 9.779E-20 | 0 | -0.000009299 |
| 1786 | 0.5 | V01V03 | LinStatic | 0 | -5.898E-07 | 0 | 9.779E-20 | 0 | -0.000009004 |

**TABLE: Element Forces - Frames**

| Frame | Station | OutputCase | CaseType | P | V2 | V3 | T | M2 | M3 |
|---|---|---|---|---|---|---|---|---|---|
| Text | m | Text | Text | Ton | Ton | Ton | Ton-m | Ton-m | Ton-m |
| 1786 | 1 | V01V03 | LinStatic | 0 | -5.898E-07 | 0 | 9.779E-20 | 0 | -0.000008709 |
| 1787 | 0 | V01V03 | LinStatic | 0 | -5.898E-07 | 0 | 1.095E-19 | 0 | -0.000008709 |
| 1787 | 0.5 | V01V03 | LinStatic | 0 | -5.898E-07 | 0 | 1.095E-19 | 0 | -0.000008414 |
| 1787 | 1 | V01V03 | LinStatic | 0 | -5.898E-07 | 0 | 1.095E-19 | 0 | -0.000008119 |
| 1834 | 0 | V01V03 | LinStatic | 0 | 1.405E-07 | 0 | 0 | 0 | 0.000002215 |
| 1834 | 0.5 | V01V03 | LinStatic | 0 | 1.405E-07 | 0 | 0 | 0 | 0.000002145 |
| 1834 | 1 | V01V03 | LinStatic | 0 | 1.405E-07 | 0 | 0 | 0 | 0.000002075 |
| 1835 | 0 | V01V03 | LinStatic | 0 | 1.405E-07 | 0 | 1.019E-20 | 0 | 0.000002075 |
| 1835 | 0.5 | V01V03 | LinStatic | 0 | 1.405E-07 | 0 | 1.019E-20 | 0 | 0.000002004 |
| 1835 | 1 | V01V03 | LinStatic | 0 | 1.405E-07 | 0 | 1.019E-20 | 0 | 0.000001934 |
| 1882 | 0 | V01V03 | LinStatic | 0 | -3.347E-08 | 0 | 0 | 0 | -5.277E-07 |
| 1882 | 0.5 | V01V03 | LinStatic | 0 | -3.347E-08 | 0 | 0 | 0 | -0.000000511 |
| 1882 | 1 | V01V03 | LinStatic | 0 | -3.347E-08 | 0 | 0 | 0 | -4.943E-07 |
| 1883 | 0 | V01V03 | LinStatic | 0 | -3.347E-08 | 0 | 0 | 0 | -4.943E-07 |
| 1883 | 0.5 | V01V03 | LinStatic | 0 | -3.347E-08 | 0 | 0 | 0 | -4.775E-07 |
| 1883 | 1 | V01V03 | LinStatic | 0 | -3.347E-08 | 0 | 0 | 0 | -4.608E-07 |
| 1930 | 0 | V01V03 | LinStatic | 0 | 7.975E-09 | 0 | 0 | 0 | 1.257E-07 |
| 1930 | 0.5 | V01V03 | LinStatic | 0 | 7.975E-09 | 0 | 0 | 0 | 1.217E-07 |
| 1930 | 1 | V01V03 | LinStatic | 0 | 7.975E-09 | 0 | 0 | 0 | 1.177E-07 |
| 1931 | 0 | V01V03 | LinStatic | 0 | 7.975E-09 | 0 | 0 | 0 | 1.177E-07 |
| 1931 | 0.5 | V01V03 | LinStatic | 0 | 7.975E-09 | 0 | 0 | 0 | 1.138E-07 |
| 1931 | 1 | V01V03 | LinStatic | 0 | 7.975E-09 | 0 | 0 | 0 | 1.098E-07 |
| 1978 | 0 | V01V03 | LinStatic | 0 | -1.901E-09 | 0 | 0 | 0 | -2.993E-08 |
| 1978 | 0.5 | V01V03 | LinStatic | 0 | -1.901E-09 | 0 | 0 | 0 | -2.898E-08 |
| 1978 | 1 | V01V03 | LinStatic | 0 | -1.901E-09 | 0 | 0 | 0 | -2.803E-08 |
| 1979 | 0 | V01V03 | LinStatic | 0 | -1.901E-09 | 0 | 0 | 0 | -2.803E-08 |
| 1979 | 0.5 | V01V03 | LinStatic | 0 | -1.901E-09 | 0 | 0 | 0 | -2.708E-08 |
| 1979 | 1 | V01V03 | LinStatic | 0 | -1.901E-09 | 0 | 0 | 0 | -2.613E-08 |
| 2026 | 0 | V01V03 | LinStatic | 0 | 4.567E-10 | 0 | 0 | 0 | 7.077E-09 |
| 2026 | 0.5 | V01V03 | LinStatic | 0 | 4.567E-10 | 0 | 0 | 0 | 6.849E-09 |
| 2026 | 1 | V01V03 | LinStatic | 0 | 4.567E-10 | 0 | 0 | 0 | 6.62E-09 |
| 2027 | 0 | V01V03 | LinStatic | 0 | 4.567E-10 | 0 | 0 | 0 | 6.62E-09 |
| 2027 | 0.5 | V01V03 | LinStatic | 0 | 4.567E-10 | 0 | 0 | 0 | 6.392E-09 |
| 2027 | 1 | V01V03 | LinStatic | 0 | 4.567E-10 | 0 | 0 | 0 | 6.164E-09 |
| 2072 | 0 | V01V03 | LinStatic | 0 | -1.113E-10 | 0 | 0 | 0 | -2.003E-09 |
| 2072 | 0.5 | V01V03 | LinStatic | 0 | -1.113E-10 | 0 | 0 | 0 | -1.948E-09 |
| 2072 | 1 | V01V03 | LinStatic | 0 | -1.113E-10 | 0 | 0 | 0 | -1.892E-09 |
| 2107 | 0 | V01V03 | LinStatic | 0 | -0.6503 | 0 | 11.88332 | 0 | 943.51573 |
| 2107 | 0.5 | V01V03 | LinStatic | 0 | -0.6503 | 0 | 11.88332 | 0 | 943.8409 |
| 2107 | 1 | V01V03 | LinStatic | 0 | -0.6503 | 0 | 11.88332 | 0 | 944.16607 |
| 2152 | 0 | V01V03 | LinStatic | 0 | 5.8756 | 0 | 6.4663 | 0 | -408.89988 |
| 2152 | 0.5 | V01V03 | LinStatic | 0 | 5.8756 | 0 | 6.4663 | 0 | -411.8377 |
| 2152 | 1 | V01V03 | LinStatic | 0 | 5.8756 | 0 | 6.4663 | 0 | -414.77553 |
| 2153 | 0 | V01V03 | LinStatic | 0 | 5.8755 | 0 | 6.4666 | 0 | -414.25503 |
| 2153 | 0.5 | V01V03 | LinStatic | 0 | 5.8755 | 0 | 6.4666 | 0 | -417.1928 |
| 2153 | 1 | V01V03 | LinStatic | 0 | 5.8755 | 0 | 6.4666 | 0 | -420.13057 |
| 2200 | 0 | V01V03 | LinStatic | 0 | 2.2259 | 0 | 0.25252 | 0 | 948.23964 |
| 2200 | 0.5 | V01V03 | LinStatic | 0 | 2.2259 | 0 | 0.25252 | 0 | 947.12666 |
| 2200 | 1 | V01V03 | LinStatic | 0 | 2.2259 | 0 | 0.25252 | 0 | 946.01369 |
| 2201 | 0 | V01V03 | LinStatic | 0 | 2.2259 | 0 | 0.25253 | 0 | 946.03399 |
| 2201 | 0.5 | V01V03 | LinStatic | 0 | 2.2259 | 0 | 0.25253 | 0 | 944.92102 |
| 2201 | 1 | V01V03 | LinStatic | 0 | 2.2259 | 0 | 0.25253 | 0 | 943.80804 |
| 2249 | 0 | V01V03 | LinStatic | 0 | -15.7998 | 0 | 0.00932 | 0 | -269.69884 |
| 2249 | 0.5 | V01V03 | LinStatic | 0 | -15.7998 | 0 | 0.00932 | 0 | -261.79896 |
| 2249 | 1 | V01V03 | LinStatic | 0 | -15.7998 | 0 | 0.00932 | 0 | -253.89909 |
| 2301 | 0 | V01V03 | LinStatic | 0 | 3.8385 | 0 | 0.00034 | 0 | 60.95378 |
| 2301 | 0.5 | V01V03 | LinStatic | 0 | 3.8385 | 0 | 0.00034 | 0 | 59.03456 |
| 2301 | 1 | V01V03 | LinStatic | 0 | 3.8385 | 0 | 0.00034 | 0 | 57.11533 |
| 2350 | 0 | V01V03 | LinStatic | 0 | -1.0021 | 0 | 0.00001345 | 0 | -15.79777 |
| 2350 | 0.5 | V01V03 | LinStatic | 0 | -1.0021 | 0 | 0.00001345 | 0 | -15.29674 |
| 2350 | 1 | V01V03 | LinStatic | 0 | -1.0021 | 0 | 0.00001345 | 0 | -14.79571 |
| 2351 | 0 | V01V03 | LinStatic | 0 | -1.0021 | 0 | 0.00001345 | 0 | -14.79571 |
| 2351 | 0.5 | V01V03 | LinStatic | 0 | -1.0021 | 0 | 0.00001345 | 0 | -14.29467 |
| 2351 | 1 | V01V03 | LinStatic | 0 | -1.0021 | 0 | 0.00001345 | 0 | -13.79364 |
| 2398 | 0 | V01V03 | LinStatic | 0 | 0.2387 | 0 | 5.251E-07 | 0 | 3.7634 |
| 2398 | 0.5 | V01V03 | LinStatic | 0 | 0.2387 | 0 | 5.251E-07 | 0 | 3.64404 |
| 2398 | 1 | V01V03 | LinStatic | 0 | 0.2387 | 0 | 5.251E-07 | 0 | 3.52468 |
| 2399 | 0 | V01V03 | LinStatic | 0 | 0.2387 | 0 | 5.251E-07 | 0 | 3.52468 |
| 2399 | 0.5 | V01V03 | LinStatic | 0 | 0.2387 | 0 | 5.251E-07 | 0 | 3.40533 |
| 2399 | 1 | V01V03 | LinStatic | 0 | 0.2387 | 0 | 5.251E-07 | 0 | 3.28597 |
| 2446 | 0 | V01V03 | LinStatic | 0 | -0.0569 | 0 | 2.051E-08 | 0 | -0.89653 |
| 2446 | 0.5 | V01V03 | LinStatic | 0 | -0.0569 | 0 | 2.051E-08 | 0 | -0.8681 |
| 2446 | 1 | V01V03 | LinStatic | 0 | -0.0569 | 0 | 2.051E-08 | 0 | -0.83966 |
| 2447 | 0 | V01V03 | LinStatic | 0 | -0.0569 | 0 | 2.051E-08 | 0 | -0.83966 |
| 2447 | 0.5 | V01V03 | LinStatic | 0 | -0.0569 | 0 | 2.051E-08 | 0 | -0.81123 |
| 2447 | 1 | V01V03 | LinStatic | 0 | -0.0569 | 0 | 2.051E-08 | 0 | -0.78279 |
| 2494 | 0 | V01V03 | LinStatic | 0 | 0.0135 | 0 | 8.01E-10 | 0 | 0.21357 |
| 2494 | 0.5 | V01V03 | LinStatic | 0 | 0.0135 | 0 | 8.01E-10 | 0 | 0.2068 |
| 2494 | 1 | V01V03 | LinStatic | 0 | 0.0135 | 0 | 8.01E-10 | 0 | 0.20003 |
| 2495 | 0 | V01V03 | LinStatic | 0 | 0.0135 | 0 | 8.01E-10 | 0 | 0.20003 |
| 2495 | 0.5 | V01V03 | LinStatic | 0 | 0.0135 | 0 | 8.01E-10 | 0 | 0.19325 |
| 2495 | 1 | V01V03 | LinStatic | 0 | 0.0135 | 0 | 8.01E-10 | 0 | 0.18648 |
| 2542 | 0 | V01V03 | LinStatic | 0 | -0.0032 | 0 | 3.128E-11 | 0 | -0.05088 |

**TABLE: Element Forces - Frames**

| Frame | Station | OutputCase | CaseType | P | V2 | V3 | T | M2 | M3 |
|---|---|---|---|---|---|---|---|---|---|
| Text | m | Text | Text | Ton | Ton | Ton | Ton-m | Ton-m | Ton-m |
| 2542 | 0.5 | V01V03 | LinStatic | 0 | -0.0032 | 0 | 3.128E-11 | 0 | -0.04926 |
| 2542 | 1 | V01V03 | LinStatic | 0 | -0.0032 | 0 | 3.128E-11 | 0 | -0.04765 |
| 2543 | 0 | V01V03 | LinStatic | 0 | -0.0032 | 0 | 3.128E-11 | 0 | -0.04765 |
| 2543 | 0.5 | V01V03 | LinStatic | 0 | -0.0032 | 0 | 3.128E-11 | 0 | -0.04604 |
| 2543 | 1 | V01V03 | LinStatic | 0 | -0.0032 | 0 | 3.128E-11 | 0 | -0.04442 |
| 2590 | 0 | V01V03 | LinStatic | 0 | 0.0007688 | 0 | 1.222E-12 | 0 | 0.01212 |
| 2590 | 0.5 | V01V03 | LinStatic | 0 | 0.0007688 | 0 | 1.222E-12 | 0 | 0.01174 |
| 2590 | 1 | V01V03 | LinStatic | 0 | 0.0007688 | 0 | 1.222E-12 | 0 | 0.01135 |
| 2591 | 0 | V01V03 | LinStatic | 0 | 0.0007688 | 0 | 1.222E-12 | 0 | 0.01135 |
| 2591 | 0.5 | V01V03 | LinStatic | 0 | 0.0007688 | 0 | 1.222E-12 | 0 | 0.01097 |
| 2591 | 1 | V01V03 | LinStatic | 0 | 0.0007688 | 0 | 1.222E-12 | 0 | 0.01058 |
| 2638 | 0 | V01V03 | LinStatic | 0 | -0.0001831 | 0 | 4.773E-14 | 0 | -0.00289 |
| 2638 | 0.5 | V01V03 | LinStatic | 0 | -0.0001831 | 0 | 4.773E-14 | 0 | -0.0028 |
| 2638 | 1 | V01V03 | LinStatic | 0 | -0.0001831 | 0 | 4.773E-14 | 0 | -0.0027 |
| 2639 | 0 | V01V03 | LinStatic | 0 | -0.0001831 | 0 | 4.773E-14 | 0 | -0.0027 |
| 2639 | 0.5 | V01V03 | LinStatic | 0 | -0.0001831 | 0 | 4.773E-14 | 0 | -0.00261 |
| 2639 | 1 | V01V03 | LinStatic | 0 | -0.0001831 | 0 | 4.773E-14 | 0 | -0.00252 |
| 2686 | 0 | V01V03 | LinStatic | 0 | 0.00004363 | 0 | 1.864E-15 | 0 | 0.00069 |
| 2686 | 0.5 | V01V03 | LinStatic | 0 | 0.00004363 | 0 | 1.864E-15 | 0 | 0.00067 |
| 2686 | 1 | V01V03 | LinStatic | 0 | 0.00004363 | 0 | 1.864E-15 | 0 | 0.00064 |
| 2687 | 0 | V01V03 | LinStatic | 0 | 0.00004363 | 0 | 1.865E-15 | 0 | 0.00064 |
| 2687 | 0.5 | V01V03 | LinStatic | 0 | 0.00004363 | 0 | 1.865E-15 | 0 | 0.00062 |
| 2687 | 1 | V01V03 | LinStatic | 0 | 0.00004363 | 0 | 1.865E-15 | 0 | 0.0006 |
| 2734 | 0 | V01V03 | LinStatic | 0 | -0.00001039 | 0 | 7.313E-17 | 0 | -0.00016 |
| 2734 | 0.5 | V01V03 | LinStatic | 0 | -0.00001039 | 0 | 7.313E-17 | 0 | -0.00016 |
| 2734 | 1 | V01V03 | LinStatic | 0 | -0.00001039 | 0 | 7.313E-17 | 0 | -0.00015 |
| 2735 | 0 | V01V03 | LinStatic | 0 | -0.00001039 | 0 | 7.302E-17 | 0 | -0.00015 |
| 2735 | 0.5 | V01V03 | LinStatic | 0 | -0.00001039 | 0 | 7.302E-17 | 0 | -0.00015 |
| 2735 | 1 | V01V03 | LinStatic | 0 | -0.00001039 | 0 | 7.302E-17 | 0 | -0.00014 |
| 2782 | 0 | V01V03 | LinStatic | 0 | 0.000002476 | 0 | 2.974E-18 | 0 | 0.00003904 |
| 2782 | 0.5 | V01V03 | LinStatic | 0 | 0.000002476 | 0 | 2.974E-18 | 0 | 0.0000378 |
| 2782 | 1 | V01V03 | LinStatic | 0 | 0.000002476 | 0 | 2.974E-18 | 0 | 0.00003656 |
| 2783 | 0 | V01V03 | LinStatic | 0 | 0.000002476 | 0 | 2.912E-18 | 0 | 0.00003656 |
| 2783 | 0.5 | V01V03 | LinStatic | 0 | 0.000002476 | 0 | 2.912E-18 | 0 | 0.00003532 |
| 2783 | 1 | V01V03 | LinStatic | 0 | 0.000002476 | 0 | 2.912E-18 | 0 | 0.00003408 |
| 2830 | 0 | V01V03 | LinStatic | 0 | -5.898E-07 | 0 | 1.134E-19 | 0 | -0.000009299 |
| 2830 | 0.5 | V01V03 | LinStatic | 0 | -5.898E-07 | 0 | 1.134E-19 | 0 | -0.000009004 |
| 2830 | 1 | V01V03 | LinStatic | 0 | -5.898E-07 | 0 | 1.134E-19 | 0 | -0.000008709 |
| 2831 | 0 | V01V03 | LinStatic | 0 | -5.898E-07 | 0 | 1.051E-19 | 0 | -0.000008709 |
| 2831 | 0.5 | V01V03 | LinStatic | 0 | -5.898E-07 | 0 | 1.051E-19 | 0 | -0.000008414 |
| 2831 | 1 | V01V03 | LinStatic | 0 | -5.898E-07 | 0 | 1.051E-19 | 0 | -0.000008119 |
| 2878 | 0 | V01V03 | LinStatic | 0 | 1.405E-07 | 0 | 0 | 0 | 0.000002215 |
| 2878 | 0.5 | V01V03 | LinStatic | 0 | 1.405E-07 | 0 | 0 | 0 | 0.000002145 |
| 2878 | 1 | V01V03 | LinStatic | 0 | 1.405E-07 | 0 | 0 | 0 | 0.000002075 |
| 2879 | 0 | V01V03 | LinStatic | 0 | 1.405E-07 | 0 | 1.212E-20 | 0 | 0.000002075 |
| 2879 | 0.5 | V01V03 | LinStatic | 0 | 1.405E-07 | 0 | 1.212E-20 | 0 | 0.000002004 |
| 2879 | 1 | V01V03 | LinStatic | 0 | 1.405E-07 | 0 | 1.212E-20 | 0 | 0.000001934 |
| 2926 | 0 | V01V03 | LinStatic | 0 | -3.347E-08 | 0 | 0 | 0 | -5.277E-07 |
| 2926 | 0.5 | V01V03 | LinStatic | 0 | -3.347E-08 | 0 | 0 | 0 | -0.000000511 |
| 2926 | 1 | V01V03 | LinStatic | 0 | -3.347E-08 | 0 | 0 | 0 | -4.943E-07 |
| 2927 | 0 | V01V03 | LinStatic | 0 | -3.347E-08 | 0 | 0 | 0 | -4.943E-07 |
| 2927 | 0.5 | V01V03 | LinStatic | 0 | -3.347E-08 | 0 | 0 | 0 | -4.775E-07 |
| 2927 | 1 | V01V03 | LinStatic | 0 | -3.347E-08 | 0 | 0 | 0 | -4.608E-07 |
| 2974 | 0 | V01V03 | LinStatic | 0 | 7.975E-09 | 0 | 0 | 0 | 1.257E-07 |
| 2974 | 0.5 | V01V03 | LinStatic | 0 | 7.975E-09 | 0 | 0 | 0 | 1.217E-07 |
| 2974 | 1 | V01V03 | LinStatic | 0 | 7.975E-09 | 0 | 0 | 0 | 1.177E-07 |
| 2975 | 0 | V01V03 | LinStatic | 0 | 7.975E-09 | 0 | 0 | 0 | 1.177E-07 |
| 2975 | 0.5 | V01V03 | LinStatic | 0 | 7.975E-09 | 0 | 0 | 0 | 1.138E-07 |
| 2975 | 1 | V01V03 | LinStatic | 0 | 7.975E-09 | 0 | 0 | 0 | 1.098E-07 |
| 3022 | 0 | V01V03 | LinStatic | 0 | -1.901E-09 | 0 | 0 | 0 | -2.993E-08 |
| 3022 | 0.5 | V01V03 | LinStatic | 0 | -1.901E-09 | 0 | 0 | 0 | -2.898E-08 |
| 3022 | 1 | V01V03 | LinStatic | 0 | -1.901E-09 | 0 | 0 | 0 | -2.803E-08 |
| 3023 | 0 | V01V03 | LinStatic | 0 | -1.901E-09 | 0 | 0 | 0 | -2.803E-08 |
| 3023 | 0.5 | V01V03 | LinStatic | 0 | -1.901E-09 | 0 | 0 | 0 | -2.708E-08 |
| 3023 | 1 | V01V03 | LinStatic | 0 | -1.901E-09 | 0 | 0 | 0 | -2.613E-08 |
| 3070 | 0 | V01V03 | LinStatic | 0 | 4.567E-10 | 0 | 0 | 0 | 7.077E-09 |
| 3070 | 0.5 | V01V03 | LinStatic | 0 | 4.567E-10 | 0 | 0 | 0 | 6.849E-09 |
| 3070 | 1 | V01V03 | LinStatic | 0 | 4.567E-10 | 0 | 0 | 0 | 6.62E-09 |
| 3071 | 0 | V01V03 | LinStatic | 0 | 4.567E-10 | 0 | 0 | 0 | 6.62E-09 |
| 3071 | 0.5 | V01V03 | LinStatic | 0 | 4.567E-10 | 0 | 0 | 0 | 6.392E-09 |
| 3071 | 1 | V01V03 | LinStatic | 0 | 4.567E-10 | 0 | 0 | 0 | 6.164E-09 |
| 3116 | 0 | V01V03 | LinStatic | 0 | -1.113E-10 | 0 | 0 | 0 | -2.003E-09 |
| 3116 | 0.5 | V01V03 | LinStatic | 0 | -1.113E-10 | 0 | 0 | 0 | -1.948E-09 |
| 3116 | 1 | V01V03 | LinStatic | 0 | -1.113E-10 | 0 | 0 | 0 | -1.892E-09 |
| 1063 | 0 | V02V04 | LinStatic | 0 | 18.4963 | 0 | -1.36511 | 0 | -312.53086 |
| 1063 | 0.5 | V02V04 | LinStatic | 0 | 18.4963 | 0 | -1.36511 | 0 | -321.77899 |
| 1063 | 1 | V02V04 | LinStatic | 0 | 18.4963 | 0 | -1.36511 | 0 | -331.02712 |
| 1108 | 0 | V02V04 | LinStatic | 0 | -16.3296 | 0 | 12.7918 | 0 | 1026.91646 |
| 1108 | 0.5 | V02V04 | LinStatic | 0 | -16.3296 | 0 | 12.7918 | 0 | 1035.08128 |
| 1108 | 1 | V02V04 | LinStatic | 0 | -16.3296 | 0 | 12.7918 | 0 | 1043.2461 |
| 1109 | 0 | V02V04 | LinStatic | 0 | 3.3215 | 0 | 11.8498 | 0 | 1042.2373 |
| 1109 | 0.5 | V02V04 | LinStatic | 0 | 3.3215 | 0 | 11.8498 | 0 | 1040.57656 |
| 1109 | 1 | V02V04 | LinStatic | 0 | 3.3215 | 0 | 11.8498 | 0 | 1038.91582 |

**TABLE: Element Forces - Frames**

| Frame | Station | OutputCase | CaseType | P | V2 | V3 | T | M2 | M3 |
|---|---|---|---|---|---|---|---|---|---|
| Text | m | Text | Text | Ton | Ton | Ton | Ton-m | Ton-m | Ton-m |
| 1156 | 0 | V02V04 | LinStatic | 0 | 2.466 | 0 | 1.76593 | 0 | -520.85046 |
| 1156 | 0.5 | V02V04 | LinStatic | 0 | 2.466 | 0 | 1.76593 | 0 | -522.08346 |
| 1156 | 1 | V02V04 | LinStatic | 0 | 2.466 | 0 | 1.76593 | 0 | -523.31646 |
| 1157 | 0 | V02V04 | LinStatic | 0 | 2.466 | 0 | 1.76594 | 0 | -523.45853 |
| 1157 | 0.5 | V02V04 | LinStatic | 0 | 2.466 | 0 | 1.76594 | 0 | -524.69153 |
| 1157 | 1 | V02V04 | LinStatic | 0 | 2.466 | 0 | 1.76594 | 0 | -525.92454 |
| 1205 | 0 | V02V04 | LinStatic | 0 | 3.1411 | 0 | 0.0652 | 0 | 1060.50491 |
| 1205 | 0.5 | V02V04 | LinStatic | 0 | 3.1411 | 0 | 0.0652 | 0 | 1058.93438 |
| 1205 | 1 | V02V04 | LinStatic | 0 | 3.1411 | 0 | 0.0652 | 0 | 1057.36385 |
| 1257 | 0 | V02V04 | LinStatic | 0 | -18.2596 | 0 | 0.00241 | 0 | -289.95758 |
| 1257 | 0.5 | V02V04 | LinStatic | 0 | -18.2596 | 0 | 0.00241 | 0 | -280.82778 |
| 1257 | 1 | V02V04 | LinStatic | 0 | -18.2596 | 0 | 0.00241 | 0 | -271.69798 |
| 1306 | 0 | V02V04 | LinStatic | 0 | 4.7668 | 0 | 0.00009402 | 0 | 75.1501 |
| 1306 | 0.5 | V02V04 | LinStatic | 0 | 4.7668 | 0 | 0.00009402 | 0 | 72.76669 |
| 1306 | 1 | V02V04 | LinStatic | 0 | 4.7668 | 0 | 0.00009402 | 0 | 70.38328 |
| 1307 | 0 | V02V04 | LinStatic | 0 | 4.7668 | 0 | 0.00009402 | 0 | 70.38327 |
| 1307 | 0.5 | V02V04 | LinStatic | 0 | 4.7668 | 0 | 0.00009402 | 0 | 67.99986 |
| 1307 | 1 | V02V04 | LinStatic | 0 | 4.7668 | 0 | 0.00009402 | 0 | 65.61645 |
| 1354 | 0 | V02V04 | LinStatic | 0 | -1.1356 | 0 | 0.000003672 | 0 | -17.90251 |
| 1354 | 0.5 | V02V04 | LinStatic | 0 | -1.1356 | 0 | 0.000003672 | 0 | -17.33472 |
| 1354 | 1 | V02V04 | LinStatic | 0 | -1.1356 | 0 | 0.000003672 | 0 | -16.76694 |
| 1355 | 0 | V02V04 | LinStatic | 0 | -1.1356 | 0 | 0.000003672 | 0 | -16.76694 |
| 1355 | 0.5 | V02V04 | LinStatic | 0 | -1.1356 | 0 | 0.000003672 | 0 | -16.19915 |
| 1355 | 1 | V02V04 | LinStatic | 0 | -1.1356 | 0 | 0.000003672 | 0 | -15.63137 |
| 1402 | 0 | V02V04 | LinStatic | 0 | 0.2705 | 0 | 1.434E-07 | 0 | 4.2648 |
| 1402 | 0.5 | V02V04 | LinStatic | 0 | 0.2705 | 0 | 1.434E-07 | 0 | 4.12954 |
| 1402 | 1 | V02V04 | LinStatic | 0 | 0.2705 | 0 | 1.434E-07 | 0 | 3.99428 |
| 1403 | 0 | V02V04 | LinStatic | 0 | 0.2705 | 0 | 1.434E-07 | 0 | 3.99428 |
| 1403 | 0.5 | V02V04 | LinStatic | 0 | 0.2705 | 0 | 1.434E-07 | 0 | 3.85902 |
| 1403 | 1 | V02V04 | LinStatic | 0 | 0.2705 | 0 | 1.434E-07 | 0 | 3.72376 |
| 1450 | 0 | V02V04 | LinStatic | 0 | -0.0644 | 0 | 5.601E-09 | 0 | -1.01597 |
| 1450 | 0.5 | V02V04 | LinStatic | 0 | -0.0644 | 0 | 5.601E-09 | 0 | -0.98375 |
| 1450 | 1 | V02V04 | LinStatic | 0 | -0.0644 | 0 | 5.601E-09 | 0 | -0.95153 |
| 1451 | 0 | V02V04 | LinStatic | 0 | -0.0644 | 0 | 5.601E-09 | 0 | -0.95153 |
| 1451 | 0.5 | V02V04 | LinStatic | 0 | -0.0644 | 0 | 5.601E-09 | 0 | -0.91931 |
| 1451 | 1 | V02V04 | LinStatic | 0 | -0.0644 | 0 | 5.601E-09 | 0 | -0.88709 |
| 1498 | 0 | V02V04 | LinStatic | 0 | 0.0154 | 0 | 2.187E-10 | 0 | 0.24203 |
| 1498 | 0.5 | V02V04 | LinStatic | 0 | 0.0154 | 0 | 2.187E-10 | 0 | 0.23435 |
| 1498 | 1 | V02V04 | LinStatic | 0 | 0.0154 | 0 | 2.187E-10 | 0 | 0.22668 |
| 1499 | 0 | V02V04 | LinStatic | 0 | 0.0154 | 0 | 2.187E-10 | 0 | 0.22668 |
| 1499 | 0.5 | V02V04 | LinStatic | 0 | 0.0154 | 0 | 2.187E-10 | 0 | 0.219 |
| 1499 | 1 | V02V04 | LinStatic | 0 | 0.0154 | 0 | 2.187E-10 | 0 | 0.21132 |
| 1546 | 0 | V02V04 | LinStatic | 0 | -0.0037 | 0 | 8.543E-12 | 0 | -0.05766 |
| 1546 | 0.5 | V02V04 | LinStatic | 0 | -0.0037 | 0 | 8.543E-12 | 0 | -0.05583 |
| 1546 | 1 | V02V04 | LinStatic | 0 | -0.0037 | 0 | 8.543E-12 | 0 | -0.054 |
| 1547 | 0 | V02V04 | LinStatic | 0 | -0.0037 | 0 | 8.544E-12 | 0 | -0.054 |
| 1547 | 0.5 | V02V04 | LinStatic | 0 | -0.0037 | 0 | 8.544E-12 | 0 | -0.05217 |
| 1547 | 1 | V02V04 | LinStatic | 0 | -0.0037 | 0 | 8.544E-12 | 0 | -0.05034 |
| 1594 | 0 | V02V04 | LinStatic | 0 | 0.0008712 | 0 | 3.336E-13 | 0 | 0.01374 |
| 1594 | 0.5 | V02V04 | LinStatic | 0 | 0.0008712 | 0 | 3.336E-13 | 0 | 0.0133 |
| 1594 | 1 | V02V04 | LinStatic | 0 | 0.0008712 | 0 | 3.336E-13 | 0 | 0.01286 |
| 1595 | 0 | V02V04 | LinStatic | 0 | 0.0008712 | 0 | 3.336E-13 | 0 | 0.01286 |
| 1595 | 0.5 | V02V04 | LinStatic | 0 | 0.0008712 | 0 | 3.336E-13 | 0 | 0.01243 |
| 1595 | 1 | V02V04 | LinStatic | 0 | 0.0008712 | 0 | 3.336E-13 | 0 | 0.01199 |
| 1642 | 0 | V02V04 | LinStatic | 0 | -0.0002075 | 0 | 1.303E-14 | 0 | -0.00327 |
| 1642 | 0.5 | V02V04 | LinStatic | 0 | -0.0002075 | 0 | 1.303E-14 | 0 | -0.00317 |
| 1642 | 1 | V02V04 | LinStatic | 0 | -0.0002075 | 0 | 1.303E-14 | 0 | -0.00306 |
| 1643 | 0 | V02V04 | LinStatic | 0 | -0.0002075 | 0 | 1.303E-14 | 0 | -0.00306 |
| 1643 | 0.5 | V02V04 | LinStatic | 0 | -0.0002075 | 0 | 1.303E-14 | 0 | -0.00296 |
| 1643 | 1 | V02V04 | LinStatic | 0 | -0.0002075 | 0 | 1.303E-14 | 0 | -0.00286 |
| 1690 | 0 | V02V04 | LinStatic | 0 | 0.00004944 | 0 | 5.075E-16 | 0 | 0.00078 |
| 1690 | 0.5 | V02V04 | LinStatic | 0 | 0.00004944 | 0 | 5.075E-16 | 0 | 0.00075 |
| 1690 | 1 | V02V04 | LinStatic | 0 | 0.00004944 | 0 | 5.075E-16 | 0 | 0.00073 |
| 1691 | 0 | V02V04 | LinStatic | 0 | 0.00004944 | 0 | 5.089E-16 | 0 | 0.00073 |
| 1691 | 0.5 | V02V04 | LinStatic | 0 | 0.00004944 | 0 | 5.089E-16 | 0 | 0.00071 |
| 1691 | 1 | V02V04 | LinStatic | 0 | 0.00004944 | 0 | 5.089E-16 | 0 | 0.00068 |
| 1738 | 0 | V02V04 | LinStatic | 0 | -0.00001178 | 0 | 1.93E-17 | 0 | -0.00019 |
| 1738 | 0.5 | V02V04 | LinStatic | 0 | -0.00001178 | 0 | 1.93E-17 | 0 | -0.00018 |
| 1738 | 1 | V02V04 | LinStatic | 0 | -0.00001178 | 0 | 1.93E-17 | 0 | -0.00017 |
| 1739 | 0 | V02V04 | LinStatic | 0 | -0.00001178 | 0 | 1.977E-17 | 0 | -0.00017 |
| 1739 | 0.5 | V02V04 | LinStatic | 0 | -0.00001178 | 0 | 1.977E-17 | 0 | -0.00017 |
| 1739 | 1 | V02V04 | LinStatic | 0 | -0.00001178 | 0 | 1.977E-17 | 0 | -0.00016 |
| 1786 | 0 | V02V04 | LinStatic | 0 | 0.000002806 | 0 | 8.224E-19 | 0 | 0.00004424 |
| 1786 | 0.5 | V02V04 | LinStatic | 0 | 0.000002806 | 0 | 8.224E-19 | 0 | 0.00004283 |
| 1786 | 1 | V02V04 | LinStatic | 0 | 0.000002806 | 0 | 8.224E-19 | 0 | 0.00004143 |
| 1787 | 0 | V02V04 | LinStatic | 0 | 0.000002806 | 0 | 7.688E-19 | 0 | 0.00004143 |
| 1787 | 0.5 | V02V04 | LinStatic | 0 | 0.000002806 | 0 | 7.688E-19 | 0 | 0.00004003 |
| 1787 | 1 | V02V04 | LinStatic | 0 | 0.000002806 | 0 | 7.688E-19 | 0 | 0.00003862 |
| 1834 | 0 | V02V04 | LinStatic | 0 | -6.684E-07 | 0 | 1.382E-20 | 0 | -0.00001054 |
| 1834 | 0.5 | V02V04 | LinStatic | 0 | -6.684E-07 | 0 | 1.382E-20 | 0 | -0.0000102 |
| 1834 | 1 | V02V04 | LinStatic | 0 | -6.684E-07 | 0 | 1.382E-20 | 0 | -0.00000987 |
| 1835 | 0 | V02V04 | LinStatic | 0 | -6.684E-07 | 0 | 0 | 0 | -0.00000987 |
| 1835 | 0.5 | V02V04 | LinStatic | 0 | -6.684E-07 | 0 | 0 | 0 | -0.000009535 |

**TABLE: Element Forces - Frames**

| Frame | Station | OutputCase | CaseType | P | V2 | V3 | T | M2 | M3 |
|---|---|---|---|---|---|---|---|---|---|
| Text | m | Text | Text | Ton | Ton | Ton | Ton-m | Ton-m | Ton-m |
| 1835 | 1 | V02V04 | LinStatic | 0 | -6.684E-07 | 0 | 0 | 0 | -0.000009201 |
| 1882 | 0 | V02V04 | LinStatic | 0 | 1.592E-07 | 0 | 0 | 0 | 0.00000251 |
| 1882 | 0.5 | V02V04 | LinStatic | 0 | 1.592E-07 | 0 | 0 | 0 | 0.000002431 |
| 1882 | 1 | V02V04 | LinStatic | 0 | 1.592E-07 | 0 | 0 | 0 | 0.000002351 |
| 1883 | 0 | V02V04 | LinStatic | 0 | 1.592E-07 | 0 | 1.086E-20 | 0 | 0.000002351 |
| 1883 | 0.5 | V02V04 | LinStatic | 0 | 1.592E-07 | 0 | 1.086E-20 | 0 | 0.000002272 |
| 1883 | 1 | V02V04 | LinStatic | 0 | 1.592E-07 | 0 | 1.086E-20 | 0 | 0.000002192 |
| 1930 | 0 | V02V04 | LinStatic | 0 | -3.793E-08 | 0 | 0 | 0 | -0.000000598 |
| 1930 | 0.5 | V02V04 | LinStatic | 0 | -3.793E-08 | 0 | 0 | 0 | -5.791E-07 |
| 1930 | 1 | V02V04 | LinStatic | 0 | -3.793E-08 | 0 | 0 | 0 | -5.601E-07 |
| 1931 | 0 | V02V04 | LinStatic | 0 | -3.793E-08 | 0 | 0 | 0 | -5.601E-07 |
| 1931 | 0.5 | V02V04 | LinStatic | 0 | -3.793E-08 | 0 | 0 | 0 | -5.411E-07 |
| 1931 | 1 | V02V04 | LinStatic | 0 | -3.793E-08 | 0 | 0 | 0 | -5.221E-07 |
| 1978 | 0 | V02V04 | LinStatic | 0 | 9.041E-09 | 0 | 0 | 0 | 1.424E-07 |
| 1978 | 0.5 | V02V04 | LinStatic | 0 | 9.041E-09 | 0 | 0 | 0 | 1.379E-07 |
| 1978 | 1 | V02V04 | LinStatic | 0 | 9.041E-09 | 0 | 0 | 0 | 1.334E-07 |
| 1979 | 0 | V02V04 | LinStatic | 0 | 9.041E-09 | 0 | 0 | 0 | 1.334E-07 |
| 1979 | 0.5 | V02V04 | LinStatic | 0 | 9.041E-09 | 0 | 0 | 0 | 1.288E-07 |
| 1979 | 1 | V02V04 | LinStatic | 0 | 9.041E-09 | 0 | 0 | 0 | 1.243E-07 |
| 2026 | 0 | V02V04 | LinStatic | 0 | -2.173E-09 | 0 | 0 | 0 | -3.367E-08 |
| 2026 | 0.5 | V02V04 | LinStatic | 0 | -2.173E-09 | 0 | 0 | 0 | -3.258E-08 |
| 2026 | 1 | V02V04 | LinStatic | 0 | -2.173E-09 | 0 | 0 | 0 | -3.149E-08 |
| 2027 | 0 | V02V04 | LinStatic | 0 | -2.173E-09 | 0 | 0 | 0 | -3.149E-08 |
| 2027 | 0.5 | V02V04 | LinStatic | 0 | -2.173E-09 | 0 | 0 | 0 | -3.041E-08 |
| 2027 | 1 | V02V04 | LinStatic | 0 | -2.173E-09 | 0 | 0 | 0 | -2.932E-08 |
| 2072 | 0 | V02V04 | LinStatic | 0 | 5.294E-10 | 0 | 0 | 0 | 9.53E-09 |
| 2072 | 0.5 | V02V04 | LinStatic | 0 | 5.294E-10 | 0 | 0 | 0 | 9.265E-09 |
| 2072 | 1 | V02V04 | LinStatic | 0 | 5.294E-10 | 0 | 0 | 0 | 0.000000009 |
| 2107 | 0 | V02V04 | LinStatic | 0 | 18.2779 | 0 | -1.36511 | 0 | -312.63011 |
| 2107 | 0.5 | V02V04 | LinStatic | 0 | 18.2779 | 0 | -1.36511 | 0 | -321.76907 |
| 2107 | 1 | V02V04 | LinStatic | 0 | 18.2779 | 0 | -1.36511 | 0 | -330.90802 |
| 2152 | 0 | V02V04 | LinStatic | 0 | -14.6246 | 0 | 12.7918 | 0 | 1024.83898 |
| 2152 | 0.5 | V02V04 | LinStatic | 0 | -14.6246 | 0 | 12.7918 | 0 | 1032.1513 |
| 2152 | 1 | V02V04 | LinStatic | 0 | -14.6246 | 0 | 12.7918 | 0 | 1039.46362 |
| 2153 | 0 | V02V04 | LinStatic | 0 | 5.7243 | 0 | 11.8498 | 0 | 1040.47242 |
| 2153 | 0.5 | V02V04 | LinStatic | 0 | 5.7243 | 0 | 11.8498 | 0 | 1037.61029 |
| 2153 | 1 | V02V04 | LinStatic | 0 | 5.7243 | 0 | 11.8498 | 0 | 1034.74817 |
| 2200 | 0 | V02V04 | LinStatic | 0 | 2.7501 | 0 | 1.76593 | 0 | -520.70839 |
| 2200 | 0.5 | V02V04 | LinStatic | 0 | 2.7501 | 0 | 1.76593 | 0 | -522.08345 |
| 2200 | 1 | V02V04 | LinStatic | 0 | 2.7501 | 0 | 1.76593 | 0 | -523.45852 |
| 2201 | 0 | V02V04 | LinStatic | 0 | 2.7501 | 0 | 1.76594 | 0 | -523.31645 |
| 2201 | 0.5 | V02V04 | LinStatic | 0 | 2.7501 | 0 | 1.76594 | 0 | -524.69151 |
| 2201 | 1 | V02V04 | LinStatic | 0 | 2.7501 | 0 | 1.76594 | 0 | -526.06658 |
| 2249 | 0 | V02V04 | LinStatic | 0 | 3.1516 | 0 | 0.0652 | 0 | 1060.51019 |
| 2249 | 0.5 | V02V04 | LinStatic | 0 | 3.1516 | 0 | 0.0652 | 0 | 1058.93441 |
| 2249 | 1 | V02V04 | LinStatic | 0 | 3.1516 | 0 | 0.0652 | 0 | 1057.35863 |
| 2301 | 0 | V02V04 | LinStatic | 0 | -18.2592 | 0 | 0.00241 | 0 | -289.95738 |
| 2301 | 0.5 | V02V04 | LinStatic | 0 | -18.2592 | 0 | 0.00241 | 0 | -280.82778 |
| 2301 | 1 | V02V04 | LinStatic | 0 | -18.2592 | 0 | 0.00241 | 0 | -271.69817 |
| 2350 | 0 | V02V04 | LinStatic | 0 | 4.7668 | 0 | 0.00009402 | 0 | 75.15011 |
| 2350 | 0.5 | V02V04 | LinStatic | 0 | 4.7668 | 0 | 0.00009402 | 0 | 72.76669 |
| 2350 | 1 | V02V04 | LinStatic | 0 | 4.7668 | 0 | 0.00009402 | 0 | 70.38327 |
| 2351 | 0 | V02V04 | LinStatic | 0 | 4.7668 | 0 | 0.00009402 | 0 | 70.38328 |
| 2351 | 0.5 | V02V04 | LinStatic | 0 | 4.7668 | 0 | 0.00009402 | 0 | 67.99986 |
| 2351 | 1 | V02V04 | LinStatic | 0 | 4.7668 | 0 | 0.00009402 | 0 | 65.61644 |
| 2398 | 0 | V02V04 | LinStatic | 0 | -1.1356 | 0 | 0.000003672 | 0 | -17.90251 |
| 2398 | 0.5 | V02V04 | LinStatic | 0 | -1.1356 | 0 | 0.000003672 | 0 | -17.33472 |
| 2398 | 1 | V02V04 | LinStatic | 0 | -1.1356 | 0 | 0.000003672 | 0 | -16.76694 |
| 2399 | 0 | V02V04 | LinStatic | 0 | -1.1356 | 0 | 0.000003672 | 0 | -16.76694 |
| 2399 | 0.5 | V02V04 | LinStatic | 0 | -1.1356 | 0 | 0.000003672 | 0 | -16.19915 |
| 2399 | 1 | V02V04 | LinStatic | 0 | -1.1356 | 0 | 0.000003672 | 0 | -15.63137 |
| 2446 | 0 | V02V04 | LinStatic | 0 | 0.2705 | 0 | 1.434E-07 | 0 | 4.2648 |
| 2446 | 0.5 | V02V04 | LinStatic | 0 | 0.2705 | 0 | 1.434E-07 | 0 | 4.12954 |
| 2446 | 1 | V02V04 | LinStatic | 0 | 0.2705 | 0 | 1.434E-07 | 0 | 3.99428 |
| 2447 | 0 | V02V04 | LinStatic | 0 | 0.2705 | 0 | 1.434E-07 | 0 | 3.99428 |
| 2447 | 0.5 | V02V04 | LinStatic | 0 | 0.2705 | 0 | 1.434E-07 | 0 | 3.85902 |
| 2447 | 1 | V02V04 | LinStatic | 0 | 0.2705 | 0 | 1.434E-07 | 0 | 3.72376 |
| 2494 | 0 | V02V04 | LinStatic | 0 | -0.0644 | 0 | 5.601E-09 | 0 | -1.01597 |
| 2494 | 0.5 | V02V04 | LinStatic | 0 | -0.0644 | 0 | 5.601E-09 | 0 | -0.98375 |
| 2494 | 1 | V02V04 | LinStatic | 0 | -0.0644 | 0 | 5.601E-09 | 0 | -0.95153 |
| 2495 | 0 | V02V04 | LinStatic | 0 | -0.0644 | 0 | 5.601E-09 | 0 | -0.95153 |
| 2495 | 0.5 | V02V04 | LinStatic | 0 | -0.0644 | 0 | 5.601E-09 | 0 | -0.91931 |
| 2495 | 1 | V02V04 | LinStatic | 0 | -0.0644 | 0 | 5.601E-09 | 0 | -0.88709 |
| 2542 | 0 | V02V04 | LinStatic | 0 | 0.0154 | 0 | 2.187E-10 | 0 | 0.24203 |
| 2542 | 0.5 | V02V04 | LinStatic | 0 | 0.0154 | 0 | 2.187E-10 | 0 | 0.23435 |
| 2542 | 1 | V02V04 | LinStatic | 0 | 0.0154 | 0 | 2.187E-10 | 0 | 0.22668 |
| 2543 | 0 | V02V04 | LinStatic | 0 | 0.0154 | 0 | 2.187E-10 | 0 | 0.22668 |
| 2543 | 0.5 | V02V04 | LinStatic | 0 | 0.0154 | 0 | 2.187E-10 | 0 | 0.219 |
| 2543 | 1 | V02V04 | LinStatic | 0 | 0.0154 | 0 | 2.187E-10 | 0 | 0.21132 |
| 2590 | 0 | V02V04 | LinStatic | 0 | -0.0037 | 0 | 8.543E-12 | 0 | -0.05766 |
| 2590 | 0.5 | V02V04 | LinStatic | 0 | -0.0037 | 0 | 8.543E-12 | 0 | -0.05583 |
| 2590 | 1 | V02V04 | LinStatic | 0 | -0.0037 | 0 | 8.543E-12 | 0 | -0.054 |
| 2591 | 0 | V02V04 | LinStatic | 0 | -0.0037 | 0 | 8.544E-12 | 0 | -0.054 |

**TABLE: Element Forces - Frames**

| Frame | Station | OutputCase | CaseType | P | V2 | V3 | T | M2 | M3 |
|---|---|---|---|---|---|---|---|---|---|
| Text | m | Text | Text | Ton | Ton | Ton | Ton-m | Ton-m | Ton-m |
| 2591 | 0.5 | V02V04 | LinStatic | 0 | -0.0037 | 0 | 8.544E-12 | 0 | -0.05217 |
| 2591 | 1 | V02V04 | LinStatic | 0 | -0.0037 | 0 | 8.544E-12 | 0 | -0.05034 |
| 2638 | 0 | V02V04 | LinStatic | 0 | 0.0008712 | 0 | 3.336E-13 | 0 | 0.01374 |
| 2638 | 0.5 | V02V04 | LinStatic | 0 | 0.0008712 | 0 | 3.336E-13 | 0 | 0.0133 |
| 2638 | 1 | V02V04 | LinStatic | 0 | 0.0008712 | 0 | 3.336E-13 | 0 | 0.01286 |
| 2639 | 0 | V02V04 | LinStatic | 0 | 0.0008712 | 0 | 3.336E-13 | 0 | 0.01286 |
| 2639 | 0.5 | V02V04 | LinStatic | 0 | 0.0008712 | 0 | 3.336E-13 | 0 | 0.01243 |
| 2639 | 1 | V02V04 | LinStatic | 0 | 0.0008712 | 0 | 3.336E-13 | 0 | 0.01199 |
| 2686 | 0 | V02V04 | LinStatic | 0 | -0.0002075 | 0 | 1.302E-14 | 0 | -0.00327 |
| 2686 | 0.5 | V02V04 | LinStatic | 0 | -0.0002075 | 0 | 1.302E-14 | 0 | -0.00317 |
| 2686 | 1 | V02V04 | LinStatic | 0 | -0.0002075 | 0 | 1.302E-14 | 0 | -0.00306 |
| 2687 | 0 | V02V04 | LinStatic | 0 | -0.0002075 | 0 | 1.303E-14 | 0 | -0.00306 |
| 2687 | 0.5 | V02V04 | LinStatic | 0 | -0.0002075 | 0 | 1.303E-14 | 0 | -0.00296 |
| 2687 | 1 | V02V04 | LinStatic | 0 | -0.0002075 | 0 | 1.303E-14 | 0 | -0.00286 |
| 2734 | 0 | V02V04 | LinStatic | 0 | 0.00004944 | 0 | 5.077E-16 | 0 | 0.00078 |
| 2734 | 0.5 | V02V04 | LinStatic | 0 | 0.00004944 | 0 | 5.077E-16 | 0 | 0.00075 |
| 2734 | 1 | V02V04 | LinStatic | 0 | 0.00004944 | 0 | 5.077E-16 | 0 | 0.00073 |
| 2735 | 0 | V02V04 | LinStatic | 0 | 0.00004944 | 0 | 5.084E-16 | 0 | 0.00073 |
| 2735 | 0.5 | V02V04 | LinStatic | 0 | 0.00004944 | 0 | 5.084E-16 | 0 | 0.00071 |
| 2735 | 1 | V02V04 | LinStatic | 0 | 0.00004944 | 0 | 5.084E-16 | 0 | 0.00068 |
| 2782 | 0 | V02V04 | LinStatic | 0 | -0.00001178 | 0 | 1.978E-17 | 0 | -0.00019 |
| 2782 | 0.5 | V02V04 | LinStatic | 0 | -0.00001178 | 0 | 1.978E-17 | 0 | -0.00018 |
| 2782 | 1 | V02V04 | LinStatic | 0 | -0.00001178 | 0 | 1.978E-17 | 0 | -0.00017 |
| 2783 | 0 | V02V04 | LinStatic | 0 | -0.00001178 | 0 | 1.996E-17 | 0 | -0.00017 |
| 2783 | 0.5 | V02V04 | LinStatic | 0 | -0.00001178 | 0 | 1.996E-17 | 0 | -0.00017 |
| 2783 | 1 | V02V04 | LinStatic | 0 | -0.00001178 | 0 | 1.996E-17 | 0 | -0.00016 |
| 2830 | 0 | V02V04 | LinStatic | 0 | 0.000002806 | 0 | 7.335E-19 | 0 | 0.00004424 |
| 2830 | 0.5 | V02V04 | LinStatic | 0 | 0.000002806 | 0 | 7.335E-19 | 0 | 0.00004283 |
| 2830 | 1 | V02V04 | LinStatic | 0 | 0.000002806 | 0 | 7.335E-19 | 0 | 0.00004143 |
| 2831 | 0 | V02V04 | LinStatic | 0 | 0.000002806 | 0 | 9.061E-19 | 0 | 0.00004143 |
| 2831 | 0.5 | V02V04 | LinStatic | 0 | 0.000002806 | 0 | 9.061E-19 | 0 | 0.00004003 |
| 2831 | 1 | V02V04 | LinStatic | 0 | 0.000002806 | 0 | 9.061E-19 | 0 | 0.00003862 |
| 2878 | 0 | V02V04 | LinStatic | 0 | -6.684E-07 | 0 | 2.004E-20 | 0 | -0.00001054 |
| 2878 | 0.5 | V02V04 | LinStatic | 0 | -6.684E-07 | 0 | 2.004E-20 | 0 | -0.0000102 |
| 2878 | 1 | V02V04 | LinStatic | 0 | -6.684E-07 | 0 | 2.004E-20 | 0 | -0.00000987 |
| 2879 | 0 | V02V04 | LinStatic | 0 | -6.684E-07 | 0 | 0 | 0 | -0.00000987 |
| 2879 | 0.5 | V02V04 | LinStatic | 0 | -6.684E-07 | 0 | 0 | 0 | -0.000009535 |
| 2879 | 1 | V02V04 | LinStatic | 0 | -6.684E-07 | 0 | 0 | 0 | -0.000009201 |
| 2926 | 0 | V02V04 | LinStatic | 0 | 1.592E-07 | 0 | 0 | 0 | 0.00000251 |
| 2926 | 0.5 | V02V04 | LinStatic | 0 | 1.592E-07 | 0 | 0 | 0 | 0.000002431 |
| 2926 | 1 | V02V04 | LinStatic | 0 | 1.592E-07 | 0 | 0 | 0 | 0.000002351 |
| 2927 | 0 | V02V04 | LinStatic | 0 | 1.592E-07 | 0 | 1.057E-20 | 0 | 0.000002351 |
| 2927 | 0.5 | V02V04 | LinStatic | 0 | 1.592E-07 | 0 | 1.057E-20 | 0 | 0.000002272 |
| 2927 | 1 | V02V04 | LinStatic | 0 | 1.592E-07 | 0 | 1.057E-20 | 0 | 0.000002192 |
| 2974 | 0 | V02V04 | LinStatic | 0 | -3.793E-08 | 0 | 0 | 0 | -0.000000598 |
| 2974 | 0.5 | V02V04 | LinStatic | 0 | -3.793E-08 | 0 | 0 | 0 | -5.791E-07 |
| 2974 | 1 | V02V04 | LinStatic | 0 | -3.793E-08 | 0 | 0 | 0 | -5.601E-07 |
| 2975 | 0 | V02V04 | LinStatic | 0 | -3.793E-08 | 0 | 0 | 0 | -5.601E-07 |
| 2975 | 0.5 | V02V04 | LinStatic | 0 | -3.793E-08 | 0 | 0 | 0 | -5.411E-07 |
| 2975 | 1 | V02V04 | LinStatic | 0 | -3.793E-08 | 0 | 0 | 0 | -5.221E-07 |
| 3022 | 0 | V02V04 | LinStatic | 0 | 9.041E-09 | 0 | 0 | 0 | 1.424E-07 |
| 3022 | 0.5 | V02V04 | LinStatic | 0 | 9.041E-09 | 0 | 0 | 0 | 1.379E-07 |
| 3022 | 1 | V02V04 | LinStatic | 0 | 9.041E-09 | 0 | 0 | 0 | 1.334E-07 |
| 3023 | 0 | V02V04 | LinStatic | 0 | 9.041E-09 | 0 | 0 | 0 | 1.334E-07 |
| 3023 | 0.5 | V02V04 | LinStatic | 0 | 9.041E-09 | 0 | 0 | 0 | 1.288E-07 |
| 3023 | 1 | V02V04 | LinStatic | 0 | 9.041E-09 | 0 | 0 | 0 | 1.243E-07 |
| 3070 | 0 | V02V04 | LinStatic | 0 | -2.173E-09 | 0 | 0 | 0 | -3.367E-08 |
| 3070 | 0.5 | V02V04 | LinStatic | 0 | -2.173E-09 | 0 | 0 | 0 | -3.258E-08 |
| 3070 | 1 | V02V04 | LinStatic | 0 | -2.173E-09 | 0 | 0 | 0 | -3.149E-08 |
| 3071 | 0 | V02V04 | LinStatic | 0 | -2.173E-09 | 0 | 0 | 0 | -3.149E-08 |
| 3071 | 0.5 | V02V04 | LinStatic | 0 | -2.173E-09 | 0 | 0 | 0 | -3.041E-08 |
| 3071 | 1 | V02V04 | LinStatic | 0 | -2.173E-09 | 0 | 0 | 0 | -2.932E-08 |
| 3116 | 0 | V02V04 | LinStatic | 0 | 5.294E-10 | 0 | 0 | 0 | 9.53E-09 |
| 3116 | 0.5 | V02V04 | LinStatic | 0 | 5.294E-10 | 0 | 0 | 0 | 9.265E-09 |
| 3116 | 1 | V02V04 | LinStatic | 0 | 5.294E-10 | 0 | 0 | 0 | 0.000000009 |
| 1063 | 0 | V04V06 | LinStatic | 0 | 1.1663 | 0 | -0.00215 | 0 | -19.8234 |
| 1063 | 0.5 | V04V06 | LinStatic | 0 | 1.1663 | 0 | -0.00215 | 0 | -20.40653 |
| 1063 | 1 | V04V06 | LinStatic | 0 | 1.1663 | 0 | -0.00215 | 0 | -20.98966 |
| 1108 | 0 | V04V06 | LinStatic | 0 | -4.7812 | 0 | -0.04785 | 0 | 64.5809 |
| 1108 | 0.5 | V04V06 | LinStatic | 0 | -4.7812 | 0 | -0.04785 | 0 | 66.9715 |
| 1108 | 1 | V04V06 | LinStatic | 0 | -4.7812 | 0 | -0.04785 | 0 | 69.36211 |
| 1109 | 0 | V04V06 | LinStatic | 0 | -4.7812 | 0 | -0.04784 | 0 | 69.36595 |
| 1109 | 0.5 | V04V06 | LinStatic | 0 | -4.7812 | 0 | -0.04784 | 0 | 71.75656 |
| 1109 | 1 | V04V06 | LinStatic | 0 | -4.7812 | 0 | -0.04784 | 0 | 74.14716 |
| 1156 | 0 | V04V06 | LinStatic | 0 | 20.0122 | 0 | -1.2248 | 0 | -273.76031 |
| 1156 | 0.5 | V04V06 | LinStatic | 0 | 20.0122 | 0 | -1.2248 | 0 | -283.76642 |
| 1156 | 1 | V04V06 | LinStatic | 0 | 20.0122 | 0 | -1.2248 | 0 | -293.77254 |
| 1157 | 0 | V04V06 | LinStatic | 0 | 20.0122 | 0 | -1.22478 | 0 | -293.67406 |
| 1157 | 0.5 | V04V06 | LinStatic | 0 | 20.0122 | 0 | -1.22478 | 0 | -303.68018 |
| 1157 | 1 | V04V06 | LinStatic | 0 | 20.0122 | 0 | -1.22478 | 0 | -313.6863 |
| 1205 | 0 | V04V06 | LinStatic | 0 | -15.3286 | 0 | 13.32602 | 0 | 1120.23992 |
| 1205 | 0.5 | V04V06 | LinStatic | 0 | -15.3286 | 0 | 13.32602 | 0 | 1127.90424 |
| 1205 | 1 | V04V06 | LinStatic | 0 | -15.3286 | 0 | 13.32602 | 0 | 1135.56855 |

**TABLE: Element Forces - Frames**

| Frame | Station | OutputCase | CaseType | P | V2 | V3 | T | M2 | M3 |
|---|---|---|---|---|---|---|---|---|---|
| Text | m | Text | Text | Ton | Ton | Ton | Ton-m | Ton-m | Ton-m |
| 1257 | 0 | V04V06 | LinStatic | 0 | -2.3889 | 0 | 1.18127 | 0 | -507.46194 |
| 1257 | 0.5 | V04V06 | LinStatic | 0 | -2.3889 | 0 | 1.18127 | 0 | -506.26748 |
| 1257 | 1 | V04V06 | LinStatic | 0 | -2.3889 | 0 | 1.18127 | 0 | -505.07302 |
| 1306 | 0 | V04V06 | LinStatic | 0 | 5.0104 | 0 | 0.04613 | 0 | 978.89938 |
| 1306 | 0.5 | V04V06 | LinStatic | 0 | 5.0104 | 0 | 0.04613 | 0 | 976.39416 |
| 1306 | 1 | V04V06 | LinStatic | 0 | 5.0104 | 0 | 0.04613 | 0 | 973.88895 |
| 1307 | 0 | V04V06 | LinStatic | 0 | 5.0104 | 0 | 0.04613 | 0 | 973.88524 |
| 1307 | 0.5 | V04V06 | LinStatic | 0 | 5.0104 | 0 | 0.04613 | 0 | 971.38003 |
| 1307 | 1 | V04V06 | LinStatic | 0 | 5.0104 | 0 | 0.04613 | 0 | 968.87481 |
| 1354 | 0 | V04V06 | LinStatic | 0 | -17.7597 | 0 | 0.0018 | 0 | -279.98305 |
| 1354 | 0.5 | V04V06 | LinStatic | 0 | -17.7597 | 0 | 0.0018 | 0 | -271.10321 |
| 1354 | 1 | V04V06 | LinStatic | 0 | -17.7597 | 0 | 0.0018 | 0 | -262.22336 |
| 1355 | 0 | V04V06 | LinStatic | 0 | -17.7597 | 0 | 0.0018 | 0 | -262.22351 |
| 1355 | 0.5 | V04V06 | LinStatic | 0 | -17.7597 | 0 | 0.0018 | 0 | -253.34367 |
| 1355 | 1 | V04V06 | LinStatic | 0 | -17.7597 | 0 | 0.0018 | 0 | -244.46383 |
| 1402 | 0 | V04V06 | LinStatic | 0 | 4.2307 | 0 | 0.00007037 | 0 | 66.69848 |
| 1402 | 0.5 | V04V06 | LinStatic | 0 | 4.2307 | 0 | 0.00007037 | 0 | 64.58312 |
| 1402 | 1 | V04V06 | LinStatic | 0 | 4.2307 | 0 | 0.00007037 | 0 | 62.46775 |
| 1403 | 0 | V04V06 | LinStatic | 0 | 4.2307 | 0 | 0.00007037 | 0 | 62.46774 |
| 1403 | 0.5 | V04V06 | LinStatic | 0 | 4.2307 | 0 | 0.00007037 | 0 | 60.35238 |
| 1403 | 1 | V04V06 | LinStatic | 0 | 4.2307 | 0 | 0.00007037 | 0 | 58.23701 |
| 1450 | 0 | V04V06 | LinStatic | 0 | -1.0079 | 0 | 0.000002748 | 0 | -15.88914 |
| 1450 | 0.5 | V04V06 | LinStatic | 0 | -1.0079 | 0 | 0.000002748 | 0 | -15.38521 |
| 1450 | 1 | V04V06 | LinStatic | 0 | -1.0079 | 0 | 0.000002748 | 0 | -14.88128 |
| 1451 | 0 | V04V06 | LinStatic | 0 | -1.0079 | 0 | 0.000002748 | 0 | -14.88128 |
| 1451 | 0.5 | V04V06 | LinStatic | 0 | -1.0079 | 0 | 0.000002748 | 0 | -14.37735 |
| 1451 | 1 | V04V06 | LinStatic | 0 | -1.0079 | 0 | 0.000002748 | 0 | -13.87342 |
| 1498 | 0 | V04V06 | LinStatic | 0 | 0.2401 | 0 | 1.073E-07 | 0 | 3.78516 |
| 1498 | 0.5 | V04V06 | LinStatic | 0 | 0.2401 | 0 | 1.073E-07 | 0 | 3.66512 |
| 1498 | 1 | V04V06 | LinStatic | 0 | 0.2401 | 0 | 1.073E-07 | 0 | 3.54507 |
| 1499 | 0 | V04V06 | LinStatic | 0 | 0.2401 | 0 | 1.073E-07 | 0 | 3.54507 |
| 1499 | 0.5 | V04V06 | LinStatic | 0 | 0.2401 | 0 | 1.073E-07 | 0 | 3.42502 |
| 1499 | 1 | V04V06 | LinStatic | 0 | 0.2401 | 0 | 1.073E-07 | 0 | 3.30497 |
| 1546 | 0 | V04V06 | LinStatic | 0 | -0.0572 | 0 | 4.192E-09 | 0 | -0.90171 |
| 1546 | 0.5 | V04V06 | LinStatic | 0 | -0.0572 | 0 | 4.192E-09 | 0 | -0.87312 |
| 1546 | 1 | V04V06 | LinStatic | 0 | -0.0572 | 0 | 4.192E-09 | 0 | -0.84452 |
| 1547 | 0 | V04V06 | LinStatic | 0 | -0.0572 | 0 | 4.192E-09 | 0 | -0.84452 |
| 1547 | 0.5 | V04V06 | LinStatic | 0 | -0.0572 | 0 | 4.192E-09 | 0 | -0.81592 |
| 1547 | 1 | V04V06 | LinStatic | 0 | -0.0572 | 0 | 4.192E-09 | 0 | -0.78732 |
| 1594 | 0 | V04V06 | LinStatic | 0 | 0.0136 | 0 | 1.637E-10 | 0 | 0.21481 |
| 1594 | 0.5 | V04V06 | LinStatic | 0 | 0.0136 | 0 | 1.637E-10 | 0 | 0.208 |
| 1594 | 1 | V04V06 | LinStatic | 0 | 0.0136 | 0 | 1.637E-10 | 0 | 0.20118 |
| 1595 | 0 | V04V06 | LinStatic | 0 | 0.0136 | 0 | 1.637E-10 | 0 | 0.20118 |
| 1595 | 0.5 | V04V06 | LinStatic | 0 | 0.0136 | 0 | 1.637E-10 | 0 | 0.19437 |
| 1595 | 1 | V04V06 | LinStatic | 0 | 0.0136 | 0 | 1.637E-10 | 0 | 0.18756 |
| 1642 | 0 | V04V06 | LinStatic | 0 | -0.0032 | 0 | 6.394E-12 | 0 | -0.05117 |
| 1642 | 0.5 | V04V06 | LinStatic | 0 | -0.0032 | 0 | 6.394E-12 | 0 | -0.04955 |
| 1642 | 1 | V04V06 | LinStatic | 0 | -0.0032 | 0 | 6.394E-12 | 0 | -0.04793 |
| 1643 | 0 | V04V06 | LinStatic | 0 | -0.0032 | 0 | 6.394E-12 | 0 | -0.04793 |
| 1643 | 0.5 | V04V06 | LinStatic | 0 | -0.0032 | 0 | 6.394E-12 | 0 | -0.0463 |
| 1643 | 1 | V04V06 | LinStatic | 0 | -0.0032 | 0 | 6.394E-12 | 0 | -0.04468 |
| 1690 | 0 | V04V06 | LinStatic | 0 | 0.0007733 | 0 | 2.497E-13 | 0 | 0.01219 |
| 1690 | 0.5 | V04V06 | LinStatic | 0 | 0.0007733 | 0 | 2.497E-13 | 0 | 0.0118 |
| 1690 | 1 | V04V06 | LinStatic | 0 | 0.0007733 | 0 | 2.497E-13 | 0 | 0.01142 |
| 1691 | 0 | V04V06 | LinStatic | 0 | 0.0007733 | 0 | 2.497E-13 | 0 | 0.01142 |
| 1691 | 0.5 | V04V06 | LinStatic | 0 | 0.0007733 | 0 | 2.497E-13 | 0 | 0.01103 |
| 1691 | 1 | V04V06 | LinStatic | 0 | 0.0007733 | 0 | 2.497E-13 | 0 | 0.01064 |
| 1738 | 0 | V04V06 | LinStatic | 0 | -0.0001842 | 0 | 9.749E-15 | 0 | -0.0029 |
| 1738 | 0.5 | V04V06 | LinStatic | 0 | -0.0001842 | 0 | 9.749E-15 | 0 | -0.00281 |
| 1738 | 1 | V04V06 | LinStatic | 0 | -0.0001842 | 0 | 9.749E-15 | 0 | -0.00272 |
| 1739 | 0 | V04V06 | LinStatic | 0 | -0.0001842 | 0 | 9.751E-15 | 0 | -0.00272 |
| 1739 | 0.5 | V04V06 | LinStatic | 0 | -0.0001842 | 0 | 9.751E-15 | 0 | -0.00263 |
| 1739 | 1 | V04V06 | LinStatic | 0 | -0.0001842 | 0 | 9.751E-15 | 0 | -0.00254 |
| 1786 | 0 | V04V06 | LinStatic | 0 | 0.00004388 | 0 | 3.818E-16 | 0 | 0.00069 |
| 1786 | 0.5 | V04V06 | LinStatic | 0 | 0.00004388 | 0 | 3.818E-16 | 0 | 0.00067 |
| 1786 | 1 | V04V06 | LinStatic | 0 | 0.00004388 | 0 | 3.818E-16 | 0 | 0.00065 |
| 1787 | 0 | V04V06 | LinStatic | 0 | 0.00004388 | 0 | 3.806E-16 | 0 | 0.00065 |
| 1787 | 0.5 | V04V06 | LinStatic | 0 | 0.00004388 | 0 | 3.806E-16 | 0 | 0.00063 |
| 1787 | 1 | V04V06 | LinStatic | 0 | 0.00004388 | 0 | 3.806E-16 | 0 | 0.0006 |
| 1834 | 0 | V04V06 | LinStatic | 0 | -0.00001045 | 0 | 1.441E-17 | 0 | -0.00016 |
| 1834 | 0.5 | V04V06 | LinStatic | 0 | -0.00001045 | 0 | 1.441E-17 | 0 | -0.00016 |
| 1834 | 1 | V04V06 | LinStatic | 0 | -0.00001045 | 0 | 1.441E-17 | 0 | -0.00015 |
| 1835 | 0 | V04V06 | LinStatic | 0 | -0.00001045 | 0 | 1.427E-17 | 0 | -0.00015 |
| 1835 | 0.5 | V04V06 | LinStatic | 0 | -0.00001045 | 0 | 1.427E-17 | 0 | -0.00015 |
| 1835 | 1 | V04V06 | LinStatic | 0 | -0.00001045 | 0 | 1.427E-17 | 0 | -0.00014 |
| 1882 | 0 | V04V06 | LinStatic | 0 | 0.00000249 | 0 | 7.086E-19 | 0 | 0.00003926 |
| 1882 | 0.5 | V04V06 | LinStatic | 0 | 0.00000249 | 0 | 7.086E-19 | 0 | 0.00003802 |
| 1882 | 1 | V04V06 | LinStatic | 0 | 0.00000249 | 0 | 7.086E-19 | 0 | 0.00003677 |
| 1883 | 0 | V04V06 | LinStatic | 0 | 0.00000249 | 0 | 7.665E-19 | 0 | 0.00003677 |
| 1883 | 0.5 | V04V06 | LinStatic | 0 | 0.00000249 | 0 | 7.665E-19 | 0 | 0.00003553 |
| 1883 | 1 | V04V06 | LinStatic | 0 | 0.00000249 | 0 | 7.665E-19 | 0 | 0.00003428 |
| 1930 | 0 | V04V06 | LinStatic | 0 | -5.933E-07 | 0 | 0 | 0 | -0.000009353 |
| 1930 | 0.5 | V04V06 | LinStatic | 0 | -5.933E-07 | 0 | 0 | 0 | -0.000009056 |

**TABLE: Element Forces - Frames**

| Frame | Station | OutputCase | CaseType | P | V2 | V3 | T | M2 | M3 |
|---|---|---|---|---|---|---|---|---|---|
| Text | m | Text | Text | Ton | Ton | Ton | Ton-m | Ton-m | Ton-m |
| 1930 | 1 | V04V06 | LinStatic | 0 | -5.933E-07 | 0 | 0 | 0 | -0.000008759 |
| 1931 | 0 | V04V06 | LinStatic | 0 | -5.933E-07 | 0 | 0 | 0 | -0.000008759 |
| 1931 | 0.5 | V04V06 | LinStatic | 0 | -5.933E-07 | 0 | 0 | 0 | -0.000008463 |
| 1931 | 1 | V04V06 | LinStatic | 0 | -5.933E-07 | 0 | 0 | 0 | -0.000008166 |
| 1978 | 0 | V04V06 | LinStatic | 0 | 1.414E-07 | 0 | 0 | 0 | 0.000002227 |
| 1978 | 0.5 | V04V06 | LinStatic | 0 | 1.414E-07 | 0 | 0 | 0 | 0.000002156 |
| 1978 | 1 | V04V06 | LinStatic | 0 | 1.414E-07 | 0 | 0 | 0 | 0.000002086 |
| 1979 | 0 | V04V06 | LinStatic | 0 | 1.414E-07 | 0 | 0 | 0 | 0.000002086 |
| 1979 | 0.5 | V04V06 | LinStatic | 0 | 1.414E-07 | 0 | 0 | 0 | 0.000002015 |
| 1979 | 1 | V04V06 | LinStatic | 0 | 1.414E-07 | 0 | 0 | 0 | 0.000001944 |
| 2026 | 0 | V04V06 | LinStatic | 0 | -3.398E-08 | 0 | 0 | 0 | -5.265E-07 |
| 2026 | 0.5 | V04V06 | LinStatic | 0 | -3.398E-08 | 0 | 0 | 0 | -5.095E-07 |
| 2026 | 1 | V04V06 | LinStatic | 0 | -3.398E-08 | 0 | 0 | 0 | -4.925E-07 |
| 2027 | 0 | V04V06 | LinStatic | 0 | -3.398E-08 | 0 | 0 | 0 | -4.925E-07 |
| 2027 | 0.5 | V04V06 | LinStatic | 0 | -3.398E-08 | 0 | 0 | 0 | -4.755E-07 |
| 2027 | 1 | V04V06 | LinStatic | 0 | -3.398E-08 | 0 | 0 | 0 | -4.586E-07 |
| 2072 | 0 | V04V06 | LinStatic | 0 | 8.28E-09 | 0 | 0 | 0 | 0.000000149 |
| 2072 | 0.5 | V04V06 | LinStatic | 0 | 8.28E-09 | 0 | 0 | 0 | 1.449E-07 |
| 2072 | 1 | V04V06 | LinStatic | 0 | 8.28E-09 | 0 | 0 | 0 | 1.408E-07 |
| 2107 | 0 | V04V06 | LinStatic | 0 | 1.1659 | 0 | -0.00215 | 0 | -19.82356 |
| 2107 | 0.5 | V04V06 | LinStatic | 0 | 1.1659 | 0 | -0.00215 | 0 | -20.40651 |
| 2107 | 1 | V04V06 | LinStatic | 0 | 1.1659 | 0 | -0.00215 | 0 | -20.98947 |
| 2152 | 0 | V04V06 | LinStatic | 0 | -4.7889 | 0 | -0.04785 | 0 | 64.57707 |
| 2152 | 0.5 | V04V06 | LinStatic | 0 | -4.7889 | 0 | -0.04785 | 0 | 66.97152 |
| 2152 | 1 | V04V06 | LinStatic | 0 | -4.7889 | 0 | -0.04785 | 0 | 69.36598 |
| 2153 | 0 | V04V06 | LinStatic | 0 | -4.7889 | 0 | -0.04784 | 0 | 69.36213 |
| 2153 | 0.5 | V04V06 | LinStatic | 0 | -4.7889 | 0 | -0.04784 | 0 | 71.75658 |
| 2153 | 1 | V04V06 | LinStatic | 0 | -4.7889 | 0 | -0.04784 | 0 | 74.15104 |
| 2200 | 0 | V04V06 | LinStatic | 0 | 19.8151 | 0 | -1.2248 | 0 | -273.8584 |
| 2200 | 0.5 | V04V06 | LinStatic | 0 | 19.8151 | 0 | -1.2248 | 0 | -283.76597 |
| 2200 | 1 | V04V06 | LinStatic | 0 | 19.8151 | 0 | -1.2248 | 0 | -293.67354 |
| 2201 | 0 | V04V06 | LinStatic | 0 | 19.8151 | 0 | -1.22478 | 0 | -293.77202 |
| 2201 | 0.5 | V04V06 | LinStatic | 0 | 19.8151 | 0 | -1.22478 | 0 | -303.67959 |
| 2201 | 1 | V04V06 | LinStatic | 0 | 19.8151 | 0 | -1.22478 | 0 | -313.58716 |
| 2249 | 0 | V04V06 | LinStatic | 0 | -14.1141 | 0 | 13.32602 | 0 | 1117.48314 |
| 2249 | 0.5 | V04V06 | LinStatic | 0 | -14.1141 | 0 | 13.32602 | 0 | 1124.54021 |
| 2249 | 1 | V04V06 | LinStatic | 0 | -14.1141 | 0 | 13.32602 | 0 | 1131.59728 |
| 2301 | 0 | V04V06 | LinStatic | 0 | -2.1988 | 0 | 1.18127 | 0 | -507.36667 |
| 2301 | 0.5 | V04V06 | LinStatic | 0 | -2.1988 | 0 | 1.18127 | 0 | -506.26726 |
| 2301 | 1 | V04V06 | LinStatic | 0 | -2.1988 | 0 | 1.18127 | 0 | -505.16784 |
| 2350 | 0 | V04V06 | LinStatic | 0 | 5.0179 | 0 | 0.04613 | 0 | 978.90312 |
| 2350 | 0.5 | V04V06 | LinStatic | 0 | 5.0179 | 0 | 0.04613 | 0 | 976.39419 |
| 2350 | 1 | V04V06 | LinStatic | 0 | 5.0179 | 0 | 0.04613 | 0 | 973.88526 |
| 2351 | 0 | V04V06 | LinStatic | 0 | 5.0179 | 0 | 0.04613 | 0 | 973.88897 |
| 2351 | 0.5 | V04V06 | LinStatic | 0 | 5.0179 | 0 | 0.04613 | 0 | 971.38004 |
| 2351 | 1 | V04V06 | LinStatic | 0 | 5.0179 | 0 | 0.04613 | 0 | 968.87112 |
| 2398 | 0 | V04V06 | LinStatic | 0 | -17.7594 | 0 | 0.0018 | 0 | -279.9829 |
| 2398 | 0.5 | V04V06 | LinStatic | 0 | -17.7594 | 0 | 0.0018 | 0 | -271.1032 |
| 2398 | 1 | V04V06 | LinStatic | 0 | -17.7594 | 0 | 0.0018 | 0 | -262.22351 |
| 2399 | 0 | V04V06 | LinStatic | 0 | -17.7594 | 0 | 0.0018 | 0 | -262.22336 |
| 2399 | 0.5 | V04V06 | LinStatic | 0 | -17.7594 | 0 | 0.0018 | 0 | -253.34367 |
| 2399 | 1 | V04V06 | LinStatic | 0 | -17.7594 | 0 | 0.0018 | 0 | -244.46397 |
| 2446 | 0 | V04V06 | LinStatic | 0 | 4.2307 | 0 | 0.00007037 | 0 | 66.69849 |
| 2446 | 0.5 | V04V06 | LinStatic | 0 | 4.2307 | 0 | 0.00007037 | 0 | 64.58312 |
| 2446 | 1 | V04V06 | LinStatic | 0 | 4.2307 | 0 | 0.00007037 | 0 | 62.46775 |
| 2447 | 0 | V04V06 | LinStatic | 0 | 4.2307 | 0 | 0.00007037 | 0 | 62.46775 |
| 2447 | 0.5 | V04V06 | LinStatic | 0 | 4.2307 | 0 | 0.00007037 | 0 | 60.35238 |
| 2447 | 1 | V04V06 | LinStatic | 0 | 4.2307 | 0 | 0.00007037 | 0 | 58.23701 |
| 2494 | 0 | V04V06 | LinStatic | 0 | -1.0079 | 0 | 0.000002748 | 0 | -15.88914 |
| 2494 | 0.5 | V04V06 | LinStatic | 0 | -1.0079 | 0 | 0.000002748 | 0 | -15.38521 |
| 2494 | 1 | V04V06 | LinStatic | 0 | -1.0079 | 0 | 0.000002748 | 0 | -14.88128 |
| 2495 | 0 | V04V06 | LinStatic | 0 | -1.0079 | 0 | 0.000002748 | 0 | -14.88128 |
| 2495 | 0.5 | V04V06 | LinStatic | 0 | -1.0079 | 0 | 0.000002748 | 0 | -14.37735 |
| 2495 | 1 | V04V06 | LinStatic | 0 | -1.0079 | 0 | 0.000002748 | 0 | -13.87342 |
| 2542 | 0 | V04V06 | LinStatic | 0 | 0.2401 | 0 | 1.073E-07 | 0 | 3.78516 |
| 2542 | 0.5 | V04V06 | LinStatic | 0 | 0.2401 | 0 | 1.073E-07 | 0 | 3.66512 |
| 2542 | 1 | V04V06 | LinStatic | 0 | 0.2401 | 0 | 1.073E-07 | 0 | 3.54507 |
| 2543 | 0 | V04V06 | LinStatic | 0 | 0.2401 | 0 | 1.073E-07 | 0 | 3.54507 |
| 2543 | 0.5 | V04V06 | LinStatic | 0 | 0.2401 | 0 | 1.073E-07 | 0 | 3.42502 |
| 2543 | 1 | V04V06 | LinStatic | 0 | 0.2401 | 0 | 1.073E-07 | 0 | 3.30497 |
| 2590 | 0 | V04V06 | LinStatic | 0 | -0.0572 | 0 | 4.192E-09 | 0 | -0.90171 |
| 2590 | 0.5 | V04V06 | LinStatic | 0 | -0.0572 | 0 | 4.192E-09 | 0 | -0.87312 |
| 2590 | 1 | V04V06 | LinStatic | 0 | -0.0572 | 0 | 4.192E-09 | 0 | -0.84452 |
| 2591 | 0 | V04V06 | LinStatic | 0 | -0.0572 | 0 | 4.192E-09 | 0 | -0.84452 |
| 2591 | 0.5 | V04V06 | LinStatic | 0 | -0.0572 | 0 | 4.192E-09 | 0 | -0.81592 |
| 2591 | 1 | V04V06 | LinStatic | 0 | -0.0572 | 0 | 4.192E-09 | 0 | -0.78732 |
| 2638 | 0 | V04V06 | LinStatic | 0 | 0.0136 | 0 | 1.637E-10 | 0 | 0.21481 |
| 2638 | 0.5 | V04V06 | LinStatic | 0 | 0.0136 | 0 | 1.637E-10 | 0 | 0.208 |
| 2638 | 1 | V04V06 | LinStatic | 0 | 0.0136 | 0 | 1.637E-10 | 0 | 0.20118 |
| 2639 | 0 | V04V06 | LinStatic | 0 | 0.0136 | 0 | 1.637E-10 | 0 | 0.20118 |
| 2639 | 0.5 | V04V06 | LinStatic | 0 | 0.0136 | 0 | 1.637E-10 | 0 | 0.19437 |
| 2639 | 1 | V04V06 | LinStatic | 0 | 0.0136 | 0 | 1.637E-10 | 0 | 0.18756 |
| 2686 | 0 | V04V06 | LinStatic | 0 | -0.0032 | 0 | 6.394E-12 | 0 | -0.05117 |

**TABLE: Element Forces - Frames**

| Frame | Station | OutputCase | CaseType | P | V2 | V3 | T | M2 | M3 |
|---|---|---|---|---|---|---|---|---|---|
| Text | m | Text | Text | Ton | Ton | Ton | Ton-m | Ton-m | Ton-m |
| 2686 | 0.5 | V04V06 | LinStatic | 0 | -0.0032 | 0 | 6.394E-12 | 0 | -0.04955 |
| 2686 | 1 | V04V06 | LinStatic | 0 | -0.0032 | 0 | 6.394E-12 | 0 | -0.04793 |
| 2687 | 0 | V04V06 | LinStatic | 0 | -0.0032 | 0 | 6.394E-12 | 0 | -0.04793 |
| 2687 | 0.5 | V04V06 | LinStatic | 0 | -0.0032 | 0 | 6.394E-12 | 0 | -0.0463 |
| 2687 | 1 | V04V06 | LinStatic | 0 | -0.0032 | 0 | 6.394E-12 | 0 | -0.04468 |
| 2734 | 0 | V04V06 | LinStatic | 0 | 0.0007733 | 0 | 2.497E-13 | 0 | 0.01219 |
| 2734 | 0.5 | V04V06 | LinStatic | 0 | 0.0007733 | 0 | 2.497E-13 | 0 | 0.0118 |
| 2734 | 1 | V04V06 | LinStatic | 0 | 0.0007733 | 0 | 2.497E-13 | 0 | 0.01142 |
| 2735 | 0 | V04V06 | LinStatic | 0 | 0.0007733 | 0 | 2.497E-13 | 0 | 0.01142 |
| 2735 | 0.5 | V04V06 | LinStatic | 0 | 0.0007733 | 0 | 2.497E-13 | 0 | 0.01103 |
| 2735 | 1 | V04V06 | LinStatic | 0 | 0.0007733 | 0 | 2.497E-13 | 0 | 0.01064 |
| 2782 | 0 | V04V06 | LinStatic | 0 | -0.0001842 | 0 | 9.75E-15 | 0 | -0.0029 |
| 2782 | 0.5 | V04V06 | LinStatic | 0 | -0.0001842 | 0 | 9.75E-15 | 0 | -0.00281 |
| 2782 | 1 | V04V06 | LinStatic | 0 | -0.0001842 | 0 | 9.75E-15 | 0 | -0.00272 |
| 2783 | 0 | V04V06 | LinStatic | 0 | -0.0001842 | 0 | 9.751E-15 | 0 | -0.00272 |
| 2783 | 0.5 | V04V06 | LinStatic | 0 | -0.0001842 | 0 | 9.751E-15 | 0 | -0.00263 |
| 2783 | 1 | V04V06 | LinStatic | 0 | -0.0001842 | 0 | 9.751E-15 | 0 | -0.00254 |
| 2830 | 0 | V04V06 | LinStatic | 0 | 0.00004388 | 0 | 3.804E-16 | 0 | 0.00069 |
| 2830 | 0.5 | V04V06 | LinStatic | 0 | 0.00004388 | 0 | 3.804E-16 | 0 | 0.00067 |
| 2830 | 1 | V04V06 | LinStatic | 0 | 0.00004388 | 0 | 3.804E-16 | 0 | 0.00065 |
| 2831 | 0 | V04V06 | LinStatic | 0 | 0.00004388 | 0 | 3.821E-16 | 0 | 0.00065 |
| 2831 | 0.5 | V04V06 | LinStatic | 0 | 0.00004388 | 0 | 3.821E-16 | 0 | 0.00063 |
| 2831 | 1 | V04V06 | LinStatic | 0 | 0.00004388 | 0 | 3.821E-16 | 0 | 0.0006 |
| 2878 | 0 | V04V06 | LinStatic | 0 | -0.00001045 | 0 | 1.45E-17 | 0 | -0.00016 |
| 2878 | 0.5 | V04V06 | LinStatic | 0 | -0.00001045 | 0 | 1.45E-17 | 0 | -0.00016 |
| 2878 | 1 | V04V06 | LinStatic | 0 | -0.00001045 | 0 | 1.45E-17 | 0 | -0.00015 |
| 2879 | 0 | V04V06 | LinStatic | 0 | -0.00001045 | 0 | 1.438E-17 | 0 | -0.00015 |
| 2879 | 0.5 | V04V06 | LinStatic | 0 | -0.00001045 | 0 | 1.438E-17 | 0 | -0.00015 |
| 2879 | 1 | V04V06 | LinStatic | 0 | -0.00001045 | 0 | 1.438E-17 | 0 | -0.00014 |
| 2926 | 0 | V04V06 | LinStatic | 0 | 0.00000249 | 0 | 7.165E-19 | 0 | 0.00003926 |
| 2926 | 0.5 | V04V06 | LinStatic | 0 | 0.00000249 | 0 | 7.165E-19 | 0 | 0.00003802 |
| 2926 | 1 | V04V06 | LinStatic | 0 | 0.00000249 | 0 | 7.165E-19 | 0 | 0.00003677 |
| 2927 | 0 | V04V06 | LinStatic | 0 | 0.00000249 | 0 | 7.302E-19 | 0 | 0.00003677 |
| 2927 | 0.5 | V04V06 | LinStatic | 0 | 0.00000249 | 0 | 7.302E-19 | 0 | 0.00003553 |
| 2927 | 1 | V04V06 | LinStatic | 0 | 0.00000249 | 0 | 7.302E-19 | 0 | 0.00003428 |
| 2974 | 0 | V04V06 | LinStatic | 0 | -5.933E-07 | 0 | 0 | 0 | -0.000009353 |
| 2974 | 0.5 | V04V06 | LinStatic | 0 | -5.933E-07 | 0 | 0 | 0 | -0.000009056 |
| 2974 | 1 | V04V06 | LinStatic | 0 | -5.933E-07 | 0 | 0 | 0 | -0.000008759 |
| 2975 | 0 | V04V06 | LinStatic | 0 | -5.933E-07 | 0 | 0 | 0 | -0.000008759 |
| 2975 | 0.5 | V04V06 | LinStatic | 0 | -5.933E-07 | 0 | 0 | 0 | -0.000008463 |
| 2975 | 1 | V04V06 | LinStatic | 0 | -5.933E-07 | 0 | 0 | 0 | -0.000008166 |
| 3022 | 0 | V04V06 | LinStatic | 0 | 1.414E-07 | 0 | 0 | 0 | 0.000002227 |
| 3022 | 0.5 | V04V06 | LinStatic | 0 | 1.414E-07 | 0 | 0 | 0 | 0.000002156 |
| 3022 | 1 | V04V06 | LinStatic | 0 | 1.414E-07 | 0 | 0 | 0 | 0.000002086 |
| 3023 | 0 | V04V06 | LinStatic | 0 | 1.414E-07 | 0 | 0 | 0 | 0.000002086 |
| 3023 | 0.5 | V04V06 | LinStatic | 0 | 1.414E-07 | 0 | 0 | 0 | 0.000002015 |
| 3023 | 1 | V04V06 | LinStatic | 0 | 1.414E-07 | 0 | 0 | 0 | 0.000001944 |
| 3070 | 0 | V04V06 | LinStatic | 0 | -3.398E-08 | 0 | 0 | 0 | -5.265E-07 |
| 3070 | 0.5 | V04V06 | LinStatic | 0 | -3.398E-08 | 0 | 0 | 0 | -5.095E-07 |
| 3070 | 1 | V04V06 | LinStatic | 0 | -3.398E-08 | 0 | 0 | 0 | -4.925E-07 |
| 3071 | 0 | V04V06 | LinStatic | 0 | -3.398E-08 | 0 | 0 | 0 | -4.925E-07 |
| 3071 | 0.5 | V04V06 | LinStatic | 0 | -3.398E-08 | 0 | 0 | 0 | -4.755E-07 |
| 3071 | 1 | V04V06 | LinStatic | 0 | -3.398E-08 | 0 | 0 | 0 | -4.586E-07 |
| 3116 | 0 | V04V06 | LinStatic | 0 | 8.28E-09 | 0 | 0 | 0 | 0.000000149 |
| 3116 | 0.5 | V04V06 | LinStatic | 0 | 8.28E-09 | 0 | 0 | 0 | 1.449E-07 |
| 3116 | 1 | V04V06 | LinStatic | 0 | 8.28E-09 | 0 | 0 | 0 | 1.408E-07 |
| 1063 | 0 | V05V07 | LinStatic | 0 | -0.2797 | 0 | -0.00007953 | 0 | 4.75538 |
| 1063 | 0.5 | V05V07 | LinStatic | 0 | -0.2797 | 0 | -0.00007953 | 0 | 4.89524 |
| 1063 | 1 | V05V07 | LinStatic | 0 | -0.2797 | 0 | -0.00007953 | 0 | 5.0351 |
| 1108 | 0 | V05V07 | LinStatic | 0 | 1.148 | 0 | -0.00177 | 0 | -15.49154 |
| 1108 | 0.5 | V05V07 | LinStatic | 0 | 1.148 | 0 | -0.00177 | 0 | -16.06554 |
| 1108 | 1 | V05V07 | LinStatic | 0 | 1.148 | 0 | -0.00177 | 0 | -16.63955 |
| 1109 | 0 | V05V07 | LinStatic | 0 | 1.148 | 0 | -0.00177 | 0 | -16.63941 |
| 1109 | 0.5 | V05V07 | LinStatic | 0 | 1.148 | 0 | -0.00177 | 0 | -17.21341 |
| 1109 | 1 | V05V07 | LinStatic | 0 | 1.148 | 0 | -0.00177 | 0 | -17.78742 |
| 1156 | 0 | V05V07 | LinStatic | 0 | -4.7734 | 0 | -0.04522 | 0 | 65.6849 |
| 1156 | 0.5 | V05V07 | LinStatic | 0 | -4.7734 | 0 | -0.04522 | 0 | 68.07159 |
| 1156 | 1 | V05V07 | LinStatic | 0 | -4.7734 | 0 | -0.04522 | 0 | 70.45828 |
| 1157 | 0 | V05V07 | LinStatic | 0 | -4.7734 | 0 | -0.04522 | 0 | 70.46191 |
| 1157 | 0.5 | V05V07 | LinStatic | 0 | -4.7734 | 0 | -0.04522 | 0 | 72.8486 |
| 1157 | 1 | V05V07 | LinStatic | 0 | -4.7734 | 0 | -0.04522 | 0 | 75.23529 |
| 1205 | 0 | V05V07 | LinStatic | 0 | 18.3827 | 0 | -1.1578 | 0 | -253.79298 |
| 1205 | 0.5 | V05V07 | LinStatic | 0 | 18.3827 | 0 | -1.1578 | 0 | -262.9843 |
| 1205 | 1 | V05V07 | LinStatic | 0 | 18.3827 | 0 | -1.1578 | 0 | -272.17563 |
| 1257 | 0 | V05V07 | LinStatic | 0 | -4.7341 | 0 | 12.35184 | 0 | 1134.57345 |
| 1257 | 0.5 | V05V07 | LinStatic | 0 | -4.7341 | 0 | 12.35184 | 0 | 1136.94051 |
| 1257 | 1 | V05V07 | LinStatic | 0 | -4.7341 | 0 | 12.35184 | 0 | 1139.30758 |
| 1306 | 0 | V05V07 | LinStatic | 0 | -2.6901 | 0 | 1.24963 | 0 | -530.09068 |
| 1306 | 0.5 | V05V07 | LinStatic | 0 | -2.6901 | 0 | 1.24963 | 0 | -528.74561 |
| 1306 | 1 | V05V07 | LinStatic | 0 | -2.6901 | 0 | 1.24963 | 0 | -527.40055 |
| 1307 | 0 | V05V07 | LinStatic | 0 | -2.6901 | 0 | 1.24963 | 0 | -527.50105 |
| 1307 | 0.5 | V05V07 | LinStatic | 0 | -2.6901 | 0 | 1.24963 | 0 | -526.15599 |
| 1307 | 1 | V05V07 | LinStatic | 0 | -2.6901 | 0 | 1.24963 | 0 | -524.81092 |

**TABLE: Element Forces - Frames**

| Frame | Station | OutputCase | CaseType | P | V2 | V3 | T | M2 | M3 |
|---|---|---|---|---|---|---|---|---|---|
| Text | m | Text | Text | Ton | Ton | Ton | Ton-m | Ton-m | Ton-m |
| 1354 | 0 | V05V07 | LinStatic | 0 | 4.5581 | 0 | 0.0488 | 0 | 971.77126 |
| 1354 | 0.5 | V05V07 | LinStatic | 0 | 4.5581 | 0 | 0.0488 | 0 | 969.49222 |
| 1354 | 1 | V05V07 | LinStatic | 0 | 4.5581 | 0 | 0.0488 | 0 | 967.21318 |
| 1355 | 0 | V05V07 | LinStatic | 0 | 4.5581 | 0 | 0.0488 | 0 | 967.20925 |
| 1355 | 0.5 | V05V07 | LinStatic | 0 | 4.5581 | 0 | 0.0488 | 0 | 964.93021 |
| 1355 | 1 | V05V07 | LinStatic | 0 | 4.5581 | 0 | 0.0488 | 0 | 962.65118 |
| 1402 | 0 | V05V07 | LinStatic | 0 | -17.652 | 0 | 0.00191 | 0 | -278.28499 |
| 1402 | 0.5 | V05V07 | LinStatic | 0 | -17.652 | 0 | 0.00191 | 0 | -269.459 |
| 1402 | 1 | V05V07 | LinStatic | 0 | -17.652 | 0 | 0.00191 | 0 | -260.63301 |
| 1403 | 0 | V05V07 | LinStatic | 0 | -17.652 | 0 | 0.00191 | 0 | -260.63316 |
| 1403 | 0.5 | V05V07 | LinStatic | 0 | -17.652 | 0 | 0.00191 | 0 | -251.80717 |
| 1403 | 1 | V05V07 | LinStatic | 0 | -17.652 | 0 | 0.00191 | 0 | -242.98118 |
| 1450 | 0 | V05V07 | LinStatic | 0 | 4.2051 | 0 | 0.00007444 | 0 | 66.29396 |
| 1450 | 0.5 | V05V07 | LinStatic | 0 | 4.2051 | 0 | 0.00007444 | 0 | 64.19143 |
| 1450 | 1 | V05V07 | LinStatic | 0 | 4.2051 | 0 | 0.00007444 | 0 | 62.08889 |
| 1451 | 0 | V05V07 | LinStatic | 0 | 4.2051 | 0 | 0.00007444 | 0 | 62.08889 |
| 1451 | 0.5 | V05V07 | LinStatic | 0 | 4.2051 | 0 | 0.00007444 | 0 | 59.98635 |
| 1451 | 1 | V05V07 | LinStatic | 0 | 4.2051 | 0 | 0.00007444 | 0 | 57.88381 |
| 1498 | 0 | V05V07 | LinStatic | 0 | -1.0017 | 0 | 0.000002907 | 0 | -15.79277 |
| 1498 | 0.5 | V05V07 | LinStatic | 0 | -1.0017 | 0 | 0.000002907 | 0 | -15.2919 |
| 1498 | 1 | V05V07 | LinStatic | 0 | -1.0017 | 0 | 0.000002907 | 0 | -14.79102 |
| 1499 | 0 | V05V07 | LinStatic | 0 | -1.0017 | 0 | 0.000002907 | 0 | -14.79102 |
| 1499 | 0.5 | V05V07 | LinStatic | 0 | -1.0017 | 0 | 0.000002907 | 0 | -14.29015 |
| 1499 | 1 | V05V07 | LinStatic | 0 | -1.0017 | 0 | 0.000002907 | 0 | -13.78928 |
| 1546 | 0 | V05V07 | LinStatic | 0 | 0.2386 | 0 | 1.135E-07 | 0 | 3.76221 |
| 1546 | 0.5 | V05V07 | LinStatic | 0 | 0.2386 | 0 | 1.135E-07 | 0 | 3.64289 |
| 1546 | 1 | V05V07 | LinStatic | 0 | 0.2386 | 0 | 1.135E-07 | 0 | 3.52357 |
| 1547 | 0 | V05V07 | LinStatic | 0 | 0.2386 | 0 | 1.135E-07 | 0 | 3.52357 |
| 1547 | 0.5 | V05V07 | LinStatic | 0 | 0.2386 | 0 | 1.135E-07 | 0 | 3.40425 |
| 1547 | 1 | V05V07 | LinStatic | 0 | 0.2386 | 0 | 1.135E-07 | 0 | 3.28493 |
| 1594 | 0 | V05V07 | LinStatic | 0 | -0.0568 | 0 | 4.435E-09 | 0 | -0.89625 |
| 1594 | 0.5 | V05V07 | LinStatic | 0 | -0.0568 | 0 | 4.435E-09 | 0 | -0.86782 |
| 1594 | 1 | V05V07 | LinStatic | 0 | -0.0568 | 0 | 4.435E-09 | 0 | -0.8394 |
| 1595 | 0 | V05V07 | LinStatic | 0 | -0.0568 | 0 | 4.435E-09 | 0 | -0.8394 |
| 1595 | 0.5 | V05V07 | LinStatic | 0 | -0.0568 | 0 | 4.435E-09 | 0 | -0.81097 |
| 1595 | 1 | V05V07 | LinStatic | 0 | -0.0568 | 0 | 4.435E-09 | 0 | -0.78255 |
| 1642 | 0 | V05V07 | LinStatic | 0 | 0.0135 | 0 | 1.732E-10 | 0 | 0.21351 |
| 1642 | 0.5 | V05V07 | LinStatic | 0 | 0.0135 | 0 | 1.732E-10 | 0 | 0.20674 |
| 1642 | 1 | V05V07 | LinStatic | 0 | 0.0135 | 0 | 1.732E-10 | 0 | 0.19996 |
| 1643 | 0 | V05V07 | LinStatic | 0 | 0.0135 | 0 | 1.732E-10 | 0 | 0.19996 |
| 1643 | 0.5 | V05V07 | LinStatic | 0 | 0.0135 | 0 | 1.732E-10 | 0 | 0.19319 |
| 1643 | 1 | V05V07 | LinStatic | 0 | 0.0135 | 0 | 1.732E-10 | 0 | 0.18642 |
| 1690 | 0 | V05V07 | LinStatic | 0 | -0.0032 | 0 | 6.764E-12 | 0 | -0.05086 |
| 1690 | 0.5 | V05V07 | LinStatic | 0 | -0.0032 | 0 | 6.764E-12 | 0 | -0.04925 |
| 1690 | 1 | V05V07 | LinStatic | 0 | -0.0032 | 0 | 6.764E-12 | 0 | -0.04764 |
| 1691 | 0 | V05V07 | LinStatic | 0 | -0.0032 | 0 | 6.764E-12 | 0 | -0.04764 |
| 1691 | 0.5 | V05V07 | LinStatic | 0 | -0.0032 | 0 | 6.764E-12 | 0 | -0.04602 |
| 1691 | 1 | V05V07 | LinStatic | 0 | -0.0032 | 0 | 6.764E-12 | 0 | -0.04441 |
| 1738 | 0 | V05V07 | LinStatic | 0 | 0.0007686 | 0 | 2.642E-13 | 0 | 0.01212 |
| 1738 | 0.5 | V05V07 | LinStatic | 0 | 0.0007686 | 0 | 2.642E-13 | 0 | 0.01173 |
| 1738 | 1 | V05V07 | LinStatic | 0 | 0.0007686 | 0 | 2.642E-13 | 0 | 0.01135 |
| 1739 | 0 | V05V07 | LinStatic | 0 | 0.0007686 | 0 | 2.642E-13 | 0 | 0.01135 |
| 1739 | 0.5 | V05V07 | LinStatic | 0 | 0.0007686 | 0 | 2.642E-13 | 0 | 0.01096 |
| 1739 | 1 | V05V07 | LinStatic | 0 | 0.0007686 | 0 | 2.642E-13 | 0 | 0.01058 |
| 1786 | 0 | V05V07 | LinStatic | 0 | -0.0001831 | 0 | 1.031E-14 | 0 | -0.00289 |
| 1786 | 0.5 | V05V07 | LinStatic | 0 | -0.0001831 | 0 | 1.031E-14 | 0 | -0.00279 |
| 1786 | 1 | V05V07 | LinStatic | 0 | -0.0001831 | 0 | 1.031E-14 | 0 | -0.0027 |
| 1787 | 0 | V05V07 | LinStatic | 0 | -0.0001831 | 0 | 1.032E-14 | 0 | -0.0027 |
| 1787 | 0.5 | V05V07 | LinStatic | 0 | -0.0001831 | 0 | 1.032E-14 | 0 | -0.00261 |
| 1787 | 1 | V05V07 | LinStatic | 0 | -0.0001831 | 0 | 1.032E-14 | 0 | -0.00252 |
| 1834 | 0 | V05V07 | LinStatic | 0 | 0.00004362 | 0 | 4.044E-16 | 0 | 0.00069 |
| 1834 | 0.5 | V05V07 | LinStatic | 0 | 0.00004362 | 0 | 4.044E-16 | 0 | 0.00067 |
| 1834 | 1 | V05V07 | LinStatic | 0 | 0.00004362 | 0 | 4.044E-16 | 0 | 0.00064 |
| 1835 | 0 | V05V07 | LinStatic | 0 | 0.00004362 | 0 | 4.039E-16 | 0 | 0.00064 |
| 1835 | 0.5 | V05V07 | LinStatic | 0 | 0.00004362 | 0 | 4.039E-16 | 0 | 0.00062 |
| 1835 | 1 | V05V07 | LinStatic | 0 | 0.00004362 | 0 | 4.039E-16 | 0 | 0.0006 |
| 1882 | 0 | V05V07 | LinStatic | 0 | -0.00001039 | 0 | 1.529E-17 | 0 | -0.00016 |
| 1882 | 0.5 | V05V07 | LinStatic | 0 | -0.00001039 | 0 | 1.529E-17 | 0 | -0.00016 |
| 1882 | 1 | V05V07 | LinStatic | 0 | -0.00001039 | 0 | 1.529E-17 | 0 | -0.00015 |
| 1883 | 0 | V05V07 | LinStatic | 0 | -0.00001039 | 0 | 1.517E-17 | 0 | -0.00015 |
| 1883 | 0.5 | V05V07 | LinStatic | 0 | -0.00001039 | 0 | 1.517E-17 | 0 | -0.00015 |
| 1883 | 1 | V05V07 | LinStatic | 0 | -0.00001039 | 0 | 1.517E-17 | 0 | -0.00014 |
| 1930 | 0 | V05V07 | LinStatic | 0 | 0.000002475 | 0 | 7.332E-19 | 0 | 0.00003902 |
| 1930 | 0.5 | V05V07 | LinStatic | 0 | 0.000002475 | 0 | 7.332E-19 | 0 | 0.00003778 |
| 1930 | 1 | V05V07 | LinStatic | 0 | 0.000002475 | 0 | 7.332E-19 | 0 | 0.00003655 |
| 1931 | 0 | V05V07 | LinStatic | 0 | 0.000002475 | 0 | 7.001E-19 | 0 | 0.00003655 |
| 1931 | 0.5 | V05V07 | LinStatic | 0 | 0.000002475 | 0 | 7.001E-19 | 0 | 0.00003531 |
| 1931 | 1 | V05V07 | LinStatic | 0 | 0.000002475 | 0 | 7.001E-19 | 0 | 0.00003407 |
| 1978 | 0 | V05V07 | LinStatic | 0 | -0.00000059 | 0 | 1.036E-20 | 0 | -0.000009292 |
| 1978 | 0.5 | V05V07 | LinStatic | 0 | -0.00000059 | 0 | 1.036E-20 | 0 | -0.000008997 |
| 1978 | 1 | V05V07 | LinStatic | 0 | -0.00000059 | 0 | 1.036E-20 | 0 | -0.000008702 |
| 1979 | 0 | V05V07 | LinStatic | 0 | -0.00000059 | 0 | 0 | 0 | -0.000008702 |
| 1979 | 0.5 | V05V07 | LinStatic | 0 | -0.00000059 | 0 | 0 | 0 | -0.000008407 |

**TABLE: Element Forces - Frames**

| Frame | Station | OutputCase | CaseType | P | V2 | V3 | T | M2 | M3 |
|---|---|---|---|---|---|---|---|---|---|
| Text | m | Text | Text | Ton | Ton | Ton | Ton-m | Ton-m | Ton-m |
| 1979 | 1 | V05V07 | LinStatic | 0 | -0.00000059 | 0 | 0 | 0 | -0.000008112 |
| 2026 | 0 | V05V07 | LinStatic | 0 | 1.418E-07 | 0 | 0 | 0 | 0.000002197 |
| 2026 | 0.5 | V05V07 | LinStatic | 0 | 1.418E-07 | 0 | 0 | 0 | 0.000002126 |
| 2026 | 1 | V05V07 | LinStatic | 0 | 1.418E-07 | 0 | 0 | 0 | 0.000002055 |
| 2027 | 0 | V05V07 | LinStatic | 0 | 1.418E-07 | 0 | 0 | 0 | 0.000002055 |
| 2027 | 0.5 | V05V07 | LinStatic | 0 | 1.418E-07 | 0 | 0 | 0 | 0.000001984 |
| 2027 | 1 | V05V07 | LinStatic | 0 | 1.418E-07 | 0 | 0 | 0 | 0.000001913 |
| 2072 | 0 | V05V07 | LinStatic | 0 | -3.455E-08 | 0 | 0 | 0 | -6.218E-07 |
| 2072 | 0.5 | V05V07 | LinStatic | 0 | -3.455E-08 | 0 | 0 | 0 | -6.046E-07 |
| 2072 | 1 | V05V07 | LinStatic | 0 | -3.455E-08 | 0 | 0 | 0 | -5.873E-07 |
| 2107 | 0 | V05V07 | LinStatic | 0 | -0.2797 | 0 | -0.00007953 | 0 | 4.75538 |
| 2107 | 0.5 | V05V07 | LinStatic | 0 | -0.2797 | 0 | -0.00007953 | 0 | 4.89524 |
| 2107 | 1 | V05V07 | LinStatic | 0 | -0.2797 | 0 | -0.00007953 | 0 | 5.03511 |
| 2152 | 0 | V05V07 | LinStatic | 0 | 1.1477 | 0 | -0.00177 | 0 | -15.49168 |
| 2152 | 0.5 | V05V07 | LinStatic | 0 | 1.1477 | 0 | -0.00177 | 0 | -16.06554 |
| 2152 | 1 | V05V07 | LinStatic | 0 | 1.1477 | 0 | -0.00177 | 0 | -16.63941 |
| 2153 | 0 | V05V07 | LinStatic | 0 | 1.1477 | 0 | -0.00177 | 0 | -16.63955 |
| 2153 | 0.5 | V05V07 | LinStatic | 0 | 1.1477 | 0 | -0.00177 | 0 | -17.21341 |
| 2153 | 1 | V05V07 | LinStatic | 0 | 1.1477 | 0 | -0.00177 | 0 | -17.78728 |
| 2200 | 0 | V05V07 | LinStatic | 0 | -4.7807 | 0 | -0.04522 | 0 | 65.68128 |
| 2200 | 0.5 | V05V07 | LinStatic | 0 | -4.7807 | 0 | -0.04522 | 0 | 68.07161 |
| 2200 | 1 | V05V07 | LinStatic | 0 | -4.7807 | 0 | -0.04522 | 0 | 70.46194 |
| 2201 | 0 | V05V07 | LinStatic | 0 | -4.7807 | 0 | -0.04522 | 0 | 70.4583 |
| 2201 | 0.5 | V05V07 | LinStatic | 0 | -4.7807 | 0 | -0.04522 | 0 | 72.84863 |
| 2201 | 1 | V05V07 | LinStatic | 0 | -4.7807 | 0 | -0.04522 | 0 | 75.23896 |
| 2249 | 0 | V05V07 | LinStatic | 0 | 18.1963 | 0 | -1.1578 | 0 | -253.88587 |
| 2249 | 0.5 | V05V07 | LinStatic | 0 | 18.1963 | 0 | -1.1578 | 0 | -262.98404 |
| 2249 | 1 | V05V07 | LinStatic | 0 | 18.1963 | 0 | -1.1578 | 0 | -272.08222 |
| 2301 | 0 | V05V07 | LinStatic | 0 | -2.7935 | 0 | 12.35184 | 0 | 1132.70619 |
| 2301 | 0.5 | V05V07 | LinStatic | 0 | -2.7935 | 0 | 12.35184 | 0 | 1134.10296 |
| 2301 | 1 | V05V07 | LinStatic | 0 | -2.7935 | 0 | 12.35184 | 0 | 1135.49972 |
| 2350 | 0 | V05V07 | LinStatic | 0 | -2.489 | 0 | 1.24963 | 0 | -529.98974 |
| 2350 | 0.5 | V05V07 | LinStatic | 0 | -2.489 | 0 | 1.24963 | 0 | -528.74522 |
| 2350 | 1 | V05V07 | LinStatic | 0 | -2.489 | 0 | 1.24963 | 0 | -527.5007 |
| 2351 | 0 | V05V07 | LinStatic | 0 | -2.489 | 0 | 1.24963 | 0 | -527.4002 |
| 2351 | 0.5 | V05V07 | LinStatic | 0 | -2.489 | 0 | 1.24963 | 0 | -526.15568 |
| 2351 | 1 | V05V07 | LinStatic | 0 | -2.489 | 0 | 1.24963 | 0 | -524.91115 |
| 2398 | 0 | V05V07 | LinStatic | 0 | 4.5659 | 0 | 0.0488 | 0 | 971.77521 |
| 2398 | 0.5 | V05V07 | LinStatic | 0 | 4.5659 | 0 | 0.0488 | 0 | 969.49224 |
| 2398 | 1 | V05V07 | LinStatic | 0 | 4.5659 | 0 | 0.0488 | 0 | 967.20928 |
| 2399 | 0 | V05V07 | LinStatic | 0 | 4.5659 | 0 | 0.0488 | 0 | 967.2132 |
| 2399 | 0.5 | V05V07 | LinStatic | 0 | 4.5659 | 0 | 0.0488 | 0 | 964.93024 |
| 2399 | 1 | V05V07 | LinStatic | 0 | 4.5659 | 0 | 0.0488 | 0 | 962.64727 |
| 2446 | 0 | V05V07 | LinStatic | 0 | -17.6517 | 0 | 0.00191 | 0 | -278.28484 |
| 2446 | 0.5 | V05V07 | LinStatic | 0 | -17.6517 | 0 | 0.00191 | 0 | -269.459 |
| 2446 | 1 | V05V07 | LinStatic | 0 | -17.6517 | 0 | 0.00191 | 0 | -260.63316 |
| 2447 | 0 | V05V07 | LinStatic | 0 | -17.6517 | 0 | 0.00191 | 0 | -260.63301 |
| 2447 | 0.5 | V05V07 | LinStatic | 0 | -17.6517 | 0 | 0.00191 | 0 | -251.80717 |
| 2447 | 1 | V05V07 | LinStatic | 0 | -17.6517 | 0 | 0.00191 | 0 | -242.98134 |
| 2494 | 0 | V05V07 | LinStatic | 0 | 4.2051 | 0 | 0.00007444 | 0 | 66.29397 |
| 2494 | 0.5 | V05V07 | LinStatic | 0 | 4.2051 | 0 | 0.00007444 | 0 | 64.19143 |
| 2494 | 1 | V05V07 | LinStatic | 0 | 4.2051 | 0 | 0.00007444 | 0 | 62.08889 |
| 2495 | 0 | V05V07 | LinStatic | 0 | 4.2051 | 0 | 0.00007444 | 0 | 62.08889 |
| 2495 | 0.5 | V05V07 | LinStatic | 0 | 4.2051 | 0 | 0.00007444 | 0 | 59.98635 |
| 2495 | 1 | V05V07 | LinStatic | 0 | 4.2051 | 0 | 0.00007444 | 0 | 57.88381 |
| 2542 | 0 | V05V07 | LinStatic | 0 | -1.0017 | 0 | 0.000002907 | 0 | -15.79277 |
| 2542 | 0.5 | V05V07 | LinStatic | 0 | -1.0017 | 0 | 0.000002907 | 0 | -15.2919 |
| 2542 | 1 | V05V07 | LinStatic | 0 | -1.0017 | 0 | 0.000002907 | 0 | -14.79102 |
| 2543 | 0 | V05V07 | LinStatic | 0 | -1.0017 | 0 | 0.000002907 | 0 | -14.79102 |
| 2543 | 0.5 | V05V07 | LinStatic | 0 | -1.0017 | 0 | 0.000002907 | 0 | -14.29015 |
| 2543 | 1 | V05V07 | LinStatic | 0 | -1.0017 | 0 | 0.000002907 | 0 | -13.78928 |
| 2590 | 0 | V05V07 | LinStatic | 0 | 0.2386 | 0 | 1.135E-07 | 0 | 3.76221 |
| 2590 | 0.5 | V05V07 | LinStatic | 0 | 0.2386 | 0 | 1.135E-07 | 0 | 3.64289 |
| 2590 | 1 | V05V07 | LinStatic | 0 | 0.2386 | 0 | 1.135E-07 | 0 | 3.52357 |
| 2591 | 0 | V05V07 | LinStatic | 0 | 0.2386 | 0 | 1.135E-07 | 0 | 3.52357 |
| 2591 | 0.5 | V05V07 | LinStatic | 0 | 0.2386 | 0 | 1.135E-07 | 0 | 3.40425 |
| 2591 | 1 | V05V07 | LinStatic | 0 | 0.2386 | 0 | 1.135E-07 | 0 | 3.28493 |
| 2638 | 0 | V05V07 | LinStatic | 0 | -0.0568 | 0 | 4.435E-09 | 0 | -0.89625 |
| 2638 | 0.5 | V05V07 | LinStatic | 0 | -0.0568 | 0 | 4.435E-09 | 0 | -0.86782 |
| 2638 | 1 | V05V07 | LinStatic | 0 | -0.0568 | 0 | 4.435E-09 | 0 | -0.8394 |
| 2639 | 0 | V05V07 | LinStatic | 0 | -0.0568 | 0 | 4.435E-09 | 0 | -0.8394 |
| 2639 | 0.5 | V05V07 | LinStatic | 0 | -0.0568 | 0 | 4.435E-09 | 0 | -0.81097 |
| 2639 | 1 | V05V07 | LinStatic | 0 | -0.0568 | 0 | 4.435E-09 | 0 | -0.78255 |
| 2686 | 0 | V05V07 | LinStatic | 0 | 0.0135 | 0 | 1.732E-10 | 0 | 0.21351 |
| 2686 | 0.5 | V05V07 | LinStatic | 0 | 0.0135 | 0 | 1.732E-10 | 0 | 0.20674 |
| 2686 | 1 | V05V07 | LinStatic | 0 | 0.0135 | 0 | 1.732E-10 | 0 | 0.19996 |
| 2687 | 0 | V05V07 | LinStatic | 0 | 0.0135 | 0 | 1.732E-10 | 0 | 0.19996 |
| 2687 | 0.5 | V05V07 | LinStatic | 0 | 0.0135 | 0 | 1.732E-10 | 0 | 0.19319 |
| 2687 | 1 | V05V07 | LinStatic | 0 | 0.0135 | 0 | 1.732E-10 | 0 | 0.18642 |
| 2734 | 0 | V05V07 | LinStatic | 0 | -0.0032 | 0 | 6.764E-12 | 0 | -0.05086 |
| 2734 | 0.5 | V05V07 | LinStatic | 0 | -0.0032 | 0 | 6.764E-12 | 0 | -0.04925 |
| 2734 | 1 | V05V07 | LinStatic | 0 | -0.0032 | 0 | 6.764E-12 | 0 | -0.04764 |
| 2735 | 0 | V05V07 | LinStatic | 0 | -0.0032 | 0 | 6.764E-12 | 0 | -0.04764 |

**TABLE: Element Forces - Frames**

| Frame | Station | OutputCase | CaseType | P | V2 | V3 | T | M2 | M3 |
|---|---|---|---|---|---|---|---|---|---|
| Text | m | Text | Text | Ton | Ton | Ton | Ton-m | Ton-m | Ton-m |
| 2735 | 0.5 | V05V07 | LinStatic | 0 | -0.0032 | 0 | 6.764E-12 | 0 | -0.04602 |
| 2735 | 1 | V05V07 | LinStatic | 0 | -0.0032 | 0 | 6.764E-12 | 0 | -0.04441 |
| 2782 | 0 | V05V07 | LinStatic | 0 | 0.0007686 | 0 | 2.642E-13 | 0 | 0.01212 |
| 2782 | 0.5 | V05V07 | LinStatic | 0 | 0.0007686 | 0 | 2.642E-13 | 0 | 0.01173 |
| 2782 | 1 | V05V07 | LinStatic | 0 | 0.0007686 | 0 | 2.642E-13 | 0 | 0.01135 |
| 2783 | 0 | V05V07 | LinStatic | 0 | 0.0007686 | 0 | 2.642E-13 | 0 | 0.01135 |
| 2783 | 0.5 | V05V07 | LinStatic | 0 | 0.0007686 | 0 | 2.642E-13 | 0 | 0.01096 |
| 2783 | 1 | V05V07 | LinStatic | 0 | 0.0007686 | 0 | 2.642E-13 | 0 | 0.01058 |
| 2830 | 0 | V05V07 | LinStatic | 0 | -0.0001831 | 0 | 1.032E-14 | 0 | -0.00289 |
| 2830 | 0.5 | V05V07 | LinStatic | 0 | -0.0001831 | 0 | 1.032E-14 | 0 | -0.00279 |
| 2830 | 1 | V05V07 | LinStatic | 0 | -0.0001831 | 0 | 1.032E-14 | 0 | -0.0027 |
| 2831 | 0 | V05V07 | LinStatic | 0 | -0.0001831 | 0 | 1.031E-14 | 0 | -0.0027 |
| 2831 | 0.5 | V05V07 | LinStatic | 0 | -0.0001831 | 0 | 1.031E-14 | 0 | -0.00261 |
| 2831 | 1 | V05V07 | LinStatic | 0 | -0.0001831 | 0 | 1.031E-14 | 0 | -0.00252 |
| 2878 | 0 | V05V07 | LinStatic | 0 | 0.00004362 | 0 | 4.037E-16 | 0 | 0.00069 |
| 2878 | 0.5 | V05V07 | LinStatic | 0 | 0.00004362 | 0 | 4.037E-16 | 0 | 0.00067 |
| 2878 | 1 | V05V07 | LinStatic | 0 | 0.00004362 | 0 | 4.037E-16 | 0 | 0.00064 |
| 2879 | 0 | V05V07 | LinStatic | 0 | 0.00004362 | 0 | 4.044E-16 | 0 | 0.00064 |
| 2879 | 0.5 | V05V07 | LinStatic | 0 | 0.00004362 | 0 | 4.044E-16 | 0 | 0.00062 |
| 2879 | 1 | V05V07 | LinStatic | 0 | 0.00004362 | 0 | 4.044E-16 | 0 | 0.0006 |
| 2926 | 0 | V05V07 | LinStatic | 0 | -0.00001039 | 0 | 1.534E-17 | 0 | -0.00016 |
| 2926 | 0.5 | V05V07 | LinStatic | 0 | -0.00001039 | 0 | 1.534E-17 | 0 | -0.00016 |
| 2926 | 1 | V05V07 | LinStatic | 0 | -0.00001039 | 0 | 1.534E-17 | 0 | -0.00015 |
| 2927 | 0 | V05V07 | LinStatic | 0 | -0.00001039 | 0 | 1.499E-17 | 0 | -0.00015 |
| 2927 | 0.5 | V05V07 | LinStatic | 0 | -0.00001039 | 0 | 1.499E-17 | 0 | -0.00015 |
| 2927 | 1 | V05V07 | LinStatic | 0 | -0.00001039 | 0 | 1.499E-17 | 0 | -0.00014 |
| 2974 | 0 | V05V07 | LinStatic | 0 | 0.000002475 | 0 | 6.797E-19 | 0 | 0.00003902 |
| 2974 | 0.5 | V05V07 | LinStatic | 0 | 0.000002475 | 0 | 6.797E-19 | 0 | 0.00003778 |
| 2974 | 1 | V05V07 | LinStatic | 0 | 0.000002475 | 0 | 6.797E-19 | 0 | 0.00003655 |
| 2975 | 0 | V05V07 | LinStatic | 0 | 0.000002475 | 0 | 7.336E-19 | 0 | 0.00003655 |
| 2975 | 0.5 | V05V07 | LinStatic | 0 | 0.000002475 | 0 | 7.336E-19 | 0 | 0.00003531 |
| 2975 | 1 | V05V07 | LinStatic | 0 | 0.000002475 | 0 | 7.336E-19 | 0 | 0.00003407 |
| 3022 | 0 | V05V07 | LinStatic | 0 | -0.00000059 | 0 | 1.21E-20 | 0 | -0.000009292 |
| 3022 | 0.5 | V05V07 | LinStatic | 0 | -0.00000059 | 0 | 1.21E-20 | 0 | -0.000008997 |
| 3022 | 1 | V05V07 | LinStatic | 0 | -0.00000059 | 0 | 1.21E-20 | 0 | -0.000008702 |
| 3023 | 0 | V05V07 | LinStatic | 0 | -0.00000059 | 0 | 0 | 0 | -0.000008702 |
| 3023 | 0.5 | V05V07 | LinStatic | 0 | -0.00000059 | 0 | 0 | 0 | -0.000008407 |
| 3023 | 1 | V05V07 | LinStatic | 0 | -0.00000059 | 0 | 0 | 0 | -0.000008112 |
| 3070 | 0 | V05V07 | LinStatic | 0 | 1.418E-07 | 0 | 0 | 0 | 0.000002197 |
| 3070 | 0.5 | V05V07 | LinStatic | 0 | 1.418E-07 | 0 | 0 | 0 | 0.000002126 |
| 3070 | 1 | V05V07 | LinStatic | 0 | 1.418E-07 | 0 | 0 | 0 | 0.000002055 |
| 3071 | 0 | V05V07 | LinStatic | 0 | 1.418E-07 | 0 | 0 | 0 | 0.000002055 |
| 3071 | 0.5 | V05V07 | LinStatic | 0 | 1.418E-07 | 0 | 0 | 0 | 0.000001984 |
| 3071 | 1 | V05V07 | LinStatic | 0 | 1.418E-07 | 0 | 0 | 0 | 0.000001913 |
| 3116 | 0 | V05V07 | LinStatic | 0 | -3.455E-08 | 0 | 0 | 0 | -6.218E-07 |
| 3116 | 0.5 | V05V07 | LinStatic | 0 | -3.455E-08 | 0 | 0 | 0 | -6.046E-07 |
| 3116 | 1 | V05V07 | LinStatic | 0 | -3.455E-08 | 0 | 0 | 0 | -5.873E-07 |
| 1063 | 0 | V06V08 | LinStatic | 0 | 0.0603 | 0 | -0.000002838 | 0 | -1.02537 |
| 1063 | 0.5 | V06V08 | LinStatic | 0 | 0.0603 | 0 | -0.000002838 | 0 | -1.05553 |
| 1063 | 1 | V06V08 | LinStatic | 0 | 0.0603 | 0 | -0.000002838 | 0 | -1.08568 |
| 1108 | 0 | V06V08 | LinStatic | 0 | -0.2475 | 0 | -0.00006304 | 0 | 3.34034 |
| 1108 | 0.5 | V06V08 | LinStatic | 0 | -0.2475 | 0 | -0.00006304 | 0 | 3.4641 |
| 1108 | 1 | V06V08 | LinStatic | 0 | -0.2475 | 0 | -0.00006304 | 0 | 3.58785 |
| 1109 | 0 | V06V08 | LinStatic | 0 | -0.2475 | 0 | -0.00006304 | 0 | 3.58785 |
| 1109 | 0.5 | V06V08 | LinStatic | 0 | -0.2475 | 0 | -0.00006304 | 0 | 3.7116 |
| 1109 | 1 | V06V08 | LinStatic | 0 | -0.2475 | 0 | -0.00006304 | 0 | 3.83535 |
| 1156 | 0 | V06V08 | LinStatic | 0 | 1.0302 | 0 | -0.00161 | 0 | -14.1627 |
| 1156 | 0.5 | V06V08 | LinStatic | 0 | 1.0302 | 0 | -0.00161 | 0 | -14.67778 |
| 1156 | 1 | V06V08 | LinStatic | 0 | 1.0302 | 0 | -0.00161 | 0 | -15.19286 |
| 1157 | 0 | V06V08 | LinStatic | 0 | 1.0302 | 0 | -0.00161 | 0 | -15.19273 |
| 1157 | 0.5 | V06V08 | LinStatic | 0 | 1.0302 | 0 | -0.00161 | 0 | -15.70782 |
| 1157 | 1 | V06V08 | LinStatic | 0 | 1.0302 | 0 | -0.00161 | 0 | -16.2229 |
| 1205 | 0 | V06V08 | LinStatic | 0 | -3.9403 | 0 | -0.04132 | 0 | 54.7352 |
| 1205 | 0.5 | V06V08 | LinStatic | 0 | -3.9403 | 0 | -0.04132 | 0 | 56.70535 |
| 1205 | 1 | V06V08 | LinStatic | 0 | -3.9403 | 0 | -0.04132 | 0 | 58.67551 |
| 1257 | 0 | V06V08 | LinStatic | 0 | 16.3232 | 0 | -1.11901 | 0 | -244.5716 |
| 1257 | 0.5 | V06V08 | LinStatic | 0 | 16.3232 | 0 | -1.11901 | 0 | -252.73318 |
| 1257 | 1 | V06V08 | LinStatic | 0 | 16.3232 | 0 | -1.11901 | 0 | -260.89476 |
| 1306 | 0 | V06V08 | LinStatic | 0 | -14.5842 | 0 | 12.80136 | 0 | 1037.17279 |
| 1306 | 0.5 | V06V08 | LinStatic | 0 | -14.5842 | 0 | 12.80136 | 0 | 1044.4649 |
| 1306 | 1 | V06V08 | LinStatic | 0 | -14.5842 | 0 | 12.80136 | 0 | 1051.75702 |
| 1307 | 0 | V06V08 | LinStatic | 0 | 5.0669 | 0 | 11.85936 | 0 | 1050.74745 |
| 1307 | 0.5 | V06V08 | LinStatic | 0 | 5.0669 | 0 | 11.85936 | 0 | 1048.21401 |
| 1307 | 1 | V06V08 | LinStatic | 0 | 5.0669 | 0 | 11.85936 | 0 | 1045.68057 |
| 1354 | 0 | V06V08 | LinStatic | 0 | -0.2659 | 0 | 1.76645 | 0 | -491.41509 |
| 1354 | 0.5 | V06V08 | LinStatic | 0 | -0.2659 | 0 | 1.76645 | 0 | -491.28213 |
| 1354 | 1 | V06V08 | LinStatic | 0 | -0.2659 | 0 | 1.76645 | 0 | -491.14918 |
| 1355 | 0 | V06V08 | LinStatic | 0 | -0.2659 | 0 | 1.76646 | 0 | -491.29128 |
| 1355 | 0.5 | V06V08 | LinStatic | 0 | -0.2659 | 0 | 1.76646 | 0 | -491.15833 |
| 1355 | 1 | V06V08 | LinStatic | 0 | -0.2659 | 0 | 1.76646 | 0 | -491.02538 |
| 1402 | 0 | V06V08 | LinStatic | 0 | 3.9645 | 0 | 0.06899 | 0 | 962.43774 |
| 1402 | 0.5 | V06V08 | LinStatic | 0 | 3.9645 | 0 | 0.06899 | 0 | 960.4555 |
| 1402 | 1 | V06V08 | LinStatic | 0 | 3.9645 | 0 | 0.06899 | 0 | 958.47326 |

**TABLE: Element Forces - Frames**

| Frame | Station | OutputCase | CaseType | P | V2 | V3 | T | M2 | M3 |
|---|---|---|---|---|---|---|---|---|---|
| Text | m | Text | Text | Ton | Ton | Ton | Ton-m | Ton-m | Ton-m |
| 1403 | 0 | V06V08 | LinStatic | 0 | 3.9645 | 0 | 0.06899 | 0 | 958.46772 |
| 1403 | 0.5 | V06V08 | LinStatic | 0 | 3.9645 | 0 | 0.06899 | 0 | 956.48548 |
| 1403 | 1 | V06V08 | LinStatic | 0 | 3.9645 | 0 | 0.06899 | 0 | 954.50324 |
| 1450 | 0 | V06V08 | LinStatic | 0 | -17.511 | 0 | 0.00269 | 0 | -276.06175 |
| 1450 | 0.5 | V06V08 | LinStatic | 0 | -17.511 | 0 | 0.00269 | 0 | -267.30624 |
| 1450 | 1 | V06V08 | LinStatic | 0 | -17.511 | 0 | 0.00269 | 0 | -258.55074 |
| 1451 | 0 | V06V08 | LinStatic | 0 | -17.511 | 0 | 0.00269 | 0 | -258.55095 |
| 1451 | 0.5 | V06V08 | LinStatic | 0 | -17.511 | 0 | 0.00269 | 0 | -249.79544 |
| 1451 | 1 | V06V08 | LinStatic | 0 | -17.511 | 0 | 0.00269 | 0 | -241.03993 |
| 1498 | 0 | V06V08 | LinStatic | 0 | 4.1715 | 0 | 0.00011 | 0 | 65.76433 |
| 1498 | 0.5 | V06V08 | LinStatic | 0 | 4.1715 | 0 | 0.00011 | 0 | 63.67859 |
| 1498 | 1 | V06V08 | LinStatic | 0 | 4.1715 | 0 | 0.00011 | 0 | 61.59285 |
| 1499 | 0 | V06V08 | LinStatic | 0 | 4.1715 | 0 | 0.00011 | 0 | 61.59285 |
| 1499 | 0.5 | V06V08 | LinStatic | 0 | 4.1715 | 0 | 0.00011 | 0 | 59.50711 |
| 1499 | 1 | V06V08 | LinStatic | 0 | 4.1715 | 0 | 0.00011 | 0 | 57.42137 |
| 1546 | 0 | V06V08 | LinStatic | 0 | -0.9937 | 0 | 0.00000411 | 0 | -15.6666 |
| 1546 | 0.5 | V06V08 | LinStatic | 0 | -0.9937 | 0 | 0.00000411 | 0 | -15.16973 |
| 1546 | 1 | V06V08 | LinStatic | 0 | -0.9937 | 0 | 0.00000411 | 0 | -14.67286 |
| 1547 | 0 | V06V08 | LinStatic | 0 | -0.9937 | 0 | 0.00000411 | 0 | -14.67286 |
| 1547 | 0.5 | V06V08 | LinStatic | 0 | -0.9937 | 0 | 0.00000411 | 0 | -14.17598 |
| 1547 | 1 | V06V08 | LinStatic | 0 | -0.9937 | 0 | 0.00000411 | 0 | -13.67911 |
| 1594 | 0 | V06V08 | LinStatic | 0 | 0.2367 | 0 | 1.605E-07 | 0 | 3.73215 |
| 1594 | 0.5 | V06V08 | LinStatic | 0 | 0.2367 | 0 | 1.605E-07 | 0 | 3.61378 |
| 1594 | 1 | V06V08 | LinStatic | 0 | 0.2367 | 0 | 1.605E-07 | 0 | 3.49542 |
| 1595 | 0 | V06V08 | LinStatic | 0 | 0.2367 | 0 | 1.605E-07 | 0 | 3.49542 |
| 1595 | 0.5 | V06V08 | LinStatic | 0 | 0.2367 | 0 | 1.605E-07 | 0 | 3.37705 |
| 1595 | 1 | V06V08 | LinStatic | 0 | 0.2367 | 0 | 1.605E-07 | 0 | 3.25868 |
| 1642 | 0 | V06V08 | LinStatic | 0 | -0.0564 | 0 | 6.268E-09 | 0 | -0.88909 |
| 1642 | 0.5 | V06V08 | LinStatic | 0 | -0.0564 | 0 | 6.268E-09 | 0 | -0.86089 |
| 1642 | 1 | V06V08 | LinStatic | 0 | -0.0564 | 0 | 6.268E-09 | 0 | -0.83269 |
| 1643 | 0 | V06V08 | LinStatic | 0 | -0.0564 | 0 | 6.268E-09 | 0 | -0.83269 |
| 1643 | 0.5 | V06V08 | LinStatic | 0 | -0.0564 | 0 | 6.268E-09 | 0 | -0.80449 |
| 1643 | 1 | V06V08 | LinStatic | 0 | -0.0564 | 0 | 6.268E-09 | 0 | -0.77629 |
| 1690 | 0 | V06V08 | LinStatic | 0 | 0.0134 | 0 | 2.448E-10 | 0 | 0.2118 |
| 1690 | 0.5 | V06V08 | LinStatic | 0 | 0.0134 | 0 | 2.448E-10 | 0 | 0.20508 |
| 1690 | 1 | V06V08 | LinStatic | 0 | 0.0134 | 0 | 2.448E-10 | 0 | 0.19837 |
| 1691 | 0 | V06V08 | LinStatic | 0 | 0.0134 | 0 | 2.448E-10 | 0 | 0.19837 |
| 1691 | 0.5 | V06V08 | LinStatic | 0 | 0.0134 | 0 | 2.448E-10 | 0 | 0.19165 |
| 1691 | 1 | V06V08 | LinStatic | 0 | 0.0134 | 0 | 2.448E-10 | 0 | 0.18493 |
| 1738 | 0 | V06V08 | LinStatic | 0 | -0.0032 | 0 | 9.561E-12 | 0 | -0.05046 |
| 1738 | 0.5 | V06V08 | LinStatic | 0 | -0.0032 | 0 | 9.561E-12 | 0 | -0.04886 |
| 1738 | 1 | V06V08 | LinStatic | 0 | -0.0032 | 0 | 9.561E-12 | 0 | -0.04726 |
| 1739 | 0 | V06V08 | LinStatic | 0 | -0.0032 | 0 | 9.561E-12 | 0 | -0.04726 |
| 1739 | 0.5 | V06V08 | LinStatic | 0 | -0.0032 | 0 | 9.561E-12 | 0 | -0.04566 |
| 1739 | 1 | V06V08 | LinStatic | 0 | -0.0032 | 0 | 9.561E-12 | 0 | -0.04406 |
| 1786 | 0 | V06V08 | LinStatic | 0 | 0.0007624 | 0 | 3.734E-13 | 0 | 0.01202 |
| 1786 | 0.5 | V06V08 | LinStatic | 0 | 0.0007624 | 0 | 3.734E-13 | 0 | 0.01164 |
| 1786 | 1 | V06V08 | LinStatic | 0 | 0.0007624 | 0 | 3.734E-13 | 0 | 0.01126 |
| 1787 | 0 | V06V08 | LinStatic | 0 | 0.0007624 | 0 | 3.734E-13 | 0 | 0.01126 |
| 1787 | 0.5 | V06V08 | LinStatic | 0 | 0.0007624 | 0 | 3.734E-13 | 0 | 0.01088 |
| 1787 | 1 | V06V08 | LinStatic | 0 | 0.0007624 | 0 | 3.734E-13 | 0 | 0.01049 |
| 1834 | 0 | V06V08 | LinStatic | 0 | -0.0001816 | 0 | 1.458E-14 | 0 | -0.00286 |
| 1834 | 0.5 | V06V08 | LinStatic | 0 | -0.0001816 | 0 | 1.458E-14 | 0 | -0.00277 |
| 1834 | 1 | V06V08 | LinStatic | 0 | -0.0001816 | 0 | 1.458E-14 | 0 | -0.00268 |
| 1835 | 0 | V06V08 | LinStatic | 0 | -0.0001816 | 0 | 1.457E-14 | 0 | -0.00268 |
| 1835 | 0.5 | V06V08 | LinStatic | 0 | -0.0001816 | 0 | 1.457E-14 | 0 | -0.00259 |
| 1835 | 1 | V06V08 | LinStatic | 0 | -0.0001816 | 0 | 1.457E-14 | 0 | -0.0025 |
| 1882 | 0 | V06V08 | LinStatic | 0 | 0.00004327 | 0 | 5.709E-16 | 0 | 0.00068 |
| 1882 | 0.5 | V06V08 | LinStatic | 0 | 0.00004327 | 0 | 5.709E-16 | 0 | 0.00066 |
| 1882 | 1 | V06V08 | LinStatic | 0 | 0.00004327 | 0 | 5.709E-16 | 0 | 0.00064 |
| 1883 | 0 | V06V08 | LinStatic | 0 | 0.00004327 | 0 | 5.708E-16 | 0 | 0.00064 |
| 1883 | 0.5 | V06V08 | LinStatic | 0 | 0.00004327 | 0 | 5.708E-16 | 0 | 0.00062 |
| 1883 | 1 | V06V08 | LinStatic | 0 | 0.00004327 | 0 | 5.708E-16 | 0 | 0.0006 |
| 1930 | 0 | V06V08 | LinStatic | 0 | -0.00001031 | 0 | 2.195E-17 | 0 | -0.00016 |
| 1930 | 0.5 | V06V08 | LinStatic | 0 | -0.00001031 | 0 | 2.195E-17 | 0 | -0.00016 |
| 1930 | 1 | V06V08 | LinStatic | 0 | -0.00001031 | 0 | 2.195E-17 | 0 | -0.00015 |
| 1931 | 0 | V06V08 | LinStatic | 0 | -0.00001031 | 0 | 2.157E-17 | 0 | -0.00015 |
| 1931 | 0.5 | V06V08 | LinStatic | 0 | -0.00001031 | 0 | 2.157E-17 | 0 | -0.00015 |
| 1931 | 1 | V06V08 | LinStatic | 0 | -0.00001031 | 0 | 2.157E-17 | 0 | -0.00014 |
| 1978 | 0 | V06V08 | LinStatic | 0 | 0.000002457 | 0 | 9.997E-19 | 0 | 0.00003869 |
| 1978 | 0.5 | V06V08 | LinStatic | 0 | 0.000002457 | 0 | 9.997E-19 | 0 | 0.00003746 |
| 1978 | 1 | V06V08 | LinStatic | 0 | 0.000002457 | 0 | 9.997E-19 | 0 | 0.00003624 |
| 1979 | 0 | V06V08 | LinStatic | 0 | 0.000002457 | 0 | 9.997E-19 | 0 | 0.00003624 |
| 1979 | 0.5 | V06V08 | LinStatic | 0 | 0.000002457 | 0 | 9.997E-19 | 0 | 0.00003501 |
| 1979 | 1 | V06V08 | LinStatic | 0 | 0.000002457 | 0 | 9.997E-19 | 0 | 0.00003378 |
| 2026 | 0 | V06V08 | LinStatic | 0 | -5.903E-07 | 0 | 0 | 0 | -0.000009148 |
| 2026 | 0.5 | V06V08 | LinStatic | 0 | -5.903E-07 | 0 | 0 | 0 | -0.000008853 |
| 2026 | 1 | V06V08 | LinStatic | 0 | -5.903E-07 | 0 | 0 | 0 | -0.000008557 |
| 2027 | 0 | V06V08 | LinStatic | 0 | -5.903E-07 | 0 | -1.302E-20 | 0 | -0.000008557 |
| 2027 | 0.5 | V06V08 | LinStatic | 0 | -5.903E-07 | 0 | -1.302E-20 | 0 | -0.000008262 |
| 2027 | 1 | V06V08 | LinStatic | 0 | -5.903E-07 | 0 | -1.302E-20 | 0 | -0.000007967 |
| 2072 | 0 | V06V08 | LinStatic | 0 | 1.439E-07 | 0 | 0 | 0 | 0.000002589 |
| 2072 | 0.5 | V06V08 | LinStatic | 0 | 1.439E-07 | 0 | 0 | 0 | 0.000002518 |

**TABLE: Element Forces - Frames**

| Frame | Station | OutputCase | CaseType | P | V2 | V3 | T | M2 | M3 |
|---|---|---|---|---|---|---|---|---|---|
| Text | m | Text | Text | Ton | Ton | Ton | Ton-m | Ton-m | Ton-m |
| 2072 | 1 | V06V08 | LinStatic | 0 | 1.439E-07 | 0 | 0 | 0 | 0.000002446 |
| 2107 | 0 | V06V08 | LinStatic | 0 | 0.0603 | 0 | -0.000002838 | 0 | -1.02537 |
| 2107 | 0.5 | V06V08 | LinStatic | 0 | 0.0603 | 0 | -0.000002838 | 0 | -1.05553 |
| 2107 | 1 | V06V08 | LinStatic | 0 | 0.0603 | 0 | -0.000002838 | 0 | -1.08568 |
| 2152 | 0 | V06V08 | LinStatic | 0 | -0.2475 | 0 | -0.00006304 | 0 | 3.34034 |
| 2152 | 0.5 | V06V08 | LinStatic | 0 | -0.2475 | 0 | -0.00006304 | 0 | 3.4641 |
| 2152 | 1 | V06V08 | LinStatic | 0 | -0.2475 | 0 | -0.00006304 | 0 | 3.58785 |
| 2153 | 0 | V06V08 | LinStatic | 0 | -0.2475 | 0 | -0.00006304 | 0 | 3.58785 |
| 2153 | 0.5 | V06V08 | LinStatic | 0 | -0.2475 | 0 | -0.00006304 | 0 | 3.7116 |
| 2153 | 1 | V06V08 | LinStatic | 0 | -0.2475 | 0 | -0.00006304 | 0 | 3.83536 |
| 2200 | 0 | V06V08 | LinStatic | 0 | 1.0299 | 0 | -0.00161 | 0 | -14.16283 |
| 2200 | 0.5 | V06V08 | LinStatic | 0 | 1.0299 | 0 | -0.00161 | 0 | -14.67778 |
| 2200 | 1 | V06V08 | LinStatic | 0 | 1.0299 | 0 | -0.00161 | 0 | -15.19273 |
| 2201 | 0 | V06V08 | LinStatic | 0 | 1.0299 | 0 | -0.00161 | 0 | -15.19286 |
| 2201 | 0.5 | V06V08 | LinStatic | 0 | 1.0299 | 0 | -0.00161 | 0 | -15.70781 |
| 2201 | 1 | V06V08 | LinStatic | 0 | 1.0299 | 0 | -0.00161 | 0 | -16.22277 |
| 2249 | 0 | V06V08 | LinStatic | 0 | -3.947 | 0 | -0.04132 | 0 | 54.73188 |
| 2249 | 0.5 | V06V08 | LinStatic | 0 | -3.947 | 0 | -0.04132 | 0 | 56.70536 |
| 2249 | 1 | V06V08 | LinStatic | 0 | -3.947 | 0 | -0.04132 | 0 | 58.67884 |
| 2301 | 0 | V06V08 | LinStatic | 0 | 16.1431 | 0 | -1.11901 | 0 | -244.66133 |
| 2301 | 0.5 | V06V08 | LinStatic | 0 | 16.1431 | 0 | -1.11901 | 0 | -252.73287 |
| 2301 | 1 | V06V08 | LinStatic | 0 | 16.1431 | 0 | -1.11901 | 0 | -260.80442 |
| 2350 | 0 | V06V08 | LinStatic | 0 | -12.8777 | 0 | 12.80136 | 0 | 1035.09608 |
| 2350 | 0.5 | V06V08 | LinStatic | 0 | -12.8777 | 0 | 12.80136 | 0 | 1041.53493 |
| 2350 | 1 | V06V08 | LinStatic | 0 | -12.8777 | 0 | 12.80136 | 0 | 1047.97377 |
| 2351 | 0 | V06V08 | LinStatic | 0 | 7.4712 | 0 | 11.85936 | 0 | 1048.98334 |
| 2351 | 0.5 | V06V08 | LinStatic | 0 | 7.4712 | 0 | 11.85936 | 0 | 1045.24774 |
| 2351 | 1 | V06V08 | LinStatic | 0 | 7.4712 | 0 | 11.85936 | 0 | 1041.51214 |
| 2398 | 0 | V06V08 | LinStatic | 0 | 0.0183 | 0 | 1.76645 | 0 | -491.27297 |
| 2398 | 0.5 | V06V08 | LinStatic | 0 | 0.0183 | 0 | 1.76645 | 0 | -491.28212 |
| 2398 | 1 | V06V08 | LinStatic | 0 | 0.0183 | 0 | 1.76645 | 0 | -491.29127 |
| 2399 | 0 | V06V08 | LinStatic | 0 | 0.0183 | 0 | 1.76646 | 0 | -491.14917 |
| 2399 | 0.5 | V06V08 | LinStatic | 0 | 0.0183 | 0 | 1.76646 | 0 | -491.15831 |
| 2399 | 1 | V06V08 | LinStatic | 0 | 0.0183 | 0 | 1.76646 | 0 | -491.16746 |
| 2446 | 0 | V06V08 | LinStatic | 0 | 3.9756 | 0 | 0.06899 | 0 | 962.44333 |
| 2446 | 0.5 | V06V08 | LinStatic | 0 | 3.9756 | 0 | 0.06899 | 0 | 960.45554 |
| 2446 | 1 | V06V08 | LinStatic | 0 | 3.9756 | 0 | 0.06899 | 0 | 958.46775 |
| 2447 | 0 | V06V08 | LinStatic | 0 | 3.9756 | 0 | 0.06899 | 0 | 958.4733 |
| 2447 | 0.5 | V06V08 | LinStatic | 0 | 3.9756 | 0 | 0.06899 | 0 | 956.48551 |
| 2447 | 1 | V06V08 | LinStatic | 0 | 3.9756 | 0 | 0.06899 | 0 | 954.49772 |
| 2494 | 0 | V06V08 | LinStatic | 0 | -17.5106 | 0 | 0.00269 | 0 | -276.06154 |
| 2494 | 0.5 | V06V08 | LinStatic | 0 | -17.5106 | 0 | 0.00269 | 0 | -267.30624 |
| 2494 | 1 | V06V08 | LinStatic | 0 | -17.5106 | 0 | 0.00269 | 0 | -258.55095 |
| 2495 | 0 | V06V08 | LinStatic | 0 | -17.5106 | 0 | 0.00269 | 0 | -258.55073 |
| 2495 | 0.5 | V06V08 | LinStatic | 0 | -17.5106 | 0 | 0.00269 | 0 | -249.79544 |
| 2495 | 1 | V06V08 | LinStatic | 0 | -17.5106 | 0 | 0.00269 | 0 | -241.04015 |
| 2542 | 0 | V06V08 | LinStatic | 0 | 4.1715 | 0 | 0.00011 | 0 | 65.76434 |
| 2542 | 0.5 | V06V08 | LinStatic | 0 | 4.1715 | 0 | 0.00011 | 0 | 63.67859 |
| 2542 | 1 | V06V08 | LinStatic | 0 | 4.1715 | 0 | 0.00011 | 0 | 61.59285 |
| 2543 | 0 | V06V08 | LinStatic | 0 | 4.1715 | 0 | 0.00011 | 0 | 61.59285 |
| 2543 | 0.5 | V06V08 | LinStatic | 0 | 4.1715 | 0 | 0.00011 | 0 | 59.50711 |
| 2543 | 1 | V06V08 | LinStatic | 0 | 4.1715 | 0 | 0.00011 | 0 | 57.42136 |
| 2590 | 0 | V06V08 | LinStatic | 0 | -0.9937 | 0 | 0.00000411 | 0 | -15.6666 |
| 2590 | 0.5 | V06V08 | LinStatic | 0 | -0.9937 | 0 | 0.00000411 | 0 | -15.16973 |
| 2590 | 1 | V06V08 | LinStatic | 0 | -0.9937 | 0 | 0.00000411 | 0 | -14.67286 |
| 2591 | 0 | V06V08 | LinStatic | 0 | -0.9937 | 0 | 0.00000411 | 0 | -14.67286 |
| 2591 | 0.5 | V06V08 | LinStatic | 0 | -0.9937 | 0 | 0.00000411 | 0 | -14.17598 |
| 2591 | 1 | V06V08 | LinStatic | 0 | -0.9937 | 0 | 0.00000411 | 0 | -13.67911 |
| 2638 | 0 | V06V08 | LinStatic | 0 | 0.2367 | 0 | 1.605E-07 | 0 | 3.73215 |
| 2638 | 0.5 | V06V08 | LinStatic | 0 | 0.2367 | 0 | 1.605E-07 | 0 | 3.61378 |
| 2638 | 1 | V06V08 | LinStatic | 0 | 0.2367 | 0 | 1.605E-07 | 0 | 3.49542 |
| 2639 | 0 | V06V08 | LinStatic | 0 | 0.2367 | 0 | 1.605E-07 | 0 | 3.49542 |
| 2639 | 0.5 | V06V08 | LinStatic | 0 | 0.2367 | 0 | 1.605E-07 | 0 | 3.37705 |
| 2639 | 1 | V06V08 | LinStatic | 0 | 0.2367 | 0 | 1.605E-07 | 0 | 3.25868 |
| 2686 | 0 | V06V08 | LinStatic | 0 | -0.0564 | 0 | 6.268E-09 | 0 | -0.88909 |
| 2686 | 0.5 | V06V08 | LinStatic | 0 | -0.0564 | 0 | 6.268E-09 | 0 | -0.86089 |
| 2686 | 1 | V06V08 | LinStatic | 0 | -0.0564 | 0 | 6.268E-09 | 0 | -0.83269 |
| 2687 | 0 | V06V08 | LinStatic | 0 | -0.0564 | 0 | 6.268E-09 | 0 | -0.83269 |
| 2687 | 0.5 | V06V08 | LinStatic | 0 | -0.0564 | 0 | 6.268E-09 | 0 | -0.80449 |
| 2687 | 1 | V06V08 | LinStatic | 0 | -0.0564 | 0 | 6.268E-09 | 0 | -0.77629 |
| 2734 | 0 | V06V08 | LinStatic | 0 | 0.0134 | 0 | 2.448E-10 | 0 | 0.2118 |
| 2734 | 0.5 | V06V08 | LinStatic | 0 | 0.0134 | 0 | 2.448E-10 | 0 | 0.20508 |
| 2734 | 1 | V06V08 | LinStatic | 0 | 0.0134 | 0 | 2.448E-10 | 0 | 0.19837 |
| 2735 | 0 | V06V08 | LinStatic | 0 | 0.0134 | 0 | 2.448E-10 | 0 | 0.19837 |
| 2735 | 0.5 | V06V08 | LinStatic | 0 | 0.0134 | 0 | 2.448E-10 | 0 | 0.19165 |
| 2735 | 1 | V06V08 | LinStatic | 0 | 0.0134 | 0 | 2.448E-10 | 0 | 0.18493 |
| 2782 | 0 | V06V08 | LinStatic | 0 | -0.0032 | 0 | 9.561E-12 | 0 | -0.05046 |
| 2782 | 0.5 | V06V08 | LinStatic | 0 | -0.0032 | 0 | 9.561E-12 | 0 | -0.04886 |
| 2782 | 1 | V06V08 | LinStatic | 0 | -0.0032 | 0 | 9.561E-12 | 0 | -0.04726 |
| 2783 | 0 | V06V08 | LinStatic | 0 | -0.0032 | 0 | 9.561E-12 | 0 | -0.04726 |
| 2783 | 0.5 | V06V08 | LinStatic | 0 | -0.0032 | 0 | 9.561E-12 | 0 | -0.04566 |
| 2783 | 1 | V06V08 | LinStatic | 0 | -0.0032 | 0 | 9.561E-12 | 0 | -0.04406 |
| 2830 | 0 | V06V08 | LinStatic | 0 | 0.0007624 | 0 | 3.734E-13 | 0 | 0.01202 |

**TABLE: Element Forces - Frames**

| Frame | Station | OutputCase | CaseType | P | V2 | V3 | T | M2 | M3 |
|---|---|---|---|---|---|---|---|---|---|
| Text | m | Text | Text | Ton | Ton | Ton | Ton-m | Ton-m | Ton-m |
| 2830 | 0.5 | V06V08 | LinStatic | 0 | 0.0007624 | 0 | 3.734E-13 | 0 | 0.01164 |
| 2830 | 1 | V06V08 | LinStatic | 0 | 0.0007624 | 0 | 3.734E-13 | 0 | 0.01126 |
| 2831 | 0 | V06V08 | LinStatic | 0 | 0.0007624 | 0 | 3.734E-13 | 0 | 0.01126 |
| 2831 | 0.5 | V06V08 | LinStatic | 0 | 0.0007624 | 0 | 3.734E-13 | 0 | 0.01088 |
| 2831 | 1 | V06V08 | LinStatic | 0 | 0.0007624 | 0 | 3.734E-13 | 0 | 0.01049 |
| 2878 | 0 | V06V08 | LinStatic | 0 | -0.0001816 | 0 | 1.458E-14 | 0 | -0.00286 |
| 2878 | 0.5 | V06V08 | LinStatic | 0 | -0.0001816 | 0 | 1.458E-14 | 0 | -0.00277 |
| 2878 | 1 | V06V08 | LinStatic | 0 | -0.0001816 | 0 | 1.458E-14 | 0 | -0.00268 |
| 2879 | 0 | V06V08 | LinStatic | 0 | -0.0001816 | 0 | 1.458E-14 | 0 | -0.00268 |
| 2879 | 0.5 | V06V08 | LinStatic | 0 | -0.0001816 | 0 | 1.458E-14 | 0 | -0.00259 |
| 2879 | 1 | V06V08 | LinStatic | 0 | -0.0001816 | 0 | 1.458E-14 | 0 | -0.0025 |
| 2926 | 0 | V06V08 | LinStatic | 0 | 0.00004327 | 0 | 5.704E-16 | 0 | 0.00068 |
| 2926 | 0.5 | V06V08 | LinStatic | 0 | 0.00004327 | 0 | 5.704E-16 | 0 | 0.00066 |
| 2926 | 1 | V06V08 | LinStatic | 0 | 0.00004327 | 0 | 5.704E-16 | 0 | 0.00064 |
| 2927 | 0 | V06V08 | LinStatic | 0 | 0.00004327 | 0 | 5.721E-16 | 0 | 0.00064 |
| 2927 | 0.5 | V06V08 | LinStatic | 0 | 0.00004327 | 0 | 5.721E-16 | 0 | 0.00062 |
| 2927 | 1 | V06V08 | LinStatic | 0 | 0.00004327 | 0 | 5.721E-16 | 0 | 0.0006 |
| 2974 | 0 | V06V08 | LinStatic | 0 | -0.00001031 | 0 | 2.177E-17 | 0 | -0.00016 |
| 2974 | 0.5 | V06V08 | LinStatic | 0 | -0.00001031 | 0 | 2.177E-17 | 0 | -0.00016 |
| 2974 | 1 | V06V08 | LinStatic | 0 | -0.00001031 | 0 | 2.177E-17 | 0 | -0.00015 |
| 2975 | 0 | V06V08 | LinStatic | 0 | -0.00001031 | 0 | 2.164E-17 | 0 | -0.00015 |
| 2975 | 0.5 | V06V08 | LinStatic | 0 | -0.00001031 | 0 | 2.164E-17 | 0 | -0.00015 |
| 2975 | 1 | V06V08 | LinStatic | 0 | -0.00001031 | 0 | 2.164E-17 | 0 | -0.00014 |
| 3022 | 0 | V06V08 | LinStatic | 0 | 0.000002457 | 0 | 9.955E-19 | 0 | 0.00003869 |
| 3022 | 0.5 | V06V08 | LinStatic | 0 | 0.000002457 | 0 | 9.955E-19 | 0 | 0.00003746 |
| 3022 | 1 | V06V08 | LinStatic | 0 | 0.000002457 | 0 | 9.955E-19 | 0 | 0.00003624 |
| 3023 | 0 | V06V08 | LinStatic | 0 | 0.000002457 | 0 | 1.002E-18 | 0 | 0.00003624 |
| 3023 | 0.5 | V06V08 | LinStatic | 0 | 0.000002457 | 0 | 1.002E-18 | 0 | 0.00003501 |
| 3023 | 1 | V06V08 | LinStatic | 0 | 0.000002457 | 0 | 1.002E-18 | 0 | 0.00003378 |
| 3070 | 0 | V06V08 | LinStatic | 0 | -5.903E-07 | 0 | 0 | 0 | -0.000009148 |
| 3070 | 0.5 | V06V08 | LinStatic | 0 | -5.903E-07 | 0 | 0 | 0 | -0.000008853 |
| 3070 | 1 | V06V08 | LinStatic | 0 | -5.903E-07 | 0 | 0 | 0 | -0.000008557 |
| 3071 | 0 | V06V08 | LinStatic | 0 | -5.903E-07 | 0 | 0 | 0 | -0.000008557 |
| 3071 | 0.5 | V06V08 | LinStatic | 0 | -5.903E-07 | 0 | 0 | 0 | -0.000008262 |
| 3071 | 1 | V06V08 | LinStatic | 0 | -5.903E-07 | 0 | 0 | 0 | -0.000007967 |
| 3116 | 0 | V06V08 | LinStatic | 0 | 1.439E-07 | 0 | 0 | 0 | 0.000002589 |
| 3116 | 0.5 | V06V08 | LinStatic | 0 | 1.439E-07 | 0 | 0 | 0 | 0.000002518 |
| 3116 | 1 | V06V08 | LinStatic | 0 | 1.439E-07 | 0 | 0 | 0 | 0.000002446 |
| 1063 | 0 | V07V09 | LinStatic | 0 | -0.0144 | 0 | -1.109E-07 | 0 | 0.24427 |
| 1063 | 0.5 | V07V09 | LinStatic | 0 | -0.0144 | 0 | -1.109E-07 | 0 | 0.25145 |
| 1063 | 1 | V07V09 | LinStatic | 0 | -0.0144 | 0 | -1.109E-07 | 0 | 0.25864 |
| 1108 | 0 | V07V09 | LinStatic | 0 | 0.059 | 0 | -0.000002462 | 0 | -0.79575 |
| 1108 | 0.5 | V07V09 | LinStatic | 0 | 0.059 | 0 | -0.000002462 | 0 | -0.82523 |
| 1108 | 1 | V07V09 | LinStatic | 0 | 0.059 | 0 | -0.000002462 | 0 | -0.85471 |
| 1109 | 0 | V07V09 | LinStatic | 0 | 0.059 | 0 | -0.000002462 | 0 | -0.85471 |
| 1109 | 0.5 | V07V09 | LinStatic | 0 | 0.059 | 0 | -0.000002462 | 0 | -0.88419 |
| 1109 | 1 | V07V09 | LinStatic | 0 | 0.059 | 0 | -0.000002462 | 0 | -0.91367 |
| 1156 | 0 | V07V09 | LinStatic | 0 | -0.2454 | 0 | -0.00006302 | 0 | 3.3739 |
| 1156 | 0.5 | V07V09 | LinStatic | 0 | -0.2454 | 0 | -0.00006302 | 0 | 3.49659 |
| 1156 | 1 | V07V09 | LinStatic | 0 | -0.2454 | 0 | -0.00006302 | 0 | 3.61928 |
| 1157 | 0 | V07V09 | LinStatic | 0 | -0.2454 | 0 | -0.00006302 | 0 | 3.61928 |
| 1157 | 0.5 | V07V09 | LinStatic | 0 | -0.2454 | 0 | -0.00006302 | 0 | 3.74197 |
| 1157 | 1 | V07V09 | LinStatic | 0 | -0.2454 | 0 | -0.00006302 | 0 | 3.86466 |
| 1205 | 0 | V07V09 | LinStatic | 0 | 0.9396 | 0 | -0.00161 | 0 | -13.03874 |
| 1205 | 0.5 | V07V09 | LinStatic | 0 | 0.9396 | 0 | -0.00161 | 0 | -13.50854 |
| 1205 | 1 | V07V09 | LinStatic | 0 | 0.9396 | 0 | -0.00161 | 0 | -13.97834 |
| 1257 | 0 | V07V09 | LinStatic | 0 | -3.8636 | 0 | -0.0437 | 0 | 58.27511 |
| 1257 | 0.5 | V07V09 | LinStatic | 0 | -3.8636 | 0 | -0.0437 | 0 | 60.2069 |
| 1257 | 1 | V07V09 | LinStatic | 0 | -3.8636 | 0 | -0.0437 | 0 | 62.1387 |
| 1306 | 0 | V07V09 | LinStatic | 0 | 17.6536 | 0 | -1.18368 | 0 | -244.9774 |
| 1306 | 0.5 | V07V09 | LinStatic | 0 | 17.6536 | 0 | -1.18368 | 0 | -253.80421 |
| 1306 | 1 | V07V09 | LinStatic | 0 | 17.6536 | 0 | -1.18368 | 0 | -262.63103 |
| 1307 | 0 | V07V09 | LinStatic | 0 | 17.6536 | 0 | -1.18367 | 0 | -262.53585 |
| 1307 | 0.5 | V07V09 | LinStatic | 0 | 17.6536 | 0 | -1.18367 | 0 | -271.36266 |
| 1307 | 1 | V07V09 | LinStatic | 0 | 17.6536 | 0 | -1.18367 | 0 | -280.18948 |
| 1354 | 0 | V07V09 | LinStatic | 0 | -15.0305 | 0 | 12.79884 | 0 | 1030.13442 |
| 1354 | 0.5 | V07V09 | LinStatic | 0 | -15.0305 | 0 | 12.79884 | 0 | 1037.64966 |
| 1354 | 1 | V07V09 | LinStatic | 0 | -15.0305 | 0 | 12.79884 | 0 | 1045.1649 |
| 1355 | 0 | V07V09 | LinStatic | 0 | 4.6206 | 0 | 11.85684 | 0 | 1044.15553 |
| 1355 | 0.5 | V07V09 | LinStatic | 0 | 4.6206 | 0 | 11.85684 | 0 | 1041.84522 |
| 1355 | 1 | V07V09 | LinStatic | 0 | 4.6206 | 0 | 11.85684 | 0 | 1039.53491 |
| 1402 | 0 | V07V09 | LinStatic | 0 | -0.1595 | 0 | 1.76635 | 0 | -489.73836 |
| 1402 | 0.5 | V07V09 | LinStatic | 0 | -0.1595 | 0 | 1.76635 | 0 | -489.65858 |
| 1402 | 1 | V07V09 | LinStatic | 0 | -0.1595 | 0 | 1.76635 | 0 | -489.57881 |
| 1403 | 0 | V07V09 | LinStatic | 0 | -0.1595 | 0 | 1.76636 | 0 | -489.72091 |
| 1403 | 0.5 | V07V09 | LinStatic | 0 | -0.1595 | 0 | 1.76636 | 0 | -489.64114 |
| 1403 | 1 | V07V09 | LinStatic | 0 | -0.1595 | 0 | 1.76636 | 0 | -489.56136 |
| 1450 | 0 | V07V09 | LinStatic | 0 | 3.9391 | 0 | 0.06898 | 0 | 962.0383 |
| 1450 | 0.5 | V07V09 | LinStatic | 0 | 3.9391 | 0 | 0.06898 | 0 | 960.06873 |
| 1450 | 1 | V07V09 | LinStatic | 0 | 3.9391 | 0 | 0.06898 | 0 | 958.09916 |
| 1451 | 0 | V07V09 | LinStatic | 0 | 3.9391 | 0 | 0.06898 | 0 | 958.09362 |
| 1451 | 0.5 | V07V09 | LinStatic | 0 | 3.9391 | 0 | 0.06898 | 0 | 956.12405 |
| 1451 | 1 | V07V09 | LinStatic | 0 | 3.9391 | 0 | 0.06898 | 0 | 954.15448 |

**TABLE: Element Forces - Frames**

| Frame | Station | OutputCase | CaseType | P | V2 | V3 | T | M2 | M3 |
|---|---|---|---|---|---|---|---|---|---|
| Text | m | Text | Text | Ton | Ton | Ton | Ton-m | Ton-m | Ton-m |
| 1498 | 0 | V07V09 | LinStatic | 0 | -17.505 | 0 | 0.00269 | 0 | -275.9666 |
| 1498 | 0.5 | V07V09 | LinStatic | 0 | -17.505 | 0 | 0.00269 | 0 | -267.21411 |
| 1498 | 1 | V07V09 | LinStatic | 0 | -17.505 | 0 | 0.00269 | 0 | -258.46162 |
| 1499 | 0 | V07V09 | LinStatic | 0 | -17.505 | 0 | 0.00269 | 0 | -258.46183 |
| 1499 | 0.5 | V07V09 | LinStatic | 0 | -17.505 | 0 | 0.00269 | 0 | -249.70934 |
| 1499 | 1 | V07V09 | LinStatic | 0 | -17.505 | 0 | 0.00269 | 0 | -240.95685 |
| 1546 | 0 | V07V09 | LinStatic | 0 | 4.17 | 0 | 0.00011 | 0 | 65.74166 |
| 1546 | 0.5 | V07V09 | LinStatic | 0 | 4.17 | 0 | 0.00011 | 0 | 63.65664 |
| 1546 | 1 | V07V09 | LinStatic | 0 | 4.17 | 0 | 0.00011 | 0 | 61.57162 |
| 1547 | 0 | V07V09 | LinStatic | 0 | 4.17 | 0 | 0.00011 | 0 | 61.57162 |
| 1547 | 0.5 | V07V09 | LinStatic | 0 | 4.17 | 0 | 0.00011 | 0 | 59.4866 |
| 1547 | 1 | V07V09 | LinStatic | 0 | 4.17 | 0 | 0.00011 | 0 | 57.40158 |
| 1594 | 0 | V07V09 | LinStatic | 0 | -0.9934 | 0 | 0.000004109 | 0 | -15.6612 |
| 1594 | 0.5 | V07V09 | LinStatic | 0 | -0.9934 | 0 | 0.000004109 | 0 | -15.1645 |
| 1594 | 1 | V07V09 | LinStatic | 0 | -0.9934 | 0 | 0.000004109 | 0 | -14.6678 |
| 1595 | 0 | V07V09 | LinStatic | 0 | -0.9934 | 0 | 0.000004109 | 0 | -14.6678 |
| 1595 | 0.5 | V07V09 | LinStatic | 0 | -0.9934 | 0 | 0.000004109 | 0 | -14.1711 |
| 1595 | 1 | V07V09 | LinStatic | 0 | -0.9934 | 0 | 0.000004109 | 0 | -13.6744 |
| 1642 | 0 | V07V09 | LinStatic | 0 | 0.2367 | 0 | 1.605E-07 | 0 | 3.73086 |
| 1642 | 0.5 | V07V09 | LinStatic | 0 | 0.2367 | 0 | 1.605E-07 | 0 | 3.61254 |
| 1642 | 1 | V07V09 | LinStatic | 0 | 0.2367 | 0 | 1.605E-07 | 0 | 3.49421 |
| 1643 | 0 | V07V09 | LinStatic | 0 | 0.2367 | 0 | 1.605E-07 | 0 | 3.49421 |
| 1643 | 0.5 | V07V09 | LinStatic | 0 | 0.2367 | 0 | 1.605E-07 | 0 | 3.37589 |
| 1643 | 1 | V07V09 | LinStatic | 0 | 0.2367 | 0 | 1.605E-07 | 0 | 3.25756 |
| 1690 | 0 | V07V09 | LinStatic | 0 | -0.0564 | 0 | 6.268E-09 | 0 | -0.88878 |
| 1690 | 0.5 | V07V09 | LinStatic | 0 | -0.0564 | 0 | 6.268E-09 | 0 | -0.86059 |
| 1690 | 1 | V07V09 | LinStatic | 0 | -0.0564 | 0 | 6.268E-09 | 0 | -0.8324 |
| 1691 | 0 | V07V09 | LinStatic | 0 | -0.0564 | 0 | 6.268E-09 | 0 | -0.8324 |
| 1691 | 0.5 | V07V09 | LinStatic | 0 | -0.0564 | 0 | 6.268E-09 | 0 | -0.80421 |
| 1691 | 1 | V07V09 | LinStatic | 0 | -0.0564 | 0 | 6.268E-09 | 0 | -0.77603 |
| 1738 | 0 | V07V09 | LinStatic | 0 | 0.0134 | 0 | 2.448E-10 | 0 | 0.21173 |
| 1738 | 0.5 | V07V09 | LinStatic | 0 | 0.0134 | 0 | 2.448E-10 | 0 | 0.20501 |
| 1738 | 1 | V07V09 | LinStatic | 0 | 0.0134 | 0 | 2.448E-10 | 0 | 0.1983 |
| 1739 | 0 | V07V09 | LinStatic | 0 | 0.0134 | 0 | 2.448E-10 | 0 | 0.1983 |
| 1739 | 0.5 | V07V09 | LinStatic | 0 | 0.0134 | 0 | 2.448E-10 | 0 | 0.19158 |
| 1739 | 1 | V07V09 | LinStatic | 0 | 0.0134 | 0 | 2.448E-10 | 0 | 0.18487 |
| 1786 | 0 | V07V09 | LinStatic | 0 | -0.0032 | 0 | 9.561E-12 | 0 | -0.05044 |
| 1786 | 0.5 | V07V09 | LinStatic | 0 | -0.0032 | 0 | 9.561E-12 | 0 | -0.04884 |
| 1786 | 1 | V07V09 | LinStatic | 0 | -0.0032 | 0 | 9.561E-12 | 0 | -0.04724 |
| 1787 | 0 | V07V09 | LinStatic | 0 | -0.0032 | 0 | 9.561E-12 | 0 | -0.04724 |
| 1787 | 0.5 | V07V09 | LinStatic | 0 | -0.0032 | 0 | 9.561E-12 | 0 | -0.04564 |
| 1787 | 1 | V07V09 | LinStatic | 0 | -0.0032 | 0 | 9.561E-12 | 0 | -0.04404 |
| 1834 | 0 | V07V09 | LinStatic | 0 | 0.0007622 | 0 | 3.734E-13 | 0 | 0.01202 |
| 1834 | 0.5 | V07V09 | LinStatic | 0 | 0.0007622 | 0 | 3.734E-13 | 0 | 0.01163 |
| 1834 | 1 | V07V09 | LinStatic | 0 | 0.0007622 | 0 | 3.734E-13 | 0 | 0.01125 |
| 1835 | 0 | V07V09 | LinStatic | 0 | 0.0007622 | 0 | 3.734E-13 | 0 | 0.01125 |
| 1835 | 0.5 | V07V09 | LinStatic | 0 | 0.0007622 | 0 | 3.734E-13 | 0 | 0.01087 |
| 1835 | 1 | V07V09 | LinStatic | 0 | 0.0007622 | 0 | 3.734E-13 | 0 | 0.01049 |
| 1882 | 0 | V07V09 | LinStatic | 0 | -0.0001816 | 0 | 1.458E-14 | 0 | -0.00286 |
| 1882 | 0.5 | V07V09 | LinStatic | 0 | -0.0001816 | 0 | 1.458E-14 | 0 | -0.00277 |
| 1882 | 1 | V07V09 | LinStatic | 0 | -0.0001816 | 0 | 1.458E-14 | 0 | -0.00268 |
| 1883 | 0 | V07V09 | LinStatic | 0 | -0.0001816 | 0 | 1.457E-14 | 0 | -0.00268 |
| 1883 | 0.5 | V07V09 | LinStatic | 0 | -0.0001816 | 0 | 1.457E-14 | 0 | -0.00259 |
| 1883 | 1 | V07V09 | LinStatic | 0 | -0.0001816 | 0 | 1.457E-14 | 0 | -0.0025 |
| 1930 | 0 | V07V09 | LinStatic | 0 | 0.00004325 | 0 | 5.713E-16 | 0 | 0.00068 |
| 1930 | 0.5 | V07V09 | LinStatic | 0 | 0.00004325 | 0 | 5.713E-16 | 0 | 0.00066 |
| 1930 | 1 | V07V09 | LinStatic | 0 | 0.00004325 | 0 | 5.713E-16 | 0 | 0.00064 |
| 1931 | 0 | V07V09 | LinStatic | 0 | 0.00004325 | 0 | 5.717E-16 | 0 | 0.00064 |
| 1931 | 0.5 | V07V09 | LinStatic | 0 | 0.00004325 | 0 | 5.717E-16 | 0 | 0.00062 |
| 1931 | 1 | V07V09 | LinStatic | 0 | 0.00004325 | 0 | 5.717E-16 | 0 | 0.0006 |
| 1978 | 0 | V07V09 | LinStatic | 0 | -0.00001031 | 0 | 2.191E-17 | 0 | -0.00016 |
| 1978 | 0.5 | V07V09 | LinStatic | 0 | -0.00001031 | 0 | 2.191E-17 | 0 | -0.00016 |
| 1978 | 1 | V07V09 | LinStatic | 0 | -0.00001031 | 0 | 2.191E-17 | 0 | -0.00015 |
| 1979 | 0 | V07V09 | LinStatic | 0 | -0.00001031 | 0 | 2.163E-17 | 0 | -0.00015 |
| 1979 | 0.5 | V07V09 | LinStatic | 0 | -0.00001031 | 0 | 2.163E-17 | 0 | -0.00015 |
| 1979 | 1 | V07V09 | LinStatic | 0 | -0.00001031 | 0 | 2.163E-17 | 0 | -0.00014 |
| 2026 | 0 | V07V09 | LinStatic | 0 | 0.000002477 | 0 | 1.02E-18 | 0 | 0.00003839 |
| 2026 | 0.5 | V07V09 | LinStatic | 0 | 0.000002477 | 0 | 1.02E-18 | 0 | 0.00003715 |
| 2026 | 1 | V07V09 | LinStatic | 0 | 0.000002477 | 0 | 1.02E-18 | 0 | 0.00003591 |
| 2027 | 0 | V07V09 | LinStatic | 0 | 0.000002477 | 0 | 9.853E-19 | 0 | 0.00003591 |
| 2027 | 0.5 | V07V09 | LinStatic | 0 | 0.000002477 | 0 | 9.853E-19 | 0 | 0.00003467 |
| 2027 | 1 | V07V09 | LinStatic | 0 | 0.000002477 | 0 | 9.853E-19 | 0 | 0.00003343 |
| 2072 | 0 | V07V09 | LinStatic | 0 | -6.037E-07 | 0 | 2.511E-20 | 0 | -0.00001087 |
| 2072 | 0.5 | V07V09 | LinStatic | 0 | -6.037E-07 | 0 | 2.511E-20 | 0 | -0.00001056 |
| 2072 | 1 | V07V09 | LinStatic | 0 | -6.037E-07 | 0 | 2.511E-20 | 0 | -0.00001026 |
| 2107 | 0 | V07V09 | LinStatic | 0 | -0.0144 | 0 | -1.109E-07 | 0 | 0.24427 |
| 2107 | 0.5 | V07V09 | LinStatic | 0 | -0.0144 | 0 | -1.109E-07 | 0 | 0.25145 |
| 2107 | 1 | V07V09 | LinStatic | 0 | -0.0144 | 0 | -1.109E-07 | 0 | 0.25864 |
| 2152 | 0 | V07V09 | LinStatic | 0 | 0.059 | 0 | -0.000002462 | 0 | -0.79575 |
| 2152 | 0.5 | V07V09 | LinStatic | 0 | 0.059 | 0 | -0.000002462 | 0 | -0.82523 |
| 2152 | 1 | V07V09 | LinStatic | 0 | 0.059 | 0 | -0.000002462 | 0 | -0.85471 |
| 2153 | 0 | V07V09 | LinStatic | 0 | 0.059 | 0 | -0.000002462 | 0 | -0.85471 |
| 2153 | 0.5 | V07V09 | LinStatic | 0 | 0.059 | 0 | -0.000002462 | 0 | -0.88419 |

**TABLE: Element Forces - Frames**

| Frame | Station | OutputCase | CaseType | P | V2 | V3 | T | M2 | M3 |
|---|---|---|---|---|---|---|---|---|---|
| Text | m | Text | Text | Ton | Ton | Ton | Ton-m | Ton-m | Ton-m |
| 2153 | 1 | V07V09 | LinStatic | 0 | 0.059 | 0 | -0.000002462 | 0 | -0.91367 |
| 2200 | 0 | V07V09 | LinStatic | 0 | -0.2454 | 0 | -0.00006302 | 0 | 3.3739 |
| 2200 | 0.5 | V07V09 | LinStatic | 0 | -0.2454 | 0 | -0.00006302 | 0 | 3.49659 |
| 2200 | 1 | V07V09 | LinStatic | 0 | -0.2454 | 0 | -0.00006302 | 0 | 3.61928 |
| 2201 | 0 | V07V09 | LinStatic | 0 | -0.2454 | 0 | -0.00006302 | 0 | 3.61928 |
| 2201 | 0.5 | V07V09 | LinStatic | 0 | -0.2454 | 0 | -0.00006302 | 0 | 3.74197 |
| 2201 | 1 | V07V09 | LinStatic | 0 | -0.2454 | 0 | -0.00006302 | 0 | 3.86466 |
| 2249 | 0 | V07V09 | LinStatic | 0 | 0.9393 | 0 | -0.00161 | 0 | -13.03887 |
| 2249 | 0.5 | V07V09 | LinStatic | 0 | 0.9393 | 0 | -0.00161 | 0 | -13.50854 |
| 2249 | 1 | V07V09 | LinStatic | 0 | 0.9393 | 0 | -0.00161 | 0 | -13.97821 |
| 2301 | 0 | V07V09 | LinStatic | 0 | -3.8706 | 0 | -0.0437 | 0 | 58.2716 |
| 2301 | 0.5 | V07V09 | LinStatic | 0 | -3.8706 | 0 | -0.0437 | 0 | 60.20692 |
| 2301 | 1 | V07V09 | LinStatic | 0 | -3.8706 | 0 | -0.0437 | 0 | 62.14223 |
| 2350 | 0 | V07V09 | LinStatic | 0 | 17.4632 | 0 | -1.18368 | 0 | -245.07222 |
| 2350 | 0.5 | V07V09 | LinStatic | 0 | 17.4632 | 0 | -1.18368 | 0 | -253.8038 |
| 2350 | 1 | V07V09 | LinStatic | 0 | 17.4632 | 0 | -1.18368 | 0 | -262.53537 |
| 2351 | 0 | V07V09 | LinStatic | 0 | 17.4631 | 0 | -1.18367 | 0 | -262.63056 |
| 2351 | 0.5 | V07V09 | LinStatic | 0 | 17.4631 | 0 | -1.18367 | 0 | -271.36213 |
| 2351 | 1 | V07V09 | LinStatic | 0 | 17.4631 | 0 | -1.18367 | 0 | -280.0937 |
| 2398 | 0 | V07V09 | LinStatic | 0 | -13.3243 | 0 | 12.79884 | 0 | 1028.05751 |
| 2398 | 0.5 | V07V09 | LinStatic | 0 | -13.3243 | 0 | 12.79884 | 0 | 1034.71968 |
| 2398 | 1 | V07V09 | LinStatic | 0 | -13.3243 | 0 | 12.79884 | 0 | 1041.38186 |
| 2399 | 0 | V07V09 | LinStatic | 0 | 7.0245 | 0 | 11.85684 | 0 | 1042.39123 |
| 2399 | 0.5 | V07V09 | LinStatic | 0 | 7.0245 | 0 | 11.85684 | 0 | 1038.87896 |
| 2399 | 1 | V07V09 | LinStatic | 0 | 7.0245 | 0 | 11.85684 | 0 | 1035.36669 |
| 2446 | 0 | V07V09 | LinStatic | 0 | 0.1246 | 0 | 1.76635 | 0 | -489.59625 |
| 2446 | 0.5 | V07V09 | LinStatic | 0 | 0.1246 | 0 | 1.76635 | 0 | -489.65857 |
| 2446 | 1 | V07V09 | LinStatic | 0 | 0.1246 | 0 | 1.76635 | 0 | -489.7209 |
| 2447 | 0 | V07V09 | LinStatic | 0 | 0.1246 | 0 | 1.76636 | 0 | -489.5788 |
| 2447 | 0.5 | V07V09 | LinStatic | 0 | 0.1246 | 0 | 1.76636 | 0 | -489.64112 |
| 2447 | 1 | V07V09 | LinStatic | 0 | 0.1246 | 0 | 1.76636 | 0 | -489.70344 |
| 2494 | 0 | V07V09 | LinStatic | 0 | 3.9502 | 0 | 0.06898 | 0 | 962.04389 |
| 2494 | 0.5 | V07V09 | LinStatic | 0 | 3.9502 | 0 | 0.06898 | 0 | 960.06877 |
| 2494 | 1 | V07V09 | LinStatic | 0 | 3.9502 | 0 | 0.06898 | 0 | 958.09365 |
| 2495 | 0 | V07V09 | LinStatic | 0 | 3.9502 | 0 | 0.06898 | 0 | 958.0992 |
| 2495 | 0.5 | V07V09 | LinStatic | 0 | 3.9502 | 0 | 0.06898 | 0 | 956.12408 |
| 2495 | 1 | V07V09 | LinStatic | 0 | 3.9502 | 0 | 0.06898 | 0 | 954.14896 |
| 2542 | 0 | V07V09 | LinStatic | 0 | -17.5046 | 0 | 0.00269 | 0 | -275.96638 |
| 2542 | 0.5 | V07V09 | LinStatic | 0 | -17.5046 | 0 | 0.00269 | 0 | -267.21411 |
| 2542 | 1 | V07V09 | LinStatic | 0 | -17.5046 | 0 | 0.00269 | 0 | -258.46183 |
| 2543 | 0 | V07V09 | LinStatic | 0 | -17.5046 | 0 | 0.00269 | 0 | -258.46161 |
| 2543 | 0.5 | V07V09 | LinStatic | 0 | -17.5046 | 0 | 0.00269 | 0 | -249.70934 |
| 2543 | 1 | V07V09 | LinStatic | 0 | -17.5046 | 0 | 0.00269 | 0 | -240.95706 |
| 2590 | 0 | V07V09 | LinStatic | 0 | 4.1701 | 0 | 0.00011 | 0 | 65.74167 |
| 2590 | 0.5 | V07V09 | LinStatic | 0 | 4.1701 | 0 | 0.00011 | 0 | 63.65664 |
| 2590 | 1 | V07V09 | LinStatic | 0 | 4.1701 | 0 | 0.00011 | 0 | 61.57162 |
| 2591 | 0 | V07V09 | LinStatic | 0 | 4.1701 | 0 | 0.00011 | 0 | 61.57162 |
| 2591 | 0.5 | V07V09 | LinStatic | 0 | 4.1701 | 0 | 0.00011 | 0 | 59.4866 |
| 2591 | 1 | V07V09 | LinStatic | 0 | 4.1701 | 0 | 0.00011 | 0 | 57.40157 |
| 2638 | 0 | V07V09 | LinStatic | 0 | -0.9934 | 0 | 0.000004109 | 0 | -15.6612 |
| 2638 | 0.5 | V07V09 | LinStatic | 0 | -0.9934 | 0 | 0.000004109 | 0 | -15.1645 |
| 2638 | 1 | V07V09 | LinStatic | 0 | -0.9934 | 0 | 0.000004109 | 0 | -14.6678 |
| 2639 | 0 | V07V09 | LinStatic | 0 | -0.9934 | 0 | 0.000004109 | 0 | -14.6678 |
| 2639 | 0.5 | V07V09 | LinStatic | 0 | -0.9934 | 0 | 0.000004109 | 0 | -14.1711 |
| 2639 | 1 | V07V09 | LinStatic | 0 | -0.9934 | 0 | 0.000004109 | 0 | -13.6744 |
| 2686 | 0 | V07V09 | LinStatic | 0 | 0.2367 | 0 | 1.605E-07 | 0 | 3.73086 |
| 2686 | 0.5 | V07V09 | LinStatic | 0 | 0.2367 | 0 | 1.605E-07 | 0 | 3.61254 |
| 2686 | 1 | V07V09 | LinStatic | 0 | 0.2367 | 0 | 1.605E-07 | 0 | 3.49421 |
| 2687 | 0 | V07V09 | LinStatic | 0 | 0.2367 | 0 | 1.605E-07 | 0 | 3.49421 |
| 2687 | 0.5 | V07V09 | LinStatic | 0 | 0.2367 | 0 | 1.605E-07 | 0 | 3.37589 |
| 2687 | 1 | V07V09 | LinStatic | 0 | 0.2367 | 0 | 1.605E-07 | 0 | 3.25756 |
| 2734 | 0 | V07V09 | LinStatic | 0 | -0.0564 | 0 | 6.268E-09 | 0 | -0.88878 |
| 2734 | 0.5 | V07V09 | LinStatic | 0 | -0.0564 | 0 | 6.268E-09 | 0 | -0.86059 |
| 2734 | 1 | V07V09 | LinStatic | 0 | -0.0564 | 0 | 6.268E-09 | 0 | -0.8324 |
| 2735 | 0 | V07V09 | LinStatic | 0 | -0.0564 | 0 | 6.268E-09 | 0 | -0.8324 |
| 2735 | 0.5 | V07V09 | LinStatic | 0 | -0.0564 | 0 | 6.268E-09 | 0 | -0.80421 |
| 2735 | 1 | V07V09 | LinStatic | 0 | -0.0564 | 0 | 6.268E-09 | 0 | -0.77603 |
| 2782 | 0 | V07V09 | LinStatic | 0 | 0.0134 | 0 | 2.448E-10 | 0 | 0.21173 |
| 2782 | 0.5 | V07V09 | LinStatic | 0 | 0.0134 | 0 | 2.448E-10 | 0 | 0.20501 |
| 2782 | 1 | V07V09 | LinStatic | 0 | 0.0134 | 0 | 2.448E-10 | 0 | 0.1983 |
| 2783 | 0 | V07V09 | LinStatic | 0 | 0.0134 | 0 | 2.448E-10 | 0 | 0.1983 |
| 2783 | 0.5 | V07V09 | LinStatic | 0 | 0.0134 | 0 | 2.448E-10 | 0 | 0.19158 |
| 2783 | 1 | V07V09 | LinStatic | 0 | 0.0134 | 0 | 2.448E-10 | 0 | 0.18487 |
| 2830 | 0 | V07V09 | LinStatic | 0 | -0.0032 | 0 | 9.561E-12 | 0 | -0.05044 |
| 2830 | 0.5 | V07V09 | LinStatic | 0 | -0.0032 | 0 | 9.561E-12 | 0 | -0.04884 |
| 2830 | 1 | V07V09 | LinStatic | 0 | -0.0032 | 0 | 9.561E-12 | 0 | -0.04724 |
| 2831 | 0 | V07V09 | LinStatic | 0 | -0.0032 | 0 | 9.561E-12 | 0 | -0.04724 |
| 2831 | 0.5 | V07V09 | LinStatic | 0 | -0.0032 | 0 | 9.561E-12 | 0 | -0.04564 |
| 2831 | 1 | V07V09 | LinStatic | 0 | -0.0032 | 0 | 9.561E-12 | 0 | -0.04404 |
| 2878 | 0 | V07V09 | LinStatic | 0 | 0.0007622 | 0 | 3.734E-13 | 0 | 0.01202 |
| 2878 | 0.5 | V07V09 | LinStatic | 0 | 0.0007622 | 0 | 3.734E-13 | 0 | 0.01163 |
| 2878 | 1 | V07V09 | LinStatic | 0 | 0.0007622 | 0 | 3.734E-13 | 0 | 0.01125 |
| 2879 | 0 | V07V09 | LinStatic | 0 | 0.0007622 | 0 | 3.734E-13 | 0 | 0.01125 |

**TABLE: Element Forces - Frames**

| Frame | Station | OutputCase | CaseType | P | V2 | V3 | T | M2 | M3 |
|---|---|---|---|---|---|---|---|---|---|
| Text | m | Text | Text | Ton | Ton | Ton | Ton-m | Ton-m | Ton-m |
| 2879 | 0.5 | V07V09 | LinStatic | 0 | 0.0007622 | 0 | 3.734E-13 | 0 | 0.01087 |
| 2879 | 1 | V07V09 | LinStatic | 0 | 0.0007622 | 0 | 3.734E-13 | 0 | 0.01049 |
| 2926 | 0 | V07V09 | LinStatic | 0 | -0.0001816 | 0 | 1.458E-14 | 0 | -0.00286 |
| 2926 | 0.5 | V07V09 | LinStatic | 0 | -0.0001816 | 0 | 1.458E-14 | 0 | -0.00277 |
| 2926 | 1 | V07V09 | LinStatic | 0 | -0.0001816 | 0 | 1.458E-14 | 0 | -0.00268 |
| 2927 | 0 | V07V09 | LinStatic | 0 | -0.0001816 | 0 | 1.457E-14 | 0 | -0.00268 |
| 2927 | 0.5 | V07V09 | LinStatic | 0 | -0.0001816 | 0 | 1.457E-14 | 0 | -0.00259 |
| 2927 | 1 | V07V09 | LinStatic | 0 | -0.0001816 | 0 | 1.457E-14 | 0 | -0.0025 |
| 2974 | 0 | V07V09 | LinStatic | 0 | 0.00004325 | 0 | 5.717E-16 | 0 | 0.00068 |
| 2974 | 0.5 | V07V09 | LinStatic | 0 | 0.00004325 | 0 | 5.717E-16 | 0 | 0.00066 |
| 2974 | 1 | V07V09 | LinStatic | 0 | 0.00004325 | 0 | 5.717E-16 | 0 | 0.00064 |
| 2975 | 0 | V07V09 | LinStatic | 0 | 0.00004325 | 0 | 5.72E-16 | 0 | 0.00064 |
| 2975 | 0.5 | V07V09 | LinStatic | 0 | 0.00004325 | 0 | 5.72E-16 | 0 | 0.00062 |
| 2975 | 1 | V07V09 | LinStatic | 0 | 0.00004325 | 0 | 5.72E-16 | 0 | 0.0006 |
| 3022 | 0 | V07V09 | LinStatic | 0 | -0.00001031 | 0 | 2.182E-17 | 0 | -0.00016 |
| 3022 | 0.5 | V07V09 | LinStatic | 0 | -0.00001031 | 0 | 2.182E-17 | 0 | -0.00016 |
| 3022 | 1 | V07V09 | LinStatic | 0 | -0.00001031 | 0 | 2.182E-17 | 0 | -0.00015 |
| 3023 | 0 | V07V09 | LinStatic | 0 | -0.00001031 | 0 | 2.148E-17 | 0 | -0.00015 |
| 3023 | 0.5 | V07V09 | LinStatic | 0 | -0.00001031 | 0 | 2.148E-17 | 0 | -0.00015 |
| 3023 | 1 | V07V09 | LinStatic | 0 | -0.00001031 | 0 | 2.148E-17 | 0 | -0.00014 |
| 3070 | 0 | V07V09 | LinStatic | 0 | 0.000002477 | 0 | 9.864E-19 | 0 | 0.00003839 |
| 3070 | 0.5 | V07V09 | LinStatic | 0 | 0.000002477 | 0 | 9.864E-19 | 0 | 0.00003715 |
| 3070 | 1 | V07V09 | LinStatic | 0 | 0.000002477 | 0 | 9.864E-19 | 0 | 0.00003591 |
| 3071 | 0 | V07V09 | LinStatic | 0 | 0.000002477 | 0 | 1.004E-18 | 0 | 0.00003591 |
| 3071 | 0.5 | V07V09 | LinStatic | 0 | 0.000002477 | 0 | 1.004E-18 | 0 | 0.00003467 |
| 3071 | 1 | V07V09 | LinStatic | 0 | 0.000002477 | 0 | 1.004E-18 | 0 | 0.00003343 |
| 3116 | 0 | V07V09 | LinStatic | 0 | -6.037E-07 | 0 | 2.033E-20 | 0 | -0.00001087 |
| 3116 | 0.5 | V07V09 | LinStatic | 0 | -6.037E-07 | 0 | 2.033E-20 | 0 | -0.00001056 |
| 3116 | 1 | V07V09 | LinStatic | 0 | -6.037E-07 | 0 | 2.033E-20 | 0 | -0.00001026 |
| 1063 | 0 | V09V11 | LinStatic | 0 | -0.0008154 | 0 | -1.691E-10 | 0 | 0.01386 |
| 1063 | 0.5 | V09V11 | LinStatic | 0 | -0.0008154 | 0 | -1.691E-10 | 0 | 0.01427 |
| 1063 | 1 | V09V11 | LinStatic | 0 | -0.0008154 | 0 | -1.691E-10 | 0 | 0.01468 |
| 1108 | 0 | V09V11 | LinStatic | 0 | 0.0033 | 0 | -3.755E-09 | 0 | -0.04516 |
| 1108 | 0.5 | V09V11 | LinStatic | 0 | 0.0033 | 0 | -3.755E-09 | 0 | -0.04683 |
| 1108 | 1 | V09V11 | LinStatic | 0 | 0.0033 | 0 | -3.755E-09 | 0 | -0.04851 |
| 1109 | 0 | V09V11 | LinStatic | 0 | 0.0033 | 0 | -3.755E-09 | 0 | -0.04851 |
| 1109 | 0.5 | V09V11 | LinStatic | 0 | 0.0033 | 0 | -3.755E-09 | 0 | -0.05018 |
| 1109 | 1 | V09V11 | LinStatic | 0 | 0.0033 | 0 | -3.755E-09 | 0 | -0.05185 |
| 1156 | 0 | V09V11 | LinStatic | 0 | -0.0139 | 0 | -9.613E-08 | 0 | 0.19147 |
| 1156 | 0.5 | V09V11 | LinStatic | 0 | -0.0139 | 0 | -9.613E-08 | 0 | 0.19843 |
| 1156 | 1 | V09V11 | LinStatic | 0 | -0.0139 | 0 | -9.613E-08 | 0 | 0.2054 |
| 1157 | 0 | V09V11 | LinStatic | 0 | -0.0139 | 0 | -9.613E-08 | 0 | 0.2054 |
| 1157 | 0.5 | V09V11 | LinStatic | 0 | -0.0139 | 0 | -9.613E-08 | 0 | 0.21236 |
| 1157 | 1 | V09V11 | LinStatic | 0 | -0.0139 | 0 | -9.613E-08 | 0 | 0.21932 |
| 1205 | 0 | V09V11 | LinStatic | 0 | 0.0533 | 0 | -0.000002461 | 0 | -0.73996 |
| 1205 | 0.5 | V09V11 | LinStatic | 0 | 0.0533 | 0 | -0.000002461 | 0 | -0.76661 |
| 1205 | 1 | V09V11 | LinStatic | 0 | 0.0533 | 0 | -0.000002461 | 0 | -0.79327 |
| 1257 | 0 | V09V11 | LinStatic | 0 | -0.2195 | 0 | -0.00006666 | 0 | 3.30704 |
| 1257 | 0.5 | V09V11 | LinStatic | 0 | -0.2195 | 0 | -0.00006666 | 0 | 3.41676 |
| 1257 | 1 | V09V11 | LinStatic | 0 | -0.2195 | 0 | -0.00006666 | 0 | 3.52649 |
| 1306 | 0 | V09V11 | LinStatic | 0 | 0.9966 | 0 | -0.00181 | 0 | -13.90518 |
| 1306 | 0.5 | V09V11 | LinStatic | 0 | 0.9966 | 0 | -0.00181 | 0 | -14.40347 |
| 1306 | 1 | V09V11 | LinStatic | 0 | 0.9966 | 0 | -0.00181 | 0 | -14.90177 |
| 1307 | 0 | V09V11 | LinStatic | 0 | 0.9966 | 0 | -0.00181 | 0 | -14.90162 |
| 1307 | 0.5 | V09V11 | LinStatic | 0 | 0.9966 | 0 | -0.00181 | 0 | -15.39992 |
| 1307 | 1 | V09V11 | LinStatic | 0 | 0.9966 | 0 | -0.00181 | 0 | -15.89821 |
| 1354 | 0 | V09V11 | LinStatic | 0 | -4.2044 | 0 | -0.04623 | 0 | 57.97305 |
| 1354 | 0.5 | V09V11 | LinStatic | 0 | -4.2044 | 0 | -0.04623 | 0 | 60.07527 |
| 1354 | 1 | V09V11 | LinStatic | 0 | -4.2044 | 0 | -0.04623 | 0 | 62.17748 |
| 1355 | 0 | V09V11 | LinStatic | 0 | -4.2044 | 0 | -0.04623 | 0 | 62.1812 |
| 1355 | 0.5 | V09V11 | LinStatic | 0 | -4.2044 | 0 | -0.04623 | 0 | 64.28342 |
| 1355 | 1 | V09V11 | LinStatic | 0 | -4.2044 | 0 | -0.04623 | 0 | 66.38564 |
| 1402 | 0 | V09V11 | LinStatic | 0 | 17.766 | 0 | -1.18378 | 0 | -243.20551 |
| 1402 | 0.5 | V09V11 | LinStatic | 0 | 17.766 | 0 | -1.18378 | 0 | -252.08852 |
| 1402 | 1 | V09V11 | LinStatic | 0 | 17.766 | 0 | -1.18378 | 0 | -260.97154 |
| 1403 | 0 | V09V11 | LinStatic | 0 | 17.766 | 0 | -1.18377 | 0 | -260.87635 |
| 1403 | 0.5 | V09V11 | LinStatic | 0 | 17.766 | 0 | -1.18377 | 0 | -269.75937 |
| 1403 | 1 | V09V11 | LinStatic | 0 | 17.766 | 0 | -1.18377 | 0 | -278.64238 |
| 1450 | 0 | V09V11 | LinStatic | 0 | -15.0573 | 0 | 12.79883 | 0 | 1029.71232 |
| 1450 | 0.5 | V09V11 | LinStatic | 0 | -15.0573 | 0 | 12.79883 | 0 | 1037.24095 |
| 1450 | 1 | V09V11 | LinStatic | 0 | -15.0573 | 0 | 12.79883 | 0 | 1044.76957 |
| 1451 | 0 | V09V11 | LinStatic | 0 | 4.5939 | 0 | 11.85683 | 0 | 1043.76021 |
| 1451 | 0.5 | V09V11 | LinStatic | 0 | 4.5939 | 0 | 11.85683 | 0 | 1041.46328 |
| 1451 | 1 | V09V11 | LinStatic | 0 | 4.5939 | 0 | 11.85683 | 0 | 1039.16635 |
| 1498 | 0 | V09V11 | LinStatic | 0 | -0.1532 | 0 | 1.76635 | 0 | -489.6378 |
| 1498 | 0.5 | V09V11 | LinStatic | 0 | -0.1532 | 0 | 1.76635 | 0 | -489.56122 |
| 1498 | 1 | V09V11 | LinStatic | 0 | -0.1532 | 0 | 1.76635 | 0 | -489.48463 |
| 1499 | 0 | V09V11 | LinStatic | 0 | -0.1532 | 0 | 1.76636 | 0 | -489.62673 |
| 1499 | 0.5 | V09V11 | LinStatic | 0 | -0.1532 | 0 | 1.76636 | 0 | -489.55015 |
| 1499 | 1 | V09V11 | LinStatic | 0 | -0.1532 | 0 | 1.76636 | 0 | -489.47357 |
| 1546 | 0 | V09V11 | LinStatic | 0 | 3.9376 | 0 | 0.06898 | 0 | 962.01435 |
| 1546 | 0.5 | V09V11 | LinStatic | 0 | 3.9376 | 0 | 0.06898 | 0 | 960.04554 |
| 1546 | 1 | V09V11 | LinStatic | 0 | 3.9376 | 0 | 0.06898 | 0 | 958.07673 |

**TABLE: Element Forces - Frames**

| Frame | Station | OutputCase | CaseType | P | V2 | V3 | T | M2 | M3 |
|---|---|---|---|---|---|---|---|---|---|
| Text | m | Text | Text | Ton | Ton | Ton | Ton-m | Ton-m | Ton-m |
| 1547 | 0 | V09V11 | LinStatic | 0 | 3.9376 | 0 | 0.06898 | 0 | 958.07118 |
| 1547 | 0.5 | V09V11 | LinStatic | 0 | 3.9376 | 0 | 0.06898 | 0 | 956.10237 |
| 1547 | 1 | V09V11 | LinStatic | 0 | 3.9376 | 0 | 0.06898 | 0 | 954.13356 |
| 1594 | 0 | V09V11 | LinStatic | 0 | -17.5046 | 0 | 0.00269 | 0 | -275.96089 |
| 1594 | 0.5 | V09V11 | LinStatic | 0 | -17.5046 | 0 | 0.00269 | 0 | -267.20858 |
| 1594 | 1 | V09V11 | LinStatic | 0 | -17.5046 | 0 | 0.00269 | 0 | -258.45627 |
| 1595 | 0 | V09V11 | LinStatic | 0 | -17.5046 | 0 | 0.00269 | 0 | -258.45649 |
| 1595 | 0.5 | V09V11 | LinStatic | 0 | -17.5046 | 0 | 0.00269 | 0 | -249.70418 |
| 1595 | 1 | V09V11 | LinStatic | 0 | -17.5046 | 0 | 0.00269 | 0 | -240.95187 |
| 1642 | 0 | V09V11 | LinStatic | 0 | 4.1699 | 0 | 0.00011 | 0 | 65.7403 |
| 1642 | 0.5 | V09V11 | LinStatic | 0 | 4.1699 | 0 | 0.00011 | 0 | 63.65533 |
| 1642 | 1 | V09V11 | LinStatic | 0 | 4.1699 | 0 | 0.00011 | 0 | 61.57035 |
| 1643 | 0 | V09V11 | LinStatic | 0 | 4.1699 | 0 | 0.00011 | 0 | 61.57034 |
| 1643 | 0.5 | V09V11 | LinStatic | 0 | 4.1699 | 0 | 0.00011 | 0 | 59.48537 |
| 1643 | 1 | V09V11 | LinStatic | 0 | 4.1699 | 0 | 0.00011 | 0 | 57.40039 |
| 1690 | 0 | V09V11 | LinStatic | 0 | -0.9934 | 0 | 0.000004109 | 0 | -15.66088 |
| 1690 | 0.5 | V09V11 | LinStatic | 0 | -0.9934 | 0 | 0.000004109 | 0 | -15.16419 |
| 1690 | 1 | V09V11 | LinStatic | 0 | -0.9934 | 0 | 0.000004109 | 0 | -14.66749 |
| 1691 | 0 | V09V11 | LinStatic | 0 | -0.9934 | 0 | 0.000004109 | 0 | -14.66749 |
| 1691 | 0.5 | V09V11 | LinStatic | 0 | -0.9934 | 0 | 0.000004109 | 0 | -14.1708 |
| 1691 | 1 | V09V11 | LinStatic | 0 | -0.9934 | 0 | 0.000004109 | 0 | -13.67411 |
| 1738 | 0 | V09V11 | LinStatic | 0 | 0.2366 | 0 | 1.605E-07 | 0 | 3.73079 |
| 1738 | 0.5 | V09V11 | LinStatic | 0 | 0.2366 | 0 | 1.605E-07 | 0 | 3.61246 |
| 1738 | 1 | V09V11 | LinStatic | 0 | 0.2366 | 0 | 1.605E-07 | 0 | 3.49414 |
| 1739 | 0 | V09V11 | LinStatic | 0 | 0.2366 | 0 | 1.605E-07 | 0 | 3.49414 |
| 1739 | 0.5 | V09V11 | LinStatic | 0 | 0.2366 | 0 | 1.605E-07 | 0 | 3.37582 |
| 1739 | 1 | V09V11 | LinStatic | 0 | 0.2366 | 0 | 1.605E-07 | 0 | 3.25749 |
| 1786 | 0 | V09V11 | LinStatic | 0 | -0.0564 | 0 | 6.268E-09 | 0 | -0.88876 |
| 1786 | 0.5 | V09V11 | LinStatic | 0 | -0.0564 | 0 | 6.268E-09 | 0 | -0.86057 |
| 1786 | 1 | V09V11 | LinStatic | 0 | -0.0564 | 0 | 6.268E-09 | 0 | -0.83239 |
| 1787 | 0 | V09V11 | LinStatic | 0 | -0.0564 | 0 | 6.268E-09 | 0 | -0.83239 |
| 1787 | 0.5 | V09V11 | LinStatic | 0 | -0.0564 | 0 | 6.268E-09 | 0 | -0.8042 |
| 1787 | 1 | V09V11 | LinStatic | 0 | -0.0564 | 0 | 6.268E-09 | 0 | -0.77601 |
| 1834 | 0 | V09V11 | LinStatic | 0 | 0.0134 | 0 | 2.448E-10 | 0 | 0.21172 |
| 1834 | 0.5 | V09V11 | LinStatic | 0 | 0.0134 | 0 | 2.448E-10 | 0 | 0.20501 |
| 1834 | 1 | V09V11 | LinStatic | 0 | 0.0134 | 0 | 2.448E-10 | 0 | 0.19829 |
| 1835 | 0 | V09V11 | LinStatic | 0 | 0.0134 | 0 | 2.448E-10 | 0 | 0.19829 |
| 1835 | 0.5 | V09V11 | LinStatic | 0 | 0.0134 | 0 | 2.448E-10 | 0 | 0.19158 |
| 1835 | 1 | V09V11 | LinStatic | 0 | 0.0134 | 0 | 2.448E-10 | 0 | 0.18486 |
| 1882 | 0 | V09V11 | LinStatic | 0 | -0.0032 | 0 | 9.561E-12 | 0 | -0.05044 |
| 1882 | 0.5 | V09V11 | LinStatic | 0 | -0.0032 | 0 | 9.561E-12 | 0 | -0.04884 |
| 1882 | 1 | V09V11 | LinStatic | 0 | -0.0032 | 0 | 9.561E-12 | 0 | -0.04724 |
| 1883 | 0 | V09V11 | LinStatic | 0 | -0.0032 | 0 | 9.561E-12 | 0 | -0.04724 |
| 1883 | 0.5 | V09V11 | LinStatic | 0 | -0.0032 | 0 | 9.561E-12 | 0 | -0.04564 |
| 1883 | 1 | V09V11 | LinStatic | 0 | -0.0032 | 0 | 9.561E-12 | 0 | -0.04404 |
| 1930 | 0 | V09V11 | LinStatic | 0 | 0.0007622 | 0 | 3.734E-13 | 0 | 0.01202 |
| 1930 | 0.5 | V09V11 | LinStatic | 0 | 0.0007622 | 0 | 3.734E-13 | 0 | 0.01163 |
| 1930 | 1 | V09V11 | LinStatic | 0 | 0.0007622 | 0 | 3.734E-13 | 0 | 0.01125 |
| 1931 | 0 | V09V11 | LinStatic | 0 | 0.0007622 | 0 | 3.734E-13 | 0 | 0.01125 |
| 1931 | 0.5 | V09V11 | LinStatic | 0 | 0.0007622 | 0 | 3.734E-13 | 0 | 0.01087 |
| 1931 | 1 | V09V11 | LinStatic | 0 | 0.0007622 | 0 | 3.734E-13 | 0 | 0.01049 |
| 1978 | 0 | V09V11 | LinStatic | 0 | -0.0001817 | 0 | 1.458E-14 | 0 | -0.00286 |
| 1978 | 0.5 | V09V11 | LinStatic | 0 | -0.0001817 | 0 | 1.458E-14 | 0 | -0.00277 |
| 1978 | 1 | V09V11 | LinStatic | 0 | -0.0001817 | 0 | 1.458E-14 | 0 | -0.00268 |
| 1979 | 0 | V09V11 | LinStatic | 0 | -0.0001817 | 0 | 1.458E-14 | 0 | -0.00268 |
| 1979 | 0.5 | V09V11 | LinStatic | 0 | -0.0001817 | 0 | 1.458E-14 | 0 | -0.00259 |
| 1979 | 1 | V09V11 | LinStatic | 0 | -0.0001817 | 0 | 1.458E-14 | 0 | -0.0025 |
| 2026 | 0 | V09V11 | LinStatic | 0 | 0.00004365 | 0 | 5.712E-16 | 0 | 0.00068 |
| 2026 | 0.5 | V09V11 | LinStatic | 0 | 0.00004365 | 0 | 5.712E-16 | 0 | 0.00065 |
| 2026 | 1 | V09V11 | LinStatic | 0 | 0.00004365 | 0 | 5.712E-16 | 0 | 0.00063 |
| 2027 | 0 | V09V11 | LinStatic | 0 | 0.00004365 | 0 | 5.719E-16 | 0 | 0.00063 |
| 2027 | 0.5 | V09V11 | LinStatic | 0 | 0.00004365 | 0 | 5.719E-16 | 0 | 0.00061 |
| 2027 | 1 | V09V11 | LinStatic | 0 | 0.00004365 | 0 | 5.719E-16 | 0 | 0.00059 |
| 2072 | 0 | V09V11 | LinStatic | 0 | -0.00001064 | 0 | 2.527E-17 | 0 | -0.00019 |
| 2072 | 0.5 | V09V11 | LinStatic | 0 | -0.00001064 | 0 | 2.527E-17 | 0 | -0.00019 |
| 2072 | 1 | V09V11 | LinStatic | 0 | -0.00001064 | 0 | 2.527E-17 | 0 | -0.00018 |
| 2107 | 0 | V09V11 | LinStatic | 0 | -0.0008154 | 0 | -1.691E-10 | 0 | 0.01386 |
| 2107 | 0.5 | V09V11 | LinStatic | 0 | -0.0008154 | 0 | -1.691E-10 | 0 | 0.01427 |
| 2107 | 1 | V09V11 | LinStatic | 0 | -0.0008154 | 0 | -1.691E-10 | 0 | 0.01468 |
| 2152 | 0 | V09V11 | LinStatic | 0 | 0.0033 | 0 | -3.755E-09 | 0 | -0.04516 |
| 2152 | 0.5 | V09V11 | LinStatic | 0 | 0.0033 | 0 | -3.755E-09 | 0 | -0.04683 |
| 2152 | 1 | V09V11 | LinStatic | 0 | 0.0033 | 0 | -3.755E-09 | 0 | -0.04851 |
| 2153 | 0 | V09V11 | LinStatic | 0 | 0.0033 | 0 | -3.755E-09 | 0 | -0.04851 |
| 2153 | 0.5 | V09V11 | LinStatic | 0 | 0.0033 | 0 | -3.755E-09 | 0 | -0.05018 |
| 2153 | 1 | V09V11 | LinStatic | 0 | 0.0033 | 0 | -3.755E-09 | 0 | -0.05185 |
| 2200 | 0 | V09V11 | LinStatic | 0 | -0.0139 | 0 | -9.613E-08 | 0 | 0.19147 |
| 2200 | 0.5 | V09V11 | LinStatic | 0 | -0.0139 | 0 | -9.613E-08 | 0 | 0.19843 |
| 2200 | 1 | V09V11 | LinStatic | 0 | -0.0139 | 0 | -9.613E-08 | 0 | 0.2054 |
| 2201 | 0 | V09V11 | LinStatic | 0 | -0.0139 | 0 | -9.613E-08 | 0 | 0.2054 |
| 2201 | 0.5 | V09V11 | LinStatic | 0 | -0.0139 | 0 | -9.613E-08 | 0 | 0.21236 |
| 2201 | 1 | V09V11 | LinStatic | 0 | -0.0139 | 0 | -9.613E-08 | 0 | 0.21932 |
| 2249 | 0 | V09V11 | LinStatic | 0 | 0.0533 | 0 | -0.000002461 | 0 | -0.73996 |
| 2249 | 0.5 | V09V11 | LinStatic | 0 | 0.0533 | 0 | -0.000002461 | 0 | -0.76661 |

**TABLE: Element Forces - Frames**

| Frame | Station | OutputCase | CaseType | P | V2 | V3 | T | M2 | M3 |
|---|---|---|---|---|---|---|---|---|---|
| Text | m | Text | Text | Ton | Ton | Ton | Ton-m | Ton-m | Ton-m |
| 2249 | 1 | V09V11 | LinStatic | 0 | 0.0533 | 0 | -0.000002461 | 0 | -0.79327 |
| 2301 | 0 | V09V11 | LinStatic | 0 | -0.2195 | 0 | -0.00006666 | 0 | 3.30703 |
| 2301 | 0.5 | V09V11 | LinStatic | 0 | -0.2195 | 0 | -0.00006666 | 0 | 3.41676 |
| 2301 | 1 | V09V11 | LinStatic | 0 | -0.2195 | 0 | -0.00006666 | 0 | 3.5265 |
| 2350 | 0 | V09V11 | LinStatic | 0 | 0.9963 | 0 | -0.00181 | 0 | -13.90532 |
| 2350 | 0.5 | V09V11 | LinStatic | 0 | 0.9963 | 0 | -0.00181 | 0 | -14.40347 |
| 2350 | 1 | V09V11 | LinStatic | 0 | 0.9963 | 0 | -0.00181 | 0 | -14.90162 |
| 2351 | 0 | V09V11 | LinStatic | 0 | 0.9963 | 0 | -0.00181 | 0 | -14.90177 |
| 2351 | 0.5 | V09V11 | LinStatic | 0 | 0.9963 | 0 | -0.00181 | 0 | -15.39992 |
| 2351 | 1 | V09V11 | LinStatic | 0 | 0.9963 | 0 | -0.00181 | 0 | -15.89807 |
| 2398 | 0 | V09V11 | LinStatic | 0 | -4.2119 | 0 | -0.04623 | 0 | 57.96935 |
| 2398 | 0.5 | V09V11 | LinStatic | 0 | -4.2119 | 0 | -0.04623 | 0 | 60.07528 |
| 2398 | 1 | V09V11 | LinStatic | 0 | -4.2119 | 0 | -0.04623 | 0 | 62.18122 |
| 2399 | 0 | V09V11 | LinStatic | 0 | -4.2119 | 0 | -0.04623 | 0 | 62.17751 |
| 2399 | 0.5 | V09V11 | LinStatic | 0 | -4.2119 | 0 | -0.04623 | 0 | 64.28344 |
| 2399 | 1 | V09V11 | LinStatic | 0 | -4.2119 | 0 | -0.04623 | 0 | 66.38938 |
| 2446 | 0 | V09V11 | LinStatic | 0 | 17.5755 | 0 | -1.18378 | 0 | -243.30034 |
| 2446 | 0.5 | V09V11 | LinStatic | 0 | 17.5755 | 0 | -1.18378 | 0 | -252.08811 |
| 2446 | 1 | V09V11 | LinStatic | 0 | 17.5755 | 0 | -1.18378 | 0 | -260.87588 |
| 2447 | 0 | V09V11 | LinStatic | 0 | 17.5755 | 0 | -1.18377 | 0 | -260.97107 |
| 2447 | 0.5 | V09V11 | LinStatic | 0 | 17.5755 | 0 | -1.18377 | 0 | -269.75883 |
| 2447 | 1 | V09V11 | LinStatic | 0 | 17.5755 | 0 | -1.18377 | 0 | -278.5466 |
| 2494 | 0 | V09V11 | LinStatic | 0 | -13.3511 | 0 | 12.79883 | 0 | 1027.63541 |
| 2494 | 0.5 | V09V11 | LinStatic | 0 | -13.3511 | 0 | 12.79883 | 0 | 1034.31097 |
| 2494 | 1 | V09V11 | LinStatic | 0 | -13.3511 | 0 | 12.79883 | 0 | 1040.98653 |
| 2495 | 0 | V09V11 | LinStatic | 0 | 6.9978 | 0 | 11.85683 | 0 | 1041.9959 |
| 2495 | 0.5 | V09V11 | LinStatic | 0 | 6.9978 | 0 | 11.85683 | 0 | 1038.49701 |
| 2495 | 1 | V09V11 | LinStatic | 0 | 6.9978 | 0 | 11.85683 | 0 | 1034.99813 |
| 2542 | 0 | V09V11 | LinStatic | 0 | 0.131 | 0 | 1.76635 | 0 | -489.49569 |
| 2542 | 0.5 | V09V11 | LinStatic | 0 | 0.131 | 0 | 1.76635 | 0 | -489.56121 |
| 2542 | 1 | V09V11 | LinStatic | 0 | 0.131 | 0 | 1.76635 | 0 | -489.62672 |
| 2543 | 0 | V09V11 | LinStatic | 0 | 0.131 | 0 | 1.76636 | 0 | -489.48462 |
| 2543 | 0.5 | V09V11 | LinStatic | 0 | 0.131 | 0 | 1.76636 | 0 | -489.55013 |
| 2543 | 1 | V09V11 | LinStatic | 0 | 0.131 | 0 | 1.76636 | 0 | -489.61564 |
| 2590 | 0 | V09V11 | LinStatic | 0 | 3.9487 | 0 | 0.06898 | 0 | 962.01994 |
| 2590 | 0.5 | V09V11 | LinStatic | 0 | 3.9487 | 0 | 0.06898 | 0 | 960.04558 |
| 2590 | 1 | V09V11 | LinStatic | 0 | 3.9487 | 0 | 0.06898 | 0 | 958.07122 |
| 2591 | 0 | V09V11 | LinStatic | 0 | 3.9487 | 0 | 0.06898 | 0 | 958.07676 |
| 2591 | 0.5 | V09V11 | LinStatic | 0 | 3.9487 | 0 | 0.06898 | 0 | 956.1024 |
| 2591 | 1 | V09V11 | LinStatic | 0 | 3.9487 | 0 | 0.06898 | 0 | 954.12804 |
| 2638 | 0 | V09V11 | LinStatic | 0 | -17.5042 | 0 | 0.00269 | 0 | -275.96067 |
| 2638 | 0.5 | V09V11 | LinStatic | 0 | -17.5042 | 0 | 0.00269 | 0 | -267.20858 |
| 2638 | 1 | V09V11 | LinStatic | 0 | -17.5042 | 0 | 0.00269 | 0 | -258.45649 |
| 2639 | 0 | V09V11 | LinStatic | 0 | -17.5042 | 0 | 0.00269 | 0 | -258.45627 |
| 2639 | 0.5 | V09V11 | LinStatic | 0 | -17.5042 | 0 | 0.00269 | 0 | -249.70418 |
| 2639 | 1 | V09V11 | LinStatic | 0 | -17.5042 | 0 | 0.00269 | 0 | -240.95208 |
| 2686 | 0 | V09V11 | LinStatic | 0 | 4.17 | 0 | 0.00011 | 0 | 65.74031 |
| 2686 | 0.5 | V09V11 | LinStatic | 0 | 4.17 | 0 | 0.00011 | 0 | 63.65533 |
| 2686 | 1 | V09V11 | LinStatic | 0 | 4.17 | 0 | 0.00011 | 0 | 61.57034 |
| 2687 | 0 | V09V11 | LinStatic | 0 | 4.17 | 0 | 0.00011 | 0 | 61.57035 |
| 2687 | 0.5 | V09V11 | LinStatic | 0 | 4.17 | 0 | 0.00011 | 0 | 59.48537 |
| 2687 | 1 | V09V11 | LinStatic | 0 | 4.17 | 0 | 0.00011 | 0 | 57.40038 |
| 2734 | 0 | V09V11 | LinStatic | 0 | -0.9934 | 0 | 0.000004109 | 0 | -15.66088 |
| 2734 | 0.5 | V09V11 | LinStatic | 0 | -0.9934 | 0 | 0.000004109 | 0 | -15.16419 |
| 2734 | 1 | V09V11 | LinStatic | 0 | -0.9934 | 0 | 0.000004109 | 0 | -14.66749 |
| 2735 | 0 | V09V11 | LinStatic | 0 | -0.9934 | 0 | 0.000004109 | 0 | -14.66749 |
| 2735 | 0.5 | V09V11 | LinStatic | 0 | -0.9934 | 0 | 0.000004109 | 0 | -14.1708 |
| 2735 | 1 | V09V11 | LinStatic | 0 | -0.9934 | 0 | 0.000004109 | 0 | -13.67411 |
| 2782 | 0 | V09V11 | LinStatic | 0 | 0.2366 | 0 | 1.605E-07 | 0 | 3.73079 |
| 2782 | 0.5 | V09V11 | LinStatic | 0 | 0.2366 | 0 | 1.605E-07 | 0 | 3.61246 |
| 2782 | 1 | V09V11 | LinStatic | 0 | 0.2366 | 0 | 1.605E-07 | 0 | 3.49414 |
| 2783 | 0 | V09V11 | LinStatic | 0 | 0.2366 | 0 | 1.605E-07 | 0 | 3.49414 |
| 2783 | 0.5 | V09V11 | LinStatic | 0 | 0.2366 | 0 | 1.605E-07 | 0 | 3.37582 |
| 2783 | 1 | V09V11 | LinStatic | 0 | 0.2366 | 0 | 1.605E-07 | 0 | 3.25749 |
| 2830 | 0 | V09V11 | LinStatic | 0 | -0.0564 | 0 | 6.268E-09 | 0 | -0.88876 |
| 2830 | 0.5 | V09V11 | LinStatic | 0 | -0.0564 | 0 | 6.268E-09 | 0 | -0.86057 |
| 2830 | 1 | V09V11 | LinStatic | 0 | -0.0564 | 0 | 6.268E-09 | 0 | -0.83239 |
| 2831 | 0 | V09V11 | LinStatic | 0 | -0.0564 | 0 | 6.268E-09 | 0 | -0.83239 |
| 2831 | 0.5 | V09V11 | LinStatic | 0 | -0.0564 | 0 | 6.268E-09 | 0 | -0.8042 |
| 2831 | 1 | V09V11 | LinStatic | 0 | -0.0564 | 0 | 6.268E-09 | 0 | -0.77601 |
| 2878 | 0 | V09V11 | LinStatic | 0 | 0.0134 | 0 | 2.448E-10 | 0 | 0.21172 |
| 2878 | 0.5 | V09V11 | LinStatic | 0 | 0.0134 | 0 | 2.448E-10 | 0 | 0.20501 |
| 2878 | 1 | V09V11 | LinStatic | 0 | 0.0134 | 0 | 2.448E-10 | 0 | 0.19829 |
| 2879 | 0 | V09V11 | LinStatic | 0 | 0.0134 | 0 | 2.448E-10 | 0 | 0.19829 |
| 2879 | 0.5 | V09V11 | LinStatic | 0 | 0.0134 | 0 | 2.448E-10 | 0 | 0.19158 |
| 2879 | 1 | V09V11 | LinStatic | 0 | 0.0134 | 0 | 2.448E-10 | 0 | 0.18486 |
| 2926 | 0 | V09V11 | LinStatic | 0 | -0.0032 | 0 | 9.561E-12 | 0 | -0.05044 |
| 2926 | 0.5 | V09V11 | LinStatic | 0 | -0.0032 | 0 | 9.561E-12 | 0 | -0.04884 |
| 2926 | 1 | V09V11 | LinStatic | 0 | -0.0032 | 0 | 9.561E-12 | 0 | -0.04724 |
| 2927 | 0 | V09V11 | LinStatic | 0 | -0.0032 | 0 | 9.561E-12 | 0 | -0.04724 |
| 2927 | 0.5 | V09V11 | LinStatic | 0 | -0.0032 | 0 | 9.561E-12 | 0 | -0.04564 |
| 2927 | 1 | V09V11 | LinStatic | 0 | -0.0032 | 0 | 9.561E-12 | 0 | -0.04404 |
| 2974 | 0 | V09V11 | LinStatic | 0 | 0.0007622 | 0 | 3.734E-13 | 0 | 0.01202 |

**TABLE: Element Forces - Frames**

| Frame | Station | OutputCase | CaseType | P | V2 | V3 | T | M2 | M3 |
|---|---|---|---|---|---|---|---|---|---|
| Text | m | Text | Text | Ton | Ton | Ton | Ton-m | Ton-m | Ton-m |
| 2974 | 0.5 | V09V11 | LinStatic | 0 | 0.0007622 | 0 | 3.734E-13 | 0 | 0.01163 |
| 2974 | 1 | V09V11 | LinStatic | 0 | 0.0007622 | 0 | 3.734E-13 | 0 | 0.01125 |
| 2975 | 0 | V09V11 | LinStatic | 0 | 0.0007622 | 0 | 3.734E-13 | 0 | 0.01125 |
| 2975 | 0.5 | V09V11 | LinStatic | 0 | 0.0007622 | 0 | 3.734E-13 | 0 | 0.01087 |
| 2975 | 1 | V09V11 | LinStatic | 0 | 0.0007622 | 0 | 3.734E-13 | 0 | 0.01049 |
| 3022 | 0 | V09V11 | LinStatic | 0 | -0.0001817 | 0 | 1.458E-14 | 0 | -0.00286 |
| 3022 | 0.5 | V09V11 | LinStatic | 0 | -0.0001817 | 0 | 1.458E-14 | 0 | -0.00277 |
| 3022 | 1 | V09V11 | LinStatic | 0 | -0.0001817 | 0 | 1.458E-14 | 0 | -0.00268 |
| 3023 | 0 | V09V11 | LinStatic | 0 | -0.0001817 | 0 | 1.457E-14 | 0 | -0.00268 |
| 3023 | 0.5 | V09V11 | LinStatic | 0 | -0.0001817 | 0 | 1.457E-14 | 0 | -0.00259 |
| 3023 | 1 | V09V11 | LinStatic | 0 | -0.0001817 | 0 | 1.457E-14 | 0 | -0.0025 |
| 3070 | 0 | V09V11 | LinStatic | 0 | 0.00004365 | 0 | 5.714E-16 | 0 | 0.00068 |
| 3070 | 0.5 | V09V11 | LinStatic | 0 | 0.00004365 | 0 | 5.714E-16 | 0 | 0.00065 |
| 3070 | 1 | V09V11 | LinStatic | 0 | 0.00004365 | 0 | 5.714E-16 | 0 | 0.00063 |
| 3071 | 0 | V09V11 | LinStatic | 0 | 0.00004365 | 0 | 5.719E-16 | 0 | 0.00063 |
| 3071 | 0.5 | V09V11 | LinStatic | 0 | 0.00004365 | 0 | 5.719E-16 | 0 | 0.00061 |
| 3071 | 1 | V09V11 | LinStatic | 0 | 0.00004365 | 0 | 5.719E-16 | 0 | 0.00059 |
| 3116 | 0 | V09V11 | LinStatic | 0 | -0.00001064 | 0 | 2.524E-17 | 0 | -0.00019 |
| 3116 | 0.5 | V09V11 | LinStatic | 0 | -0.00001064 | 0 | 2.524E-17 | 0 | -0.00019 |
| 3116 | 1 | V09V11 | LinStatic | 0 | -0.00001064 | 0 | 2.524E-17 | 0 | -0.00018 |
| 1063 | 0 | V10V12 | LinStatic | 0 | 0.0001943 | 0 | -6.604E-12 | 0 | -0.0033 |
| 1063 | 0.5 | V10V12 | LinStatic | 0 | 0.0001943 | 0 | -6.604E-12 | 0 | -0.0034 |
| 1063 | 1 | V10V12 | LinStatic | 0 | 0.0001943 | 0 | -6.604E-12 | 0 | -0.0035 |
| 1108 | 0 | V10V12 | LinStatic | 0 | -0.0007971 | 0 | -1.467E-10 | 0 | 0.01076 |
| 1108 | 0.5 | V10V12 | LinStatic | 0 | -0.0007971 | 0 | -1.467E-10 | 0 | 0.01116 |
| 1108 | 1 | V10V12 | LinStatic | 0 | -0.0007971 | 0 | -1.467E-10 | 0 | 0.01156 |
| 1109 | 0 | V10V12 | LinStatic | 0 | -0.0007971 | 0 | -1.467E-10 | 0 | 0.01156 |
| 1109 | 0.5 | V10V12 | LinStatic | 0 | -0.0007971 | 0 | -1.467E-10 | 0 | 0.01195 |
| 1109 | 1 | V10V12 | LinStatic | 0 | -0.0007971 | 0 | -1.467E-10 | 0 | 0.01235 |
| 1156 | 0 | V10V12 | LinStatic | 0 | 0.0033 | 0 | -3.754E-09 | 0 | -0.04561 |
| 1156 | 0.5 | V10V12 | LinStatic | 0 | 0.0033 | 0 | -3.754E-09 | 0 | -0.04727 |
| 1156 | 1 | V10V12 | LinStatic | 0 | 0.0033 | 0 | -3.754E-09 | 0 | -0.04893 |
| 1157 | 0 | V10V12 | LinStatic | 0 | 0.0033 | 0 | -3.754E-09 | 0 | -0.04893 |
| 1157 | 0.5 | V10V12 | LinStatic | 0 | 0.0033 | 0 | -3.754E-09 | 0 | -0.05059 |
| 1157 | 1 | V10V12 | LinStatic | 0 | 0.0033 | 0 | -3.754E-09 | 0 | -0.05225 |
| 1205 | 0 | V10V12 | LinStatic | 0 | -0.0127 | 0 | -9.613E-08 | 0 | 0.17628 |
| 1205 | 0.5 | V10V12 | LinStatic | 0 | -0.0127 | 0 | -9.613E-08 | 0 | 0.18263 |
| 1205 | 1 | V10V12 | LinStatic | 0 | -0.0127 | 0 | -9.613E-08 | 0 | 0.18898 |
| 1257 | 0 | V10V12 | LinStatic | 0 | 0.0523 | 0 | -0.000002603 | 0 | -0.78781 |
| 1257 | 0.5 | V10V12 | LinStatic | 0 | 0.0523 | 0 | -0.000002603 | 0 | -0.81395 |
| 1257 | 1 | V10V12 | LinStatic | 0 | 0.0523 | 0 | -0.000002603 | 0 | -0.84009 |
| 1306 | 0 | V10V12 | LinStatic | 0 | -0.2374 | 0 | -0.00007051 | 0 | 3.31256 |
| 1306 | 0.5 | V10V12 | LinStatic | 0 | -0.2374 | 0 | -0.00007051 | 0 | 3.43124 |
| 1306 | 1 | V10V12 | LinStatic | 0 | -0.2374 | 0 | -0.00007051 | 0 | 3.54993 |
| 1307 | 0 | V10V12 | LinStatic | 0 | -0.2374 | 0 | -0.00007051 | 0 | 3.54993 |
| 1307 | 0.5 | V10V12 | LinStatic | 0 | -0.2374 | 0 | -0.00007051 | 0 | 3.66862 |
| 1307 | 1 | V10V12 | LinStatic | 0 | -0.2374 | 0 | -0.00007051 | 0 | 3.78731 |
| 1354 | 0 | V10V12 | LinStatic | 0 | 1.0026 | 0 | -0.00181 | 0 | -13.81002 |
| 1354 | 0.5 | V10V12 | LinStatic | 0 | 1.0026 | 0 | -0.00181 | 0 | -14.31133 |
| 1354 | 1 | V10V12 | LinStatic | 0 | 1.0026 | 0 | -0.00181 | 0 | -14.81265 |
| 1355 | 0 | V10V12 | LinStatic | 0 | 1.0026 | 0 | -0.00181 | 0 | -14.8125 |
| 1355 | 0.5 | V10V12 | LinStatic | 0 | 1.0026 | 0 | -0.00181 | 0 | -15.31382 |
| 1355 | 1 | V10V12 | LinStatic | 0 | 1.0026 | 0 | -0.00181 | 0 | -15.81513 |
| 1402 | 0 | V10V12 | LinStatic | 0 | -4.2059 | 0 | -0.04623 | 0 | 57.95038 |
| 1402 | 0.5 | V10V12 | LinStatic | 0 | -4.2059 | 0 | -0.04623 | 0 | 60.05332 |
| 1402 | 1 | V10V12 | LinStatic | 0 | -4.2059 | 0 | -0.04623 | 0 | 62.15625 |
| 1403 | 0 | V10V12 | LinStatic | 0 | -4.2059 | 0 | -0.04623 | 0 | 62.15997 |
| 1403 | 0.5 | V10V12 | LinStatic | 0 | -4.2059 | 0 | -0.04623 | 0 | 64.26291 |
| 1403 | 1 | V10V12 | LinStatic | 0 | -4.2059 | 0 | -0.04623 | 0 | 66.36584 |
| 1450 | 0 | V10V12 | LinStatic | 0 | 17.7664 | 0 | -1.18378 | 0 | -243.20011 |
| 1450 | 0.5 | V10V12 | LinStatic | 0 | 17.7664 | 0 | -1.18378 | 0 | -252.0833 |
| 1450 | 1 | V10V12 | LinStatic | 0 | 17.7664 | 0 | -1.18378 | 0 | -260.96648 |
| 1451 | 0 | V10V12 | LinStatic | 0 | 17.7664 | 0 | -1.18377 | 0 | -260.87129 |
| 1451 | 0.5 | V10V12 | LinStatic | 0 | 17.7664 | 0 | -1.18377 | 0 | -269.75448 |
| 1451 | 1 | V10V12 | LinStatic | 0 | 17.7664 | 0 | -1.18377 | 0 | -278.63767 |
| 1498 | 0 | V10V12 | LinStatic | 0 | -15.0573 | 0 | 12.79883 | 0 | 1029.71103 |
| 1498 | 0.5 | V10V12 | LinStatic | 0 | -15.0573 | 0 | 12.79883 | 0 | 1037.2397 |
| 1498 | 1 | V10V12 | LinStatic | 0 | -15.0573 | 0 | 12.79883 | 0 | 1044.76837 |
| 1499 | 0 | V10V12 | LinStatic | 0 | 4.5938 | 0 | 11.85683 | 0 | 1043.759 |
| 1499 | 0.5 | V10V12 | LinStatic | 0 | 4.5938 | 0 | 11.85683 | 0 | 1041.46211 |
| 1499 | 1 | V10V12 | LinStatic | 0 | 4.5938 | 0 | 11.85683 | 0 | 1039.16523 |
| 1546 | 0 | V10V12 | LinStatic | 0 | -0.1531 | 0 | 1.76635 | 0 | -489.63749 |
| 1546 | 0.5 | V10V12 | LinStatic | 0 | -0.1531 | 0 | 1.76635 | 0 | -489.56092 |
| 1546 | 1 | V10V12 | LinStatic | 0 | -0.1531 | 0 | 1.76635 | 0 | -489.48435 |
| 1547 | 0 | V10V12 | LinStatic | 0 | -0.1531 | 0 | 1.76636 | 0 | -489.62644 |
| 1547 | 0.5 | V10V12 | LinStatic | 0 | -0.1531 | 0 | 1.76636 | 0 | -489.54987 |
| 1547 | 1 | V10V12 | LinStatic | 0 | -0.1531 | 0 | 1.76636 | 0 | -489.4733 |
| 1594 | 0 | V10V12 | LinStatic | 0 | 3.9376 | 0 | 0.06898 | 0 | 962.01427 |
| 1594 | 0.5 | V10V12 | LinStatic | 0 | 3.9376 | 0 | 0.06898 | 0 | 960.04547 |
| 1594 | 1 | V10V12 | LinStatic | 0 | 3.9376 | 0 | 0.06898 | 0 | 958.07666 |
| 1595 | 0 | V10V12 | LinStatic | 0 | 3.9376 | 0 | 0.06898 | 0 | 958.07111 |
| 1595 | 0.5 | V10V12 | LinStatic | 0 | 3.9376 | 0 | 0.06898 | 0 | 956.10231 |
| 1595 | 1 | V10V12 | LinStatic | 0 | 3.9376 | 0 | 0.06898 | 0 | 954.1335 |

**TABLE: Element Forces - Frames**

| Frame | Station | OutputCase | CaseType | P | V2 | V3 | T | M2 | M3 |
|---|---|---|---|---|---|---|---|---|---|
| Text | m | Text | Text | Ton | Ton | Ton | Ton-m | Ton-m | Ton-m |
| 1642 | 0 | V10V12 | LinStatic | 0 | -17.5046 | 0 | 0.00269 | 0 | -275.96088 |
| 1642 | 0.5 | V10V12 | LinStatic | 0 | -17.5046 | 0 | 0.00269 | 0 | -267.20857 |
| 1642 | 1 | V10V12 | LinStatic | 0 | -17.5046 | 0 | 0.00269 | 0 | -258.45625 |
| 1643 | 0 | V10V12 | LinStatic | 0 | -17.5046 | 0 | 0.00269 | 0 | -258.45647 |
| 1643 | 0.5 | V10V12 | LinStatic | 0 | -17.5046 | 0 | 0.00269 | 0 | -249.70416 |
| 1643 | 1 | V10V12 | LinStatic | 0 | -17.5046 | 0 | 0.00269 | 0 | -240.95185 |
| 1690 | 0 | V10V12 | LinStatic | 0 | 4.1699 | 0 | 0.00011 | 0 | 65.7403 |
| 1690 | 0.5 | V10V12 | LinStatic | 0 | 4.1699 | 0 | 0.00011 | 0 | 63.65532 |
| 1690 | 1 | V10V12 | LinStatic | 0 | 4.1699 | 0 | 0.00011 | 0 | 61.57035 |
| 1691 | 0 | V10V12 | LinStatic | 0 | 4.1699 | 0 | 0.00011 | 0 | 61.57034 |
| 1691 | 0.5 | V10V12 | LinStatic | 0 | 4.1699 | 0 | 0.00011 | 0 | 59.48536 |
| 1691 | 1 | V10V12 | LinStatic | 0 | 4.1699 | 0 | 0.00011 | 0 | 57.40039 |
| 1738 | 0 | V10V12 | LinStatic | 0 | -0.9934 | 0 | 0.000004109 | 0 | -15.66088 |
| 1738 | 0.5 | V10V12 | LinStatic | 0 | -0.9934 | 0 | 0.000004109 | 0 | -15.16418 |
| 1738 | 1 | V10V12 | LinStatic | 0 | -0.9934 | 0 | 0.000004109 | 0 | -14.66749 |
| 1739 | 0 | V10V12 | LinStatic | 0 | -0.9934 | 0 | 0.000004109 | 0 | -14.66749 |
| 1739 | 0.5 | V10V12 | LinStatic | 0 | -0.9934 | 0 | 0.000004109 | 0 | -14.1708 |
| 1739 | 1 | V10V12 | LinStatic | 0 | -0.9934 | 0 | 0.000004109 | 0 | -13.67411 |
| 1786 | 0 | V10V12 | LinStatic | 0 | 0.2366 | 0 | 1.605E-07 | 0 | 3.73079 |
| 1786 | 0.5 | V10V12 | LinStatic | 0 | 0.2366 | 0 | 1.605E-07 | 0 | 3.61246 |
| 1786 | 1 | V10V12 | LinStatic | 0 | 0.2366 | 0 | 1.605E-07 | 0 | 3.49414 |
| 1787 | 0 | V10V12 | LinStatic | 0 | 0.2366 | 0 | 1.605E-07 | 0 | 3.49414 |
| 1787 | 0.5 | V10V12 | LinStatic | 0 | 0.2366 | 0 | 1.605E-07 | 0 | 3.37582 |
| 1787 | 1 | V10V12 | LinStatic | 0 | 0.2366 | 0 | 1.605E-07 | 0 | 3.25749 |
| 1834 | 0 | V10V12 | LinStatic | 0 | -0.0564 | 0 | 6.268E-09 | 0 | -0.88876 |
| 1834 | 0.5 | V10V12 | LinStatic | 0 | -0.0564 | 0 | 6.268E-09 | 0 | -0.86057 |
| 1834 | 1 | V10V12 | LinStatic | 0 | -0.0564 | 0 | 6.268E-09 | 0 | -0.83239 |
| 1835 | 0 | V10V12 | LinStatic | 0 | -0.0564 | 0 | 6.268E-09 | 0 | -0.83239 |
| 1835 | 0.5 | V10V12 | LinStatic | 0 | -0.0564 | 0 | 6.268E-09 | 0 | -0.8042 |
| 1835 | 1 | V10V12 | LinStatic | 0 | -0.0564 | 0 | 6.268E-09 | 0 | -0.77601 |
| 1882 | 0 | V10V12 | LinStatic | 0 | 0.0134 | 0 | 2.448E-10 | 0 | 0.21172 |
| 1882 | 0.5 | V10V12 | LinStatic | 0 | 0.0134 | 0 | 2.448E-10 | 0 | 0.20501 |
| 1882 | 1 | V10V12 | LinStatic | 0 | 0.0134 | 0 | 2.448E-10 | 0 | 0.19829 |
| 1883 | 0 | V10V12 | LinStatic | 0 | 0.0134 | 0 | 2.448E-10 | 0 | 0.19829 |
| 1883 | 0.5 | V10V12 | LinStatic | 0 | 0.0134 | 0 | 2.448E-10 | 0 | 0.19158 |
| 1883 | 1 | V10V12 | LinStatic | 0 | 0.0134 | 0 | 2.448E-10 | 0 | 0.18486 |
| 1930 | 0 | V10V12 | LinStatic | 0 | -0.0032 | 0 | 9.561E-12 | 0 | -0.05044 |
| 1930 | 0.5 | V10V12 | LinStatic | 0 | -0.0032 | 0 | 9.561E-12 | 0 | -0.04884 |
| 1930 | 1 | V10V12 | LinStatic | 0 | -0.0032 | 0 | 9.561E-12 | 0 | -0.04724 |
| 1931 | 0 | V10V12 | LinStatic | 0 | -0.0032 | 0 | 9.561E-12 | 0 | -0.04724 |
| 1931 | 0.5 | V10V12 | LinStatic | 0 | -0.0032 | 0 | 9.561E-12 | 0 | -0.04564 |
| 1931 | 1 | V10V12 | LinStatic | 0 | -0.0032 | 0 | 9.561E-12 | 0 | -0.04404 |
| 1978 | 0 | V10V12 | LinStatic | 0 | 0.0007625 | 0 | 3.734E-13 | 0 | 0.01201 |
| 1978 | 0.5 | V10V12 | LinStatic | 0 | 0.0007625 | 0 | 3.734E-13 | 0 | 0.01163 |
| 1978 | 1 | V10V12 | LinStatic | 0 | 0.0007625 | 0 | 3.734E-13 | 0 | 0.01125 |
| 1979 | 0 | V10V12 | LinStatic | 0 | 0.0007625 | 0 | 3.734E-13 | 0 | 0.01125 |
| 1979 | 0.5 | V10V12 | LinStatic | 0 | 0.0007625 | 0 | 3.734E-13 | 0 | 0.01087 |
| 1979 | 1 | V10V12 | LinStatic | 0 | 0.0007625 | 0 | 3.734E-13 | 0 | 0.01048 |
| 2026 | 0 | V10V12 | LinStatic | 0 | -0.0001832 | 0 | 1.458E-14 | 0 | -0.00284 |
| 2026 | 0.5 | V10V12 | LinStatic | 0 | -0.0001832 | 0 | 1.458E-14 | 0 | -0.00275 |
| 2026 | 1 | V10V12 | LinStatic | 0 | -0.0001832 | 0 | 1.458E-14 | 0 | -0.00266 |
| 2027 | 0 | V10V12 | LinStatic | 0 | -0.0001832 | 0 | 1.458E-14 | 0 | -0.00266 |
| 2027 | 0.5 | V10V12 | LinStatic | 0 | -0.0001832 | 0 | 1.458E-14 | 0 | -0.00256 |
| 2027 | 1 | V10V12 | LinStatic | 0 | -0.0001832 | 0 | 1.458E-14 | 0 | -0.00247 |
| 2072 | 0 | V10V12 | LinStatic | 0 | 0.00004465 | 0 | 6.575E-16 | 0 | 0.0008 |
| 2072 | 0.5 | V10V12 | LinStatic | 0 | 0.00004465 | 0 | 6.575E-16 | 0 | 0.00078 |
| 2072 | 1 | V10V12 | LinStatic | 0 | 0.00004465 | 0 | 6.575E-16 | 0 | 0.00076 |
| 2107 | 0 | V10V12 | LinStatic | 0 | 0.0001943 | 0 | -6.604E-12 | 0 | -0.0033 |
| 2107 | 0.5 | V10V12 | LinStatic | 0 | 0.0001943 | 0 | -6.604E-12 | 0 | -0.0034 |
| 2107 | 1 | V10V12 | LinStatic | 0 | 0.0001943 | 0 | -6.604E-12 | 0 | -0.0035 |
| 2152 | 0 | V10V12 | LinStatic | 0 | -0.0007971 | 0 | -1.467E-10 | 0 | 0.01076 |
| 2152 | 0.5 | V10V12 | LinStatic | 0 | -0.0007971 | 0 | -1.467E-10 | 0 | 0.01116 |
| 2152 | 1 | V10V12 | LinStatic | 0 | -0.0007971 | 0 | -1.467E-10 | 0 | 0.01156 |
| 2153 | 0 | V10V12 | LinStatic | 0 | -0.0007971 | 0 | -1.467E-10 | 0 | 0.01156 |
| 2153 | 0.5 | V10V12 | LinStatic | 0 | -0.0007971 | 0 | -1.467E-10 | 0 | 0.01195 |
| 2153 | 1 | V10V12 | LinStatic | 0 | -0.0007971 | 0 | -1.467E-10 | 0 | 0.01235 |
| 2200 | 0 | V10V12 | LinStatic | 0 | 0.0033 | 0 | -3.754E-09 | 0 | -0.04561 |
| 2200 | 0.5 | V10V12 | LinStatic | 0 | 0.0033 | 0 | -3.754E-09 | 0 | -0.04727 |
| 2200 | 1 | V10V12 | LinStatic | 0 | 0.0033 | 0 | -3.754E-09 | 0 | -0.04893 |
| 2201 | 0 | V10V12 | LinStatic | 0 | 0.0033 | 0 | -3.754E-09 | 0 | -0.04893 |
| 2201 | 0.5 | V10V12 | LinStatic | 0 | 0.0033 | 0 | -3.754E-09 | 0 | -0.05059 |
| 2201 | 1 | V10V12 | LinStatic | 0 | 0.0033 | 0 | -3.754E-09 | 0 | -0.05225 |
| 2249 | 0 | V10V12 | LinStatic | 0 | -0.0127 | 0 | -9.613E-08 | 0 | 0.17628 |
| 2249 | 0.5 | V10V12 | LinStatic | 0 | -0.0127 | 0 | -9.613E-08 | 0 | 0.18263 |
| 2249 | 1 | V10V12 | LinStatic | 0 | -0.0127 | 0 | -9.613E-08 | 0 | 0.18898 |
| 2301 | 0 | V10V12 | LinStatic | 0 | 0.0523 | 0 | -0.000002603 | 0 | -0.78781 |
| 2301 | 0.5 | V10V12 | LinStatic | 0 | 0.0523 | 0 | -0.000002603 | 0 | -0.81395 |
| 2301 | 1 | V10V12 | LinStatic | 0 | 0.0523 | 0 | -0.000002603 | 0 | -0.84009 |
| 2350 | 0 | V10V12 | LinStatic | 0 | -0.2374 | 0 | -0.00007051 | 0 | 3.31255 |
| 2350 | 0.5 | V10V12 | LinStatic | 0 | -0.2374 | 0 | -0.00007051 | 0 | 3.43124 |
| 2350 | 1 | V10V12 | LinStatic | 0 | -0.2374 | 0 | -0.00007051 | 0 | 3.54993 |
| 2351 | 0 | V10V12 | LinStatic | 0 | -0.2374 | 0 | -0.00007051 | 0 | 3.54993 |
| 2351 | 0.5 | V10V12 | LinStatic | 0 | -0.2374 | 0 | -0.00007051 | 0 | 3.66862 |

**TABLE: Element Forces - Frames**

| Frame | Station | OutputCase | CaseType | P | V2 | V3 | T | M2 | M3 |
|---|---|---|---|---|---|---|---|---|---|
| Text | m | Text | Text | Ton | Ton | Ton | Ton-m | Ton-m | Ton-m |
| 2351 | 1 | V10V12 | LinStatic | 0 | -0.2374 | 0 | -0.00007051 | 0 | 3.78731 |
| 2398 | 0 | V10V12 | LinStatic | 0 | 1.0023 | 0 | -0.00181 | 0 | -13.81017 |
| 2398 | 0.5 | V10V12 | LinStatic | 0 | 1.0023 | 0 | -0.00181 | 0 | -14.31133 |
| 2398 | 1 | V10V12 | LinStatic | 0 | 1.0023 | 0 | -0.00181 | 0 | -14.8125 |
| 2399 | 0 | V10V12 | LinStatic | 0 | 1.0023 | 0 | -0.00181 | 0 | -14.81265 |
| 2399 | 0.5 | V10V12 | LinStatic | 0 | 1.0023 | 0 | -0.00181 | 0 | -15.31381 |
| 2399 | 1 | V10V12 | LinStatic | 0 | 1.0023 | 0 | -0.00181 | 0 | -15.81498 |
| 2446 | 0 | V10V12 | LinStatic | 0 | -4.2133 | 0 | -0.04623 | 0 | 57.94668 |
| 2446 | 0.5 | V10V12 | LinStatic | 0 | -4.2133 | 0 | -0.04623 | 0 | 60.05334 |
| 2446 | 1 | V10V12 | LinStatic | 0 | -4.2133 | 0 | -0.04623 | 0 | 62.15999 |
| 2447 | 0 | V10V12 | LinStatic | 0 | -4.2133 | 0 | -0.04623 | 0 | 62.15627 |
| 2447 | 0.5 | V10V12 | LinStatic | 0 | -4.2133 | 0 | -0.04623 | 0 | 64.26293 |
| 2447 | 1 | V10V12 | LinStatic | 0 | -4.2133 | 0 | -0.04623 | 0 | 66.36959 |
| 2494 | 0 | V10V12 | LinStatic | 0 | 17.5759 | 0 | -1.18378 | 0 | -243.29494 |
| 2494 | 0.5 | V10V12 | LinStatic | 0 | 17.5759 | 0 | -1.18378 | 0 | -252.08288 |
| 2494 | 1 | V10V12 | LinStatic | 0 | 17.5759 | 0 | -1.18378 | 0 | -260.87082 |
| 2495 | 0 | V10V12 | LinStatic | 0 | 17.5759 | 0 | -1.18377 | 0 | -260.96601 |
| 2495 | 0.5 | V10V12 | LinStatic | 0 | 17.5759 | 0 | -1.18377 | 0 | -269.75395 |
| 2495 | 1 | V10V12 | LinStatic | 0 | 17.5759 | 0 | -1.18377 | 0 | -278.54188 |
| 2542 | 0 | V10V12 | LinStatic | 0 | -13.3512 | 0 | 12.79883 | 0 | 1027.63412 |
| 2542 | 0.5 | V10V12 | LinStatic | 0 | -13.3512 | 0 | 12.79883 | 0 | 1034.30972 |
| 2542 | 1 | V10V12 | LinStatic | 0 | -13.3512 | 0 | 12.79883 | 0 | 1040.98532 |
| 2543 | 0 | V10V12 | LinStatic | 0 | 6.9977 | 0 | 11.85683 | 0 | 1041.99469 |
| 2543 | 0.5 | V10V12 | LinStatic | 0 | 6.9977 | 0 | 11.85683 | 0 | 1038.49585 |
| 2543 | 1 | V10V12 | LinStatic | 0 | 6.9977 | 0 | 11.85683 | 0 | 1034.99701 |
| 2590 | 0 | V10V12 | LinStatic | 0 | 0.131 | 0 | 1.76635 | 0 | -489.49539 |
| 2590 | 0.5 | V10V12 | LinStatic | 0 | 0.131 | 0 | 1.76635 | 0 | -489.56091 |
| 2590 | 1 | V10V12 | LinStatic | 0 | 0.131 | 0 | 1.76635 | 0 | -489.62643 |
| 2591 | 0 | V10V12 | LinStatic | 0 | 0.131 | 0 | 1.76636 | 0 | -489.48433 |
| 2591 | 0.5 | V10V12 | LinStatic | 0 | 0.131 | 0 | 1.76636 | 0 | -489.54985 |
| 2591 | 1 | V10V12 | LinStatic | 0 | 0.131 | 0 | 1.76636 | 0 | -489.61537 |
| 2638 | 0 | V10V12 | LinStatic | 0 | 3.9487 | 0 | 0.06898 | 0 | 962.01986 |
| 2638 | 0.5 | V10V12 | LinStatic | 0 | 3.9487 | 0 | 0.06898 | 0 | 960.0455 |
| 2638 | 1 | V10V12 | LinStatic | 0 | 3.9487 | 0 | 0.06898 | 0 | 958.07115 |
| 2639 | 0 | V10V12 | LinStatic | 0 | 3.9487 | 0 | 0.06898 | 0 | 958.07669 |
| 2639 | 0.5 | V10V12 | LinStatic | 0 | 3.9487 | 0 | 0.06898 | 0 | 956.10234 |
| 2639 | 1 | V10V12 | LinStatic | 0 | 3.9487 | 0 | 0.06898 | 0 | 954.12798 |
| 2686 | 0 | V10V12 | LinStatic | 0 | -17.5042 | 0 | 0.00269 | 0 | -275.96066 |
| 2686 | 0.5 | V10V12 | LinStatic | 0 | -17.5042 | 0 | 0.00269 | 0 | -267.20856 |
| 2686 | 1 | V10V12 | LinStatic | 0 | -17.5042 | 0 | 0.00269 | 0 | -258.45647 |
| 2687 | 0 | V10V12 | LinStatic | 0 | -17.5042 | 0 | 0.00269 | 0 | -258.45625 |
| 2687 | 0.5 | V10V12 | LinStatic | 0 | -17.5042 | 0 | 0.00269 | 0 | -249.70416 |
| 2687 | 1 | V10V12 | LinStatic | 0 | -17.5042 | 0 | 0.00269 | 0 | -240.95207 |
| 2734 | 0 | V10V12 | LinStatic | 0 | 4.17 | 0 | 0.00011 | 0 | 65.7403 |
| 2734 | 0.5 | V10V12 | LinStatic | 0 | 4.17 | 0 | 0.00011 | 0 | 63.65532 |
| 2734 | 1 | V10V12 | LinStatic | 0 | 4.17 | 0 | 0.00011 | 0 | 61.57034 |
| 2735 | 0 | V10V12 | LinStatic | 0 | 4.17 | 0 | 0.00011 | 0 | 61.57035 |
| 2735 | 0.5 | V10V12 | LinStatic | 0 | 4.17 | 0 | 0.00011 | 0 | 59.48536 |
| 2735 | 1 | V10V12 | LinStatic | 0 | 4.17 | 0 | 0.00011 | 0 | 57.40038 |
| 2782 | 0 | V10V12 | LinStatic | 0 | -0.9934 | 0 | 0.000004109 | 0 | -15.66088 |
| 2782 | 0.5 | V10V12 | LinStatic | 0 | -0.9934 | 0 | 0.000004109 | 0 | -15.16418 |
| 2782 | 1 | V10V12 | LinStatic | 0 | -0.9934 | 0 | 0.000004109 | 0 | -14.66749 |
| 2783 | 0 | V10V12 | LinStatic | 0 | -0.9934 | 0 | 0.000004109 | 0 | -14.66749 |
| 2783 | 0.5 | V10V12 | LinStatic | 0 | -0.9934 | 0 | 0.000004109 | 0 | -14.1708 |
| 2783 | 1 | V10V12 | LinStatic | 0 | -0.9934 | 0 | 0.000004109 | 0 | -13.67411 |
| 2830 | 0 | V10V12 | LinStatic | 0 | 0.2366 | 0 | 1.605E-07 | 0 | 3.73079 |
| 2830 | 0.5 | V10V12 | LinStatic | 0 | 0.2366 | 0 | 1.605E-07 | 0 | 3.61246 |
| 2830 | 1 | V10V12 | LinStatic | 0 | 0.2366 | 0 | 1.605E-07 | 0 | 3.49414 |
| 2831 | 0 | V10V12 | LinStatic | 0 | 0.2366 | 0 | 1.605E-07 | 0 | 3.49414 |
| 2831 | 0.5 | V10V12 | LinStatic | 0 | 0.2366 | 0 | 1.605E-07 | 0 | 3.37582 |
| 2831 | 1 | V10V12 | LinStatic | 0 | 0.2366 | 0 | 1.605E-07 | 0 | 3.25749 |
| 2878 | 0 | V10V12 | LinStatic | 0 | -0.0564 | 0 | 6.268E-09 | 0 | -0.88876 |
| 2878 | 0.5 | V10V12 | LinStatic | 0 | -0.0564 | 0 | 6.268E-09 | 0 | -0.86057 |
| 2878 | 1 | V10V12 | LinStatic | 0 | -0.0564 | 0 | 6.268E-09 | 0 | -0.83239 |
| 2879 | 0 | V10V12 | LinStatic | 0 | -0.0564 | 0 | 6.268E-09 | 0 | -0.83239 |
| 2879 | 0.5 | V10V12 | LinStatic | 0 | -0.0564 | 0 | 6.268E-09 | 0 | -0.8042 |
| 2879 | 1 | V10V12 | LinStatic | 0 | -0.0564 | 0 | 6.268E-09 | 0 | -0.77601 |
| 2926 | 0 | V10V12 | LinStatic | 0 | 0.0134 | 0 | 2.448E-10 | 0 | 0.21172 |
| 2926 | 0.5 | V10V12 | LinStatic | 0 | 0.0134 | 0 | 2.448E-10 | 0 | 0.20501 |
| 2926 | 1 | V10V12 | LinStatic | 0 | 0.0134 | 0 | 2.448E-10 | 0 | 0.19829 |
| 2927 | 0 | V10V12 | LinStatic | 0 | 0.0134 | 0 | 2.448E-10 | 0 | 0.19829 |
| 2927 | 0.5 | V10V12 | LinStatic | 0 | 0.0134 | 0 | 2.448E-10 | 0 | 0.19158 |
| 2927 | 1 | V10V12 | LinStatic | 0 | 0.0134 | 0 | 2.448E-10 | 0 | 0.18486 |
| 2974 | 0 | V10V12 | LinStatic | 0 | -0.0032 | 0 | 9.561E-12 | 0 | -0.05044 |
| 2974 | 0.5 | V10V12 | LinStatic | 0 | -0.0032 | 0 | 9.561E-12 | 0 | -0.04884 |
| 2974 | 1 | V10V12 | LinStatic | 0 | -0.0032 | 0 | 9.561E-12 | 0 | -0.04724 |
| 2975 | 0 | V10V12 | LinStatic | 0 | -0.0032 | 0 | 9.561E-12 | 0 | -0.04724 |
| 2975 | 0.5 | V10V12 | LinStatic | 0 | -0.0032 | 0 | 9.561E-12 | 0 | -0.04564 |
| 2975 | 1 | V10V12 | LinStatic | 0 | -0.0032 | 0 | 9.561E-12 | 0 | -0.04404 |
| 3022 | 0 | V10V12 | LinStatic | 0 | 0.0007625 | 0 | 3.734E-13 | 0 | 0.01201 |
| 3022 | 0.5 | V10V12 | LinStatic | 0 | 0.0007625 | 0 | 3.734E-13 | 0 | 0.01163 |
| 3022 | 1 | V10V12 | LinStatic | 0 | 0.0007625 | 0 | 3.734E-13 | 0 | 0.01125 |
| 3023 | 0 | V10V12 | LinStatic | 0 | 0.0007625 | 0 | 3.734E-13 | 0 | 0.01125 |

**TABLE: Element Forces - Frames**

| Frame | Station | OutputCase | CaseType | P | V2 | V3 | T | M2 | M3 |
|---|---|---|---|---|---|---|---|---|---|
| Text | m | Text | Text | Ton | Ton | Ton | Ton-m | Ton-m | Ton-m |
| 3023 | 0.5 | V10V12 | LinStatic | 0 | 0.0007625 | 0 | 3.734E-13 | 0 | 0.01087 |
| 3023 | 1 | V10V12 | LinStatic | 0 | 0.0007625 | 0 | 3.734E-13 | 0 | 0.01048 |
| 3070 | 0 | V10V12 | LinStatic | 0 | -0.0001832 | 0 | 1.458E-14 | 0 | -0.00284 |
| 3070 | 0.5 | V10V12 | LinStatic | 0 | -0.0001832 | 0 | 1.458E-14 | 0 | -0.00275 |
| 3070 | 1 | V10V12 | LinStatic | 0 | -0.0001832 | 0 | 1.458E-14 | 0 | -0.00266 |
| 3071 | 0 | V10V12 | LinStatic | 0 | -0.0001832 | 0 | 1.458E-14 | 0 | -0.00266 |
| 3071 | 0.5 | V10V12 | LinStatic | 0 | -0.0001832 | 0 | 1.458E-14 | 0 | -0.00256 |
| 3071 | 1 | V10V12 | LinStatic | 0 | -0.0001832 | 0 | 1.458E-14 | 0 | -0.00247 |
| 3116 | 0 | V10V12 | LinStatic | 0 | 0.00004465 | 0 | 6.576E-16 | 0 | 0.0008 |
| 3116 | 0.5 | V10V12 | LinStatic | 0 | 0.00004465 | 0 | 6.576E-16 | 0 | 0.00078 |
| 3116 | 1 | V10V12 | LinStatic | 0 | 0.00004465 | 0 | 6.576E-16 | 0 | 0.00076 |
| 1063 | 0 | V12V14 | LinStatic | 0 | 0.00001102 | 0 | -1.007E-14 | 0 | -0.00019 |
| 1063 | 0.5 | V12V14 | LinStatic | 0 | 0.00001102 | 0 | -1.007E-14 | 0 | -0.00019 |
| 1063 | 1 | V12V14 | LinStatic | 0 | 0.00001102 | 0 | -1.007E-14 | 0 | -0.0002 |
| 1108 | 0 | V12V14 | LinStatic | 0 | -0.00004524 | 0 | -2.237E-13 | 0 | 0.00061 |
| 1108 | 0.5 | V12V14 | LinStatic | 0 | -0.00004524 | 0 | -2.237E-13 | 0 | 0.00063 |
| 1108 | 1 | V12V14 | LinStatic | 0 | -0.00004524 | 0 | -2.237E-13 | 0 | 0.00066 |
| 1109 | 0 | V12V14 | LinStatic | 0 | -0.00004524 | 0 | -2.237E-13 | 0 | 0.00066 |
| 1109 | 0.5 | V12V14 | LinStatic | 0 | -0.00004524 | 0 | -2.237E-13 | 0 | 0.00068 |
| 1109 | 1 | V12V14 | LinStatic | 0 | -0.00004524 | 0 | -2.237E-13 | 0 | 0.0007 |
| 1156 | 0 | V12V14 | LinStatic | 0 | 0.0001883 | 0 | -5.727E-12 | 0 | -0.00259 |
| 1156 | 0.5 | V12V14 | LinStatic | 0 | 0.0001883 | 0 | -5.727E-12 | 0 | -0.00268 |
| 1156 | 1 | V12V14 | LinStatic | 0 | 0.0001883 | 0 | -5.727E-12 | 0 | -0.00278 |
| 1157 | 0 | V12V14 | LinStatic | 0 | 0.0001883 | 0 | -5.727E-12 | 0 | -0.00278 |
| 1157 | 0.5 | V12V14 | LinStatic | 0 | 0.0001883 | 0 | -5.727E-12 | 0 | -0.00287 |
| 1157 | 1 | V12V14 | LinStatic | 0 | 0.0001883 | 0 | -5.727E-12 | 0 | -0.00297 |
| 1205 | 0 | V12V14 | LinStatic | 0 | -0.0007208 | 0 | -1.466E-10 | 0 | 0.01 |
| 1205 | 0.5 | V12V14 | LinStatic | 0 | -0.0007208 | 0 | -1.466E-10 | 0 | 0.01036 |
| 1205 | 1 | V12V14 | LinStatic | 0 | -0.0007208 | 0 | -1.466E-10 | 0 | 0.01072 |
| 1257 | 0 | V12V14 | LinStatic | 0 | 0.003 | 0 | -3.971E-09 | 0 | -0.04471 |
| 1257 | 0.5 | V12V14 | LinStatic | 0 | 0.003 | 0 | -3.971E-09 | 0 | -0.04619 |
| 1257 | 1 | V12V14 | LinStatic | 0 | 0.003 | 0 | -3.971E-09 | 0 | -0.04768 |
| 1306 | 0 | V12V14 | LinStatic | 0 | -0.0135 | 0 | -1.076E-07 | 0 | 0.18799 |
| 1306 | 0.5 | V12V14 | LinStatic | 0 | -0.0135 | 0 | -1.076E-07 | 0 | 0.19472 |
| 1306 | 1 | V12V14 | LinStatic | 0 | -0.0135 | 0 | -1.076E-07 | 0 | 0.20146 |
| 1307 | 0 | V12V14 | LinStatic | 0 | -0.0135 | 0 | -1.076E-07 | 0 | 0.20146 |
| 1307 | 0.5 | V12V14 | LinStatic | 0 | -0.0135 | 0 | -1.076E-07 | 0 | 0.2082 |
| 1307 | 1 | V12V14 | LinStatic | 0 | -0.0135 | 0 | -1.076E-07 | 0 | 0.21493 |
| 1354 | 0 | V12V14 | LinStatic | 0 | 0.0569 | 0 | -0.000002754 | 0 | -0.78373 |
| 1354 | 0.5 | V12V14 | LinStatic | 0 | 0.0569 | 0 | -0.000002754 | 0 | -0.81217 |
| 1354 | 1 | V12V14 | LinStatic | 0 | 0.0569 | 0 | -0.000002754 | 0 | -0.84062 |
| 1355 | 0 | V12V14 | LinStatic | 0 | 0.0569 | 0 | -0.000002754 | 0 | -0.84062 |
| 1355 | 0.5 | V12V14 | LinStatic | 0 | 0.0569 | 0 | -0.000002754 | 0 | -0.86906 |
| 1355 | 1 | V12V14 | LinStatic | 0 | 0.0569 | 0 | -0.000002754 | 0 | -0.89751 |
| 1402 | 0 | V12V14 | LinStatic | 0 | -0.2389 | 0 | -0.00007052 | 0 | 3.2886 |
| 1402 | 0.5 | V12V14 | LinStatic | 0 | -0.2389 | 0 | -0.00007052 | 0 | 3.40805 |
| 1402 | 1 | V12V14 | LinStatic | 0 | -0.2389 | 0 | -0.00007052 | 0 | 3.52749 |
| 1403 | 0 | V12V14 | LinStatic | 0 | -0.2389 | 0 | -0.00007052 | 0 | 3.5275 |
| 1403 | 0.5 | V12V14 | LinStatic | 0 | -0.2389 | 0 | -0.00007052 | 0 | 3.64694 |
| 1403 | 1 | V12V14 | LinStatic | 0 | -0.2389 | 0 | -0.00007052 | 0 | 3.76639 |
| 1450 | 0 | V12V14 | LinStatic | 0 | 1.003 | 0 | -0.00181 | 0 | -13.80431 |
| 1450 | 0.5 | V12V14 | LinStatic | 0 | 1.003 | 0 | -0.00181 | 0 | -14.30581 |
| 1450 | 1 | V12V14 | LinStatic | 0 | 1.003 | 0 | -0.00181 | 0 | -14.8073 |
| 1451 | 0 | V12V14 | LinStatic | 0 | 1.003 | 0 | -0.00181 | 0 | -14.80716 |
| 1451 | 0.5 | V12V14 | LinStatic | 0 | 1.003 | 0 | -0.00181 | 0 | -15.30865 |
| 1451 | 1 | V12V14 | LinStatic | 0 | 1.003 | 0 | -0.00181 | 0 | -15.81015 |
| 1498 | 0 | V12V14 | LinStatic | 0 | -4.206 | 0 | -0.04623 | 0 | 57.94902 |
| 1498 | 0.5 | V12V14 | LinStatic | 0 | -4.206 | 0 | -0.04623 | 0 | 60.052 |
| 1498 | 1 | V12V14 | LinStatic | 0 | -4.206 | 0 | -0.04623 | 0 | 62.15498 |
| 1499 | 0 | V12V14 | LinStatic | 0 | -4.206 | 0 | -0.04623 | 0 | 62.1587 |
| 1499 | 0.5 | V12V14 | LinStatic | 0 | -4.206 | 0 | -0.04623 | 0 | 64.26168 |
| 1499 | 1 | V12V14 | LinStatic | 0 | -4.206 | 0 | -0.04623 | 0 | 66.36466 |
| 1546 | 0 | V12V14 | LinStatic | 0 | 17.7664 | 0 | -1.18378 | 0 | -243.19978 |
| 1546 | 0.5 | V12V14 | LinStatic | 0 | 17.7664 | 0 | -1.18378 | 0 | -252.08298 |
| 1546 | 1 | V12V14 | LinStatic | 0 | 17.7664 | 0 | -1.18378 | 0 | -260.96618 |
| 1547 | 0 | V12V14 | LinStatic | 0 | 17.7664 | 0 | -1.18377 | 0 | -260.87099 |
| 1547 | 0.5 | V12V14 | LinStatic | 0 | 17.7664 | 0 | -1.18377 | 0 | -269.75419 |
| 1547 | 1 | V12V14 | LinStatic | 0 | 17.7664 | 0 | -1.18377 | 0 | -278.63739 |
| 1594 | 0 | V12V14 | LinStatic | 0 | -15.0573 | 0 | 12.79883 | 0 | 1029.71095 |
| 1594 | 0.5 | V12V14 | LinStatic | 0 | -15.0573 | 0 | 12.79883 | 0 | 1037.23962 |
| 1594 | 1 | V12V14 | LinStatic | 0 | -15.0573 | 0 | 12.79883 | 0 | 1044.7683 |
| 1595 | 0 | V12V14 | LinStatic | 0 | 4.5938 | 0 | 11.85683 | 0 | 1043.75893 |
| 1595 | 0.5 | V12V14 | LinStatic | 0 | 4.5938 | 0 | 11.85683 | 0 | 1041.46204 |
| 1595 | 1 | V12V14 | LinStatic | 0 | 4.5938 | 0 | 11.85683 | 0 | 1039.16516 |
| 1642 | 0 | V12V14 | LinStatic | 0 | -0.1531 | 0 | 1.76635 | 0 | -489.63748 |
| 1642 | 0.5 | V12V14 | LinStatic | 0 | -0.1531 | 0 | 1.76635 | 0 | -489.5609 |
| 1642 | 1 | V12V14 | LinStatic | 0 | -0.1531 | 0 | 1.76635 | 0 | -489.48433 |
| 1643 | 0 | V12V14 | LinStatic | 0 | -0.1531 | 0 | 1.76636 | 0 | -489.62643 |
| 1643 | 0.5 | V12V14 | LinStatic | 0 | -0.1531 | 0 | 1.76636 | 0 | -489.54985 |
| 1643 | 1 | V12V14 | LinStatic | 0 | -0.1531 | 0 | 1.76636 | 0 | -489.47328 |
| 1690 | 0 | V12V14 | LinStatic | 0 | 3.9376 | 0 | 0.06898 | 0 | 962.01427 |
| 1690 | 0.5 | V12V14 | LinStatic | 0 | 3.9376 | 0 | 0.06898 | 0 | 960.04546 |
| 1690 | 1 | V12V14 | LinStatic | 0 | 3.9376 | 0 | 0.06898 | 0 | 958.07666 |

**TABLE: Element Forces - Frames**

| Frame | Station | OutputCase | CaseType | P | V2 | V3 | T | M2 | M3 |
|---|---|---|---|---|---|---|---|---|---|
| Text | m | Text | Text | Ton | Ton | Ton | Ton-m | Ton-m | Ton-m |
| 1691 | 0 | V12V14 | LinStatic | 0 | 3.9376 | 0 | 0.06898 | 0 | 958.07111 |
| 1691 | 0.5 | V12V14 | LinStatic | 0 | 3.9376 | 0 | 0.06898 | 0 | 956.1023 |
| 1691 | 1 | V12V14 | LinStatic | 0 | 3.9376 | 0 | 0.06898 | 0 | 954.1335 |
| 1738 | 0 | V12V14 | LinStatic | 0 | -17.5046 | 0 | 0.00269 | 0 | -275.96087 |
| 1738 | 0.5 | V12V14 | LinStatic | 0 | -17.5046 | 0 | 0.00269 | 0 | -267.20856 |
| 1738 | 1 | V12V14 | LinStatic | 0 | -17.5046 | 0 | 0.00269 | 0 | -258.45625 |
| 1739 | 0 | V12V14 | LinStatic | 0 | -17.5046 | 0 | 0.00269 | 0 | -258.45647 |
| 1739 | 0.5 | V12V14 | LinStatic | 0 | -17.5046 | 0 | 0.00269 | 0 | -249.70416 |
| 1739 | 1 | V12V14 | LinStatic | 0 | -17.5046 | 0 | 0.00269 | 0 | -240.95185 |
| 1786 | 0 | V12V14 | LinStatic | 0 | 4.1699 | 0 | 0.00011 | 0 | 65.7403 |
| 1786 | 0.5 | V12V14 | LinStatic | 0 | 4.1699 | 0 | 0.00011 | 0 | 63.65532 |
| 1786 | 1 | V12V14 | LinStatic | 0 | 4.1699 | 0 | 0.00011 | 0 | 61.57035 |
| 1787 | 0 | V12V14 | LinStatic | 0 | 4.1699 | 0 | 0.00011 | 0 | 61.57034 |
| 1787 | 0.5 | V12V14 | LinStatic | 0 | 4.1699 | 0 | 0.00011 | 0 | 59.48536 |
| 1787 | 1 | V12V14 | LinStatic | 0 | 4.1699 | 0 | 0.00011 | 0 | 57.40039 |
| 1834 | 0 | V12V14 | LinStatic | 0 | -0.9934 | 0 | 0.000004109 | 0 | -15.66087 |
| 1834 | 0.5 | V12V14 | LinStatic | 0 | -0.9934 | 0 | 0.000004109 | 0 | -15.16418 |
| 1834 | 1 | V12V14 | LinStatic | 0 | -0.9934 | 0 | 0.000004109 | 0 | -14.66749 |
| 1835 | 0 | V12V14 | LinStatic | 0 | -0.9934 | 0 | 0.000004109 | 0 | -14.66749 |
| 1835 | 0.5 | V12V14 | LinStatic | 0 | -0.9934 | 0 | 0.000004109 | 0 | -14.1708 |
| 1835 | 1 | V12V14 | LinStatic | 0 | -0.9934 | 0 | 0.000004109 | 0 | -13.67411 |
| 1882 | 0 | V12V14 | LinStatic | 0 | 0.2366 | 0 | 1.605E-07 | 0 | 3.73078 |
| 1882 | 0.5 | V12V14 | LinStatic | 0 | 0.2366 | 0 | 1.605E-07 | 0 | 3.61246 |
| 1882 | 1 | V12V14 | LinStatic | 0 | 0.2366 | 0 | 1.605E-07 | 0 | 3.49413 |
| 1883 | 0 | V12V14 | LinStatic | 0 | 0.2366 | 0 | 1.605E-07 | 0 | 3.49413 |
| 1883 | 0.5 | V12V14 | LinStatic | 0 | 0.2366 | 0 | 1.605E-07 | 0 | 3.37581 |
| 1883 | 1 | V12V14 | LinStatic | 0 | 0.2366 | 0 | 1.605E-07 | 0 | 3.25749 |
| 1930 | 0 | V12V14 | LinStatic | 0 | -0.0564 | 0 | 6.268E-09 | 0 | -0.88874 |
| 1930 | 0.5 | V12V14 | LinStatic | 0 | -0.0564 | 0 | 6.268E-09 | 0 | -0.86055 |
| 1930 | 1 | V12V14 | LinStatic | 0 | -0.0564 | 0 | 6.268E-09 | 0 | -0.83236 |
| 1931 | 0 | V12V14 | LinStatic | 0 | -0.0564 | 0 | 6.268E-09 | 0 | -0.83236 |
| 1931 | 0.5 | V12V14 | LinStatic | 0 | -0.0564 | 0 | 6.268E-09 | 0 | -0.80417 |
| 1931 | 1 | V12V14 | LinStatic | 0 | -0.0564 | 0 | 6.268E-09 | 0 | -0.77598 |
| 1978 | 0 | V12V14 | LinStatic | 0 | 0.0134 | 0 | 2.448E-10 | 0 | 0.21163 |
| 1978 | 0.5 | V12V14 | LinStatic | 0 | 0.0134 | 0 | 2.448E-10 | 0 | 0.20491 |
| 1978 | 1 | V12V14 | LinStatic | 0 | 0.0134 | 0 | 2.448E-10 | 0 | 0.19819 |
| 1979 | 0 | V12V14 | LinStatic | 0 | 0.0134 | 0 | 2.448E-10 | 0 | 0.19819 |
| 1979 | 0.5 | V12V14 | LinStatic | 0 | 0.0134 | 0 | 2.448E-10 | 0 | 0.19147 |
| 1979 | 1 | V12V14 | LinStatic | 0 | 0.0134 | 0 | 2.448E-10 | 0 | 0.18475 |
| 2026 | 0 | V12V14 | LinStatic | 0 | -0.0032 | 0 | 9.563E-12 | 0 | -0.05003 |
| 2026 | 0.5 | V12V14 | LinStatic | 0 | -0.0032 | 0 | 9.563E-12 | 0 | -0.04842 |
| 2026 | 1 | V12V14 | LinStatic | 0 | -0.0032 | 0 | 9.563E-12 | 0 | -0.0468 |
| 2027 | 0 | V12V14 | LinStatic | 0 | -0.0032 | 0 | 9.563E-12 | 0 | -0.0468 |
| 2027 | 0.5 | V12V14 | LinStatic | 0 | -0.0032 | 0 | 9.563E-12 | 0 | -0.04519 |
| 2027 | 1 | V12V14 | LinStatic | 0 | -0.0032 | 0 | 9.563E-12 | 0 | -0.04357 |
| 2072 | 0 | V12V14 | LinStatic | 0 | 0.0007868 | 0 | 4.306E-13 | 0 | 0.01416 |
| 2072 | 0.5 | V12V14 | LinStatic | 0 | 0.0007868 | 0 | 4.306E-13 | 0 | 0.01377 |
| 2072 | 1 | V12V14 | LinStatic | 0 | 0.0007868 | 0 | 4.306E-13 | 0 | 0.01338 |
| 2107 | 0 | V12V14 | LinStatic | 0 | 0.00001102 | 0 | -1.007E-14 | 0 | -0.00019 |
| 2107 | 0.5 | V12V14 | LinStatic | 0 | 0.00001102 | 0 | -1.007E-14 | 0 | -0.00019 |
| 2107 | 1 | V12V14 | LinStatic | 0 | 0.00001102 | 0 | -1.007E-14 | 0 | -0.0002 |
| 2152 | 0 | V12V14 | LinStatic | 0 | -0.00004524 | 0 | -2.237E-13 | 0 | 0.00061 |
| 2152 | 0.5 | V12V14 | LinStatic | 0 | -0.00004524 | 0 | -2.237E-13 | 0 | 0.00063 |
| 2152 | 1 | V12V14 | LinStatic | 0 | -0.00004524 | 0 | -2.237E-13 | 0 | 0.00066 |
| 2153 | 0 | V12V14 | LinStatic | 0 | -0.00004524 | 0 | -2.237E-13 | 0 | 0.00066 |
| 2153 | 0.5 | V12V14 | LinStatic | 0 | -0.00004524 | 0 | -2.237E-13 | 0 | 0.00068 |
| 2153 | 1 | V12V14 | LinStatic | 0 | -0.00004524 | 0 | -2.237E-13 | 0 | 0.0007 |
| 2200 | 0 | V12V14 | LinStatic | 0 | 0.0001883 | 0 | -5.727E-12 | 0 | -0.00259 |
| 2200 | 0.5 | V12V14 | LinStatic | 0 | 0.0001883 | 0 | -5.727E-12 | 0 | -0.00268 |
| 2200 | 1 | V12V14 | LinStatic | 0 | 0.0001883 | 0 | -5.727E-12 | 0 | -0.00278 |
| 2201 | 0 | V12V14 | LinStatic | 0 | 0.0001883 | 0 | -5.727E-12 | 0 | -0.00278 |
| 2201 | 0.5 | V12V14 | LinStatic | 0 | 0.0001883 | 0 | -5.727E-12 | 0 | -0.00287 |
| 2201 | 1 | V12V14 | LinStatic | 0 | 0.0001883 | 0 | -5.727E-12 | 0 | -0.00297 |
| 2249 | 0 | V12V14 | LinStatic | 0 | -0.0007208 | 0 | -1.466E-10 | 0 | 0.01 |
| 2249 | 0.5 | V12V14 | LinStatic | 0 | -0.0007208 | 0 | -1.466E-10 | 0 | 0.01036 |
| 2249 | 1 | V12V14 | LinStatic | 0 | -0.0007208 | 0 | -1.466E-10 | 0 | 0.01072 |
| 2301 | 0 | V12V14 | LinStatic | 0 | 0.003 | 0 | -3.971E-09 | 0 | -0.04471 |
| 2301 | 0.5 | V12V14 | LinStatic | 0 | 0.003 | 0 | -3.971E-09 | 0 | -0.04619 |
| 2301 | 1 | V12V14 | LinStatic | 0 | 0.003 | 0 | -3.971E-09 | 0 | -0.04768 |
| 2350 | 0 | V12V14 | LinStatic | 0 | -0.0135 | 0 | -1.076E-07 | 0 | 0.18799 |
| 2350 | 0.5 | V12V14 | LinStatic | 0 | -0.0135 | 0 | -1.076E-07 | 0 | 0.19472 |
| 2350 | 1 | V12V14 | LinStatic | 0 | -0.0135 | 0 | -1.076E-07 | 0 | 0.20146 |
| 2351 | 0 | V12V14 | LinStatic | 0 | -0.0135 | 0 | -1.076E-07 | 0 | 0.20146 |
| 2351 | 0.5 | V12V14 | LinStatic | 0 | -0.0135 | 0 | -1.076E-07 | 0 | 0.2082 |
| 2351 | 1 | V12V14 | LinStatic | 0 | -0.0135 | 0 | -1.076E-07 | 0 | 0.21493 |
| 2398 | 0 | V12V14 | LinStatic | 0 | 0.0569 | 0 | -0.000002754 | 0 | -0.78373 |
| 2398 | 0.5 | V12V14 | LinStatic | 0 | 0.0569 | 0 | -0.000002754 | 0 | -0.81217 |
| 2398 | 1 | V12V14 | LinStatic | 0 | 0.0569 | 0 | -0.000002754 | 0 | -0.84062 |
| 2399 | 0 | V12V14 | LinStatic | 0 | 0.0569 | 0 | -0.000002754 | 0 | -0.84062 |
| 2399 | 0.5 | V12V14 | LinStatic | 0 | 0.0569 | 0 | -0.000002754 | 0 | -0.86906 |
| 2399 | 1 | V12V14 | LinStatic | 0 | 0.0569 | 0 | -0.000002754 | 0 | -0.89751 |
| 2446 | 0 | V12V14 | LinStatic | 0 | -0.2389 | 0 | -0.00007052 | 0 | 3.2886 |
| 2446 | 0.5 | V12V14 | LinStatic | 0 | -0.2389 | 0 | -0.00007052 | 0 | 3.40805 |

**TABLE: Element Forces - Frames**

| Frame | Station | OutputCase | CaseType | P | V2 | V3 | T | M2 | M3 |
|---|---|---|---|---|---|---|---|---|---|
| Text | m | Text | Text | Ton | Ton | Ton | Ton-m | Ton-m | Ton-m |
| 2446 | 1 | V12V14 | LinStatic | 0 | -0.2389 | 0 | -0.00007052 | 0 | 3.5275 |
| 2447 | 0 | V12V14 | LinStatic | 0 | -0.2389 | 0 | -0.00007052 | 0 | 3.52749 |
| 2447 | 0.5 | V12V14 | LinStatic | 0 | -0.2389 | 0 | -0.00007052 | 0 | 3.64694 |
| 2447 | 1 | V12V14 | LinStatic | 0 | -0.2389 | 0 | -0.00007052 | 0 | 3.7664 |
| 2494 | 0 | V12V14 | LinStatic | 0 | 1.0027 | 0 | -0.00181 | 0 | -13.80446 |
| 2494 | 0.5 | V12V14 | LinStatic | 0 | 1.0027 | 0 | -0.00181 | 0 | -14.30581 |
| 2494 | 1 | V12V14 | LinStatic | 0 | 1.0027 | 0 | -0.00181 | 0 | -14.80716 |
| 2495 | 0 | V12V14 | LinStatic | 0 | 1.0027 | 0 | -0.00181 | 0 | -14.8073 |
| 2495 | 0.5 | V12V14 | LinStatic | 0 | 1.0027 | 0 | -0.00181 | 0 | -15.30865 |
| 2495 | 1 | V12V14 | LinStatic | 0 | 1.0027 | 0 | -0.00181 | 0 | -15.81 |
| 2542 | 0 | V12V14 | LinStatic | 0 | -4.2134 | 0 | -0.04623 | 0 | 57.94532 |
| 2542 | 0.5 | V12V14 | LinStatic | 0 | -4.2134 | 0 | -0.04623 | 0 | 60.05202 |
| 2542 | 1 | V12V14 | LinStatic | 0 | -4.2134 | 0 | -0.04623 | 0 | 62.15872 |
| 2543 | 0 | V12V14 | LinStatic | 0 | -4.2134 | 0 | -0.04623 | 0 | 62.155 |
| 2543 | 0.5 | V12V14 | LinStatic | 0 | -4.2134 | 0 | -0.04623 | 0 | 64.2617 |
| 2543 | 1 | V12V14 | LinStatic | 0 | -4.2134 | 0 | -0.04623 | 0 | 66.3684 |
| 2590 | 0 | V12V14 | LinStatic | 0 | 17.5759 | 0 | -1.18378 | 0 | -243.29462 |
| 2590 | 0.5 | V12V14 | LinStatic | 0 | 17.5759 | 0 | -1.18378 | 0 | -252.08257 |
| 2590 | 1 | V12V14 | LinStatic | 0 | 17.5759 | 0 | -1.18378 | 0 | -260.87052 |
| 2591 | 0 | V12V14 | LinStatic | 0 | 17.5759 | 0 | -1.18377 | 0 | -260.96571 |
| 2591 | 0.5 | V12V14 | LinStatic | 0 | 17.5759 | 0 | -1.18377 | 0 | -269.75366 |
| 2591 | 1 | V12V14 | LinStatic | 0 | 17.5759 | 0 | -1.18377 | 0 | -278.5416 |
| 2638 | 0 | V12V14 | LinStatic | 0 | -13.3512 | 0 | 12.79883 | 0 | 1027.63404 |
| 2638 | 0.5 | V12V14 | LinStatic | 0 | -13.3512 | 0 | 12.79883 | 0 | 1034.30965 |
| 2638 | 1 | V12V14 | LinStatic | 0 | -13.3512 | 0 | 12.79883 | 0 | 1040.98525 |
| 2639 | 0 | V12V14 | LinStatic | 0 | 6.9977 | 0 | 11.85683 | 0 | 1041.99462 |
| 2639 | 0.5 | V12V14 | LinStatic | 0 | 6.9977 | 0 | 11.85683 | 0 | 1038.49578 |
| 2639 | 1 | V12V14 | LinStatic | 0 | 6.9977 | 0 | 11.85683 | 0 | 1034.99694 |
| 2686 | 0 | V12V14 | LinStatic | 0 | 0.131 | 0 | 1.76635 | 0 | -489.49537 |
| 2686 | 0.5 | V12V14 | LinStatic | 0 | 0.131 | 0 | 1.76635 | 0 | -489.56089 |
| 2686 | 1 | V12V14 | LinStatic | 0 | 0.131 | 0 | 1.76635 | 0 | -489.62641 |
| 2687 | 0 | V12V14 | LinStatic | 0 | 0.131 | 0 | 1.76636 | 0 | -489.48432 |
| 2687 | 0.5 | V12V14 | LinStatic | 0 | 0.131 | 0 | 1.76636 | 0 | -489.54984 |
| 2687 | 1 | V12V14 | LinStatic | 0 | 0.131 | 0 | 1.76636 | 0 | -489.61536 |
| 2734 | 0 | V12V14 | LinStatic | 0 | 3.9487 | 0 | 0.06898 | 0 | 962.01986 |
| 2734 | 0.5 | V12V14 | LinStatic | 0 | 3.9487 | 0 | 0.06898 | 0 | 960.0455 |
| 2734 | 1 | V12V14 | LinStatic | 0 | 3.9487 | 0 | 0.06898 | 0 | 958.07114 |
| 2735 | 0 | V12V14 | LinStatic | 0 | 3.9487 | 0 | 0.06898 | 0 | 958.07669 |
| 2735 | 0.5 | V12V14 | LinStatic | 0 | 3.9487 | 0 | 0.06898 | 0 | 956.10233 |
| 2735 | 1 | V12V14 | LinStatic | 0 | 3.9487 | 0 | 0.06898 | 0 | 954.12797 |
| 2782 | 0 | V12V14 | LinStatic | 0 | -17.5042 | 0 | 0.00269 | 0 | -275.96066 |
| 2782 | 0.5 | V12V14 | LinStatic | 0 | -17.5042 | 0 | 0.00269 | 0 | -267.20856 |
| 2782 | 1 | V12V14 | LinStatic | 0 | -17.5042 | 0 | 0.00269 | 0 | -258.45647 |
| 2783 | 0 | V12V14 | LinStatic | 0 | -17.5042 | 0 | 0.00269 | 0 | -258.45625 |
| 2783 | 0.5 | V12V14 | LinStatic | 0 | -17.5042 | 0 | 0.00269 | 0 | -249.70416 |
| 2783 | 1 | V12V14 | LinStatic | 0 | -17.5042 | 0 | 0.00269 | 0 | -240.95207 |
| 2830 | 0 | V12V14 | LinStatic | 0 | 4.17 | 0 | 0.00011 | 0 | 65.7403 |
| 2830 | 0.5 | V12V14 | LinStatic | 0 | 4.17 | 0 | 0.00011 | 0 | 63.65532 |
| 2830 | 1 | V12V14 | LinStatic | 0 | 4.17 | 0 | 0.00011 | 0 | 61.57034 |
| 2831 | 0 | V12V14 | LinStatic | 0 | 4.17 | 0 | 0.00011 | 0 | 61.57035 |
| 2831 | 0.5 | V12V14 | LinStatic | 0 | 4.17 | 0 | 0.00011 | 0 | 59.48536 |
| 2831 | 1 | V12V14 | LinStatic | 0 | 4.17 | 0 | 0.00011 | 0 | 57.40038 |
| 2878 | 0 | V12V14 | LinStatic | 0 | -0.9934 | 0 | 0.000004109 | 0 | -15.66087 |
| 2878 | 0.5 | V12V14 | LinStatic | 0 | -0.9934 | 0 | 0.000004109 | 0 | -15.16418 |
| 2878 | 1 | V12V14 | LinStatic | 0 | -0.9934 | 0 | 0.000004109 | 0 | -14.66749 |
| 2879 | 0 | V12V14 | LinStatic | 0 | -0.9934 | 0 | 0.000004109 | 0 | -14.66749 |
| 2879 | 0.5 | V12V14 | LinStatic | 0 | -0.9934 | 0 | 0.000004109 | 0 | -14.1708 |
| 2879 | 1 | V12V14 | LinStatic | 0 | -0.9934 | 0 | 0.000004109 | 0 | -13.67411 |
| 2926 | 0 | V12V14 | LinStatic | 0 | 0.2366 | 0 | 1.605E-07 | 0 | 3.73078 |
| 2926 | 0.5 | V12V14 | LinStatic | 0 | 0.2366 | 0 | 1.605E-07 | 0 | 3.61246 |
| 2926 | 1 | V12V14 | LinStatic | 0 | 0.2366 | 0 | 1.605E-07 | 0 | 3.49413 |
| 2927 | 0 | V12V14 | LinStatic | 0 | 0.2366 | 0 | 1.605E-07 | 0 | 3.49413 |
| 2927 | 0.5 | V12V14 | LinStatic | 0 | 0.2366 | 0 | 1.605E-07 | 0 | 3.37581 |
| 2927 | 1 | V12V14 | LinStatic | 0 | 0.2366 | 0 | 1.605E-07 | 0 | 3.25749 |
| 2974 | 0 | V12V14 | LinStatic | 0 | -0.0564 | 0 | 6.268E-09 | 0 | -0.88874 |
| 2974 | 0.5 | V12V14 | LinStatic | 0 | -0.0564 | 0 | 6.268E-09 | 0 | -0.86055 |
| 2974 | 1 | V12V14 | LinStatic | 0 | -0.0564 | 0 | 6.268E-09 | 0 | -0.83236 |
| 2975 | 0 | V12V14 | LinStatic | 0 | -0.0564 | 0 | 6.268E-09 | 0 | -0.83236 |
| 2975 | 0.5 | V12V14 | LinStatic | 0 | -0.0564 | 0 | 6.268E-09 | 0 | -0.80417 |
| 2975 | 1 | V12V14 | LinStatic | 0 | -0.0564 | 0 | 6.268E-09 | 0 | -0.77598 |
| 3022 | 0 | V12V14 | LinStatic | 0 | 0.0134 | 0 | 2.448E-10 | 0 | 0.21163 |
| 3022 | 0.5 | V12V14 | LinStatic | 0 | 0.0134 | 0 | 2.448E-10 | 0 | 0.20491 |
| 3022 | 1 | V12V14 | LinStatic | 0 | 0.0134 | 0 | 2.448E-10 | 0 | 0.19819 |
| 3023 | 0 | V12V14 | LinStatic | 0 | 0.0134 | 0 | 2.448E-10 | 0 | 0.19819 |
| 3023 | 0.5 | V12V14 | LinStatic | 0 | 0.0134 | 0 | 2.448E-10 | 0 | 0.19147 |
| 3023 | 1 | V12V14 | LinStatic | 0 | 0.0134 | 0 | 2.448E-10 | 0 | 0.18475 |
| 3070 | 0 | V12V14 | LinStatic | 0 | -0.0032 | 0 | 9.563E-12 | 0 | -0.05003 |
| 3070 | 0.5 | V12V14 | LinStatic | 0 | -0.0032 | 0 | 9.563E-12 | 0 | -0.04842 |
| 3070 | 1 | V12V14 | LinStatic | 0 | -0.0032 | 0 | 9.563E-12 | 0 | -0.0468 |
| 3071 | 0 | V12V14 | LinStatic | 0 | -0.0032 | 0 | 9.563E-12 | 0 | -0.0468 |
| 3071 | 0.5 | V12V14 | LinStatic | 0 | -0.0032 | 0 | 9.563E-12 | 0 | -0.04519 |
| 3071 | 1 | V12V14 | LinStatic | 0 | -0.0032 | 0 | 9.563E-12 | 0 | -0.04357 |
| 3116 | 0 | V12V14 | LinStatic | 0 | 0.0007868 | 0 | 4.306E-13 | 0 | 0.01416 |

**TABLE: Element Forces - Frames**

| Frame | Station | OutputCase | CaseType | P | V2 | V3 | T | M2 | M3 |
|---|---|---|---|---|---|---|---|---|---|
| Text | m | Text | Text | Ton | Ton | Ton | Ton-m | Ton-m | Ton-m |
| 3116 | 0.5 | V12V14 | LinStatic | 0 | 0.0007868 | 0 | 4.306E-13 | 0 | 0.01377 |
| 3116 | 1 | V12V14 | LinStatic | 0 | 0.0007868 | 0 | 4.306E-13 | 0 | 0.01338 |
| 1063 | 0 | V13V15 | LinStatic | 0 | -0.000002626 | 0 | -3.931E-16 | 0 | 0.00004464 |
| 1063 | 0.5 | V13V15 | LinStatic | 0 | -0.000002626 | 0 | -3.931E-16 | 0 | 0.00004596 |
| 1063 | 1 | V13V15 | LinStatic | 0 | -0.000002626 | 0 | -3.931E-16 | 0 | 0.00004727 |
| 1108 | 0 | V13V15 | LinStatic | 0 | 0.00001078 | 0 | -8.737E-15 | 0 | -0.00015 |
| 1108 | 0.5 | V13V15 | LinStatic | 0 | 0.00001078 | 0 | -8.737E-15 | 0 | -0.00015 |
| 1108 | 1 | V13V15 | LinStatic | 0 | 0.00001078 | 0 | -8.737E-15 | 0 | -0.00016 |
| 1109 | 0 | V13V15 | LinStatic | 0 | 0.00001078 | 0 | -8.737E-15 | 0 | -0.00016 |
| 1109 | 0.5 | V13V15 | LinStatic | 0 | 0.00001078 | 0 | -8.737E-15 | 0 | -0.00016 |
| 1109 | 1 | V13V15 | LinStatic | 0 | 0.00001078 | 0 | -8.737E-15 | 0 | -0.00017 |
| 1156 | 0 | V13V15 | LinStatic | 0 | -0.00004485 | 0 | -2.237E-13 | 0 | 0.00062 |
| 1156 | 0.5 | V13V15 | LinStatic | 0 | -0.00004485 | 0 | -2.237E-13 | 0 | 0.00064 |
| 1156 | 1 | V13V15 | LinStatic | 0 | -0.00004485 | 0 | -2.237E-13 | 0 | 0.00066 |
| 1157 | 0 | V13V15 | LinStatic | 0 | -0.00004485 | 0 | -2.237E-13 | 0 | 0.00066 |
| 1157 | 0.5 | V13V15 | LinStatic | 0 | -0.00004485 | 0 | -2.237E-13 | 0 | 0.00068 |
| 1157 | 1 | V13V15 | LinStatic | 0 | -0.00004485 | 0 | -2.237E-13 | 0 | 0.00071 |
| 1205 | 0 | V13V15 | LinStatic | 0 | 0.0001717 | 0 | -5.727E-12 | 0 | -0.00238 |
| 1205 | 0.5 | V13V15 | LinStatic | 0 | 0.0001717 | 0 | -5.727E-12 | 0 | -0.00247 |
| 1205 | 1 | V13V15 | LinStatic | 0 | 0.0001717 | 0 | -5.727E-12 | 0 | -0.00255 |
| 1257 | 0 | V13V15 | LinStatic | 0 | -0.0007068 | 0 | -1.551E-10 | 0 | 0.01065 |
| 1257 | 0.5 | V13V15 | LinStatic | 0 | -0.0007068 | 0 | -1.551E-10 | 0 | 0.011 |
| 1257 | 1 | V13V15 | LinStatic | 0 | -0.0007068 | 0 | -1.551E-10 | 0 | 0.01136 |
| 1306 | 0 | V13V15 | LinStatic | 0 | 0.0032 | 0 | -4.201E-09 | 0 | -0.04478 |
| 1306 | 0.5 | V13V15 | LinStatic | 0 | 0.0032 | 0 | -4.201E-09 | 0 | -0.04639 |
| 1306 | 1 | V13V15 | LinStatic | 0 | 0.0032 | 0 | -4.201E-09 | 0 | -0.04799 |
| 1307 | 0 | V13V15 | LinStatic | 0 | 0.0032 | 0 | -4.201E-09 | 0 | -0.04799 |
| 1307 | 0.5 | V13V15 | LinStatic | 0 | 0.0032 | 0 | -4.201E-09 | 0 | -0.0496 |
| 1307 | 1 | V13V15 | LinStatic | 0 | 0.0032 | 0 | -4.201E-09 | 0 | -0.0512 |
| 1354 | 0 | V13V15 | LinStatic | 0 | -0.0136 | 0 | -1.076E-07 | 0 | 0.1867 |
| 1354 | 0.5 | V13V15 | LinStatic | 0 | -0.0136 | 0 | -1.076E-07 | 0 | 0.19348 |
| 1354 | 1 | V13V15 | LinStatic | 0 | -0.0136 | 0 | -1.076E-07 | 0 | 0.20026 |
| 1355 | 0 | V13V15 | LinStatic | 0 | -0.0136 | 0 | -1.076E-07 | 0 | 0.20026 |
| 1355 | 0.5 | V13V15 | LinStatic | 0 | -0.0136 | 0 | -1.076E-07 | 0 | 0.20703 |
| 1355 | 1 | V13V15 | LinStatic | 0 | -0.0136 | 0 | -1.076E-07 | 0 | 0.21381 |
| 1402 | 0 | V13V15 | LinStatic | 0 | 0.0569 | 0 | -0.000002754 | 0 | -0.78342 |
| 1402 | 0.5 | V13V15 | LinStatic | 0 | 0.0569 | 0 | -0.000002754 | 0 | -0.81188 |
| 1402 | 1 | V13V15 | LinStatic | 0 | 0.0569 | 0 | -0.000002754 | 0 | -0.84033 |
| 1403 | 0 | V13V15 | LinStatic | 0 | 0.0569 | 0 | -0.000002754 | 0 | -0.84033 |
| 1403 | 0.5 | V13V15 | LinStatic | 0 | 0.0569 | 0 | -0.000002754 | 0 | -0.86879 |
| 1403 | 1 | V13V15 | LinStatic | 0 | 0.0569 | 0 | -0.000002754 | 0 | -0.89724 |
| 1450 | 0 | V13V15 | LinStatic | 0 | -0.2389 | 0 | -0.00007052 | 0 | 3.28853 |
| 1450 | 0.5 | V13V15 | LinStatic | 0 | -0.2389 | 0 | -0.00007052 | 0 | 3.40798 |
| 1450 | 1 | V13V15 | LinStatic | 0 | -0.2389 | 0 | -0.00007052 | 0 | 3.52743 |
| 1451 | 0 | V13V15 | LinStatic | 0 | -0.2389 | 0 | -0.00007052 | 0 | 3.52743 |
| 1451 | 0.5 | V13V15 | LinStatic | 0 | -0.2389 | 0 | -0.00007052 | 0 | 3.64688 |
| 1451 | 1 | V13V15 | LinStatic | 0 | -0.2389 | 0 | -0.00007052 | 0 | 3.76633 |
| 1498 | 0 | V13V15 | LinStatic | 0 | 1.003 | 0 | -0.00181 | 0 | -13.8043 |
| 1498 | 0.5 | V13V15 | LinStatic | 0 | 1.003 | 0 | -0.00181 | 0 | -14.30579 |
| 1498 | 1 | V13V15 | LinStatic | 0 | 1.003 | 0 | -0.00181 | 0 | -14.80729 |
| 1499 | 0 | V13V15 | LinStatic | 0 | 1.003 | 0 | -0.00181 | 0 | -14.80714 |
| 1499 | 0.5 | V13V15 | LinStatic | 0 | 1.003 | 0 | -0.00181 | 0 | -15.30864 |
| 1499 | 1 | V13V15 | LinStatic | 0 | 1.003 | 0 | -0.00181 | 0 | -15.81013 |
| 1546 | 0 | V13V15 | LinStatic | 0 | -4.206 | 0 | -0.04623 | 0 | 57.94902 |
| 1546 | 0.5 | V13V15 | LinStatic | 0 | -4.206 | 0 | -0.04623 | 0 | 60.052 |
| 1546 | 1 | V13V15 | LinStatic | 0 | -4.206 | 0 | -0.04623 | 0 | 62.15498 |
| 1547 | 0 | V13V15 | LinStatic | 0 | -4.206 | 0 | -0.04623 | 0 | 62.15869 |
| 1547 | 0.5 | V13V15 | LinStatic | 0 | -4.206 | 0 | -0.04623 | 0 | 64.26167 |
| 1547 | 1 | V13V15 | LinStatic | 0 | -4.206 | 0 | -0.04623 | 0 | 66.36465 |
| 1594 | 0 | V13V15 | LinStatic | 0 | 17.7664 | 0 | -1.18378 | 0 | -243.19978 |
| 1594 | 0.5 | V13V15 | LinStatic | 0 | 17.7664 | 0 | -1.18378 | 0 | -252.08298 |
| 1594 | 1 | V13V15 | LinStatic | 0 | 17.7664 | 0 | -1.18378 | 0 | -260.96618 |
| 1595 | 0 | V13V15 | LinStatic | 0 | 17.7664 | 0 | -1.18377 | 0 | -260.87099 |
| 1595 | 0.5 | V13V15 | LinStatic | 0 | 17.7664 | 0 | -1.18377 | 0 | -269.75419 |
| 1595 | 1 | V13V15 | LinStatic | 0 | 17.7664 | 0 | -1.18377 | 0 | -278.63739 |
| 1642 | 0 | V13V15 | LinStatic | 0 | -15.0573 | 0 | 12.79883 | 0 | 1029.71095 |
| 1642 | 0.5 | V13V15 | LinStatic | 0 | -15.0573 | 0 | 12.79883 | 0 | 1037.23962 |
| 1642 | 1 | V13V15 | LinStatic | 0 | -15.0573 | 0 | 12.79883 | 0 | 1044.7683 |
| 1643 | 0 | V13V15 | LinStatic | 0 | 4.5938 | 0 | 11.85683 | 0 | 1043.75893 |
| 1643 | 0.5 | V13V15 | LinStatic | 0 | 4.5938 | 0 | 11.85683 | 0 | 1041.46204 |
| 1643 | 1 | V13V15 | LinStatic | 0 | 4.5938 | 0 | 11.85683 | 0 | 1039.16516 |
| 1690 | 0 | V13V15 | LinStatic | 0 | -0.1531 | 0 | 1.76635 | 0 | -489.63748 |
| 1690 | 0.5 | V13V15 | LinStatic | 0 | -0.1531 | 0 | 1.76635 | 0 | -489.5609 |
| 1690 | 1 | V13V15 | LinStatic | 0 | -0.1531 | 0 | 1.76635 | 0 | -489.48433 |
| 1691 | 0 | V13V15 | LinStatic | 0 | -0.1531 | 0 | 1.76636 | 0 | -489.62643 |
| 1691 | 0.5 | V13V15 | LinStatic | 0 | -0.1531 | 0 | 1.76636 | 0 | -489.54985 |
| 1691 | 1 | V13V15 | LinStatic | 0 | -0.1531 | 0 | 1.76636 | 0 | -489.47328 |
| 1738 | 0 | V13V15 | LinStatic | 0 | 3.9376 | 0 | 0.06898 | 0 | 962.01427 |
| 1738 | 0.5 | V13V15 | LinStatic | 0 | 3.9376 | 0 | 0.06898 | 0 | 960.04546 |
| 1738 | 1 | V13V15 | LinStatic | 0 | 3.9376 | 0 | 0.06898 | 0 | 958.07666 |
| 1739 | 0 | V13V15 | LinStatic | 0 | 3.9376 | 0 | 0.06898 | 0 | 958.07111 |
| 1739 | 0.5 | V13V15 | LinStatic | 0 | 3.9376 | 0 | 0.06898 | 0 | 956.1023 |
| 1739 | 1 | V13V15 | LinStatic | 0 | 3.9376 | 0 | 0.06898 | 0 | 954.1335 |

**TABLE: Element Forces - Frames**

| Frame | Station | OutputCase | CaseType | P | V2 | V3 | T | M2 | M3 |
|---|---|---|---|---|---|---|---|---|---|
| Text | m | Text | Text | Ton | Ton | Ton | Ton-m | Ton-m | Ton-m |
| 1786 | 0 | V13V15 | LinStatic | 0 | -17.5046 | 0 | 0.00269 | 0 | -275.96087 |
| 1786 | 0.5 | V13V15 | LinStatic | 0 | -17.5046 | 0 | 0.00269 | 0 | -267.20856 |
| 1786 | 1 | V13V15 | LinStatic | 0 | -17.5046 | 0 | 0.00269 | 0 | -258.45625 |
| 1787 | 0 | V13V15 | LinStatic | 0 | -17.5046 | 0 | 0.00269 | 0 | -258.45647 |
| 1787 | 0.5 | V13V15 | LinStatic | 0 | -17.5046 | 0 | 0.00269 | 0 | -249.70416 |
| 1787 | 1 | V13V15 | LinStatic | 0 | -17.5046 | 0 | 0.00269 | 0 | -240.95185 |
| 1834 | 0 | V13V15 | LinStatic | 0 | 4.1699 | 0 | 0.00011 | 0 | 65.74029 |
| 1834 | 0.5 | V13V15 | LinStatic | 0 | 4.1699 | 0 | 0.00011 | 0 | 63.65532 |
| 1834 | 1 | V13V15 | LinStatic | 0 | 4.1699 | 0 | 0.00011 | 0 | 61.57034 |
| 1835 | 0 | V13V15 | LinStatic | 0 | 4.1699 | 0 | 0.00011 | 0 | 61.57033 |
| 1835 | 0.5 | V13V15 | LinStatic | 0 | 4.1699 | 0 | 0.00011 | 0 | 59.48536 |
| 1835 | 1 | V13V15 | LinStatic | 0 | 4.1699 | 0 | 0.00011 | 0 | 57.40038 |
| 1882 | 0 | V13V15 | LinStatic | 0 | -0.9934 | 0 | 0.000004109 | 0 | -15.66085 |
| 1882 | 0.5 | V13V15 | LinStatic | 0 | -0.9934 | 0 | 0.000004109 | 0 | -15.16416 |
| 1882 | 1 | V13V15 | LinStatic | 0 | -0.9934 | 0 | 0.000004109 | 0 | -14.66747 |
| 1883 | 0 | V13V15 | LinStatic | 0 | -0.9934 | 0 | 0.000004109 | 0 | -14.66747 |
| 1883 | 0.5 | V13V15 | LinStatic | 0 | -0.9934 | 0 | 0.000004109 | 0 | -14.17078 |
| 1883 | 1 | V13V15 | LinStatic | 0 | -0.9934 | 0 | 0.000004109 | 0 | -13.67409 |
| 1930 | 0 | V13V15 | LinStatic | 0 | 0.2367 | 0 | 1.605E-07 | 0 | 3.73069 |
| 1930 | 0.5 | V13V15 | LinStatic | 0 | 0.2367 | 0 | 1.605E-07 | 0 | 3.61236 |
| 1930 | 1 | V13V15 | LinStatic | 0 | 0.2367 | 0 | 1.605E-07 | 0 | 3.49404 |
| 1931 | 0 | V13V15 | LinStatic | 0 | 0.2367 | 0 | 1.605E-07 | 0 | 3.49404 |
| 1931 | 0.5 | V13V15 | LinStatic | 0 | 0.2367 | 0 | 1.605E-07 | 0 | 3.37571 |
| 1931 | 1 | V13V15 | LinStatic | 0 | 0.2367 | 0 | 1.605E-07 | 0 | 3.25738 |
| 1978 | 0 | V13V15 | LinStatic | 0 | -0.0564 | 0 | 6.268E-09 | 0 | -0.88836 |
| 1978 | 0.5 | V13V15 | LinStatic | 0 | -0.0564 | 0 | 6.268E-09 | 0 | -0.86015 |
| 1978 | 1 | V13V15 | LinStatic | 0 | -0.0564 | 0 | 6.268E-09 | 0 | -0.83195 |
| 1979 | 0 | V13V15 | LinStatic | 0 | -0.0564 | 0 | 6.268E-09 | 0 | -0.83195 |
| 1979 | 0.5 | V13V15 | LinStatic | 0 | -0.0564 | 0 | 6.268E-09 | 0 | -0.80375 |
| 1979 | 1 | V13V15 | LinStatic | 0 | -0.0564 | 0 | 6.268E-09 | 0 | -0.77555 |
| 2026 | 0 | V13V15 | LinStatic | 0 | 0.0136 | 0 | 2.449E-10 | 0 | 0.21002 |
| 2026 | 0.5 | V13V15 | LinStatic | 0 | 0.0136 | 0 | 2.449E-10 | 0 | 0.20325 |
| 2026 | 1 | V13V15 | LinStatic | 0 | 0.0136 | 0 | 2.449E-10 | 0 | 0.19647 |
| 2027 | 0 | V13V15 | LinStatic | 0 | 0.0136 | 0 | 2.449E-10 | 0 | 0.19647 |
| 2027 | 0.5 | V13V15 | LinStatic | 0 | 0.0136 | 0 | 2.449E-10 | 0 | 0.18969 |
| 2027 | 1 | V13V15 | LinStatic | 0 | 0.0136 | 0 | 2.449E-10 | 0 | 0.18292 |
| 2072 | 0 | V13V15 | LinStatic | 0 | -0.0033 | 0 | 1.103E-11 | 0 | -0.05945 |
| 2072 | 0.5 | V13V15 | LinStatic | 0 | -0.0033 | 0 | 1.103E-11 | 0 | -0.0578 |
| 2072 | 1 | V13V15 | LinStatic | 0 | -0.0033 | 0 | 1.103E-11 | 0 | -0.05615 |
| 2107 | 0 | V13V15 | LinStatic | 0 | -0.000002626 | 0 | -3.932E-16 | 0 | 0.00004464 |
| 2107 | 0.5 | V13V15 | LinStatic | 0 | -0.000002626 | 0 | -3.932E-16 | 0 | 0.00004596 |
| 2107 | 1 | V13V15 | LinStatic | 0 | -0.000002626 | 0 | -3.932E-16 | 0 | 0.00004727 |
| 2152 | 0 | V13V15 | LinStatic | 0 | 0.00001078 | 0 | -8.737E-15 | 0 | -0.00015 |
| 2152 | 0.5 | V13V15 | LinStatic | 0 | 0.00001078 | 0 | -8.737E-15 | 0 | -0.00015 |
| 2152 | 1 | V13V15 | LinStatic | 0 | 0.00001078 | 0 | -8.737E-15 | 0 | -0.00016 |
| 2153 | 0 | V13V15 | LinStatic | 0 | 0.00001078 | 0 | -8.737E-15 | 0 | -0.00016 |
| 2153 | 0.5 | V13V15 | LinStatic | 0 | 0.00001078 | 0 | -8.737E-15 | 0 | -0.00016 |
| 2153 | 1 | V13V15 | LinStatic | 0 | 0.00001078 | 0 | -8.737E-15 | 0 | -0.00017 |
| 2200 | 0 | V13V15 | LinStatic | 0 | -0.00004485 | 0 | -2.237E-13 | 0 | 0.00062 |
| 2200 | 0.5 | V13V15 | LinStatic | 0 | -0.00004485 | 0 | -2.237E-13 | 0 | 0.00064 |
| 2200 | 1 | V13V15 | LinStatic | 0 | -0.00004485 | 0 | -2.237E-13 | 0 | 0.00066 |
| 2201 | 0 | V13V15 | LinStatic | 0 | -0.00004485 | 0 | -2.237E-13 | 0 | 0.00066 |
| 2201 | 0.5 | V13V15 | LinStatic | 0 | -0.00004485 | 0 | -2.237E-13 | 0 | 0.00068 |
| 2201 | 1 | V13V15 | LinStatic | 0 | -0.00004485 | 0 | -2.237E-13 | 0 | 0.00071 |
| 2249 | 0 | V13V15 | LinStatic | 0 | 0.0001717 | 0 | -5.727E-12 | 0 | -0.00238 |
| 2249 | 0.5 | V13V15 | LinStatic | 0 | 0.0001717 | 0 | -5.727E-12 | 0 | -0.00247 |
| 2249 | 1 | V13V15 | LinStatic | 0 | 0.0001717 | 0 | -5.727E-12 | 0 | -0.00255 |
| 2301 | 0 | V13V15 | LinStatic | 0 | -0.0007068 | 0 | -1.551E-10 | 0 | 0.01065 |
| 2301 | 0.5 | V13V15 | LinStatic | 0 | -0.0007068 | 0 | -1.551E-10 | 0 | 0.011 |
| 2301 | 1 | V13V15 | LinStatic | 0 | -0.0007068 | 0 | -1.551E-10 | 0 | 0.01136 |
| 2350 | 0 | V13V15 | LinStatic | 0 | 0.0032 | 0 | -4.201E-09 | 0 | -0.04478 |
| 2350 | 0.5 | V13V15 | LinStatic | 0 | 0.0032 | 0 | -4.201E-09 | 0 | -0.04639 |
| 2350 | 1 | V13V15 | LinStatic | 0 | 0.0032 | 0 | -4.201E-09 | 0 | -0.04799 |
| 2351 | 0 | V13V15 | LinStatic | 0 | 0.0032 | 0 | -4.201E-09 | 0 | -0.04799 |
| 2351 | 0.5 | V13V15 | LinStatic | 0 | 0.0032 | 0 | -4.201E-09 | 0 | -0.0496 |
| 2351 | 1 | V13V15 | LinStatic | 0 | 0.0032 | 0 | -4.201E-09 | 0 | -0.0512 |
| 2398 | 0 | V13V15 | LinStatic | 0 | -0.0136 | 0 | -1.076E-07 | 0 | 0.1867 |
| 2398 | 0.5 | V13V15 | LinStatic | 0 | -0.0136 | 0 | -1.076E-07 | 0 | 0.19348 |
| 2398 | 1 | V13V15 | LinStatic | 0 | -0.0136 | 0 | -1.076E-07 | 0 | 0.20026 |
| 2399 | 0 | V13V15 | LinStatic | 0 | -0.0136 | 0 | -1.076E-07 | 0 | 0.20026 |
| 2399 | 0.5 | V13V15 | LinStatic | 0 | -0.0136 | 0 | -1.076E-07 | 0 | 0.20703 |
| 2399 | 1 | V13V15 | LinStatic | 0 | -0.0136 | 0 | -1.076E-07 | 0 | 0.21381 |
| 2446 | 0 | V13V15 | LinStatic | 0 | 0.0569 | 0 | -0.000002754 | 0 | -0.78342 |
| 2446 | 0.5 | V13V15 | LinStatic | 0 | 0.0569 | 0 | -0.000002754 | 0 | -0.81188 |
| 2446 | 1 | V13V15 | LinStatic | 0 | 0.0569 | 0 | -0.000002754 | 0 | -0.84033 |
| 2447 | 0 | V13V15 | LinStatic | 0 | 0.0569 | 0 | -0.000002754 | 0 | -0.84033 |
| 2447 | 0.5 | V13V15 | LinStatic | 0 | 0.0569 | 0 | -0.000002754 | 0 | -0.86879 |
| 2447 | 1 | V13V15 | LinStatic | 0 | 0.0569 | 0 | -0.000002754 | 0 | -0.89724 |
| 2494 | 0 | V13V15 | LinStatic | 0 | -0.2389 | 0 | -0.00007052 | 0 | 3.28852 |
| 2494 | 0.5 | V13V15 | LinStatic | 0 | -0.2389 | 0 | -0.00007052 | 0 | 3.40798 |
| 2494 | 1 | V13V15 | LinStatic | 0 | -0.2389 | 0 | -0.00007052 | 0 | 3.52743 |
| 2495 | 0 | V13V15 | LinStatic | 0 | -0.2389 | 0 | -0.00007052 | 0 | 3.52743 |
| 2495 | 0.5 | V13V15 | LinStatic | 0 | -0.2389 | 0 | -0.00007052 | 0 | 3.64688 |

**TABLE: Element Forces - Frames**

| Frame | Station | OutputCase | CaseType | P | V2 | V3 | T | M2 | M3 |
|---|---|---|---|---|---|---|---|---|---|
| Text | m | Text | Text | Ton | Ton | Ton | Ton-m | Ton-m | Ton-m |
| 2495 | 1 | V13V15 | LinStatic | 0 | -0.2389 | 0 | -0.00007052 | 0 | 3.76633 |
| 2542 | 0 | V13V15 | LinStatic | 0 | 1.0027 | 0 | -0.00181 | 0 | -13.80444 |
| 2542 | 0.5 | V13V15 | LinStatic | 0 | 1.0027 | 0 | -0.00181 | 0 | -14.30579 |
| 2542 | 1 | V13V15 | LinStatic | 0 | 1.0027 | 0 | -0.00181 | 0 | -14.80714 |
| 2543 | 0 | V13V15 | LinStatic | 0 | 1.0027 | 0 | -0.00181 | 0 | -14.80729 |
| 2543 | 0.5 | V13V15 | LinStatic | 0 | 1.0027 | 0 | -0.00181 | 0 | -15.30863 |
| 2543 | 1 | V13V15 | LinStatic | 0 | 1.0027 | 0 | -0.00181 | 0 | -15.80998 |
| 2590 | 0 | V13V15 | LinStatic | 0 | -4.2134 | 0 | -0.04623 | 0 | 57.94532 |
| 2590 | 0.5 | V13V15 | LinStatic | 0 | -4.2134 | 0 | -0.04623 | 0 | 60.05202 |
| 2590 | 1 | V13V15 | LinStatic | 0 | -4.2134 | 0 | -0.04623 | 0 | 62.15872 |
| 2591 | 0 | V13V15 | LinStatic | 0 | -4.2134 | 0 | -0.04623 | 0 | 62.155 |
| 2591 | 0.5 | V13V15 | LinStatic | 0 | -4.2134 | 0 | -0.04623 | 0 | 64.2617 |
| 2591 | 1 | V13V15 | LinStatic | 0 | -4.2134 | 0 | -0.04623 | 0 | 66.3684 |
| 2638 | 0 | V13V15 | LinStatic | 0 | 17.5759 | 0 | -1.18378 | 0 | -243.29462 |
| 2638 | 0.5 | V13V15 | LinStatic | 0 | 17.5759 | 0 | -1.18378 | 0 | -252.08257 |
| 2638 | 1 | V13V15 | LinStatic | 0 | 17.5759 | 0 | -1.18378 | 0 | -260.87052 |
| 2639 | 0 | V13V15 | LinStatic | 0 | 17.5759 | 0 | -1.18377 | 0 | -260.96571 |
| 2639 | 0.5 | V13V15 | LinStatic | 0 | 17.5759 | 0 | -1.18377 | 0 | -269.75365 |
| 2639 | 1 | V13V15 | LinStatic | 0 | 17.5759 | 0 | -1.18377 | 0 | -278.5416 |
| 2686 | 0 | V13V15 | LinStatic | 0 | -13.3512 | 0 | 12.79883 | 0 | 1027.63404 |
| 2686 | 0.5 | V13V15 | LinStatic | 0 | -13.3512 | 0 | 12.79883 | 0 | 1034.30965 |
| 2686 | 1 | V13V15 | LinStatic | 0 | -13.3512 | 0 | 12.79883 | 0 | 1040.98525 |
| 2687 | 0 | V13V15 | LinStatic | 0 | 6.9977 | 0 | 11.85683 | 0 | 1041.99462 |
| 2687 | 0.5 | V13V15 | LinStatic | 0 | 6.9977 | 0 | 11.85683 | 0 | 1038.49578 |
| 2687 | 1 | V13V15 | LinStatic | 0 | 6.9977 | 0 | 11.85683 | 0 | 1034.99694 |
| 2734 | 0 | V13V15 | LinStatic | 0 | 0.131 | 0 | 1.76635 | 0 | -489.49537 |
| 2734 | 0.5 | V13V15 | LinStatic | 0 | 0.131 | 0 | 1.76635 | 0 | -489.56089 |
| 2734 | 1 | V13V15 | LinStatic | 0 | 0.131 | 0 | 1.76635 | 0 | -489.62641 |
| 2735 | 0 | V13V15 | LinStatic | 0 | 0.131 | 0 | 1.76636 | 0 | -489.48432 |
| 2735 | 0.5 | V13V15 | LinStatic | 0 | 0.131 | 0 | 1.76636 | 0 | -489.54984 |
| 2735 | 1 | V13V15 | LinStatic | 0 | 0.131 | 0 | 1.76636 | 0 | -489.61536 |
| 2782 | 0 | V13V15 | LinStatic | 0 | 3.9487 | 0 | 0.06898 | 0 | 962.01986 |
| 2782 | 0.5 | V13V15 | LinStatic | 0 | 3.9487 | 0 | 0.06898 | 0 | 960.0455 |
| 2782 | 1 | V13V15 | LinStatic | 0 | 3.9487 | 0 | 0.06898 | 0 | 958.07114 |
| 2783 | 0 | V13V15 | LinStatic | 0 | 3.9487 | 0 | 0.06898 | 0 | 958.07669 |
| 2783 | 0.5 | V13V15 | LinStatic | 0 | 3.9487 | 0 | 0.06898 | 0 | 956.10233 |
| 2783 | 1 | V13V15 | LinStatic | 0 | 3.9487 | 0 | 0.06898 | 0 | 954.12797 |
| 2830 | 0 | V13V15 | LinStatic | 0 | -17.5042 | 0 | 0.00269 | 0 | -275.96066 |
| 2830 | 0.5 | V13V15 | LinStatic | 0 | -17.5042 | 0 | 0.00269 | 0 | -267.20856 |
| 2830 | 1 | V13V15 | LinStatic | 0 | -17.5042 | 0 | 0.00269 | 0 | -258.45647 |
| 2831 | 0 | V13V15 | LinStatic | 0 | -17.5042 | 0 | 0.00269 | 0 | -258.45625 |
| 2831 | 0.5 | V13V15 | LinStatic | 0 | -17.5042 | 0 | 0.00269 | 0 | -249.70416 |
| 2831 | 1 | V13V15 | LinStatic | 0 | -17.5042 | 0 | 0.00269 | 0 | -240.95206 |
| 2878 | 0 | V13V15 | LinStatic | 0 | 4.17 | 0 | 0.00011 | 0 | 65.7403 |
| 2878 | 0.5 | V13V15 | LinStatic | 0 | 4.17 | 0 | 0.00011 | 0 | 63.65532 |
| 2878 | 1 | V13V15 | LinStatic | 0 | 4.17 | 0 | 0.00011 | 0 | 61.57033 |
| 2879 | 0 | V13V15 | LinStatic | 0 | 4.17 | 0 | 0.00011 | 0 | 61.57034 |
| 2879 | 0.5 | V13V15 | LinStatic | 0 | 4.17 | 0 | 0.00011 | 0 | 59.48536 |
| 2879 | 1 | V13V15 | LinStatic | 0 | 4.17 | 0 | 0.00011 | 0 | 57.40037 |
| 2926 | 0 | V13V15 | LinStatic | 0 | -0.9934 | 0 | 0.000004109 | 0 | -15.66085 |
| 2926 | 0.5 | V13V15 | LinStatic | 0 | -0.9934 | 0 | 0.000004109 | 0 | -15.16416 |
| 2926 | 1 | V13V15 | LinStatic | 0 | -0.9934 | 0 | 0.000004109 | 0 | -14.66747 |
| 2927 | 0 | V13V15 | LinStatic | 0 | -0.9934 | 0 | 0.000004109 | 0 | -14.66747 |
| 2927 | 0.5 | V13V15 | LinStatic | 0 | -0.9934 | 0 | 0.000004109 | 0 | -14.17078 |
| 2927 | 1 | V13V15 | LinStatic | 0 | -0.9934 | 0 | 0.000004109 | 0 | -13.67409 |
| 2974 | 0 | V13V15 | LinStatic | 0 | 0.2367 | 0 | 1.605E-07 | 0 | 3.73069 |
| 2974 | 0.5 | V13V15 | LinStatic | 0 | 0.2367 | 0 | 1.605E-07 | 0 | 3.61236 |
| 2974 | 1 | V13V15 | LinStatic | 0 | 0.2367 | 0 | 1.605E-07 | 0 | 3.49404 |
| 2975 | 0 | V13V15 | LinStatic | 0 | 0.2367 | 0 | 1.605E-07 | 0 | 3.49404 |
| 2975 | 0.5 | V13V15 | LinStatic | 0 | 0.2367 | 0 | 1.605E-07 | 0 | 3.37571 |
| 2975 | 1 | V13V15 | LinStatic | 0 | 0.2367 | 0 | 1.605E-07 | 0 | 3.25738 |
| 3022 | 0 | V13V15 | LinStatic | 0 | -0.0564 | 0 | 6.268E-09 | 0 | -0.88836 |
| 3022 | 0.5 | V13V15 | LinStatic | 0 | -0.0564 | 0 | 6.268E-09 | 0 | -0.86015 |
| 3022 | 1 | V13V15 | LinStatic | 0 | -0.0564 | 0 | 6.268E-09 | 0 | -0.83195 |
| 3023 | 0 | V13V15 | LinStatic | 0 | -0.0564 | 0 | 6.268E-09 | 0 | -0.83195 |
| 3023 | 0.5 | V13V15 | LinStatic | 0 | -0.0564 | 0 | 6.268E-09 | 0 | -0.80375 |
| 3023 | 1 | V13V15 | LinStatic | 0 | -0.0564 | 0 | 6.268E-09 | 0 | -0.77555 |
| 3070 | 0 | V13V15 | LinStatic | 0 | 0.0136 | 0 | 2.449E-10 | 0 | 0.21002 |
| 3070 | 0.5 | V13V15 | LinStatic | 0 | 0.0136 | 0 | 2.449E-10 | 0 | 0.20325 |
| 3070 | 1 | V13V15 | LinStatic | 0 | 0.0136 | 0 | 2.449E-10 | 0 | 0.19647 |
| 3071 | 0 | V13V15 | LinStatic | 0 | 0.0136 | 0 | 2.449E-10 | 0 | 0.19647 |
| 3071 | 0.5 | V13V15 | LinStatic | 0 | 0.0136 | 0 | 2.449E-10 | 0 | 0.18969 |
| 3071 | 1 | V13V15 | LinStatic | 0 | 0.0136 | 0 | 2.449E-10 | 0 | 0.18292 |
| 3116 | 0 | V13V15 | LinStatic | 0 | -0.0033 | 0 | 1.103E-11 | 0 | -0.05945 |
| 3116 | 0.5 | V13V15 | LinStatic | 0 | -0.0033 | 0 | 1.103E-11 | 0 | -0.0578 |
| 3116 | 1 | V13V15 | LinStatic | 0 | -0.0033 | 0 | 1.103E-11 | 0 | -0.05615 |
| 1063 | 0 | V15V17 | LinStatic | 0 | -0.000000149 | 0 | -5.87E-19 | 0 | 0.000002534 |
| 1063 | 0.5 | V15V17 | LinStatic | 0 | -0.000000149 | 0 | -5.87E-19 | 0 | 0.000002608 |
| 1063 | 1 | V15V17 | LinStatic | 0 | -0.000000149 | 0 | -5.87E-19 | 0 | 0.000002683 |
| 1108 | 0 | V15V17 | LinStatic | 0 | 6.116E-07 | 0 | -1.333E-17 | 0 | -0.000008254 |
| 1108 | 0.5 | V15V17 | LinStatic | 0 | 6.116E-07 | 0 | -1.333E-17 | 0 | -0.00000856 |
| 1108 | 1 | V15V17 | LinStatic | 0 | 6.116E-07 | 0 | -1.333E-17 | 0 | -0.000008865 |
| 1109 | 0 | V15V17 | LinStatic | 0 | 6.116E-07 | 0 | -1.333E-17 | 0 | -0.000008865 |

**TABLE: Element Forces - Frames**

| Frame | Station | OutputCase | CaseType | P | V2 | V3 | T | M2 | M3 |
|---|---|---|---|---|---|---|---|---|---|
| Text | m | Text | Text | Ton | Ton | Ton | Ton-m | Ton-m | Ton-m |
| 1109 | 0.5 | V15V17 | LinStatic | 0 | 6.116E-07 | 0 | -1.333E-17 | 0 | -0.000009171 |
| 1109 | 1 | V15V17 | LinStatic | 0 | 6.116E-07 | 0 | -1.333E-17 | 0 | -0.000009477 |
| 1156 | 0 | V15V17 | LinStatic | 0 | -0.000002545 | 0 | -3.412E-16 | 0 | 0.000035 |
| 1156 | 0.5 | V15V17 | LinStatic | 0 | -0.000002545 | 0 | -3.412E-16 | 0 | 0.00003627 |
| 1156 | 1 | V15V17 | LinStatic | 0 | -0.000002545 | 0 | -3.412E-16 | 0 | 0.00003754 |
| 1157 | 0 | V15V17 | LinStatic | 0 | -0.000002545 | 0 | -3.412E-16 | 0 | 0.00003754 |
| 1157 | 0.5 | V15V17 | LinStatic | 0 | -0.000002545 | 0 | -3.412E-16 | 0 | 0.00003881 |
| 1157 | 1 | V15V17 | LinStatic | 0 | -0.000002545 | 0 | -3.412E-16 | 0 | 0.00004009 |
| 1205 | 0 | V15V17 | LinStatic | 0 | 0.000009744 | 0 | -8.735E-15 | 0 | -0.00014 |
| 1205 | 0.5 | V15V17 | LinStatic | 0 | 0.000009744 | 0 | -8.735E-15 | 0 | -0.00014 |
| 1205 | 1 | V15V17 | LinStatic | 0 | 0.000009744 | 0 | -8.735E-15 | 0 | -0.00014 |
| 1257 | 0 | V15V17 | LinStatic | 0 | -0.00004011 | 0 | -2.366E-13 | 0 | 0.0006 |
| 1257 | 0.5 | V15V17 | LinStatic | 0 | -0.00004011 | 0 | -2.366E-13 | 0 | 0.00062 |
| 1257 | 1 | V15V17 | LinStatic | 0 | -0.00004011 | 0 | -2.366E-13 | 0 | 0.00064 |
| 1306 | 0 | V15V17 | LinStatic | 0 | 0.0001821 | 0 | -6.407E-12 | 0 | -0.00254 |
| 1306 | 0.5 | V15V17 | LinStatic | 0 | 0.0001821 | 0 | -6.407E-12 | 0 | -0.00263 |
| 1306 | 1 | V15V17 | LinStatic | 0 | 0.0001821 | 0 | -6.407E-12 | 0 | -0.00272 |
| 1307 | 0 | V15V17 | LinStatic | 0 | 0.0001821 | 0 | -6.407E-12 | 0 | -0.00272 |
| 1307 | 0.5 | V15V17 | LinStatic | 0 | 0.0001821 | 0 | -6.407E-12 | 0 | -0.00281 |
| 1307 | 1 | V15V17 | LinStatic | 0 | 0.0001821 | 0 | -6.407E-12 | 0 | -0.00291 |
| 1354 | 0 | V15V17 | LinStatic | 0 | -0.0007691 | 0 | -1.641E-10 | 0 | 0.0106 |
| 1354 | 0.5 | V15V17 | LinStatic | 0 | -0.0007691 | 0 | -1.641E-10 | 0 | 0.01098 |
| 1354 | 1 | V15V17 | LinStatic | 0 | -0.0007691 | 0 | -1.641E-10 | 0 | 0.01136 |
| 1355 | 0 | V15V17 | LinStatic | 0 | -0.0007691 | 0 | -1.641E-10 | 0 | 0.01136 |
| 1355 | 0.5 | V15V17 | LinStatic | 0 | -0.0007691 | 0 | -1.641E-10 | 0 | 0.01175 |
| 1355 | 1 | V15V17 | LinStatic | 0 | -0.0007691 | 0 | -1.641E-10 | 0 | 0.01213 |
| 1402 | 0 | V15V17 | LinStatic | 0 | 0.0032 | 0 | -4.201E-09 | 0 | -0.04446 |
| 1402 | 0.5 | V15V17 | LinStatic | 0 | 0.0032 | 0 | -4.201E-09 | 0 | -0.04607 |
| 1402 | 1 | V15V17 | LinStatic | 0 | 0.0032 | 0 | -4.201E-09 | 0 | -0.04769 |
| 1403 | 0 | V15V17 | LinStatic | 0 | 0.0032 | 0 | -4.201E-09 | 0 | -0.04769 |
| 1403 | 0.5 | V15V17 | LinStatic | 0 | 0.0032 | 0 | -4.201E-09 | 0 | -0.0493 |
| 1403 | 1 | V15V17 | LinStatic | 0 | 0.0032 | 0 | -4.201E-09 | 0 | -0.05092 |
| 1450 | 0 | V15V17 | LinStatic | 0 | -0.0136 | 0 | -1.076E-07 | 0 | 0.18663 |
| 1450 | 0.5 | V15V17 | LinStatic | 0 | -0.0136 | 0 | -1.076E-07 | 0 | 0.1934 |
| 1450 | 1 | V15V17 | LinStatic | 0 | -0.0136 | 0 | -1.076E-07 | 0 | 0.20018 |
| 1451 | 0 | V15V17 | LinStatic | 0 | -0.0136 | 0 | -1.076E-07 | 0 | 0.20018 |
| 1451 | 0.5 | V15V17 | LinStatic | 0 | -0.0136 | 0 | -1.076E-07 | 0 | 0.20696 |
| 1451 | 1 | V15V17 | LinStatic | 0 | -0.0136 | 0 | -1.076E-07 | 0 | 0.21374 |
| 1498 | 0 | V15V17 | LinStatic | 0 | 0.0569 | 0 | -0.000002754 | 0 | -0.7834 |
| 1498 | 0.5 | V15V17 | LinStatic | 0 | 0.0569 | 0 | -0.000002754 | 0 | -0.81186 |
| 1498 | 1 | V15V17 | LinStatic | 0 | 0.0569 | 0 | -0.000002754 | 0 | -0.84031 |
| 1499 | 0 | V15V17 | LinStatic | 0 | 0.0569 | 0 | -0.000002754 | 0 | -0.84031 |
| 1499 | 0.5 | V15V17 | LinStatic | 0 | 0.0569 | 0 | -0.000002754 | 0 | -0.86877 |
| 1499 | 1 | V15V17 | LinStatic | 0 | 0.0569 | 0 | -0.000002754 | 0 | -0.89723 |
| 1546 | 0 | V15V17 | LinStatic | 0 | -0.2389 | 0 | -0.00007052 | 0 | 3.28853 |
| 1546 | 0.5 | V15V17 | LinStatic | 0 | -0.2389 | 0 | -0.00007052 | 0 | 3.40797 |
| 1546 | 1 | V15V17 | LinStatic | 0 | -0.2389 | 0 | -0.00007052 | 0 | 3.52742 |
| 1547 | 0 | V15V17 | LinStatic | 0 | -0.2389 | 0 | -0.00007052 | 0 | 3.52743 |
| 1547 | 0.5 | V15V17 | LinStatic | 0 | -0.2389 | 0 | -0.00007052 | 0 | 3.64687 |
| 1547 | 1 | V15V17 | LinStatic | 0 | -0.2389 | 0 | -0.00007052 | 0 | 3.76632 |
| 1594 | 0 | V15V17 | LinStatic | 0 | 1.003 | 0 | -0.00181 | 0 | -13.8043 |
| 1594 | 0.5 | V15V17 | LinStatic | 0 | 1.003 | 0 | -0.00181 | 0 | -14.30579 |
| 1594 | 1 | V15V17 | LinStatic | 0 | 1.003 | 0 | -0.00181 | 0 | -14.80729 |
| 1595 | 0 | V15V17 | LinStatic | 0 | 1.003 | 0 | -0.00181 | 0 | -14.80714 |
| 1595 | 0.5 | V15V17 | LinStatic | 0 | 1.003 | 0 | -0.00181 | 0 | -15.30863 |
| 1595 | 1 | V15V17 | LinStatic | 0 | 1.003 | 0 | -0.00181 | 0 | -15.81013 |
| 1642 | 0 | V15V17 | LinStatic | 0 | -4.206 | 0 | -0.04623 | 0 | 57.94902 |
| 1642 | 0.5 | V15V17 | LinStatic | 0 | -4.206 | 0 | -0.04623 | 0 | 60.052 |
| 1642 | 1 | V15V17 | LinStatic | 0 | -4.206 | 0 | -0.04623 | 0 | 62.15498 |
| 1643 | 0 | V15V17 | LinStatic | 0 | -4.206 | 0 | -0.04623 | 0 | 62.15869 |
| 1643 | 0.5 | V15V17 | LinStatic | 0 | -4.206 | 0 | -0.04623 | 0 | 64.26167 |
| 1643 | 1 | V15V17 | LinStatic | 0 | -4.206 | 0 | -0.04623 | 0 | 66.36465 |
| 1690 | 0 | V15V17 | LinStatic | 0 | 17.7664 | 0 | -1.18378 | 0 | -243.19978 |
| 1690 | 0.5 | V15V17 | LinStatic | 0 | 17.7664 | 0 | -1.18378 | 0 | -252.08298 |
| 1690 | 1 | V15V17 | LinStatic | 0 | 17.7664 | 0 | -1.18378 | 0 | -260.96618 |
| 1691 | 0 | V15V17 | LinStatic | 0 | 17.7664 | 0 | -1.18377 | 0 | -260.87099 |
| 1691 | 0.5 | V15V17 | LinStatic | 0 | 17.7664 | 0 | -1.18377 | 0 | -269.75419 |
| 1691 | 1 | V15V17 | LinStatic | 0 | 17.7664 | 0 | -1.18377 | 0 | -278.63738 |
| 1738 | 0 | V15V17 | LinStatic | 0 | -15.0573 | 0 | 12.79883 | 0 | 1029.71095 |
| 1738 | 0.5 | V15V17 | LinStatic | 0 | -15.0573 | 0 | 12.79883 | 0 | 1037.23962 |
| 1738 | 1 | V15V17 | LinStatic | 0 | -15.0573 | 0 | 12.79883 | 0 | 1044.76829 |
| 1739 | 0 | V15V17 | LinStatic | 0 | 4.5938 | 0 | 11.85683 | 0 | 1043.75892 |
| 1739 | 0.5 | V15V17 | LinStatic | 0 | 4.5938 | 0 | 11.85683 | 0 | 1041.46204 |
| 1739 | 1 | V15V17 | LinStatic | 0 | 4.5938 | 0 | 11.85683 | 0 | 1039.16515 |
| 1786 | 0 | V15V17 | LinStatic | 0 | -0.1531 | 0 | 1.76635 | 0 | -489.63745 |
| 1786 | 0.5 | V15V17 | LinStatic | 0 | -0.1531 | 0 | 1.76635 | 0 | -489.56088 |
| 1786 | 1 | V15V17 | LinStatic | 0 | -0.1531 | 0 | 1.76635 | 0 | -489.4843 |
| 1787 | 0 | V15V17 | LinStatic | 0 | -0.1531 | 0 | 1.76636 | 0 | -489.6264 |
| 1787 | 0.5 | V15V17 | LinStatic | 0 | -0.1531 | 0 | 1.76636 | 0 | -489.54983 |
| 1787 | 1 | V15V17 | LinStatic | 0 | -0.1531 | 0 | 1.76636 | 0 | -489.47326 |
| 1834 | 0 | V15V17 | LinStatic | 0 | 3.9376 | 0 | 0.06898 | 0 | 962.01417 |
| 1834 | 0.5 | V15V17 | LinStatic | 0 | 3.9376 | 0 | 0.06898 | 0 | 960.04536 |
| 1834 | 1 | V15V17 | LinStatic | 0 | 3.9376 | 0 | 0.06898 | 0 | 958.07655 |

**TABLE: Element Forces - Frames**

| Frame | Station | OutputCase | CaseType | P | V2 | V3 | T | M2 | M3 |
|---|---|---|---|---|---|---|---|---|---|
| Text | m | Text | Text | Ton | Ton | Ton | Ton-m | Ton-m | Ton-m |
| 1835 | 0 | V15V17 | LinStatic | 0 | 3.9376 | 0 | 0.06898 | 0 | 958.07101 |
| 1835 | 0.5 | V15V17 | LinStatic | 0 | 3.9376 | 0 | 0.06898 | 0 | 956.1022 |
| 1835 | 1 | V15V17 | LinStatic | 0 | 3.9376 | 0 | 0.06898 | 0 | 954.13339 |
| 1882 | 0 | V15V17 | LinStatic | 0 | -17.5047 | 0 | 0.00269 | 0 | -275.96047 |
| 1882 | 0.5 | V15V17 | LinStatic | 0 | -17.5047 | 0 | 0.00269 | 0 | -267.20814 |
| 1882 | 1 | V15V17 | LinStatic | 0 | -17.5047 | 0 | 0.00269 | 0 | -258.45582 |
| 1883 | 0 | V15V17 | LinStatic | 0 | -17.5047 | 0 | 0.00269 | 0 | -258.45604 |
| 1883 | 0.5 | V15V17 | LinStatic | 0 | -17.5047 | 0 | 0.00269 | 0 | -249.70371 |
| 1883 | 1 | V15V17 | LinStatic | 0 | -17.5047 | 0 | 0.00269 | 0 | -240.95139 |
| 1930 | 0 | V15V17 | LinStatic | 0 | 4.1701 | 0 | 0.00011 | 0 | 65.7386 |
| 1930 | 0.5 | V15V17 | LinStatic | 0 | 4.1701 | 0 | 0.00011 | 0 | 63.65356 |
| 1930 | 1 | V15V17 | LinStatic | 0 | 4.1701 | 0 | 0.00011 | 0 | 61.56852 |
| 1931 | 0 | V15V17 | LinStatic | 0 | 4.1701 | 0 | 0.00011 | 0 | 61.56851 |
| 1931 | 0.5 | V15V17 | LinStatic | 0 | 4.1701 | 0 | 0.00011 | 0 | 59.48348 |
| 1931 | 1 | V15V17 | LinStatic | 0 | 4.1701 | 0 | 0.00011 | 0 | 57.39844 |
| 1978 | 0 | V15V17 | LinStatic | 0 | -0.9939 | 0 | 0.000004109 | 0 | -15.65373 |
| 1978 | 0.5 | V15V17 | LinStatic | 0 | -0.9939 | 0 | 0.000004109 | 0 | -15.15678 |
| 1978 | 1 | V15V17 | LinStatic | 0 | -0.9939 | 0 | 0.000004109 | 0 | -14.65983 |
| 1979 | 0 | V15V17 | LinStatic | 0 | -0.9939 | 0 | 0.000004109 | 0 | -14.65983 |
| 1979 | 0.5 | V15V17 | LinStatic | 0 | -0.9939 | 0 | 0.000004109 | 0 | -14.16288 |
| 1979 | 1 | V15V17 | LinStatic | 0 | -0.9939 | 0 | 0.000004109 | 0 | -13.66593 |
| 2026 | 0 | V15V17 | LinStatic | 0 | 0.2388 | 0 | 1.605E-07 | 0 | 3.70081 |
| 2026 | 0.5 | V15V17 | LinStatic | 0 | 0.2388 | 0 | 1.605E-07 | 0 | 3.5814 |
| 2026 | 1 | V15V17 | LinStatic | 0 | 0.2388 | 0 | 1.605E-07 | 0 | 3.46199 |
| 2027 | 0 | V15V17 | LinStatic | 0 | 0.2388 | 0 | 1.605E-07 | 0 | 3.46199 |
| 2027 | 0.5 | V15V17 | LinStatic | 0 | 0.2388 | 0 | 1.605E-07 | 0 | 3.34257 |
| 2027 | 1 | V15V17 | LinStatic | 0 | 0.2388 | 0 | 1.605E-07 | 0 | 3.22316 |
| 2072 | 0 | V15V17 | LinStatic | 0 | -0.0582 | 0 | 7.228E-09 | 0 | -1.0476 |
| 2072 | 0.5 | V15V17 | LinStatic | 0 | -0.0582 | 0 | 7.228E-09 | 0 | -1.0185 |
| 2072 | 1 | V15V17 | LinStatic | 0 | -0.0582 | 0 | 7.228E-09 | 0 | -0.9894 |
| 2107 | 0 | V15V17 | LinStatic | 0 | -0.000000149 | 0 | -5.881E-19 | 0 | 0.000002534 |
| 2107 | 0.5 | V15V17 | LinStatic | 0 | -0.000000149 | 0 | -5.881E-19 | 0 | 0.000002608 |
| 2107 | 1 | V15V17 | LinStatic | 0 | -0.000000149 | 0 | -5.881E-19 | 0 | 0.000002683 |
| 2152 | 0 | V15V17 | LinStatic | 0 | 6.116E-07 | 0 | -1.331E-17 | 0 | -0.000008254 |
| 2152 | 0.5 | V15V17 | LinStatic | 0 | 6.116E-07 | 0 | -1.331E-17 | 0 | -0.00000856 |
| 2152 | 1 | V15V17 | LinStatic | 0 | 6.116E-07 | 0 | -1.331E-17 | 0 | -0.000008865 |
| 2153 | 0 | V15V17 | LinStatic | 0 | 6.116E-07 | 0 | -1.332E-17 | 0 | -0.000008865 |
| 2153 | 0.5 | V15V17 | LinStatic | 0 | 6.116E-07 | 0 | -1.332E-17 | 0 | -0.000009171 |
| 2153 | 1 | V15V17 | LinStatic | 0 | 6.116E-07 | 0 | -1.332E-17 | 0 | -0.000009477 |
| 2200 | 0 | V15V17 | LinStatic | 0 | -0.000002545 | 0 | -3.412E-16 | 0 | 0.000035 |
| 2200 | 0.5 | V15V17 | LinStatic | 0 | -0.000002545 | 0 | -3.412E-16 | 0 | 0.00003627 |
| 2200 | 1 | V15V17 | LinStatic | 0 | -0.000002545 | 0 | -3.412E-16 | 0 | 0.00003754 |
| 2201 | 0 | V15V17 | LinStatic | 0 | -0.000002545 | 0 | -3.412E-16 | 0 | 0.00003754 |
| 2201 | 0.5 | V15V17 | LinStatic | 0 | -0.000002545 | 0 | -3.412E-16 | 0 | 0.00003881 |
| 2201 | 1 | V15V17 | LinStatic | 0 | -0.000002545 | 0 | -3.412E-16 | 0 | 0.00004009 |
| 2249 | 0 | V15V17 | LinStatic | 0 | 0.000009744 | 0 | -8.735E-15 | 0 | -0.00014 |
| 2249 | 0.5 | V15V17 | LinStatic | 0 | 0.000009744 | 0 | -8.735E-15 | 0 | -0.00014 |
| 2249 | 1 | V15V17 | LinStatic | 0 | 0.000009744 | 0 | -8.735E-15 | 0 | -0.00014 |
| 2301 | 0 | V15V17 | LinStatic | 0 | -0.00004011 | 0 | -2.366E-13 | 0 | 0.0006 |
| 2301 | 0.5 | V15V17 | LinStatic | 0 | -0.00004011 | 0 | -2.366E-13 | 0 | 0.00062 |
| 2301 | 1 | V15V17 | LinStatic | 0 | -0.00004011 | 0 | -2.366E-13 | 0 | 0.00064 |
| 2350 | 0 | V15V17 | LinStatic | 0 | 0.0001821 | 0 | -6.407E-12 | 0 | -0.00254 |
| 2350 | 0.5 | V15V17 | LinStatic | 0 | 0.0001821 | 0 | -6.407E-12 | 0 | -0.00263 |
| 2350 | 1 | V15V17 | LinStatic | 0 | 0.0001821 | 0 | -6.407E-12 | 0 | -0.00272 |
| 2351 | 0 | V15V17 | LinStatic | 0 | 0.0001821 | 0 | -6.407E-12 | 0 | -0.00272 |
| 2351 | 0.5 | V15V17 | LinStatic | 0 | 0.0001821 | 0 | -6.407E-12 | 0 | -0.00281 |
| 2351 | 1 | V15V17 | LinStatic | 0 | 0.0001821 | 0 | -6.407E-12 | 0 | -0.00291 |
| 2398 | 0 | V15V17 | LinStatic | 0 | -0.0007691 | 0 | -1.641E-10 | 0 | 0.0106 |
| 2398 | 0.5 | V15V17 | LinStatic | 0 | -0.0007691 | 0 | -1.641E-10 | 0 | 0.01098 |
| 2398 | 1 | V15V17 | LinStatic | 0 | -0.0007691 | 0 | -1.641E-10 | 0 | 0.01136 |
| 2399 | 0 | V15V17 | LinStatic | 0 | -0.0007691 | 0 | -1.641E-10 | 0 | 0.01136 |
| 2399 | 0.5 | V15V17 | LinStatic | 0 | -0.0007691 | 0 | -1.641E-10 | 0 | 0.01175 |
| 2399 | 1 | V15V17 | LinStatic | 0 | -0.0007691 | 0 | -1.641E-10 | 0 | 0.01213 |
| 2446 | 0 | V15V17 | LinStatic | 0 | 0.0032 | 0 | -4.201E-09 | 0 | -0.04446 |
| 2446 | 0.5 | V15V17 | LinStatic | 0 | 0.0032 | 0 | -4.201E-09 | 0 | -0.04607 |
| 2446 | 1 | V15V17 | LinStatic | 0 | 0.0032 | 0 | -4.201E-09 | 0 | -0.04769 |
| 2447 | 0 | V15V17 | LinStatic | 0 | 0.0032 | 0 | -4.201E-09 | 0 | -0.04769 |
| 2447 | 0.5 | V15V17 | LinStatic | 0 | 0.0032 | 0 | -4.201E-09 | 0 | -0.0493 |
| 2447 | 1 | V15V17 | LinStatic | 0 | 0.0032 | 0 | -4.201E-09 | 0 | -0.05092 |
| 2494 | 0 | V15V17 | LinStatic | 0 | -0.0136 | 0 | -1.076E-07 | 0 | 0.18663 |
| 2494 | 0.5 | V15V17 | LinStatic | 0 | -0.0136 | 0 | -1.076E-07 | 0 | 0.1934 |
| 2494 | 1 | V15V17 | LinStatic | 0 | -0.0136 | 0 | -1.076E-07 | 0 | 0.20018 |
| 2495 | 0 | V15V17 | LinStatic | 0 | -0.0136 | 0 | -1.076E-07 | 0 | 0.20018 |
| 2495 | 0.5 | V15V17 | LinStatic | 0 | -0.0136 | 0 | -1.076E-07 | 0 | 0.20696 |
| 2495 | 1 | V15V17 | LinStatic | 0 | -0.0136 | 0 | -1.076E-07 | 0 | 0.21374 |
| 2542 | 0 | V15V17 | LinStatic | 0 | 0.0569 | 0 | -0.000002754 | 0 | -0.7834 |
| 2542 | 0.5 | V15V17 | LinStatic | 0 | 0.0569 | 0 | -0.000002754 | 0 | -0.81186 |
| 2542 | 1 | V15V17 | LinStatic | 0 | 0.0569 | 0 | -0.000002754 | 0 | -0.84031 |
| 2543 | 0 | V15V17 | LinStatic | 0 | 0.0569 | 0 | -0.000002754 | 0 | -0.84031 |
| 2543 | 0.5 | V15V17 | LinStatic | 0 | 0.0569 | 0 | -0.000002754 | 0 | -0.86877 |
| 2543 | 1 | V15V17 | LinStatic | 0 | 0.0569 | 0 | -0.000002754 | 0 | -0.89723 |
| 2590 | 0 | V15V17 | LinStatic | 0 | -0.2389 | 0 | -0.00007052 | 0 | 3.28852 |
| 2590 | 0.5 | V15V17 | LinStatic | 0 | -0.2389 | 0 | -0.00007052 | 0 | 3.40797 |

**TABLE: Element Forces - Frames**

| Frame | Station | OutputCase | CaseType | P | V2 | V3 | T | M2 | M3 |
|---|---|---|---|---|---|---|---|---|---|
| Text | m | Text | Text | Ton | Ton | Ton | Ton-m | Ton-m | Ton-m |
| 2590 | 1 | V15V17 | LinStatic | 0 | -0.2389 | 0 | -0.00007052 | 0 | 3.52743 |
| 2591 | 0 | V15V17 | LinStatic | 0 | -0.2389 | 0 | -0.00007052 | 0 | 3.52742 |
| 2591 | 0.5 | V15V17 | LinStatic | 0 | -0.2389 | 0 | -0.00007052 | 0 | 3.64687 |
| 2591 | 1 | V15V17 | LinStatic | 0 | -0.2389 | 0 | -0.00007052 | 0 | 3.76633 |
| 2638 | 0 | V15V17 | LinStatic | 0 | 1.0027 | 0 | -0.00181 | 0 | -13.80444 |
| 2638 | 0.5 | V15V17 | LinStatic | 0 | 1.0027 | 0 | -0.00181 | 0 | -14.30579 |
| 2638 | 1 | V15V17 | LinStatic | 0 | 1.0027 | 0 | -0.00181 | 0 | -14.80714 |
| 2639 | 0 | V15V17 | LinStatic | 0 | 1.0027 | 0 | -0.00181 | 0 | -14.80728 |
| 2639 | 0.5 | V15V17 | LinStatic | 0 | 1.0027 | 0 | -0.00181 | 0 | -15.30863 |
| 2639 | 1 | V15V17 | LinStatic | 0 | 1.0027 | 0 | -0.00181 | 0 | -15.80998 |
| 2686 | 0 | V15V17 | LinStatic | 0 | -4.2134 | 0 | -0.04623 | 0 | 57.94531 |
| 2686 | 0.5 | V15V17 | LinStatic | 0 | -4.2134 | 0 | -0.04623 | 0 | 60.05201 |
| 2686 | 1 | V15V17 | LinStatic | 0 | -4.2134 | 0 | -0.04623 | 0 | 62.15871 |
| 2687 | 0 | V15V17 | LinStatic | 0 | -4.2134 | 0 | -0.04623 | 0 | 62.155 |
| 2687 | 0.5 | V15V17 | LinStatic | 0 | -4.2134 | 0 | -0.04623 | 0 | 64.2617 |
| 2687 | 1 | V15V17 | LinStatic | 0 | -4.2134 | 0 | -0.04623 | 0 | 66.3684 |
| 2734 | 0 | V15V17 | LinStatic | 0 | 17.5759 | 0 | -1.18378 | 0 | -243.29462 |
| 2734 | 0.5 | V15V17 | LinStatic | 0 | 17.5759 | 0 | -1.18378 | 0 | -252.08257 |
| 2734 | 1 | V15V17 | LinStatic | 0 | 17.5759 | 0 | -1.18378 | 0 | -260.87052 |
| 2735 | 0 | V15V17 | LinStatic | 0 | 17.5759 | 0 | -1.18377 | 0 | -260.96571 |
| 2735 | 0.5 | V15V17 | LinStatic | 0 | 17.5759 | 0 | -1.18377 | 0 | -269.75365 |
| 2735 | 1 | V15V17 | LinStatic | 0 | 17.5759 | 0 | -1.18377 | 0 | -278.5416 |
| 2782 | 0 | V15V17 | LinStatic | 0 | -13.3512 | 0 | 12.79883 | 0 | 1027.63404 |
| 2782 | 0.5 | V15V17 | LinStatic | 0 | -13.3512 | 0 | 12.79883 | 0 | 1034.30964 |
| 2782 | 1 | V15V17 | LinStatic | 0 | -13.3512 | 0 | 12.79883 | 0 | 1040.98524 |
| 2783 | 0 | V15V17 | LinStatic | 0 | 6.9977 | 0 | 11.85683 | 0 | 1041.99461 |
| 2783 | 0.5 | V15V17 | LinStatic | 0 | 6.9977 | 0 | 11.85683 | 0 | 1038.49577 |
| 2783 | 1 | V15V17 | LinStatic | 0 | 6.9977 | 0 | 11.85683 | 0 | 1034.99693 |
| 2830 | 0 | V15V17 | LinStatic | 0 | 0.131 | 0 | 1.76635 | 0 | -489.49535 |
| 2830 | 0.5 | V15V17 | LinStatic | 0 | 0.131 | 0 | 1.76635 | 0 | -489.56087 |
| 2830 | 1 | V15V17 | LinStatic | 0 | 0.131 | 0 | 1.76635 | 0 | -489.62639 |
| 2831 | 0 | V15V17 | LinStatic | 0 | 0.131 | 0 | 1.76636 | 0 | -489.48429 |
| 2831 | 0.5 | V15V17 | LinStatic | 0 | 0.131 | 0 | 1.76636 | 0 | -489.54981 |
| 2831 | 1 | V15V17 | LinStatic | 0 | 0.131 | 0 | 1.76636 | 0 | -489.61533 |
| 2878 | 0 | V15V17 | LinStatic | 0 | 3.9487 | 0 | 0.06898 | 0 | 962.01976 |
| 2878 | 0.5 | V15V17 | LinStatic | 0 | 3.9487 | 0 | 0.06898 | 0 | 960.0454 |
| 2878 | 1 | V15V17 | LinStatic | 0 | 3.9487 | 0 | 0.06898 | 0 | 958.07104 |
| 2879 | 0 | V15V17 | LinStatic | 0 | 3.9487 | 0 | 0.06898 | 0 | 958.07659 |
| 2879 | 0.5 | V15V17 | LinStatic | 0 | 3.9487 | 0 | 0.06898 | 0 | 956.10222 |
| 2879 | 1 | V15V17 | LinStatic | 0 | 3.9487 | 0 | 0.06898 | 0 | 954.12786 |
| 2926 | 0 | V15V17 | LinStatic | 0 | -17.5042 | 0 | 0.00269 | 0 | -275.96025 |
| 2926 | 0.5 | V15V17 | LinStatic | 0 | -17.5042 | 0 | 0.00269 | 0 | -267.20814 |
| 2926 | 1 | V15V17 | LinStatic | 0 | -17.5042 | 0 | 0.00269 | 0 | -258.45603 |
| 2927 | 0 | V15V17 | LinStatic | 0 | -17.5042 | 0 | 0.00269 | 0 | -258.45582 |
| 2927 | 0.5 | V15V17 | LinStatic | 0 | -17.5042 | 0 | 0.00269 | 0 | -249.70371 |
| 2927 | 1 | V15V17 | LinStatic | 0 | -17.5042 | 0 | 0.00269 | 0 | -240.9516 |
| 2974 | 0 | V15V17 | LinStatic | 0 | 4.1701 | 0 | 0.00011 | 0 | 65.7386 |
| 2974 | 0.5 | V15V17 | LinStatic | 0 | 4.1701 | 0 | 0.00011 | 0 | 63.65356 |
| 2974 | 1 | V15V17 | LinStatic | 0 | 4.1701 | 0 | 0.00011 | 0 | 61.56851 |
| 2975 | 0 | V15V17 | LinStatic | 0 | 4.1701 | 0 | 0.00011 | 0 | 61.56852 |
| 2975 | 0.5 | V15V17 | LinStatic | 0 | 4.1701 | 0 | 0.00011 | 0 | 59.48348 |
| 2975 | 1 | V15V17 | LinStatic | 0 | 4.1701 | 0 | 0.00011 | 0 | 57.39843 |
| 3022 | 0 | V15V17 | LinStatic | 0 | -0.9939 | 0 | 0.000004109 | 0 | -15.65373 |
| 3022 | 0.5 | V15V17 | LinStatic | 0 | -0.9939 | 0 | 0.000004109 | 0 | -15.15678 |
| 3022 | 1 | V15V17 | LinStatic | 0 | -0.9939 | 0 | 0.000004109 | 0 | -14.65983 |
| 3023 | 0 | V15V17 | LinStatic | 0 | -0.9939 | 0 | 0.000004109 | 0 | -14.65983 |
| 3023 | 0.5 | V15V17 | LinStatic | 0 | -0.9939 | 0 | 0.000004109 | 0 | -14.16288 |
| 3023 | 1 | V15V17 | LinStatic | 0 | -0.9939 | 0 | 0.000004109 | 0 | -13.66593 |
| 3070 | 0 | V15V17 | LinStatic | 0 | 0.2388 | 0 | 1.605E-07 | 0 | 3.70081 |
| 3070 | 0.5 | V15V17 | LinStatic | 0 | 0.2388 | 0 | 1.605E-07 | 0 | 3.5814 |
| 3070 | 1 | V15V17 | LinStatic | 0 | 0.2388 | 0 | 1.605E-07 | 0 | 3.46199 |
| 3071 | 0 | V15V17 | LinStatic | 0 | 0.2388 | 0 | 1.605E-07 | 0 | 3.46199 |
| 3071 | 0.5 | V15V17 | LinStatic | 0 | 0.2388 | 0 | 1.605E-07 | 0 | 3.34257 |
| 3071 | 1 | V15V17 | LinStatic | 0 | 0.2388 | 0 | 1.605E-07 | 0 | 3.22316 |
| 3116 | 0 | V15V17 | LinStatic | 0 | -0.0582 | 0 | 7.228E-09 | 0 | -1.0476 |
| 3116 | 0.5 | V15V17 | LinStatic | 0 | -0.0582 | 0 | 7.228E-09 | 0 | -1.0185 |
| 3116 | 1 | V15V17 | LinStatic | 0 | -0.0582 | 0 | 7.228E-09 | 0 | -0.9894 |
| 1063 | 0 | V16V18 | LinStatic | 0 | 3.55E-08 | 0 | -2.657E-20 | 0 | -6.036E-07 |
| 1063 | 0.5 | V16V18 | LinStatic | 0 | 3.55E-08 | 0 | -2.657E-20 | 0 | -6.213E-07 |
| 1063 | 1 | V16V18 | LinStatic | 0 | 3.55E-08 | 0 | -2.657E-20 | 0 | -6.391E-07 |
| 1108 | 0 | V16V18 | LinStatic | 0 | -1.457E-07 | 0 | -5.209E-19 | 0 | 0.000001966 |
| 1108 | 0.5 | V16V18 | LinStatic | 0 | -1.457E-07 | 0 | -5.209E-19 | 0 | 0.000002039 |
| 1108 | 1 | V16V18 | LinStatic | 0 | -1.457E-07 | 0 | -5.209E-19 | 0 | 0.000002112 |
| 1109 | 0 | V16V18 | LinStatic | 0 | -1.457E-07 | 0 | -5.184E-19 | 0 | 0.000002112 |
| 1109 | 0.5 | V16V18 | LinStatic | 0 | -1.457E-07 | 0 | -5.184E-19 | 0 | 0.000002185 |
| 1109 | 1 | V16V18 | LinStatic | 0 | -1.457E-07 | 0 | -5.184E-19 | 0 | 0.000002258 |
| 1156 | 0 | V16V18 | LinStatic | 0 | 6.063E-07 | 0 | -1.332E-17 | 0 | -0.000008337 |
| 1156 | 0.5 | V16V18 | LinStatic | 0 | 6.063E-07 | 0 | -1.332E-17 | 0 | -0.00000864 |
| 1156 | 1 | V16V18 | LinStatic | 0 | 6.063E-07 | 0 | -1.332E-17 | 0 | -0.000008943 |
| 1157 | 0 | V16V18 | LinStatic | 0 | 6.063E-07 | 0 | -1.332E-17 | 0 | -0.000008943 |
| 1157 | 0.5 | V16V18 | LinStatic | 0 | 6.063E-07 | 0 | -1.332E-17 | 0 | -0.000009246 |
| 1157 | 1 | V16V18 | LinStatic | 0 | 6.063E-07 | 0 | -1.332E-17 | 0 | -0.000009549 |
| 1205 | 0 | V16V18 | LinStatic | 0 | -0.000002321 | 0 | -3.411E-16 | 0 | 0.00003222 |

**TABLE: Element Forces - Frames**

| Frame | Station | OutputCase | CaseType | P | V2 | V3 | T | M2 | M3 |
|---|---|---|---|---|---|---|---|---|---|
| Text | m | Text | Text | Ton | Ton | Ton | Ton-m | Ton-m | Ton-m |
| 1205 | 0.5 | V16V18 | LinStatic | 0 | -0.000002321 | 0 | -3.411E-16 | 0 | 0.00003338 |
| 1205 | 1 | V16V18 | LinStatic | 0 | -0.000002321 | 0 | -3.411E-16 | 0 | 0.00003454 |
| 1257 | 0 | V16V18 | LinStatic | 0 | 0.000009555 | 0 | -9.24E-15 | 0 | -0.00014 |
| 1257 | 0.5 | V16V18 | LinStatic | 0 | 0.000009555 | 0 | -9.24E-15 | 0 | -0.00015 |
| 1257 | 1 | V16V18 | LinStatic | 0 | 0.000009555 | 0 | -9.24E-15 | 0 | -0.00015 |
| 1306 | 0 | V16V18 | LinStatic | 0 | -0.00004339 | 0 | -2.502E-13 | 0 | 0.00061 |
| 1306 | 0.5 | V16V18 | LinStatic | 0 | -0.00004339 | 0 | -2.502E-13 | 0 | 0.00063 |
| 1306 | 1 | V16V18 | LinStatic | 0 | -0.00004339 | 0 | -2.502E-13 | 0 | 0.00065 |
| 1307 | 0 | V16V18 | LinStatic | 0 | -0.00004339 | 0 | -2.502E-13 | 0 | 0.00065 |
| 1307 | 0.5 | V16V18 | LinStatic | 0 | -0.00004339 | 0 | -2.502E-13 | 0 | 0.00067 |
| 1307 | 1 | V16V18 | LinStatic | 0 | -0.00004339 | 0 | -2.502E-13 | 0 | 0.00069 |
| 1354 | 0 | V16V18 | LinStatic | 0 | 0.0001832 | 0 | -6.408E-12 | 0 | -0.00252 |
| 1354 | 0.5 | V16V18 | LinStatic | 0 | 0.0001832 | 0 | -6.408E-12 | 0 | -0.00262 |
| 1354 | 1 | V16V18 | LinStatic | 0 | 0.0001832 | 0 | -6.408E-12 | 0 | -0.00271 |
| 1355 | 0 | V16V18 | LinStatic | 0 | 0.0001832 | 0 | -6.408E-12 | 0 | -0.00271 |
| 1355 | 0.5 | V16V18 | LinStatic | 0 | 0.0001832 | 0 | -6.408E-12 | 0 | -0.0028 |
| 1355 | 1 | V16V18 | LinStatic | 0 | 0.0001832 | 0 | -6.408E-12 | 0 | -0.00289 |
| 1402 | 0 | V16V18 | LinStatic | 0 | -0.0007694 | 0 | -1.641E-10 | 0 | 0.01059 |
| 1402 | 0.5 | V16V18 | LinStatic | 0 | -0.0007694 | 0 | -1.641E-10 | 0 | 0.01098 |
| 1402 | 1 | V16V18 | LinStatic | 0 | -0.0007694 | 0 | -1.641E-10 | 0 | 0.01136 |
| 1403 | 0 | V16V18 | LinStatic | 0 | -0.0007694 | 0 | -1.641E-10 | 0 | 0.01136 |
| 1403 | 0.5 | V16V18 | LinStatic | 0 | -0.0007694 | 0 | -1.641E-10 | 0 | 0.01175 |
| 1403 | 1 | V16V18 | LinStatic | 0 | -0.0007694 | 0 | -1.641E-10 | 0 | 0.01213 |
| 1450 | 0 | V16V18 | LinStatic | 0 | 0.0032 | 0 | -4.201E-09 | 0 | -0.04446 |
| 1450 | 0.5 | V16V18 | LinStatic | 0 | 0.0032 | 0 | -4.201E-09 | 0 | -0.04607 |
| 1450 | 1 | V16V18 | LinStatic | 0 | 0.0032 | 0 | -4.201E-09 | 0 | -0.04769 |
| 1451 | 0 | V16V18 | LinStatic | 0 | 0.0032 | 0 | -4.201E-09 | 0 | -0.04769 |
| 1451 | 0.5 | V16V18 | LinStatic | 0 | 0.0032 | 0 | -4.201E-09 | 0 | -0.0493 |
| 1451 | 1 | V16V18 | LinStatic | 0 | 0.0032 | 0 | -4.201E-09 | 0 | -0.05092 |
| 1498 | 0 | V16V18 | LinStatic | 0 | -0.0136 | 0 | -1.076E-07 | 0 | 0.18662 |
| 1498 | 0.5 | V16V18 | LinStatic | 0 | -0.0136 | 0 | -1.076E-07 | 0 | 0.1934 |
| 1498 | 1 | V16V18 | LinStatic | 0 | -0.0136 | 0 | -1.076E-07 | 0 | 0.20018 |
| 1499 | 0 | V16V18 | LinStatic | 0 | -0.0136 | 0 | -1.076E-07 | 0 | 0.20018 |
| 1499 | 0.5 | V16V18 | LinStatic | 0 | -0.0136 | 0 | -1.076E-07 | 0 | 0.20696 |
| 1499 | 1 | V16V18 | LinStatic | 0 | -0.0136 | 0 | -1.076E-07 | 0 | 0.21374 |
| 1546 | 0 | V16V18 | LinStatic | 0 | 0.0569 | 0 | -0.000002754 | 0 | -0.7834 |
| 1546 | 0.5 | V16V18 | LinStatic | 0 | 0.0569 | 0 | -0.000002754 | 0 | -0.81186 |
| 1546 | 1 | V16V18 | LinStatic | 0 | 0.0569 | 0 | -0.000002754 | 0 | -0.84031 |
| 1547 | 0 | V16V18 | LinStatic | 0 | 0.0569 | 0 | -0.000002754 | 0 | -0.84031 |
| 1547 | 0.5 | V16V18 | LinStatic | 0 | 0.0569 | 0 | -0.000002754 | 0 | -0.86877 |
| 1547 | 1 | V16V18 | LinStatic | 0 | 0.0569 | 0 | -0.000002754 | 0 | -0.89723 |
| 1594 | 0 | V16V18 | LinStatic | 0 | -0.2389 | 0 | -0.00007052 | 0 | 3.28853 |
| 1594 | 0.5 | V16V18 | LinStatic | 0 | -0.2389 | 0 | -0.00007052 | 0 | 3.40797 |
| 1594 | 1 | V16V18 | LinStatic | 0 | -0.2389 | 0 | -0.00007052 | 0 | 3.52742 |
| 1595 | 0 | V16V18 | LinStatic | 0 | -0.2389 | 0 | -0.00007052 | 0 | 3.52743 |
| 1595 | 0.5 | V16V18 | LinStatic | 0 | -0.2389 | 0 | -0.00007052 | 0 | 3.64687 |
| 1595 | 1 | V16V18 | LinStatic | 0 | -0.2389 | 0 | -0.00007052 | 0 | 3.76632 |
| 1642 | 0 | V16V18 | LinStatic | 0 | 1.003 | 0 | -0.00181 | 0 | -13.80429 |
| 1642 | 0.5 | V16V18 | LinStatic | 0 | 1.003 | 0 | -0.00181 | 0 | -14.30579 |
| 1642 | 1 | V16V18 | LinStatic | 0 | 1.003 | 0 | -0.00181 | 0 | -14.80728 |
| 1643 | 0 | V16V18 | LinStatic | 0 | 1.003 | 0 | -0.00181 | 0 | -14.80714 |
| 1643 | 0.5 | V16V18 | LinStatic | 0 | 1.003 | 0 | -0.00181 | 0 | -15.30863 |
| 1643 | 1 | V16V18 | LinStatic | 0 | 1.003 | 0 | -0.00181 | 0 | -15.81013 |
| 1690 | 0 | V16V18 | LinStatic | 0 | -4.206 | 0 | -0.04623 | 0 | 57.94901 |
| 1690 | 0.5 | V16V18 | LinStatic | 0 | -4.206 | 0 | -0.04623 | 0 | 60.05199 |
| 1690 | 1 | V16V18 | LinStatic | 0 | -4.206 | 0 | -0.04623 | 0 | 62.15497 |
| 1691 | 0 | V16V18 | LinStatic | 0 | -4.206 | 0 | -0.04623 | 0 | 62.15869 |
| 1691 | 0.5 | V16V18 | LinStatic | 0 | -4.206 | 0 | -0.04623 | 0 | 64.26167 |
| 1691 | 1 | V16V18 | LinStatic | 0 | -4.206 | 0 | -0.04623 | 0 | 66.36465 |
| 1738 | 0 | V16V18 | LinStatic | 0 | 17.7664 | 0 | -1.18378 | 0 | -243.19976 |
| 1738 | 0.5 | V16V18 | LinStatic | 0 | 17.7664 | 0 | -1.18378 | 0 | -252.08296 |
| 1738 | 1 | V16V18 | LinStatic | 0 | 17.7664 | 0 | -1.18378 | 0 | -260.96615 |
| 1739 | 0 | V16V18 | LinStatic | 0 | 17.7664 | 0 | -1.18377 | 0 | -260.87096 |
| 1739 | 0.5 | V16V18 | LinStatic | 0 | 17.7664 | 0 | -1.18377 | 0 | -269.75416 |
| 1739 | 1 | V16V18 | LinStatic | 0 | 17.7664 | 0 | -1.18377 | 0 | -278.63736 |
| 1786 | 0 | V16V18 | LinStatic | 0 | -15.0573 | 0 | 12.79883 | 0 | 1029.71086 |
| 1786 | 0.5 | V16V18 | LinStatic | 0 | -15.0573 | 0 | 12.79883 | 0 | 1037.23952 |
| 1786 | 1 | V16V18 | LinStatic | 0 | -15.0573 | 0 | 12.79883 | 0 | 1044.76819 |
| 1787 | 0 | V16V18 | LinStatic | 0 | 4.5938 | 0 | 11.85683 | 0 | 1043.75882 |
| 1787 | 0.5 | V16V18 | LinStatic | 0 | 4.5938 | 0 | 11.85683 | 0 | 1041.46194 |
| 1787 | 1 | V16V18 | LinStatic | 0 | 4.5938 | 0 | 11.85683 | 0 | 1039.16505 |
| 1834 | 0 | V16V18 | LinStatic | 0 | -0.1532 | 0 | 1.76635 | 0 | -489.63707 |
| 1834 | 0.5 | V16V18 | LinStatic | 0 | -0.1532 | 0 | 1.76635 | 0 | -489.56048 |
| 1834 | 1 | V16V18 | LinStatic | 0 | -0.1532 | 0 | 1.76635 | 0 | -489.48389 |
| 1835 | 0 | V16V18 | LinStatic | 0 | -0.1532 | 0 | 1.76636 | 0 | -489.62599 |
| 1835 | 0.5 | V16V18 | LinStatic | 0 | -0.1532 | 0 | 1.76636 | 0 | -489.5494 |
| 1835 | 1 | V16V18 | LinStatic | 0 | -0.1532 | 0 | 1.76636 | 0 | -489.47282 |
| 1882 | 0 | V16V18 | LinStatic | 0 | 3.9377 | 0 | 0.06898 | 0 | 962.01257 |
| 1882 | 0.5 | V16V18 | LinStatic | 0 | 3.9377 | 0 | 0.06898 | 0 | 960.0437 |
| 1882 | 1 | V16V18 | LinStatic | 0 | 3.9377 | 0 | 0.06898 | 0 | 958.07483 |
| 1883 | 0 | V16V18 | LinStatic | 0 | 3.9377 | 0 | 0.06898 | 0 | 958.06929 |
| 1883 | 0.5 | V16V18 | LinStatic | 0 | 3.9377 | 0 | 0.06898 | 0 | 956.10042 |
| 1883 | 1 | V16V18 | LinStatic | 0 | 3.9377 | 0 | 0.06898 | 0 | 954.13155 |

**TABLE: Element Forces - Frames**

| Frame | Station | OutputCase | CaseType | P | V2 | V3 | T | M2 | M3 |
|---|---|---|---|---|---|---|---|---|---|
| Text | m | Text | Text | Ton | Ton | Ton | Ton-m | Ton-m | Ton-m |
| 1930 | 0 | V16V18 | LinStatic | 0 | -17.5051 | 0 | 0.00269 | 0 | -275.95373 |
| 1930 | 0.5 | V16V18 | LinStatic | 0 | -17.5051 | 0 | 0.00269 | 0 | -267.20116 |
| 1930 | 1 | V16V18 | LinStatic | 0 | -17.5051 | 0 | 0.00269 | 0 | -258.44859 |
| 1931 | 0 | V16V18 | LinStatic | 0 | -17.5051 | 0 | 0.00269 | 0 | -258.44881 |
| 1931 | 0.5 | V16V18 | LinStatic | 0 | -17.5051 | 0 | 0.00269 | 0 | -249.69624 |
| 1931 | 1 | V16V18 | LinStatic | 0 | -17.5051 | 0 | 0.00269 | 0 | -240.94367 |
| 1978 | 0 | V16V18 | LinStatic | 0 | 4.1721 | 0 | 0.00011 | 0 | 65.71032 |
| 1978 | 0.5 | V16V18 | LinStatic | 0 | 4.1721 | 0 | 0.00011 | 0 | 63.62426 |
| 1978 | 1 | V16V18 | LinStatic | 0 | 4.1721 | 0 | 0.00011 | 0 | 61.53819 |
| 1979 | 0 | V16V18 | LinStatic | 0 | 4.1721 | 0 | 0.00011 | 0 | 61.53819 |
| 1979 | 0.5 | V16V18 | LinStatic | 0 | 4.1721 | 0 | 0.00011 | 0 | 59.45212 |
| 1979 | 1 | V16V18 | LinStatic | 0 | 4.1721 | 0 | 0.00011 | 0 | 57.36606 |
| 2026 | 0 | V16V18 | LinStatic | 0 | -1.0025 | 0 | 0.00000411 | 0 | -15.53505 |
| 2026 | 0.5 | V16V18 | LinStatic | 0 | -1.0025 | 0 | 0.00000411 | 0 | -15.03379 |
| 2026 | 1 | V16V18 | LinStatic | 0 | -1.0025 | 0 | 0.00000411 | 0 | -14.53253 |
| 2027 | 0 | V16V18 | LinStatic | 0 | -1.0025 | 0 | 0.00000411 | 0 | -14.53253 |
| 2027 | 0.5 | V16V18 | LinStatic | 0 | -1.0025 | 0 | 0.00000411 | 0 | -14.03126 |
| 2027 | 1 | V16V18 | LinStatic | 0 | -1.0025 | 0 | 0.00000411 | 0 | -13.53 |
| 2072 | 0 | V16V18 | LinStatic | 0 | 0.2443 | 0 | 1.851E-07 | 0 | 4.39754 |
| 2072 | 0.5 | V16V18 | LinStatic | 0 | 0.2443 | 0 | 1.851E-07 | 0 | 4.27539 |
| 2072 | 1 | V16V18 | LinStatic | 0 | 0.2443 | 0 | 1.851E-07 | 0 | 4.15324 |
| 2107 | 0 | V16V18 | LinStatic | 0 | 3.55E-08 | 0 | -2.687E-20 | 0 | -6.036E-07 |
| 2107 | 0.5 | V16V18 | LinStatic | 0 | 3.55E-08 | 0 | -2.687E-20 | 0 | -6.213E-07 |
| 2107 | 1 | V16V18 | LinStatic | 0 | 3.55E-08 | 0 | -2.687E-20 | 0 | -6.391E-07 |
| 2152 | 0 | V16V18 | LinStatic | 0 | -1.457E-07 | 0 | -5.226E-19 | 0 | 0.000001966 |
| 2152 | 0.5 | V16V18 | LinStatic | 0 | -1.457E-07 | 0 | -5.226E-19 | 0 | 0.000002039 |
| 2152 | 1 | V16V18 | LinStatic | 0 | -1.457E-07 | 0 | -5.226E-19 | 0 | 0.000002112 |
| 2153 | 0 | V16V18 | LinStatic | 0 | -1.457E-07 | 0 | -5.212E-19 | 0 | 0.000002112 |
| 2153 | 0.5 | V16V18 | LinStatic | 0 | -1.457E-07 | 0 | -5.212E-19 | 0 | 0.000002185 |
| 2153 | 1 | V16V18 | LinStatic | 0 | -1.457E-07 | 0 | -5.212E-19 | 0 | 0.000002258 |
| 2200 | 0 | V16V18 | LinStatic | 0 | 6.063E-07 | 0 | -1.332E-17 | 0 | -0.000008337 |
| 2200 | 0.5 | V16V18 | LinStatic | 0 | 6.063E-07 | 0 | -1.332E-17 | 0 | -0.00000864 |
| 2200 | 1 | V16V18 | LinStatic | 0 | 6.063E-07 | 0 | -1.332E-17 | 0 | -0.000008943 |
| 2201 | 0 | V16V18 | LinStatic | 0 | 6.063E-07 | 0 | -1.329E-17 | 0 | -0.000008943 |
| 2201 | 0.5 | V16V18 | LinStatic | 0 | 6.063E-07 | 0 | -1.329E-17 | 0 | -0.000009246 |
| 2201 | 1 | V16V18 | LinStatic | 0 | 6.063E-07 | 0 | -1.329E-17 | 0 | -0.000009549 |
| 2249 | 0 | V16V18 | LinStatic | 0 | -0.000002321 | 0 | -3.411E-16 | 0 | 0.00003222 |
| 2249 | 0.5 | V16V18 | LinStatic | 0 | -0.000002321 | 0 | -3.411E-16 | 0 | 0.00003338 |
| 2249 | 1 | V16V18 | LinStatic | 0 | -0.000002321 | 0 | -3.411E-16 | 0 | 0.00003454 |
| 2301 | 0 | V16V18 | LinStatic | 0 | 0.000009555 | 0 | -9.239E-15 | 0 | -0.00014 |
| 2301 | 0.5 | V16V18 | LinStatic | 0 | 0.000009555 | 0 | -9.239E-15 | 0 | -0.00015 |
| 2301 | 1 | V16V18 | LinStatic | 0 | 0.000009555 | 0 | -9.239E-15 | 0 | -0.00015 |
| 2350 | 0 | V16V18 | LinStatic | 0 | -0.00004339 | 0 | -2.502E-13 | 0 | 0.00061 |
| 2350 | 0.5 | V16V18 | LinStatic | 0 | -0.00004339 | 0 | -2.502E-13 | 0 | 0.00063 |
| 2350 | 1 | V16V18 | LinStatic | 0 | -0.00004339 | 0 | -2.502E-13 | 0 | 0.00065 |
| 2351 | 0 | V16V18 | LinStatic | 0 | -0.00004339 | 0 | -2.502E-13 | 0 | 0.00065 |
| 2351 | 0.5 | V16V18 | LinStatic | 0 | -0.00004339 | 0 | -2.502E-13 | 0 | 0.00067 |
| 2351 | 1 | V16V18 | LinStatic | 0 | -0.00004339 | 0 | -2.502E-13 | 0 | 0.00069 |
| 2398 | 0 | V16V18 | LinStatic | 0 | 0.0001832 | 0 | -6.408E-12 | 0 | -0.00252 |
| 2398 | 0.5 | V16V18 | LinStatic | 0 | 0.0001832 | 0 | -6.408E-12 | 0 | -0.00262 |
| 2398 | 1 | V16V18 | LinStatic | 0 | 0.0001832 | 0 | -6.408E-12 | 0 | -0.00271 |
| 2399 | 0 | V16V18 | LinStatic | 0 | 0.0001832 | 0 | -6.408E-12 | 0 | -0.00271 |
| 2399 | 0.5 | V16V18 | LinStatic | 0 | 0.0001832 | 0 | -6.408E-12 | 0 | -0.0028 |
| 2399 | 1 | V16V18 | LinStatic | 0 | 0.0001832 | 0 | -6.408E-12 | 0 | -0.00289 |
| 2446 | 0 | V16V18 | LinStatic | 0 | -0.0007694 | 0 | -1.641E-10 | 0 | 0.01059 |
| 2446 | 0.5 | V16V18 | LinStatic | 0 | -0.0007694 | 0 | -1.641E-10 | 0 | 0.01098 |
| 2446 | 1 | V16V18 | LinStatic | 0 | -0.0007694 | 0 | -1.641E-10 | 0 | 0.01136 |
| 2447 | 0 | V16V18 | LinStatic | 0 | -0.0007694 | 0 | -1.641E-10 | 0 | 0.01136 |
| 2447 | 0.5 | V16V18 | LinStatic | 0 | -0.0007694 | 0 | -1.641E-10 | 0 | 0.01175 |
| 2447 | 1 | V16V18 | LinStatic | 0 | -0.0007694 | 0 | -1.641E-10 | 0 | 0.01213 |
| 2494 | 0 | V16V18 | LinStatic | 0 | 0.0032 | 0 | -4.201E-09 | 0 | -0.04446 |
| 2494 | 0.5 | V16V18 | LinStatic | 0 | 0.0032 | 0 | -4.201E-09 | 0 | -0.04607 |
| 2494 | 1 | V16V18 | LinStatic | 0 | 0.0032 | 0 | -4.201E-09 | 0 | -0.04769 |
| 2495 | 0 | V16V18 | LinStatic | 0 | 0.0032 | 0 | -4.201E-09 | 0 | -0.04769 |
| 2495 | 0.5 | V16V18 | LinStatic | 0 | 0.0032 | 0 | -4.201E-09 | 0 | -0.0493 |
| 2495 | 1 | V16V18 | LinStatic | 0 | 0.0032 | 0 | -4.201E-09 | 0 | -0.05092 |
| 2542 | 0 | V16V18 | LinStatic | 0 | -0.0136 | 0 | -1.076E-07 | 0 | 0.18662 |
| 2542 | 0.5 | V16V18 | LinStatic | 0 | -0.0136 | 0 | -1.076E-07 | 0 | 0.1934 |
| 2542 | 1 | V16V18 | LinStatic | 0 | -0.0136 | 0 | -1.076E-07 | 0 | 0.20018 |
| 2543 | 0 | V16V18 | LinStatic | 0 | -0.0136 | 0 | -1.076E-07 | 0 | 0.20018 |
| 2543 | 0.5 | V16V18 | LinStatic | 0 | -0.0136 | 0 | -1.076E-07 | 0 | 0.20696 |
| 2543 | 1 | V16V18 | LinStatic | 0 | -0.0136 | 0 | -1.076E-07 | 0 | 0.21374 |
| 2590 | 0 | V16V18 | LinStatic | 0 | 0.0569 | 0 | -0.000002754 | 0 | -0.7834 |
| 2590 | 0.5 | V16V18 | LinStatic | 0 | 0.0569 | 0 | -0.000002754 | 0 | -0.81186 |
| 2590 | 1 | V16V18 | LinStatic | 0 | 0.0569 | 0 | -0.000002754 | 0 | -0.84031 |
| 2591 | 0 | V16V18 | LinStatic | 0 | 0.0569 | 0 | -0.000002754 | 0 | -0.84031 |
| 2591 | 0.5 | V16V18 | LinStatic | 0 | 0.0569 | 0 | -0.000002754 | 0 | -0.86877 |
| 2591 | 1 | V16V18 | LinStatic | 0 | 0.0569 | 0 | -0.000002754 | 0 | -0.89723 |
| 2638 | 0 | V16V18 | LinStatic | 0 | -0.2389 | 0 | -0.00007052 | 0 | 3.28852 |
| 2638 | 0.5 | V16V18 | LinStatic | 0 | -0.2389 | 0 | -0.00007052 | 0 | 3.40797 |
| 2638 | 1 | V16V18 | LinStatic | 0 | -0.2389 | 0 | -0.00007052 | 0 | 3.52743 |
| 2639 | 0 | V16V18 | LinStatic | 0 | -0.2389 | 0 | -0.00007052 | 0 | 3.52742 |
| 2639 | 0.5 | V16V18 | LinStatic | 0 | -0.2389 | 0 | -0.00007052 | 0 | 3.64687 |

**TABLE: Element Forces - Frames**

| Frame | Station | OutputCase | CaseType | P | V2 | V3 | T | M2 | M3 |
|---|---|---|---|---|---|---|---|---|---|
| Text | m | Text | Text | Ton | Ton | Ton | Ton-m | Ton-m | Ton-m |
| 2639 | 1 | V16V18 | LinStatic | 0 | -0.2389 | 0 | -0.00007052 | 0 | 3.76633 |
| 2686 | 0 | V16V18 | LinStatic | 0 | 1.0027 | 0 | -0.00181 | 0 | -13.80444 |
| 2686 | 0.5 | V16V18 | LinStatic | 0 | 1.0027 | 0 | -0.00181 | 0 | -14.30579 |
| 2686 | 1 | V16V18 | LinStatic | 0 | 1.0027 | 0 | -0.00181 | 0 | -14.80714 |
| 2687 | 0 | V16V18 | LinStatic | 0 | 1.0027 | 0 | -0.00181 | 0 | -14.80728 |
| 2687 | 0.5 | V16V18 | LinStatic | 0 | 1.0027 | 0 | -0.00181 | 0 | -15.30863 |
| 2687 | 1 | V16V18 | LinStatic | 0 | 1.0027 | 0 | -0.00181 | 0 | -15.80998 |
| 2734 | 0 | V16V18 | LinStatic | 0 | -4.2134 | 0 | -0.04623 | 0 | 57.94531 |
| 2734 | 0.5 | V16V18 | LinStatic | 0 | -4.2134 | 0 | -0.04623 | 0 | 60.05201 |
| 2734 | 1 | V16V18 | LinStatic | 0 | -4.2134 | 0 | -0.04623 | 0 | 62.15871 |
| 2735 | 0 | V16V18 | LinStatic | 0 | -4.2134 | 0 | -0.04623 | 0 | 62.15499 |
| 2735 | 0.5 | V16V18 | LinStatic | 0 | -4.2134 | 0 | -0.04623 | 0 | 64.26169 |
| 2735 | 1 | V16V18 | LinStatic | 0 | -4.2134 | 0 | -0.04623 | 0 | 66.36839 |
| 2782 | 0 | V16V18 | LinStatic | 0 | 17.5759 | 0 | -1.18378 | 0 | -243.2946 |
| 2782 | 0.5 | V16V18 | LinStatic | 0 | 17.5759 | 0 | -1.18378 | 0 | -252.08254 |
| 2782 | 1 | V16V18 | LinStatic | 0 | 17.5759 | 0 | -1.18378 | 0 | -260.87049 |
| 2783 | 0 | V16V18 | LinStatic | 0 | 17.5759 | 0 | -1.18377 | 0 | -260.96568 |
| 2783 | 0.5 | V16V18 | LinStatic | 0 | 17.5759 | 0 | -1.18377 | 0 | -269.75363 |
| 2783 | 1 | V16V18 | LinStatic | 0 | 17.5759 | 0 | -1.18377 | 0 | -278.54157 |
| 2830 | 0 | V16V18 | LinStatic | 0 | -13.3512 | 0 | 12.79883 | 0 | 1027.63395 |
| 2830 | 0.5 | V16V18 | LinStatic | 0 | -13.3512 | 0 | 12.79883 | 0 | 1034.30955 |
| 2830 | 1 | V16V18 | LinStatic | 0 | -13.3512 | 0 | 12.79883 | 0 | 1040.98515 |
| 2831 | 0 | V16V18 | LinStatic | 0 | 6.9977 | 0 | 11.85683 | 0 | 1041.99452 |
| 2831 | 0.5 | V16V18 | LinStatic | 0 | 6.9977 | 0 | 11.85683 | 0 | 1038.49567 |
| 2831 | 1 | V16V18 | LinStatic | 0 | 6.9977 | 0 | 11.85683 | 0 | 1034.99683 |
| 2878 | 0 | V16V18 | LinStatic | 0 | 0.131 | 0 | 1.76635 | 0 | -489.49496 |
| 2878 | 0.5 | V16V18 | LinStatic | 0 | 0.131 | 0 | 1.76635 | 0 | -489.56047 |
| 2878 | 1 | V16V18 | LinStatic | 0 | 0.131 | 0 | 1.76635 | 0 | -489.62598 |
| 2879 | 0 | V16V18 | LinStatic | 0 | 0.131 | 0 | 1.76636 | 0 | -489.48388 |
| 2879 | 0.5 | V16V18 | LinStatic | 0 | 0.131 | 0 | 1.76636 | 0 | -489.54939 |
| 2879 | 1 | V16V18 | LinStatic | 0 | 0.131 | 0 | 1.76636 | 0 | -489.61489 |
| 2926 | 0 | V16V18 | LinStatic | 0 | 3.9488 | 0 | 0.06898 | 0 | 962.01816 |
| 2926 | 0.5 | V16V18 | LinStatic | 0 | 3.9488 | 0 | 0.06898 | 0 | 960.04374 |
| 2926 | 1 | V16V18 | LinStatic | 0 | 3.9488 | 0 | 0.06898 | 0 | 958.06932 |
| 2927 | 0 | V16V18 | LinStatic | 0 | 3.9488 | 0 | 0.06898 | 0 | 958.07486 |
| 2927 | 0.5 | V16V18 | LinStatic | 0 | 3.9488 | 0 | 0.06898 | 0 | 956.10044 |
| 2927 | 1 | V16V18 | LinStatic | 0 | 3.9488 | 0 | 0.06898 | 0 | 954.12603 |
| 2974 | 0 | V16V18 | LinStatic | 0 | -17.5047 | 0 | 0.00269 | 0 | -275.95352 |
| 2974 | 0.5 | V16V18 | LinStatic | 0 | -17.5047 | 0 | 0.00269 | 0 | -267.20116 |
| 2974 | 1 | V16V18 | LinStatic | 0 | -17.5047 | 0 | 0.00269 | 0 | -258.44881 |
| 2975 | 0 | V16V18 | LinStatic | 0 | -17.5047 | 0 | 0.00269 | 0 | -258.44859 |
| 2975 | 0.5 | V16V18 | LinStatic | 0 | -17.5047 | 0 | 0.00269 | 0 | -249.69624 |
| 2975 | 1 | V16V18 | LinStatic | 0 | -17.5047 | 0 | 0.00269 | 0 | -240.94389 |
| 3022 | 0 | V16V18 | LinStatic | 0 | 4.1721 | 0 | 0.00011 | 0 | 65.71033 |
| 3022 | 0.5 | V16V18 | LinStatic | 0 | 4.1721 | 0 | 0.00011 | 0 | 63.62426 |
| 3022 | 1 | V16V18 | LinStatic | 0 | 4.1721 | 0 | 0.00011 | 0 | 61.53819 |
| 3023 | 0 | V16V18 | LinStatic | 0 | 4.1721 | 0 | 0.00011 | 0 | 61.53819 |
| 3023 | 0.5 | V16V18 | LinStatic | 0 | 4.1721 | 0 | 0.00011 | 0 | 59.45212 |
| 3023 | 1 | V16V18 | LinStatic | 0 | 4.1721 | 0 | 0.00011 | 0 | 57.36605 |
| 3070 | 0 | V16V18 | LinStatic | 0 | -1.0025 | 0 | 0.00000411 | 0 | -15.53505 |
| 3070 | 0.5 | V16V18 | LinStatic | 0 | -1.0025 | 0 | 0.00000411 | 0 | -15.03379 |
| 3070 | 1 | V16V18 | LinStatic | 0 | -1.0025 | 0 | 0.00000411 | 0 | -14.53253 |
| 3071 | 0 | V16V18 | LinStatic | 0 | -1.0025 | 0 | 0.00000411 | 0 | -14.53253 |
| 3071 | 0.5 | V16V18 | LinStatic | 0 | -1.0025 | 0 | 0.00000411 | 0 | -14.03126 |
| 3071 | 1 | V16V18 | LinStatic | 0 | -1.0025 | 0 | 0.00000411 | 0 | -13.53 |
| 3116 | 0 | V16V18 | LinStatic | 0 | 0.2443 | 0 | 1.851E-07 | 0 | 4.39754 |
| 3116 | 0.5 | V16V18 | LinStatic | 0 | 0.2443 | 0 | 1.851E-07 | 0 | 4.27539 |
| 3116 | 1 | V16V18 | LinStatic | 0 | 0.2443 | 0 | 1.851E-07 | 0 | 4.15324 |
| 1063 | 0 | V19V21 | LinStatic | 0 | -4.797E-10 | 0 | 0 | 0 | 8.156E-09 |
| 1063 | 0.5 | V19V21 | LinStatic | 0 | -4.797E-10 | 0 | 0 | 0 | 8.395E-09 |
| 1063 | 1 | V19V21 | LinStatic | 0 | -4.797E-10 | 0 | 0 | 0 | 8.635E-09 |
| 1108 | 0 | V19V21 | LinStatic | 0 | 1.969E-09 | 0 | 0 | 0 | -2.657E-08 |
| 1108 | 0.5 | V19V21 | LinStatic | 0 | 1.969E-09 | 0 | 0 | 0 | -2.755E-08 |
| 1108 | 1 | V19V21 | LinStatic | 0 | 1.969E-09 | 0 | 0 | 0 | -2.854E-08 |
| 1109 | 0 | V19V21 | LinStatic | 0 | 1.969E-09 | 0 | 0 | 0 | -2.854E-08 |
| 1109 | 0.5 | V19V21 | LinStatic | 0 | 1.969E-09 | 0 | 0 | 0 | -2.952E-08 |
| 1109 | 1 | V19V21 | LinStatic | 0 | 1.969E-09 | 0 | 0 | 0 | -3.051E-08 |
| 1156 | 0 | V19V21 | LinStatic | 0 | -8.193E-09 | 0 | 0 | 0 | 1.126E-07 |
| 1156 | 0.5 | V19V21 | LinStatic | 0 | -8.193E-09 | 0 | 0 | 0 | 1.167E-07 |
| 1156 | 1 | V19V21 | LinStatic | 0 | -8.193E-09 | 0 | 0 | 0 | 1.208E-07 |
| 1157 | 0 | V19V21 | LinStatic | 0 | -8.193E-09 | 0 | 0 | 0 | 1.208E-07 |
| 1157 | 0.5 | V19V21 | LinStatic | 0 | -8.193E-09 | 0 | 0 | 0 | 1.249E-07 |
| 1157 | 1 | V19V21 | LinStatic | 0 | -8.193E-09 | 0 | 0 | 0 | 0.000000129 |
| 1205 | 0 | V19V21 | LinStatic | 0 | 3.137E-08 | 0 | -2.109E-20 | 0 | -4.353E-07 |
| 1205 | 0.5 | V19V21 | LinStatic | 0 | 3.137E-08 | 0 | -2.109E-20 | 0 | -0.000000451 |
| 1205 | 1 | V19V21 | LinStatic | 0 | 3.137E-08 | 0 | -2.109E-20 | 0 | -4.667E-07 |
| 1257 | 0 | V19V21 | LinStatic | 0 | -1.291E-07 | 0 | -5.468E-19 | 0 | 0.000001946 |
| 1257 | 0.5 | V19V21 | LinStatic | 0 | -1.291E-07 | 0 | -5.468E-19 | 0 | 0.00000201 |
| 1257 | 1 | V19V21 | LinStatic | 0 | -1.291E-07 | 0 | -5.468E-19 | 0 | 0.000002075 |
| 1306 | 0 | V19V21 | LinStatic | 0 | 5.862E-07 | 0 | -1.492E-17 | 0 | -0.000008181 |
| 1306 | 0.5 | V19V21 | LinStatic | 0 | 5.862E-07 | 0 | -1.492E-17 | 0 | -0.000008474 |
| 1306 | 1 | V19V21 | LinStatic | 0 | 5.862E-07 | 0 | -1.492E-17 | 0 | -0.000008767 |
| 1307 | 0 | V19V21 | LinStatic | 0 | 5.862E-07 | 0 | -1.492E-17 | 0 | -0.000008767 |

**TABLE: Element Forces - Frames**

| Frame | Station | OutputCase | CaseType | P | V2 | V3 | T | M2 | M3 |
|---|---|---|---|---|---|---|---|---|---|
| Text | m | Text | Text | Ton | Ton | Ton | Ton-m | Ton-m | Ton-m |
| 1307 | 0.5 | V19V21 | LinStatic | 0 | 5.862E-07 | 0 | -1.492E-17 | 0 | -0.00000906 |
| 1307 | 1 | V19V21 | LinStatic | 0 | 5.862E-07 | 0 | -1.492E-17 | 0 | -0.000009353 |
| 1354 | 0 | V19V21 | LinStatic | 0 | -0.000002476 | 0 | -3.818E-16 | 0 | 0.00003411 |
| 1354 | 0.5 | V19V21 | LinStatic | 0 | -0.000002476 | 0 | -3.818E-16 | 0 | 0.00003534 |
| 1354 | 1 | V19V21 | LinStatic | 0 | -0.000002476 | 0 | -3.818E-16 | 0 | 0.00003658 |
| 1355 | 0 | V19V21 | LinStatic | 0 | -0.000002476 | 0 | -3.818E-16 | 0 | 0.00003658 |
| 1355 | 0.5 | V19V21 | LinStatic | 0 | -0.000002476 | 0 | -3.818E-16 | 0 | 0.00003782 |
| 1355 | 1 | V19V21 | LinStatic | 0 | -0.000002476 | 0 | -3.818E-16 | 0 | 0.00003906 |
| 1402 | 0 | V19V21 | LinStatic | 0 | 0.0000104 | 0 | -9.774E-15 | 0 | -0.00014 |
| 1402 | 0.5 | V19V21 | LinStatic | 0 | 0.0000104 | 0 | -9.774E-15 | 0 | -0.00015 |
| 1402 | 1 | V19V21 | LinStatic | 0 | 0.0000104 | 0 | -9.774E-15 | 0 | -0.00015 |
| 1403 | 0 | V19V21 | LinStatic | 0 | 0.0000104 | 0 | -9.773E-15 | 0 | -0.00015 |
| 1403 | 0.5 | V19V21 | LinStatic | 0 | 0.0000104 | 0 | -9.773E-15 | 0 | -0.00016 |
| 1403 | 1 | V19V21 | LinStatic | 0 | 0.0000104 | 0 | -9.773E-15 | 0 | -0.00016 |
| 1450 | 0 | V19V21 | LinStatic | 0 | -0.00004364 | 0 | -2.503E-13 | 0 | 0.0006 |
| 1450 | 0.5 | V19V21 | LinStatic | 0 | -0.00004364 | 0 | -2.503E-13 | 0 | 0.00062 |
| 1450 | 1 | V19V21 | LinStatic | 0 | -0.00004364 | 0 | -2.503E-13 | 0 | 0.00064 |
| 1451 | 0 | V19V21 | LinStatic | 0 | -0.00004364 | 0 | -2.503E-13 | 0 | 0.00064 |
| 1451 | 0.5 | V19V21 | LinStatic | 0 | -0.00004364 | 0 | -2.503E-13 | 0 | 0.00067 |
| 1451 | 1 | V19V21 | LinStatic | 0 | -0.00004364 | 0 | -2.503E-13 | 0 | 0.00069 |
| 1498 | 0 | V19V21 | LinStatic | 0 | 0.0001832 | 0 | -6.408E-12 | 0 | -0.00252 |
| 1498 | 0.5 | V19V21 | LinStatic | 0 | 0.0001832 | 0 | -6.408E-12 | 0 | -0.00261 |
| 1498 | 1 | V19V21 | LinStatic | 0 | 0.0001832 | 0 | -6.408E-12 | 0 | -0.0027 |
| 1499 | 0 | V19V21 | LinStatic | 0 | 0.0001832 | 0 | -6.408E-12 | 0 | -0.0027 |
| 1499 | 0.5 | V19V21 | LinStatic | 0 | 0.0001832 | 0 | -6.408E-12 | 0 | -0.0028 |
| 1499 | 1 | V19V21 | LinStatic | 0 | 0.0001832 | 0 | -6.408E-12 | 0 | -0.00289 |
| 1546 | 0 | V19V21 | LinStatic | 0 | -0.000769 | 0 | -1.641E-10 | 0 | 0.01059 |
| 1546 | 0.5 | V19V21 | LinStatic | 0 | -0.000769 | 0 | -1.641E-10 | 0 | 0.01097 |
| 1546 | 1 | V19V21 | LinStatic | 0 | -0.000769 | 0 | -1.641E-10 | 0 | 0.01135 |
| 1547 | 0 | V19V21 | LinStatic | 0 | -0.000769 | 0 | -1.641E-10 | 0 | 0.01135 |
| 1547 | 0.5 | V19V21 | LinStatic | 0 | -0.000769 | 0 | -1.641E-10 | 0 | 0.01174 |
| 1547 | 1 | V19V21 | LinStatic | 0 | -0.000769 | 0 | -1.641E-10 | 0 | 0.01212 |
| 1594 | 0 | V19V21 | LinStatic | 0 | 0.0032 | 0 | -4.201E-09 | 0 | -0.04444 |
| 1594 | 0.5 | V19V21 | LinStatic | 0 | 0.0032 | 0 | -4.201E-09 | 0 | -0.04605 |
| 1594 | 1 | V19V21 | LinStatic | 0 | 0.0032 | 0 | -4.201E-09 | 0 | -0.04766 |
| 1595 | 0 | V19V21 | LinStatic | 0 | 0.0032 | 0 | -4.201E-09 | 0 | -0.04766 |
| 1595 | 0.5 | V19V21 | LinStatic | 0 | 0.0032 | 0 | -4.201E-09 | 0 | -0.04928 |
| 1595 | 1 | V19V21 | LinStatic | 0 | 0.0032 | 0 | -4.201E-09 | 0 | -0.05089 |
| 1642 | 0 | V19V21 | LinStatic | 0 | -0.0136 | 0 | -1.076E-07 | 0 | 0.18653 |
| 1642 | 0.5 | V19V21 | LinStatic | 0 | -0.0136 | 0 | -1.076E-07 | 0 | 0.1933 |
| 1642 | 1 | V19V21 | LinStatic | 0 | -0.0136 | 0 | -1.076E-07 | 0 | 0.20008 |
| 1643 | 0 | V19V21 | LinStatic | 0 | -0.0136 | 0 | -1.076E-07 | 0 | 0.20008 |
| 1643 | 0.5 | V19V21 | LinStatic | 0 | -0.0136 | 0 | -1.076E-07 | 0 | 0.20685 |
| 1643 | 1 | V19V21 | LinStatic | 0 | -0.0136 | 0 | -1.076E-07 | 0 | 0.21363 |
| 1690 | 0 | V19V21 | LinStatic | 0 | 0.0569 | 0 | -0.000002754 | 0 | -0.783 |
| 1690 | 0.5 | V19V21 | LinStatic | 0 | 0.0569 | 0 | -0.000002754 | 0 | -0.81144 |
| 1690 | 1 | V19V21 | LinStatic | 0 | 0.0569 | 0 | -0.000002754 | 0 | -0.83988 |
| 1691 | 0 | V19V21 | LinStatic | 0 | 0.0569 | 0 | -0.000002754 | 0 | -0.83988 |
| 1691 | 0.5 | V19V21 | LinStatic | 0 | 0.0569 | 0 | -0.000002754 | 0 | -0.86832 |
| 1691 | 1 | V19V21 | LinStatic | 0 | 0.0569 | 0 | -0.000002754 | 0 | -0.89676 |
| 1738 | 0 | V19V21 | LinStatic | 0 | -0.2388 | 0 | -0.00007052 | 0 | 3.28682 |
| 1738 | 0.5 | V19V21 | LinStatic | 0 | -0.2388 | 0 | -0.00007052 | 0 | 3.40621 |
| 1738 | 1 | V19V21 | LinStatic | 0 | -0.2388 | 0 | -0.00007052 | 0 | 3.5256 |
| 1739 | 0 | V19V21 | LinStatic | 0 | -0.2388 | 0 | -0.00007052 | 0 | 3.5256 |
| 1739 | 0.5 | V19V21 | LinStatic | 0 | -0.2388 | 0 | -0.00007052 | 0 | 3.64499 |
| 1739 | 1 | V19V21 | LinStatic | 0 | -0.2388 | 0 | -0.00007052 | 0 | 3.76437 |
| 1786 | 0 | V19V21 | LinStatic | 0 | 1.0025 | 0 | -0.00181 | 0 | -13.79716 |
| 1786 | 0.5 | V19V21 | LinStatic | 0 | 1.0025 | 0 | -0.00181 | 0 | -14.29839 |
| 1786 | 1 | V19V21 | LinStatic | 0 | 1.0025 | 0 | -0.00181 | 0 | -14.79963 |
| 1787 | 0 | V19V21 | LinStatic | 0 | 1.0025 | 0 | -0.00181 | 0 | -14.79948 |
| 1787 | 0.5 | V19V21 | LinStatic | 0 | 1.0025 | 0 | -0.00181 | 0 | -15.30072 |
| 1787 | 1 | V19V21 | LinStatic | 0 | 1.0025 | 0 | -0.00181 | 0 | -15.80195 |
| 1834 | 0 | V19V21 | LinStatic | 0 | -4.2038 | 0 | -0.04623 | 0 | 57.91904 |
| 1834 | 0.5 | V19V21 | LinStatic | 0 | -4.2038 | 0 | -0.04623 | 0 | 60.02093 |
| 1834 | 1 | V19V21 | LinStatic | 0 | -4.2038 | 0 | -0.04623 | 0 | 62.12282 |
| 1835 | 0 | V19V21 | LinStatic | 0 | -4.2038 | 0 | -0.04623 | 0 | 62.12654 |
| 1835 | 0.5 | V19V21 | LinStatic | 0 | -4.2038 | 0 | -0.04623 | 0 | 64.22843 |
| 1835 | 1 | V19V21 | LinStatic | 0 | -4.2038 | 0 | -0.04623 | 0 | 66.33032 |
| 1882 | 0 | V19V21 | LinStatic | 0 | 17.7573 | 0 | -1.18378 | 0 | -243.07396 |
| 1882 | 0.5 | V19V21 | LinStatic | 0 | 17.7573 | 0 | -1.18378 | 0 | -251.95258 |
| 1882 | 1 | V19V21 | LinStatic | 0 | 17.7573 | 0 | -1.18378 | 0 | -260.83121 |
| 1883 | 0 | V19V21 | LinStatic | 0 | 17.7573 | 0 | -1.18377 | 0 | -260.73602 |
| 1883 | 0.5 | V19V21 | LinStatic | 0 | 17.7573 | 0 | -1.18377 | 0 | -269.61465 |
| 1883 | 1 | V19V21 | LinStatic | 0 | 17.7573 | 0 | -1.18377 | 0 | -278.49328 |
| 1930 | 0 | V19V21 | LinStatic | 0 | -15.019 | 0 | 12.79883 | 0 | 1029.18276 |
| 1930 | 0.5 | V19V21 | LinStatic | 0 | -15.019 | 0 | 12.79883 | 0 | 1036.69225 |
| 1930 | 1 | V19V21 | LinStatic | 0 | -15.019 | 0 | 12.79883 | 0 | 1044.20173 |
| 1931 | 0 | V19V21 | LinStatic | 0 | 4.6321 | 0 | 11.85683 | 0 | 1043.19237 |
| 1931 | 0.5 | V19V21 | LinStatic | 0 | 4.6321 | 0 | 11.85683 | 0 | 1040.8763 |
| 1931 | 1 | V19V21 | LinStatic | 0 | 4.6321 | 0 | 11.85683 | 0 | 1038.56023 |
| 1978 | 0 | V19V21 | LinStatic | 0 | -0.3142 | 0 | 1.76635 | 0 | -487.42027 |
| 1978 | 0.5 | V19V21 | LinStatic | 0 | -0.3142 | 0 | 1.76635 | 0 | -487.26316 |
| 1978 | 1 | V19V21 | LinStatic | 0 | -0.3142 | 0 | 1.76635 | 0 | -487.10605 |

**TABLE: Element Forces - Frames**

| Frame | Station | OutputCase | CaseType | P | V2 | V3 | T | M2 | M3 |
|---|---|---|---|---|---|---|---|---|---|
| Text | m | Text | Text | Ton | Ton | Ton | Ton-m | Ton-m | Ton-m |
| 1979 | 0 | V19V21 | LinStatic | 0 | -0.3142 | 0 | 1.76636 | 0 | -487.24814 |
| 1979 | 0.5 | V19V21 | LinStatic | 0 | -0.3142 | 0 | 1.76636 | 0 | -487.09103 |
| 1979 | 1 | V19V21 | LinStatic | 0 | -0.3142 | 0 | 1.76636 | 0 | -486.93393 |
| 2026 | 0 | V19V21 | LinStatic | 0 | 4.6138 | 0 | 0.069 | 0 | 952.707 |
| 2026 | 0.5 | V19V21 | LinStatic | 0 | 4.6138 | 0 | 0.069 | 0 | 950.40012 |
| 2026 | 1 | V19V21 | LinStatic | 0 | 4.6138 | 0 | 0.069 | 0 | 948.09324 |
| 2027 | 0 | V19V21 | LinStatic | 0 | 4.6138 | 0 | 0.069 | 0 | 948.08769 |
| 2027 | 0.5 | V19V21 | LinStatic | 0 | 4.6138 | 0 | 0.069 | 0 | 945.78081 |
| 2027 | 1 | V19V21 | LinStatic | 0 | 4.6138 | 0 | 0.069 | 0 | 943.47394 |
| 2072 | 0 | V19V21 | LinStatic | 0 | -18.0713 | 0 | 0.00311 | 0 | -325.27995 |
| 2072 | 0.5 | V19V21 | LinStatic | 0 | -18.0713 | 0 | 0.00311 | 0 | -316.24428 |
| 2072 | 1 | V19V21 | LinStatic | 0 | -18.0713 | 0 | 0.00311 | 0 | -307.2086 |
| 2107 | 0 | V19V21 | LinStatic | 0 | -4.797E-10 | 0 | 0 | 0 | 8.156E-09 |
| 2107 | 0.5 | V19V21 | LinStatic | 0 | -4.797E-10 | 0 | 0 | 0 | 8.395E-09 |
| 2107 | 1 | V19V21 | LinStatic | 0 | -4.797E-10 | 0 | 0 | 0 | 8.635E-09 |
| 2152 | 0 | V19V21 | LinStatic | 0 | 1.969E-09 | 0 | 0 | 0 | -2.657E-08 |
| 2152 | 0.5 | V19V21 | LinStatic | 0 | 1.969E-09 | 0 | 0 | 0 | -2.755E-08 |
| 2152 | 1 | V19V21 | LinStatic | 0 | 1.969E-09 | 0 | 0 | 0 | -2.854E-08 |
| 2153 | 0 | V19V21 | LinStatic | 0 | 1.969E-09 | 0 | 0 | 0 | -2.854E-08 |
| 2153 | 0.5 | V19V21 | LinStatic | 0 | 1.969E-09 | 0 | 0 | 0 | -2.952E-08 |
| 2153 | 1 | V19V21 | LinStatic | 0 | 1.969E-09 | 0 | 0 | 0 | -3.051E-08 |
| 2200 | 0 | V19V21 | LinStatic | 0 | -8.193E-09 | 0 | 0 | 0 | 1.126E-07 |
| 2200 | 0.5 | V19V21 | LinStatic | 0 | -8.193E-09 | 0 | 0 | 0 | 1.167E-07 |
| 2200 | 1 | V19V21 | LinStatic | 0 | -8.193E-09 | 0 | 0 | 0 | 1.208E-07 |
| 2201 | 0 | V19V21 | LinStatic | 0 | -8.193E-09 | 0 | 0 | 0 | 1.208E-07 |
| 2201 | 0.5 | V19V21 | LinStatic | 0 | -8.193E-09 | 0 | 0 | 0 | 1.249E-07 |
| 2201 | 1 | V19V21 | LinStatic | 0 | -8.193E-09 | 0 | 0 | 0 | 0.000000129 |
| 2249 | 0 | V19V21 | LinStatic | 0 | 3.137E-08 | 0 | -2.044E-20 | 0 | -4.353E-07 |
| 2249 | 0.5 | V19V21 | LinStatic | 0 | 3.137E-08 | 0 | -2.044E-20 | 0 | -0.000000451 |
| 2249 | 1 | V19V21 | LinStatic | 0 | 3.137E-08 | 0 | -2.044E-20 | 0 | -4.667E-07 |
| 2301 | 0 | V19V21 | LinStatic | 0 | -1.291E-07 | 0 | -5.416E-19 | 0 | 0.000001946 |
| 2301 | 0.5 | V19V21 | LinStatic | 0 | -1.291E-07 | 0 | -5.416E-19 | 0 | 0.00000201 |
| 2301 | 1 | V19V21 | LinStatic | 0 | -1.291E-07 | 0 | -5.416E-19 | 0 | 0.000002075 |
| 2350 | 0 | V19V21 | LinStatic | 0 | 5.862E-07 | 0 | -1.491E-17 | 0 | -0.000008181 |
| 2350 | 0.5 | V19V21 | LinStatic | 0 | 5.862E-07 | 0 | -1.491E-17 | 0 | -0.000008474 |
| 2350 | 1 | V19V21 | LinStatic | 0 | 5.862E-07 | 0 | -1.491E-17 | 0 | -0.000008767 |
| 2351 | 0 | V19V21 | LinStatic | 0 | 5.862E-07 | 0 | -1.493E-17 | 0 | -0.000008767 |
| 2351 | 0.5 | V19V21 | LinStatic | 0 | 5.862E-07 | 0 | -1.493E-17 | 0 | -0.00000906 |
| 2351 | 1 | V19V21 | LinStatic | 0 | 5.862E-07 | 0 | -1.493E-17 | 0 | -0.000009353 |
| 2398 | 0 | V19V21 | LinStatic | 0 | -0.000002476 | 0 | -3.818E-16 | 0 | 0.00003411 |
| 2398 | 0.5 | V19V21 | LinStatic | 0 | -0.000002476 | 0 | -3.818E-16 | 0 | 0.00003534 |
| 2398 | 1 | V19V21 | LinStatic | 0 | -0.000002476 | 0 | -3.818E-16 | 0 | 0.00003658 |
| 2399 | 0 | V19V21 | LinStatic | 0 | -0.000002476 | 0 | -3.818E-16 | 0 | 0.00003658 |
| 2399 | 0.5 | V19V21 | LinStatic | 0 | -0.000002476 | 0 | -3.818E-16 | 0 | 0.00003782 |
| 2399 | 1 | V19V21 | LinStatic | 0 | -0.000002476 | 0 | -3.818E-16 | 0 | 0.00003906 |
| 2446 | 0 | V19V21 | LinStatic | 0 | 0.0000104 | 0 | -9.774E-15 | 0 | -0.00014 |
| 2446 | 0.5 | V19V21 | LinStatic | 0 | 0.0000104 | 0 | -9.774E-15 | 0 | -0.00015 |
| 2446 | 1 | V19V21 | LinStatic | 0 | 0.0000104 | 0 | -9.774E-15 | 0 | -0.00015 |
| 2447 | 0 | V19V21 | LinStatic | 0 | 0.0000104 | 0 | -9.774E-15 | 0 | -0.00015 |
| 2447 | 0.5 | V19V21 | LinStatic | 0 | 0.0000104 | 0 | -9.774E-15 | 0 | -0.00016 |
| 2447 | 1 | V19V21 | LinStatic | 0 | 0.0000104 | 0 | -9.774E-15 | 0 | -0.00016 |
| 2494 | 0 | V19V21 | LinStatic | 0 | -0.00004364 | 0 | -2.503E-13 | 0 | 0.0006 |
| 2494 | 0.5 | V19V21 | LinStatic | 0 | -0.00004364 | 0 | -2.503E-13 | 0 | 0.00062 |
| 2494 | 1 | V19V21 | LinStatic | 0 | -0.00004364 | 0 | -2.503E-13 | 0 | 0.00064 |
| 2495 | 0 | V19V21 | LinStatic | 0 | -0.00004364 | 0 | -2.503E-13 | 0 | 0.00064 |
| 2495 | 0.5 | V19V21 | LinStatic | 0 | -0.00004364 | 0 | -2.503E-13 | 0 | 0.00067 |
| 2495 | 1 | V19V21 | LinStatic | 0 | -0.00004364 | 0 | -2.503E-13 | 0 | 0.00069 |
| 2542 | 0 | V19V21 | LinStatic | 0 | 0.0001832 | 0 | -6.408E-12 | 0 | -0.00252 |
| 2542 | 0.5 | V19V21 | LinStatic | 0 | 0.0001832 | 0 | -6.408E-12 | 0 | -0.00261 |
| 2542 | 1 | V19V21 | LinStatic | 0 | 0.0001832 | 0 | -6.408E-12 | 0 | -0.0027 |
| 2543 | 0 | V19V21 | LinStatic | 0 | 0.0001832 | 0 | -6.408E-12 | 0 | -0.0027 |
| 2543 | 0.5 | V19V21 | LinStatic | 0 | 0.0001832 | 0 | -6.408E-12 | 0 | -0.0028 |
| 2543 | 1 | V19V21 | LinStatic | 0 | 0.0001832 | 0 | -6.408E-12 | 0 | -0.00289 |
| 2590 | 0 | V19V21 | LinStatic | 0 | -0.000769 | 0 | -1.641E-10 | 0 | 0.01059 |
| 2590 | 0.5 | V19V21 | LinStatic | 0 | -0.000769 | 0 | -1.641E-10 | 0 | 0.01097 |
| 2590 | 1 | V19V21 | LinStatic | 0 | -0.000769 | 0 | -1.641E-10 | 0 | 0.01135 |
| 2591 | 0 | V19V21 | LinStatic | 0 | -0.000769 | 0 | -1.641E-10 | 0 | 0.01135 |
| 2591 | 0.5 | V19V21 | LinStatic | 0 | -0.000769 | 0 | -1.641E-10 | 0 | 0.01174 |
| 2591 | 1 | V19V21 | LinStatic | 0 | -0.000769 | 0 | -1.641E-10 | 0 | 0.01212 |
| 2638 | 0 | V19V21 | LinStatic | 0 | 0.0032 | 0 | -4.201E-09 | 0 | -0.04444 |
| 2638 | 0.5 | V19V21 | LinStatic | 0 | 0.0032 | 0 | -4.201E-09 | 0 | -0.04605 |
| 2638 | 1 | V19V21 | LinStatic | 0 | 0.0032 | 0 | -4.201E-09 | 0 | -0.04766 |
| 2639 | 0 | V19V21 | LinStatic | 0 | 0.0032 | 0 | -4.201E-09 | 0 | -0.04766 |
| 2639 | 0.5 | V19V21 | LinStatic | 0 | 0.0032 | 0 | -4.201E-09 | 0 | -0.04928 |
| 2639 | 1 | V19V21 | LinStatic | 0 | 0.0032 | 0 | -4.201E-09 | 0 | -0.05089 |
| 2686 | 0 | V19V21 | LinStatic | 0 | -0.0136 | 0 | -1.076E-07 | 0 | 0.18653 |
| 2686 | 0.5 | V19V21 | LinStatic | 0 | -0.0136 | 0 | -1.076E-07 | 0 | 0.1933 |
| 2686 | 1 | V19V21 | LinStatic | 0 | -0.0136 | 0 | -1.076E-07 | 0 | 0.20008 |
| 2687 | 0 | V19V21 | LinStatic | 0 | -0.0136 | 0 | -1.076E-07 | 0 | 0.20008 |
| 2687 | 0.5 | V19V21 | LinStatic | 0 | -0.0136 | 0 | -1.076E-07 | 0 | 0.20685 |
| 2687 | 1 | V19V21 | LinStatic | 0 | -0.0136 | 0 | -1.076E-07 | 0 | 0.21363 |
| 2734 | 0 | V19V21 | LinStatic | 0 | 0.0569 | 0 | -0.000002754 | 0 | -0.783 |
| 2734 | 0.5 | V19V21 | LinStatic | 0 | 0.0569 | 0 | -0.000002754 | 0 | -0.81144 |

**TABLE: Element Forces - Frames**

| Frame | Station | OutputCase | CaseType | P | V2 | V3 | T | M2 | M3 |
|---|---|---|---|---|---|---|---|---|---|
| Text | m | Text | Text | Ton | Ton | Ton | Ton-m | Ton-m | Ton-m |
| 2734 | 1 | V19V21 | LinStatic | 0 | 0.0569 | 0 | -0.000002754 | 0 | -0.83988 |
| 2735 | 0 | V19V21 | LinStatic | 0 | 0.0569 | 0 | -0.000002754 | 0 | -0.83988 |
| 2735 | 0.5 | V19V21 | LinStatic | 0 | 0.0569 | 0 | -0.000002754 | 0 | -0.86832 |
| 2735 | 1 | V19V21 | LinStatic | 0 | 0.0569 | 0 | -0.000002754 | 0 | -0.89676 |
| 2782 | 0 | V19V21 | LinStatic | 0 | -0.2388 | 0 | -0.00007052 | 0 | 3.28682 |
| 2782 | 0.5 | V19V21 | LinStatic | 0 | -0.2388 | 0 | -0.00007052 | 0 | 3.40621 |
| 2782 | 1 | V19V21 | LinStatic | 0 | -0.2388 | 0 | -0.00007052 | 0 | 3.5256 |
| 2783 | 0 | V19V21 | LinStatic | 0 | -0.2388 | 0 | -0.00007052 | 0 | 3.5256 |
| 2783 | 0.5 | V19V21 | LinStatic | 0 | -0.2388 | 0 | -0.00007052 | 0 | 3.64499 |
| 2783 | 1 | V19V21 | LinStatic | 0 | -0.2388 | 0 | -0.00007052 | 0 | 3.76438 |
| 2830 | 0 | V19V21 | LinStatic | 0 | 1.0022 | 0 | -0.00181 | 0 | -13.7973 |
| 2830 | 0.5 | V19V21 | LinStatic | 0 | 1.0022 | 0 | -0.00181 | 0 | -14.29839 |
| 2830 | 1 | V19V21 | LinStatic | 0 | 1.0022 | 0 | -0.00181 | 0 | -14.79948 |
| 2831 | 0 | V19V21 | LinStatic | 0 | 1.0022 | 0 | -0.00181 | 0 | -14.79963 |
| 2831 | 0.5 | V19V21 | LinStatic | 0 | 1.0022 | 0 | -0.00181 | 0 | -15.30072 |
| 2831 | 1 | V19V21 | LinStatic | 0 | 1.0022 | 0 | -0.00181 | 0 | -15.80181 |
| 2878 | 0 | V19V21 | LinStatic | 0 | -4.2112 | 0 | -0.04623 | 0 | 57.91534 |
| 2878 | 0.5 | V19V21 | LinStatic | 0 | -4.2112 | 0 | -0.04623 | 0 | 60.02095 |
| 2878 | 1 | V19V21 | LinStatic | 0 | -4.2112 | 0 | -0.04623 | 0 | 62.12656 |
| 2879 | 0 | V19V21 | LinStatic | 0 | -4.2112 | 0 | -0.04623 | 0 | 62.12284 |
| 2879 | 0.5 | V19V21 | LinStatic | 0 | -4.2112 | 0 | -0.04623 | 0 | 64.22846 |
| 2879 | 1 | V19V21 | LinStatic | 0 | -4.2112 | 0 | -0.04623 | 0 | 66.33407 |
| 2926 | 0 | V19V21 | LinStatic | 0 | 17.5668 | 0 | -1.18378 | 0 | -243.16879 |
| 2926 | 0.5 | V19V21 | LinStatic | 0 | 17.5668 | 0 | -1.18378 | 0 | -251.95217 |
| 2926 | 1 | V19V21 | LinStatic | 0 | 17.5668 | 0 | -1.18378 | 0 | -260.73555 |
| 2927 | 0 | V19V21 | LinStatic | 0 | 17.5668 | 0 | -1.18377 | 0 | -260.83074 |
| 2927 | 0.5 | V19V21 | LinStatic | 0 | 17.5668 | 0 | -1.18377 | 0 | -269.61412 |
| 2927 | 1 | V19V21 | LinStatic | 0 | 17.5668 | 0 | -1.18377 | 0 | -278.39749 |
| 2974 | 0 | V19V21 | LinStatic | 0 | -13.3128 | 0 | 12.79883 | 0 | 1027.10585 |
| 2974 | 0.5 | V19V21 | LinStatic | 0 | -13.3128 | 0 | 12.79883 | 0 | 1033.76227 |
| 2974 | 1 | V19V21 | LinStatic | 0 | -13.3128 | 0 | 12.79883 | 0 | 1040.41869 |
| 2975 | 0 | V19V21 | LinStatic | 0 | 7.0361 | 0 | 11.85683 | 0 | 1041.42806 |
| 2975 | 0.5 | V19V21 | LinStatic | 0 | 7.0361 | 0 | 11.85683 | 0 | 1037.91003 |
| 2975 | 1 | V19V21 | LinStatic | 0 | 7.0361 | 0 | 11.85683 | 0 | 1034.39201 |
| 3022 | 0 | V19V21 | LinStatic | 0 | -0.03 | 0 | 1.76635 | 0 | -487.27816 |
| 3022 | 0.5 | V19V21 | LinStatic | 0 | -0.03 | 0 | 1.76635 | 0 | -487.26315 |
| 3022 | 1 | V19V21 | LinStatic | 0 | -0.03 | 0 | 1.76635 | 0 | -487.24813 |
| 3023 | 0 | V19V21 | LinStatic | 0 | -0.03 | 0 | 1.76636 | 0 | -487.10603 |
| 3023 | 0.5 | V19V21 | LinStatic | 0 | -0.03 | 0 | 1.76636 | 0 | -487.09102 |
| 3023 | 1 | V19V21 | LinStatic | 0 | -0.03 | 0 | 1.76636 | 0 | -487.076 |
| 3070 | 0 | V19V21 | LinStatic | 0 | 4.6249 | 0 | 0.069 | 0 | 952.71259 |
| 3070 | 0.5 | V19V21 | LinStatic | 0 | 4.6249 | 0 | 0.069 | 0 | 950.40016 |
| 3070 | 1 | V19V21 | LinStatic | 0 | 4.6249 | 0 | 0.069 | 0 | 948.08772 |
| 3071 | 0 | V19V21 | LinStatic | 0 | 4.6249 | 0 | 0.069 | 0 | 948.09327 |
| 3071 | 0.5 | V19V21 | LinStatic | 0 | 4.6249 | 0 | 0.069 | 0 | 945.78084 |
| 3071 | 1 | V19V21 | LinStatic | 0 | 4.6249 | 0 | 0.069 | 0 | 943.46841 |
| 3116 | 0 | V19V21 | LinStatic | 0 | -18.0709 | 0 | 0.00311 | 0 | -325.27968 |
| 3116 | 0.5 | V19V21 | LinStatic | 0 | -18.0709 | 0 | 0.00311 | 0 | -316.24425 |
| 3116 | 1 | V19V21 | LinStatic | 0 | -18.0709 | 0 | 0.00311 | 0 | -307.20883 |
| 1063 | 0 | V20V22 | LinStatic | 0 | 1.126E-10 | 0 | 0 | 0 | -1.914E-09 |
| 1063 | 0.5 | V20V22 | LinStatic | 0 | 1.126E-10 | 0 | 0 | 0 | -1.97E-09 |
| 1063 | 1 | V20V22 | LinStatic | 0 | 1.126E-10 | 0 | 0 | 0 | -2.027E-09 |
| 1108 | 0 | V20V22 | LinStatic | 0 | -4.62E-10 | 0 | 0 | 0 | 6.236E-09 |
| 1108 | 0.5 | V20V22 | LinStatic | 0 | -4.62E-10 | 0 | 0 | 0 | 6.467E-09 |
| 1108 | 1 | V20V22 | LinStatic | 0 | -4.62E-10 | 0 | 0 | 0 | 6.698E-09 |
| 1109 | 0 | V20V22 | LinStatic | 0 | -4.62E-10 | 0 | 0 | 0 | 6.698E-09 |
| 1109 | 0.5 | V20V22 | LinStatic | 0 | -4.62E-10 | 0 | 0 | 0 | 6.929E-09 |
| 1109 | 1 | V20V22 | LinStatic | 0 | -4.62E-10 | 0 | 0 | 0 | 7.16E-09 |
| 1156 | 0 | V20V22 | LinStatic | 0 | 1.923E-09 | 0 | 0 | 0 | -2.644E-08 |
| 1156 | 0.5 | V20V22 | LinStatic | 0 | 1.923E-09 | 0 | 0 | 0 | -2.74E-08 |
| 1156 | 1 | V20V22 | LinStatic | 0 | 1.923E-09 | 0 | 0 | 0 | -2.836E-08 |
| 1157 | 0 | V20V22 | LinStatic | 0 | 1.923E-09 | 0 | 0 | 0 | -2.836E-08 |
| 1157 | 0.5 | V20V22 | LinStatic | 0 | 1.923E-09 | 0 | 0 | 0 | -2.932E-08 |
| 1157 | 1 | V20V22 | LinStatic | 0 | 1.923E-09 | 0 | 0 | 0 | -3.028E-08 |
| 1205 | 0 | V20V22 | LinStatic | 0 | -7.362E-09 | 0 | 0 | 0 | 1.022E-07 |
| 1205 | 0.5 | V20V22 | LinStatic | 0 | -7.362E-09 | 0 | 0 | 0 | 1.059E-07 |
| 1205 | 1 | V20V22 | LinStatic | 0 | -7.362E-09 | 0 | 0 | 0 | 1.095E-07 |
| 1257 | 0 | V20V22 | LinStatic | 0 | 3.03E-08 | 0 | -2.35E-20 | 0 | -4.566E-07 |
| 1257 | 0.5 | V20V22 | LinStatic | 0 | 3.03E-08 | 0 | -2.35E-20 | 0 | -4.718E-07 |
| 1257 | 1 | V20V22 | LinStatic | 0 | 3.03E-08 | 0 | -2.35E-20 | 0 | -0.000000487 |
| 1306 | 0 | V20V22 | LinStatic | 0 | -1.376E-07 | 0 | -5.773E-19 | 0 | 0.00000192 |
| 1306 | 0.5 | V20V22 | LinStatic | 0 | -1.376E-07 | 0 | -5.773E-19 | 0 | 0.000001989 |
| 1306 | 1 | V20V22 | LinStatic | 0 | -1.376E-07 | 0 | -5.773E-19 | 0 | 0.000002058 |
| 1307 | 0 | V20V22 | LinStatic | 0 | -1.376E-07 | 0 | -5.778E-19 | 0 | 0.000002058 |
| 1307 | 0.5 | V20V22 | LinStatic | 0 | -1.376E-07 | 0 | -5.778E-19 | 0 | 0.000002126 |
| 1307 | 1 | V20V22 | LinStatic | 0 | -1.376E-07 | 0 | -5.778E-19 | 0 | 0.000002195 |
| 1354 | 0 | V20V22 | LinStatic | 0 | 5.811E-07 | 0 | -1.489E-17 | 0 | -0.000008005 |
| 1354 | 0.5 | V20V22 | LinStatic | 0 | 5.811E-07 | 0 | -1.489E-17 | 0 | -0.000008295 |
| 1354 | 1 | V20V22 | LinStatic | 0 | 5.811E-07 | 0 | -1.489E-17 | 0 | -0.000008586 |
| 1355 | 0 | V20V22 | LinStatic | 0 | 5.811E-07 | 0 | -1.489E-17 | 0 | -0.000008586 |
| 1355 | 0.5 | V20V22 | LinStatic | 0 | 5.811E-07 | 0 | -1.489E-17 | 0 | -0.000008877 |
| 1355 | 1 | V20V22 | LinStatic | 0 | 5.811E-07 | 0 | -1.489E-17 | 0 | -0.000009167 |
| 1402 | 0 | V20V22 | LinStatic | 0 | -0.00000244 | 0 | -3.817E-16 | 0 | 0.00003359 |

**TABLE: Element Forces - Frames**

| Frame | Station | OutputCase | CaseType | P | V2 | V3 | T | M2 | M3 |
|---|---|---|---|---|---|---|---|---|---|
| Text | m | Text | Text | Ton | Ton | Ton | Ton-m | Ton-m | Ton-m |
| 1402 | 0.5 | V20V22 | LinStatic | 0 | -0.00000244 | 0 | -3.817E-16 | 0 | 0.00003481 |
| 1402 | 1 | V20V22 | LinStatic | 0 | -0.00000244 | 0 | -3.817E-16 | 0 | 0.00003603 |
| 1403 | 0 | V20V22 | LinStatic | 0 | -0.00000244 | 0 | -3.817E-16 | 0 | 0.00003603 |
| 1403 | 0.5 | V20V22 | LinStatic | 0 | -0.00000244 | 0 | -3.817E-16 | 0 | 0.00003725 |
| 1403 | 1 | V20V22 | LinStatic | 0 | -0.00000244 | 0 | -3.817E-16 | 0 | 0.00003847 |
| 1450 | 0 | V20V22 | LinStatic | 0 | 0.00001024 | 0 | -9.774E-15 | 0 | -0.00014 |
| 1450 | 0.5 | V20V22 | LinStatic | 0 | 0.00001024 | 0 | -9.774E-15 | 0 | -0.00015 |
| 1450 | 1 | V20V22 | LinStatic | 0 | 0.00001024 | 0 | -9.774E-15 | 0 | -0.00015 |
| 1451 | 0 | V20V22 | LinStatic | 0 | 0.00001024 | 0 | -9.773E-15 | 0 | -0.00015 |
| 1451 | 0.5 | V20V22 | LinStatic | 0 | 0.00001024 | 0 | -9.773E-15 | 0 | -0.00016 |
| 1451 | 1 | V20V22 | LinStatic | 0 | 0.00001024 | 0 | -9.773E-15 | 0 | -0.00016 |
| 1498 | 0 | V20V22 | LinStatic | 0 | -0.000043 | 0 | -2.503E-13 | 0 | 0.00059 |
| 1498 | 0.5 | V20V22 | LinStatic | 0 | -0.000043 | 0 | -2.503E-13 | 0 | 0.00061 |
| 1498 | 1 | V20V22 | LinStatic | 0 | -0.000043 | 0 | -2.503E-13 | 0 | 0.00063 |
| 1499 | 0 | V20V22 | LinStatic | 0 | -0.000043 | 0 | -2.503E-13 | 0 | 0.00063 |
| 1499 | 0.5 | V20V22 | LinStatic | 0 | -0.000043 | 0 | -2.503E-13 | 0 | 0.00066 |
| 1499 | 1 | V20V22 | LinStatic | 0 | -0.000043 | 0 | -2.503E-13 | 0 | 0.00068 |
| 1546 | 0 | V20V22 | LinStatic | 0 | 0.0001805 | 0 | -6.408E-12 | 0 | -0.00248 |
| 1546 | 0.5 | V20V22 | LinStatic | 0 | 0.0001805 | 0 | -6.408E-12 | 0 | -0.00257 |
| 1546 | 1 | V20V22 | LinStatic | 0 | 0.0001805 | 0 | -6.408E-12 | 0 | -0.00266 |
| 1547 | 0 | V20V22 | LinStatic | 0 | 0.0001805 | 0 | -6.408E-12 | 0 | -0.00266 |
| 1547 | 0.5 | V20V22 | LinStatic | 0 | 0.0001805 | 0 | -6.408E-12 | 0 | -0.00276 |
| 1547 | 1 | V20V22 | LinStatic | 0 | 0.0001805 | 0 | -6.408E-12 | 0 | -0.00285 |
| 1594 | 0 | V20V22 | LinStatic | 0 | -0.0007577 | 0 | -1.641E-10 | 0 | 0.01043 |
| 1594 | 0.5 | V20V22 | LinStatic | 0 | -0.0007577 | 0 | -1.641E-10 | 0 | 0.01081 |
| 1594 | 1 | V20V22 | LinStatic | 0 | -0.0007577 | 0 | -1.641E-10 | 0 | 0.01119 |
| 1595 | 0 | V20V22 | LinStatic | 0 | -0.0007577 | 0 | -1.641E-10 | 0 | 0.01119 |
| 1595 | 0.5 | V20V22 | LinStatic | 0 | -0.0007577 | 0 | -1.641E-10 | 0 | 0.01157 |
| 1595 | 1 | V20V22 | LinStatic | 0 | -0.0007577 | 0 | -1.641E-10 | 0 | 0.01194 |
| 1642 | 0 | V20V22 | LinStatic | 0 | 0.0032 | 0 | -4.201E-09 | 0 | -0.04378 |
| 1642 | 0.5 | V20V22 | LinStatic | 0 | 0.0032 | 0 | -4.201E-09 | 0 | -0.04537 |
| 1642 | 1 | V20V22 | LinStatic | 0 | 0.0032 | 0 | -4.201E-09 | 0 | -0.04696 |
| 1643 | 0 | V20V22 | LinStatic | 0 | 0.0032 | 0 | -4.201E-09 | 0 | -0.04696 |
| 1643 | 0.5 | V20V22 | LinStatic | 0 | 0.0032 | 0 | -4.201E-09 | 0 | -0.04855 |
| 1643 | 1 | V20V22 | LinStatic | 0 | 0.0032 | 0 | -4.201E-09 | 0 | -0.05014 |
| 1690 | 0 | V20V22 | LinStatic | 0 | -0.0134 | 0 | -1.076E-07 | 0 | 0.18377 |
| 1690 | 0.5 | V20V22 | LinStatic | 0 | -0.0134 | 0 | -1.076E-07 | 0 | 0.19045 |
| 1690 | 1 | V20V22 | LinStatic | 0 | -0.0134 | 0 | -1.076E-07 | 0 | 0.19712 |
| 1691 | 0 | V20V22 | LinStatic | 0 | -0.0134 | 0 | -1.076E-07 | 0 | 0.19712 |
| 1691 | 0.5 | V20V22 | LinStatic | 0 | -0.0134 | 0 | -1.076E-07 | 0 | 0.2038 |
| 1691 | 1 | V20V22 | LinStatic | 0 | -0.0134 | 0 | -1.076E-07 | 0 | 0.21048 |
| 1738 | 0 | V20V22 | LinStatic | 0 | 0.056 | 0 | -0.000002754 | 0 | -0.77144 |
| 1738 | 0.5 | V20V22 | LinStatic | 0 | 0.056 | 0 | -0.000002754 | 0 | -0.79946 |
| 1738 | 1 | V20V22 | LinStatic | 0 | 0.056 | 0 | -0.000002754 | 0 | -0.82748 |
| 1739 | 0 | V20V22 | LinStatic | 0 | 0.056 | 0 | -0.000002754 | 0 | -0.82748 |
| 1739 | 0.5 | V20V22 | LinStatic | 0 | 0.056 | 0 | -0.000002754 | 0 | -0.8555 |
| 1739 | 1 | V20V22 | LinStatic | 0 | 0.056 | 0 | -0.000002754 | 0 | -0.88352 |
| 1786 | 0 | V20V22 | LinStatic | 0 | -0.2352 | 0 | -0.00007052 | 0 | 3.2383 |
| 1786 | 0.5 | V20V22 | LinStatic | 0 | -0.2352 | 0 | -0.00007052 | 0 | 3.35592 |
| 1786 | 1 | V20V22 | LinStatic | 0 | -0.2352 | 0 | -0.00007052 | 0 | 3.47354 |
| 1787 | 0 | V20V22 | LinStatic | 0 | -0.2352 | 0 | -0.00007052 | 0 | 3.47355 |
| 1787 | 0.5 | V20V22 | LinStatic | 0 | -0.2352 | 0 | -0.00007052 | 0 | 3.59117 |
| 1787 | 1 | V20V22 | LinStatic | 0 | -0.2352 | 0 | -0.00007052 | 0 | 3.70879 |
| 1834 | 0 | V20V22 | LinStatic | 0 | 0.9877 | 0 | -0.00181 | 0 | -13.59344 |
| 1834 | 0.5 | V20V22 | LinStatic | 0 | 0.9877 | 0 | -0.00181 | 0 | -14.08728 |
| 1834 | 1 | V20V22 | LinStatic | 0 | 0.9877 | 0 | -0.00181 | 0 | -14.58111 |
| 1835 | 0 | V20V22 | LinStatic | 0 | 0.9877 | 0 | -0.00181 | 0 | -14.58097 |
| 1835 | 0.5 | V20V22 | LinStatic | 0 | 0.9877 | 0 | -0.00181 | 0 | -15.07481 |
| 1835 | 1 | V20V22 | LinStatic | 0 | 0.9877 | 0 | -0.00181 | 0 | -15.56864 |
| 1882 | 0 | V20V22 | LinStatic | 0 | -4.1417 | 0 | -0.04623 | 0 | 57.06391 |
| 1882 | 0.5 | V20V22 | LinStatic | 0 | -4.1417 | 0 | -0.04623 | 0 | 59.13474 |
| 1882 | 1 | V20V22 | LinStatic | 0 | -4.1417 | 0 | -0.04623 | 0 | 61.20557 |
| 1883 | 0 | V20V22 | LinStatic | 0 | -4.1417 | 0 | -0.04623 | 0 | 61.20929 |
| 1883 | 0.5 | V20V22 | LinStatic | 0 | -4.1417 | 0 | -0.04623 | 0 | 63.28012 |
| 1883 | 1 | V20V22 | LinStatic | 0 | -4.1417 | 0 | -0.04623 | 0 | 65.35095 |
| 1930 | 0 | V20V22 | LinStatic | 0 | 17.4965 | 0 | -1.18378 | 0 | -239.48434 |
| 1930 | 0.5 | V20V22 | LinStatic | 0 | 17.4965 | 0 | -1.18378 | 0 | -248.23258 |
| 1930 | 1 | V20V22 | LinStatic | 0 | 17.4965 | 0 | -1.18378 | 0 | -256.98082 |
| 1931 | 0 | V20V22 | LinStatic | 0 | 17.4965 | 0 | -1.18377 | 0 | -256.88563 |
| 1931 | 0.5 | V20V22 | LinStatic | 0 | 17.4965 | 0 | -1.18377 | 0 | -265.63387 |
| 1931 | 1 | V20V22 | LinStatic | 0 | 17.4965 | 0 | -1.18377 | 0 | -274.38211 |
| 1978 | 0 | V20V22 | LinStatic | 0 | -13.9243 | 0 | 12.79885 | 0 | 1014.11447 |
| 1978 | 0.5 | V20V22 | LinStatic | 0 | -13.9243 | 0 | 12.79885 | 0 | 1021.07662 |
| 1978 | 1 | V20V22 | LinStatic | 0 | -13.9243 | 0 | 12.79885 | 0 | 1028.03878 |
| 1979 | 0 | V20V22 | LinStatic | 0 | 5.7268 | 0 | 11.85685 | 0 | 1027.02941 |
| 1979 | 0.5 | V20V22 | LinStatic | 0 | 5.7268 | 0 | 11.85685 | 0 | 1024.16601 |
| 1979 | 1 | V20V22 | LinStatic | 0 | 5.7268 | 0 | 11.85685 | 0 | 1021.3026 |
| 2026 | 0 | V20V22 | LinStatic | 0 | -4.8913 | 0 | 1.76676 | 0 | -424.58261 |
| 2026 | 0.5 | V20V22 | LinStatic | 0 | -4.8913 | 0 | 1.76676 | 0 | -422.13695 |
| 2026 | 1 | V20V22 | LinStatic | 0 | -4.8913 | 0 | 1.76676 | 0 | -419.69129 |
| 2027 | 0 | V20V22 | LinStatic | 0 | -4.8913 | 0 | 1.76677 | 0 | -419.83342 |
| 2027 | 0.5 | V20V22 | LinStatic | 0 | -4.8913 | 0 | 1.76677 | 0 | -417.38776 |
| 2027 | 1 | V20V22 | LinStatic | 0 | -4.8913 | 0 | 1.76677 | 0 | -414.9421 |

**TABLE: Element Forces - Frames**

| Frame | Station | OutputCase | CaseType | P | V2 | V3 | T | M2 | M3 |
|---|---|---|---|---|---|---|---|---|---|
| Text | m | Text | Text | Ton | Ton | Ton | Ton-m | Ton-m | Ton-m |
| 2072 | 0 | V20V22 | LinStatic | 0 | -8.1546 | 0 | 0.07955 | 0 | 867.32804 |
| 2072 | 0.5 | V20V22 | LinStatic | 0 | -8.1546 | 0 | 0.07955 | 0 | 871.40535 |
| 2072 | 1 | V20V22 | LinStatic | 0 | -8.1546 | 0 | 0.07955 | 0 | 875.48265 |
| 2107 | 0 | V20V22 | LinStatic | 0 | 1.126E-10 | 0 | 0 | 0 | -1.914E-09 |
| 2107 | 0.5 | V20V22 | LinStatic | 0 | 1.126E-10 | 0 | 0 | 0 | -1.97E-09 |
| 2107 | 1 | V20V22 | LinStatic | 0 | 1.126E-10 | 0 | 0 | 0 | -2.027E-09 |
| 2152 | 0 | V20V22 | LinStatic | 0 | -4.62E-10 | 0 | 0 | 0 | 6.236E-09 |
| 2152 | 0.5 | V20V22 | LinStatic | 0 | -4.62E-10 | 0 | 0 | 0 | 6.467E-09 |
| 2152 | 1 | V20V22 | LinStatic | 0 | -4.62E-10 | 0 | 0 | 0 | 6.698E-09 |
| 2153 | 0 | V20V22 | LinStatic | 0 | -4.62E-10 | 0 | 0 | 0 | 6.698E-09 |
| 2153 | 0.5 | V20V22 | LinStatic | 0 | -4.62E-10 | 0 | 0 | 0 | 6.929E-09 |
| 2153 | 1 | V20V22 | LinStatic | 0 | -4.62E-10 | 0 | 0 | 0 | 7.16E-09 |
| 2200 | 0 | V20V22 | LinStatic | 0 | 1.923E-09 | 0 | 0 | 0 | -2.644E-08 |
| 2200 | 0.5 | V20V22 | LinStatic | 0 | 1.923E-09 | 0 | 0 | 0 | -2.74E-08 |
| 2200 | 1 | V20V22 | LinStatic | 0 | 1.923E-09 | 0 | 0 | 0 | -2.836E-08 |
| 2201 | 0 | V20V22 | LinStatic | 0 | 1.923E-09 | 0 | 0 | 0 | -2.836E-08 |
| 2201 | 0.5 | V20V22 | LinStatic | 0 | 1.923E-09 | 0 | 0 | 0 | -2.932E-08 |
| 2201 | 1 | V20V22 | LinStatic | 0 | 1.923E-09 | 0 | 0 | 0 | -3.028E-08 |
| 2249 | 0 | V20V22 | LinStatic | 0 | -7.362E-09 | 0 | 0 | 0 | 1.022E-07 |
| 2249 | 0.5 | V20V22 | LinStatic | 0 | -7.362E-09 | 0 | 0 | 0 | 1.059E-07 |
| 2249 | 1 | V20V22 | LinStatic | 0 | -7.362E-09 | 0 | 0 | 0 | 1.095E-07 |
| 2301 | 0 | V20V22 | LinStatic | 0 | 3.03E-08 | 0 | -2.369E-20 | 0 | -4.566E-07 |
| 2301 | 0.5 | V20V22 | LinStatic | 0 | 3.03E-08 | 0 | -2.369E-20 | 0 | -4.718E-07 |
| 2301 | 1 | V20V22 | LinStatic | 0 | 3.03E-08 | 0 | -2.369E-20 | 0 | -0.000000487 |
| 2350 | 0 | V20V22 | LinStatic | 0 | -1.376E-07 | 0 | -5.779E-19 | 0 | 0.00000192 |
| 2350 | 0.5 | V20V22 | LinStatic | 0 | -1.376E-07 | 0 | -5.779E-19 | 0 | 0.000001989 |
| 2350 | 1 | V20V22 | LinStatic | 0 | -1.376E-07 | 0 | -5.779E-19 | 0 | 0.000002058 |
| 2351 | 0 | V20V22 | LinStatic | 0 | -1.376E-07 | 0 | -5.766E-19 | 0 | 0.000002058 |
| 2351 | 0.5 | V20V22 | LinStatic | 0 | -1.376E-07 | 0 | -5.766E-19 | 0 | 0.000002126 |
| 2351 | 1 | V20V22 | LinStatic | 0 | -1.376E-07 | 0 | -5.766E-19 | 0 | 0.000002195 |
| 2398 | 0 | V20V22 | LinStatic | 0 | 5.811E-07 | 0 | -1.489E-17 | 0 | -0.000008005 |
| 2398 | 0.5 | V20V22 | LinStatic | 0 | 5.811E-07 | 0 | -1.489E-17 | 0 | -0.000008295 |
| 2398 | 1 | V20V22 | LinStatic | 0 | 5.811E-07 | 0 | -1.489E-17 | 0 | -0.000008586 |
| 2399 | 0 | V20V22 | LinStatic | 0 | 5.811E-07 | 0 | -1.49E-17 | 0 | -0.000008586 |
| 2399 | 0.5 | V20V22 | LinStatic | 0 | 5.811E-07 | 0 | -1.49E-17 | 0 | -0.000008877 |
| 2399 | 1 | V20V22 | LinStatic | 0 | 5.811E-07 | 0 | -1.49E-17 | 0 | -0.000009167 |
| 2446 | 0 | V20V22 | LinStatic | 0 | -0.00000244 | 0 | -3.817E-16 | 0 | 0.00003359 |
| 2446 | 0.5 | V20V22 | LinStatic | 0 | -0.00000244 | 0 | -3.817E-16 | 0 | 0.00003481 |
| 2446 | 1 | V20V22 | LinStatic | 0 | -0.00000244 | 0 | -3.817E-16 | 0 | 0.00003603 |
| 2447 | 0 | V20V22 | LinStatic | 0 | -0.00000244 | 0 | -3.817E-16 | 0 | 0.00003603 |
| 2447 | 0.5 | V20V22 | LinStatic | 0 | -0.00000244 | 0 | -3.817E-16 | 0 | 0.00003725 |
| 2447 | 1 | V20V22 | LinStatic | 0 | -0.00000244 | 0 | -3.817E-16 | 0 | 0.00003847 |
| 2494 | 0 | V20V22 | LinStatic | 0 | 0.00001024 | 0 | -9.774E-15 | 0 | -0.00014 |
| 2494 | 0.5 | V20V22 | LinStatic | 0 | 0.00001024 | 0 | -9.774E-15 | 0 | -0.00015 |
| 2494 | 1 | V20V22 | LinStatic | 0 | 0.00001024 | 0 | -9.774E-15 | 0 | -0.00015 |
| 2495 | 0 | V20V22 | LinStatic | 0 | 0.00001024 | 0 | -9.773E-15 | 0 | -0.00015 |
| 2495 | 0.5 | V20V22 | LinStatic | 0 | 0.00001024 | 0 | -9.773E-15 | 0 | -0.00016 |
| 2495 | 1 | V20V22 | LinStatic | 0 | 0.00001024 | 0 | -9.773E-15 | 0 | -0.00016 |
| 2542 | 0 | V20V22 | LinStatic | 0 | -0.000043 | 0 | -2.503E-13 | 0 | 0.00059 |
| 2542 | 0.5 | V20V22 | LinStatic | 0 | -0.000043 | 0 | -2.503E-13 | 0 | 0.00061 |
| 2542 | 1 | V20V22 | LinStatic | 0 | -0.000043 | 0 | -2.503E-13 | 0 | 0.00063 |
| 2543 | 0 | V20V22 | LinStatic | 0 | -0.000043 | 0 | -2.503E-13 | 0 | 0.00063 |
| 2543 | 0.5 | V20V22 | LinStatic | 0 | -0.000043 | 0 | -2.503E-13 | 0 | 0.00066 |
| 2543 | 1 | V20V22 | LinStatic | 0 | -0.000043 | 0 | -2.503E-13 | 0 | 0.00068 |
| 2590 | 0 | V20V22 | LinStatic | 0 | 0.0001805 | 0 | -6.408E-12 | 0 | -0.00248 |
| 2590 | 0.5 | V20V22 | LinStatic | 0 | 0.0001805 | 0 | -6.408E-12 | 0 | -0.00257 |
| 2590 | 1 | V20V22 | LinStatic | 0 | 0.0001805 | 0 | -6.408E-12 | 0 | -0.00266 |
| 2591 | 0 | V20V22 | LinStatic | 0 | 0.0001805 | 0 | -6.408E-12 | 0 | -0.00266 |
| 2591 | 0.5 | V20V22 | LinStatic | 0 | 0.0001805 | 0 | -6.408E-12 | 0 | -0.00276 |
| 2591 | 1 | V20V22 | LinStatic | 0 | 0.0001805 | 0 | -6.408E-12 | 0 | -0.00285 |
| 2638 | 0 | V20V22 | LinStatic | 0 | -0.0007577 | 0 | -1.641E-10 | 0 | 0.01043 |
| 2638 | 0.5 | V20V22 | LinStatic | 0 | -0.0007577 | 0 | -1.641E-10 | 0 | 0.01081 |
| 2638 | 1 | V20V22 | LinStatic | 0 | -0.0007577 | 0 | -1.641E-10 | 0 | 0.01119 |
| 2639 | 0 | V20V22 | LinStatic | 0 | -0.0007577 | 0 | -1.641E-10 | 0 | 0.01119 |
| 2639 | 0.5 | V20V22 | LinStatic | 0 | -0.0007577 | 0 | -1.641E-10 | 0 | 0.01157 |
| 2639 | 1 | V20V22 | LinStatic | 0 | -0.0007577 | 0 | -1.641E-10 | 0 | 0.01194 |
| 2686 | 0 | V20V22 | LinStatic | 0 | 0.0032 | 0 | -4.201E-09 | 0 | -0.04378 |
| 2686 | 0.5 | V20V22 | LinStatic | 0 | 0.0032 | 0 | -4.201E-09 | 0 | -0.04537 |
| 2686 | 1 | V20V22 | LinStatic | 0 | 0.0032 | 0 | -4.201E-09 | 0 | -0.04696 |
| 2687 | 0 | V20V22 | LinStatic | 0 | 0.0032 | 0 | -4.201E-09 | 0 | -0.04696 |
| 2687 | 0.5 | V20V22 | LinStatic | 0 | 0.0032 | 0 | -4.201E-09 | 0 | -0.04855 |
| 2687 | 1 | V20V22 | LinStatic | 0 | 0.0032 | 0 | -4.201E-09 | 0 | -0.05014 |
| 2734 | 0 | V20V22 | LinStatic | 0 | -0.0134 | 0 | -1.076E-07 | 0 | 0.18377 |
| 2734 | 0.5 | V20V22 | LinStatic | 0 | -0.0134 | 0 | -1.076E-07 | 0 | 0.19045 |
| 2734 | 1 | V20V22 | LinStatic | 0 | -0.0134 | 0 | -1.076E-07 | 0 | 0.19712 |
| 2735 | 0 | V20V22 | LinStatic | 0 | -0.0134 | 0 | -1.076E-07 | 0 | 0.19712 |
| 2735 | 0.5 | V20V22 | LinStatic | 0 | -0.0134 | 0 | -1.076E-07 | 0 | 0.2038 |
| 2735 | 1 | V20V22 | LinStatic | 0 | -0.0134 | 0 | -1.076E-07 | 0 | 0.21048 |
| 2782 | 0 | V20V22 | LinStatic | 0 | 0.056 | 0 | -0.000002754 | 0 | -0.77144 |
| 2782 | 0.5 | V20V22 | LinStatic | 0 | 0.056 | 0 | -0.000002754 | 0 | -0.79946 |
| 2782 | 1 | V20V22 | LinStatic | 0 | 0.056 | 0 | -0.000002754 | 0 | -0.82748 |
| 2783 | 0 | V20V22 | LinStatic | 0 | 0.056 | 0 | -0.000002754 | 0 | -0.82748 |
| 2783 | 0.5 | V20V22 | LinStatic | 0 | 0.056 | 0 | -0.000002754 | 0 | -0.8555 |

**TABLE: Element Forces - Frames**

| Frame | Station | OutputCase | CaseType | P | V2 | V3 | T | M2 | M3 |
|---|---|---|---|---|---|---|---|---|---|
| Text | m | Text | Text | Ton | Ton | Ton | Ton-m | Ton-m | Ton-m |
| 2783 | 1 | V20V22 | LinStatic | 0 | 0.056 | 0 | -0.000002754 | 0 | -0.88352 |
| 2830 | 0 | V20V22 | LinStatic | 0 | -0.2353 | 0 | -0.00007052 | 0 | 3.23829 |
| 2830 | 0.5 | V20V22 | LinStatic | 0 | -0.2353 | 0 | -0.00007052 | 0 | 3.35592 |
| 2830 | 1 | V20V22 | LinStatic | 0 | -0.2353 | 0 | -0.00007052 | 0 | 3.47355 |
| 2831 | 0 | V20V22 | LinStatic | 0 | -0.2353 | 0 | -0.00007052 | 0 | 3.47354 |
| 2831 | 0.5 | V20V22 | LinStatic | 0 | -0.2353 | 0 | -0.00007052 | 0 | 3.59117 |
| 2831 | 1 | V20V22 | LinStatic | 0 | -0.2353 | 0 | -0.00007052 | 0 | 3.7088 |
| 2878 | 0 | V20V22 | LinStatic | 0 | 0.9874 | 0 | -0.00181 | 0 | -13.59359 |
| 2878 | 0.5 | V20V22 | LinStatic | 0 | 0.9874 | 0 | -0.00181 | 0 | -14.08728 |
| 2878 | 1 | V20V22 | LinStatic | 0 | 0.9874 | 0 | -0.00181 | 0 | -14.58097 |
| 2879 | 0 | V20V22 | LinStatic | 0 | 0.9874 | 0 | -0.00181 | 0 | -14.58111 |
| 2879 | 0.5 | V20V22 | LinStatic | 0 | 0.9874 | 0 | -0.00181 | 0 | -15.0748 |
| 2879 | 1 | V20V22 | LinStatic | 0 | 0.9874 | 0 | -0.00181 | 0 | -15.56849 |
| 2926 | 0 | V20V22 | LinStatic | 0 | -4.1491 | 0 | -0.04623 | 0 | 57.06021 |
| 2926 | 0.5 | V20V22 | LinStatic | 0 | -4.1491 | 0 | -0.04623 | 0 | 59.13476 |
| 2926 | 1 | V20V22 | LinStatic | 0 | -4.1491 | 0 | -0.04623 | 0 | 61.20931 |
| 2927 | 0 | V20V22 | LinStatic | 0 | -4.1491 | 0 | -0.04623 | 0 | 61.20559 |
| 2927 | 0.5 | V20V22 | LinStatic | 0 | -4.1491 | 0 | -0.04623 | 0 | 63.28014 |
| 2927 | 1 | V20V22 | LinStatic | 0 | -4.1491 | 0 | -0.04623 | 0 | 65.35469 |
| 2974 | 0 | V20V22 | LinStatic | 0 | 17.306 | 0 | -1.18378 | 0 | -239.57917 |
| 2974 | 0.5 | V20V22 | LinStatic | 0 | 17.306 | 0 | -1.18378 | 0 | -248.23216 |
| 2974 | 1 | V20V22 | LinStatic | 0 | 17.306 | 0 | -1.18378 | 0 | -256.88515 |
| 2975 | 0 | V20V22 | LinStatic | 0 | 17.306 | 0 | -1.18377 | 0 | -256.98034 |
| 2975 | 0.5 | V20V22 | LinStatic | 0 | 17.306 | 0 | -1.18377 | 0 | -265.63333 |
| 2975 | 1 | V20V22 | LinStatic | 0 | 17.306 | 0 | -1.18377 | 0 | -274.28632 |
| 3022 | 0 | V20V22 | LinStatic | 0 | -12.2182 | 0 | 12.79885 | 0 | 1012.03756 |
| 3022 | 0.5 | V20V22 | LinStatic | 0 | -12.2182 | 0 | 12.79885 | 0 | 1018.14664 |
| 3022 | 1 | V20V22 | LinStatic | 0 | -12.2182 | 0 | 12.79885 | 0 | 1024.25573 |
| 3023 | 0 | V20V22 | LinStatic | 0 | 8.1307 | 0 | 11.85685 | 0 | 1025.2651 |
| 3023 | 0.5 | V20V22 | LinStatic | 0 | 8.1307 | 0 | 11.85685 | 0 | 1021.19974 |
| 3023 | 1 | V20V22 | LinStatic | 0 | 8.1307 | 0 | 11.85685 | 0 | 1017.13438 |
| 3070 | 0 | V20V22 | LinStatic | 0 | -4.6071 | 0 | 1.76676 | 0 | -424.44047 |
| 3070 | 0.5 | V20V22 | LinStatic | 0 | -4.6071 | 0 | 1.76676 | 0 | -422.13694 |
| 3070 | 1 | V20V22 | LinStatic | 0 | -4.6071 | 0 | 1.76676 | 0 | -419.8334 |
| 3071 | 0 | V20V22 | LinStatic | 0 | -4.6071 | 0 | 1.76677 | 0 | -419.69127 |
| 3071 | 0.5 | V20V22 | LinStatic | 0 | -4.6071 | 0 | 1.76677 | 0 | -417.38774 |
| 3071 | 1 | V20V22 | LinStatic | 0 | -4.6071 | 0 | 1.76677 | 0 | -415.08421 |
| 3116 | 0 | V20V22 | LinStatic | 0 | -8.1419 | 0 | 0.07955 | 0 | 867.33499 |
| 3116 | 0.5 | V20V22 | LinStatic | 0 | -8.1419 | 0 | 0.07955 | 0 | 871.40594 |
| 3116 | 1 | V20V22 | LinStatic | 0 | -8.1419 | 0 | 0.07955 | 0 | 875.47688 |
| 1063 | 0 | P0203 | LinStatic | 0 | 12.2219 | 0 | -3.03065 | 0 | -203.54233 |
| 1063 | 0.5 | P0203 | LinStatic | 0 | 12.2219 | 0 | -3.03065 | 0 | -209.6533 |
| 1063 | 1 | P0203 | LinStatic | 0 | 12.2219 | 0 | -3.03065 | 0 | -215.76427 |
| 1108 | 0 | P0203 | LinStatic | 0 | 13.7802 | 0 | 25.08736 | 0 | 657.61348 |
| 1108 | 0.5 | P0203 | LinStatic | 0 | 13.7802 | 0 | 25.08736 | 0 | 650.72339 |
| 1108 | 1 | P0203 | LinStatic | 0 | 13.7802 | 0 | 25.08736 | 0 | 643.8333 |
| 1109 | 0 | P0203 | LinStatic | 0 | 14.6142 | 0 | 27.33928 | 0 | 641.70409 |
| 1109 | 0.5 | P0203 | LinStatic | 0 | 14.6142 | 0 | 27.33928 | 0 | 634.39698 |
| 1109 | 1 | P0203 | LinStatic | 0 | 14.6142 | 0 | 27.33928 | 0 | 627.08986 |
| 1156 | 0 | P0203 | LinStatic | 0 | -29.0781 | 0 | 0.4341 | 0 | 642.26683 |
| 1156 | 0.5 | P0203 | LinStatic | 0 | -29.0781 | 0 | 0.4341 | 0 | 656.80589 |
| 1156 | 1 | P0203 | LinStatic | 0 | -29.0781 | 0 | 0.4341 | 0 | 671.34495 |
| 1157 | 0 | P0203 | LinStatic | 0 | -29.0781 | 0 | 0.43411 | 0 | 671.31004 |
| 1157 | 0.5 | P0203 | LinStatic | 0 | -29.0781 | 0 | 0.43411 | 0 | 685.8491 |
| 1157 | 1 | P0203 | LinStatic | 0 | -29.0781 | 0 | 0.43411 | 0 | 700.38815 |
| 1205 | 0 | P0203 | LinStatic | 0 | -11.2418 | 0 | 0.01603 | 0 | -191.8649 |
| 1205 | 0.5 | P0203 | LinStatic | 0 | -11.2418 | 0 | 0.01603 | 0 | -186.24401 |
| 1205 | 1 | P0203 | LinStatic | 0 | -11.2418 | 0 | 0.01603 | 0 | -180.62312 |
| 1257 | 0 | P0203 | LinStatic | 0 | 2.7306 | 0 | 0.00059 | 0 | 43.36254 |
| 1257 | 0.5 | P0203 | LinStatic | 0 | 2.7306 | 0 | 0.00059 | 0 | 41.99723 |
| 1257 | 1 | P0203 | LinStatic | 0 | 2.7306 | 0 | 0.00059 | 0 | 40.63193 |
| 1306 | 0 | P0203 | LinStatic | 0 | -0.7129 | 0 | 0.00002311 | 0 | -11.23855 |
| 1306 | 0.5 | P0203 | LinStatic | 0 | -0.7129 | 0 | 0.00002311 | 0 | -10.88211 |
| 1306 | 1 | P0203 | LinStatic | 0 | -0.7129 | 0 | 0.00002311 | 0 | -10.52568 |
| 1307 | 0 | P0203 | LinStatic | 0 | -0.7129 | 0 | 0.00002311 | 0 | -10.52568 |
| 1307 | 0.5 | P0203 | LinStatic | 0 | -0.7129 | 0 | 0.00002311 | 0 | -10.16924 |
| 1307 | 1 | P0203 | LinStatic | 0 | -0.7129 | 0 | 0.00002311 | 0 | -9.81281 |
| 1354 | 0 | P0203 | LinStatic | 0 | 0.1698 | 0 | 9.027E-07 | 0 | 2.67728 |
| 1354 | 0.5 | P0203 | LinStatic | 0 | 0.1698 | 0 | 9.027E-07 | 0 | 2.59237 |
| 1354 | 1 | P0203 | LinStatic | 0 | 0.1698 | 0 | 9.027E-07 | 0 | 2.50746 |
| 1355 | 0 | P0203 | LinStatic | 0 | 0.1698 | 0 | 9.027E-07 | 0 | 2.50746 |
| 1355 | 0.5 | P0203 | LinStatic | 0 | 0.1698 | 0 | 9.027E-07 | 0 | 2.42255 |
| 1355 | 1 | P0203 | LinStatic | 0 | 0.1698 | 0 | 9.027E-07 | 0 | 2.33764 |
| 1402 | 0 | P0203 | LinStatic | 0 | -0.0405 | 0 | 3.526E-08 | 0 | -0.63779 |
| 1402 | 0.5 | P0203 | LinStatic | 0 | -0.0405 | 0 | 3.526E-08 | 0 | -0.61756 |
| 1402 | 1 | P0203 | LinStatic | 0 | -0.0405 | 0 | 3.526E-08 | 0 | -0.59734 |
| 1403 | 0 | P0203 | LinStatic | 0 | -0.0405 | 0 | 3.526E-08 | 0 | -0.59734 |
| 1403 | 0.5 | P0203 | LinStatic | 0 | -0.0405 | 0 | 3.526E-08 | 0 | -0.57711 |
| 1403 | 1 | P0203 | LinStatic | 0 | -0.0405 | 0 | 3.526E-08 | 0 | -0.55688 |
| 1450 | 0 | P0203 | LinStatic | 0 | 0.0096 | 0 | 1.377E-09 | 0 | 0.15194 |
| 1450 | 0.5 | P0203 | LinStatic | 0 | 0.0096 | 0 | 1.377E-09 | 0 | 0.14712 |
| 1450 | 1 | P0203 | LinStatic | 0 | 0.0096 | 0 | 1.377E-09 | 0 | 0.1423 |
| 1451 | 0 | P0203 | LinStatic | 0 | 0.0096 | 0 | 1.377E-09 | 0 | 0.1423 |

**TABLE: Element Forces - Frames**

| Frame | Station | OutputCase | CaseType | P | V2 | V3 | T | M2 | M3 |
|---|---|---|---|---|---|---|---|---|---|
| Text | m | Text | Text | Ton | Ton | Ton | Ton-m | Ton-m | Ton-m |
| 1451 | 0.5 | P0203 | LinStatic | 0 | 0.0096 | 0 | 1.377E-09 | 0 | 0.13748 |
| 1451 | 1 | P0203 | LinStatic | 0 | 0.0096 | 0 | 1.377E-09 | 0 | 0.13266 |
| 1498 | 0 | P0203 | LinStatic | 0 | -0.0023 | 0 | 5.377E-11 | 0 | -0.03619 |
| 1498 | 0.5 | P0203 | LinStatic | 0 | -0.0023 | 0 | 5.377E-11 | 0 | -0.03505 |
| 1498 | 1 | P0203 | LinStatic | 0 | -0.0023 | 0 | 5.377E-11 | 0 | -0.0339 |
| 1499 | 0 | P0203 | LinStatic | 0 | -0.0023 | 0 | 5.378E-11 | 0 | -0.0339 |
| 1499 | 0.5 | P0203 | LinStatic | 0 | -0.0023 | 0 | 5.378E-11 | 0 | -0.03275 |
| 1499 | 1 | P0203 | LinStatic | 0 | -0.0023 | 0 | 5.378E-11 | 0 | -0.0316 |
| 1546 | 0 | P0203 | LinStatic | 0 | 0.0005469 | 0 | 2.1E-12 | 0 | 0.00862 |
| 1546 | 0.5 | P0203 | LinStatic | 0 | 0.0005469 | 0 | 2.1E-12 | 0 | 0.00835 |
| 1546 | 1 | P0203 | LinStatic | 0 | 0.0005469 | 0 | 2.1E-12 | 0 | 0.00808 |
| 1547 | 0 | P0203 | LinStatic | 0 | 0.0005469 | 0 | 2.1E-12 | 0 | 0.00808 |
| 1547 | 0.5 | P0203 | LinStatic | 0 | 0.0005469 | 0 | 2.1E-12 | 0 | 0.0078 |
| 1547 | 1 | P0203 | LinStatic | 0 | 0.0005469 | 0 | 2.1E-12 | 0 | 0.00753 |
| 1594 | 0 | P0203 | LinStatic | 0 | -0.0001303 | 0 | 8.203E-14 | 0 | -0.00205 |
| 1594 | 0.5 | P0203 | LinStatic | 0 | -0.0001303 | 0 | 8.203E-14 | 0 | -0.00199 |
| 1594 | 1 | P0203 | LinStatic | 0 | -0.0001303 | 0 | 8.203E-14 | 0 | -0.00192 |
| 1595 | 0 | P0203 | LinStatic | 0 | -0.0001303 | 0 | 8.203E-14 | 0 | -0.00192 |
| 1595 | 0.5 | P0203 | LinStatic | 0 | -0.0001303 | 0 | 8.203E-14 | 0 | -0.00186 |
| 1595 | 1 | P0203 | LinStatic | 0 | -0.0001303 | 0 | 8.203E-14 | 0 | -0.00179 |
| 1642 | 0 | P0203 | LinStatic | 0 | 0.00003104 | 0 | 3.205E-15 | 0 | 0.00049 |
| 1642 | 0.5 | P0203 | LinStatic | 0 | 0.00003104 | 0 | 3.205E-15 | 0 | 0.00047 |
| 1642 | 1 | P0203 | LinStatic | 0 | 0.00003104 | 0 | 3.205E-15 | 0 | 0.00046 |
| 1643 | 0 | P0203 | LinStatic | 0 | 0.00003104 | 0 | 3.203E-15 | 0 | 0.00046 |
| 1643 | 0.5 | P0203 | LinStatic | 0 | 0.00003104 | 0 | 3.203E-15 | 0 | 0.00044 |
| 1643 | 1 | P0203 | LinStatic | 0 | 0.00003104 | 0 | 3.203E-15 | 0 | 0.00043 |
| 1690 | 0 | P0203 | LinStatic | 0 | -0.000007394 | 0 | 1.254E-16 | 0 | -0.00012 |
| 1690 | 0.5 | P0203 | LinStatic | 0 | -0.000007394 | 0 | 1.254E-16 | 0 | -0.00011 |
| 1690 | 1 | P0203 | LinStatic | 0 | -0.000007394 | 0 | 1.254E-16 | 0 | -0.00011 |
| 1691 | 0 | P0203 | LinStatic | 0 | -0.000007394 | 0 | 1.252E-16 | 0 | -0.00011 |
| 1691 | 0.5 | P0203 | LinStatic | 0 | -0.000007394 | 0 | 1.252E-16 | 0 | -0.00011 |
| 1691 | 1 | P0203 | LinStatic | 0 | -0.000007394 | 0 | 1.252E-16 | 0 | -0.0001 |
| 1738 | 0 | P0203 | LinStatic | 0 | 0.000001761 | 0 | 4.962E-18 | 0 | 0.00002777 |
| 1738 | 0.5 | P0203 | LinStatic | 0 | 0.000001761 | 0 | 4.962E-18 | 0 | 0.00002689 |
| 1738 | 1 | P0203 | LinStatic | 0 | 0.000001761 | 0 | 4.962E-18 | 0 | 0.00002601 |
| 1739 | 0 | P0203 | LinStatic | 0 | 0.000001761 | 0 | 4.884E-18 | 0 | 0.00002601 |
| 1739 | 0.5 | P0203 | LinStatic | 0 | 0.000001761 | 0 | 4.884E-18 | 0 | 0.00002513 |
| 1739 | 1 | P0203 | LinStatic | 0 | 0.000001761 | 0 | 4.884E-18 | 0 | 0.00002425 |
| 1786 | 0 | P0203 | LinStatic | 0 | -4.196E-07 | 0 | 1.877E-19 | 0 | -0.000006615 |
| 1786 | 0.5 | P0203 | LinStatic | 0 | -4.196E-07 | 0 | 1.877E-19 | 0 | -0.000006406 |
| 1786 | 1 | P0203 | LinStatic | 0 | -4.196E-07 | 0 | 1.877E-19 | 0 | -0.000006196 |
| 1787 | 0 | P0203 | LinStatic | 0 | -4.196E-07 | 0 | 1.879E-19 | 0 | -0.000006196 |
| 1787 | 0.5 | P0203 | LinStatic | 0 | -4.196E-07 | 0 | 1.879E-19 | 0 | -0.000005986 |
| 1787 | 1 | P0203 | LinStatic | 0 | -4.196E-07 | 0 | 1.879E-19 | 0 | -0.000005776 |
| 1834 | 0 | P0203 | LinStatic | 0 | 9.996E-08 | 0 | 1.253E-20 | 0 | 0.000001576 |
| 1834 | 0.5 | P0203 | LinStatic | 0 | 9.996E-08 | 0 | 1.253E-20 | 0 | 0.000001526 |
| 1834 | 1 | P0203 | LinStatic | 0 | 9.996E-08 | 0 | 1.253E-20 | 0 | 0.000001476 |
| 1835 | 0 | P0203 | LinStatic | 0 | 9.996E-08 | 0 | 1.453E-20 | 0 | 0.000001476 |
| 1835 | 0.5 | P0203 | LinStatic | 0 | 9.996E-08 | 0 | 1.453E-20 | 0 | 0.000001426 |
| 1835 | 1 | P0203 | LinStatic | 0 | 9.996E-08 | 0 | 1.453E-20 | 0 | 0.000001376 |
| 1882 | 0 | P0203 | LinStatic | 0 | -2.381E-08 | 0 | 0 | 0 | -3.754E-07 |
| 1882 | 0.5 | P0203 | LinStatic | 0 | -2.381E-08 | 0 | 0 | 0 | -3.635E-07 |
| 1882 | 1 | P0203 | LinStatic | 0 | -2.381E-08 | 0 | 0 | 0 | -3.516E-07 |
| 1883 | 0 | P0203 | LinStatic | 0 | -2.381E-08 | 0 | 0 | 0 | -3.516E-07 |
| 1883 | 0.5 | P0203 | LinStatic | 0 | -2.381E-08 | 0 | 0 | 0 | -3.397E-07 |
| 1883 | 1 | P0203 | LinStatic | 0 | -2.381E-08 | 0 | 0 | 0 | -3.278E-07 |
| 1930 | 0 | P0203 | LinStatic | 0 | 5.673E-09 | 0 | 0 | 0 | 8.943E-08 |
| 1930 | 0.5 | P0203 | LinStatic | 0 | 5.673E-09 | 0 | 0 | 0 | 8.66E-08 |
| 1930 | 1 | P0203 | LinStatic | 0 | 5.673E-09 | 0 | 0 | 0 | 8.376E-08 |
| 1931 | 0 | P0203 | LinStatic | 0 | 5.673E-09 | 0 | 0 | 0 | 8.376E-08 |
| 1931 | 0.5 | P0203 | LinStatic | 0 | 5.673E-09 | 0 | 0 | 0 | 8.092E-08 |
| 1931 | 1 | P0203 | LinStatic | 0 | 5.673E-09 | 0 | 0 | 0 | 7.809E-08 |
| 1978 | 0 | P0203 | LinStatic | 0 | -1.352E-09 | 0 | 0 | 0 | -2.13E-08 |
| 1978 | 0.5 | P0203 | LinStatic | 0 | -1.352E-09 | 0 | 0 | 0 | -2.062E-08 |
| 1978 | 1 | P0203 | LinStatic | 0 | -1.352E-09 | 0 | 0 | 0 | -1.994E-08 |
| 1979 | 0 | P0203 | LinStatic | 0 | -1.352E-09 | 0 | 0 | 0 | -1.994E-08 |
| 1979 | 0.5 | P0203 | LinStatic | 0 | -1.352E-09 | 0 | 0 | 0 | -1.927E-08 |
| 1979 | 1 | P0203 | LinStatic | 0 | -1.352E-09 | 0 | 0 | 0 | -1.859E-08 |
| 2026 | 0 | P0203 | LinStatic | 0 | 3.249E-10 | 0 | 0 | 0 | 5.035E-09 |
| 2026 | 0.5 | P0203 | LinStatic | 0 | 3.249E-10 | 0 | 0 | 0 | 4.872E-09 |
| 2026 | 1 | P0203 | LinStatic | 0 | 3.249E-10 | 0 | 0 | 0 | 4.71E-09 |
| 2027 | 0 | P0203 | LinStatic | 0 | 3.249E-10 | 0 | 0 | 0 | 4.71E-09 |
| 2027 | 0.5 | P0203 | LinStatic | 0 | 3.249E-10 | 0 | 0 | 0 | 4.547E-09 |
| 2027 | 1 | P0203 | LinStatic | 0 | 3.249E-10 | 0 | 0 | 0 | 4.385E-09 |
| 2072 | 0 | P0203 | LinStatic | 0 | -7.918E-11 | 0 | 0 | 0 | -1.425E-09 |
| 2072 | 0.5 | P0203 | LinStatic | 0 | -7.918E-11 | 0 | 0 | 0 | -1.386E-09 |
| 2072 | 1 | P0203 | LinStatic | 0 | -7.918E-11 | 0 | 0 | 0 | -1.346E-09 |
| 2107 | 0 | P0203 | LinStatic | 0 | 11.7372 | 0 | -3.03065 | 0 | -203.76271 |
| 2107 | 0.5 | P0203 | LinStatic | 0 | 11.7372 | 0 | -3.03065 | 0 | -209.6313 |
| 2107 | 1 | P0203 | LinStatic | 0 | 11.7372 | 0 | -3.03065 | 0 | -215.49989 |
| 2152 | 0 | P0203 | LinStatic | 0 | 25.2201 | 0 | 25.08736 | 0 | 673.57516 |
| 2152 | 0.5 | P0203 | LinStatic | 0 | 25.2201 | 0 | 25.08736 | 0 | 660.96512 |
| 2152 | 1 | P0203 | LinStatic | 0 | 25.2201 | 0 | 25.08736 | 0 | 648.35509 |

**TABLE: Element Forces - Frames**

| Frame | Station | OutputCase | CaseType | P | V2 | V3 | T | M2 | M3 |
|---|---|---|---|---|---|---|---|---|---|
| Text | m | Text | Text | Ton | Ton | Ton | Ton-m | Ton-m | Ton-m |
| 2153 | 0 | P0203 | LinStatic | 0 | 24.386 | 0 | 27.33928 | 0 | 650.4843 |
| 2153 | 0.5 | P0203 | LinStatic | 0 | 24.386 | 0 | 27.33928 | 0 | 638.29129 |
| 2153 | 1 | P0203 | LinStatic | 0 | 24.386 | 0 | 27.33928 | 0 | 626.09828 |
| 2200 | 0 | P0203 | LinStatic | 0 | -29.0082 | 0 | 0.4341 | 0 | 642.302 |
| 2200 | 0.5 | P0203 | LinStatic | 0 | -29.0082 | 0 | 0.4341 | 0 | 656.80612 |
| 2200 | 1 | P0203 | LinStatic | 0 | -29.0082 | 0 | 0.4341 | 0 | 671.31025 |
| 2201 | 0 | P0203 | LinStatic | 0 | -29.0083 | 0 | 0.43411 | 0 | 671.34515 |
| 2201 | 0.5 | P0203 | LinStatic | 0 | -29.0083 | 0 | 0.43411 | 0 | 685.84928 |
| 2201 | 1 | P0203 | LinStatic | 0 | -29.0083 | 0 | 0.43411 | 0 | 700.3534 |
| 2249 | 0 | P0203 | LinStatic | 0 | -11.2392 | 0 | 0.01603 | 0 | -191.8636 |
| 2249 | 0.5 | P0203 | LinStatic | 0 | -11.2392 | 0 | 0.01603 | 0 | -186.244 |
| 2249 | 1 | P0203 | LinStatic | 0 | -11.2392 | 0 | 0.01603 | 0 | -180.6244 |
| 2301 | 0 | P0203 | LinStatic | 0 | 2.7307 | 0 | 0.00059 | 0 | 43.36259 |
| 2301 | 0.5 | P0203 | LinStatic | 0 | 2.7307 | 0 | 0.00059 | 0 | 41.99723 |
| 2301 | 1 | P0203 | LinStatic | 0 | 2.7307 | 0 | 0.00059 | 0 | 40.63188 |
| 2350 | 0 | P0203 | LinStatic | 0 | -0.7129 | 0 | 0.00002311 | 0 | -11.23855 |
| 2350 | 0.5 | P0203 | LinStatic | 0 | -0.7129 | 0 | 0.00002311 | 0 | -10.88211 |
| 2350 | 1 | P0203 | LinStatic | 0 | -0.7129 | 0 | 0.00002311 | 0 | -10.52568 |
| 2351 | 0 | P0203 | LinStatic | 0 | -0.7129 | 0 | 0.00002311 | 0 | -10.52568 |
| 2351 | 0.5 | P0203 | LinStatic | 0 | -0.7129 | 0 | 0.00002311 | 0 | -10.16924 |
| 2351 | 1 | P0203 | LinStatic | 0 | -0.7129 | 0 | 0.00002311 | 0 | -9.81281 |
| 2398 | 0 | P0203 | LinStatic | 0 | 0.1698 | 0 | 9.027E-07 | 0 | 2.67728 |
| 2398 | 0.5 | P0203 | LinStatic | 0 | 0.1698 | 0 | 9.027E-07 | 0 | 2.59237 |
| 2398 | 1 | P0203 | LinStatic | 0 | 0.1698 | 0 | 9.027E-07 | 0 | 2.50746 |
| 2399 | 0 | P0203 | LinStatic | 0 | 0.1698 | 0 | 9.027E-07 | 0 | 2.50746 |
| 2399 | 0.5 | P0203 | LinStatic | 0 | 0.1698 | 0 | 9.027E-07 | 0 | 2.42255 |
| 2399 | 1 | P0203 | LinStatic | 0 | 0.1698 | 0 | 9.027E-07 | 0 | 2.33764 |
| 2446 | 0 | P0203 | LinStatic | 0 | -0.0405 | 0 | 3.526E-08 | 0 | -0.63779 |
| 2446 | 0.5 | P0203 | LinStatic | 0 | -0.0405 | 0 | 3.526E-08 | 0 | -0.61756 |
| 2446 | 1 | P0203 | LinStatic | 0 | -0.0405 | 0 | 3.526E-08 | 0 | -0.59734 |
| 2447 | 0 | P0203 | LinStatic | 0 | -0.0405 | 0 | 3.526E-08 | 0 | -0.59734 |
| 2447 | 0.5 | P0203 | LinStatic | 0 | -0.0405 | 0 | 3.526E-08 | 0 | -0.57711 |
| 2447 | 1 | P0203 | LinStatic | 0 | -0.0405 | 0 | 3.526E-08 | 0 | -0.55688 |
| 2494 | 0 | P0203 | LinStatic | 0 | 0.0096 | 0 | 1.377E-09 | 0 | 0.15194 |
| 2494 | 0.5 | P0203 | LinStatic | 0 | 0.0096 | 0 | 1.377E-09 | 0 | 0.14712 |
| 2494 | 1 | P0203 | LinStatic | 0 | 0.0096 | 0 | 1.377E-09 | 0 | 0.1423 |
| 2495 | 0 | P0203 | LinStatic | 0 | 0.0096 | 0 | 1.377E-09 | 0 | 0.1423 |
| 2495 | 0.5 | P0203 | LinStatic | 0 | 0.0096 | 0 | 1.377E-09 | 0 | 0.13748 |
| 2495 | 1 | P0203 | LinStatic | 0 | 0.0096 | 0 | 1.377E-09 | 0 | 0.13266 |
| 2542 | 0 | P0203 | LinStatic | 0 | -0.0023 | 0 | 5.377E-11 | 0 | -0.03619 |
| 2542 | 0.5 | P0203 | LinStatic | 0 | -0.0023 | 0 | 5.377E-11 | 0 | -0.03505 |
| 2542 | 1 | P0203 | LinStatic | 0 | -0.0023 | 0 | 5.377E-11 | 0 | -0.0339 |
| 2543 | 0 | P0203 | LinStatic | 0 | -0.0023 | 0 | 5.378E-11 | 0 | -0.0339 |
| 2543 | 0.5 | P0203 | LinStatic | 0 | -0.0023 | 0 | 5.378E-11 | 0 | -0.03275 |
| 2543 | 1 | P0203 | LinStatic | 0 | -0.0023 | 0 | 5.378E-11 | 0 | -0.0316 |
| 2590 | 0 | P0203 | LinStatic | 0 | 0.0005469 | 0 | 2.1E-12 | 0 | 0.00862 |
| 2590 | 0.5 | P0203 | LinStatic | 0 | 0.0005469 | 0 | 2.1E-12 | 0 | 0.00835 |
| 2590 | 1 | P0203 | LinStatic | 0 | 0.0005469 | 0 | 2.1E-12 | 0 | 0.00808 |
| 2591 | 0 | P0203 | LinStatic | 0 | 0.0005469 | 0 | 2.1E-12 | 0 | 0.00808 |
| 2591 | 0.5 | P0203 | LinStatic | 0 | 0.0005469 | 0 | 2.1E-12 | 0 | 0.0078 |
| 2591 | 1 | P0203 | LinStatic | 0 | 0.0005469 | 0 | 2.1E-12 | 0 | 0.00753 |
| 2638 | 0 | P0203 | LinStatic | 0 | -0.0001303 | 0 | 8.203E-14 | 0 | -0.00205 |
| 2638 | 0.5 | P0203 | LinStatic | 0 | -0.0001303 | 0 | 8.203E-14 | 0 | -0.00199 |
| 2638 | 1 | P0203 | LinStatic | 0 | -0.0001303 | 0 | 8.203E-14 | 0 | -0.00192 |
| 2639 | 0 | P0203 | LinStatic | 0 | -0.0001303 | 0 | 8.204E-14 | 0 | -0.00192 |
| 2639 | 0.5 | P0203 | LinStatic | 0 | -0.0001303 | 0 | 8.204E-14 | 0 | -0.00186 |
| 2639 | 1 | P0203 | LinStatic | 0 | -0.0001303 | 0 | 8.204E-14 | 0 | -0.00179 |
| 2686 | 0 | P0203 | LinStatic | 0 | 0.00003104 | 0 | 3.205E-15 | 0 | 0.00049 |
| 2686 | 0.5 | P0203 | LinStatic | 0 | 0.00003104 | 0 | 3.205E-15 | 0 | 0.00047 |
| 2686 | 1 | P0203 | LinStatic | 0 | 0.00003104 | 0 | 3.205E-15 | 0 | 0.00046 |
| 2687 | 0 | P0203 | LinStatic | 0 | 0.00003104 | 0 | 3.204E-15 | 0 | 0.00046 |
| 2687 | 0.5 | P0203 | LinStatic | 0 | 0.00003104 | 0 | 3.204E-15 | 0 | 0.00044 |
| 2687 | 1 | P0203 | LinStatic | 0 | 0.00003104 | 0 | 3.204E-15 | 0 | 0.00043 |
| 2734 | 0 | P0203 | LinStatic | 0 | -0.000007394 | 0 | 1.256E-16 | 0 | -0.00012 |
| 2734 | 0.5 | P0203 | LinStatic | 0 | -0.000007394 | 0 | 1.256E-16 | 0 | -0.00011 |
| 2734 | 1 | P0203 | LinStatic | 0 | -0.000007394 | 0 | 1.256E-16 | 0 | -0.00011 |
| 2735 | 0 | P0203 | LinStatic | 0 | -0.000007394 | 0 | 1.253E-16 | 0 | -0.00011 |
| 2735 | 0.5 | P0203 | LinStatic | 0 | -0.000007394 | 0 | 1.253E-16 | 0 | -0.00011 |
| 2735 | 1 | P0203 | LinStatic | 0 | -0.000007394 | 0 | 1.253E-16 | 0 | -0.0001 |
| 2782 | 0 | P0203 | LinStatic | 0 | 0.000001761 | 0 | 4.911E-18 | 0 | 0.00002777 |
| 2782 | 0.5 | P0203 | LinStatic | 0 | 0.000001761 | 0 | 4.911E-18 | 0 | 0.00002689 |
| 2782 | 1 | P0203 | LinStatic | 0 | 0.000001761 | 0 | 4.911E-18 | 0 | 0.00002601 |
| 2783 | 0 | P0203 | LinStatic | 0 | 0.000001761 | 0 | 4.886E-18 | 0 | 0.00002601 |
| 2783 | 0.5 | P0203 | LinStatic | 0 | 0.000001761 | 0 | 4.886E-18 | 0 | 0.00002513 |
| 2783 | 1 | P0203 | LinStatic | 0 | 0.000001761 | 0 | 4.886E-18 | 0 | 0.00002425 |
| 2830 | 0 | P0203 | LinStatic | 0 | -4.196E-07 | 0 | 1.887E-19 | 0 | -0.000006615 |
| 2830 | 0.5 | P0203 | LinStatic | 0 | -4.196E-07 | 0 | 1.887E-19 | 0 | -0.000006406 |
| 2830 | 1 | P0203 | LinStatic | 0 | -4.196E-07 | 0 | 1.887E-19 | 0 | -0.000006196 |
| 2831 | 0 | P0203 | LinStatic | 0 | -4.196E-07 | 0 | 1.807E-19 | 0 | -0.000006196 |
| 2831 | 0.5 | P0203 | LinStatic | 0 | -4.196E-07 | 0 | 1.807E-19 | 0 | -0.000005986 |
| 2831 | 1 | P0203 | LinStatic | 0 | -4.196E-07 | 0 | 1.807E-19 | 0 | -0.000005776 |
| 2878 | 0 | P0203 | LinStatic | 0 | 9.996E-08 | 0 | 1.176E-20 | 0 | 0.000001576 |
| 2878 | 0.5 | P0203 | LinStatic | 0 | 9.996E-08 | 0 | 1.176E-20 | 0 | 0.000001526 |

**TABLE: Element Forces - Frames**

| Frame | Station | OutputCase | CaseType | P | V2 | V3 | T | M2 | M3 |
|---|---|---|---|---|---|---|---|---|---|
| Text | m | Text | Text | Ton | Ton | Ton | Ton-m | Ton-m | Ton-m |
| 2878 | 1 | P0203 | LinStatic | 0 | 9.996E-08 | 0 | 1.176E-20 | 0 | 0.000001476 |
| 2879 | 0 | P0203 | LinStatic | 0 | 9.996E-08 | 0 | 1.314E-20 | 0 | 0.000001476 |
| 2879 | 0.5 | P0203 | LinStatic | 0 | 9.996E-08 | 0 | 1.314E-20 | 0 | 0.000001426 |
| 2879 | 1 | P0203 | LinStatic | 0 | 9.996E-08 | 0 | 1.314E-20 | 0 | 0.000001376 |
| 2926 | 0 | P0203 | LinStatic | 0 | -2.381E-08 | 0 | 0 | 0 | -3.754E-07 |
| 2926 | 0.5 | P0203 | LinStatic | 0 | -2.381E-08 | 0 | 0 | 0 | -3.635E-07 |
| 2926 | 1 | P0203 | LinStatic | 0 | -2.381E-08 | 0 | 0 | 0 | -3.516E-07 |
| 2927 | 0 | P0203 | LinStatic | 0 | -2.381E-08 | 0 | 0 | 0 | -3.516E-07 |
| 2927 | 0.5 | P0203 | LinStatic | 0 | -2.381E-08 | 0 | 0 | 0 | -3.397E-07 |
| 2927 | 1 | P0203 | LinStatic | 0 | -2.381E-08 | 0 | 0 | 0 | -3.278E-07 |
| 2974 | 0 | P0203 | LinStatic | 0 | 5.673E-09 | 0 | 0 | 0 | 8.943E-08 |
| 2974 | 0.5 | P0203 | LinStatic | 0 | 5.673E-09 | 0 | 0 | 0 | 8.66E-08 |
| 2974 | 1 | P0203 | LinStatic | 0 | 5.673E-09 | 0 | 0 | 0 | 8.376E-08 |
| 2975 | 0 | P0203 | LinStatic | 0 | 5.673E-09 | 0 | 0 | 0 | 8.376E-08 |
| 2975 | 0.5 | P0203 | LinStatic | 0 | 5.673E-09 | 0 | 0 | 0 | 8.092E-08 |
| 2975 | 1 | P0203 | LinStatic | 0 | 5.673E-09 | 0 | 0 | 0 | 7.809E-08 |
| 3022 | 0 | P0203 | LinStatic | 0 | -1.352E-09 | 0 | 0 | 0 | -2.13E-08 |
| 3022 | 0.5 | P0203 | LinStatic | 0 | -1.352E-09 | 0 | 0 | 0 | -2.062E-08 |
| 3022 | 1 | P0203 | LinStatic | 0 | -1.352E-09 | 0 | 0 | 0 | -1.994E-08 |
| 3023 | 0 | P0203 | LinStatic | 0 | -1.352E-09 | 0 | 0 | 0 | -1.994E-08 |
| 3023 | 0.5 | P0203 | LinStatic | 0 | -1.352E-09 | 0 | 0 | 0 | -1.927E-08 |
| 3023 | 1 | P0203 | LinStatic | 0 | -1.352E-09 | 0 | 0 | 0 | -1.859E-08 |
| 3070 | 0 | P0203 | LinStatic | 0 | 3.249E-10 | 0 | 0 | 0 | 5.035E-09 |
| 3070 | 0.5 | P0203 | LinStatic | 0 | 3.249E-10 | 0 | 0 | 0 | 4.872E-09 |
| 3070 | 1 | P0203 | LinStatic | 0 | 3.249E-10 | 0 | 0 | 0 | 4.71E-09 |
| 3071 | 0 | P0203 | LinStatic | 0 | 3.249E-10 | 0 | 0 | 0 | 4.71E-09 |
| 3071 | 0.5 | P0203 | LinStatic | 0 | 3.249E-10 | 0 | 0 | 0 | 4.547E-09 |
| 3071 | 1 | P0203 | LinStatic | 0 | 3.249E-10 | 0 | 0 | 0 | 4.385E-09 |
| 3116 | 0 | P0203 | LinStatic | 0 | -7.918E-11 | 0 | 0 | 0 | -1.425E-09 |
| 3116 | 0.5 | P0203 | LinStatic | 0 | -7.918E-11 | 0 | 0 | 0 | -1.386E-09 |
| 3116 | 1 | P0203 | LinStatic | 0 | -7.918E-11 | 0 | 0 | 0 | -1.346E-09 |
| 1063 | 0 | P0506 | LinStatic | 0 | -0.1866 | 0 | -0.00018 | 0 | 3.17205 |
| 1063 | 0.5 | P0506 | LinStatic | 0 | -0.1866 | 0 | -0.00018 | 0 | 3.26534 |
| 1063 | 1 | P0506 | LinStatic | 0 | -0.1866 | 0 | -0.00018 | 0 | 3.35862 |
| 1108 | 0 | P0506 | LinStatic | 0 | 0.766 | 0 | -0.004 | 0 | -10.3334 |
| 1108 | 0.5 | P0506 | LinStatic | 0 | 0.766 | 0 | -0.004 | 0 | -10.7164 |
| 1108 | 1 | P0506 | LinStatic | 0 | 0.766 | 0 | -0.004 | 0 | -11.0994 |
| 1109 | 0 | P0506 | LinStatic | 0 | 0.766 | 0 | -0.004 | 0 | -11.09908 |
| 1109 | 0.5 | P0506 | LinStatic | 0 | 0.766 | 0 | -0.004 | 0 | -11.48208 |
| 1109 | 1 | P0506 | LinStatic | 0 | 0.766 | 0 | -0.004 | 0 | -11.86508 |
| 1156 | 0 | P0506 | LinStatic | 0 | -3.1782 | 0 | -0.10244 | 0 | 43.81752 |
| 1156 | 0.5 | P0506 | LinStatic | 0 | -3.1782 | 0 | -0.10244 | 0 | 45.40664 |
| 1156 | 1 | P0506 | LinStatic | 0 | -3.1782 | 0 | -0.10244 | 0 | 46.99576 |
| 1157 | 0 | P0506 | LinStatic | 0 | -3.1782 | 0 | -0.10244 | 0 | 47.00399 |
| 1157 | 0.5 | P0506 | LinStatic | 0 | -3.1782 | 0 | -0.10244 | 0 | 48.59311 |
| 1157 | 1 | P0506 | LinStatic | 0 | -3.1782 | 0 | -0.10244 | 0 | 50.18223 |
| 1205 | 0 | P0506 | LinStatic | 0 | 12.4109 | 0 | -2.62307 | 0 | -169.21651 |
| 1205 | 0.5 | P0506 | LinStatic | 0 | 12.4109 | 0 | -2.62307 | 0 | -175.42197 |
| 1205 | 1 | P0506 | LinStatic | 0 | 12.4109 | 0 | -2.62307 | 0 | -181.62743 |
| 1257 | 0 | P0506 | LinStatic | 0 | 17.7466 | 0 | 24.87583 | 0 | 758.80238 |
| 1257 | 0.5 | P0506 | LinStatic | 0 | 17.7466 | 0 | 24.87583 | 0 | 749.92907 |
| 1257 | 1 | P0506 | LinStatic | 0 | 17.7466 | 0 | 24.87583 | 0 | 741.05576 |
| 1306 | 0 | P0506 | LinStatic | 0 | -30.6754 | 0 | 0.61205 | 0 | 607.62479 |
| 1306 | 0.5 | P0506 | LinStatic | 0 | -30.6754 | 0 | 0.61205 | 0 | 622.96251 |
| 1306 | 1 | P0506 | LinStatic | 0 | -30.6754 | 0 | 0.61205 | 0 | 638.30022 |
| 1307 | 0 | P0506 | LinStatic | 0 | -30.6754 | 0 | 0.61206 | 0 | 638.25101 |
| 1307 | 0.5 | P0506 | LinStatic | 0 | -30.6754 | 0 | 0.61206 | 0 | 653.58872 |
| 1307 | 1 | P0506 | LinStatic | 0 | -30.6754 | 0 | 0.61206 | 0 | 668.92643 |
| 1354 | 0 | P0506 | LinStatic | 0 | -11.783 | 0 | 0.0239 | 0 | -185.73224 |
| 1354 | 0.5 | P0506 | LinStatic | 0 | -11.783 | 0 | 0.0239 | 0 | -179.84074 |
| 1354 | 1 | P0506 | LinStatic | 0 | -11.783 | 0 | 0.0239 | 0 | -173.94923 |
| 1355 | 0 | P0506 | LinStatic | 0 | -11.783 | 0 | 0.0239 | 0 | -173.95116 |
| 1355 | 0.5 | P0506 | LinStatic | 0 | -11.783 | 0 | 0.0239 | 0 | -168.05966 |
| 1355 | 1 | P0506 | LinStatic | 0 | -11.783 | 0 | 0.0239 | 0 | -162.16816 |
| 1402 | 0 | P0506 | LinStatic | 0 | 2.8065 | 0 | 0.00093 | 0 | 44.24549 |
| 1402 | 0.5 | P0506 | LinStatic | 0 | 2.8065 | 0 | 0.00093 | 0 | 42.84226 |
| 1402 | 1 | P0506 | LinStatic | 0 | 2.8065 | 0 | 0.00093 | 0 | 41.43904 |
| 1403 | 0 | P0506 | LinStatic | 0 | 2.8065 | 0 | 0.00093 | 0 | 41.43896 |
| 1403 | 0.5 | P0506 | LinStatic | 0 | 2.8065 | 0 | 0.00093 | 0 | 40.03573 |
| 1403 | 1 | P0506 | LinStatic | 0 | 2.8065 | 0 | 0.00093 | 0 | 38.63251 |
| 1450 | 0 | P0506 | LinStatic | 0 | -0.6686 | 0 | 0.00003646 | 0 | -10.54032 |
| 1450 | 0.5 | P0506 | LinStatic | 0 | -0.6686 | 0 | 0.00003646 | 0 | -10.20603 |
| 1450 | 1 | P0506 | LinStatic | 0 | -0.6686 | 0 | 0.00003646 | 0 | -9.87174 |
| 1451 | 0 | P0506 | LinStatic | 0 | -0.6686 | 0 | 0.00003646 | 0 | -9.87174 |
| 1451 | 0.5 | P0506 | LinStatic | 0 | -0.6686 | 0 | 0.00003646 | 0 | -9.53745 |
| 1451 | 1 | P0506 | LinStatic | 0 | -0.6686 | 0 | 0.00003646 | 0 | -9.20316 |
| 1498 | 0 | P0506 | LinStatic | 0 | 0.1593 | 0 | 0.000001424 | 0 | 2.51095 |
| 1498 | 0.5 | P0506 | LinStatic | 0 | 0.1593 | 0 | 0.000001424 | 0 | 2.43131 |
| 1498 | 1 | P0506 | LinStatic | 0 | 0.1593 | 0 | 0.000001424 | 0 | 2.35168 |
| 1499 | 0 | P0506 | LinStatic | 0 | 0.1593 | 0 | 0.000001424 | 0 | 2.35168 |
| 1499 | 0.5 | P0506 | LinStatic | 0 | 0.1593 | 0 | 0.000001424 | 0 | 2.27204 |
| 1499 | 1 | P0506 | LinStatic | 0 | 0.1593 | 0 | 0.000001424 | 0 | 2.19241 |
| 1546 | 0 | P0506 | LinStatic | 0 | -0.0379 | 0 | 5.561E-08 | 0 | -0.59817 |

**TABLE: Element Forces - Frames**

| Frame | Station | OutputCase | CaseType | P | V2 | V3 | T | M2 | M3 |
|---|---|---|---|---|---|---|---|---|---|
| Text | m | Text | Text | Ton | Ton | Ton | Ton-m | Ton-m | Ton-m |
| 1546 | 0.5 | P0506 | LinStatic | 0 | -0.0379 | 0 | 5.561E-08 | 0 | -0.5792 |
| 1546 | 1 | P0506 | LinStatic | 0 | -0.0379 | 0 | 5.561E-08 | 0 | -0.56022 |
| 1547 | 0 | P0506 | LinStatic | 0 | -0.0379 | 0 | 5.562E-08 | 0 | -0.56022 |
| 1547 | 0.5 | P0506 | LinStatic | 0 | -0.0379 | 0 | 5.562E-08 | 0 | -0.54125 |
| 1547 | 1 | P0506 | LinStatic | 0 | -0.0379 | 0 | 5.562E-08 | 0 | -0.52228 |
| 1594 | 0 | P0506 | LinStatic | 0 | 0.009 | 0 | 2.172E-09 | 0 | 0.1425 |
| 1594 | 0.5 | P0506 | LinStatic | 0 | 0.009 | 0 | 2.172E-09 | 0 | 0.13798 |
| 1594 | 1 | P0506 | LinStatic | 0 | 0.009 | 0 | 2.172E-09 | 0 | 0.13346 |
| 1595 | 0 | P0506 | LinStatic | 0 | 0.009 | 0 | 2.172E-09 | 0 | 0.13346 |
| 1595 | 0.5 | P0506 | LinStatic | 0 | 0.009 | 0 | 2.172E-09 | 0 | 0.12894 |
| 1595 | 1 | P0506 | LinStatic | 0 | 0.009 | 0 | 2.172E-09 | 0 | 0.12442 |
| 1642 | 0 | P0506 | LinStatic | 0 | -0.0022 | 0 | 8.483E-11 | 0 | -0.03395 |
| 1642 | 0.5 | P0506 | LinStatic | 0 | -0.0022 | 0 | 8.483E-11 | 0 | -0.03287 |
| 1642 | 1 | P0506 | LinStatic | 0 | -0.0022 | 0 | 8.483E-11 | 0 | -0.03179 |
| 1643 | 0 | P0506 | LinStatic | 0 | -0.0022 | 0 | 8.483E-11 | 0 | -0.03179 |
| 1643 | 0.5 | P0506 | LinStatic | 0 | -0.0022 | 0 | 8.483E-11 | 0 | -0.03072 |
| 1643 | 1 | P0506 | LinStatic | 0 | -0.0022 | 0 | 8.483E-11 | 0 | -0.02964 |
| 1690 | 0 | P0506 | LinStatic | 0 | 0.000513 | 0 | 3.313E-12 | 0 | 0.00809 |
| 1690 | 0.5 | P0506 | LinStatic | 0 | 0.000513 | 0 | 3.313E-12 | 0 | 0.00783 |
| 1690 | 1 | P0506 | LinStatic | 0 | 0.000513 | 0 | 3.313E-12 | 0 | 0.00757 |
| 1691 | 0 | P0506 | LinStatic | 0 | 0.000513 | 0 | 3.313E-12 | 0 | 0.00757 |
| 1691 | 0.5 | P0506 | LinStatic | 0 | 0.000513 | 0 | 3.313E-12 | 0 | 0.00732 |
| 1691 | 1 | P0506 | LinStatic | 0 | 0.000513 | 0 | 3.313E-12 | 0 | 0.00706 |
| 1738 | 0 | P0506 | LinStatic | 0 | -0.0001222 | 0 | 1.294E-13 | 0 | -0.00193 |
| 1738 | 0.5 | P0506 | LinStatic | 0 | -0.0001222 | 0 | 1.294E-13 | 0 | -0.00187 |
| 1738 | 1 | P0506 | LinStatic | 0 | -0.0001222 | 0 | 1.294E-13 | 0 | -0.0018 |
| 1739 | 0 | P0506 | LinStatic | 0 | -0.0001222 | 0 | 1.294E-13 | 0 | -0.0018 |
| 1739 | 0.5 | P0506 | LinStatic | 0 | -0.0001222 | 0 | 1.294E-13 | 0 | -0.00174 |
| 1739 | 1 | P0506 | LinStatic | 0 | -0.0001222 | 0 | 1.294E-13 | 0 | -0.00168 |
| 1786 | 0 | P0506 | LinStatic | 0 | 0.00002911 | 0 | 5.054E-15 | 0 | 0.00046 |
| 1786 | 0.5 | P0506 | LinStatic | 0 | 0.00002911 | 0 | 5.054E-15 | 0 | 0.00044 |
| 1786 | 1 | P0506 | LinStatic | 0 | 0.00002911 | 0 | 5.054E-15 | 0 | 0.00043 |
| 1787 | 0 | P0506 | LinStatic | 0 | 0.00002911 | 0 | 5.054E-15 | 0 | 0.00043 |
| 1787 | 0.5 | P0506 | LinStatic | 0 | 0.00002911 | 0 | 5.054E-15 | 0 | 0.00042 |
| 1787 | 1 | P0506 | LinStatic | 0 | 0.00002911 | 0 | 5.054E-15 | 0 | 0.0004 |
| 1834 | 0 | P0506 | LinStatic | 0 | -0.000006935 | 0 | 1.971E-16 | 0 | -0.00011 |
| 1834 | 0.5 | P0506 | LinStatic | 0 | -0.000006935 | 0 | 1.971E-16 | 0 | -0.00011 |
| 1834 | 1 | P0506 | LinStatic | 0 | -0.000006935 | 0 | 1.971E-16 | 0 | -0.0001 |
| 1835 | 0 | P0506 | LinStatic | 0 | -0.000006935 | 0 | 1.971E-16 | 0 | -0.0001 |
| 1835 | 0.5 | P0506 | LinStatic | 0 | -0.000006935 | 0 | 1.971E-16 | 0 | -0.00009893 |
| 1835 | 1 | P0506 | LinStatic | 0 | -0.000006935 | 0 | 1.971E-16 | 0 | -0.00009546 |
| 1882 | 0 | P0506 | LinStatic | 0 | 0.000001652 | 0 | 7.779E-18 | 0 | 0.00002604 |
| 1882 | 0.5 | P0506 | LinStatic | 0 | 0.000001652 | 0 | 7.779E-18 | 0 | 0.00002522 |
| 1882 | 1 | P0506 | LinStatic | 0 | 0.000001652 | 0 | 7.779E-18 | 0 | 0.00002439 |
| 1883 | 0 | P0506 | LinStatic | 0 | 0.000001652 | 0 | 7.784E-18 | 0 | 0.00002439 |
| 1883 | 0.5 | P0506 | LinStatic | 0 | 0.000001652 | 0 | 7.784E-18 | 0 | 0.00002357 |
| 1883 | 1 | P0506 | LinStatic | 0 | 0.000001652 | 0 | 7.784E-18 | 0 | 0.00002274 |
| 1930 | 0 | P0506 | LinStatic | 0 | -3.936E-07 | 0 | 2.758E-19 | 0 | -0.000006204 |
| 1930 | 0.5 | P0506 | LinStatic | 0 | -3.936E-07 | 0 | 2.758E-19 | 0 | -0.000006007 |
| 1930 | 1 | P0506 | LinStatic | 0 | -3.936E-07 | 0 | 2.758E-19 | 0 | -0.000005811 |
| 1931 | 0 | P0506 | LinStatic | 0 | -3.936E-07 | 0 | 2.749E-19 | 0 | -0.000005811 |
| 1931 | 0.5 | P0506 | LinStatic | 0 | -3.936E-07 | 0 | 2.749E-19 | 0 | -0.000005614 |
| 1931 | 1 | P0506 | LinStatic | 0 | -3.936E-07 | 0 | 2.749E-19 | 0 | -0.000005417 |
| 1978 | 0 | P0506 | LinStatic | 0 | 9.38E-08 | 0 | 1.451E-20 | 0 | 0.000001477 |
| 1978 | 0.5 | P0506 | LinStatic | 0 | 9.38E-08 | 0 | 1.451E-20 | 0 | 0.00000143 |
| 1978 | 1 | P0506 | LinStatic | 0 | 9.38E-08 | 0 | 1.451E-20 | 0 | 0.000001384 |
| 1979 | 0 | P0506 | LinStatic | 0 | 9.38E-08 | 0 | 1.839E-20 | 0 | 0.000001384 |
| 1979 | 0.5 | P0506 | LinStatic | 0 | 9.38E-08 | 0 | 1.839E-20 | 0 | 0.000001337 |
| 1979 | 1 | P0506 | LinStatic | 0 | 9.38E-08 | 0 | 1.839E-20 | 0 | 0.00000129 |
| 2026 | 0 | P0506 | LinStatic | 0 | -2.254E-08 | 0 | 0 | 0 | -3.493E-07 |
| 2026 | 0.5 | P0506 | LinStatic | 0 | -2.254E-08 | 0 | 0 | 0 | -0.000000338 |
| 2026 | 1 | P0506 | LinStatic | 0 | -2.254E-08 | 0 | 0 | 0 | -3.267E-07 |
| 2027 | 0 | P0506 | LinStatic | 0 | -2.254E-08 | 0 | 0 | 0 | -3.267E-07 |
| 2027 | 0.5 | P0506 | LinStatic | 0 | -2.254E-08 | 0 | 0 | 0 | -3.155E-07 |
| 2027 | 1 | P0506 | LinStatic | 0 | -2.254E-08 | 0 | 0 | 0 | -3.042E-07 |
| 2072 | 0 | P0506 | LinStatic | 0 | 5.493E-09 | 0 | 0 | 0 | 9.887E-08 |
| 2072 | 0.5 | P0506 | LinStatic | 0 | 5.493E-09 | 0 | 0 | 0 | 9.612E-08 |
| 2072 | 1 | P0506 | LinStatic | 0 | 5.493E-09 | 0 | 0 | 0 | 9.338E-08 |
| 2107 | 0 | P0506 | LinStatic | 0 | -0.1866 | 0 | -0.00018 | 0 | 3.17203 |
| 2107 | 0.5 | P0506 | LinStatic | 0 | -0.1866 | 0 | -0.00018 | 0 | 3.26534 |
| 2107 | 1 | P0506 | LinStatic | 0 | -0.1866 | 0 | -0.00018 | 0 | 3.35864 |
| 2152 | 0 | P0506 | LinStatic | 0 | 0.7654 | 0 | -0.004 | 0 | -10.33372 |
| 2152 | 0.5 | P0506 | LinStatic | 0 | 0.7654 | 0 | -0.004 | 0 | -10.7164 |
| 2152 | 1 | P0506 | LinStatic | 0 | 0.7654 | 0 | -0.004 | 0 | -11.09908 |
| 2153 | 0 | P0506 | LinStatic | 0 | 0.7654 | 0 | -0.004 | 0 | -11.0994 |
| 2153 | 0.5 | P0506 | LinStatic | 0 | 0.7654 | 0 | -0.004 | 0 | -11.48208 |
| 2153 | 1 | P0506 | LinStatic | 0 | 0.7654 | 0 | -0.004 | 0 | -11.86476 |
| 2200 | 0 | P0506 | LinStatic | 0 | -3.1947 | 0 | -0.10244 | 0 | 43.80932 |
| 2200 | 0.5 | P0506 | LinStatic | 0 | -3.1947 | 0 | -0.10244 | 0 | 45.40668 |
| 2200 | 1 | P0506 | LinStatic | 0 | -3.1947 | 0 | -0.10244 | 0 | 47.00404 |
| 2201 | 0 | P0506 | LinStatic | 0 | -3.1947 | 0 | -0.10244 | 0 | 46.99581 |
| 2201 | 0.5 | P0506 | LinStatic | 0 | -3.1947 | 0 | -0.10244 | 0 | 48.59317 |
| 2201 | 1 | P0506 | LinStatic | 0 | -3.1947 | 0 | -0.10244 | 0 | 50.19053 |

**TABLE: Element Forces - Frames**

| Frame | Station | OutputCase | CaseType | P | V2 | V3 | T | M2 | M3 |
|---|---|---|---|---|---|---|---|---|---|
| Text | m | Text | Text | Ton | Ton | Ton | Ton-m | Ton-m | Ton-m |
| 2249 | 0 | P0506 | LinStatic | 0 | 11.9888 | 0 | -2.62307 | 0 | -169.42696 |
| 2249 | 0.5 | P0506 | LinStatic | 0 | 11.9888 | 0 | -2.62307 | 0 | -175.42138 |
| 2249 | 1 | P0506 | LinStatic | 0 | 11.9888 | 0 | -2.62307 | 0 | -181.4158 |
| 2301 | 0 | P0506 | LinStatic | 0 | 17.4508 | 0 | 24.87583 | 0 | 770.42548 |
| 2301 | 0.5 | P0506 | LinStatic | 0 | 17.4508 | 0 | 24.87583 | 0 | 761.70008 |
| 2301 | 1 | P0506 | LinStatic | 0 | 17.4508 | 0 | 24.87583 | 0 | 752.97468 |
| 2350 | 0 | P0506 | LinStatic | 0 | -30.5769 | 0 | 0.61205 | 0 | 607.67438 |
| 2350 | 0.5 | P0506 | LinStatic | 0 | -30.5769 | 0 | 0.61205 | 0 | 622.96284 |
| 2350 | 1 | P0506 | LinStatic | 0 | -30.5769 | 0 | 0.61205 | 0 | 638.2513 |
| 2351 | 0 | P0506 | LinStatic | 0 | -30.5769 | 0 | 0.61206 | 0 | 638.30051 |
| 2351 | 0.5 | P0506 | LinStatic | 0 | -30.5769 | 0 | 0.61206 | 0 | 653.58898 |
| 2351 | 1 | P0506 | LinStatic | 0 | -30.5769 | 0 | 0.61206 | 0 | 668.87744 |
| 2398 | 0 | P0506 | LinStatic | 0 | -11.7792 | 0 | 0.0239 | 0 | -185.7303 |
| 2398 | 0.5 | P0506 | LinStatic | 0 | -11.7792 | 0 | 0.0239 | 0 | -179.84072 |
| 2398 | 1 | P0506 | LinStatic | 0 | -11.7792 | 0 | 0.0239 | 0 | -173.95115 |
| 2399 | 0 | P0506 | LinStatic | 0 | -11.7792 | 0 | 0.0239 | 0 | -173.94922 |
| 2399 | 0.5 | P0506 | LinStatic | 0 | -11.7792 | 0 | 0.0239 | 0 | -168.05965 |
| 2399 | 1 | P0506 | LinStatic | 0 | -11.7792 | 0 | 0.0239 | 0 | -162.17007 |
| 2446 | 0 | P0506 | LinStatic | 0 | 2.8066 | 0 | 0.00093 | 0 | 44.24556 |
| 2446 | 0.5 | P0506 | LinStatic | 0 | 2.8066 | 0 | 0.00093 | 0 | 42.84226 |
| 2446 | 1 | P0506 | LinStatic | 0 | 2.8066 | 0 | 0.00093 | 0 | 41.43896 |
| 2447 | 0 | P0506 | LinStatic | 0 | 2.8066 | 0 | 0.00093 | 0 | 41.43904 |
| 2447 | 0.5 | P0506 | LinStatic | 0 | 2.8066 | 0 | 0.00093 | 0 | 40.03573 |
| 2447 | 1 | P0506 | LinStatic | 0 | 2.8066 | 0 | 0.00093 | 0 | 38.63243 |
| 2494 | 0 | P0506 | LinStatic | 0 | -0.6686 | 0 | 0.00003646 | 0 | -10.54032 |
| 2494 | 0.5 | P0506 | LinStatic | 0 | -0.6686 | 0 | 0.00003646 | 0 | -10.20603 |
| 2494 | 1 | P0506 | LinStatic | 0 | -0.6686 | 0 | 0.00003646 | 0 | -9.87174 |
| 2495 | 0 | P0506 | LinStatic | 0 | -0.6686 | 0 | 0.00003646 | 0 | -9.87174 |
| 2495 | 0.5 | P0506 | LinStatic | 0 | -0.6686 | 0 | 0.00003646 | 0 | -9.53745 |
| 2495 | 1 | P0506 | LinStatic | 0 | -0.6686 | 0 | 0.00003646 | 0 | -9.20316 |
| 2542 | 0 | P0506 | LinStatic | 0 | 0.1593 | 0 | 0.000001424 | 0 | 2.51095 |
| 2542 | 0.5 | P0506 | LinStatic | 0 | 0.1593 | 0 | 0.000001424 | 0 | 2.43131 |
| 2542 | 1 | P0506 | LinStatic | 0 | 0.1593 | 0 | 0.000001424 | 0 | 2.35168 |
| 2543 | 0 | P0506 | LinStatic | 0 | 0.1593 | 0 | 0.000001424 | 0 | 2.35168 |
| 2543 | 0.5 | P0506 | LinStatic | 0 | 0.1593 | 0 | 0.000001424 | 0 | 2.27204 |
| 2543 | 1 | P0506 | LinStatic | 0 | 0.1593 | 0 | 0.000001424 | 0 | 2.19241 |
| 2590 | 0 | P0506 | LinStatic | 0 | -0.0379 | 0 | 5.561E-08 | 0 | -0.59817 |
| 2590 | 0.5 | P0506 | LinStatic | 0 | -0.0379 | 0 | 5.561E-08 | 0 | -0.5792 |
| 2590 | 1 | P0506 | LinStatic | 0 | -0.0379 | 0 | 5.561E-08 | 0 | -0.56022 |
| 2591 | 0 | P0506 | LinStatic | 0 | -0.0379 | 0 | 5.562E-08 | 0 | -0.56022 |
| 2591 | 0.5 | P0506 | LinStatic | 0 | -0.0379 | 0 | 5.562E-08 | 0 | -0.54125 |
| 2591 | 1 | P0506 | LinStatic | 0 | -0.0379 | 0 | 5.562E-08 | 0 | -0.52228 |
| 2638 | 0 | P0506 | LinStatic | 0 | 0.009 | 0 | 2.172E-09 | 0 | 0.1425 |
| 2638 | 0.5 | P0506 | LinStatic | 0 | 0.009 | 0 | 2.172E-09 | 0 | 0.13798 |
| 2638 | 1 | P0506 | LinStatic | 0 | 0.009 | 0 | 2.172E-09 | 0 | 0.13346 |
| 2639 | 0 | P0506 | LinStatic | 0 | 0.009 | 0 | 2.172E-09 | 0 | 0.13346 |
| 2639 | 0.5 | P0506 | LinStatic | 0 | 0.009 | 0 | 2.172E-09 | 0 | 0.12894 |
| 2639 | 1 | P0506 | LinStatic | 0 | 0.009 | 0 | 2.172E-09 | 0 | 0.12442 |
| 2686 | 0 | P0506 | LinStatic | 0 | -0.0022 | 0 | 8.483E-11 | 0 | -0.03395 |
| 2686 | 0.5 | P0506 | LinStatic | 0 | -0.0022 | 0 | 8.483E-11 | 0 | -0.03287 |
| 2686 | 1 | P0506 | LinStatic | 0 | -0.0022 | 0 | 8.483E-11 | 0 | -0.03179 |
| 2687 | 0 | P0506 | LinStatic | 0 | -0.0022 | 0 | 8.483E-11 | 0 | -0.03179 |
| 2687 | 0.5 | P0506 | LinStatic | 0 | -0.0022 | 0 | 8.483E-11 | 0 | -0.03072 |
| 2687 | 1 | P0506 | LinStatic | 0 | -0.0022 | 0 | 8.483E-11 | 0 | -0.02964 |
| 2734 | 0 | P0506 | LinStatic | 0 | 0.000513 | 0 | 3.313E-12 | 0 | 0.00809 |
| 2734 | 0.5 | P0506 | LinStatic | 0 | 0.000513 | 0 | 3.313E-12 | 0 | 0.00783 |
| 2734 | 1 | P0506 | LinStatic | 0 | 0.000513 | 0 | 3.313E-12 | 0 | 0.00757 |
| 2735 | 0 | P0506 | LinStatic | 0 | 0.000513 | 0 | 3.313E-12 | 0 | 0.00757 |
| 2735 | 0.5 | P0506 | LinStatic | 0 | 0.000513 | 0 | 3.313E-12 | 0 | 0.00732 |
| 2735 | 1 | P0506 | LinStatic | 0 | 0.000513 | 0 | 3.313E-12 | 0 | 0.00706 |
| 2782 | 0 | P0506 | LinStatic | 0 | -0.0001222 | 0 | 1.294E-13 | 0 | -0.00193 |
| 2782 | 0.5 | P0506 | LinStatic | 0 | -0.0001222 | 0 | 1.294E-13 | 0 | -0.00187 |
| 2782 | 1 | P0506 | LinStatic | 0 | -0.0001222 | 0 | 1.294E-13 | 0 | -0.0018 |
| 2783 | 0 | P0506 | LinStatic | 0 | -0.0001222 | 0 | 1.294E-13 | 0 | -0.0018 |
| 2783 | 0.5 | P0506 | LinStatic | 0 | -0.0001222 | 0 | 1.294E-13 | 0 | -0.00174 |
| 2783 | 1 | P0506 | LinStatic | 0 | -0.0001222 | 0 | 1.294E-13 | 0 | -0.00168 |
| 2830 | 0 | P0506 | LinStatic | 0 | 0.00002911 | 0 | 5.053E-15 | 0 | 0.00046 |
| 2830 | 0.5 | P0506 | LinStatic | 0 | 0.00002911 | 0 | 5.053E-15 | 0 | 0.00044 |
| 2830 | 1 | P0506 | LinStatic | 0 | 0.00002911 | 0 | 5.053E-15 | 0 | 0.00043 |
| 2831 | 0 | P0506 | LinStatic | 0 | 0.00002911 | 0 | 5.054E-15 | 0 | 0.00043 |
| 2831 | 0.5 | P0506 | LinStatic | 0 | 0.00002911 | 0 | 5.054E-15 | 0 | 0.00042 |
| 2831 | 1 | P0506 | LinStatic | 0 | 0.00002911 | 0 | 5.054E-15 | 0 | 0.0004 |
| 2878 | 0 | P0506 | LinStatic | 0 | -0.000006935 | 0 | 1.971E-16 | 0 | -0.00011 |
| 2878 | 0.5 | P0506 | LinStatic | 0 | -0.000006935 | 0 | 1.971E-16 | 0 | -0.00011 |
| 2878 | 1 | P0506 | LinStatic | 0 | -0.000006935 | 0 | 1.971E-16 | 0 | -0.0001 |
| 2879 | 0 | P0506 | LinStatic | 0 | -0.000006935 | 0 | 1.971E-16 | 0 | -0.0001 |
| 2879 | 0.5 | P0506 | LinStatic | 0 | -0.000006935 | 0 | 1.971E-16 | 0 | -0.00009893 |
| 2879 | 1 | P0506 | LinStatic | 0 | -0.000006935 | 0 | 1.971E-16 | 0 | -0.00009546 |
| 2926 | 0 | P0506 | LinStatic | 0 | 0.000001652 | 0 | 7.773E-18 | 0 | 0.00002604 |
| 2926 | 0.5 | P0506 | LinStatic | 0 | 0.000001652 | 0 | 7.773E-18 | 0 | 0.00002522 |
| 2926 | 1 | P0506 | LinStatic | 0 | 0.000001652 | 0 | 7.773E-18 | 0 | 0.00002439 |
| 2927 | 0 | P0506 | LinStatic | 0 | 0.000001652 | 0 | 7.819E-18 | 0 | 0.00002439 |
| 2927 | 0.5 | P0506 | LinStatic | 0 | 0.000001652 | 0 | 7.819E-18 | 0 | 0.00002357 |

**TABLE: Element Forces - Frames**

| Frame | Station | OutputCase | CaseType | P | V2 | V3 | T | M2 | M3 |
|---|---|---|---|---|---|---|---|---|---|
| Text | m | Text | Text | Ton | Ton | Ton | Ton-m | Ton-m | Ton-m |
| 2927 | 1 | P0506 | LinStatic | 0 | 0.000001652 | 0 | 7.819E-18 | 0 | 0.00002274 |
| 2974 | 0 | P0506 | LinStatic | 0 | -3.936E-07 | 0 | 2.798E-19 | 0 | -0.000006204 |
| 2974 | 0.5 | P0506 | LinStatic | 0 | -3.936E-07 | 0 | 2.798E-19 | 0 | -0.000006007 |
| 2974 | 1 | P0506 | LinStatic | 0 | -3.936E-07 | 0 | 2.798E-19 | 0 | -0.000005811 |
| 2975 | 0 | P0506 | LinStatic | 0 | -3.936E-07 | 0 | 2.756E-19 | 0 | -0.000005811 |
| 2975 | 0.5 | P0506 | LinStatic | 0 | -3.936E-07 | 0 | 2.756E-19 | 0 | -0.000005614 |
| 2975 | 1 | P0506 | LinStatic | 0 | -3.936E-07 | 0 | 2.756E-19 | 0 | -0.000005417 |
| 3022 | 0 | P0506 | LinStatic | 0 | 9.38E-08 | 0 | 1.452E-20 | 0 | 0.000001477 |
| 3022 | 0.5 | P0506 | LinStatic | 0 | 9.38E-08 | 0 | 1.452E-20 | 0 | 0.00000143 |
| 3022 | 1 | P0506 | LinStatic | 0 | 9.38E-08 | 0 | 1.452E-20 | 0 | 0.000001384 |
| 3023 | 0 | P0506 | LinStatic | 0 | 9.38E-08 | 0 | 1.865E-20 | 0 | 0.000001384 |
| 3023 | 0.5 | P0506 | LinStatic | 0 | 9.38E-08 | 0 | 1.865E-20 | 0 | 0.000001337 |
| 3023 | 1 | P0506 | LinStatic | 0 | 9.38E-08 | 0 | 1.865E-20 | 0 | 0.00000129 |
| 3070 | 0 | P0506 | LinStatic | 0 | -2.254E-08 | 0 | 0 | 0 | -3.493E-07 |
| 3070 | 0.5 | P0506 | LinStatic | 0 | -2.254E-08 | 0 | 0 | 0 | -0.000000338 |
| 3070 | 1 | P0506 | LinStatic | 0 | -2.254E-08 | 0 | 0 | 0 | -3.267E-07 |
| 3071 | 0 | P0506 | LinStatic | 0 | -2.254E-08 | 0 | 0 | 0 | -3.267E-07 |
| 3071 | 0.5 | P0506 | LinStatic | 0 | -2.254E-08 | 0 | 0 | 0 | -3.155E-07 |
| 3071 | 1 | P0506 | LinStatic | 0 | -2.254E-08 | 0 | 0 | 0 | -3.042E-07 |
| 3116 | 0 | P0506 | LinStatic | 0 | 5.493E-09 | 0 | 0 | 0 | 9.887E-08 |
| 3116 | 0.5 | P0506 | LinStatic | 0 | 5.493E-09 | 0 | 0 | 0 | 9.612E-08 |
| 3116 | 1 | P0506 | LinStatic | 0 | 5.493E-09 | 0 | 0 | 0 | 9.338E-08 |
| 1063 | 0 | P0708 | LinStatic | 0 | -0.0095 | 0 | -2.461E-07 | 0 | 0.16066 |
| 1063 | 0.5 | P0708 | LinStatic | 0 | -0.0095 | 0 | -2.461E-07 | 0 | 0.16538 |
| 1063 | 1 | P0708 | LinStatic | 0 | -0.0095 | 0 | -2.461E-07 | 0 | 0.17011 |
| 1108 | 0 | P0708 | LinStatic | 0 | 0.0388 | 0 | -0.000005466 | 0 | -0.52337 |
| 1108 | 0.5 | P0708 | LinStatic | 0 | 0.0388 | 0 | -0.000005466 | 0 | -0.54276 |
| 1108 | 1 | P0708 | LinStatic | 0 | 0.0388 | 0 | -0.000005466 | 0 | -0.56215 |
| 1109 | 0 | P0708 | LinStatic | 0 | 0.0388 | 0 | -0.000005466 | 0 | -0.56215 |
| 1109 | 0.5 | P0708 | LinStatic | 0 | 0.0388 | 0 | -0.000005466 | 0 | -0.58154 |
| 1109 | 1 | P0708 | LinStatic | 0 | 0.0388 | 0 | -0.000005466 | 0 | -0.60093 |
| 1156 | 0 | P0708 | LinStatic | 0 | -0.1614 | 0 | -0.00014 | 0 | 2.21905 |
| 1156 | 0.5 | P0708 | LinStatic | 0 | -0.1614 | 0 | -0.00014 | 0 | 2.29974 |
| 1156 | 1 | P0708 | LinStatic | 0 | -0.1614 | 0 | -0.00014 | 0 | 2.38043 |
| 1157 | 0 | P0708 | LinStatic | 0 | -0.1614 | 0 | -0.00014 | 0 | 2.38044 |
| 1157 | 0.5 | P0708 | LinStatic | 0 | -0.1614 | 0 | -0.00014 | 0 | 2.46113 |
| 1157 | 1 | P0708 | LinStatic | 0 | -0.1614 | 0 | -0.00014 | 0 | 2.54182 |
| 1205 | 0 | P0708 | LinStatic | 0 | 0.6182 | 0 | -0.00358 | 0 | -8.57561 |
| 1205 | 0.5 | P0708 | LinStatic | 0 | 0.6182 | 0 | -0.00358 | 0 | -8.8847 |
| 1205 | 1 | P0708 | LinStatic | 0 | 0.6182 | 0 | -0.00358 | 0 | -9.19379 |
| 1257 | 0 | P0708 | LinStatic | 0 | -2.5356 | 0 | -0.09702 | 0 | 38.33086 |
| 1257 | 0.5 | P0708 | LinStatic | 0 | -2.5356 | 0 | -0.09702 | 0 | 39.59867 |
| 1257 | 1 | P0708 | LinStatic | 0 | -2.5356 | 0 | -0.09702 | 0 | 40.86649 |
| 1306 | 0 | P0708 | LinStatic | 0 | 11.7598 | 0 | -2.62786 | 0 | -161.05 |
| 1306 | 0.5 | P0708 | LinStatic | 0 | 11.7598 | 0 | -2.62786 | 0 | -166.92988 |
| 1306 | 1 | P0708 | LinStatic | 0 | 11.7598 | 0 | -2.62786 | 0 | -172.80977 |
| 1307 | 0 | P0708 | LinStatic | 0 | 11.7598 | 0 | -2.62783 | 0 | -172.59845 |
| 1307 | 0.5 | P0708 | LinStatic | 0 | 11.7598 | 0 | -2.62783 | 0 | -178.47834 |
| 1307 | 1 | P0708 | LinStatic | 0 | 11.7598 | 0 | -2.62783 | 0 | -184.35823 |
| 1354 | 0 | P0708 | LinStatic | 0 | 14.1667 | 0 | 25.10296 | 0 | 666.03248 |
| 1354 | 0.5 | P0708 | LinStatic | 0 | 14.1667 | 0 | 25.10296 | 0 | 658.94911 |
| 1354 | 1 | P0708 | LinStatic | 0 | 14.1667 | 0 | 25.10296 | 0 | 651.86574 |
| 1355 | 0 | P0708 | LinStatic | 0 | 15.0008 | 0 | 27.35489 | 0 | 649.73528 |
| 1355 | 0.5 | P0708 | LinStatic | 0 | 15.0008 | 0 | 27.35489 | 0 | 642.23489 |
| 1355 | 1 | P0708 | LinStatic | 0 | 15.0008 | 0 | 27.35489 | 0 | 634.73449 |
| 1402 | 0 | P0708 | LinStatic | 0 | -28.8614 | 0 | 0.43475 | 0 | 636.00553 |
| 1402 | 0.5 | P0708 | LinStatic | 0 | -28.8614 | 0 | 0.43475 | 0 | 650.43624 |
| 1402 | 1 | P0708 | LinStatic | 0 | -28.8614 | 0 | 0.43475 | 0 | 664.86694 |
| 1403 | 0 | P0708 | LinStatic | 0 | -28.8614 | 0 | 0.43475 | 0 | 664.83198 |
| 1403 | 0.5 | P0708 | LinStatic | 0 | -28.8614 | 0 | 0.43475 | 0 | 679.26268 |
| 1403 | 1 | P0708 | LinStatic | 0 | -28.8614 | 0 | 0.43475 | 0 | 693.69338 |
| 1450 | 0 | P0708 | LinStatic | 0 | -12.2112 | 0 | 0.01698 | 0 | -192.4912 |
| 1450 | 0.5 | P0708 | LinStatic | 0 | -12.2112 | 0 | 0.01698 | 0 | -186.38561 |
| 1450 | 1 | P0708 | LinStatic | 0 | -12.2112 | 0 | 0.01698 | 0 | -180.28001 |
| 1451 | 0 | P0708 | LinStatic | 0 | -12.2112 | 0 | 0.01698 | 0 | -180.28138 |
| 1451 | 0.5 | P0708 | LinStatic | 0 | -12.2112 | 0 | 0.01698 | 0 | -174.17578 |
| 1451 | 1 | P0708 | LinStatic | 0 | -12.2112 | 0 | 0.01698 | 0 | -168.07019 |
| 1498 | 0 | P0708 | LinStatic | 0 | 2.9086 | 0 | 0.00066 | 0 | 45.85571 |
| 1498 | 0.5 | P0708 | LinStatic | 0 | 2.9086 | 0 | 0.00066 | 0 | 44.4014 |
| 1498 | 1 | P0708 | LinStatic | 0 | 2.9086 | 0 | 0.00066 | 0 | 42.9471 |
| 1499 | 0 | P0708 | LinStatic | 0 | 2.9086 | 0 | 0.00066 | 0 | 42.94704 |
| 1499 | 0.5 | P0708 | LinStatic | 0 | 2.9086 | 0 | 0.00066 | 0 | 41.49274 |
| 1499 | 1 | P0708 | LinStatic | 0 | 2.9086 | 0 | 0.00066 | 0 | 40.03843 |
| 1546 | 0 | P0708 | LinStatic | 0 | -0.6929 | 0 | 0.0000259 | 0 | -10.92391 |
| 1546 | 0.5 | P0708 | LinStatic | 0 | -0.6929 | 0 | 0.0000259 | 0 | -10.57745 |
| 1546 | 1 | P0708 | LinStatic | 0 | -0.6929 | 0 | 0.0000259 | 0 | -10.23099 |
| 1547 | 0 | P0708 | LinStatic | 0 | -0.6929 | 0 | 0.0000259 | 0 | -10.231 |
| 1547 | 0.5 | P0708 | LinStatic | 0 | -0.6929 | 0 | 0.0000259 | 0 | -9.88454 |
| 1547 | 1 | P0708 | LinStatic | 0 | -0.6929 | 0 | 0.0000259 | 0 | -9.53808 |
| 1594 | 0 | P0708 | LinStatic | 0 | 0.1651 | 0 | 0.000001011 | 0 | 2.60233 |
| 1594 | 0.5 | P0708 | LinStatic | 0 | 0.1651 | 0 | 0.000001011 | 0 | 2.5198 |
| 1594 | 1 | P0708 | LinStatic | 0 | 0.1651 | 0 | 0.000001011 | 0 | 2.43726 |
| 1595 | 0 | P0708 | LinStatic | 0 | 0.1651 | 0 | 0.000001011 | 0 | 2.43726 |

**TABLE: Element Forces - Frames**

| Frame | Station | OutputCase | CaseType | P | V2 | V3 | T | M2 | M3 |
|---|---|---|---|---|---|---|---|---|---|
| Text | m | Text | Text | Ton | Ton | Ton | Ton-m | Ton-m | Ton-m |
| 1595 | 0.5 | P0708 | LinStatic | 0 | 0.1651 | 0 | 0.000001011 | 0 | 2.35473 |
| 1595 | 1 | P0708 | LinStatic | 0 | 0.1651 | 0 | 0.000001011 | 0 | 2.27219 |
| 1642 | 0 | P0708 | LinStatic | 0 | -0.0393 | 0 | 3.95E-08 | 0 | -0.61994 |
| 1642 | 0.5 | P0708 | LinStatic | 0 | -0.0393 | 0 | 3.95E-08 | 0 | -0.60027 |
| 1642 | 1 | P0708 | LinStatic | 0 | -0.0393 | 0 | 3.95E-08 | 0 | -0.58061 |
| 1643 | 0 | P0708 | LinStatic | 0 | -0.0393 | 0 | 3.95E-08 | 0 | -0.58061 |
| 1643 | 0.5 | P0708 | LinStatic | 0 | -0.0393 | 0 | 3.95E-08 | 0 | -0.56095 |
| 1643 | 1 | P0708 | LinStatic | 0 | -0.0393 | 0 | 3.95E-08 | 0 | -0.54129 |
| 1690 | 0 | P0708 | LinStatic | 0 | 0.0094 | 0 | 1.543E-09 | 0 | 0.14768 |
| 1690 | 0.5 | P0708 | LinStatic | 0 | 0.0094 | 0 | 1.543E-09 | 0 | 0.143 |
| 1690 | 1 | P0708 | LinStatic | 0 | 0.0094 | 0 | 1.543E-09 | 0 | 0.13832 |
| 1691 | 0 | P0708 | LinStatic | 0 | 0.0094 | 0 | 1.543E-09 | 0 | 0.13832 |
| 1691 | 0.5 | P0708 | LinStatic | 0 | 0.0094 | 0 | 1.543E-09 | 0 | 0.13363 |
| 1691 | 1 | P0708 | LinStatic | 0 | 0.0094 | 0 | 1.543E-09 | 0 | 0.12895 |
| 1738 | 0 | P0708 | LinStatic | 0 | -0.0022 | 0 | 6.026E-11 | 0 | -0.03518 |
| 1738 | 0.5 | P0708 | LinStatic | 0 | -0.0022 | 0 | 6.026E-11 | 0 | -0.03407 |
| 1738 | 1 | P0708 | LinStatic | 0 | -0.0022 | 0 | 6.026E-11 | 0 | -0.03295 |
| 1739 | 0 | P0708 | LinStatic | 0 | -0.0022 | 0 | 6.026E-11 | 0 | -0.03295 |
| 1739 | 0.5 | P0708 | LinStatic | 0 | -0.0022 | 0 | 6.026E-11 | 0 | -0.03183 |
| 1739 | 1 | P0708 | LinStatic | 0 | -0.0022 | 0 | 6.026E-11 | 0 | -0.03072 |
| 1786 | 0 | P0708 | LinStatic | 0 | 0.0005316 | 0 | 2.353E-12 | 0 | 0.00838 |
| 1786 | 0.5 | P0708 | LinStatic | 0 | 0.0005316 | 0 | 2.353E-12 | 0 | 0.00812 |
| 1786 | 1 | P0708 | LinStatic | 0 | 0.0005316 | 0 | 2.353E-12 | 0 | 0.00785 |
| 1787 | 0 | P0708 | LinStatic | 0 | 0.0005316 | 0 | 2.353E-12 | 0 | 0.00785 |
| 1787 | 0.5 | P0708 | LinStatic | 0 | 0.0005316 | 0 | 2.353E-12 | 0 | 0.00758 |
| 1787 | 1 | P0708 | LinStatic | 0 | 0.0005316 | 0 | 2.353E-12 | 0 | 0.00732 |
| 1834 | 0 | P0708 | LinStatic | 0 | -0.0001266 | 0 | 9.191E-14 | 0 | -0.002 |
| 1834 | 0.5 | P0708 | LinStatic | 0 | -0.0001266 | 0 | 9.191E-14 | 0 | -0.00193 |
| 1834 | 1 | P0708 | LinStatic | 0 | -0.0001266 | 0 | 9.191E-14 | 0 | -0.00187 |
| 1835 | 0 | P0708 | LinStatic | 0 | -0.0001266 | 0 | 9.191E-14 | 0 | -0.00187 |
| 1835 | 0.5 | P0708 | LinStatic | 0 | -0.0001266 | 0 | 9.191E-14 | 0 | -0.00181 |
| 1835 | 1 | P0708 | LinStatic | 0 | -0.0001266 | 0 | 9.191E-14 | 0 | -0.00174 |
| 1882 | 0 | P0708 | LinStatic | 0 | 0.00003017 | 0 | 3.591E-15 | 0 | 0.00048 |
| 1882 | 0.5 | P0708 | LinStatic | 0 | 0.00003017 | 0 | 3.591E-15 | 0 | 0.00046 |
| 1882 | 1 | P0708 | LinStatic | 0 | 0.00003017 | 0 | 3.591E-15 | 0 | 0.00045 |
| 1883 | 0 | P0708 | LinStatic | 0 | 0.00003017 | 0 | 3.591E-15 | 0 | 0.00045 |
| 1883 | 0.5 | P0708 | LinStatic | 0 | 0.00003017 | 0 | 3.591E-15 | 0 | 0.00043 |
| 1883 | 1 | P0708 | LinStatic | 0 | 0.00003017 | 0 | 3.591E-15 | 0 | 0.00042 |
| 1930 | 0 | P0708 | LinStatic | 0 | -0.000007187 | 0 | 1.399E-16 | 0 | -0.00011 |
| 1930 | 0.5 | P0708 | LinStatic | 0 | -0.000007187 | 0 | 1.399E-16 | 0 | -0.00011 |
| 1930 | 1 | P0708 | LinStatic | 0 | -0.000007187 | 0 | 1.399E-16 | 0 | -0.00011 |
| 1931 | 0 | P0708 | LinStatic | 0 | -0.000007187 | 0 | 1.398E-16 | 0 | -0.00011 |
| 1931 | 0.5 | P0708 | LinStatic | 0 | -0.000007187 | 0 | 1.398E-16 | 0 | -0.0001 |
| 1931 | 1 | P0708 | LinStatic | 0 | -0.000007187 | 0 | 1.398E-16 | 0 | -0.00009893 |
| 1978 | 0 | P0708 | LinStatic | 0 | 0.000001713 | 0 | 5.562E-18 | 0 | 0.00002698 |
| 1978 | 0.5 | P0708 | LinStatic | 0 | 0.000001713 | 0 | 5.562E-18 | 0 | 0.00002612 |
| 1978 | 1 | P0708 | LinStatic | 0 | 0.000001713 | 0 | 5.562E-18 | 0 | 0.00002527 |
| 1979 | 0 | P0708 | LinStatic | 0 | 0.000001713 | 0 | 5.539E-18 | 0 | 0.00002527 |
| 1979 | 0.5 | P0708 | LinStatic | 0 | 0.000001713 | 0 | 5.539E-18 | 0 | 0.00002441 |
| 1979 | 1 | P0708 | LinStatic | 0 | 0.000001713 | 0 | 5.539E-18 | 0 | 0.00002355 |
| 2026 | 0 | P0708 | LinStatic | 0 | -4.116E-07 | 0 | 2.006E-19 | 0 | -0.000006378 |
| 2026 | 0.5 | P0708 | LinStatic | 0 | -4.116E-07 | 0 | 2.006E-19 | 0 | -0.000006173 |
| 2026 | 1 | P0708 | LinStatic | 0 | -4.116E-07 | 0 | 2.006E-19 | 0 | -0.000005967 |
| 2027 | 0 | P0708 | LinStatic | 0 | -4.116E-07 | 0 | 2.001E-19 | 0 | -0.000005967 |
| 2027 | 0.5 | P0708 | LinStatic | 0 | -4.116E-07 | 0 | 2.001E-19 | 0 | -0.000005761 |
| 2027 | 1 | P0708 | LinStatic | 0 | -4.116E-07 | 0 | 2.001E-19 | 0 | -0.000005555 |
| 2072 | 0 | P0708 | LinStatic | 0 | 1.003E-07 | 0 | 1.292E-20 | 0 | 0.000001806 |
| 2072 | 0.5 | P0708 | LinStatic | 0 | 1.003E-07 | 0 | 1.292E-20 | 0 | 0.000001755 |
| 2072 | 1 | P0708 | LinStatic | 0 | 1.003E-07 | 0 | 1.292E-20 | 0 | 0.000001705 |
| 2107 | 0 | P0708 | LinStatic | 0 | -0.0095 | 0 | -2.461E-07 | 0 | 0.16066 |
| 2107 | 0.5 | P0708 | LinStatic | 0 | -0.0095 | 0 | -2.461E-07 | 0 | 0.16538 |
| 2107 | 1 | P0708 | LinStatic | 0 | -0.0095 | 0 | -2.461E-07 | 0 | 0.17011 |
| 2152 | 0 | P0708 | LinStatic | 0 | 0.0388 | 0 | -0.000005466 | 0 | -0.52337 |
| 2152 | 0.5 | P0708 | LinStatic | 0 | 0.0388 | 0 | -0.000005466 | 0 | -0.54276 |
| 2152 | 1 | P0708 | LinStatic | 0 | 0.0388 | 0 | -0.000005466 | 0 | -0.56215 |
| 2153 | 0 | P0708 | LinStatic | 0 | 0.0388 | 0 | -0.000005466 | 0 | -0.56215 |
| 2153 | 0.5 | P0708 | LinStatic | 0 | 0.0388 | 0 | -0.000005466 | 0 | -0.58154 |
| 2153 | 1 | P0708 | LinStatic | 0 | 0.0388 | 0 | -0.000005466 | 0 | -0.60093 |
| 2200 | 0 | P0708 | LinStatic | 0 | -0.1614 | 0 | -0.00014 | 0 | 2.21904 |
| 2200 | 0.5 | P0708 | LinStatic | 0 | -0.1614 | 0 | -0.00014 | 0 | 2.29974 |
| 2200 | 1 | P0708 | LinStatic | 0 | -0.1614 | 0 | -0.00014 | 0 | 2.38044 |
| 2201 | 0 | P0708 | LinStatic | 0 | -0.1614 | 0 | -0.00014 | 0 | 2.38043 |
| 2201 | 0.5 | P0708 | LinStatic | 0 | -0.1614 | 0 | -0.00014 | 0 | 2.46113 |
| 2201 | 1 | P0708 | LinStatic | 0 | -0.1614 | 0 | -0.00014 | 0 | 2.54183 |
| 2249 | 0 | P0708 | LinStatic | 0 | 0.6176 | 0 | -0.00358 | 0 | -8.5759 |
| 2249 | 0.5 | P0708 | LinStatic | 0 | 0.6176 | 0 | -0.00358 | 0 | -8.8847 |
| 2249 | 1 | P0708 | LinStatic | 0 | 0.6176 | 0 | -0.00358 | 0 | -9.19351 |
| 2301 | 0 | P0708 | LinStatic | 0 | -2.5512 | 0 | -0.09702 | 0 | 38.32308 |
| 2301 | 0.5 | P0708 | LinStatic | 0 | -2.5512 | 0 | -0.09702 | 0 | 39.5987 |
| 2301 | 1 | P0708 | LinStatic | 0 | -2.5512 | 0 | -0.09702 | 0 | 40.87432 |
| 2350 | 0 | P0708 | LinStatic | 0 | 11.3369 | 0 | -2.62786 | 0 | -161.26054 |
| 2350 | 0.5 | P0708 | LinStatic | 0 | 11.3369 | 0 | -2.62786 | 0 | -166.92898 |
| 2350 | 1 | P0708 | LinStatic | 0 | 11.3369 | 0 | -2.62786 | 0 | -172.59743 |

**TABLE: Element Forces - Frames**

| Frame | Station | OutputCase | CaseType | P | V2 | V3 | T | M2 | M3 |
|---|---|---|---|---|---|---|---|---|---|
| Text | m | Text | Text | Ton | Ton | Ton | Ton-m | Ton-m | Ton-m |
| 2351 | 0 | P0708 | LinStatic | 0 | 11.3369 | 0 | -2.62783 | 0 | -172.80874 |
| 2351 | 0.5 | P0708 | LinStatic | 0 | 11.3369 | 0 | -2.62783 | 0 | -178.47718 |
| 2351 | 1 | P0708 | LinStatic | 0 | 11.3369 | 0 | -2.62783 | 0 | -184.14562 |
| 2398 | 0 | P0708 | LinStatic | 0 | 25.6091 | 0 | 25.10296 | 0 | 681.99542 |
| 2398 | 0.5 | P0708 | LinStatic | 0 | 25.6091 | 0 | 25.10296 | 0 | 669.19085 |
| 2398 | 1 | P0708 | LinStatic | 0 | 25.6091 | 0 | 25.10296 | 0 | 656.38629 |
| 2399 | 0 | P0708 | LinStatic | 0 | 24.7751 | 0 | 27.35489 | 0 | 658.51675 |
| 2399 | 0.5 | P0708 | LinStatic | 0 | 24.7751 | 0 | 27.35489 | 0 | 646.1292 |
| 2399 | 1 | P0708 | LinStatic | 0 | 24.7751 | 0 | 27.35489 | 0 | 633.74166 |
| 2446 | 0 | P0708 | LinStatic | 0 | -28.7914 | 0 | 0.43475 | 0 | 636.04076 |
| 2446 | 0.5 | P0708 | LinStatic | 0 | -28.7914 | 0 | 0.43475 | 0 | 650.43647 |
| 2446 | 1 | P0708 | LinStatic | 0 | -28.7914 | 0 | 0.43475 | 0 | 664.83219 |
| 2447 | 0 | P0708 | LinStatic | 0 | -28.7914 | 0 | 0.43475 | 0 | 664.86715 |
| 2447 | 0.5 | P0708 | LinStatic | 0 | -28.7914 | 0 | 0.43475 | 0 | 679.26286 |
| 2447 | 1 | P0708 | LinStatic | 0 | -28.7914 | 0 | 0.43475 | 0 | 693.65858 |
| 2494 | 0 | P0708 | LinStatic | 0 | -12.2085 | 0 | 0.01698 | 0 | -192.48982 |
| 2494 | 0.5 | P0708 | LinStatic | 0 | -12.2085 | 0 | 0.01698 | 0 | -186.3856 |
| 2494 | 1 | P0708 | LinStatic | 0 | -12.2085 | 0 | 0.01698 | 0 | -180.28137 |
| 2495 | 0 | P0708 | LinStatic | 0 | -12.2085 | 0 | 0.01698 | 0 | -180.28 |
| 2495 | 0.5 | P0708 | LinStatic | 0 | -12.2085 | 0 | 0.01698 | 0 | -174.17578 |
| 2495 | 1 | P0708 | LinStatic | 0 | -12.2085 | 0 | 0.01698 | 0 | -168.07155 |
| 2542 | 0 | P0708 | LinStatic | 0 | 2.9087 | 0 | 0.00066 | 0 | 45.85576 |
| 2542 | 0.5 | P0708 | LinStatic | 0 | 2.9087 | 0 | 0.00066 | 0 | 44.4014 |
| 2542 | 1 | P0708 | LinStatic | 0 | 2.9087 | 0 | 0.00066 | 0 | 42.94705 |
| 2543 | 0 | P0708 | LinStatic | 0 | 2.9087 | 0 | 0.00066 | 0 | 42.9471 |
| 2543 | 0.5 | P0708 | LinStatic | 0 | 2.9087 | 0 | 0.00066 | 0 | 41.49274 |
| 2543 | 1 | P0708 | LinStatic | 0 | 2.9087 | 0 | 0.00066 | 0 | 40.03838 |
| 2590 | 0 | P0708 | LinStatic | 0 | -0.6929 | 0 | 0.0000259 | 0 | -10.92391 |
| 2590 | 0.5 | P0708 | LinStatic | 0 | -0.6929 | 0 | 0.0000259 | 0 | -10.57745 |
| 2590 | 1 | P0708 | LinStatic | 0 | -0.6929 | 0 | 0.0000259 | 0 | -10.231 |
| 2591 | 0 | P0708 | LinStatic | 0 | -0.6929 | 0 | 0.0000259 | 0 | -10.23099 |
| 2591 | 0.5 | P0708 | LinStatic | 0 | -0.6929 | 0 | 0.0000259 | 0 | -9.88454 |
| 2591 | 1 | P0708 | LinStatic | 0 | -0.6929 | 0 | 0.0000259 | 0 | -9.53808 |
| 2638 | 0 | P0708 | LinStatic | 0 | 0.1651 | 0 | 0.000001011 | 0 | 2.60233 |
| 2638 | 0.5 | P0708 | LinStatic | 0 | 0.1651 | 0 | 0.000001011 | 0 | 2.5198 |
| 2638 | 1 | P0708 | LinStatic | 0 | 0.1651 | 0 | 0.000001011 | 0 | 2.43726 |
| 2639 | 0 | P0708 | LinStatic | 0 | 0.1651 | 0 | 0.000001011 | 0 | 2.43726 |
| 2639 | 0.5 | P0708 | LinStatic | 0 | 0.1651 | 0 | 0.000001011 | 0 | 2.35473 |
| 2639 | 1 | P0708 | LinStatic | 0 | 0.1651 | 0 | 0.000001011 | 0 | 2.27219 |
| 2686 | 0 | P0708 | LinStatic | 0 | -0.0393 | 0 | 3.95E-08 | 0 | -0.61994 |
| 2686 | 0.5 | P0708 | LinStatic | 0 | -0.0393 | 0 | 3.95E-08 | 0 | -0.60027 |
| 2686 | 1 | P0708 | LinStatic | 0 | -0.0393 | 0 | 3.95E-08 | 0 | -0.58061 |
| 2687 | 0 | P0708 | LinStatic | 0 | -0.0393 | 0 | 3.95E-08 | 0 | -0.58061 |
| 2687 | 0.5 | P0708 | LinStatic | 0 | -0.0393 | 0 | 3.95E-08 | 0 | -0.56095 |
| 2687 | 1 | P0708 | LinStatic | 0 | -0.0393 | 0 | 3.95E-08 | 0 | -0.54129 |
| 2734 | 0 | P0708 | LinStatic | 0 | 0.0094 | 0 | 1.543E-09 | 0 | 0.14768 |
| 2734 | 0.5 | P0708 | LinStatic | 0 | 0.0094 | 0 | 1.543E-09 | 0 | 0.143 |
| 2734 | 1 | P0708 | LinStatic | 0 | 0.0094 | 0 | 1.543E-09 | 0 | 0.13832 |
| 2735 | 0 | P0708 | LinStatic | 0 | 0.0094 | 0 | 1.543E-09 | 0 | 0.13832 |
| 2735 | 0.5 | P0708 | LinStatic | 0 | 0.0094 | 0 | 1.543E-09 | 0 | 0.13363 |
| 2735 | 1 | P0708 | LinStatic | 0 | 0.0094 | 0 | 1.543E-09 | 0 | 0.12895 |
| 2782 | 0 | P0708 | LinStatic | 0 | -0.0022 | 0 | 6.026E-11 | 0 | -0.03518 |
| 2782 | 0.5 | P0708 | LinStatic | 0 | -0.0022 | 0 | 6.026E-11 | 0 | -0.03407 |
| 2782 | 1 | P0708 | LinStatic | 0 | -0.0022 | 0 | 6.026E-11 | 0 | -0.03295 |
| 2783 | 0 | P0708 | LinStatic | 0 | -0.0022 | 0 | 6.026E-11 | 0 | -0.03295 |
| 2783 | 0.5 | P0708 | LinStatic | 0 | -0.0022 | 0 | 6.026E-11 | 0 | -0.03183 |
| 2783 | 1 | P0708 | LinStatic | 0 | -0.0022 | 0 | 6.026E-11 | 0 | -0.03072 |
| 2830 | 0 | P0708 | LinStatic | 0 | 0.0005316 | 0 | 2.353E-12 | 0 | 0.00838 |
| 2830 | 0.5 | P0708 | LinStatic | 0 | 0.0005316 | 0 | 2.353E-12 | 0 | 0.00812 |
| 2830 | 1 | P0708 | LinStatic | 0 | 0.0005316 | 0 | 2.353E-12 | 0 | 0.00785 |
| 2831 | 0 | P0708 | LinStatic | 0 | 0.0005316 | 0 | 2.353E-12 | 0 | 0.00785 |
| 2831 | 0.5 | P0708 | LinStatic | 0 | 0.0005316 | 0 | 2.353E-12 | 0 | 0.00758 |
| 2831 | 1 | P0708 | LinStatic | 0 | 0.0005316 | 0 | 2.353E-12 | 0 | 0.00732 |
| 2878 | 0 | P0708 | LinStatic | 0 | -0.0001266 | 0 | 9.191E-14 | 0 | -0.002 |
| 2878 | 0.5 | P0708 | LinStatic | 0 | -0.0001266 | 0 | 9.191E-14 | 0 | -0.00193 |
| 2878 | 1 | P0708 | LinStatic | 0 | -0.0001266 | 0 | 9.191E-14 | 0 | -0.00187 |
| 2879 | 0 | P0708 | LinStatic | 0 | -0.0001266 | 0 | 9.19E-14 | 0 | -0.00187 |
| 2879 | 0.5 | P0708 | LinStatic | 0 | -0.0001266 | 0 | 9.19E-14 | 0 | -0.00181 |
| 2879 | 1 | P0708 | LinStatic | 0 | -0.0001266 | 0 | 9.19E-14 | 0 | -0.00174 |
| 2926 | 0 | P0708 | LinStatic | 0 | 0.00003017 | 0 | 3.591E-15 | 0 | 0.00048 |
| 2926 | 0.5 | P0708 | LinStatic | 0 | 0.00003017 | 0 | 3.591E-15 | 0 | 0.00046 |
| 2926 | 1 | P0708 | LinStatic | 0 | 0.00003017 | 0 | 3.591E-15 | 0 | 0.00045 |
| 2927 | 0 | P0708 | LinStatic | 0 | 0.00003017 | 0 | 3.591E-15 | 0 | 0.00045 |
| 2927 | 0.5 | P0708 | LinStatic | 0 | 0.00003017 | 0 | 3.591E-15 | 0 | 0.00043 |
| 2927 | 1 | P0708 | LinStatic | 0 | 0.00003017 | 0 | 3.591E-15 | 0 | 0.00042 |
| 2974 | 0 | P0708 | LinStatic | 0 | -0.000007187 | 0 | 1.399E-16 | 0 | -0.00011 |
| 2974 | 0.5 | P0708 | LinStatic | 0 | -0.000007187 | 0 | 1.399E-16 | 0 | -0.00011 |
| 2974 | 1 | P0708 | LinStatic | 0 | -0.000007187 | 0 | 1.399E-16 | 0 | -0.00011 |
| 2975 | 0 | P0708 | LinStatic | 0 | -0.000007187 | 0 | 1.399E-16 | 0 | -0.00011 |
| 2975 | 0.5 | P0708 | LinStatic | 0 | -0.000007187 | 0 | 1.399E-16 | 0 | -0.0001 |
| 2975 | 1 | P0708 | LinStatic | 0 | -0.000007187 | 0 | 1.399E-16 | 0 | -0.00009893 |
| 3022 | 0 | P0708 | LinStatic | 0 | 0.000001713 | 0 | 5.533E-18 | 0 | 0.00002698 |
| 3022 | 0.5 | P0708 | LinStatic | 0 | 0.000001713 | 0 | 5.533E-18 | 0 | 0.00002612 |

**TABLE: Element Forces - Frames**

| Frame | Station | OutputCase | CaseType | P | V2 | V3 | T | M2 | M3 |
|---|---|---|---|---|---|---|---|---|---|
| Text | m | Text | Text | Ton | Ton | Ton | Ton-m | Ton-m | Ton-m |
| 3022 | 1 | P0708 | LinStatic | 0 | 0.000001713 | 0 | 5.533E-18 | 0 | 0.00002527 |
| 3023 | 0 | P0708 | LinStatic | 0 | 0.000001713 | 0 | 5.561E-18 | 0 | 0.00002527 |
| 3023 | 0.5 | P0708 | LinStatic | 0 | 0.000001713 | 0 | 5.561E-18 | 0 | 0.00002441 |
| 3023 | 1 | P0708 | LinStatic | 0 | 0.000001713 | 0 | 5.561E-18 | 0 | 0.00002355 |
| 3070 | 0 | P0708 | LinStatic | 0 | -4.116E-07 | 0 | 1.991E-19 | 0 | -0.000006378 |
| 3070 | 0.5 | P0708 | LinStatic | 0 | -4.116E-07 | 0 | 1.991E-19 | 0 | -0.000006173 |
| 3070 | 1 | P0708 | LinStatic | 0 | -4.116E-07 | 0 | 1.991E-19 | 0 | -0.000005967 |
| 3071 | 0 | P0708 | LinStatic | 0 | -4.116E-07 | 0 | 1.892E-19 | 0 | -0.000005967 |
| 3071 | 0.5 | P0708 | LinStatic | 0 | -4.116E-07 | 0 | 1.892E-19 | 0 | -0.000005761 |
| 3071 | 1 | P0708 | LinStatic | 0 | -4.116E-07 | 0 | 1.892E-19 | 0 | -0.000005555 |
| 3116 | 0 | P0708 | LinStatic | 0 | 1.003E-07 | 0 | 1.424E-20 | 0 | 0.000001806 |
| 3116 | 0.5 | P0708 | LinStatic | 0 | 1.003E-07 | 0 | 1.424E-20 | 0 | 0.000001755 |
| 3116 | 1 | P0708 | LinStatic | 0 | 1.003E-07 | 0 | 1.424E-20 | 0 | 0.000001705 |
| 1063 | 0 | P1112 | LinStatic | 0 | -0.00003044 | 0 | -5.726E-13 | 0 | 0.00052 |
| 1063 | 0.5 | P1112 | LinStatic | 0 | -0.00003044 | 0 | -5.726E-13 | 0 | 0.00053 |
| 1063 | 1 | P1112 | LinStatic | 0 | -0.00003044 | 0 | -5.726E-13 | 0 | 0.00055 |
| 1108 | 0 | P1112 | LinStatic | 0 | 0.0001249 | 0 | -1.272E-11 | 0 | -0.00169 |
| 1108 | 0.5 | P1112 | LinStatic | 0 | 0.0001249 | 0 | -1.272E-11 | 0 | -0.00175 |
| 1108 | 1 | P1112 | LinStatic | 0 | 0.0001249 | 0 | -1.272E-11 | 0 | -0.00181 |
| 1109 | 0 | P1112 | LinStatic | 0 | 0.0001249 | 0 | -1.272E-11 | 0 | -0.00181 |
| 1109 | 0.5 | P1112 | LinStatic | 0 | 0.0001249 | 0 | -1.272E-11 | 0 | -0.00187 |
| 1109 | 1 | P1112 | LinStatic | 0 | 0.0001249 | 0 | -1.272E-11 | 0 | -0.00194 |
| 1156 | 0 | P1112 | LinStatic | 0 | -0.0005198 | 0 | -3.255E-10 | 0 | 0.00715 |
| 1156 | 0.5 | P1112 | LinStatic | 0 | -0.0005198 | 0 | -3.255E-10 | 0 | 0.00741 |
| 1156 | 1 | P1112 | LinStatic | 0 | -0.0005198 | 0 | -3.255E-10 | 0 | 0.00767 |
| 1157 | 0 | P1112 | LinStatic | 0 | -0.0005198 | 0 | -3.255E-10 | 0 | 0.00767 |
| 1157 | 0.5 | P1112 | LinStatic | 0 | -0.0005198 | 0 | -3.255E-10 | 0 | 0.00793 |
| 1157 | 1 | P1112 | LinStatic | 0 | -0.0005198 | 0 | -3.255E-10 | 0 | 0.00819 |
| 1205 | 0 | P1112 | LinStatic | 0 | 0.002 | 0 | -8.335E-09 | 0 | -0.02762 |
| 1205 | 0.5 | P1112 | LinStatic | 0 | 0.002 | 0 | -8.335E-09 | 0 | -0.02861 |
| 1205 | 1 | P1112 | LinStatic | 0 | 0.002 | 0 | -8.335E-09 | 0 | -0.02961 |
| 1257 | 0 | P1112 | LinStatic | 0 | -0.0082 | 0 | -2.257E-07 | 0 | 0.12344 |
| 1257 | 0.5 | P1112 | LinStatic | 0 | -0.0082 | 0 | -2.257E-07 | 0 | 0.12753 |
| 1257 | 1 | P1112 | LinStatic | 0 | -0.0082 | 0 | -2.257E-07 | 0 | 0.13163 |
| 1306 | 0 | P1112 | LinStatic | 0 | 0.0372 | 0 | -0.000006114 | 0 | -0.51902 |
| 1306 | 0.5 | P1112 | LinStatic | 0 | 0.0372 | 0 | -0.000006114 | 0 | -0.53761 |
| 1306 | 1 | P1112 | LinStatic | 0 | 0.0372 | 0 | -0.000006114 | 0 | -0.55621 |
| 1307 | 0 | P1112 | LinStatic | 0 | 0.0372 | 0 | -0.000006114 | 0 | -0.55621 |
| 1307 | 0.5 | P1112 | LinStatic | 0 | 0.0372 | 0 | -0.000006114 | 0 | -0.57481 |
| 1307 | 1 | P1112 | LinStatic | 0 | 0.0372 | 0 | -0.000006114 | 0 | -0.5934 |
| 1354 | 0 | P1112 | LinStatic | 0 | -0.1571 | 0 | -0.00016 | 0 | 2.1638 |
| 1354 | 0.5 | P1112 | LinStatic | 0 | -0.1571 | 0 | -0.00016 | 0 | 2.24233 |
| 1354 | 1 | P1112 | LinStatic | 0 | -0.1571 | 0 | -0.00016 | 0 | 2.32086 |
| 1355 | 0 | P1112 | LinStatic | 0 | -0.1571 | 0 | -0.00016 | 0 | 2.32087 |
| 1355 | 0.5 | P1112 | LinStatic | 0 | -0.1571 | 0 | -0.00016 | 0 | 2.3994 |
| 1355 | 1 | P1112 | LinStatic | 0 | -0.1571 | 0 | -0.00016 | 0 | 2.47793 |
| 1402 | 0 | P1112 | LinStatic | 0 | 0.6599 | 0 | -0.00401 | 0 | -9.07932 |
| 1402 | 0.5 | P1112 | LinStatic | 0 | 0.6599 | 0 | -0.00401 | 0 | -9.40927 |
| 1402 | 1 | P1112 | LinStatic | 0 | 0.6599 | 0 | -0.00401 | 0 | -9.73921 |
| 1403 | 0 | P1112 | LinStatic | 0 | 0.6599 | 0 | -0.00401 | 0 | -9.73889 |
| 1403 | 0.5 | P1112 | LinStatic | 0 | 0.6599 | 0 | -0.00401 | 0 | -10.06884 |
| 1403 | 1 | P1112 | LinStatic | 0 | 0.6599 | 0 | -0.00401 | 0 | -10.39878 |
| 1450 | 0 | P1112 | LinStatic | 0 | -2.7605 | 0 | -0.10264 | 0 | 38.11659 |
| 1450 | 0.5 | P1112 | LinStatic | 0 | -2.7605 | 0 | -0.10264 | 0 | 39.49683 |
| 1450 | 1 | P1112 | LinStatic | 0 | -2.7605 | 0 | -0.10264 | 0 | 40.87708 |
| 1451 | 0 | P1112 | LinStatic | 0 | -2.7605 | 0 | -0.10264 | 0 | 40.88533 |
| 1451 | 0.5 | P1112 | LinStatic | 0 | -2.7605 | 0 | -0.10264 | 0 | 42.26557 |
| 1451 | 1 | P1112 | LinStatic | 0 | -2.7605 | 0 | -0.10264 | 0 | 43.64581 |
| 1498 | 0 | P1112 | LinStatic | 0 | 11.8339 | 0 | -2.62807 | 0 | -159.88085 |
| 1498 | 0.5 | P1112 | LinStatic | 0 | 11.8339 | 0 | -2.62807 | 0 | -165.79782 |
| 1498 | 1 | P1112 | LinStatic | 0 | 11.8339 | 0 | -2.62807 | 0 | -171.7148 |
| 1499 | 0 | P1112 | LinStatic | 0 | 11.834 | 0 | -2.62805 | 0 | -171.50347 |
| 1499 | 0.5 | P1112 | LinStatic | 0 | 11.834 | 0 | -2.62805 | 0 | -177.42044 |
| 1499 | 1 | P1112 | LinStatic | 0 | 11.834 | 0 | -2.62805 | 0 | -183.33742 |
| 1546 | 0 | P1112 | LinStatic | 0 | 14.1491 | 0 | 25.10295 | 0 | 665.75397 |
| 1546 | 0.5 | P1112 | LinStatic | 0 | 14.1491 | 0 | 25.10295 | 0 | 658.67943 |
| 1546 | 1 | P1112 | LinStatic | 0 | 14.1491 | 0 | 25.10295 | 0 | 651.60489 |
| 1547 | 0 | P1112 | LinStatic | 0 | 14.9831 | 0 | 27.35488 | 0 | 649.47443 |
| 1547 | 0.5 | P1112 | LinStatic | 0 | 14.9831 | 0 | 27.35488 | 0 | 641.98287 |
| 1547 | 1 | P1112 | LinStatic | 0 | 14.9831 | 0 | 27.35488 | 0 | 634.49131 |
| 1594 | 0 | P1112 | LinStatic | 0 | -28.8572 | 0 | 0.43475 | 0 | 636.07188 |
| 1594 | 0.5 | P1112 | LinStatic | 0 | -28.8572 | 0 | 0.43475 | 0 | 650.50048 |
| 1594 | 1 | P1112 | LinStatic | 0 | -28.8572 | 0 | 0.43475 | 0 | 664.92908 |
| 1595 | 0 | P1112 | LinStatic | 0 | -28.8572 | 0 | 0.43475 | 0 | 664.89412 |
| 1595 | 0.5 | P1112 | LinStatic | 0 | -28.8572 | 0 | 0.43475 | 0 | 679.32272 |
| 1595 | 1 | P1112 | LinStatic | 0 | -28.8572 | 0 | 0.43475 | 0 | 693.75131 |
| 1642 | 0 | P1112 | LinStatic | 0 | -12.2122 | 0 | 0.01698 | 0 | -192.50701 |
| 1642 | 0.5 | P1112 | LinStatic | 0 | -12.2122 | 0 | 0.01698 | 0 | -186.40091 |
| 1642 | 1 | P1112 | LinStatic | 0 | -12.2122 | 0 | 0.01698 | 0 | -180.29482 |
| 1643 | 0 | P1112 | LinStatic | 0 | -12.2122 | 0 | 0.01698 | 0 | -180.29618 |
| 1643 | 0.5 | P1112 | LinStatic | 0 | -12.2122 | 0 | 0.01698 | 0 | -174.19009 |
| 1643 | 1 | P1112 | LinStatic | 0 | -12.2122 | 0 | 0.01698 | 0 | -168.08399 |
| 1690 | 0 | P1112 | LinStatic | 0 | 2.9089 | 0 | 0.00066 | 0 | 45.85947 |

**TABLE: Element Forces - Frames**

| Frame | Station | OutputCase | CaseType | P | V2 | V3 | T | M2 | M3 |
|---|---|---|---|---|---|---|---|---|---|
| Text | m | Text | Text | Ton | Ton | Ton | Ton-m | Ton-m | Ton-m |
| 1690 | 0.5 | P1112 | LinStatic | 0 | 2.9089 | 0 | 0.00066 | 0 | 44.40505 |
| 1690 | 1 | P1112 | LinStatic | 0 | 2.9089 | 0 | 0.00066 | 0 | 42.95062 |
| 1691 | 0 | P1112 | LinStatic | 0 | 2.9089 | 0 | 0.00066 | 0 | 42.95057 |
| 1691 | 0.5 | P1112 | LinStatic | 0 | 2.9089 | 0 | 0.00066 | 0 | 41.49615 |
| 1691 | 1 | P1112 | LinStatic | 0 | 2.9089 | 0 | 0.00066 | 0 | 40.04172 |
| 1738 | 0 | P1112 | LinStatic | 0 | -0.693 | 0 | 0.0000259 | 0 | -10.92481 |
| 1738 | 0.5 | P1112 | LinStatic | 0 | -0.693 | 0 | 0.0000259 | 0 | -10.57832 |
| 1738 | 1 | P1112 | LinStatic | 0 | -0.693 | 0 | 0.0000259 | 0 | -10.23183 |
| 1739 | 0 | P1112 | LinStatic | 0 | -0.693 | 0 | 0.0000259 | 0 | -10.23184 |
| 1739 | 0.5 | P1112 | LinStatic | 0 | -0.693 | 0 | 0.0000259 | 0 | -9.88535 |
| 1739 | 1 | P1112 | LinStatic | 0 | -0.693 | 0 | 0.0000259 | 0 | -9.53887 |
| 1786 | 0 | P1112 | LinStatic | 0 | 0.1651 | 0 | 0.000001011 | 0 | 2.60254 |
| 1786 | 0.5 | P1112 | LinStatic | 0 | 0.1651 | 0 | 0.000001011 | 0 | 2.52 |
| 1786 | 1 | P1112 | LinStatic | 0 | 0.1651 | 0 | 0.000001011 | 0 | 2.43746 |
| 1787 | 0 | P1112 | LinStatic | 0 | 0.1651 | 0 | 0.000001011 | 0 | 2.43746 |
| 1787 | 0.5 | P1112 | LinStatic | 0 | 0.1651 | 0 | 0.000001011 | 0 | 2.35492 |
| 1787 | 1 | P1112 | LinStatic | 0 | 0.1651 | 0 | 0.000001011 | 0 | 2.27238 |
| 1834 | 0 | P1112 | LinStatic | 0 | -0.0393 | 0 | 3.95E-08 | 0 | -0.61999 |
| 1834 | 0.5 | P1112 | LinStatic | 0 | -0.0393 | 0 | 3.95E-08 | 0 | -0.60032 |
| 1834 | 1 | P1112 | LinStatic | 0 | -0.0393 | 0 | 3.95E-08 | 0 | -0.58066 |
| 1835 | 0 | P1112 | LinStatic | 0 | -0.0393 | 0 | 3.95E-08 | 0 | -0.58066 |
| 1835 | 0.5 | P1112 | LinStatic | 0 | -0.0393 | 0 | 3.95E-08 | 0 | -0.561 |
| 1835 | 1 | P1112 | LinStatic | 0 | -0.0393 | 0 | 3.95E-08 | 0 | -0.54133 |
| 1882 | 0 | P1112 | LinStatic | 0 | 0.0094 | 0 | 1.543E-09 | 0 | 0.1477 |
| 1882 | 0.5 | P1112 | LinStatic | 0 | 0.0094 | 0 | 1.543E-09 | 0 | 0.14301 |
| 1882 | 1 | P1112 | LinStatic | 0 | 0.0094 | 0 | 1.543E-09 | 0 | 0.13833 |
| 1883 | 0 | P1112 | LinStatic | 0 | 0.0094 | 0 | 1.543E-09 | 0 | 0.13833 |
| 1883 | 0.5 | P1112 | LinStatic | 0 | 0.0094 | 0 | 1.543E-09 | 0 | 0.13364 |
| 1883 | 1 | P1112 | LinStatic | 0 | 0.0094 | 0 | 1.543E-09 | 0 | 0.12896 |
| 1930 | 0 | P1112 | LinStatic | 0 | -0.0022 | 0 | 6.026E-11 | 0 | -0.03518 |
| 1930 | 0.5 | P1112 | LinStatic | 0 | -0.0022 | 0 | 6.026E-11 | 0 | -0.03407 |
| 1930 | 1 | P1112 | LinStatic | 0 | -0.0022 | 0 | 6.026E-11 | 0 | -0.03295 |
| 1931 | 0 | P1112 | LinStatic | 0 | -0.0022 | 0 | 6.026E-11 | 0 | -0.03295 |
| 1931 | 0.5 | P1112 | LinStatic | 0 | -0.0022 | 0 | 6.026E-11 | 0 | -0.03184 |
| 1931 | 1 | P1112 | LinStatic | 0 | -0.0022 | 0 | 6.026E-11 | 0 | -0.03072 |
| 1978 | 0 | P1112 | LinStatic | 0 | 0.0005319 | 0 | 2.353E-12 | 0 | 0.00838 |
| 1978 | 0.5 | P1112 | LinStatic | 0 | 0.0005319 | 0 | 2.353E-12 | 0 | 0.00811 |
| 1978 | 1 | P1112 | LinStatic | 0 | 0.0005319 | 0 | 2.353E-12 | 0 | 0.00785 |
| 1979 | 0 | P1112 | LinStatic | 0 | 0.0005319 | 0 | 2.353E-12 | 0 | 0.00785 |
| 1979 | 0.5 | P1112 | LinStatic | 0 | 0.0005319 | 0 | 2.353E-12 | 0 | 0.00758 |
| 1979 | 1 | P1112 | LinStatic | 0 | 0.0005319 | 0 | 2.353E-12 | 0 | 0.00731 |
| 2026 | 0 | P1112 | LinStatic | 0 | -0.0001278 | 0 | 9.193E-14 | 0 | -0.00198 |
| 2026 | 0.5 | P1112 | LinStatic | 0 | -0.0001278 | 0 | 9.193E-14 | 0 | -0.00192 |
| 2026 | 1 | P1112 | LinStatic | 0 | -0.0001278 | 0 | 9.193E-14 | 0 | -0.00185 |
| 2027 | 0 | P1112 | LinStatic | 0 | -0.0001278 | 0 | 9.193E-14 | 0 | -0.00185 |
| 2027 | 0.5 | P1112 | LinStatic | 0 | -0.0001278 | 0 | 9.193E-14 | 0 | -0.00179 |
| 2027 | 1 | P1112 | LinStatic | 0 | -0.0001278 | 0 | 9.193E-14 | 0 | -0.00173 |
| 2072 | 0 | P1112 | LinStatic | 0 | 0.00003115 | 0 | 4.14E-15 | 0 | 0.00056 |
| 2072 | 0.5 | P1112 | LinStatic | 0 | 0.00003115 | 0 | 4.14E-15 | 0 | 0.00055 |
| 2072 | 1 | P1112 | LinStatic | 0 | 0.00003115 | 0 | 4.14E-15 | 0 | 0.00053 |
| 2107 | 0 | P1112 | LinStatic | 0 | -0.00003044 | 0 | -5.726E-13 | 0 | 0.00052 |
| 2107 | 0.5 | P1112 | LinStatic | 0 | -0.00003044 | 0 | -5.726E-13 | 0 | 0.00053 |
| 2107 | 1 | P1112 | LinStatic | 0 | -0.00003044 | 0 | -5.726E-13 | 0 | 0.00055 |
| 2152 | 0 | P1112 | LinStatic | 0 | 0.0001249 | 0 | -1.272E-11 | 0 | -0.00169 |
| 2152 | 0.5 | P1112 | LinStatic | 0 | 0.0001249 | 0 | -1.272E-11 | 0 | -0.00175 |
| 2152 | 1 | P1112 | LinStatic | 0 | 0.0001249 | 0 | -1.272E-11 | 0 | -0.00181 |
| 2153 | 0 | P1112 | LinStatic | 0 | 0.0001249 | 0 | -1.272E-11 | 0 | -0.00181 |
| 2153 | 0.5 | P1112 | LinStatic | 0 | 0.0001249 | 0 | -1.272E-11 | 0 | -0.00187 |
| 2153 | 1 | P1112 | LinStatic | 0 | 0.0001249 | 0 | -1.272E-11 | 0 | -0.00194 |
| 2200 | 0 | P1112 | LinStatic | 0 | -0.0005198 | 0 | -3.255E-10 | 0 | 0.00715 |
| 2200 | 0.5 | P1112 | LinStatic | 0 | -0.0005198 | 0 | -3.255E-10 | 0 | 0.00741 |
| 2200 | 1 | P1112 | LinStatic | 0 | -0.0005198 | 0 | -3.255E-10 | 0 | 0.00767 |
| 2201 | 0 | P1112 | LinStatic | 0 | -0.0005198 | 0 | -3.255E-10 | 0 | 0.00767 |
| 2201 | 0.5 | P1112 | LinStatic | 0 | -0.0005198 | 0 | -3.255E-10 | 0 | 0.00793 |
| 2201 | 1 | P1112 | LinStatic | 0 | -0.0005198 | 0 | -3.255E-10 | 0 | 0.00819 |
| 2249 | 0 | P1112 | LinStatic | 0 | 0.002 | 0 | -8.335E-09 | 0 | -0.02762 |
| 2249 | 0.5 | P1112 | LinStatic | 0 | 0.002 | 0 | -8.335E-09 | 0 | -0.02861 |
| 2249 | 1 | P1112 | LinStatic | 0 | 0.002 | 0 | -8.335E-09 | 0 | -0.02961 |
| 2301 | 0 | P1112 | LinStatic | 0 | -0.0082 | 0 | -2.257E-07 | 0 | 0.12344 |
| 2301 | 0.5 | P1112 | LinStatic | 0 | -0.0082 | 0 | -2.257E-07 | 0 | 0.12753 |
| 2301 | 1 | P1112 | LinStatic | 0 | -0.0082 | 0 | -2.257E-07 | 0 | 0.13163 |
| 2350 | 0 | P1112 | LinStatic | 0 | 0.0372 | 0 | -0.000006114 | 0 | -0.51902 |
| 2350 | 0.5 | P1112 | LinStatic | 0 | 0.0372 | 0 | -0.000006114 | 0 | -0.53761 |
| 2350 | 1 | P1112 | LinStatic | 0 | 0.0372 | 0 | -0.000006114 | 0 | -0.55621 |
| 2351 | 0 | P1112 | LinStatic | 0 | 0.0372 | 0 | -0.000006114 | 0 | -0.55621 |
| 2351 | 0.5 | P1112 | LinStatic | 0 | 0.0372 | 0 | -0.000006114 | 0 | -0.57481 |
| 2351 | 1 | P1112 | LinStatic | 0 | 0.0372 | 0 | -0.000006114 | 0 | -0.5934 |
| 2398 | 0 | P1112 | LinStatic | 0 | -0.1571 | 0 | -0.00016 | 0 | 2.16379 |
| 2398 | 0.5 | P1112 | LinStatic | 0 | -0.1571 | 0 | -0.00016 | 0 | 2.24233 |
| 2398 | 1 | P1112 | LinStatic | 0 | -0.1571 | 0 | -0.00016 | 0 | 2.32087 |
| 2399 | 0 | P1112 | LinStatic | 0 | -0.1571 | 0 | -0.00016 | 0 | 2.32086 |
| 2399 | 0.5 | P1112 | LinStatic | 0 | -0.1571 | 0 | -0.00016 | 0 | 2.3994 |
| 2399 | 1 | P1112 | LinStatic | 0 | -0.1571 | 0 | -0.00016 | 0 | 2.47794 |

**TABLE: Element Forces - Frames**

| Frame | Station | OutputCase | CaseType | P | V2 | V3 | T | M2 | M3 |
|---|---|---|---|---|---|---|---|---|---|
| Text | m | Text | Text | Ton | Ton | Ton | Ton-m | Ton-m | Ton-m |
| 2446 | 0 | P1112 | LinStatic | 0 | 0.6592 | 0 | -0.00401 | 0 | -9.07965 |
| 2446 | 0.5 | P1112 | LinStatic | 0 | 0.6592 | 0 | -0.00401 | 0 | -9.40927 |
| 2446 | 1 | P1112 | LinStatic | 0 | 0.6592 | 0 | -0.00401 | 0 | -9.73889 |
| 2447 | 0 | P1112 | LinStatic | 0 | 0.6592 | 0 | -0.00401 | 0 | -9.73921 |
| 2447 | 0.5 | P1112 | LinStatic | 0 | 0.6592 | 0 | -0.00401 | 0 | -10.06883 |
| 2447 | 1 | P1112 | LinStatic | 0 | 0.6592 | 0 | -0.00401 | 0 | -10.39846 |
| 2494 | 0 | P1112 | LinStatic | 0 | -2.777 | 0 | -0.10264 | 0 | 38.10837 |
| 2494 | 0.5 | P1112 | LinStatic | 0 | -2.777 | 0 | -0.10264 | 0 | 39.49687 |
| 2494 | 1 | P1112 | LinStatic | 0 | -2.777 | 0 | -0.10264 | 0 | 40.88538 |
| 2495 | 0 | P1112 | LinStatic | 0 | -2.777 | 0 | -0.10264 | 0 | 40.87712 |
| 2495 | 0.5 | P1112 | LinStatic | 0 | -2.777 | 0 | -0.10264 | 0 | 42.26563 |
| 2495 | 1 | P1112 | LinStatic | 0 | -2.777 | 0 | -0.10264 | 0 | 43.65413 |
| 2542 | 0 | P1112 | LinStatic | 0 | 11.411 | 0 | -2.62807 | 0 | -160.09141 |
| 2542 | 0.5 | P1112 | LinStatic | 0 | 11.411 | 0 | -2.62807 | 0 | -165.79692 |
| 2542 | 1 | P1112 | LinStatic | 0 | 11.411 | 0 | -2.62807 | 0 | -171.50244 |
| 2543 | 0 | P1112 | LinStatic | 0 | 11.411 | 0 | -2.62805 | 0 | -171.71377 |
| 2543 | 0.5 | P1112 | LinStatic | 0 | 11.411 | 0 | -2.62805 | 0 | -177.41928 |
| 2543 | 1 | P1112 | LinStatic | 0 | 11.411 | 0 | -2.62805 | 0 | -183.12479 |
| 2590 | 0 | P1112 | LinStatic | 0 | 25.5915 | 0 | 25.10295 | 0 | 681.7169 |
| 2590 | 0.5 | P1112 | LinStatic | 0 | 25.5915 | 0 | 25.10295 | 0 | 668.92117 |
| 2590 | 1 | P1112 | LinStatic | 0 | 25.5915 | 0 | 25.10295 | 0 | 656.12544 |
| 2591 | 0 | P1112 | LinStatic | 0 | 24.7574 | 0 | 27.35488 | 0 | 658.2559 |
| 2591 | 0.5 | P1112 | LinStatic | 0 | 24.7574 | 0 | 27.35488 | 0 | 645.87719 |
| 2591 | 1 | P1112 | LinStatic | 0 | 24.7574 | 0 | 27.35488 | 0 | 633.49848 |
| 2638 | 0 | P1112 | LinStatic | 0 | -28.7872 | 0 | 0.43475 | 0 | 636.10711 |
| 2638 | 0.5 | P1112 | LinStatic | 0 | -28.7872 | 0 | 0.43475 | 0 | 650.50072 |
| 2638 | 1 | P1112 | LinStatic | 0 | -28.7872 | 0 | 0.43475 | 0 | 664.89433 |
| 2639 | 0 | P1112 | LinStatic | 0 | -28.7872 | 0 | 0.43475 | 0 | 664.92929 |
| 2639 | 0.5 | P1112 | LinStatic | 0 | -28.7872 | 0 | 0.43475 | 0 | 679.3229 |
| 2639 | 1 | P1112 | LinStatic | 0 | -28.7872 | 0 | 0.43475 | 0 | 693.71651 |
| 2686 | 0 | P1112 | LinStatic | 0 | -12.2095 | 0 | 0.01698 | 0 | -192.50563 |
| 2686 | 0.5 | P1112 | LinStatic | 0 | -12.2095 | 0 | 0.01698 | 0 | -186.4009 |
| 2686 | 1 | P1112 | LinStatic | 0 | -12.2095 | 0 | 0.01698 | 0 | -180.29617 |
| 2687 | 0 | P1112 | LinStatic | 0 | -12.2095 | 0 | 0.01698 | 0 | -180.29481 |
| 2687 | 0.5 | P1112 | LinStatic | 0 | -12.2095 | 0 | 0.01698 | 0 | -174.19008 |
| 2687 | 1 | P1112 | LinStatic | 0 | -12.2095 | 0 | 0.01698 | 0 | -168.08535 |
| 2734 | 0 | P1112 | LinStatic | 0 | 2.909 | 0 | 0.00066 | 0 | 45.85953 |
| 2734 | 0.5 | P1112 | LinStatic | 0 | 2.909 | 0 | 0.00066 | 0 | 44.40505 |
| 2734 | 1 | P1112 | LinStatic | 0 | 2.909 | 0 | 0.00066 | 0 | 42.95057 |
| 2735 | 0 | P1112 | LinStatic | 0 | 2.909 | 0 | 0.00066 | 0 | 42.95062 |
| 2735 | 0.5 | P1112 | LinStatic | 0 | 2.909 | 0 | 0.00066 | 0 | 41.49615 |
| 2735 | 1 | P1112 | LinStatic | 0 | 2.909 | 0 | 0.00066 | 0 | 40.04167 |
| 2782 | 0 | P1112 | LinStatic | 0 | -0.693 | 0 | 0.0000259 | 0 | -10.9248 |
| 2782 | 0.5 | P1112 | LinStatic | 0 | -0.693 | 0 | 0.0000259 | 0 | -10.57832 |
| 2782 | 1 | P1112 | LinStatic | 0 | -0.693 | 0 | 0.0000259 | 0 | -10.23184 |
| 2783 | 0 | P1112 | LinStatic | 0 | -0.693 | 0 | 0.0000259 | 0 | -10.23183 |
| 2783 | 0.5 | P1112 | LinStatic | 0 | -0.693 | 0 | 0.0000259 | 0 | -9.88535 |
| 2783 | 1 | P1112 | LinStatic | 0 | -0.693 | 0 | 0.0000259 | 0 | -9.53887 |
| 2830 | 0 | P1112 | LinStatic | 0 | 0.1651 | 0 | 0.000001011 | 0 | 2.60254 |
| 2830 | 0.5 | P1112 | LinStatic | 0 | 0.1651 | 0 | 0.000001011 | 0 | 2.52 |
| 2830 | 1 | P1112 | LinStatic | 0 | 0.1651 | 0 | 0.000001011 | 0 | 2.43746 |
| 2831 | 0 | P1112 | LinStatic | 0 | 0.1651 | 0 | 0.000001011 | 0 | 2.43746 |
| 2831 | 0.5 | P1112 | LinStatic | 0 | 0.1651 | 0 | 0.000001011 | 0 | 2.35492 |
| 2831 | 1 | P1112 | LinStatic | 0 | 0.1651 | 0 | 0.000001011 | 0 | 2.27238 |
| 2878 | 0 | P1112 | LinStatic | 0 | -0.0393 | 0 | 3.95E-08 | 0 | -0.61999 |
| 2878 | 0.5 | P1112 | LinStatic | 0 | -0.0393 | 0 | 3.95E-08 | 0 | -0.60032 |
| 2878 | 1 | P1112 | LinStatic | 0 | -0.0393 | 0 | 3.95E-08 | 0 | -0.58066 |
| 2879 | 0 | P1112 | LinStatic | 0 | -0.0393 | 0 | 3.95E-08 | 0 | -0.58066 |
| 2879 | 0.5 | P1112 | LinStatic | 0 | -0.0393 | 0 | 3.95E-08 | 0 | -0.561 |
| 2879 | 1 | P1112 | LinStatic | 0 | -0.0393 | 0 | 3.95E-08 | 0 | -0.54133 |
| 2926 | 0 | P1112 | LinStatic | 0 | 0.0094 | 0 | 1.543E-09 | 0 | 0.1477 |
| 2926 | 0.5 | P1112 | LinStatic | 0 | 0.0094 | 0 | 1.543E-09 | 0 | 0.14301 |
| 2926 | 1 | P1112 | LinStatic | 0 | 0.0094 | 0 | 1.543E-09 | 0 | 0.13833 |
| 2927 | 0 | P1112 | LinStatic | 0 | 0.0094 | 0 | 1.543E-09 | 0 | 0.13833 |
| 2927 | 0.5 | P1112 | LinStatic | 0 | 0.0094 | 0 | 1.543E-09 | 0 | 0.13364 |
| 2927 | 1 | P1112 | LinStatic | 0 | 0.0094 | 0 | 1.543E-09 | 0 | 0.12896 |
| 2974 | 0 | P1112 | LinStatic | 0 | -0.0022 | 0 | 6.026E-11 | 0 | -0.03518 |
| 2974 | 0.5 | P1112 | LinStatic | 0 | -0.0022 | 0 | 6.026E-11 | 0 | -0.03407 |
| 2974 | 1 | P1112 | LinStatic | 0 | -0.0022 | 0 | 6.026E-11 | 0 | -0.03295 |
| 2975 | 0 | P1112 | LinStatic | 0 | -0.0022 | 0 | 6.026E-11 | 0 | -0.03295 |
| 2975 | 0.5 | P1112 | LinStatic | 0 | -0.0022 | 0 | 6.026E-11 | 0 | -0.03184 |
| 2975 | 1 | P1112 | LinStatic | 0 | -0.0022 | 0 | 6.026E-11 | 0 | -0.03072 |
| 3022 | 0 | P1112 | LinStatic | 0 | 0.0005319 | 0 | 2.353E-12 | 0 | 0.00838 |
| 3022 | 0.5 | P1112 | LinStatic | 0 | 0.0005319 | 0 | 2.353E-12 | 0 | 0.00811 |
| 3022 | 1 | P1112 | LinStatic | 0 | 0.0005319 | 0 | 2.353E-12 | 0 | 0.00785 |
| 3023 | 0 | P1112 | LinStatic | 0 | 0.0005319 | 0 | 2.353E-12 | 0 | 0.00785 |
| 3023 | 0.5 | P1112 | LinStatic | 0 | 0.0005319 | 0 | 2.353E-12 | 0 | 0.00758 |
| 3023 | 1 | P1112 | LinStatic | 0 | 0.0005319 | 0 | 2.353E-12 | 0 | 0.00731 |
| 3070 | 0 | P1112 | LinStatic | 0 | -0.0001278 | 0 | 9.193E-14 | 0 | -0.00198 |
| 3070 | 0.5 | P1112 | LinStatic | 0 | -0.0001278 | 0 | 9.193E-14 | 0 | -0.00192 |
| 3070 | 1 | P1112 | LinStatic | 0 | -0.0001278 | 0 | 9.193E-14 | 0 | -0.00185 |
| 3071 | 0 | P1112 | LinStatic | 0 | -0.0001278 | 0 | 9.192E-14 | 0 | -0.00185 |
| 3071 | 0.5 | P1112 | LinStatic | 0 | -0.0001278 | 0 | 9.192E-14 | 0 | -0.00179 |

**TABLE: Element Forces - Frames**

| Frame | Station | OutputCase | CaseType | P | V2 | V3 | T | M2 | M3 |
|---|---|---|---|---|---|---|---|---|---|
| Text | m | Text | Text | Ton | Ton | Ton | Ton-m | Ton-m | Ton-m |
| 3071 | 1 | P1112 | LinStatic | 0 | -0.0001278 | 0 | 9.192E-14 | 0 | -0.00173 |
| 3116 | 0 | P1112 | LinStatic | 0 | 0.00003115 | 0 | 4.14E-15 | 0 | 0.00056 |
| 3116 | 0.5 | P1112 | LinStatic | 0 | 0.00003115 | 0 | 4.14E-15 | 0 | 0.00055 |
| 3116 | 1 | P1112 | LinStatic | 0 | 0.00003115 | 0 | 4.14E-15 | 0 | 0.00053 |
| 1063 | 0 | P1415 | LinStatic | 0 | 4.115E-07 | 0 | -3.415E-17 | 0 | -0.000006995 |
| 1063 | 0.5 | P1415 | LinStatic | 0 | 4.115E-07 | 0 | -3.415E-17 | 0 | -0.000007201 |
| 1063 | 1 | P1415 | LinStatic | 0 | 4.115E-07 | 0 | -3.415E-17 | 0 | -0.000007406 |
| 1108 | 0 | P1415 | LinStatic | 0 | -0.000001688 | 0 | -7.575E-16 | 0 | 0.00002279 |
| 1108 | 0.5 | P1415 | LinStatic | 0 | -0.000001688 | 0 | -7.575E-16 | 0 | 0.00002363 |
| 1108 | 1 | P1415 | LinStatic | 0 | -0.000001688 | 0 | -7.575E-16 | 0 | 0.00002448 |
| 1109 | 0 | P1415 | LinStatic | 0 | -0.000001688 | 0 | -7.575E-16 | 0 | 0.00002448 |
| 1109 | 0.5 | P1415 | LinStatic | 0 | -0.000001688 | 0 | -7.575E-16 | 0 | 0.00002532 |
| 1109 | 1 | P1415 | LinStatic | 0 | -0.000001688 | 0 | -7.575E-16 | 0 | 0.00002616 |
| 1156 | 0 | P1415 | LinStatic | 0 | 0.000007027 | 0 | -1.939E-14 | 0 | -0.00009662 |
| 1156 | 0.5 | P1415 | LinStatic | 0 | 0.000007027 | 0 | -1.939E-14 | 0 | -0.0001 |
| 1156 | 1 | P1415 | LinStatic | 0 | 0.000007027 | 0 | -1.939E-14 | 0 | -0.0001 |
| 1157 | 0 | P1415 | LinStatic | 0 | 0.000007027 | 0 | -1.939E-14 | 0 | -0.0001 |
| 1157 | 0.5 | P1415 | LinStatic | 0 | 0.000007027 | 0 | -1.939E-14 | 0 | -0.00011 |
| 1157 | 1 | P1415 | LinStatic | 0 | 0.000007027 | 0 | -1.939E-14 | 0 | -0.00011 |
| 1205 | 0 | P1415 | LinStatic | 0 | -0.0000269 | 0 | -4.965E-13 | 0 | 0.00037 |
| 1205 | 0.5 | P1415 | LinStatic | 0 | -0.0000269 | 0 | -4.965E-13 | 0 | 0.00039 |
| 1205 | 1 | P1415 | LinStatic | 0 | -0.0000269 | 0 | -4.965E-13 | 0 | 0.0004 |
| 1257 | 0 | P1415 | LinStatic | 0 | 0.0001107 | 0 | -1.345E-11 | 0 | -0.00167 |
| 1257 | 0.5 | P1415 | LinStatic | 0 | 0.0001107 | 0 | -1.345E-11 | 0 | -0.00172 |
| 1257 | 1 | P1415 | LinStatic | 0 | 0.0001107 | 0 | -1.345E-11 | 0 | -0.00178 |
| 1306 | 0 | P1415 | LinStatic | 0 | -0.0005028 | 0 | -3.642E-10 | 0 | 0.00702 |
| 1306 | 0.5 | P1415 | LinStatic | 0 | -0.0005028 | 0 | -3.642E-10 | 0 | 0.00727 |
| 1306 | 1 | P1415 | LinStatic | 0 | -0.0005028 | 0 | -3.642E-10 | 0 | 0.00752 |
| 1307 | 0 | P1415 | LinStatic | 0 | -0.0005028 | 0 | -3.642E-10 | 0 | 0.00752 |
| 1307 | 0.5 | P1415 | LinStatic | 0 | -0.0005028 | 0 | -3.642E-10 | 0 | 0.00777 |
| 1307 | 1 | P1415 | LinStatic | 0 | -0.0005028 | 0 | -3.642E-10 | 0 | 0.00802 |
| 1354 | 0 | P1415 | LinStatic | 0 | 0.0021 | 0 | -9.326E-09 | 0 | -0.02925 |
| 1354 | 0.5 | P1415 | LinStatic | 0 | 0.0021 | 0 | -9.326E-09 | 0 | -0.03031 |
| 1354 | 1 | P1415 | LinStatic | 0 | 0.0021 | 0 | -9.326E-09 | 0 | -0.03138 |
| 1355 | 0 | P1415 | LinStatic | 0 | 0.0021 | 0 | -9.326E-09 | 0 | -0.03138 |
| 1355 | 0.5 | P1415 | LinStatic | 0 | 0.0021 | 0 | -9.326E-09 | 0 | -0.03244 |
| 1355 | 1 | P1415 | LinStatic | 0 | 0.0021 | 0 | -9.326E-09 | 0 | -0.0335 |
| 1402 | 0 | P1415 | LinStatic | 0 | -0.0089 | 0 | -2.388E-07 | 0 | 0.12275 |
| 1402 | 0.5 | P1415 | LinStatic | 0 | -0.0089 | 0 | -2.388E-07 | 0 | 0.12721 |
| 1402 | 1 | P1415 | LinStatic | 0 | -0.0089 | 0 | -2.388E-07 | 0 | 0.13166 |
| 1403 | 0 | P1415 | LinStatic | 0 | -0.0089 | 0 | -2.388E-07 | 0 | 0.13166 |
| 1403 | 0.5 | P1415 | LinStatic | 0 | -0.0089 | 0 | -2.388E-07 | 0 | 0.13612 |
| 1403 | 1 | P1415 | LinStatic | 0 | -0.0089 | 0 | -2.388E-07 | 0 | 0.14058 |
| 1450 | 0 | P1415 | LinStatic | 0 | 0.0374 | 0 | -0.000006114 | 0 | -0.51525 |
| 1450 | 0.5 | P1415 | LinStatic | 0 | 0.0374 | 0 | -0.000006114 | 0 | -0.53397 |
| 1450 | 1 | P1415 | LinStatic | 0 | 0.0374 | 0 | -0.000006114 | 0 | -0.55268 |
| 1451 | 0 | P1415 | LinStatic | 0 | 0.0374 | 0 | -0.000006114 | 0 | -0.55268 |
| 1451 | 0.5 | P1415 | LinStatic | 0 | 0.0374 | 0 | -0.000006114 | 0 | -0.5714 |
| 1451 | 1 | P1415 | LinStatic | 0 | 0.0374 | 0 | -0.000006114 | 0 | -0.59012 |
| 1498 | 0 | P1415 | LinStatic | 0 | -0.1571 | 0 | -0.00016 | 0 | 2.1629 |
| 1498 | 0.5 | P1415 | LinStatic | 0 | -0.1571 | 0 | -0.00016 | 0 | 2.24146 |
| 1498 | 1 | P1415 | LinStatic | 0 | -0.1571 | 0 | -0.00016 | 0 | 2.32002 |
| 1499 | 0 | P1415 | LinStatic | 0 | -0.1571 | 0 | -0.00016 | 0 | 2.32003 |
| 1499 | 0.5 | P1415 | LinStatic | 0 | -0.1571 | 0 | -0.00016 | 0 | 2.39859 |
| 1499 | 1 | P1415 | LinStatic | 0 | -0.1571 | 0 | -0.00016 | 0 | 2.47714 |
| 1546 | 0 | P1415 | LinStatic | 0 | 0.6599 | 0 | -0.00401 | 0 | -9.07911 |
| 1546 | 0.5 | P1415 | LinStatic | 0 | 0.6599 | 0 | -0.00401 | 0 | -9.40906 |
| 1546 | 1 | P1415 | LinStatic | 0 | 0.6599 | 0 | -0.00401 | 0 | -9.73901 |
| 1547 | 0 | P1415 | LinStatic | 0 | 0.6599 | 0 | -0.00401 | 0 | -9.73869 |
| 1547 | 0.5 | P1415 | LinStatic | 0 | 0.6599 | 0 | -0.00401 | 0 | -10.06864 |
| 1547 | 1 | P1415 | LinStatic | 0 | 0.6599 | 0 | -0.00401 | 0 | -10.39859 |
| 1594 | 0 | P1415 | LinStatic | 0 | -2.7605 | 0 | -0.10264 | 0 | 38.11654 |
| 1594 | 0.5 | P1415 | LinStatic | 0 | -2.7605 | 0 | -0.10264 | 0 | 39.49678 |
| 1594 | 1 | P1415 | LinStatic | 0 | -2.7605 | 0 | -0.10264 | 0 | 40.87703 |
| 1595 | 0 | P1415 | LinStatic | 0 | -2.7605 | 0 | -0.10264 | 0 | 40.88528 |
| 1595 | 0.5 | P1415 | LinStatic | 0 | -2.7605 | 0 | -0.10264 | 0 | 42.26552 |
| 1595 | 1 | P1415 | LinStatic | 0 | -2.7605 | 0 | -0.10264 | 0 | 43.64577 |
| 1642 | 0 | P1415 | LinStatic | 0 | 11.8339 | 0 | -2.62807 | 0 | -159.88084 |
| 1642 | 0.5 | P1415 | LinStatic | 0 | 11.8339 | 0 | -2.62807 | 0 | -165.79781 |
| 1642 | 1 | P1415 | LinStatic | 0 | 11.8339 | 0 | -2.62807 | 0 | -171.71478 |
| 1643 | 0 | P1415 | LinStatic | 0 | 11.834 | 0 | -2.62805 | 0 | -171.50346 |
| 1643 | 0.5 | P1415 | LinStatic | 0 | 11.834 | 0 | -2.62805 | 0 | -177.42043 |
| 1643 | 1 | P1415 | LinStatic | 0 | 11.834 | 0 | -2.62805 | 0 | -183.33741 |
| 1690 | 0 | P1415 | LinStatic | 0 | 14.1491 | 0 | 25.10295 | 0 | 665.75396 |
| 1690 | 0.5 | P1415 | LinStatic | 0 | 14.1491 | 0 | 25.10295 | 0 | 658.67943 |
| 1690 | 1 | P1415 | LinStatic | 0 | 14.1491 | 0 | 25.10295 | 0 | 651.60489 |
| 1691 | 0 | P1415 | LinStatic | 0 | 14.9831 | 0 | 27.35488 | 0 | 649.47443 |
| 1691 | 0.5 | P1415 | LinStatic | 0 | 14.9831 | 0 | 27.35488 | 0 | 641.98287 |
| 1691 | 1 | P1415 | LinStatic | 0 | 14.9831 | 0 | 27.35488 | 0 | 634.49131 |
| 1738 | 0 | P1415 | LinStatic | 0 | -28.8572 | 0 | 0.43475 | 0 | 636.07188 |
| 1738 | 0.5 | P1415 | LinStatic | 0 | -28.8572 | 0 | 0.43475 | 0 | 650.50048 |
| 1738 | 1 | P1415 | LinStatic | 0 | -28.8572 | 0 | 0.43475 | 0 | 664.92908 |
| 1739 | 0 | P1415 | LinStatic | 0 | -28.8572 | 0 | 0.43475 | 0 | 664.89412 |

**TABLE: Element Forces - Frames**

| Frame | Station | OutputCase | CaseType | P | V2 | V3 | T | M2 | M3 |
|---|---|---|---|---|---|---|---|---|---|
| Text | m | Text | Text | Ton | Ton | Ton | Ton-m | Ton-m | Ton-m |
| 1739 | 0.5 | P1415 | LinStatic | 0 | -28.8572 | 0 | 0.43475 | 0 | 679.32272 |
| 1739 | 1 | P1415 | LinStatic | 0 | -28.8572 | 0 | 0.43475 | 0 | 693.75131 |
| 1786 | 0 | P1415 | LinStatic | 0 | -12.2122 | 0 | 0.01698 | 0 | -192.50701 |
| 1786 | 0.5 | P1415 | LinStatic | 0 | -12.2122 | 0 | 0.01698 | 0 | -186.40091 |
| 1786 | 1 | P1415 | LinStatic | 0 | -12.2122 | 0 | 0.01698 | 0 | -180.29481 |
| 1787 | 0 | P1415 | LinStatic | 0 | -12.2122 | 0 | 0.01698 | 0 | -180.29618 |
| 1787 | 0.5 | P1415 | LinStatic | 0 | -12.2122 | 0 | 0.01698 | 0 | -174.19008 |
| 1787 | 1 | P1415 | LinStatic | 0 | -12.2122 | 0 | 0.01698 | 0 | -168.08399 |
| 1834 | 0 | P1415 | LinStatic | 0 | 2.9089 | 0 | 0.00066 | 0 | 45.85947 |
| 1834 | 0.5 | P1415 | LinStatic | 0 | 2.9089 | 0 | 0.00066 | 0 | 44.40505 |
| 1834 | 1 | P1415 | LinStatic | 0 | 2.9089 | 0 | 0.00066 | 0 | 42.95062 |
| 1835 | 0 | P1415 | LinStatic | 0 | 2.9089 | 0 | 0.00066 | 0 | 42.95057 |
| 1835 | 0.5 | P1415 | LinStatic | 0 | 2.9089 | 0 | 0.00066 | 0 | 41.49614 |
| 1835 | 1 | P1415 | LinStatic | 0 | 2.9089 | 0 | 0.00066 | 0 | 40.04172 |
| 1882 | 0 | P1415 | LinStatic | 0 | -0.693 | 0 | 0.0000259 | 0 | -10.92479 |
| 1882 | 0.5 | P1415 | LinStatic | 0 | -0.693 | 0 | 0.0000259 | 0 | -10.5783 |
| 1882 | 1 | P1415 | LinStatic | 0 | -0.693 | 0 | 0.0000259 | 0 | -10.23182 |
| 1883 | 0 | P1415 | LinStatic | 0 | -0.693 | 0 | 0.0000259 | 0 | -10.23182 |
| 1883 | 0.5 | P1415 | LinStatic | 0 | -0.693 | 0 | 0.0000259 | 0 | -9.88533 |
| 1883 | 1 | P1415 | LinStatic | 0 | -0.693 | 0 | 0.0000259 | 0 | -9.53885 |
| 1930 | 0 | P1415 | LinStatic | 0 | 0.1651 | 0 | 0.000001011 | 0 | 2.60248 |
| 1930 | 0.5 | P1415 | LinStatic | 0 | 0.1651 | 0 | 0.000001011 | 0 | 2.51993 |
| 1930 | 1 | P1415 | LinStatic | 0 | 0.1651 | 0 | 0.000001011 | 0 | 2.43739 |
| 1931 | 0 | P1415 | LinStatic | 0 | 0.1651 | 0 | 0.000001011 | 0 | 2.43739 |
| 1931 | 0.5 | P1415 | LinStatic | 0 | 0.1651 | 0 | 0.000001011 | 0 | 2.35485 |
| 1931 | 1 | P1415 | LinStatic | 0 | 0.1651 | 0 | 0.000001011 | 0 | 2.2723 |
| 1978 | 0 | P1415 | LinStatic | 0 | -0.0393 | 0 | 3.95E-08 | 0 | -0.6197 |
| 1978 | 0.5 | P1415 | LinStatic | 0 | -0.0393 | 0 | 3.95E-08 | 0 | -0.60003 |
| 1978 | 1 | P1415 | LinStatic | 0 | -0.0393 | 0 | 3.95E-08 | 0 | -0.58036 |
| 1979 | 0 | P1415 | LinStatic | 0 | -0.0393 | 0 | 3.95E-08 | 0 | -0.58036 |
| 1979 | 0.5 | P1415 | LinStatic | 0 | -0.0393 | 0 | 3.95E-08 | 0 | -0.56068 |
| 1979 | 1 | P1415 | LinStatic | 0 | -0.0393 | 0 | 3.95E-08 | 0 | -0.54101 |
| 2026 | 0 | P1415 | LinStatic | 0 | 0.0095 | 0 | 1.543E-09 | 0 | 0.14651 |
| 2026 | 0.5 | P1415 | LinStatic | 0 | 0.0095 | 0 | 1.543E-09 | 0 | 0.14178 |
| 2026 | 1 | P1415 | LinStatic | 0 | 0.0095 | 0 | 1.543E-09 | 0 | 0.13705 |
| 2027 | 0 | P1415 | LinStatic | 0 | 0.0095 | 0 | 1.543E-09 | 0 | 0.13705 |
| 2027 | 0.5 | P1415 | LinStatic | 0 | 0.0095 | 0 | 1.543E-09 | 0 | 0.13233 |
| 2027 | 1 | P1415 | LinStatic | 0 | 0.0095 | 0 | 1.543E-09 | 0 | 0.1276 |
| 2072 | 0 | P1415 | LinStatic | 0 | -0.0023 | 0 | 6.949E-11 | 0 | -0.04147 |
| 2072 | 0.5 | P1415 | LinStatic | 0 | -0.0023 | 0 | 6.949E-11 | 0 | -0.04032 |
| 2072 | 1 | P1415 | LinStatic | 0 | -0.0023 | 0 | 6.949E-11 | 0 | -0.03917 |
| 2107 | 0 | P1415 | LinStatic | 0 | 4.115E-07 | 0 | -3.415E-17 | 0 | -0.000006995 |
| 2107 | 0.5 | P1415 | LinStatic | 0 | 4.115E-07 | 0 | -3.415E-17 | 0 | -0.000007201 |
| 2107 | 1 | P1415 | LinStatic | 0 | 4.115E-07 | 0 | -3.415E-17 | 0 | -0.000007406 |
| 2152 | 0 | P1415 | LinStatic | 0 | -0.000001688 | 0 | -7.576E-16 | 0 | 0.00002279 |
| 2152 | 0.5 | P1415 | LinStatic | 0 | -0.000001688 | 0 | -7.576E-16 | 0 | 0.00002363 |
| 2152 | 1 | P1415 | LinStatic | 0 | -0.000001688 | 0 | -7.576E-16 | 0 | 0.00002448 |
| 2153 | 0 | P1415 | LinStatic | 0 | -0.000001688 | 0 | -7.575E-16 | 0 | 0.00002448 |
| 2153 | 0.5 | P1415 | LinStatic | 0 | -0.000001688 | 0 | -7.575E-16 | 0 | 0.00002532 |
| 2153 | 1 | P1415 | LinStatic | 0 | -0.000001688 | 0 | -7.575E-16 | 0 | 0.00002616 |
| 2200 | 0 | P1415 | LinStatic | 0 | 0.000007027 | 0 | -1.939E-14 | 0 | -0.00009662 |
| 2200 | 0.5 | P1415 | LinStatic | 0 | 0.000007027 | 0 | -1.939E-14 | 0 | -0.0001 |
| 2200 | 1 | P1415 | LinStatic | 0 | 0.000007027 | 0 | -1.939E-14 | 0 | -0.0001 |
| 2201 | 0 | P1415 | LinStatic | 0 | 0.000007027 | 0 | -1.939E-14 | 0 | -0.0001 |
| 2201 | 0.5 | P1415 | LinStatic | 0 | 0.000007027 | 0 | -1.939E-14 | 0 | -0.00011 |
| 2201 | 1 | P1415 | LinStatic | 0 | 0.000007027 | 0 | -1.939E-14 | 0 | -0.00011 |
| 2249 | 0 | P1415 | LinStatic | 0 | -0.0000269 | 0 | -4.965E-13 | 0 | 0.00037 |
| 2249 | 0.5 | P1415 | LinStatic | 0 | -0.0000269 | 0 | -4.965E-13 | 0 | 0.00039 |
| 2249 | 1 | P1415 | LinStatic | 0 | -0.0000269 | 0 | -4.965E-13 | 0 | 0.0004 |
| 2301 | 0 | P1415 | LinStatic | 0 | 0.0001107 | 0 | -1.345E-11 | 0 | -0.00167 |
| 2301 | 0.5 | P1415 | LinStatic | 0 | 0.0001107 | 0 | -1.345E-11 | 0 | -0.00172 |
| 2301 | 1 | P1415 | LinStatic | 0 | 0.0001107 | 0 | -1.345E-11 | 0 | -0.00178 |
| 2350 | 0 | P1415 | LinStatic | 0 | -0.0005028 | 0 | -3.642E-10 | 0 | 0.00702 |
| 2350 | 0.5 | P1415 | LinStatic | 0 | -0.0005028 | 0 | -3.642E-10 | 0 | 0.00727 |
| 2350 | 1 | P1415 | LinStatic | 0 | -0.0005028 | 0 | -3.642E-10 | 0 | 0.00752 |
| 2351 | 0 | P1415 | LinStatic | 0 | -0.0005028 | 0 | -3.642E-10 | 0 | 0.00752 |
| 2351 | 0.5 | P1415 | LinStatic | 0 | -0.0005028 | 0 | -3.642E-10 | 0 | 0.00777 |
| 2351 | 1 | P1415 | LinStatic | 0 | -0.0005028 | 0 | -3.642E-10 | 0 | 0.00802 |
| 2398 | 0 | P1415 | LinStatic | 0 | 0.0021 | 0 | -9.326E-09 | 0 | -0.02925 |
| 2398 | 0.5 | P1415 | LinStatic | 0 | 0.0021 | 0 | -9.326E-09 | 0 | -0.03031 |
| 2398 | 1 | P1415 | LinStatic | 0 | 0.0021 | 0 | -9.326E-09 | 0 | -0.03138 |
| 2399 | 0 | P1415 | LinStatic | 0 | 0.0021 | 0 | -9.326E-09 | 0 | -0.03138 |
| 2399 | 0.5 | P1415 | LinStatic | 0 | 0.0021 | 0 | -9.326E-09 | 0 | -0.03244 |
| 2399 | 1 | P1415 | LinStatic | 0 | 0.0021 | 0 | -9.326E-09 | 0 | -0.0335 |
| 2446 | 0 | P1415 | LinStatic | 0 | -0.0089 | 0 | -2.388E-07 | 0 | 0.12275 |
| 2446 | 0.5 | P1415 | LinStatic | 0 | -0.0089 | 0 | -2.388E-07 | 0 | 0.12721 |
| 2446 | 1 | P1415 | LinStatic | 0 | -0.0089 | 0 | -2.388E-07 | 0 | 0.13166 |
| 2447 | 0 | P1415 | LinStatic | 0 | -0.0089 | 0 | -2.388E-07 | 0 | 0.13166 |
| 2447 | 0.5 | P1415 | LinStatic | 0 | -0.0089 | 0 | -2.388E-07 | 0 | 0.13612 |
| 2447 | 1 | P1415 | LinStatic | 0 | -0.0089 | 0 | -2.388E-07 | 0 | 0.14058 |
| 2494 | 0 | P1415 | LinStatic | 0 | 0.0374 | 0 | -0.000006114 | 0 | -0.51525 |
| 2494 | 0.5 | P1415 | LinStatic | 0 | 0.0374 | 0 | -0.000006114 | 0 | -0.53397 |
| 2494 | 1 | P1415 | LinStatic | 0 | 0.0374 | 0 | -0.000006114 | 0 | -0.55268 |

**TABLE: Element Forces - Frames**

| Frame | Station | OutputCase | CaseType | P | V2 | V3 | T | M2 | M3 |
|---|---|---|---|---|---|---|---|---|---|
| Text | m | Text | Text | Ton | Ton | Ton | Ton-m | Ton-m | Ton-m |
| 2495 | 0 | P1415 | LinStatic | 0 | 0.0374 | 0 | -0.000006114 | 0 | -0.55268 |
| 2495 | 0.5 | P1415 | LinStatic | 0 | 0.0374 | 0 | -0.000006114 | 0 | -0.5714 |
| 2495 | 1 | P1415 | LinStatic | 0 | 0.0374 | 0 | -0.000006114 | 0 | -0.59012 |
| 2542 | 0 | P1415 | LinStatic | 0 | -0.1571 | 0 | -0.00016 | 0 | 2.16289 |
| 2542 | 0.5 | P1415 | LinStatic | 0 | -0.1571 | 0 | -0.00016 | 0 | 2.24146 |
| 2542 | 1 | P1415 | LinStatic | 0 | -0.1571 | 0 | -0.00016 | 0 | 2.32003 |
| 2543 | 0 | P1415 | LinStatic | 0 | -0.1571 | 0 | -0.00016 | 0 | 2.32002 |
| 2543 | 0.5 | P1415 | LinStatic | 0 | -0.1571 | 0 | -0.00016 | 0 | 2.39859 |
| 2543 | 1 | P1415 | LinStatic | 0 | -0.1571 | 0 | -0.00016 | 0 | 2.47716 |
| 2590 | 0 | P1415 | LinStatic | 0 | 0.6593 | 0 | -0.00401 | 0 | -9.07943 |
| 2590 | 0.5 | P1415 | LinStatic | 0 | 0.6593 | 0 | -0.00401 | 0 | -9.40906 |
| 2590 | 1 | P1415 | LinStatic | 0 | 0.6593 | 0 | -0.00401 | 0 | -9.73869 |
| 2591 | 0 | P1415 | LinStatic | 0 | 0.6593 | 0 | -0.00401 | 0 | -9.73901 |
| 2591 | 0.5 | P1415 | LinStatic | 0 | 0.6593 | 0 | -0.00401 | 0 | -10.06864 |
| 2591 | 1 | P1415 | LinStatic | 0 | 0.6593 | 0 | -0.00401 | 0 | -10.39827 |
| 2638 | 0 | P1415 | LinStatic | 0 | -2.777 | 0 | -0.10264 | 0 | 38.10832 |
| 2638 | 0.5 | P1415 | LinStatic | 0 | -2.777 | 0 | -0.10264 | 0 | 39.49683 |
| 2638 | 1 | P1415 | LinStatic | 0 | -2.777 | 0 | -0.10264 | 0 | 40.88533 |
| 2639 | 0 | P1415 | LinStatic | 0 | -2.777 | 0 | -0.10264 | 0 | 40.87708 |
| 2639 | 0.5 | P1415 | LinStatic | 0 | -2.777 | 0 | -0.10264 | 0 | 42.26558 |
| 2639 | 1 | P1415 | LinStatic | 0 | -2.777 | 0 | -0.10264 | 0 | 43.65408 |
| 2686 | 0 | P1415 | LinStatic | 0 | 11.411 | 0 | -2.62807 | 0 | -160.09139 |
| 2686 | 0.5 | P1415 | LinStatic | 0 | 11.411 | 0 | -2.62807 | 0 | -165.79691 |
| 2686 | 1 | P1415 | LinStatic | 0 | 11.411 | 0 | -2.62807 | 0 | -171.50243 |
| 2687 | 0 | P1415 | LinStatic | 0 | 11.411 | 0 | -2.62805 | 0 | -171.71376 |
| 2687 | 0.5 | P1415 | LinStatic | 0 | 11.411 | 0 | -2.62805 | 0 | -177.41927 |
| 2687 | 1 | P1415 | LinStatic | 0 | 11.411 | 0 | -2.62805 | 0 | -183.12478 |
| 2734 | 0 | P1415 | LinStatic | 0 | 25.5915 | 0 | 25.10295 | 0 | 681.7169 |
| 2734 | 0.5 | P1415 | LinStatic | 0 | 25.5915 | 0 | 25.10295 | 0 | 668.92117 |
| 2734 | 1 | P1415 | LinStatic | 0 | 25.5915 | 0 | 25.10295 | 0 | 656.12544 |
| 2735 | 0 | P1415 | LinStatic | 0 | 24.7574 | 0 | 27.35488 | 0 | 658.2559 |
| 2735 | 0.5 | P1415 | LinStatic | 0 | 24.7574 | 0 | 27.35488 | 0 | 645.87719 |
| 2735 | 1 | P1415 | LinStatic | 0 | 24.7574 | 0 | 27.35488 | 0 | 633.49848 |
| 2782 | 0 | P1415 | LinStatic | 0 | -28.7872 | 0 | 0.43475 | 0 | 636.10711 |
| 2782 | 0.5 | P1415 | LinStatic | 0 | -28.7872 | 0 | 0.43475 | 0 | 650.50072 |
| 2782 | 1 | P1415 | LinStatic | 0 | -28.7872 | 0 | 0.43475 | 0 | 664.89433 |
| 2783 | 0 | P1415 | LinStatic | 0 | -28.7872 | 0 | 0.43475 | 0 | 664.92929 |
| 2783 | 0.5 | P1415 | LinStatic | 0 | -28.7872 | 0 | 0.43475 | 0 | 679.3229 |
| 2783 | 1 | P1415 | LinStatic | 0 | -28.7872 | 0 | 0.43475 | 0 | 693.71651 |
| 2830 | 0 | P1415 | LinStatic | 0 | -12.2095 | 0 | 0.01698 | 0 | -192.50563 |
| 2830 | 0.5 | P1415 | LinStatic | 0 | -12.2095 | 0 | 0.01698 | 0 | -186.4009 |
| 2830 | 1 | P1415 | LinStatic | 0 | -12.2095 | 0 | 0.01698 | 0 | -180.29617 |
| 2831 | 0 | P1415 | LinStatic | 0 | -12.2095 | 0 | 0.01698 | 0 | -180.29481 |
| 2831 | 0.5 | P1415 | LinStatic | 0 | -12.2095 | 0 | 0.01698 | 0 | -174.19008 |
| 2831 | 1 | P1415 | LinStatic | 0 | -12.2095 | 0 | 0.01698 | 0 | -168.08535 |
| 2878 | 0 | P1415 | LinStatic | 0 | 2.909 | 0 | 0.00066 | 0 | 45.85952 |
| 2878 | 0.5 | P1415 | LinStatic | 0 | 2.909 | 0 | 0.00066 | 0 | 44.40505 |
| 2878 | 1 | P1415 | LinStatic | 0 | 2.909 | 0 | 0.00066 | 0 | 42.95057 |
| 2879 | 0 | P1415 | LinStatic | 0 | 2.909 | 0 | 0.00066 | 0 | 42.95062 |
| 2879 | 0.5 | P1415 | LinStatic | 0 | 2.909 | 0 | 0.00066 | 0 | 41.49614 |
| 2879 | 1 | P1415 | LinStatic | 0 | 2.909 | 0 | 0.00066 | 0 | 40.04166 |
| 2926 | 0 | P1415 | LinStatic | 0 | -0.693 | 0 | 0.0000259 | 0 | -10.92479 |
| 2926 | 0.5 | P1415 | LinStatic | 0 | -0.693 | 0 | 0.0000259 | 0 | -10.5783 |
| 2926 | 1 | P1415 | LinStatic | 0 | -0.693 | 0 | 0.0000259 | 0 | -10.23182 |
| 2927 | 0 | P1415 | LinStatic | 0 | -0.693 | 0 | 0.0000259 | 0 | -10.23182 |
| 2927 | 0.5 | P1415 | LinStatic | 0 | -0.693 | 0 | 0.0000259 | 0 | -9.88533 |
| 2927 | 1 | P1415 | LinStatic | 0 | -0.693 | 0 | 0.0000259 | 0 | -9.53885 |
| 2974 | 0 | P1415 | LinStatic | 0 | 0.1651 | 0 | 0.000001011 | 0 | 2.60248 |
| 2974 | 0.5 | P1415 | LinStatic | 0 | 0.1651 | 0 | 0.000001011 | 0 | 2.51993 |
| 2974 | 1 | P1415 | LinStatic | 0 | 0.1651 | 0 | 0.000001011 | 0 | 2.43739 |
| 2975 | 0 | P1415 | LinStatic | 0 | 0.1651 | 0 | 0.000001011 | 0 | 2.43739 |
| 2975 | 0.5 | P1415 | LinStatic | 0 | 0.1651 | 0 | 0.000001011 | 0 | 2.35485 |
| 2975 | 1 | P1415 | LinStatic | 0 | 0.1651 | 0 | 0.000001011 | 0 | 2.2723 |
| 3022 | 0 | P1415 | LinStatic | 0 | -0.0393 | 0 | 3.95E-08 | 0 | -0.6197 |
| 3022 | 0.5 | P1415 | LinStatic | 0 | -0.0393 | 0 | 3.95E-08 | 0 | -0.60003 |
| 3022 | 1 | P1415 | LinStatic | 0 | -0.0393 | 0 | 3.95E-08 | 0 | -0.58036 |
| 3023 | 0 | P1415 | LinStatic | 0 | -0.0393 | 0 | 3.95E-08 | 0 | -0.58036 |
| 3023 | 0.5 | P1415 | LinStatic | 0 | -0.0393 | 0 | 3.95E-08 | 0 | -0.56068 |
| 3023 | 1 | P1415 | LinStatic | 0 | -0.0393 | 0 | 3.95E-08 | 0 | -0.54101 |
| 3070 | 0 | P1415 | LinStatic | 0 | 0.0095 | 0 | 1.543E-09 | 0 | 0.14651 |
| 3070 | 0.5 | P1415 | LinStatic | 0 | 0.0095 | 0 | 1.543E-09 | 0 | 0.14178 |
| 3070 | 1 | P1415 | LinStatic | 0 | 0.0095 | 0 | 1.543E-09 | 0 | 0.13705 |
| 3071 | 0 | P1415 | LinStatic | 0 | 0.0095 | 0 | 1.543E-09 | 0 | 0.13705 |
| 3071 | 0.5 | P1415 | LinStatic | 0 | 0.0095 | 0 | 1.543E-09 | 0 | 0.13233 |
| 3071 | 1 | P1415 | LinStatic | 0 | 0.0095 | 0 | 1.543E-09 | 0 | 0.1276 |
| 3116 | 0 | P1415 | LinStatic | 0 | -0.0023 | 0 | 6.949E-11 | 0 | -0.04147 |
| 3116 | 0.5 | P1415 | LinStatic | 0 | -0.0023 | 0 | 6.949E-11 | 0 | -0.04032 |
| 3116 | 1 | P1415 | LinStatic | 0 | -0.0023 | 0 | 6.949E-11 | 0 | -0.03917 |
| 1063 | 0 | P1718 | LinStatic | 0 | -5.563E-09 | 0 | 0 | 0 | 9.457E-08 |
| 1063 | 0.5 | P1718 | LinStatic | 0 | -5.563E-09 | 0 | 0 | 0 | 9.735E-08 |
| 1063 | 1 | P1718 | LinStatic | 0 | -5.563E-09 | 0 | 0 | 0 | 1.001E-07 |
| 1108 | 0 | P1718 | LinStatic | 0 | 2.283E-08 | 0 | -4.562E-20 | 0 | -3.081E-07 |
| 1108 | 0.5 | P1718 | LinStatic | 0 | 2.283E-08 | 0 | -4.562E-20 | 0 | -3.195E-07 |

**TABLE: Element Forces - Frames**

| Frame | Station | OutputCase | CaseType | P | V2 | V3 | T | M2 | M3 |
|---|---|---|---|---|---|---|---|---|---|
| Text | m | Text | Text | Ton | Ton | Ton | Ton-m | Ton-m | Ton-m |
| 1108 | 1 | P1718 | LinStatic | 0 | 2.283E-08 | 0 | -4.562E-20 | 0 | -3.309E-07 |
| 1109 | 0 | P1718 | LinStatic | 0 | 2.283E-08 | 0 | -4.606E-20 | 0 | -3.309E-07 |
| 1109 | 0.5 | P1718 | LinStatic | 0 | 2.283E-08 | 0 | -4.606E-20 | 0 | -3.423E-07 |
| 1109 | 1 | P1718 | LinStatic | 0 | 2.283E-08 | 0 | -4.606E-20 | 0 | -3.537E-07 |
| 1156 | 0 | P1718 | LinStatic | 0 | -0.000000095 | 0 | -1.157E-18 | 0 | 0.000001306 |
| 1156 | 0.5 | P1718 | LinStatic | 0 | -0.000000095 | 0 | -1.157E-18 | 0 | 0.000001354 |
| 1156 | 1 | P1718 | LinStatic | 0 | -0.000000095 | 0 | -1.157E-18 | 0 | 0.000001401 |
| 1157 | 0 | P1718 | LinStatic | 0 | -0.000000095 | 0 | -1.158E-18 | 0 | 0.000001401 |
| 1157 | 0.5 | P1718 | LinStatic | 0 | -0.000000095 | 0 | -1.158E-18 | 0 | 0.000001449 |
| 1157 | 1 | P1718 | LinStatic | 0 | -0.000000095 | 0 | -1.158E-18 | 0 | 0.000001496 |
| 1205 | 0 | P1718 | LinStatic | 0 | 3.637E-07 | 0 | -2.958E-17 | 0 | -0.000005048 |
| 1205 | 0.5 | P1718 | LinStatic | 0 | 3.637E-07 | 0 | -2.958E-17 | 0 | -0.00000523 |
| 1205 | 1 | P1718 | LinStatic | 0 | 3.637E-07 | 0 | -2.958E-17 | 0 | -0.000005412 |
| 1257 | 0 | P1718 | LinStatic | 0 | -0.000001497 | 0 | -8.01E-16 | 0 | 0.00002256 |
| 1257 | 0.5 | P1718 | LinStatic | 0 | -0.000001497 | 0 | -8.01E-16 | 0 | 0.00002331 |
| 1257 | 1 | P1718 | LinStatic | 0 | -0.000001497 | 0 | -8.01E-16 | 0 | 0.00002406 |
| 1306 | 0 | P1718 | LinStatic | 0 | 0.000006798 | 0 | -2.17E-14 | 0 | -0.00009486 |
| 1306 | 0.5 | P1718 | LinStatic | 0 | 0.000006798 | 0 | -2.17E-14 | 0 | -0.00009826 |
| 1306 | 1 | P1718 | LinStatic | 0 | 0.000006798 | 0 | -2.17E-14 | 0 | -0.0001 |
| 1307 | 0 | P1718 | LinStatic | 0 | 0.000006798 | 0 | -2.17E-14 | 0 | -0.0001 |
| 1307 | 0.5 | P1718 | LinStatic | 0 | 0.000006798 | 0 | -2.17E-14 | 0 | -0.00011 |
| 1307 | 1 | P1718 | LinStatic | 0 | 0.000006798 | 0 | -2.17E-14 | 0 | -0.00011 |
| 1354 | 0 | P1718 | LinStatic | 0 | -0.00002871 | 0 | -5.556E-13 | 0 | 0.0004 |
| 1354 | 0.5 | P1718 | LinStatic | 0 | -0.00002871 | 0 | -5.556E-13 | 0 | 0.00041 |
| 1354 | 1 | P1718 | LinStatic | 0 | -0.00002871 | 0 | -5.556E-13 | 0 | 0.00042 |
| 1355 | 0 | P1718 | LinStatic | 0 | -0.00002871 | 0 | -5.556E-13 | 0 | 0.00042 |
| 1355 | 0.5 | P1718 | LinStatic | 0 | -0.00002871 | 0 | -5.556E-13 | 0 | 0.00044 |
| 1355 | 1 | P1718 | LinStatic | 0 | -0.00002871 | 0 | -5.556E-13 | 0 | 0.00045 |
| 1402 | 0 | P1718 | LinStatic | 0 | 0.0001205 | 0 | -1.423E-11 | 0 | -0.00166 |
| 1402 | 0.5 | P1718 | LinStatic | 0 | 0.0001205 | 0 | -1.423E-11 | 0 | -0.00172 |
| 1402 | 1 | P1718 | LinStatic | 0 | 0.0001205 | 0 | -1.423E-11 | 0 | -0.00178 |
| 1403 | 0 | P1718 | LinStatic | 0 | 0.0001205 | 0 | -1.423E-11 | 0 | -0.00178 |
| 1403 | 0.5 | P1718 | LinStatic | 0 | 0.0001205 | 0 | -1.423E-11 | 0 | -0.00184 |
| 1403 | 1 | P1718 | LinStatic | 0 | 0.0001205 | 0 | -1.423E-11 | 0 | -0.0019 |
| 1450 | 0 | P1718 | LinStatic | 0 | -0.000506 | 0 | -3.642E-10 | 0 | 0.00697 |
| 1450 | 0.5 | P1718 | LinStatic | 0 | -0.000506 | 0 | -3.642E-10 | 0 | 0.00722 |
| 1450 | 1 | P1718 | LinStatic | 0 | -0.000506 | 0 | -3.642E-10 | 0 | 0.00747 |
| 1451 | 0 | P1718 | LinStatic | 0 | -0.000506 | 0 | -3.642E-10 | 0 | 0.00747 |
| 1451 | 0.5 | P1718 | LinStatic | 0 | -0.000506 | 0 | -3.642E-10 | 0 | 0.00772 |
| 1451 | 1 | P1718 | LinStatic | 0 | -0.000506 | 0 | -3.642E-10 | 0 | 0.00798 |
| 1498 | 0 | P1718 | LinStatic | 0 | 0.0021 | 0 | -9.326E-09 | 0 | -0.02924 |
| 1498 | 0.5 | P1718 | LinStatic | 0 | 0.0021 | 0 | -9.326E-09 | 0 | -0.0303 |
| 1498 | 1 | P1718 | LinStatic | 0 | 0.0021 | 0 | -9.326E-09 | 0 | -0.03137 |
| 1499 | 0 | P1718 | LinStatic | 0 | 0.0021 | 0 | -9.326E-09 | 0 | -0.03137 |
| 1499 | 0.5 | P1718 | LinStatic | 0 | 0.0021 | 0 | -9.326E-09 | 0 | -0.03243 |
| 1499 | 1 | P1718 | LinStatic | 0 | 0.0021 | 0 | -9.326E-09 | 0 | -0.03349 |
| 1546 | 0 | P1718 | LinStatic | 0 | -0.0089 | 0 | -2.388E-07 | 0 | 0.12275 |
| 1546 | 0.5 | P1718 | LinStatic | 0 | -0.0089 | 0 | -2.388E-07 | 0 | 0.1272 |
| 1546 | 1 | P1718 | LinStatic | 0 | -0.0089 | 0 | -2.388E-07 | 0 | 0.13166 |
| 1547 | 0 | P1718 | LinStatic | 0 | -0.0089 | 0 | -2.388E-07 | 0 | 0.13166 |
| 1547 | 0.5 | P1718 | LinStatic | 0 | -0.0089 | 0 | -2.388E-07 | 0 | 0.13612 |
| 1547 | 1 | P1718 | LinStatic | 0 | -0.0089 | 0 | -2.388E-07 | 0 | 0.14058 |
| 1594 | 0 | P1718 | LinStatic | 0 | 0.0374 | 0 | -0.000006114 | 0 | -0.51525 |
| 1594 | 0.5 | P1718 | LinStatic | 0 | 0.0374 | 0 | -0.000006114 | 0 | -0.53397 |
| 1594 | 1 | P1718 | LinStatic | 0 | 0.0374 | 0 | -0.000006114 | 0 | -0.55268 |
| 1595 | 0 | P1718 | LinStatic | 0 | 0.0374 | 0 | -0.000006114 | 0 | -0.55268 |
| 1595 | 0.5 | P1718 | LinStatic | 0 | 0.0374 | 0 | -0.000006114 | 0 | -0.5714 |
| 1595 | 1 | P1718 | LinStatic | 0 | 0.0374 | 0 | -0.000006114 | 0 | -0.59012 |
| 1642 | 0 | P1718 | LinStatic | 0 | -0.1571 | 0 | -0.00016 | 0 | 2.1629 |
| 1642 | 0.5 | P1718 | LinStatic | 0 | -0.1571 | 0 | -0.00016 | 0 | 2.24146 |
| 1642 | 1 | P1718 | LinStatic | 0 | -0.1571 | 0 | -0.00016 | 0 | 2.32002 |
| 1643 | 0 | P1718 | LinStatic | 0 | -0.1571 | 0 | -0.00016 | 0 | 2.32003 |
| 1643 | 0.5 | P1718 | LinStatic | 0 | -0.1571 | 0 | -0.00016 | 0 | 2.39859 |
| 1643 | 1 | P1718 | LinStatic | 0 | -0.1571 | 0 | -0.00016 | 0 | 2.47714 |
| 1690 | 0 | P1718 | LinStatic | 0 | 0.6599 | 0 | -0.00401 | 0 | -9.07911 |
| 1690 | 0.5 | P1718 | LinStatic | 0 | 0.6599 | 0 | -0.00401 | 0 | -9.40907 |
| 1690 | 1 | P1718 | LinStatic | 0 | 0.6599 | 0 | -0.00401 | 0 | -9.73902 |
| 1691 | 0 | P1718 | LinStatic | 0 | 0.6599 | 0 | -0.00401 | 0 | -9.7387 |
| 1691 | 0.5 | P1718 | LinStatic | 0 | 0.6599 | 0 | -0.00401 | 0 | -10.06865 |
| 1691 | 1 | P1718 | LinStatic | 0 | 0.6599 | 0 | -0.00401 | 0 | -10.3986 |
| 1738 | 0 | P1718 | LinStatic | 0 | -2.7605 | 0 | -0.10264 | 0 | 38.11655 |
| 1738 | 0.5 | P1718 | LinStatic | 0 | -2.7605 | 0 | -0.10264 | 0 | 39.4968 |
| 1738 | 1 | P1718 | LinStatic | 0 | -2.7605 | 0 | -0.10264 | 0 | 40.87704 |
| 1739 | 0 | P1718 | LinStatic | 0 | -2.7605 | 0 | -0.10264 | 0 | 40.8853 |
| 1739 | 0.5 | P1718 | LinStatic | 0 | -2.7605 | 0 | -0.10264 | 0 | 42.26554 |
| 1739 | 1 | P1718 | LinStatic | 0 | -2.7605 | 0 | -0.10264 | 0 | 43.64579 |
| 1786 | 0 | P1718 | LinStatic | 0 | 11.834 | 0 | -2.62807 | 0 | -159.88091 |
| 1786 | 0.5 | P1718 | LinStatic | 0 | 11.834 | 0 | -2.62807 | 0 | -165.79788 |
| 1786 | 1 | P1718 | LinStatic | 0 | 11.834 | 0 | -2.62807 | 0 | -171.71486 |
| 1787 | 0 | P1718 | LinStatic | 0 | 11.834 | 0 | -2.62805 | 0 | -171.50353 |
| 1787 | 0.5 | P1718 | LinStatic | 0 | 11.834 | 0 | -2.62805 | 0 | -177.42051 |
| 1787 | 1 | P1718 | LinStatic | 0 | 11.834 | 0 | -2.62805 | 0 | -183.33749 |
| 1834 | 0 | P1718 | LinStatic | 0 | 14.1491 | 0 | 25.10295 | 0 | 665.75425 |

**TABLE: Element Forces - Frames**

| Frame | Station | OutputCase | CaseType | P | V2 | V3 | T | M2 | M3 |
|---|---|---|---|---|---|---|---|---|---|
| Text | m | Text | Text | Ton | Ton | Ton | Ton-m | Ton-m | Ton-m |
| 1834 | 0.5 | P1718 | LinStatic | 0 | 14.1491 | 0 | 25.10295 | 0 | 658.67972 |
| 1834 | 1 | P1718 | LinStatic | 0 | 14.1491 | 0 | 25.10295 | 0 | 651.60519 |
| 1835 | 0 | P1718 | LinStatic | 0 | 14.9831 | 0 | 27.35488 | 0 | 649.47473 |
| 1835 | 0.5 | P1718 | LinStatic | 0 | 14.9831 | 0 | 27.35488 | 0 | 641.98318 |
| 1835 | 1 | P1718 | LinStatic | 0 | 14.9831 | 0 | 27.35488 | 0 | 634.49163 |
| 1882 | 0 | P1718 | LinStatic | 0 | -28.8571 | 0 | 0.43475 | 0 | 636.0707 |
| 1882 | 0.5 | P1718 | LinStatic | 0 | -28.8571 | 0 | 0.43475 | 0 | 650.49925 |
| 1882 | 1 | P1718 | LinStatic | 0 | -28.8571 | 0 | 0.43475 | 0 | 664.92781 |
| 1883 | 0 | P1718 | LinStatic | 0 | -28.8571 | 0 | 0.43475 | 0 | 664.89285 |
| 1883 | 0.5 | P1718 | LinStatic | 0 | -28.8571 | 0 | 0.43475 | 0 | 679.3214 |
| 1883 | 1 | P1718 | LinStatic | 0 | -28.8571 | 0 | 0.43475 | 0 | 693.74996 |
| 1930 | 0 | P1718 | LinStatic | 0 | -12.2126 | 0 | 0.01698 | 0 | -192.50202 |
| 1930 | 0.5 | P1718 | LinStatic | 0 | -12.2126 | 0 | 0.01698 | 0 | -186.39575 |
| 1930 | 1 | P1718 | LinStatic | 0 | -12.2126 | 0 | 0.01698 | 0 | -180.28947 |
| 1931 | 0 | P1718 | LinStatic | 0 | -12.2126 | 0 | 0.01698 | 0 | -180.29084 |
| 1931 | 0.5 | P1718 | LinStatic | 0 | -12.2126 | 0 | 0.01698 | 0 | -174.18456 |
| 1931 | 1 | P1718 | LinStatic | 0 | -12.2126 | 0 | 0.01698 | 0 | -168.07829 |
| 1978 | 0 | P1718 | LinStatic | 0 | 2.9104 | 0 | 0.00066 | 0 | 45.83856 |
| 1978 | 0.5 | P1718 | LinStatic | 0 | 2.9104 | 0 | 0.00066 | 0 | 44.38338 |
| 1978 | 1 | P1718 | LinStatic | 0 | 2.9104 | 0 | 0.00066 | 0 | 42.9282 |
| 1979 | 0 | P1718 | LinStatic | 0 | 2.9104 | 0 | 0.00066 | 0 | 42.92814 |
| 1979 | 0.5 | P1718 | LinStatic | 0 | 2.9104 | 0 | 0.00066 | 0 | 41.47296 |
| 1979 | 1 | P1718 | LinStatic | 0 | 2.9104 | 0 | 0.00066 | 0 | 40.01777 |
| 2026 | 0 | P1718 | LinStatic | 0 | -0.6993 | 0 | 0.0000259 | 0 | -10.83703 |
| 2026 | 0.5 | P1718 | LinStatic | 0 | -0.6993 | 0 | 0.0000259 | 0 | -10.48736 |
| 2026 | 1 | P1718 | LinStatic | 0 | -0.6993 | 0 | 0.0000259 | 0 | -10.13768 |
| 2027 | 0 | P1718 | LinStatic | 0 | -0.6993 | 0 | 0.0000259 | 0 | -10.13768 |
| 2027 | 0.5 | P1718 | LinStatic | 0 | -0.6993 | 0 | 0.0000259 | 0 | -9.78801 |
| 2027 | 1 | P1718 | LinStatic | 0 | -0.6993 | 0 | 0.0000259 | 0 | -9.43834 |
| 2072 | 0 | P1718 | LinStatic | 0 | 0.1704 | 0 | 0.000001166 | 0 | 3.06766 |
| 2072 | 0.5 | P1718 | LinStatic | 0 | 0.1704 | 0 | 0.000001166 | 0 | 2.98245 |
| 2072 | 1 | P1718 | LinStatic | 0 | 0.1704 | 0 | 0.000001166 | 0 | 2.89724 |
| 2107 | 0 | P1718 | LinStatic | 0 | -5.563E-09 | 0 | 0 | 0 | 9.457E-08 |
| 2107 | 0.5 | P1718 | LinStatic | 0 | -5.563E-09 | 0 | 0 | 0 | 9.735E-08 |
| 2107 | 1 | P1718 | LinStatic | 0 | -5.563E-09 | 0 | 0 | 0 | 1.001E-07 |
| 2152 | 0 | P1718 | LinStatic | 0 | 2.283E-08 | 0 | -4.497E-20 | 0 | -3.081E-07 |
| 2152 | 0.5 | P1718 | LinStatic | 0 | 2.283E-08 | 0 | -4.497E-20 | 0 | -3.195E-07 |
| 2152 | 1 | P1718 | LinStatic | 0 | 2.283E-08 | 0 | -4.497E-20 | 0 | -3.309E-07 |
| 2153 | 0 | P1718 | LinStatic | 0 | 2.283E-08 | 0 | -4.527E-20 | 0 | -3.309E-07 |
| 2153 | 0.5 | P1718 | LinStatic | 0 | 2.283E-08 | 0 | -4.527E-20 | 0 | -3.423E-07 |
| 2153 | 1 | P1718 | LinStatic | 0 | 2.283E-08 | 0 | -4.527E-20 | 0 | -3.537E-07 |
| 2200 | 0 | P1718 | LinStatic | 0 | -0.000000095 | 0 | -1.158E-18 | 0 | 0.000001306 |
| 2200 | 0.5 | P1718 | LinStatic | 0 | -0.000000095 | 0 | -1.158E-18 | 0 | 0.000001354 |
| 2200 | 1 | P1718 | LinStatic | 0 | -0.000000095 | 0 | -1.158E-18 | 0 | 0.000001401 |
| 2201 | 0 | P1718 | LinStatic | 0 | -0.000000095 | 0 | -1.16E-18 | 0 | 0.000001401 |
| 2201 | 0.5 | P1718 | LinStatic | 0 | -0.000000095 | 0 | -1.16E-18 | 0 | 0.000001449 |
| 2201 | 1 | P1718 | LinStatic | 0 | -0.000000095 | 0 | -1.16E-18 | 0 | 0.000001496 |
| 2249 | 0 | P1718 | LinStatic | 0 | 3.637E-07 | 0 | -2.957E-17 | 0 | -0.000005048 |
| 2249 | 0.5 | P1718 | LinStatic | 0 | 3.637E-07 | 0 | -2.957E-17 | 0 | -0.00000523 |
| 2249 | 1 | P1718 | LinStatic | 0 | 3.637E-07 | 0 | -2.957E-17 | 0 | -0.000005412 |
| 2301 | 0 | P1718 | LinStatic | 0 | -0.000001497 | 0 | -8.01E-16 | 0 | 0.00002256 |
| 2301 | 0.5 | P1718 | LinStatic | 0 | -0.000001497 | 0 | -8.01E-16 | 0 | 0.00002331 |
| 2301 | 1 | P1718 | LinStatic | 0 | -0.000001497 | 0 | -8.01E-16 | 0 | 0.00002406 |
| 2350 | 0 | P1718 | LinStatic | 0 | 0.000006798 | 0 | -2.17E-14 | 0 | -0.00009486 |
| 2350 | 0.5 | P1718 | LinStatic | 0 | 0.000006798 | 0 | -2.17E-14 | 0 | -0.00009826 |
| 2350 | 1 | P1718 | LinStatic | 0 | 0.000006798 | 0 | -2.17E-14 | 0 | -0.0001 |
| 2351 | 0 | P1718 | LinStatic | 0 | 0.000006798 | 0 | -2.17E-14 | 0 | -0.0001 |
| 2351 | 0.5 | P1718 | LinStatic | 0 | 0.000006798 | 0 | -2.17E-14 | 0 | -0.00011 |
| 2351 | 1 | P1718 | LinStatic | 0 | 0.000006798 | 0 | -2.17E-14 | 0 | -0.00011 |
| 2398 | 0 | P1718 | LinStatic | 0 | -0.00002871 | 0 | -5.556E-13 | 0 | 0.0004 |
| 2398 | 0.5 | P1718 | LinStatic | 0 | -0.00002871 | 0 | -5.556E-13 | 0 | 0.00041 |
| 2398 | 1 | P1718 | LinStatic | 0 | -0.00002871 | 0 | -5.556E-13 | 0 | 0.00042 |
| 2399 | 0 | P1718 | LinStatic | 0 | -0.00002871 | 0 | -5.556E-13 | 0 | 0.00042 |
| 2399 | 0.5 | P1718 | LinStatic | 0 | -0.00002871 | 0 | -5.556E-13 | 0 | 0.00044 |
| 2399 | 1 | P1718 | LinStatic | 0 | -0.00002871 | 0 | -5.556E-13 | 0 | 0.00045 |
| 2446 | 0 | P1718 | LinStatic | 0 | 0.0001205 | 0 | -1.423E-11 | 0 | -0.00166 |
| 2446 | 0.5 | P1718 | LinStatic | 0 | 0.0001205 | 0 | -1.423E-11 | 0 | -0.00172 |
| 2446 | 1 | P1718 | LinStatic | 0 | 0.0001205 | 0 | -1.423E-11 | 0 | -0.00178 |
| 2447 | 0 | P1718 | LinStatic | 0 | 0.0001205 | 0 | -1.423E-11 | 0 | -0.00178 |
| 2447 | 0.5 | P1718 | LinStatic | 0 | 0.0001205 | 0 | -1.423E-11 | 0 | -0.00184 |
| 2447 | 1 | P1718 | LinStatic | 0 | 0.0001205 | 0 | -1.423E-11 | 0 | -0.0019 |
| 2494 | 0 | P1718 | LinStatic | 0 | -0.000506 | 0 | -3.642E-10 | 0 | 0.00697 |
| 2494 | 0.5 | P1718 | LinStatic | 0 | -0.000506 | 0 | -3.642E-10 | 0 | 0.00722 |
| 2494 | 1 | P1718 | LinStatic | 0 | -0.000506 | 0 | -3.642E-10 | 0 | 0.00747 |
| 2495 | 0 | P1718 | LinStatic | 0 | -0.000506 | 0 | -3.642E-10 | 0 | 0.00747 |
| 2495 | 0.5 | P1718 | LinStatic | 0 | -0.000506 | 0 | -3.642E-10 | 0 | 0.00772 |
| 2495 | 1 | P1718 | LinStatic | 0 | -0.000506 | 0 | -3.642E-10 | 0 | 0.00798 |
| 2542 | 0 | P1718 | LinStatic | 0 | 0.0021 | 0 | -9.326E-09 | 0 | -0.02924 |
| 2542 | 0.5 | P1718 | LinStatic | 0 | 0.0021 | 0 | -9.326E-09 | 0 | -0.0303 |
| 2542 | 1 | P1718 | LinStatic | 0 | 0.0021 | 0 | -9.326E-09 | 0 | -0.03137 |
| 2543 | 0 | P1718 | LinStatic | 0 | 0.0021 | 0 | -9.326E-09 | 0 | -0.03137 |
| 2543 | 0.5 | P1718 | LinStatic | 0 | 0.0021 | 0 | -9.326E-09 | 0 | -0.03243 |
| 2543 | 1 | P1718 | LinStatic | 0 | 0.0021 | 0 | -9.326E-09 | 0 | -0.03349 |

**TABLE: Element Forces - Frames**

| Frame | Station | OutputCase | CaseType | P | V2 | V3 | T | M2 | M3 |
|---|---|---|---|---|---|---|---|---|---|
| Text | m | Text | Text | Ton | Ton | Ton | Ton-m | Ton-m | Ton-m |
| 2590 | 0 | P1718 | LinStatic | 0 | -0.0089 | 0 | -2.388E-07 | 0 | 0.12275 |
| 2590 | 0.5 | P1718 | LinStatic | 0 | -0.0089 | 0 | -2.388E-07 | 0 | 0.1272 |
| 2590 | 1 | P1718 | LinStatic | 0 | -0.0089 | 0 | -2.388E-07 | 0 | 0.13166 |
| 2591 | 0 | P1718 | LinStatic | 0 | -0.0089 | 0 | -2.388E-07 | 0 | 0.13166 |
| 2591 | 0.5 | P1718 | LinStatic | 0 | -0.0089 | 0 | -2.388E-07 | 0 | 0.13612 |
| 2591 | 1 | P1718 | LinStatic | 0 | -0.0089 | 0 | -2.388E-07 | 0 | 0.14058 |
| 2638 | 0 | P1718 | LinStatic | 0 | 0.0374 | 0 | -0.000006114 | 0 | -0.51525 |
| 2638 | 0.5 | P1718 | LinStatic | 0 | 0.0374 | 0 | -0.000006114 | 0 | -0.53397 |
| 2638 | 1 | P1718 | LinStatic | 0 | 0.0374 | 0 | -0.000006114 | 0 | -0.55268 |
| 2639 | 0 | P1718 | LinStatic | 0 | 0.0374 | 0 | -0.000006114 | 0 | -0.55268 |
| 2639 | 0.5 | P1718 | LinStatic | 0 | 0.0374 | 0 | -0.000006114 | 0 | -0.5714 |
| 2639 | 1 | P1718 | LinStatic | 0 | 0.0374 | 0 | -0.000006114 | 0 | -0.59011 |
| 2686 | 0 | P1718 | LinStatic | 0 | -0.1571 | 0 | -0.00016 | 0 | 2.16289 |
| 2686 | 0.5 | P1718 | LinStatic | 0 | -0.1571 | 0 | -0.00016 | 0 | 2.24146 |
| 2686 | 1 | P1718 | LinStatic | 0 | -0.1571 | 0 | -0.00016 | 0 | 2.32003 |
| 2687 | 0 | P1718 | LinStatic | 0 | -0.1571 | 0 | -0.00016 | 0 | 2.32002 |
| 2687 | 0.5 | P1718 | LinStatic | 0 | -0.1571 | 0 | -0.00016 | 0 | 2.39859 |
| 2687 | 1 | P1718 | LinStatic | 0 | -0.1571 | 0 | -0.00016 | 0 | 2.47716 |
| 2734 | 0 | P1718 | LinStatic | 0 | 0.6593 | 0 | -0.00401 | 0 | -9.07944 |
| 2734 | 0.5 | P1718 | LinStatic | 0 | 0.6593 | 0 | -0.00401 | 0 | -9.40906 |
| 2734 | 1 | P1718 | LinStatic | 0 | 0.6593 | 0 | -0.00401 | 0 | -9.73869 |
| 2735 | 0 | P1718 | LinStatic | 0 | 0.6593 | 0 | -0.00401 | 0 | -9.73902 |
| 2735 | 0.5 | P1718 | LinStatic | 0 | 0.6593 | 0 | -0.00401 | 0 | -10.06865 |
| 2735 | 1 | P1718 | LinStatic | 0 | 0.6593 | 0 | -0.00401 | 0 | -10.39827 |
| 2782 | 0 | P1718 | LinStatic | 0 | -2.777 | 0 | -0.10264 | 0 | 38.10834 |
| 2782 | 0.5 | P1718 | LinStatic | 0 | -2.777 | 0 | -0.10264 | 0 | 39.49684 |
| 2782 | 1 | P1718 | LinStatic | 0 | -2.777 | 0 | -0.10264 | 0 | 40.88535 |
| 2783 | 0 | P1718 | LinStatic | 0 | -2.777 | 0 | -0.10264 | 0 | 40.87709 |
| 2783 | 0.5 | P1718 | LinStatic | 0 | -2.777 | 0 | -0.10264 | 0 | 42.2656 |
| 2783 | 1 | P1718 | LinStatic | 0 | -2.777 | 0 | -0.10264 | 0 | 43.6541 |
| 2830 | 0 | P1718 | LinStatic | 0 | 11.411 | 0 | -2.62807 | 0 | -160.09146 |
| 2830 | 0.5 | P1718 | LinStatic | 0 | 11.411 | 0 | -2.62807 | 0 | -165.79698 |
| 2830 | 1 | P1718 | LinStatic | 0 | 11.411 | 0 | -2.62807 | 0 | -171.5025 |
| 2831 | 0 | P1718 | LinStatic | 0 | 11.411 | 0 | -2.62805 | 0 | -171.71383 |
| 2831 | 0.5 | P1718 | LinStatic | 0 | 11.411 | 0 | -2.62805 | 0 | -177.41934 |
| 2831 | 1 | P1718 | LinStatic | 0 | 11.411 | 0 | -2.62805 | 0 | -183.12486 |
| 2878 | 0 | P1718 | LinStatic | 0 | 25.5914 | 0 | 25.10295 | 0 | 681.71718 |
| 2878 | 0.5 | P1718 | LinStatic | 0 | 25.5914 | 0 | 25.10295 | 0 | 668.92146 |
| 2878 | 1 | P1718 | LinStatic | 0 | 25.5914 | 0 | 25.10295 | 0 | 656.12574 |
| 2879 | 0 | P1718 | LinStatic | 0 | 24.7574 | 0 | 27.35488 | 0 | 658.2562 |
| 2879 | 0.5 | P1718 | LinStatic | 0 | 24.7574 | 0 | 27.35488 | 0 | 645.8775 |
| 2879 | 1 | P1718 | LinStatic | 0 | 24.7574 | 0 | 27.35488 | 0 | 633.4988 |
| 2926 | 0 | P1718 | LinStatic | 0 | -28.7871 | 0 | 0.43475 | 0 | 636.10592 |
| 2926 | 0.5 | P1718 | LinStatic | 0 | -28.7871 | 0 | 0.43475 | 0 | 650.49949 |
| 2926 | 1 | P1718 | LinStatic | 0 | -28.7871 | 0 | 0.43475 | 0 | 664.89306 |
| 2927 | 0 | P1718 | LinStatic | 0 | -28.7871 | 0 | 0.43475 | 0 | 664.92801 |
| 2927 | 0.5 | P1718 | LinStatic | 0 | -28.7871 | 0 | 0.43475 | 0 | 679.32158 |
| 2927 | 1 | P1718 | LinStatic | 0 | -28.7871 | 0 | 0.43475 | 0 | 693.71515 |
| 2974 | 0 | P1718 | LinStatic | 0 | -12.2098 | 0 | 0.01698 | 0 | -192.50065 |
| 2974 | 0.5 | P1718 | LinStatic | 0 | -12.2098 | 0 | 0.01698 | 0 | -186.39574 |
| 2974 | 1 | P1718 | LinStatic | 0 | -12.2098 | 0 | 0.01698 | 0 | -180.29083 |
| 2975 | 0 | P1718 | LinStatic | 0 | -12.2098 | 0 | 0.01698 | 0 | -180.28946 |
| 2975 | 0.5 | P1718 | LinStatic | 0 | -12.2098 | 0 | 0.01698 | 0 | -174.18455 |
| 2975 | 1 | P1718 | LinStatic | 0 | -12.2098 | 0 | 0.01698 | 0 | -168.07964 |
| 3022 | 0 | P1718 | LinStatic | 0 | 2.9105 | 0 | 0.00066 | 0 | 45.83862 |
| 3022 | 0.5 | P1718 | LinStatic | 0 | 2.9105 | 0 | 0.00066 | 0 | 44.38338 |
| 3022 | 1 | P1718 | LinStatic | 0 | 2.9105 | 0 | 0.00066 | 0 | 42.92814 |
| 3023 | 0 | P1718 | LinStatic | 0 | 2.9105 | 0 | 0.00066 | 0 | 42.9282 |
| 3023 | 0.5 | P1718 | LinStatic | 0 | 2.9105 | 0 | 0.00066 | 0 | 41.47296 |
| 3023 | 1 | P1718 | LinStatic | 0 | 2.9105 | 0 | 0.00066 | 0 | 40.01772 |
| 3070 | 0 | P1718 | LinStatic | 0 | -0.6993 | 0 | 0.0000259 | 0 | -10.83703 |
| 3070 | 0.5 | P1718 | LinStatic | 0 | -0.6993 | 0 | 0.0000259 | 0 | -10.48736 |
| 3070 | 1 | P1718 | LinStatic | 0 | -0.6993 | 0 | 0.0000259 | 0 | -10.13768 |
| 3071 | 0 | P1718 | LinStatic | 0 | -0.6993 | 0 | 0.0000259 | 0 | -10.13768 |
| 3071 | 0.5 | P1718 | LinStatic | 0 | -0.6993 | 0 | 0.0000259 | 0 | -9.78801 |
| 3071 | 1 | P1718 | LinStatic | 0 | -0.6993 | 0 | 0.0000259 | 0 | -9.43834 |
| 3116 | 0 | P1718 | LinStatic | 0 | 0.1704 | 0 | 0.000001166 | 0 | 3.06766 |
| 3116 | 0.5 | P1718 | LinStatic | 0 | 0.1704 | 0 | 0.000001166 | 0 | 2.98245 |
| 3116 | 1 | P1718 | LinStatic | 0 | 0.1704 | 0 | 0.000001166 | 0 | 2.89724 |
| 1063 | 0 | P2021 | LinStatic | 0 | 7.538E-11 | 0 | 0 | 0 | -1.281E-09 |
| 1063 | 0.5 | P2021 | LinStatic | 0 | 7.538E-11 | 0 | 0 | 0 | -1.319E-09 |
| 1063 | 1 | P2021 | LinStatic | 0 | 7.538E-11 | 0 | 0 | 0 | -1.357E-09 |
| 1108 | 0 | P2021 | LinStatic | 0 | -3.093E-10 | 0 | 0 | 0 | 4.175E-09 |
| 1108 | 0.5 | P2021 | LinStatic | 0 | -3.093E-10 | 0 | 0 | 0 | 4.329E-09 |
| 1108 | 1 | P2021 | LinStatic | 0 | -3.093E-10 | 0 | 0 | 0 | 4.484E-09 |
| 1109 | 0 | P2021 | LinStatic | 0 | -3.093E-10 | 0 | 0 | 0 | 4.484E-09 |
| 1109 | 0.5 | P2021 | LinStatic | 0 | -3.093E-10 | 0 | 0 | 0 | 4.638E-09 |
| 1109 | 1 | P2021 | LinStatic | 0 | -3.093E-10 | 0 | 0 | 0 | 4.793E-09 |
| 1156 | 0 | P2021 | LinStatic | 0 | 1.287E-09 | 0 | 0 | 0 | -1.77E-08 |
| 1156 | 0.5 | P2021 | LinStatic | 0 | 1.287E-09 | 0 | 0 | 0 | -1.834E-08 |
| 1156 | 1 | P2021 | LinStatic | 0 | 1.287E-09 | 0 | 0 | 0 | -1.899E-08 |
| 1157 | 0 | P2021 | LinStatic | 0 | 1.287E-09 | 0 | 0 | 0 | -1.899E-08 |
| 1157 | 0.5 | P2021 | LinStatic | 0 | 1.287E-09 | 0 | 0 | 0 | -1.963E-08 |

**TABLE: Element Forces - Frames**

| Frame | Station | OutputCase | CaseType | P | V2 | V3 | T | M2 | M3 |
|---|---|---|---|---|---|---|---|---|---|
| Text | m | Text | Text | Ton | Ton | Ton | Ton-m | Ton-m | Ton-m |
| 1157 | 1 | P2021 | LinStatic | 0 | 1.287E-09 | 0 | 0 | 0 | -2.027E-08 |
| 1205 | 0 | P2021 | LinStatic | 0 | -4.928E-09 | 0 | 0 | 0 | 6.84E-08 |
| 1205 | 0.5 | P2021 | LinStatic | 0 | -4.928E-09 | 0 | 0 | 0 | 7.087E-08 |
| 1205 | 1 | P2021 | LinStatic | 0 | -4.928E-09 | 0 | 0 | 0 | 7.333E-08 |
| 1257 | 0 | P2021 | LinStatic | 0 | 2.029E-08 | 0 | -4.861E-20 | 0 | -3.057E-07 |
| 1257 | 0.5 | P2021 | LinStatic | 0 | 2.029E-08 | 0 | -4.861E-20 | 0 | -3.158E-07 |
| 1257 | 1 | P2021 | LinStatic | 0 | 2.029E-08 | 0 | -4.861E-20 | 0 | -0.000000326 |
| 1306 | 0 | P2021 | LinStatic | 0 | -9.211E-08 | 0 | -1.288E-18 | 0 | 0.000001285 |
| 1306 | 0.5 | P2021 | LinStatic | 0 | -9.211E-08 | 0 | -1.288E-18 | 0 | 0.000001331 |
| 1306 | 1 | P2021 | LinStatic | 0 | -9.211E-08 | 0 | -1.288E-18 | 0 | 0.000001378 |
| 1307 | 0 | P2021 | LinStatic | 0 | -9.211E-08 | 0 | -1.289E-18 | 0 | 0.000001378 |
| 1307 | 0.5 | P2021 | LinStatic | 0 | -9.211E-08 | 0 | -1.289E-18 | 0 | 0.000001424 |
| 1307 | 1 | P2021 | LinStatic | 0 | -9.211E-08 | 0 | -1.289E-18 | 0 | 0.00000147 |
| 1354 | 0 | P2021 | LinStatic | 0 | 0.000000389 | 0 | -3.308E-17 | 0 | -0.000005359 |
| 1354 | 0.5 | P2021 | LinStatic | 0 | 0.000000389 | 0 | -3.308E-17 | 0 | -0.000005553 |
| 1354 | 1 | P2021 | LinStatic | 0 | 0.000000389 | 0 | -3.308E-17 | 0 | -0.000005748 |
| 1355 | 0 | P2021 | LinStatic | 0 | 0.000000389 | 0 | -3.31E-17 | 0 | -0.000005748 |
| 1355 | 0.5 | P2021 | LinStatic | 0 | 0.000000389 | 0 | -3.31E-17 | 0 | -0.000005942 |
| 1355 | 1 | P2021 | LinStatic | 0 | 0.000000389 | 0 | -3.31E-17 | 0 | -0.000006137 |
| 1402 | 0 | P2021 | LinStatic | 0 | -0.000001633 | 0 | -8.474E-16 | 0 | 0.00002249 |
| 1402 | 0.5 | P2021 | LinStatic | 0 | -0.000001633 | 0 | -8.474E-16 | 0 | 0.0000233 |
| 1402 | 1 | P2021 | LinStatic | 0 | -0.000001633 | 0 | -8.474E-16 | 0 | 0.00002412 |
| 1403 | 0 | P2021 | LinStatic | 0 | -0.000001633 | 0 | -8.475E-16 | 0 | 0.00002412 |
| 1403 | 0.5 | P2021 | LinStatic | 0 | -0.000001633 | 0 | -8.475E-16 | 0 | 0.00002494 |
| 1403 | 1 | P2021 | LinStatic | 0 | -0.000001633 | 0 | -8.475E-16 | 0 | 0.00002575 |
| 1450 | 0 | P2021 | LinStatic | 0 | 0.000006857 | 0 | -2.17E-14 | 0 | -0.00009439 |
| 1450 | 0.5 | P2021 | LinStatic | 0 | 0.000006857 | 0 | -2.17E-14 | 0 | -0.00009782 |
| 1450 | 1 | P2021 | LinStatic | 0 | 0.000006857 | 0 | -2.17E-14 | 0 | -0.0001 |
| 1451 | 0 | P2021 | LinStatic | 0 | 0.000006857 | 0 | -2.17E-14 | 0 | -0.0001 |
| 1451 | 0.5 | P2021 | LinStatic | 0 | 0.000006857 | 0 | -2.17E-14 | 0 | -0.0001 |
| 1451 | 1 | P2021 | LinStatic | 0 | 0.000006857 | 0 | -2.17E-14 | 0 | -0.00011 |
| 1498 | 0 | P2021 | LinStatic | 0 | -0.00002878 | 0 | -5.556E-13 | 0 | 0.0004 |
| 1498 | 0.5 | P2021 | LinStatic | 0 | -0.00002878 | 0 | -5.556E-13 | 0 | 0.00041 |
| 1498 | 1 | P2021 | LinStatic | 0 | -0.00002878 | 0 | -5.556E-13 | 0 | 0.00043 |
| 1499 | 0 | P2021 | LinStatic | 0 | -0.00002878 | 0 | -5.556E-13 | 0 | 0.00043 |
| 1499 | 0.5 | P2021 | LinStatic | 0 | -0.00002878 | 0 | -5.556E-13 | 0 | 0.00044 |
| 1499 | 1 | P2021 | LinStatic | 0 | -0.00002878 | 0 | -5.556E-13 | 0 | 0.00045 |
| 1546 | 0 | P2021 | LinStatic | 0 | 0.0001208 | 0 | -1.423E-11 | 0 | -0.00166 |
| 1546 | 0.5 | P2021 | LinStatic | 0 | 0.0001208 | 0 | -1.423E-11 | 0 | -0.00172 |
| 1546 | 1 | P2021 | LinStatic | 0 | 0.0001208 | 0 | -1.423E-11 | 0 | -0.00178 |
| 1547 | 0 | P2021 | LinStatic | 0 | 0.0001208 | 0 | -1.423E-11 | 0 | -0.00178 |
| 1547 | 0.5 | P2021 | LinStatic | 0 | 0.0001208 | 0 | -1.423E-11 | 0 | -0.00184 |
| 1547 | 1 | P2021 | LinStatic | 0 | 0.0001208 | 0 | -1.423E-11 | 0 | -0.0019 |
| 1594 | 0 | P2021 | LinStatic | 0 | -0.0005072 | 0 | -3.642E-10 | 0 | 0.00698 |
| 1594 | 0.5 | P2021 | LinStatic | 0 | -0.0005072 | 0 | -3.642E-10 | 0 | 0.00724 |
| 1594 | 1 | P2021 | LinStatic | 0 | -0.0005072 | 0 | -3.642E-10 | 0 | 0.00749 |
| 1595 | 0 | P2021 | LinStatic | 0 | -0.0005072 | 0 | -3.642E-10 | 0 | 0.00749 |
| 1595 | 0.5 | P2021 | LinStatic | 0 | -0.0005072 | 0 | -3.642E-10 | 0 | 0.00774 |
| 1595 | 1 | P2021 | LinStatic | 0 | -0.0005072 | 0 | -3.642E-10 | 0 | 0.008 |
| 1642 | 0 | P2021 | LinStatic | 0 | 0.0021 | 0 | -9.326E-09 | 0 | -0.02931 |
| 1642 | 0.5 | P2021 | LinStatic | 0 | 0.0021 | 0 | -9.326E-09 | 0 | -0.03037 |
| 1642 | 1 | P2021 | LinStatic | 0 | 0.0021 | 0 | -9.326E-09 | 0 | -0.03144 |
| 1643 | 0 | P2021 | LinStatic | 0 | 0.0021 | 0 | -9.326E-09 | 0 | -0.03144 |
| 1643 | 0.5 | P2021 | LinStatic | 0 | 0.0021 | 0 | -9.326E-09 | 0 | -0.0325 |
| 1643 | 1 | P2021 | LinStatic | 0 | 0.0021 | 0 | -9.326E-09 | 0 | -0.03357 |
| 1690 | 0 | P2021 | LinStatic | 0 | -0.0089 | 0 | -2.388E-07 | 0 | 0.12303 |
| 1690 | 0.5 | P2021 | LinStatic | 0 | -0.0089 | 0 | -2.388E-07 | 0 | 0.1275 |
| 1690 | 1 | P2021 | LinStatic | 0 | -0.0089 | 0 | -2.388E-07 | 0 | 0.13197 |
| 1691 | 0 | P2021 | LinStatic | 0 | -0.0089 | 0 | -2.388E-07 | 0 | 0.13197 |
| 1691 | 0.5 | P2021 | LinStatic | 0 | -0.0089 | 0 | -2.388E-07 | 0 | 0.13643 |
| 1691 | 1 | P2021 | LinStatic | 0 | -0.0089 | 0 | -2.388E-07 | 0 | 0.1409 |
| 1738 | 0 | P2021 | LinStatic | 0 | 0.0375 | 0 | -0.000006114 | 0 | -0.51644 |
| 1738 | 0.5 | P2021 | LinStatic | 0 | 0.0375 | 0 | -0.000006114 | 0 | -0.5352 |
| 1738 | 1 | P2021 | LinStatic | 0 | 0.0375 | 0 | -0.000006114 | 0 | -0.55396 |
| 1739 | 0 | P2021 | LinStatic | 0 | 0.0375 | 0 | -0.000006114 | 0 | -0.55396 |
| 1739 | 0.5 | P2021 | LinStatic | 0 | 0.0375 | 0 | -0.000006114 | 0 | -0.57272 |
| 1739 | 1 | P2021 | LinStatic | 0 | 0.0375 | 0 | -0.000006114 | 0 | -0.59147 |
| 1786 | 0 | P2021 | LinStatic | 0 | -0.1575 | 0 | -0.00016 | 0 | 2.16788 |
| 1786 | 0.5 | P2021 | LinStatic | 0 | -0.1575 | 0 | -0.00016 | 0 | 2.24662 |
| 1786 | 1 | P2021 | LinStatic | 0 | -0.1575 | 0 | -0.00016 | 0 | 2.32536 |
| 1787 | 0 | P2021 | LinStatic | 0 | -0.1575 | 0 | -0.00016 | 0 | 2.32537 |
| 1787 | 0.5 | P2021 | LinStatic | 0 | -0.1575 | 0 | -0.00016 | 0 | 2.40411 |
| 1787 | 1 | P2021 | LinStatic | 0 | -0.1575 | 0 | -0.00016 | 0 | 2.48285 |
| 1834 | 0 | P2021 | LinStatic | 0 | 0.6614 | 0 | -0.00401 | 0 | -9.10002 |
| 1834 | 0.5 | P2021 | LinStatic | 0 | 0.6614 | 0 | -0.00401 | 0 | -9.43073 |
| 1834 | 1 | P2021 | LinStatic | 0 | 0.6614 | 0 | -0.00401 | 0 | -9.76144 |
| 1835 | 0 | P2021 | LinStatic | 0 | 0.6614 | 0 | -0.00401 | 0 | -9.76112 |
| 1835 | 0.5 | P2021 | LinStatic | 0 | 0.6614 | 0 | -0.00401 | 0 | -10.09183 |
| 1835 | 1 | P2021 | LinStatic | 0 | 0.6614 | 0 | -0.00401 | 0 | -10.42254 |
| 1882 | 0 | P2021 | LinStatic | 0 | -2.7669 | 0 | -0.10264 | 0 | 38.20431 |
| 1882 | 0.5 | P2021 | LinStatic | 0 | -2.7669 | 0 | -0.10264 | 0 | 39.58775 |
| 1882 | 1 | P2021 | LinStatic | 0 | -2.7669 | 0 | -0.10264 | 0 | 40.97118 |
| 1883 | 0 | P2021 | LinStatic | 0 | -2.7669 | 0 | -0.10264 | 0 | 40.97943 |

**TABLE: Element Forces - Frames**

| Frame | Station | OutputCase | CaseType | P | V2 | V3 | T | M2 | M3 |
|---|---|---|---|---|---|---|---|---|---|
| Text | m | Text | Text | Ton | Ton | Ton | Ton-m | Ton-m | Ton-m |
| 1883 | 0.5 | P2021 | LinStatic | 0 | -2.7669 | 0 | -0.10264 | 0 | 42.36287 |
| 1883 | 1 | P2021 | LinStatic | 0 | -2.7669 | 0 | -0.10264 | 0 | 43.7463 |
| 1930 | 0 | P2021 | LinStatic | 0 | 11.8607 | 0 | -2.62807 | 0 | -160.2493 |
| 1930 | 0.5 | P2021 | LinStatic | 0 | 11.8607 | 0 | -2.62807 | 0 | -166.17965 |
| 1930 | 1 | P2021 | LinStatic | 0 | 11.8607 | 0 | -2.62807 | 0 | -172.11001 |
| 1931 | 0 | P2021 | LinStatic | 0 | 11.8607 | 0 | -2.62805 | 0 | -171.89868 |
| 1931 | 0.5 | P2021 | LinStatic | 0 | 11.8607 | 0 | -2.62805 | 0 | -177.82904 |
| 1931 | 1 | P2021 | LinStatic | 0 | 11.8607 | 0 | -2.62805 | 0 | -183.7594 |
| 1978 | 0 | P2021 | LinStatic | 0 | 14.0367 | 0 | 25.10296 | 0 | 667.30066 |
| 1978 | 0.5 | P2021 | LinStatic | 0 | 14.0367 | 0 | 25.10296 | 0 | 660.2823 |
| 1978 | 1 | P2021 | LinStatic | 0 | 14.0367 | 0 | 25.10296 | 0 | 653.26395 |
| 1979 | 0 | P2021 | LinStatic | 0 | 14.8708 | 0 | 27.35488 | 0 | 651.13349 |
| 1979 | 0.5 | P2021 | LinStatic | 0 | 14.8708 | 0 | 27.35488 | 0 | 643.69811 |
| 1979 | 1 | P2021 | LinStatic | 0 | 14.8708 | 0 | 27.35488 | 0 | 636.26273 |
| 2026 | 0 | P2021 | LinStatic | 0 | -28.3855 | 0 | 0.43485 | 0 | 629.57926 |
| 2026 | 0.5 | P2021 | LinStatic | 0 | -28.3855 | 0 | 0.43485 | 0 | 643.77203 |
| 2026 | 1 | P2021 | LinStatic | 0 | -28.3855 | 0 | 0.43485 | 0 | 657.96479 |
| 2027 | 0 | P2021 | LinStatic | 0 | -28.3855 | 0 | 0.43485 | 0 | 657.92983 |
| 2027 | 0.5 | P2021 | LinStatic | 0 | -28.3855 | 0 | 0.43485 | 0 | 672.12259 |
| 2027 | 1 | P2021 | LinStatic | 0 | -28.3855 | 0 | 0.43485 | 0 | 686.31536 |
| 2072 | 0 | P2021 | LinStatic | 0 | -12.6077 | 0 | 0.01958 | 0 | -226.91144 |
| 2072 | 0.5 | P2021 | LinStatic | 0 | -12.6077 | 0 | 0.01958 | 0 | -220.60759 |
| 2072 | 1 | P2021 | LinStatic | 0 | -12.6077 | 0 | 0.01958 | 0 | -214.30373 |
| 2107 | 0 | P2021 | LinStatic | 0 | 7.538E-11 | 0 | 0 | 0 | -1.281E-09 |
| 2107 | 0.5 | P2021 | LinStatic | 0 | 7.538E-11 | 0 | 0 | 0 | -1.319E-09 |
| 2107 | 1 | P2021 | LinStatic | 0 | 7.538E-11 | 0 | 0 | 0 | -1.357E-09 |
| 2152 | 0 | P2021 | LinStatic | 0 | -3.093E-10 | 0 | 0 | 0 | 4.175E-09 |
| 2152 | 0.5 | P2021 | LinStatic | 0 | -3.093E-10 | 0 | 0 | 0 | 4.329E-09 |
| 2152 | 1 | P2021 | LinStatic | 0 | -3.093E-10 | 0 | 0 | 0 | 4.484E-09 |
| 2153 | 0 | P2021 | LinStatic | 0 | -3.093E-10 | 0 | 0 | 0 | 4.484E-09 |
| 2153 | 0.5 | P2021 | LinStatic | 0 | -3.093E-10 | 0 | 0 | 0 | 4.638E-09 |
| 2153 | 1 | P2021 | LinStatic | 0 | -3.093E-10 | 0 | 0 | 0 | 4.793E-09 |
| 2200 | 0 | P2021 | LinStatic | 0 | 1.287E-09 | 0 | 0 | 0 | -1.77E-08 |
| 2200 | 0.5 | P2021 | LinStatic | 0 | 1.287E-09 | 0 | 0 | 0 | -1.834E-08 |
| 2200 | 1 | P2021 | LinStatic | 0 | 1.287E-09 | 0 | 0 | 0 | -1.899E-08 |
| 2201 | 0 | P2021 | LinStatic | 0 | 1.287E-09 | 0 | 0 | 0 | -1.899E-08 |
| 2201 | 0.5 | P2021 | LinStatic | 0 | 1.287E-09 | 0 | 0 | 0 | -1.963E-08 |
| 2201 | 1 | P2021 | LinStatic | 0 | 1.287E-09 | 0 | 0 | 0 | -2.027E-08 |
| 2249 | 0 | P2021 | LinStatic | 0 | -4.928E-09 | 0 | 0 | 0 | 6.84E-08 |
| 2249 | 0.5 | P2021 | LinStatic | 0 | -4.928E-09 | 0 | 0 | 0 | 7.087E-08 |
| 2249 | 1 | P2021 | LinStatic | 0 | -4.928E-09 | 0 | 0 | 0 | 7.333E-08 |
| 2301 | 0 | P2021 | LinStatic | 0 | 2.029E-08 | 0 | -4.897E-20 | 0 | -3.057E-07 |
| 2301 | 0.5 | P2021 | LinStatic | 0 | 2.029E-08 | 0 | -4.897E-20 | 0 | -3.158E-07 |
| 2301 | 1 | P2021 | LinStatic | 0 | 2.029E-08 | 0 | -4.897E-20 | 0 | -0.000000326 |
| 2350 | 0 | P2021 | LinStatic | 0 | -9.211E-08 | 0 | -1.288E-18 | 0 | 0.000001285 |
| 2350 | 0.5 | P2021 | LinStatic | 0 | -9.211E-08 | 0 | -1.288E-18 | 0 | 0.000001331 |
| 2350 | 1 | P2021 | LinStatic | 0 | -9.211E-08 | 0 | -1.288E-18 | 0 | 0.000001378 |
| 2351 | 0 | P2021 | LinStatic | 0 | -9.211E-08 | 0 | -1.289E-18 | 0 | 0.000001378 |
| 2351 | 0.5 | P2021 | LinStatic | 0 | -9.211E-08 | 0 | -1.289E-18 | 0 | 0.000001424 |
| 2351 | 1 | P2021 | LinStatic | 0 | -9.211E-08 | 0 | -1.289E-18 | 0 | 0.00000147 |
| 2398 | 0 | P2021 | LinStatic | 0 | 0.000000389 | 0 | -3.309E-17 | 0 | -0.000005359 |
| 2398 | 0.5 | P2021 | LinStatic | 0 | 0.000000389 | 0 | -3.309E-17 | 0 | -0.000005553 |
| 2398 | 1 | P2021 | LinStatic | 0 | 0.000000389 | 0 | -3.309E-17 | 0 | -0.000005748 |
| 2399 | 0 | P2021 | LinStatic | 0 | 0.000000389 | 0 | -3.31E-17 | 0 | -0.000005748 |
| 2399 | 0.5 | P2021 | LinStatic | 0 | 0.000000389 | 0 | -3.31E-17 | 0 | -0.000005942 |
| 2399 | 1 | P2021 | LinStatic | 0 | 0.000000389 | 0 | -3.31E-17 | 0 | -0.000006137 |
| 2446 | 0 | P2021 | LinStatic | 0 | -0.000001633 | 0 | -8.474E-16 | 0 | 0.00002249 |
| 2446 | 0.5 | P2021 | LinStatic | 0 | -0.000001633 | 0 | -8.474E-16 | 0 | 0.0000233 |
| 2446 | 1 | P2021 | LinStatic | 0 | -0.000001633 | 0 | -8.474E-16 | 0 | 0.00002412 |
| 2447 | 0 | P2021 | LinStatic | 0 | -0.000001633 | 0 | -8.474E-16 | 0 | 0.00002412 |
| 2447 | 0.5 | P2021 | LinStatic | 0 | -0.000001633 | 0 | -8.474E-16 | 0 | 0.00002494 |
| 2447 | 1 | P2021 | LinStatic | 0 | -0.000001633 | 0 | -8.474E-16 | 0 | 0.00002575 |
| 2494 | 0 | P2021 | LinStatic | 0 | 0.000006857 | 0 | -2.17E-14 | 0 | -0.00009439 |
| 2494 | 0.5 | P2021 | LinStatic | 0 | 0.000006857 | 0 | -2.17E-14 | 0 | -0.00009782 |
| 2494 | 1 | P2021 | LinStatic | 0 | 0.000006857 | 0 | -2.17E-14 | 0 | -0.0001 |
| 2495 | 0 | P2021 | LinStatic | 0 | 0.000006857 | 0 | -2.17E-14 | 0 | -0.0001 |
| 2495 | 0.5 | P2021 | LinStatic | 0 | 0.000006857 | 0 | -2.17E-14 | 0 | -0.0001 |
| 2495 | 1 | P2021 | LinStatic | 0 | 0.000006857 | 0 | -2.17E-14 | 0 | -0.00011 |
| 2542 | 0 | P2021 | LinStatic | 0 | -0.00002878 | 0 | -5.556E-13 | 0 | 0.0004 |
| 2542 | 0.5 | P2021 | LinStatic | 0 | -0.00002878 | 0 | -5.556E-13 | 0 | 0.00041 |
| 2542 | 1 | P2021 | LinStatic | 0 | -0.00002878 | 0 | -5.556E-13 | 0 | 0.00043 |
| 2543 | 0 | P2021 | LinStatic | 0 | -0.00002878 | 0 | -5.556E-13 | 0 | 0.00043 |
| 2543 | 0.5 | P2021 | LinStatic | 0 | -0.00002878 | 0 | -5.556E-13 | 0 | 0.00044 |
| 2543 | 1 | P2021 | LinStatic | 0 | -0.00002878 | 0 | -5.556E-13 | 0 | 0.00045 |
| 2590 | 0 | P2021 | LinStatic | 0 | 0.0001208 | 0 | -1.423E-11 | 0 | -0.00166 |
| 2590 | 0.5 | P2021 | LinStatic | 0 | 0.0001208 | 0 | -1.423E-11 | 0 | -0.00172 |
| 2590 | 1 | P2021 | LinStatic | 0 | 0.0001208 | 0 | -1.423E-11 | 0 | -0.00178 |
| 2591 | 0 | P2021 | LinStatic | 0 | 0.0001208 | 0 | -1.423E-11 | 0 | -0.00178 |
| 2591 | 0.5 | P2021 | LinStatic | 0 | 0.0001208 | 0 | -1.423E-11 | 0 | -0.00184 |
| 2591 | 1 | P2021 | LinStatic | 0 | 0.0001208 | 0 | -1.423E-11 | 0 | -0.0019 |
| 2638 | 0 | P2021 | LinStatic | 0 | -0.0005072 | 0 | -3.642E-10 | 0 | 0.00698 |
| 2638 | 0.5 | P2021 | LinStatic | 0 | -0.0005072 | 0 | -3.642E-10 | 0 | 0.00724 |
| 2638 | 1 | P2021 | LinStatic | 0 | -0.0005072 | 0 | -3.642E-10 | 0 | 0.00749 |

**TABLE: Element Forces - Frames**

| Frame | Station | OutputCase | CaseType | P | V2 | V3 | T | M2 | M3 |
|---|---|---|---|---|---|---|---|---|---|
| Text | m | Text | Text | Ton | Ton | Ton | Ton-m | Ton-m | Ton-m |
| 2639 | 0 | P2021 | LinStatic | 0 | -0.0005072 | 0 | -3.642E-10 | 0 | 0.00749 |
| 2639 | 0.5 | P2021 | LinStatic | 0 | -0.0005072 | 0 | -3.642E-10 | 0 | 0.00774 |
| 2639 | 1 | P2021 | LinStatic | 0 | -0.0005072 | 0 | -3.642E-10 | 0 | 0.008 |
| 2686 | 0 | P2021 | LinStatic | 0 | 0.0021 | 0 | -9.326E-09 | 0 | -0.02931 |
| 2686 | 0.5 | P2021 | LinStatic | 0 | 0.0021 | 0 | -9.326E-09 | 0 | -0.03037 |
| 2686 | 1 | P2021 | LinStatic | 0 | 0.0021 | 0 | -9.326E-09 | 0 | -0.03144 |
| 2687 | 0 | P2021 | LinStatic | 0 | 0.0021 | 0 | -9.326E-09 | 0 | -0.03144 |
| 2687 | 0.5 | P2021 | LinStatic | 0 | 0.0021 | 0 | -9.326E-09 | 0 | -0.0325 |
| 2687 | 1 | P2021 | LinStatic | 0 | 0.0021 | 0 | -9.326E-09 | 0 | -0.03357 |
| 2734 | 0 | P2021 | LinStatic | 0 | -0.0089 | 0 | -2.388E-07 | 0 | 0.12303 |
| 2734 | 0.5 | P2021 | LinStatic | 0 | -0.0089 | 0 | -2.388E-07 | 0 | 0.1275 |
| 2734 | 1 | P2021 | LinStatic | 0 | -0.0089 | 0 | -2.388E-07 | 0 | 0.13197 |
| 2735 | 0 | P2021 | LinStatic | 0 | -0.0089 | 0 | -2.388E-07 | 0 | 0.13197 |
| 2735 | 0.5 | P2021 | LinStatic | 0 | -0.0089 | 0 | -2.388E-07 | 0 | 0.13643 |
| 2735 | 1 | P2021 | LinStatic | 0 | -0.0089 | 0 | -2.388E-07 | 0 | 0.1409 |
| 2782 | 0 | P2021 | LinStatic | 0 | 0.0375 | 0 | -0.000006114 | 0 | -0.51644 |
| 2782 | 0.5 | P2021 | LinStatic | 0 | 0.0375 | 0 | -0.000006114 | 0 | -0.5352 |
| 2782 | 1 | P2021 | LinStatic | 0 | 0.0375 | 0 | -0.000006114 | 0 | -0.55396 |
| 2783 | 0 | P2021 | LinStatic | 0 | 0.0375 | 0 | -0.000006114 | 0 | -0.55396 |
| 2783 | 0.5 | P2021 | LinStatic | 0 | 0.0375 | 0 | -0.000006114 | 0 | -0.57272 |
| 2783 | 1 | P2021 | LinStatic | 0 | 0.0375 | 0 | -0.000006114 | 0 | -0.59147 |
| 2830 | 0 | P2021 | LinStatic | 0 | -0.1575 | 0 | -0.00016 | 0 | 2.16787 |
| 2830 | 0.5 | P2021 | LinStatic | 0 | -0.1575 | 0 | -0.00016 | 0 | 2.24662 |
| 2830 | 1 | P2021 | LinStatic | 0 | -0.1575 | 0 | -0.00016 | 0 | 2.32537 |
| 2831 | 0 | P2021 | LinStatic | 0 | -0.1575 | 0 | -0.00016 | 0 | 2.32536 |
| 2831 | 0.5 | P2021 | LinStatic | 0 | -0.1575 | 0 | -0.00016 | 0 | 2.40411 |
| 2831 | 1 | P2021 | LinStatic | 0 | -0.1575 | 0 | -0.00016 | 0 | 2.48286 |
| 2878 | 0 | P2021 | LinStatic | 0 | 0.6608 | 0 | -0.00401 | 0 | -9.10034 |
| 2878 | 0.5 | P2021 | LinStatic | 0 | 0.6608 | 0 | -0.00401 | 0 | -9.43073 |
| 2878 | 1 | P2021 | LinStatic | 0 | 0.6608 | 0 | -0.00401 | 0 | -9.76112 |
| 2879 | 0 | P2021 | LinStatic | 0 | 0.6608 | 0 | -0.00401 | 0 | -9.76144 |
| 2879 | 0.5 | P2021 | LinStatic | 0 | 0.6608 | 0 | -0.00401 | 0 | -10.09183 |
| 2879 | 1 | P2021 | LinStatic | 0 | 0.6608 | 0 | -0.00401 | 0 | -10.42222 |
| 2926 | 0 | P2021 | LinStatic | 0 | -2.7834 | 0 | -0.10264 | 0 | 38.1961 |
| 2926 | 0.5 | P2021 | LinStatic | 0 | -2.7834 | 0 | -0.10264 | 0 | 39.58779 |
| 2926 | 1 | P2021 | LinStatic | 0 | -2.7834 | 0 | -0.10264 | 0 | 40.97948 |
| 2927 | 0 | P2021 | LinStatic | 0 | -2.7834 | 0 | -0.10264 | 0 | 40.97123 |
| 2927 | 0.5 | P2021 | LinStatic | 0 | -2.7834 | 0 | -0.10264 | 0 | 42.36292 |
| 2927 | 1 | P2021 | LinStatic | 0 | -2.7834 | 0 | -0.10264 | 0 | 43.75461 |
| 2974 | 0 | P2021 | LinStatic | 0 | 11.4378 | 0 | -2.62807 | 0 | -160.45985 |
| 2974 | 0.5 | P2021 | LinStatic | 0 | 11.4378 | 0 | -2.62807 | 0 | -166.17875 |
| 2974 | 1 | P2021 | LinStatic | 0 | 11.4378 | 0 | -2.62807 | 0 | -171.89765 |
| 2975 | 0 | P2021 | LinStatic | 0 | 11.4378 | 0 | -2.62805 | 0 | -172.10898 |
| 2975 | 0.5 | P2021 | LinStatic | 0 | 11.4378 | 0 | -2.62805 | 0 | -177.82788 |
| 2975 | 1 | P2021 | LinStatic | 0 | 11.4378 | 0 | -2.62805 | 0 | -183.54677 |
| 3022 | 0 | P2021 | LinStatic | 0 | 25.4791 | 0 | 25.10296 | 0 | 683.2636 |
| 3022 | 0.5 | P2021 | LinStatic | 0 | 25.4791 | 0 | 25.10296 | 0 | 670.52404 |
| 3022 | 1 | P2021 | LinStatic | 0 | 25.4791 | 0 | 25.10296 | 0 | 657.78449 |
| 3023 | 0 | P2021 | LinStatic | 0 | 24.6451 | 0 | 27.35488 | 0 | 659.91495 |
| 3023 | 0.5 | P2021 | LinStatic | 0 | 24.6451 | 0 | 27.35488 | 0 | 647.59242 |
| 3023 | 1 | P2021 | LinStatic | 0 | 24.6451 | 0 | 27.35488 | 0 | 635.26989 |
| 3070 | 0 | P2021 | LinStatic | 0 | -28.3155 | 0 | 0.43485 | 0 | 629.61449 |
| 3070 | 0.5 | P2021 | LinStatic | 0 | -28.3155 | 0 | 0.43485 | 0 | 643.77226 |
| 3070 | 1 | P2021 | LinStatic | 0 | -28.3155 | 0 | 0.43485 | 0 | 657.93004 |
| 3071 | 0 | P2021 | LinStatic | 0 | -28.3155 | 0 | 0.43485 | 0 | 657.965 |
| 3071 | 0.5 | P2021 | LinStatic | 0 | -28.3155 | 0 | 0.43485 | 0 | 672.12278 |
| 3071 | 1 | P2021 | LinStatic | 0 | -28.3155 | 0 | 0.43485 | 0 | 686.28055 |
| 3116 | 0 | P2021 | LinStatic | 0 | -12.6046 | 0 | 0.01958 | 0 | -226.90973 |
| 3116 | 0.5 | P2021 | LinStatic | 0 | -12.6046 | 0 | 0.01958 | 0 | -220.60744 |
| 3116 | 1 | P2021 | LinStatic | 0 | -12.6046 | 0 | 0.01958 | 0 | -214.30515 |

**TABLE: Joint Displacements**

| Joint | OutputCase | CaseType | U1 | U2 | U3 | R1 | R2 | R3 |
|---|---|---|---|---|---|---|---|---|
| Text | Text | Text | m | m | m | Radians | Radians | Radians |
| 35 | V01V03 | LinStatic | 0 | 0 | -0.00449 | -0.000004598 | 0.000054 | 0 |
| 36 | V01V03 | LinStatic | 0 | 0 | -0.004517 | -0.000004598 | 0.000053 | 0 |
| 37 | V01V03 | LinStatic | 0 | 0 | -0.004538 | -0.000004182 | 0.000028 | 0 |
| 38 | V01V03 | LinStatic | 0 | 0 | -0.004558 | -0.000004182 | 0.000028 | 0 |
| 127 | V01V03 | LinStatic | 0 | 0 | 0.003206 | -0.000005885 | -0.000011 | 0 |
| 128 | V01V03 | LinStatic | 0 | 0 | 0.003174 | -0.000005885 | -0.000012 | 0 |
| 223 | V01V03 | LinStatic | 0 | 0 | -0.006556 | -2.299E-07 | -0.000004153 | 0 |
| 224 | V01V03 | LinStatic | 0 | 0 | -0.006558 | -2.299E-07 | -0.000004172 | 0 |
| 319 | V01V03 | LinStatic | 0 | 0 | 0.002218 | -9.468E-09 | 0.000025 | 0 |
| 320 | V01V03 | LinStatic | 0 | 0 | 0.002218 | -9.468E-09 | 0.000025 | 0 |
| 321 | V01V03 | LinStatic | 0 | 0 | 0.002179 | -9.141E-09 | 0.000032 | 0 |
| 322 | V01V03 | LinStatic | 0 | 0 | 0.002179 | -9.141E-09 | 0.000032 | 0 |
| 423 | V01V03 | LinStatic | 0 | 0 | -0.000523 | -3.375E-10 | -0.000007716 | 0 |
| 424 | V01V03 | LinStatic | 0 | 0 | -0.000523 | -3.375E-10 | -0.000007716 | 0 |
| 425 | V01V03 | LinStatic | 0 | 0 | -0.000512 | -3.254E-10 | -0.000009308 | 0 |
| 426 | V01V03 | LinStatic | 0 | 0 | -0.000512 | -3.254E-10 | -0.000009308 | 0 |
| 523 | V01V03 | LinStatic | 0 | 0 | 0.000115 | -1.224E-11 | 0.000001891 | 0 |
| 524 | V01V03 | LinStatic | 0 | 0 | 0.000115 | -1.224E-11 | 0.000001891 | 0 |
| 619 | V01V03 | LinStatic | 0 | 0 | -0.000027 | -4.779E-13 | -4.505E-07 | 0 |
| 620 | V01V03 | LinStatic | 0 | 0 | -0.000027 | -4.779E-13 | -4.505E-07 | 0 |
| 715 | V01V03 | LinStatic | 0 | 0 | 0.000006521 | -1.867E-14 | 1.073E-07 | 0 |
| 716 | V01V03 | LinStatic | 0 | 0 | 0.000006521 | -1.867E-14 | 1.073E-07 | 0 |
| 811 | V01V03 | LinStatic | 0 | 0 | -0.000001553 | -7.29E-16 | -2.557E-08 | 0 |
| 812 | V01V03 | LinStatic | 0 | 0 | -0.000001553 | -7.29E-16 | -2.557E-08 | 0 |
| 907 | V01V03 | LinStatic | 0 | 0 | 0.00000037 | -2.847E-17 | 6.09E-09 | 0 |
| 908 | V01V03 | LinStatic | 0 | 0 | 0.00000037 | -2.847E-17 | 6.09E-09 | 0 |
| 1003 | V01V03 | LinStatic | 0 | 0 | -8.815E-08 | -1.112E-18 | -1.451E-09 | 0 |
| 1004 | V01V03 | LinStatic | 0 | 0 | -8.815E-08 | -1.112E-18 | -1.451E-09 | 0 |
| 1099 | V01V03 | LinStatic | 0 | 0 | 0.000000021 | -4.343E-20 | 3.456E-10 | 0 |
| 1100 | V01V03 | LinStatic | 0 | 0 | 0.000000021 | -4.343E-20 | 3.456E-10 | 0 |
| 1195 | V01V03 | LinStatic | 0 | 0 | -5.003E-09 | 0 | -8.234E-11 | 0 |
| 1196 | V01V03 | LinStatic | 0 | 0 | -5.003E-09 | 0 | -8.234E-11 | 0 |
| 1291 | V01V03 | LinStatic | 0 | 0 | 1.192E-09 | 0 | 1.961E-11 | 0 |
| 1292 | V01V03 | LinStatic | 0 | 0 | 1.192E-09 | 0 | 1.961E-11 | 0 |
| 1387 | V01V03 | LinStatic | 0 | 0 | -2.839E-10 | 0 | -4.673E-12 | 0 |
| 1388 | V01V03 | LinStatic | 0 | 0 | -2.839E-10 | 0 | -4.673E-12 | 0 |
| 1483 | V01V03 | LinStatic | 0 | 0 | 6.763E-11 | 0 | 1.113E-12 | 0 |
| 1484 | V01V03 | LinStatic | 0 | 0 | 6.763E-11 | 0 | 1.113E-12 | 0 |
| 1579 | V01V03 | LinStatic | 0 | 0 | -1.611E-11 | 0 | -2.652E-13 | 0 |
| 1580 | V01V03 | LinStatic | 0 | 0 | -1.611E-11 | 0 | -2.652E-13 | 0 |
| 1675 | V01V03 | LinStatic | 0 | 0 | 3.838E-12 | 0 | 6.317E-14 | 0 |
| 1676 | V01V03 | LinStatic | 0 | 0 | 3.838E-12 | 0 | 6.317E-14 | 0 |
| 1771 | V01V03 | LinStatic | 0 | 0 | -9.143E-13 | 0 | -1.505E-14 | 0 |
| 1772 | V01V03 | LinStatic | 0 | 0 | -9.143E-13 | 0 | -1.505E-14 | 0 |
| 1867 | V01V03 | LinStatic | 0 | 0 | 2.177E-13 | 0 | 3.587E-15 | 0 |
| 1868 | V01V03 | LinStatic | 0 | 0 | 2.177E-13 | 0 | 3.587E-15 | 0 |
| 1963 | V01V03 | LinStatic | 0 | 0 | -5.141E-14 | 0 | -8.619E-16 | 0 |
| 1964 | V01V03 | LinStatic | 0 | 0 | -5.141E-14 | 0 | -8.619E-16 | 0 |
| 2053 | V01V03 | LinStatic | 0 | 0 | 1.078E-14 | 0 | 1.965E-16 | 0 |
| 2054 | V01V03 | LinStatic | 0 | 0 | 1.078E-14 | 0 | 1.965E-16 | 0 |
| 2055 | V01V03 | LinStatic | 0 | 0 | 1.048E-14 | 0 | 2.491E-16 | 0 |
| 2056 | V01V03 | LinStatic | 0 | 0 | 1.048E-14 | 0 | 2.491E-16 | 0 |
| 35 | V02V04 | LinStatic | 0 | 0 | 0.001733 | -0.000001009 | -0.000041 | 0 |
| 36 | V02V04 | LinStatic | 0 | 0 | 0.001728 | -0.000001009 | -0.000041 | 0 |
| 37 | V02V04 | LinStatic | 0 | 0 | 0.001783 | -0.000001057 | -0.000033 | 0 |
| 38 | V02V04 | LinStatic | 0 | 0 | 0.001778 | -0.000001057 | -0.000032 | 0 |
| 127 | V02V04 | LinStatic | 0 | 0 | -0.006821 | -0.000006357 | 0.000009859 | 0 |
| 128 | V02V04 | LinStatic | 0 | 0 | -0.006853 | -0.000006357 | 0.000008904 | 0 |
| 223 | V02V04 | LinStatic | 0 | 0 | 0.004063 | -0.000001607 | -0.000005084 | 0 |
| 224 | V02V04 | LinStatic | 0 | 0 | 0.004055 | -0.000001607 | -0.000005218 | 0 |
| 319 | V02V04 | LinStatic | 0 | 0 | -0.008036 | -6.621E-08 | 0.000036 | 0 |
| 320 | V02V04 | LinStatic | 0 | 0 | -0.008036 | -6.621E-08 | 0.000036 | 0 |
| 321 | V02V04 | LinStatic | 0 | 0 | -0.008055 | -6.392E-08 | 0.00000726 | 0 |
| 322 | V02V04 | LinStatic | 0 | 0 | -0.008056 | -6.392E-08 | 0.000007255 | 0 |
| 423 | V02V04 | LinStatic | 0 | 0 | 0.002488 | -2.36E-09 | 0.000037 | 0 |
| 424 | V02V04 | LinStatic | 0 | 0 | 0.002488 | -2.36E-09 | 0.000037 | 0 |
| 425 | V02V04 | LinStatic | 0 | 0 | 0.002434 | -2.275E-09 | 0.000044 | 0 |
| 426 | V02V04 | LinStatic | 0 | 0 | 0.002434 | -2.275E-09 | 0.000044 | 0 |
| 523 | V02V04 | LinStatic | 0 | 0 | -0.000547 | -8.557E-11 | -0.000008996 | 0 |
| 524 | V02V04 | LinStatic | 0 | 0 | -0.000547 | -8.557E-11 | -0.000008996 | 0 |
| 619 | V02V04 | LinStatic | 0 | 0 | 0.00013 | -3.342E-12 | 0.000002143 | 0 |
| 620 | V02V04 | LinStatic | 0 | 0 | 0.00013 | -3.342E-12 | 0.000002143 | 0 |
| 715 | V02V04 | LinStatic | 0 | 0 | -0.000031 | -1.305E-13 | -5.105E-07 | 0 |
| 716 | V02V04 | LinStatic | 0 | 0 | -0.000031 | -1.305E-13 | -5.105E-07 | 0 |
| 811 | V02V04 | LinStatic | 0 | 0 | 0.000007389 | -5.098E-15 | 1.216E-07 | 0 |
| 812 | V02V04 | LinStatic | 0 | 0 | 0.000007389 | -5.098E-15 | 1.216E-07 | 0 |
| 907 | V02V04 | LinStatic | 0 | 0 | -0.00000176 | -1.991E-16 | -2.897E-08 | 0 |
| 908 | V02V04 | LinStatic | 0 | 0 | -0.00000176 | -1.991E-16 | -2.897E-08 | 0 |
| 1003 | V02V04 | LinStatic | 0 | 0 | 4.193E-07 | -7.776E-18 | 6.902E-09 | 0 |
| 1004 | V02V04 | LinStatic | 0 | 0 | 4.193E-07 | -7.776E-18 | 6.902E-09 | 0 |
| 1099 | V02V04 | LinStatic | 0 | 0 | -9.99E-08 | -3.037E-19 | -1.644E-09 | 0 |
| 1100 | V02V04 | LinStatic | 0 | 0 | -9.99E-08 | -3.037E-19 | -1.644E-09 | 0 |
| 1195 | V02V04 | LinStatic | 0 | 0 | 2.38E-08 | -1.186E-20 | 3.917E-10 | 0 |

**TABLE: Joint Displacements**

| Joint | OutputCase | CaseType | U1 | U2 | U3 | R1 | R2 | R3 |
|---|---|---|---|---|---|---|---|---|
| Text | Text | Text | m | m | m | Radians | Radians | Radians |
| 1196 | V02V04 | LinStatic | 0 | 0 | 2.38E-08 | -1.186E-20 | 3.917E-10 | 0 |
| 1291 | V02V04 | LinStatic | 0 | 0 | -5.669E-09 | 0 | -9.331E-11 | 0 |
| 1292 | V02V04 | LinStatic | 0 | 0 | -5.669E-09 | 0 | -9.331E-11 | 0 |
| 1387 | V02V04 | LinStatic | 0 | 0 | 1.351E-09 | 0 | 2.223E-11 | 0 |
| 1388 | V02V04 | LinStatic | 0 | 0 | 1.351E-09 | 0 | 2.223E-11 | 0 |
| 1483 | V02V04 | LinStatic | 0 | 0 | -3.217E-10 | 0 | -5.295E-12 | 0 |
| 1484 | V02V04 | LinStatic | 0 | 0 | -3.217E-10 | 0 | -5.295E-12 | 0 |
| 1579 | V02V04 | LinStatic | 0 | 0 | 7.664E-11 | 0 | 1.261E-12 | 0 |
| 1580 | V02V04 | LinStatic | 0 | 0 | 7.664E-11 | 0 | 1.261E-12 | 0 |
| 1675 | V02V04 | LinStatic | 0 | 0 | -1.826E-11 | 0 | -3.005E-13 | 0 |
| 1676 | V02V04 | LinStatic | 0 | 0 | -1.826E-11 | 0 | -3.005E-13 | 0 |
| 1771 | V02V04 | LinStatic | 0 | 0 | 4.349E-12 | 0 | 7.159E-14 | 0 |
| 1772 | V02V04 | LinStatic | 0 | 0 | 4.349E-12 | 0 | 7.159E-14 | 0 |
| 1867 | V02V04 | LinStatic | 0 | 0 | -1.036E-12 | 0 | -1.706E-14 | 0 |
| 1868 | V02V04 | LinStatic | 0 | 0 | -1.036E-12 | 0 | -1.706E-14 | 0 |
| 1963 | V02V04 | LinStatic | 0 | 0 | 2.446E-13 | 0 | 4.1E-15 | 0 |
| 1964 | V02V04 | LinStatic | 0 | 0 | 2.446E-13 | 0 | 4.1E-15 | 0 |
| 2053 | V02V04 | LinStatic | 0 | 0 | -5.127E-14 | 0 | -9.349E-16 | 0 |
| 2054 | V02V04 | LinStatic | 0 | 0 | -5.127E-14 | 0 | -9.349E-16 | 0 |
| 2055 | V02V04 | LinStatic | 0 | 0 | -4.983E-14 | 0 | -1.185E-15 | 0 |
| 2056 | V02V04 | LinStatic | 0 | 0 | -4.983E-14 | 0 | -1.185E-15 | 0 |
| 35 | V04V06 | LinStatic | 0 | 0 | 0.00011 | -1.593E-09 | -0.000002609 | 0 |
| 36 | V04V06 | LinStatic | 0 | 0 | 0.00011 | -1.593E-09 | -0.000002609 | 0 |
| 37 | V04V06 | LinStatic | 0 | 0 | 0.000113 | -1.668E-09 | -0.000002059 | 0 |
| 38 | V04V06 | LinStatic | 0 | 0 | 0.000113 | -1.668E-09 | -0.000002059 | 0 |
| 127 | V04V06 | LinStatic | 0 | 0 | -0.000539 | -4.352E-08 | 0.000009029 | 0 |
| 128 | V04V06 | LinStatic | 0 | 0 | -0.000539 | -4.352E-08 | 0.000009032 | 0 |
| 223 | V04V06 | LinStatic | 0 | 0 | 0.002284 | -0.000001115 | -0.000038 | 0 |
| 224 | V04V06 | LinStatic | 0 | 0 | 0.002278 | -0.000001115 | -0.000038 | 0 |
| 319 | V04V06 | LinStatic | 0 | 0 | -0.008167 | -0.00000892 | 0.000056 | 0 |
| 320 | V04V06 | LinStatic | 0 | 0 | -0.008212 | -0.00000892 | 0.000055 | 0 |
| 321 | V04V06 | LinStatic | 0 | 0 | -0.008218 | -0.000008452 | 0.000025 | 0 |
| 322 | V04V06 | LinStatic | 0 | 0 | -0.008262 | -0.000008452 | 0.000024 | 0 |
| 423 | V04V06 | LinStatic | 0 | 0 | 0.004442 | -0.000001158 | -0.000001735 | 0 |
| 424 | V04V06 | LinStatic | 0 | 0 | 0.004436 | -0.000001158 | -0.000001825 | 0 |
| 425 | V04V06 | LinStatic | 0 | 0 | 0.004435 | -0.000001117 | 0.000012 | 0 |
| 426 | V04V06 | LinStatic | 0 | 0 | 0.004429 | -0.000001117 | 0.000012 | 0 |
| 523 | V04V06 | LinStatic | 0 | 0 | -0.006773 | -4.199E-08 | -0.000009461 | 0 |
| 524 | V04V06 | LinStatic | 0 | 0 | -0.006773 | -4.199E-08 | -0.000009464 | 0 |
| 619 | V04V06 | LinStatic | 0 | 0 | 0.002036 | -1.64E-09 | 0.000034 | 0 |
| 620 | V04V06 | LinStatic | 0 | 0 | 0.002036 | -1.64E-09 | 0.000034 | 0 |
| 715 | V04V06 | LinStatic | 0 | 0 | -0.000485 | -6.404E-11 | -0.000007984 | 0 |
| 716 | V04V06 | LinStatic | 0 | 0 | -0.000485 | -6.404E-11 | -0.000007984 | 0 |
| 811 | V04V06 | LinStatic | 0 | 0 | 0.000116 | -2.501E-12 | 0.000001902 | 0 |
| 812 | V04V06 | LinStatic | 0 | 0 | 0.000116 | -2.501E-12 | 0.000001902 | 0 |
| 907 | V04V06 | LinStatic | 0 | 0 | -0.000028 | -9.769E-14 | -4.531E-07 | 0 |
| 908 | V04V06 | LinStatic | 0 | 0 | -0.000028 | -9.769E-14 | -4.531E-07 | 0 |
| 1003 | V04V06 | LinStatic | 0 | 0 | 0.000006558 | -3.815E-15 | 1.079E-07 | 0 |
| 1004 | V04V06 | LinStatic | 0 | 0 | 0.000006558 | -3.815E-15 | 1.079E-07 | 0 |
| 1099 | V04V06 | LinStatic | 0 | 0 | -0.000001562 | -1.49E-16 | -2.571E-08 | 0 |
| 1100 | V04V06 | LinStatic | 0 | 0 | -0.000001562 | -1.49E-16 | -2.571E-08 | 0 |
| 1195 | V04V06 | LinStatic | 0 | 0 | 3.722E-07 | -5.819E-18 | 6.126E-09 | 0 |
| 1196 | V04V06 | LinStatic | 0 | 0 | 3.722E-07 | -5.819E-18 | 6.126E-09 | 0 |
| 1291 | V04V06 | LinStatic | 0 | 0 | -8.866E-08 | -2.273E-19 | -1.459E-09 | 0 |
| 1292 | V04V06 | LinStatic | 0 | 0 | -8.866E-08 | -2.273E-19 | -1.459E-09 | 0 |
| 1387 | V04V06 | LinStatic | 0 | 0 | 2.112E-08 | 0 | 3.476E-10 | 0 |
| 1388 | V04V06 | LinStatic | 0 | 0 | 2.112E-08 | 0 | 3.476E-10 | 0 |
| 1483 | V04V06 | LinStatic | 0 | 0 | -5.032E-09 | 0 | -8.281E-11 | 0 |
| 1484 | V04V06 | LinStatic | 0 | 0 | -5.032E-09 | 0 | -8.281E-11 | 0 |
| 1579 | V04V06 | LinStatic | 0 | 0 | 1.199E-09 | 0 | 1.973E-11 | 0 |
| 1580 | V04V06 | LinStatic | 0 | 0 | 1.199E-09 | 0 | 1.973E-11 | 0 |
| 1675 | V04V06 | LinStatic | 0 | 0 | -2.855E-10 | 0 | -4.7E-12 | 0 |
| 1676 | V04V06 | LinStatic | 0 | 0 | -2.855E-10 | 0 | -4.7E-12 | 0 |
| 1771 | V04V06 | LinStatic | 0 | 0 | 6.802E-11 | 0 | 1.12E-12 | 0 |
| 1772 | V04V06 | LinStatic | 0 | 0 | 6.802E-11 | 0 | 1.12E-12 | 0 |
| 1867 | V04V06 | LinStatic | 0 | 0 | -1.62E-11 | 0 | -2.669E-13 | 0 |
| 1868 | V04V06 | LinStatic | 0 | 0 | -1.62E-11 | 0 | -2.669E-13 | 0 |
| 1963 | V04V06 | LinStatic | 0 | 0 | 3.825E-12 | 0 | 6.412E-14 | 0 |
| 1964 | V04V06 | LinStatic | 0 | 0 | 3.825E-12 | 0 | 6.412E-14 | 0 |
| 2053 | V04V06 | LinStatic | 0 | 0 | -8.018E-13 | 0 | -1.462E-14 | 0 |
| 2054 | V04V06 | LinStatic | 0 | 0 | -8.018E-13 | 0 | -1.462E-14 | 0 |
| 2055 | V04V06 | LinStatic | 0 | 0 | -7.794E-13 | 0 | -1.853E-14 | 0 |
| 2056 | V04V06 | LinStatic | 0 | 0 | -7.794E-13 | 0 | -1.853E-14 | 0 |
| 35 | V05V07 | LinStatic | 0 | 0 | -0.000026 | -5.879E-11 | 0.000000626 | 0 |
| 36 | V05V07 | LinStatic | 0 | 0 | -0.000026 | -5.879E-11 | 0.000000626 | 0 |
| 37 | V05V07 | LinStatic | 0 | 0 | -0.000027 | -6.158E-11 | 0.000000494 | 0 |
| 38 | V05V07 | LinStatic | 0 | 0 | -0.000027 | -6.158E-11 | 0.000000494 | 0 |
| 127 | V05V07 | LinStatic | 0 | 0 | 0.000129 | -1.607E-09 | -0.000002166 | 0 |
| 128 | V05V07 | LinStatic | 0 | 0 | 0.000129 | -1.607E-09 | -0.000002166 | 0 |
| 223 | V05V07 | LinStatic | 0 | 0 | -0.000547 | -4.115E-08 | 0.000009013 | 0 |
| 224 | V05V07 | LinStatic | 0 | 0 | -0.000547 | -4.115E-08 | 0.000009017 | 0 |
| 319 | V05V07 | LinStatic | 0 | 0 | 0.00238 | -0.000001054 | -0.000051 | 0 |
| 320 | V05V07 | LinStatic | 0 | 0 | 0.002375 | -0.000001054 | -0.000051 | 0 |

**TABLE: Joint Displacements**

| Joint | OutputCase | CaseType | U1 | U2 | U3 | R1 | R2 | R3 |
|---|---|---|---|---|---|---|---|---|
| Text | Text | Text | m | m | m | Radians | Radians | Radians |
| 321 | V05V07 | LinStatic | 0 | 0 | 0.002441 | -0.000001094 | -0.000044 | 0 |
| 322 | V05V07 | LinStatic | 0 | 0 | 0.002435 | -0.000001094 | -0.000044 | 0 |
| 423 | V05V07 | LinStatic | 0 | 0 | -0.008216 | -0.000008452 | 0.000023 | 0 |
| 424 | V05V07 | LinStatic | 0 | 0 | -0.008259 | -0.000008452 | 0.000022 | 0 |
| 425 | V05V07 | LinStatic | 0 | 0 | -0.008227 | -0.000008019 | -0.000007329 | 0 |
| 426 | V05V07 | LinStatic | 0 | 0 | -0.008268 | -0.000008019 | -0.000008249 | 0 |
| 523 | V05V07 | LinStatic | 0 | 0 | 0.004098 | -0.000001137 | 0.000004891 | 0 |
| 524 | V05V07 | LinStatic | 0 | 0 | 0.004092 | -0.000001137 | 0.000004796 | 0 |
| 619 | V05V07 | LinStatic | 0 | 0 | -0.006721 | -4.442E-08 | -0.000008608 | 0 |
| 620 | V05V07 | LinStatic | 0 | 0 | -0.006722 | -4.442E-08 | -0.000008611 | 0 |
| 715 | V05V07 | LinStatic | 0 | 0 | 0.002024 | -1.735E-09 | 0.000033 | 0 |
| 716 | V05V07 | LinStatic | 0 | 0 | 0.002024 | -1.735E-09 | 0.000033 | 0 |
| 811 | V05V07 | LinStatic | 0 | 0 | -0.000482 | -6.775E-11 | -0.000007936 | 0 |
| 812 | V05V07 | LinStatic | 0 | 0 | -0.000482 | -6.775E-11 | -0.000007936 | 0 |
| 907 | V05V07 | LinStatic | 0 | 0 | 0.000115 | -2.646E-12 | 0.00000189 | 0 |
| 908 | V05V07 | LinStatic | 0 | 0 | 0.000115 | -2.646E-12 | 0.00000189 | 0 |
| 1003 | V05V07 | LinStatic | 0 | 0 | -0.000027 | -1.033E-13 | -4.504E-07 | 0 |
| 1004 | V05V07 | LinStatic | 0 | 0 | -0.000027 | -1.033E-13 | -4.504E-07 | 0 |
| 1099 | V05V07 | LinStatic | 0 | 0 | 0.000006519 | -4.036E-15 | 1.073E-07 | 0 |
| 1100 | V05V07 | LinStatic | 0 | 0 | 0.000006519 | -4.036E-15 | 1.073E-07 | 0 |
| 1195 | V05V07 | LinStatic | 0 | 0 | -0.000001553 | -1.576E-16 | -2.556E-08 | 0 |
| 1196 | V05V07 | LinStatic | 0 | 0 | -0.000001553 | -1.576E-16 | -2.556E-08 | 0 |
| 1291 | V05V07 | LinStatic | 0 | 0 | 3.699E-07 | -6.156E-18 | 6.089E-09 | 0 |
| 1292 | V05V07 | LinStatic | 0 | 0 | 3.699E-07 | -6.156E-18 | 6.089E-09 | 0 |
| 1387 | V05V07 | LinStatic | 0 | 0 | -8.813E-08 | -2.404E-19 | -1.45E-09 | 0 |
| 1388 | V05V07 | LinStatic | 0 | 0 | -8.813E-08 | -2.404E-19 | -1.45E-09 | 0 |
| 1483 | V05V07 | LinStatic | 0 | 0 | 2.099E-08 | 0 | 3.455E-10 | 0 |
| 1484 | V05V07 | LinStatic | 0 | 0 | 2.099E-08 | 0 | 3.455E-10 | 0 |
| 1579 | V05V07 | LinStatic | 0 | 0 | -5.001E-09 | 0 | -8.231E-11 | 0 |
| 1580 | V05V07 | LinStatic | 0 | 0 | -5.001E-09 | 0 | -8.231E-11 | 0 |
| 1675 | V05V07 | LinStatic | 0 | 0 | 1.191E-09 | 0 | 1.961E-11 | 0 |
| 1676 | V05V07 | LinStatic | 0 | 0 | 1.191E-09 | 0 | 1.961E-11 | 0 |
| 1771 | V05V07 | LinStatic | 0 | 0 | -2.838E-10 | 0 | -4.671E-12 | 0 |
| 1772 | V05V07 | LinStatic | 0 | 0 | -2.838E-10 | 0 | -4.671E-12 | 0 |
| 1867 | V05V07 | LinStatic | 0 | 0 | 6.758E-11 | 0 | 1.113E-12 | 0 |
| 1868 | V05V07 | LinStatic | 0 | 0 | 6.758E-11 | 0 | 1.113E-12 | 0 |
| 1963 | V05V07 | LinStatic | 0 | 0 | -1.596E-11 | 0 | -2.675E-13 | 0 |
| 1964 | V05V07 | LinStatic | 0 | 0 | -1.596E-11 | 0 | -2.675E-13 | 0 |
| 2053 | V05V07 | LinStatic | 0 | 0 | 3.345E-12 | 0 | 6.1E-14 | 0 |
| 2054 | V05V07 | LinStatic | 0 | 0 | 3.345E-12 | 0 | 6.1E-14 | 0 |
| 2055 | V05V07 | LinStatic | 0 | 0 | 3.252E-12 | 0 | 7.731E-14 | 0 |
| 2056 | V05V07 | LinStatic | 0 | 0 | 3.252E-12 | 0 | 7.731E-14 | 0 |
| 35 | V06V08 | LinStatic | 0 | 0 | 0.000005677 | -2.098E-12 | -0.000000135 | 0 |
| 36 | V06V08 | LinStatic | 0 | 0 | 0.000005677 | -2.098E-12 | -0.000000135 | 0 |
| 37 | V06V08 | LinStatic | 0 | 0 | 0.00000584 | -2.198E-12 | -1.065E-07 | 0 |
| 38 | V06V08 | LinStatic | 0 | 0 | 0.00000584 | -2.198E-12 | -1.065E-07 | 0 |
| 127 | V06V08 | LinStatic | 0 | 0 | -0.000028 | -5.735E-11 | 4.671E-07 | 0 |
| 128 | V06V08 | LinStatic | 0 | 0 | -0.000028 | -5.735E-11 | 4.671E-07 | 0 |
| 223 | V06V08 | LinStatic | 0 | 0 | 0.000118 | -1.469E-09 | -0.000001944 | 0 |
| 224 | V06V08 | LinStatic | 0 | 0 | 0.000118 | -1.469E-09 | -0.000001944 | 0 |
| 319 | V06V08 | LinStatic | 0 | 0 | -0.000513 | -3.76E-08 | 0.000011 | 0 |
| 320 | V06V08 | LinStatic | 0 | 0 | -0.000513 | -3.76E-08 | 0.000011 | 0 |
| 321 | V06V08 | LinStatic | 0 | 0 | -0.000526 | -3.905E-08 | 0.000009561 | 0 |
| 322 | V06V08 | LinStatic | 0 | 0 | -0.000526 | -3.905E-08 | 0.000009564 | 0 |
| 423 | V06V08 | LinStatic | 0 | 0 | 0.002194 | -0.000001058 | -0.000039 | 0 |
| 424 | V06V08 | LinStatic | 0 | 0 | 0.002188 | -0.000001058 | -0.000039 | 0 |
| 425 | V06V08 | LinStatic | 0 | 0 | 0.002241 | -0.000001097 | -0.000033 | 0 |
| 426 | V06V08 | LinStatic | 0 | 0 | 0.002236 | -0.000001097 | -0.000033 | 0 |
| 523 | V06V08 | LinStatic | 0 | 0 | -0.006887 | -0.000006366 | 0.000006564 | 0 |
| 524 | V06V08 | LinStatic | 0 | 0 | -0.006919 | -0.000006366 | 0.000005608 | 0 |
| 619 | V06V08 | LinStatic | 0 | 0 | 0.003814 | -0.000001608 | 0.000000072 | 0 |
| 620 | V06V08 | LinStatic | 0 | 0 | 0.003805 | -0.000001608 | -6.256E-08 | 0 |
| 715 | V06V08 | LinStatic | 0 | 0 | -0.006653 | -6.279E-08 | -0.00000749 | 0 |
| 716 | V06V08 | LinStatic | 0 | 0 | -0.006654 | -6.279E-08 | -0.000007495 | 0 |
| 811 | V06V08 | LinStatic | 0 | 0 | 0.002008 | -2.452E-09 | 0.000033 | 0 |
| 812 | V06V08 | LinStatic | 0 | 0 | 0.002008 | -2.452E-09 | 0.000033 | 0 |
| 907 | V06V08 | LinStatic | 0 | 0 | -0.000478 | -9.577E-11 | -0.000007872 | 0 |
| 908 | V06V08 | LinStatic | 0 | 0 | -0.000478 | -9.577E-11 | -0.000007872 | 0 |
| 1003 | V06V08 | LinStatic | 0 | 0 | 0.000114 | -3.74E-12 | 0.000001875 | 0 |
| 1004 | V06V08 | LinStatic | 0 | 0 | 0.000114 | -3.74E-12 | 0.000001875 | 0 |
| 1099 | V06V08 | LinStatic | 0 | 0 | -0.000027 | -1.461E-13 | -4.468E-07 | 0 |
| 1100 | V06V08 | LinStatic | 0 | 0 | -0.000027 | -1.461E-13 | -4.468E-07 | 0 |
| 1195 | V06V08 | LinStatic | 0 | 0 | 0.000006466 | -5.705E-15 | 1.064E-07 | 0 |
| 1196 | V06V08 | LinStatic | 0 | 0 | 0.000006466 | -5.705E-15 | 1.064E-07 | 0 |
| 1291 | V06V08 | LinStatic | 0 | 0 | -0.00000154 | -2.228E-16 | -2.535E-08 | 0 |
| 1292 | V06V08 | LinStatic | 0 | 0 | -0.00000154 | -2.228E-16 | -2.535E-08 | 0 |
| 1387 | V06V08 | LinStatic | 0 | 0 | 0.000000367 | -8.702E-18 | 6.04E-09 | 0 |
| 1388 | V06V08 | LinStatic | 0 | 0 | 0.000000367 | -8.702E-18 | 6.04E-09 | 0 |
| 1483 | V06V08 | LinStatic | 0 | 0 | -8.742E-08 | -3.398E-19 | -1.439E-09 | 0 |
| 1484 | V06V08 | LinStatic | 0 | 0 | -8.742E-08 | -3.398E-19 | -1.439E-09 | 0 |
| 1579 | V06V08 | LinStatic | 0 | 0 | 2.083E-08 | -1.328E-20 | 3.428E-10 | 0 |
| 1580 | V06V08 | LinStatic | 0 | 0 | 2.083E-08 | -1.328E-20 | 3.428E-10 | 0 |
| 1675 | V06V08 | LinStatic | 0 | 0 | -4.961E-09 | 0 | -8.165E-11 | 0 |

**TABLE: Joint Displacements**

| Joint | OutputCase | CaseType | U1 | U2 | U3 | R1 | R2 | R3 |
|---|---|---|---|---|---|---|---|---|
| Text | Text | Text | m | m | m | Radians | Radians | Radians |
| 1676 | V06V08 | LinStatic | 0 | 0 | -4.961E-09 | 0 | -8.165E-11 | 0 |
| 1771 | V06V08 | LinStatic | 0 | 0 | 1.182E-09 | 0 | 1.945E-11 | 0 |
| 1772 | V06V08 | LinStatic | 0 | 0 | 1.182E-09 | 0 | 1.945E-11 | 0 |
| 1867 | V06V08 | LinStatic | 0 | 0 | -2.814E-10 | 0 | -4.636E-12 | 0 |
| 1868 | V06V08 | LinStatic | 0 | 0 | -2.814E-10 | 0 | -4.636E-12 | 0 |
| 1963 | V06V08 | LinStatic | 0 | 0 | 6.645E-11 | 0 | 1.114E-12 | 0 |
| 1964 | V06V08 | LinStatic | 0 | 0 | 6.645E-11 | 0 | 1.114E-12 | 0 |
| 2053 | V06V08 | LinStatic | 0 | 0 | -1.393E-11 | 0 | -2.54E-13 | 0 |
| 2054 | V06V08 | LinStatic | 0 | 0 | -1.393E-11 | 0 | -2.54E-13 | 0 |
| 2055 | V06V08 | LinStatic | 0 | 0 | -1.354E-11 | 0 | -3.219E-13 | 0 |
| 2056 | V06V08 | LinStatic | 0 | 0 | -1.354E-11 | 0 | -3.219E-13 | 0 |
| 35 | V07V09 | LinStatic | 0 | 0 | -0.000001352 | -8.195E-14 | 3.215E-08 | 0 |
| 36 | V07V09 | LinStatic | 0 | 0 | -0.000001352 | -8.195E-14 | 3.215E-08 | 0 |
| 37 | V07V09 | LinStatic | 0 | 0 | -0.000001391 | -8.583E-14 | 2.537E-08 | 0 |
| 38 | V07V09 | LinStatic | 0 | 0 | -0.000001391 | -8.583E-14 | 2.537E-08 | 0 |
| 127 | V07V09 | LinStatic | 0 | 0 | 0.000006637 | -2.24E-12 | -1.113E-07 | 0 |
| 128 | V07V09 | LinStatic | 0 | 0 | 0.000006637 | -2.24E-12 | -1.113E-07 | 0 |
| 223 | V07V09 | LinStatic | 0 | 0 | -0.000028 | -5.736E-11 | 4.631E-07 | 0 |
| 224 | V07V09 | LinStatic | 0 | 0 | -0.000028 | -5.736E-11 | 4.631E-07 | 0 |
| 319 | V07V09 | LinStatic | 0 | 0 | 0.000122 | -1.469E-09 | -0.000002642 | 0 |
| 320 | V07V09 | LinStatic | 0 | 0 | 0.000122 | -1.469E-09 | -0.000002642 | 0 |
| 321 | V07V09 | LinStatic | 0 | 0 | 0.000125 | -1.525E-09 | -0.000002278 | 0 |
| 322 | V07V09 | LinStatic | 0 | 0 | 0.000125 | -1.525E-09 | -0.000002278 | 0 |
| 423 | V07V09 | LinStatic | 0 | 0 | -0.000522 | -4.131E-08 | 0.000009385 | 0 |
| 424 | V07V09 | LinStatic | 0 | 0 | -0.000522 | -4.131E-08 | 0.000009389 | 0 |
| 425 | V07V09 | LinStatic | 0 | 0 | -0.000533 | -4.285E-08 | 0.000007762 | 0 |
| 426 | V07V09 | LinStatic | 0 | 0 | -0.000533 | -4.285E-08 | 0.000007765 | 0 |
| 523 | V07V09 | LinStatic | 0 | 0 | 0.002042 | -0.000001077 | -0.000033 | 0 |
| 524 | V07V09 | LinStatic | 0 | 0 | 0.002036 | -0.000001077 | -0.000033 | 0 |
| 619 | V07V09 | LinStatic | 0 | 0 | -0.006836 | -0.000006363 | 0.000007407 | 0 |
| 620 | V07V09 | LinStatic | 0 | 0 | -0.006868 | -0.000006363 | 0.000006451 | 0 |
| 715 | V07V09 | LinStatic | 0 | 0 | 0.003801 | -0.000001608 | -1.287E-07 | 0 |
| 716 | V07V09 | LinStatic | 0 | 0 | 0.003793 | -0.000001608 | -2.633E-07 | 0 |
| 811 | V07V09 | LinStatic | 0 | 0 | -0.006651 | -6.278E-08 | -0.000007442 | 0 |
| 812 | V07V09 | LinStatic | 0 | 0 | -0.006651 | -6.278E-08 | -0.000007447 | 0 |
| 907 | V07V09 | LinStatic | 0 | 0 | 0.002007 | -2.452E-09 | 0.000033 | 0 |
| 908 | V07V09 | LinStatic | 0 | 0 | 0.002007 | -2.452E-09 | 0.000033 | 0 |
| 1003 | V07V09 | LinStatic | 0 | 0 | -0.000478 | -9.576E-11 | -0.00000787 | 0 |
| 1004 | V07V09 | LinStatic | 0 | 0 | -0.000478 | -9.576E-11 | -0.00000787 | 0 |
| 1099 | V07V09 | LinStatic | 0 | 0 | 0.000114 | -3.74E-12 | 0.000001875 | 0 |
| 1100 | V07V09 | LinStatic | 0 | 0 | 0.000114 | -3.74E-12 | 0.000001875 | 0 |
| 1195 | V07V09 | LinStatic | 0 | 0 | -0.000027 | -1.461E-13 | -4.466E-07 | 0 |
| 1196 | V07V09 | LinStatic | 0 | 0 | -0.000027 | -1.461E-13 | -4.466E-07 | 0 |
| 1291 | V07V09 | LinStatic | 0 | 0 | 0.000006464 | -5.705E-15 | 1.064E-07 | 0 |
| 1292 | V07V09 | LinStatic | 0 | 0 | 0.000006464 | -5.705E-15 | 1.064E-07 | 0 |
| 1387 | V07V09 | LinStatic | 0 | 0 | -0.00000154 | -2.228E-16 | -2.535E-08 | 0 |
| 1388 | V07V09 | LinStatic | 0 | 0 | -0.00000154 | -2.228E-16 | -2.535E-08 | 0 |
| 1483 | V07V09 | LinStatic | 0 | 0 | 3.668E-07 | -8.702E-18 | 6.038E-09 | 0 |
| 1484 | V07V09 | LinStatic | 0 | 0 | 3.668E-07 | -8.702E-18 | 6.038E-09 | 0 |
| 1579 | V07V09 | LinStatic | 0 | 0 | -8.739E-08 | -3.398E-19 | -1.438E-09 | 0 |
| 1580 | V07V09 | LinStatic | 0 | 0 | -8.739E-08 | -3.398E-19 | -1.438E-09 | 0 |
| 1675 | V07V09 | LinStatic | 0 | 0 | 2.082E-08 | -1.328E-20 | 3.426E-10 | 0 |
| 1676 | V07V09 | LinStatic | 0 | 0 | 2.082E-08 | -1.328E-20 | 3.426E-10 | 0 |
| 1771 | V07V09 | LinStatic | 0 | 0 | -4.959E-09 | 0 | -8.163E-11 | 0 |
| 1772 | V07V09 | LinStatic | 0 | 0 | -4.959E-09 | 0 | -8.163E-11 | 0 |
| 1867 | V07V09 | LinStatic | 0 | 0 | 1.181E-09 | 0 | 1.946E-11 | 0 |
| 1868 | V07V09 | LinStatic | 0 | 0 | 1.181E-09 | 0 | 1.946E-11 | 0 |
| 1963 | V07V09 | LinStatic | 0 | 0 | -2.789E-10 | 0 | -4.675E-12 | 0 |
| 1964 | V07V09 | LinStatic | 0 | 0 | -2.789E-10 | 0 | -4.675E-12 | 0 |
| 2053 | V07V09 | LinStatic | 0 | 0 | 5.845E-11 | 0 | 1.066E-12 | 0 |
| 2054 | V07V09 | LinStatic | 0 | 0 | 5.845E-11 | 0 | 1.066E-12 | 0 |
| 2055 | V07V09 | LinStatic | 0 | 0 | 5.682E-11 | 0 | 1.351E-12 | 0 |
| 2056 | V07V09 | LinStatic | 0 | 0 | 5.682E-11 | 0 | 1.351E-12 | 0 |
| 35 | V09V11 | LinStatic | 0 | 0 | -7.675E-08 | -1.25E-16 | 1.825E-09 | 0 |
| 36 | V09V11 | LinStatic | 0 | 0 | -7.675E-08 | -1.25E-16 | 1.825E-09 | 0 |
| 37 | V09V11 | LinStatic | 0 | 0 | -7.896E-08 | -1.309E-16 | 1.44E-09 | 0 |
| 38 | V09V11 | LinStatic | 0 | 0 | -7.896E-08 | -1.309E-16 | 1.44E-09 | 0 |
| 127 | V09V11 | LinStatic | 0 | 0 | 3.767E-07 | -3.416E-15 | -6.315E-09 | 0 |
| 128 | V09V11 | LinStatic | 0 | 0 | 3.767E-07 | -3.416E-15 | -6.315E-09 | 0 |
| 223 | V09V11 | LinStatic | 0 | 0 | -0.000001595 | -8.749E-14 | 2.628E-08 | 0 |
| 224 | V09V11 | LinStatic | 0 | 0 | -0.000001595 | -8.749E-14 | 2.628E-08 | 0 |
| 319 | V09V11 | LinStatic | 0 | 0 | 0.00000693 | -2.24E-12 | -0.00000015 | 0 |
| 320 | V09V11 | LinStatic | 0 | 0 | 0.00000693 | -2.24E-12 | -0.00000015 | 0 |
| 321 | V09V11 | LinStatic | 0 | 0 | 0.000007108 | -2.326E-12 | -1.293E-07 | 0 |
| 322 | V09V11 | LinStatic | 0 | 0 | 0.000007108 | -2.326E-12 | -1.293E-07 | 0 |
| 423 | V09V11 | LinStatic | 0 | 0 | -0.00003 | -6.302E-11 | 5.327E-07 | 0 |
| 424 | V09V11 | LinStatic | 0 | 0 | -0.00003 | -6.302E-11 | 5.327E-07 | 0 |
| 425 | V09V11 | LinStatic | 0 | 0 | -0.00003 | -6.535E-11 | 4.406E-07 | 0 |
| 426 | V09V11 | LinStatic | 0 | 0 | -0.00003 | -6.535E-11 | 4.406E-07 | 0 |
| 523 | V09V11 | LinStatic | 0 | 0 | 0.000116 | -1.643E-09 | -0.000001881 | 0 |
| 524 | V09V11 | LinStatic | 0 | 0 | 0.000116 | -1.643E-09 | -0.00000188 | 0 |
| 619 | V09V11 | LinStatic | 0 | 0 | -0.000483 | -4.208E-08 | 0.00000794 | 0 |
| 620 | V09V11 | LinStatic | 0 | 0 | -0.000483 | -4.208E-08 | 0.000007943 | 0 |

**TABLE: Joint Displacements**

| Joint | OutputCase | CaseType | U1 | U2 | U3 | R1 | R2 | R3 |
|---|---|---|---|---|---|---|---|---|
| Text | Text | Text | m | m | m | Radians | Radians | Radians |
| 715 | V09V11 | LinStatic | 0 | 0 | 0.002029 | -0.000001077 | -0.000033 | 0 |
| 716 | V09V11 | LinStatic | 0 | 0 | 0.002023 | -0.000001077 | -0.000033 | 0 |
| 811 | V09V11 | LinStatic | 0 | 0 | -0.006833 | -0.000006363 | 0.000007457 | 0 |
| 812 | V09V11 | LinStatic | 0 | 0 | -0.006865 | -0.000006363 | 0.000006502 | 0 |
| 907 | V09V11 | LinStatic | 0 | 0 | 0.003801 | -0.000001608 | -1.408E-07 | 0 |
| 908 | V09V11 | LinStatic | 0 | 0 | 0.003792 | -0.000001608 | -2.753E-07 | 0 |
| 1003 | V09V11 | LinStatic | 0 | 0 | -0.00665 | -6.278E-08 | -0.000007439 | 0 |
| 1004 | V09V11 | LinStatic | 0 | 0 | -0.006651 | -6.278E-08 | -0.000007444 | 0 |
| 1099 | V09V11 | LinStatic | 0 | 0 | 0.002007 | -2.452E-09 | 0.000033 | 0 |
| 1100 | V09V11 | LinStatic | 0 | 0 | 0.002007 | -2.452E-09 | 0.000033 | 0 |
| 1195 | V09V11 | LinStatic | 0 | 0 | -0.000478 | -9.576E-11 | -0.00000787 | 0 |
| 1196 | V09V11 | LinStatic | 0 | 0 | -0.000478 | -9.576E-11 | -0.00000787 | 0 |
| 1291 | V09V11 | LinStatic | 0 | 0 | 0.000114 | -3.74E-12 | 0.000001875 | 0 |
| 1292 | V09V11 | LinStatic | 0 | 0 | 0.000114 | -3.74E-12 | 0.000001875 | 0 |
| 1387 | V09V11 | LinStatic | 0 | 0 | -0.000027 | -1.461E-13 | -4.466E-07 | 0 |
| 1388 | V09V11 | LinStatic | 0 | 0 | -0.000027 | -1.461E-13 | -4.466E-07 | 0 |
| 1483 | V09V11 | LinStatic | 0 | 0 | 0.000006464 | -5.705E-15 | 1.064E-07 | 0 |
| 1484 | V09V11 | LinStatic | 0 | 0 | 0.000006464 | -5.705E-15 | 1.064E-07 | 0 |
| 1579 | V09V11 | LinStatic | 0 | 0 | -0.00000154 | -2.228E-16 | -2.534E-08 | 0 |
| 1580 | V09V11 | LinStatic | 0 | 0 | -0.00000154 | -2.228E-16 | -2.534E-08 | 0 |
| 1675 | V09V11 | LinStatic | 0 | 0 | 3.668E-07 | -8.702E-18 | 6.038E-09 | 0 |
| 1676 | V09V11 | LinStatic | 0 | 0 | 3.668E-07 | -8.702E-18 | 6.038E-09 | 0 |
| 1771 | V09V11 | LinStatic | 0 | 0 | -8.739E-08 | -3.398E-19 | -1.438E-09 | 0 |
| 1772 | V09V11 | LinStatic | 0 | 0 | -8.739E-08 | -3.398E-19 | -1.438E-09 | 0 |
| 1867 | V09V11 | LinStatic | 0 | 0 | 2.081E-08 | -1.328E-20 | 3.428E-10 | 0 |
| 1868 | V09V11 | LinStatic | 0 | 0 | 2.081E-08 | -1.328E-20 | 3.428E-10 | 0 |
| 1963 | V09V11 | LinStatic | 0 | 0 | -4.914E-09 | 0 | -8.238E-11 | 0 |
| 1964 | V09V11 | LinStatic | 0 | 0 | -4.914E-09 | 0 | -8.238E-11 | 0 |
| 2053 | V09V11 | LinStatic | 0 | 0 | 1.03E-09 | 0 | 1.878E-11 | 0 |
| 2054 | V09V11 | LinStatic | 0 | 0 | 1.03E-09 | 0 | 1.878E-11 | 0 |
| 2055 | V09V11 | LinStatic | 0 | 0 | 1.001E-09 | 0 | 2.38E-11 | 0 |
| 2056 | V09V11 | LinStatic | 0 | 0 | 1.001E-09 | 0 | 2.38E-11 | 0 |
| 35 | V10V12 | LinStatic | 0 | 0 | 1.828E-08 | -4.882E-18 | -4.347E-10 | 0 |
| 36 | V10V12 | LinStatic | 0 | 0 | 1.828E-08 | -4.882E-18 | -4.347E-10 | 0 |
| 37 | V10V12 | LinStatic | 0 | 0 | 1.881E-08 | -5.113E-18 | -3.43E-10 | 0 |
| 38 | V10V12 | LinStatic | 0 | 0 | 1.881E-08 | -5.113E-18 | -3.43E-10 | 0 |
| 127 | V10V12 | LinStatic | 0 | 0 | -8.973E-08 | -1.334E-16 | 1.504E-09 | 0 |
| 128 | V10V12 | LinStatic | 0 | 0 | -8.973E-08 | -1.334E-16 | 1.504E-09 | 0 |
| 223 | V10V12 | LinStatic | 0 | 0 | 0.00000038 | -3.417E-15 | -6.26E-09 | 0 |
| 224 | V10V12 | LinStatic | 0 | 0 | 0.00000038 | -3.417E-15 | -6.26E-09 | 0 |
| 319 | V10V12 | LinStatic | 0 | 0 | -0.000001651 | -8.749E-14 | 3.572E-08 | 0 |
| 320 | V10V12 | LinStatic | 0 | 0 | -0.000001651 | -8.749E-14 | 3.572E-08 | 0 |
| 321 | V10V12 | LinStatic | 0 | 0 | -0.000001693 | -9.086E-14 | 3.08E-08 | 0 |
| 322 | V10V12 | LinStatic | 0 | 0 | -0.000001693 | -9.086E-14 | 3.08E-08 | 0 |
| 423 | V10V12 | LinStatic | 0 | 0 | 0.000007057 | -2.461E-12 | -1.269E-07 | 0 |
| 424 | V10V12 | LinStatic | 0 | 0 | 0.000007057 | -2.461E-12 | -1.269E-07 | 0 |
| 425 | V10V12 | LinStatic | 0 | 0 | 0.000007209 | -2.552E-12 | -0.000000105 | 0 |
| 426 | V10V12 | LinStatic | 0 | 0 | 0.000007209 | -2.552E-12 | -0.000000105 | 0 |
| 523 | V10V12 | LinStatic | 0 | 0 | -0.000028 | -6.419E-11 | 0.000000448 | 0 |
| 524 | V10V12 | LinStatic | 0 | 0 | -0.000028 | -6.419E-11 | 0.000000448 | 0 |
| 619 | V10V12 | LinStatic | 0 | 0 | 0.000115 | -1.643E-09 | -0.000001892 | 0 |
| 620 | V10V12 | LinStatic | 0 | 0 | 0.000115 | -1.643E-09 | -0.000001892 | 0 |
| 715 | V10V12 | LinStatic | 0 | 0 | -0.000483 | -4.208E-08 | 0.000007943 | 0 |
| 716 | V10V12 | LinStatic | 0 | 0 | -0.000483 | -4.208E-08 | 0.000007946 | 0 |
| 811 | V10V12 | LinStatic | 0 | 0 | 0.002029 | -0.000001077 | -0.000033 | 0 |
| 812 | V10V12 | LinStatic | 0 | 0 | 0.002023 | -0.000001077 | -0.000033 | 0 |
| 907 | V10V12 | LinStatic | 0 | 0 | -0.006833 | -0.000006363 | 0.000007457 | 0 |
| 908 | V10V12 | LinStatic | 0 | 0 | -0.006865 | -0.000006363 | 0.000006502 | 0 |
| 1003 | V10V12 | LinStatic | 0 | 0 | 0.003801 | -0.000001608 | -1.408E-07 | 0 |
| 1004 | V10V12 | LinStatic | 0 | 0 | 0.003792 | -0.000001608 | -2.753E-07 | 0 |
| 1099 | V10V12 | LinStatic | 0 | 0 | -0.00665 | -6.278E-08 | -0.000007439 | 0 |
| 1100 | V10V12 | LinStatic | 0 | 0 | -0.006651 | -6.278E-08 | -0.000007444 | 0 |
| 1195 | V10V12 | LinStatic | 0 | 0 | 0.002007 | -2.452E-09 | 0.000033 | 0 |
| 1196 | V10V12 | LinStatic | 0 | 0 | 0.002007 | -2.452E-09 | 0.000033 | 0 |
| 1291 | V10V12 | LinStatic | 0 | 0 | -0.000478 | -9.576E-11 | -0.00000787 | 0 |
| 1292 | V10V12 | LinStatic | 0 | 0 | -0.000478 | -9.576E-11 | -0.00000787 | 0 |
| 1387 | V10V12 | LinStatic | 0 | 0 | 0.000114 | -3.74E-12 | 0.000001875 | 0 |
| 1388 | V10V12 | LinStatic | 0 | 0 | 0.000114 | -3.74E-12 | 0.000001875 | 0 |
| 1483 | V10V12 | LinStatic | 0 | 0 | -0.000027 | -1.461E-13 | -4.466E-07 | 0 |
| 1484 | V10V12 | LinStatic | 0 | 0 | -0.000027 | -1.461E-13 | -4.466E-07 | 0 |
| 1579 | V10V12 | LinStatic | 0 | 0 | 0.000006464 | -5.705E-15 | 1.064E-07 | 0 |
| 1580 | V10V12 | LinStatic | 0 | 0 | 0.000006464 | -5.705E-15 | 1.064E-07 | 0 |
| 1675 | V10V12 | LinStatic | 0 | 0 | -0.00000154 | -2.228E-16 | -2.534E-08 | 0 |
| 1676 | V10V12 | LinStatic | 0 | 0 | -0.00000154 | -2.228E-16 | -2.534E-08 | 0 |
| 1771 | V10V12 | LinStatic | 0 | 0 | 3.668E-07 | -8.702E-18 | 6.038E-09 | 0 |
| 1772 | V10V12 | LinStatic | 0 | 0 | 3.668E-07 | -8.702E-18 | 6.038E-09 | 0 |
| 1867 | V10V12 | LinStatic | 0 | 0 | -8.734E-08 | -3.398E-19 | -1.439E-09 | 0 |
| 1868 | V10V12 | LinStatic | 0 | 0 | -8.734E-08 | -3.398E-19 | -1.439E-09 | 0 |
| 1963 | V10V12 | LinStatic | 0 | 0 | 2.063E-08 | -1.328E-20 | 3.458E-10 | 0 |
| 1964 | V10V12 | LinStatic | 0 | 0 | 2.063E-08 | -1.328E-20 | 3.458E-10 | 0 |
| 2053 | V10V12 | LinStatic | 0 | 0 | -4.324E-09 | 0 | -7.885E-11 | 0 |
| 2054 | V10V12 | LinStatic | 0 | 0 | -4.324E-09 | 0 | -7.885E-11 | 0 |
| 2055 | V10V12 | LinStatic | 0 | 0 | -4.203E-09 | 0 | -9.992E-11 | 0 |

**TABLE: Joint Displacements**

| Joint | OutputCase | CaseType | U1 | U2 | U3 | R1 | R2 | R3 |
|---|---|---|---|---|---|---|---|---|
| Text | Text | Text | m | m | m | Radians | Radians | Radians |
| 2056 | V10V12 | LinStatic | 0 | 0 | -4.203E-09 | 0 | -9.992E-11 | 0 |
| 35 | V12V14 | LinStatic | 0 | 0 | 1.038E-09 | 0 | -2.467E-11 | 0 |
| 36 | V12V14 | LinStatic | 0 | 0 | 1.038E-09 | 0 | -2.467E-11 | 0 |
| 37 | V12V14 | LinStatic | 0 | 0 | 1.067E-09 | 0 | -1.947E-11 | 0 |
| 38 | V12V14 | LinStatic | 0 | 0 | 1.067E-09 | 0 | -1.947E-11 | 0 |
| 127 | V12V14 | LinStatic | 0 | 0 | -5.092E-09 | -2.035E-19 | 8.537E-11 | 0 |
| 128 | V12V14 | LinStatic | 0 | 0 | -5.092E-09 | -2.035E-19 | 8.537E-11 | 0 |
| 223 | V12V14 | LinStatic | 0 | 0 | 2.156E-08 | -5.212E-18 | -3.553E-10 | 0 |
| 224 | V12V14 | LinStatic | 0 | 0 | 2.156E-08 | -5.212E-18 | -3.553E-10 | 0 |
| 319 | V12V14 | LinStatic | 0 | 0 | -9.369E-08 | -1.335E-16 | 2.027E-09 | 0 |
| 320 | V12V14 | LinStatic | 0 | 0 | -9.369E-08 | -1.335E-16 | 2.027E-09 | 0 |
| 321 | V12V14 | LinStatic | 0 | 0 | -9.609E-08 | -1.386E-16 | 1.748E-09 | 0 |
| 322 | V12V14 | LinStatic | 0 | 0 | -9.609E-08 | -1.386E-16 | 1.748E-09 | 0 |
| 423 | V12V14 | LinStatic | 0 | 0 | 4.005E-07 | -3.754E-15 | -7.202E-09 | 0 |
| 424 | V12V14 | LinStatic | 0 | 0 | 4.005E-07 | -3.754E-15 | -7.202E-09 | 0 |
| 425 | V12V14 | LinStatic | 0 | 0 | 4.091E-07 | -3.893E-15 | -5.956E-09 | 0 |
| 426 | V12V14 | LinStatic | 0 | 0 | 4.091E-07 | -3.893E-15 | -5.956E-09 | 0 |
| 523 | V12V14 | LinStatic | 0 | 0 | -0.000001564 | -9.79E-14 | 2.542E-08 | 0 |
| 524 | V12V14 | LinStatic | 0 | 0 | -0.000001564 | -9.79E-14 | 2.542E-08 | 0 |
| 619 | V12V14 | LinStatic | 0 | 0 | 0.000006528 | -2.507E-12 | -1.074E-07 | 0 |
| 620 | V12V14 | LinStatic | 0 | 0 | 0.000006528 | -2.507E-12 | -1.074E-07 | 0 |
| 715 | V12V14 | LinStatic | 0 | 0 | -0.000027 | -6.418E-11 | 4.508E-07 | 0 |
| 716 | V12V14 | LinStatic | 0 | 0 | -0.000027 | -6.418E-11 | 4.508E-07 | 0 |
| 811 | V12V14 | LinStatic | 0 | 0 | 0.000115 | -1.643E-09 | -0.000001893 | 0 |
| 812 | V12V14 | LinStatic | 0 | 0 | 0.000115 | -1.643E-09 | -0.000001892 | 0 |
| 907 | V12V14 | LinStatic | 0 | 0 | -0.000483 | -4.208E-08 | 0.000007943 | 0 |
| 908 | V12V14 | LinStatic | 0 | 0 | -0.000483 | -4.208E-08 | 0.000007946 | 0 |
| 1003 | V12V14 | LinStatic | 0 | 0 | 0.002029 | -0.000001077 | -0.000033 | 0 |
| 1004 | V12V14 | LinStatic | 0 | 0 | 0.002023 | -0.000001077 | -0.000033 | 0 |
| 1099 | V12V14 | LinStatic | 0 | 0 | -0.006833 | -0.000006363 | 0.000007457 | 0 |
| 1100 | V12V14 | LinStatic | 0 | 0 | -0.006865 | -0.000006363 | 0.000006502 | 0 |
| 1195 | V12V14 | LinStatic | 0 | 0 | 0.003801 | -0.000001608 | -1.408E-07 | 0 |
| 1196 | V12V14 | LinStatic | 0 | 0 | 0.003792 | -0.000001608 | -2.753E-07 | 0 |
| 1291 | V12V14 | LinStatic | 0 | 0 | -0.00665 | -6.278E-08 | -0.000007439 | 0 |
| 1292 | V12V14 | LinStatic | 0 | 0 | -0.006651 | -6.278E-08 | -0.000007444 | 0 |
| 1387 | V12V14 | LinStatic | 0 | 0 | 0.002007 | -2.452E-09 | 0.000033 | 0 |
| 1388 | V12V14 | LinStatic | 0 | 0 | 0.002007 | -2.452E-09 | 0.000033 | 0 |
| 1483 | V12V14 | LinStatic | 0 | 0 | -0.000478 | -9.576E-11 | -0.00000787 | 0 |
| 1484 | V12V14 | LinStatic | 0 | 0 | -0.000478 | -9.576E-11 | -0.00000787 | 0 |
| 1579 | V12V14 | LinStatic | 0 | 0 | 0.000114 | -3.74E-12 | 0.000001875 | 0 |
| 1580 | V12V14 | LinStatic | 0 | 0 | 0.000114 | -3.74E-12 | 0.000001875 | 0 |
| 1675 | V12V14 | LinStatic | 0 | 0 | -0.000027 | -1.461E-13 | -4.466E-07 | 0 |
| 1676 | V12V14 | LinStatic | 0 | 0 | -0.000027 | -1.461E-13 | -4.466E-07 | 0 |
| 1771 | V12V14 | LinStatic | 0 | 0 | 0.000006464 | -5.705E-15 | 1.064E-07 | 0 |
| 1772 | V12V14 | LinStatic | 0 | 0 | 0.000006464 | -5.705E-15 | 1.064E-07 | 0 |
| 1867 | V12V14 | LinStatic | 0 | 0 | -0.000001539 | -2.228E-16 | -2.536E-08 | 0 |
| 1868 | V12V14 | LinStatic | 0 | 0 | -0.000001539 | -2.228E-16 | -2.536E-08 | 0 |
| 1963 | V12V14 | LinStatic | 0 | 0 | 3.635E-07 | -8.7E-18 | 6.093E-09 | 0 |
| 1964 | V12V14 | LinStatic | 0 | 0 | 3.635E-07 | -8.7E-18 | 6.093E-09 | 0 |
| 2053 | V12V14 | LinStatic | 0 | 0 | -7.619E-08 | -3.334E-19 | -1.389E-09 | 0 |
| 2054 | V12V14 | LinStatic | 0 | 0 | -7.619E-08 | -3.334E-19 | -1.389E-09 | 0 |
| 2055 | V12V14 | LinStatic | 0 | 0 | -7.406E-08 | -3.183E-19 | -1.761E-09 | 0 |
| 2056 | V12V14 | LinStatic | 0 | 0 | -7.406E-08 | -3.183E-19 | -1.761E-09 | 0 |
| 35 | V13V15 | LinStatic | 0 | 0 | -2.472E-10 | 0 | 5.877E-12 | 0 |
| 36 | V13V15 | LinStatic | 0 | 0 | -2.472E-10 | 0 | 5.877E-12 | 0 |
| 37 | V13V15 | LinStatic | 0 | 0 | -2.543E-10 | 0 | 4.637E-12 | 0 |
| 38 | V13V15 | LinStatic | 0 | 0 | -2.543E-10 | 0 | 4.637E-12 | 0 |
| 127 | V13V15 | LinStatic | 0 | 0 | 1.213E-09 | 0 | -2.034E-11 | 0 |
| 128 | V13V15 | LinStatic | 0 | 0 | 1.213E-09 | 0 | -2.034E-11 | 0 |
| 223 | V13V15 | LinStatic | 0 | 0 | -5.137E-09 | -2.036E-19 | 8.464E-11 | 0 |
| 224 | V13V15 | LinStatic | 0 | 0 | -5.137E-09 | -2.035E-19 | 8.464E-11 | 0 |
| 319 | V13V15 | LinStatic | 0 | 0 | 2.232E-08 | -5.212E-18 | -4.829E-10 | 0 |
| 320 | V13V15 | LinStatic | 0 | 0 | 2.232E-08 | -5.212E-18 | -4.829E-10 | 0 |
| 321 | V13V15 | LinStatic | 0 | 0 | 2.289E-08 | -5.413E-18 | -4.164E-10 | 0 |
| 322 | V13V15 | LinStatic | 0 | 0 | 2.289E-08 | -5.413E-18 | -4.164E-10 | 0 |
| 423 | V13V15 | LinStatic | 0 | 0 | -9.54E-08 | -1.466E-16 | 1.716E-09 | 0 |
| 424 | V13V15 | LinStatic | 0 | 0 | -9.54E-08 | -1.466E-16 | 1.716E-09 | 0 |
| 425 | V13V15 | LinStatic | 0 | 0 | -9.747E-08 | -1.521E-16 | 1.419E-09 | 0 |
| 426 | V13V15 | LinStatic | 0 | 0 | -9.747E-08 | -1.521E-16 | 1.419E-09 | 0 |
| 523 | V13V15 | LinStatic | 0 | 0 | 3.727E-07 | -3.824E-15 | -6.056E-09 | 0 |
| 524 | V13V15 | LinStatic | 0 | 0 | 3.727E-07 | -3.824E-15 | -6.056E-09 | 0 |
| 619 | V13V15 | LinStatic | 0 | 0 | -0.000001555 | -9.79E-14 | 2.558E-08 | 0 |
| 620 | V13V15 | LinStatic | 0 | 0 | -0.000001555 | -9.79E-14 | 2.558E-08 | 0 |
| 715 | V13V15 | LinStatic | 0 | 0 | 0.000006526 | -2.507E-12 | -1.074E-07 | 0 |
| 716 | V13V15 | LinStatic | 0 | 0 | 0.000006526 | -2.507E-12 | -1.074E-07 | 0 |
| 811 | V13V15 | LinStatic | 0 | 0 | -0.000027 | -6.418E-11 | 4.508E-07 | 0 |
| 812 | V13V15 | LinStatic | 0 | 0 | -0.000027 | -6.418E-11 | 4.509E-07 | 0 |
| 907 | V13V15 | LinStatic | 0 | 0 | 0.000115 | -1.643E-09 | -0.000001893 | 0 |
| 908 | V13V15 | LinStatic | 0 | 0 | 0.000115 | -1.643E-09 | -0.000001892 | 0 |
| 1003 | V13V15 | LinStatic | 0 | 0 | -0.000483 | -4.208E-08 | 0.000007943 | 0 |
| 1004 | V13V15 | LinStatic | 0 | 0 | -0.000483 | -4.208E-08 | 0.000007946 | 0 |
| 1099 | V13V15 | LinStatic | 0 | 0 | 0.002029 | -0.000001077 | -0.000033 | 0 |
| 1100 | V13V15 | LinStatic | 0 | 0 | 0.002023 | -0.000001077 | -0.000033 | 0 |

**TABLE: Joint Displacements**

| Joint | OutputCase | CaseType | U1 | U2 | U3 | R1 | R2 | R3 |
|---|---|---|---|---|---|---|---|---|
| Text | Text | Text | m | m | m | Radians | Radians | Radians |
| 1195 | V13V15 | LinStatic | 0 | 0 | -0.006833 | -0.000006363 | 0.000007457 | 0 |
| 1196 | V13V15 | LinStatic | 0 | 0 | -0.006865 | -0.000006363 | 0.000006502 | 0 |
| 1291 | V13V15 | LinStatic | 0 | 0 | 0.003801 | -0.000001608 | -1.408E-07 | 0 |
| 1292 | V13V15 | LinStatic | 0 | 0 | 0.003792 | -0.000001608 | -2.753E-07 | 0 |
| 1387 | V13V15 | LinStatic | 0 | 0 | -0.00665 | -6.278E-08 | -0.000007439 | 0 |
| 1388 | V13V15 | LinStatic | 0 | 0 | -0.006651 | -6.278E-08 | -0.000007444 | 0 |
| 1483 | V13V15 | LinStatic | 0 | 0 | 0.002007 | -2.452E-09 | 0.000033 | 0 |
| 1484 | V13V15 | LinStatic | 0 | 0 | 0.002007 | -2.452E-09 | 0.000033 | 0 |
| 1579 | V13V15 | LinStatic | 0 | 0 | -0.000478 | -9.576E-11 | -0.00000787 | 0 |
| 1580 | V13V15 | LinStatic | 0 | 0 | -0.000478 | -9.576E-11 | -0.00000787 | 0 |
| 1675 | V13V15 | LinStatic | 0 | 0 | 0.000114 | -3.74E-12 | 0.000001875 | 0 |
| 1676 | V13V15 | LinStatic | 0 | 0 | 0.000114 | -3.74E-12 | 0.000001875 | 0 |
| 1771 | V13V15 | LinStatic | 0 | 0 | -0.000027 | -1.461E-13 | -4.466E-07 | 0 |
| 1772 | V13V15 | LinStatic | 0 | 0 | -0.000027 | -1.461E-13 | -4.466E-07 | 0 |
| 1867 | V13V15 | LinStatic | 0 | 0 | 0.000006461 | -5.705E-15 | 1.064E-07 | 0 |
| 1868 | V13V15 | LinStatic | 0 | 0 | 0.000006461 | -5.705E-15 | 1.064E-07 | 0 |
| 1963 | V13V15 | LinStatic | 0 | 0 | -0.000001526 | -2.227E-16 | -2.558E-08 | 0 |
| 1964 | V13V15 | LinStatic | 0 | 0 | -0.000001526 | -2.227E-16 | -2.558E-08 | 0 |
| 2053 | V13V15 | LinStatic | 0 | 0 | 3.198E-07 | -8.537E-18 | 5.832E-09 | 0 |
| 2054 | V13V15 | LinStatic | 0 | 0 | 3.198E-07 | -8.537E-18 | 5.832E-09 | 0 |
| 2055 | V13V15 | LinStatic | 0 | 0 | 3.109E-07 | -8.15E-18 | 7.391E-09 | 0 |
| 2056 | V13V15 | LinStatic | 0 | 0 | 3.109E-07 | -8.15E-18 | 7.391E-09 | 0 |
| 35 | V15V17 | LinStatic | 0 | 0 | -1.403E-11 | 0 | 3.335E-13 | 0 |
| 36 | V15V17 | LinStatic | 0 | 0 | -1.403E-11 | 0 | 3.335E-13 | 0 |
| 37 | V15V17 | LinStatic | 0 | 0 | -1.443E-11 | 0 | 2.632E-13 | 0 |
| 38 | V15V17 | LinStatic | 0 | 0 | -1.443E-11 | 0 | 2.632E-13 | 0 |
| 127 | V15V17 | LinStatic | 0 | 0 | 6.885E-11 | 0 | -1.154E-12 | 0 |
| 128 | V15V17 | LinStatic | 0 | 0 | 6.885E-11 | 0 | -1.154E-12 | 0 |
| 223 | V15V17 | LinStatic | 0 | 0 | -2.915E-10 | 0 | 4.803E-12 | 0 |
| 224 | V15V17 | LinStatic | 0 | 0 | -2.915E-10 | 0 | 4.803E-12 | 0 |
| 319 | V15V17 | LinStatic | 0 | 0 | 1.267E-09 | 0 | -2.741E-11 | 0 |
| 320 | V15V17 | LinStatic | 0 | 0 | 1.267E-09 | 0 | -2.741E-11 | 0 |
| 321 | V15V17 | LinStatic | 0 | 0 | 1.299E-09 | 0 | -2.363E-11 | 0 |
| 322 | V15V17 | LinStatic | 0 | 0 | 1.299E-09 | 0 | -2.363E-11 | 0 |
| 423 | V15V17 | LinStatic | 0 | 0 | -5.414E-09 | -2.236E-19 | 9.737E-11 | 0 |
| 424 | V15V17 | LinStatic | 0 | 0 | -5.414E-09 | -2.236E-19 | 9.737E-11 | 0 |
| 425 | V15V17 | LinStatic | 0 | 0 | -5.531E-09 | -2.319E-19 | 8.053E-11 | 0 |
| 426 | V15V17 | LinStatic | 0 | 0 | -5.531E-09 | -2.319E-19 | 8.053E-11 | 0 |
| 523 | V15V17 | LinStatic | 0 | 0 | 2.115E-08 | -5.832E-18 | -3.437E-10 | 0 |
| 524 | V15V17 | LinStatic | 0 | 0 | 2.115E-08 | -5.832E-18 | -3.437E-10 | 0 |
| 619 | V15V17 | LinStatic | 0 | 0 | -8.825E-08 | -1.493E-16 | 1.451E-09 | 0 |
| 620 | V15V17 | LinStatic | 0 | 0 | -8.825E-08 | -1.493E-16 | 1.451E-09 | 0 |
| 715 | V15V17 | LinStatic | 0 | 0 | 3.703E-07 | -3.823E-15 | -6.095E-09 | 0 |
| 716 | V15V17 | LinStatic | 0 | 0 | 3.703E-07 | -3.823E-15 | -6.095E-09 | 0 |
| 811 | V15V17 | LinStatic | 0 | 0 | -0.000001555 | -9.79E-14 | 2.559E-08 | 0 |
| 812 | V15V17 | LinStatic | 0 | 0 | -0.000001555 | -9.79E-14 | 2.559E-08 | 0 |
| 907 | V15V17 | LinStatic | 0 | 0 | 0.000006526 | -2.507E-12 | -1.074E-07 | 0 |
| 908 | V15V17 | LinStatic | 0 | 0 | 0.000006526 | -2.507E-12 | -1.074E-07 | 0 |
| 1003 | V15V17 | LinStatic | 0 | 0 | -0.000027 | -6.418E-11 | 4.508E-07 | 0 |
| 1004 | V15V17 | LinStatic | 0 | 0 | -0.000027 | -6.418E-11 | 4.509E-07 | 0 |
| 1099 | V15V17 | LinStatic | 0 | 0 | 0.000115 | -1.643E-09 | -0.000001893 | 0 |
| 1100 | V15V17 | LinStatic | 0 | 0 | 0.000115 | -1.643E-09 | -0.000001892 | 0 |
| 1195 | V15V17 | LinStatic | 0 | 0 | -0.000483 | -4.208E-08 | 0.000007943 | 0 |
| 1196 | V15V17 | LinStatic | 0 | 0 | -0.000483 | -4.208E-08 | 0.000007946 | 0 |
| 1291 | V15V17 | LinStatic | 0 | 0 | 0.002029 | -0.000001077 | -0.000033 | 0 |
| 1292 | V15V17 | LinStatic | 0 | 0 | 0.002023 | -0.000001077 | -0.000033 | 0 |
| 1387 | V15V17 | LinStatic | 0 | 0 | -0.006833 | -0.000006363 | 0.000007457 | 0 |
| 1388 | V15V17 | LinStatic | 0 | 0 | -0.006865 | -0.000006363 | 0.000006502 | 0 |
| 1483 | V15V17 | LinStatic | 0 | 0 | 0.003801 | -0.000001608 | -1.408E-07 | 0 |
| 1484 | V15V17 | LinStatic | 0 | 0 | 0.003792 | -0.000001608 | -2.753E-07 | 0 |
| 1579 | V15V17 | LinStatic | 0 | 0 | -0.00665 | -6.278E-08 | -0.000007439 | 0 |
| 1580 | V15V17 | LinStatic | 0 | 0 | -0.006651 | -6.278E-08 | -0.000007444 | 0 |
| 1675 | V15V17 | LinStatic | 0 | 0 | 0.002007 | -2.452E-09 | 0.000033 | 0 |
| 1676 | V15V17 | LinStatic | 0 | 0 | 0.002007 | -2.452E-09 | 0.000033 | 0 |
| 1771 | V15V17 | LinStatic | 0 | 0 | -0.000478 | -9.576E-11 | -0.00000787 | 0 |
| 1772 | V15V17 | LinStatic | 0 | 0 | -0.000478 | -9.576E-11 | -0.00000787 | 0 |
| 1867 | V15V17 | LinStatic | 0 | 0 | 0.000114 | -3.74E-12 | 0.000001876 | 0 |
| 1868 | V15V17 | LinStatic | 0 | 0 | 0.000114 | -3.74E-12 | 0.000001876 | 0 |
| 1963 | V15V17 | LinStatic | 0 | 0 | -0.000027 | -1.46E-13 | -4.507E-07 | 0 |
| 1964 | V15V17 | LinStatic | 0 | 0 | -0.000027 | -1.46E-13 | -4.507E-07 | 0 |
| 2053 | V15V17 | LinStatic | 0 | 0 | 0.000005635 | -5.597E-15 | 1.028E-07 | 0 |
| 2054 | V15V17 | LinStatic | 0 | 0 | 0.000005635 | -5.597E-15 | 1.028E-07 | 0 |
| 2055 | V15V17 | LinStatic | 0 | 0 | 0.000005478 | -5.343E-15 | 1.302E-07 | 0 |
| 2056 | V15V17 | LinStatic | 0 | 0 | 0.000005478 | -5.343E-15 | 1.302E-07 | 0 |
| 35 | V16V18 | LinStatic | 0 | 0 | 3.342E-12 | 0 | -7.945E-14 | 0 |
| 36 | V16V18 | LinStatic | 0 | 0 | 3.342E-12 | 0 | -7.945E-14 | 0 |
| 37 | V16V18 | LinStatic | 0 | 0 | 3.438E-12 | 0 | -6.269E-14 | 0 |
| 38 | V16V18 | LinStatic | 0 | 0 | 3.438E-12 | 0 | -6.269E-14 | 0 |
| 127 | V16V18 | LinStatic | 0 | 0 | -1.64E-11 | 0 | 2.749E-13 | 0 |
| 128 | V16V18 | LinStatic | 0 | 0 | -1.64E-11 | 0 | 2.749E-13 | 0 |
| 223 | V16V18 | LinStatic | 0 | 0 | 6.945E-11 | 0 | -1.144E-12 | 0 |
| 224 | V16V18 | LinStatic | 0 | 0 | 6.945E-11 | 0 | -1.144E-12 | 0 |
| 319 | V16V18 | LinStatic | 0 | 0 | -3.018E-10 | 0 | 6.529E-12 | 0 |

**TABLE: Joint Displacements**

| Joint | OutputCase | CaseType | U1 | U2 | U3 | R1 | R2 | R3 |
|---|---|---|---|---|---|---|---|---|
| Text | Text | Text | m | m | m | Radians | Radians | Radians |
| 320 | V16V18 | LinStatic | 0 | 0 | -3.018E-10 | 0 | 6.529E-12 | 0 |
| 321 | V16V18 | LinStatic | 0 | 0 | -3.095E-10 | 0 | 5.629E-12 | 0 |
| 322 | V16V18 | LinStatic | 0 | 0 | -3.095E-10 | 0 | 5.629E-12 | 0 |
| 423 | V16V18 | LinStatic | 0 | 0 | 1.29E-09 | 0 | -2.319E-11 | 0 |
| 424 | V16V18 | LinStatic | 0 | 0 | 1.29E-09 | 0 | -2.319E-11 | 0 |
| 425 | V16V18 | LinStatic | 0 | 0 | 1.318E-09 | 0 | -1.918E-11 | 0 |
| 426 | V16V18 | LinStatic | 0 | 0 | 1.318E-09 | 0 | -1.918E-11 | 0 |
| 523 | V16V18 | LinStatic | 0 | 0 | -5.039E-09 | -2.278E-19 | 8.188E-11 | 0 |
| 524 | V16V18 | LinStatic | 0 | 0 | -5.039E-09 | -2.278E-19 | 8.188E-11 | 0 |
| 619 | V16V18 | LinStatic | 0 | 0 | 2.102E-08 | -5.832E-18 | -3.458E-10 | 0 |
| 620 | V16V18 | LinStatic | 0 | 0 | 2.102E-08 | -5.832E-18 | -3.458E-10 | 0 |
| 715 | V16V18 | LinStatic | 0 | 0 | -8.822E-08 | -1.493E-16 | 1.452E-09 | 0 |
| 716 | V16V18 | LinStatic | 0 | 0 | -8.822E-08 | -1.493E-16 | 1.452E-09 | 0 |
| 811 | V16V18 | LinStatic | 0 | 0 | 3.703E-07 | -3.823E-15 | -6.095E-09 | 0 |
| 812 | V16V18 | LinStatic | 0 | 0 | 3.703E-07 | -3.823E-15 | -6.095E-09 | 0 |
| 907 | V16V18 | LinStatic | 0 | 0 | -0.000001555 | -9.79E-14 | 2.559E-08 | 0 |
| 908 | V16V18 | LinStatic | 0 | 0 | -0.000001555 | -9.79E-14 | 2.559E-08 | 0 |
| 1003 | V16V18 | LinStatic | 0 | 0 | 0.000006526 | -2.507E-12 | -1.074E-07 | 0 |
| 1004 | V16V18 | LinStatic | 0 | 0 | 0.000006526 | -2.507E-12 | -1.074E-07 | 0 |
| 1099 | V16V18 | LinStatic | 0 | 0 | -0.000027 | -6.418E-11 | 4.508E-07 | 0 |
| 1100 | V16V18 | LinStatic | 0 | 0 | -0.000027 | -6.418E-11 | 4.509E-07 | 0 |
| 1195 | V16V18 | LinStatic | 0 | 0 | 0.000115 | -1.643E-09 | -0.000001893 | 0 |
| 1196 | V16V18 | LinStatic | 0 | 0 | 0.000115 | -1.643E-09 | -0.000001892 | 0 |
| 1291 | V16V18 | LinStatic | 0 | 0 | -0.000483 | -4.208E-08 | 0.000007943 | 0 |
| 1292 | V16V18 | LinStatic | 0 | 0 | -0.000483 | -4.208E-08 | 0.000007946 | 0 |
| 1387 | V16V18 | LinStatic | 0 | 0 | 0.002029 | -0.000001077 | -0.000033 | 0 |
| 1388 | V16V18 | LinStatic | 0 | 0 | 0.002023 | -0.000001077 | -0.000033 | 0 |
| 1483 | V16V18 | LinStatic | 0 | 0 | -0.006833 | -0.000006363 | 0.000007457 | 0 |
| 1484 | V16V18 | LinStatic | 0 | 0 | -0.006865 | -0.000006363 | 0.000006502 | 0 |
| 1579 | V16V18 | LinStatic | 0 | 0 | 0.003801 | -0.000001608 | -1.407E-07 | 0 |
| 1580 | V16V18 | LinStatic | 0 | 0 | 0.003792 | -0.000001608 | -2.753E-07 | 0 |
| 1675 | V16V18 | LinStatic | 0 | 0 | -0.00665 | -6.278E-08 | -0.000007439 | 0 |
| 1676 | V16V18 | LinStatic | 0 | 0 | -0.006651 | -6.278E-08 | -0.000007444 | 0 |
| 1771 | V16V18 | LinStatic | 0 | 0 | 0.002007 | -2.452E-09 | 0.000033 | 0 |
| 1772 | V16V18 | LinStatic | 0 | 0 | 0.002007 | -2.452E-09 | 0.000033 | 0 |
| 1867 | V16V18 | LinStatic | 0 | 0 | -0.000478 | -9.576E-11 | -0.000007874 | 0 |
| 1868 | V16V18 | LinStatic | 0 | 0 | -0.000478 | -9.576E-11 | -0.000007874 | 0 |
| 1963 | V16V18 | LinStatic | 0 | 0 | 0.000113 | -3.739E-12 | 0.000001892 | 0 |
| 1964 | V16V18 | LinStatic | 0 | 0 | 0.000113 | -3.739E-12 | 0.000001892 | 0 |
| 2053 | V16V18 | LinStatic | 0 | 0 | -0.000024 | -1.433E-13 | -4.314E-07 | 0 |
| 2054 | V16V18 | LinStatic | 0 | 0 | -0.000024 | -1.433E-13 | -4.314E-07 | 0 |
| 2055 | V16V18 | LinStatic | 0 | 0 | -0.000023 | -1.368E-13 | -5.467E-07 | 0 |
| 2056 | V16V18 | LinStatic | 0 | 0 | -0.000023 | -1.368E-13 | -5.467E-07 | 0 |
| 35 | V19V21 | LinStatic | 0 | 0 | -4.515E-14 | 0 | 1.074E-15 | 0 |
| 36 | V19V21 | LinStatic | 0 | 0 | -4.515E-14 | 0 | 1.074E-15 | 0 |
| 37 | V19V21 | LinStatic | 0 | 0 | -4.645E-14 | 0 | 8.471E-16 | 0 |
| 38 | V19V21 | LinStatic | 0 | 0 | -4.645E-14 | 0 | 8.471E-16 | 0 |
| 127 | V19V21 | LinStatic | 0 | 0 | 2.216E-13 | 0 | -3.715E-15 | 0 |
| 128 | V19V21 | LinStatic | 0 | 0 | 2.216E-13 | 0 | -3.715E-15 | 0 |
| 223 | V19V21 | LinStatic | 0 | 0 | -9.384E-13 | 0 | 1.546E-14 | 0 |
| 224 | V19V21 | LinStatic | 0 | 0 | -9.384E-13 | 0 | 1.546E-14 | 0 |
| 319 | V19V21 | LinStatic | 0 | 0 | 4.077E-12 | 0 | -8.822E-14 | 0 |
| 320 | V19V21 | LinStatic | 0 | 0 | 4.077E-12 | 0 | -8.822E-14 | 0 |
| 321 | V19V21 | LinStatic | 0 | 0 | 4.182E-12 | 0 | -7.606E-14 | 0 |
| 322 | V19V21 | LinStatic | 0 | 0 | 4.182E-12 | 0 | -7.606E-14 | 0 |
| 423 | V19V21 | LinStatic | 0 | 0 | -1.743E-11 | 0 | 3.134E-13 | 0 |
| 424 | V19V21 | LinStatic | 0 | 0 | -1.743E-11 | 0 | 3.134E-13 | 0 |
| 425 | V19V21 | LinStatic | 0 | 0 | -1.78E-11 | 0 | 2.592E-13 | 0 |
| 426 | V19V21 | LinStatic | 0 | 0 | -1.78E-11 | 0 | 2.592E-13 | 0 |
| 523 | V19V21 | LinStatic | 0 | 0 | 6.808E-11 | 0 | -1.106E-12 | 0 |
| 524 | V19V21 | LinStatic | 0 | 0 | 6.808E-11 | 0 | -1.106E-12 | 0 |
| 619 | V19V21 | LinStatic | 0 | 0 | -2.841E-10 | 0 | 4.672E-12 | 0 |
| 620 | V19V21 | LinStatic | 0 | 0 | -2.841E-10 | 0 | 4.672E-12 | 0 |
| 715 | V19V21 | LinStatic | 0 | 0 | 1.192E-09 | 0 | -1.962E-11 | 0 |
| 716 | V19V21 | LinStatic | 0 | 0 | 1.192E-09 | 0 | -1.962E-11 | 0 |
| 811 | V19V21 | LinStatic | 0 | 0 | -5.004E-09 | -2.278E-19 | 8.236E-11 | 0 |
| 812 | V19V21 | LinStatic | 0 | 0 | -5.004E-09 | -2.278E-19 | 8.236E-11 | 0 |
| 907 | V19V21 | LinStatic | 0 | 0 | 2.101E-08 | -5.832E-18 | -3.457E-10 | 0 |
| 908 | V19V21 | LinStatic | 0 | 0 | 2.101E-08 | -5.832E-18 | -3.457E-10 | 0 |
| 1003 | V19V21 | LinStatic | 0 | 0 | -8.818E-08 | -1.493E-16 | 1.451E-09 | 0 |
| 1004 | V19V21 | LinStatic | 0 | 0 | -8.818E-08 | -1.493E-16 | 1.451E-09 | 0 |
| 1099 | V19V21 | LinStatic | 0 | 0 | 3.701E-07 | -3.823E-15 | -6.092E-09 | 0 |
| 1100 | V19V21 | LinStatic | 0 | 0 | 3.701E-07 | -3.823E-15 | -6.092E-09 | 0 |
| 1195 | V19V21 | LinStatic | 0 | 0 | -0.000001554 | -9.79E-14 | 2.557E-08 | 0 |
| 1196 | V19V21 | LinStatic | 0 | 0 | -0.000001554 | -9.79E-14 | 2.557E-08 | 0 |
| 1291 | V19V21 | LinStatic | 0 | 0 | 0.000006522 | -2.507E-12 | -1.073E-07 | 0 |
| 1292 | V19V21 | LinStatic | 0 | 0 | 0.000006522 | -2.507E-12 | -1.073E-07 | 0 |
| 1387 | V19V21 | LinStatic | 0 | 0 | -0.000027 | -6.418E-11 | 4.506E-07 | 0 |
| 1388 | V19V21 | LinStatic | 0 | 0 | -0.000027 | -6.418E-11 | 4.506E-07 | 0 |
| 1483 | V19V21 | LinStatic | 0 | 0 | 0.000115 | -1.643E-09 | -0.000001892 | 0 |
| 1484 | V19V21 | LinStatic | 0 | 0 | 0.000115 | -1.643E-09 | -0.000001892 | 0 |
| 1579 | V19V21 | LinStatic | 0 | 0 | -0.000482 | -4.208E-08 | 0.000007939 | 0 |
| 1580 | V19V21 | LinStatic | 0 | 0 | -0.000483 | -4.208E-08 | 0.000007942 | 0 |

**TABLE: Joint Displacements**

| Joint | OutputCase | CaseType | U1 | U2 | U3 | R1 | R2 | R3 |
|---|---|---|---|---|---|---|---|---|
| Text | Text | Text | m | m | m | Radians | Radians | Radians |
| 1675 | V19V21 | LinStatic | 0 | 0 | 0.002028 | -0.000001077 | -0.000033 | 0 |
| 1676 | V19V21 | LinStatic | 0 | 0 | 0.002022 | -0.000001077 | -0.000033 | 0 |
| 1771 | V19V21 | LinStatic | 0 | 0 | -0.006828 | -0.000006363 | 0.000007385 | 0 |
| 1772 | V19V21 | LinStatic | 0 | 0 | -0.006861 | -0.000006363 | 0.000006429 | 0 |
| 1867 | V19V21 | LinStatic | 0 | 0 | 0.003782 | -0.000001608 | 1.632E-07 | 0 |
| 1868 | V19V21 | LinStatic | 0 | 0 | 0.003773 | -0.000001608 | 2.863E-08 | 0 |
| 1963 | V19V21 | LinStatic | 0 | 0 | -0.006573 | -6.277E-08 | -0.000008715 | 0 |
| 1964 | V19V21 | LinStatic | 0 | 0 | -0.006573 | -6.277E-08 | -0.00000872 | 0 |
| 2053 | V19V21 | LinStatic | 0 | 0 | 0.00175 | -2.406E-09 | 0.000032 | 0 |
| 2054 | V19V21 | LinStatic | 0 | 0 | 0.00175 | -2.406E-09 | 0.000032 | 0 |
| 2055 | V19V21 | LinStatic | 0 | 0 | 0.001701 | -2.297E-09 | 0.00004 | 0 |
| 2056 | V19V21 | LinStatic | 0 | 0 | 0.001701 | -2.297E-09 | 0.00004 | 0 |
| 35 | V20V22 | LinStatic | 0 | 0 | 1.06E-14 | 0 | -2.52E-16 | 0 |
| 36 | V20V22 | LinStatic | 0 | 0 | 1.06E-14 | 0 | -2.52E-16 | 0 |
| 37 | V20V22 | LinStatic | 0 | 0 | 1.09E-14 | 0 | -1.988E-16 | 0 |
| 38 | V20V22 | LinStatic | 0 | 0 | 1.09E-14 | 0 | -1.988E-16 | 0 |
| 127 | V20V22 | LinStatic | 0 | 0 | -5.201E-14 | 0 | 8.72E-16 | 0 |
| 128 | V20V22 | LinStatic | 0 | 0 | -5.201E-14 | 0 | 8.72E-16 | 0 |
| 223 | V20V22 | LinStatic | 0 | 0 | 2.203E-13 | 0 | -3.629E-15 | 0 |
| 224 | V20V22 | LinStatic | 0 | 0 | 2.203E-13 | 0 | -3.629E-15 | 0 |
| 319 | V20V22 | LinStatic | 0 | 0 | -9.57E-13 | 0 | 2.071E-14 | 0 |
| 320 | V20V22 | LinStatic | 0 | 0 | -9.57E-13 | 0 | 2.071E-14 | 0 |
| 321 | V20V22 | LinStatic | 0 | 0 | -9.814E-13 | 0 | 1.785E-14 | 0 |
| 322 | V20V22 | LinStatic | 0 | 0 | -9.814E-13 | 0 | 1.785E-14 | 0 |
| 423 | V20V22 | LinStatic | 0 | 0 | 4.09E-12 | 0 | -7.356E-14 | 0 |
| 424 | V20V22 | LinStatic | 0 | 0 | 4.09E-12 | 0 | -7.356E-14 | 0 |
| 425 | V20V22 | LinStatic | 0 | 0 | 4.179E-12 | 0 | -6.084E-14 | 0 |
| 426 | V20V22 | LinStatic | 0 | 0 | 4.179E-12 | 0 | -6.084E-14 | 0 |
| 523 | V20V22 | LinStatic | 0 | 0 | -1.598E-11 | 0 | 2.597E-13 | 0 |
| 524 | V20V22 | LinStatic | 0 | 0 | -1.598E-11 | 0 | 2.597E-13 | 0 |
| 619 | V20V22 | LinStatic | 0 | 0 | 6.668E-11 | 0 | -1.097E-12 | 0 |
| 620 | V20V22 | LinStatic | 0 | 0 | 6.668E-11 | 0 | -1.097E-12 | 0 |
| 715 | V20V22 | LinStatic | 0 | 0 | -2.798E-10 | 0 | 4.605E-12 | 0 |
| 716 | V20V22 | LinStatic | 0 | 0 | -2.798E-10 | 0 | 4.605E-12 | 0 |
| 811 | V20V22 | LinStatic | 0 | 0 | 1.174E-09 | 0 | -1.933E-11 | 0 |
| 812 | V20V22 | LinStatic | 0 | 0 | 1.174E-09 | 0 | -1.933E-11 | 0 |
| 907 | V20V22 | LinStatic | 0 | 0 | -4.93E-09 | -2.278E-19 | 8.114E-11 | 0 |
| 908 | V20V22 | LinStatic | 0 | 0 | -4.93E-09 | -2.278E-19 | 8.114E-11 | 0 |
| 1003 | V20V22 | LinStatic | 0 | 0 | 2.07E-08 | -5.832E-18 | -3.406E-10 | 0 |
| 1004 | V20V22 | LinStatic | 0 | 0 | 2.07E-08 | -5.832E-18 | -3.406E-10 | 0 |
| 1099 | V20V22 | LinStatic | 0 | 0 | -8.687E-08 | -1.493E-16 | 1.43E-09 | 0 |
| 1100 | V20V22 | LinStatic | 0 | 0 | -8.687E-08 | -1.493E-16 | 1.43E-09 | 0 |
| 1195 | V20V22 | LinStatic | 0 | 0 | 3.647E-07 | -3.823E-15 | -6.002E-09 | 0 |
| 1196 | V20V22 | LinStatic | 0 | 0 | 3.647E-07 | -3.823E-15 | -6.002E-09 | 0 |
| 1291 | V20V22 | LinStatic | 0 | 0 | -0.000001531 | -9.79E-14 | 2.52E-08 | 0 |
| 1292 | V20V22 | LinStatic | 0 | 0 | -0.000001531 | -9.79E-14 | 2.52E-08 | 0 |
| 1387 | V20V22 | LinStatic | 0 | 0 | 0.000006426 | -2.507E-12 | -1.058E-07 | 0 |
| 1388 | V20V22 | LinStatic | 0 | 0 | 0.000006426 | -2.507E-12 | -1.058E-07 | 0 |
| 1483 | V20V22 | LinStatic | 0 | 0 | -0.000027 | -6.418E-11 | 0.000000444 | 0 |
| 1484 | V20V22 | LinStatic | 0 | 0 | -0.000027 | -6.418E-11 | 0.000000444 | 0 |
| 1579 | V20V22 | LinStatic | 0 | 0 | 0.000113 | -1.643E-09 | -0.000001864 | 0 |
| 1580 | V20V22 | LinStatic | 0 | 0 | 0.000113 | -1.643E-09 | -0.000001864 | 0 |
| 1675 | V20V22 | LinStatic | 0 | 0 | -0.000475 | -4.208E-08 | 0.000007821 | 0 |
| 1676 | V20V22 | LinStatic | 0 | 0 | -0.000475 | -4.208E-08 | 0.000007825 | 0 |
| 1771 | V20V22 | LinStatic | 0 | 0 | 0.001998 | -0.000001077 | -0.000033 | 0 |
| 1772 | V20V22 | LinStatic | 0 | 0 | 0.001992 | -0.000001077 | -0.000033 | 0 |
| 1867 | V20V22 | LinStatic | 0 | 0 | -0.006703 | -0.000006363 | 0.000005319 | 0 |
| 1868 | V20V22 | LinStatic | 0 | 0 | -0.006735 | -0.000006363 | 0.000004363 | 0 |
| 1963 | V20V22 | LinStatic | 0 | 0 | 0.003254 | -0.000001607 | 0.000008975 | 0 |
| 1964 | V20V22 | LinStatic | 0 | 0 | 0.003246 | -0.000001607 | 0.000008841 | 0 |
| 2053 | V20V22 | LinStatic | 0 | 0 | -0.004317 | -6.159E-08 | -0.000027 | 0 |
| 2054 | V20V22 | LinStatic | 0 | 0 | -0.004318 | -6.159E-08 | -0.000027 | 0 |
| 2055 | V20V22 | LinStatic | 0 | 0 | -0.004285 | -5.88E-08 | -0.00005 | 0 |
| 2056 | V20V22 | LinStatic | 0 | 0 | -0.004285 | -5.88E-08 | -0.00005 | 0 |
| 35 | P0203 | LinStatic | 0 | 0 | 0.001134 | -0.00000224 | -0.000027 | 0 |
| 36 | P0203 | LinStatic | 0 | 0 | 0.001122 | -0.00000224 | -0.000027 | 0 |
| 37 | P0203 | LinStatic | 0 | 0 | 0.001166 | -0.000002347 | -0.000021 | 0 |
| 38 | P0203 | LinStatic | 0 | 0 | 0.001154 | -0.000002347 | -0.000021 | 0 |
| 127 | P0203 | LinStatic | 0 | 0 | -0.004083 | -0.000013 | -0.000021 | 0 |
| 128 | P0203 | LinStatic | 0 | 0 | -0.004156 | -0.000013 | -0.000023 | 0 |
| 223 | P0203 | LinStatic | 0 | 0 | -0.004304 | -3.952E-07 | 0.00003 | 0 |
| 224 | P0203 | LinStatic | 0 | 0 | -0.004306 | -3.952E-07 | 0.00003 | 0 |
| 319 | P0203 | LinStatic | 0 | 0 | 0.001578 | -1.628E-08 | 0.000018 | 0 |
| 320 | P0203 | LinStatic | 0 | 0 | 0.001578 | -1.628E-08 | 0.000018 | 0 |
| 321 | P0203 | LinStatic | 0 | 0 | 0.00155 | -1.571E-08 | 0.000023 | 0 |
| 322 | P0203 | LinStatic | 0 | 0 | 0.00155 | -1.571E-08 | 0.000023 | 0 |
| 423 | P0203 | LinStatic | 0 | 0 | -0.000372 | -5.801E-10 | -0.000005489 | 0 |
| 424 | P0203 | LinStatic | 0 | 0 | -0.000372 | -5.801E-10 | -0.000005489 | 0 |
| 425 | P0203 | LinStatic | 0 | 0 | -0.000364 | -5.594E-10 | -0.000006621 | 0 |
| 426 | P0203 | LinStatic | 0 | 0 | -0.000364 | -5.594E-10 | -0.000006621 | 0 |
| 523 | P0203 | LinStatic | 0 | 0 | 0.000082 | -2.104E-11 | 0.000001345 | 0 |
| 524 | P0203 | LinStatic | 0 | 0 | 0.000082 | -2.104E-11 | 0.000001345 | 0 |
| 619 | P0203 | LinStatic | 0 | 0 | -0.000019 | -8.216E-13 | -3.205E-07 | 0 |

**TABLE: Joint Displacements**

| Joint | OutputCase | CaseType | U1 | U2 | U3 | R1 | R2 | R3 |
|---|---|---|---|---|---|---|---|---|
| Text | Text | Text | m | m | m | Radians | Radians | Radians |
| 620 | P0203 | LinStatic | 0 | 0 | -0.000019 | -8.216E-13 | -3.205E-07 | 0 |
| 715 | P0203 | LinStatic | 0 | 0 | 0.000004639 | -3.209E-14 | 7.635E-08 | 0 |
| 716 | P0203 | LinStatic | 0 | 0 | 0.000004639 | -3.209E-14 | 7.635E-08 | 0 |
| 811 | P0203 | LinStatic | 0 | 0 | -0.000001105 | -1.253E-15 | -1.819E-08 | 0 |
| 812 | P0203 | LinStatic | 0 | 0 | -0.000001105 | -1.253E-15 | -1.819E-08 | 0 |
| 907 | P0203 | LinStatic | 0 | 0 | 2.633E-07 | -4.894E-17 | 4.333E-09 | 0 |
| 908 | P0203 | LinStatic | 0 | 0 | 2.633E-07 | -4.894E-17 | 4.333E-09 | 0 |
| 1003 | P0203 | LinStatic | 0 | 0 | -6.271E-08 | -1.911E-18 | -1.032E-09 | 0 |
| 1004 | P0203 | LinStatic | 0 | 0 | -6.271E-08 | -1.911E-18 | -1.032E-09 | 0 |
| 1099 | P0203 | LinStatic | 0 | 0 | 1.494E-08 | -7.466E-20 | 2.459E-10 | 0 |
| 1100 | P0203 | LinStatic | 0 | 0 | 1.494E-08 | -7.466E-20 | 2.459E-10 | 0 |
| 1195 | P0203 | LinStatic | 0 | 0 | -3.559E-09 | 0 | -5.858E-11 | 0 |
| 1196 | P0203 | LinStatic | 0 | 0 | -3.559E-09 | 0 | -5.858E-11 | 0 |
| 1291 | P0203 | LinStatic | 0 | 0 | 8.478E-10 | 0 | 1.395E-11 | 0 |
| 1292 | P0203 | LinStatic | 0 | 0 | 8.478E-10 | 0 | 1.395E-11 | 0 |
| 1387 | P0203 | LinStatic | 0 | 0 | -2.02E-10 | 0 | -3.324E-12 | 0 |
| 1388 | P0203 | LinStatic | 0 | 0 | -2.02E-10 | 0 | -3.324E-12 | 0 |
| 1483 | P0203 | LinStatic | 0 | 0 | 4.811E-11 | 0 | 7.919E-13 | 0 |
| 1484 | P0203 | LinStatic | 0 | 0 | 4.811E-11 | 0 | 7.919E-13 | 0 |
| 1579 | P0203 | LinStatic | 0 | 0 | -1.146E-11 | 0 | -1.886E-13 | 0 |
| 1580 | P0203 | LinStatic | 0 | 0 | -1.146E-11 | 0 | -1.886E-13 | 0 |
| 1675 | P0203 | LinStatic | 0 | 0 | 2.731E-12 | 0 | 4.494E-14 | 0 |
| 1676 | P0203 | LinStatic | 0 | 0 | 2.731E-12 | 0 | 4.494E-14 | 0 |
| 1771 | P0203 | LinStatic | 0 | 0 | -6.505E-13 | 0 | -1.071E-14 | 0 |
| 1772 | P0203 | LinStatic | 0 | 0 | -6.505E-13 | 0 | -1.071E-14 | 0 |
| 1867 | P0203 | LinStatic | 0 | 0 | 1.549E-13 | 0 | 2.552E-15 | 0 |
| 1868 | P0203 | LinStatic | 0 | 0 | 1.549E-13 | 0 | 2.552E-15 | 0 |
| 1963 | P0203 | LinStatic | 0 | 0 | -3.657E-14 | 0 | -6.132E-16 | 0 |
| 1964 | P0203 | LinStatic | 0 | 0 | -3.657E-14 | 0 | -6.132E-16 | 0 |
| 2053 | P0203 | LinStatic | 0 | 0 | 7.667E-15 | 0 | 1.398E-16 | 0 |
| 2054 | P0203 | LinStatic | 0 | 0 | 7.667E-15 | 0 | 1.398E-16 | 0 |
| 2055 | P0203 | LinStatic | 0 | 0 | 7.452E-15 | 0 | 1.772E-16 | 0 |
| 2056 | P0203 | LinStatic | 0 | 0 | 7.452E-15 | 0 | 1.772E-16 | 0 |
| 35 | P0506 | LinStatic | 0 | 0 | -0.000018 | -1.332E-10 | 4.175E-07 | 0 |
| 36 | P0506 | LinStatic | 0 | 0 | -0.000018 | -1.332E-10 | 4.175E-07 | 0 |
| 37 | P0506 | LinStatic | 0 | 0 | -0.000018 | -1.395E-10 | 3.295E-07 | 0 |
| 38 | P0506 | LinStatic | 0 | 0 | -0.000018 | -1.395E-10 | 3.295E-07 | 0 |
| 127 | P0506 | LinStatic | 0 | 0 | 0.000086 | -3.64E-09 | -0.000001445 | 0 |
| 128 | P0506 | LinStatic | 0 | 0 | 0.000086 | -3.64E-09 | -0.000001445 | 0 |
| 223 | P0506 | LinStatic | 0 | 0 | -0.000365 | -9.323E-08 | 0.00000601 | 0 |
| 224 | P0506 | LinStatic | 0 | 0 | -0.000365 | -9.323E-08 | 0.000006017 | 0 |
| 319 | P0506 | LinStatic | 0 | 0 | 0.001592 | -0.000002387 | -0.000034 | 0 |
| 320 | P0506 | LinStatic | 0 | 0 | 0.001579 | -0.000002387 | -0.000034 | 0 |
| 321 | P0506 | LinStatic | 0 | 0 | 0.001633 | -0.000002479 | -0.00003 | 0 |
| 322 | P0506 | LinStatic | 0 | 0 | 0.00162 | -0.000002479 | -0.000029 | 0 |
| 423 | P0506 | LinStatic | 0 | 0 | -0.005172 | -0.000019 | -0.000011 | 0 |
| 424 | P0506 | LinStatic | 0 | 0 | -0.00528 | -0.000019 | -0.000012 | 0 |
| 425 | P0506 | LinStatic | 0 | 0 | -0.005138 | -0.000018 | -0.000031 | 0 |
| 426 | P0506 | LinStatic | 0 | 0 | -0.005245 | -0.000018 | -0.000033 | 0 |
| 523 | P0506 | LinStatic | 0 | 0 | -0.004046 | -5.571E-07 | 0.000033 | 0 |
| 524 | P0506 | LinStatic | 0 | 0 | -0.004049 | -5.571E-07 | 0.000033 | 0 |
| 619 | P0506 | LinStatic | 0 | 0 | 0.001351 | -2.176E-08 | 0.000022 | 0 |
| 620 | P0506 | LinStatic | 0 | 0 | 0.001351 | -2.176E-08 | 0.000022 | 0 |
| 715 | P0506 | LinStatic | 0 | 0 | -0.000322 | -8.497E-10 | -0.000005296 | 0 |
| 716 | P0506 | LinStatic | 0 | 0 | -0.000322 | -8.497E-10 | -0.000005296 | 0 |
| 811 | P0506 | LinStatic | 0 | 0 | 0.000077 | -3.318E-11 | 0.000001262 | 0 |
| 812 | P0506 | LinStatic | 0 | 0 | 0.000077 | -3.318E-11 | 0.000001262 | 0 |
| 907 | P0506 | LinStatic | 0 | 0 | -0.000018 | -1.296E-12 | -3.006E-07 | 0 |
| 908 | P0506 | LinStatic | 0 | 0 | -0.000018 | -1.296E-12 | -3.006E-07 | 0 |
| 1003 | P0506 | LinStatic | 0 | 0 | 0.000004351 | -5.062E-14 | 7.16E-08 | 0 |
| 1004 | P0506 | LinStatic | 0 | 0 | 0.000004351 | -5.062E-14 | 7.16E-08 | 0 |
| 1099 | P0506 | LinStatic | 0 | 0 | -0.000001036 | -1.977E-15 | -1.706E-08 | 0 |
| 1100 | P0506 | LinStatic | 0 | 0 | -0.000001036 | -1.977E-15 | -1.706E-08 | 0 |
| 1195 | P0506 | LinStatic | 0 | 0 | 2.469E-07 | -7.721E-17 | 4.064E-09 | 0 |
| 1196 | P0506 | LinStatic | 0 | 0 | 2.469E-07 | -7.721E-17 | 4.064E-09 | 0 |
| 1291 | P0506 | LinStatic | 0 | 0 | -5.882E-08 | -3.015E-18 | -9.68E-10 | 0 |
| 1292 | P0506 | LinStatic | 0 | 0 | -5.882E-08 | -3.015E-18 | -9.68E-10 | 0 |
| 1387 | P0506 | LinStatic | 0 | 0 | 1.401E-08 | -1.178E-19 | 2.306E-10 | 0 |
| 1388 | P0506 | LinStatic | 0 | 0 | 1.401E-08 | -1.178E-19 | 2.306E-10 | 0 |
| 1483 | P0506 | LinStatic | 0 | 0 | -3.338E-09 | 0 | -5.494E-11 | 0 |
| 1484 | P0506 | LinStatic | 0 | 0 | -3.338E-09 | 0 | -5.494E-11 | 0 |
| 1579 | P0506 | LinStatic | 0 | 0 | 7.952E-10 | 0 | 1.309E-11 | 0 |
| 1580 | P0506 | LinStatic | 0 | 0 | 7.952E-10 | 0 | 1.309E-11 | 0 |
| 1675 | P0506 | LinStatic | 0 | 0 | -1.894E-10 | 0 | -3.118E-12 | 0 |
| 1676 | P0506 | LinStatic | 0 | 0 | -1.894E-10 | 0 | -3.118E-12 | 0 |
| 1771 | P0506 | LinStatic | 0 | 0 | 4.512E-11 | 0 | 7.427E-13 | 0 |
| 1772 | P0506 | LinStatic | 0 | 0 | 4.512E-11 | 0 | 7.427E-13 | 0 |
| 1867 | P0506 | LinStatic | 0 | 0 | -1.074E-11 | 0 | -1.77E-13 | 0 |
| 1868 | P0506 | LinStatic | 0 | 0 | -1.074E-11 | 0 | -1.77E-13 | 0 |
| 1963 | P0506 | LinStatic | 0 | 0 | 2.537E-12 | 0 | 4.254E-14 | 0 |
| 1964 | P0506 | LinStatic | 0 | 0 | 2.537E-12 | 0 | 4.254E-14 | 0 |
| 2053 | P0506 | LinStatic | 0 | 0 | -5.319E-13 | 0 | -9.699E-15 | 0 |
| 2054 | P0506 | LinStatic | 0 | 0 | -5.319E-13 | 0 | -9.699E-15 | 0 |

**TABLE: Joint Displacements**

| Joint | OutputCase | CaseType | U1 | U2 | U3 | R1 | R2 | R3 |
|---|---|---|---|---|---|---|---|---|
| Text | Text | Text | m | m | m | Radians | Radians | Radians |
| 2055 | P0506 | LinStatic | 0 | 0 | -5.17E-13 | 0 | -1.229E-14 | 0 |
| 2056 | P0506 | LinStatic | 0 | 0 | -5.17E-13 | 0 | -1.229E-14 | 0 |
| 35 | P0708 | LinStatic | 0 | 0 | -8.895E-07 | -1.819E-13 | 2.115E-08 | 0 |
| 36 | P0708 | LinStatic | 0 | 0 | -8.895E-07 | -1.819E-13 | 2.115E-08 | 0 |
| 37 | P0708 | LinStatic | 0 | 0 | -9.151E-07 | -1.906E-13 | 1.669E-08 | 0 |
| 38 | P0708 | LinStatic | 0 | 0 | -9.151E-07 | -1.906E-13 | 1.669E-08 | 0 |
| 127 | P0708 | LinStatic | 0 | 0 | 0.000004366 | -4.972E-12 | -7.319E-08 | 0 |
| 128 | P0708 | LinStatic | 0 | 0 | 0.000004366 | -4.972E-12 | -7.318E-08 | 0 |
| 223 | P0708 | LinStatic | 0 | 0 | -0.000018 | -1.273E-10 | 3.046E-07 | 0 |
| 224 | P0708 | LinStatic | 0 | 0 | -0.000018 | -1.273E-10 | 3.046E-07 | 0 |
| 319 | P0708 | LinStatic | 0 | 0 | 0.00008 | -3.261E-09 | -0.000001738 | 0 |
| 320 | P0708 | LinStatic | 0 | 0 | 0.00008 | -3.261E-09 | -0.000001738 | 0 |
| 321 | P0708 | LinStatic | 0 | 0 | 0.000082 | -3.386E-09 | -0.000001498 | 0 |
| 322 | P0708 | LinStatic | 0 | 0 | 0.000082 | -3.386E-09 | -0.000001498 | 0 |
| 423 | P0708 | LinStatic | 0 | 0 | -0.000343 | -9.172E-08 | 0.00000617 | 0 |
| 424 | P0708 | LinStatic | 0 | 0 | -0.000344 | -9.172E-08 | 0.000006178 | 0 |
| 425 | P0708 | LinStatic | 0 | 0 | -0.00035 | -9.512E-08 | 0.000005103 | 0 |
| 426 | P0708 | LinStatic | 0 | 0 | -0.000351 | -9.512E-08 | 0.00000511 | 0 |
| 523 | P0708 | LinStatic | 0 | 0 | 0.001348 | -0.000002392 | -0.000022 | 0 |
| 524 | P0708 | LinStatic | 0 | 0 | 0.001335 | -0.000002392 | -0.000022 | 0 |
| 619 | P0708 | LinStatic | 0 | 0 | -0.004145 | -0.000013 | -0.000022 | 0 |
| 620 | P0708 | LinStatic | 0 | 0 | -0.004218 | -0.000013 | -0.000024 | 0 |
| 715 | P0708 | LinStatic | 0 | 0 | -0.004253 | -3.957E-07 | 0.00003 | 0 |
| 716 | P0708 | LinStatic | 0 | 0 | -0.004255 | -3.957E-07 | 0.00003 | 0 |
| 811 | P0708 | LinStatic | 0 | 0 | 0.0014 | -1.545E-08 | 0.000023 | 0 |
| 812 | P0708 | LinStatic | 0 | 0 | 0.0014 | -1.545E-08 | 0.000023 | 0 |
| 907 | P0708 | LinStatic | 0 | 0 | -0.000334 | -6.035E-10 | -0.000005489 | 0 |
| 908 | P0708 | LinStatic | 0 | 0 | -0.000334 | -6.035E-10 | -0.000005489 | 0 |
| 1003 | P0708 | LinStatic | 0 | 0 | 0.000079 | -2.357E-11 | 0.000001308 | 0 |
| 1004 | P0708 | LinStatic | 0 | 0 | 0.000079 | -2.357E-11 | 0.000001308 | 0 |
| 1099 | P0708 | LinStatic | 0 | 0 | -0.000019 | -9.206E-13 | -3.115E-07 | 0 |
| 1100 | P0708 | LinStatic | 0 | 0 | -0.000019 | -9.206E-13 | -3.115E-07 | 0 |
| 1195 | P0708 | LinStatic | 0 | 0 | 0.000004509 | -3.595E-14 | 7.421E-08 | 0 |
| 1196 | P0708 | LinStatic | 0 | 0 | 0.000004509 | -3.595E-14 | 7.421E-08 | 0 |
| 1291 | P0708 | LinStatic | 0 | 0 | -0.000001074 | -1.404E-15 | -1.768E-08 | 0 |
| 1292 | P0708 | LinStatic | 0 | 0 | -0.000001074 | -1.404E-15 | -1.768E-08 | 0 |
| 1387 | P0708 | LinStatic | 0 | 0 | 2.559E-07 | -5.484E-17 | 4.211E-09 | 0 |
| 1388 | P0708 | LinStatic | 0 | 0 | 2.559E-07 | -5.484E-17 | 4.211E-09 | 0 |
| 1483 | P0708 | LinStatic | 0 | 0 | -6.096E-08 | -2.142E-18 | -1.003E-09 | 0 |
| 1484 | P0708 | LinStatic | 0 | 0 | -6.096E-08 | -2.142E-18 | -1.003E-09 | 0 |
| 1579 | P0708 | LinStatic | 0 | 0 | 1.452E-08 | -8.366E-20 | 2.39E-10 | 0 |
| 1580 | P0708 | LinStatic | 0 | 0 | 1.452E-08 | -8.366E-20 | 2.39E-10 | 0 |
| 1675 | P0708 | LinStatic | 0 | 0 | -3.459E-09 | 0 | -5.694E-11 | 0 |
| 1676 | P0708 | LinStatic | 0 | 0 | -3.459E-09 | 0 | -5.694E-11 | 0 |
| 1771 | P0708 | LinStatic | 0 | 0 | 8.241E-10 | 0 | 1.356E-11 | 0 |
| 1772 | P0708 | LinStatic | 0 | 0 | 8.241E-10 | 0 | 1.356E-11 | 0 |
| 1867 | P0708 | LinStatic | 0 | 0 | -1.962E-10 | 0 | -3.233E-12 | 0 |
| 1868 | P0708 | LinStatic | 0 | 0 | -1.962E-10 | 0 | -3.233E-12 | 0 |
| 1963 | P0708 | LinStatic | 0 | 0 | 4.634E-11 | 0 | 7.768E-13 | 0 |
| 1964 | P0708 | LinStatic | 0 | 0 | 4.634E-11 | 0 | 7.768E-13 | 0 |
| 2053 | P0708 | LinStatic | 0 | 0 | -9.713E-12 | 0 | -1.771E-13 | 0 |
| 2054 | P0708 | LinStatic | 0 | 0 | -9.713E-12 | 0 | -1.771E-13 | 0 |
| 2055 | P0708 | LinStatic | 0 | 0 | -9.442E-12 | 0 | -2.245E-13 | 0 |
| 2056 | P0708 | LinStatic | 0 | 0 | -9.442E-12 | 0 | -2.245E-13 | 0 |
| 35 | P1112 | LinStatic | 0 | 0 | -2.865E-09 | -4.233E-19 | 6.811E-11 | 0 |
| 36 | P1112 | LinStatic | 0 | 0 | -2.865E-09 | -4.233E-19 | 6.811E-11 | 0 |
| 37 | P1112 | LinStatic | 0 | 0 | -2.947E-09 | -4.434E-19 | 5.375E-11 | 0 |
| 38 | P1112 | LinStatic | 0 | 0 | -2.947E-09 | -4.434E-19 | 5.375E-11 | 0 |
| 127 | P1112 | LinStatic | 0 | 0 | 1.406E-08 | -1.157E-17 | -2.357E-10 | 0 |
| 128 | P1112 | LinStatic | 0 | 0 | 1.406E-08 | -1.157E-17 | -2.357E-10 | 0 |
| 223 | P1112 | LinStatic | 0 | 0 | -5.954E-08 | -2.963E-16 | 9.809E-10 | 0 |
| 224 | P1112 | LinStatic | 0 | 0 | -5.954E-08 | -2.963E-16 | 9.809E-10 | 0 |
| 319 | P1112 | LinStatic | 0 | 0 | 2.587E-07 | -7.586E-15 | -5.597E-09 | 0 |
| 320 | P1112 | LinStatic | 0 | 0 | 2.587E-07 | -7.586E-15 | -5.597E-09 | 0 |
| 321 | P1112 | LinStatic | 0 | 0 | 2.653E-07 | -7.878E-15 | -4.825E-09 | 0 |
| 322 | P1112 | LinStatic | 0 | 0 | 2.653E-07 | -7.878E-15 | -4.825E-09 | 0 |
| 423 | P1112 | LinStatic | 0 | 0 | -0.000001106 | -2.134E-13 | 1.988E-08 | 0 |
| 424 | P1112 | LinStatic | 0 | 0 | -0.000001106 | -2.134E-13 | 1.988E-08 | 0 |
| 425 | P1112 | LinStatic | 0 | 0 | -0.00000113 | -2.213E-13 | 1.645E-08 | 0 |
| 426 | P1112 | LinStatic | 0 | 0 | -0.00000113 | -2.213E-13 | 1.645E-08 | 0 |
| 523 | P1112 | LinStatic | 0 | 0 | 0.000004319 | -5.565E-12 | -7.019E-08 | 0 |
| 524 | P1112 | LinStatic | 0 | 0 | 0.000004319 | -5.565E-12 | -7.019E-08 | 0 |
| 619 | P1112 | LinStatic | 0 | 0 | -0.000018 | -1.425E-10 | 2.964E-07 | 0 |
| 620 | P1112 | LinStatic | 0 | 0 | -0.000018 | -1.425E-10 | 2.964E-07 | 0 |
| 715 | P1112 | LinStatic | 0 | 0 | 0.000076 | -3.648E-09 | -0.000001245 | 0 |
| 716 | P1112 | LinStatic | 0 | 0 | 0.000076 | -3.648E-09 | -0.000001245 | 0 |
| 811 | P1112 | LinStatic | 0 | 0 | -0.000317 | -9.341E-08 | 0.000005221 | 0 |
| 812 | P1112 | LinStatic | 0 | 0 | -0.000318 | -9.341E-08 | 0.000005229 | 0 |
| 907 | P1112 | LinStatic | 0 | 0 | 0.001339 | -0.000002392 | -0.000022 | 0 |
| 908 | P1112 | LinStatic | 0 | 0 | 0.001326 | -0.000002392 | -0.000022 | 0 |
| 1003 | P1112 | LinStatic | 0 | 0 | -0.004143 | -0.000013 | -0.000022 | 0 |
| 1004 | P1112 | LinStatic | 0 | 0 | -0.004216 | -0.000013 | -0.000024 | 0 |
| 1099 | P1112 | LinStatic | 0 | 0 | -0.004254 | -3.957E-07 | 0.00003 | 0 |

**TABLE: Joint Displacements**

| Joint | OutputCase | CaseType | U1 | U2 | U3 | R1 | R2 | R3 |
|---|---|---|---|---|---|---|---|---|
| Text | Text | Text | m | m | m | Radians | Radians | Radians |
| 1100 | P1112 | LinStatic | 0 | 0 | -0.004256 | -3.957E-07 | 0.00003 | 0 |
| 1195 | P1112 | LinStatic | 0 | 0 | 0.0014 | -1.545E-08 | 0.000023 | 0 |
| 1196 | P1112 | LinStatic | 0 | 0 | 0.0014 | -1.545E-08 | 0.000023 | 0 |
| 1291 | P1112 | LinStatic | 0 | 0 | -0.000334 | -6.035E-10 | -0.00000549 | 0 |
| 1292 | P1112 | LinStatic | 0 | 0 | -0.000334 | -6.035E-10 | -0.00000549 | 0 |
| 1387 | P1112 | LinStatic | 0 | 0 | 0.000079 | -2.357E-11 | 0.000001308 | 0 |
| 1388 | P1112 | LinStatic | 0 | 0 | 0.000079 | -2.357E-11 | 0.000001308 | 0 |
| 1483 | P1112 | LinStatic | 0 | 0 | -0.000019 | -9.206E-13 | -3.115E-07 | 0 |
| 1484 | P1112 | LinStatic | 0 | 0 | -0.000019 | -9.206E-13 | -3.115E-07 | 0 |
| 1579 | P1112 | LinStatic | 0 | 0 | 0.000004509 | -3.595E-14 | 7.422E-08 | 0 |
| 1580 | P1112 | LinStatic | 0 | 0 | 0.000004509 | -3.595E-14 | 7.422E-08 | 0 |
| 1675 | P1112 | LinStatic | 0 | 0 | -0.000001074 | -1.404E-15 | -1.768E-08 | 0 |
| 1676 | P1112 | LinStatic | 0 | 0 | -0.000001074 | -1.404E-15 | -1.768E-08 | 0 |
| 1771 | P1112 | LinStatic | 0 | 0 | 2.559E-07 | -5.484E-17 | 4.212E-09 | 0 |
| 1772 | P1112 | LinStatic | 0 | 0 | 2.559E-07 | -5.484E-17 | 4.212E-09 | 0 |
| 1867 | P1112 | LinStatic | 0 | 0 | -6.093E-08 | -2.142E-18 | -1.004E-09 | 0 |
| 1868 | P1112 | LinStatic | 0 | 0 | -6.093E-08 | -2.142E-18 | -1.004E-09 | 0 |
| 1963 | P1112 | LinStatic | 0 | 0 | 1.439E-08 | -8.364E-20 | 2.412E-10 | 0 |
| 1964 | P1112 | LinStatic | 0 | 0 | 1.439E-08 | -8.364E-20 | 2.412E-10 | 0 |
| 2053 | P1112 | LinStatic | 0 | 0 | -3.016E-09 | 0 | -5.5E-11 | 0 |
| 2054 | P1112 | LinStatic | 0 | 0 | -3.016E-09 | 0 | -5.5E-11 | 0 |
| 2055 | P1112 | LinStatic | 0 | 0 | -2.932E-09 | 0 | -6.97E-11 | 0 |
| 2056 | P1112 | LinStatic | 0 | 0 | -2.932E-09 | 0 | -6.97E-11 | 0 |
| 35 | P1415 | LinStatic | 0 | 0 | 3.873E-11 | 0 | -9.208E-13 | 0 |
| 36 | P1415 | LinStatic | 0 | 0 | 3.873E-11 | 0 | -9.208E-13 | 0 |
| 37 | P1415 | LinStatic | 0 | 0 | 3.984E-11 | 0 | -7.266E-13 | 0 |
| 38 | P1415 | LinStatic | 0 | 0 | 3.984E-11 | 0 | -7.266E-13 | 0 |
| 127 | P1415 | LinStatic | 0 | 0 | -1.901E-10 | 0 | 3.186E-12 | 0 |
| 128 | P1415 | LinStatic | 0 | 0 | -1.901E-10 | 0 | 3.186E-12 | 0 |
| 223 | P1415 | LinStatic | 0 | 0 | 8.049E-10 | -1.765E-20 | -1.326E-11 | 0 |
| 224 | P1415 | LinStatic | 0 | 0 | 8.049E-10 | -1.765E-20 | -1.326E-11 | 0 |
| 319 | P1415 | LinStatic | 0 | 0 | -3.497E-09 | -4.519E-19 | 7.567E-11 | 0 |
| 320 | P1415 | LinStatic | 0 | 0 | -3.497E-09 | -4.519E-19 | 7.567E-11 | 0 |
| 321 | P1415 | LinStatic | 0 | 0 | -3.587E-09 | -4.693E-19 | 6.524E-11 | 0 |
| 322 | P1415 | LinStatic | 0 | 0 | -3.587E-09 | -4.693E-19 | 6.524E-11 | 0 |
| 423 | P1415 | LinStatic | 0 | 0 | 1.495E-08 | -1.271E-17 | -2.688E-10 | 0 |
| 424 | P1415 | LinStatic | 0 | 0 | 1.495E-08 | -1.271E-17 | -2.688E-10 | 0 |
| 425 | P1415 | LinStatic | 0 | 0 | 1.527E-08 | -1.318E-17 | -2.223E-10 | 0 |
| 426 | P1415 | LinStatic | 0 | 0 | 1.527E-08 | -1.318E-17 | -2.223E-10 | 0 |
| 523 | P1415 | LinStatic | 0 | 0 | -5.839E-08 | -3.315E-16 | 9.489E-10 | 0 |
| 524 | P1415 | LinStatic | 0 | 0 | -5.839E-08 | -3.315E-16 | 9.489E-10 | 0 |
| 619 | P1415 | LinStatic | 0 | 0 | 2.437E-07 | -8.488E-15 | -4.007E-09 | 0 |
| 620 | P1415 | LinStatic | 0 | 0 | 2.437E-07 | -8.488E-15 | -4.007E-09 | 0 |
| 715 | P1415 | LinStatic | 0 | 0 | -0.000001022 | -2.173E-13 | 1.683E-08 | 0 |
| 716 | P1415 | LinStatic | 0 | 0 | -0.000001022 | -2.173E-13 | 1.683E-08 | 0 |
| 811 | P1415 | LinStatic | 0 | 0 | 0.000004292 | -5.565E-12 | -7.064E-08 | 0 |
| 812 | P1415 | LinStatic | 0 | 0 | 0.000004292 | -5.565E-12 | -7.064E-08 | 0 |
| 907 | P1415 | LinStatic | 0 | 0 | -0.000018 | -1.425E-10 | 2.965E-07 | 0 |
| 908 | P1415 | LinStatic | 0 | 0 | -0.000018 | -1.425E-10 | 2.965E-07 | 0 |
| 1003 | P1415 | LinStatic | 0 | 0 | 0.000076 | -3.648E-09 | -0.000001245 | 0 |
| 1004 | P1415 | LinStatic | 0 | 0 | 0.000076 | -3.648E-09 | -0.000001245 | 0 |
| 1099 | P1415 | LinStatic | 0 | 0 | -0.000317 | -9.341E-08 | 0.000005221 | 0 |
| 1100 | P1415 | LinStatic | 0 | 0 | -0.000318 | -9.341E-08 | 0.000005229 | 0 |
| 1195 | P1415 | LinStatic | 0 | 0 | 0.001339 | -0.000002392 | -0.000022 | 0 |
| 1196 | P1415 | LinStatic | 0 | 0 | 0.001326 | -0.000002392 | -0.000022 | 0 |
| 1291 | P1415 | LinStatic | 0 | 0 | -0.004143 | -0.000013 | -0.000022 | 0 |
| 1292 | P1415 | LinStatic | 0 | 0 | -0.004216 | -0.000013 | -0.000024 | 0 |
| 1387 | P1415 | LinStatic | 0 | 0 | -0.004254 | -3.957E-07 | 0.00003 | 0 |
| 1388 | P1415 | LinStatic | 0 | 0 | -0.004256 | -3.957E-07 | 0.00003 | 0 |
| 1483 | P1415 | LinStatic | 0 | 0 | 0.0014 | -1.545E-08 | 0.000023 | 0 |
| 1484 | P1415 | LinStatic | 0 | 0 | 0.0014 | -1.545E-08 | 0.000023 | 0 |
| 1579 | P1415 | LinStatic | 0 | 0 | -0.000334 | -6.035E-10 | -0.00000549 | 0 |
| 1580 | P1415 | LinStatic | 0 | 0 | -0.000334 | -6.035E-10 | -0.00000549 | 0 |
| 1675 | P1415 | LinStatic | 0 | 0 | 0.000079 | -2.357E-11 | 0.000001308 | 0 |
| 1676 | P1415 | LinStatic | 0 | 0 | 0.000079 | -2.357E-11 | 0.000001308 | 0 |
| 1771 | P1415 | LinStatic | 0 | 0 | -0.000019 | -9.206E-13 | -3.115E-07 | 0 |
| 1772 | P1415 | LinStatic | 0 | 0 | -0.000019 | -9.206E-13 | -3.115E-07 | 0 |
| 1867 | P1415 | LinStatic | 0 | 0 | 0.000004507 | -3.595E-14 | 7.425E-08 | 0 |
| 1868 | P1415 | LinStatic | 0 | 0 | 0.000004507 | -3.595E-14 | 7.425E-08 | 0 |
| 1963 | P1415 | LinStatic | 0 | 0 | -0.000001064 | -1.404E-15 | -1.784E-08 | 0 |
| 1964 | P1415 | LinStatic | 0 | 0 | -0.000001064 | -1.404E-15 | -1.784E-08 | 0 |
| 2053 | P1415 | LinStatic | 0 | 0 | 2.231E-07 | -5.38E-17 | 4.069E-09 | 0 |
| 2054 | P1415 | LinStatic | 0 | 0 | 2.231E-07 | -5.38E-17 | 4.069E-09 | 0 |
| 2055 | P1415 | LinStatic | 0 | 0 | 2.169E-07 | -5.137E-17 | 5.156E-09 | 0 |
| 2056 | P1415 | LinStatic | 0 | 0 | 2.169E-07 | -5.137E-17 | 5.156E-09 | 0 |
| 35 | P1718 | LinStatic | 0 | 0 | -5.236E-13 | 0 | 1.245E-14 | 0 |
| 36 | P1718 | LinStatic | 0 | 0 | -5.236E-13 | 0 | 1.245E-14 | 0 |
| 37 | P1718 | LinStatic | 0 | 0 | -5.386E-13 | 0 | 9.823E-15 | 0 |
| 38 | P1718 | LinStatic | 0 | 0 | -5.386E-13 | 0 | 9.823E-15 | 0 |
| 127 | P1718 | LinStatic | 0 | 0 | 2.57E-12 | 0 | -4.308E-14 | 0 |
| 128 | P1718 | LinStatic | 0 | 0 | 2.57E-12 | 0 | -4.308E-14 | 0 |
| 223 | P1718 | LinStatic | 0 | 0 | -1.088E-11 | 0 | 1.793E-13 | 0 |
| 224 | P1718 | LinStatic | 0 | 0 | -1.088E-11 | 0 | 1.793E-13 | 0 |

**TABLE: Joint Displacements**

| Joint | OutputCase | CaseType | U1 | U2 | U3 | R1 | R2 | R3 |
|---|---|---|---|---|---|---|---|---|
| Text | Text | Text | m | m | m | Radians | Radians | Radians |
| 319 | P1718 | LinStatic | 0 | 0 | 4.728E-11 | 0 | -1.023E-12 | 0 |
| 320 | P1718 | LinStatic | 0 | 0 | 4.728E-11 | 0 | -1.023E-12 | 0 |
| 321 | P1718 | LinStatic | 0 | 0 | 4.849E-11 | 0 | -8.819E-13 | 0 |
| 322 | P1718 | LinStatic | 0 | 0 | 4.849E-11 | 0 | -8.819E-13 | 0 |
| 423 | P1718 | LinStatic | 0 | 0 | -2.021E-10 | 0 | 3.634E-12 | 0 |
| 424 | P1718 | LinStatic | 0 | 0 | -2.021E-10 | 0 | 3.634E-12 | 0 |
| 425 | P1718 | LinStatic | 0 | 0 | -2.065E-10 | 0 | 3.006E-12 | 0 |
| 426 | P1718 | LinStatic | 0 | 0 | -2.065E-10 | 0 | 3.006E-12 | 0 |
| 523 | P1718 | LinStatic | 0 | 0 | 7.895E-10 | -1.975E-20 | -1.283E-11 | 0 |
| 524 | P1718 | LinStatic | 0 | 0 | 7.895E-10 | -1.975E-20 | -1.283E-11 | 0 |
| 619 | P1718 | LinStatic | 0 | 0 | -3.294E-09 | -5.057E-19 | 5.418E-11 | 0 |
| 620 | P1718 | LinStatic | 0 | 0 | -3.294E-09 | -5.057E-19 | 5.418E-11 | 0 |
| 715 | P1718 | LinStatic | 0 | 0 | 1.382E-08 | -1.295E-17 | -2.275E-10 | 0 |
| 716 | P1718 | LinStatic | 0 | 0 | 1.382E-08 | -1.295E-17 | -2.275E-10 | 0 |
| 811 | P1718 | LinStatic | 0 | 0 | -5.802E-08 | -3.315E-16 | 9.55E-10 | 0 |
| 812 | P1718 | LinStatic | 0 | 0 | -5.802E-08 | -3.315E-16 | 9.55E-10 | 0 |
| 907 | P1718 | LinStatic | 0 | 0 | 2.436E-07 | -8.488E-15 | -4.009E-09 | 0 |
| 908 | P1718 | LinStatic | 0 | 0 | 2.436E-07 | -8.488E-15 | -4.009E-09 | 0 |
| 1003 | P1718 | LinStatic | 0 | 0 | -0.000001022 | -2.173E-13 | 1.683E-08 | 0 |
| 1004 | P1718 | LinStatic | 0 | 0 | -0.000001022 | -2.173E-13 | 1.683E-08 | 0 |
| 1099 | P1718 | LinStatic | 0 | 0 | 0.000004292 | -5.565E-12 | -7.064E-08 | 0 |
| 1100 | P1718 | LinStatic | 0 | 0 | 0.000004292 | -5.565E-12 | -7.064E-08 | 0 |
| 1195 | P1718 | LinStatic | 0 | 0 | -0.000018 | -1.425E-10 | 2.965E-07 | 0 |
| 1196 | P1718 | LinStatic | 0 | 0 | -0.000018 | -1.425E-10 | 2.965E-07 | 0 |
| 1291 | P1718 | LinStatic | 0 | 0 | 0.000076 | -3.648E-09 | -0.000001245 | 0 |
| 1292 | P1718 | LinStatic | 0 | 0 | 0.000076 | -3.648E-09 | -0.000001245 | 0 |
| 1387 | P1718 | LinStatic | 0 | 0 | -0.000317 | -9.341E-08 | 0.000005221 | 0 |
| 1388 | P1718 | LinStatic | 0 | 0 | -0.000318 | -9.341E-08 | 0.000005229 | 0 |
| 1483 | P1718 | LinStatic | 0 | 0 | 0.001339 | -0.000002392 | -0.000022 | 0 |
| 1484 | P1718 | LinStatic | 0 | 0 | 0.001326 | -0.000002392 | -0.000022 | 0 |
| 1579 | P1718 | LinStatic | 0 | 0 | -0.004143 | -0.000013 | -0.000022 | 0 |
| 1580 | P1718 | LinStatic | 0 | 0 | -0.004216 | -0.000013 | -0.000024 | 0 |
| 1675 | P1718 | LinStatic | 0 | 0 | -0.004254 | -3.957E-07 | 0.00003 | 0 |
| 1676 | P1718 | LinStatic | 0 | 0 | -0.004256 | -3.957E-07 | 0.00003 | 0 |
| 1771 | P1718 | LinStatic | 0 | 0 | 0.0014 | -1.545E-08 | 0.000023 | 0 |
| 1772 | P1718 | LinStatic | 0 | 0 | 0.0014 | -1.545E-08 | 0.000023 | 0 |
| 1867 | P1718 | LinStatic | 0 | 0 | -0.000333 | -6.035E-10 | -0.000005493 | 0 |
| 1868 | P1718 | LinStatic | 0 | 0 | -0.000333 | -6.035E-10 | -0.000005493 | 0 |
| 1963 | P1718 | LinStatic | 0 | 0 | 0.000079 | -2.357E-11 | 0.00000132 | 0 |
| 1964 | P1718 | LinStatic | 0 | 0 | 0.000079 | -2.357E-11 | 0.00000132 | 0 |
| 2053 | P1718 | LinStatic | 0 | 0 | -0.000017 | -9.032E-13 | -3.009E-07 | 0 |
| 2054 | P1718 | LinStatic | 0 | 0 | -0.000017 | -9.032E-13 | -3.009E-07 | 0 |
| 2055 | P1718 | LinStatic | 0 | 0 | -0.000016 | -8.623E-13 | -3.814E-07 | 0 |
| 2056 | P1718 | LinStatic | 0 | 0 | -0.000016 | -8.623E-13 | -3.814E-07 | 0 |
| 35 | P2021 | LinStatic | 0 | 0 | 7.095E-15 | 0 | -1.687E-16 | 0 |
| 36 | P2021 | LinStatic | 0 | 0 | 7.095E-15 | 0 | -1.687E-16 | 0 |
| 37 | P2021 | LinStatic | 0 | 0 | 7.299E-15 | 0 | -1.331E-16 | 0 |
| 38 | P2021 | LinStatic | 0 | 0 | 7.299E-15 | 0 | -1.331E-16 | 0 |
| 127 | P2021 | LinStatic | 0 | 0 | -3.482E-14 | 0 | 5.837E-16 | 0 |
| 128 | P2021 | LinStatic | 0 | 0 | -3.482E-14 | 0 | 5.837E-16 | 0 |
| 223 | P2021 | LinStatic | 0 | 0 | 1.474E-13 | 0 | -2.429E-15 | 0 |
| 224 | P2021 | LinStatic | 0 | 0 | 1.474E-13 | 0 | -2.429E-15 | 0 |
| 319 | P2021 | LinStatic | 0 | 0 | -6.406E-13 | 0 | 1.386E-14 | 0 |
| 320 | P2021 | LinStatic | 0 | 0 | -6.406E-13 | 0 | 1.386E-14 | 0 |
| 321 | P2021 | LinStatic | 0 | 0 | -6.57E-13 | 0 | 1.195E-14 | 0 |
| 322 | P2021 | LinStatic | 0 | 0 | -6.57E-13 | 0 | 1.195E-14 | 0 |
| 423 | P2021 | LinStatic | 0 | 0 | 2.738E-12 | 0 | -4.924E-14 | 0 |
| 424 | P2021 | LinStatic | 0 | 0 | 2.738E-12 | 0 | -4.924E-14 | 0 |
| 425 | P2021 | LinStatic | 0 | 0 | 2.798E-12 | 0 | -4.073E-14 | 0 |
| 426 | P2021 | LinStatic | 0 | 0 | 2.798E-12 | 0 | -4.073E-14 | 0 |
| 523 | P2021 | LinStatic | 0 | 0 | -1.07E-11 | 0 | 1.738E-13 | 0 |
| 524 | P2021 | LinStatic | 0 | 0 | -1.07E-11 | 0 | 1.738E-13 | 0 |
| 619 | P2021 | LinStatic | 0 | 0 | 4.464E-11 | 0 | -7.341E-13 | 0 |
| 620 | P2021 | LinStatic | 0 | 0 | 4.464E-11 | 0 | -7.341E-13 | 0 |
| 715 | P2021 | LinStatic | 0 | 0 | -1.873E-10 | 0 | 3.083E-12 | 0 |
| 716 | P2021 | LinStatic | 0 | 0 | -1.873E-10 | 0 | 3.083E-12 | 0 |
| 811 | P2021 | LinStatic | 0 | 0 | 7.863E-10 | -1.975E-20 | -1.294E-11 | 0 |
| 812 | P2021 | LinStatic | 0 | 0 | 7.863E-10 | -1.975E-20 | -1.294E-11 | 0 |
| 907 | P2021 | LinStatic | 0 | 0 | -3.301E-09 | -5.057E-19 | 5.432E-11 | 0 |
| 908 | P2021 | LinStatic | 0 | 0 | -3.301E-09 | -5.057E-19 | 5.432E-11 | 0 |
| 1003 | P2021 | LinStatic | 0 | 0 | 1.385E-08 | -1.295E-17 | -2.28E-10 | 0 |
| 1004 | P2021 | LinStatic | 0 | 0 | 1.385E-08 | -1.295E-17 | -2.28E-10 | 0 |
| 1099 | P2021 | LinStatic | 0 | 0 | -5.816E-08 | -3.315E-16 | 9.572E-10 | 0 |
| 1100 | P2021 | LinStatic | 0 | 0 | -5.816E-08 | -3.315E-16 | 9.572E-10 | 0 |
| 1195 | P2021 | LinStatic | 0 | 0 | 2.441E-07 | -8.488E-15 | -4.018E-09 | 0 |
| 1196 | P2021 | LinStatic | 0 | 0 | 2.441E-07 | -8.488E-15 | -4.018E-09 | 0 |
| 1291 | P2021 | LinStatic | 0 | 0 | -0.000001025 | -2.173E-13 | 1.687E-08 | 0 |
| 1292 | P2021 | LinStatic | 0 | 0 | -0.000001025 | -2.173E-13 | 1.687E-08 | 0 |
| 1387 | P2021 | LinStatic | 0 | 0 | 0.000004302 | -5.565E-12 | -7.08E-08 | 0 |
| 1388 | P2021 | LinStatic | 0 | 0 | 0.000004302 | -5.565E-12 | -7.08E-08 | 0 |
| 1483 | P2021 | LinStatic | 0 | 0 | -0.000018 | -1.425E-10 | 2.972E-07 | 0 |
| 1484 | P2021 | LinStatic | 0 | 0 | -0.000018 | -1.425E-10 | 2.972E-07 | 0 |
| 1579 | P2021 | LinStatic | 0 | 0 | 0.000076 | -3.648E-09 | -0.000001248 | 0 |

**TABLE: Joint Displacements**

| Joint | OutputCase | CaseType | U1 | U2 | U3 | R1 | R2 | R3 |
|---|---|---|---|---|---|---|---|---|
| Text | Text | Text | m | m | m | Radians | Radians | Radians |
| 1580 | P2021 | LinStatic | 0 | 0 | 0.000076 | -3.648E-09 | -0.000001247 | 0 |
| 1675 | P2021 | LinStatic | 0 | 0 | -0.000318 | -9.341E-08 | 0.000005233 | 0 |
| 1676 | P2021 | LinStatic | 0 | 0 | -0.000318 | -9.341E-08 | 0.000005241 | 0 |
| 1771 | P2021 | LinStatic | 0 | 0 | 0.001342 | -0.000002392 | -0.000022 | 0 |
| 1772 | P2021 | LinStatic | 0 | 0 | 0.001329 | -0.000002392 | -0.000022 | 0 |
| 1867 | P2021 | LinStatic | 0 | 0 | -0.004156 | -0.000013 | -0.000022 | 0 |
| 1868 | P2021 | LinStatic | 0 | 0 | -0.004229 | -0.000013 | -0.000024 | 0 |
| 1963 | P2021 | LinStatic | 0 | 0 | -0.0042 | -3.956E-07 | 0.000029 | 0 |
| 1964 | P2021 | LinStatic | 0 | 0 | -0.004202 | -3.956E-07 | 0.000029 | 0 |
| 2053 | P2021 | LinStatic | 0 | 0 | 0.001221 | -1.516E-08 | 0.000022 | 0 |
| 2054 | P2021 | LinStatic | 0 | 0 | 0.001221 | -1.516E-08 | 0.000022 | 0 |
| 2055 | P2021 | LinStatic | 0 | 0 | 0.001187 | -1.447E-08 | 0.000028 | 0 |
| 2056 | P2021 | LinStatic | 0 | 0 | 0.001186 | -1.447E-08 | 0.000028 | 0 |

## Table: Modal Load Participation Ratios

| OutputCase | ItemType | Item | Static | Dynamic |
|---|---|---|---|---|
| Text | Text | Text | Percent | Percent |
| MODAL | Acceleration | UX | 0.0000 | 0.0000 |
| MODAL | Acceleration | UY | 0.0000 | 0.0000 |
| MODAL | Acceleration | UZ | 0.8222 | 0.3006 |

## Table: Modal Participating Mass Ratios, Part 1 of 3

| OutputCase | StepType | StepNum | Period | UX | UY | UZ | SumUX | SumUY |
|---|---|---|---|---|---|---|---|---|
| Text | Text | Unitless | Sec | Unitless | Unitless | Unitless | Unitless | Unitless |
| MODAL | Mode | 1.000000 | 0.360133 | 0.000000 | 0.000000 | 2.658E-07 | 0.000000 | 0.000000 |
| MODAL | Mode | 2.000000 | 0.344986 | 0.000000 | 0.000000 | 4.514E-06 | 0.000000 | 0.000000 |
| MODAL | Mode | 3.000000 | 0.337274 | 0.000000 | 0.000000 | 5.787E-06 | 0.000000 | 0.000000 |
| MODAL | Mode | 4.000000 | 0.326513 | 0.000000 | 0.000000 | 0.000091 | 0.000000 | 0.000000 |
| MODAL | Mode | 5.000000 | 0.314582 | 0.000000 | 0.000000 | 0.000133 | 0.000000 | 0.000000 |
| MODAL | Mode | 6.000000 | 0.303172 | 0.000000 | 0.000000 | 0.000436 | 0.000000 | 0.000000 |
| MODAL | Mode | 7.000000 | 0.291615 | 0.000000 | 0.000000 | 0.000089 | 0.000000 | 0.000000 |
| MODAL | Mode | 8.000000 | 0.278952 | 0.000000 | 0.000000 | 0.000043 | 0.000000 | 0.000000 |
| MODAL | Mode | 9.000000 | 0.266432 | 0.000000 | 0.000000 | 0.000271 | 0.000000 | 0.000000 |
| MODAL | Mode | 10.000000 | 0.255056 | 0.000000 | 0.000000 | 0.000349 | 0.000000 | 0.000000 |
| MODAL | Mode | 11.000000 | 0.244330 | 0.000000 | 0.000000 | 0.001377 | 0.000000 | 0.000000 |
| MODAL | Mode | 12.000000 | 0.233604 | 0.000000 | 0.000000 | 0.000206 | 0.000000 | 0.000000 |

## Table: Modal Participating Mass Ratios, Part 2 of 3

| OutputCase | StepType | StepNum | SumUZ | RX | RY | RZ | SumRX | SumRY |
|---|---|---|---|---|---|---|---|---|
| Text | Text | Unitless | Unitless | Unitless | Unitless | Unitless | Unitless | Unitless |
| MODAL | Mode | 1.000000 | 2.658E-07 | 1.110E-14 | 0.000019 | 0.000000 | 1.110E-14 | 0.000019 |
| MODAL | Mode | 2.000000 | 4.780E-06 | 5.328E-15 | 1.797E-06 | 0.000000 | 1.643E-14 | 0.000020 |
| MODAL | Mode | 3.000000 | 0.000011 | 9.903E-18 | 0.000048 | 0.000000 | 1.644E-14 | 0.000068 |
| MODAL | Mode | 4.000000 | 0.000102 | 2.386E-17 | 0.000049 | 0.000000 | 1.646E-14 | 0.000117 |
| MODAL | Mode | 5.000000 | 0.000235 | 1.428E-16 | 0.000382 | 0.000000 | 1.661E-14 | 0.000499 |
| MODAL | Mode | 6.000000 | 0.000671 | 6.878E-17 | 0.000272 | 0.000000 | 1.668E-14 | 0.000771 |
| MODAL | Mode | 7.000000 | 0.000760 | 1.070E-15 | 0.000342 | 0.000000 | 1.775E-14 | 0.001113 |
| MODAL | Mode | 8.000000 | 0.000803 | 1.149E-17 | 0.000019 | 0.000000 | 1.776E-14 | 0.001132 |
| MODAL | Mode | 9.000000 | 0.001074 | 3.278E-14 | 0.000033 | 0.000000 | 5.054E-14 | 0.001166 |
| MODAL | Mode | 10.000000 | 0.001423 | 3.972E-13 | 0.001235 | 0.000000 | 4.477E-13 | 0.002401 |
| MODAL | Mode | 11.000000 | 0.002799 | 2.224E-14 | 0.000409 | 0.000000 | 4.700E-13 | 0.002810 |
| MODAL | Mode | 12.000000 | 0.003006 | 1.443E-18 | 0.001327 | 0.000000 | 4.700E-13 | 0.004137 |

## Table: Modal Participating Mass Ratios, Part 3 of 3

| OutputCase | StepType | StepNum | SumRZ |
|---|---|---|---|
| Text | Text | Unitless | Unitless |
| MODAL | Mode | 1.000000 | 0.000000 |
| MODAL | Mode | 2.000000 | 0.000000 |
| MODAL | Mode | 3.000000 | 0.000000 |
| MODAL | Mode | 4.000000 | 0.000000 |
| MODAL | Mode | 5.000000 | 0.000000 |
| MODAL | Mode | 6.000000 | 0.000000 |
| MODAL | Mode | 7.000000 | 0.000000 |
| MODAL | Mode | 8.000000 | 0.000000 |
| MODAL | Mode | 9.000000 | 0.000000 |
| MODAL | Mode | 10.000000 | 0.000000 |
| MODAL | Mode | 11.000000 | 0.000000 |
| MODAL | Mode | 12.000000 | 0.000000 |





## Table: Modal Participation Factors, Part 1 of 2

| OutputCase | StepType | StepNum | Period | UX | UY | UZ | RX | RY |
|---|---|---|---|---|---|---|---|---|
| Text | Text | Unitless | Sec | Ton-s2 | Ton-s2 | Ton-s2 | Ton-m-s2 | Ton-m-s2 |
| MODAL | Mode | 1.000000 | 0.360133 | 0.000000 | 0.000000 | -0.031932 | -0.000018 | -80.465517 |
| MODAL | Mode | 2.000000 | 0.344986 | 0.000000 | 0.000000 | 0.131599 | -0.000012 | 25.013164 |
| MODAL | Mode | 3.000000 | 0.337274 | 0.000000 | 0.000000 | -0.149010 | -5.263E-07 | -128.944454 |
| MODAL | Mode | 4.000000 | 0.326513 | 0.000000 | 0.000000 | -0.591031 | 8.169E-07 | -130.600219 |
| MODAL | Mode | 5.000000 | 0.314582 | 0.000000 | 0.000000 | -0.714439 | 1.998E-06 | -364.617711 |
| MODAL | Mode | 6.000000 | 0.303172 | 0.000000 | 0.000000 | -1.293578 | -1.387E-06 | -307.816732 |
| MODAL | Mode | 7.000000 | 0.291615 | 0.000000 | 0.000000 | -0.585077 | -5.471E-06 | -345.036441 |
| MODAL | Mode | 8.000000 | 0.278952 | 0.000000 | 0.000000 | 0.404337 | -5.669E-07 | -82.323058 |
| MODAL | Mode | 9.000000 | 0.266432 | 0.000000 | 0.000000 | -1.019547 | 0.000030 | -107.624381 |
| MODAL | Mode | 10.000000 | 0.255056 | 0.000000 | 0.000000 | -1.157580 | -0.000105 | -655.874698 |
| MODAL | Mode | 11.000000 | 0.244330 | 0.000000 | 0.000000 | -2.298118 | 0.000025 | -377.499179 |
| MODAL | Mode | 12.000000 | 0.233604 | 0.000000 | 0.000000 | 0.889467 | 2.009E-07 | 679.795712 |

## Table: Modal Participation Factors, Part 2 of 2

| OutputCase | StepType | StepNum | RZ | ModalMass | ModalStiff |
|---|---|---|---|---|---|
| Text | Text | Unitless | Ton-m-s2 | Ton-m-s2 | Ton-m |
| MODAL | Mode | 1.000000 | 0.000000 | 1.0000 | 304.392691 |
| MODAL | Mode | 2.000000 | 0.000000 | 1.0000 | 331.709289 |
| MODAL | Mode | 3.000000 | 0.000000 | 1.0000 | 347.050691 |
| MODAL | Mode | 4.000000 | 0.000000 | 1.0000 | 370.303319 |
| MODAL | Mode | 5.000000 | 0.000000 | 1.0000 | 398.925193 |
| MODAL | Mode | 6.000000 | 0.000000 | 1.0000 | 429.519375 |
| MODAL | Mode | 7.000000 | 0.000000 | 1.0000 | 464.237761 |
| MODAL | Mode | 8.000000 | 0.000000 | 1.0000 | 507.342866 |
| MODAL | Mode | 9.000000 | 0.000000 | 1.0000 | 556.141601 |
| MODAL | Mode | 10.000000 | 0.000000 | 1.0000 | 606.859542 |
| MODAL | Mode | 11.000000 | 0.000000 | 1.0000 | 661.311319 |
| MODAL | Mode | 12.000000 | 0.000000 | 1.0000 | 723.433101 |

## Table: Modal Periods And Frequencies

| OutputCase | StepType | StepNum | Period | Frequency | CircFreq | Eigenvalue |
|---|---|---|---|---|---|---|
| Text | Text | Unitless | Sec | Cyc/sec | rad/sec | rad2/sec2 |
| MODAL | Mode | 1.000000 | 0.360133 | 2.7768E+00 | 1.7447E+01 | 3.0439E+02 |
| MODAL | Mode | 2.000000 | 0.344986 | 2.8987E+00 | 1.8213E+01 | 3.3171E+02 |
| MODAL | Mode | 3.000000 | 0.337274 | 2.9649E+00 | 1.8629E+01 | 3.4705E+02 |
| MODAL | Mode | 4.000000 | 0.326513 | 3.0627E+00 | 1.9243E+01 | 3.7030E+02 |
| MODAL | Mode | 5.000000 | 0.314582 | 3.1788E+00 | 1.9973E+01 | 3.9893E+02 |
| MODAL | Mode | 6.000000 | 0.303172 | 3.2985E+00 | 2.0725E+01 | 4.2952E+02 |
| MODAL | Mode | 7.000000 | 0.291615 | 3.4292E+00 | 2.1546E+01 | 4.6424E+02 |
| MODAL | Mode | 8.000000 | 0.278952 | 3.5848E+00 | 2.2524E+01 | 5.0734E+02 |
| MODAL | Mode | 9.000000 | 0.266432 | 3.7533E+00 | 2.3583E+01 | 5.5614E+02 |
| MODAL | Mode | 10.000000 | 0.255056 | 3.9207E+00 | 2.4635E+01 | 6.0686E+02 |
| MODAL | Mode | 11.000000 | 0.244330 | 4.0928E+00 | 2.5716E+01 | 6.6131E+02 |
| MODAL | Mode | 12.000000 | 0.233604 | 4.2807E+00 | 2.6897E+01 | 7.2343E+02 |

# *ANEJO 2C: TREN DE CARGAS Y SITUACIÓN DE APARATOS DE MEDIDA*

# CROQUIS DE INSTRUMENTACIÓN (VIADUCTO DE VINAIXA)

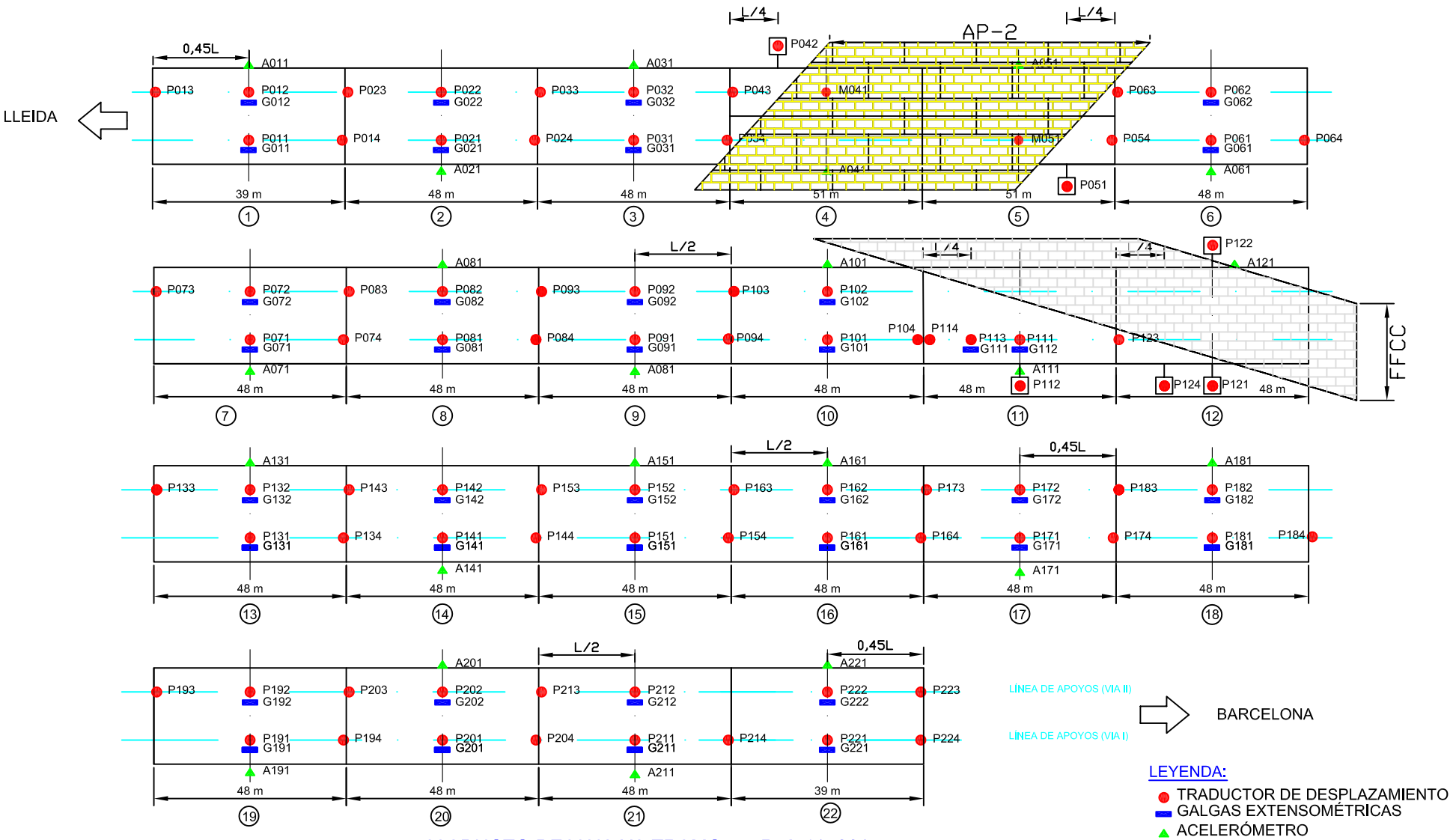


VIADUCTO DE VINAIXA TRAMO IIIa P.K. 41+261

# POSICIONES ESTÁTICAS EN PLANTA

## VANOS ALTERNOS 1 Y 3
## ESTÁTICA 1

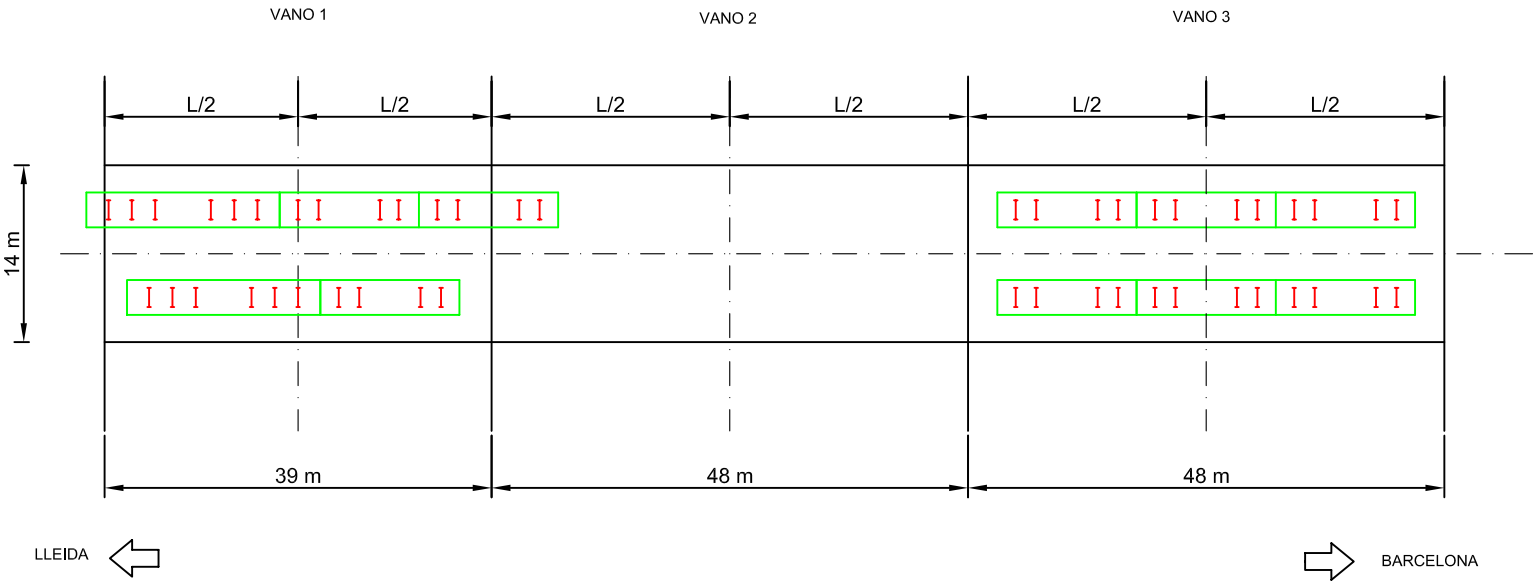


LOC. ADIF (LLEIDA–MARTORELL)

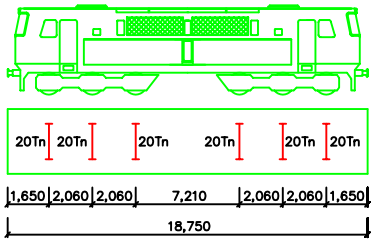


TOLVA RENFE

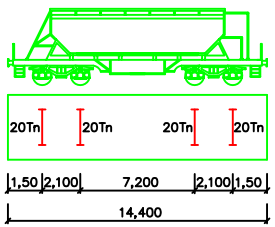


PRUEBAS DINAMICAS.–

SE REALIZARAN CON LOS DOS TRENES DE CARGA COMPLETOS (UNO POR CADA VIA) LAS CUATRO PRUEBAS DINÁMICAS

A) PASO DE TREN A 5 Km/h.
B) PASO DE TREN A VELOCIDAD MEDIA ENTRE 5 Y LA MÁXIMA VELOCIDAD COMPATIBLE CON LA SEGURIDAD.
C) PASO DE TREN A LA VELOCIDAD MÁXIMA COMPATIBLE CON LA SEGURIDAD
D) FRENADO A LA VELOCIDAD MÁXIMA COMPATIBLE CON LA SEGURIDAD

## VIADUCTO RIO GLORIETA TRAMO VI P.K. 602+413
## SITUACIÓN DE LAS CARGAS DE PRUEBA
## PLANO 1 DE 14

# POSICIONES ESTÁTICAS EN PLANTA

## VANOS ALTERNOS 2 Y 4
## ESTÁTICA 2

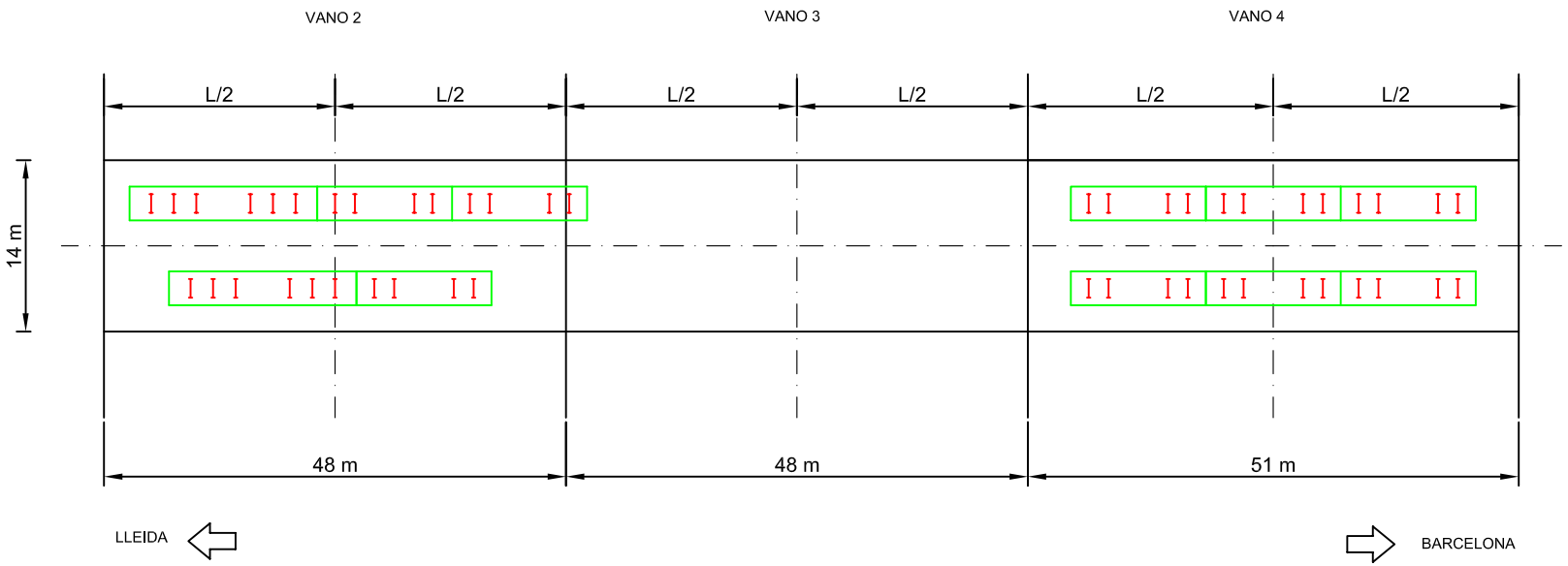


LOC. ADIF (LLEIDA–MARTORELL)

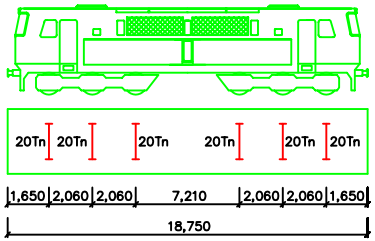


TOLVA RENFE

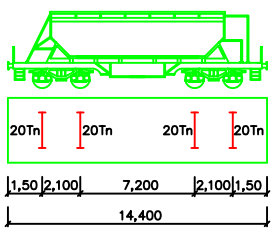


PRUEBAS DINAMICAS.–

SE REALIZARAN CON LOS DOS TRENES DE CARGA COMPLETOS (UNO POR CADA VIA) LAS CUATRO PRUEBAS DINÁMICAS

A) PASO DE TREN A 5 Km/h.
B) PASO DE TREN A VELOCIDAD MEDIA ENTRE 5 Y LA MÁXIMA VELOCIDAD COMPATIBLE CON LA SEGURIDAD.
C) PASO DE TREN A LA VELOCIDAD MÁXIMA COMPATIBLE CON LA SEGURIDAD
D) FRENADO A LA VELOCIDAD MÁXIMA COMPATIBLE CON LA SEGURIDAD

## VIADUCTO RIO GLORIETA TRAMO VI P.K. 602+413
## SITUACIÓN DE LAS CARGAS DE PRUEBA
## PLANO 2 DE 14

# POSICIONES ESTÁTICAS EN PLANTA

## VANOS ALTERNOS 4 Y 6
## ESTÁTICA 3

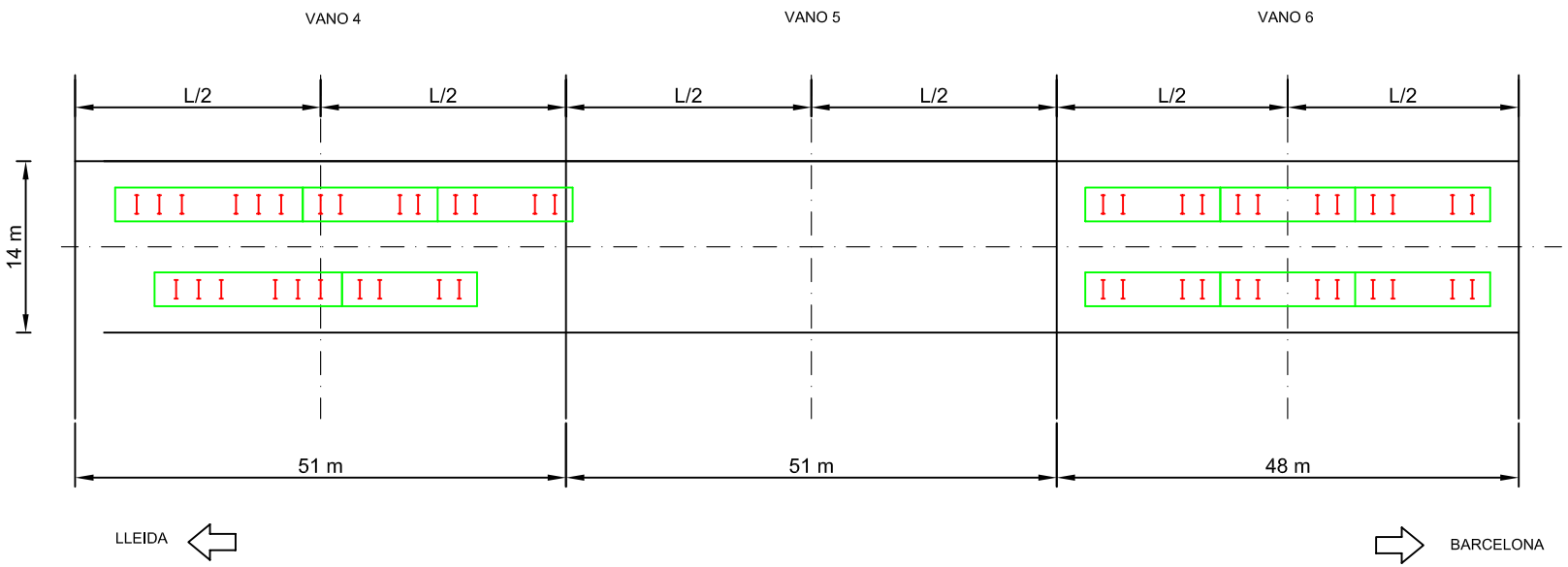


LOC. ADIF (LLEIDA–MARTORELL)

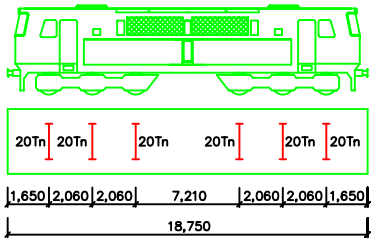


TOLVA RENFE

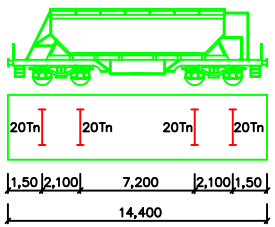


PRUEBAS DINAMICAS.–

SE REALIZARAN CON LOS DOS TRENES DE CARGA COMPLETOS (UNO POR CADA VIA) LAS CUATRO PRUEBAS DINÁMICAS

A) PASO DE TREN A 5 Km/h.
B) PASO DE TREN A VELOCIDAD MEDIA ENTRE 5 Y LA MÁXIMA VELOCIDAD COMPATIBLE CON LA SEGURIDAD.
C) PASO DE TREN A LA VELOCIDAD MÁXIMA COMPATIBLE CON LA SEGURIDAD
D) FRENADO A LA VELOCIDAD MÁXIMA COMPATIBLE CON LA SEGURIDAD

## VIADUCTO RIO GLORIETA TRAMO VI P.K. 602+413
## SITUACIÓN DE LAS CARGAS DE PRUEBA
## PLANO 3 DE 14

# POSICIONES ESTÁTICAS EN PLANTA

## VANOS ALTERNOS 5 Y 7
## ESTÁTICA 4

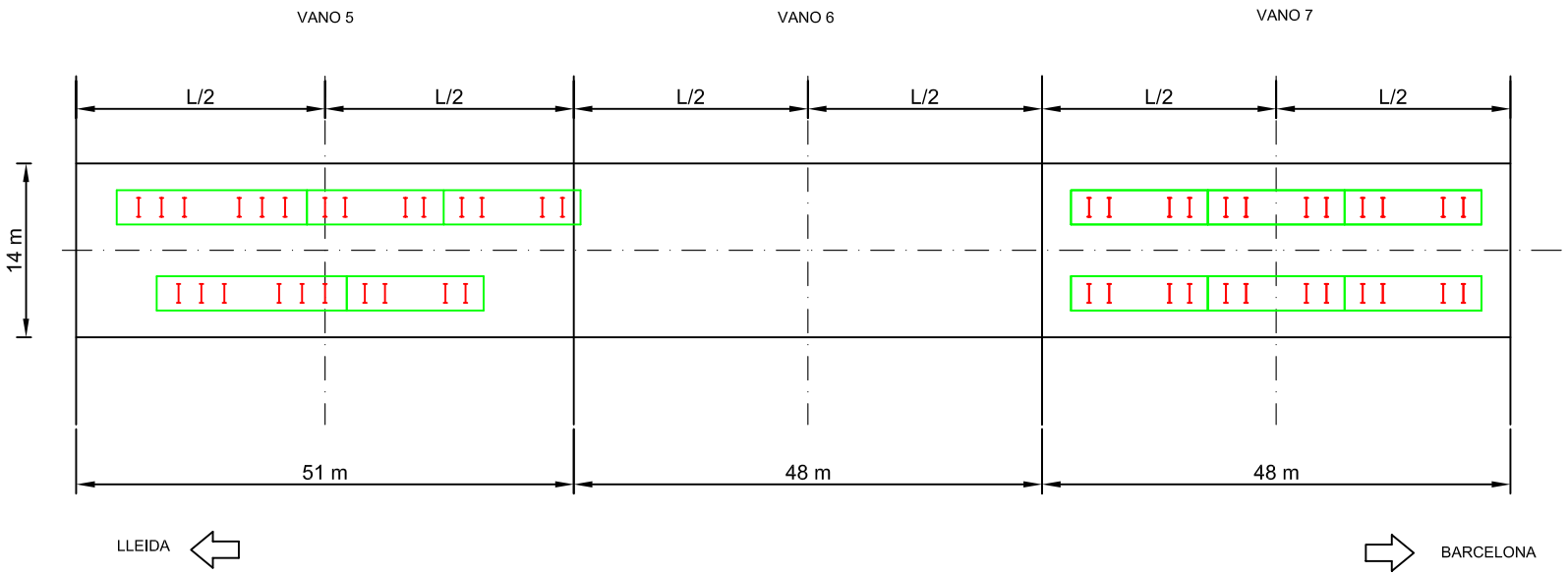


LOC. ADIF (LLEIDA–MARTORELL)

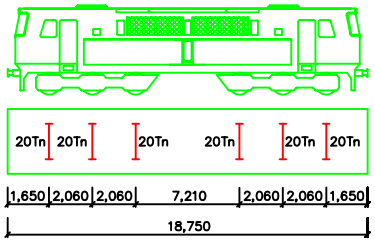


TOLVA RENFE

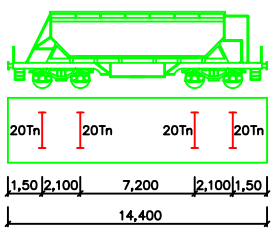


PRUEBAS DINAMICAS.–

SE REALIZARAN CON LOS DOS TRENES DE CARGA COMPLETOS (UNO POR CADA VIA) LAS CUATRO PRUEBAS DINÁMICAS

A) PASO DE TREN A 5 Km/h.
B) PASO DE TREN A VELOCIDAD MEDIA ENTRE 5 Y LA MÁXIMA VELOCIDAD COMPATIBLE CON LA SEGURIDAD.
C) PASO DE TREN A LA VELOCIDAD MÁXIMA COMPATIBLE CON LA SEGURIDAD
D) FRENADO A LA VELOCIDAD MÁXIMA COMPATIBLE CON LA SEGURIDAD

## VIADUCTO RIO GLORIETA TRAMO VI P.K. 602+413
## SITUACIÓN DE LAS CARGAS DE PRUEBA
## PLANO 4 DE 14

# POSICIONES ESTÁTICAS EN PLANTA

## VANOS ALTERNOS 6 Y 8

## ESTÁTICA 5

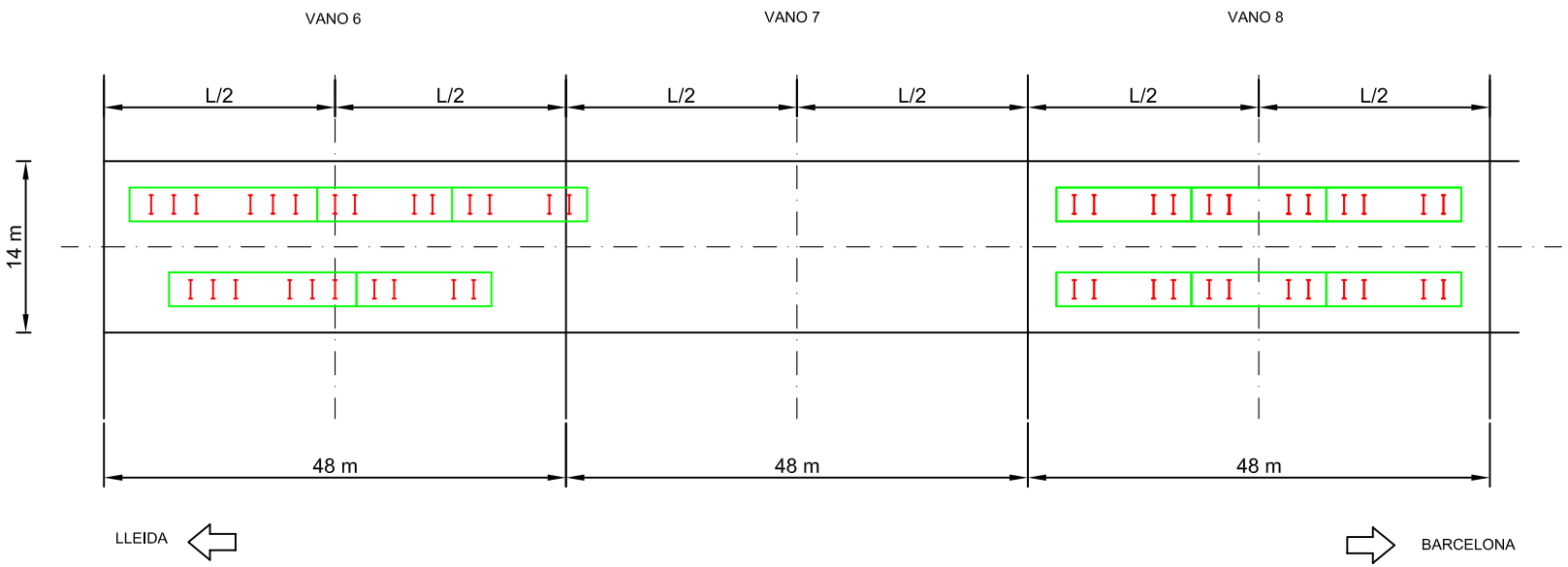


LOC. ADIF (LLEIDA–MARTORELL)

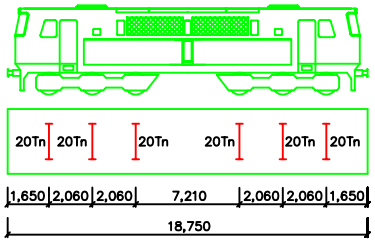


TOLVA RENFE

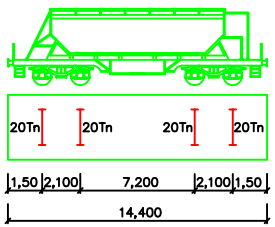


PRUEBAS DINAMICAS.–

SE REALIZARAN CON LOS DOS TRENES DE CARGA COMPLETOS (UNO POR CADA VIA) LAS CUATRO PRUEBAS DINÁMICAS

A) PASO DE TREN A 5 Km/h.

B) PASO DE TREN A VELOCIDAD MEDIA ENTRE 5 Y LA MÁXIMA VELOCIDAD COMPATIBLE CON LA SEGURIDAD.

C) PASO DE TREN A LA VELOCIDAD MÁXIMA COMPATIBLE CON LA SEGURIDAD

D) FRENADO A LA VELOCIDAD MÁXIMA COMPATIBLE CON LA SEGURIDAD

## VIADUCTO RIO GLORIETA TRAMO VI P.K. 602+413

## SITUACIÓN DE LAS CARGAS DE PRUEBA

## PLANO 5 DE 14

# POSICIONES ESTÁTICAS EN PLANTA

## VANOS ALTERNOS 7 Y 9

## ESTÁTICA 6

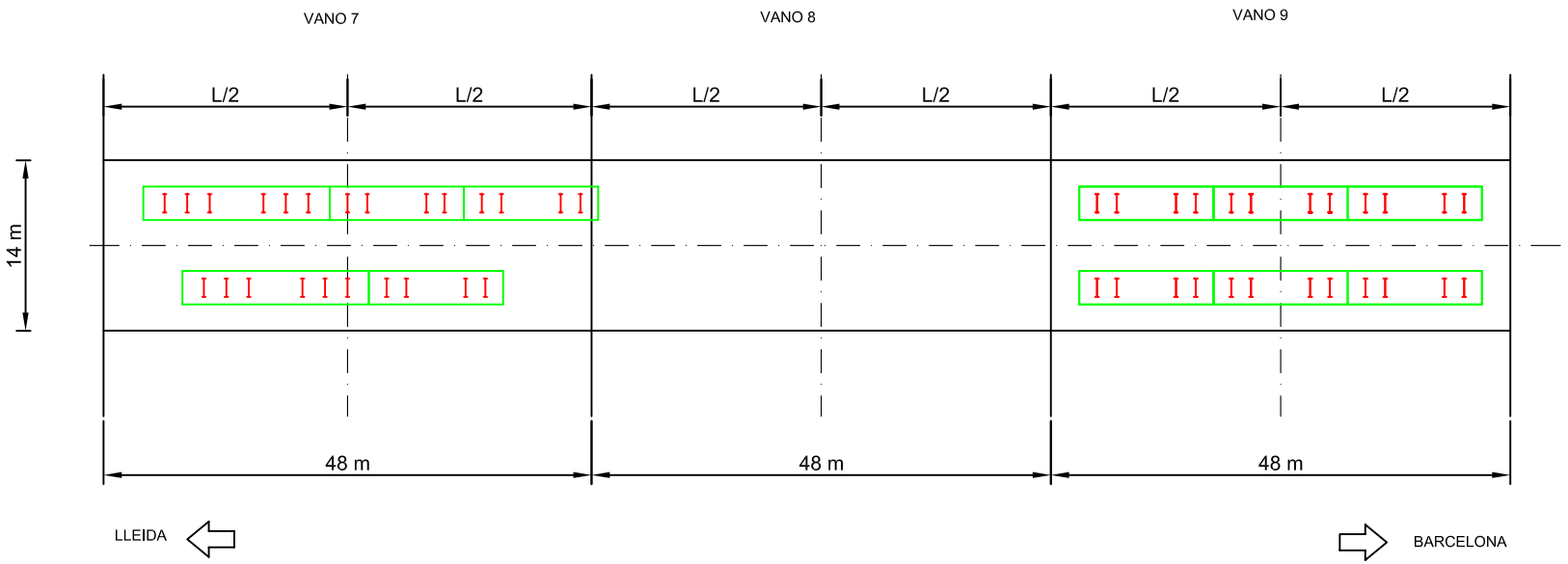


LOC. ADIF (LLEIDA–MARTORELL)

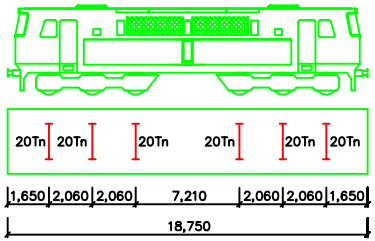


TOLVA RENFE

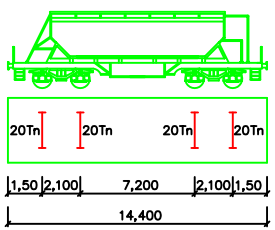


PRUEBAS DINAMICAS.–

SE REALIZARAN CON LOS DOS TRENES DE CARGA COMPLETOS (UNO POR CADA VIA) LAS CUATRO PRUEBAS DINÁMICAS

A) PASO DE TREN A 5 Km/h.

B) PASO DE TREN A VELOCIDAD MEDIA ENTRE 5 Y LA MÁXIMA VELOCIDAD COMPATIBLE CON LA SEGURIDAD.

C) PASO DE TREN A LA VELOCIDAD MÁXIMA COMPATIBLE CON LA SEGURIDAD

D) FRENADO A LA VELOCIDAD MÁXIMA COMPATIBLE CON LA SEGURIDAD

## VIADUCTO RIO GLORIETA TRAMO VI P.K. 602+413

## SITUACIÓN DE LAS CARGAS DE PRUEBA

## PLANO 6 DE 14

# POSICIONES ESTÁTICAS EN PLANTA

## VANOS ALTERNOS 9 Y 11
## ESTÁTICA 7

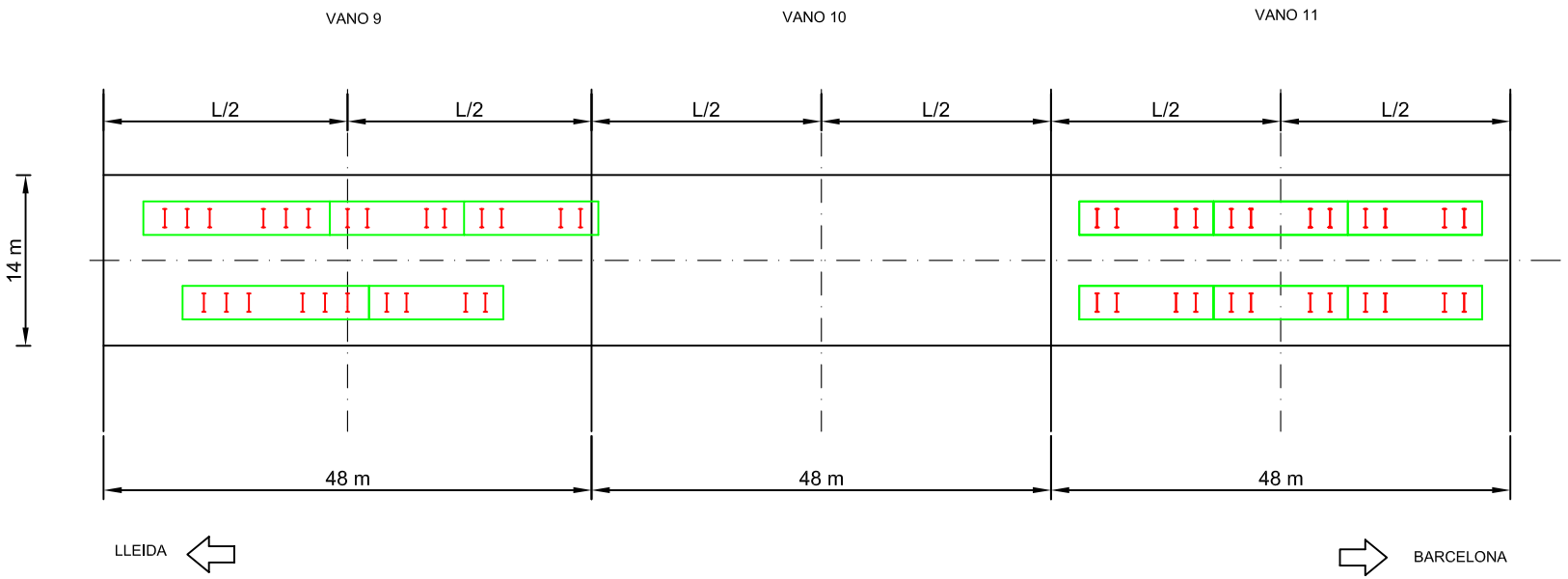


LOC. ADIF (LLEIDA–MARTORELL)

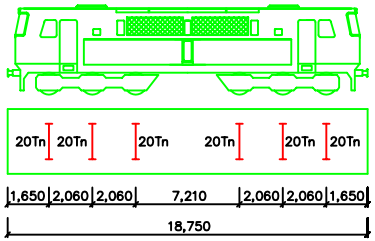


TOLVA RENFE

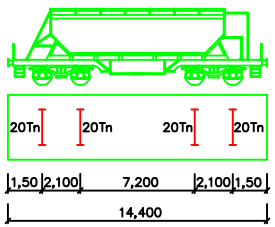


PRUEBAS DINAMICAS.–

SE REALIZARAN CON LOS DOS TRENES DE CARGA COMPLETOS (UNO POR CADA VIA) LAS CUATRO PRUEBAS DINÁMICAS

A) PASO DE TREN A 5 Km/h.
B) PASO DE TREN A VELOCIDAD MEDIA ENTRE 5 Y LA MÁXIMA VELOCIDAD COMPATIBLE CON LA SEGURIDAD.
C) PASO DE TREN A LA VELOCIDAD MÁXIMA COMPATIBLE CON LA SEGURIDAD
D) FRENADO A LA VELOCIDAD MÁXIMA COMPATIBLE CON LA SEGURIDAD

## VIADUCTO RIO GLORIETA TRAMO VI P.K. 602+413
## SITUACIÓN DE LAS CARGAS DE PRUEBA
## PLANO 7 DE 14

# POSICIONES ESTÁTICAS EN PLANTA

## VANOS ALTERNOS 10 Y 12

## ESTÁTICA 8

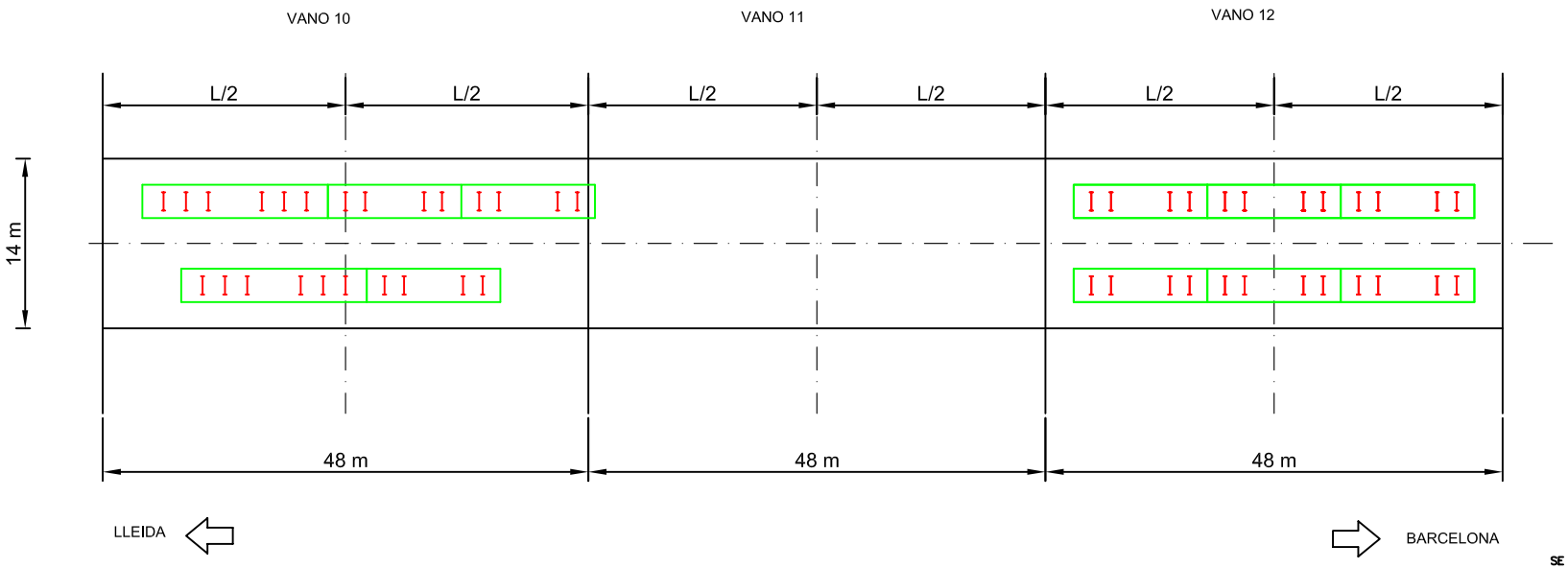


LOC. ADIF (LLEIDA–MARTORELL)

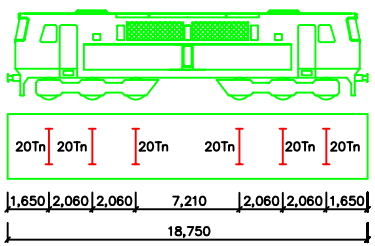


TOLVA RENFE

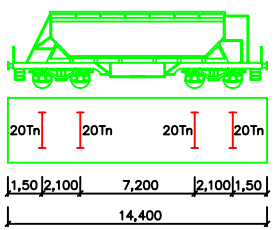


PRUEBAS DINAMICAS.–

SE REALIZARAN CON LOS DOS TRENES DE CARGA COMPLETOS (UNO POR CADA VIA) LAS CUATRO PRUEBAS DINÁMICAS

A) PASO DE TREN A 5 Km/h.
B) PASO DE TREN A VELOCIDAD MEDIA ENTRE 5 Y LA MÁXIMA VELOCIDAD COMPATIBLE CON LA SEGURIDAD.
C) PASO DE TREN A LA VELOCIDAD MÁXIMA COMPATIBLE CON LA SEGURIDAD
D) FRENADO A LA VELOCIDAD MÁXIMA COMPATIBLE CON LA SEGURIDAD

## VIADUCTO RIO GLORIETA TRAMO VI P.K. 602+413

## SITUACIÓN DE LAS CARGAS DE PRUEBA

## PLANO 8 DE 14

# POSICIONES ESTÁTICAS EN PLANTA

## VANOS ALTERNOS 12 Y 14
## ESTÁTICA 9

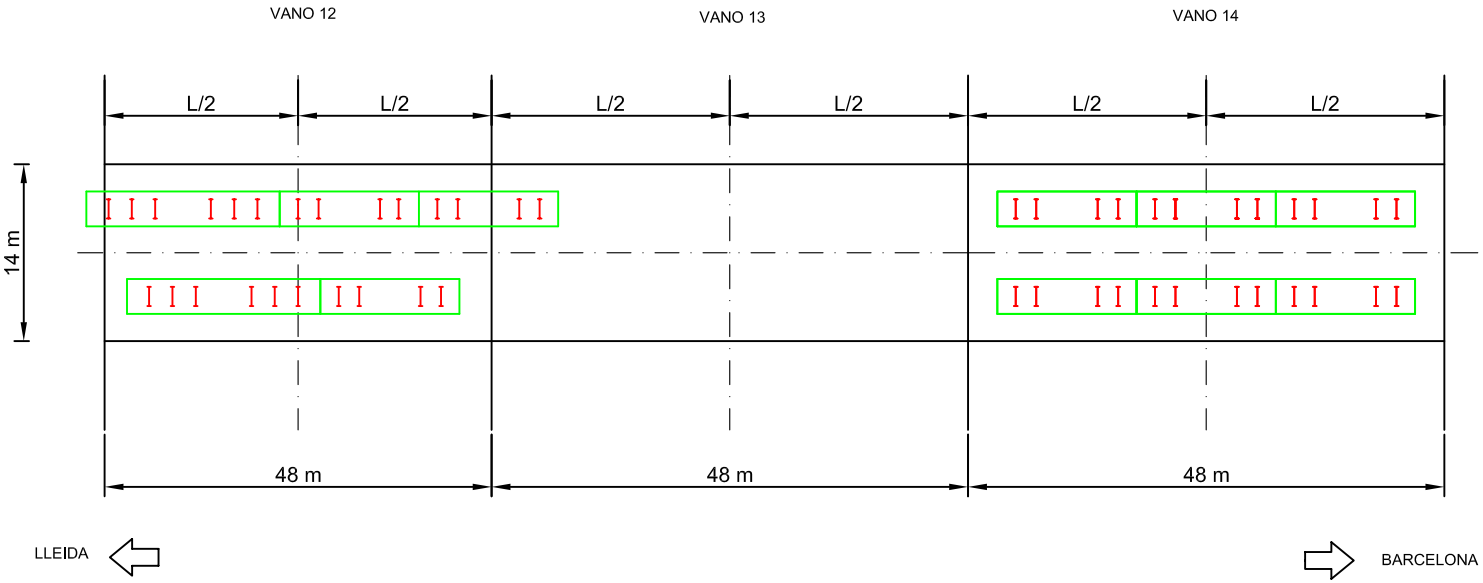


LOC. ADIF (LLEIDA–MARTORELL)

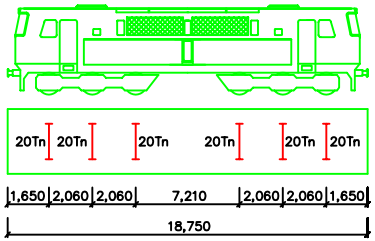


TOLVA RENFE

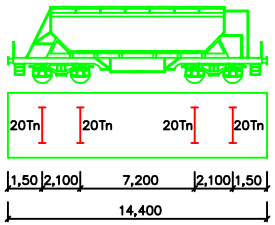


PRUEBAS DINAMICAS.–

SE REALIZARAN CON LOS DOS TRENES DE CARGA COMPLETOS (UNO POR CADA VIA) LAS CUATRO PRUEBAS DINÁMICAS

A) PASO DE TREN A 5 Km/h.
B) PASO DE TREN A VELOCIDAD MEDIA ENTRE 5 Y LA MÁXIMA VELOCIDAD COMPATIBLE CON LA SEGURIDAD.
C) PASO DE TREN A LA VELOCIDAD MÁXIMA COMPATIBLE CON LA SEGURIDAD
D) FRENADO A LA VELOCIDAD MÁXIMA COMPATIBLE CON LA SEGURIDAD

## VIADUCTO RIO GLORIETA TRAMO VI P.K. 602+413
## SITUACIÓN DE LAS CARGAS DE PRUEBA
## PLANO 9 DE 14

# POSICIONES ESTÁTICAS EN PLANTA

## VANOS ALTERNOS 13 Y 15

## ESTÁTICA 10

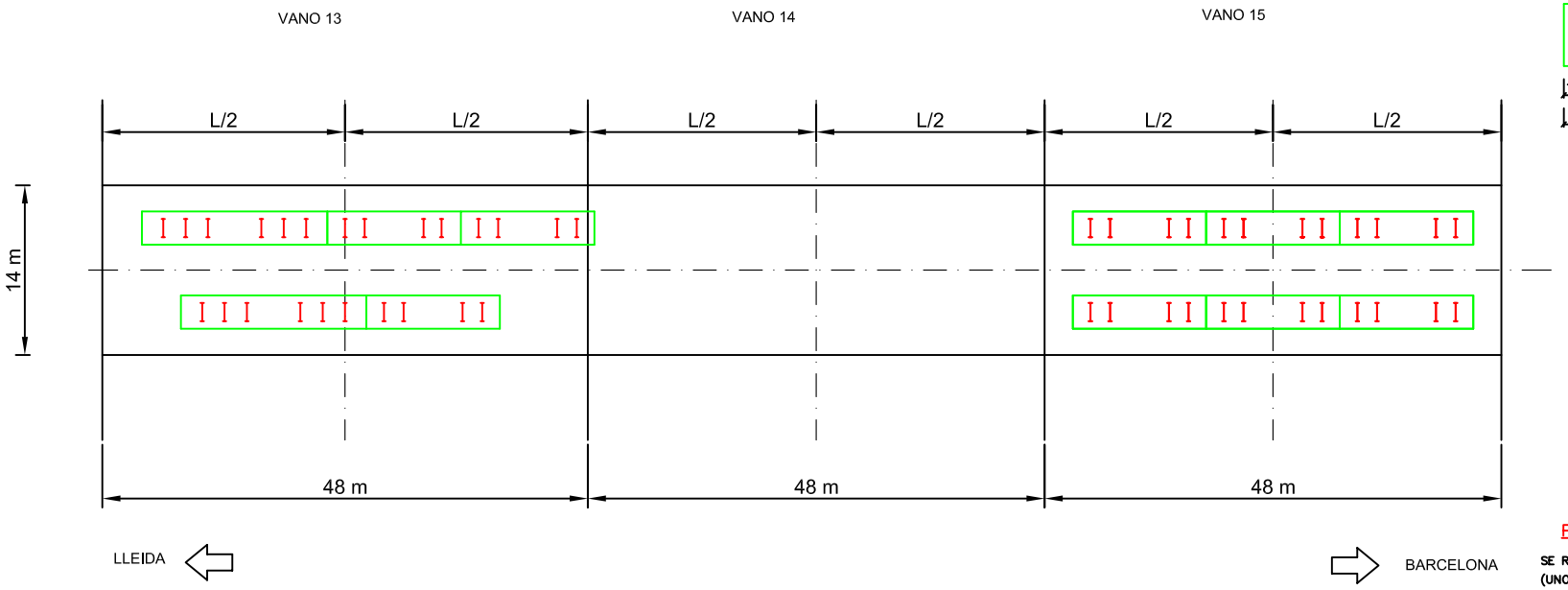


LOC. ADIF (LLEIDA–MARTORELL)

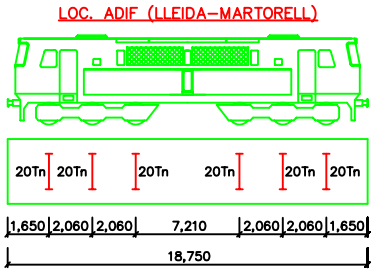


TOLVA RENFE

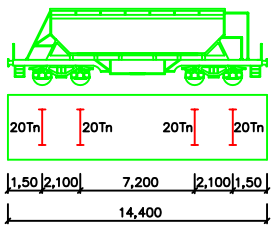


PRUEBAS DINAMICAS.–

SE REALIZARAN CON LOS DOS TRENES DE CARGA COMPLETOS (UNO POR CADA VIA) LAS CUATRO PRUEBAS DINÁMICAS

A) PASO DE TREN A 5 Km/h.
B) PASO DE TREN A VELOCIDAD MEDIA ENTRE 5 Y LA MÁXIMA VELOCIDAD COMPATIBLE CON LA SEGURIDAD.
C) PASO DE TREN A LA VELOCIDAD MÁXIMA COMPATIBLE CON LA SEGURIDAD
D) FRENADO A LA VELOCIDAD MÁXIMA COMPATIBLE CON LA SEGURIDAD

## VIADUCTO RIO GLORIETA TRAMO VI P.K. 602+413

## SITUACIÓN DE LAS CARGAS DE PRUEBA

## PLANO 10 DE 14

# POSICIONES ESTÁTICAS EN PLANTA

## VANOS ALTERNOS 15 Y 17

## ESTÁTICA 11

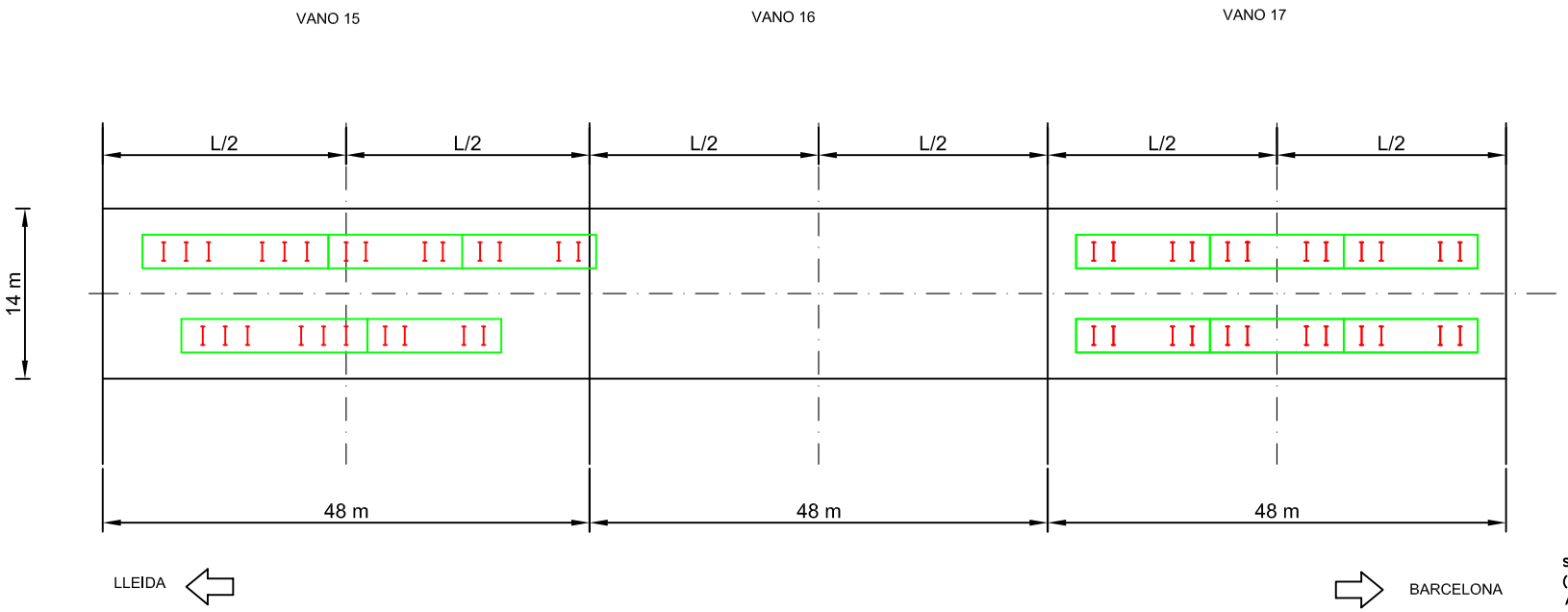


LOC. ADIF (LLEIDA–MARTORELL)

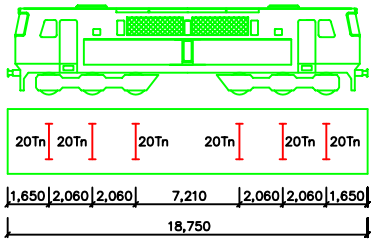


TOLVA RENFE

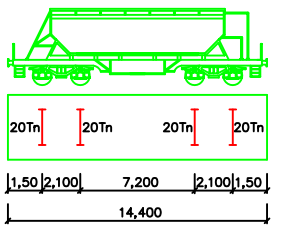


PRUEBAS DINAMICAS.–

SE REALIZARAN CON LOS DOS TRENES DE CARGA COMPLETOS (UNO POR CADA VIA) LAS CUATRO PRUEBAS DINÁMICAS

A) PASO DE TREN A 5 Km/h.
B) PASO DE TREN A VELOCIDAD MEDIA ENTRE 5 Y LA MÁXIMA VELOCIDAD COMPATIBLE CON LA SEGURIDAD.
C) PASO DE TREN A LA VELOCIDAD MÁXIMA COMPATIBLE CON LA SEGURIDAD
D) FRENADO A LA VELOCIDAD MÁXIMA COMPATIBLE CON LA SEGURIDAD

## VIADUCTO RIO GLORIETA TRAMO VI P.K. 602+413

## SITUACIÓN DE LAS CARGAS DE PRUEBA

## PLANO 11 DE 14

# POSICIONES ESTÁTICAS EN PLANTA

## VANOS ALTERNOS 16 Y 18

## ESTÁTICA 12

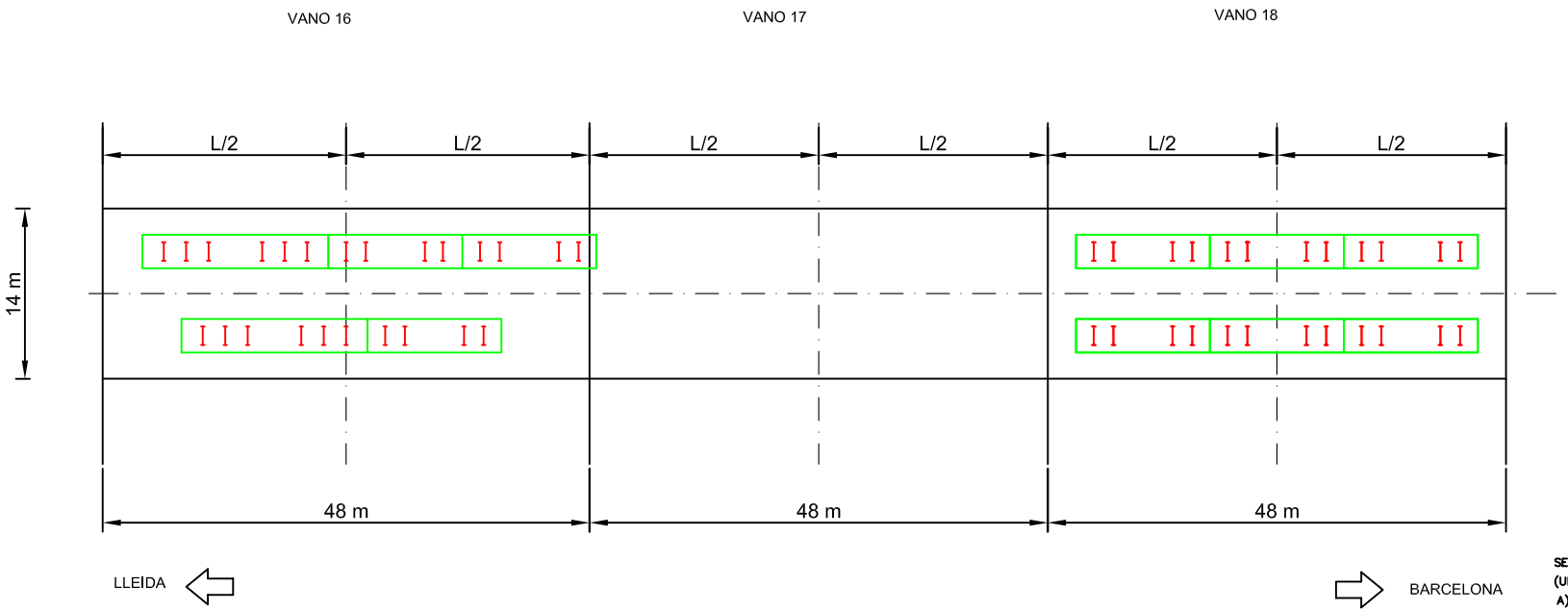


LOC. ADIF (LLEIDA–MARTORELL)

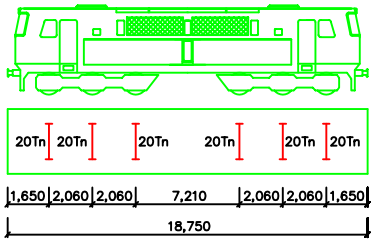


TOLVA RENFE

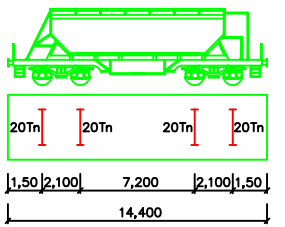


PRUEBAS DINAMICAS.–

SE REALIZARAN CON LOS DOS TRENES DE CARGA COMPLETOS (UNO POR CADA VIA) LAS CUATRO PRUEBAS DINÁMICAS

A) PASO DE TREN A 5 Km/h.

B) PASO DE TREN A VELOCIDAD MEDIA ENTRE 5 Y LA MÁXIMA VELOCIDAD COMPATIBLE CON LA SEGURIDAD.

C) PASO DE TREN A LA VELOCIDAD MÁXIMA COMPATIBLE CON LA SEGURIDAD

D) FRENADO A LA VELOCIDAD MÁXIMA COMPATIBLE CON LA SEGURIDAD

## VIADUCTO RIO GLORIETA TRAMO VI P.K. 602+413

## SITUACIÓN DE LAS CARGAS DE PRUEBA

## PLANO 12 DE 14

# POSICIONES ESTÁTICAS EN PLANTA

## VANOS ALTERNOS 19 Y 21

## ESTÁTICA 13

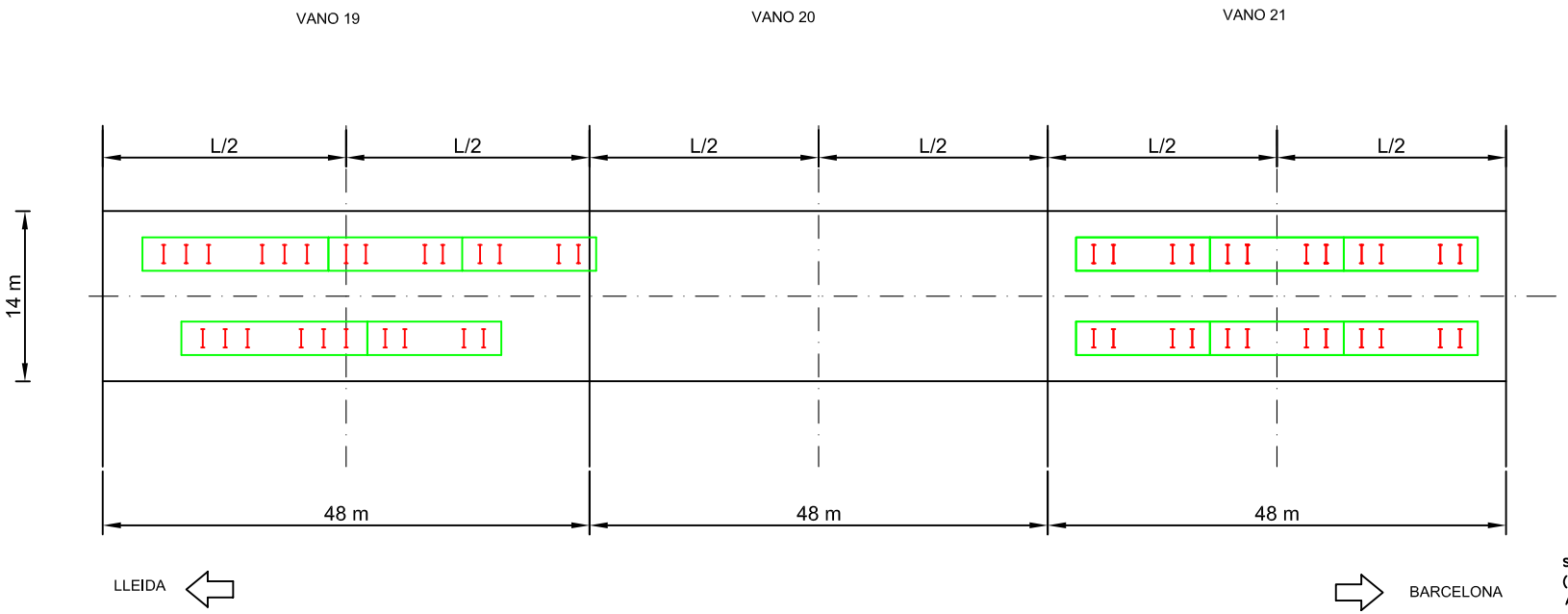


LOC. ADIF (LLEIDA–MARTORELL)

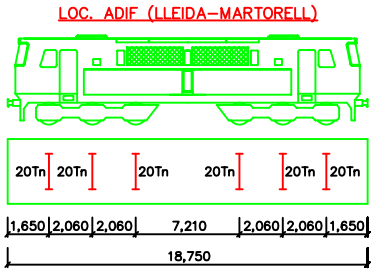


TOLVA RENFE

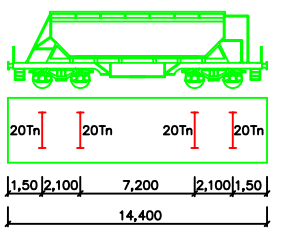


PRUEBAS DINAMICAS.–

SE REALIZARAN CON LOS DOS TRENES DE CARGA COMPLETOS (UNO POR CADA VIA) LAS CUATRO PRUEBAS DINÁMICAS

A) PASO DE TREN A 5 Km/h.
B) PASO DE TREN A VELOCIDAD MEDIA ENTRE 5 Y LA MÁXIMA VELOCIDAD COMPATIBLE CON LA SEGURIDAD.
C) PASO DE TREN A LA VELOCIDAD MÁXIMA COMPATIBLE CON LA SEGURIDAD
D) FRENADO A LA VELOCIDAD MÁXIMA COMPATIBLE CON LA SEGURIDAD

## VIADUCTO RIO GLORIETA TRAMO VI P.K. 602+413

## SITUACIÓN DE LAS CARGAS DE PRUEBA

## PLANO 13 DE 14

# POSICIONES ESTÁTICAS EN PLANTA

## VANOS ALTERNOS 20 Y 22

## ESTÁTICA 14

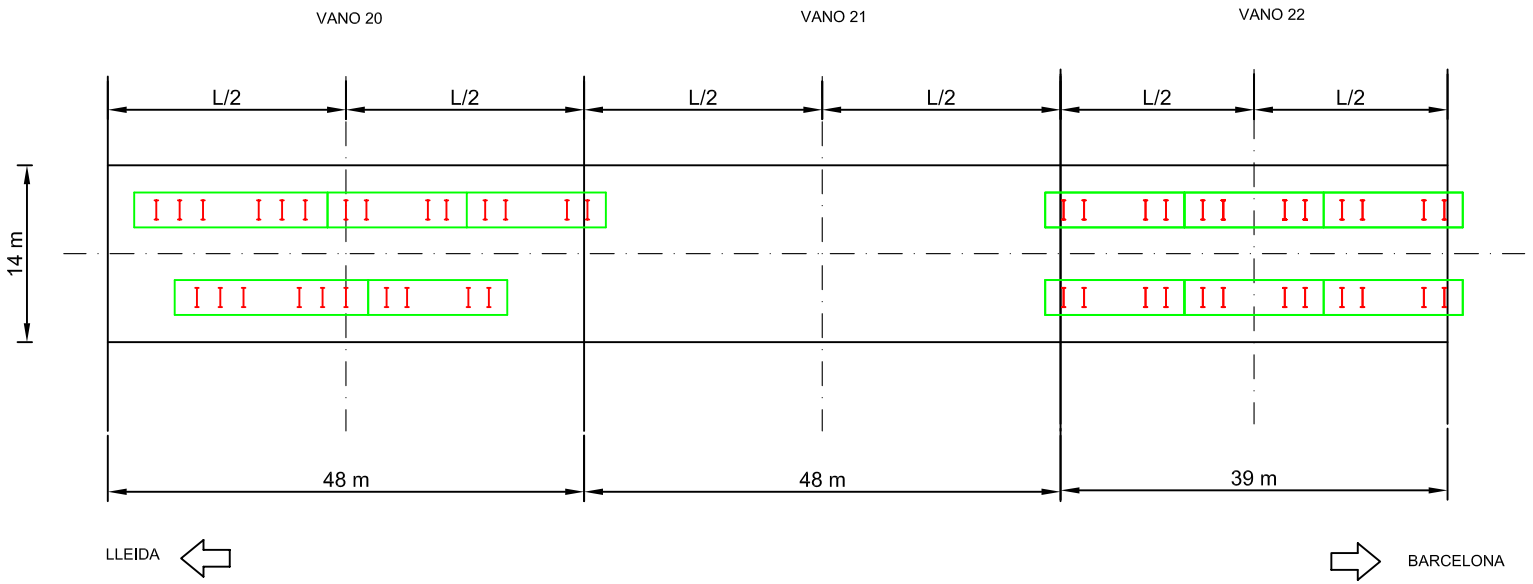


LOC. ADIF (LLEIDA–MARTORELL)

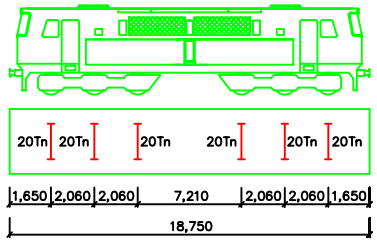


TOLVA RENFE

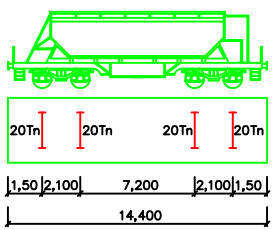


PRUEBAS DINAMICAS.–

SE REALIZARAN CON LOS DOS TRENES DE CARGA COMPLETOS (UNO POR CADA VIA) LAS CUATRO PRUEBAS DINÁMICAS

A) PASO DE TREN A 5 Km/h.

B) PASO DE TREN A VELOCIDAD MEDIA ENTRE 5 Y LA MÁXIMA VELOCIDAD COMPATIBLE CON LA SEGURIDAD.

C) PASO DE TREN A LA VELOCIDAD MÁXIMA COMPATIBLE CON LA SEGURIDAD

D) FRENADO A LA VELOCIDAD MÁXIMA COMPATIBLE CON LA SEGURIDAD

## VIADUCTO RIO GLORIETA TRAMO VI P.K. 602+413

## SITUACIÓN DE LAS CARGAS DE PRUEBA

## PLANO 14 DE 14

# POSICIONES ESTÁTICAS EN PLANTA

## PILA 2

## ESTÁTICA 15

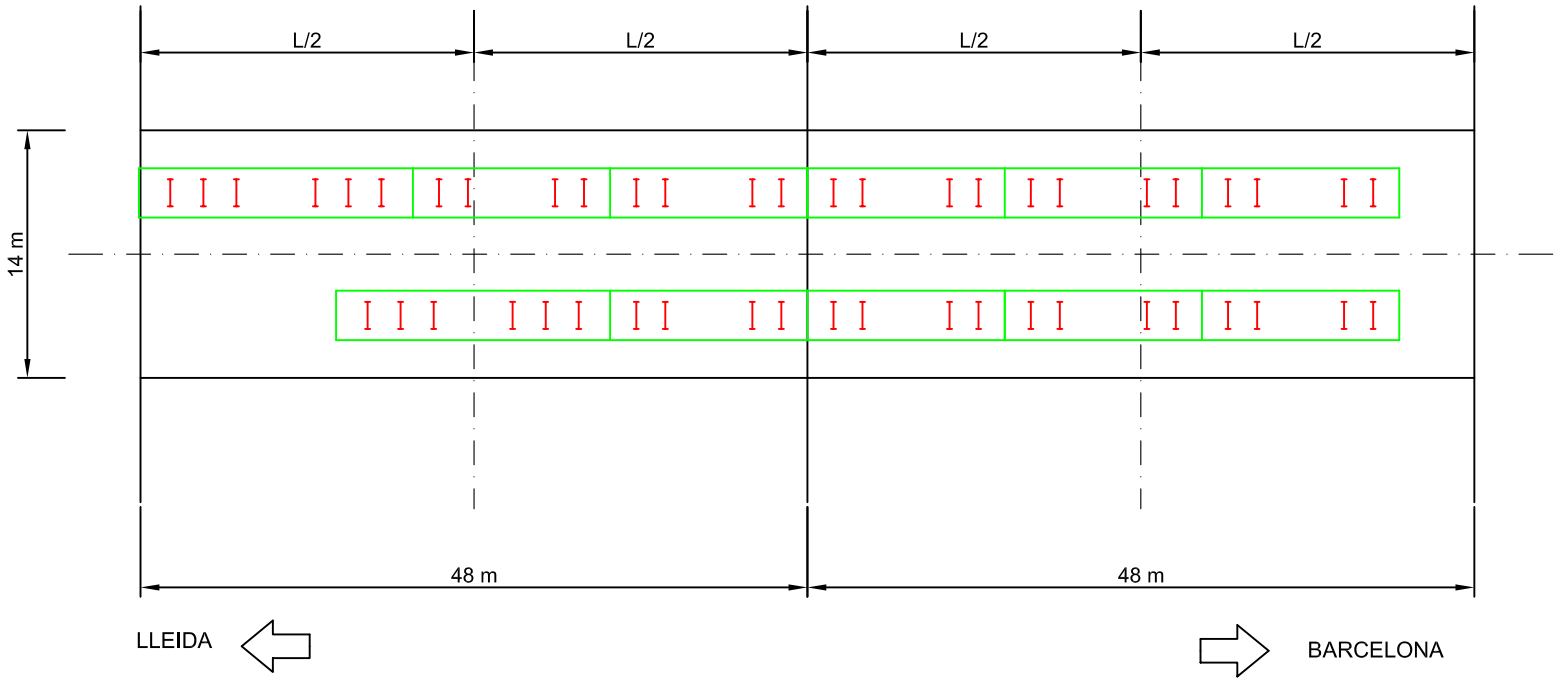


LOC. ADIF (LLEIDA–MARTORELL)

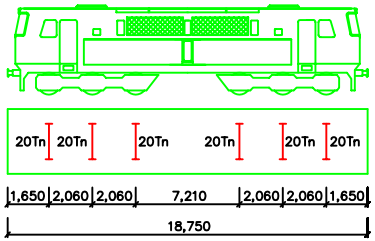


TOLVA RENFE

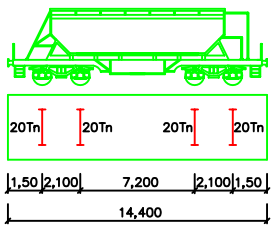


PRUEBAS DINAMICAS.–

SE REALIZARAN CON LOS DOS TRENES DE CARGA COMPLETOS (UNO POR CADA VIA) LAS CUATRO PRUEBAS DINÁMICAS

A) PASO DE TREN A 5 Km/h.

B) PASO DE TREN A VELOCIDAD MEDIA ENTRE 5 Y LA MÁXIMA VELOCIDAD COMPATIBLE CON LA SEGURIDAD.

C) PASO DE TREN A LA VELOCIDAD MÁXIMA COMPATIBLE CON LA SEGURIDAD

D) FRENADO A LA VELOCIDAD MÁXIMA COMPATIBLE CON LA SEGURIDAD

## VIADUCTO VINAIXA TRAMO IIIa P.K. 41+261

## SITUACIÓN DE LAS CARGAS DE PRUEBA

## PLANO 1 DE 7

# POSICIONES ESTÁTICAS EN PLANTA

## PILA 5

## ESTÁTICA 16

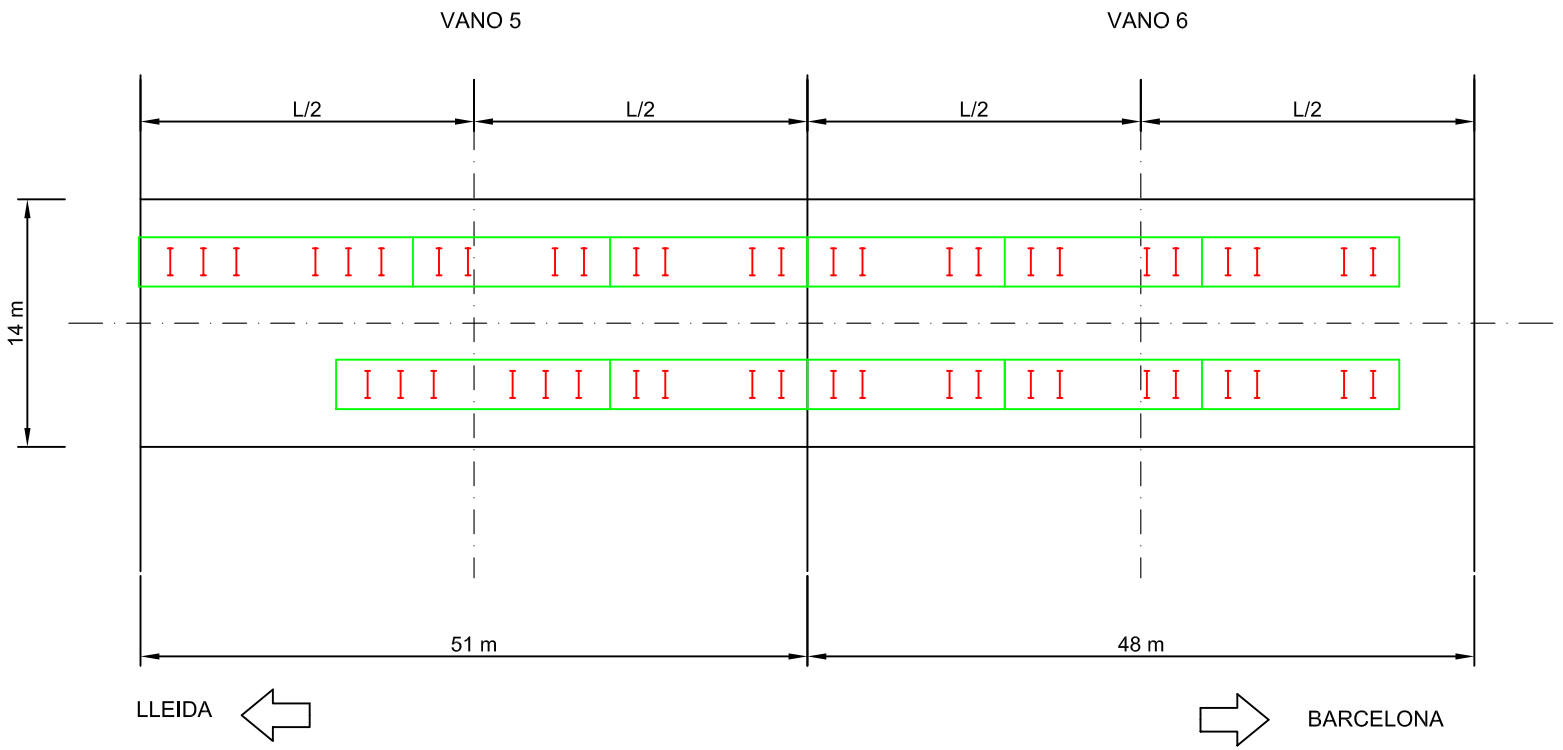


LOC. ADIF (LLEIDA–MARTORELL)

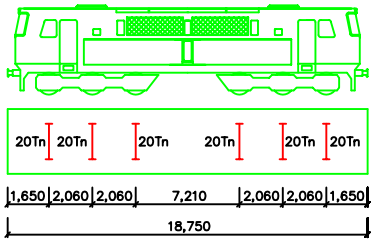


TOLVA RENFE

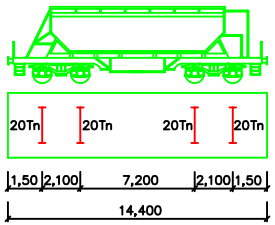


PRUEBAS DINAMICAS.–

SE REALIZARAN CON LOS DOS TRENES DE CARGA COMPLETOS (UNO POR CADA VIA) LAS CUATRO PRUEBAS DINÁMICAS

A) PASO DE TREN A 5 Km/h.

B) PASO DE TREN A VELOCIDAD MEDIA ENTRE 5 Y LA MÁXIMA VELOCIDAD COMPATIBLE CON LA SEGURIDAD.

C) PASO DE TREN A LA VELOCIDAD MÁXIMA COMPATIBLE CON LA SEGURIDAD

D) FRENADO A LA VELOCIDAD MÁXIMA COMPATIBLE CON LA SEGURIDAD

## VIADUCTO VINAIXA TRAMO IIIa P.K. 41+261

## SITUACIÓN DE LAS CARGAS DE PRUEBA

## PLANO 2 DE 7

# POSICIONES ESTÁTICAS EN PLANTA

## PILA 7

## ESTÁTICA 17

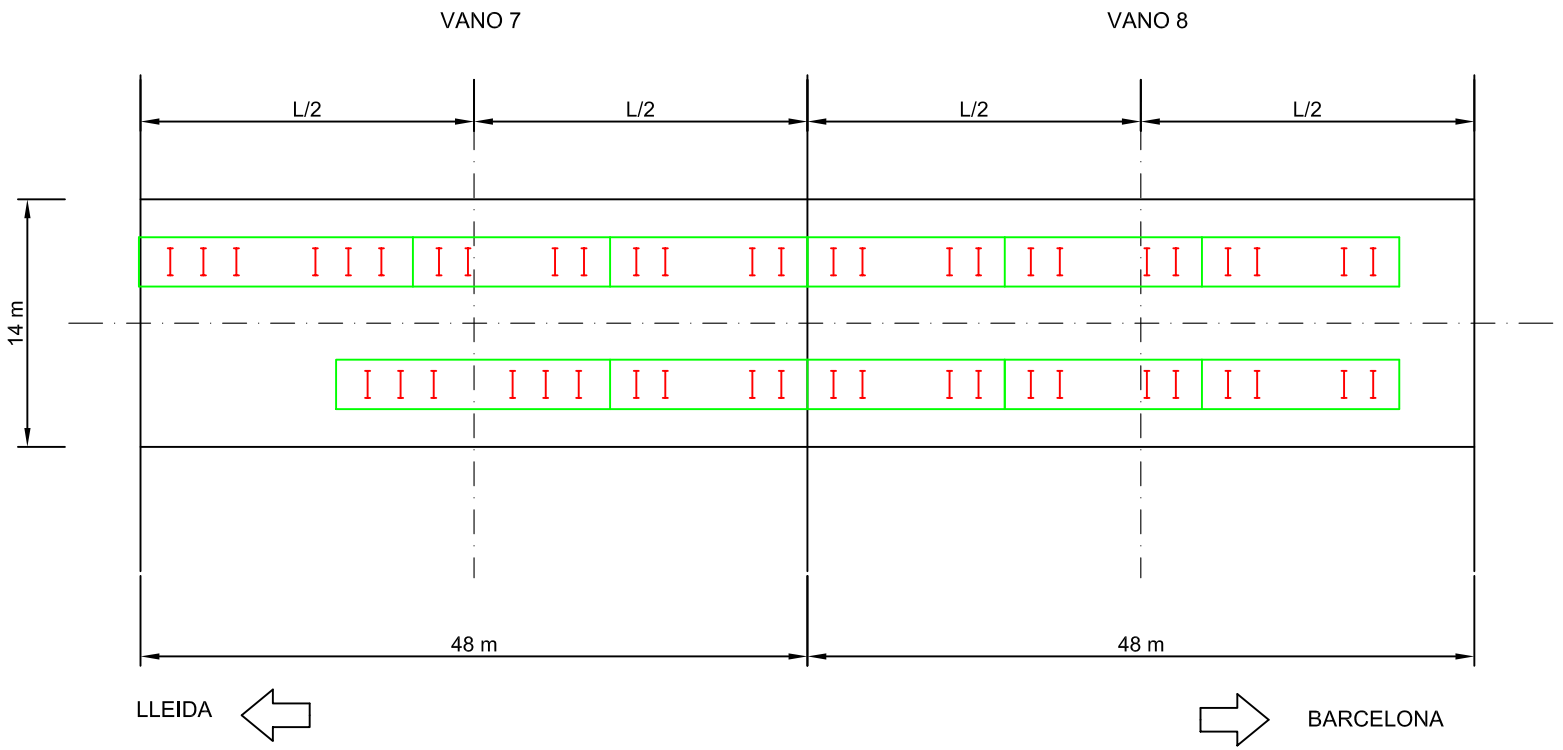


LOC. ADIF (LLEIDA–MARTORELL)

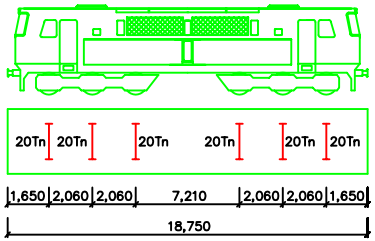


TOLVA RENFE

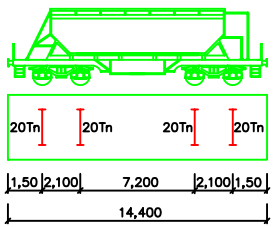


PRUEBAS DINAMICAS.–

SE REALIZARAN CON LOS DOS TRENES DE CARGA COMPLETOS (UNO POR CADA VIA) LAS CUATRO PRUEBAS DINÁMICAS

A) PASO DE TREN A 5 Km/h.

B) PASO DE TREN A VELOCIDAD MEDIA ENTRE 5 Y LA MÁXIMA VELOCIDAD COMPATIBLE CON LA SEGURIDAD.

C) PASO DE TREN A LA VELOCIDAD MÁXIMA COMPATIBLE CON LA SEGURIDAD

D) FRENADO A LA VELOCIDAD MÁXIMA COMPATIBLE CON LA SEGURIDAD

## VIADUCTO VINAIXA TRAMO IIIa P.K. 41+261

## SITUACIÓN DE LAS CARGAS DE PRUEBA

## PLANO 3 DE 7

# POSICIONES ESTÁTICAS EN PLANTA

## PILA 11

## ESTÁTICA 18

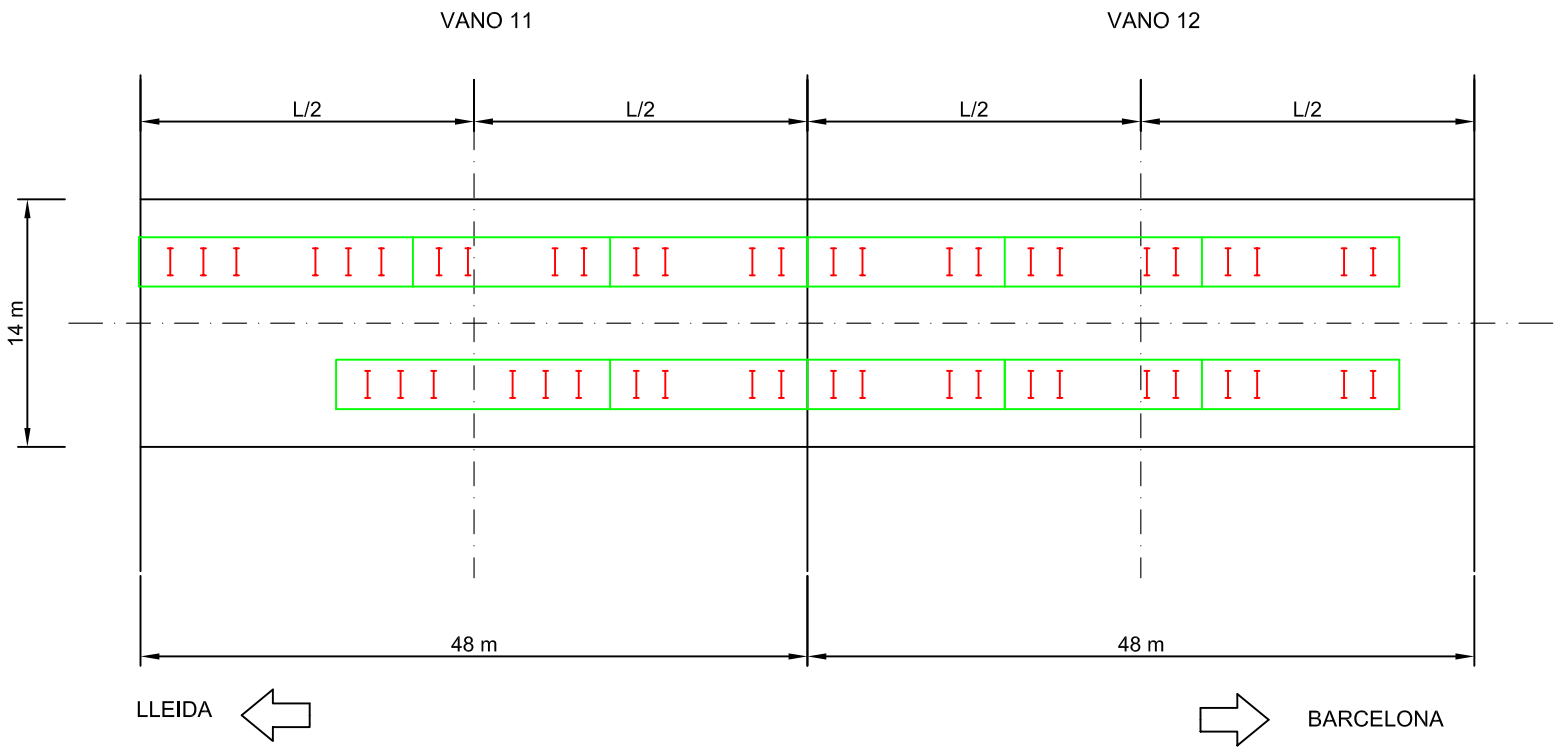


LOC. ADIF (LLEIDA–MARTORELL)

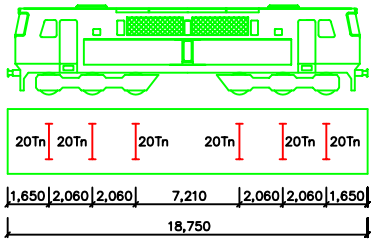


TOLVA RENFE

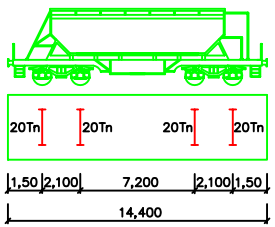


PRUEBAS DINAMICAS.–

SE REALIZARAN CON LOS DOS TRENES DE CARGA COMPLETOS (UNO POR CADA VIA) LAS CUATRO PRUEBAS DINÁMICAS

A) PASO DE TREN A 5 Km/h.

B) PASO DE TREN A VELOCIDAD MEDIA ENTRE 5 Y LA MÁXIMA VELOCIDAD COMPATIBLE CON LA SEGURIDAD.

C) PASO DE TREN A LA VELOCIDAD MÁXIMA COMPATIBLE CON LA SEGURIDAD

D) FRENADO A LA VELOCIDAD MÁXIMA COMPATIBLE CON LA SEGURIDAD

## VIADUCTO VINAIXA TRAMO IIIa P.K. 41+261

## SITUACIÓN DE LAS CARGAS DE PRUEBA

## PLANO 4 DE 7

# POSICIONES ESTÁTICAS EN PLANTA

## PILA 14

## ESTÁTICA 19

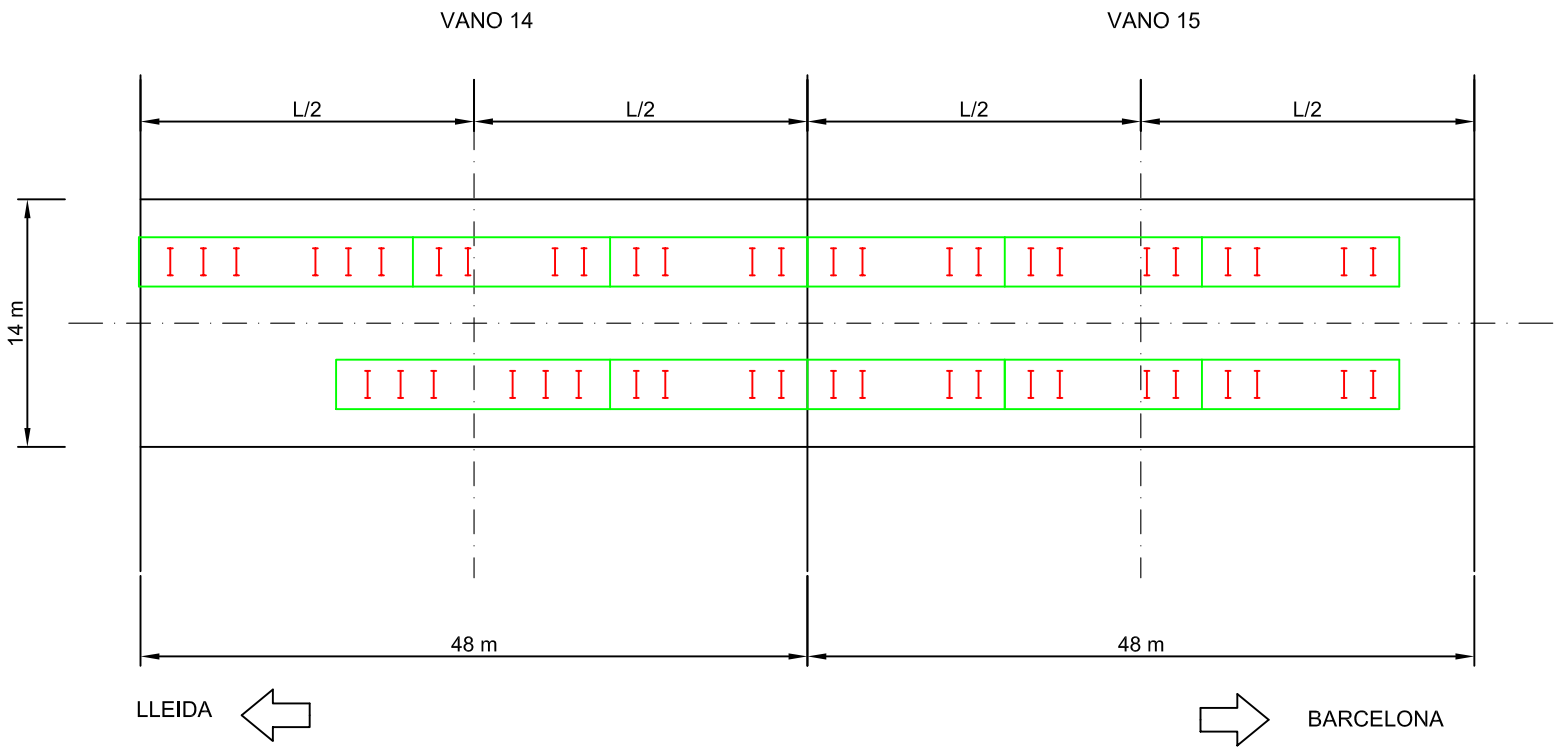


LOC. ADIF (LLEIDA–MARTORELL)

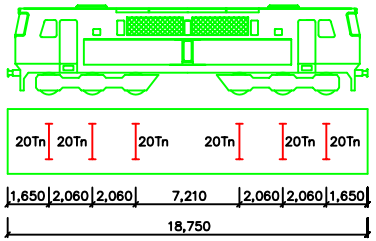


TOLVA RENFE

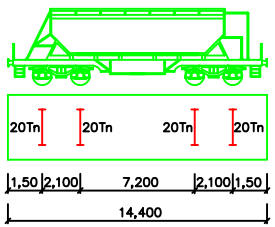


PRUEBAS DINAMICAS.–

SE REALIZARAN CON LOS DOS TRENES DE CARGA COMPLETOS (UNO POR CADA VIA) LAS CUATRO PRUEBAS DINÁMICAS

A) PASO DE TREN A 5 Km/h.

B) PASO DE TREN A VELOCIDAD MEDIA ENTRE 5 Y LA MÁXIMA VELOCIDAD COMPATIBLE CON LA SEGURIDAD.

C) PASO DE TREN A LA VELOCIDAD MÁXIMA COMPATIBLE CON LA SEGURIDAD

D) FRENADO A LA VELOCIDAD MÁXIMA COMPATIBLE CON LA SEGURIDAD

## VIADUCTO VINAIXA TRAMO IIIa P.K. 41+261

## SITUACIÓN DE LAS CARGAS DE PRUEBA

## PLANO 5 DE 7

# POSICIONES ESTÁTICAS EN PLANTA

## PILA 17

## ESTÁTICA 20

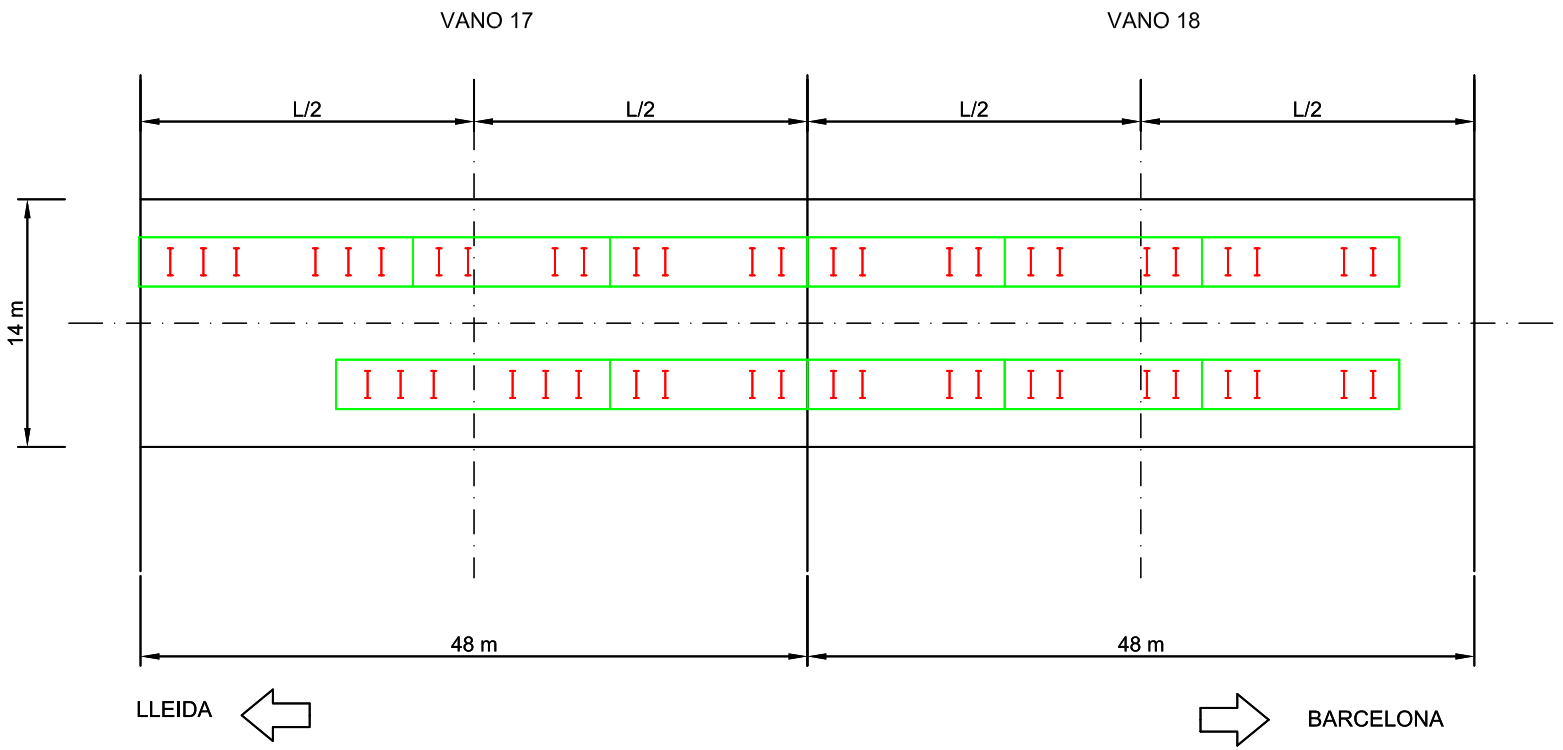


LOC. ADIF (LLEIDA–MARTORELL)

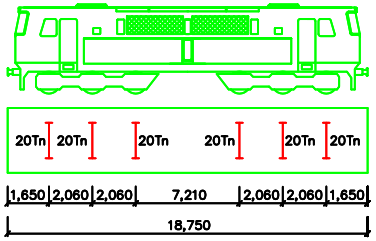


TOLVA RENFE

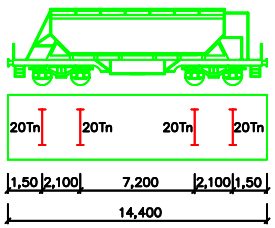


PRUEBAS DINAMICAS.–

SE REALIZARAN CON LOS DOS TRENES DE CARGA COMPLETOS (UNO POR CADA VIA) LAS CUATRO PRUEBAS DINÁMICAS

A) PASO DE TREN A 5 Km/h.

B) PASO DE TREN A VELOCIDAD MEDIA ENTRE 5 Y LA MÁXIMA VELOCIDAD COMPATIBLE CON LA SEGURIDAD.

C) PASO DE TREN A LA VELOCIDAD MÁXIMA COMPATIBLE CON LA SEGURIDAD

D) FRENADO A LA VELOCIDAD MÁXIMA COMPATIBLE CON LA SEGURIDAD

## VIADUCTO VINAIXA TRAMO IIIa P.K. 41+261

## SITUACIÓN DE LAS CARGAS DE PRUEBA

## PLANO 6 DE 7

# POSICIONES ESTÁTICAS EN PLANTA

## PILA 20
## ESTÁTICA 21

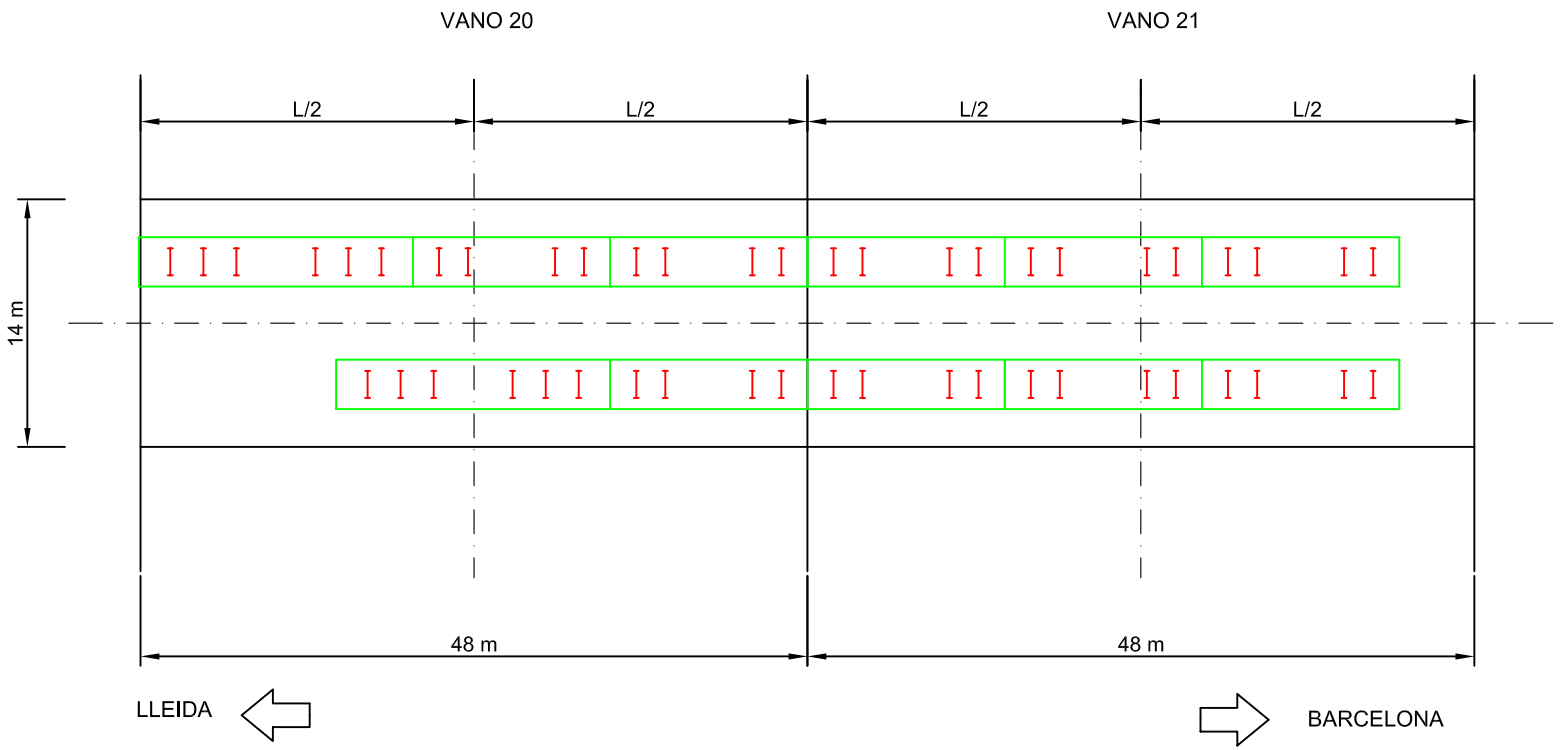


LOC. ADIF (LLEIDA–MARTORELL)

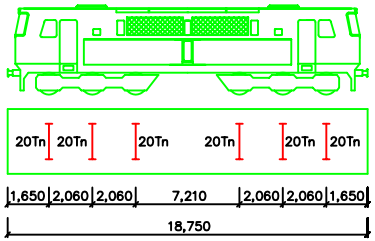


TOLVA RENFE

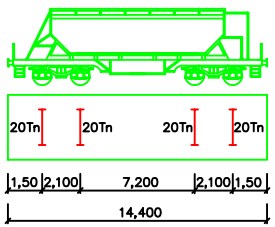


PRUEBAS DINAMICAS.–

SE REALIZARAN CON LOS DOS TRENES DE CARGA COMPLETOS (UNO POR CADA VIA) LAS CUATRO PRUEBAS DINÁMICAS

A) PASO DE TREN A 5 Km/h.
B) PASO DE TREN A VELOCIDAD MEDIA ENTRE 5 Y LA MÁXIMA VELOCIDAD COMPATIBLE CON LA SEGURIDAD.
C) PASO DE TREN A LA VELOCIDAD MÁXIMA COMPATIBLE CON LA SEGURIDAD
D) FRENADO A LA VELOCIDAD MÁXIMA COMPATIBLE CON LA SEGURIDAD

## VIADUCTO VINAIXA TRAMO IIIa P.K. 41+261
## SITUACIÓN DE LAS CARGAS DE PRUEBA
## PLANO 7 DE 7

# POSICIONES ESTÁTICAS EN ALZADO

## VANOS ALTERNOS 1 Y 3

### ESTÁTICA 1

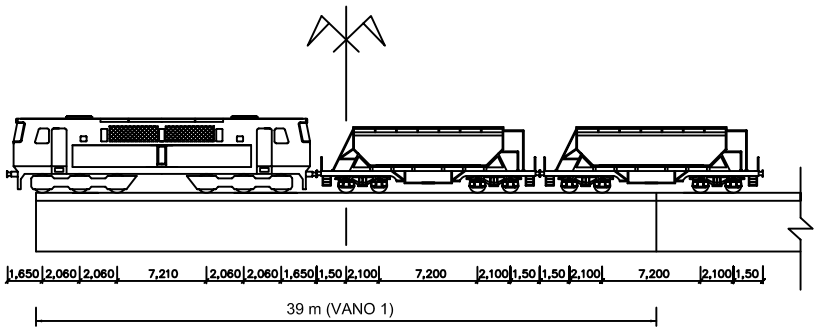


LOCOMOTORA ADIF + 5 TOLVAS RENFE ( Via II )

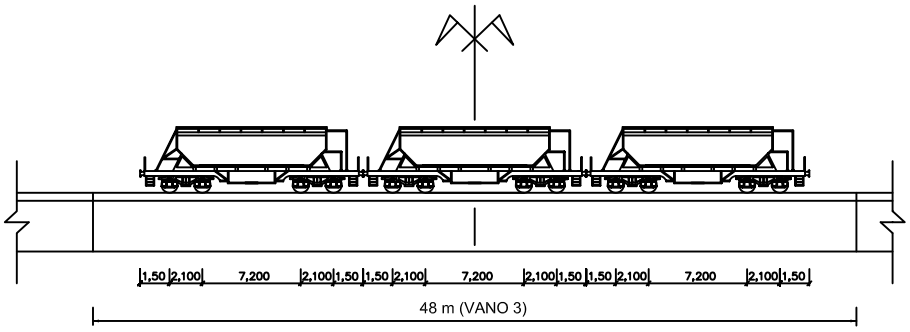


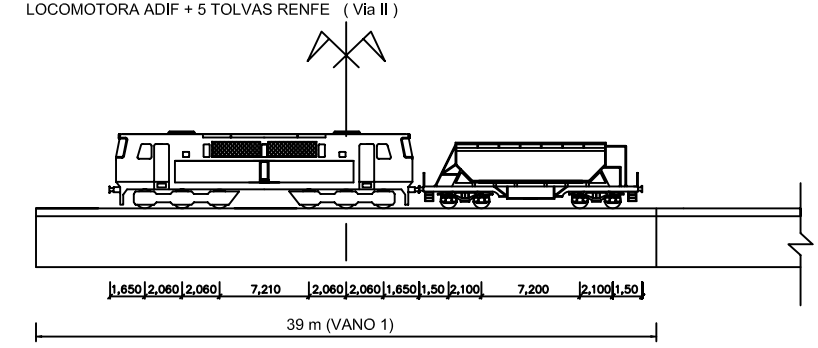


LOCOMOTORA ADIF + 4 TOLVAS RENFE ( Via I )

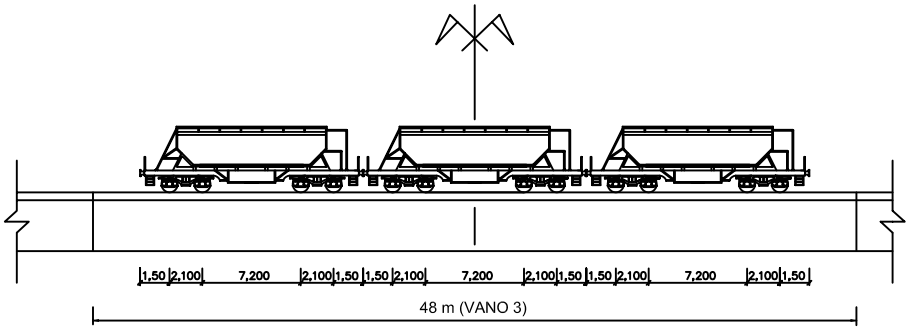


VIADUCTO VINAIXA TRAMO IIIa P.K. 41+261

POSICIÓN DE LOS TRENES DE CARGA SOBRE EL TABLERO

PLANO 1 DE 14

# POSICIONES ESTÁTICAS EN ALZADO

## VANOS ALTERNOS 2 Y 4

## ESTÁTICA 2

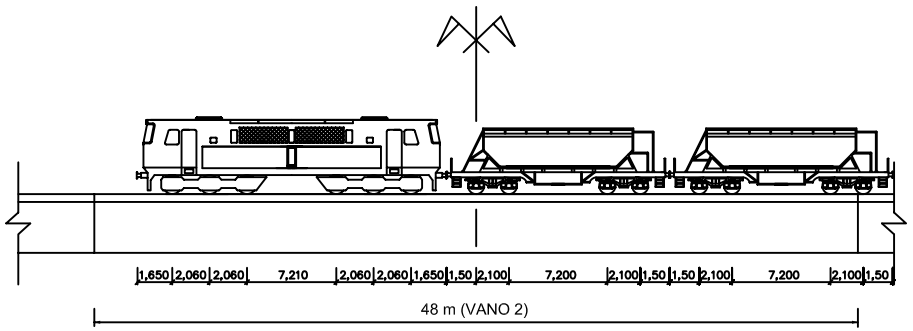


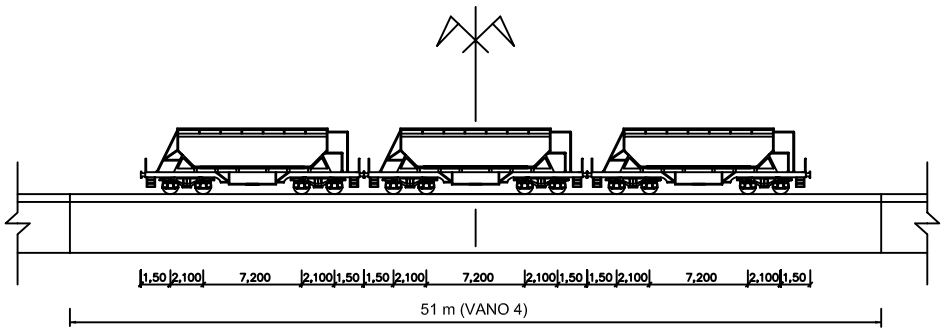


LOCOMOTORA ADIF + 5 TOLVAS RENFE ( Via II )

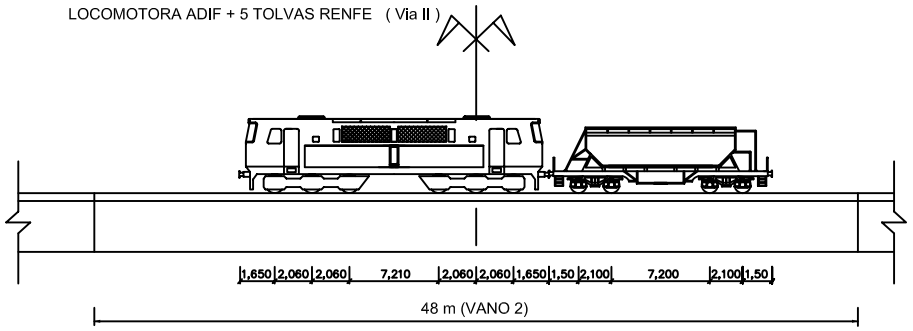


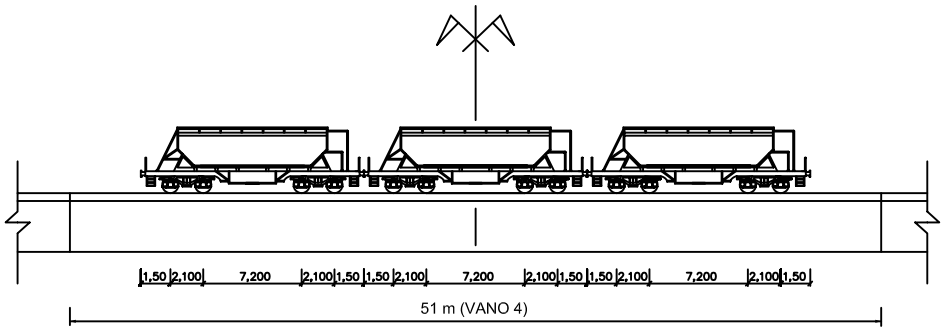


LOCOMOTORA ADIF + 4 TOLVAS RENFE ( Via I )

## VIADUCTO VINAIXA TRAMO IIIa P.K. 41+261

## POSICIÓN DE LOS TRENES DE CARGA SOBRE EL TABLERO

## PLANO 2 DE 14

# POSICIONES ESTÁTICAS EN ALZADO

## VANOS ALTERNOS 4 Y 6

## ESTÁTICA 3

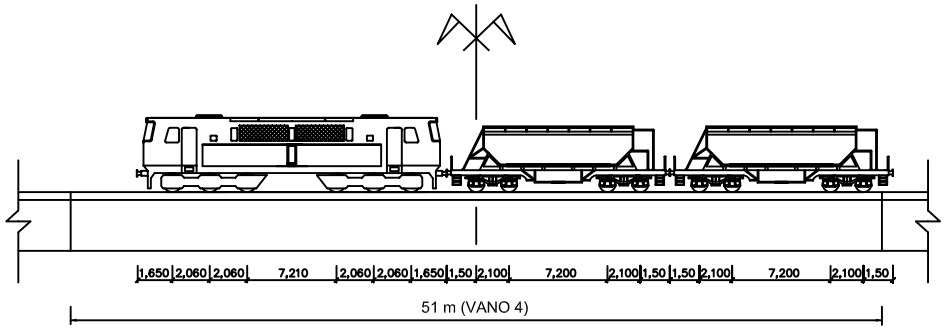


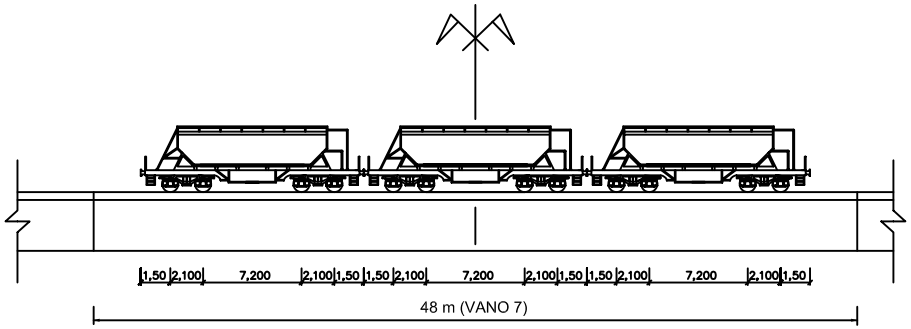


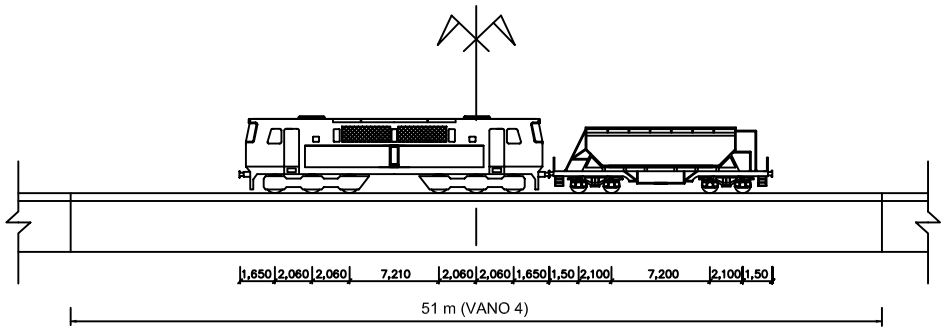


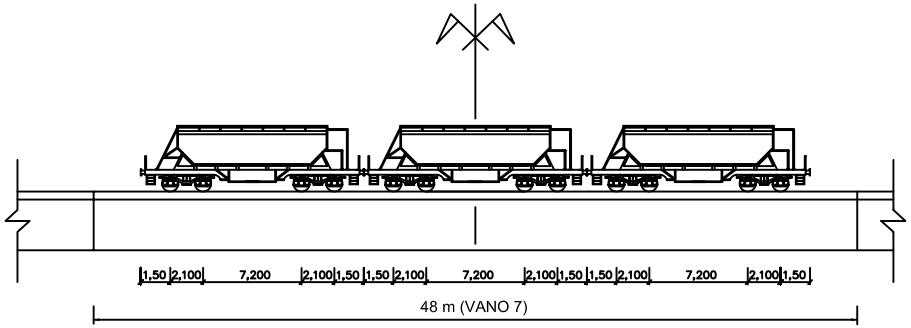


LOCOMOTORA ADIF + 4 TOLVAS RENFE ( Via I )

VIADUCTO VINAIXA TRAMO IIIa P.K. 41+261

POSICIÓN DE LOS TRENES DE CARGA SOBRE EL TABLERO

PLANO 3 DE 14

# POSICIONES ESTÁTICAS EN ALZADO

## VANOS ALTERNOS 5 Y 7

## ESTÁTICA 4

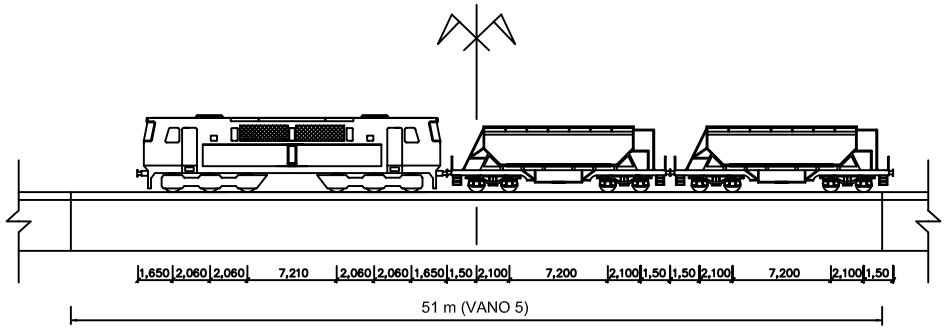


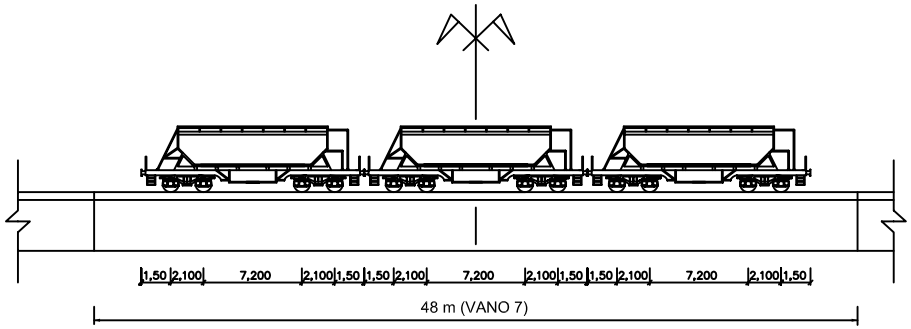


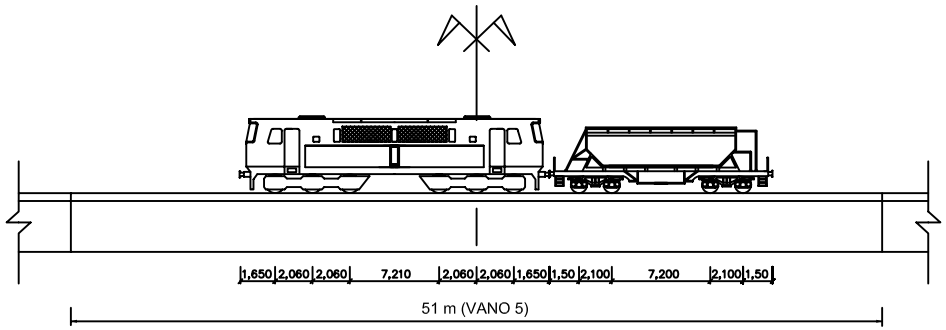


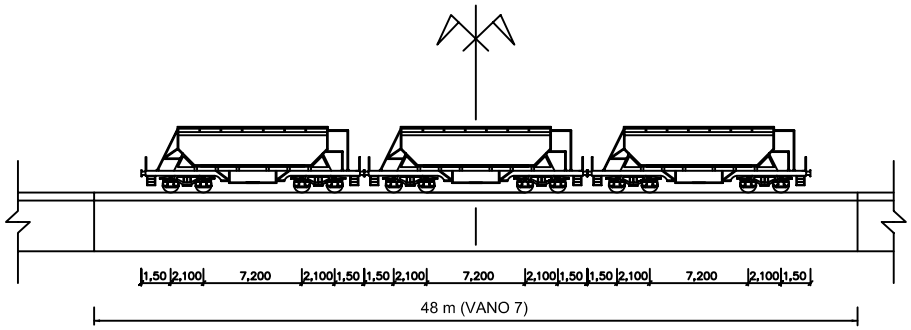


LOCOMOTORA ADIF + 4 TOLVAS RENFE ( Via I )

## VIADUCTO VINAIXA TRAMO IIIa P.K. 41+261

## POSICIÓN DE LOS TRENES DE CARGA SOBRE EL TABLERO

## PLANO 4 DE 14

# POSICIONES ESTÁTICAS EN ALZADO

## VANOS ALTERNOS 6 Y 8

## ESTÁTICA 5

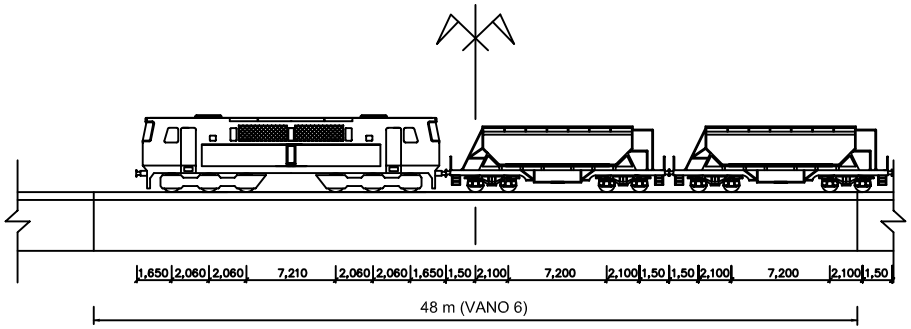


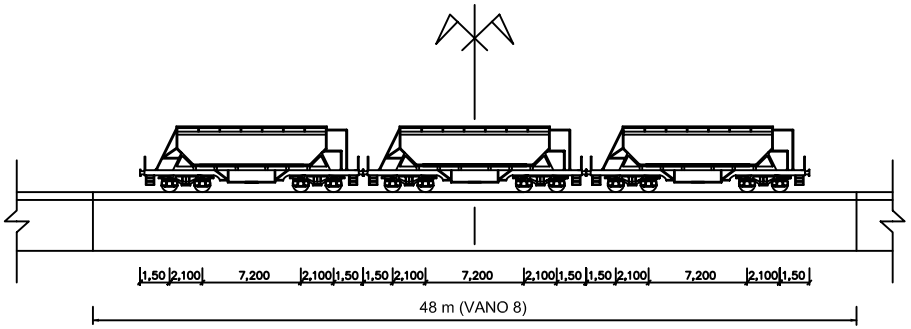


LOCOMOTORA ADIF + 5 TOLVAS RENFE ( Via II )

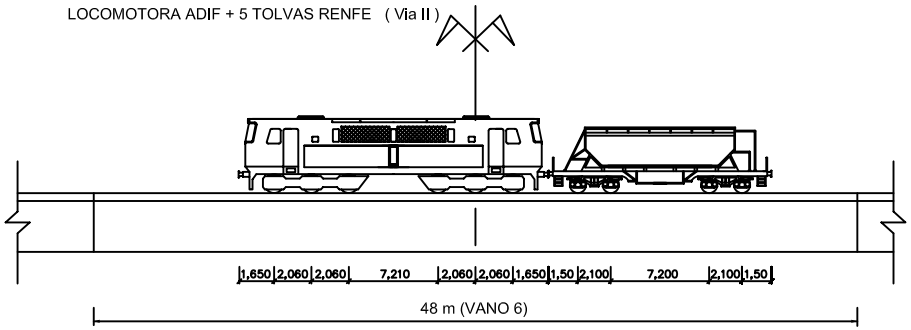


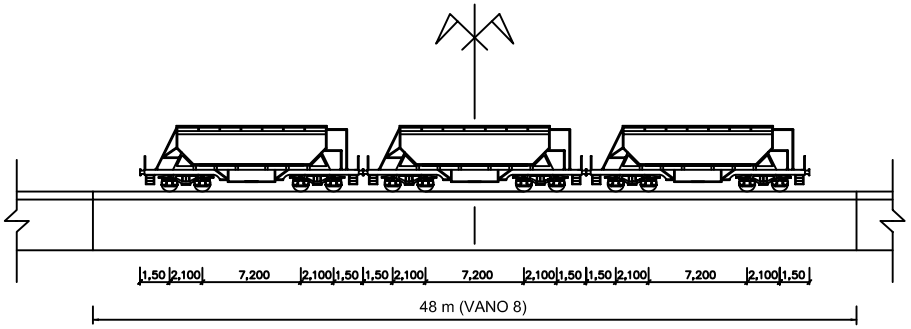


LOCOMOTORA ADIF + 4 TOLVAS RENFE ( Via I )

## VIADUCTO VINAIXA TRAMO IIIa P.K. 41+261

## POSICIÓN DE LOS TRENES DE CARGA SOBRE EL TABLERO

## PLANO 5 DE 14

# POSICIONES ESTÁTICAS EN ALZADO

## VANOS ALTERNOS 7 Y 9

## ESTÁTICA 6

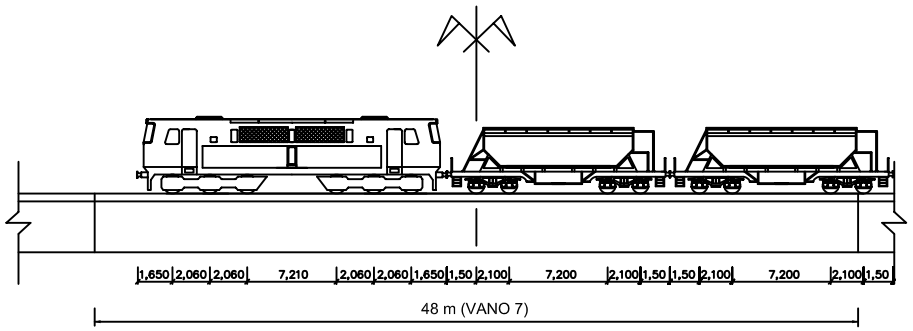


LOCOMOTORA ADIF + 5 TOLVAS RENFE ( Via II )

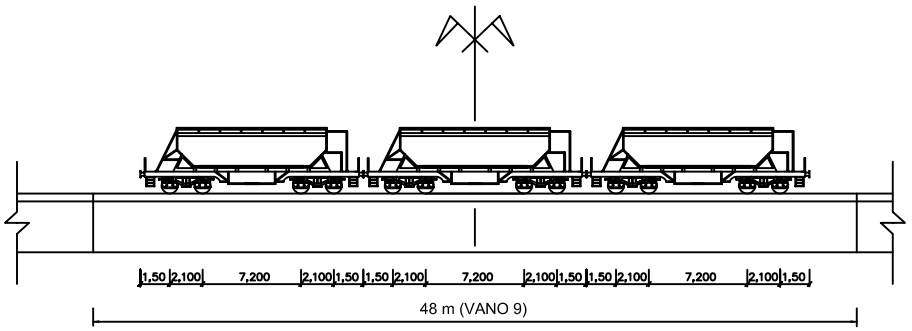


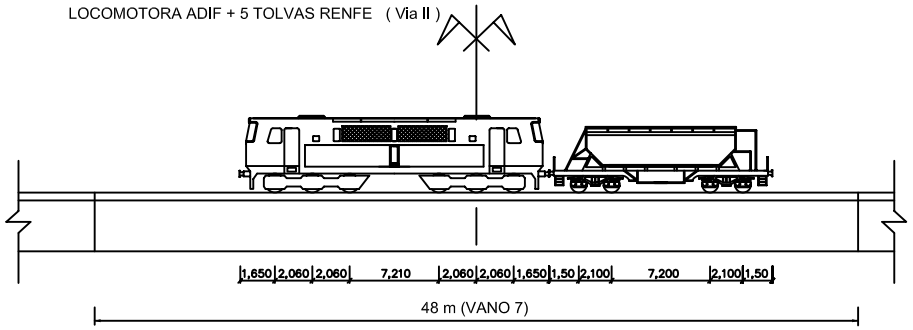


LOCOMOTORA ADIF + 4 TOLVAS RENFE ( Via I )

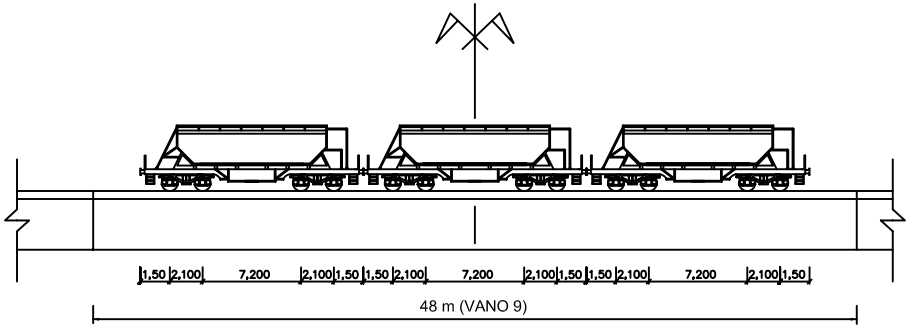


## VIADUCTO VINAIXA TRAMO IIIa P.K. 41+261

## POSICIÓN DE LOS TRENES DE CARGA SOBRE EL TABLERO

## PLANO 6 DE 14

# POSICIONES ESTÁTICAS EN ALZADO

## VANOS ALTERNOS 9 Y 11

## ESTÁTICA 7

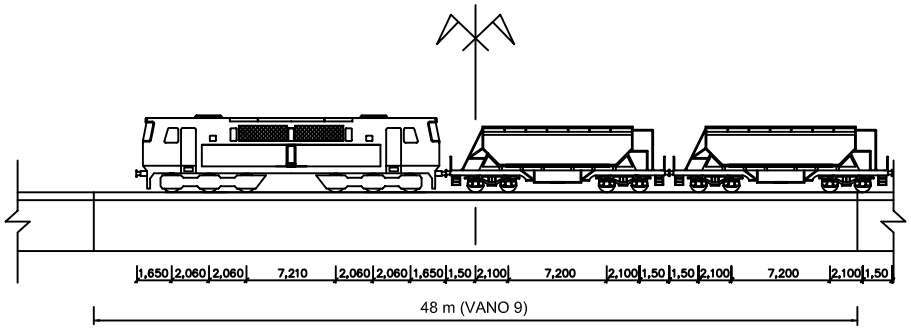


LOCOMOTORA ADIF + 5 TOLVAS RENFE ( Via II )

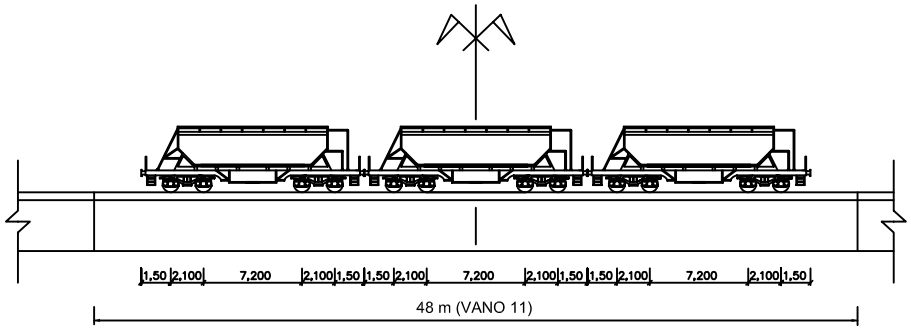


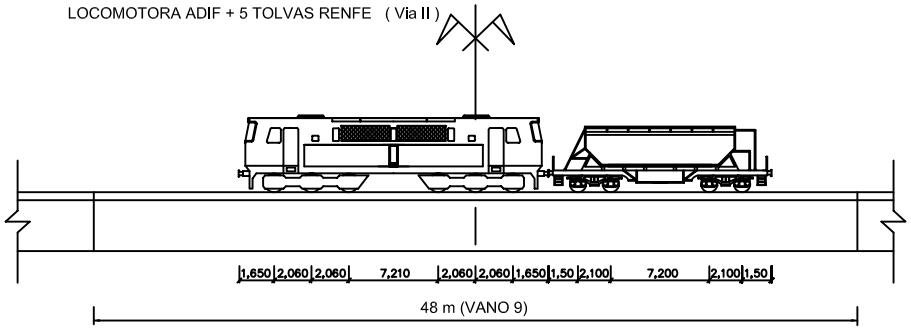


LOCOMOTORA ADIF + 4 TOLVAS RENFE ( Via I )

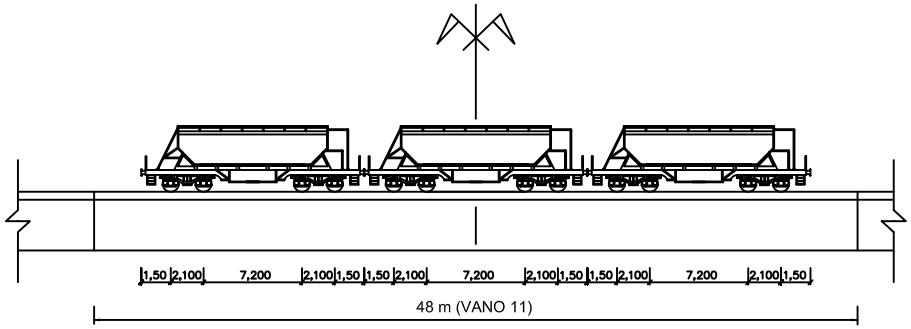


## VIADUCTO VINAIXA TRAMO IIIa P.K. 41+261

## POSICIÓN DE LOS TRENES DE CARGA SOBRE EL TABLERO

## PLANO 7 DE 14

# POSICIONES ESTÁTICAS EN ALZADO

## VANOS ALTERNOS 10 Y 12

## ESTÁTICA 8

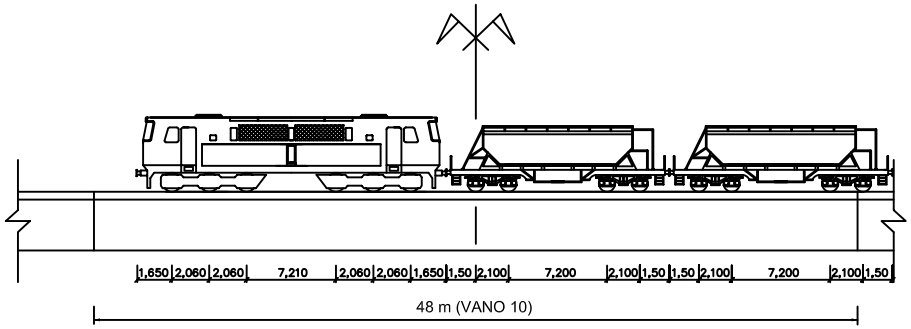


LOCOMOTORA ADIF + 5 TOLVAS RENFE ( Vía II )

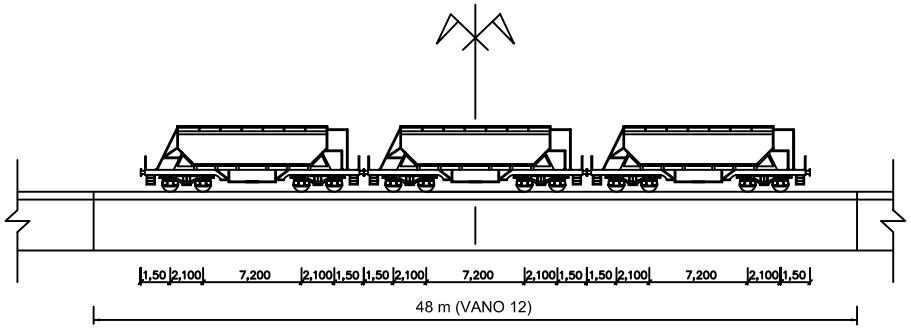


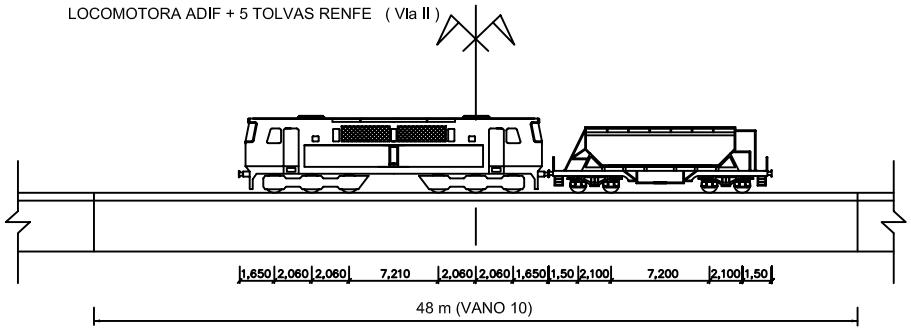


LOCOMOTORA ADIF + 4 TOLVAS RENFE ( Vía I )

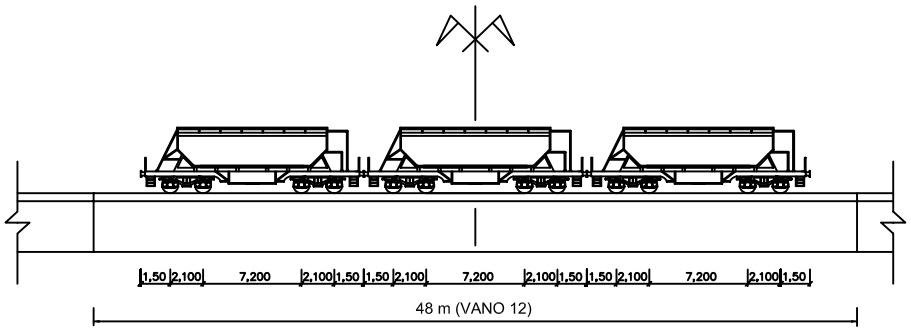


## VIADUCTO VINAIXA TRAMO IIIa P.K. 41+261

## POSICIÓN DE LOS TRENES DE CARGA SOBRE EL TABLERO

## PLANO 8 DE 14

# POSICIONES ESTÁTICAS EN ALZADO

## VANOS ALTERNOS 12 Y 14

## ESTÁTICA 9

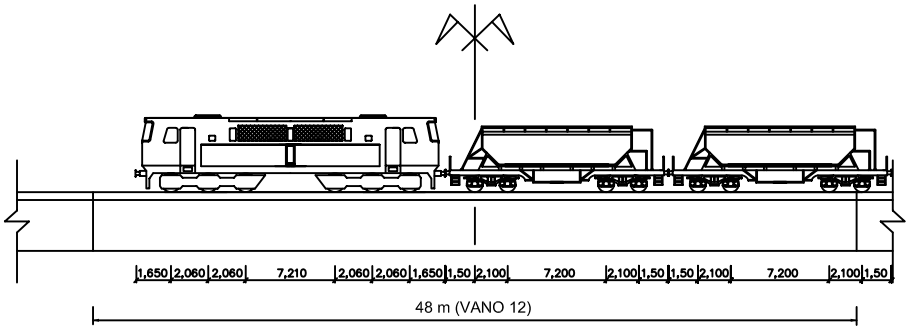


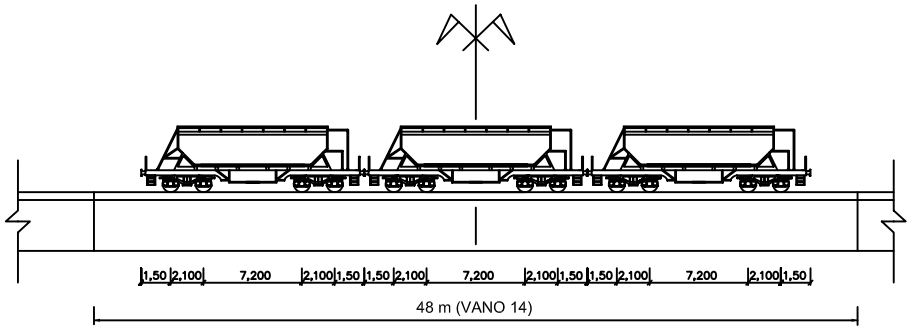


LOCOMOTORA ADIF + 5 TOLVAS RENFE ( Via II )

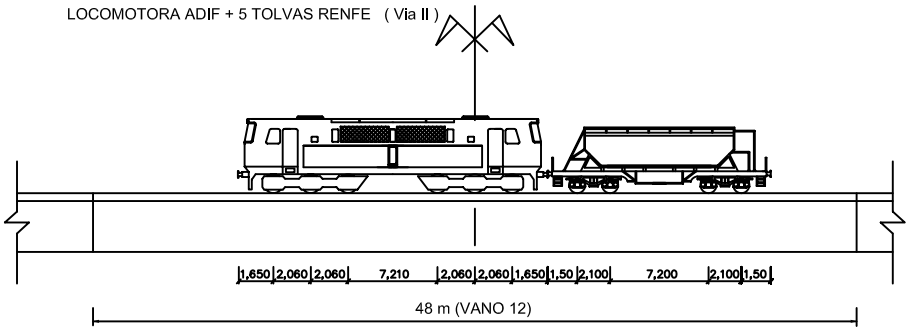


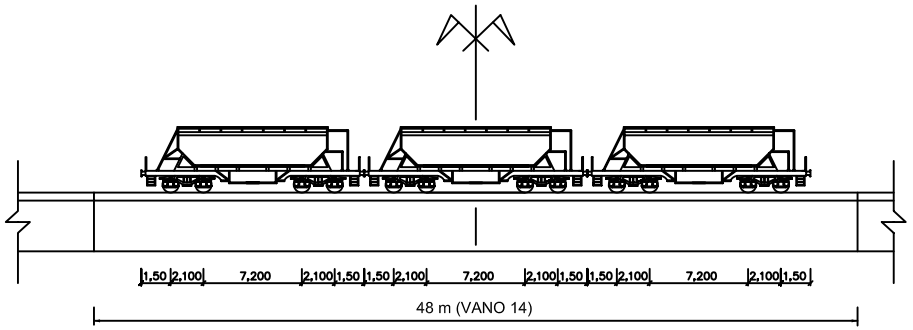


LOCOMOTORA ADIF + 4 TOLVAS RENFE ( Via I )

## VIADUCTO VINAIXA TRAMO IIIa P.K. 41+261

## POSICIÓN DE LOS TRENES DE CARGA SOBRE EL TABLERO

## PLANO 9 DE 14

# POSICIONES ESTÁTICAS EN ALZADO

## VANOS ALTERNOS 13 Y 15

## ESTÁTICA 10

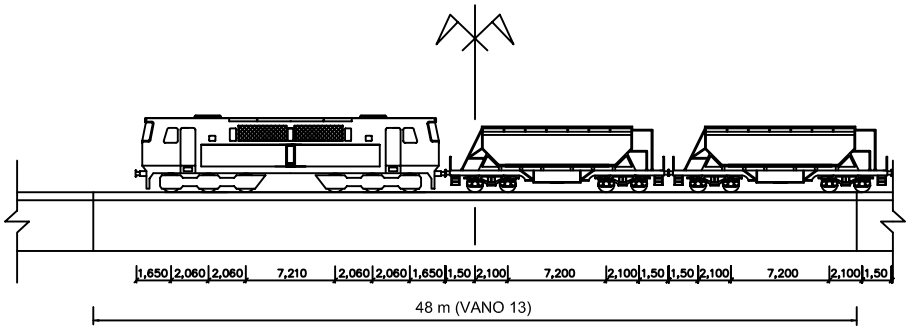


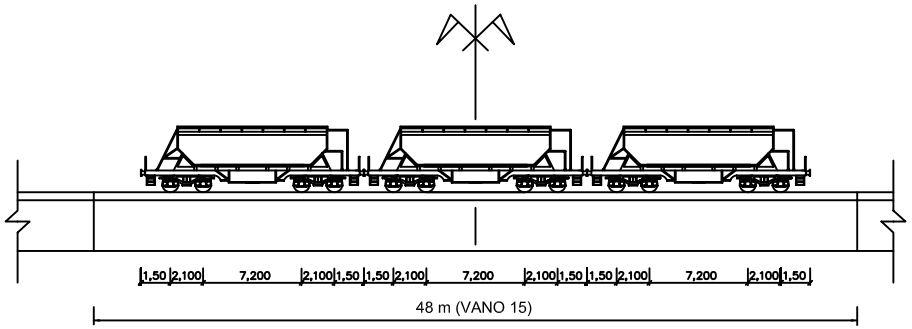


LOCOMOTORA ADIF + 5 TOLVAS RENFE ( Via II )

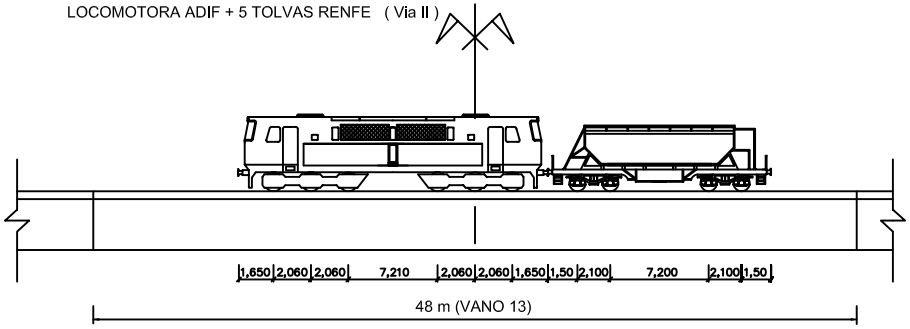


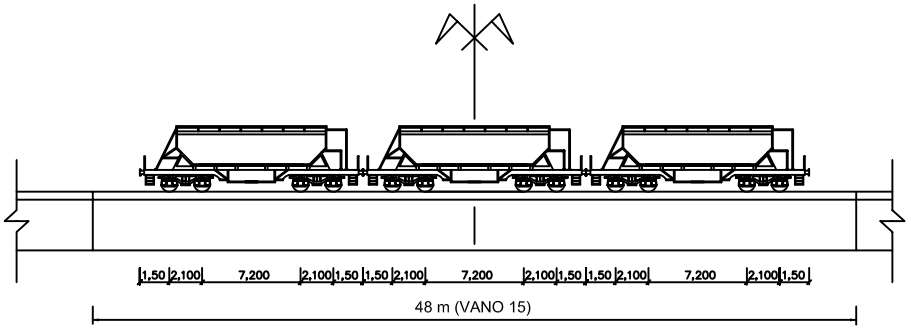


LOCOMOTORA ADIF + 4 TOLVAS RENFE ( Via I )

## VIADUCTO VINAIXA TRAMO IIIa P.K. 41+261

## POSICIÓN DE LOS TRENES DE CARGA SOBRE EL TABLERO

## PLANO 10 DE 14

# POSICIONES ESTÁTICAS EN ALZADO

## VANOS ALTERNOS 15 Y 17

## ESTÁTICA 11

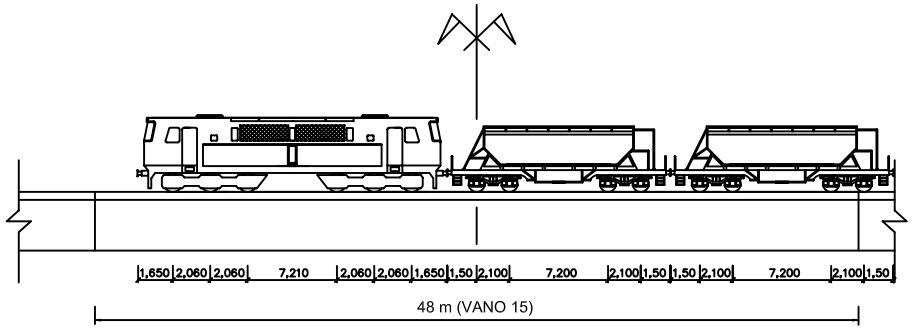


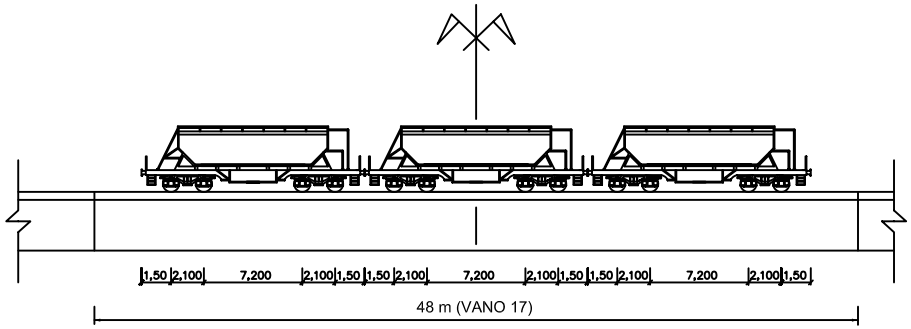


LOCOMOTORA ADIF + 5 TOLVAS RENFE ( Via II )

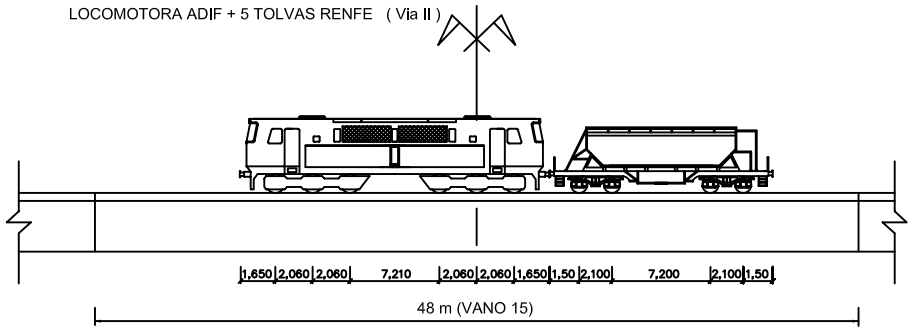


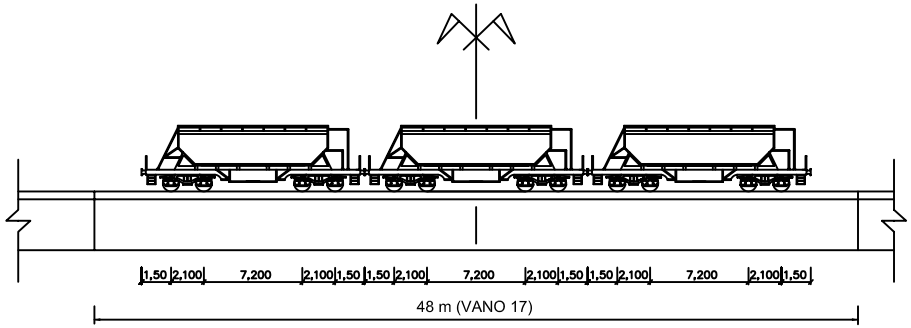


LOCOMOTORA ADIF + 4 TOLVAS RENFE ( Via I )

## VIADUCTO VINAIXA TRAMO IIIa P.K. 41+261

## POSICIÓN DE LOS TRENES DE CARGA SOBRE EL TABLERO

## PLANO 11 DE 14

# POSICIONES ESTÁTICAS EN ALZADO

## VANOS ALTERNOS 16 Y 18

## ESTÁTICA 12

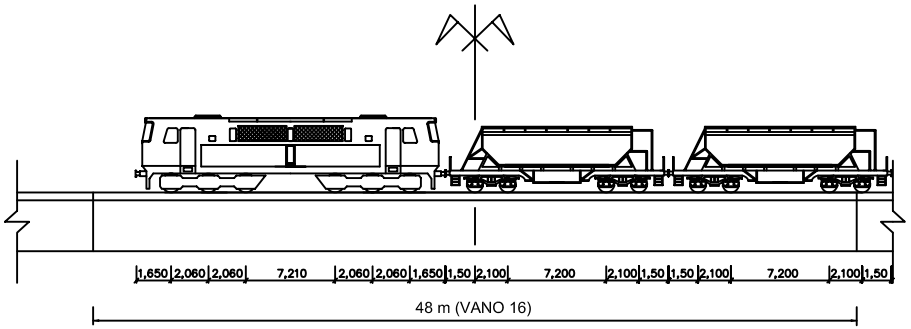


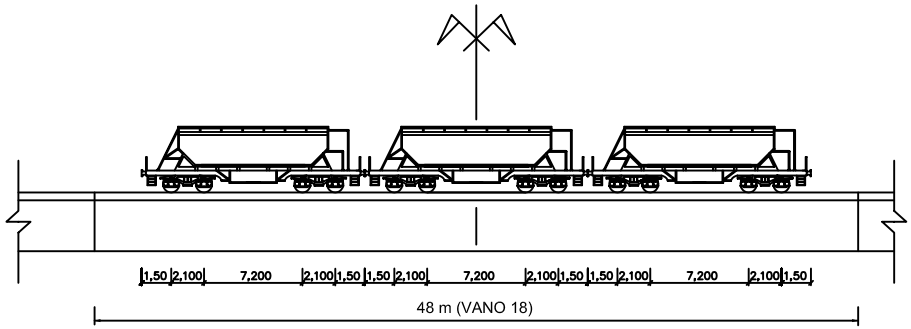


LOCOMOTORA ADIF + 5 TOLVAS RENFE ( Via II )

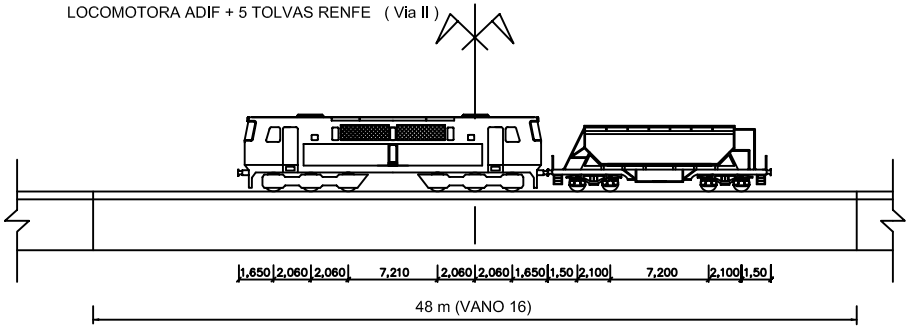


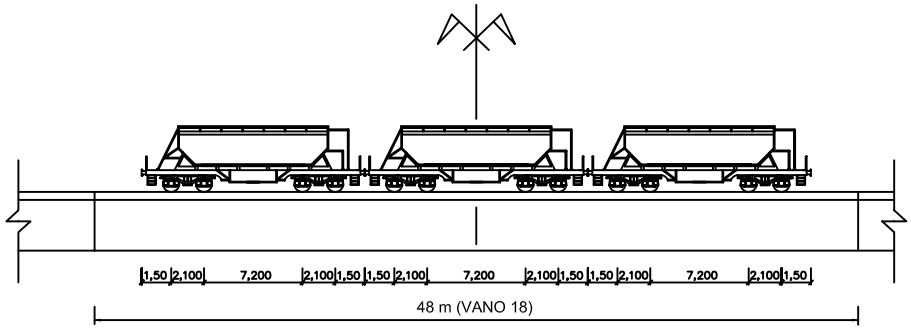


LOCOMOTORA ADIF + 4 TOLVAS RENFE ( Via I )

## VIADUCTO VINAIXA TRAMO IIIa P.K. 41+261

## POSICIÓN DE LOS TRENES DE CARGA SOBRE EL TABLERO

## PLANO 12 DE 14

# POSICIONES ESTÁTICAS EN ALZADO

## VANOS ALTERNOS 19 Y 21

## ESTÁTICA 13

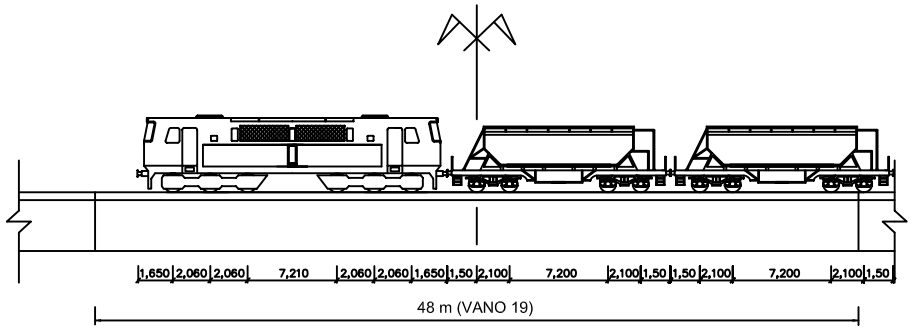


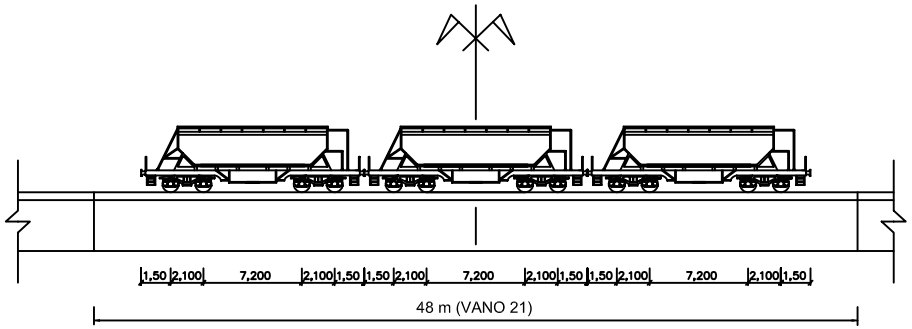


LOCOMOTORA ADIF + 5 TOLVAS RENFE ( Via II )

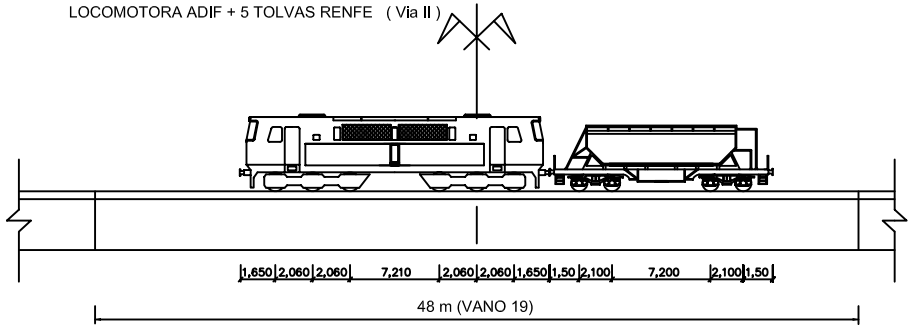


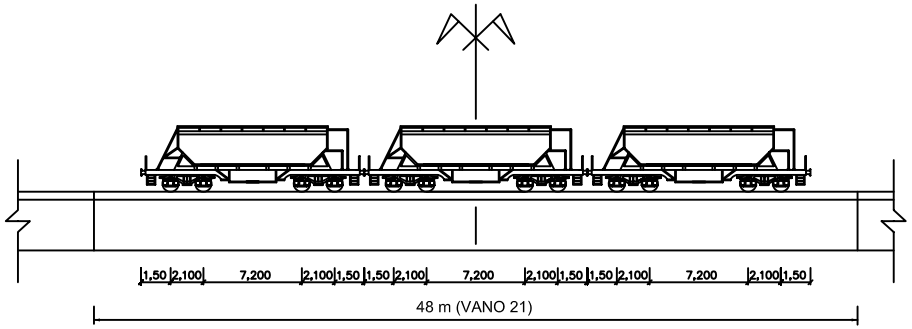


LOCOMOTORA ADIF + 4 TOLVAS RENFE ( Via I )

## VIADUCTO VINAIXA TRAMO IIIa P.K. 41+261

## POSICIÓN DE LOS TRENES DE CARGA SOBRE EL TABLERO

## PLANO 13 DE 14

# POSICIONES ESTÁTICAS EN ALZADO

## VANOS ALTERNOS 20 Y 22

## ESTÁTICA 14

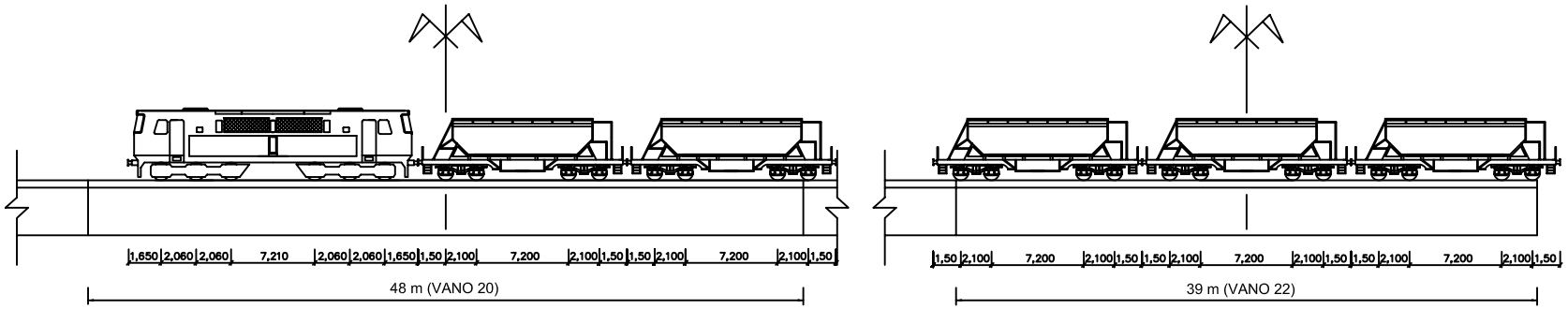


LOCOMOTORA ADIF + 5 TOLVAS RENFE ( Via II )

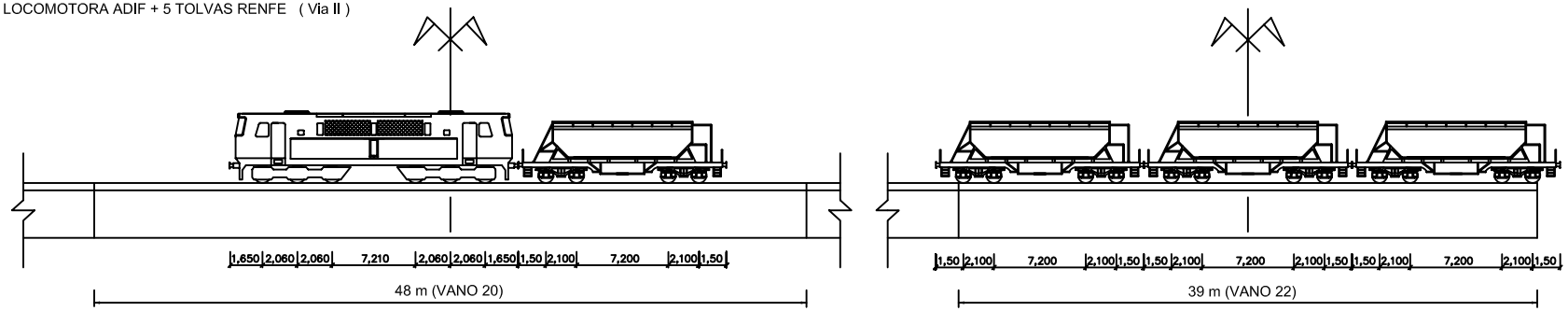


LOCOMOTORA ADIF + 4 TOLVAS RENFE ( Via I )

## VIADUCTO VINAIXA TRAMO IIIa P.K. 41+261

## POSICIÓN DE LOS TRENES DE CARGA SOBRE EL TABLERO

## PLANO 14 DE 14

# POSICIONES ESTÁTICAS EN ALZADO

## PILA 2

## ESTÁTICA 15

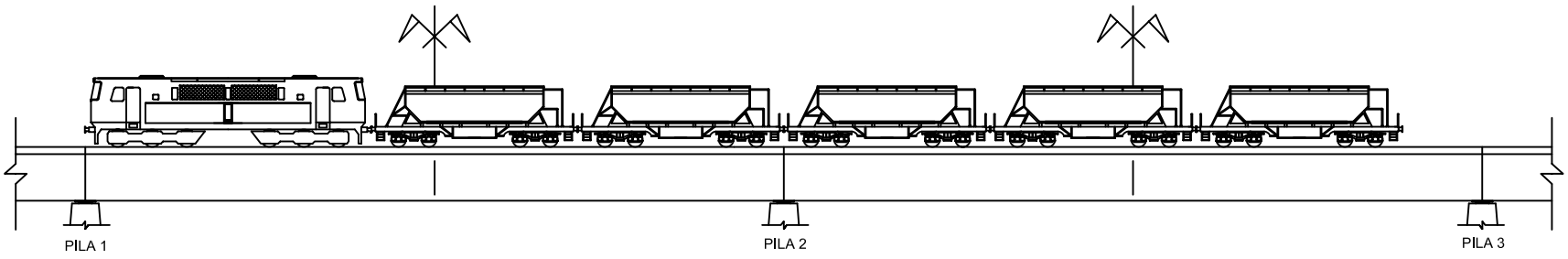


LOCOMOTORA ADIF + 5 TOLVAS RENFE ( Via II )

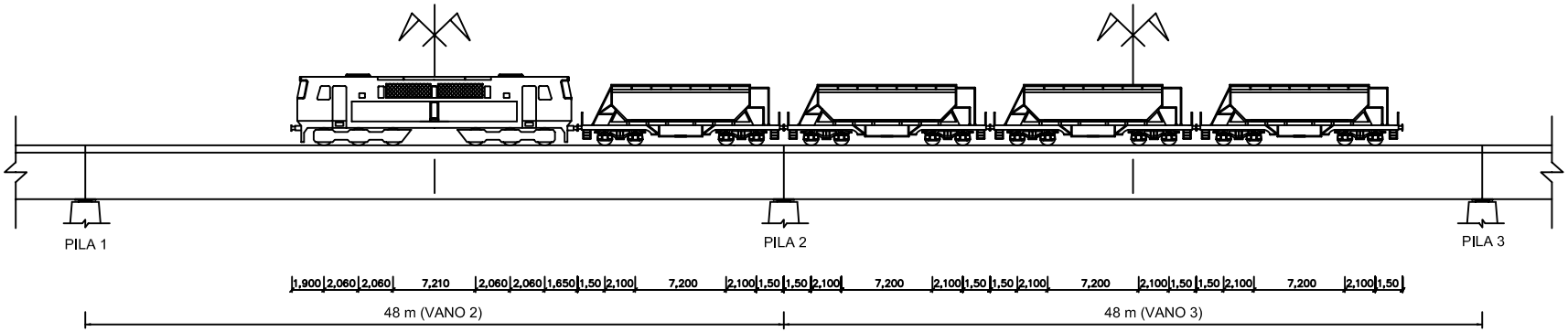


LOCOMOTORA ADIF + 4 TOLVAS RENFE ( Via I )

## VIADUCTO VINAIXA TRAMO IIIa P.K. 41+261

## POSICIÓN DE LOS TRENES DE CARGA SOBRE EL TABLERO

## PLANO 1 DE 7

# POSICIONES ESTÁTICAS EN ALZADO

## PILA 5
## ESTÁTICA 16

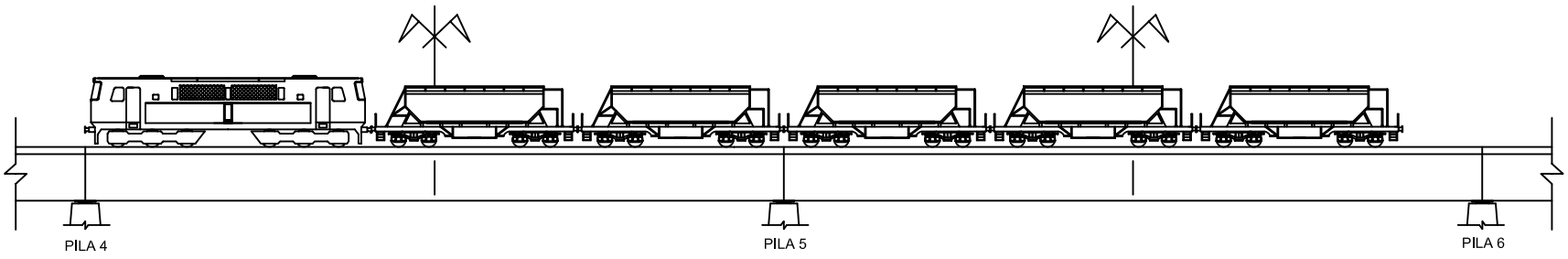


LOCOMOTORA ADIF + 5 TOLVAS RENFE ( Via II )

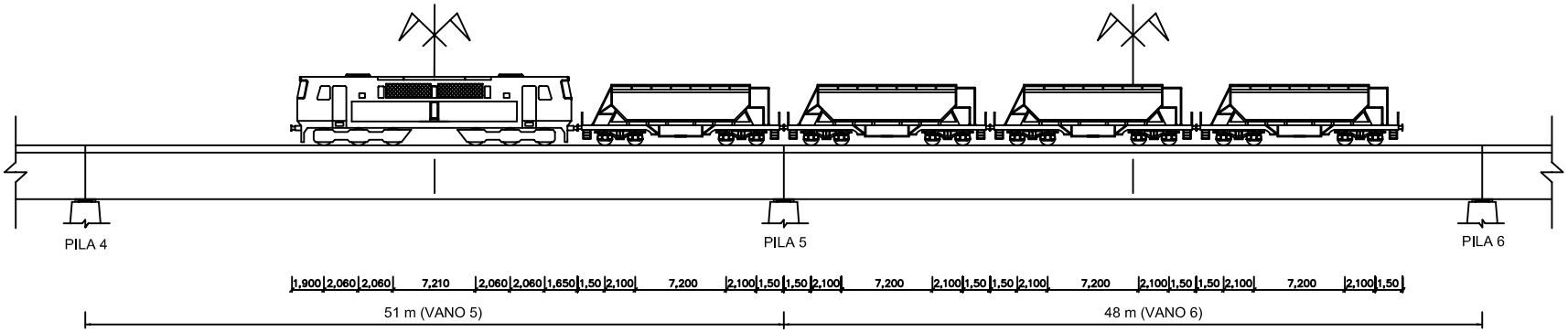


LOCOMOTORA ADIF + 4 TOLVAS RENFE ( Via I )

VIADUCTO VINAIXA TRAMO IIIa P.K. 41+261
POSICIÓN DE LOS TRENES DE CARGA SOBRE EL TABLERO
PLANO 2 DE 7

# POSICIONES ESTÁTICAS EN ALZADO

## PILA 7

## ESTÁTICA 17

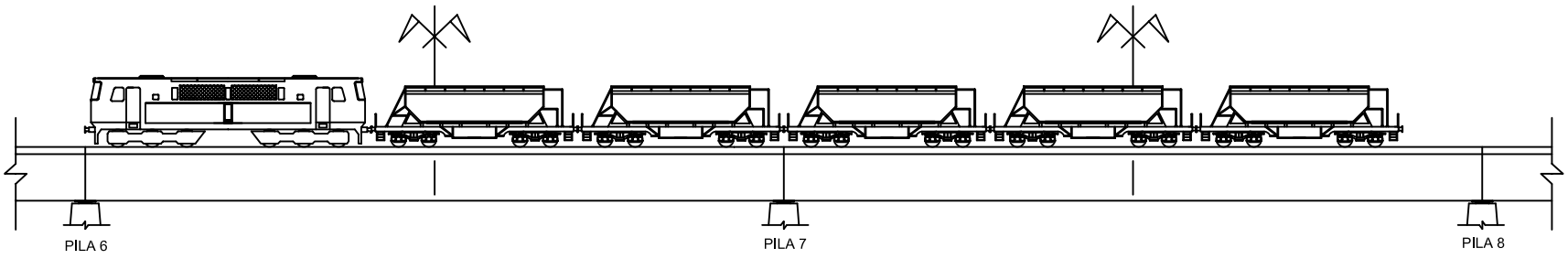


LOCOMOTORA ADIF + 5 TOLVAS RENFE ( Via II )

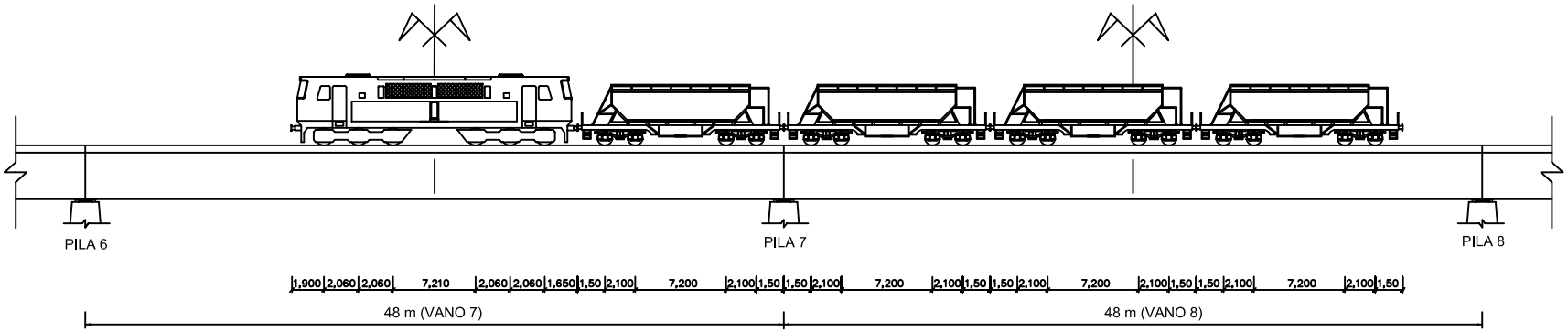


LOCOMOTORA ADIF + 4 TOLVAS RENFE ( Via I )

## VIADUCTO VINAIXA TRAMO IIIa P.K. 41+261

## POSICIÓN DE LOS TRENES DE CARGA SOBRE EL TABLERO

## PLANO 3 DE 7

# POSICIONES ESTÁTICAS EN ALZADO

## PILA 11

## ESTÁTICA 18

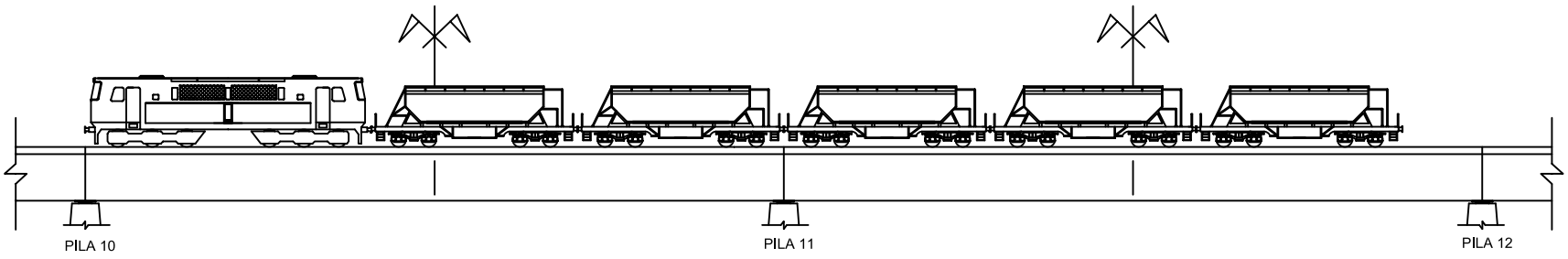


LOCOMOTORA ADIF + 5 TOLVAS RENFE ( Via II )

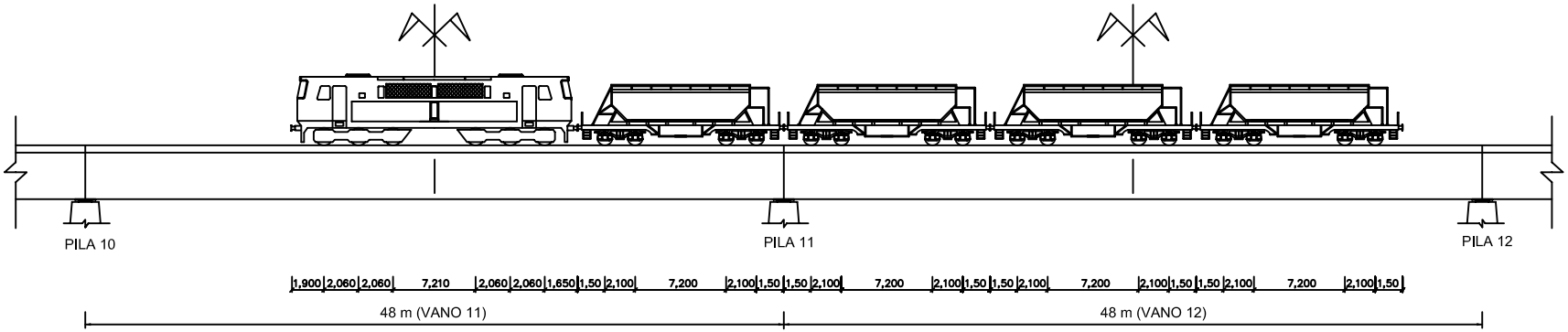


LOCOMOTORA ADIF + 4 TOLVAS RENFE ( Via I )

## VIADUCTO VINAIXA TRAMO IIIa P.K. 41+261

## POSICIÓN DE LOS TRENES DE CARGA SOBRE EL TABLERO

## PLANO 4 DE 7

# POSICIONES ESTÁTICAS EN ALZADO

## PILA 14

## ESTÁTICA 19

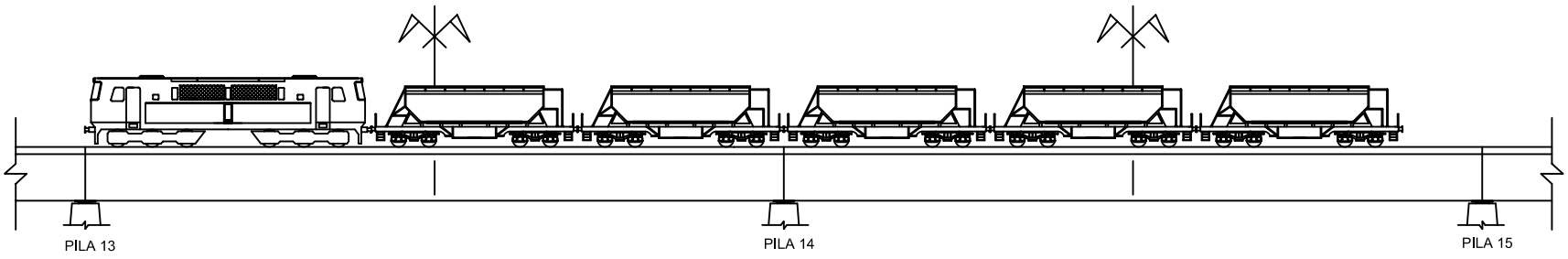


LOCOMOTORA ADIF + 5 TOLVAS RENFE ( Via II )

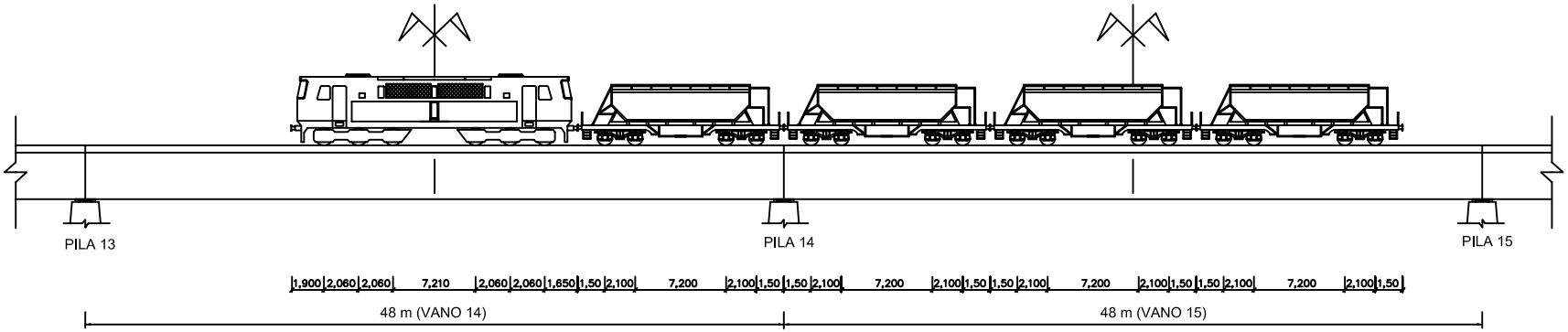


LOCOMOTORA ADIF + 4 TOLVAS RENFE ( Via I )

## VIADUCTO VINAIXA TRAMO IIIa P.K. 41+261

## POSICIÓN DE LOS TRENES DE CARGA SOBRE EL TABLERO

## PLANO 5 DE 7

# POSICIONES ESTÁTICAS EN ALZADO

## PILA 17

## ESTÁTICA 20

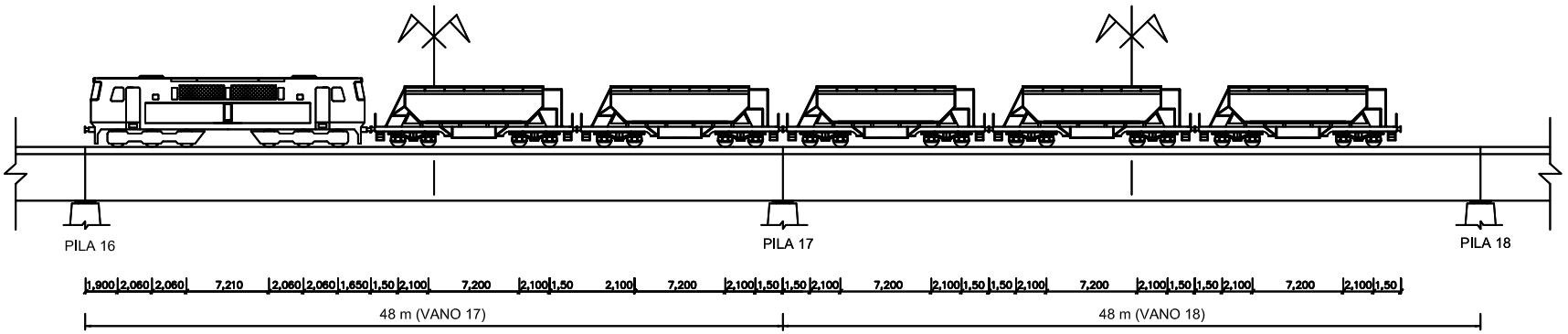


LOCOMOTORA ADIF + 5 TOLVAS RENFE ( Via II )

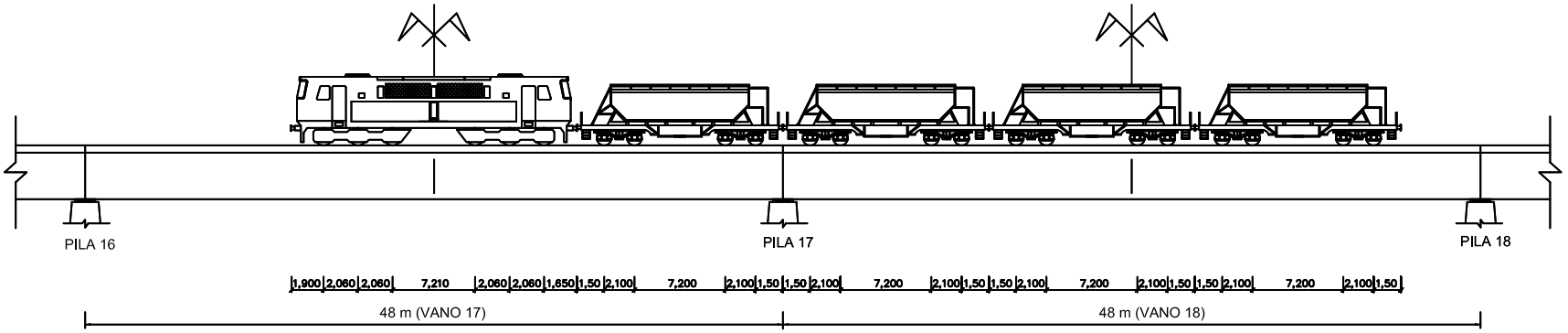


LOCOMOTORA ADIF + 4 TOLVAS RENFE ( Via I )

VIADUCTO VINAIXA TRAMO IIIa P.K. 41+261

POSICIÓN DE LOS TRENES DE CARGA SOBRE EL TABLERO

PLANO 6 DE 7

# POSICIONES ESTÁTICAS EN ALZADO

## PILA 20

## ESTÁTICA 21

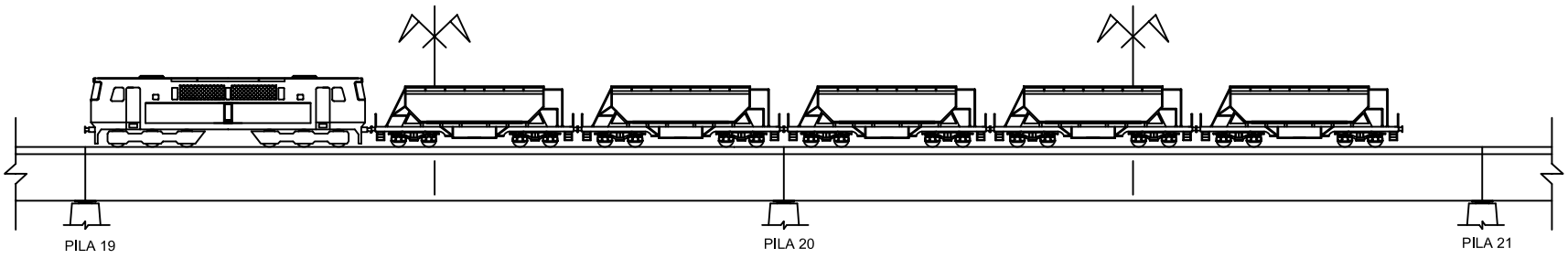


LOCOMOTORA ADIF + 5 TOLVAS RENFE ( Via II )

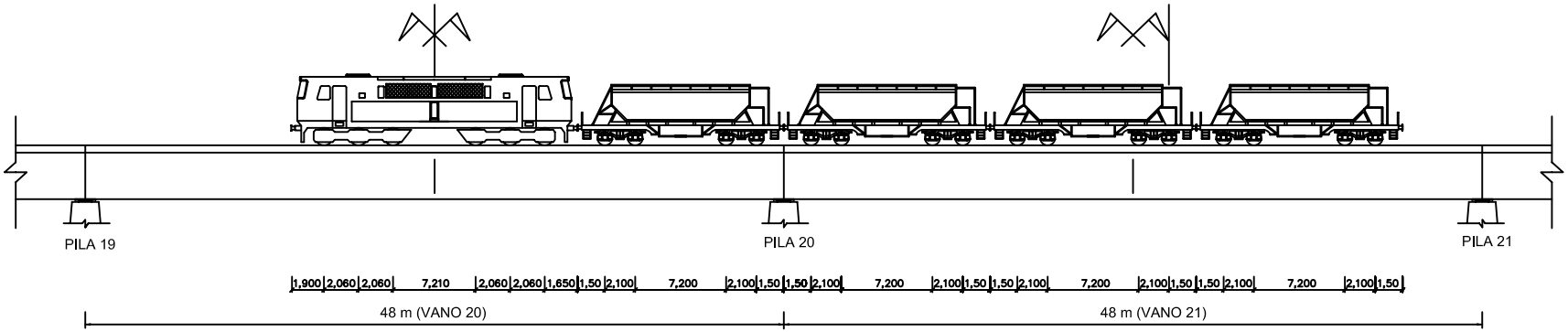


LOCOMOTORA ADIF + 4 TOLVAS RENFE ( Via I )

## VIADUCTO VINAIXA TRAMO IIIa P.K. 41+261

## POSICIÓN DE LOS TRENES DE CARGA SOBRE EL TABLERO

## PLANO 7 DE 7

# ANEJO 3: ESQUEMA DE INSTRUMENTACIÓN Y TREN DE CARGA

Madrid, Julio de 2007

# CROQUIS DE INSTRUMENTACIÓN (VIADUCTO DE VINAIXA)

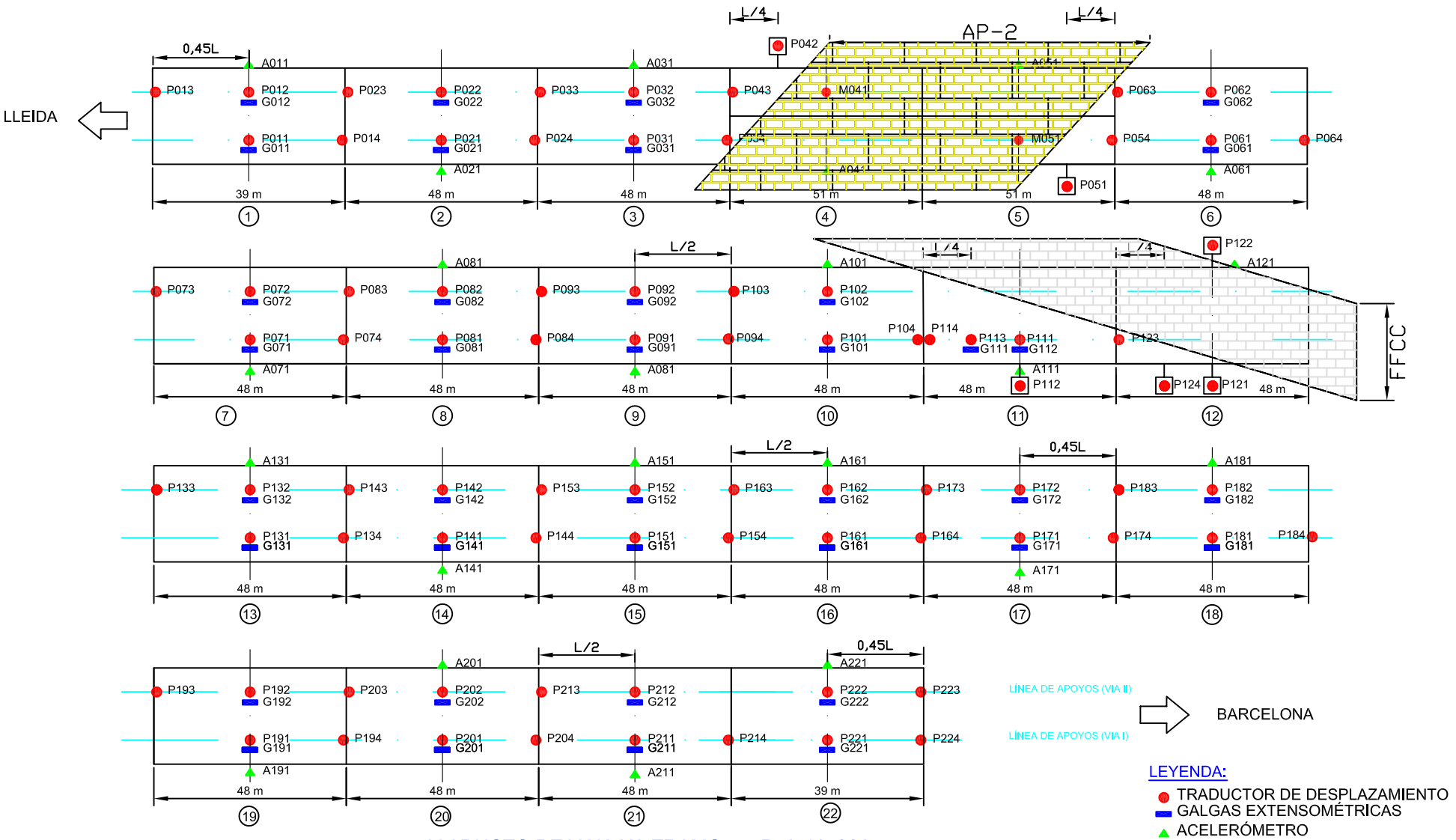


VIADUCTO DE VINAIXA TRAMO IIIa P.K. 41+261

# POSICIONES ESTÁTICAS EN PLANTA

## VANOS ALTERNOS 1 Y 3
## ESTÁTICA 1

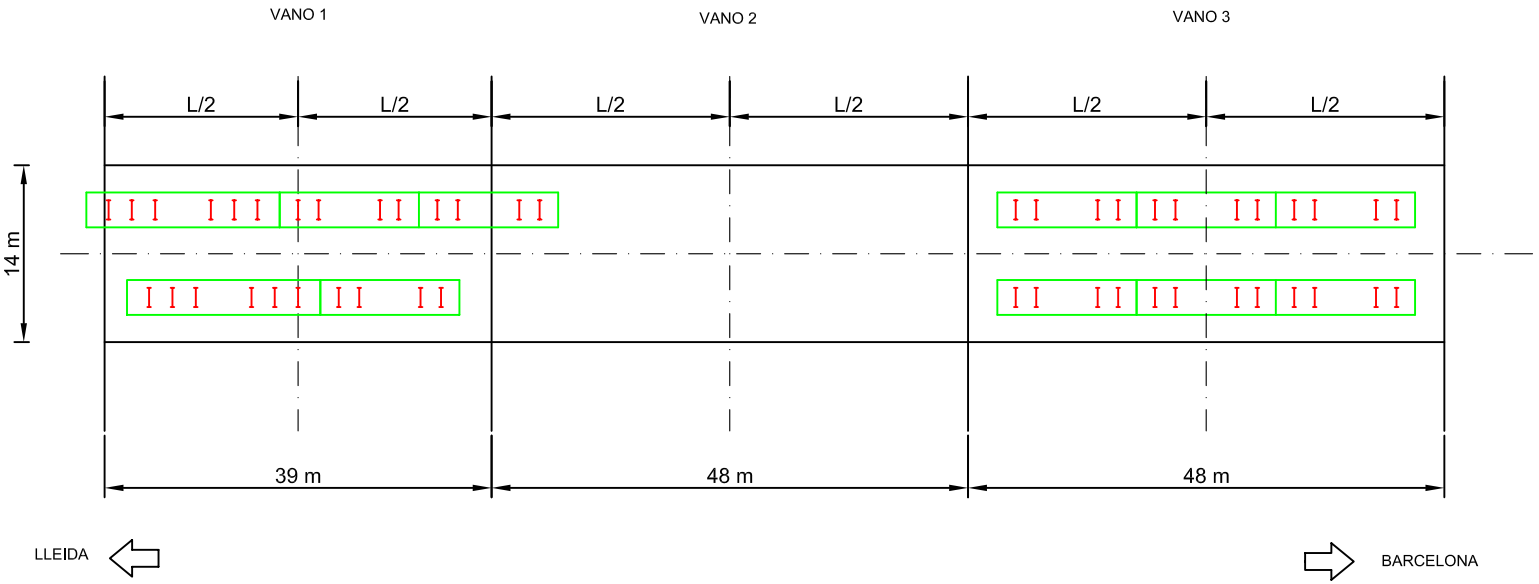


LOC. ADIF (LLEIDA–MARTORELL)

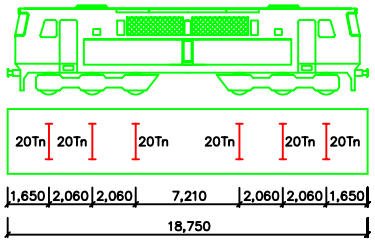


TOLVA RENFE

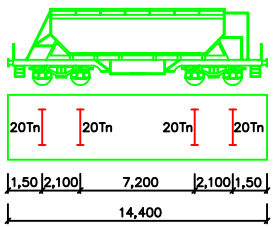


PRUEBAS DINAMICAS.–

SE REALIZARAN CON LOS DOS TRENES DE CARGA COMPLETOS (UNO POR CADA VIA) LAS CUATRO PRUEBAS DINÁMICAS

A) PASO DE TREN A 5 Km/h.
B) PASO DE TREN A VELOCIDAD MEDIA ENTRE 5 Y LA MÁXIMA VELOCIDAD COMPATIBLE CON LA SEGURIDAD.
C) PASO DE TREN A LA VELOCIDAD MÁXIMA COMPATIBLE CON LA SEGURIDAD
D) FRENADO A LA VELOCIDAD MÁXIMA COMPATIBLE CON LA SEGURIDAD

## VIADUCTO RIO GLORIETA TRAMO VI P.K. 602+413
## SITUACIÓN DE LAS CARGAS DE PRUEBA
## PLANO 1 DE 14

# POSICIONES ESTÁTICAS EN PLANTA

## VANOS ALTERNOS 2 Y 4
## ESTÁTICA 2

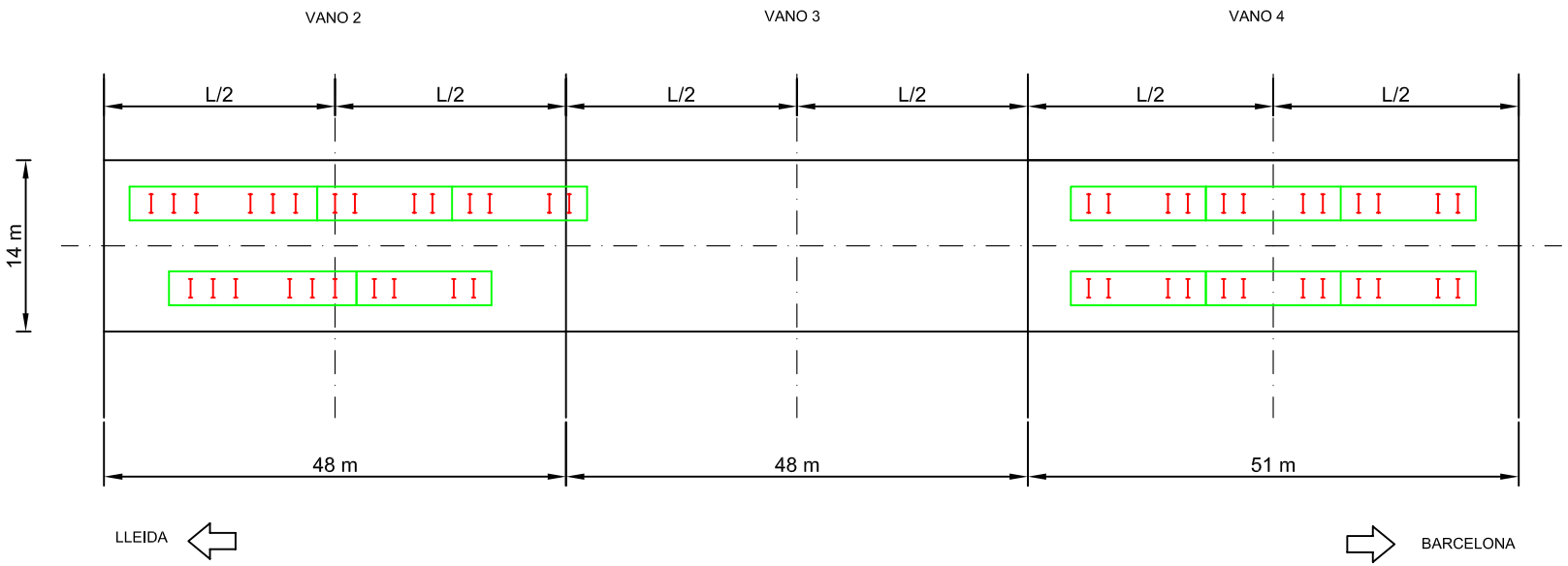


LOC. ADIF (LLEIDA–MARTORELL)

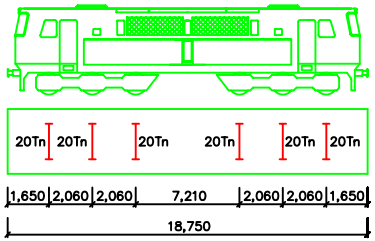


TOLVA RENFE

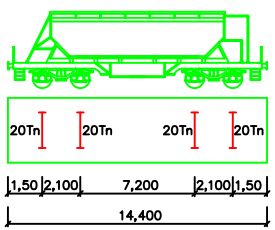


PRUEBAS DINAMICAS.–

SE REALIZARAN CON LOS DOS TRENES DE CARGA COMPLETOS (UNO POR CADA VIA) LAS CUATRO PRUEBAS DINÁMICAS

A) PASO DE TREN A 5 Km/h.
B) PASO DE TREN A VELOCIDAD MEDIA ENTRE 5 Y LA MÁXIMA VELOCIDAD COMPATIBLE CON LA SEGURIDAD.
C) PASO DE TREN A LA VELOCIDAD MÁXIMA COMPATIBLE CON LA SEGURIDAD
D) FRENADO A LA VELOCIDAD MÁXIMA COMPATIBLE CON LA SEGURIDAD

## VIADUCTO RIO GLORIETA TRAMO VI P.K. 602+413
## SITUACIÓN DE LAS CARGAS DE PRUEBA
## PLANO 2 DE 14

# POSICIONES ESTÁTICAS EN PLANTA

## VANOS ALTERNOS 4 Y 6
## ESTÁTICA 3

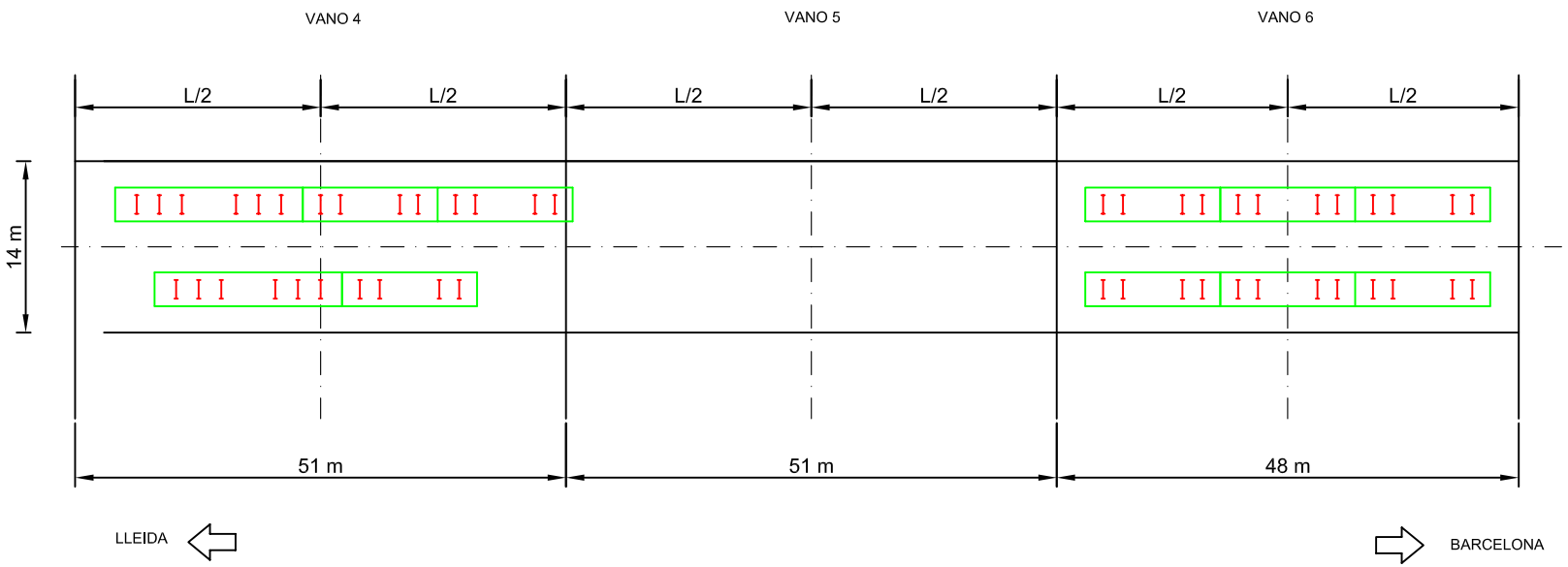


LOC. ADIF (LLEIDA–MARTORELL)

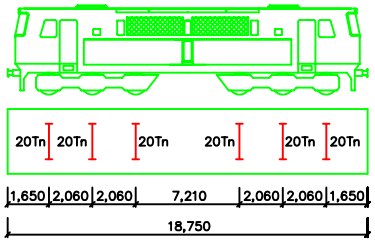


TOLVA RENFE

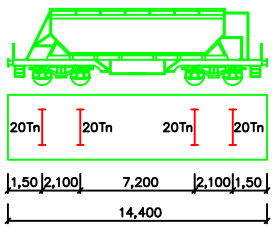


PRUEBAS DINAMICAS.–

SE REALIZARAN CON LOS DOS TRENES DE CARGA COMPLETOS (UNO POR CADA VIA) LAS CUATRO PRUEBAS DINÁMICAS

A) PASO DE TREN A 5 Km/h.
B) PASO DE TREN A VELOCIDAD MEDIA ENTRE 5 Y LA MÁXIMA VELOCIDAD COMPATIBLE CON LA SEGURIDAD.
C) PASO DE TREN A LA VELOCIDAD MÁXIMA COMPATIBLE CON LA SEGURIDAD
D) FRENADO A LA VELOCIDAD MÁXIMA COMPATIBLE CON LA SEGURIDAD

## VIADUCTO RIO GLORIETA TRAMO VI P.K. 602+413
## SITUACIÓN DE LAS CARGAS DE PRUEBA
## PLANO 3 DE 14

# POSICIONES ESTÁTICAS EN PLANTA

## VANOS ALTERNOS 5 Y 7
## ESTÁTICA 4

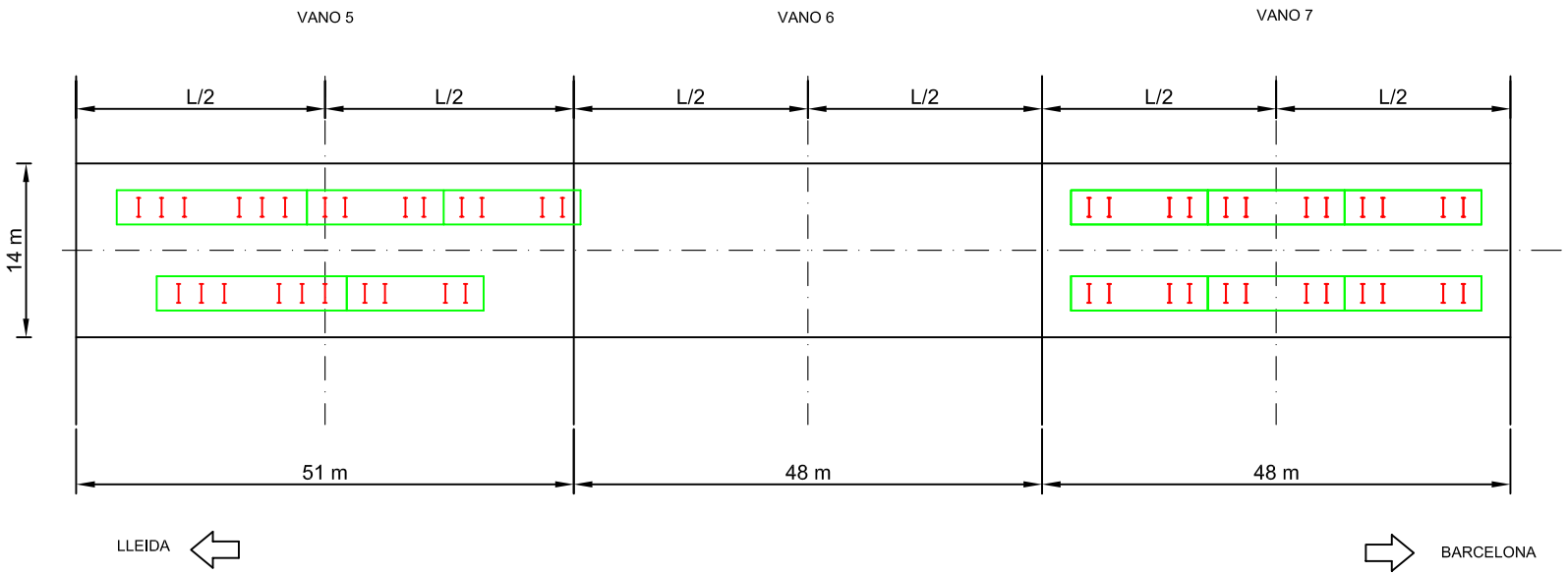


LOC. ADIF (LLEIDA–MARTORELL)

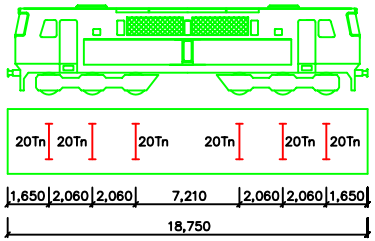


TOLVA RENFE

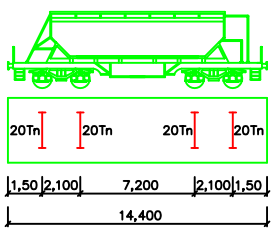


PRUEBAS DINAMICAS.–

SE REALIZARAN CON LOS DOS TRENES DE CARGA COMPLETOS (UNO POR CADA VIA) LAS CUATRO PRUEBAS DINÁMICAS

A) PASO DE TREN A 5 Km/h.
B) PASO DE TREN A VELOCIDAD MEDIA ENTRE 5 Y LA MÁXIMA VELOCIDAD COMPATIBLE CON LA SEGURIDAD.
C) PASO DE TREN A LA VELOCIDAD MÁXIMA COMPATIBLE CON LA SEGURIDAD
D) FRENADO A LA VELOCIDAD MÁXIMA COMPATIBLE CON LA SEGURIDAD

## VIADUCTO RIO GLORIETA TRAMO VI P.K. 602+413
## SITUACIÓN DE LAS CARGAS DE PRUEBA
## PLANO 4 DE 14

# POSICIONES ESTÁTICAS EN PLANTA

## VANOS ALTERNOS 6 Y 8

## ESTÁTICA 5

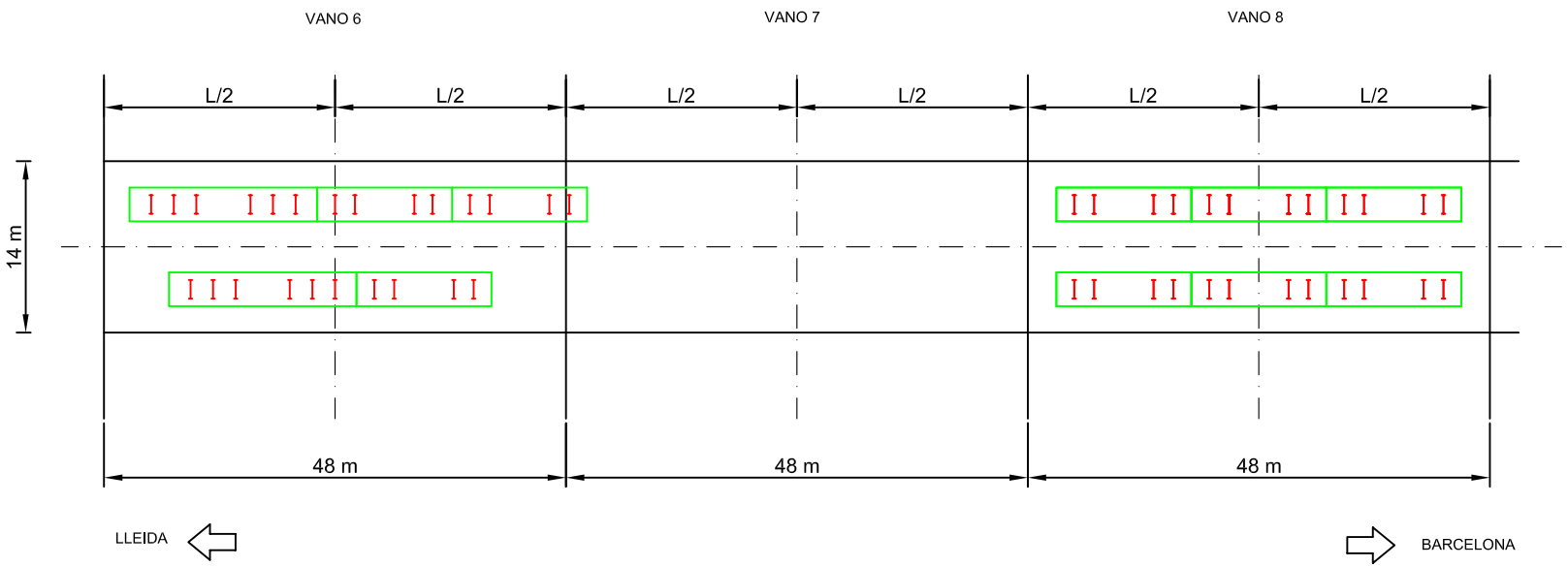


LOC. ADIF (LLEIDA–MARTORELL)

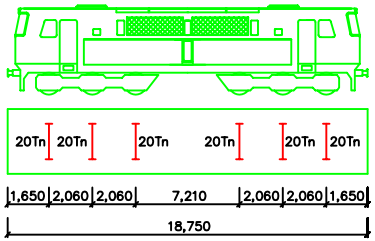


TOLVA RENFE

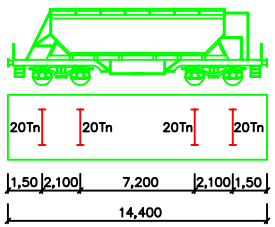


PRUEBAS DINAMICAS.–

SE REALIZARAN CON LOS DOS TRENES DE CARGA COMPLETOS (UNO POR CADA VIA) LAS CUATRO PRUEBAS DINÁMICAS

A) PASO DE TREN A 5 Km/h.

B) PASO DE TREN A VELOCIDAD MEDIA ENTRE 5 Y LA MÁXIMA VELOCIDAD COMPATIBLE CON LA SEGURIDAD.

C) PASO DE TREN A LA VELOCIDAD MÁXIMA COMPATIBLE CON LA SEGURIDAD

D) FRENADO A LA VELOCIDAD MÁXIMA COMPATIBLE CON LA SEGURIDAD

## VIADUCTO RIO GLORIETA TRAMO VI P.K. 602+413

## SITUACIÓN DE LAS CARGAS DE PRUEBA

## PLANO 5 DE 14

# POSICIONES ESTÁTICAS EN PLANTA

## VANOS ALTERNOS 7 Y 9

## ESTÁTICA 6

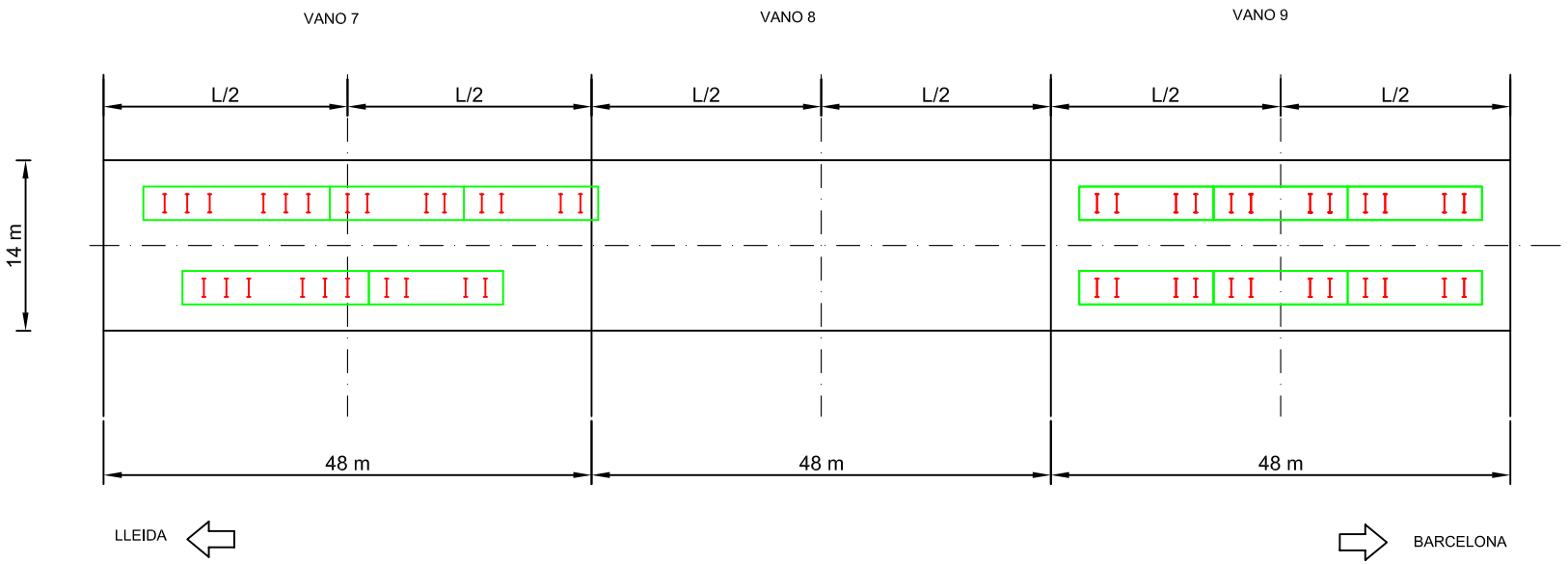


LOC. ADIF (LLEIDA–MARTORELL)

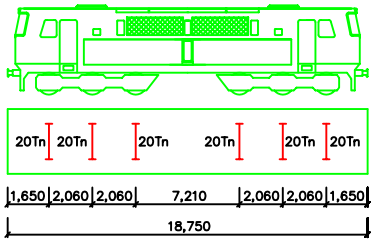


TOLVA RENFE

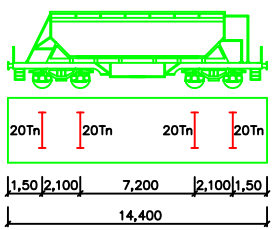


PRUEBAS DINAMICAS.–

SE REALIZARAN CON LOS DOS TRENES DE CARGA COMPLETOS (UNO POR CADA VIA) LAS CUATRO PRUEBAS DINÁMICAS

A) PASO DE TREN A 5 Km/h.

B) PASO DE TREN A VELOCIDAD MEDIA ENTRE 5 Y LA MÁXIMA VELOCIDAD COMPATIBLE CON LA SEGURIDAD.

C) PASO DE TREN A LA VELOCIDAD MÁXIMA COMPATIBLE CON LA SEGURIDAD

D) FRENADO A LA VELOCIDAD MÁXIMA COMPATIBLE CON LA SEGURIDAD

## VIADUCTO RIO GLORIETA TRAMO VI P.K. 602+413

## SITUACIÓN DE LAS CARGAS DE PRUEBA

## PLANO 6 DE 14

# POSICIONES ESTÁTICAS EN PLANTA

## VANOS ALTERNOS 9 Y 11
## ESTÁTICA 7

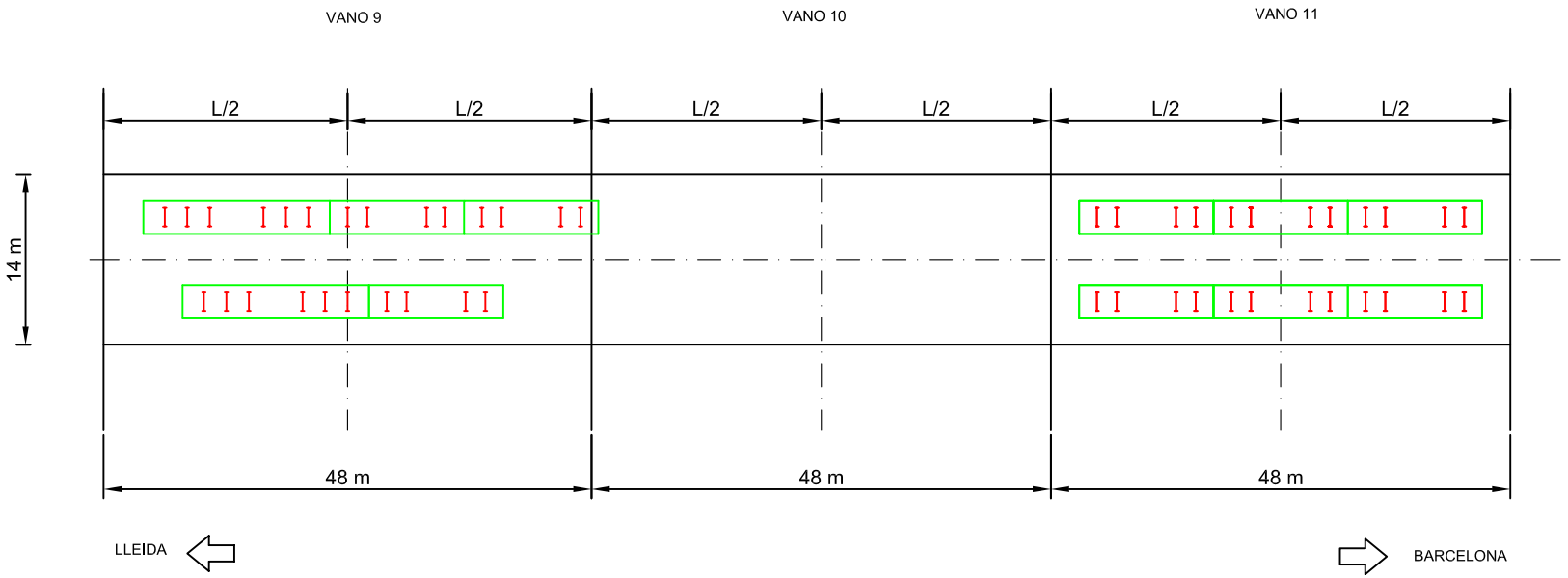


LOC. ADIF (LLEIDA–MARTORELL)

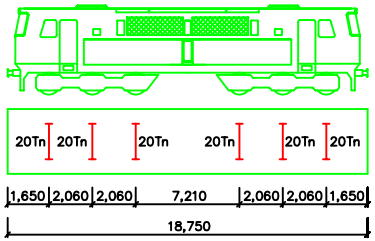


TOLVA RENFE

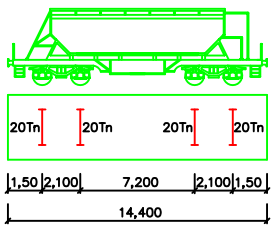


PRUEBAS DINAMICAS.–

SE REALIZARAN CON LOS DOS TRENES DE CARGA COMPLETOS (UNO POR CADA VIA) LAS CUATRO PRUEBAS DINÁMICAS

A) PASO DE TREN A 5 Km/h.
B) PASO DE TREN A VELOCIDAD MEDIA ENTRE 5 Y LA MÁXIMA VELOCIDAD COMPATIBLE CON LA SEGURIDAD.
C) PASO DE TREN A LA VELOCIDAD MÁXIMA COMPATIBLE CON LA SEGURIDAD
D) FRENADO A LA VELOCIDAD MÁXIMA COMPATIBLE CON LA SEGURIDAD

## VIADUCTO RIO GLORIETA TRAMO VI P.K. 602+413
## SITUACIÓN DE LAS CARGAS DE PRUEBA
## PLANO 7 DE 14

# POSICIONES ESTÁTICAS EN PLANTA

## VANOS ALTERNOS 10 Y 12

## ESTÁTICA 8

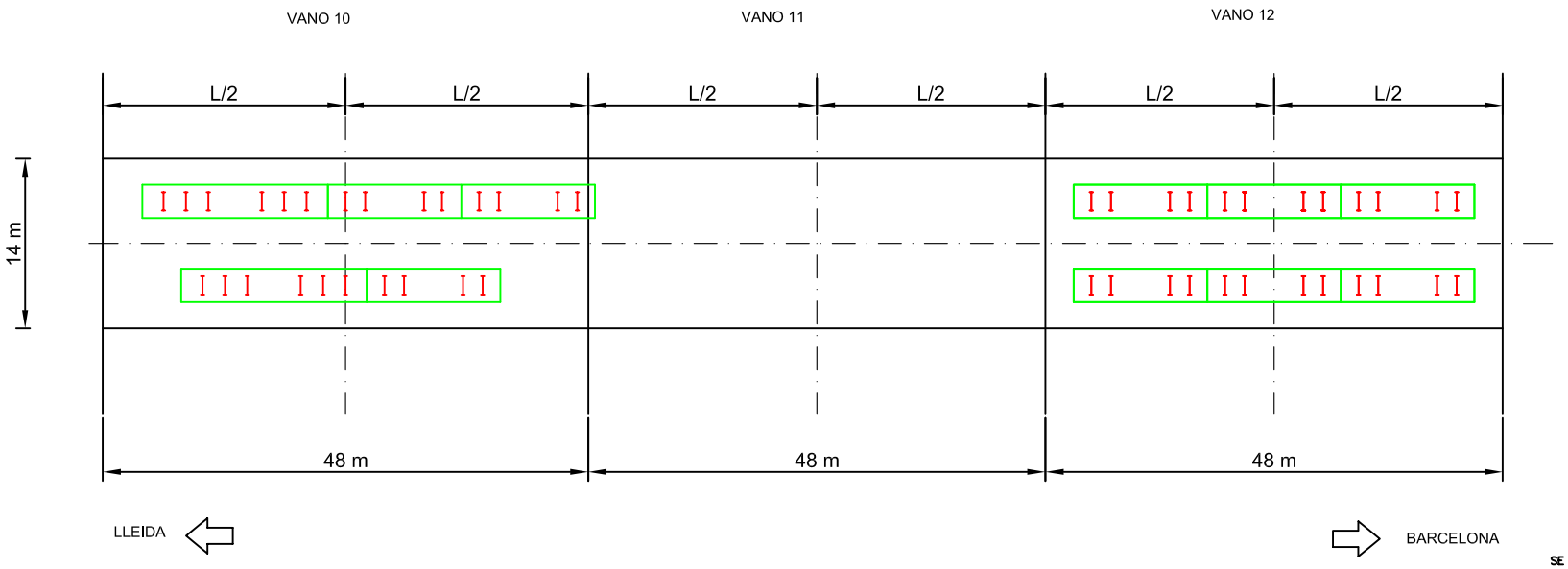


LOC. ADIF (LLEIDA–MARTORELL)

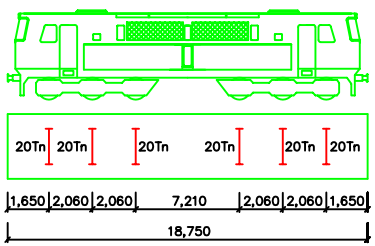


TOLVA RENFE

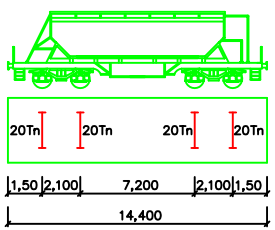


PRUEBAS DINAMICAS.–

SE REALIZARAN CON LOS DOS TRENES DE CARGA COMPLETOS (UNO POR CADA VIA) LAS CUATRO PRUEBAS DINÁMICAS

A) PASO DE TREN A 5 Km/h.
B) PASO DE TREN A VELOCIDAD MEDIA ENTRE 5 Y LA MÁXIMA VELOCIDAD COMPATIBLE CON LA SEGURIDAD.
C) PASO DE TREN A LA VELOCIDAD MÁXIMA COMPATIBLE CON LA SEGURIDAD
D) FRENADO A LA VELOCIDAD MÁXIMA COMPATIBLE CON LA SEGURIDAD

## VIADUCTO RIO GLORIETA TRAMO VI P.K. 602+413

## SITUACIÓN DE LAS CARGAS DE PRUEBA

## PLANO 8 DE 14

# POSICIONES ESTÁTICAS EN PLANTA

## VANOS ALTERNOS 12 Y 14
## ESTÁTICA 9

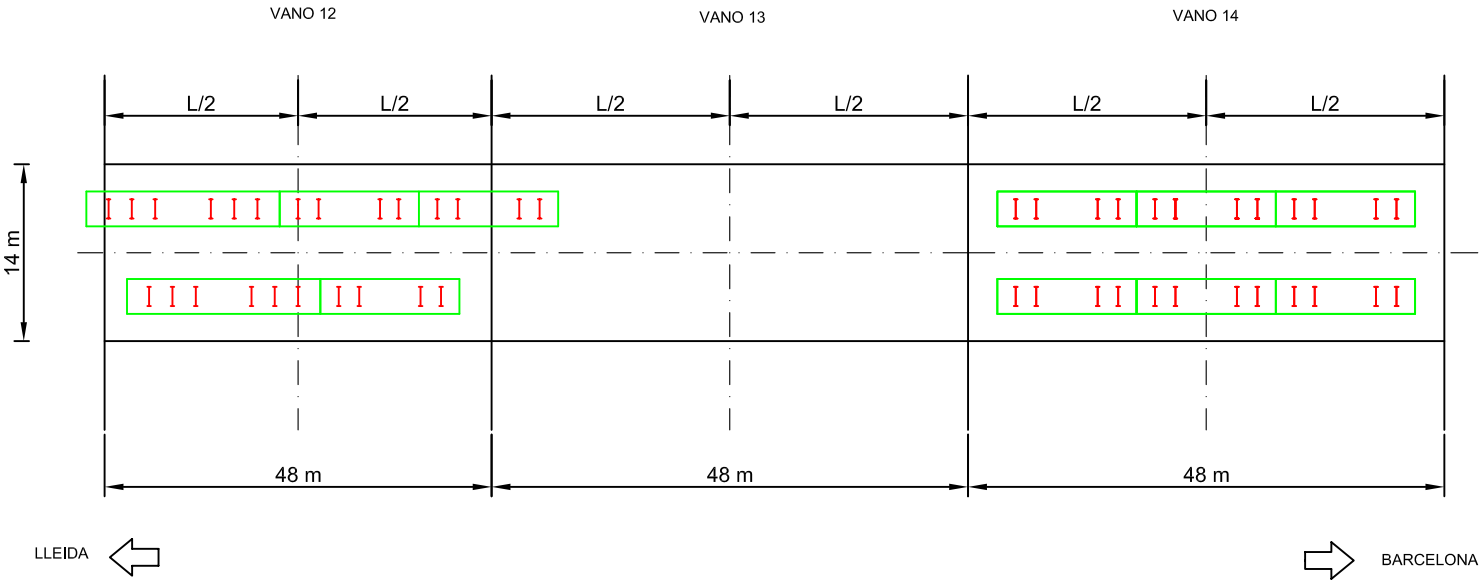


LOC. ADIF (LLEIDA–MARTORELL)

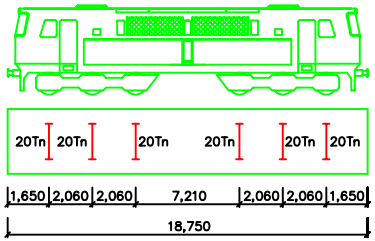


TOLVA RENFE

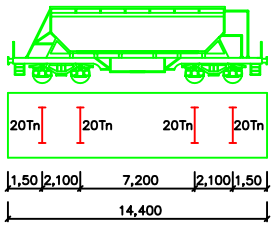


PRUEBAS DINAMICAS.–

SE REALIZARAN CON LOS DOS TRENES DE CARGA COMPLETOS (UNO POR CADA VIA) LAS CUATRO PRUEBAS DINÁMICAS

A) PASO DE TREN A 5 Km/h.
B) PASO DE TREN A VELOCIDAD MEDIA ENTRE 5 Y LA MÁXIMA VELOCIDAD COMPATIBLE CON LA SEGURIDAD.
C) PASO DE TREN A LA VELOCIDAD MÁXIMA COMPATIBLE CON LA SEGURIDAD
D) FRENADO A LA VELOCIDAD MÁXIMA COMPATIBLE CON LA SEGURIDAD

## VIADUCTO RIO GLORIETA TRAMO VI P.K. 602+413
## SITUACIÓN DE LAS CARGAS DE PRUEBA
## PLANO 9 DE 14

# POSICIONES ESTÁTICAS EN PLANTA

## VANOS ALTERNOS 13 Y 15

## ESTÁTICA 10

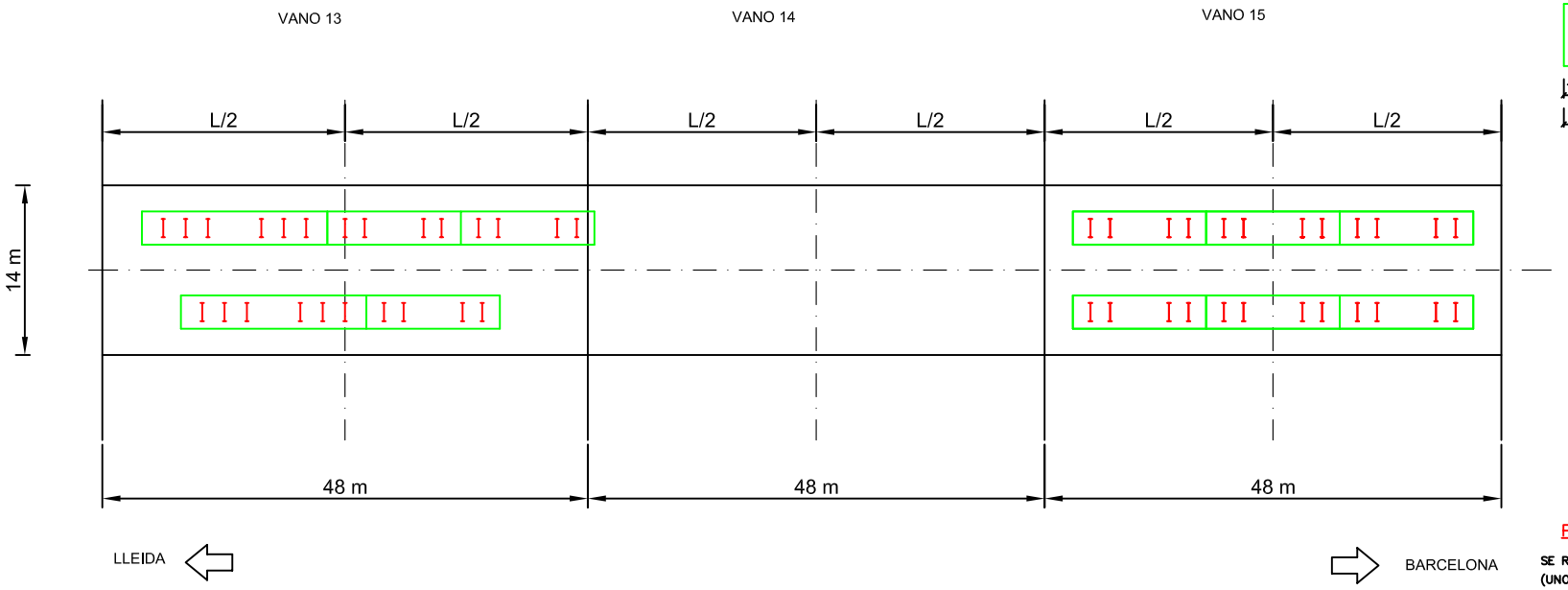


LOC. ADIF (LLEIDA–MARTORELL)

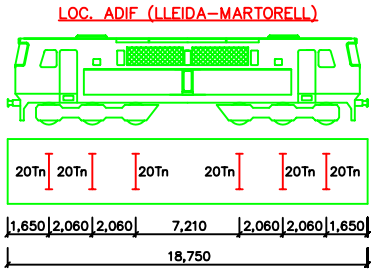


TOLVA RENFE

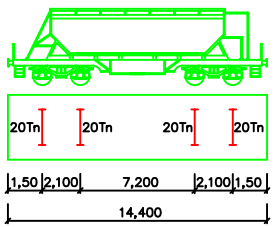


PRUEBAS DINAMICAS.–

SE REALIZARAN CON LOS DOS TRENES DE CARGA COMPLETOS (UNO POR CADA VIA) LAS CUATRO PRUEBAS DINÁMICAS

A) PASO DE TREN A 5 Km/h.
B) PASO DE TREN A VELOCIDAD MEDIA ENTRE 5 Y LA MÁXIMA VELOCIDAD COMPATIBLE CON LA SEGURIDAD.
C) PASO DE TREN A LA VELOCIDAD MÁXIMA COMPATIBLE CON LA SEGURIDAD
D) FRENADO A LA VELOCIDAD MÁXIMA COMPATIBLE CON LA SEGURIDAD

## VIADUCTO RIO GLORIETA TRAMO VI P.K. 602+413

## SITUACIÓN DE LAS CARGAS DE PRUEBA

## PLANO 10 DE 14

# POSICIONES ESTÁTICAS EN PLANTA

## VANOS ALTERNOS 15 Y 17

## ESTÁTICA 11

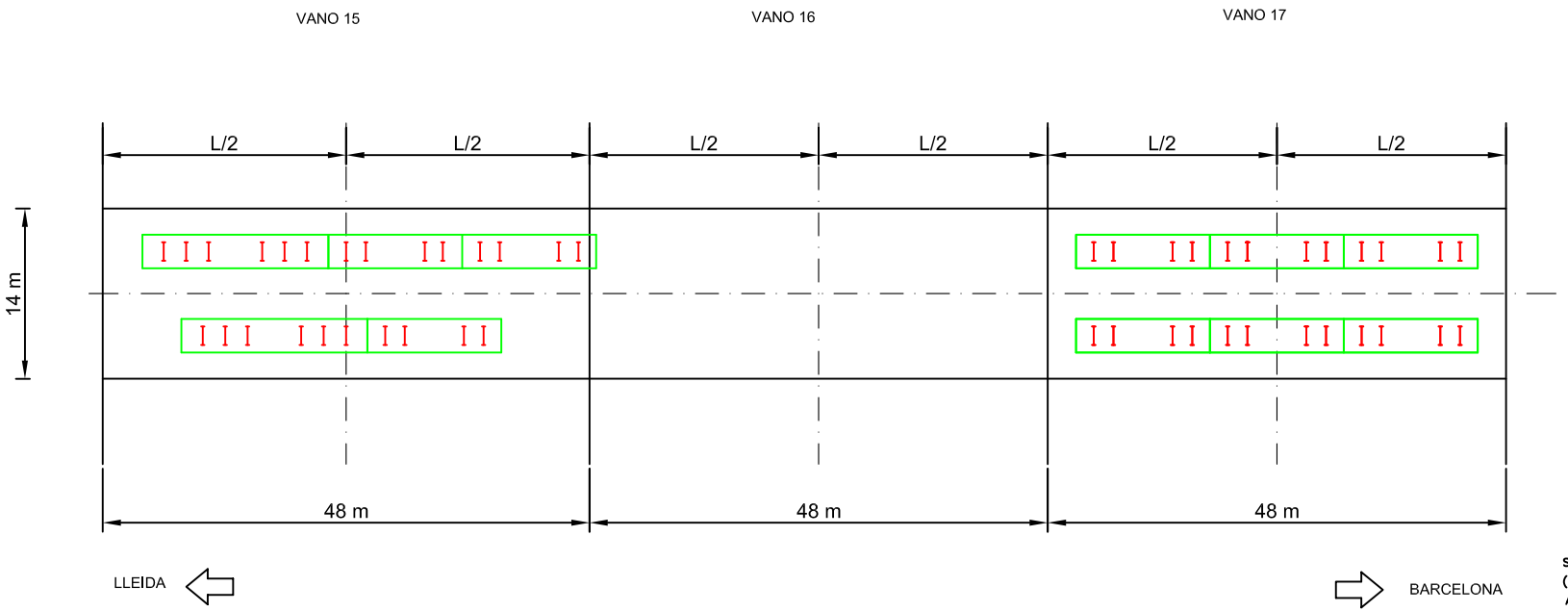


LOC. ADIF (LLEIDA–MARTORELL)

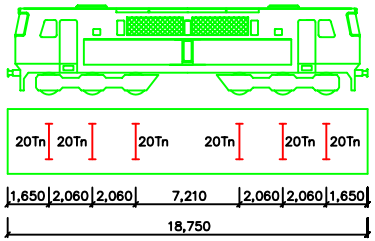


TOLVA RENFE

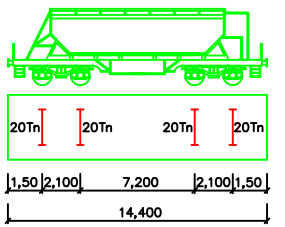


PRUEBAS DINAMICAS.–

SE REALIZARAN CON LOS DOS TRENES DE CARGA COMPLETOS (UNO POR CADA VIA) LAS CUATRO PRUEBAS DINÁMICAS

A) PASO DE TREN A 5 Km/h.
B) PASO DE TREN A VELOCIDAD MEDIA ENTRE 5 Y LA MÁXIMA VELOCIDAD COMPATIBLE CON LA SEGURIDAD.
C) PASO DE TREN A LA VELOCIDAD MÁXIMA COMPATIBLE CON LA SEGURIDAD
D) FRENADO A LA VELOCIDAD MÁXIMA COMPATIBLE CON LA SEGURIDAD

## VIADUCTO RIO GLORIETA TRAMO VI P.K. 602+413

## SITUACIÓN DE LAS CARGAS DE PRUEBA

## PLANO 11 DE 14

# POSICIONES ESTÁTICAS EN PLANTA

## VANOS ALTERNOS 16 Y 18

## ESTÁTICA 12

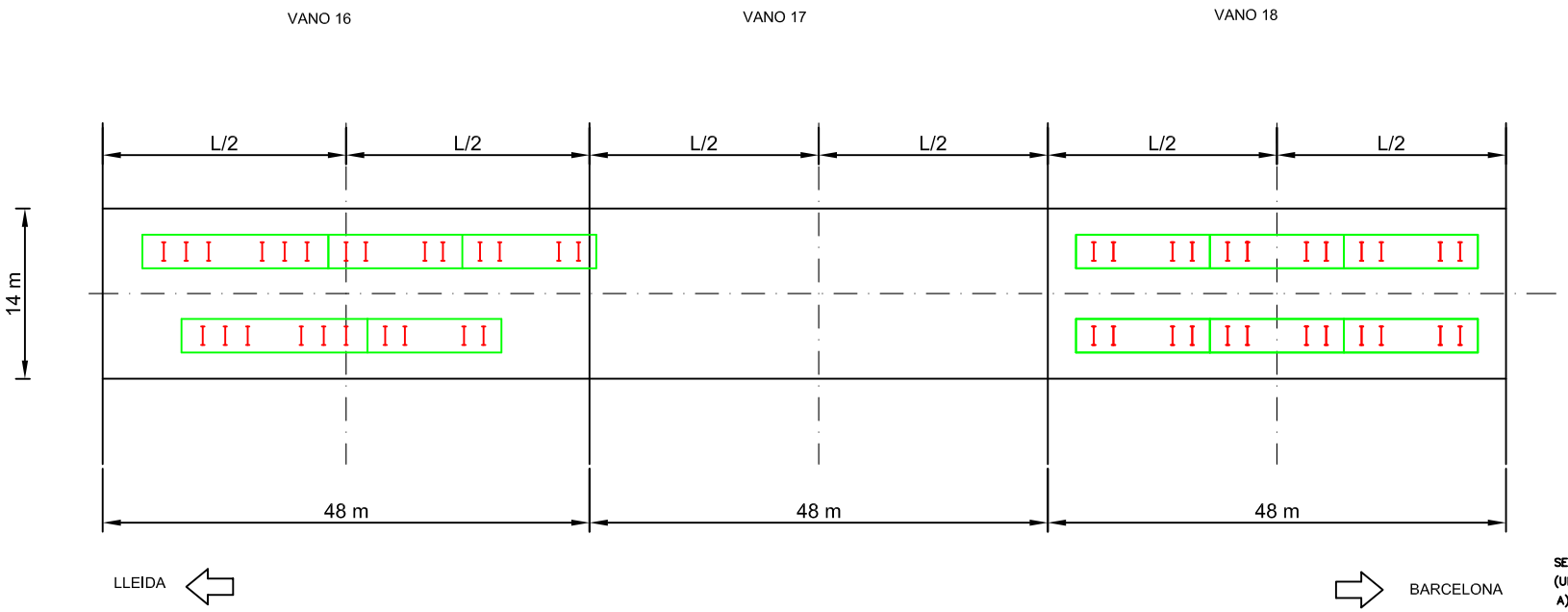


LOC. ADIF (LLEIDA–MARTORELL)

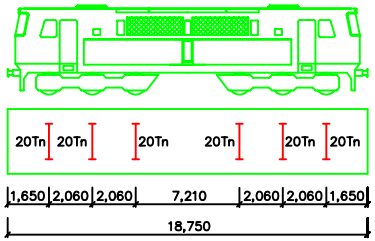


TOLVA RENFE

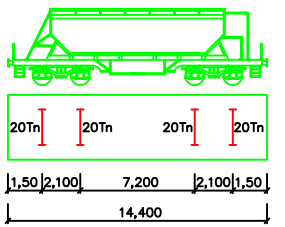


PRUEBAS DINAMICAS.–

SE REALIZARAN CON LOS DOS TRENES DE CARGA COMPLETOS (UNO POR CADA VIA) LAS CUATRO PRUEBAS DINÁMICAS

A) PASO DE TREN A 5 Km/h.

B) PASO DE TREN A VELOCIDAD MEDIA ENTRE 5 Y LA MÁXIMA VELOCIDAD COMPATIBLE CON LA SEGURIDAD.

C) PASO DE TREN A LA VELOCIDAD MÁXIMA COMPATIBLE CON LA SEGURIDAD

D) FRENADO A LA VELOCIDAD MÁXIMA COMPATIBLE CON LA SEGURIDAD

## VIADUCTO RIO GLORIETA TRAMO VI P.K. 602+413

## SITUACIÓN DE LAS CARGAS DE PRUEBA

## PLANO 12 DE 14

# POSICIONES ESTÁTICAS EN PLANTA

## VANOS ALTERNOS 19 Y 21

## ESTÁTICA 13

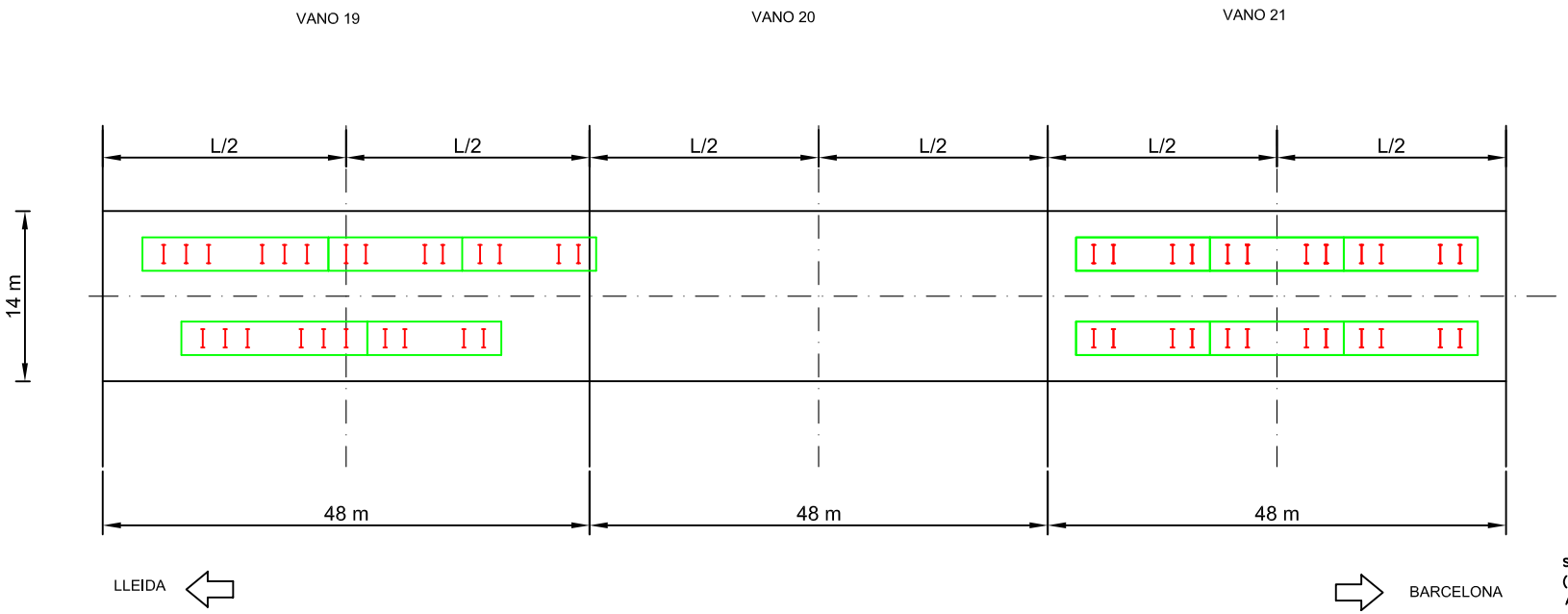


LOC. ADIF (LLEIDA–MARTORELL)

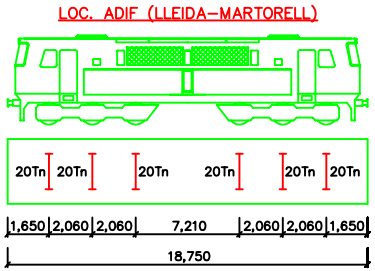


TOLVA RENFE

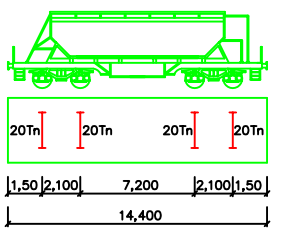


PRUEBAS DINAMICAS.–

SE REALIZARAN CON LOS DOS TRENES DE CARGA COMPLETOS (UNO POR CADA VIA) LAS CUATRO PRUEBAS DINÁMICAS

A) PASO DE TREN A 5 Km/h.
B) PASO DE TREN A VELOCIDAD MEDIA ENTRE 5 Y LA MÁXIMA VELOCIDAD COMPATIBLE CON LA SEGURIDAD.
C) PASO DE TREN A LA VELOCIDAD MÁXIMA COMPATIBLE CON LA SEGURIDAD
D) FRENADO A LA VELOCIDAD MÁXIMA COMPATIBLE CON LA SEGURIDAD

## VIADUCTO RIO GLORIETA TRAMO VI P.K. 602+413

## SITUACIÓN DE LAS CARGAS DE PRUEBA

## PLANO 13 DE 14

# POSICIONES ESTÁTICAS EN PLANTA

## VANOS ALTERNOS 20 Y 22

## ESTÁTICA 14

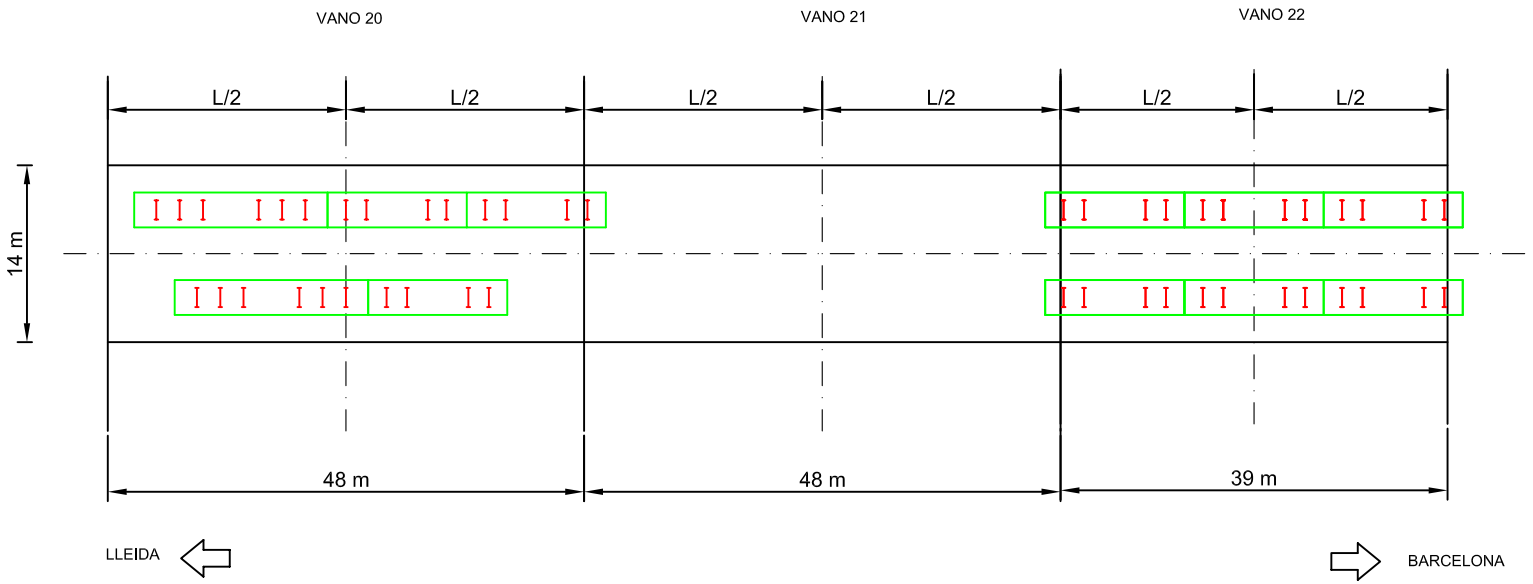


LOC. ADIF (LLEIDA–MARTORELL)

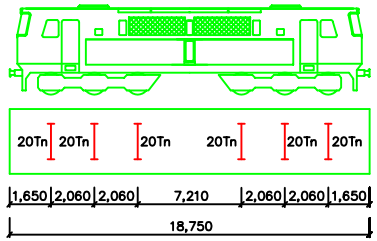


TOLVA RENFE

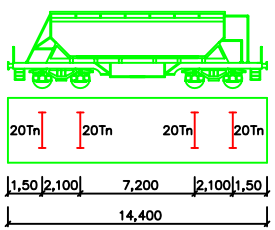


PRUEBAS DINAMICAS.–

SE REALIZARAN CON LOS DOS TRENES DE CARGA COMPLETOS (UNO POR CADA VIA) LAS CUATRO PRUEBAS DINÁMICAS

A) PASO DE TREN A 5 Km/h.

B) PASO DE TREN A VELOCIDAD MEDIA ENTRE 5 Y LA MÁXIMA VELOCIDAD COMPATIBLE CON LA SEGURIDAD.

C) PASO DE TREN A LA VELOCIDAD MÁXIMA COMPATIBLE CON LA SEGURIDAD

D) FRENADO A LA VELOCIDAD MÁXIMA COMPATIBLE CON LA SEGURIDAD

## VIADUCTO RIO GLORIETA TRAMO VI P.K. 602+413

## SITUACIÓN DE LAS CARGAS DE PRUEBA

## PLANO 14 DE 14

# POSICIONES ESTÁTICAS EN PLANTA

## PILA 2

## ESTÁTICA 15

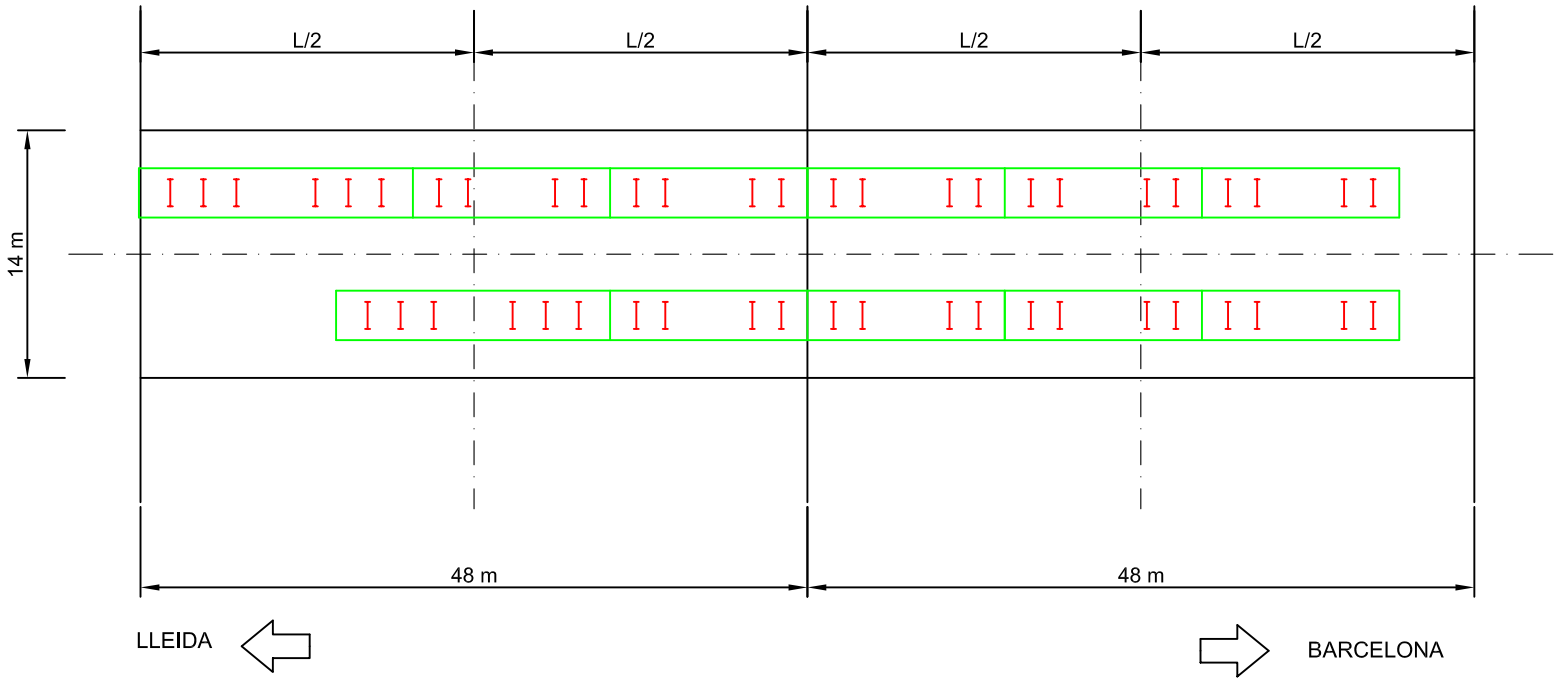


LOC. ADIF (LLEIDA–MARTORELL)

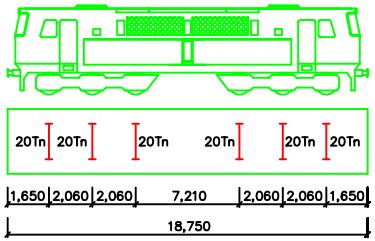


TOLVA RENFE

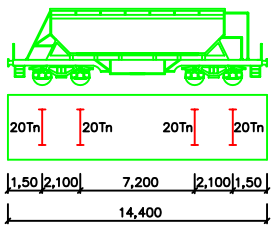


PRUEBAS DINAMICAS.–

SE REALIZARAN CON LOS DOS TRENES DE CARGA COMPLETOS (UNO POR CADA VIA) LAS CUATRO PRUEBAS DINÁMICAS

A) PASO DE TREN A 5 Km/h.

B) PASO DE TREN A VELOCIDAD MEDIA ENTRE 5 Y LA MÁXIMA VELOCIDAD COMPATIBLE CON LA SEGURIDAD.

C) PASO DE TREN A LA VELOCIDAD MÁXIMA COMPATIBLE CON LA SEGURIDAD

D) FRENADO A LA VELOCIDAD MÁXIMA COMPATIBLE CON LA SEGURIDAD

## VIADUCTO VINAIXA TRAMO IIIa P.K. 41+261

## SITUACIÓN DE LAS CARGAS DE PRUEBA

## PLANO 1 DE 7

# POSICIONES ESTÁTICAS EN PLANTA

## PILA 5

## ESTÁTICA 16

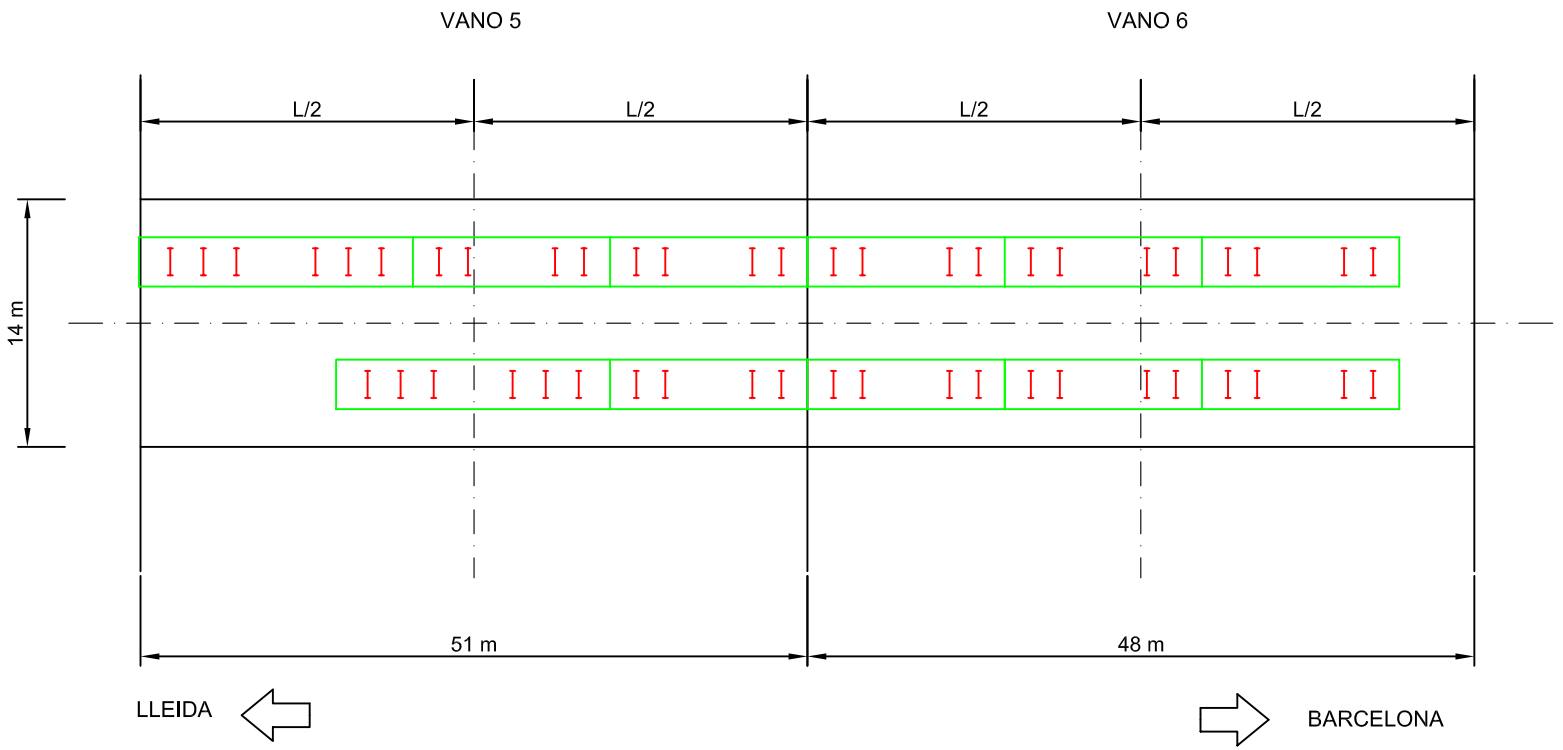


LOC. ADIF (LLEIDA–MARTORELL)

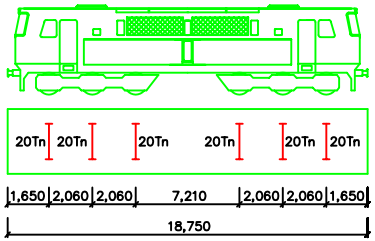


TOLVA RENFE

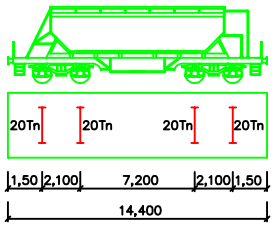


PRUEBAS DINAMICAS.–

SE REALIZARAN CON LOS DOS TRENES DE CARGA COMPLETOS (UNO POR CADA VIA) LAS CUATRO PRUEBAS DINÁMICAS

A) PASO DE TREN A 5 Km/h.

B) PASO DE TREN A VELOCIDAD MEDIA ENTRE 5 Y LA MÁXIMA VELOCIDAD COMPATIBLE CON LA SEGURIDAD.

C) PASO DE TREN A LA VELOCIDAD MÁXIMA COMPATIBLE CON LA SEGURIDAD

D) FRENADO A LA VELOCIDAD MÁXIMA COMPATIBLE CON LA SEGURIDAD

## VIADUCTO VINAIXA TRAMO IIIa P.K. 41+261

## SITUACIÓN DE LAS CARGAS DE PRUEBA

## PLANO 2 DE 7

# POSICIONES ESTÁTICAS EN PLANTA

## PILA 7

## ESTÁTICA 17

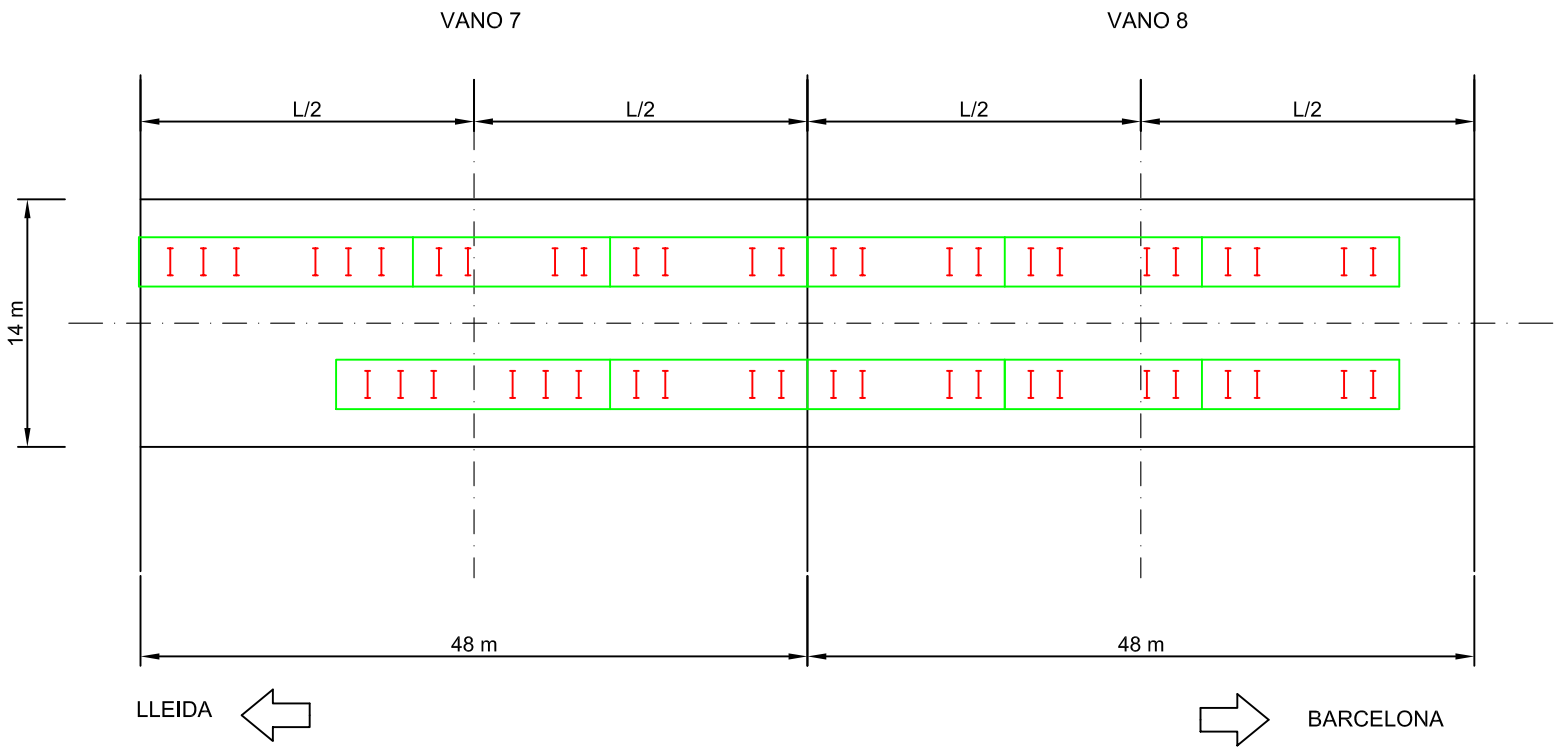


LOC. ADIF (LLEIDA–MARTORELL)

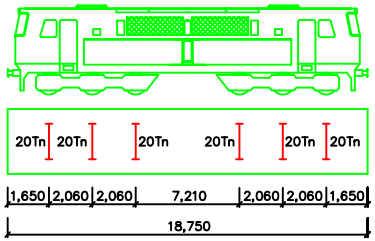


TOLVA RENFE

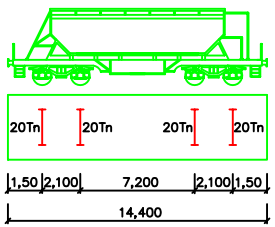


PRUEBAS DINAMICAS.–

SE REALIZARAN CON LOS DOS TRENES DE CARGA COMPLETOS (UNO POR CADA VIA) LAS CUATRO PRUEBAS DINÁMICAS

A) PASO DE TREN A 5 Km/h.

B) PASO DE TREN A VELOCIDAD MEDIA ENTRE 5 Y LA MÁXIMA VELOCIDAD COMPATIBLE CON LA SEGURIDAD.

C) PASO DE TREN A LA VELOCIDAD MÁXIMA COMPATIBLE CON LA SEGURIDAD

D) FRENADO A LA VELOCIDAD MÁXIMA COMPATIBLE CON LA SEGURIDAD

## VIADUCTO VINAIXA TRAMO IIIa P.K. 41+261

## SITUACIÓN DE LAS CARGAS DE PRUEBA

## PLANO 3 DE 7

# POSICIONES ESTÁTICAS EN PLANTA

## PILA 11

## ESTÁTICA 18

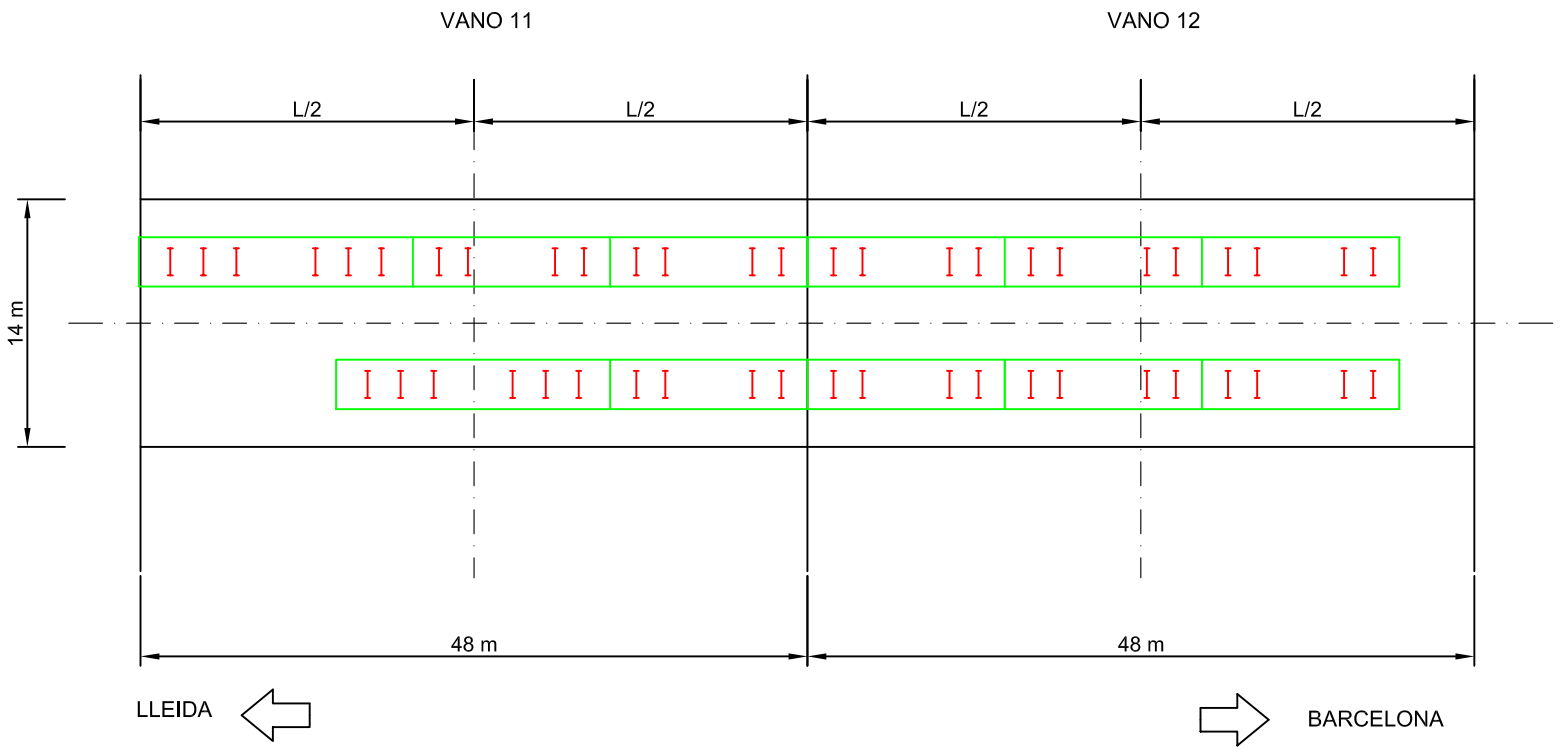


LOC. ADIF (LLEIDA–MARTORELL)

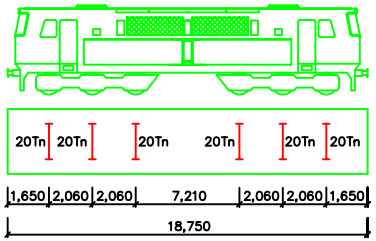


TOLVA RENFE

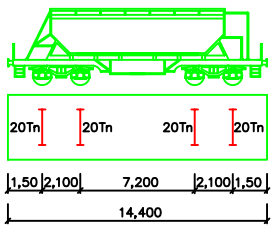


PRUEBAS DINAMICAS.–

SE REALIZARAN CON LOS DOS TRENES DE CARGA COMPLETOS (UNO POR CADA VIA) LAS CUATRO PRUEBAS DINÁMICAS

A) PASO DE TREN A 5 Km/h.

B) PASO DE TREN A VELOCIDAD MEDIA ENTRE 5 Y LA MÁXIMA VELOCIDAD COMPATIBLE CON LA SEGURIDAD.

C) PASO DE TREN A LA VELOCIDAD MÁXIMA COMPATIBLE CON LA SEGURIDAD

D) FRENADO A LA VELOCIDAD MÁXIMA COMPATIBLE CON LA SEGURIDAD

## VIADUCTO VINAIXA TRAMO IIIa P.K. 41+261

## SITUACIÓN DE LAS CARGAS DE PRUEBA

## PLANO 4 DE 7

# POSICIONES ESTÁTICAS EN PLANTA

## PILA 14

## ESTÁTICA 19

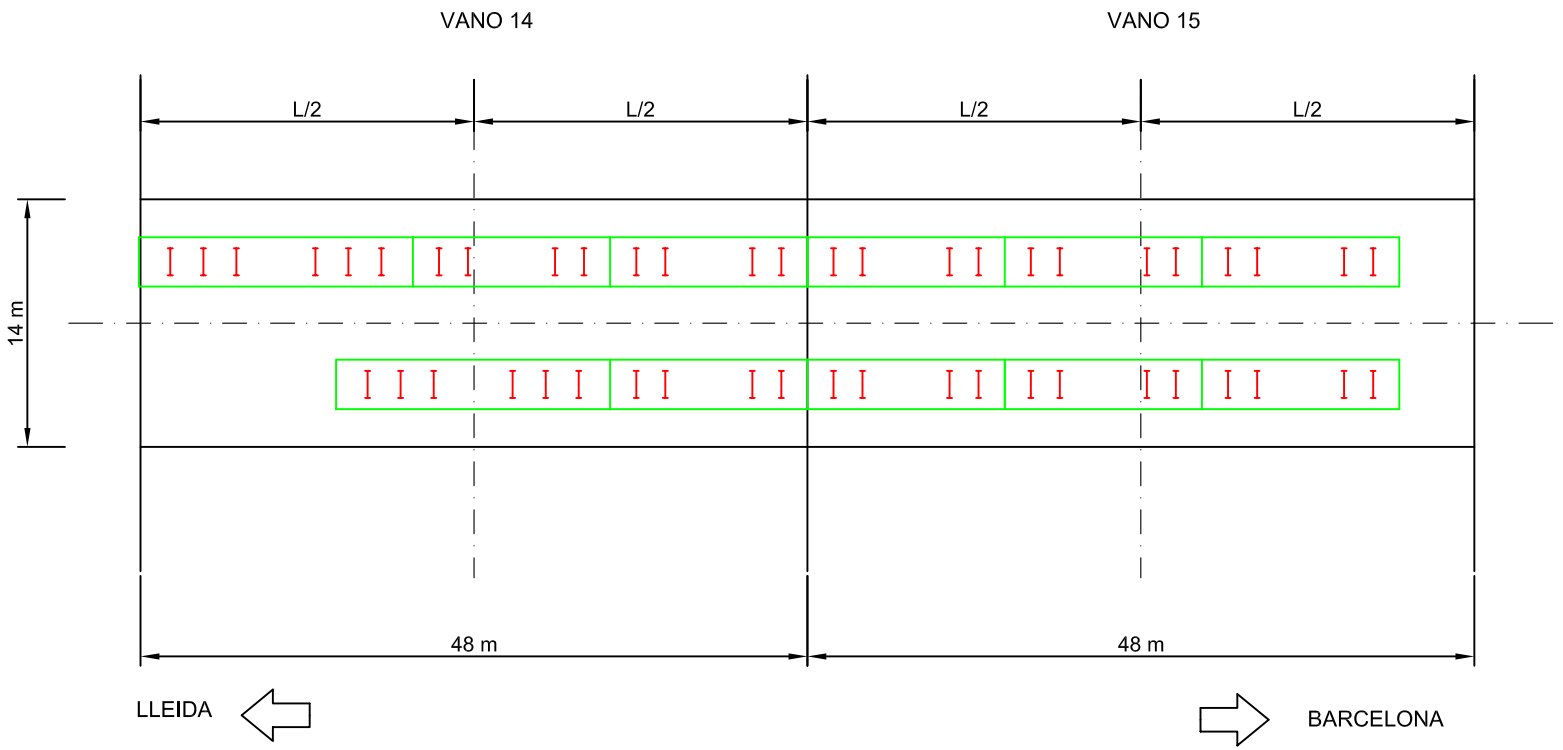


LOC. ADIF (LLEIDA–MARTORELL)

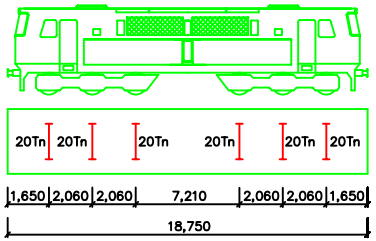


TOLVA RENFE

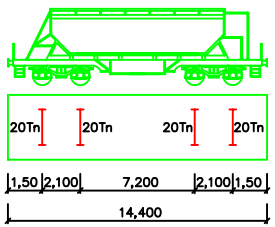


PRUEBAS DINAMICAS.–

SE REALIZARAN CON LOS DOS TRENES DE CARGA COMPLETOS (UNO POR CADA VIA) LAS CUATRO PRUEBAS DINÁMICAS

A) PASO DE TREN A 5 Km/h.

B) PASO DE TREN A VELOCIDAD MEDIA ENTRE 5 Y LA MÁXIMA VELOCIDAD COMPATIBLE CON LA SEGURIDAD.

C) PASO DE TREN A LA VELOCIDAD MÁXIMA COMPATIBLE CON LA SEGURIDAD

D) FRENADO A LA VELOCIDAD MÁXIMA COMPATIBLE CON LA SEGURIDAD

## VIADUCTO VINAIXA TRAMO IIIa P.K. 41+261

## SITUACIÓN DE LAS CARGAS DE PRUEBA

## PLANO 5 DE 7

# POSICIONES ESTÁTICAS EN PLANTA

## PILA 17

## ESTÁTICA 20

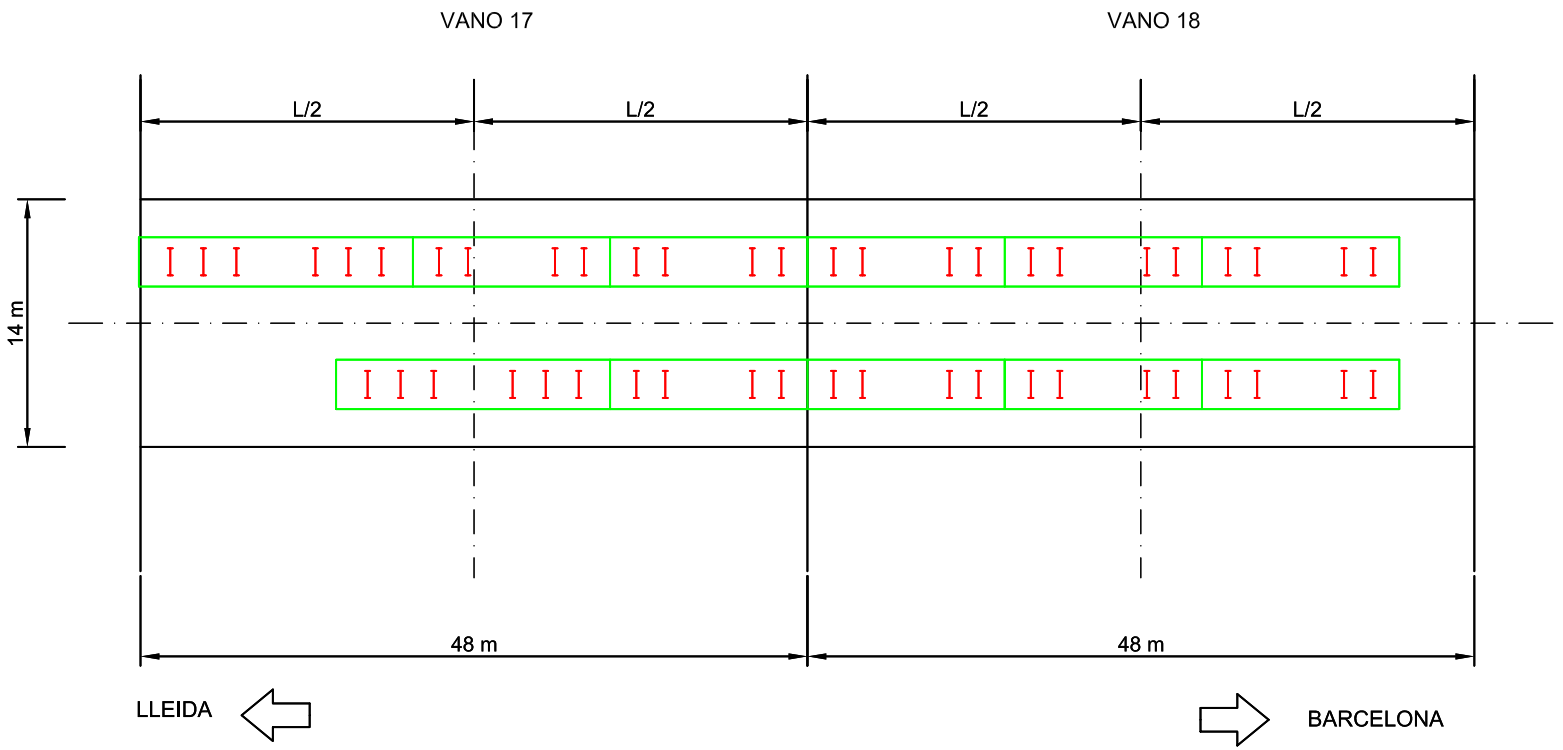


LOC. ADIF (LLEIDA–MARTORELL)

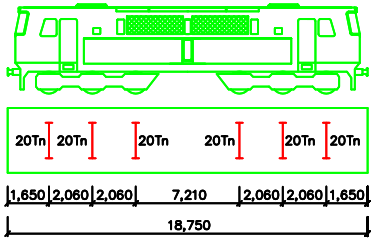


TOLVA RENFE

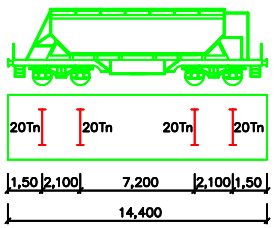


PRUEBAS DINAMICAS.–

SE REALIZARAN CON LOS DOS TRENES DE CARGA COMPLETOS (UNO POR CADA VIA) LAS CUATRO PRUEBAS DINÁMICAS

A) PASO DE TREN A 5 Km/h.

B) PASO DE TREN A VELOCIDAD MEDIA ENTRE 5 Y LA MÁXIMA VELOCIDAD COMPATIBLE CON LA SEGURIDAD.

C) PASO DE TREN A LA VELOCIDAD MÁXIMA COMPATIBLE CON LA SEGURIDAD

D) FRENADO A LA VELOCIDAD MÁXIMA COMPATIBLE CON LA SEGURIDAD

## VIADUCTO VINAIXA TRAMO IIIa P.K. 41+261

## SITUACIÓN DE LAS CARGAS DE PRUEBA

## PLANO 6 DE 7

# POSICIONES ESTÁTICAS EN PLANTA

## PILA 20
## ESTÁTICA 21

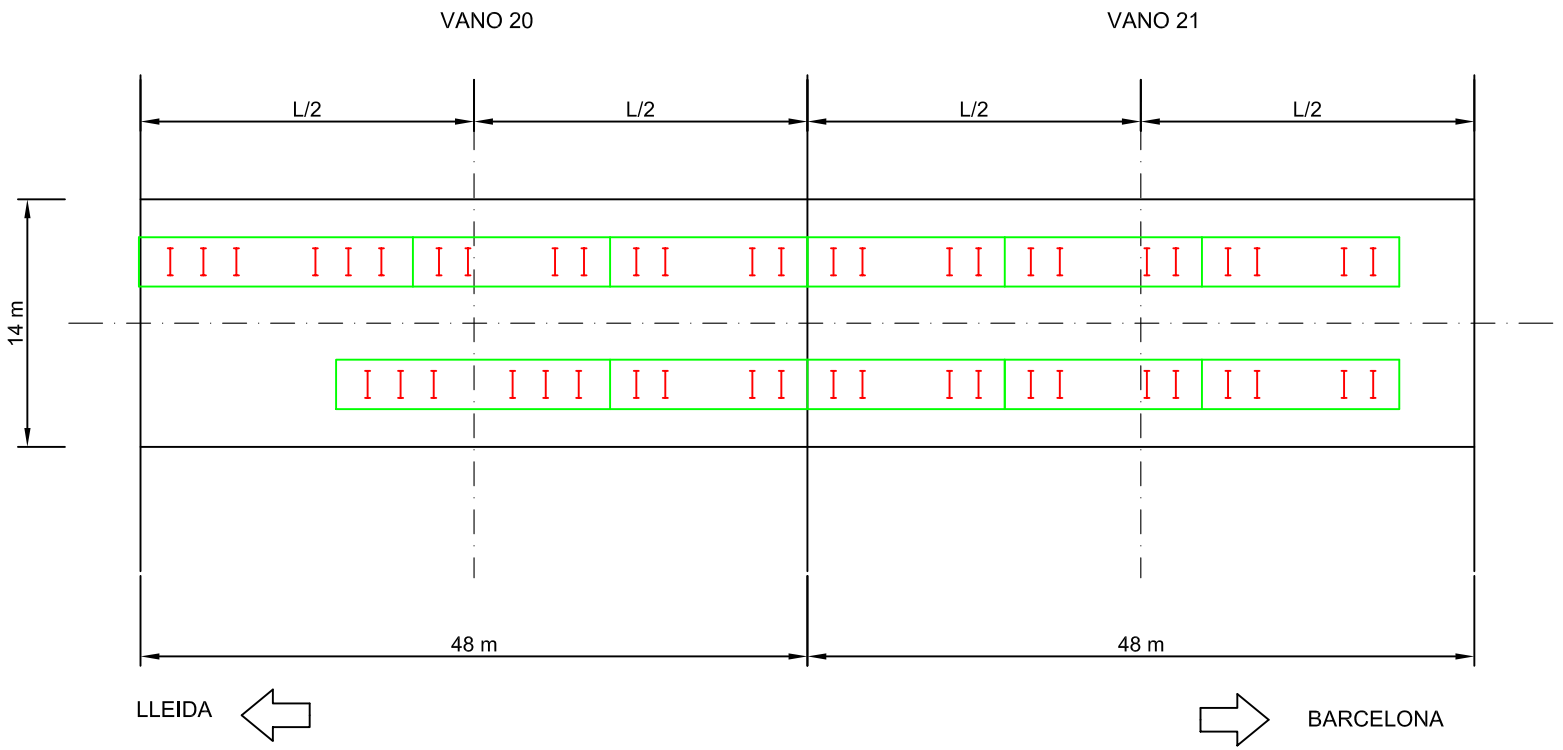


LOC. ADIF (LLEIDA–MARTORELL)

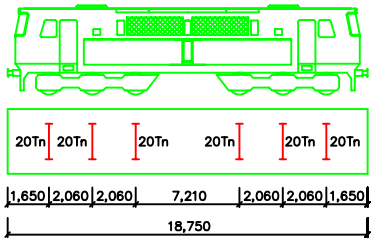


TOLVA RENFE

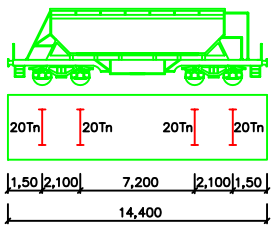


PRUEBAS DINAMICAS.–

SE REALIZARAN CON LOS DOS TRENES DE CARGA COMPLETOS (UNO POR CADA VIA) LAS CUATRO PRUEBAS DINÁMICAS

A) PASO DE TREN A 5 Km/h.
B) PASO DE TREN A VELOCIDAD MEDIA ENTRE 5 Y LA MÁXIMA VELOCIDAD COMPATIBLE CON LA SEGURIDAD.
C) PASO DE TREN A LA VELOCIDAD MÁXIMA COMPATIBLE CON LA SEGURIDAD
D) FRENADO A LA VELOCIDAD MÁXIMA COMPATIBLE CON LA SEGURIDAD

## VIADUCTO VINAIXA TRAMO IIIa P.K. 41+261
## SITUACIÓN DE LAS CARGAS DE PRUEBA
## PLANO 7 DE 7

# POSICIONES ESTÁTICAS EN ALZADO

## VANOS ALTERNOS 1 Y 3

### ESTÁTICA 1

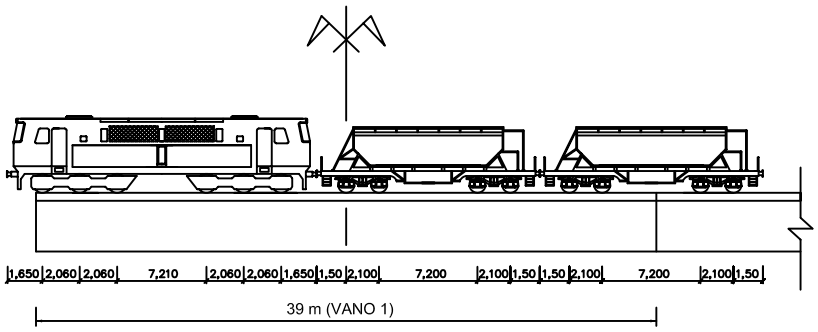


LOCOMOTORA ADIF + 5 TOLVAS RENFE ( Via II )

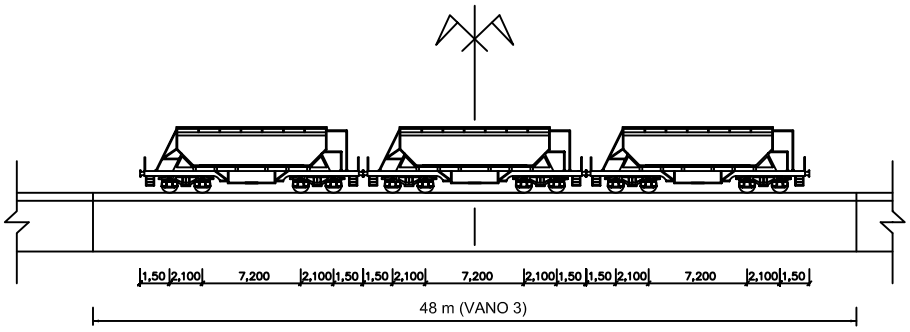


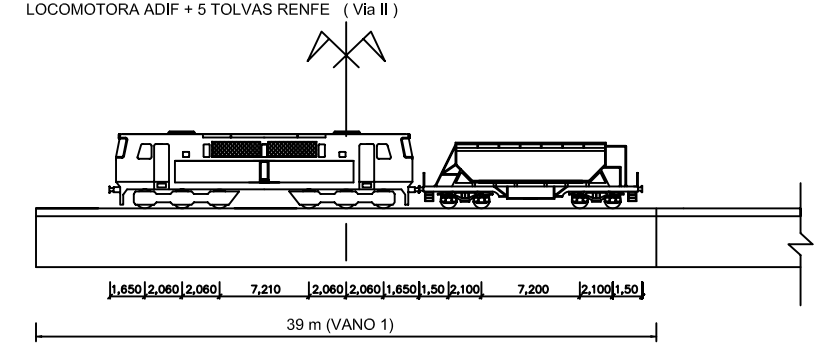


LOCOMOTORA ADIF + 4 TOLVAS RENFE ( Via I )

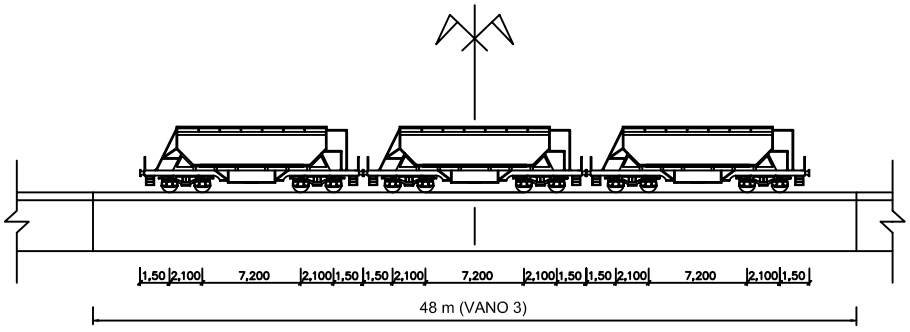


VIADUCTO VINAIXA TRAMO IIIa P.K. 41+261

POSICIÓN DE LOS TRENES DE CARGA SOBRE EL TABLERO

PLANO 1 DE 14

# POSICIONES ESTÁTICAS EN ALZADO

## VANOS ALTERNOS 2 Y 4

## ESTÁTICA 2

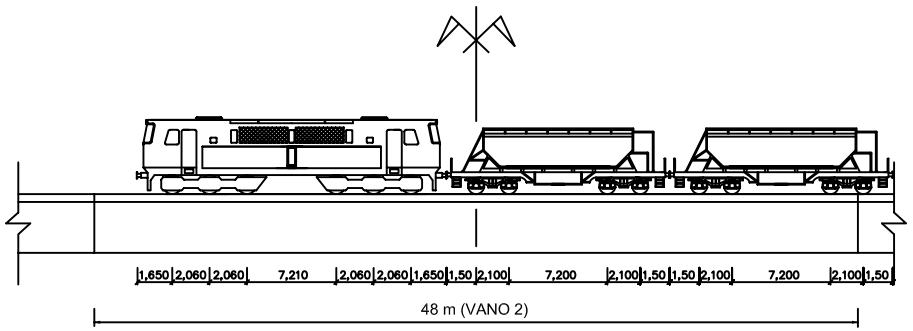


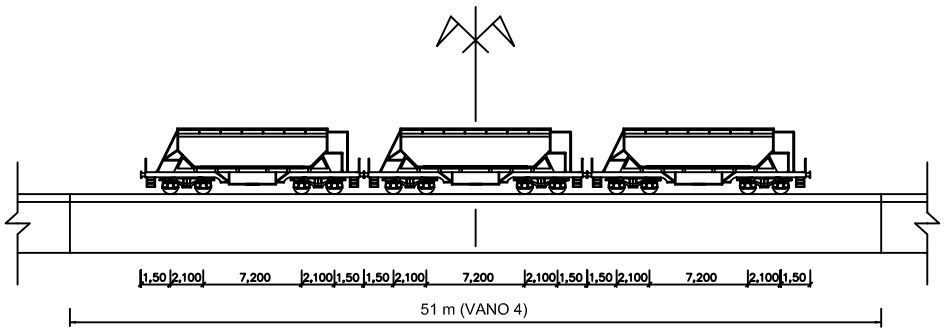


LOCOMOTORA ADIF + 5 TOLVAS RENFE ( Via II )

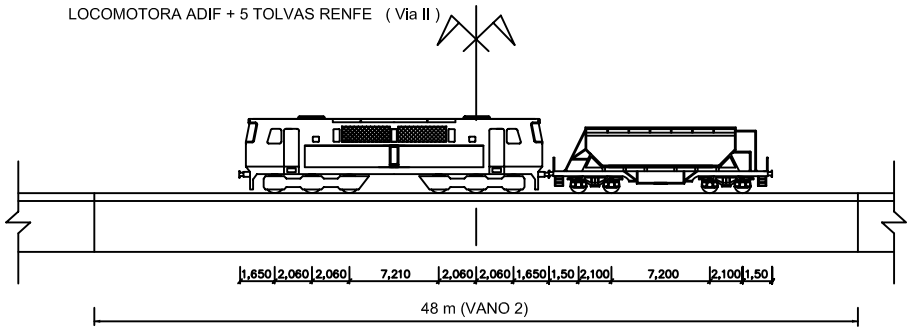


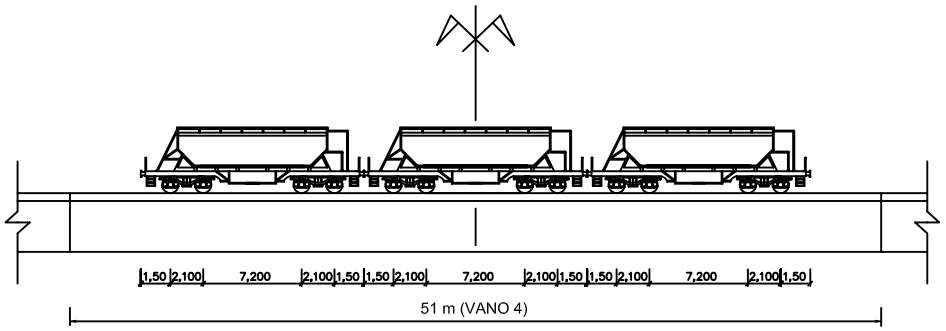


LOCOMOTORA ADIF + 4 TOLVAS RENFE ( Via I )

## VIADUCTO VINAIXA TRAMO IIIa P.K. 41+261

## POSICIÓN DE LOS TRENES DE CARGA SOBRE EL TABLERO

## PLANO 2 DE 14

# POSICIONES ESTÁTICAS EN ALZADO

## VANOS ALTERNOS 4 Y 6

## ESTÁTICA 3

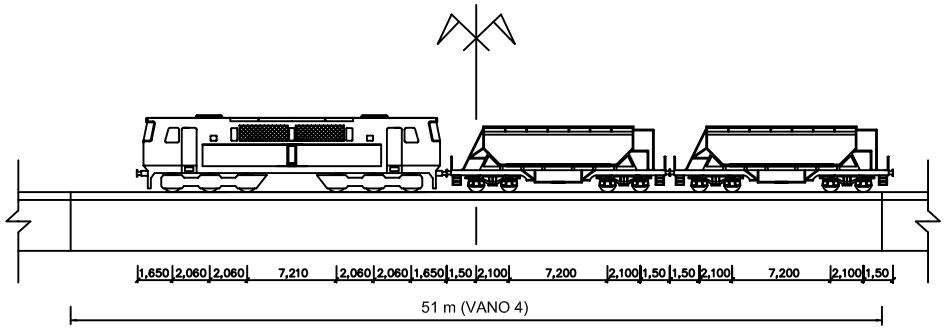


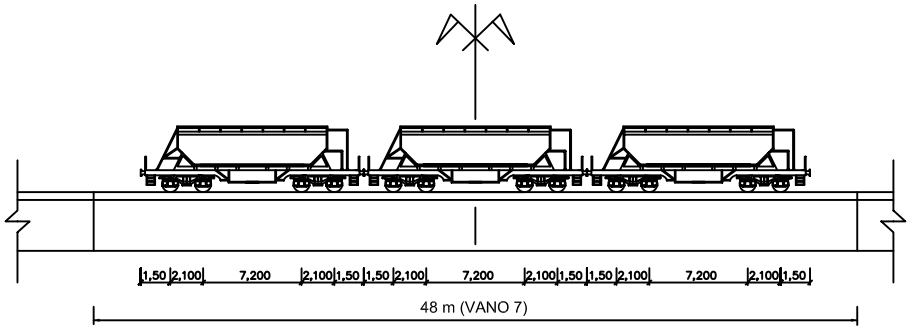


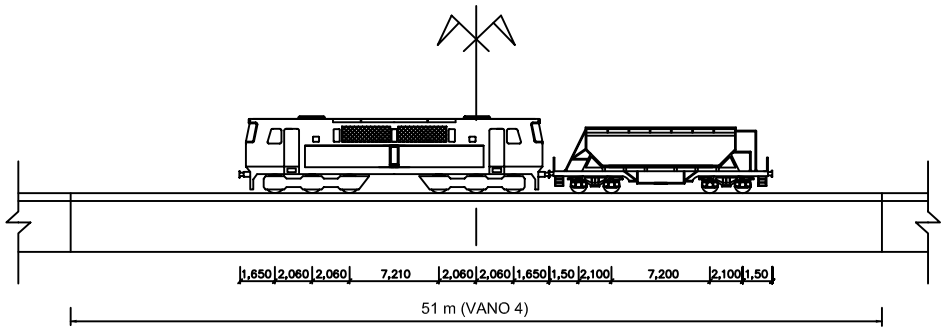


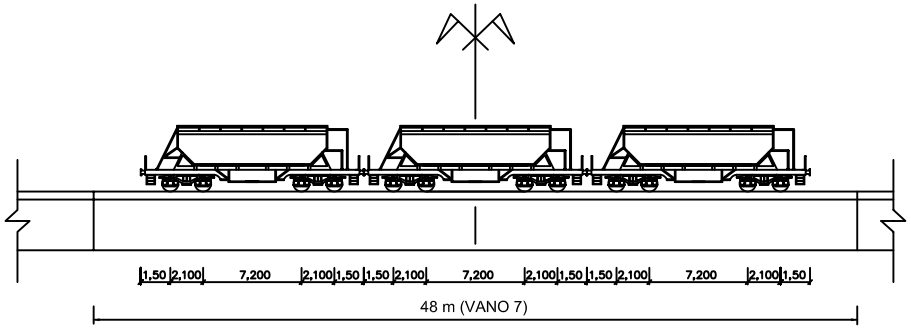


LOCOMOTORA ADIF + 4 TOLVAS RENFE ( Via I )

VIADUCTO VINAIXA TRAMO IIIa P.K. 41+261

POSICIÓN DE LOS TRENES DE CARGA SOBRE EL TABLERO

PLANO 3 DE 14

# POSICIONES ESTÁTICAS EN ALZADO

## VANOS ALTERNOS 5 Y 7

## ESTÁTICA 4

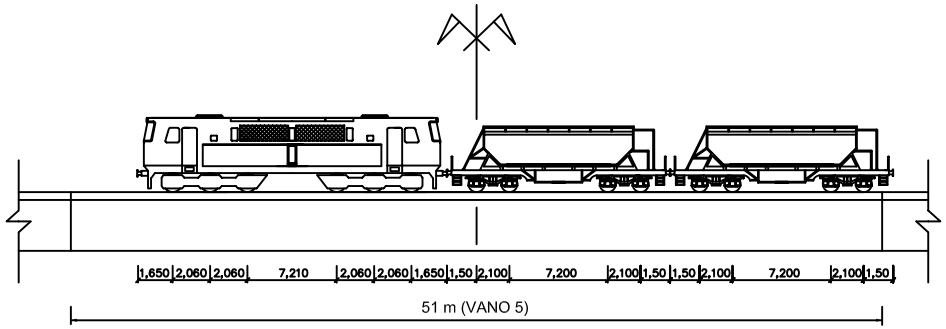


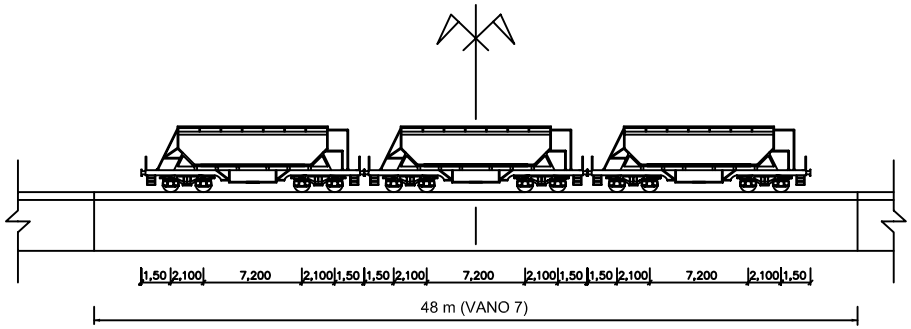


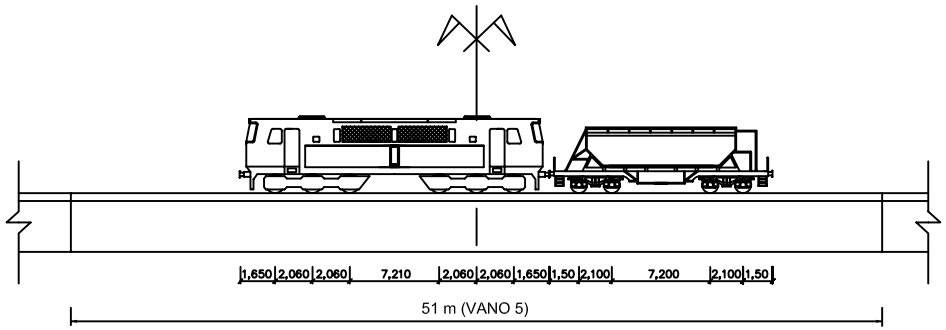


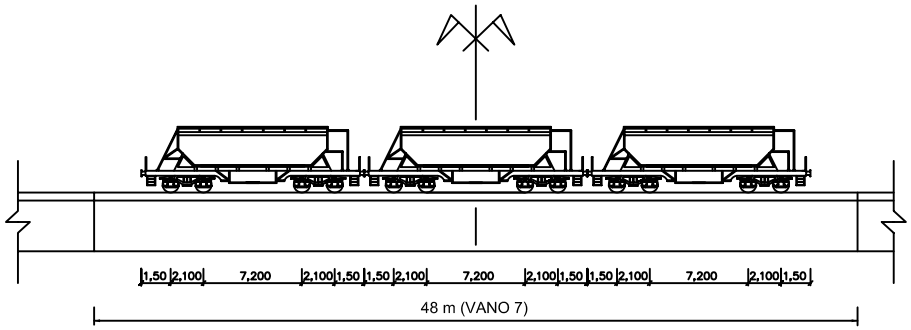


LOCOMOTORA ADIF + 4 TOLVAS RENFE ( Via I )

## VIADUCTO VINAIXA TRAMO IIIa P.K. 41+261

## POSICIÓN DE LOS TRENES DE CARGA SOBRE EL TABLERO

## PLANO 4 DE 14

# POSICIONES ESTÁTICAS EN ALZADO

## VANOS ALTERNOS 6 Y 8

## ESTÁTICA 5

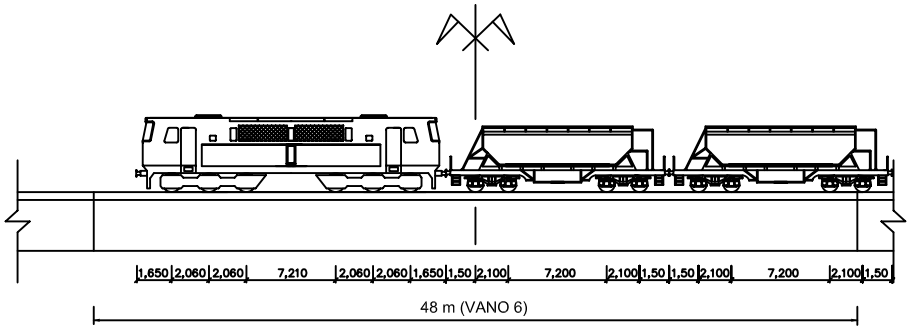


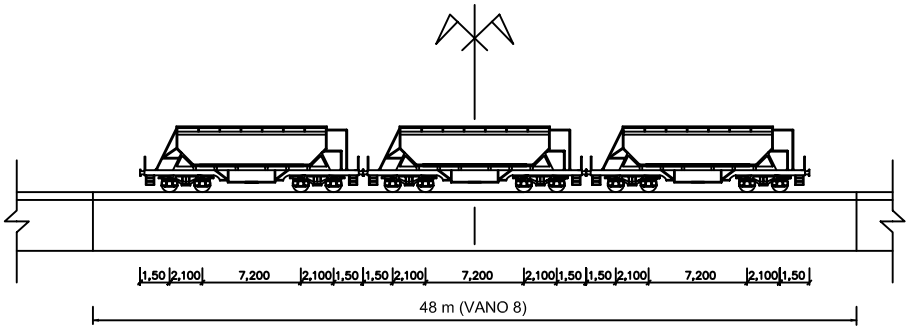


LOCOMOTORA ADIF + 5 TOLVAS RENFE ( Via II )

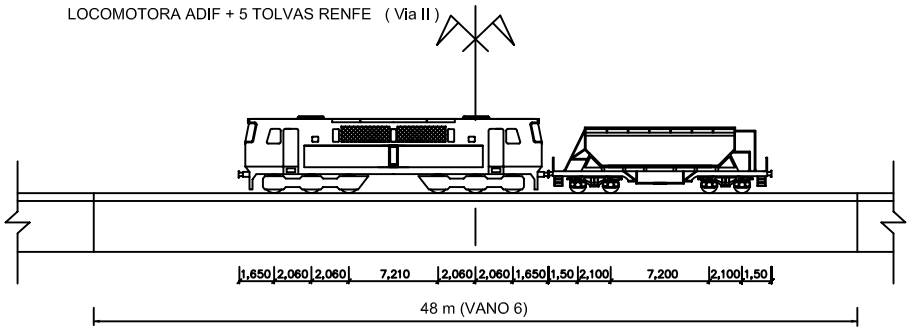


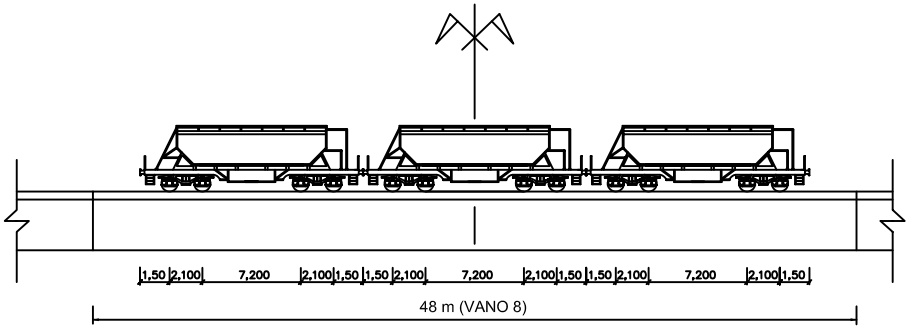


LOCOMOTORA ADIF + 4 TOLVAS RENFE ( Via I )

## VIADUCTO VINAIXA TRAMO IIIa P.K. 41+261

## POSICIÓN DE LOS TRENES DE CARGA SOBRE EL TABLERO

## PLANO 5 DE 14

# POSICIONES ESTÁTICAS EN ALZADO

## VANOS ALTERNOS 7 Y 9

## ESTÁTICA 6

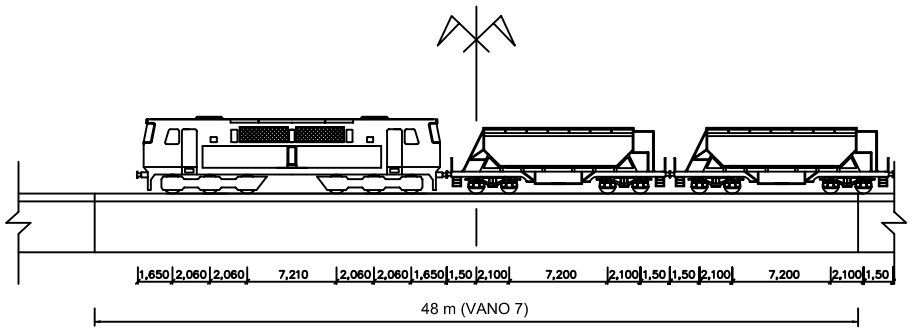


LOCOMOTORA ADIF + 5 TOLVAS RENFE ( Via II )

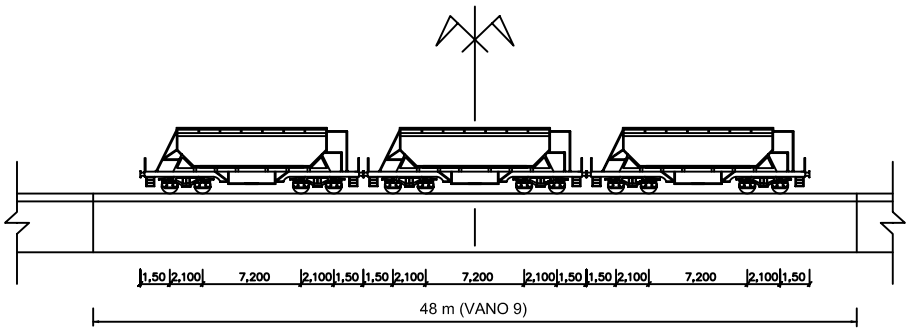


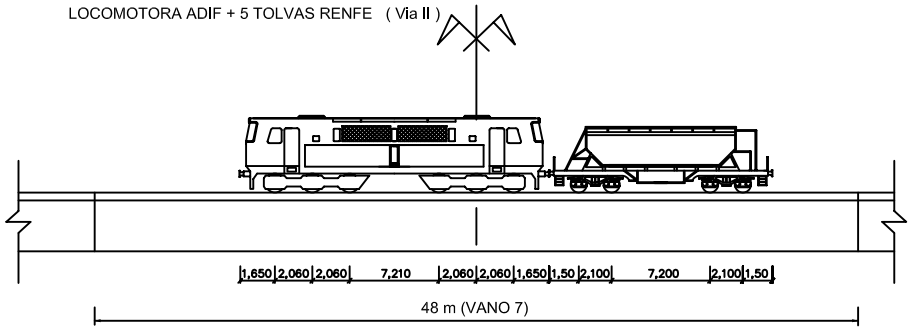


LOCOMOTORA ADIF + 4 TOLVAS RENFE ( Via I )

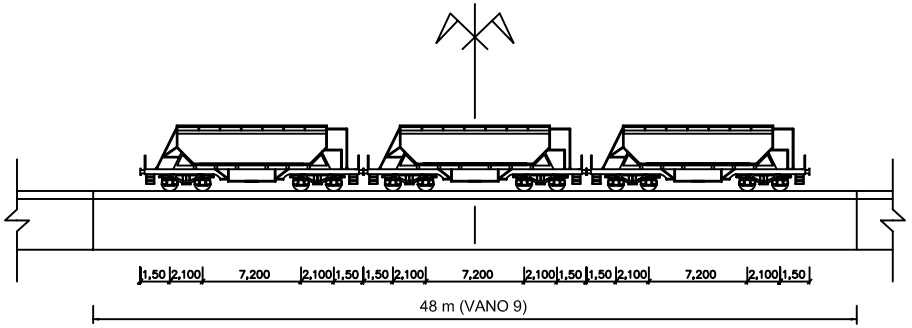


## VIADUCTO VINAIXA TRAMO IIIa P.K. 41+261

## POSICIÓN DE LOS TRENES DE CARGA SOBRE EL TABLERO

## PLANO 6 DE 14

# POSICIONES ESTÁTICAS EN ALZADO

## VANOS ALTERNOS 9 Y 11

## ESTÁTICA 7

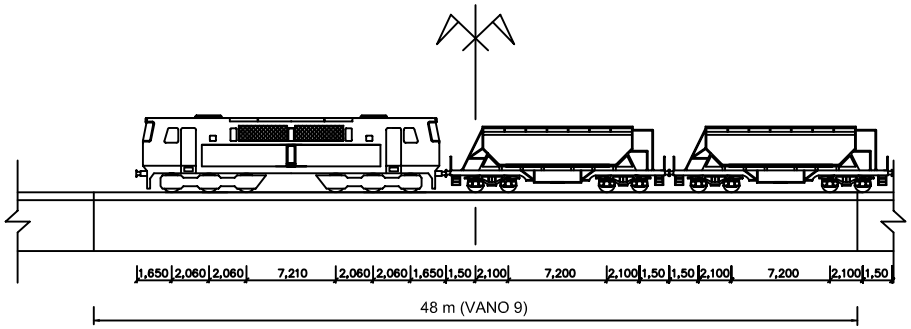


LOCOMOTORA ADIF + 5 TOLVAS RENFE ( Via II )

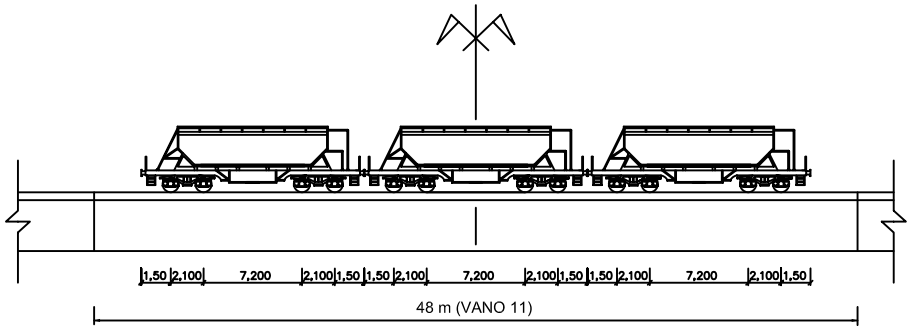


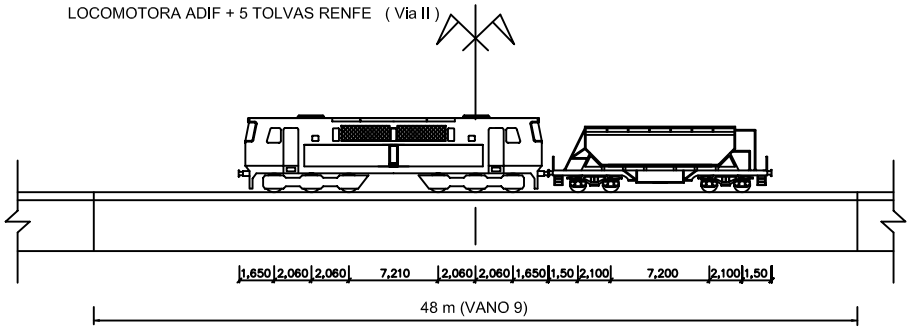


LOCOMOTORA ADIF + 4 TOLVAS RENFE ( Via I )

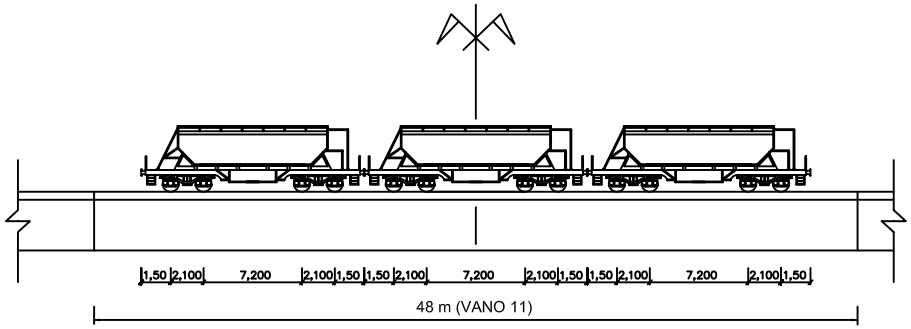


## VIADUCTO VINAIXA TRAMO IIIa P.K. 41+261

## POSICIÓN DE LOS TRENES DE CARGA SOBRE EL TABLERO

## PLANO 7 DE 14

# POSICIONES ESTÁTICAS EN ALZADO

## VANOS ALTERNOS 10 Y 12

## ESTÁTICA 8

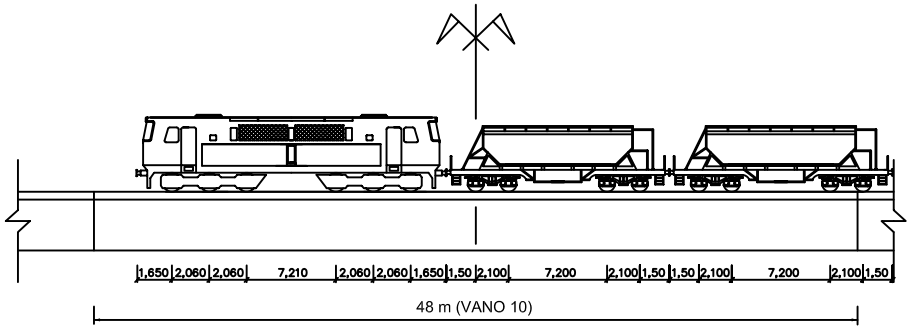


LOCOMOTORA ADIF + 5 TOLVAS RENFE ( Vía II )

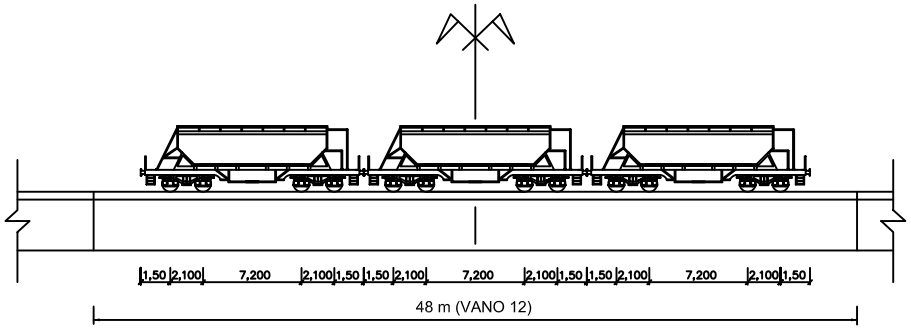


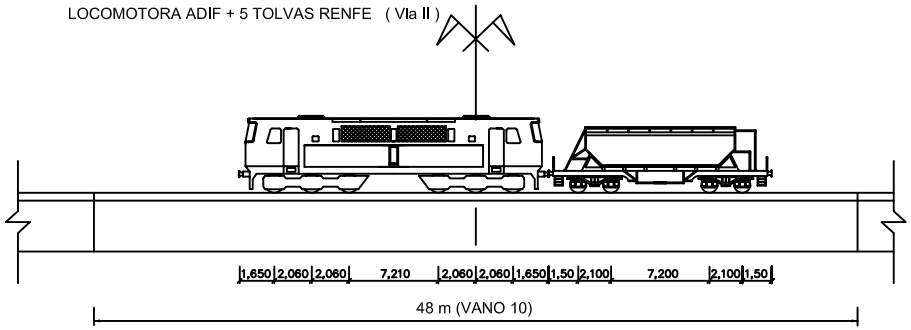


LOCOMOTORA ADIF + 4 TOLVAS RENFE ( Vía I )

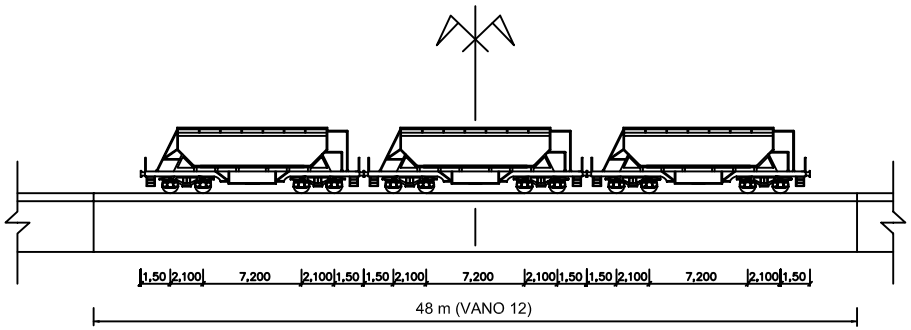


## VIADUCTO VINAIXA TRAMO IIIa P.K. 41+261

## POSICIÓN DE LOS TRENES DE CARGA SOBRE EL TABLERO

## PLANO 8 DE 14

# POSICIONES ESTÁTICAS EN ALZADO

## VANOS ALTERNOS 12 Y 14

## ESTÁTICA 9

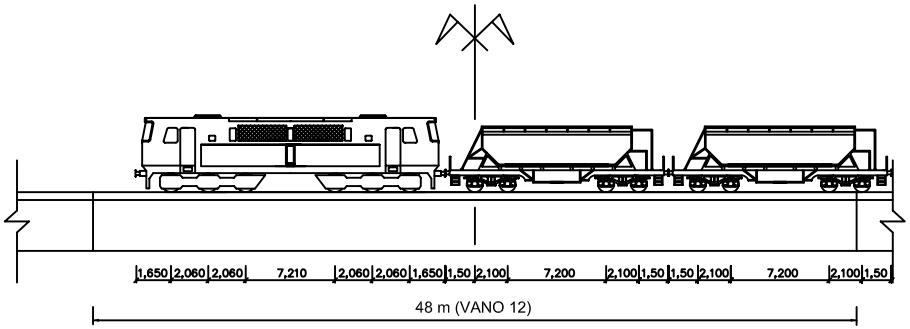


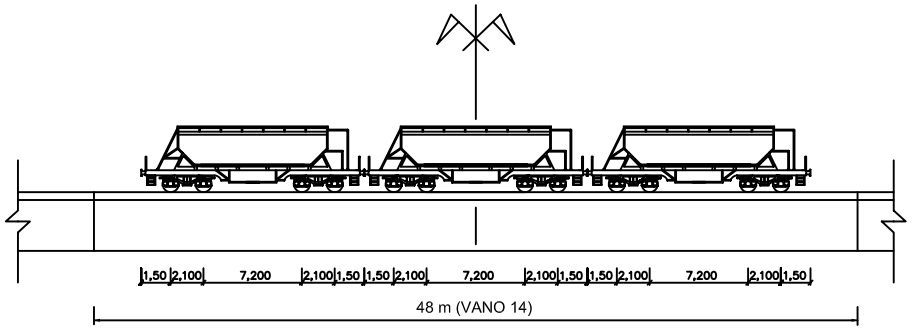


LOCOMOTORA ADIF + 5 TOLVAS RENFE ( Via II )

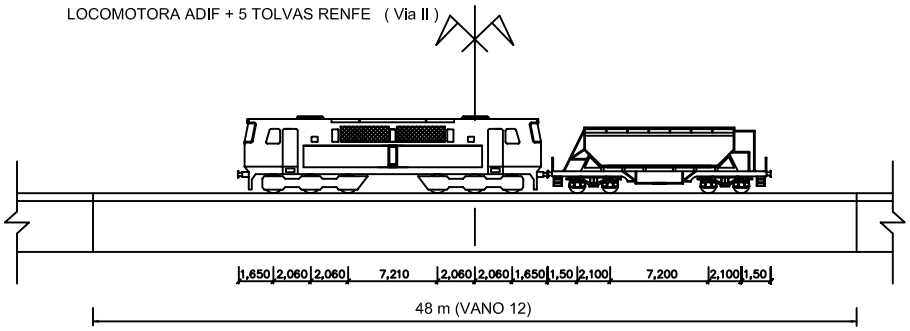


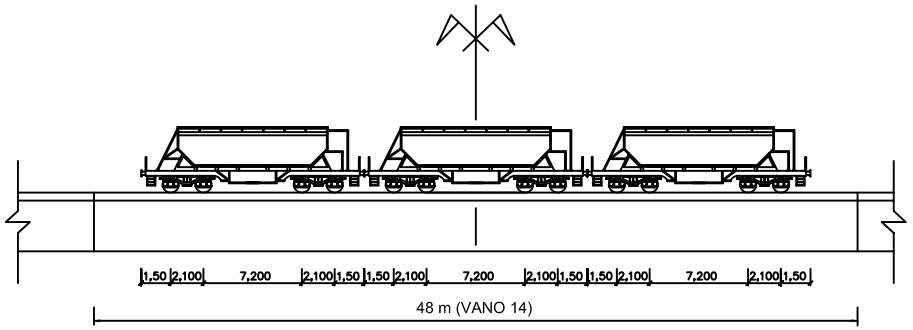


LOCOMOTORA ADIF + 4 TOLVAS RENFE ( Via I )

## VIADUCTO VINAIXA TRAMO IIIa P.K. 41+261

## POSICIÓN DE LOS TRENES DE CARGA SOBRE EL TABLERO

## PLANO 9 DE 14

# POSICIONES ESTÁTICAS EN ALZADO

## VANOS ALTERNOS 13 Y 15

## ESTÁTICA 10

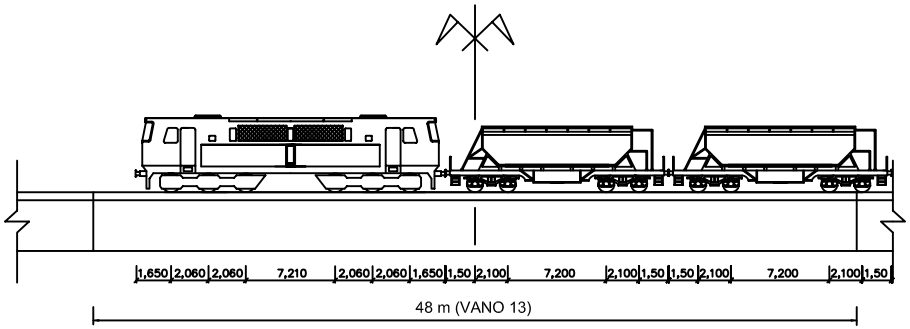


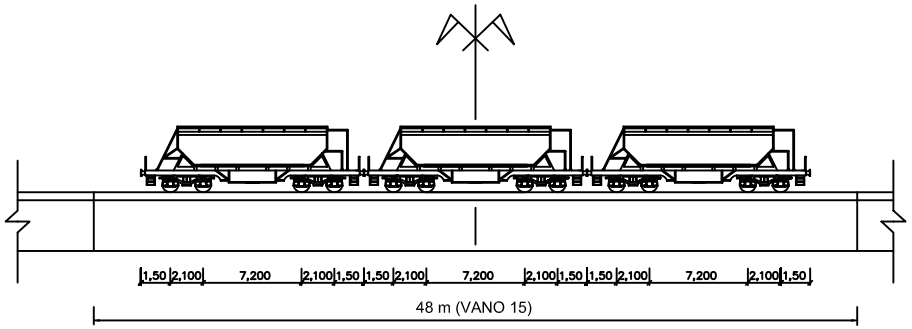


LOCOMOTORA ADIF + 5 TOLVAS RENFE ( Via II )

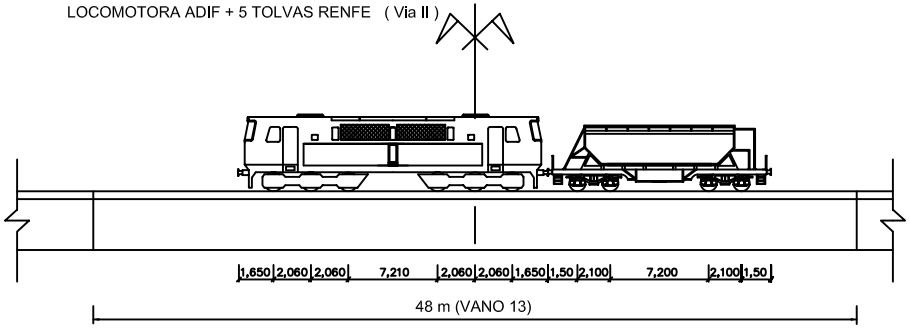


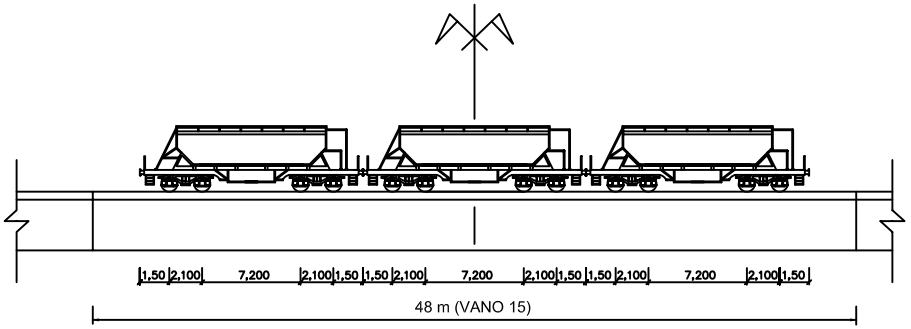


LOCOMOTORA ADIF + 4 TOLVAS RENFE ( Via I )

## VIADUCTO VINAIXA TRAMO IIIa P.K. 41+261

## POSICIÓN DE LOS TRENES DE CARGA SOBRE EL TABLERO

## PLANO 10 DE 14

# POSICIONES ESTÁTICAS EN ALZADO

## VANOS ALTERNOS 15 Y 17

## ESTÁTICA 11

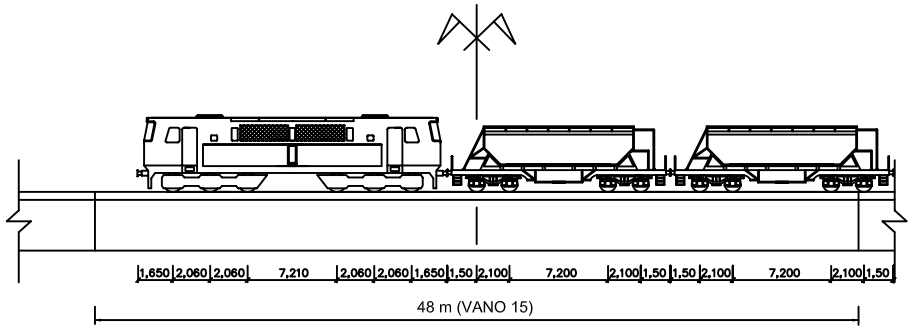


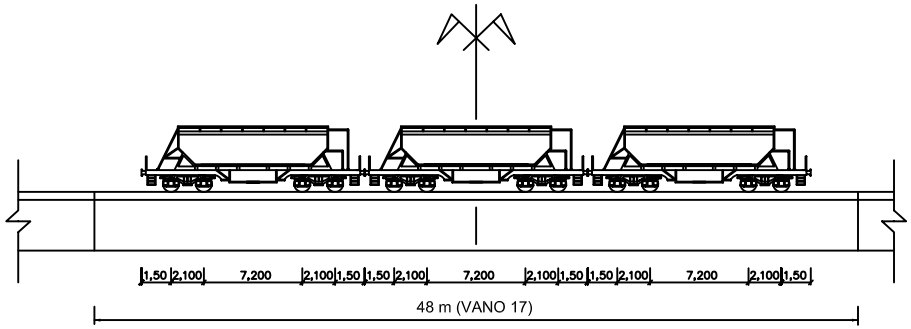


LOCOMOTORA ADIF + 5 TOLVAS RENFE ( Via II )

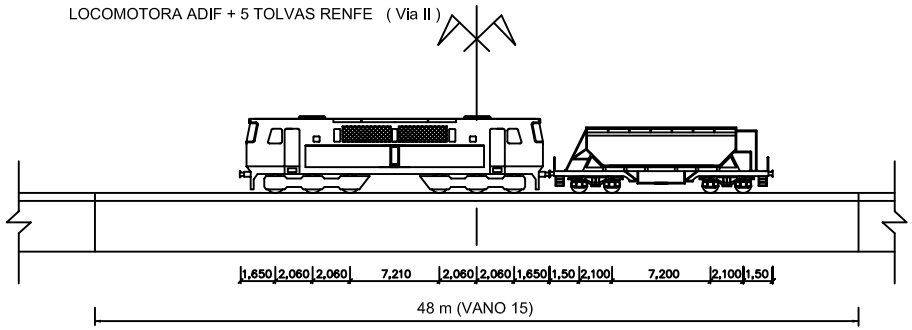


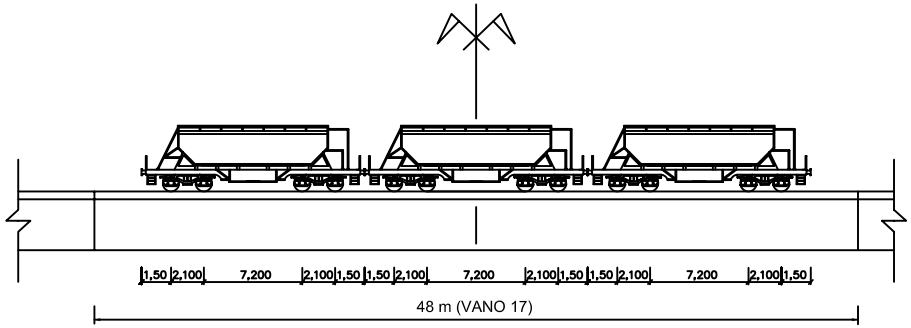


LOCOMOTORA ADIF + 4 TOLVAS RENFE ( Via I )

## VIADUCTO VINAIXA TRAMO IIIa P.K. 41+261

## POSICIÓN DE LOS TRENES DE CARGA SOBRE EL TABLERO

## PLANO 11 DE 14

# POSICIONES ESTÁTICAS EN ALZADO

## VANOS ALTERNOS 16 Y 18

## ESTÁTICA 12

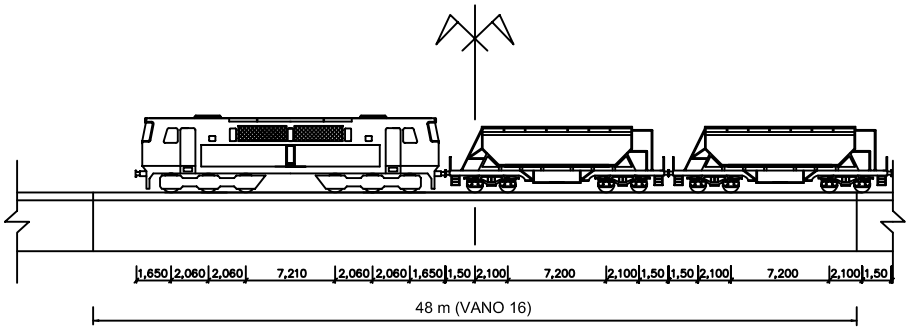


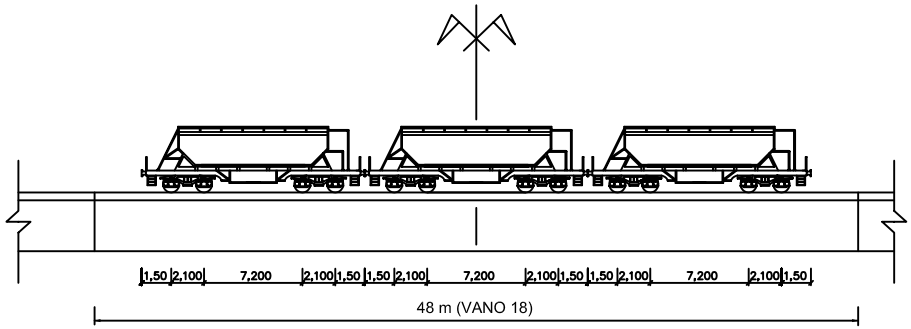


LOCOMOTORA ADIF + 5 TOLVAS RENFE ( Via II )

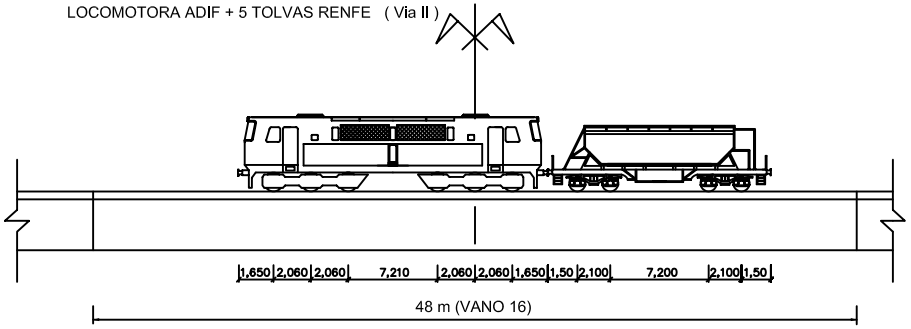


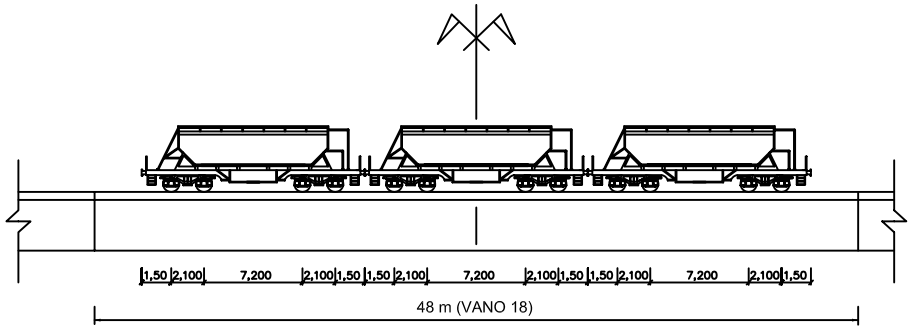


LOCOMOTORA ADIF + 4 TOLVAS RENFE ( Via I )

## VIADUCTO VINAIXA TRAMO IIIa P.K. 41+261

## POSICIÓN DE LOS TRENES DE CARGA SOBRE EL TABLERO

## PLANO 12 DE 14

# POSICIONES ESTÁTICAS EN ALZADO

## VANOS ALTERNOS 19 Y 21

## ESTÁTICA 13

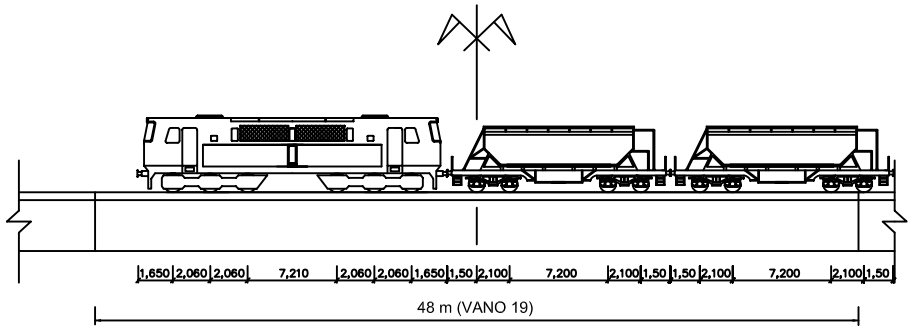


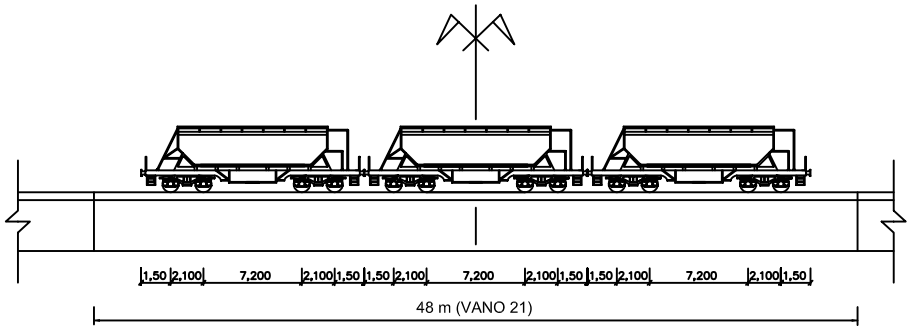


LOCOMOTORA ADIF + 5 TOLVAS RENFE ( Via II )

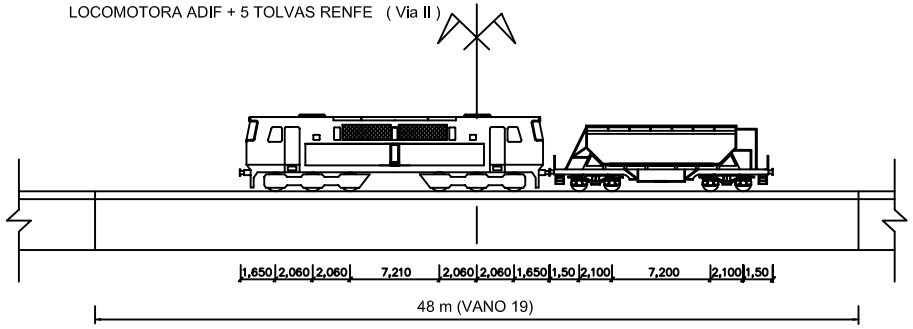


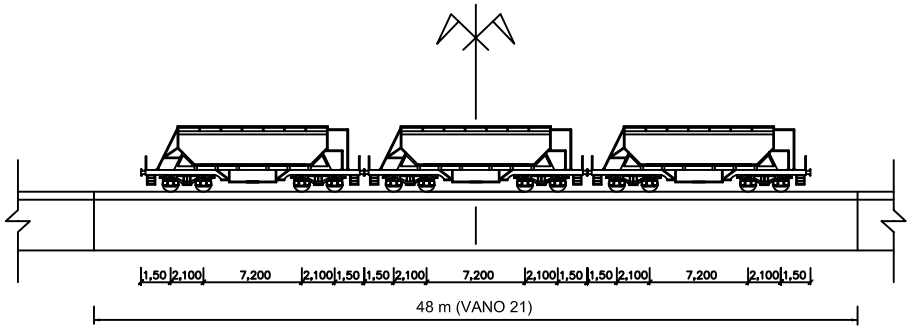


LOCOMOTORA ADIF + 4 TOLVAS RENFE ( Via I )

## VIADUCTO VINAIXA TRAMO IIIa P.K. 41+261

## POSICIÓN DE LOS TRENES DE CARGA SOBRE EL TABLERO

## PLANO 13 DE 14

# POSICIONES ESTÁTICAS EN ALZADO

## VANOS ALTERNOS 20 Y 22

## ESTÁTICA 14

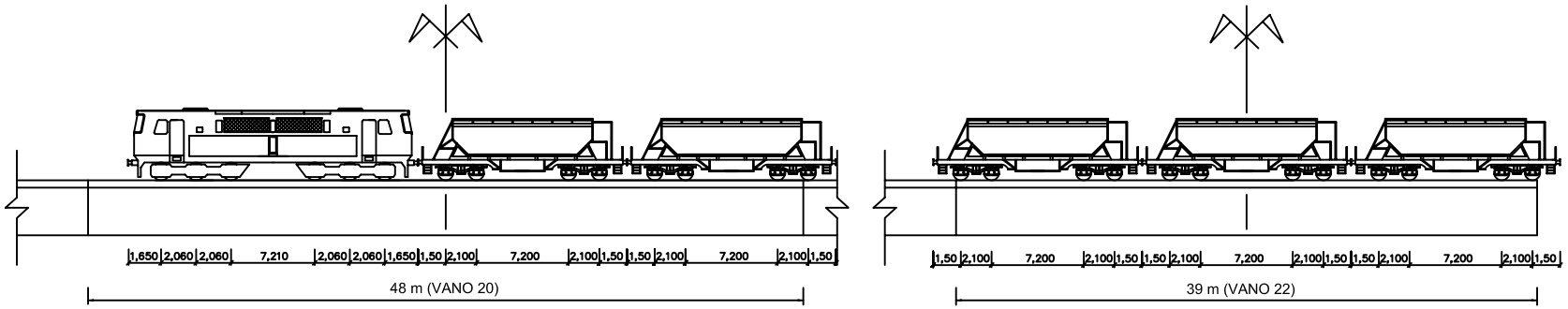


LOCOMOTORA ADIF + 5 TOLVAS RENFE ( Via II )

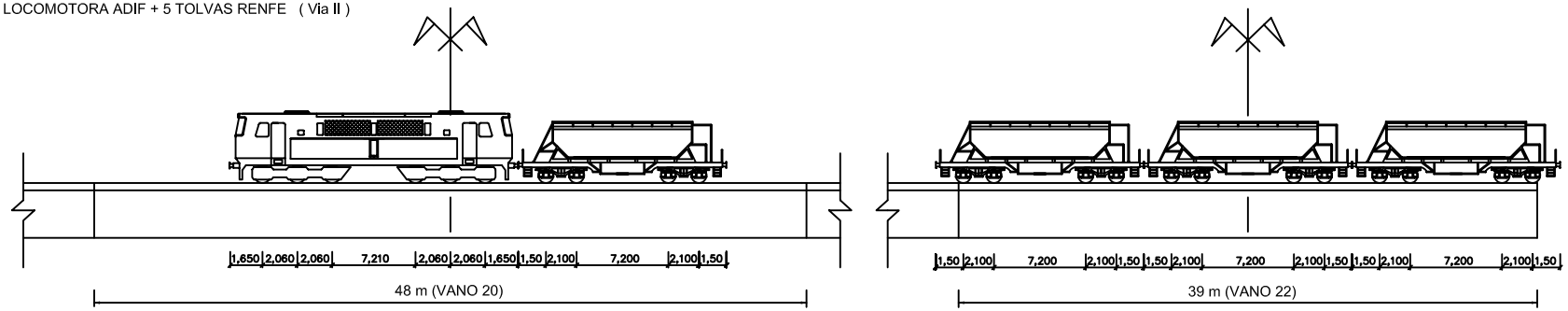


LOCOMOTORA ADIF + 4 TOLVAS RENFE ( Via I )

## VIADUCTO VINAIXA TRAMO IIIa P.K. 41+261

## POSICIÓN DE LOS TRENES DE CARGA SOBRE EL TABLERO

## PLANO 14 DE 14

# POSICIONES ESTÁTICAS EN ALZADO

## PILA 2

## ESTÁTICA 15

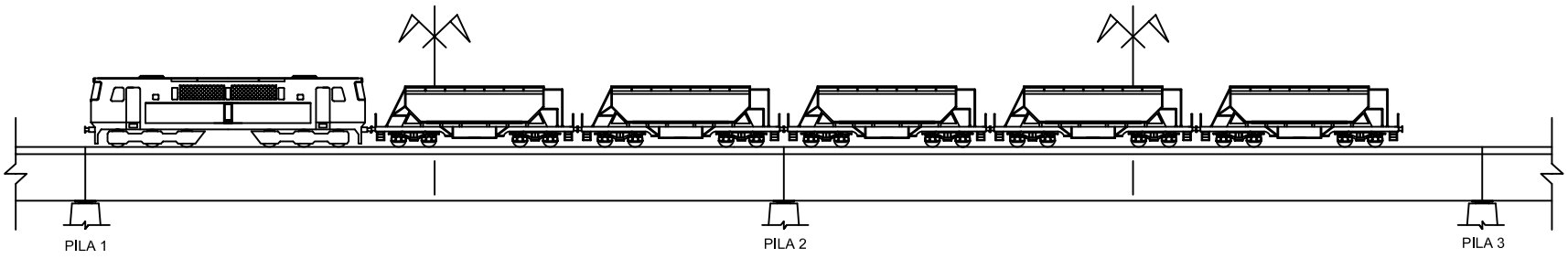


LOCOMOTORA ADIF + 5 TOLVAS RENFE ( Via II )

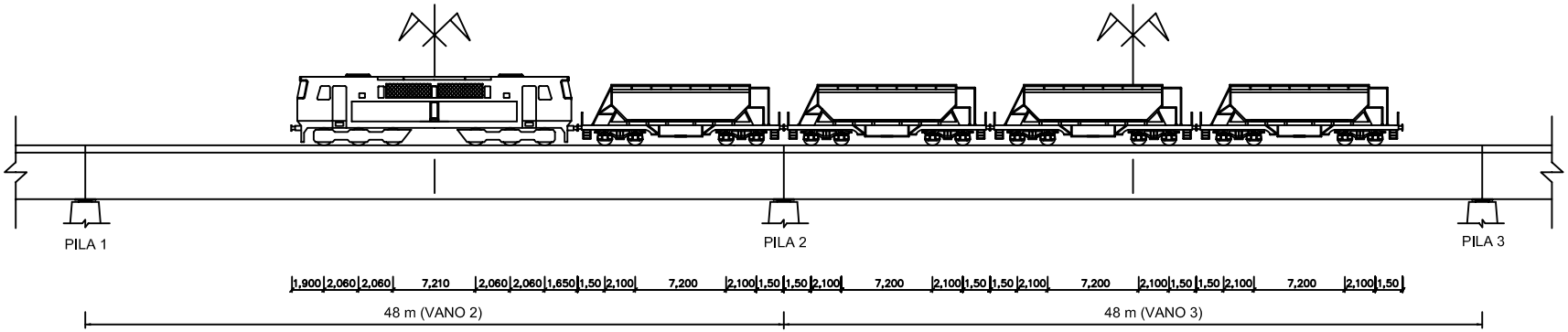


LOCOMOTORA ADIF + 4 TOLVAS RENFE ( Via I )

## VIADUCTO VINAIXA TRAMO IIIa P.K. 41+261

## POSICIÓN DE LOS TRENES DE CARGA SOBRE EL TABLERO

## PLANO 1 DE 7

# POSICIONES ESTÁTICAS EN ALZADO

## PILA 5
## ESTÁTICA 16

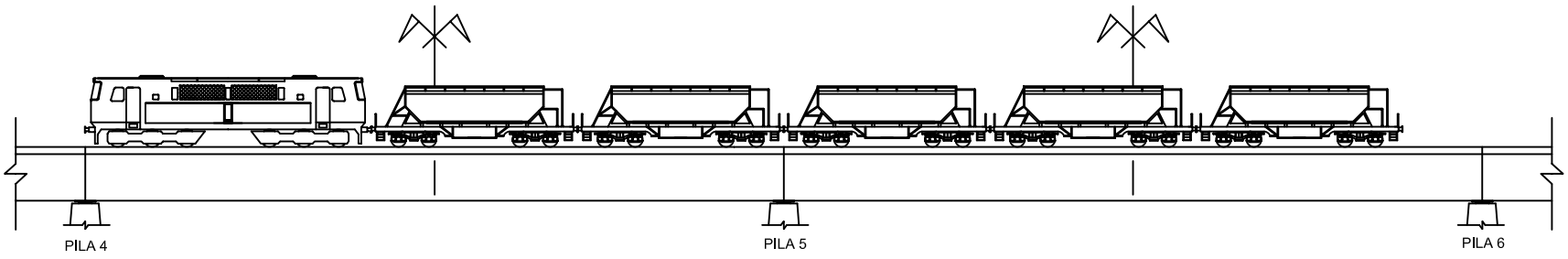


LOCOMOTORA ADIF + 5 TOLVAS RENFE ( Via II )

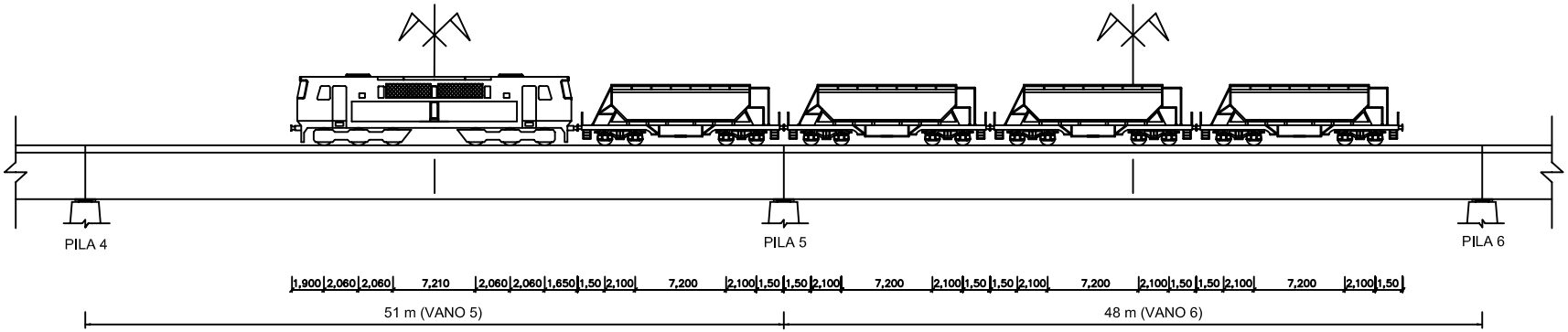


LOCOMOTORA ADIF + 4 TOLVAS RENFE ( Via I )

VIADUCTO VINAIXA TRAMO IIIa P.K. 41+261
POSICIÓN DE LOS TRENES DE CARGA SOBRE EL TABLERO
PLANO 2 DE 7

# POSICIONES ESTÁTICAS EN ALZADO

## PILA 7

## ESTÁTICA 17

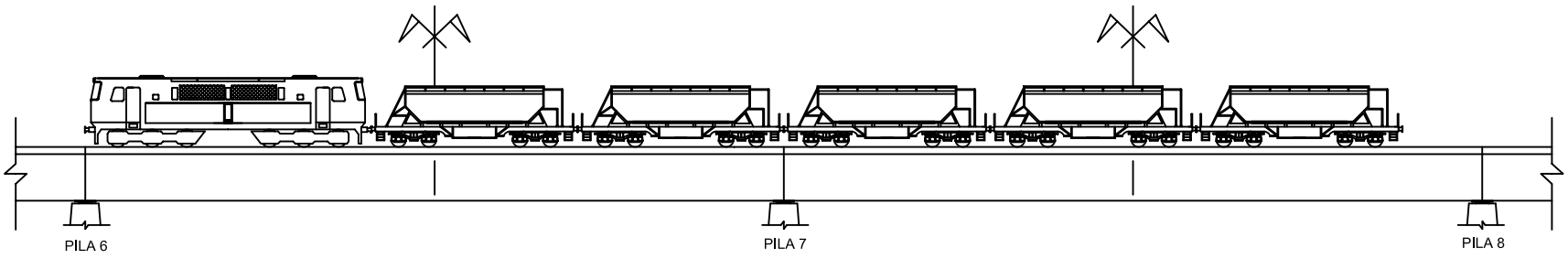


LOCOMOTORA ADIF + 5 TOLVAS RENFE ( Via II )

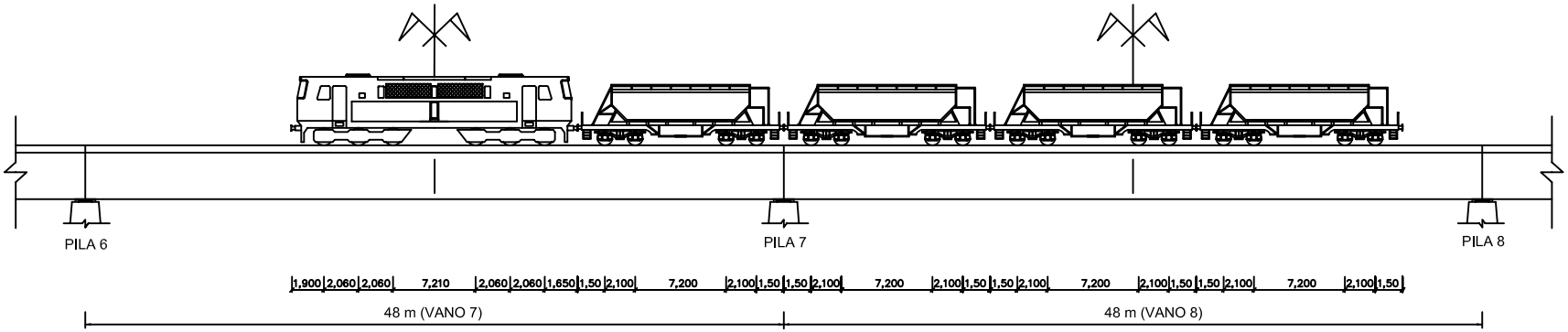


LOCOMOTORA ADIF + 4 TOLVAS RENFE ( Via I )

## VIADUCTO VINAIXA TRAMO IIIa P.K. 41+261

## POSICIÓN DE LOS TRENES DE CARGA SOBRE EL TABLERO

## PLANO 3 DE 7

# POSICIONES ESTÁTICAS EN ALZADO

## PILA 11

## ESTÁTICA 18

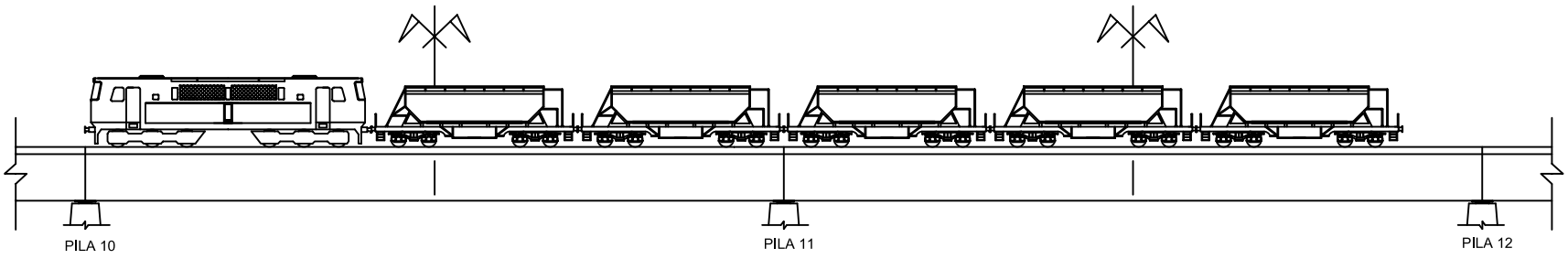


LOCOMOTORA ADIF + 5 TOLVAS RENFE ( Via II )

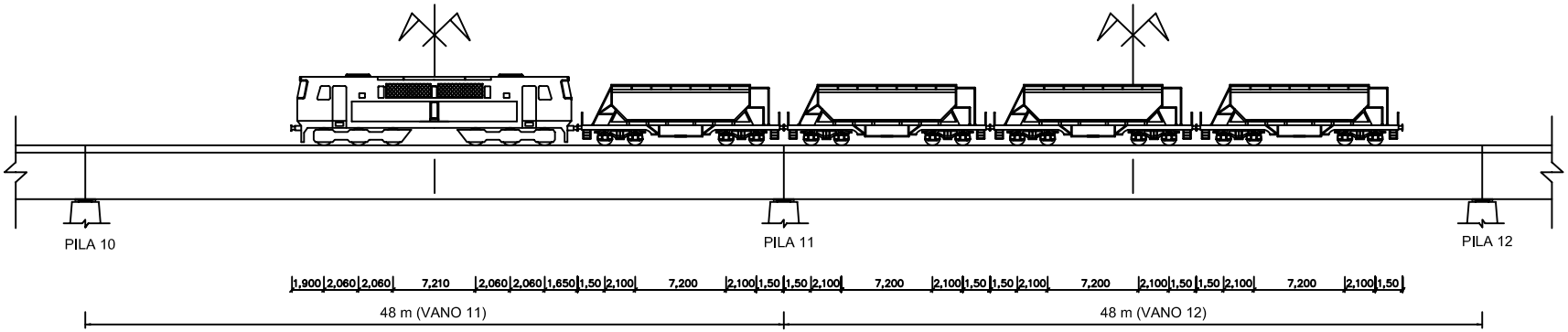


LOCOMOTORA ADIF + 4 TOLVAS RENFE ( Via I )

## VIADUCTO VINAIXA TRAMO IIIa P.K. 41+261

## POSICIÓN DE LOS TRENES DE CARGA SOBRE EL TABLERO

## PLANO 4 DE 7

# POSICIONES ESTÁTICAS EN ALZADO

## PILA 14

## ESTÁTICA 19

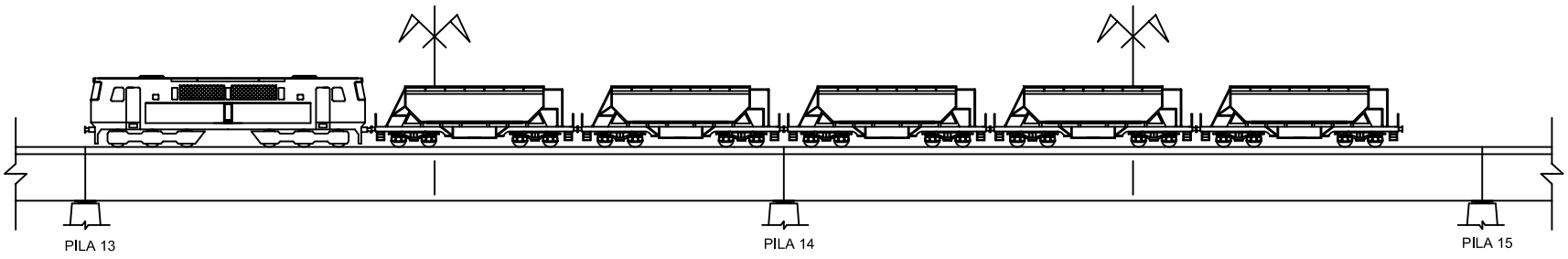


LOCOMOTORA ADIF + 5 TOLVAS RENFE ( Via II )

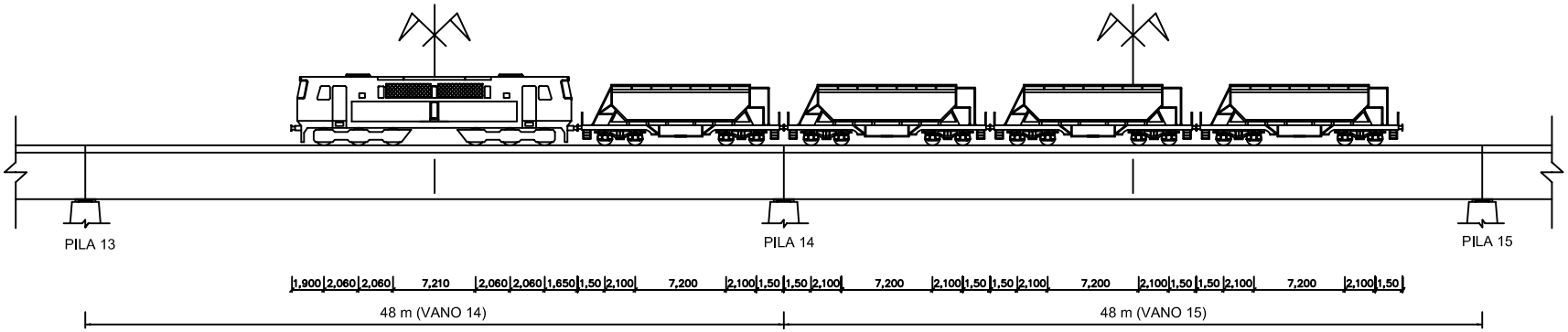


LOCOMOTORA ADIF + 4 TOLVAS RENFE ( Via I )

## VIADUCTO VINAIXA TRAMO IIIa P.K. 41+261

## POSICIÓN DE LOS TRENES DE CARGA SOBRE EL TABLERO

## PLANO 5 DE 7

# POSICIONES ESTÁTICAS EN ALZADO

## PILA 17

## ESTÁTICA 20

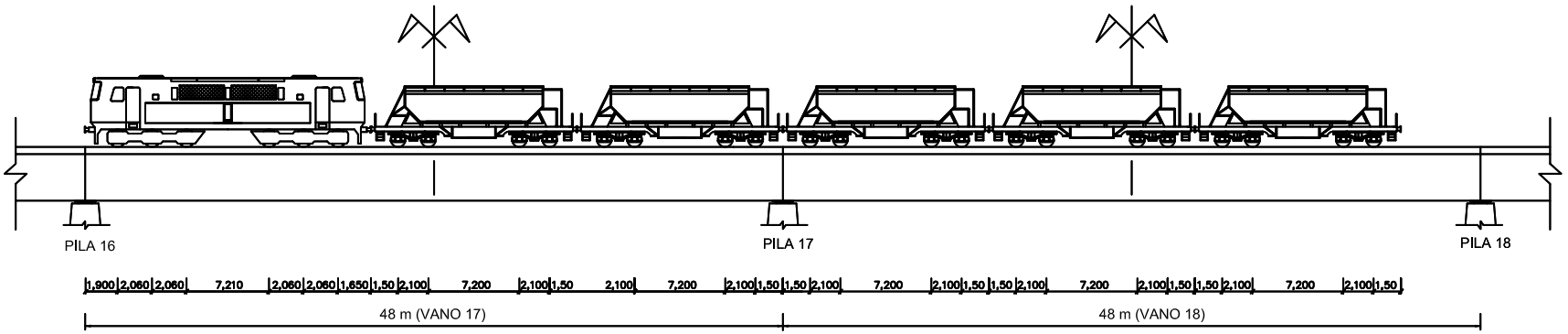


LOCOMOTORA ADIF + 5 TOLVAS RENFE ( Via II )

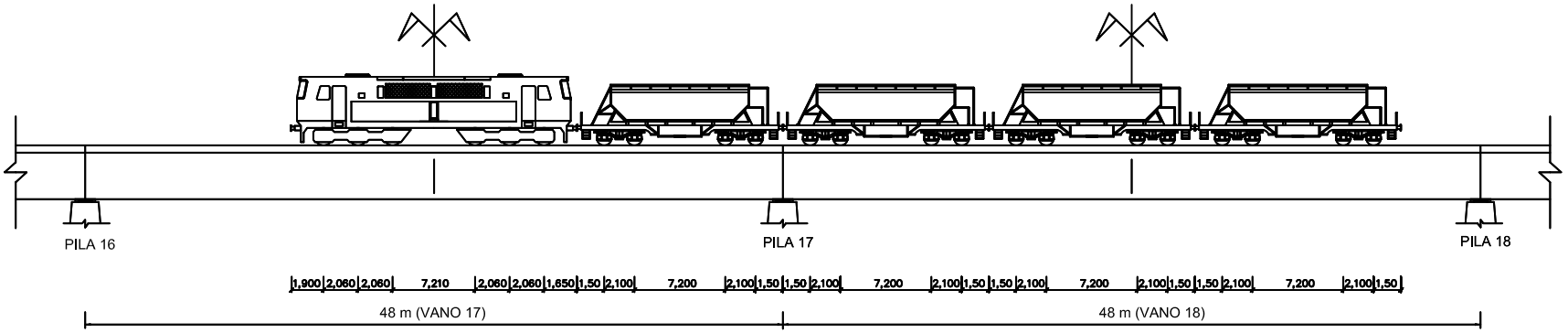


LOCOMOTORA ADIF + 4 TOLVAS RENFE ( Via I )

VIADUCTO VINAIXA TRAMO IIIa P.K. 41+261

POSICIÓN DE LOS TRENES DE CARGA SOBRE EL TABLERO

PLANO 6 DE 7

# POSICIONES ESTÁTICAS EN ALZADO

## PILA 20

## ESTÁTICA 21

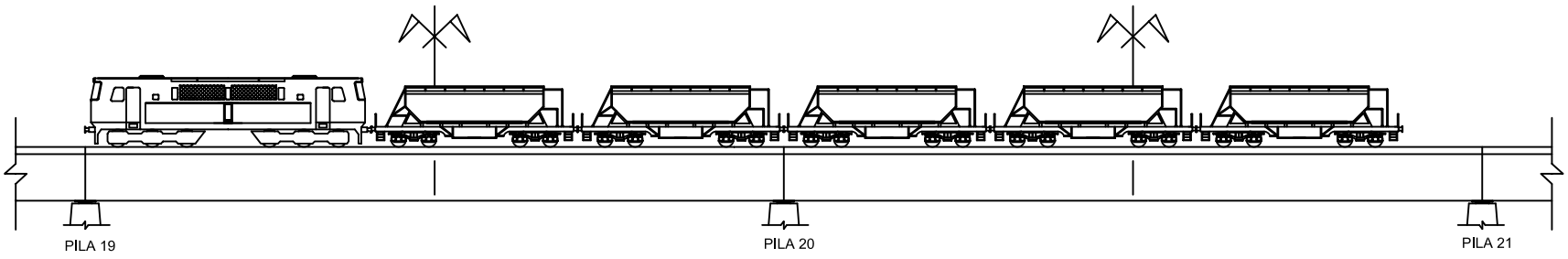


LOCOMOTORA ADIF + 5 TOLVAS RENFE ( Via II )

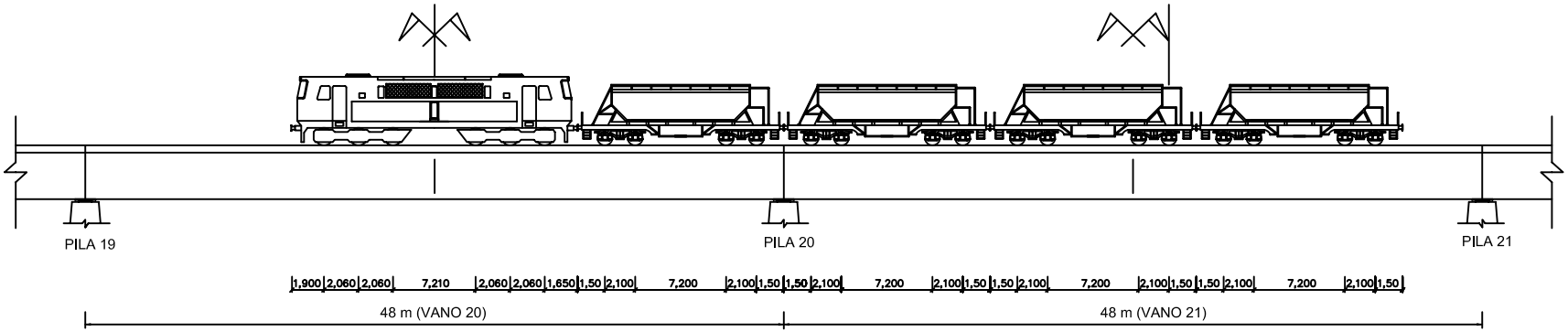


LOCOMOTORA ADIF + 4 TOLVAS RENFE ( Via I )

## VIADUCTO VINAIXA TRAMO IIIa P.K. 41+261

## POSICIÓN DE LOS TRENES DE CARGA SOBRE EL TABLERO

## PLANO 7 DE 7

# ANEJO 4: REGISTRO DE MEDIDAS

**Madrid, Julio de 2007**

L.A.V. MADRID-BARCELONA-F.FRANCESA

35VI02 - SUBTRAMO IIIa

Punto : P011 Canal : 00 Unidades : mm

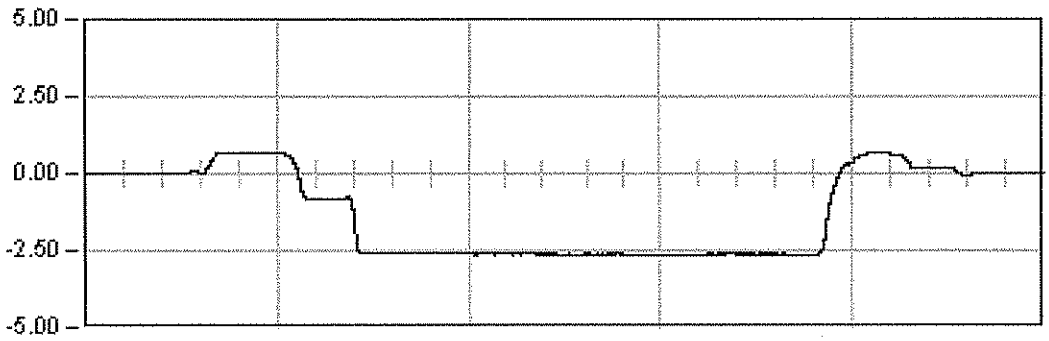


ESTATICA 01

1356.0 Seg

Est: -2.59
Max: -2.65
Min: 0.66
Rem: -0.01

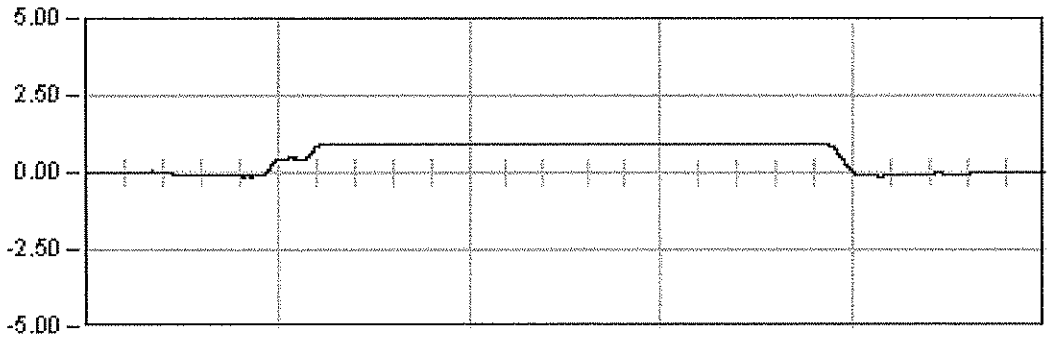


ESTATICA 02

1225.0 Seg

Est: 0.92
Max: 0.94
Min: -0.13
Rem: -0.00

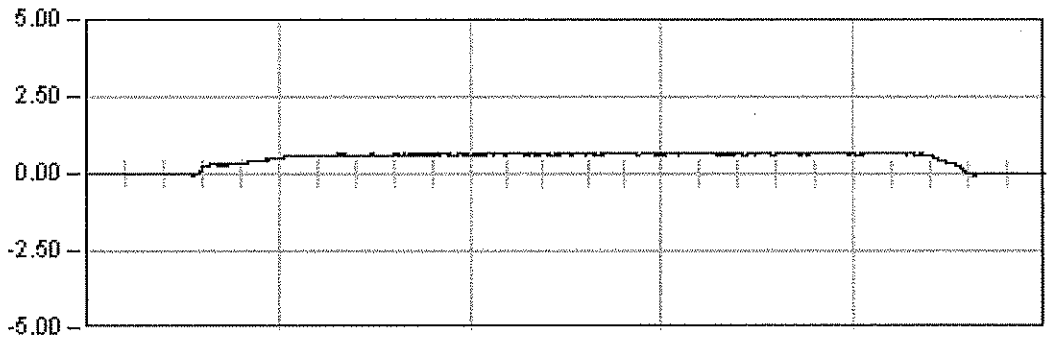


ESTATICA 15

979.0 Seg

Est: 0.63
Max: 0.65
Min: -0.05
Rem: 0.00

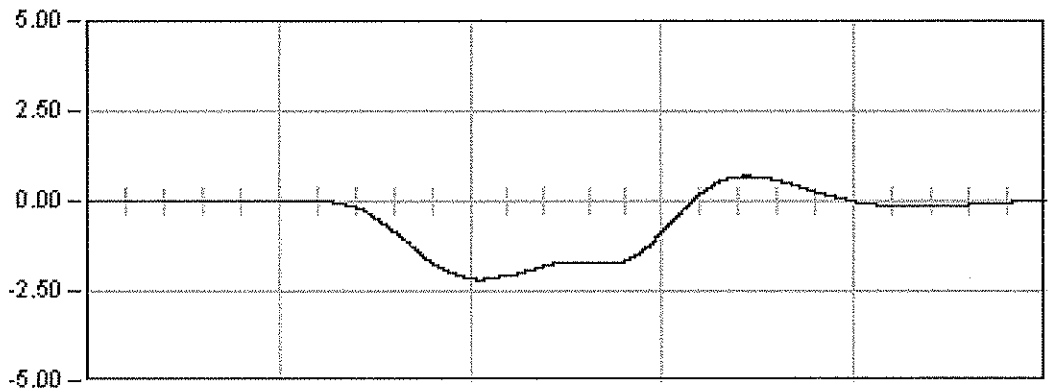


DINAMICA 01

76.0 Seg

Max: -2.18
Min: 0.69
Rem: -0.01

L.A.V. MADRID-BARCELONA-F.FRANCESA

35VI02 - SUBTRAMO IIIa

Punto : P011 Canal : 00 Unidades : mm

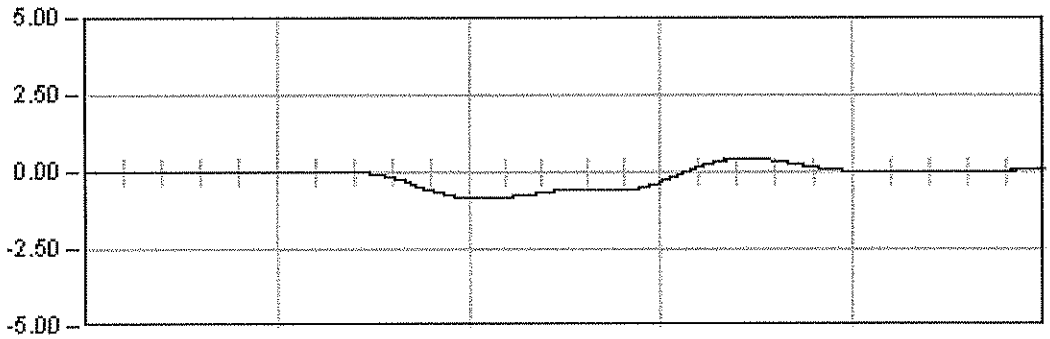


DINAMICA 21

144.0 Seg

Max: -0.84
Min: 0.42
Rem: 0.01

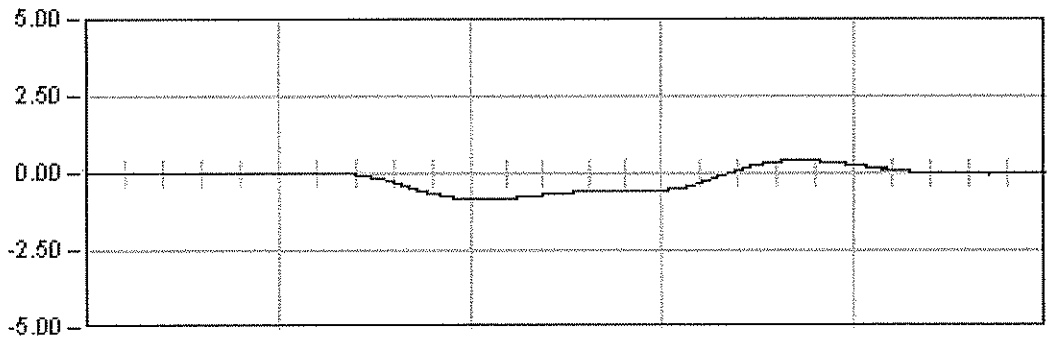


DINAMICA 22

38.0 Seg

Max: -0.85
Min: 0.40
Rem: 0.01

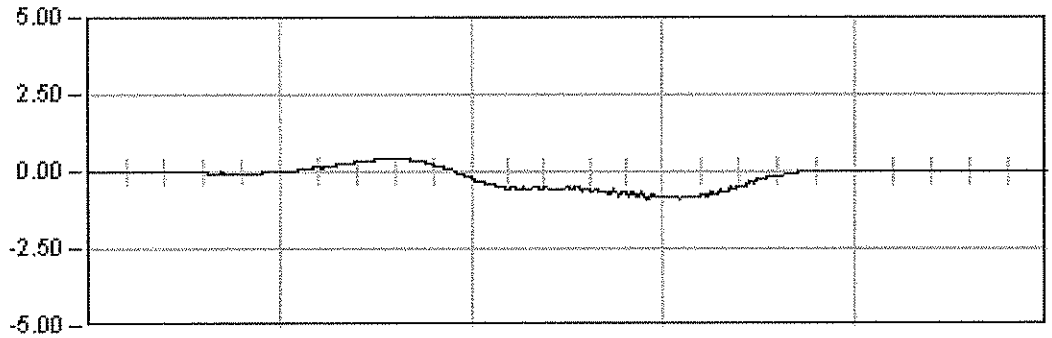


DINAMICA 23

14.0 Seg

Max: -0.90
Min: 0.41
Rem: -0.01

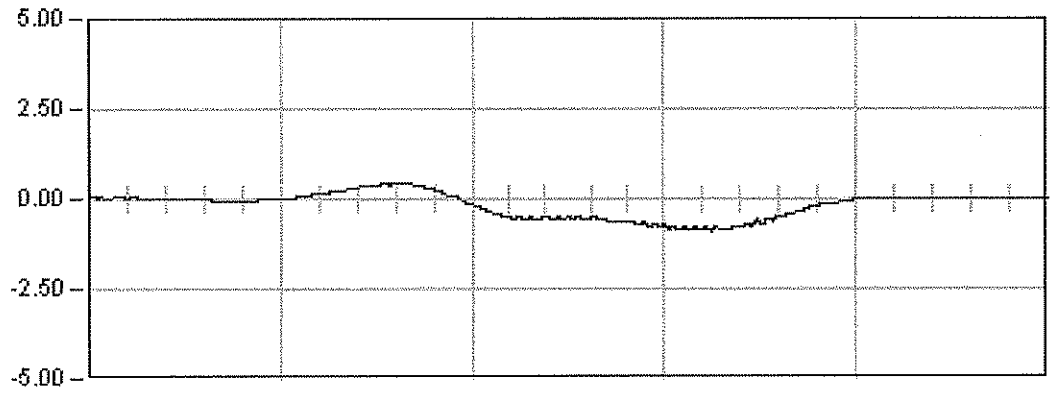


DINAMICA 24

14.0 Seg

Max: -0.90
Min: 0.42
Rem: -0.01

L.A.V. MADRID-BARCELONA-F.FRANCESA

35VI02 - SUBTRAMO IIIa

Punto : P012 Canal : 01 Unidades : mm

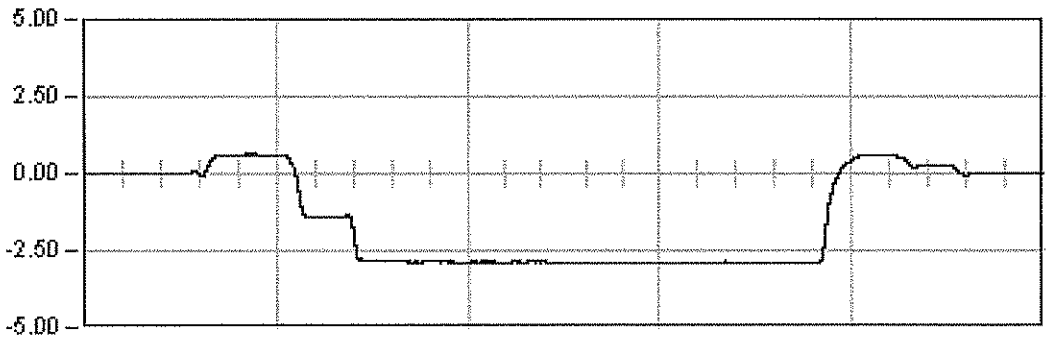


ESTATICA 01

1356.0 Seg

Est: -2.84
Max: -2.93
Min: 0.63
Rem: -0.00

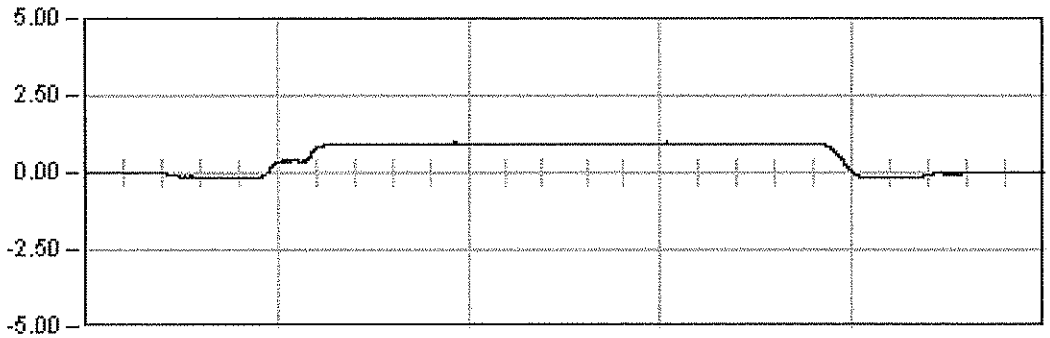


ESTATICA 02

1225.0 Seg

Est: 0.90
Max: 0.98
Min: -0.17
Rem: -0.01

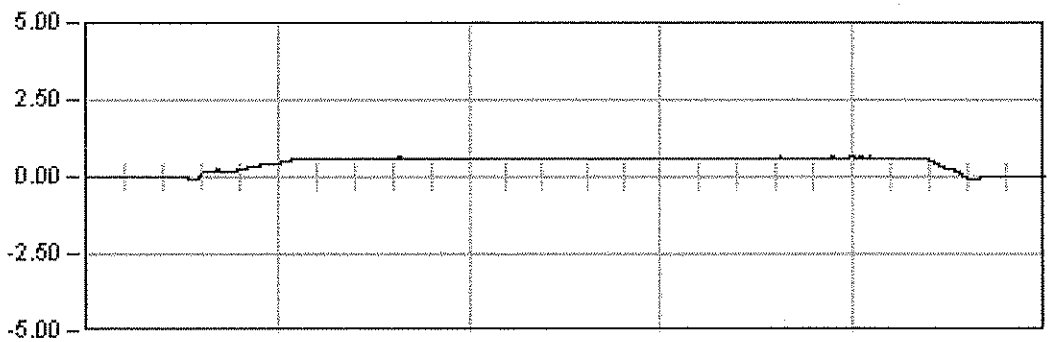


ESTATICA 15

979.0 Seg

Est: 0.61
Max: 0.65
Min: -0.08
Rem: -0.00

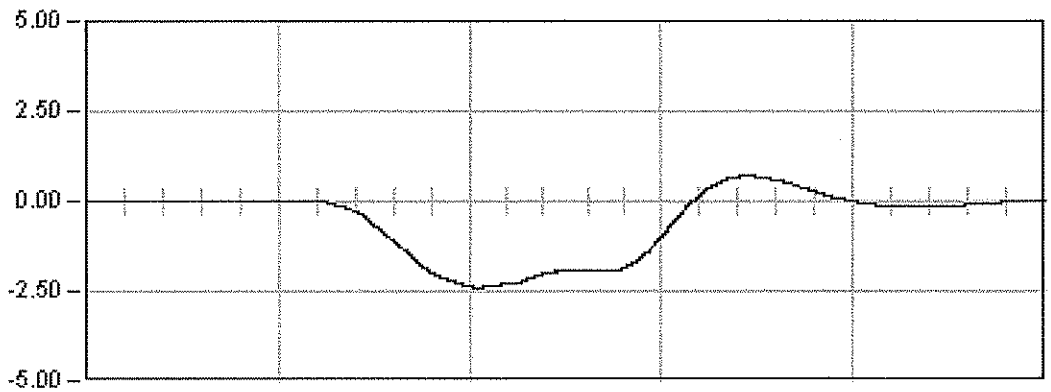


DINAMICA 01

76.0 Seg

Max: -2.41
Min: 0.69
Rem: 0.00

L.A.V. MADRID-BARCELONA-F.FRANCESA

35VI02 - SUBTRAMO IIIa

Punto : P012 Canal : 01 Unidades : mm

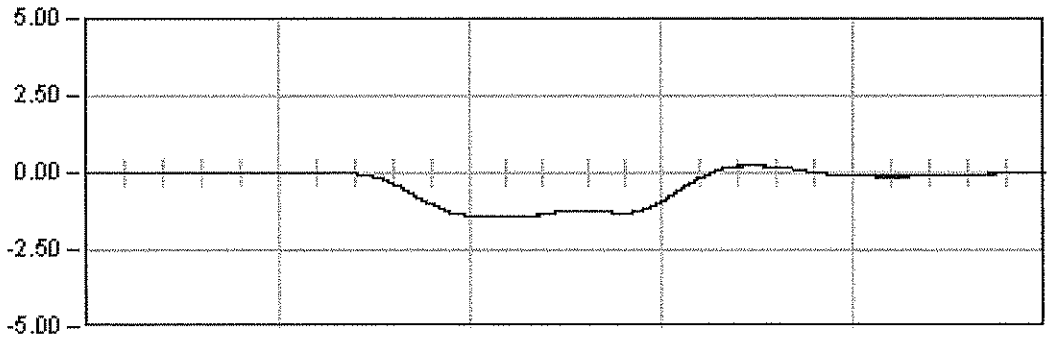


DINAMICA 21

144.0 Seg

Max: -1.45
Min: 0.23
Rem: -0.02

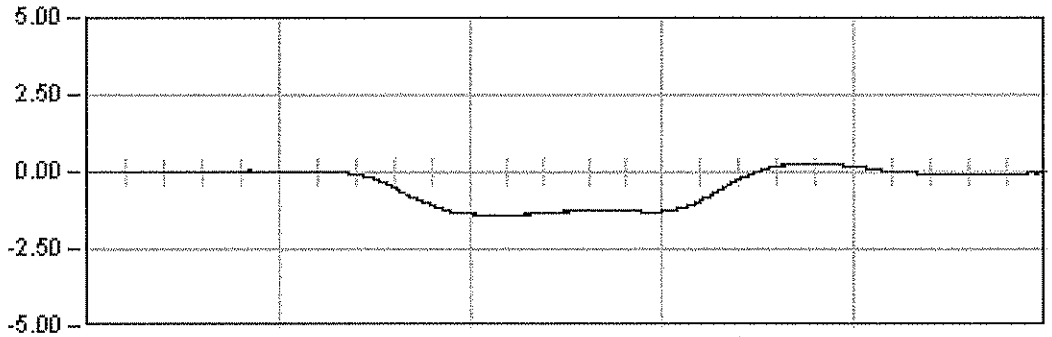


DINAMICA 22

38.0 Seg

Max: -1.44
Min: 0.26
Rem: -0.01

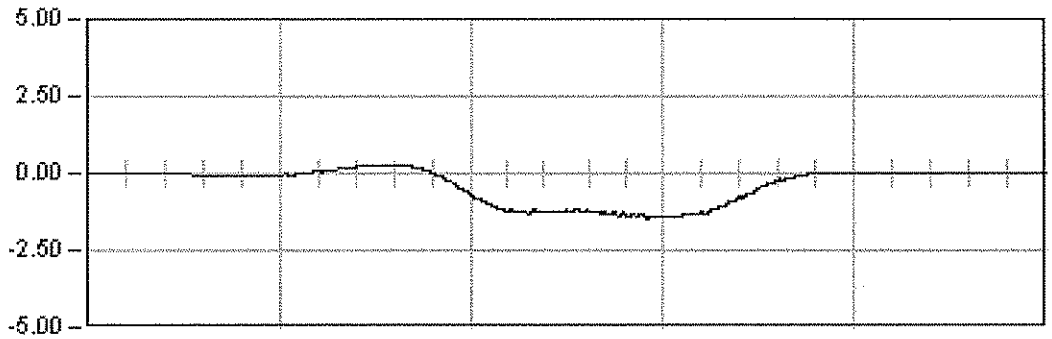


DINAMICA 23

14.0 Seg

Max: -1.46
Min: 0.29
Rem: -0.02

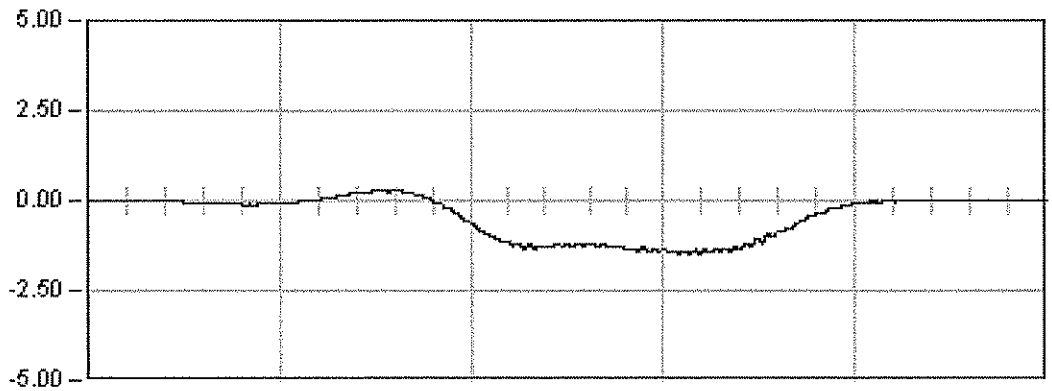


DINAMICA 24

14.0 Seg

Max: -1.48
Min: 0.28
Rem: -0.02

L.A.V. MADRID-BARCELONA-F.FRANCESA

35VI02 - SUBTRAMO IIIa

Punto : P013 Canal : 02 Unidades : mm

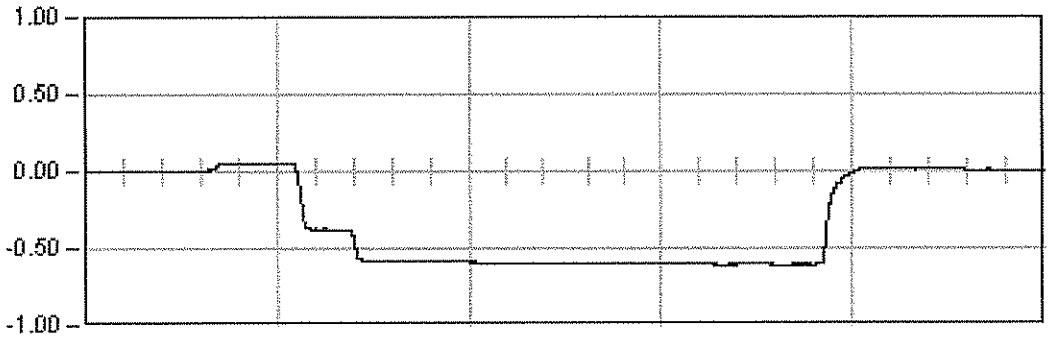


ESTATICA 01

1356.0 Seg

Est: -0.63
Max: -0.61
Min: 0.06
Rem: 0.00

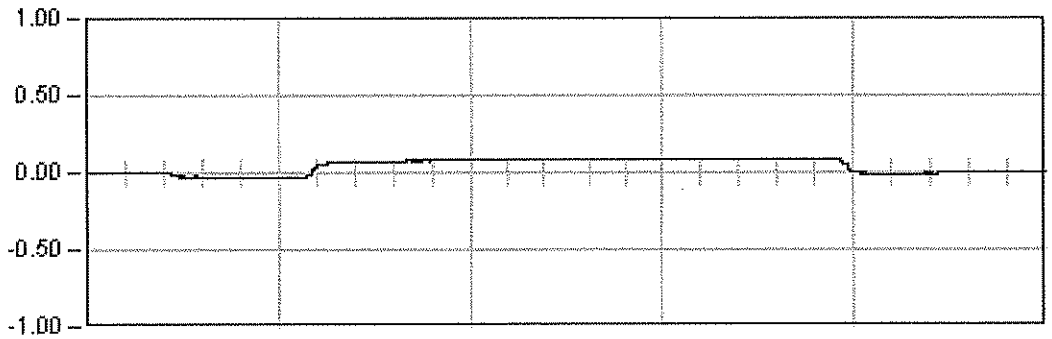


ESTATICA 02

1225.0 Seg

Est: 0.09
Max: 0.09
Min: -0.03
Rem: -0.00

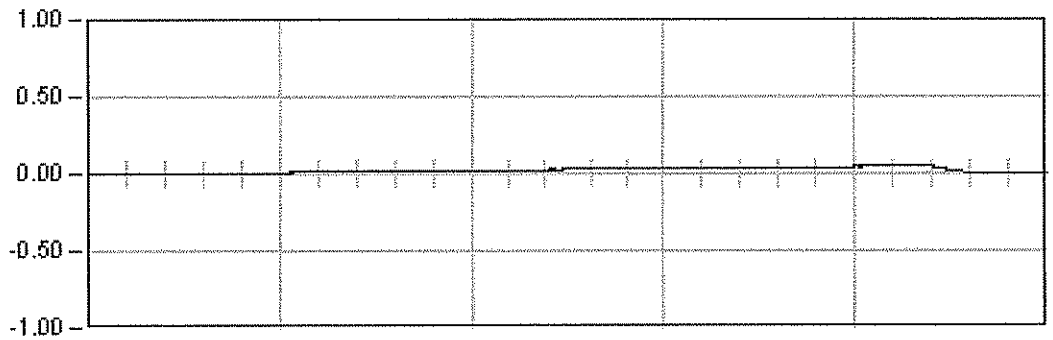


ESTATICA 15

979.0 Seg

Est: 0.04
Max: 0.05
Min: -0.01
Rem: -0.00

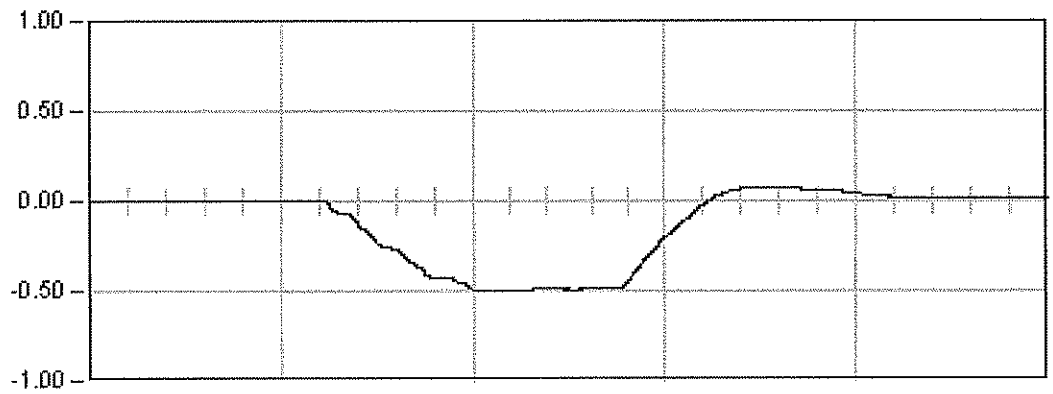


DINAMICA 01

76.0 Seg

Max: -0.50
Min: 0.07
Rem: 0.01

L.A.V. MADRID-BARCELONA-F.FRANCESA

35VI02 - SUBTRAMO IIIa

Punto : P013 Canal : 02 Unidades : mm

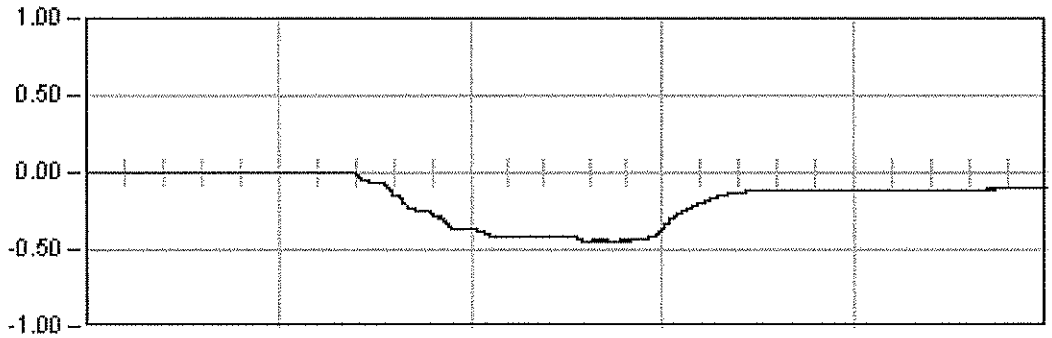


DINAMICA 21

144.0 Seg

Max: -0.44
Min: 0.00
Rem: -0.09

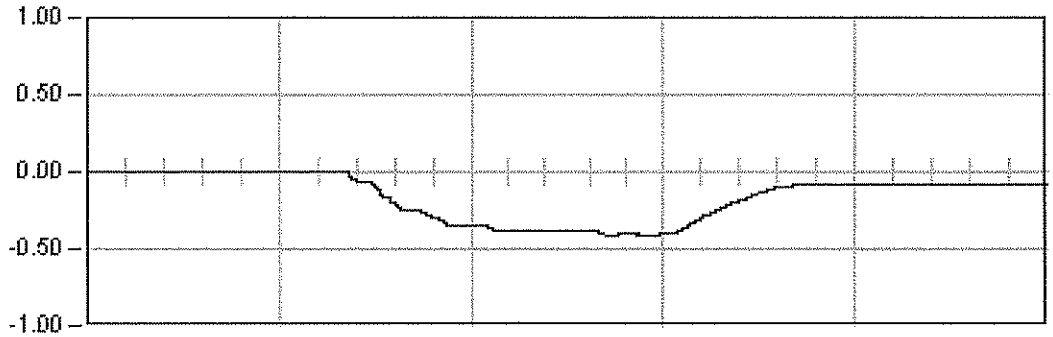


DINAMICA 22

38.0 Seg

Max: -0.41
Min: 0.00
Rem: -0.05

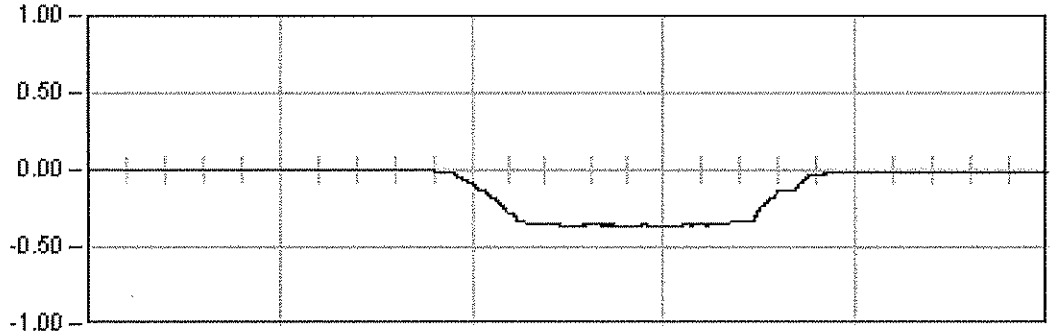


DINAMICA 23

14.0 Seg

Max: -0.36
Min: 0.00
Rem: -0.02

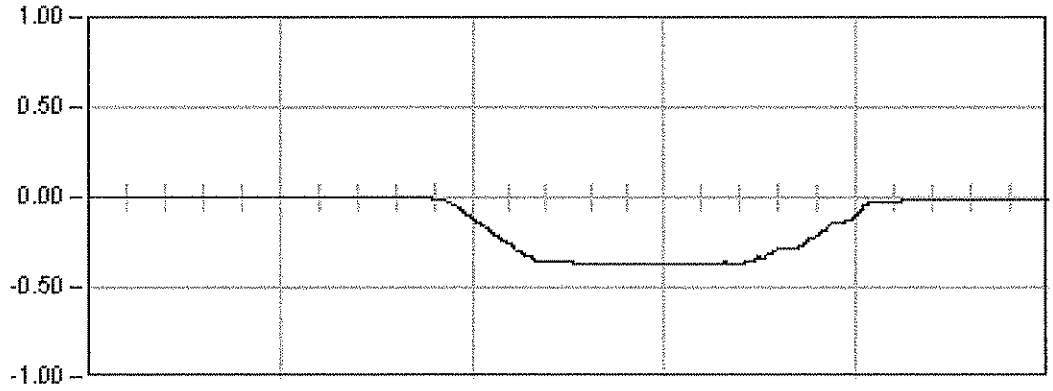


DINAMICA 24

14.0 Seg

Max: -0.37
Min: 0.00
Rem: -0.02

L.A.V. MADRID-BARCELONA-F.FRANCESA

35VI02 - SUBTRAMO IIIa

Punto : P014 Canal : 03 Unidades : mm

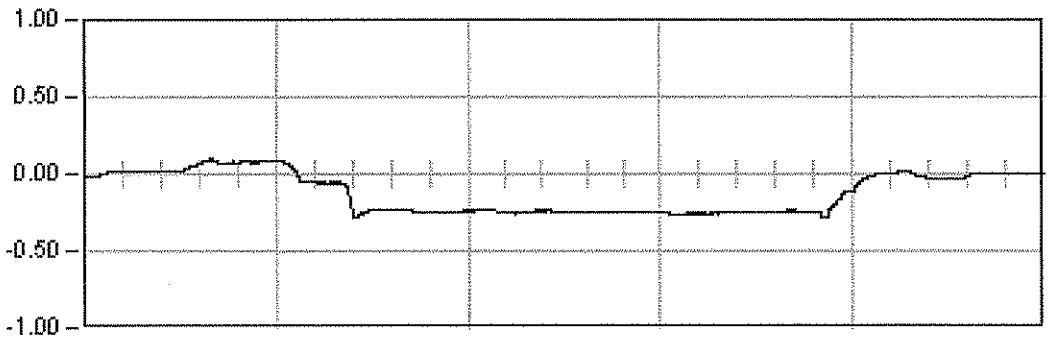


ESTATICA 01

1356.0 Seg

Est: -0.28
Max: -0.29
Min: 0.09
Rem: 0.00

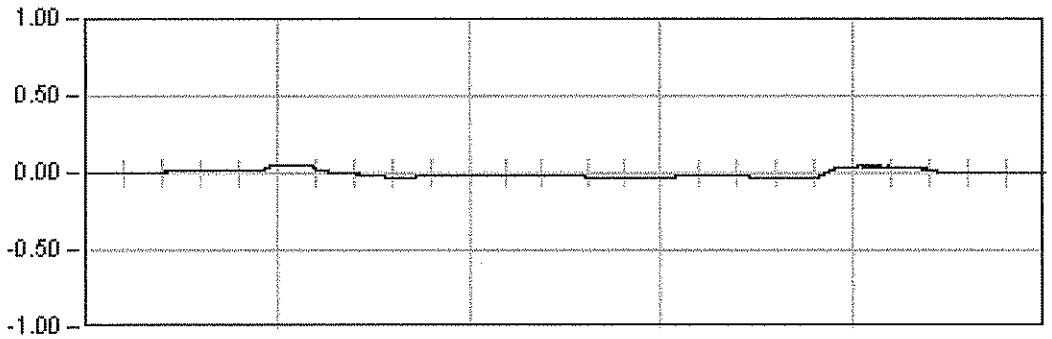


ESTATICA 02

1225.0 Seg

Est: -0.03
Max: 0.05
Min: -0.04
Rem: 0.00

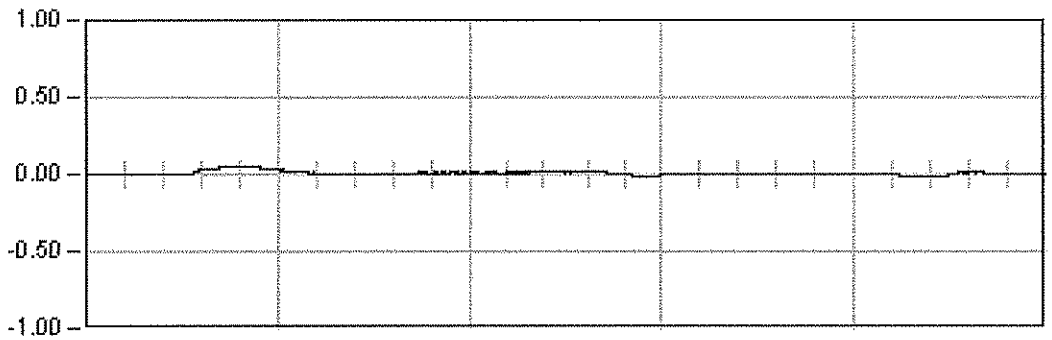


ESTATICA 15

979.0 Seg

Est: -0.01
Max: 0.04
Min: -0.02
Rem: -0.00

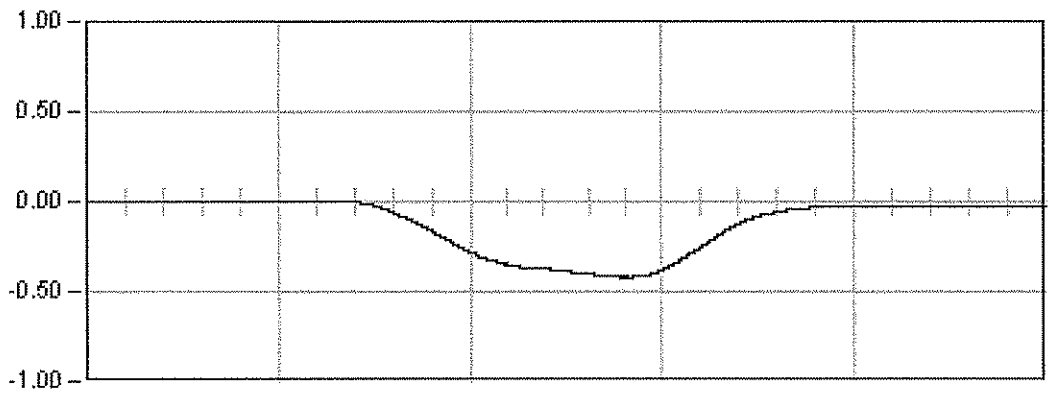


DINAMICA 01

76.0 Seg

Max: -0.42
Min: 0.00
Rem: -0.00

L.A.V. MADRID-BARCELONA-F.FRANCESA

35VI02 - SUBTRAMO IIIa

Punto : P014 Canal : 03 Unidades : mm

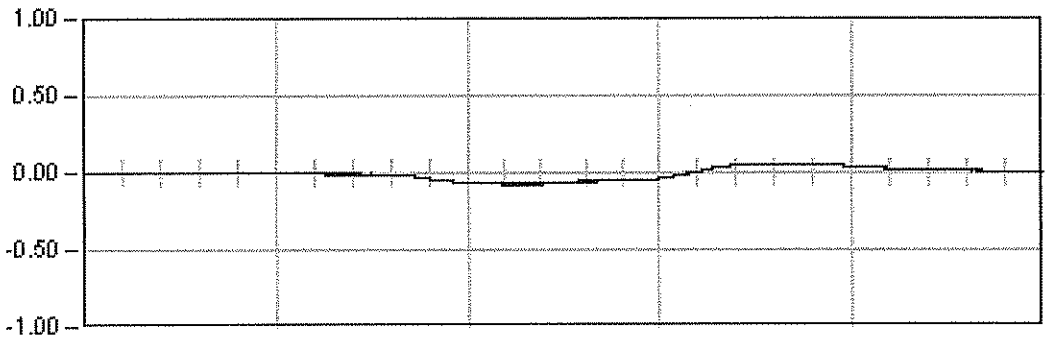


DINAMICA 21

144.0 Seg

Max: -0.08
Min: 0.06
Rem: -0.00

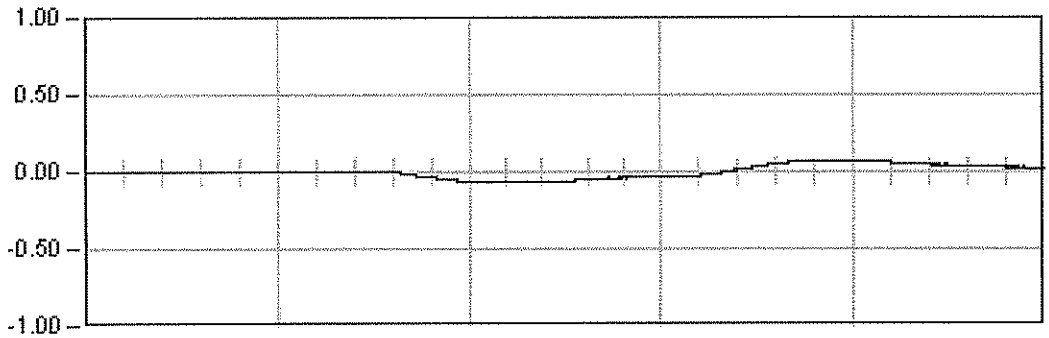


DINAMICA 22

38.0 Seg

Max: -0.07
Min: 0.07
Rem: 0.00

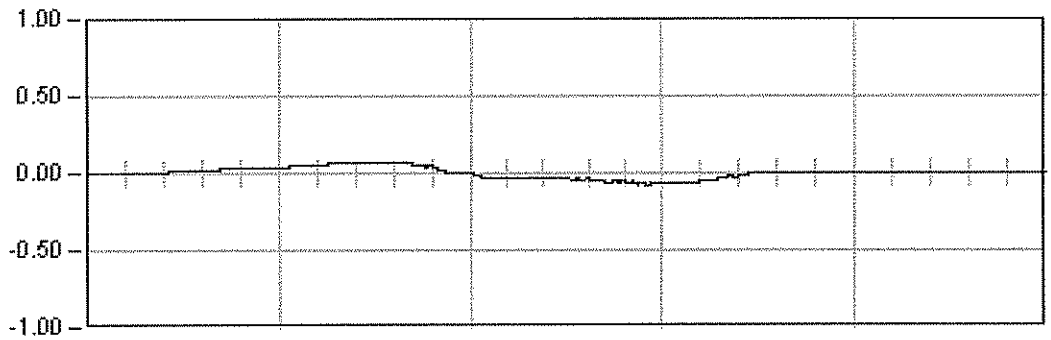


DINAMICA 23

14.0 Seg

Max: 0.07
Min: -0.08
Rem: 0.00

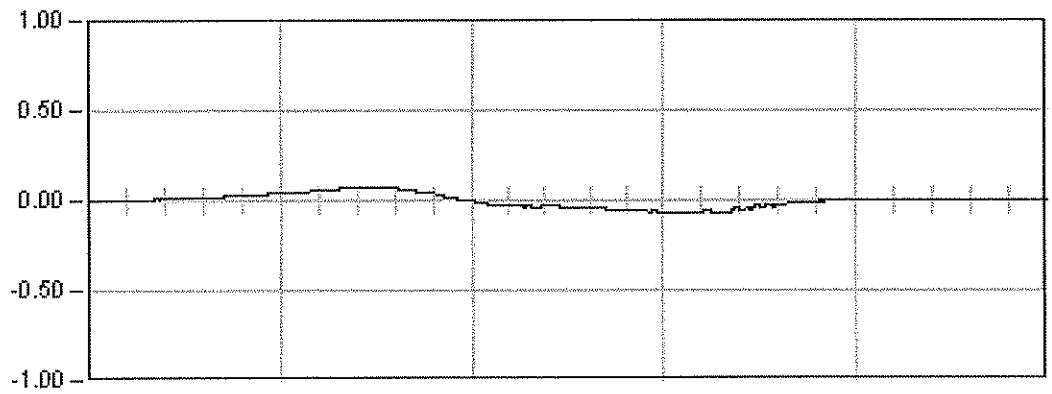


DINAMICA 24

14.0 Seg

Max: -0.07
Min: 0.07
Rem: -0.00

L.A.V. MADRID-BARCELONA-F.FRANCESA

35VI02 - SUBTRAMO IIIa

Punto : P021 Canal : 04 Unidades : mm

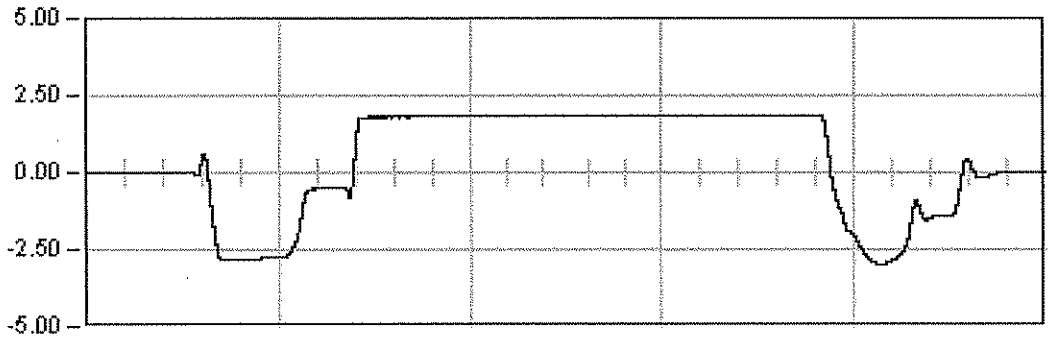


ESTATICA 01

1356.0 Seg

Est: 1.71
Max: -2.99
Min: 1.85
Rem: 0.00

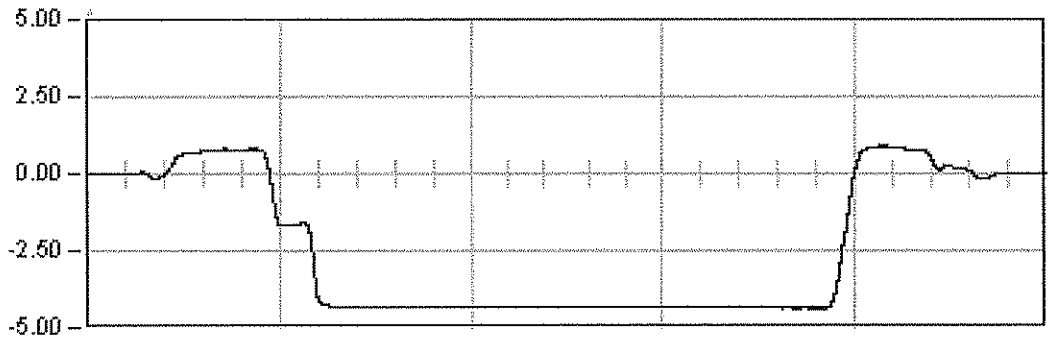


ESTATICA 02

1225.0 Seg

Est: -4.37
Max: -4.39
Min: 0.88
Rem: -0.00

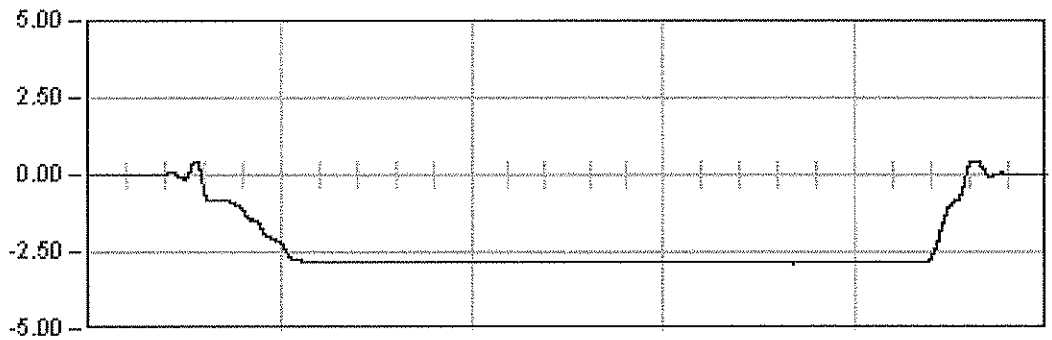


ESTATICA 15

979.0 Seg

Est: -2.86
Max: -2.88
Min: 0.45
Rem: -0.00

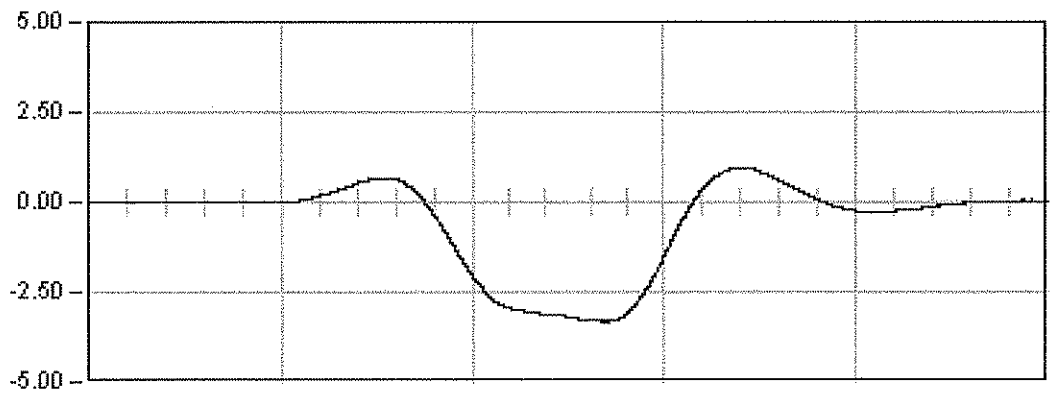


DINAMICA 01

96.0 Seg

Max: -3.33
Min: 0.93
Rem: -0.03

L.A.V. MADRID-BARCELONA-F.FRANCESA

35VI02 - SUBTRAMO IIIa

Punto : P021 Canal : 04 Unidades : mm

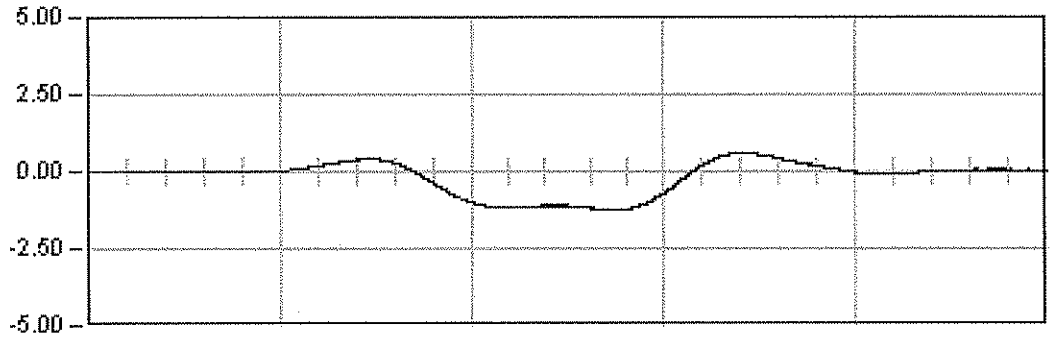


DINAMICA 21

157.0 Seg

Max: -1.25
Min: 0.58
Rem: -0.00

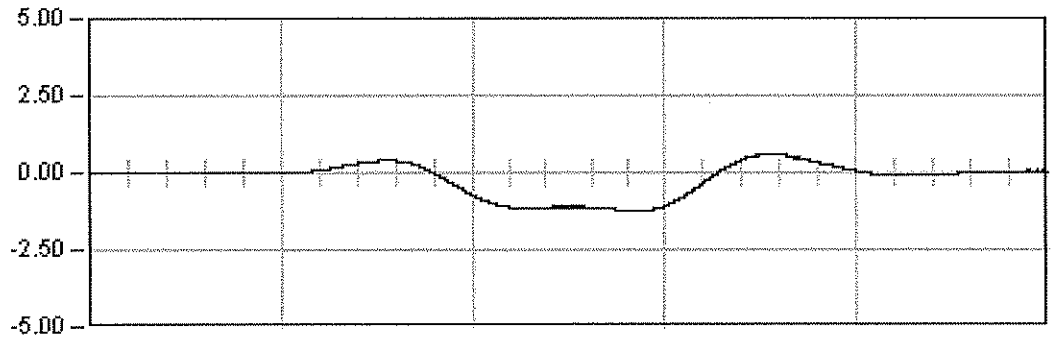


DINAMICA 22

49.0 Seg

Max: -1.26
Min: 0.58
Rem: -0.01

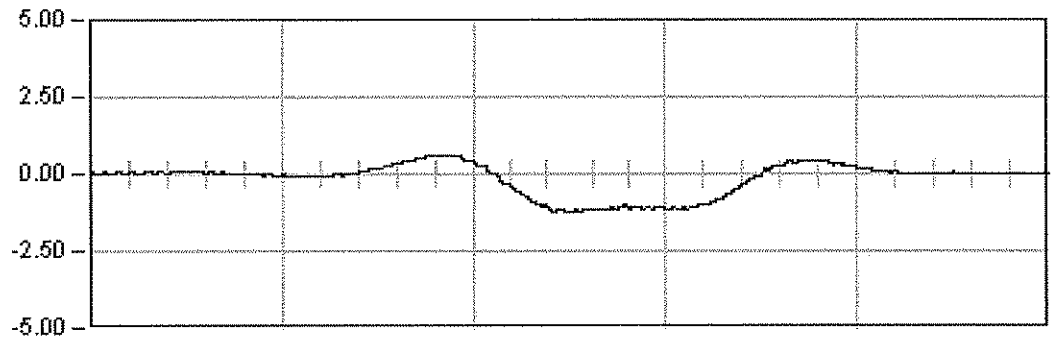


DINAMICA 23

17.0 Seg

Max: -1.26
Min: 0.60
Rem: 0.01

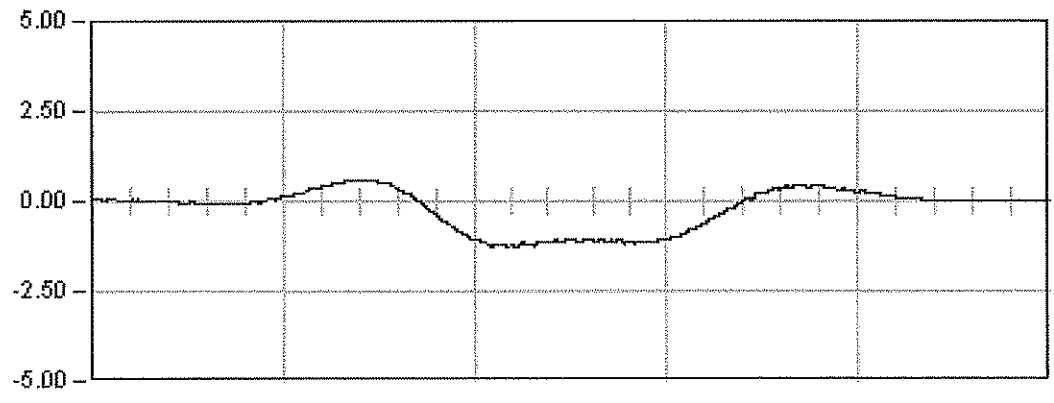


DINAMICA 24

15.0 Seg

Max: -1.28
Min: 0.59
Rem: 0.00

L.A.V. MADRID-BARCELONA-F.FRANCESA

35VI02 - SUBTRAMO IIIa

Punto : P022 Canal : 05 Unidades : mm

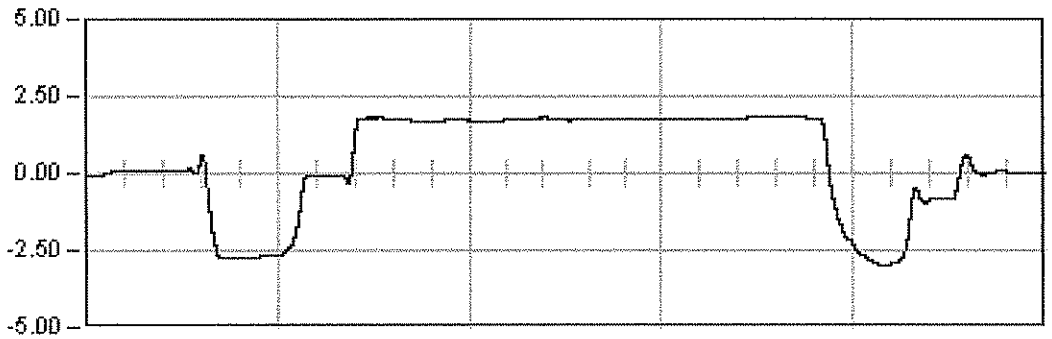


ESTATICA 01

1356.0 Seg

Est: 1.59
Max: -2.99
Min: 1.85
Rem: 0.02

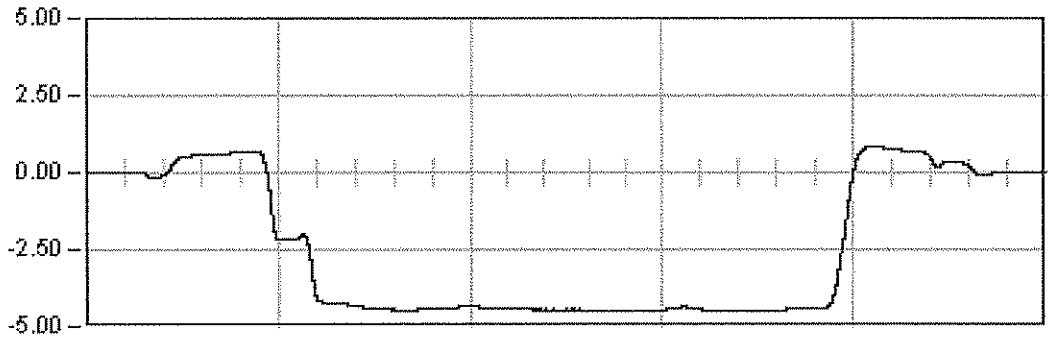


ESTATICA 02

1225.0 Seg

Est: -4.45
Max: -4.54
Min: 0.83
Rem: 0.02

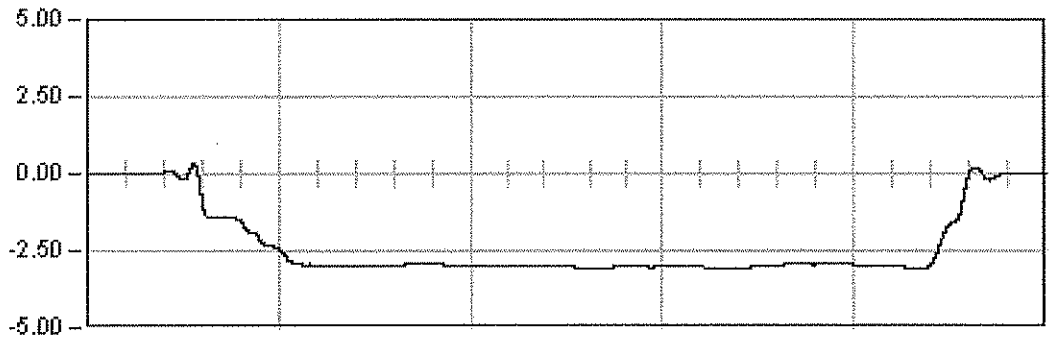


ESTATICA 15

979.0 Seg

Est: -3.05
Max: -3.10
Min: 0.33
Rem: -0.04

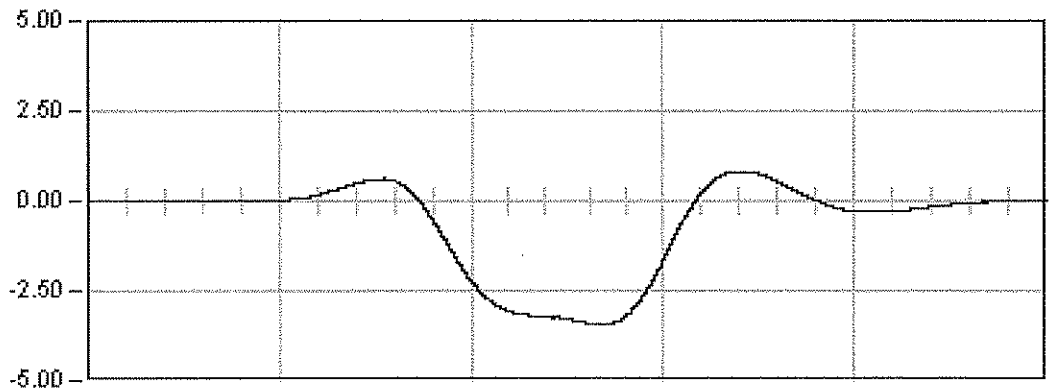


DINAMICA 01

96.0 Seg

Max: -3.41
Min: 0.82
Rem: -0.02

L.A.V. MADRID-BARCELONA-F.FRANCESA

35VI02 - SUBTRAMO IIIa

Punto : P022 Canal : 05 Unidades : mm

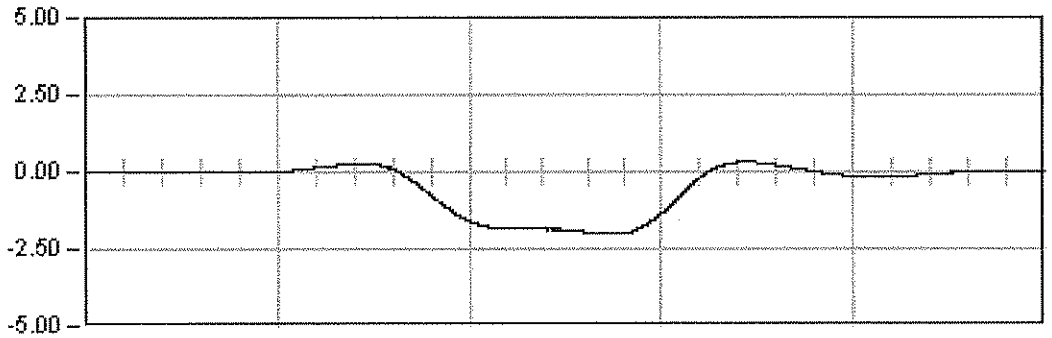


DINAMICA 21

157.0 Seg

Max: -2.02
Min: 0.31
Rem: 0.01

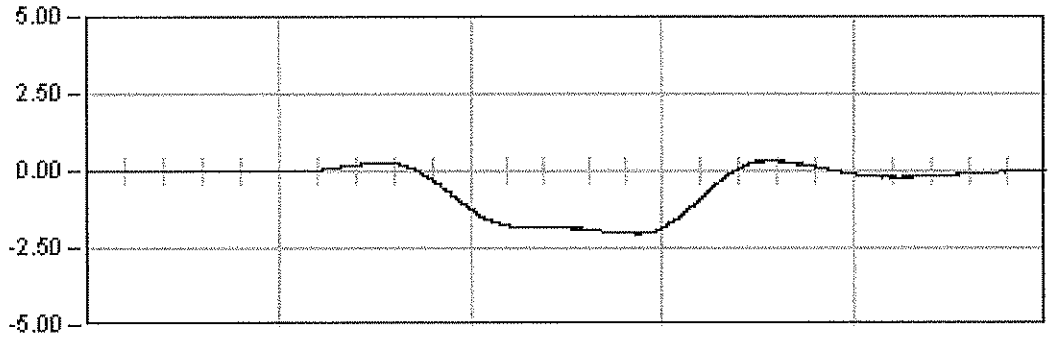


DINAMICA 22

49.0 Seg

Max: -2.05
Min: 0.31
Rem: 0.02

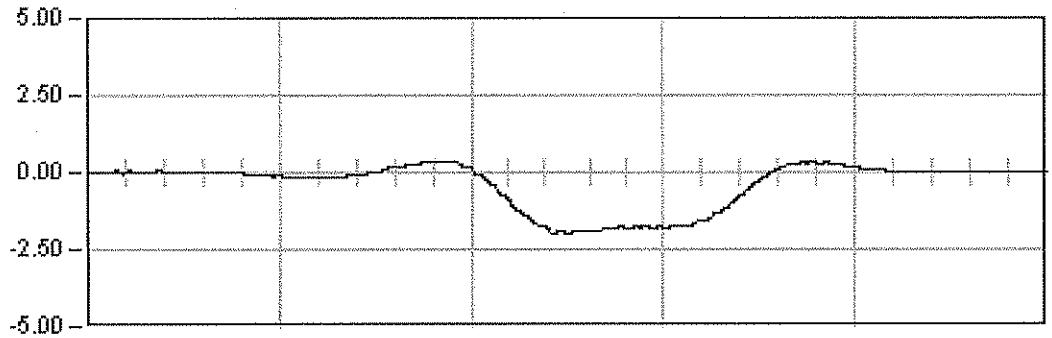


DINAMICA 23

17.0 Seg

Max: -1.99
Min: 0.36
Rem: 0.02

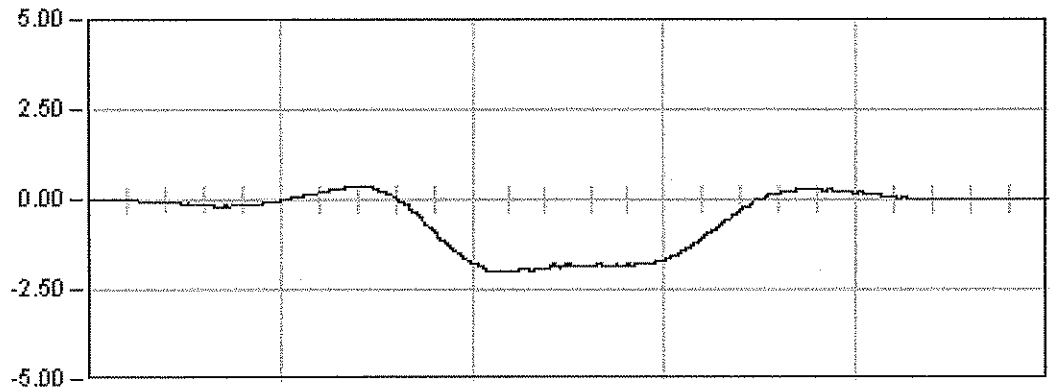


DINAMICA 24

15.0 Seg

Max: -2.01
Min: 0.36
Rem: -0.01

L.A.V. MADRID-BARCELONA-F.FRANCESA

35VI02 - SUBTRAMO IIIa

Punto : P023 Canal : 06 Unidades : mm

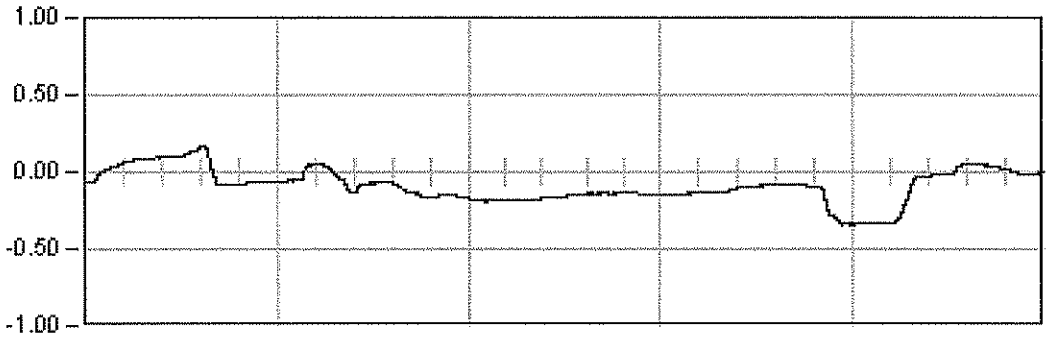


ESTATICA 01

1356.0 Seg

Est: -0.26
Max: -0.34
Min: 0.17
Rem: -0.00

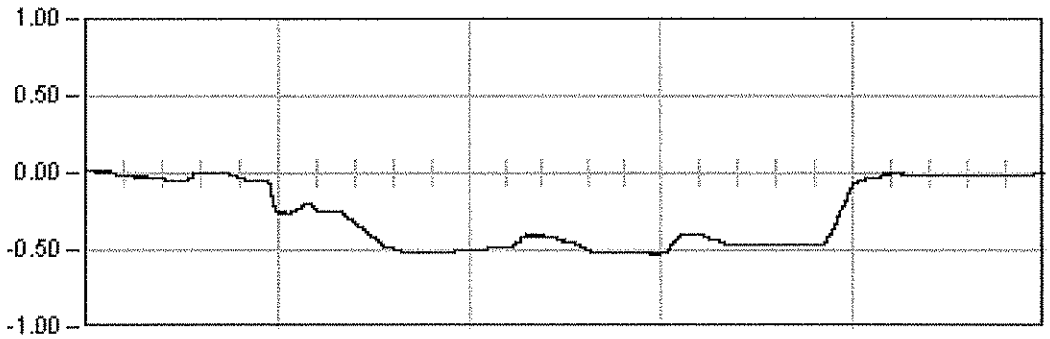


ESTATICA 02

1225.0 Seg

Est: -0.47
Max: -0.53
Min: 0.02
Rem: -0.02

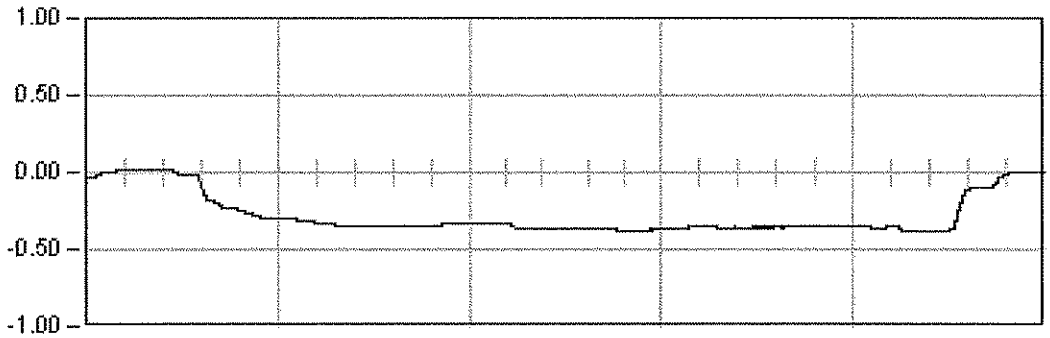


ESTATICA 15

979.0 Seg

Est: -0.38
Max: -0.38
Min: 0.02
Rem: -0.02

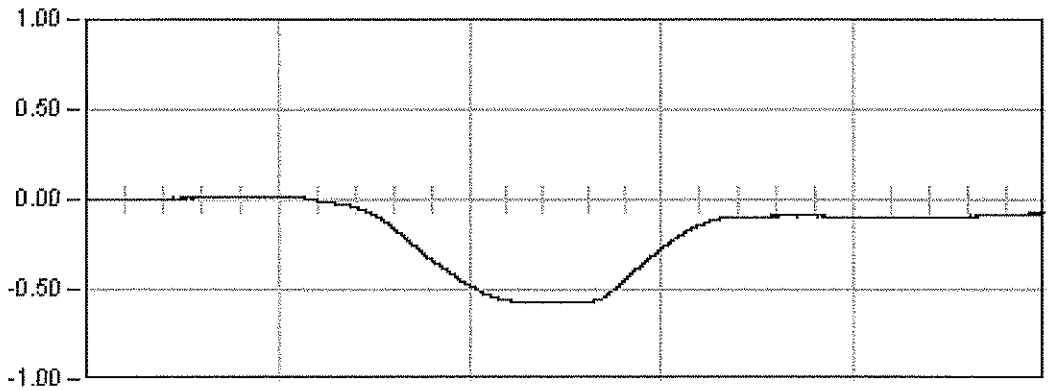


DINAMICA 01

96.0 Seg

Max: -0.58
Min: 0.02
Rem: -0.00

L.A.V. MADRID-BARCELONA-F.FRANCESA

35VI02 - SUBTRAMO IIIa

Punto : P023 Canal : 06 Unidades : mm

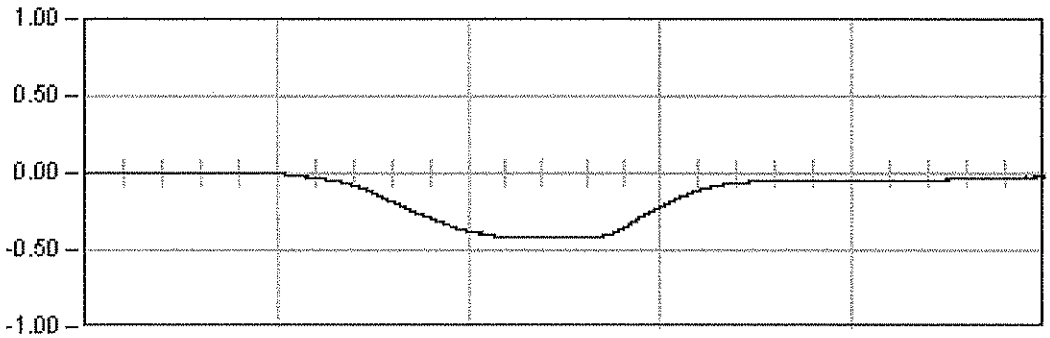


DINAMICA 21

157.0 Seg

Max: -0.42
Min: 0.01
Rem: -0.00

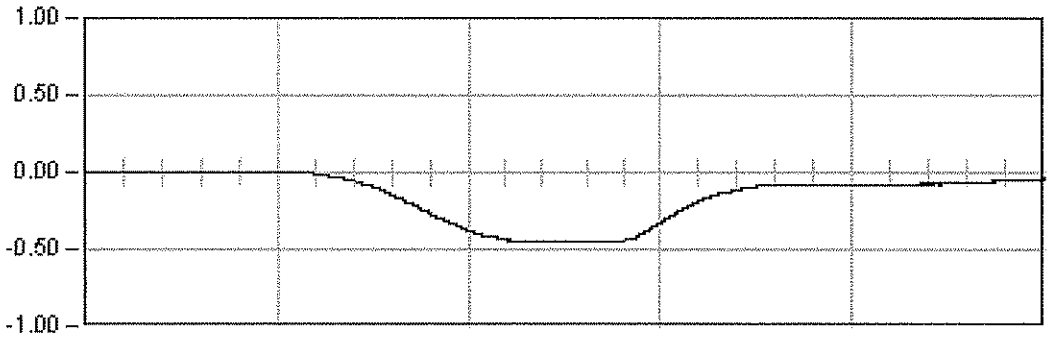


DINAMICA 22

49.0 Seg

Max: -0.45
Min: 0.01
Rem: -0.00

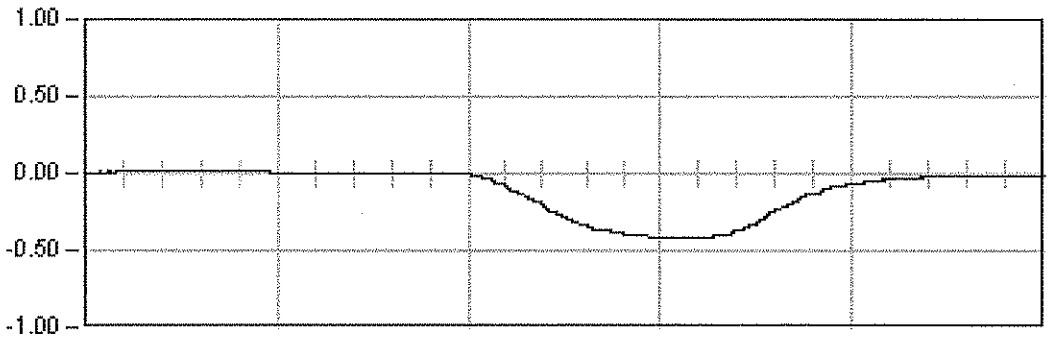


DINAMICA 23

17.0 Seg

Max: -0.42
Min: 0.01
Rem: -0.00

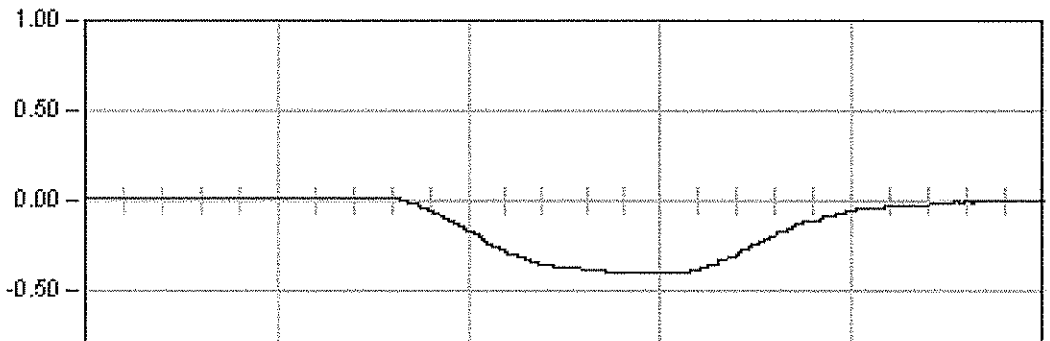


DINAMICA 24

15.0 Seg

Max: -0.40
Min: 0.02
Rem: -0.00

L.A.V. MADRID-BARCELONA-F.FRANCESA

35VI02 - SUBTRAMO IIIa

Punto : P024 Canal : 07 Unidades : mm

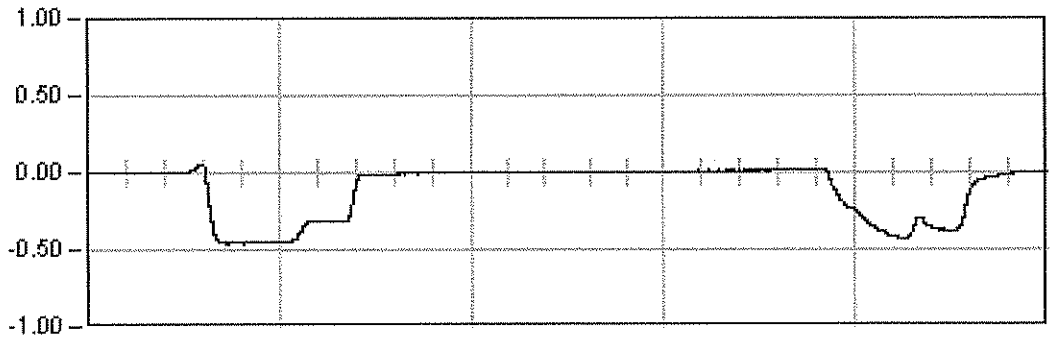


ESTATICA 01

1356.0 Seg

Est: -0.01
Max: -0.46
Min: 0.06
Rem: -0.00

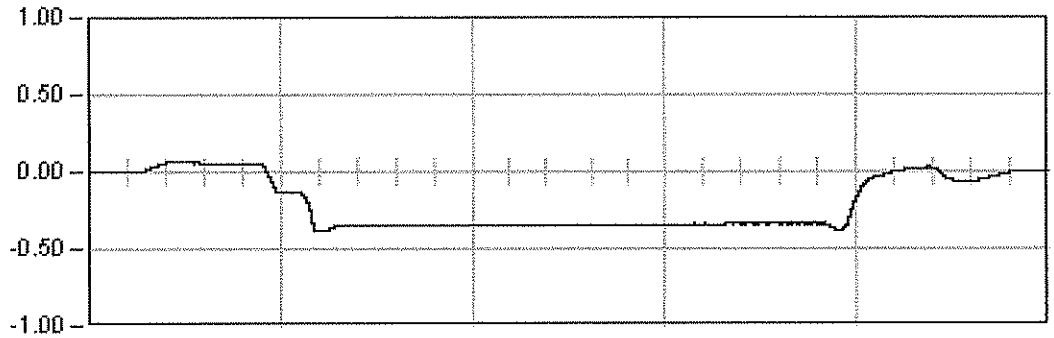


ESTATICA 02

1225.0 Seg

Est: -0.34
Max: -0.38
Min: 0.07
Rem: -0.00

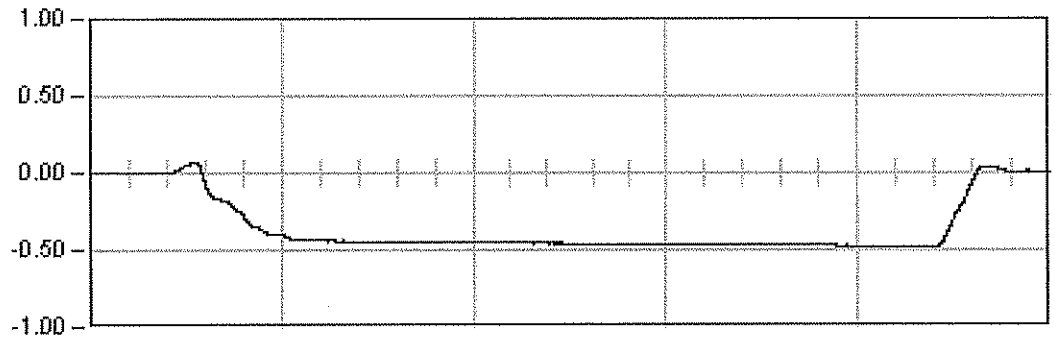


ESTATICA 15

979.0 Seg

Est: -0.48
Max: -0.48
Min: 0.07
Rem: 0.01

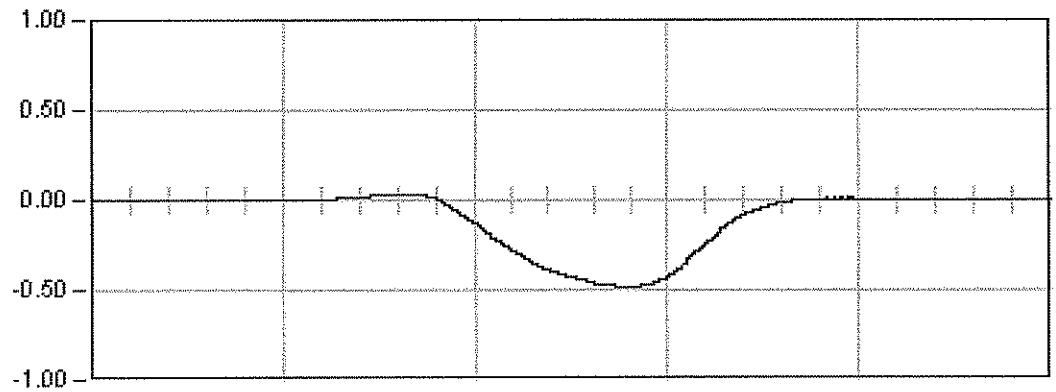


DINAMICA 01

96.0 Seg

Max: -0.48
Min: 0.03
Rem: -0.00

L.A.V. MADRID-BARCELONA-F.FRANCESA

35VI02 - SUBTRAMO IIIa

Punto : P024 Canal : 07 Unidades : mm

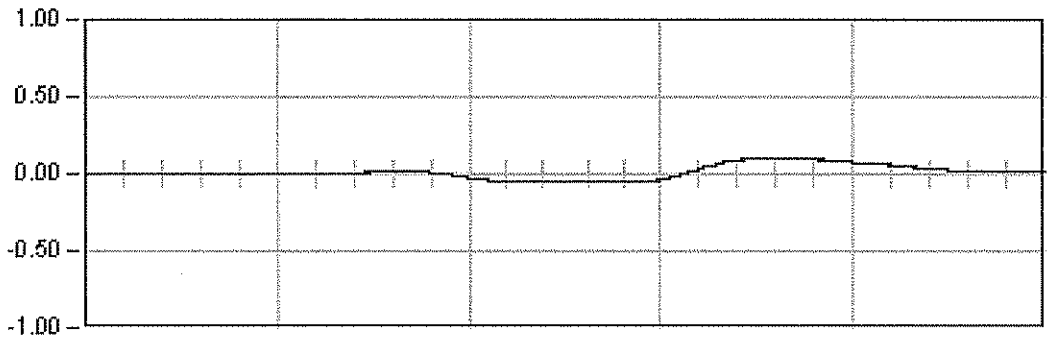


DINAMICA 21

157.0 Seg

Max: 0.10
Min: -0.06
Rem: -0.00

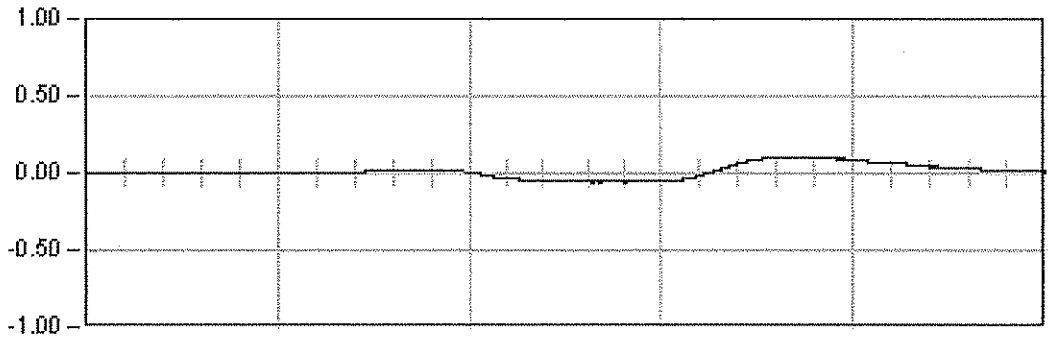


DINAMICA 22

49.0 Seg

Max: 0.10
Min: -0.06
Rem: 0.00

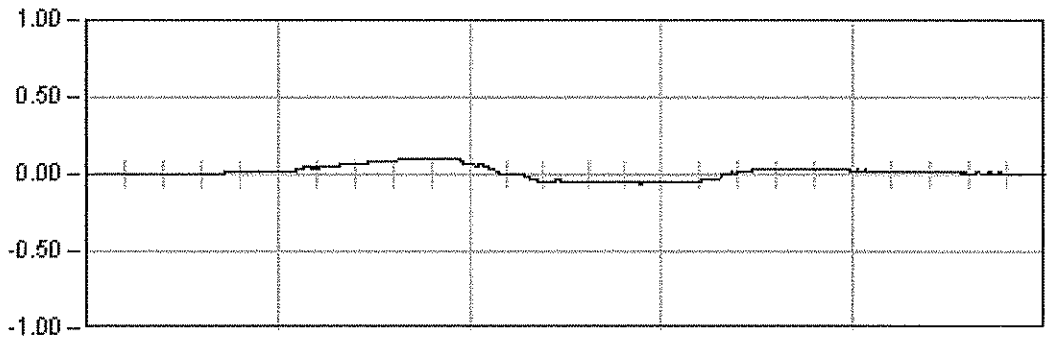


DINAMICA 23

17.0 Seg

Max: 0.11
Min: -0.06
Rem: 0.00

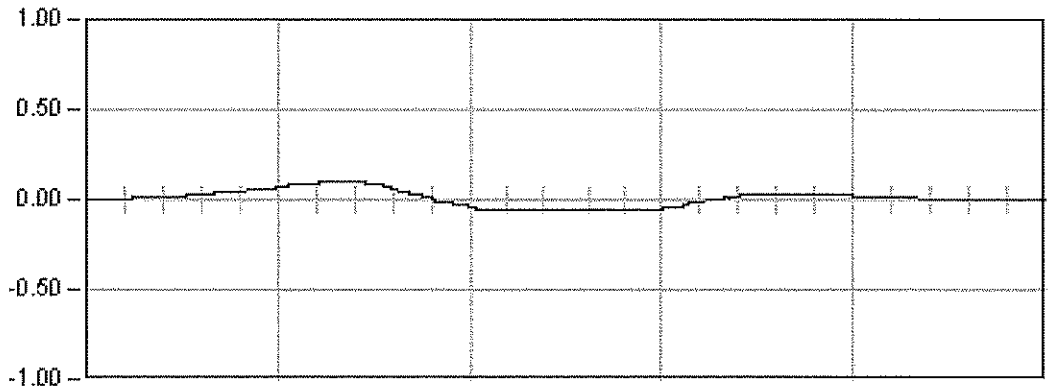


DINAMICA 24

15.0 Seg

Max: 0.10
Min: -0.06
Rem: -0.00

L.A.V. MADRID-BARCELONA-F.FRANCESA

35VI02 - SUBTRAMO IIIa

Punto : P031 Canal : 08 Unidades : mm

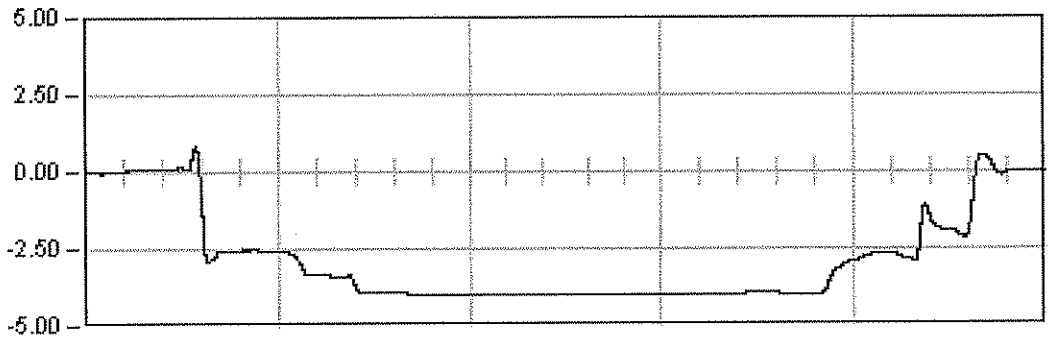


ESTATICA 01

1356.0 Seg

Est: -3.97
Max: -4.04
Min: 0.80
Rem: 0.00

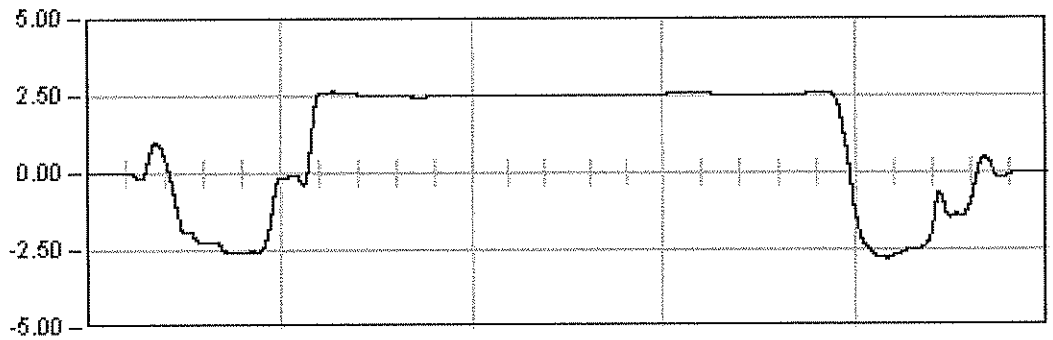


ESTATICA 02

1225.0 Seg

Est: 2.54
Max: -2.79
Min: 2.63
Rem: -0.03

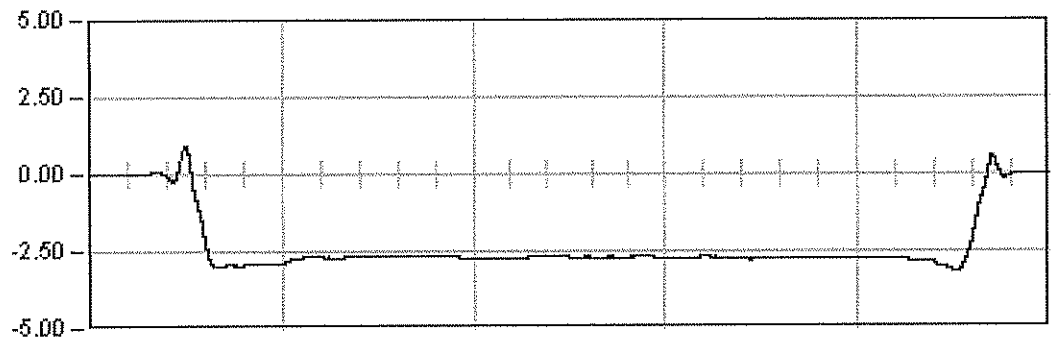


ESTATICA 15

979.0 Seg

Est: -2.79
Max: -3.14
Min: 0.89
Rem: 0.04

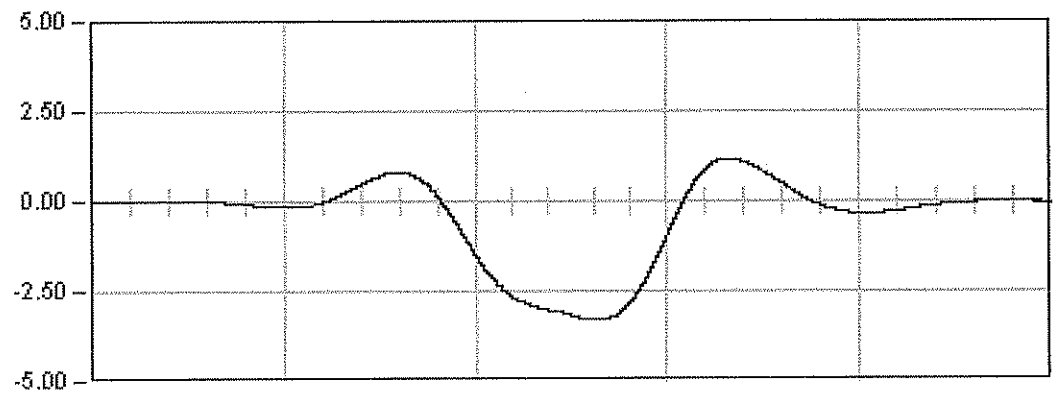


DINAMICA 01

106.0 Seg

Max: -3.28
Min: 1.17
Rem: -0.07

L.A.V. MADRID-BARCELONA-F.FRANCESA

35VI02 - SUBTRAMO IIIa

Punto : P031 Canal : 08 Unidades : mm

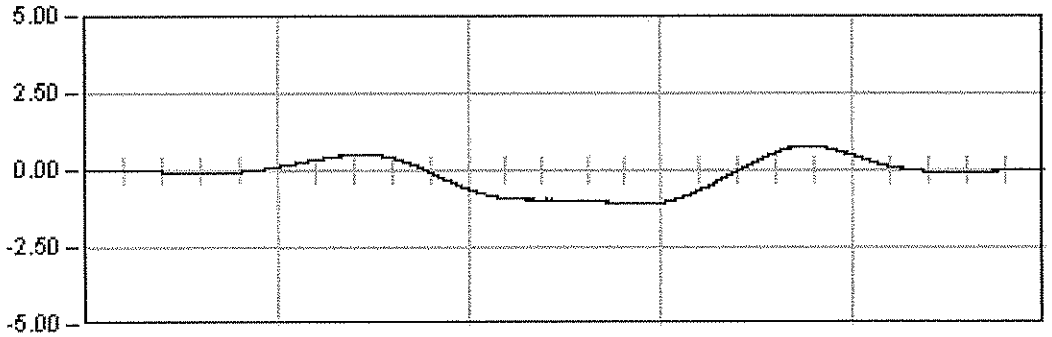


DINAMICA 21

134.0 Seg

Max: -1.11
Min: 0.78
Rem: 0.03

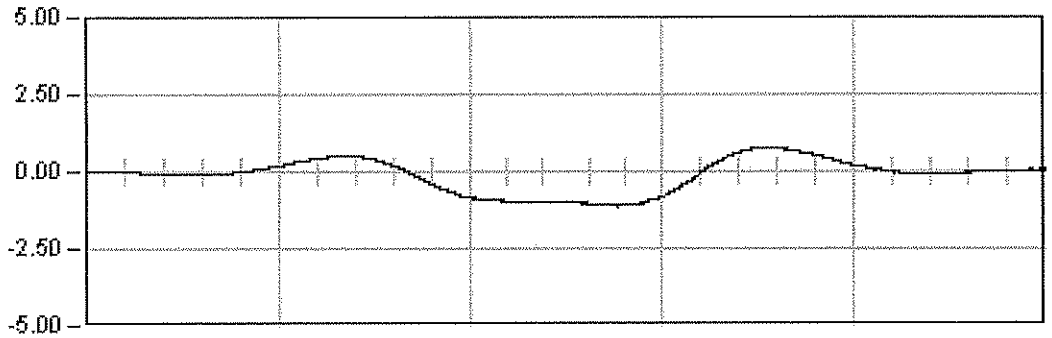


DINAMICA 22

44.0 Seg

Max: -1.13
Min: 0.78
Rem: 0.01

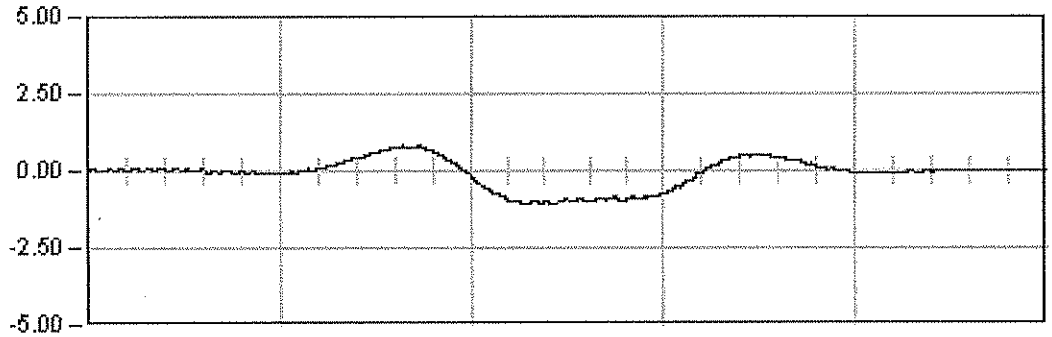


DINAMICA 23

18.0 Seg

Max: -1.12
Min: 0.79
Rem: -0.01

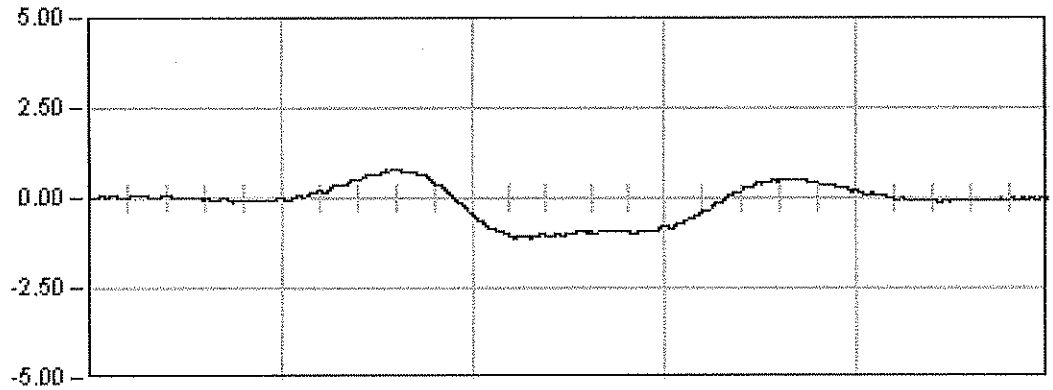


DINAMICA 24

16.0 Seg

Max: -1.12
Min: 0.77
Rem: -0.03

L.A.V. MADRID-BARCELONA-F.FRANCESA

35VI02 - SUBTRAMO IIIa

Punto : P032 Canal : 09 Unidades : mm

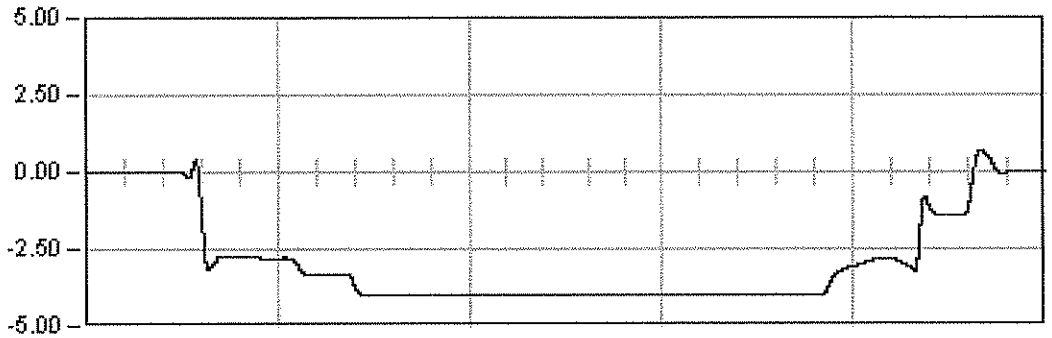


ESTATICA 01

1356.0 Seg

Est: -3.83
Max: -4.04
Min: 0.65
Rem: -0.01

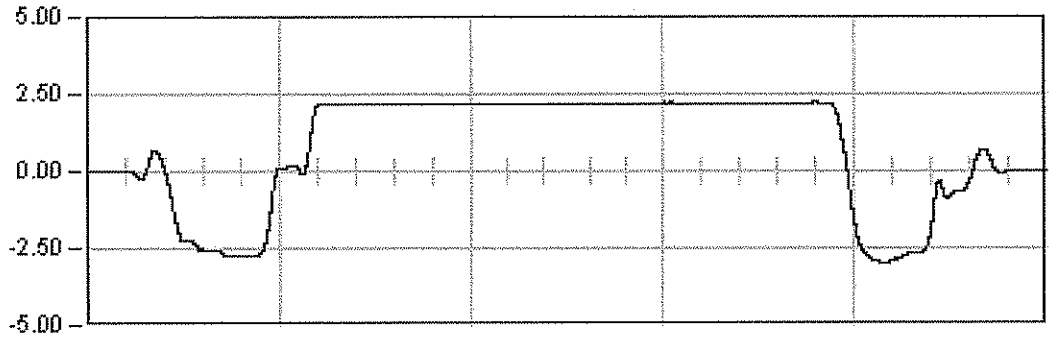


ESTATICA 02

1225.0 Seg

Est: 2.20
Max: -2.99
Min: 2.23
Rem: 0.00

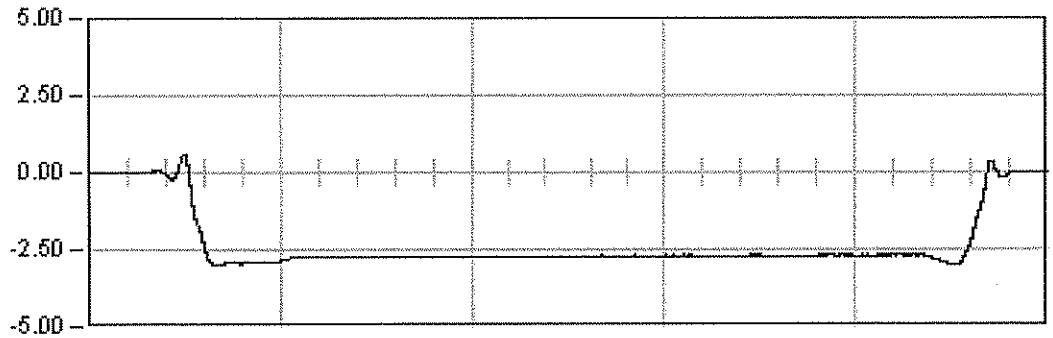


ESTATICA 15

979.0 Seg

Est: -2.71
Max: -2.99
Min: 0.62
Rem: 0.00

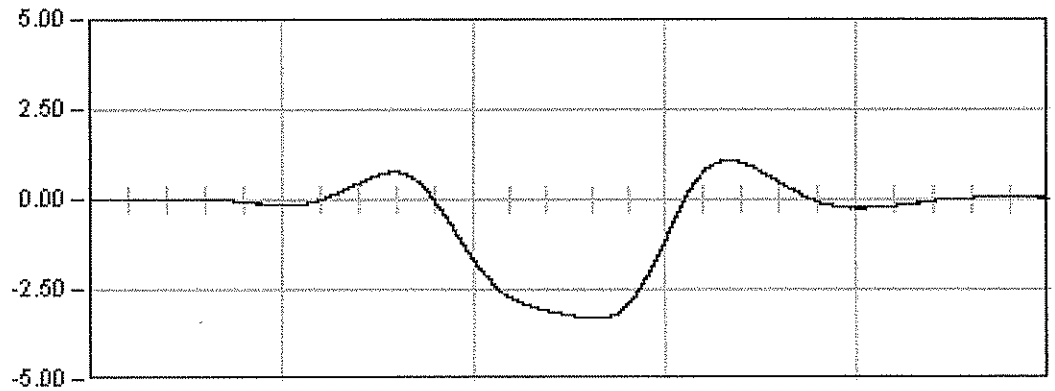


DINAMICA 01

106.0 Seg

Max: -3.31
Min: 1.07
Rem: -0.00

L.A.V. MADRID-BARCELONA-F.FRANCESA

35VI02 - SUBTRAMO IIIa

Punto : P032 Canal : 09 Unidades : mm

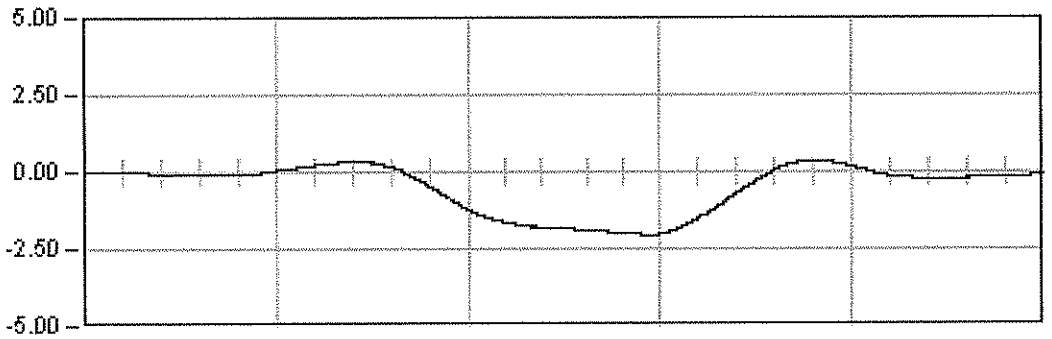


DINAMICA 21

134.0 Seg

Max: -2.05
Min: 0.34
Rem: -0.05

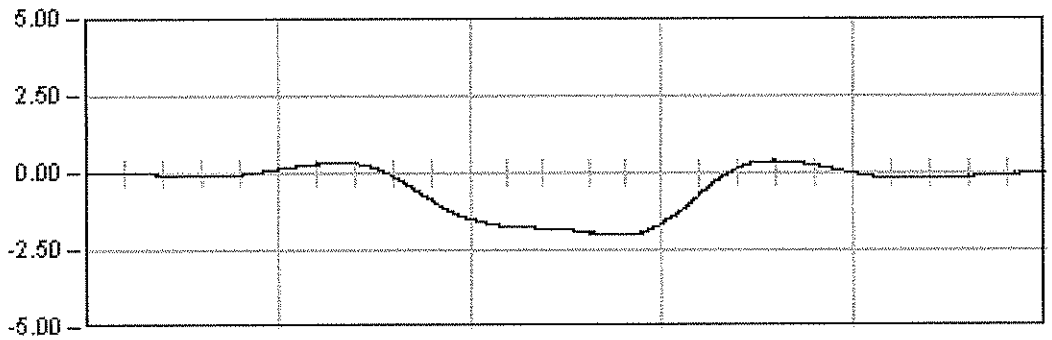


DINAMICA 22

44.0 Seg

Max: -2.02
Min: 0.38
Rem: -0.01

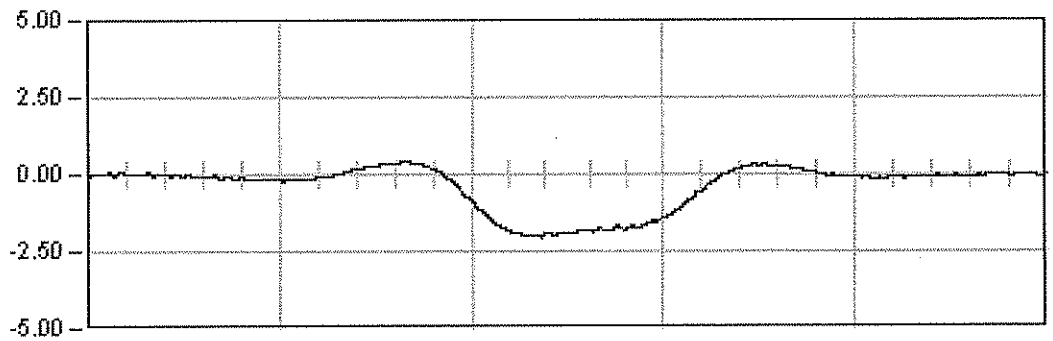


DINAMICA 23

18.0 Seg

Max: -2.05
Min: 0.40
Rem: -0.03

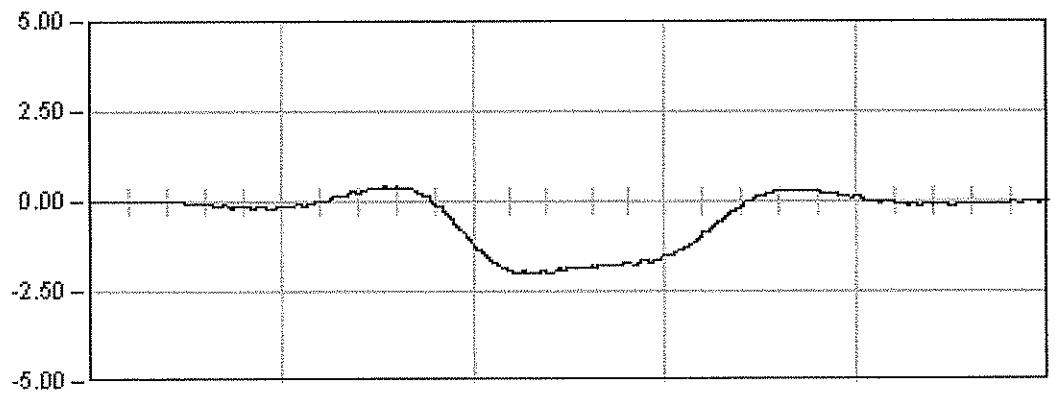


DINAMICA 24

16.0 Seg

Max: -2.02
Min: 0.40
Rem: -0.02

L.A.V. MADRID-BARCELONA-F.FRANCESA

35VI02 - SUBTRAMO IIIa

Punto : P033 Canal : 10 Unidades : mm

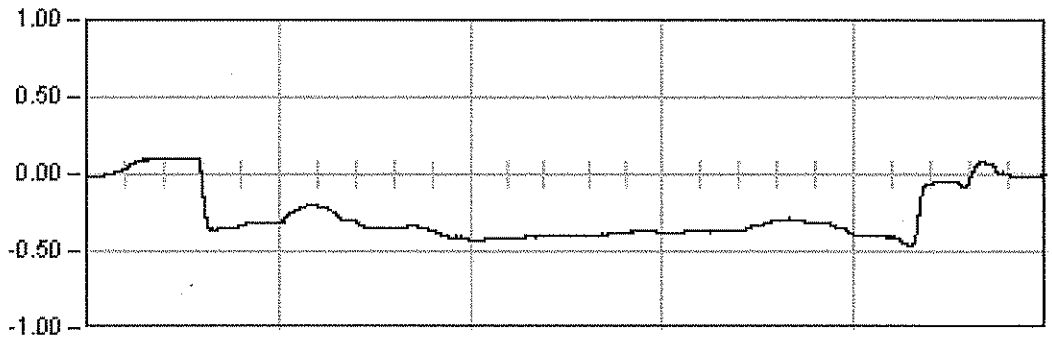


ESTATICA 01

1356.0 Seg

Est: -0.47
Max: -0.46
Min: 0.11
Rem: -0.01

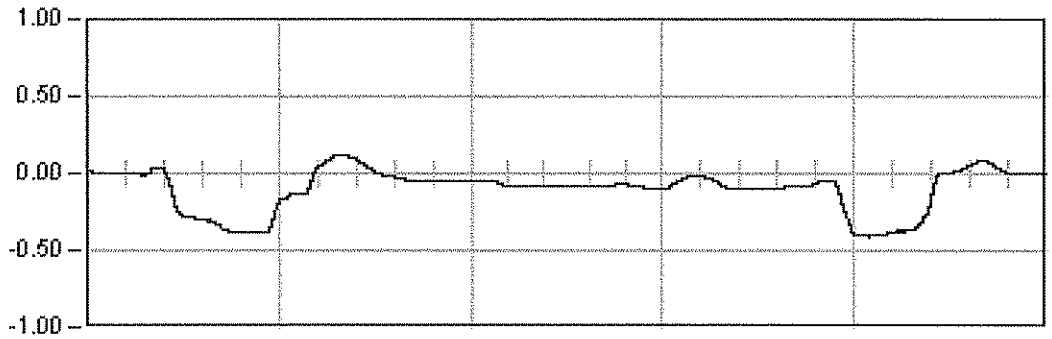


ESTATICA 02

1225.0 Seg

Est: -0.08
Max: -0.41
Min: 0.12
Rem: 0.00

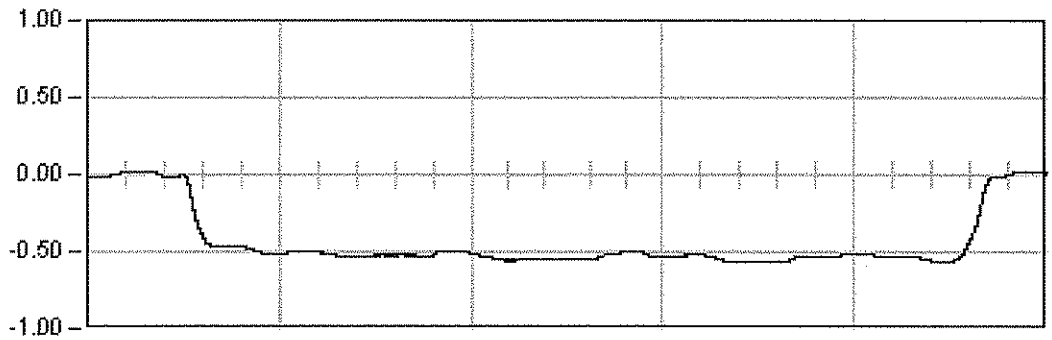


ESTATICA 15

979.0 Seg

Est: -0.53
Max: -0.57
Min: 0.02
Rem: 0.00

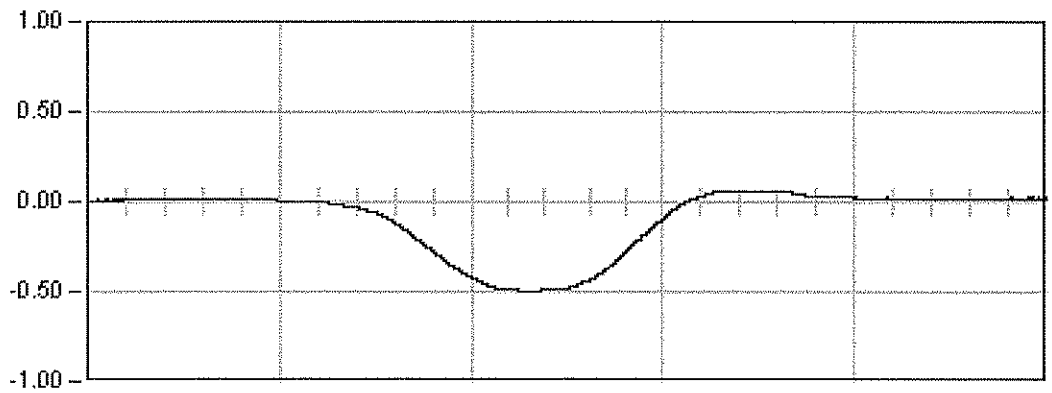


DINAMICA 01

106.0 Seg

Max: -0.50
Min: 0.06
Rem: -0.00

L.A.V. MADRID-BARCELONA-F.FRANCESA

35VI02 - SUBTRAMO IIIa

Punto : P033 Canal : 10 Unidades : mm

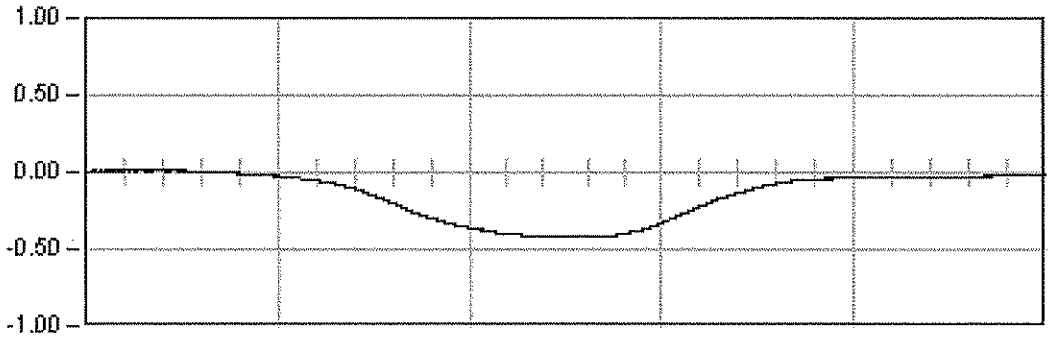


DINAMICA 21

134.0 Seg

Max: -0.42
Min: 0.01
Rem: -0.00

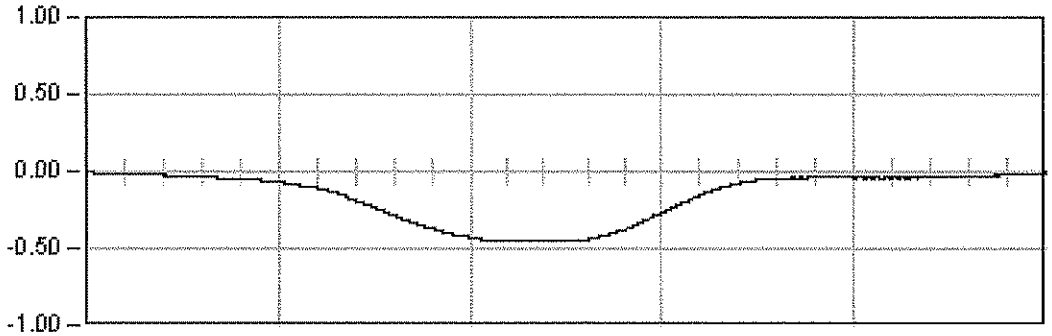


DINAMICA 22

44.0 Seg

Max: -0.45
Min: 0.01
Rem: 0.00

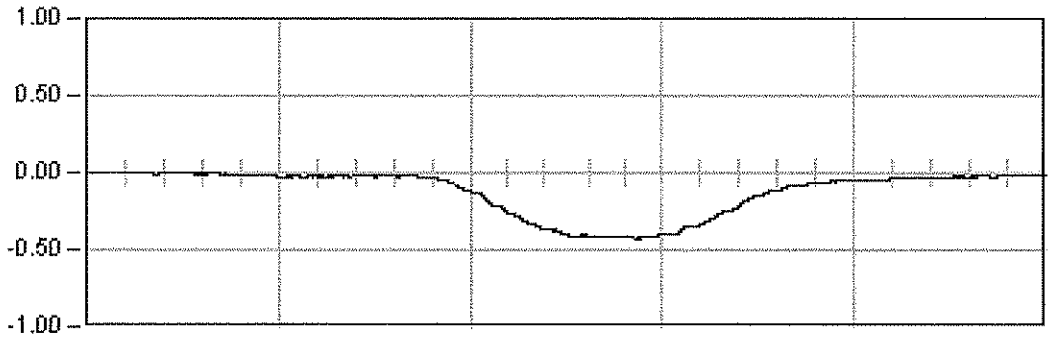


DINAMICA 23

18.0 Seg

Max: -0.43
Min: 0.00
Rem: -0.02

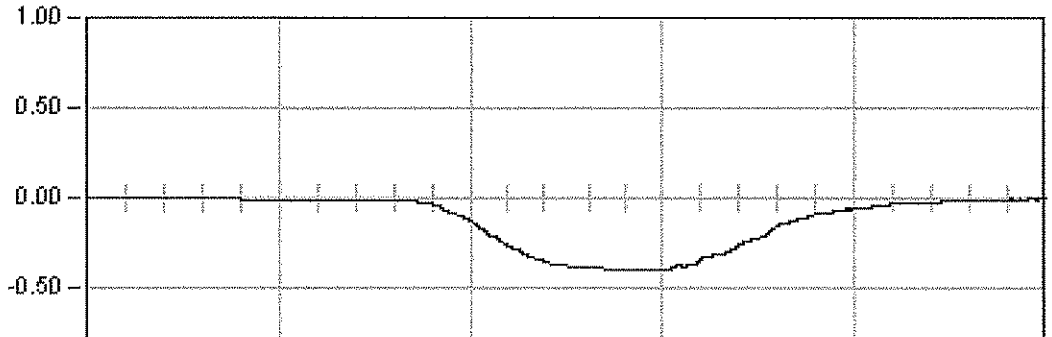


DINAMICA 24

18.0 Seg

Max: -0.40
Min: 0.00
Rem: -0.00

L.A.V. MADRID-BARCELONA-F.FRANCESA

35VI02 - SUBTRAMO IIIa

Punto : P034 Canal : 11 Unidades : mm

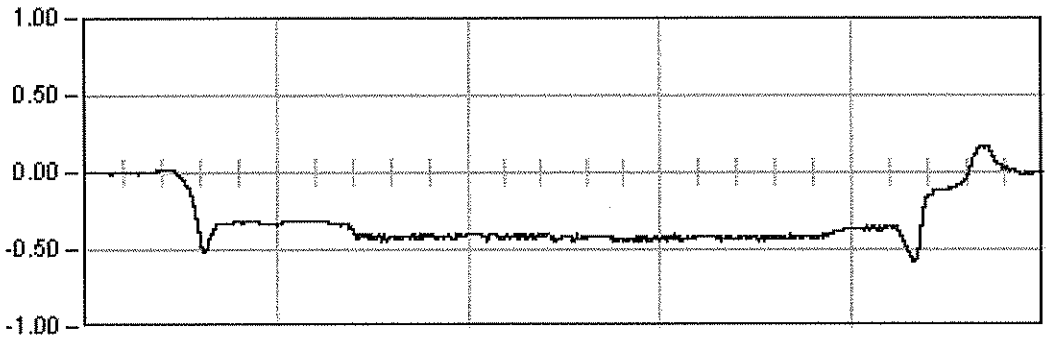


ESTATICA 01

1356.0 Seg

Est: -0.52
Max: -0.59
Min: 0.17
Rem: 0.00

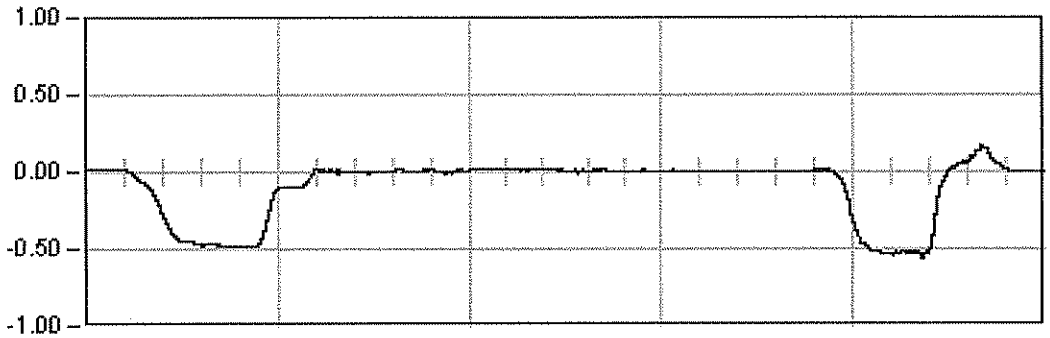


ESTATICA 02

1225.0 Seg

Est: -0.00
Max: -0.57
Min: 0.16
Rem: 0.01

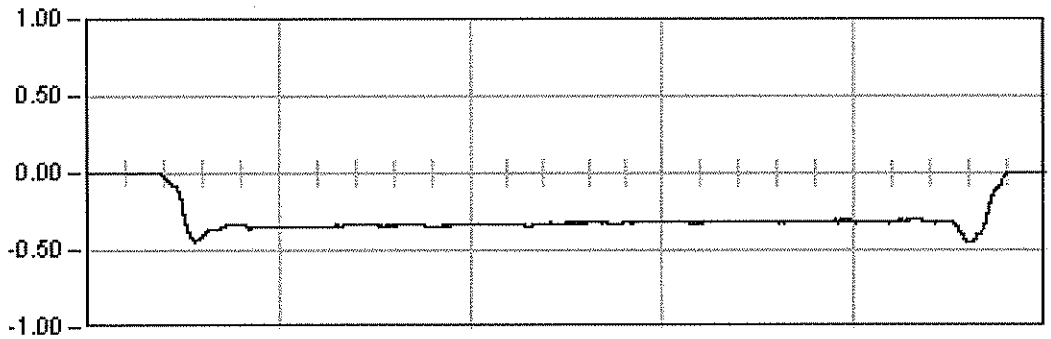


ESTATICA 15

979.0 Seg

Est: -0.31
Max: -0.45
Min: 0.00
Rem: -0.04

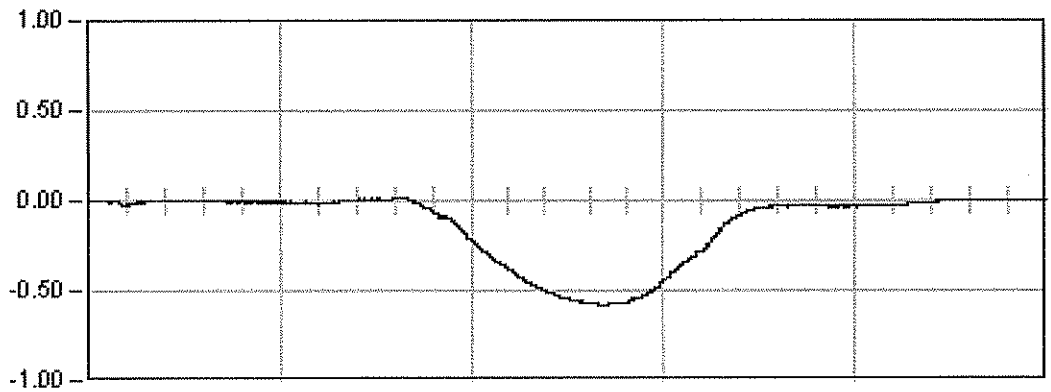


DINAMICA 01

106.0 Seg

Max: -0.58
Min: 0.02
Rem: -0.00

L.A.V. MADRID-BARCELONA-F.FRANCESA

35VI02 - SUBTRAMO IIIa

Punto : P034 Canal : 11 Unidades : mm

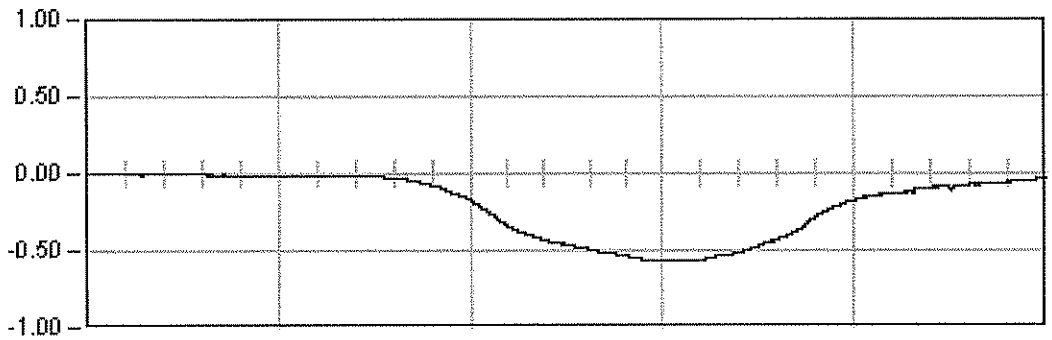


DINAMICA 21

134.0 Seg

Max: -0.57
Min: 0.01
Rem: -0.00

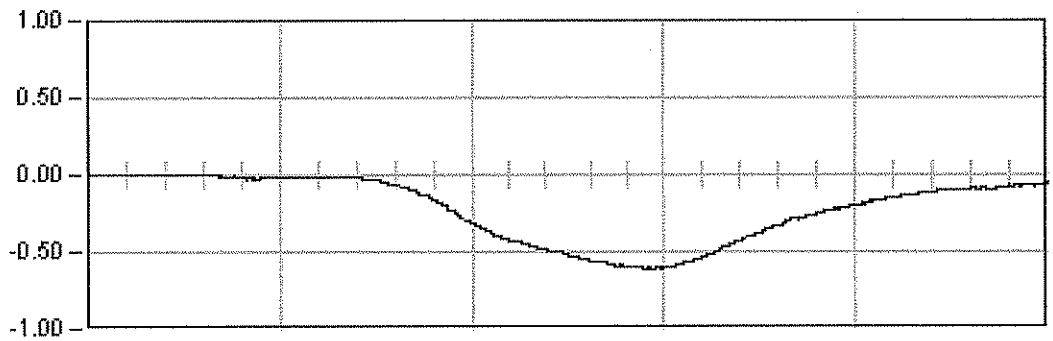


DINAMICA 22

44.0 Seg

Max: -0.61
Min: 0.00
Rem: -0.01

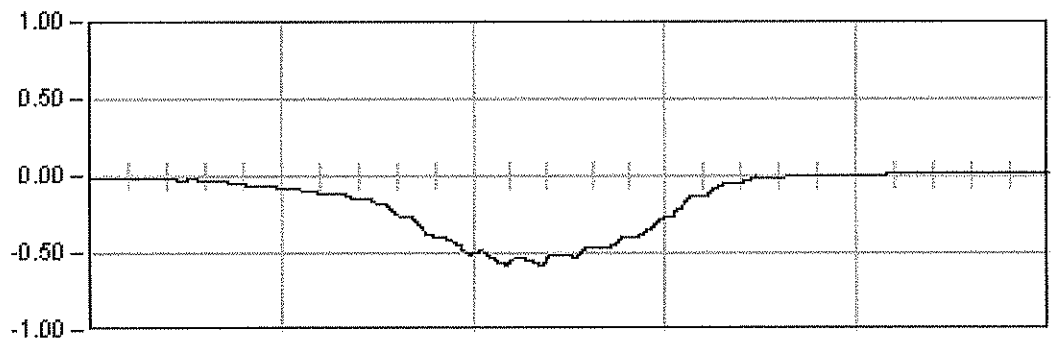


DINAMICA 23

18.0 Seg

Max: -0.58
Min: 0.03
Rem: -0.00

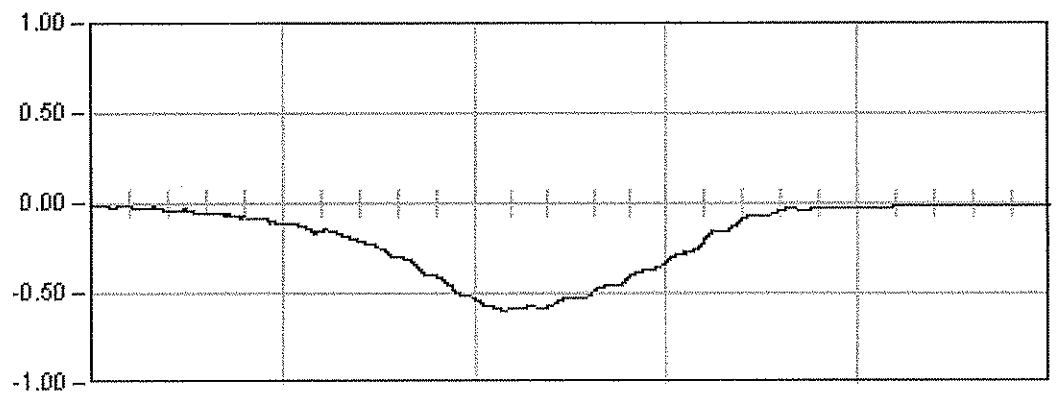


DINAMICA 24

16.0 Seg

Max: -0.60
Min: 0.02
Rem: -0.00

L.A.V. MADRID-BARCELONA-F.FRANCESA

35VI02 - SUBTRAMO IIIa

Punto : M041 Canal : 26 Unidades : mm

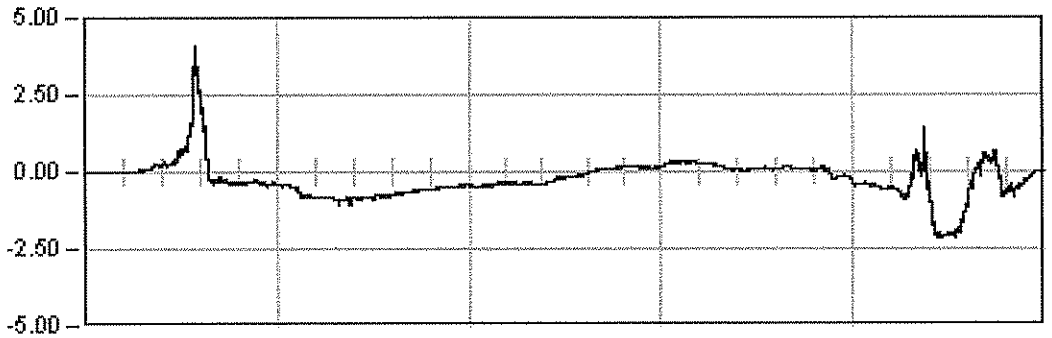


ESTATICA 01

1356.0 Seg

Est: 0.55
Max: 4.08
Min: -2.18
Rem: -0.35

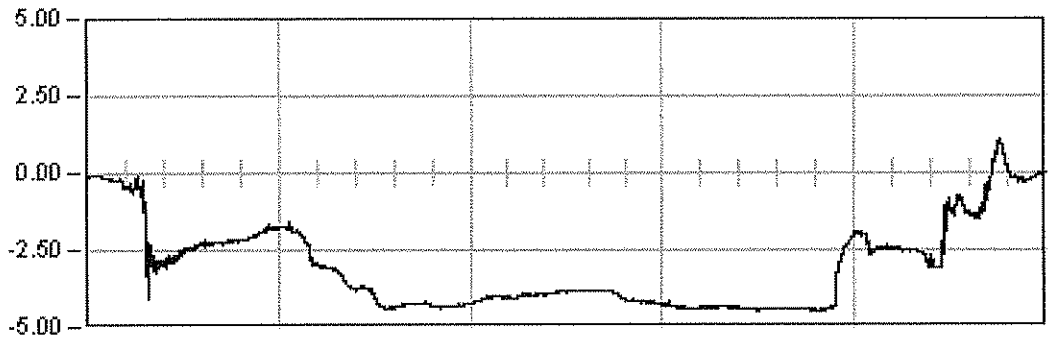


ESTATICA 02

1225.0 Seg

Est: -4.45
Max: -4.49
Min: 1.09
Rem: -0.01

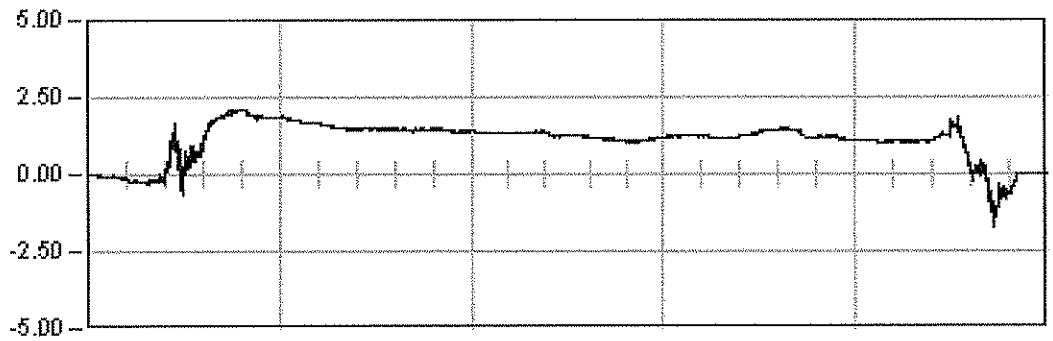


ESTATICA 15

979.0 Seg

Est: 1.04
Max: 2.11
Min: -1.74
Rem: -0.34

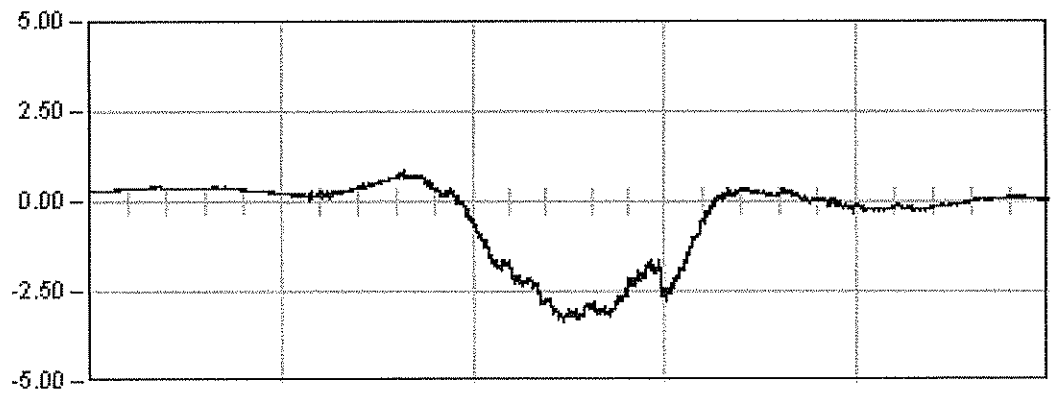


DINAMICA 01

110.0 Seg

Max: -3.37
Min: 0.82
Rem: -0.00

L.A.V. MADRID-BARCELONA-F.FRANCESA

35VI02 - SUBTRAMO IIIa

Punto : M041 Canal : 26 Unidades : mm

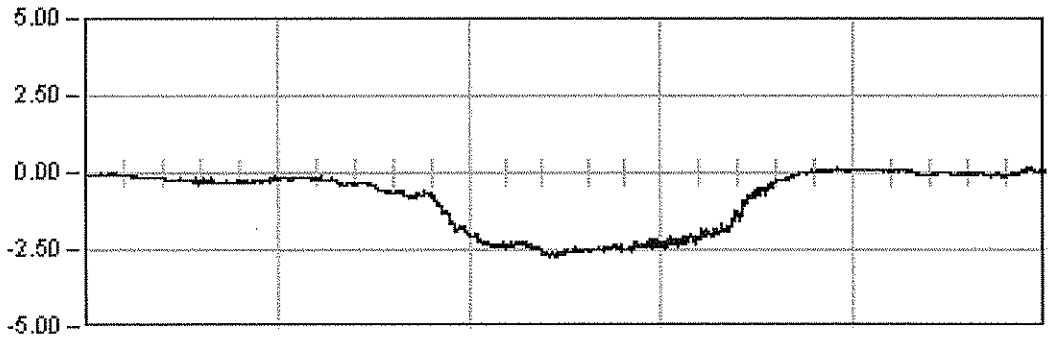


DINAMICA 21

132.0 Seg

Max: -2.77
Min: 0.16
Rem: 0.03

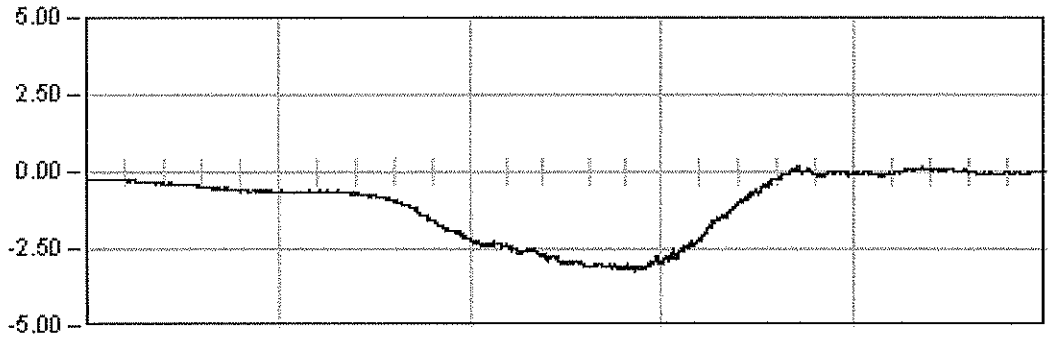


DINAMICA 22

45.0 Seg

Max: -3.22
Min: 0.14
Rem: -0.00

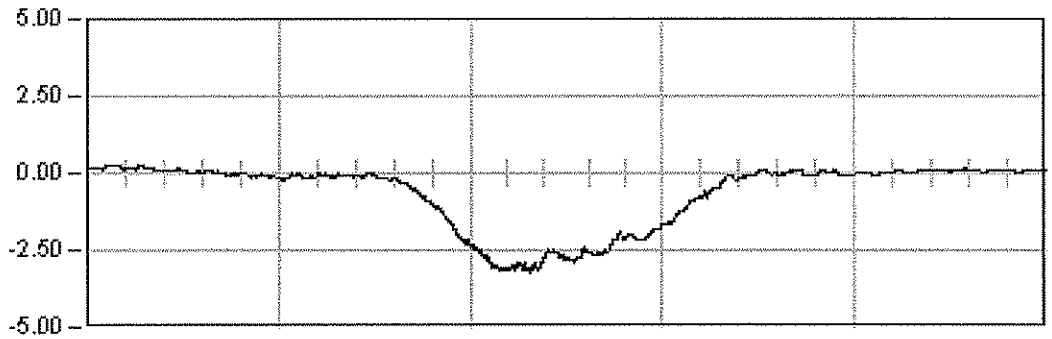


DINAMICA 23

18.0 Seg

Max: -3.25
Min: 0.26
Rem: -0.03

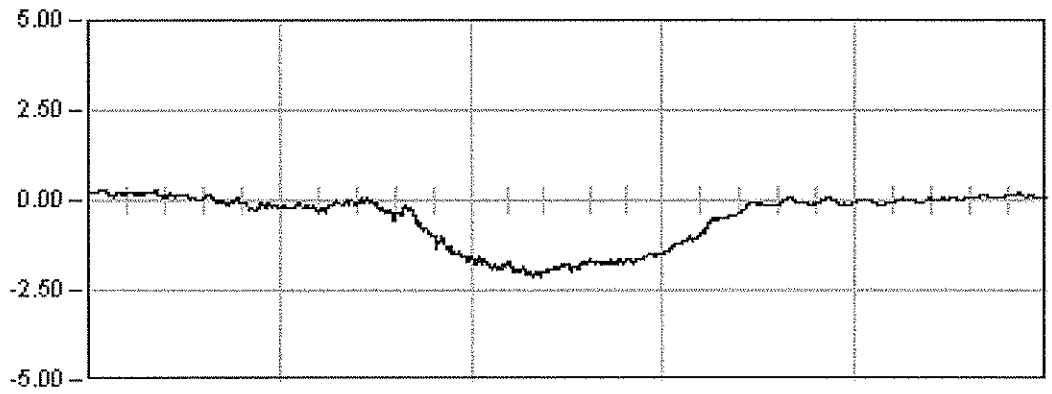


DINAMICA 24

16.0 Seg

Max: -2.12
Min: 0.29
Rem: 0.04

L.A.V. MADRID-BARCELONA-F.FRANCESA

35VI02 - SUBTRAMO IIIa

Punto : P042 Canal : 25 Unidades : mm

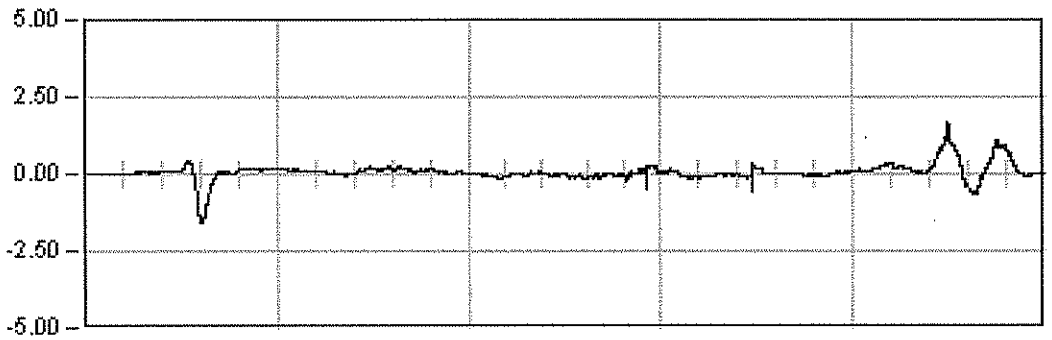


ESTATICA 01

1356.0 Seg

Est: -1.64
Max: -1.61
Min: 1.63
Rem: 0.20

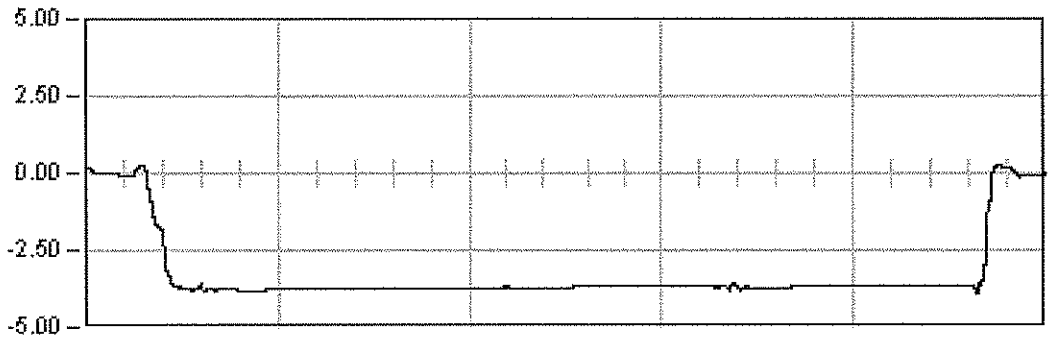


ESTATICA 02

1225.0 Seg

Est: -3.70
Max: -3.90
Min: 0.26
Rem: 0.02

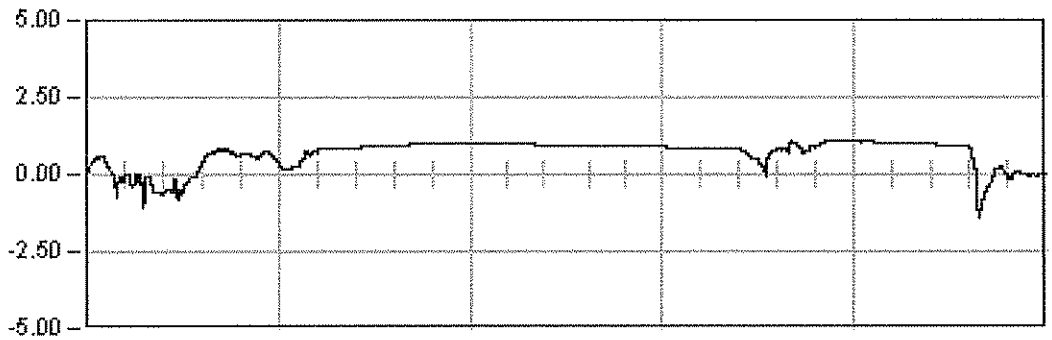


ESTATICA 15

979.0 Seg

Est: 0.99
Max: -1.42
Min: 1.07
Rem: -0.02

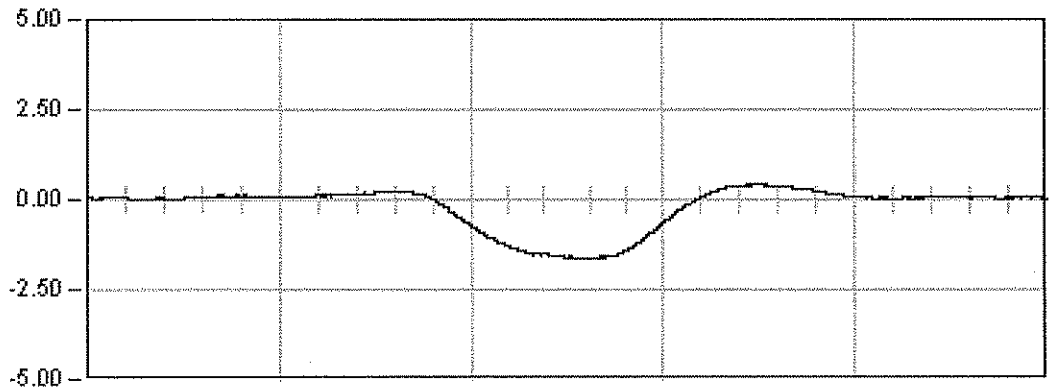


DINAMICA 01

110.0 Seg

Max: -1.64
Min: 0.42
Rem: -0.00

L.A.V. MADRID-BARCELONA-F.FRANCESA

35VI02 - SUBTRAMO IIIa

Punto : P042 Canal : 25 Unidades : mm

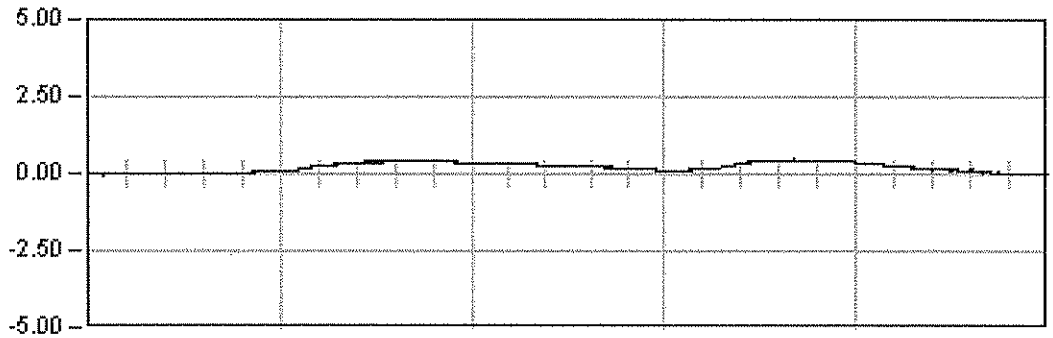


DINAMICA 21

132.0 Seg

Max: 0.46
Min: -0.07
Rem: -0.01

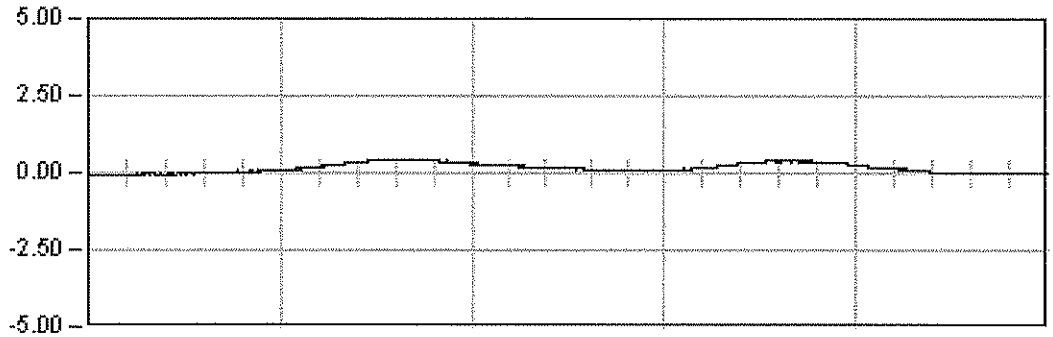


DINAMICA 22

45.0 Seg

Max: 0.43
Min: -0.14
Rem: -0.00

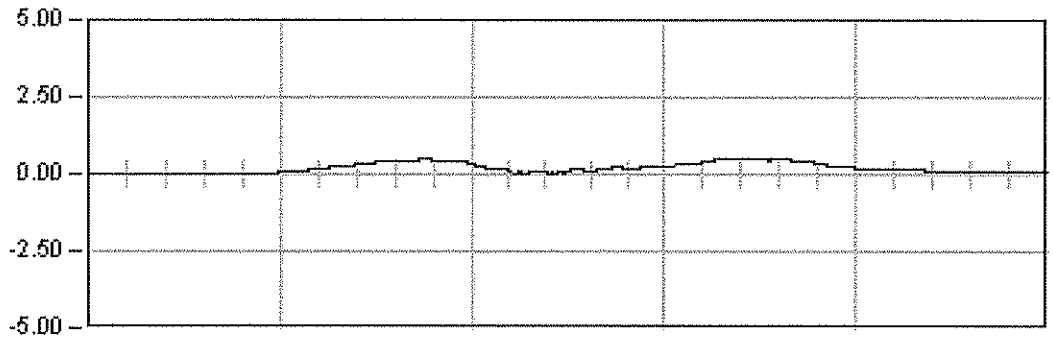


DINAMICA 23

18.0 Seg

Max: 0.50
Min: -0.03
Rem: 0.01

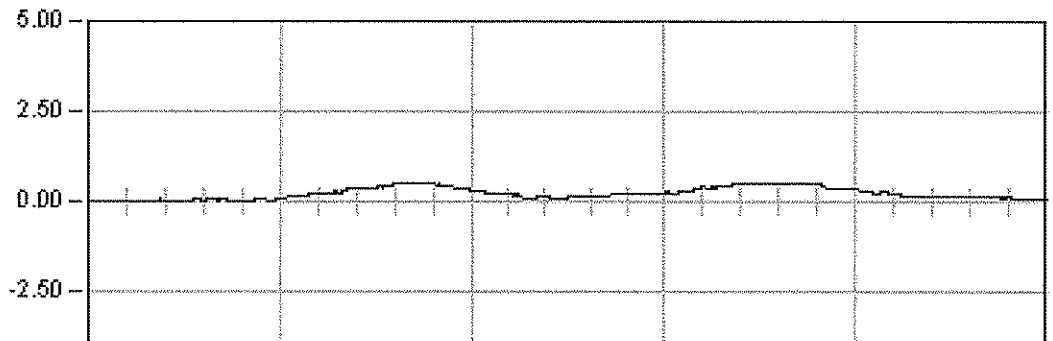


DINAMICA 24

16.0 Seg

Max: 0.53
Min: -0.02
Rem: 0.02

L.A.V. MADRID-BARCELONA-F.FRANCESA

35VI02 - SUBTRAMO IIIa

Punto : P043 Canal : 28 Unidades : mm

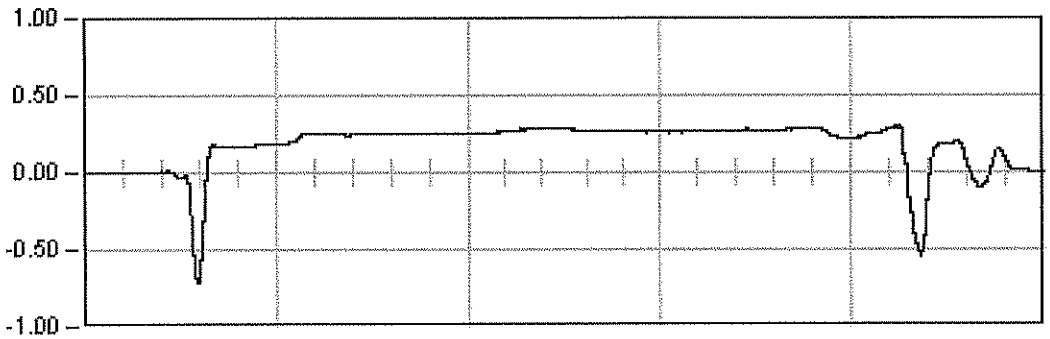


ESTATICA 01

1356.0 Seg

Est: 0.28
Max: -0.72
Min: 0.30
Rem: 0.02

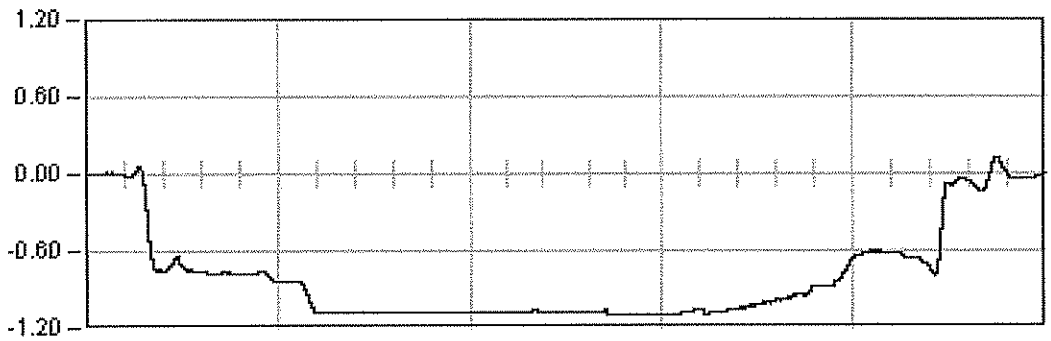


ESTATICA 02

1225.0 Seg

Est: -0.95
Max: -1.11
Min: 0.12
Rem: -0.01

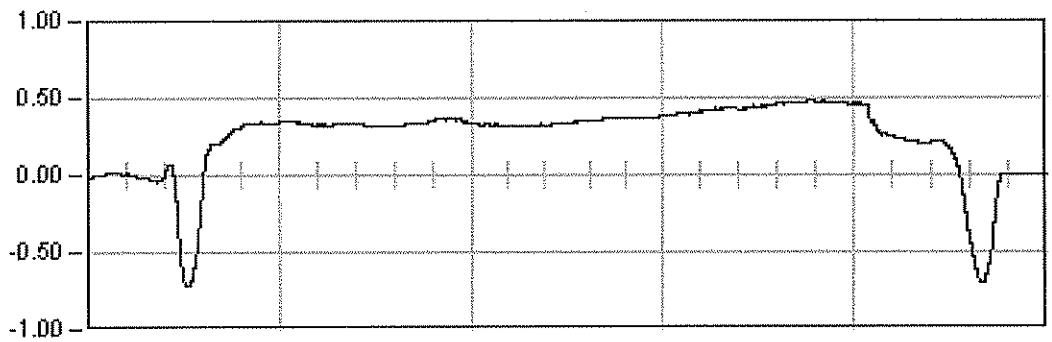


ESTATICA 15

979.0 Seg

Est: 0.22
Max: -0.72
Min: 0.48
Rem: -0.00

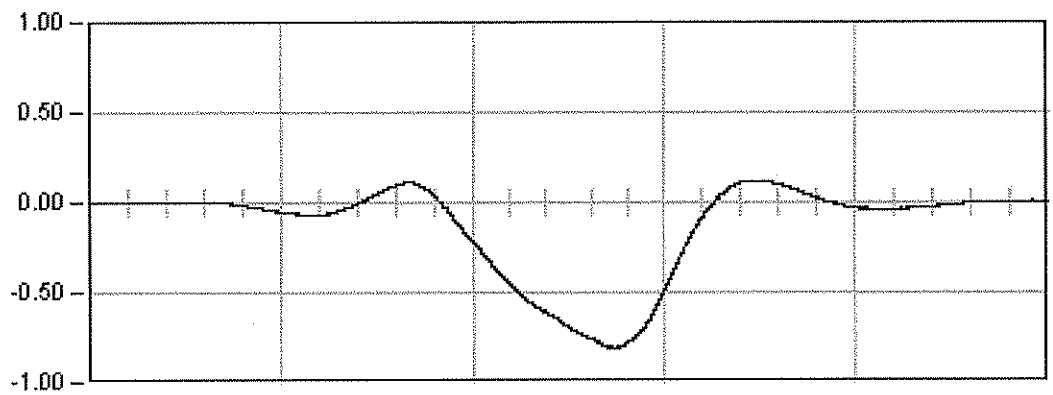


DINAMICA 01

110.0 Seg

Max: -0.81
Min: 0.12
Rem: -0.00

L.A.V. MADRID-BARCELONA-F.FRANCESA

35VI02 - SUBTRAMO IIIa

Punto : P043 Canal : 28 Unidades : mm

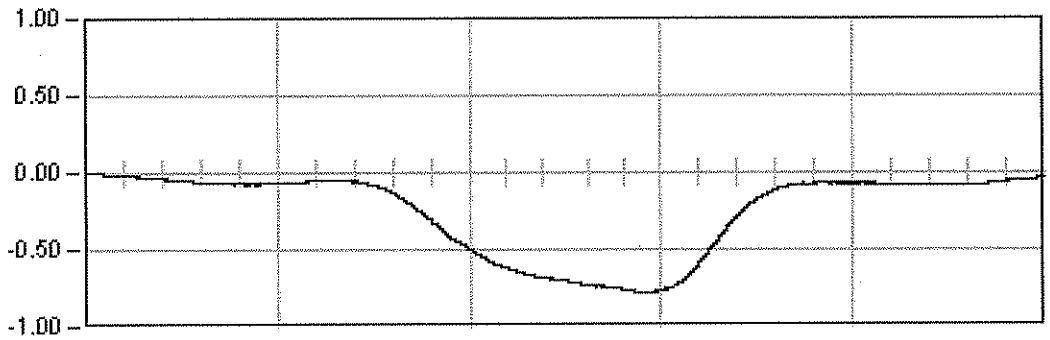


DINAMICA 21

132.0 Seg

Max: -0.78
Min: 0.01
Rem: -0.04

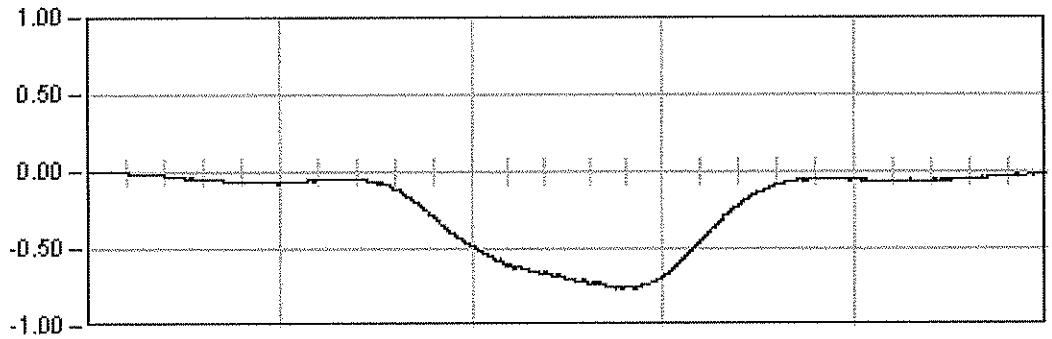


DINAMICA 22

45.0 Seg

Max: -0.77
Min: 0.00
Rem: -0.02

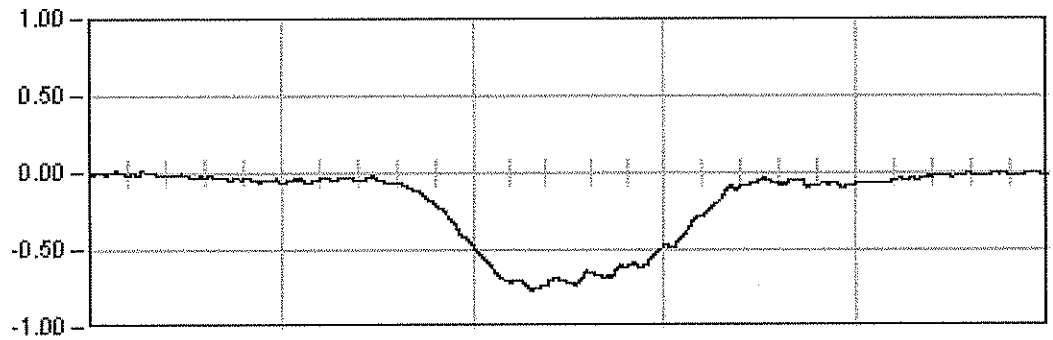


DINAMICA 23

18.0 Seg

Max: -0.77
Min: 0.01
Rem: -0.01

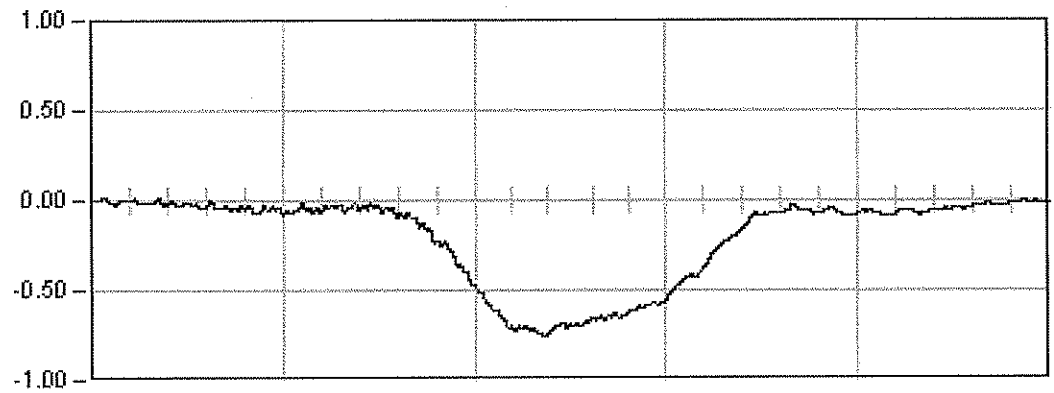


DINAMICA 24

16.0 Seg

Max: -0.76
Min: 0.02
Rem: -0.00

L.A.V. MADRID-BARCELONA-F.FRANCESA

35VI02 - SUBTRAMO IIIa

Punto : G011 Canal : 16 Unidades : µE

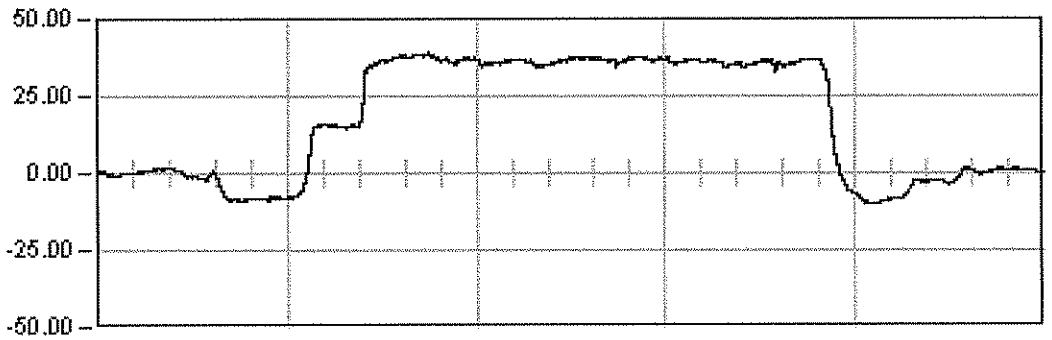


ESTATICA 01

1356.0 Seg

Est: 37.85
Max: 38.76
Min: -10.18
Rem: 0.85

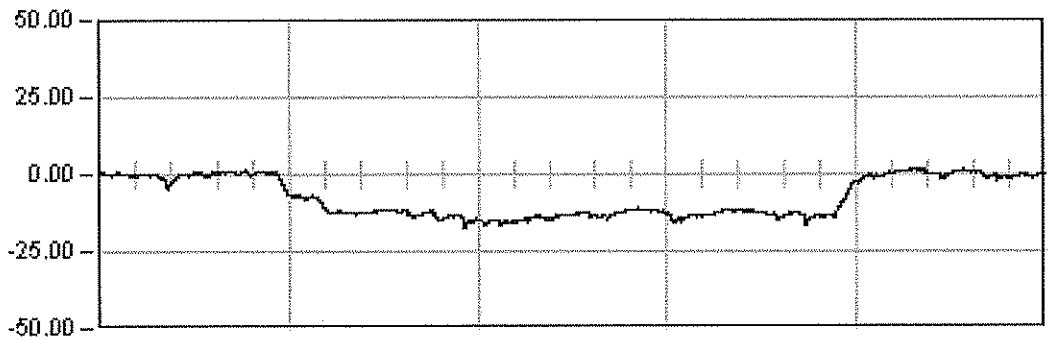


ESTATICA 02

1225.0 Seg

Est: -14.97
Max: -17.23
Min: 1.67
Rem: -0.72

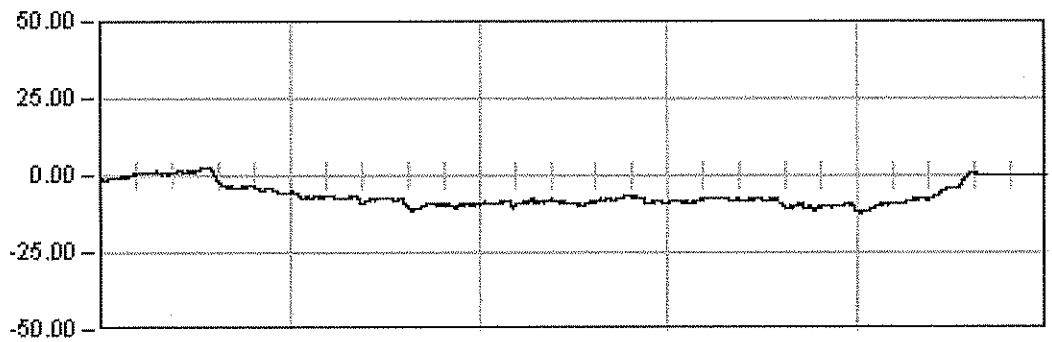


ESTATICA 15

979.0 Seg

Est: -8.38
Max: -12.59
Min: 2.81
Rem: -0.05

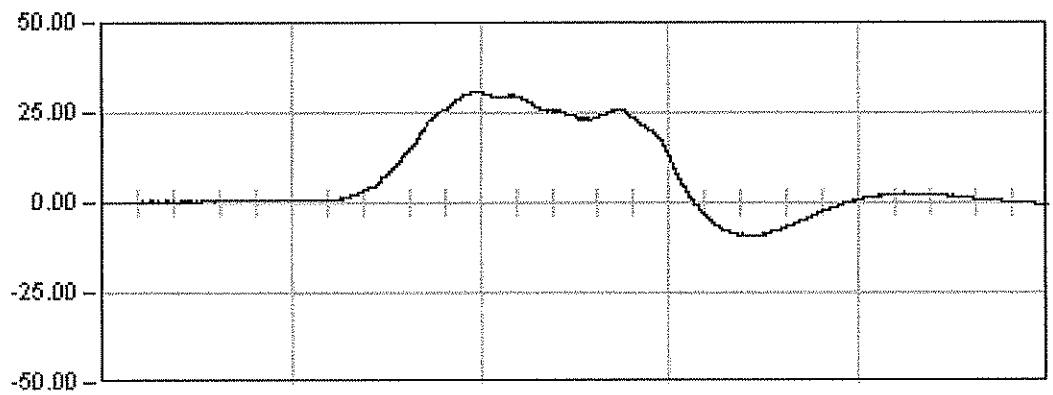


DINAMICA 01

76.0 Seg

Max: 30.67
Min: -9.51
Rem: -0.79

L.A.V. MADRID-BARCELONA-F.FRANCESA

35VI02 - SUBTRAMO IIIa

Punto : G011 Canal : 16 Unidades : µE

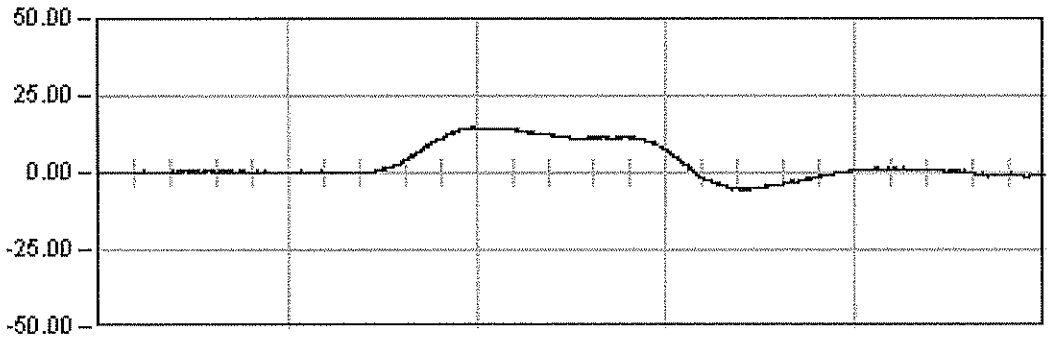


DINAMICA 21

144.0 Seg

Max: 14.62
Min: -5.53
Rem: -0.17

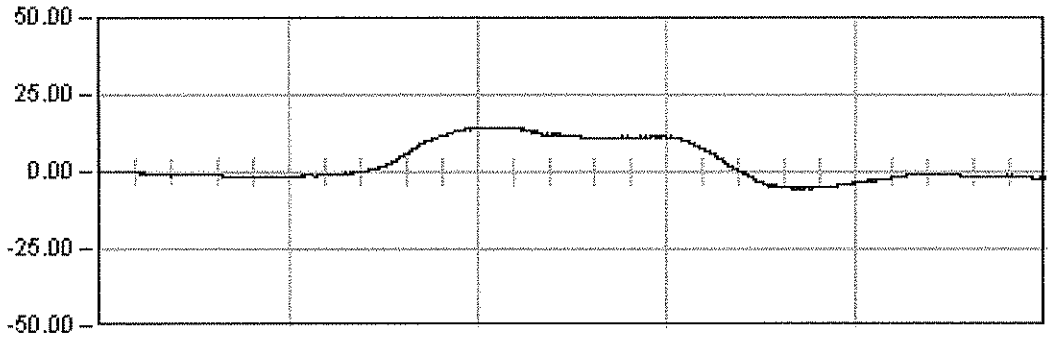


DINAMICA 22

38.0 Seg

Max: 14.46
Min: -5.72
Rem: -0.68

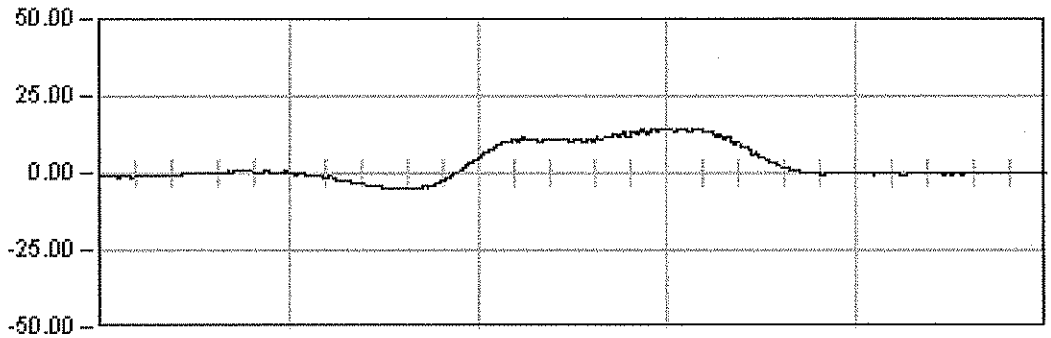


DINAMICA 23

14.0 Seg

Max: 14.51
Min: -5.37
Rem: -0.13

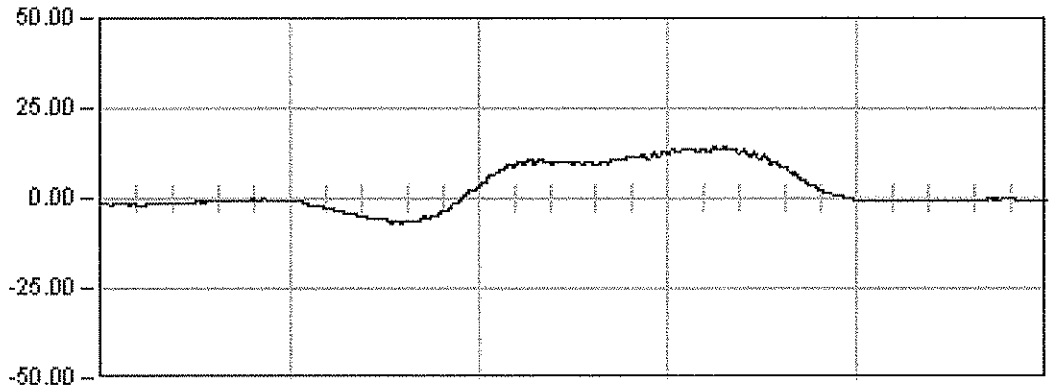


DINAMICA 24

14.0 Seg

Max: 14.20
Min: -6.83
Rem: -0.37

L.A.V. MADRID-BARCELONA-F.FRANCESA

35VI02 - SUBTRAMO IIIa

Punto : G012 Canal : 18 Unidades : µE

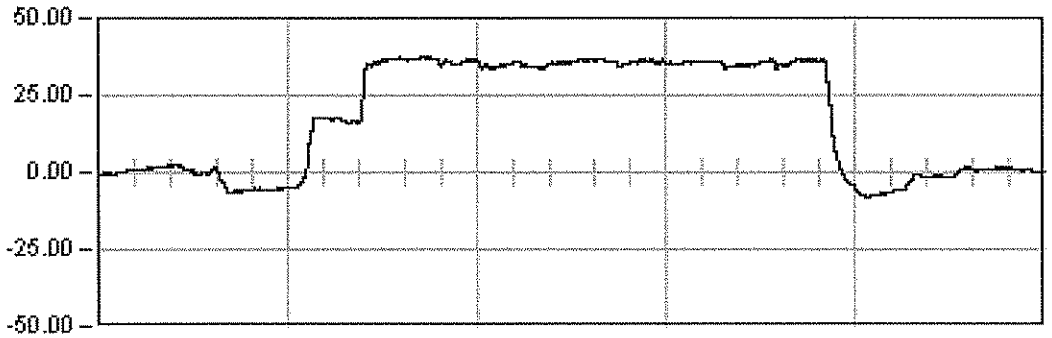


ESTATICA 01

1356.0 Seg

Est: 36.24
Max: 37.55
Min: -8.36
Rem: 0.65

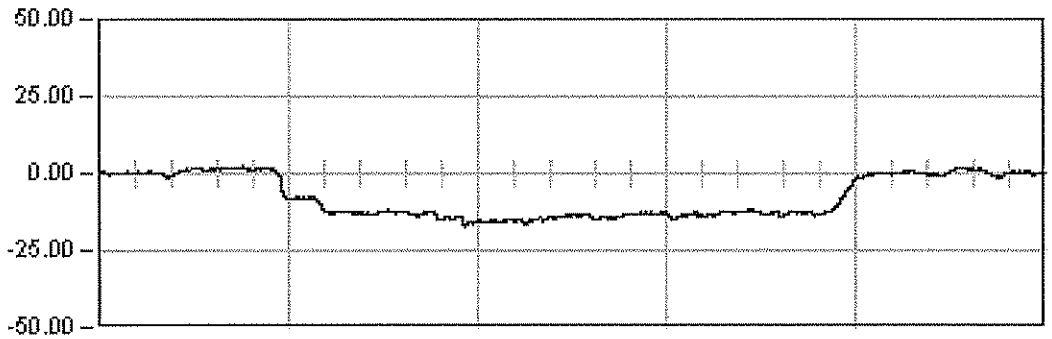


ESTATICA 02

1225.0 Seg

Est: -12.72
Max: -17.53
Min: 2.44
Rem: -0.06

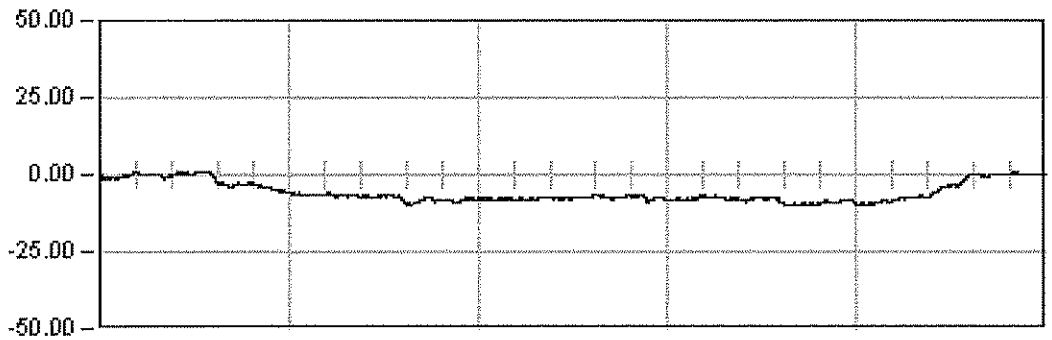


ESTATICA 15

979.0 Seg

Est: -7.49
Max: -10.40
Min: 1.18
Rem: -0.00

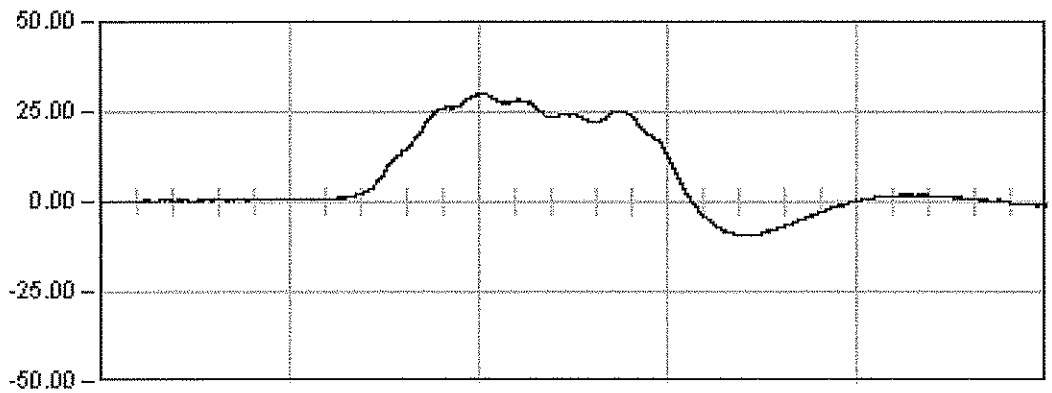


DINAMICA 01

76.0 Seg

Max: 30.25
Min: -9.51
Rem: -0.05

L.A.V. MADRID-BARCELONA-F.FRANCESA

35VI02 - SUBTRAMO IIIa

Punto : G012 Canal : 18 Unidades : µE

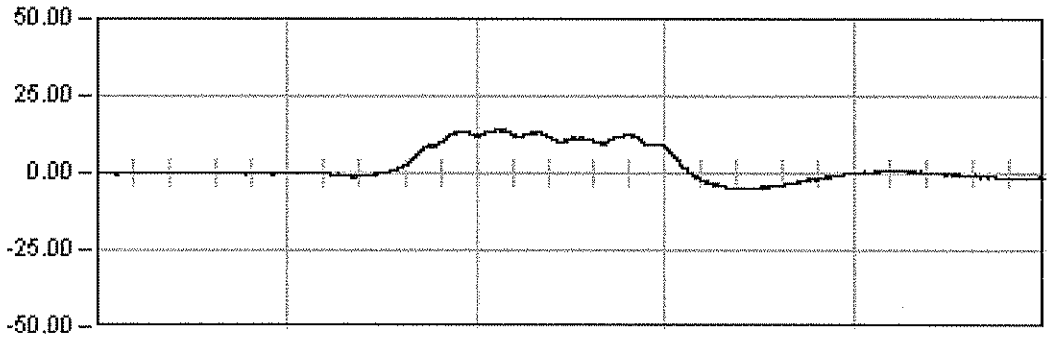


DINAMICA 21

144.0 Seg

Max: 14.01
Min: -5.36
Rem: -0.49

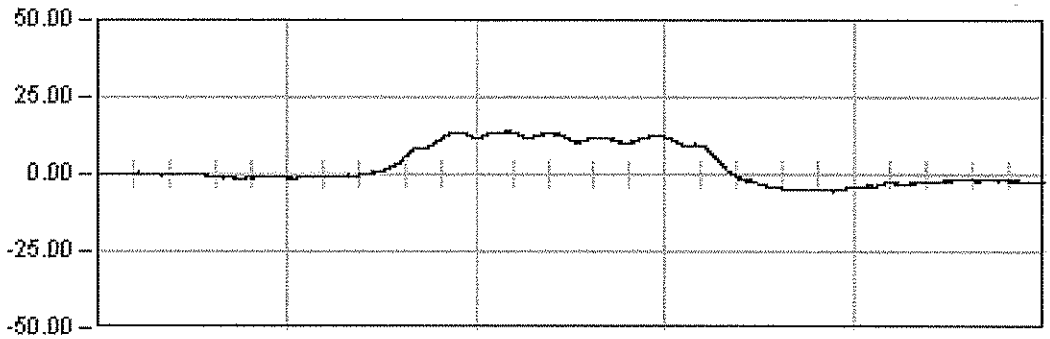


DINAMICA 22

38.0 Seg

Max: 13.99
Min: -5.48
Rem: -0.15

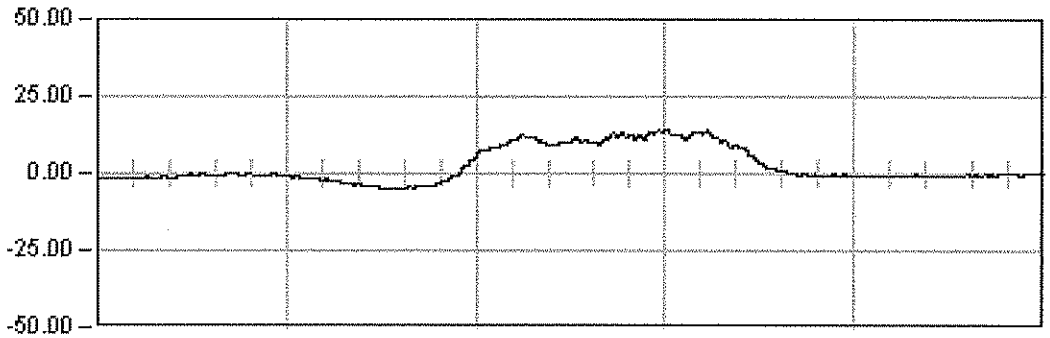


DINAMICA 23

14.0 Seg

Max: 13.99
Min: -5.02
Rem: -0.21

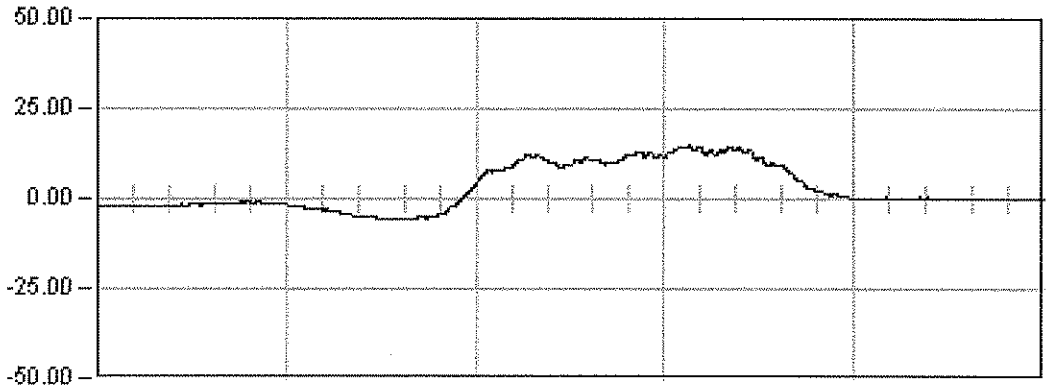


DINAMICA 24

14.0 Seg

Max: 14.66
Min: -5.96
Rem: 0.12

L.A.V. MADRID-BARCELONA-F.FRANCESA

35VI02 - SUBTRAMO IIIa

Punto : G021 Canal : 19 Unidades : µE

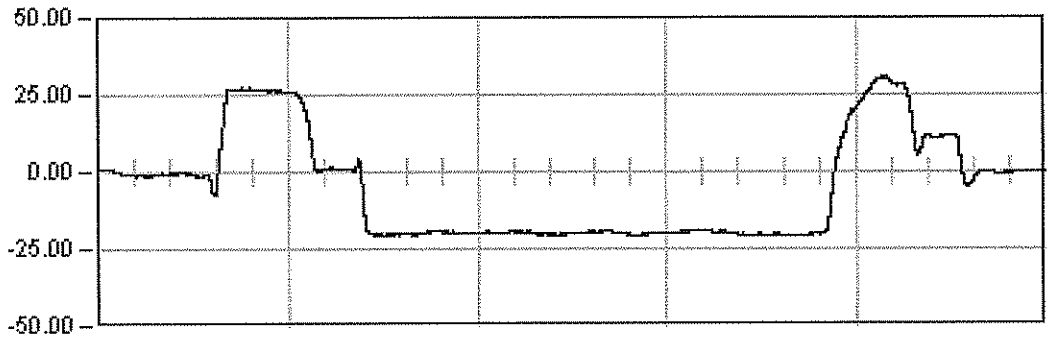


ESTATICA 01

1356.0 Seg

Est: -17.92
Max: 30.69
Min: -21.25
Rem: -0.15

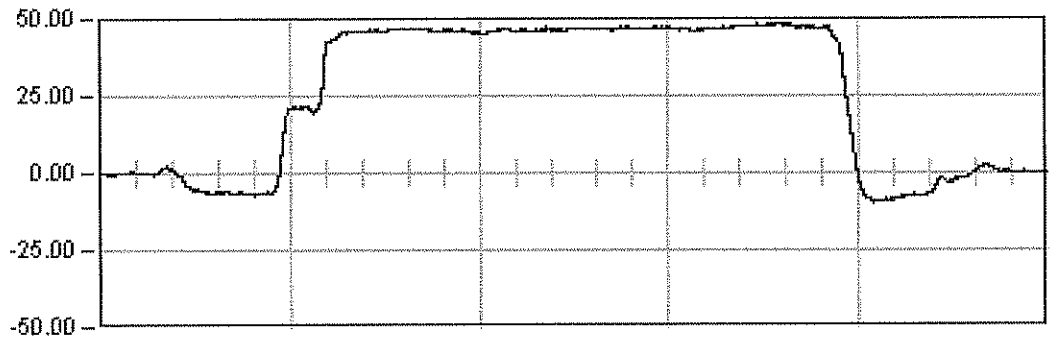


ESTATICA 02

1225.0 Seg

Est: 47.04
Max: 48.26
Min: -9.69
Rem: 0.14

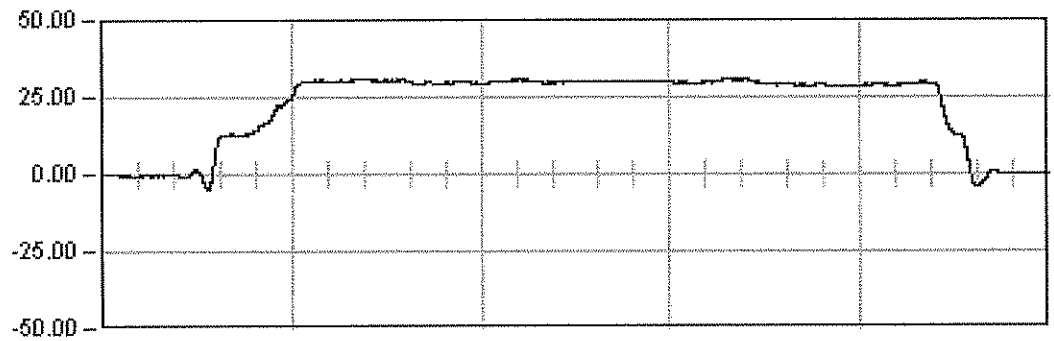


ESTATICA 15

979.0 Seg

Est: 29.37
Max: 31.11
Min: -4.89
Rem: 0.08

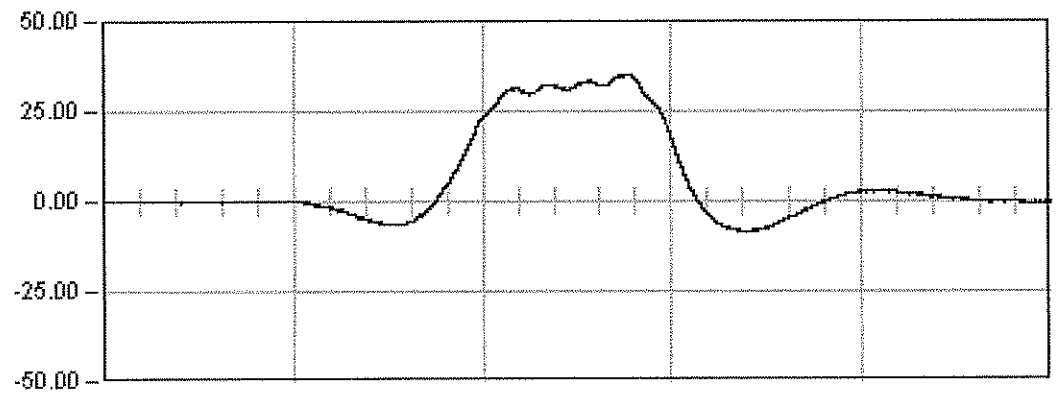


DINAMICA 01

96.0 Seg

Max: 35.19
Min: -8.58
Rem: -0.54

L.A.V. MADRID-BARCELONA-F.FRANCESA

35VI02 - SUBTRAMO IIIa

Punto : G021 Canal : 19 Unidades : µE

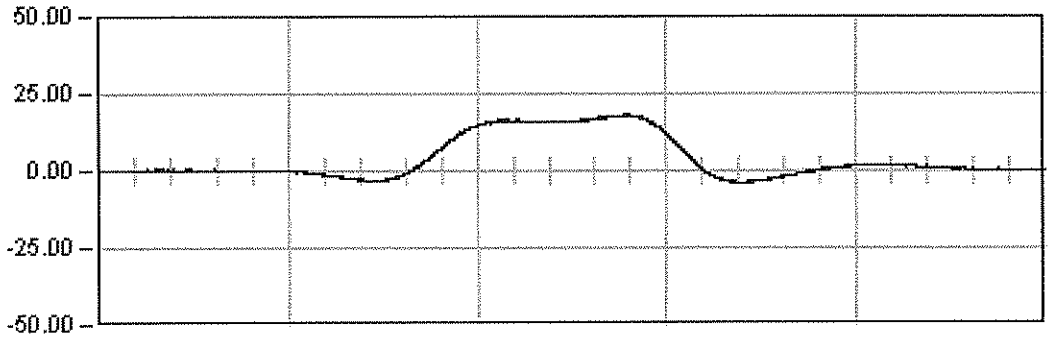


DINAMICA 21

157.0 Seg

Max: 18.07
Min: -4.25
Rem: -0.07

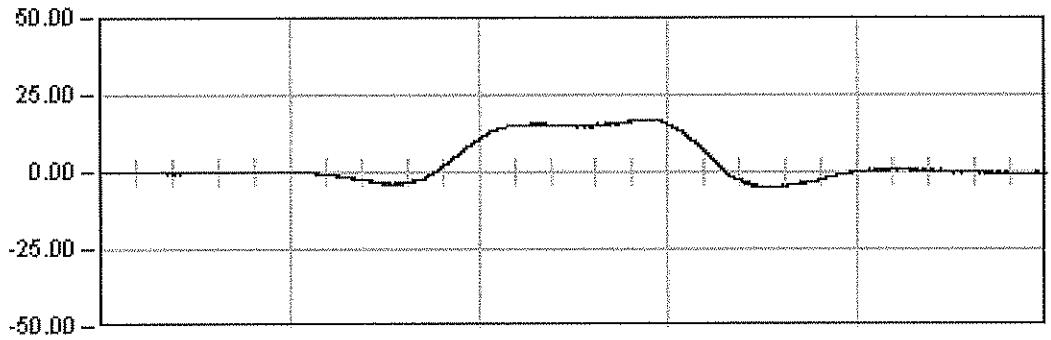


DINAMICA 22

49.0 Seg

Max: 17.03
Min: -5.34
Rem: -0.19

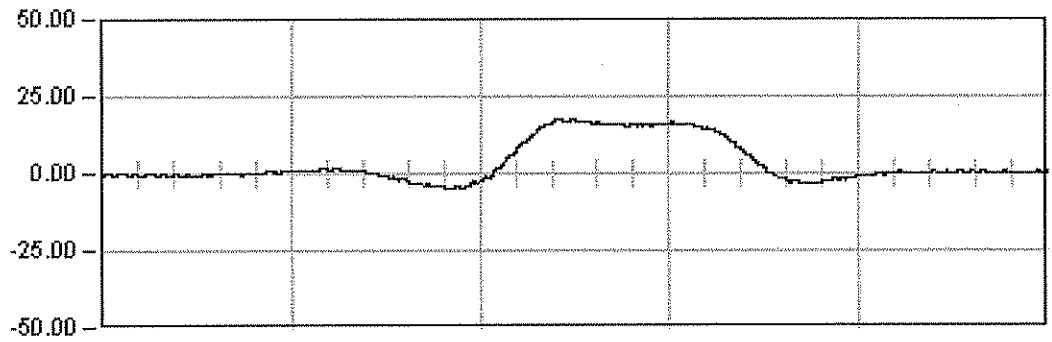


DINAMICA 23

17.0 Seg

Max: 17.66
Min: -5.22
Rem: 0.23

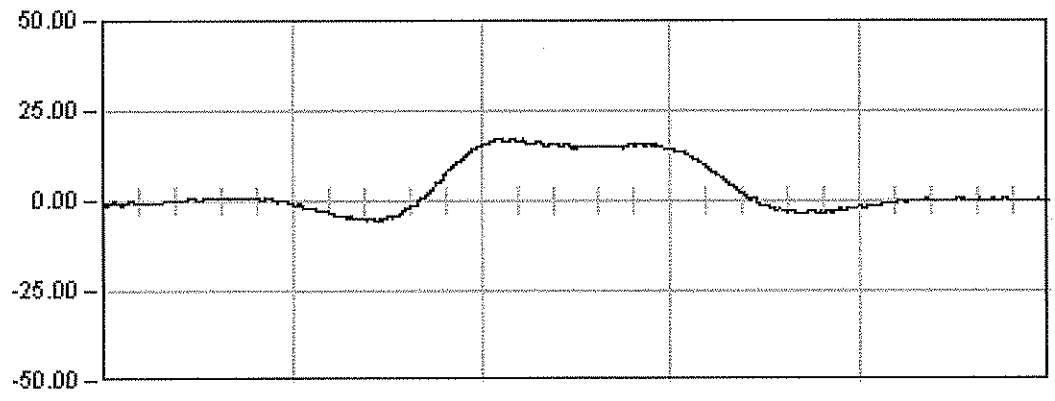


DINAMICA 24

15.0 Seg

Max: 17.40
Min: -5.46
Rem: 0.27

L.A.V. MADRID-BARCELONA-F.FRANCESA

35VI02 - SUBTRAMO IIIa

Punto : G022 Canal : 20 Unidades : µE

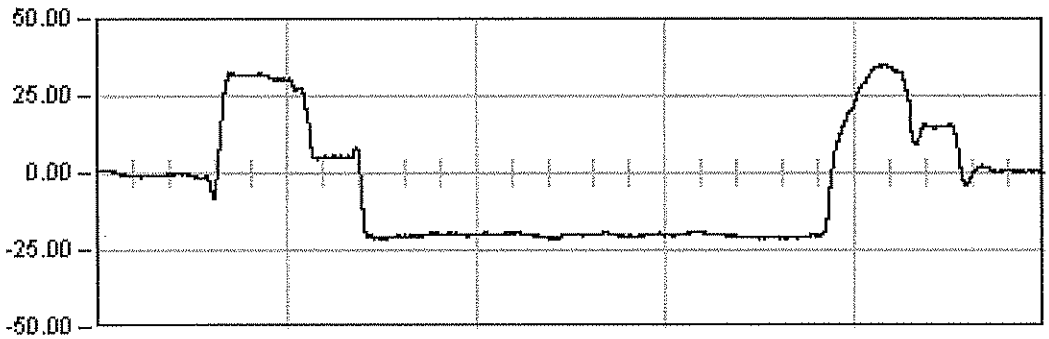


ESTATICA 01

1356.0 Seg

Est: -20.71
Max: 35.06
Min: -21.43
Rem: 0.46

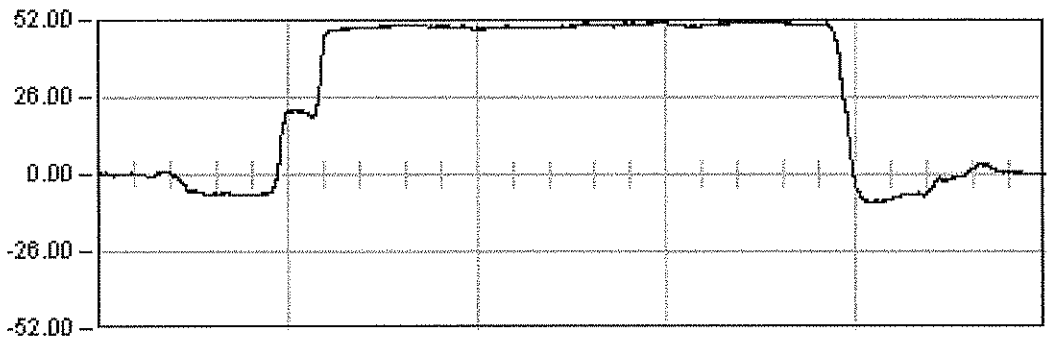


ESTATICA 02

1225.0 Seg

Est: 50.26
Max: 51.65
Min: -9.84
Rem: 0.35

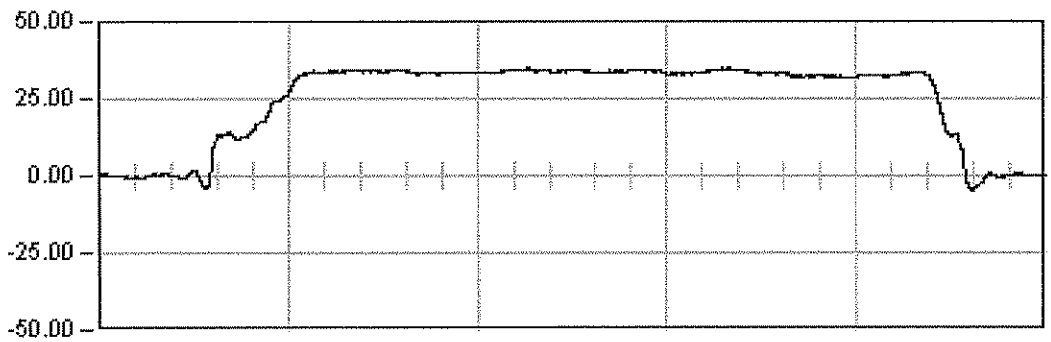


ESTATICA 15

979.0 Seg

Est: 32.97
Max: 34.72
Min: -4.62
Rem: 0.03

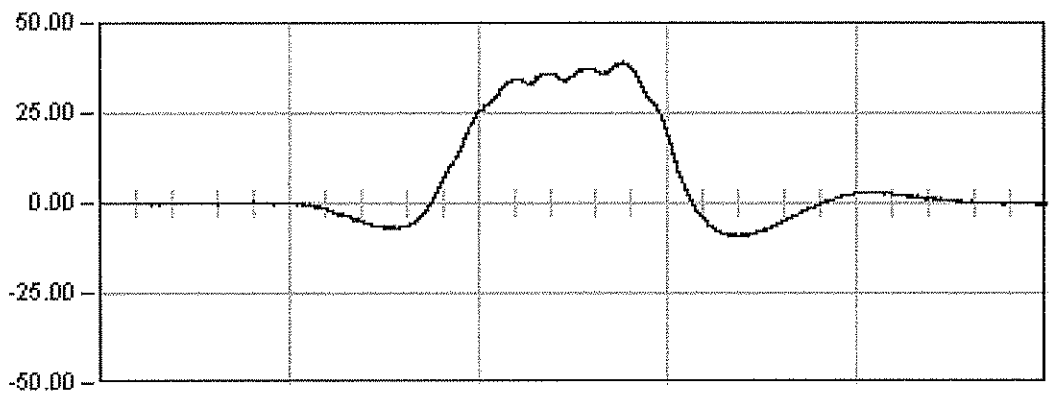


DINAMICA 01

96.0 Seg

Max: 38.94
Min: -9.23
Rem: -1.08

L.A.V. MADRID-BARCELONA-F.FRANCESA

35VI02 - SUBTRAMO IIIa

Punto : G022 Canal : 20 Unidades : µE

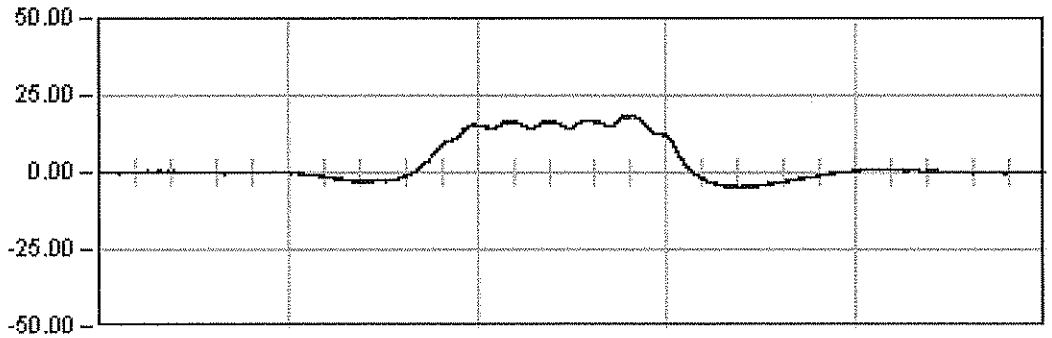


DINAMICA 21

157.0 Seg

Max: 18.59
Min: -4.86
Rem: 0.10

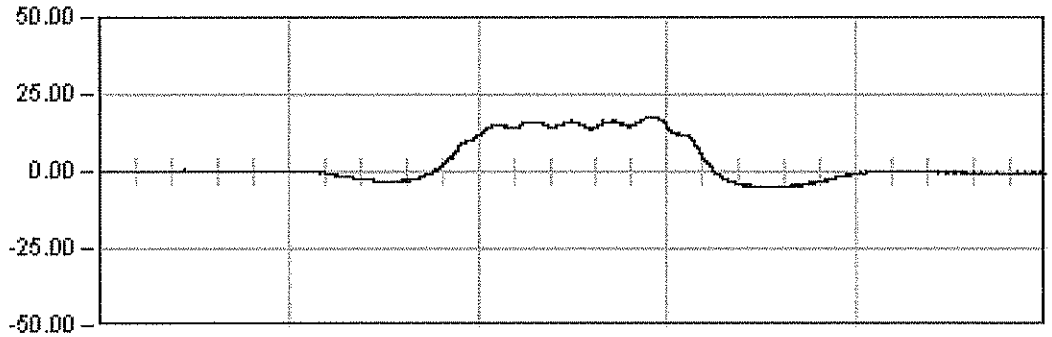


DINAMICA 22

49.0 Seg

Max: 17.58
Min: -5.36
Rem: 0.01

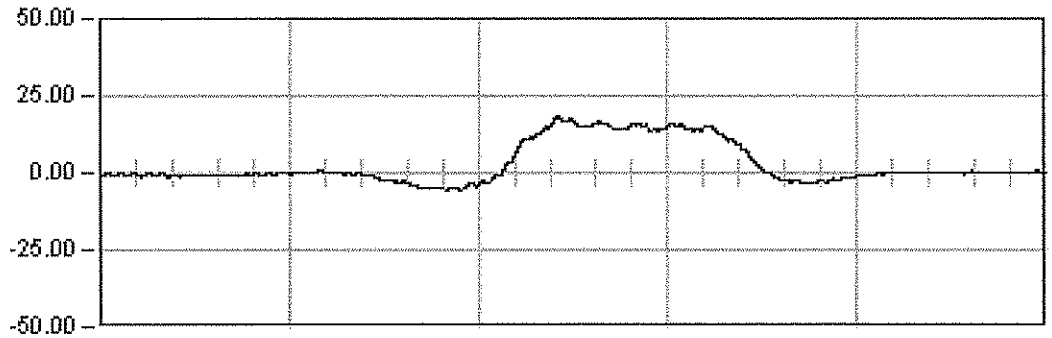


DINAMICA 23

17.0 Seg

Max: 18.10
Min: -5.57
Rem: 0.16

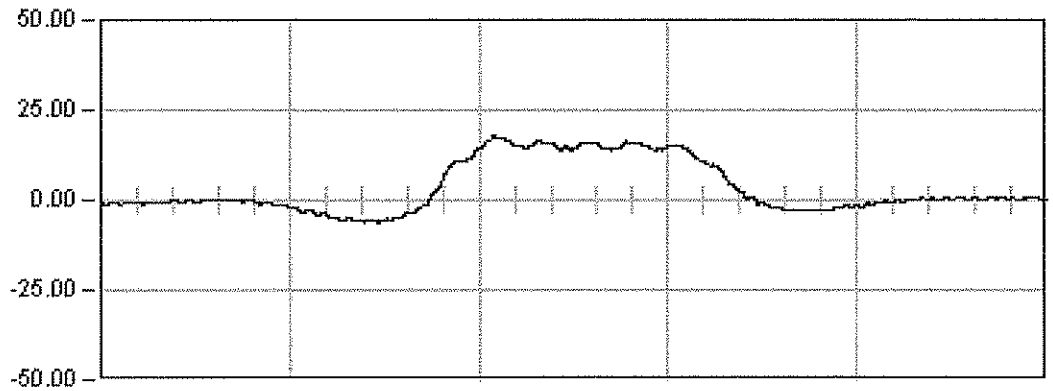


DINAMICA 24

15.0 Seg

Max: 17.75
Min: -6.12
Rem: 0.42

L.A.V. MADRID-BARCELONA-F.FRANCESA

35VI02 - SUBTRAMO IIIa

Punto : G031 Canal : 21 Unidades : µE

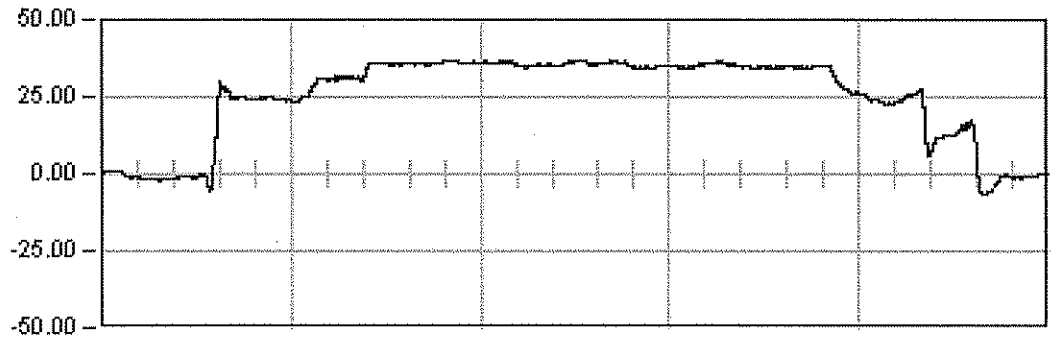


ESTATICA 01

1356.0 Seg

Est: 38.78
Max: 36.94
Min: -6.68
Rem: -0.77

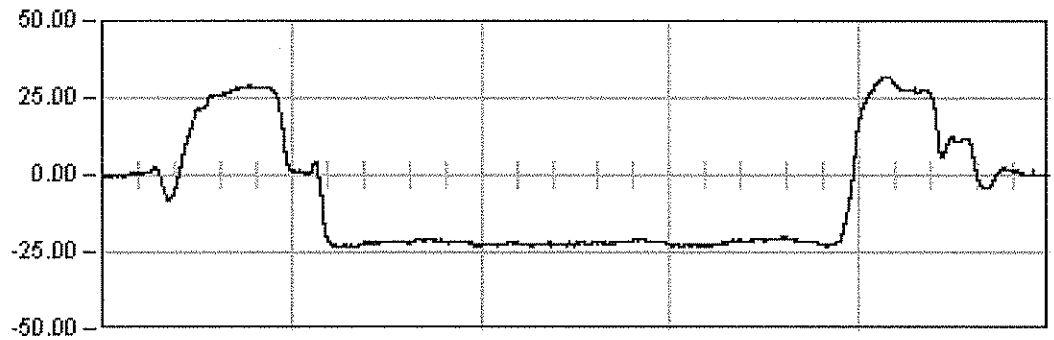


ESTATICA 02

1225.0 Seg

Est: -21.60
Max: 32.01
Min: -23.50
Rem: 0.66

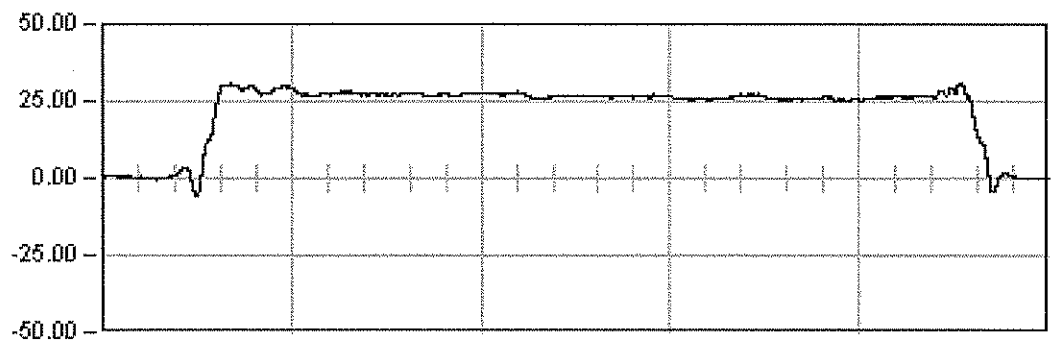


ESTATICA 15

979.0 Seg

Est: 26.37
Max: 30.81
Min: -6.05
Rem: 0.00

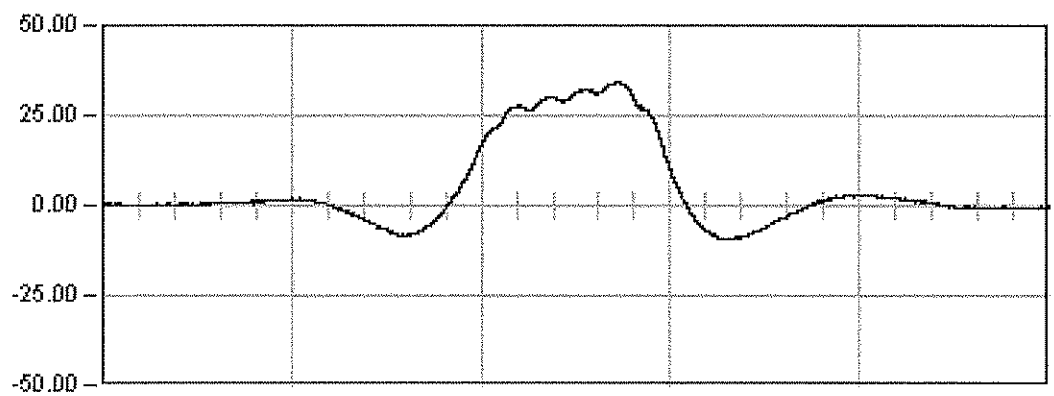


DINAMICA 01

106.0 Seg

Max: 34.27
Min: -9.62
Rem: 0.23

L.A.V. MADRID-BARCELONA-F.FRANCESA

35VI02 - SUBTRAMO IIIa

Punto : G031 Canal : 21 Unidades : µE

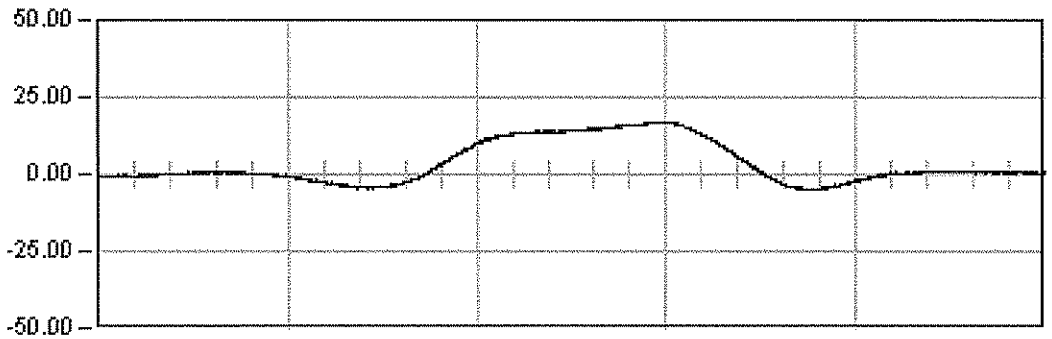


DINAMICA 21

134.0 Seg

Max: 17.04
Min: -5.11
Rem: -0.54

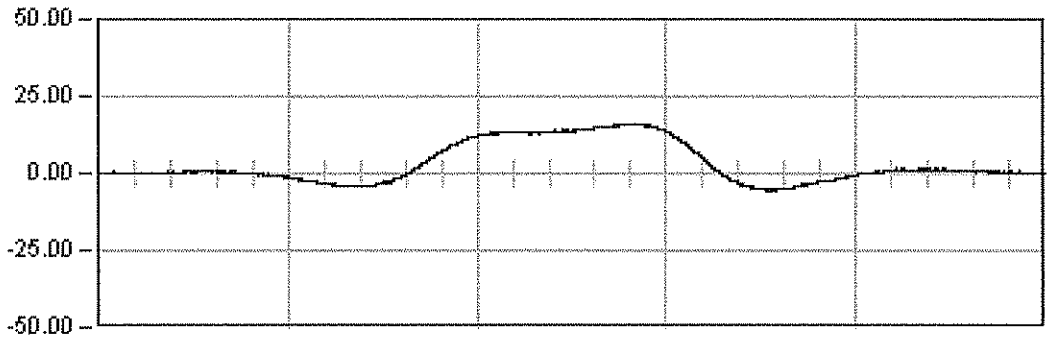


DINAMICA 22

44.0 Seg

Max: 16.02
Min: -5.51
Rem: 0.27

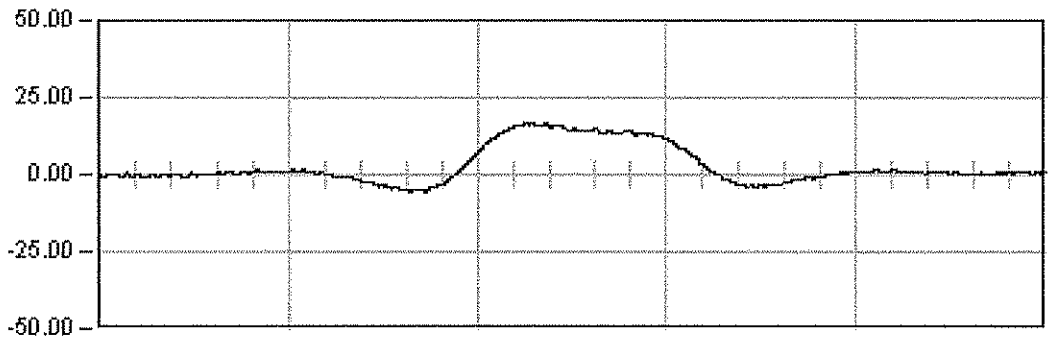


DINAMICA 23

18.0 Seg

Max: 16.62
Min: -5.46
Rem: 0.45

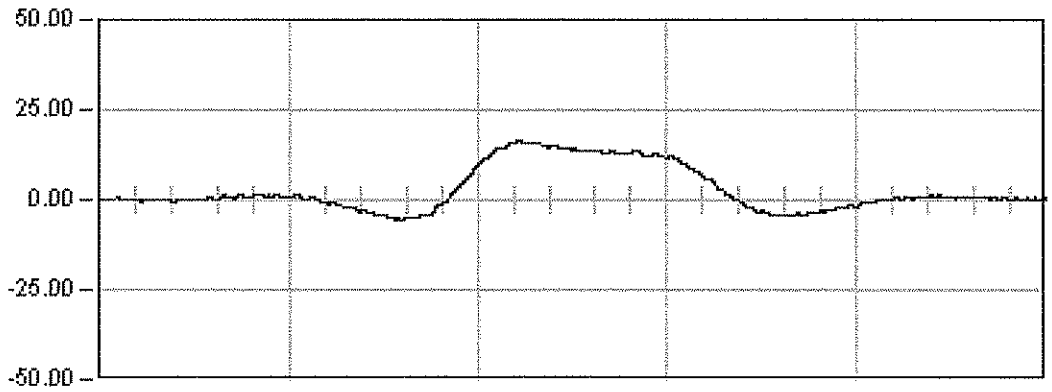


DINAMICA 24

16.0 Seg

Max: 16.31
Min: -5.48
Rem: 0.04

L.A.V. MADRID-BARCELONA-F.FRANCESA

35VI02 - SUBTRAMO IIIa

Punto : G032 Canal : 22 Unidades : µE

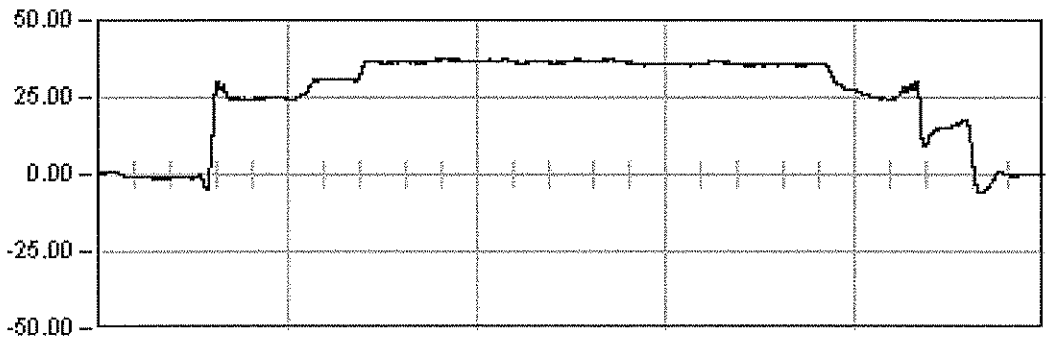


ESTATICA 01

1356.0 Seg

Est: 37.20
Max: 37.43
Min: -6.24
Rem: -0.16

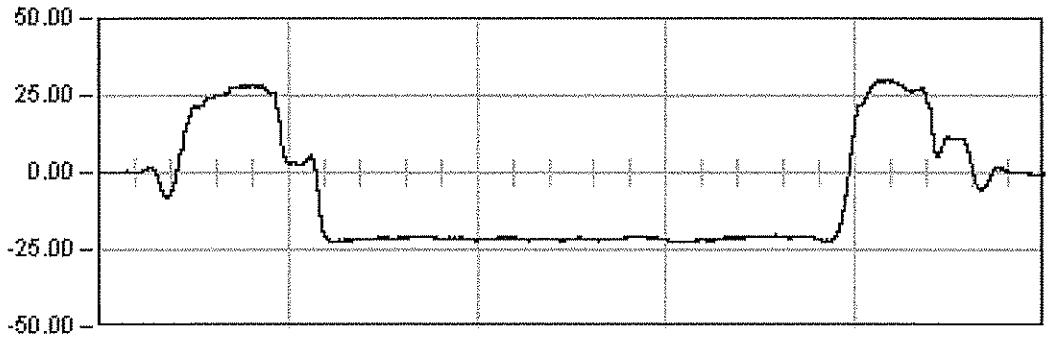


ESTATICA 02

1225.0 Seg

Est: -20.99
Max: 29.85
Min: -22.63
Rem: 0.03

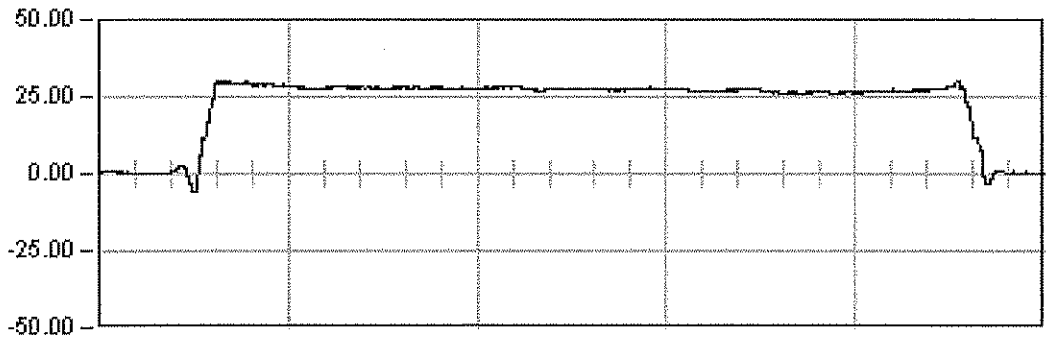


ESTATICA 15

979.0 Seg

Est: 26.65
Max: 30.20
Min: -6.00
Rem: 0.00

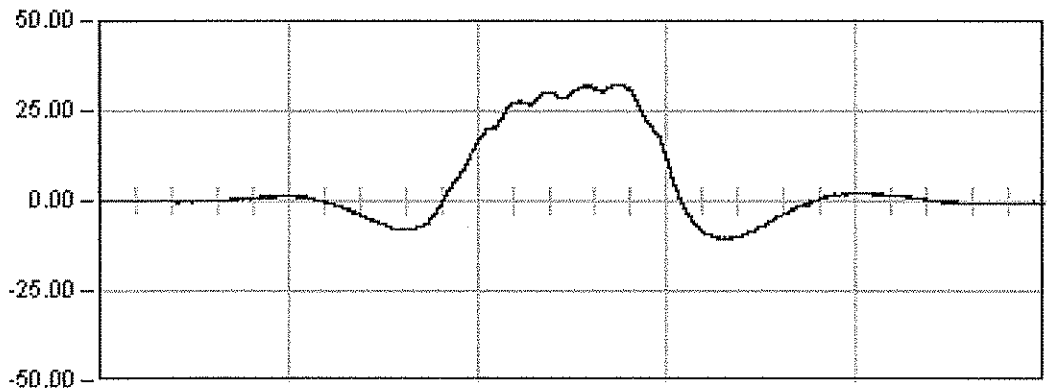


DINAMICA 01

106.0 Seg

Max: 32.43
Min: -10.62
Rem: -0.00

L.A.V. MADRID-BARCELONA-F.FRANCESA

35VI02 - SUBTRAMO IIIa

Punto : G032 Canal : 22 Unidades : µE

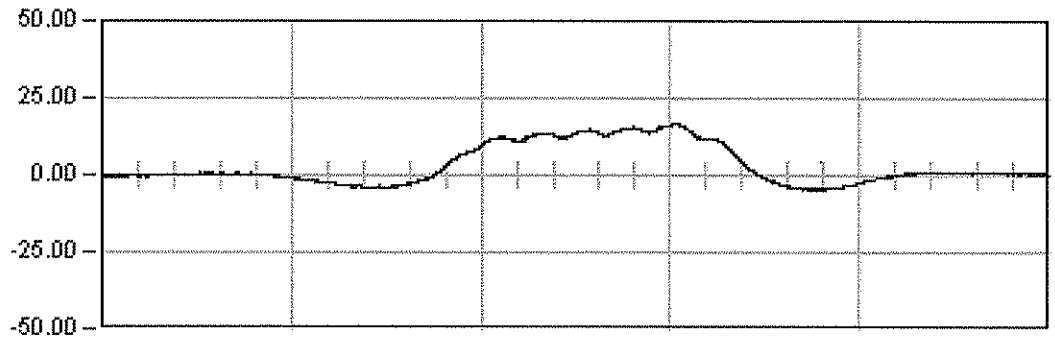


DINAMICA 21

134.0 Seg

Max: 16.62
Min: -4.80
Rem: -0.15

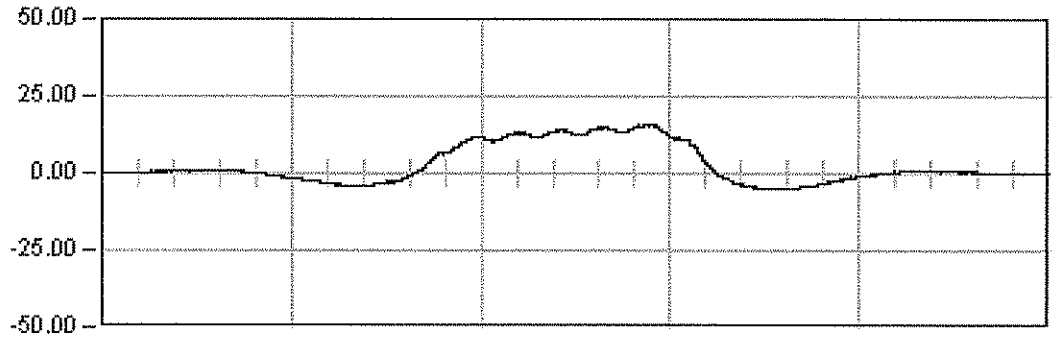


DINAMICA 22

44.0 Seg

Max: 15.88
Min: -5.24
Rem: 0.14

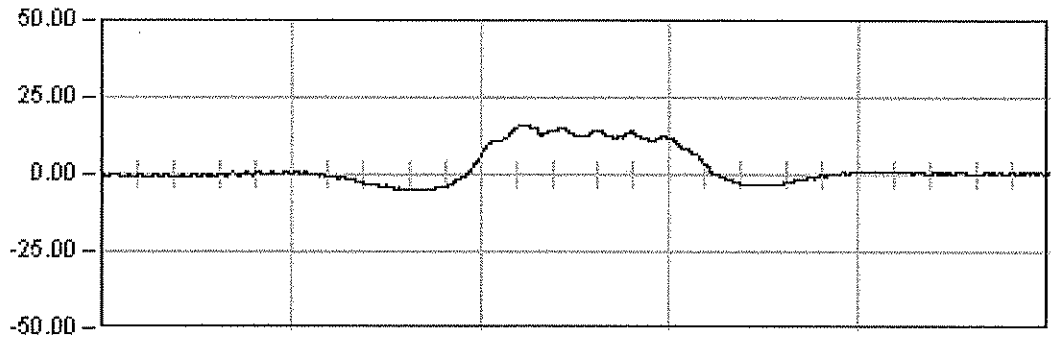


DINAMICA 23

18.0 Seg

Max: 15.88
Min: -5.31
Rem: 0.38

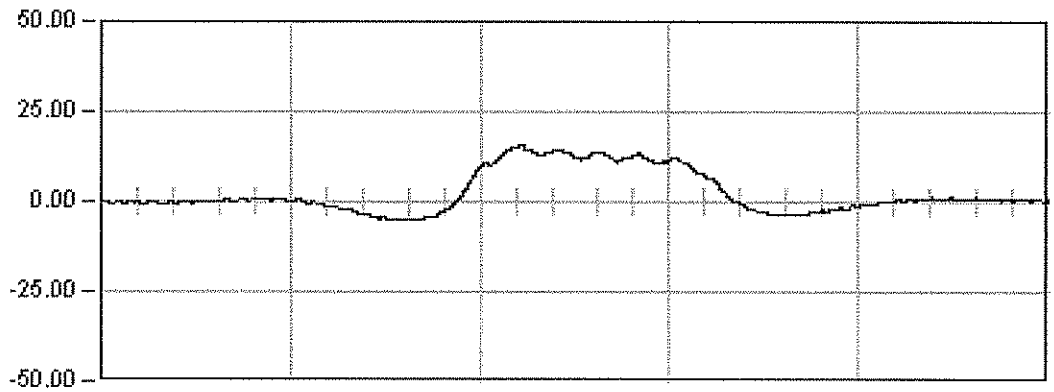


DINAMICA 24

16.0 Seg

Max: 15.79
Min: -5.26
Rem: 0.44

L.A.V. MADRID-BARCELONA-F.FRANCESA

35VI02 - SUBTRAMO IIIa

Punto : A011 Canal : 13 Unidades : G's/100

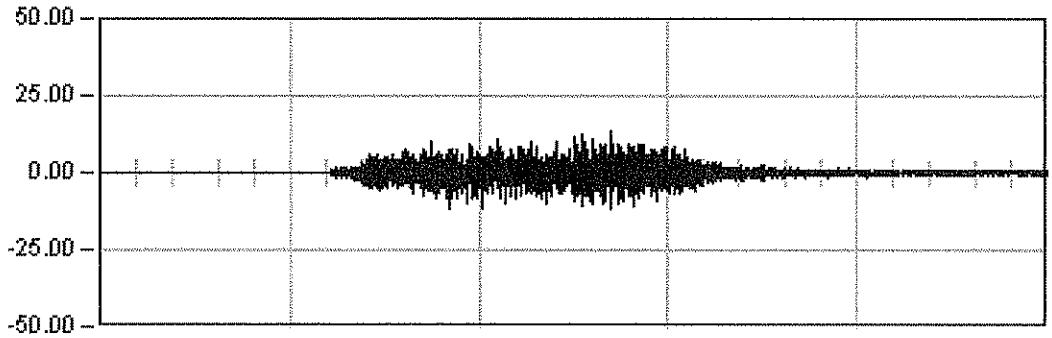


DINAMICA 01

76.0 Seg

Max: 13.51
Min: -11.65
Rem: 0.16

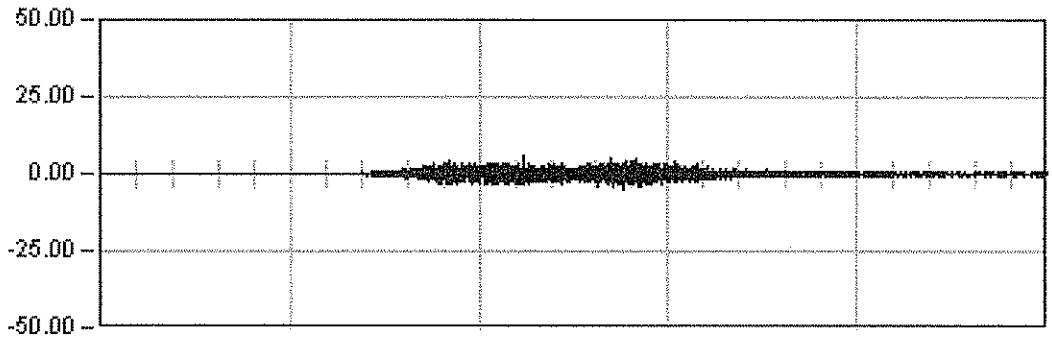


DINAMICA 21

144.0 Seg

Max: 5.70
Min: -4.59
Rem: 0.04

L.A.V. MADRID-BARCELONA-F.FRANCESA

35VI02 - SUBTRAMO IIIa

Punto : A011 Canal : 13 Unidades : G´s/100

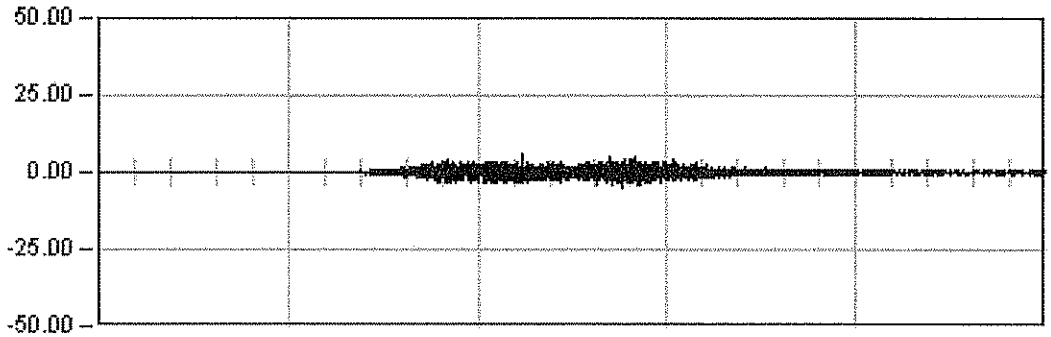


DINAMICA 21

144.0 Seg

Max: 5.70
Min: -4.59
Rem: 0.04

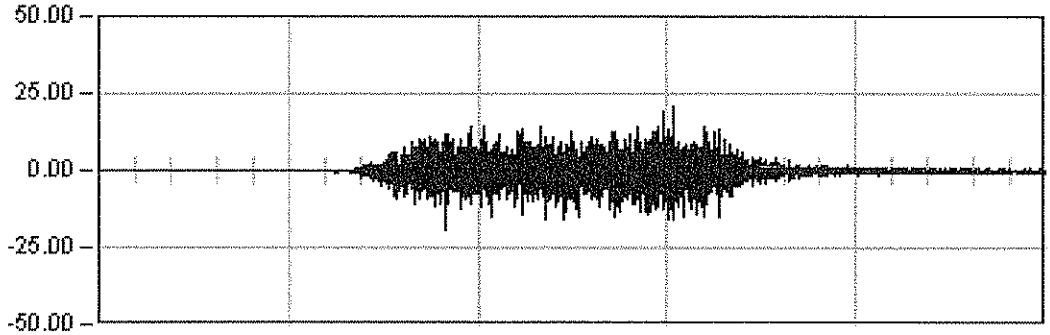


DINAMICA 22

38.0 Seg

Max: 20.58
Min: -19.34
Rem: -0.11

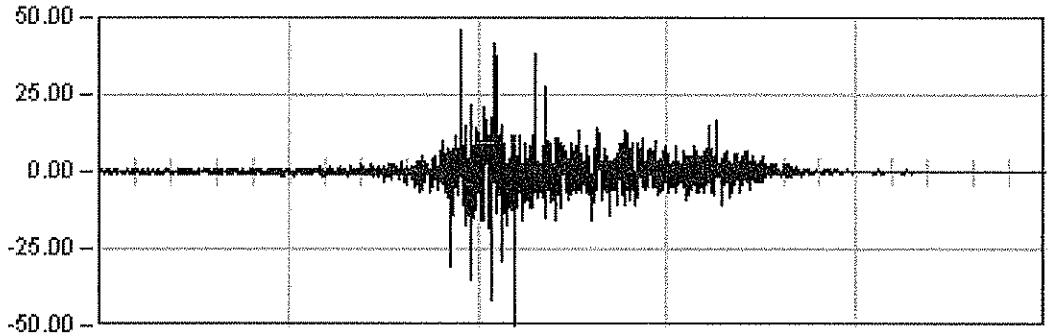


DINAMICA 23

14.0 Seg

Max: -53.67
Min: 45.74
Rem: -0.06

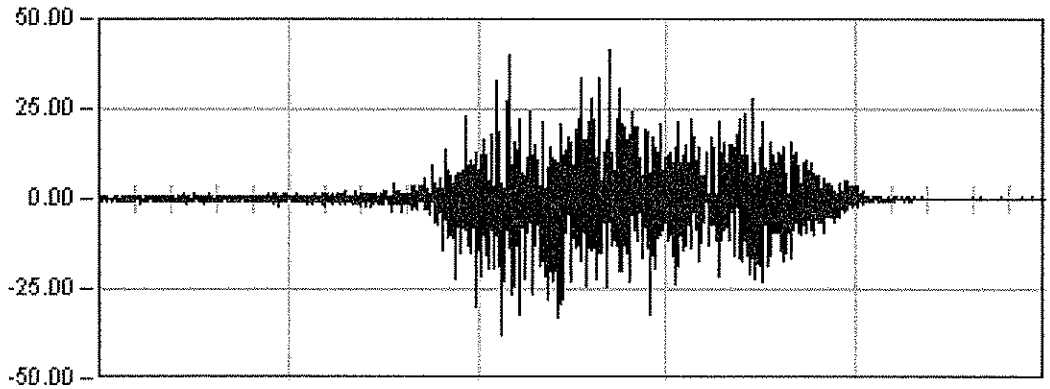


DINAMICA 24

14.0 Seg

Max: 41.65
Min: -38.18
Rem: 0.02

L.A.V. MADRID-BARCELONA-F.FRANCESA

35VI02 - SUBTRAMO IIIa

Prueba: din24 Punto: A11 Canal: 13

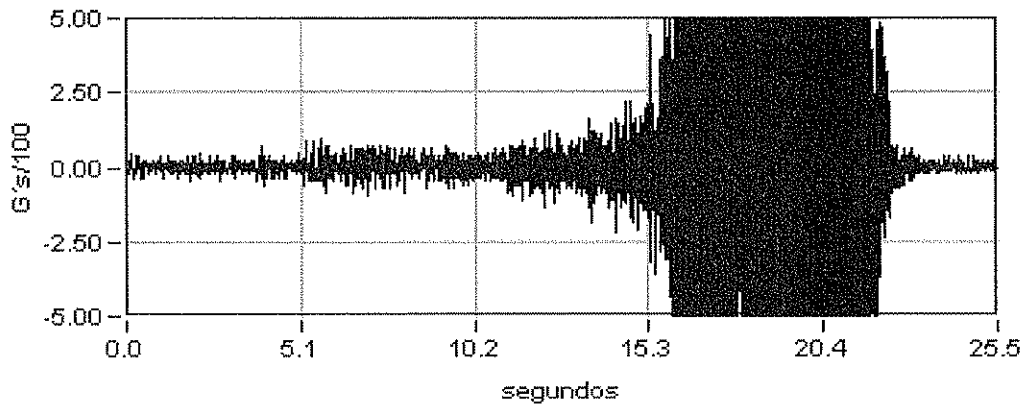


| Máximo |
| --- |
| 41.65 |

| Mínimo |
| --- |
| -38.18 |

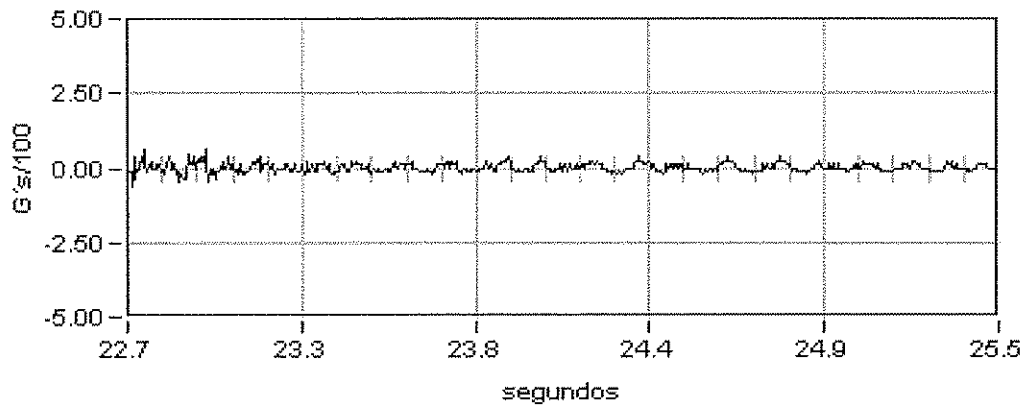


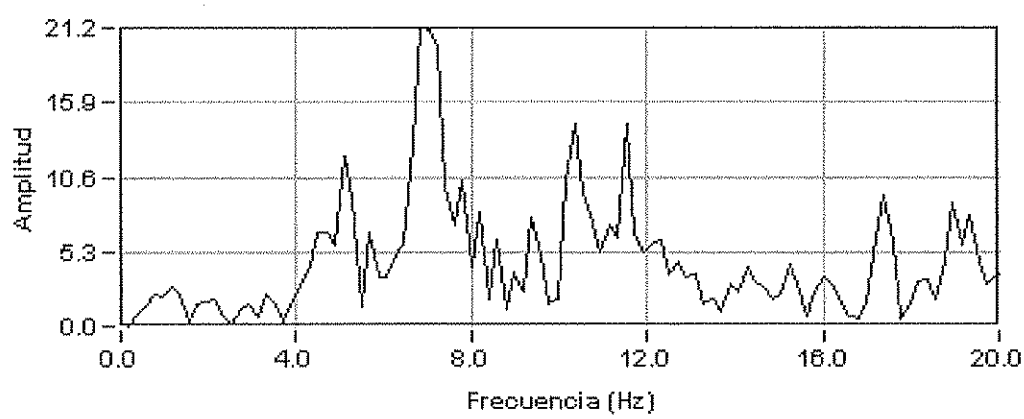


| Amplitud |
| --- |
| 12.05 |

| Frecuencia |
| --- |
| 5.06 |

| Dec Logarit |
| --- |
| 0.20 |

| Amortiguac. | |
| --- | --- |
| 3.16 | % |

L.A.V. MADRID-BARCELONA-F.FRANCESA

35VI02 - SUBTRAMO IIIa

Punto : A021 Canal : 14 Unidades : G's/100

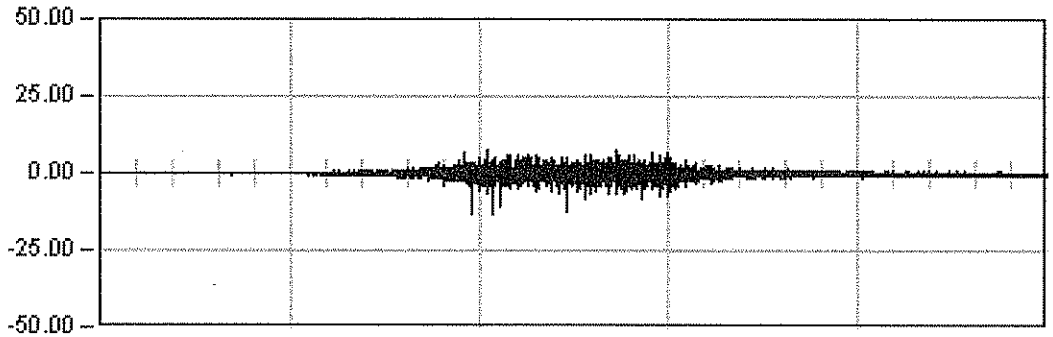


DINAMICA 01

96.0 Seg

Max: -13.24

Min: 7.87

Rem: -0.33

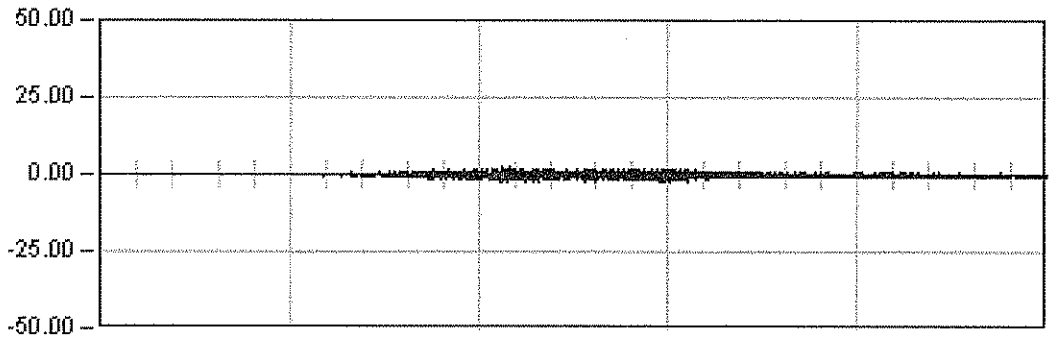


DINAMICA 21

157.0 Seg

Max: 2.74

Min: -2.74

Rem: -0.19

L.A.V. MADRID-BARCELONA-F.FRANCESA

35VI02 - SUBTRAMO IIIa

Punto : A021 Canal : 14 Unidades : G's/100

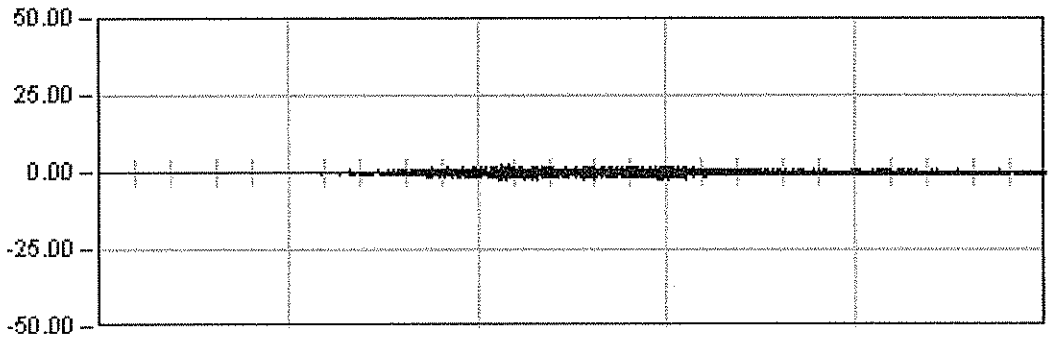


DINAMICA 21

157.0 Seg

Max: 2.74
Min: -2.74
Rem: -0.19

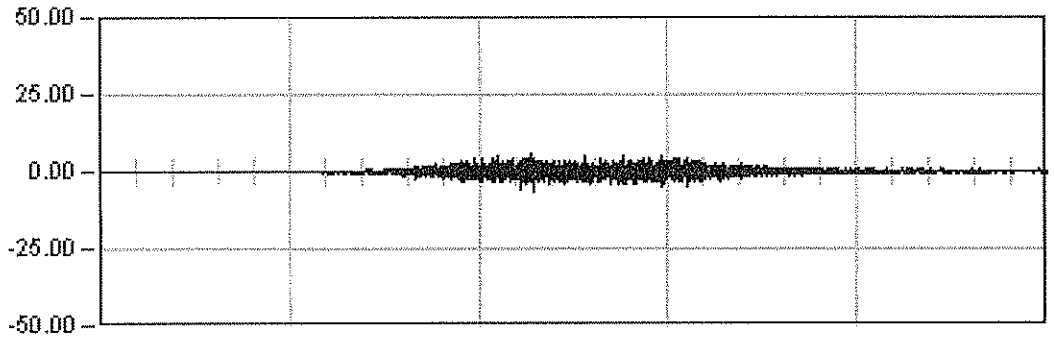


DINAMICA 22

49.0 Seg

Max: -6.32
Min: 5.73
Rem: -0.09

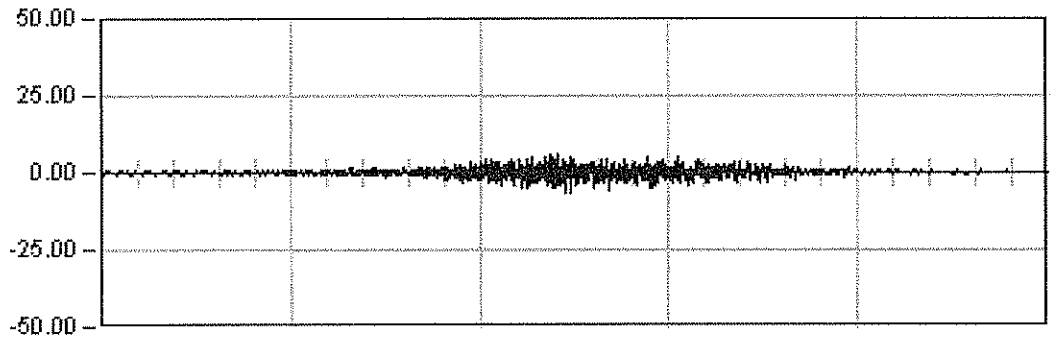


DINAMICA 23

17.0 Seg

Max: -6.44
Min: 6.08
Rem: 0.03

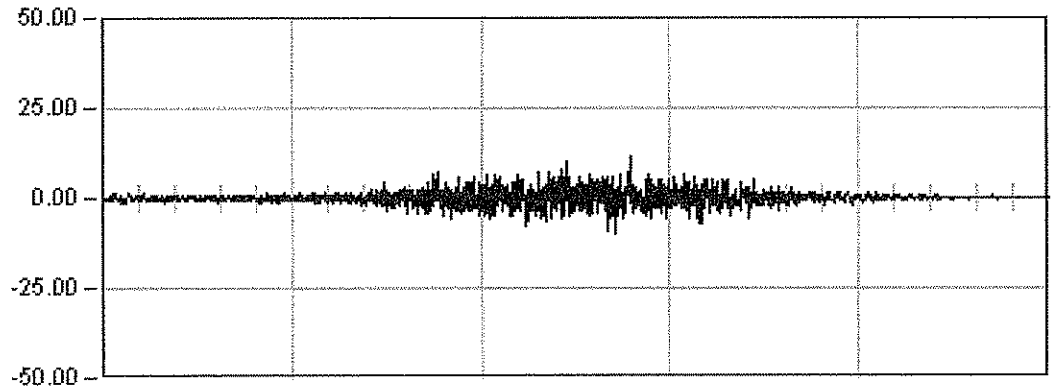


DINAMICA 24

15.0 Seg

Max: 11.09
Min: -9.66
Rem: -0.08

L.A.V. MADRID-BARCELONA-F.FRANCESA

35VI02 - SUBTRAMO IIIa

Prueba: din23 Punto: A21 Canal: 14

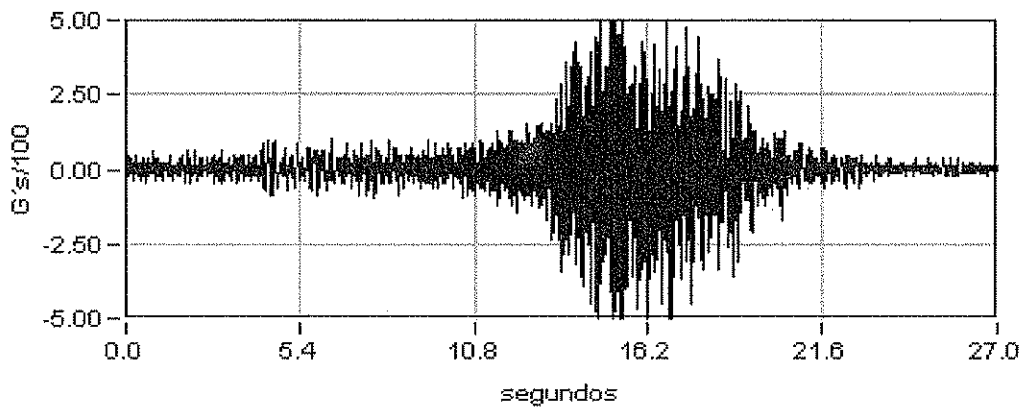


| Máximo |
| --- |
| -6.44 |

| Mínimo |
| --- |
| 6.08 |

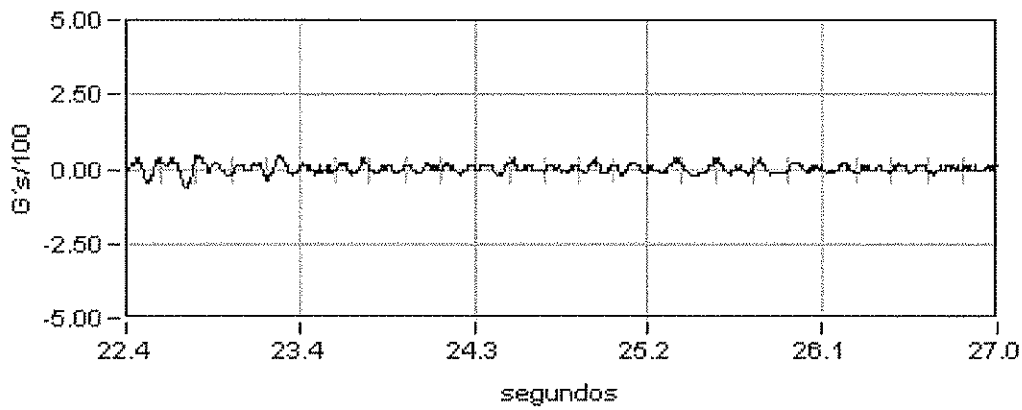


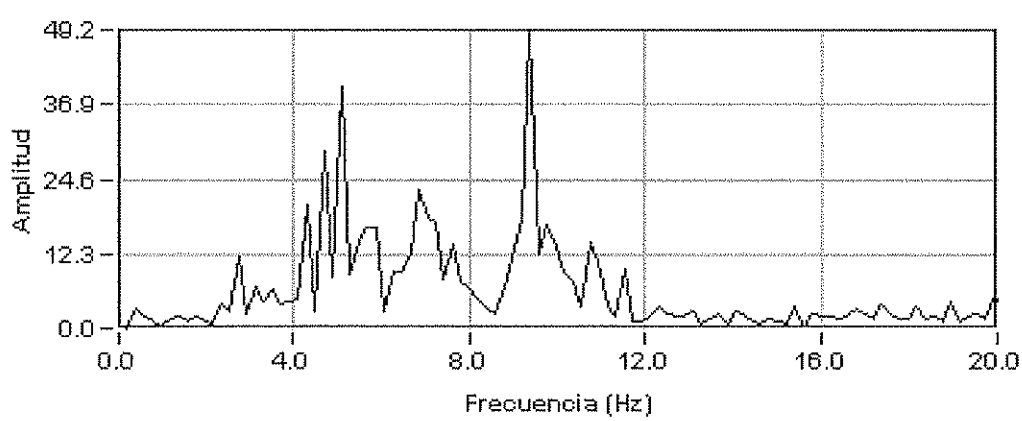


| Amplitud |
| --- |
| 40.02 |

| Frecuencia |
| --- |
| 5.06 |

| Dec.Logarit. |
| --- |
| 0.09 |

| Amortiguac. |
| --- |
| 1.45 % |

L.A.V. MADRID-BARCELONA-F.FRANCESA

35VI02 - SUBTRAMO IIIa

Punto : A031 Canal : 15 Unidades : G's/100

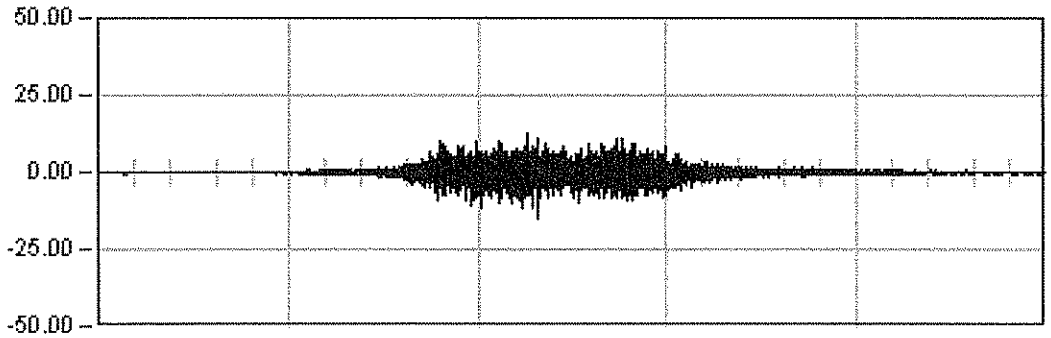


DINAMICA 01

106.0 Seg

Max: -15.14

Min: 12.91

Rem: -0.13

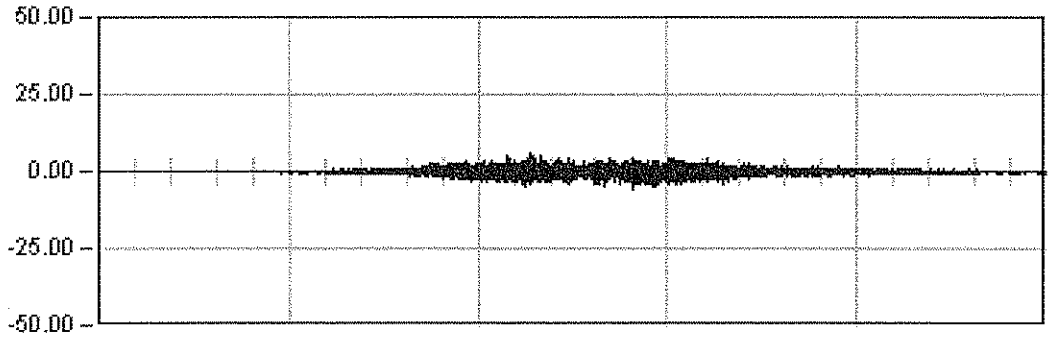


DINAMICA 21

134.0 Seg

Max: -5.71

Min: 5.46

Rem: -0.12

L.A.V. MADRID-BARCELONA-F.FRANCESA

35VI02 - SUBTRAMO IIIa

Punto : A031 Canal : 15 Unidades : G's/100

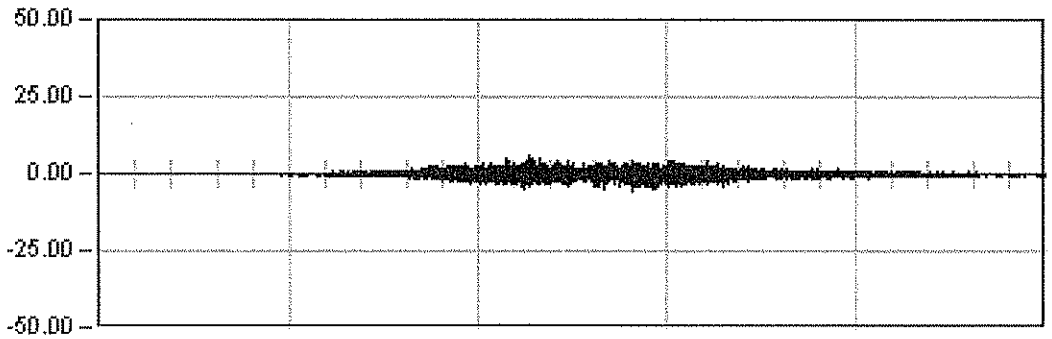


DINAMICA 21

134.0 Seg

Max: -5.71
Min: 5.46
Rem: -0.12

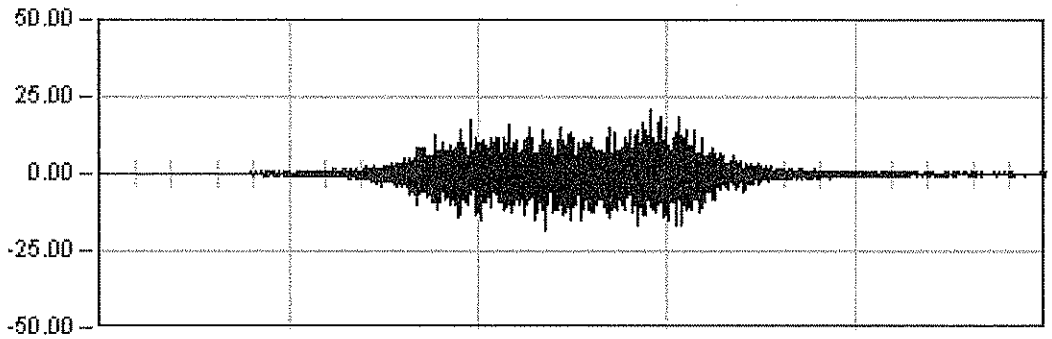


DINAMICA 22

44.0 Seg

Max: 21.22
Min: -18.00
Rem: -0.01

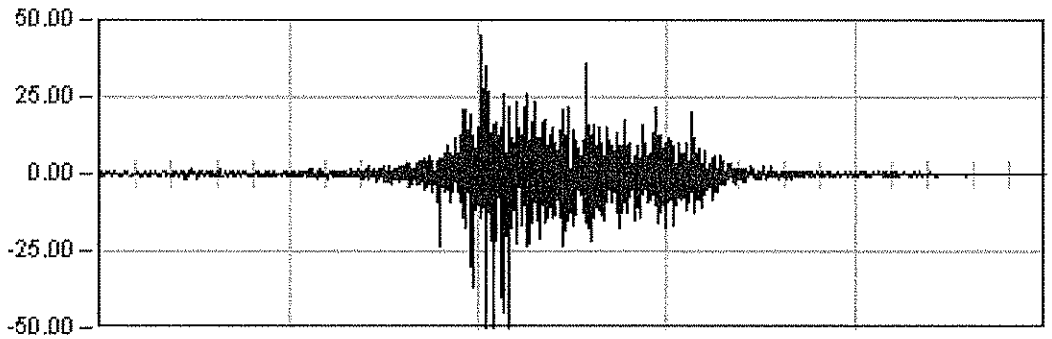


DINAMICA 23

18.0 Seg

Max: -75.71
Min: 44.93
Rem: -0.02

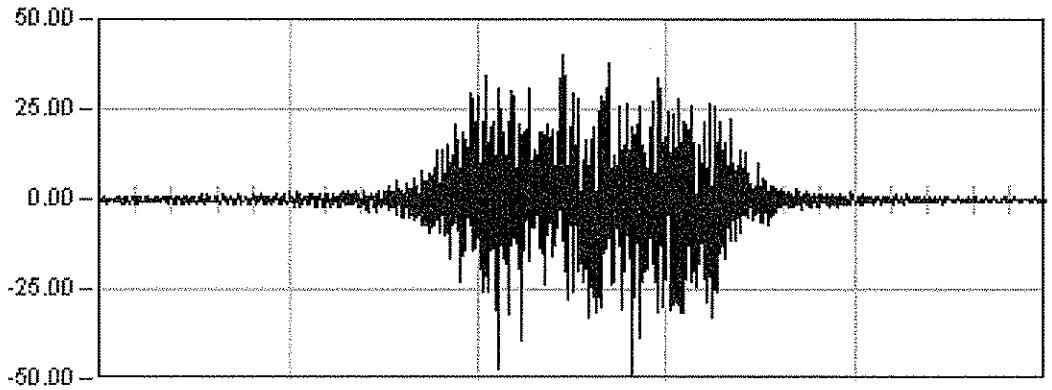


DINAMICA 24

16.0 Seg

Max: -48.53
Min: 39.84
Rem: -0.14

L.A.V. MADRID-BARCELONA-F.FRANCESA

35VI02 - SUBTRAMO IIIa

Prueba: din23 Punto: A31 Canal: 15

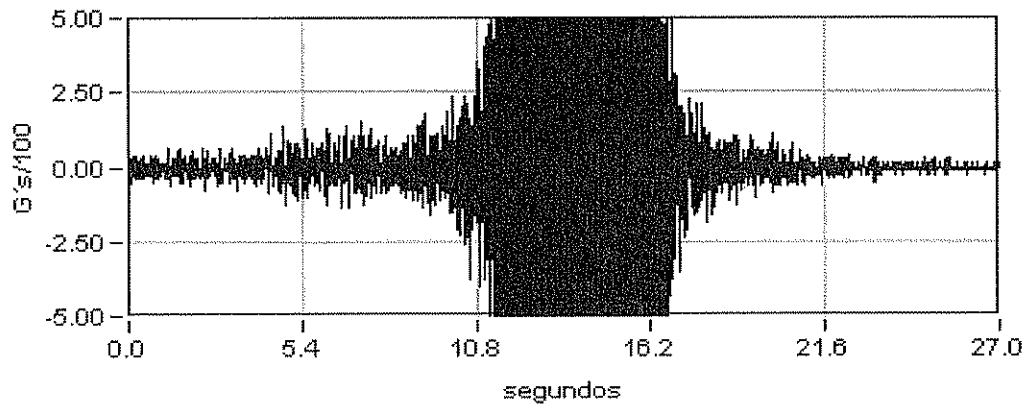


| Máximo |
| --- |
| -75.71 |

| Mínimo |
| --- |
| 44.93 |

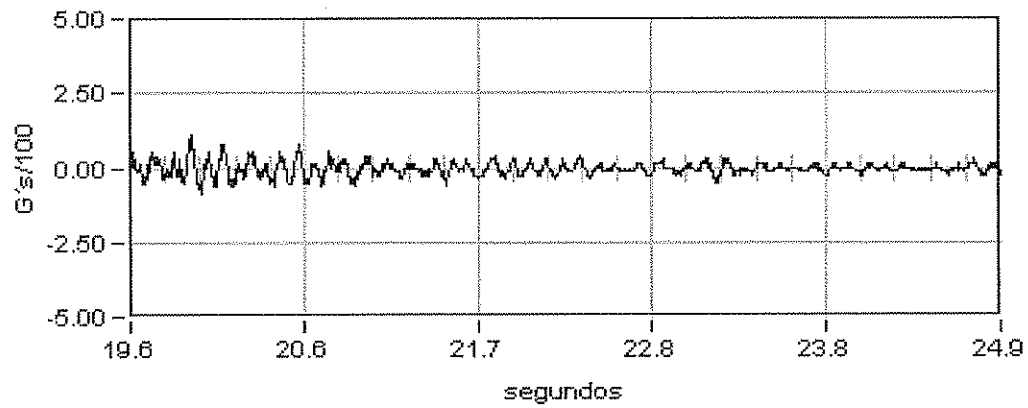


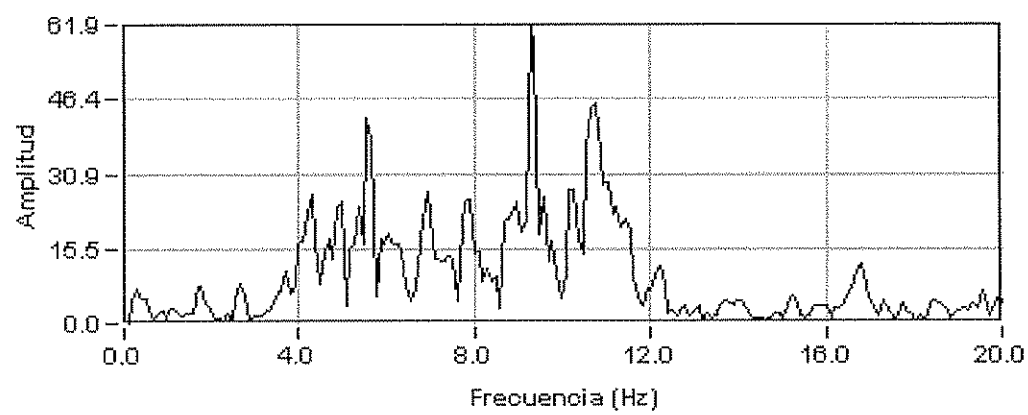


| Amplitud |
| --- |
| 42.53 |

| Frecuencia |
| --- |
| 5.55 |

| Dec.Logarit |
| --- |
| 0.10 |

| Amortiguac. | |
| --- | --- |
| 1.51 | % |

L.A.V. MADRID-BARCELONA-F.FRANCESA

35VI02 - SUBTRAMO IIIa

Punto : A041 Canal : 27 Unidades : G´s/100

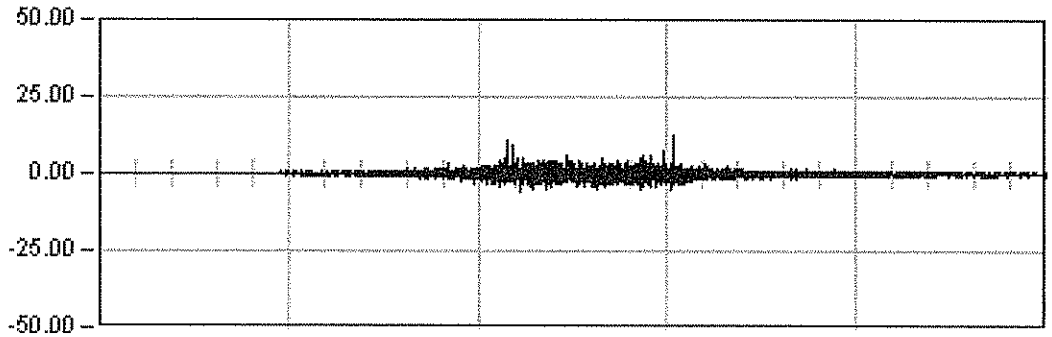


DINAMICA 01

110.0 Seg

Max: 12.72

Min: -6.04

Rem: 0.07

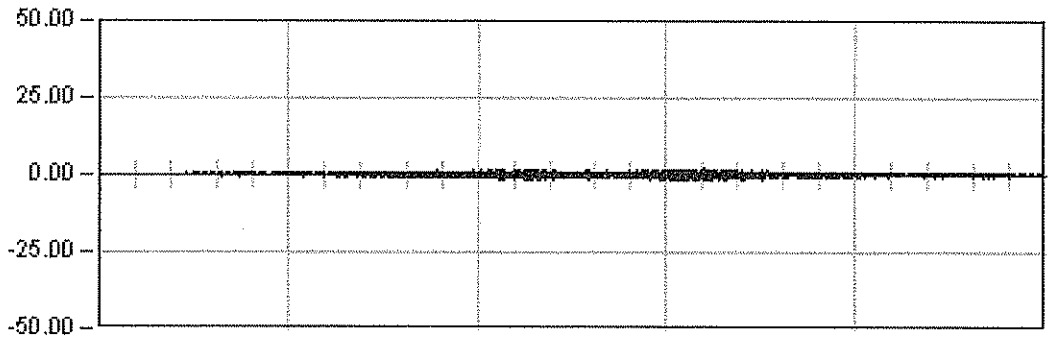


DINAMICA 21

132.0 Seg

Max: 2.44

Min: -2.06

Rem: 0.10

L.A.V. MADRID-BARCELONA-F.FRANCESA

35VI02 - SUBTRAMO IIIa

Punto : A041 Canal : 27 Unidades : G's/100

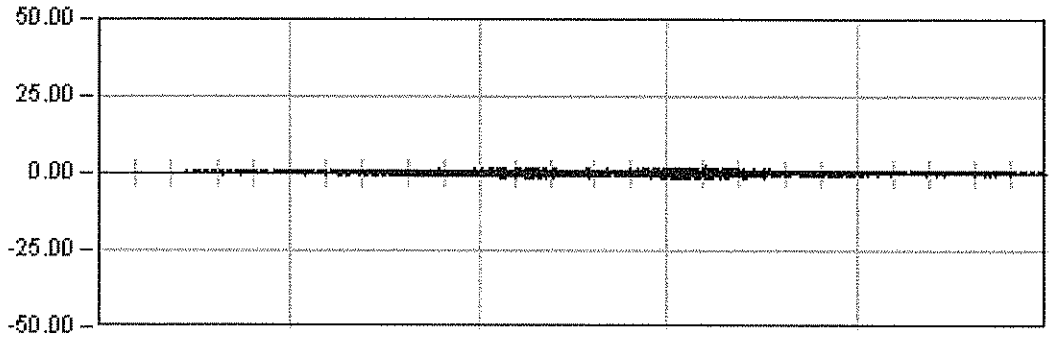


DINAMICA 21

132.0 Seg

Max: 2.44
Min: -2.06
Rem: 0.10

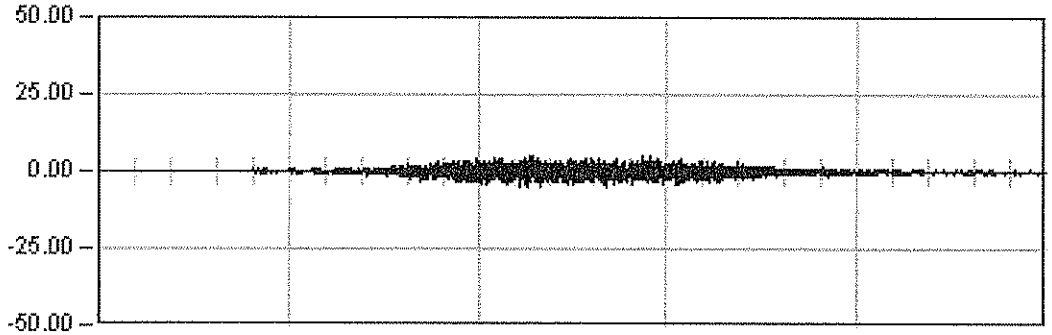


DINAMICA 22

45.0 Seg

Max: 5.39
Min: -5.27
Rem: 0.03

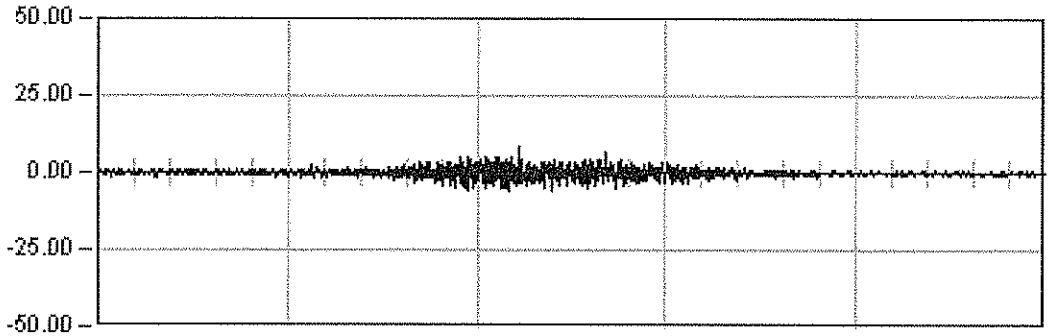


DINAMICA 23

18.0 Seg

Max: 8.35
Min: -5.65
Rem: -0.05

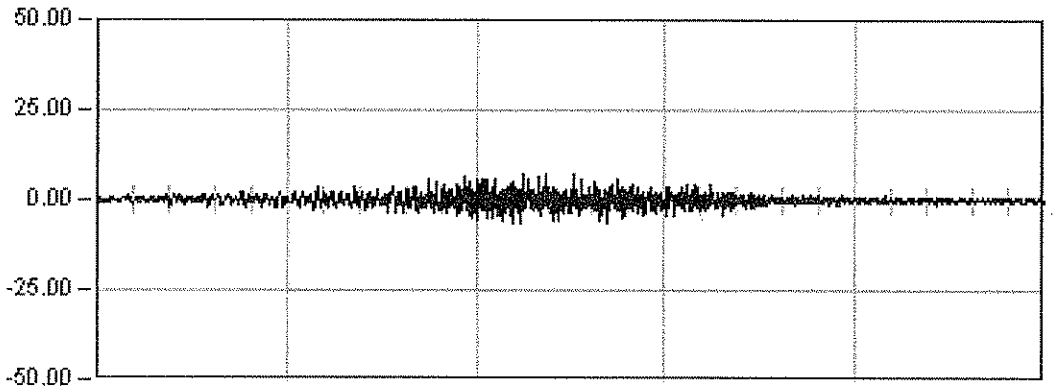


DINAMICA 24

16.0 Seg

Max: 7.32
Min: -6.68
Rem: 0.03

L.A.V. MADRID-BARCELONA-F.FRANCESA

35VI02 - SUBTRAMO IIIa

Prueba: din23 Punto: A41 Canal: 27

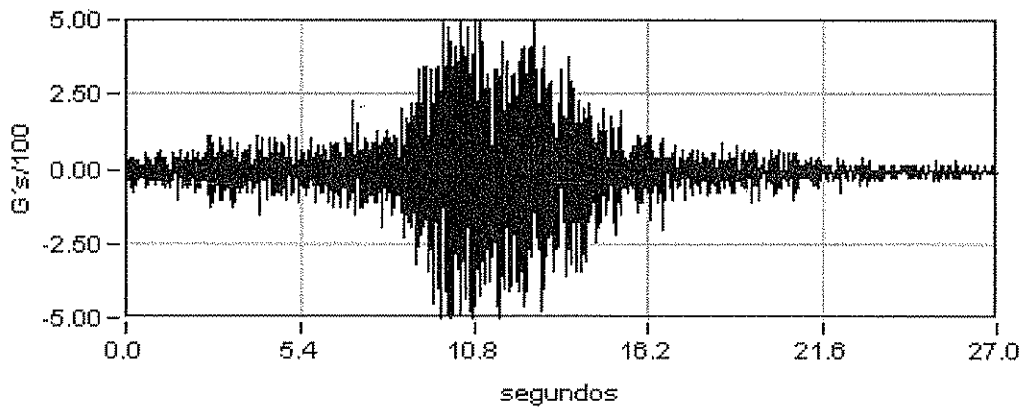


| Máximo |
| --- |
| 8.35 |

| Mínimo |
| --- |
| -5.65 |

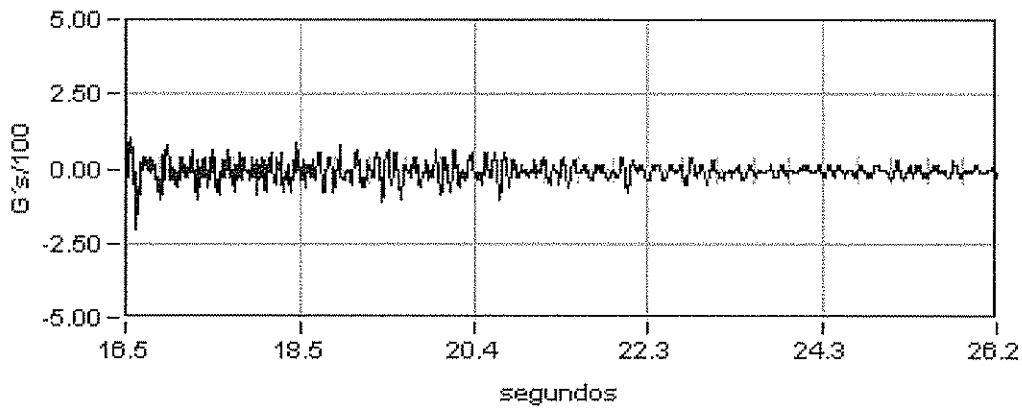


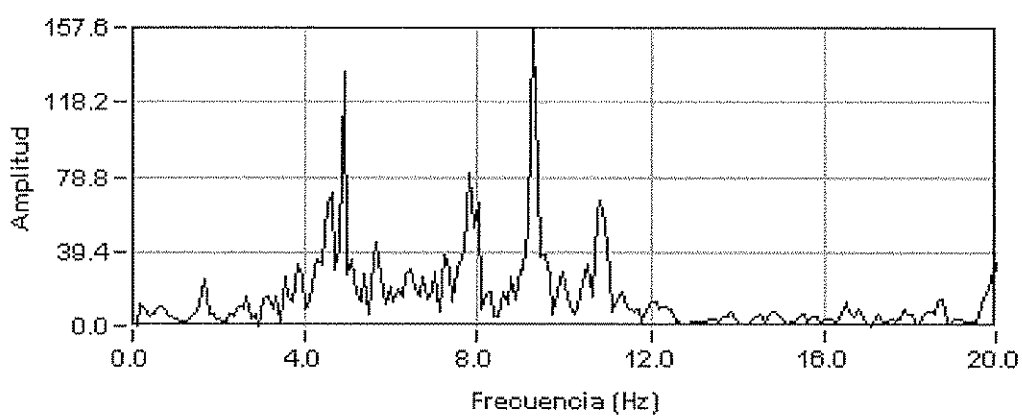


| Amplitud |
| --- |
| 134.64 |

| Frecuencia |
| --- |
| 4.89 |

| Dec. Logarit. |
| --- |
| 0.05 |

| Amortiguac. | |
| --- | --- |
| 0.79 | % |

L.A.V. MADRID-BARCELONA-F.FRANCESA

35VI02 - SUBTRAMO IIIa

Punto : P051 Canal : 04 Unidades : mm

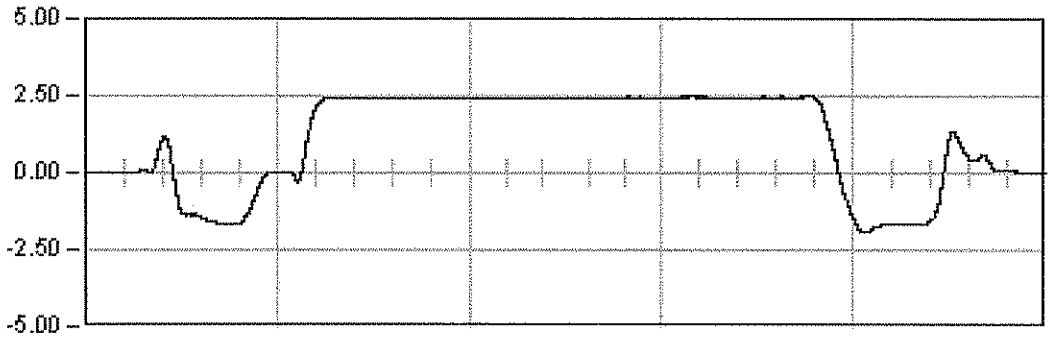


ESTATICA 03

1216.0 Seg

Est: 2.45
Max: 2.48
Min: -1.95
Rem: 0.04

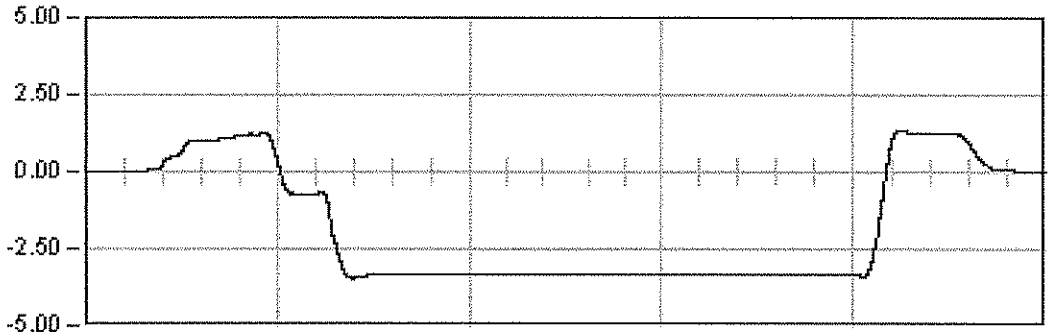


ESTATICA 04

1145.0 Seg

Est: -3.33
Max: -3.48
Min: 1.34
Rem: 0.03

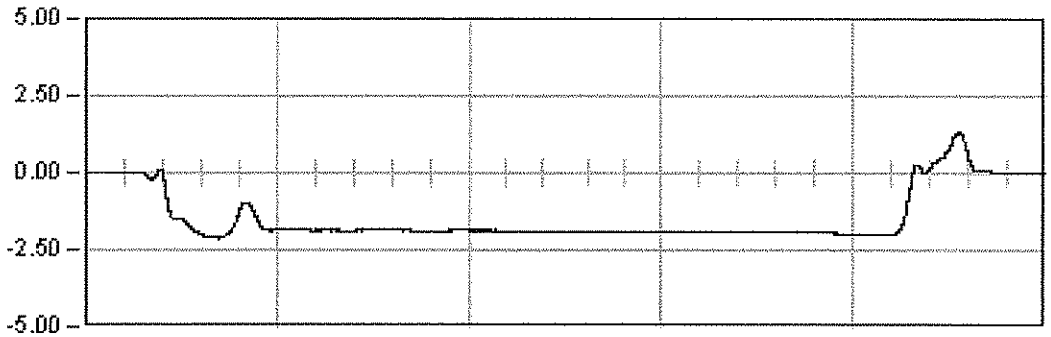


ESTATICA 16

981.0 Seg

Est: -1.97
Max: -2.13
Min: 1.34
Rem: 0.02

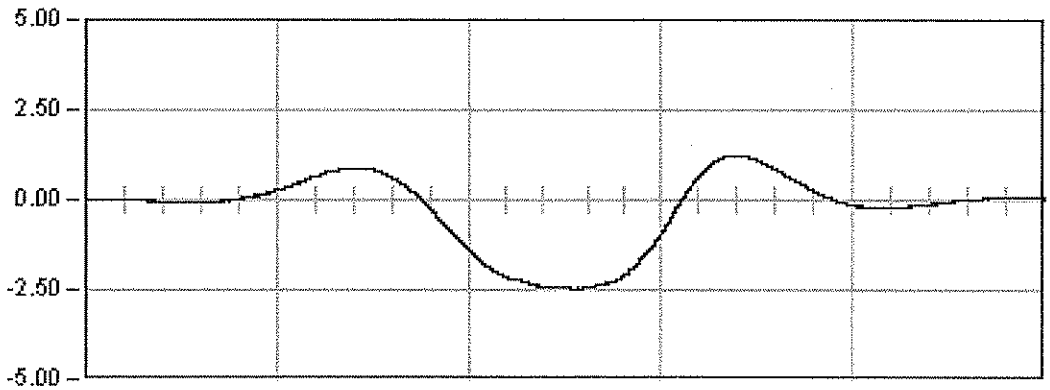


DINAMICA 01

126.5 Seg

Max: -2.49
Min: 1.25
Rem: 0.06

L.A.V. MADRID-BARCELONA-F.FRANCESA

35VI02 - SUBTRAMO IIIa

Punto : P051 Canal : 04 Unidades : mm

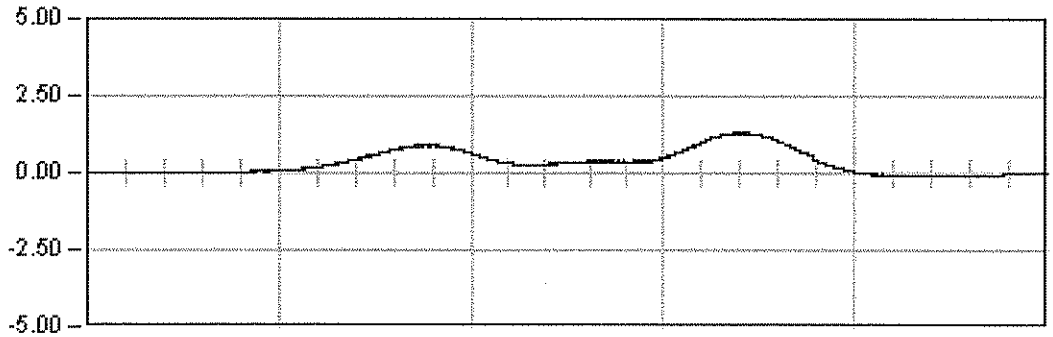


DINAMICA 21

130.0 Seg

Max: 1.32
Min: -0.08
Rem: -0.01

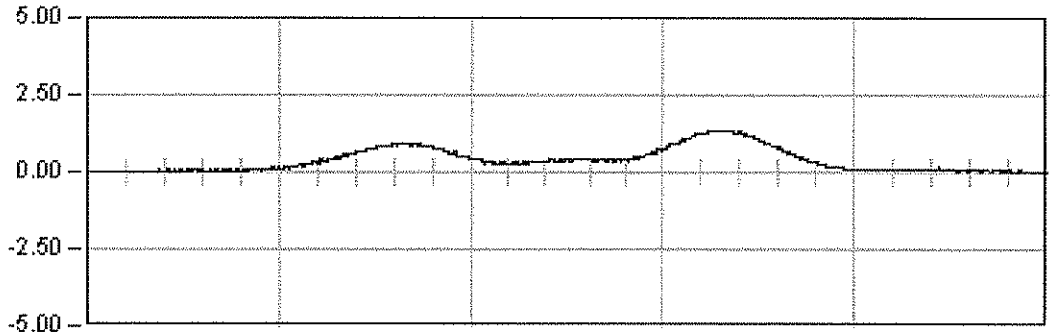


DINAMICA 22

52.0 Seg

Max: 1.36
Min: -0.02
Rem: 0.01

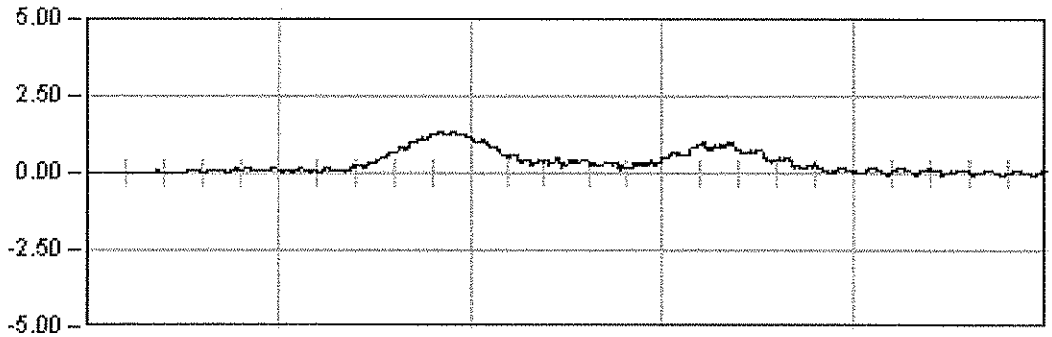


DINAMICA 23

21.0 Seg

Max: 1.35
Min: -0.08
Rem: -0.01

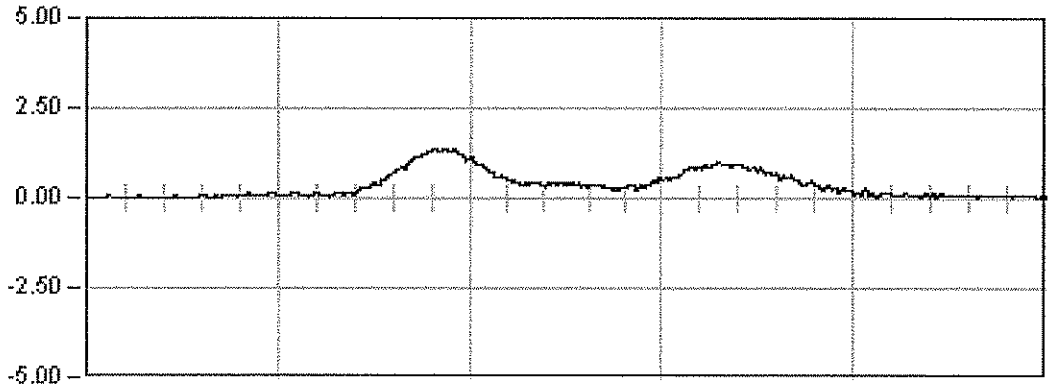


DINAMICA 24

24.5 Seg

Max: 1.39
Min: -0.03
Rem: 0.06

L.A.V. MADRID-BARCELONA-F.FRANCESA

35VI02 - SUBTRAMO IIIa

Punto : M051 Canal : 26 Unidades : mm

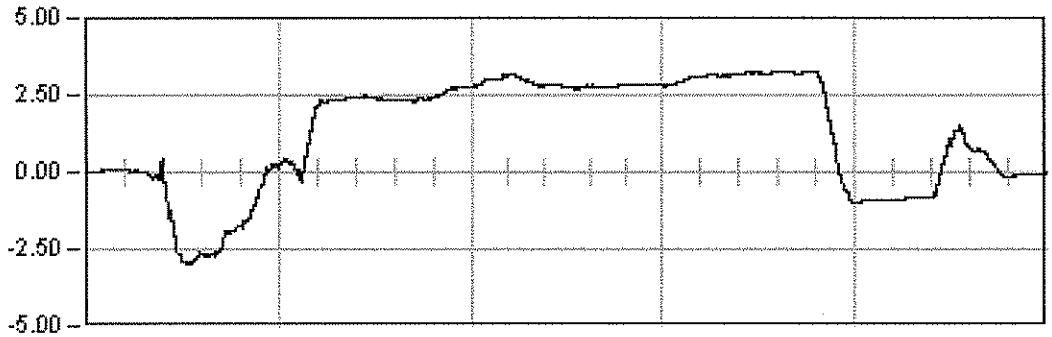


ESTATICA 03

1216.0 Seg

Est: 3.20
Max: 3.29
Min: -3.03
Rem: -0.10

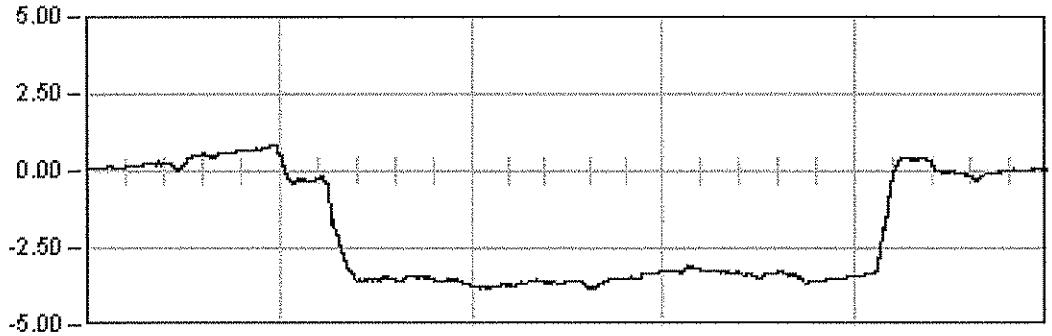


ESTATICA 04

1145.0 Seg

Est: -3.47
Max: -3.85
Min: 0.83
Rem: 0.01

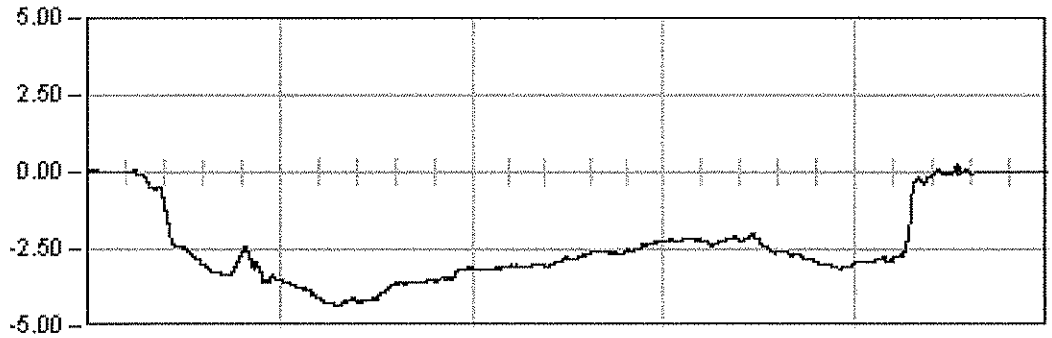


ESTATICA 16

981.0 Seg

Est: -2.91
Max: -4.32
Min: 0.22
Rem: -0.02

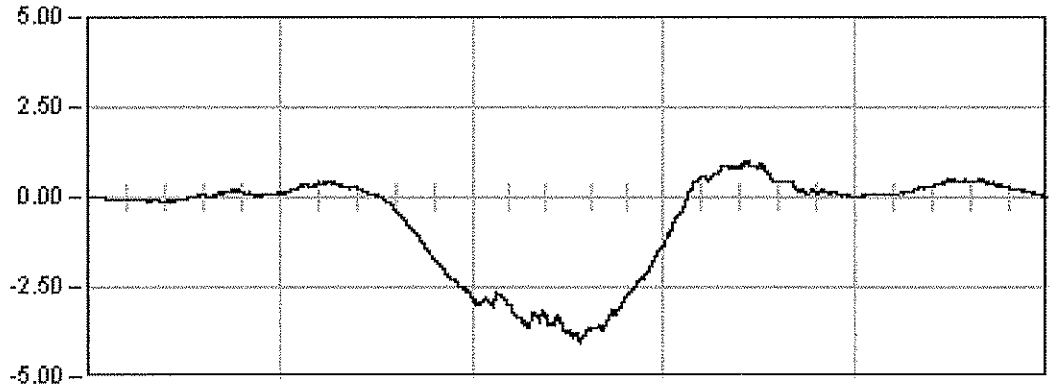


DINAMICA 01

126.5 Seg

Max: -4.05
Min: 1.02
Rem: 0.02

L.A.V. MADRID-BARCELONA-F.FRANCESA

35VI02 - SUBTRAMO IIIa

Punto : M051 Canal : 26 Unidades : mm

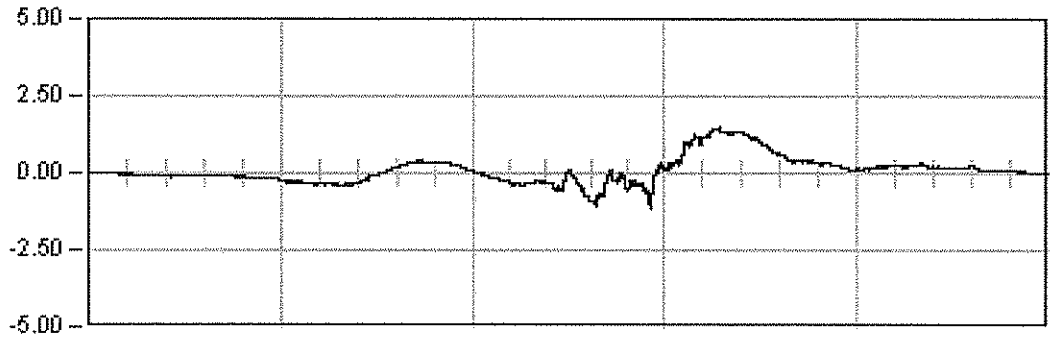


DINAMICA 21

130.0 Seg

Max: 1.50
Min: -1.16
Rem: 0.00

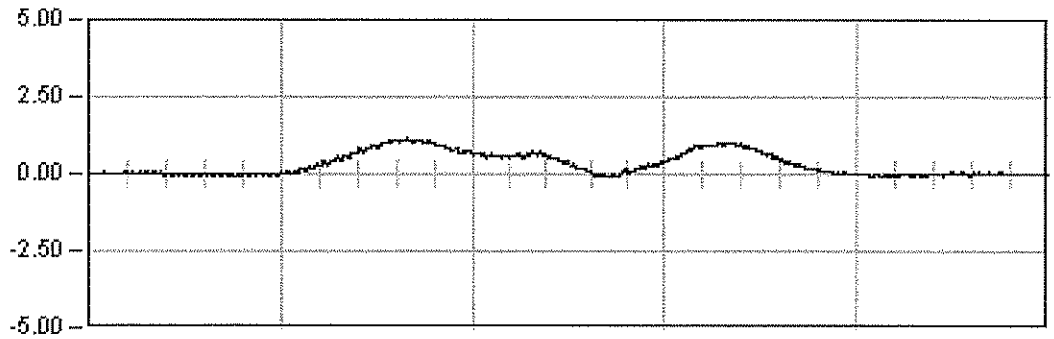


DINAMICA 22

52.0 Seg

Max: 1.13
Min: -0.12
Rem: -0.00

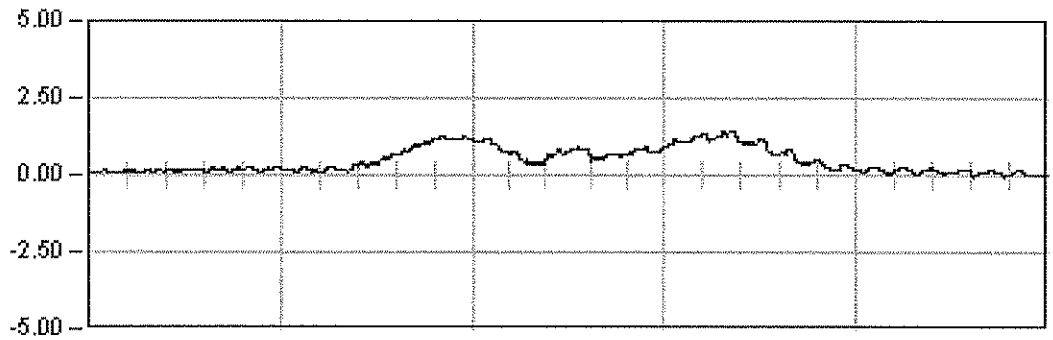


DINAMICA 23

21.0 Seg

Max: 1.43
Min: -0.05
Rem: 0.00

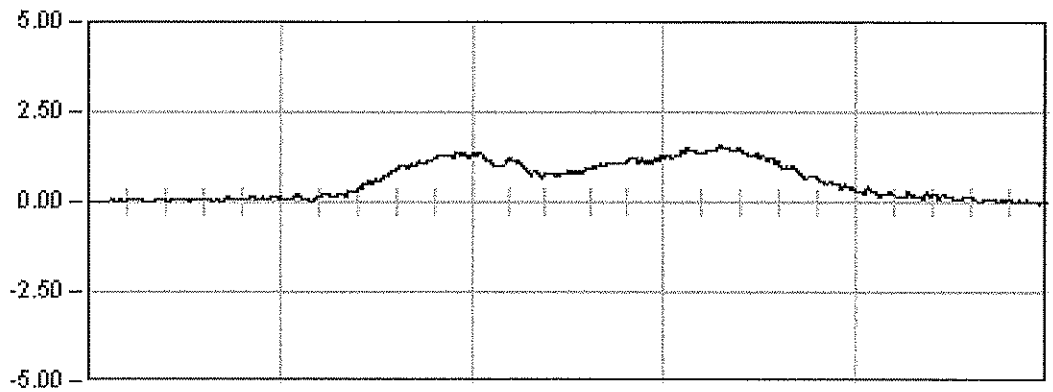


DINAMICA 24

24.5 Seg

Max: 1.58
Min: -0.04
Rem: -0.01

L.A.V. MADRID-BARCELONA-F.FRANCESA

35VI02 - SUBTRAMO IIIa

Punto : P054 Canal : 07 Unidades : mm

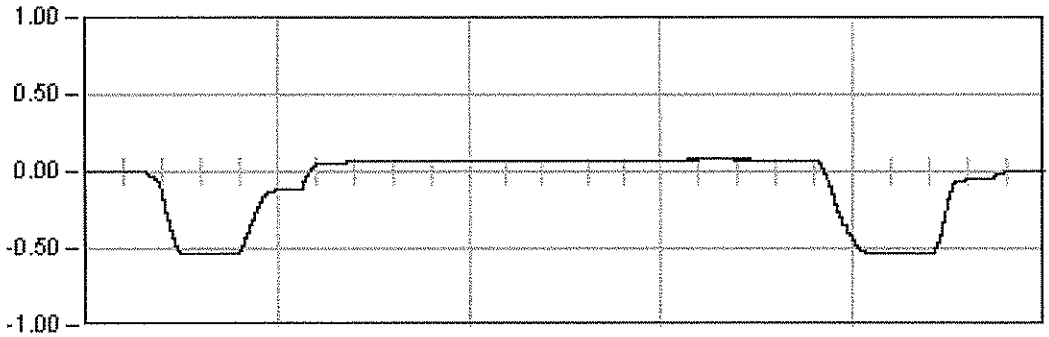


ESTATICA 03

1216.0 Seg

Est: 0.07
Max: -0.54
Min: 0.08
Rem: -0.00

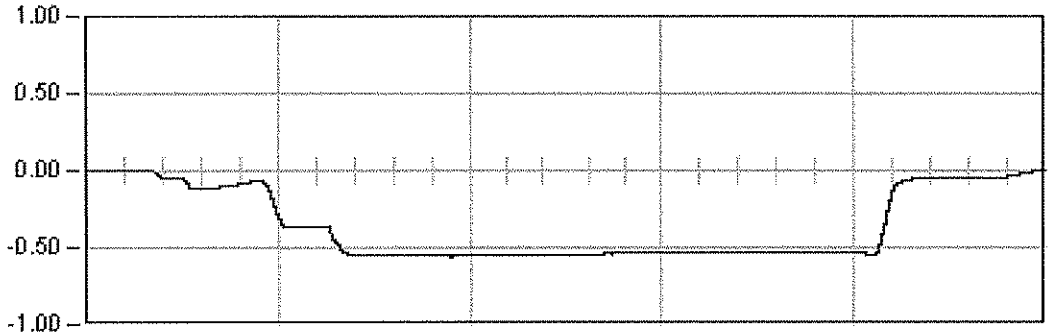


ESTATICA 04

1145.0 Seg

Est: -0.53
Max: -0.56
Min: 0.00
Rem: -0.03

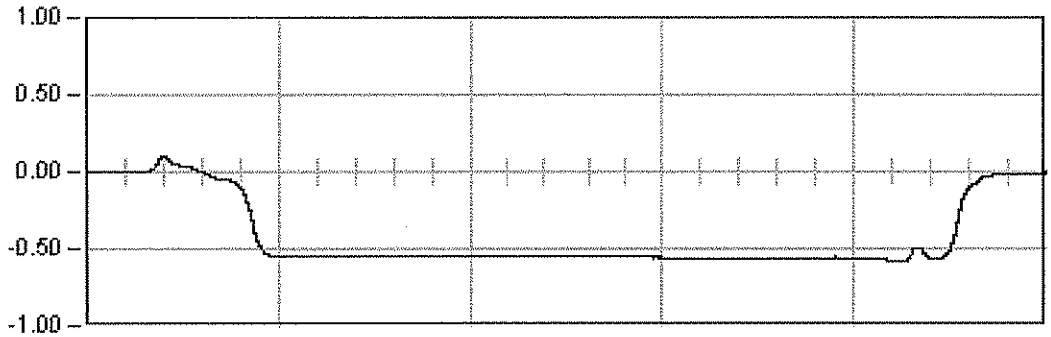


ESTATICA 16

981.0 Seg

Est: -0.57
Max: -0.59
Min: 0.11
Rem: -0.01

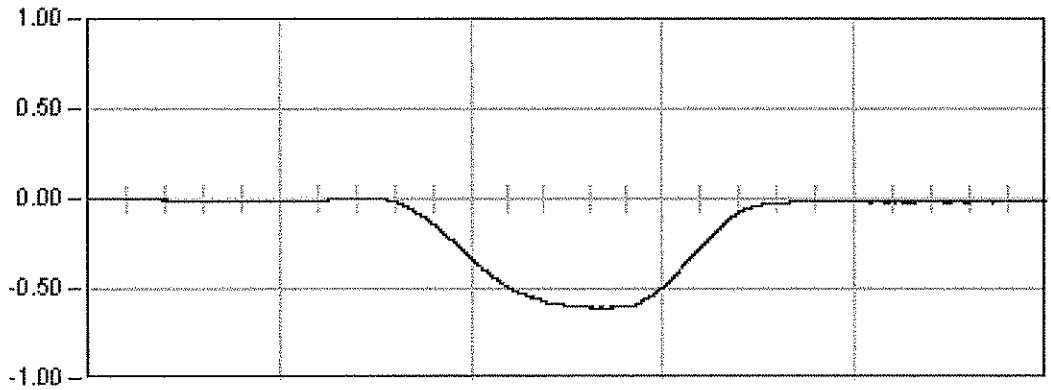


DINAMICA 01

126.5 Seg

Max: -0.61
Min: 0.00
Rem: -0.02

L.A.V. MADRID-BARCELONA-F.FRANCESA

35VI02 - SUBTRAMO IIIa

Punto : P054 Canal : 07 Unidades : mm

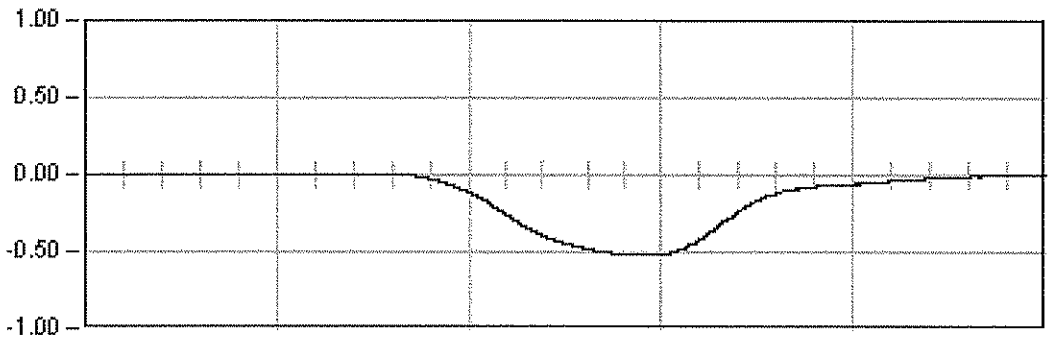


DINAMICA 21

130.0 Seg

Max: -0.52
Min: 0.01
Rem: 0.00

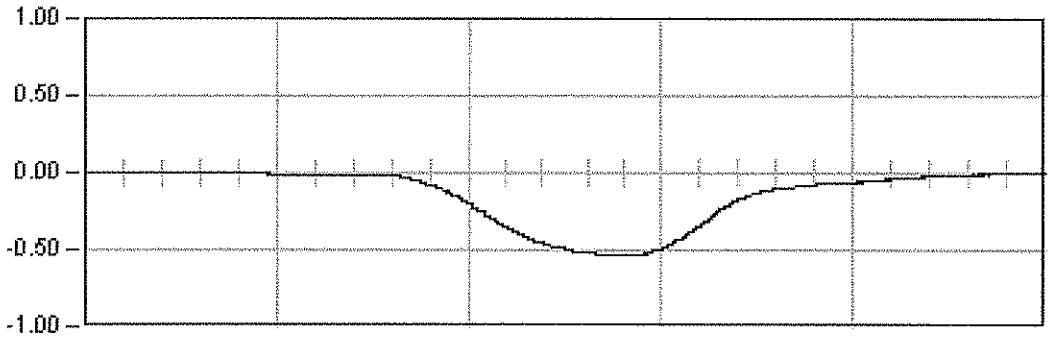


DINAMICA 22

52.0 Seg

Max: -0.53
Min: 0.00
Rem: -0.00

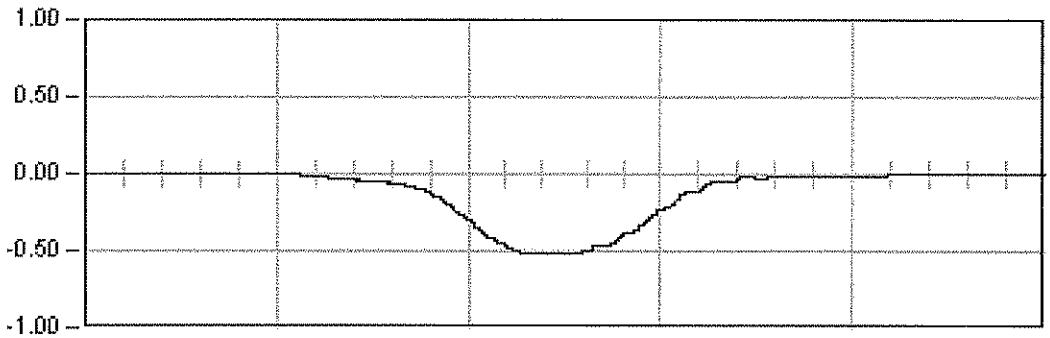


DINAMICA 23

21.0 Seg

Max: -0.52
Min: 0.00
Rem: -0.00

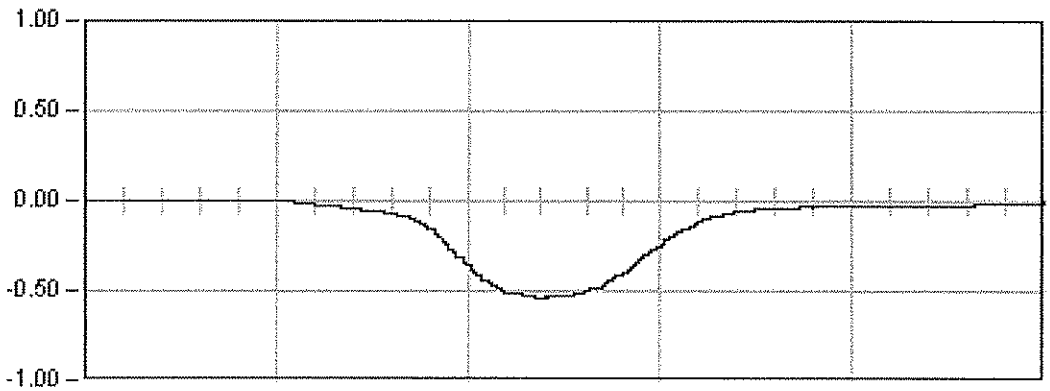


DINAMICA 24

24.5 Seg

Max: -0.54
Min: 0.00
Rem: -0.01

L.A.V. MADRID-BARCELONA-F.FRANCESA

35VI02 - SUBTRAMO IIIa

Punto : P061 Canal : 08 Unidades : mm

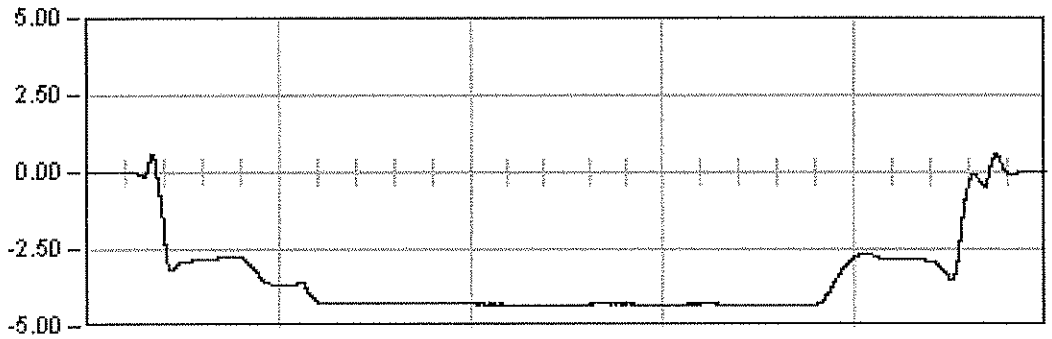


ESTATICA 03

1216.0 Seg

Est: -4.32
Max: -4.32
Min: 0.58
Rem: 0.02

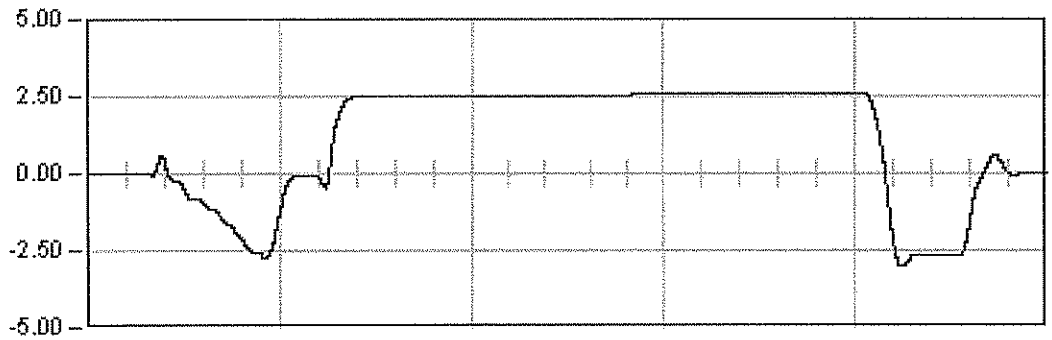


ESTATICA 04

1145.0 Seg

Est: 2.57
Max: -3.02
Min: 2.58
Rem: 0.05

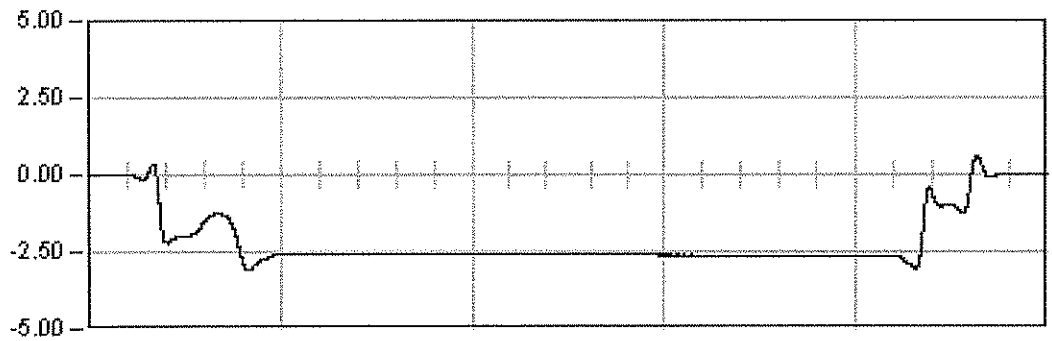


ESTATICA 16

981.0 Seg

Est: -2.67
Max: -3.10
Min: 0.59
Rem: -0.02

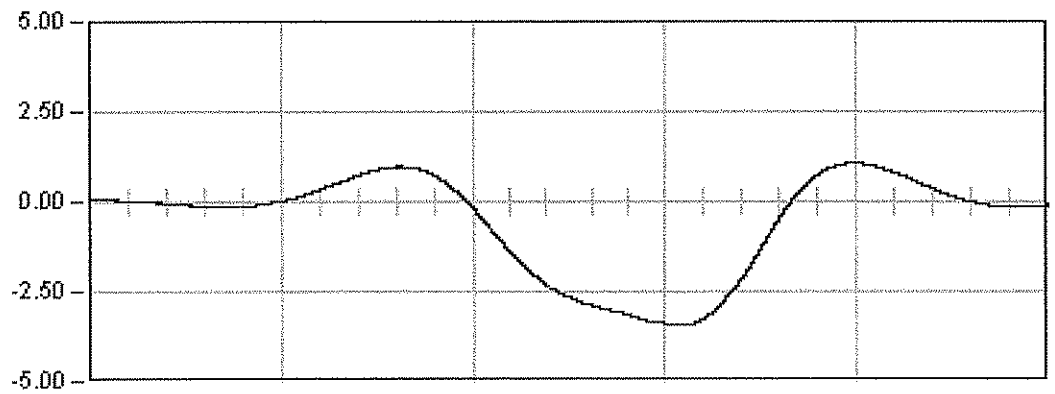


DINAMICA 01

106.5 Seg

Max: -3.44
Min: 1.05
Rem: -0.15

L.A.V. MADRID-BARCELONA-F.FRANCESA

35VI02 - SUBTRAMO IIIa

Punto : P061 Canal : 08 Unidades : mm

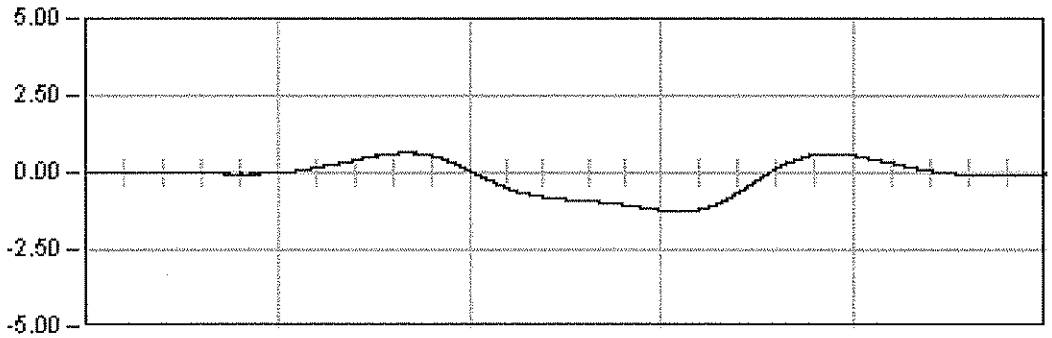


DINAMICA 21

104.0 Seg

Max: -1.26
Min: 0.63
Rem: -0.06

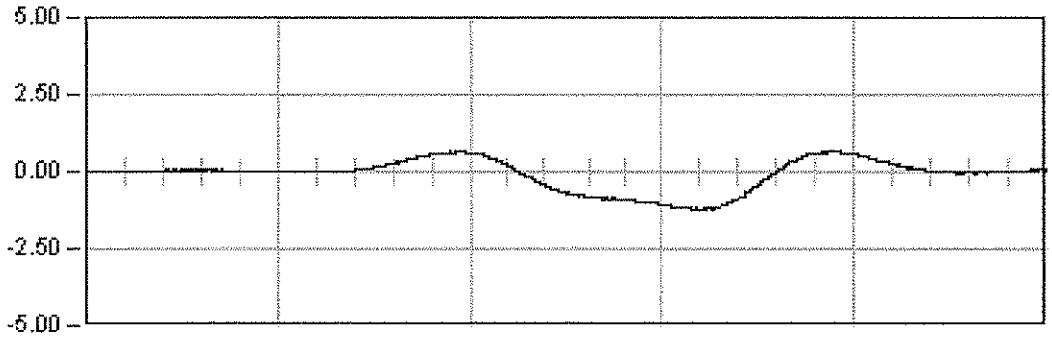


DINAMICA 22

47.0 Seg

Max: -1.24
Min: 0.65
Rem: 0.04

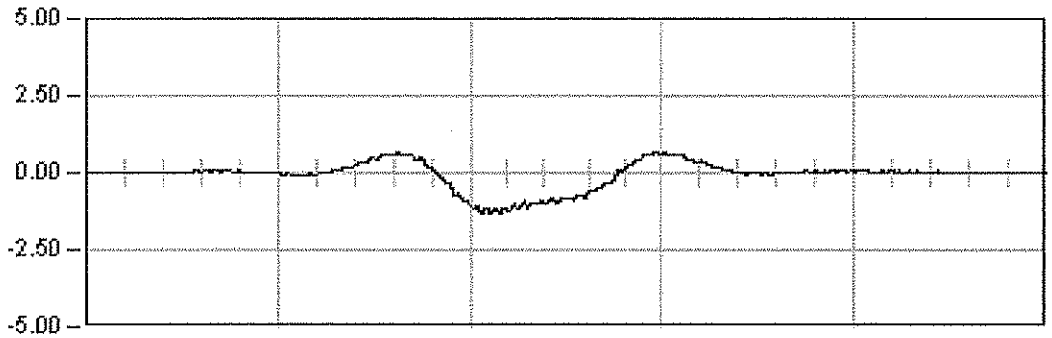


DINAMICA 23

23.0 Seg

Max: -1.32
Min: 0.65
Rem: 0.00

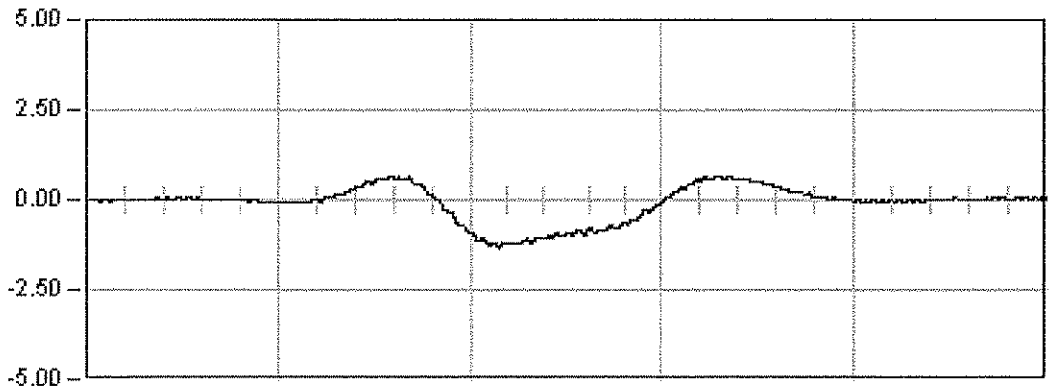


DINAMICA 24

20.5 Seg

Max: -1.33
Min: 0.66
Rem: -0.01

L.A.V. MADRID-BARCELONA-F.FRANCESA

35VI02 - SUBTRAMO IIIa

Punto : P062 Canal : 09 Unidades : mm

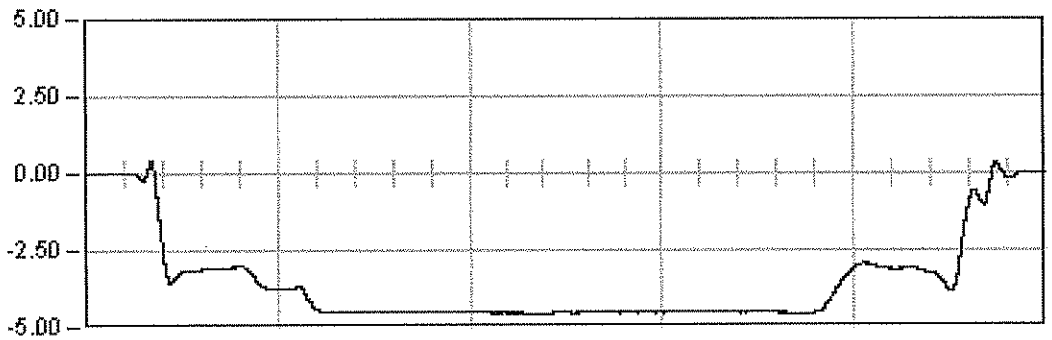


ESTATICA 03

1216.0 Seg

Est: -4.56
Max: -4.56
Min: 0.39
Rem: -0.03

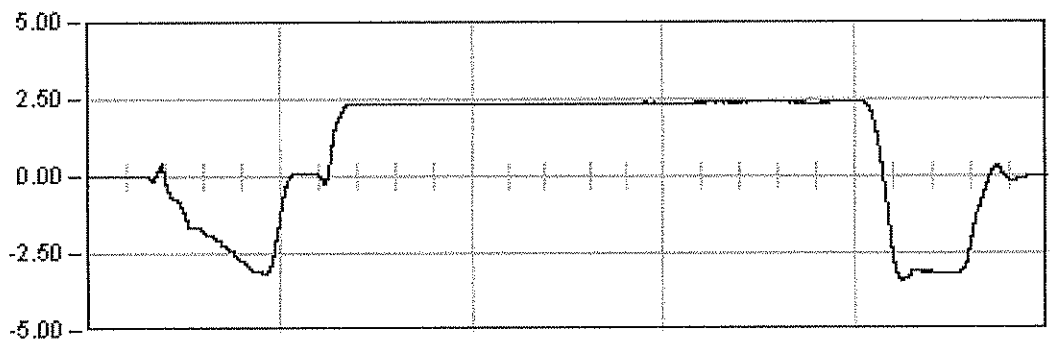


ESTATICA 04

1145.0 Seg

Est: 2.38
Max: -3.39
Min: 2.39
Rem: -0.02

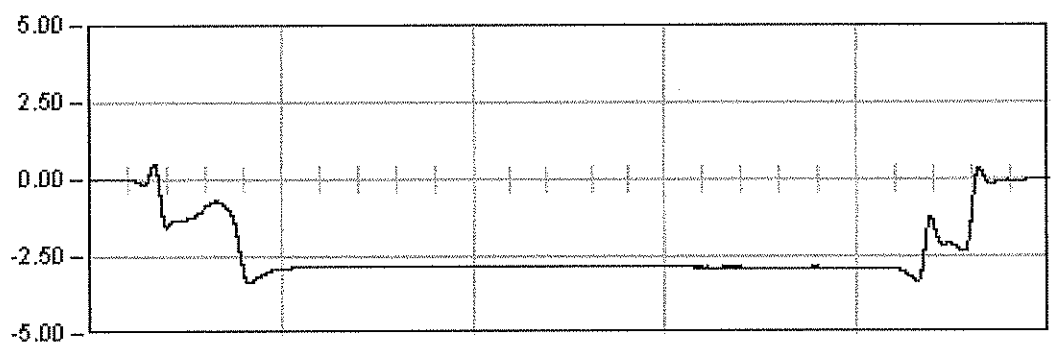


ESTATICA 16

981.0 Seg

Est: -2.93
Max: -3.37
Min: 0.50
Rem: -0.05

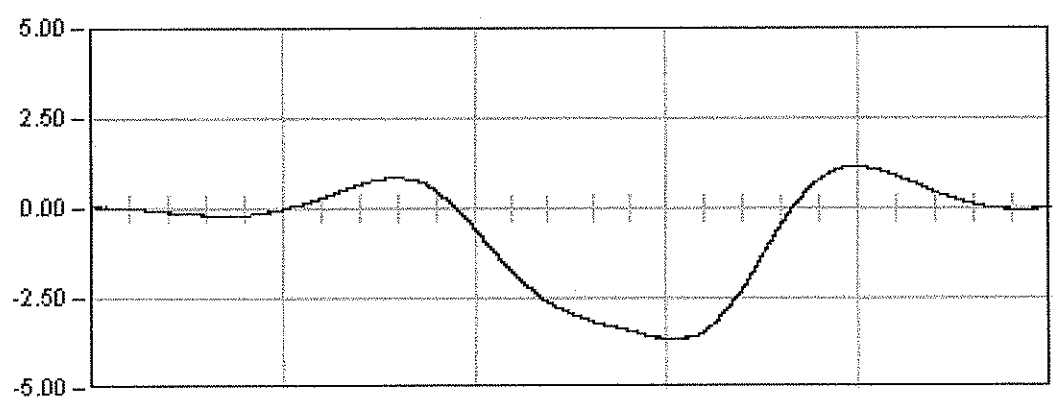


DINAMICA 01

106.5 Seg

Max: -3.64
Min: 1.14
Rem: -0.01

L.A.V. MADRID-BARCELONA-F.FRANCESA

35VI02 - SUBTRAMO IIIa

Punto : P062 Canal : 09 Unidades : mm

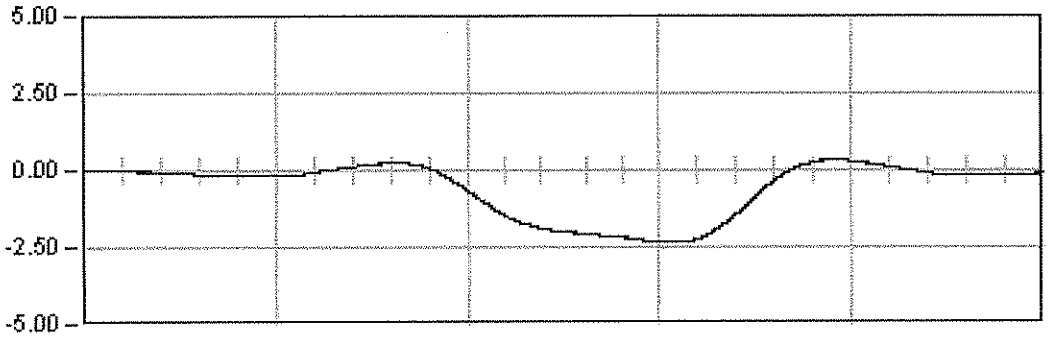


DINAMICA 21

104.0 Seg

Max: -2.37
Min: 0.33
Rem: -0.11

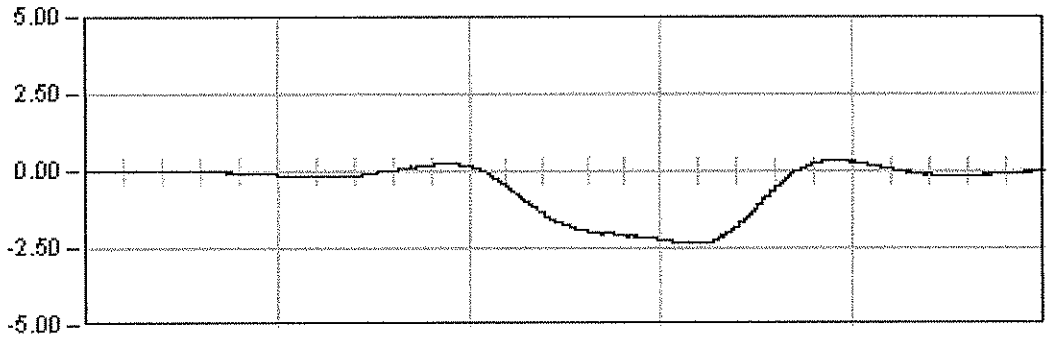


DINAMICA 22

47.0 Seg

Max: -2.36
Min: 0.34
Rem: -0.01

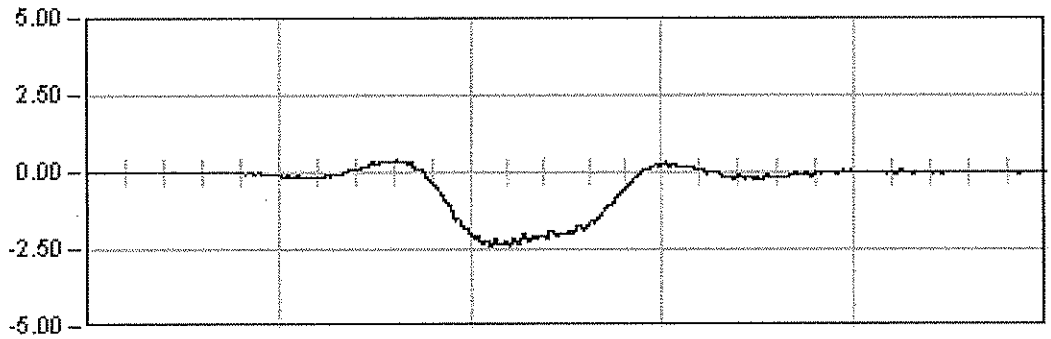


DINAMICA 23

23.0 Seg

Max: -2.41
Min: 0.38
Rem: 0.00

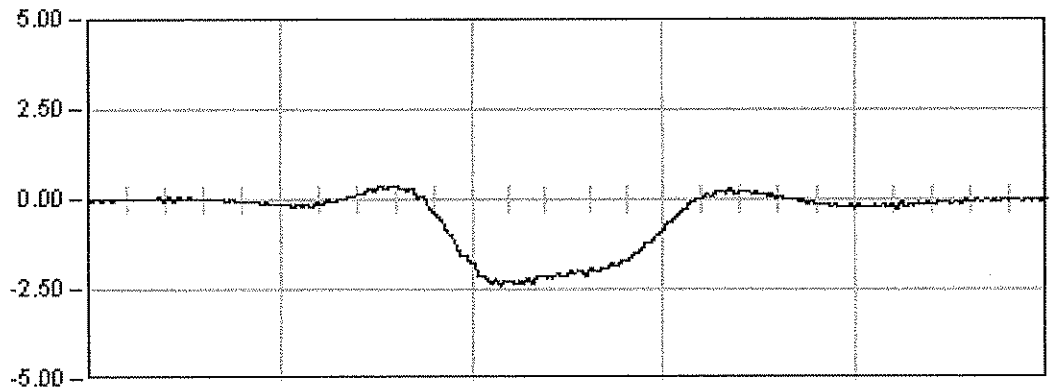


DINAMICA 24

20.5 Seg

Max: -2.40
Min: 0.38
Rem: -0.02

L.A.V. MADRID-BARCELONA-F.FRANCESA

35VI02 - SUBTRAMO IIIa

Punto : P063 Canal : 10 Unidades : mm

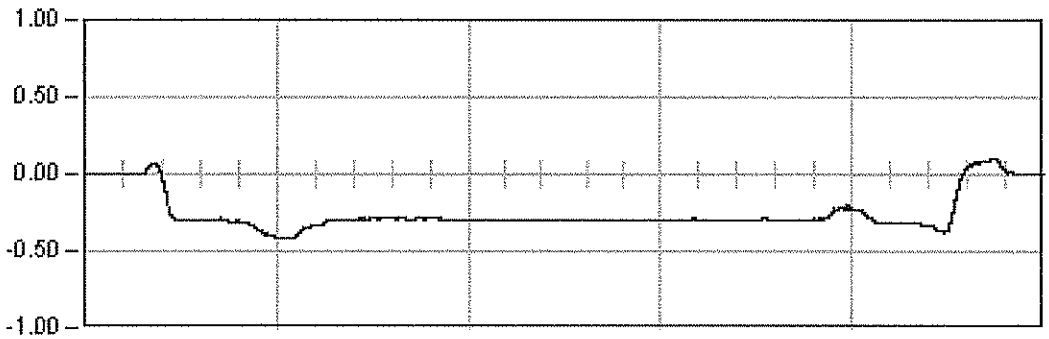


ESTATICA 03

1216.0 Seg

Est: -0.30
Max: -0.42
Min: 0.10
Rem: 0.01

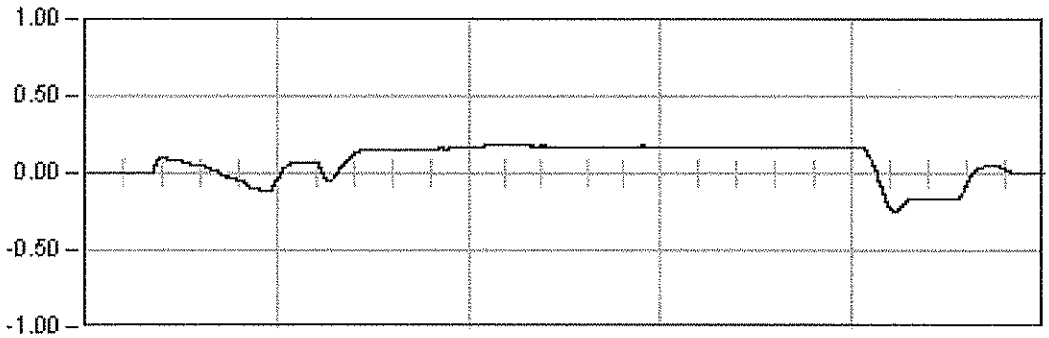


ESTATICA 04

1145.0 Seg

Est: 0.17
Max: -0.25
Min: 0.19
Rem: 0.01

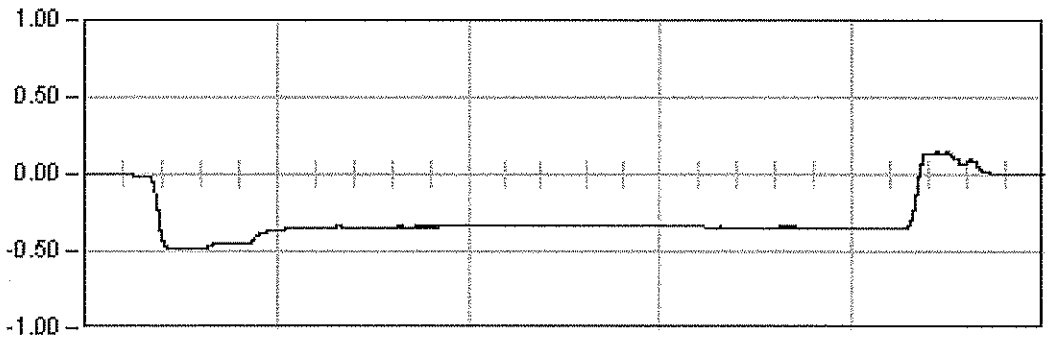


ESTATICA 16

981.0 Seg

Est: -0.35
Max: -0.49
Min: 0.14
Rem: 0.00

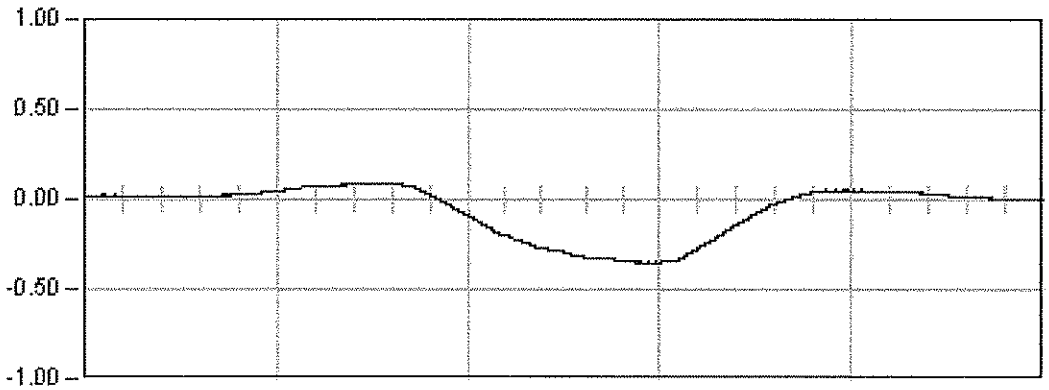


DINAMICA 01

106.5 Seg

Max: -0.35
Min: 0.09
Rem: -0.00

L.A.V. MADRID-BARCELONA-F.FRANCESA

35VI02 - SUBTRAMO IIIa

Punto : P063 Canal : 10 Unidades : mm

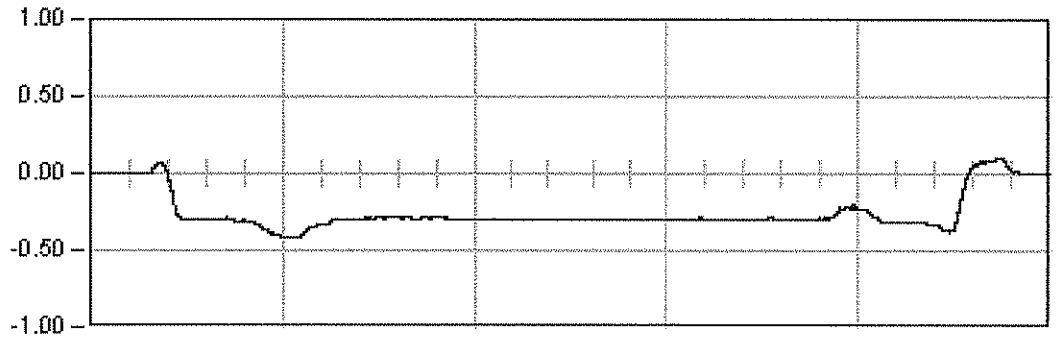


ESTATICA 03

1216.0 Seg

Est: -0.30
Max: -0.42
Min: 0.10
Rem: 0.01

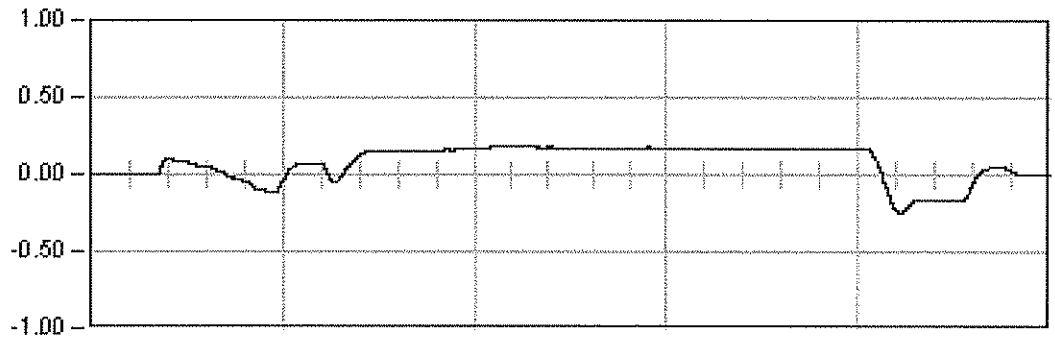


ESTATICA 04

1145.0 Seg

Est: 0.17
Max: -0.25
Min: 0.19
Rem: 0.01

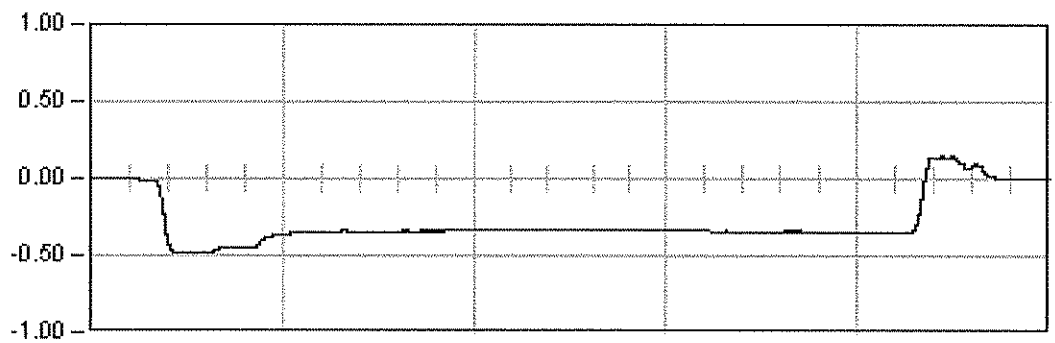


ESTATICA 16

981.0 Seg

Est: -0.35
Max: -0.49
Min: 0.14
Rem: 0.00

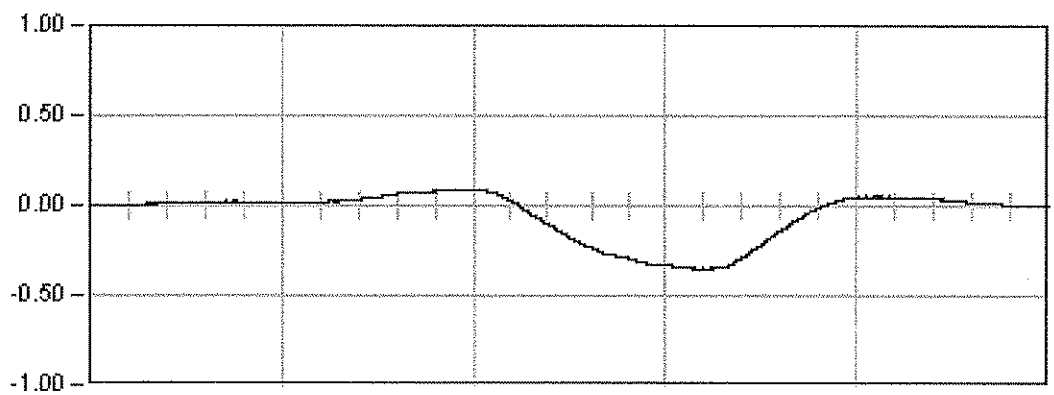


DINAMICA 01

121.5 Seg

Max: -0.35
Min: 0.09
Rem: -0.00

L.A.V. MADRID-BARCELONA-F.FRANCESA

35VI02 - SUBTRAMO IIIa

Punto : P063 Canal : 10 Unidades : mm

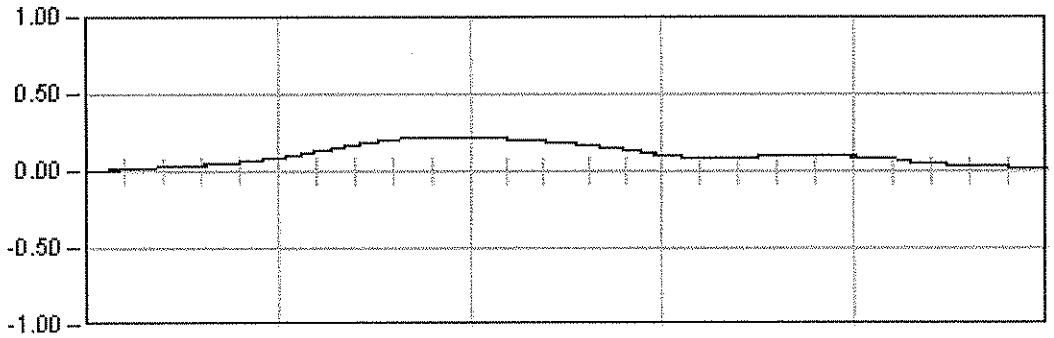


DINAMICA 21

104.0 Seg

Max: 0.22
Min: -0.00
Rem: 0.01

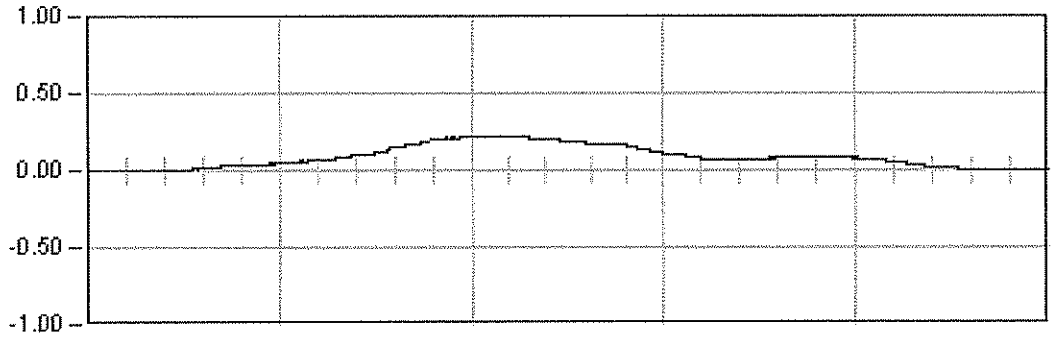


DINAMICA 22

47.0 Seg

Max: 0.21
Min: -0.00
Rem: 0.00

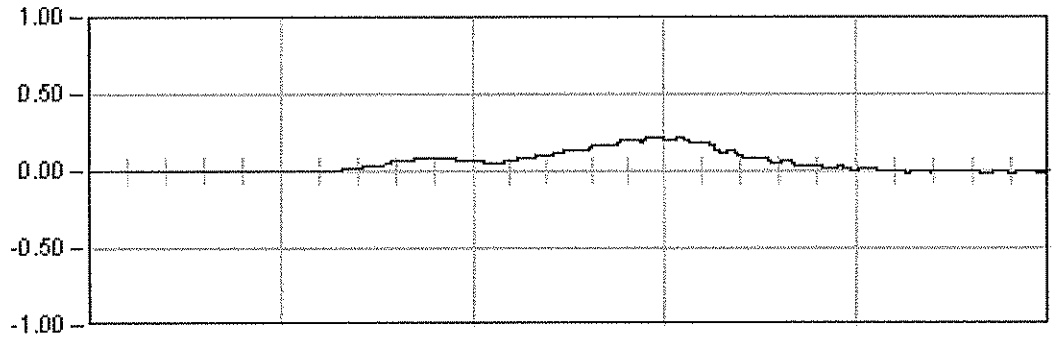


DINAMICA 23

23.0 Seg

Max: 0.22
Min: -0.01
Rem: -0.01

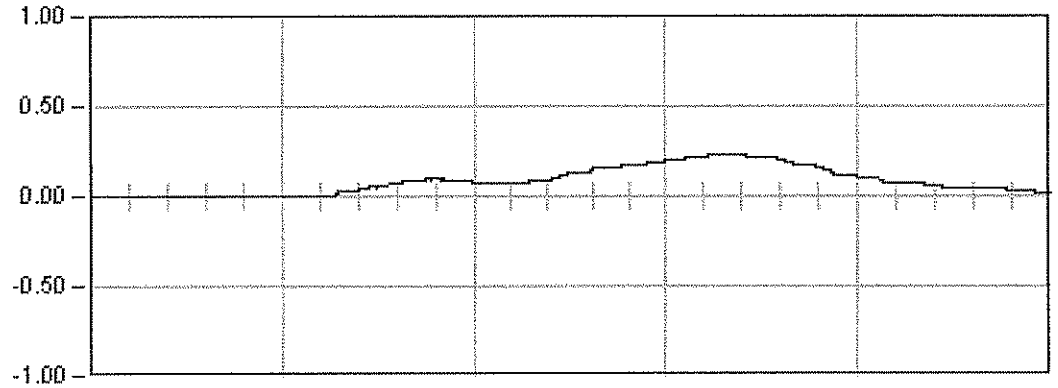


DINAMICA 24

20.5 Seg

Max: 0.23
Min: -0.01
Rem: 0.00

L.A.V. MADRID-BARCELONA-F.FRANCESA

35VI02 - SUBTRAMO IIIa

Punto : P064 Canal : 11 Unidades : mm

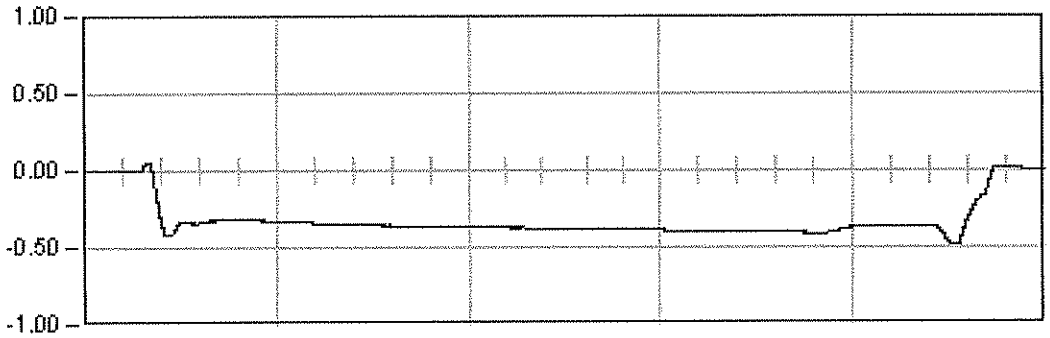


ESTATICA 03

1216.0 Seg

Est: -0.41
Max: -0.49
Min: 0.05
Rem: 0.01

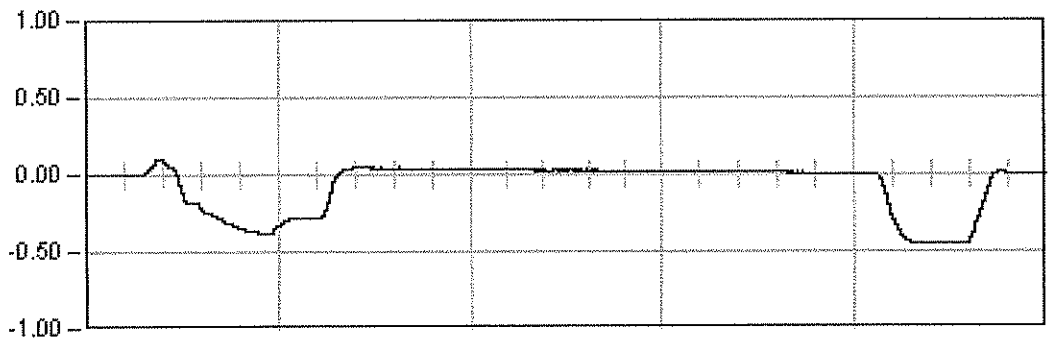


ESTATICA 04

1145.0 Seg

Est: 0.00
Max: -0.45
Min: 0.11
Rem: 0.00

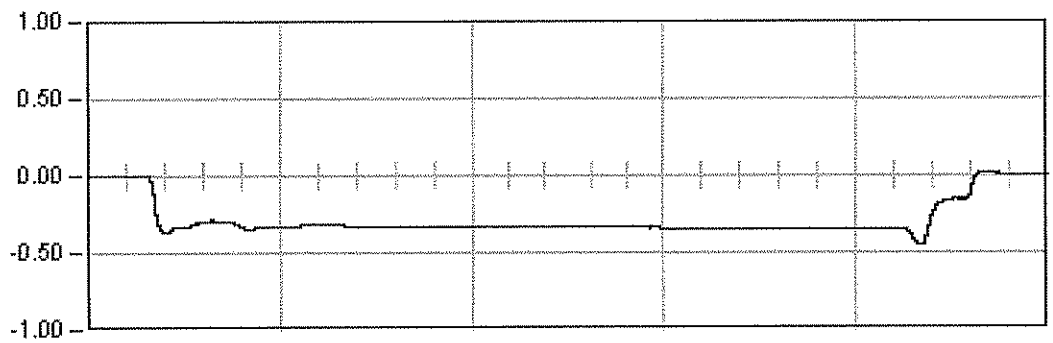


ESTATICA 16

981.0 Seg

Est: -0.35
Max: -0.45
Min: 0.02
Rem: 0.01

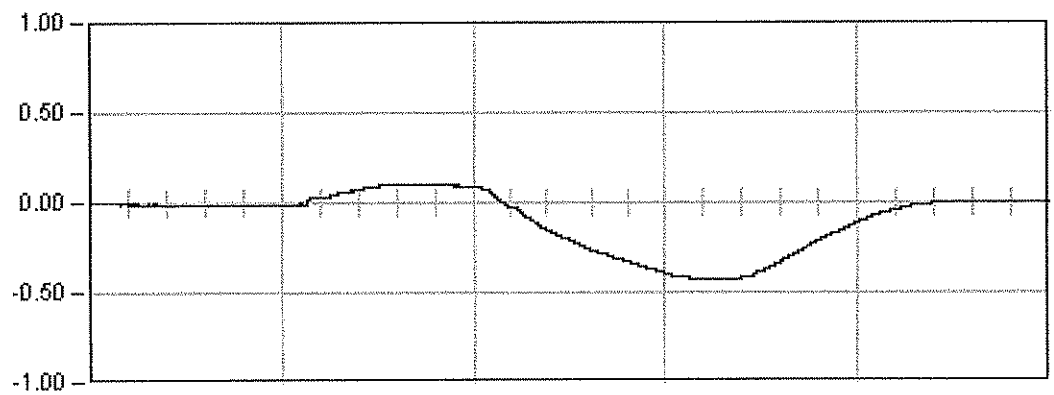


DINAMICA 01

106.5 Seg

Max: -0.42
Min: 0.10
Rem: 0.00

L.A.V. MADRID-BARCELONA-F.FRANCESA

35VI02 - SUBTRAMO IIIa

Punto : P064 Canal : 11 Unidades : mm

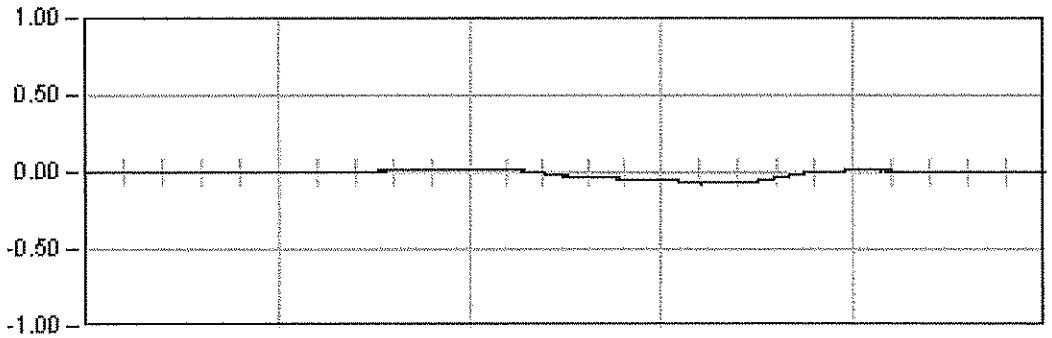


DINAMICA 21

104.0 Seg

Max: -0.08
Min: 0.02
Rem: -0.00

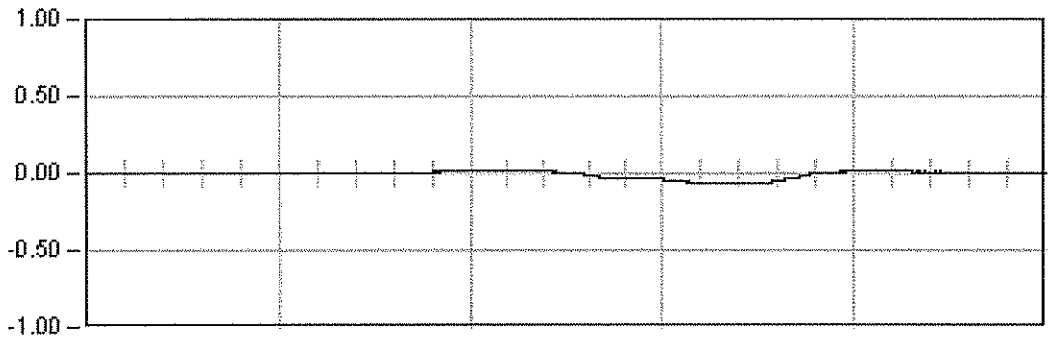


DINAMICA 22

47.0 Seg

Max: -0.07
Min: 0.02
Rem: 0.00

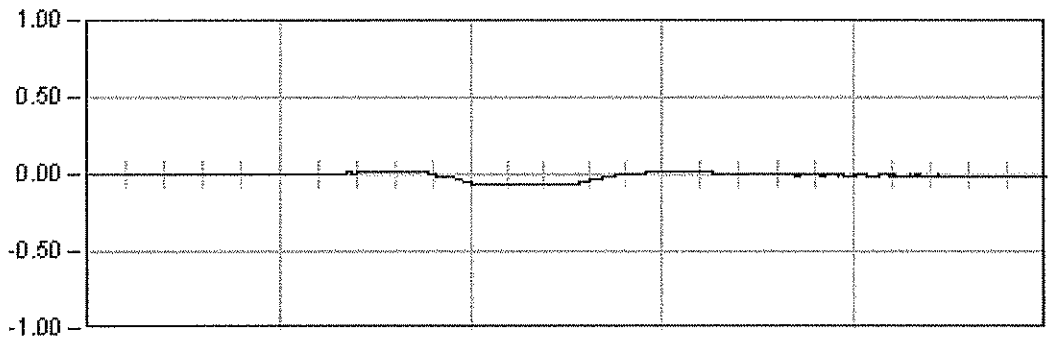


DINAMICA 23

23.0 Seg

Max: -0.07
Min: 0.02
Rem: -0.01

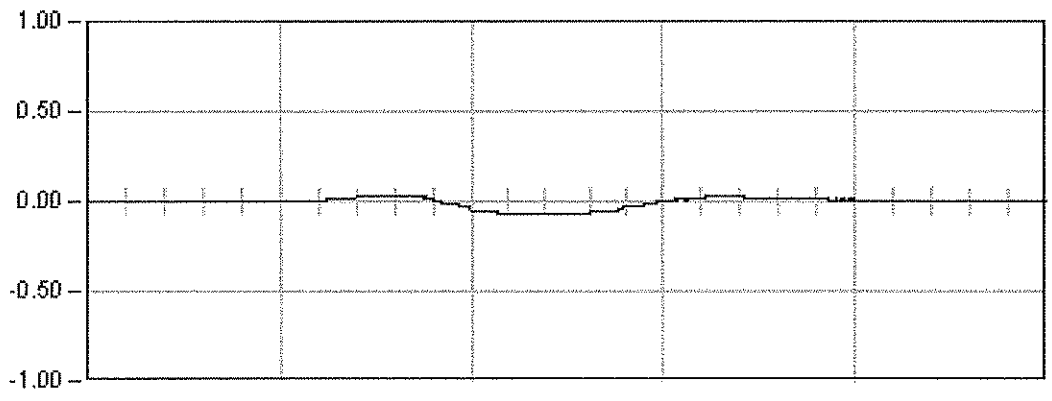


DINAMICA 24

20.5 Seg

Max: -0.08
Min: 0.03
Rem: 0.00

L.A.V. MADRID-BARCELONA-F.FRANCESA

35VI02 - SUBTRAMO IIIa

Punto : G061 Canal : 21 Unidades : µE

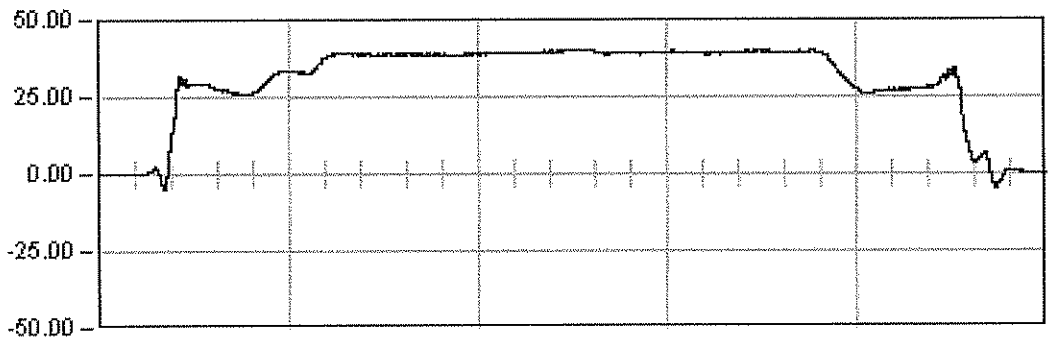


ESTATICA 03

1216.0 Seg

Est: 39.40
Max: 40.31
Min: -5.09
Rem: 0.09

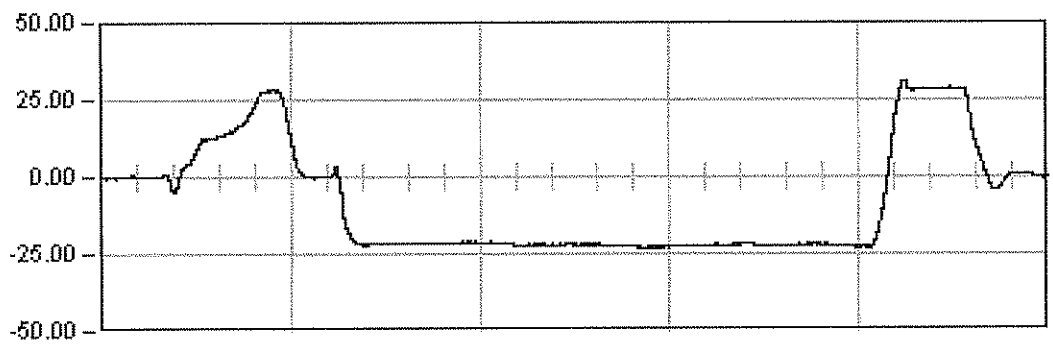


ESTATICA 04

1145.0 Seg

Est: -22.28
Max: 31.05
Min: -23.22
Rem: 0.02

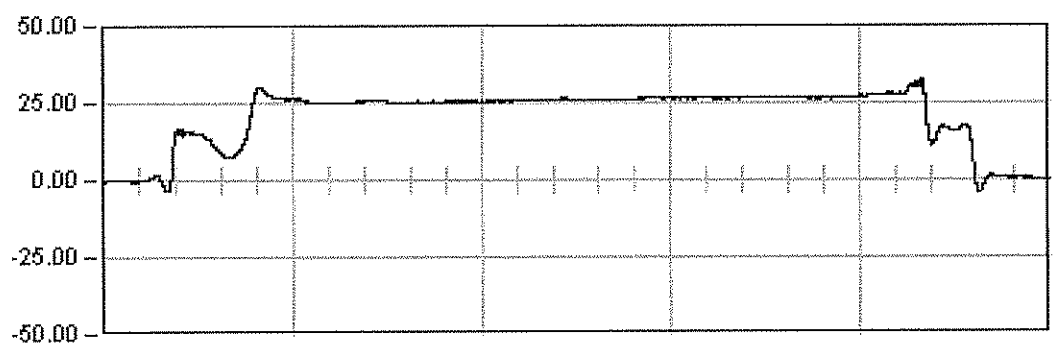


ESTATICA 16

981.0 Seg

Est: 27.39
Max: 32.23
Min: -4.00
Rem: 0.49

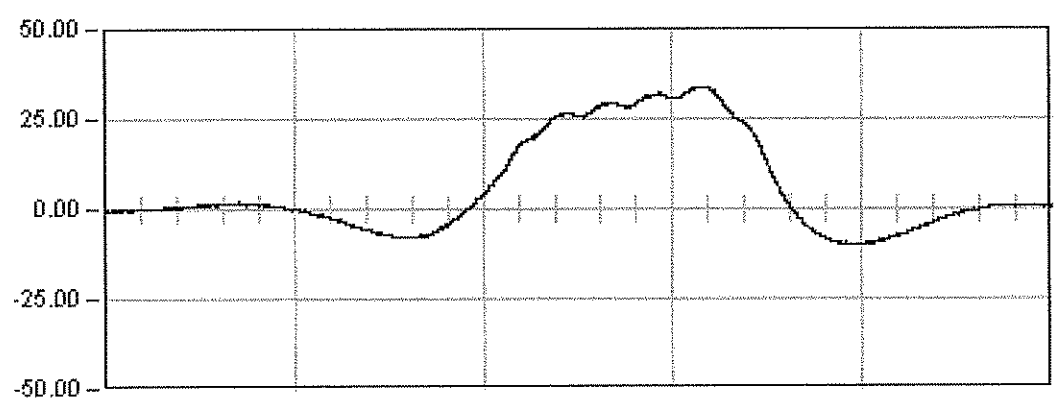


DINAMICA 01

106.5 Seg

Max: 33.68
Min: -10.33
Rem: 0.52

L.A.V. MADRID-BARCELONA-F.FRANCESA

35VI02 - SUBTRAMO IIIa

Punto : G061 Canal : 21 Unidades : µE

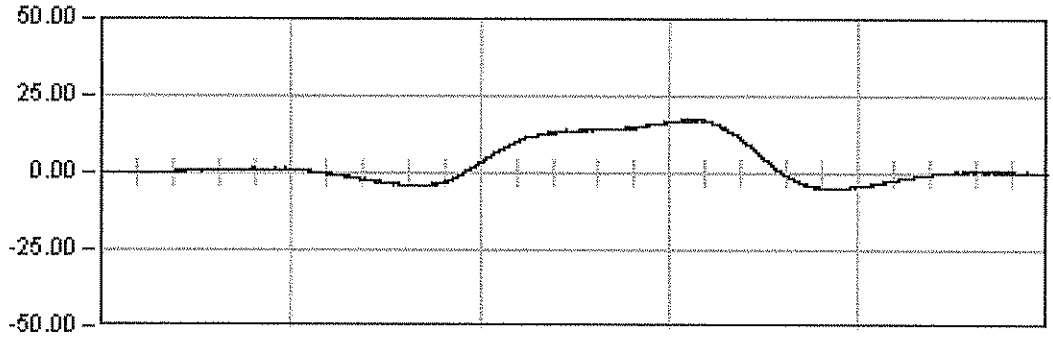


DINAMICA 21

104.0 Seg

Max: 17.45
Min: -5.18
Rem: 0.04

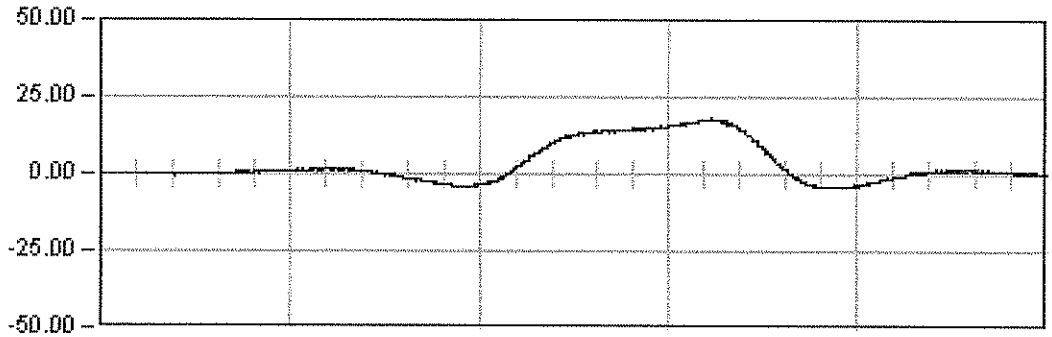


DINAMICA 22

47.0 Seg

Max: 17.93
Min: -4.54
Rem: 0.18

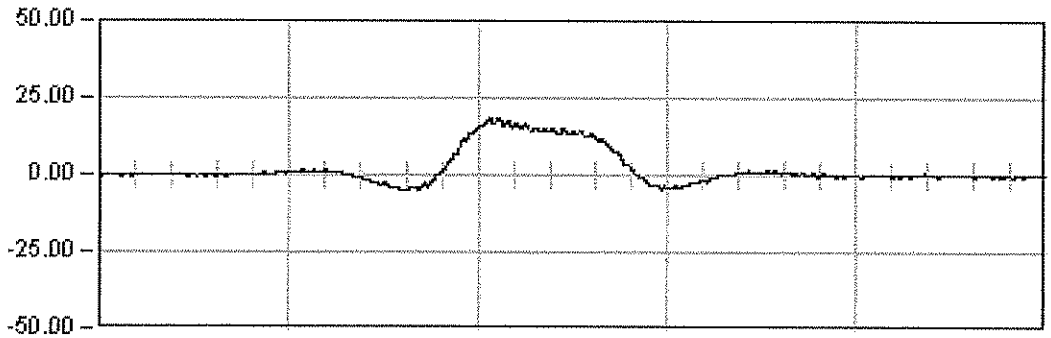


DINAMICA 23

23.0 Seg

Max: 18.11
Min: -5.08
Rem: -0.25

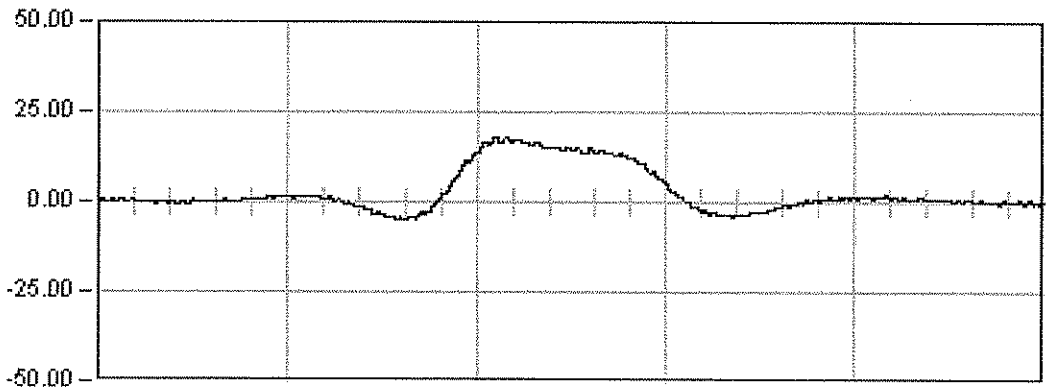


DINAMICA 24

20.5 Seg

Max: 17.77
Min: -4.87
Rem: -0.08

L.A.V. MADRID-BARCELONA-F.FRANCESA

35VI02 - SUBTRAMO IIIa

Punto : G062 Canal : 22 Unidades : µE

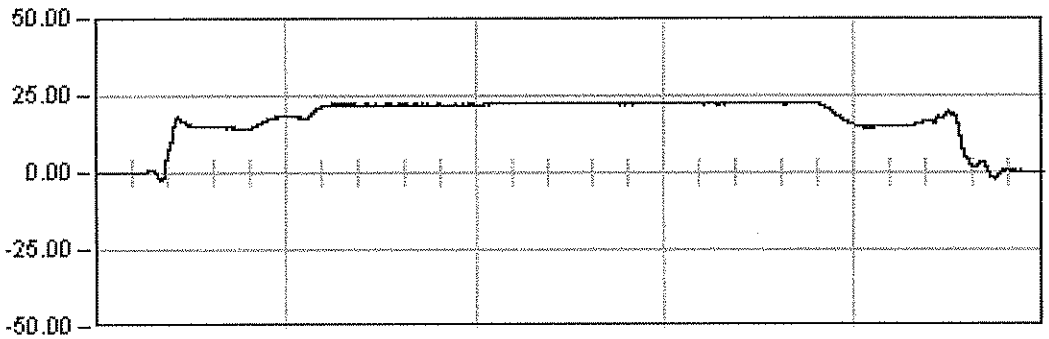


ESTATICA 03

1216.0 Seg

Est: 22.39
Max: 22.90
Min: -2.50
Rem: 0.15

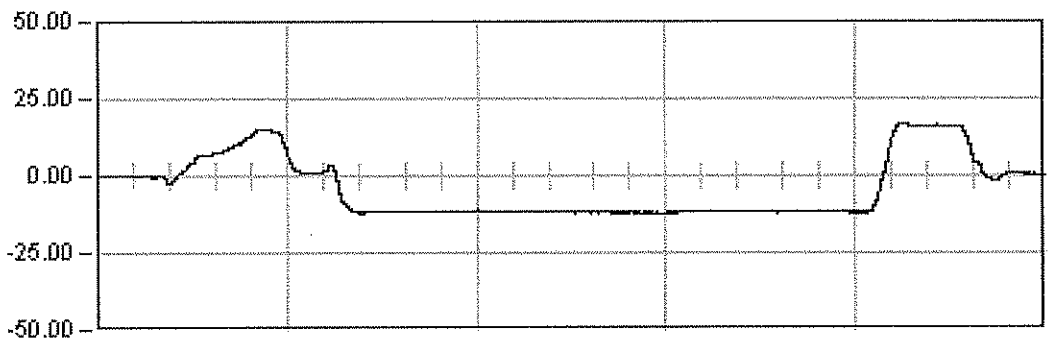


ESTATICA 04

1145.0 Seg

Est: -11.85
Max: 17.07
Min: -12.33
Rem: 0.27

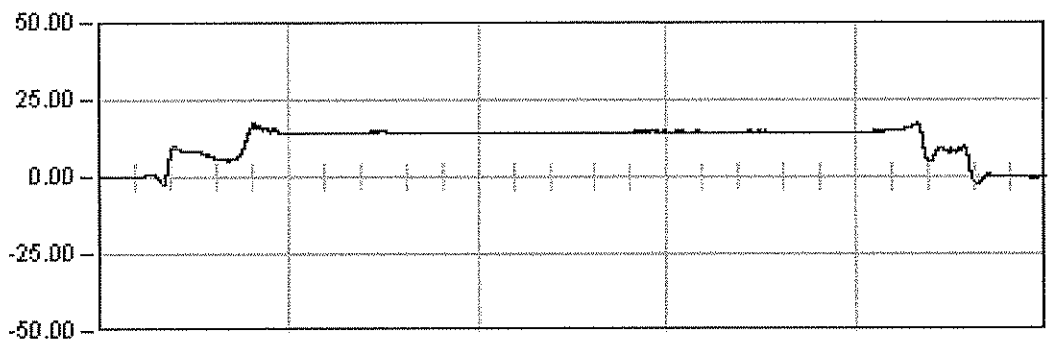


ESTATICA 16

981.0 Seg

Est: 14.49
Max: 17.63
Min: -2.40
Rem: -0.16

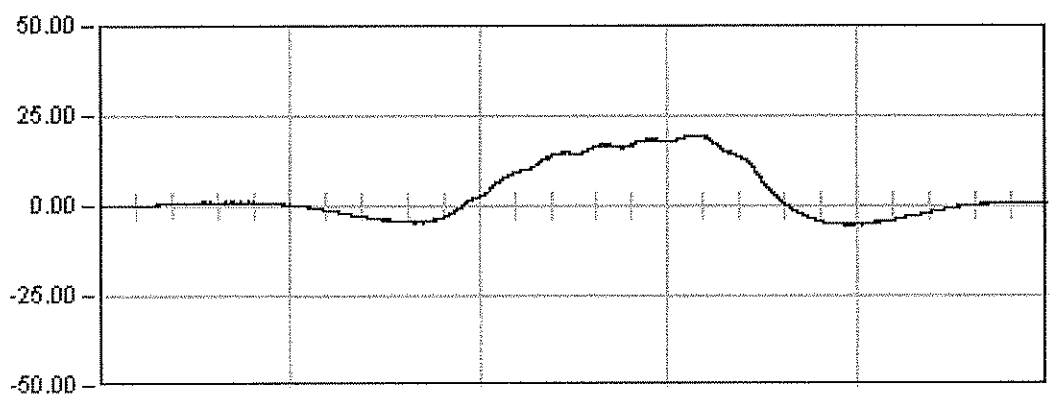


DINAMICA 01

106.5 Seg

Max: 19.48
Min: -5.47
Rem: 0.47

L.A.V. MADRID-BARCELONA-F.FRANCESA

35VI02 - SUBTRAMO IIIa

Punto : G062 Canal : 22 Unidades : µE

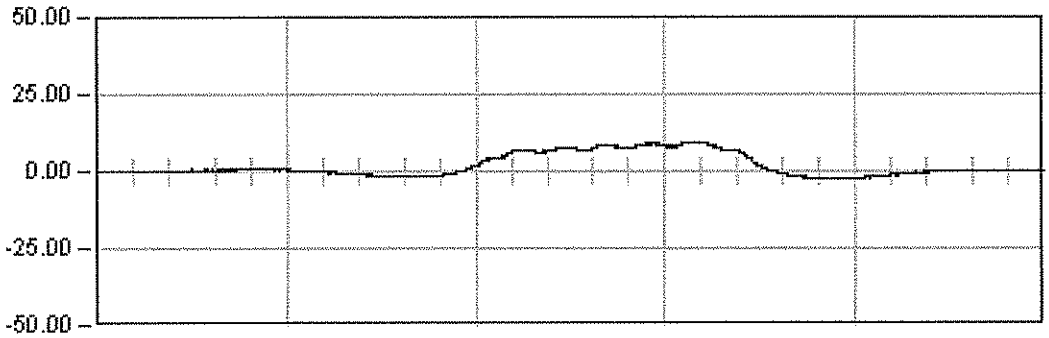


DINAMICA 21

104.0 Seg

Max: 9.58
Min: -2.60
Rem: 0.12

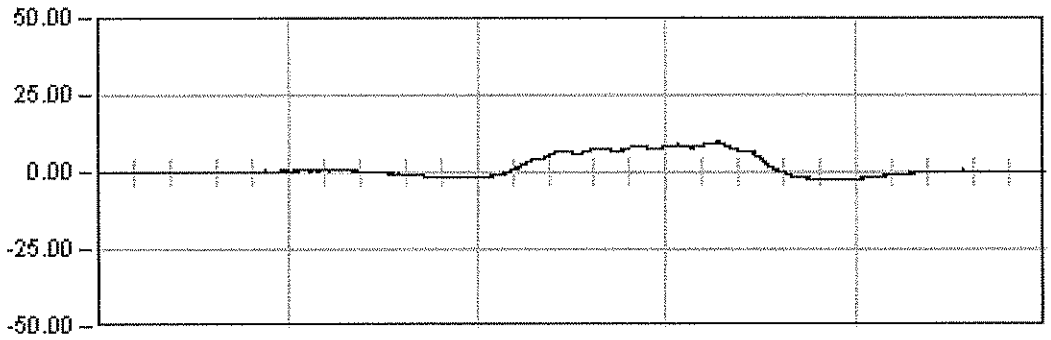


DINAMICA 22

47.0 Seg

Max: 9.75
Min: -2.57
Rem: -0.17

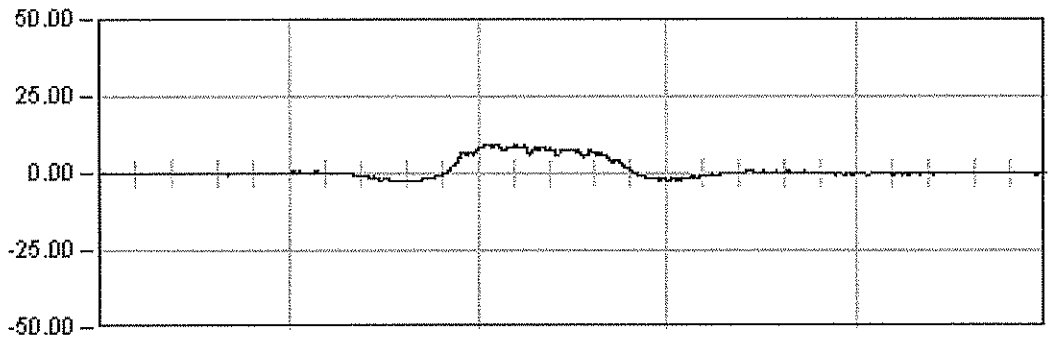


DINAMICA 23

23.0 Seg

Max: 9.53
Min: -2.73
Rem: -0.13

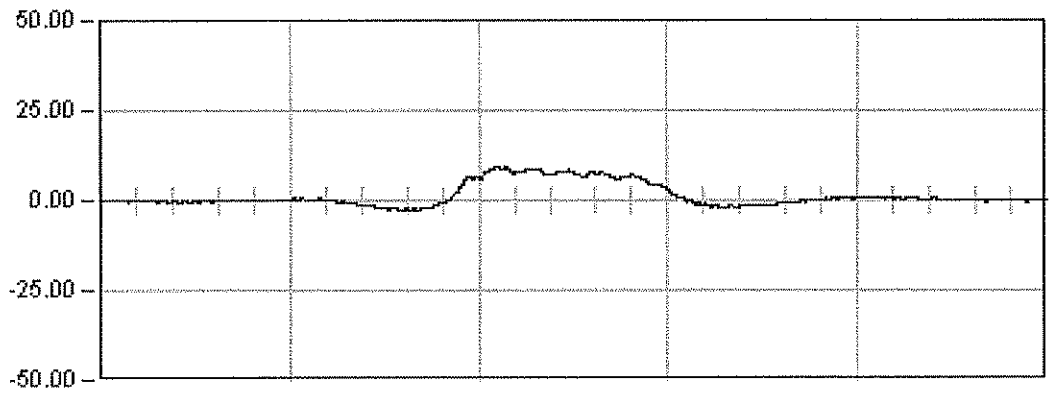


DINAMICA 24

20.5 Seg

Max: 9.42
Min: -2.97
Rem: -0.00

L.A.V. MADRID-BARCELONA-F.FRANCESA

35VI02 - SUBTRAMO IIIa

Punto : A051 Canal : 14 Unidades : G's/100

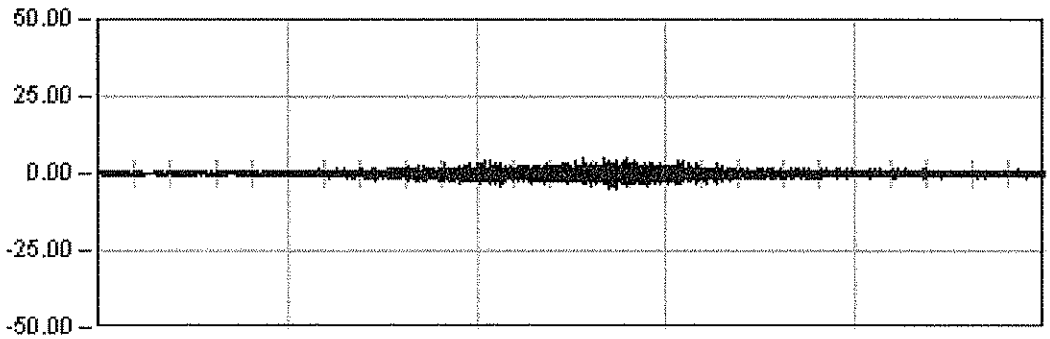


DINAMICA 01

126.5 Seg

Max: 5.25

Min: -5.25

Rem: -0.03

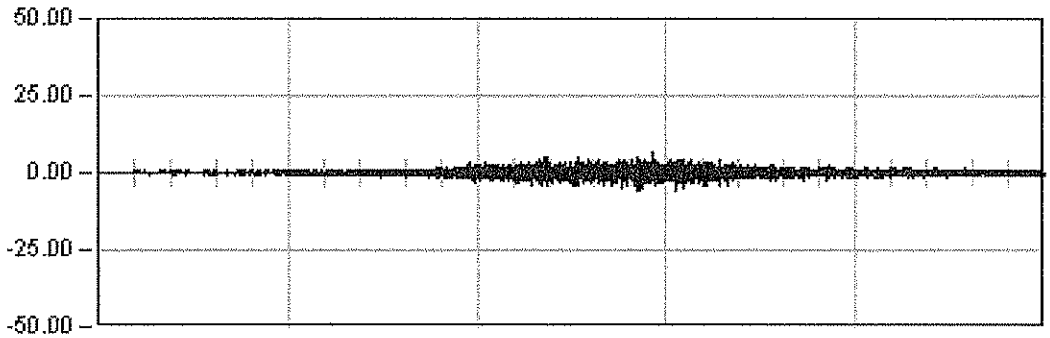


DINAMICA 21

130.0 Seg

Max: 6.80

Min: -6.08

Rem: 0.04

L.A.V. MADRID-BARCELONA-F.FRANCESA

35VI02 - SUBTRAMO IIIa

Punto : A051 Canal : 14 Unidades : G´s/100

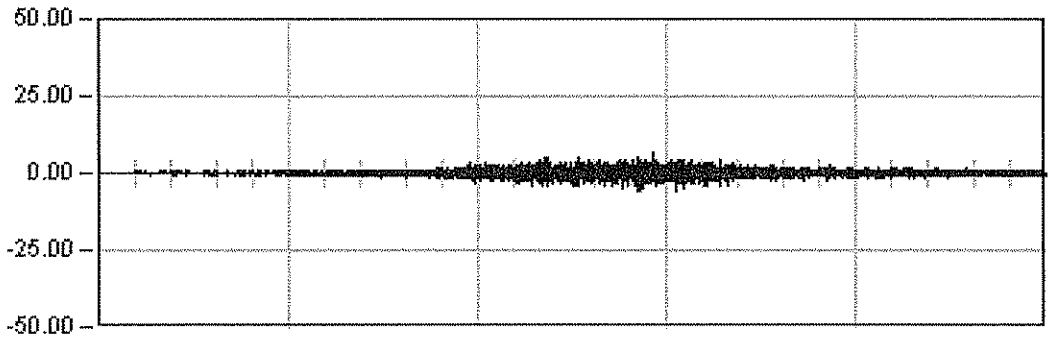


DINAMICA 21

130.0 Seg

Max: 6.80
Min: -6.08
Rem: 0.04

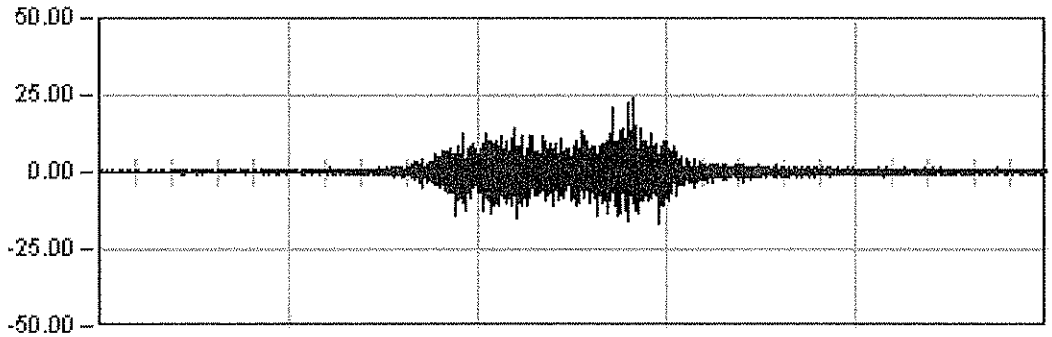


DINAMICA 22

52.0 Seg

Max: 24.10
Min: -16.82
Rem: 0.14

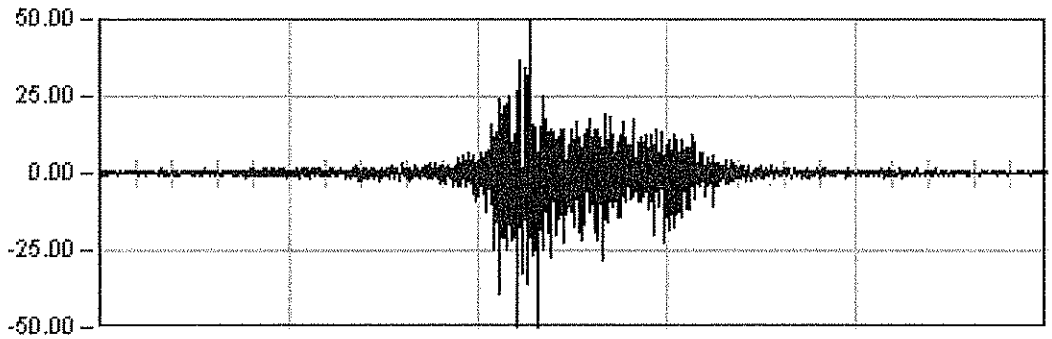


DINAMICA 23

21.0 Seg

Max: -68.00
Min: 66.93
Rem: 0.13

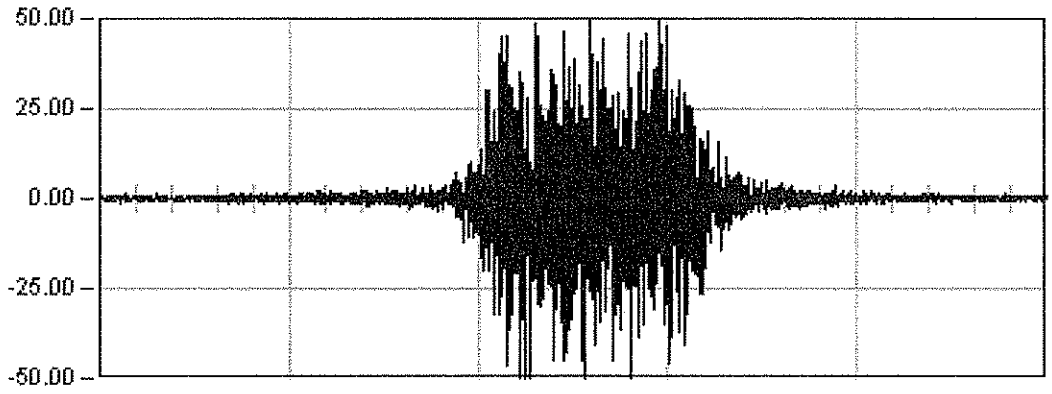


DINAMICA 24

24.5 Seg

Max: -63.70
Min: 62.51
Rem: 0.08

L.A.V. MADRID-BARCELONA-F.FRANCESA

35VI02 - SUBTRAMO IIIa

Prueba: din24 Punto: A51 Canal: 14

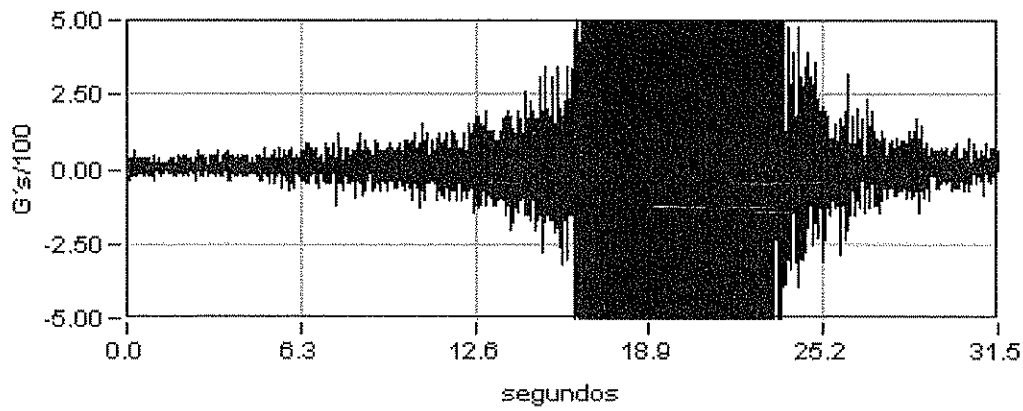


| Máximo |
| --- |
| -63.70 |

| Mínimo |
| --- |
| 62.51 |

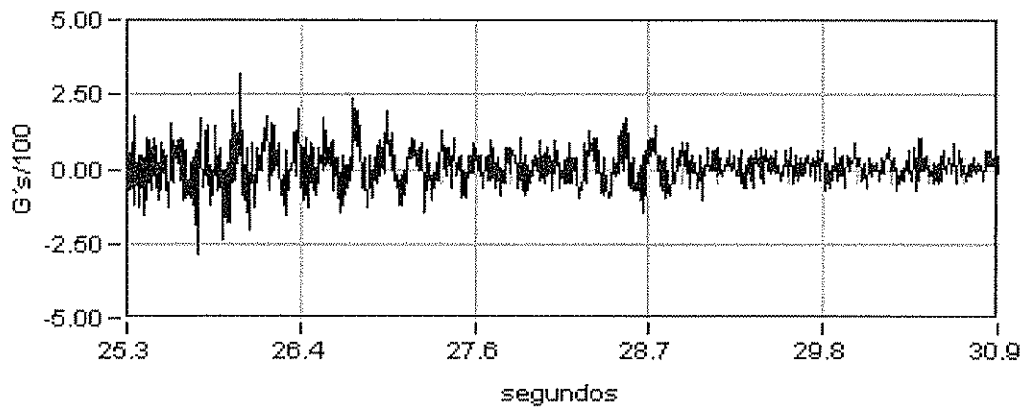


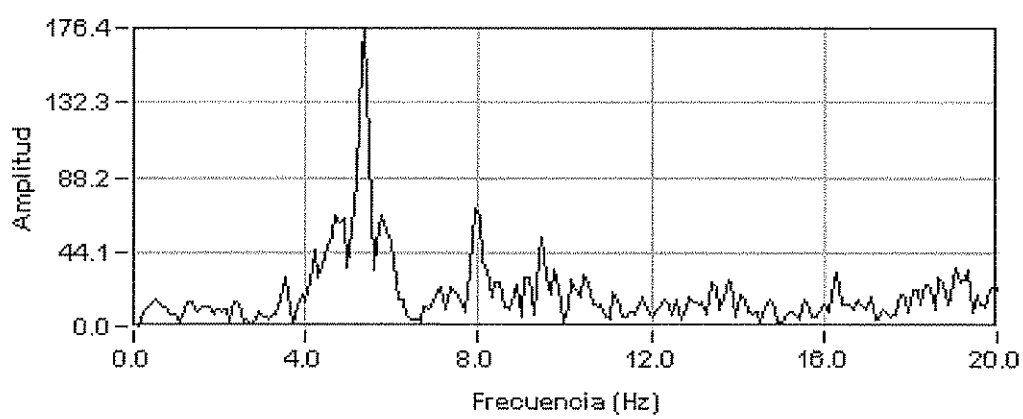


| Amplitud |
| --- |
| 176.37 |

| Frecuencia |
| --- |
| 5.39 |

| Dec Logarit |
| --- |
| 0.13 |

| Amortiguac. | |
| --- | --- |
| 1.99 | % |

L.A.V. MADRID-BARCELONA-F.FRANCESA

35VI02 - SUBTRAMO IIIa

Punto : A061 Canal : 15 Unidades : G's/100

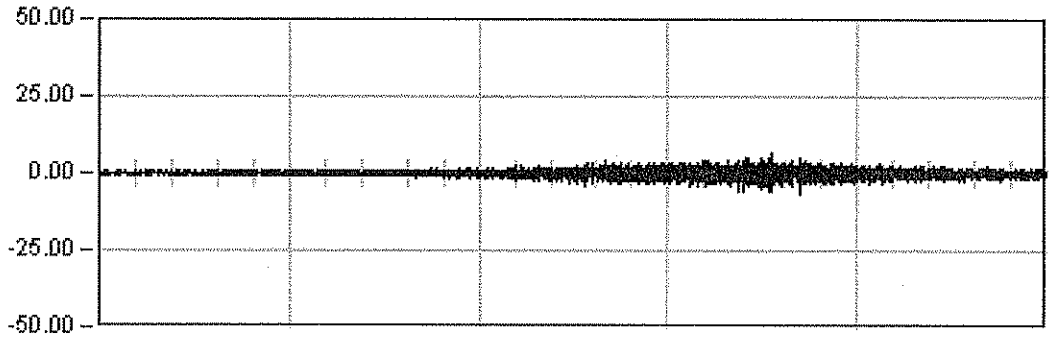


DINAMICA 01

121.5 Seg

Max: -6.45
Min: 6.33
Rem: -0.08

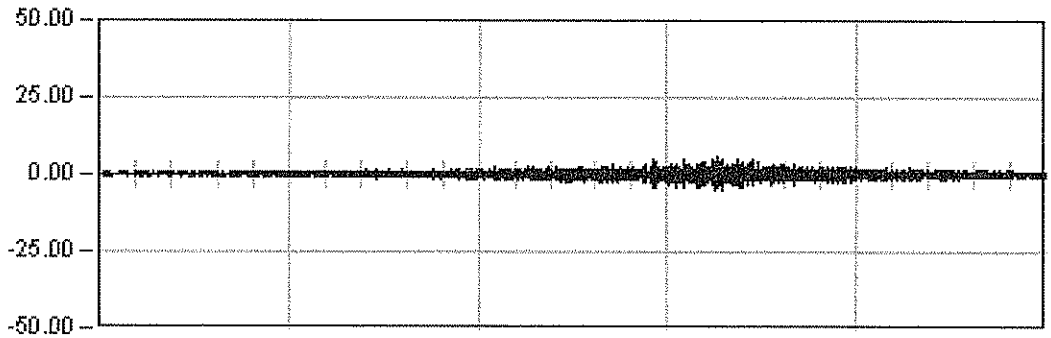


DINAMICA 21

104.0 Seg

Max: 5.46
Min: -4.84
Rem: 0.20

L.A.V. MADRID-BARCELONA-F.FRANCESA

35VI02 - SUBTRAMO IIIa

Punto : A061 Canal : 15 Unidades : G's/100

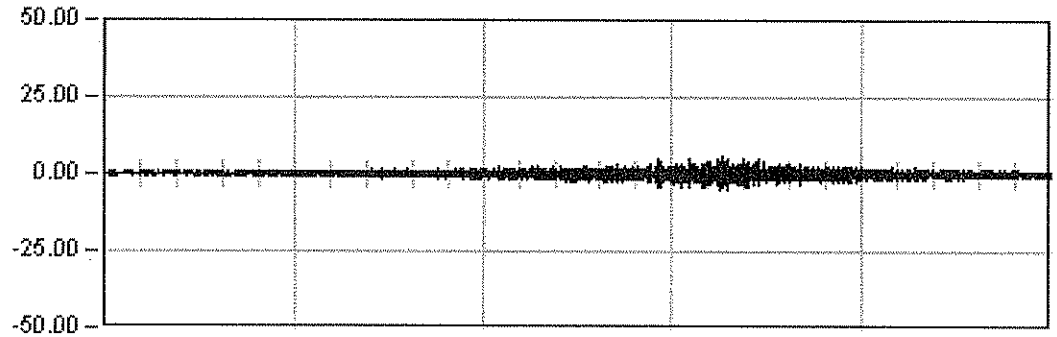


DINAMICA 21

104.0 Seg

Max: 5.46
Min: -4.84
Rem: 0.20

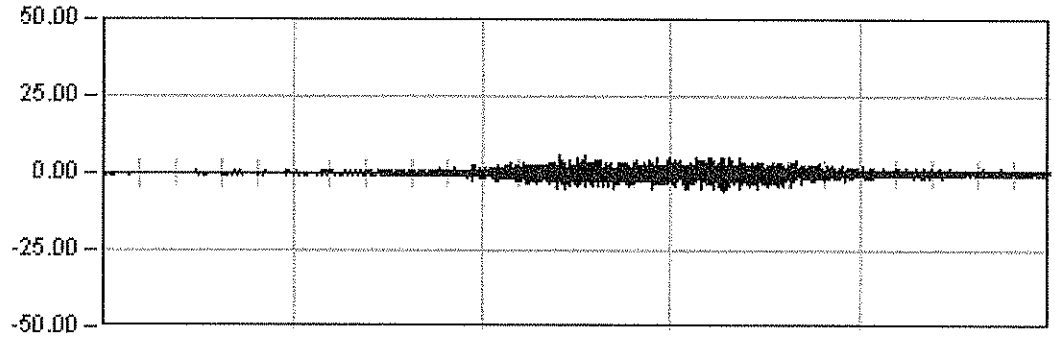


DINAMICA 22

47.0 Seg

Max: 6.08
Min: -5.58
Rem: 0.09

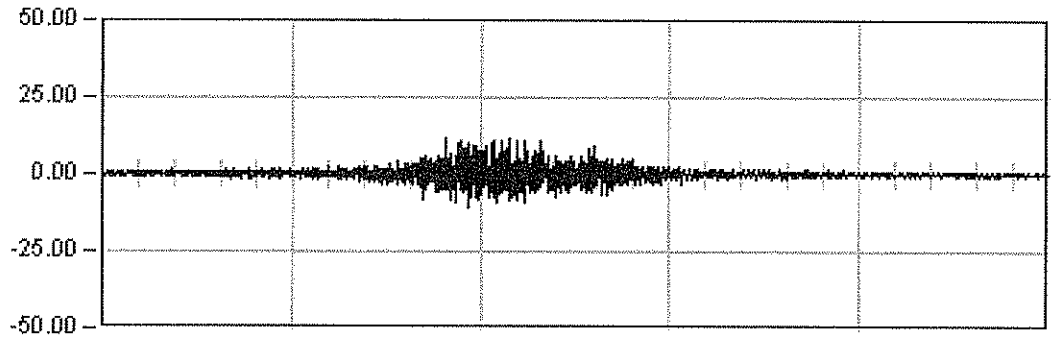


DINAMICA 23

23.0 Seg

Max: 11.91
Min: -11.05
Rem: 0.18

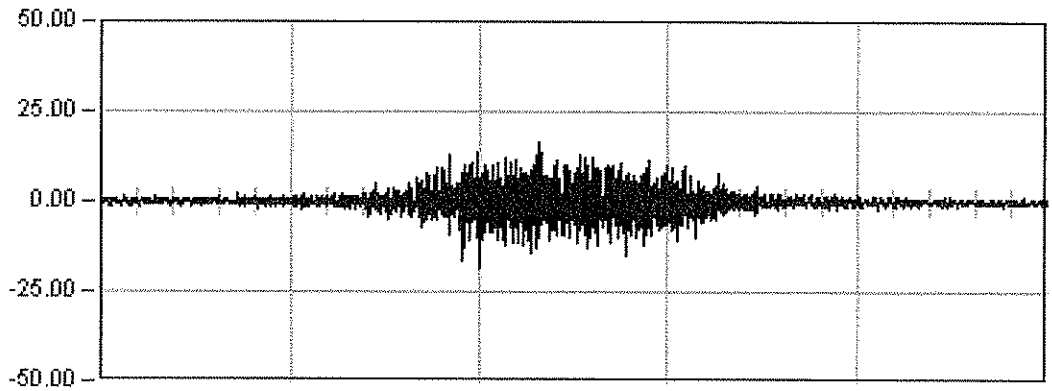


DINAMICA 24

20.5 Seg

Max: -18.62
Min: 16.13
Rem: -0.01

L.A.V. MADRID-BARCELONA-F.FRANCESA

35VI02 - SUBTRAMO IIIa

Prueba: din24 Punto: A61 Canal: 15

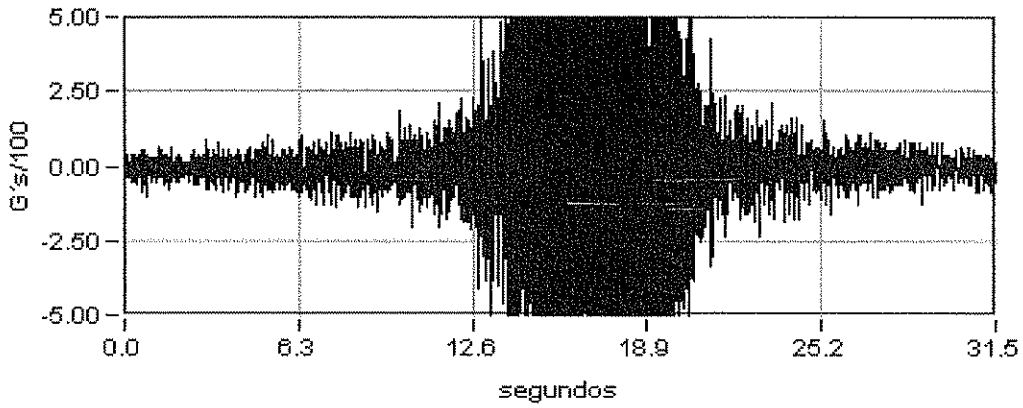


| Máximo |
| --- |
| -18.62 |

| Mínimo |
| --- |
| 16.13 |

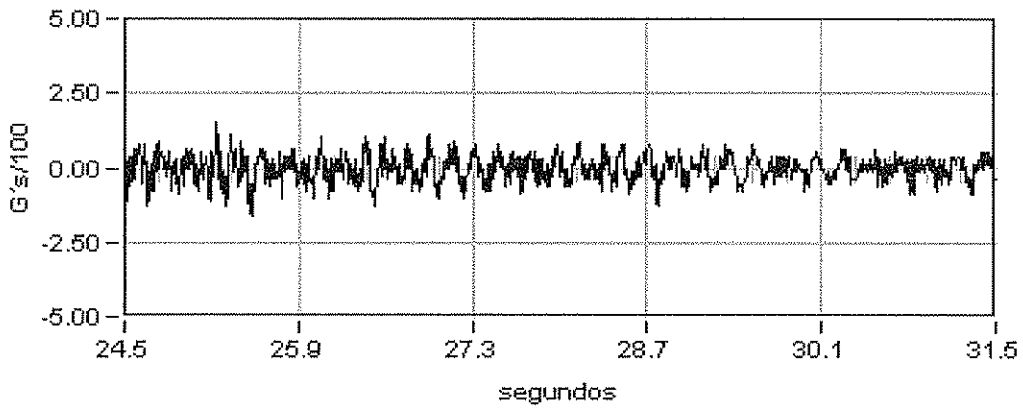


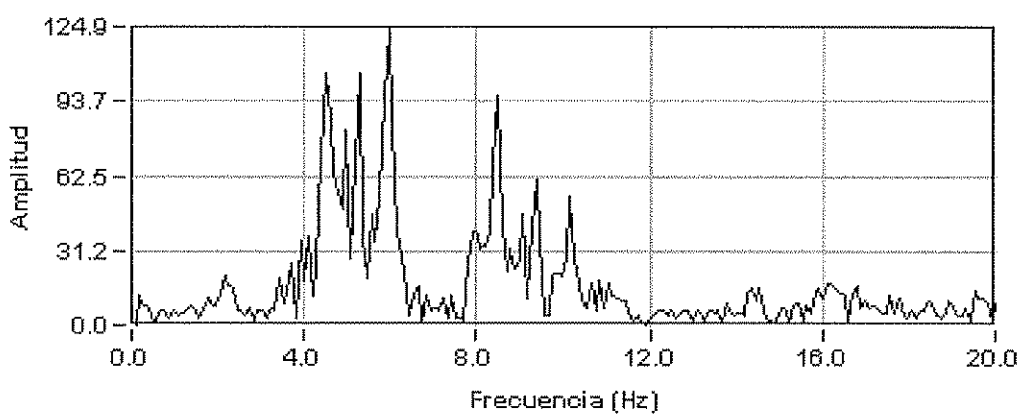


| Amplitud |
| --- |
| 105.86 |

| Frecuencia |
| --- |
| 4.47 |

| Dec.Logarit. |
| --- |
| 0.16 |

| Amortiguac. | |
| --- | --- |
| 2.60 | % |

L.A.V. MADRID-BARCELONA-F.FRANCESA

35VI02 - SUBTRAMO IIIa

Punto : P071 Canal : 00 Unidades : mm

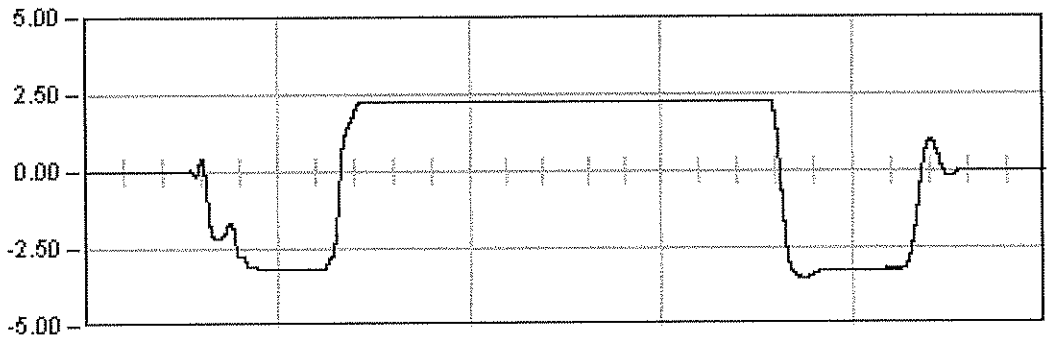


ESTATICA 05

1425.0 Seg

Est: 2.26
Max: -3.48
Min: 2.29
Rem: 0.00

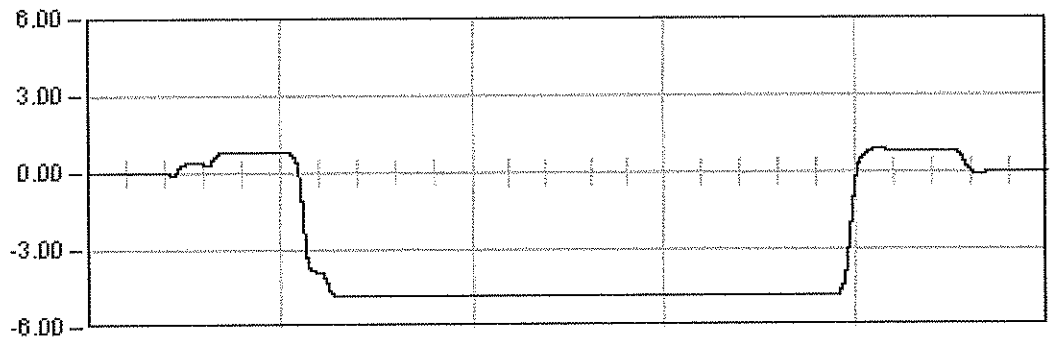


ESTATICA 06

1207.0 Seg

Est: -4.82
Max: -4.84
Min: 0.88
Rem: -0.00

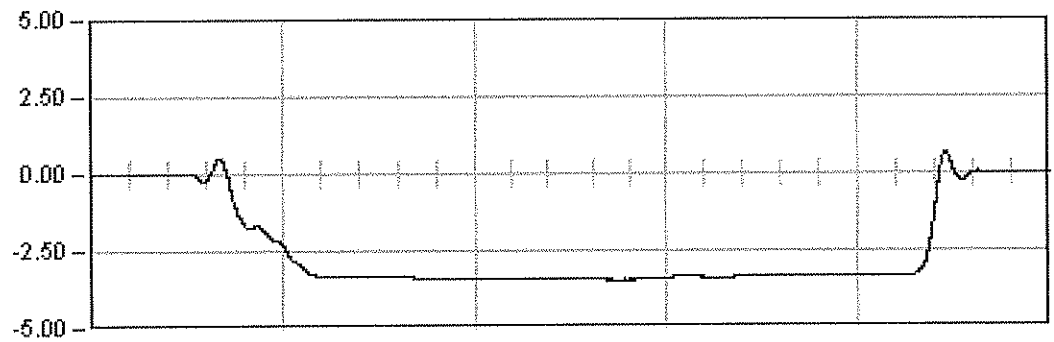


ESTATICA 17

1022.0 Seg

Est: -3.31
Max: -3.47
Min: 0.65
Rem: 0.01

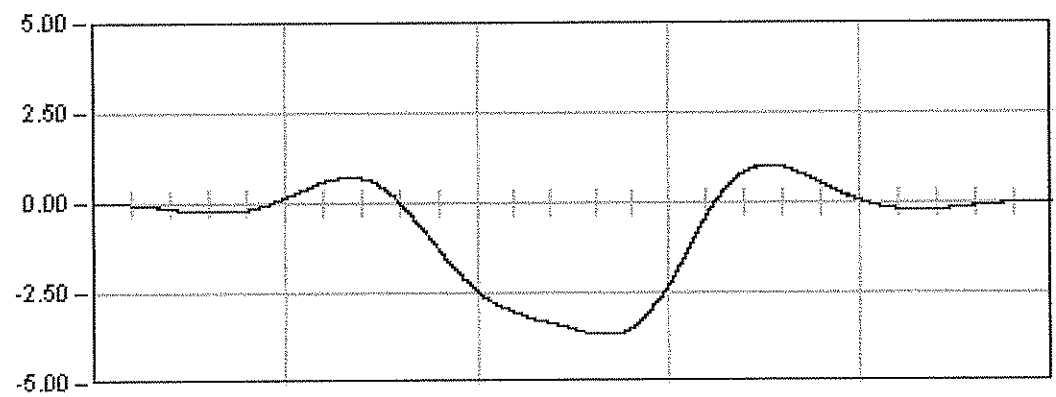


DINAMICA 01

114.0 Seg

Max: -3.67
Min: 1.01
Rem: -0.02

L.A.V. MADRID-BARCELONA-F.FRANCESA

35VI02 - SUBTRAMO IIIa

Punto : P071 Canal : 00 Unidades : mm

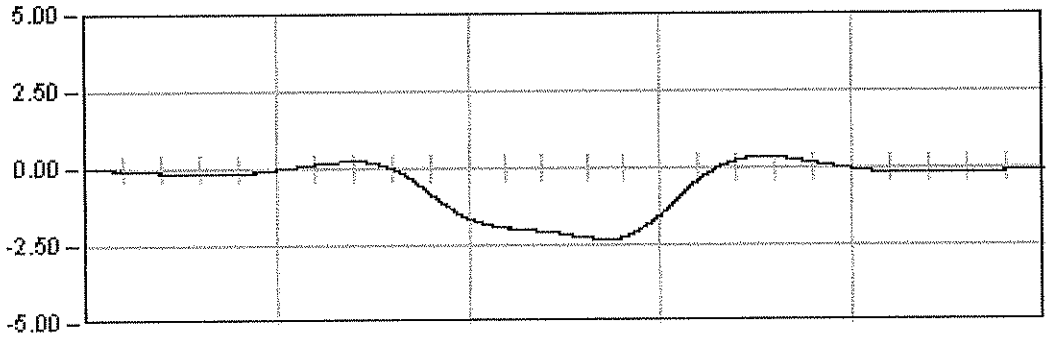


DINAMICA 11

167.0 Seg

Max: -2.34
Min: 0.33
Rem: -0.09

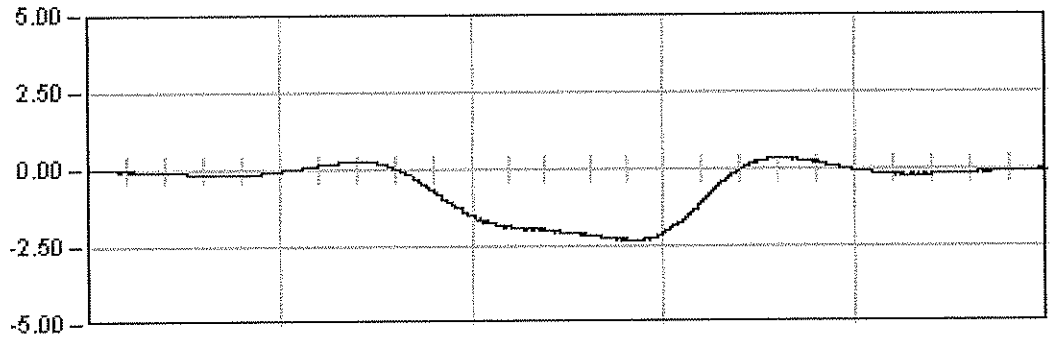


DINAMICA 12

41.0 Seg

Max: -2.32
Min: 0.34
Rem: -0.06

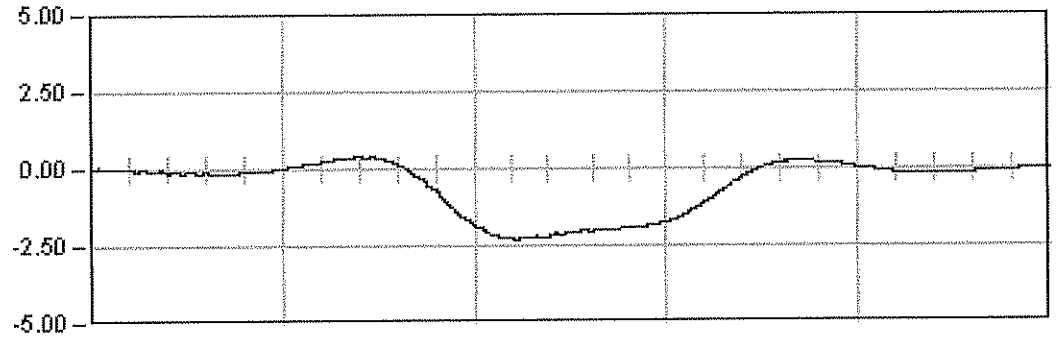


DINAMICA 13

15.0 Seg

Max: -2.32
Min: 0.39
Rem: -0.01

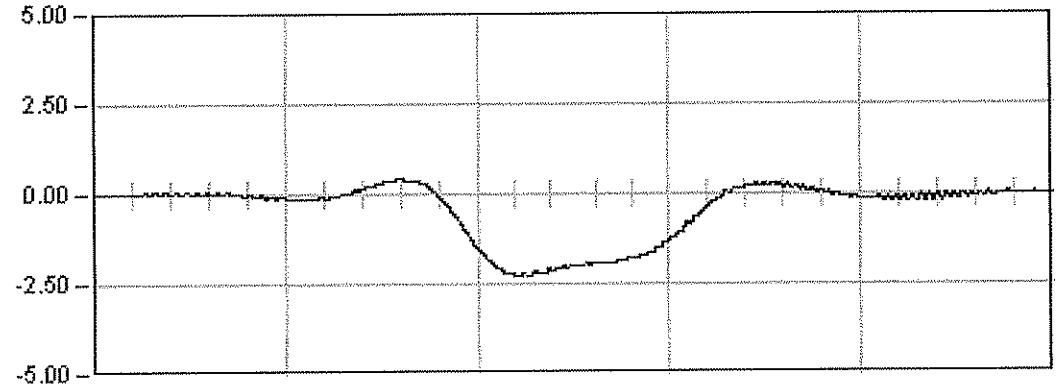


DINAMICA 14

21.0 Seg

Max: -2.30
Min: 0.40
Rem: -0.01

L.A.V. MADRID-BARCELONA-F.FRANCESA

35VI02 - SUBTRAMO IIIa

Punto : P072 Canal : 01 Unidades : mm

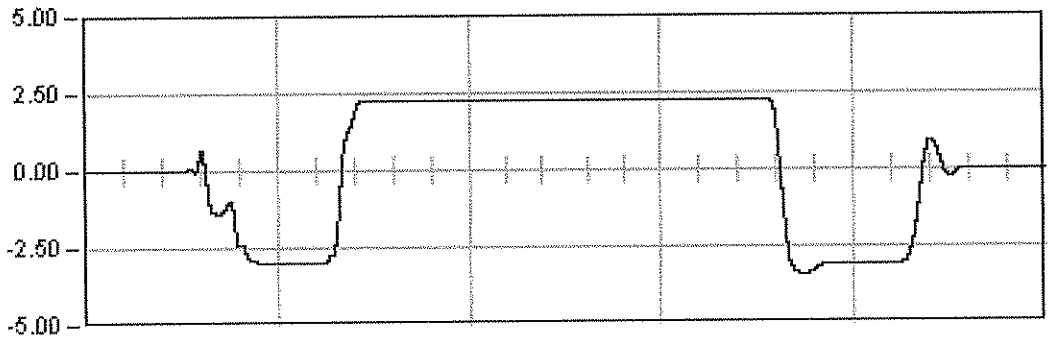


ESTATICA 05

1425.0 Seg

Est: 2.21
Max: -3.41
Min: 2.26
Rem: 0.00

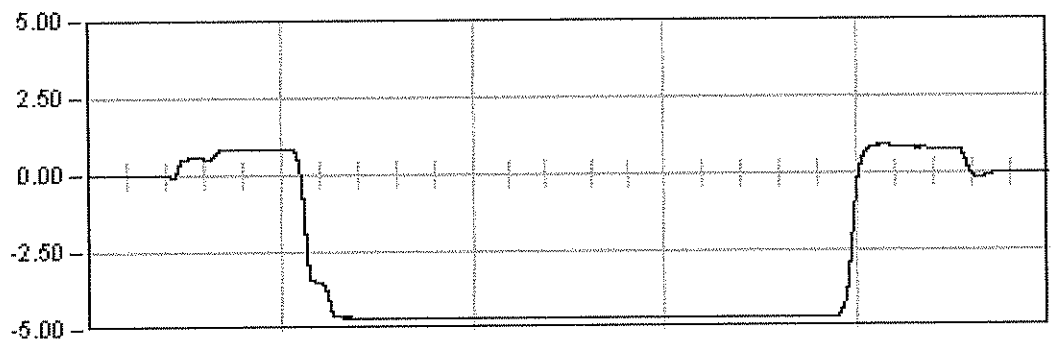


ESTATICA 06

1207.0 Seg

Est: -4.67
Max: -4.69
Min: 0.88
Rem: -0.01

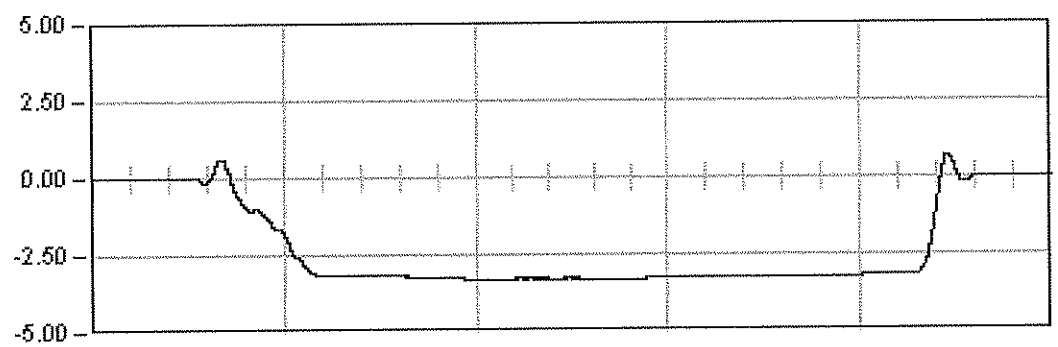


ESTATICA 17

1022.0 Seg

Est: -3.20
Max: -3.34
Min: 0.70
Rem: 0.00

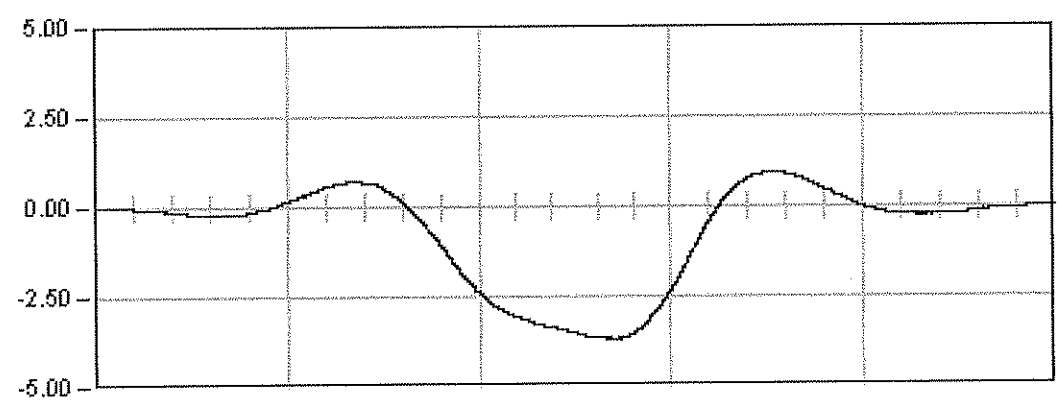


DINAMICA 01

114.0 Seg

Max: -3.69
Min: 0.94
Rem: -0.05

L.A.V. MADRID-BARCELONA-F.FRANCESA

35VI02 - SUBTRAMO IIIa

Punto : P072 Canal : 01 Unidades : mm

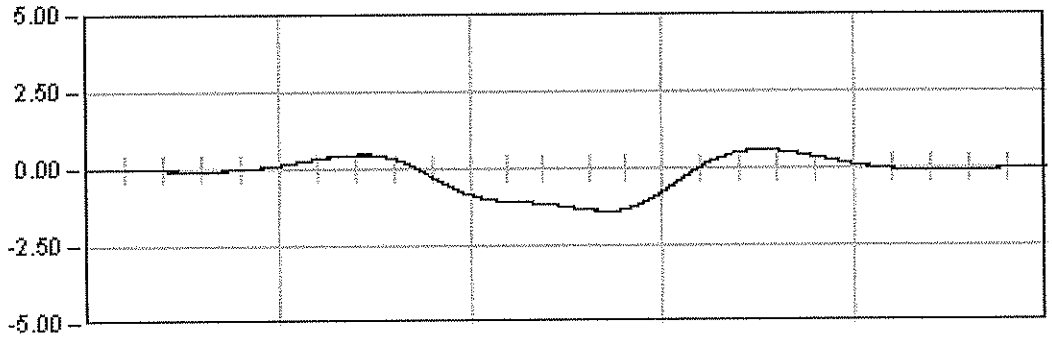


DINAMICA 11

167.0 Seg

Max: -1.40
Min: 0.57
Rem: -0.03

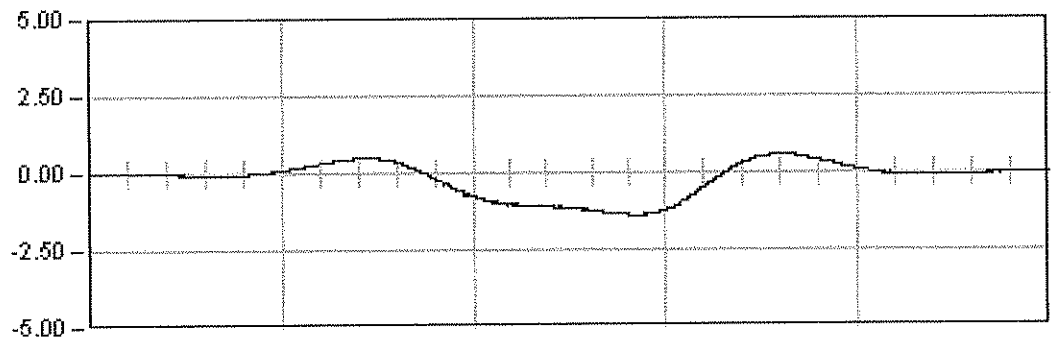


DINAMICA 12

41.0 Seg

Max: -1.40
Min: 0.59
Rem: -0.03

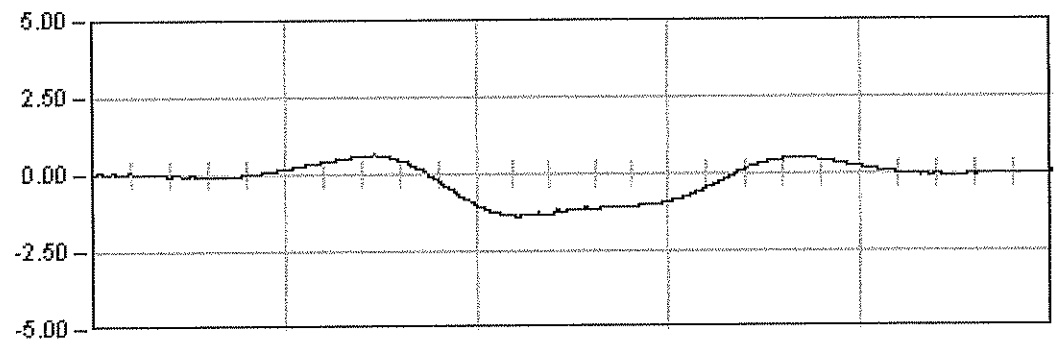


DINAMICA 13

15.0 Seg

Max: -1.39
Min: 0.63
Rem: 0.01

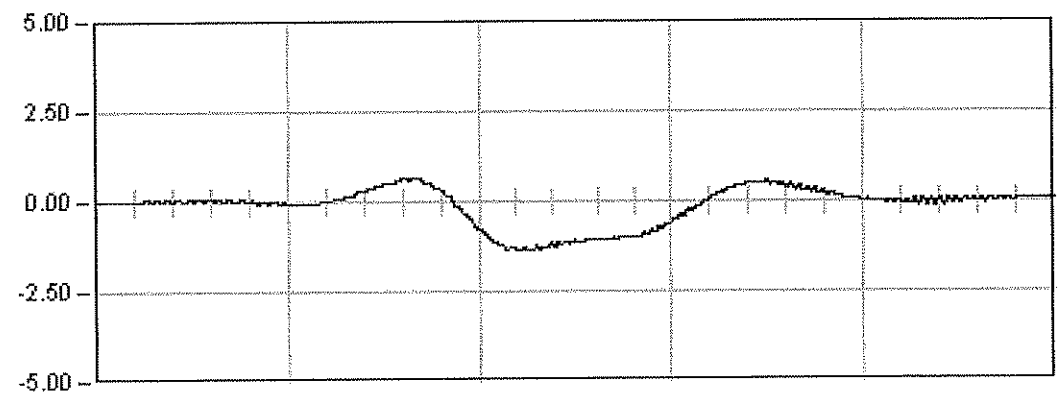


DINAMICA 14

21.0 Seg

Max: -1.38
Min: 0.63
Rem: 0.02

L.A.V. MADRID-BARCELONA-F.FRANCESA

35VI02 - SUBTRAMO IIIa

Punto : P074 Canal : 03 Unidades : mm

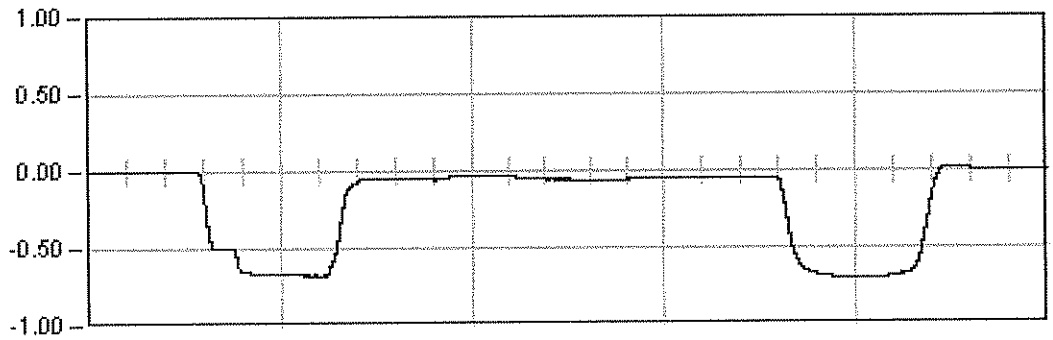


ESTATICA 05

1425.0 Seg

Est: -0.06
Max: -0.70
Min: 0.02
Rem: 0.00

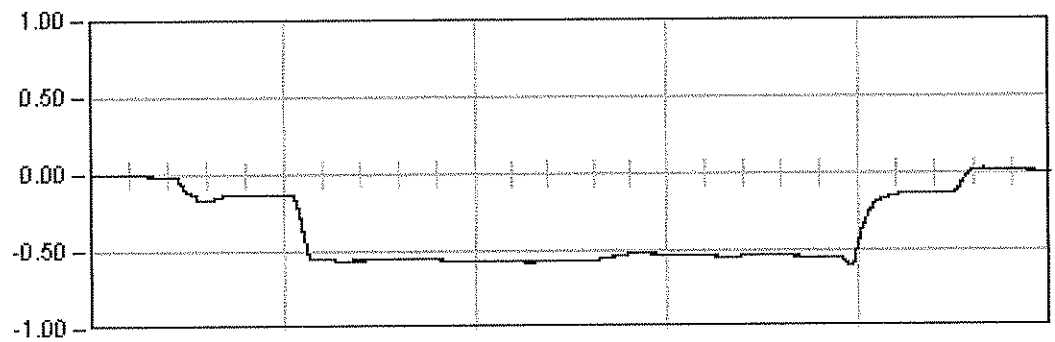


ESTATICA 06

1207.0 Seg

Est: -0.55
Max: -0.61
Min: 0.03
Rem: 0.01

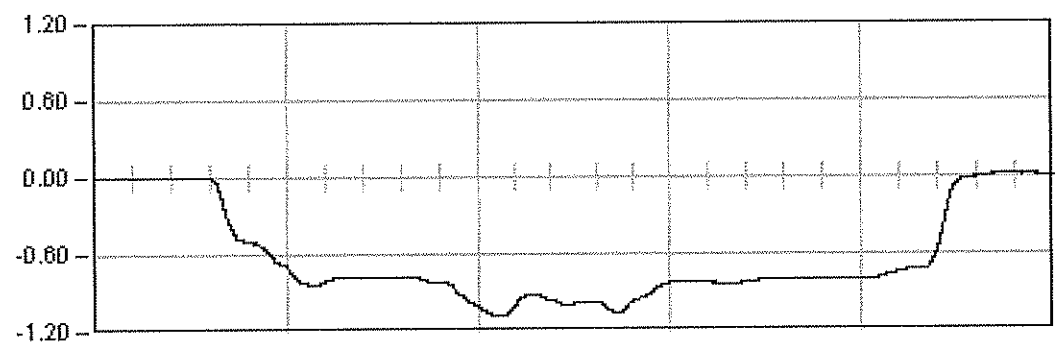


ESTATICA 17

1022.0 Seg

Est: -0.73
Max: -1.08
Min: 0.01
Rem: 0.01

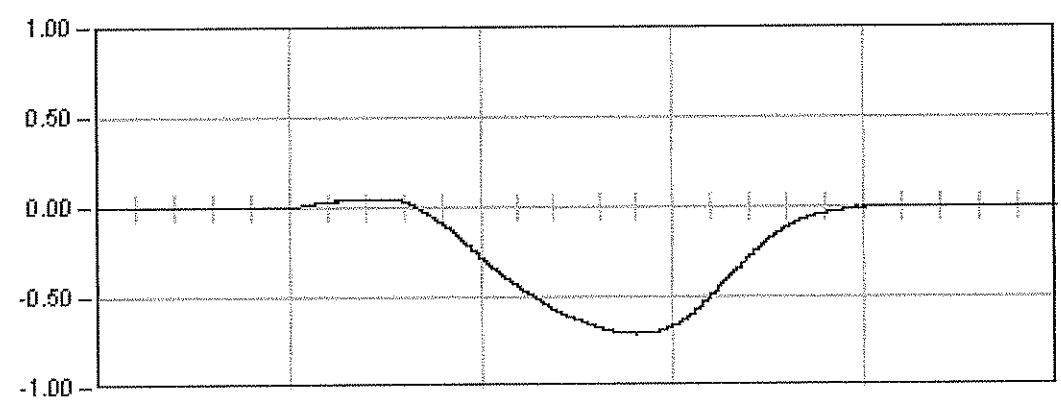


DINAMICA 01

114.0 Seg

Max: -0.71
Min: 0.04
Rem: -0.00

L.A.V. MADRID-BARCELONA-F.FRANCESA

35VI02 - SUBTRAMO IIIa

Punto : P074 Canal : 03 Unidades : mm

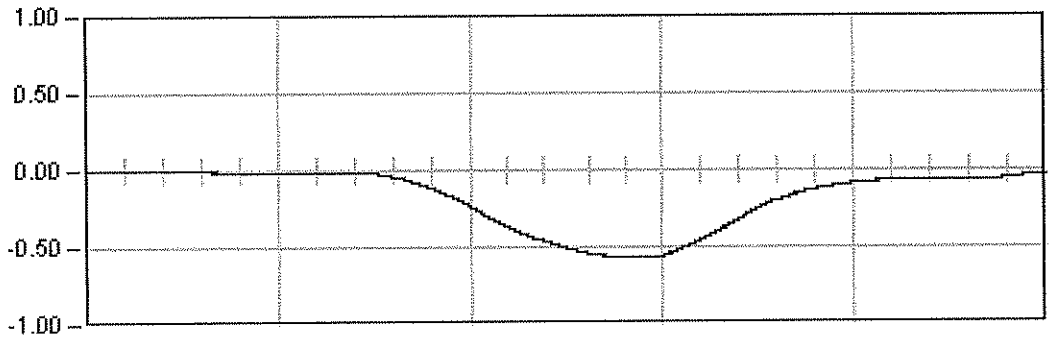


DINAMICA 11

167.0 Seg

Max: -0.57
Min: 0.01
Rem: 0.00

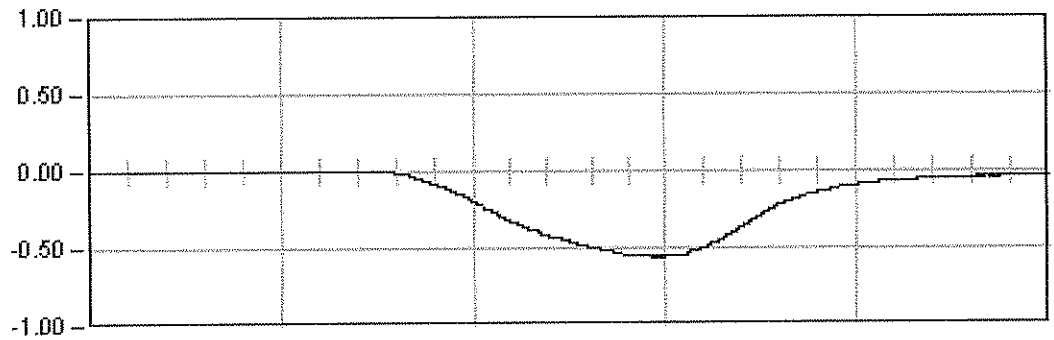


DINAMICA 12

41.0 Seg

Max: -0.56
Min: 0.00
Rem: -0.02

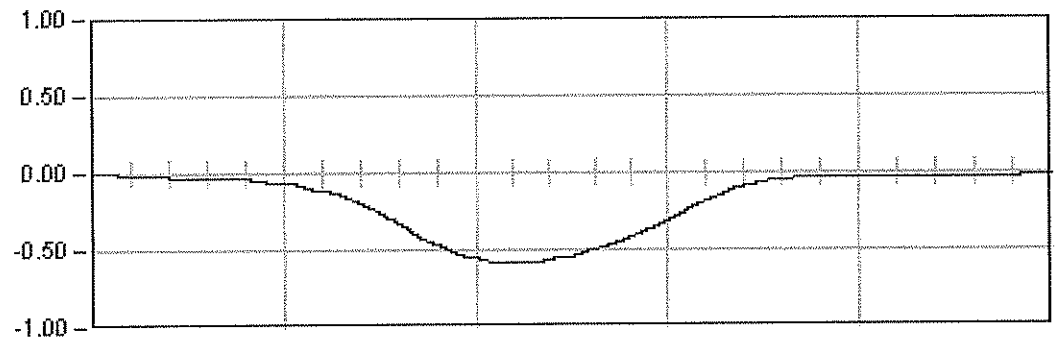


DINAMICA 13

15.0 Seg

Max: -0.58
Min: 0.00
Rem: -0.01

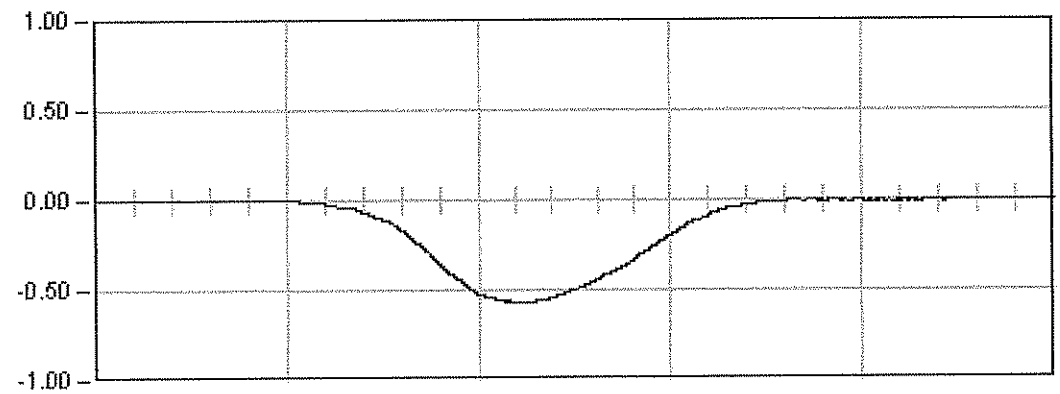


DINAMICA 14

21.0 Seg

Max: -0.58
Min: 0.01
Rem: 0.01

L.A.V. MADRID-BARCELONA-F.FRANCESA

35VI02 - SUBTRAMO IIIa

Punto : P081 Canal : 04 Unidades : mm

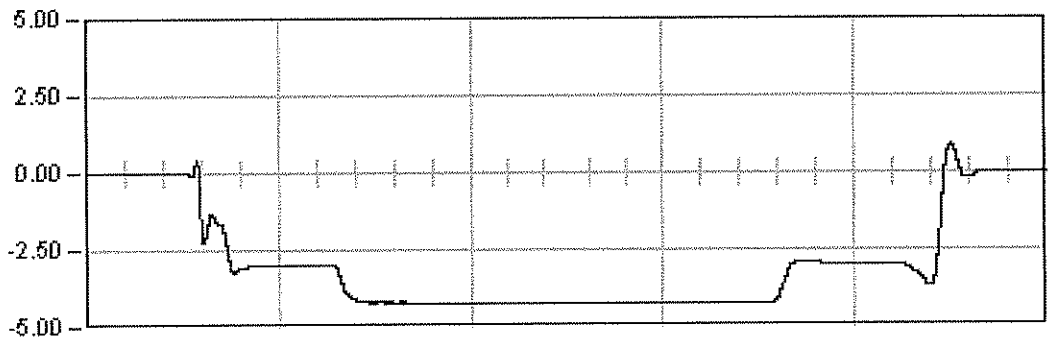


ESTATICA 05

1425.0 Seg

Est: -4.26
Max: -4.26
Min: 0.89
Rem: 0.01

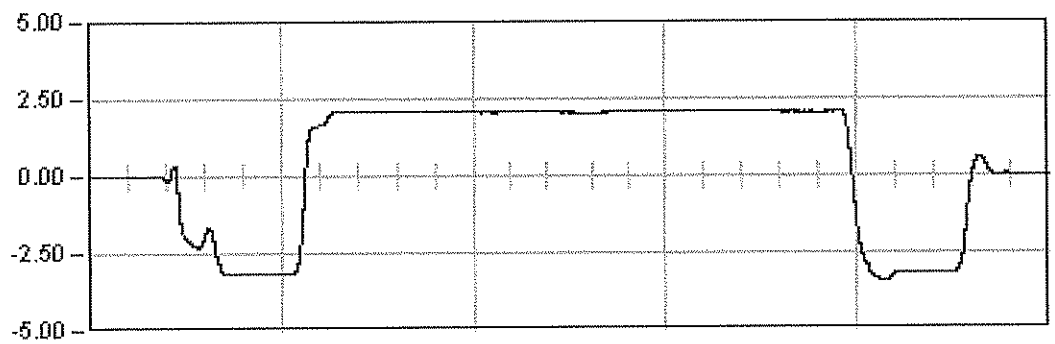


ESTATICA 06

1207.0 Seg

Est: 2.04
Max: -3.41
Min: 2.09
Rem: 0.02

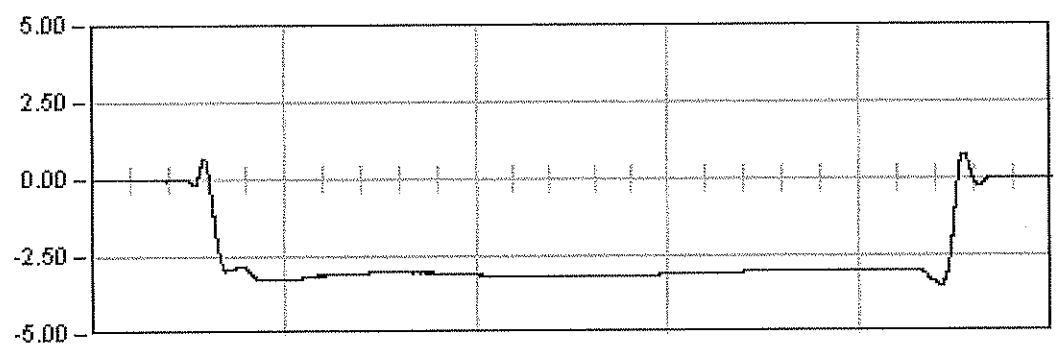


ESTATICA 17

1022.0 Seg

Est: -2.98
Max: -3.49
Min: 0.78
Rem: 0.01

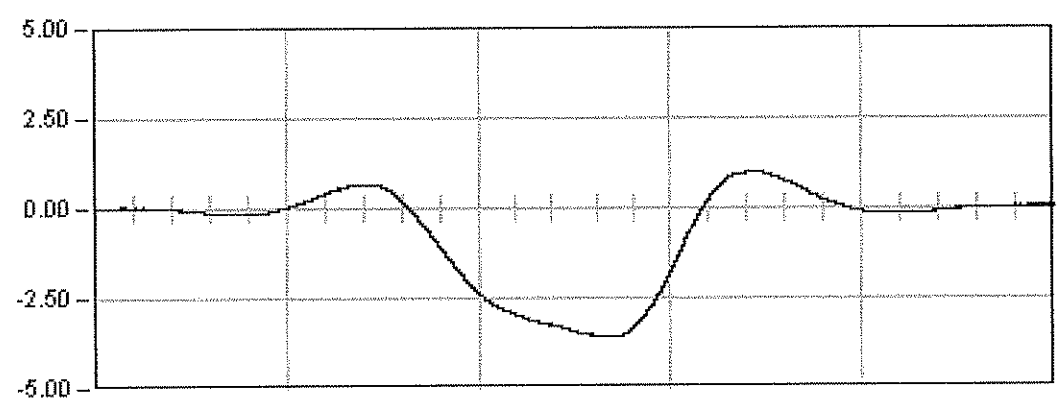


DINAMICA 01

124.0 Seg

Max: -3.58
Min: 0.98
Rem: 0.03

L.A.V. MADRID-BARCELONA-F.FRANCESA

35VI02 - SUBTRAMO IIIa

Punto : P081 Canal : 04 Unidades : mm

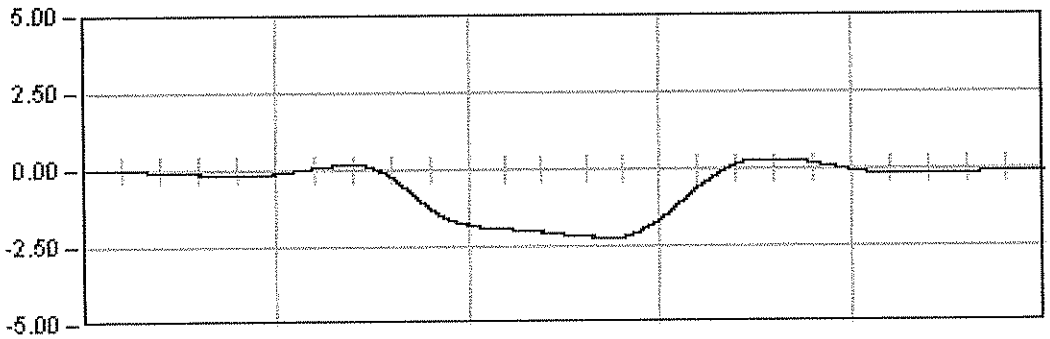


DINAMICA 11

172.0 Seg

Max: -2.25
Min: 0.29
Rem: -0.08

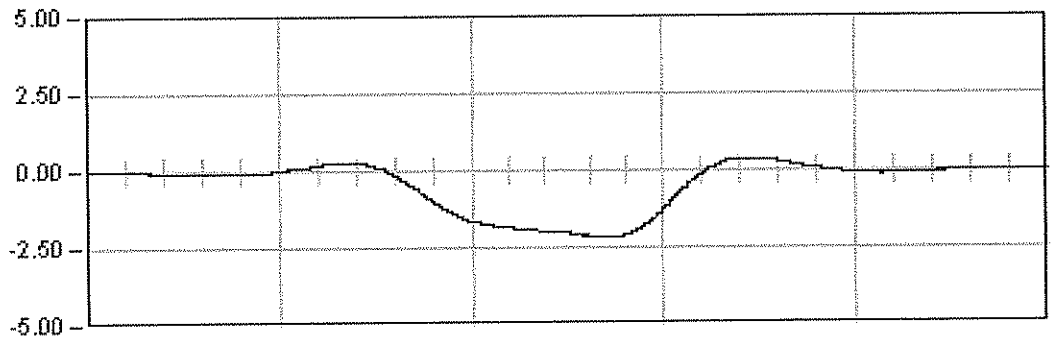


DINAMICA 12

43.0 Seg

Max: -2.18
Min: 0.36
Rem: -0.05

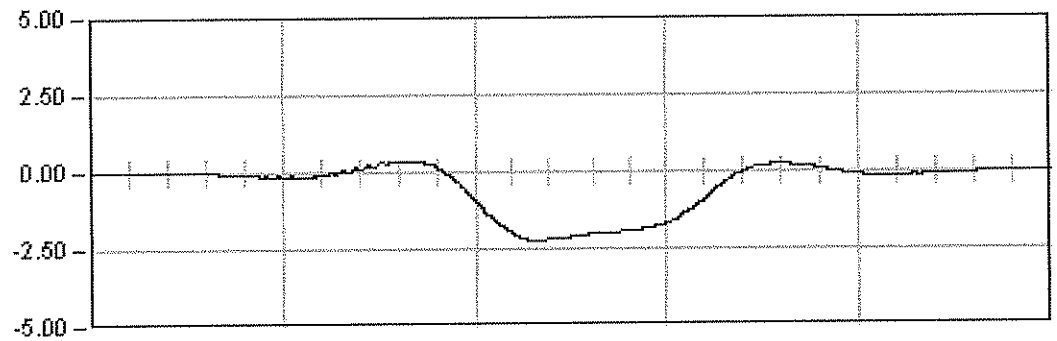


DINAMICA 13

18.0 Seg

Max: -2.22
Min: 0.36
Rem: -0.03

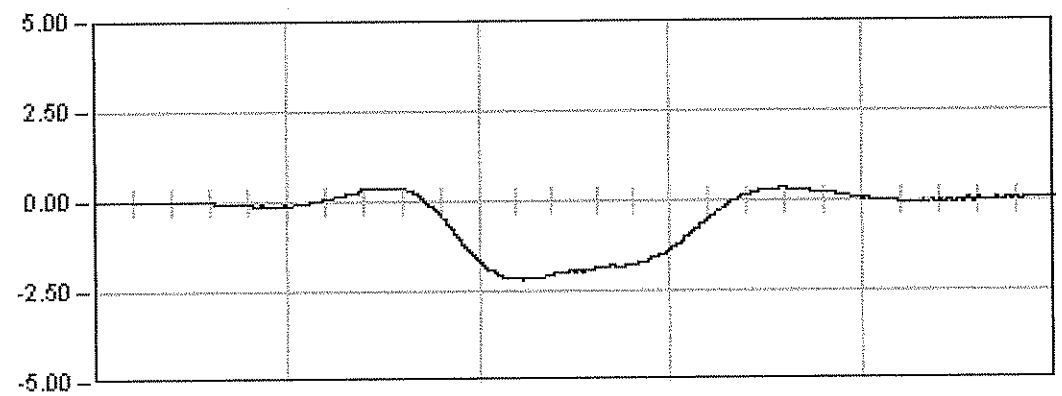


DINAMICA 14

18.0 Seg

Max: -2.18
Min: 0.38
Rem: 0.07

L.A.V. MADRID-BARCELONA-F.FRANCESA

35VI02 - SUBTRAMO IIIa

Punto : P082 Canal : 05 Unidades : mm

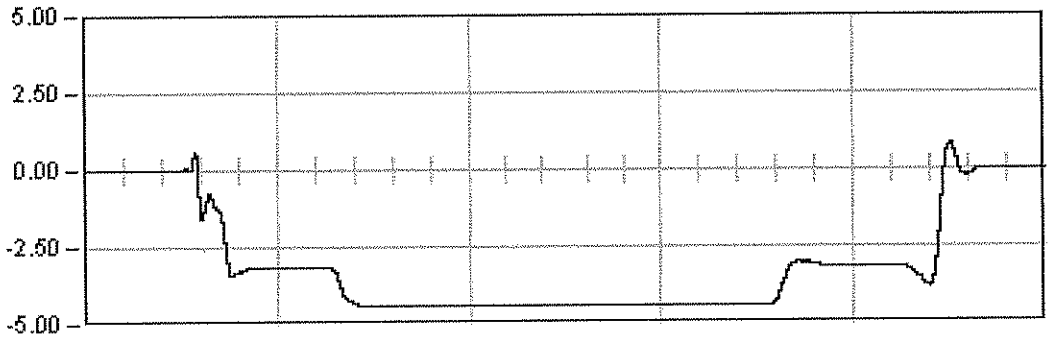


ESTATICA 05

1425.0 Seg

Est: -4.41
Max: -4.44
Min: 0.81
Rem: 0.00

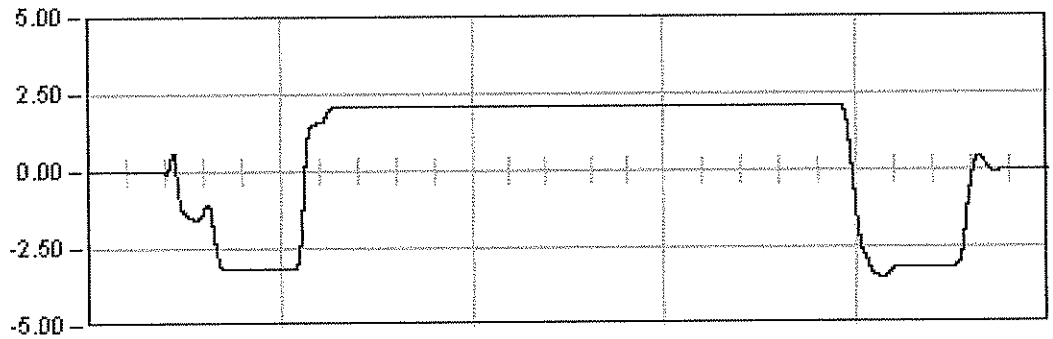


ESTATICA 06

1207.0 Seg

Est: 2.08
Max: -3.49
Min: 2.11
Rem: 0.02

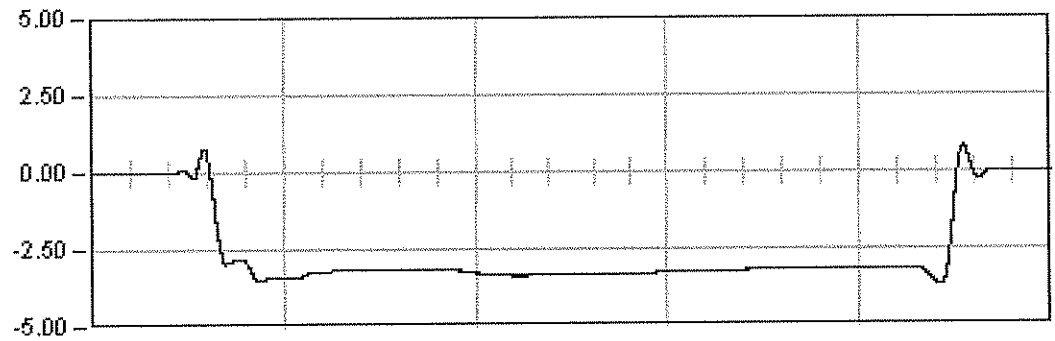


ESTATICA 17

1022.0 Seg

Est: -3.17
Max: -3.71
Min: 0.79
Rem: 0.00

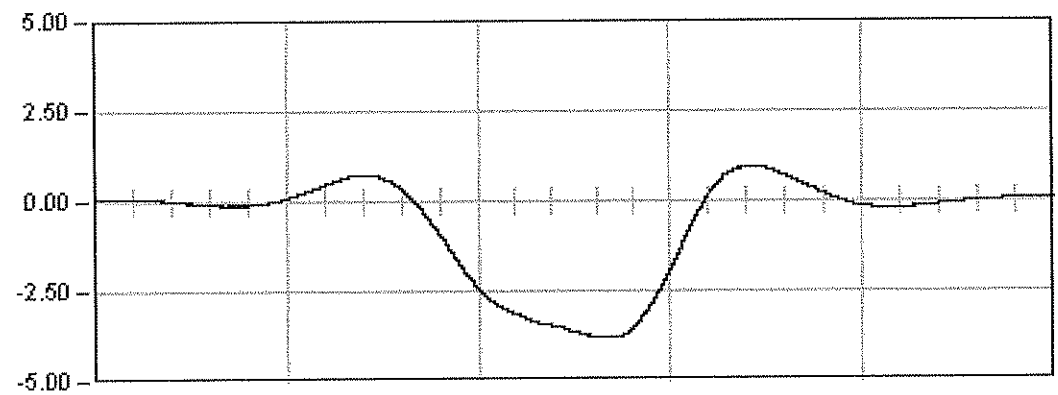


DINAMICA 01

124.0 Seg

Max: -3.79
Min: 0.94
Rem: 0.02

L.A.V. MADRID-BARCELONA-F.FRANCESA

35VI02 - SUBTRAMO IIIa

Punto : P082 Canal : 05 Unidades : mm

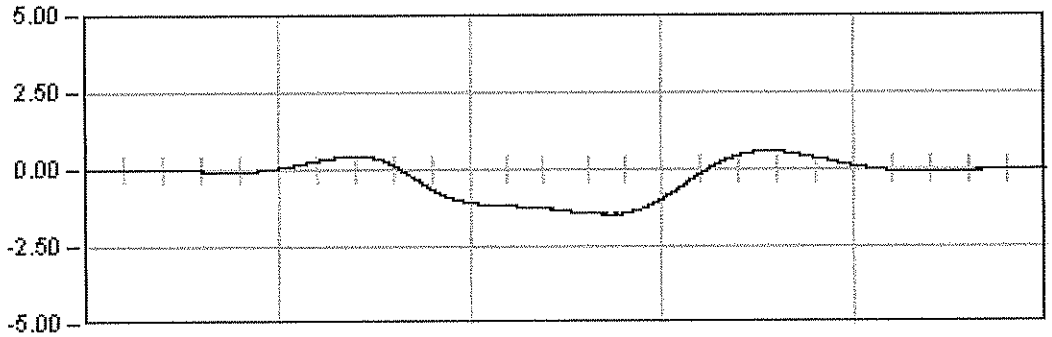


DINAMICA 11

172.0 Seg

Max: -1.46
Min: 0.56
Rem: 0.00

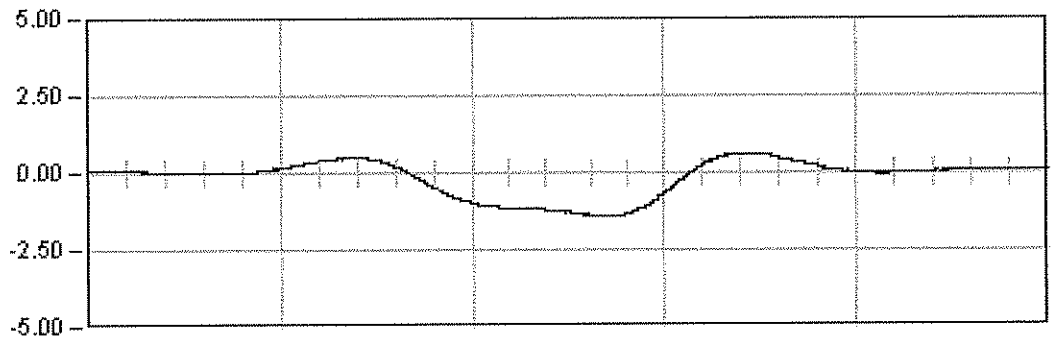


DINAMICA 12

43.0 Seg

Max: -1.43
Min: 0.61
Rem: 0.02

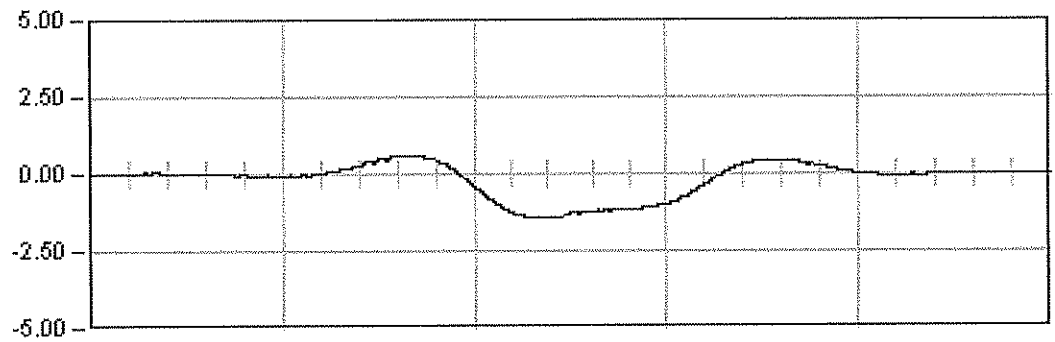


DINAMICA 13

18.0 Seg

Max: -1.45
Min: 0.60
Rem: -0.01

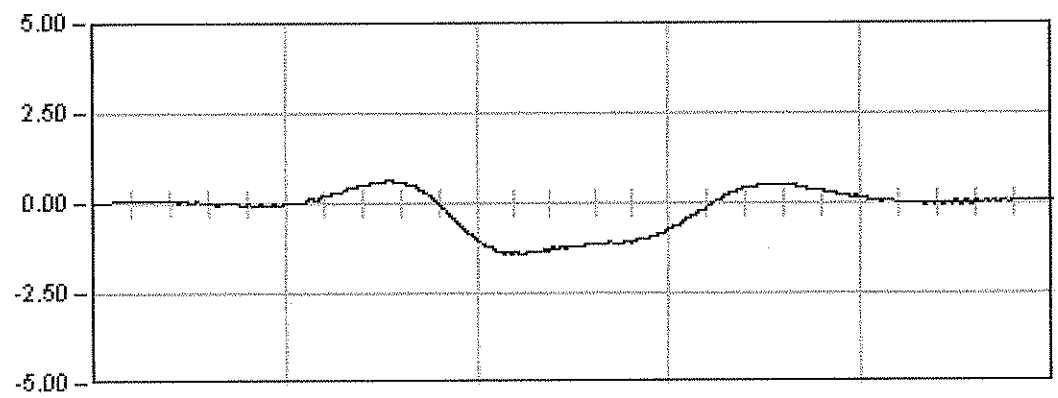


DINAMICA 14

18.0 Seg

Max: -1.45
Min: 0.62
Rem: 0.05

L.A.V. MADRID-BARCELONA-F.FRANCESA

35VI02 - SUBTRAMO IIIa

Punto : P083 Canal : 06 Unidades : mm

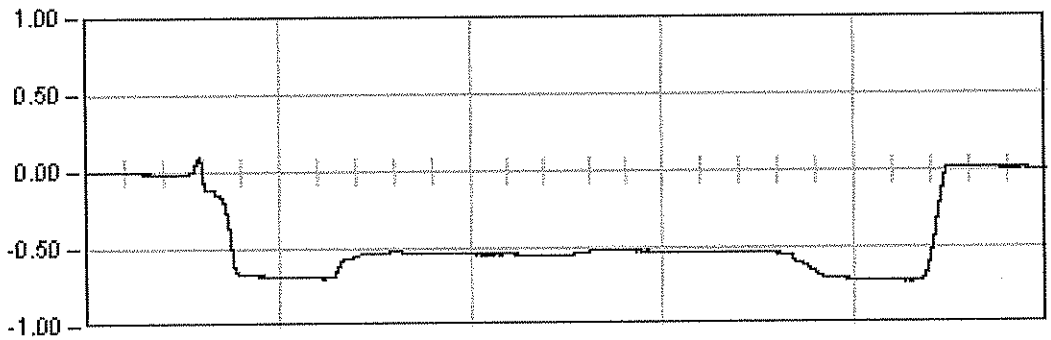


ESTATICA 05

1425.0 Seg

Est: -0.54
Max: -0.73
Min: 0.09
Rem: 0.01

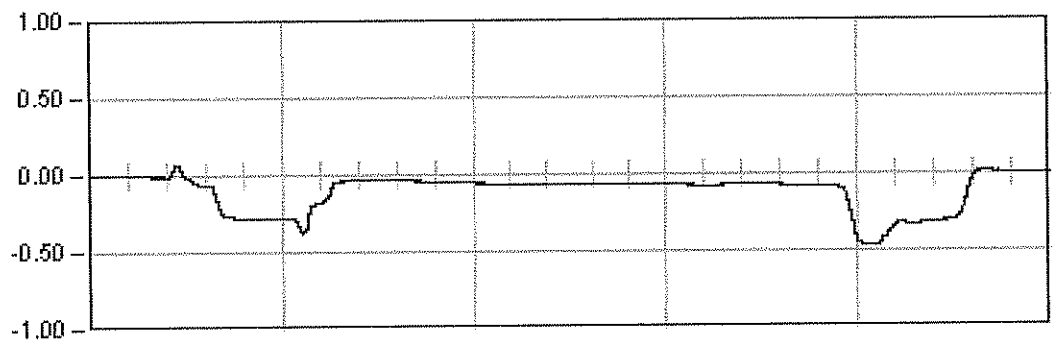


ESTATICA 06

1207.0 Seg

Est: -0.09
Max: -0.47
Min: 0.06
Rem: 0.00

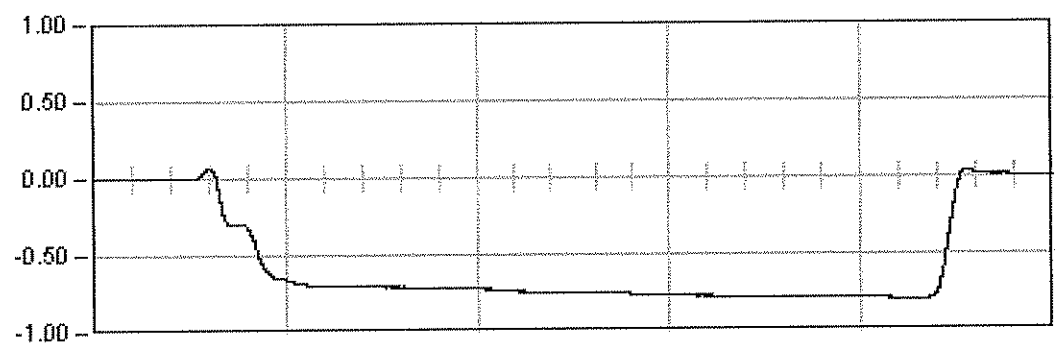


ESTATICA 17

1022.0 Seg

Est: -0.79
Max: -0.80
Min: 0.07
Rem: 0.01

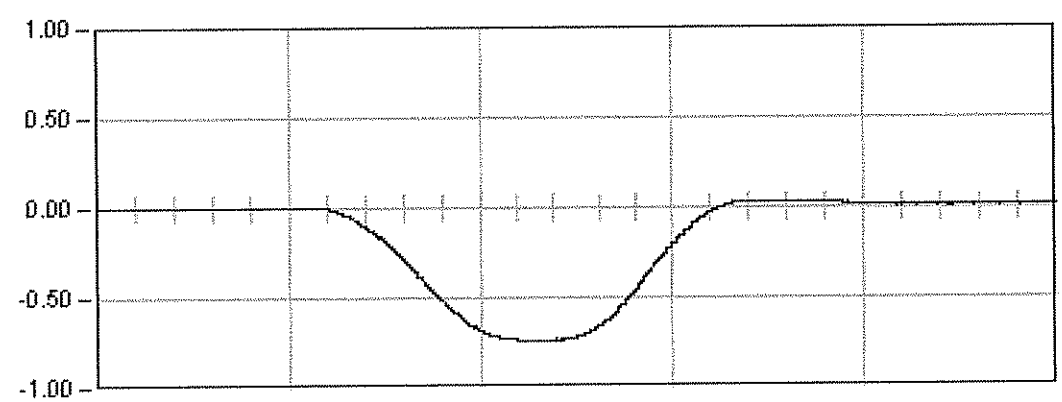


DINAMICA 01

124.0 Seg

Max: -0.74
Min: 0.03
Rem: 0.01

L.A.V. MADRID-BARCELONA-F.FRANCESA

35VI02 - SUBTRAMO IIIa

Punto : P083 Canal : 06 Unidades : mm

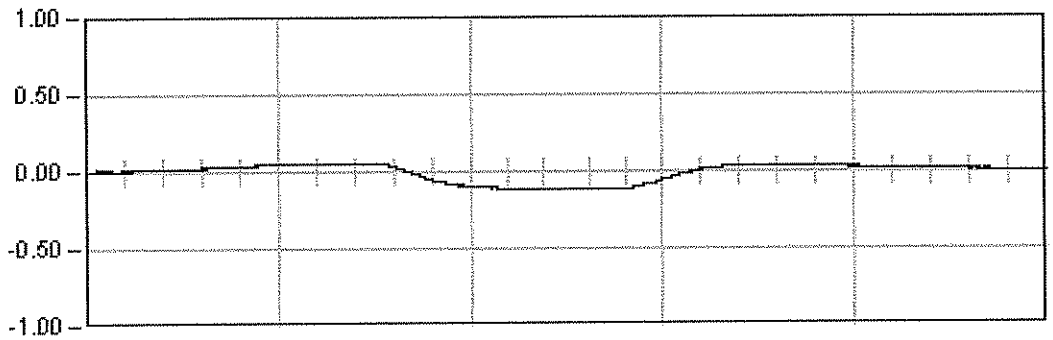


DINAMICA 11

172.0 Seg

Max: -0.12
Min: 0.06
Rem: 0.00

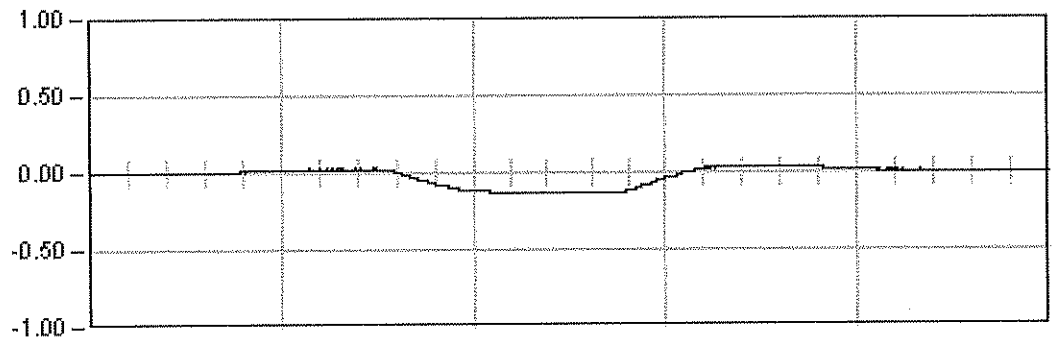


DINAMICA 12

43.0 Seg

Max: -0.14
Min: 0.04
Rem: 0.00

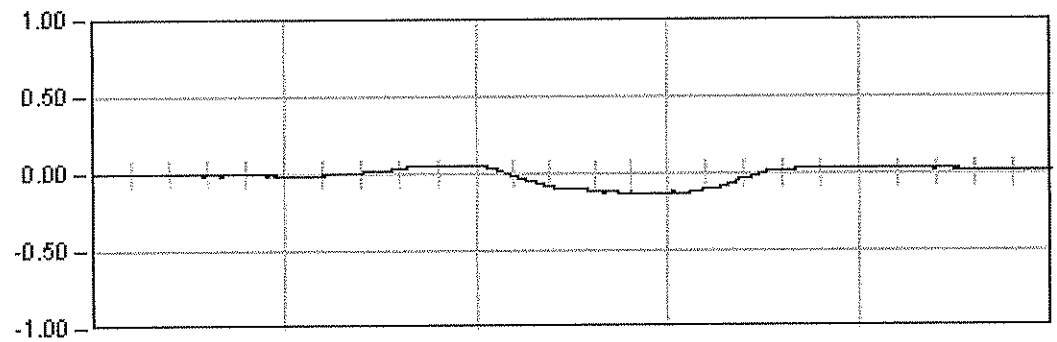


DINAMICA 13

18.0 Seg

Max: -0.13
Min: 0.05
Rem: 0.00

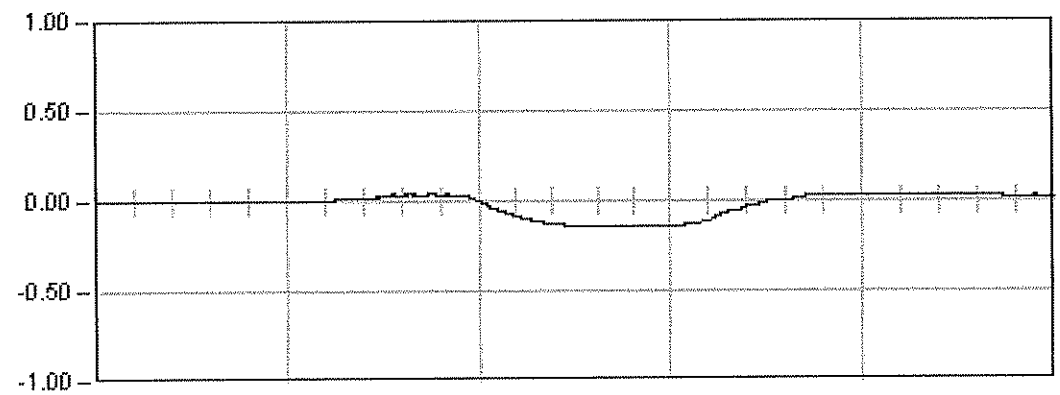


DINAMICA 14

18.0 Seg

Max: -0.14
Min: 0.04
Rem: 0.00

L.A.V. MADRID-BARCELONA-F.FRANCESA

35VI02 - SUBTRAMO IIIa

Punto : P084 Canal : 07 Unidades : mm

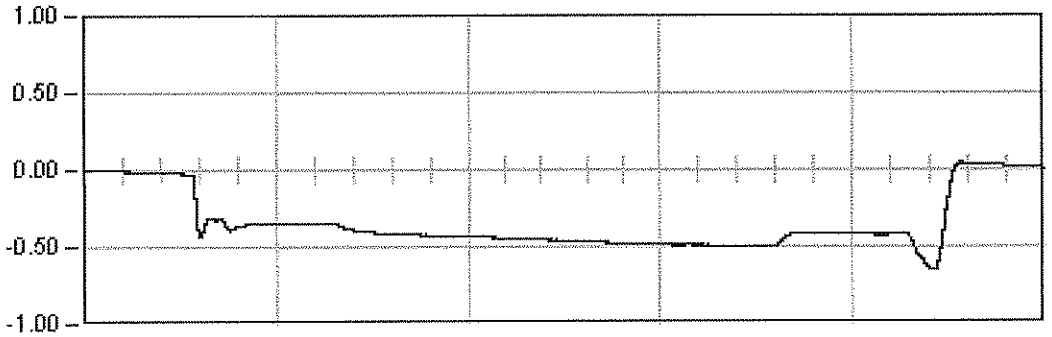


ESTATICA 05

1425.0 Seg

Est: -0.50
Max: -0.65
Min: 0.04
Rem: 0.01

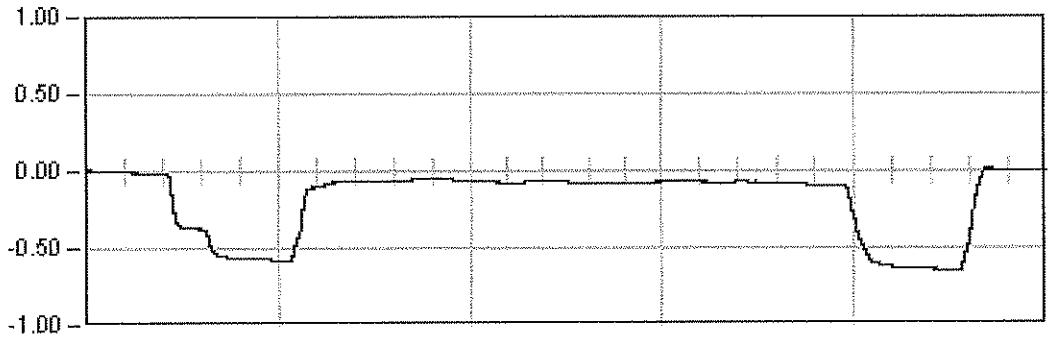


ESTATICA 06

1207.0 Seg

Est: -0.10
Max: -0.65
Min: 0.01
Rem: 0.00

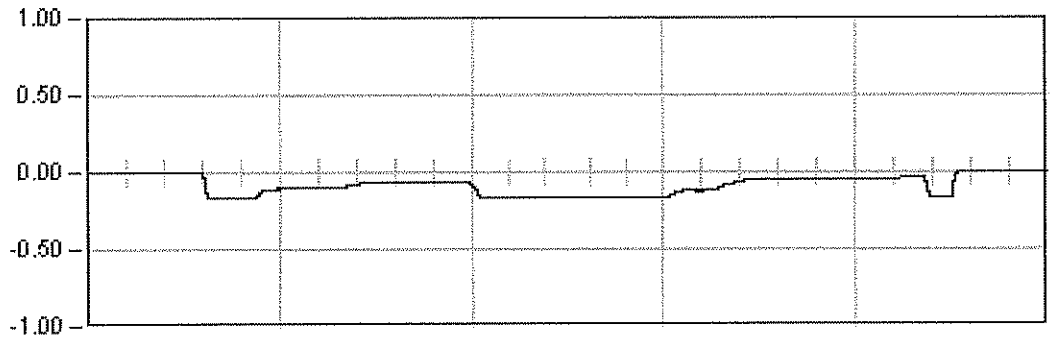


ESTATICA 17

1022.0 Seg

Est: -0.04
Max: -0.17
Min: 0.00
Rem: -0.00

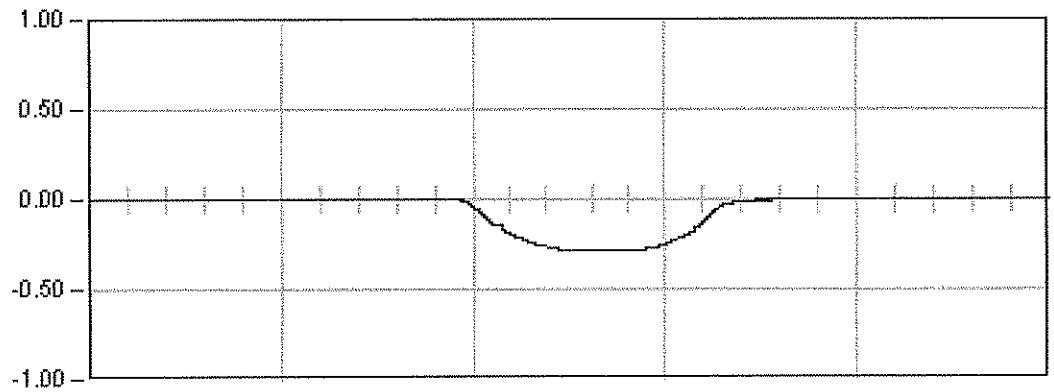


DINAMICA 01

124.0 Seg

Max: -0.29
Min: 0.00
Rem: -0.00

L.A.V. MADRID-BARCELONA-F.FRANCESA

35VI02 - SUBTRAMO IIIa

Punto : P084 Canal : 07 Unidades : mm

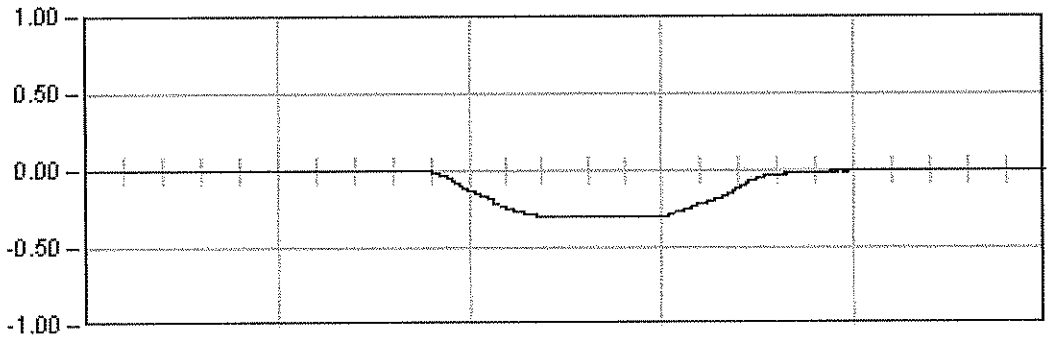


DINAMICA 11

172.0 Seg

Max: -0.30
Min: 0.00
Rem: -0.00

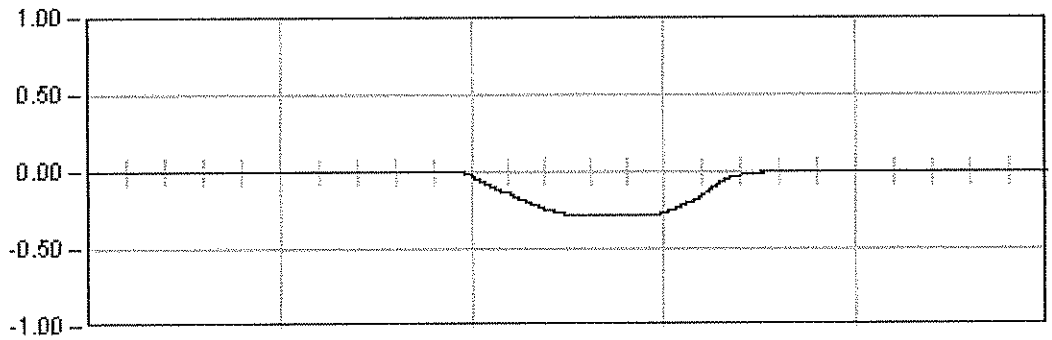


DINAMICA 12

43.0 Seg

Max: -0.28
Min: 0.00
Rem: 0.00

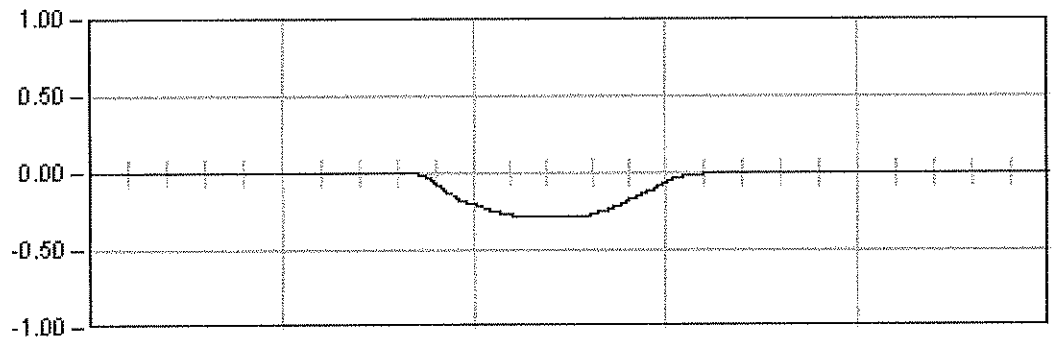


DINAMICA 13

18.0 Seg

Max: -0.28
Min: 0.00
Rem: -0.00

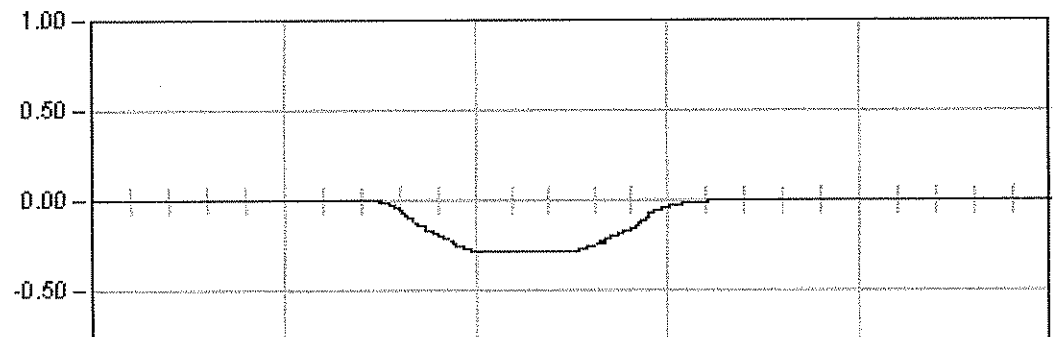


DINAMICA 14

18.0 Seg

Max: -0.28
Min: 0.00
Rem: -0.00

L.A.V. MADRID-BARCELONA-F.FRANCESA

35VI02 - SUBTRAMO IIIa

Punto : P091 Canal : 08 Unidades : mm

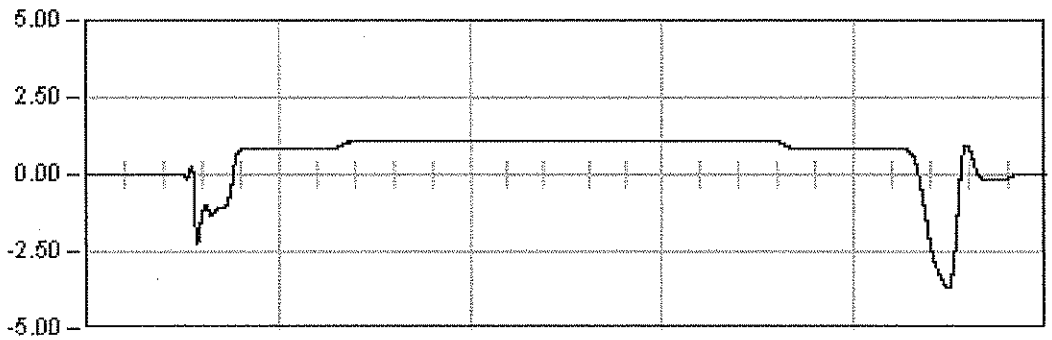


ESTATICA 05

1425.0 Seg

Est: 1.10
Max: -3.70
Min: 1.10
Rem: -0.03

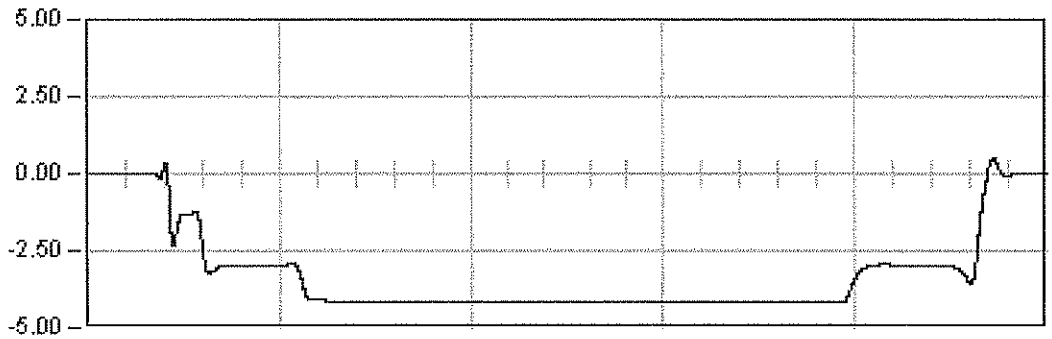


ESTATICA 06

1207.0 Seg

Est: -4.19
Max: -4.20
Min: 0.47
Rem: -0.01

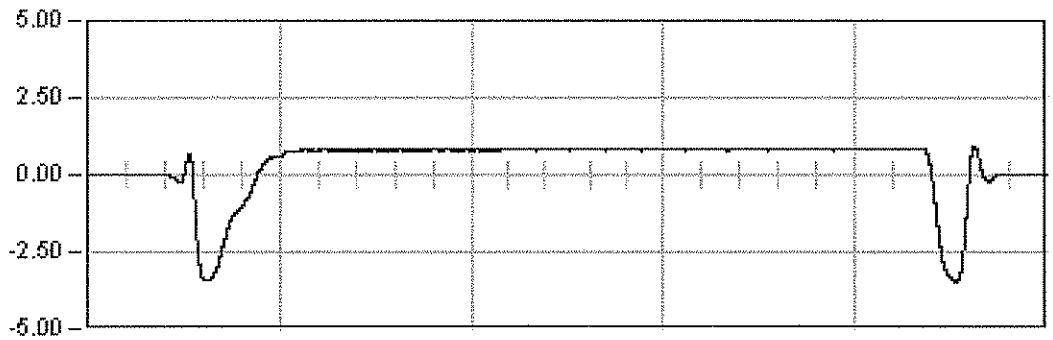


ESTATICA 17

1022.0 Seg

Est: 0.80
Max: -3.50
Min: 0.94
Rem: -0.00

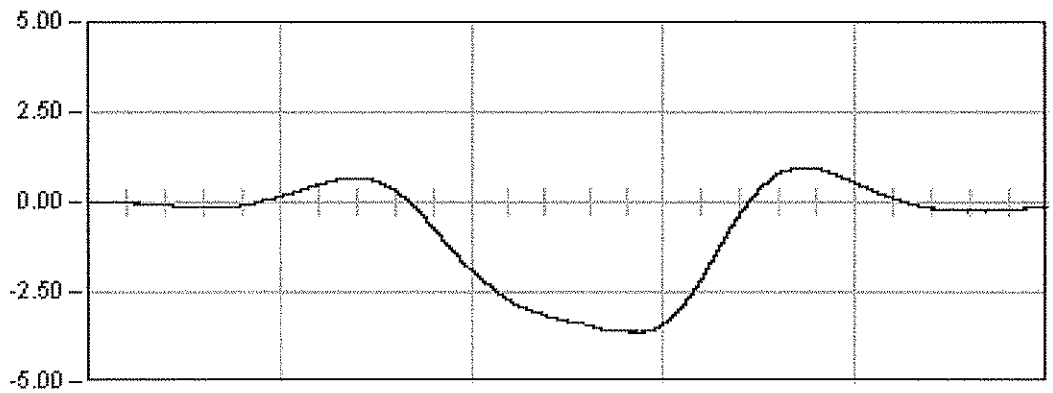


DINAMICA 01

108.0 Seg

Max: -3.61
Min: 0.93
Rem: -0.11

L.A.V. MADRID-BARCELONA-F.FRANCESA

35VI02 - SUBTRAMO IIIa

Punto : P091 Canal : 08 Unidades : mm

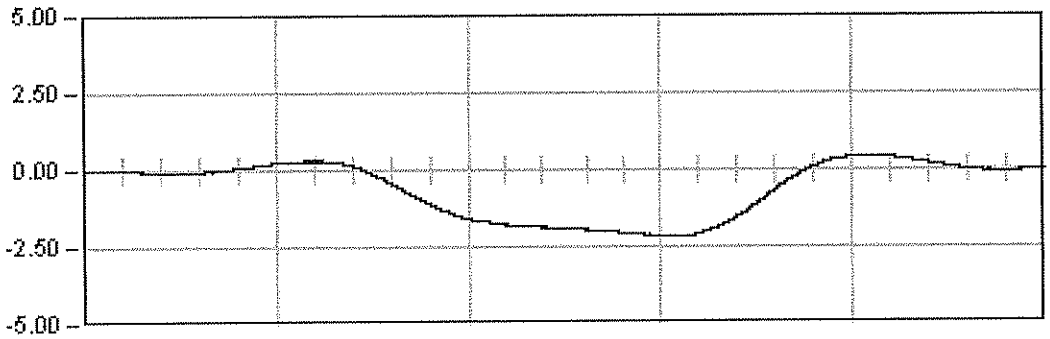


DINAMICA 11

139.0 Seg

Max: -2.17
Min: 0.42
Rem: -0.01

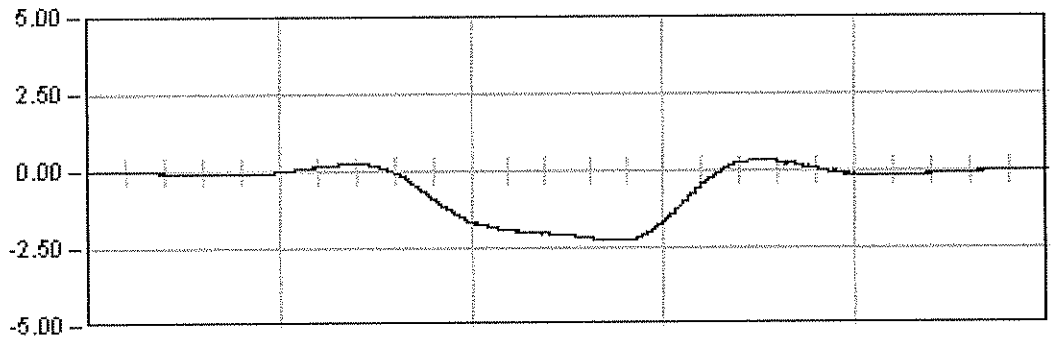


DINAMICA 12

42.0 Seg

Max: -2.28
Min: 0.35
Rem: 0.01

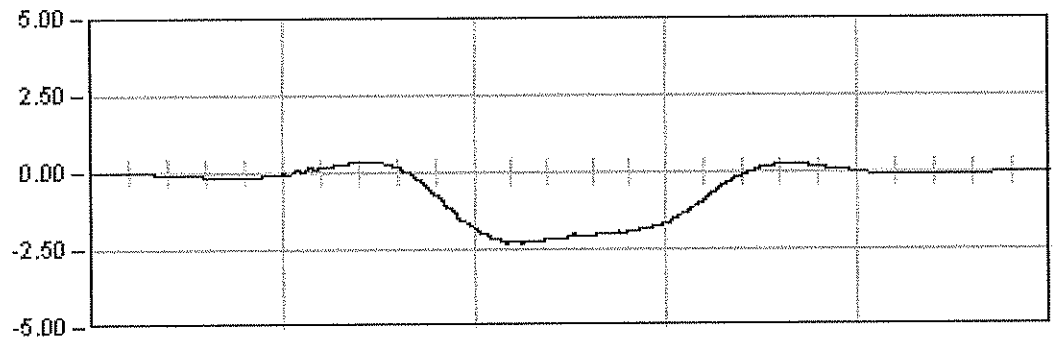


DINAMICA 13

16.0 Seg

Max: -2.30
Min: 0.34
Rem: 0.00

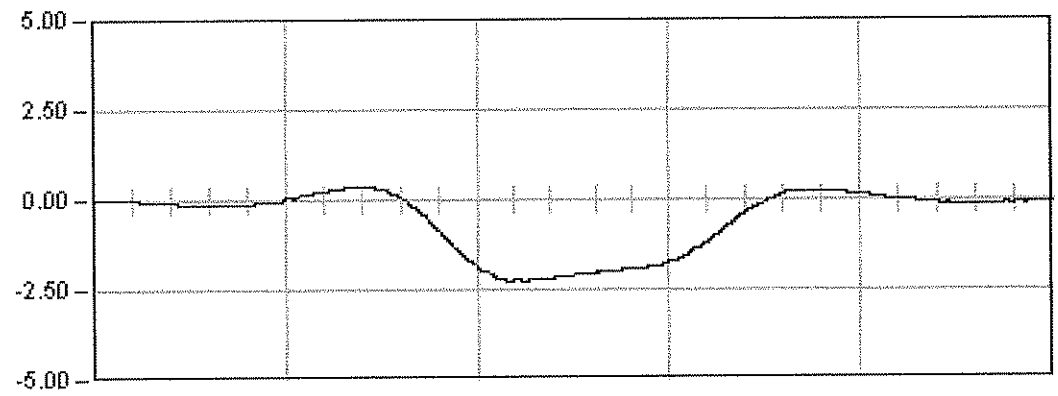


DINAMICA 14

15.0 Seg

Max: -2.29
Min: 0.34
Rem: 0.02

L.A.V. MADRID-BARCELONA-F.FRANCESA

35VI02 - SUBTRAMO IIIa

Punto : P092 Canal : 09 Unidades : mm

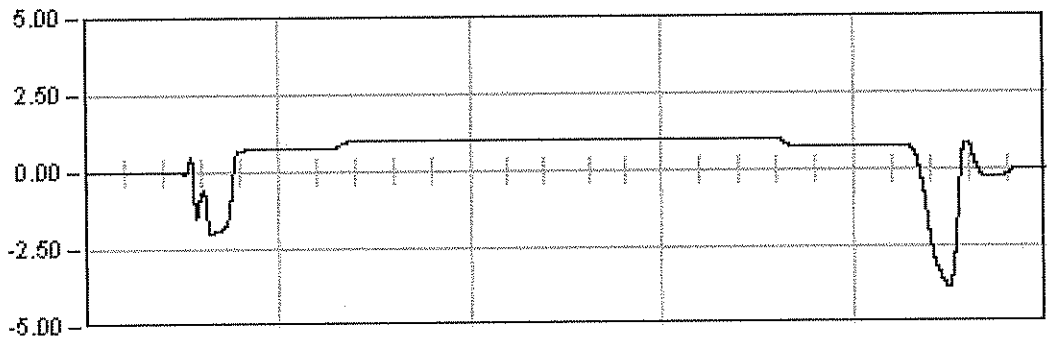


ESTATICA 05

1425.0 Seg

Est: 1.03
Max: -3.83
Min: 1.04
Rem: -0.02

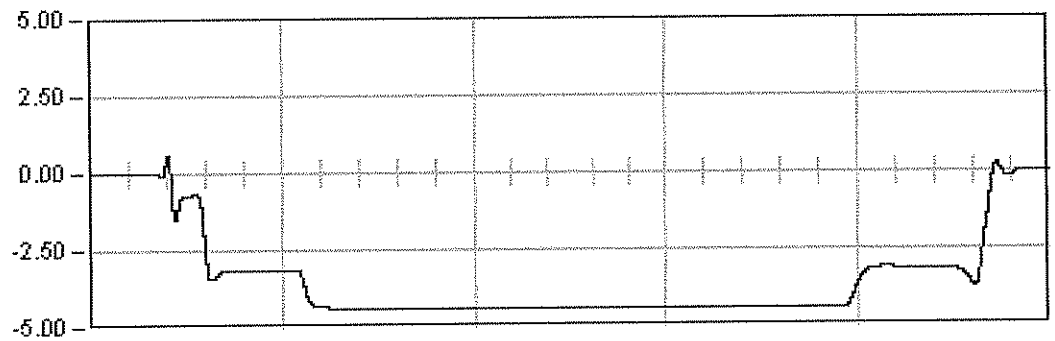


ESTATICA 06

1207.0 Seg

Est: -4.42
Max: -4.44
Min: 0.60
Rem: -0.04

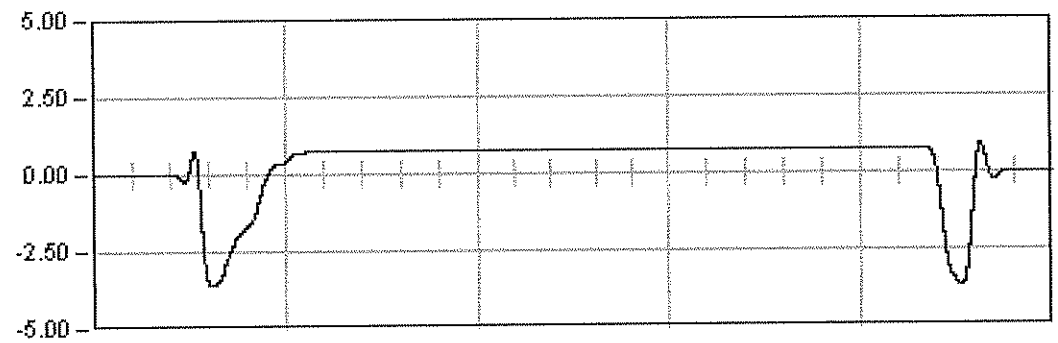


ESTATICA 17

1022.0 Seg

Est: 0.74
Max: -3.70
Min: 0.90
Rem: -0.02

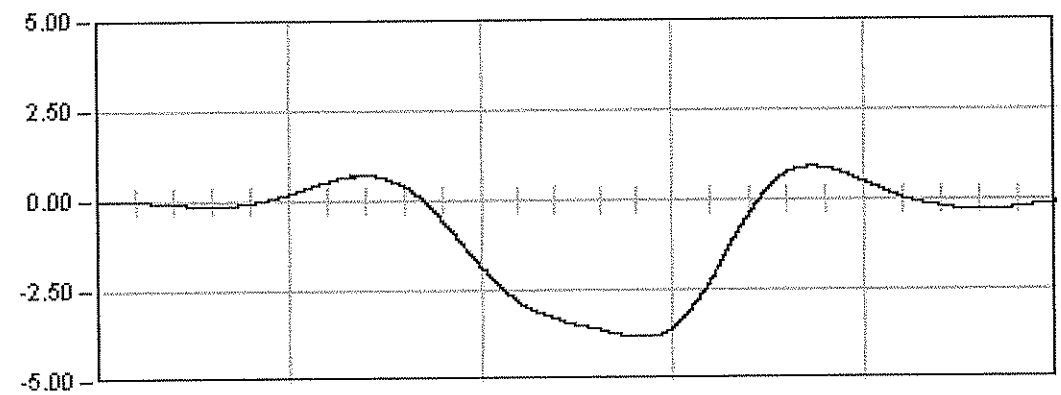


DINAMICA 01

108.0 Seg

Max: -3.80
Min: 0.90
Rem: -0.11

L.A.V. MADRID-BARCELONA-F.FRANCESA

35VI02 - SUBTRAMO IIIa

Punto : P092 Canal : 09 Unidades : mm

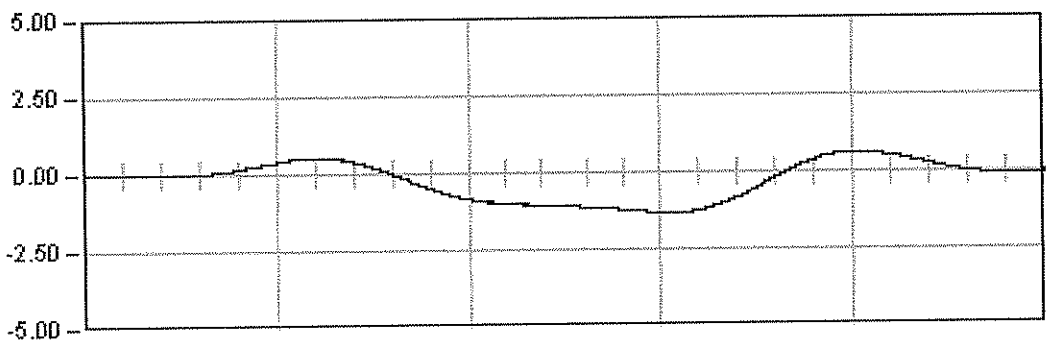


DINAMICA 11

139.0 Seg

Max: -1.34
Min: 0.59
Rem: -0.06

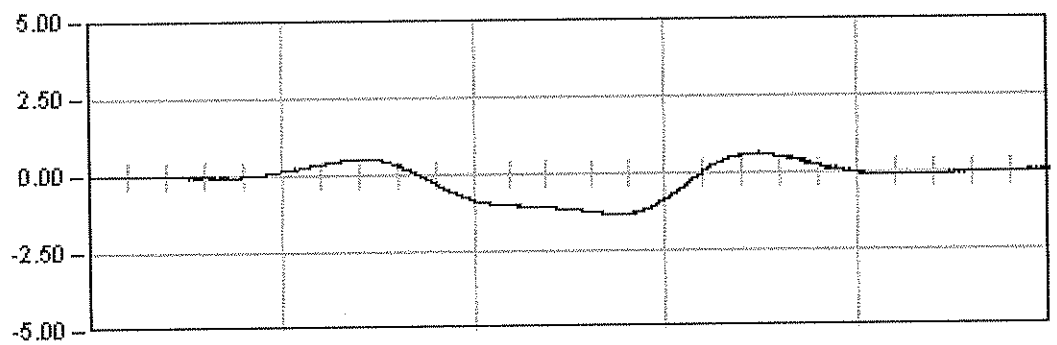


DINAMICA 12

42.0 Seg

Max: -1.35
Min: 0.63
Rem: 0.01

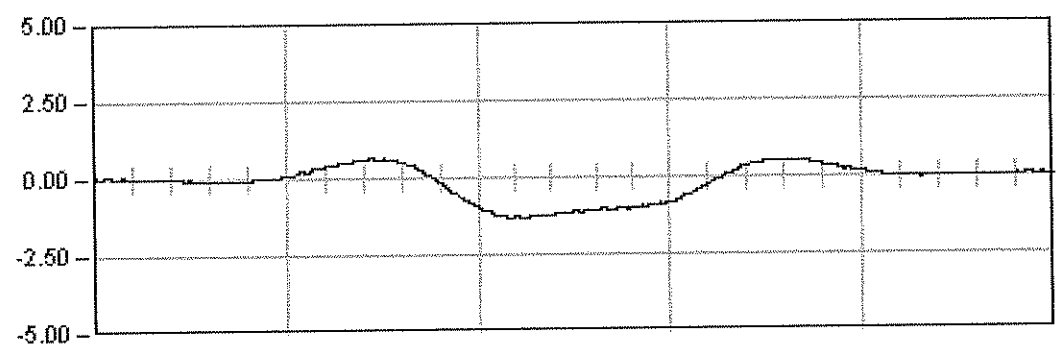


DINAMICA 13

16.0 Seg

Max: -1.34
Min: 0.63
Rem: 0.00

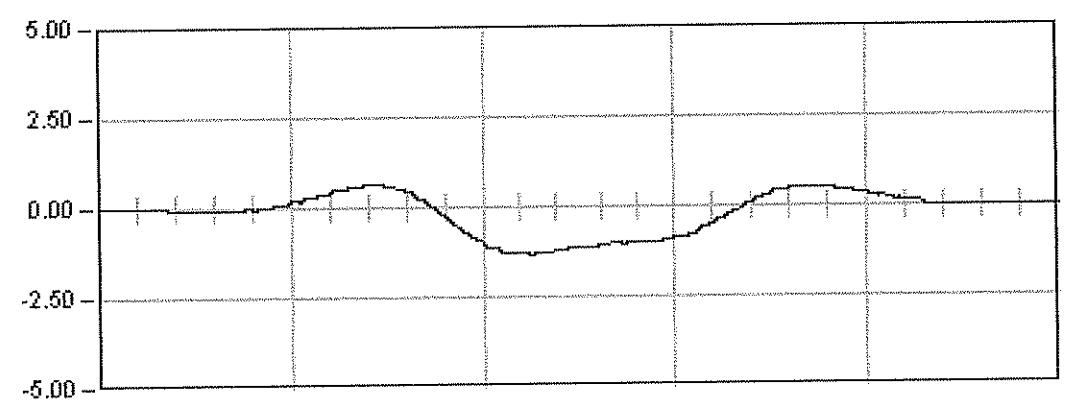


DINAMICA 14

15.0 Seg

Max: -1.37
Min: 0.62
Rem: 0.00

L.A.V. MADRID-BARCELONA-F.FRANCESA

35VI02 - SUBTRAMO IIIa

Punto : P093 Canal : 10 Unidades : mm

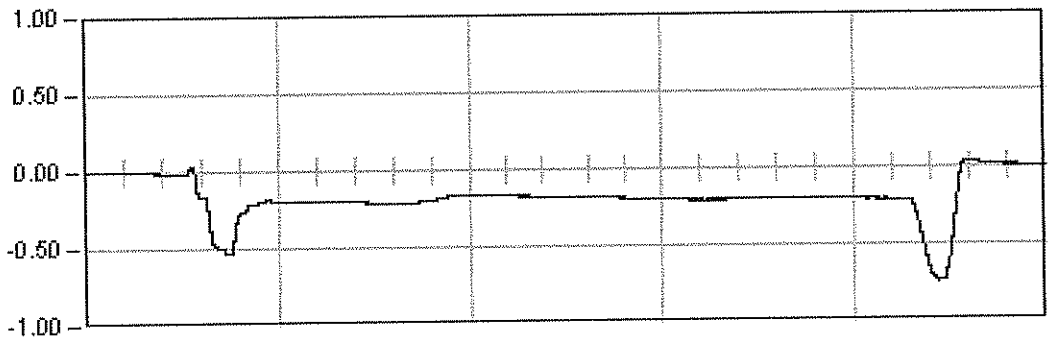


ESTATICA 05

1425.0 Seg

Est: -0.19
Max: -0.74
Min: 0.04
Rem: 0.01

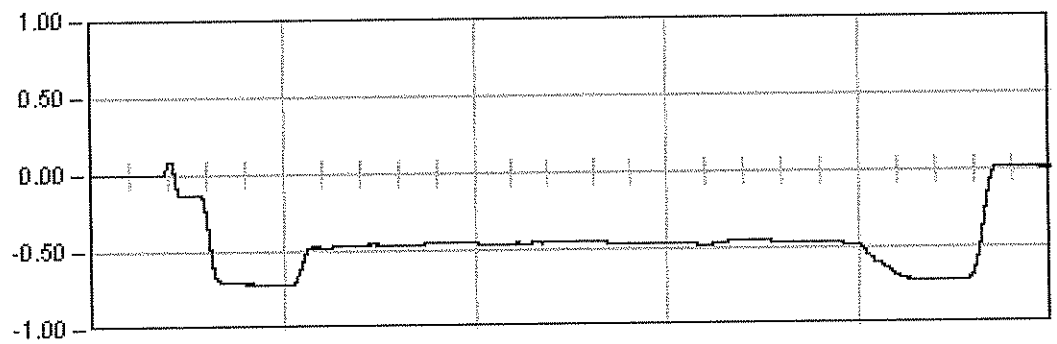


ESTATICA 06

1207.0 Seg

Est: -0.47
Max: -0.72
Min: 0.09
Rem: 0.01

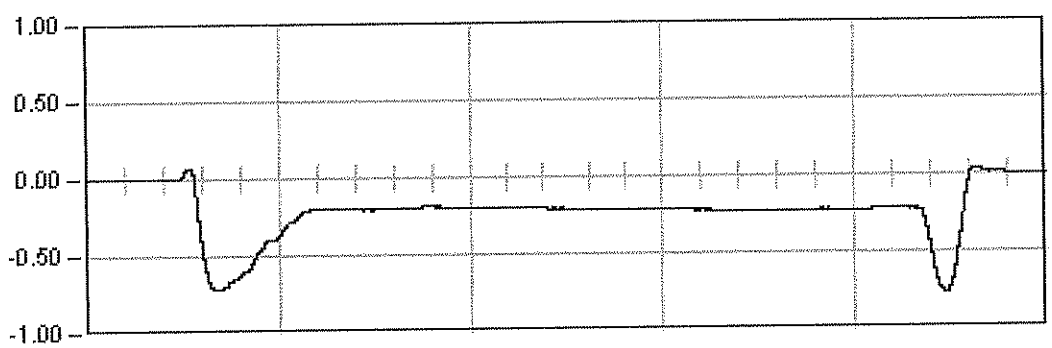


ESTATICA 17

1022.0 Seg

Est: -0.22
Max: -0.76
Min: 0.07
Rem: 0.01

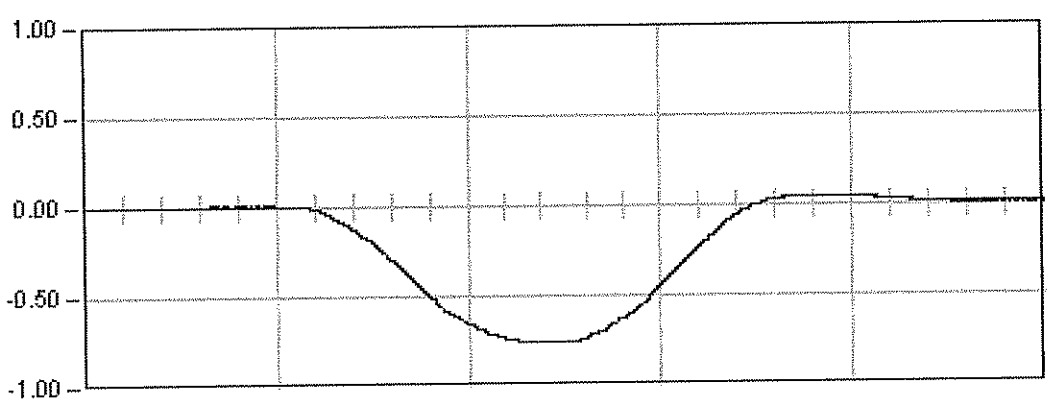


DINAMICA 01

108.0 Seg

Max: -0.76
Min: 0.04
Rem: 0.01

L.A.V. MADRID-BARCELONA-F.FRANCESA

35VI02 - SUBTRAMO IIIa

Punto : P093 Canal : 10 Unidades : mm

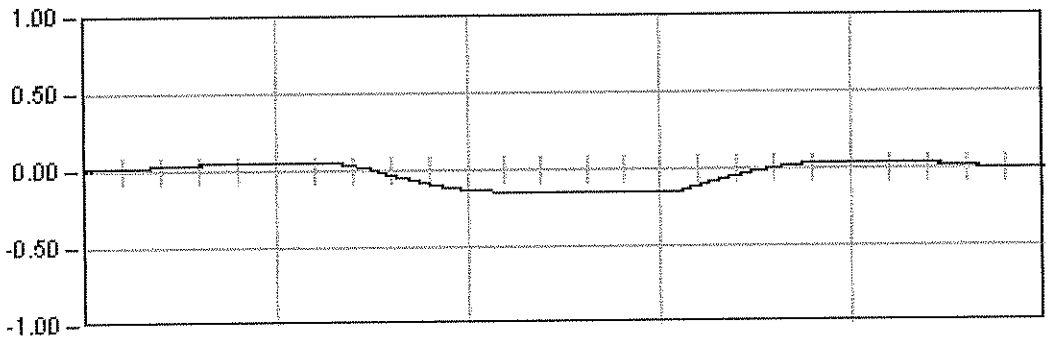


DINAMICA 11

139.0 Seg

Max: -0.16
Min: 0.05
Rem: -0.00

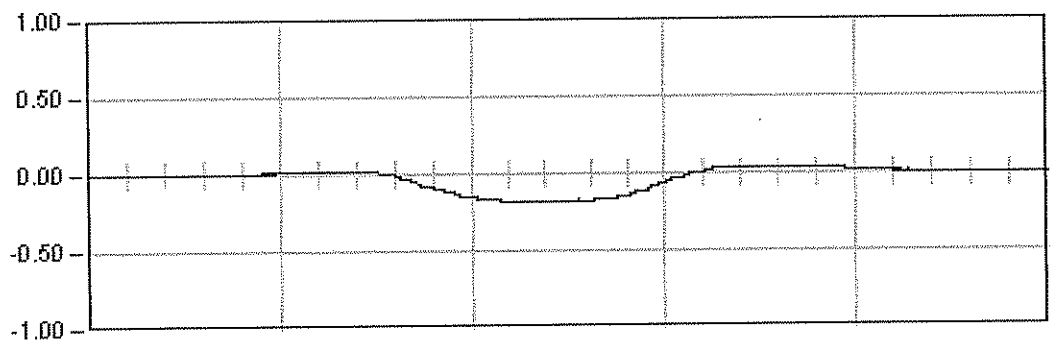


DINAMICA 12

42.0 Seg

Max: -0.18
Min: 0.04
Rem: 0.00

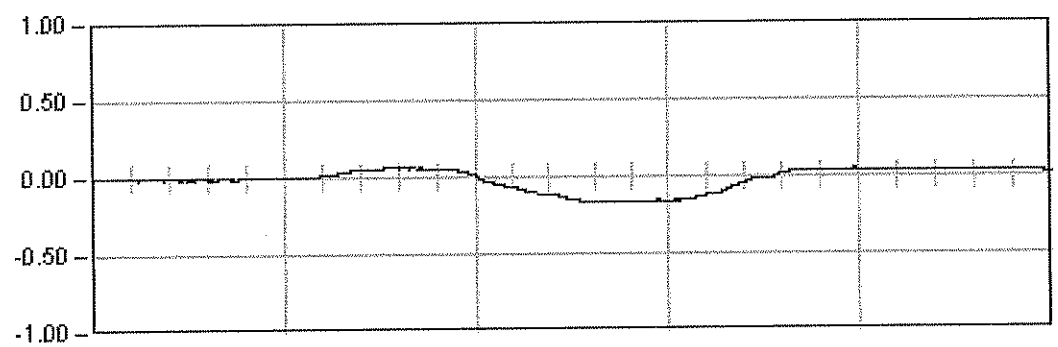


DINAMICA 13

16.0 Seg

Max: -0.16
Min: 0.06
Rem: 0.00

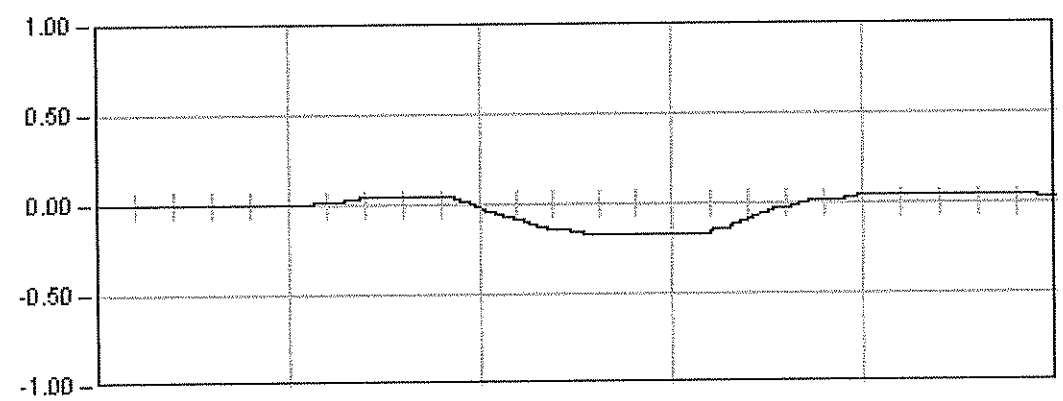


DINAMICA 14

15.0 Seg

Max: -0.17
Min: 0.05
Rem: -0.00

L.A.V. MADRID-BARCELONA-F.FRANCESA

35VI02 - SUBTRAMO IIIa

Punto : P094 Canal : 11 Unidades : mm

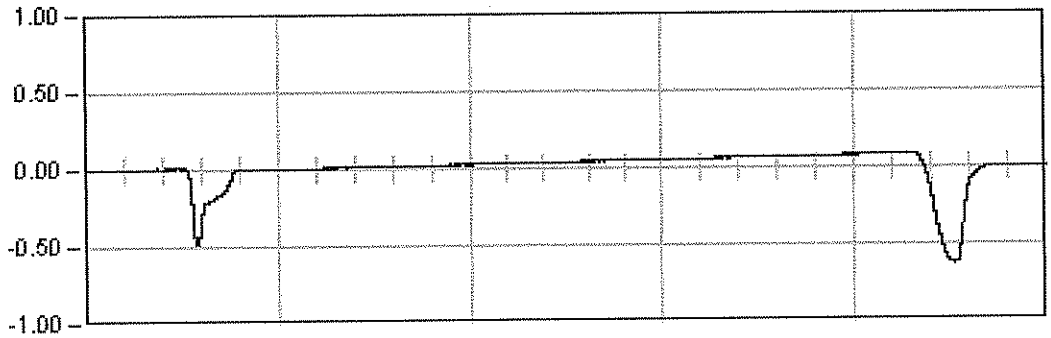


ESTATICA 05

1425.0 Seg

Est: 0.06
Max: -0.63
Min: 0.08
Rem: -0.00

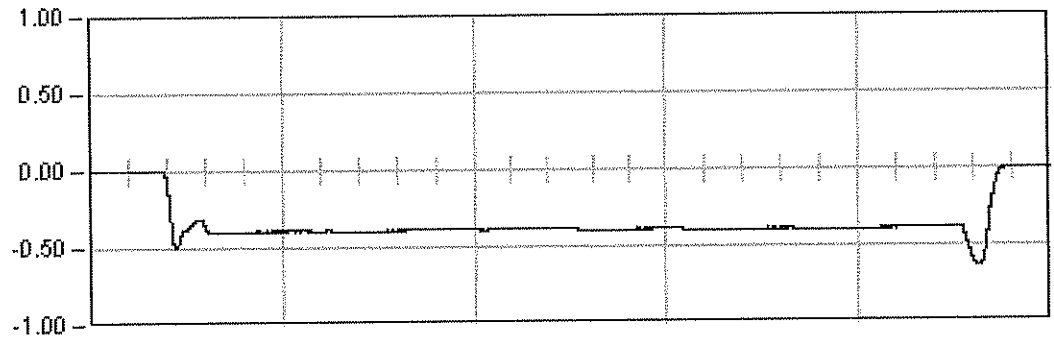


ESTATICA 06

1207.0 Seg

Est: -0.40
Max: -0.63
Min: 0.00
Rem: -0.00

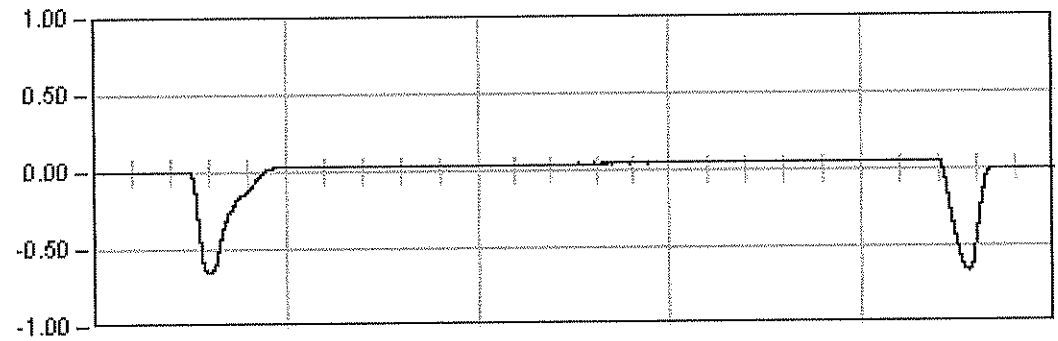


ESTATICA 17

1022.0 Seg

Est: 0.05
Max: -0.66
Min: 0.05
Rem: -0.00

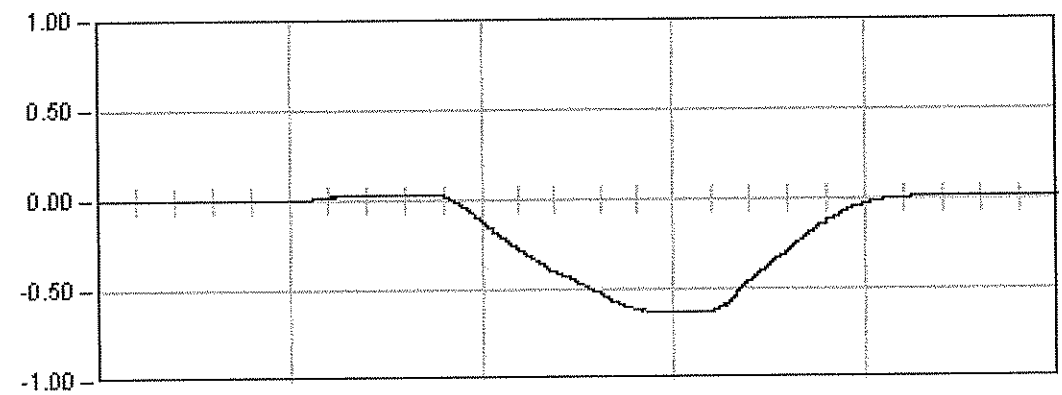


DINAMICA 01

108.0 Seg

Max: -0.63
Min: 0.03
Rem: 0.02

L.A.V. MADRID-BARCELONA-F.FRANCESA

35VI02 - SUBTRAMO IIIa

Punto : P094 Canal : 11 Unidades : mm

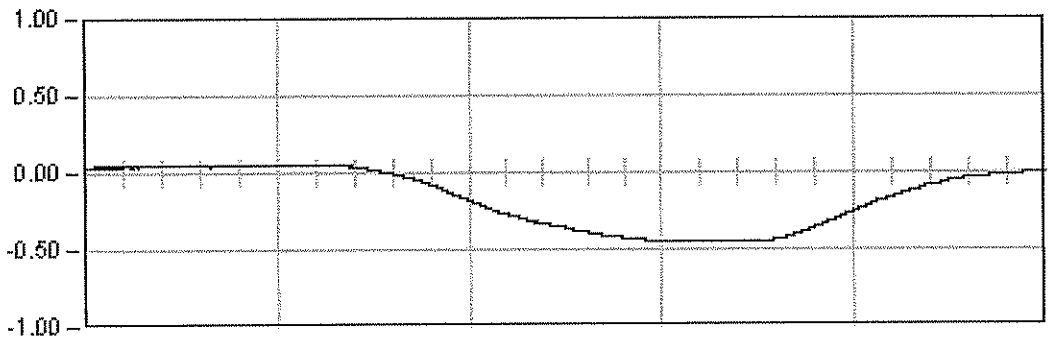


DINAMICA 11

139.0 Seg

Max: -0.46
Min: 0.05
Rem: -0.00

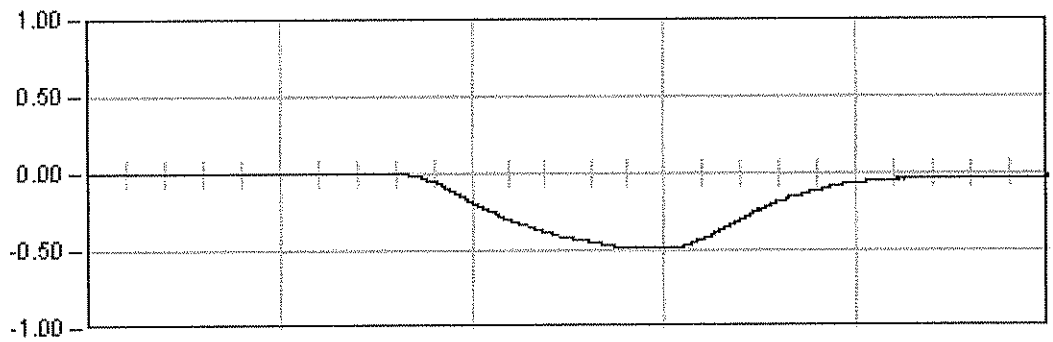


DINAMICA 12

42.0 Seg

Max: -0.49
Min: 0.00
Rem: -0.02

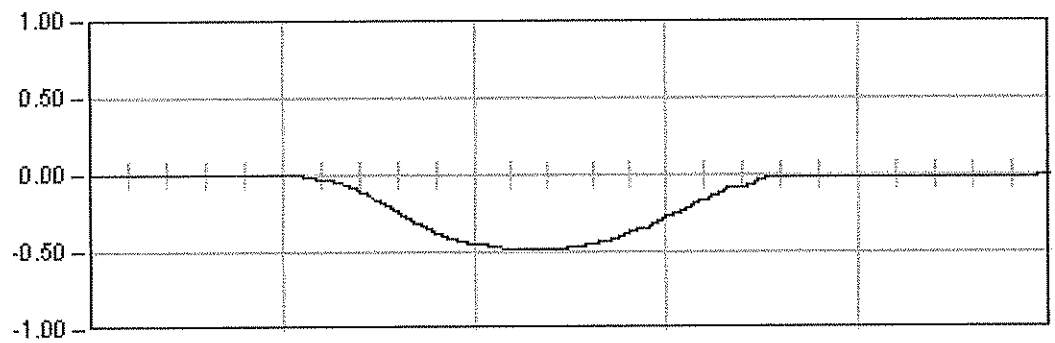


DINAMICA 13

16.0 Seg

Max: -0.48
Min: 0.00
Rem: -0.00

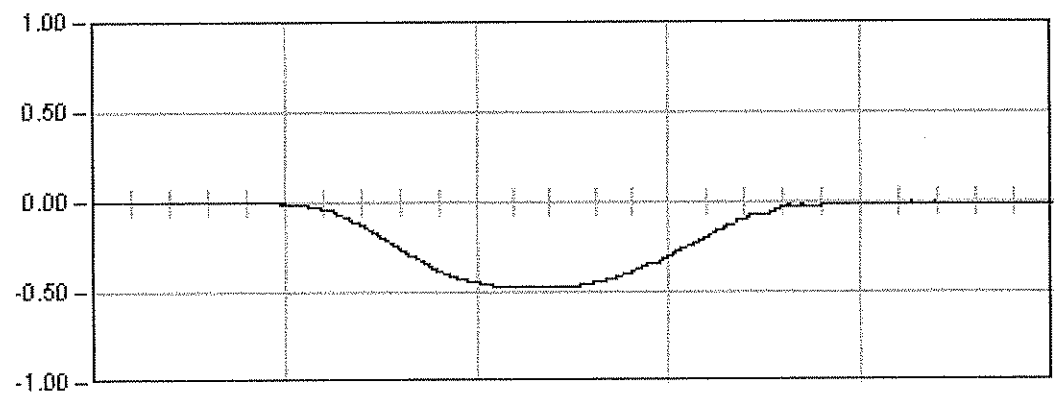


DINAMICA 14

15.0 Seg

Max: -0.48
Min: 0.01
Rem: 0.01

L.A.V. MADRID-BARCELONA-F.FRANCESA

35VI02 - SUBTRAMO IIIa

Punto : G071 Canal : 16 Unidades : µE

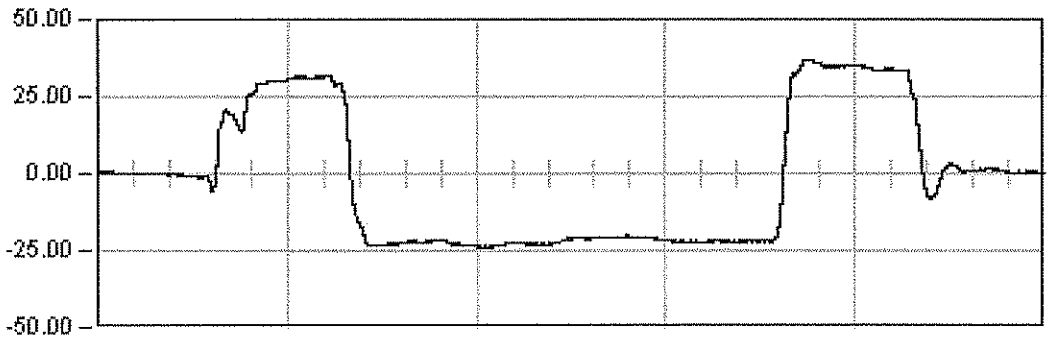


ESTATICA 05

1425.0 Seg

Est: -21.96
Max: 36.58
Min: -24.05
Rem: 0.24

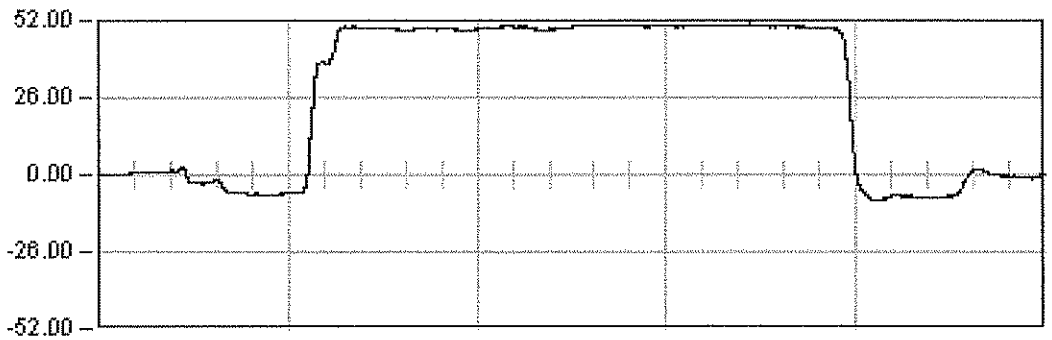


ESTATICA 06

1207.0 Seg

Est: 49.41
Max: 50.71
Min: -8.49
Rem: -0.62

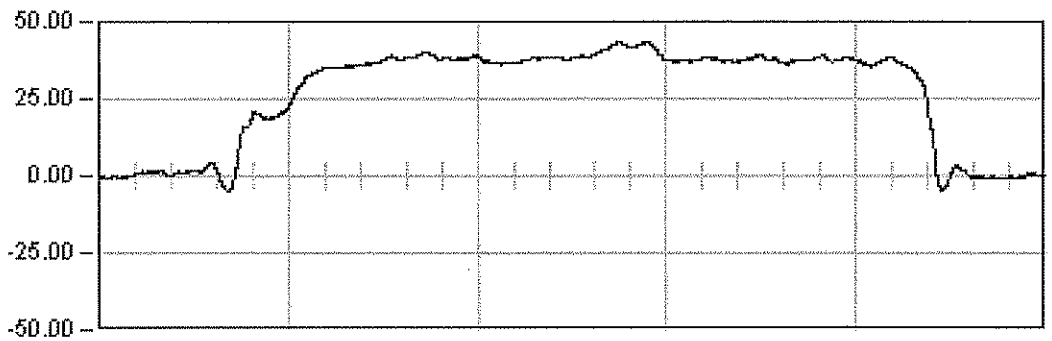


ESTATICA 17

1022.0 Seg

Est: 36.09
Max: 43.45
Min: -5.09
Rem: -0.35

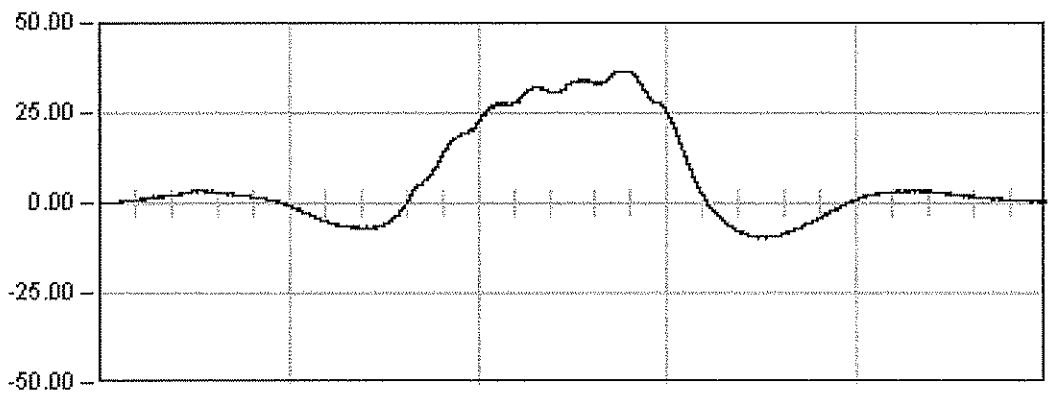


DINAMICA 01

114.0 Seg

Max: 36.64
Min: -9.81
Rem: 1.52

L.A.V. MADRID-BARCELONA-F.FRANCESA

35VI02 - SUBTRAMO IIIa

Punto : G071 Canal : 16 Unidades : µE

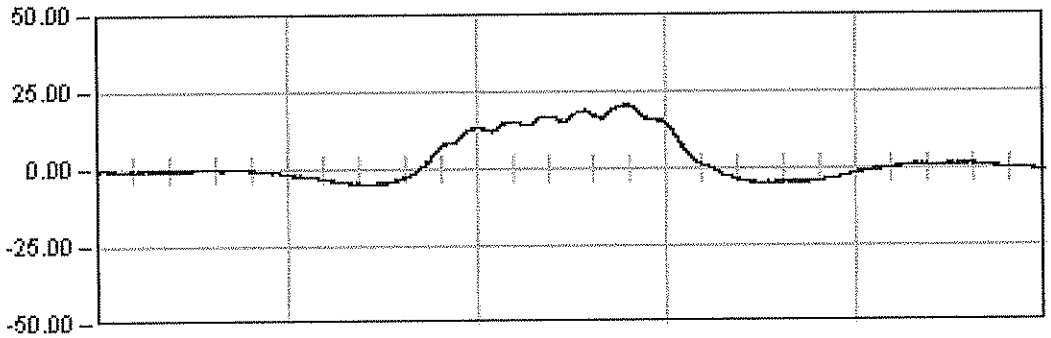


DINAMICA 11

167.0 Seg

Max: 20.47
Min: -5.18
Rem: 0.07

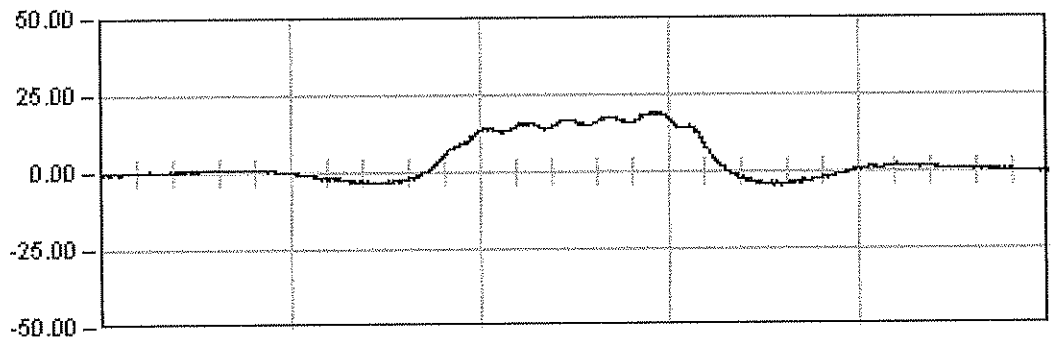


DINAMICA 12

41.0 Seg

Max: 19.34
Min: -4.59
Rem: -0.03

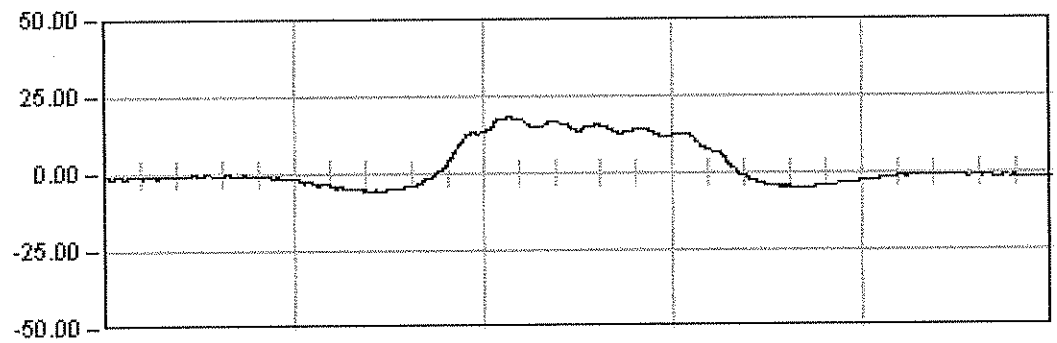


DINAMICA 13

15.0 Seg

Max: 18.24
Min: -5.87
Rem: -0.89

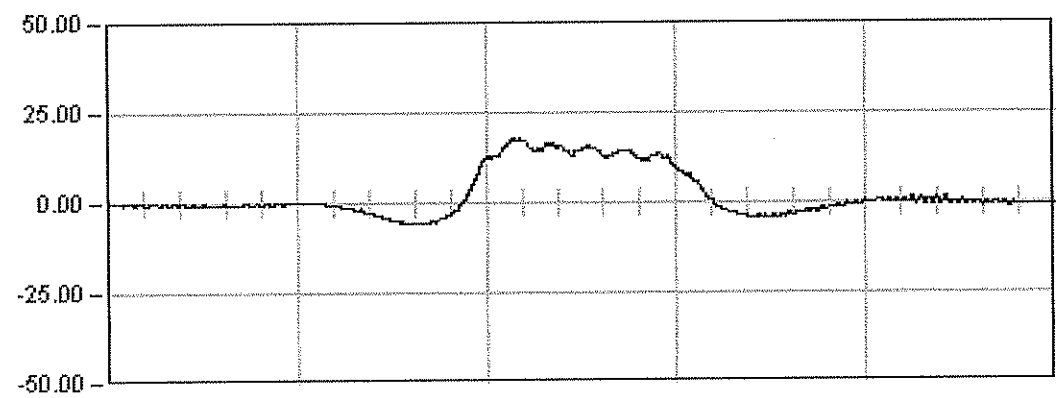


DINAMICA 14

21.0 Seg

Max: 18.04
Min: -6.05
Rem: 0.44

L.A.V. MADRID-BARCELONA-F.FRANCESA

35VI02 - SUBTRAMO IIIa

Punto : G072 Canal : 18 Unidades : µE

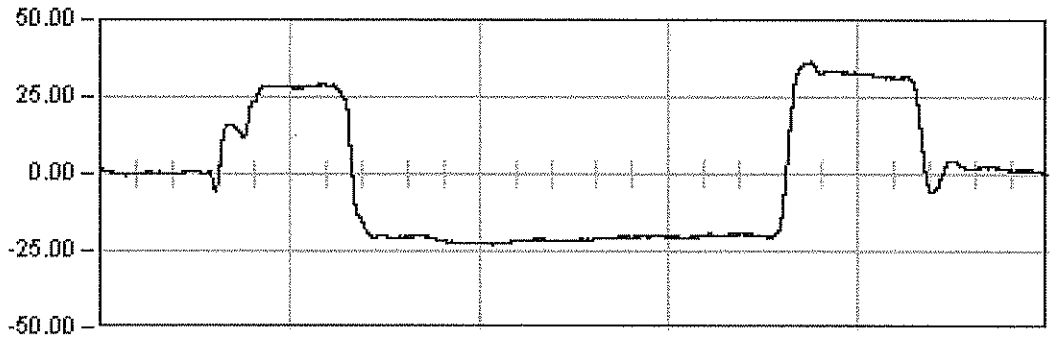


ESTATICA 05

1425.0 Seg

Est: -20.20
Max: 36.27
Min: -22.93
Rem: 0.98

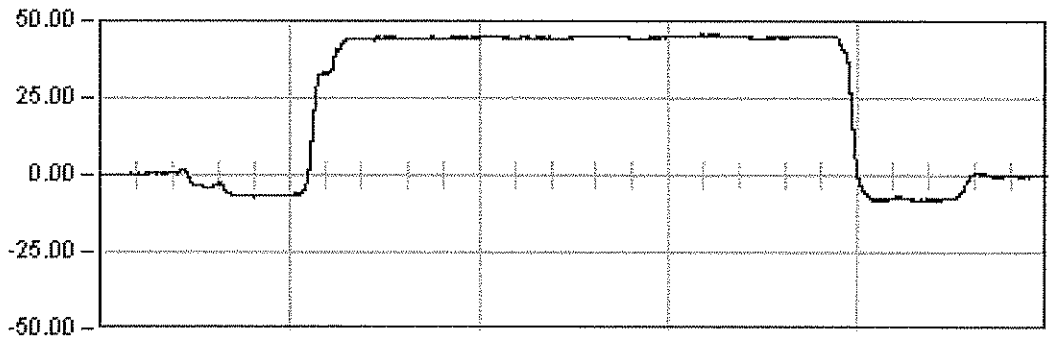


ESTATICA 06

1207.0 Seg

Est: 44.91
Max: 45.66
Min: -8.25
Rem: -0.20

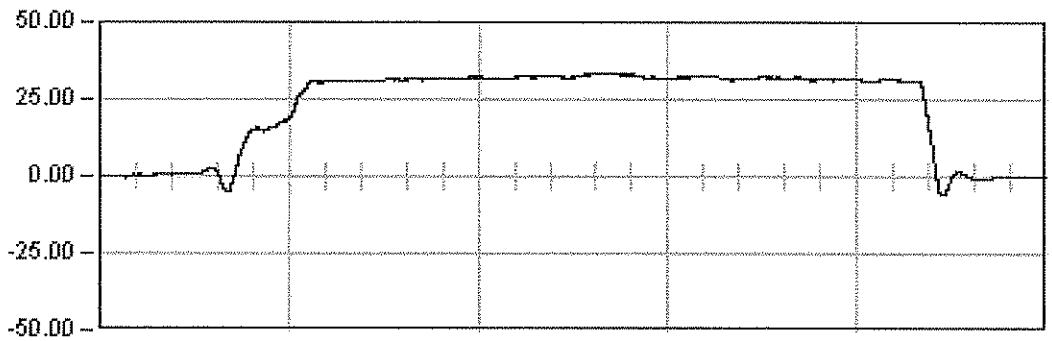


ESTATICA 17

1022.0 Seg

Est: 31.08
Max: 33.65
Min: -6.22
Rem: -0.04

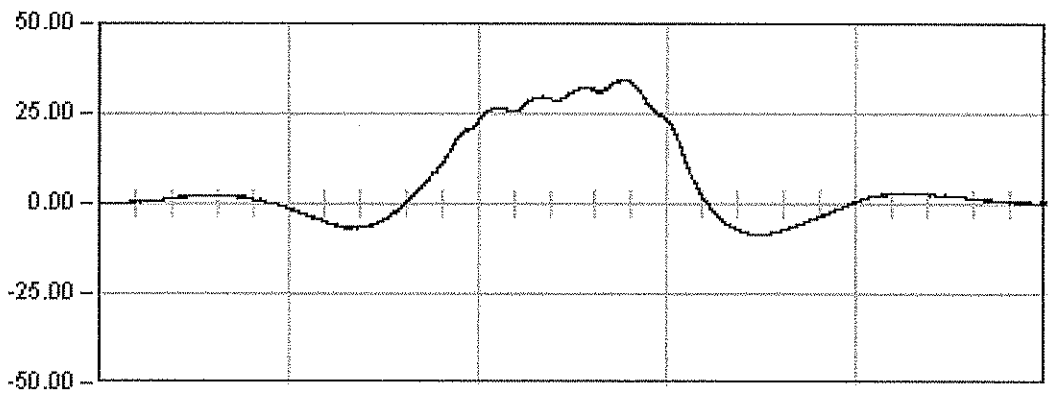


DINAMICA 01

114.0 Seg

Max: 34.24
Min: -8.88
Rem: 1.61

L.A.V. MADRID-BARCELONA-F.FRANCESA

35VI02 - SUBTRAMO IIIa

Punto : G072 Canal : 18 Unidades : µE

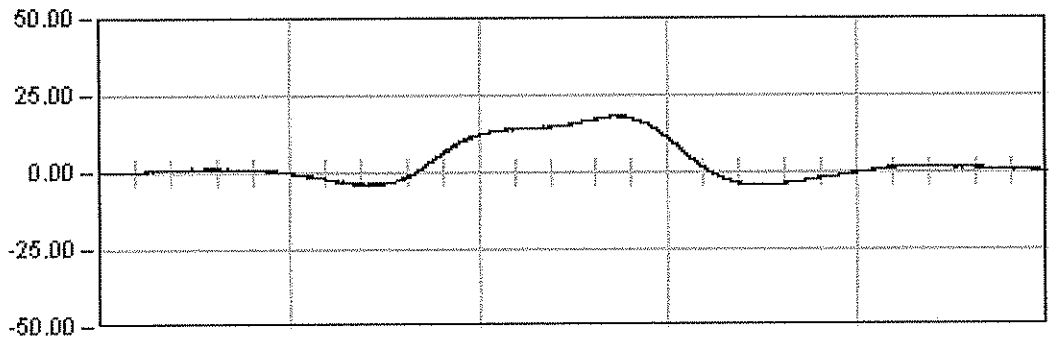


DINAMICA 11

167.0 Seg

Max: 18.21
Min: -4.46
Rem: 0.03

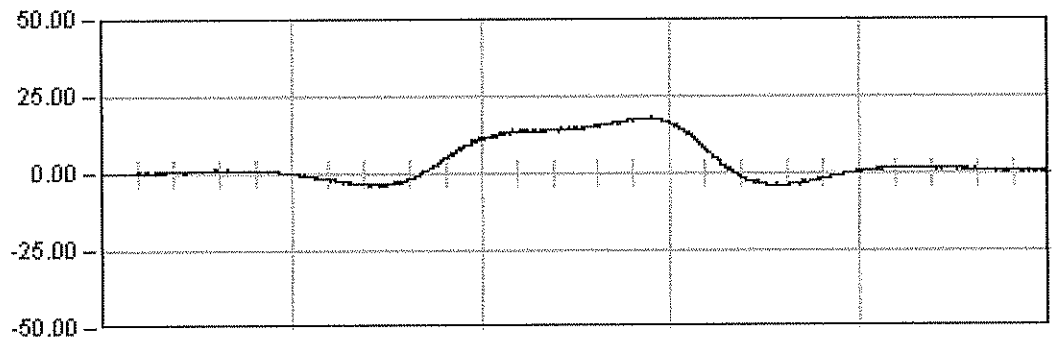


DINAMICA 12

41.0 Seg

Max: 17.98
Min: -4.49
Rem: 0.06

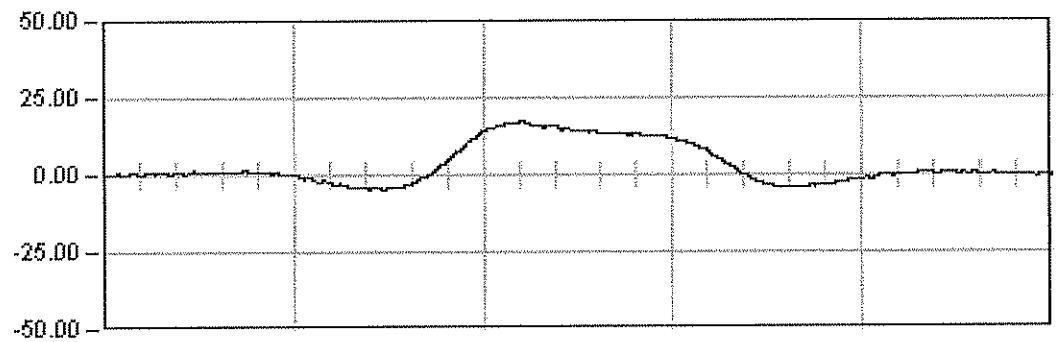


DINAMICA 13

15.0 Seg

Max: 17.26
Min: -4.94
Rem: -0.14

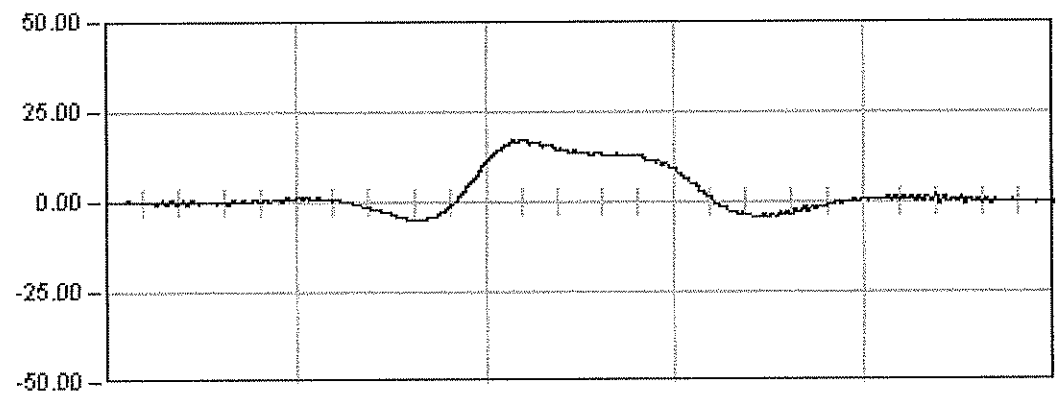


DINAMICA 14

21.0 Seg

Max: 17.10
Min: -5.03
Rem: 0.31

L.A.V. MADRID-BARCELONA-F.FRANCESA

35VI02 - SUBTRAMO IIIa

Punto : G081 Canal : 19 Unidades : µE

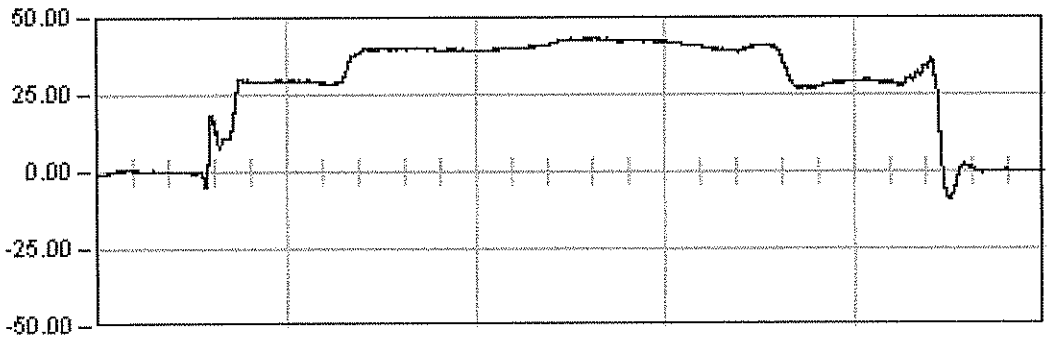


ESTATICA 05

1425.0 Seg

Est: 40.68
Max: 43.30
Min: -9.21
Rem: 0.02

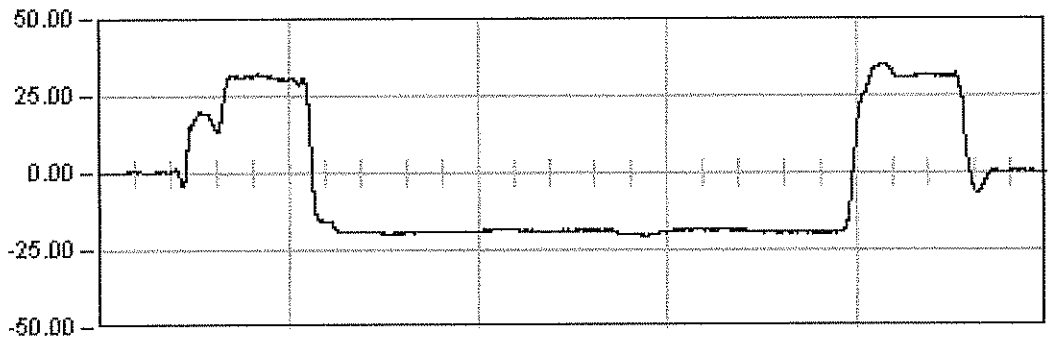


ESTATICA 06

1207.0 Seg

Est: -19.49
Max: 35.39
Min: -20.69
Rem: 0.23

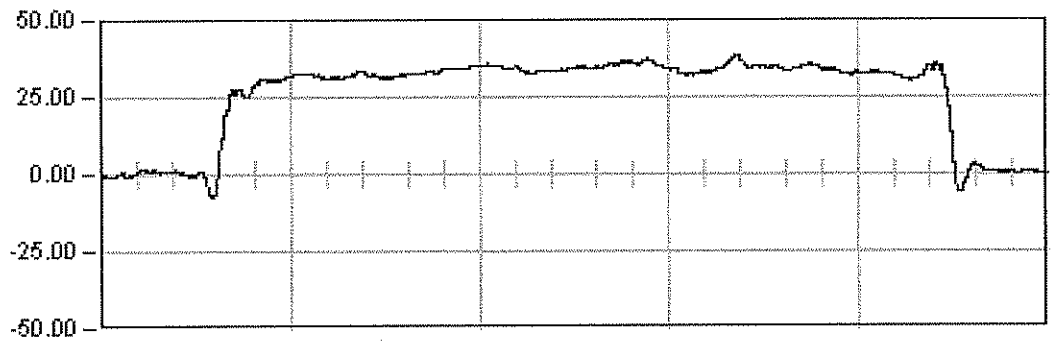


ESTATICA 17

1022.0 Seg

Est: 30.94
Max: 38.37
Min: -7.89
Rem: 0.41

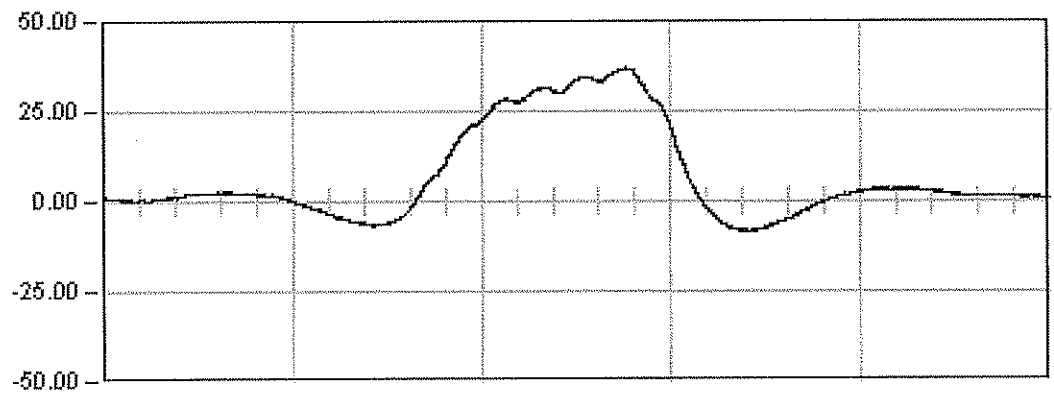


DINAMICA 01

124.0 Seg

Max: 36.81
Min: -8.47
Rem: -0.09

L.A.V. MADRID-BARCELONA-F.FRANCESA

35VI02 - SUBTRAMO IIIa

Punto : G081 Canal : 19 Unidades : µE

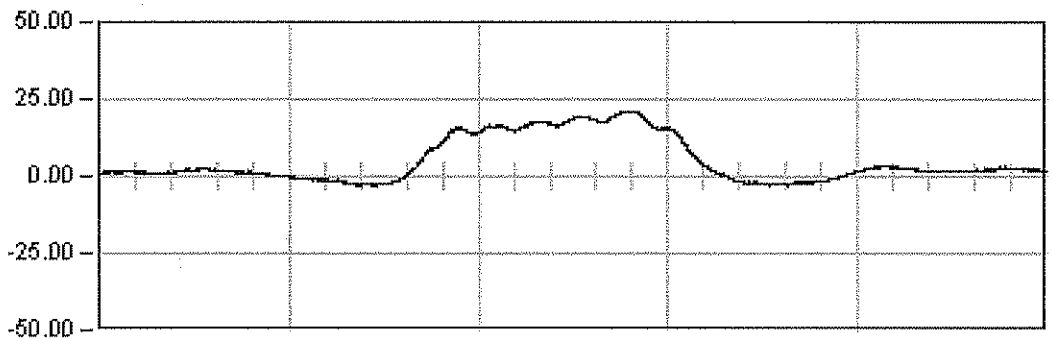


DINAMICA 11

172.0 Seg

Max: 21.04
Min: -3.02
Rem: 0.99

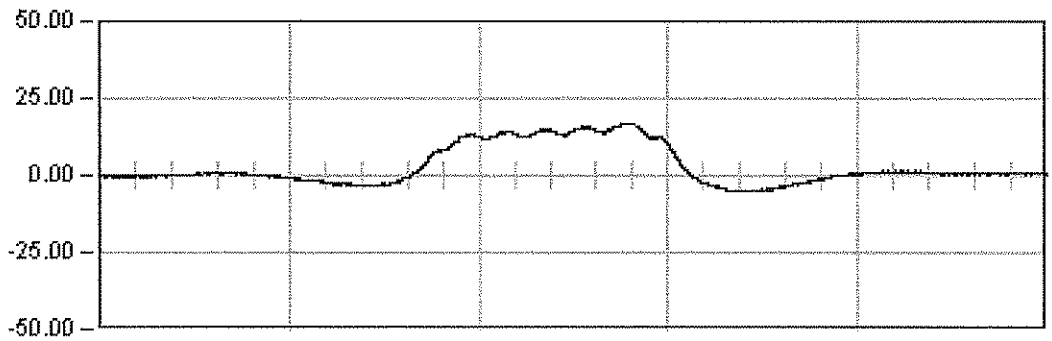


DINAMICA 12

43.0 Seg

Max: 17.06
Min: -5.38
Rem: -0.19

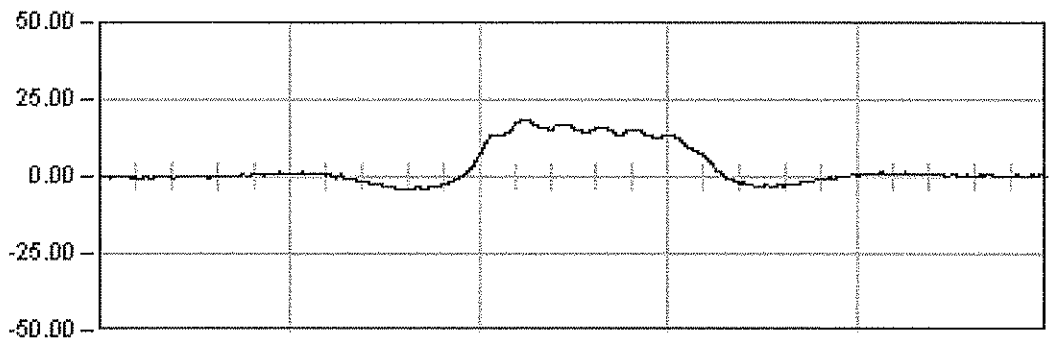


DINAMICA 13

18.0 Seg

Max: 18.44
Min: -4.43
Rem: 0.46

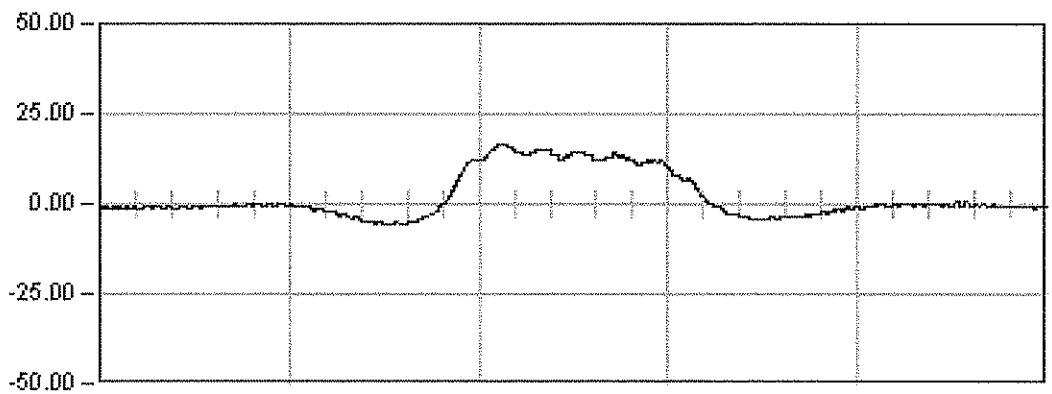


DINAMICA 14

18.0 Seg

Max: 16.77
Min: -5.96
Rem: 0.04

L.A.V. MADRID-BARCELONA-F.FRANCESA

35VI02 - SUBTRAMO IIIa

Punto : G082 Canal : 20 Unidades : µE

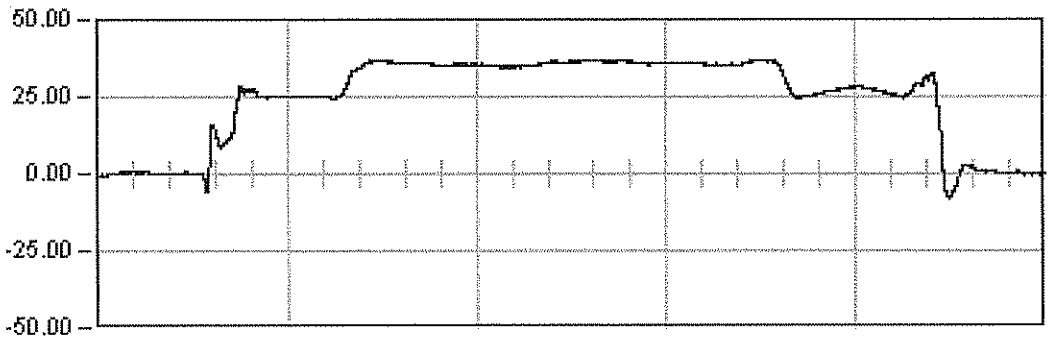


ESTATICA 05

1425.0 Seg

Est: 36.75
Max: 36.95
Min: -8.08
Rem: -0.09

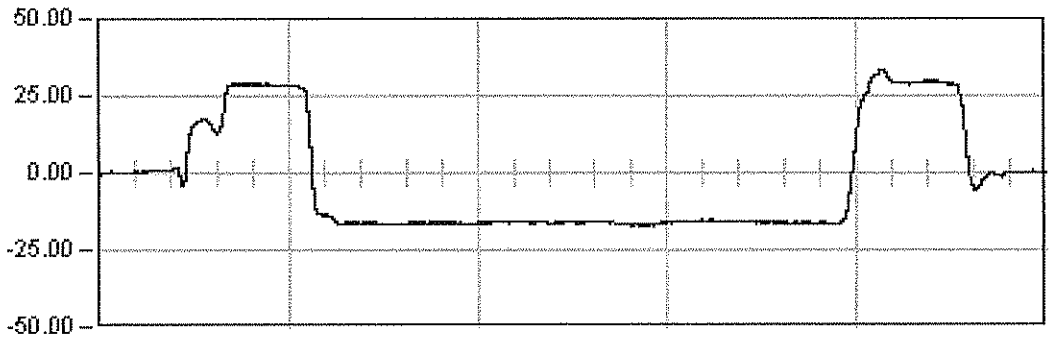


ESTATICA 06

1207.0 Seg

Est: -16.45
Max: 33.44
Min: -17.40
Rem: -0.09

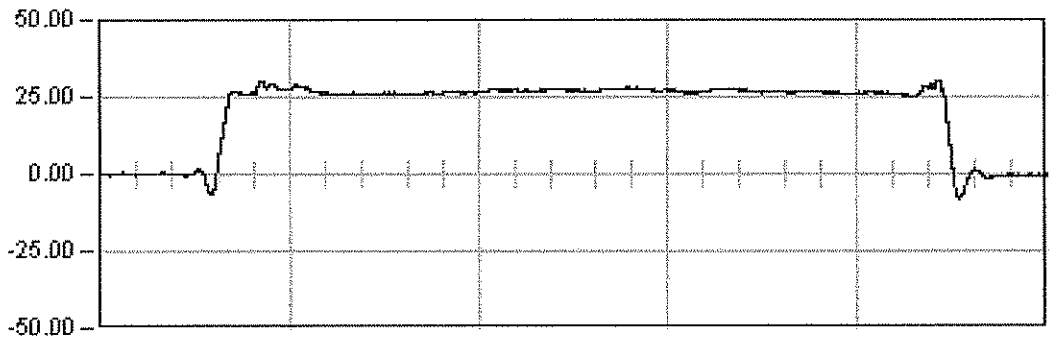


ESTATICA 17

1022.0 Seg

Est: 25.41
Max: 30.12
Min: -8.15
Rem: -0.69

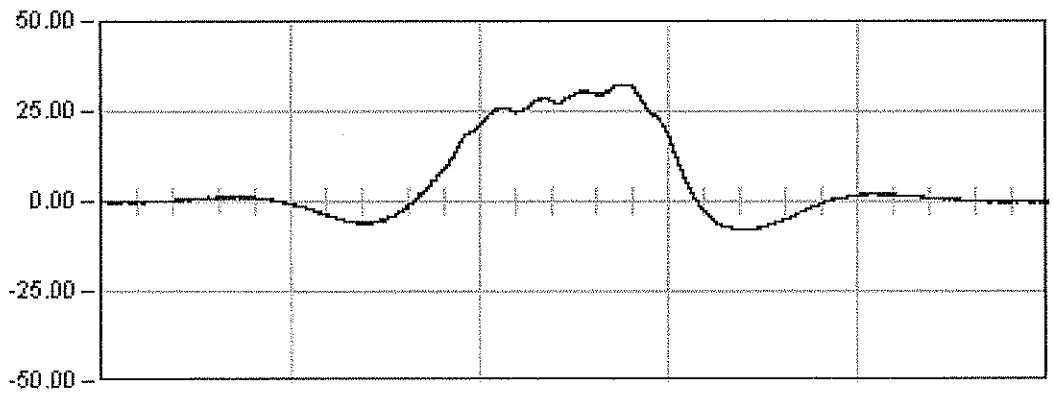


DINAMICA 01

124.0 Seg

Max: 32.45
Min: -8.19
Rem: -0.09

L.A.V. MADRID-BARCELONA-F.FRANCESA

35VI02 - SUBTRAMO IIIa

Punto : G082 Canal : 20 Unidades : µE

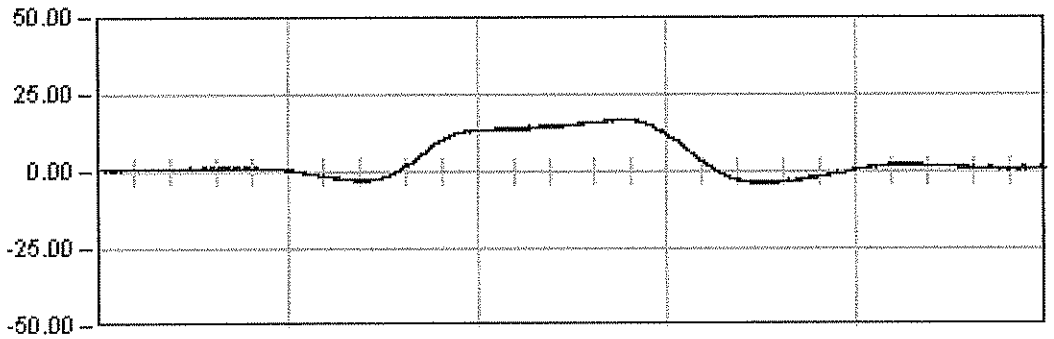


DINAMICA 11

172.0 Seg

Max: 16.84
Min: -3.97
Rem: 0.74

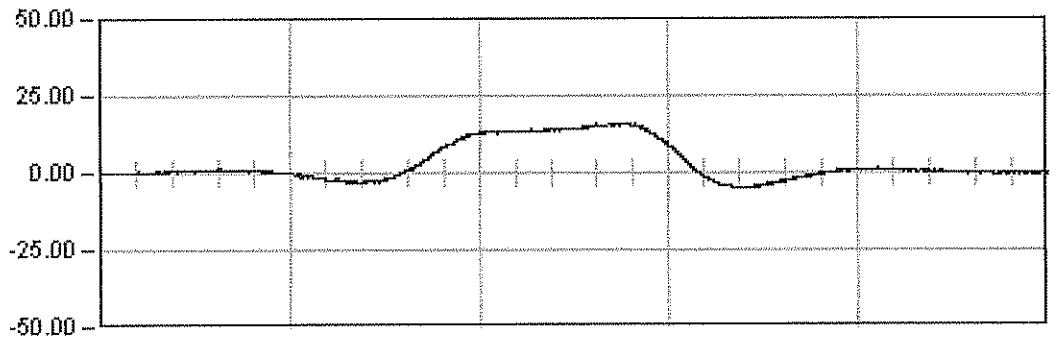


DINAMICA 12

43.0 Seg

Max: 15.94
Min: -4.86
Rem: -0.11

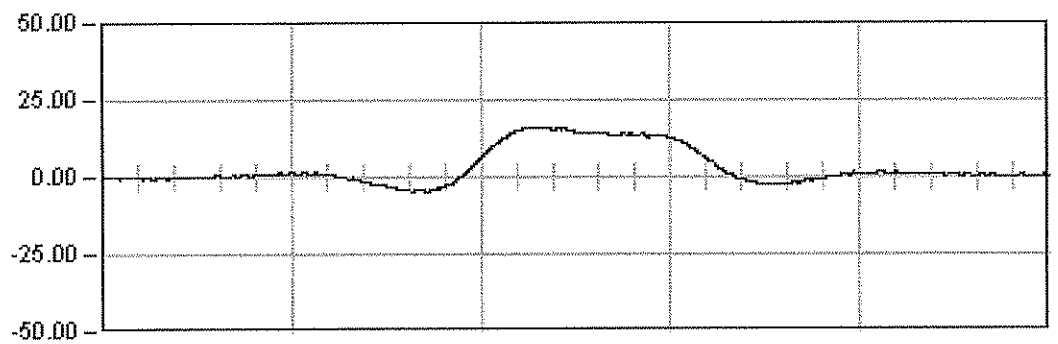


DINAMICA 13

18.0 Seg

Max: 16.19
Min: -4.75
Rem: 0.31

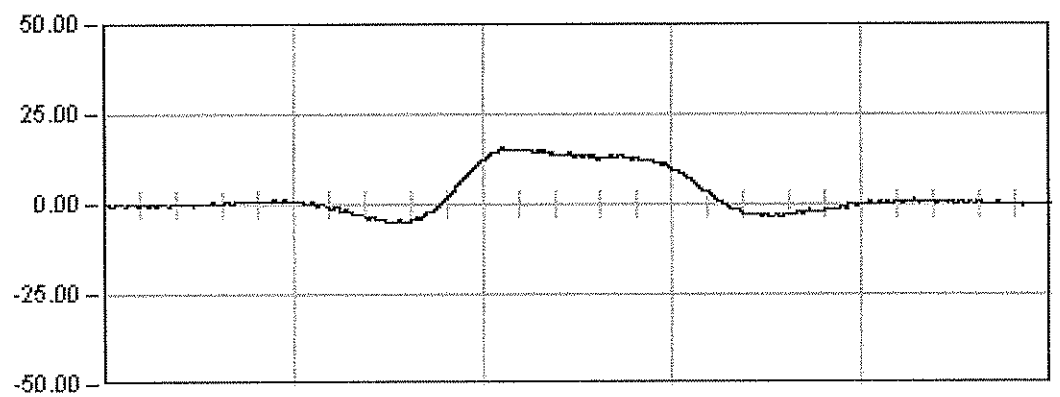


DINAMICA 14

18.0 Seg

Max: 15.45
Min: -5.10
Rem: -0.11

L.A.V. MADRID-BARCELONA-F.FRANCESA

35VI02 - SUBTRAMO IIIa

Punto : G091 Canal : 21 Unidades : µE

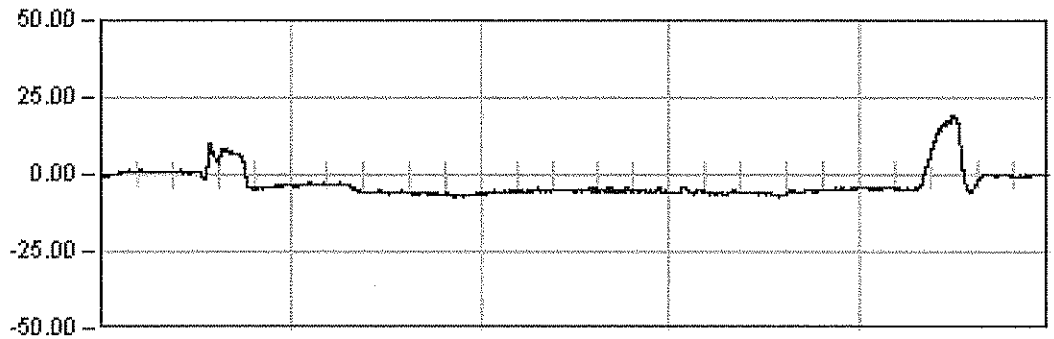


ESTATICA 05

1425.0 Seg

Est: -6.08
Max: 19.40
Min: -7.26
Rem: -0.32

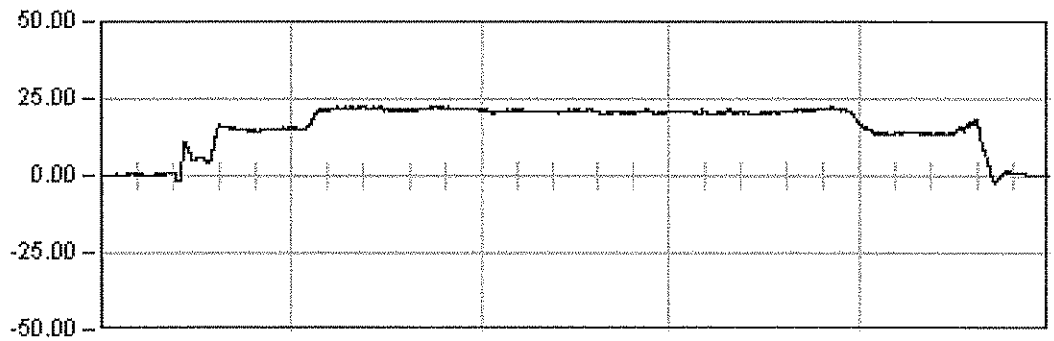


ESTATICA 06

1207.0 Seg

Est: 21.91
Max: 22.54
Min: -2.28
Rem: 0.45

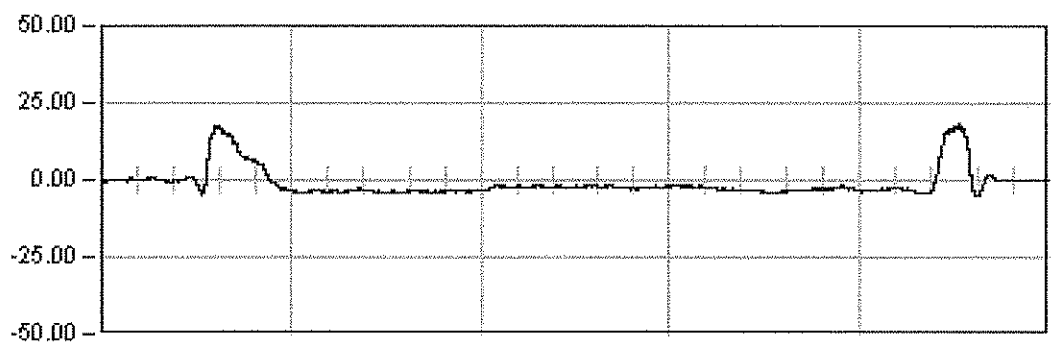


ESTATICA 17

1022.0 Seg

Est: -3.08
Max: 17.92
Min: -5.29
Rem: -0.12

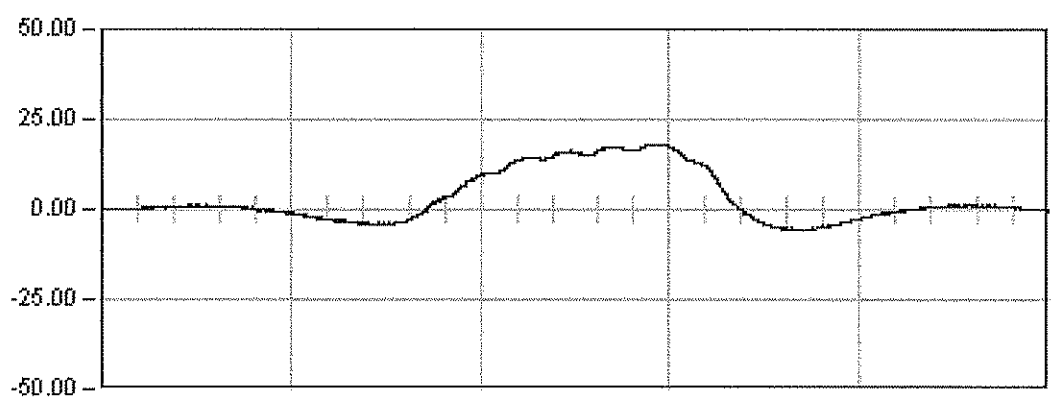


DINAMICA 01

108.0 Seg

Max: 18.21
Min: -5.91
Rem: 0.01

L.A.V. MADRID-BARCELONA-F.FRANCESA

35VI02 - SUBTRAMO IIIa

Punto : G091 Canal : 21 Unidades : µE

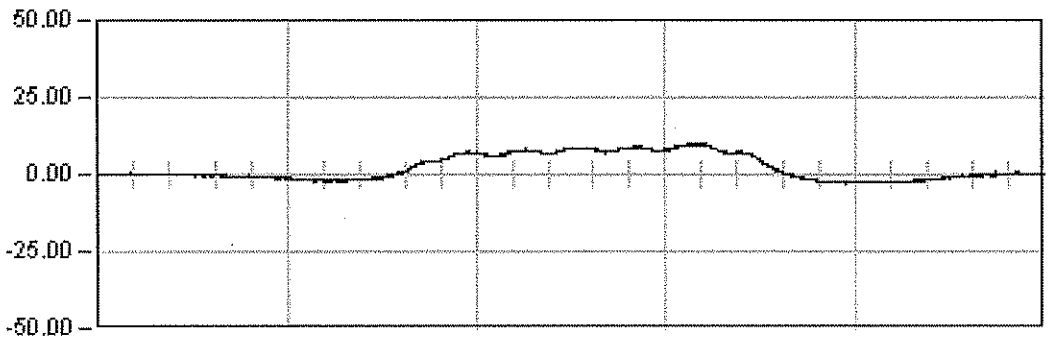


DINAMICA 11

139.0 Seg

Max: 10.23
Min: -2.96
Rem: 0.03

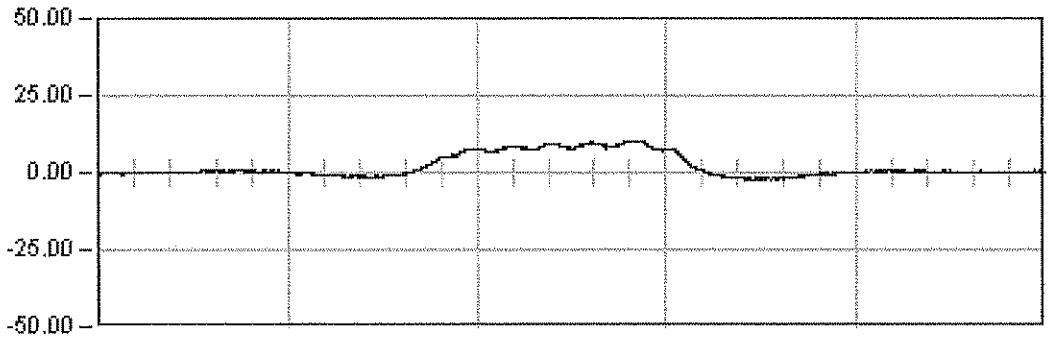


DINAMICA 12

42.0 Seg

Max: 10.12
Min: -2.48
Rem: 0.02

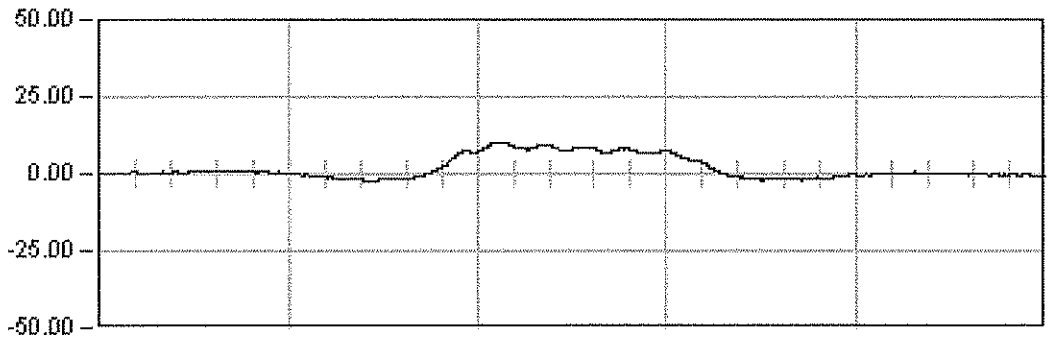


DINAMICA 13

16.0 Seg

Max: 10.01
Min: -2.56
Rem: -0.31

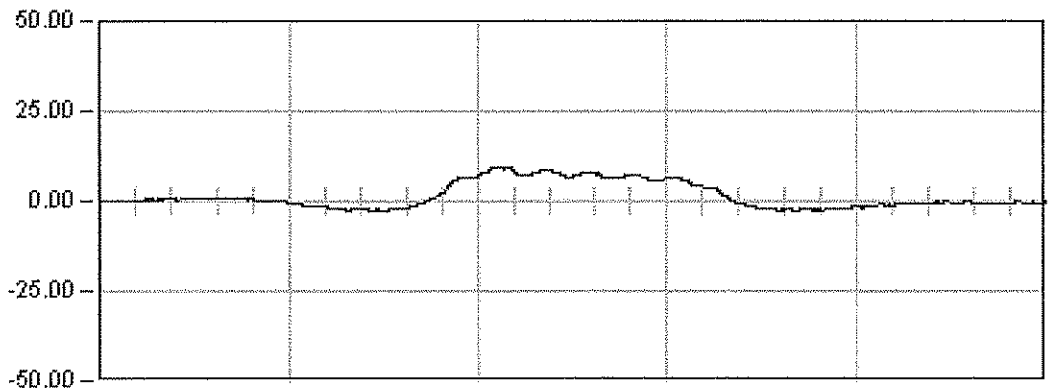


DINAMICA 14

15.0 Seg

Max: 9.30
Min: -2.79
Rem: -0.18

L.A.V. MADRID-BARCELONA-F.FRANCESA

35VI02 - SUBTRAMO IIIa

Punto : G092 Canal : 22 Unidades : µE

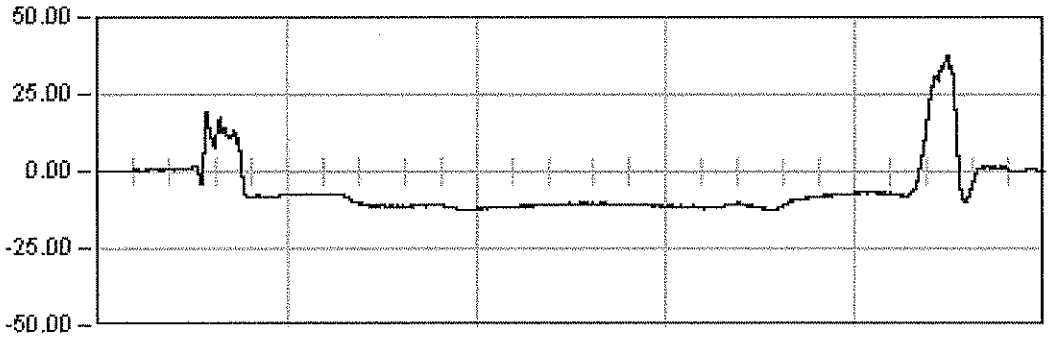


ESTATICA 05

1425.0 Seg

Est: -11.95
Max: 37.28
Min: -12.65
Rem: 0.31

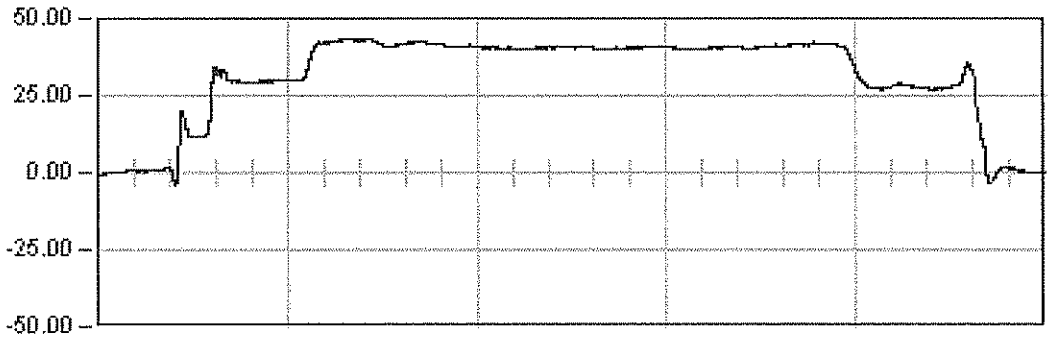


ESTATICA 06

1207.0 Seg

Est: 41.87
Max: 43.30
Min: -4.51
Rem: 0.57

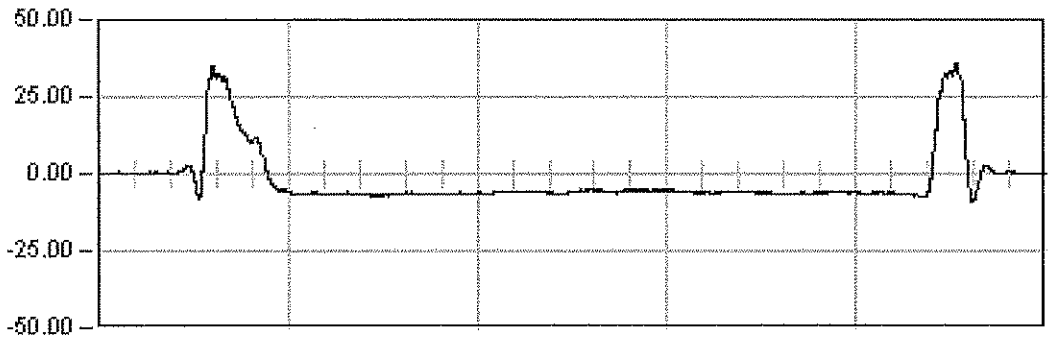


ESTATICA 17

1022.0 Seg

Est: -6.72
Max: 36.06
Min: -9.03
Rem: 0.16

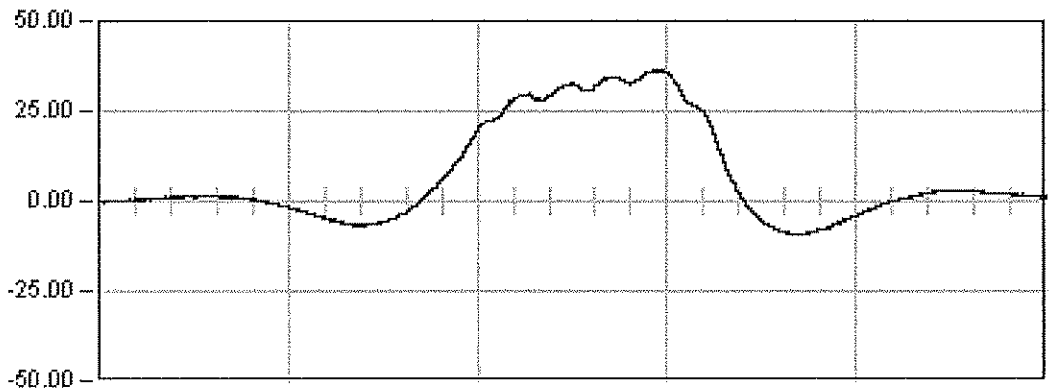


DINAMICA 01

108.0 Seg

Max: 36.33
Min: -9.23
Rem: 1.03

L.A.V. MADRID-BARCELONA-F.FRANCESA

35VI02 - SUBTRAMO IIIa

Punto : G092 Canal : 22 Unidades : µE

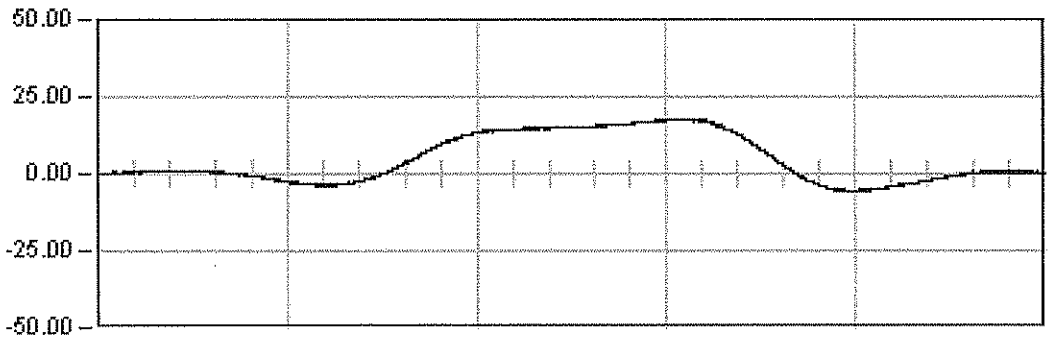


DINAMICA 11

139.0 Seg

Max: 17.83
Min: -5.87
Rem: 0.04

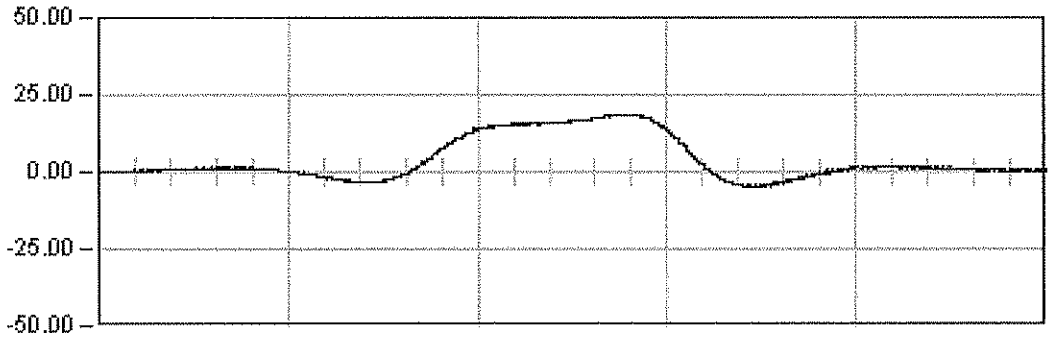


DINAMICA 12

42.0 Seg

Max: 18.72
Min: -5.03
Rem: 0.46

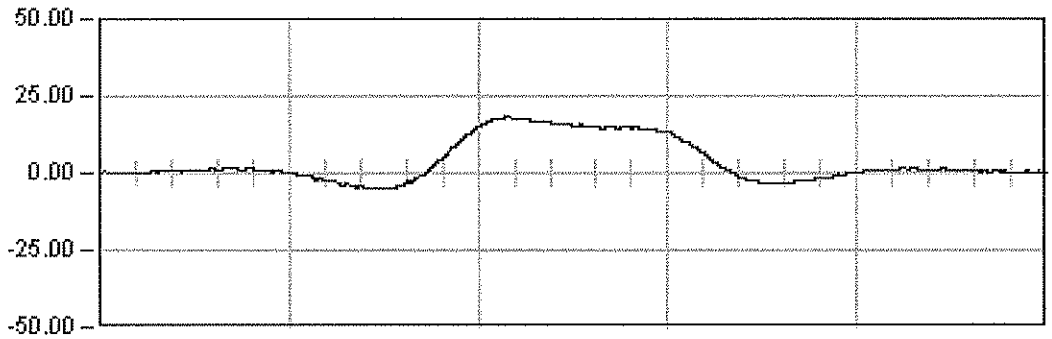


DINAMICA 13

16.0 Seg

Max: 18.39
Min: -5.38
Rem: 0.28

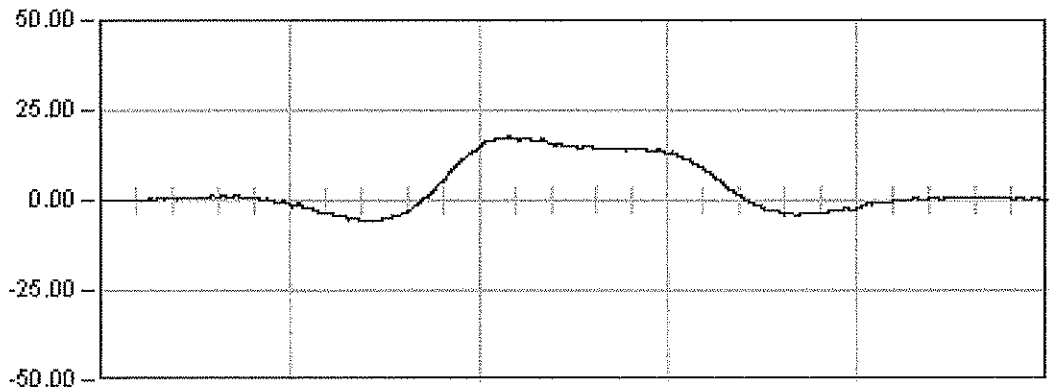


DINAMICA 14

15.0 Seg

Max: 17.70
Min: -5.83
Rem: -0.05

L.A.V. MADRID-BARCELONA-F.FRANCESA

35VI02 - SUBTRAMO IIIa

Punto : A071 Canal : 13 Unidades : G´s/100

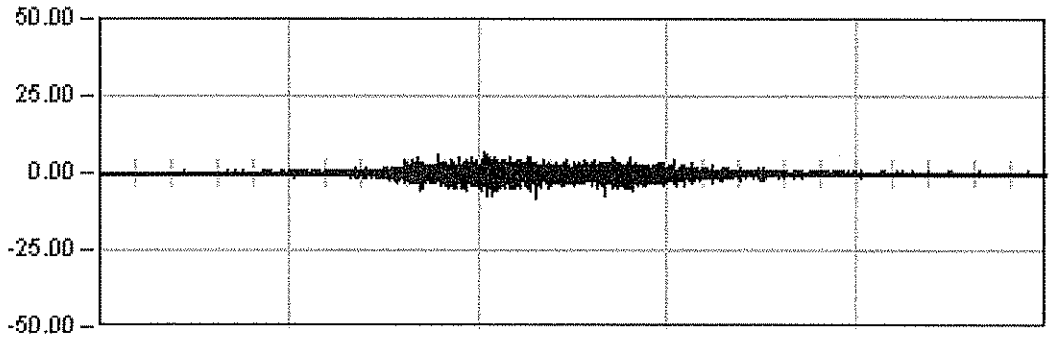


DINAMICA 01

114.0 Seg

Max: -8.06

Min: 6.82

Rem: -0.31

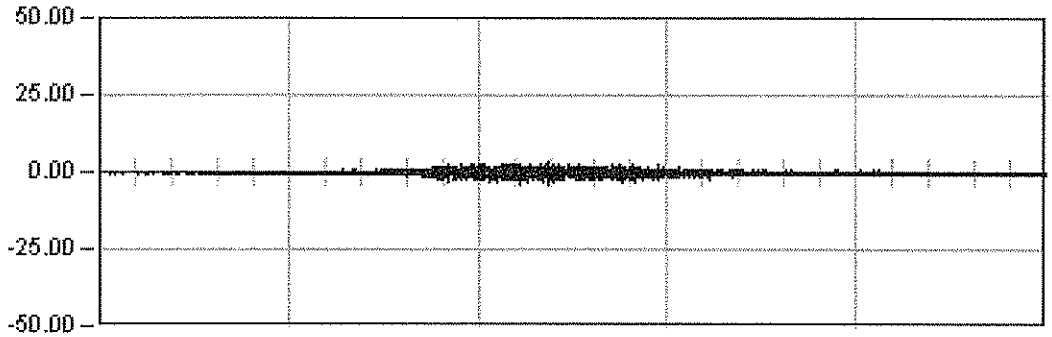


DINAMICA 11

167.0 Seg

Max: -3.97

Min: 3.22

Rem: -0.36

L.A.V. MADRID-BARCELONA-F.FRANCESA

35VI02 - SUBTRAMO IIIa

Punto : A071 Canal : 13 Unidades : G's/100

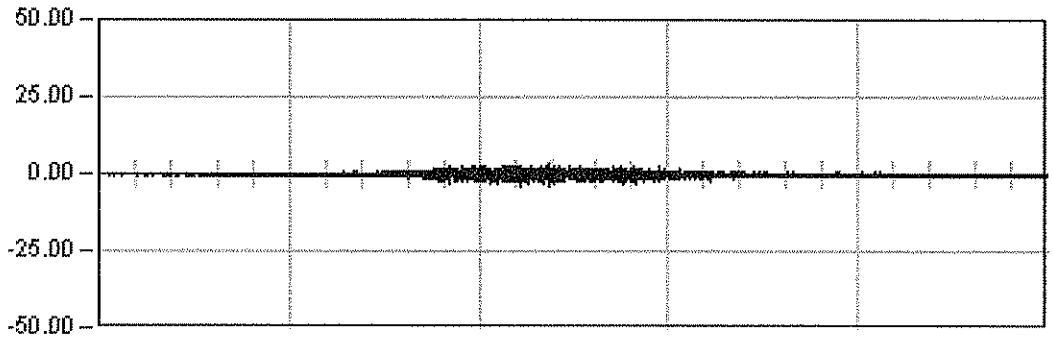


DINAMICA 11

167.0 Seg

Max: -3.97
Min: 3.22
Rem: -0.36

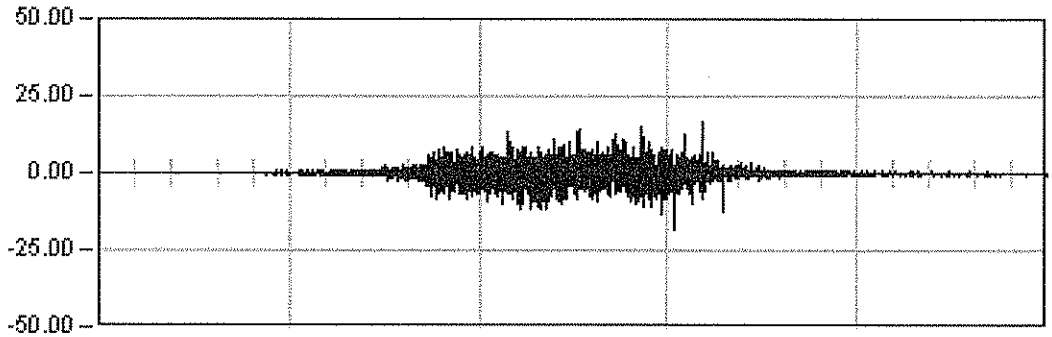


DINAMICA 12

41.0 Seg

Max: -18.59
Min: 16.73
Rem: -0.05

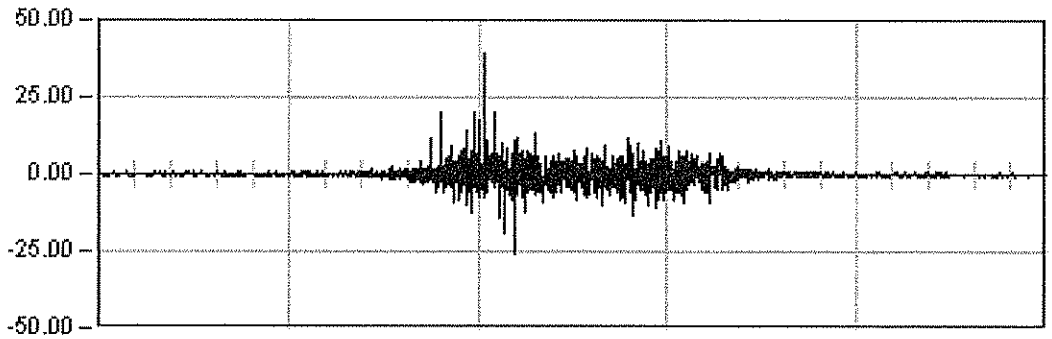


DINAMICA 13

15.0 Seg

Max: 39.42
Min: -25.53
Rem: -0.11

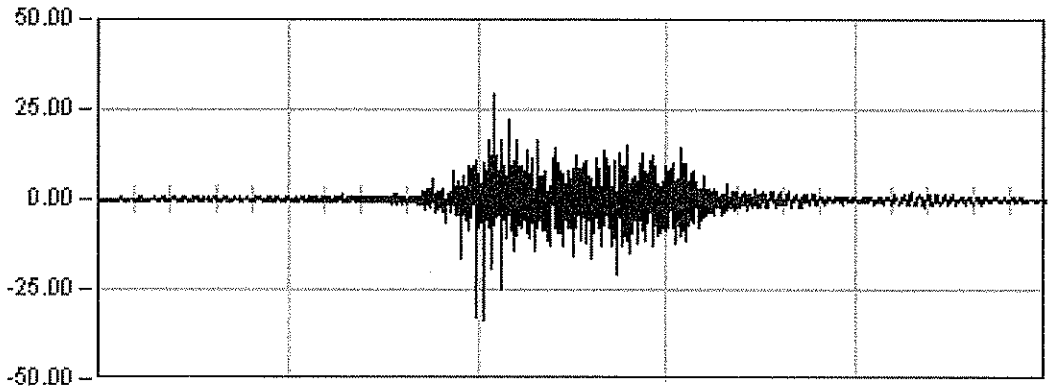


DINAMICA 14

21.0 Seg

Max: -33.72
Min: 29.01
Rem: -0.13

L.A.V. MADRID-BARCELONA-F.FRANCESA

35VI02 - SUBTRAMO IIIa

Prueba: din13 Punto: A71 Canal: 13

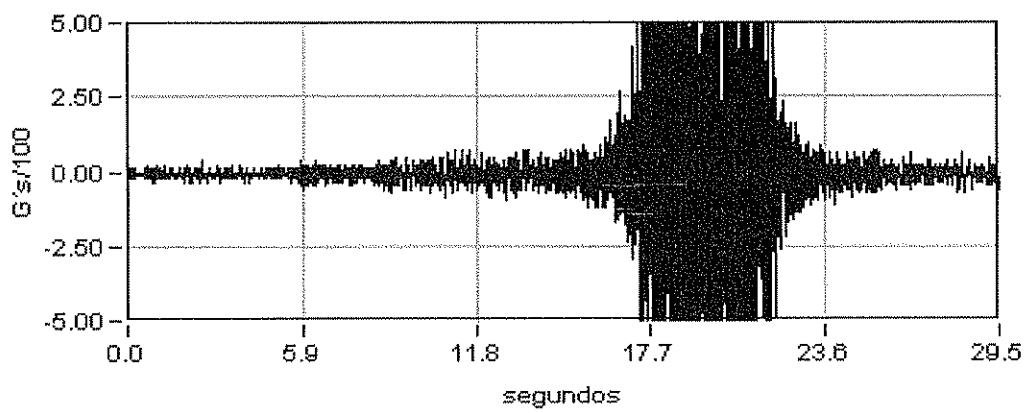


| Máximo |
| --- |
| 39.42 |

| Mínimo |
| --- |
| -25.53 |

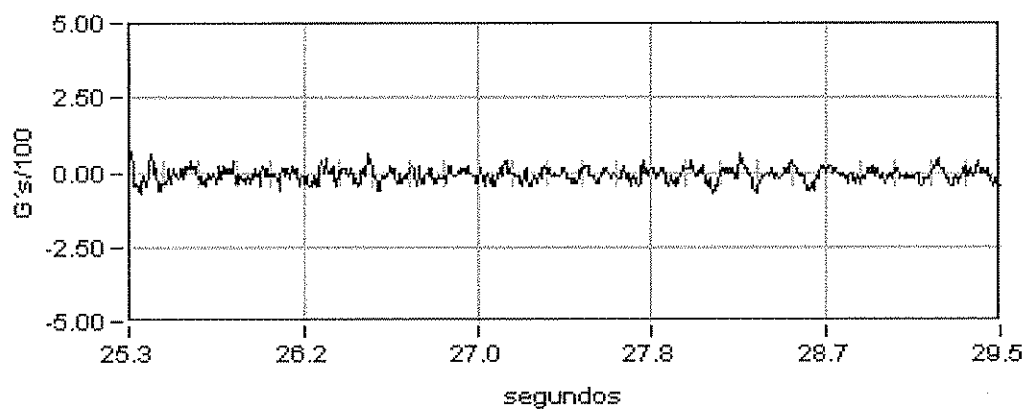


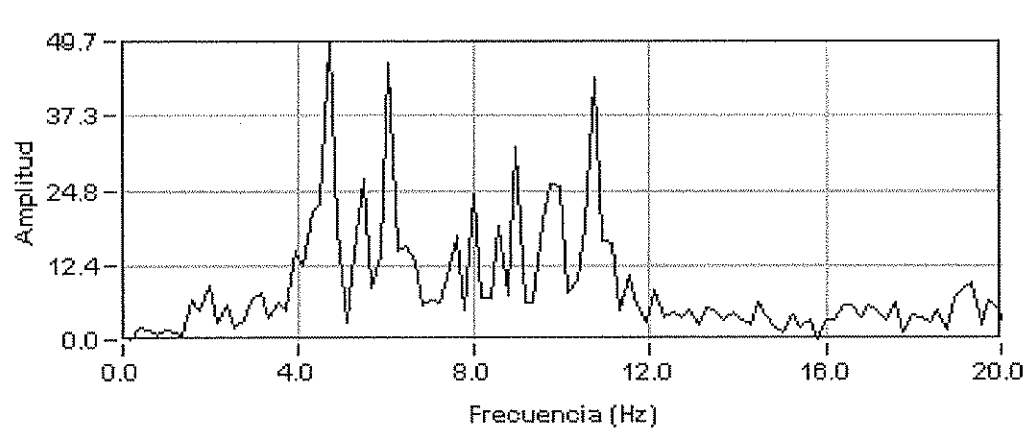


| Amplitud |
| --- |
| 49.69 |

| Frecuencia |
| --- |
| 4.70 |

| Dec.Logarit. |
| --- |
| 0.13 |

| Amortiguac. | |
| --- | --- |
| 2.08 | % |

L.A.V. MADRID-BARCELONA-F.FRANCESA

35VI02 - SUBTRAMO IIIa

Punto : A081 Canal : 14 Unidades : G's/100

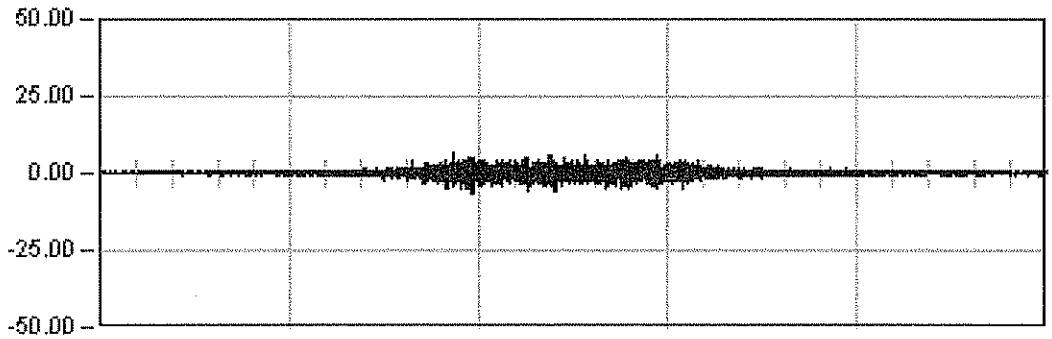


DINAMICA 01

124.0 Seg

Max: -6.92

Min: 6.68

Rem: 0.11

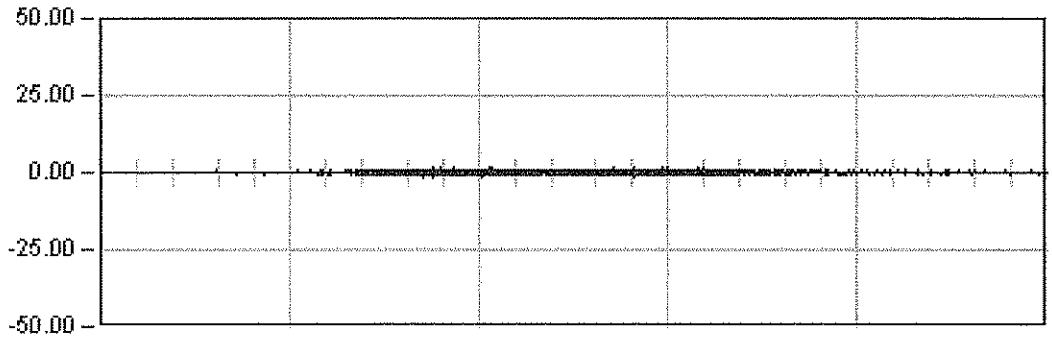


DINAMICA 11

172.0 Seg

Max: 2.03

Min: -1.55

Rem: 0.01

L.A.V. MADRID-BARCELONA-F.FRANCESA

35VI02 - SUBTRAMO IIIa

Punto : A081 Canal : 14 Unidades : G's/100

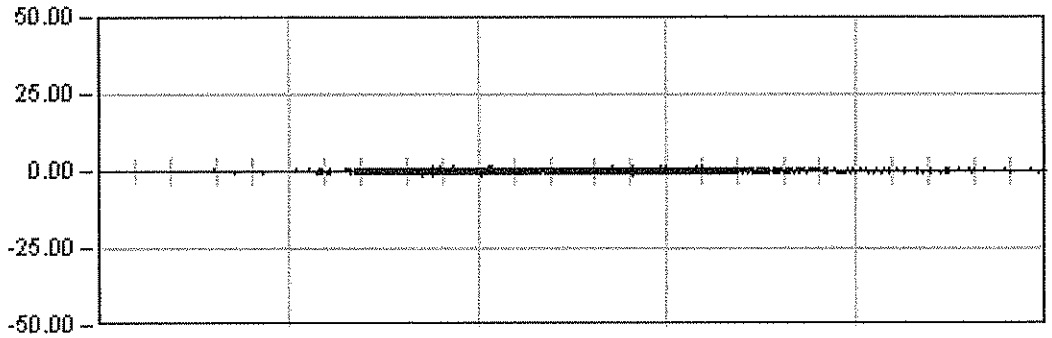


DINAMICA 11

172.0 Seg

Max: 2.03
Min: -1.55
Rem: 0.01

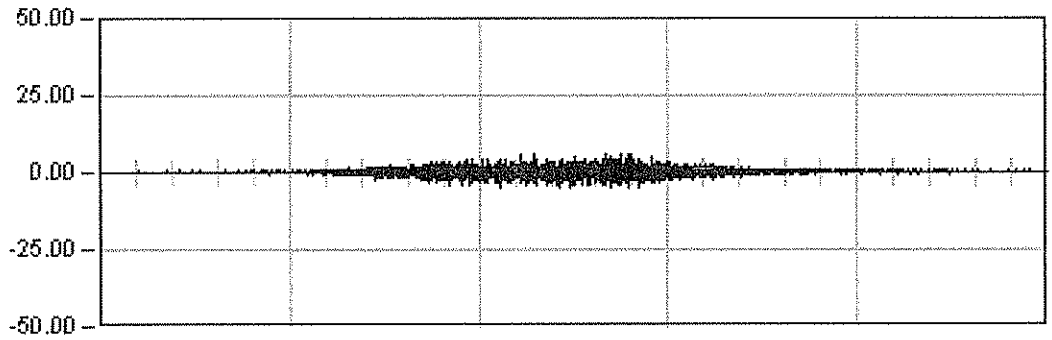


DINAMICA 12

43.0 Seg

Max: 5.96
Min: -5.25
Rem: 0.08

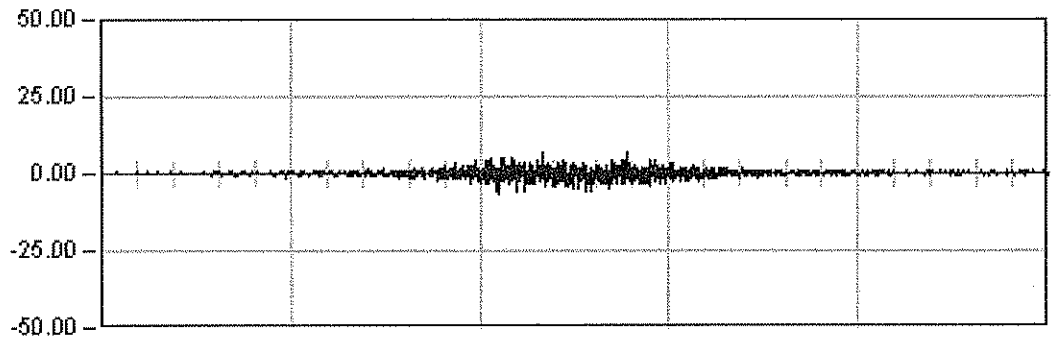


DINAMICA 13

18.0 Seg

Max: 6.80
Min: -6.68
Rem: 0.06

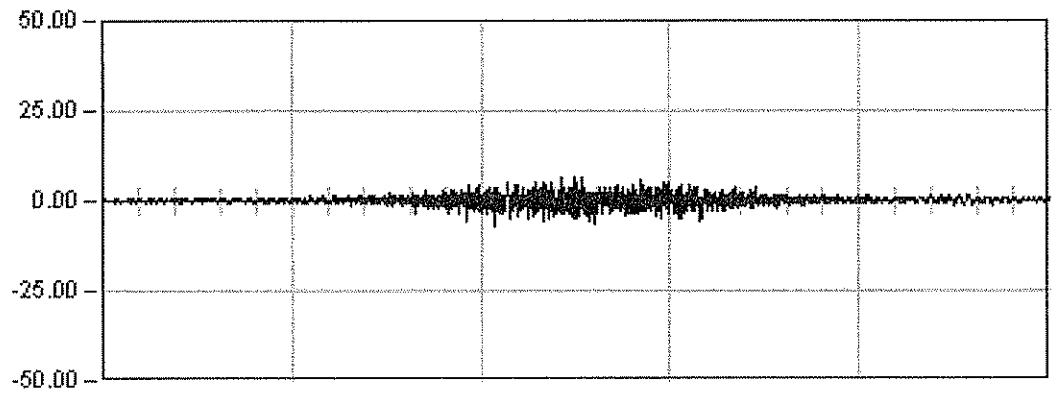


DINAMICA 14

18.0 Seg

Max: -7.16
Min: 6.44
Rem: 0.00

L.A.V. MADRID-BARCELONA-F.FRANCESA

35VI02 - SUBTRAMO IIIa

Prueba: din13 Punto: A81 Canal: 14

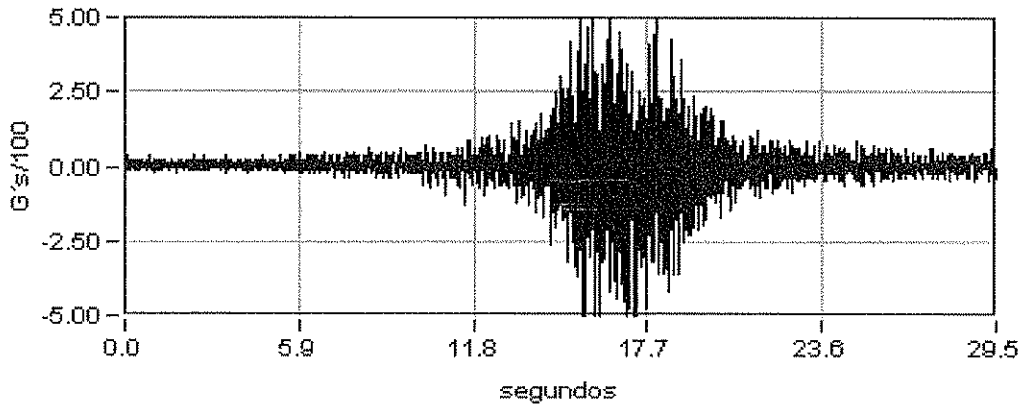


| Máximo |
| --- |
| 6.80 |

| Mínimo |
| --- |
| -6.68 |

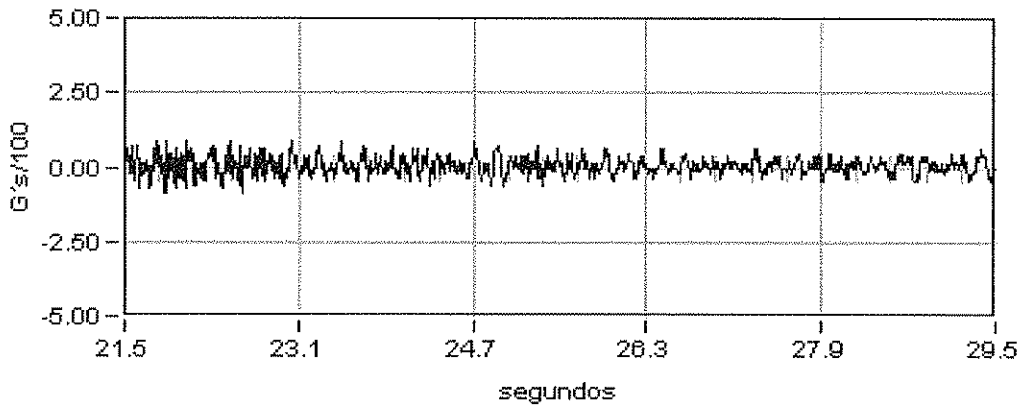


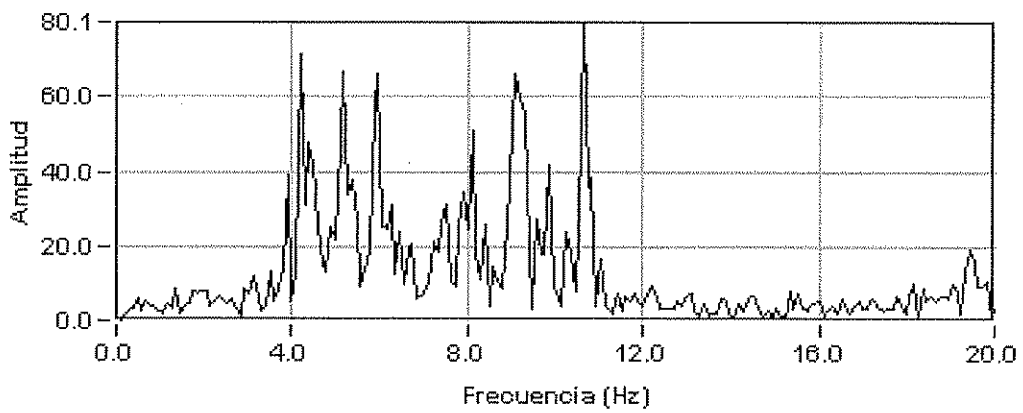


| Amplitud |
| --- |
| 71.16 |

| Frecuencia |
| --- |
| 4.20 |

| Dec.Logarit. |
| --- |
| 0.06 |

| Amortiguac. |
| --- |
| 1.02 % |

L.A.V. MADRID-BARCELONA-F.FRANCESA

35VI02 - SUBTRAMO IIIa

Punto : A091 Canal : 15 Unidades : G's/100

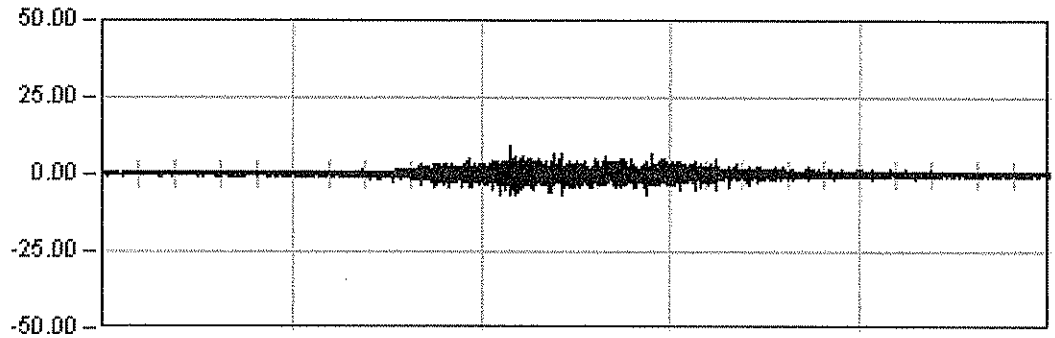


DINAMICA 01

108.0 Seg

Max: 8.94

Min: -7.07

Rem: 0.21

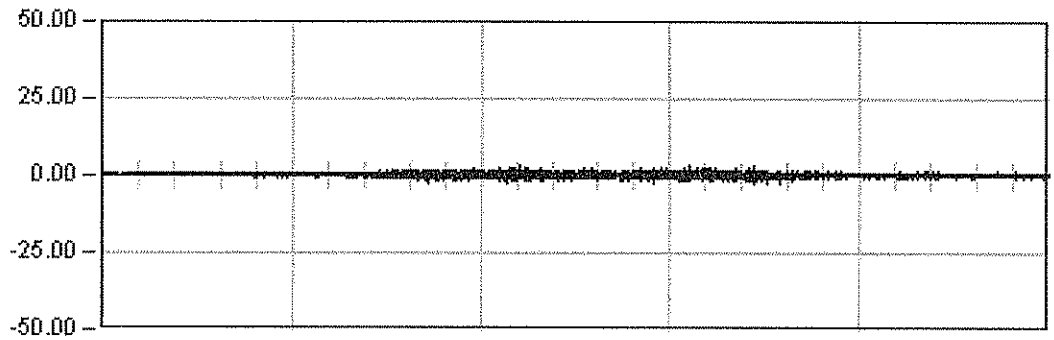


DINAMICA 11

139.0 Seg

Max: 3.23

Min: -2.85

Rem: 0.36

L.A.V. MADRID-BARCELONA-F.FRANCESA

35VI02 - SUBTRAMO IIIa

Punto : A091 Canal : 15 Unidades : G's/100

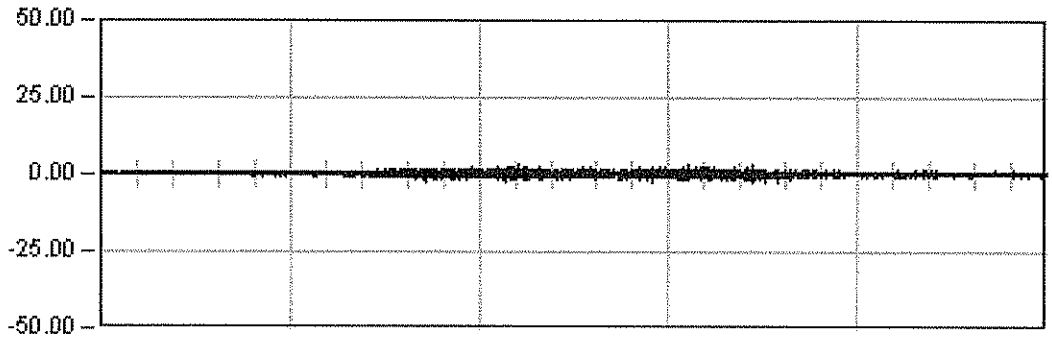


DINAMICA 11

139.0 Seg

Max: 3.23
Min: -2.85
Rem: 0.36

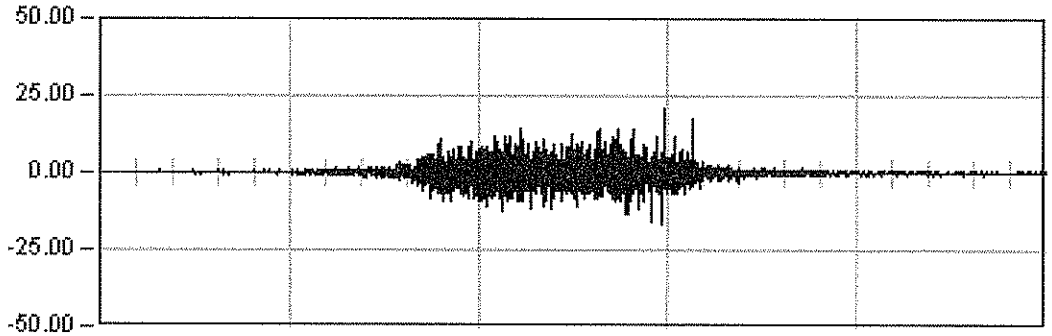


DINAMICA 12

42.0 Seg

Max: 20.48
Min: -16.75
Rem: 0.10

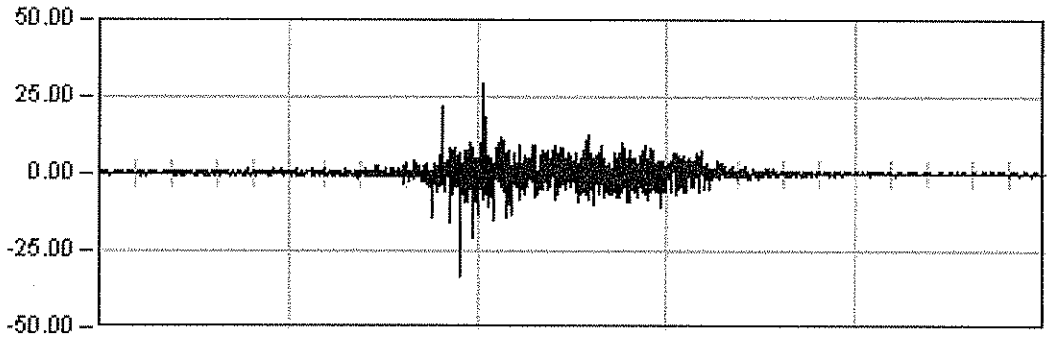


DINAMICA 13

16.0 Seg

Max: -33.26
Min: 29.54
Rem: 0.22

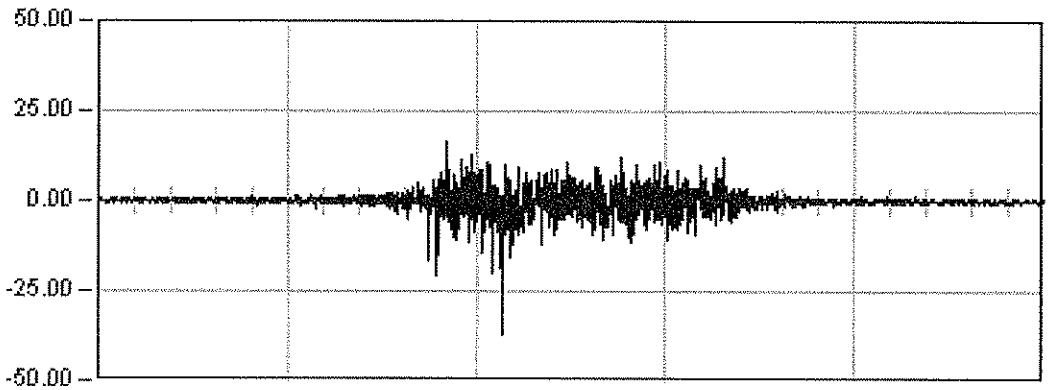


DINAMICA 14

15.0 Seg

Max: -36.98
Min: 16.38
Rem: 0.04

L.A.V. MADRID-BARCELONA-F.FRANCESA

35VI02 - SUBTRAMO IIIa

Prueba: din13 Punto: A91 Canal: 15

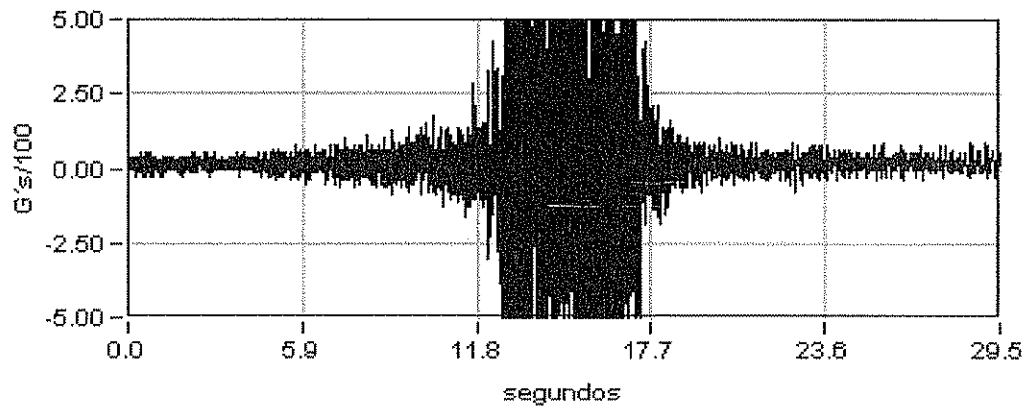


| Máximo |
| --- |
| -33.26 |

| Mínimo |
| --- |
| 29.54 |

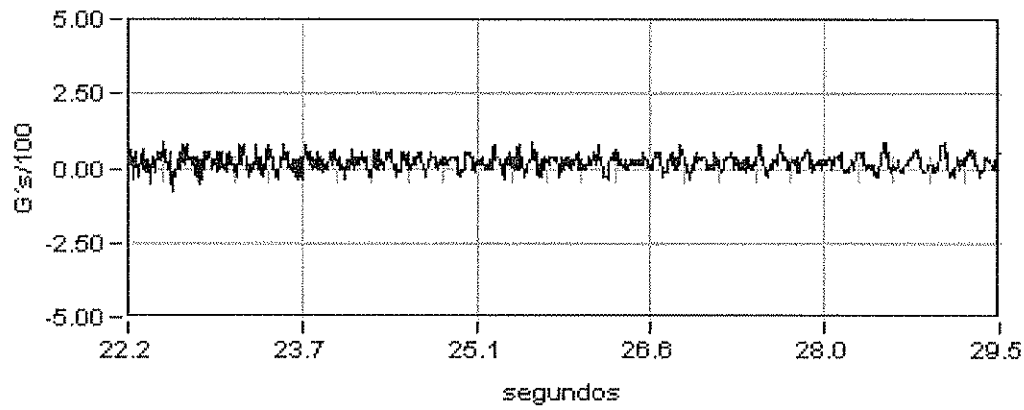


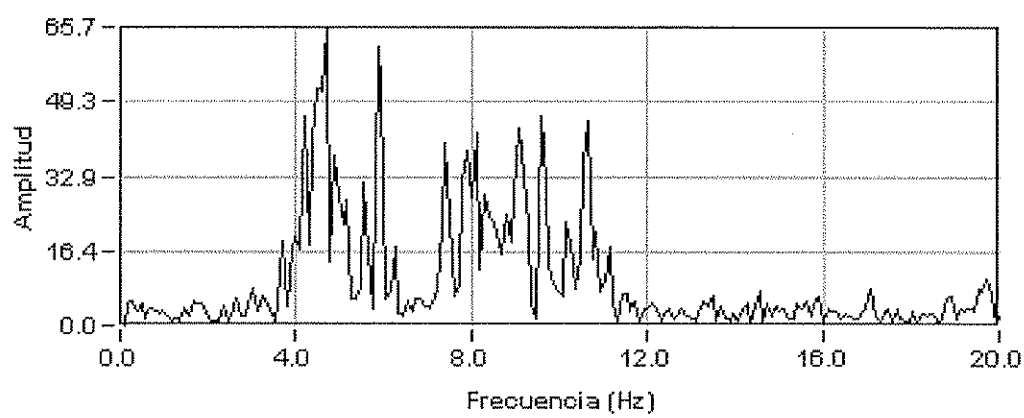


| Amplitud |
| --- |
| 65.73 |

| Frecuencia |
| --- |
| 4.70 |

| Dec Logarit |
| --- |
| 0.19 |

| Amortiguac. | |
| --- | --- |
| 3.00 | % |

L.A.V. MADRID-BARCELONA-F.FRANCESA

35VI02 - SUBTRAMO IIIa

Punto : P101 Canal : 00 Unidades : mm

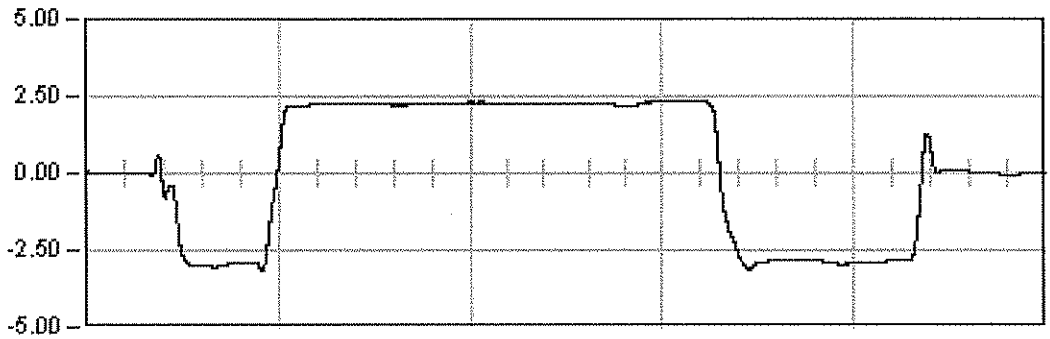


ESTATICA 07

1342.0 Seg

Est: 2.35
Max: -3.18
Min: 2.37
Rem: -0.03

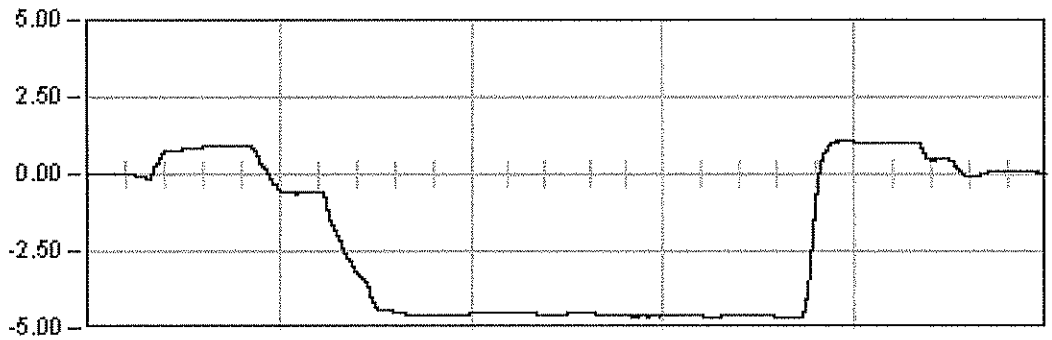


ESTATICA 08

1359.0 Seg

Est: -4.63
Max: -4.69
Min: 1.08
Rem: 0.06

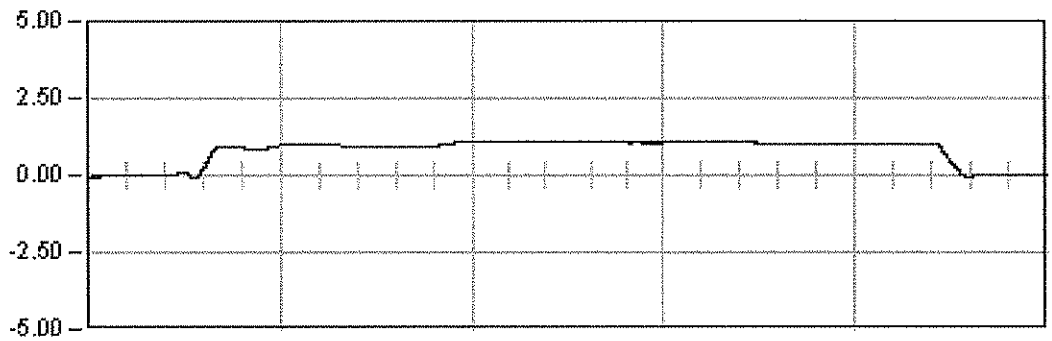


ESTATICA 18

939.0 Seg

Est: 1.00
Max: 1.11
Min: -0.09
Rem: 0.00

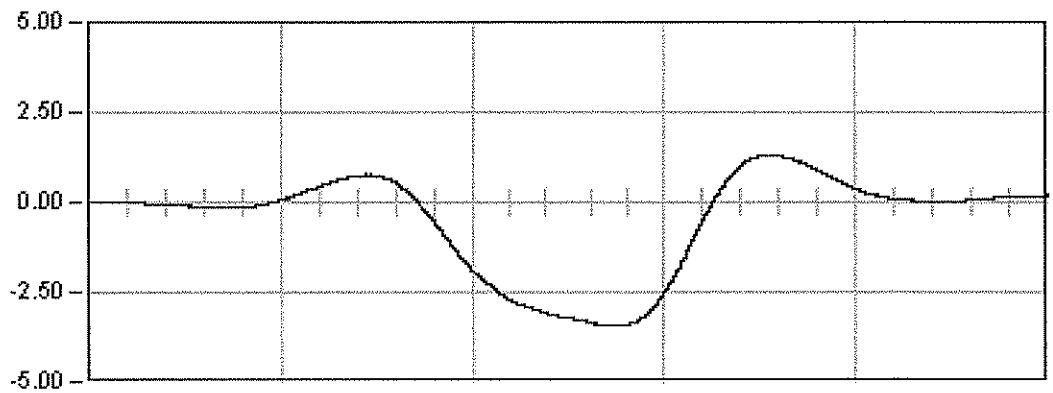


DINAMICA 01

120.0 Seg

Max: -3.42
Min: 1.28
Rem: 0.16

L.A.V. MADRID-BARCELONA-F.FRANCESA

35VI02 - SUBTRAMO IIIa

Punto : P101 Canal : 00 Unidades : mm

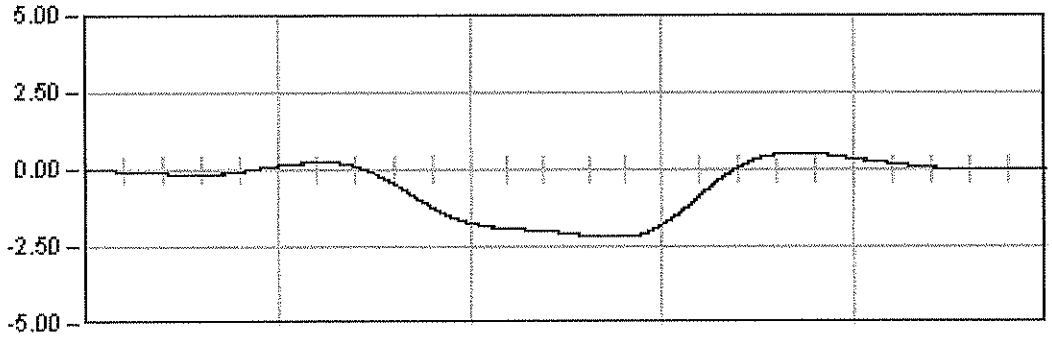


DINAMICA 11

162.0 Seg

Max: -2.20
Min: 0.52
Rem: -0.05

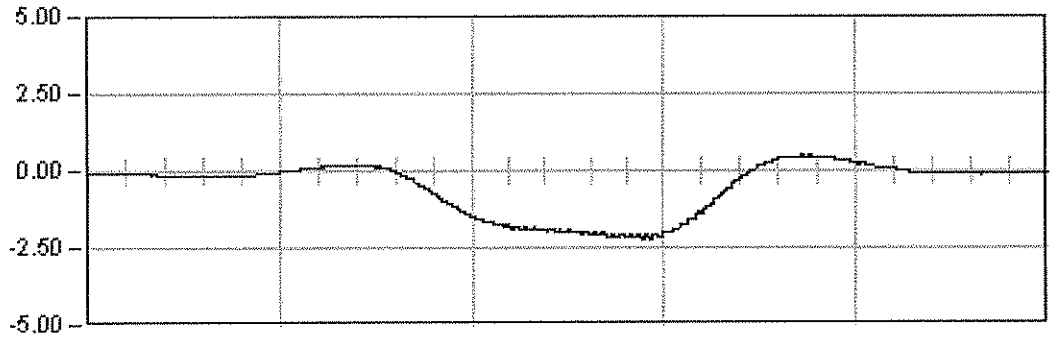


DINAMICA 12

32.0 Seg

Max: -2.23
Min: 0.48
Rem: 0.00

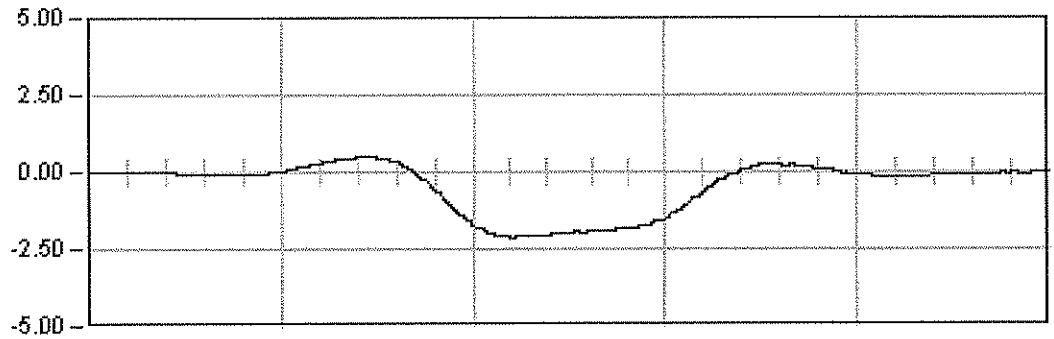


DINAMICA 13

16.0 Seg

Max: -2.15
Min: 0.49
Rem: -0.04

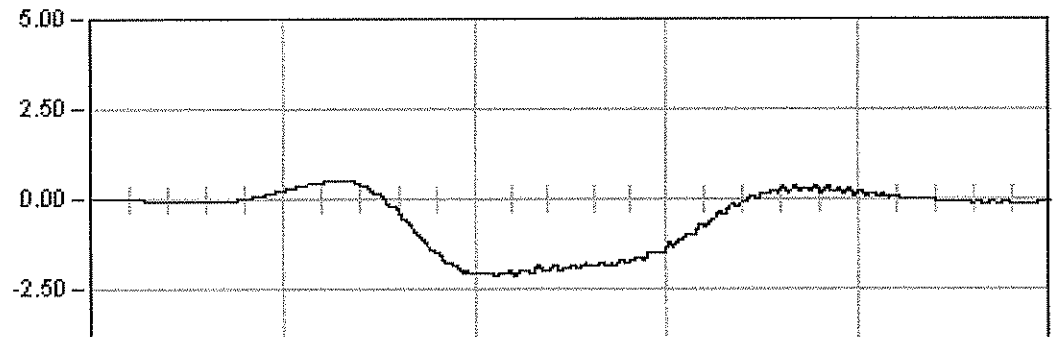


DINAMICA 14

17.0 Seg

Max: -2.14
Min: 0.53
Rem: 0.01

L.A.V. MADRID-BARCELONA-F.FRANCESA

35VI02 - SUBTRAMO IIIa

Punto : P102 Canal : 01 Unidades : mm

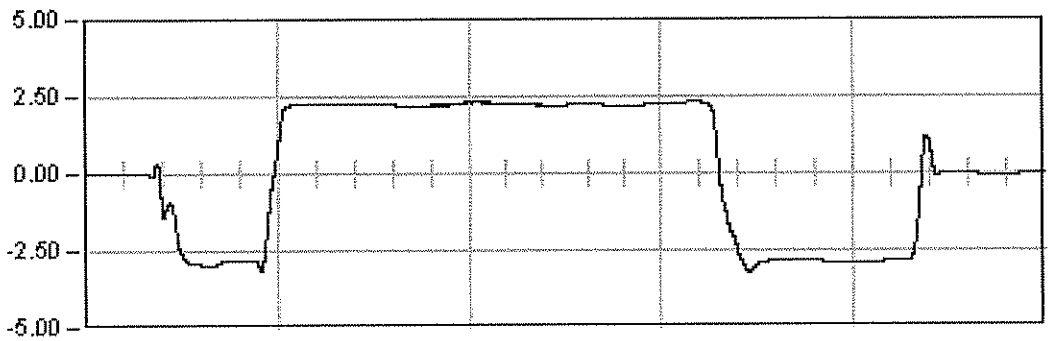


ESTATICA 07

1342.0 Seg

Est: 2.31
Max: -3.22
Min: 2.32
Rem: -0.03

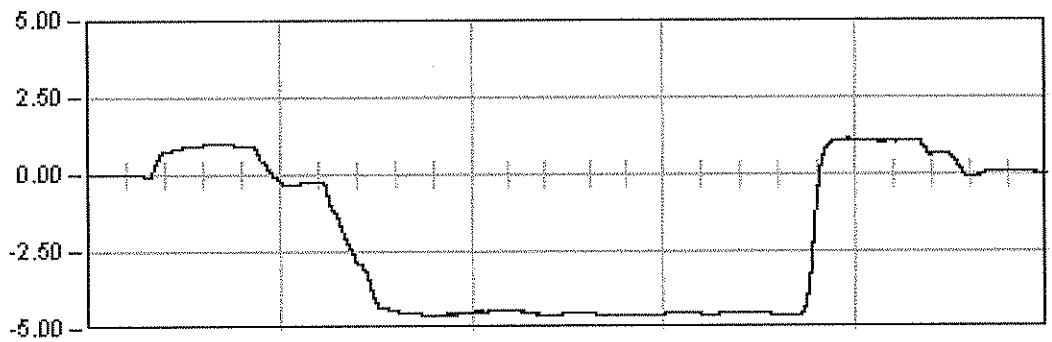


ESTATICA 08

1359.0 Seg

Est: -4.57
Max: -4.61
Min: 1.14
Rem: 0.05

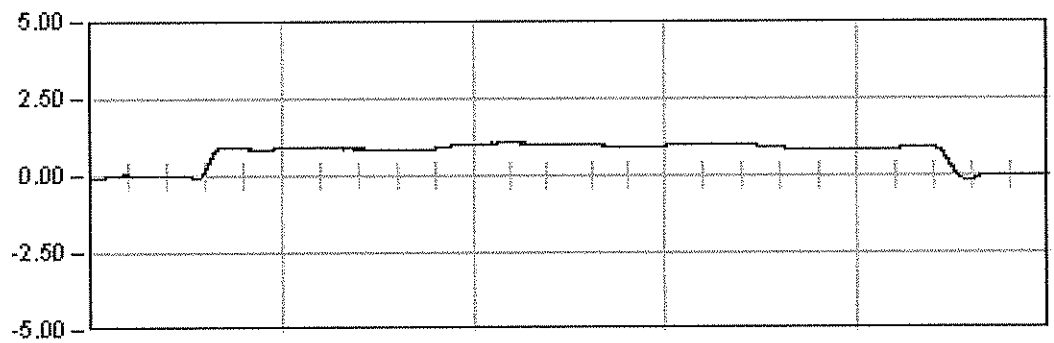


ESTATICA 18

939.0 Seg

Est: 0.91
Max: 1.07
Min: -0.20
Rem: -0.00

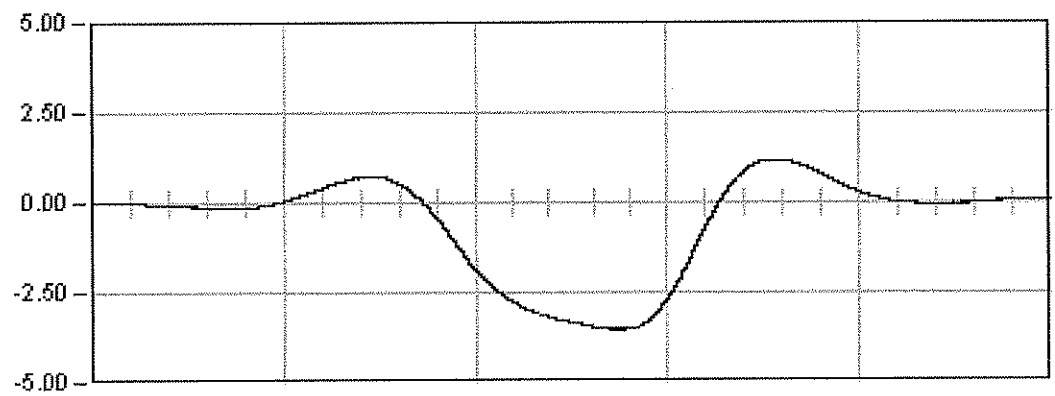


DINAMICA 01

120.0 Seg

Max: -3.55
Min: 1.17
Rem: 0.07

L.A.V. MADRID-BARCELONA-F.FRANCESA

35VI02 - SUBTRAMO IIIa

Punto : P102 Canal : 01 Unidades : mm

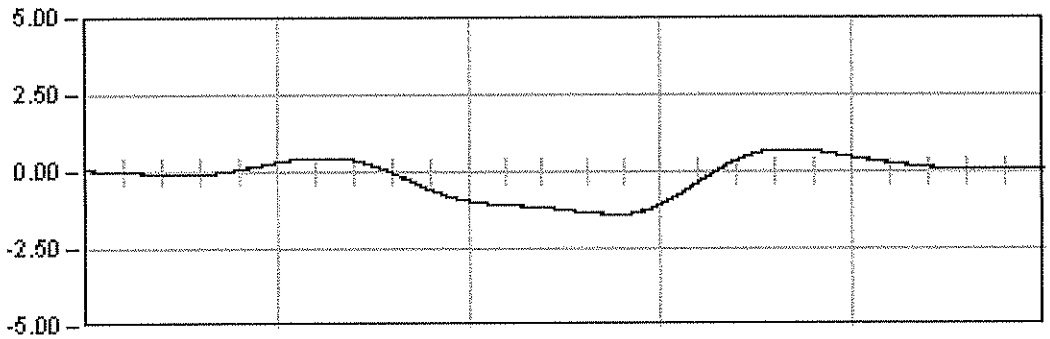


DINAMICA 11

162.0 Seg

Max: -1.40
Min: 0.70
Rem: -0.00

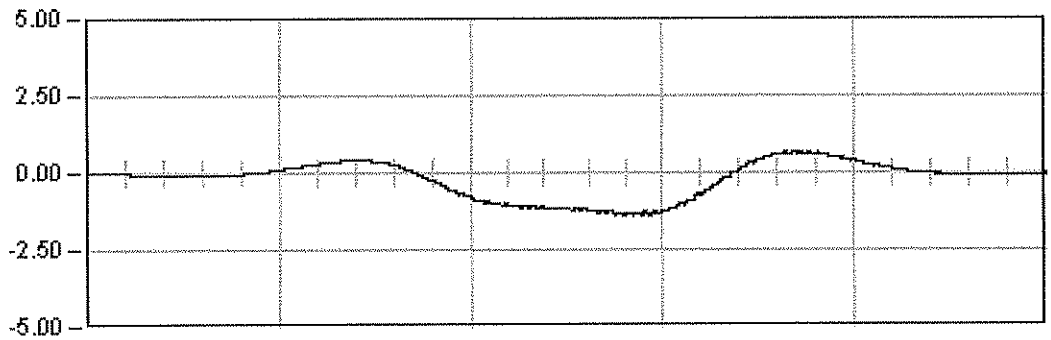


DINAMICA 12

32.0 Seg

Max: -1.42
Min: 0.65
Rem: 0.00

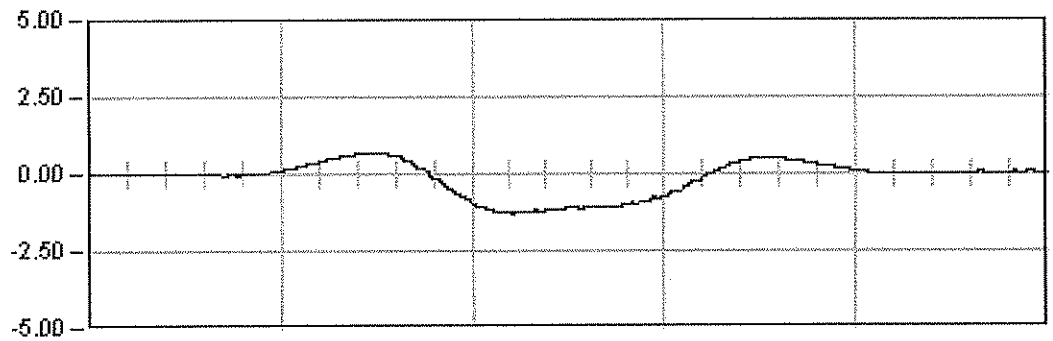


DINAMICA 13

16.0 Seg

Max: -1.29
Min: 0.68
Rem: 0.01

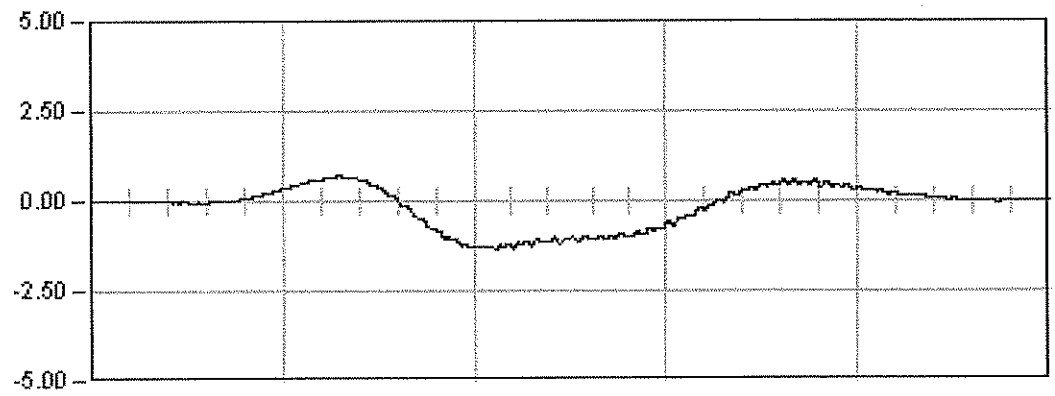


DINAMICA 14

17.0 Seg

Max: -1.34
Min: 0.68
Rem: 0.03

L.A.V. MADRID-BARCELONA-F.FRANCESA

35VI02 - SUBTRAMO IIIa

Punto : P103 Canal : 02 Unidades : mm

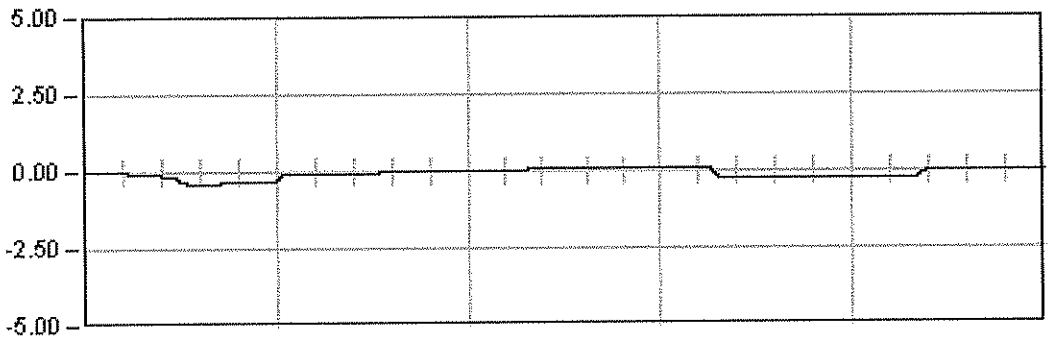


ESTATICA 07

1342.0 Seg

Est: 0.06
Max: -0.39
Min: 0.11
Rem: -0.00

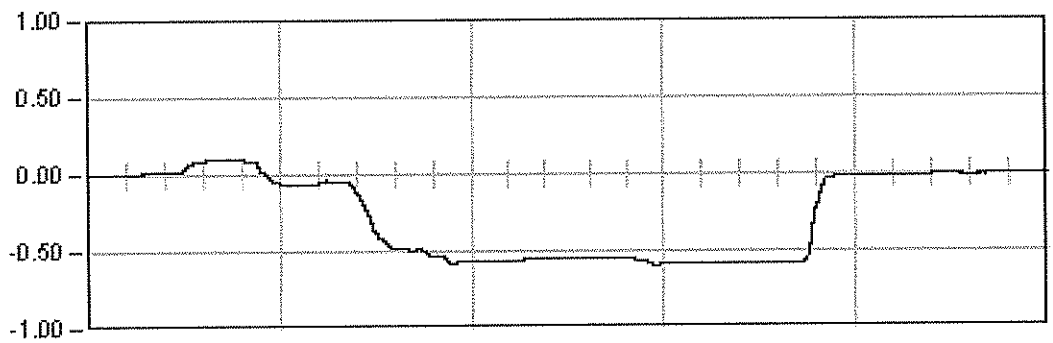


ESTATICA 08

1359.0 Seg

Est: -0.58
Max: -0.59
Min: 0.10
Rem: 0.00

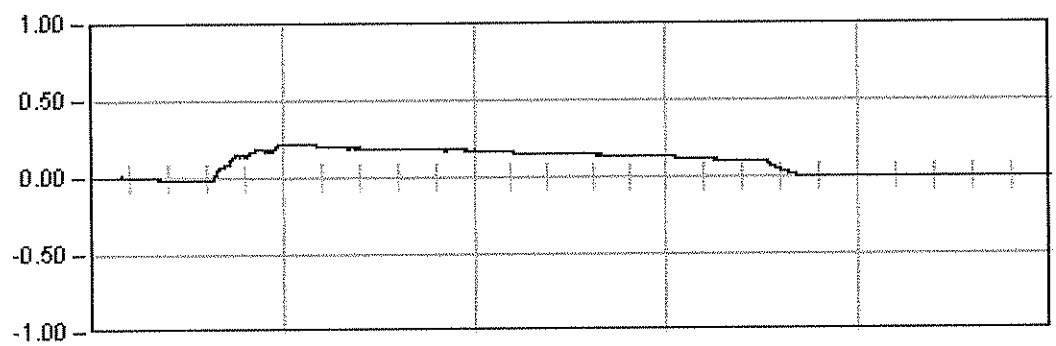


ESTATICA 18

939.0 Seg

Est: 0.05
Max: 0.22
Min: -0.02
Rem: 0.00

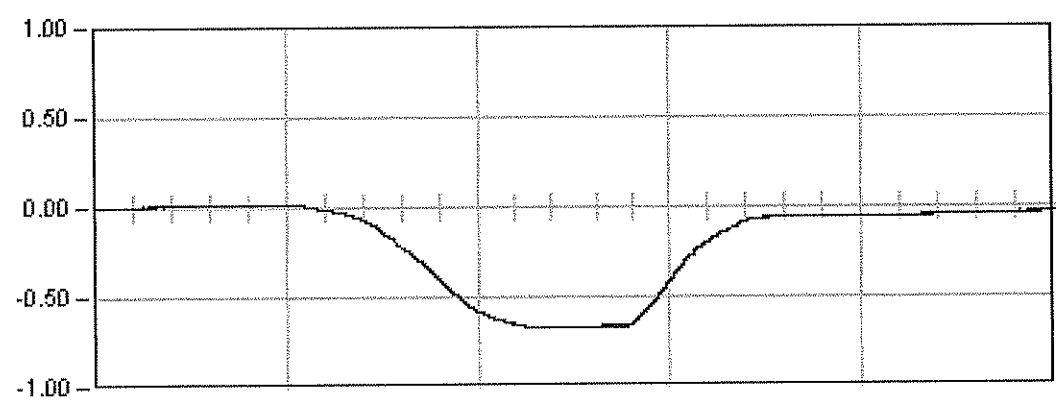


DINAMICA 01

120.0 Seg

Max: -0.68
Min: 0.02
Rem: -0.00

L.A.V. MADRID-BARCELONA-F.FRANCESA

35VI02 - SUBTRAMO IIIa

Punto : P103 Canal : 02 Unidades : mm

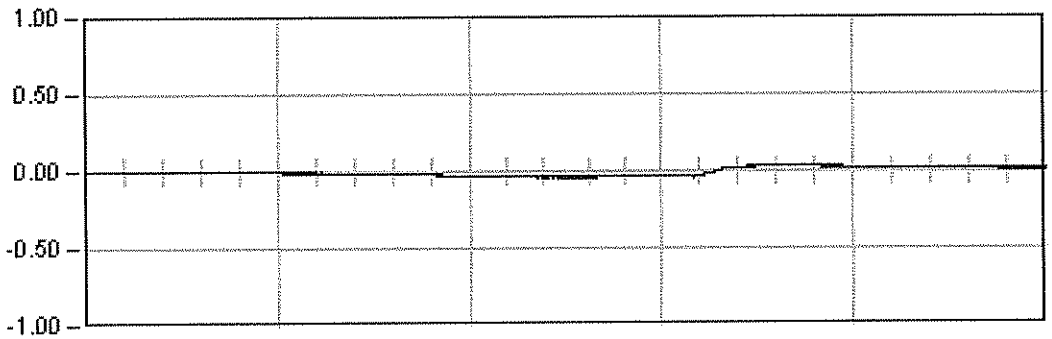


DINAMICA 11

162.0 Seg

Max: -0.04
Min: 0.03
Rem: 0.00

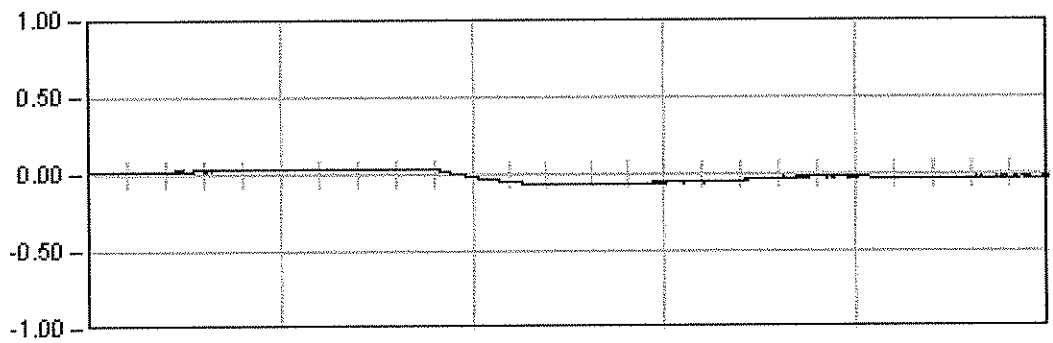


DINAMICA 12

32.0 Seg

Max: -0.07
Min: 0.04
Rem: -0.00

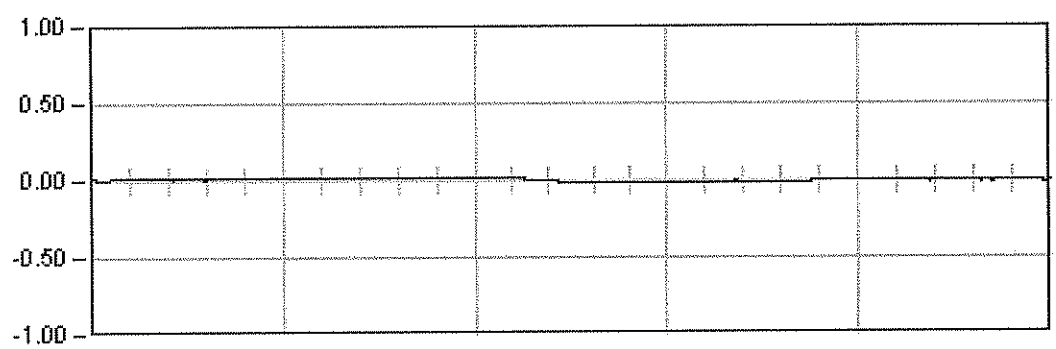


DINAMICA 13

16.0 Seg

Max: 0.02
Min: -0.02
Rem: -0.00

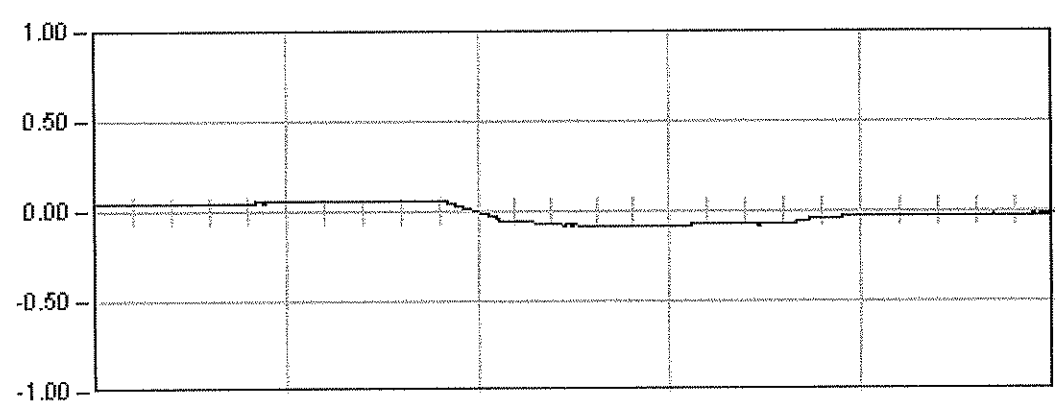


DINAMICA 14

17.0 Seg

Max: -0.09
Min: 0.06
Rem: -0.00

L.A.V. MADRID-BARCELONA-F.FRANCESA

35VI02 - SUBTRAMO IIIa

Punto : P104 Canal : 03 Unidades : mm

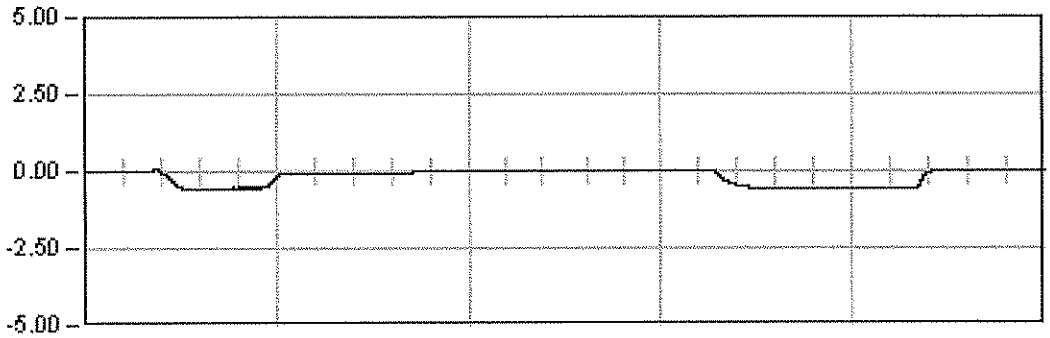


ESTATICA 07

1342.0 Seg

Est: -0.01
Max: -0.57
Min: 0.05
Rem: 0.00

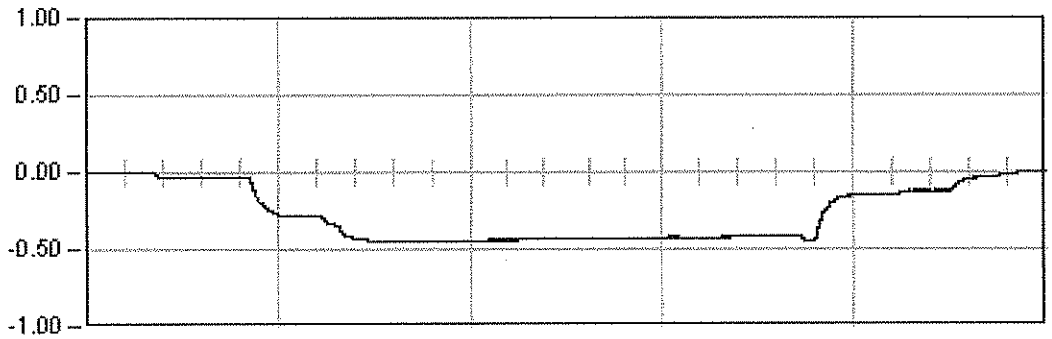


ESTATICA 08

1359.0 Seg

Est: -0.42
Max: -0.46
Min: 0.01
Rem: -0.01

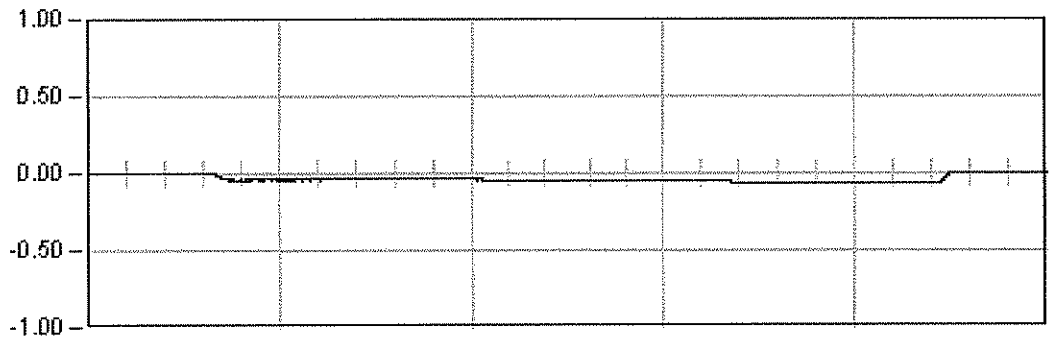


ESTATICA 18

939.0 Seg

Est: -0.07
Max: -0.07
Min: 0.00
Rem: -0.00

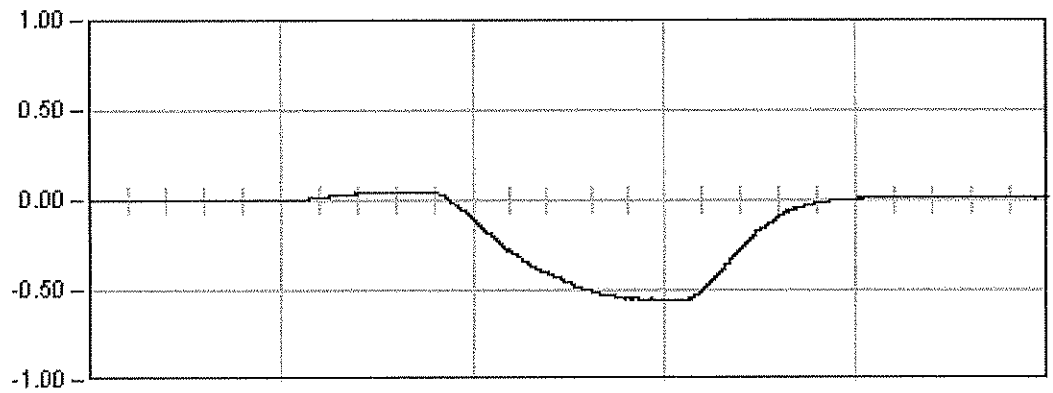


DINAMICA 01

120.0 Seg

Max: -0.56
Min: 0.04
Rem: 0.01

L.A.V. MADRID-BARCELONA-F.FRANCESA

35VI02 - SUBTRAMO IIIa

Punto : P104 Canal : 03 Unidades : mm

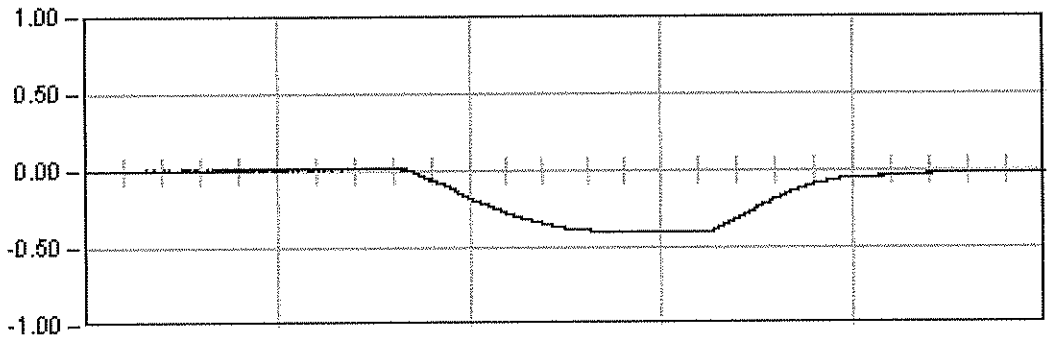


DINAMICA 11

162.0 Seg

Max: -0.40
Min: 0.01
Rem: -0.00

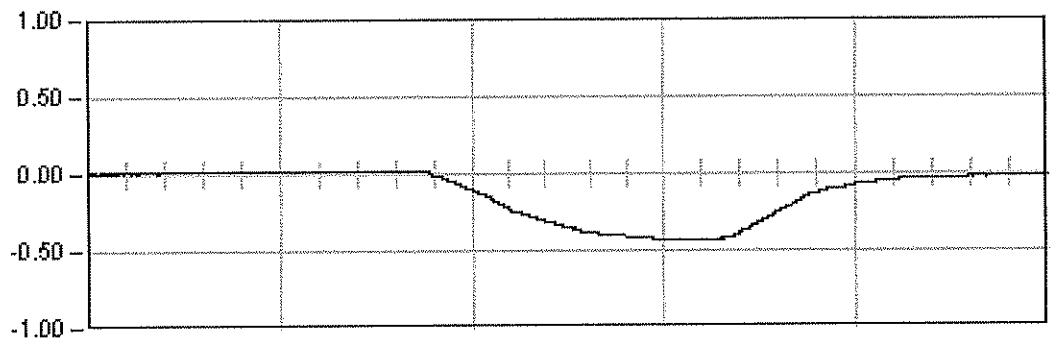


DINAMICA 12

32.0 Seg

Max: -0.43
Min: 0.02
Rem: -0.00

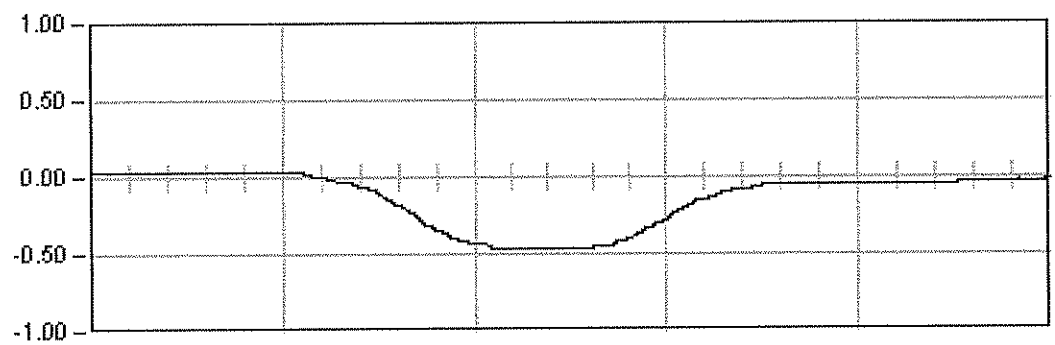


DINAMICA 13

16.0 Seg

Max: -0.47
Min: 0.04
Rem: -0.00

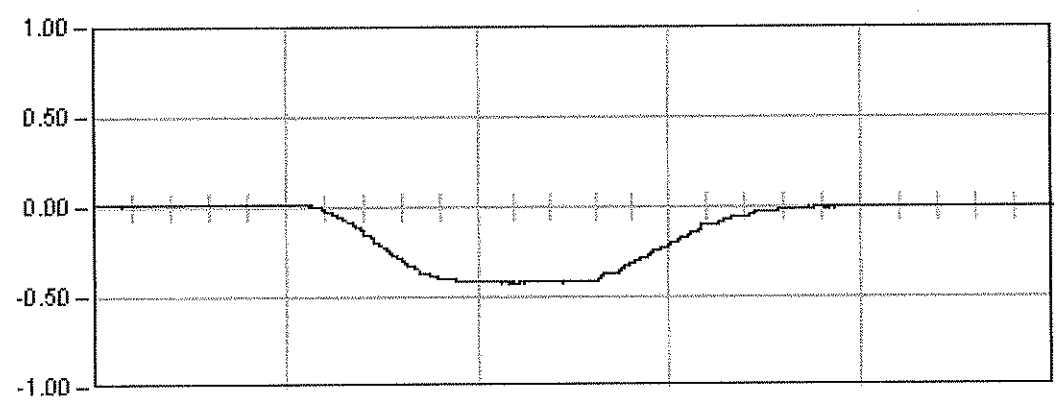


DINAMICA 14

17.0 Seg

Max: -0.42
Min: 0.01
Rem: 0.00

L.A.V. MADRID-BARCELONA-F.FRANCESA

35VI02 - SUBTRAMO IIIa

Punto : P111 Canal : 04 Unidades : mm

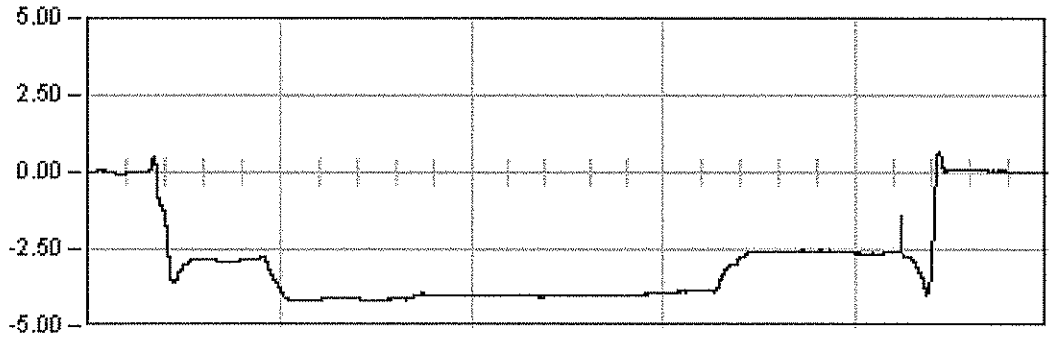


ESTATICA 07

1342.0 Seg

Est: -3.83
Max: -4.16
Min: 0.65
Rem: -0.00

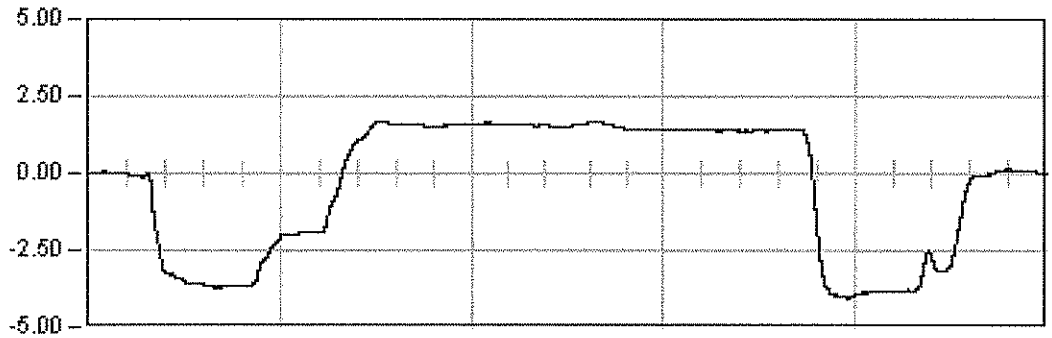


ESTATICA 08

1359.0 Seg

Est: 1.41
Max: -4.07
Min: 1.65
Rem: 0.06

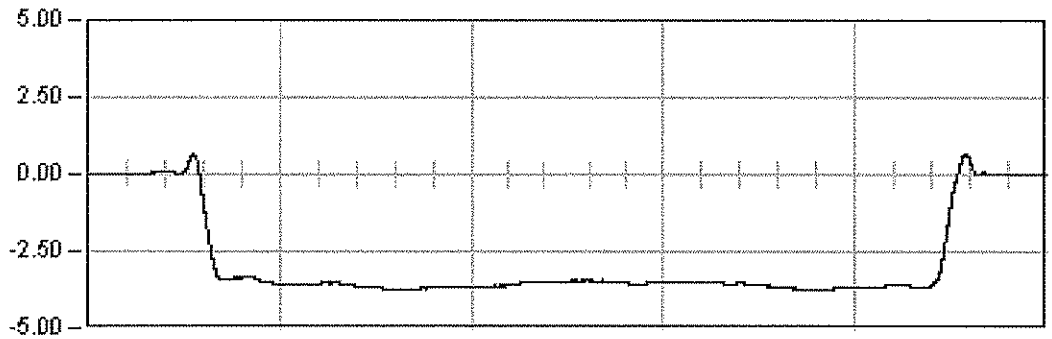


ESTATICA 18

939.0 Seg

Est: -3.59
Max: -3.78
Min: 0.63
Rem: -0.00

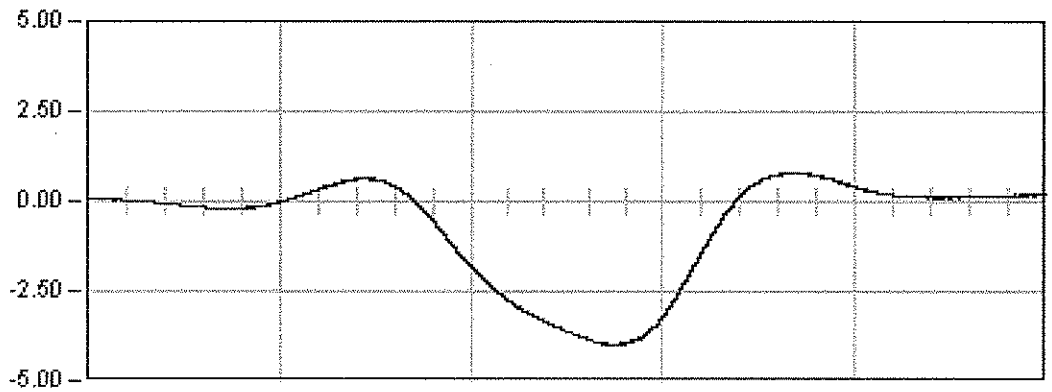


DINAMICA 01

119.0 Seg

Max: -4.00
Min: 0.79
Rem: 0.14

L.A.V. MADRID-BARCELONA-F.FRANCESA

35VI02 - SUBTRAMO IIIa

Punto : P111 Canal : 04 Unidades : mm

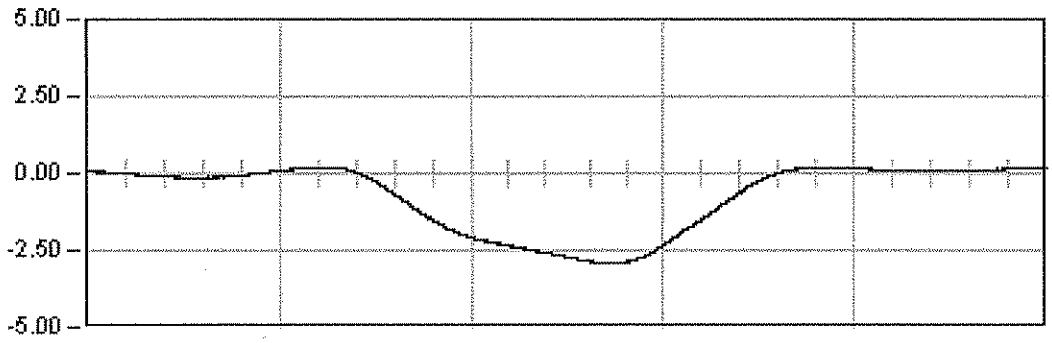


DINAMICA 11

172.0 Seg

Max: -2.93
Min: 0.20
Rem: 0.12

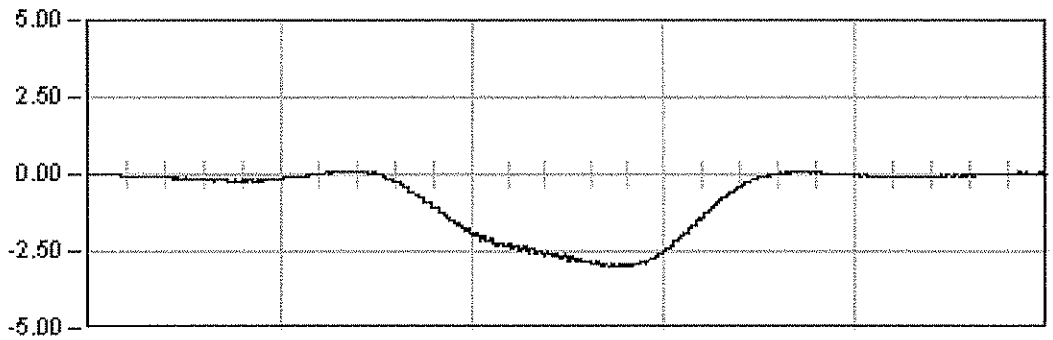


DINAMICA 12

35.0 Seg

Max: -3.00
Min: 0.12
Rem: 0.03

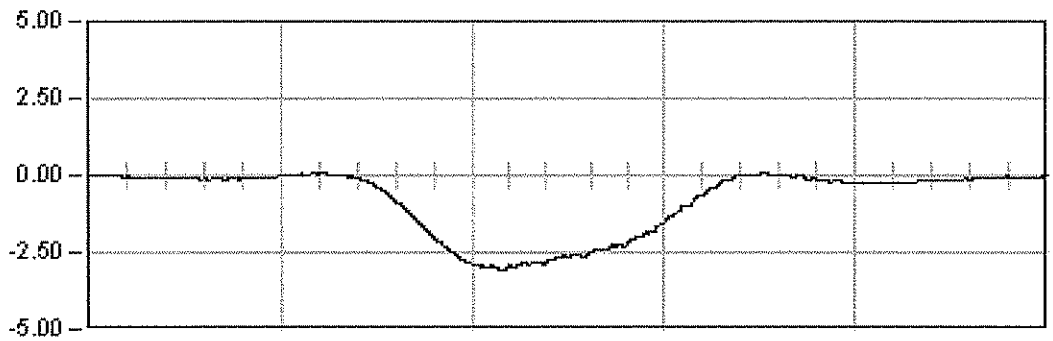


DINAMICA 13

16.0 Seg

Max: -3.08
Min: 0.09
Rem: -0.04

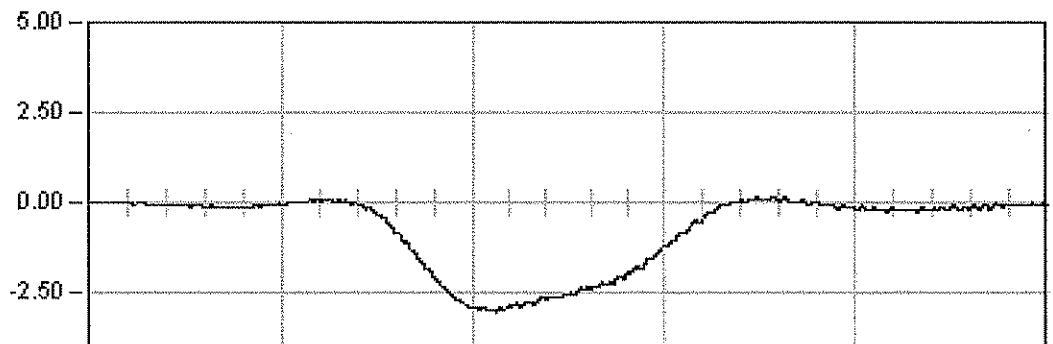


DINAMICA 14

18.0 Seg

Max: -3.04
Min: 0.13
Rem: 0.00

L.A.V. MADRID-BARCELONA-F.FRANCESA

35VI02 - SUBTRAMO IIIa

Punto : P112 Canal : 05 Unidades : mm

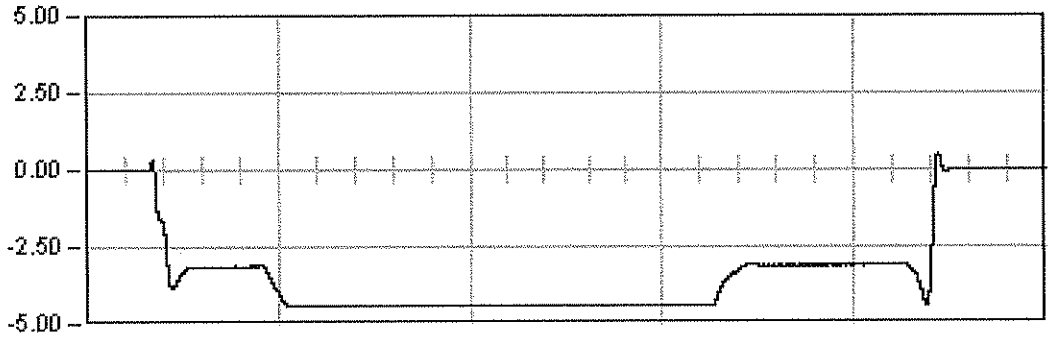


ESTATICA 07

1342.0 Seg

Est: -4.40
Max: -4.42
Min: 0.51
Rem: -0.00

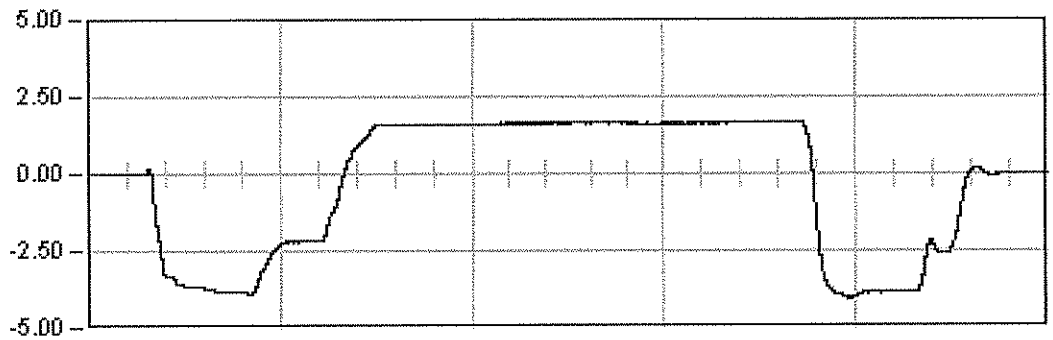


ESTATICA 08

1359.0 Seg

Est: 1.63
Max: -4.05
Min: 1.64
Rem: -0.00

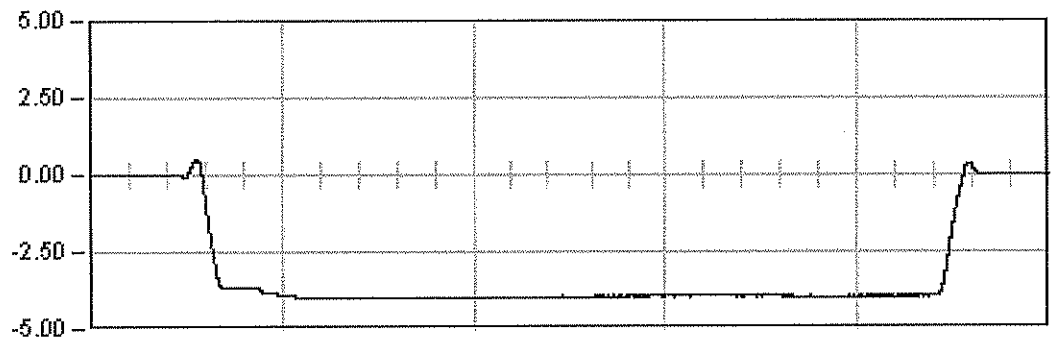


ESTATICA 18

939.0 Seg

Est: -3.96
Max: -3.99
Min: 0.50
Rem: -0.01

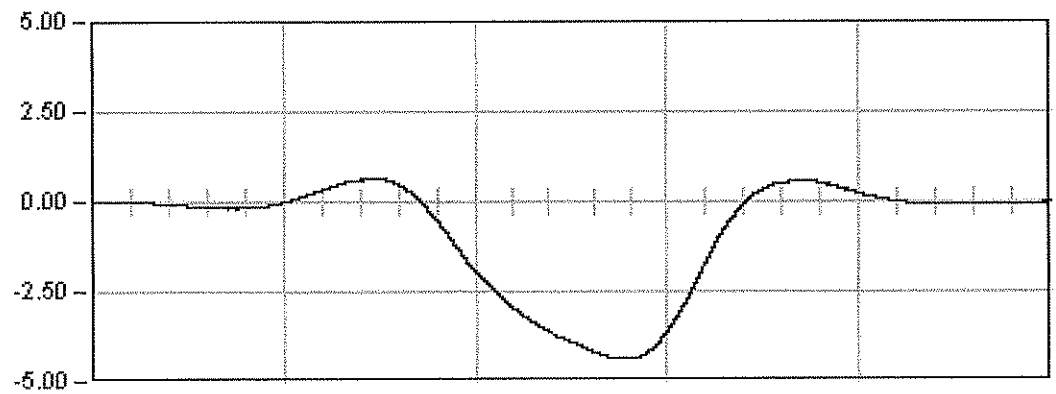


DINAMICA 01

119.0 Seg

Max: -4.38
Min: 0.64
Rem: -0.02

L.A.V. MADRID-BARCELONA-F.FRANCESA

35VI02 - SUBTRAMO IIIa

Punto : P112 Canal : 05 Unidades : mm

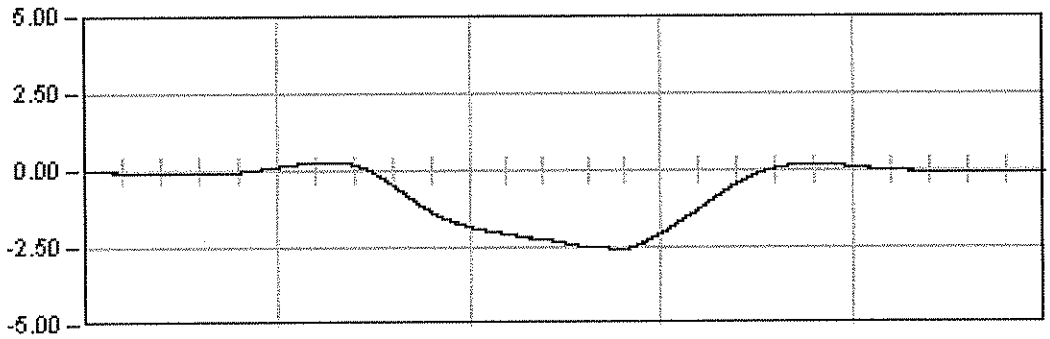


DINAMICA 11

172.0 Seg

Max: -2.56
Min: 0.27
Rem: -0.04

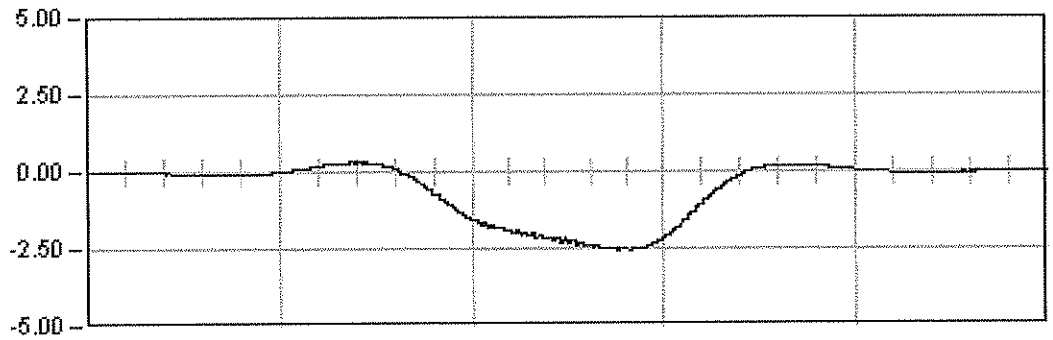


DINAMICA 12

35.0 Seg

Max: -2.56
Min: 0.32
Rem: -0.01

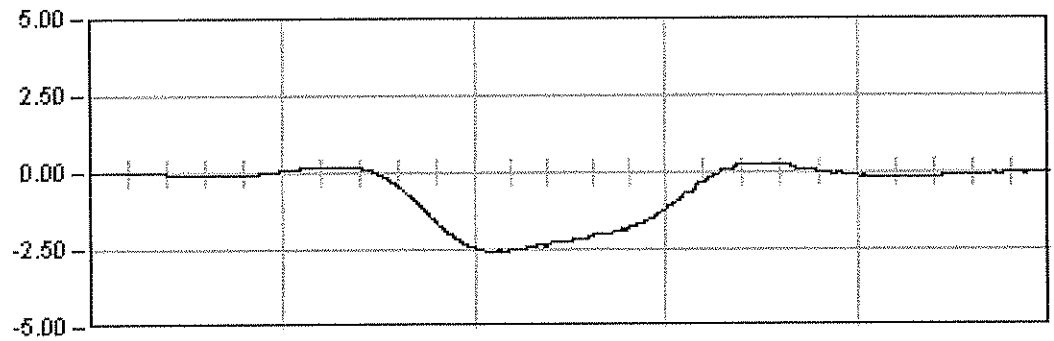


DINAMICA 13

16.0 Seg

Max: -2.58
Min: 0.26
Rem: -0.04

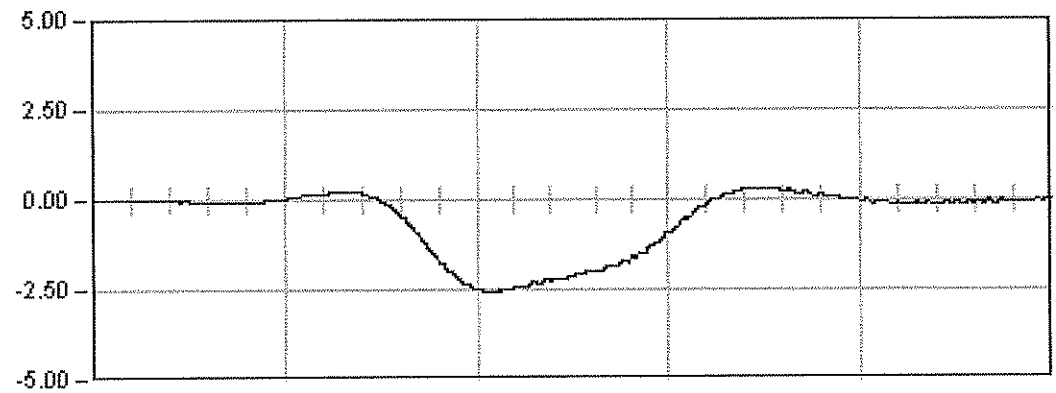


DINAMICA 14

18.0 Seg

Max: -2.56
Min: 0.30
Rem: -0.02

L.A.V. MADRID-BARCELONA-F.FRANCESA

35VI02 - SUBTRAMO IIIa

Punto : P113 Canal : 07 Unidades : mm

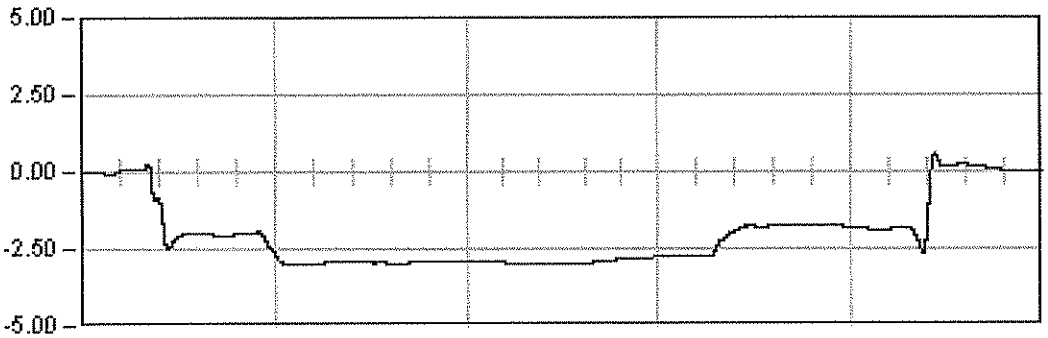


ESTATICA 07

1342.0 Seg

Est: -2.72
Max: -3.02
Min: 0.56
Rem: 0.01

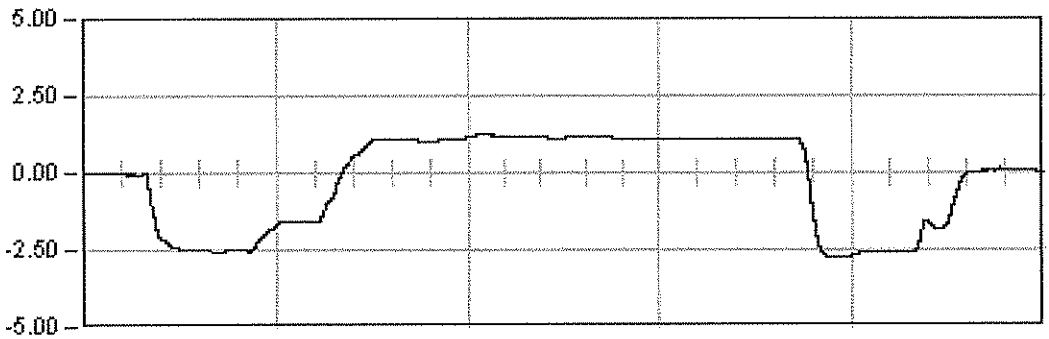


ESTATICA 08

1359.0 Seg

Est: 1.08
Max: -2.76
Min: 1.22
Rem: 0.06

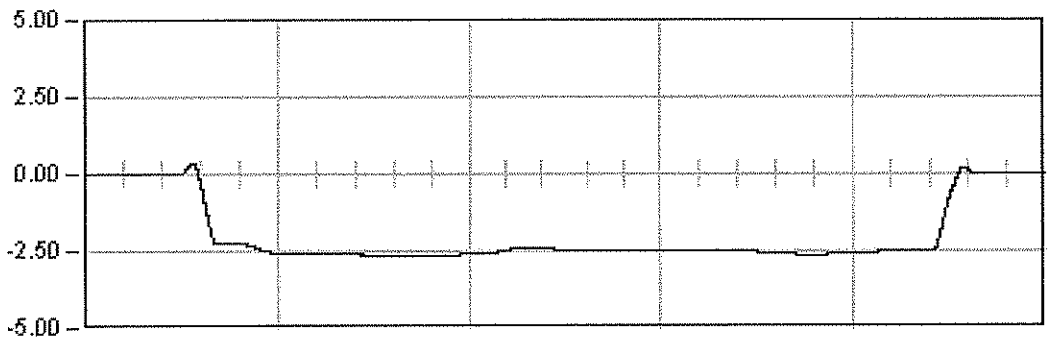


ESTATICA 18

939.0 Seg

Est: -2.53
Max: -2.71
Min: 0.36
Rem: 0.00

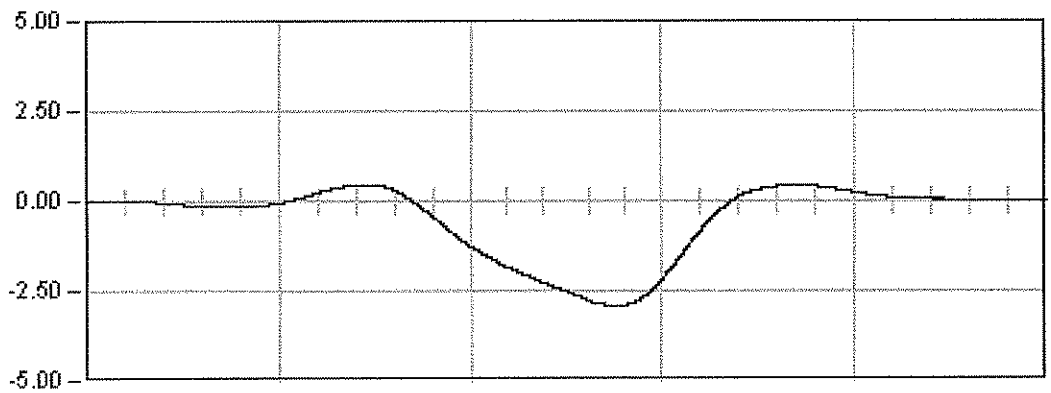


DINAMICA 01

119.0 Seg

Max: -2.92
Min: 0.46
Rem: 0.00

L.A.V. MADRID-BARCELONA-F.FRANCESA

35VI02 - SUBTRAMO IIIa

Punto : P113 Canal : 07 Unidades : mm

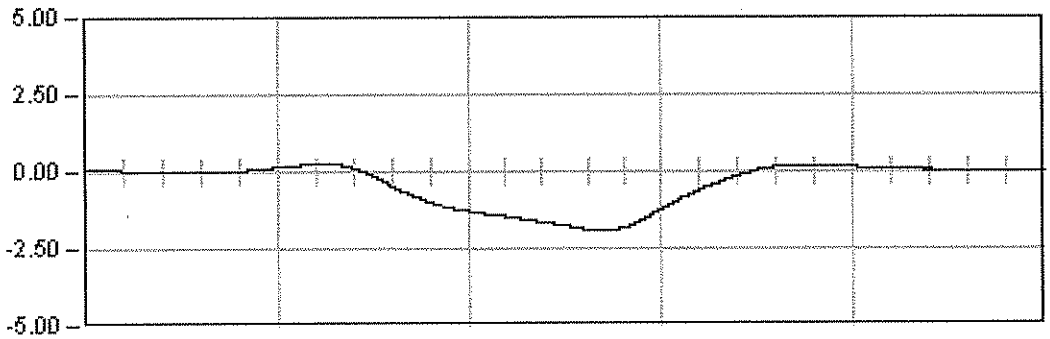


DINAMICA 11

172.0 Seg

Max: -1.91
Min: 0.23
Rem: 0.00

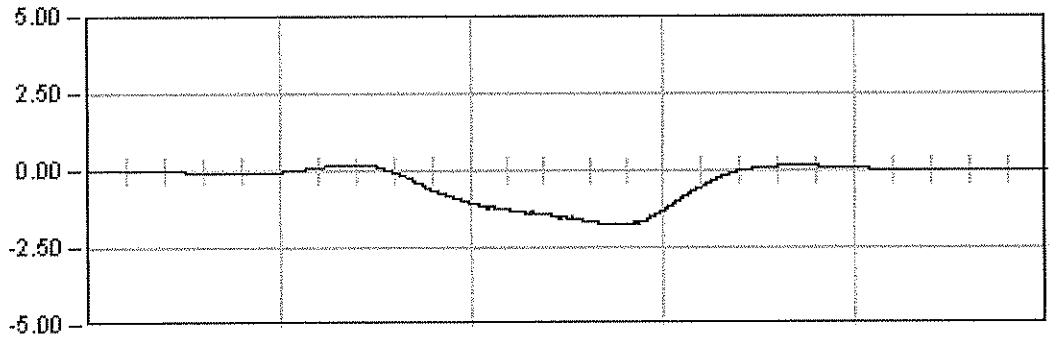


DINAMICA 12

35.0 Seg

Max: -1.76
Min: 0.19
Rem: 0.02

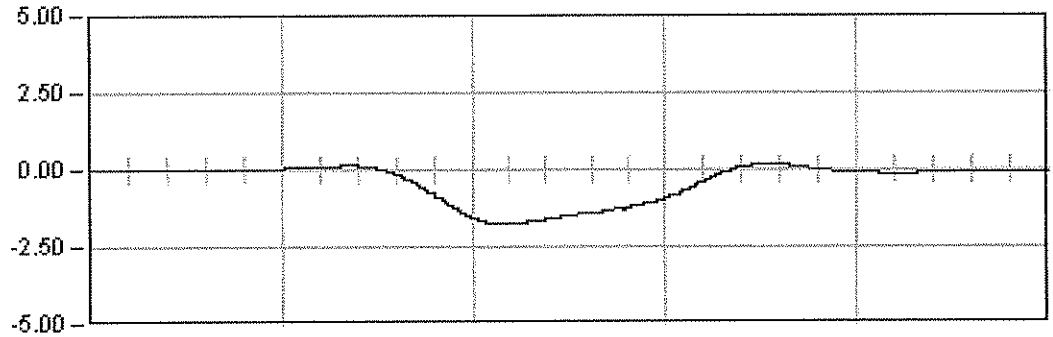


DINAMICA 13

16.0 Seg

Max: -1.78
Min: 0.16
Rem: -0.06

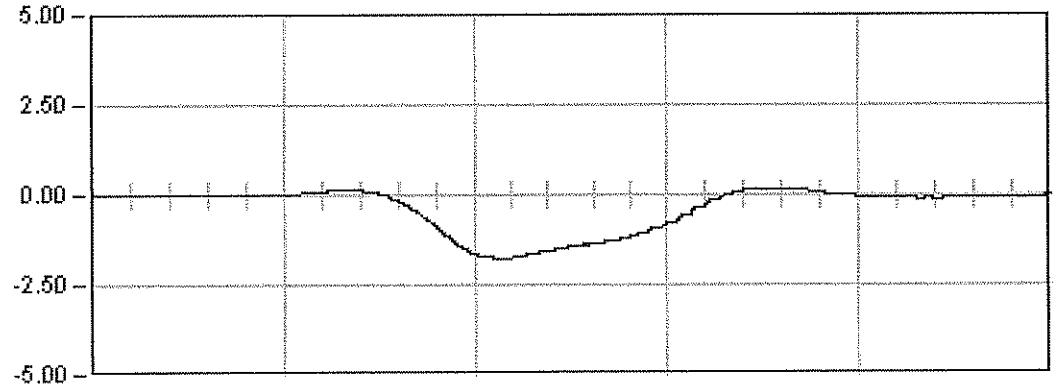


DINAMICA 14

18.0 Seg

Max: -1.79
Min: 0.16
Rem: 0.01

L.A.V. MADRID-BARCELONA-F.FRANCESA

35VI02 - SUBTRAMO IIIa

Punto : P114 Canal : 06 Unidades : mm

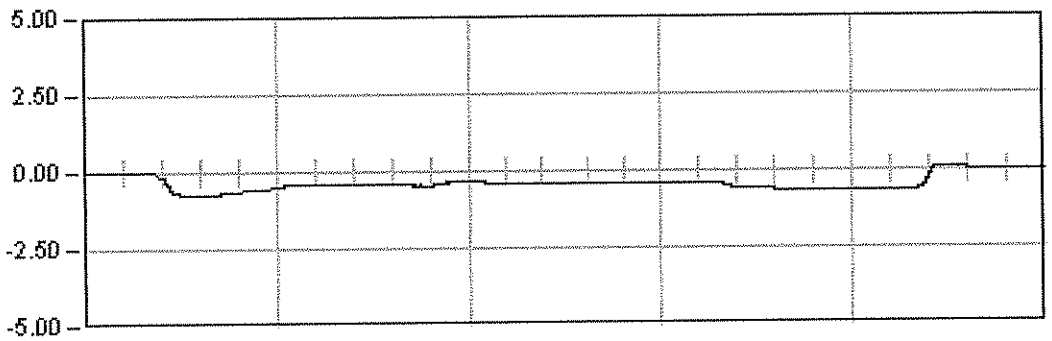


ESTATICA 07

1342.0 Seg

Est: -0.44
Max: -0.74
Min: 0.06
Rem: -0.00

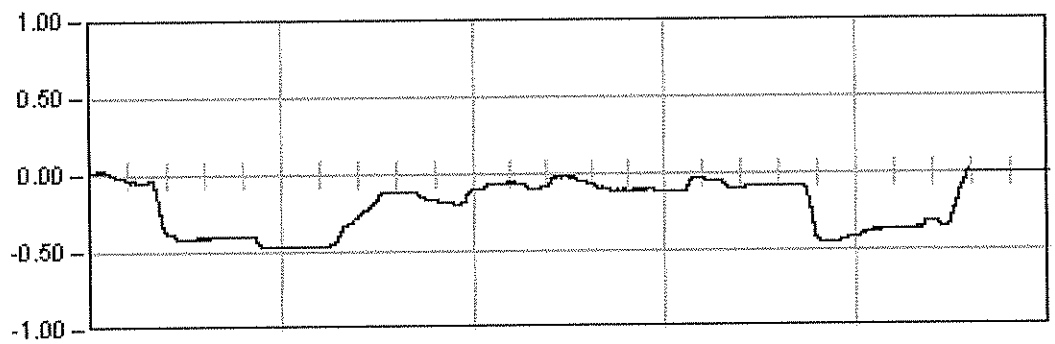


ESTATICA 08

1359.0 Seg

Est: -0.09
Max: -0.47
Min: 0.03
Rem: 0.00

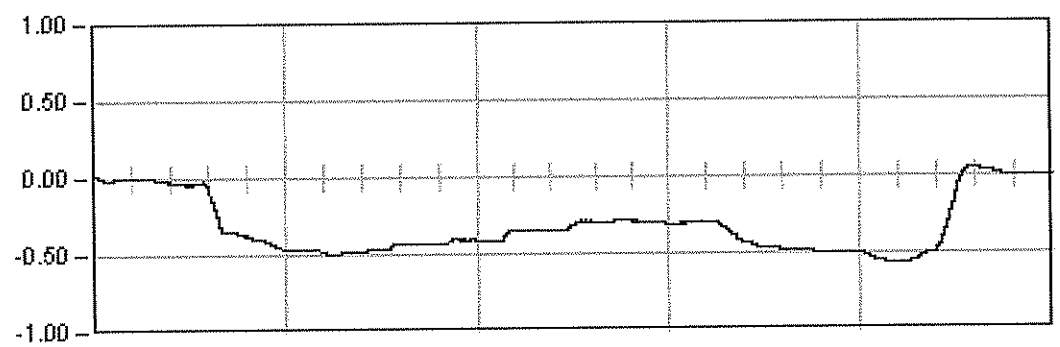


ESTATICA 18

939.0 Seg

Est: -0.57
Max: -0.57
Min: 0.05
Rem: 0.00

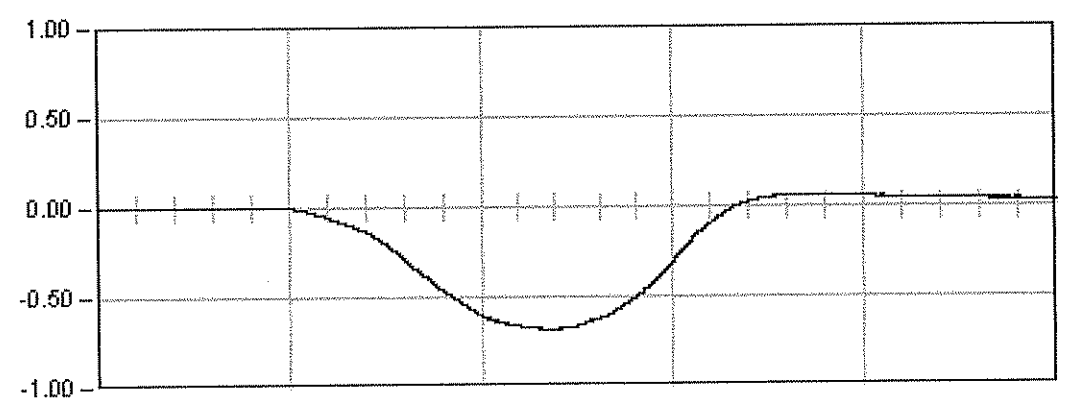


DINAMICA 01

119.0 Seg

Max: -0.68
Min: 0.06
Rem: -0.01

L.A.V. MADRID-BARCELONA-F.FRANCESA

35VI02 - SUBTRAMO IIIa

Punto : P114 Canal : 06 Unidades : mm

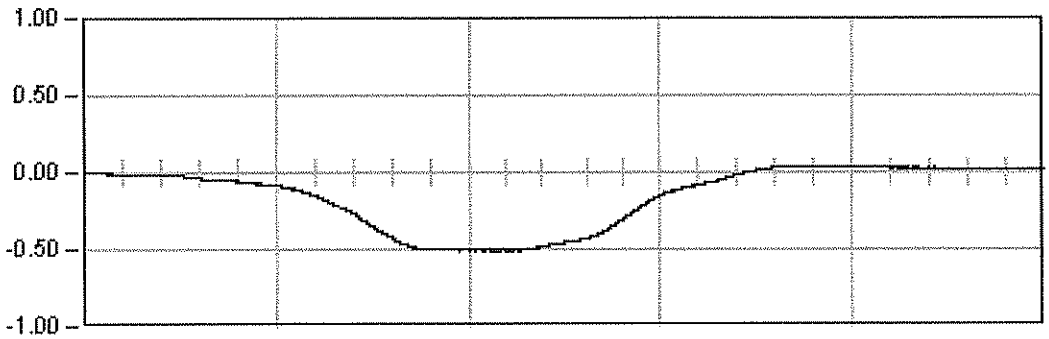


DINAMICA 11

172.0 Seg

Max: -0.51
Min: 0.03
Rem: 0.00

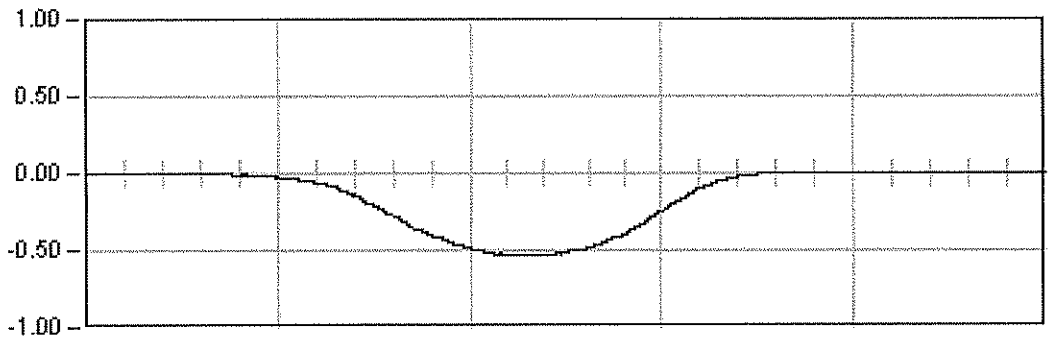


DINAMICA 12

35.0 Seg

Max: -0.53
Min: 0.00
Rem: -0.00

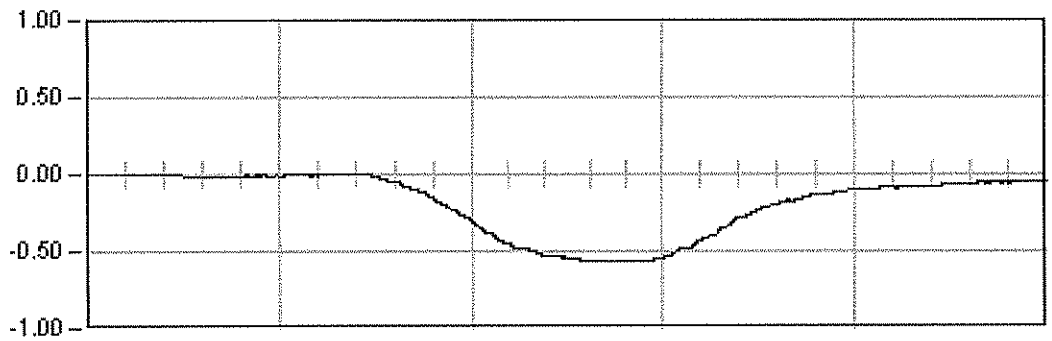


DINAMICA 13

16.0 Seg

Max: -0.57
Min: 0.03
Rem: -0.00

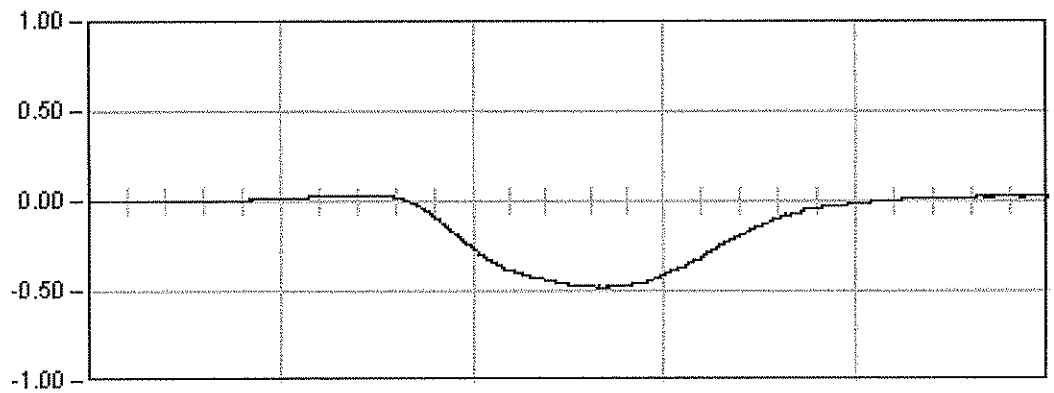


DINAMICA 14

18.0 Seg

Max: -0.48
Min: 0.03
Rem: 0.03

L.A.V. MADRID-BARCELONA-F.FRANCESA

35VI02 - SUBTRAMO IIIa

Punto : P121 Canal : 08 Unidades : mm

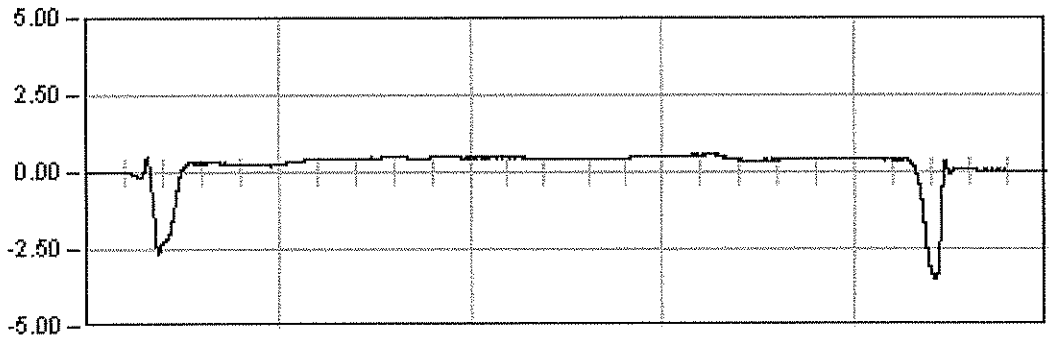


ESTATICA 07

1342.0 Seg

Est: 0.53
Max: -3.52
Min: 0.58
Rem: 0.02

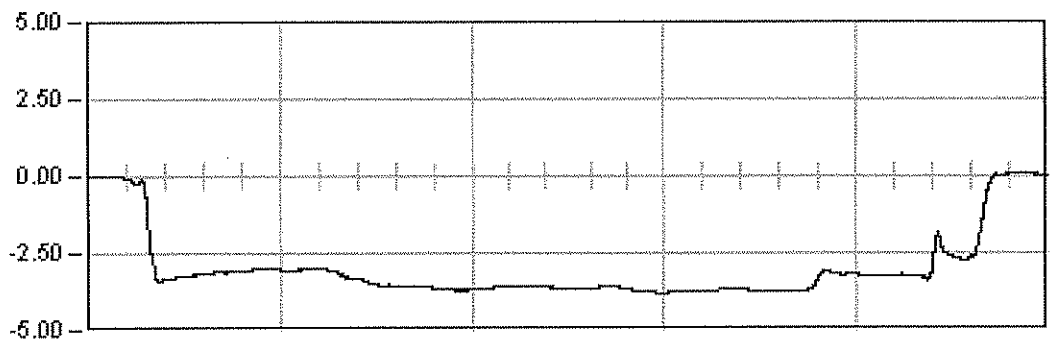


ESTATICA 08

1359.0 Seg

Est: -3.74
Max: -3.81
Min: 0.12
Rem: 0.06

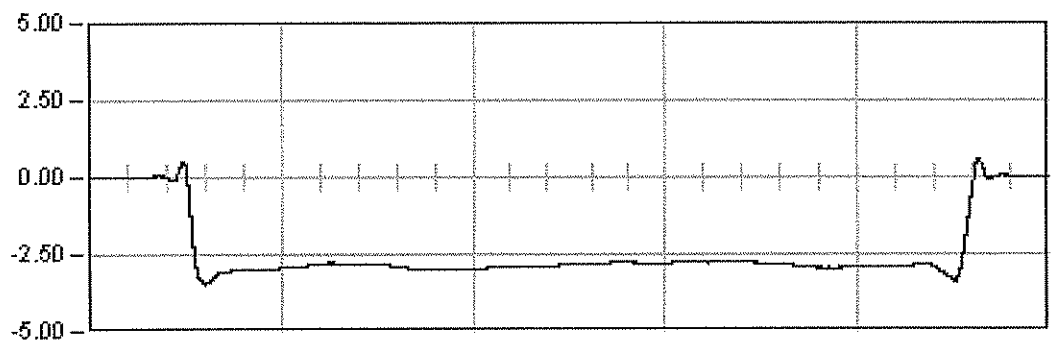


ESTATICA 18

939.0 Seg

Est: -2.92
Max: -3.46
Min: 0.61
Rem: 0.02

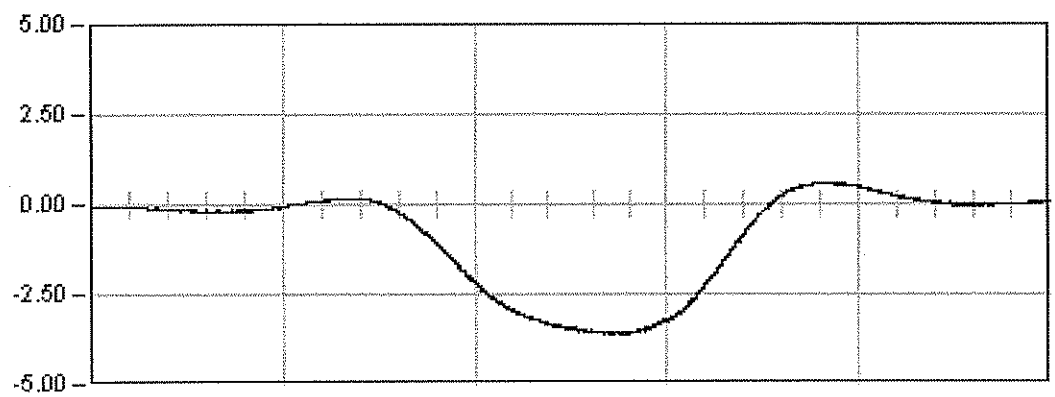


DINAMICA 01

111.0 Seg

Max: -3.64
Min: 0.59
Rem: 0.06

L.A.V. MADRID-BARCELONA-F.FRANCESA

35VI02 - SUBTRAMO IIIa

Punto : P121 Canal : 08 Unidades : mm

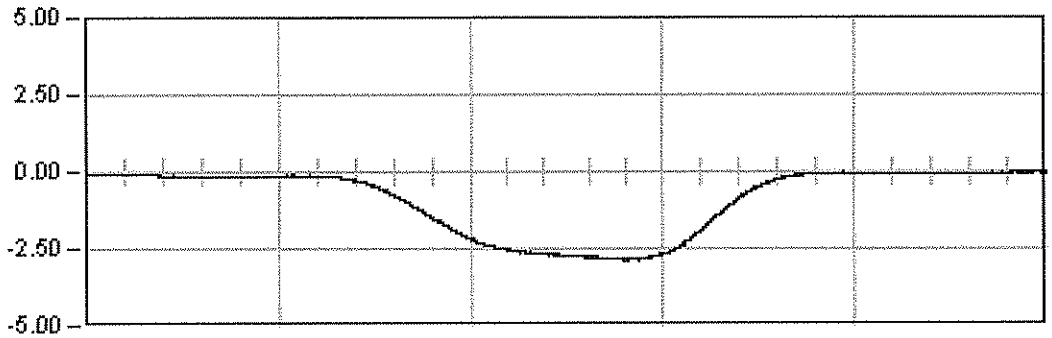


DINAMICA 11

179.0 Seg

Max: -2.88
Min: 0.00
Rem: -0.04

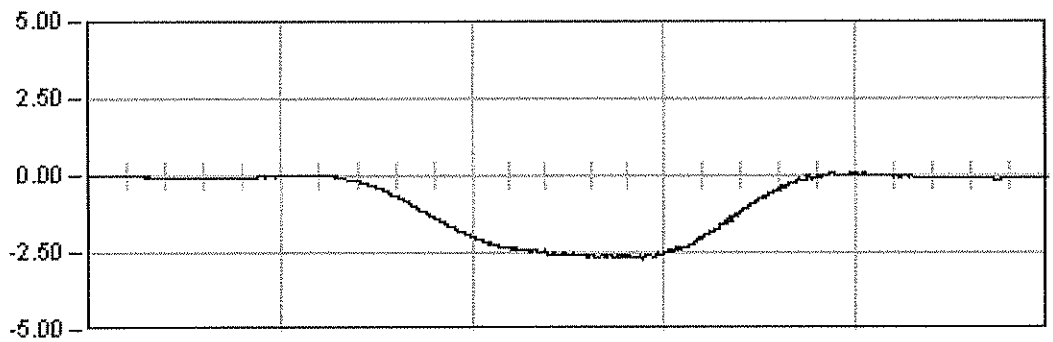


DINAMICA 12

30.0 Seg

Max: -2.72
Min: 0.08
Rem: 0.05

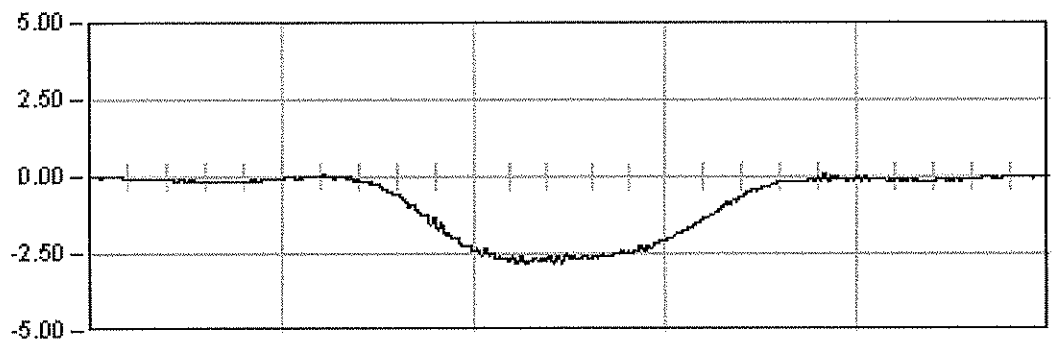


DINAMICA 13

15.0 Seg

Max: -2.87
Min: 0.10
Rem: 0.01

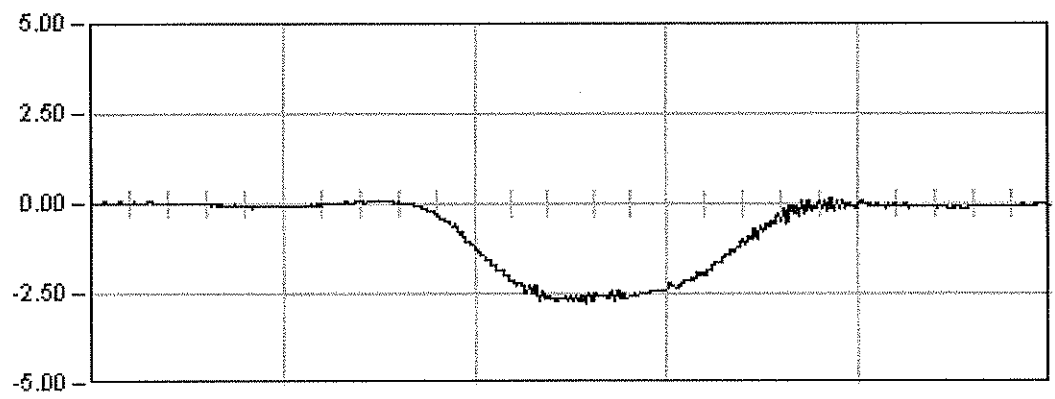


DINAMICA 14

17.0 Seg

Max: -2.77
Min: 0.15
Rem: 0.04

L.A.V. MADRID-BARCELONA-F.FRANCESA

35VI02 - SUBTRAMO IIIa

Punto : P122 Canal : 11 Unidades : mm

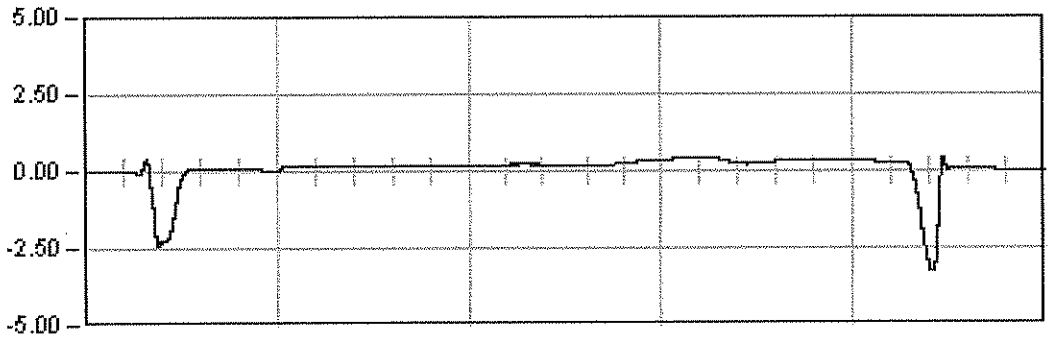


ESTATICA 07

1342.0 Seg

Est: 0.42
Max: -3.29
Min: 0.44
Rem: -0.01

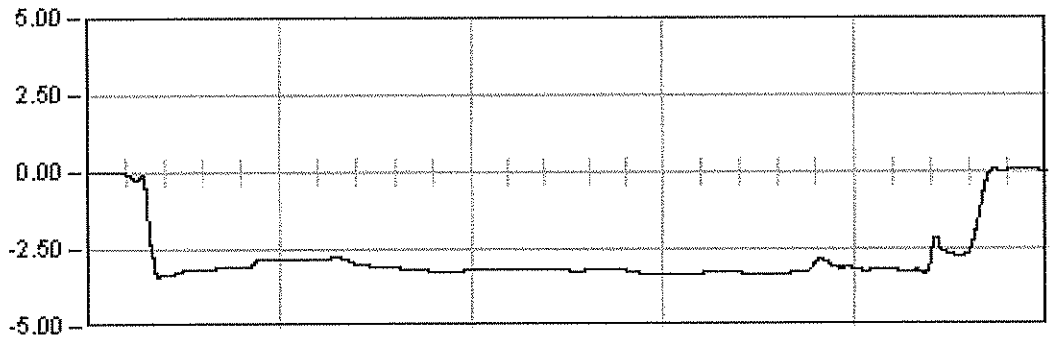


ESTATICA 08

1359.0 Seg

Est: -3.30
Max: -3.41
Min: 0.08
Rem: 0.05

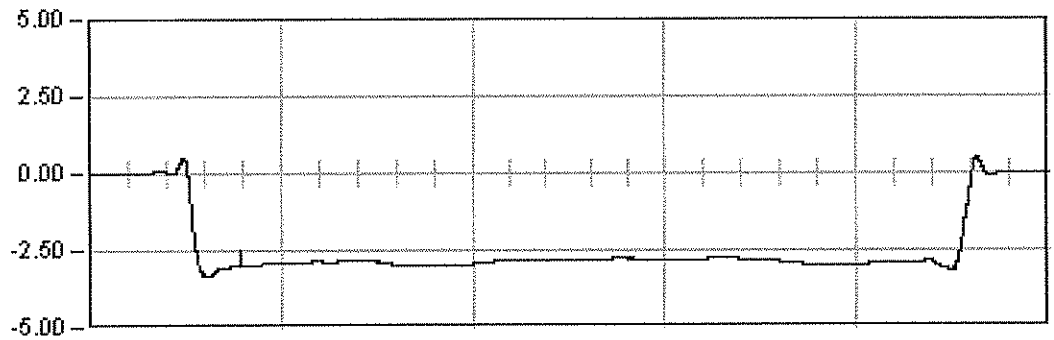


ESTATICA 18

939.0 Seg

Est: -2.92
Max: -3.36
Min: 0.48
Rem: -0.02

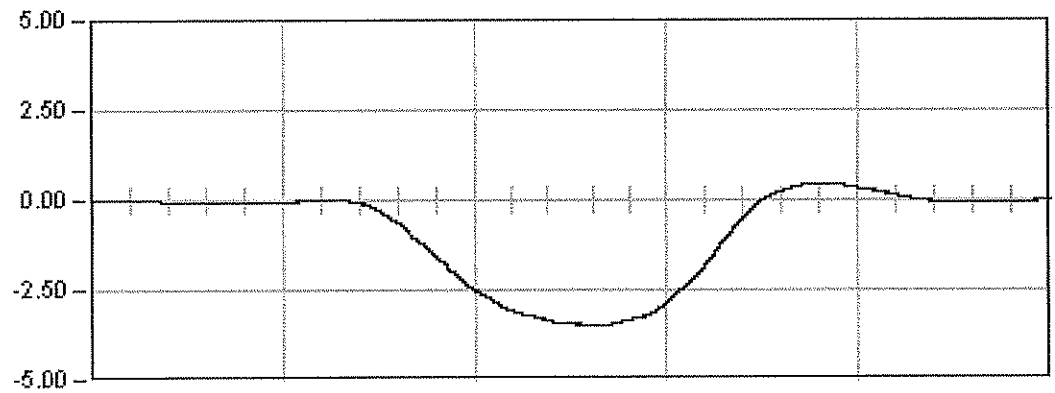


DINAMICA 01

111.0 Seg

Max: -3.50
Min: 0.44
Rem: -0.02

L.A.V. MADRID-BARCELONA-F.FRANCESA

35VI02 - SUBTRAMO IIIa

Punto : P122 Canal : 11 Unidades : mm

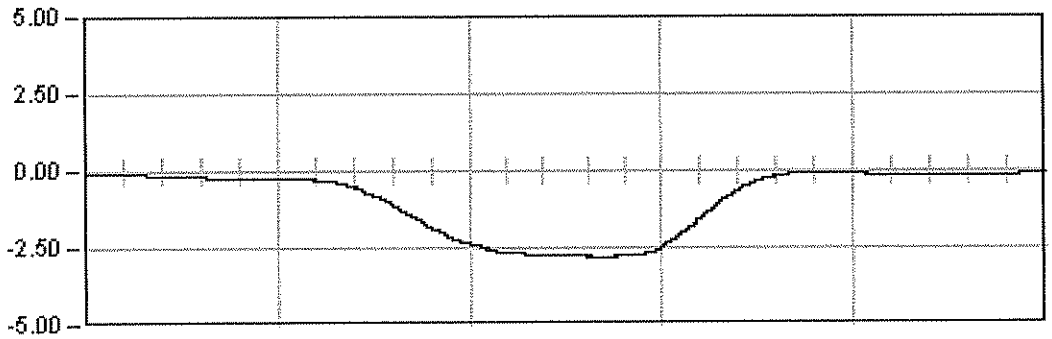


DINAMICA 11

179.0 Seg

Max: -2.81
Min: 0.01
Rem: -0.11

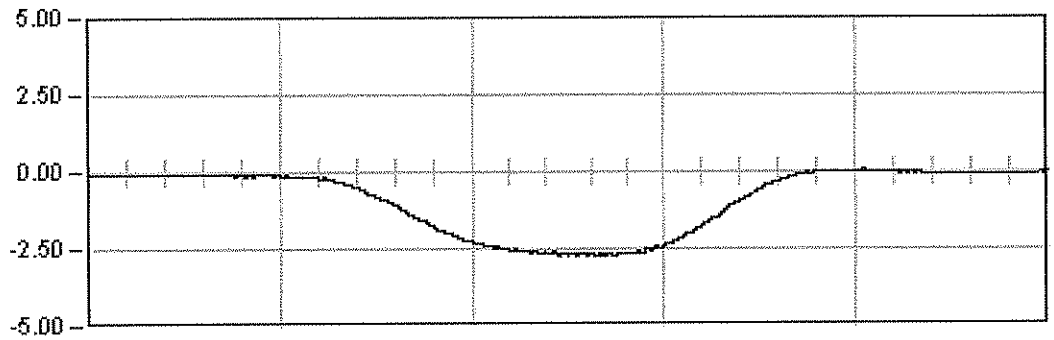


DINAMICA 12

30.0 Seg

Max: -2.74
Min: 0.05
Rem: 0.02

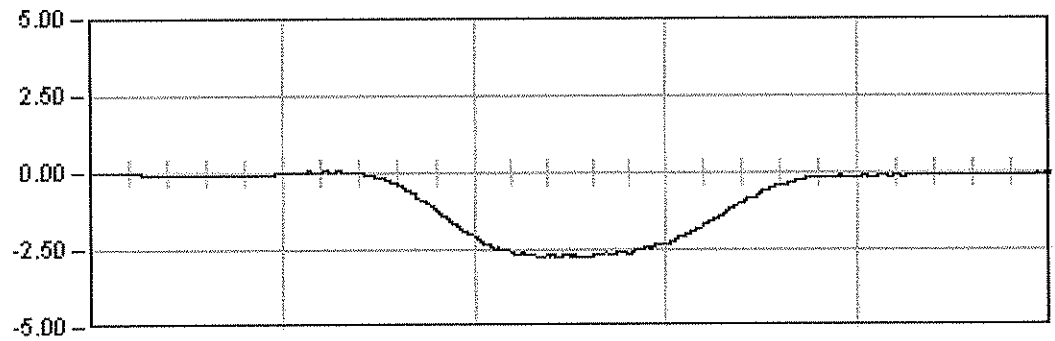


DINAMICA 13

15.0 Seg

Max: -2.75
Min: 0.06
Rem: -0.01

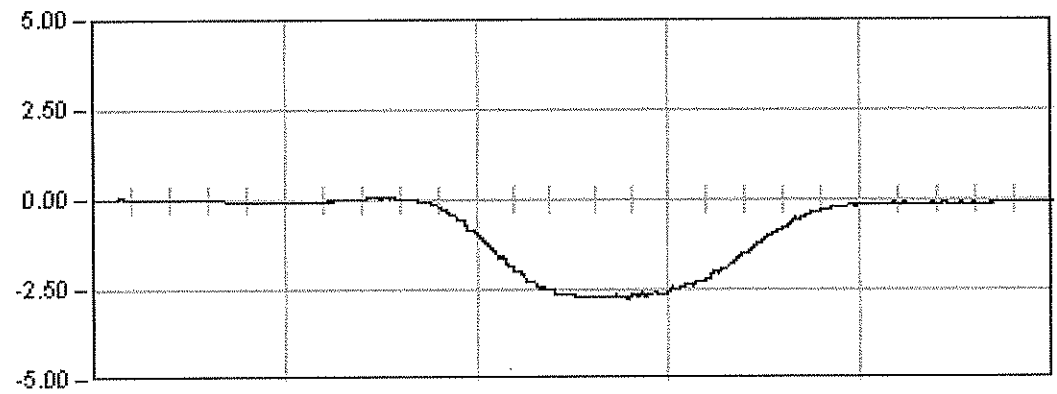


DINAMICA 14

17.0 Seg

Max: -2.77
Min: 0.04
Rem: 0.02

L.A.V. MADRID-BARCELONA-F.FRANCESA

35VI02 - SUBTRAMO IIIa

Punto : P123 Canal : 10 Unidades : mm

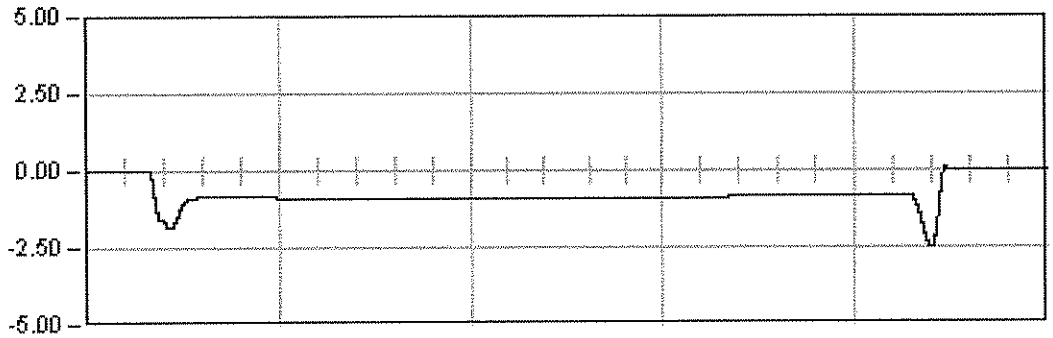


ESTATICA 07

1342.0 Seg

Est: -0.91
Max: -2.53
Min: 0.05
Rem: -0.00

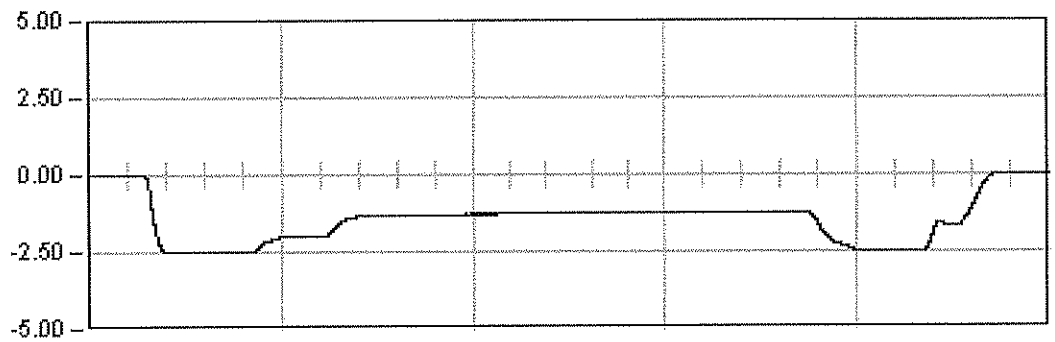


ESTATICA 08

1359.0 Seg

Est: -1.26
Max: -2.54
Min: 0.01
Rem: -0.00

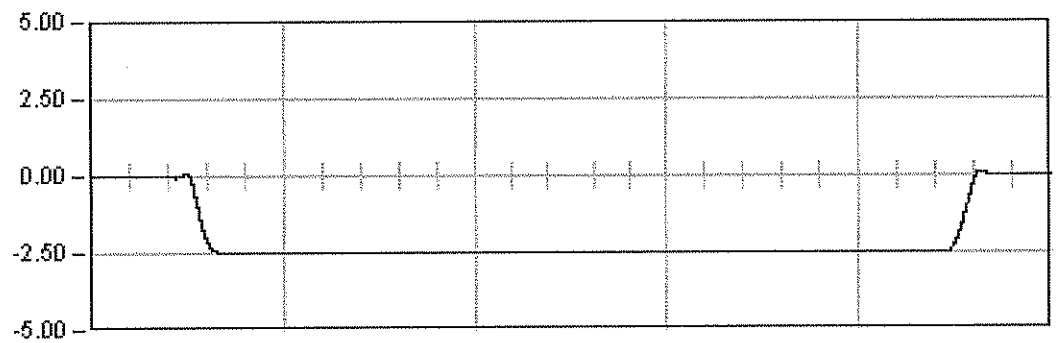


ESTATICA 18

939.0 Seg

Est: -2.50
Max: -2.53
Min: 0.09
Rem: -0.00

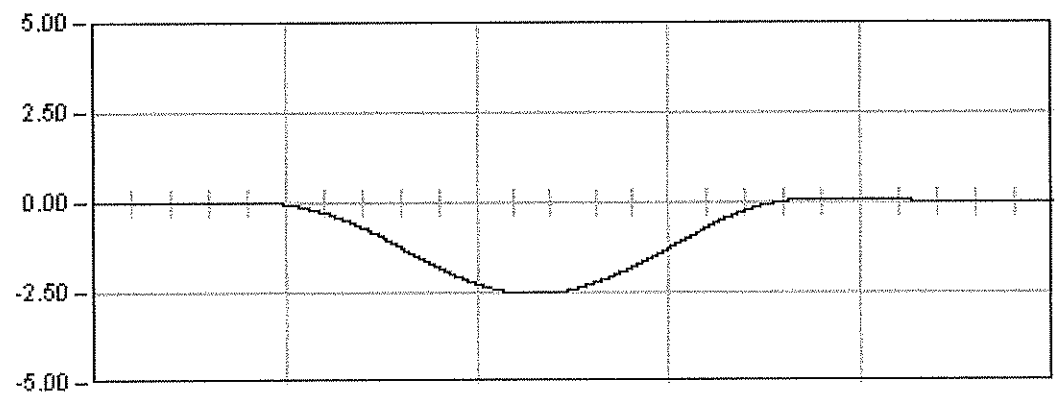


DINAMICA 01

111.0 Seg

Max: -2.51
Min: 0.08
Rem: -0.01

L.A.V. MADRID-BARCELONA-F.FRANCESA

35VI02 - SUBTRAMO IIIa

Punto : P123 Canal : 10 Unidades : mm

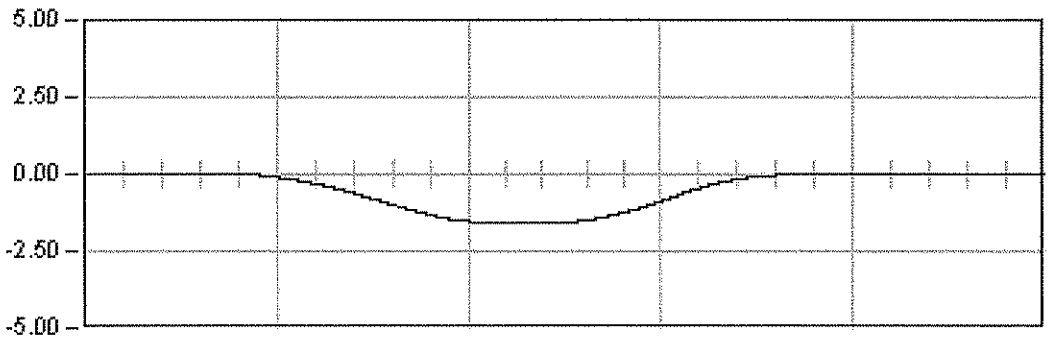


DINAMICA 11

179.0 Seg

Max: -1.62
Min: 0.01
Rem: 0.00

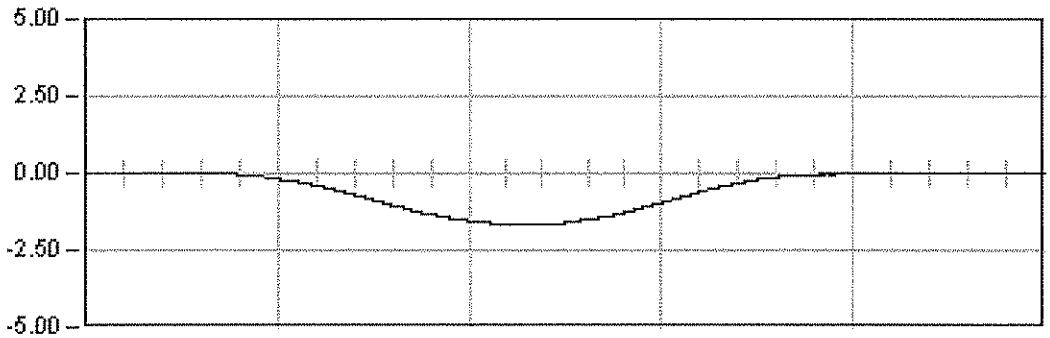


DINAMICA 12

30.0 Seg

Max: -1.66
Min: 0.00
Rem: -0.04

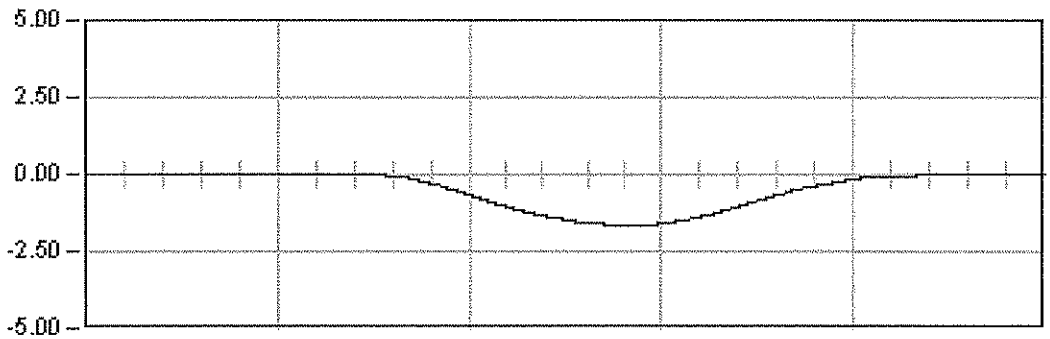


DINAMICA 13

15.0 Seg

Max: -1.65
Min: 0.01
Rem: -0.00

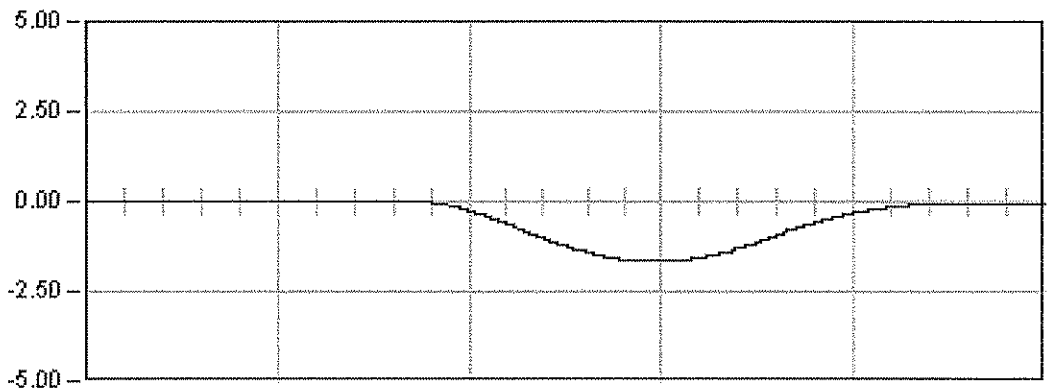


DINAMICA 14

17.0 Seg

Max: -1.67
Min: 0.00
Rem: -0.04

L.A.V. MADRID-BARCELONA-F.FRANCESA

35VI02 - SUBTRAMO IIIa

Punto : P124 Canal : 09 Unidades : mm

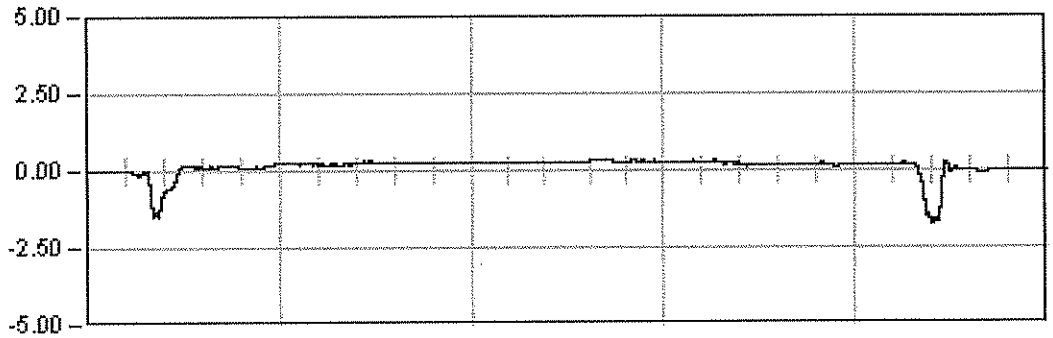


ESTATICA 07

1342.0 Seg

Est: 0.28
Max: -1.78
Min: 0.32
Rem: -0.00

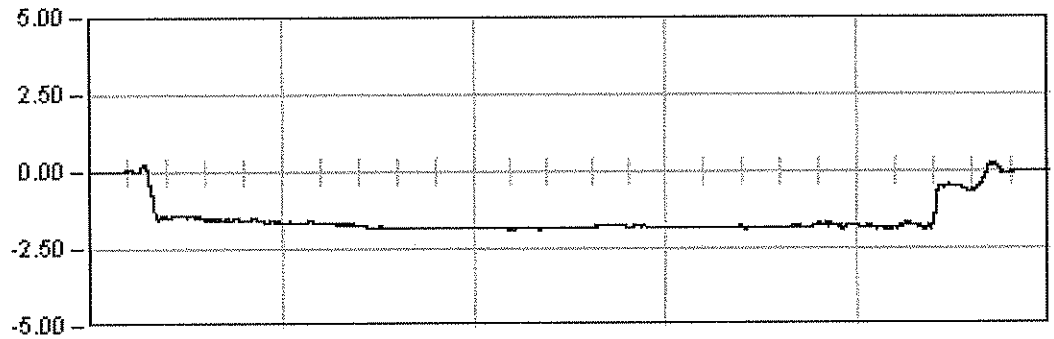


ESTATICA 08

1359.0 Seg

Est: -1.81
Max: -1.93
Min: 0.24
Rem: -0.01

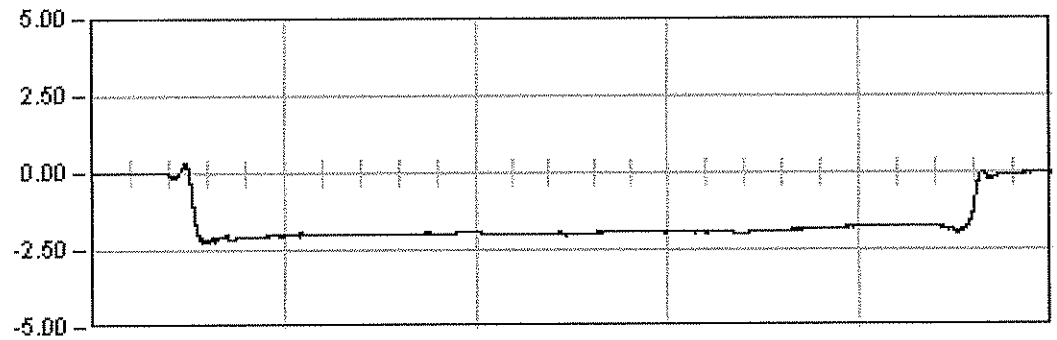


ESTATICA 18

939.0 Seg

Est: -1.78
Max: -2.26
Min: 0.33
Rem: -0.06

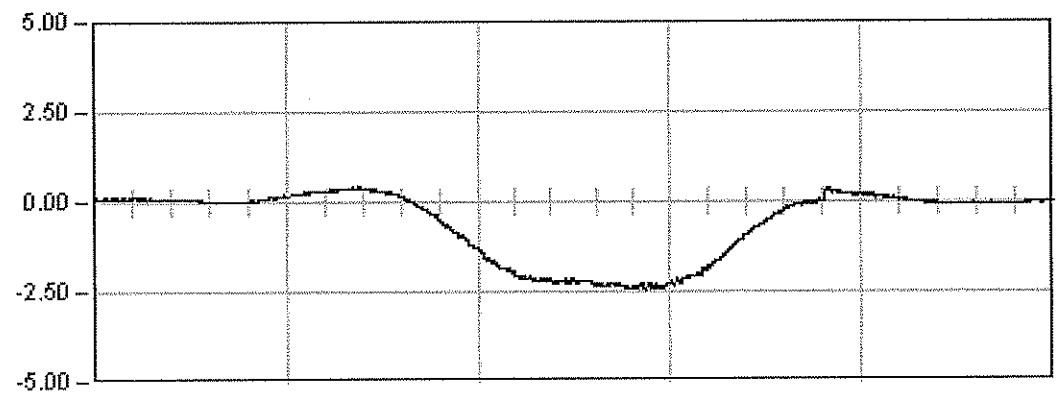


DINAMICA 01

111.0 Seg

Max: -2.50
Min: 0.41
Rem: -0.02

L.A.V. MADRID-BARCELONA-F.FRANCESA

35VI02 - SUBTRAMO IIIa

Punto : P124 Canal : 09 Unidades : mm

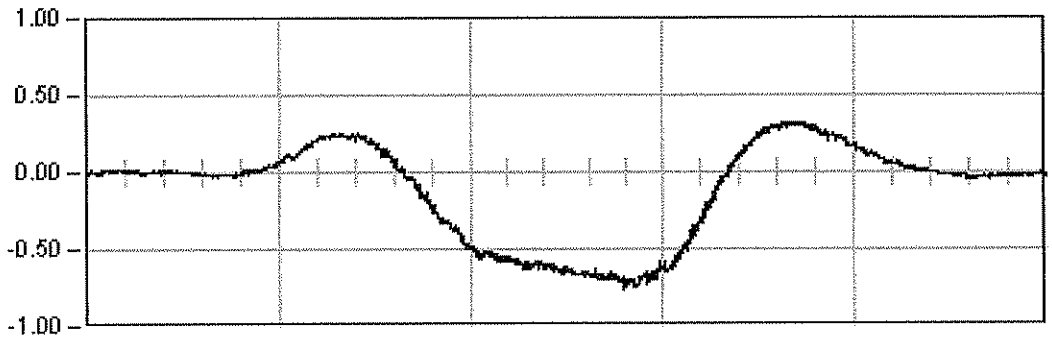


DINAMICA 11

179.0 Seg

Max: -0.76
Min: 0.32
Rem: -0.02

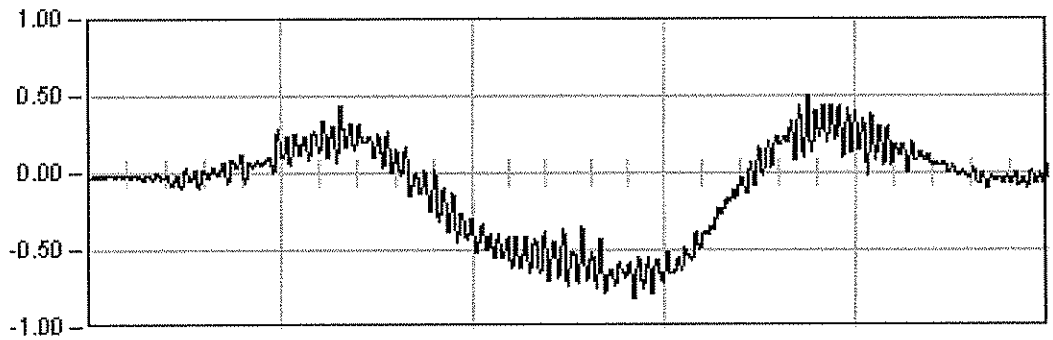


DINAMICA 12

30.0 Seg

Max: -0.81
Min: 0.50
Rem: -0.01

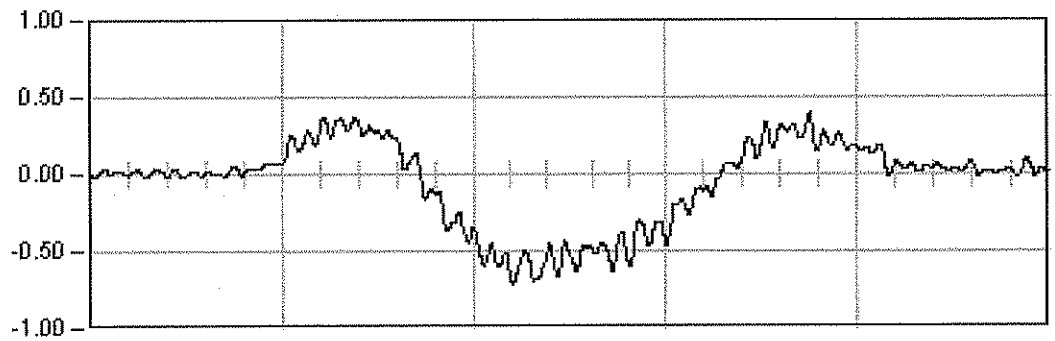


DINAMICA 13

15.0 Seg

Max: -0.72
Min: 0.39
Rem: 0.02

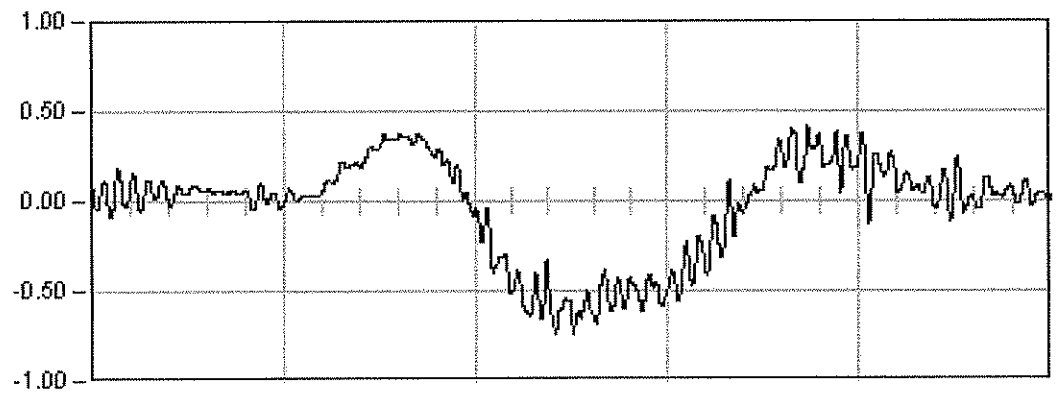


DINAMICA 14

17.0 Seg

Max: -0.74
Min: 0.41
Rem: 0.02

L.A.V. MADRID-BARCELONA-F.FRANCESA

35VI02 - SUBTRAMO IIIa

Punto : G101 Canal : 16 Unidades : µE

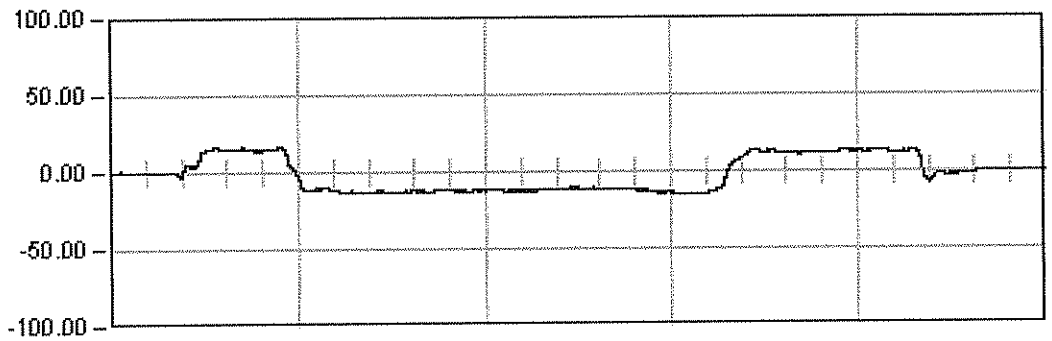


ESTATICA 07

1342.0 Seg

Est: -14.68
Max: 17.47
Min: -15.19
Rem: 0.08

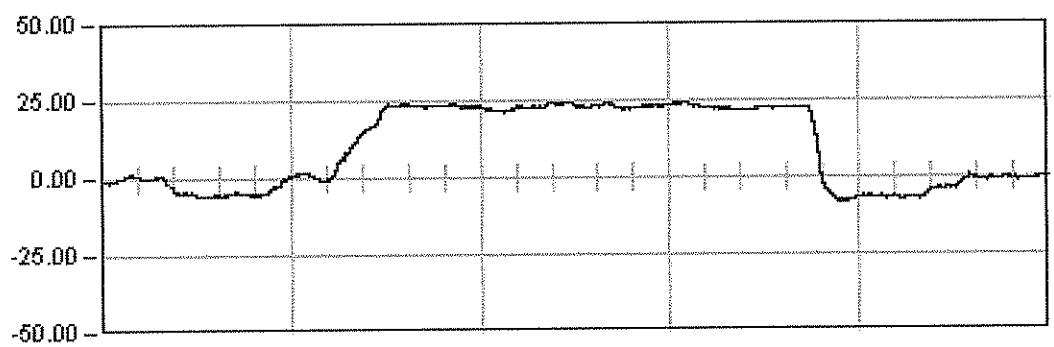


ESTATICA 08

1359.0 Seg

Est: 22.49
Max: 24.45
Min: -8.20
Rem: -0.56

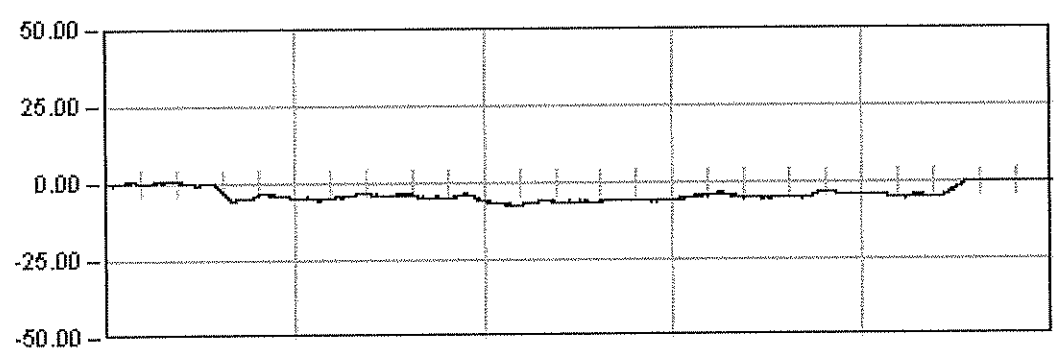


ESTATICA 18

939.0 Seg

Est: -4.94
Max: -7.46
Min: 0.83
Rem: 0.01

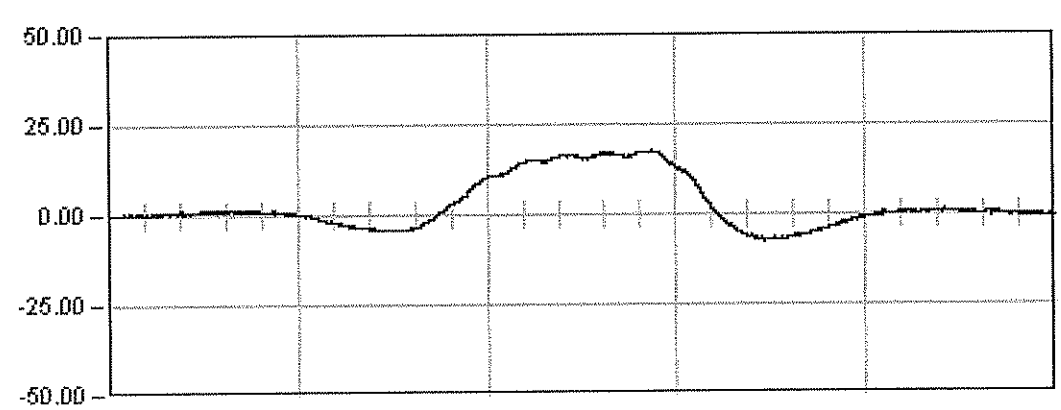


DINAMICA 01

120.0 Seg

Max: 17.59
Min: -7.51
Rem: -0.08

L.A.V. MADRID-BARCELONA-F.FRANCESA

35VI02 - SUBTRAMO IIIa

Punto : G101 Canal : 16 Unidades : µE

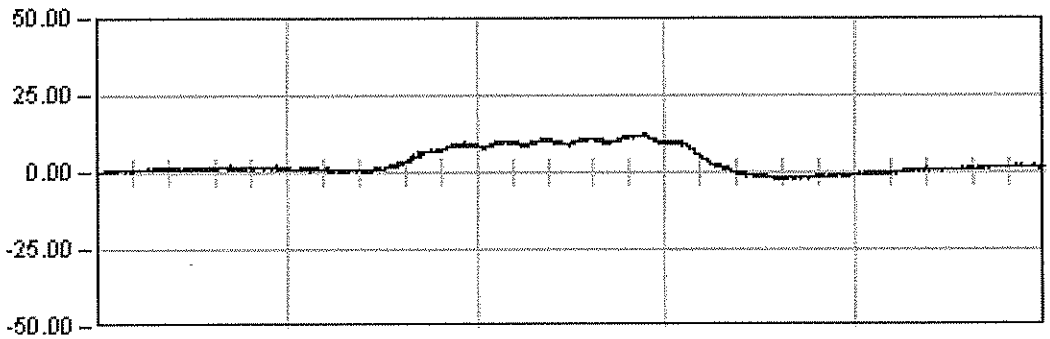


DINAMICA 11

162.0 Seg

Max: 12.21
Min: -2.42
Rem: 0.26

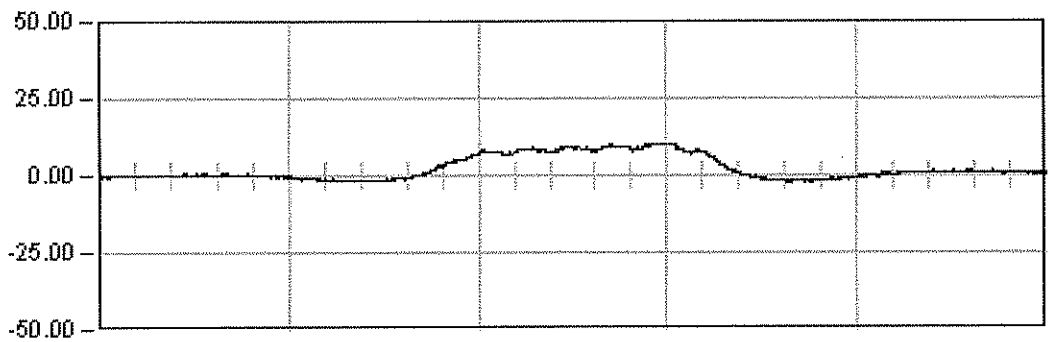


DINAMICA 12

32.0 Seg

Max: 10.39
Min: -2.32
Rem: -0.06

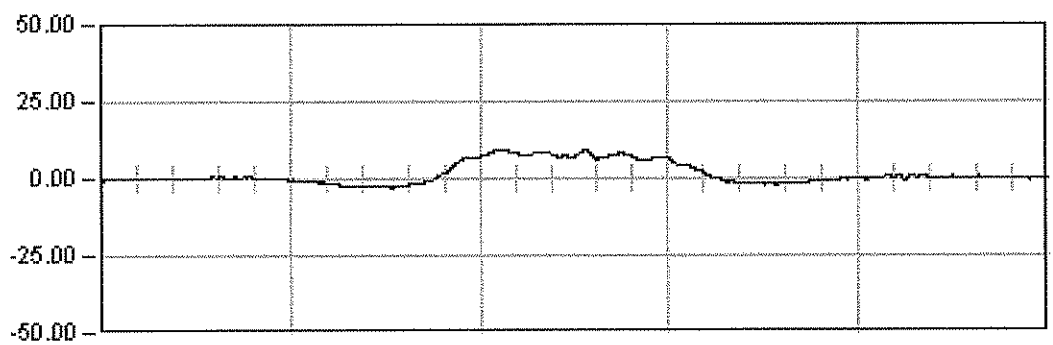


DINAMICA 13

16.0 Seg

Max: 9.15
Min: -2.96
Rem: -0.05

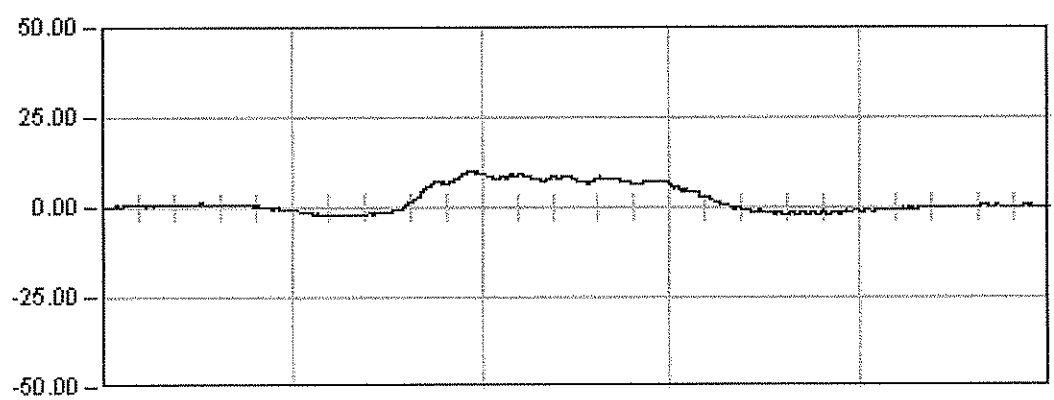


DINAMICA 14

17.0 Seg

Max: 9.71
Min: -2.48
Rem: -0.20

L.A.V. MADRID-BARCELONA-F.FRANCESA

35VI02 - SUBTRAMO IIIa

Punto : G102 Canal : 18 Unidades : µE

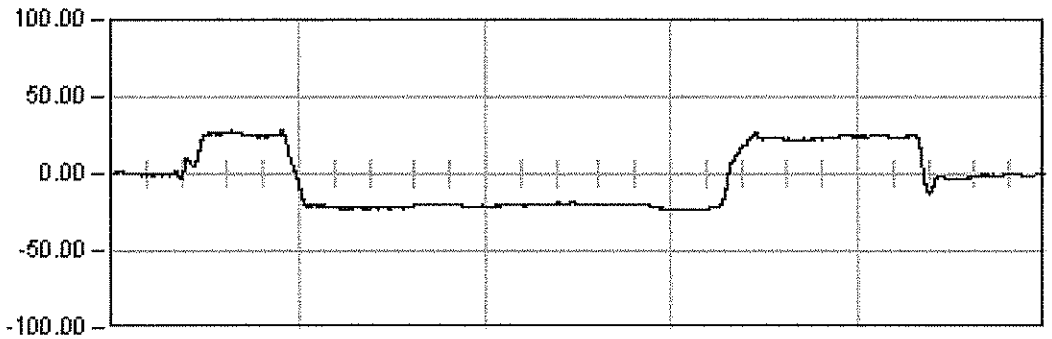


ESTATICA 07

1342.0 Seg

Est: -23.78
Max: 28.98
Min: -24.03
Rem: -0.63

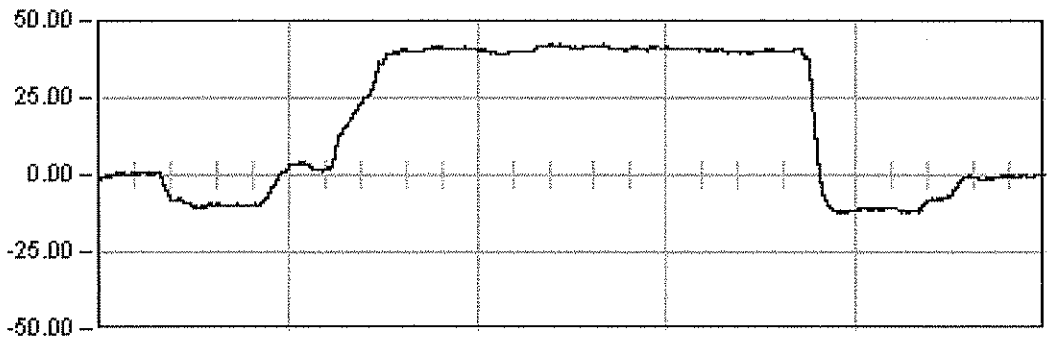


ESTATICA 08

1359.0 Seg

Est: 40.06
Max: 42.34
Min: -12.42
Rem: -0.37

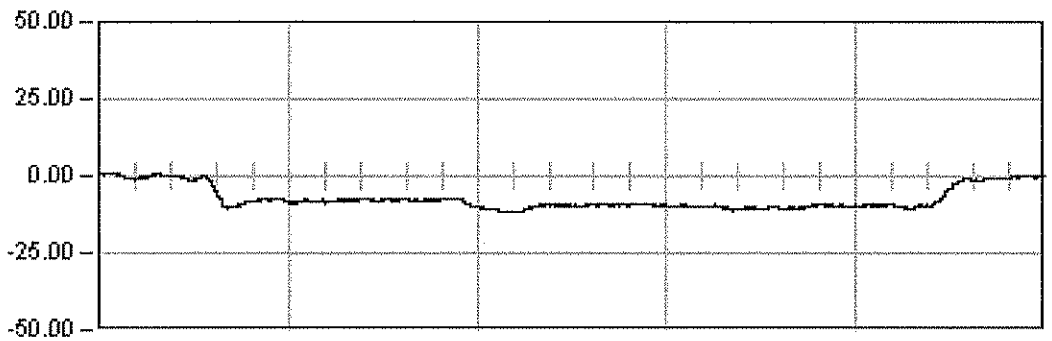


ESTATICA 18

939.0 Seg

Est: -10.15
Max: -12.06
Min: 0.94
Rem: -0.51

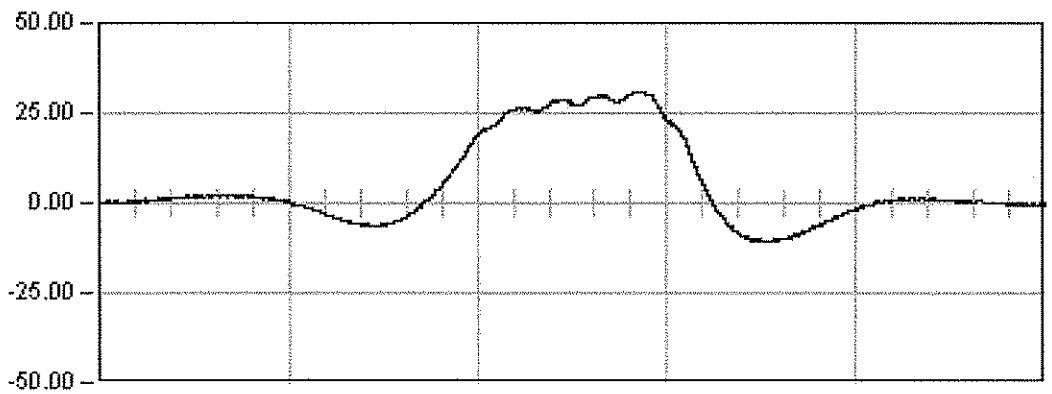


DINAMICA 01

120.0 Seg

Max: 30.94
Min: -10.88
Rem: 0.03

L.A.V. MADRID-BARCELONA-F.FRANCESA

35VI02 - SUBTRAMO IIIa

Punto : G102 Canal : 18 Unidades : µE

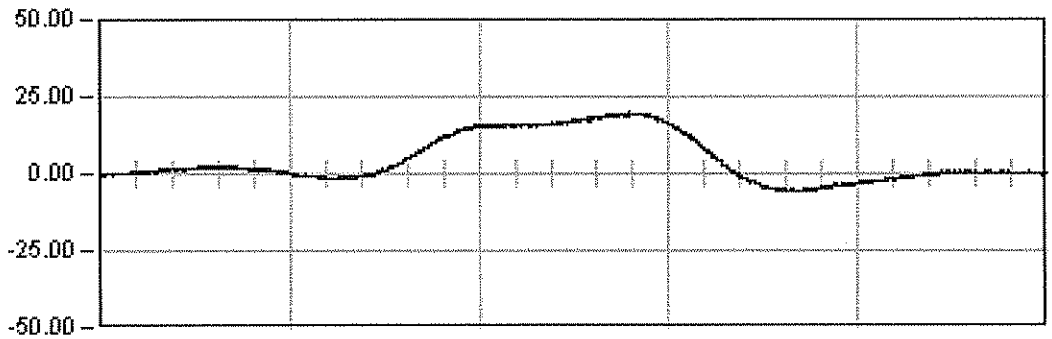


DINAMICA 11

162.0 Seg

Max: 19.65
Min: -5.92
Rem: -0.40

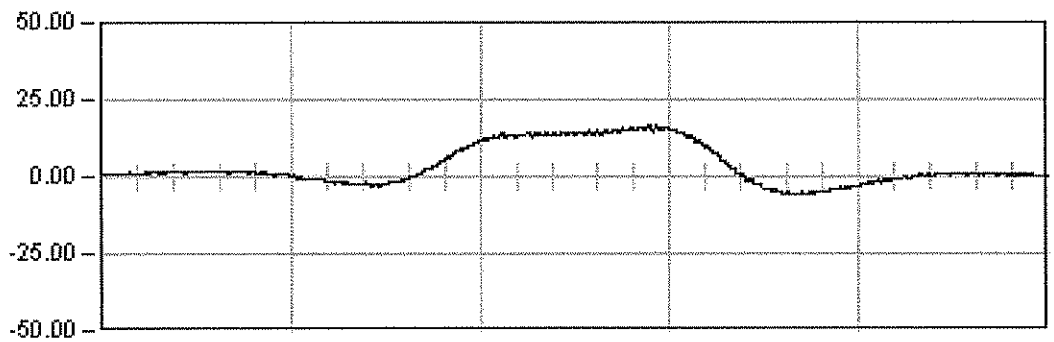


DINAMICA 12

32.0 Seg

Max: 16.89
Min: -6.11
Rem: -0.04

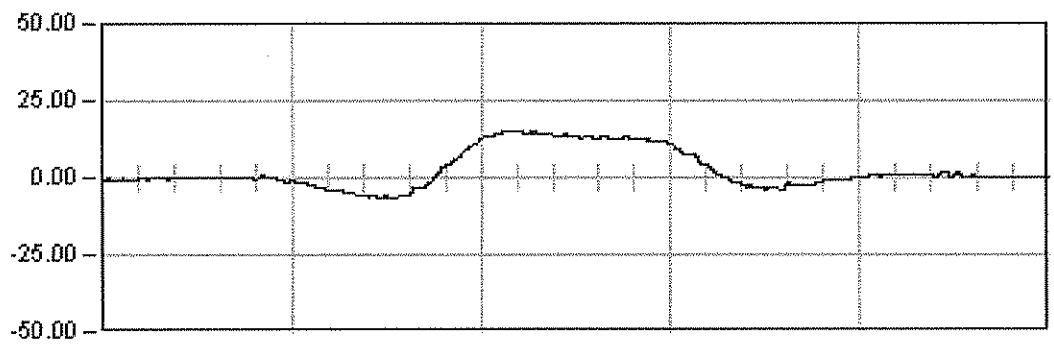


DINAMICA 13

16.0 Seg

Max: 15.03
Min: -6.86
Rem: -0.01

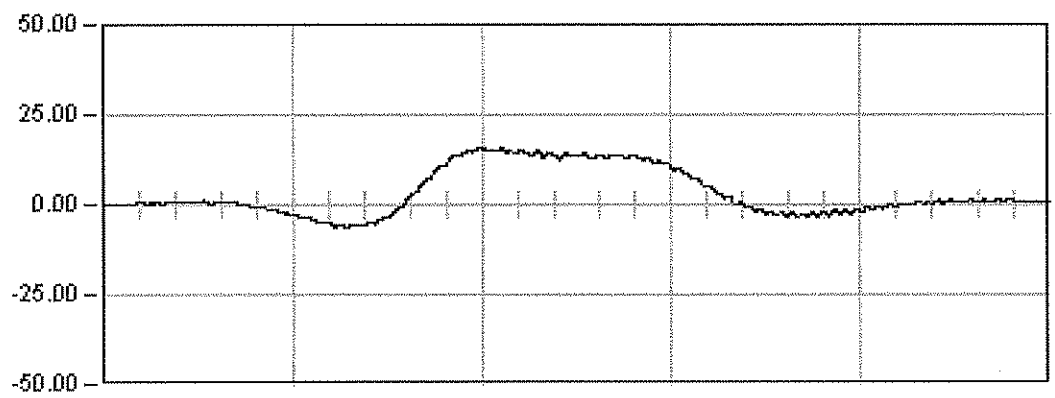


DINAMICA 14

17.0 Seg

Max: 15.59
Min: -6.44
Rem: -0.31

L.A.V. MADRID-BARCELONA-F.FRANCESA

35VI02 - SUBTRAMO IIIa

Punto : G111 Canal : 19 Unidades : µE

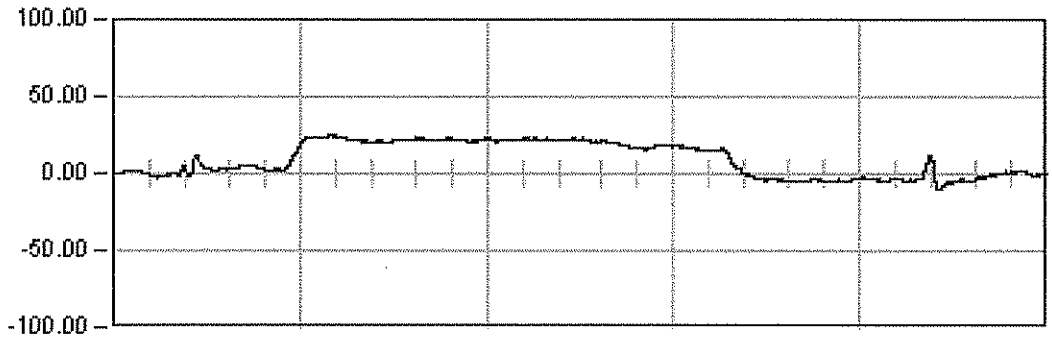


ESTATICA 07

1342.0 Seg

Est: 15.45
Max: 24.70
Min: -10.07
Rem: 0.21

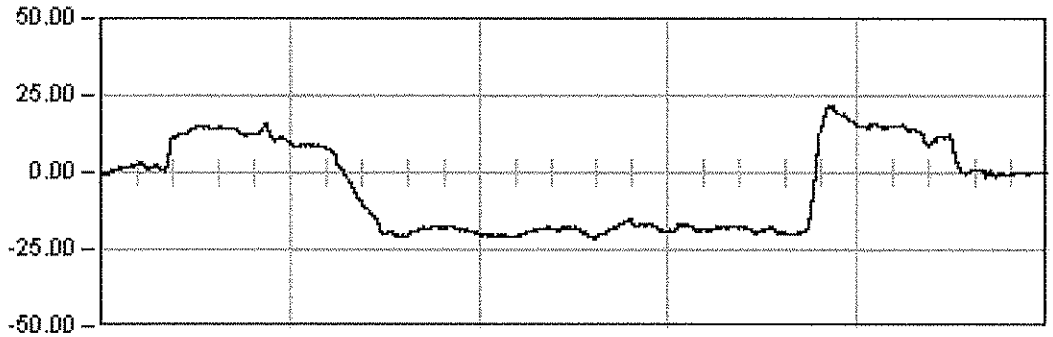


ESTATICA 08

1359.0 Seg

Est: -19.58
Max: 21.95
Min: -21.63
Rem: -0.18

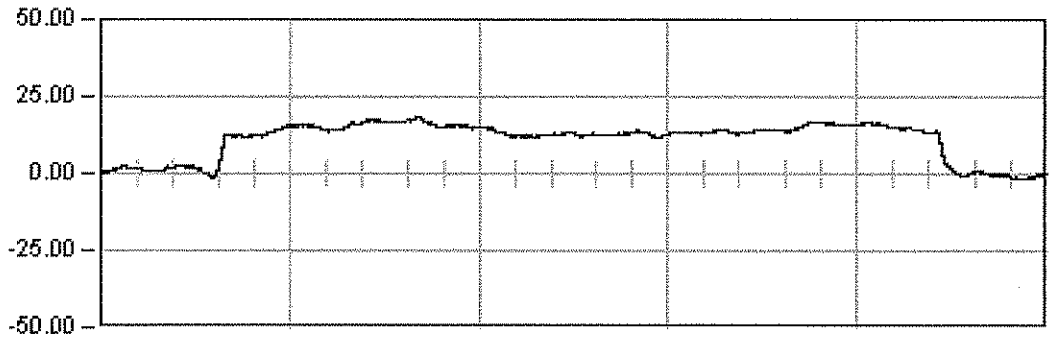


ESTATICA 18

939.0 Seg

Est: 14.66
Max: 18.30
Min: -2.05
Rem: -0.82

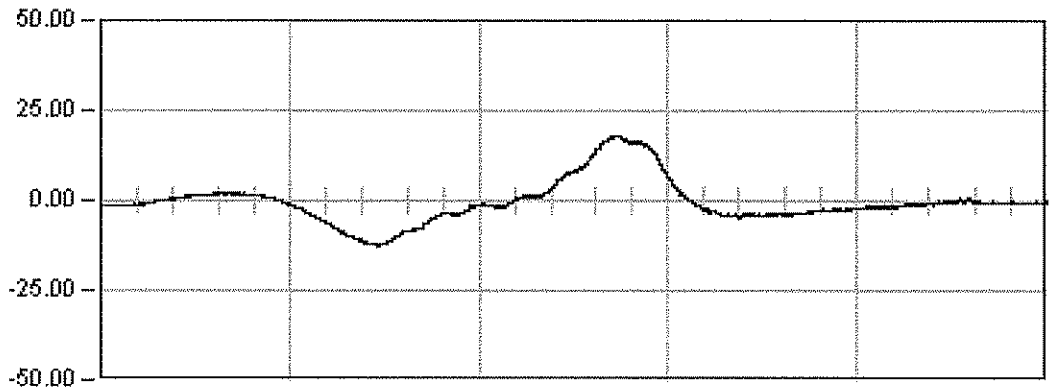


DINAMICA 01

119.0 Seg

Max: 17.93
Min: -12.51
Rem: 0.16

L.A.V. MADRID-BARCELONA-F.FRANCESA

35VI02 - SUBTRAMO IIIa

Punto : G111 Canal : 19 Unidades : µE

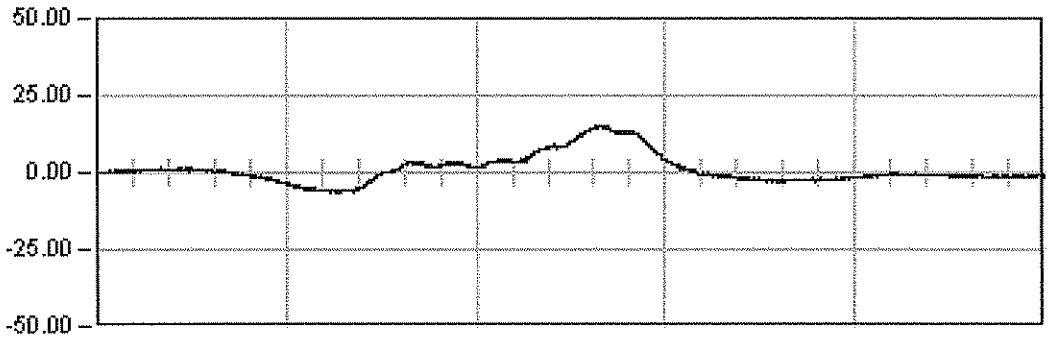


DINAMICA 11

172.0 Seg

Max: 15.09
Min: -6.60
Rem: -0.09

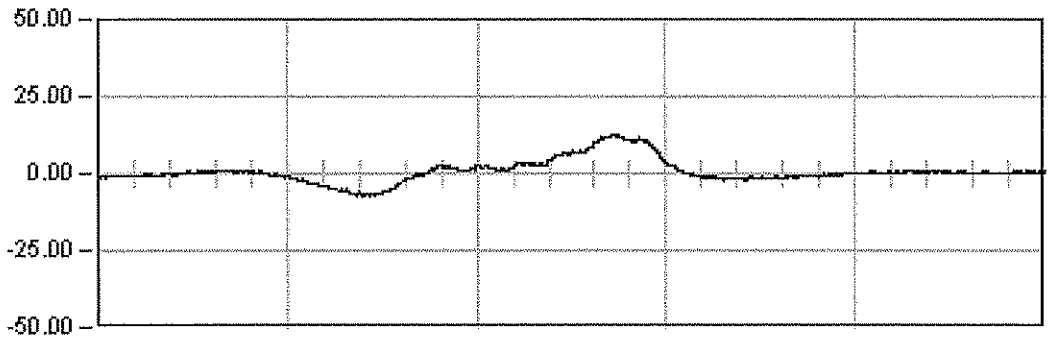


DINAMICA 12

35.0 Seg

Max: 12.73
Min: -7.23
Rem: 0.17

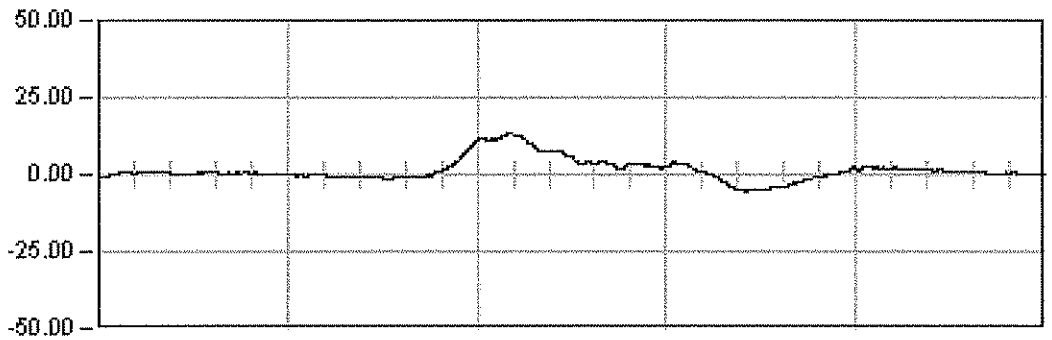


DINAMICA 13

16.0 Seg

Max: 13.55
Min: -5.48
Rem: 0.05

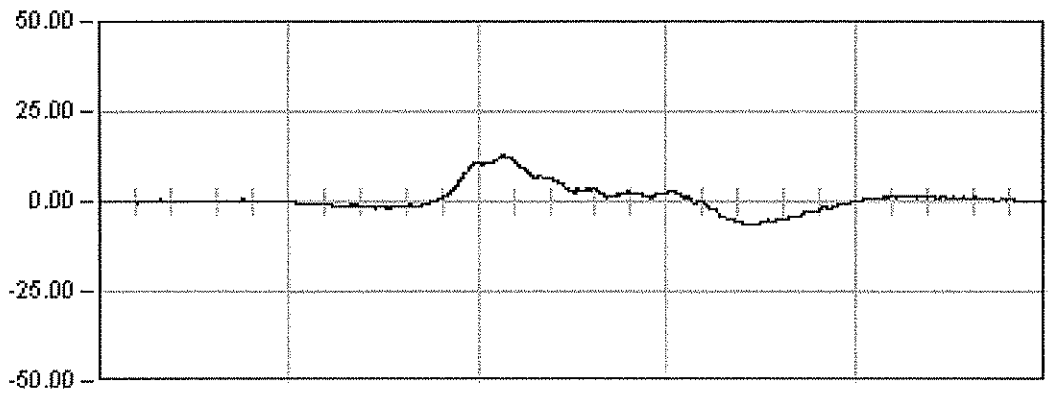


DINAMICA 14

18.0 Seg

Max: 12.56
Min: -6.47
Rem: 0.27

L.A.V. MADRID-BARCELONA-F.FRANCESA

35VI02 - SUBTRAMO IIIa

Punto : G112 Canal : 20 Unidades : µE

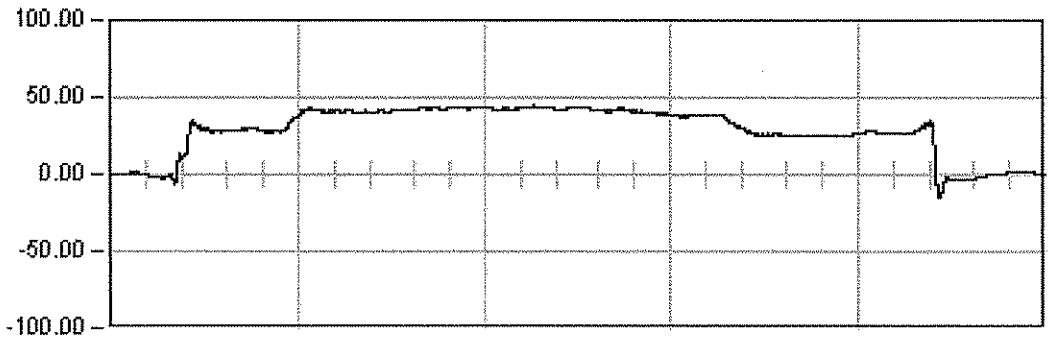


ESTATICA 07

1342.0 Seg

Est: 38.25
Max: 44.21
Min: -14.30
Rem: 1.06

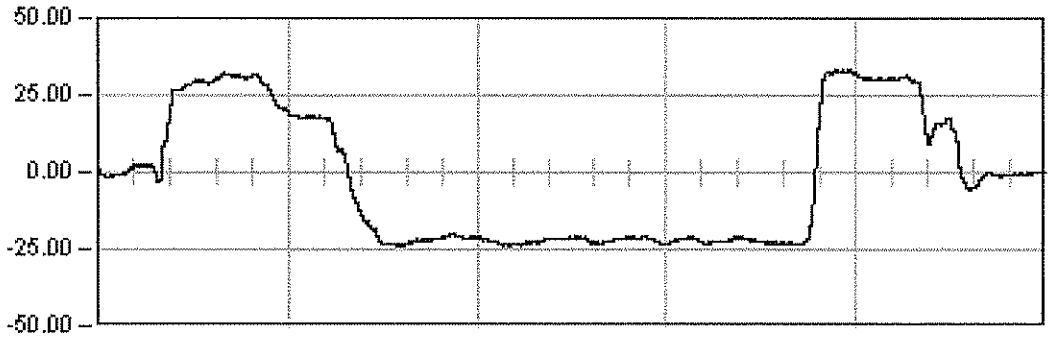


ESTATICA 08

1359.0 Seg

Est: -23.19
Max: 33.59
Min: -24.09
Rem: -0.43

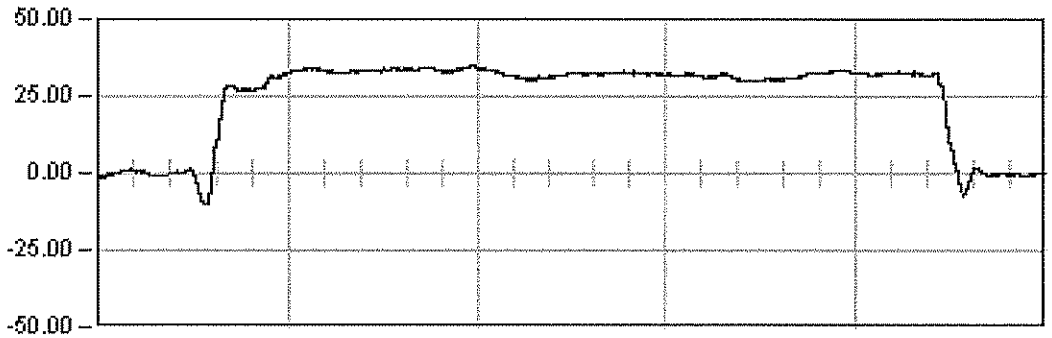


ESTATICA 18

939.0 Seg

Est: 32.34
Max: 34.89
Min: -10.07
Rem: -0.37

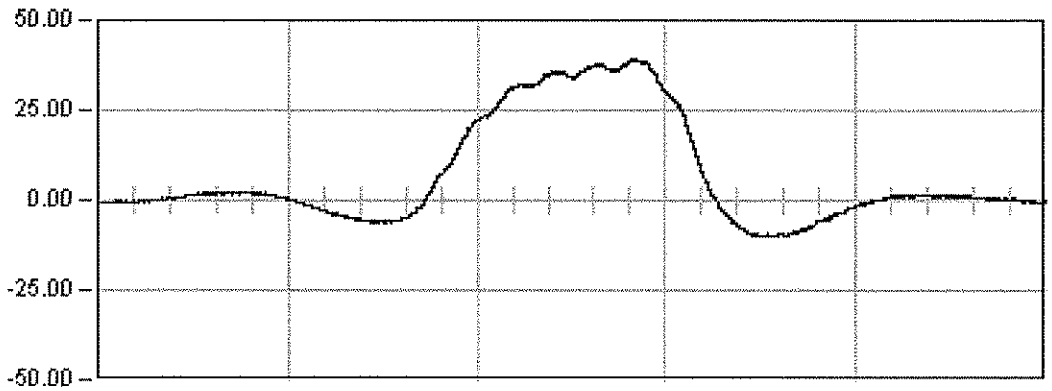


DINAMICA 01

119.0 Seg

Max: 38.99
Min: -10.34
Rem: -0.07

L.A.V. MADRID-BARCELONA-F.FRANCESA

35VI02 - SUBTRAMO IIIa

Punto : G112 Canal : 20 Unidades : µE

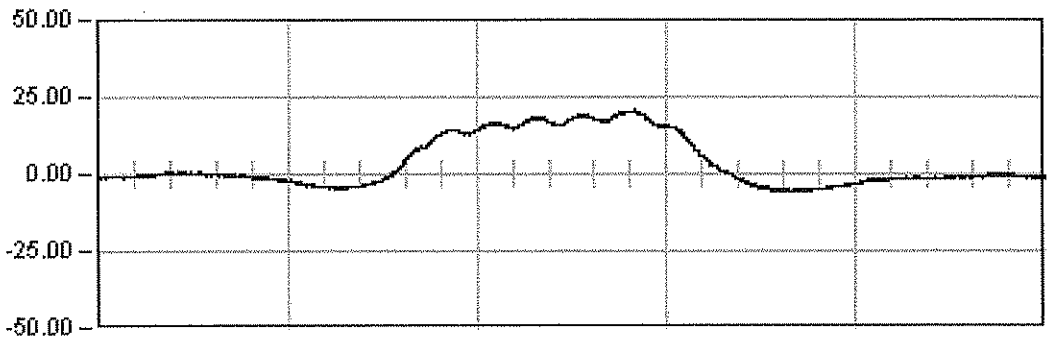


DINAMICA 11

172.0 Seg

Max: 20.53
Min: -6.01
Rem: -0.09

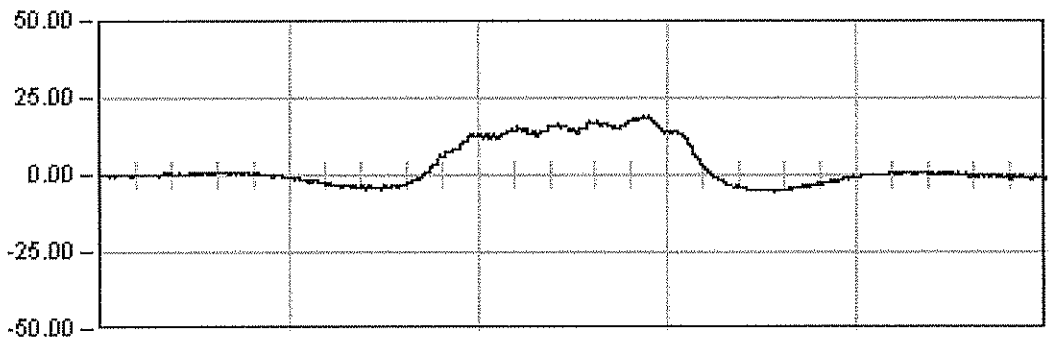


DINAMICA 12

35.0 Seg

Max: 18.94
Min: -5.68
Rem: -0.78

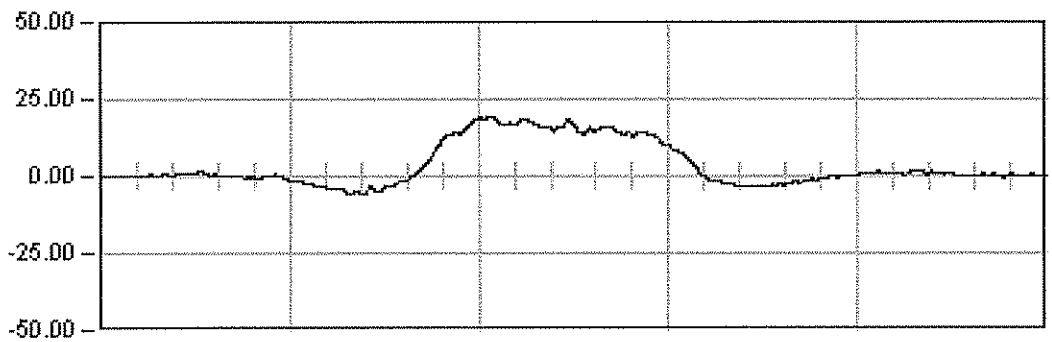


DINAMICA 13

16.0 Seg

Max: 19.08
Min: -6.06
Rem: 0.45

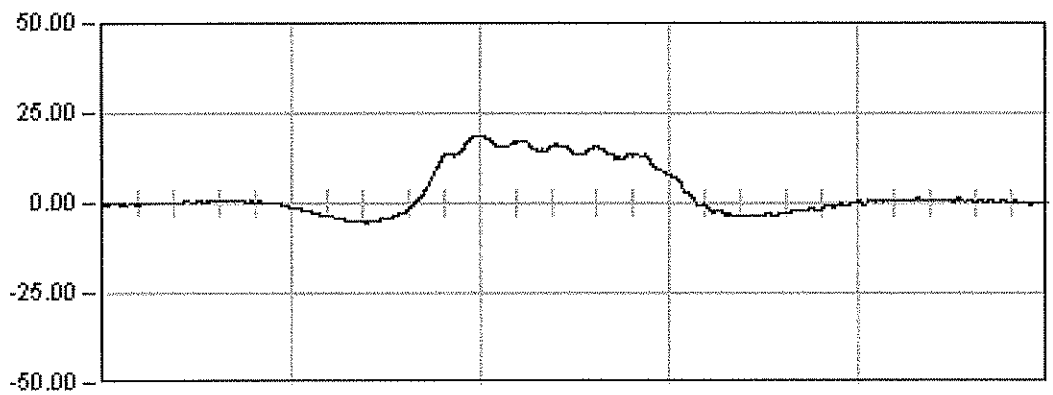


DINAMICA 14

18.0 Seg

Max: 18.77
Min: -5.50
Rem: -0.15

L.A.V. MADRID-BARCELONA-F.FRANCESA

35VI02 - SUBTRAMO IIIa

Punto : A101 Canal : 13 Unidades : G´s/100

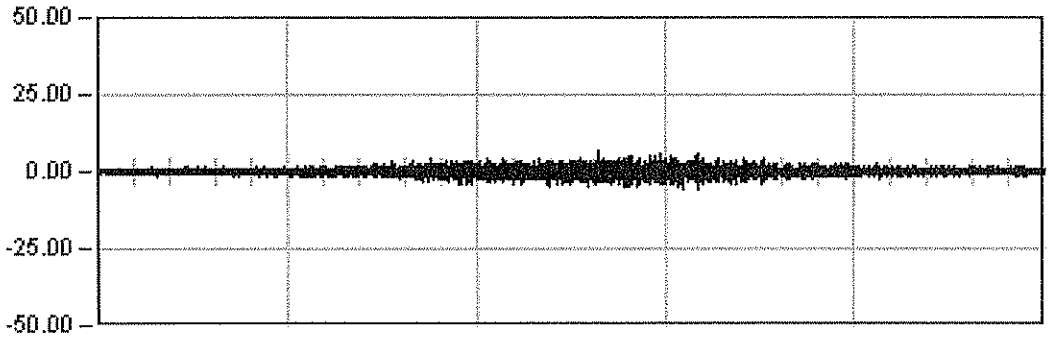


DINAMICA 01

120.0 Seg

Max: 6.69
Min: -5.95
Rem: 0.08

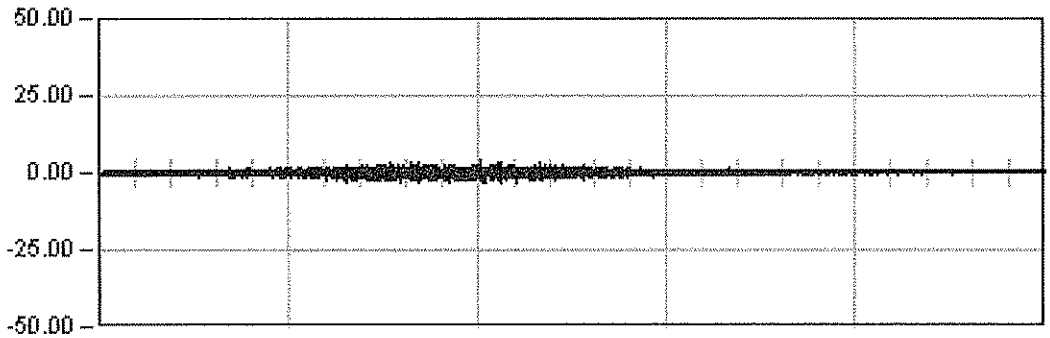


DINAMICA 11

222.0 Seg

Max: 3.97
Min: -3.59
Rem: 0.24

L.A.V. MADRID-BARCELONA-F.FRANCESA

35VI02 - SUBTRAMO IIIa

Punto : A101 Canal : 13 Unidades : G's/100

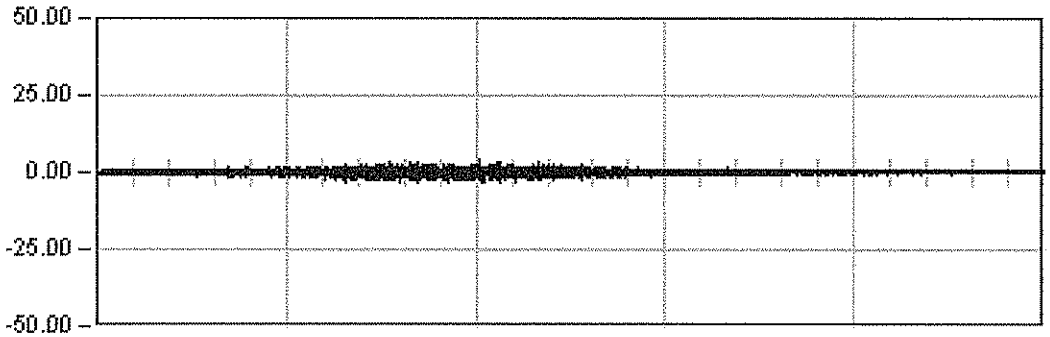


DINAMICA 11

222.0 Seg

Max: 3.97
Min: -3.59
Rem: 0.24

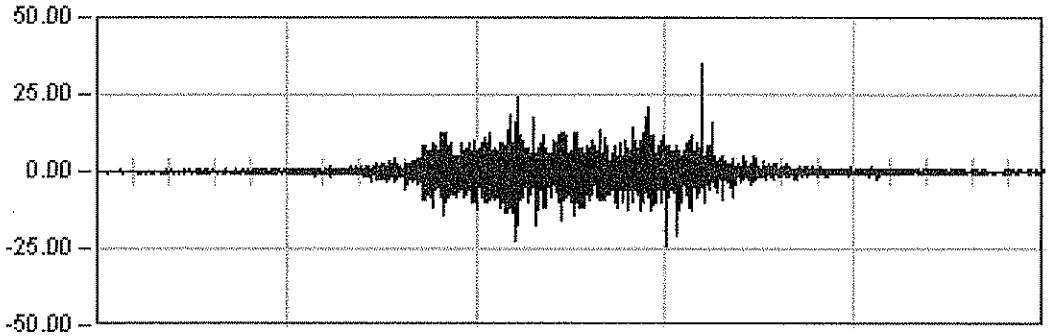


DINAMICA 12

32.0 Seg

Max: 34.83
Min: -24.05
Rem: -0.00

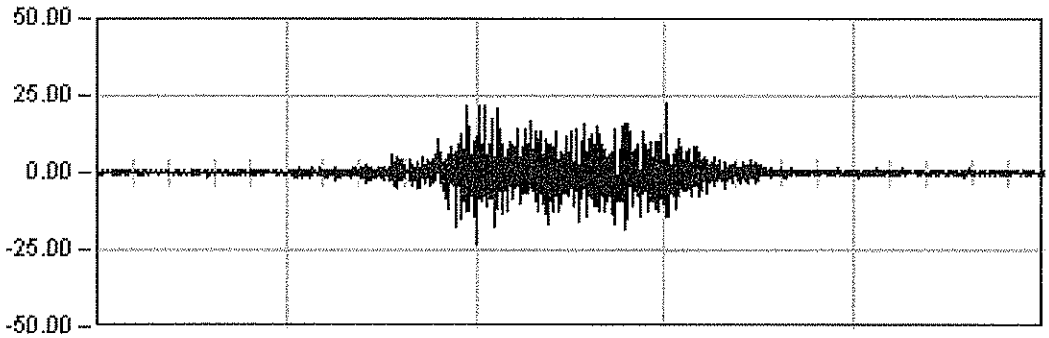


DINAMICA 13

16.0 Seg

Max: -22.93
Min: 22.68
Rem: 0.06

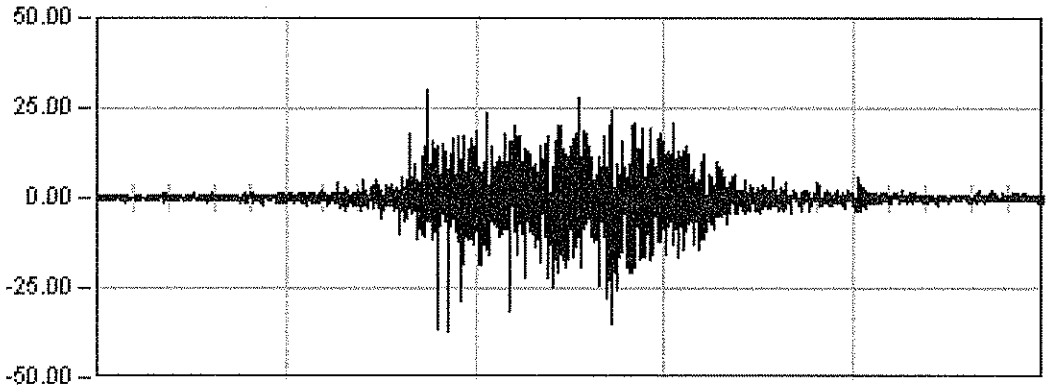


DINAMICA 14

17.0 Seg

Max: -36.81
Min: 30.24
Rem: -0.02

L.A.V. MADRID-BARCELONA-F.FRANCESA

35VI02 - SUBTRAMO IIIa

Prueba: din14 Punto: A101 Canal: 13

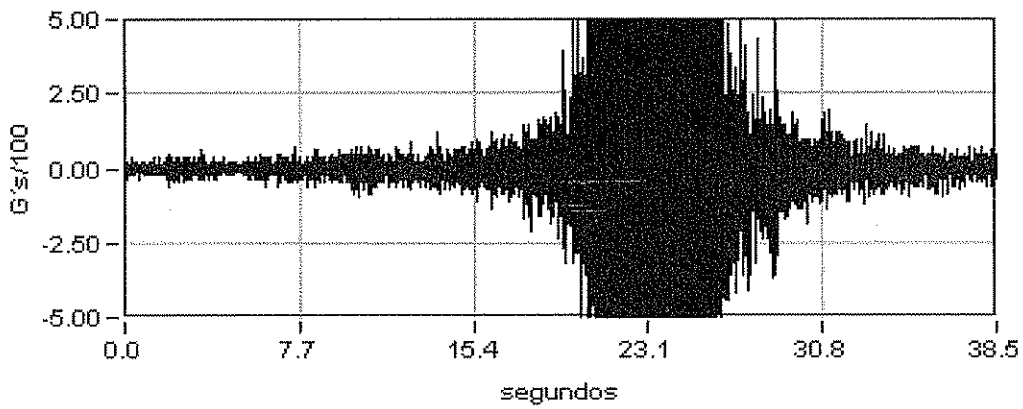


| Máximo |
| --- |
| -36.81 |

| Mínimo |
| --- |
| 30.24 |

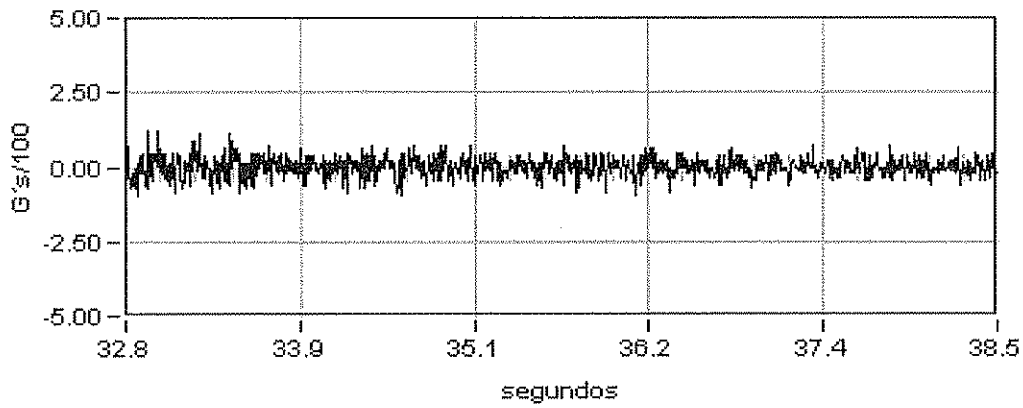


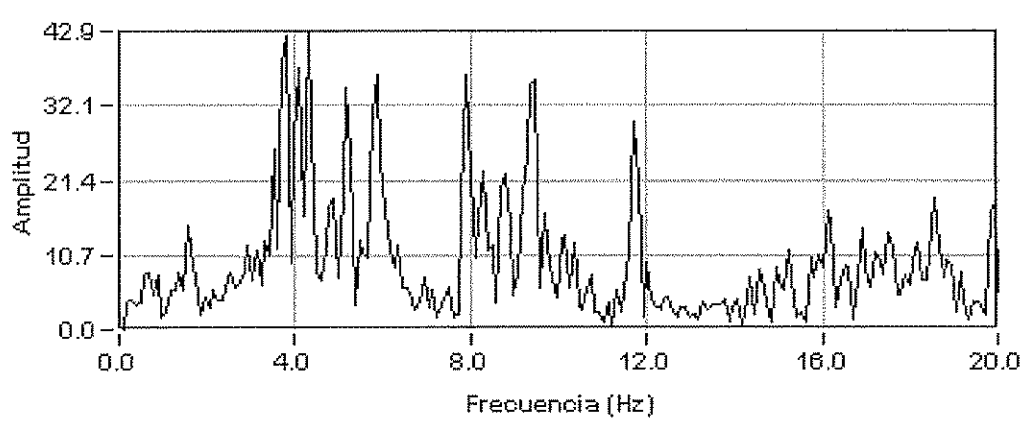


| Amplitud |
| --- |
| 42.26 |

| Frecuencia |
| --- |
| 3.79 |

| Dec Logarit |
| --- |
| 0.14 |

| Amortiguac |
| --- |
| 2.18 % |

L.A.V. MADRID-BARCELONA-F.FRANCESA

35VI02 - SUBTRAMO IIIa

Punto : A111 Canal : 14 Unidades : G´s/100

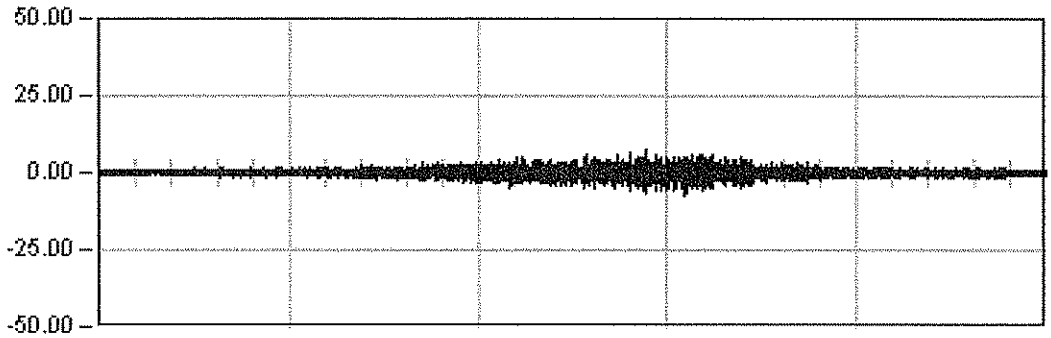


DINAMICA 01

119.0 Seg

Max: 7.87

Min: -7.63

Rem: -0.05

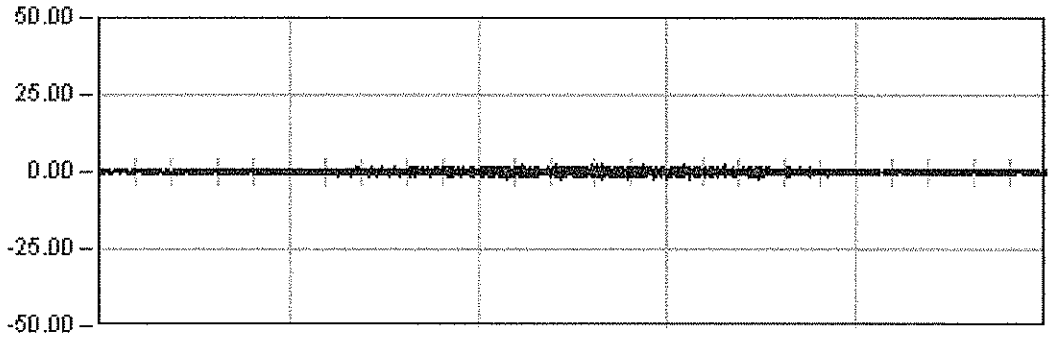


DINAMICA 11

172.0 Seg

Max: 2.74

Min: -2.62

Rem: -0.02

L.A.V. MADRID-BARCELONA-F.FRANCESA

35VI02 - SUBTRAMO IIIa

Punto : A111 Canal : 14 Unidades : G´s/100

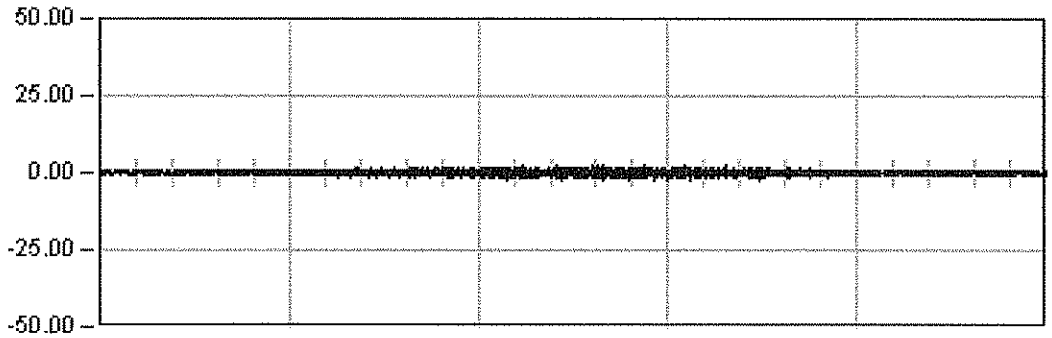


DINAMICA 11

172.0 Seg

Max: 2.74
Min: -2.62
Rem: -0.02

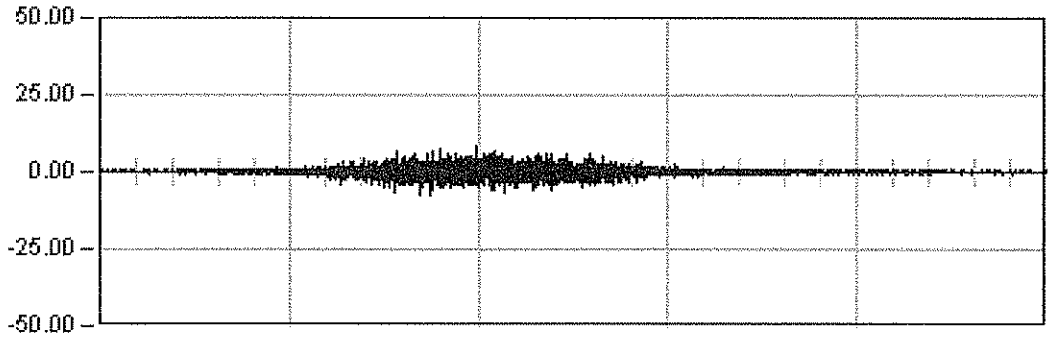


DINAMICA 12

42.0 Seg

Max: 8.47
Min: -7.52
Rem: 0.08

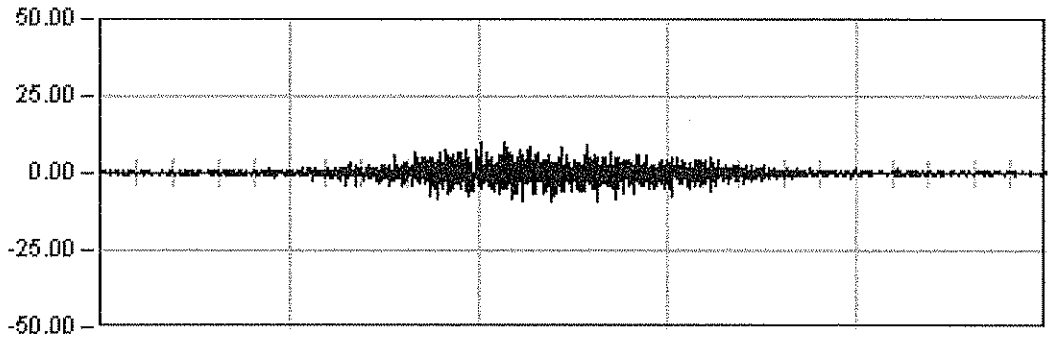


DINAMICA 13

16.0 Seg

Max: 10.38
Min: -9.19
Rem: 0.01

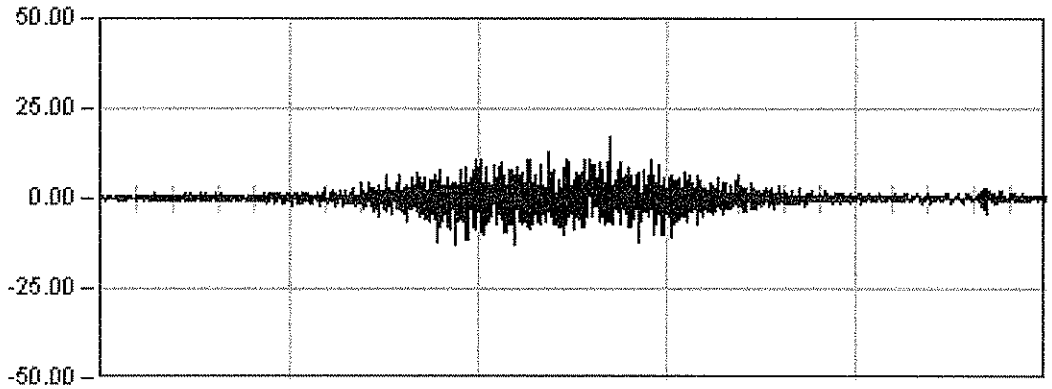


DINAMICA 14

18.0 Seg

Max: 16.82
Min: -13.12
Rem: 0.11

L.A.V. MADRID-BARCELONA-F.FRANCESA

35VI02 - SUBTRAMO IIIa

Prueba: din14 Punto: A111 Canal: 14

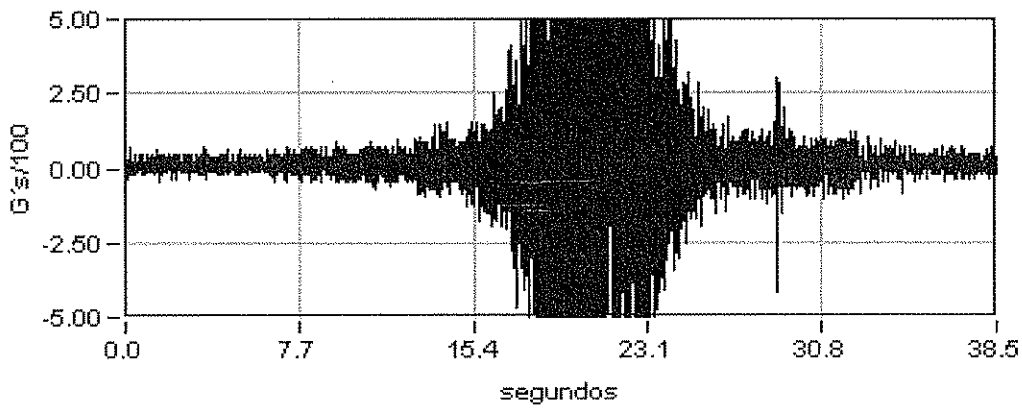


| Máximo |
| --- |
| 16.82 |

| Mínimo |
| --- |
| -13.12 |

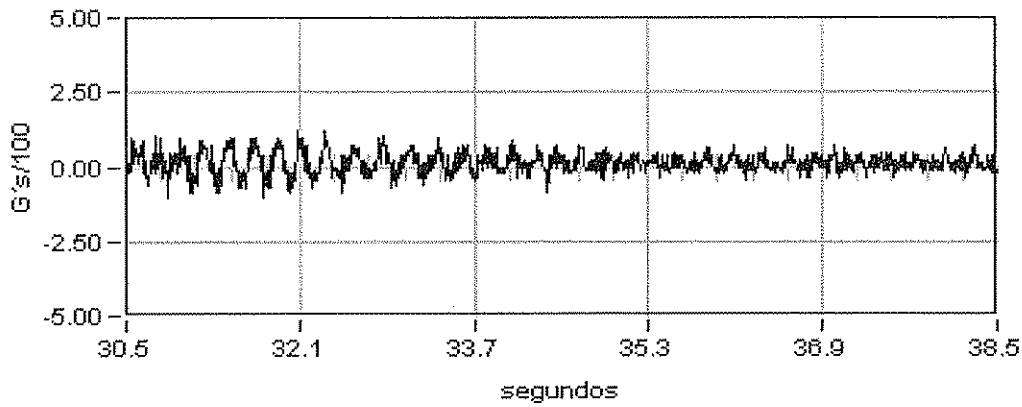


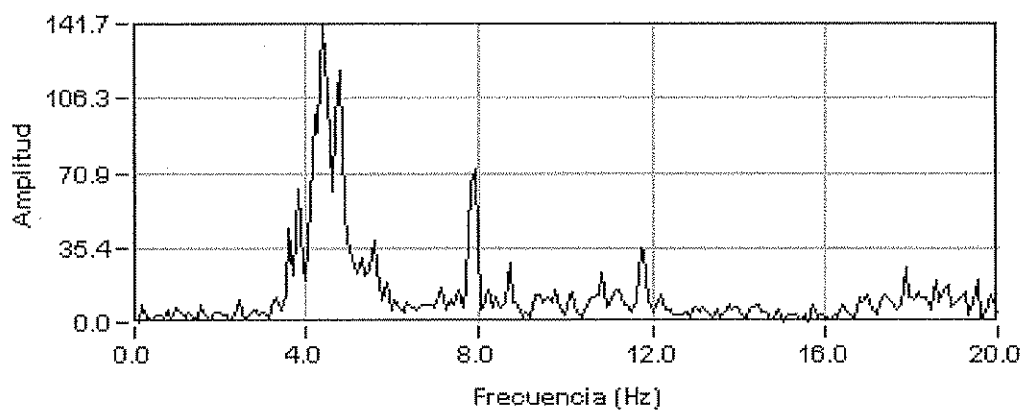


| Amplitud |
| --- |
| 141.74 |

| Frecuencia |
| --- |
| 4.38 |

| Dec Logarit. |
| --- |
| 0.14 |

| Amortiguac. |
| --- |
| 2.20 % |

L.A.V. MADRID-BARCELONA-F.FRANCESA

35VI02 - SUBTRAMO IIIa

Punto : A121 Canal : 15 Unidades : G's/100

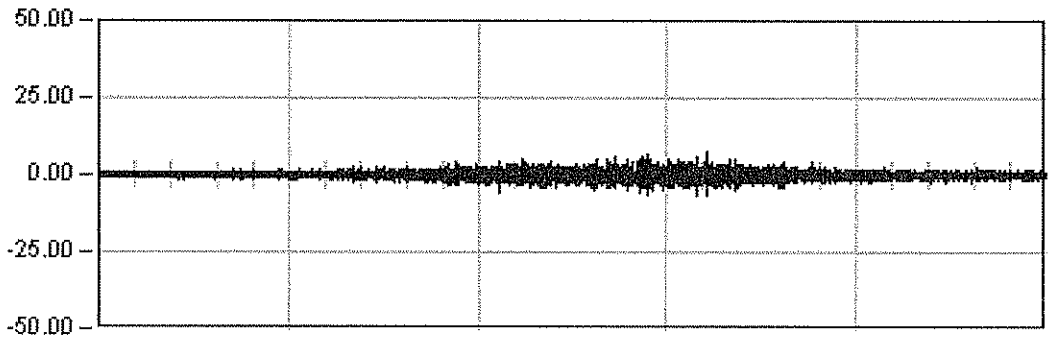


DINAMICA 01

111.0 Seg

Max: 7.57
Min: -7.07
Rem: -0.04

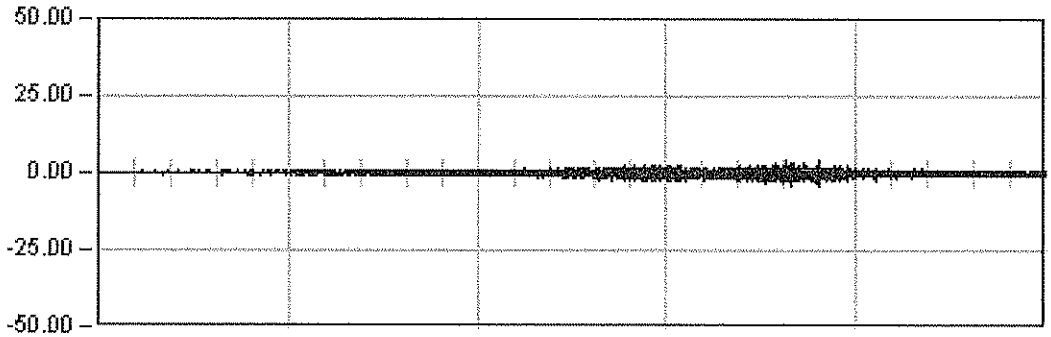


DINAMICA 11

251.0 Seg

Max: -4.34
Min: 4.10
Rem: -0.07

L.A.V. MADRID-BARCELONA-F.FRANCESA

35VI02 - SUBTRAMO IIIa

Punto : A121 Canal : 15 Unidades : G's/100

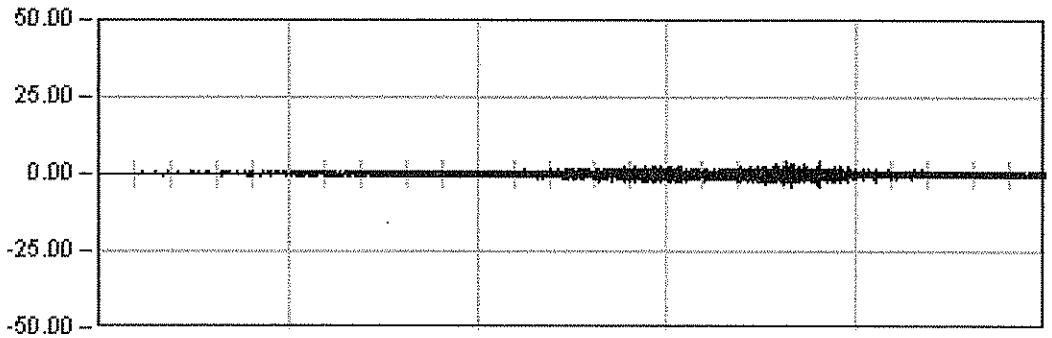


DINAMICA 11

251.0 Seg

Max: -4.34
Min: 4.10
Rem: -0.07

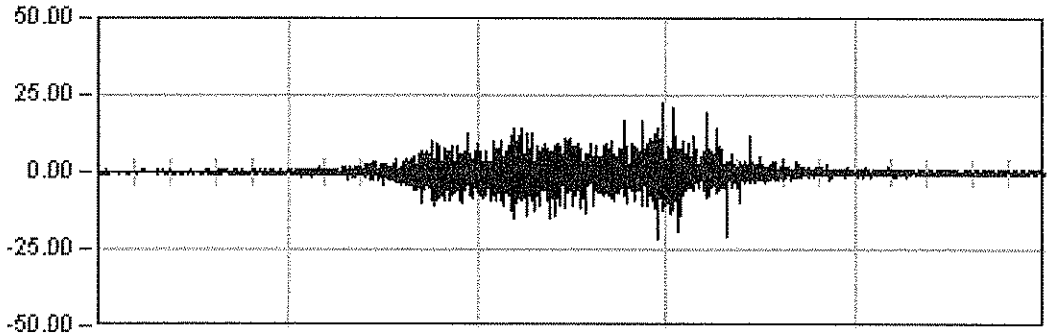


DINAMICA 12

30.0 Seg

Max: 22.09
Min: -21.35
Rem: -0.10

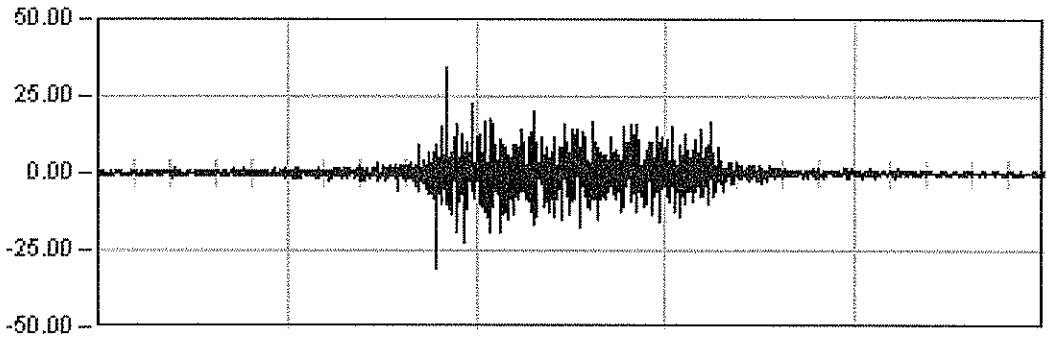


DINAMICA 13

15.0 Seg

Max: 34.01
Min: -31.03
Rem: -0.03

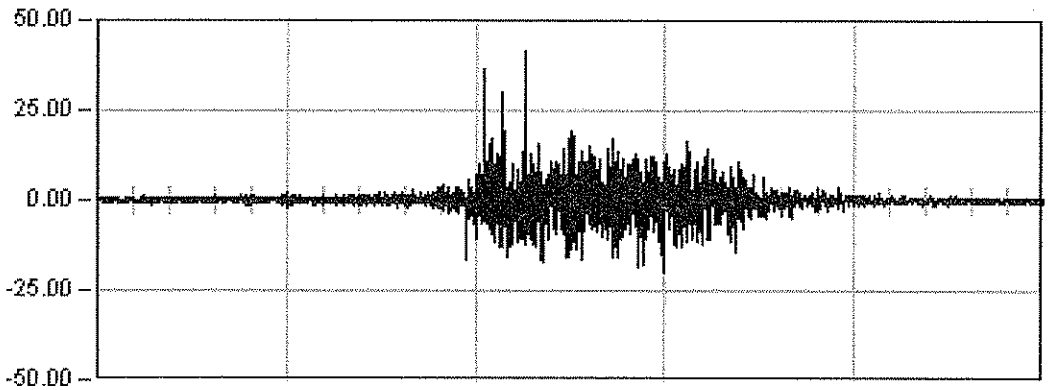


DINAMICA 14

17.0 Seg

Max: 41.58
Min: -20.11
Rem: 0.02

L.A.V. MADRID-BARCELONA-F.FRANCESA

35VI02 - SUBTRAMO IIIa

Prueba: din13 Punto: A121 Canal: 15

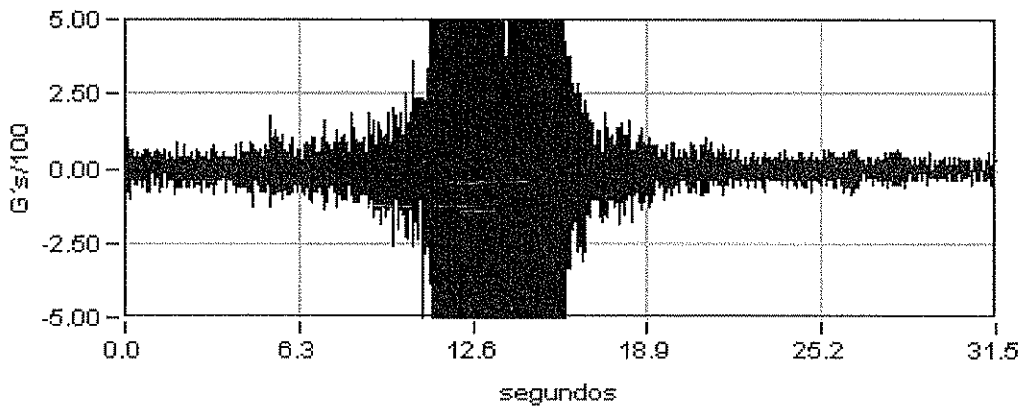


| Máximo |
| --- |
| 34.01 |

| Mínimo |
| --- |
| -31.03 |

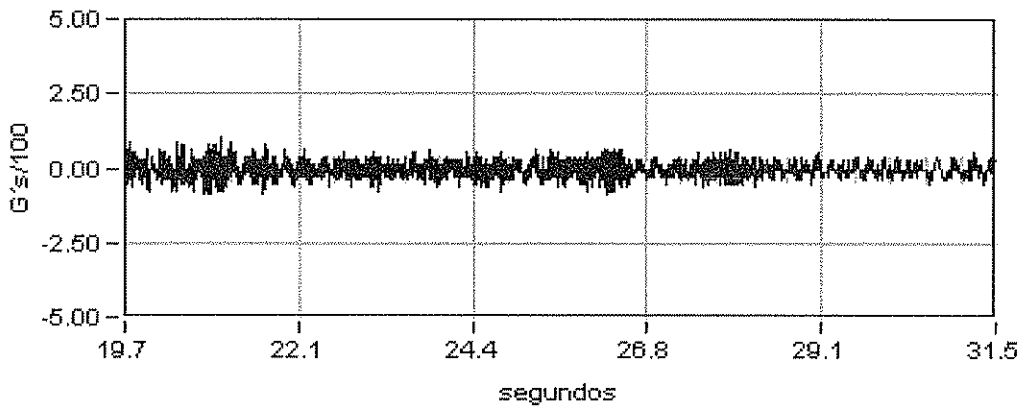


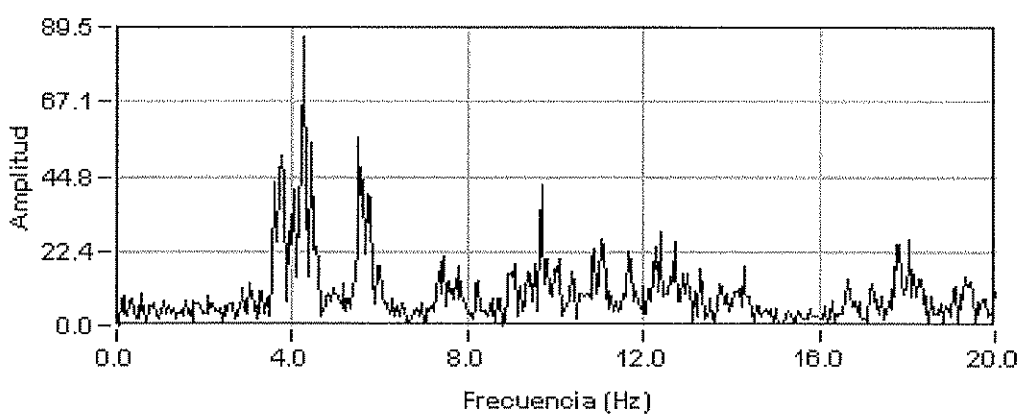


| Amplitud |
| --- |
| 87.04 |

| Frecuencia |
| --- |
| 4.24 |

| Dec.Logarit. |
| --- |
| 0.04 |

| Amortiguac. | |
| --- | --- |
| 0.63 | % |

L.A.V. MADRID-BARCELONA-F.FRANCESA

35VI02 - SUBTRAMO IIIa

Punto : P131 Canal : 00 Unidades : mm

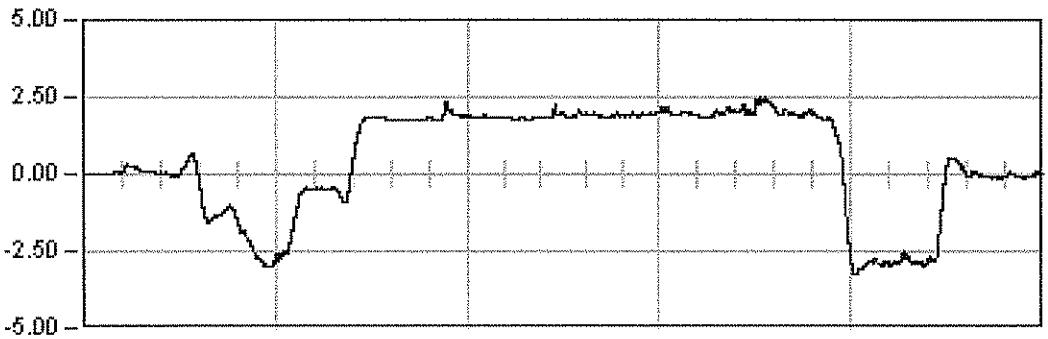


ESTATICA 09

1450.0 Seg

Est: 1.93
Max: -3.28
Min: 2.53
Rem: -0.04

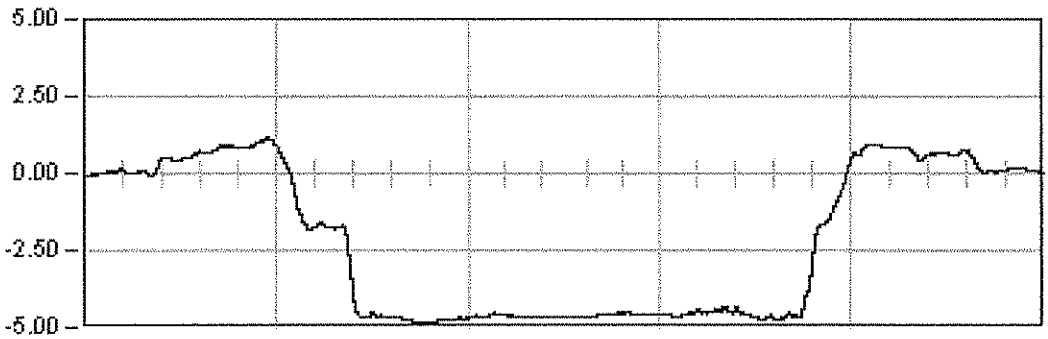


ESTATICA 10

1487.0 Seg

Est: -4.72
Max: -4.89
Min: 1.17
Rem: 0.11

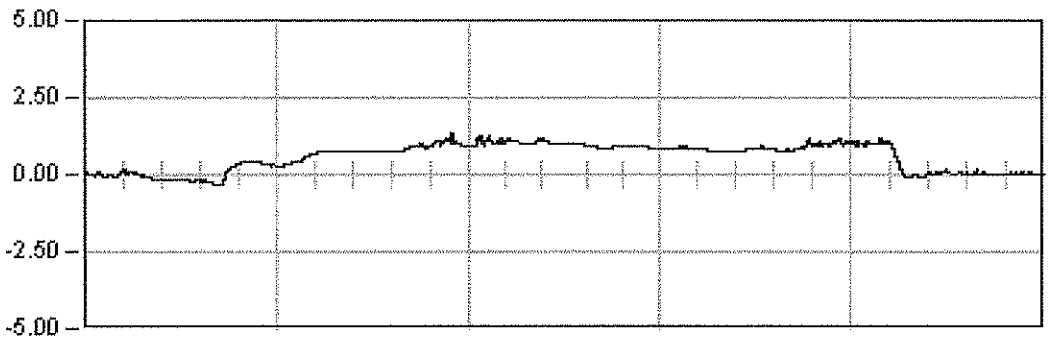


ESTATICA 19

1025.0 Seg

Est: 1.00
Max: 1.35
Min: -0.36
Rem: 0.01

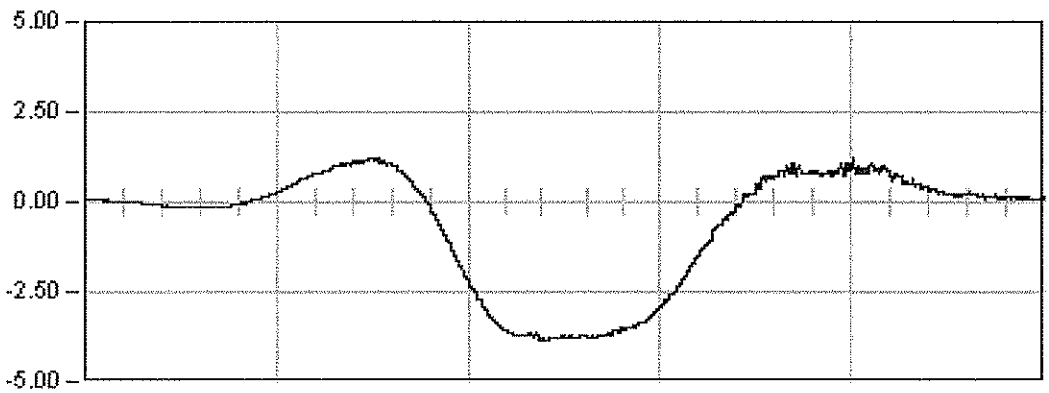


DINAMICA 01

99.0 Seg

Max: -3.85
Min: 1.23
Rem: 0.08

L.A.V. MADRID-BARCELONA-F.FRANCESA

35VI02 - SUBTRAMO IIIa

Punto : P131 Canal : 00 Unidades : mm

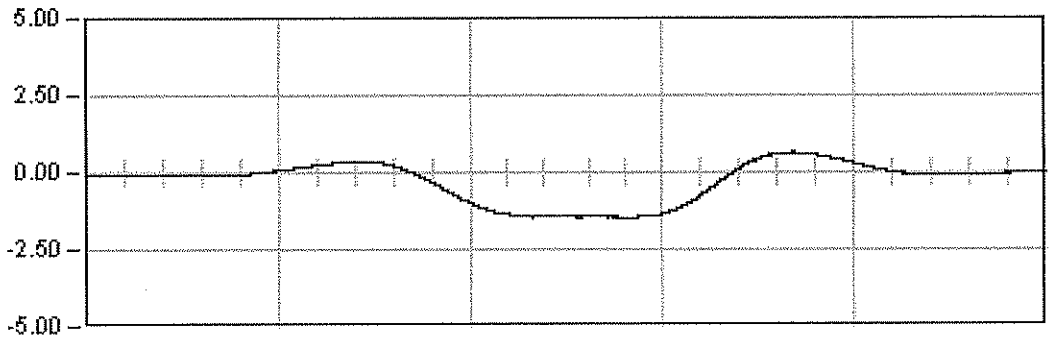


DINAMICA 21

115.0 Seg

Max: -1.47
Min: 0.63
Rem: -0.02

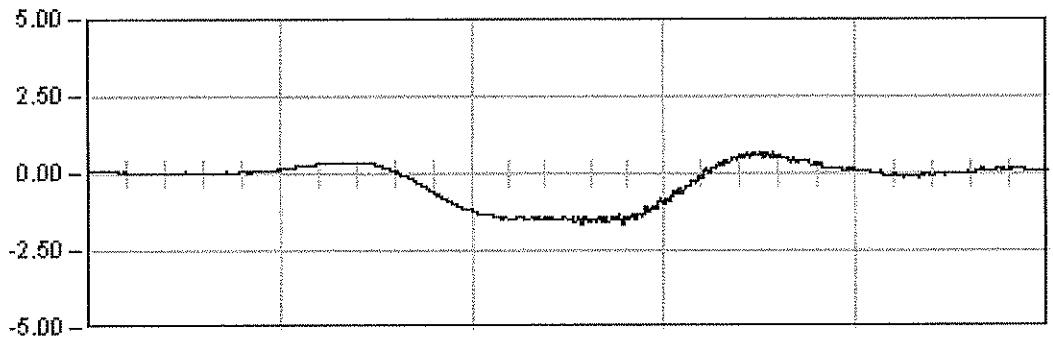


DINAMICA 22

41.0 Seg

Max: -1.68
Min: 0.67
Rem: -0.02

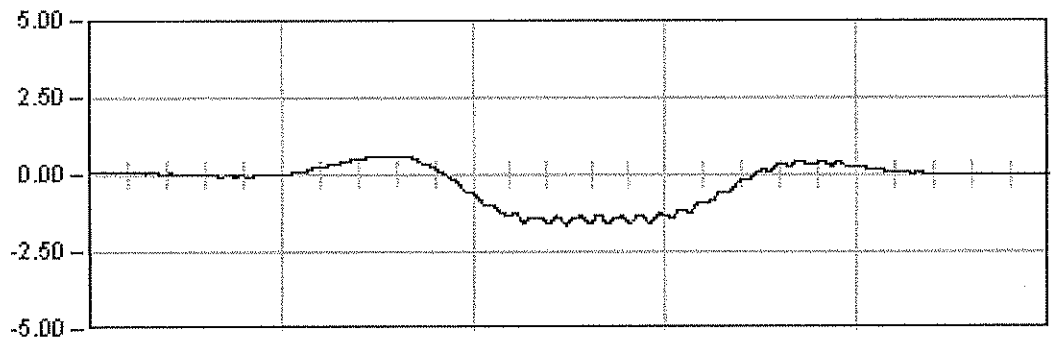


DINAMICA 23

14.0 Seg

Max: -1.64
Min: 0.61
Rem: 0.01

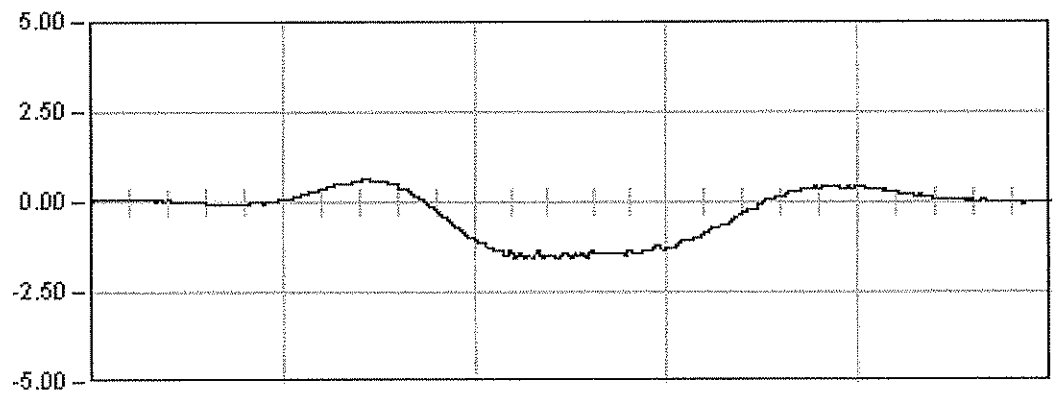


DINAMICA 24

21.0 Seg

Max: -1.59
Min: 0.63
Rem: -0.02

L.A.V. MADRID-BARCELONA-F.FRANCESA

35VI02 - SUBTRAMO IIIa

Punto : P132 Canal : 01 Unidades : mm

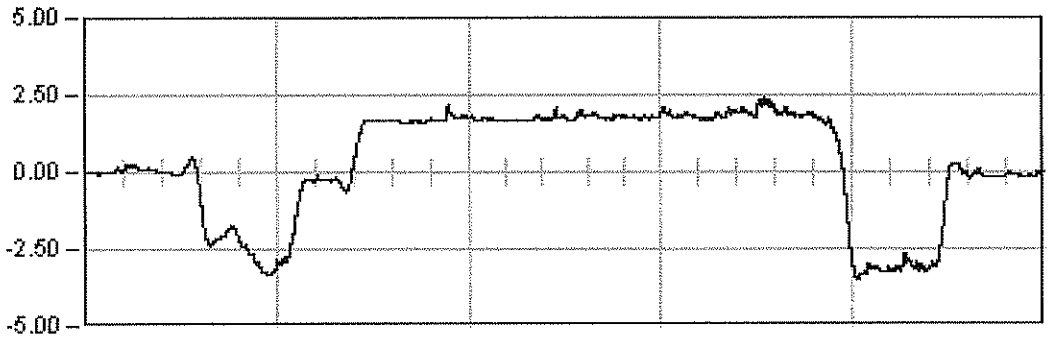


ESTATICA 09

1450.0 Seg

Est: 1.83
Max: -3.49
Min: 2.43
Rem: -0.09

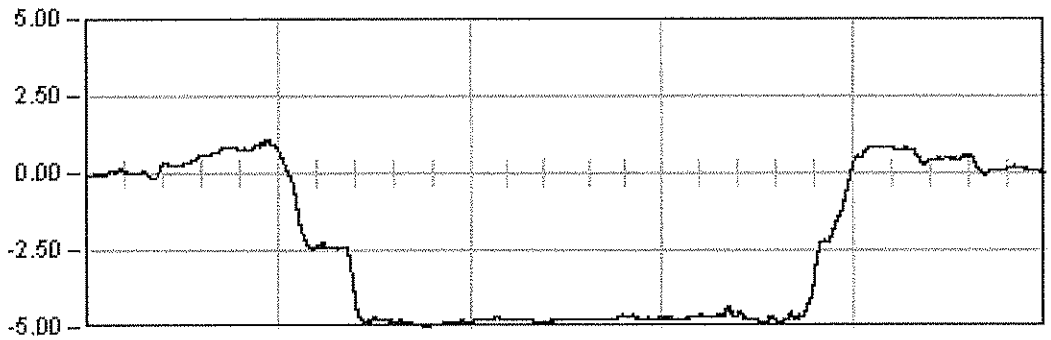


ESTATICA 10

1487.0 Seg

Est: -4.78
Max: -4.98
Min: 1.08
Rem: 0.11

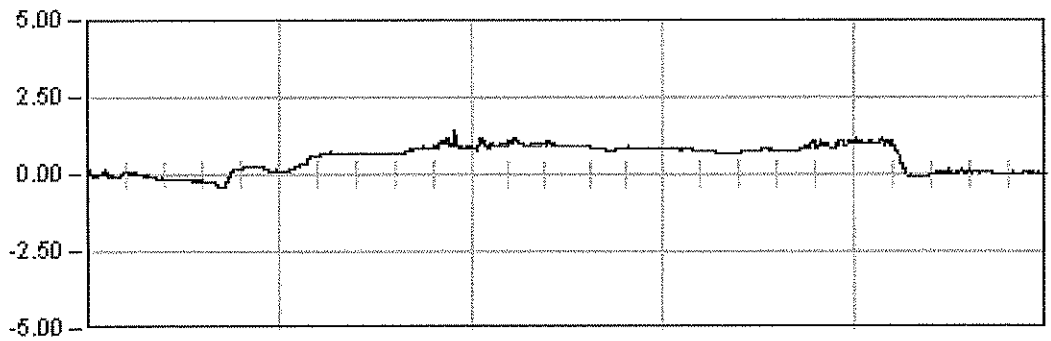


ESTATICA 19

1025.0 Seg

Est: 0.99
Max: 1.39
Min: -0.43
Rem: 0.02

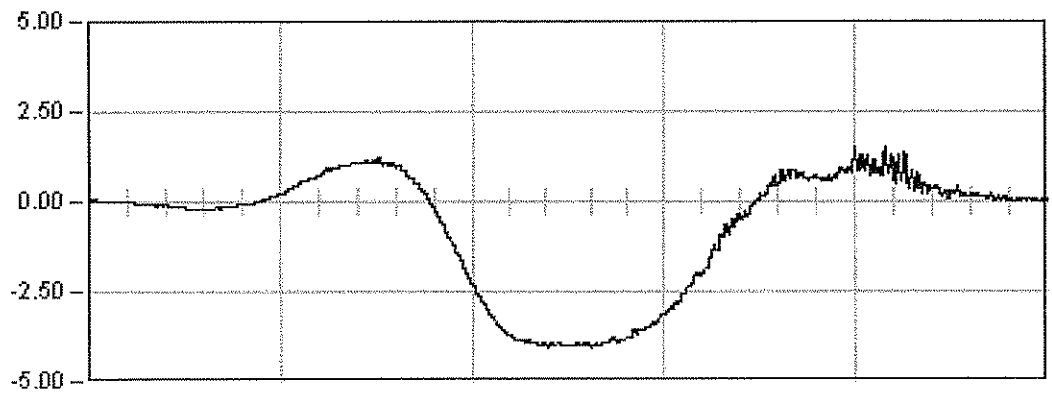


DINAMICA 01

99.0 Seg

Max: -4.05
Min: 1.49
Rem: 0.02

L.A.V. MADRID-BARCELONA-F.FRANCESA

35VI02 - SUBTRAMO IIIa

Punto : P133 Canal : 02 Unidades : mm

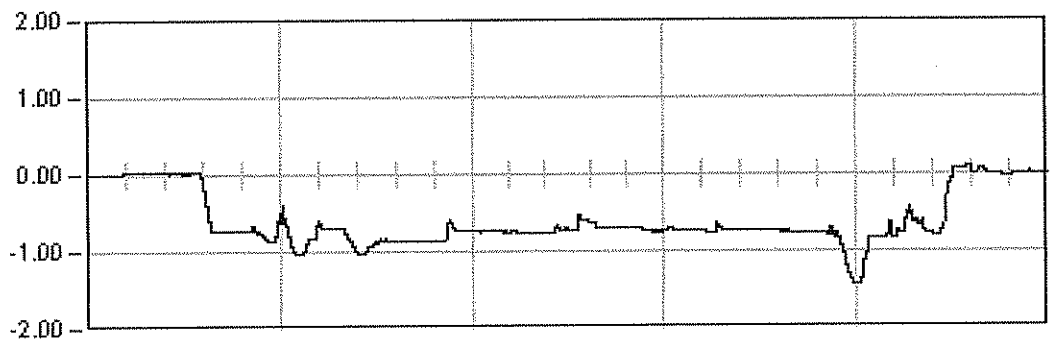


ESTATICA 09

1450.0 Seg

Est: -0.77
Max: -1.44
Min: 0.10
Rem: 0.01

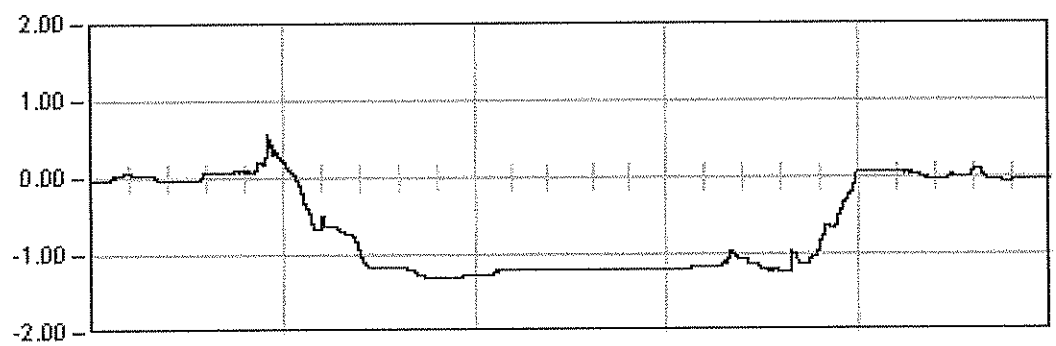


ESTATICA 10

1487.0 Seg

Est: -1.22
Max: -1.30
Min: 0.55
Rem: -0.03

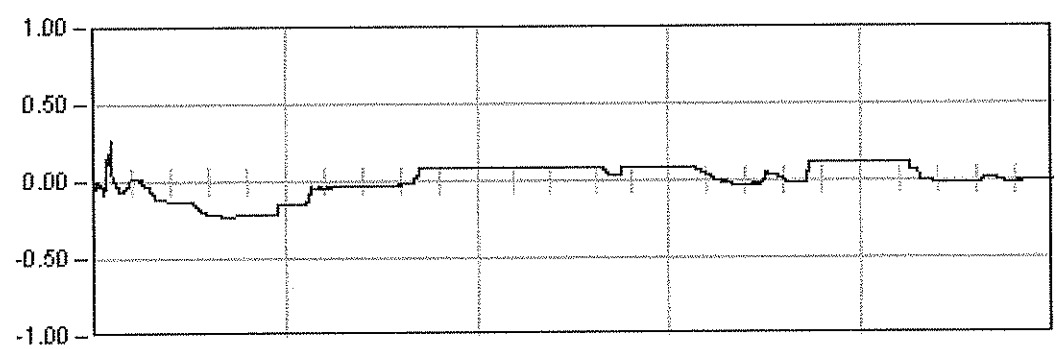


ESTATICA 19

1025.0 Seg

Est: 0.12
Max: 0.26
Min: -0.23
Rem: -0.00

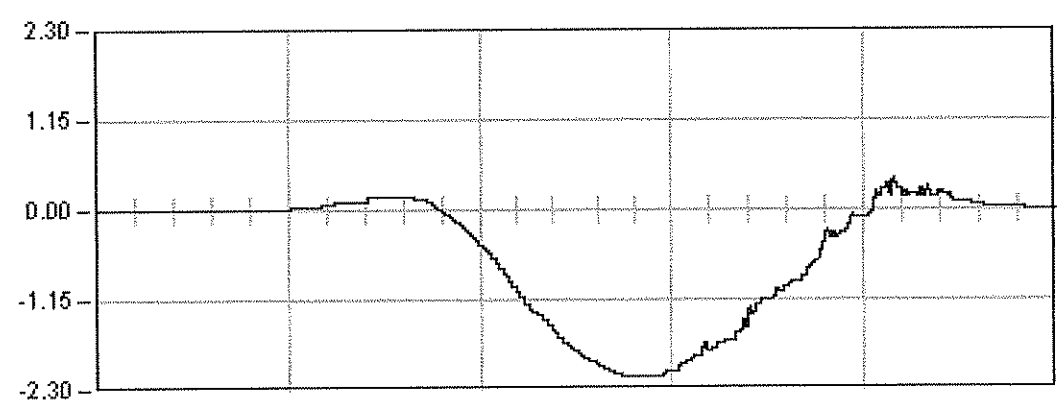


DINAMICA 01

99.0 Seg

Max: -2.13
Min: 0.39
Rem: 0.00

L.A.V. MADRID-BARCELONA-F.FRANCESA

35VI02 - SUBTRAMO IIIa

Punto : P133 Canal : 02 Unidades : mm

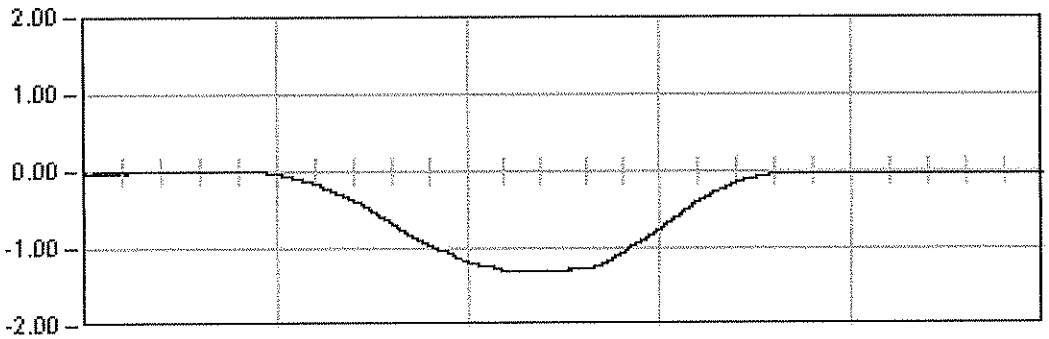


DINAMICA 21

115.0 Seg

Max: -1.29
Min: 0.01
Rem: -0.00

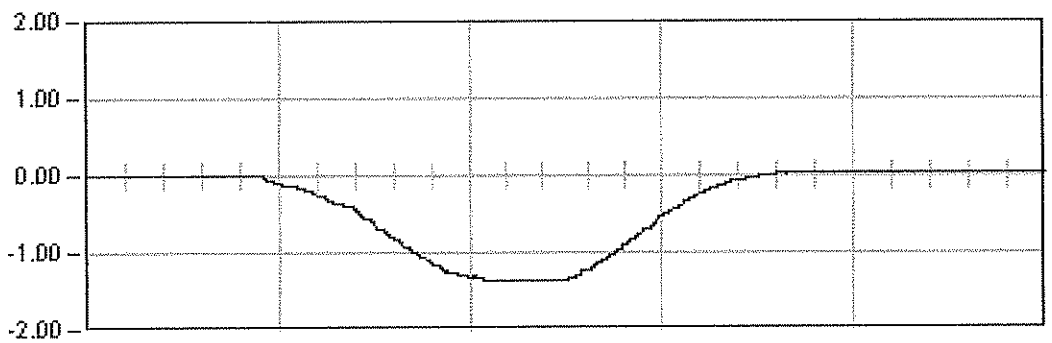


DINAMICA 22

41.0 Seg

Max: -1.37
Min: 0.06
Rem: -0.03

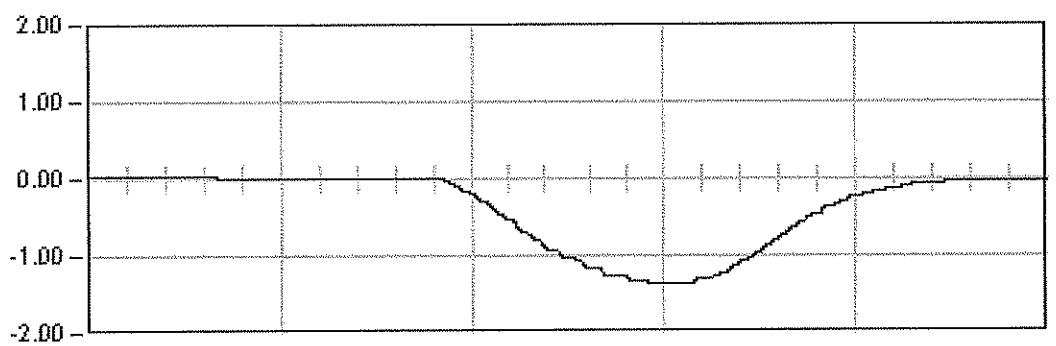


DINAMICA 23

14.0 Seg

Max: -1.37
Min: 0.03
Rem: -0.00

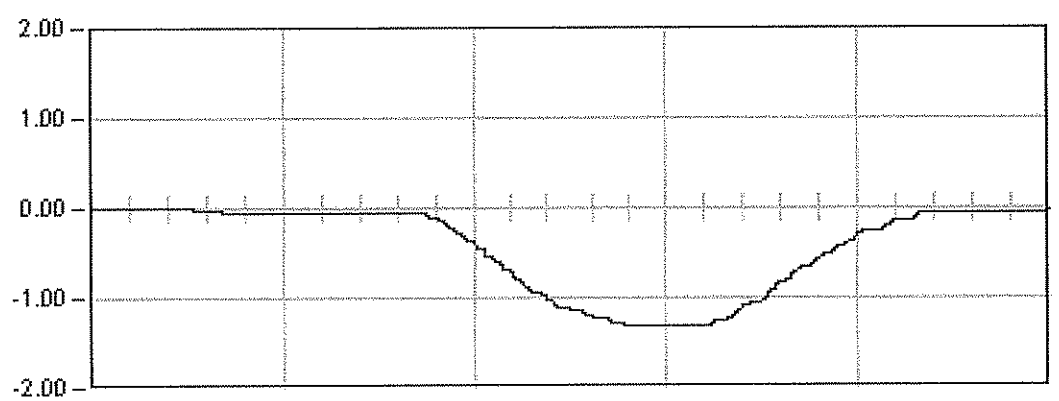


DINAMICA 24

21.0 Seg

Max: -1.32
Min: 0.12
Rem: -0.00

L.A.V. MADRID-BARCELONA-F.FRANCESA

35VI02 - SUBTRAMO IIIa

Punto : P132 Canal : 01 Unidades : mm

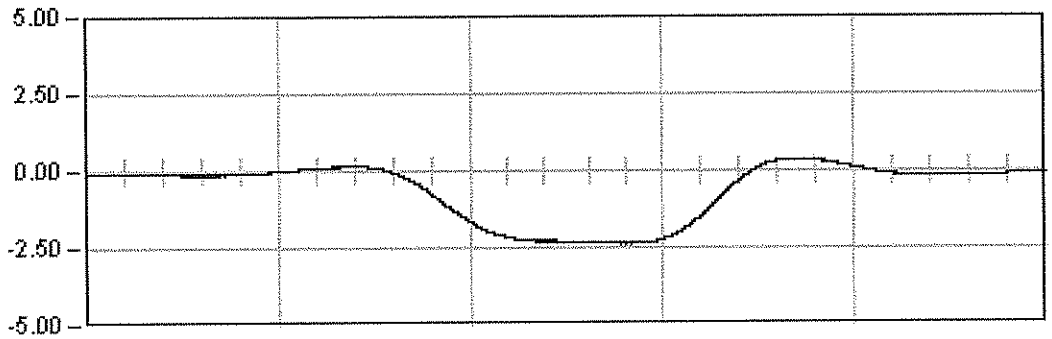


DINAMICA 21

115.0 Seg

Max: -2.38
Min: 0.37
Rem: -0.04

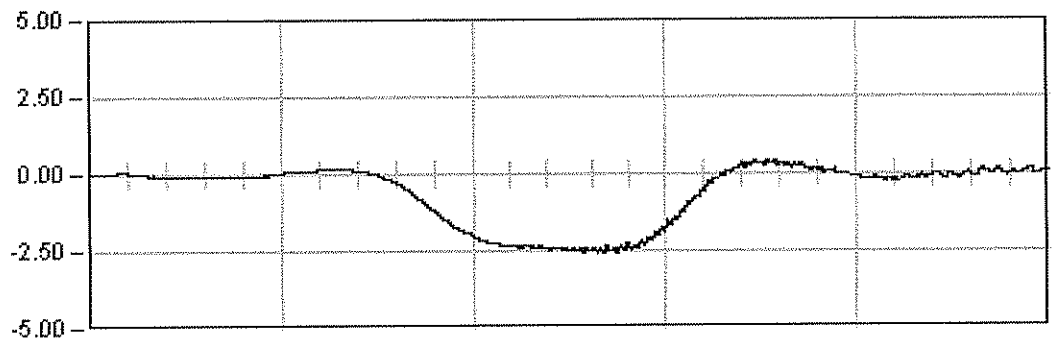


DINAMICA 22

41.0 Seg

Max: -2.60
Min: 0.43
Rem: -0.07

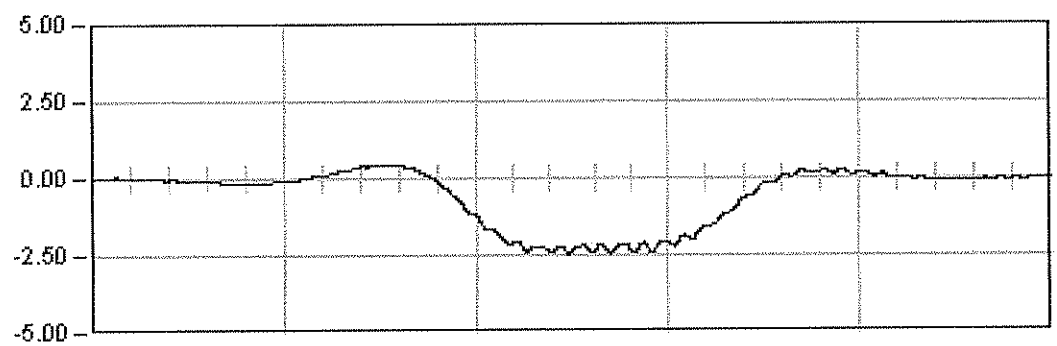


DINAMICA 23

14.0 Seg

Max: -2.47
Min: 0.45
Rem: 0.04

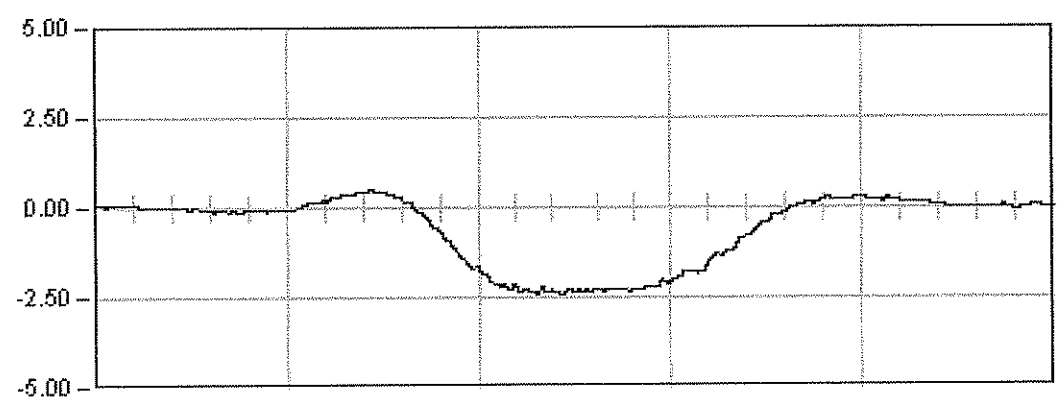


DINAMICA 24

21.0 Seg

Max: -2.43
Min: 0.47
Rem: 0.00

L.A.V. MADRID-BARCELONA-F.FRANCESA

35VI02 - SUBTRAMO IIIa

Punto : P134 Canal : 03 Unidades : mm

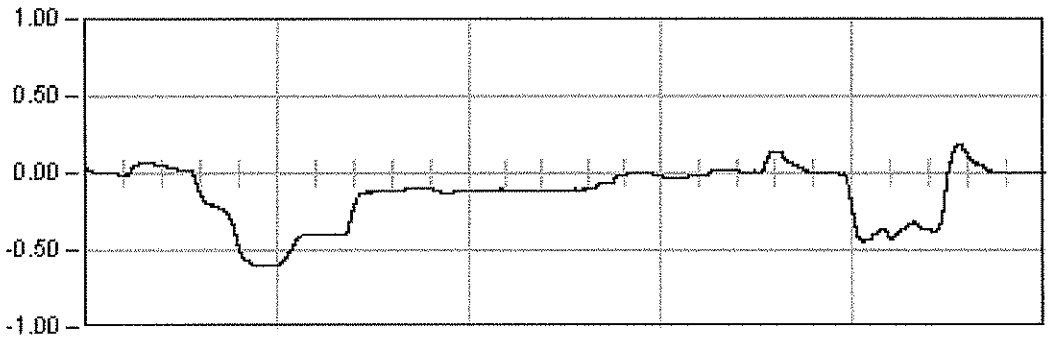


ESTATICA 09

1450.0 Seg

Est: 0.01
Max: -0.60
Min: 0.18
Rem: 0.01

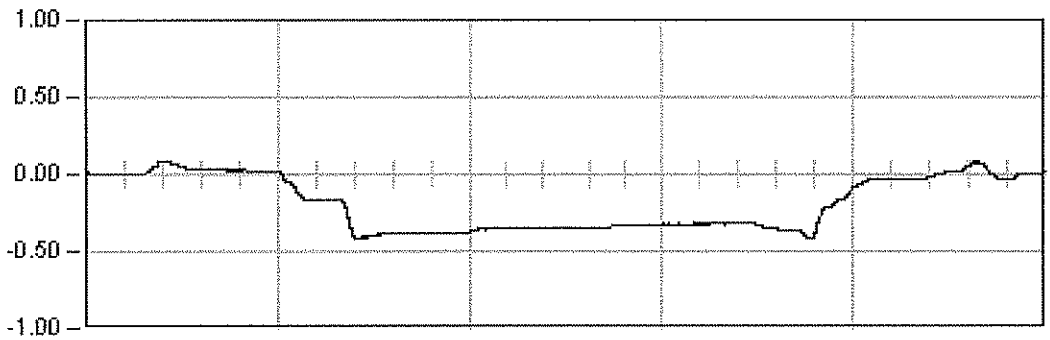


ESTATICA 10

1487.0 Seg

Est: -0.36
Max: -0.42
Min: 0.09
Rem: -0.01

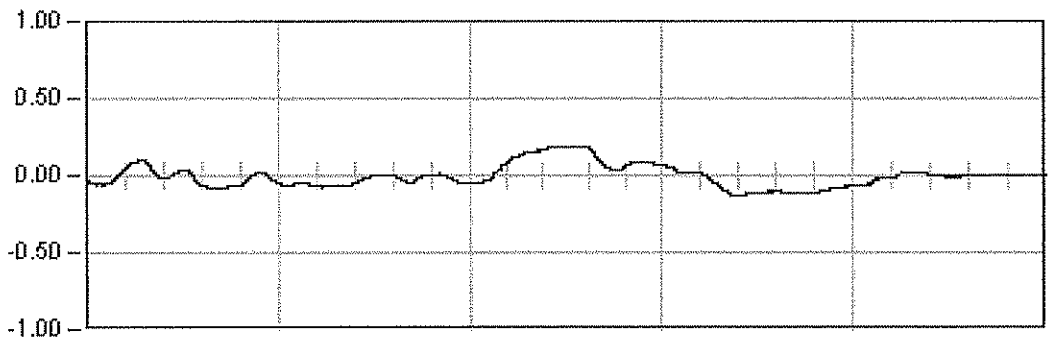


ESTATICA 19

1025.0 Seg

Est: -0.07
Max: 0.19
Min: -0.14
Rem: 0.00

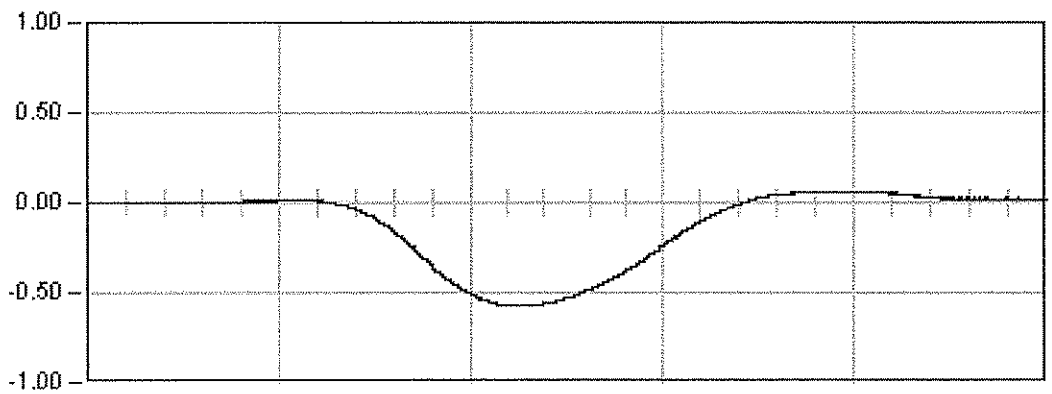


DINAMICA 01

99.0 Seg

Max: -0.57
Min: 0.06
Rem: 0.02

L.A.V. MADRID-BARCELONA-F.FRANCESA

35VI02 - SUBTRAMO IIIa

Punto : P134 Canal : 03 Unidades : mm

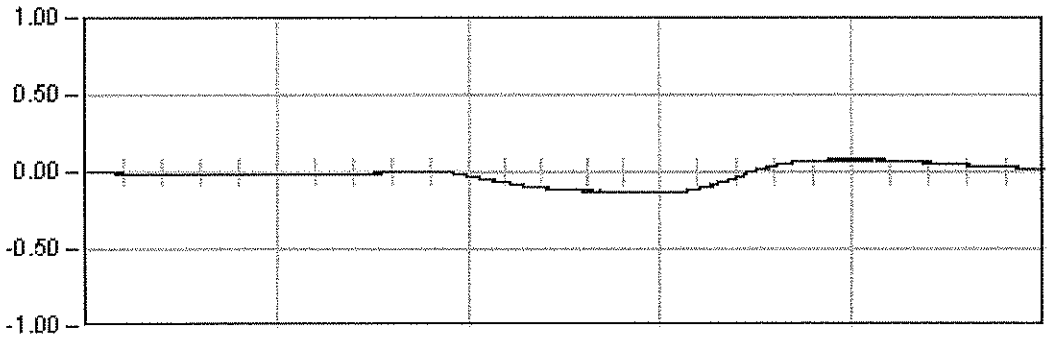


DINAMICA 21

115.0 Seg

Max: -0.14
Min: 0.08
Rem: 0.00

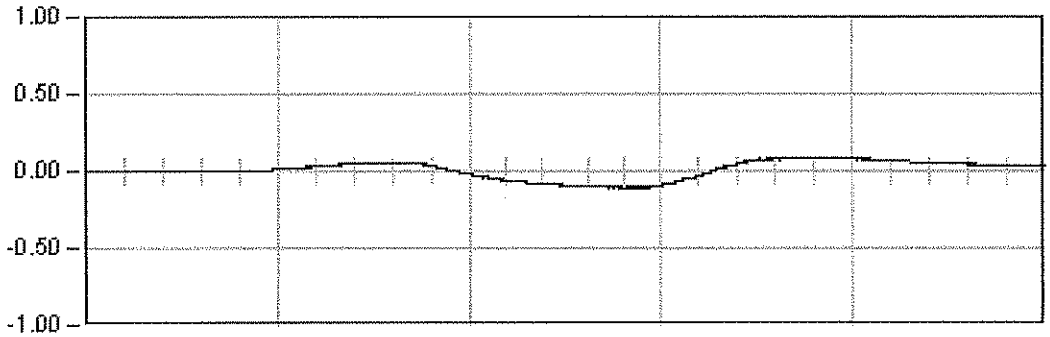


DINAMICA 22

41.0 Seg

Max: -0.11
Min: 0.08
Rem: 0.00

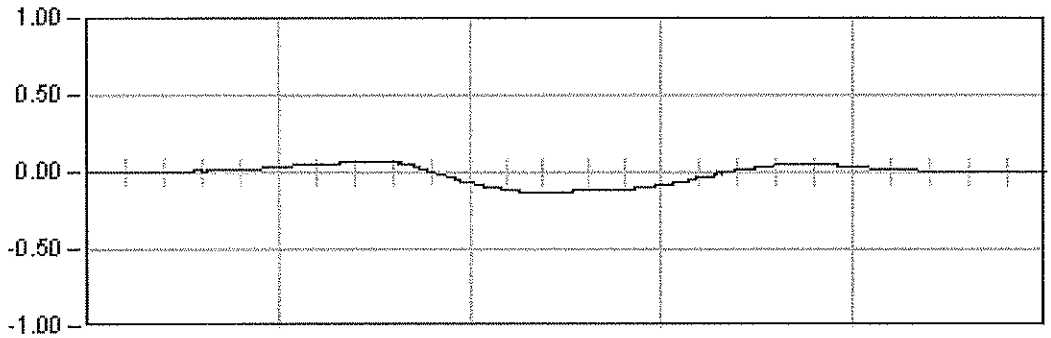


DINAMICA 23

14.0 Seg

Max: -0.13
Min: 0.07
Rem: -0.00

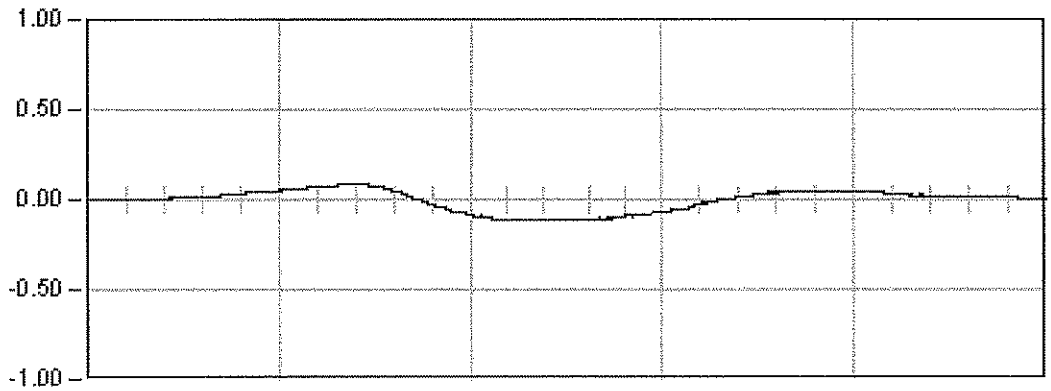


DINAMICA 24

21.0 Seg

Max: -0.12
Min: 0.08
Rem: 0.00

L.A.V. MADRID-BARCELONA-F.FRANCESA

35VI02 - SUBTRAMO IIIa

Punto : P141 Canal : 04 Unidades : mm

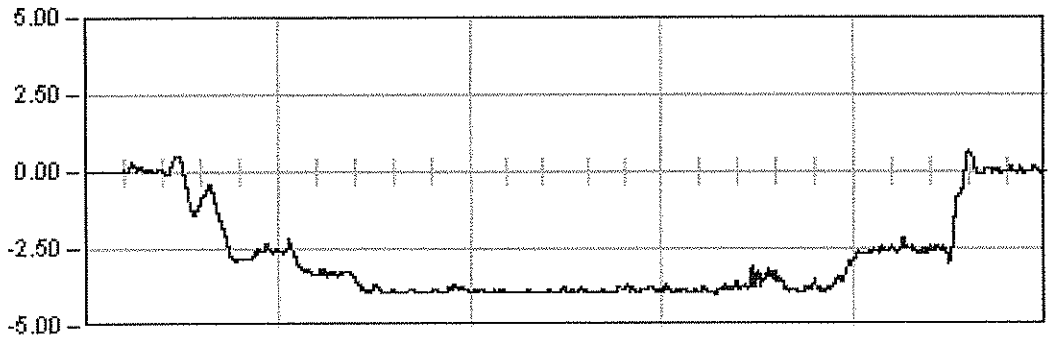


ESTATICA 09

1450.0 Seg

Est: -3.77
Max: -3.96
Min: 0.64
Rem: 0.02

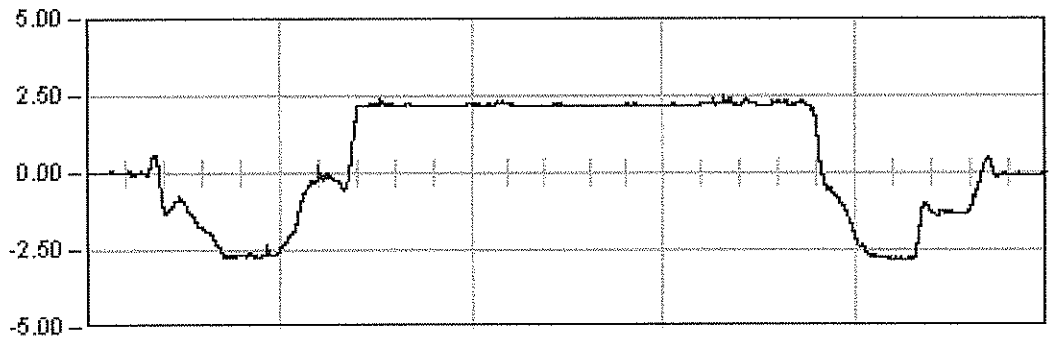


ESTATICA 10

1487.0 Seg

Est: 2.25
Max: -2.80
Min: 2.52
Rem: -0.07

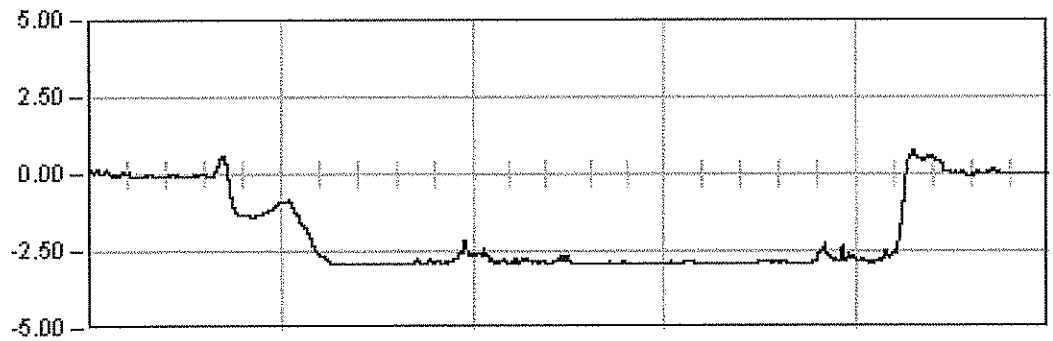


ESTATICA 19

1025.0 Seg

Est: -2.83
Max: -2.96
Min: 0.71
Rem: 0.01

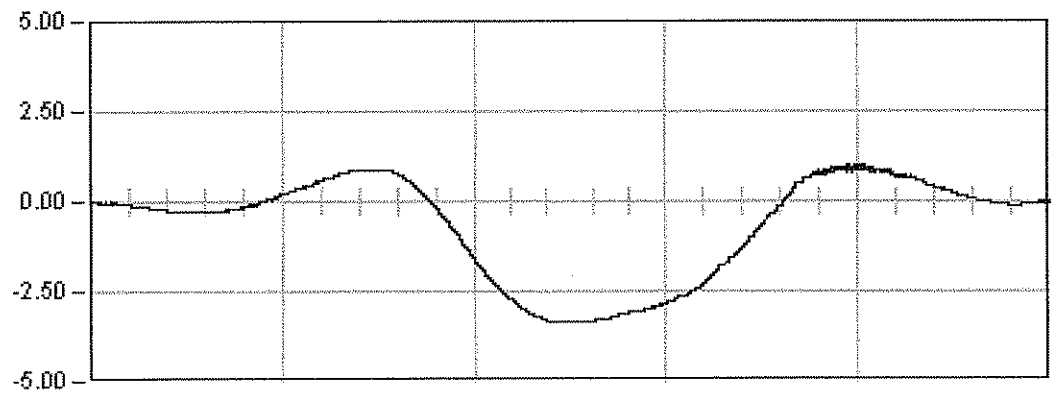


DINAMICA 01

89.0 Seg

Max: -3.37
Min: 1.02
Rem: 0.07

L.A.V. MADRID-BARCELONA-F.FRANCESA

35VI02 - SUBTRAMO IIIa

Punto : P141 Canal : 04 Unidades : mm

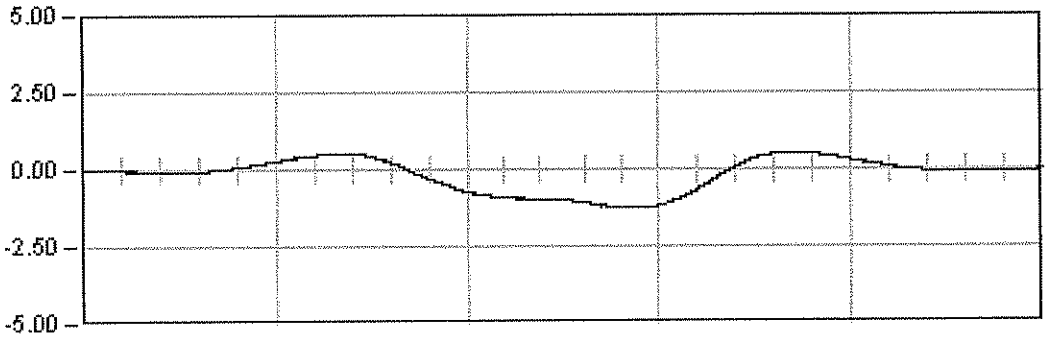


DINAMICA 21

105.0 Seg

Max: -1.26
Min: 0.51
Rem: -0.02

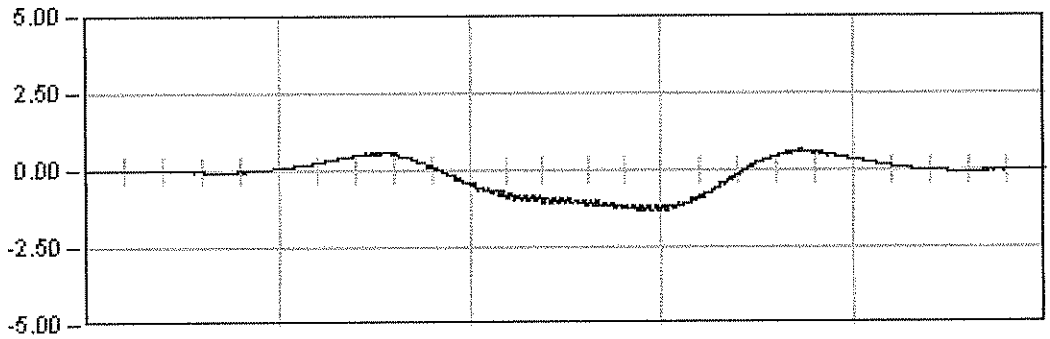


DINAMICA 22

38.0 Seg

Max: -1.34
Min: 0.64
Rem: -0.02

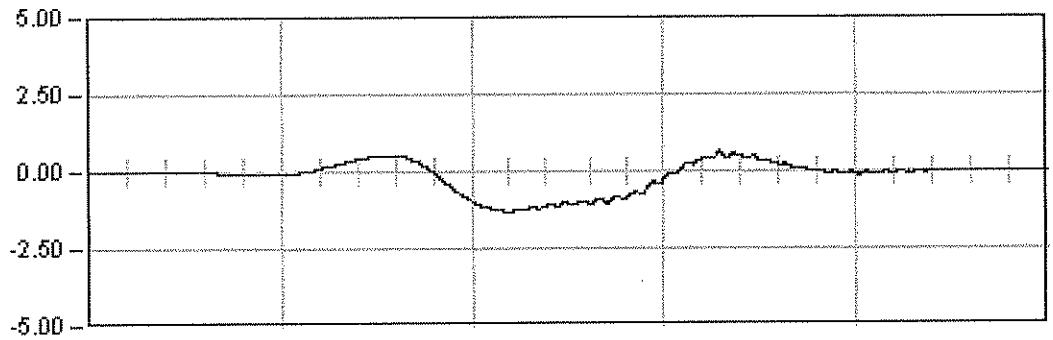


DINAMICA 23

17.0 Seg

Max: -1.31
Min: 0.63
Rem: -0.00

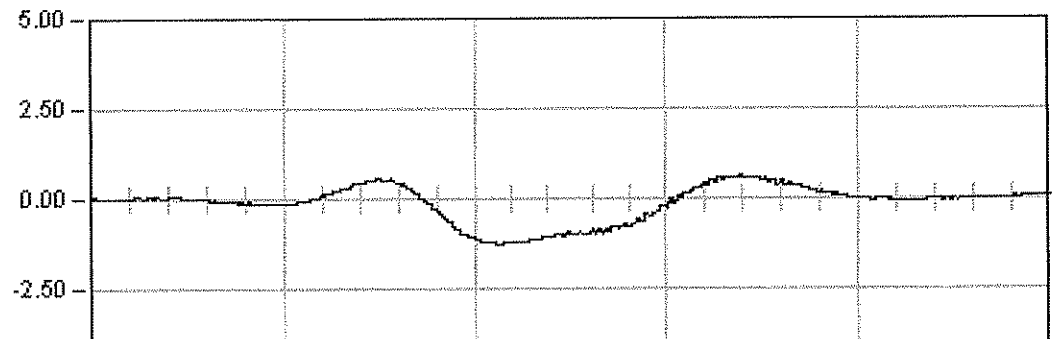


DINAMICA 24

24.0 Seg

Max: -1.27
Min: 0.64
Rem: 0.00

L.A.V. MADRID-BARCELONA-F.FRANCESA

35VI02 - SUBTRAMO IIIa

Punto : P142 Canal : 05 Unidades : mm

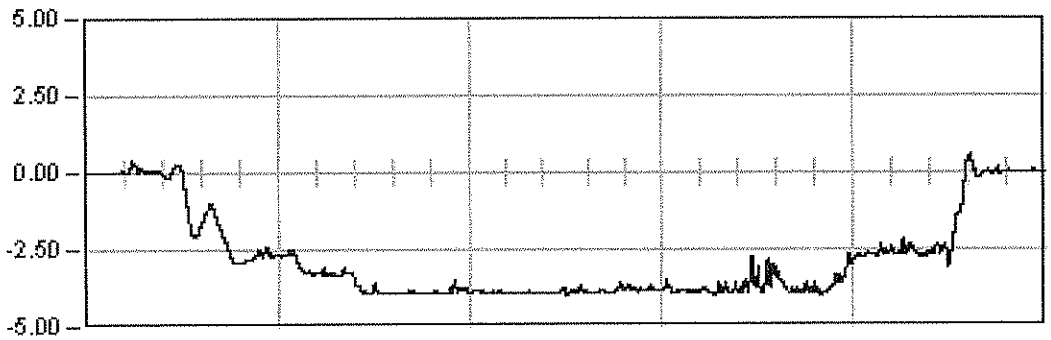


ESTATICA 09

1450.0 Seg

Est: -3.73
Max: -3.97
Min: 0.58
Rem: -0.00

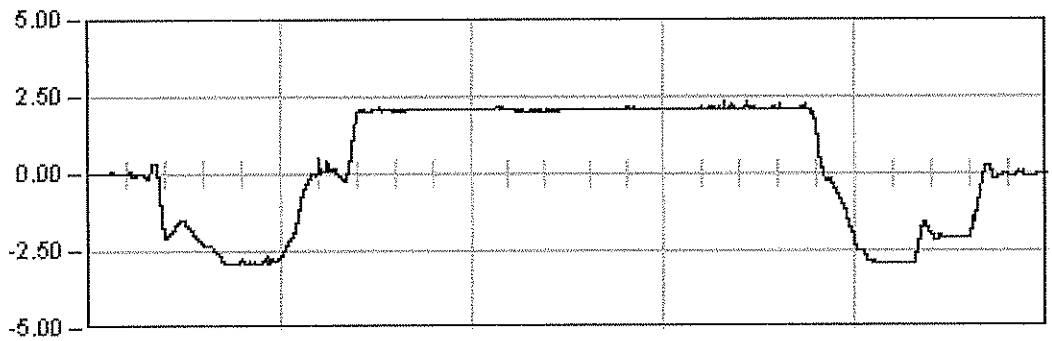


ESTATICA 10

1487.0 Seg

Est: 2.09
Max: -2.95
Min: 2.36
Rem: -0.03

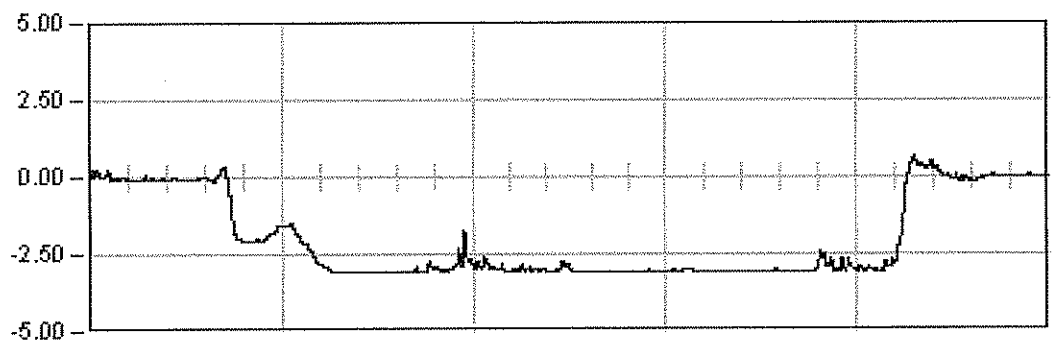


ESTATICA 19

1025.0 Seg

Est: -3.05
Max: -3.10
Min: 0.70
Rem: -0.00

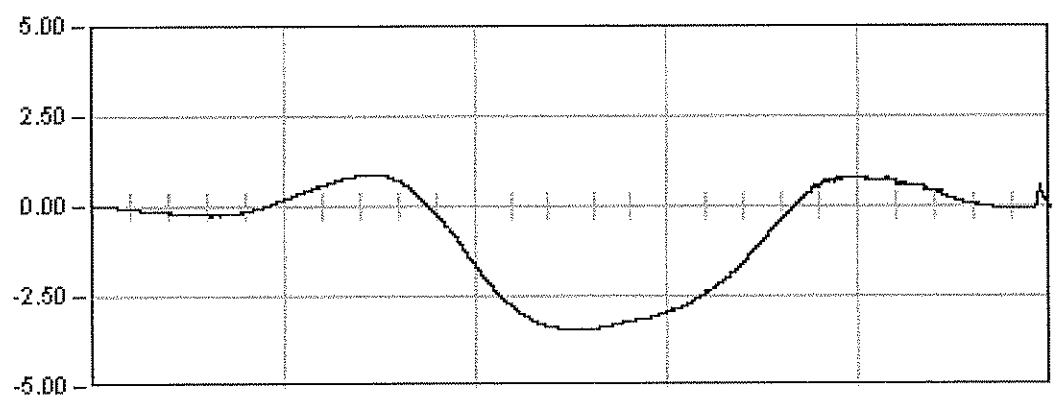


DINAMICA 01

89.0 Seg

Max: -3.41
Min: 1.22
Rem: 0.11

L.A.V. MADRID-BARCELONA-F.FRANCESA

35VI02 - SUBTRAMO IIIa

Punto : P142 Canal : 05 Unidades : mm

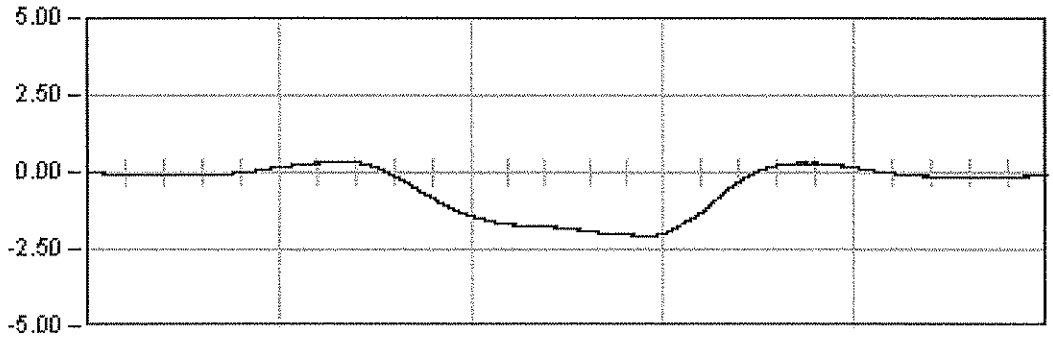


DINAMICA 21

105.0 Seg

Max: -2.07
Min: 0.32
Rem: -0.03

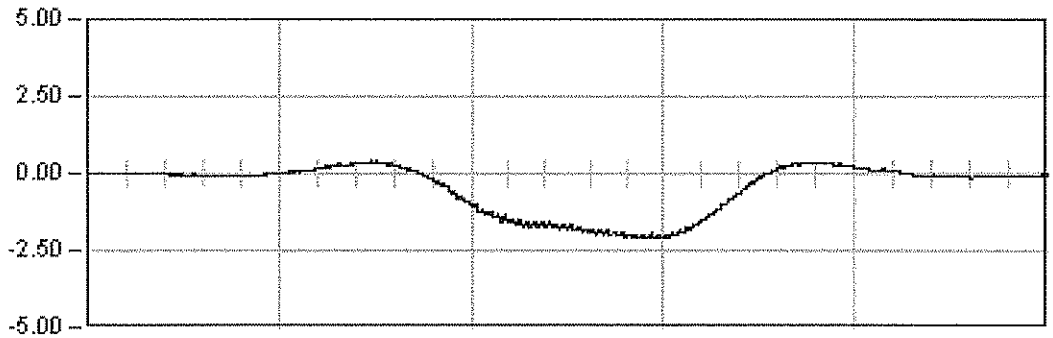


DINAMICA 22

38.0 Seg

Max: -2.12
Min: 0.39
Rem: 0.00

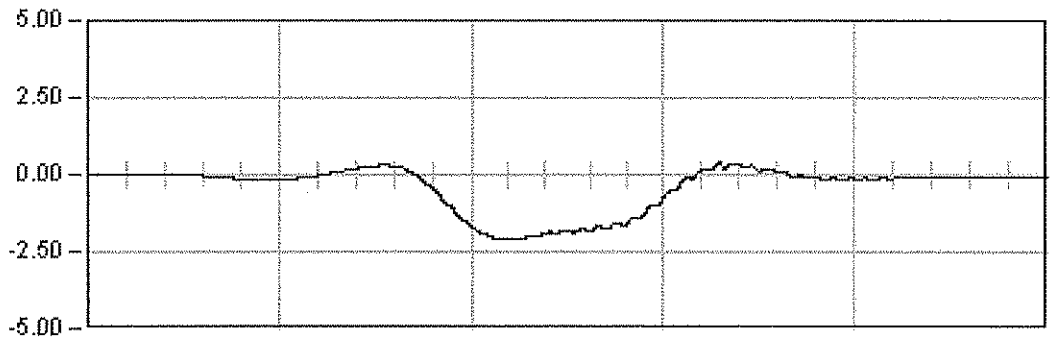


DINAMICA 23

17.0 Seg

Max: -2.06
Min: 0.39
Rem: -0.07

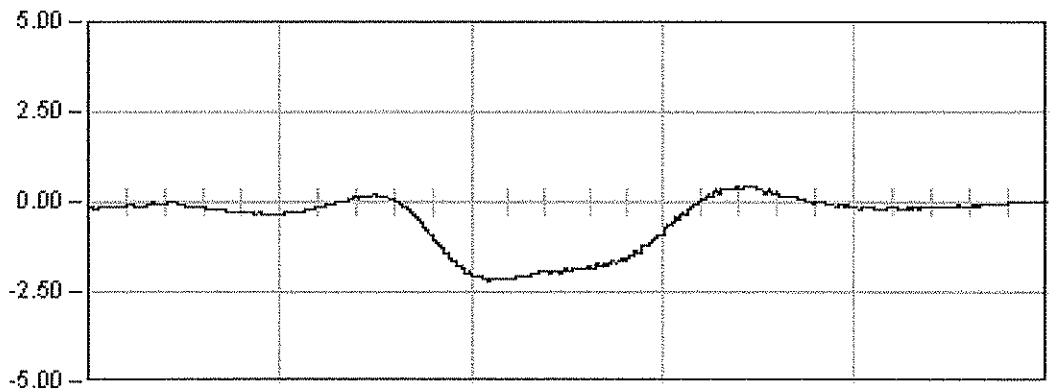


DINAMICA 24

24.0 Seg

Max: -2.20
Min: 0.44
Rem: -0.01

L.A.V. MADRID-BARCELONA-F.FRANCESA

35VI02 - SUBTRAMO IIIa

Punto : P143 Canal : 06 Unidades : mm

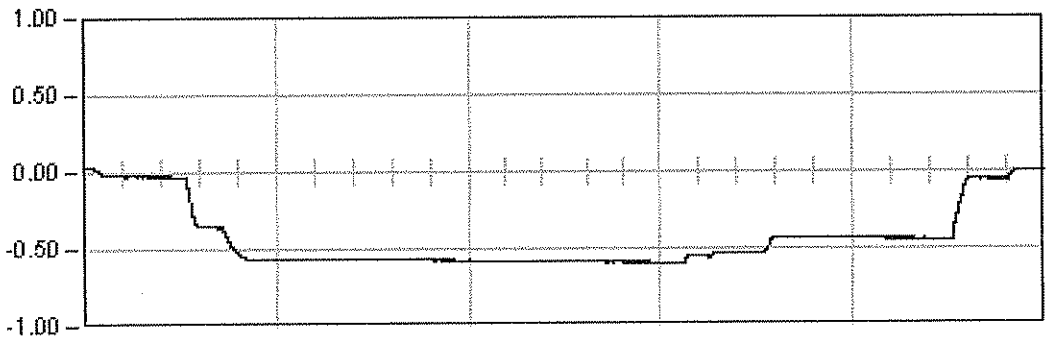


ESTATICA 09

1450.0 Seg

Est: -0.43
Max: -0.60
Min: 0.04
Rem: -0.00

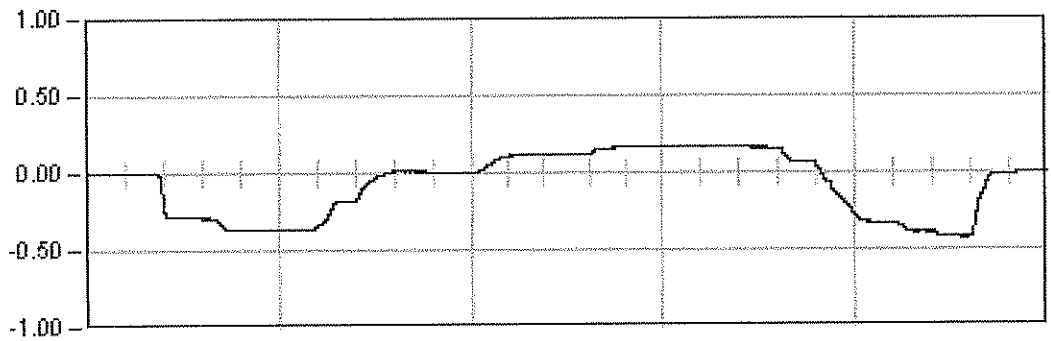


ESTATICA 10

1487.0 Seg

Est: 0.10
Max: -0.43
Min: 0.17
Rem: -0.00

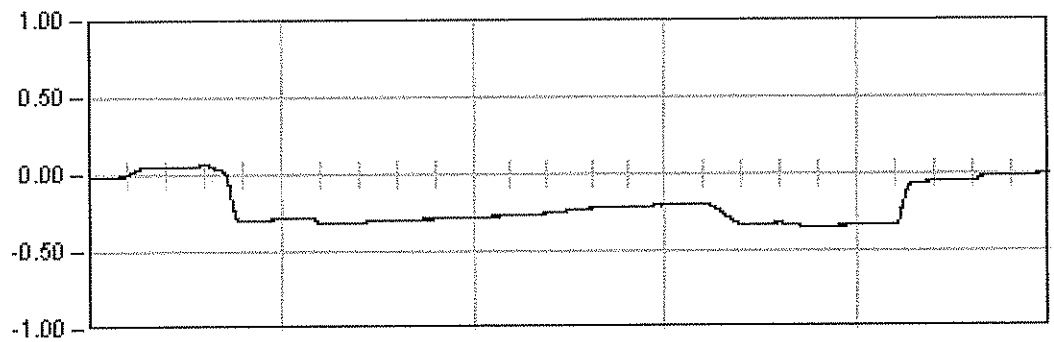


ESTATICA 19

1025.0 Seg

Est: -0.33
Max: -0.35
Min: 0.06
Rem: -0.01

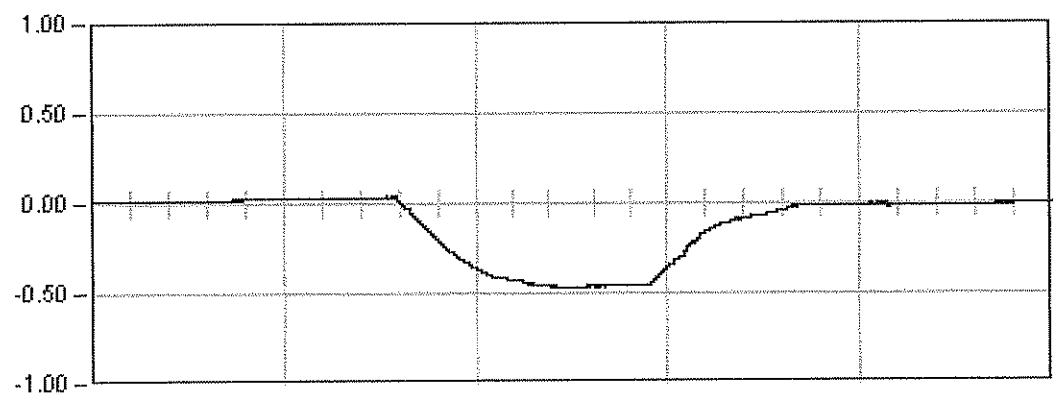


DINAMICA 01

113.0 Seg

Max: -0.47
Min: 0.04
Rem: -0.00

L.A.V. MADRID-BARCELONA-F.FRANCESA

35VI02 - SUBTRAMO IIIa

Punto : P143 Canal : 06 Unidades : mm

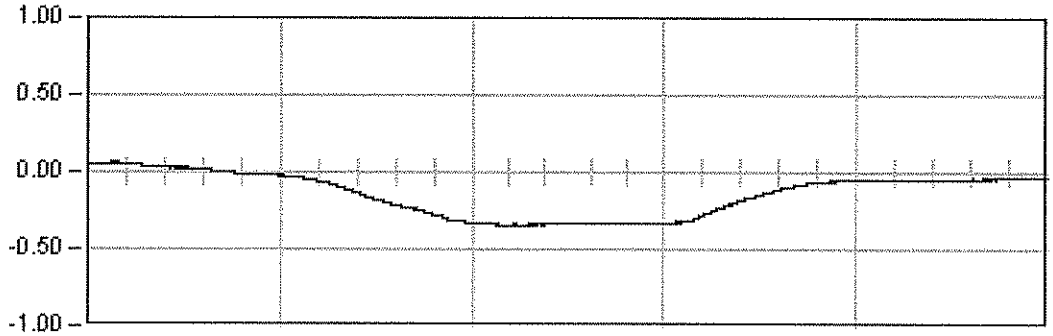


DINAMICA 21

105.0 Seg

Max: -0.34
Min: 0.06
Rem: -0.00

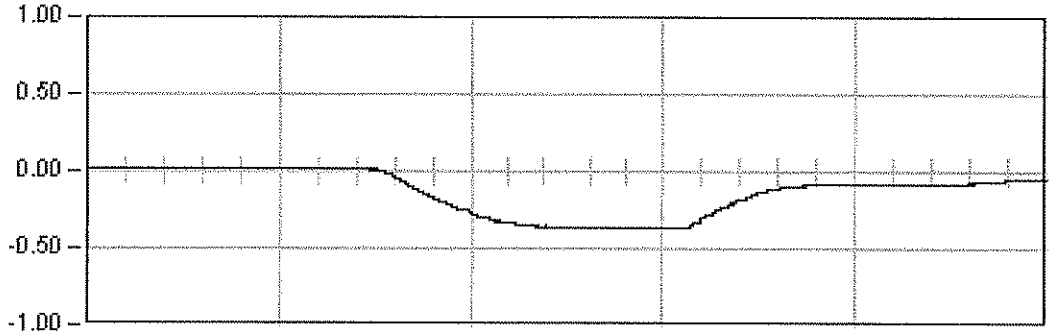


DINAMICA 22

38.0 Seg

Max: -0.37
Min: 0.04
Rem: 0.00

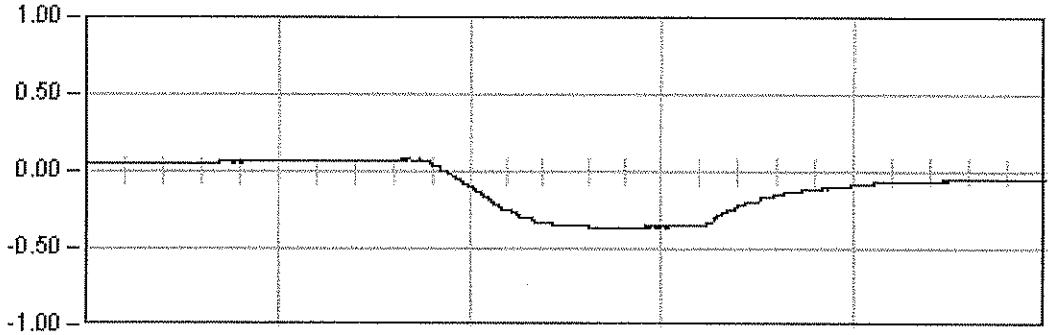


DINAMICA 23

17.0 Seg

Max: -0.36
Min: 0.08
Rem: -0.01

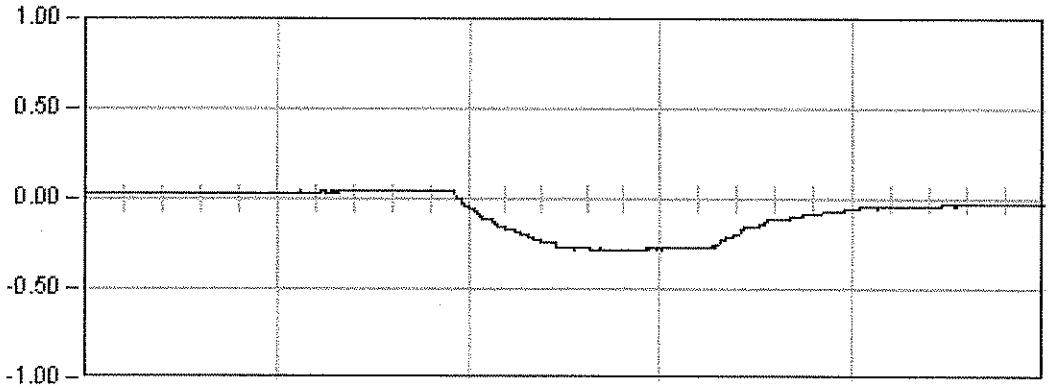


DINAMICA 24

24.0 Seg

Max: -0.28
Min: 0.04
Rem: -0.00

L.A.V. MADRID-BARCELONA-F.FRANCESA

35VI02 - SUBTRAMO IIIa

Punto : P144 Canal : 07 Unidades : mm

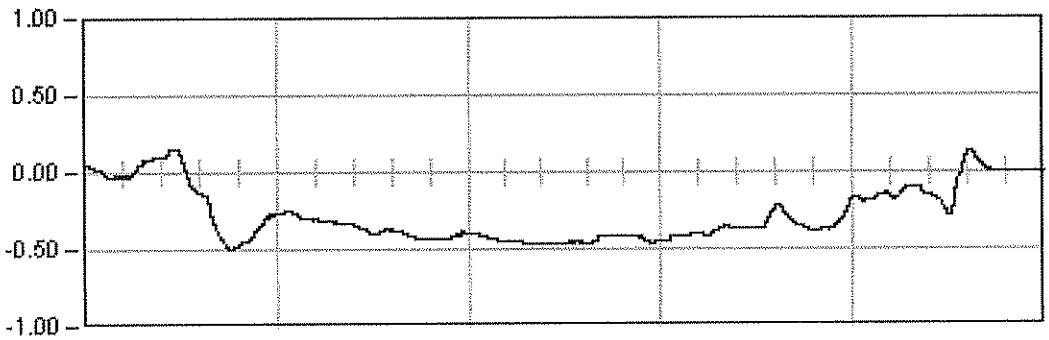


ESTATICA 09

1450.0 Seg

Est: -0.37
Max: -0.50
Min: 0.15
Rem: 0.00

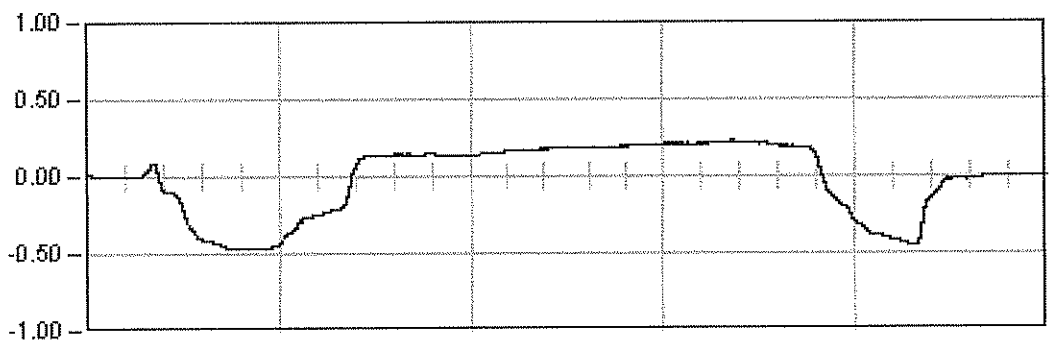


ESTATICA 10

1487.0 Seg

Est: 0.19
Max: -0.47
Min: 0.23
Rem: -0.00

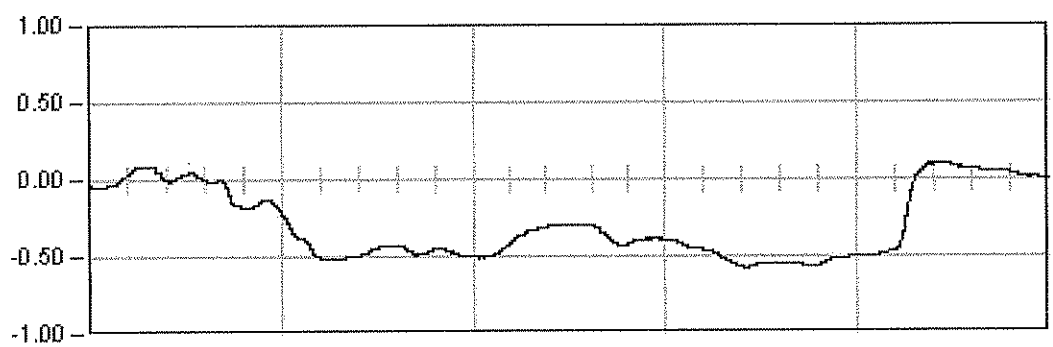


ESTATICA 19

1025.0 Seg

Est: -0.50
Max: -0.58
Min: 0.10
Rem: 0.03

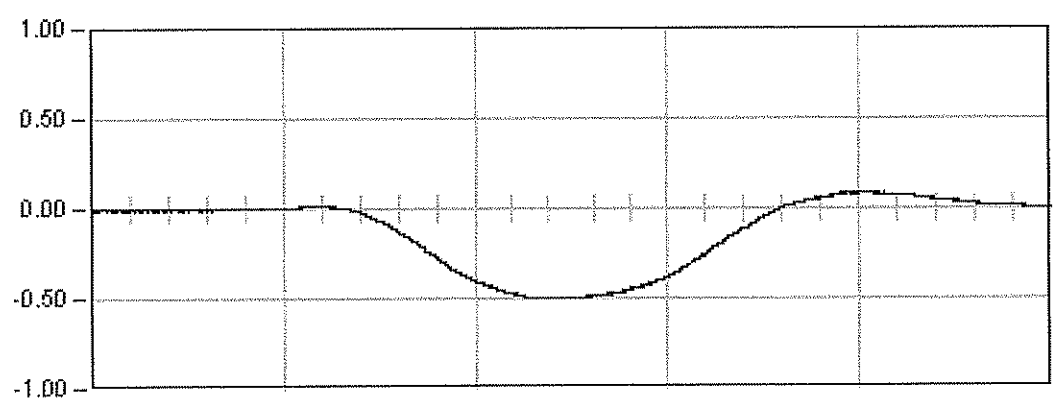


DINAMICA 01

89.0 Seg

Max: -0.50
Min: 0.08
Rem: 0.01

L.A.V. MADRID-BARCELONA-F.FRANCESA

35VI02 - SUBTRAMO IIIa

Punto : P144 Canal : 07 Unidades : mm

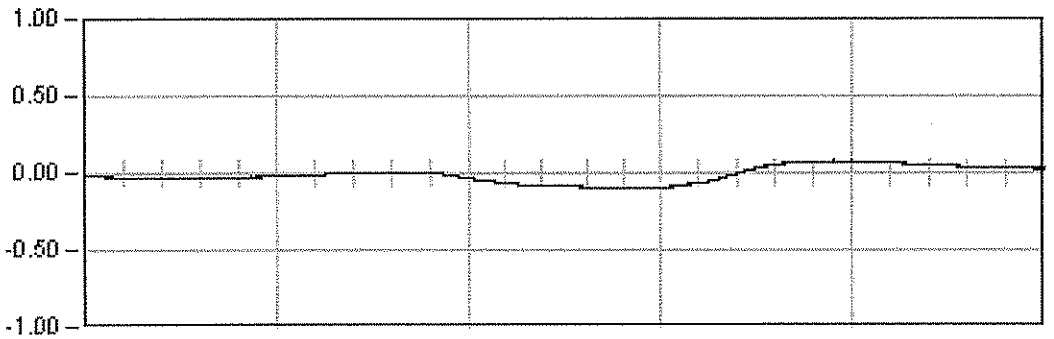


DINAMICA 21

105.0 Seg

Max: -0.10
Min: 0.08
Rem: -0.00

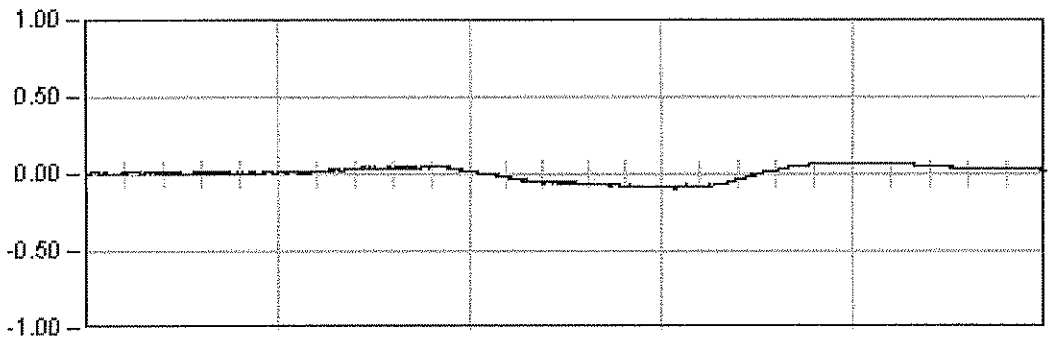


DINAMICA 22

38.0 Seg

Max: -0.11
Min: 0.07
Rem: -0.00

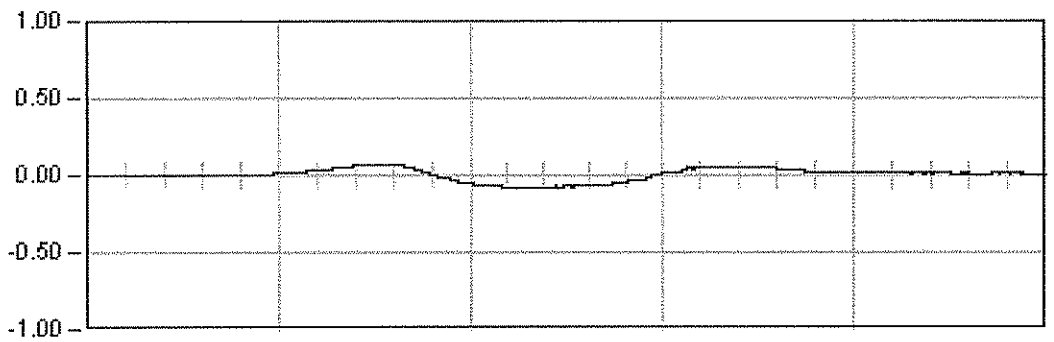


DINAMICA 23

17.0 Seg

Max: -0.08
Min: 0.07
Rem: 0.01

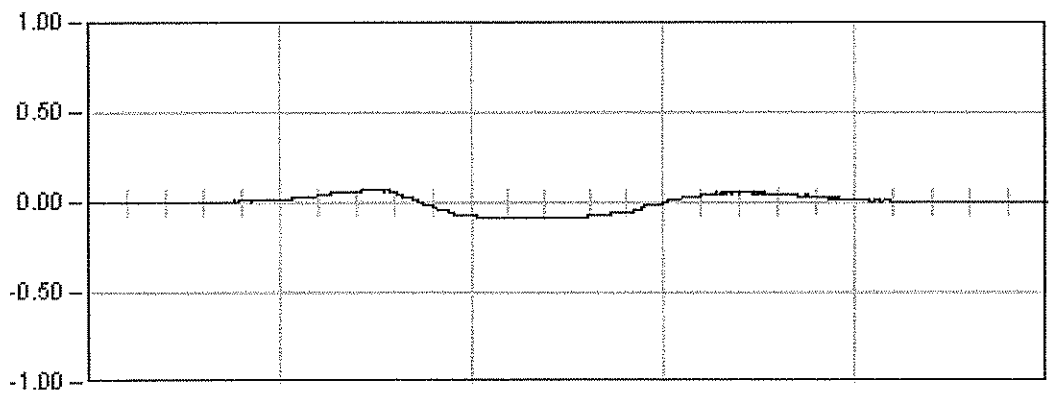


DINAMICA 24

24.0 Seg

Max: -0.09
Min: 0.07
Rem: 0.00

L.A.V. MADRID-BARCELONA-F.FRANCESA

35VI02 - SUBTRAMO IIIa

Punto : P151 Canal : 08 Unidades : mm

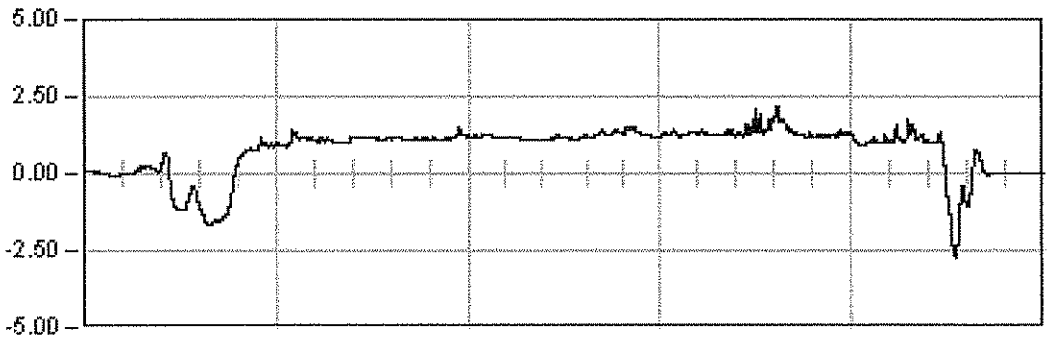


ESTATICA 09

1450.0 Seg

Est: 1.21
Max: -2.71
Min: 2.17
Rem: -0.00

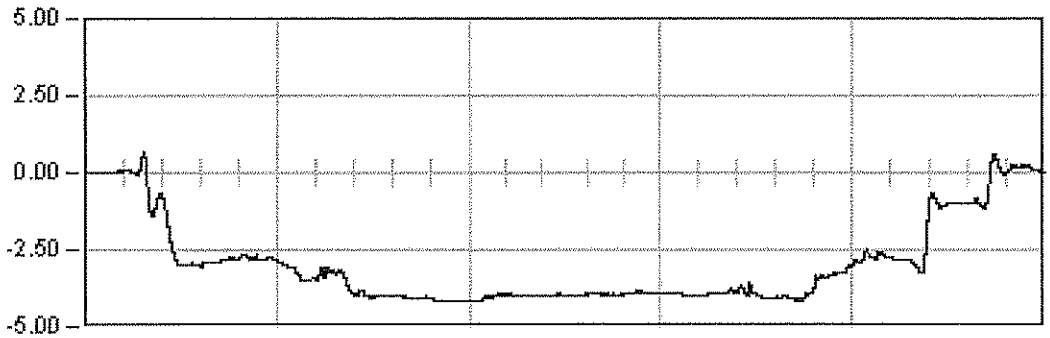


ESTATICA 10

1487.0 Seg

Est: -4.01
Max: -4.19
Min: 0.63
Rem: 0.13

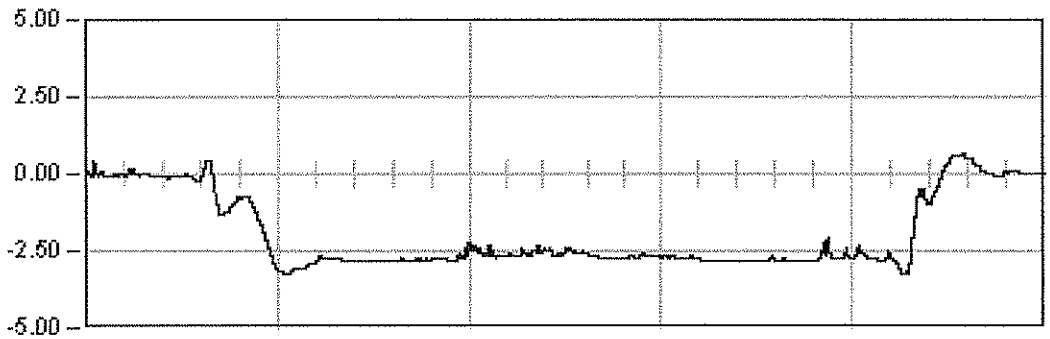


ESTATICA 19

1025.0 Seg

Est: -2.51
Max: -3.28
Min: 0.66
Rem: 0.00

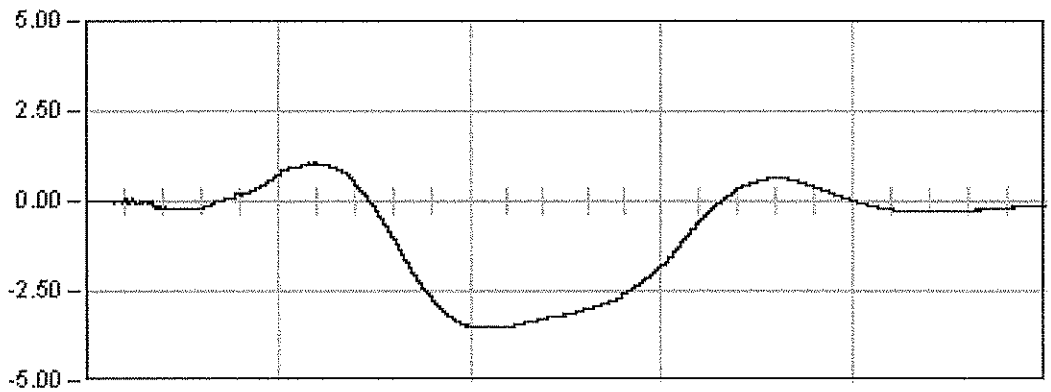


DINAMICA 01

96.0 Seg

Max: -3.50
Min: 1.05
Rem: 0.17

L.A.V. MADRID-BARCELONA-F.FRANCESA

35VI02 - SUBTRAMO IIIa

Punto : P151 Canal : 08 Unidades : mm

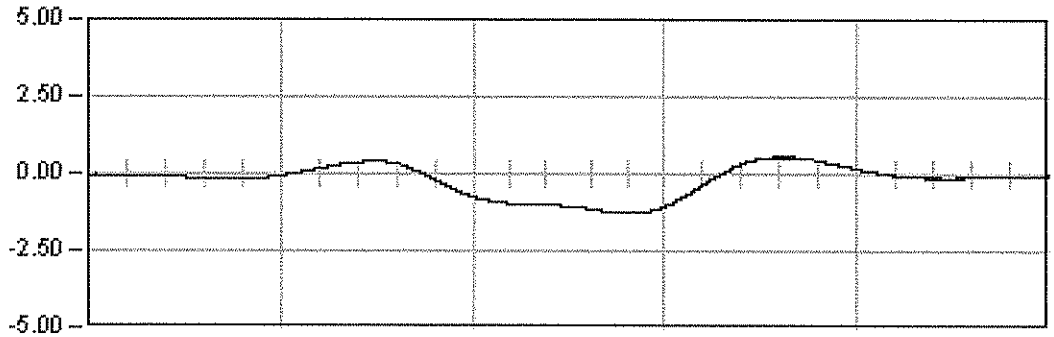


DINAMICA 21

117.0 Seg

Max: -1.27
Min: 0.54
Rem: -0.06

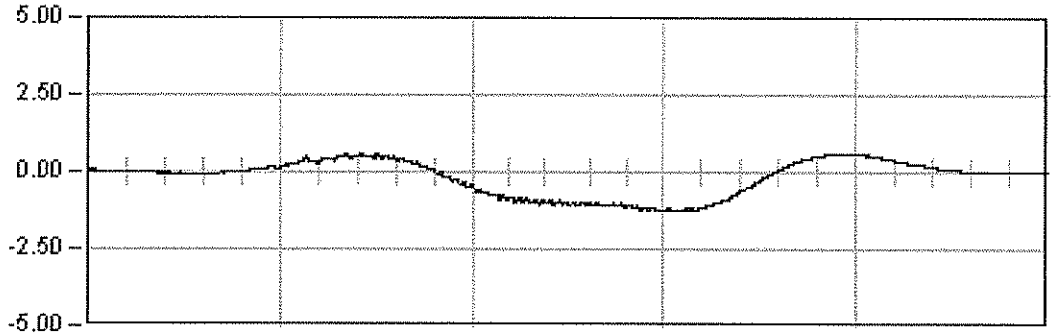


DINAMICA 22

35.0 Seg

Max: -1.29
Min: 0.60
Rem: 0.00

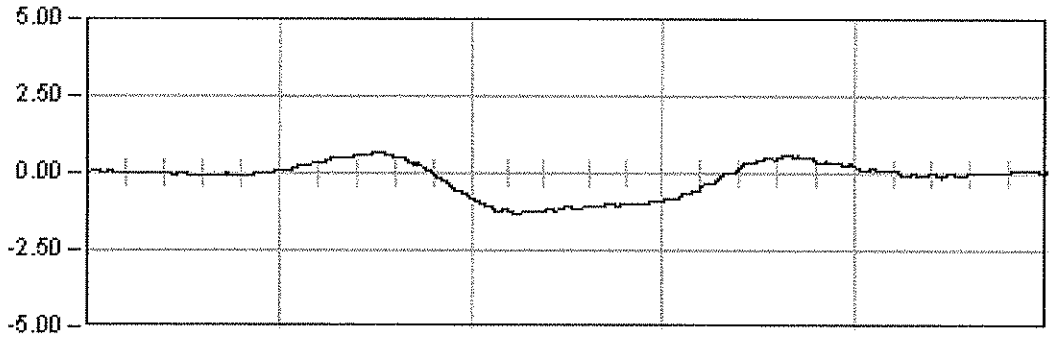


DINAMICA 23

14.0 Seg

Max: -1.30
Min: 0.65
Rem: 0.02

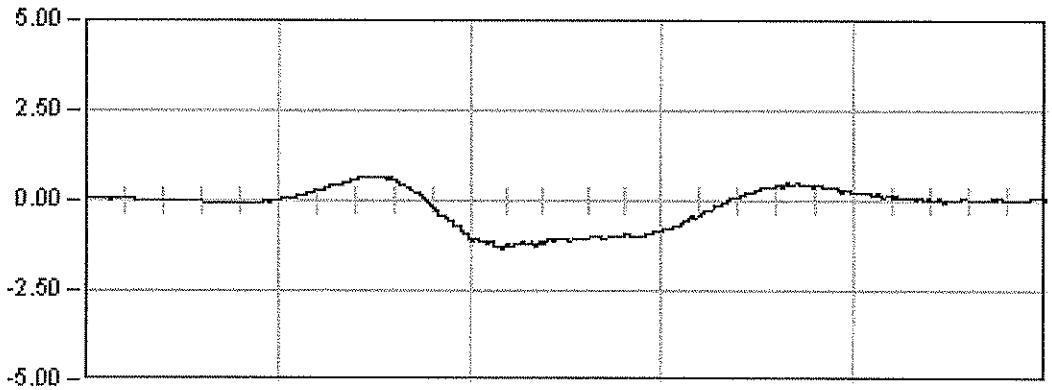


DINAMICA 24

19.0 Seg

Max: -1.35
Min: 0.65
Rem: -0.05

L.A.V. MADRID-BARCELONA-F.FRANCESA

35VI02 - SUBTRAMO IIIa

Punto : P152 Canal : 09 Unidades : mm

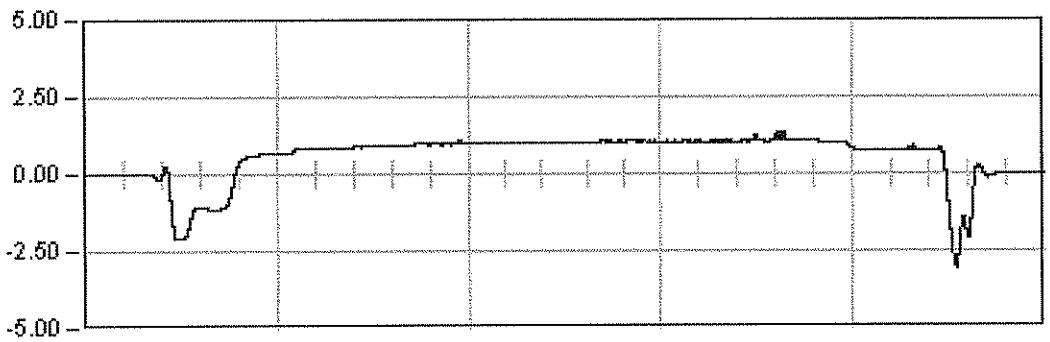


ESTATICA 09

1450.0 Seg

Est: 1.05
Max: -3.05
Min: 1.37
Rem: -0.00

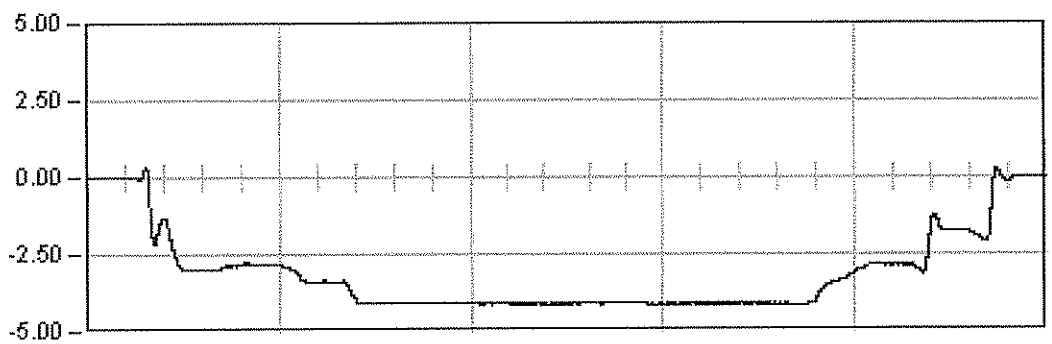


ESTATICA 10

1497.0 Seg

Est: -4.13
Max: -4.14
Min: 0.33
Rem: -0.02

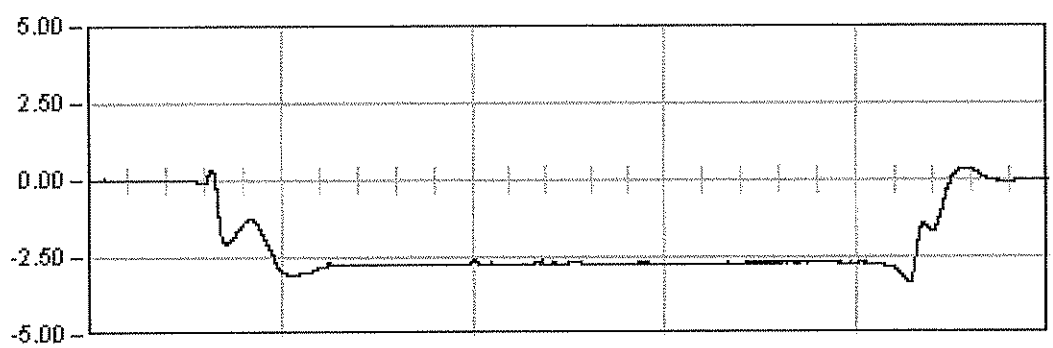


ESTATICA 19

1025.0 Seg

Est: -2.70
Max: -3.33
Min: 0.33
Rem: -0.02

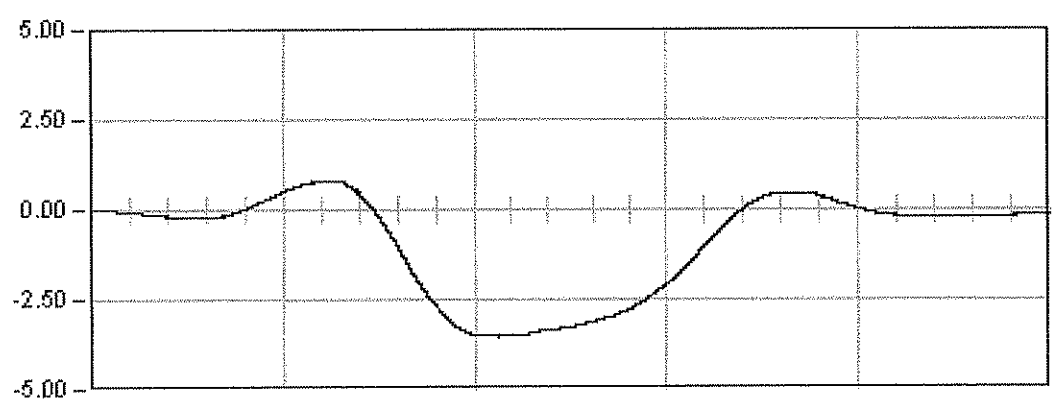


DINAMICA 01

96.0 Seg

Max: -3.54
Min: 0.80
Rem: -0.03

L.A.V. MADRID-BARCELONA-F.FRANCESA

35VI02 - SUBTRAMO IIIa

Punto : P152 Canal : 09 Unidades : mm

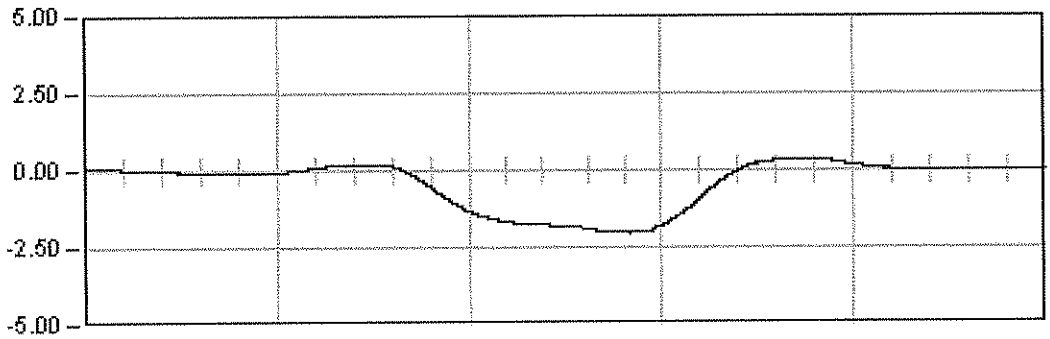


DINAMICA 21

117.0 Seg

Max: -2.04
Min: 0.32
Rem: -0.00

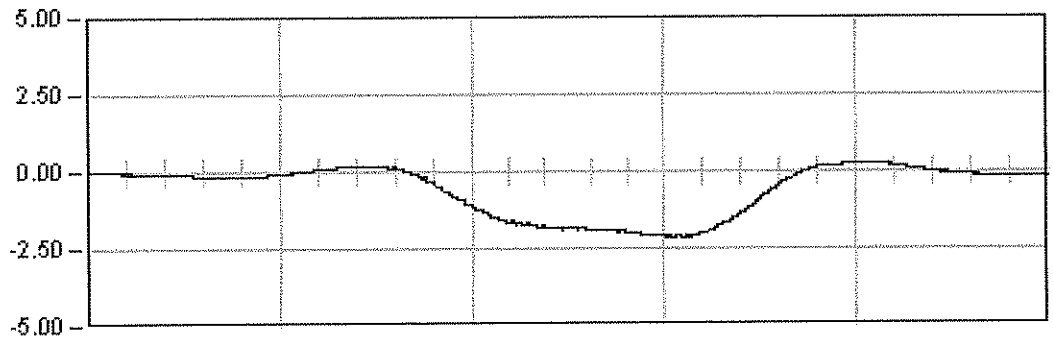


DINAMICA 22

35.0 Seg

Max: -2.17
Min: 0.23
Rem: -0.08

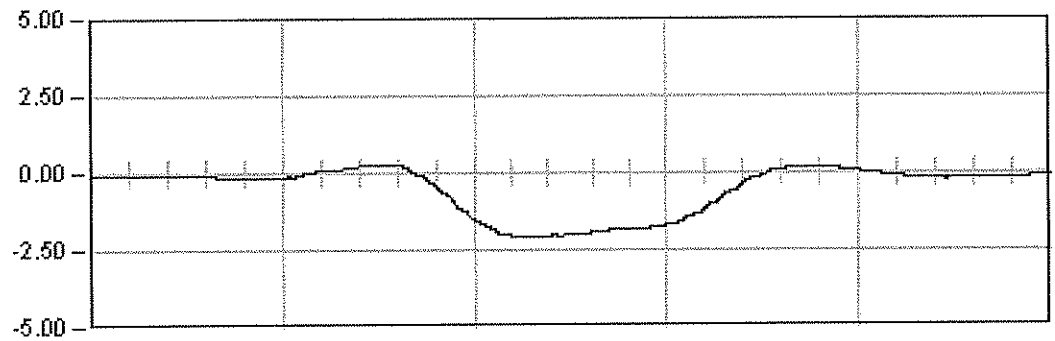


DINAMICA 23

14.0 Seg

Max: -2.09
Min: 0.26
Rem: -0.07

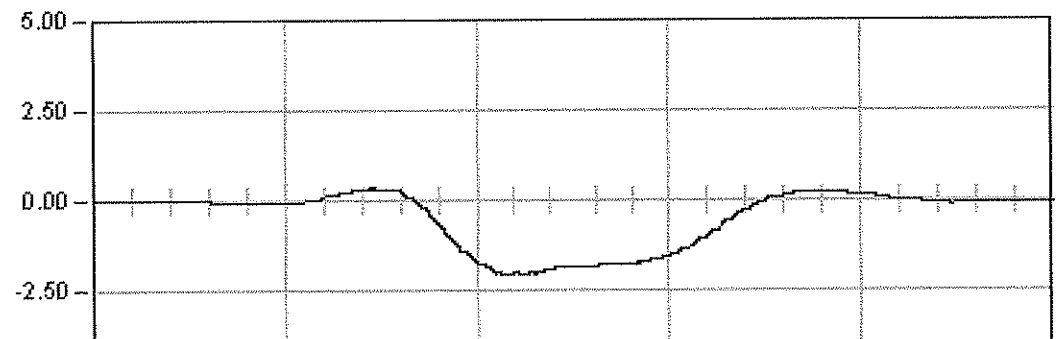


DINAMICA 24

19.0 Seg

Max: -2.08
Min: 0.32
Rem: 0.03

L.A.V. MADRID-BARCELONA-F.FRANCESA

35VI02 - SUBTRAMO IIIa

Punto : P153 Canal : 10 Unidades : mm

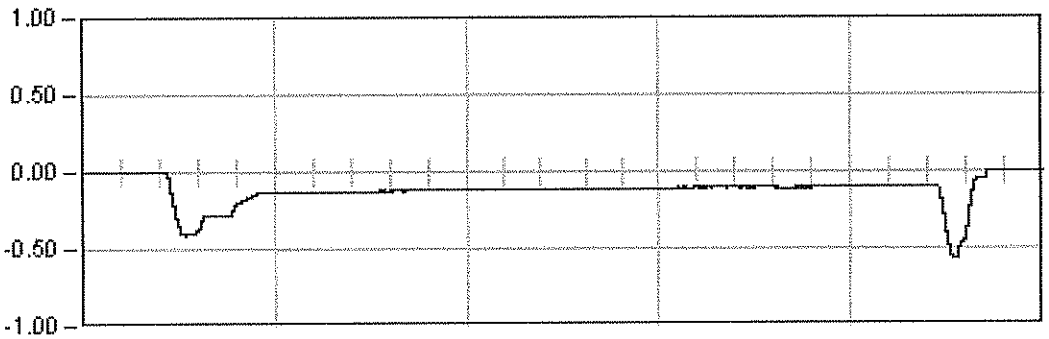


ESTATICA 09

1450.0 Seg

Est: -0.11
Max: -0.57
Min: 0.00
Rem: -0.00

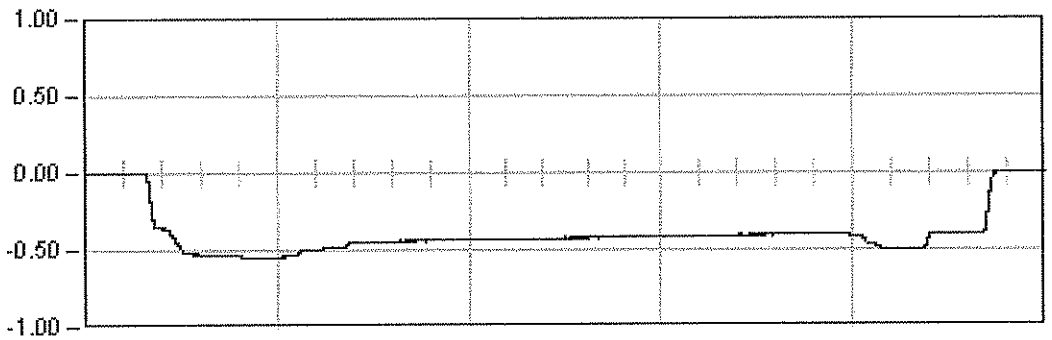


ESTATICA 10

1487.0 Seg

Est: -0.40
Max: -0.56
Min: 0.00
Rem: -0.00

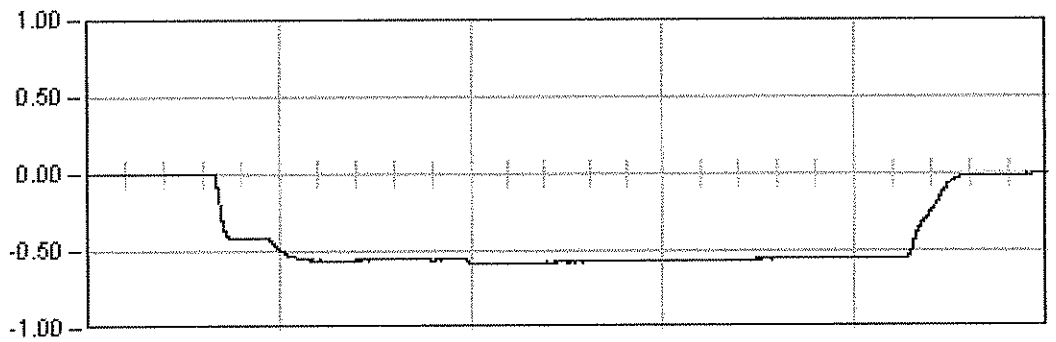


ESTATICA 19

1025.0 Seg

Est: -0.55
Max: -0.58
Min: 0.01
Rem: -0.01

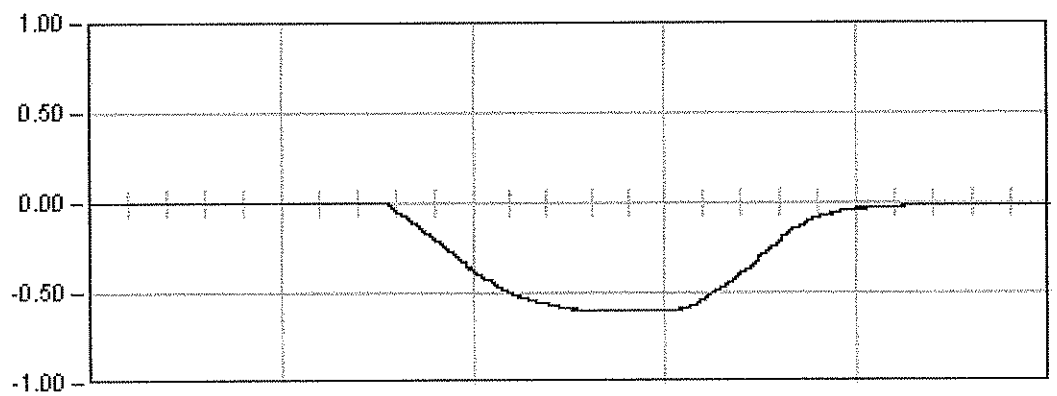


DINAMICA 01

96.0 Seg

Max: -0.61
Min: 0.04
Rem: 0.02

L.A.V. MADRID-BARCELONA-F.FRANCESA

35VI02 - SUBTRAMO IIIa

Punto : P153 Canal : 10 Unidades : mm

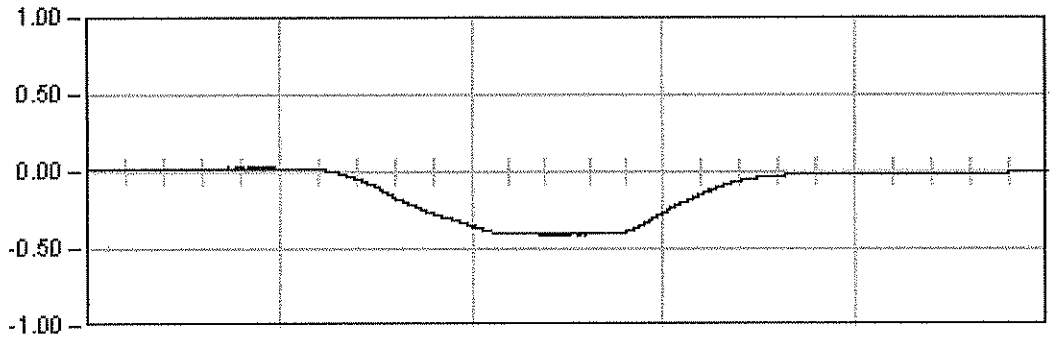


DINAMICA 21

117.0 Seg

Max: -0.41
Min: 0.03
Rem: -0.00

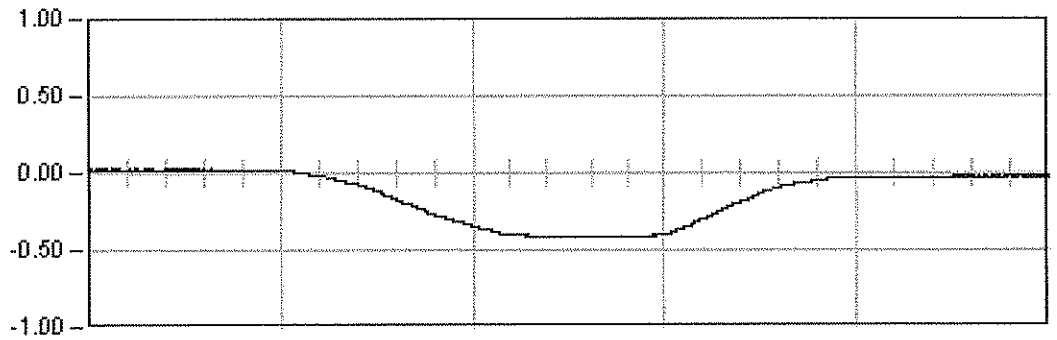


DINAMICA 22

35.0 Seg

Max: -0.42
Min: 0.03
Rem: -0.00

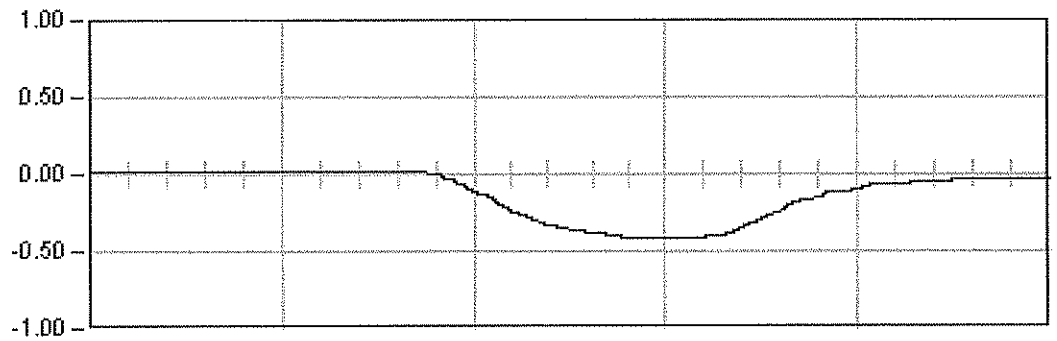


DINAMICA 23

14.0 Seg

Max: -0.41
Min: 0.02
Rem: -0.00

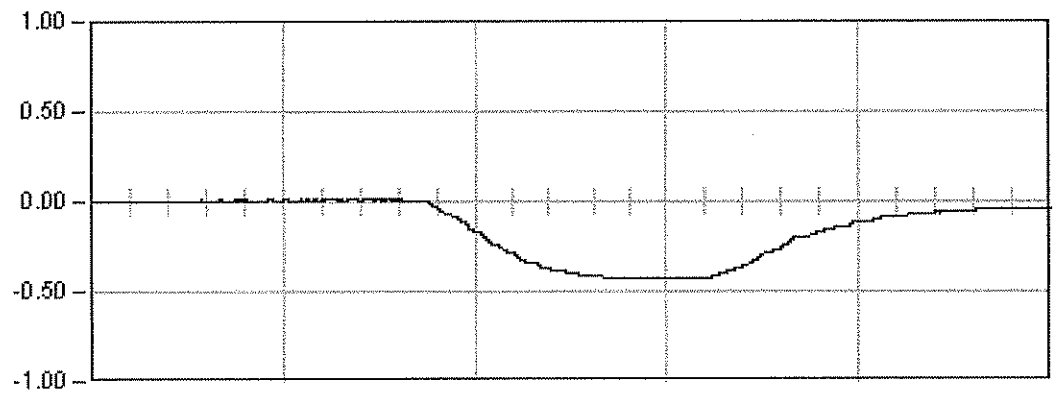


DINAMICA 24

19.0 Seg

Max: -0.43
Min: 0.01
Rem: -0.00

L.A.V. MADRID-BARCELONA-F.FRANCESA

35VI02 - SUBTRAMO IIIa

Punto : P154 Canal : 11 Unidades : mm

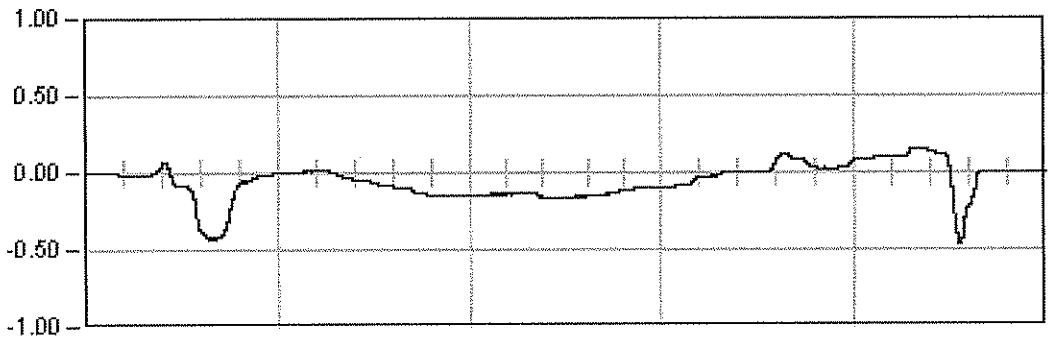


ESTATICA 09

1450.0 Seg

Est: 0.06
Max: -0.46
Min: 0.16
Rem: -0.00

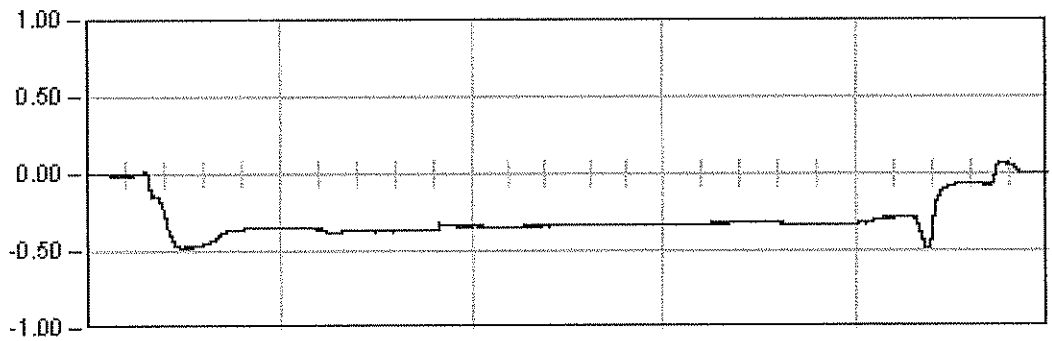


ESTATICA 10

1487.0 Seg

Est: -0.33
Max: -0.48
Min: 0.06
Rem: 0.01

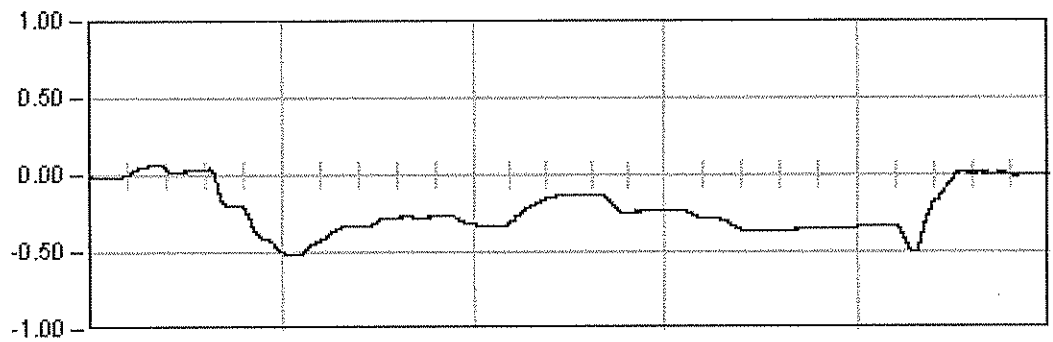


ESTATICA 19

1025.0 Seg

Est: -0.33
Max: -0.52
Min: 0.07
Rem: 0.00

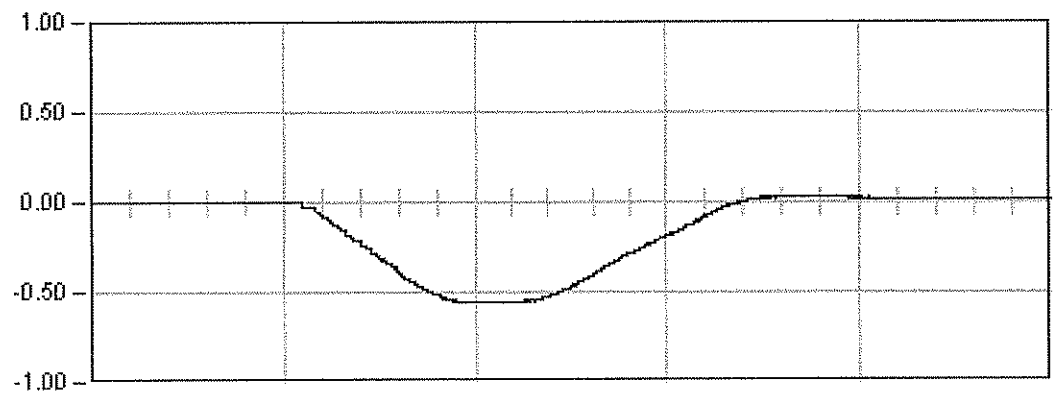


DINAMICA 01

96.0 Seg

Max: -0.56
Min: 0.03
Rem: 0.01

L.A.V. MADRID-BARCELONA-F.FRANCESA

35VI02 - SUBTRAMO IIIa

Punto : P154 Canal : 11 Unidades : mm

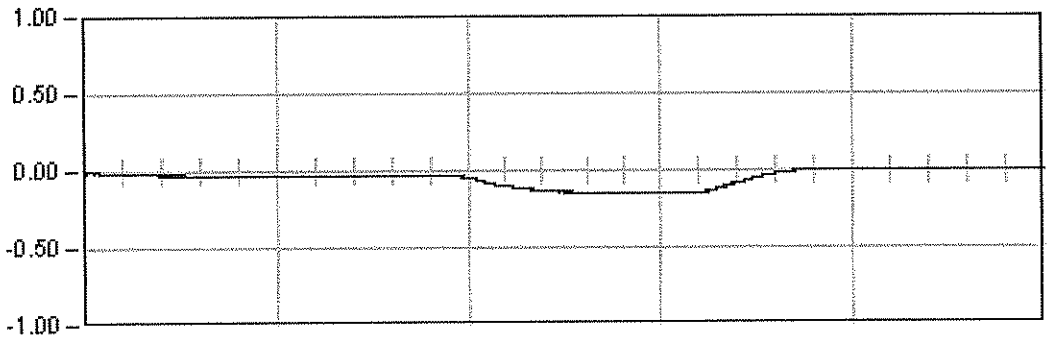


DINAMICA 21

117.0 Seg

Max: -0.16
Min: 0.01
Rem: 0.00

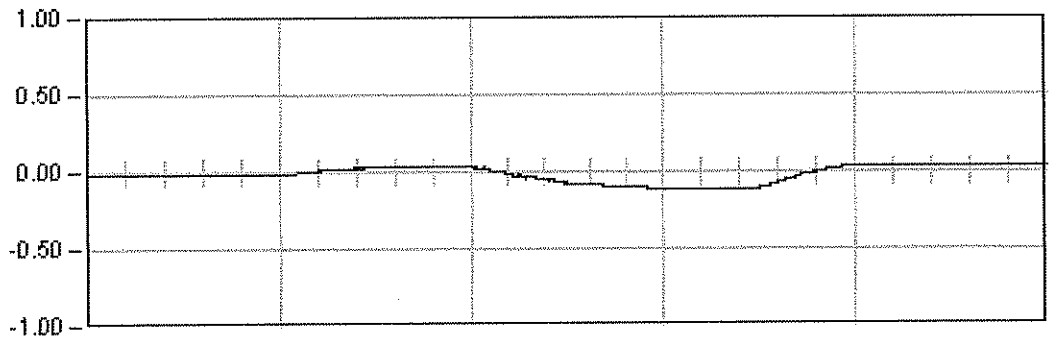


DINAMICA 22

35.0 Seg

Max: -0.12
Min: 0.04
Rem: 0.00

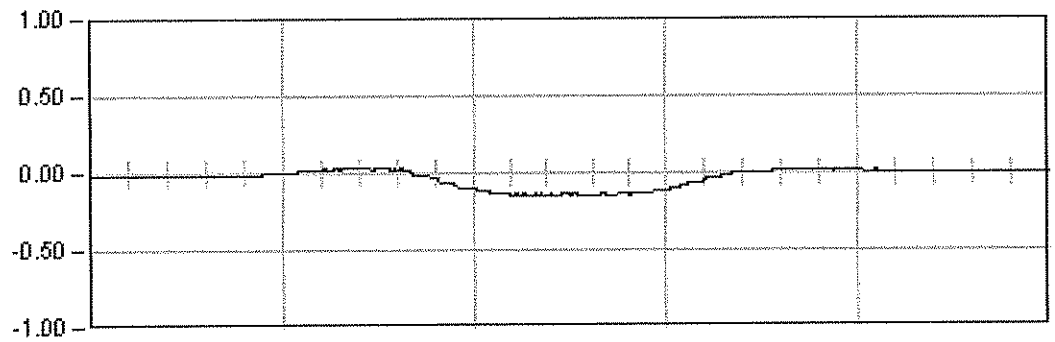


DINAMICA 23

14.0 Seg

Max: -0.14
Min: 0.03
Rem: -0.00

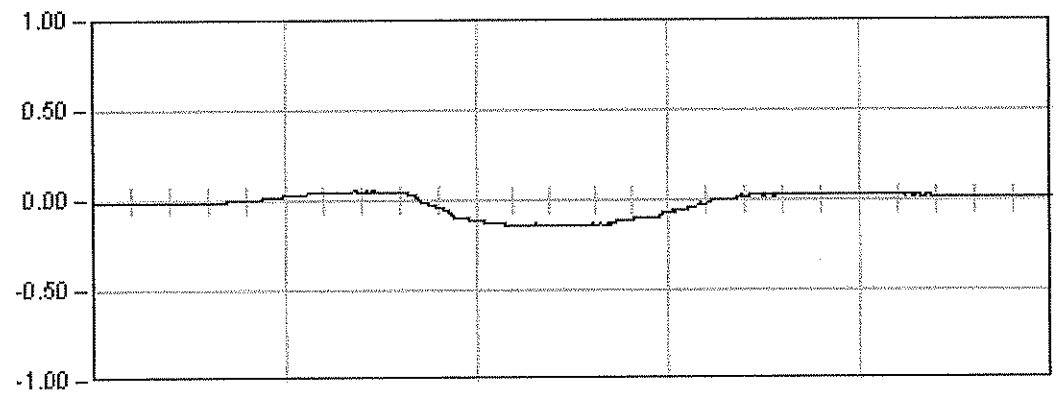


DINAMICA 24

19.0 Seg

Max: -0.14
Min: 0.05
Rem: -0.00

L.A.V. MADRID-BARCELONA-F.FRANCESA

35VI02 - SUBTRAMO IIIa

Punto : G131 Canal : 16 Unidades : µE

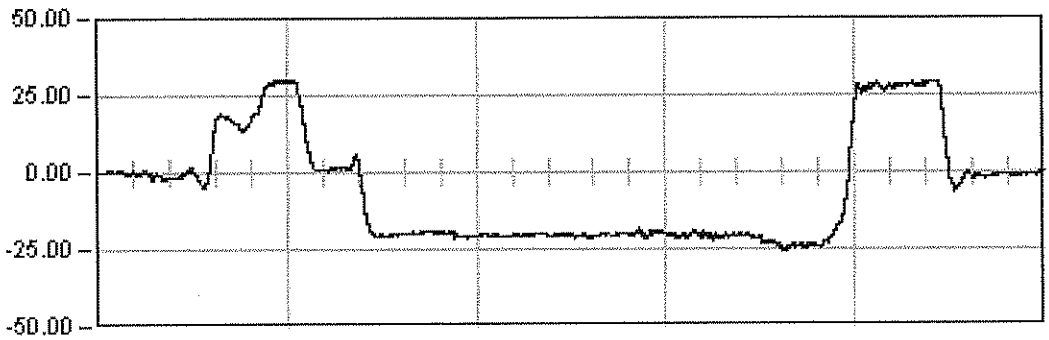


ESTATICA 09

1450.0 Seg

Est: -24.36
Max: 30.19
Min: -25.68
Rem: -0.90

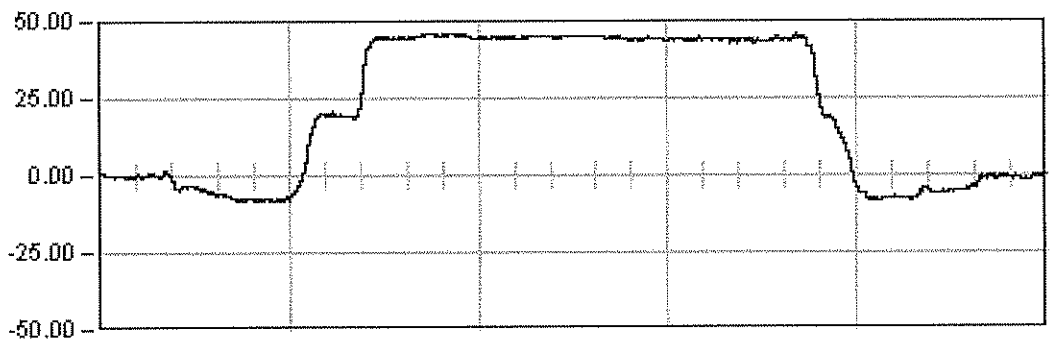


ESTATICA 10

1487.0 Seg

Est: 43.82
Max: 45.96
Min: -8.69
Rem: -0.81

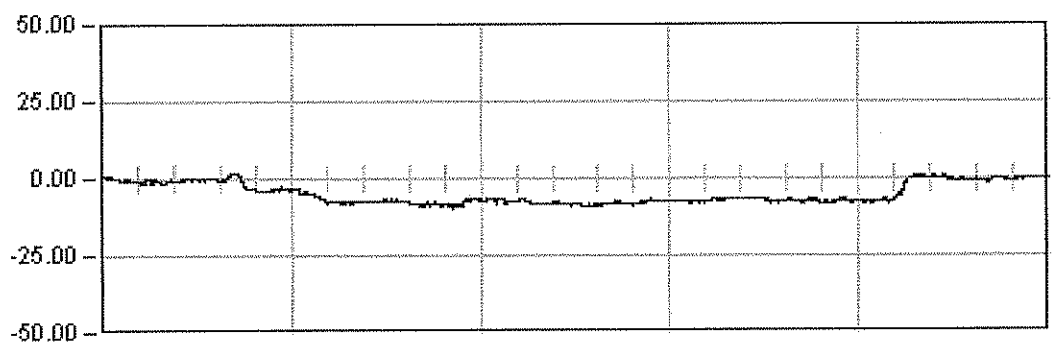


ESTATICA 19

1025.0 Seg

Est: -7.89
Max: -9.65
Min: 2.00
Rem: -0.20

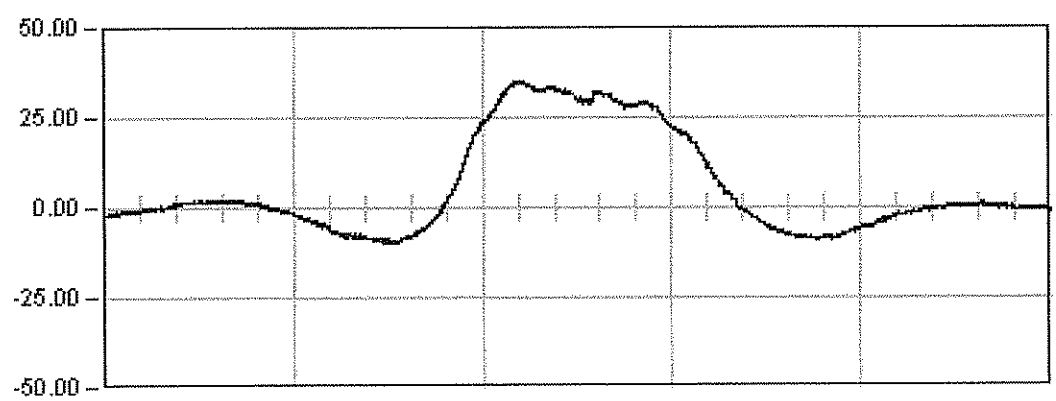


DINAMICA 01

99.0 Seg

Max: 35.10
Min: -10.05
Rem: -0.64

L.A.V. MADRID-BARCELONA-F.FRANCESA

35VI02 - SUBTRAMO IIIa

Punto : G131 Canal : 16 Unidades : µE

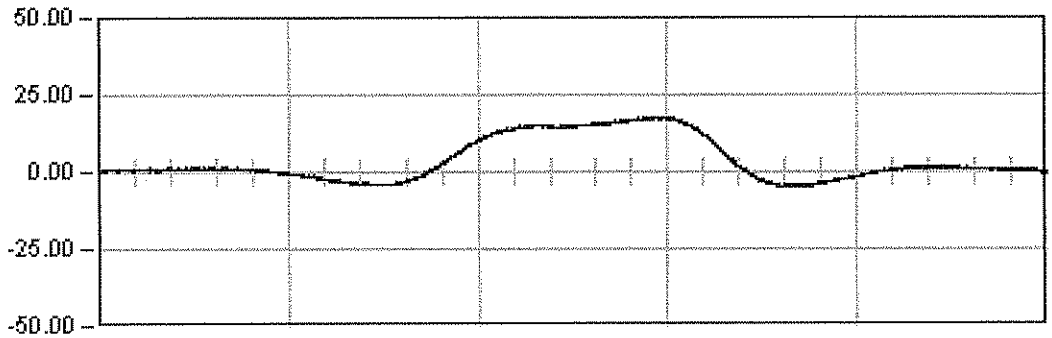


DINAMICA 21

115.0 Seg

Max: 17.80
Min: -5.19
Rem: -0.03

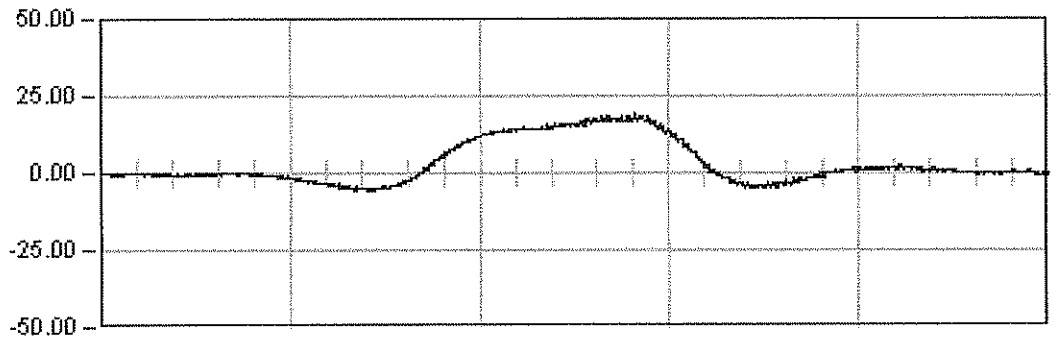


DINAMICA 22

41.0 Seg

Max: 18.76
Min: -5.61
Rem: 0.46

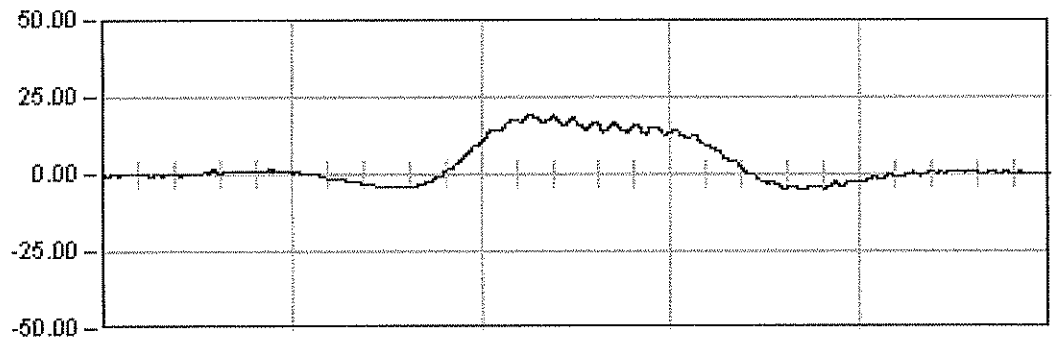


DINAMICA 23

14.0 Seg

Max: 19.24
Min: -5.23
Rem: 0.02

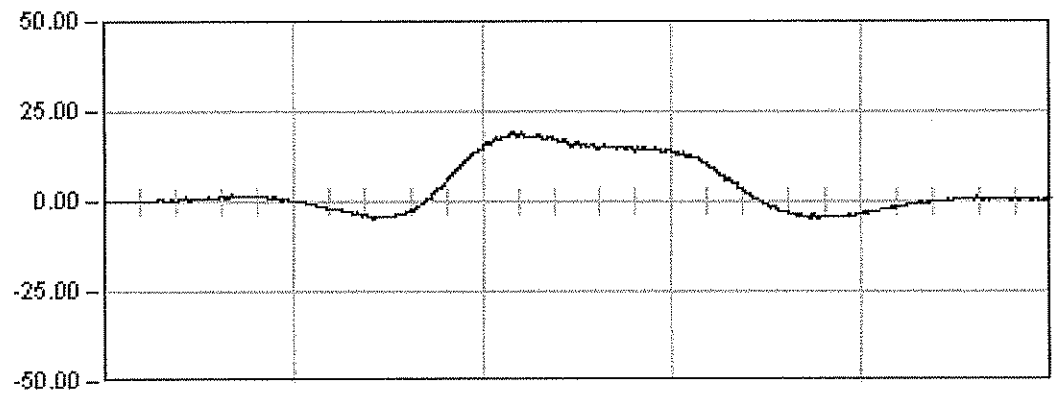


DINAMICA 24

21.0 Seg

Max: 19.07
Min: -4.83
Rem: 0.77

L.A.V. MADRID-BARCELONA-F.FRANCESA

35VI02 - SUBTRAMO IIIa

Punto : G132 Canal : 18 Unidades : µE

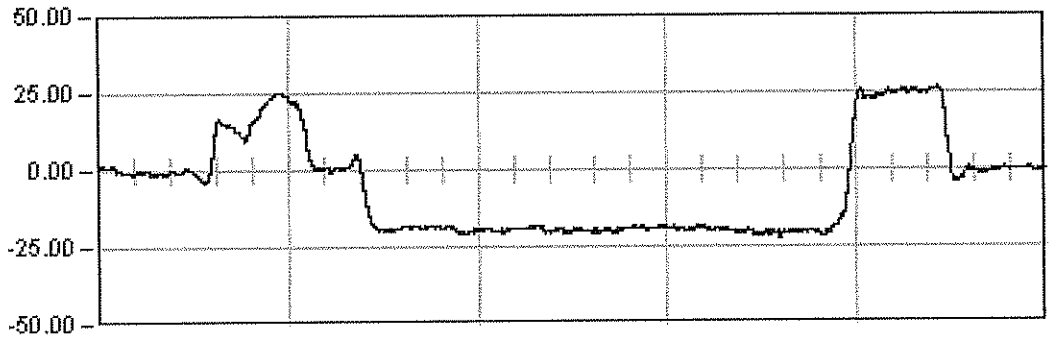


ESTATICA 09

1450.0 Seg

Est: -20.05
Max: 26.33
Min: -22.18
Rem: -0.09

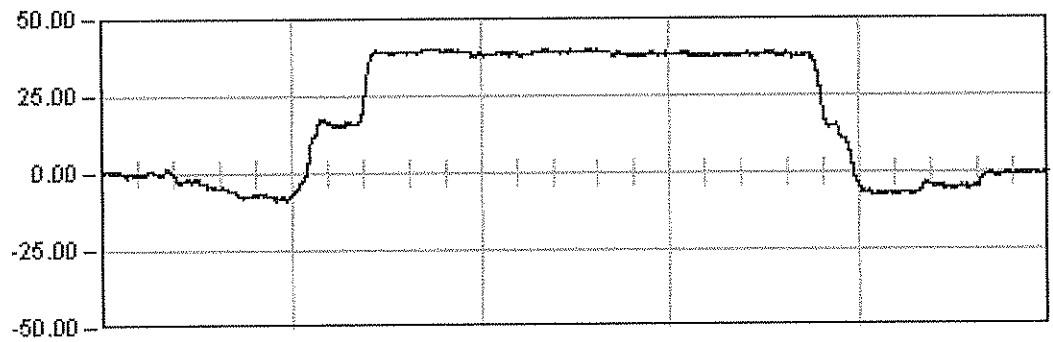


ESTATICA 10

1487.0 Seg

Est: 38.15
Max: 40.39
Min: -8.98
Rem: -0.42

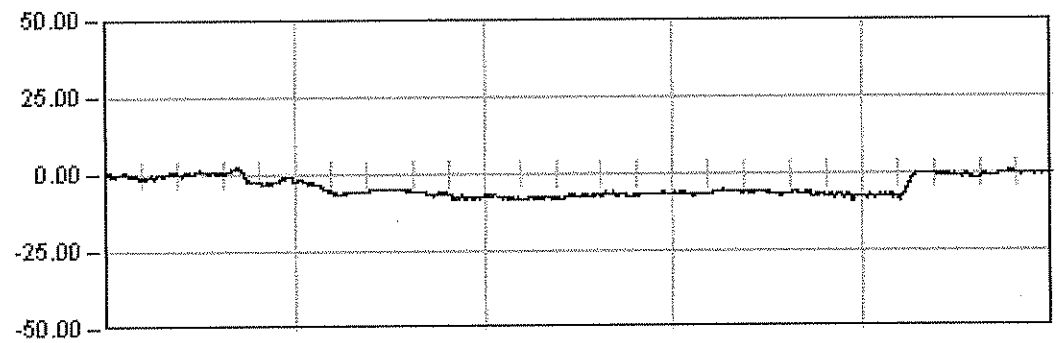


ESTATICA 19

1025.0 Seg

Est: -7.44
Max: -8.86
Min: 2.64
Rem: -0.02

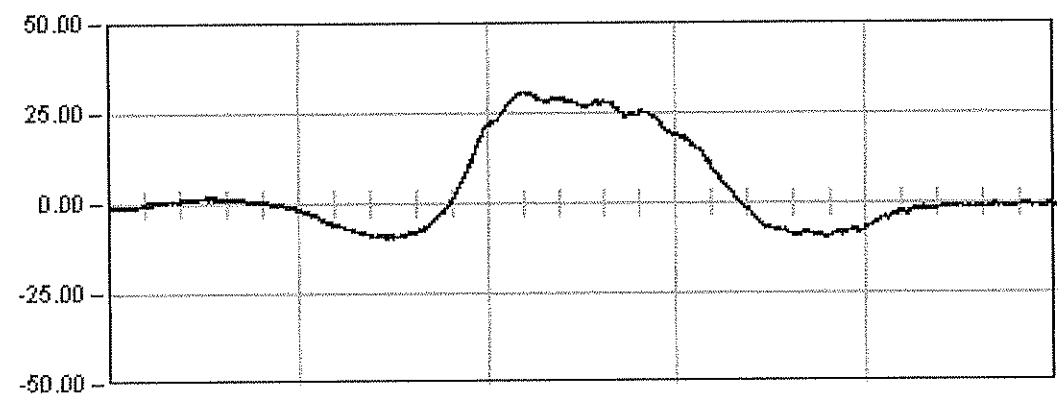


DINAMICA 01

99.0 Seg

Max: 30.95
Min: -9.70
Rem: -0.56

L.A.V. MADRID-BARCELONA-F.FRANCESA

35VI02 - SUBTRAMO IIIa

Punto : G132 Canal : 18 Unidades : µE

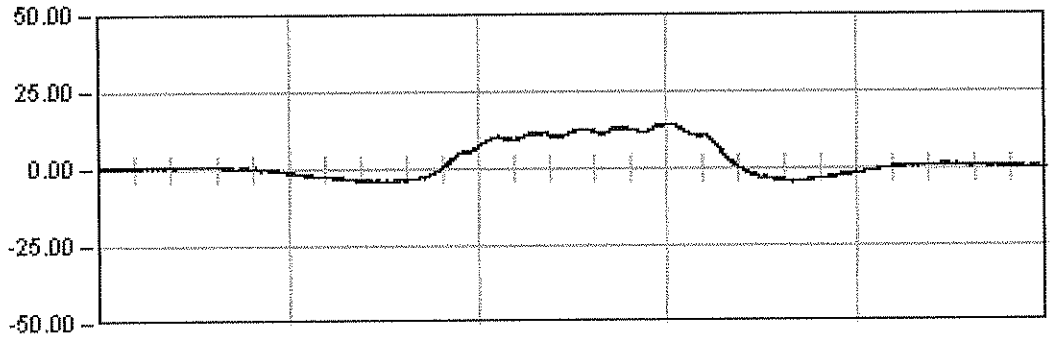


DINAMICA 21

115.0 Seg

Max: 14.44
Min: -4.62
Rem: -0.44

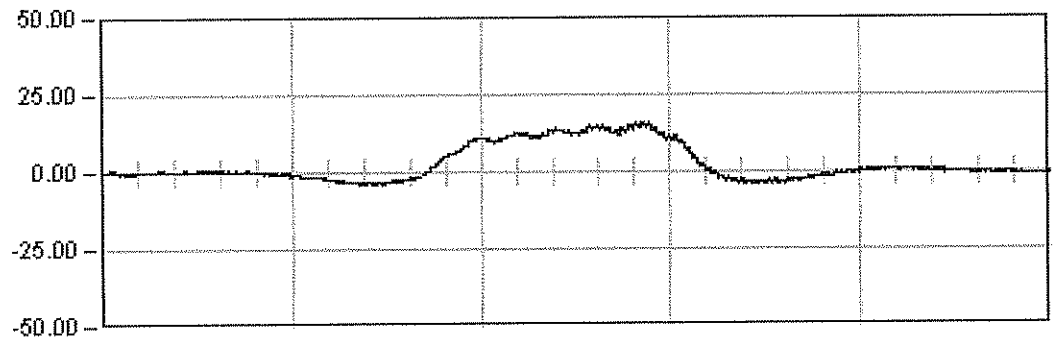


DINAMICA 22

41.0 Seg

Max: 16.14
Min: -4.51
Rem: 0.08

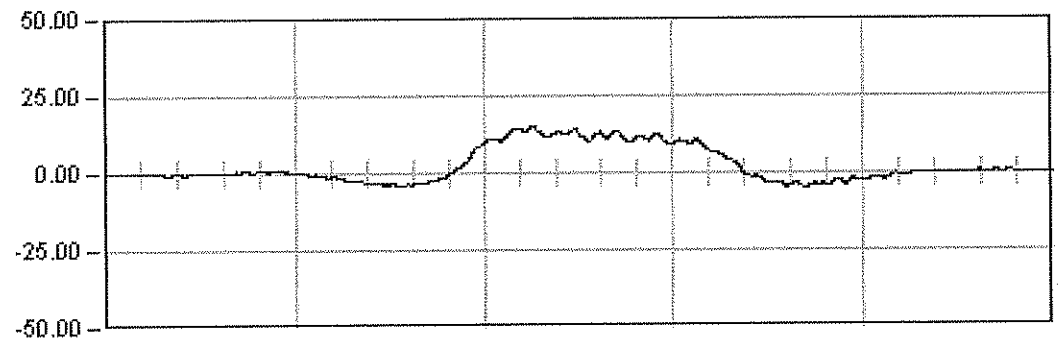


DINAMICA 23

14.0 Seg

Max: 15.01
Min: -4.82
Rem: -0.67

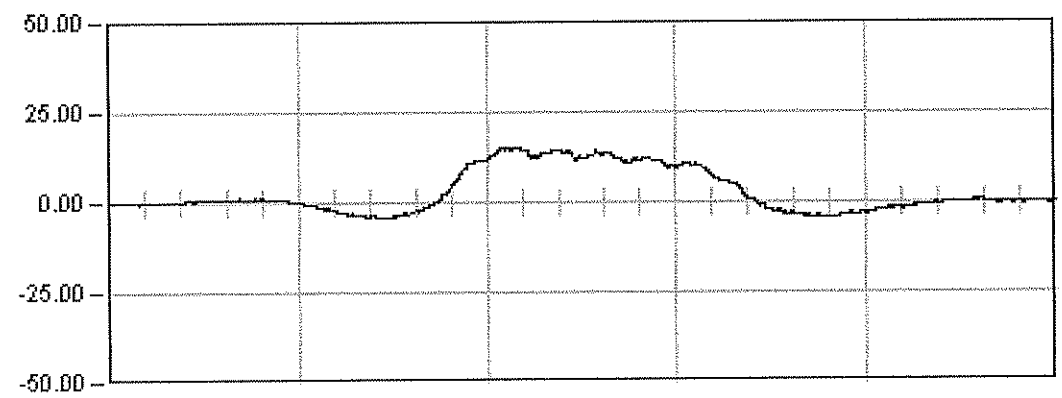


DINAMICA 24

21.0 Seg

Max: 15.31
Min: -4.57
Rem: 0.35

L.A.V. MADRID-BARCELONA-F.FRANCESA

35VI02 - SUBTRAMO IIIa

Punto : G141 Canal : 19 Unidades : µE

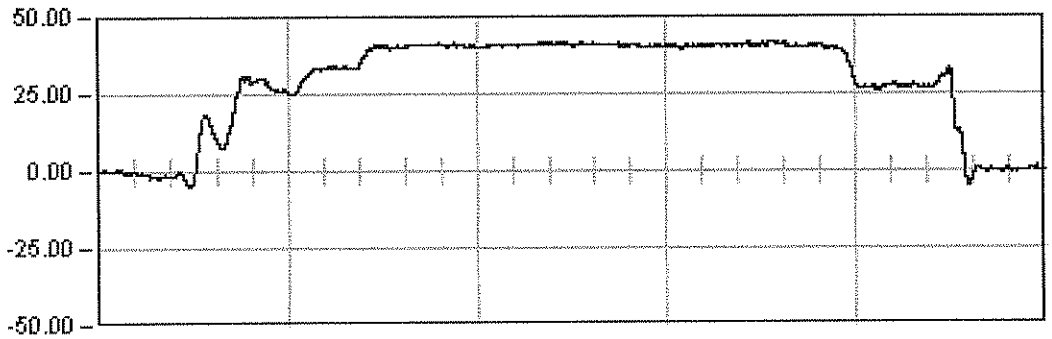


ESTATICA 09

1450.0 Seg

Est: 40.61
Max: 41.80
Min: -5.35
Rem: 0.16

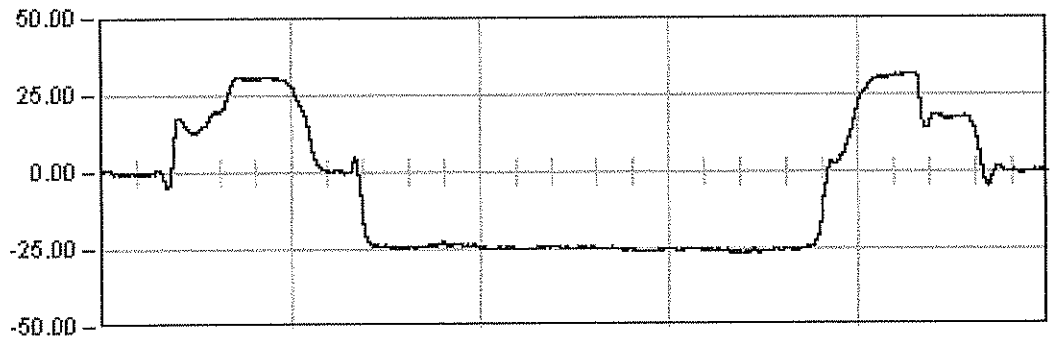


ESTATICA 10

1487.0 Seg

Est: -25.22
Max: 31.90
Min: -26.58
Rem: 0.02

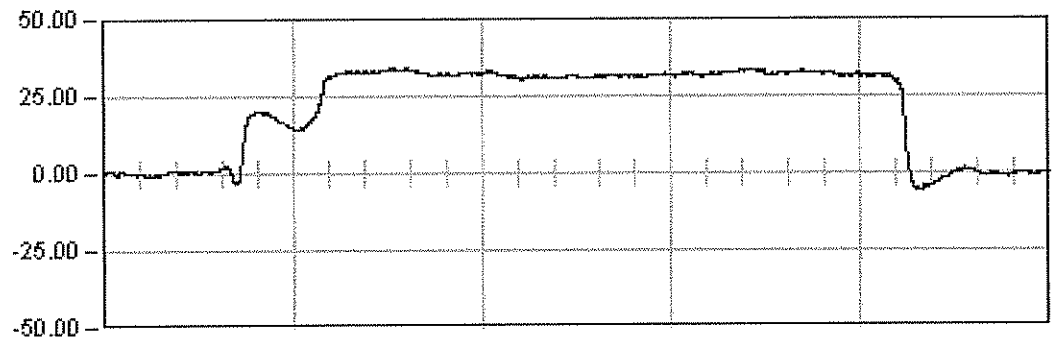


ESTATICA 19

1025.0 Seg

Est: 31.31
Max: 34.09
Min: -6.10
Rem: -0.35

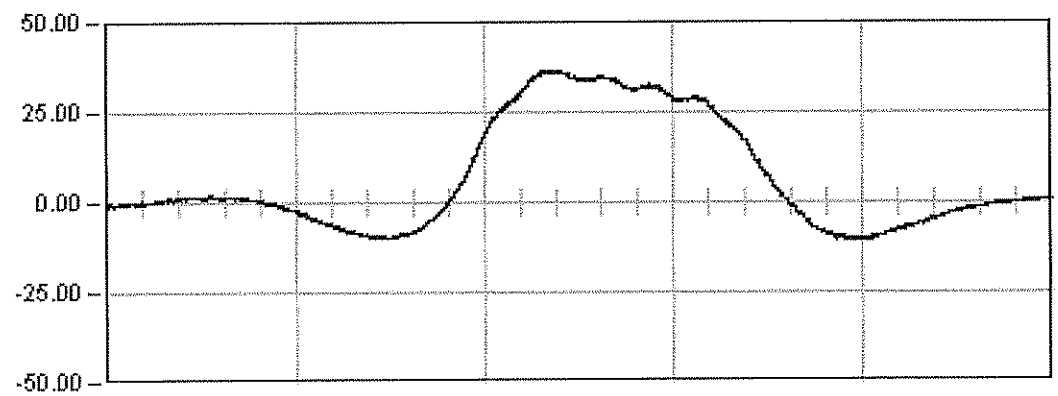


DINAMICA 01

89.0 Seg

Max: 36.65
Min: -10.92
Rem: -0.48

L.A.V. MADRID-BARCELONA-F.FRANCESA

35VI02 - SUBTRAMO IIIa

Punto : G141 Canal : 19 Unidades : µE

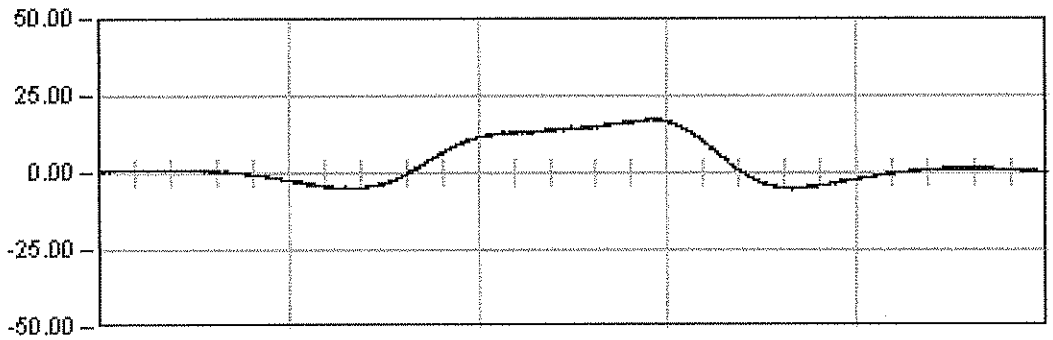


DINAMICA 21

105.0 Seg

Max: 17.35
Min: -5.46
Rem: 0.12

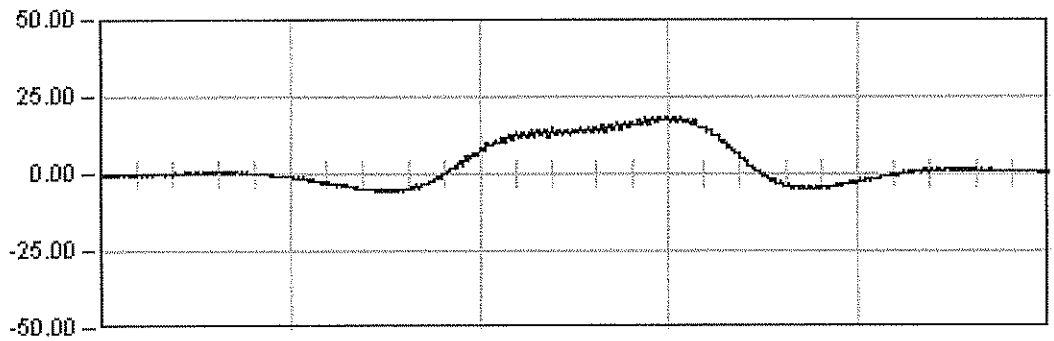


DINAMICA 22

38.0 Seg

Max: 18.71
Min: -5.93
Rem: -0.07

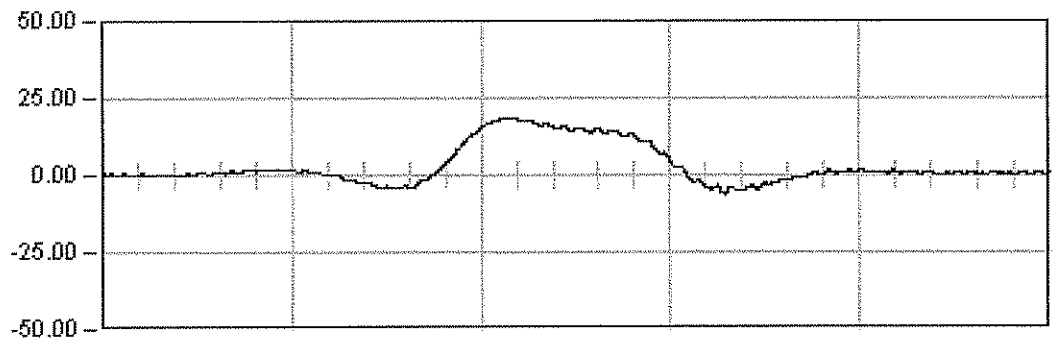


DINAMICA 23

17.0 Seg

Max: 18.56
Min: -6.25
Rem: 0.68

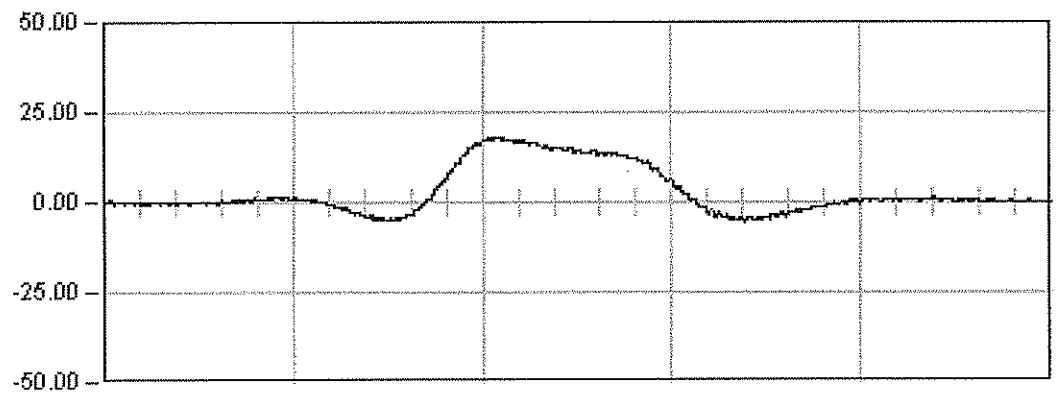


DINAMICA 24

24.0 Seg

Max: 18.20
Min: -5.62
Rem: 0.72

L.A.V. MADRID-BARCELONA-F.FRANCESA

35VI02 - SUBTRAMO IIIa

Punto : G142 Canal : 20 Unidades : µE

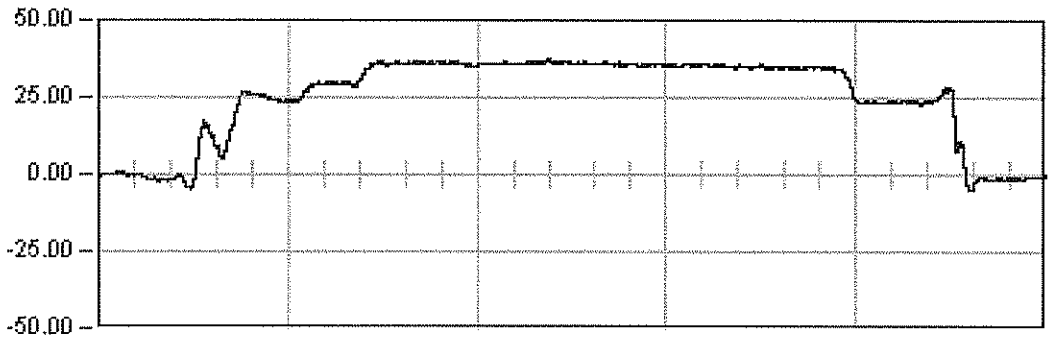


ESTATICA 09

1460.0 Seg

Est: 34.98
Max: 37.23
Min: -5.17
Rem: -1.11

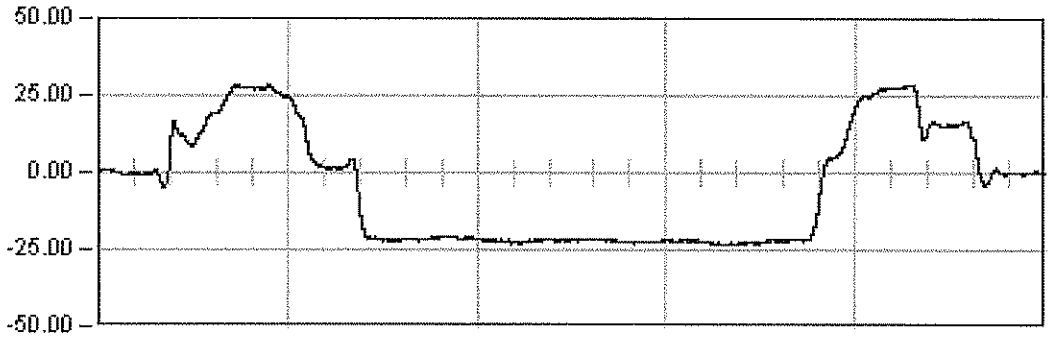


ESTATICA 10

1487.0 Seg

Est: -21.85
Max: 28.32
Min: -23.70
Rem: 0.01

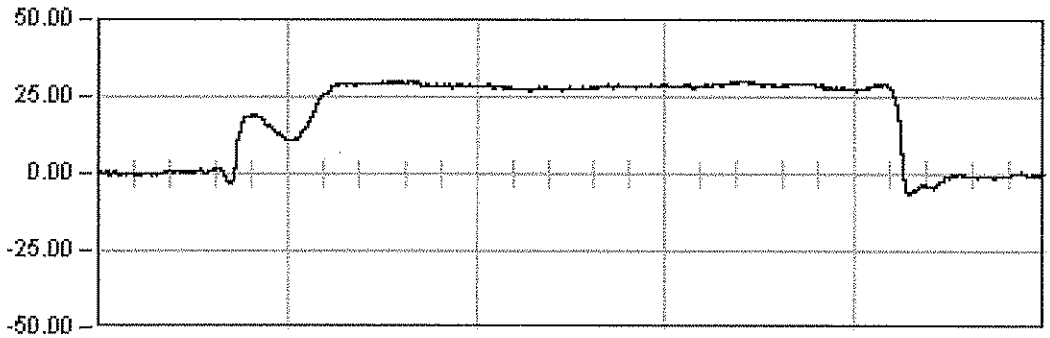


ESTATICA 19

1025.0 Seg

Est: 27.38
Max: 30.18
Min: -6.64
Rem: -0.50

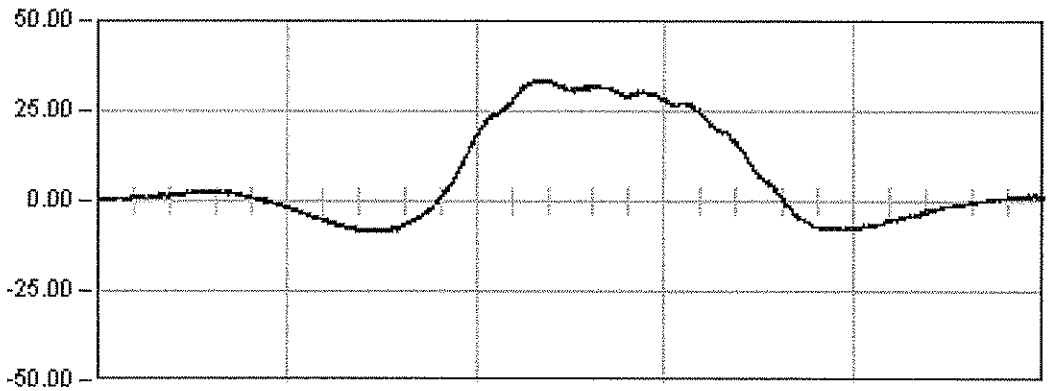


DINAMICA 01

89.0 Seg

Max: 33.63
Min: -8.85
Rem: -0.84

L.A.V. MADRID-BARCELONA-F.FRANCESA

35VI02 - SUBTRAMO IIIa

Punto : G142 Canal : 20 Unidades : µE

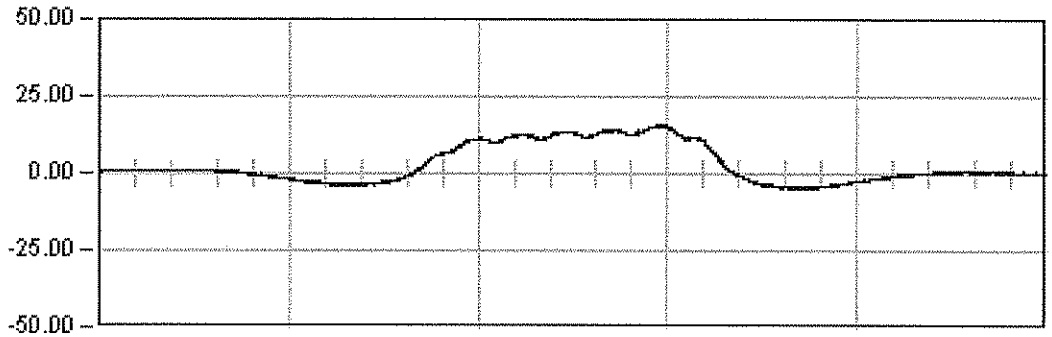


DINAMICA 21

105.0 Seg

Max: 15.84
Min: -5.03
Rem: -0.12

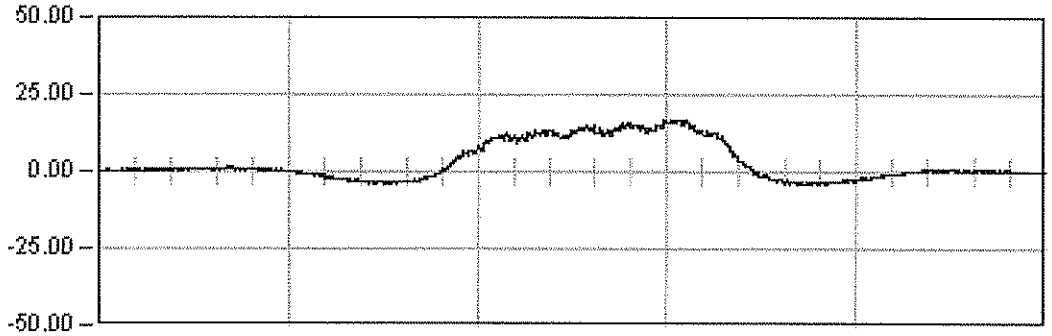


DINAMICA 22

38.0 Seg

Max: 17.04
Min: -4.28
Rem: 0.10

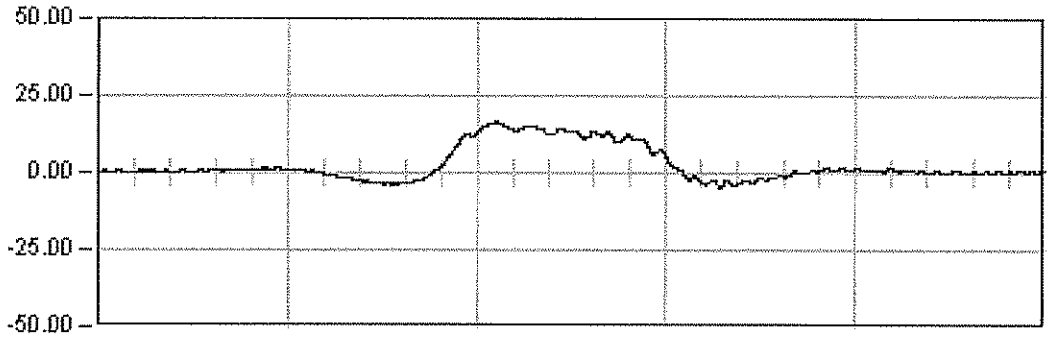


DINAMICA 23

17.0 Seg

Max: 16.52
Min: -4.65
Rem: 0.82

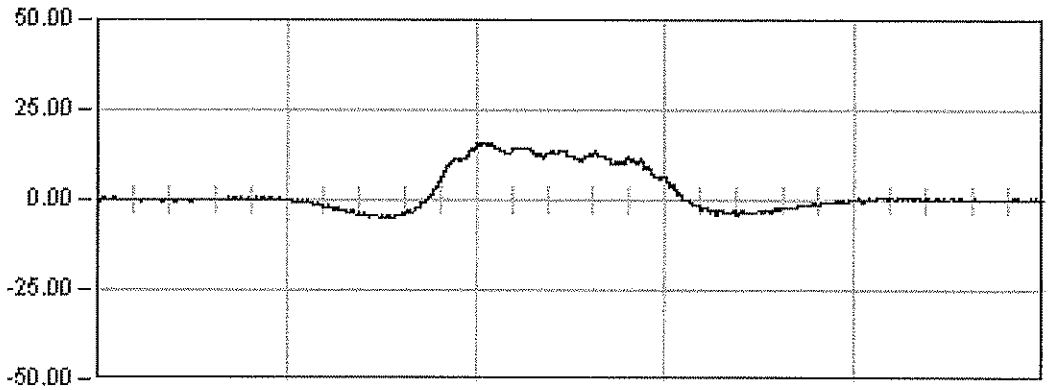


DINAMICA 24

24.0 Seg

Max: 15.70
Min: -5.24
Rem: 0.49

L.A.V. MADRID-BARCELONA-F.FRANCESA

35VI02 - SUBTRAMO IIIa

Punto : G151 Canal : 21 Unidades : µE

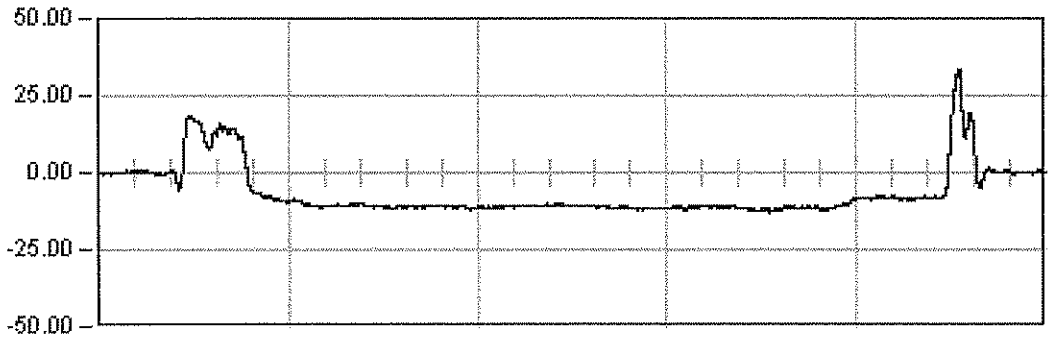


ESTATICA 09

1460.0 Seg

Est: -11.33
Max: 33.68
Min: -13.06
Rem: 0.02

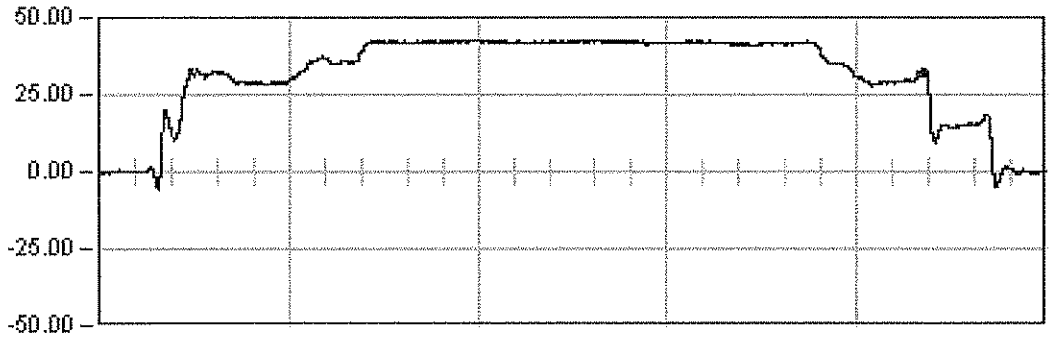


ESTATICA 10

1487.0 Seg

Est: 41.38
Max: 42.66
Min: -5.92
Rem: 0.02

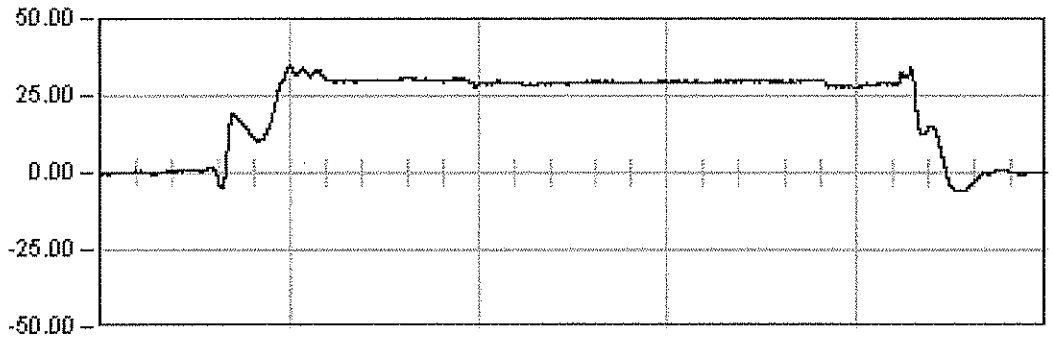


ESTATICA 19

1025.0 Seg

Est: 28.46
Max: 34.66
Min: -6.16
Rem: 0.13

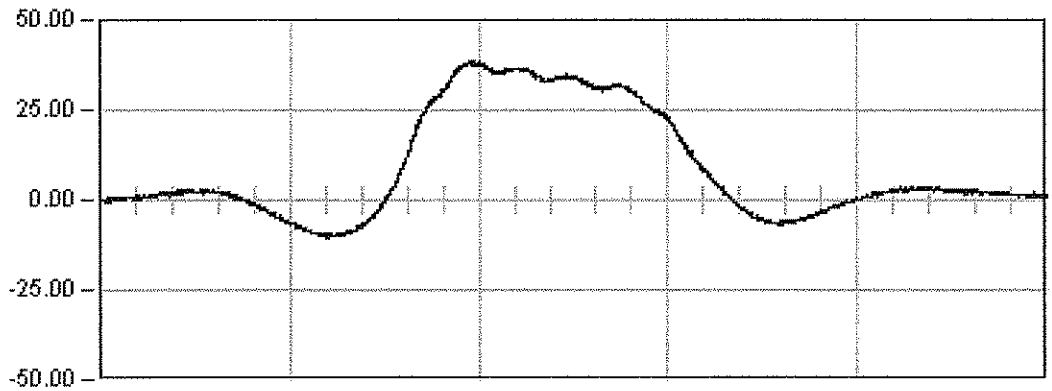


DINAMICA 01

96.0 Seg

Max: 38.48
Min: -10.42
Rem: -0.99

L.A.V. MADRID-BARCELONA-F.FRANCESA

35VI02 - SUBTRAMO IIIa

Punto : G151 Canal : 21 Unidades : µE

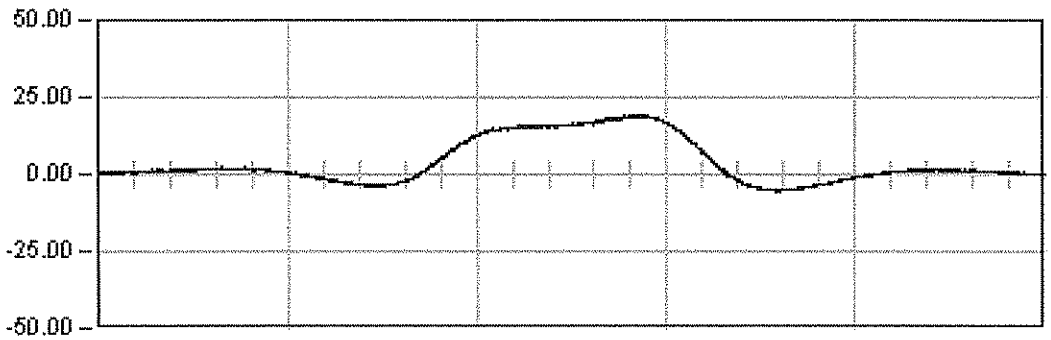


DINAMICA 21

117.0 Seg

Max: 19.10
Min: -5.55
Rem: 0.05

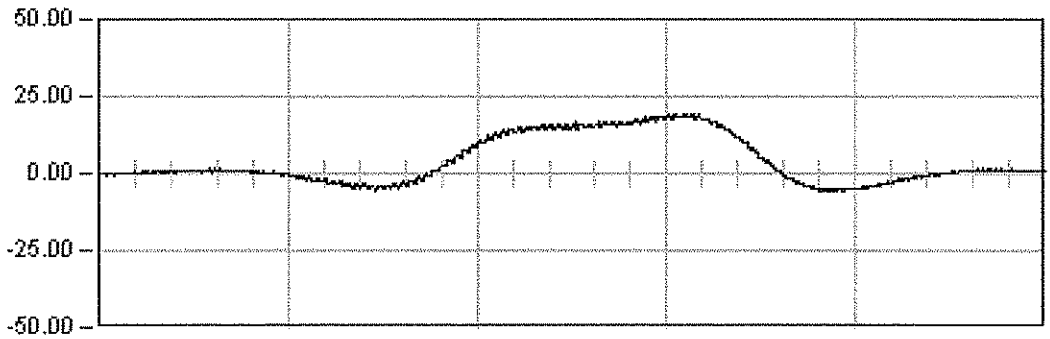


DINAMICA 22

35.0 Seg

Max: 19.44
Min: -5.82
Rem: -0.03

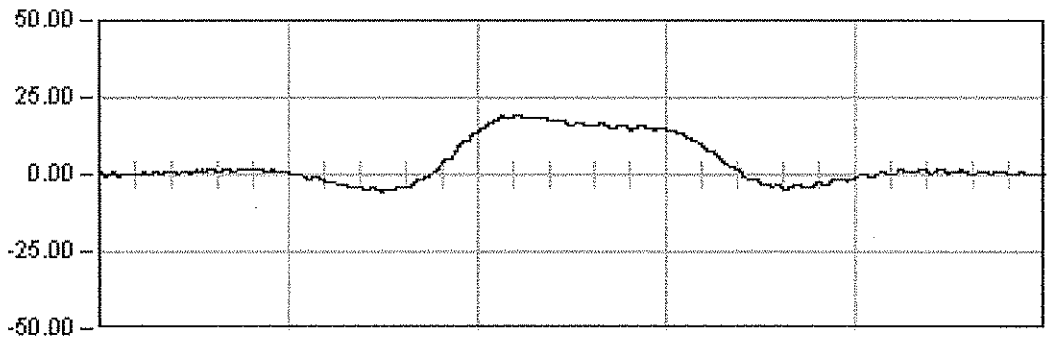


DINAMICA 23

14.0 Seg

Max: 19.20
Min: -5.52
Rem: -0.04

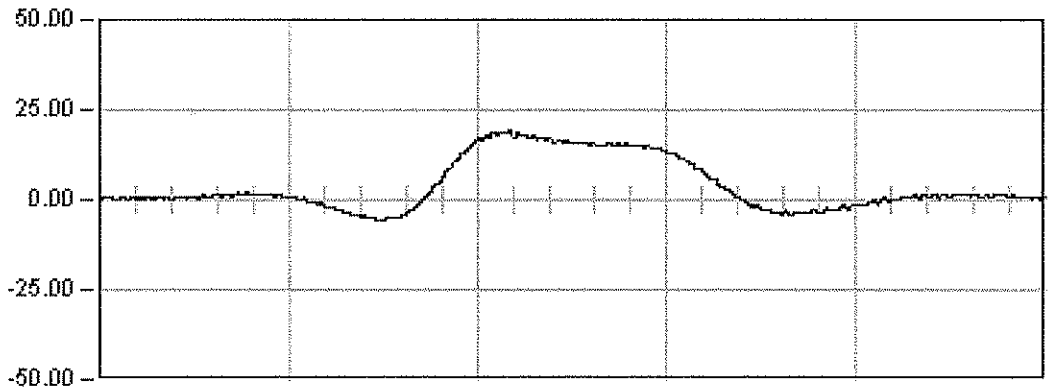


DINAMICA 24

19.0 Seg

Max: 19.05
Min: -5.63
Rem: -0.12

L.A.V. MADRID-BARCELONA-F.FRANCESA

35VI02 - SUBTRAMO IIIa

Punto : G152 Canal : 22 Unidades : µE

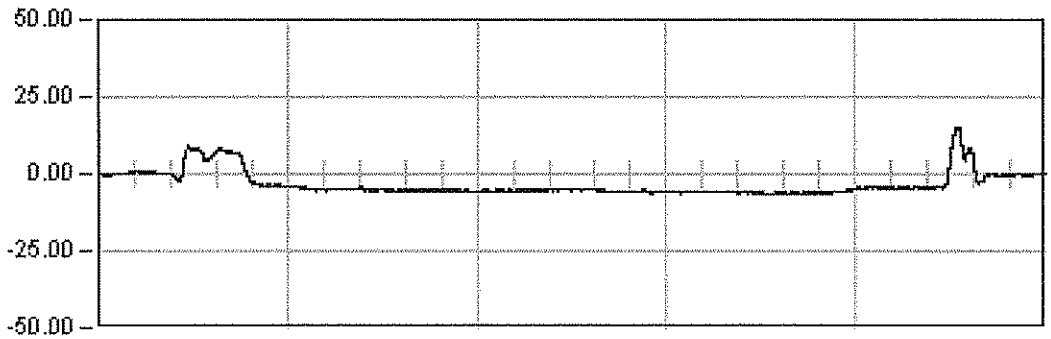


ESTATICA 09

1450.0 Seg

Est: -6.25
Max: 14.90
Min: -6.89
Rem: -0.29

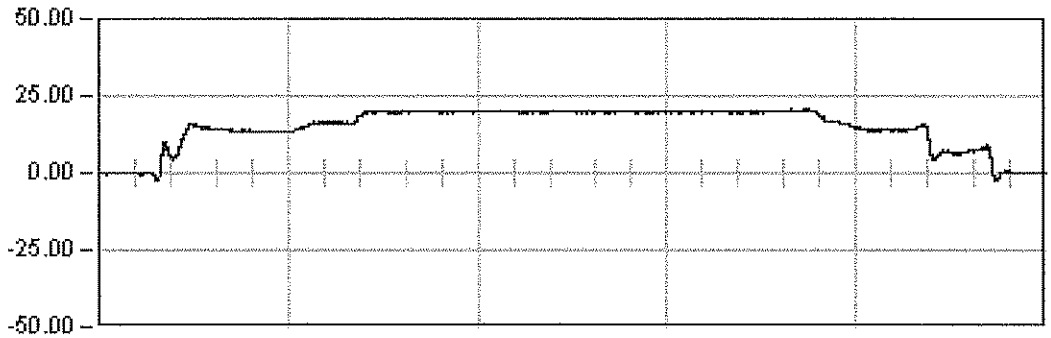


ESTATICA 10

1487.0 Seg

Est: 20.15
Max: 20.76
Min: -2.63
Rem: 0.02

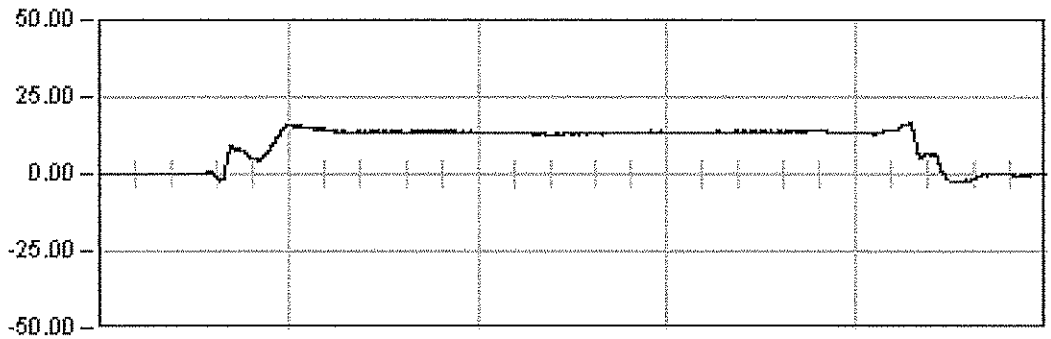


ESTATICA 19

1025.0 Seg

Est: 13.10
Max: 16.33
Min: -2.76
Rem: -0.20

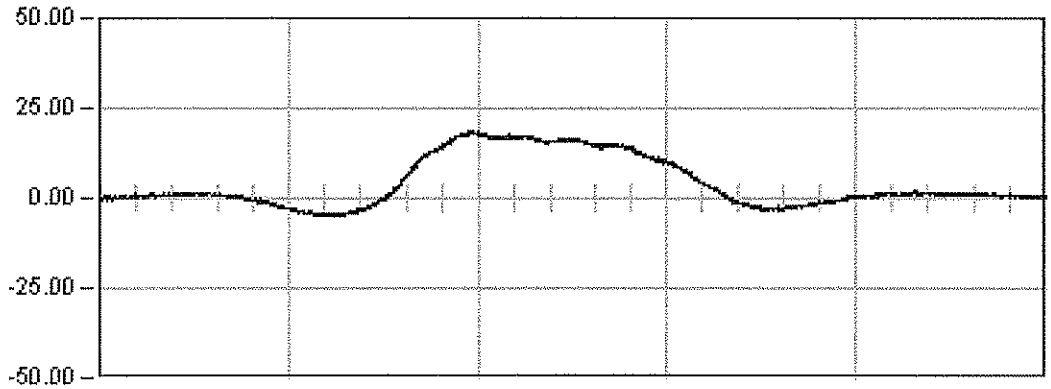


DINAMICA 01

96.0 Seg

Max: 18.42
Min: -5.05
Rem: 0.08

L.A.V. MADRID-BARCELONA-F.FRANCESA

35VI02 - SUBTRAMO IIIa

Punto : G152 Canal : 22 Unidades : µE

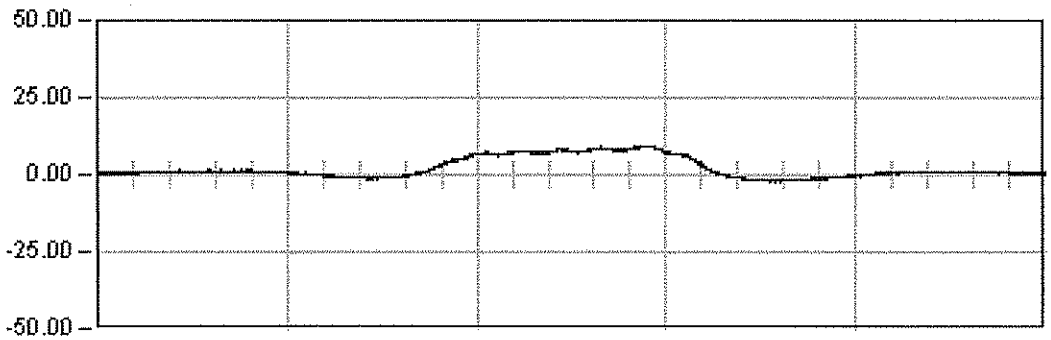


DINAMICA 21

117.0 Seg

Max: 9.39
Min: -2.15
Rem: 0.46

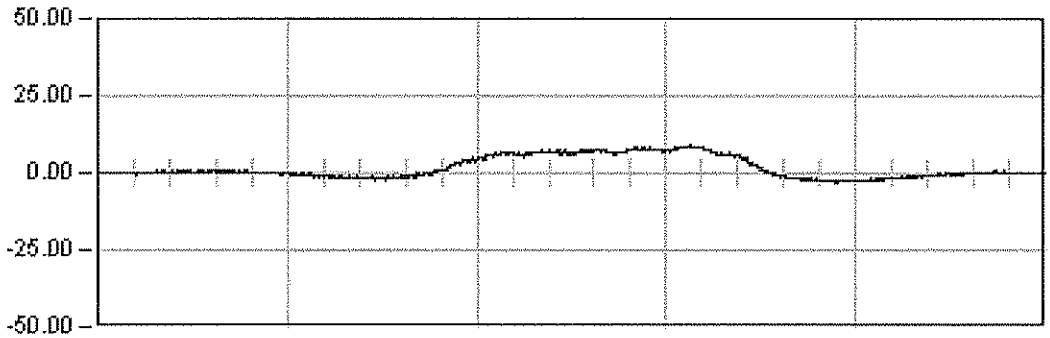


DINAMICA 22

35.0 Seg

Max: 8.76
Min: -2.96
Rem: -0.20

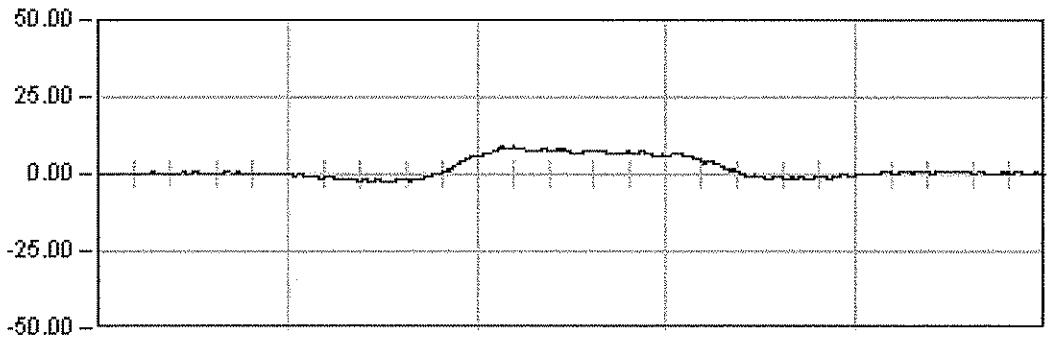


DINAMICA 23

14.0 Seg

Max: 8.80
Min: -2.63
Rem: -0.02

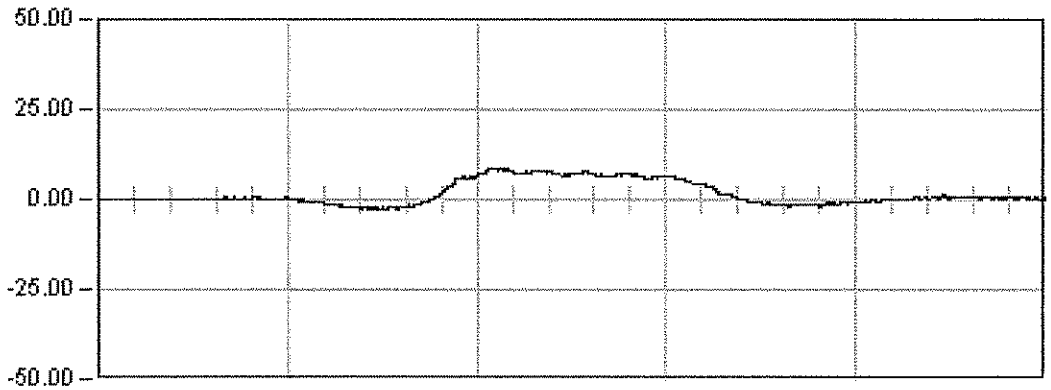


DINAMICA 24

19.0 Seg

Max: 8.82
Min: -2.86
Rem: -0.38

L.A.V. MADRID-BARCELONA-F.FRANCESA

35VI02 - SUBTRAMO IIIa

Punto : A131 Canal : 13 Unidades : G´s/100

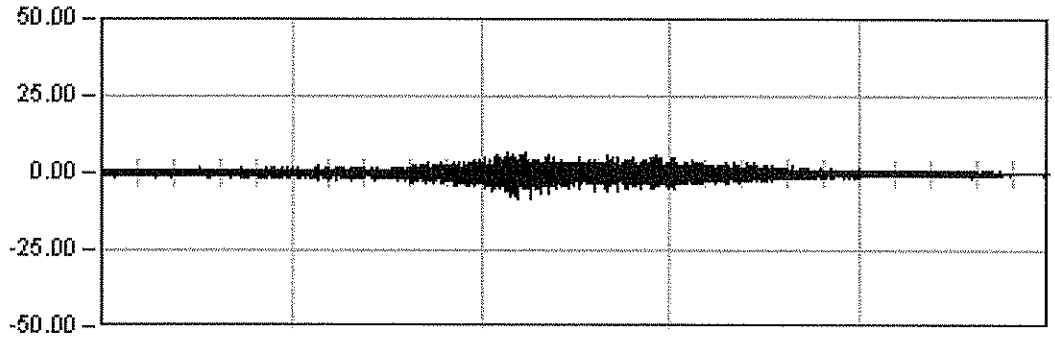


DINAMICA 01

99.0 Seg

Max: -8.18

Min: 7.07

Rem: -0.12

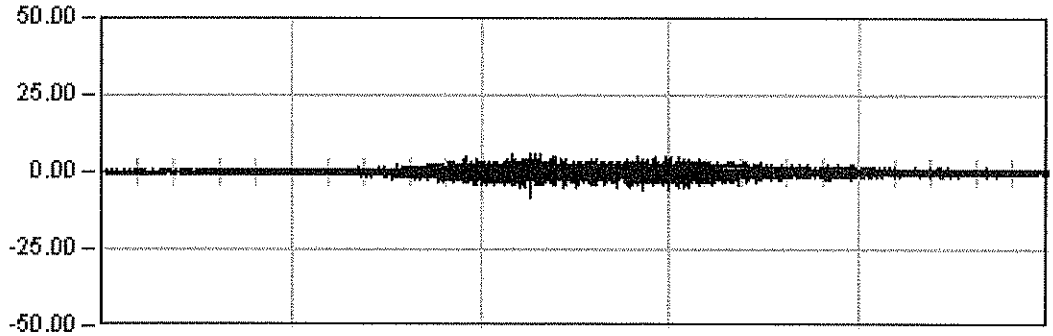


DINAMICA 21

115.0 Seg

Max: -8.06

Min: 6.07

Rem: 0.03

L.A.V. MADRID-BARCELONA-F.FRANCESA

35VI02 - SUBTRAMO IIIa

Punto : A131 Canal : 13 Unidades : G's/100

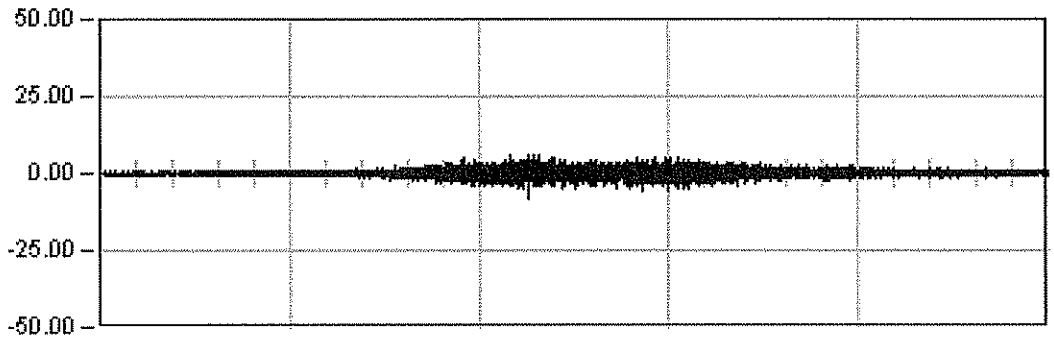


DINAMICA 21

115.0 Seg

Max: -8.06
Min: 6.07
Rem: 0.03

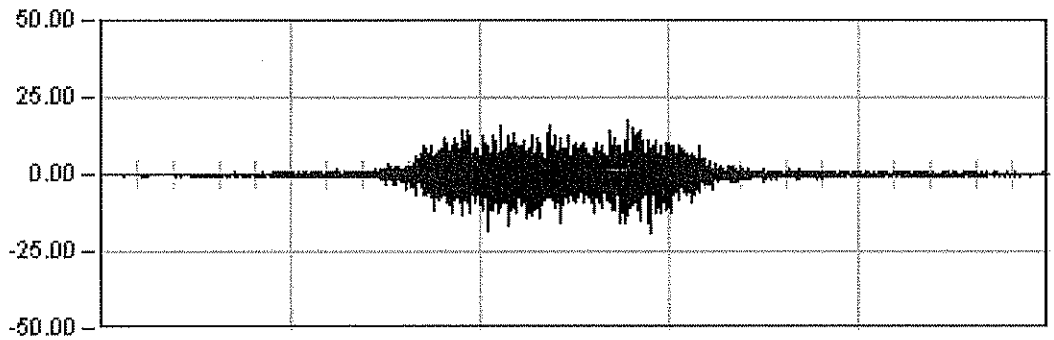


DINAMICA 22

41.0 Seg

Max: -19.21
Min: 17.73
Rem: -0.08

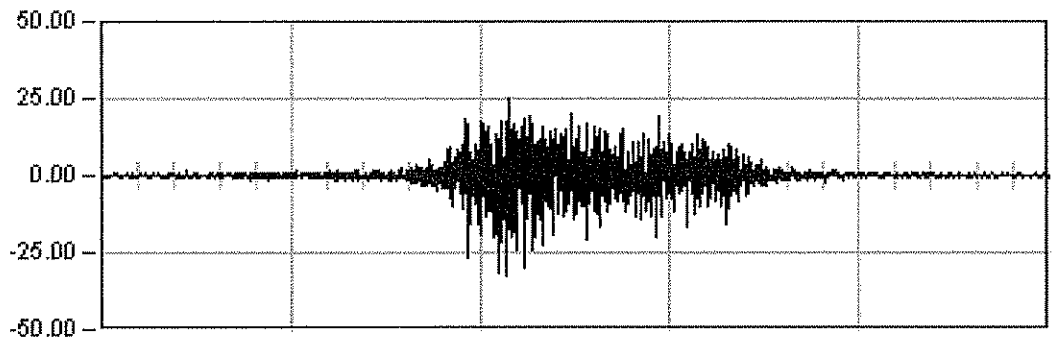


DINAMICA 23

14.0 Seg

Max: -32.85
Min: 25.16
Rem: 0.00

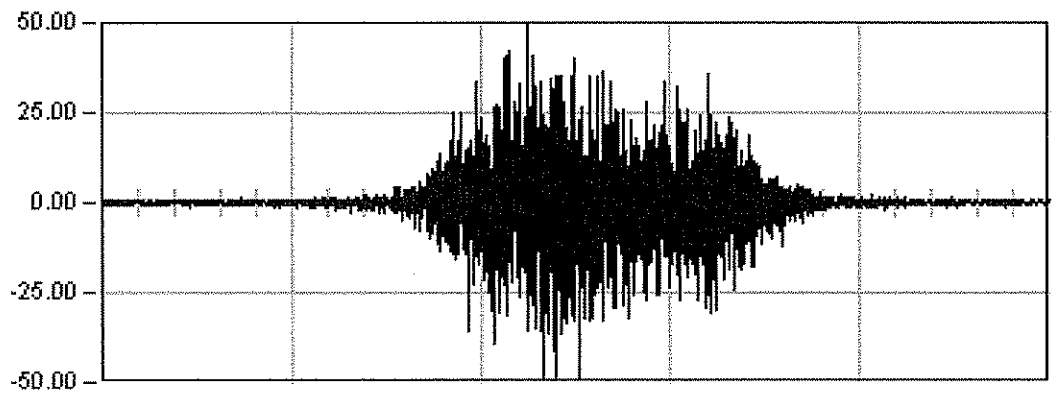


DINAMICA 24

21.0 Seg

Max: 50.82
Min: -48.84
Rem: 0.02

L.A.V. MADRID-BARCELONA-F.FRANCESA

35VI02 - SUBTRAMO IIIa

Prueba: din24 Punto: A131 Canal: 13

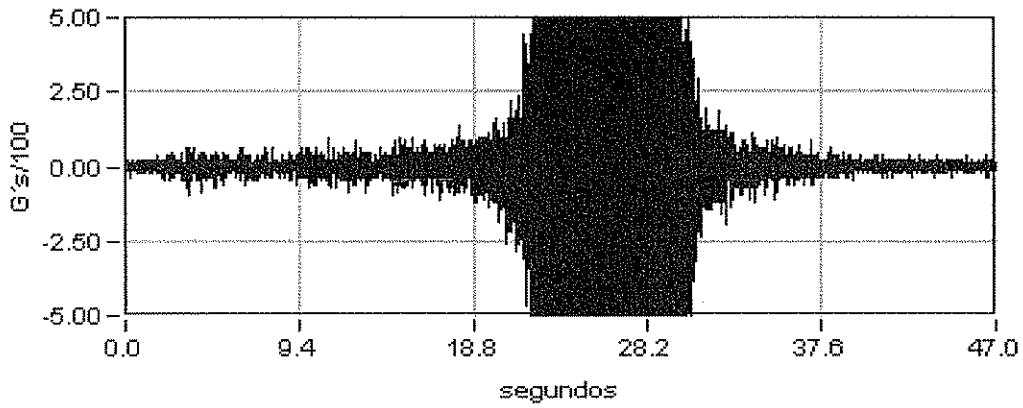


| Máximo |
| --- |
| 50.82 |

| Mínimo |
| --- |
| -48.84 |

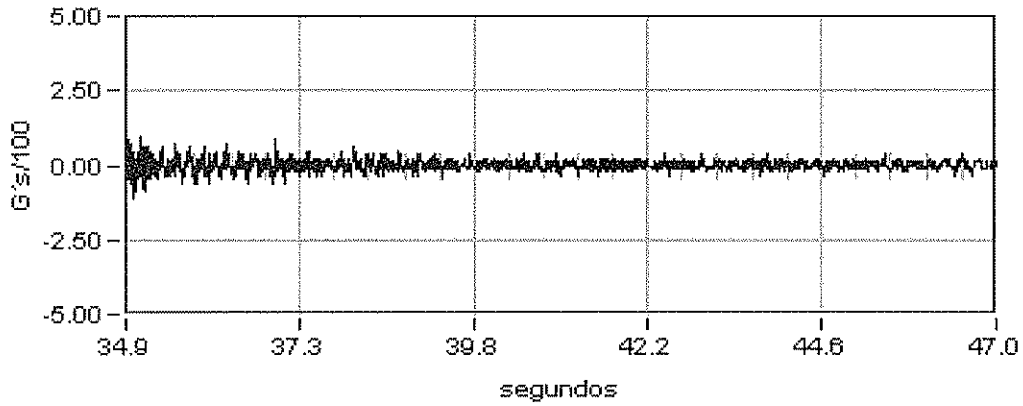


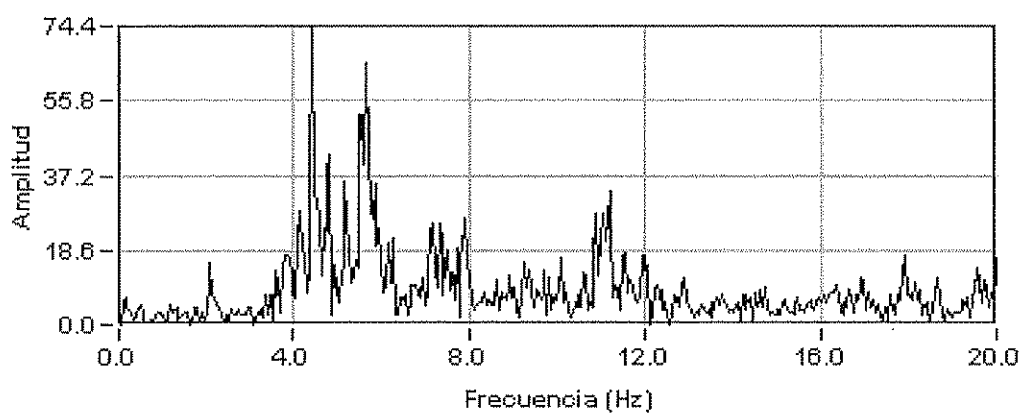


| Amplitud |
| --- |
| 74.40 |

| Frecuencia |
| --- |
| 4.42 |

| Dec.Logarit. |
| --- |
| 0.04 |

| Amortiguac. | |
| --- | --- |
| 0.56 | % |

L.A.V. MADRID-BARCELONA-F.FRANCESA

35VI02 - SUBTRAMO IIIa

Punto : A141 Canal : 14 Unidades : G´s/100

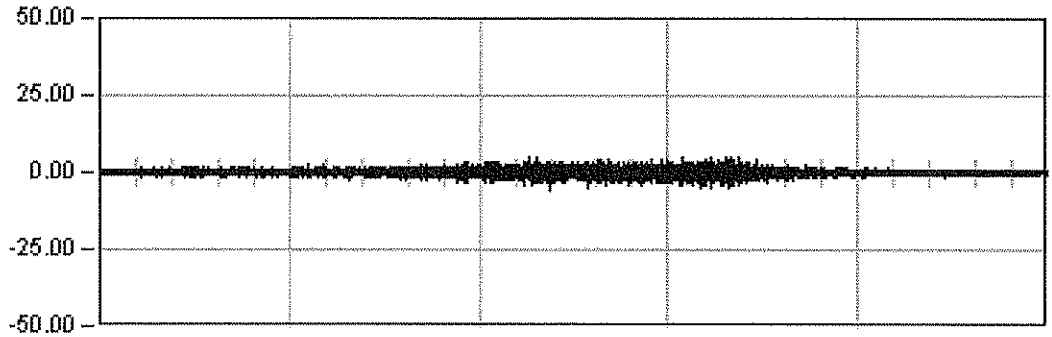


DINAMICA 01

89.0 Seg

Max: -6.20

Min: 5.01

Rem: 0.05

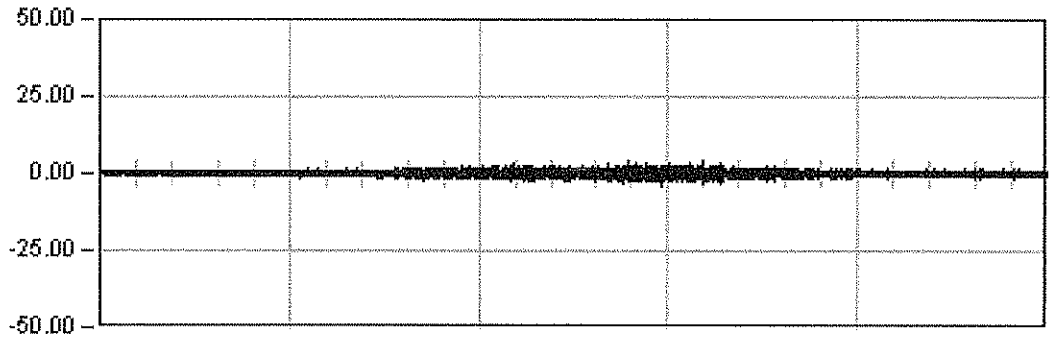


DINAMICA 21

105.0 Seg

Max: 4.53

Min: -3.94

Rem: 0.06

L.A.V. MADRID-BARCELONA-F.FRANCESA

35VI02 - SUBTRAMO IIIa

Punto : A141 Canal : 14 Unidades : G's/100

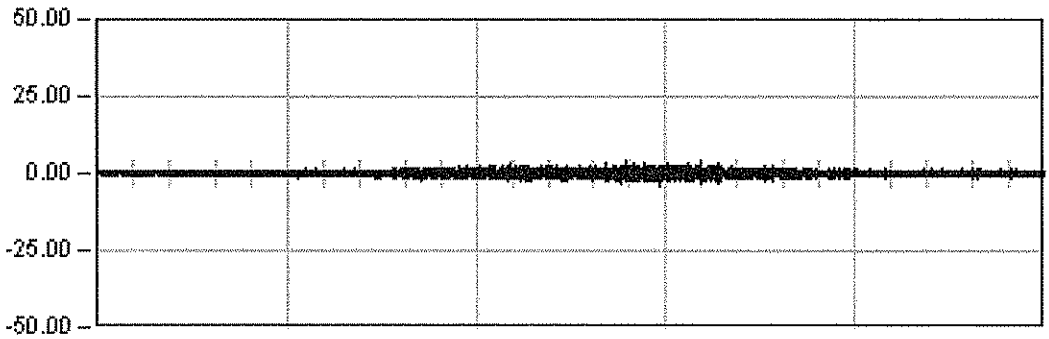


DINAMICA 21

105.0 Seg

Max: 4.53
Min: -3.94
Rem: 0.06

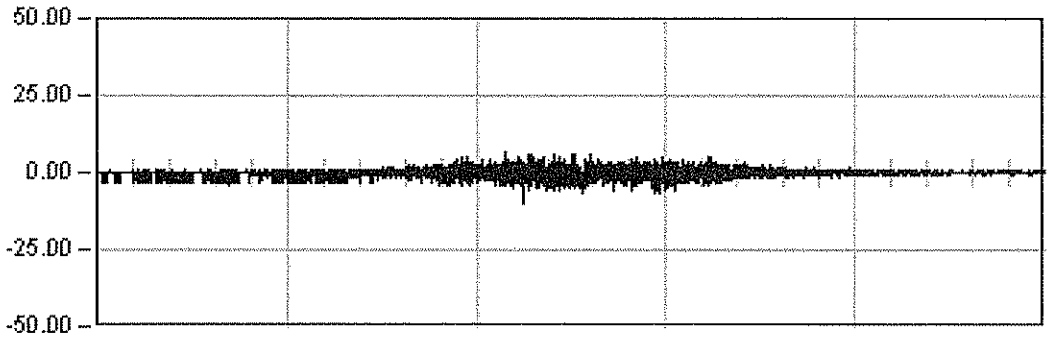


DINAMICA 22

38.0 Seg

Max: -9.66
Min: 6.92
Rem: 0.08

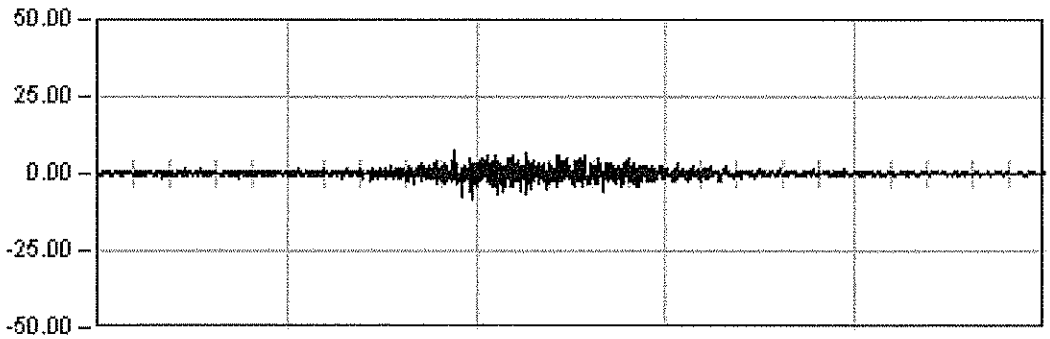


DINAMICA 23

17.0 Seg

Max: -8.23
Min: 7.16
Rem: 0.07

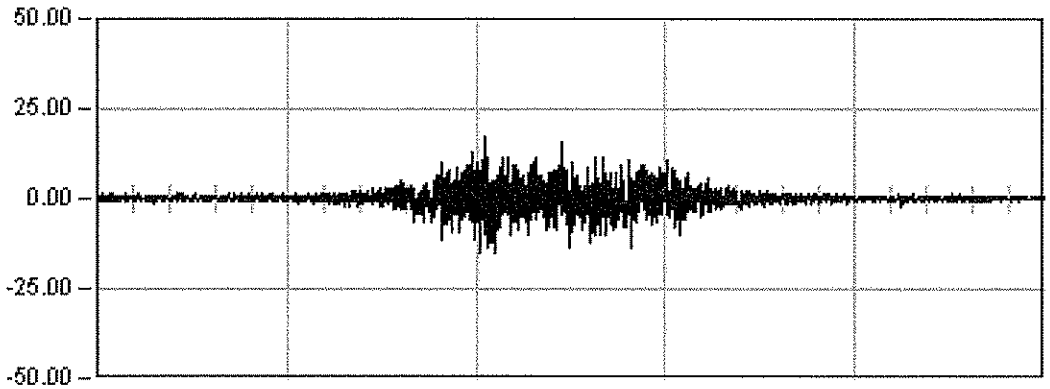


DINAMICA 24

24.0 Seg

Max: 17.42
Min: -15.27
Rem: 0.12

L.A.V. MADRID-BARCELONA-F.FRANCESA

35VI02 - SUBTRAMO IIIa

Prueba: din23 Punto: A141 Canal: 14

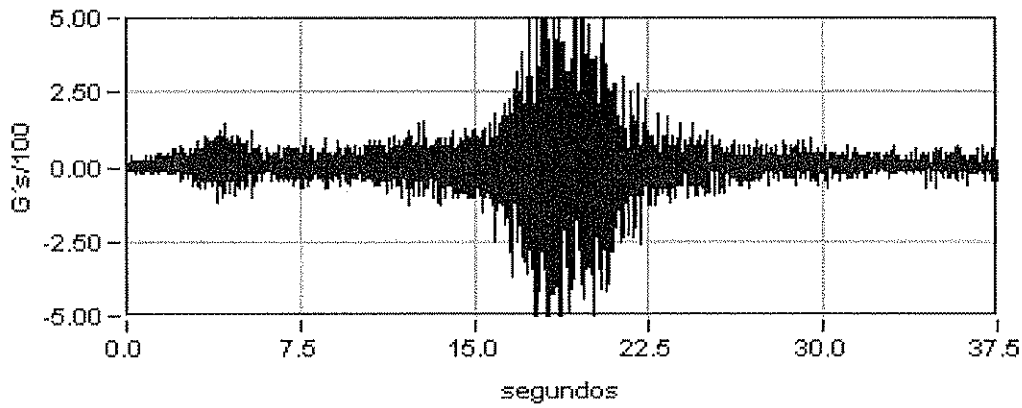


| Máximo |
| --- |
| -8.23 |

| Mínimo |
| --- |
| 7.16 |

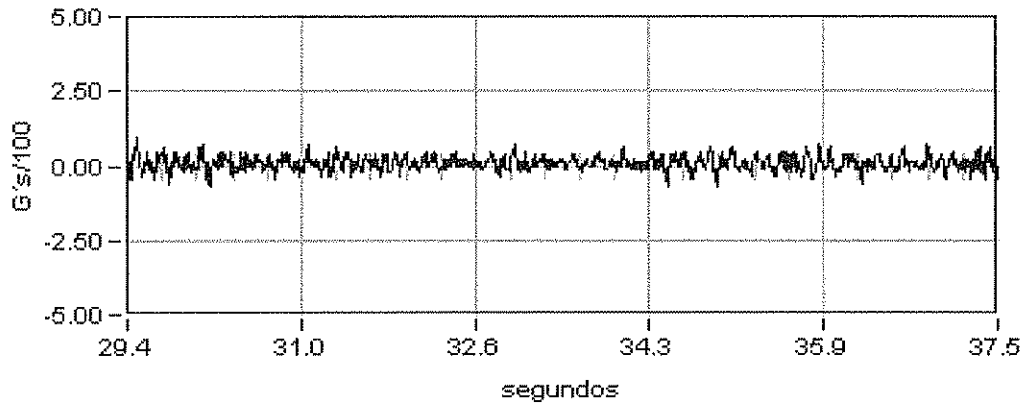


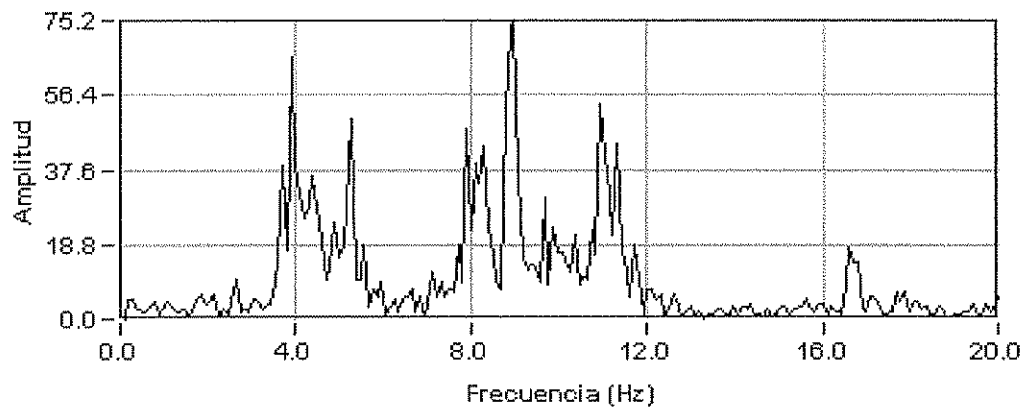


| Amplitud |
| --- |
| 66.28 |

| Frecuencia |
| --- |
| 3.93 |

| Dec.Logarit. |
| --- |
| 0.08 |

| Amortiguac. |
| --- |
| 1.35 % |

L.A.V. MADRID-BARCELONA-F.FRANCESA

35VI02 - SUBTRAMO IIIa

Punto : A151 Canal : 15 Unidades : G's/100

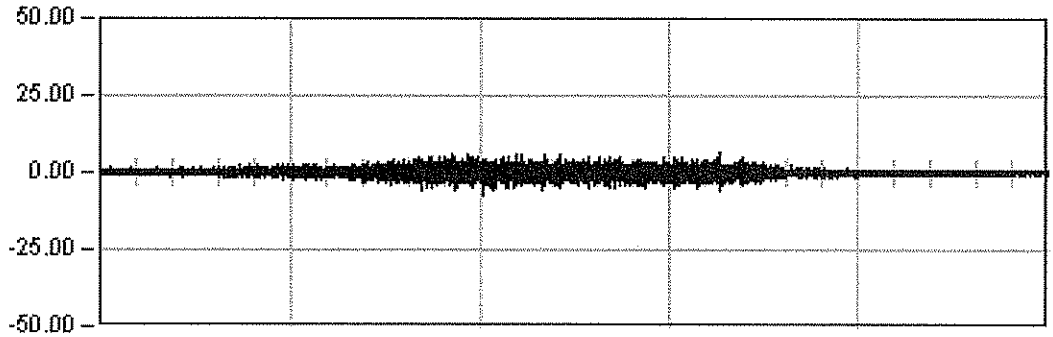


DINAMICA 01

96.0 Seg

Max: -7.57

Min: 6.83

Rem: 0.08

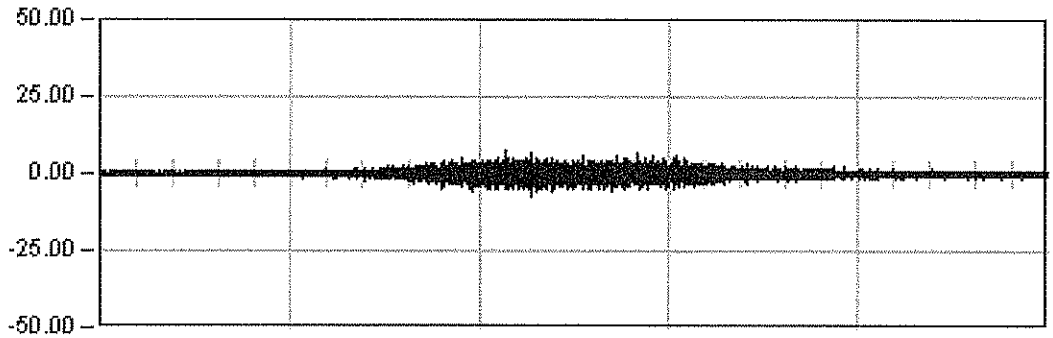


DINAMICA 21

117.0 Seg

Max: 7.20

Min: -7.20

Rem: -0.04

L.A.V. MADRID-BARCELONA-F.FRANCESA

35VI02 - SUBTRAMO IIIa

Punto : A151 Canal : 15 Unidades : G's/100

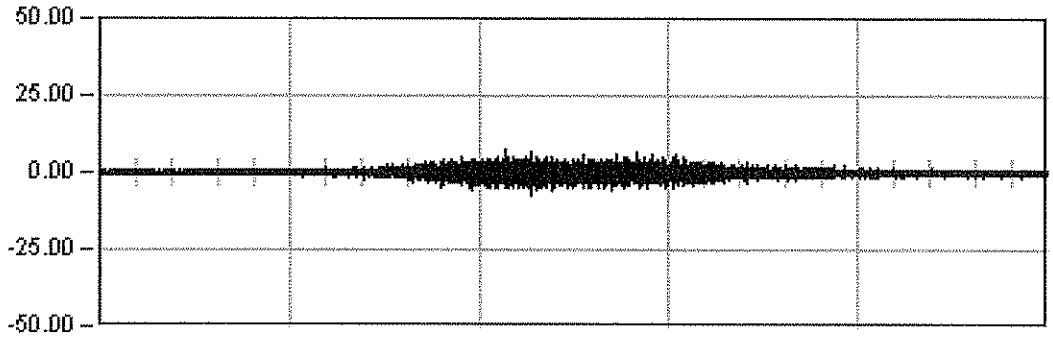


DINAMICA 21

117.0 Seg

Max: 7.20
Min: -7.20
Rem: -0.04

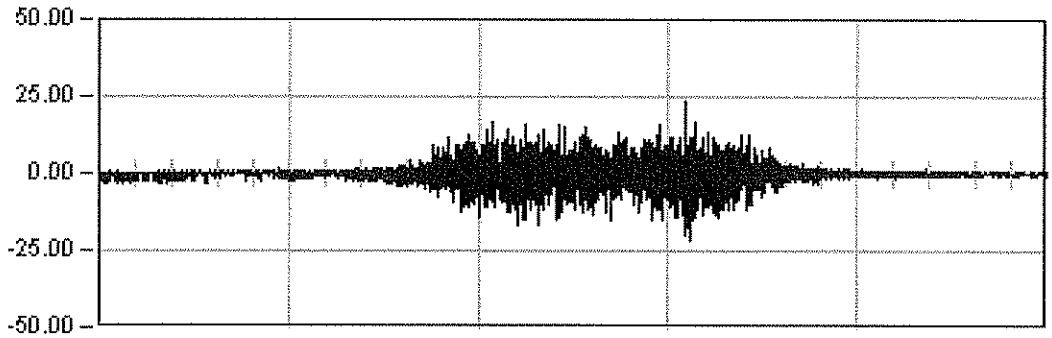


DINAMICA 22

35.0 Seg

Max: 23.33
Min: -21.47
Rem: 0.02

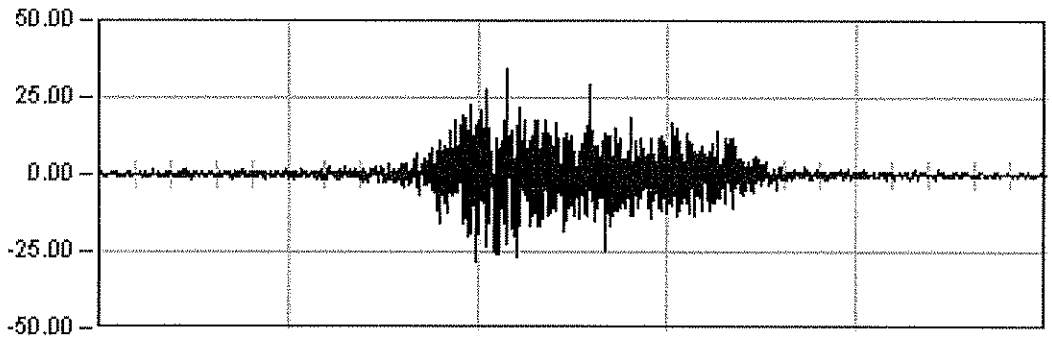


DINAMICA 23

14.0 Seg

Max: 34.13
Min: -28.17
Rem: 0.02

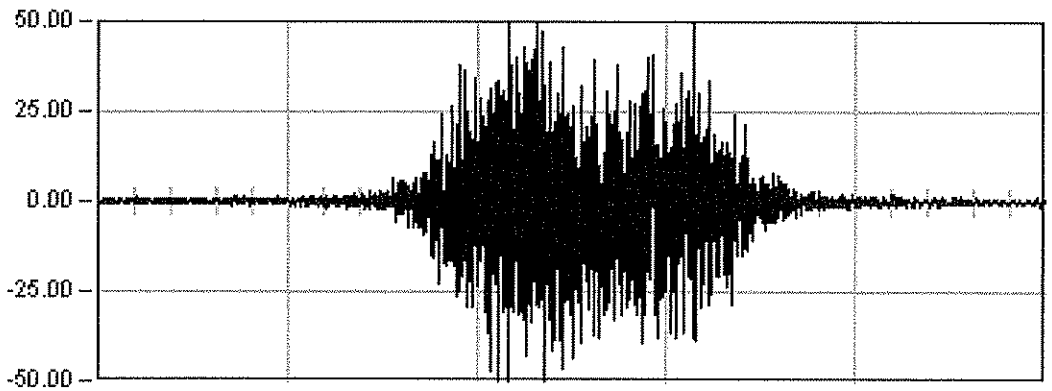


DINAMICA 24

19.0 Seg

Max: -57.96
Min: 55.72
Rem: -0.02

L.A.V. MADRID-BARCELONA-F.FRANCESA

35VI02 - SUBTRAMO IIIa

Prueba: din23 Punto: A151 Canal: 15

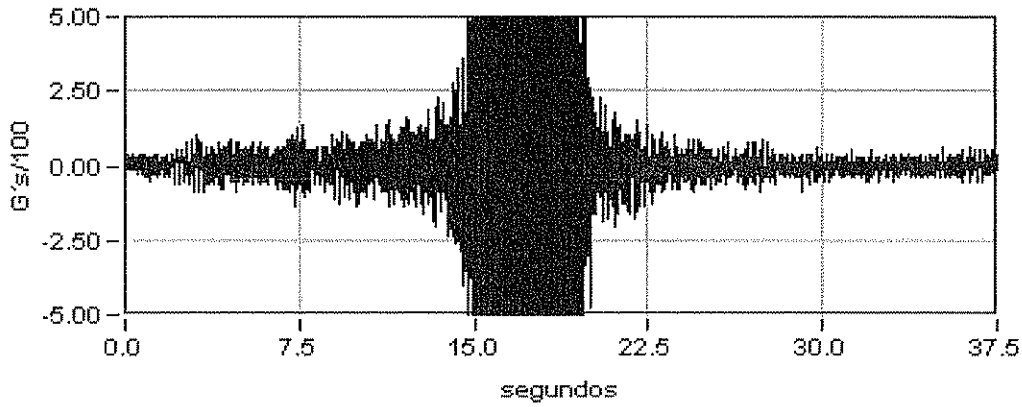


| Máximo |
| --- |
| 34.13 |

| Mínimo |
| --- |
| -28.17 |

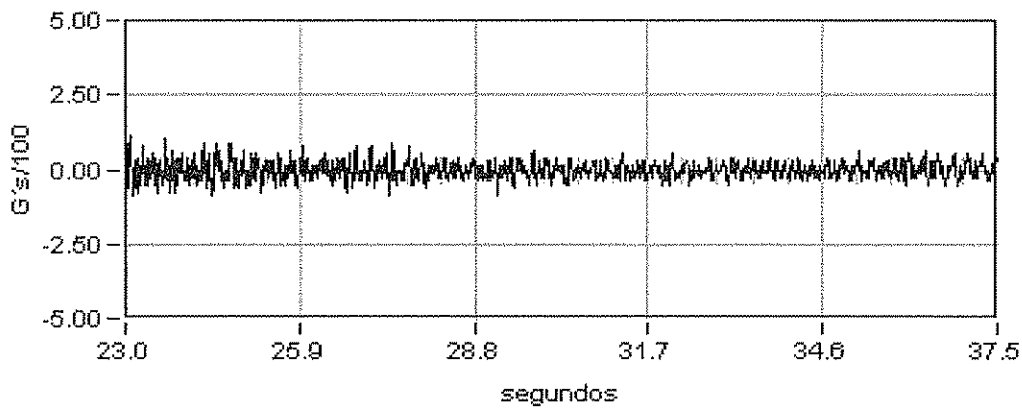


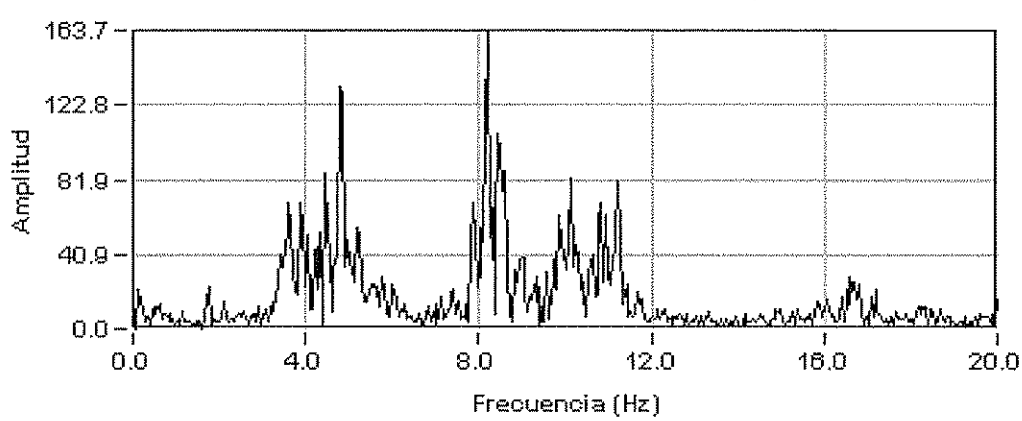


| Amplitud |
| --- |
| 133.03 |

| Frecuencia |
| --- |
| 4.79 |

| Dec.Logarit. |
| --- |
| 0.06 |

| Amortiguac. | |
| --- | --- |
| 0.91 | % |

L.A.V. MADRID-BARCELONA-F.FRANCESA

35VI02 - SUBTRAMO IIIa

Punto : P161 Canal : 00 Unidades : mm

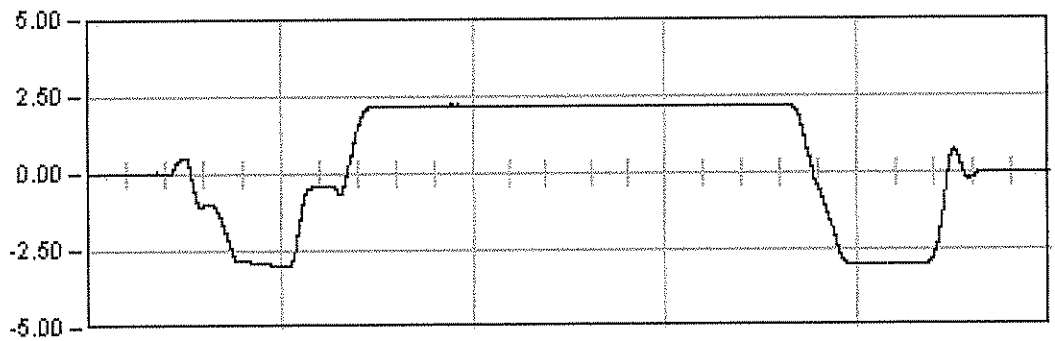


ESTATICA 11

1390.0 Seg

Est: 2.17
Max: -3.03
Min: 2.21
Rem: -0.02

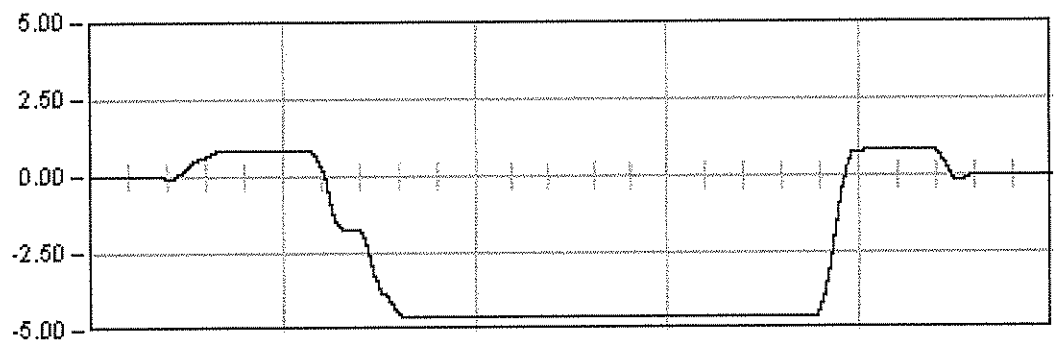


ESTATICA 12

1388.0 Seg

Est: -4.60
Max: -4.61
Min: 0.83
Rem: 0.01

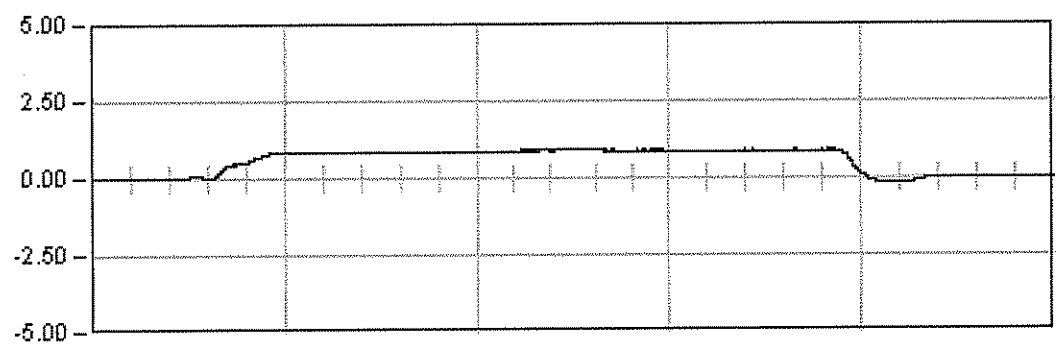


ESTATICA 20

1108.0 Seg

Est: 0.87
Max: 0.89
Min: -0.15
Rem: -0.01

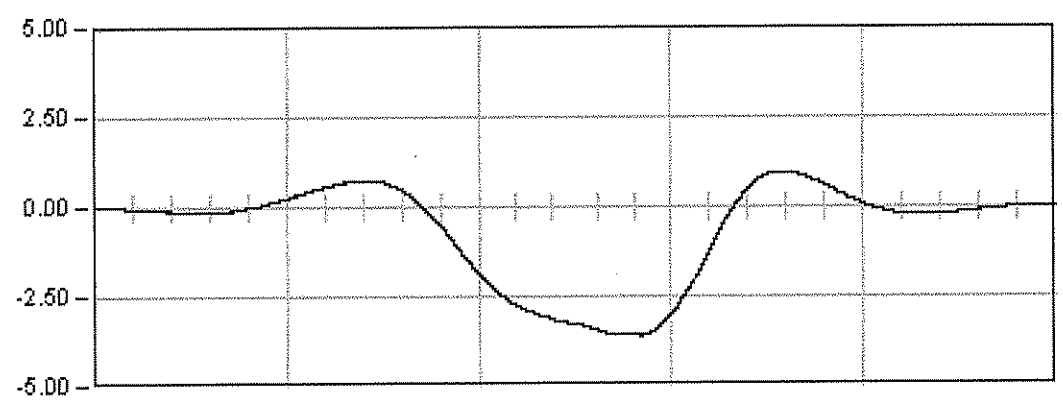


DINAMICA 01

103.0 Seg

Max: -3.61
Min: 0.96
Rem: -0.03

L.A.V. MADRID-BARCELONA-F.FRANCESA

35VI02 - SUBTRAMO IIIa

Punto : P161 Canal : 00 Unidades : mm

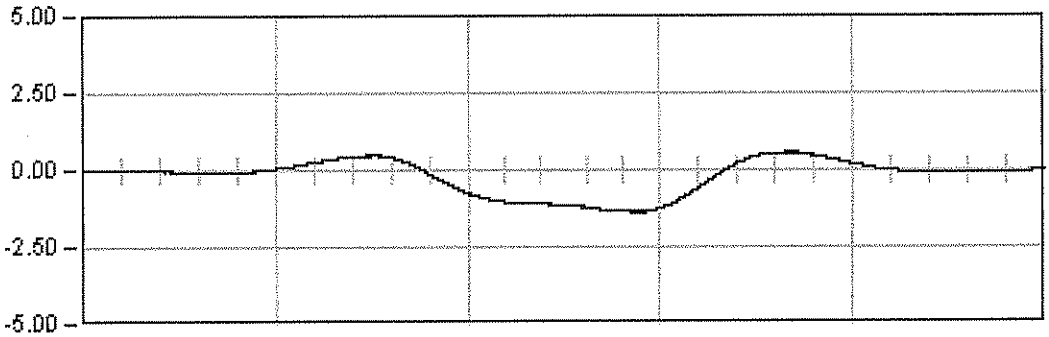


DINAMICA 21

131.0 Seg

Max: -1.38
Min: 0.55
Rem: -0.05

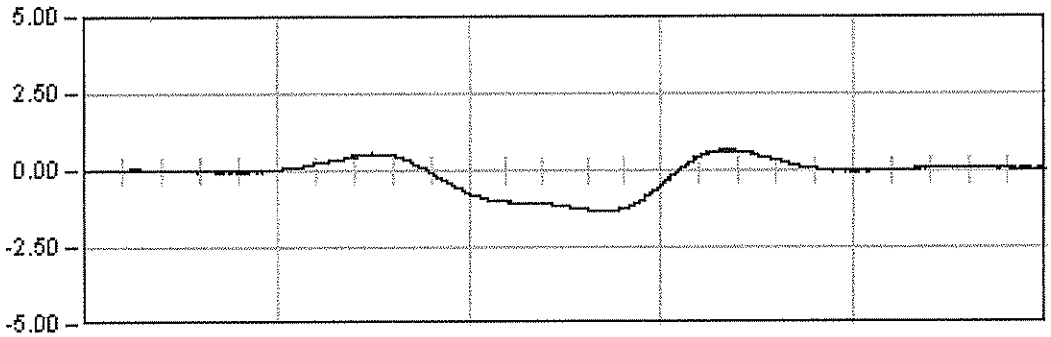


DINAMICA 22

42.0 Seg

Max: -1.34
Min: 0.66
Rem: 0.02

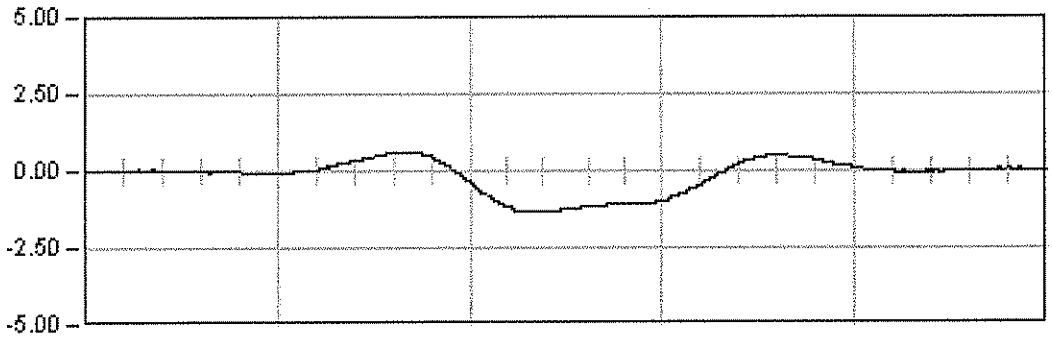


DINAMICA 23

18.0 Seg

Max: -1.36
Min: 0.59
Rem: -0.00

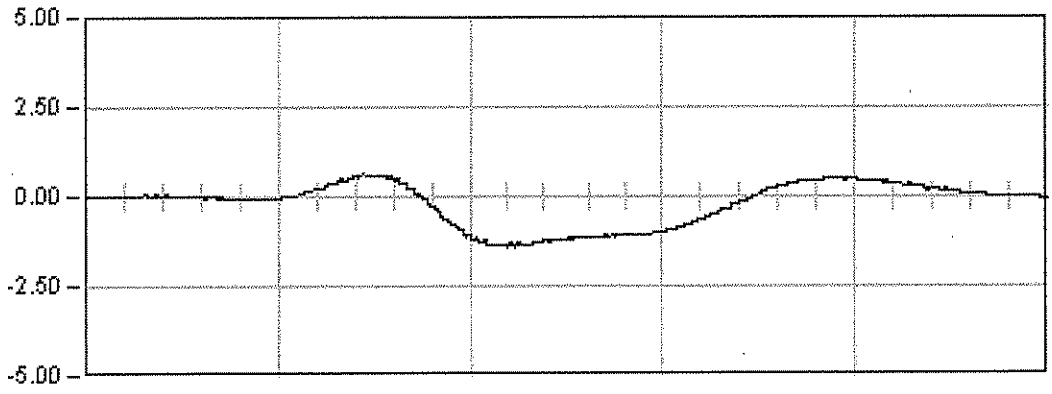


DINAMICA 24

23.0 Seg

Max: -1.41
Min: 0.63
Rem: -0.03

L.A.V. MADRID-BARCELONA-F.FRANCESA

35VI02 - SUBTRAMO IIIa

Punto : P162 Canal : 01 Unidades : mm

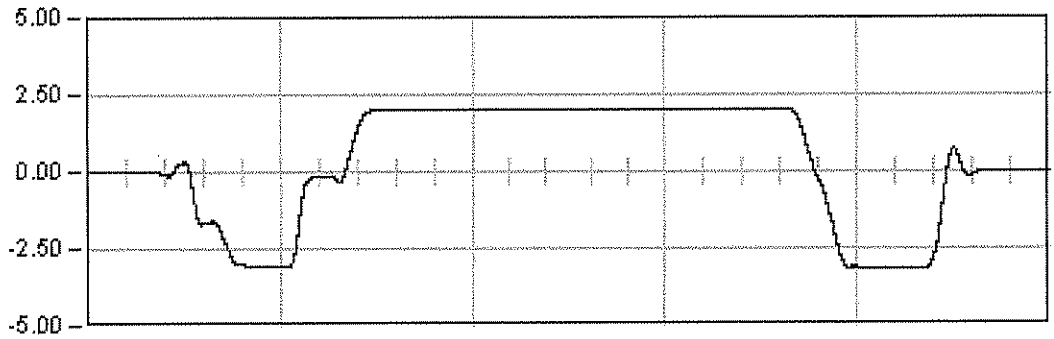


ESTATICA 11

1390.0 Seg

Est: 2.01
Max: -3.16
Min: 2.03
Rem: -0.01

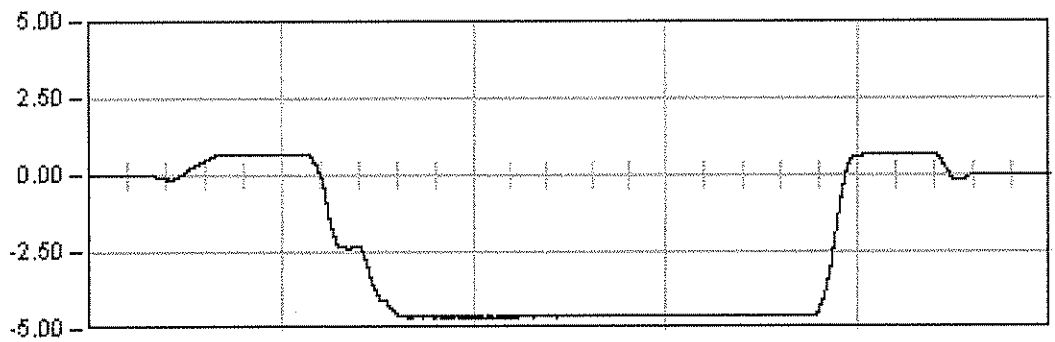


ESTATICA 12

1388.0 Seg

Est: -4.61
Max: -4.65
Min: 0.67
Rem: -0.01

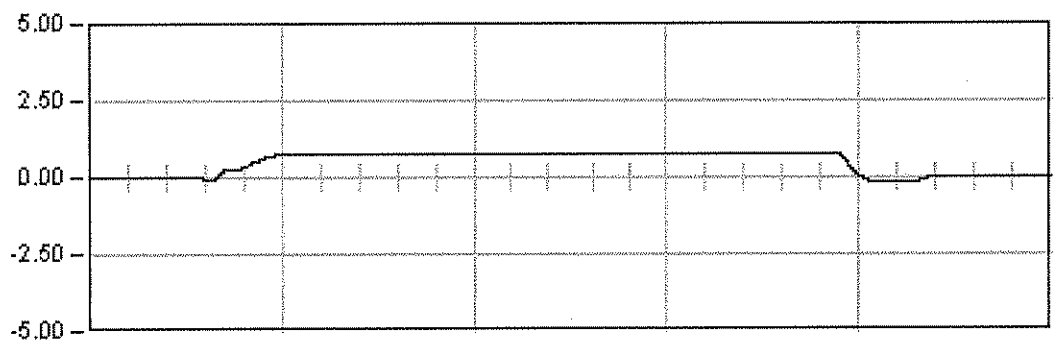


ESTATICA 20

1108.0 Seg

Est: 0.75
Max: 0.77
Min: -0.19
Rem: -0.01

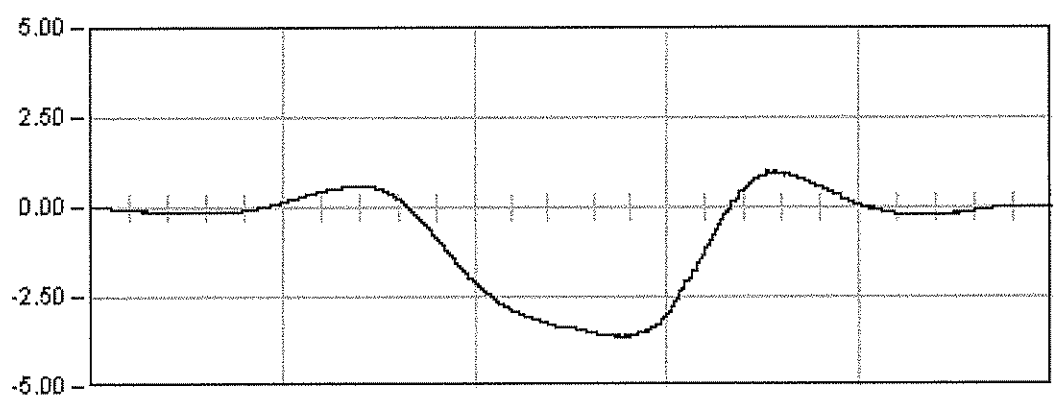


DINAMICA 01

103.0 Seg

Max: -3.62
Min: 0.98
Rem: -0.03

L.A.V. MADRID-BARCELONA-F.FRANCESA

35VI02 - SUBTRAMO IIIa

Punto : P162 Canal : 01 Unidades : mm

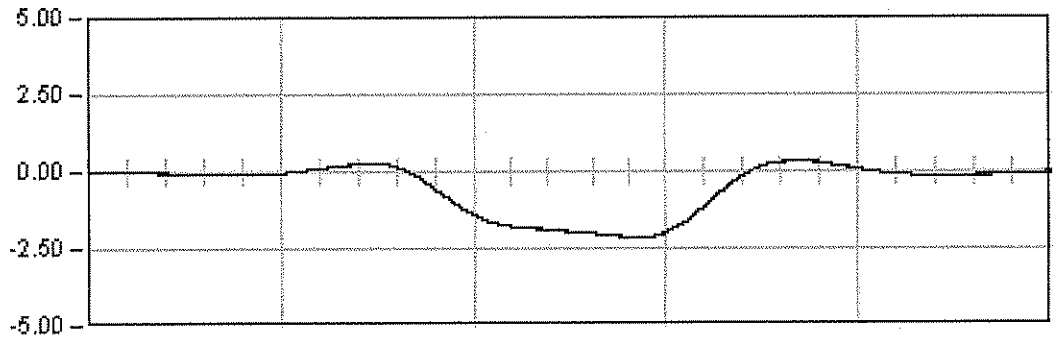


DINAMICA 21

131.0 Seg

Max: -2.17
Min: 0.32
Rem: 0.02

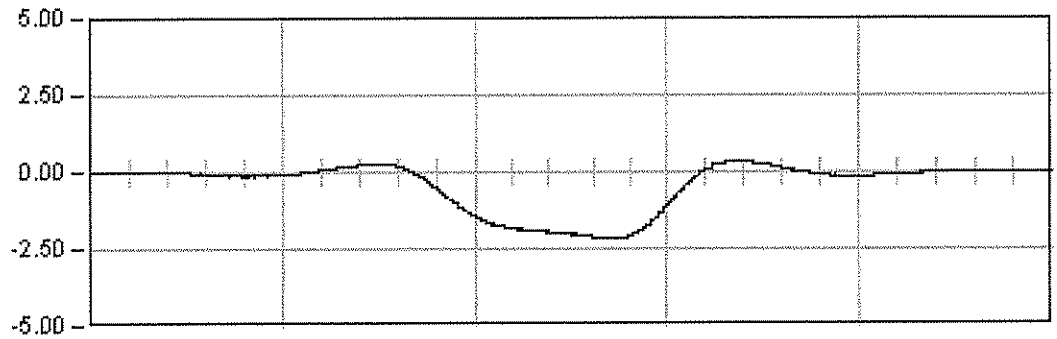


DINAMICA 22

42.0 Seg

Max: -2.18
Min: 0.37
Rem: 0.05

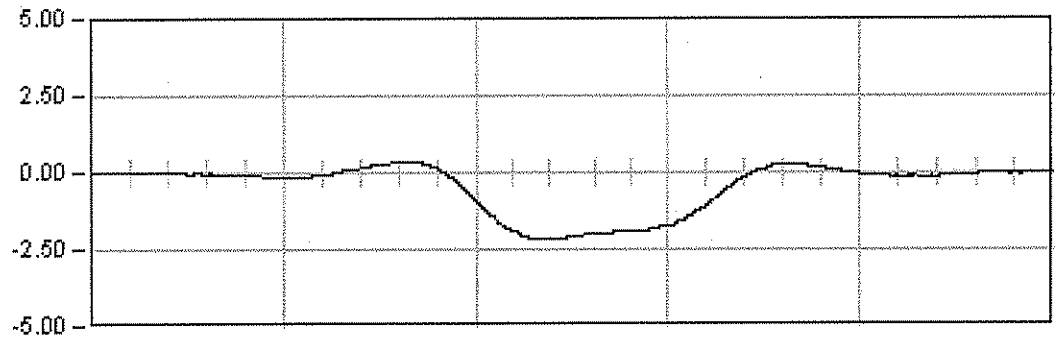


DINAMICA 23

18.0 Seg

Max: -2.17
Min: 0.35
Rem: -0.03

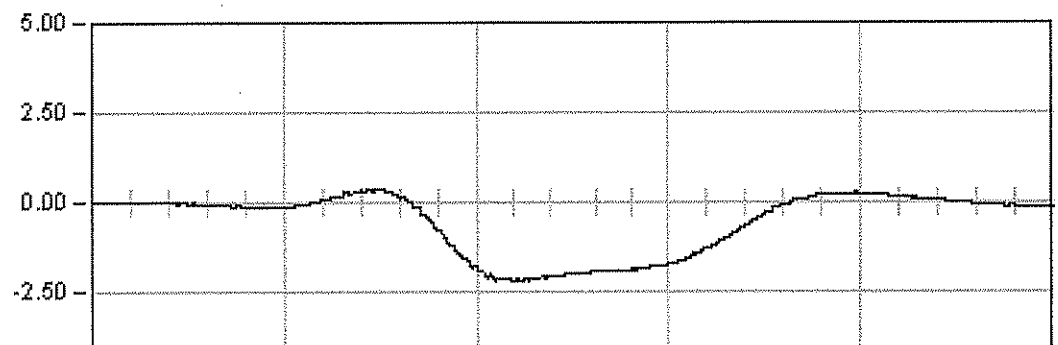


DINAMICA 24

23.0 Seg

Max: -2.22
Min: 0.38
Rem: -0.08

L.A.V. MADRID-BARCELONA-F.FRANCESA

35VI02 - SUBTRAMO IIIa

Punto : P163 Canal : 02 Unidades : mm

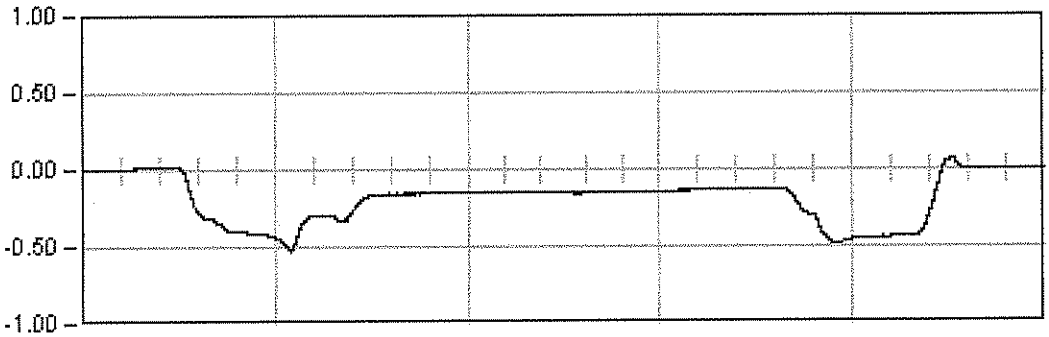


ESTATICA 11

1390.0 Seg

Est: -0.13
Max: -0.53
Min: 0.06
Rem: -0.00

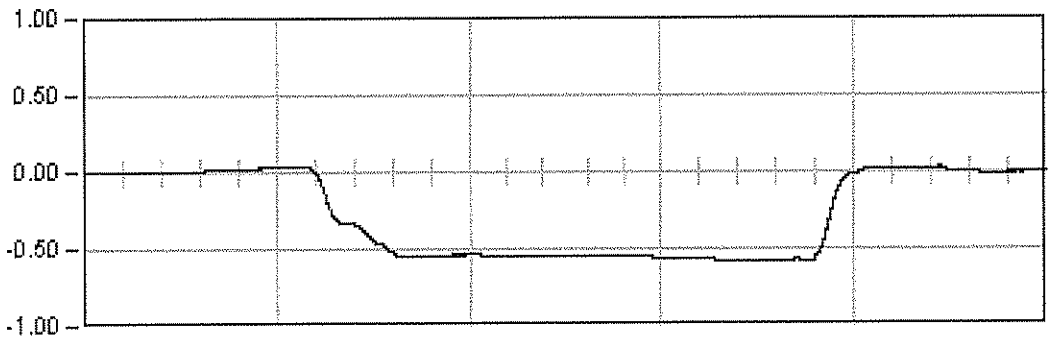


ESTATICA 12

1388.0 Seg

Est: -0.58
Max: -0.58
Min: 0.04
Rem: -0.01

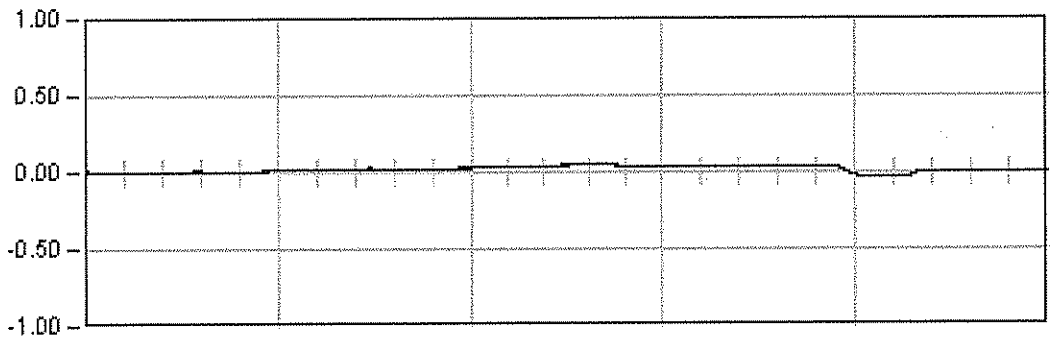


ESTATICA 20

1108.0 Seg

Est: 0.04
Max: 0.05
Min: -0.04
Rem: -0.00

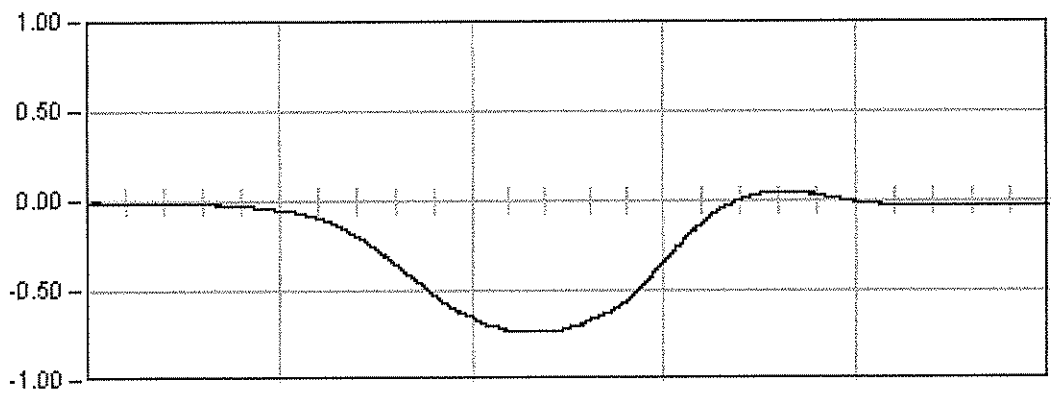


DINAMICA 01

103.0 Seg

Max: -0.73
Min: 0.04
Rem: -0.02

L.A.V. MADRID-BARCELONA-F.FRANCESA

35VI02 - SUBTRAMO IIIa

Punto : P163 Canal : 02 Unidades : mm

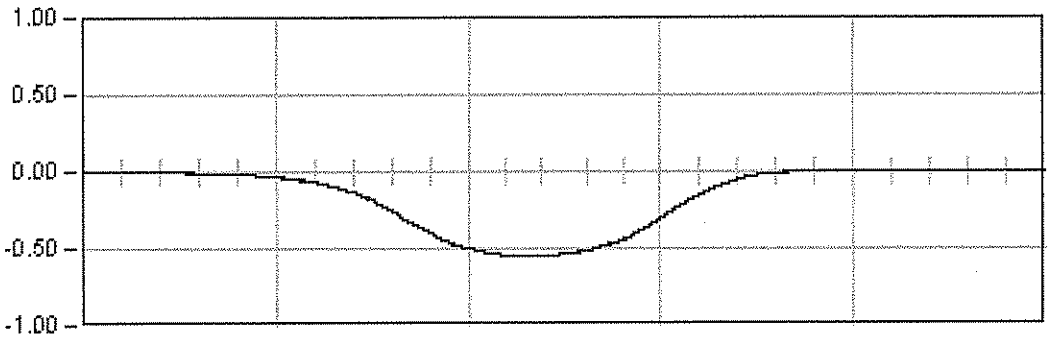


DINAMICA 21

131.0 Seg

Max: -0.55
Min: 0.01
Rem: 0.00

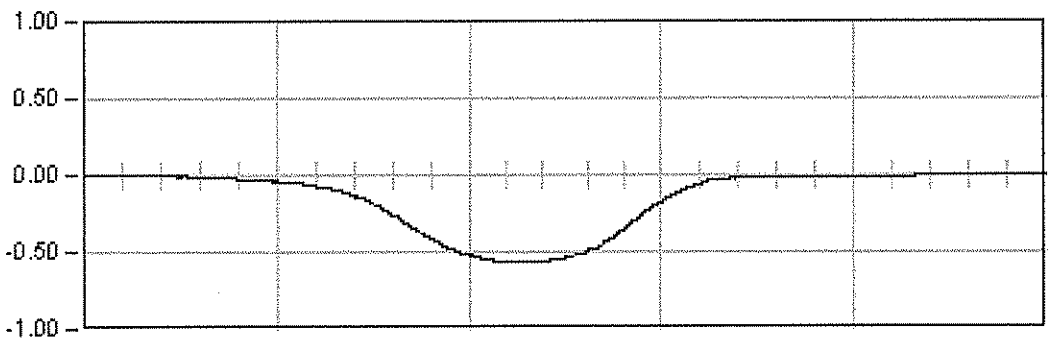


DINAMICA 22

42.0 Seg

Max: -0.57
Min: 0.00
Rem: 0.00

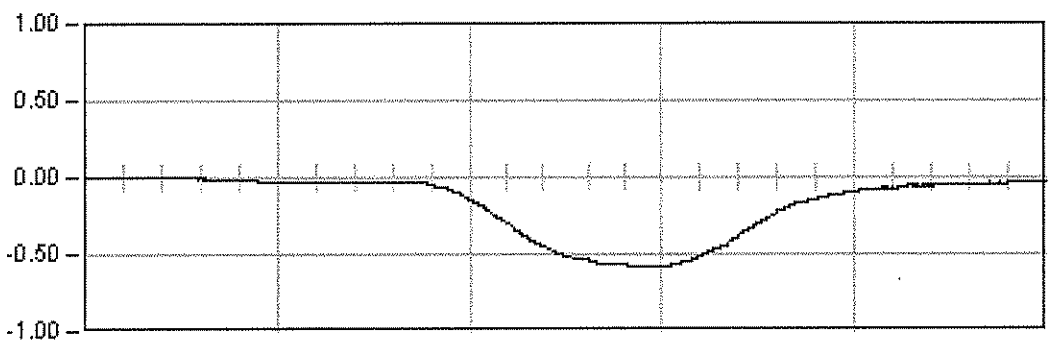


DINAMICA 23

18.0 Seg

Max: -0.58
Min: 0.00
Rem: -0.03

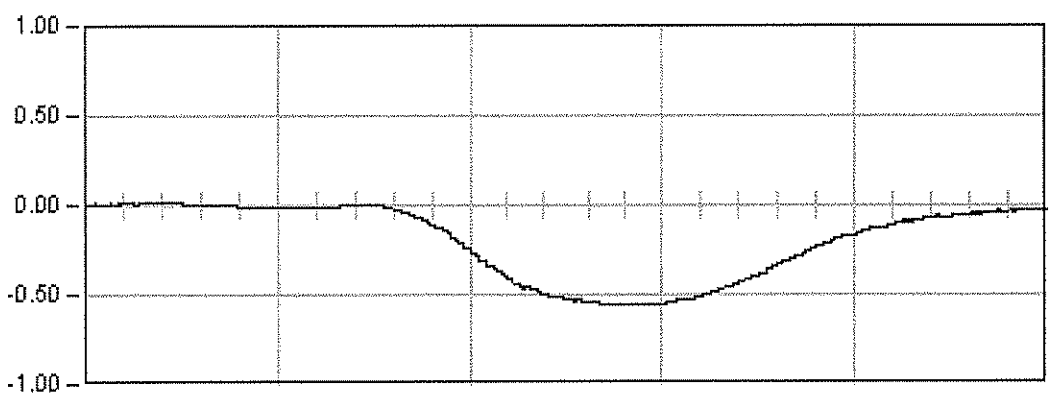


DINAMICA 24

23.0 Seg

Max: -0.56
Min: 0.01
Rem: -0.00

L.A.V. MADRID-BARCELONA-F.FRANCESA

35VI02 - SUBTRAMO IIIa

Punto : P164 Canal : 03 Unidades : mm

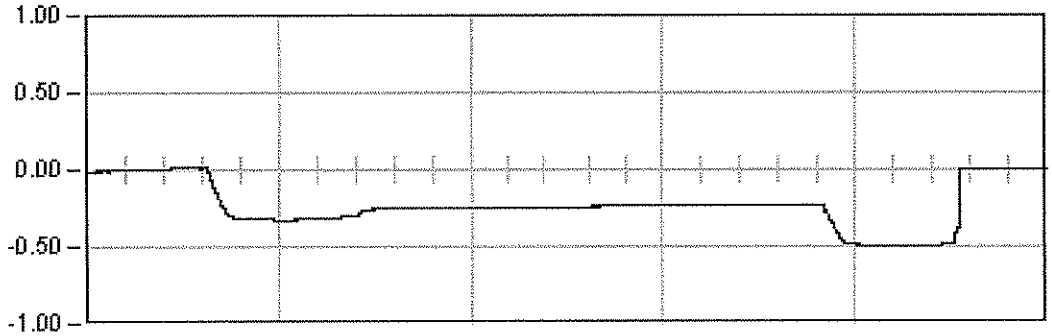


ESTATICA 11

1390.0 Seg

Est: -0.23
Max: -0.50
Min: 0.01
Rem: 0.00

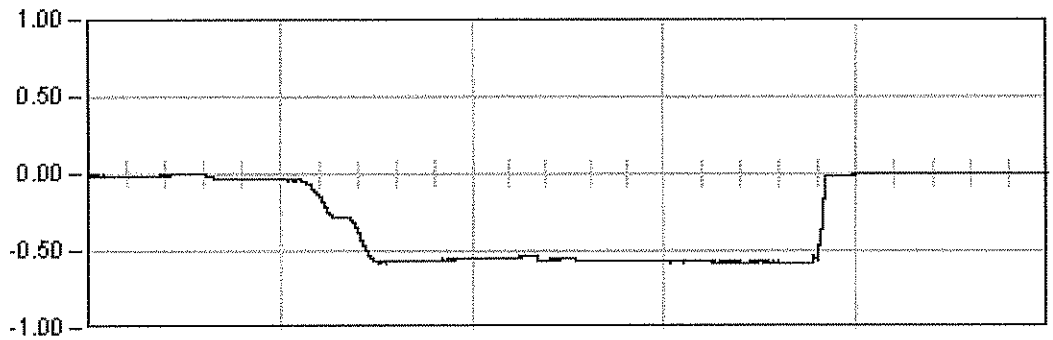


ESTATICA 12

1388.0 Seg

Est: -0.58
Max: -0.59
Min: 0.01
Rem: -0.00

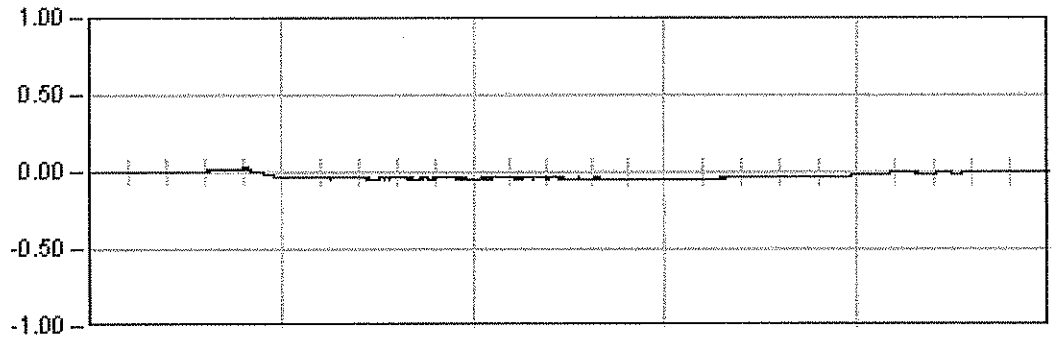


ESTATICA 20

1108.0 Seg

Est: -0.04
Max: -0.05
Min: 0.03
Rem: -0.00

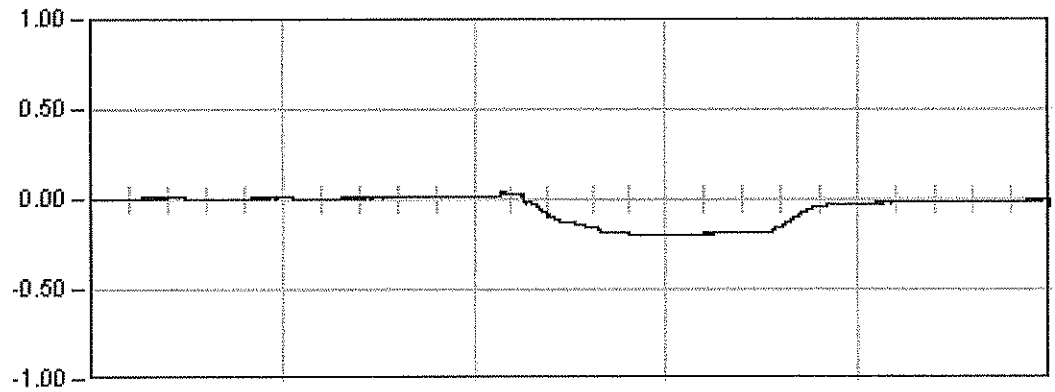


DINAMICA 01

103.0 Seg

Max: -0.20
Min: 0.04
Rem: -0.00

L.A.V. MADRID-BARCELONA-F.FRANCESA

35VI02 - SUBTRAMO IIIa

Punto : P171 Canal : 04 Unidades : mm

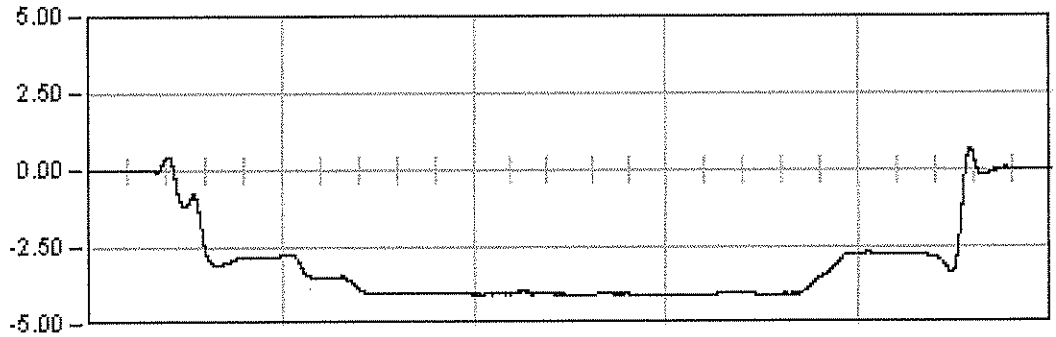


ESTATICA 11

1390.0 Seg

Est: -4.04
Max: -4.07
Min: 0.64
Rem: -0.00

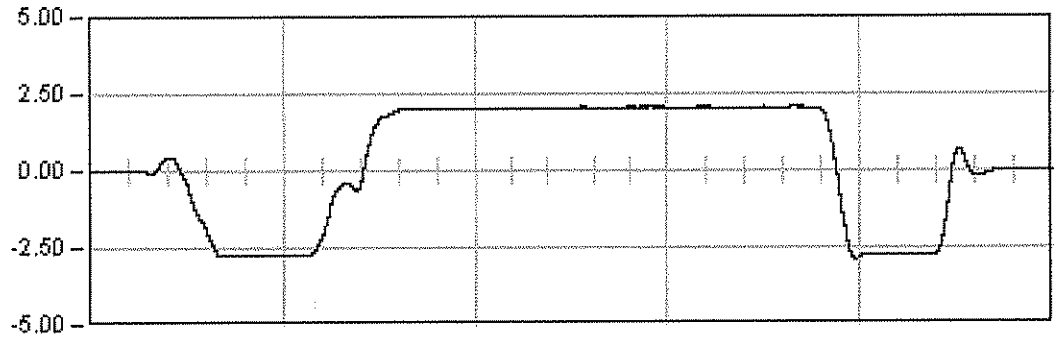


ESTATICA 12

1388.0 Seg

Est: 2.05
Max: -2.92
Min: 2.06
Rem: -0.02

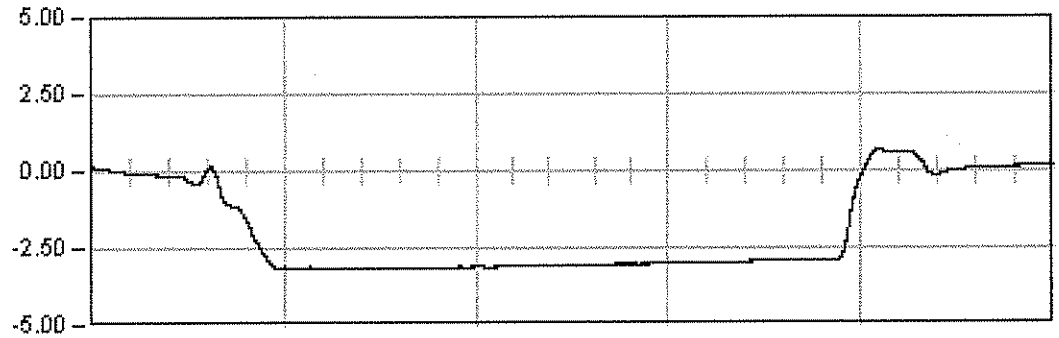


ESTATICA 20

1108.0 Seg

Est: -2.90
Max: -3.19
Min: 0.66
Rem: 0.13

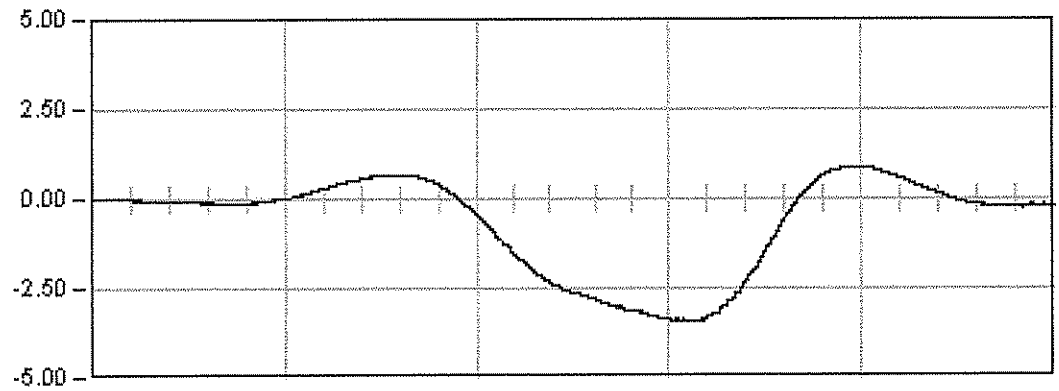


DINAMICA 01

90.0 Seg

Max: -3.45
Min: 0.86
Rem: -0.03

L.A.V. MADRID-BARCELONA-F.FRANCESA

35VI02 - SUBTRAMO IIIa

Punto : P171 Canal : 04 Unidades : mm

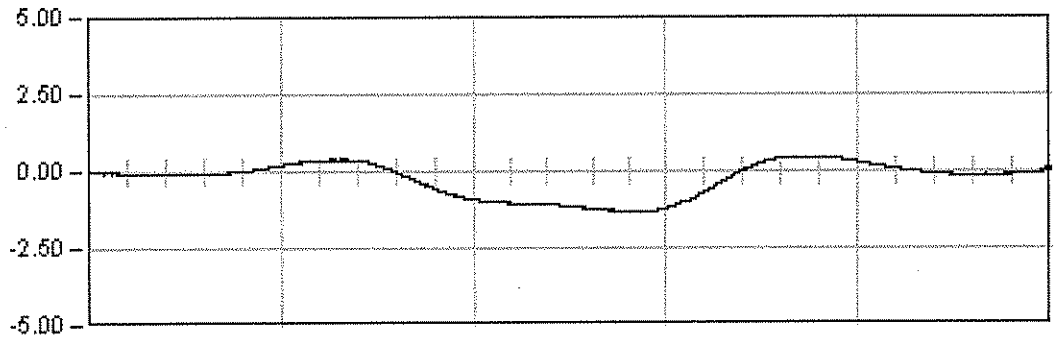


DINAMICA 21

119.0 Seg

Max: -1.34
Min: 0.45
Rem: -0.04

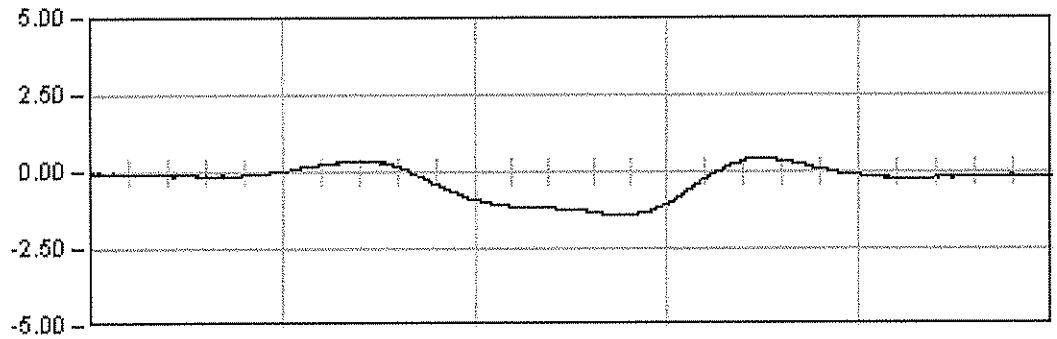


DINAMICA 22

36.0 Seg

Max: -1.41
Min: 0.45
Rem: 0.05

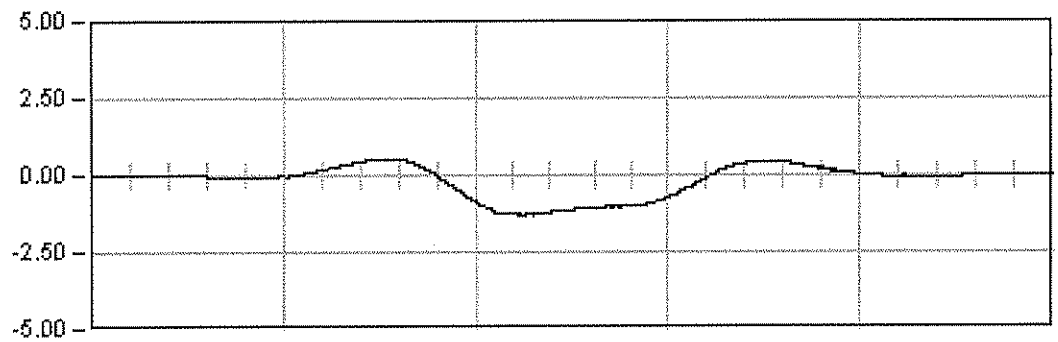


DINAMICA 23

18.0 Seg

Max: -1.30
Min: 0.53
Rem: -0.02

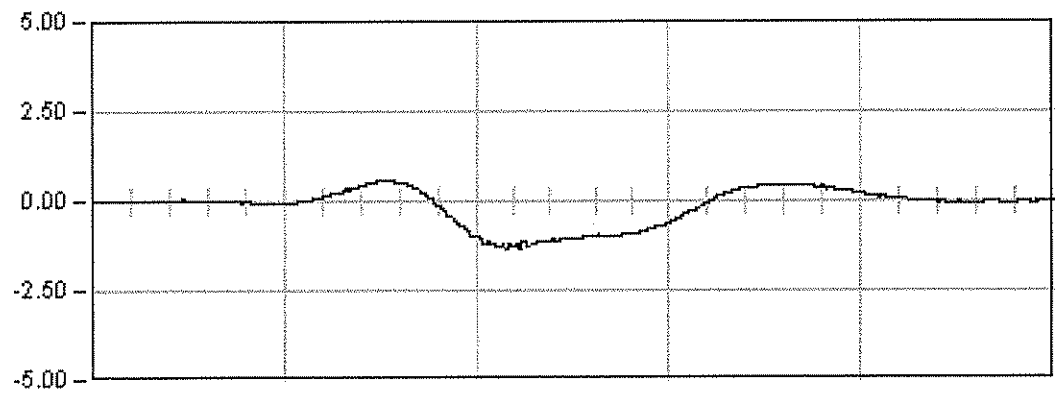


DINAMICA 24

23.0 Seg

Max: -1.36
Min: 0.60
Rem: 0.01

L.A.V. MADRID-BARCELONA-F.FRANCESA

35VI02 - SUBTRAMO IIIa

Punto : P172 Canal : 05 Unidades : mm

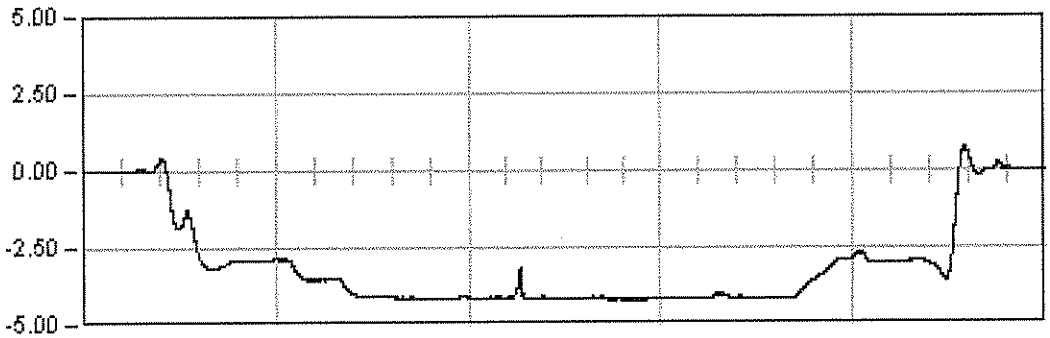


ESTATICA 11

1390.0 Seg

Est: -4.17
Max: -4.22
Min: 0.74
Rem: -0.00

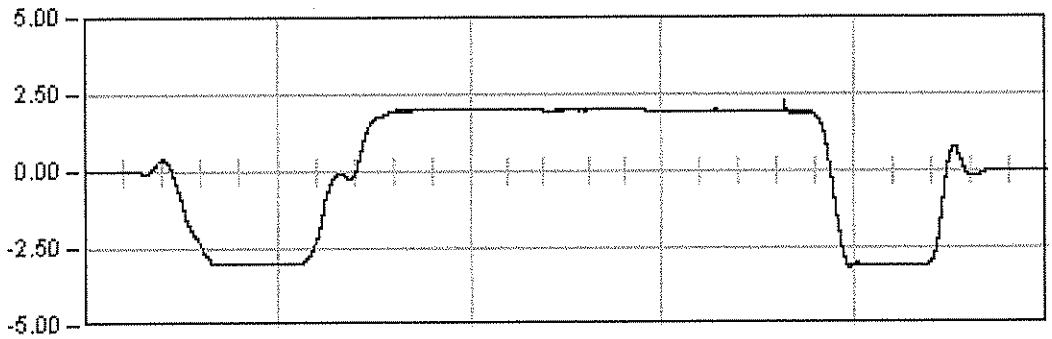


ESTATICA 12

1388.0 Seg

Est: 1.94
Max: -3.15
Min: 2.24
Rem: -0.01

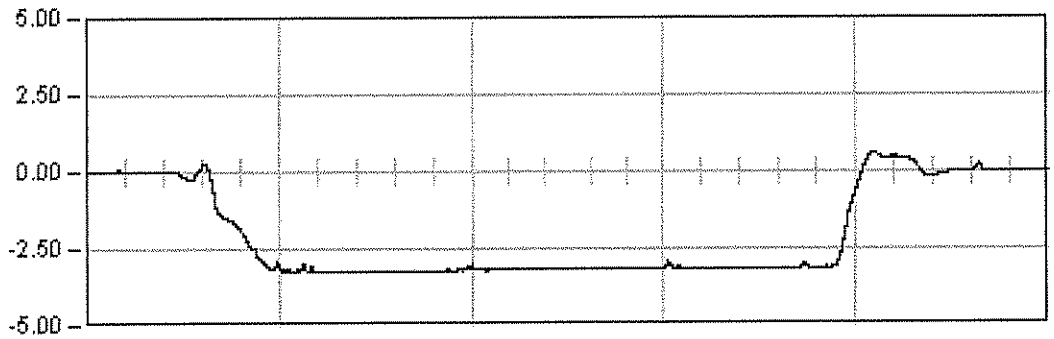


ESTATICA 20

1108.0 Seg

Est: -3.07
Max: -3.25
Min: 0.57
Rem: -0.01

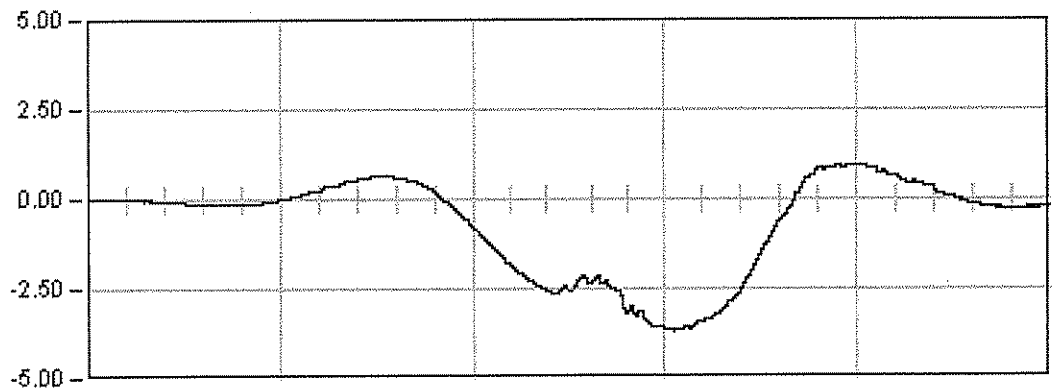


DINAMICA 01

90.0 Seg

Max: -3.68
Min: 0.93
Rem: -0.01

L.A.V. MADRID-BARCELONA-F.FRANCESA

35VI02 - SUBTRAMO IIIa

Punto : P172 Canal : 05 Unidades : mm

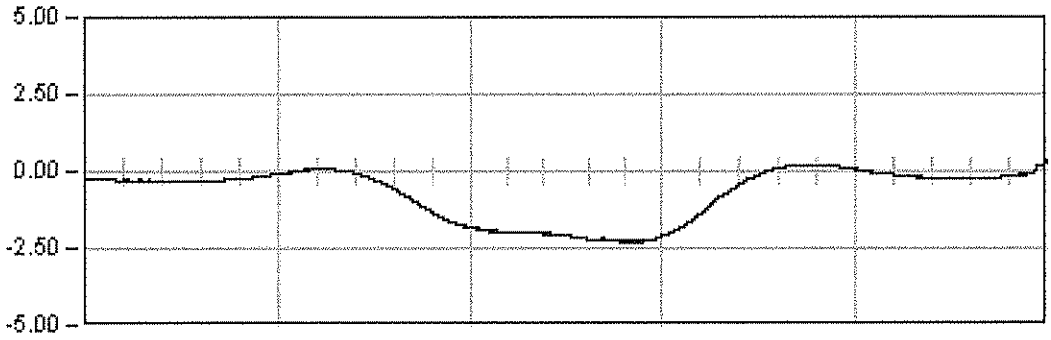


DINAMICA 21

119.0 Seg

Max: -2.30
Min: 0.50
Rem: 0.01

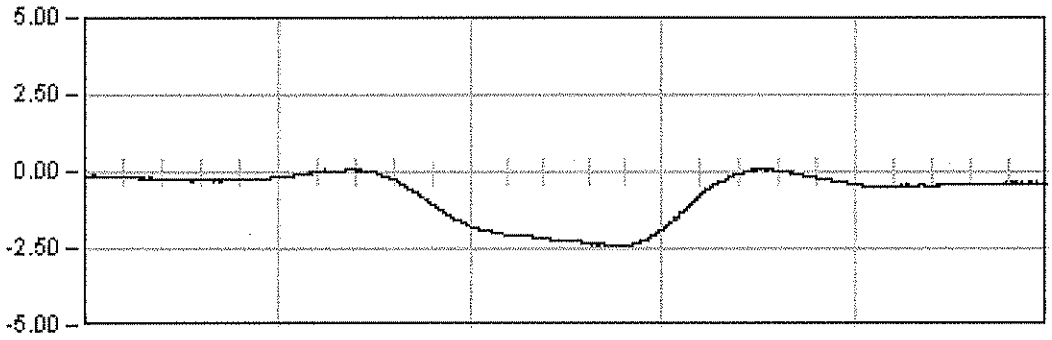


DINAMICA 22

36.0 Seg

Max: -2.44
Min: 0.76
Rem: 0.03

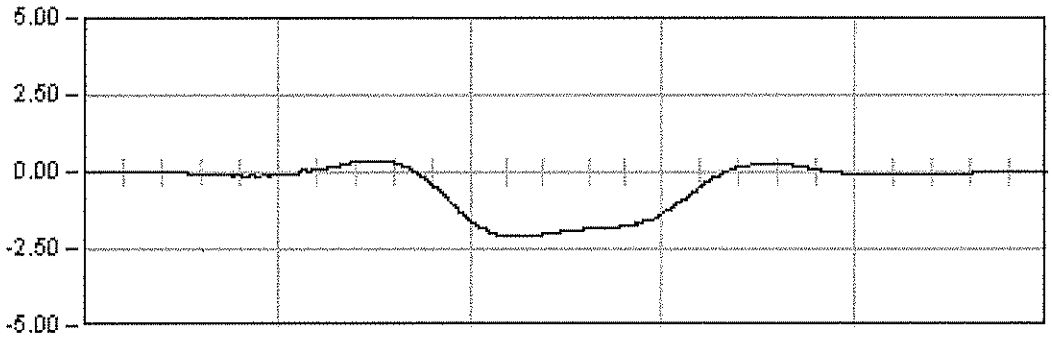


DINAMICA 23

18.0 Seg

Max: -2.11
Min: 0.36
Rem: 0.02

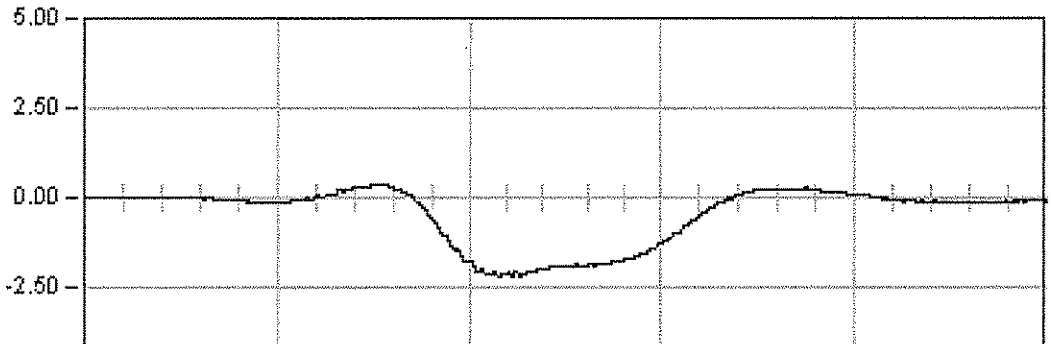


DINAMICA 24

23.0 Seg

Max: -2.21
Min: 0.37
Rem: -0.04

L.A.V. MADRID-BARCELONA-F.FRANCESA

35VI02 - SUBTRAMO IIIa

Punto : P173 Canal : 06 Unidades : mm

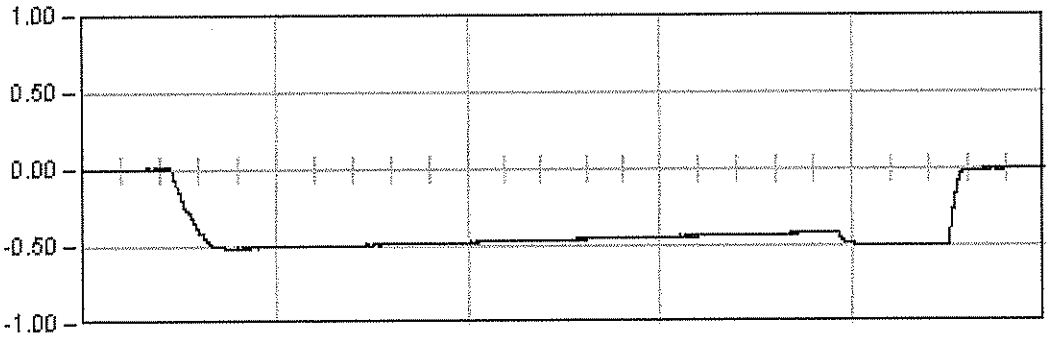


ESTATICA 11

1390.0 Seg

Est: -0.43
Max: -0.51
Min: 0.01
Rem: -0.00

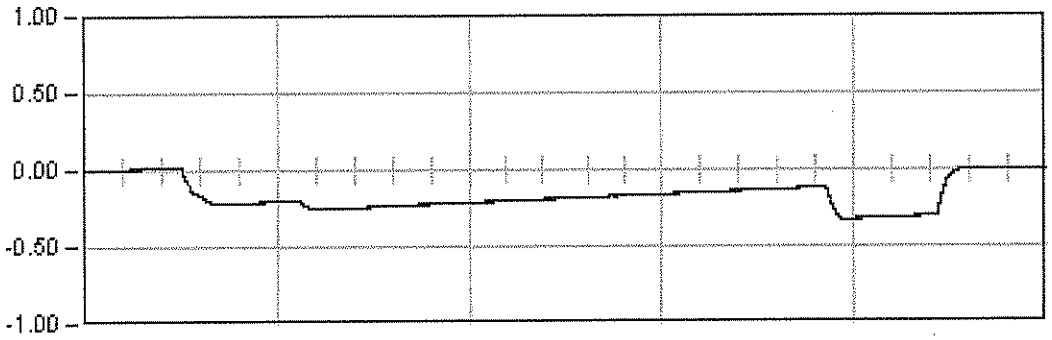


ESTATICA 12

1388.0 Seg

Est: -0.13
Max: -0.33
Min: 0.02
Rem: -0.00

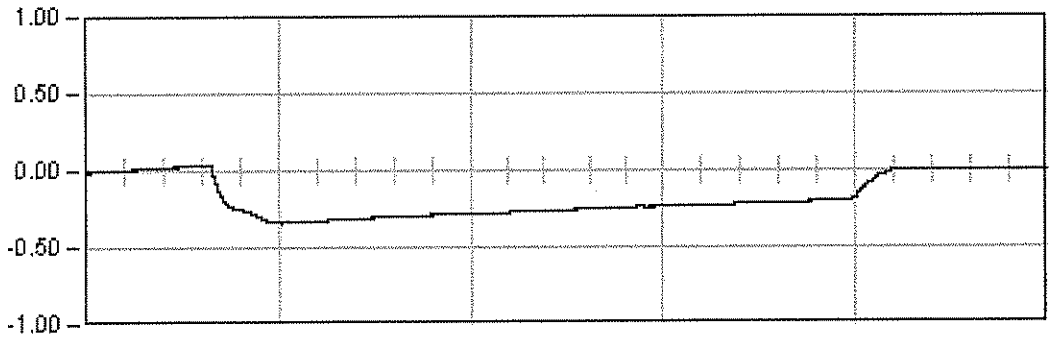


ESTATICA 20

1108.0 Seg

Est: -0.21
Max: -0.35
Min: 0.04
Rem: -0.00

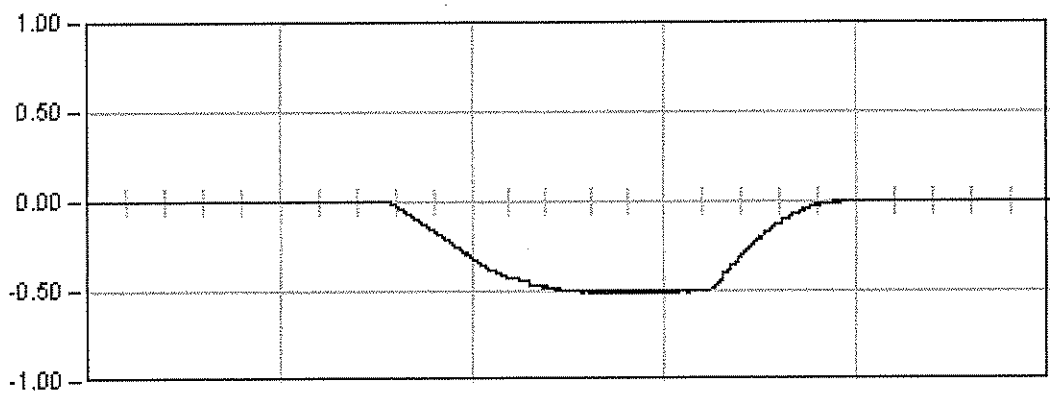


DINAMICA 01

90.0 Seg

Max: -0.51
Min: 0.00
Rem: -0.00

L.A.V. MADRID-BARCELONA-F.FRANCESA

35VI02 - SUBTRAMO IIIa

Punto : P173 Canal : 06 Unidades : mm

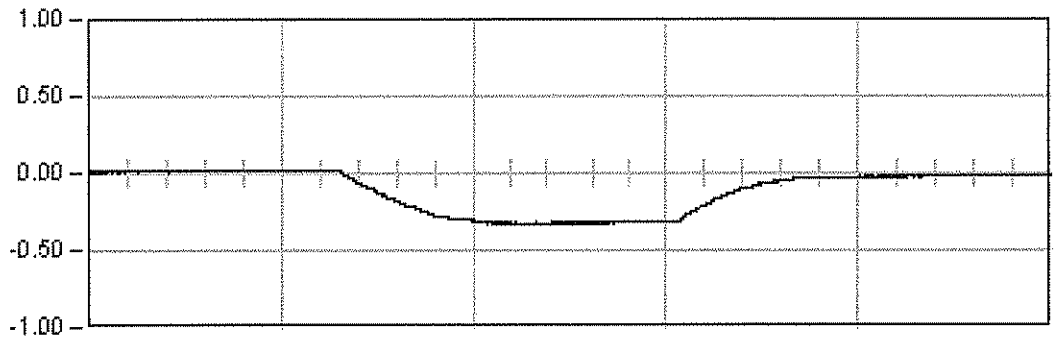


DINAMICA 21

119.0 Seg

Max: -0.33
Min: 0.02
Rem: 0.00

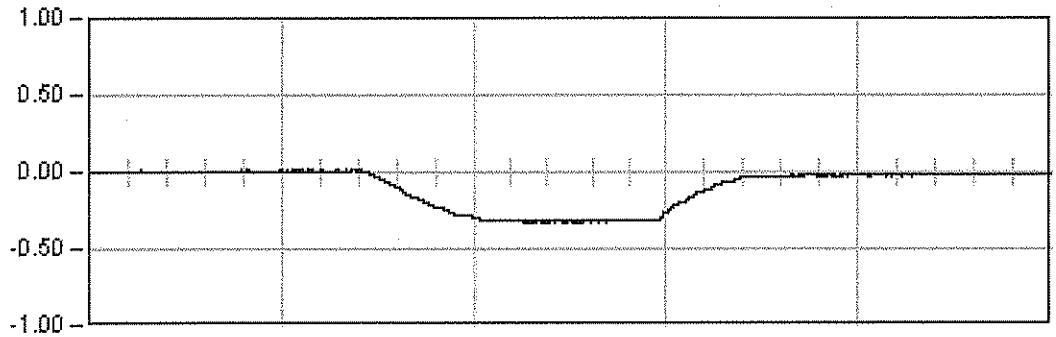


DINAMICA 22

36.0 Seg

Max: -0.33
Min: 0.01
Rem: 0.00

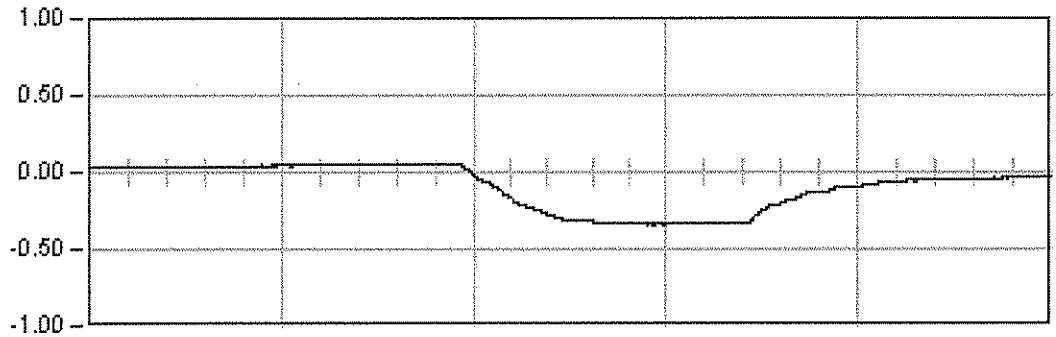


DINAMICA 23

18.0 Seg

Max: -0.34
Min: 0.05
Rem: -0.00

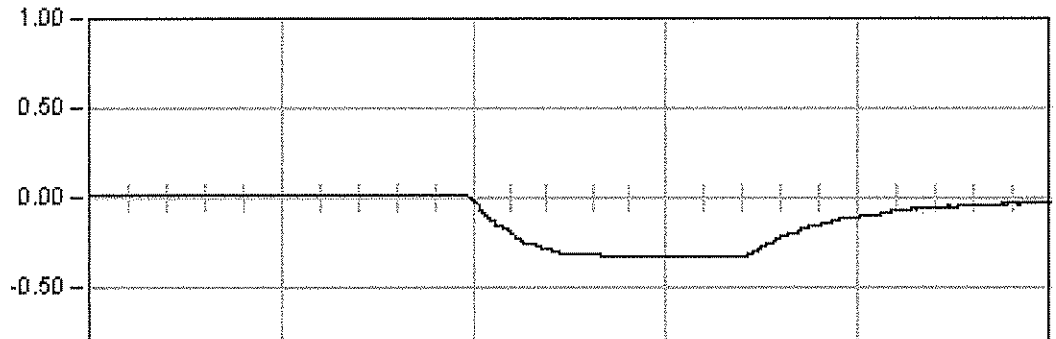


DINAMICA 24

23.0 Seg

Max: -0.33
Min: 0.02
Rem: -0.00

L.A.V. MADRID-BARCELONA-F.FRANCESA

35VI02 - SUBTRAMO IIIa

Punto : P174 Canal : 07 Unidades : mm

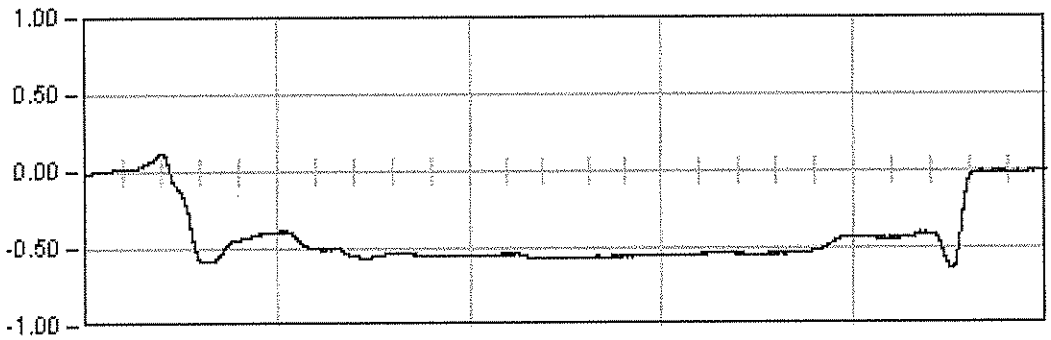


ESTATICA 11

1390.0 Seg

Est: -0.54
Max: -0.64
Min: 0.12
Rem: -0.01

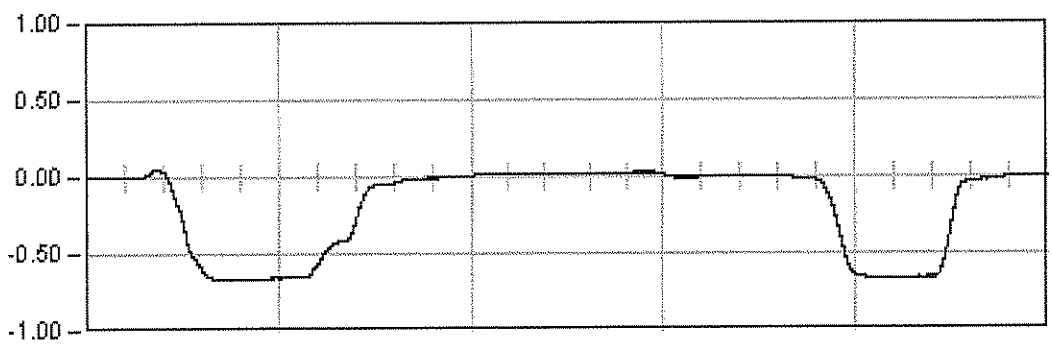


ESTATICA 12

1388.0 Seg

Est: -0.00
Max: -0.67
Min: 0.05
Rem: -0.00

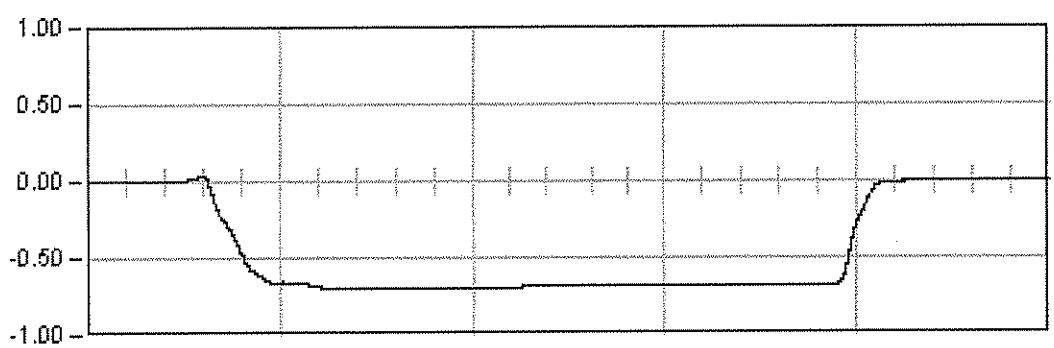


ESTATICA 20

1108.0 Seg

Est: -0.68
Max: -0.71
Min: 0.03
Rem: -0.00

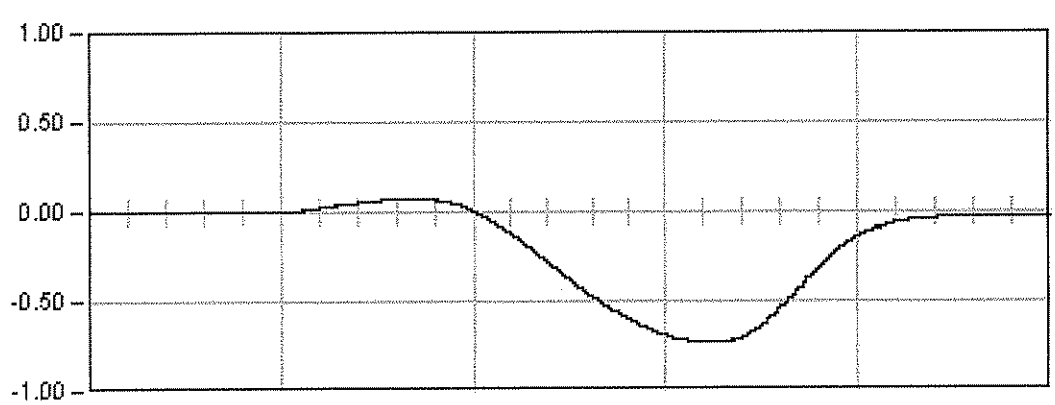


DINAMICA 01

90.0 Seg

Max: -0.73
Min: 0.07
Rem: -0.03

L.A.V. MADRID-BARCELONA-F.FRANCESA

35VI02 - SUBTRAMO IIIa

Punto : P174 Canal : 07 Unidades : mm

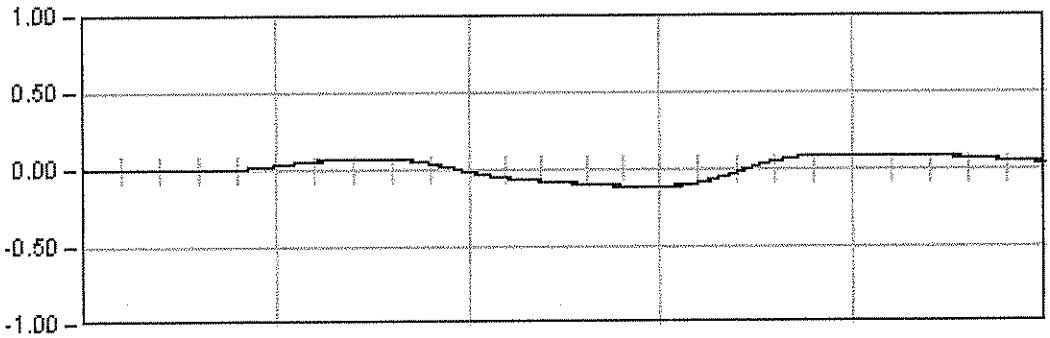


DINAMICA 21

119.0 Seg

Max: -0.12
Min: 0.09
Rem: 0.00

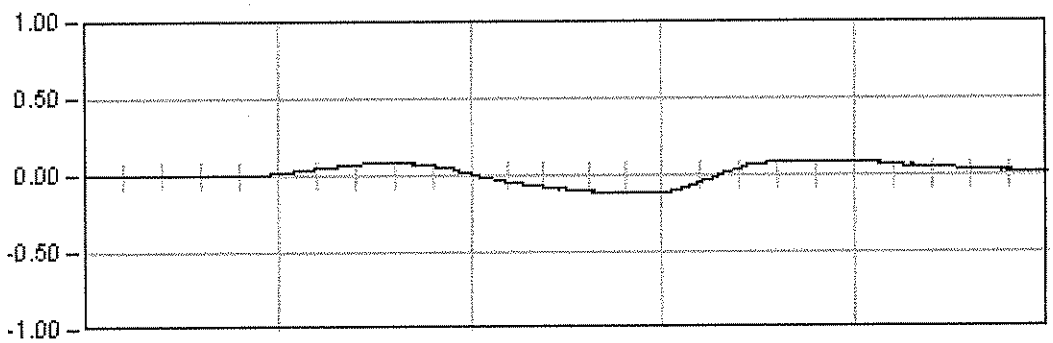


DINAMICA 22

36.0 Seg

Max: -0.12
Min: 0.09
Rem: 0.00

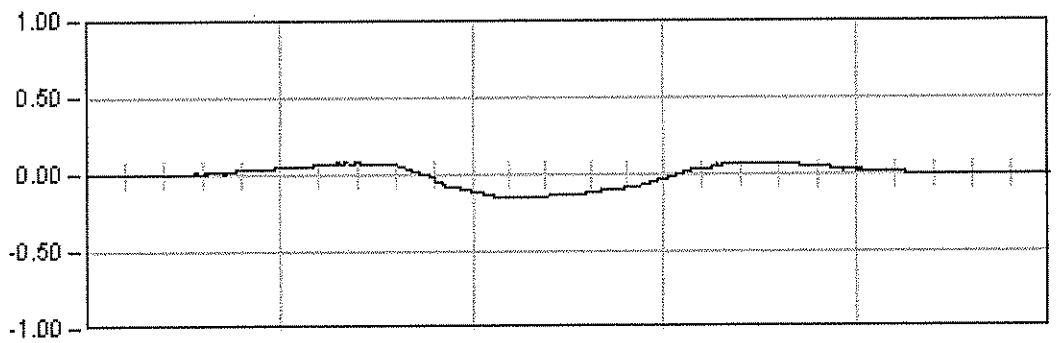


DINAMICA 23

18.0 Seg

Max: -0.15
Min: 0.08
Rem: 0.00

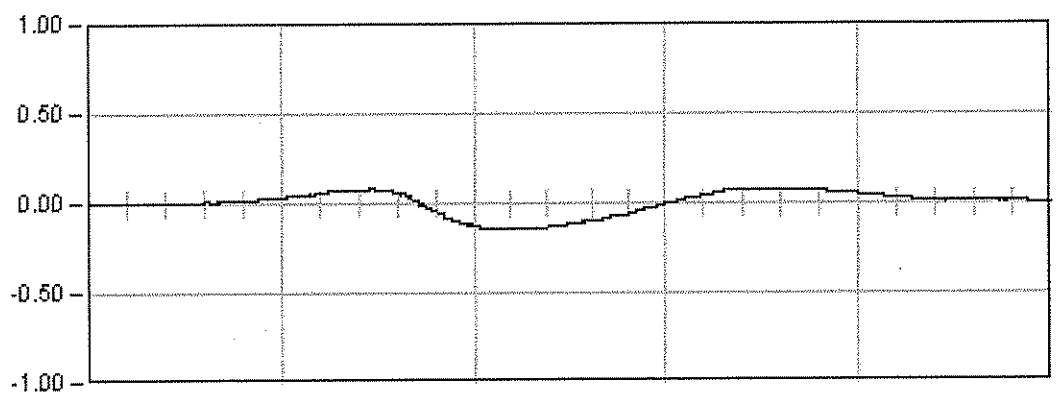


DINAMICA 24

23.0 Seg

Max: -0.15
Min: 0.08
Rem: -0.00

L.A.V. MADRID-BARCELONA-F.FRANCESA

35VI02 - SUBTRAMO IIIa

Punto : P181 Canal : 08 Unidades : mm

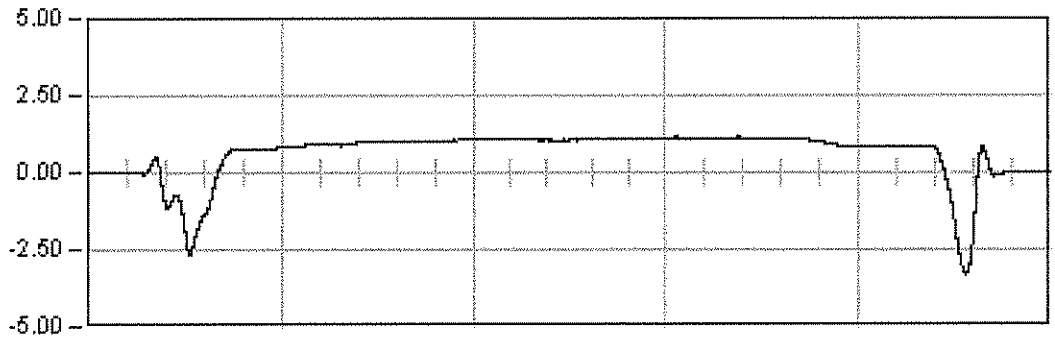


ESTATICA 11

1390.0 Seg

Est: 1.10
Max: -3.29
Min: 1.15
Rem: -0.02

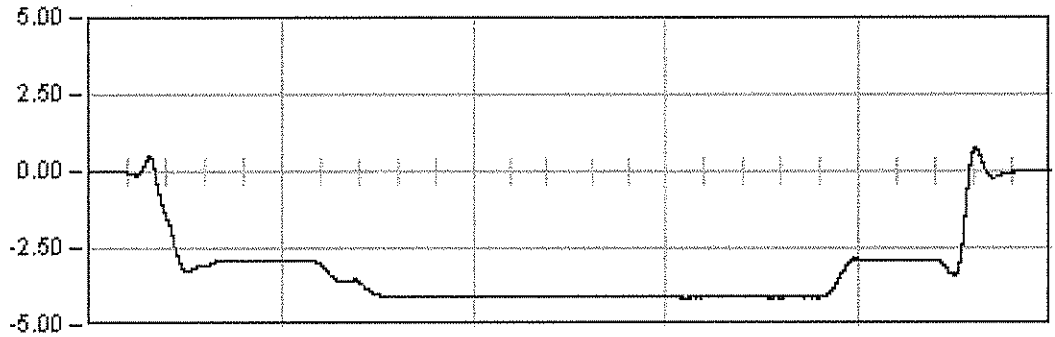


ESTATICA 12

1388.0 Seg

Est: -4.12
Max: -4.14
Min: 0.71
Rem: -0.02

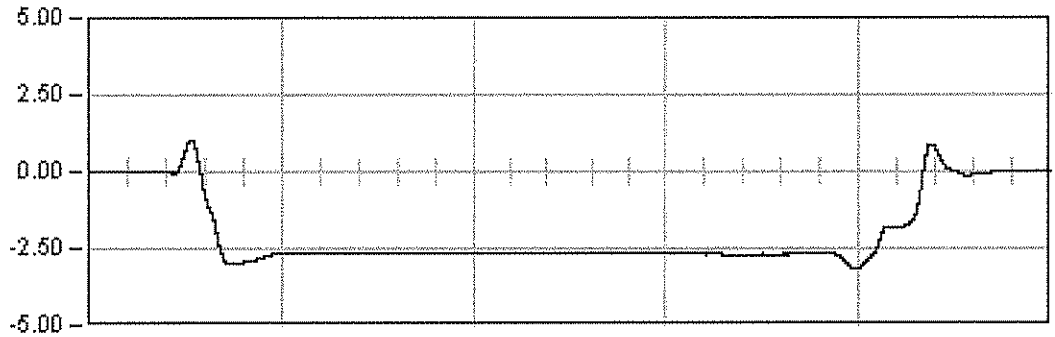


ESTATICA 20

1108.0 Seg

Est: -2.70
Max: -3.19
Min: 1.00
Rem: -0.02

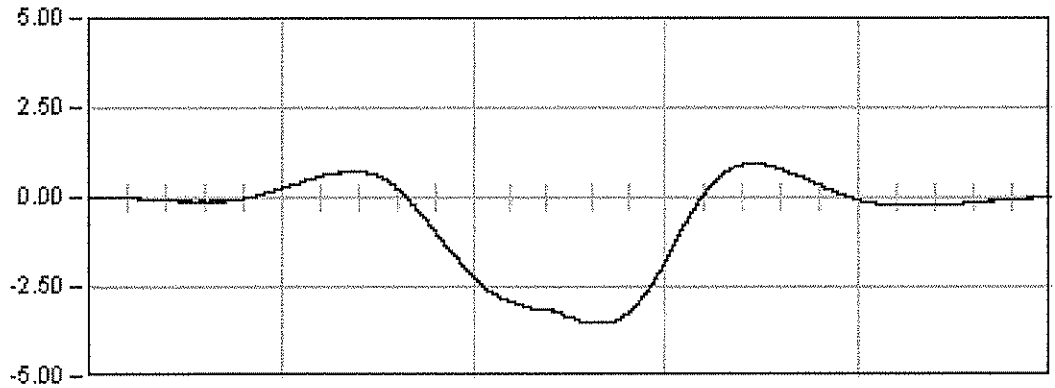


DINAMICA 01

100.0 Seg

Max: -3.50
Min: 0.93
Rem: -0.03

L.A.V. MADRID-BARCELONA-F.FRANCESA

35VI02 - SUBTRAMO IIIa

Punto : P181 Canal : 08 Unidades : mm

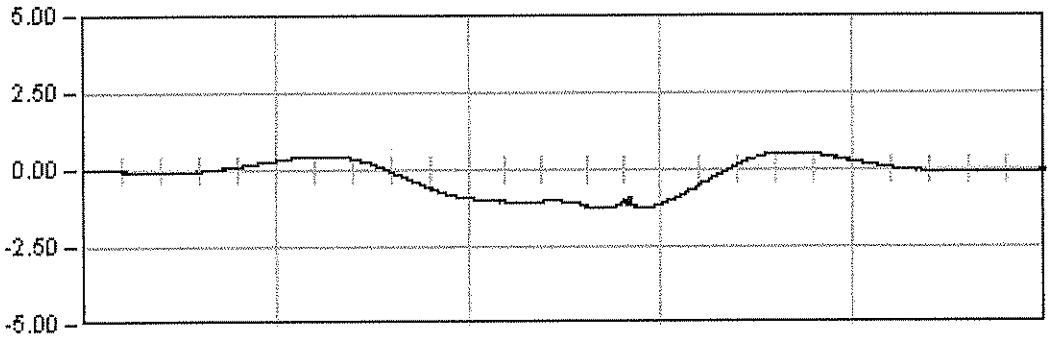


DINAMICA 21

120.0 Seg

Max: -1.25
Min: 0.53
Rem: 0.00

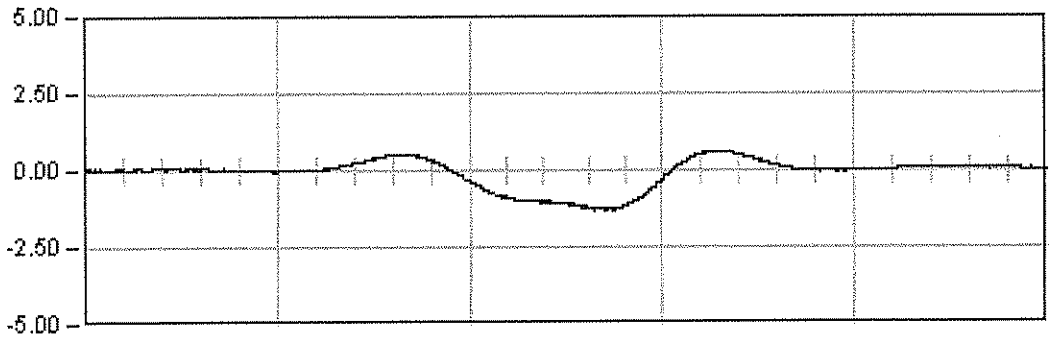


DINAMICA 22

46.0 Seg

Max: -1.31
Min: 0.61
Rem: 0.03

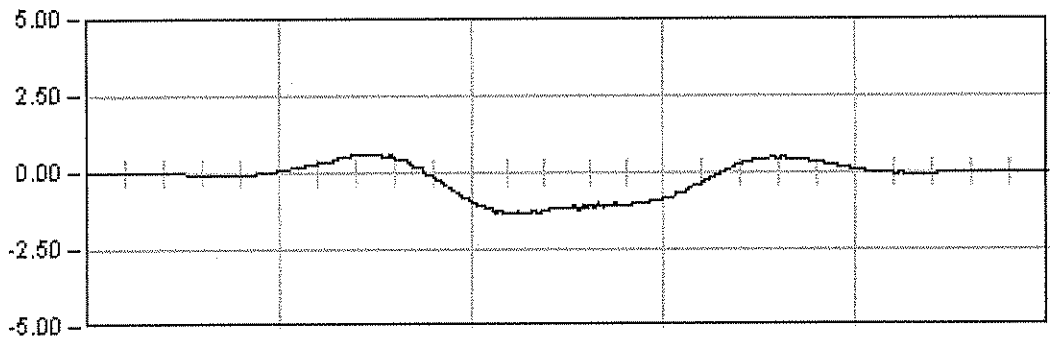


DINAMICA 23

17.0 Seg

Max: -1.34
Min: 0.58
Rem: -0.00

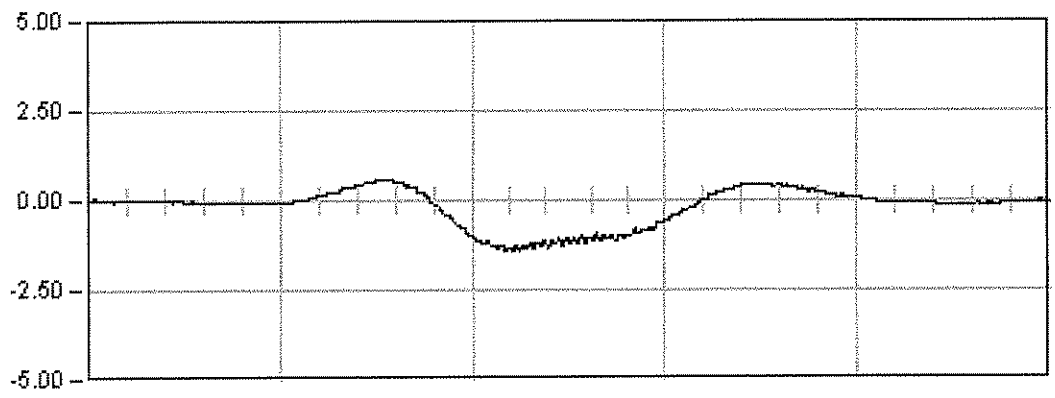


DINAMICA 24

21.0 Seg

Max: -1.42
Min: 0.58
Rem: -0.06

L.A.V. MADRID-BARCELONA-F.FRANCESA

35VI02 - SUBTRAMO IIIa

Punto : P182 Canal : 09 Unidades : mm

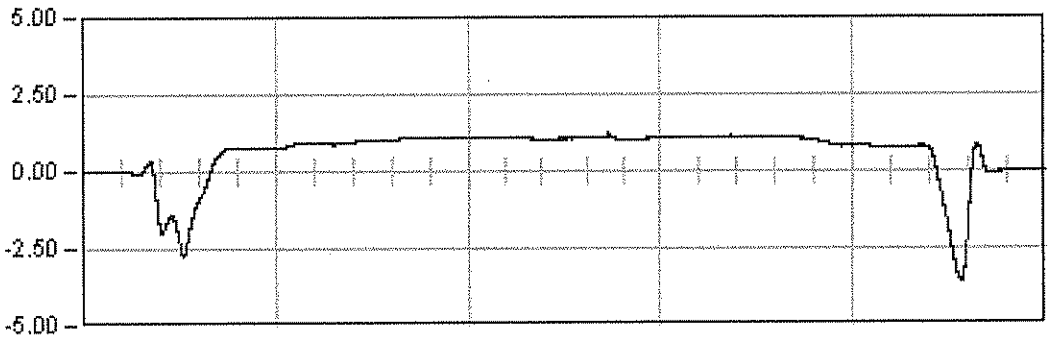


ESTATICA 11

1390.0 Seg

Est: 1.07
Max: -3.57
Min: 1.23
Rem: -0.02

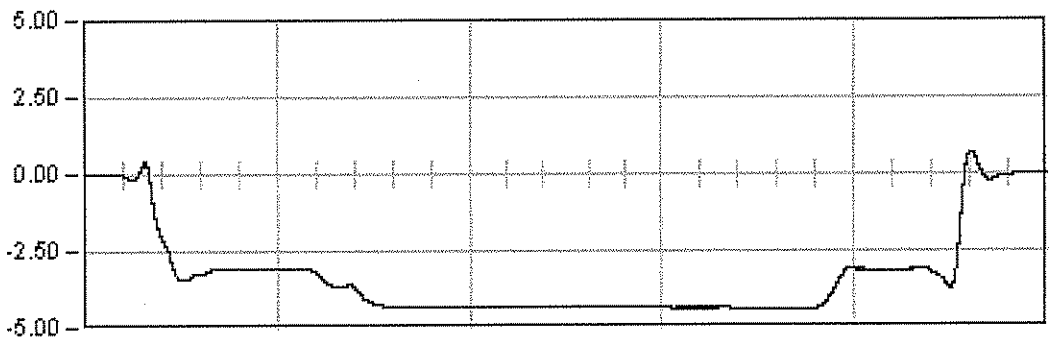


ESTATICA 12

1388.0 Seg

Est: -4.40
Max: -4.41
Min: 0.71
Rem: -0.02

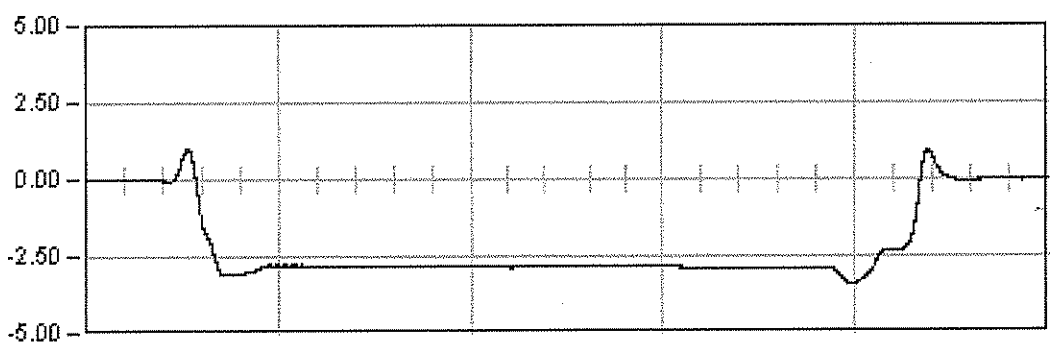


ESTATICA 20

1108.0 Seg

Est: -2.89
Max: -3.43
Min: 0.97
Rem: -0.02

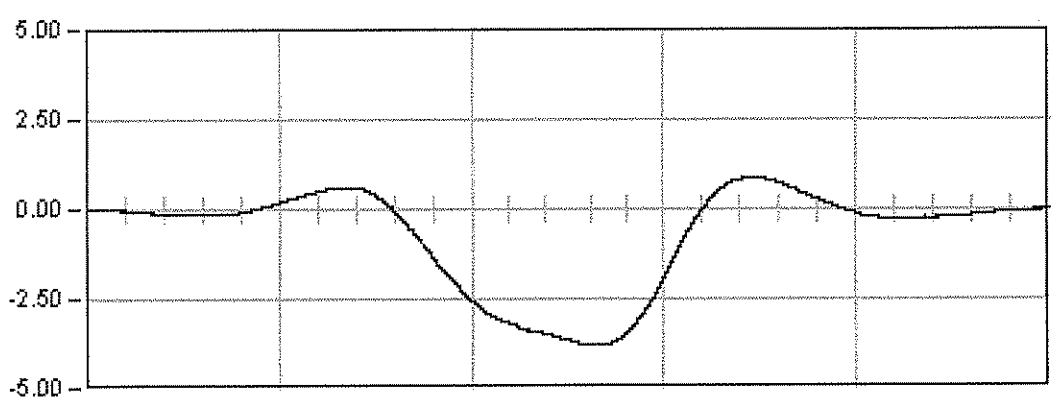


DINAMICA 01

100.0 Seg

Max: -3.79
Min: 0.84
Rem: -0.03

L.A.V. MADRID-BARCELONA-F.FRANCESA

35VI02 - SUBTRAMO IIIa

Punto : P182 Canal : 09 Unidades : mm

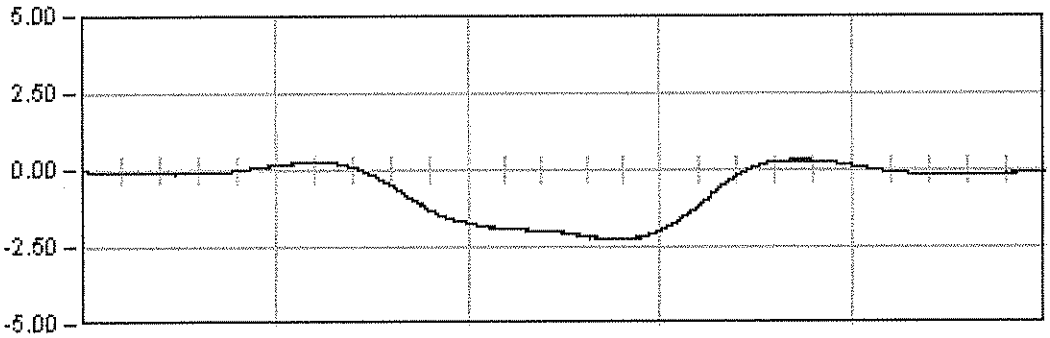


DINAMICA 21

120.0 Seg

Max: -2.27
Min: 0.30
Rem: -0.01

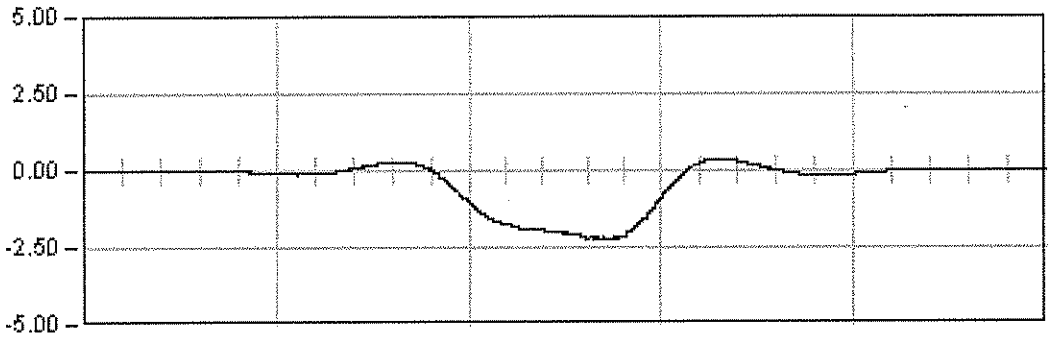


DINAMICA 22

46.0 Seg

Max: -2.28
Min: 0.35
Rem: -0.00

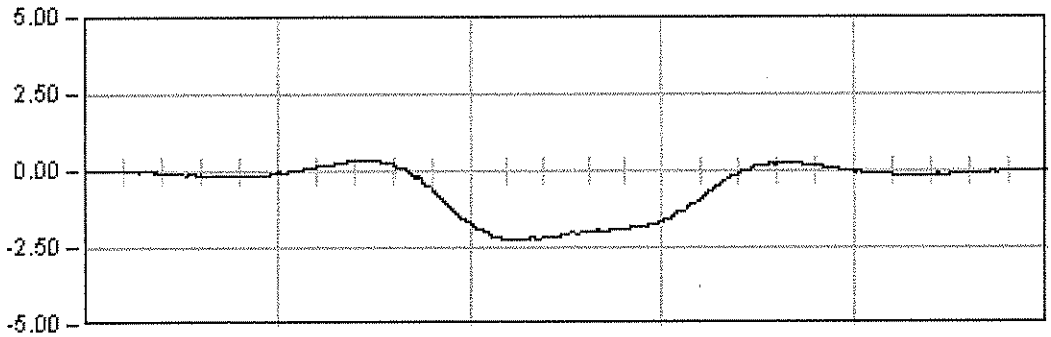


DINAMICA 23

17.0 Seg

Max: -2.25
Min: 0.33
Rem: -0.01

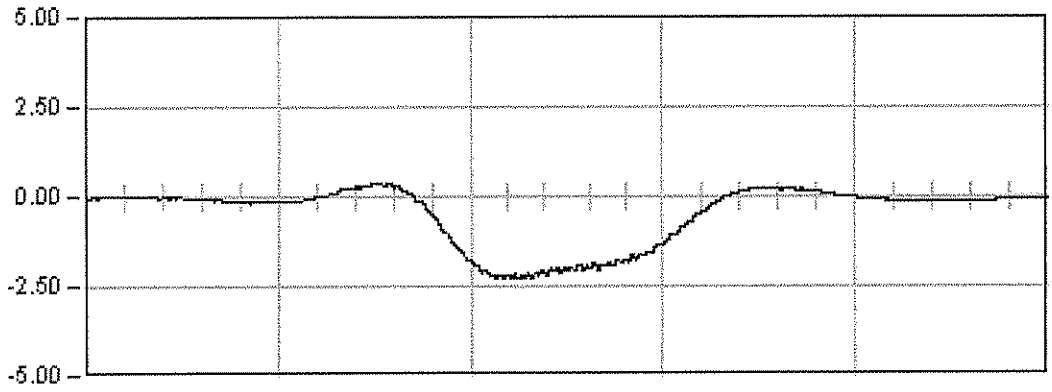


DINAMICA 24

21.0 Seg

Max: -2.29
Min: 0.35
Rem: -0.03

L.A.V. MADRID-BARCELONA-F.FRANCESA

35VI02 - SUBTRAMO IIIa

Punto : P183 Canal : 10 Unidades : mm

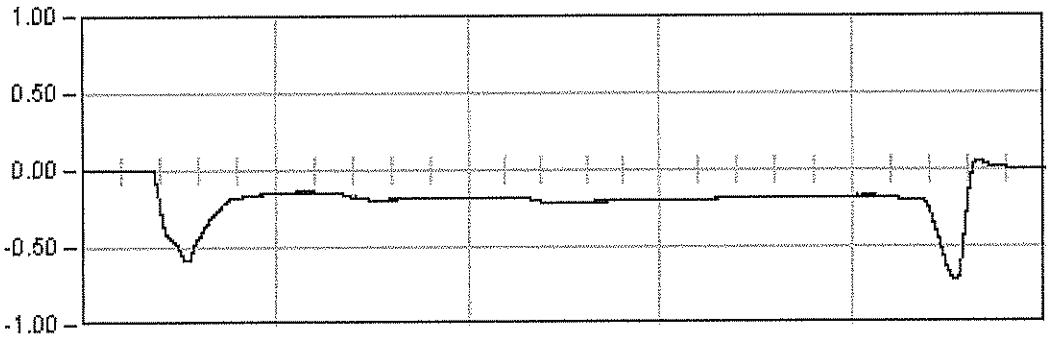


ESTATICA 11

1390.0 Seg

Est: -0.18
Max: -0.72
Min: 0.05
Rem: -0.00

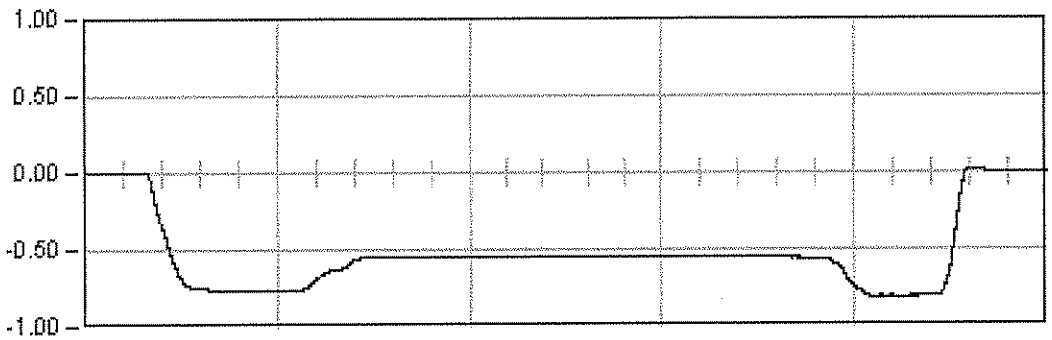


ESTATICA 12

1388.0 Seg

Est: -0.56
Max: -0.81
Min: 0.02
Rem: 0.00

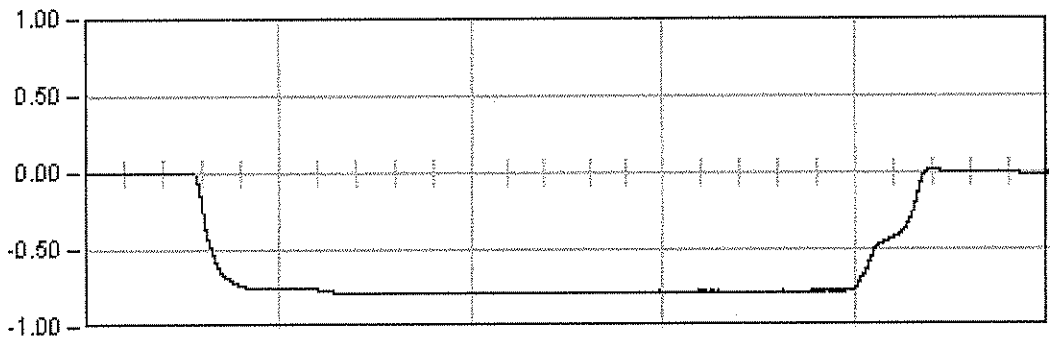


ESTATICA 20

1108.0 Seg

Est: -0.78
Max: -0.79
Min: 0.01
Rem: -0.01

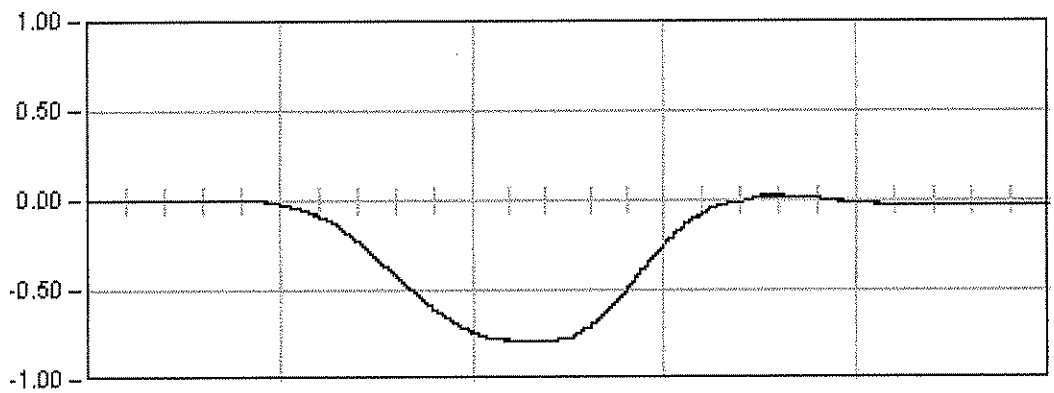


DINAMICA 01

100.0 Seg

Max: -0.79
Min: 0.02
Rem: -0.02

L.A.V. MADRID-BARCELONA-F.FRANCESA

35VI02 - SUBTRAMO IIIa

Punto : P183 Canal : 10 Unidades : mm

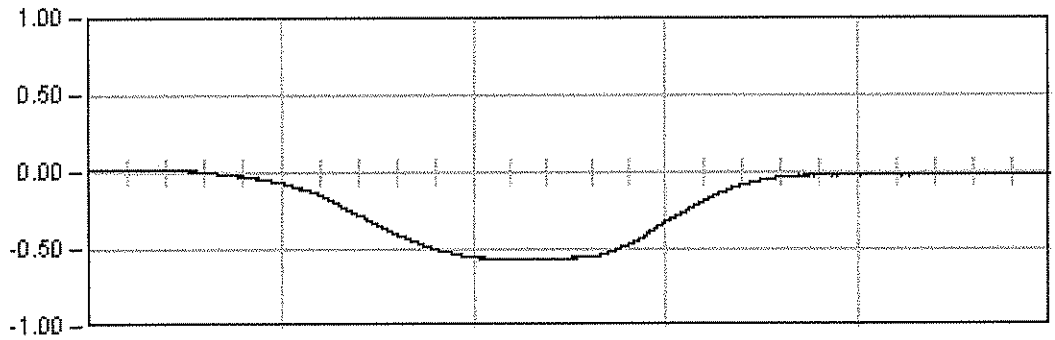


DINAMICA 21

120.0 Seg

Max: -0.56
Min: 0.02
Rem: -0.00

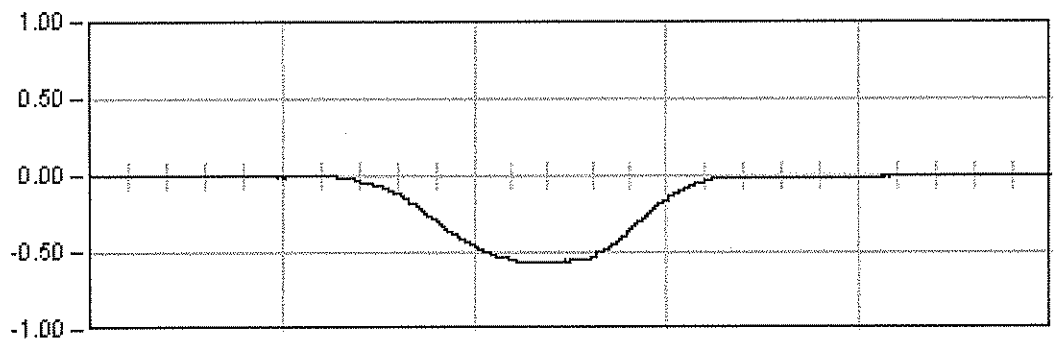


DINAMICA 22

46.0 Seg

Max: -0.56
Min: 0.01
Rem: 0.00

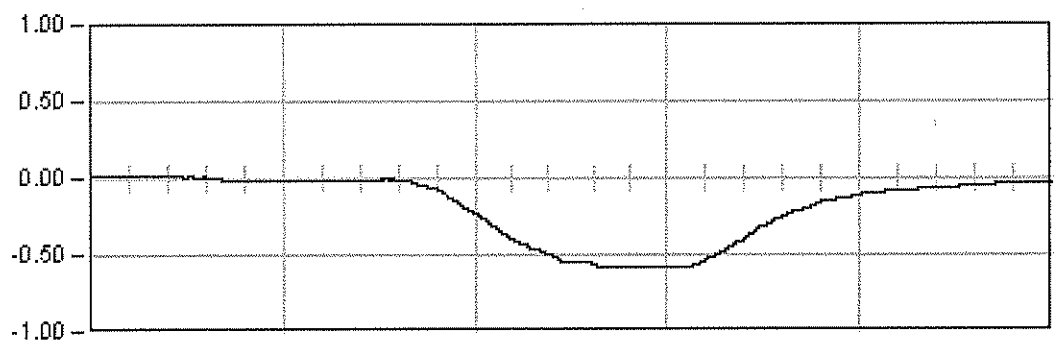


DINAMICA 23

17.0 Seg

Max: -0.59
Min: 0.02
Rem: -0.00

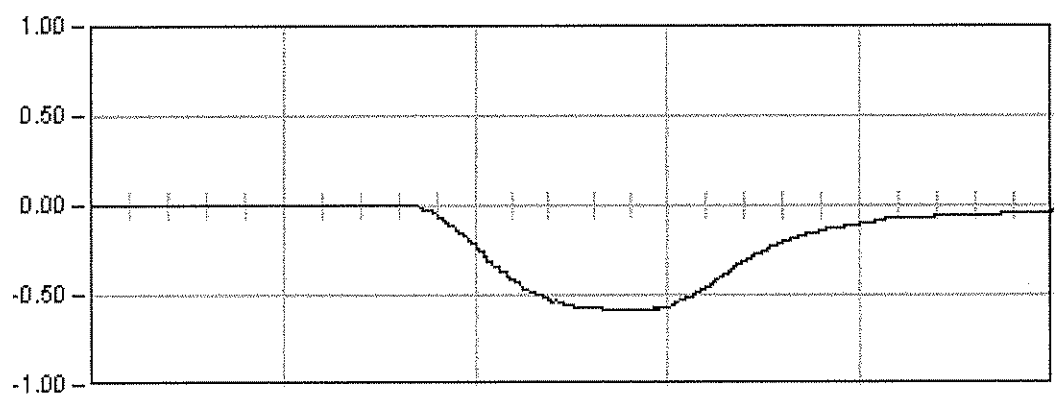


DINAMICA 24

21.0 Seg

Max: -0.59
Min: 0.00
Rem: -0.01

L.A.V. MADRID-BARCELONA-F.FRANCESA

35VI02 - SUBTRAMO IIIa

Punto : P184 Canal : 11 Unidades : mm

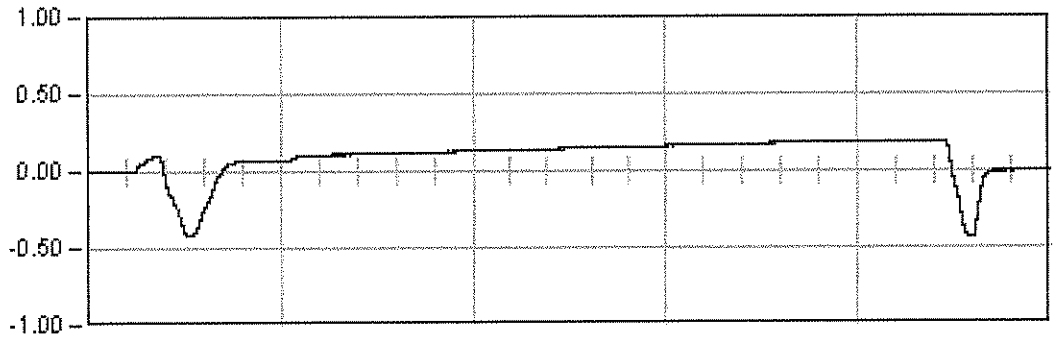


ESTATICA 11

1390.0 Seg

Est: 0.18
Max: -0.44
Min: 0.19
Rem: -0.01

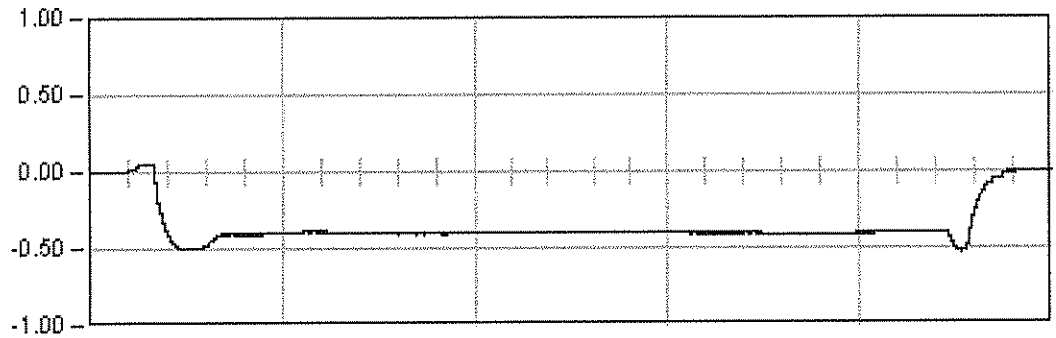


ESTATICA 12

1388.0 Seg

Est: -0.42
Max: -0.53
Min: 0.06
Rem: -0.00

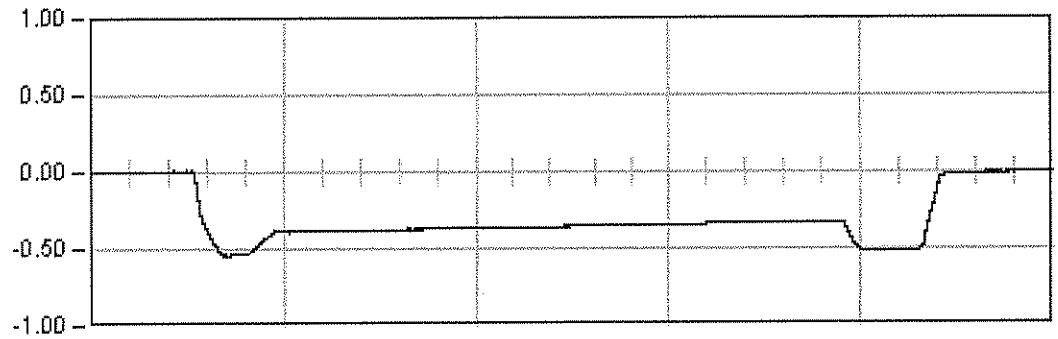


ESTATICA 20

1108.0 Seg

Est: -0.33
Max: -0.54
Min: 0.01
Rem: -0.00

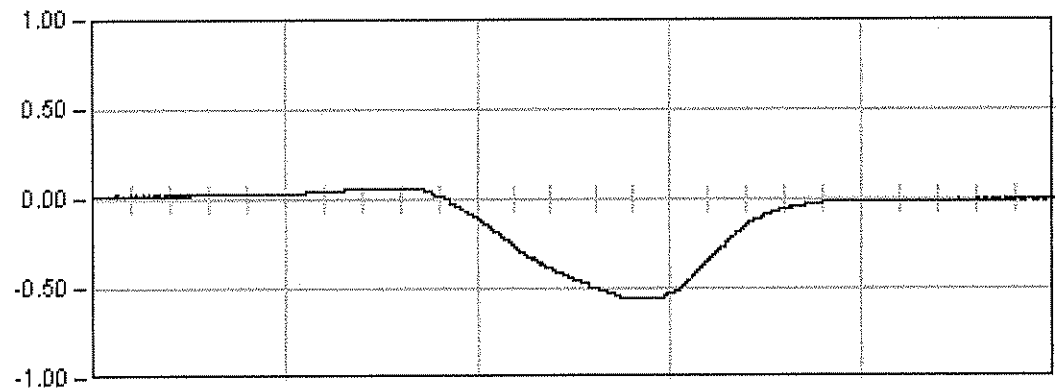


DINAMICA 01

100.0 Seg

Max: -0.56
Min: 0.06
Rem: 0.00

L.A.V. MADRID-BARCELONA-F.FRANCESA

35VI02 - SUBTRAMO IIIa

Punto : P184 Canal : 11 Unidades : mm

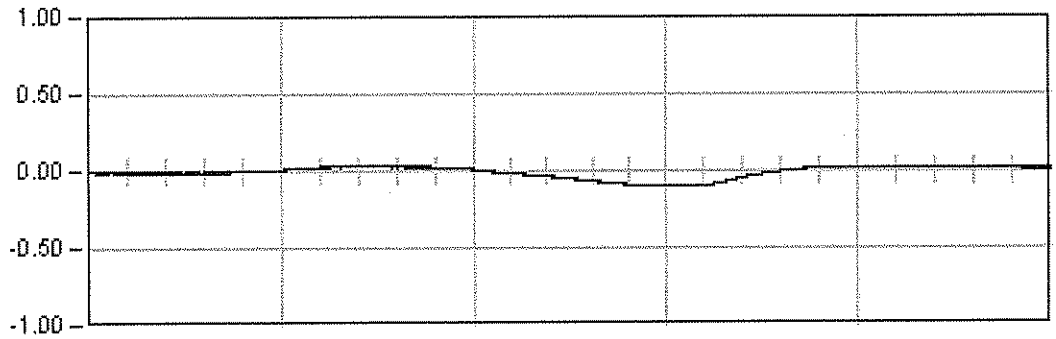


DINAMICA 21

120.0 Seg

Max: -0.10
Min: 0.03
Rem: 0.00

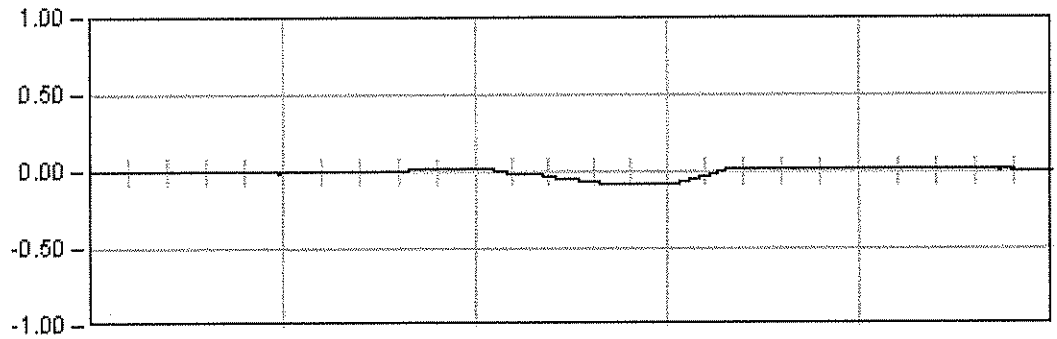


DINAMICA 22

46.0 Seg

Max: -0.08
Min: 0.02
Rem: 0.00

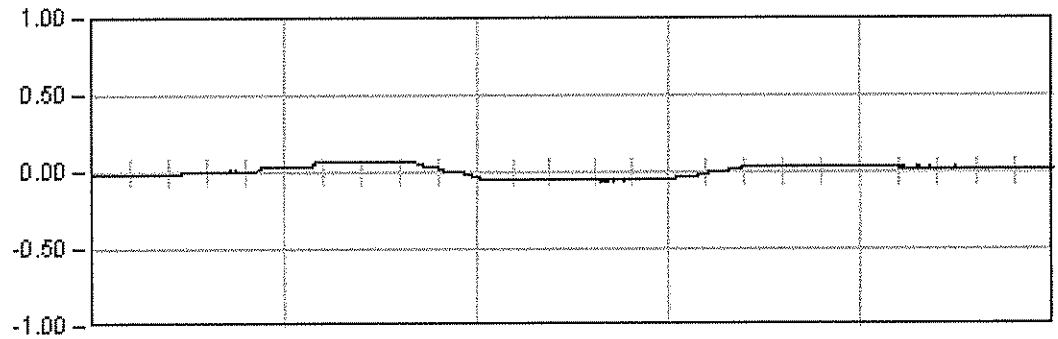


DINAMICA 23

17.0 Seg

Max: 0.07
Min: -0.06
Rem: -0.00

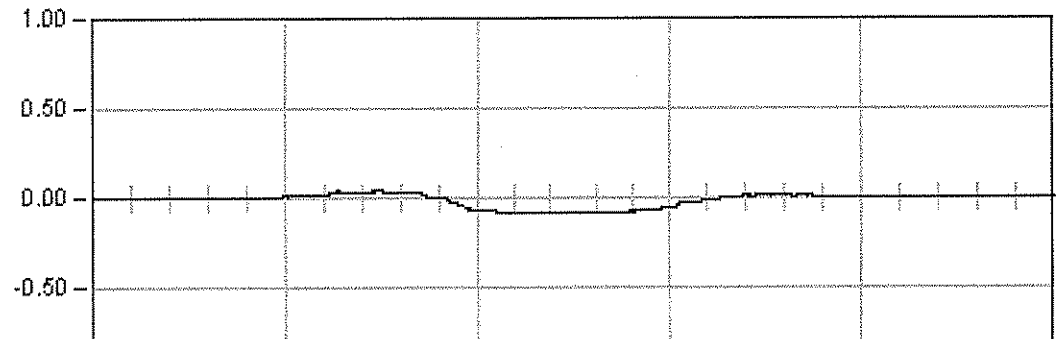


DINAMICA 24

21.0 Seg

Max: -0.09
Min: 0.04
Rem: -0.00

L.A.V. MADRID-BARCELONA-F.FRANCESA

35VI02 - SUBTRAMO IIIa

Punto : G161 Canal : 16 Unidades : µE

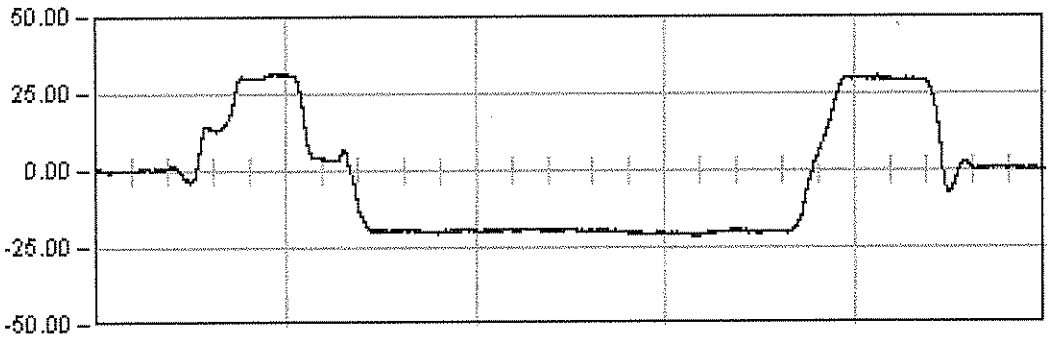


ESTATICA 11

1390.0 Seg

Est: -20.08
Max: 31.69
Min: -21.40
Rem: 0.36

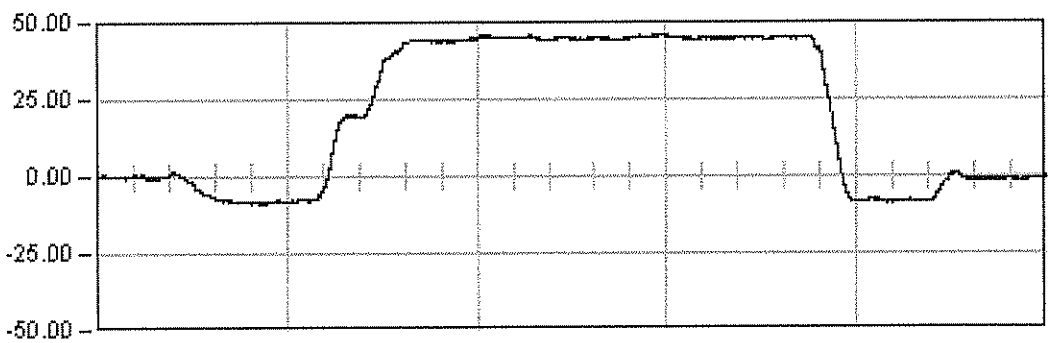


ESTATICA 12

1388.0 Seg

Est: 44.82
Max: 45.85
Min: -9.08
Rem: -1.06

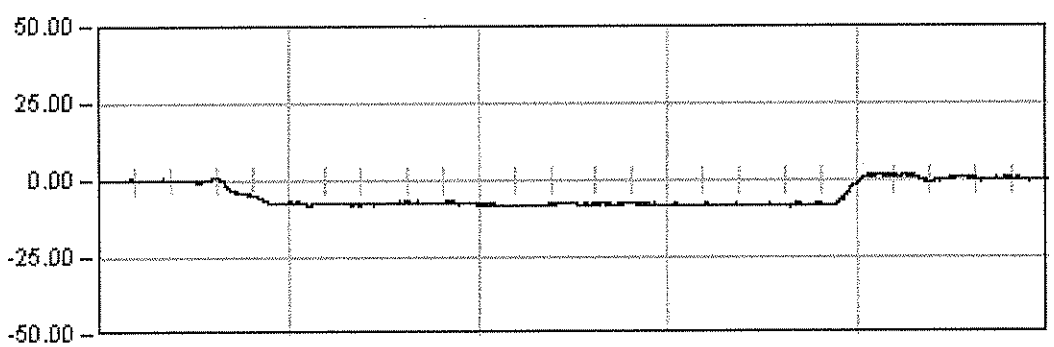


ESTATICA 20

1108.0 Seg

Est: -8.24
Max: -8.85
Min: 1.70
Rem: 0.09

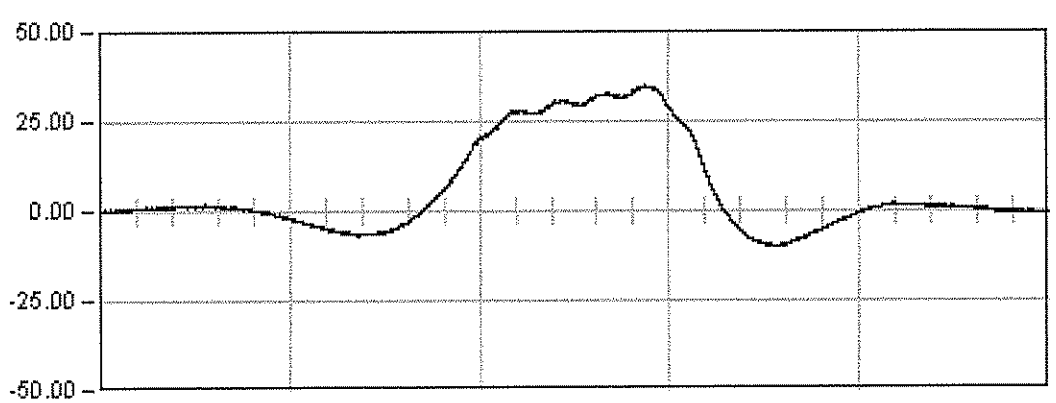


DINAMICA 01

103.0 Seg

Max: 34.65
Min: -10.23
Rem: -0.57

L.A.V. MADRID-BARCELONA-F.FRANCESA

35VI02 - SUBTRAMO IIIa

Punto : G161 Canal : 16 Unidades : µE

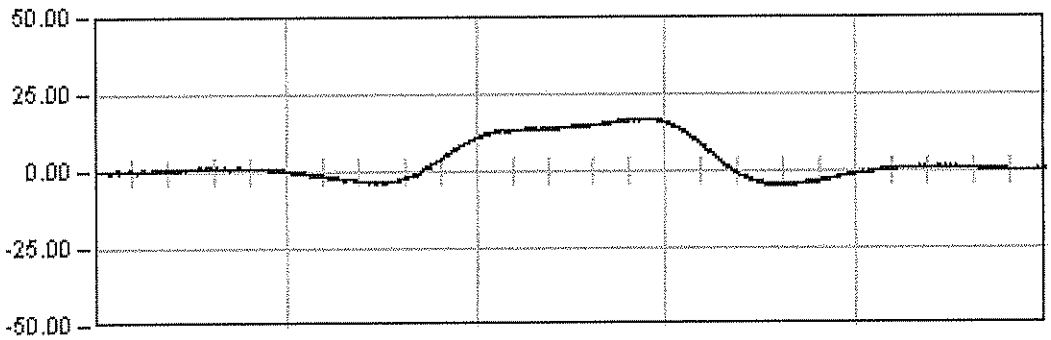


DINAMICA 21

131.0 Seg

Max: 17.06
Min: -4.89
Rem: 0.43

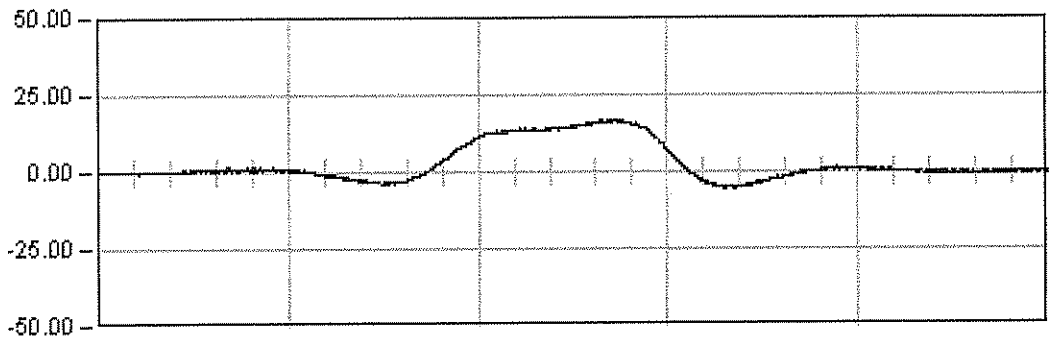


DINAMICA 22

42.0 Seg

Max: 16.70
Min: -5.69
Rem: -0.33

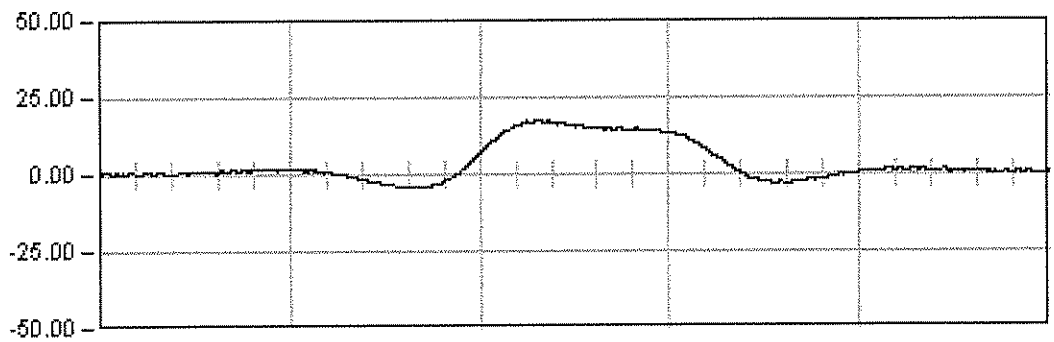


DINAMICA 23

18.0 Seg

Max: 17.30
Min: -4.57
Rem: 0.46

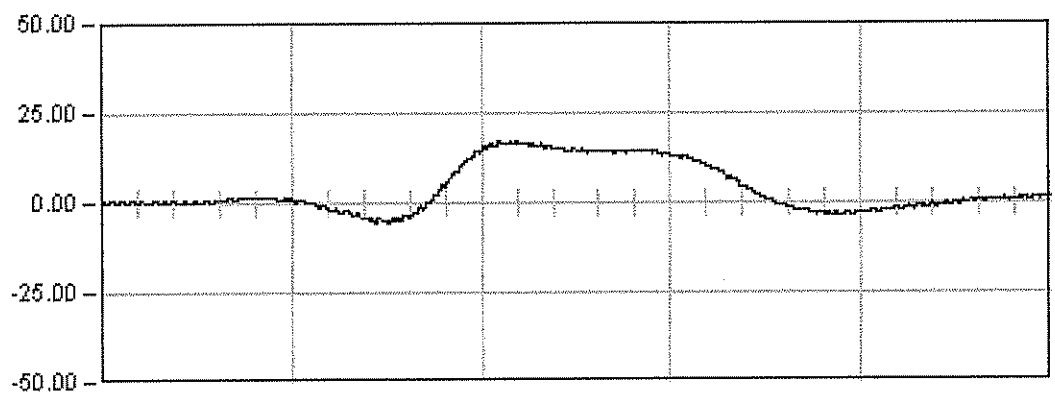


DINAMICA 24

23.0 Seg

Max: 17.05
Min: -5.49
Rem: 0.68

L.A.V. MADRID-BARCELONA-F.FRANCESA

35VI02 - SUBTRAMO IIIa

Punto : G162 Canal : 18 Unidades : µE

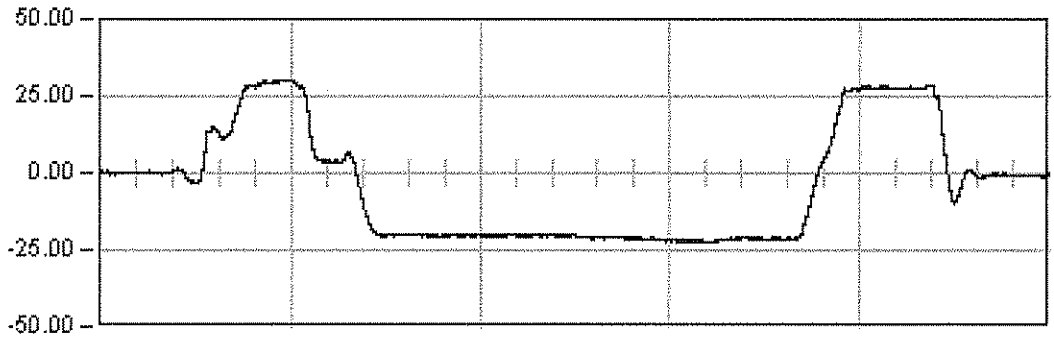


ESTATICA 11

1390.0 Seg

Est: -21.55
Max: 30.25
Min: -22.61
Rem: -0.86

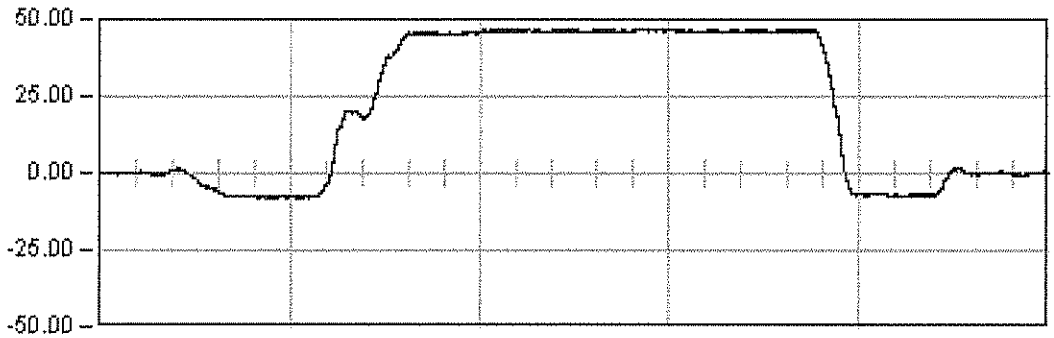


ESTATICA 12

1388.0 Seg

Est: 46.34
Max: 47.06
Min: -8.44
Rem: -0.20

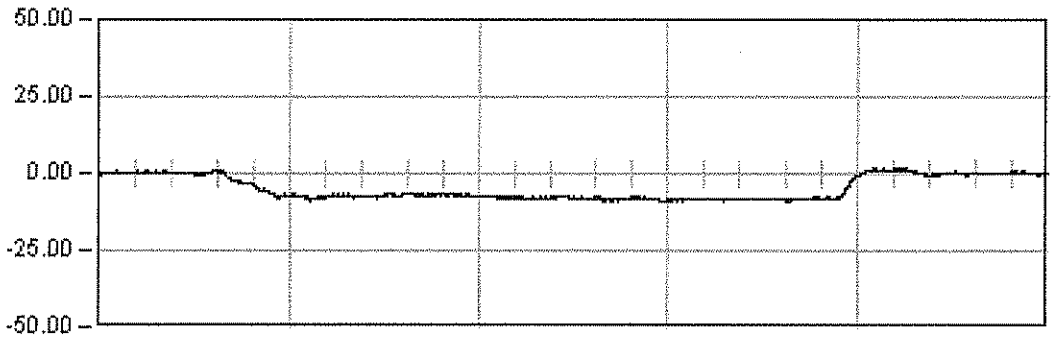


ESTATICA 20

1108.0 Seg

Est: -8.28
Max: -9.30
Min: 1.57
Rem: 0.00

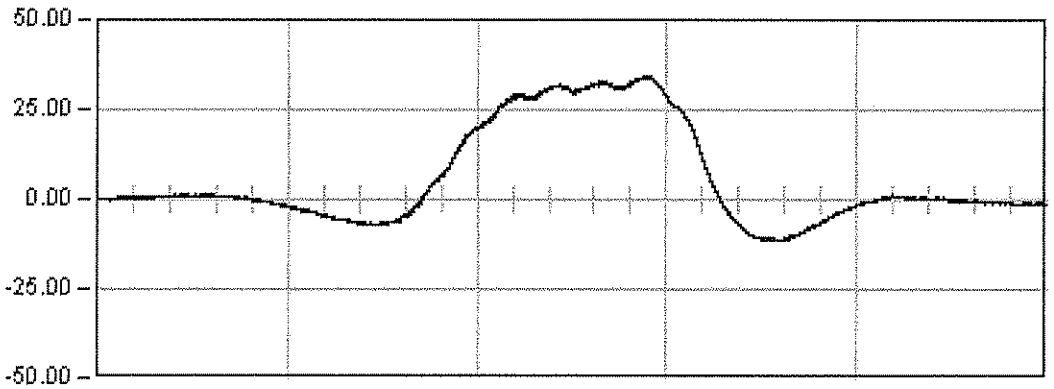


DINAMICA 01

103.0 Seg

Max: 34.26
Min: -11.66
Rem: -0.85

L.A.V. MADRID-BARCELONA-F.FRANCESA

35VI02 - SUBTRAMO IIIa

Punto : G162 Canal : 18 Unidades : µE

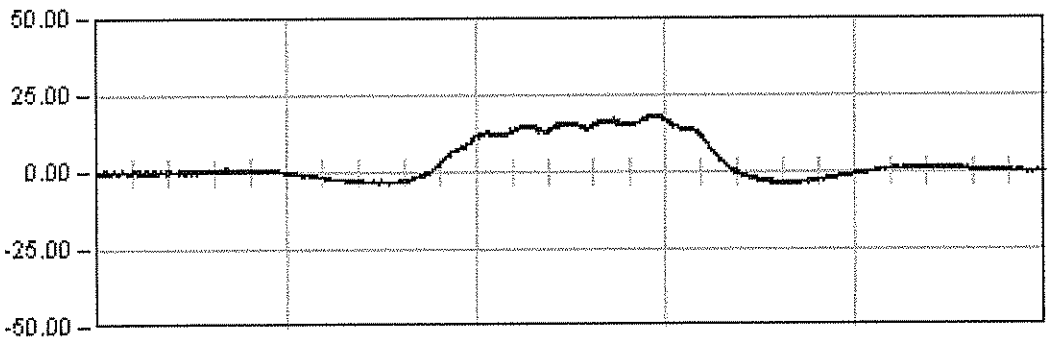


DINAMICA 21

131.0 Seg

Max: 18.74
Min: -4.13
Rem: 0.14

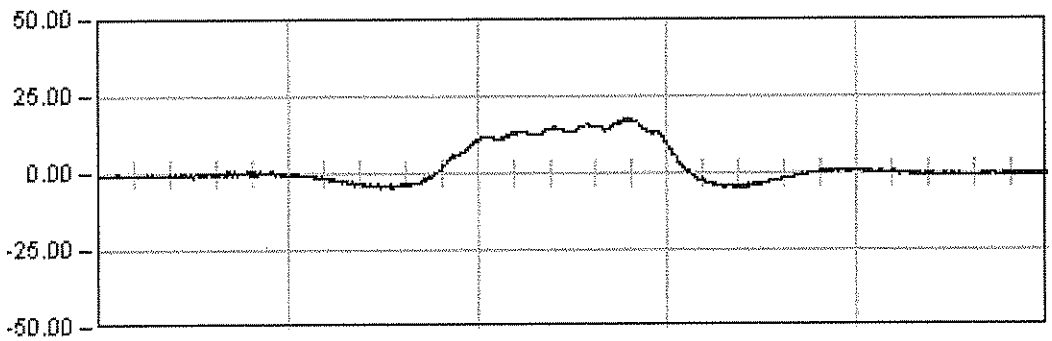


DINAMICA 22

42.0 Seg

Max: 17.34
Min: -4.90
Rem: -0.50

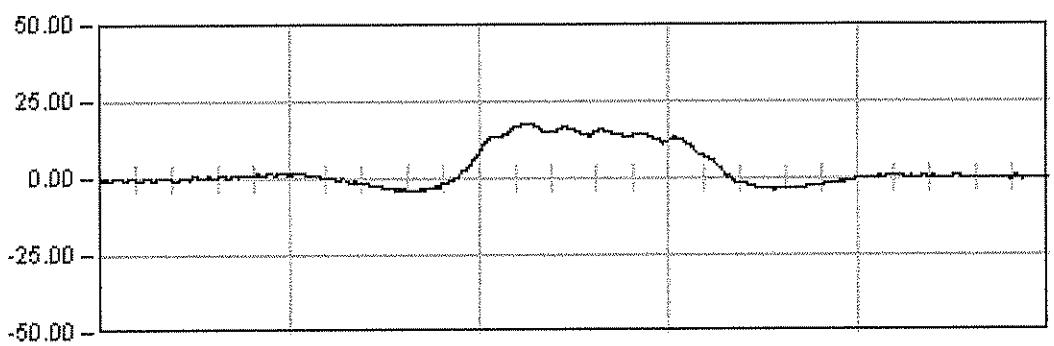


DINAMICA 23

18.0 Seg

Max: 17.84
Min: -4.32
Rem: 0.36

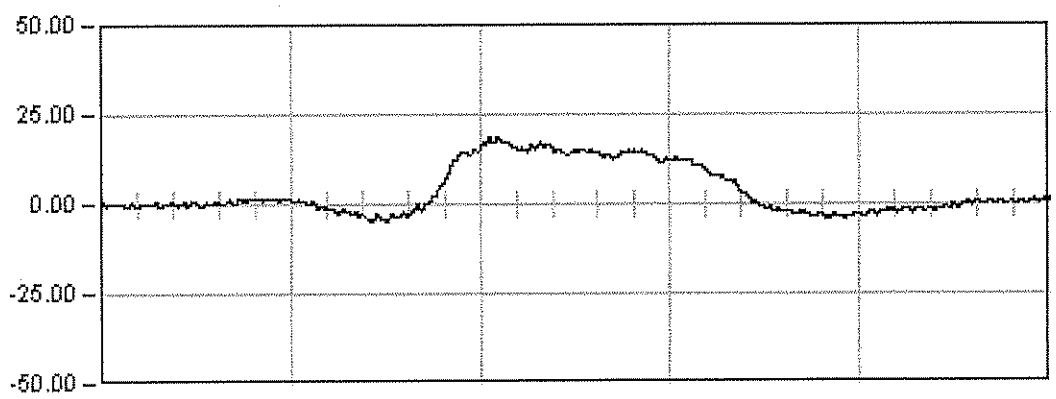


DINAMICA 24

23.0 Seg

Max: 18.38
Min: -4.93
Rem: 0.49

L.A.V. MADRID-BARCELONA-F.FRANCESA

35VI02 - SUBTRAMO IIIa

Punto : G171 Canal : 19 Unidades : µE

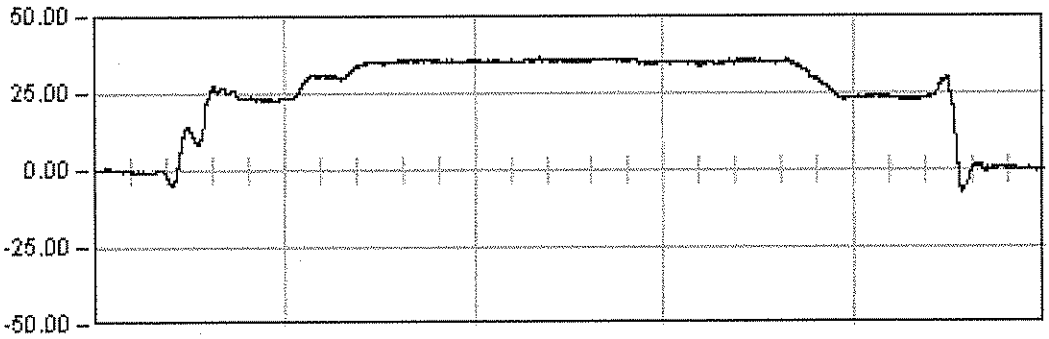


ESTATICA 11

1390.0 Seg

Est: 35.32
Max: 36.35
Min: -7.25
Rem: 0.21

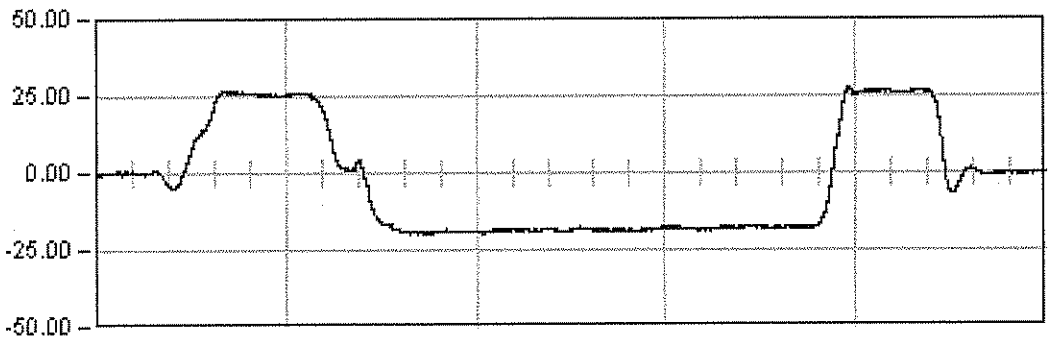


ESTATICA 12

1388.0 Seg

Est: -17.87
Max: 27.15
Min: -19.84
Rem: -0.20

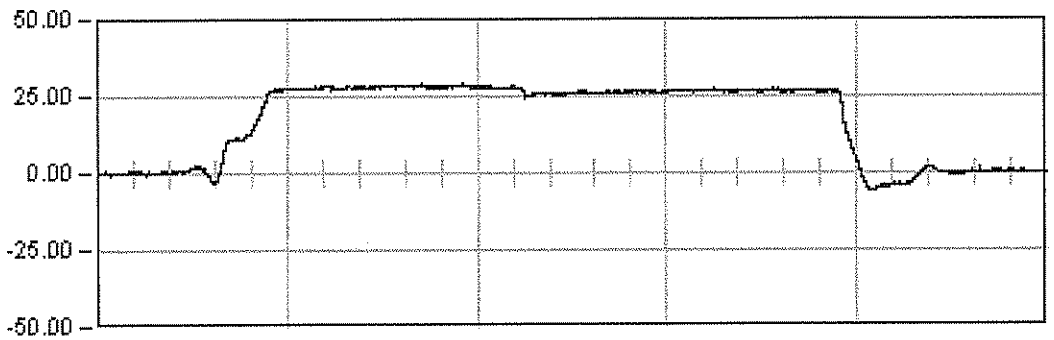


ESTATICA 20

1108.0 Seg

Est: 26.51
Max: 28.95
Min: -6.12
Rem: 0.19

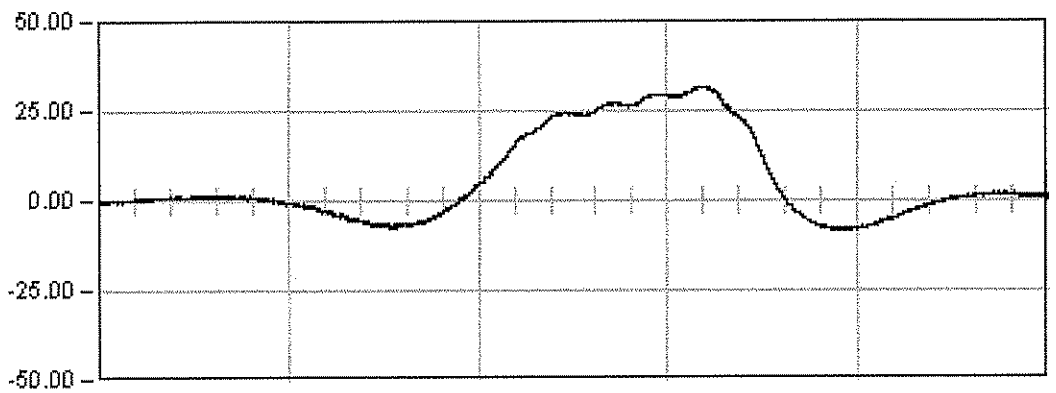


DINAMICA 01

90.0 Seg

Max: 31.61
Min: -8.47
Rem: -0.41

L.A.V. MADRID-BARCELONA-F.FRANCESA

35VI02 - SUBTRAMO IIIa

Punto : G171 Canal : 19 Unidades : µE

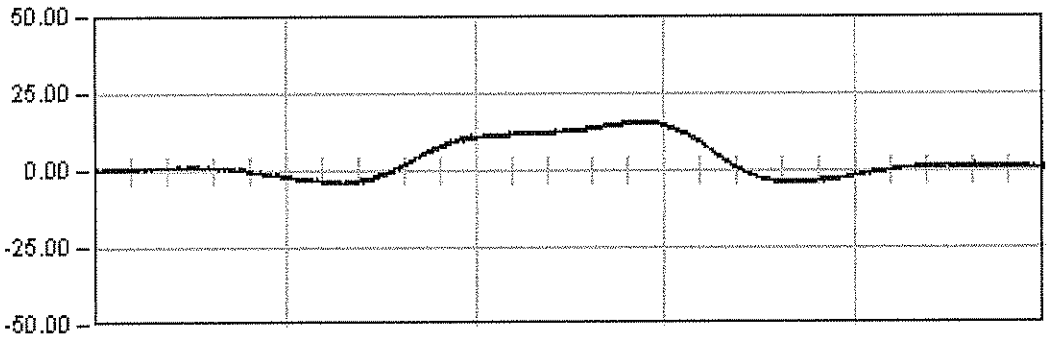


DINAMICA 21

119.0 Seg

Max: 16.20
Min: -4.53
Rem: 0.46

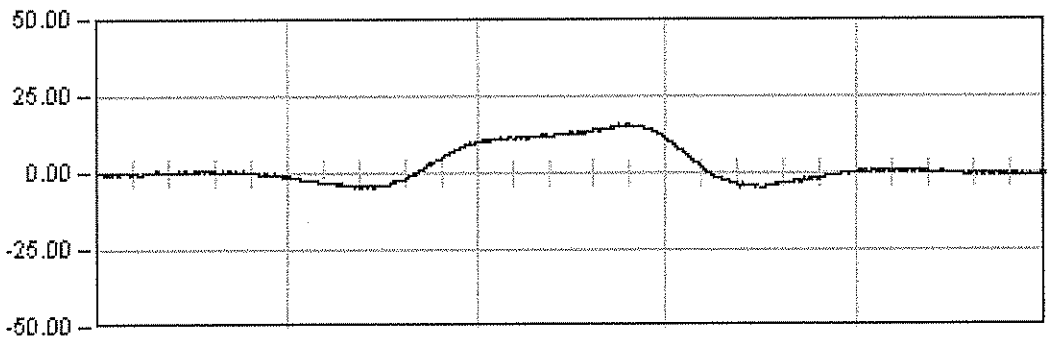


DINAMICA 22

36.0 Seg

Max: 15.66
Min: -4.95
Rem: -0.99

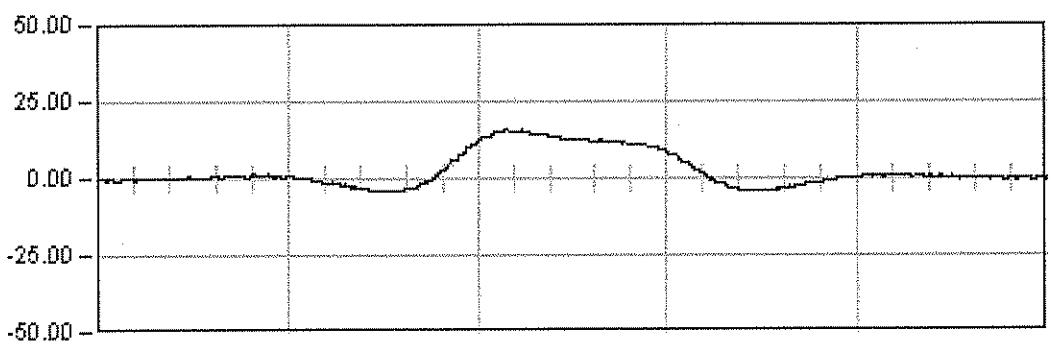


DINAMICA 23

18.0 Seg

Max: 15.46
Min: -4.55
Rem: 0.03

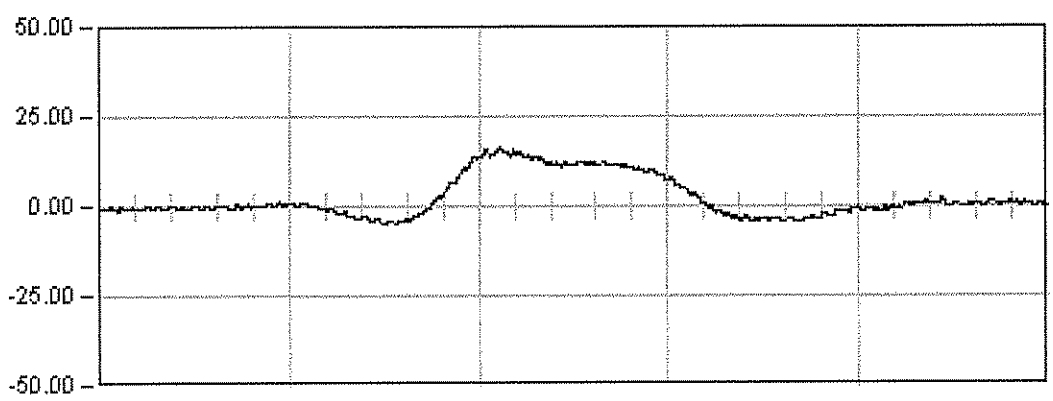


DINAMICA 24

23.0 Seg

Max: 16.10
Min: -5.31
Rem: 0.13

L.A.V. MADRID-BARCELONA-F.FRANCESA

35VI02 - SUBTRAMO IIIa

Punto : G172 Canal : 20 Unidades : µE

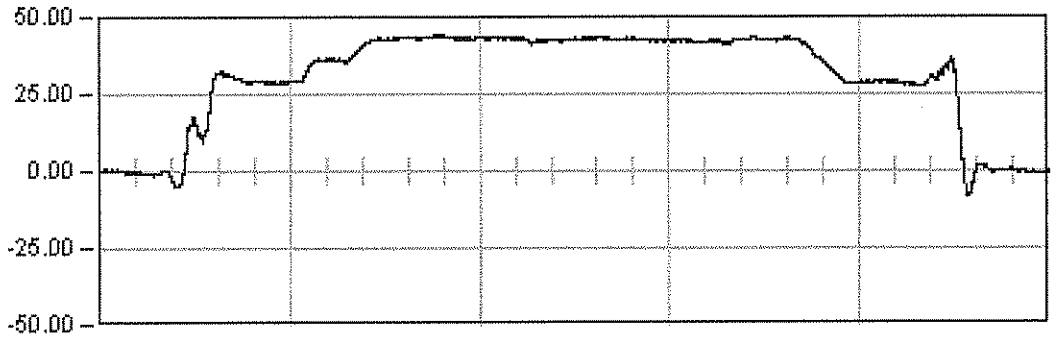


ESTATICA 11

1390.0 Seg

Est: 42.66
Max: 43.98
Min: -8.66
Rem: -0.39

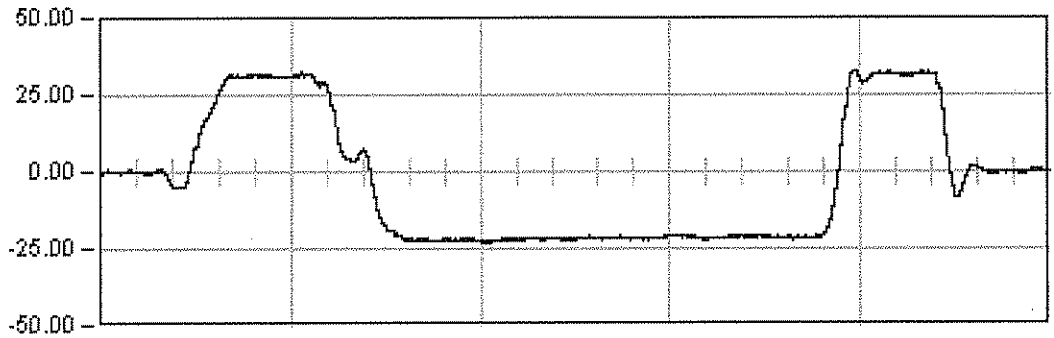


ESTATICA 12

1388.0 Seg

Est: -21.72
Max: 32.78
Min: -23.19
Rem: -0.01

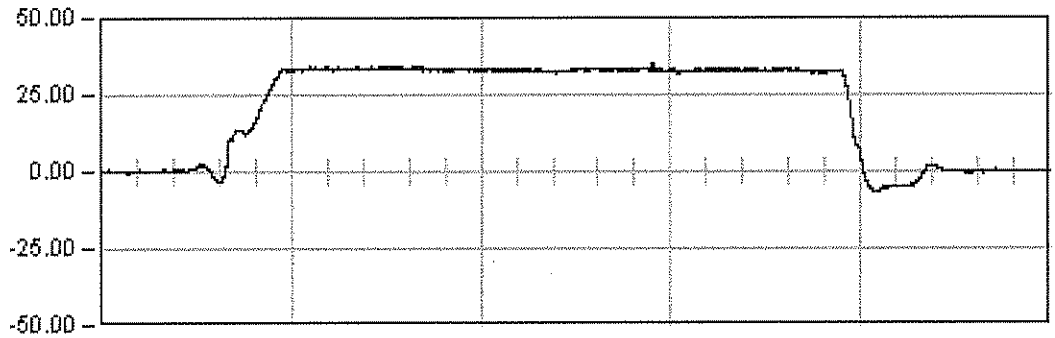


ESTATICA 20

1108.0 Seg

Est: 31.90
Max: 34.89
Min: -6.97
Rem: -0.01

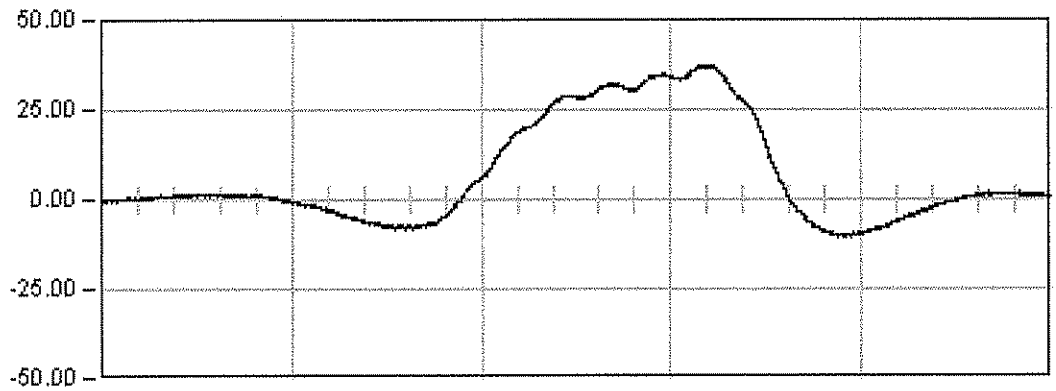


DINAMICA 01

90.0 Seg

Max: 37.25
Min: -10.59
Rem: -0.67

L.A.V. MADRID-BARCELONA-F.FRANCESA

35VI02 - SUBTRAMO IIIa

Punto : G172 Canal : 20 Unidades : µE

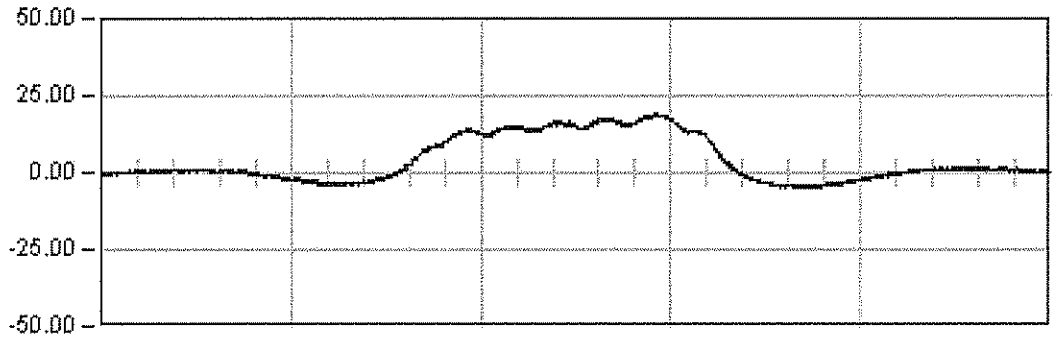


DINAMICA 21

119.0 Seg

Max: 18.93
Min: -5.05
Rem: 0.40

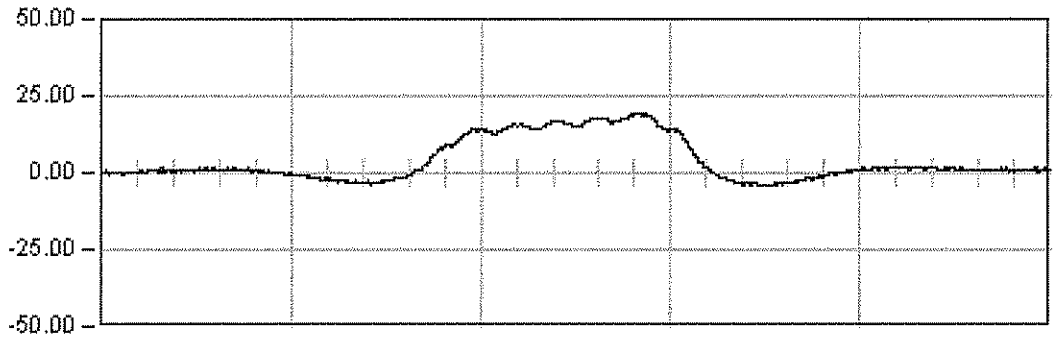


DINAMICA 22

36.0 Seg

Max: 19.56
Min: -4.58
Rem: -0.07

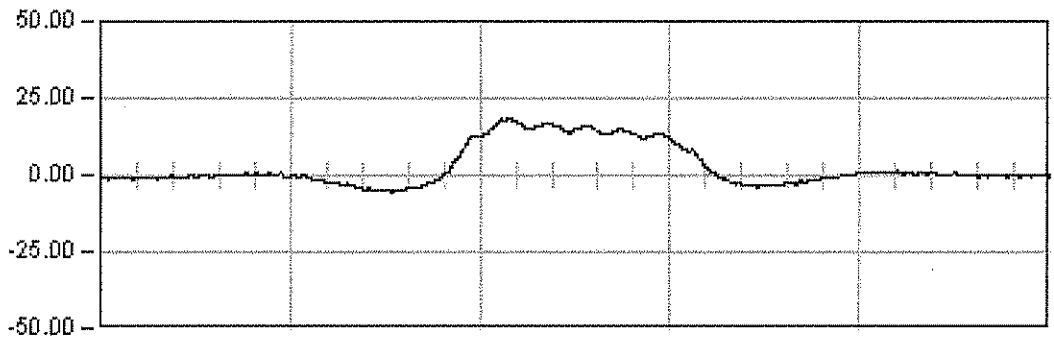


DINAMICA 23

18.0 Seg

Max: 18.09
Min: -5.58
Rem: 0.16

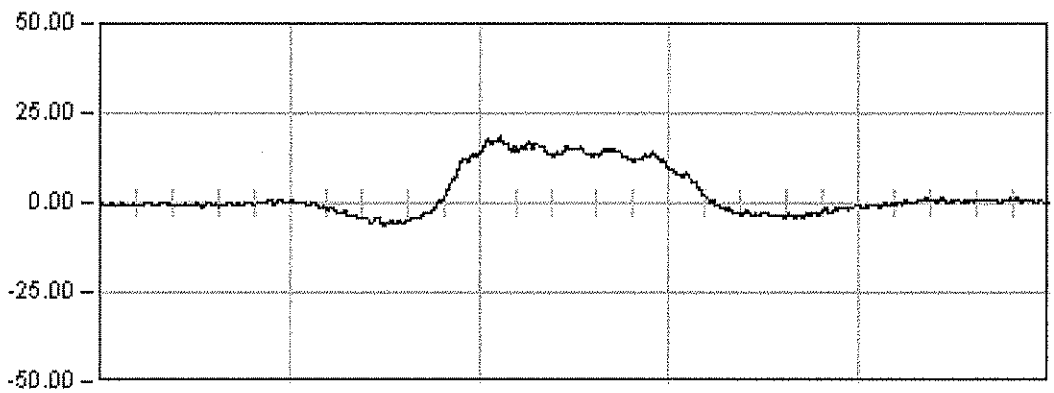


DINAMICA 24

23.0 Seg

Max: 18.24
Min: -6.36
Rem: 0.08

L.A.V. MADRID-BARCELONA-F.FRANCESA

35VI02 - SUBTRAMO IIIa

Punto : G181 Canal : 21 Unidades : µE

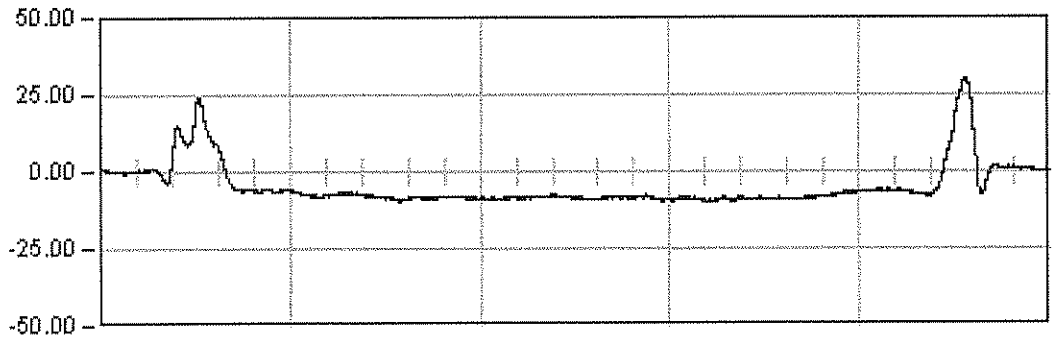


ESTATICA 11

1390.0 Seg

Est: -9.15
Max: 30.23
Min: -10.24
Rem: 0.44

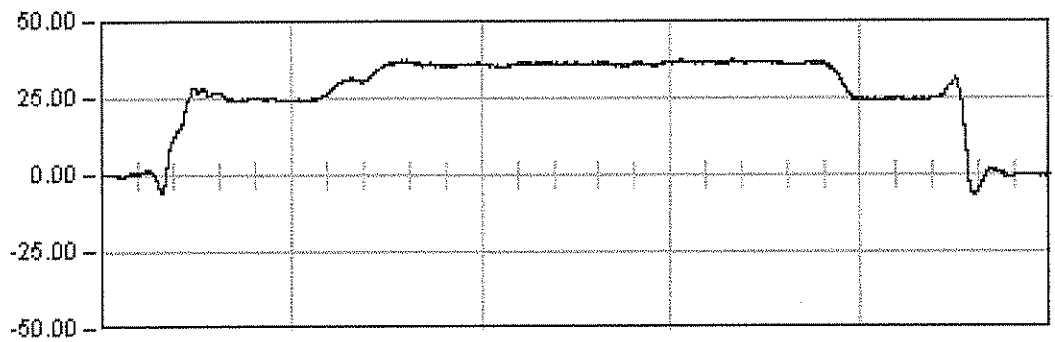


ESTATICA 12

1388.0 Seg

Est: 36.09
Max: 37.32
Min: -6.88
Rem: -0.17

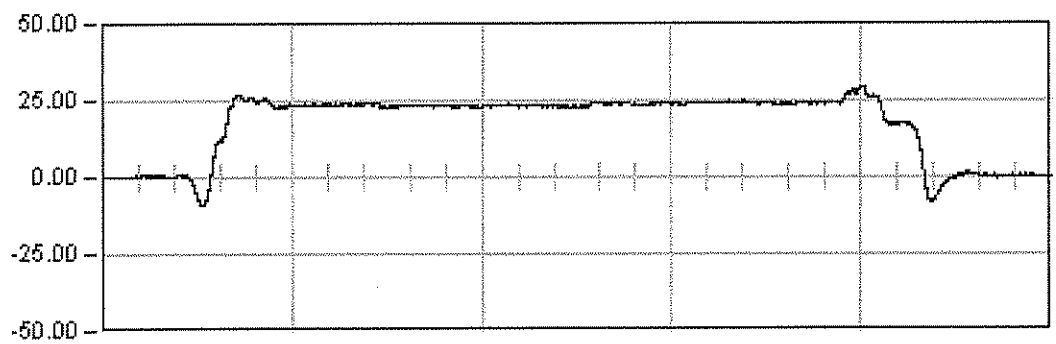


ESTATICA 20

1108.0 Seg

Est: 23.96
Max: 29.00
Min: -9.20
Rem: 0.13

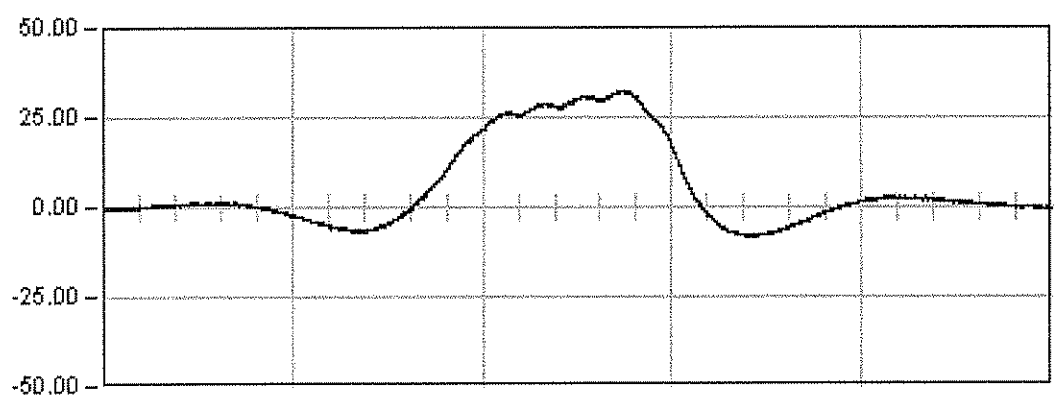


DINAMICA 01

100.0 Seg

Max: 32.26
Min: -8.62
Rem: -0.38

L.A.V. MADRID-BARCELONA-F.FRANCESA

35VI02 - SUBTRAMO IIIa

Punto : G181 Canal : 21 Unidades : µE

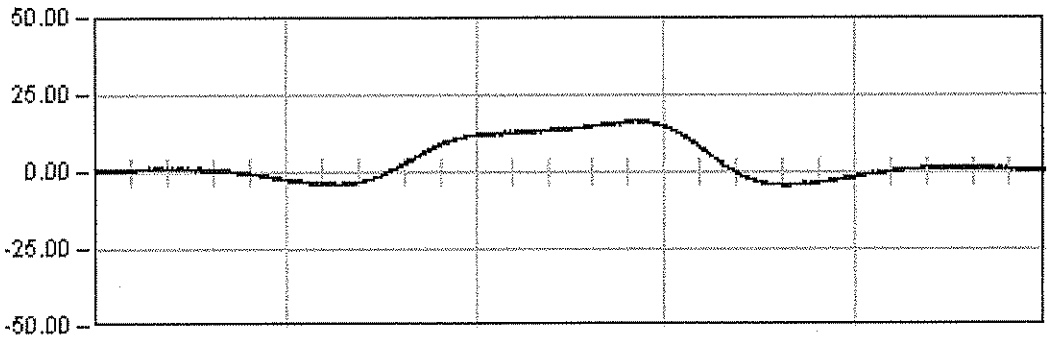


DINAMICA 21

120.0 Seg

Max: 16.80
Min: -4.75
Rem: -0.03

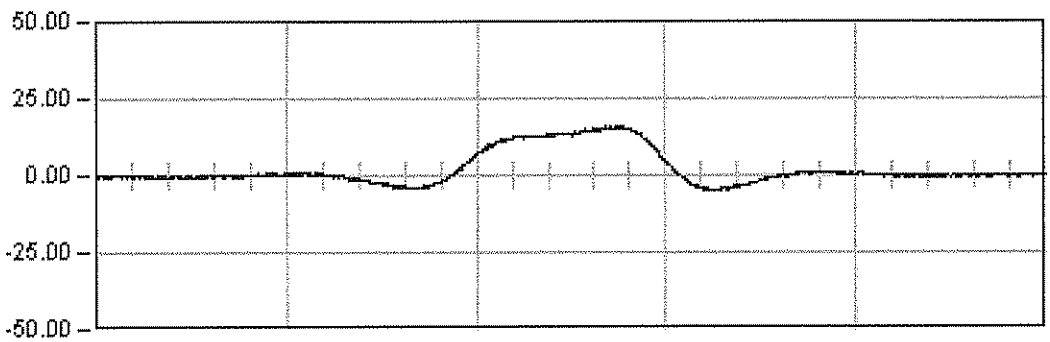


DINAMICA 22

46.0 Seg

Max: 16.17
Min: -5.21
Rem: -0.08

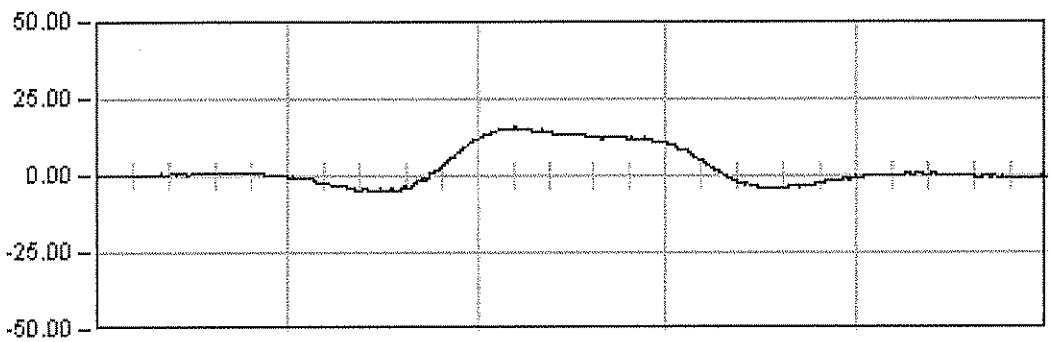


DINAMICA 23

17.0 Seg

Max: 15.46
Min: -5.25
Rem: -0.33

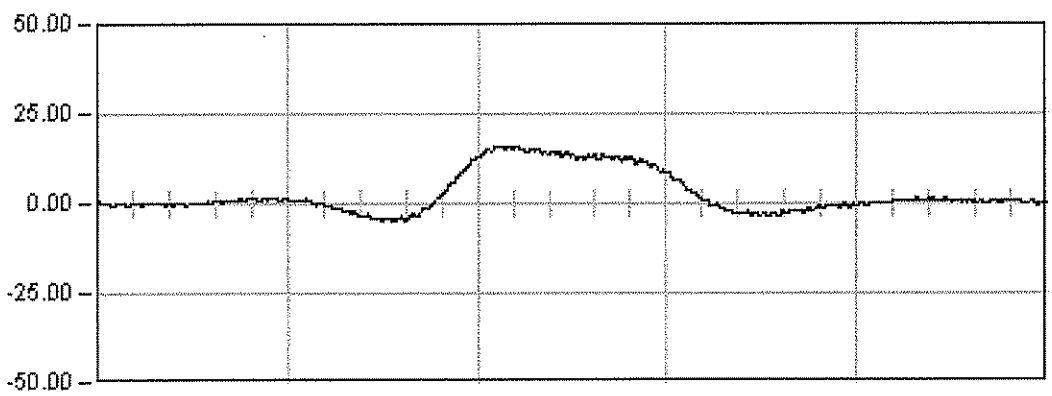


DINAMICA 24

21.0 Seg

Max: 15.95
Min: -5.08
Rem: 0.21

L.A.V. MADRID-BARCELONA-F.FRANCESA

35VI02 - SUBTRAMO IIIa

Punto : G182 Canal : 22 Unidades : µE

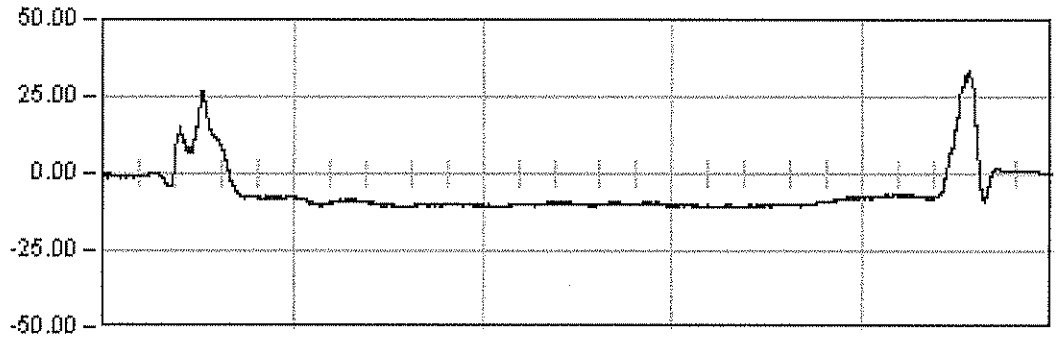


ESTATICA 11

1390.0 Seg

Est: -10.08
Max: 33.69
Min: -11.17
Rem: 0.55

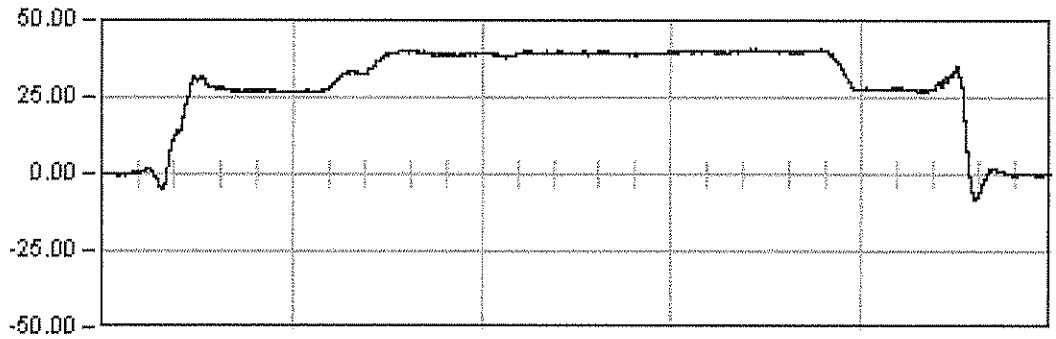


ESTATICA 12

1388.0 Seg

Est: 39.79
Max: 40.59
Min: -8.25
Rem: -0.21

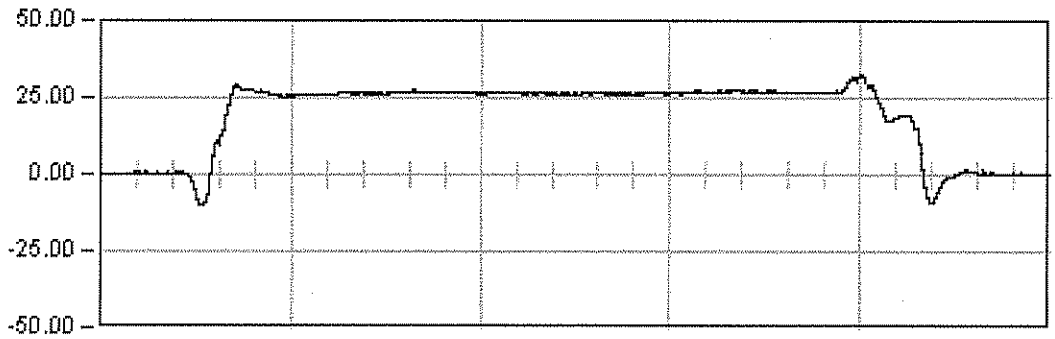


ESTATICA 20

1108.0 Seg

Est: 26.60
Max: 32.60
Min: -10.40
Rem: 0.13

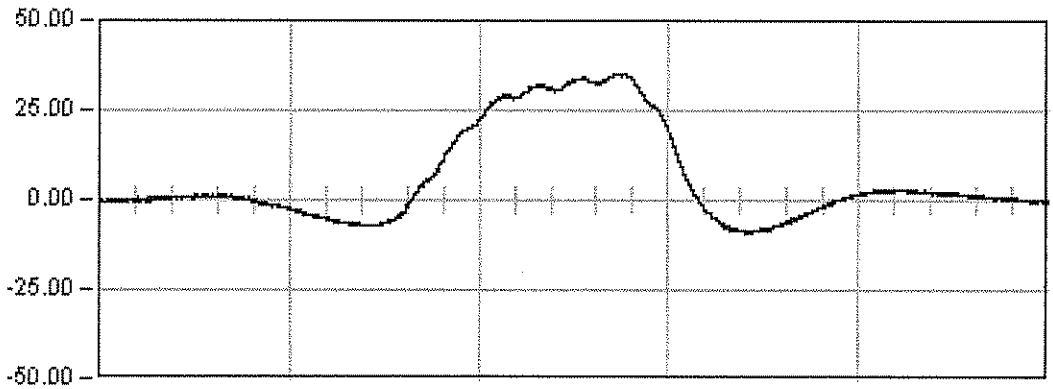


DINAMICA 01

100.0 Seg

Max: 35.16
Min: -9.22
Rem: 0.14

L.A.V. MADRID-BARCELONA-F.FRANCESA

35VI02 - SUBTRAMO IIIa

Punto : G182 Canal : 22 Unidades : µE

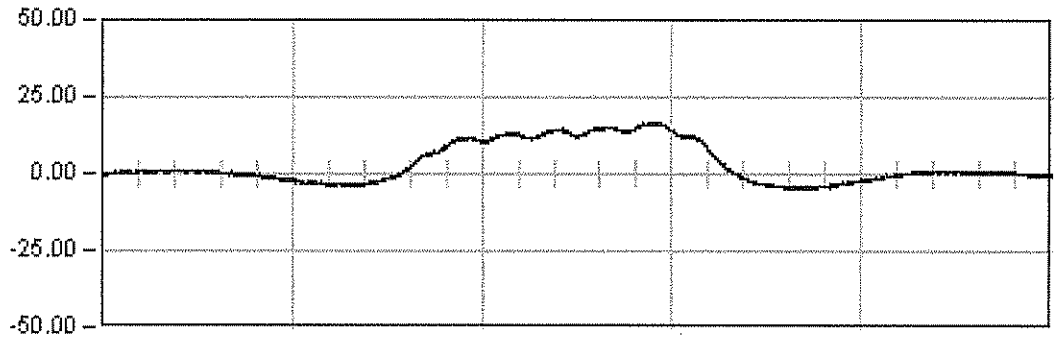


DINAMICA 21

120.0 Seg

Max: 16.60
Min: -5.12
Rem: -0.68

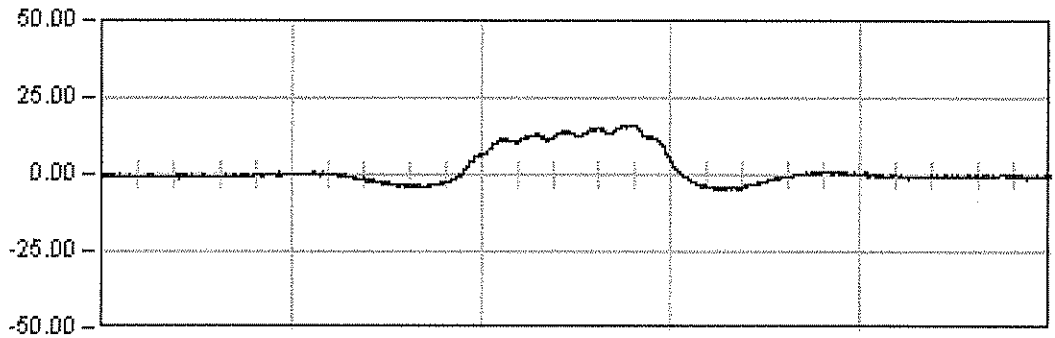


DINAMICA 22

46.0 Seg

Max: 16.25
Min: -4.82
Rem: -0.15

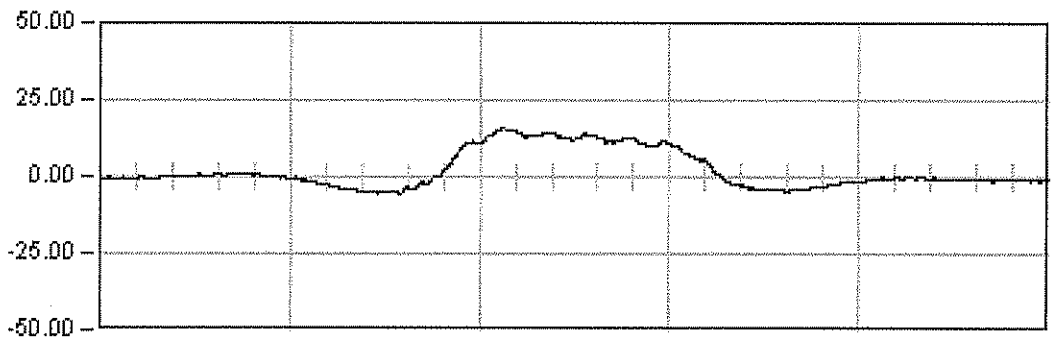


DINAMICA 23

17.0 Seg

Max: 15.77
Min: -5.67
Rem: -0.55

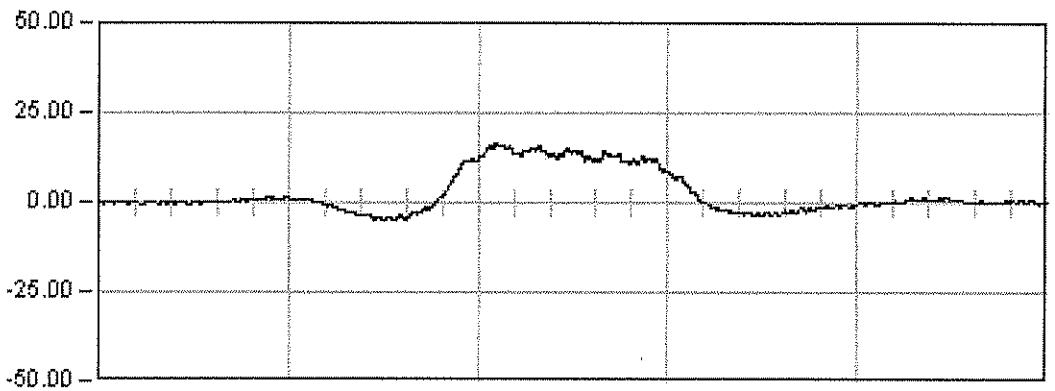


DINAMICA 24

21.0 Seg

Max: 16.42
Min: -5.00
Rem: 0.23

L.A.V. MADRID-BARCELONA-F.FRANCESA

35VI02 - SUBTRAMO IIIa

Punto : A161 Canal : 13 Unidades : G´s/100

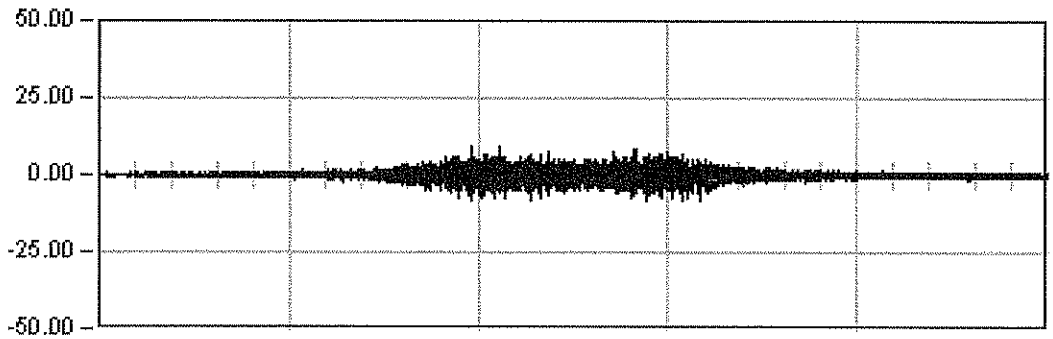


DINAMICA 01

103.0 Seg

Max: 9.42

Min: -8.55

Rem: -0.06

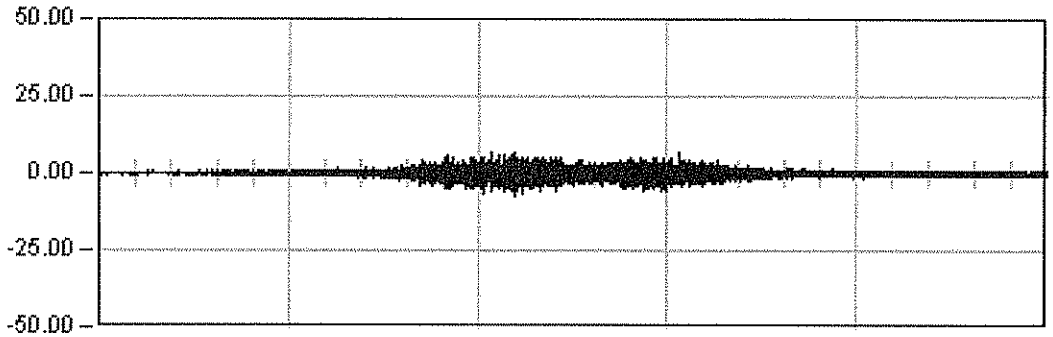


DINAMICA 21

131.0 Seg

Max: -7.81

Min: 7.07

Rem: -0.09

L.A.V. MADRID-BARCELONA-F.FRANCESA

35VI02 - SUBTRAMO IIIa

Punto : A161 Canal : 13 Unidades : G's/100

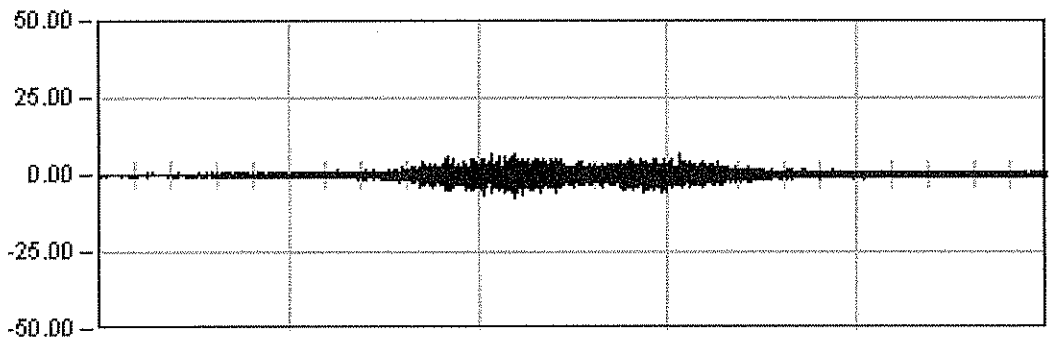


DINAMICA 21

131.0 Seg

Max: -7.81
Min: 7.07
Rem: -0.09

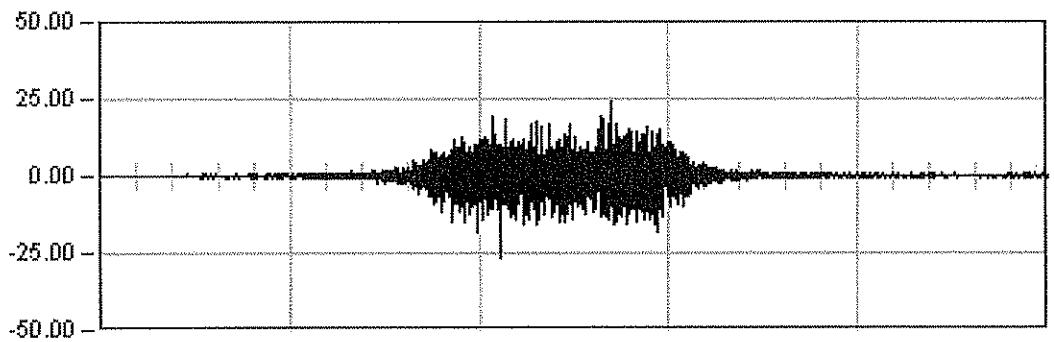


DINAMICA 22

42.0 Seg

Max: -26.28
Min: 24.42
Rem: -0.05

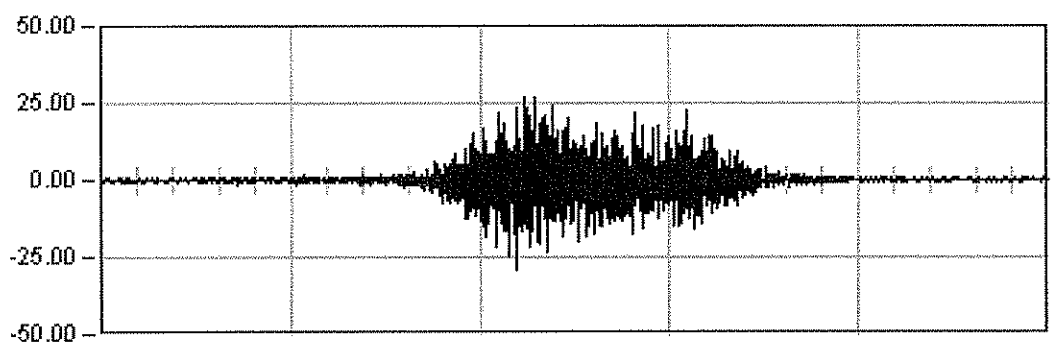


DINAMICA 23

18.0 Seg

Max: -28.76
Min: 26.77
Rem: -0.02

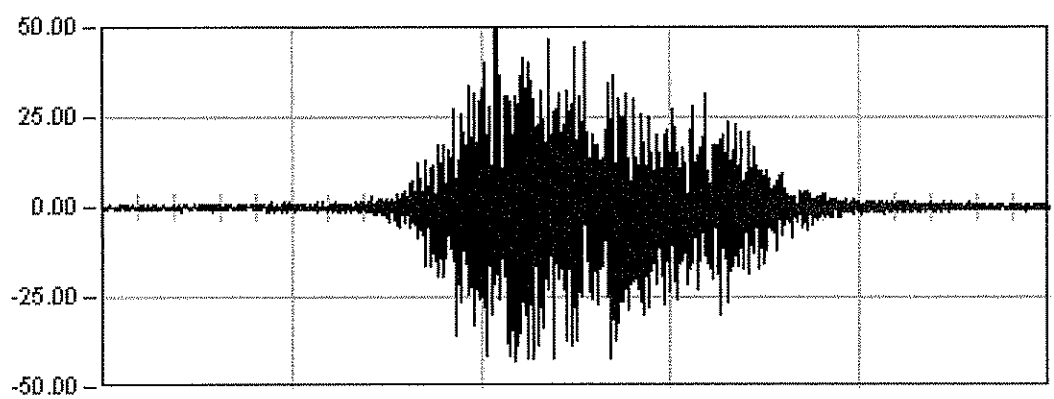


DINAMICA 24

23.0 Seg

Max: 54.42
Min: -42.76
Rem: -0.04

L.A.V. MADRID-BARCELONA-F.FRANCESA

35VI02 - SUBTRAMO IIIa

Prueba: din13 Punto: A161 Canal: 13

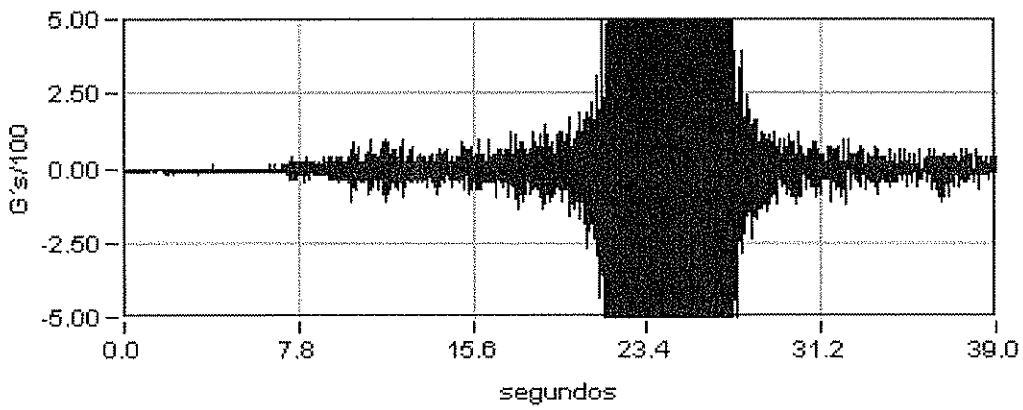


| Máximo |
| --- |
| -28.76 |

| Mínimo |
| --- |
| 26.77 |

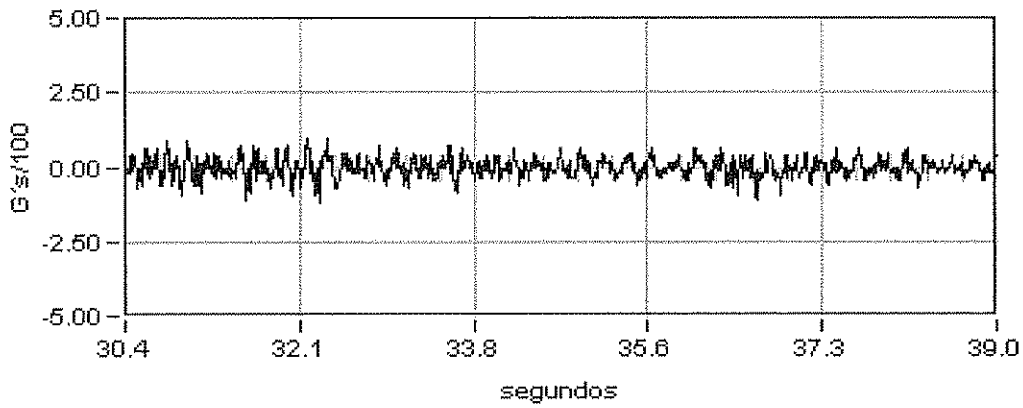


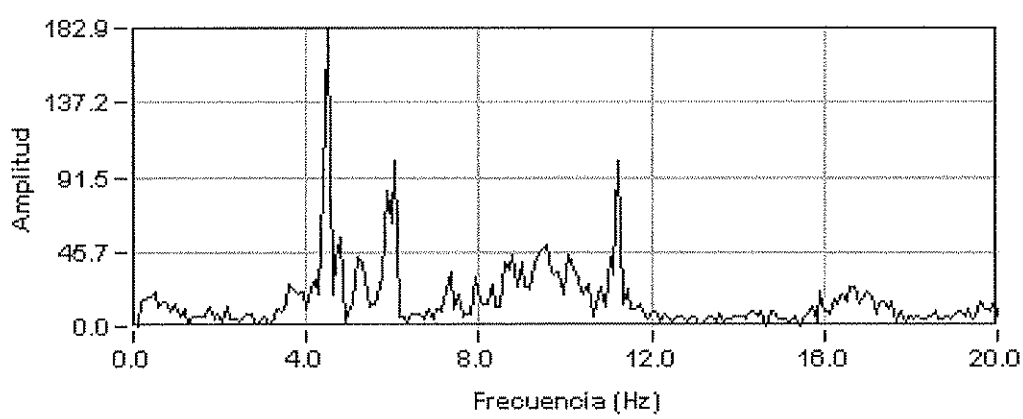


| Amplitud |
| --- |
| 182.93 |

| Frecuencia |
| --- |
| 4.47 |

| Dec.Logarit. |
| --- |
| 0.06 |

| Amortiguac. | |
| --- | --- |
| 0.95 | % |

L.A.V. MADRID-BARCELONA-F.FRANCESA

35VI02 - SUBTRAMO IIIa

Punto : A171 Canal : 14 Unidades : G's/100

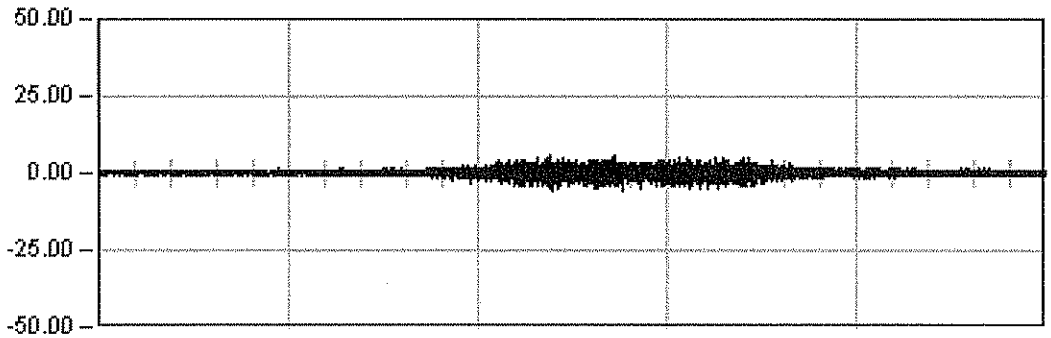


DINAMICA 01

90.0 Seg

Max: 6.20

Min: -5.85

Rem: 0.11

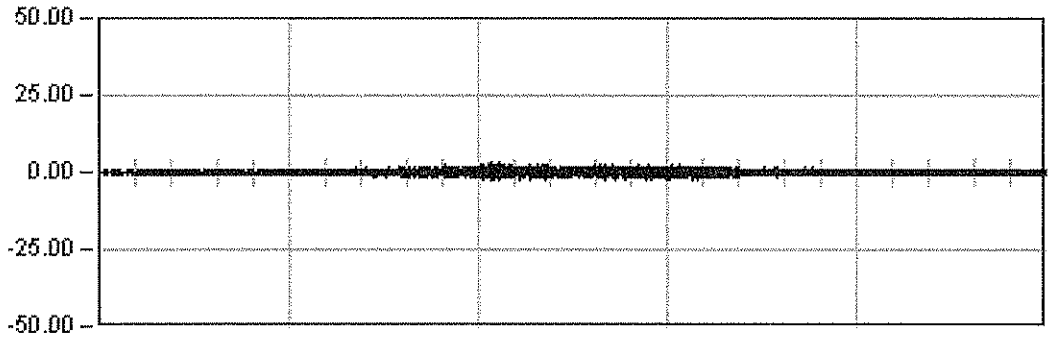


DINAMICA 21

119.0 Seg

Max: 3.34

Min: -2.74

Rem: 0.02

L.A.V. MADRID-BARCELONA-F.FRANCESA

35VI02 - SUBTRAMO IIIa

Punto : A171 Canal : 14 Unidades : G´s/100

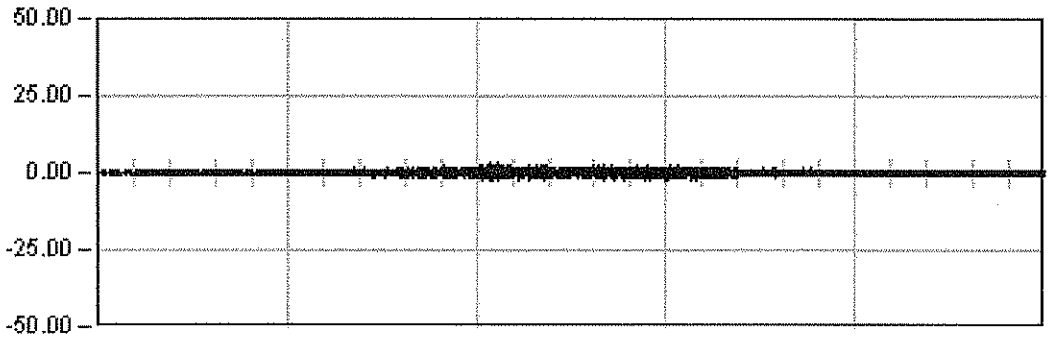


DINAMICA 21

119.0 Seg

Max: 3.34
Min: -2.74
Rem: 0.02

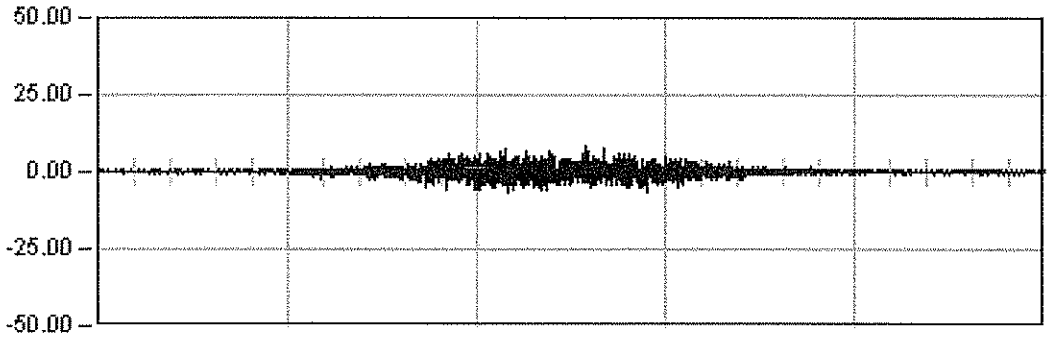


DINAMICA 22

36.0 Seg

Max: 8.23
Min: -6.80
Rem: 0.10

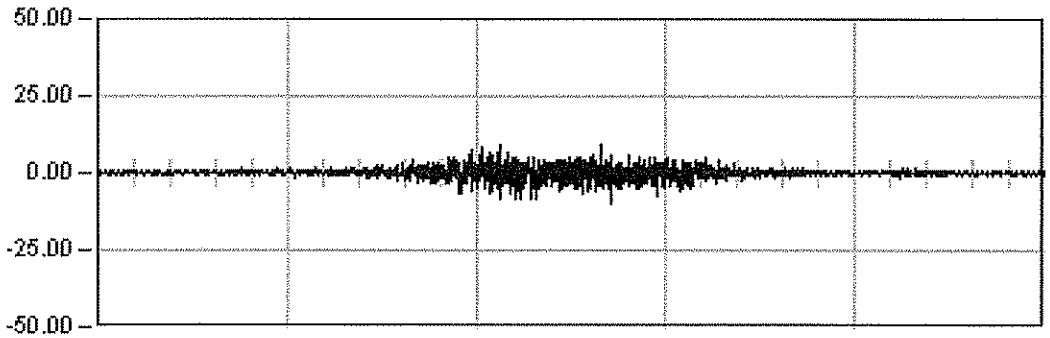


DINAMICA 23

18.0 Seg

Max: -9.66
Min: 8.83
Rem: 0.10

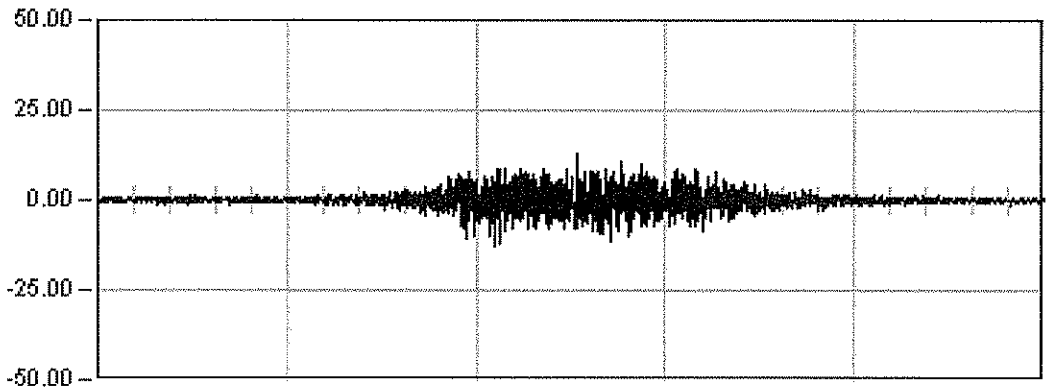


DINAMICA 24

23.0 Seg

Max: -13.12
Min: 13.00
Rem: 0.01

L.A.V. MADRID-BARCELONA-F.FRANCESA

35VI02 - SUBTRAMO IIIa

Prueba: din14 Punto: A171 Canal: 14

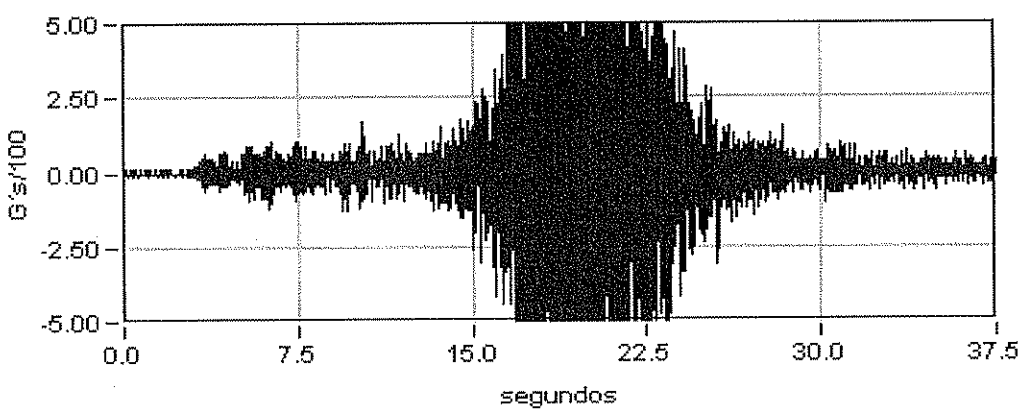


| Máximo |
| --- |
| -13.12 |

| Mínimo |
| --- |
| 13.00 |

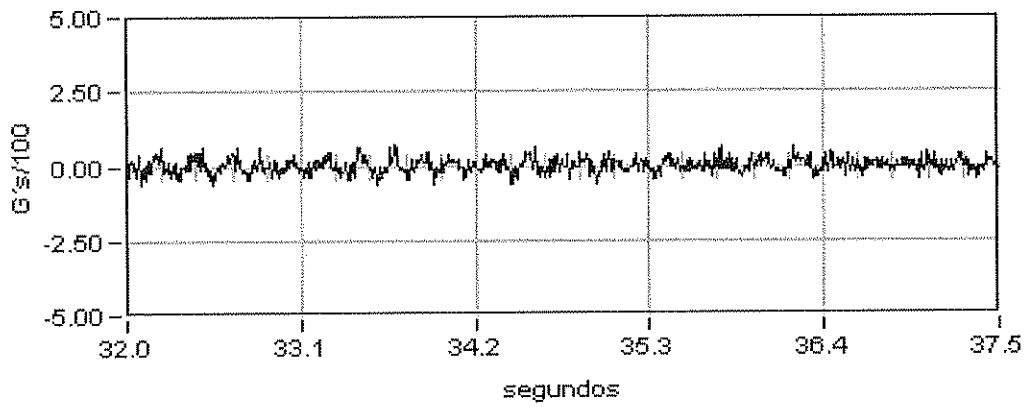


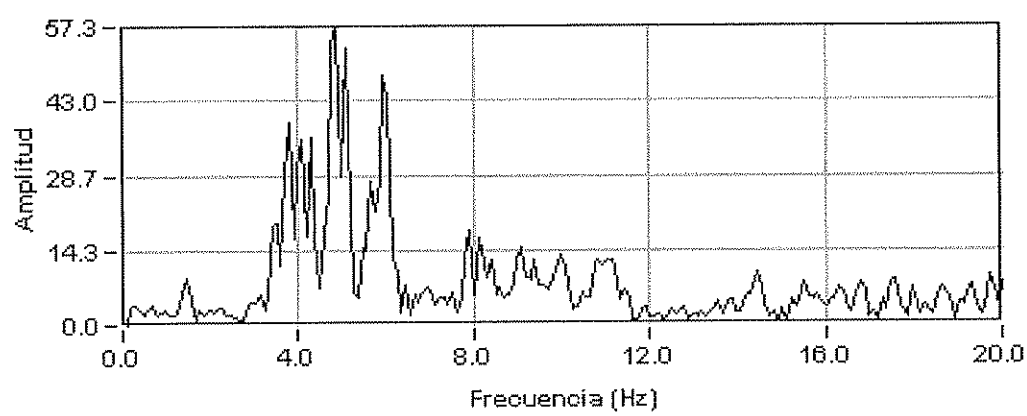


| Amplitud |
| --- |
| 57.35 |

| Frecuencia |
| --- |
| 4.88 |

| Dec.Logarit. |
| --- |
| 0.13 |

| Amortiguac. | |
| --- | --- |
| 2.05 | % |

L.A.V. MADRID-BARCELONA-F.FRANCESA

35VI02 - SUBTRAMO IIIa

Punto : A181 Canal : 15 Unidades : G's/100

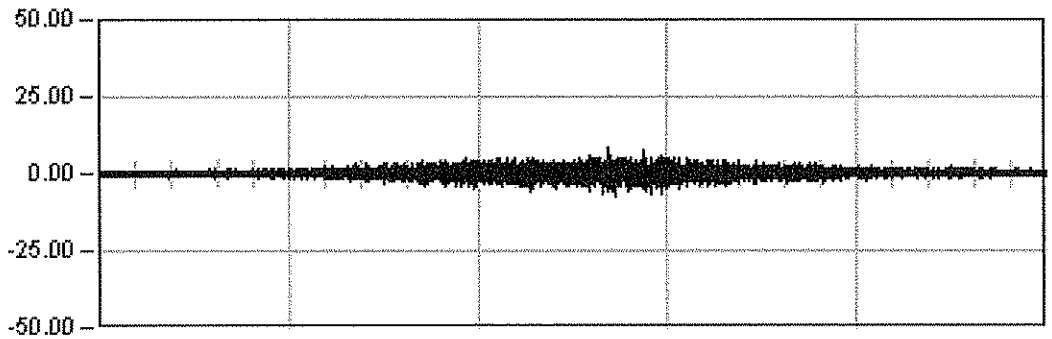


DINAMICA 01

100.0 Seg

Max: 8.32
Min: -7.32
Rem: 0.16

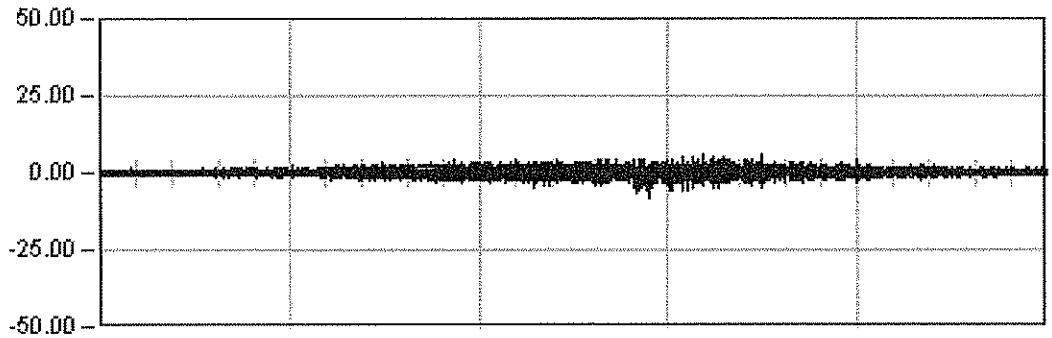


DINAMICA 21

120.0 Seg

Max: -8.69
Min: 6.08
Rem: 0.12

L.A.V. MADRID-BARCELONA-F.FRANCESA

35VI02 - SUBTRAMO IIIa

Punto : A181 Canal : 15 Unidades : G's/100

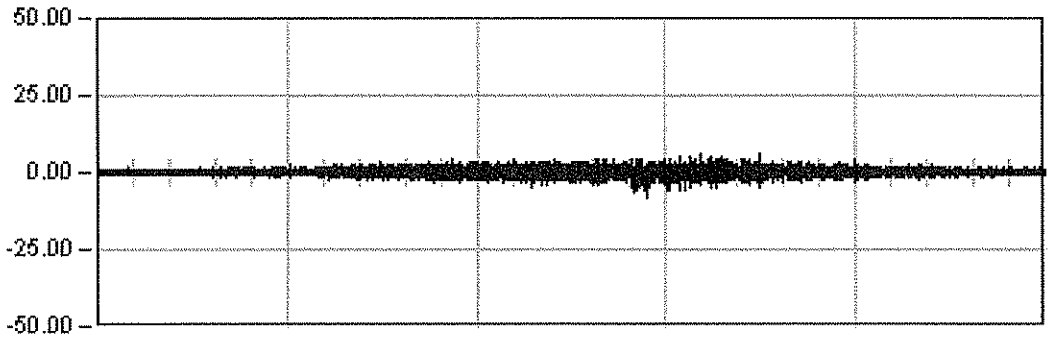


DINAMICA 21

120.0 Seg

Max: -8.69
Min: 6.08
Rem: 0.12

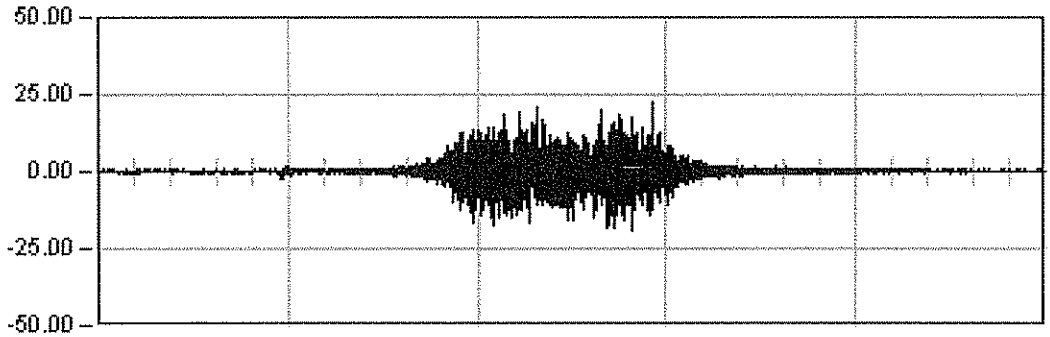


DINAMICA 22

46.0 Seg

Max: 22.09
Min: -19.24
Rem: 0.14

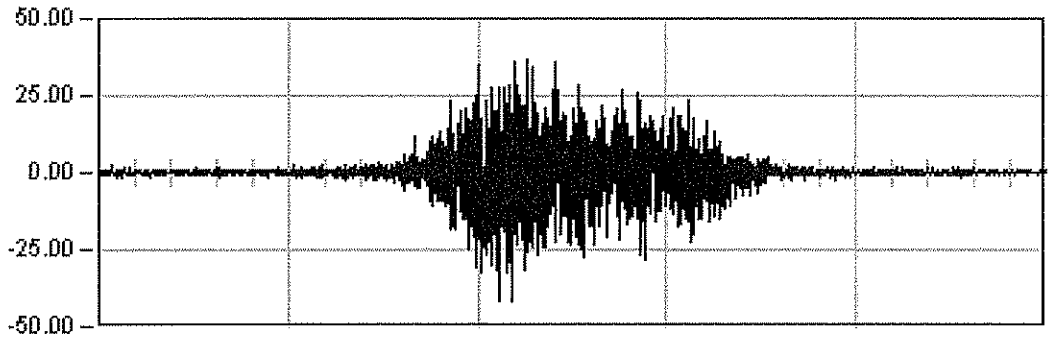


DINAMICA 23

17.0 Seg

Max: -41.45
Min: 36.49
Rem: 0.09

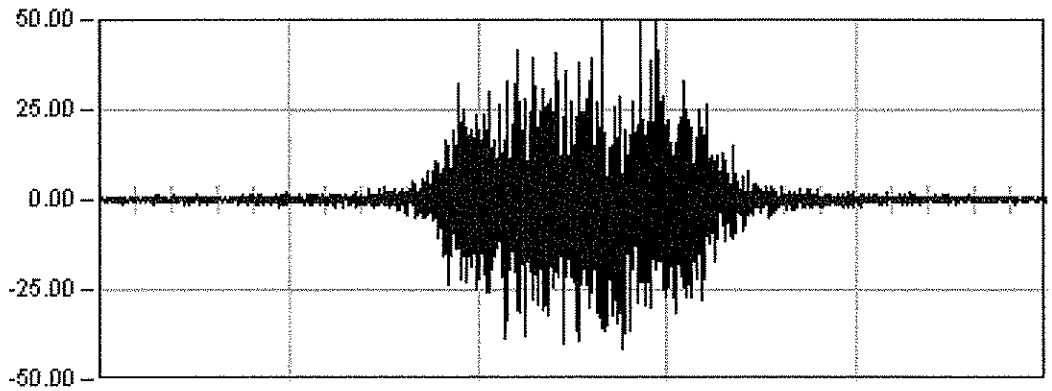


DINAMICA 24

21.0 Seg

Max: 54.98
Min: -41.33
Rem: 0.04

L.A.V. MADRID-BARCELONA-F.FRANCESA

35VI02 - SUBTRAMO IIIa

Prueba: din13 Punto: A181 Canal: 15

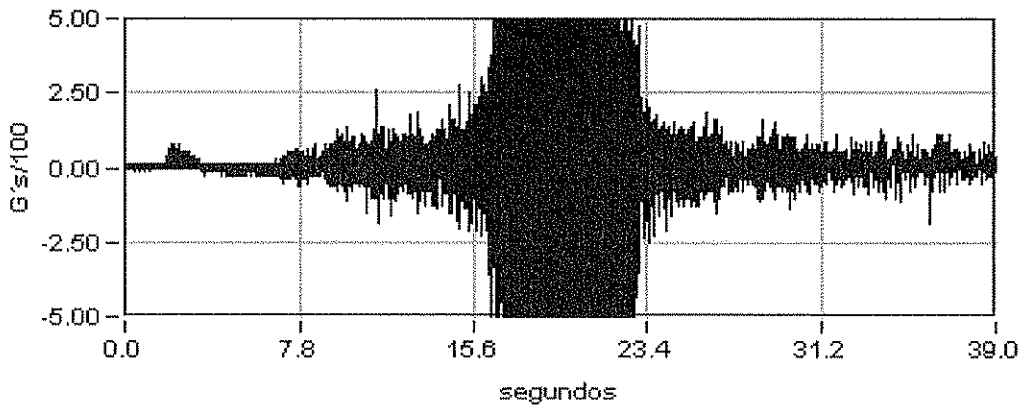


| Máximo |
| --- |
| -41.45 |

| Mínimo |
| --- |
| 36.49 |

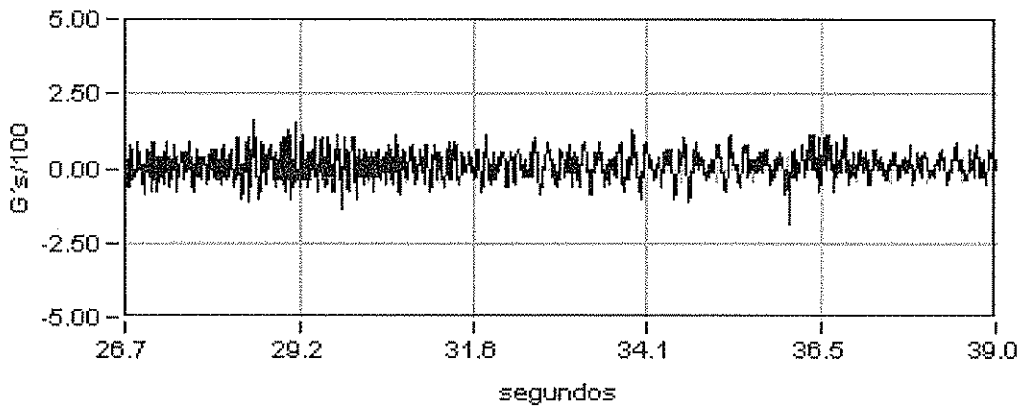


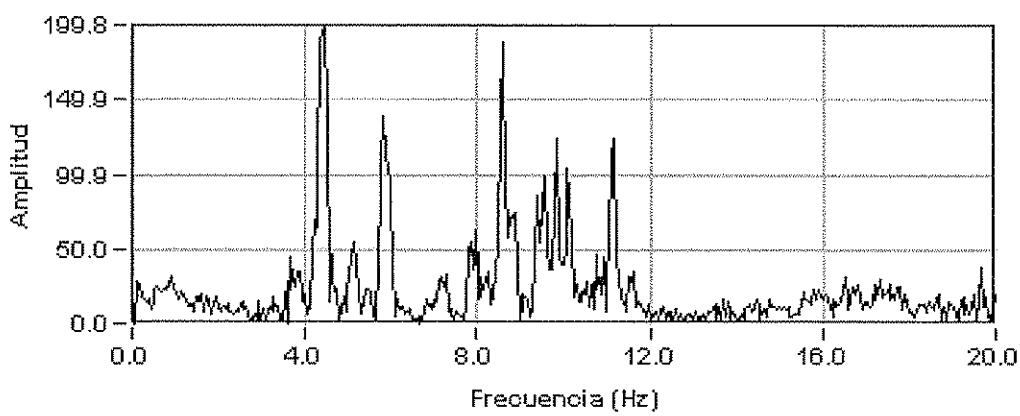


| Amplitud |
| --- |
| 199.81 |

| Frecuencia |
| --- |
| 4.43 |

| Dec.Logarit. |
| --- |
| 0.12 |

| Amortiguac. |
| --- |
| 1.94 % |

L.A.V. MADRID-BARCELONA-F.FRANCESA

35VI02 - SUBTRAMO IIIa

Punto : P181 Canal : 00 Unidades : mm

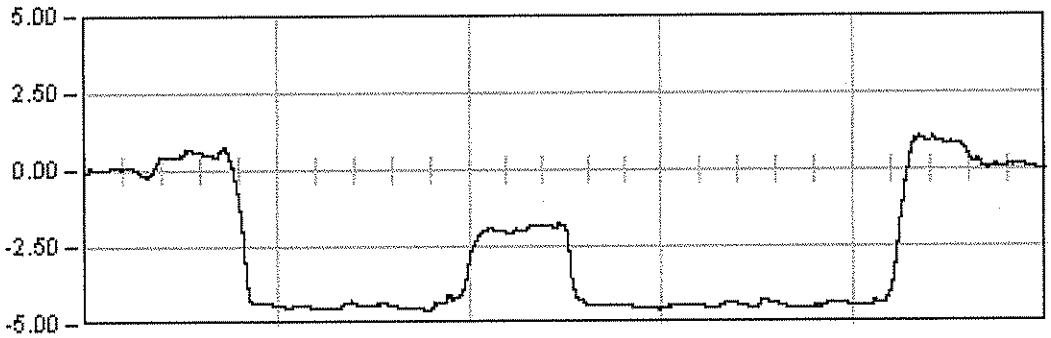


ESTATICA 13

1923.0 Seg

Est: -4.44
Max: -4.58
Min: 1.10
Rem: 0.08

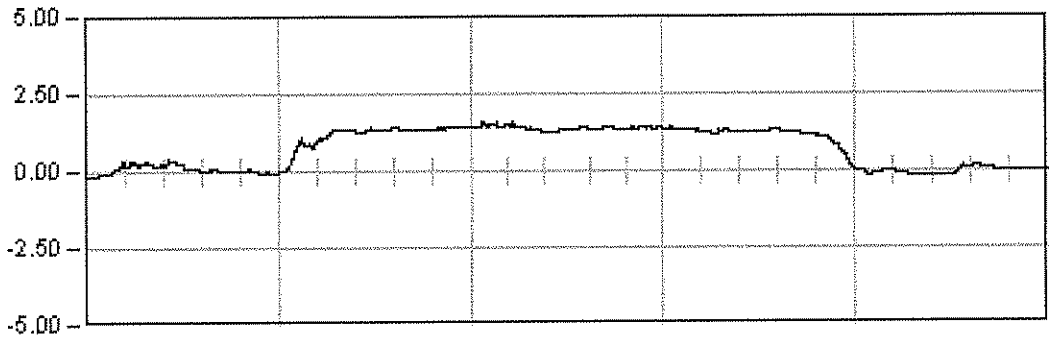


ESTATICA 14

1262.0 Seg

Est: 1.20
Max: 1.58
Min: -0.18
Rem: -0.00

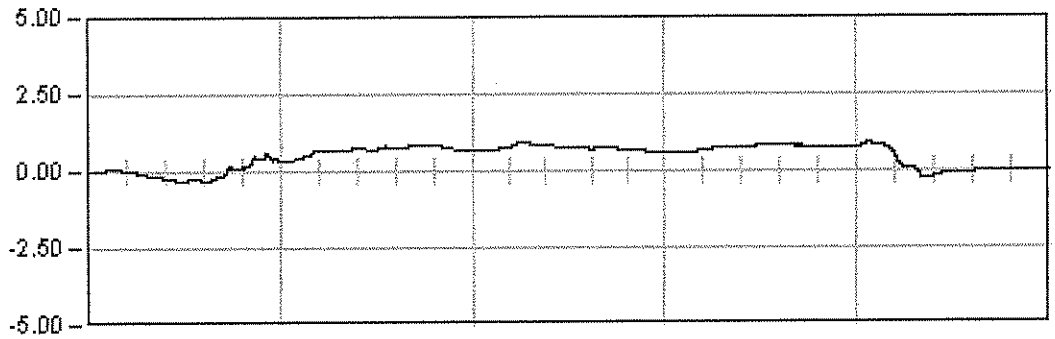


ESTATICA 21

958.0 Seg

Est: 0.86
Max: 0.91
Min: -0.32
Rem: -0.01

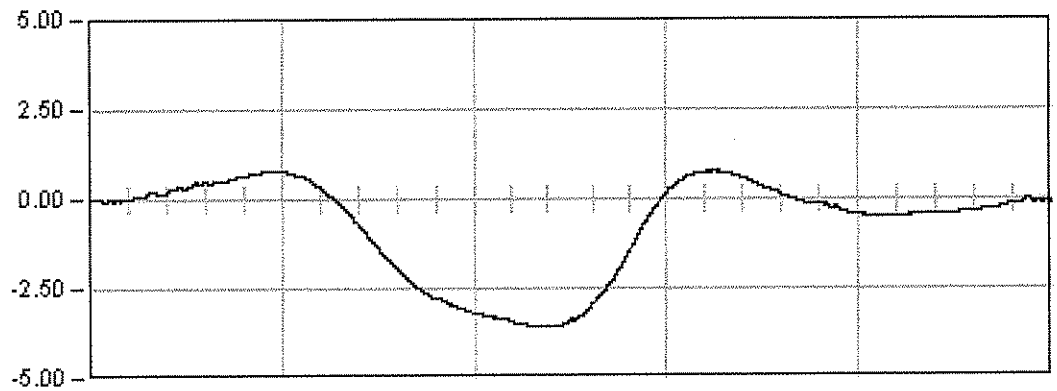


DINAMICA 01

103.0 Seg

Max: -3.58
Min: 0.78
Rem: 0.00

L.A.V. MADRID-BARCELONA-F.FRANCESA

35VI02 - SUBTRAMO IIIa

Punto : P191 Canal : 00 Unidades : mm

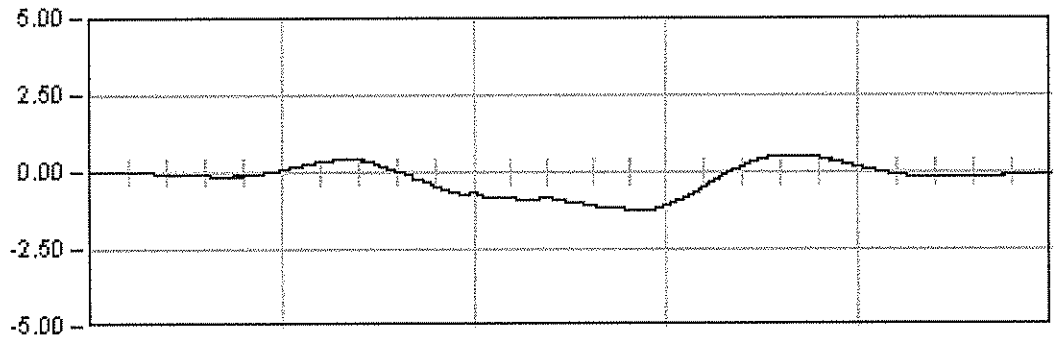


DINAMICA 21

95.0 Seg

Max: -1.23
Min: 0.54
Rem: 0.01

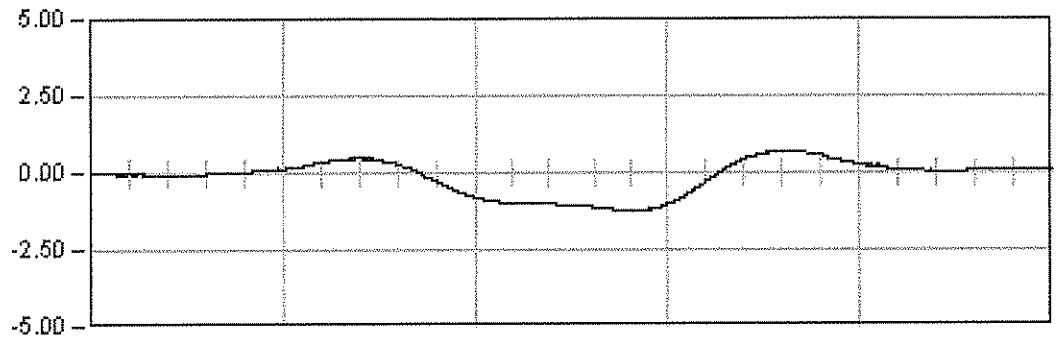


DINAMICA 22

43.0 Seg

Max: -1.27
Min: 0.66
Rem: -0.02

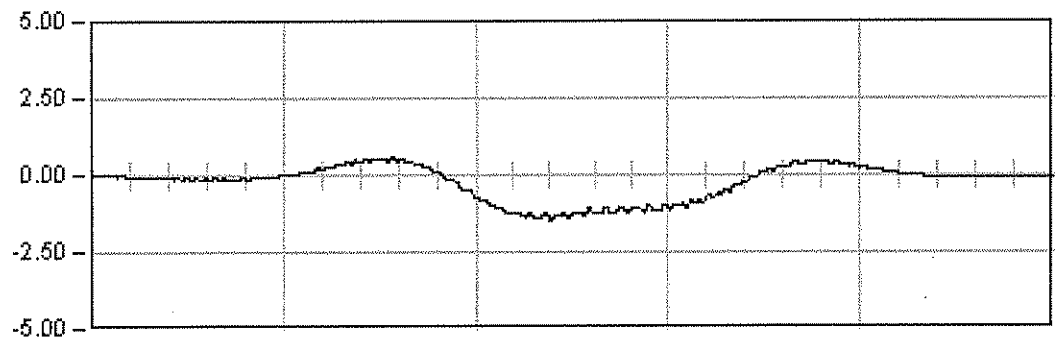


DINAMICA 23

18.0 Seg

Max: -1.47
Min: 0.55
Rem: 0.00

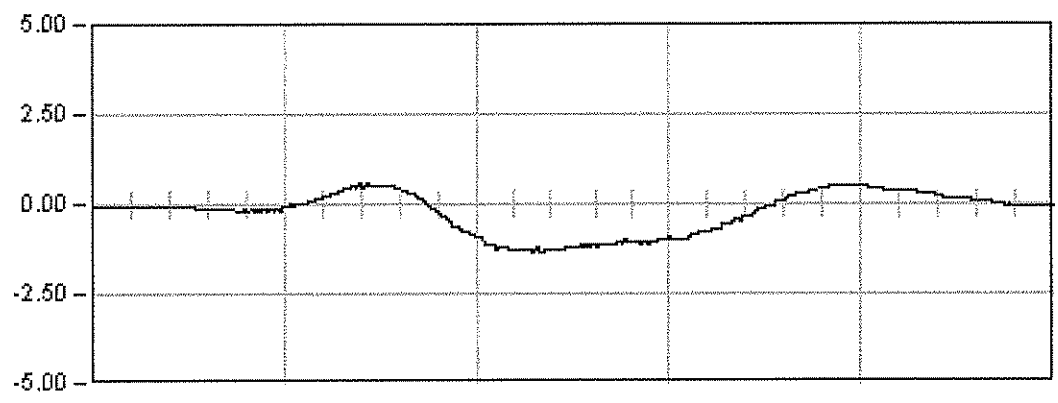


DINAMICA 24

25.0 Seg

Max: -1.34
Min: 0.55
Rem: -0.00

L.A.V. MADRID-BARCELONA-F.FRANCESA

35VI02 - SUBTRAMO IIIa

Punto : P192 Canal : 01 Unidades : mm

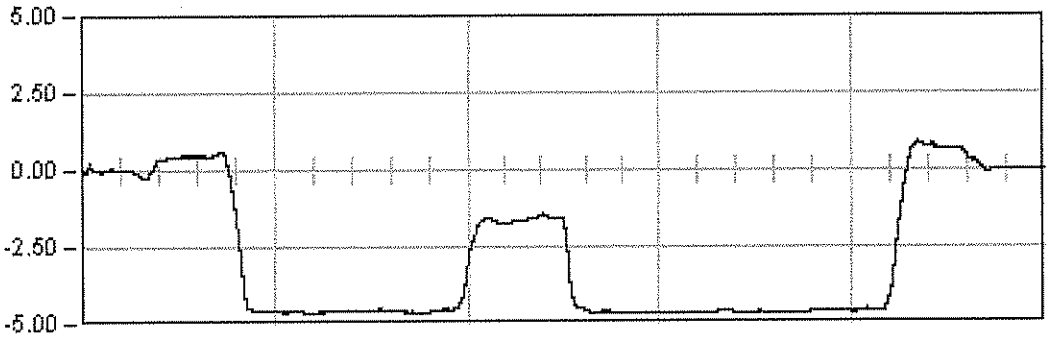


ESTATICA 13

1923.0 Seg

Est: -4.62
Max: -4.68
Min: 0.88
Rem: -0.00

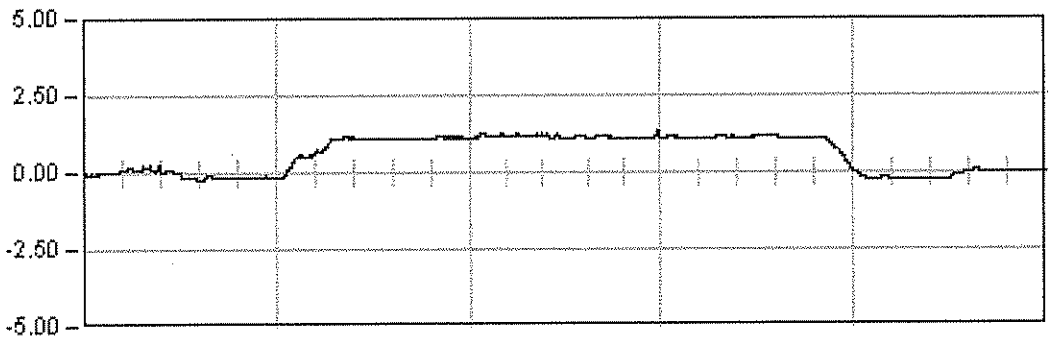


ESTATICA 14

1262.0 Seg

Est: 1.07
Max: 1.32
Min: -0.24
Rem: 0.00

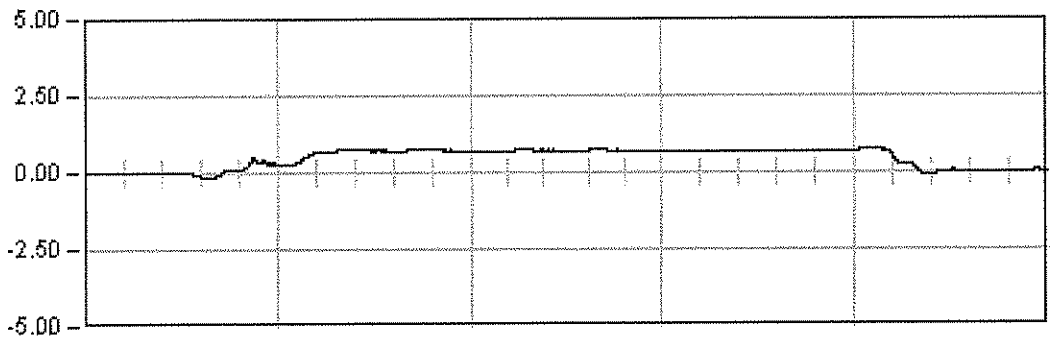


ESTATICA 21

958.0 Seg

Est: 0.71
Max: 0.78
Min: -0.15
Rem: 0.01

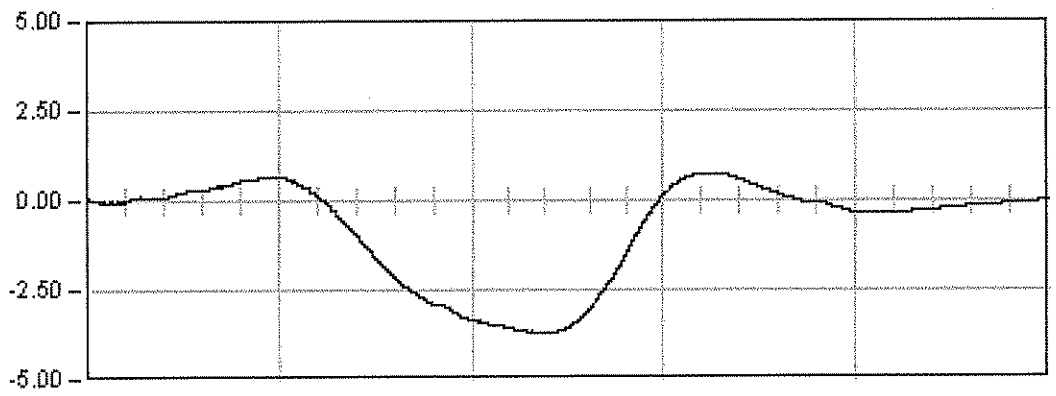


DINAMICA 01

103.0 Seg

Max: -3.69
Min: 0.73
Rem: 0.00

L.A.V. MADRID-BARCELONA-F.FRANCESA

35VI02 - SUBTRAMO IIIa

Punto : P192 Canal : 01 Unidades : mm

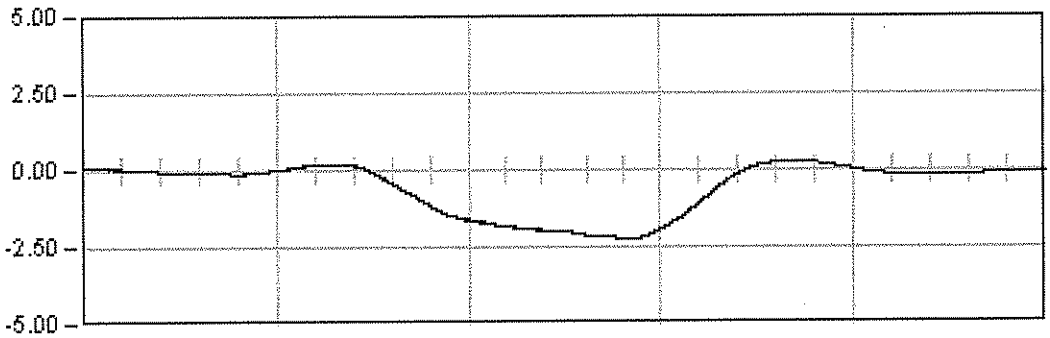


DINAMICA 21

95.0 Seg

Max: -2.24
Min: 0.25
Rem: -0.01

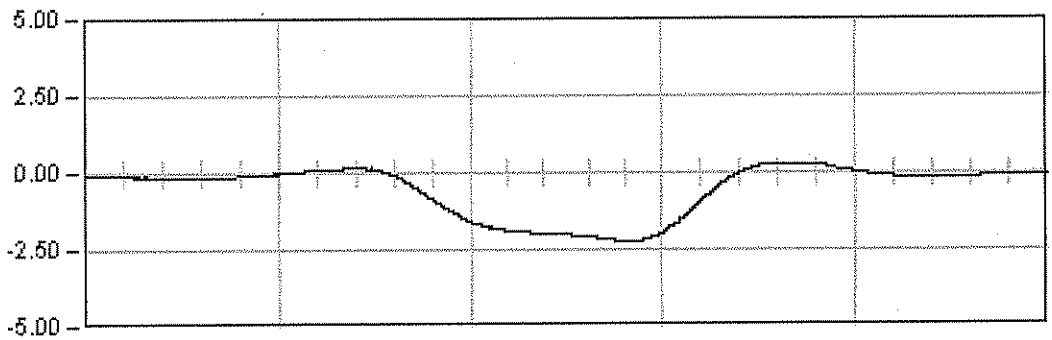


DINAMICA 22

43.0 Seg

Max: -2.25
Min: 0.28
Rem: -0.08

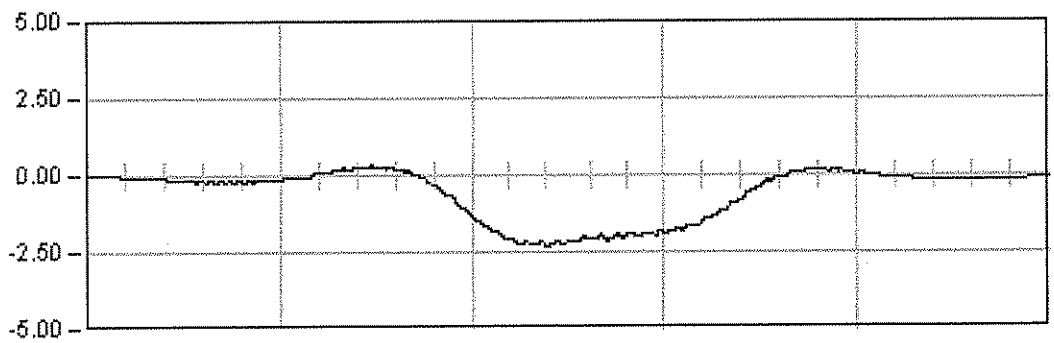


DINAMICA 23

18.0 Seg

Max: -2.30
Min: 0.30
Rem: -0.05

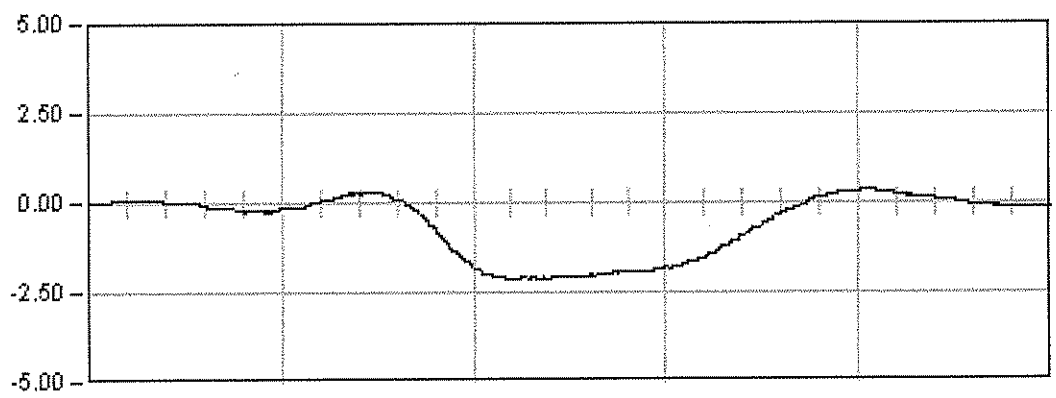


DINAMICA 24

25.0 Seg

Max: -2.17
Min: 0.34
Rem: -0.01

L.A.V. MADRID-BARCELONA-F.FRANCESA

35VI02 - SUBTRAMO IIIa

Punto : P193 Canal : 02 Unidades : mm

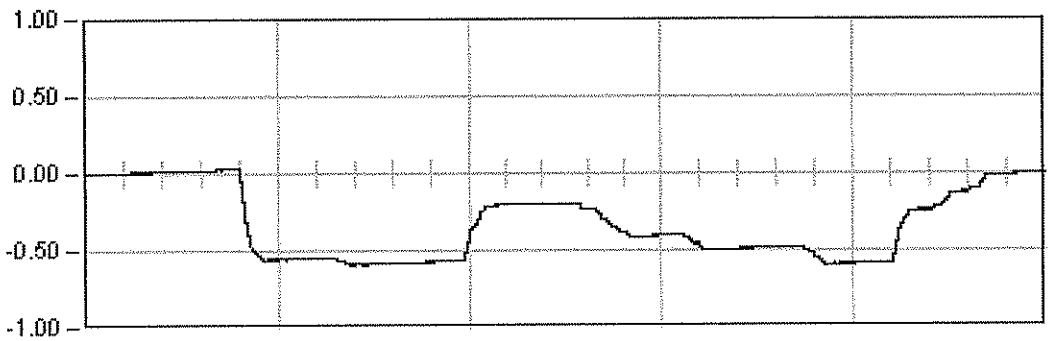


ESTATICA 13

1923.0 Seg

Est: -0.59

Max: -0.60

Min: 0.03

Rem: -0.01

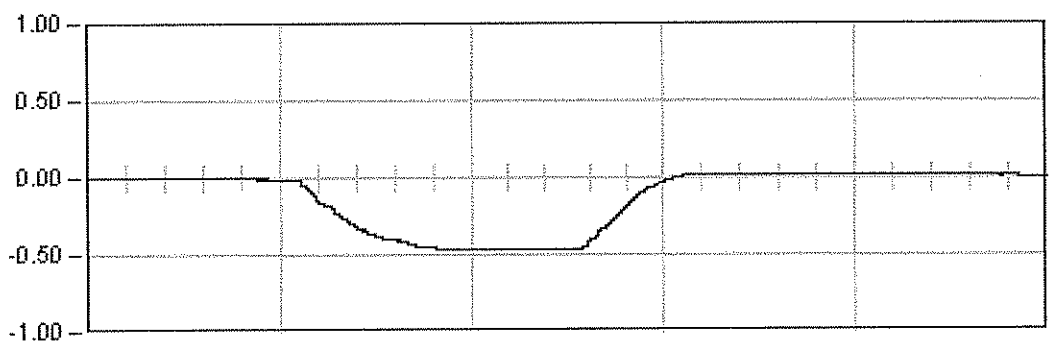


DINAMICA 01

103.0 Seg

Max: -0.47

Min: 0.02

Rem: 0.00

L.A.V. MADRID-BARCELONA-F.FRANCESA

35VI02 - SUBTRAMO IIIa

Punto : P193 Canal : 02 Unidades : mm

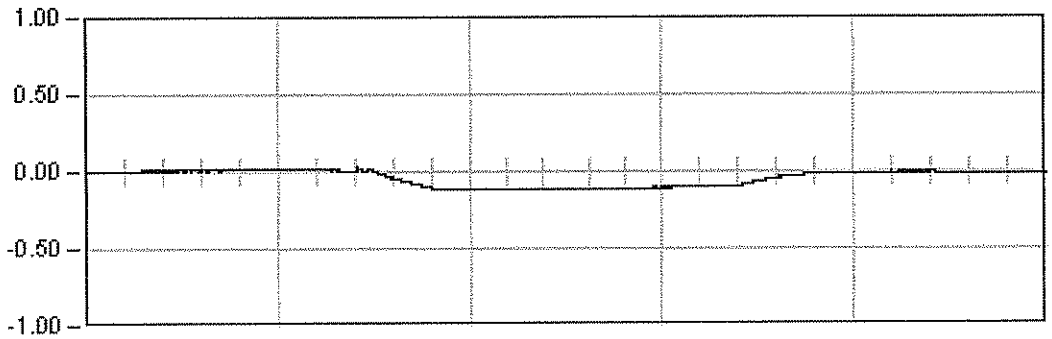


DINAMICA 21

95.0 Seg

Max: -0.12
Min: 0.04
Rem: 0.00

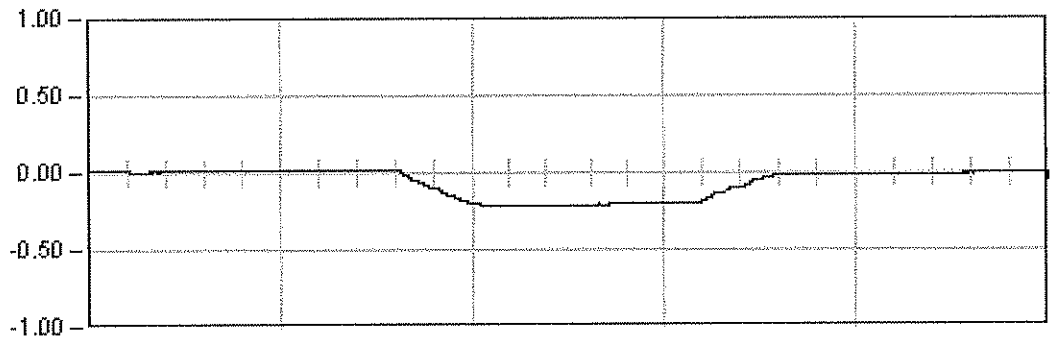


DINAMICA 22

43.0 Seg

Max: -0.22
Min: 0.03
Rem: -0.01

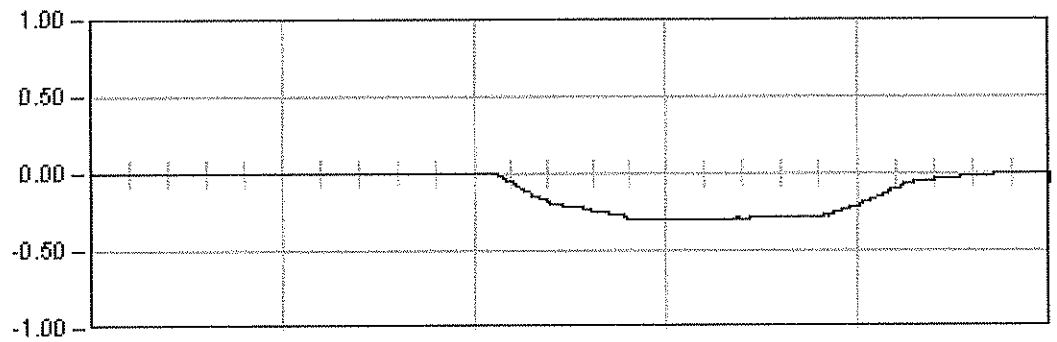


DINAMICA 23

18.0 Seg

Max: -0.30
Min: 0.05
Rem: -0.00

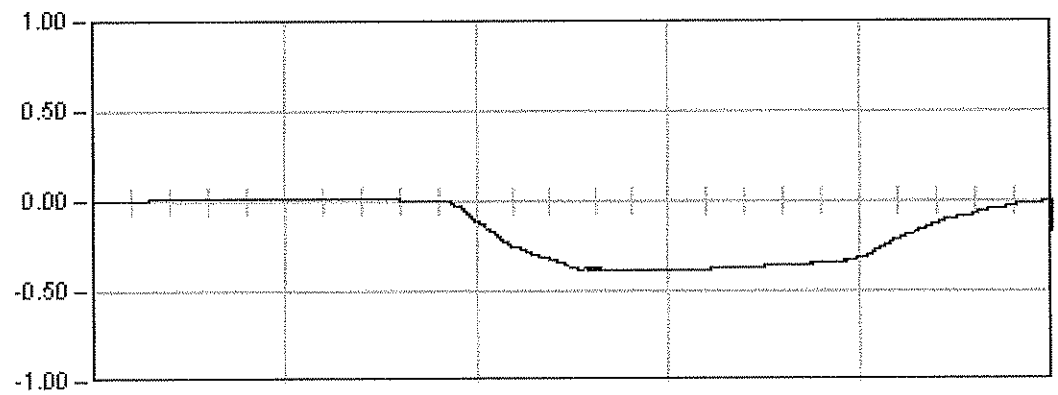


DINAMICA 24

25.0 Seg

Max: -0.39
Min: 0.03
Rem: -0.01

L.A.V. MADRID-BARCELONA-F.FRANCESA

35VI02 - SUBTRAMO IIIa

Punto : P194 Canal : 03 Unidades : mm

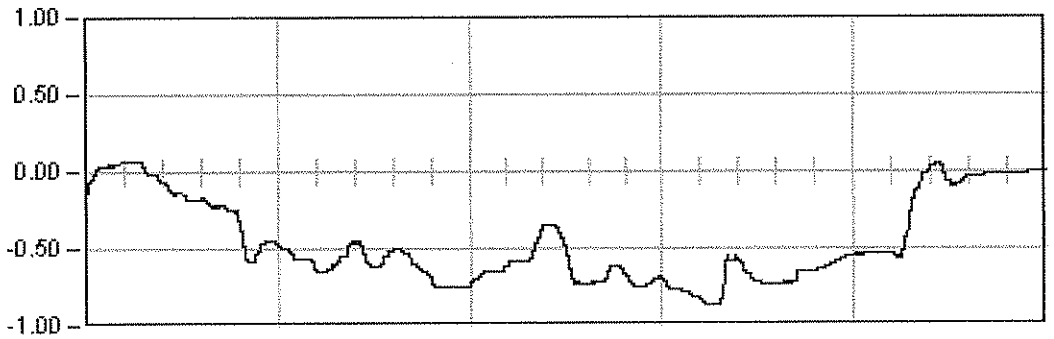


ESTATICA 13

1923.0 Seg

Est: -0.54
Max: -0.87
Min: 0.07
Rem: -0.01

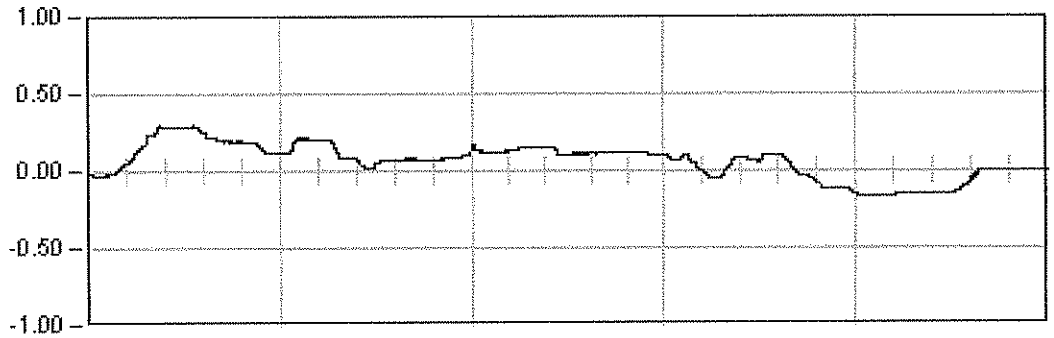


ESTATICA 14

1262.0 Seg

Est: -0.04
Max: 0.30
Min: -0.17
Rem: 0.00

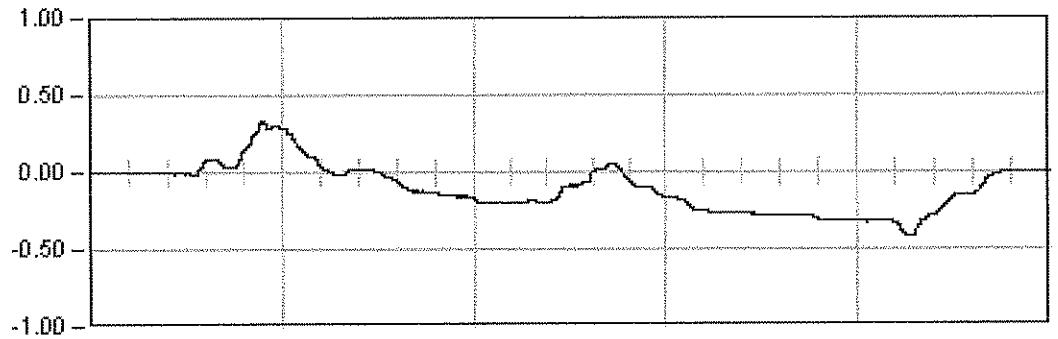


ESTATICA 21

958.0 Seg

Est: -0.32
Max: -0.42
Min: 0.34
Rem: -0.00

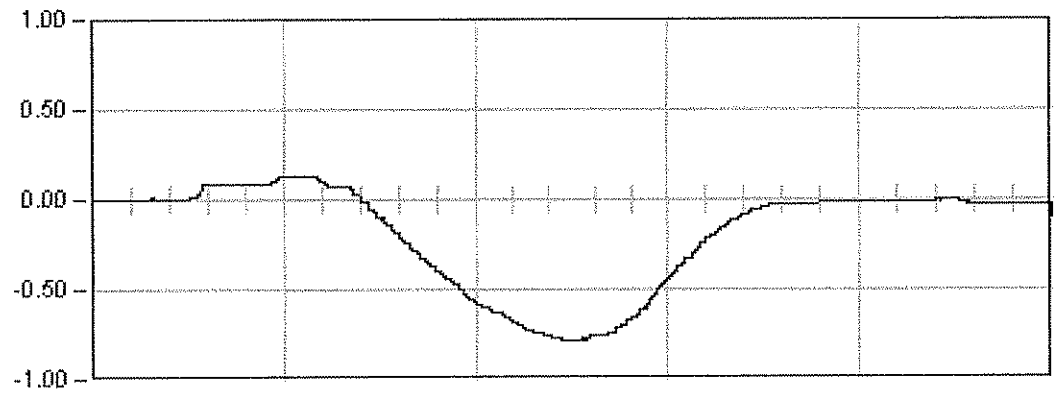


DINAMICA 01

103.0 Seg

Max: -0.78
Min: 0.13
Rem: -0.00

L.A.V. MADRID-BARCELONA-F.FRANCESA

35VI02 - SUBTRAMO IIIa

Punto : P194 Canal : 03 Unidades : mm

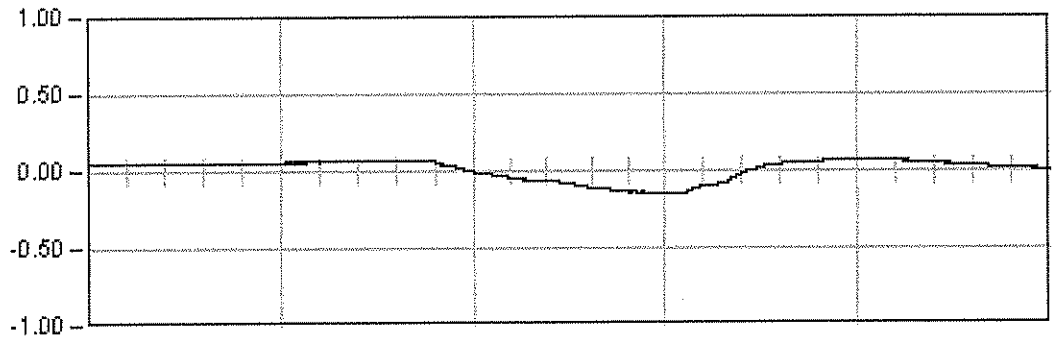


DINAMICA 21

95.0 Seg

Max: -0.15
Min: 0.06
Rem: 0.00

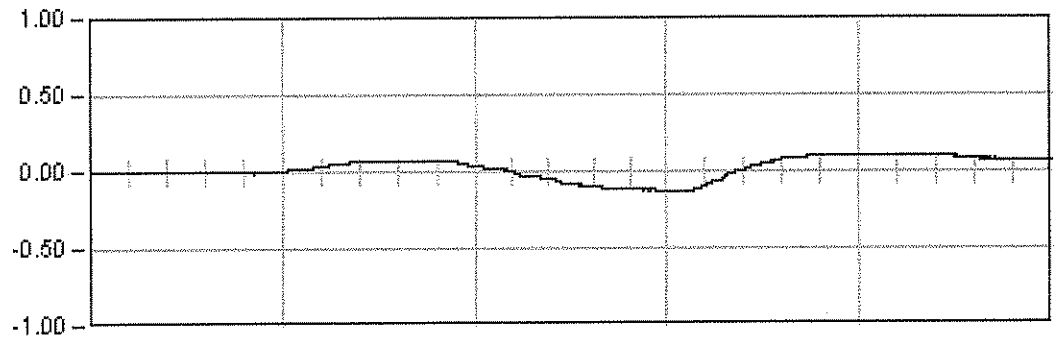


DINAMICA 22

43.0 Seg

Max: -0.13
Min: 0.10
Rem: 0.00

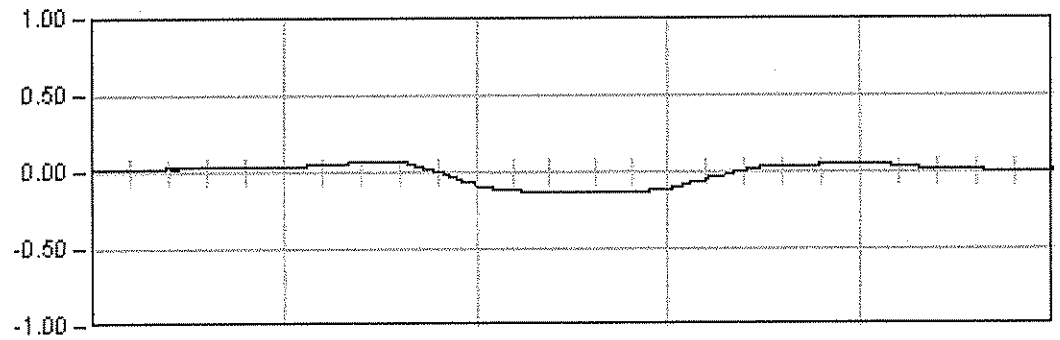


DINAMICA 23

18.0 Seg

Max: -0.14
Min: 0.07
Rem: -0.00

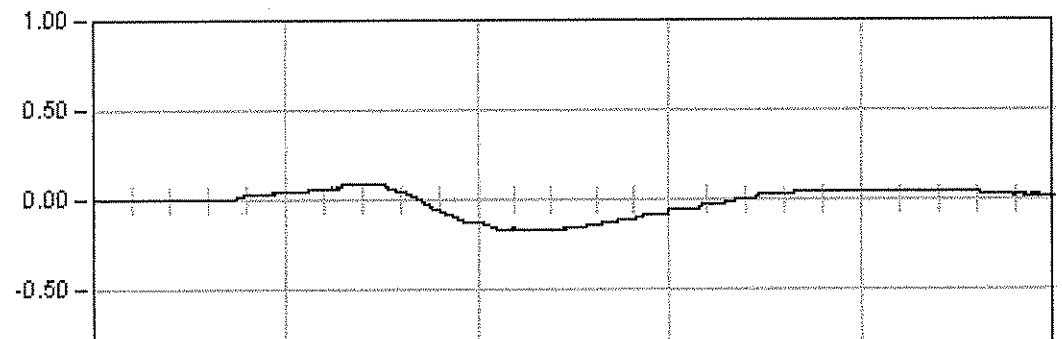


DINAMICA 24

25.0 Seg

Max: -0.17
Min: 0.08
Rem: 0.00

L.A.V. MADRID-BARCELONA-F.FRANCESA

35VI02 - SUBTRAMO IIIa

Punto : P201 Canal : 04 Unidades : mm

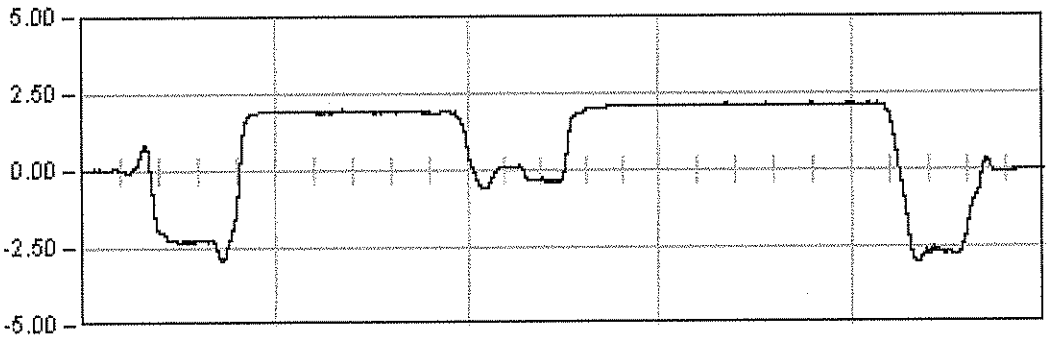


ESTATICA 13

1923.0 Seg

Est: 2.11
Max: -3.01
Min: 2.20
Rem: -0.00

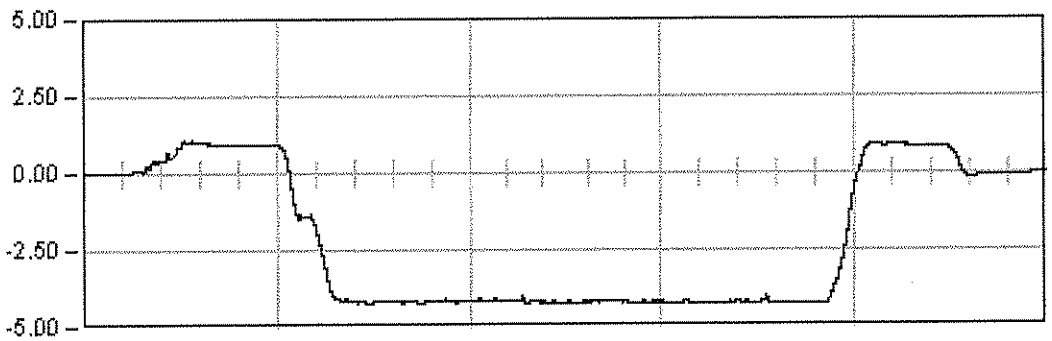


ESTATICA 14

1262.0 Seg

Est: -4.27
Max: -4.28
Min: 1.10
Rem: -0.04

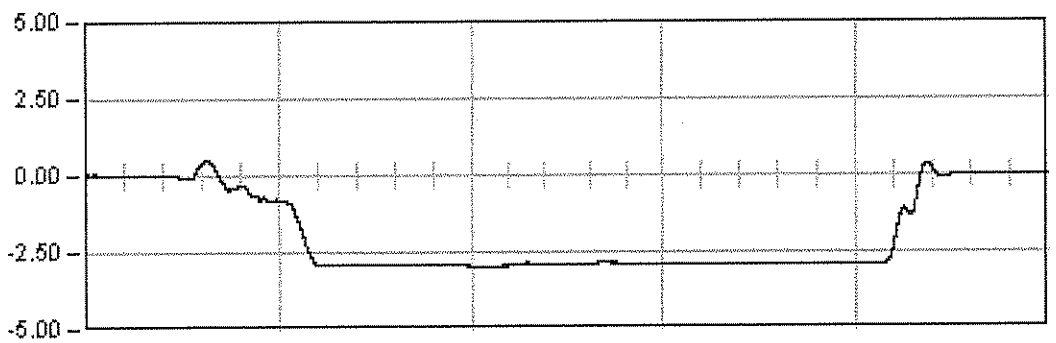


ESTATICA 21

958.0 Seg

Est: -2.92
Max: -2.97
Min: 0.51
Rem: -0.00

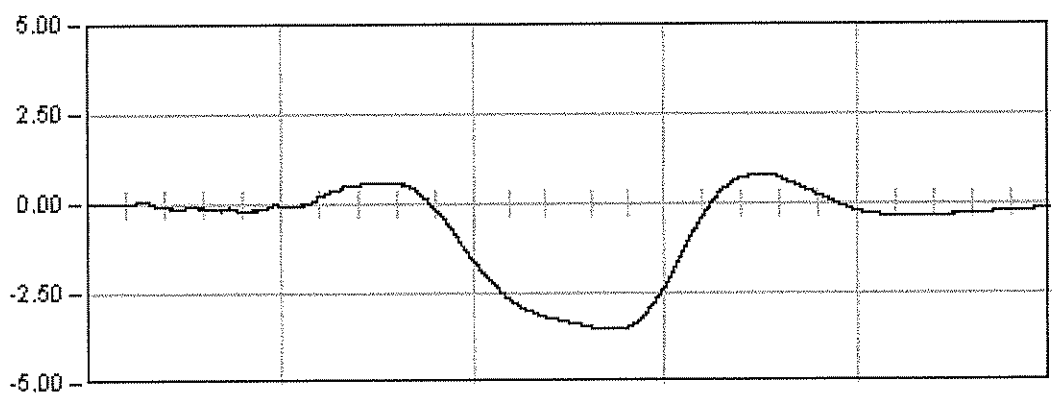


DINAMICA 01

120.0 Seg

Max: -3.52
Min: 0.80
Rem: -0.04

L.A.V. MADRID-BARCELONA-F.FRANCESA

35VI02 - SUBTRAMO IIIa

Punto : P201 Canal : 04 Unidades : mm

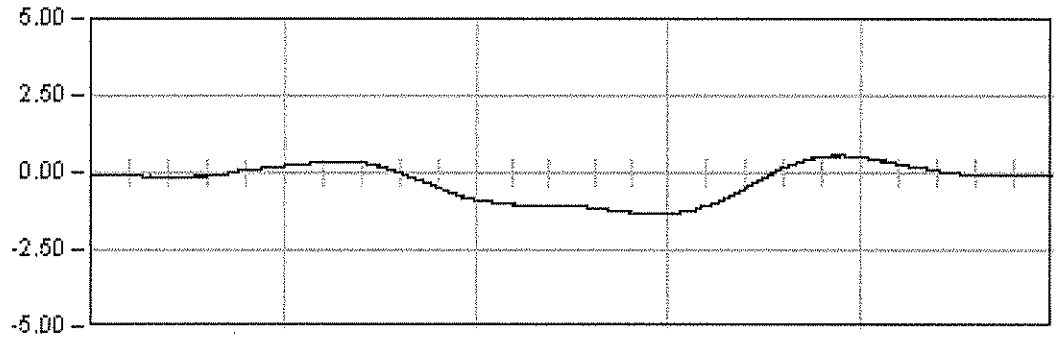


DINAMICA 21

85.0 Seg

Max: -1.32
Min: 0.56
Rem: -0.00

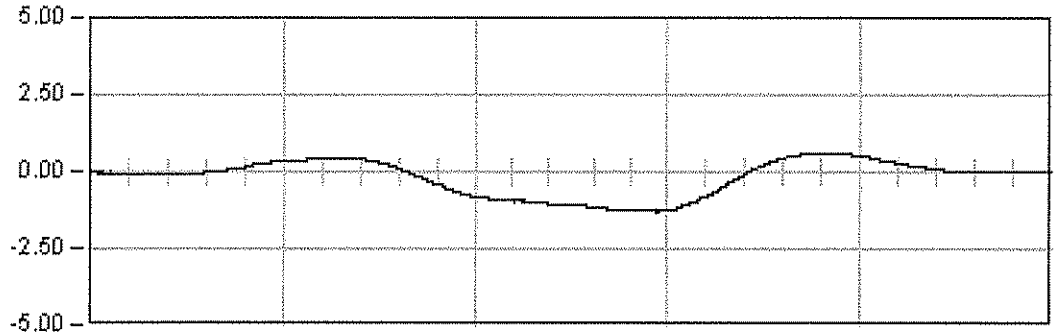


DINAMICA 22

37.0 Seg

Max: -1.29
Min: 0.58
Rem: -0.00

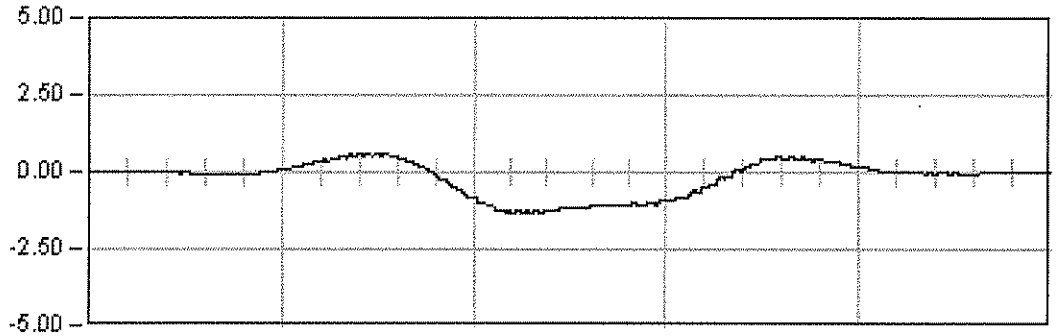


DINAMICA 23

19.0 Seg

Max: -1.36
Min: 0.61
Rem: 0.00

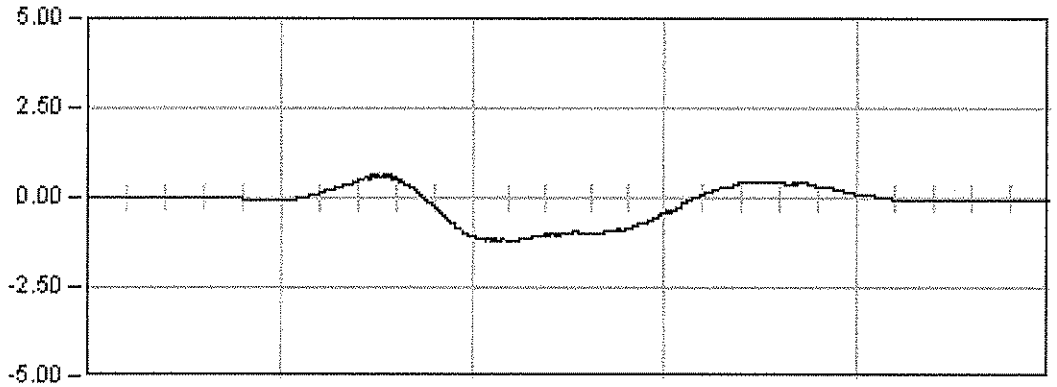


DINAMICA 24

27.0 Seg

Max: -1.22
Min: 0.66
Rem: 0.00

L.A.V. MADRID-BARCELONA-F.FRANCESA

35VI02 - SUBTRAMO IIIa

Punto : P202 Canal : 05 Unidades : mm

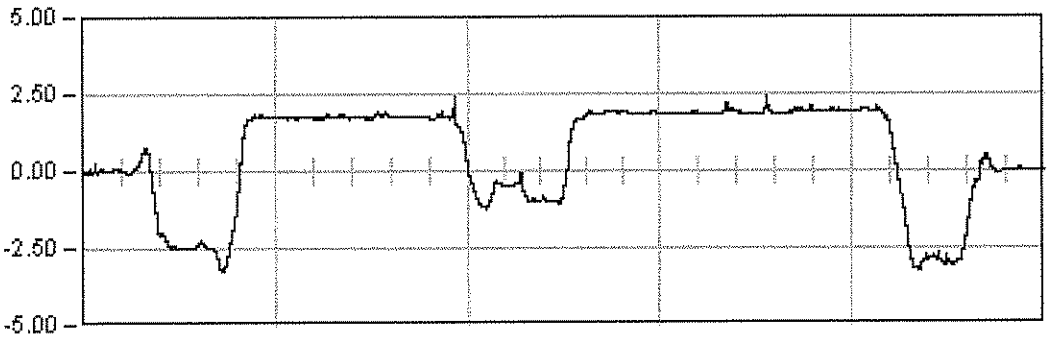


ESTATICA 13

1923.0 Seg

Est: 1.91
Max: -3.23
Min: 2.42
Rem: 0.01

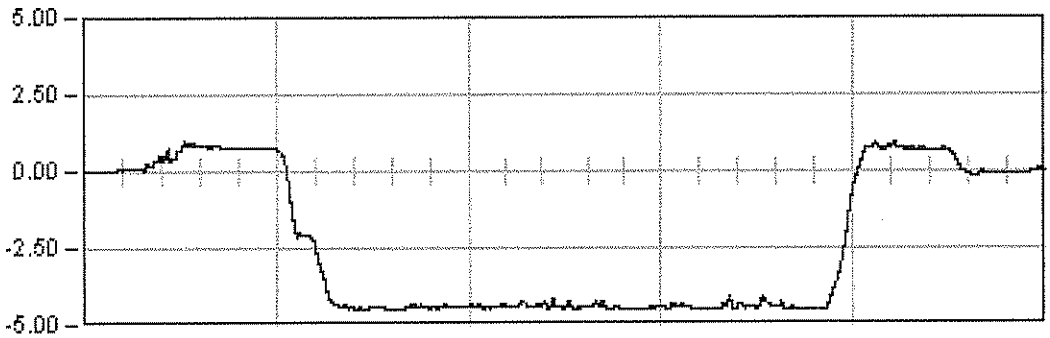


ESTATICA 14

1262.0 Seg

Est: -4.52
Max: -4.53
Min: 0.96
Rem: -0.04

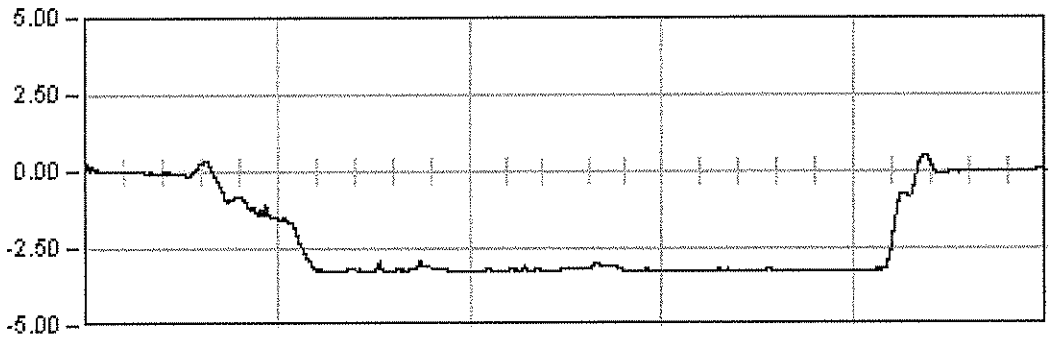


ESTATICA 21

958.0 Seg

Est: -3.24
Max: -3.27
Min: 0.51
Rem: -0.00

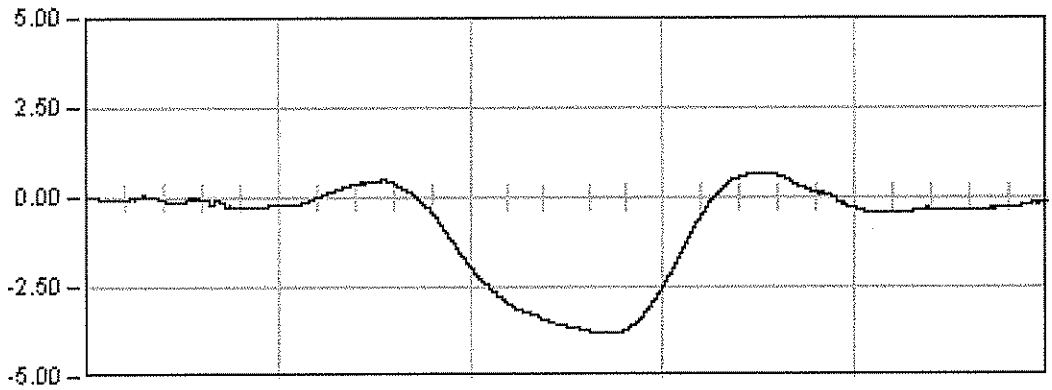


DINAMICA 01

120.0 Seg

Max: -3.81
Min: 0.66
Rem: -0.03

L.A.V. MADRID-BARCELONA-F.FRANCESA

35VI02 - SUBTRAMO IIIa

Punto : P202 Canal : 05 Unidades : mm

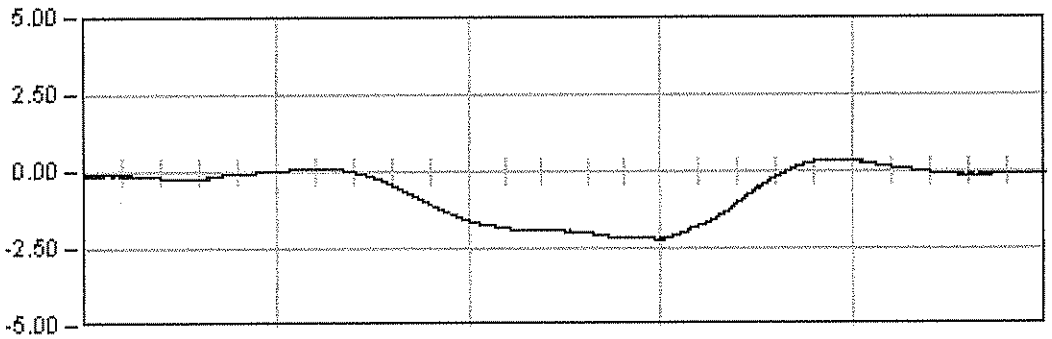


DINAMICA 21

85.0 Seg

Max: -2.22
Min: 0.37
Rem: -0.00

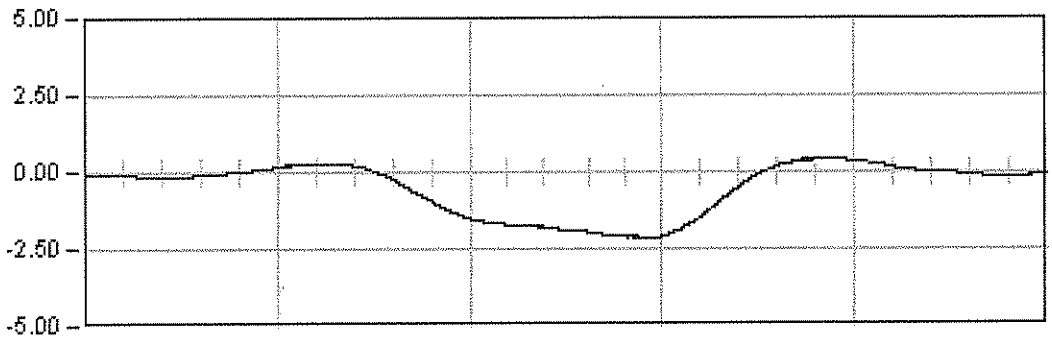


DINAMICA 22

37.0 Seg

Max: -2.14
Min: 0.40
Rem: 0.00

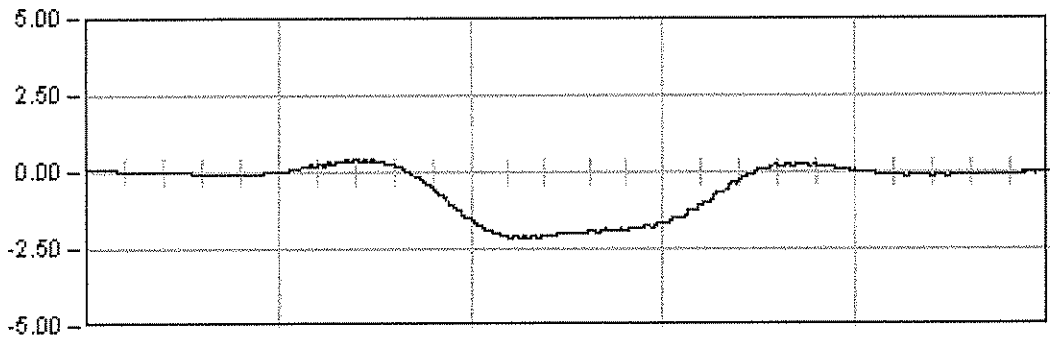


DINAMICA 23

19.0 Seg

Max: -2.20
Min: 0.42
Rem: -0.04

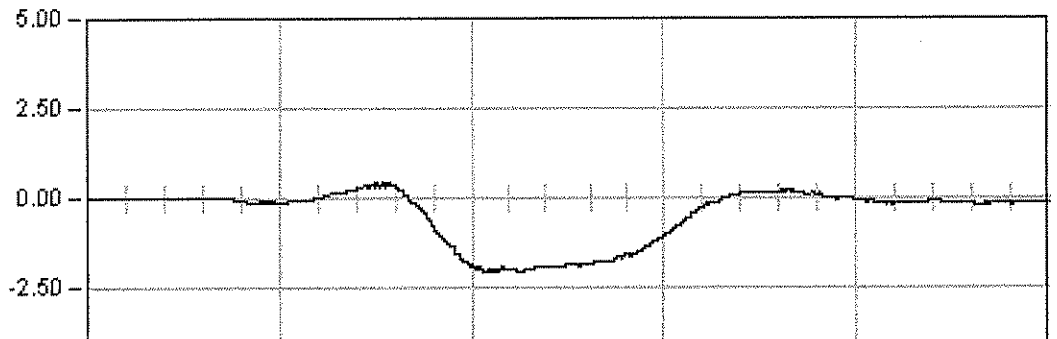


DINAMICA 24

27.0 Seg

Max: -2.07
Min: 0.41
Rem: -0.09

L.A.V. MADRID-BARCELONA-F.FRANCESA

35VI02 - SUBTRAMO IIIa

Punto : P203 Canal : 06 Unidades : mm

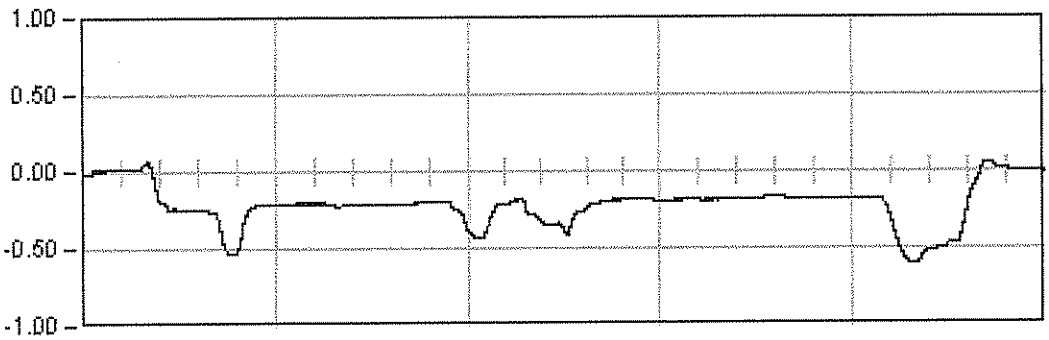


ESTATICA 13

1923.0 Seg

Est: -0.19
Max: -0.60
Min: 0.07
Rem: 0.00

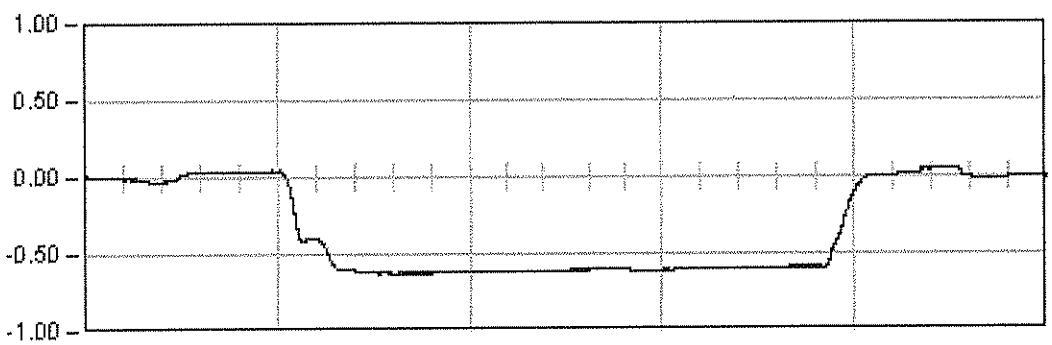


ESTATICA 14

1262.0 Seg

Est: -0.59
Max: -0.63
Min: 0.05
Rem: -0.01

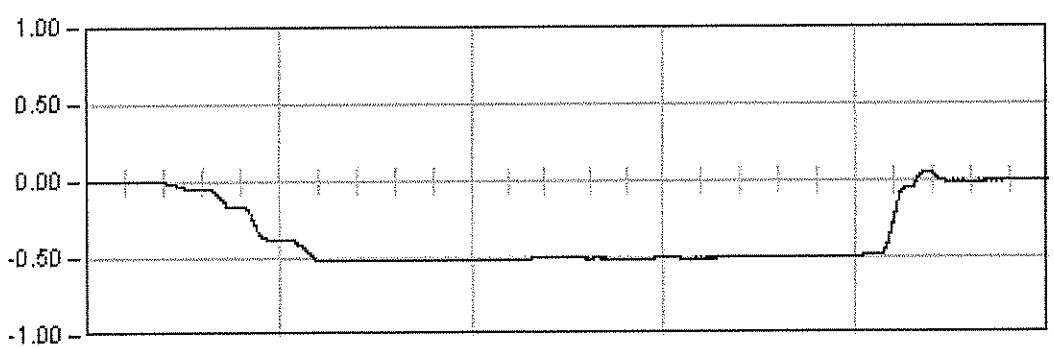


ESTATICA 21

958.0 Seg

Est: -0.49
Max: -0.52
Min: 0.05
Rem: -0.00

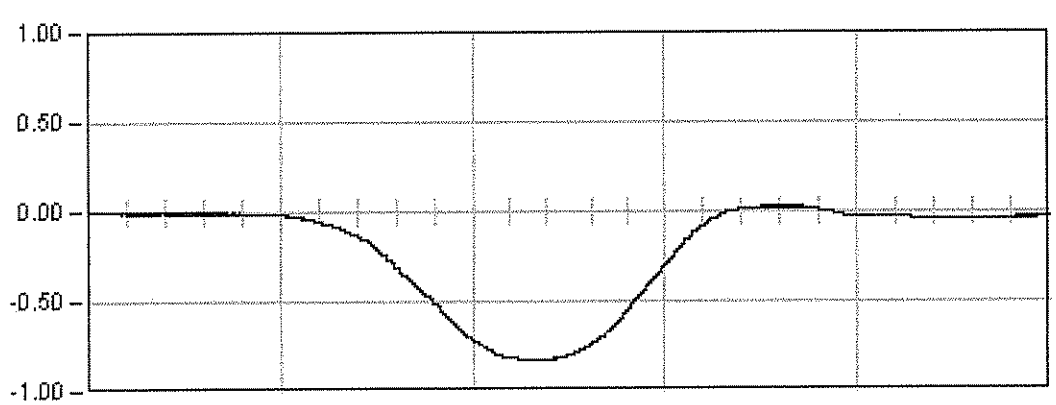


DINAMICA 01

120.0 Seg

Max: -0.83
Min: 0.02
Rem: -0.04

L.A.V. MADRID-BARCELONA-F.FRANCESA

35VI02 - SUBTRAMO IIIa

Punto : P203 Canal : 06 Unidades : mm

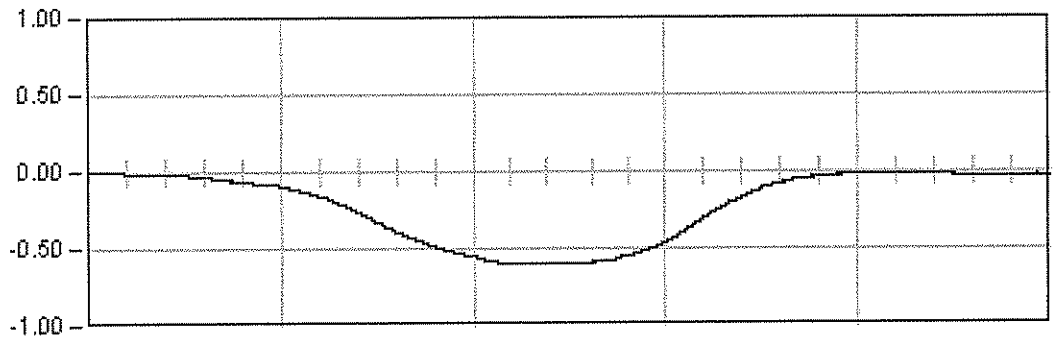


DINAMICA 21

85.0 Seg

Max: -0.61
Min: 0.02
Rem: -0.03

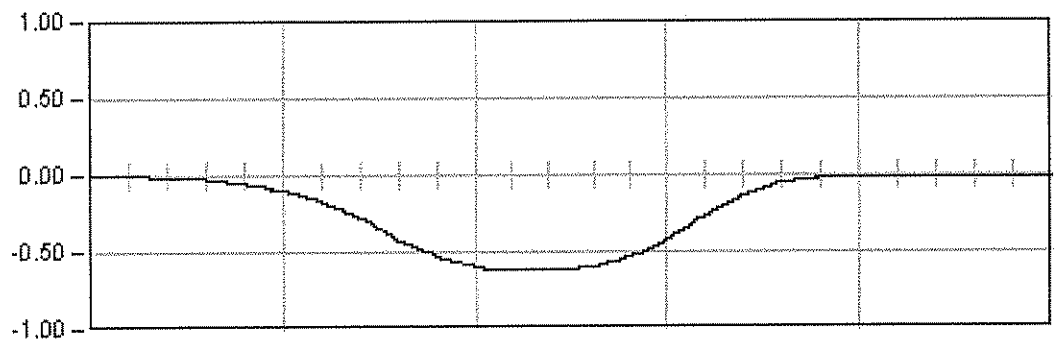


DINAMICA 22

37.0 Seg

Max: -0.62
Min: 0.02
Rem: 0.00

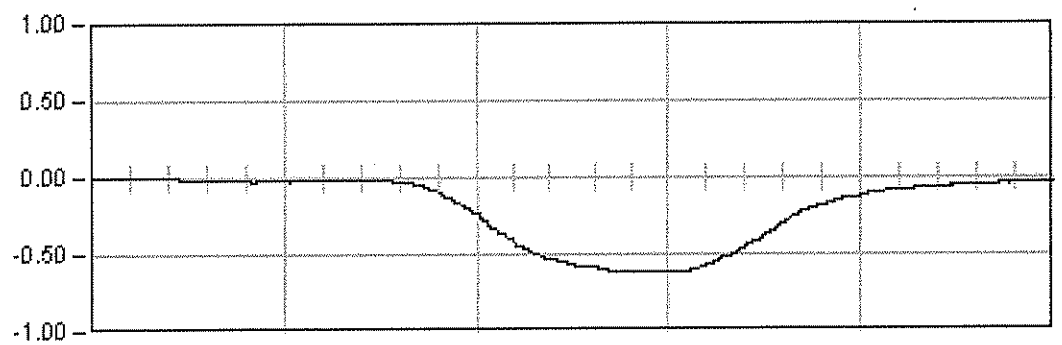


DINAMICA 23

19.0 Seg

Max: -0.62
Min: 0.01
Rem: -0.00

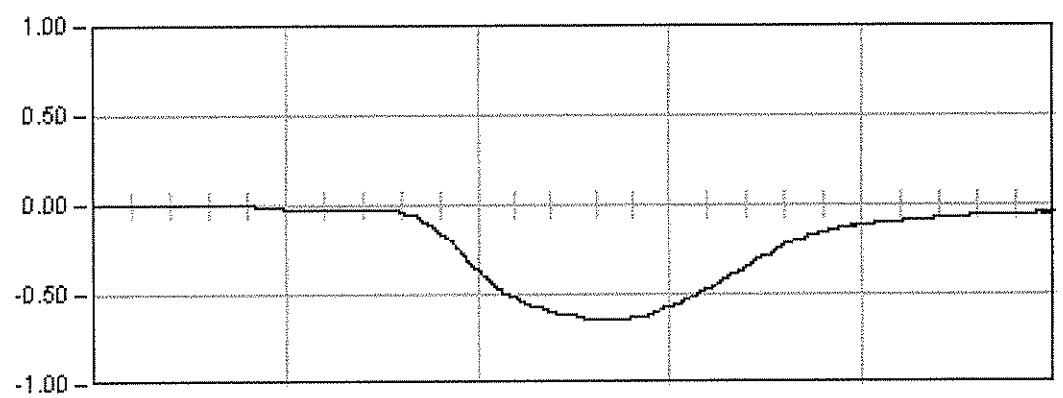


DINAMICA 24

27.0 Seg

Max: -0.65
Min: 0.00
Rem: -0.00

L.A.V. MADRID-BARCELONA-F.FRANCESA

35VI02 - SUBTRAMO IIIa

Punto : P204 Canal : 07 Unidades : mm

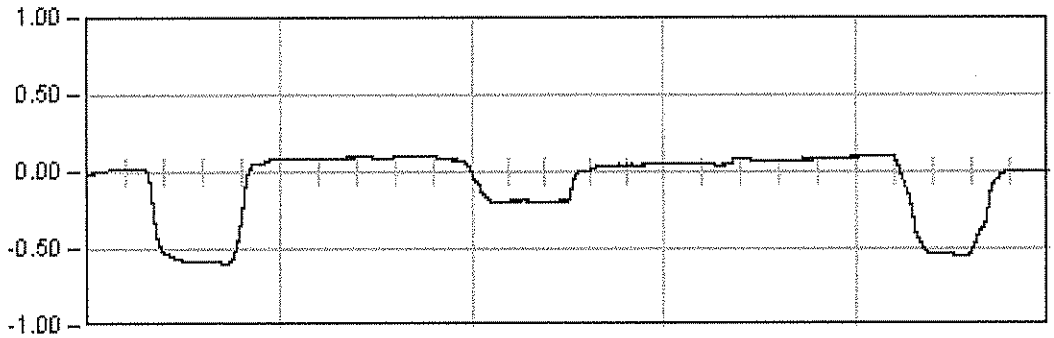


ESTATICA 13

1923.0 Seg

Est: 0.10
Max: -0.60
Min: 0.10
Rem: 0.00

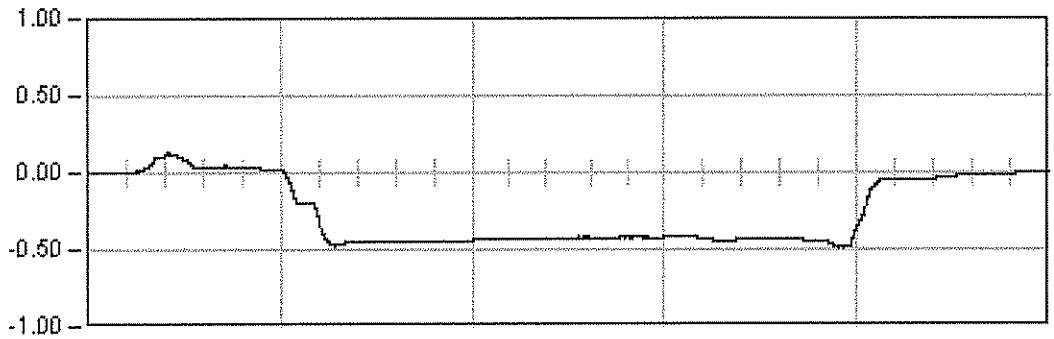


ESTATICA 14

1262.0 Seg

Est: -0.44
Max: -0.49
Min: 0.13
Rem: -0.01

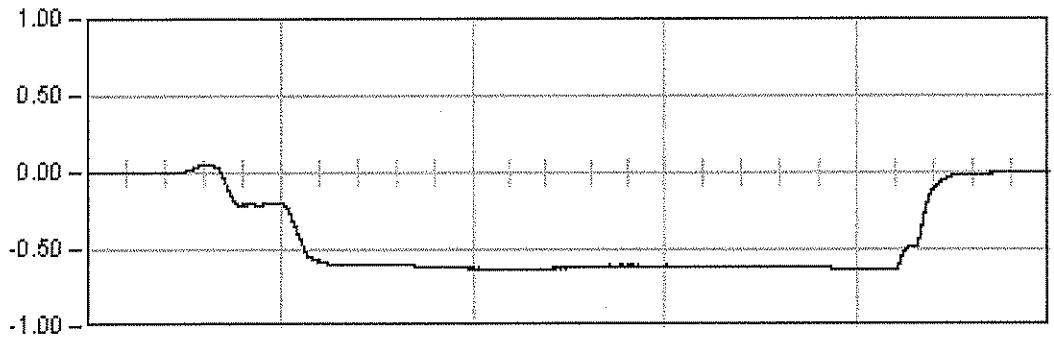


ESTATICA 21

958.0 Seg

Est: -0.63
Max: -0.64
Min: 0.06
Rem: -0.00

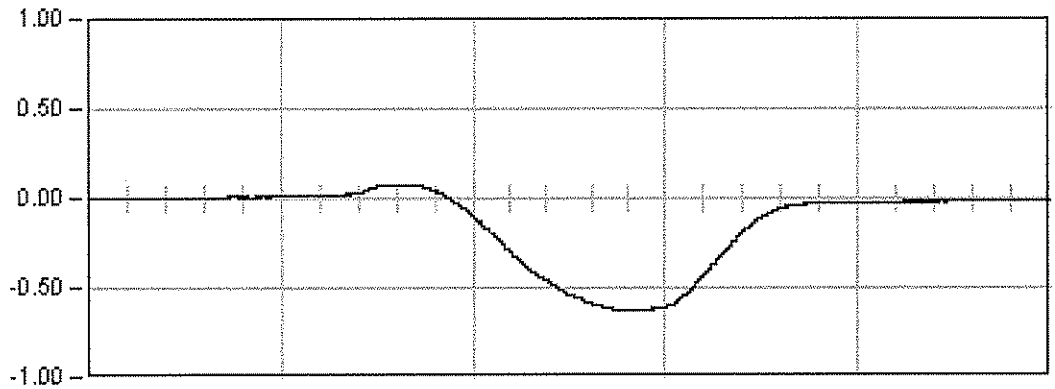


DINAMICA 01

120.0 Seg

Max: -0.63
Min: 0.07
Rem: -0.00

L.A.V. MADRID-BARCELONA-F.FRANCESA

35VI02 - SUBTRAMO IIIa

Punto : P204 Canal : 07 Unidades : mm

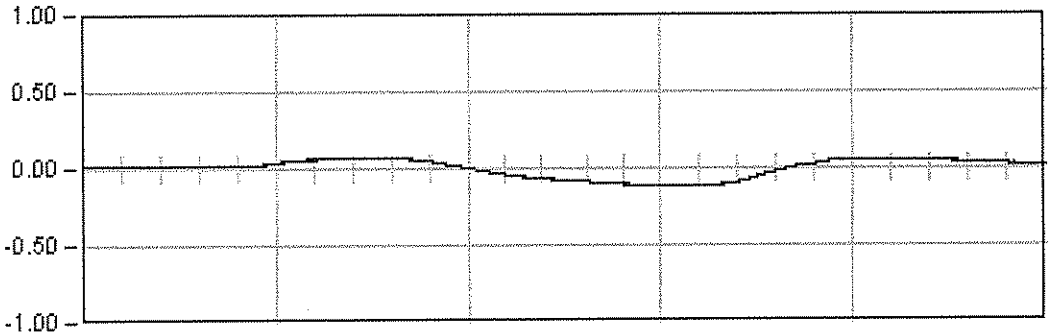


DINAMICA 21

85.0 Seg

Max: -0.12
Min: 0.07
Rem: 0.00

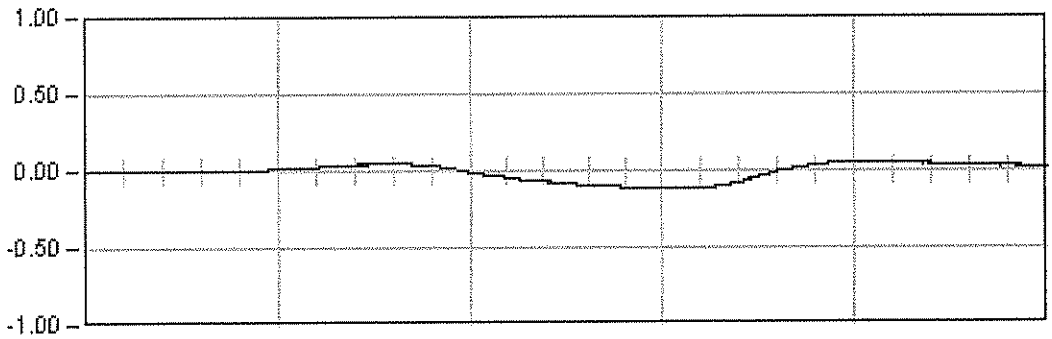


DINAMICA 22

37.0 Seg

Max: -0.12
Min: 0.04
Rem: -0.00

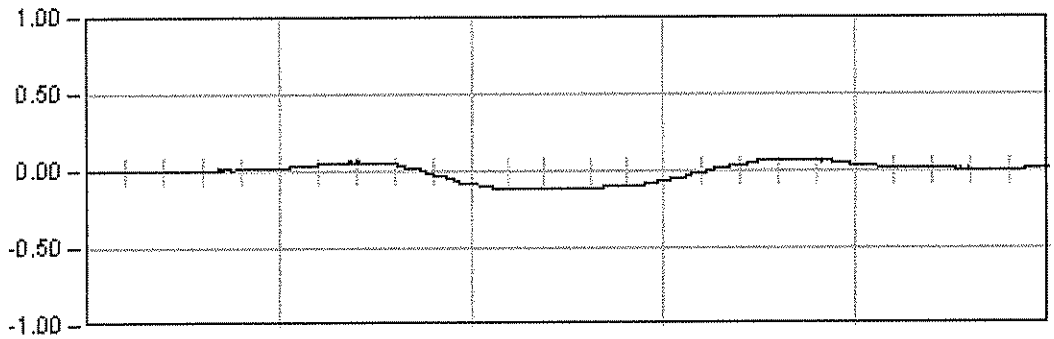


DINAMICA 23

19.0 Seg

Max: -0.12
Min: 0.07
Rem: -0.01

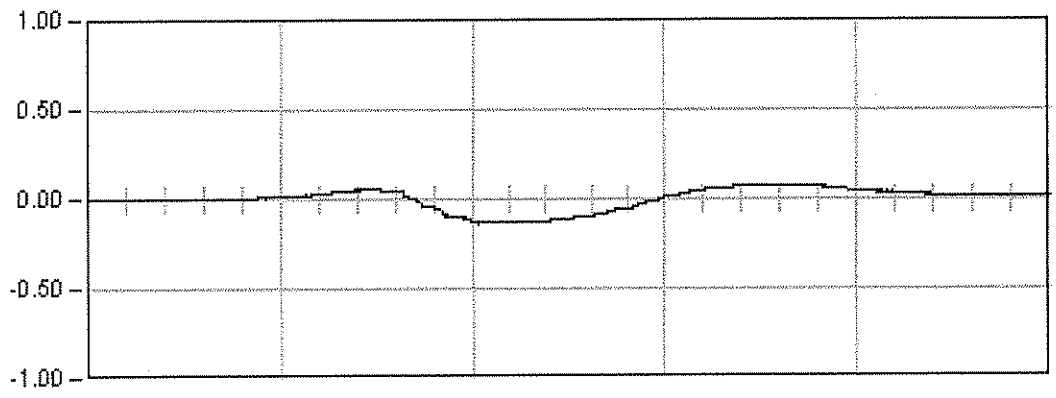


DINAMICA 24

27.0 Seg

Max: -0.14
Min: 0.07
Rem: -0.00

L.A.V. MADRID-BARCELONA-F.FRANCESA

35VI02 - SUBTRAMO IIIa

Punto : P211 Canal : 08 Unidades : mm

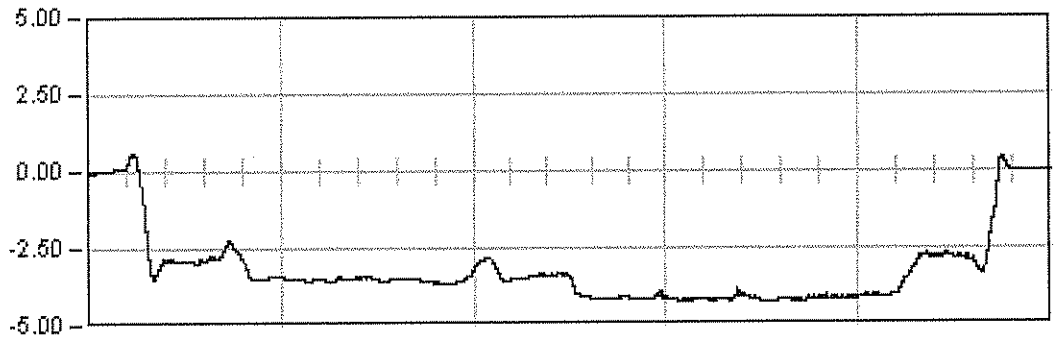


ESTATICA 13

1923.0 Seg

Est: -4.09
Max: -4.25
Min: 0.62
Rem: -0.01

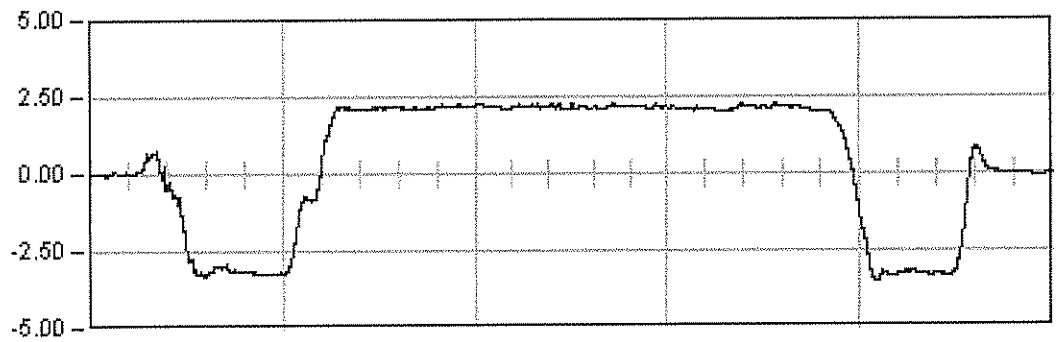


ESTATICA 14

1262.0 Seg

Est: 2.05
Max: -3.49
Min: 2.28
Rem: -0.02

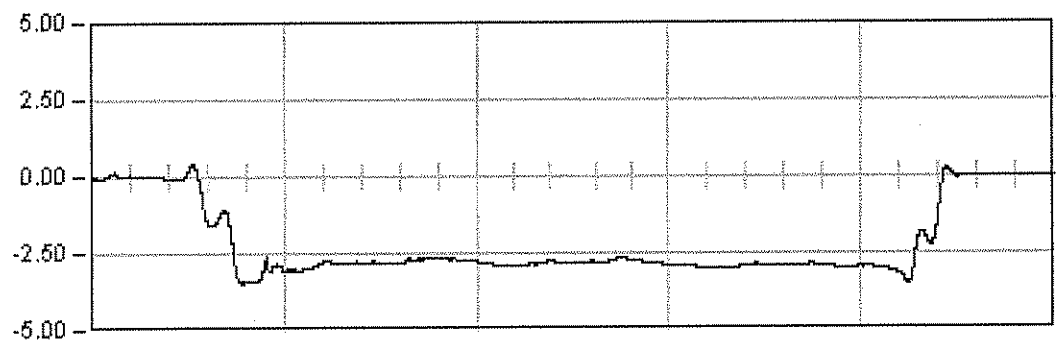


ESTATICA 21

958.0 Seg

Est: -2.96
Max: -3.52
Min: 0.38
Rem: 0.01

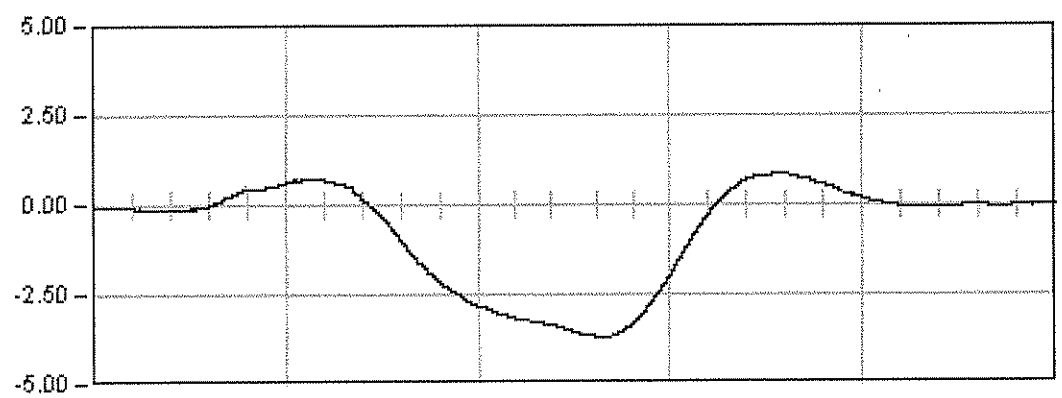


DINAMICA 01

99.0 Seg

Max: -3.71
Min: 0.85
Rem: 0.00

L.A.V. MADRID-BARCELONA-F.FRANCESA

35VI02 - SUBTRAMO IIIa

Punto : P211 Canal : 08 Unidades : mm

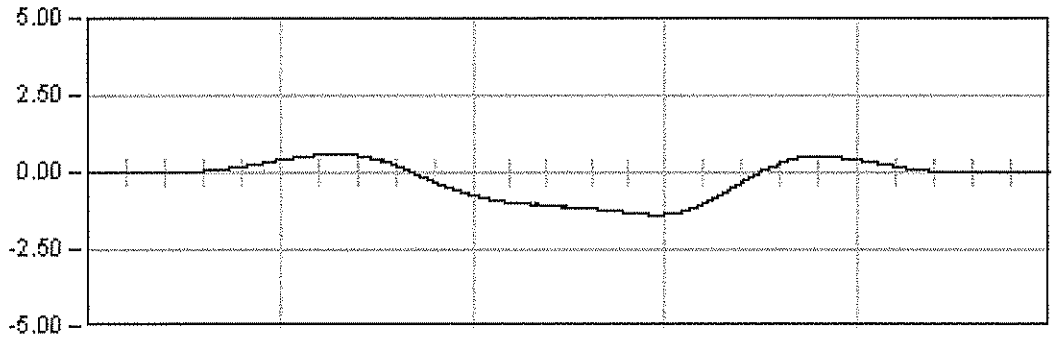


DINAMICA 21

85.0 Seg

Max: -1.39
Min: 0.58
Rem: -0.00

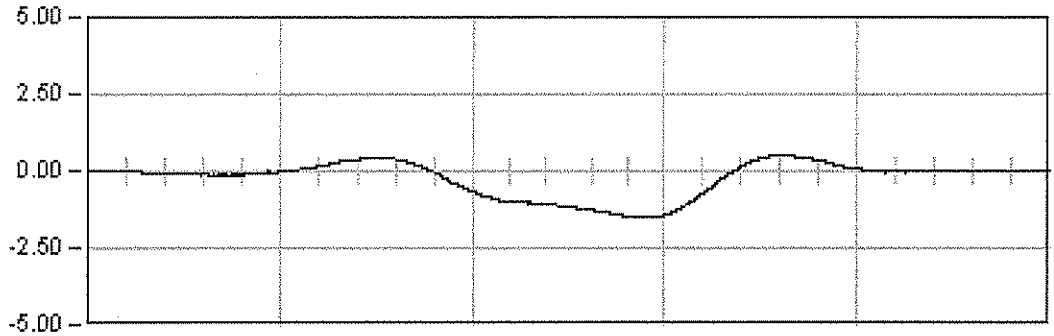


DINAMICA 22

43.0 Seg

Max: -1.54
Min: 0.51
Rem: -0.00

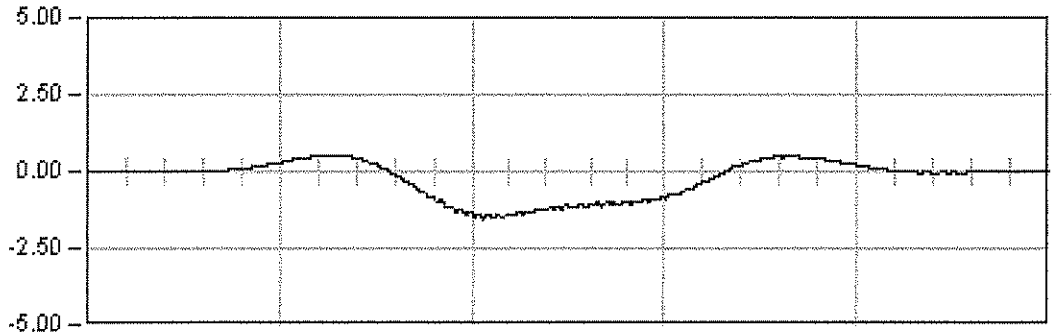


DINAMICA 23

18.0 Seg

Max: -1.55
Min: 0.52
Rem: -0.01

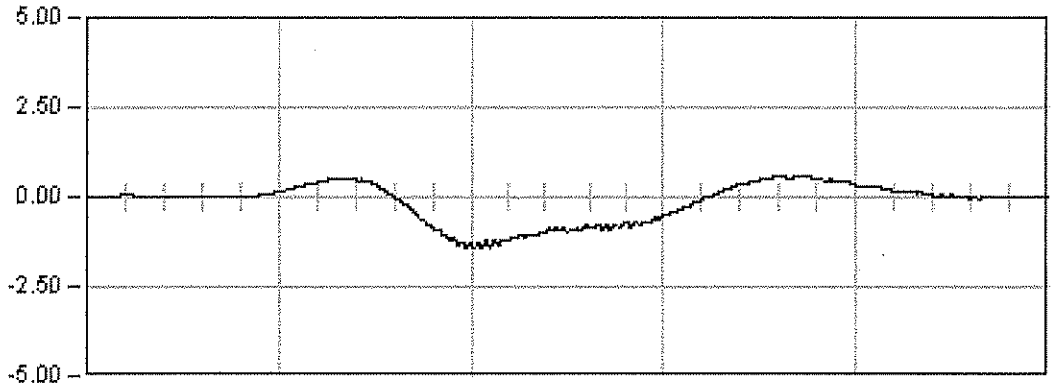


DINAMICA 24

20.0 Seg

Max: -1.46
Min: 0.60
Rem: 0.01

L.A.V. MADRID-BARCELONA-F.FRANCESA

35VI02 - SUBTRAMO IIIa

Punto : P212 Canal : 09 Unidades : mm

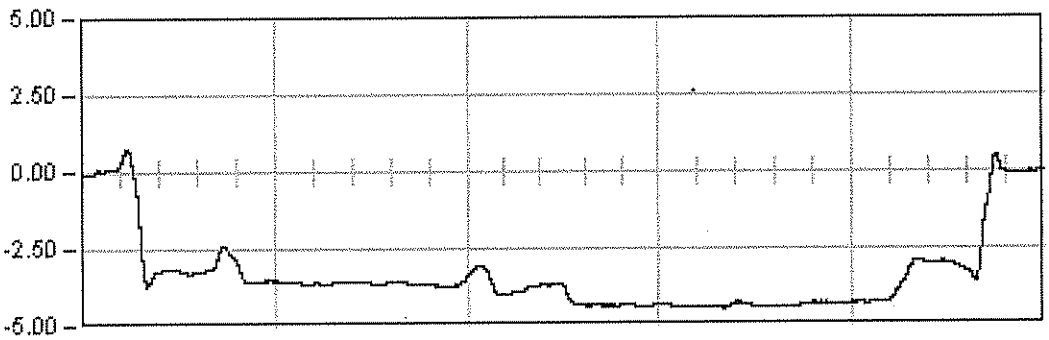


ESTATICA 13

1923.0 Seg

Est: -4.28
Max: -4.47
Min: 0.73
Rem: -0.05

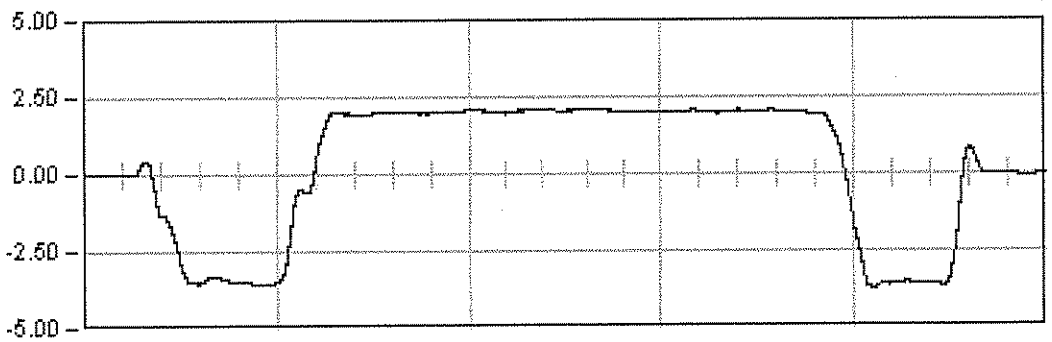


ESTATICA 14

1262.0 Seg

Est: 1.98
Max: -3.76
Min: 2.09
Rem: -0.04

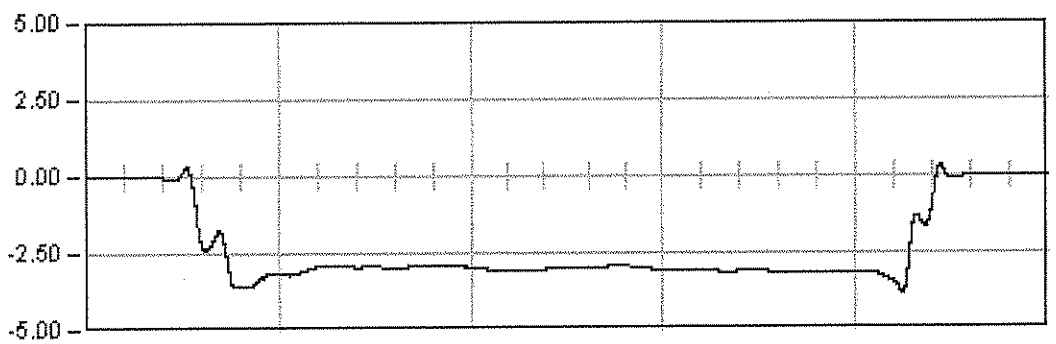


ESTATICA 21

958.0 Seg

Est: -3.18
Max: -3.81
Min: 0.32
Rem: 0.01

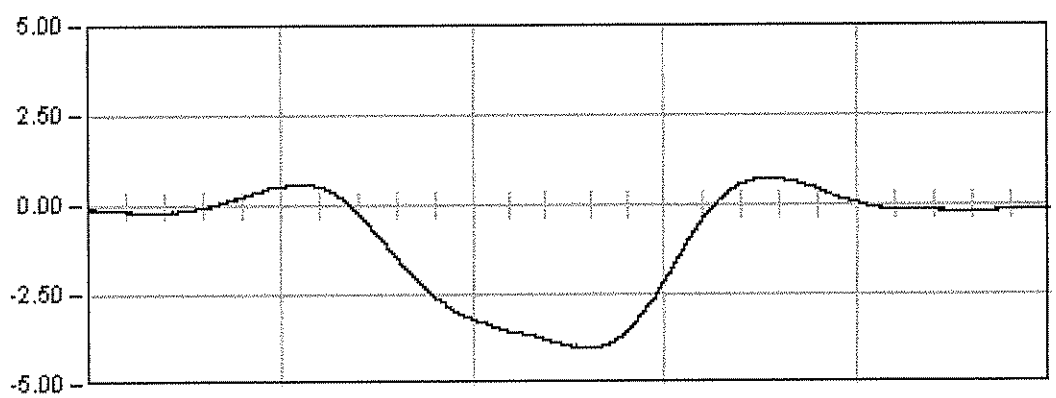


DINAMICA 01

99.0 Seg

Max: -4.03
Min: 0.73
Rem: -0.15

L.A.V. MADRID-BARCELONA-F.FRANCESA

35VI02 - SUBTRAMO IIIa

Punto : P212 Canal : 09 Unidades : mm

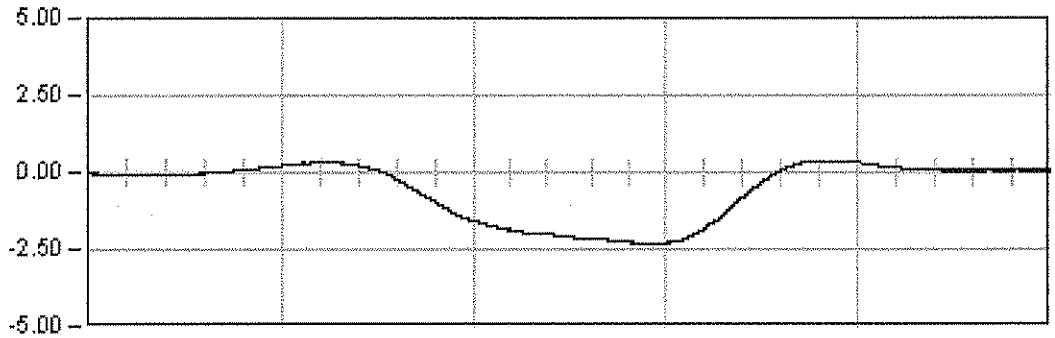


DINAMICA 21

85.0 Seg

Max: -2.34
Min: 0.37
Rem: 0.04

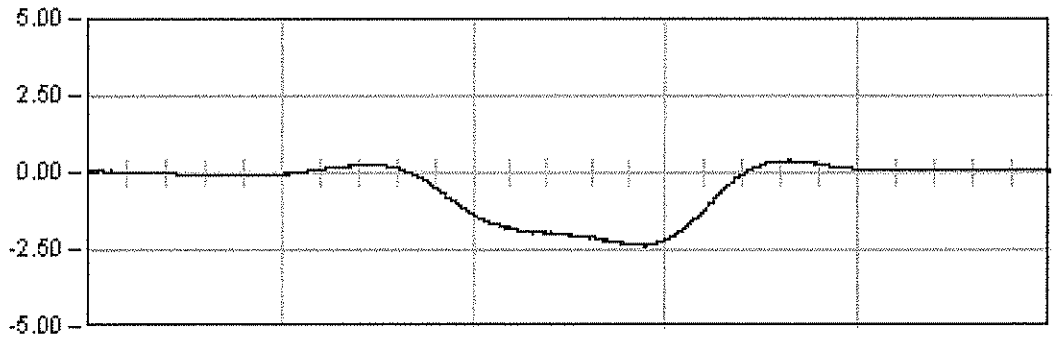


DINAMICA 22

43.0 Seg

Max: -2.38
Min: 0.39
Rem: 0.05

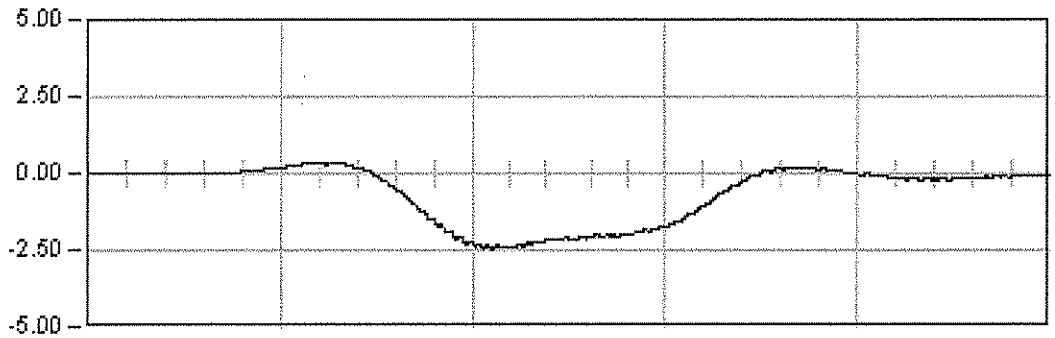


DINAMICA 23

18.0 Seg

Max: -2.49
Min: 0.35
Rem: -0.12

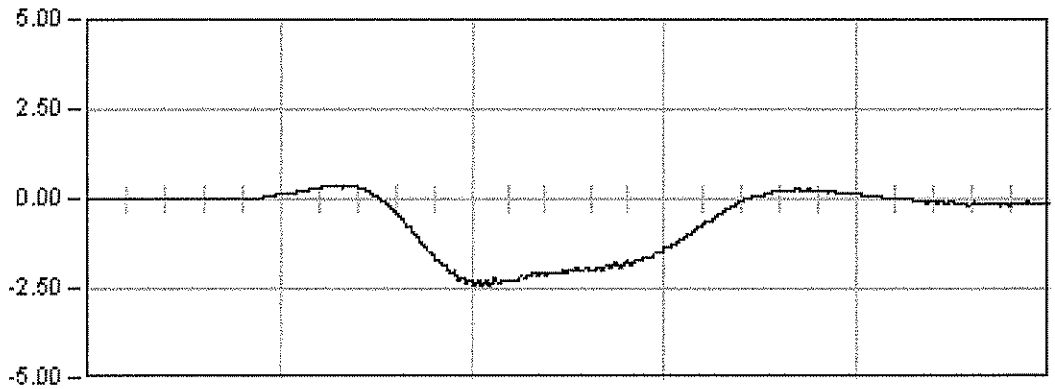


DINAMICA 24

20.0 Seg

Max: -2.44
Min: 0.37
Rem: 0.04

L.A.V. MADRID-BARCELONA-F.FRANCESA

35VI02 - SUBTRAMO IIIa

Punto : P213 Canal : 10 Unidades : mm

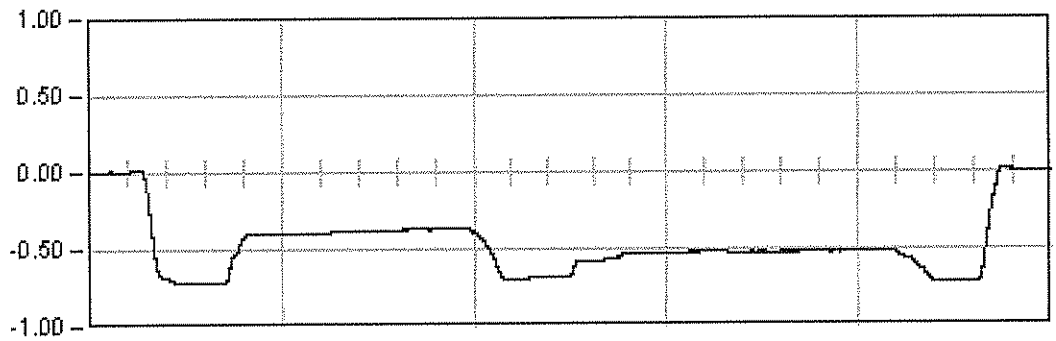


ESTATICA 13

1923.0 Seg

Est: -0.52
Max: -0.72
Min: 0.02
Rem: -0.00

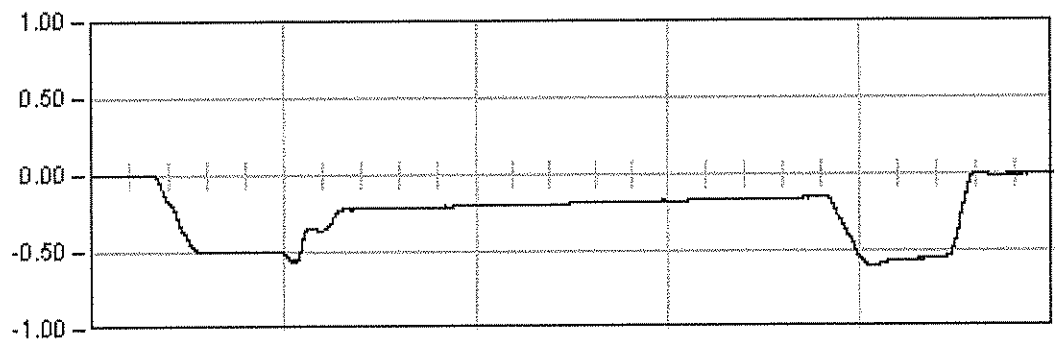


ESTATICA 14

1262.0 Seg

Est: -0.16
Max: -0.60
Min: 0.01
Rem: -0.01

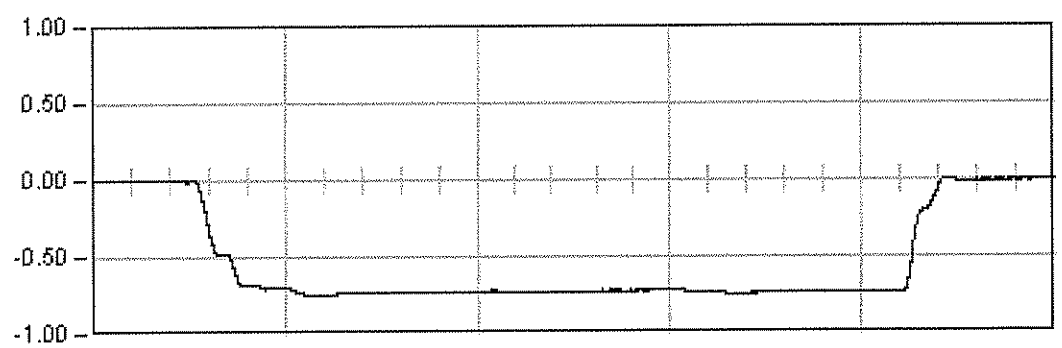


ESTATICA 21

958.0 Seg

Est: -0.73
Max: -0.75
Min: 0.00
Rem: -0.01

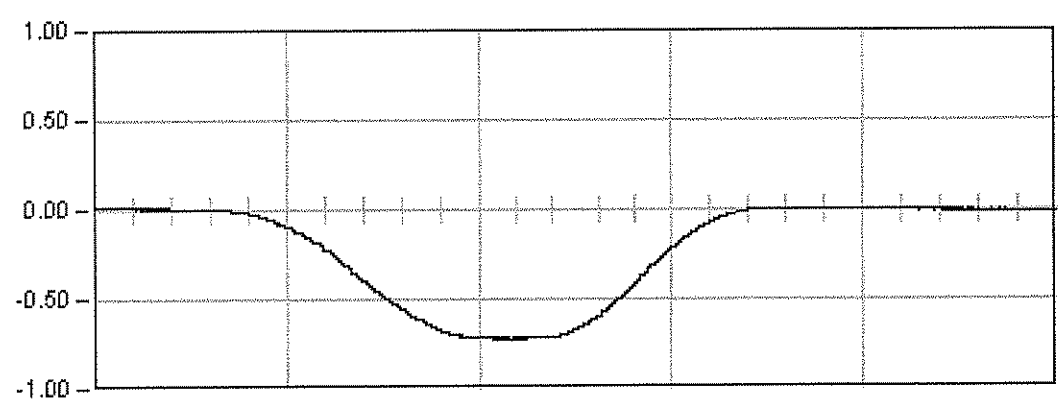


DINAMICA 01

99.0 Seg

Max: -0.72
Min: 0.01
Rem: -0.01

L.A.V. MADRID-BARCELONA-F.FRANCESA

35VI02 - SUBTRAMO IIIa

Punto : P213 Canal : 10 Unidades : mm

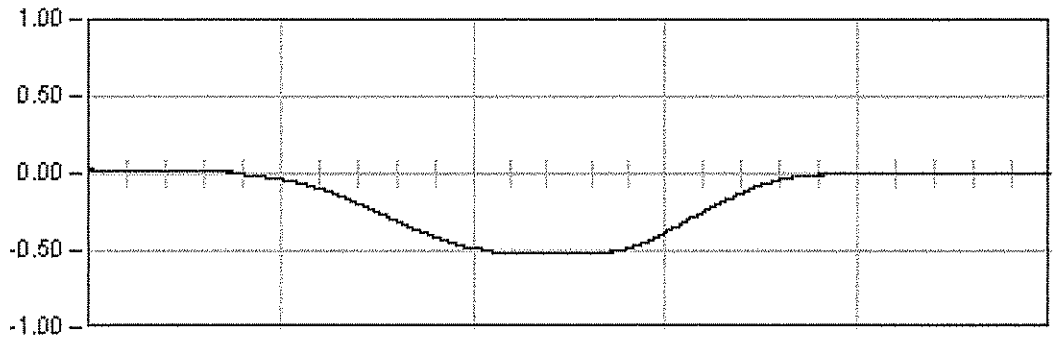


DINAMICA 21

85.0 Seg

Max: -0.52
Min: 0.03
Rem: 0.00

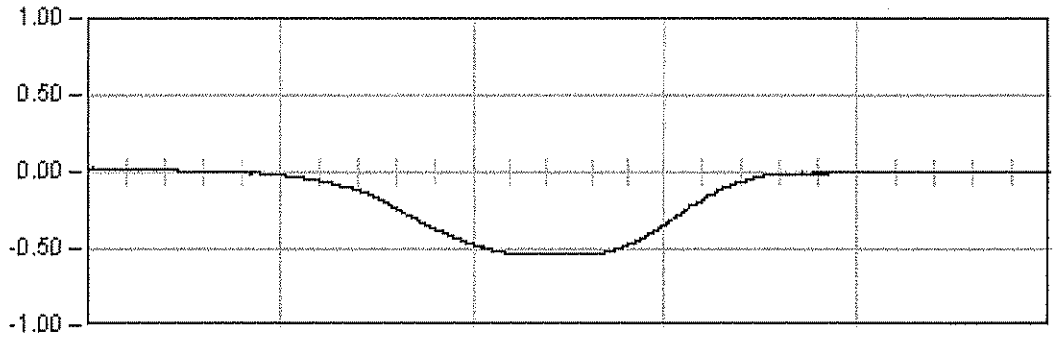


DINAMICA 22

43.0 Seg

Max: -0.54
Min: 0.03
Rem: -0.00

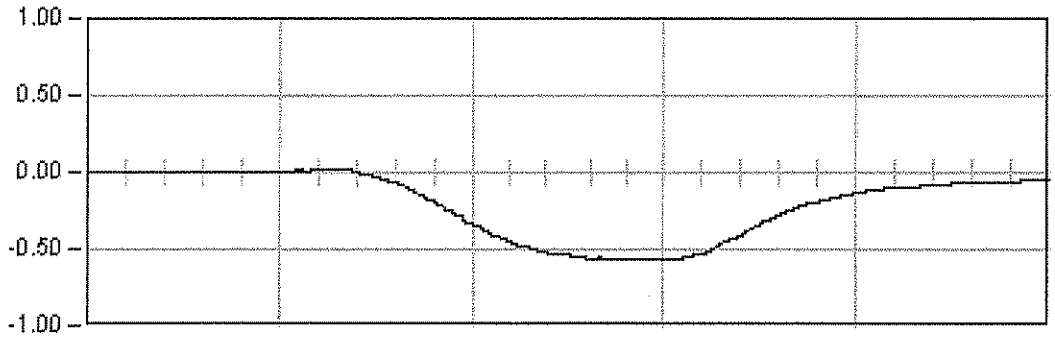


DINAMICA 23

18.0 Seg

Max: -0.57
Min: 0.01
Rem: -0.00

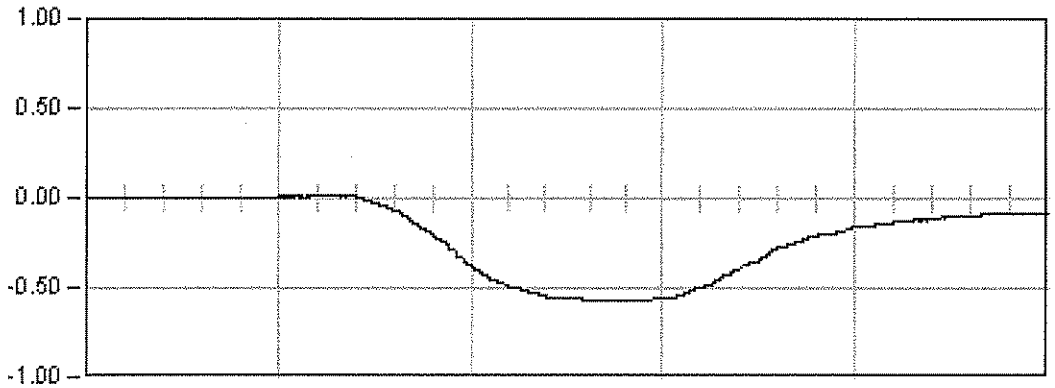


DINAMICA 24

20.0 Seg

Max: -0.57
Min: 0.01
Rem: -0.00

L.A.V. MADRID-BARCELONA-F.FRANCESA

35VI02 - SUBTRAMO IIIa

Punto : P214 Canal : 11 Unidades : mm

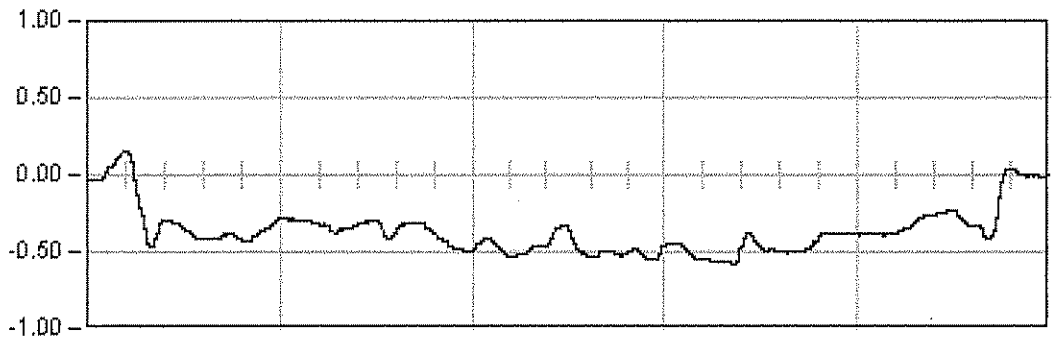


ESTATICA 13

1923.0 Seg

Est: -0.39
Max: -0.58
Min: 0.16
Rem: -0.01

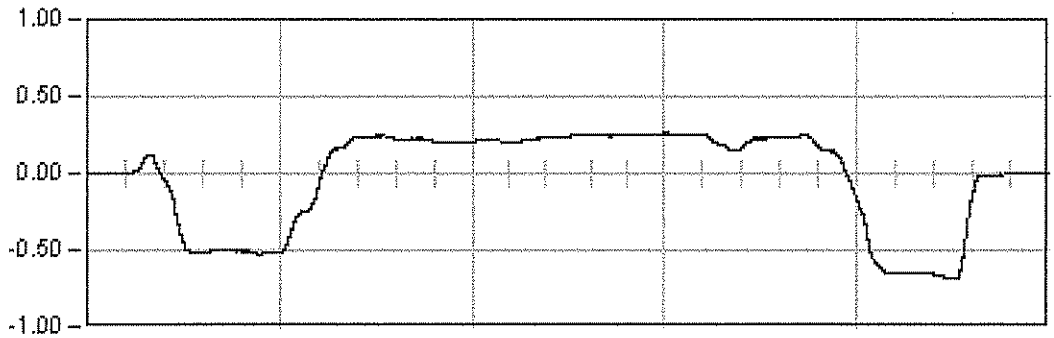


ESTATICA 14

1262.0 Seg

Est: 0.24
Max: -0.69
Min: 0.26
Rem: -0.01

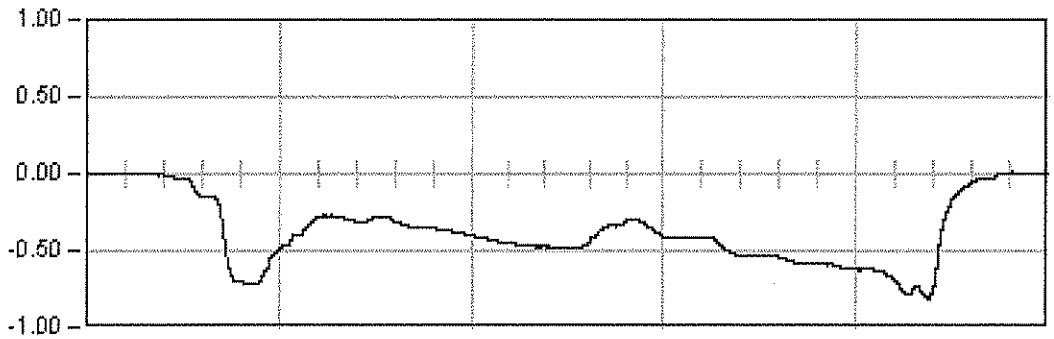


ESTATICA 21

958.0 Seg

Est: -0.63
Max: -0.81
Min: 0.01
Rem: -0.00

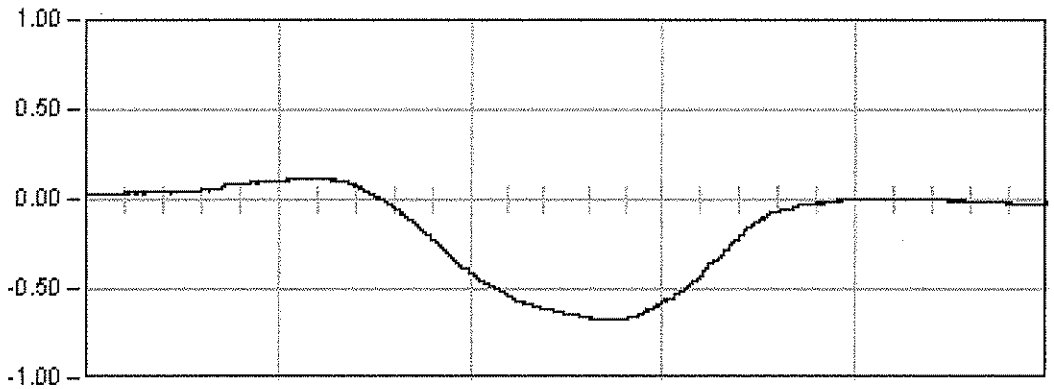


DINAMICA 01

99.0 Seg

Max: -0.67
Min: 0.12
Rem: -0.03

L.A.V. MADRID-BARCELONA-F.FRANCESA

35VI02 - SUBTRAMO IIIa

Punto : P214 Canal : 11 Unidades : mm

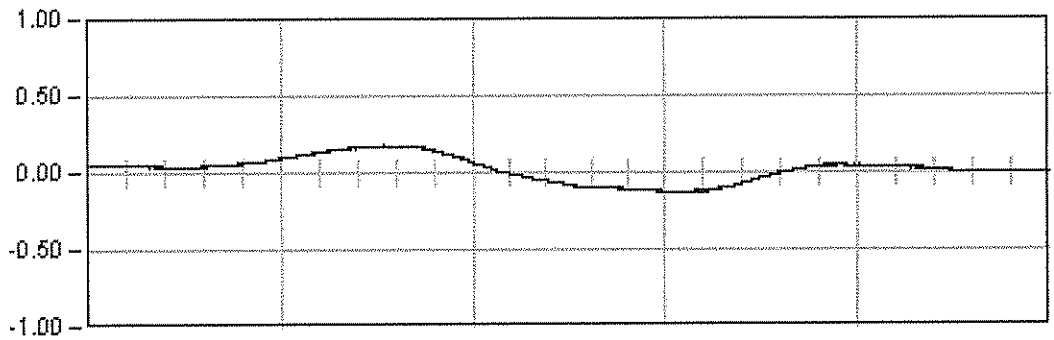


DINAMICA 21

85.0 Seg

Max: 0.18
Min: -0.13
Rem: -0.00

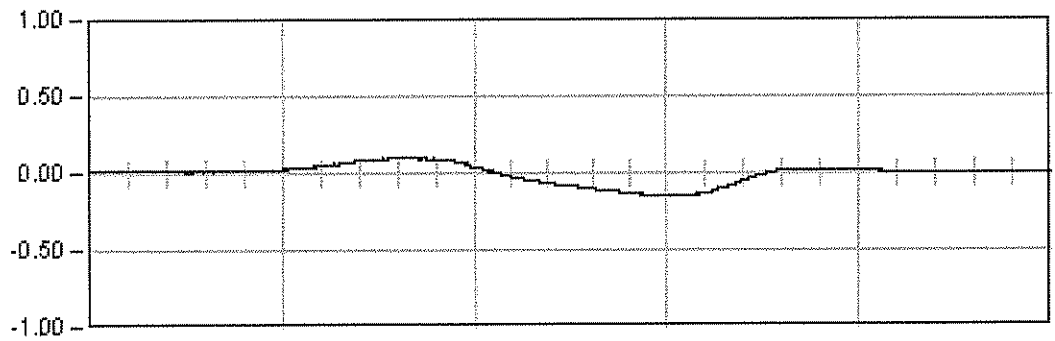


DINAMICA 22

43.0 Seg

Max: -0.15
Min: 0.10
Rem: 0.00

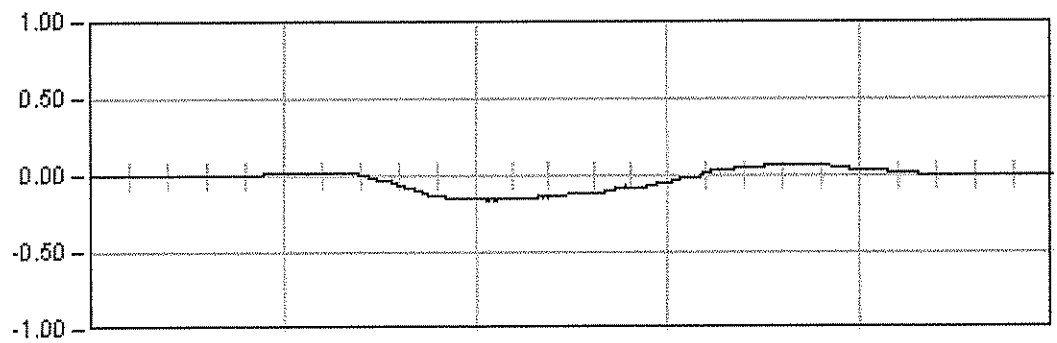


DINAMICA 23

18.0 Seg

Max: -0.16
Min: 0.07
Rem: -0.00

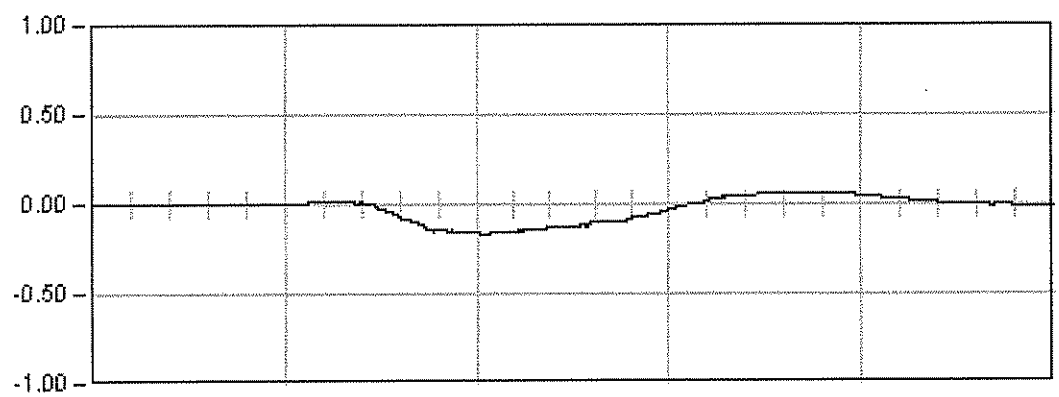


DINAMICA 24

20.0 Seg

Max: -0.17
Min: 0.06
Rem: 0.00

L.A.V. MADRID-BARCELONA-F.FRANCESA

35VI02 - SUBTRAMO IIIa

Punto : P221 Canal : 25 Unidades : mm

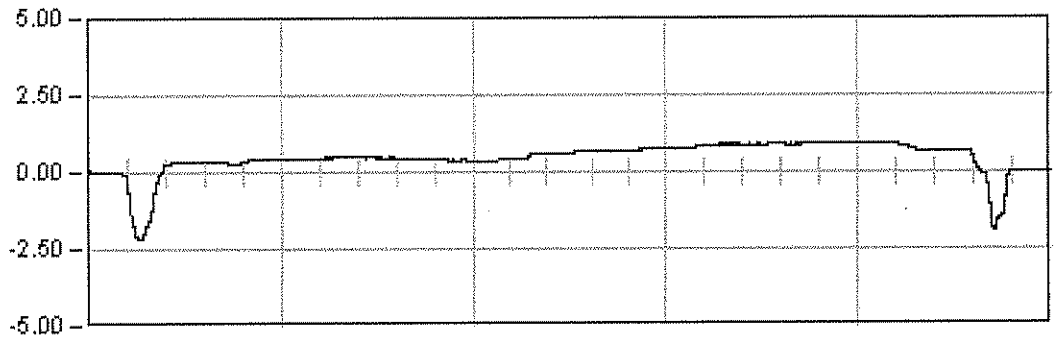


ESTATICA 13

1923.0 Seg

Est: 0.92
Max: -2.20
Min: 0.92
Rem: -0.01

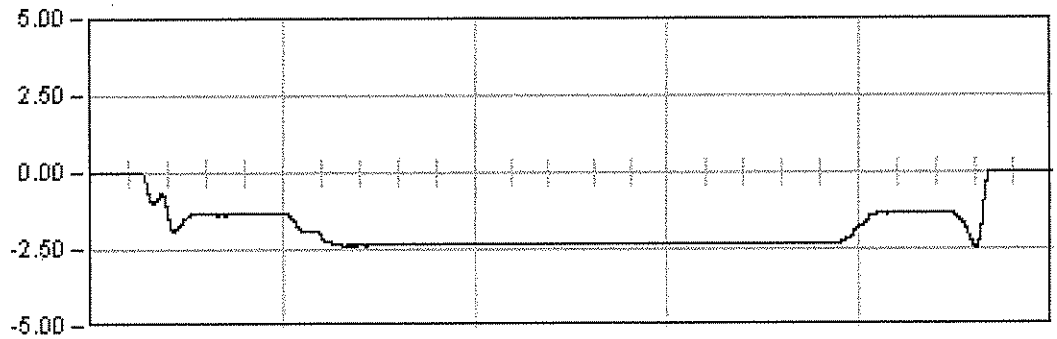


ESTATICA 14

1262.0 Seg

Est: -2.36
Max: -2.46
Min: 0.01
Rem: -0.00

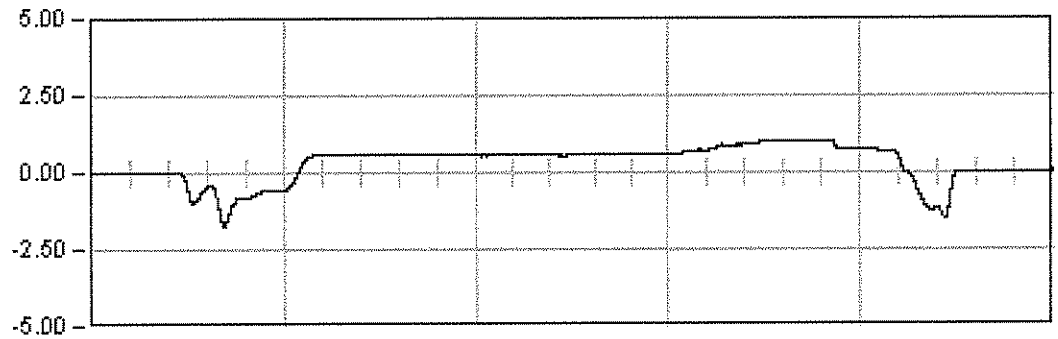


ESTATICA 21

958.0 Seg

Est: 0.71
Max: -1.73
Min: 1.02
Rem: 0.01

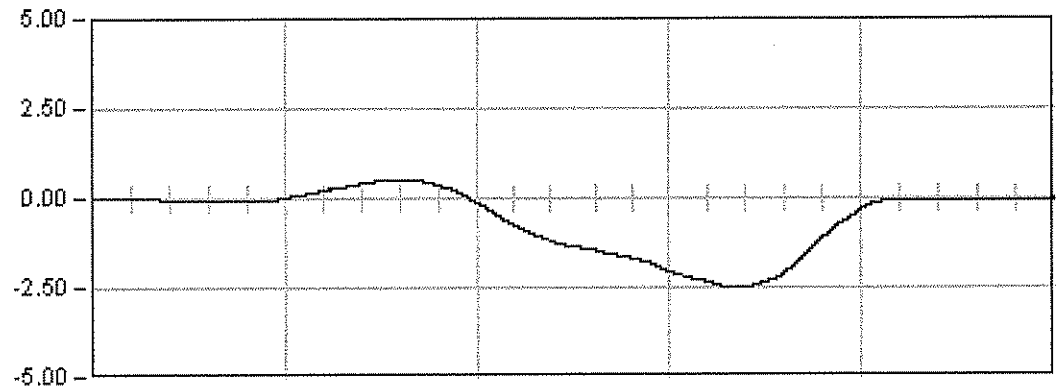


DINAMICA 01

89.0 Seg

Max: -2.52
Min: 0.51
Rem: -0.06

L.A.V. MADRID-BARCELONA-F.FRANCESA

35VI02 - SUBTRAMO IIIa

Punto : P221 Canal : 25 Unidades : mm

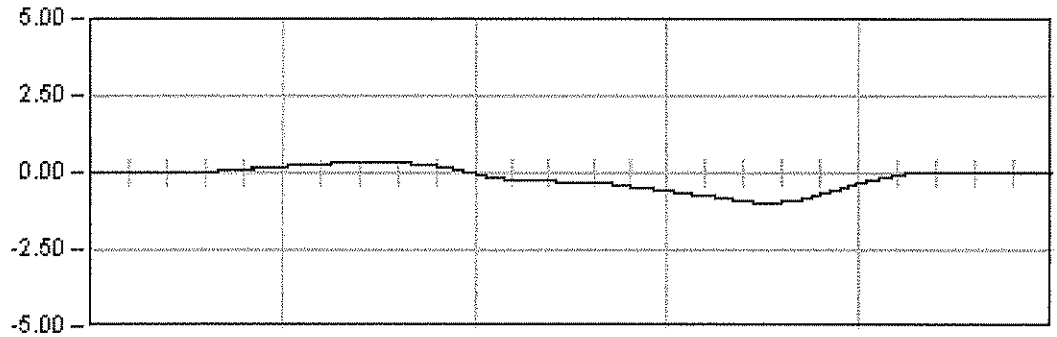


DINAMICA 21

68.0 Seg

Max: -0.96
Min: 0.35
Rem: -0.00

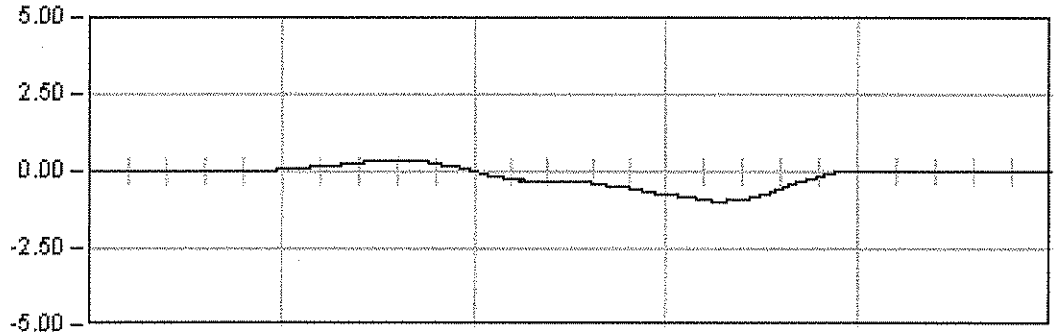


DINAMICA 22

35.0 Seg

Max: -0.97
Min: 0.35
Rem: 0.00

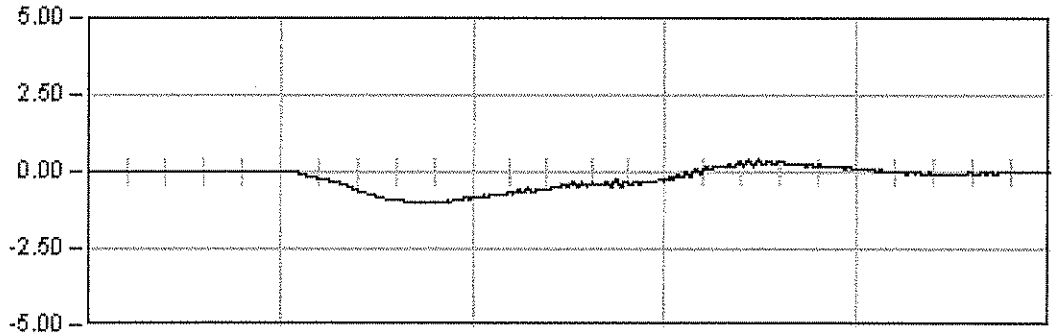


DINAMICA 23

16.0 Seg

Max: -1.03
Min: 0.38
Rem: -0.03

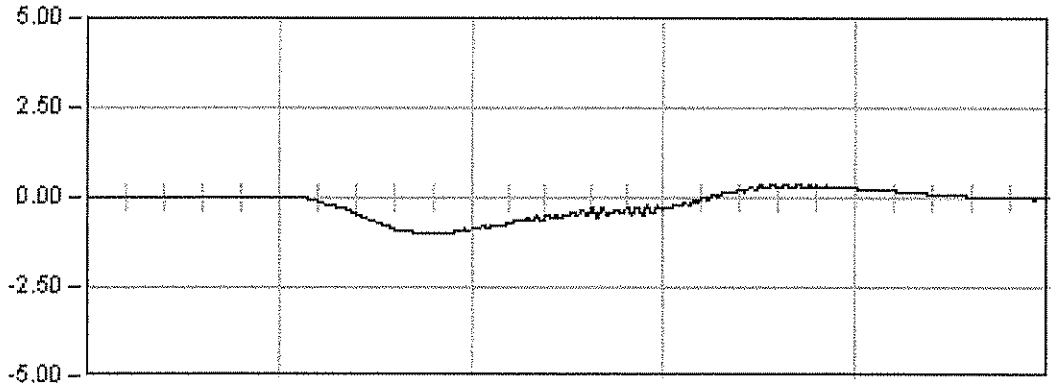


DINAMICA 24

15.0 Seg

Max: -1.02
Min: 0.37
Rem: -0.02

L.A.V. MADRID-BARCELONA-F.FRANCESA

35VI02 - SUBTRAMO IIIa

Punto : P222 Canal : 26 Unidades : mm

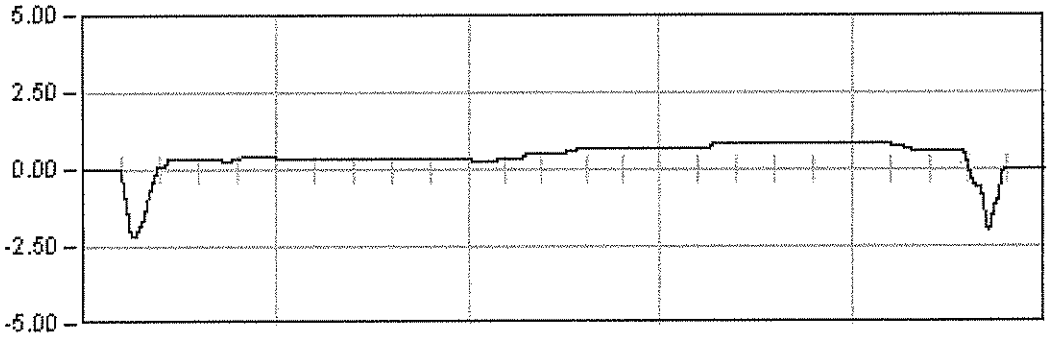


ESTATICA 13

1923.0 Seg

Est: 0.84
Max: -2.20
Min: 0.85
Rem: -0.01

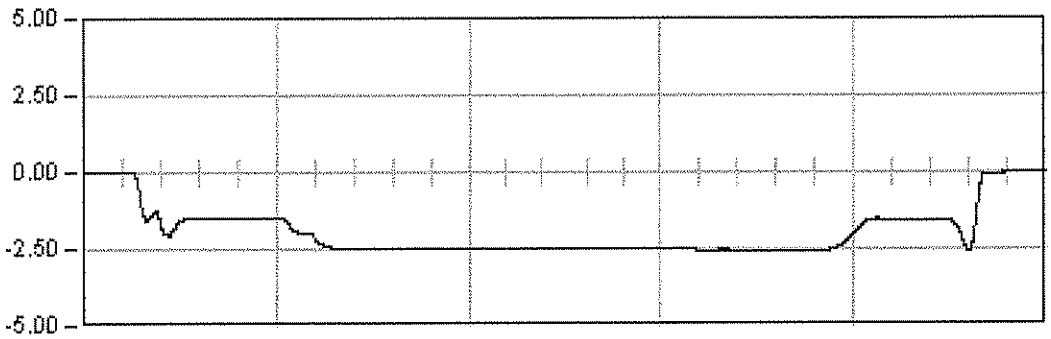


ESTATICA 14

1262.0 Seg

Est: -2.55
Max: -2.61
Min: 0.01
Rem: -0.02

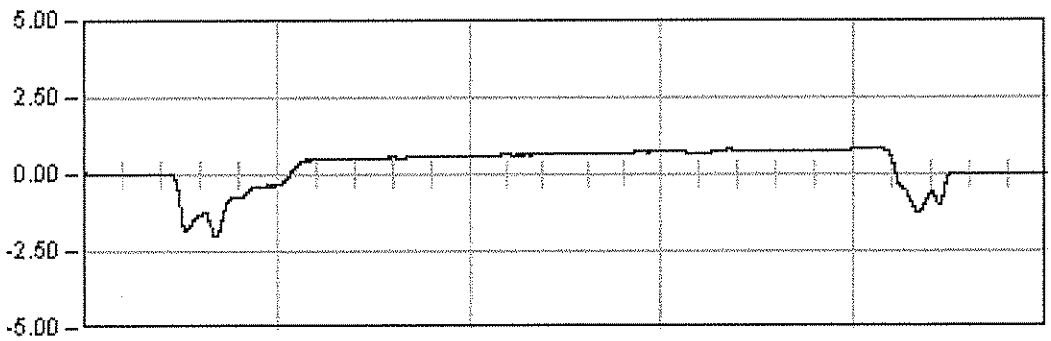


ESTATICA 21

958.0 Seg

Est: 0.81
Max: -2.01
Min: 0.81
Rem: 0.00

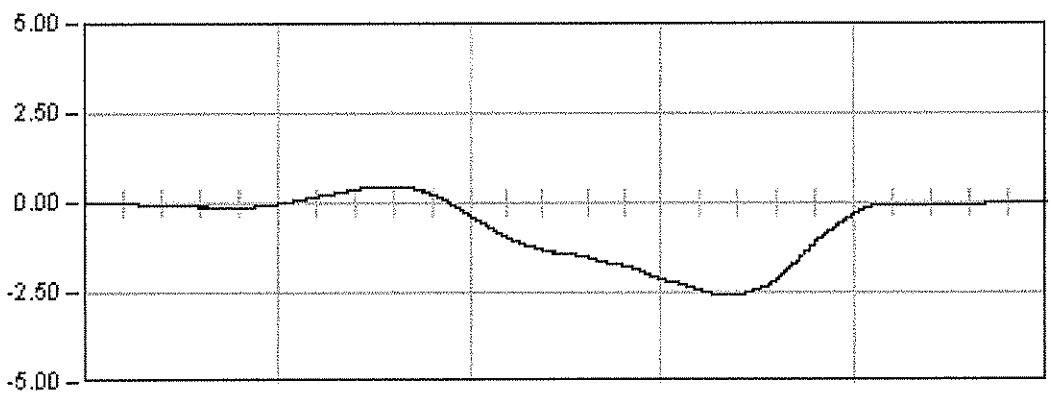


DINAMICA 01

89.0 Seg

Max: -2.58
Min: 0.46
Rem: -0.03

L.A.V. MADRID-BARCELONA-F.FRANCESA

35VI02 - SUBTRAMO IIIa

Punto : P222 Canal : 26 Unidades : mm

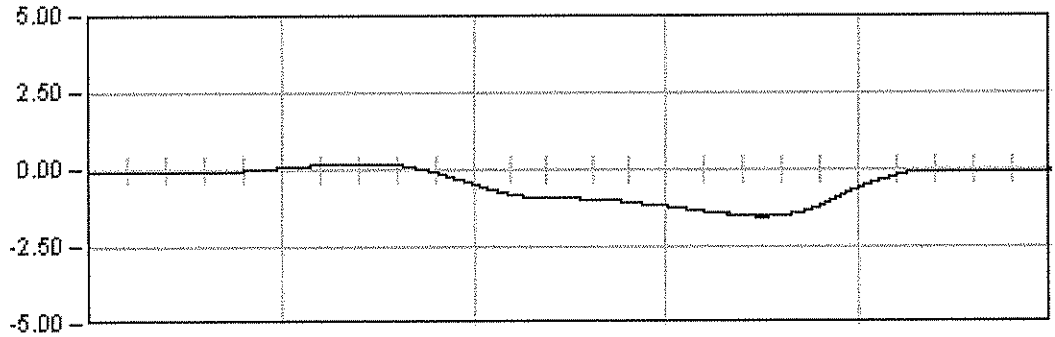


DINAMICA 21

68.0 Seg

Max: -1.55
Min: 0.17
Rem: -0.06

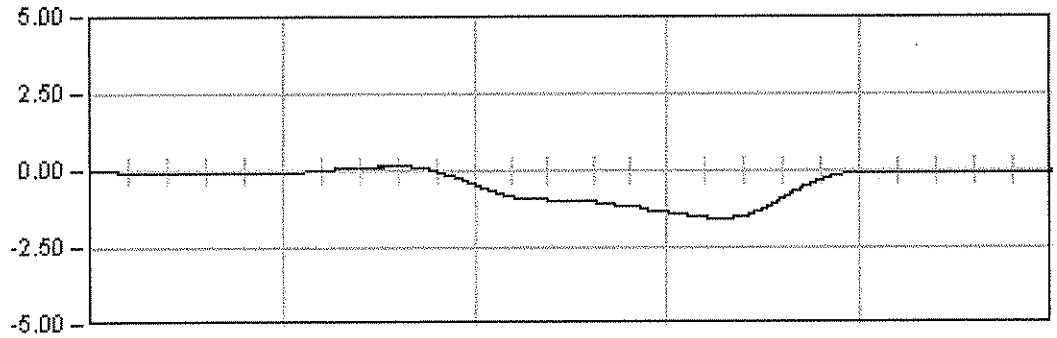


DINAMICA 22

35.0 Seg

Max: -1.57
Min: 0.14
Rem: -0.07

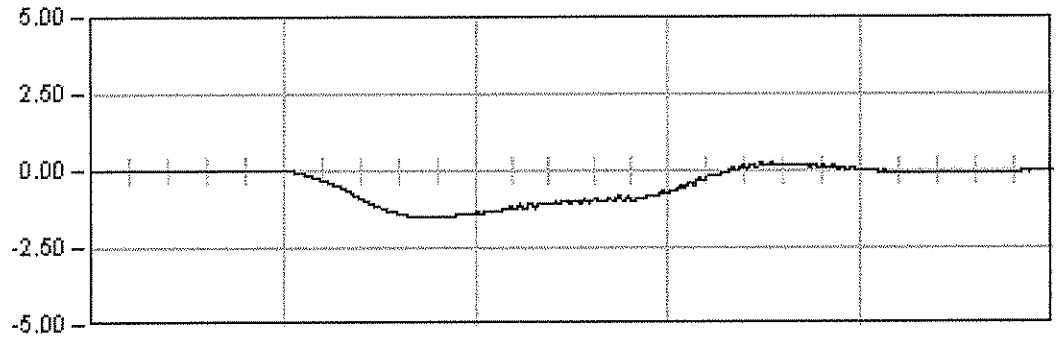


DINAMICA 23

16.0 Seg

Max: -1.53
Min: 0.23
Rem: -0.01

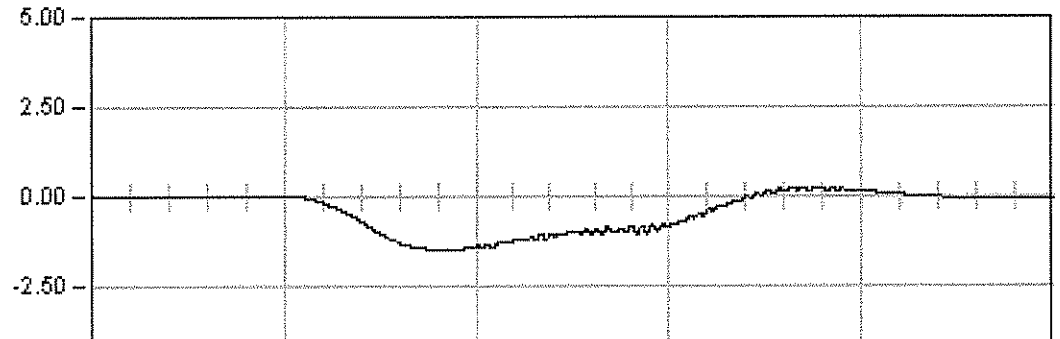


DINAMICA 24

15.0 Seg

Max: -1.52
Min: 0.22
Rem: -0.02

L.A.V. MADRID-BARCELONA-F.FRANCESA

35VI02 - SUBTRAMO IIIa

Punto : P223 Canal : 27 Unidades : mm

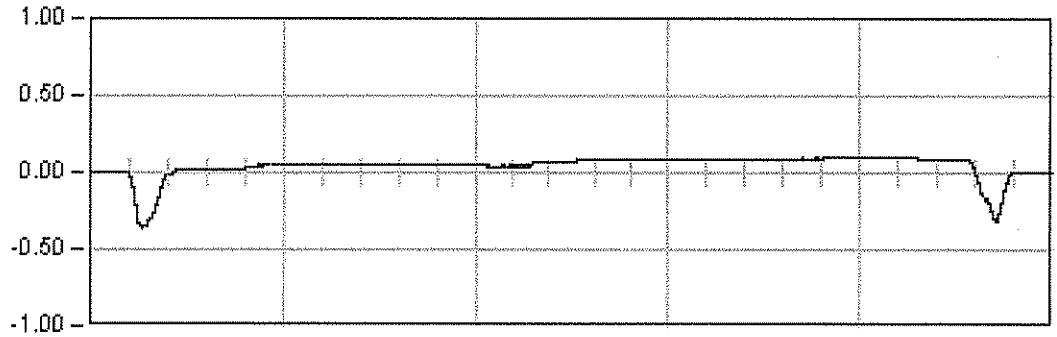


ESTATICA 13

1923.0 Seg

Est: 0.10
Max: -0.36
Min: 0.10
Rem: -0.00

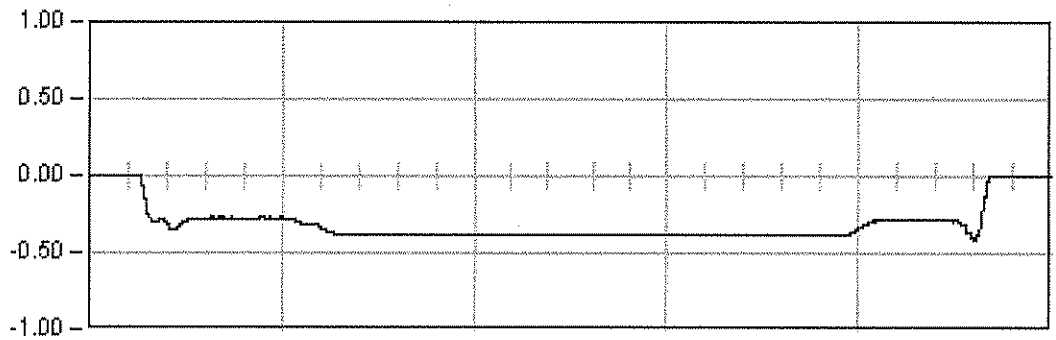


ESTATICA 14

1262.0 Seg

Est: -0.38
Max: -0.42
Min: 0.00
Rem: -0.00

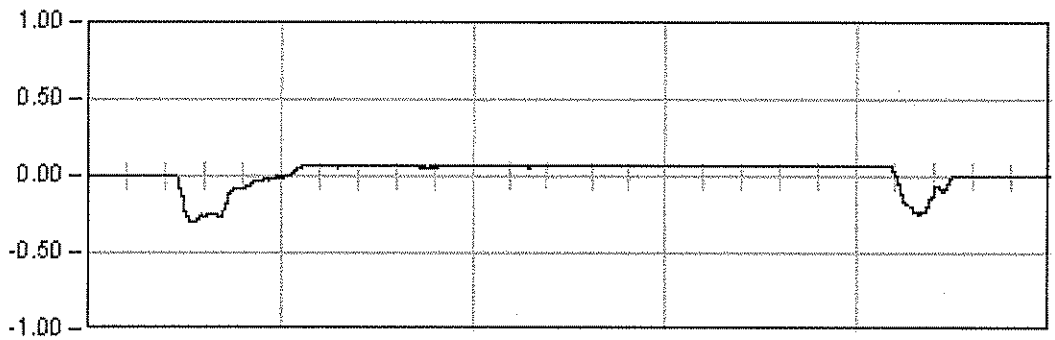


ESTATICA 21

958.0 Seg

Est: 0.06
Max: -0.31
Min: 0.07
Rem: -0.00

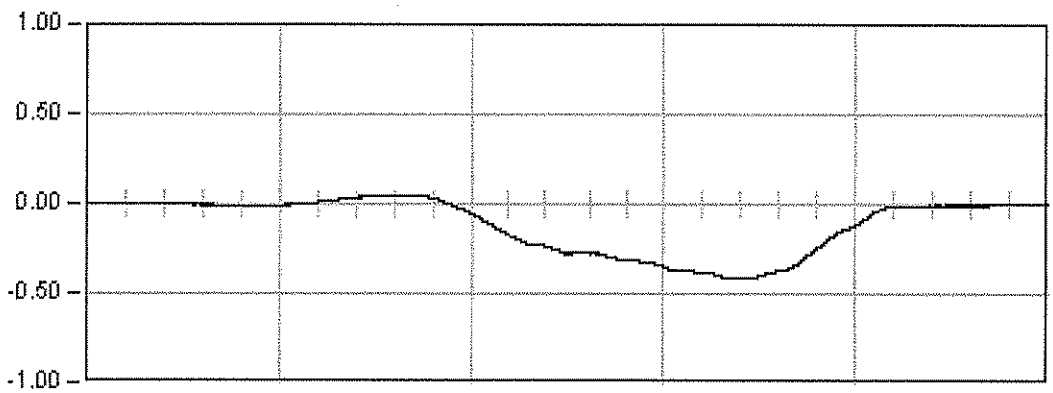


DINAMICA 01

89.0 Seg

Max: -0.42
Min: 0.04
Rem: -0.00

L.A.V. MADRID-BARCELONA-F.FRANCESA

35VI02 - SUBTRAMO IIIa

Punto : P223 Canal : 27 Unidades : mm

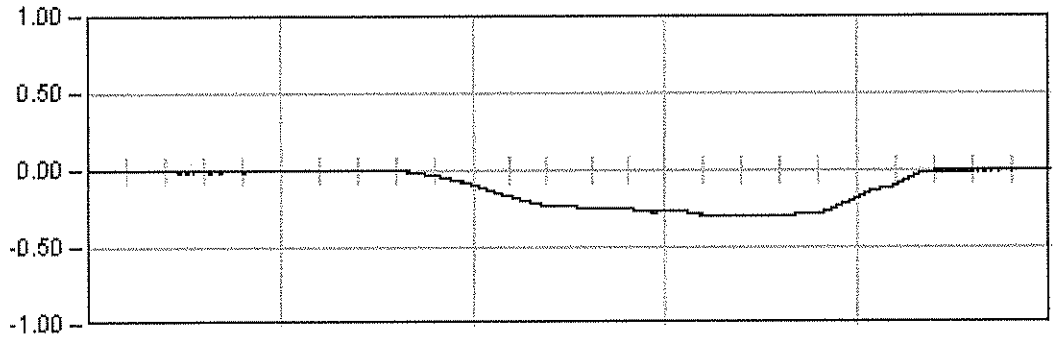


DINAMICA 21

68.0 Seg

Max: -0.31
Min: 0.00
Rem: -0.01

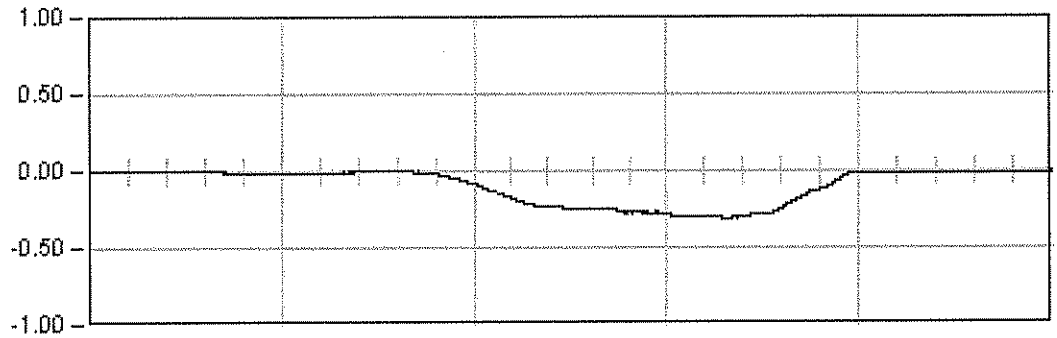


DINAMICA 22

35.0 Seg

Max: -0.31
Min: 0.00
Rem: -0.01

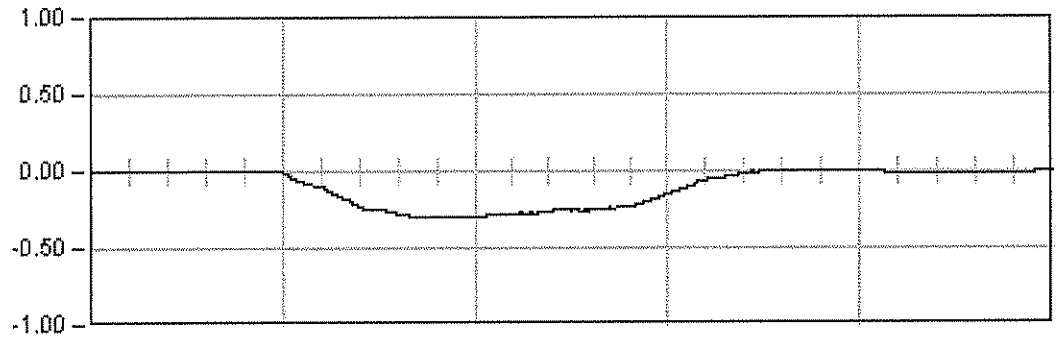


DINAMICA 23

16.0 Seg

Max: -0.30
Min: 0.00
Rem: -0.00

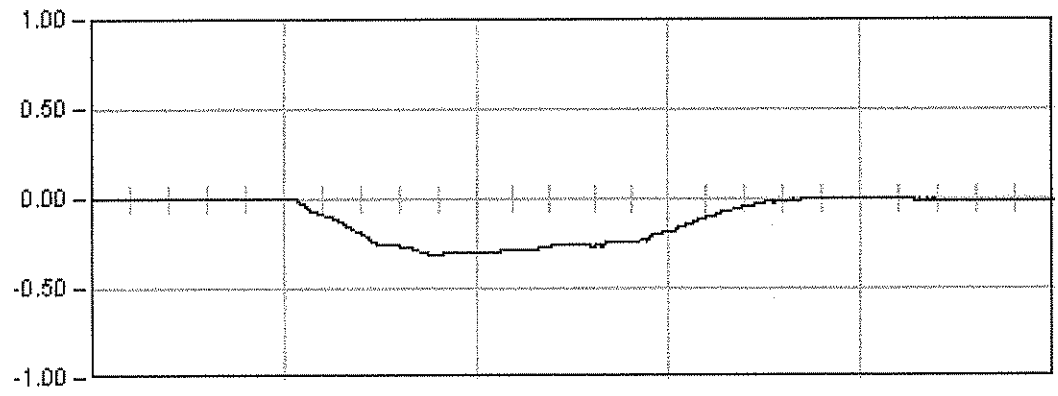


DINAMICA 24

15.0 Seg

Max: -0.31
Min: 0.00
Rem: -0.00

L.A.V. MADRID-BARCELONA-F.FRANCESA

35VI02 - SUBTRAMO IIIa

Punto : P224 Canal : 28 Unidades : mm

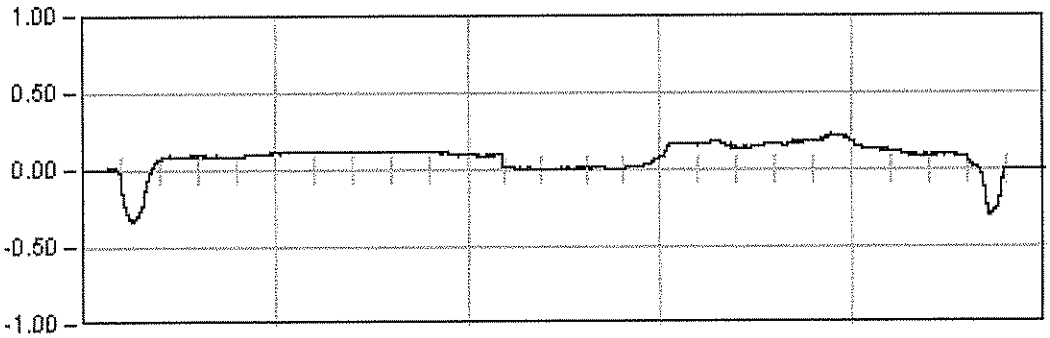


ESTATICA 13

1923.0 Seg

Est: 0.15
Max: -0.34
Min: 0.23
Rem: -0.00

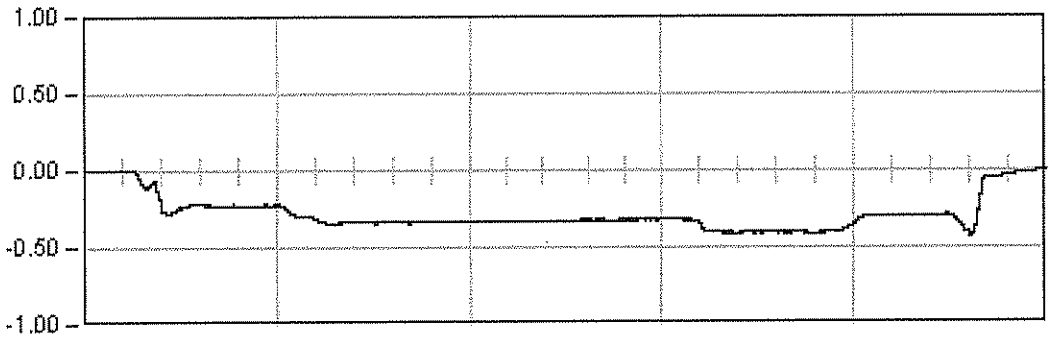


ESTATICA 14

1262.0 Seg

Est: -0.40
Max: -0.43
Min: 0.00
Rem: -0.02

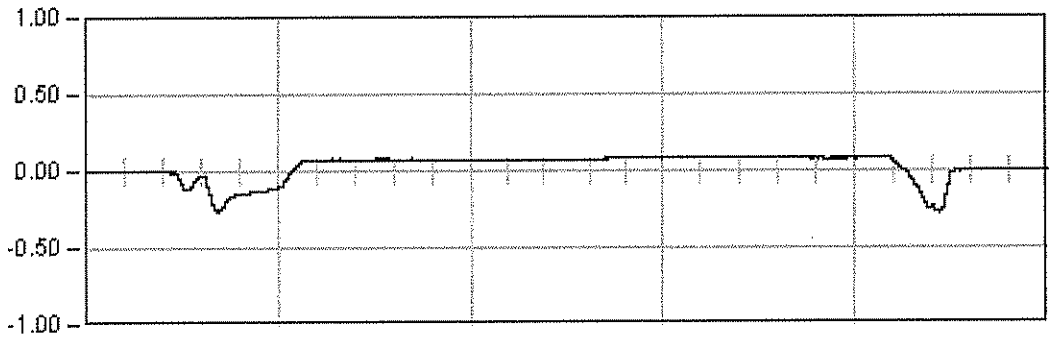


ESTATICA 21

958.0 Seg

Est: 0.08
Max: -0.28
Min: 0.08
Rem: 0.00

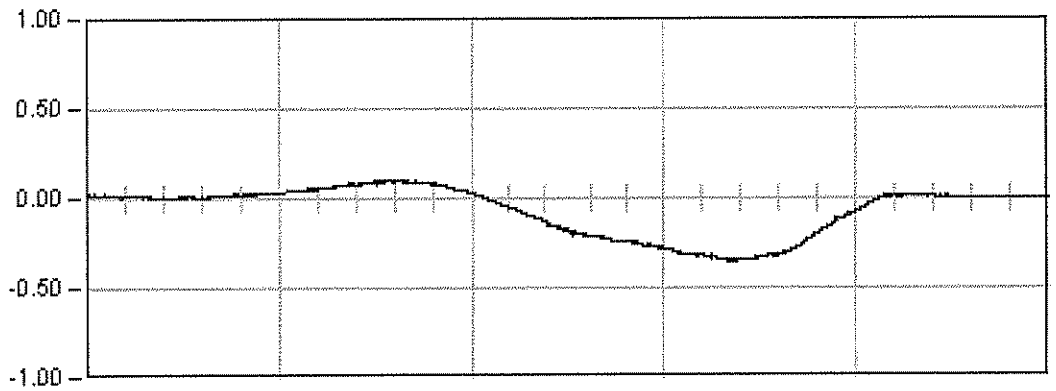


DINAMICA 01

89.0 Seg

Max: -0.36
Min: 0.10
Rem: -0.00

L.A.V. MADRID-BARCELONA-F.FRANCESA

35VI02 - SUBTRAMO IIIa

Punto : P224 Canal : 28 Unidades : mm

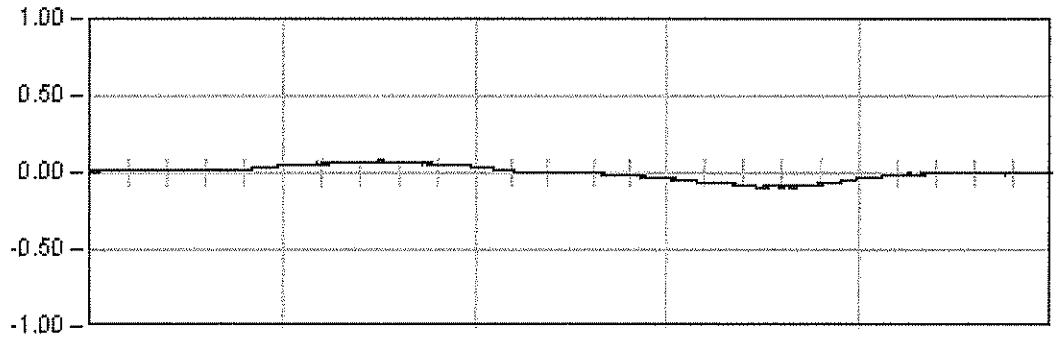


DINAMICA 21

68.0 Seg

Max: -0.09
Min: 0.08
Rem: -0.00

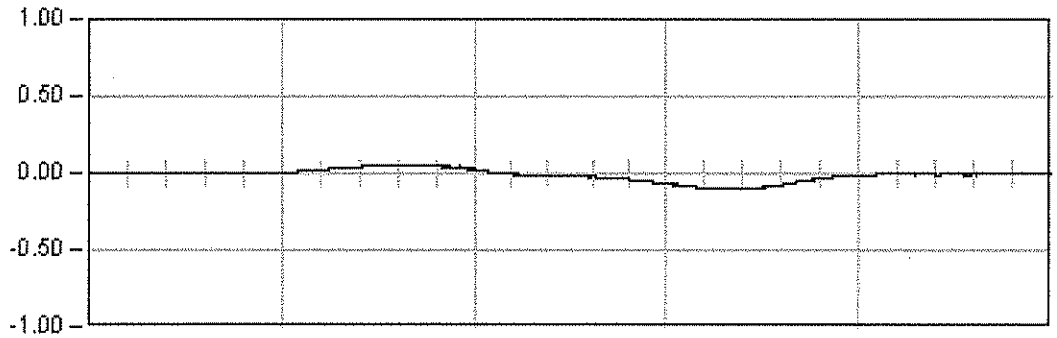


DINAMICA 22

35.0 Seg

Max: -0.11
Min: 0.05
Rem: -0.00

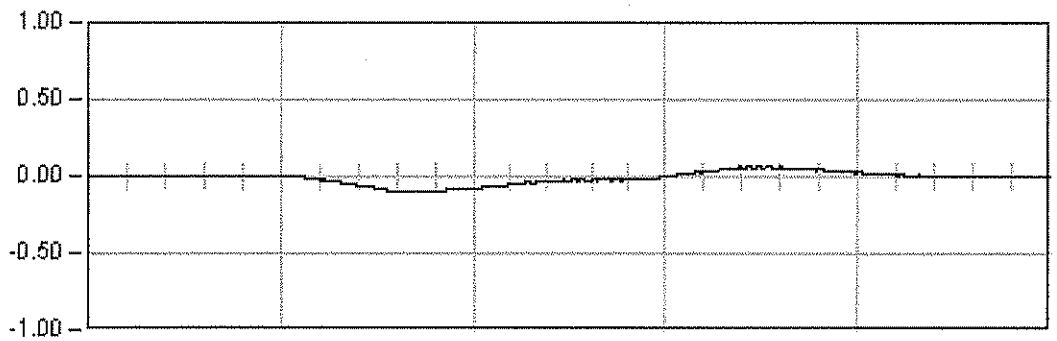


DINAMICA 23

16.0 Seg

Max: 0.07
Min: -0.10
Rem: -0.00

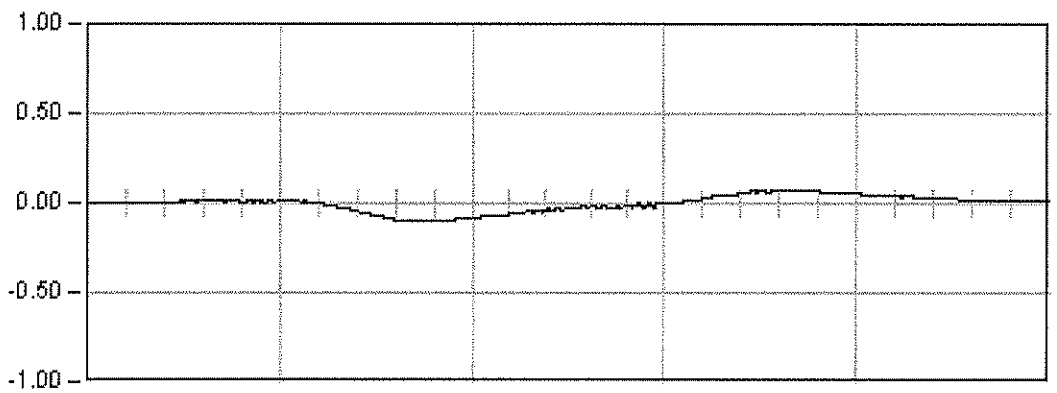


DINAMICA 24

15.0 Seg

Max: -0.10
Min: 0.07
Rem: -0.00

L.A.V. MADRID-BARCELONA-F.FRANCESA

35VI02 - SUBTRAMO IIIa

Punto : G191 Canal : 16 Unidades : µE

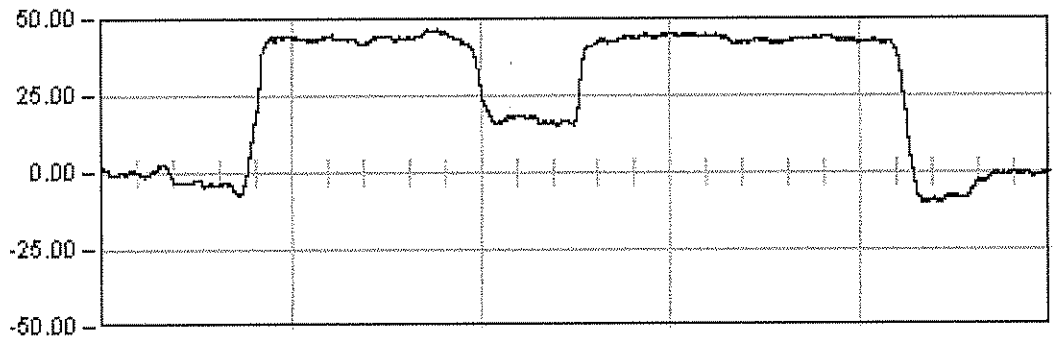


ESTATICA 13

1923.0 Seg

Est: 42.67
Max: 46.31
Min: -10.15
Rem: -0.51

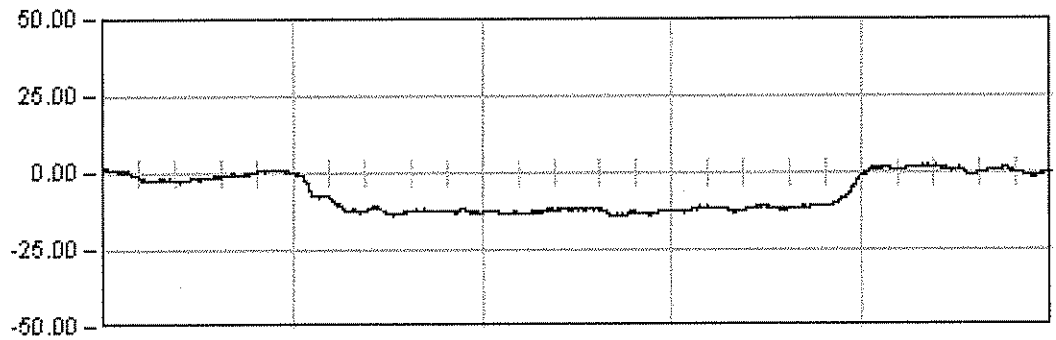


ESTATICA 14

1262.0 Seg

Est: -10.85
Max: -14.23
Min: 2.24
Rem: -0.31

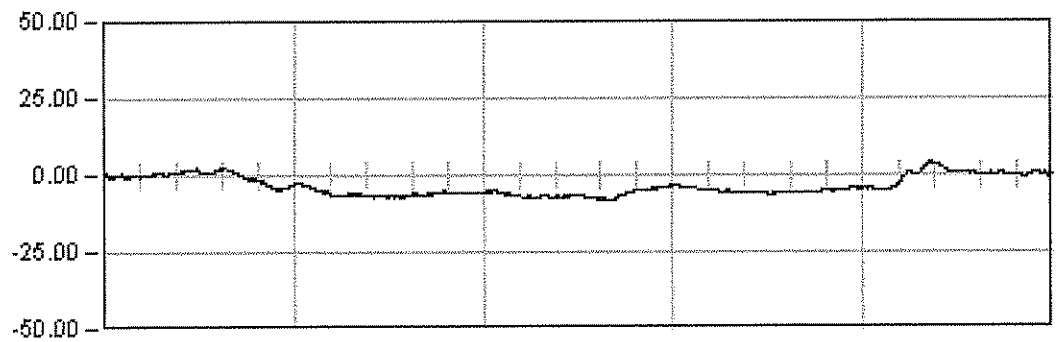


ESTATICA 21

958.0 Seg

Est: -4.88
Max: -8.34
Min: 3.87
Rem: 0.07

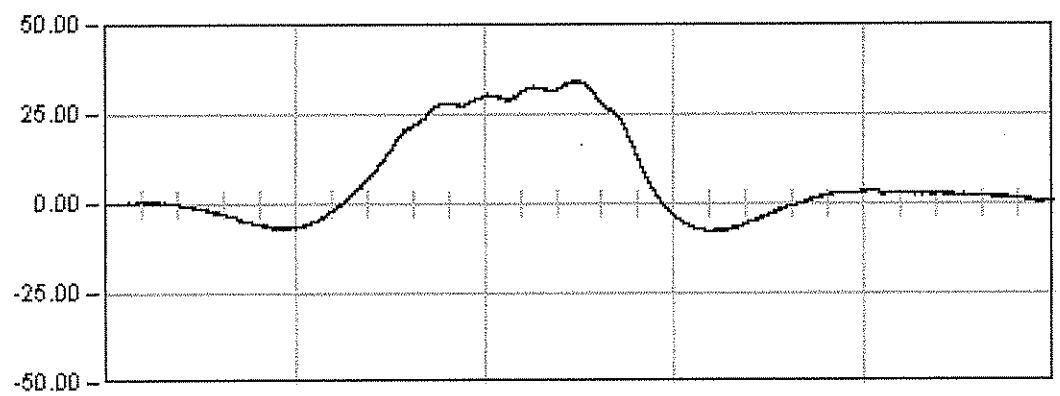


DINAMICA 01

103.0 Seg

Max: 34.04
Min: -7.88
Rem: -0.58

L.A.V. MADRID-BARCELONA-F.FRANCESA

35VI02 - SUBTRAMO IIIa

Punto : G191 Canal : 16 Unidades : µE

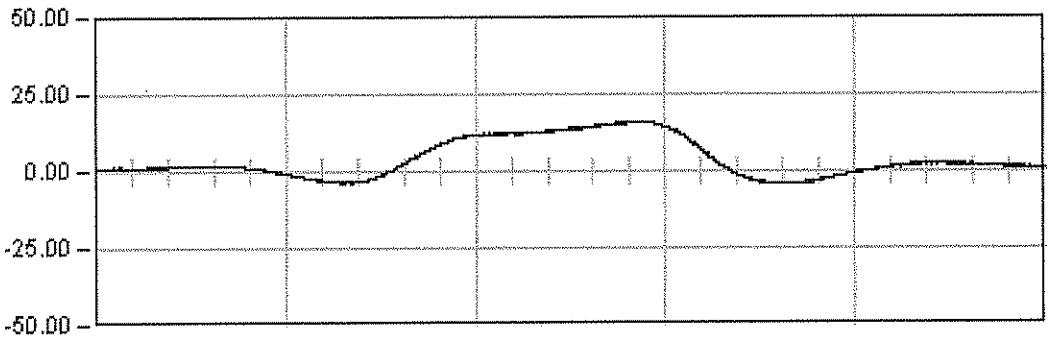


DINAMICA 21

95.0 Seg

Max: 16.20
Min: -4.41
Rem: 0.09

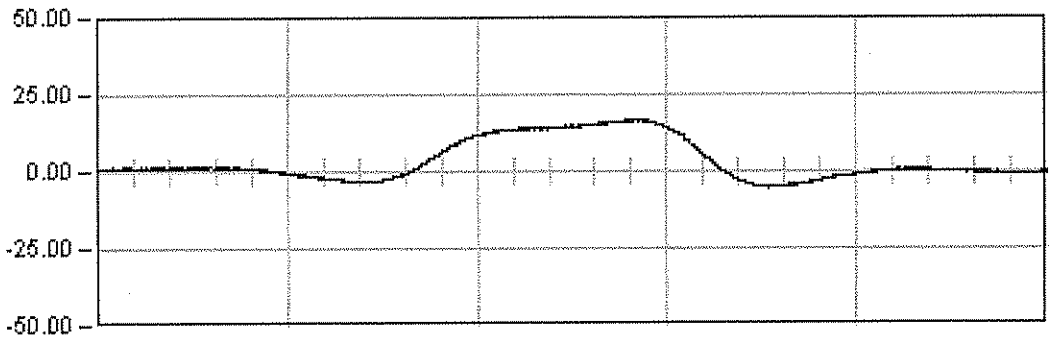


DINAMICA 22

43.0 Seg

Max: 16.57
Min: -5.44
Rem: 0.67

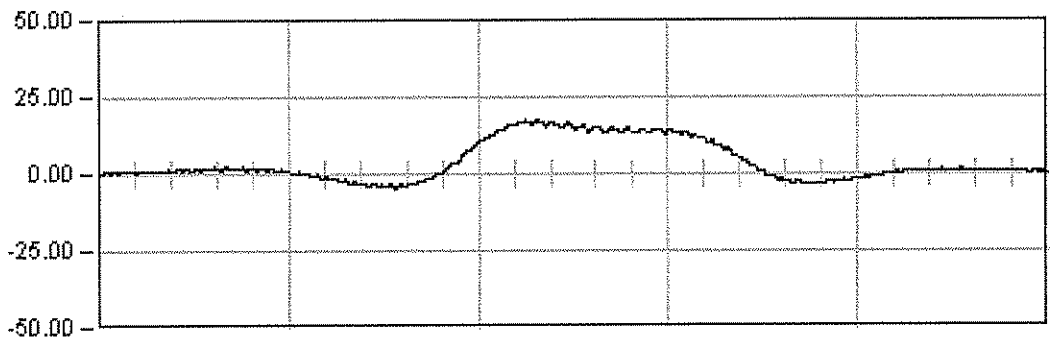


DINAMICA 23

18.0 Seg

Max: 17.29
Min: -4.69
Rem: 0.52

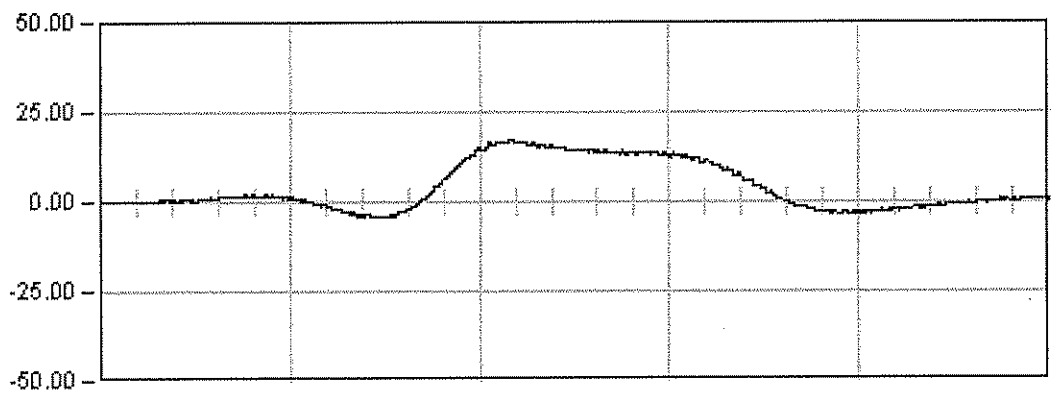


DINAMICA 24

25.0 Seg

Max: 16.91
Min: -4.48
Rem: 0.05

L.A.V. MADRID-BARCELONA-F.FRANCESA

35VI02 - SUBTRAMO IIIa

Punto : G192 Canal : 18 Unidades : µE

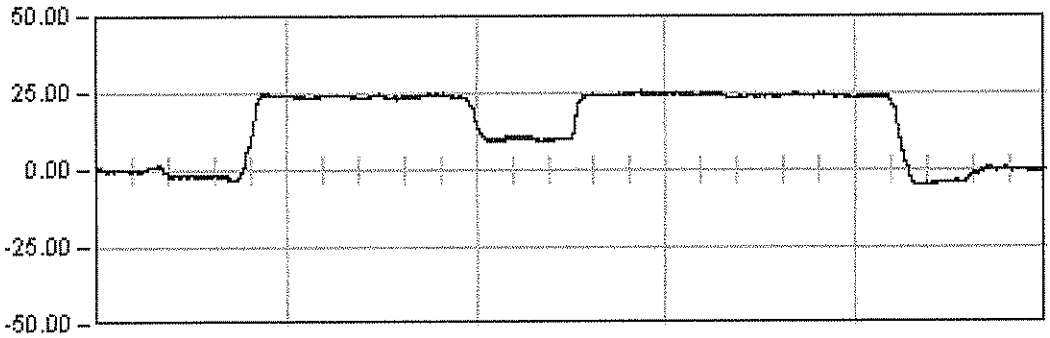


ESTATICA 13

1923.0 Seg

Est: 23.68
Max: 25.51
Min: -5.37
Rem: -0.11

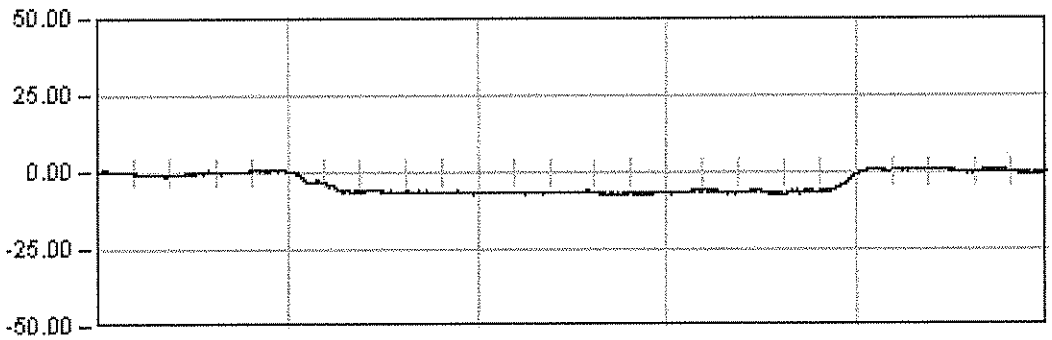


ESTATICA 14

1262.0 Seg

Est: -6.49
Max: -7.71
Min: 1.21
Rem: -0.21

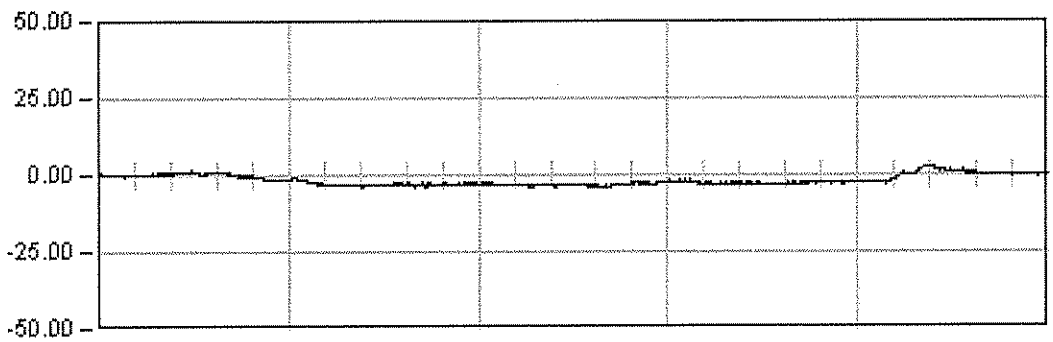


ESTATICA 21

958.0 Seg

Est: -2.64
Max: -4.02
Min: 2.46
Rem: -0.09

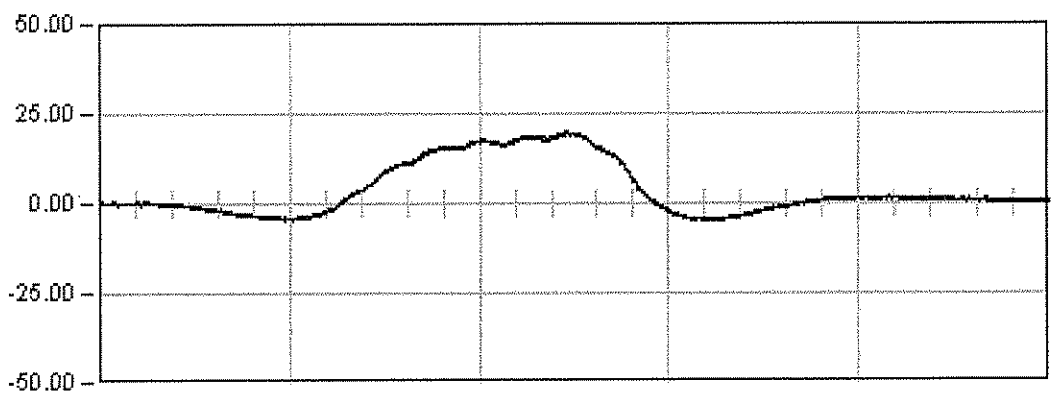


DINAMICA 01

103.0 Seg

Max: 19.76
Min: -5.09
Rem: -0.22

L.A.V. MADRID-BARCELONA-F.FRANCESA

35VI02 - SUBTRAMO IIIa

Punto : G192 Canal : 18 Unidades : µE

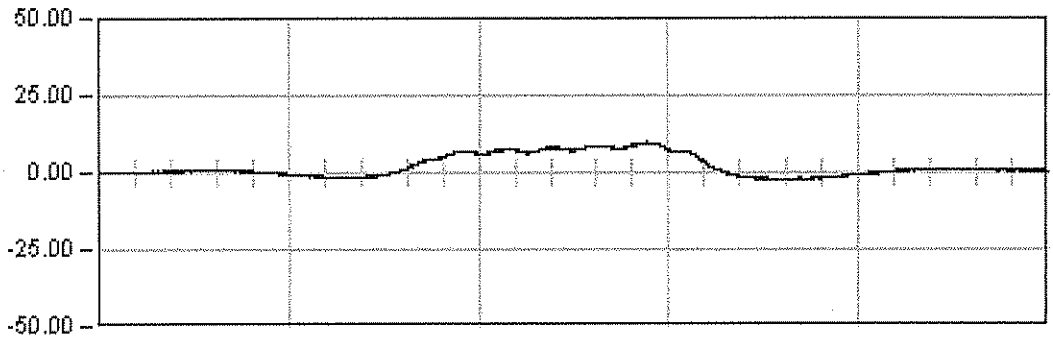


DINAMICA 21

95.0 Seg

Max: 9.59
Min: -2.64
Rem: 0.22

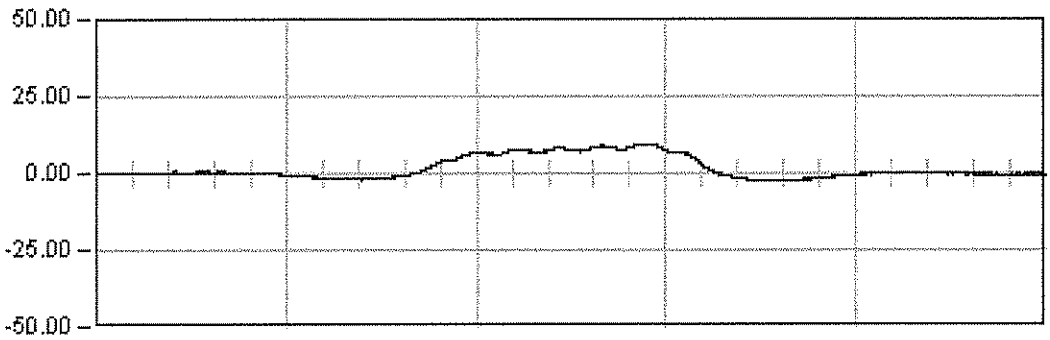


DINAMICA 22

43.0 Seg

Max: 9.38
Min: -2.68
Rem: 0.18

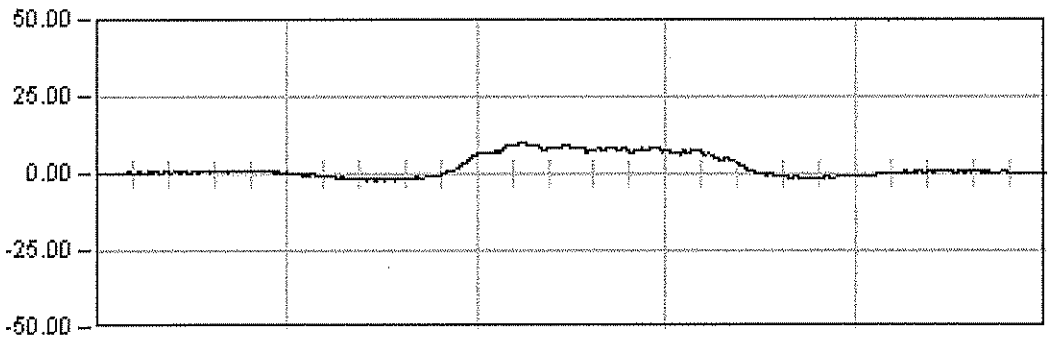


DINAMICA 23

18.0 Seg

Max: 9.86
Min: -2.20
Rem: 0.45

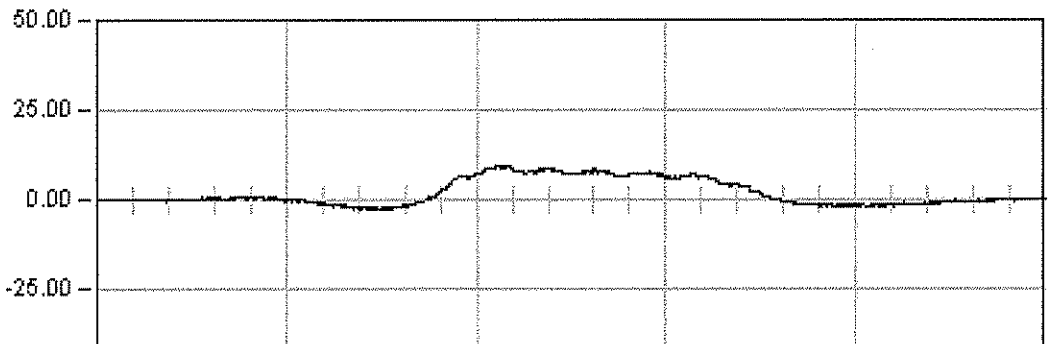


DINAMICA 24

25.0 Seg

Max: 9.51
Min: -2.82
Rem: -0.03

L.A.V. MADRID-BARCELONA-F.FRANCESA

35VI02 - SUBTRAMO IIIa

Punto : G201 Canal : 19 Unidades : µE

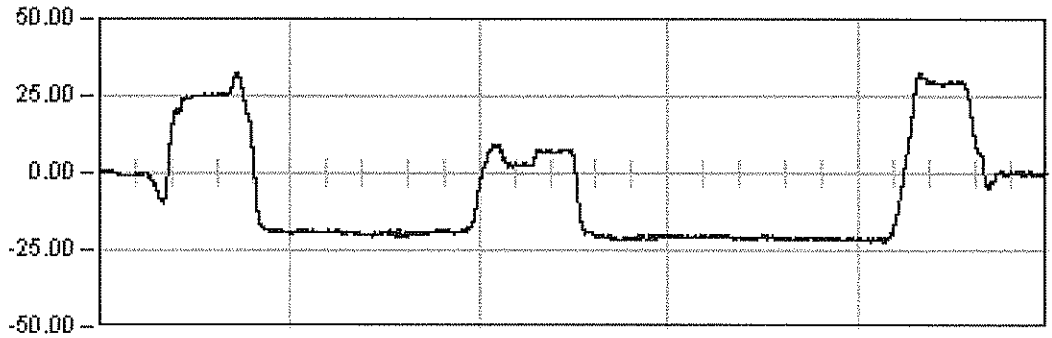


ESTATICA 13

1923.0 Seg

Est: -21.67
Max: 32.59
Min: -22.37
Rem: -0.06

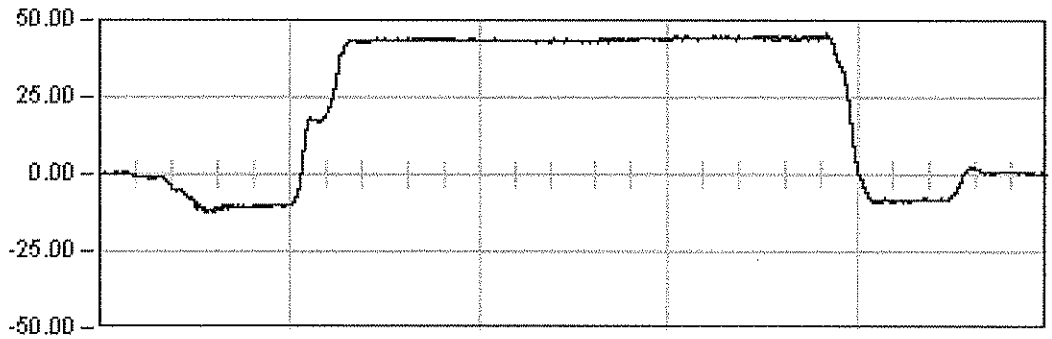


ESTATICA 14

1262.0 Seg

Est: 44.31
Max: 45.46
Min: -12.56
Rem: 0.55

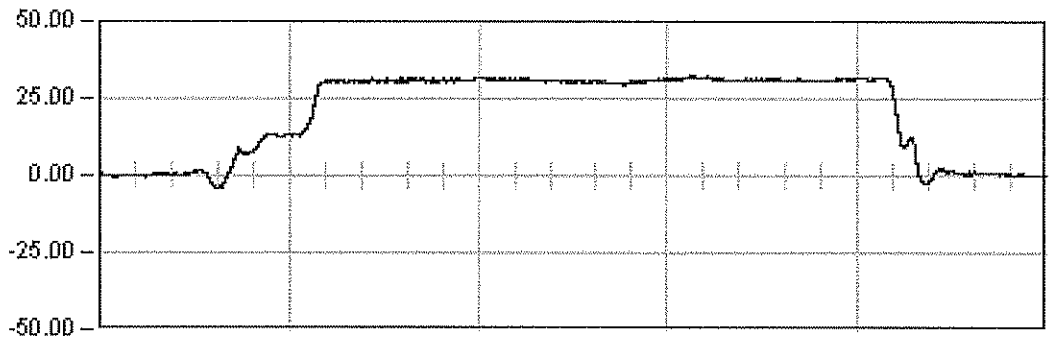


ESTATICA 21

958.0 Seg

Est: 31.27
Max: 32.37
Min: -4.34
Rem: 0.35

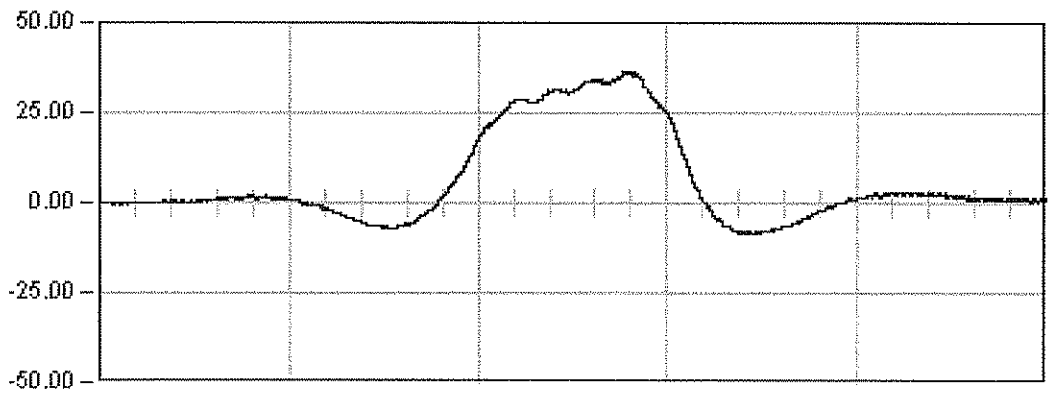


DINAMICA 01

120.0 Seg

Max: 36.37
Min: -8.74
Rem: 0.11

L.A.V. MADRID-BARCELONA-F.FRANCESA

35VI02 - SUBTRAMO IIIa

Punto : G201 Canal : 19 Unidades : µE

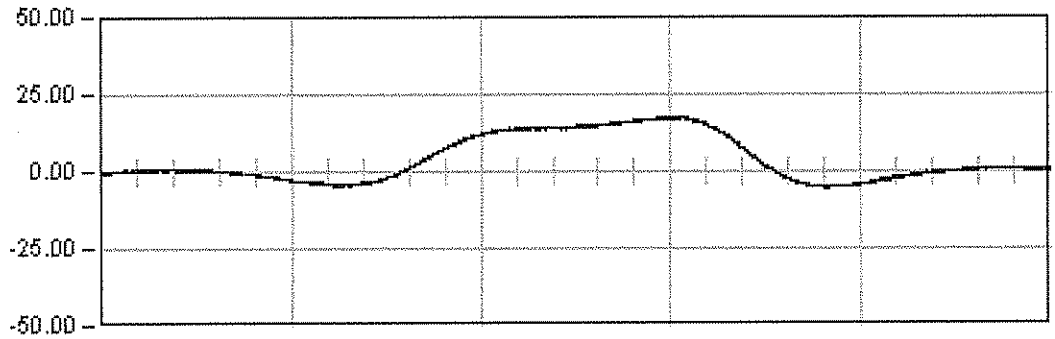


DINAMICA 21

85.0 Seg

Max: 17.66
Min: -5.49
Rem: -0.33

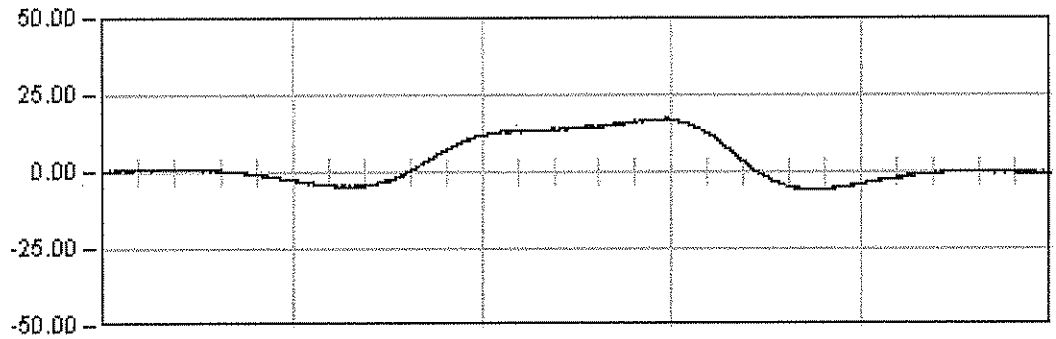


DINAMICA 22

37.0 Seg

Max: 17.09
Min: -5.89
Rem: -0.65

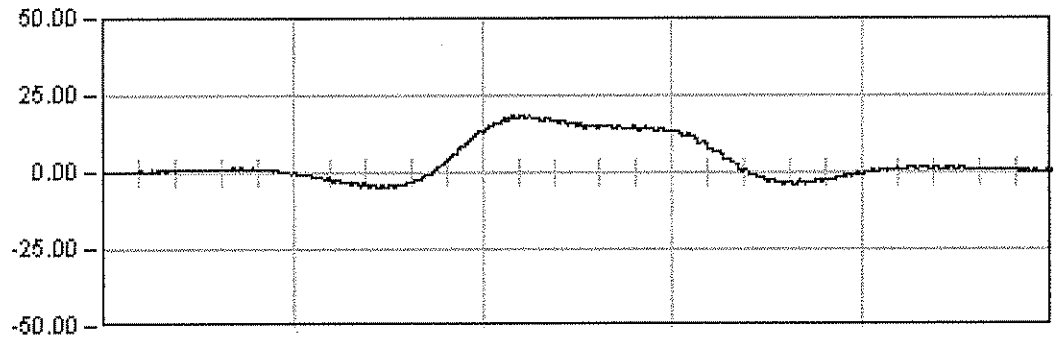


DINAMICA 23

19.0 Seg

Max: 18.41
Min: -5.25
Rem: 0.78

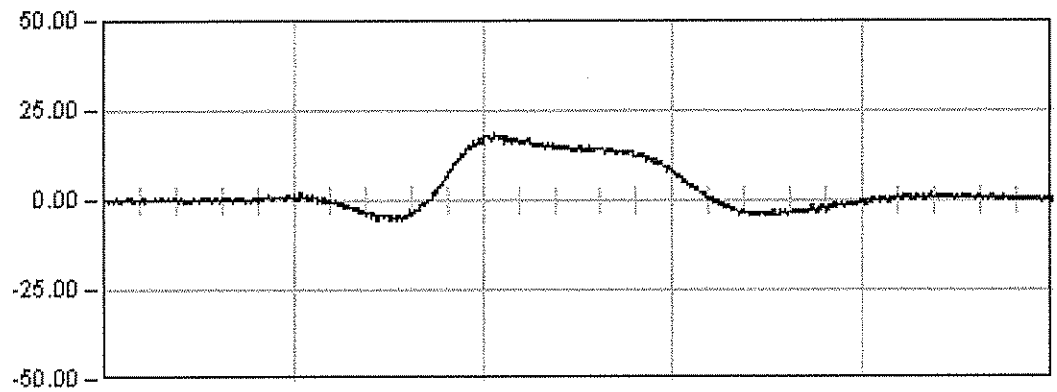


DINAMICA 24

27.0 Seg

Max: 18.41
Min: -5.76
Rem: 0.02

L.A.V. MADRID-BARCELONA-F.FRANCESA

35VI02 - SUBTRAMO IIIa

Punto : G202 Canal : 20 Unidades : µE

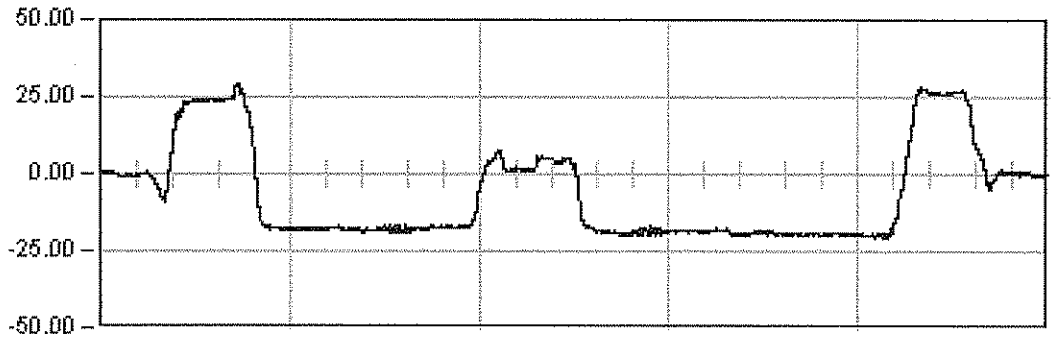


ESTATICA 13

1923.0 Seg

Est: -19.78
Max: 29.49
Min: -21.06
Rem: -0.04

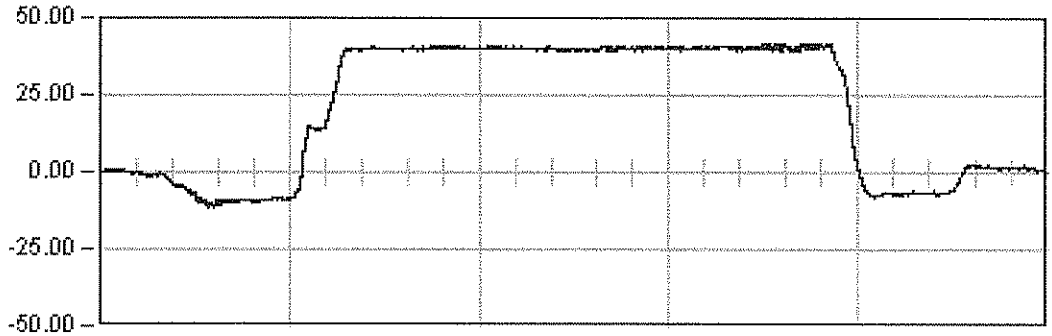


ESTATICA 14

1262.0 Seg

Est: 40.74
Max: 42.08
Min: -11.37
Rem: 1.24

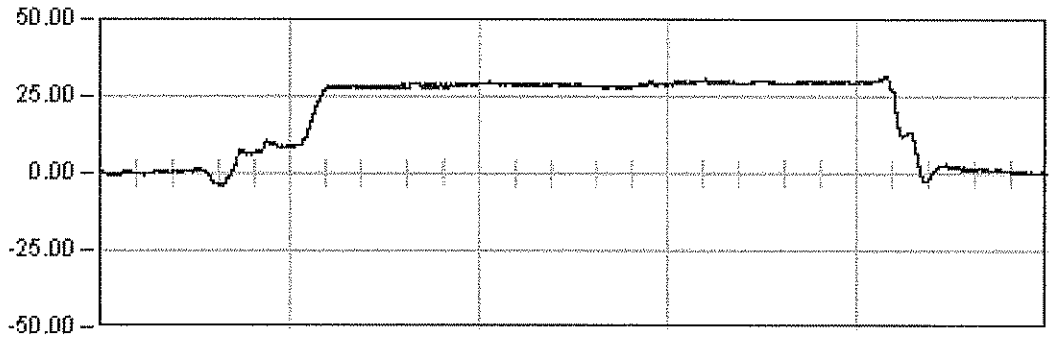


ESTATICA 21

958.0 Seg

Est: 29.75
Max: 31.50
Min: -4.22
Rem: 0.57

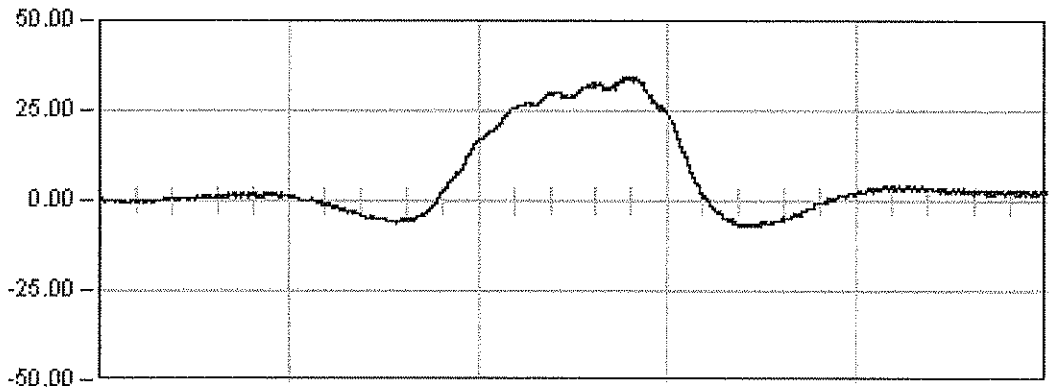


DINAMICA 01

120.0 Seg

Max: 34.42
Min: -7.19
Rem: 1.57

L.A.V. MADRID-BARCELONA-F.FRANCESA

35VI02 - SUBTRAMO IIIa

Punto : G202 Canal : 20 Unidades : µE

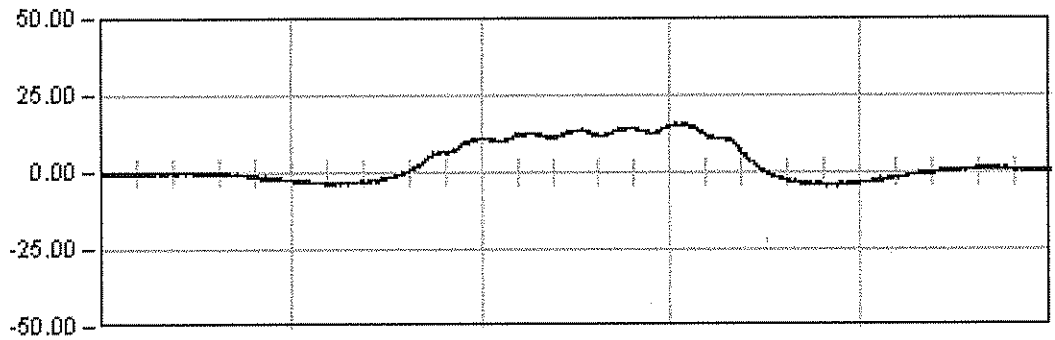


DINAMICA 21

85.0 Seg

Max: 15.63
Min: -4.72
Rem: 0.09

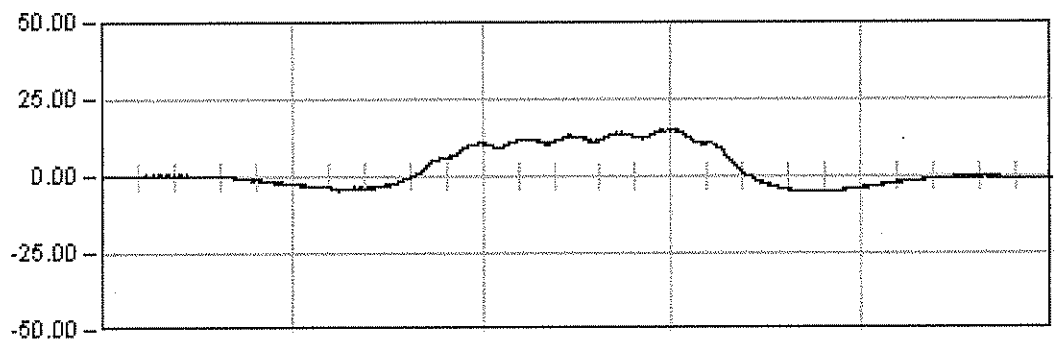


DINAMICA 22

37.0 Seg

Max: 14.85
Min: -5.25
Rem: -0.68

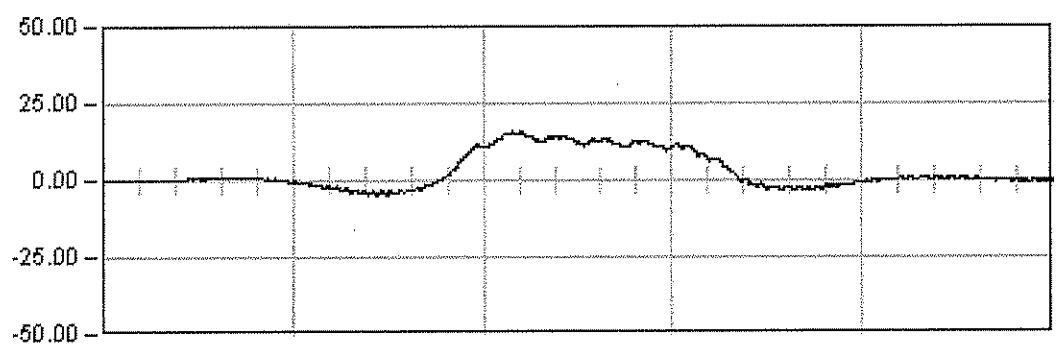


DINAMICA 23

19.0 Seg

Max: 15.68
Min: -4.81
Rem: 0.17

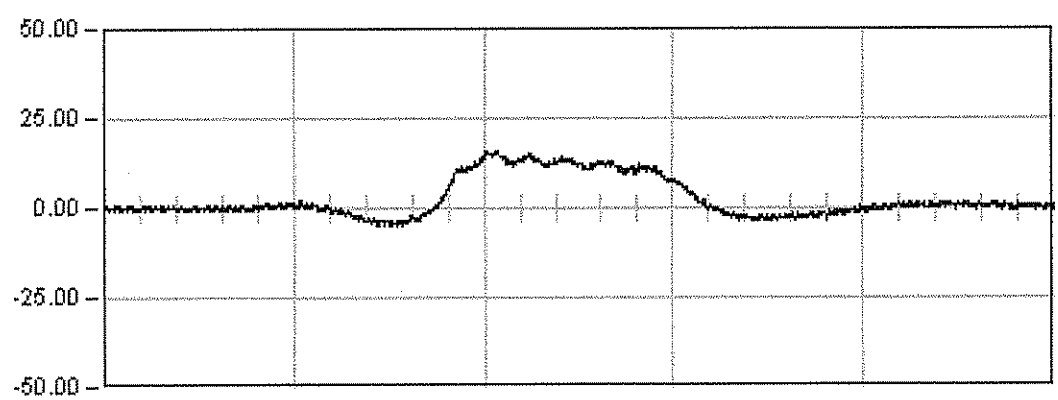


DINAMICA 24

27.0 Seg

Max: 15.91
Min: -5.28
Rem: 0.25

L.A.V. MADRID-BARCELONA-F.FRANCESA

35VI02 - SUBTRAMO IIIa

Punto : G211 Canal : 21 Unidades : µE

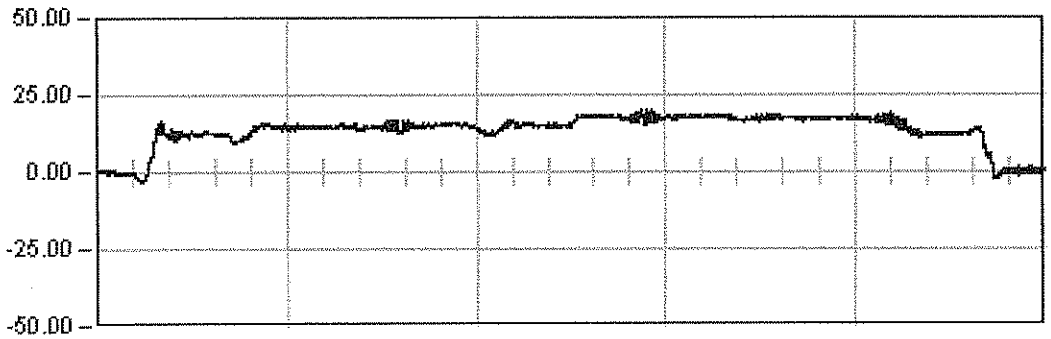


ESTATICA 13

1923.0 Seg

Est: 17.36
Max: 20.30
Min: -3.60
Rem: 0.21

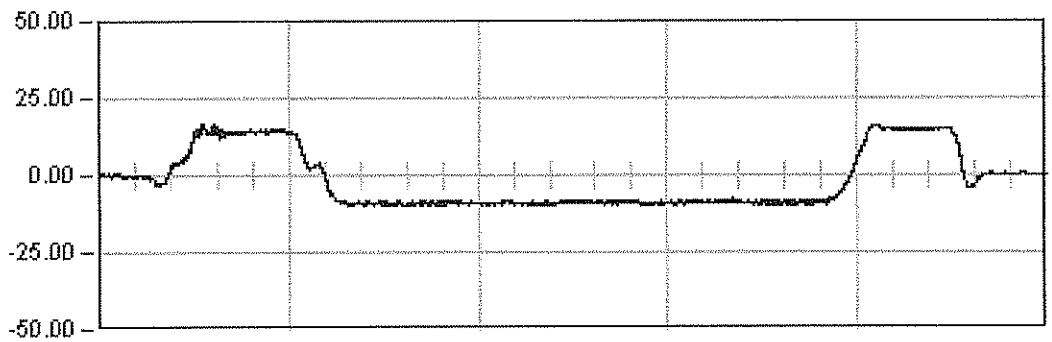


ESTATICA 14

1262.0 Seg

Est: -9.08
Max: 16.56
Min: -10.36
Rem: 0.12

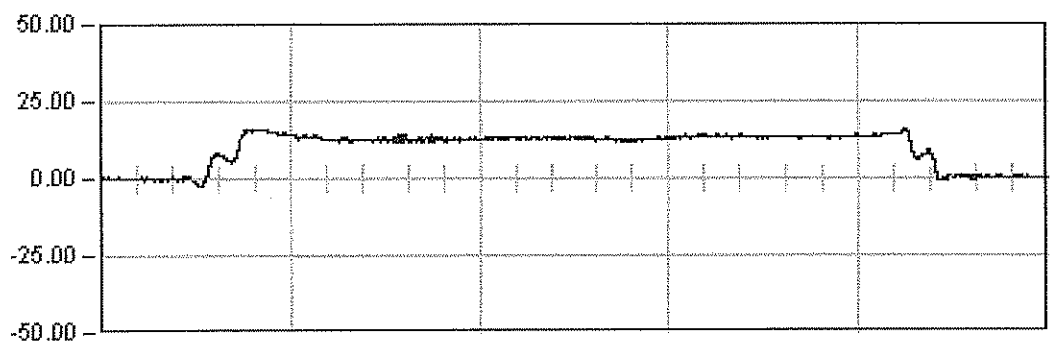


ESTATICA 21

958.0 Seg

Est: 13.64
Max: 16.23
Min: -2.45
Rem: 0.20

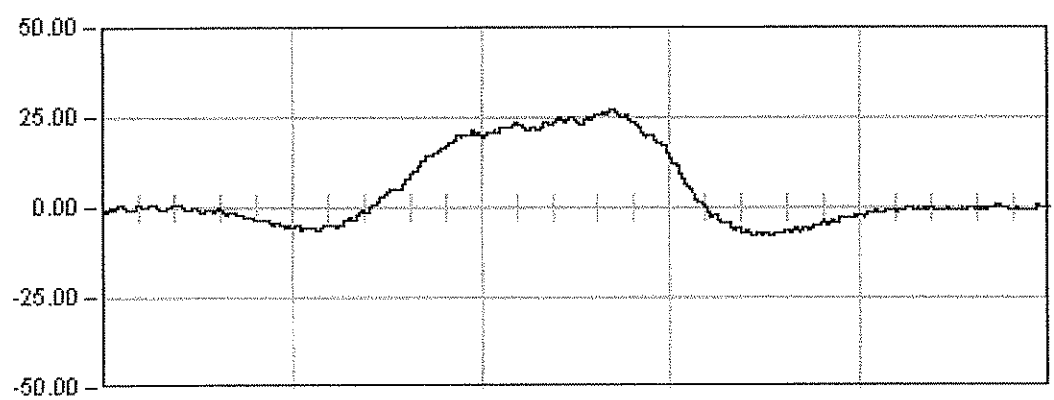


DINAMICA 01

99.0 Seg

Max: 27.23
Min: -7.98
Rem: 0.02

L.A.V. MADRID-BARCELONA-F.FRANCESA

35VI02 - SUBTRAMO IIIa

Punto : G211 Canal : 21 Unidades : µE

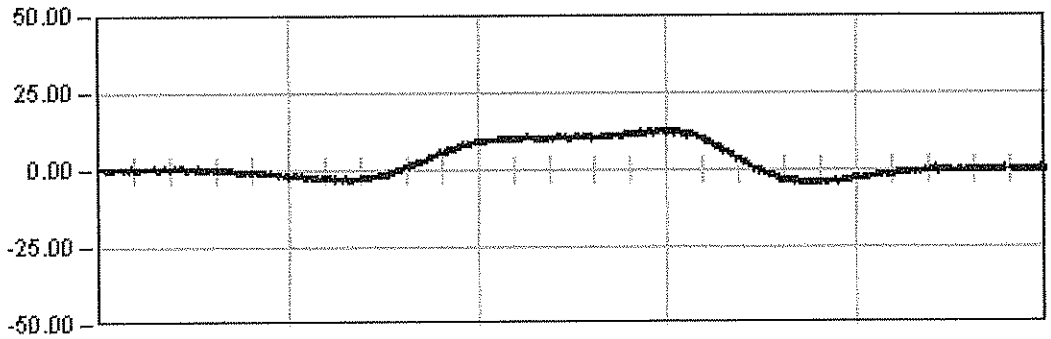


DINAMICA 21

85.0 Seg

Max: 13.38
Min: -5.21
Rem: 0.12

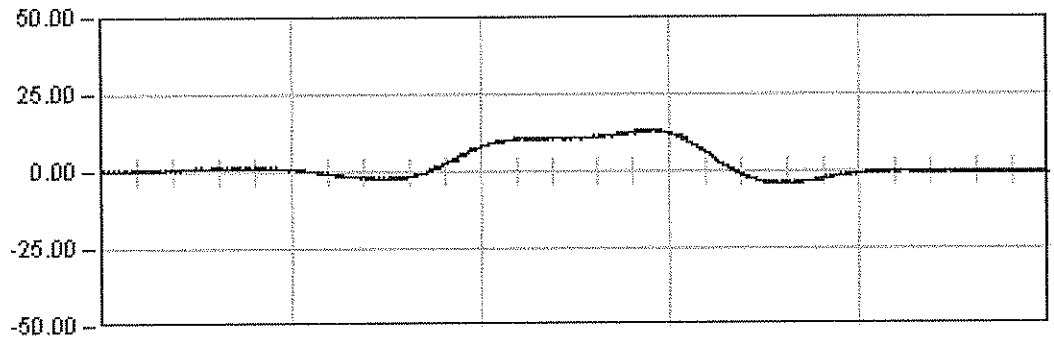


DINAMICA 22

43.0 Seg

Max: 13.50
Min: -4.35
Rem: -0.54

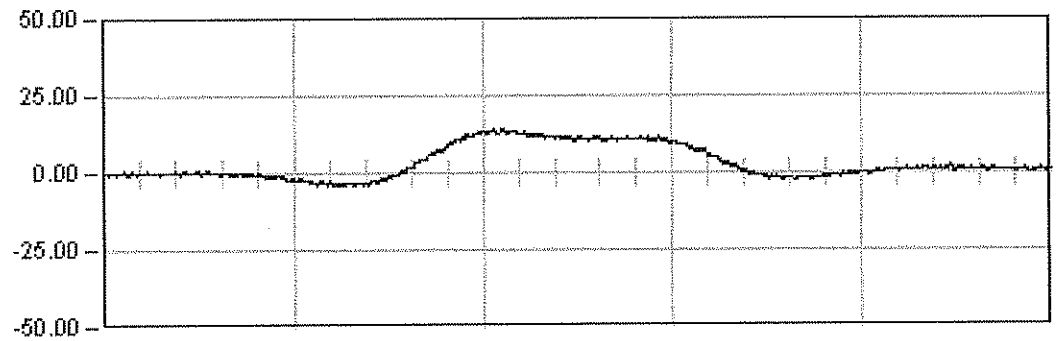


DINAMICA 23

18.0 Seg

Max: 14.16
Min: -4.18
Rem: 0.61

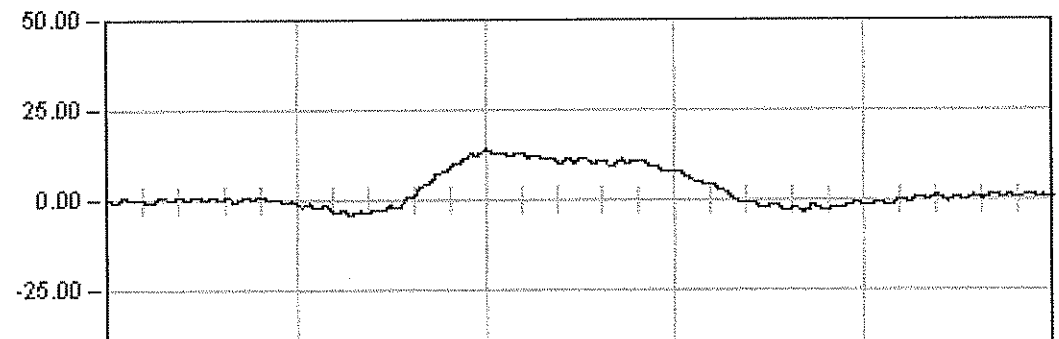


DINAMICA 24

20.0 Seg

Max: 13.94
Min: -4.12
Rem: -0.31

L.A.V. MADRID-BARCELONA-F.FRANCESA

35VI02 - SUBTRAMO IIIa

Punto : G212 Canal : 22 Unidades : µE

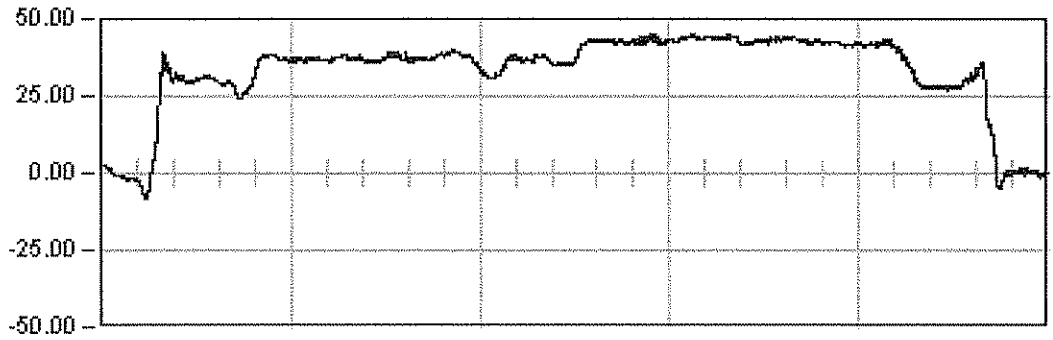


ESTATICA 13

1923.0 Seg

Est: 41.32
Max: 45.25
Min: -8.63
Rem: 0.34

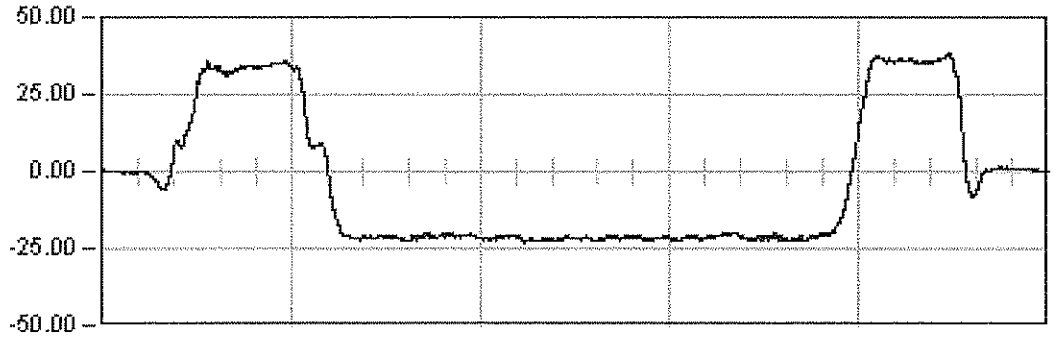


ESTATICA 14

1262.0 Seg

Est: -21.54
Max: 38.07
Min: -22.97
Rem: 0.67

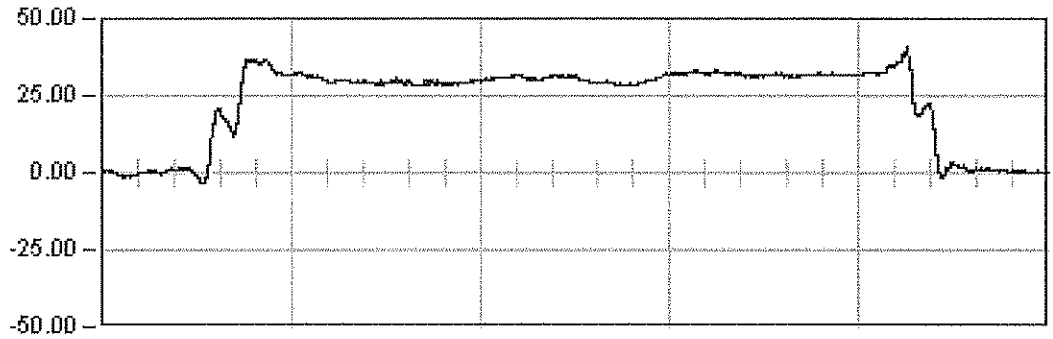


ESTATICA 21

958.0 Seg

Est: 32.26
Max: 40.71
Min: -3.37
Rem: 0.35

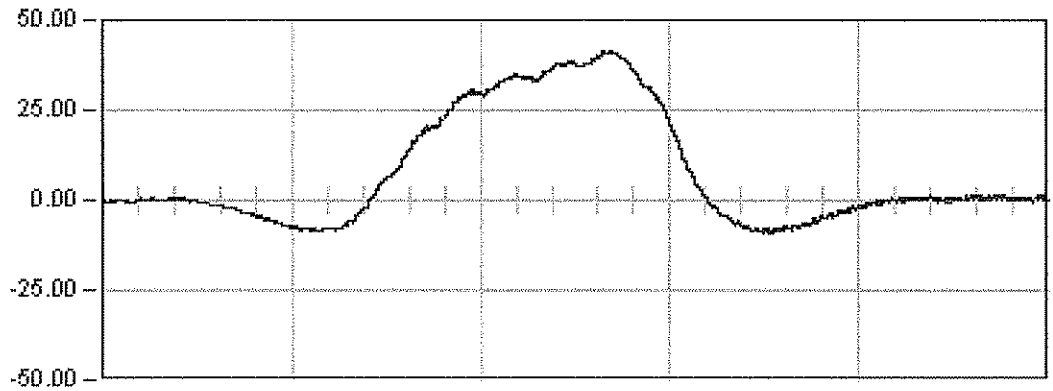


DINAMICA 01

99.0 Seg

Max: 41.43
Min: -9.27
Rem: -0.18

L.A.V. MADRID-BARCELONA-F.FRANCESA

35VI02 - SUBTRAMO IIIa

Punto : G212 Canal : 22 Unidades : µE

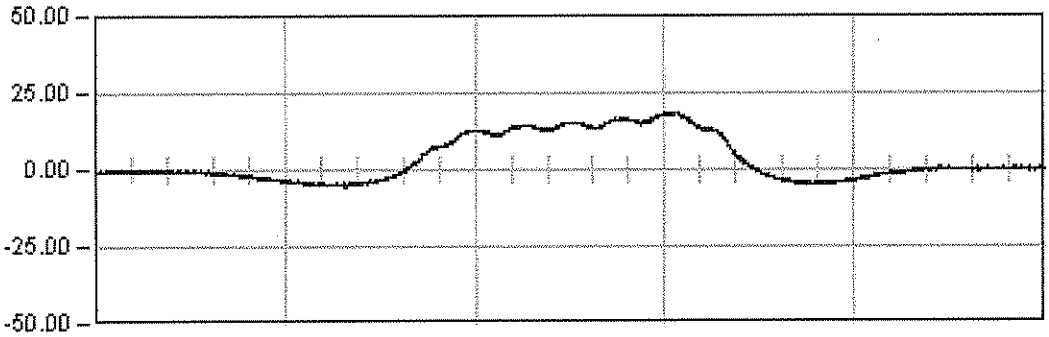


DINAMICA 21

85.0 Seg

Max: 18.59
Min: -5.58
Rem: 0.06

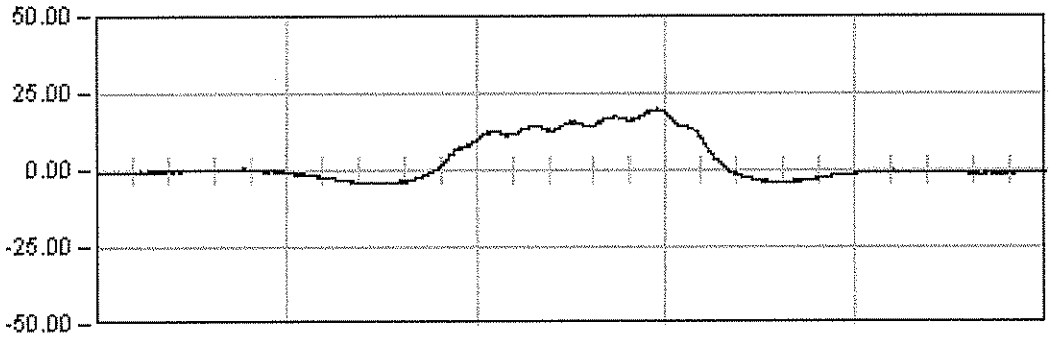


DINAMICA 22

43.0 Seg

Max: 19.63
Min: -4.52
Rem: -0.90

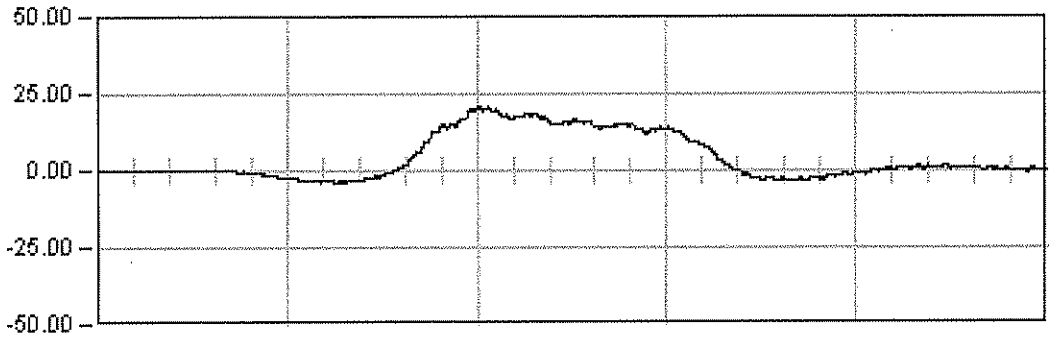


DINAMICA 23

18.0 Seg

Max: 20.75
Min: -4.07
Rem: 0.26

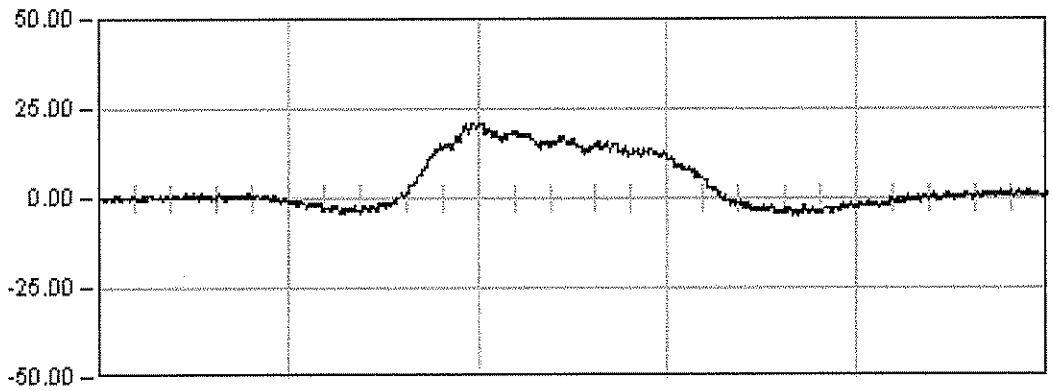


DINAMICA 24

20.0 Seg

Max: 20.86
Min: -4.74
Rem: 0.10

L.A.V. MADRID-BARCELONA-F.FRANCESA

35VI02 - SUBTRAMO IIIa

Punto : G221 Canal : 23 Unidades : µE

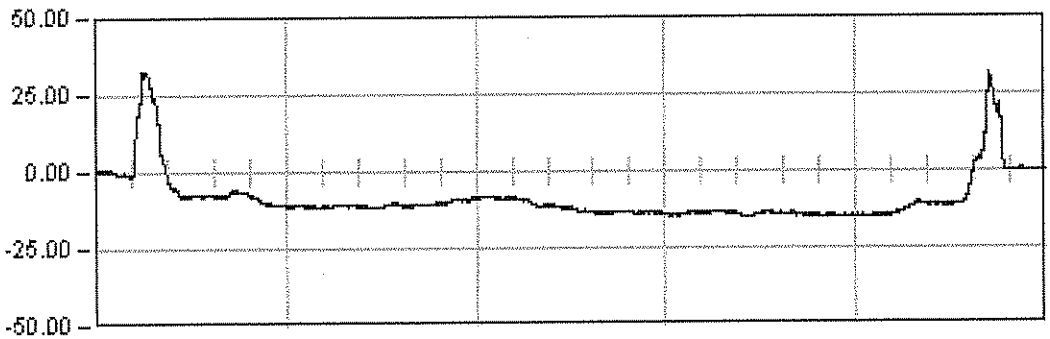


ESTATICA 13

1923.0 Seg

Est: -14.76
Max: 32.89
Min: -15.23
Rem: 0.03

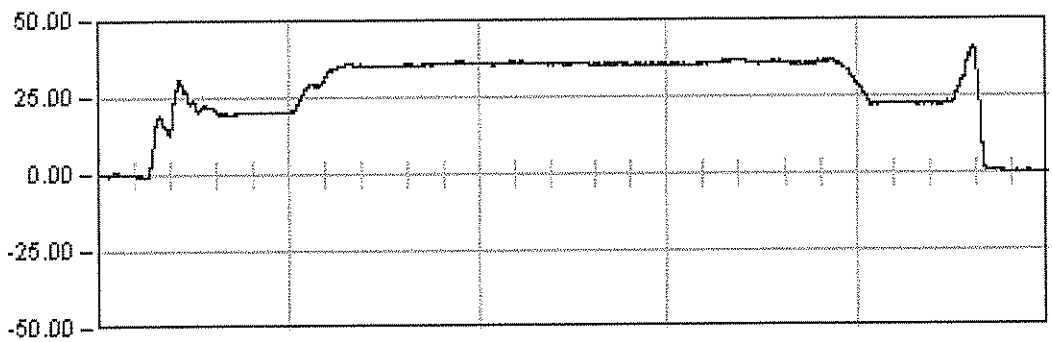


ESTATICA 14

1262.0 Seg

Est: 35.36
Max: 40.95
Min: -0.80
Rem: 0.17

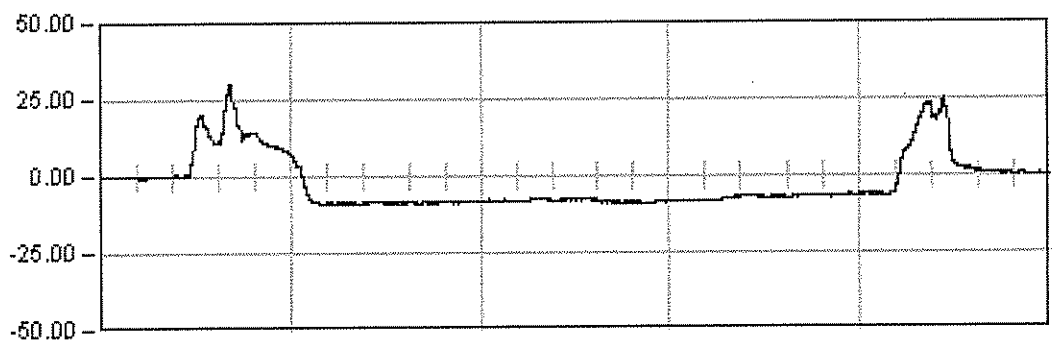


ESTATICA 21

958.0 Seg

Est: -6.40
Max: 29.60
Min: -9.35
Rem: 0.35

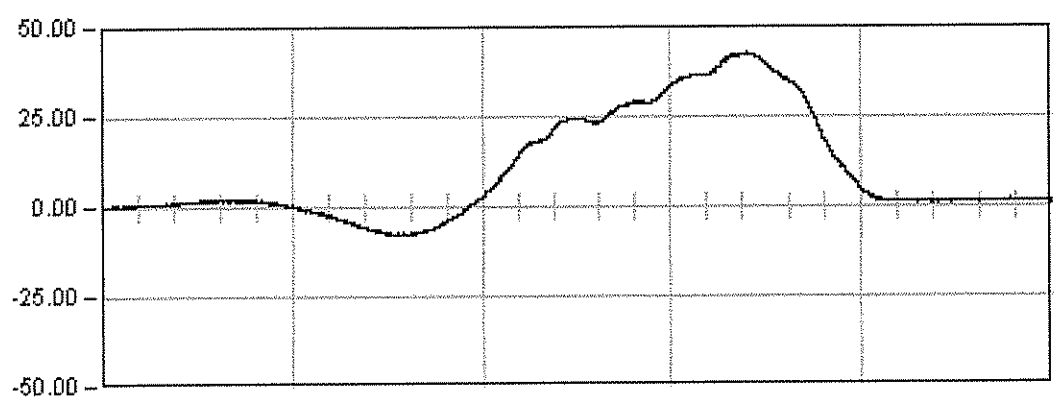


DINAMICA 01

89.0 Seg

Max: 42.52
Min: -7.88
Rem: 1.55

L.A.V. MADRID-BARCELONA-F.FRANCESA

35VI02 - SUBTRAMO IIIa

Punto : G221 Canal : 23 Unidades : µE

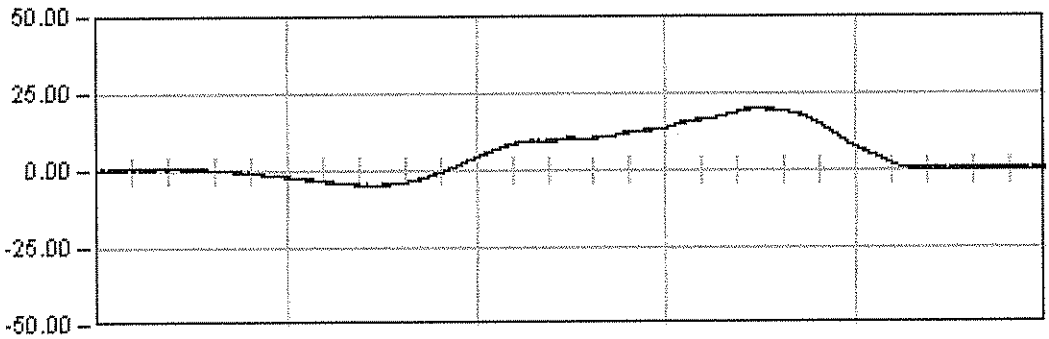


DINAMICA 21

68.0 Seg

Max: 20.09
Min: -4.98
Rem: 0.40

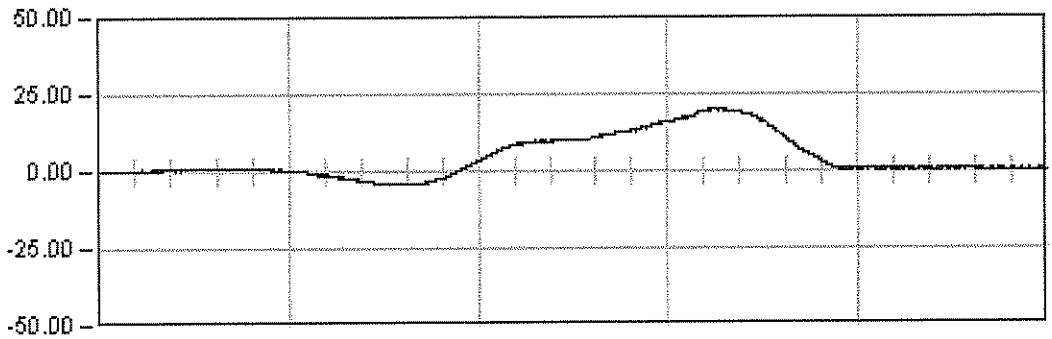


DINAMICA 22

35.0 Seg

Max: 19.88
Min: -4.49
Rem: 0.29

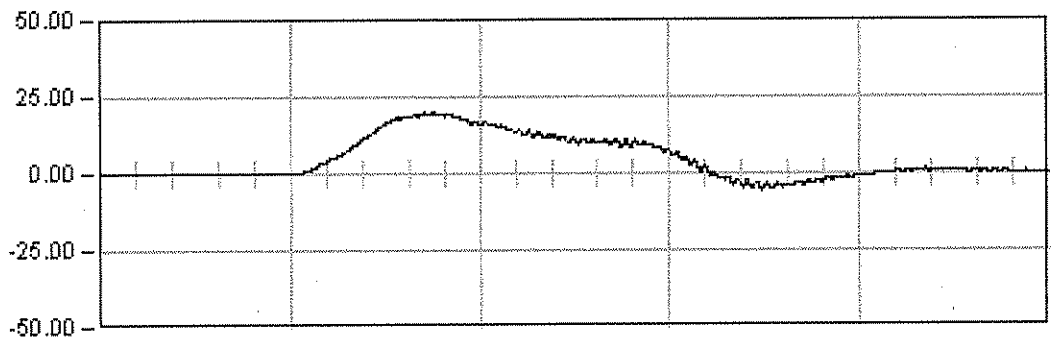


DINAMICA 23

16.0 Seg

Max: 19.68
Min: -5.54
Rem: 0.16

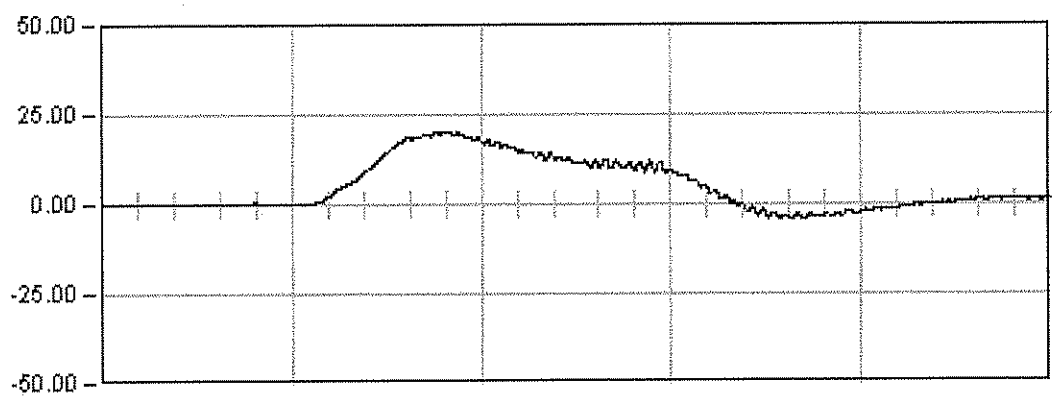


DINAMICA 24

16.0 Seg

Max: 20.21
Min: -4.33
Rem: 0.98

L.A.V. MADRID-BARCELONA-F.FRANCESA

35VI02 - SUBTRAMO IIIa

Punto : G222 Canal : 24 Unidades : µE

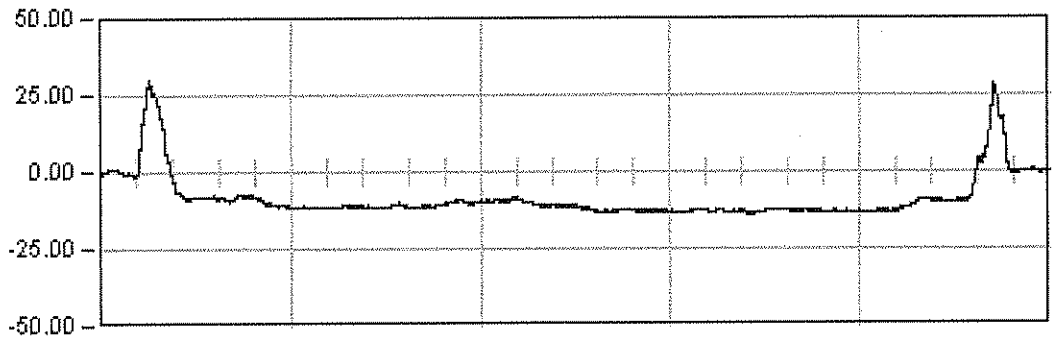


ESTATICA 13

1923.0 Seg

Est: -13.31
Max: 29.84
Min: -14.02
Rem: 0.04

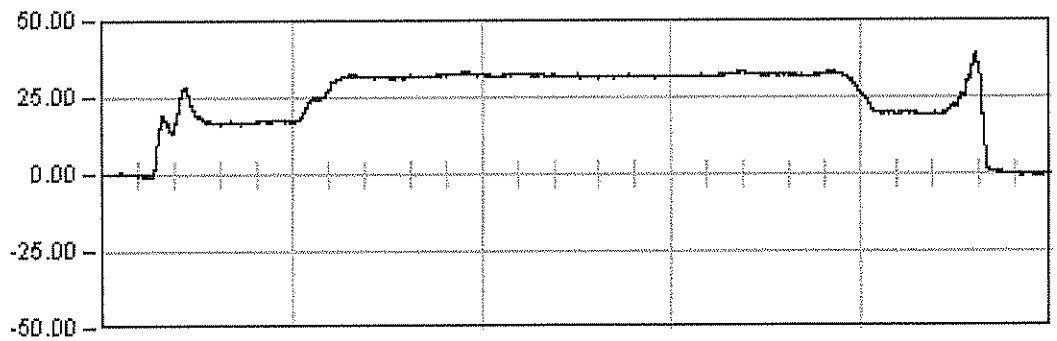


ESTATICA 14

1262.0 Seg

Est: 31.85
Max: 38.78
Min: -0.67
Rem: -0.17

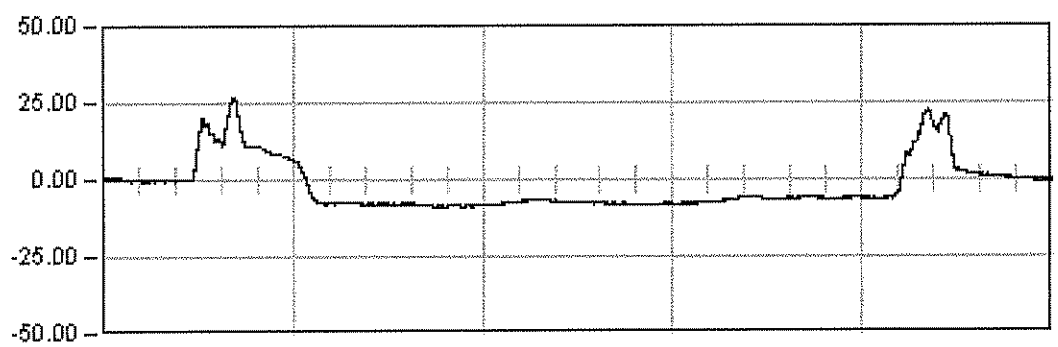


ESTATICA 21

958.0 Seg

Est: -6.36
Max: 26.92
Min: -9.03
Rem: 0.13

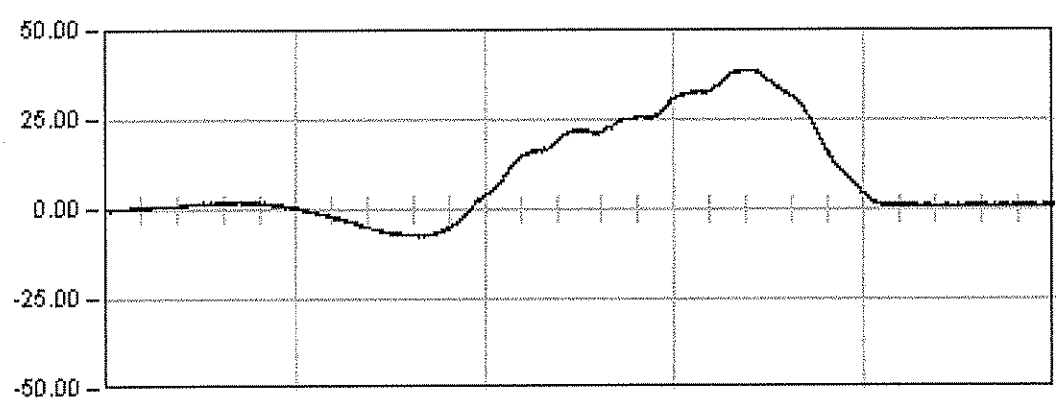


DINAMICA 01

89.0 Seg

Max: 38.69
Min: -7.58
Rem: 1.11

L.A.V. MADRID-BARCELONA-F.FRANCESA

35VI02 - SUBTRAMO IIIa

Punto : G222 Canal : 24 Unidades : µE

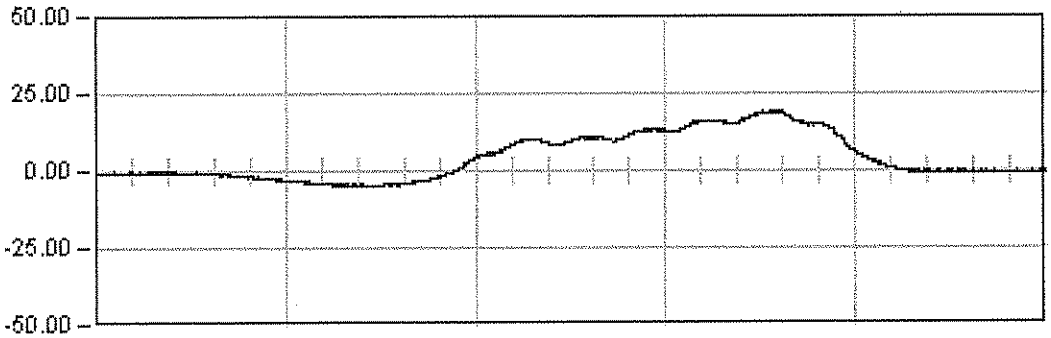


DINAMICA 21

68.0 Seg

Max: 18.98
Min: -5.11
Rem: -0.57

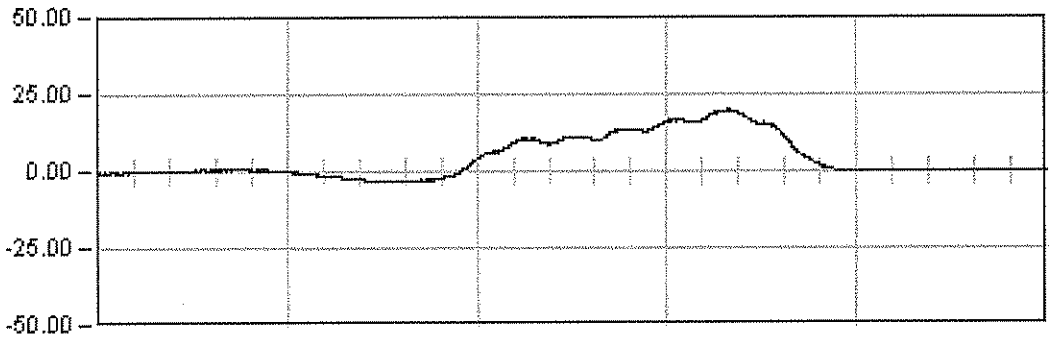


DINAMICA 22

35.0 Seg

Max: 19.68
Min: -3.74
Rem: -0.02

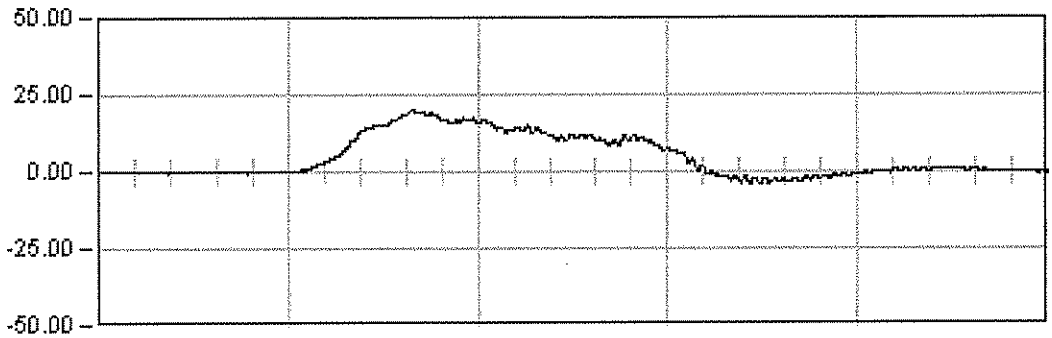


DINAMICA 23

16.0 Seg

Max: 19.87
Min: -4.25
Rem: 0.08

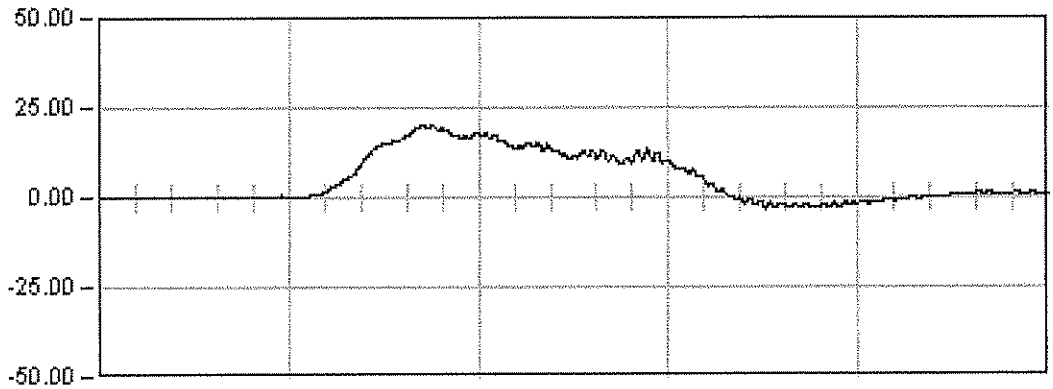


DINAMICA 24

15.0 Seg

Max: 20.11
Min: -3.24
Rem: 0.22

L.A.V. MADRID-BARCELONA-F.FRANCESA

35VI02 - SUBTRAMO IIIa

Punto : A191 Canal : 13 Unidades : G's/100

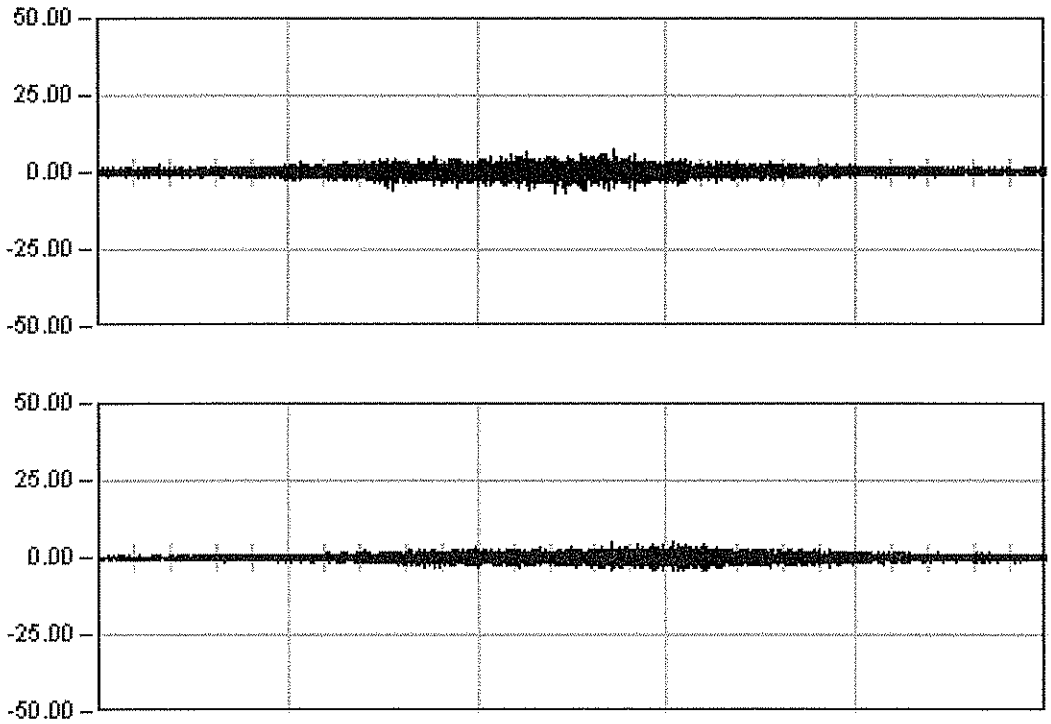


DINAMICA 01

103.0 Seg

Max: 7.44

Min: -6.46

Rem: 0.42

DINAMICA 21

95.0 Seg

Max: 4.71

Min: -4.34

Rem: -0.08

L.A.V. MADRID-BARCELONA-F.FRANCESA

35VI02 - SUBTRAMO IIIa

Punto : A191 Canal : 13 Unidades : G´s/100

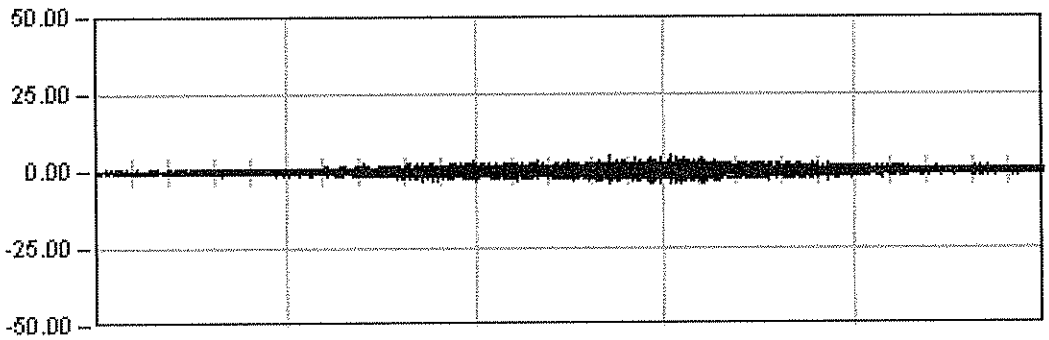


DINAMICA 21

95.0 Seg

Max: 4.71
Min: -4.34
Rem: -0.08

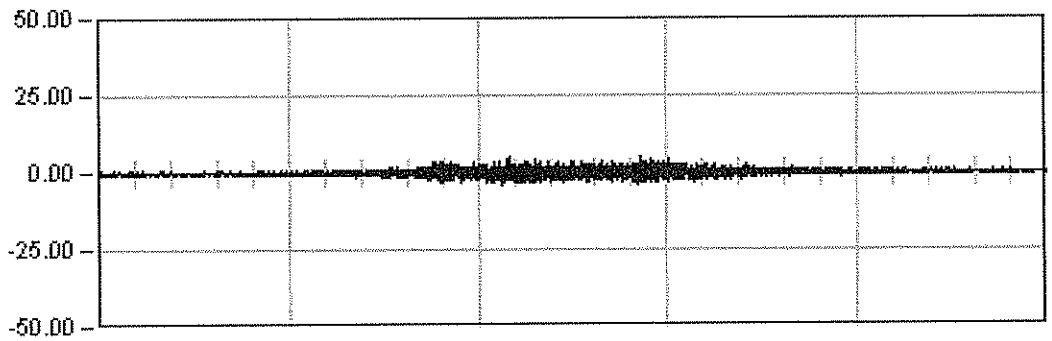


DINAMICA 22

43.0 Seg

Max: 4.83
Min: -4.09
Rem: -0.13

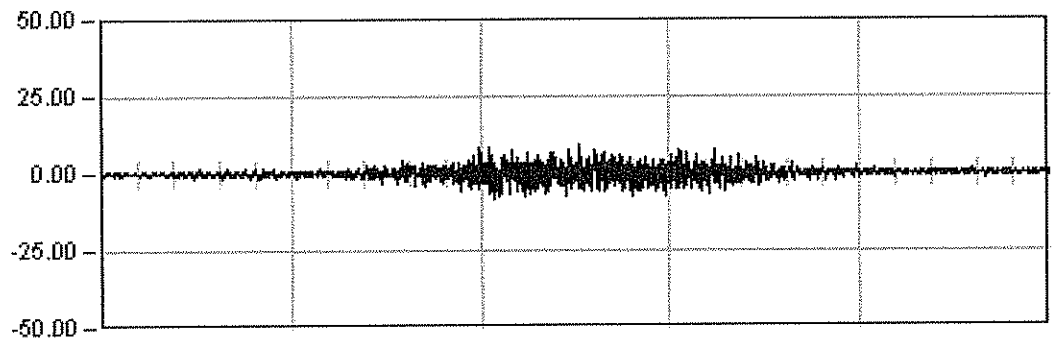


DINAMICA 23

18.0 Seg

Max: 9.30
Min: -8.43
Rem: 0.01

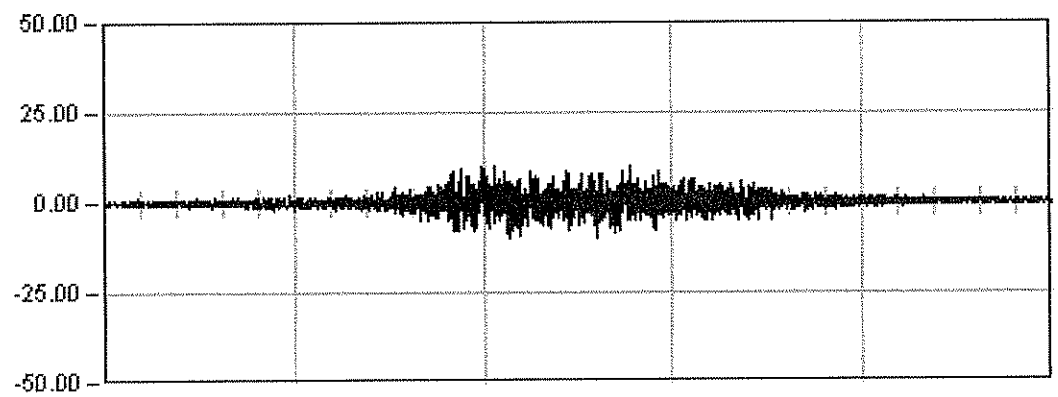


DINAMICA 24

25.0 Seg

Max: 10.04
Min: -9.79
Rem: 0.02

L.A.V. MADRID-BARCELONA-F.FRANCESA

35VI02 - SUBTRAMO IIIa

Prueba: din24 Punto: A191 Canal: 13

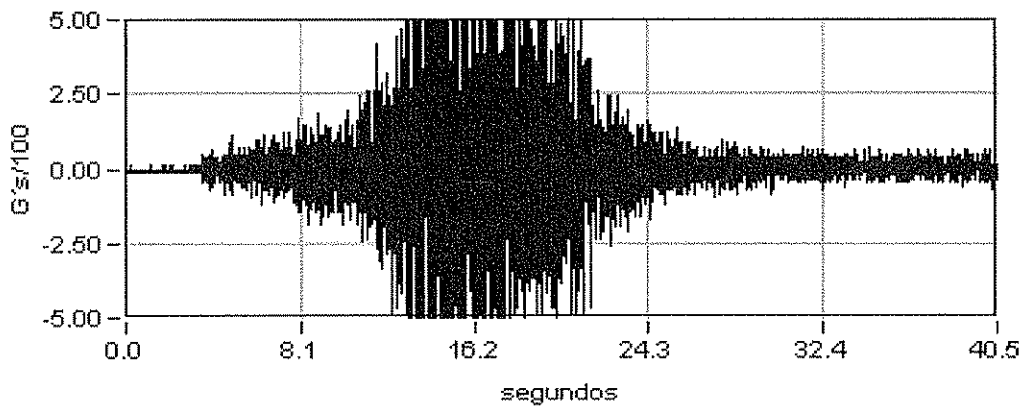


| Máximo |
| --- |
| 10.04 |

| Mínimo |
| --- |
| -9.79 |

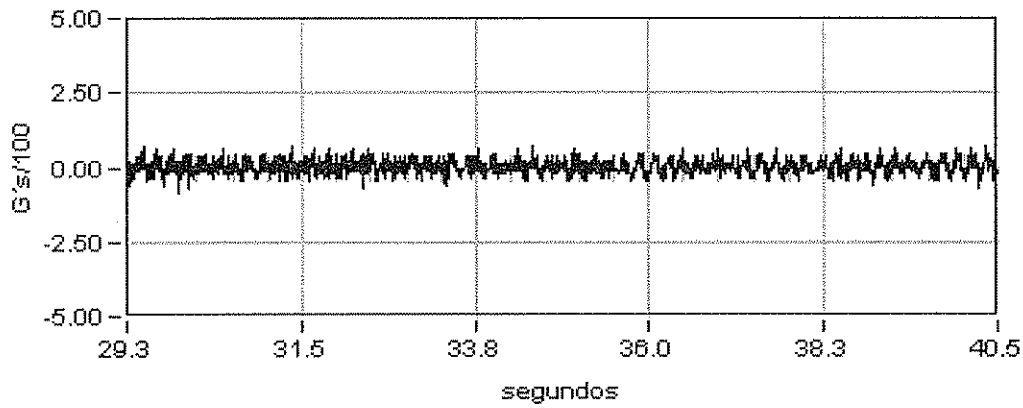


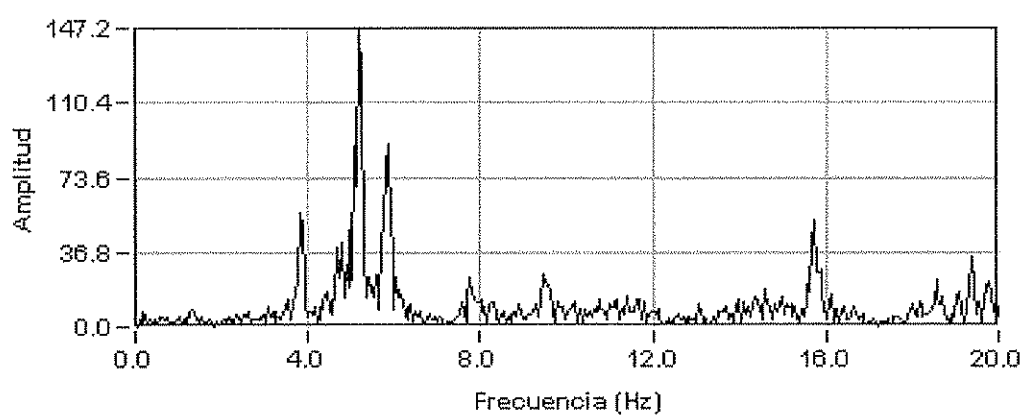


| Amplitud |
| --- |
| 147.23 |

| Frecuencia |
| --- |
| 5.16 |

| Dec.Logarit. |
| --- |
| 0.05 |

| Amortiguac. | |
| --- | --- |
| 0.83 | % |

L.A.V. MADRID-BARCELONA-F.FRANCESA

35VI02 - SUBTRAMO IIIa

Punto : A201 Canal : 14 Unidades : G´s/100

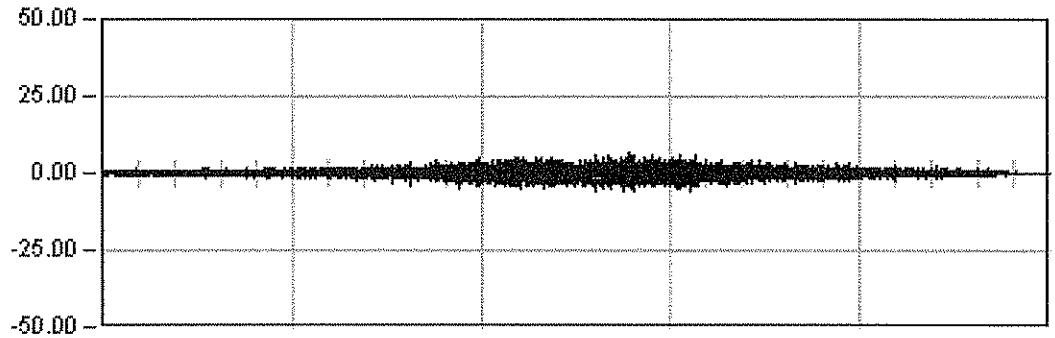


DINAMICA 01

120.0 Seg

Max: 6.56

Min: -5.96

Rem: 0.17

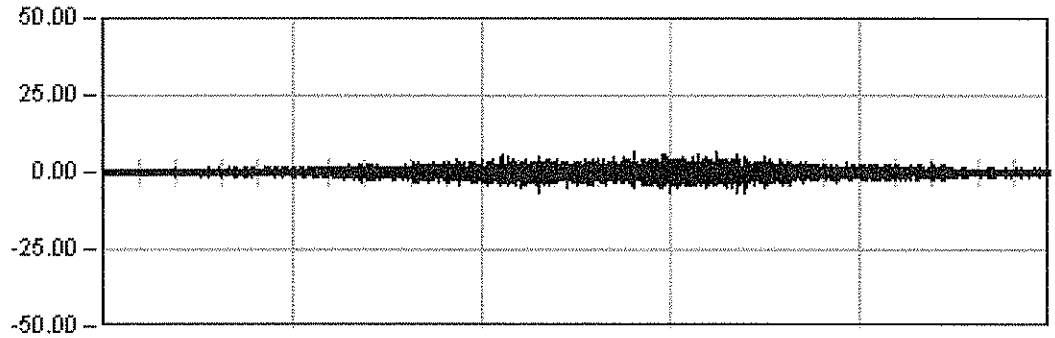


DINAMICA 21

85.0 Seg

Max: -7.04

Min: 6.56

Rem: -0.03

L.A.V. MADRID-BARCELONA-F.FRANCESA

35VI02 - SUBTRAMO IIIa

Punto : A201 Canal : 14 Unidades : G's/100

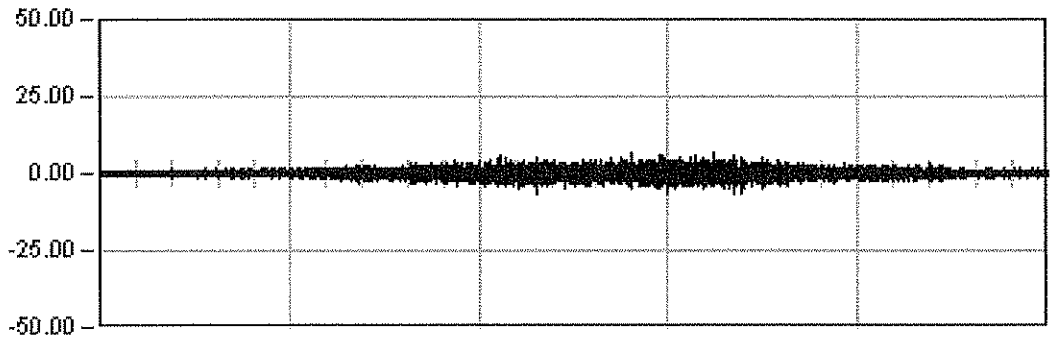


DINAMICA 21

85.0 Seg

Max: -7.04
Min: 6.56
Rem: -0.03

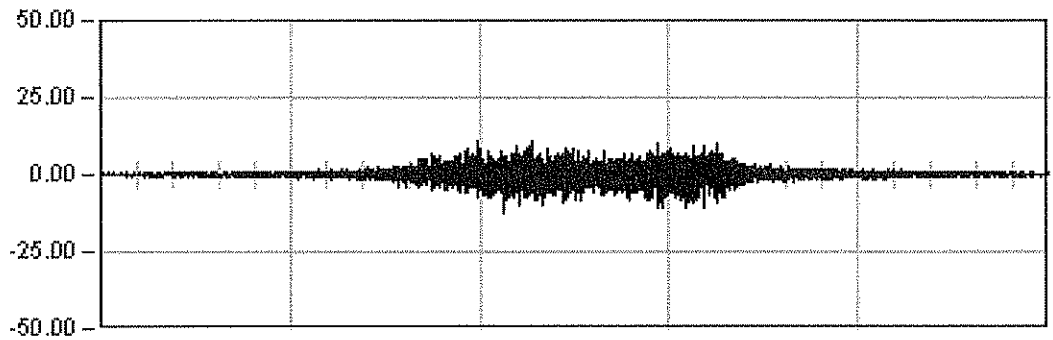


DINAMICA 22

37.0 Seg

Max: -12.53
Min: 11.21
Rem: -0.01

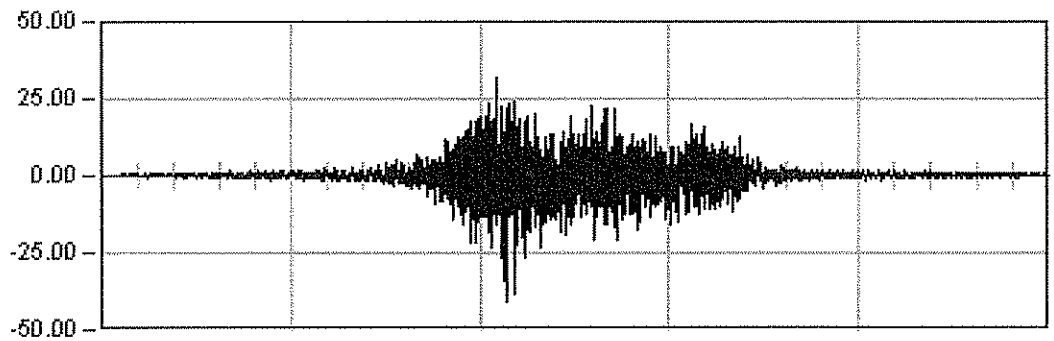


DINAMICA 23

19.0 Seg

Max: -41.16
Min: 31.85
Rem: 0.18

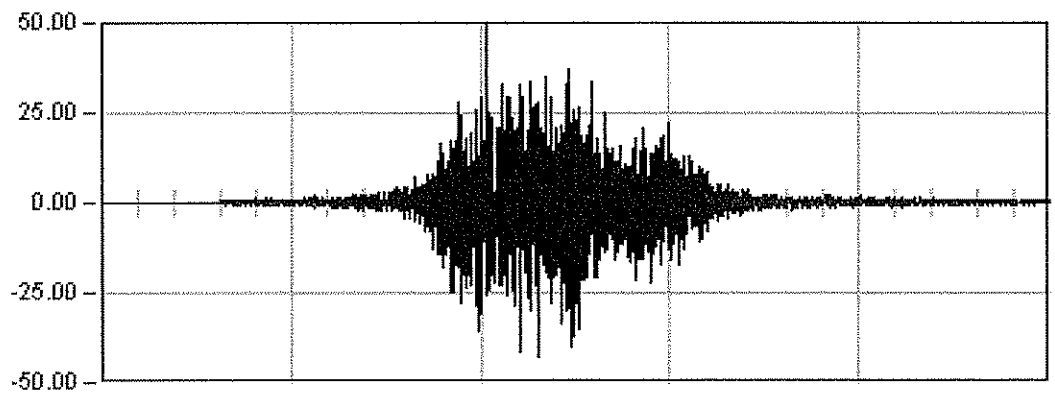


DINAMICA 24

27.0 Seg

Max: 52.13
Min: -43.07
Rem: 0.13

L.A.V. MADRID-BARCELONA-F.FRANCESA

35VI02 - SUBTRAMO IIIa

Prueba: din24 Punto: A201 Canal: 14

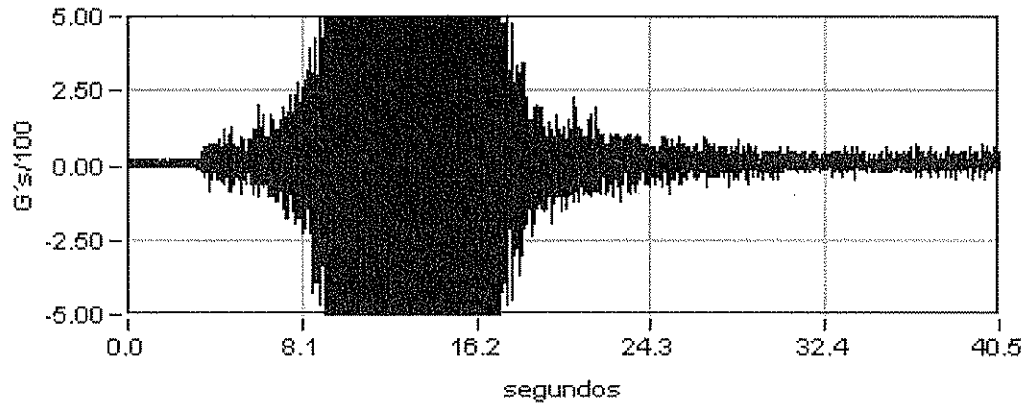


| Máximo |
| --- |
| 52.13 |

| Mínimo |
| --- |
| -43.07 |

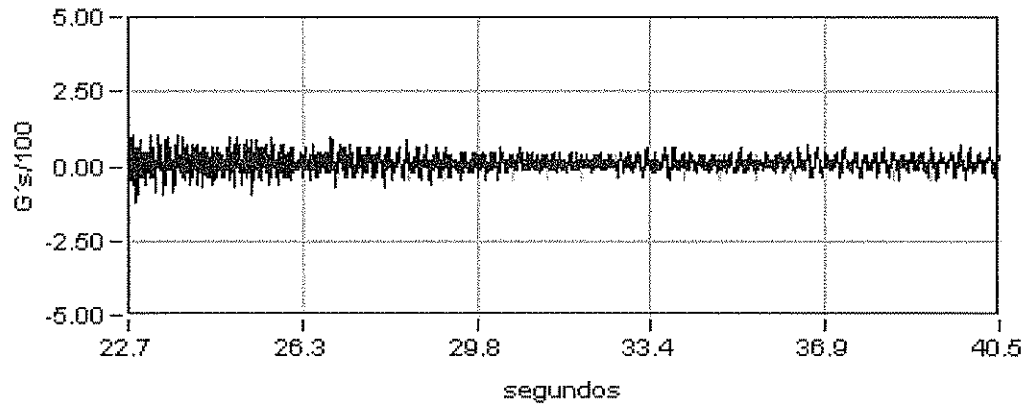


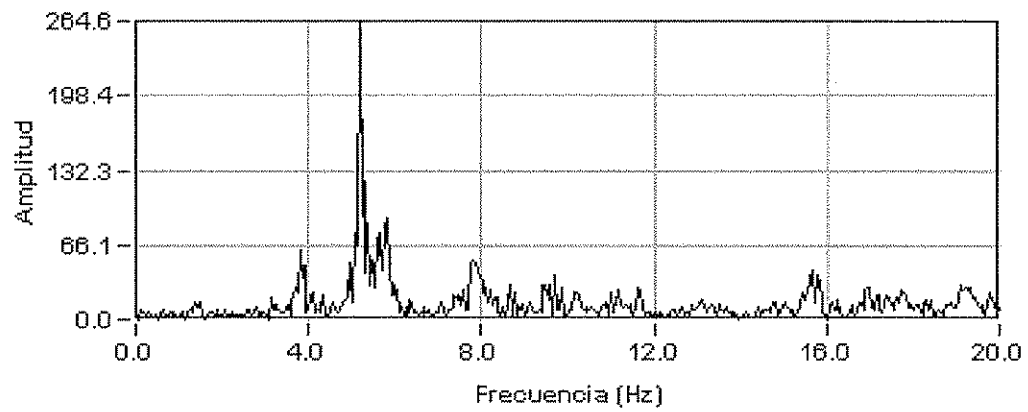


| Amplitud |
| --- |
| 264.55 |

| Frecuencia |
| --- |
| 5.16 |

| Dec.Logarit. |
| --- |
| 0.02 |

| Amortiguac. | |
| --- | --- |
| 0.40 | % |

L.A.V. MADRID-BARCELONA-F.FRANCESA

35VI02 - SUBTRAMO IIIa

Punto : A211 Canal : 15 Unidades : G´s/100

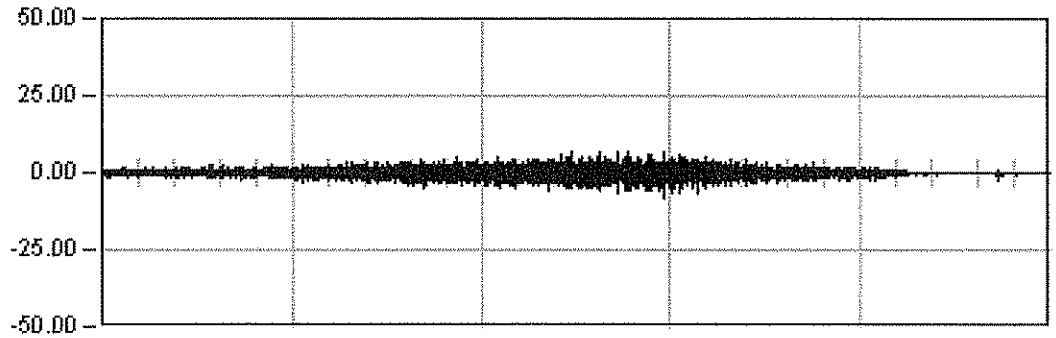


DINAMICA 01

99.0 Seg

Max: -8.32

Min: 7.07

Rem: -0.14

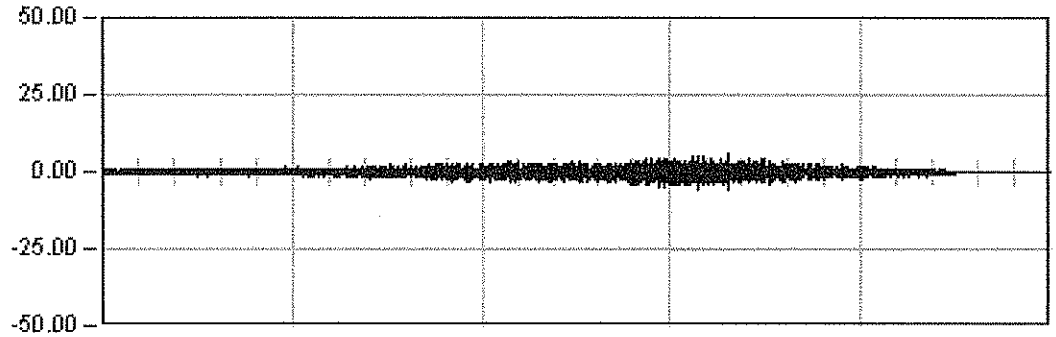


DINAMICA 21

85.0 Seg

Max: -5.83

Min: 5.71

Rem: -0.11

L.A.V. MADRID-BARCELONA-F.FRANCESA

35VI02 - SUBTRAMO IIIa

Punto : A211 Canal : 15 Unidades : G´s/100

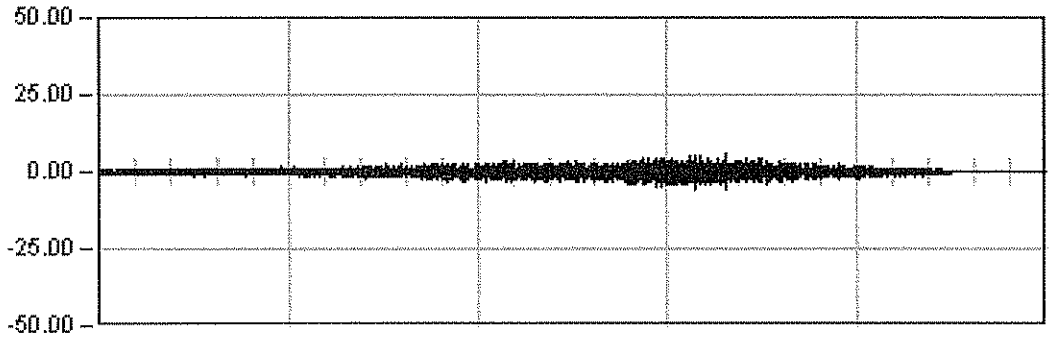


DINAMICA 21

85.0 Seg

Max: -5.83
Min: 5.71
Rem: -0.11

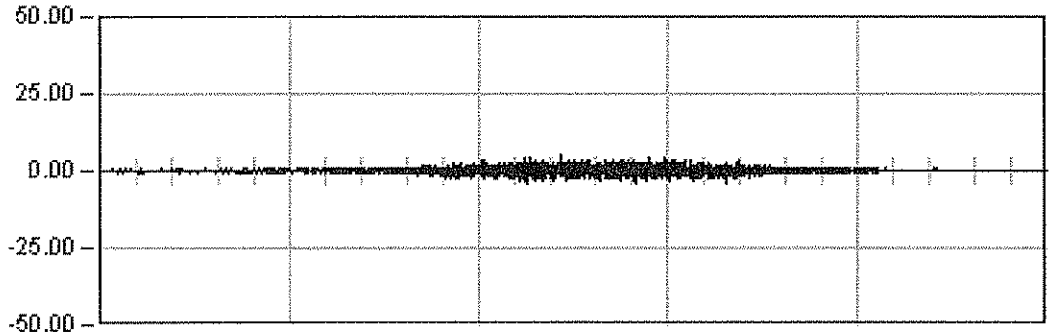


DINAMICA 22

43.0 Seg

Max: 4.84
Min: -4.22
Rem: 0.00

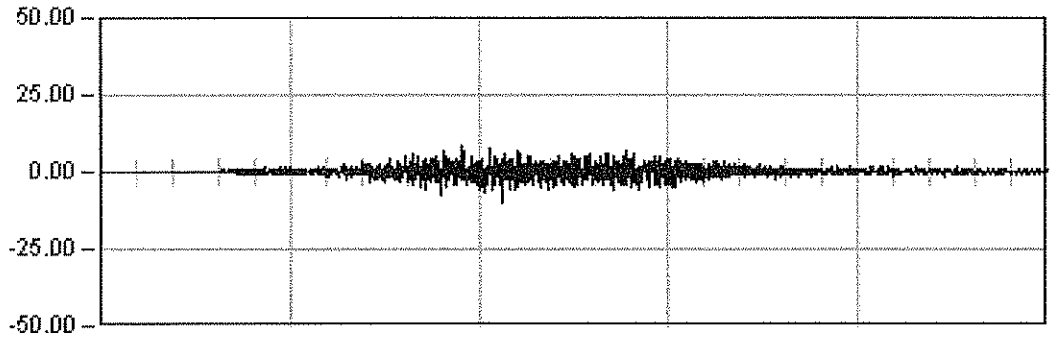


DINAMICA 23

18.0 Seg

Max: -10.18
Min: 8.32
Rem: 0.13

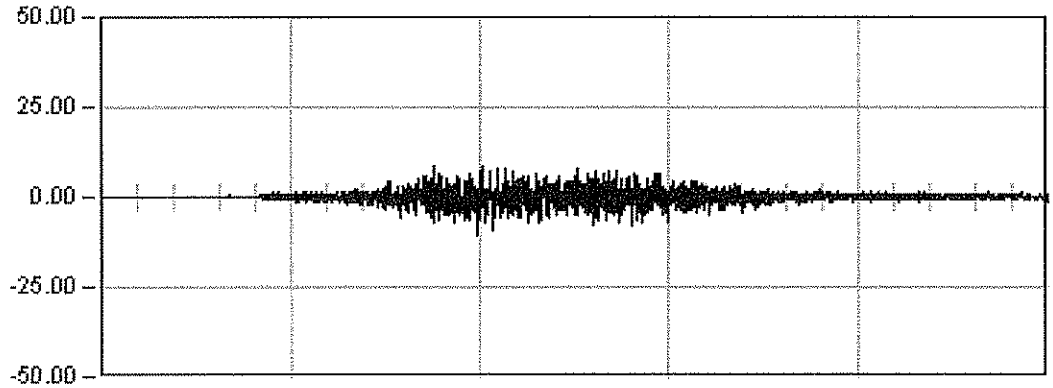


DINAMICA 24

20.0 Seg

Max: -10.43
Min: 8.69
Rem: 0.09

L.A.V. MADRID-BARCELONA-F.FRANCESA

35VI02 - SUBTRAMO IIIa

Prueba: din24 Punto: A211 Canal: 15

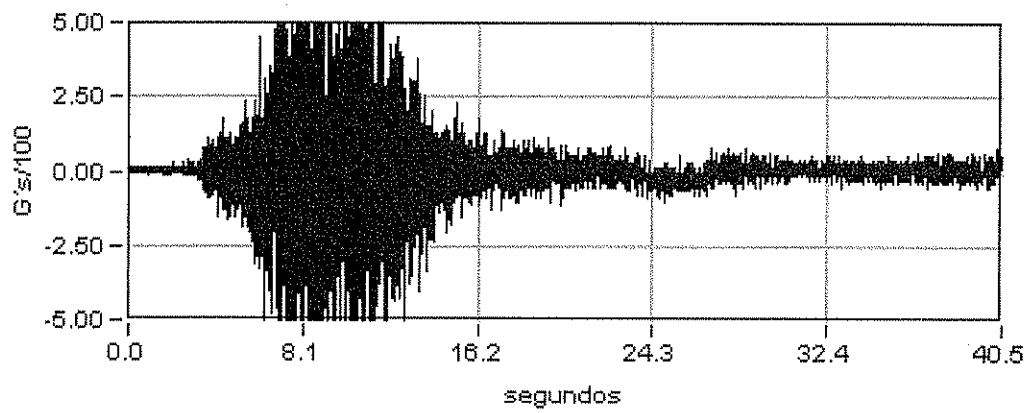


| Máximo |
| --- |
| -10.43 |

| Mínimo |
| --- |
| 8.69 |

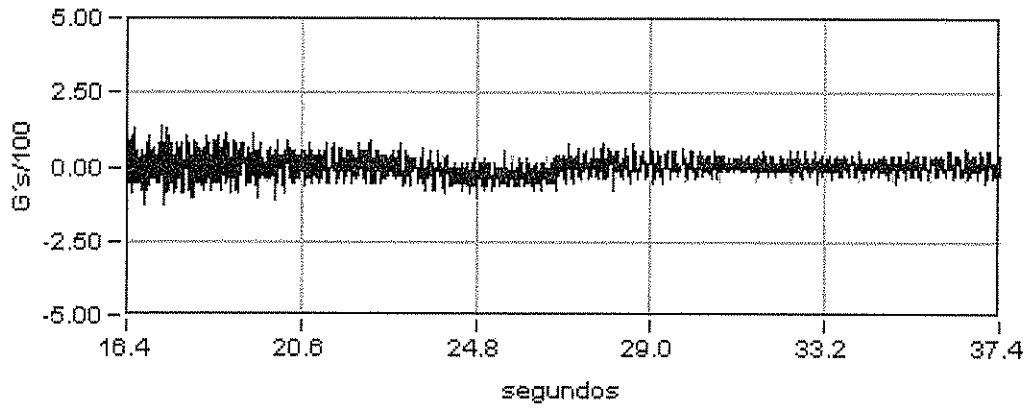


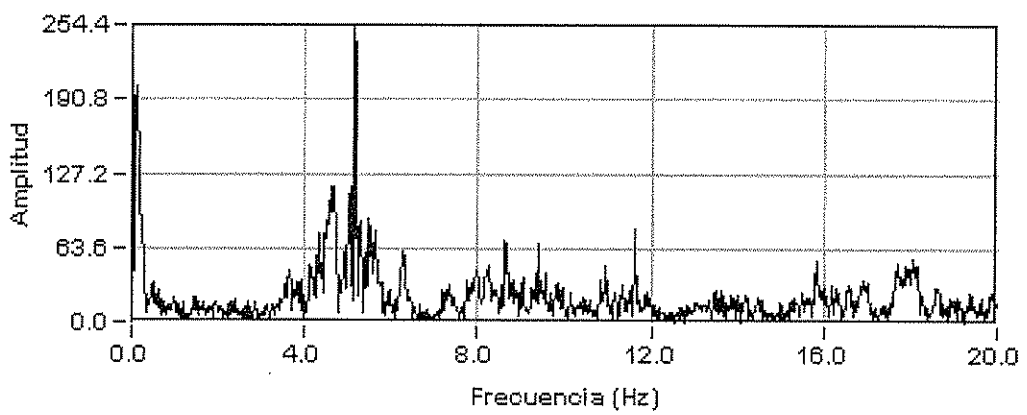


| Amplitud |
| --- |
| 254.36 |

| Frecuencia |
| --- |
| 5.16 |

| Dec. Logarit. |
| --- |
| 0.03 |

| Amortiguac. |
| --- |
| 0.49 % |

L.A.V. MADRID-BARCELONA-F.FRANCESA

35YI02 - SUBTRAMO IIIa

Punto : A221 Canal : 29 Unidades : G´s/100

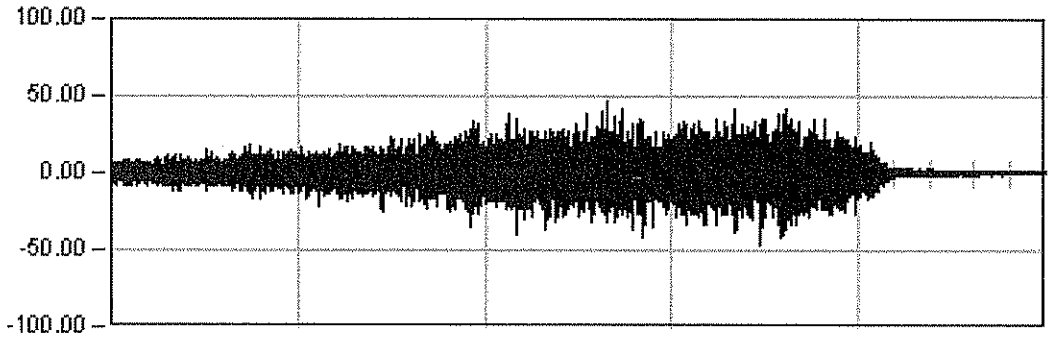


DINAMICA 01

89.0 Seg

Max: 47.00
Min: -46.00
Rem: 0.66

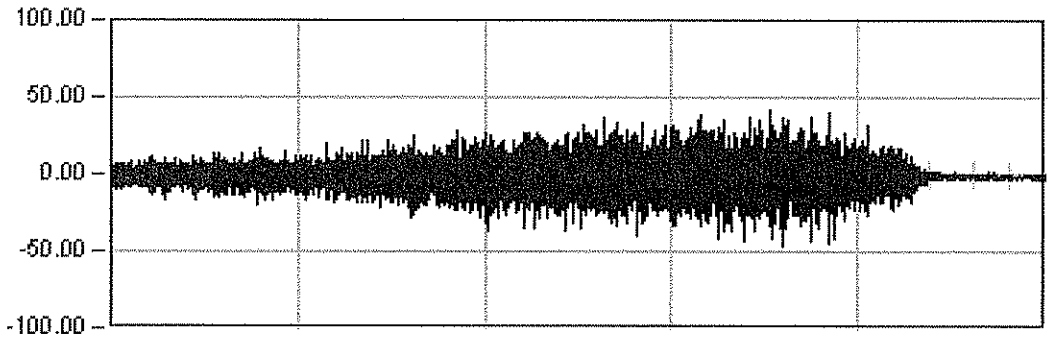


DINAMICA 21

68.0 Seg

Max: -46.00
Min: 41.00
Rem: -1.41

L.A.V. MADRID-BARCELONA-F.FRANCESA

35VI02 - SUBTRAMO IIIa

Punto : A221 Canal : 29 Unidades : G´s/100

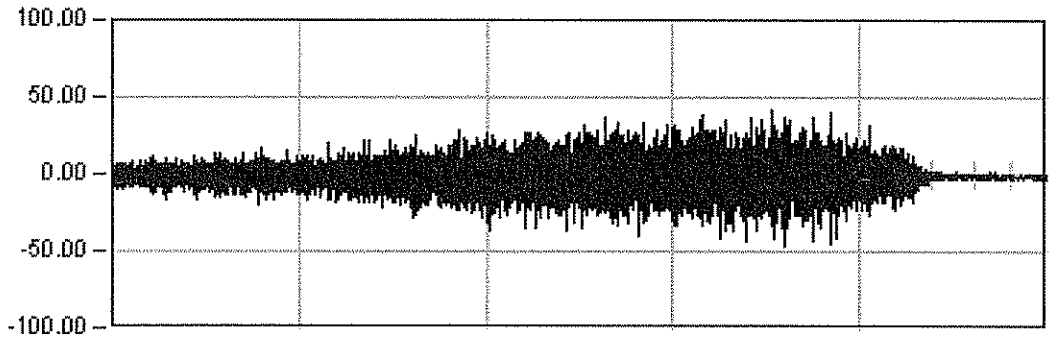


DINAMICA 21

68.0 Seg

Max: -46.00
Min: 41.00
Rem: -1.41

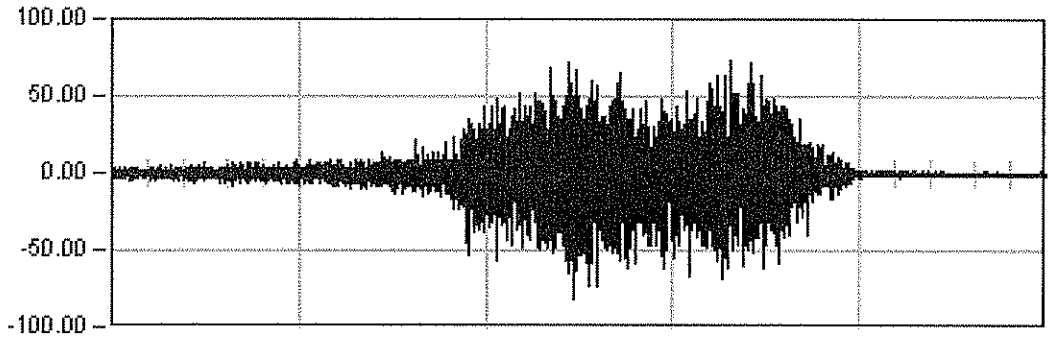


DINAMICA 22

35.0 Seg

Max: -81.00
Min: 74.00
Rem: -0.60

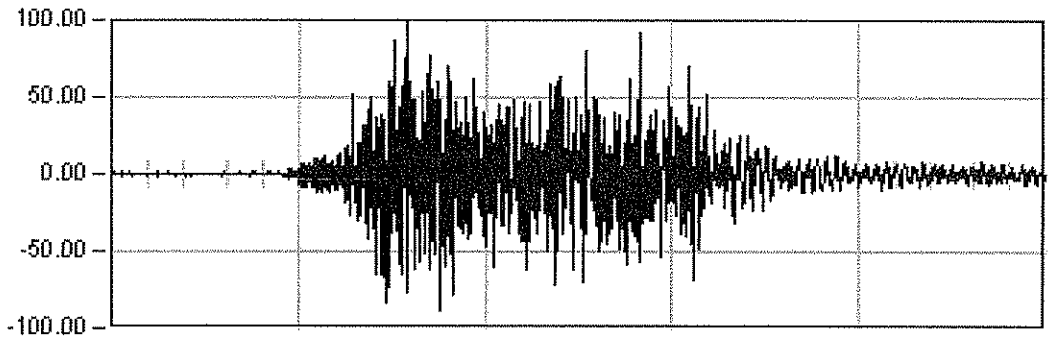


DINAMICA 23

16.0 Seg

Max: 103.50
Min: -87.50
Rem: 0.22

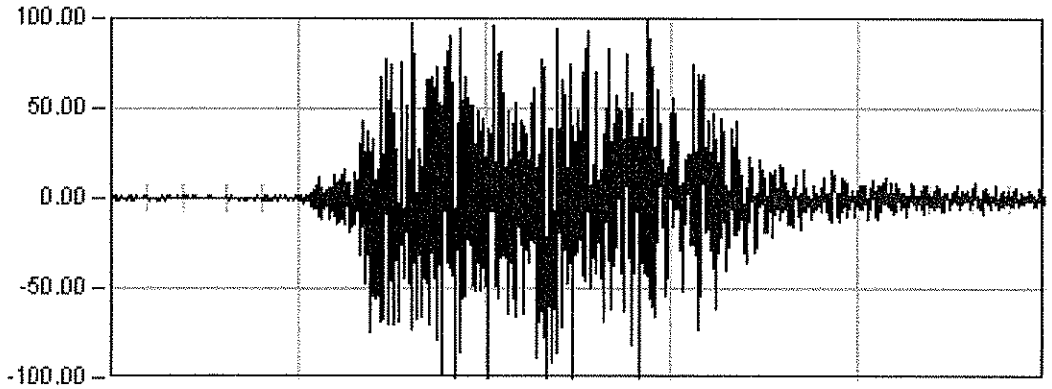


DINAMICA 24

15.0 Seg

Max: -110.25
Min: 106.00
Rem: 0.30

L.A.V. MADRID-BARCELONA-F.FRANCESA

35VI02 - SUBTRAMO IIIa

Prueba: din24 Punto: A221 Canal: 29

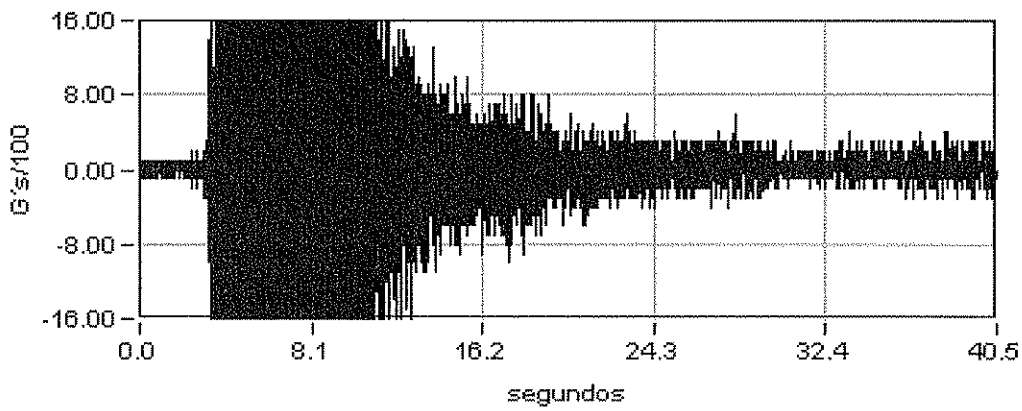


| Máximo |
| --- |
| -281.00 |

| Mínimo |
| --- |
| 219.00 |

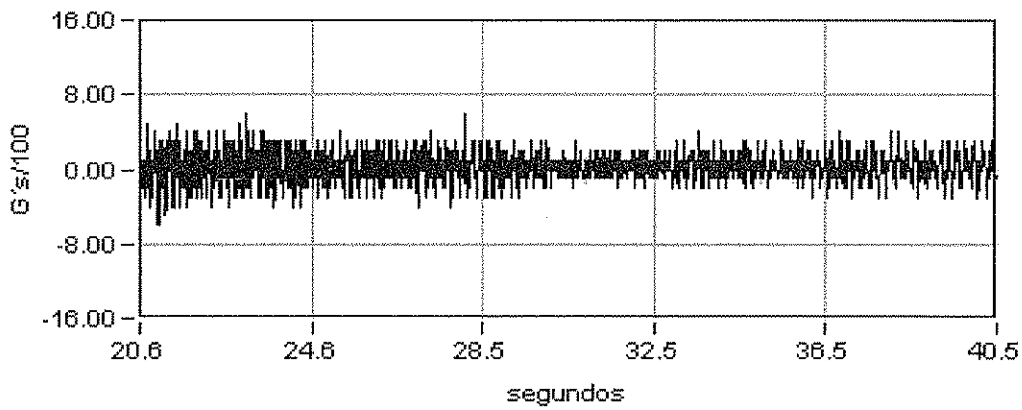


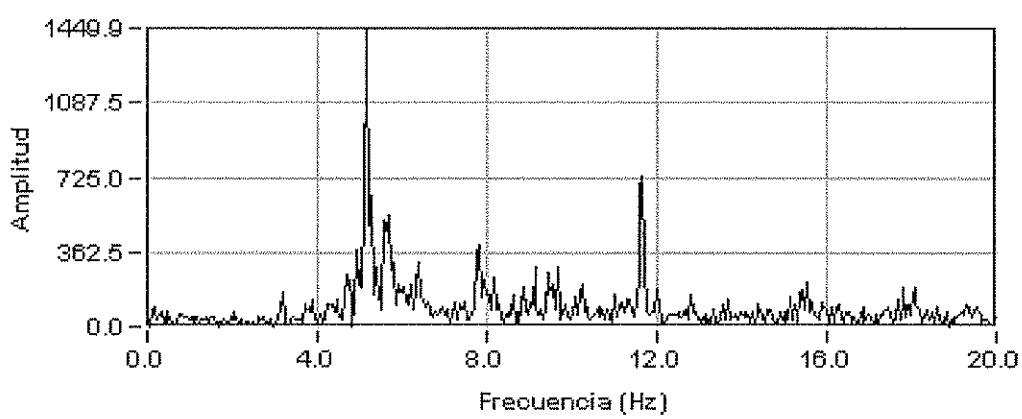


| Amplitud |
| --- |
| 1449.94 |

| Frecuencia |
| --- |
| 5.17 |

| Dec. Logant. |
| --- |
| 0.03 |

| Amortiguac. | |
| --- | --- |
| 0.43 | % |

# ANEJO 5: REPORTAJE FOTOGRÁFICO

**Madrid, Julio de 2007**

**FOTOGRAFÍA Nº 1**: Vista General de la Estructura

**FOTOGRAFÍA Nº 2**: Vista Superior

**FOTOGRAFÍA Nº 3**: Furgón de Equipo Técnico

**FOTOGRAFÍA Nº 4**: Equipos de medida

**FOTOGRAFÍA Nº 5**: Cableado de Instrumentación

**FOTOGRAFÍA Nº 6**: Grúa Telescópica

**FOTOGRAFÍA Nº 7**: Transductor de desplazamiento

**FOTOGRAFÍA Nº 8**: Banda Extensométrica y Flecha

**FOTOGRAFÍA Nº 9**: Transductor de Desplazamiento (Apoyo)

**FOTOGRAFÍA Nº 10**:Dispositivo láser de medida de desplazamientos

**FOTOGRAFÍA Nº 11**: Banda extensómetrica (Detalle)

**FOTOGRAFÍA Nº 12**: Carga de Vano 1

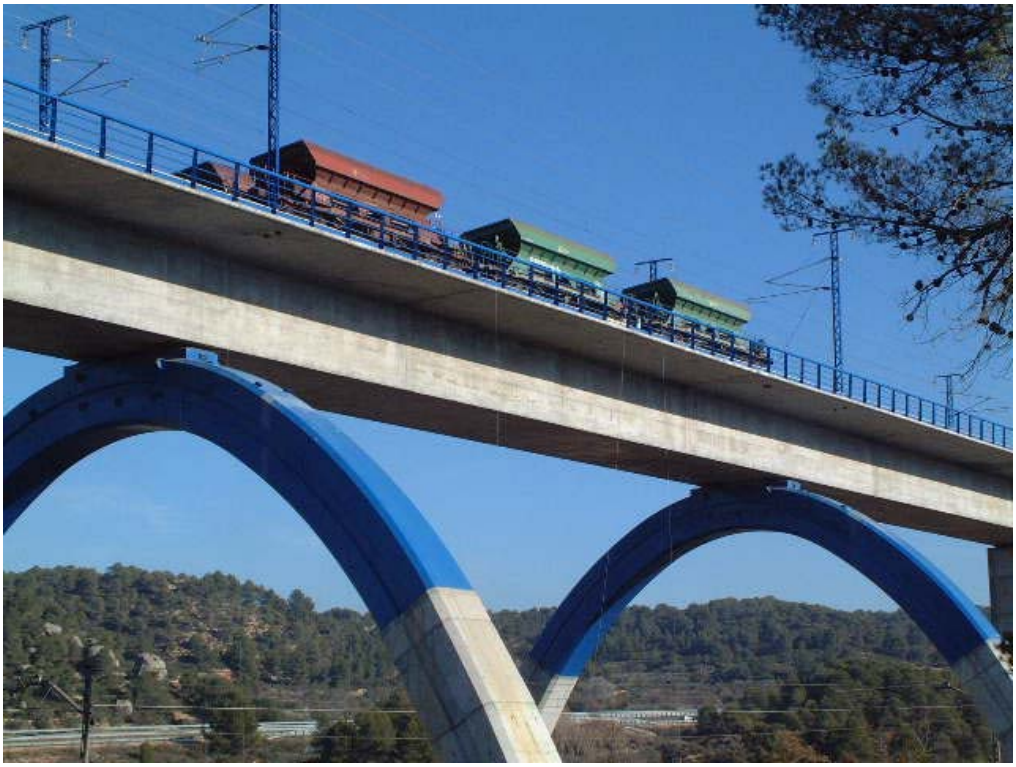

**FOTOGRAFÍA Nº 13**: Carga de Vano 12

**FOTOGRAFÍA Nº 14**: Carga de Vano 13

**FOTOGRAFÍA Nº 15**: Carga de Vanos alternos

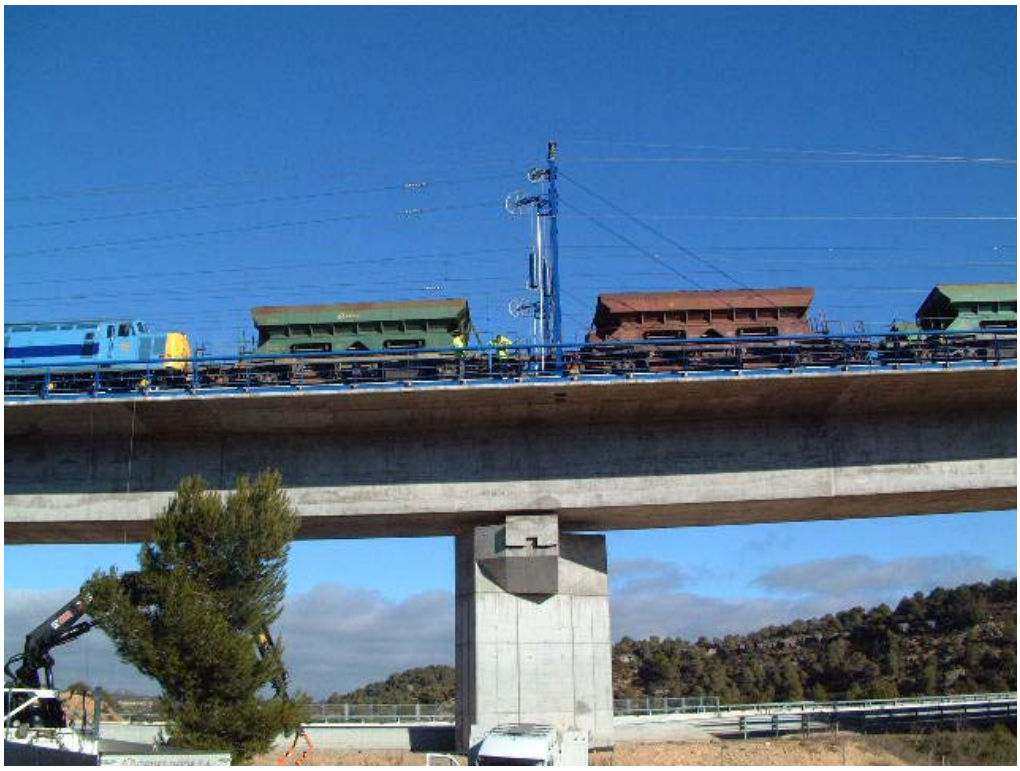

**FOTOGRAFÍA Nº 16**: Carga de Pila

# ANEJO 6: ACTA DE LA PRUEBA DE CARGA

**Madrid, Julio de 2007**

# ACTA DE PRUEBA DE CARGA

| | | | |
|---|---|---|---|
| **TIPO DE PRUEBA:** | Recepción de obra nueva | **FECHA DE PRUEBA:** | 18/01/2006 |

## IDENTIFICACIÓN ESTRUCTURA

| | |
|---|---|
| **ORGANISMO, COMPAÑÍA:** | ADIF |
| **LÍNEA:** | L.A.V. Madrid - Zaragoza - Barcelona - Frontera Francesa |
| **TRAMO:** | Lleida - Villafranca del Penedés SUBTRAMO: III-a |
| **P.K.:** | PROYECTO: 305+793 ; LINEA: 477+722 |
| **PROVINCIA:** | Lleida |
| **DENOMINACIÓN** | Viaducto de Vinaixa - Vanos 1, 2, 3 y 4 |
| **REFERENCIA:** | 35VI02 |

**DESCRIPCIÓN DE LA ESTRUCTURA O PARTE DE ELLA:** estructura continua de veintidós vanos con unas luces de 39+2×48+2×51+16×48+39 m. La longitud total de la obra es de 1044,00 m. Consiste en un tablero constituido por un cajón de hormigón pretensado de canto constante e igual a 4,00 m, 14 m de ancho de plataforma con sendos voladizos de 4,00 a ambos lados. Los estribos son uno cerrado y hueco y el otro abierto.

## ASISTENTES

| NOMBRES | ORGANISMO, COMPAÑÍA |
|---|---|
| D. Pablo Sánchez Gareta | Tecnología e Investigación Ferroviaria, S.A. (TIFSA) |
| | |

## CONDICIONES ATMOSFÉRICAS

| | | | |
|---|---|---|---|
| **Temperatura** | 14ºC | **Humedad relativa** | 50% |

## PUNTOS DE MEDIDA INSTALADOS

| | | Vano 1 | Vano 2 | Vano 3 | Vano 4 |
|---|---|---|---|---|---|
| **FLECHAS** | EQUIPO ÓPTICO | | | | |
| | TRANS. DE DESPLAZAMIENTO | 4 | 4 | 4 | 4 |
| **DEFORMACIONES UNITARIAS** | BANDAS EXTENSOMÉTRICAS | 2 | 2 | 2 | 2 |
| **REGISTRO DE VIBRACIONES** | ACELERÓMETRO | 1 | 1 | 1 | 1 |
| **OTROS** | | | | | |

## TRENES DE CARGA UTILIZADOS

| VEHÍCULO | | NÚMERO | MATRÍCULAS | PESO UNITARIO (T) | |
|---|---|---|---|---|---|
| PREVISTO | REAL | | | PREVISTO | REAL |
| Loc.ADIF+10 tolva | Loc.ADIF+10 tolva | 1 | | 920 T (20 T/eje) | 920 T (20 T/eje) |
| Loc.ADIF+10 tolva | Loc.ADIF+10 tolva | 1 | | 920 T (20 T/eje) | 920 T (20 T/eje) |
| | | | | | |
| | | | | | |
| | | | | | |

**PORCENTAJE DE SOLICITACIÓN RESPECTO A INSTRUCCIÓN** 60%

**SENTIDO DE CIRCULACIÓN PARA LAS PRUEBAS DINÁMICAS:** Barcelona - Zaragoza

**HORA DE COMIENZO:** 12 horas y 19 minutos

## RESULTADOS BÁSICOS ALCANZADOS EN LA ESTRUCTURA

| | | | | Vano 1 | Vano 2 | Vano 3 | Vano 4 |
|---|---|---|---|---|---|---|---|
| **PORCENTAJE DE RESPUESTA RESPECTO AL PROYECTO DE PRUEBA DE CARGA** | **Estática** | En general | Flechas | 80% | 80% | 80% | 80% |
| | | | Deformaciones unitarias | 80% | 80% | 80% | 80% |
| | | Pruebas simplificadas | Flechas | | | | |
| | | | Deformaciones unitarias | | | | |
| | **Dinámica** | Frecuencia propia de vibración | | 7,2 Hz | 6,9 Hz | 6,5 Hz | 6,5 Hz |
| **PORCENTAJE DE RECUPERACIÓN** | **Estática** | En general | Flechas | >90% | >90% | >90% | >90% |
| | | | Deformaciones unitarias | >90% | >90% | >90% | >90% |
| **ANOMALIAS EN LA INSPECCIÓN VISUAL** | | No se detectó ninguna anomalía. | | | | | |
| **OBSERVACIONES** | | | | | | | |
| **CONDICIONES DE PUESTA EN SERVICIO** | | APTO [X] | NO APTO [ ] | RESTRICCIONES | | | |

D. Pablo Sánchez Gareta
por Tecnología e Investigación Ferroviaria, S.A. (TIFSA

# ACTA DE PRUEBA DE CARGA

| | | | |
|---|---|---|---|
| **TIPO DE PRUEBA:** | Recepción de obra nueva | **FECHA DE PRUEBA:** | 19/01/2006 |

## IDENTIFICACIÓN ESTRUCTURA

| | |
|---|---|
| **ORGANISMO, COMPAÑÍA:** | ADIF |
| **LÍNEA:** | L.A.V. Madrid - Zaragoza - Barcelona - Frontera Francesa |
| **TRAMO:** | Lleida - Villafranca del Penedés SUBTRAMO: III-a |
| **P.K.:** | PROYECTO: 305+793 ; LINEA: 477+722 |
| **PROVINCIA:** | Lleida |
| **DENOMINACIÓN** | Viaducto de Vinaixa - Vanos 5 y 6 |
| **REFERENCIA:** | 35VI02 |

**DESCRIPCIÓN DE LA ESTRUCTURA O PARTE DE ELLA:** estructura continua de veintidós vanos con unas luces de 39+2×48+2×51+16×48+39 m. La longitud total de la obra es de 1044,00 m. Consiste en un tablero constituido por un cajón de hormigón pretensado de canto constante e igual a 4,00 m, 14 m de ancho de plataforma con sendos voladizos de 4,00 a ambos lados. Los estribos son uno cerrado y hueco y el otro abierto.

## ASISTENTES

| NOMBRES | ORGANISMO, COMPAÑÍA |
|---|---|
| D. Pablo Sánchez Gareta | Tecnología e Investigación Ferroviaria, S.A. (TIFSA) |
| | |

## CONDICIONES ATMOSFÉRICAS

| | | | |
|---|---|---|---|
| **Temperatura** | 18ºC | **Humedad relativa** | 55% |

## PUNTOS DE MEDIDA INSTALADOS

| | | Vano 5 | Vano 6 | |
|---|---|---|---|---|
| **FLECHAS** | EQUIPO ÓPTICO | | | |
| | TRANS. DE DESPLAZAMIENTO | 4 | 4 | |
| **DEFORMACIONES UNITARIAS** | BANDAS EXTENSOMÉTRICAS | 2 | 2 | |
| **REGISTRO DE VIBRACIONES** | ACELERÓMETRO | 1 | 1 | |
| **OTROS** | | | | |

## TRENES DE CARGA UTILIZADOS

| VEHÍCULO | | NÚMERO | MATRÍCULAS | PESO UNITARIO (T) | |
|---|---|---|---|---|---|
| PREVISTO | REAL | | | PREVISTO | REAL |
| Loc.ADIF+10 tolva | Loc.ADIF+10 tolva | 1 | | 920 T (20 T/eje) | 920 T (20 T/eje) |
| Loc.ADIF+10 tolva | Loc.ADIF+10 tolva | 1 | | 920 T (20 T/eje) | 920 T (20 T/eje) |
| | | | | | |
| | | | | | |
| | | | | | |

**PORCENTAJE DE SOLICITACIÓN RESPECTO A INSTRUCCIÓN** 60%

**SENTIDO DE CIRCULACIÓN PARA LAS PRUEBAS DINÁMICAS:** Barcelona - Zaragoza

**HORA DE COMIENZO:** 9 horas y 46 minutos

## RESULTADOS BÁSICOS ALCANZADOS EN LA ESTRUCTURA

| | | | | Vano 5 | Vano 6 | |
|---|---|---|---|---|---|---|
| **PORCENTAJE DE RESPUESTA RESPECTO AL PROYECTO DE PRUEBA DE CARGA** | **Estática** | En general | Flechas | 80% | 80% | |
| | | | Deformaciones unitarias | 80% | 80% | |
| | | Pruebas simplificadas | Flechas | | | |
| | | | Deformaciones unitarias | | | |
| | **Dinámica** | Frecuencia propia de vibración | | 6,5 Hz | 6,7 Hz | |
| **PORCENTAJE DE RECUPERACIÓN** | **Estática** | En general | Flechas | >90% | >90% | |
| | | | Deformaciones unitarias | >90% | >90% | |
| **ANOMALIAS EN LA INSPECCIÓN VISUAL** | | | | | | |
| **OBSERVACIONES** | | | | | | |
| **CONDICIONES DE PUESTA EN SERVICIO** | | APTO [X] | NO APTO [ ] | RESTRICCIONES | | |

D. Pablo Sánchez Gareta
por Tecnología e Investigación Ferroviaria, S.A. (TIFSA)

# ACTA DE PRUEBA DE CARGA

| TIPO DE PRUEBA: | Recepción de obra nueva | FECHA DE PRUEBA: | 21/12/2005 |
|---|---|---|---|

## IDENTIFICACIÓN ESTRUCTURA

| | |
|---|---|
| **ORGANISMO, COMPAÑÍA:** | ADIF |
| **LÍNEA:** | L.A.V. Madrid - Zaragoza - Barcelona - Frontera Francesa |
| **TRAMO:** | Lleida - Villafranca del Penedés SUBTRAMO: III-a |
| **P.K.:** | PROYECTO: 305+793 ; LINEA: 477+722 |
| **PROVINCIA:** | Lleida |
| **DENOMINACIÓN** | Viaducto de Vinaixa - Vanos 7, 8 y 9 |
| **REFERENCIA:** | 35VI02 |

**DESCRIPCIÓN DE LA ESTRUCTURA O PARTE DE ELLA:** estructura continua de veintidós vanos con unas luces de 39+2×48+2×51+16×48+39 m. La longitud total de la obra es de 1044,00 m. Consiste en un tablero constituido por un cajón de hormigón pretensado de canto constante e igual a 4,00 m, 14 m de ancho de plataforma con sendos voladizos de 4,00 a ambos lados. Los estribos son uno cerrado y hueco y el otro abierto.

## ASISTENTES

| NOMBRES | ORGANISMO, COMPAÑÍA |
|---|---|
| D. Pablo Sánchez Gareta | Tecnología e Investigación Ferroviaria, S.A. (TIFSA) |
| | |

## CONDICIONES ATMOSFÉRICAS

| | | | |
|---|---|---|---|
| **Temperatura** | 18ºC | **Humedad relativa** | 55% |

## PUNTOS DE MEDIDA INSTALADOS

| | | Vano 7 | Vano 8 | Vano 9 |
|---|---|---|---|---|
| **FLECHAS** | EQUIPO ÓPTICO | | | |
| | TRANS. DE DESPLAZAMIENTO | 4 | 4 | 4 |
| **DEFORMACIONES UNITARIAS** | BANDAS EXTENSOMÉTRICAS | 2 | 2 | 2 |
| **REGISTRO DE VIBRACIONES** | ACELERÓMETRO | 1 | 1 | 1 |
| **OTROS** | | | | |

## TRENES DE CARGA UTILIZADOS

| VEHÍCULO | | NÚMERO | MATRÍCULAS | PESO UNITARIO (T) | |
|---|---|---|---|---|---|
| PREVISTO | REAL | | | PREVISTO | REAL |
| Loc.ADIF+10 tolva | Loc.ADIF+10 tolva | 1 | | 920 T (20 T/eje) | 920 T (20 T/eje) |
| Loc.ADIF+10 tolva | Loc.ADIF+10 tolva | 1 | | 920 T (20 T/eje) | 920 T (20 T/eje) |
| | | | | | |
| | | | | | |
| | | | | | |

**PORCENTAJE DE SOLICITACIÓN RESPECTO A INSTRUCCIÓN** 60%

**SENTIDO DE CIRCULACIÓN PARA LAS PRUEBAS DINÁMICAS:** Barcelona - Zaragoza

**HORA DE COMIENZO:** 15 horas y 43 minutos

## RESULTADOS BÁSICOS ALCANZADOS EN LA ESTRUCTURA

| | | | | Vano 7 | Vano 8 | Vano 9 |
|---|---|---|---|---|---|---|
| **PORCENTAJE DE RESPUESTA RESPECTO AL PROYECTO DE PRUEBA DE CARGA** | **Estática** | En general | Flechas | 80% | 80% | 80% |
| | | | Deformaciones unitarias | 80% | 80% | 80% |
| | | Pruebas simplificadas | Flechas | | | |
| | | | Deformaciones unitarias | | | |
| | **Dinámica** | Frecuencia propia de vibración | | 6,5 Hz | 6,7 Hz | 6,3 Hz |
| **PORCENTAJE DE RECUPERACIÓN** | **Estática** | En general | Flechas | >90% | >90% | >90% |
| | | | Deformaciones unitarias | >90% | >90% | >90% |
| **ANOMALIAS EN LA INSPECCIÓN VISUAL** | | | | | | |
| **OBSERVACIONES** | | | | | | |
| **CONDICIONES DE PUESTA EN SERVICIO** | | APTO [X] | NO APTO [ ] | RESTRICCIONES | | |

D. Pablo Sánchez Gareta
por Tecnología e Investigación Ferroviaria, S.A. (TIFSA)

# ACTA DE PRUEBA DE CARGA

| | | | |
|---|---|---|---|
| **TIPO DE PRUEBA:** | Recepción de obra nueva | **FECHA DE PRUEBA:** | 22/12/2005 |

## IDENTIFICACIÓN ESTRUCTURA

| | |
|---|---|
| **ORGANISMO, COMPAÑÍA:** | ADIF |
| **LÍNEA:** | L.A.V. Madrid - Zaragoza - Barcelona - Frontera Francesa |
| **TRAMO:** | Lleida - Villafranca del Penedés SUBTRAMO: III-a |
| **P.K.:** | PROYECTO: 305+793 ; LINEA: 477+722 |
| **PROVINCIA:** | Lleida |
| **DENOMINACIÓN** | Viaducto de Vinaixa - Vanos 10, 11 y 12 |
| **REFERENCIA:** | 35VI02 |

**DESCRIPCIÓN DE LA ESTRUCTURA O PARTE DE ELLA:** estructura continua de veintidós vanos con unas luces de 39+2×48+2×51+16×48+39 m. La longitud total de la obra es de 1044,00 m. Consiste en un tablero constituido por un cajón de hormigón pretensado de canto constante e igual a 4,00 m, 14 m de ancho de plataforma con sendos voladizos de 4,00 a ambos lados. Los estribos son uno cerrado y hueco y el otro abierto.

## ASISTENTES

| NOMBRES | ORGANISMO, COMPAÑÍA |
|---|---|
| D. Pablo Sánchez Gareta | Tecnología e Investigación Ferroviaria, S.A. (TIFSA) |
| | |

## CONDICIONES ATMOSFÉRICAS

| | | | |
|---|---|---|---|
| **Temperatura** | 18ºC | **Humedad relativa** | 55% |

## PUNTOS DE MEDIDA INSTALADOS

| | | Vano 10 | Vano 11 | Vano 12 |
|---|---|---|---|---|
| **FLECHAS** | EQUIPO ÓPTICO | | | |
| | TRANS. DE DESPLAZAMIENTO | 4 | 4 | 4 |
| **DEFORMACIONES UNITARIAS** | BANDAS EXTENSOMÉTRICAS | 2 | 2 | 2 |
| **REGISTRO DE VIBRACIONES** | ACELERÓMETRO | 1 | 1 | 1 |
| **OTROS** | | | | |

## TRENES DE CARGA UTILIZADOS

| VEHÍCULO | | NÚMERO | MATRÍCULAS | PESO UNITARIO (T) | |
|---|---|---|---|---|---|
| PREVISTO | REAL | | | PREVISTO | REAL |
| Loc.ADIF+10 tolva | Loc.ADIF+10 tolva | 1 | | 920 T (20 T/eje) | 920 T (20 T/eje) |
| Loc.ADIF+10 tolva | Loc.ADIF+10 tolva | 1 | | 920 T (20 T/eje) | 920 T (20 T/eje) |
| | | | | | |
| | | | | | |
| | | | | | |

**PORCENTAJE DE SOLICITACIÓN RESPECTO A INSTRUCCIÓN** 60%

**SENTIDO DE CIRCULACIÓN PARA LAS PRUEBAS DINÁMICAS:** Barcelona - Zaragoza

**HORA DE COMIENZO:** 12 horas y 37 minutos

## RESULTADOS BÁSICOS ALCANZADOS EN LA ESTRUCTURA

| | | | | Vano 10 | Vano 11 | Vano 12 |
|---|---|---|---|---|---|---|
| **PORCENTAJE DE RESPUESTA RESPECTO AL PROYECTO DE PRUEBA DE CARGA** | **Estática** | En general | Flechas | 80% | 80% | 80% |
| | | | Deformaciones unitarias | 80% | 80% | 80% |
| | | Pruebas simplificadas | Flechas | | | |
| | | | Deformaciones unitarias | | | |
| | **Dinámica** | Frecuencia propia de vibración | | 6,5 Hz | 6,7 Hz | 6,3 Hz |
| **PORCENTAJE DE RECUPERACIÓN** | **Estática** | En general | Flechas | >90% | >90% | >90% |
| | | | Deformaciones unitarias | >90% | >90% | >90% |
| **ANOMALIAS EN LA INSPECCIÓN VISUAL** | | | | | | |
| **OBSERVACIONES** | | | | | | |
| **CONDICIONES DE PUESTA EN SERVICIO** | | APTO [X] | NO APTO [ ] | RESTRICCIONES | | |

D. Pablo Sánchez Gareta
por Tecnología e Investigación Ferroviaria, S.A. (TIFSA)

# ACTA DE PRUEBA DE CARGA

| | | | |
|---|---|---|---|
| **TIPO DE PRUEBA:** | Recepción de obra nueva | **FECHA DE PRUEBA:** | 14/12/2005 |

## IDENTIFICACIÓN ESTRUCTURA

| | |
|---|---|
| **ORGANISMO, COMPAÑÍA:** | ADIF |
| **LÍNEA:** | L.A.V. Madrid - Zaragoza - Barcelona - Frontera Francesa |
| **TRAMO:** | Lleida - Villafranca del Penedés SUBTRAMO: III-a |
| **P.K.:** | PROYECTO: 305+793 ; LINEA: 477+722 |
| **PROVINCIA:** | Lleida |
| **DENOMINACIÓN** | Viaducto de Vinaixa - Vanos 13, 14 y 15 |
| **REFERENCIA:** | 35VI02 |

**DESCRIPCIÓN DE LA ESTRUCTURA O PARTE DE ELLA:** estructura continua de veintidós vanos con unas luces de 39+2×48+2×51+16×48+39 m. La longitud total de la obra es de 1044,00 m. Consiste en un tablero constituido por un cajón de hormigón pretensado de canto constante e igual a 4,00 m, 14 m de ancho de plataforma con sendos voladizos de 4,00 a ambos lados. Los estribos son uno cerrado y hueco y el otro abierto.

## ASISTENTES

| NOMBRES | ORGANISMO, COMPAÑÍA |
|---|---|
| D. Pablo Sánchez Gareta | Tecnología e Investigación Ferroviaria, S.A. (TIFSA) |
| | |

## CONDICIONES ATMOSFÉRICAS

| | | | |
|---|---|---|---|
| **Temperatura** | 18ºC | **Humedad relativa** | 55% |

## PUNTOS DE MEDIDA INSTALADOS

| | | Vano 13 | Vano 14 | Vano 15 |
|---|---|---|---|---|
| **FLECHAS** | EQUIPO ÓPTICO | | | |
| | TRANS. DE DESPLAZAMIENTO | 4 | 4 | 4 |
| **DEFORMACIONES UNITARIAS** | BANDAS EXTENSOMÉTRICAS | 2 | 2 | 2 |
| **REGISTRO DE VIBRACIONES** | ACELERÓMETRO | 1 | 1 | 1 |
| **OTROS** | | | | |

## TRENES DE CARGA UTILIZADOS

| VEHÍCULO | | NÚMERO | MATRÍCULAS | PESO UNITARIO (T) | |
|---|---|---|---|---|---|
| PREVISTO | REAL | | | PREVISTO | REAL |
| Loc.ADIF+10 tolva | Loc.ADIF+10 tolva | 1 | | 920 T (20 T/eje) | 920 T (20 T/eje) |
| Loc.ADIF+10 tolva | Loc.ADIF+10 tolva | 1 | | 920 T (20 T/eje) | 920 T (20 T/eje) |
| | | | | | |
| | | | | | |
| | | | | | |

**PORCENTAJE DE SOLICITACIÓN RESPECTO A INSTRUCCIÓN** 60%

**SENTIDO DE CIRCULACIÓN PARA LAS PRUEBAS DINÁMICAS:** Barcelona - Zaragoza

**HORA DE COMIENZO:** 11 horas y 41 minutos

## RESULTADOS BÁSICOS ALCANZADOS EN LA ESTRUCTURA

| | | | | Vano 13 | Vano 14 | Vano 15 |
|---|---|---|---|---|---|---|
| **PORCENTAJE DE RESPUESTA RESPECTO AL PROYECTO DE PRUEBA DE CARGA** | **Estática** | En general | Flechas | 80% | 80% | 80% |
| | | | Deformaciones unitarias | 80% | 80% | 80% |
| | | Pruebas simplificadas | Flechas | | | |
| | | | Deformaciones unitarias | | | |
| | **Dinámica** | Frecuencia propia de vibración | | 6,2 Hz | 6,7 Hz | 6,5 Hz |
| **PORCENTAJE DE RECUPERACIÓN** | **Estática** | En general | Flechas | >90% | >90% | >90% |
| | | | Deformaciones unitarias | >90% | >90% | >90% |
| **ANOMALIAS EN LA INSPECCIÓN VISUAL** | | | | | | |
| **OBSERVACIONES** | | | | | | |
| **CONDICIONES DE PUESTA EN SERVICIO** | | APTO [X] | NO APTO [ ] | RESTRICCIONES | | |

D. Pablo Sánchez Gareta
por Tecnología e Investigación Ferroviaria, S.A. (TIFSA)

# ACTA DE PRUEBA DE CARGA

| | | | |
|---|---|---|---|
| **TIPO DE PRUEBA:** | Recepción de obra nueva | **FECHA DE PRUEBA:** | 14/12/2005 |

## IDENTIFICACIÓN ESTRUCTURA

| | |
|---|---|
| **ORGANISMO, COMPAÑÍA:** | ADIF |
| **LÍNEA:** | L.A.V. Madrid - Zaragoza - Barcelona - Frontera Francesa |
| **TRAMO:** | Lleida - Villafranca del Penedés SUBTRAMO: III-a |
| **P.K.:** | PROYECTO: 305+793 ; LINEA: 477+722 |
| **PROVINCIA:** | Lleida |
| **DENOMINACIÓN** | Viaducto de Vinaixa - Vanos 16, 17 y 18 |
| **REFERENCIA:** | 35VI02 |

**DESCRIPCIÓN DE LA ESTRUCTURA O PARTE DE ELLA:** estructura continua de veintidós vanos con unas luces de 39+2×48+2×51+16×48+39 m. La longitud total de la obra es de 1044,00 m. Consiste en un tablero constituido por un cajón de hormigón pretensado de canto constante e igual a 4,00 m, 14 m de ancho de plataforma con sendos voladizos de 4,00 a ambos lados. Los estribos son uno cerrado y hueco y el otro abierto.

## ASISTENTES

| NOMBRES | ORGANISMO, COMPAÑÍA |
|---|---|
| D. Pablo Sánchez Gareta | Tecnología e Investigación Ferroviaria, S.A. (TIFSA) |
| | |

## CONDICIONES ATMOSFÉRICAS

| | | | |
|---|---|---|---|
| **Temperatura** | 18ºC | **Humedad relativa** | 55% |

## PUNTOS DE MEDIDA INSTALADOS

| | | Vano 16 | Vano 17 | Vano 18 |
|---|---|---|---|---|
| **FLECHAS** | EQUIPO ÓPTICO | | | |
| | TRANS. DE DESPLAZAMIENTO | 4 | 4 | 4 |
| **DEFORMACIONES UNITARIAS** | BANDAS EXTENSOMÉTRICAS | 2 | 2 | 2 |
| **REGISTRO DE VIBRACIONES** | ACELERÓMETRO | 1 | 1 | 1 |
| **OTROS** | | | | |

## TRENES DE CARGA UTILIZADOS

| VEHÍCULO | | NÚMERO | MATRÍCULAS | PESO UNITARIO (T) | |
|---|---|---|---|---|---|
| PREVISTO | REAL | | | PREVISTO | REAL |
| Loc.ADIF+10 tolva | Loc.ADIF+10 tolva | 1 | | 920 T (20 T/eje) | 920 T (20 T/eje) |
| Loc.ADIF+10 tolva | Loc.ADIF+10 tolva | 1 | | 920 T (20 T/eje) | 920 T (20 T/eje) |
| | | | | | |
| | | | | | |
| | | | | | |

**PORCENTAJE DE SOLICITACIÓN RESPECTO A INSTRUCCIÓN** 60%

**SENTIDO DE CIRCULACIÓN PARA LAS PRUEBAS DINÁMICAS:** Barcelona - Zaragoza

**HORA DE COMIENZO:** 17 horas y 03 minutos

## RESULTADOS BÁSICOS ALCANZADOS EN LA ESTRUCTURA

| | | | | Vano 16 | Vano 17 | Vano 18 |
|---|---|---|---|---|---|---|
| **PORCENTAJE DE RESPUESTA RESPECTO AL PROYECTO DE PRUEBA DE CARGA** | **Estática** | En general | Flechas | 80% | 80% | 80% |
| | | | Deformaciones unitarias | 80% | 80% | 80% |
| | | Pruebas simplificadas | Flechas | | | |
| | | | Deformaciones unitarias | | | |
| | **Dinámica** | Frecuencia propia de vibración | | 6,5 Hz | 6,7 Hz | 6,3 Hz |
| **PORCENTAJE DE RECUPERACIÓN** | **Estática** | En general | Flechas | >90% | >90% | >90% |
| | | | Deformaciones unitarias | >90% | >90% | >90% |
| **ANOMALIAS EN LA INSPECCIÓN VISUAL** | | | | | | |
| **OBSERVACIONES** | | | | | | |
| **CONDICIONES DE PUESTA EN SERVICIO** | | APTO [X] | NO APTO [ ] | RESTRICCIONES | | |

D. Pablo Sánchez Gareta
por Tecnología e Investigación Ferroviaria, S.A. (TIFSA)

# ACTA DE PRUEBA DE CARGA

| | | | |
|---|---|---|---|
| **TIPO DE PRUEBA:** | Recepción de obra nueva | **FECHA DE PRUEBA:** | 15/12/2005 |

## IDENTIFICACIÓN ESTRUCTURA

| | |
|---|---|
| **ORGANISMO, COMPAÑÍA:** | ADIF |
| **LÍNEA:** | L.A.V. Madrid - Zaragoza - Barcelona - Frontera Francesa |
| **TRAMO:** | Lleida - Villafranca del Penedés SUBTRAMO: III-a |
| **P.K.:** | PROYECTO: 305+793 ; LINEA: 477+722 |
| **PROVINCIA:** | Lleida |
| **DENOMINACIÓN** | Viaducto de Vinaixa - Vanos 19, 20, 21 y 22 |
| **REFERENCIA:** | 35VI02 |

**DESCRIPCIÓN DE LA ESTRUCTURA O PARTE DE ELLA:** estructura continua de veintidós vanos con unas luces de 39+2×48+2×51+16×48+39 m. La longitud total de la obra es de 1044,00 m. Consiste en un tablero constituido por un cajón de hormigón pretensado de canto constante e igual a 4,00 m, 14 m de ancho de plataforma con sendos voladizos de 4,00 a ambos lados. Los estribos son uno cerrado y hueco y el otro abierto.

## ASISTENTES

| NOMBRES | ORGANISMO, COMPAÑÍA |
|---|---|
| D. Pablo Sánchez Gareta | Tecnología e Investigación Ferroviaria, S.A. (TIFSA) |
| | |

## CONDICIONES ATMOSFÉRICAS

| | | | |
|---|---|---|---|
| **Temperatura** | 14ºC | **Humedad relativa** | 50% |

## PUNTOS DE MEDIDA INSTALADOS

| | | Vano 19 | Vano 20 | Vano 21 | Vano 22 |
|---|---|---|---|---|---|
| **FLECHAS** | EQUIPO ÓPTICO | | | | |
| | TRANS. DE DESPLAZAMIENTO | 4 | 4 | 4 | 4 |
| **DEFORMACIONES UNITARIAS** | BANDAS EXTENSOMÉTRICAS | 2 | 2 | 2 | 2 |
| **REGISTRO DE VIBRACIONES** | ACELERÓMETRO | 1 | 1 | 1 | 1 |
| **OTROS** | | | | | |

## TRENES DE CARGA UTILIZADOS

| VEHÍCULO | | NÚMERO | MATRÍCULAS | PESO UNITARIO (T) | |
|---|---|---|---|---|---|
| PREVISTO | REAL | | | PREVISTO | REAL |
| Loc.ADIF+10 tolva | Loc.ADIF+10 tolva | 1 | | 920 T (20 T/eje) | 920 T (20 T/eje) |
| Loc.ADIF+10 tolva | Loc.ADIF+10 tolva | 1 | | 920 T (20 T/eje) | 920 T (20 T/eje) |
| | | | | | |
| | | | | | |
| | | | | | |

**PORCENTAJE DE SOLICITACIÓN RESPECTO A INSTRUCCIÓN** 60%

**SENTIDO DE CIRCULACIÓN PARA LAS PRUEBAS DINÁMICAS:** Barcelona - Zaragoza

**HORA DE COMIENZO:** 12 horas y 16 minutos

## RESULTADOS BÁSICOS ALCANZADOS EN LA ESTRUCTURA

| | | | | Vano 19 | Vano 20 | Vano 21 | Vano 22 |
|---|---|---|---|---|---|---|---|
| **PORCENTAJE DE RESPUESTA RESPECTO AL PROYECTO DE PRUEBA DE CARGA** | **Estática** | En general | Flechas | 80% | 80% | 80% | 80% |
| | | | Deformaciones unitarias | 80% | 80% | 80% | 80% |
| | | Pruebas simplificadas | Flechas | | | | |
| | | | Deformaciones unitarias | | | | |
| | **Dinámica** | Frecuencia propia de vibración | | 4,5 Hz | 4,5 Hz | 4,5 Hz | 4,1 Hz |
| **PORCENTAJE DE RECUPERACIÓN** | **Estática** | En general | Flechas | >90% | >90% | >90% | >90% |
| | | | Deformaciones unitarias | >90% | >90% | >90% | >90% |
| **ANOMALIAS EN LA INSPECCIÓN VISUAL** | | No se detectó ninguna anomalía. | | | | | |
| **OBSERVACIONES** | | | | | | | |
| **CONDICIONES DE PUESTA EN SERVICIO** | | APTO [X] | NO APTO [ ] | RESTRICCIONES | | | |

D. Pablo Sánchez Gareta
por Tecnología e Investigación Ferroviaria, S.A. (TIFSA

# ANEJO 7: FICHA DE SEGUIMIENTO

**Madrid, Julio de 2007**

# *MODELO A1 DE COMUNICACIÓN DE INSPECCIONES AL REGISTRO*

| ***TIPO DE INSPECCIÓN (1) :*** | ***FECHA DE INSPECCIÓN:*** 18/01/2006 |
|---|---|

## *IDENTIFICACIÓN DE LA ESTRUCTURA*

| | |
|---|---|
| **ADMINISTRADOR:** | ADIF |
| **LÍNEA:** | LAV MADRID - ZARAGOZA - BARCELONA - FRONTERA FRANCESA |
| **TRAMO:** | LLEIDA - VILAFRANCA DEL PENEDES. SUBTRAMO III-a |
| **P.K.:** | PROYECTO: 305+793 ; LÍNEA: 477+722 |
| **PROVINCIA:** | LLEIDA |
| **DENOMINACIÓN:** | VIADUCTO DE VINAIXA |
| **REFERENCIA:** | 35VI02 |
| **AÑO APROXIMADO DE CONSTRUCCIÓN:** | 2003 |

## *DATOS DEL RESPONSABLE DE LA INSPECCIÓN*

| | |
|---|---|
| **ENTIDAD:** | TIFSA |
| **INGENIERO RESPONSABLE:** | PABLO SÁNCHEZ GARETA |
| **DIRECCIÓN:** | AV. DEL PARTENON, 4-6 3º IZQ, MADRID |
| **TELÉFONO, FAX, E-MAIL:** | 914521362, 914525656, psanchezg@tifsa.es |

## *CARACTERÍSTICAS BÁSICAS Y TIPOLOGÍA (2)*

| | | | | | | | |
|---|---|---|---|---|---|---|---|
| **Nº DE TRAMOS:** | 22 | | | | | | |
| **LONGITUD TOTAL:** | 1.044 m | | | | | | |
| **OBSTÁCULO SALVADO:** | CARRETERA ☒ | FF. CC. ☒ | CAUCE ☐ | ÁNGULO DE INCIDENCIA (º) | OTROS | | |
| **LÍNEA ELECTRIFICADA:** | SI ☒ | NO ☐ | | | | | |
| **VÍA:** | ÚNICA ☐ | DOBLE ☒ | Nº DE VÍAS 2 | | | | |
| | SOLDADA ☒ | CON JUNTAS ☐ | | | | | |
| | ENCARRILADORA | SI ☐ | NO ☒ | | | | |
| | CONTRACARRILES | SI ☐ | NO ☒ | | | | |
| | APARATOS DE DILATACIÓN | SI ☐ | NO ☒ | | | | |
| **TIPOLOGÍA PUENTE:** | METÁLICO ☐ | | | | | | |
| | FÁBRICA ☐ | | | | | | |
| | HORMIGÓN ☒ | TRAMOS EN ARCO ☐ | | | | | |
| | | TRAMOS RECTOS ☒ | | | | | |
| | OTROS ☐ | | | | | | |
| **TIPO DE MATERIAL** | **ESTRIBOS:** | HORMIGÓN ☒ | PIEDRA ☐ | LADRILLO ☐ | | | |
| | **PILAS:** | HORMIGÓN ☒ | PIEDRA ☐ | LADRILLO ☐ | METÁLICAS ☐ | | |
| | **ARCOS:** | HORMIGÓN ☐ | PIEDRA ☐ | LADRILLO ☐ | METÁLICAS ☐ | | |
| | **TABLERO:** | HORMIGÓN | LOSA ☐ | VIGAS ☒ | TABLÓN ☐ | | |
| | | METÁLICO | VIGAS ALMA LLENA ☐ | CELOSÍA ☐ | | | |

## *DAÑOS DE CLASE 1 (3)*

| Elemento estructural | | Tipo de daños | | Localizado o Generalizado | Plazo de Reparación (meses) | Limitación de Circulación | | Requiere inspección especial |
|---|---|---|---|---|---|---|---|---|
| **A** | ESTRIBO nº | **A** | GOLPES, ROTURAS | **L** | **6** | **A** | VELOCIDAD | **SI** |
| **B** | PILA nº | **B** | FISURAS, GRIETAS | **G** | **12** | **B** | CARGAS | **NO** |
| **C** | ARCO nº | **C** | DESCALCES EN CIMENTACIONES | | **24** | **C** | GÁLIBO | |
| **D** | TABLERO METÁLICO nº | **D** | DESPLOMES, BASCULAMIENTOS | | **36** | **D** | SEÑALIZAR | |
| **E** | TABLERO DE HORMIGÓN nº | **E** | OXIDACIONES, CORROSIONES | | | | | |
| **F** | VIA I, II, … | **F** | ASIENTOS, DESNIVELACIONES | | | | | |
| **G** | OTROS: | **G** | OTROS: | | | | | |

## *EVALUACIÓN GLOBAL DE EVOLUCIÓN DE DAÑOS RESPECTO A INSPECCIÓN ANTERIOR*

| | | |
|---|---|---|
| **SIN EVOLUCIÓN** ☒ | **POCO IMPORTANTE** ☐ | **IMPORTANTE** ☐ |

## *RESULTADO DE LA INSPECCIÓN*

| | |
|---|---|
| **FAVORABLE** ☒ | **DESFAVORABLE (Con daños de clase 1)** ☐ |

**Firma del inspector**

# *INSPECCIONES ESTRUCTURAS*
# *LAV MADRID - ZARAGOZA - BARCELONA - FRONTERA FRANCESA*
# *LLEIDA - VILAFRANCA DEL PENEDES*

## *IDENTIFICACIÓN*

| | |
|---|---|
| ID (Identificador de la estructura) | **35VI02** |
| P.K. INICIAL (sentido Madrid-Barcelona) | 305.793 |
| P.K. FINAL (sentido Madrid-Barcelona) | 306.060 |
| TIPO | Viaducto ( luz > 50 m) |
| SUBTRAMO | III-a |
| FECHA DE LA INSPECCIÓN | 24/09/2004 |

OBSERVACIONES

## *INSPECCIONES ESTRUCTURAS*
## *LAV MADRID - ZARAGOZA - BARCELONA - FRONTERA FRANCESA*
## *LLEIDA - VILAFRANCA DEL PENEDES*

| | |
|---|---|
| **ID (Identificador de la estructura)** | **35VI02** |
| **FECHA DE LA INSPECCIÓN** | **24/09/2004** |

### *DATOS GENERALES*

| | |
|---|---|
| NOMBRE | VIADUCTO DE VINAIXA |
| TIPOLOGÍA GENERAL | TABLERO EN CAJÓN |
| TIPOLOGÍA ESTRUCTURAL | ESTRUCTURA CONTINUA |
| Nº DE VÍAS | 2 |
| VELOCIDAD MÁXIMA (km/h) | |
| TIPO DE ACCESO | VEHÍCULO AUTOMOVIL |
| OBSTÁCULO SALVADO | FERROCARRIL |
| NOMBRE OBSTÁCULO SALVADO | |
| OTRO OBSTÁCULO SALVADO | CARRETERA |
| NOMBRE OTRO OBSTÁCULO SALVADO | A-2 |

OBSERVACIONES

## *INSPECCIONES ESTRUCTURAS*
## *LAV MADRID - ZARAGOZA - BARCELONA - FRONTERA FRANCESA*
## *LLEIDA - VILAFRANCA DEL PENEDES*

| | |
|---|---|
| **ID (Identificador de la estructura)** | **35VI02** |
| **FECHA DE LA INSPECCIÓN** | **24/09/2004** |

## *PARÁMETROS GEOMÉTRICOS*

| | | |
|---|---|---|
| LONGITUD TOTAL (m) | 1,044.00 | |
| Nº DE VANOS | 22 | |
| LONGITUD MEDIA DEL VANO (m) | 47.45 | |
| LUZ DE CADA VANO (m) | 39+2x48+2x51+16x48+39 | |
| ALTURA MÁXIMA DE ESTRIBOS (m) | 6.13 | |
| ANCHURA MÁXIMA DE ESTRIBOS (m) | 14.00 | |
| ALTURA MÁXIMA DE PILAS (m) | 28.81 | |
| ANCHURA MÁXIMA DE PILAS (m) | 6.00 | |
| ESPESOR MÁXIMO DE PILAS (m) | 5.30 | |
| GÁLIBO INFERIOR (m) | 8.90 | |
| ANCHURA MÁXIMA DE TRAMOS (m) | 14.00 | |
| CANTO MÁXIMO DE TRAMOS EN CENTRO DE VANOS (m) | 4.00 | |
| Nº DE ELEMENTOS PRINCIPALES EN EL TRAMO | 1 | |
| SEPARACIÓN ENTRE ELEMENTOS PRINCIPALES (m) | | |
| CANTO DE ELEMENTOS PRINCIPALES | CONSTANTE | |
| CANTO MÁXIMO DE ELEMENTOS PRINCIPALES EN CENTRO DE VANOS (m) | 4.00 | |
| GÁLIBO IZQUIERDO (m) | 3.80 | |
| GÁLIBO DERECHO (m) | 3.80 | |
| ENTREVÍA (m) | 3.13 | |
| TRAZADO DE VÍA EN PLANTA (m) | 7,250 | -m (curva a la izquierda) |
| PERALTE DE VÍA DE ENTRADA (m) | | |
| PERALTE DE VÍA DE CENTRO (m) | | |
| PERALTE DE VÍA DE SALIDA (m) | | |

OBSERVACIONES

## *INSPECCIONES ESTRUCTURAS*
## *LAV MADRID - ZARAGOZA - BARCELONA - FRONTERA FRANCESA*
## *LLEIDA - VILAFRANCA DEL PENEDES*

| | |
|---|---|
| **ID (Identificador de la estructura)** | **35VI02** |
| **FECHA DE LA INSPECCIÓN** | **24/09/2004** |

### *MATERIALES*

| | |
|---|---|
| MATERIAL CONSTITUYENTE | HORMIGÓN PRETENSADO |
| ***TRAMOS*** | |
| TIPOLOGÍA DE TRAMOS | TABLERO EN CAJÓN |
| TIPOLOGÍA ESTRUCTURAL DE TRAMOS | ESTRUCTURA CONTINUA |
| MATERIAL EN TRAMOS | HORMIGÓN PRETENSADO |
| IMPERMEABILIZACIÓN DE ESTRUCTURA DE TRAMOS | |
| ELEMENTOS DE DRENAJE EN TRAMOS | |
| ***ESTRIBOS*** | |
| TIPOLOGÍA DE ESTRIBOS | MUROS FRONTAL Y EN VUELTAS |
| MATERIAL BASE EN ESTRIBOS | HORMIGÓN ARMADO O EN MASA |
| PROTECCIÓN EN PIE DE ESTRIBOS | |
| TIPOLOGÍA DE CIMENTACIÓN EN ESTRIBOS | ENCEPADO Y PILOTES |
| MATERIAL BASE EN CIMENTACIÓN DE ESTRIBOS | HORMIGÓN ARMADO O EN MASA |
| ***PILAS*** | |
| TIPOLOGÍA DE PILAS | TABIQUE HUECO O EN CAJÓN |
| SECCIÓN DE PILAS | VARIABLE |
| TAJAMARES | |
| MATERIAL BASE EN PILAS | HORMIGÓN ARMADO O EN MASA |
| TIPOLOGÍA DE CIMENTACIÓN EN PILAS | ENCEPADO Y PILOTES |
| MATERIAL BASE EN CIMENTACIÓN DE PILAS | HORMIGÓN ARMADO O EN MASA |
| ***APARATOS Y JUNTAS DE DILATACIÓN*** | |
| APARATOS DE APOYO | TIPO POT |
| JUNTAS DE DILATACIÓN | |
| TIPOLOGÍA DE JUNTAS DE DILATACIÓN | |
| APARATOS DE DILATACIÓN DE CARRILES | |
| ***VARIOS*** | |
| PASEOS DE SERVICIO | AMBOS LADOS |

OBSERVACIONES

## INSPECCIONES ESTRUCTURAS
## LAV MADRID - ZARAGOZA - BARCELONA - FRONTERA FRANCESA
## LLEIDA - VILAFRANCA DEL PENEDES

| | |
|---|---|
| **ID (Identificador de la estructura)** | **35VI02** |
| **FECHA DE LA INSPECCIÓN** | **24/09/2004** |

### ESTADO ACTUAL ESTRIBOS

| | |
|---|---|
| Punzonado bajo apoyos | 0: No existen defectos |
| Daños en unión frente y laterales | 0: No existen defectos |
| Juntas degradadas | 0: No existen defectos |
| Golpes y roturas | 0: No existen defectos |
| Fisuras y grietas | 0: No existen defectos |
| Coqueras y nidos de grava | 0: No existen defectos |
| Meteorización y degradación | 0: No existen defectos |
| Desprendimientos | 0: No existen defectos |
| Carbonatación y desagregación | 0: No existen defectos |
| Armaduras vistas someras | 0: No existen defectos |
| Corrosión y disgregación | 0: No existen defectos |
| Humedades y filtraciones | 0: No existen defectos |
| Incrustaciones calcáreas y eflorescencias | 0: No existen defectos |
| Desagüe de mechinales | 0: No existen defectos |
| Abombamientos | 0: No existen defectos |
| Desplomes o basculamientos | 0: No existen defectos |
| Asentamientos | 0: No existen defectos |
| Descalces | 0: No existen defectos |
| Socavaciones | 0: No existen defectos |
| Depósitos en coronación | 0: No existen defectos |
| Daños en coronación | 0: No existen defectos |
| Daños en espaldón | 0: No existen defectos |
| Balasto encastrado | 0: No existen defectos |
| Daños en protección de pie de estribos | |
| Daños en cimentaciones vistas | 0: No existen defectos |
| Vegetación aflorando | 0: No existen defectos |
| Vegetación adosada | 0: No existen defectos |

OBSERVACIONES ESTRIBOS

**ESTADO GENERAL ESTRIBOS** 0: No existen defectos

## *INSPECCIONES ESTRUCTURAS*
## *LAV MADRID - ZARAGOZA - BARCELONA - FRONTERA FRANCESA*
## *LLEIDA - VILAFRANCA DEL PENEDES*

| | |
|---|---|
| **ID (Identificador de la estructura)** | **35VI02** |
| **FECHA DE LA INSPECCIÓN** | **24/09/2004** |

### *ESTADO ACTUAL ALETAS O MUROS DE ACOMPAÑAMIENTO*

| | |
|---|---|
| Daños en unión frente y laterales | 0: No existen defectos |
| Juntas degradadas | 0: No existen defectos |
| Golpes y roturas | 0: No existen defectos |
| Fisuras y grietas | 0: No existen defectos |
| Coqueras y nidos de grava | 0: No existen defectos |
| Meteorización y degradación | 0: No existen defectos |
| Desprendimientos | 0: No existen defectos |
| Carbonatación y desagregación | 0: No existen defectos |
| Armaduras vistas someras | 0: No existen defectos |
| Corrosión y disgregación | 0: No existen defectos |
| Humedades y filtraciones | 0: No existen defectos |
| Incrustaciones calcáreas y eflorescencias | 0: No existen defectos |
| Desagüe de mechinales | 0: No existen defectos |
| Abombamientos | 0: No existen defectos |
| Desplomes o basculamientos | 0: No existen defectos |
| Asentamientos | 0: No existen defectos |
| Descalces | 0: No existen defectos |
| Socavaciones | 0: No existen defectos |
| Depósitos en coronación | 0: No existen defectos |
| Daños en coronación | 0: No existen defectos |
| Daños en protección de pie de estribos | |
| Daños en cimentaciones vistas | 0: No existen defectos |
| Vegetación aflorando | 0: No existen defectos |
| Vegetación adosada | 0: No existen defectos |
| OBSERVACIONES ESTRIBOS | |
| **ESTADO GENERAL ALETAS** | 0: No existen defectos |

## *INSPECCIONES ESTRUCTURAS*
## *LAV MADRID - ZARAGOZA - BARCELONA - FRONTERA FRANCESA*
## *LLEIDA - VILAFRANCA DEL PENEDES*

| | |
|---|---|
| **ID (Identificador de la estructura)** | **35VI02** |
| **FECHA DE LA INSPECCIÓN** | **24/09/2004** |

### *ESTADO ACTUAL PILAS*

| | |
|---|---|
| Punzonado bajo apoyos | 0: No existen |
| Daños en unión frente y laterales | 0: No existen |
| Juntas degradadas | 0: No existen |
| Golpes y roturas | 0: No existen |
| Fisuras y grietas | 0: No existen |
| Coqueras y nidos de grava | 0: No existen |
| Meteorización y degradación | 0: No existen |
| Desprendimientos | 0: No existen |
| Carbonatación y desagregación | 0: No existen |
| Armaduras vistas someras | 0: No existen |
| Corrosión y disgregación | 0: No existen |
| Humedades y filtraciones | 0: No existen |
| Incrustaciones calcáreas y eflorescencias | 0: No existen |
| Abombamientos | 0: No existen |
| Desplomes o basculamientos | 0: No existen |
| Asentamientos | 0: No existen |
| Descalces | 0: No existen |
| Socavaciones | 0: No existen |
| Depósitos en coronación | 0: No existen |
| Daños en coronación | 0: No existen |
| Daños en cimentaciones vistas | 0: No existen |
| Vegetación aflorando | 0: No existen |
| Vegetación adosada | 0: No existen |
| OBSERVACIONES PILAS | |
| **ESTADO GENERAL PILAS** | 0: No existen |

## *INSPECCIONES ESTRUCTURAS*
## *LAV MADRID - ZARAGOZA - BARCELONA - FRONTERA FRANCESA*
## *LLEIDA - VILAFRANCA DEL PENEDES*

| | |
|---|---|
| **ID (Identificador de la estructura)** | **35VI02** |
| **FECHA DE LA INSPECCIÓN** | **24/09/2004** |

### *ESTADO ACTUAL APARATOS DE APOYO*

| | |
|---|---|
| Envejecimiento | 0: No existen |
| Corrosión | 0: No existen |
| Suciedad y aterramiento | 0: No existen |
| Bloqueo o encastramiento | 0: No existen |
| Desplazamiento o deslizamiento | 0: No existen |
| Aplastamiento | 0: No existen |
| Reglaje incorrecto | 0: No existen |
| Desnivelaciones | 0: No existen |
| Falta de contacto | 0: No existen |
| Cunas de apoyo deterioradas | 0: No existen |
| Vegetación adosada | 0: No existen |

OBSERVACIONES APARATOS DE APOYO

| | |
|---|---|
| **ESTADO GENERAL APARATOS DE APOYO** | 0: No existen |

## INSPECCIONES ESTRUCTURAS
## LAV MADRID - ZARAGOZA - BARCELONA - FRONTERA FRANCESA
## LLEIDA - VILAFRANCA DEL PENEDES

| | |
|---|---|
| **ID (Identificador de la estructura)** | **35VI02** |
| **FECHA DE LA INSPECCIÓN** | **24/09/2004** |

### ESTADO ACTUAL ESTRUCTURA DE TRAMOS

| | |
|---|---|
| Pintura envejecida y desprendida | |
| Oxidación superficial | |
| Corrosiones locales activas | |
| Entalladuras y pérdidas de sección | |
| Elementos metálicos deformados o rotos | |
| Tornillos flojos o faltan | |
| Soldaduras fisuradas | |
| Fisuras y grietas longitudinales bóvedas | |
| Fisuras y grietas tranversales clave | |
| Fisuras y grietas tranversales riñones | |
| Fisuras y grietas tranversales arranques | |
| Fisuras y grietas longitudinales tímpanos | |
| Fisuras y grietas verticales tímpanos | |
| Separación y filtraciones tímpano-bóveda | |
| Fisuras y grietas longitudinales losas | |
| Fisuras y grietas tranversales losas | |
| Fisuras y grietas verticales losas | |
| Fisuras y grietas longitudinales en alas superiores vigas | 0: No existen |
| Fisuras y grietas transversales en alas superiores vigas | 0: No existen |
| Fisuras y grietas longitudinales conexión alas-alma | 0: No existen |
| Fisuras y grietas tranversales alma vigas | 0: No existen |
| Fisuras y grietas inclinadas alma vigas | 0: No existen |
| Fisuras y grietas longitudinales alma vigas | 0: No existen |
| Fisuras y grietas longitudinales ala inferior | 0: No existen |
| Fisuras y grietas tranversales ala inferior | 0: No existen |
| Fisuras y daños en testeros | 0: No existen |
| Golpes y roturas | 0: No existen |
| Coqueras y nidos de grava | 0: No existen |
| Meteorización y degradación | 0: No existen |
| Desprendimientos | 1: Defectos con incidencia en la estética |
| Carbonatación y desagregación | 0: No existen |
| Armaduras vistas someras | 0: No existen |
| Corrosión y disgregación | 0: No existen |
| Humedades y filtraciones | 1: Defectos con incidencia en la estética |
| Desagües obturados | 0: No existen |
| Incrustaciones calcáreas y eflorescencias | 0: No existen |
| Abombamientos | 0: No existen |
| Asentamientos y desnivelaciones | 0: No existen |
| Juntas longitudinales degradadas | 0: No existen |
| Juntas transversales degradadas | 0: No existen |
| Vegetación aflorando | 0: No existen |
| Vegetación adosada | 0: No existen |
| OBSERVACIONES ESTRUCTURA DE TRAMOS | |
| **ESTADO GENERAL ESTRUCTURA DE TRAMOS** | 0: No existen |

## *INSPECCIONES ESTRUCTURAS*
## *LAV MADRID - ZARAGOZA - BARCELONA - FRONTERA FRANCESA*
## *LLEIDA - VILAFRANCA DEL PENEDES*

| | |
|---|---|
| **ID (Identificador de la estructura)** | **35VI02** |
| **FECHA DE LA INSPECCIÓN** | **24/09/2004** |

### *ESTADO ACTUAL RESTO DE ELEMENTOS*

| | |
|---|---|
| Impermeabilización | |
| Drenaje longitudinal | |
| Drenaje transversal | |
| Muretes guardabalasto | 0: No existen |
| Juntas de dilatación | 0: No existen |
| Juntas de longitudinales | 0: No existen |
| Conducciones y canaletas | 0: No existen |
| Anclajes de postes | 0: No existen |
| Barandillas | 0: No existen |

OBSERVACIONES RESTO DE ELEMENTOS

| | |
|---|---|
| **ESTADO GENERAL RESTO DE ELEMENTOS** | 0: No existen |

## *INSPECCIONES ESTRUCTURAS*
## *LAV MADRID - ZARAGOZA - BARCELONA - FRONTERA FRANCESA*
## *LLEIDA - VILAFRANCA DEL PENEDES*

| | |
|---|---|
| **ID (Identificador de la estructura)** | **35VI02** |
| **FECHA DE LA INSPECCIÓN** | **24/09/2004** |

## *ESTADO ACTUAL*

| | |
|---|---|
| **ESTADO GENERAL** | 0: No existen |
| ESTADO GENERAL ESTRIBOS | 0: No existen |
| ESTADO GENERAL ALETAS | 0: No existen |
| ESTADO GENERAL PILAS | 0: No existen |
| ESTADO GENERAL APARATOS DE APOYO | 0: No existen |
| ESTADO GENERAL ESTRUCTURA DE TRAMOS | 0: No existen |
| ESTADO GENERAL RESTO DE ELEMENTOS | 0: No existen |

OBSERVACIONES

## *INSPECCIONES ESTRUCTURAS*
## *LAV MADRID - ZARAGOZA - BARCELONA - FRONTERA FRANCESA*
## *LLEIDA - VILAFRANCA DEL PENEDES*

| | |
|---|---|
| **ID (Identificador de la estructura)** | **35VI02** |
| **FECHA DE LA INSPECCIÓN** | **24/09/2004** |

| ***IDENTIFICACIÓN ARCHIVOS FOTOGRÁFICOS*** | | NOMBRE ARCHIVO |
|---|---|---|
| FOTOGRAFÍA Nº 1 | ALZADO DERECHO | 35VI02_01 .JPG |
| FOTOGRAFÍA Nº 2 | ALZADO IZQUIERDO | 35VI02_02 .JPG |
| FOTOGRAFÍA Nº 3 | VISTA SUPERIOR DESDE ENTRADA | 35VI02_03 .JPG |
| FOTOGRAFÍA Nº 4 | VISTA SUPERIOR DESDE SALIDA | 35VI02_04 .JPG |
| FOTOGRAFÍA Nº 5 | ESTRIBO DE ENTRADA | 35VI02_05 .JPG |
| FOTOGRAFÍA Nº 6 | VISTA INFERIOR | 35VI02_06 .JPG |
| FOTOGRAFÍA Nº 7 | VISTA INFERIOR | 35VI02_07 .JPG |
| FOTOGRAFÍA Nº 8 | TABLERO | 35VI02_08 .JPG |
| FOTOGRAFÍA Nº 9 | PILAS | 35VI02_09 .JPG |
| FOTOGRAFÍA Nº 10 | PILAS ARCO | 35VI02_10 .JPG |
| FOTOGRAFÍA Nº 11 | APOYOS | 35VI02_11 .JPG |
| FOTOGRAFÍA Nº 12 | VIA | 35VI02_12 .JPG |
| FOTOGRAFÍA Nº 13 | | |
| FOTOGRAFÍA Nº 14 | | |
| FOTOGRAFÍA Nº 15 | | |

OBSERVACIONES

**FOTOGRAFÍA Nº 1**: ALZADO DERECHO

**FOTOGRAFÍA Nº 2**: ALZADO IZQUIERDO

**FOTOGRAFÍA Nº 3**: VISTA SUPERIOR DESDE ENTRADA

**FOTOGRAFÍA Nº 4**: VISTA SUPERIOR DESDE SALIDA

**FOTOGRAFÍA Nº 5**: ESTRIBO DE ENTRADA

**FOTOGRAFÍA Nº 6**: VISTA INFERIOR

**FOTOGRAFÍA Nº 7**: VISTA INFERIOR

**FOTOGRAFÍA Nº 8**: TABLERO

**FOTOGRAFÍA Nº 9**: PILAS

**FOTOGRAFÍA Nº 10**: PILAS ARCO

**FOTOGRAFÍA Nº 11**: APOYOS

**FOTOGRAFÍA Nº 12**: VIA

# ANEJO 8: PLANIMETRÍA Y NIVELACIÓN DE LA ESTRUCTURA

**Madrid, Julio de 2007**

## ANEJO Nº 8: PLANIMETRÍA Y NIVELACIÓN DE LA ESTRUCTURA

Dentro de los trabajos realizados por IIC en el marco del contrato de "Consultoría y Asistencia Técnica para la Realización de Pruebas de Carga para la recepción de puentes de la L.A.V. Madrid – Zaragoza – Lleida - Barcelona – Frontera Francesa, Tramo Lleida – Vilafranca del Penedés (Exp: AV 017/03)", suscrito el 20 de Noviembre de 2003 por la UTE PC GIF MARTORELL con el Administrador de Infraestructuras Ferroviarias (ADIF), está contemplado el control topográfico de la **Estructura Vinaixa.**

# NIVELACIÓN DE ALTA PRECISIÓN

| | |
|---|---|
| **PROYECTO:** PRUEBAS DE CARGA ADIF | |
| **ESTRUCTURA:** Viaducto de Vinaixa | **P.K.:** 477+722 |

| | | |
|---|---|---|
| **CAMPAÑA:** INICIAL. Nº 0 | **FECHA:** 29-jun-05 | **HORA:** 18:00 |
| **EQUIPO EMPLEADO:** Nivel digital Leica DNA03. Mira ínvar de código de barras con puntales. | | |
| **TÉCNICO TOPÓGRAFO**<br>ELISEO ARRANZ DE FRUTOS | **OPERADOR AUXILIAR**<br>JOSÉ MANUEL HERNÁNDEZ | |

| **CARACTERÍSTICAS DE CAMPAÑA** | | | |
|---|---|---|---|
| **Condiciones ambientales:** Buenas. Despejado, viento, sin reverberación | | | |
| **Alt. salida:** 100.0000 m | **Alt. llegada:** 100.0011 m | | **Error de cierre:** +1.11mm |
| **Distancia:** 1368.14 m | **T =** $\pm$ 1.75 mm | Ec$\leq$T, siendo T=1.5 $\sqrt{K}$ | |

Signo (+) desplazamiento en ascenso / Signo (-) desplazamiento en descenso

| NOMBRE DE PUNTO | ALTURA INICIAL (m) | ALTURA ACTUAL (m) | DESPLAZAMIENTO (mm) |
|---|---|---|---|
| R0-1 | 100.0000 | ----- | + 0.0 |
| R0-2 | 100.4818 | ----- | + 0.0 |
| R0-3 | 100.8847 | ----- | + 0.0 |
| E0-N | 100.9847 | ----- | + 0.0 |
| E0-S | 101.0742 | ----- | + 0.0 |
| P01-N | 101.6119 | ----- | + 0.0 |
| P02-N | 102.1784 | ----- | + 0.0 |
| P03-N | 102.7819 | ----- | + 0.0 |
| P04-N | 103.4066 | ----- | + 0.0 |
| P05-N | 104.0061 | ----- | + 0.0 |
| P06-N | 104.6104 | ----- | + 0.0 |
| P07-N | 105.1999 | ----- | + 0.0 |
| P08-N | 105.7750 | ----- | + 0.0 |
| P09-N | 106.3655 | ----- | + 0.0 |
| P10-N | 106.9475 | ----- | + 0.0 |
| P11-N | 107.5180 | ----- | + 0.0 |
| P12-N | 108.1154 | ----- | + 0.0 |

# NIVELACIÓN DE ALTA PRECISIÓN

| | | |
|---|---|---|
| **PROYECTO:** PRUEBAS DE CARGA ADIF | | |
| **ESTRUCTURA:** Viaducto de Vinaixa | | **P.K.:** 477+722 |
| **CAMPAÑA:** INICIAL. Nº 0 | **FECHA:** 29-jun-05 | **HORA:** 18:00 |

| NOMBRE DE PUNTO | ALTURA INICIAL (m) | ALTURA ACTUAL (m) | DESPLAZAMIENTO (mm) |
|---|---|---|---|
| P13-N | 108.6691 | ----- | + 0.0 |
| P14-N | 109.2633 | ----- | + 0.0 |
| P15-N | 109.8417 | ----- | + 0.0 |
| P16-N | 110.4584 | ----- | + 0.0 |
| P17-N | 111.0297 | ----- | + 0.0 |
| P18-N | 111.6009 | ----- | + 0.0 |
| P19-N | 112.1919 | ----- | + 0.0 |
| P20-N | 112.7793 | ----- | + 0.0 |
| P21-N | 113.3494 | ----- | + 0.0 |
| E1-S | 113.8607 | ----- | + 0.0 |
| E1-N | 113.8499 | ----- | + 0.0 |
| R1-4 | 114.1860 | ----- | + 0.0 |
| R1-5 | 115.0852 | ----- | + 0.0 |
| R1-6 | 116.0455 | ----- | + 0.0 |

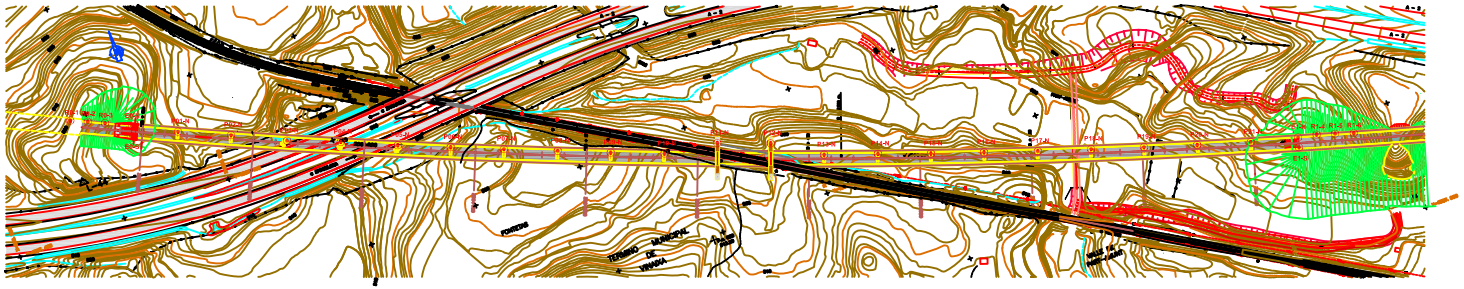

PLANTA

**LEYENDA:**

| | |
|---|---|
| ◉ | PUNTO DE NIVELACIÓN |
| **R0-1** | REFERENCIA NÚMERO 1 EN LADO DE ENTRADA |
| **E0-N** | SEÑAL EN ESTRIBO DE ENTRADA. LADO NORTE |
| **P01-N** | SEÑAL SOBRE PILA. LADO NORTE |

L.A.V. MADRID – ZARAGOZA – BARCELONA – FRONTERA FRANCESA
TRAMO: MADRID – LLEIDA. BASE MADRID SUR

| ESTRUCTURA: | LOCALIZACIÓN: | P.K.: |
|---|---|---|
| 35VI02 | Provincia de Lleida | 477+722 |

ESQUEMA DE DISTRIBUCIÓN DE PUNTOS DE CONTROL TOPOGRÁFICO POR NIVELACIÓN

| CONSULTOR: | FECHA: |
|---|---|
| | Abril 2008 |

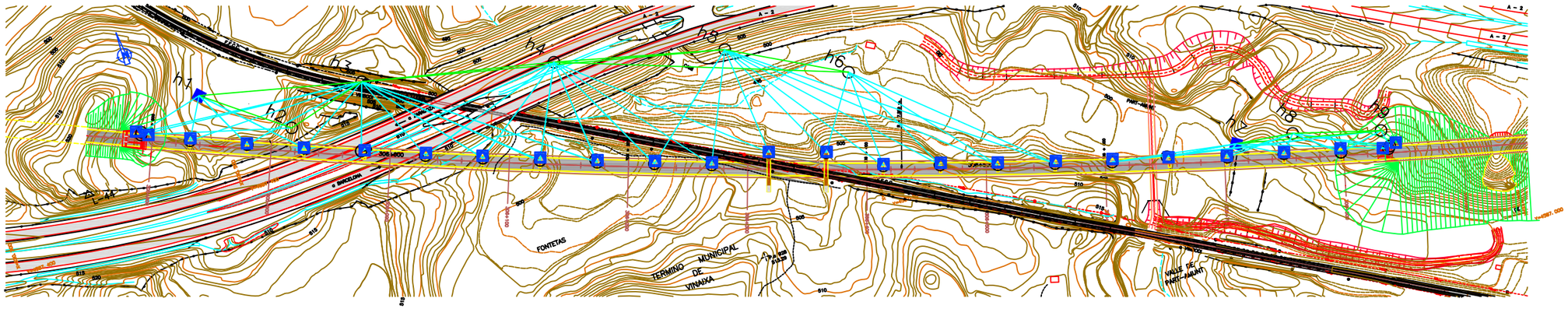


**PLANTA**
ESCALA 1:2000

NOTA: DISTANCIA ENTRE PARAMENTO DE PILA 3 Y PILA 5 A BORDES DE ARCÉN = 1.00 m Y 1.67 m.

## LEYENDA:

| | |
|---|---|
| ▲ | SEÑAL DE PUNTERÍA |
| **P05-CP-S** | SEÑAL DE PUNTERIA EN CABEZA DE PILA Nº05. LADO SUR |
| **P05-PP-S** | SEÑAL DE PUNTERIA EN PIE DE PILA Nº5. LADO SUR |
| **E0-F-S** | SEÑAL DE PUNTERIA EN FRONTAL DE ESTRIBO DE ENTRADA. LADO SUR |
| **E0-L-S** | SEÑAL DE PUNTERIA EN LATERAL DE ESTRIBO DE ENTRADA. LADO SUR |

L.A.V. MADRID - ZARAGOZA - BARCELONA - FRONTERA FRANCESA
TRAMO: MADRID - LLEIDA. BASE MADRID SUR

| ESTRUCTURA: | UBICACIÓN: | P.K.: |
|---|---|---|
| 35VI02 | Provincia de Lleida | 477+722 |

ESQUEMA DE DISTRIBUCIÓN DE PUNTOS DE CONTROL TOPOGRÁFICO POR TRIANGULACIÓN

| CONSULTOR: | FECHA: |
|---|---|
| INECO | Abril 2008 |

# POLISECCIÓN

**PROYECTO:** Viaductos de la Línea de Alta Velocidad Madrid - Barcelona - Frontera Francesa, Tramo Lleida - Vilafranca del Penedés

**UBICACIÓN:** Viaducto de Vinaixa

**CAMPAÑA:** Inicial **FECHA INICIAL:** **FECHA ACTUAL:**

**EMPRESA:** IIC S.A. **I.T.TOPÓGRAFO:** Tarik Allouh

**EQUIPO EMPLEADO:** Estacion Total TCA 2003

| PUNTO | X inicial | Y inicial | Observaciones |
|---|---|---|---|
| **Coordenadas de los Hitos** | | | |
| **h1** | 331269.0000 | 4586939.0000 | |
| **h2** | 331187.6242 | 4586951.1170 | |
| **h3** | 331153.5261 | 4587012.6854 | |
| **h4** | 331018.1533 | 4587102.0721 | |
| **h5** | 330895.9564 | 4587177.9976 | |
| **h6** | 330795.0925 | 4587209.3235 | |
| **h7** | 330478.9084 | 4587306.9975 | |
| **h8** | 330440.9028 | 4587336.7315 | |
| **h9** | 330376.3166 | 4587373.3006 | |
| **Coordenadas de las dianas** | | | |
| **E0-L-S** | 331297.4970 | 4586889.3709 | |
| **E0-F-S** | 331297.0580 | 4586887.1520 | |
| **P01-CP-S** | 331258.2561 | 4586901.9981 | |
| **P02-CP-S** | 331214.2905 | 4586921.3885 | |
| **P02-PP-S** | 331214.2450 | 4586921.3952 | |
| **P03-CP-S** | 331170.5109 | 4586941.0022 | |
| **P03-PP-S** | 331170.4616 | 4586941.0462 | |
| **P04-CP-S** | 331126.8442 | 4586960.9692 | |
| **P04-PP-S** | 331126.9068 | 4586960.9200 | |
| **P05-CP-S** | 331083.3493 | 4586981.1640 | |
| **P05-PP-S** | 331083.3104 | 4586981.1591 | |
| **P06-CP-S** | 331039.9254 | 4587001.6677 | |
| **P06-PP-S** | 331040.0418 | 4587001.6064 | |
| **P07-CP-S** | 330996.6892 | 4587022.4636 | |

# POLISECCIÓN

**PROYECTO:** Viaductos de la Línea de Alta Velocidad Madrid - Barcelona - Frontera Francesa, Tramo Lleida - Vilafranca del Penedés

**UBICACIÓN:** Viaducto de Vinaixa

**CAMPAÑA:** Inicial **FECHA INICIAL:** **FECHA ACTUAL:**

**EMPRESA:** IIC S.A. **I.T.TOPÓGRAFO:** Tarik Allouh

**EQUIPO EMPLEADO:** Estacion Total TCA 2003

| PUNTO | X inicial | Y inicial | Observaciones |
|---|---|---|---|
| **P07-PP-S** | 330996.6566 | 4587022.4578 | |
| **P08-CP-S** | 330953.5640 | 4587043.5433 | |
| **P08-PP-S** | 330953.4754 | 4587043.5601 | |
| **P09-CP-S** | 330910.7702 | 4587064.8237 | |
| **P09-PP-S** | 330910.6251 | 4587064.8752 | |
| **P10-CP-S** | 330875.0277 | 4587100.7473 | |
| **P11-CP-S** | 330832.8022 | 4587123.3781 | |
| **P12-CP-S** | 330782.5588 | 4587130.6767 | |
| **P13-CP-S** | 330740.1343 | 4587153.2131 | |
| **P14-CP-S** | 330697.9565 | 4587175.9330 | |
| **P15-CP-S** | 330655.9601 | 4587198.9920 | |
| **P16-CP-S** | 330613.9418 | 4587222.3535 | |
| **P17-CP-S** | 330571.9465 | 4587245.6173 | |
| **P18-CP-S** | 330525.4109 | 4587270.4390 | |
| **P19-CP-S** | 330481.7190 | 4587295.2451 | |
| **P19-PP-S** | 330480.2049 | 4587293.6205 | |
| **P20-CP-S** | 330439.5325 | 4587318.2602 | |
| **P20-PP-S** | 330439.5193 | 4587318.2642 | |
| **P21-CP-S** | 330397.6719 | 4587341.4490 | |
| **P21-PP-S** | 330397.6398 | 4587341.4632 | |
| **E1-F-S** | 330363.7178 | 4587362.6861 | |
| **E1-L-S** | 330363.7681 | 4587365.1372 | |
| | | | |
| | | | |

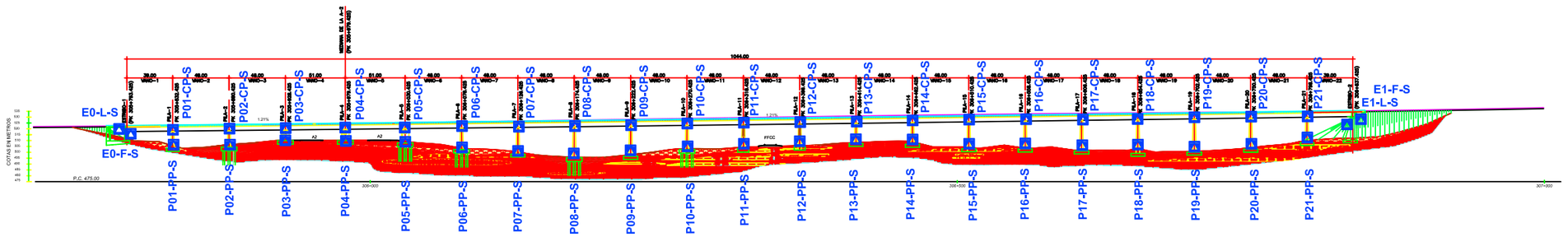


PERFIL LONGITUDINAL
ESCALA 1:2000

**LEYENDA:**

| | |
|---|---|
| ▲ | SEÑAL DE PUNTERÍA |
| **P05-CP-S** | SEÑAL DE PUNTERIA EN CABEZA DE PILA Nº05. LADO SUR |
| **P05-PP-S** | SEÑAL DE PUNTERIA EN PIE DE PILA Nº5. LADO SUR |
| **E0-F-S** | SEÑAL DE PUNTERIA EN FRONTAL DE ESTRIBO DE ENTRADA. LADO SUR |
| **E0-L-S** | SEÑAL DE PUNTERIA EN LATERAL DE ESTRIBO DE ENTRADA. LADO SUR |

L.A.V. MADRID - ZARAGOZA - BARCELONA - FRONTERA FRANCESA
TRAMO: MADRID - LLEIDA. BASE MADRID SUR

| ESTRUCTURA: | UBICACIÓN: | P.K.: |
|---|---|---|
| 35VI02 | Provincia de Lleida | 477+722 |

ESQUEMA DE DISTRIBUCIÓN DE PUNTOS DE CONTROL TOPOGRÁFICO POR TRIANGULACIÓN

| CONSULTOR: | FECHA: |
|---|---|
| INECO | Abril 2008 |